

130

1-24

АКАДЕМИЯ НАУК СССР  
ИНСТИТУТ НАУЧНОЙ ИНФОРМАЦИИ

# РЕФЕРАТИВНЫЙ ЖУРНАЛ

ХИМИЯ

РЕФЕРАТЫ

73950—77133

\*

№ 23

1956

ИЗДАТЕЛЬСТВО АКАДЕМИИ НАУК СССР  
МОСКВА

**ГЛАВНАЯ РЕДАКЦИОННАЯ КОЛЛЕГИЯ  
РЕФЕРАТИВНОГО ЖУРНАЛА**

**Н. В. Агеев, В. В. Алтатов, Г. Д. Афанасьев, В. Н. Дикунин, В. Ю. Ломоносов,  
С. М. Никольский, К. Ф. Огородников, Д. Ю. Панов (председатель редколлегии),  
В. В. Покиншевский, Л. И. Седов, В. В. Серпинский, Э. В. Шпольский**

## СОДЕРЖАНИЕ

<b>ОБЩИЕ ВОПРОСЫ</b> . . . . .	1	Минеральные соли. Окислы. Кислоты. Основания . . . . .	250
Методология. История. Научные учреждения и конференции. Преподавание. Вопросы библиографии и научной документации . . . . .	1	Удобрения . . . . .	263
<b>ФИЗИЧЕСКАЯ ХИМИЯ</b> . . . . .	6	Пестициды . . . . .	265
Общие вопросы . . . . .	6	Электрохимические производства. Электроосаждение. Химические источники тока . . . . .	268
Атомное ядро . . . . .	6	Силикаты. Стекло. Керамика. Вяжущие материалы . . . . .	274
Атом . . . . .	8	Получение и разделение газов . . . . .	298
Молекула. Химическая связь . . . . .	13	Подготовка воды. Сточные воды . . . . .	299
Кристаллы . . . . .	22	Переработка твердых горючих ископаемых . . . . .	301
Жидкости и аморфные тела. Газы . . . . .	38	Переработка природных газов и нефти. Моторное топливо. Смазки . . . . .	306
Общие вопросы химии изотопов . . . . .	40	Промышленный органический синтез . . . . .	315
Термодинамика. Термохимия. Равновесия. Физико-химический анализ. Фазовые переходы . . . . .	43	Промышленный синтез красителей . . . . .	326
Кинетика. Горение. Вспышки. Топохимия. Катализ . . . . .	52	Крашение и химическая обработка текстильных материалов . . . . .	329
Фотохимия. Радиационная химия. Теория фотографического процесса . . . . .	61	Взрывчатые вещества. Пиротехнические составы . . . . .	336
Растворы. Теория кислот и оснований . . . . .	65	Лекарственные вещества. Витамины. Антибиотики . . . . .	337
Электрохимия . . . . .	68	Фотографические материалы . . . . .	344
Поверхностные явления. Адсорбция. Хроматография. Ионный обмен . . . . .	77	Душистые вещества. Эфирные масла. Парфюмерия и косметика . . . . .	348
Химия коллоидов. Дисперсные системы . . . . .	83	Каучук натуральный и синтетический. Резина . . . . .	350
<b>НЕОРГАНИЧЕСКАЯ ХИМИЯ. КОМПЛЕКСНЫЕ СОЕДИНЕНИЯ</b> . . . . .	86	Синтетические полимеры. Пластмассы . . . . .	355
<b>КОСМОХИМИЯ. ГЕОХИМИЯ. ГИДРОХИМИЯ</b> . . . . .	86	Лаки. Краски. Эмали. Олифы. Синкративы . . . . .	366
<b>ОРГАНИЧЕСКАЯ ХИМИЯ</b> . . . . .	104	Лесохимические продукты. Целлюлоза и ее производные. Бумага . . . . .	374
Теоретические и общие вопросы органической химии . . . . .	104	Искусственное и синтетическое волокно . . . . .	378
Синтетическая органическая химия . . . . .	119	Жиры и масла. Воски. Мыла. Моющие средства. Флотореагенты . . . . .	380
Природные вещества и их синтетические аналоги . . . . .	174	Углеводы и их переработка . . . . .	383
<b>ХИМИЯ ВЫСОКОМОЛЕКУЛЯРНЫХ ВЕЩЕСТВ</b> . . . . .	196	Бродильная промышленность . . . . .	387
<b>АНАЛИТИЧЕСКАЯ ХИМИЯ</b> . . . . .	213	Пищевая промышленность . . . . .	395
Общие вопросы . . . . .	213	Кожа. Мех. Желатина. Дубители. Технические белки . . . . .	415
Анализ неорганических веществ . . . . .	220	Прочие производства . . . . .	418
Анализ органических веществ . . . . .	240	<b>КОРРОЗИЯ. ЗАЩИТА ОТ КОРРОЗИИ</b> . . . . .	419
<b>ОБОРУДОВАНИЕ ЛАБОРАТОРИЙ. ПРИБОРЫ, ИХ ТЕОРИЯ, КОНСТРУКЦИЯ, ПРИМЕНЕНИЕ</b> . . . . .	247	<b>ПРОЦЕСС И ОБОРУДОВАНИЕ ХИМИЧЕСКИХ ПРОИЗВОДСТВ</b> . . . . .	430
<b>ХИМИЧЕСКАЯ ТЕХНОЛОГИЯ. ХИМИЧЕСКИЕ ПРОДУКТЫ И ИХ ПРИМЕНЕНИЕ</b> . . . . .	256	Процессы и аппараты химической технологии . . . . .	430
Общие вопросы . . . . .	256	Контрольно-измерительные приборы. Автоматическое регулирование . . . . .	440
Серная кислота, сера и ее соединения . . . . .	257	<b>ТЕХНИКА БЕЗОПАСНОСТИ. САНИТАРНАЯ ТЕХНИКА</b> . . . . .	445
Азотная промышленность . . . . .	258	<b>НОВЫЕ КНИГИ, ПОСТУПИВШИЕ В РЕДАКЦИЮ</b> . . . . .	—
Содовая промышленность . . . . .	259	<b>АВТОРСКИЙ УКАЗАТЕЛЬ</b> . . . . .	449
		<b>УКАЗАТЕЛЬ ДЕРЖАТЕЛЕЙ ПАТЕНТОВ</b> . . . . .	463



P

7

7

C

7

B

7

M

P

I

7

X

7

C

P

7

S

7

# РЕФЕРАТИВНЫЙ ЖУРНАЛ ХИМИЯ

ГЛАВНЫЙ РЕДАКТОР В. В. Серпинский. УЧЕНЫЙ СЕКРЕТАРЬ И. А. Зайцев  
РУКОВОДИТЕЛИ СЕКТОРОВ И ГРУПП: Х. С. Багдасарьян, Д. А. Бочвар, Л. М. Бродде, А. И. Бусев,  
М. Е. Дяткина, В. В. Кафаров, В. Л. Кретович, Д. Н. Курсанов, Б. А. Сасс-Тисовский,  
В. А. Соколов, К. С. Топчиев, Н. А. Фукс

Рефераты 73950—77133

№ 23

10 декабря 1956 г.

## ОБЩИЕ ВОПРОСЫ

МЕТОДОЛОГИЯ. ИСТОРИЯ. НАУЧНЫЕ УЧРЕЖДЕНИЯ И КОНФЕРЕНЦИИ.  
ПРЕПОДАВАНИЕ. ВОПРОСЫ БИБЛИОГРАФИИ И НАУЧНОЙ ДОКУМЕНТАЦИИ

73950. К вопросу о специфике химической формы движения материи. Штофф В. А., Вестн. Ленингр. ун-та, 1956, № 11, 68—80
73951. Глава о случайностях. Стратди (A chapter of accidents. Stratthdee R. B.), J. Roy. Inst. Chem., 1954, 78, April, 192—197 (англ.)  
В популярной форме иллюстрируется на примерах роль случайных наблюдений в развитии науки и техники.  
В. А.
73952. О математике в практике химика. Челеда, Галь (Několik slov o matematice v praxi chemika. Čeleda J., Gál T.), Chem. průmysl, 1954, 4, № 9, 321—326 (чеш.)  
Приведены примеры использования математич. методов в химич. практике.  
И. Р.
73953. Исследование — основа химической промышленности. Вурстер (Forschung als Grundlage der chemischen Industrie. Wurster Carl), Z. Vereines dtsh. Ingr., 1954, 36, № 24, 797—801 (нем.)  
О важном значении взаимосвязи н.-и. работы и практич. инженерной деятельности. Иллюстрировано примерами из истории возникновения и развития современной хим. пром-сти.  
Н. А.
73954. Химизация — важное условие технического развития. Хегедюш (A kémizákás: a műszaki fejlődés fontos követelménye. Hegedűs Tibor), Közgazd. szemle, 1955, 2, № 9, 1020—1031 (венг.; рез. русс., англ.)  
Обсуждаются задачи в области химизации народного хозяйства ВНР.  
Д. Т.
73955. Американский алхимик [Джордж Рапп, 1757—1847]. Миллер (An american alchemist. Miller P. Schuyler), Sci. Counselor, 1954, 17, № 3, 97—99, 110 (англ.)
73956. Атанасиус Кирхер. Современник «Химика-скептика». Рейлли (Athanasius Kircher, S. J. A contemporary of the «Sceptical Chymist». Reilly Connor), J. Chem. Educ., 1955, 32, № 5, 253—258 (англ.)  
А. Кирхер (1601—1680), член ордена иезуитов, разносторонний ученый, проф. Collegium Romanum. Подробно рассматривая его сочинения, посвященные алхимии, автор заключает, что Кирхера следует считать, наряду с Бойлем, «отцом современной химии».  
Д. Т.
73957. Наука во Франции и Британии. Исторический очерк. Мак-Ки (Science in France and Britain. A retrospect. McKie Douglas), Sci. Progr., 1954, 42, № 168, 569—586 (англ.)  
Из истории научных связей между Францией и Англией в XVII и XVIII в., в частности в области химии. В. А.
73958. Два плаката, иллюстрирующих «химические знаки применительно к новой номенклатуре» Лавуазье. Дювэн, Кликштейн (Two broadsides illustrating Antoine Laurent Lavoisier's «chemical characters adapted to the new nomenclature». Duveen Denis I., Klickstein Herbert S.), Proc. Amer. Philos. Soc., 1954, 98, № 6, 466—468 (англ.)  
Дается описание и фото двух таблиц, изданных в Англии в 1799 г., и поясняется их происхождение.  
В. А.
73959. Эволюция теории валентности и символов для обозначения химической связи. Мак-Ки (The evolution of valence theory and bond symbolism. Mackie Henry), J. Chem. Educ., 1954, 31, № 12, 618—625 (англ.)  
Исторический обзор (от взглядов древних философов до электронной теории). Библ. 47 назв.  
Е. Л.
73960. Символические обозначения строения химических соединений и эволюция химических теорий. Амьель (Les représentations symboliques de la structure de la matière au cours de l'évolution des théories chimiques. Amiel J.), Rev. gén. sci. pures et appl., 1954, 61, № 9—10, 278—299 (франц.)
73961. Производство сахара в древности и в первобытных странах. Дедерко (Produkcja cukru w starożytności i w krajach pierwotnych. Dederko B.), Gaz. cukrown., 1955, 57, № 12, 245—246 (польск.)  
Краткий обзор. Библ. 15 назв.  
Л. Ш.
73962. Первый сахарный завод в России. (Опыт реконструкции). Воронов И. Т. Сахарная пром-сть, 1956, № 6, 72—74  
Описание производственного процесса завода в селе Алябьево, Тульской губернии, построенного в 1802 г. Приведен общий вид и схема завода, воспроизведенные по литературным данным. См. также РЖХим, 1955, 51152.  
Д. Т.
73963. Производство портланд-цемента. Луи Вика, его жизнь и труды. — (La fabrication du ciment portland. Louis Vicat. Sa vie... Son oeuvre.), Equipem. méc., 1954, 33, № 300, 9—15 (франц.)  
Статья, посвященная изобретению портланд-цемента в 1817 г. Л. Вика (1786—1861). Краткое описание современной технологии произ-ва цемента.  
Б. Р.
73964. Основная химическая промышленность района реки Мерсей (Англия). Фергусон (The heavy che-

- mical industries of Merseyside. Ferguson J.), *Advancement Sci.*, 1954, 11, № 41, 79—86 (англ.)  
Исторический обзор. И. Р.
73965. История магния. Болл (The history of magnesium. Ball C. J. P.), *J. Inst. Metals*, 1956, 84, № 11, 399—411 (англ.)
73966. Развитие производства магния за последние 30 лет. Памяти Вильгельма Мошеля [1896—1954]. Виннаккер, Бауэр (Zur Entwicklung der Magnesium-Herstellung in den letzten 30 Jahren. Wilhelm Moschel zum Gedächtnis. Winnacker K., Bauer E.), *Chem.-Ingr.-Techn.*, 1955, 27, № 4, 177—180 (нем.)
73967. Краткая история гидрогенизации жиров. Хольмбю (Trek av oljeherdningens historie. Holmboe Carl Fred), *Norsk Hvalfangst-tidende*, 1955, 44 № 5, 249—258 (норв., англ.)
73968. 50 лет физической химии. Кетелар (50 jaar Physische Chemie. Ketelaar J. A. A.), *Chem. weekbl.*, 1955, 51, № 19, 331—344 (голл.)  
Краткий историч. обзор. Библ. 83 назв. Д. Т.
73969. Вклад китайских химиков в физическую химию. Гу И-дун, Лю Си-ту (中國化學家對於物理化學的貢獻。顧翼東，柳熙圖)，*化學世界*，Хуасюэ шицзе, 1954, 9, № 9, 374—379; № 10, 424—426, 444; № 11, 470—473, 483 (кит.)  
Библ. 144 назв. Д. Т.
73970. Тридцать лет химии рения. Слейс (Dertig jaren Rhenium-chemie, Sluis K. J. H. van), *Chem. courant*, 1955, 54, № 1751, 292—296 (голл.)  
Обзор. Библ. 15 назв. Д. Т.
73971. О развитии ядерной химии (из моих воспоминаний). Ган (Über die Entwicklung der Kernchemie (aus meinen Erinnerungen). Han O.), *Z. Elektrochem.*, 1954, 58, № 8, 543—546 (нем.)
73972. О процессе Рашига. Прай (Raschig Process. Prahl Walter H.), *Chem. and Engng News*, 1953, 31, № 41, 4178 (англ.)  
Возражения на статью Crowford R. M., *Synthetic phenol*, *Chem. and Engng News*, 1947, Jan., 235, в отношении истории разработки метода получения фенола по Рашигу. Автор доказывает, что авторство этого метода принадлежит ему, а не Рашигу. Я. Р.
73973. По поводу одного приоритета. Какабадзе В. М., Чачанидзе Г. Д. (პოვობა ჰაზარდის პრიორიტეტის შესახებ. ვაკაბაძე ვ. მ., ჩაჩანიძე გ. დ.), *Тр. Груз. политехн. ин-та*, 1953, № 28, 27—30 (груз.; рез. русс.)  
О приоритете А. Д. Картвелишвили (Картвелова) (1917) в разработке методов получения Ва-соединений из силикатов Ва. К. К.
73974. Парацельс и его связи с Польшей и поляками. Стопа (Paracelsi i jego stosunki z Polską oraz polakami. Stopa Marian), *Wszecchiwiat*, 1954, № 8, 211—214 (польск.)
73975. Ньютон как химик. Бастерфилд (Newton as a chemist. Basterfield S.), *Chem. in Canada*, 1953, 5, № 2, 23—25 (англ.)  
Об алхимических опытах Ньютона и его теоретич. высказываниях, касающихся сил сродства и причин хим. р-ций. Д. Т.
73976. Авогадро, Жерар и развитие органической химии. Грин (Avogadro (1776—1856), Gerhardt (1816—1856), and the development of organic chemistry. Green J. H. S.), *J. Roy. Inst. Chem.*, 1956, 80, № 383—434, 394—397 (англ.)
73977. 100 лет до дня смерти Шарля Жерара. Жак (Centenaire de la mort de Charles Gerhardt (1816—1856). Jacques J.), *Rev. gén. sci. pures et appl.*, 1956, 63, № 5—6, 153—157 (франц.)
73978. Докторская диссертация Огюста Лорана и его «Теория органических соединений» (1836 г.). Жак (La thèse de doctorat d'Auguste Laurent et la Théorie des combinaisons organiques (1836). Jacques Jean), *Bull. Soc. chim. France* 1954, № 5, D 31—D 39 (франц.)  
Обнаружена рукопись Лорана «Théorie des combinaisons organiques». В отличие от одноименной статьи в *Annales de chimie*, 1836, 61, 125—146 в рукописи имеется 13 страниц вводного текста, ранее не опубликованного, в котором излагаются представления о расположении атомов в молекулах органич. соединений. Приведен текст этого введения и фото страниц 1, 2, 13 и 14 оригинала. Д. Т.
73979. А. М. Бутлеров — великий русский химик (К 70-летию со дня смерти). Арбузов А. Е. *Хим. наука и пром-сть*, 1956, 1, № 3, 345—351
73980. К вопросу о полной библиографии трудов Е. С. Федорова. Шафрановский К. И., Соркин А. М. *Зап. Всес. минералог. о-ва*, 1956, 85, № 2, 247—250
73981. Карл Рейхенбах. Кон (Karl Freiherr von Reichenbach. Kohn Moritz), *J. Chem. Educ.*, 1955, 32, № 4, 188—189 (англ.)  
Биографические сведения и краткий очерк научной деятельности К. Рейхенбаха (1788—1869), австрийского химика, одного из первых исследователей продуктов сухой перегонки органич. в-в, в частности древесного дегтя.
73982. Поль Сабатье и катализ. Бертран (Paul Sabatier et la catalyse. Bertrand Gabriel), *Bull. Soc. chim. France*, 1955, № 4, 473—475 (франц.)
73983. Труды Поля Сабатье в области общей и неорганической химии. Шампетье (L'oeuvre de Paul Sabatier en chimie générale et minérale. Champetier Georges), *Bull. Soc. chim. France*, 1955, № 4, 469—472 (франц.)
73984. Альбрехт Коссель. Жизнь и труды. Феликс (Albrecht Kossel. Leben und Werk. Felix Kurt), *Naturwissenschaften*, 1955, 42, № 17, 473—478 (нем.)  
А. Коссель (1853—1927) — биохимик, исследователь в области биохимии клетчатки и химии белков (Физиологич. ин-т в Гейдельберге, Ин-т по исследованию белков). Д. Т.
73985. Ганс Херер. Бруннер (Dr. Hans Heger. Brunner O.), *Österr. Chem.-Ztg.*, 1955, 56, № 17/18, 253—255 (нем.)  
Краткий очерк жизни и деятельности в области хим. и фармацевтич. литературы Г. Херера (1855—1940), основателя и редактора журнала *Österr. Chem.-Ztg.* Д. Т.
73986. Бывшие президенты Королевского института химии. Джордж Джеральд Гендерсон. (1862—1942). Камминг (George Gerald Henderson. 1862—1942. Cumming W. M.), *J. Roy. Inst. Chem.*, 1956, 80, 325—327 (англ.)  
Воспоминания о Дж. Дж. Гендерсоне — проф. прикладной химии ун-та в Глазго, быв. президенте ин-та в 1924—1927 гг. Д. Т.
73987. Артур Беккет Лемб. Блисс (Arthur Beckett Lamb. Bliss Allen D.), *J. Amer. Chem. Soc.*, 1955, 77, № 22, 5773—5780 (англ.)  
Очерк жизни и научной деятельности А. Б. Лемба (1880—1952), быв. редактора журнала *J. Amer. Chem. Soc.* (1918—1949). Приведен перечень научных трудов.
73988. Мередит Гуинн Эванс. Бон (Meredith Gwynne Evans. Bawn C. E. H.), *J. Chem. Soc.*, 1956, June, 1916—1917 (англ.)  
Некролог М. Г. Эванса (1904—1952), исследователя в области физич. и теоретич. химии, проф. Манчестерского ун-та. Д. Т.
73989. Гарри Гордон Ривс. Уэрмалл (Harry Gordon Reeves. Wormalt A.), *J. Chem. Soc.*, 1955, May, 1639—1640 (англ.)  
Некролог Г. Г. Ривса (1896—1952) — биохимика, исследователя в области обмена углеводов. Д. Т.

73990. **Бернард Маут Джонс. Хауэлл** Bernard Mout Jones. Howell O. Rhy s), J. Chem. Soc., 1955, May, 1638—1639 (англ.)  
Некролог Б. М. Джонса (1882—1953), химика-неорганика, вице-канцлера ун-та в Лидсе. Д. Т.
73991. **Памяти И. Лифшица. Баккер** (In memoriam Dr. I. Lifschitz. Backer H. J.), Chem. weekbl., 1953, 49, № 50, 941 (голл.)  
Некролог голландского физико-химика И. Лифшица (1888—1953). Д. Т.
73992. **Вильям Ллойд Эванс. Вульфром, Мак** (William Lloyd Evans. Wolfram Melville L., Mack Edward, Jr.), J. Amer. Chem. Soc., 1955, 77, № 19, 4949—4955 (англ.)  
Очерк жизни и деятельности В. Л. Эванса (1870—1954), химика-органика, быв. проф. Чикагского ун-та. Приведен перечень научных трудов. Д. Т.
73993. **Памяти профессора К. Н. Короткова.**— (Памяти професора К. Н. Караткова.—), Вестн АН БССР. Сер. физ.-техн. н., Изв. АН БССР, Сер. физ.-техн. н., 1956, № 1, 135—137 (белорусс.)  
К. Н. Коротков (1890—1954) — лесохимик, действ. член АН БССР, зав. кафедрой химии Белорусс. лесотехнич. ин-та. Д. Т.
73994. **Профессор Луи Мёнье. Сисле, Валле** (Le professeur Louis Meunier. Sisley J. P., Vallée J.), Teintex, 1955, 20, № 7, 557—558 (франц.)  
Некролог Л. Мёнье (1870—1955), исследователя в области процессов дубления, директора Высшей школы промышленной химии в Лионе и Французской школы кожевенного производства. Д. Т.
73995. **Профессор Луи Мёнье. Шамбар** (Le professeur Louis Meunier. Chambard P.), Rev. techn. ind. cuir, 1955, 47, № 5, 93—95 (франц.)
73996. **Уоллес Франк Шорт. Смит** (Wallace Frank Short. Smith J. C.), J. Chem. Soc., 1956, July, 2569—2572 (англ.)  
Некролог У. Ф. Шорта (1898—1955), химика-органика, преподавателя Манчестерского ун-та. Д. Т.
73997. **Некролог С. Г. Састри.**— (S. G. Sastry (1887—1955) — Obituary.—), J. Scient. and Industr. Res., 1955, A14, № 12, 591 (англ.)  
С. Г. Састри — индийский химик, работавший в различных областях хим. технологий. Д. Т.
73998. **Дейвид Рансман Бойд. Адам** (David Runciman Boyd. Adam N. K.), J. Chem. Soc., 1956, July, 2568—2569 (англ.)  
Некролог Д. Р. Бойда (1872—1955), химика-органика, быв. профессора университетского колледжа в Саутгемптоне. Д. Т.
73999. **Некролог Шарля Курто. Делепин** (Notice nécrologique sur Charles Courtot. Delépine Marcel), C. r. Acad. Sci. 1955, 240, № 12, 1289—1291 (франц.)  
Ш. Курто (1888—1955) — химик-органик, проф. ун-та в Нанси. Д. Т.
74000. **Эдуард-Жюстен Мюллер.**— (Edouard-Justin Mueller.—), Teintex, 1955, 20, № 12, 987—989 (франц.)  
Некролог Э.-Ж. Мюллера (ум. в 1955 г.) — исследователя в области крашения. Д. Т.
74001. **Уолтер Вильям Рид. Джонс** (Walter William Reed. Jones R.), J. Chem. Soc., 1956, March, 799 (англ.)  
Некролог У. В. Рид (1885—1955) — быв. преподавателя химии Технического колледжа в Норвиче (Англия). Д. Т.
74002. **Александр Федорович Тюлин.**— Почвоведение, 1956, № 4, 97—98  
Некролог проф. А. Ф. Тюлина (1885—1955), почвовед и агрохимика (Ин-т леса АН СССР). Д. Т.
74003. **Профессор Иван Плотников. Ньегован, Вебер** (Prof. Dr. Ivan Plotnikov. Njegovan V., Weber K.), Croat. chem. acta, 1956, 28, № 2, 131—140 (сербо-хорв.)  
Некролог фото-химика И. С. Плотникова (1878—1955). Приведен перечень трудов. Д. Т.
74004. **Профессор Богдан Шолая. Ньегован** (Prof. Dr. Bogdan Solaja. 1883—1956. Njegovan V.), Croat. chem. acta, 1956, 28, № 2, 141—142 (сербо-хорв.)  
Некролог. См. также РЖХим, 1956, 67508.
74005. **Профессор Аурел Йонеску. Хулубей** (Profesorul Aurel Ionescu. Hulubei Horia), Studii si cercetări fiz., 1954, 5, № 3—4, 377—379 (рум.)  
Некролог А. Йонеску, проф. физики ун-та в г. Клуж, проводившего исследования в области физ. химии (спектроскопия, кинетика и др.). Приведен перечень трудов. Г. В.
74006. **70-летие профессора Альбина Куртенаккера. Фрезениус, Шпрингер** (Professor Dr. Albin Kurtenacker zum 70. Geburtstag. Fresenius Wilhelm, Springer Ferdinand), Z. analyt. Chem., 1956, 152, № 1—3, 1—2 (нем.)  
А. Куртенаккер (род. 1886) — исследователь в области неорганич. и аналитич. химии, редактор журнала Z. analyt. Chem. Д. Т.
74007. **70-летие профессора Роберта Штребингера.**— (Prof. Dr. Robert Strebing 70 Jahre.—), Prakt. Chem., 1956, 7, № 5, 142 (нем.)  
Р. Штребингер — проф. Ин-та неорганич. и аналитич. химии Венского высшего технич. уч-ща. Д. Т.
74008. **К 70-летию Курта Бенневица. Фалькенхаген** (Kurt Bennewitz zum 70. Geburtstag. Falkenhagen H.), Z. Elektrochem., 1956, 60, № 4, 353—354 (нем.)  
К. Бенневиц (род. 1886) — физико-химик, быв. проф. Йенского ун-та. Д. Т.
74009. **70-летие Макса Фольмера. Странский** (Max Volmer zum 70. Geburtstag. Stranski I. N.), Z. Elektrochem., 1955, 59, № 5, Sonderblatt (нем.)  
См. также РЖХим, 1956, 60629.
74010. **70-летие Роберта Грисбаха. Хагге** (Robert Griessbach zum 70. Geburtstag. Hagg W.), Z. Elektrochem., 1956, 60, № 5, 429—430 (нем.)  
Р. Грисбах (род. 1886) — исследователь в области ионообменных, проф. Лейпцигского ун-та, руководитель научной лаборатории по неорганич. химии красочной ф-ки в Вольфене. Д. Т.
74011. **Пятидесятилетие научной деятельности Войцеха Свентославского. Ж. Польской АН**, 1956, I, № 1, 56—57  
См. также РЖХим, 1956, 57120.
74012. **60-летие Лео Ивановского. Людекке** (Dr. Ivanovszky 60 Jahre alt. Lüdecke). Seifen-Cle-Fette-Wachse, 1956, 82, № 16, 478 (нем.)  
Л. Ивановский (род. 1896) — специалист и исследователь в области восков. Д. Т.
74013. **60-летие профессора Мишша. Бретшнейдер** (Professor Mietzsch — 60 Jahre. Bretschneider H.), Csterr. Chem.-Ztg., 1956, 57, № 9—10, 125—126 (нем.)  
Ф. Мишш (род. 1896) — исследователь в области химиотерапевтич. средств, руководитель химико-фармацевтич. н.-и. работ красочной ф-ки в Эберсфельде. Д. Т.
74014. **60-летие проф. Фрица Мишша.**— (Prof. Dr. Fritz Mietzsch 60 Jahre.—), Prakt. Chem., 1956, 7, № 5, 142 (нем.)
74015. **Герхард Домагк и химиотерапия. Эспер** (Gerhard Domagk and chemotherapy. Oesper Ralph E.), J. Chem. Educ., 1954, 31, № 4, 188—191 (англ.)  
Очерк жизни и научной деятельности Г. Домагки (род. 1895), проф. Мюнстерского ун-та, открывшего терапевтич. действие сульфонамидных препаратов. Б. Р.

- 74016.** 60-летие Герхарда Домагк. Мель (Gerhard Domagk, Ritter der Friedensklasse des Ordens Pour le Mérite, Nobelpreisträger für Medizin 1939.— zum 60. Geburtstag. M e h l, Chemiker-Ztg., 1955, 79, № 20, 698—699 (нем.)
- 74017.** Профессор Рене Фабр. Трюо (Le professeur René Fabre. T r u h a u t R.), Rev. gén. sci. pures et appl., 1956, 63, № 5—6, 142—144 (франц.)  
Биографические данные и краткие сведения о научной деятельности Р. Фабра (род. 1889), токсиколога, проф. фармацевтич. фак-та Парижского ун-та. Д. Т.
- 74018.** Роль Московского университета в развитии химической технологии. Вольфкович С. И. Вестн. Моск. ун-та, 1956, № 5, 137—144  
Краткий историч. обзор. Д. Т.
- 74019.** Достижения и задачи в области химии. Рипан (Realizări și sarcini în domeniul chimiei. R i p a n R a l u c a), Au. Acad. RPR, 1955, 4, № 2, 57—68 (рум.)  
О структуре и тематике Хим. ин-та филиала АН РНР в г. Клуже; анализ достигнутых успехов, а также условий дальнейшего развития. Г. В.
- 74020.** Грейфсвальдский университет. Институт неорганической химии. Бер. Институт органической химии. Бейер. Институт физической химии. Вицманн. Институт фармацевтической химии. Валентин. Фармакологический институт. Вельс. Институт физиологической химии. Хартманн (Universität Greifswald. Institut für anorganische Chemie. B ä h r. Institut für organische Chemie. Beyer H. Institut für physikalische Chemie. Witzmann H. Pharmazeutisch-chemisches Institut. Valentin J. Pharmakologisches Institut. Wels P. Physiologisch-chemisches Institut. Hartmann), Wiss. Z. Univ. Greifswald. Math.-naturwiss. Reihe, 1953/1954, 3, № 4/5, 316—318; 318—319; 320—321; 328; 337—338; 340 (нем.)  
Отчеты о работах за 1953 г. Д. Т.
- 74021.** Научно-исследовательская работа кафедры органической химии Варшавского университета в 1945—1955 гг. Тушко (Prace naukowo-badawcze Katedry Chemii Organiczej Uniwersytetu Warszawskiego w latach 1945—1955. T u s z k o W.), Przem. chem., 1956, 12, № 6, 310—312 (польск.)  
Бibl. 17 назв.
- 74022.** Учреждение Института физической химии Польской Академии наук. — Ж. Польской АН, 1956, I, № 1, 51  
См. также РЖХим, 1956, 57126
- 74023.** Фармацевтические журналы Всекитайского научного фармацевтического общества. — Аптеч. дело, 1956, 5, № 4, 53—56
- 74024.** Экзамены в Институте инженеров-химиков. Хоптон (The examination of the Institution of Chemical Engineers. H o p t o n G. U.), Trans. Inst. Chem. Engrs, 1954, 32, № 4, xlv, xlv, xlviii (англ.)  
Характеристика и общее содержание новых (с 1956 г.) экзаменационных программ для лиц, желающих вступить в члены Ин-та. Д. Т.
- 74025.** Инженер-химик в промышленности искусственных волокон. Киртон (The chemical engineer in the manmade fibre industry. K e a r t o n C. F.), Trans. Inst. Chem. Engrs, 1954, 32, № 4, 216—221 (англ.)  
Сведения о самостоятельной инженерно-хим. секции (процессы и аппараты) в системе н.-и. организации компании Courtaulds Ltd (Ковентри, Англия): функции, структура, характер заданий, взаимоотношения с другими секциями, персонал и его обучение. Д. Т.
- 74026.** О техническом персонале, требующемся при проектировании и сооружении химического промышленного предприятия. Холройд (Considerations of technical staff requirements in the evolution of an industrial chemical project. H o l r o y d R.), Trans. Inst. Chem. Engrs, 1954, 32, № 4, 210—215 (англ.)  
Рассматриваются стадии работы и профиль научного и инженерного персонала. Д. Т.
- 74027.** Гражданская оборона и химик. Раппс (Civil Defence and the chemist. R a p p s N. F.), J. Roy. Inst. Chem., 1954, 78, Nov., 555—561 (англ.)  
Общий обзор системы гражданской обороны в Англии и соображения об участии химиков. Д. Т.
- 74028.** Техники-химики для промышленности. Файбел (Chemical technicians for industry. F i b e l L e w i s R.), Chem. and Engng News, 1954, 32, № 28, 2792—2796 (англ.)  
Рассматриваются потребность в техниках-химиках, их подготовка и использование в пром-сти США. Перечень учебных заведений, готовящих технику-химиков, сведения об учебных планах. И. Р.
- 7.021.** Профессиональное обучение квалифицированных рабочих для химической промышленности [ФНРЮ] Нучич (Stručno vaspitavanje kvalifikovanih radnika za potrebe hemiske industrije. Nučić Albert), Tehnika, 1955, 10, № 10, 1559—1563 (сербо-хорв.)
- 74030.** Новые пути профессионального обучения в химии. Рихтер (Neue Wege der Berufsausbildung in der Chemie. R i c h t e r J.), Chem. Techn., 1954, 6, № 4, 189—192 (нем.)  
Излагаются основы проекта учебного плана 2½-годового курса обучения производственного персонала для хим. пром-сти ГДР. Д. Т.
- 74031.** Изучение пивоварения в Лувенском университете. Де-Клерк (The study of brewing at the university of Louvain. D e C l e r c k J.), Brewers Digest, 1955, 30, № 12, 42—43, 61 (англ.)  
Сведения о секции пивоварения агрономич. ин-та Лувенского ун-та (Бельгия). А. Е.
- 74032.** Национальная программа кооперированных химических исследований студентов последнего курса. Кортелю, Кортелю (National cooperative undergraduate chemical research program. C o r t e l y o u E t h a l i n e, C o r t e l y o u W. P.), J. Chem. Educ., 1954, 31, № 5, 267—269; 1955, 32, № 6, 323—325; 1956, 33, № 6, 294—296 (англ.)  
Национальная программа (НП) организована Американским хим. о-вом в 1948 г. с целью стимулировать исследовательскую работу студентов и получить достоверные экспериментальные данные. НП заключается в том, что студентам двух или более учебных заведений поручается независимое проведение одной и той же работы; результаты сопоставляются, обобщаются и могут быть использованы в справочных изданиях. Приведены программы (темы) на 1954/55, 1955/56 и 1956/57 уч. г. Д. Т.
- 74033.** Некоторые вопросы организации производственной практики по технологии лекарственных форм. Михайлова Г. С. Аптеч. дело, 1956, 5, № 4, 34—36
- 74034.** Избавиться от школярства в лабораторных занятиях по химии. Горб Т. Ф. Вестн. высш. школы, 1956, № 8, 61  
Методическая статья. Д. Т.
- 74035.** Опыт преподавания неорганической и аналитической химии [в ЛСГМИ]. Бресткин А. П. Тр. Ленингр. сан.-гигиен. мед. ин-та, 1956, 36, 141—148
- 74036.** О преподавании курсов биологической, физической, коллоидной и органической химии [в ЛСГМИ]. Недзвецкий С. В. Тр. Ленингр. сан.-гигиен. мед. ин-та, 1956, 36, 137—140
- 74037.** Еще одна форма таблицы периодической системы. Сандерсон (One more periodic table. S a n d e r s o n R. T.), J. Chem. Educ., 1954, 31, № 9, 481 (англ.)  
Предлагаемая таблица отличается простотой и наглядностью в демонстрации электронной аналогии элементов и электронных различий. В больших периодах символы

элементов с достройкой предпоследнего слоя (ПС) обведены рамкой, а элементов с 18 электронами в ПС — пунктирной рамкой.

А. С. 74038. Закономерности в элементах главных подгрупп. «Правило спаренных электронов» Кондон (Regularities among the representative elements: the «Paired electron rule». Condon F. E.), J. Chem. Educ., 1954, 31, № 12, 651—655 (англ.)  
Методическая статья.

И. З. 74039. Лантанидное сжатие. Дуглас (The lanthanide contraction. Douglas Bodie E.), J. Chem. Educ., 1954, 31, № 11, 598—599 (англ.)  
Методическая статья.

Д. Т. 74040. Определение понятия осмотического давления. Чайнард (The definition of osmotic pressure. Chippard Francis P.), J. Chem. Educ., 1954, 31, № 2, 66—69 (англ.)  
Методическая статья.

В. Д. 74041. О надежности расчетов, основанных на законе химического равновесия. Де-Форд (The reliability of calculations based upon the law of chemical equilibrium. De Ford Donald D.), J. Chem. Educ., 1954, 31, № 9, 460—464 (англ.)

Обращается внимание на необходимость более подробного ознакомления студентов в курсе аналитической химии с пределами применимости закона действия масс к практическим задачам анализа.

И. Л. 74042. Статистическое вычисление неопределимой погрешности по небольшому числу повторных определений. Джонсон (Indeterminate error estimates from small groups of replicates. Johnson Ralph A.), J. Chem. Educ., 1954, 31, № 9, 465—468 (англ.)

Ю. К. 74043. Материальные балансы и уравнения окислительно-восстановительных реакций. Беннетт (Material balances and redox equations. Bennett George W.), J. Chem. Educ., 1954, 31, № 6, 324—325 (англ.)  
Методическая статья.

С. Ж. 74044. Рациональное изображение кратных связей. Гиллис, Нелсон (An unconventional representation of multiple bonds. Gillis, Richard G., Nelson Peter F.), J. Chem. Educ., 1954, 31, № 10, 546—547 (англ.)

На основе опыта в преподавании органической химии автор рекомендует для наглядности электронных представлений и их хим. смысла при изображении кратных связей обозначать  $\sigma$ -связь чертой, как обычно, а  $\pi$ -связь двумя точками над или под чертой; эффект сопряжения обозначается изогнутой стрелкой, направленной от электронной пары, изображенной двумя точками. Приведены примеры схем для различных случаев.

А. С. 74045. Стереизомерия в курсе органической химии. Шрейбер (Introducing stereoisomerism. Schreiber Kurt C.), J. Chem. Educ., 1955, 32, № 2, 83 (англ.)

Методическая статья.

Д. Т. 74046. Определение плотности газообразного кислорода. Фикерс (Determination of the density of oxygen gas. Fiekers B. A.), J. Chem. Educ., 1954, 31, № 3, 139—140 (англ.)

Описан опыт для учебного практикума и для лекционной демонстрации.

Д. Т. 74047. Диск — указатель для химических соединений. Хуан Чжень-хуа (化學檢索盤·黃震華), 科學畫報, Кюсюэ хуабао, 1954, № 1, 34—35 (кит.)

Описана конструкция пособия, рекомендуемого для начинающих изучение химии.

Д. Т. 74048. Новый мостик для кондуктометрического титрования. Свек (A new bridge circuit for conductometric titrations. Svec Harry J.), J. Chem. Educ., 1954, 31, № 4, 193—194 (англ.)

Описан применяемый в учебном практикуме мостик

простой, удобной и дешевой конструкции (вместо мостика Уитстона).

Ю. В. 74049. Таблица логарифмов для решения задач на вычисление pH. Кондон (A log table for pH problems. Condon Francis E.), J. Chem. Educ., 1954, 31, № 6, 323 (англ.)

Предлагается легко запоминающаяся таблица, пригодная для вычисления pH по концентрации ионов гидроксония и обратно. Указывается, что при этом ошибка всегда меньше 0,03, обычно меньше 0,02; экспериментальное определение pH редко имеет большую точность.

А. С. 74050. Улучшенная и более дешевая вода для лабораторных нужд. Диккинсон (Better laboratory water for less. Dickinson Joseph E.), School Sci. and Math., 1954, 54, № 9, 748—755 (англ.)

Элементарные сведения о ионитной очистке воды; рекомендации в отношении установок, наиболее пригодных для учебных лабораторий.

И. Р.

74051 К. Развитие химии. Мейер, Ольмер. Перев. с франц. (Razvoj hemije. Mejer F., Olmer L. Z. Prev. s franc. Sarajevo, «Narodna prosvjeta», 1955, 124 str.) (сербо-хорв.)

74052 К. Лавуазье. Теоретик и экспериментатор. Дом а (Lavoisier, théoricien et expérimentateur. Daumas Maurice, Paris, Presses univ. France, 1955, 183 p., 700 fr.) (франц.)

74053 К. Юбилейный сборник, посвященный Г. Штаудингеру. К 75-летию со дня рождения. Ред. Хузе-ман, Керн, Шульц (Staudinger—Festband. (Hermann Staudinger, dem Begründer d. makromolekularen Chemie, zum 75. Geburtstag am 23. März 1956). Hrsg. Husemann E., Kern Werner, Schulz G. V. Heidelberg, Dr. Hühthig: Basel, Wepf, 1956, VII, 527 S., ill., 51.— DM) (нем.)

74054 К. Марцелл Ненцкий. Биографические и библиографические материалы. Швейцеров, Грошинская (Marceli Nencki. Materiały biograficzne i bibliograficzne. Szwejczerowa Aniela, Groszńska Jadwiga, Warszawa, Państw. Wydawn. Nauk., 1956, 261, 2 nlb. s., il., 37, 40 zł.) (польск.)

74055 К. Химия на службе человека. Буянов А. Ф. Перев. с русс. (A kémia az emberszolga latában. Buja-nov A. F., Orszobol ford. Budapest, Nepszava, 1956, 216 l., 10 ft.) (венг.)

74056 К. Элементарное введение в химию. Часть 3. Органическая химия. Туст (Einführung in die Chemie auf einfachster Grundlage. T. 3. Einblick in die organische Chemie. Tust Paul. Wiesbaden, Steiner, 1955, XV, 348 S., DM 14.—) (нем.)

74057 К. Органический синтез в промышленности. Пособие для учителей. Угрюмов П. Г. М., Учпедгиз, 1955, 288 стр., с илл. 5 р. 65 к.

74058 К. Современная наука. Для студентов I курса, изучающих физику и химию. Таскер, Каален (Modern science for first year physics and chemistry students. Tasker T., Cuilen M. W. A. Sydney. Angus and Robertson, 1955, vi, 138, [2] pp., ill., 9sh. 6d.) (англ.)

74059 К. Неорганическая химия. Учебник для I курса четырехгодичных хозяйственных школ. Изд. 2-е. Вокалек, Прошек (Anorganická chemie. Učební text pro I. ročník hospodářských škol (čtyřleté studium). 2. vyd. Vokálek Jaroslav, Prošek Miloš. Praha, SPN, 1956, 174, [1] s., il., 7,50 Kčs) (чеш.)

74060 К. Химия. Для VII класса. Изд. 9-е. Левицкий И. (Chemia. Dla kl. 7. Wyd. 9. Lewicki Władysław. Warszawa, Państw. Zakł. Wydawn. Szkol., 1956, 87, 1 nlb. s., il., 1,35 zł.) (польск.)

74061 К. Химия для IX класса общеобразовательной школы. Соторник, Вурм, Паук (Chemie pro devátý postupný ročník škol všeobecně vzdělávacích.

3. vyd. Zprac. Sotorník Vladimír, Vurm Vladimír, Pauk František. Praha, SPN, 1956, 168, (19) s., il., 6, 60 Kčs (чеш.)

74062 К. Общая химия. Часть 3. Изд. 4-е испр. Пребеновский (Chemia ogólna. Cz. 3. Wyd. 4 popr. Prebendowski Stanisław. Warszawa, Państw. Zakł. Wydawn. Lekars., 1956, 282 s., il., 15.50 zł.—Tekst maszynopis powiel.) (польск.)

74063 К. Учебник физической химии. Для техникумов. Федулов И. Ф., Киреев В. А. 4-е изд., 1954; 5-е изд. стереотип, 1955. М., Госхимиздат, 488 стр. с илл. 9 р. 85 к.

74064 Д. Вопросы методики повторения химии в средней школе. Величко А. Е. Автореф. дисс. канд. пед. н. Н.-и. ин-т методов обучения. Акад. пед. наук РСФСР, М., 1956

74065 Д. Методы проверки умений и навыков по химии в средней школе. Харью А. П., Автореф. дисс. канд. пед. н. Ленингр. гос. пед. ин-т, Л., 1956

74066 Д. Обучение химическому языку в VII классе средней школы. Тюрина А. М. Автореф. дисс. канд. пед. н. Н.-и. ин-т методов обучения Акад. пед. наук РСФСР, М., 1956

См. также: Методы статистич. исследования в химич. технол. 75499. Периодич. система 74102. Систематика атомных ядер 74071. Номенклатура соединений: неорганич. 71614; органич. 74798. Классификация углей 75766, 75877. Институты, лабор. 74613, 75496. История: синтетич. красителей 76089; технологии жиров 76534. Ассоциации: керамика 75718. Конференции: применение мечен. атомов 74324; неорганич. химия 74612; макромолек. химия 75091; хим. пром-сть 75495; газификация углей 75896; сахарное произ-во 76573, 76576; массопередача 77017; фитонциды 21686Бх; биохимия 21687—21689Бх. Уч. лит-ра: физич. химия, 74070, 74091, 74092, 74165; неорганич.

химия 74675, 74676; органич. химия 74799—74804; технол. спирта 76670; биохимия 21756—21758Бх, 21765Бх, 21766Бх. Справочники: микрохимич. методы 74326; органич. химия 74805, 74806.

## НОВЫЕ ЖУРНАЛЫ

74067. Журнал Польской Академии наук. Варшава, Ossolineum (Изд-во Польской АН)

Ежеквартальный журнал. Выходит с 1956 г. Информация о деятельности Польской АН и ее научных учреждений; вопросы развития и проблемы польской науки и ее отдельных областей; вопросы развития научной жизни в Польше; актуальная научная информация. (Сокращенное название в РЖ — Ж. Польской АН). Д. Т.

74068. Chemia analityczna (Аналитическая химия) (Politechn. Warszawska, Katedra Chem. Nieorgan., Warszawa) (польск.)

Подписная плата — 20 зл. на квартал. В журнале будут помещаться реферативные статьи, оригинальные работы, лабораторные заметки, хроника деятельности Аналитич. комиссии Комитета хим. наук Польской АН и библиография аналитич. работ, публикуемых в польских журналах. Сокращенное название в РЖ — Chem. analityczna). Д. Т.

74069. Journal of the Textile machinery society of Japan (Журнал Японского общества по текстильным машинам) (англ.)

Выходит с 1955 г. (№ 1 — март, № 2 — ноябрь). Английское издание одноименного ежемесячного японского журнала; помещает переводы статей из основного журнала, представляющие общий интерес. Тематика: все текстильные волокна и все стадии текстильной обработки. Цена за номер 10 шилл. Издатель — указанное общество, Осака, 28, 2-Bancho, Namba Shinchi, Minami-ku. (Сокращ. название в РЖ — J. Text. machinery Soc. Japan). Д. Т.

## ФИЗИЧЕСКАЯ ХИМИЯ

### ОБЩИЕ ВОПРОСЫ

74070 К. Курс физической химии. (Для хим. специальностей вузов). Киреев В. А. М., Госхимиздат, 1955, 832 стр., илл., 18 р. 40 к.

См. также: Обзоры 73968, 73969

### АТОМНОЕ ЯДРО

74071. Ядерные оболочки и систематика атомных ядер. Савич А. В., Ж. эксперим. и теор. физики, 1956, 30, № 3, 501—510

Модель ядерных оболочек, предложенная Майер (Mayer M. G., Phys. Rev., 1950, 78, 16), не объясняет хорошо известных магич. чисел 28, 50, 82, 126. Автор предполагает, что в ряде ядер может быть энергетически выгодно непоследовательное заполнение оболочек. На основании этого предположения дается систематика спинов и магнитных моментов основных и метастабильных уровней ядер с нечетным А. Магич. числа характеризуются парами  $p_+$  и  $p_-$ , где  $p_+$  означает число первых, последовательно заполненных оболочек, а  $p_-$  — число заполненных оболочек после одной пропущенной оболочки. К подоболочкам относятся энергетически менее выгодные конфигурации с  $p_+ > p_-$ . Магич. числа делятся на три группы с ( $p_- = 0$ ): 2, 8, 20, 40, 70, 112; с ( $p_- = 1$ ): 14, 28, 50, 82, 126; ( $p_- = 2$ ): 58, 92, 138 и 148 с  $p_- = 3$ . Модель объясняет особую устойчивость изо-

топов с заполненными протонными и нейтронными оболочками. На основании модели обсуждаются эксперименты по  $\beta$ -распаду легких ядер с нечетным А. Г. С.

74072. Влияние конечного размера ядер на образование электронных пар. Берхон (The effect of finite nuclear size on electron pair production. Burhop E. H. S.), Proc. Phys. Soc., 1956, A69, № 2, 135—140 (англ.)

Изучено влияние конечного размера ядра на рождение пар. Используется борновское приближение. Вычислено энергетич. и угловое распределение электронов, возникающих при рождении пар падающими квантами, в предположении трех форм распределения электрич. заряда в ядрах:  $\rho = \rho_0$ ;  $r < R$ ;  $\rho = 0$ ;  $r > R$ ;  $R = 1,20 \cdot 10^{-13} \text{ А}^{1/2} \text{ см}$ ; равномерно заряженная сферич. оболочка с  $R = 0,924 \cdot 10^{-13} \text{ А}^{1/2} \text{ см}$ ;  $\rho = \rho_0$ ;  $r < R$ ;  $\rho = \rho_0 \exp \{-(r - R)/R_0\}$   $r > R$ ;  $R = 0,935 \cdot 10^{-13} \text{ А}^{1/2} \text{ см}$   $R_0/R = 1,7$ . Влияние распределения заряда с конечным радиусом является большим для пар, возникающих под большими углами под действием квантов с энергией выше 20 Мэв. Для различных распределений ожидается очень малое различие. Р. Ф.

74073. Неупругое рассеяние ротационным возбуждением. Хаякава, Йосида (Inelastic scattering by rotational excitation. Hayakawa Satio, Yoshida Shiro), Proc. Phys. Soc., 1955, A68, № 7, 656—660 (англ.)

Коллективная модель ядра, предложенная в работе (Bohr A., К. Danske Vidensk. Selsk. Mat. Fys., 1952, 26, 14), хорошо описывает возбуждение уровней энергии,

связанных с вращением поверхности ядра. Вращательные уровни изучались методом электромагнитного излучения и кулоновского возбуждения. В настоящей работе исследован случай возбуждения ядра на первый возбужденный вращательный уровень. Найдено сечение неупругого рассеяния на деформированном ядре. Для сравнения с экспериментом для случаев рассеяния на  $\text{Fe}^{56}$ ,  $\text{Co}^{59}$ ,  $\text{Mn}^{55}$  нейтронов с  $E$  от 0,85 до 2,5 Мэв предполагается, что радиус ядра  $R = 1,4 \cdot 10^{-13} A^{1/3}$  см. В рассуждениях не учтено образование составного ядра.

Г. С.

**74074. Ход изменения энергии связи. Фиш** (Der Verlauf der Bindungsenergie. Fisch A.), Helv. phys. acta, 1955, 28, № 4, 341—343 (нем.)

Приведена таблица уд. энергий связи на одну частицу естественной последовательности ядер. Уд. энергии связи ядер  $E_B/P$  вычислены из последних масс-спектрометрических эксперим. данных. Общий ход первой части зависимости  $E_B/P$  от  $Z$  для легких ядер представляется параболой. Кривая  $E_B/P$  между  $Z=28$  и областью тяжелых ядер разрывна и состоит из четырех частей. Из результатов следует, что энергия деления  $U$  равна  $\sim 250$  Мэв.

В. К.

**74075. Энергетические уровни  $\text{Be}^9$ . Ли, Инглис** (Energy levels in  $\text{Be}^9$ . Lee L. J., Inglis D. R.), Phys. Rev., 1955, 99, № 1, 96—98 (англ.)

$\alpha$ -Частицы в реакции  $\text{B}^{11}(d, \alpha)\text{Be}^9$  исследовались с помощью магнитного спектрометра. Полученные результаты подтверждают существование довольно широких возбужденных уровней ядра  $\text{Be}^9$  с  $E$  1,75 и 3,02 Мэв. Соответствующие им максимумы при регистрации  $\alpha$ -частиц под углом  $90^\circ$  почти незаметны и таким путем можно обнаружить лишь хорошо известное состояние с  $E$  2,43 Мэв. Найдены дополнительные группы  $\alpha$ -частиц с  $E$   $3,21 \pm 0,03$  и  $3,10 \pm 0,03$  Мэв, наблюдаемые под углами  $90$  и  $101^\circ$  соответственно.

И. В.

**74076. Определение верхней границы  $\beta$ -спектра по поглощению в золоте (метод Ферро). Робинне, Винан, Гебен** (Détermination de l'énergie maximum des spectres  $\beta$  par la méthode d'absorption par l'or (méthode de Ferro). Robinet Y., m-ille, Winand L., Guében G.), Bull. Soc. roy. sci. Liège, 1955, 24, № 11-12, 313—325 (франц.)

Снятие кривых поглощения  $\beta$ -лучей  $\text{P}^{32}$  в  $\text{Al}$ ,  $\text{Cu}$ ,  $\text{Ag}$  и  $\text{Au}$  показало, что из всех методов определения верхней границы  $\beta$ -спектра, основанных на экспоненциальном поглощении  $\beta$ -лучей (при малых толщинах поглотителя), наиболее точным является метод Ферро (РЖФиз, 1955, 18541), применявшего  $\text{Au}$  в качестве поглотителя. Показано, что при исследовании сложного спектра  $\text{Dy}^{165}$  метод Ферро дает гораздо более точные результаты, чем метод Фезера (Feather N., Proc. Cambridge Philos. Soc., 1938, 34, 599).

Р. Ф.

**74077. Спектр внутреннего торможения. Коэн, Офер** (Spectrum of internal bremsstrahlung from  $\text{Cr}^{51}$ . Cohen S. G., Ofer S.), Phys. Rev., 1955, 100, № 3, 856—858 (англ.)

Сообщаются результаты измерения спектра квантов внутреннего торможения, возникающих при  $K$ -захвате электрона  $\text{Cr}^{51}$  с переходом в основное состояние  $V^{51}$ .

Д. Г.

**74078. Первые возбужденные состояния  $\text{Mn}^{55}$ . Берштейн, Льюис** (First excited state of  $\text{Mn}^{55}$ . Bernstein E. M., Lewis H. W.), Phys. Rev., 1955, 100, № 5, 1367—1368 (англ.)

Изучено первое возбужденное состояние  $\text{Mn}^{55}$  с  $E$  128 кэв, наблюдаемое в  $r$ -дциях  $\text{Mn}^{55}(pp')\text{Mn}^{55*}$  и  $\text{Mn}^{55}(nn')\text{Mn}^{55*}$ . Показано, что возбуждение относится к типу  $E2$ , а распад к типу  $M1$ . Найдены спин и четность состояния, согласующиеся с предположением, что

рассматриваемое состояние принадлежит к вращательному спектру.

Г. С.

**74079. Схема распада  $\text{Ga}^{72}$ . Краусхар, Брун, Мейерхоф** (Decay scheme of gallium-72. Kraushaar J. J., Brun E., Meyerhof W. E.), Phys. Rev., 1956, 101, № 1, 139—147 (англ.)

С помощью сцинтилляционных спектрометров и метода совпадений исследован распад  $\text{Ga}^{72}$ . Найдены уровни  $\text{Ga}^{72}$  с  $E$  0,69; 0,84; 1,46; 1,73; 2,06; 2,39; 2,51; 2,82; 3,04; 3,32 и 3,34 Мэв. Изомерное 0,3 мсек. состояние есть первое возбужденное состояние с  $E$  0,69 Мэв. Приведена схема распада.

Р. Ф.

**74080. Об энергетическом распределении и вероятности испускания внутреннего тормозного излучения в  $\text{Ge}^{71}$ . Бизи, Джерманьоли, Цаппа, Циммер** (On the energy distribution and the emission probability of internal bremsstrahlung in  $\text{Ge}^{71}$ . Bisi A., Germagnoli E., Zappa L., Zimmer E.), Nuovo cimento, 1955, 2, № 2, 290—300 (англ.; рез. итал.)

С помощью сцинтилляционного спектрометра исследован спектр тормозного  $\gamma$ -излучения, возникающего при захвате орбитальных электронов в  $\text{Ge}^{71}$ . Отношение полного числа квантов тормозного излучения к числу  $K$ -захватов в интервале энергии от 70 кэв до верхнего предела  $E_{\text{макс.}}$  равно  $(2,3 \pm 5) \cdot 10^{-5}$ , что также находится в удовлетворительном согласии с теоретич. значением.  $T_{1/2}$   $\text{Ge}^{71}$  равен  $12,5 \pm 0,1$  дня. Авторы связывают тормозное излучение исключительно с  $K$ -захватом. Схема распада обсуждается с точки зрения модели ядерных оболочек.

В. Х.

**74081. О существовании различия в удержании изомеров,  $\text{Br}^{80\text{м}}$ , образуемых в результате радиационного захвата нейтронов. Капрон, Жийи** (Sur l'existence d'une différence dans la rétention des isomères nucléaires du  $^{80}\text{Br}$  à la suite de la capture radiative de neutrons. Capron P. C., Gilly L., J.), J. chim. phys. et phys.-chim. biol., 1955, 52, № 6, 505—509 (франц.)

Измерялось удержание в составе молекул изомеров  $\text{Br}$  с  $T_{1/2}$  18 мин. и 4,4 часа, образующихся при облучении нейтронами органич. молекул, содержащих  $\text{Br}$ . В предыдущей работе Капрона и др. (Capron P., Crèvecoeur E., J. Chem. Phys., 1952, 49, 29) было найдено, что значения удержания различны для обоих изомеров. В работе показано, что при облучении в течение 20 мин. медленными нейтронами или в течение 180 мин. быстрыми нейтронами значения удержаний для обоих изомеров оказались равными, однако они оказались различными в случаях облучения в течение 180 мин. медленными нейтронами и в течение 20 мин. быстрыми.

И. Л.

**74082. Период полураспада  $\text{Sn}^{127}$ . Карминатти, Фразис, Радичелла, Родригес** (Die Halbwertszeit von  $\text{Sn}^{127}$ . Carminatti H., Fraenzl, Radicella R., Rodriguez J.), Z. Naturforsch. 1956, 11a, № 5, 419—420 (нем.)

В работе дается новое значение  $T_{1/2}$   $\text{Sn}^{127}$ .  $\text{Sn}^{127}$  образуется при распаде  $\text{Te}$  по  $r$ -дчи ( $n, \alpha$ ). Найдены два изомера  $\text{Sn}^{125}$  с  $T_{1/2}$  9 мин. и 9,4 дня.  $T_{1/2}$   $\text{Sn}^{127}$  найден равным  $123 \pm 3$  мин. Измерение ведется с помощью люминесцентного счетчика и простого дискриминатора.

Г. С.

**74083. Измерение эффективного числа вторичных нейтронов урана-233, урана-235 и плутония-239 в области тепловых энергий нейтронов. Алиханов А. И., Владимирский В. В., Никитин С. Я.** В сб.: Физические исследования. М., Изд-во АН СССР, 1955, 199—207

Для изотопов  $\text{U}^{233}$ ,  $\text{U}^{235}$  и  $\text{Pu}^{239}$  измерялось среднее число вторичных нейтронов, испускаемых на один акт захвата ( $\nu_{\text{эфф.}}$ ). Вычисления производились по ф-ле

$\nu(\text{эфф.}) = \mu(1 + \sigma_B N_B / \sigma_1 N_1)$ , где  $\sigma_1 N_1$  — общее сечение вводимого в реактор делящегося в-ва,  $\sigma_B N_B$  — сечение бора, компенсирующего рост реактивности,  $\mu = \text{const.}$  Опыты производились для разных  $\mu$ . Значения  $\nu(\text{эфф.})$  оказались равными: 2,36 для  $U^{235}$ , 2,12 для  $U^{238}$ , 2,03 для  $Pu^{239}$ . Л. М.

**74084. Новый изотоп беркеллия. Хьюлет** (New isotope of berkelium. Hulet E. K.), Phys. Rev., 1956, 102, № 1, 182 (англ.)

Новый изотоп  $Bk^{248}$ , полученный бомбардировкой  $Sm$  ионами  $He$  с  $E$  25 Мэв. Изотоп имеет  $T_{1/2}$   $23 \pm 5$  час. Г. С.

**74085.  $\gamma$ -Излучение реакции  $D(p, \gamma)He^3$ . Гриффитс, Уоррен** (The gamma radiation from the reaction  $D(p, \gamma)^3He$ . Griffiths G. M., Warren J. B.), Proc. Phys. Soc., 1955, A68, № 9, 781—792 (англ.)

В результате измерения энергии  $\gamma$ -излучения р-ции  $D(p, \gamma)He^3$  с помощью сцинтилляционного счетчика значение  $Q$  этой р-ции найдено равным  $5,50 \pm 0,3$  Мэв. Приведено угловое распределение  $\gamma$ -лучей для различных  $E_p$ . Измеренная с помощью тонкой мишени зависимость относительного выхода  $\gamma$ -лучей от энергии протонов согласуется с ф-лой Фаулера и др. (Fowler W. A., Lauritsen C. C., Tollestrup A. V., Phys. Rev., 1949, 76, 1767). При  $E_p = 1,0$  Мэв абс. сечение р-ции найдено равным  $4 \cdot 10^{-3}$  мбарн  $\pm 50\%$ . И. В.

**74086. Исследование  $\gamma$ -переходов в реакции  $Ne^{20}(d, p)Ne^{21*} \rightarrow (\gamma)Ne^{21}$ . Городецкий, Мюллер, Пор** (Determination des transitions  $\gamma$  dans la réaction  $^{20}Ne(d, p)^{21}Ne^* \rightarrow (\gamma)^{21}Ne$ . Gorodetzky Serge, Muller Théo, Port Marcel), C. r. Acad. sci., 1956, 242, № 10, 1281—1284 (франц.)

С помощью быстро-медленной схемы совпадений исследовались  $\gamma$ -лучи, сопровождающие группы протонов в р-ции  $Ne^{20}(d, p)Ne^{21}$ , идущей под действием дейтронов с  $E$  1,13 Мэв. Протоны и  $\gamma$ -кванты регистрировались люминесцентными счетчиками (кристаллы  $KJ(Tl)$  и  $NaJ(Tl)$ ). Найденные  $\gamma$ -линии с  $E$  0,35; 1,05; 1,42 и 2,78 Мэв относятся к  $Ne^{21}$ . По оценке авторов, незамеченными могли оказаться линии с интенсивностью  $\sim 20\%$ . Предложена схема каскадных  $\gamma$ -переходов  $Ne^{21}$ . Н. П.

**74087. Энергетические уровни  $F^{19}$ , определяемые по р-ции  $O^{18}(d, n)F^{19}$ . Харлоу, Марнон, Чарман, Боннер** (Energy levels in  $F^{19}$  from a study of the  $O^{18}(d, n)F^{19}$  reaction. Harlow M. V., Marion J. B., Chapman R. A., Bonner T. W.), Phys. Rev., 1956, 101, № 1, 214—215 (англ.)

Методом измерения отношения числа нейтронов двух энергетич. групп изучалась р-ция  $O^{18}(d, n)F^{19}$ . Изучались энергетич. уровни  $F^{19}$  в области энергий возбуждения от 6,1 до 9,8 Мэв. Идентифицированы уровни 6,184 и 6,48 Мэв. Сечение р-ции  $O^{18}(d, n)$  для  $E_d$  от 0,2 до 4,6 Мэв измерялось путем сравнения ее выхода с выходом р-ции  $O^{18}(d, n)$ , сечение которой известно. Р. Ф.

**74088. Улучшение метода совпадений, примененного для эталонирования радиоактивных источников активности 5—50  $\mu$ кюри. Вуччино** (Amélioration de la méthode des coïncidences appliquée à l'étalonnage de l'intensité radioactive mesure de sources comprises entre 5 et 50  $\mu$  C. Vuccino Simone, m-me), J. phys. et radium, 1956, 17, № 1, 57—59 (франц.)

Применение Г.—М.-счетчиков ограничивает использование метода  $\beta\gamma$ -совпадений, позволяя определить абсолютную интенсивность лишь для очень слабых радиоактивных источников. Область применения метода может быть распространена на измерение источников интенсивностью от 5 до 50  $\mu$ кюри. С этой целью использована схема гашения разрядов в Г.—М.-счетнике,

которая позволяет на порядок увеличить загрузку Г.—М.-счетчиков и резко сократить длительность импульсов. Использование этой схемы гашения позволяет применить устройство для счета совпадений с  $\tau \geq 3 \cdot 10^{-7}$  сек. (в качестве детектора  $\gamma$ -излучения использован люминесцентный счетчик с  $NaJ(Tl)$ ). Приведены результаты измерения интенсивности  $Au^{100}$ ,  $Se^{60}$ ,  $Na^{24}$ ,  $K^{42}$  и  $Co^{60}$ . Интенсивности последних трех источников определены также путем измерения  $\gamma\gamma$ -совпадений. И. Л.

**74089. Эксперименты по фотораспаду, проведенные с помощью ядерных эмульсий. Титтертон** (Photodisintegration experiments with nuclear emulsions. Titterton E. W.), Progr. Nuclear Phys., vol. 4, London — New York, 1955, 1—55 (англ.)

**74090. Принципы ускорения заряженных частиц. Векслер В. И.**, Атом. энергия, 1956, № 1, 75—82

**74091 К. Лекции по теории атомного ядра. Ландау Л., Смородинский Я. М.**, Гостехиздат, 1955, 140 стр., 5 р. 70 к.

**74092 К. Элементарные задачи по атомной физике и ядерной химии с таблицами и решениями. Шарль** (Problèmes élémentaires de physique atomique et de chimie nucléaire, avec tableaux et solutions. Charles Victor i n. Paris, Gauthier-Villars, 1955, 147 p., 900 fr.) (франц.)

**74093 К. Физика ядерного излучения. Лэпп Р. Э., Эндрюс Г. Л.** Перев. с англ. М., Воениздат, 1956, 436 стр., илл., 11 руб.

**74094 К. Ядерная энергия. Освобождение и использование. Намиас М.** Перев. с франц. М., Изд-во ин. лит., 1955, 296 стр., илл., 1 р. 80 к.

**74095. Бета-спектр  $V^{48}$  и  $Rb^{86}$ . Киллион** (Beta spectra of vanadium-48 and rubidium-86. Killion Lawrence Eugene. Doct. diss., Washington Univ., 1955), Dissert. Abstrs., 1955, 15, № 5, 858—859 (англ.)

Изучался  $\beta$ -распад  $V^{48}$  и  $Rd^{86}$ . Найденные группы  $\beta$ -излучения с  $E$  1,767, 0,832 и 0,684 Мэв. Для этих переходов найден  $T_{1/2}$ . Г. С.

См. также: Ядерная аппаратура 75447, 75448, 75453. Радиоактивные изотопы 74315—74316

## АТОМ

**74096. Релятивистская модель атома Томаса — Ферми. Гилварри** (Relativistic Thomas — Fermi atom model. Gilvarry J. J.), Phys. Rev., 1954, 95, № 1, 71—72 (англ.)

Показано, что релятивистское ур-ние Томаса — Ферми, полученное с помощью плотности состояний, вычисленной по волновому ур-нию Дирака с центрально-симметричным потенциалом (Rudkjøfbling M., Kgl. danske videnskab. selskab. Mat.-fys. medd., 1952, 27, № 5), не содержит расходимостей обычного релятивистского ур-ния Томаса — Ферми. Автор указывает, что это ур-ние, ввиду малости спин-орбитального взаимодействия, может быть решено методом теории возмущений, исходя из решения  $\phi$  обычного ур-ния Томаса — Ферми. Дифференциальные ур-ния теории возмущений решаются аналитически (в квадратурах от  $\phi$ ). С помощью распределения Рудкоблинга, как указывает автор, можно получить релятивистский аналог ур-ния Гельмана, куда входит зависимость электронной плотности от углового момента. А. З.

**74097. Аппроксимация функции Томаса — Ферми. Бухдаль** (Über Approximationen der Thomas-Fermi-Funktion. Buchdahl H. A.), Ann. Phys., 1956, 17, № 4-5, 238—241 (нем.)

Приводятся результаты подбора простых функций типа  $y = 1/(1 + ax)(1 + bx)(1 + cx)$ , аппроксимирующих

решен  
гаются  
условия

$y(1) =$   
 $+ 1,07$   
 $(1 +$   
 $(1 +$   
ций  $y$   
аппро  
 $\equiv \int_0^1$   
нения

точка:  
тотик  
ций п  
дво х  
сравн  
получ

74098

Хар  
Фод  
неп  
4,  
В у

произ  
элект  
циал

по п.  
взаи  
поль  
энер

$=$   
 $= 0,$   
мечас  
лящи

в пер  
ренн  
0,2 э  
74099

обс  
for  
О  
19

Ра  
Бла  
возм  
что

пред  
Фре  
с уч  
торы  
учит  
чах  
расч

ряда  
согл  
впол

с ра  
к ре  
к бо

уста  
нит  
-10<sup>6</sup>  
дан

решение ур-ния Томаса — Ферми  $y'' = x^{-1/2} y^{1/2}$ . Предлагаются четыре функции, удовлетворяющие граничным условиям, наложенным на решение:  $y(0) = 1$ ;  $y(\infty) = 0$ ;  $\bar{y}_{(1)} = [(1 + 0,02966 x) \cdot (1 + 0,4839 x)^2]^{-1}$ ;  $\bar{y}_{(2)} = [(1 + 1,0738 x) \cdot (1 + 0,08042 x)^2]^{-1}$ ;  $\bar{y}_{(3)} = (1 + 0,301978 x) \cdot (1 + 0,1962 x) \cdot (1 + 0,8900 x)^{-1}$ ;  $\bar{y}_{(4)} = (1 + 0,05727 x) \cdot (1 + 0,1536 x) \cdot (1 + 0,9288 x)^{-1}$ . Константы функций  $\bar{y}_{(1)}$ ,  $\bar{y}_{(2)}$ ,  $\bar{y}_{(3)}$  находились из требования правильной аппроксимации асимптотики  $y \approx 144/x^3$  и условия  $I \equiv \int_0^\infty x^{1/2} y^{1/2} dx = 1$ . Константы  $\bar{y}_{(4)}$  подбирались из сравнения значений  $\bar{y}_{(4)}$  и численных значений  $y$  в трех точках:  $x = 1$ ,  $x = 7,50$  и  $x = 15$ . При этом  $\bar{y}_{(4)}$  в асимптотике ведет себя как  $122,4/x^3$ . Для всех четырех функций приводятся таблицы значений в интервале  $x$  от 0 до  $x = 100$  (шаг изменения  $\Delta x$  неравномерный); для сравнения в тех же таблицах даны значения функции  $y$ , полученные путем численного интегрирования ур-ния.

Д. Г.

**74098. Учет корреляции электронов в уравнениях Хартри — Фока. Гомбаш** (Erweiterung der Hartree — Fockschen Gleichungen durch die Korrelation der Elektronen. Gombás P.), Acta phys. Acad. sci. hung., 1954, 4, № 2, 187—188 (нем.).

В ур-ниях Хартри — Фока для валентных электронов произведен учет корреляции валентных электронов и электронов остава путем введения эффективного потенциала  $V_W$ . Потенциал определяется как производная по плотности электронного газа от энергии обменного взаимодействия электронов. Для оценки эффекта используется полученная Вигнером зависимость обменной энергии свободного электрона от плотности  $W = -[a_1 e r^{1/2} / (r^{1/2} + a_2)]$ , где  $a_1 = 0,05647 (e/a_0)$  и  $a_2 = 0,1216 (1/a_0)$ ,  $a_0$  — радиус Бора атома водорода. Отмечается, что поскольку поправка к энергии на корреляцию электронов мала, то она может быть найдена в первом порядке теории возмущений. Расчет, проведенный для щел. элементов, дал поправку, равную  $\sim 0,2$  эв, правильную по порядку величины.

Д. Г.

**74099. Данные по атомному форм-фактору: расчет и обзор. Нелмс, Оппенгейм** (Data on the atomic form factor: computation and survey. Nelm's Ann T., Oppenheim Irwin), J. Res. Nat. Bur. Standards, 1955, 55, № 1, 53—62 (англ.).

Рассчитан форм-фактор для атомов C, O, Fe, As, Hg. Благодаря широкому интервалу  $Z$  результаты дают возможность интерполировать на промежуточные данные, что и выполнено авторами. В расчете использовано распределение электронного заряда  $Z_p(r)$ , полученное Фреманом с помощью волновых функций Хартри — Фока с учетом обмена (РЖХим, 1954, 40864). Обменные факторы составляют  $\sim 3\%$ . Релятивистские эффекты не учитывались, так что результаты пригодны при передачах импульса  $k \leq 0,5 m c$ , где  $m$  — масса электрона. При расчете  $Z_p(r)$  представлен аналитич. функцией в виде ряда  $\exp(-ar) \sum_{i=1}^n a_i r^i$ , в котором коэфф. подобраны согласно численным данным. Ограничение по  $n$  ( $n \leq 5$ ) вполне достаточно. Результаты расчета сравниваются с расчетами других авторов. При больших  $Z$  они близки к результатам, полученным по модели Томаса — Ферми, при малых  $Z$  — к модели оболочек, а при малых углах — к борновскому приближению. При малых углах авторы установили связь атомного форм-фактора  $f(k)$  с диамагнитной восприимчивостью  $\chi$ :  $f(k) = Z + (k^2/a) 1,25 \cdot 10^6 a_0^2 (-\chi)$ . Эта связь хорошо удовлетворяет эксперим. данным. Косвенная проверка показывает, что данные

расчета авторов лучше других согласуются с экспериментальными. Прямое сравнение произведено для рассеяния фотонов с энергией 0,411 Мэв. Отклонения укладываются в 1%, однако при больших  $k$  ( $k > m c/6$ ) расхождение несколько больше, что связано с релятивистским эффектом, не учтенным авторами.

А. З.

**74100. Радиационная поправка четвертого порядка к атомным энергетическим уровням. Илс, Кролл** (Fourth-order radiative corrections to atomic energy levels. II. Mills Robert L., Kroll Norman M.), Phys. Rev., 1955, 98, № 5, 1489—1500 (англ.).

По методу, развитому ранее (РЖФиз, 1954, 6914), для поправок 2-го порядка авторы рассматривают радиационные поправки 4-го порядка к уровням водородоподобных атомов. Сюда включены все поправки на собственную энергию, поправки к рассеянию, перенормировочные. Авторы дают упрощенный метод вычисления интегралов матричных элементов, построенных по обычным диаграммам Фейнмана. Часть I см. РЖХим, 1954, 33721.

А. З.

**74101. Многоконфигурационное приближение в случае атомов типа лития. Юцис А. П., Батарунас И. В., Кавецкис В. И., Lietuvos TSR mokslų, akad. darbai, Тр. АН ЛитССР, 1956, 62, 3—10 (рез. лит.).**

Исходя из модели двухэлектронных состояний, предложен способ построения волновой функции всего атома в многоконфигурационном приближении, при котором отбрасывается от обязательного равенства между собой радиальных одноэлектронных волновых функций с одинаковыми наборами значений основного и орбитального квантовых чисел. Этим способом трехконфигурационное приближение при помощи аналитич. водородоподобных одноэлектронных волновых функций применено к двум низшим конфигурациям четырех атомов типа лития. В случае атома лития использованы также волновые функции самосогласованного поля Фока. Резюме автора.

**74102. Периодическая система и электронные конфигурации элементов. Сугатхан, Менон** (Periodic classification and electronic configuration of elements. Sugathan K. K., Menon T. C. K.), Current Sci., 1956, 25, № 3, 85 (англ.).

Предлагается новое расположение элементов периодич. системы. За основу построения взяты электронные конфигурации основных состояний.

Н. Я.

**74103. Измерение поляризуемости атомов металлов с помощью электронного микроскопа. Липак, Дрекслер** (Messung der Polarisierbarkeit von Metallatomen mit dem Feldelektronenmikroskop. Liepack H., Drechsler M.), Naturwissenschaften, 1956, 43, № 3, 52—53 (нем.).

Сообщаются результаты измерений поляризуемости атомов металлов Ni, Cu, Mo, W, Ta и Ba, проведенных методом, развитым ранее (Drechsler M., Müller E. W., Z. Phys., 1952, 132, 195). Описывается принципиальная схема метода. Атомный пучок исследуемого элемента из тепловой «пушки» направляется на вольфрамовое острие, находящееся под большим потенциалом относительно источника (градиент поля  $\sim 3 \cdot 10^7 - 6 \cdot 10^7$  в/см). Вследствие взаимодействия неоднородного электрич. поля с наведенным дипольным моментом атома, траектория последнего искривляется. Изучение распределения нанесенного таким образом слоя металла позволяет определить поляризуемость атома элемента. Приведена рабочая ф-ла, связывающая поляризуемость с рядом измеряемых на опыте параметров, и результаты измерений сведены в таблицу. Указывается, что использованный метод позволяет измерять поляризуемость атома металла с ошибкой до 20%.

Д. Г.

**74104. Метод экспериментального определения вероятностей перехода. Эберхаген** (Eine Methode zur experimentellen Bestimmung von Übergangswahrscheinlichkeiten. Eberhagen A.), Z. Phys., 1955, 143, № 4, 392—411 (нем.).

Предлагается метод эксперим. измерения вероятности радиационного перехода атома  $A_{nm}$ , определяющей интенсивность  $I_{nm}$  излучения  $N$ -атомов, находящихся в  $1 \text{ см}^3$  при  $T$ -ре:  $I_{nm} = (1/4\pi) g_m A_{nm} (N/Z(T)) \times \hbar \nu_{nm} \exp(-\epsilon_m/kT)$  (1). Метод основан на измерении интенсивностей двух различных переходов одного атома со значительно отличающимися энергиями начального состояния. При этом находится отношение вероятностей  $g_2 A_2 / g_1 A_1$ , если известна  $T$ -ра источника. Последняя определяется по известному отношению вероятностей  $A_1/A_2$  для какого-либо атома, заранее найденному в другом опыте. Абс. значение величины  $A_{nm}$  может быть найдено из данных такого эксперимента, если известно одно из значений и отношение этих величин. Для определения абс. значения  $A_{nm}$ -величин рассматривается процесс излучения атома, находящегося в условиях стационарно горящей вольтовой дуги. В этом случае ур-ние состояния, найденное Саха (Saha M. N., Z. Phys., 1921, 6, 40), и ур-ние (1) позволяют связать величину  $A_{nm}$  с рядом величин, непосредственно измеряемых на опыте. Полагается, что  $N_{\text{ион.}} = N_e$  (число электронов); тогда при определении  $N_{\text{нейтр.}}$  из (1) и  $N_e$  через плотность тока  $j(r)$  или полный ток  $I$  в дуге для  $A_{nm}$  най-

дено  $A_{nm}^{\text{теор.}} = (CE / I g_m^{1/2} (\hbar \nu_{nm})^{1/2}) \int_0^R \lambda_e T^{-1/2} [Z(T) F(T) \times I(r) \exp(\epsilon_m/kT)]^{1/2} r dr$ , где  $C$  — константа,  $T$  —  $T$ -ра дуги,  $Z(T)$  — стат-сумма ионных состояний,  $I(r)$  — интенсивность излучения атомов объема, находящегося вблизи точек с радиусом  $r$  в поперечном сечении дуги,  $\lambda$  — длина свободного пробега электрона,  $E$  — напряженность электр. поля в дуге. Предлагаемый метод использовался для измерения величин ряда радиационных переходов атома Sr. Подробно рассматриваются возможные источники ошибок определения. Точность метода оценивается величиной ошибки (для видимой области спектра) порядка 20–25%. Полученные значения сравниваются с данными работы (Schuttevaer J., W., и др., Physica (Haag), 1943, 10, 544). Отмечается хорошее согласие (в пределах ошибки) для переходов  $6D-5P$ , но для переходов  $5D-5P$  значения  $A_{nm}$  реферируемой работы меньше на фактор  $\sim 4$ . Для ряда других типов переходов найденные значения хорошо согласуются с данными других работ.

Д. Г.

**74105. Многократное возбуждение электронов в оже-процессах. Вулфсберг, Перлман** (Multiple electron excitation in Auger processes. Wolfsberg Max, Perlman Morris L.), Phys. Rev., 1955, 99, № 6, 1833–1835 (англ.)

В случае оже-процесса обычно рассматриваются переходы лишь двух электронов: при переходе одного из них в дырку в нижней оболочке происходит возбуждение или испускание другого электрона. Однако, если скорость второго электрона достаточно велика и больше чем скорость электронов верхних оболочек атома, то в результате оже-процесса последние подвергаются «внезапному» возмущению. Был проведен расчет эффекта ионизации атомных электронов внешних оболочек хлора в оже-процессе, возникающем вслед за  $K$ -захватом  $\text{Ar}^{37}$ . Матричный элемент многоэлектронного перехода рассчитывался с волновыми функциями атома хлора, составленными в форме не антисимметризованного произведения водородных функций электронов оболочек, в которых учитывался эффект экранировки, согласно данным Слетера (Slater J. C., Phys. Rev., 1930, 36, 57). Указывается, что процесс ионизации в основном происходит с  $3s$  и  $3p$  оболочек при  $K \rightarrow L_1 L_1$  оже-процессе и в значительно меньшем кол-ве при  $L_{II} II \rightarrow M. M.$  оже-процессе.

Для вероятности возбуждения  $3s$  и  $3p$  электронов в  $K \rightarrow L_1 L_1$  оже-процессе получено значение 0.16 (при использовании слетеровских величин  $\Delta Z$  и водородных функций), для процесса ионизации — 0.03. Отмечается, однако, что полученные значения могут быть существенно изменены при использовании более точных функций.

Д. Г.

**74106. Лембовское смещение  $1^2S$  основного состояния дейтерия. Герцберг** (Lamb shift of the  $1^2S$  ground state of deuterium. Herzberg G.), Proc. Roy. Soc., 1956, A234, № 1199, 516–528 (англ.)

Определение величины лембовского смещения  $1^2S$  уровня дейтерия сводилось к измерению абс. длины волны  $L_\alpha$  линии дейтерия, лежащей в ультрафиолете (1215 Å). В качестве стандартных линий в области наблюдения были выбраны линии  $\text{Hg}^{198}$  серий  $6^1S_0 - n^1P_1$  и  $6^1S_0 - n^3P_1$  (линии естественной ртути слишком широкие, чтобы ими можно было пользоваться). Длины волн линий  $6^1S_0 - n^1P_1$  определялись с помощью комбинационного принципа и длин волн линий, лежащих в видимой области и ближнем ультрафиолете,  $6^1S_0 - 6^3P_1$ ,  $6^3P_1 - 7^3S_1$  и  $7^3S_1 - n^1P_1$  или  $6^1S_0 - 6^3P_1$ ,  $6^3P_1 - 7^3S_1$  и  $7^3S_1 - n^1P_1$ . Подобным образом находились длины волн линий  $6^1S_0 - n^3P_1$ , используя длины волн линий  $6^1S_0 - 6^3P_1$ ,  $6^3P_1 - 7^3S_1$  и  $7^3S_1 - n^3P_1$ . Часть линий, по которым проводилось определение длин волн стандартных линий  $\text{Hg}^{198}$ , была измерена ранее, некоторые линии измерены впервые в данной работе. Стандартные линии измерены с точностью  $\pm 0,0002$  Å.  $L_\alpha$  и стандартные линии  $\text{Hg}^{198}$  изучались в поглощении. Источником сплошного спектра служила разрядная трубка Лаймена, свет из которой попадал в первую камеру поглощения, куда вводился при  $T$ -ре жидкого азота атомарный дейтерий, получаемый с помощью трубки Вуда из тяжелой воды. Далее свет попадал во вторую камеру поглощения, содержащую изотоп  $\text{Hg}^{198}$ . Спектр поглощения, дейтерия и  $\text{Hg}^{198}$  изучался в 5 порядке  $3$ -м вакуумного дифракционного спектрографа. Из 6 независимо полученных спектрограмм было найдено, что линия  $L_\alpha$  имеет длину волны  $1215,3378 \pm 0,0003$  Å.  $L_\alpha$  представляет собой дублет, который не был разложен на составляющие компоненты. Учитывая дублетность структуры  $L_\alpha$  и принимая, что интенсивности компонент относятся, как 2:1, полагая, что  $T$ -ра поглощающего столба дейтерия равна  $80^\circ \text{K}$ , автор приходит к выводу, что абс. величина длины волны линии  $1^2S_{1/2} - 2^2P_{1/2}$  лежит между 1215,3375 и 1215,3360 Å. На основании дополнительных соображений автор делает заключение, что более вероятно значение 1215,3375 Å (или  $82281,671 \text{ см}^{-1}$ ). При сравнении этой эксперим. величины с дираковской теоретич. величиной  $\nu(2^2P_{1/2}) = 82281,993 \pm 0,009 \text{ см}^{-1}$ , для лембовского смещения получается  $\Delta E(1,0) = 0,262 \pm 0,03 \text{ см}^{-1}$ , что находится в удовлетворительном согласии с предсказанием теории.

Н. Я.

**74107. Тонкая структура термов атомов типа углерода и азота в конфигурациях  $1s^2 2s 2p^3$  и  $1s^2 2s^2 2p^3$ . Шугуров В. К., Болотин А. Б., Mokslo darbai. Vilniaus valst. univ. Mat. fiz. ir chem. mokslų, ser., Уч. зап. Вильнюсск. ун-т. Сер. матем., физ. и хим. н., 1956, 5, 41–47 (рез. лит.)**

Работа посвящена определению тонкой структуры термов атомов типа углерода и азота соответственно в конфигурациях  $1s^2 2s 2p^3$  и  $1s^2 2s^2 2p^3$ . Расчет расщепления произведен с учетом недиагональных элементов, в выражениях которых содержатся члены, дающие взаимодействие с ядром, и которые поэтому должны дать заметную поправку к результатам, полученным при помощи лишь диагональных элементов. Поправка на учет недиагональных элементов достигает в случае термина  $2P$  атома  $\text{Ne}^{2+}$  в конфигурации  $1s^2 2s^2 2p^3$  50% всего

расщепления. Из результатов работы следует, что фоковские функции дают расщепление меньшее опытного, а аналитические — меньшее, чем при помощи фоковских функций. Резюме автора.

**74108.** Излучение атома водорода при высоких температурах. Арёсте, Бентон (Emissivity of hydrogen atoms at high temperatures. Aroeste Henry, Benton William C.), J. Appl. Phys., 1956, 27, № 2, 117—121 (англ.)

Рассмотрено излучение водородных атомов, находящихся в равновесии с молекулами при высоких  $t$ -рах и давлениях. Отношение энергии излучения атомов  $H$  к излучению абсолютного черного тела определяется по формуле  $\epsilon = R_\omega/R_\omega^0 = 1 - \exp(-P_\omega X)$ , где  $P_\omega$  — коэфф. спектральной адсорбции, а  $X$  — оптич. плотность. При расчете  $P_\omega$  учтен Доплер-эффект и Штарк-эффект. Величина массовой адсорбции заимствована у Унзольда (Unsöld A., Physik der Sternatmosphären. Berlin, Verlag Julius Springer, 1938). Оптич. плотность  $X = P_n l$ , где  $P_n = 2xP_T / (1+x)$  — парц. давление атомарного водорода, а  $l$  — геометрич. глубина. Степень диссоциации  $X$  определялась экстраполяцией табличных данных. Расчеты показывают, что при низких  $t$ -рах ( $\leq 9200^\circ K$ ) излучение обусловлено в основном переходами в дискретном спектре, а при высоких ( $\geq 9200^\circ K$ ) — непрерывным спектром. При данной  $t$ -ре излучение возрастает с давлением, причем возрастает ширина спектральных линий. При  $t$ -рах  $\geq 12500^\circ K$  и давл.  $\geq 100$  атм  $\epsilon$  приближается к 1 ( $\geq 0,95$ ), а при  $t$ -рах  $\leq 9500^\circ K$  и давл.  $\leq 10$  атм  $\epsilon$  приближается к нулю ( $\leq 0,05$ ). При данном давлении и  $t$ -ре  $\epsilon$  возрастает с  $l$ , приближаясь к 1 при  $l \approx 100$  см.

**74109.** Исключение влияния доплеровского эффекта с помощью схемы совпадений. Сагалин (Proposed coincidence scheme for the elimination of the Doppler effect. Sagalyn Paul L.), Phys. Rev., 1956, 102, № 1, 293—294 (англ.)

Развивается идея о возможности применения схемы сдвинутых совпадений для измерения длин волн спектра излучения. Пусть какой-нибудь атом излучает два фотона в каскадном переходе с длинами волн  $\lambda_1$  и  $\lambda_2$ , причем оба в одном направлении. Свет от источника проходит через спектрограф (принимается, что разрешающий предел спектрографа мал по сравнению с доплеровской шириной) и разлагается на две линии с длинами волн  $\lambda_{10}$  и  $\lambda_{20}$  и ширинами, соответствующими доплеровским ширинам при  $t$ -ре источника. В фокальной плоскости имеется щель  $S_1$ , которая из контура первой линии вырезает участок с  $\lambda_1$ , а вторая щель, двигаясь в фокальной плоскости, может поочередно выбирать участки второй линии. Фотоны, проходящие через щели, попадают на два фотомножителя, которые через индивидуальные каналы связаны со счетчиком совпадений. Истинная скорость счета является функцией положения щели  $S_2$  и примет максим. значение, когда щель  $S_2$  займет положение, соответствующее выходу из спектрографа фотона  $\lambda_2$ . Далее, произведя перестановку приборов, фотон  $\lambda_2$  наблюдается в обратном направлении (направление наблюдения изменяется на  $180^\circ$ ). В этом случае доплеровское смещение для  $\lambda_2$  меняет знак и максимум счета совпадений будет наблюдаться на симметрично противоположном участке контура второй линии. Среднее двух отсчетов даст  $\lambda_{20}$ . Данный метод позволит значительно улучшить точность измерения длин волн. Разрешающая сила метода зависит только от инструментальных параметров и не зависит от доплеровского уширения. Метод может, повидимому, с успехом применяться для определения постоянных сверхтонкой структуры, а также для изучения изотопич. смещения. Схема совпадений может быть использована для детек-

тирования радиочастотного резонанса в промежуточном состоянии.

**74110.** Форма линий натриевой дуги, уширенная межмолекулярным эффектом Штарка. Венигер, Эрман (Contour des raies d'arc du sodium élargies par l'effet Stark intermoléculaire. Weniger S., Herman R., m - me), J. Phys. et Radium, 1956, 17, № 1, 37—41 (франц.)

Наблюдался искровой разряд между натриевыми электродами в водороде. Форма спектральных линий определялась микрофотометрич. методом. Контуров линий водорода и натрия, расширенные воздействием электрич. полей в газовой плазме, рассчитывались и сравнивались с экспериментальными. Для линии  $H_\beta$ , к примеру, обнаруживается несоответствие в расстоянии между центрами смежных расширенных линий. Полуширины этих линий могут служить для оценки конц-ий электронов в плазме. Несколькими способами оценены межзонные электрич. поля (порядка  $10^5$  в/см). Эти оценки полей и конц-ий электронов по водородным линиям служат для теоретич. подсчета формы таких линий, как дублет  $3^2P^0-5^2D$  (4969—4983 Å) NaJ. Из опытных контуров линий приближенно определены постоянные Штарка для серии  $3^2P^0-n^2S^0$  NaJ. Несогласие в эксперим. данных для натрия и водорода объясняется более быстрой рекомбинацией последнего.

**74111.** Спектр ксенона между 21 000 и 27 000 Å. Хепнер (Spectre du Xénon entre 21 000 et 27 000 Å. Hépner Georges), C. r. Acad. sci., 1956, 242, № 11, 1430—1431 (франц.)

Спектр ксенона в трубке Гейслера изучался в области 21 000—27 000 Å при помощи спектрометра с решеткой 300 штрихов на мм. Замечено 5 новых линий, которые могут служить стандартами в этой мало изученной области. Четыре из этих пяти линий идентифицируются с переходами между известными уровнями.

**74112.** Спектр флуоресценции  $Am^{3+}$  в  $LaCl_3$ . Грун, Конуэй, Мак-Лафлин, Канингем (Fluorescence spectrum of  $Am^{3+}$  in  $LaCl_3$ . Gruen D. M., Conway John G., McLaughlin R. D., Cunningham B. B.), J. Chem. Phys., 1956, 24, № 5, 1115—1116 (англ.)

Наблюдался спектр флуоресценции  $Am^{3+}$ , входящего в монокристаллы  $LaCl_3$ . Для наблюдения флуоресценции использовалась ртутная дуга. При комнатной  $t$ -ре обнаружена самовозбужденная флуоресценция, обусловленная активностью  $Am^{241}$ . Получены спектры при комнатной  $t$ -ре и  $77^\circ K$ . Всего зарегистрировано в области 4249—6714 Å 34 линии. Отмечается, что спектр флуоресценции  $Am^{3+}$  обусловлен переходами от двух электронных уровней, лежащих непосредственно над мультиплетом основного состояния  $^7F$ . Линии 4567 и 5227 Å наблюдались только при комнатной  $t$ -ре. Большинство линий обнаружено при  $77^\circ K$ .

**74113.** Исследование водородной дуги высокого давления. Ниссен (Untersuchungen an einem Wasserstoff-Hochdruckbogen. Nissen Walter), Z. Phys., 1954, 139, № 5, 638—648 (нем.)

Исследовался спектр водородной дуги при давлении 10—140 атм в области 4000—5600 Å.

**74114.** Физические основания усиления линий в аргоне и криптоне. Бейкер, Эйделштейн, Валии (Physical basis of line enhancement in argon and krypton. Baker Milton R., Adelstein S. James, Vallee Bert L.), J. Opt. Soc. America, 1956, 46, № 2, 138—140 (англ.)

Изучено поведение интенсивностей спектральных линий металлов, полученных в дуге постоянного тока в атмосфере He, Ar и Kr, в зависимости от их полных потенциалов возбуждения. Обнаружено, что отношения интенсивностей линий в атмосфере Ar к их интенсивностям в He и Kr

максимальны для тех линий, потенциалы возбуждения которых близки по величине к потенциалу возбуждения низшего возбужденного уровня Ag. Наблюдаемые усиления линий металлов связываются с неупругими столкновениями между атомами инертного газа и металла. Выдвигается следующий механизм. Благодаря столкновениям 2-го рода в разряде дуги атомы инертного газа переводятся в возбужденное состояние. Энергия возбуждения в результате столкновений может быть передана нейтральным атомам металла, которые возбуждаются или ионизируются. Н. Я.

**74115.** Изучение электрического разряда в инертных газах, возбужденного при помощи индукционной катушки. Кабанн (Étude de la décharge électrique par induction dans les gaz rares. Cabannes François), Ann. phys., 1955, 10 nov.-dec., 1026—1078 (франц.)

Работа посвящена систематич. изучению свойств электрич. разряда в неоне и ксеноне, возбужденного при помощи индукционной катушки. Одновременно исследованы различные стороны явления: электрические, тепловые и световые свойства разряда. Изучена устойчивость режима разряда, определены концы электронов и их т-ры, мощности, затраченные на излучение и рекомбинацию; изучены спектральные свойства разряда. В. А.

**74116.** Расчет вероятностей переходов для континуума рентгеновского спектра калия. Льюис, Грин, Малдер, Милнер, Колчин (Computed transition probabilities for x-ray continua of potassium. Lewis Margaret N., Green Louis C., Mulder Marjorie M., Milner Paul C., Kolchin Eleanor K.), Phys. Rev., 1955, 98, № 4, 1020—1028 (англ.)

Произведем расчет производной силы осциллятора  $df/de$  для континуума рентгеновского спектра калия. Вычисление проводилось с приближенными радиальными функциями электрона для начального и поперечного состояний, причем используются три формы  $df/de$ , дающие при расчете с волновыми функциями одного гамма-кванта тождественные результаты  $df/de =$

$$= (1/3) (v/R_y) (\max (I'/ (2l+1))) \left\{ \int_0^\infty R^N(nl) \cdot \rho R^N(e'l) d\rho \right\}^2, df/de = (4/3) (R_y/v) (\max (I'/ (2l+1))) \cdot \left\{ \int_0^\infty [R^N(nl) (dR^N(e'l)/d\rho) + \{I' - l\} R^N(nl) R^N(e'l)] / \rho d\rho \right\}^2, df/de = (4/3) (R_y/v)^3 (\max (I'/ (2l+1))) \cdot \left\{ \int_0^\infty R^N(nl) (dV/d\rho) R^N(e'l) d\rho \right\}^2, \text{ где } v - \text{разность}$$

волновых чисел электрона в конечном и начальном состояниях,  $R_y$  — константа Ридберга,  $\{I' - l\} = I'$  при  $l' > l$  и  $-l$  при  $l' < l$ ,  $V = 2Ze^2/\rho$ ;  $Z_e$  — эффективный заряд ядра. При определении  $df/de$  использовались как водородные функции электрона в поле ядра с зарядом  $Z - s$ , так и функции электрона  $K$ - и  $L$ -оболочек, полученные в приближении Хартри. Функции электрона в непрерывном спектре энергии находились численным интегрированием дифференциального уравнения Шредингера. Расчет производился для всех трех форм  $df/de$  для электрона  $K$ -оболочки. Приведены результаты расчета. Отмечается, что волновые функции электрона невозбужденного остова Ca ( $4s^{-2}$ ) весьма подобны волновым функциям электрона оболочки в остоке ионизированного K ( $1s^{-1}4s^{-1}$ ). Д. Г.

**74117.** Магнитный резонанс оптически ориентированных атомов натрия. Жене, Винценц, Бене, Экстерман (Résonance magnétique d'atomes de Sodium orientés optiquement. Geneux E., Vincenz B.,

Béné G., Extermann R.), Arch. sci., 1955, 8, № 2, 212—214 (франц.)

Изучались магнитные резонансы возбужденных атомов натрия, оптически ориентированных по методу Кастлера (Kastler A., Physica, 1946, 12, 619). Деориентация атомов при магнитном резонансе обнаруживалась оптически по изменению интенсивности и состояний поляризации света оптич. резонанса. Разрешены мультиплетные резонансы 106 Мгц, 12,6 Мгц. Авторы не пытались разрешить составные части резонансной кривой при 3,24 Мгц. В. А.

**74118.** Об изучении сверхтонкой структуры методом совпадений. Брэдли III. (Hyperfine structure by coincidence techniques. Bradley Lee C. III.), Phys. Rev., 1956, 102, № 1, 293 (англ.)

Предлагается новый метод изучения сверхтонкой структуры возбужденных состояний атома. Идея основана на экспериментах, которые показали возможность наблюдать совпадения между оптич. квантами, излученными в каскадных переходах, с помощью схемы сдвинутых совпадений, применяемой в ядерной физике. Резонансная частота определяется резким увеличением скорости счета. Предлагаемый метод в принципе близок к методу двойного резонанса (за исключением различий в детектировании); оба они основаны на связях между поляризацией и направлением фотонов в двух квантовых процессах. Сверхтонкая структура основных и метастабильных состояний не доступна методу совпадений. Н. Я.

**74119.** Замечания об оптической сверхтонкой структуре в Cd II. Келли, Сатерленд (A note on optical hyperfine structure in Cd II. Kelly F. M., Sutherland J. B.), Canad. J. Phys., 1956, 34, № 5, 521—522 (англ.)

При изучении сверхтонкой структуры основного уровня  $5s^2S_{1/2}$  Cd II использовались разрядная трубка с полым катодом, охлаждаемым жидким азотом, и интерферометр Фабри — Перо. Спектрограммы показали, что резонансные линии 2144 и 2265 Å состоят из трех компонент каждая. Сильная центральная компонента обусловлена четными изотопами. Слабые крайние обязаны своим происхождением неразрешенным нечетным изотопам Cd. Расщепление линии 2144 Å равно  $0,519 \pm 0,004 \text{ см}^{-1}$  и  $0,491 \pm 0,007 \text{ см}^{-1}$  на линии 2265 Å. По ф-ле Гаудсмита — Ферми — Серге вычислена средняя величина ядерного магнитного момента для двух нечетных изотопов Cd,  $\mu = -0,62 \pm 0,2$  ядерных магнетона. Метод ядерной индукции дал  $\mu = -0,608$  ядерных магнетона (Proctor W. G., Yu F. C., Phys. Rev., 1950, 76, 1728). Такое совпадение результатов указывает на правильность оценки фактора Ферми — Серге  $(1 - d\sigma/dn)$ , который оценивался по методу, описанному ранее (Crawford M. F., Schawlow A. L., Phys. Rev., 1949, 76, 1310). Величина фактора Ферми — Серге подтверждается и из других соображений. Н. Я.

**74120.** Парамагнитное резонансное поглощение в хлориде урана и ядерный спин урана-235. Хатчисон, Ллуэллин, Ван, Дорен (Paramagnetic resonance absorption in uranium (III) chloride and the nuclear spin of uranium-235. Hutchison Clyde A., Jr., Llewellyn P. M., Wong Eugene, Dorain Paul), Phys. Rev., 1956, 102, № 1, 292 (англ.)

Наблюдалось резонансное парамагнитное поглощение в монокристаллах безводн.  $UCl_3$ , разб.  $LaCl_3$ . Измерения проделаны на частотах  $\sim 8700 \text{ Мгц}$  (при  $20^\circ \text{K}$ ) и  $23\,000 \text{ Мгц}$  (при  $4,2^\circ \text{K}$ ). Замечено сильное поглощение ионами  $(U^{235})^{3+}$  и определены  $g$ -величины:  $g_{||} = 4,153 \pm 0,005$ ,  $g_{\perp} = 1,520 \pm 0,002$ . В более конц. кристаллах наблюдается поглощение ионами  $(U^{235})^{3+}$ . Из анализа резонансного спектра сделано заключение, что спин  $U^{235}$  равен  $7/2$  и  $g_{\perp} A/g_{||} B = 1,13$ , где  $A$  — постоянная магнитного и  $B$  — квадрупольного взаимодействий. Ве-

личина 1,13 указывает, что в  $U^{3+}$  примесь более высоких конфигураций мала. Оценка магнитного момента  $U^{3+}$  дает  $\mu = 0,38 - 0,31 \mu_{\text{яд}}$  Н. Я.

См. также: Атомные спектры 74681

## МОЛЕКУЛА. ХИМИЧЕСКАЯ СВЯЗЬ

74121. Органические реакции и квантовая химия. Фукуи (有機反応と量子化学・福井謙一), 化学の領域, Kagaku-no reiki, J. Japan. Chem., 1956, 10 № 4, 33—42 (япон.)  
Обзор. Библ. 54 назв.

74122. Молекулярно-орбитальная теория валентности. XVII. Более высокие ступени приближений. XVIII. Локализованные орбиты в сопряженных молекулах. Манинг (The molecular orbital theory of chemical valency. XVII. Higher approximations. XVIII. Localized orbitals in conjugated molecules. Manning P. P.), Proc. Roy. Soc., 1954, A225, № 1160, 136—146; № 1161, 244—251 (англ.)

XVII. Обсуждаются ур-ния, определяющие наилучшие линейные комбинации детерминантов, построенных из конечного числа одноэлектронных орбит. Показано, что и в случае линейных комбинаций детерминантов одноэлектронные орбиты определены лишь с точностью до унитарного преобразования. Таким образом, полученное обобщение более раннего результата (J. Lennard-Jones, Proc. Roy. Soc., 1949, A198, 1, 14).

XVIII. Факт инвариантности волновой функции синглетного электронного состояния, взятой в виде одного определителя, по отношению к унитарным преобразованиям занятых МО позволяет обычно (по выбору) пользоваться локализованными или делокализованными представлением МО. Исключение составляют орбиты  $\pi$ -электронов в сопряженных органич. молекулах: унитарные преобразования занятых орбит не позволяют здесь перейти к локализованным орбитам (Hall G. G., Lennard-Jones S. J., Proc. Roy. Soc., 1951, A205, 357). Автор показывает, что введение локализованных орбит для  $\pi$ -электронов в сопряженных органич. молекулах возможно, если, кроме занятых МО, подвергать унитарному преобразованию некоторый набор виртуальных МО (как занятые, так и виртуальные МО являются собственными функциями самосопряженного гамильтониана; последний зависит от вида занятых орбит и не зависит от вида виртуальных орбит). Разбирается случай, когда имеется  $M$  дважды занятых  $\sigma$ -орбит и  $N$  дважды занятых  $\pi$ -орбит. Подвергая занятые  $\pi$ -орбиты  $\psi_{M+1}, \dots, \psi_{M+N}$  и  $N'$  виртуальных  $\pi$ -орбит  $\psi_{M+N+1}, \dots, \psi_{M+N+N'}$  унитарному преобразованию с матрицей  $T^{-1}$ , строится набор локализованных орбит  $\chi_r$  ( $r = 1, 2, \dots, N + N'$ ). Обычно  $N' = N$ . При этом  $\psi_{M+m} = \sum_{r=1}^{N+N'} t_{mr} \chi_r$ . Получена система самосопряженных ур-ний для локализованных орбит  $\chi_r$ , из которой для определения ненулевой матрицы  $T$  следует вековое ур-ние вида:  $\det \{e_{rs} - E \delta_{rs}\} = 0$ . ( $e_{rs} = h_{rs} + \sum_{p,q=1}^{N+N'} q_{pq} \{2(sp|g|r)q - (sp|g|qr)\}$ ;  $h_{rs} = \int \bar{\chi}_s \{H + 2 \sum_{I=1}^M G_{II}\} \chi_r - \sum_{I=1}^M g'_{Ir} \psi_I dx$ ;  $(sp|g|qr) = \int \bar{\chi}_s (x_1) \chi_p (x_2) (1/r_{12}) \chi_q (x_1) \chi_r (x_2) dx_1 dx_2$ ;  $q_{pq} = 2 \sum_{I=1}^{M+N} \bar{t}_{Iq} t_{Ip}$ ;  $g'_{Ir} (x_1) = \int \bar{\psi}_I (x_1) (1/r_{12}) \cdot \chi_r (x_2) dx_2$ ;  $\sum_{I=1}^M G_{II}$  — кулоновский потенциал  $\sigma$ -электронов;  $H$  — сумма оператора кинетич. энергии и потенциала, создаваемого остовом молекулы. При некоторых предположениях, полученное вековое ур-ние формально совпадает с вековым ур-нием стандартных возбужденных состояний

(Hall G. G., Proc. Roy. Soc., 1952, A213, 113) или с вековым ур-нием полуэмпирич. метода (Hückel E., Z. Phys., 1931, 70, 204). Сообщение XVI см. РЖХим, 1955, 86.

74123. Приближенное вычисление интегралов, применяемых в квантовой механике нелинейных молекул. Баркер, Эйринг (Approximate integral evaluations used in the molecular quantum mechanics of nonlinear molecules. Barker Roland S., Eyring Henry), J. Chem. Phys. 1954, 22, № 12, 2072—2077 (англ.)  
В предыдущих работах (РЖХим, 1956, 38630, 53597) приближенные значения трехцентровых интегралов для линейного комплекса  $H_3^+$  сопоставлялись с их точными значениями. В данной работе исследуется угловая зависимость приближенных значений трехцентровых интегралов, вычисленных с атомными  $1s$ -функциями по методу Малликена (Mulliken R. S., J. Chem. Phys. 1949, 46, 500—521) и по методам Руденберга (Rudenberg K., J. Chem. Phys., 1951, 19, 1433). С этой целью интегралы  $K_{a,b,c} = \int \chi_b (1) \chi_c (1) d\tau_1 / r_{a1}$ ;  $L_{ab,bc} =$

$$= \int \chi_a (1) \chi_b (1) (1/r_{12}) \chi_b (2) \chi_c (2) d\tau_1 d\tau_2; L_{aa,bc} = \\ = \int \chi_a (1) \chi_a (1) (1/r_{12}) \chi_b (2) \chi_c (2) d\tau_1 d\tau_2 \text{ для различных}$$

геометрич. расположений протонов в комплексе  $H_3^+$ , вычислены точно и по указанным приближенным методам. Результаты табулированы в работе. Сопоставление приближенных и точных значений интегралов  $L_{ab,bc}$  и  $L_{aa,bc}$  показывает, что метод Малликена является в общем более точным, чем методы Руденберга. Кроме того, метод Малликена более прост, так как он сводит трехцентровые интегралы  $L$  к двухцентровым кулоновским интегралам типа  $L_{aa,bb}$ , а не к обменным интегралам, как методы Руденберга. Вычисленные значения интегралов позволяют произвести расчет энергии нелинейного комплекса  $H_3^+$ . Приведены результаты вариационного расчета энергии ковалентной структуры комплекса  $H_3^+$  для случая, когда ядра расположены в вершинах равностороннего треугольника со стороной  $R$ . Расчет произведен: 1) с точными значениями интегралов и 2) с интегралами, вычисленными по приближенному методу Малликена, для значений  $RZ = 2,0; 2,5$  и  $3,0$ . ( $Z$  — эффективный заряд атомных  $1s$ -функций). Наибольшее вычисленное значение энергии связи (по сравнению с системой, состоящей из молекулы  $H_2$  и бесконечно удаленного протона) имеет место при  $RZ = 2,5$  и, равно  $180,2$  ккал/моль (с точными интегралами) и  $164,9$  ккал/моль (с приближенными интегралами по Маллику). Соответствующие значения «наилучших» эффективных зарядов ядер равны  $Z = 1,37$  (с точными функциями) и  $Z = 1,36$  (с приближенными интегралами).

Наилучшее вычисленное до сего времени значение энергии связи в линейном симметрич. комплексе  $H_3^+$  составляет  $158,09$  ккал/моль. Результаты работы показывают, что приближенные значения интегралов можно использовать для почти точного определения «наилучших» значений вариационных параметров (геометрич. параметров, эффективных зарядов). Однако, для вычисления энергии с этими «наилучшими» значениями параметров необходимо пользоваться уже точными значениями интегралов. Сопоставлены также приближенные и точные значения вторых производных по углам для некоторых интегралов, важных для теории колебаний комплекса  $H_3^+$ .

Т. Р.

74124. О вычислении слеятеровских интегралов. Бингель (Über die Berechnung von Slater-Integralen. B ingel Werner), Z. Naturforsch., 1954, A9, № 7/8,

675—684; исправление к статье см. Z. Naturforsch., 1954, A9, № 9 (нем.)

Даны конечные аналитич. выражения для следующих одноцентровых интегралов, вычисляемых с атомными функциями Слейтера:  $I(a, b) \equiv I(n_a, l_a, m_a; n_b, l_b, m_b) =$

$$= \int \psi_a^* (-\Delta/2 - Z/r) \psi_b d\tau, R^K(ab, cd) \equiv R^K(n_a, l_a, n_b, l_b; n_c, l_c, n_d, l_d) = \int_0^\infty \int_0^\infty R_a(r_1) R_b(r_2) (r_</r_>^{h+1}) R_c(r_1) \cdot$$

$\cdot R_d(r_2) r_1^2 dr_1 r_2^2 dr_2$ , где  $\psi_a$  — функция Слейтера с квантовыми числами  $n_a, l_a$  и  $m_a$ ;  $R_a$  — ее радиальная часть;  $r_< = \min(r_1, r_2)$ ;  $r_> = \max(r_1, r_2)$ ;  $Z$  — заряд ядра. Полученное для интеграла  $R^K$  выражение имеет силу только при целочисленных значениях эффективных главных квантовых чисел  $n_a, n_b, n_c$  и  $n_d$ . Интегралы  $F$  и  $G$ , входящие в выражение энергии атома, сводятся к интегралам  $R^K$ :  $F^K(a, b) = R^K(ab, ab)$ ;  $G^K(a, b) =$

$= R^K(aa, bb)$ . С помощью полученных ф-л вычислены значения слейтеровских интегралов  $G_1(2s, 2p) = (1/3) G'(2s, 2p)$ ;  $G_1(3s, 3p) = (1/3) G'(3s, 3p)$ ;  $G_2(2p, 2p) = (1/25) G^2(2p, 2p)$ ;  $G_2(3p, 3p) = (1/25) G^2(3p, 3p)$  для следующих изoelektronных рядов (указан первый член ряда): Be, B, C, N; Mg, Al, Si, P. Для  $s$ - и  $p$ -функций использованы одинаковые константы экранировки. Результаты сопоставлены со спектроскопич. значениями слейтеровских интегралов (РЖХим, 1954, 28433). Подтверждается обнаруженная эмпирически линейная зависимость слейтеровских интегралов от заряда ядра. Углы наклона вычисленных прямых одинаковы для всех изoelektronных рядов и близки к средним наклонам эмпирич. прямых. Спектроскопич. значения параметров экранировки сопоставлены со значениями, определенными по известным правилам Слейтера или по правилам Кольрауша (Acta phys. austriaca, 1949, 3, 452). Последние лучше согласуются со спектроскопич. значениями. Для выяснения вопроса о точности, даваемой функциями Слейтера, вычисленные с этими функциями значения слейтеровских интегралов для атома С сопоставляются со значениями, найденными с помощью самосогласованных функций. Полученные в работе результаты можно применять для приближенного вычисления слейтеровских интегралов с самосогласованными функциями, аппроксимируя самосогласованные функции конечной суммой функций Слейтера (РЖХим, 1954, 44306).

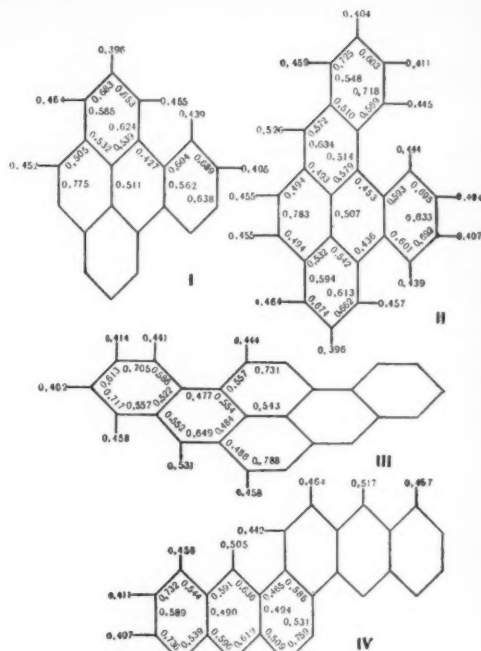
Т. Р.

**74125. Изучение молекулярных диаграмм некоторых ароматических углеводородов. Шальве, Пельтье** (Étude des diagrammes moléculaires de quelques hydrocarbures aromatiques. Chalvet Odilon, Pelletier Jean), J. chim. phys. et phys.-chim. biol., 1956, 53, № 4, 402—406 (франц.)

Методом ЛКАО рассчитаны молекулярные диаграммы и энергии электронных переходов в 1,2-бензпирене (I), 1,2,3,4-либензпирене (II), 3,4,9,10-либензпирене (III), 1,2,2',1'-антраантрацене (IV). Собственные векторы и собственные значения матрицы энергии, приводящих к вековым ур-ниям для молекул I—IV, определялись по методу, предложенному ранее (РЖМатематика, 1956, 5100). Приведены таблицы значений уровней энергии и коэфф. при атомных орбитах  $c_{ij}$ . Порядки связей и индексы свободной валентности для каждого из указанных соединений приведены на рис. На основании вычисленных параметров электронной структуры обсуждается реакционная способность и канцерогенная активность I—IV. Теоретич. энергии электронного перехода  $\pi\pi$  (выраженные в  $\beta$ ) сопоставляются с эксперим. значениями (в  $\text{см}^{-1}$ ) для  $p$ -полосы: I 0,994 (30 170), II 0,794 (24 880), III 0,644 (25 190), IV 0,696 (23 810).

М. А.

К реферату 74125



**74126. Теория возмущений в методе молекулярных орбит. I. Метод возмущений, использующий самосогласованные орбиты. Поппл. II. Смещение заряда и стабилизация в сопряженных молекулах. Поппл, Скофилд** (Molecular orbital perturbation theory. I. A perturbation method based on self-consistent orbitals. Pople J. A. II. Charge displacement and stabilization in conjugated molecules. Pople J. A., Schofield P.), Proc. Roy. Soc., 1955, A233, № 1193, 233—241; 241—247 (англ.)

I. Разработан метод возмущений, основанный на использовании самосогласованных МО (Roothaan C. C. J., Revs Mod. Phys., 1951, 23, 61). Приближенная волновая функция синглетного основного состояния возмущенной молекулы ищется в виде линейной комбинации приближенных волновых функций основного и возбужденных синглетных состояний невозмущенной молекулы:  $\Psi = a\Psi_0 + \sum_{s>0} b_s\Psi_s$ . Приближенная синглетная волновая функция основного состояния молекулы  $\Psi_0$  взята в виде одного определителя, составленного из самосогласованных молекулярных орбит. Приближенные волновые функции синглетных возбужденных состояний невозмущенной молекулы  $\Psi_1, \Psi_2, \dots$  взяты в виде парных сумм определителей, получаемых из  $\Psi_0$  заменой одной из занятых МО на одну из виртуальных орбит. Для того чтобы имели силу обычные ф-лы теории возмущений, функции  $\Psi_0, \Psi_1, \Psi_2, \dots$  должны удовлетворять условиям  $(\Psi_s|\Psi_t) = \delta_{st}$ ;  $(\Psi_s|H|\Psi_t) = 0$ , если  $s \neq t$  ( $H$  — гамильтониан невозмущенной системы). Если оба индекса  $s$  и  $t$  отличны от нуля, то второе из указанных соотношений не выполняется. Дальнейшая теория строится на основе предположения, что для возмущения основного состояния все же можно пользоваться обычными ф-лами теории возмущений, т. е. полагая приближенно:  $(\Psi_s|H|\Psi_t) \approx 0$ , если  $s \neq 0$  и  $t \neq 0$ . Представляя самосогласованные МО в виде ЛКАО:  $\Phi_i = \sum_{\mu} C_{i\mu} \chi_{\mu}$ , вы-

ражение для поправок первого и второго порядков к энергии записываются в виде:  $E^{(1)} = 2 \sum_{\text{зан}} \sum_{\text{своб}} C_{j\mu} \bar{C}_{j\mu} \times C_{i\nu} \delta V_{\mu\nu}$ ,  $E^{(2)} = -2 \sum_{\text{зан}} \sum_{\text{своб}} (E_i^{(1)})^{-1} \sum_{\text{своб}} \bar{C}_{k\mu} \times C_{i\nu} \bar{C}_{i\sigma} C_{k\sigma} \delta V_{\mu\nu} \delta V_{\sigma\tau}$  ( $\delta V$  — возмущение;  $\delta V_{\mu\nu} = (\chi_{\mu} | \delta V | \chi_{\nu})$ ;  $\sum_{\text{зан}}$  и  $\sum_{\text{своб}}$  обозначают суммирование соответственно по занятым и по виртуальным МО. Поправка первого порядка к элементам матрицы электронной плотности  $\rho_{\kappa\lambda}$  (связанной с пространственной плотностью электронов  $\rho$  равенством  $\rho = \sum_{\kappa\lambda} \rho_{\kappa\lambda} \chi_{\kappa} \chi_{\lambda}$ ) дает-ся ф-лами:  $\rho_{\kappa\lambda}^{(1)} = V^2 \text{Re} \{ \sum_{i \text{ зан}} \sum_{h \text{ свобод}} b_{i \rightarrow h}^{(1)} (\bar{C}_{i\kappa} C_{h\lambda} + \bar{C}_{i\lambda} C_{h\kappa}) \}$ ;  $b_{i \rightarrow h}^{(1)} = -V^2 (E_i^{(1)})^{-1} \sum_{\mu\nu} \bar{C}_{h\mu} C_{i\nu} \delta V_{\mu\nu}$ ;  $E_i^{(1)} = (\Psi_i | H | \Psi_i) - (\Psi_0 | H | \Psi_0)$ . Получено также выражение для поправки второго порядка к  $\rho_{\kappa\lambda}$ . Поправки первого порядка к  $\rho_{\kappa\lambda}$  описывают индуктивный, поправки второго порядка к  $\rho_{\kappa\lambda}$  — электромерный эффект. Поляризуемости  $\pi_{\kappa\lambda, \mu\nu}$  равны  $\pi_{\kappa\lambda, \mu\nu} = \partial \rho_{\kappa\lambda} / \partial V_{\mu\nu}$ .

II. Общая теория применяется к исследованию изменений энергии и распределения заряда, вызванных индуктивными и электромерными возмущениями сопряженных молекул. Самосогласованные МО, служащие основой расчета, находятся по приближенному методу, использующему эмпирич. значения интегралов взаимодействия электронов. Метод близок к методу, предложенному ранее (РЖХим, 1955, 28255). Индуктивный эффект: Поправка первого приближения к энергии не зависит от места присоединения заместителя к альтернантным углеводородам. Поправка второго приближения пропорциональна самополяризуемости  $\pi$ -электронного облака в месте присоединения. Смещение  $\pi$ -электронного облака определяется значениями поляризуемостей «атом-атом». Так как последние в случае бензола имеют одинаковый ход для метода самосогласованных МО и для одно-электронного приближения, то в расчете индуктивного эффекта нет существенной разницы между методами самосогласованных МО и методом, в котором пренебрегается взаимодействием электронов. Электромерный эффект: Рассматривается присоединение к сопряженной системе  $R$  замещающей группы  $S$ , электроны неподеленной пары которой вступают в сопряжение с  $\pi$ -электронами системы  $R$ . Вычислены энергии стабилизации и смещения заряда в молекулах пиррола, фурана, антрацена и фенола. Т. Р.

74127. Простой и точный метод расчета молекулярных энергий. Оно (分子エネルギーの簡単に良く合う計算方法・大野公男), Японское физическое общество, Proc. Phys. Soc. Japan, 1956, 11, № 3, 112—114 (япон.).

Изложение работ Паризера и Парра (РЖХим, 1954, 12380, 12388; 1955, 83) М. Д.

74128. Теория относительной реакционной способности замещенных ароматических молекул к присоединению радикала с точки зрения метода молекулярных орбит. Гринвуд (Molecular orbital theory of the relative reactivities of substituted aromatic molecules towards radical addition. Greenwood H. H.), Nature, 1955, 176, № 4491, 1024—1025 (англ.).

Ранее было показано, что при замещении антрацена в положении 9 активность 10-го центра к присоединению радикалов возрастает независимо от полярности замещающей группы (РЖХим, 1956, 25512). Автор указывает, что этот вывод находится в полном соответствии с ранее разработанной им теорией (J. Chem. Phys., 1952, 20, 1333; Trans. Faraday Soc., 1952, 48, 585), из которой следует, что изменение свободной валентности или энергии локализации электрона в положении 10 является четной функцией от электроотрицательности заместителя в положении 9, т. е. не зависит от изменения направления дипольного

момента. В случае  $p$ -ций с электрофильным механизмом функция нечетная и направление изменения скорости  $p$ -ций уже зависит от электроотрицательности замещающей группы. Автор подчеркивает, что развиваемая им теория дает надежные результаты для предсказания реакционной способности центров, у которых влияние замещающей группы существенно сказывается на электронной плотности. Так, влияние заместителя на орто- и пара-центры в монопроизводных бензола велико, и мало в случае метацинтров, поэтому объективную ценность могут иметь результаты вычислений для первых двух центров, хотя в некоторых случаях (пиридин) теория может быть использована для предсказаний метацинтров. В. А.

74129. Локализованные молекулярные орбиты и структура молекул типа  $\text{XH}_3$ . Колос (The localized molecular orbitals and the structure of some  $\text{XH}_3$  molecules. Kolos Włodzimirz), Acta phys. polon., 1955, 14, № 6, 471—482 (англ.; рез. русс.).

По методу локализованных МО производится расчет зависимости полной энергии  $E$  молекул  $\text{XH}_3$  ( $X = \text{N}, \text{P}$ ) от величины валентного угла  $\alpha$ . Использованы экспериментальные значения длины связи  $X-H$ . Двухцентровые связывающие МО строятся в виде линейных комбинаций  $1s$ -орбит атомов  $H$  и гибридных (слейтеровских)  $sp$ -орбит центрального атома  $X$ . Относительные веса орбит атомов  $H$  и атома  $X$  приняты равными соответствующим отношениям электроотрицательностей (1,2 для  $\text{NH}_3$  и 1,0 для  $\text{PH}_3$ ). Орбита, занятая неподеленной электронной парой центрального атома, также взята в виде гибридной  $sp$ -орбиты. Внутренние электронные оболочки центрального атома не учитываются. Расчет производится для двух видов условий ортогональности электронных орбит. В первом случае взаимно ортогонализуются все три связывающие МО и орбита неподеленной пары. Во втором случае взаимно ортогонализуются только орбиты центрального атома. В первом случае функция  $E(\alpha)$  не обнаруживает минимума, если эффективный заряд ядра атома  $H$   $Z_H = 1$ . Во втором случае минимумы  $E(\alpha)$  имеют место при  $\alpha = 102^\circ$  ( $\text{NH}_3$ ) и  $\alpha = 98^\circ$  ( $\text{PH}_3$ ) (опыт  $\alpha = 106^\circ 47'$  и  $93^\circ 50'$ ). Произведены также расчеты с использованием первого вида условий ортогональности, но  $Z_H > 1$ . Согласующиеся с экспериментом значения  $\alpha$  получаются при  $Z_H = 2,5$  ( $\text{NH}_3$ ) и 5,3 ( $\text{PH}_3$ ). Т. Р.

74130. Метилирование 1,2-бензантрацена. Накадзима (Methyl substitutions in 1:2-benzanthracene. Nakajima Takeshi), 東北大学理科学報告, Tohoku дайгаку рика хококу, Sci. Repts Tohoku Univ., 1954, Ser. 1, 38, № 4, 247—256 (англ.).

По методу ЛКАО — МО рассчитаны смещения в УФ-спектре 1:2-бензантрацена (I) при метилировании. Величина bathochromic смещения  $\Delta H$ , обусловленного присоединением метильной группы к  $r$ -му атому  $C$ , выражается ф-лой (в единицах  $\beta$ ):  $\Delta H = -2c_r^2 [c_r^2 / (e_r^2 - e^2) + c_r^2 / (e_r^2 - e^2)] k^2$ , где  $e$ ,  $e_r$ ,  $e_2$  — соответственно энергия высшей занятой МО бензантрацена, энергии занятой и первой свободной МО метильной группы;  $c_r$ ,  $c_1$ ,  $c_2$  — коэфф. при орбите  $r$ -го атома в высшей занятой МО I, коэфф. при орбите атома  $C$  метильной группы в ее занятой и первой свободной МО. Использовано значение  $k = 0,7$ . Таким образом bathochromic смещение прямо связано с электронной плотностью высшей занятой МО I у места присоединения. Получены следующие результаты: (первая цифра — место присоединения; вторая — опытное значение  $\Delta H$  в  $\text{см}^{-1}$ ; третья — вычисленное значение  $\Delta H$  в  $\text{см}^{-1}$ ) 1', 0, 0; 3', -214, -30; 4', -298, -100; 6, -214, -140; 2', -129, -160; 7, +43, -210; 3, +43, -320; 4, -86, -340; 8, -424, -350; 5, -424, 400; 9, -876, -590; 10, -1117, -760. Качеств. согласно с экспериментом хорошее (от-

существование bathochromic смещения в положении I, наибольшие значения  $\Delta H$  для положений 9 и 10), за исключением значений  $\Delta H$  для положений присоединения 2', 7, 3 и 4 (для которых эксперим. значения ненадежны). Рассчитаны энергии делокализации и энергии стабилизации при метилировании, а также величины миграции заряда от метильной группы и самополяризуемости для различных мест присоединения. Энергия делокализации, обусловленная метилированием, и порядок сверхсвязанной  $\pi$ -связи линейно зависят от самополяризуемости места присоединения. Вычислено изменение электронной плотности в  $K$ -области (атомы 3, 4) для различных мест присоединения метильной группы. Сопоставление вычисленных изменений электронной плотности в  $K$ -области с канцерогенной активностью различных метилбензотрансцен показывается, что гипотеза, приписывающая канцерогенные свойства изменениям электронной плотности в указанной области, приводит к серьезным затруднениям. Разработанный в работе метод пригоден для расчета спектральных смещений, энергии делокализации, порядка связи с замещающей группой и величины электронной миграции в общем случае замещений в сопряженных системах. Т. Р.

**74131. Упрощенное исследование учета ионной конфигурации электронов в молекуле водорода.** Гордалзе Г. С., Тр. Груз. политехн. ин-т, 1956, № 1, (42), 125—140 (рез. груз.).

Произведен расчет основного электронного состояния молекул  $H_2$  и  $H_2^+$  и рассмотрено поведение молекулярных орбит электрона при увеличении межъядерного расстояния. В результате расчета основного электронного состояния молекулы  $H_2$  автор снова получает потенциальную кривую, имеющую максимум, возвышающийся на  $\sim 0,3$  ат. ед. над энергией двух изолированных атомов H (См. РЖХим, 1956, 38637). Т. Р.

**74132. О связи между движением электронов и ядер и о ван-дер-ваальсовом взаимодействии атомов гелия.** У Да-ю (On the coupling between electronic and nuclear motion and Van der Waals' interaction between helium atoms. Wu Ta-Yo u.), J. Chem. Phys., 1956, 24, № 2, 444—446 (англ.).

С помощью изложенного ранее метода (РЖХим, 1956, 53598) произведен расчет добавки  $E^c(R)$  к потенциалу ван-дер-ваальсового взаимодействия двух атомов гелия на больших расстояниях  $R$ , обусловленной связью между движением электронов и ядер. Вычисления произведены с помощью волновой функции, предложенной Розеном (Rosen P., J. Chem. Phys., 1950, 18, 1182), с фиксированными значениями эффективных зарядов ядер Z. Получено аналитич. выражение, представляющее ход добавочного потенциала  $E^c(R)$ .  $E^c(R)$  носит характер отталкивания и обратно пропорционален приведенной массе взаимодействующих атомов: поэтому ван-дер-ваальсово притяжение между двумя атомами  $He^3$  слабее, чем между атомами  $He^4$ . Чтобы получить количественно правильное представление о ходе  $E^c(R)$ , вместо фиксированных эффективных зарядов ядер следовало бы использовать функцию  $Z(R)$ , определяемую по вариационному методу. Т. Р.

**74133. Энергии диссоциации окислов магния, кальция, стронция и бария.** Вейц И. В., Гурвич Л. В., Оптика и спектроскопия, 1956, 1, № 1, 22—33

Более подробное изложение предыдущей работы (РЖХим, 1956, 6113). Дополнительно приведено значение энергии диссоциации  $BaO$  138,1 ккал/мол. А. З.

**74134. Адиабатическая корреляция при образовании ионов метила из метана и его производных при электронном ударе.** Мак-Дауэлл (Adiabatic correlations for the formation of methyl ions from methane and its derivatives by electron impact. McDowell C. A.), Trans. Faraday Soc., 1954, 50, № 377, 423—430 (англ.).

Зная геометрию молекулы и ф-лы МО для метана и его производных, можно путем применения принципа Франка — Кондона решить, в каком электронноколебательном состоянии образуется мол. ион при ударе электрона известной энергии. Затем возможно применить метод теории групп, чтобы учесть адиабатич. корреляцию между различными электронноколебательными состояниями исходного иона и основным электронноколебательным состоянием иона метила. Так как потенциал появления иона метила известен, то возможно указать пределы диссоциации некоторых важных электронноколебательных состояний исходных ионов. Рассматриваются метан,  $CH_3I$  и  $CH_3CN$ . Е. Ф.

**74135. Поведение галогенозамещенных бензола при электронном ударе. II. Влияние энергии ионизирующих электронов на масс-спектр. Моминьи** (Comportement du cycle benzénique halogéno-substitué sous l'impact électronique (II). Influence de l'énergie des électrons ionisants sur les spectres de masse. M o m i n y J.), Bull. Soc. chim. belges, 1955, 64, № 3-4, 166—172 (франц.; рез. англ.).

Исследовалось влияние энергии ионизирующих электронов (в пределах 10—70 эв) на поведение бензола и галогенозамещ. бензолов. Установлено, что стабильность молекулярных ионов увеличивается с уменьшением энергии электронов (%) и, кроме того, эта стабильность увеличивается в последовательности:  $C_6H_5I$ ,  $C_6H_5Br$ ,  $C_6H_5Cl$ ,  $C_6H_5F$ ,  $C_6H_6$ . Высота пика  $C_6H_5^+$ , отнесенная к полному ионному току при ионизации  $C_6H_5Br$  и  $C_6H_5I$ , проходит через максимум при  $E \sim 30$  эв. Отношение пиков  $C_6H_5^+$  и  $C_4H_4^+$  проходит через минимум при  $\sim 20$  эв для всех исследованных в-в. Сообщение I см. РЖХим, 1956, 60733. Е. Ф.

**74136. Реакции молекулярных ионов с молекулами в газовой фазе. II. Шислер, Стивенсон** (Reactions of gaseous molecule ions with gaseous molecules. II. Schissler D. O., Stevenson D. P.), J. Chem. Phys., 1956, 24, № 4, 926 (англ.).

Описаны результаты дальнейших (сообщение I, РЖХим, 1956, 61053) опытов по изучению процессов типа  $X^+ + YH = XH^+ + Y$ , где  $X = Kr^+, N_2^+, D_2^+, CO^+, Ne^+, HCl^+, HBr^+, Ar^+, CH_3OH^+$ , происходящих в ионном источнике масс-спектрометра. Показано, что имеется обратная пропорциональность между сечением  $r$ -ции и средней скоростью, с которой реагирующий ион пересекает ионизационную камеру ионного источника; зависимости сечения  $r$ -ции от  $t$ -ры не обнаружено. При изучении  $r$ -ций более сложных систем (легкие углеводороды) отмечен ряд  $r$ -ций, в том числе таких, где происходит образование связей  $C-C$  (напр.,  $CH_3^+ + CH_4 = C_2H_5^+ + H_2$ ). Эти  $r$ -ции характеризуются слабой зависимостью сечения от  $t$ -ры, а также тем, что сечение оказывается равным нулю при определенной конечной скорости реагирующего иона. Это исключает простую интерпретацию поперечных сечений как константы скорости обычной бимолекулярной  $r$ -ции (сечение  $\sim 10^{-15} \text{ см}^2$ ). Е. Ф.

**74137. Масс-спектрометрическое исследование активного азота.** Джексон, Шифф (Mass spectrometric investigation of active nitrogen. Jackson D. S., Schiff H. I.), J. Chem. Phys., 1955, 23, № 12, 2333—2338 (англ.).

Масс-спектрометрическим методом исследован активный азот, взятый из центральной области разрядной трубки. Найдено, что отношение величин ионных токов при массовых числах 14 и 28 по сравнению с обычным азотом при том же давлении возрастает. Кривые эффективности ионизации для масс  $m = 28$  одинаковы, а для  $m = 14$  — различны. Исследование кривой  $\Delta m_{14}$  указывает на наличие двух процессов ионизации, характе-

ризующихся потенциалами появления  $14.7_2 \pm 0.2_0$  и  $16.1 \pm 0.3$  эв, первый из которых приписывается ионизации атомов азота, находящихся в основном состоянии. Наличие второго потенциала появления может быть приписано четырем возможным процессам, а именно:  $N(^2D) \rightarrow N^+(^1S)$ ,  $N(^4S) \rightarrow N^+(^1D)$ ,  $N_2 \rightarrow N^+ + N_2 + e^-$  и  $N_2^+ \rightarrow N^+ + N + e^-$ , выбор между которыми сделать не удастся. Показано, что в активном азоте ионы  $N_2^+$  отсутствуют, и проводимость его объясняется присутствием свободных электронов в кснц-ни  $\sim 1:10^7$  атомов азота. В. А.

**74138. Спектр поглощения и квантовые уровни иона празеодима. I. Монокристаллы хлорида празеодима. Сэр, Сансьер, Фрид. II. Поглощение пленок из безводного фторида празеодима. Сэр, Фрид (Absorption spectrum and quantum states of the praseodymium ion. I. Single crystals of praseodymium chloride. Sayre Edward V., Sancier Kenneth M., Freed Simon. II. Anhydrous praseodymium fluoride in films. Sayre Edward V., Freed Simon), J. Chem. Phys., 1955, 23, № 11, 2060—2065; 2066—2068 (англ.)**

I. В области 2200—18 000 Å с большой дисперсией исследован спектр поглощения монокристалла  $PrCl_3$ , разб. изоморфным  $LaF_3$  при т-рах жидкого водорода и жидкого гелия. Для установления природы поглощающих центров были получены спектры поглощения монокристалла при направлении светового пучка вдоль кристаллографич. оси ( $C_3$ ), а также в перпендикулярном направлении, причем в последнем случае был использован поляризованный свет, позволивший выделить  $\pi$ - и  $\sigma$ -компоненты спектра поглощения. Ввиду того, что симметрия окружения иона в кристалле  $C_{3v}$ , полосы поглощения в  $\sigma$ -спектре не повторяются в  $\pi$ -спектре и наоборот. Найдено, что аксиальный спектр поглощения совпадает с  $\sigma$ -спектром, т. е. поглощение связано с вынужденными электрич. дипольными переходами. Пользуясь правилами отбора для кристаллич. квант. ового числа  $\mu$ , авторы произвели идентификацию наблюдаемых полос поглощения. Получены следующие результаты для основных переходов (в  $cm^{-1}$ ):  $20\ 476(^3P_0)$ ,  $21\ 097(^3P_1)$ ,  $22\ 248(^3P_2)$ ,  $16\ 780(^1D_2)$ ,  $9810(^1C_4)$ ,  $6785(^3F_2)$ ,  $6347(^3F_3)$ . При т-ре жидкого водорода наблюдаются переходы с трех из пяти возможных возбужденных подуровней основного состояния  $^3H_4$ , отстоящих от линий основных переходов на 33, 97 и  $131\ cm^{-1}$ . Отсутств. вне остальных двух объясняется недостаточной населенностью этих уровней при т-ре жидкого водорода и поэтому соответствующие переходы очень слабы.

II. В области 2200—18 000 Å при т-рах жидкого  $H_2$  и жидкого  $He$  исследованы спектры поглощения пленок безводн.  $PrF_3$ . Число наблюдаемых переходов и положение их согласуется как с данными, полученными для спектра  $PrCl_3$  в предыдущей работе, так и с теоретич. числом, возможным при симметрии окружения иона празеодима в решетке  $C_{2v}$ . По сравнению с  $PrCl_3$  расщепление основного и возбужденных уровней в кристалле больше, поэтому при т-ре жидкого  $H_2$  наблюдались переходы только с двух возбужденных подуровней основного состояния:  $66$  и  $87.5\ cm^{-1}$ . При дальнейшем понижении т-ры до  $4^\circ K$  наблюдается обратное резкое усиление некоторых полос и появление ряда новых. При этом не наблюдались каких-либо макроизменений формы кристаллов. Предполагается, что при указанной т-ре равновесные положения ионов  $Pr$  в решетке не соответствуют симметрии  $C_{2v}$ , что приводит к изменению правил отбора. Если это предположение правильно, то  $PrF_3$  должен обладать при низких т-рах ферроэлектрич. свойствами, как и титанат бария. В. А.

**74139. Связь между строением и расщеплением термов у комплексов редкоземельных элементов. Холлек, Эккардт (Zusammenhang zwischen Struktur und**

Aufspaltungsbild bei Seltene Erden-Komplexen. Holleck Ludwig, Eckardt Dietrich), Z. Naturforsch., 1954, 9b, № 4, 274—275 (нем.)

Получены комплексы  $NaN_dY$  (I) и  $NaN_dZ$  (II), где Y—этилдиаминтетраацетат и Z—о-циклогександиамиинтетраацетат, и исследованы спектры I и II. В обоих случаях наблюдается одинаковое расщепление термов. По мнению авторов, это объясняется тем, что поле у центрального атома Nd примерно одинаково в обоих комплексах См. РЖХим, 1955, 25590. М. П.

**74140. Фосфоресценция твердых тел, содержащих ионы  $Mn^{2+}$  или  $Fe^{2+}$ . Оргел (Phosphorescence of solids containing the magnanous or ferric ions. Orgel L. E.), J. Chem. Phys., 1955, 23, № 10, 1958 (англ.)**

Отмечается различие положения полосы в спектре поглощения (5080 Å) и в спектре фосфоресценции (6100 Å) ионов марганца в октаэдрич. комплексах. Наблюдаемое различие автор объясняет в рамках ранее развитых им представлений (РЖХим, 1956, 42294) меньшим радиусом иона  $Mn^{2+}$  в возбужденном состоянии, вследствие чего взаимодействие его с аддендами характеризуются большим значением постоянной  $Dq$  по сравнению с основным состоянием. Согласно с эксперим. данными имеет место для  $Dq \approx 1100\ cm^{-1}$ . В тетраэдрич. комплексах кристаллич. поле слабее, вследствие чего поглощение и эмиссия ионов  $Mn^{2+}$  должны быть смещены в сторону длинных волн. Аналогичное явление должно иметь место для ионов  $Fe^{2+}$ , система уровней которых близка к таковой для  $Mn^{2+}$ . В. А.

**74141. Подтверждение аномальной флуоресценции азулена. Висванатх, Каша (Confirmation of the anomalous fluorescence of azulene. Viswanath Gorthi, Kasha Michael), J. Chem. Phys., 1956, 24, № 3, 574—577 (англ.)**

Исследована люминесценция твердых р-ров азулена и его производных: 2,4,8- и 2,4,5-триметилазуленов и 1,4-диметил-7-изопропилазулена в ЭПА (изопентан—этиловый эфир—этиловый спирт—5:5:2) при  $77^\circ K$ . В соответствии с данными, полученными ранее (РЖХим, 1956, 35006), установлено, что в отличие от обычных случаев излучение соответствует переходам не с наиболее низкого возбужденного уровня ( $S'$ ), а со второго уровня ( $S''$ ). При алкилировании азулена наблюдается смещение спектров излучения, соответствующее смещению второй ( $UФ$ ) полосы поглощения. Обсуждаются возможные причины отсутствия излучения с уровня  $S'$  и фосфоресценции (переходы  $T \rightarrow S$ ). П. Ф.

**74142. Влияние растворителя на спектры флуоресценции.**

Изменение взаимодействия между растворенным веществом и растворителем в течение периода жизни возбужденного состояния молекулы растворенного вещества. Матага, Каифу, Коидзуми (The solvent effect on fluorescence spectrum. Change of solute-solvent interaction during the lifetime of excited solute molecule. Mataga Noboru, Kaifu Yozo, Koizumi Masao.), Bull. Chem. Soc. Japan., 1955, 28, № 9, 690—691 (англ.)

Влияние р-рителя на спектры поглощения определяется его действием на молекулу в равновесном основном состоянии и в неравновесном франк-кондоновском возбужденном состоянии, в то время как для спектров флуоресценции имеет место обратная картина. Поэтому смещение полос в спектре флуоресценции ( $\Delta\sigma_f$ ) за счет взаимодействия с р-рителем отличается от такового в спектрах поглощения ( $\Delta\sigma_a$ ). Исходя из теории Осика (РЖХим, 1956, 42295), авторы вывели следующее приближенное соотношение, связывающее  $\Delta\sigma_f$  и  $\Delta\sigma_a$  с параметрами р-рителя:  $-hc(\Delta\sigma_f - \Delta\sigma_a) \approx \{2(D-1)/(2D+1) - 2(n^2-1)/(2n^2+1)\}(\mu_e - \mu_g)^2/a^3$ , где  $D$  и  $n$ —соответственно диэлектрич. проницаемость и показатель

преломления  $\mu_r$ ,  $\mu_e$  — дипольные моменты молекулы растворенного в-ва в основном и возбужденном состояниях и  $a$  — радиус онзагеровской ячейки. Полученное соотношение проверено на эксперим. данных по спектрам поглощения и флуоресценции  $p$ -ров  $\alpha$ - и  $\beta$ -нафтолов и  $\beta$ -нафтилметилового эфира в бензоле, толуоле, бутилацетате, этилацетате, метилацетате, бутаноле, этаноле и метаноле. Эксперим. данные подтверждают линейный характер зависимости  $\Delta\sigma_f - \Delta\sigma_a$  от  $[2(D - 1)/(2D + 1) - 2(n^2 - 1)/(2n^2 + 1)]$ . В. А.

**74143.** Правила отбора для молекул типа этана со свободным вращением. Бауман (Selection rules for a freely rotating ethane-type molecule. Bauman Robert P., J. Chem. Phys., 1956, 24, № 1, 13—15 (англ.)) Рассматриваются правила отбора колебательных переходов в молекулах типа этана со свободным вращением. Вероятность колебательного перехода между состояниями  $f$  и  $i$  пропорциональна  $\int \Psi_f^* O \Psi_i dt$ , где  $\Psi_f$ ,  $\Psi_i$  — колебательные функции соответствующих состояний, а  $O$  — оператор дипольного момента  $M$  или поляризуемости  $\alpha$ . Член, зависящий от угла внутреннего вращения  $\theta$ , может быть выделен из  $\Psi$  в качестве множителя. Так как в случае свободного вращения  $M$  и  $\alpha$  равны суммам соответствующих величин для двух половинок молекулы, а эти последние величины не зависят от  $\theta$ , то вероятность колебательного перехода не зависит от  $\theta$ . Поэтому правила отбора для молекулы со свободным вращением те же, что для любой ее конфигурации, т. е. соответствуют симметрии  $D_{3d}$ , а не симметрии  $D_{3h}$  или  $D_{3v}$  как предполагалось ранее (Teller E., Torrey V., J. Chem. Soc., 1935, 885; Howard J. B., J. Chem. Phys., 1937, 5, 442, 451). Показано, что этот же вывод следует и из рассмотрения симметрии нормальных колебаний. Эксперим. данные по диметилацетилену, в котором вращение свободно, подтверждают симметрию  $D_{3d}$ . Правила отбора для перфтордиметилацетилена также соответствуют симметрии  $D_{3d}$ , но для этого в-ва свободное вращение не доказано. Отклонения от указанной симметрии могут быть связаны с взаимодействием между колебаниями молекулы и ее вращением как целого, причем величина этого взаимодействия определяется массами и силовыми постоянными каждой данной молекулы. О. П.

**74144.** О резонансе Ферми и изотопическом эффекте в инфракрасном спектре четыреххлористого углерода. Туомикоски (On the Fermi resonance and isotope effect in the infrared spectrum of carbon tetrachloride. Tuomikoski P., J. Chem. Phys., 1955, 23, № 11, 2083—2084 (англ.))

Исследовано влияние межмолекулярного взаимодействия молекул  $CCl_4$  в газообразном и жидком состояниях и в  $p$ -рах на расщепление полос поглощения в ИК-спектре вследствие резонанса Ферми и смещение частот, связанных с присутствием изотопич. молекул. Расщепление частот в  $p$ -рах и жидкости на первом обертоне дублета  $765$ — $790$   $cm^{-1}$  равно  $1587$ — $1518$ — $69$   $cm^{-1}$ , что близко к вычисленному значению  $(5/2)(791 - 762) = 72$   $cm^{-1}$  в первом приближении теории возмущений. В газе межмолекулярное взаимодействие мало и расщепление частот из-за резонанса Ферми отсутствует. Учет колич. соотношения молекул с различным содержанием  $Cl^{35}$  и  $Cl^{37}$  позволил, используя потенциальную функцию Юрея — Бредли, интерпретировать вращательную структуру полосы  $750$ — $785$   $cm^{-1}$ . При использовании кюветы для газа длиной  $1$  м найдены новые полосы у  $978$ ,  $1011$ ,  $1070$ ,  $1114$ ,  $1220$  и  $1250$   $cm^{-1}$ . Е. П.

**74145.** Температурная зависимость интенсивности инфракрасного поглощения. Хьюз, Мартин, Коггешалл (Temperature dependence of infrared absorption. Hughes R. H., Martin R. J., Coggeshall N. D., J. Chem. Phys., 1956, 24, № 2, 489—490 (англ.))

Исследована температурная зависимость интегральной интенсивности полосы колебаний неассоциированной группы  $O-H$  в ИК-спектрах фенола,  $n$ -пентанола,  $n$ -гептанола,  $n$ -деканала,  $n$ -додеканола, 4-гептанола, 2,6-дитретбутил-4-метилфенола, 2,4-дитретбутилфенола и 2-третбутил-4-метилфенола. Найдено, что интегральная интенсивность этой полосы при повышении  $t$ -ры монотонно уменьшается, что объясняется ослаблением межмолекулярного взаимодействия при тепловом расширении жидкости. В. А.

**74146.** К вопросу о деформационных колебаниях в молекулах амидов. Васенко Е. Н., Докл. Львовск. политехн. ин-та, 1955, 1, № 2, 97—99

Исследованы частоты деф. кол. в ИК-спектрах формамида в виде чистого в-ва (I) и в разб.  $p$ -ре  $CCl_4$  (II). В спектре I обнаружена интенсивная полоса  $615$   $cm^{-1}$ , в II — интенсивная и узкая полоса  $632$   $cm^{-1}$ . Полученные результаты объясняются тем, что образование межмолекулярных водородных связей в жидкости в большей степени препятствует свободному изменению угла между связями  $C=O$  и  $C-N$ , чем это имеет место в мономерной молекуле. Исследование спектра диэтилформамида и частично замещ. ацетамидов подтверждает правильность истолкования спектров I и II и указывает на независимость деф. кол. — изменения угла между связями  $C=O$  и  $C-N$  от длины цепочки заместителя водорода в группе  $NH_2$ . Отсутствие в спектре диэтилформамида полос при  $680$ — $760$   $cm^{-1}$ , отмеченных ранее (Davies M., Hallam H. E., Trans. Faraday Soc., 1951, 47, № 11, 1170) и предположительно отнесенных к деф. кол. группы  $NH_2$  в незамещ. амидах, подтверждает данное выше отнесение деф. кол. группы  $NH_2$ . М. П.

**74147.** Инфракрасные спектры и строение кристаллов натрийацетатных комплексов  $U(VI)$ ,  $Np(VI)$ ,  $Pu(VI)$  и  $Am(VI)$ . Сравнение длин связей металла — кислород с их силовыми постоянными. Джонс (Infrared spectra and structure of the crystalline sodium acetate complexes of  $U(VI)$ ,  $Np(VI)$ ,  $Pu(VI)$ , and  $Am(VI)$ . A comparison of metal — oxygen bond distance and bond force constant in this series. Jones Llewellyn H., J. Chem. Phys., 1955, 23, № 11, 2105—2107 (англ.)) Исследованы ИК-спектры поглощения и определены параметры элементарных ячеек кристаллов натрийацетатных комплексов  $NaXO_2(CH_3COO)_2$  с  $X = U(VI)$ ,  $Np(VI)$ ,  $Pu(VI)$  и  $Am(VI)$ . Найдено, что частоты иона ацетата практически одинаковы у всех соединений. Некоторые смещения наблюдаются лишь для полос колебаний иона  $MO_2^{2+}$   $\nu_1$  и  $\nu_2$ . Значения частот последних использовались для вычисления силовых постоянных связи  $M-O$ , для которых получены значения соответственно  $0,715$ ;  $0,698$ ;  $0,675$  и  $0,612 \cdot 10^6$   $дин/см$ . Ход изменения силовых постоянных расходитс. с литературными данными (РЖХим, 1953, 6056), которые, по мнению автора, менее точны, поскольку при расчете использовались только данные по частотам антисимм. колебаний  $\nu_2$ . Расстояния  $r_{M-O}$  меняются в том же порядке, хотя можно было бы ожидать обратного хода. Автор полагает, что это связано с возрастанием дополнительного взаимодействия с  $5f$ -электронами, число которых увеличивается в ряду  $U < Np < Pu < Am$ . В. А.

**74148.** Интенсивность полосы поглощения в области  $\sim 1020$   $cm^{-1}$  в инфракрасных спектрах моно- и паразамещенных бензола. Рандл, Уиффен, (The infrared intensities of a band near  $1020$   $cm^{-1}$  in mono- and para-substituted benzene derivatives. Randle R. R., Whiffen D. H., Trans. Faraday Soc., 1956, 52, № 1, 9—13 (англ.))

Измерена интенсивность полосы плоских колебаний  $C-H$   $\sim 1020$   $cm^{-1}$  в ИК-спектрах  $p$ -ров бензола,  $ts$

дуола, этилбензола, *n*-пропилбензола, изопропилбензола, *n*-бутилбензола, *втор*-бутилбензола, *трет*-бутилбензола, фторбензола, хлорбензола, бромбензола, иодбензола, *n*-ксилола, *n*-фтортолуола, *n*-хлортолуола, *n*-бромтолуола, *n*-иодтолуола, *n*-дихлорбензола, *n*-бромхлорбензола, *n*-хлориодбензола, *n*-дибромбензола, и *n*-диодбензола в  $CS_2$ . Найдено, что интенсивность исследуемой полосы линейно увеличивается с ростом суммарной массы заместителей, в то время как частота полосы уменьшается. Широкий интервал изменений значения интегральной интенсивности (от  $0,073$  до  $1,78 \times 10^{-7} \text{ см}^2/\text{моль сек}$ ) делает невозможным применение этой полосы для аналитических целей. Причиной изменения интенсивности рассматриваемой полосы авторы считают то, что в соответствующем колебании с заметной амплитудой участвуют связи  $C-X$ . Это предположение подтвердилось при изучении поведения полос колебаний связей  $C-X$ . Интенсивность этих полос в отличие от полосы  $\sim 1020 \text{ см}^{-1}$  уменьшается с увеличением массы заместителя, т. е. колебание связей  $C-X$  также не проявляется в чистом виде. В соответствии с этим более характерным параметром является суммарная интенсивность этих полос.

**74149. Определение строения ацетилметилкарбинола с помощью инфракрасной спектроскопии.** Дюкюло (Détermination de la structure de l'acétyméthylcarbinol par spectrographie infrarouge. Duculot Camille, C. r. Acad. sci., 1955, 241, № 24, 1738—1740 (франц.)) Сопоставляются ИК-спектры ацетилметилкарбинола (I) в *р-ре*  $CCl_4$  и кристаллич. состоянии и *втор*-бутилового спирта (II) в полярном и неполярном *р-р*-ителях в области частот вал. кол.  $OH$  и  $C=O$ , их обертонов и в области деф. кол. Частота  $3616 \text{ см}^{-1}$ , наблюдаемая в *разб* *р-рах* I и II, которой нет у бутанола, отнесена к вал. кол. свободной группы  $OH$ . Полоса  $3481 \text{ см}^{-1}$ , найденная только в I, относится авторами к вал. кол. в группе  $OH$ , связанной внутримолекулярной водородной связью (BC). Частота  $3555 \text{ см}^{-1}$ , наблюдаемая в I и II, относится к группам  $OH$  в ассоциированных молекулах. Таким образом молекула I существует в двух конфигурациях — открытой (A) ( $3616 \text{ см}^{-1}$ ) и форме с внутримолекулярной BC (B) ( $3481 \text{ см}^{-1}$ ). Полоса  $1713,4 \text{ см}^{-1}$  относится к вал. кол.  $C=O$ , возмущенной BC. В области деф. кол. частот найдены две частоты, относящиеся к форме A ( $1045$  и  $1250 \text{ см}^{-1}$ ) и B ( $1290$  и  $1355 \text{ см}^{-1}$ ). При дейтерировании последние полосы исчезают. Ю. Е.

**74150. Определение некоторых термодинамических постоянных ацетилметилкарбинола с помощью инфракрасной спектроскопии.** Дюкюло (Détermination, au moyen de la spectrométrie infrarouge, de quelques constantes thermodynamiques de l'acétyméthylcarbinol. Duculot Camille, C. r. Acad. sci., 1955, 24, № 25, 1925—1927 (франц.))

Из частот  $OH$  и их двух обертонов (см. пред. реф.) для открытой формы ацетилметилкарбинола (I) и формы с внутримолекулярной  $H$ -связью (II) вычислены фундаментальные частоты и коэфф. ангармоничности  $I$   $3766 \pm 1,5 \text{ см}^{-1}$ ,  $x_e = 0,02000 \pm 0,00011 \text{ см}^{-1}$ ,  $II$   $3635 \text{ см}^{-1}$ ,  $x'_e = 0,02117 \pm 0,00012 \text{ см}^{-1}$ . По этим данным, в предположении, что потенциальная энергия колебаний  $OH$  описывается функцией Морзе, определены энергии диссоциации и их разность  $\Delta D = 11,76 \pm 1,62 \text{ ккал/моль}$ . Эта величина соответствует энергии образования водородной связи в II. Оценка интенсивности полос  $OH$  в I и II позволила определить константы равновесия и процент содержания этих форм в смеси; так, при *т-ре*  $293^\circ I$  содержит  $17,45\%$ ,  $II$   $82,55\%$ ,  $K = 4,73$ ; при *т-ре*  $340^\circ I$   $25,45\%$ ,  $II$   $74,55\%$ ,  $K = 2,929$ . Рассчитана теплота таутомеризации  $\sim 2,3 \text{ ккал/моль}$ , а также разница свободных энергий I и II —  $\Delta F = 904,23 \pm 32,47 \text{ кал/моль}$  и энтропия, —  $\Delta S_{298} = 3,48 \pm 1,804 \text{ кал/моль/град}$ . Определенная

из ур-ния  $D = \Delta D_{OH} + \Delta D_{C=O} - \Delta H$  энергия связи  $O \dots H$  оказалась равной  $10,780 \pm 2,239 \text{ ккал/моль}$ .

Ю. Е.

**74151. Цис-транс-конфигурации и инфракрасные спектры поглощения эфиров некоторых циклопентан- $\beta$ -оксикарбоновых кислот.** Хирсъярви (Die *cis-trans*-Konfigurationen und die Ultrarot-Absorptionsspektren der Ester einiger Cyclopentan- $\beta$ -oxycarbonsäuren. Hirsjärvi Pekka, Acta chem. scand., 1954, 8, № 1, 12—25 (нем.))

Эфиры *цис*- $\beta$ -оксикарбоновых *к-т* циклопентанового ряда, в противоположность их *транс*-аналогам, способны, кроме межмолекулярных водородных связей, приводящих к образованию ассоциатов, давать внутримолекулярные водородные связи с образованием кольцевой структуры. Изменение кон-ии неполярных *р-рителей* не должно существенно сказываться на интенсивности ИК-полос поглощения, обусловленных внутримолекулярной водородной связью, но должно влиять на полосы межмолекулярных водородных связей благодаря смещению равновесия в сторону диссоциации. Это открывает возможность определения *цис-транс*-конфигурации в соединениях этого класса. Автор снял ИК-спектры поглощения рацемич. диметилловых эфиров 5-оксикамфорной *к-ты* ряда борнеола (I) и 5-оксикамфорной *к-ты* ряда изоборнеола (II), диметилловых эфиров 5-оксизофенхоновой *к-ты* ряда  $\alpha$ -(III) и  $\beta$ -фенхола (IV), метилловых эфиров и *цис*- (V) и *транс*- (VI) борнеол-3-карбоновой *к-ты* при различных кон-ях  $CCl_4$ . Исследовалась также электропроводность  $\sigma$  этих соединений. Измерены коэфф. поглощения ( $k$ ) для полос связанных и свободных групп  $OH$ , и рассчитаны относительные кон-ии связанных и свободных групп  $OH$  при различных разбавлениях. Полученные данные подтверждают *цис*-строение I, III и V и *транс*-строение II, IV и VI. Данные по измерению  $\sigma$  также подтверждают сделанные выводы, так как  $\sigma$  для *цис*-соединений меньше, чем для *транс*-соединений, напр., для I  $\sigma$  (в водн. *р-ре*) равна  $6,85 \cdot 10^4 \text{ ом}^{-1}$ , в  $0,25 M$  борной *к-те*  $25,32$ ;  $\sigma$  для II равна соответственно  $3,70$  и  $3,61$ . Ю. Е.

**74152. Замещенные этаны. IV. Поворотные изомеры 1,1,2,2-тетрахлорэтана; отнесение нормальных колебаний.** Зитлоу, Кавленд, Мейстер (Substituted ethanes. IV. The rotational isomer of 1,1,2,2-tetrachloroethane: assignments to the normal vibrations. Zietlow James P., Cleveland Forrest F., Meister Arnold G., J. Chem. Phys., 1956, 24, № 1, 142—146 (англ.))

С помощью матричного метода Вильсона рассчитаны частоты нормальных колебаний *транс*-изомера молекулы 1,1,2,2-тетрахлорэтана, а также некоторые частоты дейтерированной молекулы I. Получен ИК-спектр I в интервале  $530-4000 \text{ см}^{-1}$  приведена кривая поглощения и свободная таблица частот ИК-спектра и спектра комб. рас. I. Проведено полное отнесение всех наблюдаемых частот как к типам колебаний, так и к поворотным изомерам (*транс*- и повернутому). Вычислен также ряд частот, не наблюдавшихся на опыте.

О. П.

**74153. Инфракрасные спектры и спектры комбинационного рассеяния фторированных этиленов. VI. Фтортрихлорэтилен.** Нильсен, Гаалксон, Вуллетт (Infrared and raman spectra of fluorinated ethylenes. VI. Fluorotrichloroethylene. Nielsen J. R., Gulikson C. W., Woollett A. H., J. Chem. Phys., 1955, 23, № 11, 1994—1996 (англ.))

Получены ИК-спектры в области  $2-22 \mu$  (газ) и спектры комб. рас. с поляризационными измерениями (жидкость)  $CCl_2=CClF$ . Проводится анализ и дается отнесение всех наблюдаемых частот. К основным колебаниям отнесены (данные спектров комб. рас., симметрия  $C_{2v}$ ):  $313$  (оч. сл.,  $\delta(CCl_2)$ ,  $A''$ ),  $531$  (с.,  $0,8$ , непл. деф. кол.,  $A''$ ),  $174,4$  (с.,  $0,75$ , деф. кол.  $A'$ )  $253$  (оч. с.,  $0,85$ , деф. кол.;

$A'$ ), 364,2 (с., 0,40,  $\delta$  (CCl<sub>2</sub>),  $A'$ ), 405 (ср., 0,85,  $\delta$  (CClF),  $A'$ ), 520,5 (оч. с., 0,60,  $\delta$  (CClF),  $A'$ ), 851 (оч. сл.,  $\nu$  (C—Cl),  $A'$ ), 983 (сл., 0,9,  $\nu$  (C—Cl и C—F),  $A'$ ), 1173 (ср., 0,70,  $\nu$  (C—F),  $A'$ ), 1643,7 (оч. с., пол.,  $\nu$  (C=C),  $A'$ ). Сообщение V см. РЖХим, 1954, 12404.

Ю. Е.

**74154** Исследование спектров комбинационного рассеяния газов с высоким разрешением. VI. Вращательный спектр симметричного тридегтеробензола. Лангсет, Стойчев (High resolution raman spectroscopy of gases. VI. Rotational spectrum of symmetric benzene-*d*<sub>3</sub>. Langseth A., Stoicheff B. P.), Canad. J. Phys., 1956, 34, № 4, 350—353 (англ.)

На ранее описанной установке с высокой разрешающей силой (РЖХим, 1955, 2359) исследован вращательный спектр образца сим-С<sub>6</sub>H<sub>3</sub>D<sub>3</sub> 90%-ной чистоты. Для вращательных постоянных  $B_0$  и  $D_J$  получены значения  $0,1716_{\pm 0,0001}$  и  $1,3 \cdot 10^{-8}$  см<sup>-1</sup>. Из найденного значения  $B_0$  вычислен момент инерции  $I_B = (163,06 \pm 0,10) \cdot 10^{-40}$  г см<sup>2</sup>, из которого с использованием ранее полученных значений для С<sub>6</sub>H<sub>6</sub> и С<sub>6</sub>D<sub>6</sub> (РЖХим, 1955, 3322) определены расстояния  $r_{C-S}$  и  $r_{C-N}$ . Вычисленные значения последних равны соответственно  $1,397_{\pm 0,001}$  и  $1,084_{\pm 0,005}$  А. Сообщение V см. РЖХим, 1956, 57264. В. А.

**74155** Спектр комбинационного рассеяния замороженного раствора CS<sub>2</sub> в метилциклоксане. Сиркар, Кастха (Raman spectrum of frozen solution of CS<sub>2</sub> in methyl cyclohexane. Sirkar S. C., Kastha G. S.), J. Chem. Phys., 1955, 23, № 12, 2439 (англ.)

Ранее (Sirkar S. C., Indian J. Phys., 1936, 10, 189) в спектре комб. расс. твердого CS<sub>2</sub> (I) были обнаружены две новых линии 70 и 81 см<sup>-1</sup>, которые были приписаны ассоциатам I. С целью выяснения зависят ли интенсивности и частоты этих линий от окружающей среды, получен спектр комб. расс. замороженного р-ра I в метилциклоксане при —180°. В 50%-ном р-ре (который, по-видимому, неоднороден) интенсивность этих линий почти та же, что и в чистом I, но в 20%-ном р-ре они совершенно отсутствуют. Авторы указывают, что этот факт подтверждает отнесение указанных линий к колебаниям в ассоциатах, которые в разб. р-ре не образуются. О. П.

**74156** Микроволновое поглощение и молекулярное строение жидкостей. XI. Времена релаксации трех почти сферических молекул в чистой жидкости и растворе. Холланд, Робертс, Смит (Microwave absorption and molecular structure in liquids. XI. The relaxation times of three nearly spherical molecules in the pure liquid and in solution. Holland Russell S., Roberts George N., Smyth Charles P.), J. Amer. Chem. Soc., 1956, 78, № 1, 20—23 (англ.)

Измерены диэлектрич. постоянные и потери в чистых 1,1,1-трихлорэтане, 2,2-дихлорпропане и 2,2-динитропропане и в их разб. р-рах в гептане, парафиновом масле и CCl<sub>4</sub> при различной конц-ии. Измерения проведены при длинах волн 1,22; 3,22; 6,6; 10,7 и 30 см в интервале т-р 2—60°. Из полученных результатов вычислены крит. длина волны  $\lambda_m$ , соответствующая максимуму потерь, макроскопич. время релаксации  $\tau_M = \lambda_m / 6\pi \cdot 10^{10}$  и микроскопич. или молекулярное время релаксации  $\tau_\mu = (2\epsilon_0 + \epsilon_\infty) \tau_M / 3\epsilon_0$  (РЖХим, 1955, 13432). Найдено, что (CH<sub>3</sub>)<sub>3</sub>CCl<sub>2</sub>, (CH<sub>3</sub>)<sub>2</sub>CCl<sub>2</sub> и (CH<sub>3</sub>)<sub>3</sub>CCl имеют близкие значения  $\tau_\mu$ :  $0,39 \cdot 10^{-11}$ ;  $0,47 \cdot 10^{-11}$  и  $0,35 \cdot 10^{-11}$  сек. соответственно при 20°, что объясняется близкими значениями вязкости  $\eta = 0,84$ ; 0,71 и 0,50 спз/аз при 20° и примерно равными значениями ван-дер-ваальсовых радиусов а молекул. Согласно Дебаю  $\tau_\mu = 4\pi\tau a^3/kT$ . Для (CH<sub>3</sub>)<sub>2</sub>C(NO<sub>2</sub>)<sub>2</sub>  $\tau_\mu = 0,96 \cdot 10^{-11}$ /сек. при 60° и  $\eta = 1,90$  спз/аз; рост  $\eta$  сравнительно с тремя остальными жидкостями сильнее роста  $\tau_\mu$ . Для р-ров значения  $\tau_M$

и  $\tau_\mu$  практически совпадают. Обнаружена примерная пропорциональность  $\tau_\mu$  вязкости  $\eta$  для молекул, близких по форме и размерам, и значительные отклонения при включении отличающихся молекул, напр., при использовании в качестве р-рителя парафинового масла;  $\lambda_m$  или  $\tau_M$  в чисто полярной жидкости обычно больше, чем в разб. р-ре с тем же  $\eta$ , что объясняется заторможенностью движения молекул из-за диполь-дипольного взаимодействия в чистой жидкости. Сообщение X см. РЖХим, 1956, 46266. Т. Б.

**74157** Анализ градиента электрического поля в молекуле HCN. Бассомьер (An analysis of the gradient of the electric field in HCN. Bassompierre André), Disc. Faraday Soc., 1955, № 19, 260—263, Discuss., 274—281 (англ.)

Более подробное изложение предыдущей работы (РЖХим, 1955, 25567). С помощью найденной электронной волновой функции вычислен градиент электрич. поля, создаваемого электронами, в месте расположения ядра N. Добавляя градиент электрич. поля, создаваемого ядрами C и H (усредненный по нулевым колебаниям протона), определен полный градиент электрич. поля в месте расположения ядра N. Полный градиент электрич. поля направлен вдоль оси молекулы и равен  $q = -2,729$  ат. ед. При использовании опытного значения энергии ядерного квадрупольного взаимодействия в HCN (Simmons, Anderson, Gordy, Phys. Rev., 1950, 77, 77) вычислен квадрупольный момент ядра N  $1^2Q = 0,0071 \cdot 10^{-24}$  см<sup>2</sup>. Т. Р.

**74158** Влияние давления на ядерный квадрупольный резонанс Cl<sup>35</sup> в HgCl<sub>2</sub>. Дотрепп, Дрейфус (Effet de la pression sur la résonance quadrupolaire nucléaire de <sup>35</sup>Cl dans Cl<sub>2</sub>Hg. Dautreppé Daniel, Dreyfus Bernard), C. r. Acad. sci., 1956, 242, № 6, 766—768 (франц.)

Спектр квадрупольного резонанса (КР) ядра Cl<sup>35</sup> в HgCl<sub>2</sub> состоит из двух линий (РЖХим, 1953, 2743) с частотами  $\nu_1 = 22,07$  Мгц и  $\nu_2 = 22,26$  Мгц. С помощью уже описанной методики (РЖХим, 1956, 53687) авторы изучали влияние давления на частоту КР при комнатной т-ре. Вплоть до максим. употребленного давл. 800 кг/см<sup>2</sup> сбе частоты линейно уменьшались с возрастанием давления;  $d\nu_1/dP = -72$  эц кг<sup>-1</sup>см<sup>2</sup>,  $d\nu_2/dP = -51$  эц кг<sup>-1</sup>см<sup>2</sup>. Л. Ш.

**74159** Моменты кривых поглощения в твердых растворах. Глебашев Г. Я., Ж. эксперим. и теор. физики, 1956, 30, № 3, 612

С учетом обменных и дипольных сил взаимодействия между парамагнитными ионами в твердых р-рах вычислены моменты кривой резонансного парамагнитного поглощения нулевого, второго и четвертого порядка. Момент нулевого порядка (пропорциональный величине поглощенной энергии) равен  $\nu_0 = Sp \sum_i S_{xj}^2 = N_0 f(\lambda/3) \times (2S+1)^{N_0}$ , где  $f = \bar{N}/N_0$  — относительное число узлов решетки, занятых парамагнитными ионами,  $\lambda = S(S+1)$ ,  $S$  — спин иона. Второй момент  $\Delta\nu_2$  пропорционален  $f$ , четвертый  $\Delta\nu_4$  имеет члены, пропорциональные  $f$  и  $f^2$ . Поэтому моменты убывают с уменьшением конц-ии парамагнитных ионов. Отношение  $\Delta\nu_4/(\Delta\nu_2)^2$  растет с убыванием  $f$ ; можно ожидать, что при этом полуширина будет уменьшаться. Однако опыт показывает, что полуширина с разбавлением сначала растет, достигает максимума и затем убывает. Наблюдаемое увеличение полуширины с разбавлением объясняется тем, что при этом уменьшаются обменные силы, сужающие линию. К. В.

**74160** Различные тиорадикалы в растворе серной кислоты. Уэрц, Виво (Multiple thio-radicals in sulfuric acid solution. Wertz John E., Vivo Juana L.), J. Chem. Phys., 1955, 23, № 11, 2193—2194 (англ.)

Наблюдался электронный спиновый резонанс в р-рах  $H_2SO_4$ , содержащих различные тиосоединения; тиофенол, *п*-тиокрезол (I), дифенилдисульфид, тиантрен,  $\alpha$ - и  $\beta$ -тиснафт. Р-ры изолировались от воздуха. В отличие от других авторов, обнаруживших в тиосоединениях одну линию, здесь было найдено две, A и B, с плохо разрешенной сверхтонкой структурой (СТС). Линия A имеет  $g = 2,0151$  для всех в-в. линия B имеет  $g = 2,0081$  для I и  $g = 2,0078$  для остальных в-в. В I обе линии имеют одинаковую интенсивность, в остальных в-вах линия A слабее, чем B. Авторы считают, что линии соответствуют двум различным свободным радикалам (СР). Линии B соответствует СР типа тиантрена, если допустить, что неспаренный электрон локализован в пределах одного из колец и взаимодействует с 4 протонами, как в молекуле бензосемихинона (5 линий СТС). Для линии A можно предположить СР типа  $(C_6H_5S)N^+$ . *g*-Факторы этих радикалов отличаются от *g* для свободного электрона сильнее, чем *g* других органич. СР: это указывает на более сильную локализацию неспаренного электрона.

Л. Я. 74161. Константы ядерного спинного взаимодействия в галогензамещенных олефинах. Мак-Коннелл, Рейлли, Мак-Лейн (Nuclear spin coupling constants in halogenated olefins. McConnell H. M., Reilly C. A., McLean A. D.), J. Chem. Phys., 1956, 24, № 2, 479—480 (англ.)

Константы ядерного спинного взаимодействия  $J$  в  $X_1X_2C = CX_3X_4$  (в *гц*) найдены из анализа спектров магнитного резонанса ядер  $H^1$  и  $F^{19}$  (на частоте 40 Мгц) с помощью предложенной ранее теории (РЖХим, 1956, 6162)  $Z_{ij}$  определялось так, что  $hJ_{ij}I_iI_j$  равно энергии *i*-спинного взаимодействия (в эрг)

$X_1$	$X_2$	$X_3$	$X_4$	$J_{12}$	$J_{13}$	$J_{23}$	$J_{14}$	$J_{24}$	$J_{34}$
H	H	Cl	Cl	81	—	—	—	—	—
H	H	F	F	~4	~1	34	34	~1	37
H	H	F	Cl	~3	8	40	—	—	—
F	F	H	Cl	41	<3	13	—	—	—
F	F	F	Cl	78	58	115	—	—	—
F	F	F	Br	75	57	124	—	—	—
F	F	F	CN	27	35	118	—	—	—
F	F	F	H	87	33	119	12	<3	72
F	F	F	CF <sub>3</sub>	57	39	116	8	22	13
F	F	Cl	CF <sub>3</sub>	—	—	—	12	21	—
Cl	F	Cl	CF <sub>3</sub>	—	—	—	—	20	—

Отмечена большая разница в  $J$  внутри группы  $CF_3$  для различных соединений и постоянство  $J$  для взаимодействия *транс* F—F.

Л. Ш. 74162. Влияние растворенного кислорода на диамагнитную восприимчивость органических жидкостей. Френч, Гаррисон (The effect of dissolved oxygen on the diamagnetic susceptibility of organic liquids. French C. M., Harrison D.), J. Chem. Soc., 1956, Febr., 466—469 (англ.)

В продолжение предыдущей работы (РЖХим, 1955, 33'0) исследуется ошибка, возникающая при измерении молярной диамагнитной восприимчивости в органич. жидкостях. Показано, что относительная ошибка (1,7%), предполагаемая предыдущими авторами, преувеличена. Для исключения влияния кислорода предлагается метод насыщения жидкостей водородом, в котором не требуются спец. ампулы. Найденные разности молярных восприимчивостей для жидкостей, насыщ. водородом и свободных от воздуха, для бензола, ацетона, метилэтилкетона и диэтилкетоксима, равны соответственно: 0,40, 0,40, 0,59, 0,77·10<sup>-6</sup>. Определение  $\chi$  жидкостей относительно бензола как эталона позволяет уменьшить ошибку. Отмечается, что имеющиеся исследования зависимости  $\chi$  жидкостей от *т*-ры не точны, ибо кол-во растворенного кислорода и его парамагнитная восприимчивость становятся

тогда переменными. Если кислород в жидкости вступает в р-цию, дающую диамагнитное соединение, то влияние кислорода уменьшается. Это может объяснить более высокие значения  $\chi$  для алифатич. альдегидов (РЖХим, 1956, 60793) по сравнению с изомерными кетонами. У. К. 74163. Вычисление потенциальных барьеров для этано-подобных симметричных волчков. Бак (Calculation of potential barriers for ethane-like symmetric tops. Bак B. G. e), J. Chem. Phys., 1956, 24, № 4, 918—919 (англ.)

Из микроволновых спектров следует, что при переходе молекул  $Aa_2Bb_2$  от скрученной формы через потенциальный барьер происходит удлинение расстояния AB и уменьшение углов  $\alpha Aa$  и  $\beta Bb$ . Связи Aa и Bb переходят друг в друга, при постоянном расстоянии между точками, равноудаленными от оси AB. Потенциальная функция имеет вид  $V = \frac{3}{2}k_A r_1^2 (\Delta\alpha)^2 + \frac{1}{2}k_B (\Delta\beta)^2 + \frac{3}{2}k_B r_2^2 (\Delta\beta)^2$ . Высота барьера вычисляется из условий  $\partial V/\partial(\Delta\alpha) = \partial V/\partial(\Delta\beta) = 0$  при численных значениях R,  $r_1, r_2, k_A, k_B$ . Эти величины, а также численные значения  $\Delta R, \Delta\alpha$  и  $\Delta\beta$  табулированы для молекул  $CH_3CH_3$ ,  $CH_3CCl_3$ ,  $CH_3CF_3$ ,  $CH_3SiH_3$ ,  $CH_3SiF_3$ . Вычисленные для этих молекул высоты барьеров равны 913, 1142, 1202, 571, 694  $cm^{-1}$  (опытные соответственно 960, 1040, 1200, 558, 410  $cm^{-1}$ ).

М. К. 74164. Межмолекулярные эффекты в спектре кристалла нафталина. Крейг, Уолш (Intermolecular effects in naphthalene crystal spectra. Craig D. P., Walsh J. R.), J. Chem. Phys., 1956, 24, № 2, 471—472 (англ.)

В работе вычисляются матричные элементы диполь-дипольного взаимодействия (Давыдов А. С. Теория поглощения света в молекулярных кристаллах. 1951; РЖХим, 1956, 38686) в кристалле нафталина; рассчитывается спектр поглощения кристалла для внутримолекулярных переходов, которым соответствуют полосы поглощения свободных молекул с  $\lambda = 2750$  А и  $\lambda = 2200$  А при разных отнесениях этих систем. На основании сопоставления с опытом линия поглощения 2200 А приписывается переходу  $A_g - B_{3u}$ ; в кристалле этому переходу должны соответствовать две линии  $\lambda = 2360$  А, поляризованная по оси *b* кристалла, и  $\lambda = 1910$  А, поляризованная на оси *a* (ее интенсивность в 4 раза больше интенсивности первой). Линия поглощения 2750 А приписывается переходу  $A_g - B_{2u}$ .

74165 К. Резонанс в органической химии. Уэланд (Resonance in organic chemistry. Wheland George Willard. New York, Wiley; London, Chapman and Hall, 1955, xii, 846 pp., ill., Z. 6 (англ.)

74166 Д. Влияние алкильных групп в нитро- и нитрозо-фенолах. Финч (The effect of alkyl groups in nitro and nitroso phenols. Finch Gaylord Kirkwood. Doct. diss. Univ. Michigan, 1954, Dissert. Abstrs, 1955, 15, № 8, 1311 (англ.)

Исследовано влияние алкильных групп ( $CH_3$ ,  $C_2H_5$ , *изо*- $C_3H_7$ , *трет*- $C_4H_9$ ) в положениях 2; 2,6 и 3,5 на ИК- и УФ-спектры, точку плавления и кислотность *п*-нитро- и *п*-нитрозофенолов.

М. П. См. также: Структура молекул: неорганич. 74261, 74640, 74666, 74670; по рентген. данным 74194, 74193. Теория твердого состояния 74204, 74206, 74254. Энергия связей 74340, 74343, 74453. Спектры 74261, 74680, 74746, 74747, 74749—74752, 74754, 74758, 74773, 74781, 74809, 74829, 74831, 75030. Дипольные моменты и диэлектрич. св-ва 74300. Магнитные св-ва 74250. Реакционная способность 74761, 74779. Межмол. взаимодействие и водородная связь 74748, 74577. Др. вопр. 74744

## КРИСТАЛЛЫ

**74167. Аналитический метод разрешения пиков на проекциях Фурье. Бернс** (An analytical method of dealing with unresolved peaks in Fourier projections. Burns D. M.), Acta crystallogr., 1955, 8, № 8, 517—518 (англ.)

Предложен метод разрешения пика на проекции электронной плотности, являющегося результатом наложения двух атомов. Этот сложный пик вытянут в направлении, проходящем через центры проекций атомов. Если  $x_1, y_1$  и  $x_2, y_2$  — координаты проекций центров одинаковых атомов на плоскость, то (предполагая, что проекция каждого атома описывается гауссовой кривой)  $\rho(x, y) = \rho_0 \exp[-p\{(x-x_1)^2 + (y-y_1)^2\}] + \rho_0 \exp[-p\{(x-x_2)^2 + (y-y_2)^2\}] = 2\rho_0 \exp[-p\{(x-x_0)^2 + (y-y_0)^2 + \Delta^2\}] \times \times \cos h2p\{(x-x_0)\Delta_x + (y-y_0)\Delta_y\}$ , где  $x_0$  и  $y_0$  — координаты пика,  $\Delta_x$  и  $\Delta_y$  — компоненты  $\Delta$  ( $2\Delta$  — расстояние между атомами). Натуральный логарифм этого выражения есть уравнение эллипса с эксцентриситетом  $\epsilon = \sqrt{2p\Delta}$ . С помощью нескольких значений эксперим. функции  $\rho(x, y)$  вблизи максимума пика определяют величину  $2\Delta$ , и по значениям углов между осью эллипса и осями  $x$  и  $y$  — величину  $\Delta_x$  и  $\Delta_y$ . В. Ф.

**74168. Подтверждение представления Паулинга-Кори о спиральных структурах при изучении природного геля шелка с помощью рассеяния рентгеновских лучей под малыми углами. Краткий, Секора, Пильц** (Eine Bestätigung der Pauling-Corey'schen Helix-Vorstellung aus Röntgen-Kleinwinkelmessungen an nativem Seidengel. Kratky O., Sekora A., Pilz I.), Z. Naturforsch., 1954, 9b, № 12, 803—804 (нем.)

При изучении рассеяния рентгеновских лучей под малыми углами ренатурированного геля шелка (РЖХим, 1955, 11431) было обнаружено существование стержнеобразных частиц сравнительно большой толщины. В отличие от этого исследование тем же методом нативной освобожденной от оболочки шелкоотделительной железы свидетельствует о существовании в молекулярно-дисперсном состоянии  $\alpha$ -спиральной структуры. Е. П.-К.

**74169. Соотношения между фазами структурных факторов. Кокран** (Relations between the phases of structure factors. Cochran W.), Acta crystallogr., 1955, 8, № 8, 473—478 (англ.)

Получено статистич. соотношение между фазами структурных амплитуд для кристаллов, не имеющих центра симметрии:  $\alpha(h) = \alpha(h') + \alpha(h-h')$  (1) (здесь  $\alpha(h)$ ,  $\alpha(h')$  и  $\alpha(h-h')$  — фазы структурных факторов  $F(h)$ ,  $F(h')$  и  $F(h-h')$  соответственно). Данное соотношение аналогично статистич. равенству Захарисена для центросимметричного кристалла. Доказательство этого соотношения основано на вычислении вероятностного распределения фазы  $\alpha(h)$  отражения  $h$  при заданном значении модуля  $|U(h)|$  и известных единичных амплитудах  $U(h')$  и  $U(h-h')$ . Общая ф-ла:  $P(\alpha(h)) = \exp[-2X \sin^2 \alpha(h) \times \{1/2(\alpha(h) - \alpha(h'))/2\pi \exp[-X] \cdot I_0(X)\} (1)$ . Здесь  $I_0(X)$  — функция Бесселя,  $\alpha(h) = \alpha(h') + \alpha(h-h')$ ,  $X = (2\epsilon_3/\epsilon_3^2) \times \times |U(h)U(h')U(h-h')|$ ;  $\epsilon_k = \sum_{j=1}^N n_j^k$ ,  $n_j = f_j / \sum_{j=1}^N f_j$ ,  $N$  — число атомов в ячейке. В случае одинаковых атомов  $X = 2N |U(h)U(h')U(h-h')|$ . Если, кроме  $|U(h)|$ , известны  $U(h'_1)$ ,  $U(h-h'_1)$ ,  $U(h'_2)$ ,  $U(h-h'_2)$  ...  $U(h'_m)$ ,  $U(h-h'_m)$ , то в ф-ле (1)  $\alpha(h)$  является фазой функции  $\sum_{j=1}^m U(h'_j)U(h-h'_j)$ , а  $X = 2\epsilon_3/(\epsilon_3^2 + (m-1)\epsilon_2\epsilon_4 - m\epsilon_3^2) |U(h) \sum_{j=1}^m U(h'_j)U(h-h'_j)|$ . В случае одинаковых атомов  $X = 2N |U(h) \sum_{j=1}^m U(h'_j)U(h-h'_j)|$ . В отличие от центросимметричного случая, когда при благо-

приятных обстоятельствах можно определить структуру, не зная предварительно ни одного знака, при отсутствии центра симметрии этого сделать нельзя. Однако соотношение (1) оказывается полезным, если методом изоморфного замещения и подбором модели установленны предварительно фазы некоторых структурных факторов. Соотношение (1) более надежно для структур, составленных из близких по атомным номерам атомов; более надежно определяются фазы структурных факторов, имеющих большие единичные амплитуды. Рассматривается возможность применения статистич. равенства (1) при определении структур протеинов. И. О.

**74170. Видоизменение метода наклонных рентгенограмм вращения. Бриндли** (A modified form of the tilted-axis X-ray rotation diagram. Brindley G. W.), Z. Kristallogr., 1956, 107, № 4, 331—333 (англ.)

Рентгенограммы, полученные при вращении кристалла вокруг оси, наклоненной к плоскостям обратной решетки, облегчают индифференцирование и разделение накладываются отражений (Bunn C. W. и др., J. Scient. Instrum., 1944, 21, 10—15). Такой метод особенно полезен при изучении кристаллов, где главная плоскость резко выявлена, как у слюды. Кристалл устанавливается параллельно одной из дуг гониометрич. головки своей главной плоскостью. Вдоль оси вращения головки устанавливается одна из коротких осей кристалла. Поворотом по дуге головки, параллельной главной плоскости, установленный кристалл наклоняют на 2—3° относительно оси обратной решетки, перпендикулярной главной плоскости. Слоевые линии разделяются каждая на несколько дополнительных, характеризующих вторым индексом, связанным с осью поворота в главной плоскости кристалла. Для слюды рекомендуется параллельно плоскости дуги гониометрич. головки устанавливать плоскость скола (001), а в качестве оси вращения брать ось  $b$ . Приведена рентгенограмма слюды, снятая по рекомендуемой методике. М. У.

**74171. К теории рассеяния рентгеновских лучей в газах, жидкостях, аморфных твердых телах, поликристаллах. И. Филипович** В. Н., Ж. техн. физики, 1955, 25, № 9, 1604—1621

Получены ф-лы рассеяния рентгеновских лучей макроиотропными телами (с учетом и без учета атомных факторов  $f_j(s)$ ). Показано, что структурной характеристикой, получаемой в результате анализа Фурье, является функция  $\Phi(r) = \int \rho(r') \rho(r'+r) dv'$ , где  $\rho(r')$  — электронная плотность. Для макроиотропных тел  $\Phi(r)$  зависит только от  $|r| = r$  и определяется из ур-ния  $r\Phi(r) = (1/2\pi^2) \int_0^\infty I(s) \sin sr ds$ , где  $I(s)$  — интенсивность рассеяния,  $s = 4\pi \sin \theta/\lambda$ . Аналогично определяется и функция  $\varphi_{ae}(r) = \int \varphi_{ae}(r') \varphi_{ae}(r'+r) dv'$  в случае, когда введены атомные факторы, причем  $I(s)$  должна быть поделена на средний атомный фактор, находимый по ф-ле  $f_e^2(s) = \sum_{j=1}^m N_j f_j^2(s) / \sum_{j=1}^m N_j Z_j^2$ , где  $Z_j$  — число электронов в атомах сорта  $j$ ,  $m$  — число сортов. Обсуждаются вопросы точности получения функции  $\Phi(r)$  или  $\varphi_{ae}(r)$ . Указывается, что основными источниками ошибок являются: 1) недостаточная разрешающая способность рентгеновского метода, связанная с применением конечных длин волн ( $s \leq 4\pi/\lambda$ ), что приводит к размытию максимумов  $\Phi(r)$  и появлению ложных деталей; 2) неточное вычитание газового рассеяния  $I_{газ}(s) = \sum_{j=1}^m N_j f_j^2(s)$  из  $I(s)$ , что также приводит к появлению ложных максимумов, особенно заметных при малых  $s$ . Роль этой ошибки вообще говоря, возрастает с уменьшением длины волны  $\lambda$  применяемого излучения. В. Ф.

**74172. О нахождении межатомных расстояний по кривым радиального распределения. Филипович** В. Н., Ж. техн. физики, 1956, 26, № 2, 417—421

Рассматривается вопрос о том, по какой из кривых  $\varphi'(r)$ ,  $r\varphi'(r)$ ,  $r^2\varphi'(r)$  или  $\varphi_{ae}(r)$ ,  $r\varphi_{ae}(r)$ ,  $r^2\varphi_{ae}(r)$  (см. пред. реф.), получаемых методом анализа Фурье из рентгенограмм макроизотропных тел, следует определять межатомные расстояния. Показывается, что практически наиболее правильно их определять по кривым  $r\varphi'(r)$  и  $r\varphi_{ae}(r)$ , в частности, менее правильным является обычный способ определения по кривой радиального распределения  $4\pi r^2\varphi_{ae}(r)$ .

В. Ф.

**74173.** Прецизионное определение параметров решетки рентгеновским диффрактометром со счетчиком Гейгера. Смакула, Калнайс (Precision determination of lattice constants with a Geiger-counter x-ray diffractometer. Smakula A., Kalnajs J.), Phys. Rev., 1955, 99 № 6, 1737—1743 (англ.)

Описано использование рентгеновского диффрактометра со счетчиком Гейгера для прецизионного определения параметров решетки. Полученные этим методом значения параметров для очень чистых образцов Al, Ag, Ge, Si, CaF<sub>2</sub>, CsJ, TiCl<sub>3</sub> и TiBr<sub>3</sub> хорошо согласуются с литературными данными. Авторы считают возможным достичь точности определения параметров решетки в  $\pm 0,00002$  Å, однако неопределенность в значениях длин волн рентгеновских лучей снижает абс. точность до 0,004%.

С. Б.

**74174.** Аномальное рассеяние рентгеновских лучей алмазом. Хёрни, Вустер (The X-ray anomalous reflexions from diamond. Hoerni J. A., Wooster W. A.), Acta crystallogr., 1955, 8, № 4, 187—194 (англ.)

Исследовано фотографич. методом Лауэ аномальное рассеяние рентгеновских лучей (экстрапатна) некоторыми кристаллами алмаза. Экстрапатна имеют форму симметричных конусообразных стержней, вытянутых по направлениям [100], [010], [001] обратной решетки. Пятна резко очерчены, интенсивность вдоль пятен убывает как  $\sim 1/(aR)^{2,2}$ , где  $R$  — расстояние от узла обратной решетки, через который проходит пятно. Авторы считают, что наблюдаемое ими соотношение между интенсивностями отдельных пятен и закон изменения интенсивностей вдоль каждого пятна можно объяснить, предположив, что кристаллы алмаза имеют доменную структуру: кристалл разбивается на дискообразные области трех типов, в которых имеются аномальные плоскости, параллельные плоскостям (100), (010) и (001). При этом аномалия состоит в том, что рассеивающая способность атомов C (атомные факторы  $f_0(b)$ ,  $b$  — вектор обратного пространства) в различных последовательных плоскостях (параллельных, напр. (100)) различна и меняется по закону  $f(b, x) = f_0(b)(1 + \gamma(b_x) \sum \Gamma_n \exp 2\pi i K_n x)$ , где  $\gamma(b_x)$ ,  $\Gamma_n$  можно задать таким образом, что получится наблюдаемая на опыте картина рассеяния. Сделан вывод, что в исследованных кристаллах алмаза 4 тетраэдрич. связи атома C, вообще говоря, не эквивалентны друг другу.

В. Ф.

**74175.** Влияние температуры на параметр решетки индия. Грехэм, Мур, Рейнор (The effect of temperature on the lattice spacings of indium. Graham J., Moore A., Raynor G. V.), J. Inst. Metals, 1955, 84, № 4, 86—87 (англ.)

Рентгеновским методом определен коэфф. теплового расширения чистого In в интервале от  $-183$  до  $+135^\circ$ . Найденные коэфф. теплового расширения хорошо согласуются с данными предшествующих работ. Силы связи наиболее слабы в направлении оси  $c$ . Параметр  $c$  имеет максим. значение при комнатной т-ре, что приписано суммарному действию нормального теплового расширения и некоторого перераспределения электронных сил, вызванного изменением осевого отношения  $c/a$ .

Н. Ш.

**74176.** К вопросу о фазовом переходе в кремнии. Вуд (The question of a phase transition in silicon. Wood

Elizabeth A.), J. Phys. Chem., 1956, 60, № 4 508—509 (англ.)

Рентгенограммы порошков Si из различных источников (Si «высшей чистоты» фирмы Дюпон и поликристаллич. Si, полученный из газовой фазы взаимодействием  $\text{SiCl}_4$  с  $\text{H}_2$ ), снятые при 20, 700, 800 и  $900^\circ$ , указывают на отсутствие фазового превращения с образованием некубич. модификации Si (Heyd F. и др., Collection Czechoslov. Chem. Commun., 1947, 12, 502). Дифференциальный термoанализ в интервале 20— $1000^\circ$  подтверждает этот вывод.

А. Х.

**74177.** Взаимные прорастания Cu и  $\text{Cu}_2\text{O}$  при окислении и восстановлении. Еллинек, Менцель, Менцель-Копп (Die wechselseitigen Verwachsungen von Cu und  $\text{Cu}_2\text{O}$  nach Oxydation und Reduktion. Jellinek G., Menzel E., Menzel-Kopp Chr.), Z. Naturforsch., 1955, 10a, № 9-10, 802—803 (нем.)

Образцы  $\text{Cu}_2\text{O}$  слегка травились KCN и подвергались восстановлению в атмосфере  $\text{H}_2$  при 3— $10$  мм рт. ст. в интервале т-р 300— $600^\circ$  в течение 2—10 сек. Слои восстановленной Cu исследовались электронографически и рентгенографически. Наблюдаются такие же ориентационные соответствия между Cu и  $\text{Cu}_2\text{O}$ , как при окислении Cu (Menzel E., Z. anorg. allgem. Chem., 1948, 256 49; Ann Phys., 1949, 5, 163). Возможны два типа ориентационных соответствий: «параллельное» расположение ( $[110]\text{Cu}_2\text{O} \parallel [110]\text{Cu}$ ;  $(110)\text{Cu}_2\text{O} \parallel (110)\text{Cu}$  и т. д.) и «антипараллельное» ( $[110]\text{Cu}_2\text{O} \parallel [110]\text{Cu}$ ;  $(111)\text{Cu}_2\text{O} \parallel (111)\text{Cu}$ ;  $(110)\text{Cu}_2\text{O} \parallel (113)\text{Cu}$ ;  $(111)\text{Cu}_2\text{O} \parallel (001)\text{Cu}$ ;  $(110)\text{Cu}_2\text{O} \parallel (111)\text{Cu}$ ). Кроме линий текстурованной Cu, при восстановлении наблюдаются линии нетекстурованной Cu, а также линии фазы, не отождествляемой с Cu.

С. В.

**74178.** Кристаллическая структура селенида олова SnSe. Окадзак, Уэда (The crystal structure of stannous selenide SnSe. Okazaki Atsushi, Ueda Ikuhiko), J. Phys. Soc. Japan, 1956, 11, № 4, 470 (англ.)

Соединение SnSe получено нагреванием стехиометрич. кол-в Sn и Se и исследовано рентгенографически (метод колебания; излучение Cu-K $\alpha$ , Ni-фильтр). Параметры решетки:  $a$  4,46,  $b$  4,19,  $c$  11,57 Å,  $Z$  = 4, ф. гр. Pcm. Координаты атомов определены по двумерным проекциям Паттерсона и Фурье: Sn  $x$  0,103,  $y$   $\frac{1}{4}$ ,  $z$  0,118; Se 0,479,  $\frac{1}{4}$ , 0,855 ( $R$  = 0,24). SnSe имеет искаженную структуру типа NaCl и изоморфен GeS и SnS. Расстояния Sn—Se: 2,77 (1), 2,82 (2), 3,35 (2), 3,47 (1) Å.

Л. К.

**74179.** Кристаллическая структура  $\text{KPb}_2$ . Гильде (Die Kristallstruktur des  $\text{KPb}_2$ . Gilde D.), Z. anorgan. und allgem. Chem., 1956, 284, № 1—3, 142—143 (нем.)

$\text{KPb}_2$  получали длительным сплавлением в атмосфере  $\text{N}_2$  при  $300^\circ$  стехиометрич. кол-в K и Pb. По дебаеграве определено: гексагональная сингония,  $a$  6,66,  $c$  10,76 Å, структурный тип  $\text{MgZn}_2$ ; параметры атомов (определены методом проб):  $u$  =  $-\frac{1}{16}$ ,  $v$  =  $\frac{1}{16}$ . Межатомные расстояния в Å (в скобках теоретич.): K—K 4,04 (4,67); Pb—Pb 3,33 (3,46); K—Pb 3,91 (4,07).

Л. К.

**74180.** Металлографическое и рентгенографическое исследование сплавов системы германий — ройл. Журавлев Н. Н., Жданов Г. С., Кристаллография, 1956, 1, № 2, 205—208

На основании т-р плавления сплавов, металлографич. и рентгенографич. данных намечены контуры участка диаграммы плавкости (ДП) системы Rh—Ge. Обнаружено существование четырех соединений:  $\text{Rh}_3\text{Ge}_4$  (I),  $\text{RhGe}$  (II),  $\text{Rh}_5\text{Ge}_4$  (III) и  $\text{Rh}_3\text{Ge}$  (IV). Предполагается, что I и III образуются по перитектич. р-ции. Соединениям II и IV отвечают максимумы на ДП. При сплавлении компонент эти соединения образуются со значительным выделением тепла. Растворимость Rh в Ge и Ge в Rh рентгенографически не обнаружена. Определена плотность и измерена микротвердость соединений в системе Rh—Ge. По лауэ-

граммам установлена принадлежность I к тетрагональной сингонии с периодами  $a$  5,7;  $c$  10 Å. М. К.

**74181. Прецизионные измерения параметров решеток синтетического пирита. Лепп** (Precision measurements of the cell edge of synthetic pyrite. Lepp Henry, Amer. Mineralogist, 1956, 41, № 3-4, 347—349 (англ.).

Для пирита, полученного при нагревании в атмосфере  $\text{CO}_2$  стехиометрич. кол-в Fe и S при  $540^\circ$ , величина  $a$   $5,4056 \pm 0,0003$  кÅ (образец I); у препарата, полученного действием H<sub>2</sub>S на синтетич. сидерит при  $350^\circ$ ,  $a$   $5,4055 \pm 0,0007$  (образец II); для пирита, полученного действием H<sub>2</sub>S на  $\text{FeCl}_2 \cdot 6\text{H}_2\text{O}$  при  $200^\circ$ ,  $a$   $5,4053 \pm 0,0007$  (образец III). Препараты II и III содержали примесь пирротина. Полученные результаты сравниваются с данными для природных пиритов. Некоторое уменьшение  $a$  для II и III объяснено уменьшенным кол-вом S в соединении. Л. К.

**74182. Кристаллографическое исследование системы теллур — мод. Блэкмор, Эйбрахамс, Калнайс** (A crystallographic study of the tellurium — iodine system. Blackmore W. R., Abrahams S. C., Kalnajs J.), Acta crystallogr., 1956, 9, № 3, 295—296 (англ.).

Проведено рентгенографич. исследование соединений, полученных при изучении системы Te — I, и отвечающих стехиометрич. ф-лам  $\text{TeI}_4$  (I) и  $\text{Te}_2\text{I}_4$  (предположительно  $\text{Te}_2\text{I}_2$ ) (II). При исследовании использовались методы Вейссенберга, прецессии и порошка ( $\lambda$  Mo-K $\alpha$  и Cu-K $\alpha$ ). Параметры решетки: I  $a$  13,54,  $b$  16,73,  $c$  14,48 Å;  $n = 16$ , ф. гр.  $Pnma$  или  $Pn2_1a$ ; II  $a$  8,23,  $b$  30,00,  $c$  9,97 Å;  $n = 16$   $\text{Te}_2\text{I}_2$ , ф. гр.  $Cmma$  или  $Cm2a$ . Были исследованы также тетрагональные кристаллы (III), обнаруженные в небольшом кол-ве при одном из опытов. Недостаток материала не позволил провести хим. анализ полученного соединения; авторы предполагают, что III — тетрагональная модификация  $\text{TeI}_4$  с  $a$  16,12,  $c$  11,20 Å;  $n = 16$ , ф. гр.  $I4_1/amd$ . Ю. П.

**74183. К вопросу о существовании кристаллической окиси кремния (SiO). Геллер, Термону** (On the question of the existence of a crystalline SiO. Geller S., Thurmond C. D.), J. Amer. Chem. Soc., 1955, 77, № 20, 5285—5287 (англ.).

Опровергается утверждение Хока и Джонстона (РЖХим, 1955, 13459) об образовании кристаллич. SiO при взаимодействии Si и стеклообразной  $\text{SiO}_2$  при  $1300^\circ$ . Сравнением рентгенограмм, полученных этими авторами, с рентгенограммой смеси  $\beta$ -кристобаллита и  $\beta$ -SiC (куб. форма) показана их тождественность. Превращение стекла в кристобаллит катализируется, по-видимому, весьма активным тонкодисперсным C, образовавшимся при крекинге органич. полимера, который был использован при приготовлении образца. Скорость образования и разложения SiO при  $t$ -рах  $>1180^\circ$  очень высока и потому существование SiO при  $1300^\circ$  мало вероятно. С. Б.

**74184. Образование шпинели  $\text{FeO} \cdot \text{Al}_2\text{O}_3$  и смешанных кристаллов ее с  $\text{Fe}_3\text{O}_4$  и  $\text{Al}_2\text{O}_3$ . Гофман, Фишер** (Bildung des Spinells  $\text{FeO} \cdot \text{Al}_2\text{O}_3$  und seiner Mischkristalle mit  $\text{Fe}_3\text{O}_4$  und  $\text{Al}_2\text{O}_3$ . Hoffmann Alfred, Fischer Wilhelm Anton), Z. phys. Chem. (BDR), 1956, 7, № 1-2, 80—90 (нем.).

Описан синтез и приведены результаты рентгенографич. исследования геринита  $\text{FeO} \cdot \text{Al}_2\text{O}_3$  (I) и твердых р-ров этой шпинели с  $\text{Fe}_3\text{O}_4$  и  $\text{Al}_2\text{O}_3$ . Образцы шпинели I получены при нагревании смесей FeO и  $\text{Al}_2\text{O}_3$  в атмосфере Ar при  $t$ -рах 600— $1800^\circ$ , фазы переменного состава — в результате нагревания  $\text{FeO}$ ,  $\text{Fe}_3\text{O}_4$  и  $\text{Al}_2\text{O}_3$  на воздухе при  $t$ -рах 1400— $1600^\circ$ . Синтезированные продукты исследовались методом порошка ( $\lambda$  Co); отражения регистрировались ионизационным способом. Было установлено, что параметры решеток  $a$  образцов шпинели I, полученных при различных  $t$ -рах, зависят от

$t$ -ры  $r$ -ции и особенно сильно в интервале 1500— $1800^\circ$  (убывают с увеличением  $t$ -ры образования шпинели). В результате рентгенографич. изучения фаз переменного состава  $\text{Fe}^{2+}\text{Al}^{3+}_{2-x}\text{Fe}^{3+}_x\text{O}_4$  со структурной ф-лой общего

вида  $\text{Fe}^{2+}_{1-y-z}\text{Fe}^{3+}_{y+z}\text{Al}^{3+}_{2-x-v}\text{Fe}^{3+}_{x+w}\text{Fe}^{2+}_{y+w}\text{O}_4$  авторами выделены области составов, отвечающие 3 типам строения исследованных шпинелей. 1. Нормальный тип,  $0 \leq u \leq 0,10$  с  $0 \leq x \leq 0,10$  и  $y = z = v = w = 0$ . 2. Переходный тип строения,  $0,10 \leq u \leq 0,30$  с  $x = 0,10$ ,  $0 \leq y \leq 0,20$ ,  $0 \leq z \leq 0,80$  и  $v = w = 0$ . 3. Инвертированные структуры,  $0,30 \leq u \leq 2,00$  с  $x = 0,10$ ,  $y = 0,20$ ,  $z = 0,80$ ,  $0 \leq v \leq 0,80$ ,  $0 \leq w \leq 0,90$  и  $v > w$  для  $v < 0,80$ . При исследовании системы I —  $\text{Fe}_3\text{O}_4$  установлен непрерывный ряд твердых р-ров, в системе I —  $\text{Al}_2\text{O}_3$  установлена ограниченная смесимость компонентов, от 0 до 21,2 мол. %  $\text{Al}_2\text{O}_3$ . Растворимость  $\text{Al}_2\text{O}_3$  в I резко возрастает в присутствии ионов  $\text{Fe}^{3+}$ . Ю. П.

**74185. Хлороплатоат калия,  $\text{K}_2\text{PtCl}_4$ . Старцкий** (Dipotassium platinum tetrachloride,  $\text{K}_2\text{PtCl}_4$ . Staritzky Eugene), Analyt. Chem., 1956, 28, № 5, 915—916 (англ.).

Приведено морфологич. изучение кристаллов  $\text{K}_2\text{PtCl}_4$ : тетрагональные кристаллы красного цвета,  $a$  7,017,  $c$  4,131  $\pm 0,003$  Å,  $\rho$  (рент.) 3,389,  $n = 1$ , ф. гр.  $P4_1mmm$ . Показатели преломления:  $n_m = 1,6815$ ;  $n_p = 1,5535$ . Приведены значения  $l$  и  $d$  порошковых (λ Cu-K $\alpha$ ). Л. К.

**74186. О кристаллической структуре  $\text{Na}_2\text{Cr}_2\text{O}_7 \cdot 2\text{H}_2\text{O}$ . Кемпбелл** (Note on the crystal structure of sodium dichromate dihydrate. Campbell J. A.), Acta crystallogr., 1956, 9, № 2, 192 (англ.).

Проведено рентгенографич. исследование кристаллов  $\text{Na}_2\text{Cr}_2\text{O}_7 \cdot 2\text{H}_2\text{O}$  с применением методов вращения и Вейссенберга. Параметры решетки:  $a$  6,05,  $b$  10,5,  $c$  12,6 Å,  $\beta$   $94,9^\circ$ ;  $n = 4$ , ф. гр.  $P2_1/m$ . На основании анализа прецессий Паттерсона установлено наличие спаренных атомов Cr, лежащих в плоскостях  $m$ ; расстояния Cr—Cr  $\sim 3,2$  Å. Поэтому ф-ла изученного соединения не может быть записана в виде  $\text{Na}_2(\text{HCrO}_4)_2 \cdot \text{H}_2\text{O}$  (как можно было предполагать до структурного исследования). Ю. П.

**74187. Кристаллическая структура волластонита. Мамедов Х. С., Белов Н. В.**, Докл. АН СССР, 1956, 107, № 3, 463—466

Приводятся результаты рентгенографич. исследования кристаллич. структуры волластонита  $\text{CaSiO}_3$ . Использованный эксперим. материал — рентгенограммы вращения и рентгенонометрич. развертки четных слоевых линий (вращение вокруг  $y$ -оси). Структура расфигурована по проекциям электронной плотности  $\rho(xz)$  с учетом тесного структурного родства волластонита и ксонотлита (РЖХим, 1956, 46119, 70963). В работе приведены координаты всех атомов для обоих аспектов рассмотренной структуры — моноклинного (А) и триклинного (В): А  $a$  15,33,  $b$  7,27 (с псевдопериодом  $b'$  3,64),  $c$  7,07,  $\beta$   $95^\circ 24'$ ;  $n = 12$ , ф. гр.  $P2_1/a$ ; В  $a$  7,88,  $b$  7,27,  $c$  7,07 кÅ,  $\alpha$   $90^\circ$ ,  $\beta$   $95^\circ 16'$ ,  $\gamma$   $103^\circ 22'$ ;  $n = 6$ , ф. гр.  $P\bar{1}$ . Как и в случае ксонотлита, основу структуры волластонита составляют колонки из Ca-октаэдров, идущие вдоль  $b$ -оси (тригон. призмы ксонотлита становятся в волластоните октаэдрами). Колонки Ca-октаэдров, соединяясь по 3, образуют ленты (в ксонотлите — слои, «стенки»)  $\parallel (001)$ . Цепочки из Si-тетраэдров, тянувшиеся вдоль  $b$ , не сдвигаются (ксонотлит), а остаются одинарными, отвечая пироксеновому составу  $[\text{SiO}_3]_\infty$ . Свободные вершины Si-тетраэдров соединены с теми вершинами Ca-октаэдров, которые в ксонотлите заняты группами  $\text{OH}^-$ . Расстояния Si—O 1,52—1,64, Ca—O, 2,32—2,40 кÅ. Ю. П.

**74188. Кристаллическая структура моногидрата монокальцийфосфата,  $\text{Ca}(\text{H}_2\text{PO}_4)_2 \cdot \text{H}_2\text{O}$ . Мак-Леннан, Биверс** (The crystal structure of monocalcium phosphate monohydrate,  $\text{Ca}(\text{H}_2\text{PO}_4)_2 \cdot \text{H}_2\text{O}$ . MacLennan

G., Beevers S. A.), Acta crystallogr., 1956, 9, № 2, 187—190 (англ.)

Проведено рентгенографич. исследование кристаллич. структуры  $\text{Ca}(\text{H}_2\text{PO}_4)_2 \cdot \text{H}_2\text{O}$  (I). Кристаллы I получены при медленном охлаждении р-ра  $\text{Ca}(\text{OH})_2$  в  $\text{H}_3\text{PO}_4$ . При исследовании использовались методы качения и Рейссенберга (излучение  $\text{Cu-K}$ ). Параметры решетки:  $a$  5,61,  $b$  11,89,  $c$  6,46 Å,  $\alpha$  98°36',  $\beta$  118°0',  $\gamma$  83°23',  $n = 2$ , ф. гр.  $F1$ . Координаты атомов в структуре определены по проекциям Паттерсона и синтезам Фурье электронной плотности. Величины факторов достоверности:  $R_{\text{ext}}$  0,214,  $R_{\text{hko}}$  0,230,  $R_{\text{hol}}$  0,287. Межатомные расстояния в структуре:  $\text{P-O}$  1,43—1,64,  $\text{Ca-O}$  2,30—2,74,  $\text{Ca-H}_2\text{O}$  2,49 Å. Среднее расстояние  $\text{O-O}$  в тетраэдре  $\text{PO}_4$  2,48 Å. Величины углов между связями  $\text{O-P-O}$  находятся в пределах 102,5—116,5°. Основу структуры I, так же как и в случае брусита  $\text{CaHPO}_4 \cdot \text{H}_2\text{O}$  (РЖХим, 1954, 49424), составляют изогнутые слои состава  $[\text{CaP}_2\text{O}_6]$ , параллельные (010); в промежутках между этими слоями находятся, в отличие от брусита, кроме молекул  $\text{H}_2\text{O}$ , также ионы  $\text{PO}_4^{3-}$ . Структурные особенности I хорошо согласуются с пластинчатой формой кристаллов, а также объясняют тенденцию кристаллов I к двойникованию и образованию ориентированных прорастаний с гипсом, основные черты структуры которого сходны с I. Ю. П.

**74198. Рентгенографическое и спектроскопическое исследование бацитта.** Хуттенлохер, Хюги, Новацкий (Röntgenographische und spektroskopische Untersuchungen an Bazzit. Huttenlocher H., Hügi Th., Nowacki W.), Schweiz. mineral. und petrogr. Mitt., 1954, 34, № 2, 501—504 (нем.) См. предварительное сообщение РЖХим, 1955, 36733.

**74199. Параметры элементарной ячейки и пространственная группа раувольсана.** Рей (The unit-cell dimensions and space group of rauwolfscane. Ray L.), Acta crystallogr., 1956, 9, № 2, 199 (англ.)

В дополнение к более раннему сообщению (РЖХим, 1956, 70975) указаны простые формы  $\{100\}$ ,  $\{010\}$ ,  $\{001\}$ ,  $\{101\}$  и  $\{011\}$  и показатели преломления ( $n_D = 1,490$ ,  $n_m = 1,616$ ,  $n_g = 1,650$ ;  $V_z = 64^\circ$ ,  $2V_x = 52^\circ$ ) ромбич. кристаллов раувольсана. Установлена ф. гр.  $P2_12_12_1$ . У. А.

**74191. Смешанные галогенид-кобальтинитриды щелочно-земельных металлов.** Феррари, Кавальяка, Когги (Alogeno-cobaltianitriti di metalli alcalinoterrosi. Ferrari Adolfo, Cavalca Luigi, Coghi Leandro), Gazz. chim. ital., 1955, 85, № 12, 1710—1716 (итал.)

Рентгенографически исследованы комплексные соединения  $\text{M}_2^{2+}[\text{Co}(\text{NO}_2)_6]\text{X} \cdot \text{H}_2\text{O}$ , где  $\text{M}^{2+} = \text{Ca}$ ,  $\text{Sr}$ ,  $\text{X} = \text{Cl}$ ,  $\text{Br}$ , полученные меллиным испарением водн. р-ров. Лебаграммы  $\text{Ca}_2[\text{Co}(\text{NO}_2)_6]\text{Br} \cdot 8\text{H}_2\text{O}$ ,  $\text{Ca}_2[\text{Co}(\text{NO}_2)_6]\text{Cl} \cdot 8\text{H}_2\text{O}$  и  $\text{Sr}_2[\text{Co}(\text{NO}_2)_6]\text{Br} \cdot \text{H}_2\text{O}$  аналогичны, тогда как лебаграмма  $\text{Sr}_2[\text{Co}(\text{NO}_2)_6]\text{Cl} \cdot \text{H}_2\text{O}$  совершенно отлична. Кристаллы  $\text{Ca}_2[\text{Co}(\text{NO}_2)_6]\text{Br} \cdot \text{H}_2\text{O}$  — гексагональные призмы; параметры решетки:  $a$  7,24,  $c$  10,57 Å,  $R_{\text{гмч.}}$  2,212,  $R_{\text{экст.}}$  2,15,  $Z = 1$ . Положение групп и атомов:  $[\text{Co}(\text{NO}_2)_6]^{2-}$  в 000,  $\text{Br}^-$  в 001/2,  $\text{Ca}^{2+}$  в 1/3 1/3  $z$  и 2/3 1/3  $z$ . В. Г.

**74192. Рентгенографическое изучение никотинатов двухвалентных серебра и меди.** Чакрабурти, Банерджи (An X-ray study on bivalent silver and copper nicotinate compounds. Chakraburty D. M., Banerjee B.), Indian J. Phys., 1955, 29, № 7, 357—360 (англ.)

Приведены рентгенографич. данные (значения  $I$  и  $d$ ) для  $\text{Ag}[\text{C}_6\text{H}_5\text{O}_2\text{N}]_2$  (РЖХим, 1956, 35609) и  $\text{Cu}[\text{C}_6\text{H}_5\text{O}_2\text{N}]_2$ . Указывается на изоморфный изоморфизм обоих соединений. В-ва эти парамагнитны,  $\mu_B$  равно 1,74 и 1,89 соответственно для  $\text{Ag-}$  и  $\text{Cu-}$ соединений. В. Г.

**74193. О структуре диметиламин — трифторид бора.**

Геллер (Note on the structure of dimethylamine — boron trifluoride. Geller S.), Acta crystallogr., 1955, 8, № 2, 120 (англ.)

На основе ранее описанного статистич. метода (Hauptman H., Kazle J., Acta Monograph, 1953, № 3; РЖХим, 1953, 6081) доказываются отсутствие центра инверсии в структуре  $(\text{H}_3\text{C})_2\text{HN} \cdot \text{BF}_3$ . Приводятся значения  $|\bar{L}|$ ,  $|\bar{E}|^2$ , и  $|\bar{L}^2 - 1|$  для центросимметричного, нецентросимметричного и исследуемого кристаллов:  $|\bar{E}| = 0,798$ ; 0,886; 0,786;  $|\bar{E}^2| = 1,00$ ; 1,00; 1,00;  $|\bar{E}^2 - 1| = 0,968$ ; 0,736; 0,657; ф. гр. кристаллов  $P_6$  при  $n = 2$ . М. П.-К.

**74194. Кристаллическая и молекулярная структуры гетероциклических соединений. II.  $\alpha$ -феназин.** Хербштейн, Шмидт (The crystal and molecular structures of heterocyclic compounds. II.  $\alpha$ -Phenazine. Herstein F. H., Schmidt G. M. J.), Acta crystallogr., 1955, 8, № 7, 406—412 (англ.)

По данным ранее опубликованной работы (часть I см. РЖХим, 1956, 18570) дано обсуждение структуры кристаллов  $\alpha$ -феназина и связи между упаковкой молекул и оптич. и магнитными свойствами кристаллов. Расположение молекул в кристаллах  $\alpha$ -феназина аналогично расположению молекул в кристаллах коронена и отличается от расположения молекул в кристаллах  $\beta$ -феназина, антрацена и др. Для известных ранее показателей преломления кристалла  $\alpha$ -феназина (Wood R. G., Williams G., Philos. Mag., 1941, 31, 115) показано, что направление  $n_g$  совпадает с направлением длины молекулы  $L$ ,  $n_p$  — с направлением ее ширины  $M$ . Вычисленные на основании магнитных свойств кристаллов молекулярные магнитные восприимчивости, отнесенные к осям молекулы  $L$ ,  $M$ ,  $N$ , показывают, что степень делокализации связей в молекулах феназина и антрацена близка друг другу. Кривые зависимости межатомного расстояния от порядка связей  $\text{C-C}$  и  $\text{C-N}$ , полученные по методу молекулярных орбит, показывают вполне удовлетворительное совпадение вычисленных и опытных величин для молекулы феназина, а также для связи  $\text{C-C}$  в молекулах пиразина, пиримидина, меланина и тетраметилпиразина. Е. Ш.

**74195. Кристаллографические данные для цинхонина  $\text{C}_{19}\text{H}_{22}\text{N}_2\text{O}$ .** Парецкин (Crystal data on cinchonine,  $\text{C}_{19}\text{H}_{22}\text{N}_2\text{O}$ . Paretzkin B.), Acta crystallogr., 1956, 9, № 2, 201—202 (англ.)

Рентгенографически изучены кристаллы цинхонина  $\text{C}_{19}\text{H}_{22}\text{N}_2\text{O}$ ; при исследовании использовались методы прешесии и порошка (цилиндрич. камера diam. 114,6 мм и диффрактометр). Параметры решетки:  $a$  11,20,  $b$  7,20,  $c$  10,80 Å,  $\beta$  108°;  $n = 2$ , ф. гр.  $P2_1$  или  $P2_1/m$ . Приведены величины  $I_{hkl}$  и  $d_{hkl}$  (разрешение ряда близких линий получено только с помощью диффрактометра). Ю. П.

**74196. Некоторые данные о структуре кристаллов хлорзамещенного витамина  $\text{B}_{12}$ .** Кампер, Ходжкин (Some observations on the crystal structure of a chlorine-substituted vitamin  $\text{B}_{12}$ . Kamper M. J., Hodgkin Dorothy Crowfoot), Nature, 1955, 176, № 4481, 551—553 (англ.)

Хлорзамещенное производное витамина  $\text{B}_{12}$  (замещены на  $\text{Cl}$  две метильные группы) получено биосинтетически по ранее описанному методу (РЖХимБх, 1955, 17514). Хлорзамещенные кристаллы изоморфны воздушно-сухим кристаллам витамина  $\text{B}_{12}$ . Для них была построена проекция электронной плотности вдоль направления  $[001]$  с использованием знаков структурных амплитуд, определенных ранее для витамина  $\text{B}_{12}$ . Полученные результаты в комбинации с ранее полученными данными позволили выявить положение атомов  $\text{Cl}$ . Учет положения этих атомов позволил определить знаки дополнительных членов в суммировании. Следующий этап суммирования привел

к более четкому выявлению ранее предполагавшихся положений атомов в витамине  $B_{12}$  (РЖХим, 1956, 3226).

**74197. Новая кристаллическая модификация рибонуклеазы.** Магдофф, Крик (A new crystal form of ribonuclease. Magdoff Beatrice S., Crick F. H. C.), Acta crystallogr., 1955, 8, № 8, 468—472 (англ.).

Рентгенографически исследована новая кристаллич. модификация рибонуклеазы: рибонуклеаза VI, полученная при кристаллизации в присутствии тетраидрофенолфталеин-сульфоната. Кристаллы представляют собой вытянутые пластинки с отношением осей 1 : 10 : 2,5. Параметры решетки:  $a$  70,60,  $b$  38,99,  $c$  51,65 Å,  $\beta$  103,96°, ф. гр. C 2. Кристаллы обладают большим плеохроизмом, что связано с параллельным расположением плоских молекул красителя в кристалле. Интенсивности 101 и 0k0 рефлексов измерены на спектрографе со счетчиком Гейгера; с помощью счетной машины IBM построены Паттерсоновские проекции. Полученные проекции на плоскость (010) совпадают с проекциями одной из модификаций рибонуклеазы (рибонуклеаза II) при небольшом повороте координатных осей. Сравнение этих проекций позволило определить приближительные положения молекул в ячейках обеих модификаций. Н. А.

**74198. Электронографическое определение структуры  $Tl_2Sb_2Se_4$ .** Пинскер З. Г., Семилетов С. А., Белова Е. Н., Докл. АН СССР, 1956, 106, № 6, 1003—1006

Образцы для исследования готовились возгонкой в вакууме сплава указанного состава на целлюлоидные пленки с последующим прогревом при 100° в течение 30—40 мин. Из электронограмм типа косых текстур установлена ромбич. решетка с параметрами:  $a$  4,18,  $b$  4,50,  $c$  12,00 Å; ф. гр.  $D_{2h}^{19}$ ,  $n = 1$ ;  $\rho$  7,08. Координаты атомов определены построением синтезов Паттерсона и Фурье; Sb в (a), Tl в (c), Se в (h),  $y = 0,500$ ;  $z = 0,272$ . Атомы Tl и Sb образуют центрированные плоские сетки с расстоянием Tl—Sb 3,07 Å. Между двумя соседними сетками расположены параллельно оси X зигзагообразные цепочки из атомов Se с расстоянием Se—Se 2,15 Å и валентным углом 152°. С. С.

**74199. Нейтронографический анализ монокристаллов тетрагонального  $BaTiO_3$ .** Фрейжер, Даннер, Пепинский (Single-crystal neutron analysis of tetragonal  $BaTiO_3$ . Frazer B. C., Danner H. R., Pepinsky R.), Phys. Rev., 1955, 100, № 2, 745—746 (англ.).

Исследование смещений атомов Ba, Ti и O в тетрагональной модификации  $BaTiO_3$  (I) более сложно, чем в  $PbTiO_3$  (II), вследствие малости тетрагональных искажений в I. Определение величин  $\delta z$  оказалось возможным провести нейтронографически на монокристаллах I. Последние имели размер  $12 \times 2,5 \times 0,38$  мм. Во время съемки монокристалл помещался в элктрич. поле (9200 в/см) для достижения взаимнопараллельной ориентировки доменов. Наблюдалось 50 независимых отражений типа  $h0l$  ( $\lambda$  1,063—0,905 Å). Обычным расчетом методом проб и ошибок найдено  $\delta z_{Ti} = 0,014$ ,  $\delta z_{O(1)} = -0,023$ ,  $\delta z_{O(2)} = -0,014$  (при  $\delta z_{Ba} = 0$ ). При изотропных постоянных температурной поправки:  $B_{Ba} = 0,273$ ,  $B_{Ti} = 0,152$ ,  $B_{O(1)} = 0,334$  и  $B_{O(2)} = 0,267$ ,  $R = 0,0296$ . Абс. смещения (при  $a$  3,995 и  $c$  4,034 Å) составляют: для Ti 0,06, для O (1) — 0,03, для O (2) — 0,06 Å, причем атомы Ti и O смещаются в противоположных направлениях. Отмечается принципиальная тождественность смещений в I и II, если рассматривать искажения относительно кислородного каркаса. Однако в отличие от II (где  $\delta z_{O(1)} = \delta z_{O(2)}$ ) в I это равенство смещений не сохраняется. Р. О.

**74200. Конические кристаллы графита.** Цудзукү, Комода (Conical crystals of graphite. Tsuzuku Takuro, Komoda Tsutomu), Acta crystallogr., 1956, 9, № 1, 90 (англ.).

При помощи электронного микроскопа наблюдались искусств. дискообразные кристаллы графита, полученные нагреванием газовой сажи до 2500°. Коничность кристаллов доказана тем, что они из обнаруживают на электронограммах идеальных полукружий, дают точечные дифракционные кольца с эллипсами и диффузными полосами. Рассмотрено поведение винтовой дислокации при деформации конич. кристалла. Н. И.

**74201. Электронооптические исследования селена.** Теис (Elektronenoptische Untersuchungen an Selen. Theis W.), Z. Naturforsch., 1955, 10a, № 6, 503—504 (нем.).

При конденсации паров Se на нагретой до 130° подложке в электронном микроскопе наблюдаются разнообразные формы кристаллов, меняющиеся на разных стадиях от сферолитов гексагональной модификации Se до палочкообразных частиц. Нагревание конденсата на подложке до  $t$ -ры, близкой к точке плавления Se, приводит к развиту изогнутых бесструктурных поверхностей и по мере приближения к точке плавления имеет место уменьшение доли кристаллизированного в-ва в слое конденсата. Л. Р.

**74202. Электрономикроскопическое исследование спекания кристаллов двуокиси титана.** Дорин В. А., Ж. техн. физики, 1955, 25, № 4, 577—580

Проведено электрономикроскопич. исследование спекания порошка  $TiO_2$  при нагревании до 800—1400°, а также под действием облучения электронами в электронном микроскопе. Показаны последовательные стадии процесса: исчезновение острых углов у кристаллов, образование перемычек между конгломератами, значительное уплотнение порошка. Наблюдаемые изменения формы кристаллов соответствуют представлению о повышенной подвижности поверхностных атомов, наступающей задолго до плавления кристаллов. А. Е.

**74203. О структуре решения многоэлектронной задачи в твердом теле и о теореме Блоха.** Хакен (Über die Struktur der Lösung des Mehrelektronenproblems im Festkörper und ein Theorem von Bloch. Haken Hermann), Z. Naturforsch., 1954, 9a, № 3, 228—235 (нем.).

Исследовано точное решение многоэлектронной задачи в твердом теле, когда гамильтониан  $H$  системы, состоящей из электронов и фононов, содержит пространственные и спинные координаты электронов, операторы скорости электронов, операторы рождения и уничтожения фононов. Кристалл полагается бесконечным и периодич., так что  $H$  обладает трансляционной симметрией. Показано, что вектор, описывающий стационарное состояние рассматриваемой системы, имеет вид  $\exp(i\mathbf{K}\mathbf{R}) \times \times U_{\mathbf{K}}(\mathbf{R}, \mathbf{r}_i - \mathbf{r}_j; \mathbf{b}_{\lambda}^*)$ , где  $\mathbf{R}$  и  $\mathbf{r}_i$  — радиусы-векторы центра тяжести электронов и  $i$ -го электрона;  $\mathbf{b}_{\lambda}^*$  — оператор рождения фонона с волновым вектором  $\lambda$ ; зависимость  $U_{\mathbf{K}}$  от спинных координат подразумевается. В отсутствие фононов функция  $U_{\mathbf{K}}$  является периодич. относительно  $\mathbf{R}$  с периодом решетки. Область изменения  $\mathbf{K}$  можно ограничить одной ячейкой обратной решетки; функции  $U_{\mathbf{K}}$  с разными значениями  $\mathbf{K}$  взаимно ортогональны. Математич. ожидание электронного тока дается строгой ф-лой  $S = en/\hbar \text{grad}_{\mathbf{K}} E$  ( $n$  — число электронов в основной области). Так как для основного состояния системы (минимума энергии  $E$ )  $\text{grad}_{\mathbf{K}} E = 0$ , то отсюда следует обобщенное доказательство теоремы Блоха: «в основном энергетич. состоянии элктрич. ток в кристалле отсутствует». Т. Р.

**74204. Силы сцепления между атомами металлов.** Брениг (Kopplungskräfte zwischen Metallatomen. Brenig W.), Z. Phys., 1955, 142, № 2, 163—181 (нем.).

Для констант сцепления  $\Phi_{ki}^{m0} = \partial^2 \Phi / \partial X_k^m \partial X_i^0$ , в адiabатич. приближении, получено выражение  $\Phi_{ki}^{m0} = -e^2 Z^2 \partial (1/|R^m - r|) / \partial X_k^m (\partial \rho / \partial X_i^0) d\tau - e^2 Z^2 \times \times [\partial^2 (1/|R^m|) / \partial X_k^m \partial X_i^0]$ ,  $\Phi$  — потенциальная энергия кристалла; оператор означает дифференцирование по  $k$ -й компоненте смещения  $m$ -го ядра из положения равновесия;  $Z$  — заряд ядра;  $R^m$  — радиус-вектор  $m$ -го ядра;  $\rho$  — электронная плотность; все производные вычисляются для равновесных положений ядер. Единственной квантовомеханич. величиной, входящей в выражение  $\Phi_{ki}^{m0}$ , является  $\partial \rho / \partial X_i^0$ , т. е. изменение электронной плотности при смещении одного только нулевого ядра из положения равновесия. Исходя из приближения плоских волн, можно величину  $\partial \rho / \partial X_i^0$  для кристаллов в щел. металлов найти сравнительно легко. Таким путем вычислены константы сцепления для кристаллов Na и Cu. Силы сцепления между соседями 3-го порядка оказываются еще значительными, но взаимодействием более далеких соседей можно пренебрегать. Сравнение вычисленных значений констант сцепления с эксперим. данными показывает, что электроны внутренней (незаполненной)  $d$ -оболочки Cu вносят неожиданно большой вклад в силы сцепления. Рассмотрены также силы сцепления в кристаллах W и Fe. Т. Р.

**74205. Влияние обменного взаимодействия и корреляции электронов в металле на явления переноса.** Блатт (Influence of exchange and correlation on electron transport in metals. Blatt F. J.), Phys. Rev., 1955, 99, № 6, 1735—1736 (англ.)

Согласно теории коллективного взаимодействия (РЖХим, 1956, 35164) энергия электрона проводимости в металле зависит от квазимульса не по квадратичному, как в одноэлектронной теории, а по более сложному закону. Цель работы — исследование влияния этого изменения дисперсионного закона на электропроводность  $\sigma$ , теплопроводность  $\kappa$  и абс. термо-д.с.  $S$  в металлах.  $\sigma$  и  $\kappa$  изменяются пропорционально одна другой, так что закон Видемана — Франца остается в силе. Для всех пяти щел. металлов вычислены отношения  $\sigma/\sigma_0$  и  $S/S_0$ , где  $\sigma_0$  и  $S_0$  — соответствующие значения в одноэлектронной теории.  $\sigma/\sigma_0$  и  $S/S_0$  несколько меньше единицы. 1. Исключение составляют Li, у которого  $\sigma/\sigma_0 = 1,07$ . Ш. К.

**74206. Энергия решеток галогенидов щелочных металлов.** Моррис (The lattice energies of the alkali halides. Morris D. F. C.), Acta crystallogr., 1956, 9, № 2, 197—198 (англ.)

С помощью цикла Борна — Габера и новых эксперим. данных по теплотам образования при 298,16°K (Rossini F. D. и др.) Circ. Nat. Bur. Stand, 1952, № 500), энергиям диссоциации молекул  $Cl_2$ ,  $Br_2$  и  $I_2$  (цитированная работа) и  $F_2$  (РЖХим, 1954, 24886), сродствам галогенидов к электрону (РЖХим, 1954, 15934), теплотам сублимации металлов (РЖХим, 1956, 15556) и ионизационным потенциалам металлов при 0°K (РЖХим, 1955, 30977) вычислены энергии решеток  $U$  при 0°K (в ккал/моль): LiF 244, LiCl 201, LiBr 193, LiI 180, NaF 217, NaCl 185, NaBr 178, NaI 167, KJ 195, KCl 171, KBr 165, KI 156, RbF 185, RbCl 162, RbBr 157, RbI 149, CsF 173, CsCl 155, CsBr 151, CsI 143 (всюду  $\pm 2 - 3$  ккал). Значения  $U$  хорошо согласуются с теоретич. значениями (Huggins M. L., J. Chem. Phys., 1937, 5, 143) и значениями, вычисленными из теплот сублимации и теплот диссоциации на ионы в газовой фазе. Значения  $U$  находятся в закономерной связи; так  $U$  солей Na с точностью  $\pm 1,5$  ккал равны среднему арифметическому из  $U$  солей Li и K, а  $U$  солей Rb близки к среднему из  $U$  солей K и Cs. Кроме того, разность между  $U$  хлоридов и бромидов данного щел. металла практически постоянна ( $6 \pm 2$  ккал), так же как и разность между  $U$  бромидов и иодидов ( $10 \pm 3$  ккал). А. Х.

**74207. Диэлектрические потери различных «монокристаллов» кварца при очень низких температурах.** Волгер, Стевелс, Амеронген (Les pertes diélectriques de divers «monocristaux» de quartz aux très basses températures. Volger J., Stevels J. M., Amerongen C. van), Verres et réfract., 1956, 10, № 1, 3—14 (франц.)

См. РЖХим, 1956, 31757

**74208. Диэлектрические потери в аддитивно окрашенных NaCl и KBr.** Джейкобс (Dielectric losses in additively colored NaCl and KBr. Jacobs G.), J. Chem. Phys., 1956, 24, № 3, 629—630 (англ.)

На частотах  $\nu 10^3 - 10^5$  гц в интервале  $t - t_0 = 0^\circ - 300^\circ$  измерены диэлектрич. потери  $\lg \delta$  аддитивно окрашенных кристаллов ( $10 \times 10 \times 0,6$  мм) NaCl и KBr. На кривых  $\lg \delta = f(\nu)$  имеется максимум  $\lg \delta$ , который смещается в сторону больших  $\nu$  при увеличении  $t - t_0$ . Исходя из того, что максимум  $\lg \delta$  обусловлен релаксацией диполей, автор вычисляет энергию активации ориентации диполей  $E$  из прямых  $\lg \nu_{\text{макс.}} = f(1/T)$  и находит, что  $E$  равна  $\sim 0,44$  эв для NaCl и  $0,27$  эв для KBr. В неокрашенных и окрашенных рентгенизацией кристаллах максимумы  $\lg \delta$  отсутствуют. В последнем случае кристаллы обесцвечиваются при измерениях. Сделан вывод, что максимумы  $\lg \delta$  обусловлены либо  $F$ -центрами, либо другими центрами окраски. А. Х.

**74209. Исследование макроскопического расширения графита при облучении.** Делькруа, Ивон (Etude de la dilatation macroscopique du graphite par irradiation. Delcroix Jean-Loup, Yvon Jacques), C. r. Acad. sci., 1956, 242, № 5, 628—630 (франц.)

Измерено увеличение линейных размеров графита в направлениях, параллельном и перпендикулярном плоскостям спайности при облучении быстрыми нейтронами в реакторе. А. Х.

**74210. Действие ионной бомбардировки на тонкие пленки бромида серебра.** Трийа, Терао, Терсиян (Action du bombardement ionique sur des films minces de bromure d'argent. Trillat Jean Jacques, Terao Nobuzo, Tertian Léa), Sci. et inds. fotogr., 1956, 27, № 5, 169—172 (франц.)

Пленки AgBr толщиной 200—400 Å бомбардировали пучком ионов  $O^+$  и  $N^+$  (5—6 кэ, 0,1 ма) непосредственно в корпусе электронографа. Через 10 мин. после начала бомбардировки в случае поликристаллич. пленок и через 2 мин. в случае монокристаллич. все AgBr превращается в неориентированное микрокристаллич. Ag. В случае монокристаллич. пленок это превращение сопровождается быстрым разупорядочением AgBr с образованием волокнистой структуры. Фотоэмульсионные кристаллы также быстро превращаются в Ag. Эти эффекты наблюдаются только при прохождении ионов сквозь пленку и не связаны с хим. или термич. действием ионов на AgBr. Восстановление AgBr приписано ионизирующему действию ионов по схеме  $Br^- + mv^2/2 \rightarrow Br + e^-$ ;  $Ag^+ + e^- \rightarrow Ag$ . Акцептором брома служит вакуум. Разупорядочение и разрыв монокристаллич. пленок приписаны механич. действию ионов. А. Х.

**74211. Влияние подложки на кристаллизацию металлических пленок.** Метц, Лад (The effect of the substrate on the crystallization of metallic films. Metz Florence I., Lad Robert A.), J. Phys. Chem., 1956, 60, № 3, 277—280 (англ.)

Проведено микроскопич. исследование кристаллизации пленок Au, Ag и Zn толщиной 25—100 атомных слоев, сублимированных в вакууме на поверхность монокристаллов NaCl и KBr. Опыты показали, что такой метод позволяет обнаружить неоднородность поверхности в тех слу-

чаяя, когда она не может быть исследована более прямыми методами. Установлено существование кристаллитов двух типов: мелких, которые присутствуют на всех поверхностях независимо от степени их совершенства, и на несколько порядков более крупных, которые наблюдаются только на дефектных поверхностях в виде отдельных кристаллов, скоплений и линий. Они образуются вдоль царапин, трещин и спайностей. На поверхности отожженных и полированных водой кристаллов пленка состоит из однородного слоя мелких кристаллитов. Крупные кристаллиты встречаются очень редко. Выдерживание отполированных водой кристаллов в течение месяцев при  $20^\circ$  или  $\sim 1$  часа при  $130^\circ$  приводит к образованию центров кристаллизации крупных кристаллитов. Центрообразование протекает как р-ция 2-го порядка с энергией активации  $115 \text{ ккал}$  для  $\text{NaCl}$  и  $85 \text{ ккал}$  для  $\text{KBr}$ . В вакууме, на воздухе и в парах  $\text{H}_2\text{O}$  при  $25 \text{ мм рт. ст.}$  скорости центрообразования одинаковы. Облучение поверхности рентгеновскими лучами при  $20^\circ$  или растягивающее усилие  $0,3 \text{ кг/мм}^2$ , параллельное поверхности, ускоряют центрообразование до его значения при  $115^\circ$ . По мнению авторов, центры кристаллизации служат дислокации и ряды вакантных узлов.

**74212. Радиационные нарушения в плавленом кварце. Отжиг изменений плотности. Примак, Шыманский** (Radiation damage in vitreous silica: annealing of the density changes. Primak W., Szymanski H.), Phys. Rev., 1956, 101, № 4, 1268—1271 (англ.)

Кинетика отжига изменений плотности плавленного кварца, вызванных облучением в ядерном реакторе, исследована путем серии изотермич. отжигов при  $300\text{--}1000^\circ$ . Установлено, что каждой т-ре соответствует своя энергия активации отжига, значение которой изменяется от  $\sim 1,3$  до  $\sim 3,2 \text{ эв}$ .

**74213. Равновесное соотношение зарядов для ионов водорода, прошедших через твердые вещества. Филлипс** (Charge equilibrium ratios for hydrogen ions from solids. Phillips James A.), Phys. Rev., 1955, 97, № 2, 404—410 (англ.)

Исследовано процентное содержание ионов  $\text{H}^-$ ,  $\text{H}^0$  и  $\text{H}^+$  в пучке протонов с энергией  $E$   $3\text{--}200 \text{ кэв}$ , выходящем из тонких слоев  $\text{Al}$ ,  $\text{Be}$ ,  $\text{Ca}$ ,  $\text{Ag}$ ,  $\text{Au}$  и  $\text{SiO}_2$ , полученных сублимацией в вакууме на тонкую ( $5\text{--}10 \text{ мкг/см}^2$ )  $\text{Al}$ -подложку. Равновесное соотношение зарядов определяется 5—6 последними атомными слоями. Равновесные соотношения, найденные в более ранних работах, относятся не к исследуемому в-ву, а к пленке загрязнений на его поверхности. Эта пленка обусловлена окислением поверхности и осаждением посторонних в-в из остаточного газа. Равновесное соотношение зарядов для свежесоздажденных пленок получалось экстраполяцией к началу момента. Равновесное распределение для различных в-в различно. Для всех в-в, кроме  $\text{Ca}$ , число ионов  $\text{H}^+$  равно числу атомов  $\text{H}$  при  $E = 37 \pm 3 \text{ кэв}$  (для  $\text{Ca}$  при  $18 \pm 2 \text{ кэв}$ ); конц-ия ионов  $\text{H}^-$  при этой энергии равна  $\approx 1\%$  (для  $\text{Ca}$   $\sim 0,25\%$ ). При  $E \approx 6 \text{ кэв}$  конц-ия ионов  $\text{H}^-$  равна  $3\%$  для  $\text{Ca}$ ,  $\sim 5\%$  для  $\text{Al}$  и  $\sim 4\%$  для других в-в. При  $E > 100 \text{ кэв}$  наблюдается корреляция между конц-ией ионов  $\text{H}^+$  и работой выхода металла.

**74214. Измерение электрических зарядов, возникающих при распылении  $\text{NaCl}$ . Шайнок** (Pomiar ładunków elektrycznych powstających przy rozpylaniu  $\text{NaCl}$ . Szajnocha A.), Zesz. nauk. Politechn. wrocł., 1954, № 4, 43—48 (польск.; рез. русс., англ.)

Исследована зависимость числа и величины электрич. зарядов распыленных кристаллов  $\text{NaCl}$  от конц-ии дефектов решетки, созданных рентгенизацией. Кристаллы облучались, дробились, распылялись, и заряд отдельных частиц определяли путем измерения отклонения их траекторий в электрич. поле. Наблюдаются различия в степени электризации облака частиц облученной и необлученной соли. Кроме того, наблюдается асимметрия заряда частиц

облученной соли и появление избытка положительного заряда.

**74215. Диффузия межслойной воды в вермикулите. Уокер** (Diffusion of interlayer water in vermiculite. Walker G. F.), Nature, 1956, 177, № 4501, 239—240 (англ.)

Приводятся результаты оптич. изучения диффузии молекул  $\text{H}_2\text{O}$  в вермикулите. Частично дегидратированная чешуйка вермикулита ( $d_{001} = 11,59 \text{ Å}$ ) помещалась на столик микроскопа, после чего создавались условия для регидратации. При рассмотрении образца под микроскопом наблюдались 2 темные границы, двигавшиеся друг за другом с периферии и сходящиеся в центре чешуйки; каждая из границ представляла собой фронт диффундирующих молекул  $\text{H}_2\text{O}$ . Фронт первой границы (более темной), по мнению автора, обусловлен фазовым переходом, сопровождающимся изменением  $d_{001}$  от  $11,59$  до  $13,82 \text{ Å}$ , второй — переходом с изменением  $d_{001}$  от  $13,82$  до  $14,36 \text{ Å}$ . Установлено, что скорость диффузии в плоскостях, параллельных (001), одинакова для всех направлений, а путь, проходимый фронтом диффундирующих молекул  $\text{H}_2\text{O}$ , пропорционален  $\sqrt{t}$  ( $t$  — время регидратации). Диффузия в направлении, перпендикулярном (001), практически равна нулю.

**74216. О теплоте активации самодиффузии в твердых металлах. Осипов К. А.** В кн.: Исследования по жаропрочным сплавам. М., АН СССР, 1956, 151—159

В результате анализа литературных данных для  $\text{Sn}$ ,  $\text{Cd}$ ,  $\text{Zn}$ ,  $\text{Pb}$ ,  $\text{Bi}$ ,  $\text{Mg}$ ,  $\text{Al}$ ,  $\text{Ag}$ ,  $\text{Cu}$ ,  $\text{Au}$ ,  $\text{Ni}$ ,  $\beta\text{-Co}$ ,  $\alpha\text{-Fe}$ ,  $\gamma\text{-Fe}$ ,  $\text{Cr}$ ,  $\text{Mo}$  и  $\text{W}$  сделан вывод, что теплота активации самодиффузии  $Q$  в твердых металлах хорошо подчиняется ф-ле  $Q \approx 4W_{\text{ж}}$ , где  $W_{\text{ж}}$  — увеличение теплоемкости при нагревании твердого металла от  $0^\circ\text{K}$  до полного плавления, т. е.  $W_{\text{ж}} = S_{\text{пл}}^{\text{пл}} C_p dT + L$  ( $L$  — скрытая теплота плавления). Худшая корреляция получена при сопоставлении  $Q$  с теплотой испарения, с величиной  $a_0^2 E_0$  ( $a_0$  — постоянная решетки,  $E_0$  — модуль упругости Юнга) и постоянной квазиупругой связи. Сделан вывод, что самодиффузия в объеме металла связана с таким же процессом нарушения порядка решетки, как и плавление, и что в активации самодиффузии участвуют группы взаимодействующих (активируемых) атомов, содержащие  $\sim 4$  атомов, а величина  $Q$  относится ко всей активируемой группе.

**74217. Диффузия  $\text{Co}^{60}$  в ферритах кобальта. Борисенко А. И., Морозов Е. И.**, Докл. АН СССР, 1955, 105, № 6, 1274—1277

Изучалось влияние состава однородной фазы феррита кобальта, приготовленного из порошковых материалов, на диффузию иона кобальта. Исследованы составы:  $3\text{CoO} \cdot 2\text{Fe}_2\text{O}_3$  (I),  $\text{CoO} \cdot \text{Fe}_2\text{O}_3$  (II),  $\text{CoO} \cdot 2\text{Fe}_2\text{O}_3$  (III),  $2\text{CoO} \cdot 5\text{Fe}_2\text{O}_3$  (IV) и  $\text{CoO} \cdot 3\text{Fe}_2\text{O}_3$  (V). Составы II, III, IV имеют однородную ферритную фазу. Коэф. диффузии  $D$  измерялись методом распространения тонкого радиоактивного слоя ионов ( $\text{Co}^{60}$ ). Изучение температурной зависимости  $D$  в  $3\text{CoO} \cdot 2\text{Fe}_2\text{O}_3$  в интервале  $950\text{--}1350^\circ$  показало, что ниже  $1125^\circ$  имеет место, в основном, граничная диффузия (энергия активации  $Q = 25\,300 \text{ кал/моль}$ ), а выше  $1125^\circ$  — объемная диффузия ( $Q = 60\,500 \text{ кал/моль}$ ). Поэтому диффузионные отжиги проводились при  $1200$ ,  $1250$ ,  $1300$  и  $1350^\circ$ . При переходе от состава II к IV  $Q$  меняет свое значение от  $114\,000$  до  $34\,000 \text{ кал/моль}$ . Уменьшение  $Q$  авторы связывают с увеличением конц-ии  $\gamma\text{-Fe}_2\text{O}_3$ , что, в свою очередь, увеличивает конц-ию вакансий в решетке. В сплаве V  $Q = 6500 \text{ кал/моль}$ , что приписано наличию свободной  $\text{Fe}_2\text{O}_3$ .

**74218. Последствия истолкования явлений термической диффузии в металлах по И. А. Одинггу. Барановски Б., Ж. физ. химии, 1956, 30, № 3, 696—697**

На основании теоретич. соображений и эксперим. данных сделан вывод, что теория термич. диффузии И. А. Олинга (Докл. АН СССР, 1952, 86, 67), основанная на равенстве хим. потенциалов в неизотермич. системах, может лишь в частных случаях привести к удовлетворительным результатам и вряд ли применима к жидким системам особенно к смесям органич. жидкостей.

**74219. Диффузия  $(\text{Na}^+)^{22}$ ,  $(\text{K}^+)^{42}$  и  $(\text{Cs}^+)^{137}$  в монокристаллах KCl.** Арникар, Шемла (Diffusion de  $^{22}\text{Na}^+$ ,  $^{42}\text{K}^+$  et  $^{137}\text{Cs}^+$  dans des monocristaux de ClK. Arnika Harirao J., Chemla Marius), C. r. Acad. sci., 1956, 242, № 17, 2132—2135 (франц.)

Диффузия  $\text{Na}^+$ ,  $\text{K}^+$  и  $\text{Cs}^+$  в монокристалле KCl исследована методом определения активности тонких слоев. Изотопы наносились на монокристаллы KCl сублимацией в вакууме. Диффузионный отжиг при 570—750° продолжался соответственно 40—4 часа. Зависимость коэфф. диффузии  $D$  от  $1/T$  для  $\text{Na}^+$ ,  $\text{K}^+$  и  $\text{Cs}^+$  выражается почти параллельными прямыми, которым отвечает энергия активации 1,75, 1,74 и 1,74 эв соответственно. Описанным ранее методом (РЖХим, 1953, 131) определена подвижность и ионов  $\text{Na}^+$ ,  $\text{K}^+$  и  $\text{Cs}^+$  в кристалле KCl, помещенном в электр. поле. Выполняется уравнение Эйнштейна  $u/D = e/kT$ . Сделан вывод, что механизм элементарного акта диффузии одинаков для всех трех ионов, которые, по-видимому, замещают ионы  $\text{K}^+$ . При данной  $T$   $D$  уменьшается с увеличением радиуса иона в ряду  $\text{Na}^+$ ,  $\text{K}^+$ ,  $\text{Cs}^+$ , в противоположность наблюдаемому для NaCl (РЖХим, 1955, 1732). Это различие объясняется различием радиусов  $\text{Na}^+$  и  $\text{K}^+$  и влиянием сил отталкивания на диффузию.

**74220. Тепловое расширение кристаллов  $\text{KClO}_3$ .** Лонаппан (Thermal expansion of potassium chlorate. Lonappan M. A.), Proc. Phys. Soc., 1955, B68, № 2, 75—80 (англ.)

Главные коэфф. линейного теплового расширения  $\alpha$  и ориентировка эллипсоида теплового расширения кристаллов  $\text{KClO}_3$  определены методом высокотемпературной рентгеновской съемки в интервале 30—200°.  $\alpha_{22}$  и  $\alpha_{33}$  близки между собой ( $\sim 30\text{--}40 \cdot 10^{-6}$ ), а  $\alpha_{11} \approx 130 \cdot 10^{-6}$ . Главное направление  $\alpha_{22}$  совпадает с осью  $b$  [010] кристалла. Направление максим. коэфф.  $\alpha_{11}$  почти перпендикулярно плоскости кислородных атомов в структуре кристалла.

**74221. Коэффициенты упругости таллиевых квасцов.** Субрахманьям (Elastic constants of thallium alum. Subrahmanya S. V.), Current Sci., 1956, 25, № 2, 51 (англ.)

На частоте 100—150 кГц определены упругие постоянные таллиевых квасцов:  $S_{11} = 49,0$ ,  $S_{12} = -15,5$ ,  $S_{44} = 115$  (в единицах  $10^{-13} \text{ см}^2 \text{ дин}^{-1}$ ). Плотность таллиевых квасцов 2,32 г/см<sup>3</sup>.

**74222. Тепловое расширение хлорида натрия и некоторых других галогенидов щелочных металлов при высоких температурах.** Фишмейстер (The thermal expansion of sodium chloride and some other alkali halides at high temperatures. Fischmeister H. F.), Acta crystallogr., 1956, 9, № 5, 416—420 (англ.)

Рентгенографическим методом измерено увеличение параметра решетки NaCl ( $a_T - a_{273}$ ) в интервале  $T$  0°—800° (т. пл.). Полученная кривая совпадает с результатами измерения на диффрактометре и с dilatометрич. измерениями других авторов. Зависимость  $(a_T - a_{273})/a_{273} = f(T)$  значительно отклоняется от линейной, особенно вблизи  $T$ -ры плавления. Совпадение между величинами относительного расширения параметра решетки и всего кристалла исключает сколько-нибудь заметное участие дефектов по Шоттки в расширении кристалла. Расчет конци-и дефектов по Шоттки и по Френкелю из данных по электропроводности показывает, что эти конци-и на несколько порядков ниже требуемых для объяснения

«аномального» расширения кристаллов LiF, NaCl, KCl, KBr, KJ, AgCl и AgBr. Наблюдаемая нелинейность расширения кристаллов LiF, NaCl, KCl, KBr, KJ, CsBr и CsJ совпадает с вычисленной на основании динамич. теории решетки Грюнейзена и не обусловлена дефектами решетки.

**74223. Теплопроводность теллурида висмута.** Голдсмид (The thermal conductivity of bismuth telluride. Goldsmid H. J.), Proc. Phys. Soc., 1956, B69, № 2, 203—209 (англ.)

Измерена теплопроводность  $\kappa$  образцов  $\text{Bi}_2\text{Te}_3$  в интервале 150—300° К. Найдено, что электронный вклад в  $\kappa$  в образцах с собственной проводимостью больше, чем в образцах с примесной проводимостью. Этот факт удовлетворительно объясняется теорией Фрелиха и Киттеля (РЖФиз, 1956, 4364), учитывающей увеличение  $\kappa$  в случае собственной проводимости за счет выделения энергии ионизации в процессе рекомбинации носителей тока при переходе их в места с более низкой  $T$ -рой.

**74224. Тепловая энергия кристаллов.** Рамаи (The thermal energy of crystals. Ramani C. V.), Current Sci., 1955, 24, № 11, 357—361 (англ.)

**74225. Люминесценция, пропускание и ширина запрещенной зоны монокристаллов CdTe.** Дорн, Нобел (Luminescence, transmission and width of the energy gap of CdTe single crystals. Doorn C. Z. van, Nobel D. de), Physika, 1956, 22, № 4, 338—342 (англ.)

При возбуждении УФ-лучами монокристаллов CdTe  $n$ - и  $p$ -типов, а также с примесью Ag и In наблюдается свечение, спектр которого состоит из одной колоколообразной полосы с максимумом при  $\sim 8880 \text{ Å}$  (77° К) или 8820 Å (20° К). Если на поверхности кристалла CdTe  $n$ -типа обработкой  $p$ -ром AuCl<sub>3</sub> создать слой  $p$ -типа и пропускать ток через  $p$ - $n$ -переход в пропускном направлении при 77° К, то наблюдается свечение, полоса которого имеет максимум при 8640 Å и такую же полуширину, как в случае фотолюминесценции. Различие в положениях максимумов приписано поверхностному характеру свечения на  $p$ - $n$ -переходе и самопоглощению излучения в более толстых слоях в случае фотолюминесценции. Сделан вывод, что свечение в обоих случаях обусловлено одинаковой рекомбинацией в результате либо переходов электронов из зоны проводимости в валентную зону, либо переходов экситонов. Путем измерения коротковолновой границы пропускания и длинноволновой границы фотоэ. д. с. на  $p$ - $n$ -переходе при различных  $T$ -рах найдено, что ширина запрещенной зоны равна 1,51 эв при 293° К, а ее температурный коэфф. изменяется от  $2,34 \cdot 10^{-4}$  эв при 77° К до  $5,44 \cdot 10^{-4}$  эв при 800° К.

**74226. Интегральная светоотдача электролюминесценции некоторых цинксульфидных фосфоров.** Ньюделман, Матосси (Time-average electroluminescence output of some zinc sulfide phosphors. Nudelman S. I., Matossi Frank), J. Electrochem. Soc., 1956, 103, № 1, 34—38 (англ.)

Для зеленой и синей полос свечения электролюминесцирующих фосфоров ZnS-(Cu, Pb) и ZnS-(Cu, Pb, Mn) зависимость интегральной отдачи  $B$  от частоты  $\nu$  приложенного поля, выраженная в виде  $1/B = f(1/\nu)$ , в интервале 100—1000 гц имеет линейный характер. При более высоких и низких  $\nu$  линейность нарушается. В первом случае это объясняется зависимостью числа электронов в полосе проводимости от  $\nu$ . Отклонение при низких  $\nu$  не может быть объяснено одним эффектом поляризации. При переходе от синусоидального возбуждения к возбуждению импульсами прямоугольной формы при низких  $\nu$  отдача с увеличением  $\nu$  нарастает более быстро, а при высоких  $\nu$  — оказывается меньше реализуемой при синусоидальном возбуждении.

**74227. Люминесценция и электропроводность, связанные с дефектами решетки щелочногалогенидных кристаллов.**

**Ю л с, С т е д** (Luminescence and electrical conductivity associated with defects in alkali halide crystals. E w l e s J., Stead J. C.), Proc. Phys. Soc., 1956, B69, № 3, 396—402 (англ.)

Исследованы спектры возбуждения и излучения, а также электропроводность  $\sigma$ : 1) чистых отожженных монокристаллов NaCl и KCl; 2) чистых кристаллов, быстро охлажденных в вакууме от т-ры плавления до  $-196^\circ$ ; 3) пленок, сублимированных в вакууме на Pt при  $-196^\circ$ ; 4) отожженных монокристаллов, содержащих  $\sim 6 \cdot 10^{-4}$  ат. %  $\text{Ca}^{2+}$ ,  $\text{Sr}^{2+}$  или  $\text{Ba}^{2+}$  и 5) кристаллов, деформированных сжатием. Наблюдается близкое сходство между спектрами возбуждения и между спектрами излучения кристаллов KCl (или NaCl), полученных по способам (2), (4) и (5). В случае спектров излучения имеются также определенные различия, связанные с природой примесного иона ( $\text{Ca}^{2+}$ ,  $\text{Sr}^{2+}$  или  $\text{Ba}^{2+}$ ). Сходство спектров указывает на общность центров свечения в кристаллах, полученных этими способами. Так как примесь 2-валентных ионов увеличивает эффективность общих для всех кристаллов пиков возбуждения и, кроме того, повышает концентрацию катионных вакансий, то сделан вывод, что эти вакансии являются основной частью центра свечения и что термич. или механич. деформации создают или облегчают образование вакансий. При т-рах  $< 400^\circ$  концентрация  $\text{Ba}^{2+}$  не влияет на  $\sigma$  KCl, что приписано образованию неподвижных комплексов между  $\text{K}^+$ -вакансией и  $\text{Ba}^{2+}$ . С этой точки зрения сходство спектров возбуждения для разных примесных ионов показывает, что центр свечения состоит из катионной вакансии, связанной с любым 2-валентным катионом. Различия в спектрах излучения приписаны различной природе этих катионов. Низкотемпературные участки кривых  $\lg \sigma = (1/T)$  для кристаллов NaCl, полученных по способам (1), (2), (3) и (4), имеют близкий наклон, что подтверждает представление о переносе тока при низкой т-ре катионными вакансиями. По этим кривым оценено, что при  $300^\circ$  концентрация  $\text{Na}^+$ -вакансий в NaCl типа (2) в 4 раза, а в пленках NaCl типа (3) в 5 раз выше, чем в NaCl типа (1).

**Х о м з е, Г о ф м а н, З е й д е л ь** (Über einen «Ausleuchteffekt» bei Organo-Phosphoren. Chomse H., Hoffmann W., Seidel P.), Naturwissenschaften, 1956, 43, № 1, 12 (нем.)

Если во время затухания свечения некоторых органофосфоров (борная к-та — урании и борная к-та — триплавин), возбужденных и поддерживаемых при  $20^\circ$  или ниже, прикоснуться к ним нагретой до  $80-200^\circ$  стеклянной или металлической палочкой, то в месте касания наблюдается яркая вспышка свечения и сильное уменьшение длительности затухания.

**74229. К физике кристаллов. Г ю л а н** (Neuere Beiträge zur Physik der Kristalle. Gyulai Z.), Acta phys. Acad. sci. hung., 1956, 5, № 4, 425—443 (нем.; рез. русс.)

С помощью киносъемки показан последовательный рост отдельных слоев и рост одиночной вершины кристалла  $\text{Na}_2\text{S}_2\text{O}_3$  (I) из водн. р-ра. При соприкосновении р-ра I и спирта под микроскопом наблюдается интенсивное вращение — «капиллярное вращение». Исследованы явления пластич. деформации и рекристаллизации игольчатых кристаллов NaCl (II). На таких кристаллах, претерпевших деформацию изгиба, при высокой т-ре наблюдается выпрямление — рекристаллизация. Деформированные участки кристаллов растворяются более интенсивно, чем недеформированные. Рекристаллизация используется для получения кристаллофосфоров. Прилагая большое давление к смеси II и активатора  $\text{TiCl}_3$ , можно получить люминесцирующие в УФ-лучах таблетки. Если спрессовывание II происходит при  $600^\circ$ , то электроны из стальной пресса переходят в таблетку II и образуют F-центры.

Максимум кривой поглощения таких кристаллов совпадает с максимумом кривой поглощения кристаллов II, облученных рентгеновскими лучами.

**74230. Поляризованная люминесценция кубических кристаллов. Ф е о ф и л о в П. П.**, Успехи физ. наук, 1956, 58, № 1, 69—84  
Обзор. Библ. 9 назв.

**74231. Центры окраски в метафосфатном стекле. Ш у л м а н, Б а с у** (Colour centres in metaphosphate glass. Schulman James H., Basu Sadhan), Nature, 1956, 177, № 4502, 287 (англ.)

Шулман указывает, что Басу (РЖХим, 1956, 31770) ошибочно приписывает ему взгляд, согласно которому окрашивание метафосфатных стекол при рентгенизации обусловлено присутствием активирующих примесей Al, Ba, Ag и других металлов. В ряде работ Шулман показал, что в K—Ba—Al-метафосфатном стекле широкие полосы поглощения при 420 и 530 мμ не связаны с примесями металлов. В ответном письме Басу соглашается с Шулманом и отвечает, что ни одна из обнаруженных им полос не наблюдалась в системе, исследованной Шулманом, а полоса 420 мμ отсутствует в системе, изученной Басу.

**74232. О фотохимическом превращении красящих центров в нагретых кристаллах хлористого калия. Ш а т а л о в А. А.**, Ж. эксперим. и теор. физики, 1955, 29, № 6, 847—856

Освещение монокристаллов KCl, окрашенных электролизом при  $500^\circ$ , светом из F-полосы при  $270-300^\circ$  разрушает F-полосу и создает X-полосу при  $\sim 740$  мμ, по форме близкую к F-полосе. Если при  $270-300^\circ$  прекратить освещение, то X-полоса быстро разрушается, а F-полоса восстанавливается. X-полосу можно «заморозить», и при комнатной т-ре она устойчива термически и оптически. Сделан вывод, что при освещении окрашенных кристаллов при высоких т-рах одновременно протекает оптич. разрушение F-центров ( $F \rightarrow X$ ) и термич. разрушение X-центров ( $X \rightarrow F$ ). Скорость роста X-полосы определяется скоростями обоих процессов; она весьма мала при  $20-100^\circ$ , далее быстро возрастает, достигая максимума при  $\sim 240^\circ$ , и снова резко падает. При  $150-250^\circ$  свет также полностью обесцвечивает F-полосу, но возникающие при этом полосы отличаются от X-полосы; по мере понижения т-ры они все сильнее понижаются, расширяются и смещаются в сторону длинных волн. Ниже  $150^\circ$  F-полоса обесцвечивается лишь частично. На основании данных по образованию колл. частиц металла в щелочногалоидных кристаллах сделан вывод, что X-центры представляют собой  $F_2$ -центры, образующиеся путем быстрого слипания термически неустойчивого F-центра с галоидной вакансией

$\text{Cl}_\square$  по схеме:  $F + F \xrightarrow{h\nu} \text{Cl}_\square + F' \rightarrow F_2$ . Для такого процесса необходима достаточная подвижность ионов. т. е. высокая т-ра.

**74233. К исследованию спектров поглощения и отражения CuI и CuBr при низких температурах. Н и к и т и н, Р е й с с, П е р н и** (Contribution à l'étude du spectre d'absorption et de réflexion du CuI et CuBr aux basses températures. Nikitine Serge, Reiss René, Perny Guy), C. r. Acad. sci., 1956, 242, № 12, 1588—1590 (франц.)

Спектры снимались при т-ре кипящего водорода. Пластины CuI толщиной  $\sim 0,4$  мμ получали сублимацией в вакууме на подогретую подкладку. В спектре поглощения имеются резкие линии  $\lambda_1$  4065,6 Å, шириной 2 Å и  $\lambda_2$  4051 Å, шириной 10 Å. Эти линии автор отождествляет с границами серии дублетов, наблюденной ранее (РЖХим, 1956, 31771). Эти границы совпадают с коротковолновым краем первой линии и длинноволновым краем второй. Расстояние между линиями несколько больше расстояния между границами серии вследствие компакт-

ной структуры сублимированных пластинок. В спектре отражения  $\text{CuI}$  имеется 2 максимума, по положению совпадающие с линиями поглощения, которые сопровождаются двумя минимумами поглощения  $\lambda$  4055,6 и  $\lambda$  4044,4 Å; второй весьма резкий минимум соответствует «отсутствующим лучам» (РЖХим, 1956, 57408). Измерения на тонких пленках  $\text{CuBr}$  при 77° К (РЖХим, 1956, 70991) дополнены исследованием плавленных пластинок толщиной в несколько  $\mu$  при т-ре жидкого водорода. В спектре поглощения имеются 2 тонкие слабые линии  $\lambda_1$  4251 и  $\lambda_2$  4225 Å, сопровождаемые сплошным спектром с размытым краем при  $\sim 4200$  Å. В более тонких частях пластинок линии  $\lambda_1$  и  $\lambda_2$  отсутствуют, но появляются интенсивные и широкие линии  $\lambda_3$  4190 и  $\lambda_4$  4171 Å. Последняя сопровождается минимумом поглощения при  $\sim 4158$  Å, обусловленным «отсутствующими лучами». Линия  $\lambda$  4163 Å (РЖХим, 1956, 70991) отождествлена с дублетом  $\lambda_3, \lambda_4$ . А. Х.

74234. Водородоподобный (экситонный) спектр флуоресценции чистого сульфида кадмия при 20° К. Грийо, Грийо, Пестей, Змерли (Spectre de fluorescence quasi hydrogénoïde (exciton) de sulfure de cadmium pur à 20° К. Grillot Edmond, Grillot Marguerite, Pesteil Paul, Zmerli Adnan), C. r. Acad. sci., 1956, 242, № 14, 1794—1796 (франц.)

При получении крупных монокристаллов  $\text{CdS}$  (РЖХим, 1956, 64383) в более холодных зонах трубчатой печи (600—700°) получены также игольчатые кристаллы, флуоресценция которых при т-ре жидкого водорода резко отличается от таковой образцов чистого  $\text{CdS}$ , полученных другими методами. При возбуждении близкими УФ-лучами спектр флуоресценции состоит из красной полосы, простирающейся за 5900 Å, весьма слабой зеленой полосы и шести линий в синей области спектра. В первом приближении  $\nu_n$  линий удовлетворяют серийной ф-ле водородоподобного атома  $\nu_n = A - B/n^2 = \nu_\infty - B/n^2 = 20\,700 - 6500/n^2$  см<sup>-1</sup>;  $n = 3, 4, 5, 6, 7, 8$ , где  $A$  совпадает с границей поглощения кристалла, а  $n$  — порядковый номер линии. Частоты линий излучения 8, 7, 6 и 5 близки к частотам наиболее интенсивных линий поглощения в сложной структуре спектра  $\text{CdS}$  при 4° К (РЖХим, 1956, 24944). На этом основании авторами сделан вывод, что ими впервые обнаружено излучение флуоресценции, обусловленное экситонами. По мнению авторов, большая интенсивность излучения экситона в этих кристаллах обусловлена низкой конц-ией центров зеленого свечения и поэтому слабым переносом энергии к этим центрам. А. Х.

74235. Классическая теория циклотронного резонанса дырок в Ge. Латтингер, Гудман (Classical theory of cyclotron resonance for holes in Ge. Luttinger J. M., Goodman R. R.), Phys. Rev., 1955, 100, № 2, 673—674 (англ.)

Рассчитана форма линии циклотронного резонанса дырок в Ge при не очень низких т-рах (квантовые эффекты не учитываются). По сравнению с обычной теорией (РЖХим, 1956, 42497) квазимульсы  $\kappa_H$  дырок в направлении магнитного поля полагаются не равными нулю. Принимается, что  $\kappa_H$  распределены по бoльцмановскому закону. Учет теплового распределения  $\kappa_H$  приводит к заметному асимметричному уширению линии и смещению ее максимума. При  $\omega\tau = 7,5$  ( $\tau$  — время релаксации) относительное уширение линии составляет  $\sim 40\%$ , а относительное смещение максимума  $\sim 3\%$ . Ш. К.

74236. Доказательство аномальной термо-э. д. с. в германии. Троусил (Důkaz anomálního termoelektrického napětí v germania. Trousil Zdeněk), Českosl. časop. fys., 1956, 6, № 1, 93—95 (чеш.); Чехосл. физ. ж., 1956, 6, № 2, 170—172 (англ.; рез. русс.) Экспериментальная проверка предсказанного Тауцем

(РЖФиз, 1955, 22181) эффекта аномальной термо-э. д. с. в Ge. А. Х.

74237. Замечания о травленных кристаллах титаната бария. Кемпбелл (Observations on etched crystals of barium titanate. Campbell D. S.), Philos. Mag., 1955, 46, № 382, 1261—1262 (англ.)

Выращенные из расплава кристаллы  $\text{BaTiO}_3$ , не поляризованные внешним полем, травилы соляной и фосфорной к-тами. Исследование фигур травления подтверждает результаты более ранней работы (РЖХим, 1956, 60926). Сильнее всего травятся положительные концы с-доменов, слабее — а-домены и совсем слабо — отрицательные концы с-доменов. с-домены простираются вертикально сквозь кристалл. Однако закономерное чередование доменов по схеме «голова — хвост», обусловленное электростатическим взаимодействием, сохраняется только на некотором крит. расстоянии ( $\sim 0,07$  мкм). В силу этого, более тонкие кристаллы должны сильнее реагировать на внешнее электрич. поле. М. Ч.

74238. Плазменный резонанс в кристаллах. Эксперимент и теория. Дресселхаус, Кип, Киттел (Plasma resonance in crystals: observations and theory. Dresselhaus G., Kip A. F., Kittel C.), Phys. Rev., 1955, 100, № 2, 618—625 (англ.)

Обнаружен плазменный резонанс в кристалле  $n\text{-InSb}$  при т-рах 4 и 77° К и частотах  $f = 9000$  и  $24\,000$  Мгц. Конц-ия носителей тока в образце  $\sim 10^{14}$  см<sup>-3</sup>, она практически не изменялась во всем интервале т-р. Теоретич. зависимость магнитного поля при резонансе от  $f$ ,  $n$ , формы и ориентации образца подтверждается опытом. Ш. К.

74239. Зависимость электропроводности и температуры плавления нестехиометрической закиси железа от ее состава. Обри, Марьон (Sur les variations de la conductivité électrique et de la température de fusion du protoxyde de fer en fonction de sa composition. Aubry Jacques, Marion Fernand), C. r. Acad. sci., 1955, 241, № 24, 1778—1781 (франц.)

Исследована зависимость уд. сопротивления  $\rho$  (ом<sup>-1</sup>см<sup>-1</sup>) нестехиометрич.  $\text{Fe}_{1-x}\text{O}$  ( $0,054 \leq x \leq 0,12$ ) от состава находящейся в равновесии с ней смеси  $\text{H}_2\text{O}_{\text{газ}} - \text{H}_2$  при постоянной т-ре  $t$ . Проволоку из  $\text{Fe}_{1-x}\text{O}$  получали окислением Fe-проволоки. Хим. состав  $\text{Fe}_{1-x}\text{O}$  вычисляли с помощью ур-ния  $f(\text{состав}, t, P_{\text{H}_2\text{O}}/P_{\text{H}_2}) = 0$  (РЖХим, 1956, 3627). Сечение проволоки определяли по ее уд. весу. Установлено, что при  $t = \text{const}$   $\rho = Kx$ ; здесь  $K$  — функция только т-ры:  $K_{632^\circ} = 1460$ ,  $K_{916^\circ} = 1800$ ;  $x$  — конц-ия вакантных узлов ионов  $\text{Fe}^{2+}$  согласно ф-ле  $[\text{Fe}_{1-3x}^{2+} \text{Fe}_{2x}^{3+} \square_x]_0$ , где  $\square$  — вакансии  $\text{Fe}^{2+}$ . В области устойчивости FeO изменение состава газовой фазы ( $\text{H}_2\text{O} - \text{H}_2$ ) вызывает обратимое и практически мгновенное изменение  $\rho$  до нового равновесного значения. Для измерения т-ры плавления  $t_{\text{пл}}$  проволоку из  $\text{Fe}_{1-x}\text{O}$  известного состава, находящуюся в равновесии с газовой фазой  $\text{H}_2\text{O} - \text{H}_2$ , расплавляли электрич. током; хим. состав  $\text{Fe}_{1-x}\text{O}$  при  $t_{\text{пл}}$  определяли экстраполяцией. Найдено  $\text{Fe}_{0,932}\text{O}$  1378°;  $\text{Fe}_{0,910}\text{O}$  1382°;  $\text{Fe}_{0,890}\text{O}$  1387°. А. Х.

74240. Постоянная Холла поликристаллического графита. Хаузер (Zum Hall-Koeffizienten von polykristallinem Graphit. Hauser Oskar), Z. phys. Chem. (DDR), 1956, 205, № 4, 241—243 (нем.)

Для измерения постоянной Холла  $R$  поликристаллич. углерода образцы из кокса, сажи и других углеродистых в-в прокаливали без доступа воздуха при 1400—3000° и после охлаждения до 20° измеряли  $R$ . Зависимость  $R$  от т-ры прокалики выражается колоколообразной кривой с максимумом при 2000°. При т-рах  $\leq 1500$  и  $\geq 2300^\circ$   $R$  имеет отрицательный знак, при 2000°  $R$  имеет положительный знак и для одного из образцов равна

+14 в см  $\alpha^{-1} \text{ } \Omega^{-1}$ . Абс. значение  $R$  зависит от происхождения образца, но максимум  $R$  имеет положительный знак и лежит при 2000° для всех образцов. По мнению автора, при 2000° образуются вакансии и межузельные атомы, которые «замораживаются» при охлаждении и являются акцепторами электронов. Отмечена возможная связь между положительным знаком  $R$  и ромбодрич. модификацией графита (РЖХим, 1955, 11174) А. Х. 74241. Термо-э. д. с. и электросопротивление разбавленных растворов Mn, Pd и Pt в Cu, Ag и Au. Оттер (Thermoelectric power and electrical resistivity of dilute alloys of Mn, Pd, and Pt in Cu, Ag, and Au. Otter F. A., J. Appl. Phys., 1956, 27, № 3, 197—200 (англ.))

Измерены термо-э. д. с.  $E_T$  и уд. сопротивление  $\rho$  сплавов Cu-Pd, Ag-Pd, Au-Pd, Cu-Pt, Ag-Pt, Au-Pt, Cu-Mn, Ag-Mn и Au-Mn в интервале от -195 до +500° для  $\rho$  и до +650° для  $E_T$  в сплавах, содержащих Pd и Pt, подчиняется правилу Маттисена, а сплавов с Mn — не подчиняется ему.  $\rho$  сплавов, содержащих >8 ат. % Mn, отклоняется от линейности при низких  $t$ -рах, причем  $t$ -ра начала отклонения возрастает с конц.-ей Mn.  $E_T$  сплавов Pt и Pd имеет отрицательный знак относительно чистых  $r$ -рителей и довольно постоянна относительно  $r$ -рителей при высоких  $t$ -рах.  $E_T$  сплавов с Mn становится положительной относительно  $r$ -рителей выше некоторой  $t$ -ры (25° для Cu-Mn, -170° для Ag-Mn, 150—250° для Au-Mn). Дана теоретич. интерпретация результатов. А. Х.

74242. Органические полупроводники с высокой проводимостью. I. Комплексы между полициклическими ароматическими углеводородами и галогенами. Акамацу, Инокучи, Мацунага (Organic semiconductors with high conductivity. I. Complexes between polycyclic aromatic hydrocarbons and halogens. Akamatsu Hideo, Inokuchi Hiroo, Matsunaga Yoshio, Bull. Chem. Soc. Japan, 1956, 29, № 2, 213—218 (англ.))

Следующие в-ва образуют комплексы с  $\text{Br}_2$  (указан цвет комплекса): бензантрон (красновато-коричневый), дифензилперилен, дистеарилперилен (коричневые), 1,2-бис(пиренил)хинон (темно-коричневый), виолантрон (темно-фиолетовый), перилен (I), дибромперилен, антрантен, мезо-нафтодиантрон, пирантрон, виолантрон (II), дифенилперилен, дифензокоронен, овален (черные). I, II и окись динафтила дают черные комплексы с  $\text{J}_2$ . Измерено сопротивление  $\rho$  порошкообразных комплексов, спрессованных при давл. 200 кг/см<sup>2</sup>.  $\rho$  свежеполученных образцов колеблется от 5 ом см для комплекса дибромперилена до 900 ом см для комплекса окись динафтила-иод. Сухие комплексы обладают электронной проводимостью, влажные — частично ионной. Со временем  $\rho$  возрастает вследствие уменьшения кол-ва комплексно связанного Br по р-ции  $\text{C}_{20}\text{H}_{12} + 4\text{Br} \rightarrow \text{C}_{20}\text{H}_{10}\text{Br}_2 + 2\text{HBr}$ . В результате  $\rho$  I и II достигает  $\sim 10^3$  ом см. Комплекс II с  $\text{J}_2$  устойчив вплоть до  $\sim 60^\circ$ , и его  $\rho$  не изменяется при хранении. Зависимость  $\rho$  от  $t$ -ры для всех комплексов черного цвета в интервале от +20 до -170° описывается ур-нием  $\rho = \rho_0 \exp(\Delta\varepsilon/2kT)$ , где  $\Delta\varepsilon$  для комплексов I с  $\text{Br}_2$ , II с  $\text{Br}_2$  и с  $\text{J}_2$  и пирантрена с  $\text{Br}_2$  равно 0,1—0,2 эв против  $\sim 1$  эв для соответствующих углеводородов. Высокая проводимость комплексов приписана взаимодействию углеводородных молекул с молекулами галогена и перекрытию молекулярных орбит. А. Х.

74243. Сверхпроводимость при частотах миллиметрового диапазона. Блевинс, Горди, Фэрбанк (Superconductivity at millimeter wave frequencies. Blewins Gilbert S., Gordy Walter, Fairbank William M., Phys. Rev., 1955, 100, № 4, 1215—1216 (англ.))

Измерена температурная зависимость активной части

поверхностного сопротивления  $R$  Sn при частотах  $\nu$   $7,7 \cdot 10^{10}$ — $15,0 \cdot 10^{10}$  гц в интервале 1,6—4,0° К. Наблюдается смещение  $T_h$  в сторону более низких  $t$ -р, величина которого линейно зависит от  $\nu$  и  $\nu$   $15 \cdot 10^{10}$  гц равна 0,1° К.  $R$  растет с  $\nu$  при  $t$ -рах  $< T_c$ . При  $T = 0$   $R$  не равно нулю при всех  $\nu$ . Смещение  $T_h$  и увеличение  $R$  трактуется, исходя из существования между сверхпроводящим и нормальным состояниями энергетич. щели, ширина которой возрастает при понижении  $t$ -ры. П. Б.

74244. По поводу статей С. Э. Хайкина, С. В. Лебедева, Л. Н. Бороодовской, опубликованных в ЖЭГФ за 1954—1955 гг. Кварцхава И. Ф., Ж. эксперим. и теор. физики, 1956, 30 № 3, 621—623

Повторение опытов указанных авторов (РЖХим, 1955, 11216, 31149) показало, что закон Ома для твердого состояния выполняется вплоть до плотностей тока  $\sim 10^4$  а/см<sup>2</sup> и что «аномальное» состояние в-ва в действительности представляет собой начало бурного разрушения проволоки. А. Х.

74245. Новые сегнетоэлектрики и антисегнетоэлектрики кислородно-октаэдрического типа. Смоленский Г. А., Изв. АН СССР, сер. физ., 1956, 20, № 2, 163—177

Рассмотрены физ.-хим. свойства сегнетоэлектриков и антисегнетоэлектриков со структурой типа перовскита ( $\text{BaTiO}_3$ ,  $\text{SrTiO}_3$ ,  $\text{CdTiO}_3$ ,  $\text{PbTiO}_3$ ,  $\text{PbZrO}_3$  ( $\text{Ba,Pb}$ ) $\text{SnO}_3$ ,  $\text{NaTaO}_3$ ,  $\text{KTaO}_3$ ,  $\text{NaNbO}_3$ ,  $\text{KNbO}_3$ ,  $\text{PbHfO}_3$ ), ильменита ( $\text{LiTaO}_3$ ,  $\text{LiNbO}_3$ ), трехокиси рения ( $\text{WO}_3$ ) и пироксидов ( $\text{Cd}_2\text{Nb}_2\text{O}_7$ ,  $\text{PbNb}_2\text{O}_6$ ,  $\text{PbTa}_2\text{O}_6$ ,  $\text{NaVO}_3$ ). Для всех этих в-в характерно октаэдрич. окружение ионами  $\text{O}^{2-}$  меньшего по размерам катиона, и поэтому они названы сегнето- и антисегнетоэлектриками кислородно-октаэдрич. типа. Сделан вывод, что спонтанная поляризация может возникнуть в кристаллах, кислородные октаэдры которых полностью или частично заселены катионами, имеющими электронное строение атома благородного газа после отдачи  $s$ - и  $d$ -электронов, большой заряд и малый ионный радиус. Исключение составляют кристаллы, содержащие ионы  $\text{Pb}^{2+}$ , когда катионы могут не иметь строения атома благородного газа, напр.  $\text{Sn}^{4+}$ . Это приписано влиянию сильно поляризуемых ионов  $\text{Pb}^{2+}$  на характер связей в этих кристаллах. Сформулированы условия справедливо и для несегнетоэлектриков с высокой диэлектрич. проницаемостью ( $>40$ ). А. Х.

74246. Динамическая теория ионных решеток сегнетоэлектрических кристаллов в статических условиях. Колосовский В. Х., Ж. техн. физики, 1956, 26, № 5, 963—976

Рассмотрены одномерные ангармонич. колебания сегнетоактивных ионов в отсутствие и при наложении электрич. поля. Установлен критерий возможности спонтанной поляризации как коллективного эффекта, заключающегося в возможности согласованного смещения всех ионов. Сегнетоэлектрики предлагается разделить на жестко и мягко коррелированные. Для первых характерен фазовый переход I рода и температурный гистерезис, для вторых — фазовый переход II рода. Температурная зависимость смещения и дисперсии для первых качественно согласуется с рентгенографич. данными для  $\text{BaTiO}_3$  во всем измеренном интервале  $t$ -р. Диэлектрич. проницаемость выше  $t$ -ры фазового перехода подчиняется закону Кюри — Вейсса, причем для жестко коррелированных сегнетоэлектриков она положительна при  $t$ -ре, отличной от  $t$ -ры фазового перехода. Приближенное решение ур-ний движения в сильных полях показывает, что петля гистерезиса жестко коррелированных сегнетоэлектриков меняет свою форму с приближением к  $t$ -ре перехода: посредине петли появляются перегибы, затем она делится на две петли. У сегнетоэлектриков второго типа петля гистерезиса с приближением к точке Кюри сжимается к началу координат. Резюме автора.

74247. Динамика ионных решеток сегнетоэлектрических кристаллов в предельных случаях. Козловский В. Х., Ж. эксперим. и теор. физики, 1956, 30, № 4, 766—779

Предложен метод рассмотрения движения ионов сегнетоэлектрика, не ограниченный величиной ангармонич. Ял. Рассмотрен сегнетоэлектрик, сегнетоактивные ионы которого колеблются, как жесткая решетка, а также связанные колебания двух жестких решеток. Определяется температурная зависимость смещений и дисперсий в качестве согласии с опытом. Уточнены результаты модельного рассмотрения ангармонич. вибратора и показана возможность перехода I рода. Предложено модельное рассмотрение сегнетоэлектрика, содержащего двухатомные сегнетоактивные молекулы. Установлены критерии кол-ва и характера фазовых переходов. Резюме автора.

74248. Парамагнетизм титано-цезиевых квасцов. Блани, Богл, Кук, Даффус, О'Брайен, Стивенс (Paramagnetism of caesium titanium alum. Bleaney B., Bogle G. S., Cooke A. H., Duffus R. J., O'Brien M. C. M., Stevens K. W. H.), Proc. Phys. Soc., 1955, A 68, № 1, 57—58 (англ.)

Исследован парамагнитный резонанс (ПР) в монокристалле титано-цезиевых квасцов в области т-р 2,5—4,2° К. Из спектра ПР вытекает, что  $g$ -фактор анизотропен и имеет значения  $g_{\parallel} = 1,25$  и  $g_{\perp} = 1,14$ . Ширина линии в изученной области т-р не меняется и равна  $250 \pm 50$  Гс; эта величина не может быть объяснена чисто дипольными магнитными взаимодействиями, значительную роль должны играть обменные силы. Полученные из опыта значения  $g$ -факторов не могут быть объяснены обычной теорией расщепления основного энергетич. уровня  $Ti^{3+}$  в электрич. поле кристалла. Колич. истолкование эксперим. результатов удается, если допустить существование ковалентной  $\pi$ -связи между ионом  $Ti^{3+}$  и окружающими его молекулами воды. Как было показано (Van Vleck J. H., J. Chem. Phys., 1935, 3, 807),  $d^1$ -электрон не может участвовать в  $\pi$ -связи с октаэдрич. комплексом молекул воды. С. А.

74249. Магнитная восприимчивость Cu, Ag и Au и ошибки метода Гуи. Генри, Роджерс (The magnetic susceptibilities of copper, silver and gold and errors in the Gouy method. Henry W. G., Rogers J. L.), Philos. Mag., 1956, 1, № 3, 223—236 (англ.)

Определены значения уд. магнитной восприимчивости при 23° для Cu ( $-0,0859 \pm 0,0002 \cdot 10^{-6}$ ), Ag ( $-0,1812 \pm 0,0005 \cdot 10^{-6}$ ), Au ( $-0,1421 \pm 0,0004 \cdot 10^{-6}$ ). Обсуждено введение поправки на ферромагнетизм примесей и сравнены вероятные ошибки при работе методом Гуи с длинными и короткими образцами. В. Г.

74250. Парамагнитный резонанс двухвалентного марганца, внедренного в различные решетки. Виринген (Paramagnetic resonance of divalent manganese incorporated in various lattices. Wieringen J. S. van). Disc. Faraday Soc., 1955, № 19, 118—126; Discuss. 173—186 (англ.)

Исследования проводились на порошках диамагнетиков, содержащих 0,005—0,1% Mn, при комнатной т-ре на длинах волн 3 и 1,25 см. Наблюдалась сверхтонкая структура (СТС) электронного резонанса иона  $Mn^{2+}$  с константами (в а):  $KMgF_2$  (I) 98;  $CaF_2$  99;  $CsCaF_3$  97;  $CaO$  91;  $4MgO \cdot 3Al_2O_3$  87;  $6MgO \cdot Al_2O_3$  87;  $MgAl_2O_4$  87;  $0,1Zn \cdot 1Al_2O_3$  81;  $ZnS$  69;  $CdS$  (II) 65;  $CdTe$  (III) 59. Значения  $g$ -факторов II и III равны 2,006 и 2,008 соответственно; для остальных в-в 2,004. В I обнаружено слабое расщепление компонент СТС за счет тонкой структуры. Автор считает, что величина константы зависит от характера связи иона  $Mn^{2+}$  с соседними частицами; чем более ковалентны эти связи, тем меньше константа. Принимая, что во фторидах и в водн. р-рах связь  $Mn^{2+}$  с окружением чисто ионная, автор находит для связей О, S, Se и Te «степень ковалентности» соответственно 10—20, 30, 35 и 40%. Л. Ш.

74251. Некоторые новые детали кривых антиферромагнитного резонанса в  $CuCl_2 \cdot 2H_2O$  на частоте 9500 Мгц. Гарбер, Герритсен (Some further details of the antiferromagnetic resonance diagram in  $CuCl_2 \cdot 2H_2O$  at 9500 MHz. Garber M., Gerritsen H. J.), Physica, 1956, 22, № 3, 189—193 (англ.)

Проведены тщательные измерения зависимости резонансного поля от угла  $\beta$  между осью  $a$  кристалла и внешним полем, находящимся в плоскости  $ab$  кристалла. Измерения проводились при 1,4° К на частоте 9500 Мгц. В верхней части диаграммы вблизи  $\beta^2 = 0$  наблюдается минимум в  $120 \pm 20$  э, величина которого не зависит от т-ры до 3,5° К. На теоретич. кривой (РЖХим, 1955, 13522) имеется минимум при  $\beta = 0$  в 15 э, обусловленный уменьшением  $g$ -фактора при удалении от оси  $a$ . Максимумы этой кривой находятся при  $\beta = 3 \pm 0,5^\circ$ , в то время как на эксперим. кривой максимумы ближе к оси  $a$ . Таким образом, причина появления наблюдаемого минимума остается неизвестной. К. В.

74252. Ширина линий антиферромагнитного резонанса в  $CuCl_2 \cdot 2H_2O$  на частоте 9400 Мгц. Герритсен, Гарбер, Древес (Antiferromagnetic resonance line widths in  $CuCl_2 \cdot 2H_2O$  at 9400 MHz. Gerritsen H. J., Garber M., Drewes G. W. J.), Physica, 1956, 22, № 3, 213—223 (англ.)

Изучена температурная зависимость ширины линий (ШЛ) антиферромагнитного резонанса в  $CuCl_2 \cdot 2H_2O$  на частоте 9400 Мгц. Постоянное поле  $H$  было направлено по оси  $a$  кристалла. Наблюдалась оба пика антиферромагнитного резонанса: пик в низких полях  $H_L < H_C$  и пик в высоких полях  $H_H > H_C$  ( $H_C$  — критич. поле). ШЛ  $H_L$  быстро увеличивается с т-рой: от 140 э при 3° К до 3000 э при 4,1° К. При 4,1° К  $H_L = 0$  и  $d\omega/dH_L = 0$ ; поэтому малое изменение ШЛ по частоте вызывает большое изменение по полю. Линия  $H_L$  в низких полях асимметрична: полуширина со стороны больших полей (правая) больше левой. Линия в больших полях  $H_H$ , будучи симметричной в пределах ошибок опыта, имеет отличную от  $H_L$  зависимость от т-ры: от 2,5 до 3,4° К ШЛ приблизительно постоянна и меньше, чем ШЛ парамагнитного резонанса ( $\Delta H_H \sim 10-30$  э); при понижении т-ры ниже 2,5° К ШЛ быстро возрастает, и медленно — при повышении т-ры выше 3,4° К. Наблюдаемое изменение  $\Delta H_H$  от т-ры объясняется тем, что резонансное значение поля для пика в высоких полях при этих т-рах близко к  $H_C$ . Проведены также измерения ШЛ в плоскостях  $ab$  и  $ac$  кристалла в зависимости от угла  $\beta$  между осью  $a$  и внешним полем.  $\Delta H_H$  сужается для небольших углов  $\beta$  ниже 2,3° К и уширяется выше 2,3° К. К. В.

74253. Анизотропия и магнитоstriction некоторых ферритов. Бозорт, Тилден, Вильямс (Anisotropy and magnetostriction of some ferrites. Bozorth R. M., Tilden Elizabeth F., Williams Albert J.), Phys. Rev., 1955, 99, № 6, 1788—1798 (англ.)

Измерены константы  $K_1$  магнитной анизотропии и константы  $\lambda_{100}$ ,  $\lambda_{111}$  магнитоstriction монокристаллов ряда ферритов с общей ф-лой  $MF_2O_4$ , где  $M = Mn, Fe, Co, Ni$  или  $Zn$  в различных пропорциях. Ферриты Co характеризуются  $K_1 > 0$ , большими абс. величинами и отрицательным знаком  $\lambda_{100}$ . На магнитные свойства (анизотропию, форму гистерезисной петли) ферритов Co значительное влияние оказывает отжиг в сильном магнитном поле, направленном под углом к кристаллографич. осям. Все эти особенности исчезают при приближении состава ферритов к стехиометрическому ( $CoFe_2O_4$  или  $Fe_3O_4$ ). Значительное влияние отжига в поле обна-

ружено также у  $\text{Co}_{0.32}\text{Zn}_{0.24}\text{Fe}_{2.18}\text{O}_4$ . Измеренные значения  $K_1$  (при 20 и  $-196^\circ$ ), а также  $\lambda_{100}$  и  $\lambda_{111}$  табулированы. Ш. К.

**74254.** Теория ионного упорядочения, искажений кристаллической структуры и магнитного обмена, вызываемых ковалентными силами в шпинелях. Гудини Ф., Лоб (Theory of ionic ordering, crystal distortion, and magnetic exchange due to covalent forces in spinels. Goodenough J. B., Loeb A. L.), Phys. Rev., 1955, 98, № 2, 391—408 (англ.)

Проведен анализ возможных случаев образования ковалентных связей между катионами и анионами в шпинелях. Показано, что тетраэдрич. связывающие орбиты образуются преимущественно у катионов с заполненной  $d$ -оболочкой, которая отделена малым энергетич. зазором от ближайших незаполненных  $p$ - и  $s$ -оболочек, октаэдрич. связывающие орбиты — у ионов переходных элементов, имеющих частично заполненные  $d$ -оболочки с внешней электронной конфигурацией  $d^3$  или  $d^6$ , квадратные связывающие орбиты — у ионов переходных элементов с внешней электронной конфигурацией  $d^4$ ,  $d^8$  или  $d^9$ . Катионы с тетраэдрич. направленностью ковалентных связей, располагаются в шпинелях в тетраэдрич. положениях, а катионы с октаэдрич. и квадратной направленностью связей в октаэдрич. положениях. Проведена качественная оценка прочности возможных ковалентных связей различных катионов в шпинелях и предсказаны наблюдаемые на опыте распределения ионов в окислах со структурной шпинели. Рассмотрены искажения кристаллич. структуры; показано, что превращение куб. шпинели в ромбич. обусловлено упорядочением катионов в октаэдрич. местах, вызываемым своеобразным электронным упорядочением, а превращение куб. шпинели в тетрагональную обусловлено образованием ковалентной связи. На основе этого объяснено различие между  $\text{Fe}_3\text{O}_4$  и  $\text{Mn}_3\text{O}_4$ ,  $\text{ZnMn}_2\text{O}_4$ ,  $\text{CuFe}_2\text{O}_4$ . Объяснена тетрагональная структура металлич.  $\text{In}$  и шпинелей  $\text{CdIn}_2\text{O}_4$  и  $\text{CaIn}_2\text{O}_4$ , разница в температурном ходе электросопротивления в области фазового перехода в  $\text{Fe}_3\text{O}_4$ ,  $\text{Mn}_3\text{O}_4$  и  $\text{ZnMn}_2\text{O}_4$ , парамагн. изм. гаусманита  $\text{Mn}_3\text{O}_4$  ниже  $72^\circ\text{K}$ . Указано, что для гаусманита следует принимать ф-лу  $\text{Mn}^{2+}(\text{Mn}_2^{3+})\text{O}_4$ , а не  $\text{Mn}^{2+}(\text{Mn}^{3+}\text{Mn}^{4+})\text{O}_4$ .

Авторы предлагают механизм обменного взаимодействия электронов — «полуковалентный» обмен, который заключается в том, что благодаря сильному перекрытию заполненной  $p$ -оболочки аниона  $\text{O}^{2-}$  с незаполненной гибридной орбитой катиона возникает связь одного из электронов  $p$ -оболочки с нескомпенсированным спином катиона. Поскольку в образовании этой связи принимает участие лишь 1 электрон, авторы называют ее «полуковалентной». Электрон, образующий такую связь, имеет спин, параллельный нескомпенсированному спину катиона. Другой электрон аниона имеет, следовательно, спин, антипараллельный нескомпенсированному спину катиона и может, таким образом, образовывать аналогичную «полуковалентную» связь с катионом, находящимся с другой стороны аниона. В результате этого спины двух соседних катионов, разделенных между собой анионом, будут иметь антиферромагнитную ориентацию. С помощью понятия о «полуковалентном» обмене авторы объясняют магнитные свойства  $\text{Fe}_3\text{O}_4$ ,  $\text{Mn}_3\text{O}_4$  и  $\text{CuFe}_2\text{O}_4$ . А. П.

**74255.** К вопросу об ориентирующем действии магнитного поля на рост диа- и парамагнитных кристаллов. Ямзин И. И., Тр. Ин-та кристаллогр. АН СССР, 1955, вып. 11, 206—211

В работе теоретически рассмотрено ориентирующее действие магнитного поля на растущие в расплаве кристаллы, обладающие анизотропией магнитной восприимчивости. Автор приходит к выводу, что обнаружение ориентирующего действия магнитного поля наиболее вероятно в двух случаях: 1) если кристаллов немного и они возникают и растут в вязком расплаве и 2) если в расплаве об-

разуются ферромагнитные кристаллы хим. соединения при наличии эвтектич. или перитектич. точки. Я. Д.

**74256.** О магнитной симметрии кристаллов. Тавгер Б. А., Зайцев В. М., Ж. эксперим. и теор. физики, 1956, 30, № 3, 564—568

Рассмотрена симметрия кристаллов, обладающих магнитным моментом. Кроме преобразований координат, рассмотрены преобразования, содержащие замену знака времени. Выведены соответствующие точечные группы преобразований симметрии. Указано на несимметричность структуры кристаллов, обладающих магнитным моментом, относительно замены знака времени. Б. Т.

**74257.** Идентификация органических оснований по оптическим свойствам дилитуратов (нитробарбитуров) вторичных алифатических аминов. Плейн, Дьюн (Identification of organic bases by means of the optical properties of diluturates (nitrobarbiturates) secondary aliphatic amines. Plein E. M., Dewey Bartlett T.), Analyt. Chem., 1955, 27, № 2, 307—308 (англ.)

Приводятся кристаллографич. и оптич. свойства дилитуратов 20 вторичных алифатич. аминов, позволяющие идентифицировать вторичные алифатич. амины. В. Г.

**74258.** Об оптической ориентировке ортита. Варта нова Н. С., Золотухин В. В., Минералог. сб. Львовск. геол. о-ва при ун-те, 1955, № 9, 31—37. При составлении В. С. Соболевым таблиц оптич. ориентировки минералов им был обнаружен ряд противоречий и неточностей в различных справочниках (Винчелла, Ларсена и Бермана, Розенбуша). В частности, эти противоречия наблюдаются и для ортита. Для выяснения истинной ориентировки оптич. индикатрисы ортита авторы данной работы провели ряд тщательных измерений и исследований образцов ортита. Результаты показали правильность данных Розенбуша и ошибочность их у Винчелла. Г. П.

**74259.** Кристаллы льда. Басс, Магун (Eiskristalle. Bass R., Magun S.), Naturwissenschaften, 1956, 43, № 10, 213—217 (нем.)

Обзор. Библ. 23 назв.

**74260.** Рекристаллизация в металлах как процесс возврата и зарождения центров. Кеннеди (Recrystallization in metals as a recovery-nucleated process. Kennedy A. J.), Metallurgia, 1955, 52, № 314, 265—269 (англ.)

Рассмотрены современные теоретич. представления о механизме рекристаллизации металлов, процессы возврата и рекристаллизации на различных стадиях ползучести, представления автора о влиянии грани субзерен и полигонизации в сплавах на зарождение и рост зародышей рекристаллизации, отклонения параметров процесса рекристаллизации в реальном сплаве от теоретич. величин. Л. М.

**74261.** Исследование спекания германия. Кимура (ゲルマニウムの焼結について. 木村尚), 日本金屬学会誌, Нихон кинзюку гаккайши, J. Japan Inst. Metals, 1955, 19, № 10, 567—571 (япон.; рез. англ.)

Для получения Ge высокой чистоты использован метод порошковой металлургии. Получен отрицательный результат, так как Ge очень трудно спекается и поэтому в образцах остается много пустот, даже после обжига почти при т-ре плавления. Однако спекшийся при  $850^\circ$  образец имеет характерный для Ge раковистый излом, указывающий на спекление частиц Ge. Усадки при спекании не обнаружено. Процесс спекания исследован металлографич. методами. А. Х.

**74262.** Влияние  $\text{V}_2\text{O}_5$  на образование двойного феррита никеля и цинка. Граймс, Томассен, Джефферсон, Котхари (Effect of  $\text{V}_2\text{O}_5$  on nickel-zinc ferrite formation. Grimes D. M., Thomasen L., Jefferson C. F., Kothary N. C.), J. Chem. Phys., 1955, 23, № 11, 2205 (англ.)

Обнаружено, что при данном времени обжига примеся

$V_2O_5$  уменьшает т-пу обжига, необходимую для образования феррита из смеси  $NiO$ ,  $ZnO$  и  $Fe_2O_3$ . Этот эффект не обнаружен для примесей:  $Li_2CO_3$ ,  $KCl$ ,  $BeO$ ,  $FeCl_2$ ,  $B_2O_3$ ,  $As_2O_3$ ,  $Sb_2O_3$ ,  $P_2O_5$ ,  $K_2Cr_2O_7$ ,  $CrO_3$  и  $MoO_3$ . Уменьшение т-ры зависит от кол-ва  $V_2O_5$  и состава смеси. 0,75 моля  $V_2O_5$  уменьшает т-пу на  $400^\circ$  для состава  $Ni_{0.4}Zn_{0.6}Fe_2O_4$ . В качестве критериев полноты р-ции при обжиге служили окраска, размер зерна, плотность, рентгенограммы и магнитные свойства.

**74263. Повышение скорости роста кристалла подачей на него колебаний звуковой частоты. Витовский Б. В.,** Тр. Ин-та кристаллогр. АН СССР, 1955, вып. 11, 221—222

Показано, что объемная скорость роста кристалла, колеблющегося с частотой 50 гц и с амплитудой колебания 0,1—0,5 мм, в 4 раза больше скорости роста спокойно висающего в р-ре кристалла при прочих равных условиях. Это приписано ускорению диффузии в-ва через формирующий слой, прилегающий к кристаллу.

**74264. Современные методы и результаты в области выращивания монокристаллов. Часть I. Теоретические основы. Нейхаус (Methoden und Ergebnisse der modernen Einkristall-Züchtung. Teil I: Theoretische Grundlagen. Neuhäus A.),** Chem.-Ingr.-Techn., 1956, 28, № 3, 155—161 (нем.; рез. англ., франц.)

Обзор теорий кристаллизаций из расплава и р-ра. Библ. 28 назв.

**74265. К вопросу о выращивании монокристаллов титаната бария. Бенеш, Беднаржова, Шафрата (A contribution to the growing of single crystals of barium titanate. Beneš Josef, Bednářová Vendulka, Šafrata Stanislav),** Чехосл. физ. ж., 1956, 6, № 1, 56—64 (англ.; рез. русс.)

См. РЖХим, 1956, 31832.

**74266. Выращивание монокристаллов  $BaTiO_3$  из расплава, содержащих  $BaCl_2$ . Шафрата, Беднаржова, Бенеш (The growth of single crystals of barium titanate from melts with barium chloride. Šafrata Stanislav, Bednářová Vendulka, Beneš Josef),** Чехосл. физ. ж., 1956, 6, № 2, 185—191 (англ.; рез. русс.)

См. РЖХим, 1956, 38894.

**74267. Образование зародышей и рост кристаллов хлорида серебра. Кобаяси (Nucleus formation and growth of silver chloride. Kobayashi Koichi),** 東北大学理科報告, Тохоку дайгаку рика хококу, Sci. Rep. Tohoku Univ., 1953, ser. 1, 37, № 1, 125—130 (англ.)

Пересыщенный р-р  $AgCl$  получали быстрым смешением водн. р-ра  $AgNO_3$  с равным объемом  $KCl$ . Конц-ию ионов  $Ag^+$  и, следовательно, ход кристаллизации определяли по э. л. с. концентрационной ячейки. Исследован интервал начальных конц-ий ионов  $Ag^+$  и  $Cl^-$  от  $1,5 \cdot 10^{-5}$  (когда осаждение не происходит вовсе) до  $3,0 \cdot 10^{-5}$  М и выше (когда р-ция сопровождается быстрым падением конц-ии ионов  $Ag$ ). Между этими крайними случаями кривые зависимости конц-ии ионов  $Ag^+$  от времени обнаруживают относительно плоские участки, после которых конц-ия быстро падает. Эти участки интерпретируются как периоды индукции. Подтверждено соотношение  $IS^n = A$ , где  $I$  — индукционный период,  $S$  — степень пересыщения,  $A$  и  $n$  — константы. Исходя из допущения, что скорость р-ции определяется в основном числом зародышей, сделан вывод, что общее число ядер, образующихся в начальный момент в ходе кристаллизации, почти не изменяется. На основании кинетич. теории выводится урне для скорости роста кристаллов в предположении, что число ядер в процессе роста остается постоянным. Вычислен средний радиус зародыша для любой стадии кристаллизации. С помощью теории Оно (Оно С., Tech. Reps. Kyūsyū Imp. Univ., 1944, 19, 9) вычислено поверхностное натяжение  $\sigma$  между зародышем и пересыщ. р-ром ( $\sim 20$  дин/см).

**74268. Ориентированный рост кристаллитов при испарении. Кристаллиты фтористых соединений на плоскостях спайности монокристаллов. Сигета (Oriented overgrowth of evaporated crystallites. Fluoride crystallites on cleavage surfaces of single crystals. Shiget a J i r o),** J. Phys. Soc., Japan, 1956, 11, № 3, 206—210 (англ.)

Электроннографическим методом исследован ориентированный рост кристаллитов в тонких пленках  $LiF$ ,  $NaF$ ,  $CaF_2$ ,  $MgF_2$ ,  $AlF_3$  и  $NaAlF_6$ , полученных возгонкой в вакууме на плоскости спайности монокристаллов  $PbS$ ,  $NaCl$ ,  $Mo$  и  $ZnS$ , подогретых до  $15—450^\circ$ . Ориентированный рост наблюдается даже при больших различиях параметров решеток пленок и подложек ( $>20\%$ ). С другой стороны, для  $CaF_2$  на  $NaCl$  наблюдается случайная ориентация, хотя параметры различаются только на 3%. Двойниковые структуры не наблюдались, что опровергает механизм ориентированного роста Мензера (Menzer G., Naturwissenschaft, 1938, 26, 385; Z. Kristallogr., 1938, A99, 410). Автор считает, что объяснение причины ориентированного роста кристаллитов следует искать в ядерной теории (Uyeda R., Proc. Phys.-Math. Soc. Japan, 1942, 26, 809; Schultz L. G., Acta crystallogr., 1951, 4, 483).

**74269. Влияние среды при росте кристаллов на соответствие между морфологией и кристаллической структурой. Взаимодействие кристалла с растворителем (I). Керн (Influence du milieu de croissance sur la correspondance entre morphologie et structure cristalline. Interaction du cristal en du solvant (I). Kern Raymond),** Bull. Soc. franç. minéral. et cristallogr., 1955, 78, № 7-9, 461—474 (франц.)

**74270. К вопросу об ориентированной кристаллизации иодистого и бромистого калия на мусковите. Каменцев И. Е.,** Кристаллография 1956, 1, № 2, 240—243

На системах  $KBg$  — мусковит и  $KJ$  — мусковит изучена зависимость процента ориентированной кристаллизации от относительной разности параметров срастающихся плоских сеток. С целью избежания выпадения кристаллов из верхних слоев капли использовалась вертикальная кювета-кристаллизатор с помещенной в нее в вертикальном положении пластинки слюды. Найдено, что процент ориентированных кристаллов зависит от условий опыта. Получена полная ориентация  $KBg$  на мусковите, когда относительная разность параметров сеток достигает 11,4%. Изменение процента ориентации происходит не постепенно, а резким скачком вблизи значения относительной разности параметров, допускаемого законом пределов Руайе. Снижение величины „граничного“ переохлаждения обусловлено уменьшением относительной разности параметров срастающихся плоских сеток, последняя, в свою очередь, влияет на вероятность появления кристаллич. зародышей.

**74271. Выращивание кристаллов виннокислого этилендиамина. Поздняков П. Г.,** Кристаллография, 1956, 1, № 2, 228—234

Установлено, что кристаллы  $C_6H_{14}N_2O_6$  (I) обладают резко выраженным односторонним ростом в направлении отрицательного конца оси 2-го порядка  $b$ . Предложен метод выращивания I широкого поперечного сечения, основанный на использовании широких затравок. Затравки являются головками больших кристаллов. Установлено влияние пересыщения р-ра на форму и качество кристаллов. Найдено существование области пересыщений, внутри которой рост кристалла сопровождается образованием неоднородностей. Выбран режим роста, при котором выращивание однородных кристаллов весом  $>1$  кг осуществляется за 20 дней. Для промышленного выращивания предложена особая ориентировка затравки и спец. прием ее крепления на кристаллоносце. Выяснено влияние состава р-ра и примесей в нем на рост I. Избыток этилендиамина в р-ре (рН 7,2) повышает скорость роста и устраняет выклинивание кристаллов. Примеси не влияют

на рост кристаллов I. Описанный прием выращивания может быть использован для других в-в, обладающих односторонним ростом. М. К.

**74272. Замедленное образование кристаллов. Герхард (Verzögerte Kristallbildungen. Gerhard H.), Mikrokosmos, 1956, 45, № 5, 103—105 (нем.)**

Исследовали влияние среды на образование кристаллов с целью решения ряда вопросов медицины и ботаники, в частности вопроса образования труднорастворимых кристаллов при медленной диффузии реагирующих ионов внутри растительной клетки (а также в человеческих организмах — образование «камней»). Опыты проводились в стеклянной диффузионной трубке, заполненной тремя слоями: нижним (5 см высотой) с первой компонентой, промежуточным слоем (4%-ный р-р желатины) и верхним слоем, содержащим воды. р-р второй компоненты. Кристаллизация велась при разных т-рах и конц-ях в течение 1—2 дней. Установлено, что замедление кристаллизации ведет к образованию более крупных кристаллов округлых форм. Н. Г.

**74273. О кристаллизации слоев сурьмы, полученных испарением. Гёцбергер (Über die Kristallisation aufgedampfter Antimonschichten. Götzberger Adolf), Z. Phys., 1955, 142, № 2, 182—200 (нем.)**

Установлено, что Sb, испаряясь в вакууме, сперва образует при конденсации на покровном стекле стабильный слой аморфной Sb толщиной  $< 200 \text{ Å}$ ; при толщине слоя 200—2000 Å образуются сначала почти круглые кристаллы («превращение I-го рода»), измерена скорость их роста и ее температурная зависимость. Процесс завершается образованием гладкой металлич. поверхности. Если удастся, повышая скорость испарения, получить слой аморфной Sb толщиной  $> 2000 \text{ Å}$ , то наблюдаются «превращения 2-го рода»: «взрывная» кристаллизация, идущая из одного центра. Завершение этого процесса дает поверхность с правильно распределенными кристаллами. «Взрывные волны» вызываются мгновенным выделением тепла при зародышеобразовании и сильно зависят от теплопроводности и толщины слоя. Автор приводит расчет «волн», используя понятие «взрывной волны» у газов. В тех участках, где уже было «превращение I-го рода», взрывная кристаллизация не происходит. При осаждении Sb на слой, где уже имеет место «превращение I-го рода», образуется слой Sb различной толщины из-за различной конденсации на аморфной и кристаллич. поверхности, а вокруг крупных кристаллов — дендриты Sb от поверхностного передвижения атомов. При направлении паров Sb перпендикулярно к поверхности конденсированного слоя в шарообразных кристаллах образуются новые волосообразные зародыши, а в остальных местах — скопления маленьких кристалликов; при направлении паров наклонно к поверхности конденсированного слоя атомы Sb передвигаются к границам зерен, резко очерчивая их границы. Все результаты сведены в таблицу, позволяющую характеризовать различные структуры слоев Sb, полученных испарением, в зависимости от механизма кристаллизации. М. Л.

**74274. Влияние борной кислоты на рост кристаллов тартрата этилендиамина. Бут, Бакли (The effect of boric acid on the growth of ethylene diamine tartrate crystals. Booth A. H., Buckley H. E.), Canad. J. Chem., 1955, 33, № 6, 1162—1165 (англ.)**

Изучалось влияние добавок борной к-ты (I) на выращивание крупных кристаллов тартрата этилендиамина (II). Кристаллы выращивались на затравках весом в 0,8 кг в 5-л кристаллизаторах с реверсивным вращением. При конц-ии  $I < 0,2 \text{ г/л}$  изменений не наблюдалось. Добавка от 0,2 до 0,6 г/л I приводит к прогрессивному уменьшению скорости роста кристалла. При этом в результате избирательной адсорбции ионов примеси на кристалле появляются грани (111) и (111), а обычные для кристаллов II грани (110) и (110) исчезают. Такое явление наблюдается

только на отрицательном конце оси у кристалла. Подобное изменение габитуса кристалла ведет к тому, что дефект роста в виде «вуали», часто образующийся в пирамидах роста (110) и (110), исчезает. Кроме того, добавка I значительно раздвигает пределы пересыщения р-ра, в которых не происходит спонтанного зарождения кристаллов. Все это позволяет предложить I в качестве модификатора, с помощью которого можно выращивать бездефектные кристаллы II с повышенными скоростями. Л.Ц.

**74275. Случайные фигуры роста в алмазе. Толанский, Эмара (An occasional mode of growth in diamond. Tolansky S., Emará Sayeda H.), Proc. Phys. Soc., 1955, B68, № 8, 559—561 (англ.) См. РЖФиз., 1956, 25716.**

**74276. Наблюдения над процессом спирального роста кристаллов бифосфата аммония. Леви (Osservazioni sopra il processo di accrescimento a spirale in cristalli di bifosfato di ammonio (ADP). Levi L.), Nuovo cimento, 1956, 3, № 2, 484—485 (итал.)**

На кристалле  $\text{NH}_4\text{H}_2\text{PO}_4$  длиной  $\sim 9 \text{ см}$  на гранях (100) и (010) обнаружены системы криволинейных слоев. В проходящем свете выявлены особенности внутреннего строения кристалла. Для установления связи между наблюдаемыми особенностями внутреннего строения кристалла и рельефа граней исследованы специально выращенные из пересыщ. р-ра маленькие (несколько мм) кристаллики. На них обнаружены спирали роста и серии криволинейных слоев. Хим. анализами установлено влияние примесей на последнее нарастание граней. Р-р, из которого выращен кристалл с четким эффектом слоистости, отличается повышенным содержанием примесей  $\text{Cu}^{2+}$  и  $\text{Ba}^{2+}$ . Аналогичное повышение конц-ии примесей обнаружено в части кристалла, образовавшейся путем отложения слоев. Н. Г.

**74277. О взаимодействии двойников в висмуте, цинке и сурьме. Старцев В. И., Косевич В. М., Докл. АН СССР, 1955, 104, № 3, 412—414**

Исследование производилось при комнатных т-рах на монокристаллах в различных условиях нагружения. В Sb при достаточно большой нагрузке чаще всего осуществляется проникновение двойника одной системы сквозь двойник другой системы без разрыва, в Bi это проникновение встречается тогда, когда старая двойниковая прослойка не шире 0,03 м.м, а в Zn — лишь в спец. случаях (напр., при изгибе в плоскости, параллельной старой двойниковой прослойке). В Zn чаще всего новый двойник, встретив старый, прекращает распространение, даже не вызвав вторичного двойникова; пограничные области возле двойника сильно упрочнены. В Sb и Bi новые двойники легко проникают сквозь старые при помощи вторичных двойников, так как двойниковая прослойка имеет мало искаженную решетку (имеет место упругое двойникование Sb и упругое изменение поперечных размеров двойников в Bi). В Sb и Bi двойникование обычно заканчивается раскалыванием по плоскости спайности. В отличие от Bi и Sb в Zn взаимное пересечение двойников почти не препятствует расширению каждого двойника в отдельности. М. Л.

**74278. О возникновении микроступеней и вихревых холмиков при росте кристаллов. Клебер (Über die Entstehung von Mikrosten und Vinalhügeln beim Kristallwachstum. Kleber W.), Neues Jahrb. Mineralogie. Monatsh., 1955, № 11, 251—263 (нем.)**

Рассматривается процесс возникновения микроступеней (высотой  $\sim 1000$ — $10\,000 \text{ Å}$ ) на гранях кристаллов; предполагается, что основная роль при этом принадлежит процессу неоднородного образования двумерных зародышей в местах нарушений поверхности грани. Показано, что линейная скорость продвижения ступени определяется ее высотой; это приводит к систематич. наложению друг на друга слоев роста разной высоты (менее высокая ступень догоняет более высокую) и образованию микросту-

пеней. Предполагается, что последовательное наложение микроступеней приводит к образованию винциальных холмиков. На примере кристаллов барита и пирита показано, что главные ребра таких ступенчатых образований параллельны рядам решетки со сравнительно большими энергиями связи. Приводятся проекции структур барита и пирита на грань (001); со структурно-теоретич. точки зрения объясняется прямолинейность ребер, параллельных [120] барита, и криволинейность ребер, параллельных [100] и [010], а также морфологич. различие ребер, параллельных [010] и [100] пирита. Н. Г.

**74279. Опыты по исследованию процесса разрушения кристаллов NaCl.** Меланхолин Н. М., Регель В. Р., Ж. эксперим. и теор. физики, 1955, 29, № 6, 817—821

Методом замедленной киносъемки в поляризованном свете исследовался процесс возникновения и развития трещин при растяжении образцов из природных монокристаллов NaCl. Рост трещины, ведущей к разрыву, обычно начинается от ребра, а не от царапины на поверхности образца. Трещины распространяются скачкообразно, и при каждой остановке роста трещины у конца ее возникает пара перекрещенных сдвигов по обеим плоскостям скольжения. На линии сдвигов рост трещины тормозится, т. е. полосы сдвигов не способствуют, а, наоборот, препятствуют развитию трещин. Предполагается, что это препятствие создается лишь теми областями полос сдвигов, где имеются сжимающие напряжения. Высказывается предположение, что процесс сдвигообразования не подготавливает разрушение кристалла NaCl и не облегчает его, а, наоборот, затрудняет. Отмечается, что трещины не обладают эллиптич. сечением, как это часто считают для упрощения математич. трактовки, но имеют клинообразную форму. М. Ш.

**74280. Исследования рентгеновских кривых рассеяния с помощью. Фурье-анализа.** Брейтлинг, Херре, Рихтер (Untersuchungen zur Fourier-Analyse von Röntgenstreu曲ven. Breitling G., Herre F., Richter H.), Naturwissenschaften, 1955, 42, № 6, 151—152 (нем.)

Путем Фурье-анализа рентгенограммы активированного угля и расчета кривых распределения атомов для единичного и двойного слоев графита с 40 и 80 атомами С, соответственно, показано, что использование кривых рассеяния до значений  $\sin\theta/\lambda > 1,0$  ( $2\theta$  — угол рассеяния,  $\lambda$  — длина волны) может повлечь за собой появление побочных максимумов. Первый из них, лежащий  $\sim 1,9$  А, не соответствует никаким межмолекулярным расстояниям или расстояниям между слоями в высокодисперсном кристаллич. графите, и он, в то же время, появляется при расчете кривой распределения с помощью ф-лы анализа Фурье единичного слоя графита. Показана вероятность существования в активированном угле двойных графитных слоев. Е. П. К.

**74281. Электропроводность модификаций углерода.** Инокути, Тои (炭素類の電気傳導度. 井口洋夫, 遠井量仲), 炭素, Тансо, Carbons, 1955, 5, № 1, 7—11 (япон.; рез. англ.)

Электропроводность  $\rho$  порошкообразных модификаций углерода зависит от давления  $p$  по уравнению  $\rho = a/p + b$ . Экстраполированные значения  $\rho$  ( $\rho_\infty = b$ ) сгруппированы в соответствии с линейными размерами плоскостей спайности кристаллитов ( $\bar{a}$ ): графит, 0,029 ом·см,  $\bar{a} > 400$  А; ацетиленовая сажа, 0,077 ом·см,  $\sim 40$  А; пековый кокс (обожженный при  $\sim 1100^\circ$ ), 0,083 ом·см,  $\sim 40$  А; пековый кокс, 0,26 ом·см,  $\sim 20$  А; газовая сажа, 0,32 ом·см, 20—30 А; древесный уголь,  $\sim 10^3$  ом·см,  $\sim 10$  А; пек,  $10^7$  ом·см. Энергия активации, определенная из зависимости  $\rho$  от  $T$ -ы, весьма мала, напр. для газовой сажи она равна  $10^{-2}$ — $10^{-3}$  эв. Некоторые сорта графита обнаруживают переход от

полупроводниковой к металлич. проводимости в области  $T$ -р 400—500°.

**74282. Слой пиролитического угля. Основной материал для радиотехнических сопротивлений.** Беллюг (La couche de carbone pyrolytique. Matériau de base pour les résistances a usage radioélectrique. Bellugue Jacques), Ann.radioélectr., 1956, 11, № 43, 89—99 (франц.; рез. англ.)

Механизм образования угольных слоев на подложке исследован путем построения кривых зависимости проводимости от времени разложения углеводородов над подложкой. Ход кривых при осаждении угольного слоя на керамич. подложку связан с разрастанием угольного слоя из определенных центров кристаллизации, причем возможно сохранение незаполненных мест в первом слое после начала роста последующих слоев. Для выяснения зависимости формы кривых от характера подложки проведено осаждение угольных слоев на керамику различной гладкости и на аморфном кварце (на свежих подложках и на подложках, с которых был выжжен нанесенный ранее слой пиролитич. угля). Осаждение угольного слоя происходит на центрах кристаллизации: либо на оставшихся после выжигания кристалликах С (на отожженных подложках), либо на собственных центрах (керамика). На кварце, где отсутствуют кристаллики, неоднородности, осаждение первого угольного слоя происходит с задержкой. Сопротивление слоев при нагревании до 2000° не изменяется. Л. Р.

**74283. Инфракрасные спектры углей.** Гордон, Адамс, Питт, Уатсон (Infra-red spectra of coals. Gordon R. R., Adams W. N., Pitt G. J., Watson G. H.), Nature, 1954, 174, № 4441, 1098—1099 (англ.)

Образцы получали прессованием смеси растертого угля с КВг. ИК-спектры исследованы в области 3500—600 см<sup>-1</sup>. Установлено, что время растирания неодинаково для различных углей (для битуминозного — 5 час., для антрацита — 20 час.); дополнительное растирание не изменяет кривой поглощения. Полученный в результате прессования угля с КВг диск весом 350 мг и толщиной 1,5 мм содержал 0,5% угля. Преимущество данного способа по сравнению с методом суспендирования в жидком парафине заключается в возможности колич. сравнения спектров. Показано, что в этом методе высокая степень рассеяния света углями различных марок вызвана либо неправильным растиранием, либо агрегацией частиц суспензии. Предлагаемый метод даст возможность изучать спектры в области 2850, 1450 и 1370 см<sup>-1</sup>, которые ранее не могли быть изучены. Запись спектра должна производиться непосредственно после приготовления диска, так как после некоторого времени появляются дополнительные полосы поглощения при 1110, 1043, 997 и 918 см<sup>-1</sup>. В. К.

**74284. Электрические и оптические свойства каменных углей.** Схёйер (Elektrische und optische Eigenschaften von Steinkohle. Schuyser J.), Brennstoff-Chemie, 1956, 37, № 5-6, 74—78 (англ.)

Сопоставлены некоторые оптич. и электрич. свойства витренов каменных углей разной степени метаморфизма. Для объяснения свойств принята модель Херша (РЖХим, 1956, 44172), согласно которой уголь, в основном, состоит из поликонденсированных ароматич. ламелл, несущих по краям водород, боковые цепи или нефтени и связанных между собой боковыми цепями как мостиками. Величина энергии связи ламелл в кристаллите пропорциональна их размеру. При содержании С < 91% эта энергия меньше энергии связи С—С алифатич., этому приписано пластич. состояние в углях с С < 91%. Угли с С < 90% — изоляторы, а с С > 90% — полупроводники, сопротивление которых обратно пропорционально площади ламелл. Несовпадение кривых диэлектрич. проницаемости в квадрата показателя преломления связано для углей с С < 87% с некоторой полярностью их структурных единиц, а для

углей с  $C > 87\%$  — с проводимостью угля. Из величины среднего дипольного момента сделан вывод о симметрии расположения полярных групп в структурных единицах. Из кривых молярной рефракции следует, что для витренов с  $C > 90\%$  перенос заряда идет между 2—3 ламеллами. Эти области предложено называть комплексами. Степень окрашенности витренов в тонких срезах связана с градиентом поглощения при разной обуглероженности угля.

Л. Р.  
74285 Д. Структура  $(\text{NH}_3)_2\text{CrO}_4$ . Мак-Ларен (The structure of triamino-chromium tetroxide. McLaren Eugene Herbert. Doct. diss. Washington Univ., 1955). Dissert. Abstrs, 1955, 15, № 12, 2422 (англ.)

74286 Д. Явления сцинтилляции в NaJ и CsF. Ван-Сайвер (Scintillation phenomena in NaJ and CsF. Van Sciver Wesley Johnson. Doct. diss. Stanford Univ., 1955). Dissert. Abstrs, 1955, 15, № 12, 2550 (англ.)

74287 Д. Определения структуры  $\text{N}_2\text{O}_2$  и  $\text{NH}_2\text{OH}$ . Мейерс (Structure determinations of  $\text{N}_2\text{O}_2$  and  $\text{NH}_2\text{OH}$ . Meyers Edward Arthur. Doct. diss. Univ. Minnesota, 1955). Dissert. Abstrs, 1955, 15, № 12, 2423 (англ.)

74288 Д. Влияние энергии ультразвука на релаксацию ядер хлора в хлорате натрия. Танттила (The influence of ultrasonic energy on the relaxation of chlorine nuclei in sodium chlorate. Tanttila Walter Hjalmer. Doct. diss. Univ. Washington, 1955). Dissert. Abstrs, 1955, 15, № 12, 2554 (англ.)

74289 Д. Теория ферромагнитной анизотропии при низких температурах. Брукс (A theory of ferromagnetic anisotropy at low temperatures. Brooks Sidney. Doct. diss. Rutgers Univ., 1955). Dissert. Abstrs, 1955, 15, № 12, 2548 (англ.)

74290 Д. Кристаллическая структура 2,2'-дипиридина. Шрёдер (The crystal structure of 2,2' bipyridine. Schroeder Edith Dora. Doct. diss., Indiana Univ., 1955). Dissert. Abstrs, 1955, 15, № 12, 2395 (англ.)

74291 Д. Изменение длины ионного кристалла, вызванное облучением рентгеновскими лучами. Лин Лан-ин (The change of length of ionic crystals due to X-ray irradiation. Lin Lan-Ying. Doct. diss., Univ. Pennsylvania, 1955). Dissert. Abstrs, 1955, 15, № 12, 2555 (англ.)

См. также: Рентгеногр., электроногр., нейтроногр., исследование 74432, 74437, 74516, 74621, 74654, 74669, 74706, 74707, 74796, 75650. Магнитный резонанс 74120. Термодинамика кристаллов 74335, 74336, 74338. Спектры и др. оптич. св-ва кристаллов 74138, 74147, 74149, 74164: Рост кристаллов 74360, 74362—74364, 74366. Приборы и оборудование 75427, 75428, 75430—75433, 75440, 75443

## ЖИДКОСТИ И АМОРФНЫЕ ТЕЛА. ГАЗЫ

74292. О вторых виральных коэффициентах ансамблей неферрических молекул. Касл, Джансен, Досон (On the second virial coefficients for assemblies of non-spherical molecules. Castle Barbara J., Jansen Laurens, Dawson John M.). J. Chem. Phys., 1956, 24, № 5, 1078—1083 (англ.)

Предлагается след. метод вычисления второго вирального коэфф.  $B(T) = (N/8\pi) \int_0^\infty r^2 dr \int [1 - \exp(-\Phi/kT)] \times \times d\omega_1 d\omega_2$ , (в  $d\omega_1$  и  $d\omega_2$  входят угловые переменные двух молекул) для ансамбля молекул, взаимодействие которых зависит от их ориентации. Потенциал взаимодействия  $\Phi$  представляется в виде  $\Phi = \Phi_1 + \Phi_2$ , где  $\Phi_1$  — сферически симметричная часть и  $\Phi_2$  — часть, за-

висящая от ориентации.  $\Phi_2$  рассматривается как возмущение (ср. РЖХим, 1955, 51430), и  $B(T)$  разлагается в ряд  $B(T) = \sum_{m=0}^\infty B^{(m)}(T)$ , в котором  $B^{(m)}(T) = - (N/8\pi) \int d\omega_1 \int d\omega_2 \int_0^\infty r^2 dr [(-kT)^{-m}/m!] (\Phi_2)^m \times \times \exp(-\Phi_1/kT)$ . При подстановке потенциала Леннард-Джонса  $\Phi_1 = 4\epsilon [(r_0/r)^{12} - (r_0/r)^6]$  получается известное выражение для  $B^{(0)}(T)$  (Lennard-Jones J. E., Proc. Roy. Soc., 1924, A106, 441). При отсутствии стeric препятствий или изменений в молекуле из-за индуцирующего действия других молекул  $B^{(1)}(T) \equiv 0$ . После подстановки потенциала Леннард-Джонса в ф-лу для  $B^{(m)}(T)$  подинтегральное выражение состоит из суммы различных степеней  $(r_0/r)$  с некоторыми коэфф.  $C$ , зависящими от ориентационных сил, так, что в виральных коэфф. последовательно учитываются в сущности взаимодействия между мультитипами различных порядков.  $B(T)$  во втором приближении имеет вид  $B^{(0)}(T) + + B^{(2)}(T) = (2N\pi r_0^3/3) [F(y) - (c/8) H_{2k}^*(y)]$ . Здесь  $y = 2(\epsilon/kT)^{1/2}$ , а  $F(y)$  функция, определенная и табулированная ранее (Hirschfelder, Curtiss, Bird. The molecular theory of gases and liquids. New York, John Wiley and Sons, Inc., 1954), а  $H_{2k}^*$  отличается от  $H_{2k}(y)$  (РЖХим, 1956, 25025—25026) заменой Г-функции на неполную Г-функцию  $\Gamma_y(x) = \int_0^x e^{-t} t^{x-1} dt$ . При наличии индуцированных взаимодействий  $B^{(1)}(T) = -(2/3) N\pi r_0^3 \times \times (c_{\text{инд}}/2y^2) H_{2k}^*(y)$ . Функции  $H_{2k}^*$  табулированы для  $k$  от 3 до 6 и  $0,6 \leq y \leq 1,7$  (через 0,1). Показано, что анизотропия составляющая сил Лондона наиболее существенна и что индукционными силами, вообще говоря, пренебрегать нельзя. Теория применена к  $\text{CO}_2$ ,  $\text{N}_2\text{O}$ ,  $\text{N}_2$ ,  $\text{CO}$ ,  $\text{C}_2\text{H}_4$  и  $\text{C}_2\text{H}_6$ ; обсуждены особенности приложенных результатов к расчету свойств каждого из перечисленных в-в (РЖХим, 1956, 25010).

Е. Б.  
74293. Структуры некоторых жидкостей. I. О результатах изучения структур одноатомных жидкостей. Самойлов О. Я., Ж. физ. химии, 1956, 30, № 2, 241—250

Подчеркивается необходимость учета теплового движения при определении структурных особенностей жидкости. Отмечено, что при плавлении типичных металлов число атомов в области ближней координации уменьшается, а при переходе к элементам 4-й и 5-й групп периодической системы — увеличивается.

В. У.  
74294. Об изменении коэффициента вязкости и теплопроводности в зависимости от направления (внешнего поля). Моримото (方向性による粘性係数及び熱傳導率の變化について. 森本哲造), 物性論研究, Буссейон кэнкю, 1956, № 92, 89—94 (япон.)

Используя модель Кеэзома (Hirschfelder и др., Molecular theory of gases and liquids. Chapter 1, § 3), автор оценивает влияние внешнего поля на явления переноса. Л. Л.

74295. Теория рассеяния неоднородными твердыми телами, обладающими флюктуациями плотности и анизотропии. Голдстейн, Михалик (Theory of scattering by an inhomogeneous solid possessing fluctuations in density and anisotropy. Goldstein Martin, Michalik E. R.), J. Appl. Phys., 1955, 26, № 12, 1450—1457 (англ.)

Теория рассеяния света аморфными твердыми телами (Debye P. W., Bueche A. M., J. Appl. Phys., 1949, 20, 518) уточнена с учетом флюктуаций не только плотности, но и анизотропии. В соответствии с этим флюктуации характеризуются как величиной поляризуемости, так и направлением оптич. осей. Определена обобщенная корреляционная функция Г, дающая вероятность одно-

временной флюктуации поляризуемости в двух элементах объема  $i$  и  $j$ , отстоящих на расстояние  $r_{ij}$ ; предполагается, что  $\Gamma$  зависит от  $r_{ij}$ , от угла  $\theta_{ij}$  между осями флюктуаций и от угла  $\theta_i$ , определяющего положение второго элемента относительно оптич. оси первого. Интенсивности горизонтальной и вертикальной компонент рассеянного света выражены через интегралы от  $\Gamma$  как явные функции от  $r_{ij}$  и обоих углов. Показано, что из начального наклона и пересечения кривых, изображающих интенсивности как функции  $\sin^2(\theta/2)$ , где  $\theta$  — угол рассеяния, можно найти среднюю величину и среднюю протяженность флюктуаций. Теория применима к стеклам, гелям и жидким кристаллам.

**В. У. 74296. Вязкость, теплопроводность и числа Прандтля для воздуха,  $O_2$ ,  $N_2$ ,  $NO$ ,  $H_2$ ,  $CO$ ,  $CO_2$ ,  $H_2O$ ,  $He$  и  $Ar$ . Хилсенрат, Тулукиан** (The viscosity, thermal conductivity, and Prandtl number for air,  $O_2$ ,  $N_2$ ,  $NO$ ,  $H_2$ ,  $CO$ ,  $CO_2$ ,  $H_2O$ ,  $He$  and  $A. Hilsenrath Joseph, Touloukian Y. S.$ ), Trans. ASME, 1954, 76, № 6, 967—985 (англ.)

Табулированы значения динамич. и кинематич. вязкости, коэф. теплопроводности и чисел Прандтля для указанных десяти газов в интервале  $t$ -р от 100 до 1000—2000°K и при давл. в  $atm$ , подсчитанные по ф-лам, недавно полученным Национальным бюро стандартов. Для определения динамич. вязкости воздуха, водорода, водяного пара и гелия были использованы эмпирич. зависимости. Во всех остальных случаях подсчет динамич. вязкости производился на основе приближенного решения Леннард-Джонса. Приведены таблица и ф-лы (теоретич. и эмпирич.), позволяющие учесть влияние давления (до 100  $atm$ ), на динамич. вязкость азота, кислорода, водорода, аргона, водяного пара и углекислого газа. Уд. теплоемкости  $C_p$  газов, необходимые для вычисления значений чисел Прандтля, были найдены из эксперим. данных по  $p$ — $V$ — $T$  с помощью термодинамич. соотношений. Библ. 111 назв.

**А. Д. 74297. Нулевая кинетическая энергия жидкого гелия. Хеншоу, Херст** (The zero-point kinetic energy of liquid helium. Henshaw D. G., Hurst D. G.), Canad. J. Phys., 1955, 33, № 12, 797—700 (англ.)

Вычислена нулевая кинетич. энергия жидкого  $He$  с использованием потенциала межмолекулярного взаимодействия, скрытой теплоты испарения и радиальных функций распределения, полученных авторами методом нейтронной дифракции. Расчеты проведены для различных форм межмолекулярного взаимодействия типа Морзе и Леннард-Джонса и для двух  $t$ -р (4,24 и 2° K). Рассчитанная нулевая энергия жидкого  $He$  лежит между 9,0 и 12,6° K.

**Д. З. 74298. «Ячеечная» модель жидкости в приложении к  $He^3$ . Темперли** (The liquid «cell» model applied to  $^3He$ . Temperley H. N. V.), Proc. Phys. Soc., 1955, A68, № 12, 1136—1144 (англ.)

Показано, что суммированием подобранных надлежащим образом функций Дебая и Шоттки можно получить выражение для термодинамич. потенциала Гиббса, удовлетворительно описывающее данные об энтропии, теплоемкости и давлении паров жидкого  $He^3$ ; далее показывается, что такое выражение для термодинамич. потенциала может быть получено на основе «ячеечной» модели жидкости. Эта модель может быть развита с учетом требований симметрии путем использования «парного» приближения теории ферромагнетизма Гейтлера — Лондона — Гейзенберга; таким путем удастся количественно объяснить данные по магнитной восприимчивости. Из рассмотрения модели следует, что основное состояние жидкого  $He^3$  является антиферромагнитным и обладает нулевой энтропией; переход должен иметь место в области 0,1—0,2° K. Проведено сравнение с моделью, рассмотренной ранее (РЖХим, 1956, 15490, 31863), хотя в последнюю и могут быть внесены различные усовершенствования,

она, повидимому, уступает модели, предлагаемой в настоящей работе.

**А. А. 74299. Вывод уравнения Вильямса, Ландела и Ферри для подвижности молекул в расплавленных стеклах. Бьюк** (Derivation of the WLF equation for the mobility of molecules in molten glasses. Bueche F.), J. Chem. Phys., 1956, 24, № 2, 418—419 (англ.)

Предложенная ранее полуэмпирич. зависимость (РЖХим, 1956, 32678) отношения времени релаксации при  $t$ -ре  $T$  ко времени релаксации при  $t$ -ре  $T_g$  от  $t$ -ры выводится теоретич. на основе развитых автором ранее представлений о том, что вблизи  $t$ -ры  $T_g$  молекулы или полимерные частицы могут двигаться в стекле только приводя в движение соседние с ними частицы (РЖХим, 1954, 49594). Показано, таким образом, что постоянные в полуэмпирич. ур-нии имеют определенный физ. смысл.

**Ю. Ш. 74300. Диэлектрические свойства жидких бутиловых спиртов. Данихаусер, Коа** (Dielectric properties of liquid butyl alcohols. Dannhauser Walter, Cole Robert H.), J. Chem. Phys., 1955, 23, № 10, 1762—1766 (англ.)

Произведенные ранее (РЖХим, 1956, 42540) измерения выполнены для всех изомеров бутилового спирта (кроме третичного) в интервале  $t$ -р от точки кипения до —140°. Приводится таблица значений статической диэлектрич. постоянной при разных  $t$ -рах; результаты обсуждаются с точки зрения модели цепочек конечной протяженности с водородной связью. Измерения в переменных полях проводились ниже 0° для диапазона частот 20  $гц$  — 2  $Мгц$ ; найдена дисперсия. Для времени релаксации предложено выражение вида  $\ln \tau = A + B/(T - T_\infty)$ , где  $T_\infty \approx 70^\circ$ .

**В. У. 74301. Диэлектрические свойства касторового масла при высоком давлении. Верещанин Л. Ф., Кузнецов Л. Ф., Алаева Т. И., Ж.** эксперим. и теор. физики, 1956, 30, № 4, 661—666

На аппаратуре, состоявшей из гидравлич. компрессора сверхвысокого давления, ресивера, служившего для плавного измерения давления в системе, пережимного устройства и сосуда высокого давления, внутри которого находился измерительный конденсатор, измерены диэлектрич. проницаемость  $\epsilon$  и тангенс угла потерь  $\tan \delta$  касторового масла до давл. 9000  $атм$ . В связи с изменением вязкости с давлением  $\epsilon$  и  $\tan \delta$  при изменении давления проходят через максимум. При 32° максимум  $\epsilon$  найден при 2700  $кг/см^2$ , а максимум  $\tan \delta$  — при 2000—5000  $кг/см^2$  в зависимости от  $t$ -ры и частоты, на которой проводились измерения.

**Е. Б. 74302. Влияние растворенных веществ на свойства и структуру жидкого борного ангидрида. Кру, Штери** (The effect of solutes on the properties and structure of liquid boric oxide. Kruh R., Stern K. H.), J. Amer. Chem. Soc., 1956, 78, № 2, 278—281 (англ.)

Изучалось влияние добавок карбонатов лития, натрия, калия, рубидия и цезия, а также  $NaCl$ ,  $NaF$ ,  $Na_2AlF_6$  и  $Na_2B_4O_7$  на вязкость борного ангидрида при 600—750°. Вязкость определялась ротационным методом. Энергия активации для чистого  $B_2O_3$  в указанных пределах  $t$ -р составляет 34  $ккал/моль$ . С увеличением содержания шел. металлов вязкость расплавов падает, однако в отношении силы указанного влияния в ряду окислов шел. металлов определенной закономерности не обнаружено. Аналогично действие анионов, которые по силе влияния располагаются в ряд  $F > O > Cl$ . С увеличением содержания  $NaF$  вязкость сначала падает, а затем увеличивается. Определялась плотность  $B_2O_3$  с добавками  $NaF$  методом погружения золотого шарика при 600—800°. С увеличением содержания  $NaF$  плотность резко увеличивается. Определение диэлектрич. постоянной производилось при 25—570° и частотах  $10^3$ — $10^6$   $гц$ . Диэлектрич. постоянная резко возрастает в интервале 400—500°. Полученные дан-

ные рассматриваются с точки зрения теории непрерывной сетки. Ю. Ш.

**74303. Двойное лучепреломление жидкости в динамическом поле сдвиговых волн. Пенъков С. Н.,** Оптика и спектроскопия, 1956, 1, № 1, 77—84

Предложен метод колич. исследования сдвиговых волн в жидкостях на звуковых частотах, основанный на измерении двойного лучепреломления, возникающего в жидкости в сдвиговом поле. Применение его к изучению касторового масла на частотах 208, 770, 1500 и 5500 *гц* привело к результатам, согласующимся с теорией Стокса и количественно совпадающим с данными, полученными при измерении двойного лучепреломления в потоке той же жидкости. Е. Б.

**74304. Исправления в статье: «Точный метод расчета сосуществующих плотностей по уравнениям типа Ван-дер-Ваальса». Бенсон, Копленд** (An exact method for the calculation of coexistent densities from Van der Waals type equations: a correction. Benson Sidney W., Copeland Charles S.), J. Chem. Phys., 1956, 24, № 4, 905 (англ.)

К РЖХим, 1956, 6284.

А. А.

**74305. Коэффициент преломления воздуха в инфракрасной области спектра. Ранк, Ширер** (Index of refraction of air in the infrared. Rank D. H., Shearer L. N.), J. Opt. Soc. America, 1954, 44, № 7, 575 (англ.)

Методом точных порядков измерен коэфф. преломления воздуха в ИК-области спектра (РЖХим, 1954, 12402, 14181). Получены следующие значения  $(\mu-1)_s \cdot 10^{-6}$ : 5462,3, 277,90; 5792,3, 277,22; 15 300, 273,67; 15 349, 273,81; 16 541, 273,43 А. Сопоставление этих данных с рассчитанными по ф-ле Эдлена показывает, что расчет дает заниженные значения. К аналогичному результату приводят и данные, полученные в микроволновой области спектра ( $\lambda = 3$  см). Е. П.

**74306. Самодиффузия в расплавленном нитрате натрия. Ван-Артсдален, Браун, Дворкин, Миллер** (Self-diffusion in molten sodium nitrate. Van Artsdalen E. R., Brown Duane, Dworikin A. S., Miller F. J.), J. Amer. Chem. Soc., 1956, 78, № 8, 1772—1773 (англ.)

Известным методом (Anderson J. S., Saddington K., J. Chem. Soc., 1949, 381) измерены коэфф. самодиффузии ионов натрия  $D_1$  и нитрата  $D_2$  в  $\text{NaNO}_3$ . Результаты описываются соответственно уравнениями  $D_1 = 12,88 \cdot 10^{-4} \cdot \exp(-4970/RT)$  и  $D_2 = 8,97 \cdot 10^{-4} \cdot \exp(-5083/RT)$   $\text{см}^2/\text{сек}$ . Неточность в определении  $\Delta H \sim 80$  кал. Е. Б.

**74307. Самодиффузия в жидком индии и олове. Карери, Паолетти** (Self-diffusion in liquid indium and tin. Careri G., Paoletti A.), Nuovo cimento, 1955, 2, № 3, 574—591 (англ.; рез. итал.)

Коэффициенты самодиффузии  $D$  жидких In и Sn измерены на описанной ранее аппаратуре (РЖХим, 1956, 57613). Получены величины  $D \cdot 10^6$   $\text{см}^2/\text{сек}$  (в скобках указаны соответствующие интервалы  $t$ -р в  $^\circ\text{K}$ ) для In  $4,84 \pm 0,27$ ;  $9,32 \pm 0,20$  ( $254,9 \pm 492$ ) и для Sn  $6,80 \pm 0,20$ ;  $6,55 \pm 0,24$  ( $400,0 \pm 392,3$ ). Результаты с малыми систематич. отклонениями описываются ф-лой Аррениуса  $D = D_0 \exp(-H_0/RT)$  с постоянными для In  $D_0 = 4,25 \cdot 10^{-4}$   $\text{см}^2/\text{сек}$ ,  $H_0 = 2200$  кал/моль и для Sn  $13,90 \cdot 10^{-4}$  и 4000 соответственно. Обсуждена квазикристаллич. модель; получено выражение коэфф. самодиффузии на основе этой модели. Отклонения от ур-ния Аррениуса объяснены обменным взаимодействием ближайших соседей. В. П.

**74308. Разрушение стекла сферическими инденторами. Тиллет** (Fracture of glass by spherical indenters. Tillet J. P. A.), Proc. Phys. Soc., 1956, B69, № 1, 47—54 (англ.)

Изучено образование круговых трещин на поверхности силикатных стекол при действии на них шаровых инден-

торов различных радиусов кривизны ( $r$ ) при постоянной нагрузке на индентор и при ударе свободно падающего шарика. В статич. опытах  $r$  индентора менялся от 3,17 до 127 мм, а в динамических — от 1,2 до 19,1 мм. Сила, вызывающая круговую трещину на стекле, пропорциональна  $r$ , когда  $r < 3,5$  мм, и пропорциональна  $r^2$ , если  $r > 3,5$ . Твердость по Аuerbachу при статич. нагрузке на шарик равна 15 500  $\text{кг}/\text{см}^{-2}$ , а при ударном действии шарика — 19 900  $\text{кг}/\text{см}^{-2}$ . П. Б.

**74309. О структуре натриевоборосиликатных стекол в связи с явлением опалесценции. Сообщение 4. Зависимость строения натриевоборосиликатных стекол от продолжительности прогрева при постоянной температуре. Порай-Кошиц Е. А., Левин Д. И., Андреев Н. С.,** Изв. АН СССР, Отд. хим. н., 1956, № 3, 287—293

Исследовалось натриевоборосиликатное стекло (I) состава 70 мол.%  $\text{SiO}_2$ , 23 мол.%  $\text{B}_2\text{O}_3$  и 7 мол.%  $\text{Na}_2\text{O}$ . Установлено, что интенсивность светорассеяния I возрастает с увеличением продолжительности их прогрева при постоянной  $t$ -ре в зоне опалесценции. С прогреванием исходных стекол при постоянной  $t$ -ре в зоне опалесценции растут размеры пор пористых стекол, полученных путем выщелачивания исходных. Увеличение интенсивности светорассеяния с продолжительностью прогрева при постоянной  $t$ -ре в зоне опалесценции объясняется ростом областей хим. неоднородности, существующих в I, что подтверждает их субмикронное строение. Сообщение 3 см. РЖХим, 1956, 38929. Е. Б.

**74310. Процессы релаксации в стеклах. Керби** (Relaxation processes in glass. Kirby P. L.), Trans. Faraday Soc., 1956, 52, № 1, 131—142 (англ.)

С целью изучения структуры стекол исследовались некоторые кривые распределения времен механич. релаксации стекла пирекс в случае замедленной упругой деформации (при 250—450 $^\circ$ ) и вязкого течения (до 550 $^\circ$ , частоты 1—10 *гц* и 37 *кц/с*), а также дифференциальная релаксация щел. ионов. В области среднего периода релаксации распределение изменяется с  $t$ -рой не очень сильно и, следовательно, энергии активации, определяющие вязко-упругие эффекты, изменяются в узких пределах. В этом отношении стеклообразующие и модифицирующие ионы, повидимому, мало различаются. Отличие между ними состоит, вероятно, в том, что форма потенциальных барьеров в случае первых варьирует в значительно меньшей степени, чем в случае вторых. Энергия активации щел. ионов в закаленном стекле составляет  $\sim 0,75$  от таковой в отожженном, что указывает на менее плотную упаковку в первом случае. Ю. Ш.

**74311 Д. Решение некоторых частных задач гидродинамики вязко-пластичных и вязких жидкостей. Мирзоян А. А.** — Автореф. дисс. канд. физ.-матем. н., Азерб. ун-т, Баку, 1956

**74312 Д. Структурные изменения показателя преломления стекол при температурах ниже 300 $^\circ$  С. Тудоровская Н. А.** Автореф. дисс. канд. физ.-матем. н., Гос. оптич. ин-т, 1956

См. также: Термодинамика 74327, 74333, 74334, 74341 74342. Межмол. взаимодействие 74132—74136, 74149, 74150, 74156, 74157. Др. вопр. 74108

## ОБЩИЕ ВОПРОСЫ ХИМИИ ИЗОТОПОВ

**74313. Химия процесса экстракции продуктов деления. Брюс Ф. Р.** В кн.: Химия ядерного горючего (Докл. ин. ученых на Междунар. конференции по мирному использованию атом. энергии, Женева, 1955). М., Госхимиздат, 1956, 321—352

Рассмотрено поведение основных продуктов деления

(ПД) и первой экстракции для  $\text{Ru}^{106}$  и  $\text{Zr}^{95}$ . Нитративность дает (КР) закон от ее возраста уменьш. органич. влияние ную а осн. кисл. Для делен. с МИ. шие. не в присущ. ными. Опыт. лонд. Ru(N. в чет. 0,05, D — обр. а. знач. лени. экстр. при. вин. фазе. ние. посл. ски. HNC. ного. гих. возр. Пок. окис. при. фазе. увел. шен. умен. нас. сния. земе. ГБФ. кон. увел. в 5. лич. кро. тив. (кр. ТБФ. и т. Ru. ула. из. чем. сущ.

(ПД) при экстракционной очистке U и Pu. ПД — элементы первой и второй групп периодич. системы Менделеева слабо экстрагируются; из других элементов важное значение для очистки имеют  $Ce^{141}$  и  $Ce^{144}$ ,  $Zr^{95}$ ,  $Nb^{95}$ ,  $J^{131}$ ,  $Ru^{106}$ . Остальные ПД легко отделяются. Экстракция (Э) метилизобутилкетон (МИБК). Нитраты Al, Ca, Mg и Na оказывают высаливающее действие примерно в одинаковой степени; применение  $NH_4NO_3$  дает лучшую очистку от ПД. Коэфф. распределения (КР)  $\gamma$ -излучателей возрастают по экспоненциальному закону с конц-ией  $Al(NO_3)_3$ . Увеличение конц-ии  $HNO_3$  от ее «недостатка» в 0,1 M до избытка в 0,1 M вызывает возрастание КР  $\gamma$ -излучателей в 40 раз. Повышение т-ры уменьшает КР  $\gamma$ -активности. Присутствие некоторых органич. оснований (гидразин, три-*n*-бутиламин и др.) влияет на КР U и ПД (главным образом повышает). Основную долю  $\gamma$ -активности экстракта составляют Zr и Nb, а основную долю  $\beta$ -активности — Ru. С уменьшением кислотности и конц-ии  $Al(NO_3)_3$  КР Zr и Nb падает. Для улучшения очистки необходимо поддерживать определенные конц-ии  $Al(NO_3)_3$  и к-ты. J взаимодействует с МИБК, образуя молекулярные соединения, не извлекающиеся из р-рителя ни водой, ни к-той, ни щелочью. Труднее всего осуществляется очистка от Ru, который может присутствовать в разных формах, отличающихся различными КР. Присутствие восстановителей снижает КР Ru. Опыты по диализу р-ров облученного U показали, что коллоидные формы Ru не играют заметной роли; важное значение имеет прочный экстрагируемый комплекс  $Ru(NO)(NO_3)_3$ . По Эллоту и Майлзу Ru существует в четырех формах (A, B, C и D) с КР, соответственно 7,4; 0,05, 0,001; 15; в форме C Ru трехвалентен, а в форме D — четырехвалентен. Для уменьшения Э Ru предложено обрабатывать исходный р-р при кислотности 0,3—0,4 н. вначале ацетоном, затем  $Na_2Cr_2O_7$ . Другой метод — добавление дифенилномочевины, связывающей Ru в прочный экстрагируемый комплекс, остающийся в органич. фазе при рекстракции. Менее эффективны добавки тиомочевины и этилентииомочевины для удержания Ru в водной фазе. Важнейший способ уменьшения Э Ru — поддержание определенных конц-ий  $Al(NO_3)_3$  и к-ты. Возрастание последних сильно увеличивает КР Ru.  $Ce(3+)$  практически не экстрагируется МИБК. Увеличение конц-ий  $HNO_3$  и  $Al(NO_3)_3$  увеличивает КР Ce. Добавка стабильного Ce заметно снижает КР, чего не наблюдается для других ПД. При увеличении конц-ии  $Na_2Cr_2O_7$  КР Ce вначале возрастает, проходит через максимум и вновь падает. Показано, что влияние  $Na_2Cr_2O_7$  нельзя свести к простому окислению. Э трибутилфосфатом (ТБФ). КР при Э ТБФ зависит от конц-ии свободного ТБФ в органич. фазе. Примеси к ТБФ (бутанол, моно- и дибутилфосфаты) увеличивают Э ряда ПД. При увеличении степени насыщения ТБФ ураном (торием) конц-ия свободного ТБФ уменьшается и Э ПД падает; при возрастании степени насыщения ураном с 37 до 86,8% КР общей  $\beta$ -активности снижается в 16 раз, Zr в 3,6 раза, Ru в 56 раз и редких земель в 46 раз. КР ПД возрастают также с ростом конц-ии ТБФ в органич. фазе. Поэтому выгодно работать с миним. конц-иями ТБФ. Увеличение конц-ии  $HNO_3$  с 1 до 5 M увеличивает КР общей  $\beta$ - и  $\gamma$ -активности соответственно в 5 и 21 раз. Присутствие посторонних нитратов также увеличивает Э ПД. Повышение т-ры увеличивает КР ПД, кроме редких земель (в присутствии U). Однако при противоточной Э коэфф. очистки (КО) U от большинства ПД (кроме Zr) с повышением т-ры повышается. Ru при Э ТБФ является наиболее трудно отделяемым ПД от Th и третьим по трудности — от U. При очистке Th КО от Ru увеличивается, если исходный р-р предварительно упаривается до 4 M по  $Th(NO_3)_4$ ; при этом в аппарате из нержавеющей стали получаются лучшие результаты, чем в стеклянном сосуде; КО увеличивается также в присутствии ионов  $Fe^{2+}$ . Некоторое увеличение КО наблю-

дается при обработке исходного р-ра  $NaNO_3$ , мочевиной или  $H_2O_2$ . Степень очистки от J зависит от содержания в экстрагенте ненасыщ. соединений. КО по J можно увеличить предварительной обработкой р-рителя. КО от Zr повышается при введении в водную фазу комплексообразователей: при введении 0,1 M фосфата Э Zr снижается в  $\sim 100$  раз, при введении 0,1 M фторосиликата в  $\sim 10$  раз, 0,1 M сульфата в  $\sim 6$  раз. Однако суммарные КО в цикле с тремя промывками при этом повышаются незначительно. Наилучшие результаты получены с оксалат-ионом: при конц-ии последнего 0,01 M Э Zr снизился в  $\sim 60$  раз. Э другими р-рителями. Пентаэфир (дибутиловый эфир тетраэтиленгликоля) и его смеси с бутанолом давали плохую очистку от Ru. Диизопропиловый эфир при отделении  $U^{238}$  от тория и ПД показал результаты, сравнимые с результатами, полученными с ТБФ и МИБК. Его недостатки — низкая т-ра вспышки и нестойкость к действию  $HNO_3$ . Дибутилцеллосоль (дибутиловый эфир этиленгликоля) характеризуется более низкими КР U и ПД, чем МИБК. КР ПД возрастают с ростом конц-ии  $Al(NO_3)_3$  до 1 M, а затем не меняются. Этот р-ритель может иметь ценность для Э из р-ров с высокой конц-ией соли. Третичные спирты (трет-амиловый спирт, 2-метилпентанол, 2-метил-2-гексанол и 2-метил-2-гептанол) дали худшие результаты, чем МИБК. В. Л.

**74314. Радиохимические методы разделения актинидных элементов. Хайд Эрл К.** В кн.: Химия ядерного горючего (Докл. ин. ученых на Междунар. конференции по мирному использованию атом. энергии, Женева, 1955), М., Госхимиздат, 1956, 393—451

Обзор радиохимич. методов разделения и очистки актинидов. Актиний. Помимо методов осаждения и ионного обмена для выделения Ac можно применить экстракцию (Э) р-ром теноилтрифторацетона (ТТА) в бензоле и Э трибутилфосфатом (ТБФ) из азотнокислых р-ров, насыщ.  $Al(NO_3)_3$ . Для индикации Ac рекомендуется применять изотопы  $Ac^{228}$  ( $MgTh_2$ ) и  $Ac^{225}$ . Торий. Th можно выделить Э р-ром ТТА в бензоле. Большую растворимость имеет комплекс Th с 1-(3,4-дихлорфенил)-4,4,5,5,6,6,6-гептафторгександионом-1,3. Рассмотрена Э Th другими р-рителями: хорошо экстрагируют метилизобутилкетон (МИБК), пентаэфир (ПЭ) (дибутокситетраэтиленгликоль), окись мезитила и в особенности ТБФ. Сильно экстрагируют Th моно- и диалкилфосфаты, но в этом случае наблюдаются затруднения при рекстракции. Очистка Th от большинства примесей достигается адсорбцией на катионите промывкой 6 M HCl или 6 M  $HNO_3$  и элюированием комплексобразователями. Проча актиний. Ра хорошо экстрагируется рядом органич. р-рителей. Лучшие результаты получены с диизопропилкетон, диизопропилкарбинолом и особенно с диизобутилкарбинолом при Э из солянокислых р-ров. Хорошая очистка Ра достигается Э ТБФ и рекстракцией смесью HCl и HF, а также Э ТТА с промывкой минер. к-той. Смесь Th, U и Ра разделяется ионным обменом на анионите. Th и Ра разделяются ионным обменом на катионите. Ра выделяют из облученной окиси Th возгонкой в виде  $RaCl_2$ , образующегося под действием  $CCl_4$ ,  $PCl_5$  или  $AlCl_3$  при высокой т-ре. Уран. Для выделения U применяется Э диэтилэфиром, ПЭ, ТБФ, дибутилцеллосолью, дибутилкарбинолом, МИБК и диалкилфосфатами. Приведены данные по влиянию высаливателей и комплексобразователей на Э U диэтиловым эфиром. Описаны основные особенности Э U ТБФ из азотнокислых р-ров, солянокислых р-ров и Э U диалкилфосфатами Р-ры последних в инертных р-рителях извлекают U с очень высокими коэфф. распределения. U может быть также выделен Э ТТА и ионным обменом. Нептуний и плутоний. Описаны лантан-фторидный и циркониево-фосфатный окислительно-восстановительный циклы выделения Np и Pu методом соосаждения. Для Э Np и Pu применяются в основном те же р-рители, что и для Э U, Th и Ра. При этом Pu(3+)

практически не экстрагируется,  $Pu(4+)$  не экстрагируется диэтиловым эфиром и хорошо экстрагируется МИБК и ТБФ. Последний применяется разбавленным инертными р-рителями.  $Pu(4+)$  экстрагируется также ТТА в бензоле и купферроном в хлороформе. Поведение  $Np(4+)$  близко к поведению  $Pu(4+)$ .  $U$ ,  $Np$ ,  $Pu$  и  $Ra$  можно разделить ионным обменом на анионитах и катионитах при соответствующем выборе элюентов и степеней окисления элементов. Трансплутониевые элементы. Обзор методов выделения и разделения элементов 95—101 с помощью ионного обмена на катионитах и анионитах, Э комплексов актинидов с ТТА и Э ТБФ. Библ. 97 назв.

В. Л.

**74315. Изотопный эффект при пропускании постоянного тока через жидкие и твердые металлы.** Хефнер, Шёборг, Линде (The isotope effect of a direct electric current through liquid and solid metals. Haefner E., Sjöborg Th., Lindhe S.), Z. Naturforsch., 1956, 11a, № 1, 71—75 (англ.)

В предварительном опыте исследовался изотопный эффект при пропускании постоянного тока через жидкую  $Hg$  (РЖХим, 1954, 33864). Вертикальный капилляр (длина 170 мм, внутренний диам. 1 мм) заполнялся стеклянными шариками диам. 0,09—0,12 мм. Опыт проводился в течение 42 дней при  $47,0 \pm 0,5^\circ$ , силе тока 4,3 а, напряжении между  $W$ -электродами 5,8 в, после чего капилляр разрезался на части длиной  $\sim 10$  мм и масс-спектрометрически измерялось отношение  $Hg^{198}$ : $Hg^{204}$ , которое оказалось максимальным на расстоянии 20 мм от анодного отделения и соответствовало фактору разделения 1,093. В опыте по разделению изотопов в твердой фазе использовалась  $U$ -проволока (I) длиной 347 мм, диам.  $1 \pm 0,1$  мм, помещенная в сосуд из стекла пирекс, заполненный  $Ag$ . В течение 171 дня через I пропускали постоянный ток (16,8 а) при напряжении 5,6 в и  $t$ -ре 750—800°. После охлаждения I разрезалась на 35 частей,  $U$  из каждой части переводился в  $(NH_4)_2UO_7$  и с помощью  $\alpha$ -сцинтилляционного счетчика определялась уд. активность образцов. Найден фактор разделения 1,07 для отношения  $U^{234}$ : $U^{238}$ . Небольшое обогащение  $U^{234}$  у отрицательного конца I объясняется миграцией  $U$  в газовой фазе от положительного конца I к отрицательному.

В. Л.

**74316. Температурная зависимость изотопного эффекта при пропускании тока через расплавленный металлический индий.** Лоддинг, Лунден, Убисх (Die Temperaturabhängigkeit des Isotopieeffektes bei Stromdurchgang in geschmolzenem Indiummetall. Lodding Alex., Lundén Arnold, Ubisch Hans von), Z. Naturforsch., 1956, 11a, № 2, 139—142 (нем.)

Исследовалась зависимость разделения изотопов  $In^{115}$  и  $In^{113}$  путем электромиграции в расплавленном металле от  $t$ -ры в описанном ранее приборе (РЖХим, 1956, 57455). Проведено 4 опыта: в течение 31 дня при  $210 \pm 5^\circ$ ; 33 дня при  $530 \pm 10^\circ$ ; 15 дней при  $820 \pm 20^\circ$ ; 32 дня при  $123 \pm 5^\circ$ ; плотность тока составляла 3270; 3640; 2110; 3600 а·см<sup>-2</sup> соответственно. В результате электролиза отношение  $In^{115}$ : $In^{113}$  в 4 опыта соответственно изменилось от  $22,15 \pm 0,1$  до  $22,5 \pm 0,1$  у катода и  $21,6 \pm 0,1$  у анода; от  $22,15 \pm 0,1$  до  $23,9 \pm 0,1$  у катода и  $20,2 \pm 0,1$  у анода; от  $22,00 \pm 0,04$  до  $23,19 \pm 0,06$  у катода и  $21,36 \pm 0,03$  у анода, в последнем опыте отношение  $In^{115}$ : $In^{113}$  не изменилось, так как при  $123^\circ$   $In$  находится в твердом состоянии. Среднее значение массового эффекта при соответствующих  $t$ -рах составило  $\mu = 1 \cdot 10^{-5}$ ;  $2,5 \cdot 10^{-5}$ ;  $6 \cdot 10^{-5}$ ;  $\leq 5 \cdot 10^{-7}$  (см. пред. реф.). По мнению авторов, постоянство отношения  $D$ : $\mu = 2,4$ ; 2,6; 1,7 ( $D$  — коэфф. самодиффузии  $In$  при соответствующей  $t$ -ре) свидетельствует о связи между механизмами самодиффузии и электромиграции ионов в расплаве.

В. Л.

**74317. Радиоактивные антрацен- $C^{14}$  и акридин- $C^{14}$ , полученные при нейтронном облучении акридина.** Вулф,

Андерсон (Radioactive anthracene- $C^{14}$  and acridine- $C^{14}$  from the neutron irradiation of acridine. Wolf Alfred P., Anderson R. Christian), J. Amer. Chem. Soc., 1955, 77, № 6, 1608—1612 (англ.) В ядерном реакторе облучались образцы акридина (I) в запаянных кварцевых ампулах в атмосфере  $He$  ( $< 10^{-4}$  мм рт. ст.) при  $30$ — $100^\circ$  в течение 1—2 недель ( $5 \cdot 10^{12}$  нейтронов на 1 см<sup>2</sup>/сек). 3,5% активности, полученной по  $r$ -ции  $N^{14}$  ( $n, p$ ) $C^{14}$ , обнаружено в виде I, 0,2% — в виде антрацена (II), выделенного на неактивном носителе, и 3% — в виде газообразных продуктов  $r$ -ции. Основная часть  $C^{14}$  вошла в состав полимеризованных продуктов  $r$ -ции. Для очистки выделенного меченого II использовались хроматографич. разделение, перекристаллизация из спирто-бензольной смеси и возгонка. Для полной очистки меченого I физ. методы очистки были дополнены хим. циклом очистки: I — тиакридон — акридон — акридан — I. Из соотношения активностей I и II можно сделать вывод о статистич. характере замещения атомов ядра I атомами  $C^{14}$ . Эти результаты не соответствуют литературным данным (Giacomello G. и др., Ricerca scient., 1951, 21, 1211, 1598). Предлагается метод введения  $C^{14}$  в сложные органич. продукты путем нейтронного облучения их смеси с азотсодержащими в-вами.

Б. К.

**74318. Получение и выделение радиоактивных изотопов без носителей.** Мурин А. Н., Нефедов В. Д., Ютландов И. А. (Obținerea și izolarea izotopilor radioactivi fără antrenor. Murin A. N., Neftedov V. D., Iutlandov I. A.), An. Rom.-Sov. Ser. chim., 1956, 10, № 2, 5—54 (рум.) См. РЖХим, 1956, 3351.

**74319. Приготовление радиоактивных источников испарением при высокой температуре.** Мерини (Préparation de sources radioactives par vaporisation à haute température. Merinis J.), J. phys. et radium, 1956, 17, № 3, 308—309 (франц.)

Радиоэлемент помещается в Мо-тигель (толщина стенок 0,05 мм, высота 10 мм), находящийся в вакууме ( $10^{-4}$ — $10^{-5}$  мм рт. ст.). Вокруг тигля расположен спиралевидный оксидный катод, подогреваемый током. Между катодом и тиглем накладывается напряжение 1000—2000 в. Поток испускаемых катодом электронов нагревает тигель до  $\sim 2000^\circ$  за доли секунды. Над тиглем располагается мишень из пластмассы (на которой осаждается радиоэлемент) толщиной  $\sim 50$  м г/см<sup>2</sup>, металлизированная напылением в вакууме  $Al$ ,  $Cu$ ,  $Ag$  и т. д. Пленки-мишени получают выливанием  $r$ -ра пластмассы в  $r$ -рителе (LC 600) на поверхность воды. Метод был применен для приготовления источников  $R^{32}$  в виде фосфата железа. Выход нанесенного материала  $\sim 20\%$  (РЖХим, 1955, 23225).

В. Л.

**74320. Измерение активности естественного радиоактивного углерода с помощью жидкостных сцинтилляционных счетчиков.** Хейес Ф. Н., Андерсон Э. К., Арнольд Джемс Р. В сб.: Применение радиоактивных изотопов в пром-сти, медицине и с. х. М., АН СССР, 1956, 709—722

**74321. Усовершенствованный метод определения трития в виде метана в пропорциональном счетчике.** Робинсон (Improved methane proportional counting method for tritium assay. Robinson Charles V.), Nucleonics, 1955, 13, № 11, 90—91 (англ.)

Описанный автором метод (Rev. Sci. Instr., 1951, 22, 353) был значительно усовершенствован. Вся аппаратура металлическая. Исследуемая проба воды, меченой  $H^3$  (0,2 мл), обрабатывается 8 мл 1 н.  $r$ -ра  $CH_3MgI$  в дибутыловом эфире. Затем реакционный сосуд и ловушка охлаждаются  $N_2$  (для очистки  $CH_4$ ) и выделившийся  $CH_4$  вводится в счетчик до установленного станд. давл. Эффективность измерения активности  $\sim 11\%$ . Точность определения  $\pm 0,7\%$ . Миним. активность, которую можно обнаружить,  $6 \cdot 10^{-10}$  кюри/мл.

В. Л.

**74322. Масс-спектрометрия актинидных элементов.** Холл, Уолтер (The mass spectrometry of the actinide elements. Hall G. R., Walter A. J.), Canad. J. Chem., 1956, 34, № 3, 246—252 (англ.)

Рассмотрены преимущества термоионизационного источника в виде нити при масс-спектрометрии актинидных элементов. По мнению авторов, наилучшим является источник с несколькими нитями, в котором в-во испаряется с одной нити, находящейся при относительно низкой т-ре, на вторую нить, нагретую до весьма высокой т-ры; на второй нити происходит ионизация. С помощью такого источника с W-нитями исследовано изменение относительных интенсивностей ионных пучков  $M^+$  и  $MO^+$  для Th, Pa, U, Np, Pu и Am при изменении т-р обеих нитей. Определены отношения  $M^+ : MO^+$ .  $M^+ : U^+$  и  $MO^+ : UO^+$ . Результаты истолкованы на основе ур-ния Саха. В. Л.

**74323. Цветная авторадиграфия.** Баккалу, Кон (Color autoradiography. Buckalo G. W., Cohn David V.), Science, 1956, 123, № 3191, 333 (англ.)

Предложен метод цветной авторадиграфии, основанный на действии радиоактивного излучения на цветную пленку, которая после проявления приобретает цветной тон, характерный для данного излучения. Исследовано действие  $^{32}P$ ,  $^{131}I$ ,  $Ca^{45}$ ,  $S^{32}$  и  $C^{14}$  на многослойную цветную пленку «Ektachrome». Цветной тон зависел только от энергетич. спектра излучения и не зависел от его интенсивности. Метод позволяет идентифицировать изотопы при условии, если их энергетич. спектры достаточно отличаются друг от друга. По мнению авторов, дальнейшее развитие метода позволит определять соотношение двух или нескольких изотопов в смеси, а также повышать разрешающую способность авторадиграфии. А. Г.

**74324. Конференция в Горьковском государственном университете по применению меченых атомов в химии.** Коренман И. М., Ж. аналит. химии, 1956, 11, № 3, 367—368

**74325. Пример применения радиоизотопов в физической химии.** Кукелбергс (Exemple d'application des radioisotopes à la physico-chimie. Coekelbergs R.), Ind. chim. belge, 1955, 20, № 10, 1057—1066 (франц.; рез. фламанд., нем., англ.)

Описаны опыты по адсорбции атомарного Вг и по обмену адсорбированных галогенов с  $CH_3Br(Cl)$ . Меченый  $CH_3Br$  получался облучением  $CaH_2Br$  нейтронами с последующей экстракцией радиоброма воды. р-ром  $NaBr$ ; затем приготовлялся и очищался меченый  $CH_3Br$ . Исследована адсорбция атомов изомера  $Br^{80}$  (18 мин.) из газообразного  $CH_3Br$ , меченого  $Br^{80}$  (4,5 часа), на стенках сосуда посредством измерения активности газа. По кинетике распада высчиталось кол-во  $Br^{80}$  (18 мин.) — дочернего продукта изомерного превращения  $Br^{80}$  (4,5 часа). Установлено, что атомы Вг практически необратимо адсорбируются на стекле при давлении  $CH_3Br < 20$  см рт. ст. На Al и Au доля адсорбированных атомов быстро уменьшается с давлением (на Au быстрее, чем на Al). Автор объясняет это изотопным обменом адсорбированных атомов Вг с  $CH_3Br$  в газовой фазе. В. Л.

**74326. К. Справочник по микрохимическим методам. Том 2. Применение радиоактивности в микрохимии.** Радиохимические методы в микрохимии. Брода, Шёнфельд. Измерение радиоактивных излучений в микрохимии. Бернерт, Карлик, Литнер. Фотографические методы в радиохимии. Лауда (Handbuch der mikrochemischen Methoden. Bd. 2. Verwendung der Radioaktivität in d. Mikrochemie: Radiochemische Methoden d. Mikrochemie. Broda E., Schönfeld T. Messung radioaktiver Strahlen in d. Mikrochemie. Bernert T., Karlik B., Lintner K.—Photographische Methoden in der Radiochemie. Lauda H. Wien, Springer Verl., 1955, 423 S., 486.—Sch.) (нем.)

См. также: Получение 74084. Радиоактивн. св-ва 74079—74082, 74095. Введение в молекулу 75000—75013, 75020. Изотопные эффекты 74144. Изотопный обмен 74392, 74407, 74416, 74417, 74454, 74766. Измерение активности 75411. Применения: в исслед. кинетики и механизма р-ций 74306, 74307, 74774, 74785, 74787, 74789, 74904, 76281; в физ. процессах 74216, 74217, 74219; в биохимии 21698—21701 Бх 21794Бх, 21800 Бх, 21817Бх, 21928Бх, 21930Бх, 21935Бх, 21939Бх, 21959Бх, 21969Бх; 21972Бх, 21978Бх, 21985Бх, 22003Бх, 22007Бх, 22015Бх, 22017Бх, 22018Бх, 22040Бх, 22183Бх, 22194Бх, 22233Бх, 22270Бх, 22304Бх, 22321Бх, 22322Бх, 22326Бх, 22335Бх, 22339Бх, 22344Бх, 22361—22363Бх, 22370Бх, 22509Бх, 22536Бх, 22581Бх, 22622Бх, 22661Бх, 22693Бх, 22694Бх; в пром-сти 75497; в аналит. химии 75202, 75293, 75311, 75350, 75405. Изотопы в геохимии 74683, 74685, 74723, 74727. Применение в орган. химии 74792—74794. Др. вопр. 74333, 74350, 74401, 74466, 74467, 74508, 75449—75451, 75453

## ТЕРМОДИНАМИКА. ТЕРМОХИМИЯ. РАВНОВЕСИЯ. ФИЗИКО-ХИМИЧЕСКИЙ АНАЛИЗ. ФАЗОВЫЕ ПЕРЕХОДЫ

**74327. Вариационные принципы термодинамики необратимых процессов и их приложения к механике вязкоупругих сред. Биот** (Variational principles in irreversible thermodynamics with application to viscoelasticity. Biot M. A.), Phys. Rev., 1955, 97, № 6, 1463—1469 (англ.)

Рассматривается система I, находящаяся в термодинамич. контакте с системой II, так что между обеими системами происходит, в частности, теплообмен, и их полная энтропия и энтропия каждой из них меняется. Обе системы адиабатически изолированы и погружены в термостат с постоянной т-рой. Тепло  $h$ , передаваемое системой II системе I, связано с внутренней энергией  $U$  и с совокупностью термодинамич. переменных  $q_i$  соотношением  $dh = dU_I - \sum_i q_i dq_i$ . Здесь и в дальнейшем буквенными индексами нумеруются термодинамич. степени свободы, а римскими цифрами — системы. Сопряженные переменным  $q_i$  величины  $Q_i$  названы обобщенными внешними силами; они, в частности, могут быть пропорциональны хим. родству. Введены положительно определенные квадратичные формы  $V = (1/2) \sum_{ij} a_{ij} q_i q_j = U_I - TS_{II}$  и  $D = (1/2) \sum_{ij} b_{ij} \dot{q}_i \dot{q}_j = (1/2) T \sum_i \dot{q}_i dS/dq_i$  ( $S$  — энтропия,  $S = S_I + S_{II}$ ). С помощью теории Онзагера основные соотношения термодинамики необратимых процессов сформулированы в виде  $Q_i = \partial V / \partial q_i + \partial D / \partial \dot{q}_i = \sum_j a_{ij} q_j + \sum_j b_{ij} \dot{q}_j$ . Из этих ур-ний видно, что  $V$  играет роль потенциальной энергии, а  $D$  — диссипативной функции. Решение этих ур-ний найдено методами операционного исчисления для системы, на которую внезапно действовали постоянные силы  $Q_i$ , причем использована другая работа автора (РЖХим, 1956, 49754). Величины  $q_i$  оказываются пропорциональными времени. Обсуждается принцип минимума скорости изменения энтропии. «Силы неравновесности»  $X_i$  определены равенством  $X_i = Q_i - \partial V / \partial q_i$ . На основе вариационного принципа доказана теорема: для систем в неравновесном состоянии мгновенное направление скорости в пространстве  $q_i$  таково, что скорость возникновения энтропии минимальна для всех возможных векторов скоростей, удовлетворяющих условию  $\sum_i X_i \dot{q}_i = \text{const}$ . Доказано, также, что скорость возникновения энтропии есть монотонно убывающая функция времени, стремящаяся к постоян-

ной, и что все производные энтропии по времени более высокого порядка суть также монотонные функции, стремящиеся к нулю. На основе исследований, проведенных ранее (см. ссылку выше), рассмотрены системы со скрытыми степенями свободы в приложении к механике вязко-упругих сред. Сформулированы дифференциальный и интегральный вариационные принципы. Для двумерного случая получено интегро-дифференциальное уравнение, определяющее связь между деформациями и характеризующими среду тензорами. А. А.

**74328. Термодинамический вывод деформаций вязкоупругих пластин. Биот** (Deformation of viscoelastic plates derived from thermodynamic. Biot M. A.), Phys. Rev., 1955, 98, № 6, 1869—1870 (англ.)

Указывается, что плоская задача, рассмотренная автором ранее (см. пред. реф.), является частным случаем более общей трехмерной задачи, где смещения представляются рядом Тейлора по степеням толщины пластины. Применение вариационного метода приводит к общей теории вязкоупругих пластин, приложимой к пластинам постоянной и переменной толщины. Указаны границы применимости ранее решенной задачи. Получено приближение второго порядка по толщине пластины, совпадающее по форме с уравнением, полученным автором ранее. Ю. Х.

**74329. Неравновесная термодинамика термической транспирации химически реагирующих веществ. Растиги, Сривастава** (Non-equilibrium thermodynamics of thermal transpiration of chemically reacting species. Rastogi R. P., Srivastava R. C.), Trans. Faraday Soc., 1955, 51, № 3, 343—347 (англ.)

Рассматривается термическая диссоциация (р-ция типа  $X_n \rightleftharpoons nX$ ) газа, помещенного в 2 сосуда, соединенных малым отверстием и поддерживаемых при различных т-рах. Получено на основе известных работ (РЖХим, 1955, 48442; 1956, 25064) выражение для возникновения энтропии, в котором феноменологич. коэфф. Онзагера выражены через измеримые величины. По найденным ф-лам произведены расчеты для  $N_2O_4 \rightleftharpoons 2NO_2$ . Показано, что при разностях температур  $\sim 10^\circ$  отклонения кон-ций от равновесных значительны. З. Г.

**74330. Термодиффузия в жидкой фазе. Барановский, Демихович** (Termodyfuzja w fazie cieklej. Baranowski Bogdan, Demichowicz Jagda), Wiadom. chem. 1955, 9, № 7-8, 379—403 (польск.) Обзор. Библ. 129 назв. Г. Л.

**74331. О необратимости в механических системах (продолжение). Такэда** (力学系の非可逆性について (つづき). 竹田愛郎), 物性論研究, Буссэйрон кэнкю, 1955, № 90, 8—11 (япон.)

Математическое обсуждение результатов предыдущей работы (РЖХим, 1956, 42568). Л. Л.

**74332. Статистический аналог второго закона. Томсен** (Statistical analog of the second law. Thomsen John S.), Phys. Rev., 1955, 98, № 6, 1625 (англ.)

В предшествующих работах автор (РЖФиз, 1954, 6067) и Ландсберг (РЖХим, 1956, 9293) сформулировали различные предложения в качестве статистич. аналогов второго закона термодинамики. В добавление к выводам, изложенным в указанной работе автора, доказывается, что предложенный им аналог (S) более точно соответствует требованию второго закона о невозможности уменьшения энтропии изолированной макросистемы, нежели аналог (H), предложенный Ландсбергом, и что S как более общее понятие включает в себя и H, являясь более ограничивающим условием, чем H. Поэтому определенные статистич. предложения выводятся из второго закона, взятого в форме S, но не в форме H. О. К.

**74333. Статистическая механика смесей изотопов. Честер** (Statistical mechanics of mixtures of isotopes. Chester G. V.), Phys. Rev., 1955, 100, № 2, 446—454 (англ.)

Выражение для избытка свободной энергии  $\Delta F$  смеси изотопов разложено в ряд Тейлора по степеням относительной разности масс  $\lambda_j = (m_0 - m_j)/m_j$ , где  $m_j$  и  $m_0$  — массы частиц j-го компонента (с мол. долей  $x_j$ ) и некоторого эталонного изотопа. Такое разложение применимо, если принять, что частицы подчиняются классич. статистике Больцмана; предполагается также «жесткость» частиц и независимость потенциала взаимодействия между частицами от масс изотопов. Показано, что при этих предположениях линейный член разложения тождественно исчезает, а квадратичный член имеет вид  $\sum \sum x_i x_j (\lambda_i - \lambda_j)^2 Q$ , где  $Q = Q(T, V, m_0)$ ; это дает явное выражение для зависимости  $\Delta F$  от  $x_i$  и  $\lambda_i$ . Отсюда выведено, что при достаточно низких т-рах смесь изотопов должна разделяться на чистые компоненты в виде отдельных фаз. Показано наличие приближенного закона соответственных состояний для различных смесей изотопов. Теория применена к твердым смесям и к жидкой смеси изотопов водорода. Особо рассмотрено применение теории к смеси  $He^3$ - $He^4$ , где статистика Больцмана непригодна. Проведено сравнение с посвященной этому же вопросу теорией (РЖХим, 1955, 51431—51433). В. У.

**74334. Энтропийные уравнения состояния и их применение к явлениям, сопровождающим ударную волну. Дьювалл, Зволинский** (Entropic equations of state and their application to shock wave phenomena. Duvall George E., Zwolinski Bruno J.), Industr. and Engng Chem., 1955, 47, № 6, 1182 (англ.) Дано выражение для разницы между давлением, вычисленным по закону Гюгонио, и адиабатич. давлением в ур-нии состояния для твердых тел, предложенном ранее (Pack D. C. и др., Evans W. M., James H. J., Proc. Phys. Soc., 1948, 60, 1),  $\Delta P = (6 + \beta) \alpha \beta \bar{V}_0 (108 C_V)^{-1} \times g(\bar{V}_0) (1 - \rho_0/\rho)^3$ . Возрастание энтропии в металлах вследствие прохождения ударной волны дается выражением:  $\Delta S = (6 + \beta) \alpha \beta \bar{V}_0 (108 T_0)^{-1} (1 - \rho_0/\rho)^3$ , где  $\alpha$  и  $\beta$  — параметры в ур-нии Пака—Эванса—Джеймса,  $\bar{V}_0 = 1/\rho_0$  — уд. объем при комнатной т-ре  $T_0$  и нулевом давлении,  $C_V$  — уд. теплоемкость,  $g(\bar{V}_0) = (\partial p/\partial T)_{\bar{V}_0}$ ,  $\rho$  — плотность за фронтом ударной волны. О. К.

**74335. Спектр колебаний и теплоемкость кубических металлов. II. Применение к серебру. Бхатия, Хортон** (Vibration spectra and specific heats of cubic metals. II. Application to silver. Bhatia A. B., Horton G. K.), Phys. Rev., 1955, 98, № 6, 1715—1721 (англ.) На основе модели одновалентного кубического металла, описанной в сообщении I (РЖХим, 1956, 21907), проведено вычисление спектра частот нормальных колебаний атомов решетки Ag, обладающего границентрированной кубич. структурой, и  $C_V$  в зависимости от т-ры и констант упругости  $c_{11}$ ,  $c_{44}$  и  $c_{12}$ . Вычисления производились для значений констант упругости при комнатной т-ре и т-ре абс. нуля. Результат сравнения  $C_V$  с эксперим. данными и с другими вычислениями (Leighton R. B., Revs Mod. Phys., 1948, 20, 165) представлен графически в виде зависимости соответствующей эффективной т-ры Дебая  $\theta$  от т-ры T. Найдено, что при  $T > 7^\circ K$  предлагаемая теория более удовлетворительно согласуется с опытом, чем теория Лейтона, и дает правильно величину и положение минимума кривой  $\theta - T$  при  $T < 40$ . Выше  $40^\circ K$  теоретич. кривая имеет более крутой ход, чем экспериментальная (максим. отклонение  $\sim 10\%$ ). В этой области лучшее согласие с экспериментом показывает кривая Лейтона. С другой стороны, теоретич. ( $\theta - T$ )-кривая, полученная для констант упругости при комнатной т-ре не согласуется с опытом при низких т-рах и хорошо согласуется с ним при высоких т-рах. В области  $T < 7^\circ K$  теоретич. и эксперим. ( $\theta - T$ )-

кривые даже качественно отличаются одна от другой. Показано, что различие между теорией и экспериментом ниже 7° К может быть частично устранено соответствующим выбором констант упругости в каждой температурной области, мало отличающихся от констант упругости, используемых в вычислении. Однако оказалось, что объяснение полного отличия теоретич. и эксперим. кривых при низких т-рах для Ag и аналогичного отличия, найденного в сообщении I для Na, заключается как в пренебрежении при вычислении изменением констант упругости с т-рой, так и в неадекватности предположений, принятых при выводе секулярного ур-ния в сообщении I и приближенного метода вычисления спектра частот.

**74336.** Измерение удельной теплоемкости решетки при низких температурах с применением теплового прерывателя. Уэбб, Уилкс (The measurement of lattice specific heats at low temperatures using a heat switch. Webb F. J., Wilks J.), Proc. Roy. Soc., 1955, A230, № 1183, 549—559 (англ.)

Предложен механич. тепловой прерыватель, обеспечивающий точную регулировку подачи тепла и значительно повышающий точность измерения теплоемкости вплоть до  $t \sim 1^\circ \text{K}$ . Механич. контакт осуществляется медными клещами, сжимающими медную проволоку, на которой подвешен образец. Клещи контролируются медным цилиндром, который плавно движется внутри трубки, ввинченной в криостат. Когда натяжение проволоки, на которой подвешен цилиндр, уменьшается, цилиндр опускается и клещи размыкаются. Тепловой прерыватель использован для измерения теплоемкости KCl, Sn и графита. Полученные данные показывают, что в случае KCl (куб. решетка) и Sn (структура типа алмаза) теплоемкость изменяется почти по закону  $T^3$  при т-рах ниже  $\sim 0,6^\circ \text{K}$ , где  $\theta$  — характеристич. т-ра Дебая. Зависимость теплоемкости графита от т-ры более сложна из-за анизотропии решетки.

**74337.** Теплоемкость графита при очень низких температурах. Де-Сорбо (Specific heat of graphite at very low temperatures. DeSorbo Warren), J. Chem. Phys., 1955, 23, № 10, 1970—1971 (англ.)

Поскольку прежние результаты измерений теплоемкости графита (РЖХим. 1954, 39254; 1955, 54607) расходятся в интервале 13—25° К, проведены новые более точные измерения в интервале 1,5—20° К, подтвердившие результаты первых авторов. Приводятся характеристики образца. Полученные данные удовлетворяют ур-ниям  $C = aT^3 + \gamma T$  (1,5—3° К) и  $C = bT^{2,4}$  (1,5—4,2° К); линейный член дает вклад «свободных электронов», но коэфф.  $\gamma$  здесь меньше, чем для металлов; для теплоемкости решетки получается  $C_L = kT^n$ , где  $n \approx 3$  при  $\sim 3^\circ \text{K}$  и  $n \approx 2$  при  $\sim 20^\circ \text{K}$ . Результаты измерений на другом образце (приводятся его характеристики) в интервале 1,5—4,2° К удовлетворяют ур-нию  $C = aT^3 + \gamma T$  во всем интервале, но с другими, несколько большими  $a$  и  $\gamma$ ; подчеркивается необходимость большой чистоты графита и отсутствия дефектов решетки для возможности сравнения результатов опыта с теоретич. предсказаниями.

**74338.** Температурная зависимость свободной энергии смешанных кристаллов. Ильшнер (Die Temperaturabhängigkeit der freien Energie von Mischkristallen. Ilshner Bernhard), Arch. Eisenhüttenwesen, 1955, 26, № 10, 623—626 (нем.)

Рассмотрена зависимость свободной энергии двухкомпонентного однородного смешанного кристалла от т-ры. Для случая подчинения теплоемкости системы правилу Коппа-Неймана показано, что 1) теплота смешения не зависит от т-ры; 2) энтропия смешения такого кристалла отличается от идеальной энтропии смешения только одним выражением, зависящим от состава; 3) если в выражении

для свободной энергии кристалла член, выражающий взаимодействие, представить в виде полинома от  $x$  ( $x$  — молярная доля компоненты), то коэфф. этого полинома будут линейно зависеть от т-ры.

С. Б.

**74339.** Общая диаграмма энтальпия — температура — энтропия для идеальных газов и газовых смесей до 5000° К. Ноггерат (General enthalpy-temperature-entropy diagram for ideal gases and gas mixtures up to 5000 K. Noeggerath W.), Jet Propuls., 1955, 25, № 9, 454—462, 470 (англ.)

Составлены диаграммы энтальпии и энтропии двух- и трехатомных газов и их смесей в интервалах 200—1700 и 298,16—5000° К. Для теплоемкости газов принято ур-ние:  $C_p(T) = c_0(T) + \gamma_1 c_1(T) + \gamma_2 c_2(T)$ , где  $c_0$ ,  $c_1$  и  $c_2$  — функции т-ры, общие для всех газов, а  $\gamma_1$  и  $\gamma_2$  — параметры, характеризующие отдельные газы. Соответственно энтальпия и энтропия выражены ур-ниями:  $H(T) = e_0(T) + \epsilon_1 c_1(T) + \epsilon_2 c_2(T)$  (1) и  $S(T) = s_0(T) + \sigma_1 s_1(T) + \sigma_2 s_2(T)$  (2). Принято  $H_{298,16} = S_{298,16} = 0$ . Диаграммы построены таким образом, что для трех наиболее обычных газов  $\text{N}_2$ ,  $\text{H}_2\text{O}$  и  $\text{CO}_2$  параметрам  $\epsilon_1$ ,  $\epsilon_2$ ,  $\sigma_1$  и  $\sigma_2$  приписаны постоянные и простые численные значения:  $\text{N}_2$   $\epsilon_1 = \sigma_1 = 1$  и  $\epsilon_2 = \sigma_2 = 1$ ;  $\text{H}_2\text{O}$   $\epsilon_1 = \sigma_1 = 2$  и  $\epsilon_2 = \sigma_2 = 1$  и  $\text{CO}_2$   $\epsilon_1 = \sigma_1 = 1$  и  $\epsilon_2 = \sigma_2 = 2$ . Параметры всех других газов зависят от т-ры, но для большинства практических целей могут считаться постоянными (у  $\text{H}_2$  в интервале 800—5000° К отклонения доходят до 2,5%, у всех остальных газов в интервале 1500—5000° К не превышают 1%). Функции  $e_0$ ,  $\epsilon_1$ ,  $\epsilon_2$ ,  $s_0$ ,  $s_1$  и  $s_2$ , общие для всех газов, вычислены по известным  $H$  и  $S$ ,  $\text{N}_2$ ,  $\text{H}_2\text{O}$  и  $\text{CO}_2$  из ур-ний (1) и (2) и табулированы от 200 до 5000° К. Составленные диаграммы  $H-T$  и  $S-T$  объединены в один график, который дополнен кривыми для графич. определения молярной внутренней энергии, энтропии при постоянном объеме и изменения т-ры при изэнтропийном расширении или сжатии. Вычислены параметры  $\epsilon_1$ ,  $\epsilon_2$ ,  $\sigma_1$  и  $\sigma_2$  для  $\text{CO}$ ,  $\text{H}_2$ ,  $\text{O}_2$ ,  $\text{OH}$ ,  $\text{NO}$ ,  $\text{O}$  и  $\text{H}$ ; для всех других газов  $\epsilon$  и  $\sigma$  могут быть вычислены по известным  $H$  и  $S$  из ур-ний (1) и (2). Параметры газовых смесей являются взвешенными средними параметров компонентов. При расчете  $H$  и  $S$  в предположении постоянства  $\epsilon$  и  $\sigma$  всех газов в широком интервале т-р относительная погрешность не превышает 1% и снижается при введении усредненных параметров. Использование диаграммы ограничено идеальными газами и их смесями постоянного состава.

В. К.

**74340.** Термодинамические функции бис-циклопентадиенилов железа, никеля и рутения. Липпикотт, Нелсон (The thermodynamic functions of bis-cyclopentadienyl iron, bis-cyclopentadienylnickel and bis-cyclopentadienylruthenium. Lippincott Ellis P., Nelson Richard D.), J. Amer. Chem. Soc., 1955, 77, № 19, 4990—4993 (англ.)

Из спектроскопич. данных для  $\text{Fe}(\text{C}_5\text{H}_5)_2$  (I),  $\text{Ru}(\text{C}_5\text{H}_5)_2$  (II) и  $\text{Ni}(\text{C}_5\text{H}_5)_2$  (III) вычислены значения  $C_p^0$ ,  $(H^0 - E_0^0)/T$ ,  $-(F^0 - E_0^0)/T$ ,  $S_0$  для 298,16° К и в интервале 300—1500° К (шаг 100°) и значения  $\Delta H_f^0$ ,  $\Delta F_f^0$  и  $\Delta S_f^0$  для р-ции образования газообразных I и III из простых в-в при тех же т-рах.  $C_p$  298,  $S_0^0$  и  $\Delta H_f^0$  298 соответственно равны: для I 38,05; 87,99; 50,61; для II 37,94; 87,98; —; для III 39,93; 92,41; 79,61. На основании полученных данных авторы заключают, что наиболее устойчивым является II, наименее устойчивым III.

Б. А.

**74341.** Определение термодинамических свойств органических веществ и химических реакций. Джанз (The estimation of thermodynamic properties for organic compounds and chemical reactions. Janz George J.),

Quart. Revs London Chem. Soc., 1955, 9, № 3, 229—254 (англ.)

Обзор методов расчета термодинамич. свойств в применении к органич. химии (вычисления на основе молекулярных и спектроскопич. данных; полуэмпирич. методы, основанные на аддитивности инкрементов отдельных радикалов; эмпирич. ф-лы расчета теплот сгорания органич. в-в; методы вычисления теплоемкости). Приведены примеры расчета некоторых р-ций. Библ. 54 назв. Б. А.

**74342. Термодинамические функции диметилового эфира.** Sheh A. Z., Chem. listy, 1955, 49, № 10, 1569—1570

На основании литературных данных, касающихся структуры колебательных спектров и потенциального барьера внутреннего вращения, вычислены термодинамич. функции диметилового эфира для  $T$  от 300—1000° K:  $C_p$ ,  $(H^0 - H^0_0)/T$ ;  $S^0$ ;  $-(G^0 - H^0_0)/T$ ;  $\Delta H^0_f$ ,  $\Delta G^0_f$ ,  $\lg K_f$ . Константа равновесия  $K_f$  р-ции  $2CH_3OH = (CH_3)_2O + H_2O$ , вычисленная из  $G$ , хорошо согласуется с  $K_f$ , полученной экспериментально. Зависимость  $C_p$  от  $T$  выражается уравнением  $C_p = 3,693 + 44,89 \cdot 10^{-3} T - 14,57 \cdot 10^{-6} T^2$ .

Luboš Matoušek.

**74343. Термохимия органических соединений фосфора.**

Часть I. Теплоты гидролиза и окисления. Нил, Вильямс (The thermochemistry of organic phosphorus compounds. Part I. Heats of hydrolysis and oxidation. Neale E., Williams L. T. D.), J. Chem. Soc., 1955, July, 2485—2490 (англ.)

В аппаратуре, описанной ранее (РЖХим, 1955, 13579), определены теплоты гидролиза в воде  $CH_3POCl_2$  (—47,0 ккал/моль),  $C_2H_5POCl_2$  (—49,4),  $изо-(C_2H_5O)CH_2POCl_2$  (—29,5), гидролиза в 0,5 н. р-ре едкого натра  $(C_2H_5O)_2POF$  (—46,6),  $(C_2H_5O)_2PO \cdot O \cdot PO(OC_2H_5)_2$  (—58,2), гидролиза  $(C_2H_5O)_2PON$  в водн. р-ре едкого кали (—22,4), окисления  $изо-(C_2H_5O)_2P$  5% р-ром перекиси водорода (—103,6), окисления  $C_2H_5PCL_2$  р-ром хлористого сульфурла в бензоле (—40,6) и окисления  $(C_2H_5O)_2PON$  р-ром иода в присутствии бикарбоната (—57,0). Полученные данные не позволяют непосредственно подсчитать теплоты образования этих соединений, но по ним можно приблизительно оценить средние энергии связи (дан метод подсчета последних), по которым вычисляют теплоты р-ций. О. К.

**74344. О связи между растворимостью и относительной летучестью.** Коган В. Б., Ж. физ. химии, 1955, 29, № 8, 1470—1476

На основании рассмотрения термодинамич. соотношений, характеризующих условия равновесия многокомпонентных систем, показано, что в многокомпонентных системах по сравнению с бинарными возрастает относительная летучесть тех компонентов, которые обладают наименьшей взаимной растворимостью. С увеличением концентрации в жидкой фазе компонента, обладающего ограниченной взаимной растворимостью с одним или несколькими компонентами системы, возрастает относительная летучесть последних. Найденная закономерность подтверждена путем рассмотрения эксперим. данных о равновесии между жидкостью и паром в ряде трехкомпонентных систем. Эта закономерность может применяться для оценки правильности данных о равновесии жидкость — пар систем, содержащих компоненты с ограниченной взаимной растворимостью. Показана ошибочность опубликованных в литературе данных о равновесии между жидкостью и паром в системе этиловый эфир — этанол — вода (Moeller W. P., Englund S. W., Tsui T. K., Othmer D. F., Industr. and Engng Chem., 1951, 43, 711). Отмечается важное практич. значение установленной закономерности для выбора разделительных агентов для процессов азеотропной и экстрактивной ректификации. В. К.

**74345. Приближенный термодинамический расчет равновесия с помощью вспомогательной таблицы.** Вла-

димиров Л. П., Науч. зап. Львовск. политехн. ин-та, 1955, вып. 23, 151—178

Предложен и иллюстрируется метод быстрого подсчета констант равновесия ( $K$ ) любых сложных газовых и гетерогенных (с участием газообразных реагентов) р-ций. Метод основан на предварительном табулировании числовых значений функций  $M$  и  $N$  приближенного уравнения  $\lg K_p = M/T + N$ , вычисленных для простейших газообразных, твердых и жидких соединений.  $\lg K$  сложных р-ций определяется путем алгебраич. суммирования функций, соответствующих каждому реагенту. Необходимые для расчета значения  $M$  и  $N$  приведены в таблице. Ю. З.

**74346. Практически точный метод расчета констант равновесия газовых реакций.** Владимирова Л. П., Науч. зап. Львовск. политехн. ин-та, 1955, вып. 23, 179—188

Излагается и иллюстрируется метод расчета констант равновесия ( $K$ ) газовых р-ций, представляющий собой дальнейшее развитие методов Улиха, Темкина и Шварцмана и приближенного «экспресс-метода», разработанного автором (см. пред. реф.). Метод основан на использовании двух таблиц, одна из которых содержит численные значения функций от величин  $\Delta H$ ,  $\Delta S$  и  $\Delta C_p$  для простейших газообразных соединений, образующихся из простых в-в, другая — значения температурных функций  $M_0$ ,  $M_1$ ,  $M_2$ , и  $M_3$  (в интервале 200—2500° K), необходимых для расчета  $\lg K$ . Таблицы в настоящей статье опущены, их опубликованные предлагаются. Ю. З.

**74347. Определение константы равновесия реакции между  $BF_3$  и  $BCl_3$ .** Хиггинс, Лейзеганг, Росс, Росс (Determination of the equilibrium constant of the reaction between  $BF_3$  and  $BCl_3$ . Higgins T. H. S., Leisegang E. C., Raw C. J. G., Rossouw A. J.), J. Chem. Phys., 1955, 23, № 8, 1544 (англ.)

Исследовано равновесие р-ции  $BF_3 + BCl_3 = BCl_2 + + BF_2Cl$  при 27—29°. На однолучевом ИК-спектрометре после смешения  $BF_3$  и  $BCl_3$  измерялось уменьшение интенсивности линии поглощения при 955  $cm^{-1}$ , соответствующей  $BF_2Cl$ . Равновесная константа в условиях опыта достигалась за 30 мин. Константа равновесия равна  $0,53 \pm \pm 0,04$ . В. Ф.

**74348. Сольвосистема жидкой азотистой окиси. Часть XVII. Равновесие между алкиламмоний- и нитрозонитратаниониками.** Аддисон, Ходж, Томпсон (The liquid dinitrogen tetroxide solvent system. Part XVII. The equilibrium between alkylammonium and nitronium tetranitratoincates. Addison C. C., Hodge N., Thompson R.) J. Chem. Soc., 1954, March, 1143—1145 (англ.)

Жидкость, получаемая при растворении цинка в р-ре нитрата алкиламмония в жидком  $N_2O_4$ , содержит ионы  $[Zn(NO_3)_4]^{2-}$ ,  $NR_4^+$  и  $NO^+$ . Выделяемая при кристаллизации из этих р-ров соль изменяется в зависимости от природы группы  $NR_4^+$ . Результаты представлены в виде равновесия:  $(NR_4)_2[Zn(NO_3)_4] + 2N_2O_4 \rightleftharpoons (NO)_2[Zn(NO_3)_4] + 2NR_4NO_3$ . Когда  $NR_4^+$  представляет собой ион этиламмония, равновесие смещено влево; по мере увеличения числа этильных групп в  $NR_4^+$  равновесие сдвигается вправо. Исследованы р-ции р-ров нитратов диэтил-, триэтил- и тетраэтиламмония. Часть XVI см. РЖХим, 1956, 57627. Ф. М.

**74349. Равновесия при восстановлении  $BaSO_4$  водородом.** Калвер, Хамдорф (Equilibria in the reduction of barium sulphate by hydrogen. Culver R. V., Hamdorf C. J.), J. Appl. Chem., 1955, 5, № 8, 383—389 (франц.)

Описана аппаратура для определения динамич. методов констант равновесия  $K_p$  в системе  $BaSO_4 - BaS - H_2 - H_2O$ . Найдены значения  $K_p$  для р-ции  $BaSO_4$  (тв.)  $+ 4H_2$  (газ)  $= BaS$  (тв.)  $+ 4H_2O$  (газ) (1) в интервале 800—1100°;  $\lg K_p = 5,447 + (697,5/T)$  (9% при 800°

и 4% при 1100°. Для BaS вычислены значения  $\Delta G_{298} = -110,4$  ккал/моль,  $\Delta H_{298} = -112,4$  ккал/моль и  $S_{298} = 16,3$  энтр. ед., что хорошо согласуется с данными других авторов (Selected values of chemical thermodynamic properties. U. S., Bureau of Standards, 1950; Киреев В. А., Ж. общ. химии, 1946, 16, 1569). Эксперим. результаты для р-ции (I) вместе с термодинамич. данными для р-ции  $H_2$  (газ) +  $CO_2$  (газ) =  $CO$  (газ) +  $H_2O$  (газ) использованы для расчета  $K_p$  р-ции  $BaSO_4$  (тв.) +  $4CO$  (газ) =  $BaS$  (тв.) +  $4CO_2$  (газ) и найдено хорошее соответствие с ранее опубликованными результатами (Окипо Т., J. Soc. Chem. Ind. Japan, 1935, 38, 421).

Ю. Т.

**74350. Тензиметрия с радиоактивными индикаторами. Кроатто, Риккони** (Tensimetria con indicatori radioattivi. Croatto Ugo, Riccoboni Luigi), Ricerca scient., 1955, 25, № 6, 1464 (итал.)

Для определения парц. давления пара одного из компонентов предложено вводить радиоактивный изотоп в соответствующий компонент и измерять радиоактивность газообразной фазы в равновесии с жидкостью. Б. А.

**74351. Давление паров ртути при 250–360°. Спеддинг, Дай** (The vapor pressure of mercury at 250–360°. Spedding F. H., Dye J. L.), J. Phys. Chem., 1955, 59, № 7, 581–583 (англ.)

Измерено давление насыщ. паров ртути (I) в интервале 250–360°. Для измерений была использована усовершенствованная конструкция изотенископа, чертеж и подробное описание которого приводятся. Давление над диафрагмой измерялось ртутным манометром и отсчитывалось по катетометру с точностью  $\pm 0,05$  мм рт. ст. В качестве термостатирующей среды применялась расплавленная смесь  $KNO_3 + NaNO_3$ . Т-ра расплава поддерживалась постоянной в пределах  $\pm 0,005^\circ$ . Проведенными измерениями установлено, что упругость паров I в исследованном интервале описывается ур-нием  $\lg P = 10,59901 - 3335,027/\theta - 0,865372/\theta^2$ , где  $\theta = 273,160 + t$ . Полученные данные хорошо согласуются с данными других авторов. С. Б.

**74352. Давление пара над ZnS в интервале 680–825°C. Мак-Кейб** (Equilibrium pressure measurements above ZnS from 680° to 825°C. McCabe C. L. A. W.), J. Metals, 1954, 6, № 9, Sec. 1, 969–971 (англ.)

Давление пара сфалерита ZnS (I) измерено в интервале т-р 680–825° эффузионным методом Кнудсена с использованием Pt-ампул. Эксперим. данные выражаются ур-нием  $\lg P_{\text{ж.м}} = 14405/T + 11,032$ . По мнению автора, определенное давление пара I, проведенное Веселовским в кварцевых ампулах (Ж. прикл. химии, 1942, 15, № 6, 422), дало заниженные величины вследствие взаимодействия I с материалом ампулы. В газовой фазе I сильно диссоциирует и в равновесии с твердой фазой находится преимущественно Zn и  $S_2$ , что подтверждается в работе Погорелого (Ж. физ. химии, 1948, 22, вып. 6, 731). Л. Р.

**74353. Волуметрическое поведение n-гексана в жидкой фазе. Стюарт, Сейдж, Лейси** (Volumetric of n-hexane in liquid phase. Stewart D. E., Sage B. H., Lacey W. N.), Industr. and Engng Chem., 1954, 46, № 12, 2529–2531 (англ.)

Измерены молярные объемы n-гексана в жидкой фазе при разных т-рах и давлениях. Исследования проводились в температурном интервале 38–238° и давл. до 680 атм. Примененная аппаратура (РЖХим, 1956, 53880; Sage B. H., Lacey W. N., Trans. Amer. Inst. Min. Met. Engrs., 1940, 136, 136–157) обеспечивала максим. погрешность при измерении: температуры 0,01°, давления 0,1%, объема 0,4%; веса n-гексана 0,05%. Полученные эксперим. данные представлены в виде таблиц и графиков. С. Б.

**74354. Равновесие жидкость — пар неидеальных растворов. Часть I. Бинарные системы: ацетон — четыреххлористый углерод, ацетон — трихлорэтилен и четыреххлористый углерод — трихлорэтилен. Ачария, Рао** (Vapour-liquid equilibria of non-ideal solutions. Part I. Binary systems: (I) acetone-carbon tetrachloride, (II) acetone-trichloroethylene and (III) carbon tetrachloride-trichloroethylene. Acharya M. V. R., Rao C. V. Venkata), Trans. Indian Inst. Chem. Engrs, 1953–1954, 6, 129–136 (англ.)

Исследование равновесия между жидкостью и паром в системе ацетон (I) — четыреххлористый углерод (II), I — трихлорэтилен (III) и II — III при атмосферном давлении проводилось в приборе циркуляционного типа. Состав смесей определялся по  $n$  и  $d$ . Найдено, что зависимость коэфф. активности от состава в системе I — II хорошо описывается ур-нием Ван-Лаара при значении констант  $A = 0,42$  и  $B = 0,30$ . Отмечено образование азеотропа при 55,9° и 94,2 мол. % I в системе I — II. Система II — III идеальная. Большинство значений коэфф. активности III в системе I — III  $< 1$ , тогда как для I они  $> 1$  во всем диапазоне конц-ий. Система I — III близка к идеальной. Несоответствие полученных данных для I — III ур-нию Гиббса-Дюгема объясняется экспериментальными погрешностями. В. К.

**74355. Равновесие пар — жидкость системы четыреххлористый углерод — фурфурол. Уингард, Дьюрант, Табс, Браун** (Vapor-liquid equilibria for the system carbon tetrachloride-furfural. Wingard Robert E., Durant William S., Tubbs Harold E., Brown William O.), Industr. and Engng Chem., 1955, 47, № 9, 1757–1759 (англ.)

Получена диаграмма равновесия системы  $CCl_4$  (I) — фурфурол (II) в области т-р 77–161,7° и давл. 760 мм рт. ст. Состав проб устанавливался рефрактометрически. По эксперим. данным вычислены коэфф. активности для I и II; они отклоняются от значений, вычисленных по ур-нию Ван-Лаара, особенно при больших конц-иях I. В. У.

**74356. Азеотропия в бинарных системах. I. Гопичанд, Рао, Сарма, Рао** (Azeotropism in binary systems — I. Gopichand T., Rao V. N. K., Krishna, Sarma K. R. K., Rao M. Narasimha), Trans. Indian Inst. Chem. Engrs, 1953–1954, 6, 108–120 (англ.)

Дается обзор методов предсказания азеотропизма и определения влияния давления на состав бинарных азеотропных смесей. Предлагается метод расчета влияния давления на состав бинарного азеотропа, основанный на применении ур-ния Ван-Лаара в форме, предложенной Уайтом (White R. R., Trans. Amer. Inst. Chem. Eng., 1954, 41, 539). Представив коэфф. активности в жидкой фазе в виде произведения коэфф.  $\phi$ , зависящих, соответственно, от размеров молекул и от их хим. взаимодействия, и считая, что в азеотропной точке  $P_1\gamma_1 = P_2\gamma_2$  авторы вычисляли  $\lg \gamma_1/\gamma_2$  и  $\lg P_2/P_1$  в интервале т-р кипения компонентов при заданном общем давлении и методом последовательных приближений определили т-ру кипения и состав азеотропной смеси. Предложенный метод применен для расчета состава и т-ры кипения азеотропной смеси этанол-вода при 1,2 и 3 атм. В. К.

**74357. Упругость пара систем: вода — этиловый спирт — бензофенон, вода — этиловый спирт — трифенилкарбинол. Усанович М. И., Сергеева В. Ф., Хайрулина К. К.** Ж. общ. химии, 1955, 25, № 13, 2427–2430

При 20, 40, 55 и 75° изучено давление пара (P) системы этиловый спирт (I) — вода (II) — бензофенон (III) в зависимости от состава р-ригеля (88,0; 69,9 и 48,4 вес. % I) при постоянной конц-ии III (0,1 моль/л) в р-ре. Констатируется понижение P (общ.), понижение  $P_I$  и повышение  $P_{II}$  по сравнению с бинарной системой I — II. Исследование зависимости P от конц-ии III и трифенилкарбинола (IV) в системах I — II — III и I — II — IV при постоянном составе р-ригеля (88–90% I соответственно) и указанных выше т-рах показало понижение  $P_I$  и повышение  $P_{II}$  с увеличением конц-ии III и IV. Исходя из результатов измерений и ранее полученных данных (Каблуков И. А., ЖРФХО, 1891,

23, 388), авторы констатируют, что прибавленное в-во вызывает понижение  $P$  того компонента р-теля, в котором оно растворяется. Ю. З.

**74358. Статистическая теория фазовых переходов. III. Теория решетчатого газа, имеющего межузельную подрешетку. Симосэ (相轉移の統計理論. Interstitial sublattice をもつた lattice gas の理論. 下瀬育郎), 物性論研究, Буссейрон кэнкю, 1955, № 85, 92—104 (япон.)**

Теория, развитая в предыдущих частях этой серии (Часть II РЖХим, 1955, 48470), применена к «решетчатому» газу, обладающему подрешеткой. В рамках теории выяснен статистич. смысл перехода газ — жидкость и жидкость — твердое тело при сравнительно низких т-рах. Л. Л.

**74359. О соотношении между критериями устойчивости однородной фазы С. В. Тябликова и нашим. Фишер И. З., Ж. экспирим. и теор. физики, 1955, 29, № 6, 884**

Автор признает ошибочным и основанным на недоразумении содержащееся в его работе (РЖХим, 1956, 28450) утверждение о несостоятельности критерия устойчивости жидкости С. В. Тябликова (Ж. экспирим. и теор. физики, 1947, 17, 386). В. И.

**74360. Влияние различных физических факторов на кристаллизационные параметры вещества. Горский Ф. К., Сб. науч. работ Минского мед. ин-та, 1955, 15, 308—327**

По Френкелю, вероятность образования кристаллич. зародышей  $I = C \exp[-A/T(\Delta T)^2 - U/RT]$  и скорость их роста  $\omega = K \exp[-D/T\Delta T - U/RT]$  зависят каждая от трех параметров  $C, A, U$ , и  $K, D, U$ , названных автором кристаллизационными параметрами; поэтому при различных физ. воздействиях не обнаруживается простых закономерностей в изменении  $I$  и  $\omega$ , что подтверждается опытом. На основании имеющегося экспирим. материала рассмотрено влияние ряда физ. факторов на кристаллизационные параметры. Для энергии активации  $U$  (кал/моль) можно принять  $U = 40T_0$  (где  $T_0$  — т-ра плавл.) в кристаллич. решетках металлов и  $U = 3,57T_0$  в жидких металлах; для переохлажд. органич. расплавов  $U = 70T_0$ . Зависимость  $U$  от т-ры можно определить из температурного хода вязкости; в интервале от  $T_0$  до т-ры застеклования  $U$  может измениться в 10 раз. Для параметра  $A$ , зависящего от межфазной энергии на границе объемного кристаллич. зародыша и расплава ( $\sim \sigma^2$ ), принято значение:  $28(T_0 - T')^2$ , где  $T'$  — т-ра максимума на кривой зависимости числа центров кристаллизации от т-ры; предлагается эмпирич. правило  $T'/T_0 = 0,746$ . Аналогично для параметра  $D$ , зависящего от периметрич. энергии двумерного зародыша на грани растущего кристалла, предлагается  $D = 40(T_0 - T'')^2$  и  $T''/T_0 = 0,91$ , где  $T''$  — т-ра максимума линейной скорости кристаллизации. Ультразвуковые колебания вызывают ускорение диффузии и уменьшение вязкости, что свидетельствует об уменьшении  $U$ ; параметр  $A$  под действием ультразвука увеличивается. Расплавленные металлы в ультразвуковом поле быстрее затвердевают и приобретают более мелкозернистую структуру. Давление увеличивает  $U$  по закону  $U = U_0(1 + \beta p)$ , где  $\beta \sim 10^{-4}$ . Постоянное магнитное поле увеличивает  $U$ , переменное — уменьшает; электрич. поле увеличивает  $U$ . Влияние электрич. и магнитного полей при опытах с тонкими слоями или препаратами в тонких трубках зависит от направления поля по отношению к слою: электрич. поле, перпендикулярное слою, действует подобно магнитному полю, параллельному слою, сдвигая кривую числа центров кристаллизации в сторону более низких т-р; в противном случае получается обратный эффект. В. У.

**74361. Время запаздывания из-за эффектов нестационарности при спонтанном ядроброждении. Коллинс (Time lag in spontaneous nucleation due to non-steady**

state effects. Collins F. C.), Z. Elektrochem., 1955, 59, № 5, 404—407 (англ.)

Разработан приближенный метод решения нестационарной задачи о зарождении центров новой фазы. Поскольку основное сопротивление «потоку» зародышей новой фазы оказывает область вблизи крит. размера  $g^*$ , то без особой погрешности кинетич. коэфф.  $D(g)$  полагается равным  $D^*$  (знак \* характеризует критич. размер). Решение основного уравнения, описывающего вероятность  $f(g, t)$  распределения зародышей по размерам  $g$  в момент времени  $t$ , ищется в виде  $f(g, t) = n_1 \exp(-A) U(Y, t)$ , где  $n_1$  — конц-ия молекул,  $A = \Delta G/kT$ ,  $\Delta G$  — работа образования зародыша размера  $g$ . Функция  $U(Y, t)$  есть решение уравнения теплопроводности  $\partial U/\partial t = (1/D^*) \exp(2A) \partial^2 U/\partial Y^2$  при условиях  $U(0, t) = 1$ ;  $U(F, t) = 0$ ;  $U(Y, 0) = 0$ . Новая переменная  $Y$  выбирается следующим образом:  $Y(g) = \int_1^g (1/D) \exp(A) dg$ . Итак, нестационарная задача зарождения приводится к соответствующей задаче теплопроводности. Полученное решение дает скорость ядроброждения, т. е. «поток» через крит. размер, для малых  $t$  в виде  $I(t) = 2n_1 \exp(-A^*) (D^* \pi t)^{1/2} \exp \times (-2\pi kT/\gamma D^* t)$ . Из анализа этого выражения получена ф-ла для нижней границы времени релаксации  $\tau$  установления стационарного распределения зародышей по размерам  $\tau = 9\pi kTg^{*2}/\mu^2 \sigma \beta$ , где  $\sigma$  — поверхностное натяжение,  $\beta$  — число столкновений молекул с единицей поверхности в единицу времени,  $\mu$  — фактор формы. Оценка для конденсации водяного пара при  $0^\circ$  и 4-кратном пересыщении дает  $\tau \sim 1,4 \cdot 10^{-6}$  сек.

При зарождении в твердых телах или вязких р-рах  $\tau$  может быть значительно больше этой величины, так как в этих случаях  $\beta$  существенно зависит от энергии активации вязкого течения  $\Delta E$ , а именно:  $\beta = \beta_0 \exp \times (-\Delta E/RT)$ . Д. Т.

**74362. О тенденции к спонтанной кристаллизации в пересыщенных растворах и переохлажденных расплавах. Гопал (On the tendency of spontaneous crystallisation in supersaturated solutions and undercooled melts. Gopal Ram), Z. anorgan. und allgem. Chem., 1955, 278, № 1-2, 46—52 (англ.; рез. нем.)**

Изучение спонтанной кристаллизации (СК) пересыщ. р-ров некоторых солей показало, что для них приближенно справедливо соотношение  $(T_S - T)\lambda_S \cong \text{const}$  ( $T_S$  — т-ра, соответствующая насыщению,  $T$  — т-ра появления СК,  $\lambda_S$  — теплота растворения). Рассматривая изменение хим. потенциала при изотермич. переходе моля от пересыщ. состояния к насыщ. и применяя уравн. Клаузиуса — Клапейрона, можно получить  $(T_S - T)\lambda_S/T_S = \text{const}$ , что близко соответствует опыту при малых изменениях  $T_S$ . Аналогичные рассуждения в применении к СК в переохлажденных расплавах дают такое же по форме соотношение:  $(T_m - T)\lambda/T_m = \text{const}$ , где  $\lambda$  — теплота плавления и  $T_m$  — т-ра затвердевания. Полученные соотношения могут быть распространены и на другие системы. Отсюда следует, что СК в переохлажденных подобных системах происходит при таких т-рах, когда получаются приблизительно равные изменения свободной энергии при изотермич. процессе. Л. Р.

**74363. Кинетика образования осадков: сульфат бария. Джонсон, О'Рорк (The kinetics of precipitate formation: barium sulfate. Johnson Ralph A., O'Rourke James D.), J. Amer. Chem. Soc., 1954, 76, № 8, 2124—2126 (англ.)**

В ходе процесса образования осадков  $\text{BaSO}_4$  наблюдаются две стадии: период индукции (ПИ) и период роста (ПР). В течение ПИ р-ция определяется образо-

ванием зародышей и незначительным ростом кристаллов. Увеличение поверхности образовавшихся кристаллов приводит к резкому возрастанию скорости их роста и начинается вторая стадия, когда процесс определяется только ростом частиц, число которых в ПР неизменно. По окончании ПИ «старейшие» кристаллы за счет роста столь сильно понижают конц-ию р-ра, что новые частицы уже не образуются. Поэтому в дальнейшем процессе «старейшие» кристаллы численно преобладают и осадок становится однородным в отношении размеров частиц. На основе этих представлений были выведены теоретич. ур-ния для обеих стадий. Для ПИ скорость роста отдельного кристалла выражается соотношением  $da/dt = -k(C_0 - C)^{1/2} a^q$ , где:  $a$  — средняя активность ионов,  $C_0$  и  $C$  — молярные конц-ии  $BaSO_4$  в начальный момент времени и в моменту  $t$ ,  $k$  и  $q$  — константы. Принимая скорость образования зародышей равной  $dv/dt = Ka^p$  ( $K$  и  $p$  — константы,  $v$  — число частиц) и подставляя  $a$  из первого ур-ния, путем интегрирования находят выражение для  $a$  как функции  $t$ . Для ПР выведен дифференциальное ур-ние  $da/dt = -kv^{1/2}(C_0 - C)^{1/2}(a_0 - a)^q$ , численное интегрирование которого дает график зависимости  $a$  от  $t$ . Обе теоретич. закономерности хорошо подтверждаются на опыте. Л. Р.

**74364. Механизм кристаллизации переохлажденных водяных капель с помощью затравок. I. Экспериментальное изучение способности различных веществ служить затравками при образовании льда.** Пруппахер, Зенгер (Mechanismus der Vereisung unterkühlter Wassertropfen durch disperse Keimsubstanzen. I. Experimentelle Untersuchungen über die Eiskeimfähigkeit der Stoffe. P. Pruppacher, Hans Rudolf, Sanger Raymond, Z. angew. Math. und Phys., 1955, 6, № 5, 407—416 (нем.; рез. англ.)

В холодильной камере с помощью специально разработанной аппаратуры, позволяющей измерять т-ру с ошибкой менее  $1^\circ$ , исследованы условия перехода переохлажденных водяных капель в лед и зависимость т-ры перехода от свойств в-в, применявшихся в качестве зародышей кристаллизации. Для 104 исследованных в-в не обнаружено непосредственной связи их кристаллографических свойств со способностью служить в качестве затравок. Найдено, что фазовому переходу способствуют в-ва с большой поляризуемостью аниона в решетке. Из них наилучшие результаты дает  $AgI$ , а также  $CuS$ , которые имеют преимущества дешевизны и большей хим. устойчивости. И. Г.

**74365. Разность энтальпий  $\alpha$ - и  $\beta$ -фталоцианина меди, измеренная в изотермическом калориметре.** Бейон, Хамфрис (The enthalpy difference between  $\alpha$ - and  $\beta$ -copper phthalocyanine measured with an isothermal calorimeter. Beaton J. H., Humphries A. R., Trans. Faraday Soc., 1955, 51, № 8, 1065—1071 (англ.)

Теплота превращения фталоцианина меди (II) из метастабильной  $\alpha$ -формы в стабильную  $\beta$ -форму определена в изотермическом калориметре. Введенные усовершенствования в описанные ранее конструкции (Coffin и др., Can J. Res., B, 1950, 28, 579) относятся прежде всего к уменьшению теплообмена калориметра со средой: калориметр помещен в посеребренный вакуумный сосуд, испарение из реакционного сосуда предотвращено ртутным затвором, т-ра латунного фланца, на котором укреплен калориметр, поддерживается равной т-ре термостата, нагреватель калориметра закрыт полированным Ni-экраном, над калориметром расположен колпак из Al-фольги. Превращение осуществлялось при  $80^\circ$ , в качестве рабочего в-ва взят нафталин. Вакуумный сосуд с калориметром помещен в масляный термостат ( $\pm 0,001^\circ$  в течение 8 час.), вся аппаратура находится в помещении с небольшими колебаниями т-ры. Образец  $\alpha$ -I весом 0,5—2,0 г, запаянный в

стеклянную ампулу, помещался в насыщ. р-р I в о-хлорфеноле, находящийся в равновесии с избытком кристаллов  $\beta$ -I. Отсутствие  $\beta$ -фазы в образце доказывалось рентгенографически (чувствительность метода 5%). Чувствительность аппаратуры определена электр. методом и составляет  $1,487 \pm 0,003$  см/кал при сечении капилляра  $0,2844 \pm 0,0005$  мм<sup>2</sup> или  $0,00427 \pm 0,0002$  см<sup>3</sup>/кал для изменения объема нафталина при плавлении. Превращение  $\alpha$ -I  $\rightarrow$   $\beta$ -I происходит в течение 6 час., время превращения в первом приближении не зависит от веса образца. Вводились поправки на: дрейф мениска Hg за время р-ции, теплоту перемешивания, теплоту смачивания  $\beta$ -I, теплоту разбивания ампулы ( $\sim 1,5 \cdot 10^{-2}$  кал), теплоту испарения ввиду снижения уровня р-рителя после разбивания ампулы ( $\sim 6 \cdot 10^{-2}$  кал). Разность энтальпий  $\Delta H(\alpha \rightarrow \beta) = 2,57 \pm 0,03$  ккал/моль. В. К.

**74366. Механизм осаждения оксалата магния из пересыщенных растворов.** Пейсак, Бреша (The mechanism of the precipitation of magnesium oxalate from supersaturated solutions. Peisach Jack, Brescia Frank, J. Amer. Chem. Soc., 1954, 76, № 23, 5946—5948 (англ.)

Осаждение оксалата магния (II) из пересыщ. р-ра после образования зародыша есть р-ция I-го порядка в отношении конц-ии I, тогда как р-ция, приводящая к образованию зародыша, имеет 3-й порядок. Электропроводность и pH р-ра не меняются в ходе образования зародышей и при осаждении. Поэтому можно предполагать следующий механизм процесса:  $Mg^{2+} + C_2O_4^{2-} = MgC_2O_4$  (быстро);  $MgC_2O_4 + MgC_2O_4 = (MgC_2O_4)_2$  (быстро и полностью);  $(MgC_2O_4)_2 + MgC_2O_4 \rightarrow (MgC_2O_4)_3$  (медленно);  $(MgC_2O_4)_3 + MgC_2O_4 =$  индивидуальные кристаллы. Предполагается, что размер крит. зародыша соответствует группе  $(MgC_2O_4)_3$ . Л. Р.

**74367. Метод Е. С. Федорова и его применение к построению химических диаграмм.** Круичак Т. Б. В сб. Методы начертательной геометрии и её приложения. М., Гостехтеоретиздат, 1955, 253—288

Излагаются основные положения метода векторных проекций Е. С. Федорова (1907 г.). Проведено решение ряда задач начертательной геометрии методом векторных проекций, причем показано, что решения отличаются простотой выполнения и точностью. Приведены примеры построения диаграмм состояния тройных и четверных систем. Показано, что при этом получаются наглядные и удобоизмеримые изображения; полтермич. и изотермич. разрезы получаются в неискаженном виде. Н. Д.

**74368. Использование дифференциально-термического анализа в физико-химическом исследовании органических веществ.** Равич Г. В., Тр. I-го совещания по термографии. Казань, 1953, М.—Л., Изд-во АН СССР, 1955, 126—142.

Обзор работ по термографии органич. соединений. Библ. 25 назв. Ю. З.

**74369. Простой метод термического анализа.** Ногами, Сэкигути (熱分析法の簡易化. 野上壽, 關口慶二), 藥學雜誌, Якугаку засси, J. Pharmac. Soc. Jap an, 1955, 75, № 4, 471—473 (япон.; рез. англ.)

Предложен новый метод изготовления образцов для термич. анализа органич. соединений, заключающийся в том, что заданный состав получается смешением определенных объемов р-ров компонентов в органич. р-рителях, а не взвешиванием. С. Р.

**74370. Тройная жидкая система с ограниченной взаимной растворимостью.** Арик (Sistemi ternari liquidi a miscibilità limitata. Arich Guido), Ann. chimica, 1955, 45, № 4—5, 306—342 (итал.)

Исходя из термодинамич. условий равновесия жидкость — жидкость, рассматриваются свойства систем с ограниченной взаимной растворимостью компонентов. Выведены ур-ния бинодальной кривой в бинарных системах с одинаковой взаимной растворимостью компонентов

(системы с симметричной бинодалью):  $\ln(1-s)/s = 2 \times \times (T_k/T)(1-2s)$  ( $s$  — растворимость при  $t$ -ре  $T$ ,  $T_k$  — крит.  $t$ -ра), а также для систем с асимметрич. бинодалью. Получено ур-ние для конц-ии  $x$  3-го (гомогенизирующего) компонента в критич. точке изотермы тройной системы и для температурной зависимости  $x$ . Отклонения величин, полученных с помощью этой ф-лы, от эксперим. данных позволяют судить о степени влияния ассоциации, диссоциации и т. п. на коэфф. распределения 3-го компонента. Дается сравнительная оценка интерполяционных методов построения коннод (методы Ганда, Тарасенкова, Еудмана и др.) и устанавливаются области преимущественного использования каждого из этих методов. Г. Л.

**74371. Криоскопия окислов и хлоридов в расплаве хлористого натрия.** Гаррисон (Cryométrie des oxydes et chlorures dans le chlorure de sodium fondu. Harrison J. O. N. A. S., C. r. Acad. sci., 1955, 241, № 3, 298—301 (франц.))

$\text{Li}_2\text{O}$ ,  $\text{BaO}$  и  $\text{SrO}$ , растворенные в расплавленном  $\text{NaCl}$ , начело диссоциированы. Диссоциация  $\text{CaO}$  возрастает с уменьшением конц-ии; при бесконечном разбавлении  $\text{CaO}$  диссоциирует на 2 частицы. В предельно разб. р-рах  $\text{Ba}_2\text{O}$  не диссоциирует. В интервале значений молярных конц-ий от 0,01 до 0,05  $\text{BeO}$ ,  $\text{MgO}$ ,  $\text{ZnO}$ ,  $\text{CdO}$ ,  $\text{TiO}_2$ ,  $\text{ThO}_2$ ,  $\text{ZrO}_2$ ,  $\text{SiO}_2$ ,  $\text{Cr}_2\text{O}_3$ ,  $\text{Fe}_2\text{O}_3$ ,  $\text{Co}_2\text{O}_3$ ,  $\text{Al}_2\text{O}_3$ ,  $\text{Sb}_2\text{O}_3$  и  $\text{CeO}_2$  не вызывают понижения  $t$ -ры затвердевания  $\text{NaCl}$  ( $800^\circ$ ). По мнению автора, криоскопич. исследование окислов элементов более электроположительных, чем  $\text{Na}$ , в расплаве  $\text{NaCl}$  неосуществимо. Хлориды  $\text{Ba}$ ,  $\text{Sr}$  и  $\text{Cs}$  начело диссоциированы в расплаве  $\text{NaCl}$ , а  $\text{LiCl}$  стремится к полной диссоциации только при бесконечном разбавлении. Р-ры  $\text{LiCl}$ ,  $\text{KCl}$  и  $\text{CaCl}_2$  нельзя считать идеальными, что автор связывает с образованием смешанных кристаллов.  $\text{AlCl}_3$ ,  $\text{CdCl}_2$  и  $\text{MgCl}_2$  не вызывают понижения  $t$ -ры затвердевания  $\text{NaCl}$ . В этом отношении хлориды ведут себя аналогично окислам  $\text{Al}$ ,  $\text{Cd}$  и  $\text{Mg}$ . Криоскопич. константа  $\text{NaCl}$  найдена равной 20,5, теплота пл. 6560 кал/моль. Н. П.

**74372. Магнитные свойства и фазовая диаграмма системы железо — теллур.** Тибба (The magnetic properties and phase diagram of iron tellurium system. Chiba Shoko, J. Phys. Soc. Japan, 1955, 10, № 10, 837—849 (англ.))

Термографическим и рентгенографич. методами исследована система  $\text{Fe}—\text{Te}$ . Из расплава образуется ряд соединений по перитектич. р-циям. Установлено существование трех фаз:  $\alpha\text{-FeTe}_{0,95}$ , структура которой отличается от всех известных простых структур,  $\beta\text{-FeTe}_{1,97}$  со структурой  $\text{FeS}_2$  и  $\gamma\text{-FeTe}_{1,50}$  при  $600^\circ\text{C}$  со структурой  $\text{NiAs}$ ;  $\gamma$ -фаза образуется из  $\alpha$ - и  $\beta$ -фаз по эвтектичной р-ции при  $500^\circ$ . Магнитная восприимчивость  $\text{FeTe}_x$ , измеренная при комнатной  $t$ -ре, непрерывно убывает с увеличением содержания  $\text{Te}$ , лишней раз свидетельствуя, что при  $0,95 \leq x \leq 1,97$   $\alpha$ - и  $\beta$ -фаза сосуществуют. Восприимчивости чистых  $\alpha$ - и  $\beta$ -фаз измерены в интервале от  $t$ -ры жидкого  $\text{N}_2$  до  $1000^\circ\text{C}$ , а чистой  $\gamma\text{-FeTe}_{1,50}$  в интервале  $520—790^\circ\text{C}$ . Восприимчивости  $\alpha$ -фазы до  $500^\circ\text{C}$ ,  $\beta$ -фазы до  $300^\circ\text{C}$  и  $\gamma\text{-FeTe}_{1,50}$  следуют закону Кюри — Вейсса с константами соответственно  $\theta=130, 67$  и  $800^\circ\text{K}$ ,  $C=0,57, 1,31$  и  $1,15$  (эффективное число магнетонов 2,05; 3,25 и 3,00). Делается вывод, что  $\gamma$ -фаза антиферромагнитна. Т. К.

**74373. Смешиваемость в системе  $\text{TiO}_2—\text{SnO}_2$ .** Лиц, Нодор (Mischbarkeit im System  $\text{TiO}_2—\text{SnO}_2$ . Lietz J., Nodor G., Naturwissenschaften, 1955, 42, № 13, 389 (нем.))

Изучена смешиваемость в системе  $\text{TiO}_2—\text{SnO}_2$ , причем оба компонента осаждались из смешанных р-ров и нагревались при различных  $t$ -рах. Наряду с кристаллами  $\text{TiO}_2$

в форме рутила типа  $\text{C4}$  при этом возникает другая модификация — анатас, кристаллизующаяся в типе  $\text{C5}$ . Ана-тас появляется лишь в узкой области вплоть до 1,5 моль%  $\text{SnO}_2$ . Смеси окислов в интервале от 900 до  $1000^\circ$  показывают смешиваемость рутила с оловянным камнем между 0 и 20%, а также между 60 и 100%  $\text{SnO}_2$ . В промежуточной области появляется смесь обоих смешанных кристаллов. Дан график изменения константы решетки  $a_0$  в зависимости от состава системы. См. также РЖХим, 1955, 55737. Ю. Т.

**74374. Определение коэффициента кристаллизации  $\text{ThB}(\text{Pb})$  при распределении его между расплавом и кристаллами изоморфных солей.** Клокман В. Р., Зновьева В. К., Цевелева И. А., Изв. АН СССР, Отд. хим. н., 1955, № 5, 800—804

В развитие ранее опубликованных работ (РЖХим, 1954, 12486; 1955, 28465) изучено распределение  $\text{ThB}$  между расплавом и кристаллами  $\text{BaCl}_2$  (I) в системе I —  $\text{Ba}(\text{NO}_3)_2$  (II), а также между расплавом и кристаллами II в системах I—II и II —  $\text{NaNO}_3$ . Методика измерений принципиально не отличалась от описанной ранее (см. ссылки). Кол-во выделенного в твердую фазу I менялось в системе I—II с 2,9 до 11,5% от общего кол-ва ионов бария, находящихся в расплаве. Среднее значение коэфф. кристаллизации ( $D$ )  $\text{ThB}$  оказалось равным  $0,80 \pm 5\%$ . Показано, что состояние равновесия в случае распределения  $\text{ThB}$  между расплавом и изоморфной твердой фазой устанавливается за 1 час при  $t$ -ре  $\sim 500^\circ$ . В системе II— $\text{NaNO}_3$  в твердую фазу выделялось  $\sim 60—75\%$  II. Результаты измерений свидетельствуют о весьма малом захвате  $\text{ThB}$  кристаллами II ( $D_{\text{cp}} = 0,05 \pm \pm 0,02$ ). Слишком большие ( $\sim 50\%$ ) колебания в значениях  $D$ , даже при выделении одного и того же кол-ва твердой фазы, объяснены возможностью частичного разложения азотнокислого свинца с последующей адсорбцией продуктов разложения на поверхности кристаллов II. При определении  $D$  в системе I — II (в твердую фазу выделялось 33—67% II) захват  $\text{ThB}$  кристаллами II в пределах точности экспериментов обнаружен не был. Отсутствие обогащения твердой фазы микрокомпонентом в случае распределения  $\text{ThB}$  между расплавом и кристаллами изоморфных солей укладывается в рамки ранее замеченных закономерностей (см. ссылки). Ю. З.

**74375. Тройная взаимная система из фторидов и силикатов лития и кальция.** Бергман А. Г., Бычкова Н. А., Ж. общ. химии, 1955, 25, № 10, 1876—1890

Визуально-политермическим методом изучена взаимная система  $\text{Li}$ ,  $\text{Ca}$  ||  $\text{F}$ ,  $\text{SiO}_2$ . Исследованием боковых сторон, диагональных сечений и 24 внутренних сечений системы установлены поля кристаллизации:  $\text{LiF}$ ,  $\alpha\text{-Li}_2\text{SiO}_3$ ,  $\beta\text{-Li}_2\text{SiO}_3$ ,  $\text{CaF}_2$ ,  $\text{CaSiO}_3$ ,  $2\text{LiF} \cdot \text{Li}_2\text{SiO}_3$  и  $\text{CaF}_2 \cdot 2\text{CaSiO}_3$ ; одна эвтектич. точка  $E$  ( $758^\circ$ ) и 3 перекрестных невариантных точки при 766, 846 и  $900^\circ$ . Система относится к типу обратимых диагонально-поясных. Отмечена возможность применения визуально-политермического метода к изучению систем с участием силикатов. Ю. Т.

**74376. Система  $\text{Al}_2\text{O}_3—\text{SiO}_2—\text{H}_2\text{O}$ .** Рой, Осборн (The system  $\text{Al}_2\text{O}_3—\text{SiO}_2—\text{H}_2\text{O}$ . Roy Rustum, Osborn E. F., Amer. Mineralogist, 1954, 39, № 11—12, 853—885 (англ.))

С целью выяснения пределов устойчивости некоторых глинистых минералов из метаморфич. пород авторы изучили фазовые равновесия в системе  $\text{Al}_2\text{O}_3—\text{SiO}_2—\text{H}_2\text{O}$  при различных давлениях водяных паров (от 2,39 до  $2109,7 \text{ кг/см}^2$ ) и различных  $t$ -рах ( $125—582^\circ$ ). Установлено, что  $t$ -ра равновесного разложения каолиновых минералов  $405^\circ$  (при давлении  $703,23 \text{ кг/см}^2$ ), а пиррофиллита  $575^\circ$ . Обнаружены и детально описаны две новые фазы глинистых минералов: одна — чистый  $\text{Al-Si}$ -монтмориллонит, другая — один из продуктов разложения каолинита, названная авторами гидралситом. Получены электронограмма и рент-

генограмма гидралсита. Данные большого числа опытов представлены в виде ряда совместимых треугольных диаграмм, относящихся к различным т-рам и давлениям. Обсуждается возможность использования результатов работы применительно к проблемам геологии и керамич. промышленности.

**74377. Система  $\text{NaPO}_3\text{—Na}_4\text{P}_2\text{O}_7\text{—K}_4\text{P}_2\text{O}_7\text{—KPO}_3$ .** Мори, Бойд, Инглэнд, Чень (The system  $\text{NaPO}_3\text{—Na}_4\text{P}_2\text{O}_7\text{—K}_4\text{P}_2\text{O}_7\text{—KPO}_3$ . Morey G. W., Boyd F. R., England J. L., Chen W. T.), J. Amer. Chem. Soc., 1955, 77, № 19, 5003—5011 (англ.)

Фазовая диаграмма системы  $\text{NaPO}_3\text{—Na}_4\text{P}_2\text{O}_7\text{—K}_4\text{P}_2\text{O}_7\text{—KPO}_3$  (РЖХим, 1955, 228, 25772) исследована методом кривых нагревания, закалки, измерения показателей преломления и рентгеноструктурного анализа. На диаграмме состояния обнаружены 7 полей кристаллизации: 1)  $\text{NaPO}_3$ , 2)  $\text{KPO}_3$ , 3) поле соединения  $3\text{NaPO}_3\cdot\text{KPO}_3$ , 4)  $\text{Na}_5\text{P}_3\text{O}_{10}$ , 5)  $\text{K}_5\text{P}_3\text{O}_{10}$ , 6) поле соединения  $\text{Na}_5\text{P}_3\text{O}_{10}\cdot\text{K}_5\text{P}_3\text{O}_{10}$  и 7) поле непрерывных твердых р-ров  $\text{Na}_4\text{P}_2\text{O}_7\text{—K}_4\text{P}_2\text{O}_7$ . Установлены составы трех тройных переходных и трех эвтектич. точек.

**74378. Природа экзотермического эффекта у карбонатов магния.** Сулейманов А. С. Тр. 1-го совещания по термографии. Казань, 1953. М.—Л., Изд-во АН СССР, 1955, 200—204

Карбонаты магния  $\text{MgCO}_3\cdot 5\text{H}_2\text{O}$ ,  $\text{Mg}(\text{OH})_2\cdot 4\text{MgCO}_3\cdot 4\text{H}_2\text{O}$  и  $\text{MgCO}_3\cdot 3\text{H}_2\text{O}$  обнаруживают на термограммах экзотермич. эффект при 500°. Термографич. исследование показало, что этот эффект отражает ход хим. р-ции между  $\text{Mg}(\text{OH})_2$  и  $\text{CO}_2$ , образующимся в результате разложения. Исследование проводилось как в вакууме (16 мм рт. ст.), так и под давл. 50 атм  $\text{CO}_2$ . Чем выше конц-ия  $\text{CO}_2$ , тем яснее выражен экзотермич. эффект. На величину последнего влияет также скорость нагрева — при малых скоростях большая часть  $\text{Mg}(\text{OH})_2$  успевает прореагировать с  $\text{CO}_2$  и эффект увеличивается.

**74379. Аммиакаты гуанидина и хлористого гуанидина.** Уотт, Мак-Брайд (Ammoniates of guanidine and guanidinium chloride. Watt George W., McBride William R.), J. Amer. Chem. Soc., 1955, 77, № 10, 2751—2752 (англ.)

С помощью кварцевых пружинных весов (РЖХим, 1956, 35277) изучены изотермы давления как функции состава в системах хлористый гуанидин (I) —  $\text{NH}_3$  и гуанидин (II) —  $\text{NH}_3$  при —35,5°. I получен обработкой карбоната гуанидина соляной к-той и очищен перекристаллизацией из абс. этанола. II получен р-цией карбоната гуанидина и  $\text{KNH}_2$  в жидком  $\text{NH}_3$  в несколько измененной против описанной ранее (РЖХим, 1956, 46663) аппаратуре. В системе I —  $\text{NH}_3$  существуют аммиакаты, содержащие 2, 3, 4, 5, и 6 молей  $\text{NH}_3$  на моль I; давления диссоциации их при —35,5° равны соответственно 60, 130, 305 и 450 мм рт. ст. Аммонолиз I не наблюдается. Наблюдены метастабильный участок в системе I-4, 5  $\text{NH}_3\text{—NH}_3$  (газ) при давлениях, соответствующих образованию I-6  $\text{NH}_3$ , и образование пересыщ. р-ра I в  $\text{NH}_3$  в метастабильном равновесии с газообразным  $\text{NH}_3$  при содержании от 2 до 9,5 молей  $\text{NH}_3$  на моль I. В системе II —  $\text{NH}_3$  обнаружен изомерный тетраамид углерода аммиакат II- $\text{NH}_3$ , давление диссоциации которого равно 220 мм рт. ст. при —35,5°.

**74380. Система из п- и о-этилацетанилида. Косолапов** (The system of p- and o-ethylacetanilides. Kosolapoff Gennady M.), J. Amer. Chem. Soc., 1955, 77, № 19, 5014—5015 (англ.)

Изучена диаграмма плавлости системы о-этилацетанилид (I) — п-этилацетанилид (II) и показано, что о- и п-изомеры образуют твердые р-ры с эвтектикой, отвечающей 38,8% I и 64,5—64,8°. Определена растворимость обоих изомеров в воде (а г на 100 мл р-ра): для I 0,4192 при 30° и 0,5256 при 50° и для II 0,1168 при 30° и 0,2276 при 50°.

**74381. Физико-химическое исследование систем карбамида с уксусной кислотой и ее хлорпроизводными** методом плавлости и электропроводности. Боховкин И. М., Боховкина Ю. И., Сб. Арханг. лесотехн. ин-та, 1955, 15, 145—151

Исследована плавлость и электропроводность ( $\sigma$ ) систем  $\text{CO}(\text{NH}_2)_2$  (I) —  $\text{CH}_3\text{COOH}$  (II), I —  $\text{CH}_2\text{ClCOOH}$  (III), I —  $\text{CHCl}_2\text{COOH}$  (IV) и I —  $\text{CCl}_3\text{COOH}$  (V). В системе I—II подтверждено образование соединения состава 1:2, в каждой из систем I—III и I—IV установлено наличие 2 соединений состава 1:1 и 1:2 и в системе I—V обнаружено соединение при соотношении компонентов 1:1. При переходе от системы I—III к системе I—V на кривых плавлости все более отчетливо проявляются полученные соединения. Изотермы  $\sigma$  не отражают соединения в системе I—II, тогда как в системах I—III, I—IV и I—V изотермы  $\sigma$  имеют вид ломаных кривых с минимумами при соотношении компонентов 1:1.

**74382. Дилатометрические измерения системы вода — уксусная кислота в интервале температур 20—120°.** Папов, Раньи (Misura dilatometriche per il sistema acqua — acido acetico nell'intervallo di temperatura 20—120°. Papoff Paolo, Ragni Antonino), Ann. chimica, 1955, 45, № 4-5, 279—291 (итал.)

Описан дилатометр, в котором увеличение объема исследуемого в-ва определяется по весу вытесненной ртути, пригодный для измерений при давлениях до 2 атм. Точность измерений в среднем  $\pm 0,005\%$ . Исследованы смеси вода — уксусная кислота при конц-ях последней от 77 до 100% и при т-рах 20—120°. Результаты измерений описываются ур-нием  $V_t = V_0(1 + At + Bt^2 + Ct^3 + Dt^4)$ , где t — т-ра, A, B, C, D — константы при заданной молярности р-ра (m). Значения  $(1/v)(dv/dt)_p$ , вычисленные для  $m = 0,000$  (т. е. для безводной  $\text{CH}_3\text{COOH}$ ), согласуются с данными, вычисленными по ур-ниям, предложенным ранее (РЖХим, 1956, 50111).

**74383. Взаимная растворимость алкилфенолов и воды.** Эриксен, Добберт (Das gegenseitige Löslichkeitsverhalten von Alkylphenolen und Wasser. Erichsen L. v., Dobbert E.), Brennstoff-Chemie, 1955, 36, № 21-22, 338—345 (нем.)

Исследована взаимная растворимость в бинарных системах, содержащих кроме воды (в скобках приведены крит. т-ры растворения (в°С)  $T_{кр}$ ): фенол (68,3°); п-крезол (143,7°); м-крезол (148,0°); о-крезол (166,5°); 3,4-диметилфенол (190,2°); 3,5-диметилфенол (200,0°); 2,3-диметилфенол (208,8°); 2,4-диметилфенол (213,5°); 2,5-диметилфенол (219,0°); 2,6-диметилфенол (241,2°); 1,3,4-триметил-6-оксibenзол (псевдокуменол) (244,2°); 1,2,4-триметил-6-оксibenзол (изопсевдокуменол) (247,8°); 1-метил-3-этил-5-оксibenзол (229,8°); 1,3-диэтил-5-оксibenзол (249,4°); п-этилфенол (187,1°); п-пропилфенол (221,1°); п-бутилфенол (246,6°). Применена описанная ранее (Erichsen L. v., Brennstoff-Chemie, 1952, 33, 166/172) методика с усовершенствованиями, позволяющими производить исследования при т-рах до 250°. Исходные алкилфенолы после тщательной очистки идентифицировались по т-рам кипения и замерзания, показателям преломления и ИК-спектрам. Для каждой бинарной смеси приведены кривые растворимости. Установлена качеств. аналогия между взаимной растворимостью систем вода — алкилфенол и системой вода — фенол. Наиболее резкое возрастание  $T_{кр}$  наблюдается при введении в молекулу фенола первой метильной группы  $\pm(T_{кр})$  возрастает от 68,3° до 143,7° для п-крезола. Переход от п-крезола к о-крезолу повышает  $T_{кр}$  до 166,5°.

**74384. Распределение тетраметиламмонийпикрата между водой и нитробензолом.** Гросс, Фридман (Notiz über die Verteilung von Tetramethylammoniumpikrat zwischen Wasser und Nitrobenzol. Groß Philipp,

Friedmann Hans), Monatsh. Chem., 1955, 86, № 5, 712—717 (нем.)

Изучено распределение тетраметиламмонийпикрата (I) между водой и нитробензолом при  $t = 20 \pm 0,01$ . I готовился из пикриновой к-ты и тетраметиламмонийодида. Нитробензол после многократной промывки подвергался разгонке при  $P = 10$  мм рт. ст. с отбором фракции при  $83,5^\circ$ . Конц-ия I в воде определялась колориметрически. Приведена таблица значений коэфф. распределения, полученных при исследовании 14 смесей. Исходя из найденной экспериментально величины коэфф. распределения  $K_1 = 0,964 \pm \pm 0,004$ , показано, что  $\lg \gamma_b = -1,83 \nu C_b$ , где  $\gamma_b$  — коэфф. активности I в нитробензоле и  $C_b$  — конц-ия I в нитробензоле в моль/л. Этот результат согласуется с теорией Дебая — Гюккеля, причем константа пропорциональности больше теоретич. лишь на 7%. С. Б.

74385. Равновесие в системах амин — вода — едкая щелочь. II. Взаимная растворимость в системах триэтиламин —  $H_2O$  —  $NaOH$  и триэтиламин —  $H_2O$  —  $KOH$ . Исигуро, Икусима, Кога, Ягю. III. Равновесие жидкость — пар смесей триэтиламин-вода. Исигуро, Ягю, Икусима, Накадзава (アミン-水-苛性アルカリ系の平衡. 第2報. Triethylamine- $H_2O$ - $NaOH$  及び Triethylamine- $H_2O$ - $KOH$  系の相互溶解度. 石黒武雄, 生島正生, 木賀直文, 柳生正見. 第3報. トリエチルアミン水系の氣液平衡. 石黒武雄, 柳生正見, 生島正生, 中澤太一). 藥學雜誌, Якугаку дзасси, J. Pharmac. Soc. Japan, 1955, 75, № 2, 188—192; № 4, 430—433 (япон.; рез. англ.)

II. Исследована взаимная растворимость в системах триэтиламин (I) —  $H_2O$  —  $NaOH$  при 0, 20, 40, 60 и  $70^\circ$  и I —  $H_2O$  —  $KOH$  при 0,30 и  $60^\circ$ . Найдено, что конц-ия I в верхнем слое увеличивается с увеличением конц-ии щелочи в нижнем слое при данной т-ре. Конц-ия I, находящегося в равновесии с р-ром щелочи, с ростом т-ры повышается. Нижней крит. точке в системе I — вода соответствует содержание 28—32% I и т-ра  $17,6^\circ$ . Высаливающее действие  $NaOH$  по отношению к I больше при низких т-рах, а у  $KOH$  — при высоких. Пользуясь этим свойством, удобно выделять I из водн. р-ра.

III. Исследование фракционной перегонки смеси триэтиламин-вода указывает на образование азеотропа, кипящего между  $75,3$  и  $75,6^\circ$  при содержании 90,0% амина. Построена диаграмма состояния этой системы между  $0^\circ$  и  $100^\circ$ . С. Р.

74386. О тройных системах с расслаиванием без образования химических соединений. Крупаткин И. Л., Ж. общ. химии, 1955, 25, № 10, 1871—1876

Изотермическим методом, аналогичным описанному (Vapcrott, Phys. Revs, 1895, 3, 130), изучены равновесия между жидкими фазами в следующих тройных системах с двумя бинарными расслаиваниями без образования хим. соединений в третьей двойной системе: вода — изоамиловый спирт — трет-изоамиловый спирт (I), вода — о-толуидин — анилин (II), глицерин — о-толуидин — диэтиланлин (III), глицерин — фурфурол — бензальдегид (IV). В системах I, II вода расслаивается с указанными спиртами и аминами, в системах III, IV глицерин — с аминами и альдегидами. Системы I, II и IV исследовались при т-рах 20 и  $50^\circ$ , система III изучена при  $18^\circ$ . По результатам измерений найдено, что в тройных системах указанного типа встречаются три вида изотерм растворимости: прямые линии (система II), кривые с положительным отклонением (система IV) и кривые с отрицательным отклонением (системы I и III). Отклонения изотерм растворимости от прямых линий объяснены диссоциацией ассоциированных молекул компонентов систем на простые молекулы. Ю. З.

См. также: Фазовые переходы 74184, 74201, 74247, 75154, 5323. Термохимия 74572. Термодинамика: кристаллов 4211, 74216—74218, 74222, 74241, 74255, 74511, 75202; морфных тел, жидкостей и газов 74296, 74298, 74487,

74494, 74499, 75135, 75142, 75146, 75151. Равновесия 74180, 74239, 74637, 74648, 74673, 74746, 74747, 75374. Физ.-хим. анализ систем: неорганич. 74547, 74644, 74646; органич. 75134. Приборы и методы 74507, 74509, 75456—75458, 75462

## КИНЕТИКА. ГОРЕНИЕ. ВЗРЫВЫ. ТОПОХИМИЯ. КАТАЛИЗ

74387. Пути развития теории химического процесса (гомогенные реакции). Кондратьев В. Н., Вестн. АН СССР, 1956, № 5, 9—21

74388. Гомогенные реакции и теория их кинетики. Гарвин, Науман (Rate theory and homogeneous reactions. Garvin David, Naumann Robert A.). Industr. and Engng Chem., 1956, 48, № 3, Part II, 570—581 (англ.)

Обзор. Библ. 238 назв. Х. Б. 74389. Термический распад двуокиси азота. Россер, Уайз (Thermal decomposition of nitrogen dioxide. Rosser Willis A., Jr, Wise Henry), J. Chem. Phys., 1956, 24, № 2, 493—494 (англ.)

Скорость термич. распада  $NO_2$  определялась фотометрически при  $630$ — $1020^\circ K$  и конц-ии  $NO_2$   $10^{-8}$ — $10^{-2}$  моль/см<sup>3</sup>. Р-ция 2-го порядка по  $NO_2$ , константа скорости  $k = 10^{12,6} \exp(-26900 / RT)$  см<sup>3</sup> моль<sup>-1</sup>сек<sup>-1</sup>. Добавление инертных газов (до давл. 1 атм) и увеличение поверхности реакционного сосуда не оказывает влияния на скорость р-ции. Эти результаты согласуются с данными, полученными ранее при более высоких конц-иях  $NO_2$  и более низких т-рах (Bodenstein M. и др., Z. phys. Chem. 1922, 100, 68). З. М.

74390. Скорость рекомбинации радикалов. I. Общая теория метода сектора; поправка к скорости рекомбинации метильных радикалов. Шепп (Rate of recombination of radicals. I. A general sector theory; a correction to the methyl radical recombination rate. Shepp Allan), J. Chem. Phys., 1956, 24, № 5, 939—943 (англ.)

Дана общая теория метода вращающегося сектора, учитывающая исчезновение радикалов по р-циям как I-го, так 2-го порядка. Пересчет данных Кистяковского и сотр. (Gomer R., Kistiakowsky G. B., J. Chem. Phys., 1951, 19, 85) дает для константы скорости рекомбинации метильных радикалов ( $125$ — $175^\circ$ ) величину  $2,2 \cdot 10^{13}$  см<sup>3</sup>/моль сек. Х. Б.

74391. Изучение реакций атомов хлора в газовой фазе. Пritchard, Пайк, Троتمان-Диккенсон (The study of chlorine atom reactions in the gas phase. Pritchard H. O., Pyke J. B., Trotman-Dickenson A. F.), J. Amer. Chem. Soc., 1955, 77, № 9, 2629—2633 (англ.)

Р-ция атомов Cl с рядом в-в изучалась при  $0$ — $300^\circ$  путем действия света на смесь  $Cl_2$ , исследуемого в-ва (RH) и в-ва R'H (обычно  $H_2$  или  $CH_4$ ), причем константа скорости  $k'_1$  р-ции  $Cl + R'H \rightarrow HCl + R'$  известна. Константа скорости  $k_1$  р-ции  $Cl + RH \rightarrow HCl + R$  определялась из соотношения  $k_1/k'_1 = (lg[RH]_0/[RH]_K) / (lg[R'H]_0/[R'H]_K)$ , где индексы «0» и «K» относятся к исходной и конечной смеси. Значения предэкспоненциального множителя  $A$  (моль<sup>-1</sup> см<sup>3</sup> сек.) и энергии активации  $E$  (кал/моль) равны для  $CH_4$   $A \cdot 10^{-14} = 0,26$ ,  $E = 3850$ ; для  $CH_3Cl$   $0,57$ ,  $3360$ ; для  $C_2H_6$   $1,20$ ,  $1000$ ; для  $C_2H_5Cl$   $0,46$ ,  $1490$ ; для  $C_3H_8$   $1,76$ ,  $670$ ; для  $CH(CH_3)_3$   $1,96$ ,  $860$ ; для  $C(CH_3)_4$   $1,23$ ,  $700$ ; для циклопентана  $2,93$ ,  $580$ . Стерич. множитель во всех случаях лежит в пределах  $0,1$ — $1$ . Д. К.

74392. Изотопный обмен водорода в свободных алкильных радикалах. Лавровская Г. К., Мардалейшвили Р. Е., Воеводский В. В. В сб.: Вопросы хим. кинетики, катализа и реакционной способности. М., Изд-во АН СССР, 1955, 40—53

Исследована способность к изотопному обмену свободных алкильных радикалов с  $D_2$  (Воеводский В. В. и др., Докл. АН СССР, 1951, 81, 251), полученных при взаимодействии атомов Н, вытягиваемых из разрядной трубки, с непределенными углеводородами ( $C_2H_6$ ,  $C_3H_8$ , *изо*- $C_4H_{10}$ ,  $(CH_3)_2C=CH_2$  и циклогексеном). Разделение продуктов производилось методом низкотемпературной разгонки в глубоком вакууме. Содержание дейтерия в продуктах определялось по упругости пара воды сжигания (РЖХим, 1955, 34001). Р-ция обмена изучалась при  $t$ -рах от  $-80$  до  $+400^\circ$ , общем давл.  $0,2-0,4$  мм. рт. ст. На основании дейтеризации продуктов, полученных из радикалов различного строения, сделан вывод о том, что в радикалах обменивается водород, связанный с углеродом, имеющим свободную валентность. Р-ция обмена идет практически без энергии активации ( $< 2$  ккал/моль). Опыты с атомами D свидетельствуют о несущественной их роли в процессе обмена. Глубокая дейтеризация продуктов, образованных при участии первичных *изо*-бутильных и циклогексильных радикалов, объясняется изомеризацией свободных радикалов — миграцией свободной валентности в  $\beta$ -положение.

II, по-видимому, возможен мономолекулярный распад на  $HBr$  и  $C_3H_6$ . Г. С.

**74396. Медленное окисление углеводородов. I. Окисление пропилена. Поляк С. С., Штерн В. Я. II. Окисление пропана. Штерн В. Я. В сб.:** Цепные реакции окисления углеводородов в газовой фазе. М., Из-во АН СССР, 1955, 5—36, 37—80.

**74397. Низкотемпературное окисление изобутана. Накопление продуктов реакции и расходование исходных реагентов по ходу реакции. Батен, Гарднер, Ридж (The low-temperature oxidation of *iso*-butane. The progressive accumulation of products and consumption of reagents. Batten J. J., Gardner H. J., Ridge M. J.), J. Chem., Soc., 1955, Sept., 3029—3036 (англ.)**

Окислению при  $291^\circ$  в статич. условиях подвергались смеси  $80$  мм рт. ст.  $C_4H_{10} + 350$  мм  $O_2$  и  $200$  мм  $C_4H_{10} + 100$  мм  $O_2$ . Хим. и полярографич. методами по ходу р-ции определялись конц-ии  $C_4H_{10}$ ,  $O_2$ ,  $CH_4$ , углеводородов  $C_2$ ,  $CO_2$ ,  $CO$ , перекисей,  $CH_3COCH_3$ ,  $CH_2O$ , высших альдегидов и к-т. Наблюдавшийся в начале р-ции период индукции сменяется быстрым ростом давления, максим. скорость которого совпадает с максим. скоростью образования высших альдегидов,  $CH_2O$  и перекисей. Относительно большие кол-ва  $CO_2$ , образующейся вовремя периода индукции по линейному закону, и падение отношения  $\Delta CO_2 / \Delta CO$  в период роста давления свидетельствует, по мнению авторов, о различных механизмах этих стадий р-ции. Авторы считают, что во время периода индукции протекает гетерог. цепная неразветвленная р-ция, приводящая к образованию каких-то промежуточных в-в (природа их не установлена), ответственных за дальнейший автокатализ. характер р-ции. Образование ацетона и  $CH_4$  служит указанием на то, что окислению (с образованием перекиси или пероксирадикала) подвергается третичный атом С. З. М.

**74398. Некоторые соображения о влиянии растворителя на параметры уравнения Аррениуса. Поп, Попович (Quelques considérations sur l'influence du solvant sur les paramètres de l'équation d'Arrhenius. Pop Mariana, Popovici Stefan), C. r. Acad. sci., 1956, 242, № 22, 2638—2641 (франц.)**

Авторы полагают, что предэкспонент  $a$  и энергия активации  $A$  для одной и той же р-ции, протекающей в различных р-рителях, связаны ур-нием  $\ln a = \ln a_0 + aA$  ( $a$  и  $a_0$  — константы). Х. Б.

**74399. Сопоставление относительных констант скоростей и констант равновесия по двойной шкале основности. Эдуардс (Correlation of relative rates and equilibria with a double basicity scale. Edwards John O.), J. Amer. Chem. Soc., 1954, 76, № 6, 1540—1547 (англ.)**

Предложено новое ур-ние, представляющее собой комбинацию шкалы нуклеофильности и шкалы основности для р-ций доноров электронов. Разработана новая шкала нуклеофильности для доноров, основанная на электродных потенциалах. Данные, использованные для проверки ур-ния и шкалы, включают скорости замещения у углерода, кислорода, водорода и серы, константы равновесия для ассоциации комплексных ионов, произведение растворимости и замещения иода и серы. Получены хорошие результаты для большинства случаев. Коротко обсуждены преимущества и следствие двойной шкалы основности для доноров электронов. Г. К.

**74400. Применение принципа стационарных концентраций к автоокислению хлористой меди. Нор (Applicability of the steady state principle to the autoxidation of cuprous chloride. Nord Hakon), Acta chem. scand., 1955, 9, № 3, 438—441 (англ.)**

Путем сопоставления строгого решения дифференциального ур-ния  $d[O_2]/dt = k_1 p_{O_2} - k_{-1}[O_2] - s$  (РЖХим, 1956, 25157), где  $s$  — скорость р-ции, идущей с поглощением  $O_2$ , с приближенным решением, полученным в предположении стационарной конц-ии  $O_2$  (т. е. при

**74393. Реакции трифторметильных радикалов с пропаном, *n*-бутаном и изобутаном. Аско, Стиси (The reactions of trifluoromethyl radicals with propane, *n*-butane, and isobutane. Ayscough P. B., Steacie E. W. R.), Canad. J. Chem., 1956, 34, № 2, 103—107 (англ.)**

Методом, описанным ранее (РЖХим, 1956, 61104), определены константы скорости р-ций радикала  $CF_3$  с алканами путем определения кол-в образующихся  $CF_3H$  и  $C_2F_6$  при фотолизе смесей алканов с  $(CF_3)_2CO$ . Для величины  $10^{13} K_3/K_2^{1/2}$  ( $cm^{1/2}$  молекула $^{-1/2}$  сек $^{-1/2}$ ) при  $400^\circ K$  получены значения: пропан 418, *n*-бутан 631, *изо*- $C_4H_{10}$  1010. Стерич. фактор и энергия активации (ккал/моль) соответственно равны  $6 \cdot 10^{-3}$  6,5;  $2 \cdot 10^{-3}$  5,4;  $2 \cdot 10^{-3}$  4,7. Х. Б.

**74394. Кинетика и механизм распада углеводородов. I. Кинетика и механизм распада бутана при низких давлениях в присутствии изобутилена и пропилена как замедлителей. Степухович А. Д., Чайкин А. М., Ж. физ. химии, 1953, 27, № 12, 1737—1747. Исправление: Ж. физ. химии, 1954, 28, № 1, 192**

Показано, что распад  $C_4H_{10}$  при  $1,32$  мм рт. ст. и  $548$  и  $573^\circ$  является цепной самотормозящейся р-цией, подчиняющейся ур-нию Динцеса — Фроста. В присутствии *изо*- $C_4H_8$  и  $C_3H_6$  кинетика р-ции описывается ур-нием, предложенным ранее (РЖХим, 1955, 20791), причем добавки *изо*- $C_4H_8$  тормозят р-цию сильнее, чем  $C_3H_6$ , а с ростом  $t$ -ры их действие уменьшается и различие сглаживается. Длина цепи при распаде  $C_4H_{10}$  изменяется от 30—70 до 1 при насыщающей конц-ии добавки. Конц-ия радикалов  $CH_3$  оценена в  $10^{-9}$ — $10^{-11}$  моль/л в зависимости от конц-ии добавки. А. Р.

**74395. Кинетика термического распада нормального бромистого пропила и бромистого изопропила. Семенов Н. Н., Сергеев Г. Б., Капранова Г. А., Докл. АН СССР, 1955, 105, № 2, 301—304**

По изменению давления в статич. условиях изучена кинетика термич. распада *n*- $C_3H_7Br$  (I) и *изо*- $C_3H_7Br$  (II). Найдено, что I распадается по закону  $3/2$ ; (константа скорости  $K_1 = 3,8 \cdot 10^9 \exp(-42\,000/RT)$  сек $^{-1}$  мм $^{-1/2}$  / II — распадается по первому порядку  $k_2 = 5,5 \cdot 10^{13} \exp(-47\,000/RT)$  сек $^{-1}$ . Добавки  $Br_2$  и  $O_2$  ускоряют распад I. Добавки  $C_3H_6$  уменьшают начальную скорость разложения. На распад II  $C_3H_6$  не действует. Методом раздельного калориметрирования (Ковальский А. А., Богоявленская М. А. (Ж. физ. химии, 1946, 20, 1325) показано, что распад I в основном протекает гомогенно. На основании своих опытов авторы делают вывод о цепном характере распада I. В случае

$d[O_2]/dt = 0$ ), показано, что метод стационарных конц-ий применим для определения конц-ии  $O_2$  в процессе окисления  $CuCl$ .

Г. К.

**74401.** Скорость электронного перехода между ионами закисного и окисного железа в  $D_2O$ . Хьюдис, Додсон (Rate of ferrous-ferric exchange in  $D_2O$ . Hudis J., Dodson R. W.), J. Amer. Chem. Soc., 1956, 78, № 5, 911—913 (англ.)

При постоянной ионной силе  $\mu$   $r$ -а измерялась скорость  $r$ -ции электронного перехода между ионами  $Fe(2+)$  и  $Fe(3+)$  в  $D_2O$  в зависимости от конц-ии  $HClO_4$ . Общая константа скорости линейно зависит от  $1/[D^+]$ ; общая скорость  $r$ -ции может быть представлена в виде суммы скоростей  $r$ -ций  $Fe^{2+}$  с  $Fe^{3+}$  и гидролизированным  $Fe^{3+}$  (константы скоростей  $k_1 = 0,7$  и  $k_2 = 765$  л/моль сек, соответственно); по сравнению с  $H_2O$   $k_1$  и  $k_2$  уменьшены вдвое (Silverman J., Dodson R. W., J. Phys. Chem., 1952, 56, 869). Результаты находятся в согласии с идеей о том, что механизм электронного перехода состоит в переходе атома водорода от гидратированного  $Fe^{2+}$  к гидратированному  $FeOH^{2+}$ .

Т. Г.

**74402.** Кинетический солевой эффект при восстановлении триоксалокобальт-иона ионом закисного железа. Баррет, Баксендейл (Kinetic salt effect in the reduction of cobaltioxalate ion by ferrous ion. Barrett J., Baxendale J. H.), Trans. Faraday Soc., 1956, 52, № 2, 210—214 (англ.)

Спектрофотометрическим методом изучалась кинетика  $r$ -ции  $Fe^{2+} + Co(C_2O_4)_3^{3-} \rightarrow Fe^{3+} + Co^{2+} + 3C_2O_4^{2-}$  и влияние на величину константы скорости добавок электролитов:  $HClO_4$ ,  $KClO_4$ ,  $KNO_3$ ,  $Mg(ClO_4)_2$ ,  $MgSO_4$ ,  $K_2SO_4$ ,  $NaCl$ . Стехиометрия  $r$ -ции — 1:1 при конц-иях реагентов  $10^{-3}$ — $10^{-6}$  М; скорость  $r$ -ции пропорциональна конц-иям реагентов. Влияние добавок находится в согласии с правилом Бренстеда от значений ионной силы  $4 \cdot 10^{-3}$ . Из температурной зависимости константы скорости  $r$ -ции в пределах  $5,4$ — $20,3^\circ$  в присутствии  $KClO_4$  получено значение бимолекулярной константы скорости  $r$ -ции при нулевой ионной силе (экстраполяция):  $k_0 = 1,6 \cdot 10^{14} \exp(-12600/RT)$  л/моль мин. Результаты обсуждаются в свете теории сильных электролитов.

М. Г.

**74403.** Кинетика и механизм реакции гидратированных и комплексных ионов закисного железа с гидроперекисями. Рейнольдс (Kinetics and mechanism of reaction of aquo and complex ferrous iron with hydroperoxides. Reynolds Warren Lind), Dissert. Abstrs, 1955, 15, № 10, 1739—1740 (англ.)

Изучались  $r$ -ции ионов  $Fe^{2+}$  (I) в водн.  $r$ -ре с гидроперекисями: кумола (II), трет-бутила (III),  $n$ -ментана (IV) и перекиси водорода (V), комплексов  $Fe^{2+}$  с этилендиаминтетраацетат- (VI), пиррофосфат- (VII) и цианид (VIII)-ионами с II. Скорости  $r$ -ций, включая  $r$ -цию VIII + II, пропорциональны конц-иям реагентов. Получены следующие значения для предэкспонента в л/моль сж (первая цифра), энергии активации в ккал/моль и pH среды: I + II  $3,5 \cdot 10^8$ , 9,97, 0—3; I + III  $9,4 \cdot 10^7$ , 9,22, 1,2; I + IV  $1,0 \cdot 10^7$ , 7,70, 1,2; I + V  $3,3 \cdot 10^6$ , 10,40, 1,2; II + VI  $5,0 \cdot 10^6$ , 10,40, 3,7—10,3; II + VII  $2,0 \cdot 10^6$ , 8,16, 2,7—10, 8,90, 1,6—10, 8,40 соответственно при pH 4,82, 6,78 и 8,80. Основные продукты  $r$ -ции I + II  $Fe^{3+}$ , ацетофенон и этан (немного метана, метанола, 2-фенил-2-пропанола и др.), стехиометрия  $\approx 1:1$ , что соответствует механизму  $r$ -ции:  $Fe^{2+} + ROOH \rightarrow Fe^{3+} + RO + OH^-$ ,  $RO \rightarrow C_6H_5COCH_3 + CH_3$ ,  $2CH_3 \rightarrow C_2H_6$ .  $r$ -ция VIII + II сложная (ускорение на свету и при уменьшении pH, торможение цианидом); обсуждается возможный механизм  $r$ -ции с предварительным вхождением  $H_2O$  в координационную сферу; замена  $H_2O$  на  $D_2O$  в  $r$ -ции I + II изменяет величину константы до  $9,3 \cdot 10^8 \exp \times$

$\times (-10840/RT)$  при pH 1,2. Автор полагает, что, возможно,  $r$ -ция  $Fe(2+)$  в различных формах с гидроперекисью состоит в переходе не электрона, а атома H.

Т. Г.

**74404.** Исправление к статье «О высшей перекиси водорода». Пурмаль А. П. Ж. физ. химии, 1955, 29, № 10, 1936

К РЖХИМ 1956, 28735.

**74405.** Альтернативные механизмы катализированного Fe и Cu-Fe разложения перекиси водорода. Коффорд (Alternative mechanisms of the Fe- and the Cu-Fe-catalyzed decomposition of hydrogen peroxide. Kofford J. O. R. G. E. N., Acta chem. Scand., 1955, 9, № 2, 283—292 (англ.))

Предложена схема для катализированного ионами Fe разложения  $H_2O_2$ , включающая два цикла: 1)  $Fe^{2+} + FeO_2H^+ \rightleftharpoons FeFeO_2H^+; FeFeO_2H^+ \rightleftharpoons \dot{O}FeOH^+ + Fe^{3+}; \dot{O}FeOH^+ + H_2O_2 \rightarrow Fe^{2+} + O_2 + OH^- + H_2O$ ; 2)  $FeOH^{2+} + H_2O_2 \rightleftharpoons FeO_2Haq^{2+} \rightarrow \dot{O}FeOH^+ + \dot{O}H + H^+; Fe^{3+}aq + \dot{O}H \rightleftharpoons \dot{O}FeOH^+ + 2H^+; Fe^{2+} + FeFeO_2H^+ + H_2O \rightarrow 3FeOH^{2+}; Feaq^{2+} \rightleftharpoons FeOH^{2+} + H^+$ . Действие  $Cu^{2+}$  при высоких конц-иях объясняется циклом  $Cu^+ + H_2O_2 \rightleftharpoons CuO_2H_2^+ \rightleftharpoons CuO^+ + H_2O; CuO^+ + H_2O_2 \rightarrow Cu^+ + O_2 + H_2O$ , прич.  $CuO^+$  образуется по  $r$ -ции  $\dot{O}FeOH^+ + Cu^{2+} \rightleftharpoons FeOH^{2+} + CuO^+$ , а деактивация обусловлена  $r$ -цией  $Cu^+ + CuO_2H_2^+ \rightarrow 2Cu^{2+} + 2OH^-$ . При малых конц-иях меди следует также учесть  $r$ -цию  $CuO_2H_2^+ + Fe^{2+} \rightarrow FeOH^{2+} + Cu^{2+} + OH^-; Cu^+ + FeFeO_2H^+ + H_2O \rightarrow Cu^{2+} + 2FeOH^{2+} + OH^-$ . Эта схема учитывает цепной характер процесса и в то же время позволяет описать кинетич. данные (Andersen V. S., Acta chem. scand., 1948, 2, 1; 1952, 6, 1090).

Д. К.

**74406.** О катализированном ионами трехвалентного железа разложении перекиси водорода. Кристиансен (On the ferric-ion catalyzed decomposition of hydrogen-peroxide. Christiansen J. A.), Acta chem. scand., 1955, 9, № 2, 272—276 (англ.)

Автор выражает согласие со схемой катализированного  $Fe^{2+}$  разложения  $H_2O_2$  (см. пред. реф.). Так как кислород выделяется полностью из  $H_2O_2$ , а гидроксильные комплексы переходных металлов легко обменивают свой O с водой, делается заключение, что комплекс  $OFeOH^+$  имеет строение  $Fe^{2+} O_2H^-$ .

Д. К.

**74407.** Об изотопном эффекте при окислении формата перманганатом. Эби, Бузер, Люти (Über Isotopieeffekte bei der Oxydation von Formiat mit Permanganat. Aebi H., Buser W., Lüthi Chr.), Helv. chim. acta, 1956, 39, № 3, 944—950 (нем.; рез. англ.)

Определен изотопный эффект ( $k_H/k_D$ )  $r$ -ции окисления  $HCOONa$  и  $DCOONa$  при помощи  $KMnO_4$  в щел. среде при 1 и  $20^\circ$ ;  $k_H/k_D = 6$ —10.

Р. М.

**74408.** О реакциях между мочевиной и формальдегидом в нейтральных и щелочных растворах. I. Экспериментальное изучение скорости эквимолекулярной реакции. II. Экспериментальное изучение скорости эквимолекулярной реакции между монометилмочевинной и формальдегидом. III. Экспериментальное изучение скорости гидролиза монометилмочевины. IV. Экспериментальное изучение скорости гидролиза диметилмочевины. V. Экспериментальное изучение порядка «эквимолекулярной» реакции между мочевиной и формальдегидом при равных концентрациях реагентов. VI. Экспериментальное изучение энергии активации и теплоты реакции. Ландквист (On the reaction between urea and formaldehyde in neutral and alkaline solutions. I. Experimental studies of the rates of the equimolecular reaction. II. Experimental studies of the rates of the equimolecular

reaction between monomethylol urea and formaldehyde. III. Experimental studies of the rates of hydrolysis of monomethylol urea. IV. Experimental studies of the rates of hydrolysis of dimethylol urea. V. Experimental studies of the order of the «Equimolecular» reaction between urea and formaldehyde at equal concentrations of the reactants. VI. Experimental studies of the activation energy and the heat of reaction. L and qvist Nils), Acta chem. scand., 1955, 9, № 7, 1127—1142, № 9, 1459—1465; 1466—1470; 1471—1476; 1477—1483, 1956, 10, № 2, 244—248 (англ.)

1. Исследована кинетика р-ции  $(\text{H}_2\text{N})_2\text{CO} (\text{I}) + \text{HCHO} (\text{II}) = \text{H}_2\text{N} \cdot \text{CO} \cdot \text{NH} \cdot \text{CH}_2\text{OH} (\text{III})$ , (I). Полярнографический и сульфитный методы дают сходные результаты, в то время как гидроксиламиновый метод дает заниженные конц-ии II. При полярнографировании применяют в качестве электролита 0,1 М  $\text{Li}_2\text{CO}_3$ , а для подавления максимума волны II — желатин (0,12 г/л). В буферных (карбонатном, боратном и фосфатном) и небуферных (при pH 6,70) р-рах при соотношении I : II = 1 : 1 при 20° кажущийся порядок р-ции (1) ~ 1,6. В избытке I р-ция следует второму порядку; скорость этой р-ции не зависит от избытка I и конц-ий реагентов. Наблюдается кислотно-основной катализ р-ции. Каталитич. эффект. иона  $\text{OH}^-$  не является простой функцией его активности.

II. Полярнографически при 20° исследована кинетика р-ции  $\text{III} + \text{II} = \text{HOCH}_2\text{NHCOHNCH}_2\text{OH} (\text{IV})$  (2). Начальные конц-ии III не превышали 1 М. Р-ция следует второму порядку (если ввести поправку на скорость гидролиза IV). Не обнаружено быстрой начальной стадии р-ции (2). Константы скорости р-ции не зависят от конц-ий реагентов. Наблюдается кислотно-основной катализ р-ции; боратный буферный обладает очень низкой каталитич. активностью; каталитич. эффект. иона  $\text{OH}^-$  не является простой функцией его активности.

III. Кинетика р-ции  $\text{III} = \text{I} + \text{II}$  (3) изучалась при 20° полярнографически. Р-ция не следует первому порядку; константы скорости первого порядка получены путем экстраполяции к нулевому времени р-ции. Конц-ии реагентов не влияют на константу скорости р-ции. Наблюдается кислотно-основной катализ р-ции; боратный буферный р-р обладает очень низкой каталитич. активностью; каталитич. эффект. иона  $\text{OH}^-$  не является простой функцией его активности. Константа равновесия, рассчитанная из скоростей р-ций (1) и (3) ( $k_3/k_1$ ), равна 0,037 и не зависит от pH в исследованном интервале 6,70—11,50.

IV. Кинетика р-ции  $\text{IV} = \text{III} + \text{II}$  (4) изучалась при 20° полярнографически. Р-ция следует первому порядку (если ввести поправку на скорость р-ции (2)). Константа скорости р-ции не зависит от конц-ий реагентов. Наблюдается кислотно-основной катализ р-ции; боратный буферный обладает очень низкой каталитич. активностью; каталитич. эффект. иона  $\text{OH}^-$  не является простой функцией его активности. Константа равновесия р-ции ( $k_4/k_2$ ) равна 0,11 и не зависит от pH в исследованном интервале 6,70—12,40.

V. Экспериментальные результаты изучения кинетики р-ции (1) при равных начальных конц-иях I и II анализировались математически в предположении, что происходит только образование III и IV и что кол-во получающейся IV мало. Получена линейная зависимость скорости р-ции от времени в течение первых 85% р-ции. Полученные из наклона кривых константы скорости находятся в хорошем соответствии с величинами, полученными в опытах с избытком I. С помощью модифицированного метода Эйлера получена система дифференциальных ур-ний, учитывающих все р-ции в системе; зависимость кол-ва «свободного» II от времени р-ции, вычисленная из этих ур-ний, находится в хорошем соответствии с экспериментальными данными. Эмпирич. уравнение, описывающее ход р-ции, имеет вид:  $\lg \lg \{(\text{II})_0/(\text{II}) - (\text{II})_p\} = A \lg \lg t + B$ , где  $(\text{II})_0$  и

$(\text{II})_p$  — начальная и равновесная конц-ии II, A и B — эмпирич. константы, t — время. С помощью этого ур-ния можно определить также  $(\text{II})_p$ .

VI. Энергии активации E определялись в интервале 20—40°, теплоты р-ций определялись колориметрически. В фосфатном и боратном буферных р-рах при разных pH для р-ций (1) и (2)  $E = 15,4$ , для р-ций (3) и (4) 20,4 ккал/моль; в карбонатном буферном р-ре E выше на 1 ккал/моль. Теплоты р-ций образования III и IV по р-циям (1) и (2) одинаковы и составляют 4,9 ккал/моль. А. Р.

74409. Кинетика окисления циклогексана пятиокисью азота. Бранд (Kinetics of the oxidation of cyclohexane with nitrogen pentoxide. Brand J. C. D.), J. Amer. Chem. Soc., 1955, 77, № 10, 2703—2707 (англ.)

Кинетика взаимодействия  $\text{C}_6\text{H}_{12}$  с  $\text{N}_2\text{O}_5$  в среде  $\text{CCl}_4$  изучалась при 0—20° по данным хим. и спектроскопич. определения кол-ва прореагировавшего  $\text{C}_6\text{H}_{12}$  и образовавшихся  $\text{C}_6\text{H}_{11}\text{NO}_3$  и  $\text{C}_6\text{H}_{11}\text{ONO}_2$ . В продуктах р-ции обнаружены, кроме того, небольшие кол-ва хлорциклогексана и трихлорнитрометана. Образование  $\text{C}_6\text{H}_{11}\text{NO}_3$  и  $\text{C}_6\text{H}_{11}\text{ONO}_2$  происходит параллельно по одному и тому же закону. Скорость р-ции описывается ур-нием  $d[\text{C}_6\text{H}_{11}\text{ONO}_2]/dt = k[\text{C}_6\text{H}_{12}][\text{N}_2\text{O}_5]/(m + [\text{N}_2\text{O}_4]^{1/2})$ , где знаменатель правой части учитывает тормозящее действие образующейся в р-ции  $\text{N}_2\text{O}_4$  ( $m = 0,016$ ). Авторы предлагают механизм р-ции, согласно которому радикалы  $\text{NO}_3$ , образующиеся по р-ции  $\text{N}_2\text{O}_5 \rightarrow \text{NO}_3 + \text{NO}_2$  (1), реагируют с молекулами  $\text{C}_6\text{H}_{12}$ :  $\text{C}_6\text{H}_{12} + \text{NO}_3 \rightarrow \text{C}_6\text{H}_{11} + \text{HONO}_2$  (2). Далее  $\text{C}_6\text{H}_{11} + \text{NO}_2 \rightarrow \text{C}_6\text{H}_{11}\text{NO}_2$ ;  $\text{C}_6\text{H}_{11} + \text{NO}_2 \rightarrow \text{C}_6\text{H}_{11}\text{ONO}$  (3) ( $\text{C}_6\text{H}_{11}\text{ONO}$  быстро окисляется до  $\text{C}_6\text{H}_{11}\text{ONO}_2$ );  $\text{C}_6\text{H}_{11} + \text{CCl}_4 \rightarrow \text{C}_6\text{H}_{11}\text{Cl} + \text{CCl}_3$  (4);  $\text{CCl}_3 + \text{NO}_2 \rightarrow \text{CCl}_3\text{NO}_2$ . Таким образом, все радикалы гибнут на  $\text{NO}_2$  и р-ция идет нецепным путем. Исходя из предполагаемого механизма р-ции, определены относительные скорости отдельных стадий. Принимая, что константы р-ции (1) равны соответствующим величинам, полученным при пиролизе в газовой фазе, вычислена константа скорости р-ции (2)  $k_2 = 10^{13,2} \exp \times (-11500/RT)$  лмоль<sup>-1</sup>сек<sup>-1</sup>. Определены также константы скорости (при 20°) р-ции (3)  $2 \cdot 10^4$  лмоль<sup>-1</sup>сек<sup>-1</sup> и (4)  $8 \cdot 10^4$  сек<sup>-1</sup>. З. М.

74410. Кинетика иницированного автоокисления α-пинена. Ерофеев Б. В., Чирко А. И., Уч. зап. Белорус. ун-т, 1955, вып. 24, 3—15

Наиболее активными из 20 изученных инициаторов автоокисления α-пинена (I) при 60° являются бутираты и стеараты Mn и Co, некоторая активность присуща каолину, глине,  $\text{MnO}_2$  и  $\text{KMnO}_4$ . Зависимость скорости автоокисления I от конц-ии инициатора (u) описывается ур-нием  $W_{\text{макс}} = a(u)/[1 + b(u)]$  (a и b — константы). С увеличением т-ры  $W_{\text{макс}}$  растет. В качестве первичного продукта окисления I в присутствии каолина выделена гидроперекись I, строение которой установлено по продуктам ее распада. Авторы считают, что окисление I есть цепная р-ция, иницирующей стадией которой является взаимодействие иницирующей добавки (MX) с I по р-ции  $\text{MX} + \text{RH} \rightarrow \text{M} + \text{XH} + \text{R}$ . З. М.

74411. Кинетика автоокисления Δ<sup>8</sup>-л-ментена. Ерофеев Б. В., Чирко А. И., Уч. зап. Белорус. ун-т, 1955, вып. 24, 16—30

Активность инициаторов окисления Δ<sup>8</sup>-л-ментена при 60° увеличивается в ряду: ацетат Mn, ацетат Co, стеарат Mn, стеарат Co. Зависимость максим. скорости окисления от конц-ии инициатора такая же, как и в случае α-пинена (см. пред. реф.). С увеличением конц-ии и активности инициатора кол-во образующейся перекиси уменьшается. З. М.

74412. Кинетика автоокисления дипентена. Ерофеев Б. В., Чирко А. И., Уч. зап. Белорус. ун-та, 1955, вып. 24, 31—47

Максимальная скорость окисления ( $W_{\text{макс}}$ ) дипентена при 55° в присутствии стеаратов Со и Мп много больше, чем в присутствии стеаратов Fe, Ni, Cu и Pb. Конечным продуктом р-ции является *dl*-карвон, сбразующийся, по мнению авторов, в результате распада гидроперекиси дипентена. Зависимость  $W_{\text{макс}}$  от конц-ии инициатора такая же, как и в случае окисления  $\alpha$ -пинена и  $\Delta^8$ -*p*-ментена (РЖХим, 1956, 74410, 74411). В конце процесса скорость окисления становится постоянной, причем величина этой скорости уменьшается с увеличением конц-ии инициатора (*и*). Авторы делают вывод, что при больших *и* пресбтует существенное значение обрыв реакционных цепей на инициаторе.

74413. О влиянии нейтральных солей на гидролиз сахаров разбавленными кислотами. I. Действие щелочных хлоридов на инверсию тростникового сахара посредством соляной кислоты. Граншан-Шодён (Sur l'influence des sels neutres dans l'hydrolyse des sucres par les acides étendus. I. Action des chlorures alcalins sur l'inversion du saccharose par l'acide chlorhydrique. Grandchamp p-Chaudun Andrée, de), C. r. Acad. sci., 1956, 242, № 5, 690—692 (франц.).

Скорость гидролиза тростникового сахара под действием 0,1 н. HCl увеличивается в присутствии KCl, NaCl или LiCl в конц-ии 1 моль/л. Все три соли оказывают одинаковое влияние. Резюме автора.

74414. Гидролиз, катализируемый ионообменными смолами. Фодор, Хайш (Ionoszeréltékel katalizált hidrolizis. Fodor József, Hajós Zoltán), Magyar tud. akad. Kém. tud. oszt. közl., 1955, 5, № 4, 545—559 (венг.).

См. РЖХим, 1956, 28544.

74415. Глицериды. IX. Скорость этерификации глицерина и гликоля. X. Механизм реакции между глицерином и стеариновой кислотой. XI. Диацетин в процессе реакции между уксусной кислотой и глицерином и обсуждение образования сложных эфиров глицерина. Накамори (グリセライドの基礎的研究. 第9報. グリコールのエステル化及びグリセリンのエステル化の速度. 第10報. グリセリンとステアリン酸の反応機構. (第11報. )グリセリンと酢酸の反応によるジアセチンについて並にグリセリンのエステル化に関する總括的考察), 中森一誠). 工業化学雑誌, Kore karaqu dзасси, J. Chem. Soc. Japan. Industr. Chem. Sec., 1953, 56, № 2, 95—97, № 3, 166—167, № 4, 248—250 (япон.).

IX. Исследована скорость образования моно- и диэфиров глицерина при р-ции с  $\text{CH}_3\text{COOH}$  при 100°. Этерификация группы OH в  $\beta$ -положении к уже этерифицированной группе, по мнению автора, затруднена.

X. Сделан вывод, что р-ция между глицерином и стеариновой к-той в гетерог. системе протекает не на поверхности раздела, а в слое к-ты и что OH-группы глицерина этерифицируются каждая со своей уд. скоростью.

XI. Проводилось гидрирование смеси ацетина,  $\text{CH}_3\text{COOH}$  и глицерина с помощью  $\text{H}_2\text{SO}_4$  и в ходе р-ции (12 час.) определялись кол-ва к-ты, глицерина и  $\alpha$ -моноацетина. Отсутствие  $\beta$ -моноацетина (I) в продуктах р-ции указывает на то, что образующийся при р-ции между  $\text{CH}_3\text{COOH}$  и глицерином диацетин является только  $\alpha, \alpha'$ -ди-ацетином, так как при образовании  $\alpha, \beta$ -диацетина в продуктах р-ции обнаруживался бы и I. Часть VIII см. Chem. Abstrs, 1954, 48, № 12, 6715.

Chem. Abstrs, 1954, 48, № 14, 8560; № 15, 9716; № 18 10576.

74416. Реакции изотопного обмена в жидкой двуокиси серы. III. Катализированный обмен серы между  $\text{SOBr}_2$  и  $\text{SO}_2$ . Хербер, Норрис, Хьюстон (Isotopic exchange reactions in liquid sulfur dioxide. III. The catalyzed sulfur exchange between thionyl bromide and sulfur dioxide. Herber Rolfe H., Norris T. H.,

Huston J. L.), J. Amer. Chem. Soc., 1954, 76, № 7 2015—2018 (англ.).

В продолжение ранее опубликованных данных (Сообщение II, J. Amer. Chem. Soc., 1951, 75, 3052), указывающих на почти полное отсутствие изотопного обмена в системах  $\text{SO}_2$ — $\text{SOCl}_2$  и  $\text{SO}_2$ — $\text{SOBr}_2$  (избыток  $\text{SO}_2$ ), найдено, что добавление некоторого кол-ва ионов галогенов в систему  $\text{SO}_2$ — $\text{SOBr}_2$  сильно катализирует обмен. Катализ является гомогенным и происходит по формально первому порядку в отношении конц-ии катализатора и по нулевому порядку в отношении конц-ии  $\text{SOBr}_2$ . В качестве катализаторов применяются  $(\text{CH}_3)_4\text{NBr}$ ,  $\text{RbBr}$ ,  $\text{RbCl}$ ,  $\text{CsBr}$ ,  $\text{KBr}$  и  $\text{KCl}$ . Указывается, что р-ция идет через основной катализ галогенид-ионами.

74417. Кинетика изотопных обменных реакций. Часть 5. Фотохимическая реакция: окис углерода + фосген. Часть 6. Термическая реакция окис углерода + фосген. Странкс (Kinetics of isotopic exchange reactions. Part 5. The photochemical carbon monoxide + phosgene system. Part 6. The thermal carbon monoxide + phosgene system. Stranks D. R.), Trans. Faraday Soc., 1955, 51, № 4, 514—523, 524—527 (англ.).

5. Изучена кинетика изотопного обмена фотохим. ( $\lambda$  2537 Å) р-ции  $\text{C}^{14}\text{O} + \text{COCl}_2 \rightarrow \text{CO} + \text{C}^{14}\text{OCl}_2$  при т-рах 30—200°, в области различных давлений с целью выяснения причин высоко изотопного эффекта для равновесия указанной р-ции (РЖХим, 1955, 12615). Скорость р-ции обмена определялась как скорость появления активности в фракции  $\text{COCl}_2$  и уменьшения активности в фракции CO. Мерой скорости р-ции служило время обмена на 50%  $t_{1/2}$ . Активность продуктов измерялась торцевым счетчиком и в ионизационной камере. Найдено, что все кинетич. закономерности одинаковы для области низких и высоких давлений:  $1/t_{1/2}$  прямо пропорционально интенсивности света  $I_0$  и обратно пропорционально  $P_{\text{CO}}$ ;  $1/t_{1/2}$  прямо пропорционально  $P_{\text{SOCl}_2}$  ( $\alpha$  — поправка на нелинейную зависимость поглощения света молекулами  $\text{COCl}_2$  от  $I_0$ ). При изменении т-ры от 30 до 200° скорость обмена увеличивается на 3%. На основе полученных кинетич. данных предлагается цепной механизм р-ции обмена с участием первичного радикала  $\text{COCl}$ . Из предложенного механизма р-ции следует, что равновесный изотопный эффект  $\epsilon$  равен  $k_4'K/k_4K'$ , где  $K$  и  $K'$  — константы равновесия р-ций  $\text{COCl} \rightleftharpoons \text{CO} + \text{Cl}$  и  $\text{C}^{14}\text{OCl} \rightleftharpoons \text{C}^{14}\text{O} + \text{Cl}$ , а  $k_4$  и  $k_4'$  — константы скоростей р-ции  $\text{COCl} + \text{Cl}_2 \rightarrow \text{COCl}_2 + \text{Cl}$  и  $\text{C}^{14}\text{OCl} + \text{Cl}_2 \rightarrow \text{C}^{14}\text{OCl}_2 + \text{Cl}$ .

6. Изучалась термич. р-ция изотопного обмена  $\text{C}^{14}\text{O} + \text{COCl}_2 \rightleftharpoons \text{CO} + \text{C}^{14}\text{OCl}_2$  при 375° — 500° в пирексовой вакуумной установке. Для предотвращения диссоциации  $\text{COCl}_2$  при высоких т-рах к реагирующей смеси добавлялся  $\text{Cl}_2$  в кол-вах, равных равновесным для диссоциации  $\text{COCl}_2$  при т-ре р-ции. Активность фракций  $\text{C}^{14}\text{OCl}_2$  и  $\text{C}^{14}\text{O}$  определялась измерением в ионизационной камере и счетчиком соответственно. Увеличение поверхности путем введения в реакционный сосуд пирексовой набивки, добавки  $\text{O}_2$  (до 20 мм рт. ст.) не влияло на скорость р-ции. При 400° время обмена на 50%  $t_{1/2}$  равно 50—360 мин., при 420—450° ~ 10 мин. При  $[\text{COCl}_2]/\text{CO} = \text{const}$  и  $[\text{Cl}_2] = \text{const}$   $t_{1/2} = \text{const}$ . На основании полученных эксперим. данных приводится вероятный механизм р-ции с участием радикала  $\text{COCl}$ . Изотопный эффект обмена определяется теми же процессами, как и при фотохим. р-ции. Для скорости распада фосгена получено уравнение  $\lg k = -(1440/T) + 13,38$ . Часть 4 см. РЖХим, 1956, 46396.

74418. Электрофильные реакции замещения. V. Кинетика иодоллиза. Куйвила, Вильямс (Electrophilic displacement reactions. V. Kinetics of the iodolysis of *p*-methoxybenzeneboronic acid. Kuivila

Henry G., Williams Robert M.), J. Amer. Chem. Soc., 1954, 76, № 10, 2679—2682 (англ.)

Скорость р-ции между  $J_2$  и  $p$ -метоксифенилборной к-той пропорциональна произведению конц-ий реагентов при постоянных конц-иях  $J^-$  и  $H^+$ . Изменение конц-ий  $J^-$  и  $H^+$  приводит к обратной зависимости кажущейся константы скорости. Р-ция не подвержена катализу обобщенными к-тами и основаниями. Некоторые комплексобразующие реагенты и NaF действуют как специфич. катализаторы р-ции. Полученные результаты согласуются с механизмом, согласно которому определяющей стадией процесса является р-ция  $J_2$  с борат-анионом, содержащим 4-ковалентно связанный бор. Часть IV. См. РЖХим, 1956, 15635.

Резюме авторов

74419. Кинетика катализированного фтористым водородом алкилирования толуола *трет*-бутилхлоридом. Гау, Саймонс (Kinetics of the hydrogen fluoride catalyzed alkylation of toluene by *t*-butyl chloride. Gow A. S., Jr, Simons J. H.), J. Amer. Chem. Soc., 1956, 78, № 1, 52—56 (англ.)

Изучена кинетика катализированного HF алкилирования толуола *трет*-бутилхлоридом (I) при  $t$ -рах 15—35° и давлении HF 380—500 мм рт. ст. Кинетика процесса описывается ур-нием  $t = a + b \lg(P_\infty - P) + c \lg[d - (P_\infty - P)]$ , где  $P$ ,  $P_\infty$  — текущее и конечное давление в системе, растущее по ходу р-ции в силу образования HCl,  $a$ ,  $b$ ,  $c$ ,  $d$  — параметры. В некоторых случаях наблюдается начальное ускорение р-ции. Р-ция первого порядка по обоим реагентам и имеет высокий порядок по HF. Добавки  $C(CH_3)_3COOH$ ,  $CF_3COOH$  и воды ускоряют р-цию. Более сильным промотором является фторпиридин.  $CF_3COOAg$  не обладает промотирующим действием. HCl сильно тормозит процесс. По мнению авторов, большая часть I реагирует обратимо с HF, давая *трет*-бутилфторид и алкилирующий толуол. Это предположение позволяет объяснить наблюдаемую кинетику процесса. Д. К.

74420. Кинетическое изучение реакций этилениминов с замещенными бензойными кислотами. Пауэрс (A kinetic study of the reactions of ethylenimines with substituted benzoic acids. Powers Donald Howard Jr), Dissert. Abstrs, 1955, 15, № 8, 1314 (англ.)

Скорости р-ции  $p$ -нитробензойной (I),  $p$ -бромбензойной, бензойной (II),  $m$ -метилбензойной и  $m$ -метоксibenзойной к-т с 2-этиленимином (III) и 2,2-диметиленимином (IV) в дioxане измерялись путем кондуктометрич. определения конц-ии к-ты по ходу р-ции. Р-ция первого порядка по обоим реагентам. Для III и IV р-функция Хаммета +1,66 и +1,50, что, по мнению автора, указывает на определяющую роль перехода протона в изучаемом процессе. Энергия и энтропия активации р-ции III с I 17,0 ккал/моль и —25 кал/град; с II 16,8 и —19. Р-ция II с  $p$ -нитробензоатом 2-этиленимином идет несколько быстрее, чем р-ция II с III. Д. К.

74421. Кинетика образования четвертичных соединений. I. Некоторые производные пиридина в тетраметилсульфоне. Колман, Фьюосс (Quaternization kinetics. I. Some pyridine derivatives in tetramethylene sulfone. Coleman Bernard D., Fuoss Raymond M.), J. Amer. Chem. Soc., 1955, 77, № 21, 5472—5476 (англ.)

Кинетика образования четвертичных соединений пиридина (I), 4-пикколина (II), 4-изопропилпиридина (III) и поли-4-винилпиридина (IV) с  $n$ -бутилхлоридом (V) изучалась в тетраметилсульфоне (VI) при 25—75° потенциометрич. титрованием. Показано, что в VI происходит образование лишь следов окрашенных соединений в результате р-ции четвертичной соли с 4-метилной группой свободного основания. Бромид  $N$ -метил-4-пикколиния (т. пл. 140°) получен при кипячении с обратным холодильником смеси II и V в 95%-ном спирте. Приведены УФ-спектры II,

4-этилпиридина, III, 4-винилпиридина, IV, бромида 4-метил- $N$ -метилпиридина и бромида 4-метил- $N$ - $n$ -бутилпиридина. Р-ции I, II, III и IV с V следуют второму порядку; не обнаружено обратимости р-ций. Энергия активации равна 15,6—16,0 ккал/моль, энтропия активации равна около —30 энтр. ед. Для I, II и III константа скорости постоянна по ходу р-ции, для IV не зависит от мол. веса полимера и уменьшается по ходу р-ции. А. Р.

74422. Энергия активации распада нитроцеллюлозы и точка взрыва. Ватанабэ (硝酸纖維素分解の活性化エネルギーと發火點の意義について. 渡邊貞良), 工業化學雜誌, Koré кагаку засси, J. Chem. Soc. Japan. Industr. Chem. Sec., 1955, 58, № 8, 625—627 (япон.)

Для р-ции распада нитроцеллюлозы (I) выведено ур-ние, в котором  $1/T$  пропорционально  $\lg t$  ( $T$  — абс.  $t$ -ра р-ции,  $t$  — продолжительность распада), согласуясь с эксперим. данными. Энергия активации (U) распада I, найденная при помощи этого ур-ния, равна 27 ккал на 1 моль  $ONO_2$  для образцов I, содержащих 11,81% N. Скорость распада I прпорциональна  $k(1 + 5U/RT) \exp(-U/RT)$  ( $k$  — константа). Сделано заключение, что стабильная I взрывает, когда скорость распада достигает 1,5—3,0 вес. % в 1 мин.

Chem. Abstrs, 1956, 50, № 10, 7449.

К. J.

74423. Инфракрасные спектры испускания многостадийных углеводородных пламен. Уорк (Infrared emission spectra of multistage hydrocarbon flames. Wark Kenneth Jr) Dissert. Abstrs, 1955, 15, № 10, 1821 (англ.)

На приборе с двукратным прохождением луча с призмами из NaCl и LiF получены спектры испускания пламен. Сравнение с данными по молекулярным спектрам поглощения показывает, что среди промежуточных продуктов возможны альдегиды, к-ты, перекиси, ненасыщ. соединения, спирты,  $CO$ ,  $CO_2$  и  $H_2O$ . Полосы испускания значительно меняются в зависимости от рода горючего. Р. В.

74424. Скорости горения в водородо-воздушных пламенах. Бурвассер, Пиз (Burning velocities of hydrogen-air flames. Burwasser Herman, Pease Robert N.), J. Amer. Chem. Soc., 1955, 77, № 22, 5806—5808 (англ.)

Скорости горения (S) водородо-воздушных смесей определялись по теневой фотографии конуса пламени (см. РЖХим, 1956, 6429, докл. 36). Полученные значения S выше данных Яна (Der Zundvorgang in Gasgemischen, Jahn G., Berlin, Oldenburg, 1934). Максим. величина S, определенная экспериментально, соответствует смеси с 42%  $H_2$ , тогда как максим. S, вычисленная по ф-ле диффузионной теории (Tanford G., Pease R. N., J. Chem. Phys., 1947, 15, 861), соответствует 29%  $H_2$ , а максим. температуропроводность — 55%  $H_2$ . На основании этого авторы делают вывод о недостаточности как простого варианта диффузионной теории, так и тепловой теории распространения пламени. А. С.

74425. Распространение пламени в смесях, содержащих закись азота в качестве окислителя. Ван-Вонтергем, Ван-Тиггелен (Flame propagation in gaseous mixtures containing nitrous-oxide as oxidant. Van Wouterghem J., Van Tiggelen A.) Bull. Soc. chim. belges, 1955, 64, № 11-12, 780—797 (англ.; рез. франц.)

Энергия активации E в пламенах с  $N_2O$  в качестве окислителя, определявшаяся описанным ранее способом (РЖХим, 1956, 64519), составляет: для  $H_2$  28,5;  $CO$  (сухой < 0,2%  $H_2$ ) 28,5;  $C_2H_2$  40;  $NH_3$  66 ккал/моль, что выше соответствующих значений для пламен с  $O_2$ . Для всех пламен выполняется соотношение  $V_0 s (M/T)^{1/2} = k_0 \lambda_0$ , где  $M$  — средний мол. вес,  $\lambda_0$  — средний путь пробега,  $s$  — расстояние между конусами ширен и свечения,  $T$  — средняя  $t$ -ра в зоне пламени. Определенные отсюда M составляют: для  $CO \sim 23$ , для других горючих 17. А. С.

**74426.** По поводу одного уравнения кинетики реакций твердых веществ. Маркевич С. В., Ж. физ. химии, 1955, 30, № 3, 688—690

Дискуссионная статья. См. РЖХим, 1956, 39065. Х. Б.

**74427.** Ответ Б. В. Ерофееву на замечания к статье «Кинетика и механизм гетерогенных химических реакций, протекающих с участием твердых тел». Павлюченко М. М., Ж. физ. химии, 1956, 30, № 5, 1169—1172

Дискуссионная статья. См. РЖХим, 1956, 42688. А. Ш.

**74428.** Диффузия и окисление металлов. Симнад (Diffusion and oxidation of metals. Simnad M. T.), Industr. and Engng Chem., 1956, 48, № 3, part II, 586—601 (англ.)

Обзор эксперим. и теоретич. работ по самодиффузии, диффузии с образованием хим. соединений, поверхностной диффузии и окислению металлов и сплавов. Библ. 271 назв.

А. Х.

**74429.** Окисление металлов. Эванс (The oxidation of metals. Evans U. R.), Revs Pure and Appl. Chem., 1955, 5, № 1, 1—21 (англ.)

Обзор теоретич. и эксперим. работ по окислению металлов, с разбором выводов кинетич. ур-ний при различных предположениях о лимитирующей стадии процесса и с рассмотрением соответствующего опытного материала. Библ. 64 назв.

О. К.

**74430.** О диффузии атомов меди и кислорода при образовании меднозакисного слоя. Андриевский А. И., Мищенко М. Т., Ж. техн. физики, 1956, 26, № 2, 430—435

Микроскопическое изучение шлифов  $\text{Cu}$ -стержней и пластин, подвергавшихся окислению, показывает, что ниже  $1020^\circ$  на границе  $\text{Cu} - \text{Cu}_2\text{O}$  образуется так называемый приконтактный слой  $\text{Cu}_2\text{O}$ , находящийся в особом «разрыхленном» состоянии; рост кристаллов  $\text{Cu}_2\text{O}$  происходит на внутренней поверхности слоя  $\text{Cu}_2\text{O}$ , граничащей с материнской  $\text{Cu}$ ; в сильно окисленных образцах наблюдаются трещины и разрывы. Выше  $1020^\circ$  приконтактного слоя не образуется, рост  $\text{Cu}_2\text{O}$  происходит с наружной поверхности слоя  $\text{Cu}_2\text{O}$ , причем внутри образцов  $\text{Cu}$  образуются полости. Предположено, что в процессе окисления  $\text{Cu}$  ниже  $1020^\circ$  скорость диффузии атомов  $\text{O}$  к меди через слой  $\text{Cu}_2\text{O}$  больше скорости встречной диффузии атомов  $\text{Cu}$ , а выше  $1020^\circ$  наблюдаются обратные соотношения.

О. К.

**74431.** О механизме окисления меди в воздушной среде при высокой температуре. Андриевский А. И., Мищенко М. Т., Ж. техн. физики, 1955, 25, № 10, 1683—1688

В согласии с литературными данными микроскопич. исследования авторов показали, что при окислении  $\text{Cu}$  в воздушной среде при  $t_{\text{ре}} > 1000^\circ$  не имеет места ориентирующее действие структуры исходной  $\text{Cu}$  на решетку граничащего с ней слоя  $\text{Cu}_2\text{O}$  толщиной  $\geq 0,1$  м. В предварительно прокатанной  $\text{Cu}$ -пластинке после длительной выдержки при  $1020^\circ$  наступает укрупнение кристалликов  $\text{Cu}$ , а также увеличение размеров включений  $\text{Cu}_2\text{O}$  и концентрирование последних в промежутках между кристалликами  $\text{Cu}$ . Авторы считают, что отдельные монокристаллики на границе  $\text{Cu}/\text{Cu}_2\text{O}$  возникают при окислении вследствие ухода металла из междокристаллич. промежутков. После 8—10 час. от начала окисления  $\text{Cu}$  на воздухе при  $1050$ — $1060^\circ$  в отдельных местах как внутренних, так и на поверхности  $\text{Cu}$  обнаруживаются пустые полости различных размеров и формы, образующиеся в результате локального плавления металла. Понижение  $t$ -ры плавления в изучаемом случае авторы относят за счет сосредоточения чужеродных хим. элементов (примесей) на границе  $\text{Cu}_2\text{O}/\text{Cu}$ .

М. Г.

**74432.** Изучение записи меди, образовавшейся при  $410^\circ$  и давлениях воздуха от 0,5 до 75 мм рт. ст. Диксит, Агаше (Study of cuprous oxide formed at  $410^\circ$  at

pressures of air between 0.5 and 75 mm Hg. Dixit K. R., Agasche V. V.), Z. Naturforsch., 1956, 11a, № 1, 41—45 (англ.)

Электроннографическим методом показано, что при окислении  $\text{Cu}$  при  $410^\circ$  и давлении воздуха 0,5—75 мм рт. ст. образуется только  $\text{Cu}_2\text{O}$ . В первые моменты окисления установлено наличие двух гранцентрированных конфигураций, соответствующих  $\text{Cu}$  и  $\text{Cu}_2\text{O}$  с размерами ячейки 3,6 и 4,26 Å. С увеличением времени окисления кольца, соответствующие  $\text{Cu}$ , исчезают, а кольца, соответствующие  $\text{Cu}_2\text{O}$ , усиливаются. Достигнув толщины  $< 1$  м, пленка  $\text{Cu}_2\text{O}$  отщепляется, обнажая чистую  $\text{Cu}$ . При давл.  $< 5$  мм рт. ст. можно получить более толстую пленку, состоящую из двух слоев разной ориентации. Кинетика роста пленки толщиной 0,2—0,9 м описывается ур-нием  $W^2 = At$ , где  $W$  — вес  $\text{Cu}_2\text{O}$ ,  $A$  — константа,  $t$  — время. При толщине 0,9 м на кинетич. кривых обнаружен излом. Образованные пленки  $\text{Cu}_2\text{O}$  не обладают ни заметным электрич. сопротивлением, ни выпрямляющими свойствами. О. К.

**74433.** Процессы переноса и поверхностные реакции при горении графитизированных углей. Росберг, Вилке (Transportvorgänge und Oberflächenreaktionen bei der Verbrennung graphitisierten Kohlenstoffs. Rosberg M., Wicke E.), Chem.-Ing.-Techn., 1956, 28, № 3, 181—189 (нем.; рез. англ., франц.)

В струе воздуха или смесей  $\text{O}_2/\text{N}_2$  другого состава при давл. 26—416 мм рт. ст. и  $t$ -рах 520— $1420^\circ$  изучена скорость горения двух прессованных трубчатых образцов спектрально чистых графитизированных углей со средними радиусами пор  $1,5 \cdot 10^{-5}$  и  $4 \cdot 10^{-5}$  см и внутренними поверхностями 2,5 и  $0,8 \text{ м}^2/\text{г}$ . По длине и по радиусу внутри угольных трубок изучено распределение конц-ий газов. При 520— $650^\circ$  скорость горения определяется гетерог. хим. р-цией на поверхности, энергия активации  $E = 49,5 \text{ ккал/моль}$ , вся поверхность внутренних пор участвует в р-ции. Выше  $700^\circ$  скорость процесса определяется внутренней диффузией, эффективная константа скорости падает с ростом парц. давления  $\text{O}_2$ , а  $E$  падает до  $\sim 25$ — $30 \text{ ккал/моль}$ . Выше  $900^\circ$  температурный коэф. еще понижается и при 1300— $1400^\circ$  почти равен нулю. Контролирующей стадией при этом является диффузия через газовую пленку к внешней поверхности. Доказано, что в изученных условиях наблюдается ламинарное течение газа.

О. К.

**74434.** К теории катализа на металлических контактах. Мадьяр (Megjegyzések a fémkatalízis elméletéhez. Magyar Miklós). Magyar kém. folyóirat, 1956, 62, № 1, 1—3 (венг.; рез. англ.)

Исходя из предположения, что на металлич. катализаторах ( $K$ ) хемосорбция происходит со стабилизацией радикалов, автор подразделяет металлич.  $K$  на стабилизирующие водород, т. е. обладающие четным числом электронов (к этой группе принадлежат и  $K$ , стабилизирующие азот), и на стабилизирующие кислород, т. е. обладающие нечетным числом электронов. Рассматриваются также  $K$ , стабилизирующие  $\text{CO}$  и органич. радикалы. Огравление  $K$  автор объясняет с помощью того же механизма. Предложена классификация ионных  $K$  по Косселю.

Резюме автора.

**74435.** Кинетика последовательной гетерогенной реакции первого порядка в потоке. Панченков Г. М., Третьякова В. С., Ж. физ. химии, 1956, 30, № 3, 500—507 (рез. англ.)

Дан вывод ур-ний кинетики последовательной гетерог. каталитич. р-ции 1-го порядка, состоящей из  $n$  стадий, протекающей в потоке. Рассмотрен частный случай р-ции, состоящей из двух стадий. См. также РЖХим, 1956, 53973.

А. Ш.

**74436.** Новый метод разграничения физической и химической адсорбции на окисных катализаторах-полупроводниках. Еловнич С. Ю., Марголис Л. Я., Докл. АН СССР, 1956, 107, № 1, 112—114

При  $-78^\circ$ ;  $-11^\circ$ ;  $0^\circ$  и  $20^\circ$  исследовано влияние адсорбции  $O_2$ ,  $CO_2$ ,  $C_2H_6$ ,  $C_6H_6$  и паров  $H_2O$  на электропроводность различных образцов  $MnO_2$  ( $\sigma$ ). Адсорбция всех этих газов при  $t$ -рах не ниже  $-13^\circ$  вызывает изменения  $\sigma$ , что, по мнению авторов, указывает на хим. тип адсорбции. Физ. адсорбция  $CO$  при  $-78^\circ$  не приводит к изменению  $\sigma$ . На основании этих опытов сделан вывод, что измерения  $\sigma$  полупроводниковых адсорбентов и катализаторов дают возможность судить о природе адсорбционного процесса. О. К.

**74437. Электронографическое исследование промоторов в твердых катализаторах.** Ямагути (Prüfung der Promotoren in festen Katalysatoren mit Hilfe der Elektronenbeugung. Yamaguchi Shigeto), Z. phys. Chem. (BDR), 1956, 7, № 1-2, 115-118 (нем.) Структуры восстановленной  $Cu(I)$ , промотированной  $MgO$ , и смешанного катализатора синтеза метанола  $ZnCr_2O_4 \cdot ZnO$  (II) изучены путем дифракции электронов при  $50-150$  кэ, т. е. с длинами волн  $\lambda$   $0,0302-0,0512$  Å. С ростом  $\lambda$  линии  $MgO$  в промотированной I усиливаются, а линии  $SiO_2$  ослабевают, линии  $ZnO$  в II ослабевают, а линии  $ZnCr_2O_4$  усиливаются. Сделан вывод, что в промотированной I  $MgO$  распределена на поверхности, а в II  $ZnO$  заключена внутри зерна  $ZnCr_2O_4$ . О. К.

**74438. Железный катализатор для получения жидкого пароводорода.** Уэйцел, Парк (Iron catalyst for production of liquid para-hydrogen. Weitzel D. H., Park O. E.), Rev. Scient. Instrum., 1956, 27, № 1, 57-58 (англ.)

В связи с потерями при хранении нормального жидкого  $H_2$ , происходящими из-за спонтанных экзотермич. ортопара-переходов, был испытан ряд катализаторов, пригодных для превращения жидкого  $H_2$  в жидкий пара- $H_2$ . Наиболее активным катализатором является гель гидроокиси Fe, полученный осаждением  $NaOH$  из р-ра  $FeCl_3$  с последующей промывкой и активацией воздухом при  $140^\circ$ . Этот катализатор в 40 раз активнее, чем  $Cr_2O_3$ , нанесенная на  $Al_2O_3$ , и позволяет получать 95-97%-ный жидкий пара- $H_2$ . Активность катализаторов возрастает с уменьшением размера частиц. О. К.

**74439. Термическая активация и дезактивация адсорбционных платиновых катализаторов при разложении перекиси водорода.** Стрельникова Ж. В., Лопаткин А. А., Лебедев В. П., Ж. физ. химии, 1956, 30, № 3, 639-644 (рез. англ.)

Установлен экстремальный характер зависимости каталитич. активности (КА)  $Pt-SiO_2$ -катализаторов (К) от  $t$ -ры прокалывания (Т). Для К со степенями заполнения носителя ( $\alpha$ ) 0,0178 и 0,035 кривые зависимости КА от Т при разложении  $H_2O_2$  имеют 7 максимумов в интервале  $300-700^\circ$ . Для К с  $\alpha = 0,0054$  имеется 2 максимума КА в интервале  $300-500^\circ$ , а при  $T = 700^\circ$  КА этого К в  $>3$  раза превышает его КА при  $350^\circ$ . Установлена тенденция к сдвигу в сторону более высоких Т максимумов КА по Т при уменьшении  $\alpha$ . Авторы считают, что в изученном случае экстремальный характер зависимости КА от Т обусловлен теми же причинами, что и аналогичная зависимость, установленная ранее для Рт-черни (РЖХим, 1956, 53982), а расширение области характерных максимумов и минимумов у К по сравнению с Рт-чернью объясняют стабилизирующим действием носителя. Наблюденный при  $T > 500^\circ$  значительный рост КА при  $\alpha = 0,0054$ , по мнению авторов, объясняется аномальными отклонениями КА, характерными для К с очень малыми  $\alpha$ . М. С.

**74440. Избирательность каталитического окисления непредельных углеводородов.** Марголис Л. Я., Рогинский С. З., Изв. АН СССР. Отд. хим. н., 1956, № 3, 281-286

Проведенные при  $220^\circ$  на Ag окисление чистого  $C_2H_4$  (I), а также смесей  $C_2H_4$ , меченного  $C^{14}$ , с окисью этилена (II), ацетальдегидом (III) или формальдегидом (IV) показало, что скорость образования II в присутствии III или IV не-

сколько увеличивается, а скорость образования  $CO_2$  уменьшается. Отсюда сделан вывод, что альдегиды не могут быть главными промежуточными продуктами при образовании  $CO_2$  из I на Ag. Изучение окисления I, меченного  $C^{14}$ , в смеси с II или с III на  $V_2O_5$  при  $400^\circ$  показало, что скорость образования  $CO_2$  не изменяется от присутствия III в смеси и подавляется в присутствии II; скорость образования  $CO$  усиливается в присутствии II и III, но одновременно усиливается образование  $CO$  из III. В продуктах окисления чистых I и  $C_2H_6$  на  $V_2O_5$  не обнаружены II и окись пропилена.  $CO$  в условиях опыта не окисляется в  $CO_2$ . Сделан вывод, что II и III не могут быть главными промежуточными продуктами при образовании  $CO$  и  $CO_2$  на  $V_2O_5$ . Предложена схема каталитич. окисления углеводородов на металлич. и окисных катализаторах мягкого окисления с параллельным образованием альдегидов, к-т,  $CO$ ,  $CO_2$  и окисей олефинов через промежуточные лабильные продукты. О. К.

**74441. Химические реакции между двуокисью углерода и водородом. I. Гетерогенная каталитическая реакция в электрическом разряде (предварительное сообщение).** Кума, Имото (炭酸ガスと水素との反応. 第1報. (予報). 電場内に於ける不均一觸媒反應について. 久米泰三, 井本立也), 徳島大學工学部研究報告, Токусима дайгаку когакубу кэнкю хококу, Scient. Papers Fac. Engng Tokushima Univ., 1955, № 6, 26-28 (япон.; рез. англ.)

В тлеющем разряде при разрядном напряжении 5600-6800 в изучена р-ция  $CO_2$  с  $H_2$  в присутствии различных катализаторов ( $MgCO_3$ ,  $MgO$  и  $CaCO_3$ ). Наиболее активным оказался  $MgCO_3$ . А. Ш.

**74442. О каталитическом окислении некоторых углеводородсодержащих газов.** Пикон (Sur l'oxydation catalytique de quelques gaz carbonés. Picon M.), Bull. Soc. chim. France, 1956, № 2, 369-370 (франц.)

Осаждением перманганата К сернистым марганцем в присутствии  $H_2SO_4$  был получен препарат непротированной  $MnO_2$  состава  $\sim 3 MnO_2 \cdot Mn_2O_3 + 1,1\% CO_2 + 2,35\% H_2O$ , отличающийся высокой каталитич. активностью и стабильностью действия; при  $t$ -рах выше  $0^\circ$   $CO$  полностью окислялась на нем уже при содержании в воздухе 1 : 1 300 000. Окисление  $C_2H_4$  проходит на 15-25% при конц-ях в воздухе до 1 : 325 000. Полнота и скорость р-ции окисления  $C_2H_4$  в отличие от обычных случаев, тем выше, чем меньше конц-ия. Описан прибор, позволяющий производить с помощью  $MnO_2$  очистку воздуха от следов  $CO$  и  $C_2H_4$ . В. В.

**74443. Каталитическое окисление этилена на серебре.**

I. Медленные процессы на поверхности катализатора. II. Кинетика окисления  $C_2H_4$ . III. Кинетика окисления окиси этилена. IV. Механизм реакции. Ожековский, Мак-Кормак (The silver catalyzed oxidation of ethylene. I. Slow processes on the catalyst surface. II. Kinetics of  $C_2H_4$  oxidation. III. Kinetics of ethylene oxide oxidation. IV. Reaction mechanism. Orzechowski A., MacCormack K. E.), Canad. J. Chem. 1954, 32, № 4, 388-398, 415-431, 432-442, 443-451 (англ.)

I. Показано, что измеренная в стандартных условиях активность Ag-катализаторов при окислении  $C_2H_4$  или  $C_2H_4O$  зависит от  $t$ -ры и состава реакционной смеси в предыдущих опытах. Это объясняется авторами медленным установлением равновесия при адсорбции атомов O и образованием поверхностных продуктов окисления.

II. В струевой установке изучена кинетика окисления  $C_2H_4$  кислородом на Ag-катализаторе. Пользуясь  $N_2$  как разбавителем, авторы при постоянном давл. 1 атм варьировали конц-ию  $O_2$  от 9,9 до 79,0%, а конц-ию  $C_2H_4$  — от 2,35 до 9,40%. Время контакта изменялось от 0,05 до 1 сек. Измерения проводились при  $234$  и  $274^\circ$ .

III. В струевой установке при  $274^\circ$  изучена кинетика окисления  $C_2H_4O$  кислородом на Ag-катализаторе при постоянном давл. 1 атм. Конц-ии  $O_2$  варьировали в преде-

лах, указанных в сообщении II, конц-ии  $C_2H_4O$  — от 2,35 до 9,4%. Время контакта изменялось от 0,06 до 0,25 сек. Показано, что  $C_2H_4O$  окисляется без предварительной диссоциации на  $C_2H_4$  и  $O_2$  и что скорость окисления  $C_2H_4O$  не определяется скоростью изомеризации  $C_2H_4O$  в ацетальдегид.

IV. Предложены механизмы каталитич. окисления  $C_2H_4$  и  $C_2H_4O$  кислородом на Ag-катализаторе. Предположено, что при окислении  $C_2H_4$  как образование  $C_2H_4O$ , так и образование  $CO_2$  идет через взаимодействие газовых молекул  $C_2H_4$  с адсорбированными атомами O; образующаяся адсорбированная  $C_2H_4O$  либо десорбируется, либо изомеризуется в ацетальдегид, быстро окисляющийся в  $CO_2$  и  $H_2O$ . По мнению авторов, гетерог. окисление  $C_2H_4O$  происходит при взаимодействии молекулы  $C_2H_4O$  из газовой фазы с адсорбированным атомом O; образующийся промежуточный продукт (вероятно, формальдегид) быстро окисляется до  $CO_2$  и  $H_2O$ . Выведены выражения для начальных скоростей окисления  $C_2H_4$  и  $C_2H_4O$  в зависимости от парц. давлений компонентов реакционной смеси, хорошо соответствующие полученным эксперим. данным.

А. Ш.

#### 74444. Взаимодействие окислов металлов со спиртами.

III. Окислы марганца — изопропиловый и другие спирты. Комаров В. А., Тимофеева Н. П., Морозкина Т. М., Ж. общ. химии, 1956, 26, № 2, 393—398. При 290—450° изучено разложение изопропилового спирта (I) на Mn, MnO,  $Mn_2O_3$  и  $\beta$ -MnO<sub>2</sub> и разложение  $C_2H_5OH$  (II),  $C_4H_9OH$  (III) и  $C_6H_{11}OH$  (IV) на  $\beta$ -MnO<sub>2</sub>. Энергия активации (E) разложения I на Mn 21,8; на MnO 15,1; на  $Mn_2O_3$  15,0; на MnO<sub>2</sub> 12,2 ккал/моль. Т-ры начала р-ции на Mn 342°; в свежей MnO 290°, на работавшей MnO 332°; на  $Mn_2O_3$  308°; на MnO<sub>2</sub> до работы 308°, после работы 340°. Mn и его окислы являются сравнительно малоактивными, преимущественно дегидрирующими катализаторами по отношению к I; степень дегидратации I над Mn больше, чем над его окислами, и растет в ряду MnO,  $Mn_2O_3$ , MnO<sub>2</sub>; MnO<sub>2</sub> и  $Mn_2O_3$  за время р-ции восстанавливаются до окисла, приближающегося по составу к  $MnO_{1,2}$  —  $MnO_{1,4}$ . С ростом т-ры дегидратирующие свойства Mn понижаются, а окислов Mn — повышаются. В начале р-ции, наряду с  $H_2$  и  $C_2H_6O$ , образуется значительное кол-во  $CO_2$  за счет частичного окисления I. На  $\beta$ -MnO<sub>2</sub> II, III, IV претерпевают в основном дегидрирование; E разложения II 13,3; III 15,0; IV 26,0 ккал/моль. Соответствующие т-ры начала р-ции 340°, 360° и 380°. См. также РЖХим, 1955, 217.

О. К.

#### 74445. Энергии связей и гетерогенный катализ. Баландин А. А., Докл. АН СССР, 1956, 107, № 1, 85—88

На основе новых таблиц энергий связи между атомами в хим. соединениях (Cottrell T. L. The strengths of chemical bonds. London, 1954; Huggins M. L., РЖХим, 1954, 28434) уточнены вычисленные ранее автором (Ж. общ. химии, 1942, 12, 338) величины  $Q_{ANI}$  энергий связи Ni-катализатора с атомами реагирующих в-в (A). Для A = C, N, O, S, H, Cl, Br, F, S = величины  $Q_{ANI}$  равны, соответственно 6, 18, 48,5, 42, 55, 67, 54, 98, 19 ккал/моль. С помощью вычисленных значений  $Q_{ANI}$  рассчитана последовательность протекания различных р-ций на Ni-катализаторе, согласующаяся, как указывает автор, с опытом. Отмечено, что полученные значения  $Q_{ANI}$  в некоторых случаях меньше найденных из термохим. данных, что, по мнению автора, представляет принципиальный интерес.

С. К.

#### 74446. Контактное окисление технического фенантрена кислородом воздуха. Спасский С. С., Михайлова М. А., Токарев А. В., Тарасов А. И., Ж. прикл. химии, 1956, 29, № 3, 447—458

Окисление фенантрена при 435—540° изучено на плавленной  $V_2O_5$ , нанесенной на  $Al_2O_3$  или на металлич. Al; на  $Sn(VO_3)_2$ ; на  $TiO(VO_3)_2$  и на соли  $13 (NH_4)_2 \cdot 0,2P_2O_5$ .

$\cdot 8V_2O_5 \cdot 34WO_3 \cdot 86H_2O$ . Наибольшей каталитич. активностью обладает плавленная  $V_2O_5$ . При изучении контактного окисления чистых антрацена и карбазола на  $V_2O_5$  установлено, что антрацен окисляется до фталевого ангидрида и антрахинона, а карбазол — до  $CO_2$  и  $H_2O$ . При окислении технич. 79%-ного фенантрена, содержащего 12,8% антрацена и 6,2% карбазола, оптимальными условиями окисления являются: т-ра 460—480°, объемная скорость 10—12 тыс. объемов паровоздушной смеси на 1 объем  $V_2O_5$  в 1 час, нагрузка 100—120 г фенантрена на 1 л  $V_2O_5$  в 1 час. Для поддержания постоянной активности  $V_2O_5$  необходима продувка его воздухом. Максим. выход кислых продуктов при окислении этой смеси 73,8% от теоретич.; при окислении 72%-ного фенантрена, содержащего 16,6% антрацена и 6,9% карбазола, 82,9% от теоретич. Продукты окисления легко разделяются на обогащенный фталевый ангидрид и антрахинон с удовлетворительными выходами.

О. К.

#### 74447. Превращения n-пропил- и изопропилбензола на никельглиноземном катализаторе в условиях повышенных температур и давлений водород. Шулкин Н. И., Бердникова Н. Г., Егоров Ю. П., Изв. АН СССР, Отд. хим. н., 1956, № 1, 43—49

Изучены превращения n-пропилбензола (I) и изопропилбензола (II) в присутствии  $H_2$  на Ni-катализаторах, нанесенных на окись алюминия (10—30% Ni), в проточной системе при т-рах 350—465° и давлениях  $H_2$  25 и 50 атм. С повышением содержания Ni степень превращения увеличивается, достигая ~98%. I превращается в II, в бензол, циклогексан, толуол, этилбензолы, другие диалкилбензолы. II превращается в метилциклопентан, циклогексан, гексаны, гептаны, толуол, ксилолы, другие ди- и триалкилбензолы и пятичленные цикланы, а также в I. Преобладающей р-цией является деалкилирование II; параллельно идут р-ции гидрирования бензольного ядра и, по мнению авторов, сжатия шестичленного цикла в пятичленный с последующим его гидрогенолизом. Авторы считают, что образование ди- и триалкилбензолов происходит за счет взаимодействия бензольного ядра с метиленовыми радикалами, получающимися при распаде цикланов. С. К.

#### 74448. Катализ комплексобразующими анионами. Кинетика активации монтмориллонитовых глин. Пактер (Catalysis by complexing anions. The kinetics of the activation of montmorillonite clays. Packer A.), Chemistry and Industry, 1955, № 43, 1384—1385 (англ.)

Степень активации монтмориллонитов (I) к-тами связана со степенью экстракции  $Al_2O_3$  и  $Fe_2O_3$  из решетки I р-ром к-ты. При нагревании до 100° 5% взвесь монтмориллонито-кальциевых глин (II) в присутствии  $H_2SO_4$ ,  $HCl$ ,  $H_3PO_4$  или лимонной к-ты установлено, что скорость экстракции следует мономолекулярному закону  $dx/dt = -kx$  (где x — кол-во неэкстрагированных окислов в %) при экстракции от 0 до 80% полного кол-ва окислов. Константа скорости (k) возрастает с увеличением конц-ии к-ты; в случае  $H_2SO_4$  k достигает максимума  $(1,92 \cdot 10^{-4} \text{ сек}^{-1})$  при конц-ии 12 н. Это связано, по мнению автора, с растворением сульфата в виде комплексного аниона  $[Al(HSO_4)_4]^-$ . При нагревании II в р-е (к-та + анион к-ты) увеличение конц-ии анионов, при неизменной конц-ии  $H^+$ , тоже вызывает увеличение k, однако в меньшей степени, чем это наблюдалось при увеличении  $H^+$ .

Г. К.

#### 74449. Органический катализ с помощью ионообменников. Глена (Catalyse organique par échangeurs d'ions. Glenat R.), Chimie et industrie, 1956, 75, № 2, 292—298 (франц.; рез. англ., исп.)

Дается краткая характеристика ионообменивающих смол различных марок с примерами применения их в качестве катализаторов р-ций этерификации, омыления, гидролиза, альдольной и кротоновой конденсации, образования простых эфиров и ацеталей, дегидратации спир-

тов, гидратации непредельных углеводородов и др. Библ. 61 назв. В. В.

**74450. Кинетика синтеза сложных метиловых эфиров из олефинов, окиси углерода и метанола. Эрколи, Аванци, Моретти** (Cinetica della sintesi di esteri metallici da olefine, ossido di carbonio e metanolo. Ercoli R., Avanzi M., Moretti G.), *Chimica e industria*, 1955, 37, № 11, 865—871 (итал.; рез. англ., нем., франц.)

Изучена р-ция образования метилового эфира гексагидробензойной к-ты (I) и метиля гексагидробензойного альдегида (II) из циклогексена (III), метанола (IV) и СО (V) в присутствии дикобальтоктакарбонила (VI) в интервале давл. 40—390 атм, т-рах 165—175° при различных соотношениях III:IV. При постоянных т-ре (165°) и молярном соотношении IV:III=7,43 р-ция образования I приближенно нулевого порядка по III и I-го порядка по IV. В интервале 40—370 атм максим. скорость р-ции достигается при 60—90 атм. Скорость р-ции прямо пропорциональна корню квадратному из конц-ии VI. Образование II способствует низкое молекулярное соотношение IV:III, низкое давление V, большая конц-ия VI и высокая т-ра р-ции. Эксперим. данные сопоставлены с результатами, полученными с гексеном-I и 2-этилгексеном-I, на основании чего предположено, что определяющей стадией р-ции образования I является расщепление IV под действием VI по ур-нию:  $[\text{Co}_2(\text{CO})_8] + \text{CH}_3\text{OH} \rightarrow \text{HCo}(\text{CO})_4 + \text{CH}_3\text{OCo}(\text{CO})_3$ . См. также РЖХИ, 1956, 3466. В. Ш.

**74451 К. Диффузия и теплопередача в химической кинетике. Франк-Каменецкий** (Diffusion and heat exchange in chemical kinetics. Frank-Kamenetskii D. A. Transl. Princeton Univ. press, 1955, 370 pp., ill., 6 doll.) (англ.)

**74452 К. Химическая термодинамика. Кинетика и катализ газовых реакций. Эрдős** (Chemická thermodynamika. Kinetika a katalýza plyných reakcí. Erdős E. Merich. Praha, SNTL, 1955, 189 s., il., 15 Kčs.) (чеш.)

**74453 Д. Энергии диссоциации связей в органических молекулах и их использование в химической кинетике. Веденеев В. И.** Авторсф. дисс. канд. хим. н., МГУ, М., 1956

**74454 Д. Изотопный обмен серы между дисульфидами и меркаптанами. Васильева В. Н.** Авторсф. дисс. канд. хим. н., Н.-и. физ.-хим. ин-т, М., 1956

**74455 Д. Каталитические свойства β-нафтохинонсульфокислоты. Ле-Блан** (Katalytische Eigenschaften der β-Naphthochinonsulfosäuren. Le Blanc Hans. Diss., Phil. F., Rostock, 1953, Maschinenschr.), Dtsch. Nationalbibliogr., 1955, В, № 15, 1081 (нем.)

**74456 Д. Восстановление двуокисей титана и кремния гидридом кальция. Изучение взаимодействий между этими оксидами и силицидами кальция. Бичара** (La réduction du bioxyde de titane et de la silice par l'hydruure de calcium. Étude des réactions entre ces oxydes et les siliciures de calcium. Bichara Michel. Autoréf. thèse doct. Sci. Phys., Fac. Sci. Univ. Paris, 1956), Ann. Univ. Paris, 1956, 26, № 1, 113—114 (франц.)

См. также: Гетерогенный катализ: органич. 74787, 74840, 74852, 74877, 74892, 74894, 74966. Топохимия 74349, 75515, 76905. Катализаторы 74565, 75503, 75973, 75974, 75977—75981, 76061, 76895, 76896. Адсорбция 74566.

## ФОТОХИМИЯ. РАДИАЦИОННАЯ ХИМИЯ. ТЕОРИЯ ФОТОГРАФИЧЕСКОГО ПРОЦЕССА

**74457. Физическая химия. Коидзуми, Имамура** (物理化学.小泉正夫,今村昌), 化学, Karaku, 1955, 10, № 1, 15—17 (япон.)

Фотохимия альдегидов и кетонов. Обзор за 1953 г. Э. Б. 74458. Реакция циклогексана с атомами ртути-6 ( $^6\text{P}_1$ ). Бек, Нибс, Ганнинг (Reaction of cyclohexane with mercury-6 ( $^6\text{P}_1$ ) atoms. Beck P. W., Kniebes D. V., J. Ginning H. E.), J. Chem. Phys., 1954, 22, № 4, 672—677 (англ.)

Исследовалось фотоенсибилизирующее  $\text{Hg} = 6(^6\text{P}_1)$  разложение циклогексана (I) при 29°. Основными продуктами р-ции являются  $\text{H}_2$ , дициклогексил и циклогексен (II). При продолжительном облучении появляются продукты с 24 атомами С. Квантовый выход несколько растет с давлением и при 90 мм рт. ст. составляет по расходу I 0,83, по  $\text{H}_2$  и II 0,40 и 0,03. Масс-спектральным анализом не обнаружено гексана, додекана и *n*-гексидициклогексана, что указывает на устойчивость циклогексанового кольца в условиях опыта. По мнению авторов, механизм процесса таков:  $\text{Hg} = 6(^6\text{P}_1) + \text{C}_6\text{H}_{12} \rightarrow \text{Hg} = ^6(^6\text{S}_0) + \text{C}_6\text{H}_{11} + \text{H}$ ;  $\text{H} + \text{C}_6\text{H}_{12} \rightarrow \text{C}_6\text{H}_{11} + \text{H}_2$ ;  $\text{C}_6\text{H}_{11} + \text{C}_6\text{H}_{11} \rightarrow \text{C}_6\text{H}_{12} + \text{C}_6\text{H}_{10}$  или  $\text{C}_{12}\text{H}_{22}$ , причем рекомбинация вдвое более вероятна, чем диспропорционирование. Д. К.

**74459. Фотолиз уксусного ангидрида. Бурвассер, Тейлор** (Photolysis of acetic anhydride. Burwasser Herman, Taylor H. Austin). J. Chem. Phys., 1955, 23, № 12, 2295—2299 (англ.)

Фотолиз уксусного ангидрида (I) под действием Hg-ламп среднего давления изучался при 60—160°. Анализировались газообразные продукты р-ции. СО и  $\text{C}_2\text{H}_6$  образуются с равной скоростью,  $\text{CO}_2$  образуется со скоростью в 2 раза большей. При 60° скорость образования СО имеет небольшой индукционный период. Образуются также небольшие кол-ва  $\text{CH}_4$ . Используя ацетон как актинометр, авторы нашли квантовые выходы:  $\text{CO}_2$  2, СО и  $\text{C}_2\text{H}_6$  1. Распад I фотосенсибилизируется ацетоном. Масс-спектральный анализ жидкого остатка при 160° показал отсутствие ацетона, биацетила, метилацетата, ацетилацетона и ацетонилацетона. Осколок с массой 57, интенсиивность которого увеличивается с продолжительностью р-ции, образуется в кол-ве, достаточном для сведения материального баланса. Автор считает, что первичным процессом является образование возбужденной молекулы I, которая затем распадается, давая  $\text{CH}_3$  и  $\text{CH}_3\text{COOCO}$ . Молекула I может реагировать с  $\text{CH}_3$  или  $\text{CH}_3\text{CO}$ , давая  $\text{CO}_2$  и остаток. Автор предполагает, что осколки с массой 57 могут образовываться в результате разложения продуктов конденсации в ионном источнике масс-спектрометра. А. Р.

**74460. Фотокатализируемая перекисью водорода реакция между водородом и кислородом. Волман** (Hydrogen peroxide photocatalyzed reaction of hydrogen and oxygen. Volman David H.), J. Chem. Phys., 1955, 23, № 12, 2458—2459 (англ.)

Газовые смеси, содержащие 0,5 мм рт. ст. перекиси водорода (I), подвергались в проточной системе действию УФ-света с  $\lambda$  2537 Å. В смеси 0,5 атм  $\text{O}_2$  и 0,5 атм  $\text{N}_2$  кол-во образовавшейся воды равно кол-ву разложившейся I ( $2,8 \cdot 10^{-6}$  моль/мин). В смеси 0,5 атм  $\text{O}_2$  и 0,5 атм  $\text{H}_2$  кол-во образовавшейся  $\text{H}_2\text{O}$  в 9 раз больше кол-ва разложившейся I ( $0,4 \cdot 10^{-6}$  моль/мин). В случае фотолиза в отсутствие  $\text{H}_2$  каждый образующийся радикал OH дает молекулу воды:  $\text{H}_2\text{O}_2 + h\nu \rightarrow 2\text{OH}$ ;  $\text{OH} + \text{H}_2\text{O}_2 \rightarrow \text{H}_2\text{O} + \text{HO}_2$ ;  $\text{HO}_2 + \text{HO}_2 \rightarrow \text{H}_2\text{O}_2 + \text{O}_2$ , если не учитывать р-цию  $\text{OH} + \text{OH} \rightarrow \text{H}_2\text{O}_2$ . В присутствии  $\text{H}_2$  протекают также р-ции  $\text{OH} + \text{H}_2 \rightarrow \text{H}_2\text{O} + \text{H}$  и  $\text{H} + \text{O}_2 \rightarrow \text{H}_2 + \text{O}$ . Скорость фоторазложения смеси I (0,5 мм рт. ст.) и  $\text{N}_2$  (1 атм) в условиях действия света с  $\lambda$  1849 Å в ~3 раза больше скорости фоторазложения под действием света с  $\lambda$  2537 Å, что согласуется с коэфф. поглощения. И. В.

**74461. Химическое и фотохимическое исследование 6,8-тиоктовой кислоты и 1,2-дитиолана (триметилдисульфиды). Уитни, Калвин** (Chemical and photochemical studies on 6,8-thioctic acid and 1,2-dithiolane (trimethylene disulfide). Whitney R. B., Cal-

vin Melvin), J. Chem. Phys., 1955, 23, № 10, 1750—1756 (англ.)

Спиртовые р-ры 6,8-тиоктовой к-ты и триметилendisulfida подвергались монохроматич. облучению с  $\lambda$  3130 и 3650 Å. Измерялись квантовые выходы р-ций с разрывом дисульфидной связи. При различных конц-иях исходных в-в и р-рителя, интенсивностях света, длинах волны и кислотности квантовый выход р-ции разрыва связи  $S-S$  близок к единице.

**74462. О фотохимическом разложении соединений мезогемин-IX-поли- $\alpha$ -(фенилаланил-глутаминовой) кислоты с окисью углерода.** Брозер, Лауч (Zur photochemischen Spaltung der Kohlenoxydverbindung der Mesohamin-IX-poly- $\alpha$ -(phenylalanin-glutaminsäure). Broser W., Lautsch W.), Naturwissenschaften, 1955, 42, № 18, 513—514 (нем.)

Фотохимическое расщепление ( $\lambda$  405 м $\mu$ ) соединения мезогемин-IX-поли- $\alpha$ -(фенилаланил-глутаминовой к-ты) (молекулярная масса 17800), взятой в качестве модели оксидазы, с окисью углерода происходит с квантовым выходом  $\sim 1$  подобно железосодержащим ферментам.

**74463. Измерение абсолютных квантовых выходов флуоресценции.** Мельюис (The measurement of absolute quantum efficiencies of fluorescence. Melhuish W. H.), N. Z. J. Sci. and Technol., 1955, 837, № 2, 142—149 (англ.)

Получены следующие значения выходов флуоресценции для бесконечно разб. р-ра: антрацен (I) в  $C_6H_6$  0,26; I в  $C_6H_6$  0,44; в парафине 0,36; 9,10-ди- $CH_3$ -антрацен в  $C_6H_6$  0,81; 9,10-ди- $(CH_3)_2COO$ -антрацен в 0,1 н. NaOH 1,00; перил в  $C_6H_6$  0,98; антрахинон в  $C_6H_6$  0,59; акридон в  $C_6H_6$  0,87.

**74464. Изучение тушения органических фосфоров.** II. Като (Studies on the quenching of organic phosphors. II. Kato Shunji), J. Inst. Polytechn. Osaka City Univ., 1953, 44, № 2, 155—166 (англ.)

Измерены начальные интенсивности фосфоресценции ( $I_0$ ) и среднее время затухания ( $\tau$ ) адсорбатов триафлавина на фильтровальной бумаге в вакууме. Аппаратура состоит из фосфороскопа, фотоэлектронного умножителя, усилителя и электромагнитного осциллографа. Кривые затухания фосфоресценции при  $+10^\circ$  строго экспоненциальны и  $\tau$  не зависит от интенсивности возбуждения. Интенсивность фосфоресценции пропорциональна интенсивности возбуждающего света. Увеличение  $\tau$  (10—25%) мало влияет на  $I_0$ , в то время как затухание при этом значительно ускоряется; вычисленная отсюда энергия активации равна для различных образцов 3—6 ккал/моль. Обнаружено концентрационное тушение фосфоресценции.  $\tau$  Фосфора при увеличении конц-ии триафлавина ( $10^{-6}$ — $15 \cdot 10^{-6}$  M) уменьшается от 0,5 до 0,32 сек.  $I_0$  при изменении конц-ии в тех же пределах сначала растет из-за увеличения поглощения, достигает максимума при конц-ии  $2 \cdot 10^{-6}$  M, а затем линейно спадает с конц-ией. Спектры поглощения триафлавина в целлофане изменяются с ростом конц-ии от  $2 \cdot 10^{-6}$  до  $4 \cdot 10^{-6}$  M, что указывает на наличие агрегации. Указывается, что фосфоресценция триафлавина на фильтровальной бумаге удовлетворительно объясняется представлением о трех условиях (часть I, РЖХим, 1956, 61110). Для объяснения концентрационного тушения выдвигаются два предположения: 1) агрегация (нефлуоресцирующие полимеры) и 2) взаимодействие возбужденной в синглетном или триплетном состоянии и невозбужденной молекулы.

**74465. Абсолютное эталонирование ферросульфатного дозиметра.** Мягкие рентгеновские лучи энергии 10 и 8 кэв. Коттен, Лефор (Etalonnage absolu du dosimètre au sulfate ferreux. Rayons X mous de 10 et 8 KeV. Cottin M., Lefort M.), J. chim. phys. et phys. chim. biol., 1956, 53, № 3, 267—273 (франц.)

Определен выход радиационно-химического окисления  $5 \cdot 10^{-3}$  M р-ра соли Мора в 0,1 н.  $H_2SO_4$  при действии мяг-

ких рентгеновских лучей. Доза определялась ионизационной камерой (Rogozinski A., J. radiol. et electroradiol. 1935, 19, 693). Работа образования пары ионов принята равной 34 эв. Выход окисления  $Fe(2+)$  для лучей, полученных от рентгеновской трубки с Мо-антикатодом (средняя энергия лучей 10 кэв), равен  $14,15 \pm 0,60$ , а для лучей, полученных от трубки с Cu-антикатодом (средняя энергия 8 кэв),  $13,40 \pm 0,60$  на 100 эв поглощенной энергии. Л. Б.

**74466. Радиолит смеси четыреххлористый углерод-спирт.** Ханнерс (Radiolysis of carbon tetrachloride-alcohol mixtures. Hannerz K.), Research, 1956, 9, № 1, S1—S3 (англ.)

При действии ионизирующего излучения ( $\gamma$ -излучение  $Co^{60}$ , мощность дозы 2800 рентген/час) на смеси органических соединений с  $CCl_4$  образуется HCl. Радиационно-химические выходы в смесях, содержащих 50 об. %  $CCl_4$ , равны: *n*-гексан 20; ацетон 18; уксусноэтиловый эфир 33;  $C_2H_5OH$  61;  $C_3H_7OH$  620;  $C_4H_9OH$  с добавкой 0,01% гидрохинона 50;  $C_5H_{11}OH$ , не содержащий кислорода, 370; *n*- $C_8H_{17}OH$  730; *изо*- $C_8H_{17}OH$  1810; *n*- $C_{10}H_{21}OH$  390; *изо*- $C_{10}H_{21}OH$  530; *втор*- $C_4H_9OH$  1250; *трет*- $C_4H_9OH$  17;  $(C_2H_5)_2O$  350. Предложена схема р-ций для объяснения цепного характера процесса. Образующиеся из  $CCl_4$  атомы Cl отрывают атомы H от молекул спирта. Возникающие радикалы взаимодействуют с  $CCl_4$ , образующиеся радикалы  $CCl_3$  продолжают цепную р-цию. Несмотря на большую чувствительность р-ции, допускающую колориметрич. определения доз  $\sim 5$  рентген, использование системы для дозиметрич. целей исключено вследствие недостаточной стабильности и чувствительности к примесям.

**74467. Тиоктовая- $S_2^3$  кислота: синтез и радиационное**

разложение. Адамс (Tiocctic- $S_2^3$  acid: synthesis and radiation decomposition. Adams Patricia T.), J. Amer. Chem. Soc., 1955, 77, № 20, 5357—5359 (англ.)

Используя дибензилмеркаптооктановую к-ту в качестве промежуточного продукта (РЖХим, 1956, 32639), автор синтезировал препараты тиоктовой- $S_2^3$  к-ты (I) низкой ( $1 \mu$  кюри/мл) и высокой ( $\sim 200 \mu$  кюри/мл) уд. активности. Последние препараты получить в кристаллич. виде не удается, так как I испытывает саморазложение под действием излучения  $S^{35}$ . Облучение  $\gamma$ -лучами  $Co^{60}$  приводит к разложению кристаллической I и ее р-ров в гексане с радиационно-химическим выходом разложения  $G \approx 10$ . Для  $5,5 \cdot 10^{-3}$  M р-ра I в спирте  $G = 5,4$ ; для  $5,7 \cdot 10^{-3}$  M р-ра I в 10%-ном бензоле и 90%-ного гексана  $G = 1,8$ .  $G$  кристаллической I равен 15,3 (при действии электронов 4,3 Мэв). Собственное излучение I моделировалось раствором I в гексане, меченном  $C^{14}$  (уд. активность  $90 \mu$  кюри/мл); для  $4,9 \cdot 10^{-3}$  M р-ра I  $G = 31$ . Если принять  $G$  саморазложения равным 30, для препарата высокой уд. активности, дающего  $3 \cdot 10^{16}$  эв/мл в 1 сутки, то скорость разложения составит 0,3% в сутки. Уменьшение скорости разложения I может быть достигнуто в р-рах, содержащих бензол.

**74468. Исследование действия рентгеновских лучей на водные растворы нуклеиновых кислот и некоторых нуклеотидов.** Даниэлс, Сколс, Уэйсс (Studies on the action of X-rays on aqueous solutions of nucleic acids and some nucleotides. Daniels M., Scholes G., Weiss J.), Experientia, 1955, 11, № 6, 219—221 (англ.; рез. нем.)

При действии рентгеновских лучей (200 кэв, доза 7100 рентген, интенсивность 1185 рентген/мин) на 0,1%-ные водн. р-ры ДНК в присутствии  $O_2$  наблюдается заметное падение относительной вязкости с резко выраженным эффектом последствия; при облучении в вакууме последствие гораздо слабее и полностью устраняется при добавлении после облучения 0,1 M NaCl. При облучении р-ров рибонуклеотидов дозой 35 000 рентген наблюдается значитель-

ное последствие (как и в предыдущих опытах, в течение десятков часов) в отщеплении неорганич. фосфата, причем этот эффект зависит от  $t$ -ры и pH  $p$ -ров. Авторы объясняют полученные результаты образованием лабильных углеводно-фосфорных связей в полинуклеотидной цепи при облучении.

А. П.

**74469.** Влияние ионизирующей радиации на холинхлорид и его аналоги. Леммон, Парсонс, Чин (Effects of ionizing radiation on choline chloride and its analogs. Lemmon Richard M., Parsons Margaret A., Chin Doris M.), J. Amer. Chem. Soc., 1955, 77, № 15, 4139—4142 (англ.)

При действии пучка электронов ( $2-4 \text{ Mэв}$ ) и  $\gamma$ -лучей ( $1,2 \text{ Mэв}$ ) на холинхлорид (I) и шесть его аналогов (холинхлорид, ацетилхолинхлорид и др.) в виде сухих кристаллов выход  $p$ -ции  $G$  составляет для I при  $e^-$ -радиации 20, а при  $\gamma$ -радиации 170, тогда как для большинства других соединений  $G$  лежит в пределах 2—5. Аномально высокие значения  $G$  для I, который является наиболее радиочувствительным в твердом состоянии органич. в-вом, известным в настоящее время, объясняются авторами радикальной цепной  $p$ -цией, развитие которой облегчается особенностями кристаллич. структуры I.

А. П.

**74470.** Исследование химических реакций между азотом и водородом в тихом разряде. П. Судзуки, Миядзакис, Такахаси (無聲放電による窒素-水素ガス反応に関する研究. 第2報. 鈴木桃太郎, 宮崎正蔵, 高橋サキ), 日本化学雑誌, Нихон катэку зассэн, J. Chem. Soc. Japan. Pure Chem. Sec., 1955, 76, № 1, 32—35 (япон.)

Дополнительные замечания к части I (РЖХим, 1956, 64620).

**74471.** Остаточная диссоциация гексафторида серы в коронном разряде. Торберн (Permanent Dissociation of sulphur hexafluoride in corona discharges. Thorburn Robert), Nature, 1955, 175, № 4453, 423—424 (англ.)

При помощи масс-спектрометра определено относительное содержание ионов  $\text{SF}_5^+$ ,  $\text{SF}_4^+$ ,  $\text{SF}_3^+$ ,  $\text{SF}_2^+$ ,  $\text{F}^+$ , в  $\text{SF}_6$ , подвергнутого действию коронного разряда; сила тока изменялась от 10 до 60  $\mu\text{а}$ ; длительность воздействия разряда 15 мин.—2 часа. Обнаружено сильное возрастание содержания ионов  $\text{F}^+$ , что доказывает существование молекулярной диссоциации, сопровождающей разряд и протекающей с большой скоростью.

Л. Б.

**74472.** Топография открытого изображения. Шоппер, Магун, Браун (Topography of the latent image. Schopper E., Magun S., Braun W.), Sci. and Appl. Photogr., London, Roy. Photogr. Soc. Gr. Brit., 1955, 122—127 (англ.)

Продолжены исследования (Z. Naturforsch., 1951, 6a, 338; Sci. et inds photogr., 1952, 23, 19; Z. wiss. Photogr., 1952, 47, 27) действия двойных экспозиций с целью раздельного изучения свойств поверхностного и глубинного скрытого изображения (СИ). Глубинное СИ проявлялось после обработки 0,2%-ным  $p$ -ром  $\text{CrO}_3$  поверхностным проявителем с добавкой  $\text{Na}_2\text{S}_2\text{O}_8$ . Получены «характеристич. поверхности» эффекта Гершеля (ЭГ) в зависимости от интенсивности и времени засветки светом  $\lambda = 8000 \text{ \AA}$ , подтверждающие существование аддитивного ЭГ в ядерных эмульсиях и субтрактивного ЭГ в световых эмульсиях. Аддитивный ЭГ связан с поверхностным СИ, так как глубинное проявление вызывает субтрактивный ЭГ. В результате регрессии СИ под действием паров  $\text{H}_2\text{O}_2$  значительно увеличивается аддитивность ЭГ. При разбавлении ядерной эмульсии NT2a желатиной аддитивный ЭГ сильно уменьшается, что, по мнению авторов, связано с изменением поверхностной структуры зерен. Изучение влияния сенсибилизации Hg и десенсибилизации пинакриптолом желтым на эффект Клайдена показывает, что первая уменьшает, а вторая увеличивает фотографич. действие добавочной

засветки. Результаты объясняются либо разной дисперсностью СИ в ядерных и световых эмульсиях, либо различным распределением СИ по глубине зерна.

Ю. М.

**74473.** Локализация и природа скрытого изображения, образованного различным излучением в нескольких типах эмульсий. Кюэ, Шмитт (The localization and nature of the latent image produced by different types of radiation in several types of emulsion. Cüer P., Schmitt R.), Sci. and Appl. Photogr., London, Roy. Photogr. Soc. Gr. Brit., 1955, 128—134 (англ.)

Исследовано влияние эффекта Гершеля (ЭГ), паров  $\text{H}_2\text{O}_2$  и обработки хромовой  $k$ -той на скрытое изображение (СИ) от  $\alpha$ -,  $\gamma$ -,  $\beta$ - и светового излучения, полученное в различных ядерных и световых эмульсиях.  $\text{H}_2\text{O}_2$  разрушает СИ на ядерных эмульсиях с усилением действия в ряду: свет,  $\gamma$ ,  $\beta$  и  $\alpha$ . СИ световых эмульсий стабильно. 0,2%-ный  $p$ -р  $\text{CrO}_3$  полностью разрушает световое СИ ядерных эмульсий. ЭГ не наблюдается для СИ от  $\alpha$ -частиц и ослабляет световое СИ ядерных эмульсий. На влажных эмульсиях ЭГ может усиливать СИ от  $\alpha$ -частиц и ослаблять световое СИ. По мнению авторов, полученные результаты объясняются не различиями в топографии СИ, образованного светом и ионизирующими частицами, а изменениями дисперсности СИ, зависящей от рода излучения, подтверждаемая тем самым выводом предыдущей работы (Cüer P., Sci. et inds photogr., 1950, 21, 161).

Ю. М.

**74474.** Влияние давления на чувствительность фотоэмульсии. Ванек (Vliv tlaku na citlivost fotografické emulze. Waniek Ludvík), Českosl. časop. fys., 1956, 6, № 1, 17—26 (чеш.); Чехосл. физ. ж., 1956, 6, № 3, 246—255 (рез. нем.)

Статическое давление (1500—3000  $\text{кг/см}^2$ ) и эквивалентный ему удар оказывают одинаковое влияние на чувствительность фотоэмульсии. Чувствительность уменьшается, если давление прилагать к неэкспонированной эмульсии и увеличивается, если экспозиция предшествует давлению. Эффект десенсибилизации возрастает по мере сокращения времени экспозиции. Только скользящее давление вызывает почернение фотоэмульсии. Это поверхностный эффект, возрастающий с увеличением давления и не зависящий от порядка проведения операций: скользящее давление — экспозиция.

Д. Т.

**74475.** Влияние давления на фотографические свойства эмульсий во влажном и сухом состоянии. Эггерт, Цюнд (The influence of pressure on the photographic properties of emulsions in the wet and dry states. Eggert J., Zünd E.), Sci. and Appl. Photogr., London, Roy. Photogr. Soc. Gr. Brit., 1955, 141—144 (англ.)

Для выяснения влияния дефектов решетки кристалла галоидного Ag на образование скрытого изображения незрелую фотоэмульсию размалывали в шаровой мельнице различное время, определяли светочувствительность  $S$  (по  $D = 0,1$  над вуалью) и оценивали порог спектральной чувствительности  $S_\lambda$ . При размалывании не наблюдается ни увеличения  $S$ , ни смещения порога  $S_\lambda$  в длинноволновую область, но заметно возрастает вуаль. Сделан вывод, что размалывание не создает достаточно большого давления. В других опытах сухой эмульсионный слой подвергали давл. до  $10^4 \text{ кг/см}^2$ , а затем экспонировали синим и красным светом за ступенчатым клином. Давление десенсибилизирует AgBr-эмульсии сильнее, чем AgCl-эмульсии, и в обоих случаях увеличивает вуаль. Эффект одинаков при засветке как синим, так и красным светом. AgBr — AgJ-эмульсия также десенсибилизируется под действием давления при засветке синим светом, но проявленная плотность при засветке красным светом заметно возрастает, что указывает на смещение порога спектральной чувствительности в красную область.

Ю. М.

**74476.** Некоторые опыты по влиянию давления на фотографические эмульсии. Браун, Насхоль

(Some experiments on pressure effects in photographic emulsions. Braun E. A., Nahshol D.), Bull. Res. Council. Israel., 1955, 4, № 4, 394—395 (англ.)

Давление  $500 \text{ кг/см}^2$ , оказываемое на фотопленку во время экспонирования, уменьшает проявленную оптич. плотность  $D$ , соответствующую поверхностному скрытому изображению (ПСИ), и увеличивает плотность, соответствующую внутреннему скрытому изображению (ВСИ). При этом сумма  $D_{\text{(пси)}} + D_{\text{(вси)}}$  не изменяется и зависит только от экспозиции, а отношение  $D_{\text{(пси)}}/D_{\text{(вси)}}$  зависит от давления, но не от экспозиции. Автор считает, что под действием давления увеличивается концентрация дислокаций, служащих внутренними центрами конденсации фотолитич. Ag.

**74477. О действии некоторых химических сенсibilизаторов в качестве «антизамедлителей» или «ускорителей физического созревания».** О-Яма (On the action of some chemical sensitizers as «antiretarders» or «physical ripening accelerators». Oh-Yama Yasushi), Sci. and Applicat. Photogr., London, Roy. Photogr. Soc. Gr. Brit., 1955, 37—42 (англ.)

С помощью нефелометрич. метода исследовано влияние желатин, аммиака, серосодержащих замедлителей (6-оксо-2-тио-4-метилтетрагидропиридин) и сенсibilизаторов (тиозинамин, тиосульфат, роданин и N-алкилтион) на физ. созревание. Активности добавок сравнивали по кривым зависимости максим. мутности от логарифма концентрации в-ва. Характерной особенностью поведения желатин является зависимость активности от типа желатин и большой диапазон эффективных концентраций. Производные тиомочевин и роданина с длинной алифатич. цепью близки по своему действию к активным в-вам желатин. Серосодержащие сенсibilизаторы в разной степени увеличивают мутность эмульсии и действуют в меньшем диапазоне концентраций, чем желатин. Не обнаружено влияния  $\text{NH}_3$  и замедлителей на рост зерен. Высказано предположение, что серосодержащие сенсibilизаторы являются только моделью активных в-в желатин, которые, по мнению автора, относятся к высокомолекулярным соединениям.

**74478. Механизм оптической сенсibilизации.** Миз (The mechanism of optical sensitizing. Mees C. E. Kenneth), Sci. and Applicat. Photogr., London, Roy. Photogr. Soc. Gr. Brit., 1955, 7—12 (англ.)

Рассмотрены основные стадии оптич. сенсibilизации: адсорбция красителя, поглощение света и электронные переходы, а также пространственная структура молекул красителей. Предложен механизм суперсенсibilизации. Молекула суперсенсibilизатора является нарушением в слое адсорбированного красителя-сенсibilизатора и повышает эффективность переноса энергии в решетку галогенида Ag вследствие уменьшения скорости распространения экситонов в местах этих нарушений.

**74479. Исследования по оптической сенсibilизации фотографических эмульсий. IV. Влияние условий введения красителя в эмульсию на спектральное распределение его сенсibilизирующего действия.** В. Связь между спектральным распределением светочувствительности и светопоглощения сенсibilизированных фотографических слоев. Гороховский Ю. Н., Ожерельева Е. И., Устехи науч. фотографии. Т. 3, М., Изд-во АЧ СССР, 1955, 110—118; 119—128

IV. Методом энергетич. спектральной сенситометрии (Гороховский Ю. Н., Труды ГОИ, 1941, 14, 321) исследовано влияние условий введения сенсibilизаторов (хиноидиановые и карбоцианиновые красители) в эмульсию на спектральное распределение добавочной светочувствительности  $S_\lambda$ . При сенсibilизации купанием увеличение времени купания снижает собственную  $S_\lambda$  и увеличивает добавочную  $S_\lambda$  до некоторого оптимума, после которого она уменьшается вследствие продолжаю-

щейся десенсibilизации в области собственной  $S_\lambda$ . Время купания влияет также на спектральное распределение добавочной  $S_\lambda$ . Изменения концентрации красителя в р-ре или изменения отношения спирт:вода в сенсibilизирующей ванне дают такие же семейства кривых  $S_\lambda$ , что и в случае изменения времени купания. Сенсibilизация путем введения красителя в расплавленную эмульсию перед поливом дает такой же результат, как купание. При увеличении средней мол. веса твердой фазы ( $\text{AgCl} \rightarrow \text{AgCl}/\text{AgBr} \rightarrow \text{AgBr} \rightarrow \text{AgBr}/\text{AgI}$ ) сенсibilизирующее действие, оцениваемое по разности значений  $\lg S_\lambda$  в максимумах собственной и добавочной  $S_\lambda$  при оптимальной концентрации красителя, повышается, а спектральное распределение добавочной  $S_\lambda$  не изменяется. Высказано предположение, что спектральное распределение добавочной  $S_\lambda$  является чувствительным индикатором строения адсорбционного слоя красителя на кристаллах. Адсорбционное поле кристалла по мере протекания адсорбции во все большей мере видоизменяет те агрегатные формы красителя, которые адсорбировались из р-ра.

V. Проведено сравнительное исследование спектрального распределения коэфф. светопоглощения  $\alpha_\lambda$  ( $\alpha_\lambda = 1 - \rho_\lambda$ ), где  $\rho_\lambda$  — коэфф. отражения, измеренный спектрофотометрически) и светочувствительности  $S_\lambda$  диапозитивных слоев, сенсibilизированных различными карбоцианиновыми красителями путем купания (10 сек.—1000 мин). Для каждого из красителей спектральное положение полосы сенсibilизации и полосы поглощения адсорбированного красителя одинаково, однако форма кривых  $\alpha_\lambda$ ,  $\lambda$  и  $S_\lambda$ ,  $\lambda$  различна. Сдвиг полосы сенсibilизации относительно полосы поглощения красителя в р-ре приписан изменению оптич. свойств красителя при его адсорбции. Различие форм кривых объяснено сосуществованием различных физ.-хим. состояний адсорбированного красителя с различными квантовыми выходами сенсibilизации. Относительный эффект сенсibilизации ( $\Delta \lg S_\lambda = \lg S_\lambda - \lg S_{450}$ ) сначала быстро возрастает с увеличением  $\alpha_\lambda$ , но при  $\alpha_\lambda > 0.5$ —0.6 этот рост значительно замедляется. Авторы объясняют это тем, что при малых  $\alpha_\lambda$  общее поглощение определяется поглощением каждого слабо окрашенного кристалла, а при больших  $\alpha_\lambda$  проявляется экранирующее действие выходящих сильно окрашенных кристаллов и действие света ограничивается поверхностью слоя. Это предположение подтверждается ростом монохроматич. коэфф. контрастности в области добавочной чувствительности с увеличением  $\alpha_\lambda$  при малых  $\alpha_\lambda$  и их падением при больших  $\alpha_\lambda$  (т. е. больших временах купания) и постоянство этих коэфф. в области собственной чувствительности. Эти явления аналогичны описанным ранее для области собственного поглощения (Брейдо И. И., Гороховский Ю. Н., Докл. АН СССР, 1949, 65, 633).

**74480. Исследование замедлителей вуалеобразования.** Камеяма (Studies on fog inhibitors. Kameyama Naoto), Sci. and Applicat. Photogr., London, Roy. Photogr. Soc. Gr. Brit., 1955, 42—46 (англ.)

На 11 образцах желатин, отличавшихся по исходному сырью и способу изготовления, определяли т-ры плавления и студения, прочность студня, вязкость, содержание S по Фейглю и кол-во замедлителей (З) по нефелометрич. методу Штеймана. Кожевенные желатин имеют повышенное содержание З. по сравнению с желатинами, изготовленными из костей. Увеличение продолжительности золки (1—3 недели) повышает содержание З. Из большого кол-ва изученных синтетич. в-в заметным замедляющим действием обладают: 3-аллил-5-изобутил-2-тиогидантонин, 2,6-меркапто-4-метилпиридин, 2-меркапто-4-метилти-

азол, 2-тио-3-бензил-4-метилтиазол, 2-аминотиазоло-(4', 5', 4,5)-апоцинхонидин и продукты распада пенициллина.

Ю. М.  
74481. Гидратация-енолизация хиноидного состояния и фотографическое проявление. Лю-Валле (The hydration-enolization of the quinoid state and photographic development. Lu-Vallée J. E.), Photogr. Engng, 1954, 5, № 4, 273—275 (англ.).

Автор, ссылаясь на свои неопубликованные работы, утверждает, что при проявлении фотослоя органич. проявляющими в-вами всегда в той или иной степени происходит р-ция гидратации-енолизации окисленного (хиноидного) состояния проявляющего в-ва, в результате чего образуется гидрат-енолат последнего. При помощи этой р-ции объяснены некоторые фотографич. эффекты, в том числе: инфекционное проявление, увеличение светочувствительности в результате добавления гидразина к проявителю и в результате обработки экспонированных фотоматериалов  $H_2O_2$ , противоявляющее действие бензотриазола и других органич. в-в, десенсибилизирующее действие сенсбилизирующих красителей, суперрадикальное проявление смесями проявляющих в-в. Эксперим. доказательства не приведены.

См. также: Фотохимия 74826, 74906, 75160, 75162. Радиац. химия 75156, 75177. Др. вопр. 74808, 75176

## РАСТВОРЫ. ТЕОРИЯ КИСЛОТ И ОСНОВАНИЙ

74482. «Самосогласованная» теория сильных электролитов. Сен-Гупта (A «self consistent» theory for strong electrolytes. Sen Gupta Ranjit), Sci. and Culture, 1955, 21, № 5, 266—268 (англ.).

Известно, что попытки более точного решения уравнения Пуассона — Больцмана  $\nabla^2 \bar{\psi}(r) = 4\pi / DV \sum_{\beta} z_{\beta}^2 |e| \exp \times [-z_{\beta} |e| \bar{\psi}(r) / kT]$  (1) не приводят к самосогласованным результатам, так как лежащие в его основе допущения  $\bar{\rho}(r) = 1 / V \sum_{\beta} |e| \exp [-\omega_{\beta} / kT]$  (2) и  $\omega_{\beta} = z_{\beta} |e| \bar{\psi} = = z_{\beta} |e| \bar{\psi} = \omega_{\beta\alpha}$  (3) не совместимы за исключением некоторых предельных случаев, где  $\bar{\psi}(r)$  — средний электростатич. потенциал на расстоянии  $r$  от центра иона  $\alpha$ ;  $\bar{\rho}(r)$  — средняя плотность электростатич. заряда на расстоянии  $r$  от центра иона  $\alpha$ ;  $z_{\alpha}$  и  $z_{\beta}$  — валентности ионов  $\alpha$  и  $\beta$ ,  $\omega_{\beta\alpha}$  — работа для перевода некот. иона  $\beta$  из бесконечности на расстояние  $r$  от иона  $\alpha$ . Автор применил вместо (3)  $\omega_{\beta\alpha} = \rho_{\beta}^{\alpha} \bar{\psi} = \rho_{\beta}^{\alpha} \bar{\psi} = \omega_{\beta\alpha}$  (4) и вместо (1)  $\nabla^2 \omega_{\beta\alpha} = -4\pi / DV \sum_{\alpha} z_{\alpha}^2 |e| \exp [-\omega_{\beta\alpha} / kT]$  (5), где  $\nabla^2$  — оператор Лапласа с расстояниями, измеренными от иона  $\beta$ . Соотношение (5) согласуется с постулатами (2) и (4),  $\omega_{\beta\alpha}$  подчиняется соотношению интегрируемости, т. е. теория является самосогласованной.

Л. К.  
74483. О замечаниях Вика и Эйгена и о возражении Шлэгеля относительно нашей работы «Исследование влияния конечных размеров ионов и т. д.». Хюккель, Крафт (Notiz zu der Bemerkung von Wicke und Eigen und der Erweiterung von Schlögl betreffend unsere Arbeit «Untersuchungen über den Einfluß der endlichen Ionen-größen usw.» Hückel Erich, Krafft Günthard), Z. phys. Chem. (Frankfurt), 1955, 5, № 5-6, 305—311 (нем.).

Рассмотрены возражения Эйгена и Вика (РЖХим, 1956, 12482), а также Шлэгеля (РЖХим, 1956, 12481) на статью Хюккеля и Крафта (РЖХим, 1956, 12480), в которой содержится критика теории конц. р-ров сильных электролитов Эйгена и Вика и ее применений в работе Шлэгеля.

Приведены подробные расчеты для подтверждения ранее высказанных авторами статьи крит. соображений по выводу теории Эйгена и Вика.

Н. Х.  
74484. Возражения на предшествующую заметку Хюккеля и Крафта. Вика, Эйген (Erwidern auf die voranstehende Notiz von Hückel und Krafft. Wicke E., Eigen M.), Z. phys. Chem. (Frankfurt), 1955, 5, № 5-6, 312—322 (нем.).

Подробно рассмотрены дополнительные крит. замечания Хюккеля и Крафта (см. пред. реф.) относительно теории конц. р-ров сильных электролитов, развитой в работах Эйгена и Вика (РЖХим, 1955, 11342). Авторы приходят к выводу, что результаты расчетов Хюккеля и Крафта не противоречат ранее развитой ими теории конц. р-ров электролитов.

Н. Х.  
74485. Диэлектрические измерения в полярных смесях. Сообщение 3. Термодинамическая теория сольватации шарообразных ионов в бинарных смесях растворителей. Гунтхард, Гейман (Dielektrische Messungen an polaren Gemischen. 3. Mitt. Thermodynamische Theorie der Solvation kugelförmiger Ionen in binären Lösungsmittelgemischen. Günthard Hs. H., Gäumann T.), Helv. chim. acta, 1955, 38, № 6, 1352—1359

В развитие прежних исследований (Сообщение 1, II см. РЖХим, 1954, 33805; 1955, 7032) решена общая задача нахождения вида выражения для свободной энергии системы, состоящей из ионов, находящихся в бинарной смеси р-рителей. Найденное вариационным методом, с использованием представлений электростатики континуума и ряда упрощающих допущений с переходом в пределе к бесконечному разведению, решение приводит к выводу, что вблизи иона р-ритель обогащается компонентой с большей диэлектрич. постоянной. Расчет для системы вода — диоксан приводит к выводу, что теоретич. величина этой сольватации по крайней мере на порядок величины меньше опытной. Очевидно, к чисто электростатич. эффекту добавляется влияние пространственной конфигурации молекул и образование водородных связей. В. А.

74486. Ионные реакции в абсолютном диэтиловом эфире как растворителе. Яндер, Крафчик (Ionenreaktionen in absolutem Diäthyläther als Lösungsmittel. Jander Gerhart, Kraficzky Karl), Z. anorgan. und allgem. Chem., 1955, 282, № 1-6, 121—140 (нем.).

Изучено кондуктометрич. титрование р-ров ряда органич. и неорганич. в-в в диэтиловом эфире (I). Рассмотрена зависимость уд. электропроводности  $\kappa$  от конц-ии для р-ров галоидных этилов, этилнитрата, перхлората Al, некоторых галоидных соединений Al, Ti, B, Zn, Ga, Sn в I, и приведены кривые кондуктометрич. титрования (ККТ) этилата Li этилбромидом, бромидом Al этилатом Na, бромидов B, Sn, Zn, Ga, а также перхлората Al этилатом Li и бромидом Sn этилатом Ti. Величина  $\kappa$  растет с увеличением конц-ии исследованных в-в и достигает значения, превышающего в  $10^3$ — $10^7$  раз  $\kappa$  чистого I. Диапазон конц-ий в некоторых случаях 0—1,0 M. На ККТ наблюдаются четко выраженные точки излома, соответствующие определенным молекулярным соотношениям реагирующих в-в (3 : 1; 2 : 1; 1 : 1); на ККТ этилбромид — этилат Li точки излома нет. Авторы рассматривают I как р-ритель, аналогичный воде, способный вызывать электролитич. диссоциацию некоторых в-в, а также ионные р-ции (аналогич. р-ция нейтр-ции). Авторы различают электролиты кислотной природы (AlBr<sub>3</sub>, GaBr<sub>3</sub>) и основной природы (LiOC<sub>2</sub>H<sub>5</sub>, TiOC<sub>2</sub>H<sub>5</sub>). По мнению авторов, р-ции диссоциации этих в-в в I являются р-циями взаимодействия с молекулами I, приводящими к образованию свободных ионов  $C_2H_5^+$  для случая кислотных электролитов и к образованию ионов  $C_2H_5O^-$  в случае основных электролитов. Взаимодействие этих двух типов в-в в р-ре I приводит к следующей р-ции нейтр-ции:  $C_2H_5^+ + [GaBr_3 \cdot OC_2H_5] + 3LiOC_2H_5 = = (C_2H_5)_2O + 3LiBr + Ga(OC_2H_5)_3$ .

Н. Х.

**74487. Термодинамические свойства электролитов в неводных растворах. II. Исследование растворов NaBr, NaI и KBr в этаноле и NaI в нормальном бутаноле и изменение энергии ионов при переносе растворителей. Измайлов Н. А., Иванова Е. Ф., Ж. физ. химии, 1955, 29, № 9, 1614—1623**

Ранее описанным методом (Часть I, см. РЖХим, 1956, 35488) измерены э. д. с. цепей без переноса типа  $M(Hg)_x | M^+ | AgCl - Ag$  при разных конц-иях р-ров электролитов NaBr (I), NaI (II), KBr (III) в этаноле (IV) и II в *n*-бутаноле (V) при 24,5°. Для каждой из цепей определены стандартные э. д. с. ( $E^0$ ) методом экстраполяции к нулевой конц-ии функций  $E' = E + 0,1183 \lg m$  и  $E'' = E + 0,1183 \lg m - A \cdot 0,1183 \sqrt{m}$  в координатах соответственно  $E' - \sqrt{m}$  и  $E'' - m$ , где  $m$  — моляльность. Величины  $E^0$  для элементов K (Hg)<sub>x</sub> | III | AgBr — Ag; Na (Hg)<sub>x</sub> | I | AgBr — Ag; Na (Hg)<sub>x</sub> | II | AgI — Ag в IV соответственно равны (в в): 1,568 (1,582); 1,586; 1,423 и для последнего элемента в V 1,3065. Из величин э. д. с. при 25° вычислены и приведены в таблице величины логарифма коэф. активности  $\gamma^*$  для I ( $m = 0,01 - 0,2 M$ ) и II ( $m = 0,01 - 2,5 M$ ) в IV и для II ( $m = 0,01 - 1,0 M$ ) в V. Кривые  $\lg \gamma^* - \sqrt{m}$  для II в IV и в V проходят через минимум. При помощи соотношения  $\lg \gamma_0 = \Sigma \Delta Z_{H_2O} - \Sigma \Delta Z_m / 2,3 \cdot kT$  из данных растворимости I, II и III в IV, V и метиловом спирте вычислены величины  $\lg \gamma_0$ , характеризующие первичный эффект влияния р-рителя на термодинамич. свойства соли. Величины свободных энергий ионов соли в воде  $\Sigma \Delta Z_{H_2O}$  и в спирте  $\Sigma \Delta Z_m$  получены из данных э. д. с. Величины  $\lg \gamma_0$  исследованных солей в ряду чистых р-рителей одинаковой хим. природы являются линейной функцией от  $1/D$ , где  $D$  — диэлектрич. проницаемость р-рителя. Н. Х.

**74488. Специфическое взаимодействие ионов. Гуггенхейм, Терджен (Specific interaction of ions. Guggenheim E. A., Turgeon J. C.), Trans. Faraday Soc., 1955, 51, № 6, 747—761 (англ.)**

Применена теория специфич. взаимодействия ионов Гуггенхейма (Guggenheim E. A., Rep. Scandinavian Sci. Congr. Copenhagen, 1929, p. 298) для расчетов кислотно-основного равновесия в водн. р-рах путем использования литературных данных по э. д. с. элементов без переноса. Расчет средних коэф. активности  $\gamma_{R,X}$  проведен по ф-ле:  $\lg \gamma_{R,X} = -\alpha z_R |z_X| I^{1/2} / (1 + I^{1/2}) + [2v_+ / (v_+ + v_-)] \Sigma \chi \beta_{R,X} m_X + [2v_- / (v_+ + v_-)] \Sigma \chi' \beta_{R',X} m_{R'}$ , где  $I$  — ионная сила;  $\beta_{R,X}$  — коэф. взаимодействия катиона R (R') и аниона X (X');  $z_R, z_X$  — число элементарных зарядов соответственно для катиона и аниона;  $v_+, v_-$  — число катионов и анионов, составляющих молекулу электролита;  $m$  — моляльность,  $\alpha$  — основной коэф. теории Дебая и Гюккеля. В расчетах использованы величины  $\beta_{R,X}$ , вновь вычисленные авторами с учетом наиболее точных опытных данных. Приведены таблицы значений  $\beta_{R,X}$  для к-т и солей при 0° и 25°. Из опытных данных по э. д. с. определены константы диссоциации уксусной и муравьиной к-т, ионное произведение воды, а также величины  $\beta_{R,X}$  и осмотич. коэфф. в 0,1 M р-рах для гидроокисей металлов Li, K, Na, Cs. Указаны некоторые важные области применения теории специфич. взаимодействия ионов. Н. Х.

**74489. Коэффициенты активности KCl — KBr в концентрированных водных растворах при 25°. Мак-Кей, Уоллес (Activity coefficients in concentrated aqueous KCl — KBr solutions at 25°. McCoy W. H., Wallace W. E.), J. Amer. Chem. Soc., 1956, 78, № 9, 1830—1833 (англ.)**

Описан метод определения коэф. активности  $\gamma_1$  каж-

дого из компонентов смешанного р-ра<sup>с</sup> солей, путем измерения общей моляльности р-ра  $m$  при равновесии со стандартным р-ром чистой соли и при одинаковой активности воды (AB) («изопиестич. метод») (РЖХим, 1953, 6152). Для системы KCl — KBr — H<sub>2</sub>O при конц-иях от  $m = 2$  до насыщения подтверждена применимость правила Харнеда о линейной зависимости  $\lg \gamma_1$  от моляльности соли. Показано, что равенство коэф. наклона прямых ( $\alpha_{12} = -\alpha_{21}$ ), согласно теории специфич. взаимодействия ионов Бренстеда, наблюдается в пределах значений  $m$  от 2,0 до 5,5. Найдено, что величина  $m$  смешанных р-ров, обладающих одинаковой АВ линейно зависит от молярной доли  $x_1$  одной из солей в смеси, считая, что  $x_2 = 1 - x_1$ . Это новое правило значительно упрощает определение  $\gamma_1$  в смешанных р-рах по изопиестич. методу. В. А.

**74490. Изопиестическое изучение водных растворов дикарбоновых кислот. Дейвис, Томас (Isopiestic studies of aqueous dicarboxylic acid solutions. Davies Mansel, Thomas D. K.), J. Phys. Chem., 1956, 60, № 1, 41—44 (англ.)**

Описан прибор для измерения, упругости пара (P) над водн. р-рами малоновой, метилантарной и глутаровой к-т при т-ре 25—45° изопиестич. способом, основанным на установлении равновесия между исследуемым р-ром, паровой фазой и р-ром H<sub>2</sub>SO<sub>4</sub> (эталоном). Конц-ия (C) найдена из изменения объема р-ров, помещенных в калиброванные трубки. Активность исследуемых к-т ( $a_2$ ) определена из  $d \ln a_1 = -N_2 / N_1 \cdot d \ln a_2$ , где  $N_2$  и  $N_1$  — молярные доли к-ты и р-рителя,  $a_1$  — активность р-рителя, причем  $q_1 = P_1 / P_0$  ( $P_0$  и  $P_1$  — упругости пара соответственно над чистым р-рителем и над р-ром). На основании  $a$  рассчитана средняя степень ассоциации к-т ( $f$ ) в предположении, что для каждого вида частиц  $a$  пропорциональна молярности. Для р-ров глутаровой к-ты  $f$  непрерывно растет с увеличением C до  $f = 1,5 - 1,6$ . Для остальных к-т  $f$  мало отличается от единицы. Особенности глутаровой к-ты авторы объясняют повышенной гидрофобностью цепи, соединяющей группы COOH, и тем, что внутримолекулярная циклизация затруднена образованием 8-членного цикла. Б. Ш.

**74491. Активность формамида в растворах мочевины. Васенко Е. Н., Науч. зап. Львовск. политехн. ин-та, 1955, № 29, 47—50**

Определена активность формамида из понижения точки замерзания р-ра по методу Льюиса и Рендалла (Химическая термодинамика, М., ОНТИ, 1936), принимая разность молярных теплосемкостей для формамида  $\Delta C_p = 5$  кал/моль, т. е. равной  $\Delta C_p$  для муравьиной к-ты. Рассчитан коэф. активности формамида в интервале конц-ий 0,02—1,5 M. Обнаружено, что отношение активности формамида к его молярной доле очень близко к единице, т. е. р-р подобен идеальному. Автор считает, что в р-рах имеет место взаимная ориентация молекул CO(NH<sub>2</sub>)<sub>2</sub> и HCONH<sub>2</sub>, упрочняемая образующимися водородными связями между атомами кислорода карбонильной группы и атомами азота аминогруппы. М. С.

**74492. Функция кислотности Гамметта для системы CH<sub>3</sub>COOH — H<sub>2</sub>PO<sub>4</sub> — H<sub>2</sub>O. Кнесль, Рочек, Марек (Die hammett'sche Säurefunktion in dem System Essigsäure — Phosphorsäure — Wasser. Knessl O., Roček J., Marek M.), Сб. чехосл. хим. работ, 1955, 20, № 3, 631—635 (нем.)**

См. РЖХим, 1956, 22075

**74493. О буферных растворах. Пиффо, Дюамель, Лолан (Note sur les tampons d'acidité. Piffault C., Duhamel J., Lolan J.), Bull. Soc. pharmacie Bordeaux, 1955, 93, № 3, 100—109 (франц.)**

Рассмотрен вывод ф-лы для расчета pH в р-ре слабой к-ты и сильного основания и показано, что в этом выводе есть ряд произвольных допущений и противоречий. Для

смеси сильной к-ты и сильного основания без введения дополнительных гипотез получена ф-ла  $z = (1/2) [(c_1 - c_3) + \sqrt{(c_1 - c_3)^2 + K_0^2}]$ , где  $z = [H^+]$ ,  $c_1$  — конц-ия к-ты,  $c_3$  — конц-ия основания,  $K_0^2 = [H^+][OH^-]$ . Выведены ур-ния для расчета буферной силы р-ра  $p = dc_3/d(pH)$  при условии полной диссоциации соли: для сильной к-ты и сильного основания  $p = A[z + (K_0^2/z)]$ ; для слабой к-ты и сильного основания  $p = A[c_3 + 2z - K_0^2 c_1/(z + K_1^2)]$ , где  $A = \ln 10$ ,  $K_1$  — константа диссоциации к-ты. Если к-та не очень слаба,  $p = A(c_3 - c_1 + 2z)$ . И. С.

**74494. Гидролитическое поведение ионов металлов. IV. Температурная зависимость кислотной константы урана (4+).** Краус, Нелсон (Hydrolytic behavior of metal ions. IV. The acid constant of uranium (IV) as a function of temperature. Kraus Kurt A., Nelson Frederick J., Amer. Chem. Soc., 1955, 77, № 14, 3721—3722 (англ.).

Спектрофотометрическим методом, по максимуму поглощения иона  $U^{4+}$  при 648 мμ, изучен гидролиз  $U(4+)$  в смесях  $NaClO_4 - HClO_4$  при ионной силе  $\sim 0,5$  и т-рах 10 и 43°. Как найдено авторами ранее (J. Amer. Chem. Soc., 1950, 72, 3901), гидролиз идет по ур-нию  $U^{4+} + H_2O \rightleftharpoons UOH^{3+} + H^+$  (1) и константа равновесия  $k_{01} = k_{01}^M G_{01}/a_{H_2O}$ , где  $k_{01}^M$  — отношение конц-ий (M) образующихся и вступающих в р-цию ионов,  $G_{01}$  — отношение коэфф. активности,  $a_{H_2O}$  — активность воды.

Показано, что при 10 и 43°  $k_{01}^M$  равно, соответственно, 0,0125 и 0,100. В комбинации с ранее найденной величиной  $k_{01}^M = 0,0342$  при 25° получены кажущееся значение теплоты и энтропии р-ции (1) 11,2 ккал и 31 энтр. ед. При экстраполяции по теории Дебая — Гюккеля полученные значения  $k_{01} = 0,075$ ; 0,21 и 0,66 для 10, 25 и 43°, что дает для стандартных величин  $\Delta H^\circ = 11,7$  ккал и  $\Delta S^\circ = 36$  энтр. ед. Большая величина  $\Delta S^\circ$  для р-ции (1) объясняется, по мнению авторов, тем, что образующийся при гидролизе ион с зарядом 3+ слабее ориентирует молекулы воды, чем исходный ион с зарядом 4+. Сообщение III см. РЖХим, 1955, 28551. И. С.

**74495. Изучение галлоидных и нитратных растворов цинка и кадмия с помощью дифракции рентгеновских лучей 1,54 А. Дебо** (Étude des solutions de halogénures et nitrates de zinc et de cadmium à l'aide de la diffraction de la radiation X de 1,54 Å. Debot F.), Bull. Soc. roy. sci. Liège, 1953, 22, № 5, 240—255 (франц.).

**74496. Изучение галлоидных и нитратных растворов цинка и кадмия при помощи дифракции рентгеновских лучей 0,71 А. Дебо** (Études des solutions de halogénures et nitrates de zinc et de cadmium à l'aide de la diffraction d'une radiation X de 0,71 Å. Debot F.), Bull. Soc. roy. sci. Liège, 1953, 22, № 6—7, 310—316 (франц.).

**74497. Физико-химическое изучение некоторых растворов сульфамидов в присутствии и в отсутствие мочевины. А. Растворы сульфаниламида. 2. Вязкость растворов. 3. Показатель преломления растворов. 4. Поверхностное натяжение. 5. pH растворов. Долик, Лаккомб** (Étude physico-chimique de quelques solutions de sulfamides en présence ou non d'urée. A. Solutions de sulfanilamide.— 2. Viscosité des solutions. 3. Indice de réfraction des solutions. 4. Tension superficielle.— 5. pH des solutions. Doliq R., Lacombe R.), Trav. Soc. pharm. Montpellier, 1955, 15, № 4, 181—188, 189—193, 194—199 (франц.).

2. Измерена вязкость насыщ. р-ров сульфаниламида в воде, в водн. р-рах мочевины, в спирте и ацетоне при 20—40°. Результаты представлены в виде графика в координатах: вязкость — т-ра — конц-ия мочевины  $U$ . При постоянной конц-ии мочевины вязкость падает с т-рой по ур-нию  $\lg L = a \lg (1/T) + b$ , где  $L$  — вязкость в *спуз*,

$T$  — абс. т-ра,  $a$  и  $b$  — постоянные. Вязкость насыщ. р-ров сульфаниламида в ацетоне равна 0,762 *спуз* при 20° и почти не меняется с т-рой благодаря тому, что понижение вязкости ацетона компенсируется увеличением растворимости. При постоянной т-ре  $L$  растет с  $U$  по ур-нию  $L = aU^2 + bU + c$ .

3. Измерен показатель преломления насыщ. р-ров сульфаниламида в воде, в водн. р-рах мочевины, в спирте и ацетоне при 20—40°. В водн. р-ре  $n_D = 1,3340$  и почти не меняется с  $t$  из-за малой растворимости сульфаниламида. При конц-ии мочевины  $U = 25$  г/100 г  $H_2O$   $n_D = 1,3649 + 3,5 \cdot 10^{-5} t$ ; при  $U = 50$   $n_D = 1,3869 + 8 \cdot 10^{-6} t$ ; при  $U = 75$   $n_D = 1,4099 - 4,15 \cdot 10^{-4} t + 8,5 \cdot 10^{-6} t^2$ ; при  $U = 100$   $n_D = 1,4214 - 3,1 \cdot 10^{-4} t + 7 \cdot 10^{-6} t^2$ . При  $t = 30^\circ$   $n_D$  растет с ростом конц-ии мочевины по ур-нию  $n_D = 1/(2,9 \times 10^{-6} U^2 - 7,37 \cdot 10^{-4} U + 0,7497)$ . Для насыщ. р-ров сульфаниламида в ацетоне  $n_D = 1,4043 + 1,6 \cdot 10^{-4} t$ ; в 95%-ном спирте  $n_D = 1,3729 - 1,7 \cdot 10^{-4} t$ .

4—5. Измерено по методу Вильгельми, с помощью вертикальных поверхностных весов с Pt-пластинкой, поверхностное натяжение  $\sigma$  насыщ. р-ров сульфаниламида в воде, в водн. р-рах мочевины, в спирте и ацетоне при 20—40°. В водн. р-рах при 20°  $\sigma = 2,2 \cdot 10^{-3} U + 72,5$  ( $U$  — конц-ия мочевины в г/100 г  $H_2O$ ); при 30°  $\sigma = 1/(7,58 \times 10^{-6} U^2 - 1,232 \cdot 10^{-5} U + 0,0142)$ ; в 95%-ном спирте  $\sigma$  меняется с т-рой по ур-нию  $(\sigma + 3,16)(t + 967,5) = 26721$ ; в ацетоне  $(\sigma - 19,6)(t + 30) = 330$ . pH насыщ. р-ров сульфаниламида в воде равен 7—7,3 при 20—40°. В присутствии мочевины pH увеличивается до 7,9—8,1. При длительном стоянии р-ров мочевины постепенно превращается в изонитрат аммония и pH растет до 8,8—9. И. С.

**74498. Высаливание неэлектролитов. Часть III. Инертные газы и шестифтористая сера. Моррисон, Джонстон** (The salting-out of non-electrolytes. Part III. The inert gases and sulphur hexafluoride. Morrison T. J., Johnstone N. B. B.), J. Chem. Soc., 1955, Nov., 3655—3659 (англ.).

Определены коэфф. высаливания  $k \cdot (\lg S_0/S)/C$  при 25° для He, Kr,  $SF_6$  в водн. р-рах NaCl, LiCl, HCl, KCl,  $NH_4Cl$ ,  $BaCl_2$ ,  $Na_2SO_4$ , KJ, KBr, NaBr,  $KNO_3$ ,  $HNO_3$ ,  $N(CH_3)_4J$ ,  $N(C_2H_5)_4Br$ , для Ne, Ar и Xe в р-рах NaCl, LiCl, KJ; для  $C_6H_6$  в р-рах KCl, KJ,  $N(CH_3)_4J$ ,  $N(C_2H_5)_4Br$ , для  $n-C_4H_{10}$  в р-рах KBr,  $N(C_2H_5)_4Br$  и для  $O_2$  в р-ре  $N(C_2H_5)_4Br$ . По мнению авторов, наблюдаемые закономерности не поддаются объяснению ни с точки зрения чисто электростатич. теории высаливания неэлектролитов, ни на основании теории «внутреннего давления» Мак-Девита и Лонга (McDevit, Long, J. Amer. Chem. Soc., 1952, 74, 1773). Отмечено, что важным фактором, особенно для больших ионов, является поляризуемость молекул растворенного в-ва. Для р-ров солей, состоящих из небольших ионов, имеет место параллелизм между  $k$  и энтропией растворения неэлектролитов в воде. Часть II см. J. Chem. Soc., 1952, 3819. С. Д.

**74499. Расчет термодинамических свойств полиэлектролитов. Маркус** (Calculation of thermodynamic properties of polyelectrolytes. Marcus R. A.), J. Chem. Phys., 1955, 23, № 6, 1057—1068 (англ.).

Предложен метод расчета термодинамич. свойств полиэлектролитов, в котором дифференцирование выражений свободной энергии проводится до введения в них параметров модели полиэлектролита. Показано, что полученные ур-ния приводят к значительным упрощениям в расчете термодинамич. свойств растворенных полиэлектролитов. Найдено, что для определенного класса теоретич. моделей полиэлектролитов квадрат среднего коэфф. активности одно-одновалентной соли в присутствии полимерных ионов определяется выражением:  $V^2 / \int \exp(-e\psi/kT) dV \times \int \exp(e\psi/kT) dV$ . При этом интегрирование потенциала  $\psi$

проводится в той области, объем которой  $V$  равен объему  $p$ -ра, приходящемуся на макроион, и симметрия модели тождественна симметрии полиэлектролита. Осмотическое давление  $\pi$  системы соль — полиэлектролит, если не учитывать составляющую осмотического давления макроионов, выражено ур-нием:  $\pi = kT \sum_i c_i^s$ , где  $\sum_i c_i^s$  — сумма конц-ий всех ионов, находящихся на границе поверхности объема  $V$ . Коэфф. активности соли в присутствии полиэлектролитов, рассчитанные на основании модели «параллельных палочек» полимерных ионов, хорошо согласуются с эксперим. данными. Путем применения ур-ния Пуассона — Больцмана для вычисления  $\psi$  этих систем автор показал, что не существует нескольких несовместимых выражений для электростатич. слагаемого свободной энергии. Н. Х.

**74500 К.** Ионы в растворе, их взаимодействие и рядка. Часть 1. Электрохимическое равновесие. Часть 2. Электрохимическая кинетика. Одибер (Les ions en solution, interactions et décharges. Audubert René. Paris, Presses univ. France, 1955. Part 1. Equilibres électrochimiques. 1 400 fr. Part 2. Cinétique électrochimique, 1 200 fr.) (франц.)

**74501 Д.** Изучение свойств ионов олова ( $2+$ ) в растворах пирофосфата. Часть 1. Определение констант ионизации пирофосфорной кислоты и констант диссоциации комплексных ионов Na-пирофосфата. Часть II. Полярграфическое определение формул и констант образования для комплексных ионов олова ( $2+$ ) и олова ( $4+$ ) с пирофосфатом. Дейвис (A study of the behavior of the tin (II) ion in pyrophosphate solutions: Part I — the determination of the ionization constants of pyrophosphoric acid, and the dissociation constants of sodium-pyrophosphate complex ions. Part II — polarographic determination of the formulas and formation constants of the tin (II) and tin (IV) complex ions with pyrophosphate. Davis Joseph Anthony. Doct. diss., Indiana Univ.), Dissert. Abstrs., 1955, 15, № 12, 2403 (англ.)

См. также: Растворимость 74344, 74348, 74383, 74386. Диффузия 74306, 74307, 74330, 74451. Структура р-ров 74149, 74151, 74155, 74156, 74348. Твердые р-ры 74159. Расплавы 74371, 74548. Др. вопр. 74468, 74605

### ЭЛЕКТРОХИМИЯ

**74502.** Физическая химия. Электрохимия. Кондзуми, Нагаура (物理化学. 電気化学. 小泉正夫, 長浦茂男), 化学, Кагаку, Chemistry (Japan), 1956, 11 № 1, 10—12 (япон.)

Обзор за 1954 год. Библ. 11 назв. М. П.

**74503.** Принцип работы Бренстеда и гиббсова трактовка электродвижущих сил. Мак-Рей (Bronsted's work principle and Gibbs' treatment of electromotive force. Mac Rae Duncan), J. Phys. Chem., 1955, 59, № 8, 797—798 (англ.)

Показано, что трактовка Гиббса условий равновесия электродвижущих сил (Gibbs J. W., Collected Works I. New York 1931, 331—333) является примером «принципа работы» Бренстеда (J. Phys. Chem., 1940, 44, 699). По мнению автора, «принцип работы» Бренстеда является одним из методов термодинамики и может быть использован для вывода физико-химических положений более простым путем, чем принятый в современных учебниках физ. химии. Н. Х.

**74504.** Замечание о теориях меняющейся во времени объемно-зарядной поляризации. Макдоналд (Note on theories of time-varying space-charge polarization. MacDonald J. Ross), J. Chem. Phys., 1955, 23, № 12, 2308—2309 (англ.)

Сравнены различные теории меняющейся во времени объемно-зарядной поляризации жидких и твердых тел. Показано, что обе существующие сейчас приближенные теории — Джаффе (РЖХим, 1955, 31336) и Макдоналда (РЖХим, 1955, 54722, 1956, 54053) — различаются тем, что в первой из них вводится частичная линеаризация в основные нелинейные дифф. ур-ния в частных производных, описывающие процесс, а в другой — нет. Из всех теорий, описывающих поведение твердых и жидких тел с объемными зарядами в поле переменного тока, только теория Макдоналда не вводит никакой линеаризации и потому только она применима к случаю, когда приложенные напряжения превышают  $kT/e$ . И. З.

**74505.** О статье М. Г. Владимировой и А. А. Фотиева. Якубсон С. И., Ж. физ. химии, 1956, 30, № 3, 698—699

Дискуссионная статья (см. РЖХим, 1956, 477). М. П.

**74506.** Об ионном обмене на стеклянном электроде. Измайлов Н. А., Васильев А. Г., Ж. физ. химии, 1955, 29, № 12, 2145—2151

На основании анализа литературных данных рассмотрен вопрос о причинах несоответствия простой теории стеклянного электрода (СЭ) Б. Н. Никольского с экспериментом в переходной области от водородной функции СЭ к его катионной функции. Решение ур-ния Никольского (РЖХим, 1955, 13659)  $E = E_0 + \Phi \lg(a_H + K a_{Na})$  ( $\Phi = 2,3 RT/F$ ) относительно константы ионного обмена на СЭ дает  $K = [10^{(E-E_0)/\Phi}] - 10^{-pH} / a_{Na}$ . Подстановка в эту ф-лу эксперим. значений показывает, что  $K \approx \text{const}$  лишь при  $pH \approx 13$  и непрерывно возрастает при уменьшении  $pH$ . Поэтому в выражение для  $K = N_{Na} a_H / N_H a_{Na}$  (где  $N_{Na}$  и  $N_H$  — атомные доли ионов на поверхности СЭ) вводятся своеобразные коэфф. активности  $a_i^{Na}$  и  $a_i^H$ , характеризующие прочность связи ионов со стеклом при различных  $N_{Na}$ ;  $K_i = (N_{Na} a_i^{Na}) a_H / (N_H a_i^H) a_{Na}$ . В качестве стандартного ( $a_i^H = a_i^{Na} = 1$ ;  $K = K_i$ ) принято состояние с максим. прочностью связи ионов со стеклом, где значение  $K_i$  минимально. Для стекла «корнинг-0,15» это значение составляет  $2 \cdot 10^{-12}$ , и, следовательно,  $a_i^H / a_i^{Na} = 2 \cdot 10^{-12} / K_i$ . Замена  $N_H = 1 - N_{Na}$  в ур-нии для  $K$  и его решение относительно  $N_{Na}$  дает  $N_{Na} = 1 / [1 + (a_H / K_i a_{Na})]$ . Приложение этого ур-ния к эксперим. данным показывает, что должна наблюдаться значительная адсорбция Na уже в слабощел. р-рах, что не предусматривается простой теорией СЭ. Адсорбционные данные для ионов  $Li^+$  (Никольский Б. П., Матерова Е. А., Ж. физ. химии, 1951, 25, 1335), а также измерения адсорбции ионов  $Na^+$ ,  $K^+$  и  $Cs^+$  на СЭ и пластинках из электродного стекла с применением радиоактивных индикаторов  $Na^{24}$ ,  $K^{42}$  и  $Cs^{131}$  подтверждают этот вывод. Сравнение величин  $N_{Na}$  и  $a_i$  показывает, что для стекла «корнинг-0,15»  $N_{Na} = 1 + 0,666 \lg a_i$ . Сделана попытка

раздельного вычисления  $a_i^{Na}$  и  $a_i^H$  на основании решения ур-ния Гиббса — Дюгема  $N_H d \ln a^H + N_{Na} d \ln a^{Na}$ . Интегрирование этого ур-ния дает  $\lg a^H = \lg a_i + 0,333 \lg^2 a_i$ ,  $\lg a^{Na} = 0,333 \lg^2 a_i$ . Сравнение значений  $a^H$  и  $N_{Na}$  показывает, что при возрастании  $N_{Na}$  величина средней энергии связи ионов  $H^+$  со стеклом непрерывно увеличивается. Авторы допускают возможность непрерывного увеличения энергии связи и для отдельных ионов  $H^+$  за счет действия дополнительных сил притяжения при возникновении отрицательного заряда в соседних группах —  $Si - OH$  при замене в них ионов  $H^+$  на  $Na^+$ . Использование

значений  $K_i$  позволяет пользоваться ур-нием Никольского и в переходной области. Для вычисления величин  $K_i$  предложено ур-ние  $K_i = 9 \cdot 10^{-12} / [\lg(a_{Na}/a_H) - 10]$ .

А. В.

**74507. Точные измерения со стеклянным электродом.** Часть I. Цепь: стеклянный электрод  $HCl|AgCl|Ag$ . Часть II. Цепь: стеклянный электрод  $HCl(m_1)|HCl(m_2)|$  стеклянный электрод. Кавингтон, Пру (Precise measurements with the glass electrode. Part I. The cell: glass electrode  $|HCl|AgCl|Ag$ . Part II. The cell: glass electrode  $|HCl(m_1)|HCl(m_2)|$  glass electrode. Govington A. K., Prue J. E.), J. Chem. Soc., 1955, Nov., 3696—3700; 3701—3704 (англ.)

I. Подробно описана методика измерений со стеклянным электродом (СЭ) э.д.с. цепи:  $C\bar{S} | HCl | AgCl | Ag$  с точностью до 0.01 мв. Низкое сопротивление СЭ (0,3—0,6 МΩ) позволило измерять э.д.с. гальванометром с чувствительностью  $\sim 3 \cdot 10^{-10}$  а/мм без лампового усилителя. Авторы отмечают протекающее во времени изменение потенциала асимметрии СЭ (до  $\sim 1$  мв) при изменении конц-ий  $HCl$ . Поэтому разность э.д.с. цепи при конц-ях  $HCl$   $m_1$  и  $m_2$  определялась путем экстраполяции э.д.с. на промежуточное время между измерениями э.д.с. при конц-ях  $m_1$  и  $m_2$ . Обращено внимание на изоляцию СЭ, удаление  $O_2$  из р-ров, подбор хлорсеребряных электродов и др. Измеренные с помощью СЭ коэф. активности  $\gamma$   $HCl$  в водн. р-рах с конц-ями до 0,1 Мл по точности не уступают значениям  $\gamma$ , полученным с водородным электродом.

II. Описанная выше методика использована для определения  $\gamma$  в цепи с переносом:  $C\bar{S} | HCl(m_1) | HCl(m_2) | C\bar{S}$  при конц-ях  $HCl$  до  $8 \cdot 10^{-2}$  Мл. В этих же р-рах определялись значения  $\gamma$  с применением цепи с переносом с хлорсеребряными электродами. Получены совпадающие результаты, которые выражаются ур-нием:  $\lg \gamma = -Am^{1/2}/(1+m^{1/2}) + 0,217$ , где  $A$  — константа ур-ния Дебая — Гюккеля. Указано на возможность применения цепей с переносом со СЭ для измерения  $\gamma$   $HNO_3$ ,  $HClO_4$  и других к-т.

А. В.

**74508. Влияние растворов с высокой радиоактивностью на измерение pH стеклянным электродом.** ПANNELL (Effect of highly radioactive solutions on glass pH electrodes. Pannell James H.), Nucleonics, 1955, 13, № 8, 48—49 (англ.)

Исследовалось поведение стеклянных электродов (СЭ) типа Бекмана в р-рах, содержащих 0,4 кюри/мл  $Ce^{144} \rightarrow Pr^{144}$ . При облучении до 8 дней СЭ давали правильные показания. СЭ, облучавшийся более 8 дней, стал показывать убывающие значения pH. Автор полагает, что при работе СЭ в течение 1—2 дней в р-рах, содержащих 1 кюри/мл, можно быть уверенными в правильности его показаний. См. РЖХим, 1956, 32103.

А. В.

**74509. Изучение обратимости мембранных электродов из глины по отношению к ионам натрия и калия.** Bose (The study of  $Na^+/K^+$  reversibility on clay membrane electrodes. Bose Saroj Kumar), J. Indian Soc. Soil Sci., 1955, 3, № 2, 109—112 (англ.)

Исследованы мембранные электроды из монтмориллонитовых глин. Измерение э.д.с. цепей: к. э.  $|KCl|$  мембрана  $|NaCl|$  к. э., в которых мембрана из обожженной глины разделяет р-ры известной активности  $NaCl$  и  $KCl$ , позволяло вычислить отношение подвижностей  $U_K/U_{Na}$  в мембране из ур-ния  $E = (RT/F) \ln [(a_K/a_{Na})(U_K/U_{Na})]$ . Величина отношения  $U_K/U_{Na}$  варьирует в пределах от 2,2 до 5,9 для 4 исследованных сортов глин и составляет 1,8 для синтетич. монообменной смолы «ионак-200». Величины  $U_K/U_{Na}$  практически не зависят от активности ионов в р-ре. Последовательное измерение э.д.с. двух цепей, в которых различные мембраны отделяют р-р  $KCl$  с известной активностью  $a_K$  от р-ра  $NaCl + KCl$ ,

позволяет отдельно определять  $a_{Na}^x$  и  $a_K^x$  в этом р-ре. По мнению авторов, получено удовлетворительное согласие между истинными значениями  $a_{Na}^x$  и  $a_K^x$  и значениями, вычисленными из э.д.с. цепей с мембранами.

А. В.

**74510. Уравнение для суммарного потенциала мембранного электрода из глины.** Чаттерджи (Equation for the total potential of clay membrane electrodes. Chatterjee B.), J. Indian Chem. Soc., 1955, 32, № 11, 739—740 (англ.)

Полагая, что с обеих сторон глиняной мембраны (М), разделяющей 2 р-ра солей с подобными катионами, устанавливается равновесие по Доннану, автор показал, что суммарный потенциал М определяется ур-нием Нернста  $E = (RT/F) \ln(a_1/a_2)$ , (где  $a_1$  и  $a_2$  — активности солей по обе стороны М), если заряд М велик. При этом диффузионный потенциал в М близок к нулю, как это следует из приложения ур-ния Гендерсона. Эксперим. значения  $E$  для р-ров солей  $NH_4$ ,  $K$ ,  $Na$ ,  $Ca$ ,  $Mg$ ,  $Ba$ ,  $Zn$ ,  $Cu$ ,  $Co$  и  $Mn$  согласуются с вычисленными по этому ур-нию.

А. В.

**74511. Поверхностный потенциал металла и гальванический потенциал металл — раствор.** Рючи (Das Oberflächenpotential der Metalle und das Galvanipotentiale Metall-Lösung. Rüetschi Paul), Z. Elektrochem., 1956, 60, № 1, 29—31 (нем.)

С помощью воображаемого термодинамич. цикла, описывающего извлечение 1 моля посторонних металлич. атомов (М) из их бесконечно разб. твердого р-ра (ТР) в основном металле ( $M_1$ ), получено выражение для работы выхода ионов  $M^+$  из металла  $M_1$ :  $\alpha_i = -A + S + J - \Phi - J'$  (1), где  $A$  — энергия образования ТР,  $S$  — энергия сублимации М,  $J$  — энергия ионизации М,  $\Phi$  — работа выхода электронов из М и  $J'$  — энергия ионизации М, растворенного в  $M_1$ . С другой стороны, для однозарядных сходно построенных ионов примеси  $\alpha_i$  может быть представлена в виде  $\alpha_i = (C_1/r) + (C_2/r^2) - P(2)$ , где  $r$  — эффективный радиус иона  $M^+$ ;  $C_1$  и  $C_2$  — константы, зависящие от  $M_1$ , а  $P$  приблизительно равно поверхностному потенциалу металла  $M_1$ , т. е. абс. величине скачка потенциала на границе металл  $M_1$  — вакуум. Используя литературные данные для амальгам  $Li$ ,  $Na$ ,  $K$ ,  $Rb$  и  $Cs$  и экстраполируя зависимость (2) к  $1/r \rightarrow 0$ , автор получил для Hg оценку  $P \approx 0$ , верную с точностью  $\pm 0,2$  в. Отсюда следует (РЖХим, 1956, 46532), что абс. значение скачка потенциала ( $\Delta\phi$ ) на границе Hg — р-р в точке нулевого заряда Hg в р-рах, где Hg может считаться идеально поляризуемым электродом, также не превосходит 0,2 в, а для нормального каломельного электрода  $0,5 \leq \Delta\phi \leq 0,7$  в.

И. З.

**74512. Осцилло-полярографические измерения дифференциальной емкости и сопротивления раствора.** Никки (オツシロ、ポーログラフによる微分容量と液抵抗の測定. 仁木榮次), 電気化学, Дэнки какаку, J. Electrochem. Soc. Japan, 1955, 23, № 10, 526—530 (япон.; рез. англ.)

С помощью осцилло-полярографич. установки (мост типа Кольрауша с катодным осциллографом в качестве нуль-инструмента; в одно из плеч моста включена последовательно с конденсатором полярографич. ячейка, поляризуемая постоянным током) измерялась дифференциальная емкость (С) двойного слоя капельного Hg-электрода и омич. сопротивление (R) р-ра электролита в 0,1 н.  $HCl$  (1 н.  $NH_4Cl + 1$  н.  $NH_4OH$ ) (I), 0,2 н.  $NaOH$  в 10%-ном р-ре  $C_2H_5OH$  и 0,001 М р-ре  $Cd^{2+}$  в I (II). Величина С совпадает с величиной эквивалентной параллельной емкости, определяемой при низкочастотных измерениях, а R — с величиной обратной эквивалентной электропроводности при высокой частоте. В р-ре II на кривых зависимости R и С от потенциала электрода ( $\phi$ ) наблюдаются максимумы при одном и том же значении  $\phi$ .

И. З.

**74513. Оптические исследования диффузионного слоя и гидродинамического пограничного слоя на работающих электродах.** Иблль, Мюллер (Optische Untersuchungen der Diffusionsschicht und der hydrodynamischen Grenzschicht an belasteten Elektroden. Ibl N., Müller R.), Z. Elektrochem., 1955, 59, № 7-8, 671—676 (нем.)

Продолжено колич. изучение конвективной диффузии у неподвижных вертикальных плоских электродов (Э) в условиях естественной конвекции (РЖХим, 1955, 48572). Распределение конц-ий в диффузионном слое у вертикальных Cu-электродов в 0,1—0,6 М  $\text{CuSO}_4$  измерялось описанным ранее (см. ссылку выше) оптич. интерференционным методом, а распределение скоростей жидкости — с помощью фотографирования путей частиц колофонума, образующего с данным р-ром очень устойчивые суспензии. Показано, что через некоторое время  $\tau$  после начала электролиза ( $\tau$  зависит от расстояния данной точки Э от поверхности электролита или от дна сосуда) распределение конц-ий вблизи Э становится резко отличным от предсказываемого теорией конвективной диффузии, а именно — на некотором расстоянии от катода наблюдается максимум конц-ии  $\text{CuSO}_4$ , а у анода — минимум. Показано, что экстремумы конц-ии вызываются обратными конвективными потоками, возникающими вследствие увлечения приэлектродными слоями (прямыми конвективными потоками) соседних более тяжелых (катод) или более легких (анод) слоев жидкости соответственно к поверхности р-ра (катод) или на дно сосуда (анод). Изложенная картина подтверждается фотоснимками движущихся частиц колофонума. В большинстве опытов катод и анод разделялись диафрагмой. Без диафрагмы картина усложняется и в центральной части сосуда возникают вихревые движения жидкости. Изученные «аномалии» существенным образом влияют на конвективно-диффузионный контроль электродных процессов на вертикальных Э. Если, однако, высота и ширина Э малы по сравнению с высотой и шириной сосуда, то влияние обратных конвективных потоков начинает сказываться на кинетике только через очень длительное время после начала электролиза.

**И. З. 74514. Распределение тока в пористом электроде.** Ксенжек О. С., Стендер В. В., Докл. АН СССР, 1956, 107, № 2, 280—283

В продолжение работы (РЖХим, 1956, 57658) выведено ур-ние, выражающее зависимость потенциала ( $\phi$ ) в «глубине» пористого электрода (ПЭ) от свойств последнего и величины внешней поляризации  $\phi = 4b \operatorname{arctg} [\exp(-x/V\phi/2Si_0\phi) \operatorname{th}(\phi_0/4b)]$ , где  $b$  — постоянная,  $x$  — «глубина» ПЭ, измеряемая от наружной поверхности,  $S$  — уд. поверхность ПЭ,  $i_0$  — ток обмена,  $\rho$  — сопротивление электролита в порах, отнесенное к единице объема ПЭ,  $\phi_0 = \phi_{x=0}$ . Рассчитанные по этому ур-нию кривые распределения  $\phi$  в ПЭ показывают, что при высоких плотностях тока  $D = 2i_0 sh(\phi/b)$  разряд происходит, в основном, в поверхностном слое, толщина которого уменьшается по мере увеличения  $D$ ; это явление обусловлено влиянием сопротивления электролита в порах и имеет место в случае, если сопротивлением ( $R$ ) массы ПЭ можно пренебречь. Если  $R$  значительно больше  $\rho$ , наибольшая поляризация подвергается внутренний слой ПЭ. Рассмотрены поляризационные кривые ПЭ при разных соотношениях  $\rho$  и  $R$ .

**В. Л. 74515. Электроосаждение металлов в условиях совместного действия постоянного и переменного токов.** Кузнецов В. В., Уч. зап. Молотовск. ун-та, 1955, 9, № 4, 123—132

При наложении переменного тока на постоянный наблюдается увеличение числа кристаллов при электроосаждении Ag, улучшение качества осадков Cu и Zn и ухудшение качества осадков Ni; выход металла по току во всех случаях уменьшается. При наложении переменного тока

на постоянный наблюдается уменьшение катодной поляризации при осаждении Cu, Zn и особенно Ni. З. С.

**74516. Внутренние напряжения в электролитических осадках. I. Напряжения в осадках цинка.** Горбунова К. М., Попова О. С., Ж. физ. химии, 1956, 30, № 2, 269—276

Методом гибкого катода исследовались внутренние напряжения (ВН) в электролитич. осадках Zn, полученных из ванн различного состава: 1)  $\text{ZnSO}_4 \cdot 7\text{H}_2\text{O}$  (450 г/л) +  $\text{Al}_2(\text{SO}_4)_3 \cdot 18\text{H}_2\text{O}$  (30 г/л); 2)  $\text{ZnSO}_4 \cdot 7\text{H}_2\text{O}$  (450 г/л) + декстрин (10 г/л); 3)  $\text{ZnSO}_4 \cdot 7\text{H}_2\text{O}$  (215 г/л) + алюмокалиевые квасцы (30 г/л) + тиомочевина (1,25 г/л). Проводились также рентгенографич. и электронномикроскопич. исследования полученных осадков. ВН в осадках, полученных из ванны 1, меняются от 20 до 120  $\text{кг/см}^2$  в зависимости от плотности тока ( $D_k$ ) и толщины осадка. ВН растут с увеличением  $D_k$ . По мере утолщения осадка ВН, рассчитанные на единицу толщины осадка, уменьшаются. ВН в осадках, полученных из ванны 2, равны 50—100  $\text{кг/см}^2$  и мало зависят от условий электролиза. Осадки, полученные из ванны 3, имели самые высокие ВН, максим. значение (400—800  $\text{кг/см}^2$ ) которых наблюдалось при  $D_k = 3 \text{ а/дм}^2$ . Электронномикроскопич. исследования показали, что с увеличением размеров кристаллов ВН в осадке падают. Для осадков, полученных из ванны 2, характерно появление двойников, образовавшихся в результате пластич. деформации. Рентгенографич. исследованием установлено, что для осадков с большим ВН наблюдаются оси текстуры [112] и [102], для осадков с малыми ВН — оси текстуры [001]. Ю. П.

**74517. Электронномикроскопические исследования дисперсных катодных осадков железа.** Дерюгин И. А., Натансон Э. М., Козачек Н. Н., Наук. зап. Киевск. ун-та, 1955, 14, № 8, 223—230

Исследовались форма и размеры частиц порошка Fe, образующегося на вращающемся катоде при электролизе в 2-слойной ванне (Натансон Э. М., Тр. Всес. совещания по колл. химии, 1950). В нижней части ячейки находился 3%-ный р-р  $\text{FeCl}_2$ , над ним — 0,01 М р-р оленовой к-ты в ксилоле. Вращающийся катод в форме горизонтально расположенного валика находился в органич. среде и только небольшая его часть соприкасалась с водн. р-ром. Вследствие вращения образующиеся кристаллы быстро выводились из электролита и попадали в органич. среду, которая смывала их с поверхности катода. Путем электронномикроскопич. исследований установлено, что повышение плотности тока от 4,3 до 32,4  $\text{а/дм}^2$  приводит к образованию более мелких кристаллов, а повышение т-ры от 3 до 60° — к уменьшению дисперсности осадков и образованию рыхлых осадков дендритного строения. Повышение скорости вращения катода приводит к образованию мелкокристаллич. и рыхлых осадков. Ю. П.

**74518. Ультрамикроскопическое исследование электролиза водных растворов некоторых комплексных солей.** Полукаров М. Н., Уч. зап. Молотовск. ун-та, 1955, 9, № 4, 155—161

Изучена ультрамикроскопич. картина при электролизе (Э) водн. р-ров хлорной Pt, комплексных пиридиновых солей Cu, Ag, Ni, и аммиачных солей Ag и Ni и комплексной цианистой соли Ag с применением электродов из соответствующих металлов. Исследования проводились в присутствии избытка комплексообразователя. Показано, что при Э свежеприготовленных р-ров около катода образуется слой колл. частиц, часть которых осаждается на катоде, а другая часть при значительной толщине слоя уходит к аноду. При Э р-ров, хранившихся некоторое время после приготовления, ультрамикроскопич. картина изменяется: колл. частицы в случае соли Pt появляются при более высоком напряжении и не образуются черни на катоде, при Э солей Ni колл. частицы в старых р-рах совсем не появляются и осадки Ni вместо блестящих становятся матовы-

ми. Автор связывает появление колл. частиц металла с непосредственным разрядом комплексных ионов (Полукара М. Н., Ж. физ. химии, 1951, 25, № 9, 1005), аналогичным восстановлению комплексных ионов, с изменением валентности центрального иона металла. Изменение ультрамикроскопич. картины при продолжительном хранении р-ров автор объясняет участием в катодном процессе разряда ионов, появляющихся в р-ре вследствие замещения координированных групп на частицы р-рителя. З. С. 74519. Катодное восстановление цианистого комплекса  $Ni(2+)$ . Риус, Льюис, Санчес-Роблес (Reduccion catodica del cianocomplejo de  $Ni^{II}$ . Riús A., Llopis J., Sánchez-Robles A.), An. Real soc. española fis. y quim., 1956, B52, № 3, 177—186 (исп.; рез. нем.)

Исследовалось восстановление иона  $Ni(CN)_4^{2-}$  (I) из р-ра 0,1 M  $K_2Ni(CN)_4 + 1$  M KCl на Hg-катоде. Снимаются кривые зависимости кол-ва образующихся  $H_2$ , цианистого комплекса одновалентного Ni (II) и металла. Ni от продолжительности электролиза при  $i$  от 10 до 200 мА. Пересчет на кривые зависимости выхода  $H_2$ , II и Ni от кол-ва пропущенного электричества показал, что в начале электролиза 50% тока расходуется на образование II и 50% — на выделение Ni. Затем начинается и выделение  $H_2$ , причем с течением времени доля тока, идущая на этот процесс, возрастает и к концу электролиза достигает 100%. С ростом  $i$  достижение 100% выхода  $H_2$  по току замедляется. Конц-ия II со временем стремится к предельному значению. Увеличение конц-ии I приводит к росту выхода II. Увеличение конц-ии  $CN^-$  способствует увеличению выхода  $H_2$  и уменьшению выхода II. Поляризационные кривые, измеренные при 2, 20 и 50°, имеют коэфф. наклона 0,060; 0,061 и 0,069 в. Авторы приходят к выводу, что в р-ции восстановления I участвует, по-видимому, один электрон. Предполагается, что II имеет ф-лу  $Ni(CN)_3^+$ , причем возможно диспропорционирование II или димеризация II в  $Ni_2(CN)_6^{4-}$ . Достижение предельного значения конц-ии II и увеличение выхода  $H_2$  со временем связывается со вторичным образованием I и  $H_2$  в результате р-ции II или Ni с  $CN^-$  и  $H_2O$ . Г. Ф.

74520. Поляризация при электроосаждении никеля и кобальта в присутствии анабазина. Муртазаев А. М., Толок П. П., Докл. АН УзССР, 1956, № 4, 21—23 (рез. узб.)

Добавки анабазина (I) сильно повышают катодную поляризацию (КП) при электроосаждении Co и Ni, особенно в разб. р-рах, причем КП повышается как при раздельном, так и при совместном осаждении Co и Ni. КП возрастает с увеличением конц-ии I и достигает 300 мВ в р-ре с 0,2 M I. Деполяризующее действие  $NH_4CNS$  на КП (Вызго В. С., Цыганов Г. А., Докл. АН УзССР, 1952, II, 27) сохраняется и в присутствии I, хотя повышение КП, вызванное I, устраняется не полностью. З. С.

74521. Периодические изменения катодной поляризации при электроосаждении свинца в присутствии поверхностноактивных веществ. Грицан Д. Н., Шун Д. С., Докл. АН СССР, 1956, 106, № 6, 1035—1038

В продолжение работы (РЖХим, 1956, 9455) осциллографич. методом изучено изменение катодной поляризации (КП) во времени при электроосаждении Pb и Cd в присутствии молекулярных поверхностноактивных в-в (ПАВ) (изопропиловый, изобутиловый, изоамиловый и гексиловый спирты, фенол, гидрохинон, резорцин, флороглucin,  $\alpha$ - и  $\beta$ -нафтол). При электролизе чистых р-ров  $Pb(NO_3)_2$  различной конц-ии в отсутствие ПАВ периодич. явления отсутствуют. Добавление ПАВ к р-ру  $Pb(NO_3)_2$  вызывает при определенных плотности тока и рН периодич. изменение КП, как и в случае Cd (см. ссылку выше). В р-рах  $Pb(CH_3COO)_2$  периодич. явления в присутствии ПАВ не

возникают, что авторы объясняют высокой поверхностной активностью иона  $CH_3COO^-$ , необратимая специфич. адсорбция которого препятствует образованию слоя ПАВ. Путем снятия поляризационных кривых показано, что в р-рах  $Pb(NO_3)_2$  и  $Cd(NO_3)_2$  ПАВ повышают КП, в то время как в случае р-ров  $Pb(CH_3COO)_2$  и  $Cd(CH_3COO)_2$  они не влияют на КП. В р-рах галогенидов Cd с добавками ПАВ периодич. явления также отсутствуют. Введение в р-ры  $CdSO_4$ , содержащие добавку изоамилового спирта, галогенидов K или Na в определенной конц-ии прекращает периодич. явления, причем требуемые для этого конц-ии увеличиваются в ряду  $J^- < Br^- < Cl^-$ . З. С.

74522. Влияние некоторых органических веществ на процесс ионизации цинка и кадмия, а также на разряд их ионов на амальгамном капельном электроде. Андреева Е. П., Иофа З. А., Вестн. Моск. ун-та, 1956, № 2, 83—90

Изучено влияние следующих органич. поверхностно-активных в-в (ПАВ):  $n-C_5H_{11}OH$  (I),  $(C_4H_9)_2NH$ ,  $(C_4H_9)_3N$ ,  $(C_4H_9)_4NCl$  и  $[(C_4H_9)_4N]_2SO_4$  (II) — на процессы разряда и ионизации Zn и Cd на капельном амальгамном электроде в р-рах  $1 \cdot 10^{-3}$  н.  $MSO_4 + 1 \cdot 10^{-3}$  н.  $H_2SO_4 + 0,1$  н.  $Na_2SO_4$  ( $M = Zn$  или  $Cd$ ). Конц-ия амальгам —  $10^{-3}$  г-атом/л. Без добавок ПАВ  $E_{1/2}$  для процессов разряда и ионизации Cd совпадают: —0,640 в (н. к. в.); для Zn соответственно найдены величины: —1,050 и —1,025 в. Добавки ПАВ вызывают торможение процессов разряда и ионизации. Так, в присутствии II ( $1 \cdot 10^{-3}$  н.)  $E_{1/2}$  процесса разряда  $Zn^{2+}$  становится равным —1,437 в, а  $E_{1/2}$  процесса ионизации Zn равен —0,695 в. В случае Cd ПАВ сильнее влияют на катодный процесс, чем на анодный. I влияет на электродные процессы в более узком интервале потенциалов, чем алифатич. амины. Тормозящее влияние последних возрастает с увеличением числа атомов C, входящих в алкильный остаток, а также с увеличением числа алкильных остатков. Показано, что возрастание тока на катодных и анодных поляризационных кривых не связано с десорбцией ПАВ. По мнению авторов, в случае Zn и Cd катодные и анодные процессы в присутствии ПАВ лимитируются не скоростью проникновения реагирующих частиц через адсорбционную пленку ПАВ на электроде, а торможением (вследствие изменения строения двойного слоя) элементарных актов разряда и ионизации. В. К.

74523. Влияние поверхностноактивных веществ на электродные процессы на амальгаме кадмия. Лосе В. В., Докл. АН СССР, 1956, 107, № 3, 432—435

Исследовалось влияние добавок сернокислого тетрабутиламмония (I) ( $1 \cdot 10^{-5}$ — $1 \cdot 10^{-3}$  M) и камфоры (II) (насыщ. р-р) на кинетику катодного и анодного процессов на стационарном амальгамном Cd-электроде ( $7 \text{ см}^2$ ) в  $10^{-3}$ — $1$  н. р-рах  $CdSO_4$  в присутствии избытка  $MgSO_4$  (4 н.) при конц-иях амальгамы Cd 0,03—0,50 ат. %. Введение I приводит к появлению на катодных поляризационных кривых (ПК) участков, на которых плотность тока ( $i$ ) в широком интервале потенциалов ( $\varphi$ ) почти не зависит от  $\varphi$ . Величины этих предельных токов ( $i_{пр}$ ) на несколько порядков ниже нормальных диффузионных токов в тех же условиях и возрастают с ростом конц-ии  $CdSO_4$ . Увеличение конц-ии I уменьшает  $i_{пр}$ . В области  $i_{пр}$  при  $i = \text{const}$   $\varphi$  постепенно изменяется во времени, причем наблюдается гистерезис между ПК прямого и обратного хода. Аналогичная картина наблюдается при введении II, но области  $i_{пр}$  менее четко выражены. При разряде ионов  $Cd^{2+}$  на капельном Hg-электроде в присутствии I в согласии с данными А. А. Крюковой и М. А. Лошкарева (РЖХим, 1954, 49564) также наблюдается низкий  $i_{пр}$ , величина которого падает с ростом конц-ии I. Анодная поляризация при введении I и II увеличивается гораздо меньше катодной, причем при всех конц-иях I сохраняется линейная

зависимости между  $\Phi$  и  $\lg i$  и отсутствует гистерезис ПК. По мнению автора, величина катодного  $i_{пр}$  определяется стадией проникновения ионов  $Cd^{2+}$  через адсорбционный слой I или II, тогда как скорость анодного процесса определяется стадией ионизации Cd. Поскольку ток обмена (найденный экстраполяцией анодной ПК до равновесного  $\Phi$ ) ниже соответствующего значения  $i_{пр}$ , то, по-видимому, скорость процесса обмена при равновесии лимитируется стадией разряда — ионизации. И. З.

**74524. Изучение механизма электрополировки: новый метод исследования электродных процессов. Шален** (Contribution à la recherche du mécanisme du polissage électrolytique: nouvelle méthode du processus aux électrodes. Chalin Claude, Rev. g. n. electr., 1956, 65, № 2, 87—117 (франц.))

Описаны результаты исследований основных электрических характеристик ячейки для электрополировки (ЭП) на примере Ni и сплава Fe-Ni в р-ре  $HClO_4 + CH_3COOH$ . Показано, что основной характеристикой действия ванны для ЭП является не плотность тока, а кажущееся сопротивление (КС) на клеммах электролизера, которое для наилучшей полировки должно быть максимальным. Описаны различные способы изучения этой характеристики, в частности, регистратор кривой зависимости тока от напряжения. Обсужден механизм влияния концентрации на КС и поляризацию электролитич. ячейки и подтверждена гипотеза о существовании адсорбционного слоя ионов на поверхности анода. Рассчитана энергия слоя адсорбированных ионов на аноде и описан механизм ЭП, основанный на представлении о достаточности энергии адсорбционного слоя для вырывания ионов металла с анода. С целью эксперим. изучения адсорбции ионов на аноде проведены измерения импеданса с применением моста переменного тока при низких частотах и различных режимах ЭП Al в р-ре  $Mg(ClO_4)_2$  и Ag в р-ре KCN. По мнению авторов, полученные результаты подтверждают правильность проведенных расчетов и предложенной ранее гипотезы. З. С.

**74525. Необычные состояния валентности, наблюдаемые при анодном окислении металлов. Дейвидсон** (Unfamiliar valence states attained by anodic oxidation of metals. Davidson Arthur W., Suomen kemist. tiedonantoja, 1955, 64, № 3-4, 73—84 (англ.)) Изложение опубликованных ранее результатов для металлов группы Al (Davidson A. W., Kleinberg J., и др., J. Amer. Chem. Soc., 1950, 72, 1700; 1952, 74, 732, 736) и Mg (РЖХим, 1955, 3512, 16026). В связи с изучением необычных валентностей Zn показано, что Zn-анод в водн. р-рах ольной соли окисляется до своей нормальной валентности (2); исключение составляют р-ры  $NaNO_3$ , где начальная валентность  $V_i = 1,64$  в 0,2 н. р-ре и 1,37 в насыщ. р-ре. Добавка NaCl к р-ру  $NaNO_3$  при полной концентрации 5M приводит к еще более низким значениям  $V_i$ , причем наблюдается минимум  $V_i = 1,03$ , который отвечает содержанию  $NaNO_3$  30—40%. Д. К.

**74526. Низковалентный алюминий как продукт анодного окисления в водных растворах. Райёла, Дейвидсон** (Low valent aluminum as a product of anodic oxidation in aqueous solution. Rajola Esko, Davidson Arthur W., J. Amer. Chem. Soc., 1956, 78, № 3, 556—559 (англ.))

При помощи описанной ранее методики (Davidson A. W., Jirik F., J. Amer. Chem. Soc., 1950, 72, 1700; РЖХим, 1955, 3512) показано, что начальная валентность  $V_i$  при анодном растворении Al меньше 3. Для р-ров NaCl  $V_i = 2,51—2,58$ , NaBr 2,51, KJ 2,75.  $V_i$  практически не зависит от концентрации р-ра и плотности тока. Предполагается, что на аноде образуется смесь ионов  $Al^{3+}$  и  $Al^{2+}$ , причем последние окисляются водой до  $Al^{3+}$  с выделением  $H_2$ . В р-рах, содержащих восстанавливающиеся

анионы ( $NO_3^-$ ,  $ClO_3^-$ ,  $BrO_3^-$ ), значения  $V_i$  ниже, чем в р-рах солей галогенидов (соответственно 2,28—2,39; 2,15—2,24; 2,01—2,03), а кол-во  $H_2$ , выделяющегося на аноде, уменьшается. В смесях хлорид + нитрат значения  $V_i$  меньше, чем в индивидуальных р-рах; в смеси NaCl +  $NaNO_3$  миним. значение  $V_i$  (1,91) наблюдается при содержании NaCl 20 мол. %; в смеси  $AlCl_3$  +  $Al(NO_3)_3$  миним. значение  $V_i$  (1,73) наблюдается при содержании  $AlCl_3$  30 мол. %. В р-ре состава  $AlCl_3$  30 мол. % +  $Al(NO_3)_3$  70 мол. % в анолите образуется темно-серый осадок, который может быть обусловлен наличием металлич. Al, образующегося в результате р-ции диспропорционирования  $3Al^{2+} = 2Al + Al^{3+}$ . На Al-аноде происходит восстановление  $NO_3^-$ ,  $ClO_3^-$ ,  $Fe^{3+}$ . Наблюдается восстановление анолитом (без контакта р-ра окислителя с анодом) (РЖХим, 1955, 3512) аммиачного р-ра  $AgNO_3$ , р-ров  $FeCl_3$  и  $KMnO_4$ , обусловленное, по мнению авторов, некоторой стабильностью ионов  $Al^{2+}$ . Д. К.

**74527. Одновалентный бериллий как продукт анодного окисления. Лафлин, Клейнберг, Дейвидсон** (Unipositive beryllium as a product of anodic oxidation. Laughlin Barbara D., Kleinberg Jacob, Davidson Arthur W., J. Amer. Chem. Soc., 1956, 78, № 3, 559—561 (англ.))

В продолжение работ (РЖХим, 1955, 3512, см. пред. реф.) показано, что при анодном растворении Be в водн. р-рах NaCl (0,2—5,0 н.) частично образуются одновалентные ионы  $Be^+$ , которые затем окисляются водой до  $Be^{2+}$  с выделением  $H_2$ . Эксперим. значения начальной валентности  $V_i$  1,19—1,27. Существование иона  $Be^+$  подтверждается тем, что выделение  $H_2$  продолжается в течение 5—10 мин. после выключения тока; в продолжительных опытах во всем анодном пространстве, кроме белого осадка  $Be(OH)_2$ , равномерно осажается черный осадок; показано, что этот осадок представляет собой металлич. Be, образующийся, по-видимому, в результате р-ции диспропорционирования  $2Be^{2+} = Be + Be^{3+}$ ; анолит после электролиза в р-ре 0,2 н. NaCl способен заметно восстанавливать  $MnO_4^-$  до  $MnO_2$  и  $Ag^+$  до Ag в условиях, когда р-ры окислителя не соприкасаются с металлич. анодом. Определены также значения  $V_i$  в р-рах  $K_3Fe(CN)_6$  (1,35),  $KClO_4$  (1,10),  $KClO_3$  (0,83—0,90),  $NaClO_2$  (1,05—1,27). Д. К.

**74528. Анодное восстановление. II. Превращение 2-метоксифенилметилкетона в 2,2'-диметитойлбифенил под действием одновалентного магния. Рауш, Попп, Мак-Юэн, Клейнберг** (Anodic reductions. II. Conversion of 2-methoxyphenyl mesityl ketone to 2,2'-dimesitylbiphenyl by unipositive magnesium. Rausch Marvin D., Popp Frank D., McEwen William E., Kleinberg Jacob, J. Organ. Chem., 1956, 21, № 2, 212—214 (англ.))

В продолжение работы (сообщение I, РЖХим, 1955, 16026) проводился электролиз на Mg-электродах в 0,5 M р-ре NaJ в пиридине при 40° и плотности тока 0,002—0,015  $a/cm^2$ . В р-ре без добавки органич. в-ва значение начальной валентности (РЖХим, 1955, 3512)  $V_i = 2$ . В присутствии 2-метоксифенилметилкетона (I)  $V_i = 1,88—1,92$ , а в анолите после гидролиза в 18%-ной HCl обнаружен продукт восстановления I — 2,2'-диметитойлбифенил (II) и неидентифицированный полимер. По данным спектрофотометрич. анализа выход I равен 36—40%, считая на кол-во образовавшегося  $Mg^{2+}$ . В присутствии II в р-ре  $V_i = 1,93—1,96$ . В этом случае в анолите после гидролиза в HCl обнаружен полимер, похожий на тот, который возникал наряду с II в опытах в присутствии I. Возможно, что полимер образовывался при восстановлении II, который получался из I. Д. К.

74529. Исследование скорости растворения и потенциала растворяющегося цинка в растворах соляной и серной кислот. Сообщение I. Дворкин К. А., Дурдин Я. В., Вестн. Ленингр. ун-та, 1956, № 4, 99—110. Исследованы скорость растворения (СР) и потенциал растворяющегося Zn (прокатанного и литого) высокой степени чистоты (99,999 ат. %) в р-рах HCl в зависимости от концентрации к-ты (0,5—8 н.), перемешивания и т-ры (25—45°). При растворении не наблюдалось потемнения поверхности. Прокатанный Zn растворяется равномерно. СР увеличивается с конц-ией к-ты, причем эта зависимость имеет показательный или степенной характер и аналогична зависимости, обнаруженной ранее для Cr, Fe и Cd (Дурдин Я. В. и др., Ж. общ. химии, 1949, 19, 2131; 1951, 21, 604; РЖХим, 1956, 28620). Стационарный потенциал смещается в отрицательную сторону с повышением конц-ии HCl. Влияние перемешивания на скорость растворения меньше, чем для диффузионного процесса, и уменьшается с увеличением конц-ии к-ты. Температурный коэфф. СР равен ~ 7% на 1°. При большой чистоте Zn влияние небольших изменений в его структуре очень сильно сказывается на СР. Литой Zn при аналогичном характере зависимости потенциала и СР от конц-ии к-ты и перемешивания, как и для прокатанного Zn, имеет большую СР и растворяется неравномерно, причем резко различаются СР верхней и нижней сторон отлитой пластинки. Д. К. 74530. К вопросу о влиянии примесей на скорость растворения кадмия в соляной кислоте. Дурдин Я. В., Николаева С. А., Вестн. Ленингр. ун-та, 1956, № 4, 83—97.

В продолжение работы авторов (РЖХим, 1956, 28620) изучена зависимость скорости растворения (СР) Cd в HCl от чистоты металла. СР в 5 и 7 н. HCl значительно снижается после первой и второй перепонок металла, а затем остается постоянной. Малые добавки (0,006 и 0,012%) Си заметно повышают, добавки Pb (0,012%) слегка снижают СР. Показано, что влияние перемешивания на СР Cd, содержащего примеси, значительно меньше, чем в случае чистого Cd; этот эффект объяснен частичным срывом примесей с поверхности Cd при перемешивании р-ра. Авторы считают, что в случае дважды и трижды перепонок Cd был реализован случай растворения металла, практически свободного от активирующих примесей других металлов. Рассмотрены главные причины, обуславливающие сложность теоретич. расчета влияния малых количеств примесей на кинетику СР металлов в к-тах. Г. Т.

74531. Образование трещин на хрупком хроме при травлении кислотой. Смит (The fracture of brittle chromium by acid etching. Smith W. H.), J. Electrochem. Soc., 1956, 103, № 1, 51—53 (англ.)

С целью исследования механизма образования трещин на хрупком отожженном Cr (I) во время травления анализировались микрофотографии образцов I после травления в различных условиях. Показано, что травление I в HCl или катодная поляризация в H<sub>2</sub>SO<sub>4</sub> приводят к образованию трещин. Предполагается, что на поверхности I при травлении образуются гидриды Cr (II), которые из-за своего большого объема вызывают появление под поверхностным слоем трещин, распространяющихся по всему объему I. Образование II подтверждено рентгенографически. Г. Ф.

74532. Исследование фазового граничного импеданса на электродах из благородных металлов в области адсорбции водорода. I. Активированные платиновые электроды. II. Активированный иридиевый и активированный «состарившийся» родиевый электроды. Брейтер, Каммермайер, Кноэр (Untersuchung der Phasengrenzimpedanz an Edelmetallelektroden im Gebiet der Wasserstoffadsorption. I. Aktivierte Platinelektroden. II. Aktivierte Iridium- und aktivierte gealterte Rhodium-elektroden. Breiter M., Kammermaier H., Knorr C. A.), Z. Elektrochem., 1956, 60, № 1, 37—47; № 2, 119—127 (нем.)

I. Измерялось сопротивление (R) в переменном токе различной частоты ( $\nu$ ) активированной анодными импульсами и поляризованной постоянным анодным током гладкой Pt в 8 н. H<sub>2</sub>SO<sub>4</sub> при пропускании H<sub>2</sub>. При перенапряжении  $\eta > 0$  кривые зависимости емкости (C<sub>p</sub>) и обратной величины омической составляющей R(r<sub>p</sub>) (индекс r означает параллельное включение C и r) от  $\eta$  при различных  $\nu$  имеют по два максимума (при  $\eta$  100 и 200 мВ). Кривые [C<sub>p</sub>, (1/V $\omega$ )] ( $\omega$  — угловая частота) и [(1/r<sub>p</sub>),  $\nu$ ] при различных  $\eta$  стремятся к граничным значениям, зависящим от  $\eta$ . При  $\eta$  400 мВ C<sub>p</sub> практически не зависит от  $\nu$ . При  $\eta \leq 0$  кривые [r<sub>s</sub>, (1/V $\omega$ )] и [(1/ $\omega$ C<sub>s</sub>), (1/V $\omega$ )] (индекс s означает последовательное включение C и r) прямолинейны, причем, при  $\eta = -10,5$  мВ обе кривые совпадают, при  $\eta = 0$  и  $\omega = \text{const}$  (1/ $\omega$ C<sub>s</sub>) > r<sub>s</sub>, при  $\eta < -10,5$  мВ и  $\omega = \text{const}$  r<sub>s</sub> > (1/ $\omega$ C<sub>s</sub>). Выведены ур-ния для C и r и показано хорошее совпадение вычисленных и эксперим. данных во всей области исследованных  $\eta$ . Из полученных данных следует, что при  $\eta = 400$  мВ степень заполнения поверхности Pt адсорбированным водородом равна нулю. При  $50 \leq \eta \leq 400$  мВ проявляется адсорбция атомарного H, причем, по-видимому, существует несколько видов адсорбции H. При  $\eta < 50$  мВ существенную роль начинает играть диффузия H<sub>2</sub> к поверхности электрода. При  $\eta \leq -10,5$  мВ имеет место насыщение поверхности атомарным H и основными р-циями являются диффузия H<sub>2</sub> и разряд H<sup>+</sup>. С ростом катодного  $\eta$  замедленность р-ции разряда H<sup>+</sup> проявляется все сильнее по сравнению с диффузией H<sub>2</sub>. Характер зависимости r<sub>p</sub> от  $\eta$  (при  $\nu = 2 \cdot 10^4$  тц) показывает, что торможение разряда ионов H<sup>+</sup> не только на свободных, но и на занятых участках поверхности относительно мало. Полученные результаты сопоставлены с литературными данными (Долин П., Эршлер Б., Acta physicochim. URSS, 1940, 13, 747; РЖХим, 1956, 42822).

II. Измерялось R для активных гладкого Ir- и «состарившегося» Rh-электродов (для Rh результаты измерений сильно зависят от «возраста» электрода) в 8 н. H<sub>2</sub>SO<sub>4</sub> при пропускании H<sub>2</sub>. При  $\eta > 0$  кривые (C<sub>p</sub>,  $\eta$ ) и [(1/r<sub>p</sub>),  $\eta$ ] при различных  $\nu$  как для Ir, так и для Rh имеют один максимум при  $\eta \approx 70 - 75$  мВ; на кривых [C<sub>p</sub>, (1/V $\omega$ )] и [(1/r<sub>p</sub>),  $\nu$ ] при различных  $\eta$  наблюдаются предельные значения C<sub>p</sub> и 1/r<sub>p</sub>. При  $\eta < 0$  кривые [(1/ $\omega$ C<sub>s</sub>), (1/V $\omega$ )] и [r<sub>s</sub>, (1/V $\omega$ )] качественно сходны с соответствующими кривыми для Pt. На основании полученных результатов сделан вывод, что адсорбция H на Ir и Rh имеет место в более узком интервале  $\eta$ , чем на Pt. При  $\eta > 150$  мВ степень заполнения поверхности Ir и Rh в среднем равна нулю. Практически полное покрытие поверхности Ir адсорбированным H достигается при  $\eta \approx -6,5$  мВ. При  $\eta \leq 20$  мВ для Ir и  $\eta \leq 10$  мВ для Rh начинает сказываться диффузия H<sub>2</sub>; из сопоставления вычисленных и эксперим. данных для  $\eta$  показано, что, начиная от этих значений  $\eta$  и вплоть до  $\eta$ , соответствующих выделению пузырьков H<sub>2</sub>,  $\eta$  определяется диффузией H<sub>2</sub> от поверхности электрода. Г. Ф.

74533. Исследование влияния диффундирующего водорода на потенциал железа в щелочных растворах. Багочка И. А., Докл. АН СССР, 1956, 107, 843—846. При помощи описанной ранее методики (РЖХим, 1954, 32164) исследовано влияние электролитич. атомарного водорода (AB), диффундирующего через Fe-мембрану на исследуемую поверхность на перенапряжение ( $\eta$ ) водорода при  $i = 8 \cdot 10^{-6}$  и  $8 \cdot 10^{-4}$  а/см<sup>2</sup> и на стационарный потенциал ( $\phi$  (ст.)) Fe в 5 н. NaOH. Для ускорения начала диффузии и увеличения скорости потока AB (I) на исследуемую поверхность мембраны ее противоположная сторона несколько секунд поляризовалась анодно

(0,03—0,1  $\text{a/cm}^2$ ) с последующим наложением катодной поляризации (0,1  $\text{a/cm}^2$ ). Установлено, что при  $i = 0$  АВ сдвигает  $\varphi$  на 30—50 мВ в отрицательную сторону относительно  $\varphi_{\text{ст}}$ . При наложении на исследуемую поверхность во время диффузии АВ анодной поляризации ( $i = 10^{-4}$   $\text{a/cm}^2$ )  $\varphi$  сдвигается в положительную сторону относительно водородного электрода на 50—70 мВ, однако диффузия АВ продолжается. После прекращения анодной поляризации  $\varphi$  становится на 70—80 мВ отрицательнее  $\varphi$  (ст.). При катодной поляризации ( $i = 8 \cdot 10^{-6}$   $\text{a/cm}^2$   $\eta = 0,093$  в) диффузия АВ увеличивает  $\eta$  на 24 мВ при  $I/i = 5$ . С увеличением  $\eta$  при  $I/i = \text{const}$  возрастание  $\eta$  под влиянием АВ падает и при  $i > 10^{-3}$   $\text{a/cm}^2$  диффузия АВ понижает  $\eta$  на несколько мВ. При  $\eta = 0,107$  в увеличение  $I$  в 10 раз приводит к возрастанию  $\eta$  на 25 мВ, в то время как при увеличении  $i$  в 10 раз  $\eta$  возрастает на 0,120 в. Повышение  $\eta$  под влиянием диффундирующего АВ объяснено замедленным разрядом на неоднородной поверхности, частично заполненной Н (адс.), понижение  $\eta$  — электрохим. механизмом удаления Н (адс.) с поверхности электрода по схеме  $\text{H(адс.)} + \text{H}_2\text{O} + e \rightarrow \text{H}_2 + \text{OH}^-$ . См. также РЖХим, 1955, 28578. И. Б.

**74534. Кислородное перенапряжение на кобальтовом электроде при больших плотностях тока.** Турьян Я. И., Гершкович И. А., Ж. прикл. химии, 1956, 29, № 4, 600—606

Исследовалось перенапряжение ( $\eta$ )  $\text{O}_2$  на вращающемся Со-электроде (Рт, покрытая Со) в 7,5 н. КОН при  $i$  от 0,02 до 10  $\text{a/cm}^2$  и  $t$ -рах 0—85°. Воспроизводимые поляризационные кривые (ПК) ( $\eta$ ,  $\lg i$ ) при различных  $t$ -рах удается получить только после проведения последовательного нагревания электрода от 0 до 85° и охлаждения до 0°, что, по мнению авторов, приводит к достижению устойчивого состояния поверхности электрода. ПК линейны вплоть до  $i \approx 5$   $\text{a/cm}^2$  (коэфф. наклона близок к 2,3  $RT/F$ ). При  $i > 5$   $\text{a/cm}^2$  на ПК наблюдается резкий подъем. Для объяснения причин  $\eta$   $\text{O}_2$  на Со принимается замедленное протекание р-ции образования промежуточного высшего окисла  $\text{CoO}_2$  и последующее быстрое его разложение. Добавки  $\text{Co(OH)}_2$ ,  $\text{Ni(OH)}_2$ ,  $\text{Cu(OH)}_2$  и  $\text{MnO(OH)}_2$  (0,0012—0,3%) не изменяют  $\eta$   $\text{O}_2$  при 85°; добавки  $\text{Fe(OH)}_3$  (I) (0,0012—0,14%) изменяют вид ПК и снижают  $\eta$  тем сильнее, чем выше конц-ия I; при дальнейшем увеличении конц-ии I  $\eta$  остается неизменным, причем максим. снижение  $\eta$  равно  $\sim 75$  мВ. Г. Ф.

**74535. К вопросу о влиянии индифферентного электролита на разряд ионов цинка.** Рейшахрит Л. С., Осминская А. Т., Вестн. Ленингр. ун-та, 1956, № 4, 111—116

Полярографически изучено влияние природы и конц-ии фона ( $\text{NaClO}_4$  (I),  $\text{NaNO}_3$  (II),  $\text{KNO}_3$  (III),  $\text{Na}_2\text{S}_2\text{O}_3$  (IV),  $\text{KNaC}_4\text{H}_4\text{O}_6$  (V),  $\text{KCNS}$  (VI) и  $\text{KBr}$  (VII)) на сдвиг  $E_{1/2}$  разряда  $\text{Zn}^{2+}$  на капельном Hg-электроде в присутствии желатин. Для сохранения постоянной ионной силы к р-рам добавлялся  $\text{KNO}_3$ . Для I, II, III и VII получены совпадающие значения  $E_{1/2} = 1,06$  в (насыщ. к. э.). С ростом конц-ии IV от 0,1 до 1 н.  $E_{1/2}$  сдвигается на 65 мВ в отрицательную сторону. Для V в интервале конц-ий 0,01—0,5 М сдвиг  $E_{1/2}$  в отрицательную сторону равен 95 мВ, в интервале 0,5—1 М 165 мВ; для VI в интервале 0,1—1 н. сдвиг  $E_{1/2}$  равен 50 мВ. Высказано предположение, что смещение  $E_{1/2}$  в р-рах IV и V связано с образованием комплексных ионов  $\text{Zn(S}_2\text{O}_3)_2^{2-}$  и  $\text{Zn(C}_4\text{H}_4\text{O}_6)_2^{2-}$ , вычислены их константы диссоциации ( $2,5 \cdot 10^{-8}$  и  $5 \cdot 10^{-5}$ ). Для VI наличие значительной адсорбции  $\text{CNS}^-$  на Hg, вызывающей сильное смещение  $\varphi_1$ -потенциала, по мнению авторов, не дает возможности судить о характере комплексобразования. В. К.

**74536. Влияние некоторых поверхностно-активных веществ на процессы полярографического восстановления ионов металлов.** Тамамуши, Яманака (The effect of some surface active substances on the polarographic reduction process of metallic ions. Tamamushi Reita, Yamanaka Teruko), Bull. Chem. Soc. Japan, 1955, 28, № 9, 673—679 (англ.)

Максимум  $\text{Pb}^{2+}$  в 0,1 н. KCl полностью подавляется добавками 2,3·10<sup>-6</sup> М додецилсульфата Na (I), 2,3·10<sup>-6</sup> М бромистого додецилпиридиния (II) ( $\text{C}_{12}\text{H}_5\text{NBrc}_{12}\text{H}_{25}$ ) поверхностно-активного в-во катионного типа), 3·10<sup>-6</sup> М лаурилового эфира полиоксизтилена (III) и 1,1·10<sup>-3</sup> % желатин (IV). Для полного подавления максимума  $\text{Ni}^{2+}$  требуется 1,1·10<sup>-3</sup> М I, 1,9·10<sup>-6</sup> М II, 10<sup>-6</sup> М III и 1,2·10<sup>-3</sup> % IV. График ( $E$ ,  $\lg [i/i_d - i]$ ) в присутствии I—III искривляется. Эти явления наиболее отчетливы в системе  $\text{Ni}^{2+}$ —III и наименее — в системе  $\text{Ti}^{4+}$ —II.  $E_{1/2}$   $\text{Ti}^{4+}$ ,  $\text{Pb}^{2+}$  и  $\text{Ni}^{2+}$  с ростом конц-ии I—III становятся более отрицательными. График зависимости  $E_{1/2}$  от конц-ии I—III имеет S-образную форму. II и III не влияют на наклон волны  $\text{Ti}^{4+}$ , а I оказывает лишь слабое влияние. I—III не влияют на  $i_d$ . I при конц-ии  $> 10^{-4}$  М адсорбируется в области максимума электрокапиллярной кривой (ЭК); добавки II вызывают смещение максимума ЭК в положительную сторону и значительное снижение  $\sigma$  на отрицательной ветви ЭК, добавки III вызывают смещение максимума ЭК в положительную сторону. Изучена зависимость периода капаяния в максимуме ЭК от конц-ии добавок. Величины коэфф.  $\alpha$  (определены из наклона кривых  $\{E, \lg [i/(i_d - i)]\}$ ), искажение волн и смещение  $E_{1/2}$  в отрицательную сторону при добавлении I—III указывают на торможение электродных процессов. По мнению авторов, тормозится главным образом перенос электронов в результате изменения строения двойного электрич. слоя в присутствии добавок, а не процессы диффузии. I—III как подавители максимумов имеют преимущества перед IV, так как они не образуют комплексов с ионами металлов и мало изменяют вязкость р-ров. С. Ж.

**74537. Полярография иона триэтилендиаминкобальта (3+) в отсутствие избытка комплексобразователя.** Кивало (Polarography of tris-ethylenediaminecobalt (III) ion in the absence of excess of the complexing agent. Kivalo P.), J. Amer. Chem. Soc., 1955, 77, № 10, 2678—2683 (англ.)

Восстановление (В) иона  $\text{CoEn}_3^{3+}$  (I) (En — этилендиамин) в отсутствие избытка этилендиамина протекает полярографически необратимо. Ион  $\text{CoEn}_3^{2+}$  (II), возникающий при В I, обратно и очень быстро распадается до менее сложных комплексов или до иона  $\text{Co}^{2+}$ , который может подвергаться гидролизу. Эти процессы изменяют  $E_{1/2}$  и форму волны, т. е. являются причиной необратимости В I. Вычислены теоретич. кривые ( $i$ ,  $E$ ) для этого случая (РЖХим, 1956, 68016). При вычислениях использованы известные константы равновесия комплексов  $\text{Co(2+)}$  и константа гидролиза  $\text{Co(OH)}_2$ .  $E_{1/2}$  катодной волны I и анодной волны II, найденные из осциллографич. полярограмм, совпадают, что указывает на обратимость электронного перехода  $\text{I} \rightleftharpoons \text{II}$ . Проверка природы токов (зависимость их от высоты столба Hg) показала, что токи на всем протяжении волны контролируются диффузией (РЖХим, 1954, 39303). В 1 М KCl—0,05 М En  $E_{1/2} = -0,489$  в (насыщ. к. э.). Добавка 0,1 М NaOH не влияет на  $E_{1/2}$ . При уменьшении конц-ии I  $E_{1/2}$  сдвигается в положительную сторону. Теоретич. кривая ( $E_{1/2}$ ,  $C_1$ ) подобна экспериментальной, но сдвинута в отрицательную сторону. Кривая ( $E_{1/2}$ , pH) имеет ма-

ксимум (более отрицательное значение  $E_{1/2}$ ) при  $pH \sim 11$ . Теоретич. кривая подобна экспериментальной, но расположена отрицательнее ее. При уменьшении конц-ии необратимость волны возрастает в соответствии с теорией.

**С. Ж. 74538. Потенциалы полуволны ионов металлов на фоне органических оксикислот. I. Бреда, Мейтс, Редди, Уэст** (Half-wave potentials of metal ions in organic hydroxyacid supporting electrolytes. I. Breda Ernest J., Meites Louis, Reddy Thomas B., West Philip W.), *Analyt. chim. acta*, 1956, 14, № 4, 390—399 (англ.; рез. нем., франц.) Сводка данных о  $E_{1/2}$ , форме волны, степени обратимости р-ции и продуктах р-ции для Ag, As, Bi, Cd, Ce, Co, Cr, Cu, Fe, In, Mn, Mo, Ni, Pb, Sb, Sn, Te, Ti, U, V, W, Zn, Al, Au, Ir, Os, Pt, Se и J ( $JO_3^-$ ) в насыщ. р-рах лимонной, малоновой и винной к-т, в 0,5 М кислом малоновокислом Na+0,5 М малоната Na, в 0,5 М малонате Na, в 1 М малонате Na+0,2 М  $Na_2CO_3$ +0,2 М  $NaHCO_3$  (pH 10), в 1 М малонате Na+1 М NaOH и в 1 М лактате Na+1 М NaOH.

**С. Ж. 74539. Изучение индия (3+) полярографическим методом. Часть I. Восстановление индия (3+) в муравьиной кислоте и уксусной кислоте. Накатани** (Studies on indium (III) by polarographic method. Part I. Reduction of Indium (III) in formic acid and acetic acid. Nakatani Haruo), *J. Sci. Hiroshima Univ.*, 1955, A 19, № 1, 183—191 (англ.)

Полярограммы восстановления 3-валентного In (I) в присутствии  $HCOOH$  (II) и  $CH_3COOH$  (III) состоят из двух волн. По мнению автора, первая волна связана с восстановлением комплексных ионов I с II (IV) и I с III (V).  $E_{1/2}$  этой волны ( $E'_{1/2}$ ) зависит от конц-ии II ( $C_2$ ) или III ( $C_3$ ) и от pH. Приводятся кривые зависимости  $E'_{1/2}$  IV и V от  $C_2$  и  $C_3$  при различных значениях pH, от pH при  $C_{2(3)} = \text{const}$ , а также от  $\lg C_{2(3)}$  при  $pH = \text{const}$ . Кривые  $[E'_{1/2}, \lg C_2]$  линейны при pH 2,5 и кривые ( $E'_{1/2}, \lg C_3$ ) — при pH 3,5. Определено координационное число (р) для IV и V по сдвигу  $E_{1/2}$  с изменением  $C_{2(3)}$ . Из эксперим. данных для IV при pH 2,5 и для V при pH 3,5 получено  $p = 1$ , т. е. IV и V имеют состав соответственно  $In(HCOO)^{2+}$  и  $In(CH_3COO)^{2+}$ . Найдено, что  $E_{1/2}$  второй волны, равный  $-1,02$  в (насыщ. к. э.), не зависит от  $C_{2(3)}$  и от pH. Предполагается, что вторая волна отвечает восстановлению  $In^{+}$  до  $In(Hg)$ . Рассчитано, что в р-ции восстановления IV и V участвуют 2 электрона, в р-ции восстановления  $In^{+}$  — 1 электрон.

**Г. Ф. 74540. Полярографическое поведение металлов в этаноламинах. Часть I. Железо. Субрахманья** (Polarographic behaviour of metals in ethanolamines. Part I. Iron. Subrahmanya R. S.), *Proc. Indian Acad. Sci.*, 1956, A43, № 2, 133—147 (англ.)

Изучалась полярография Fe (3+) в три-(I), ди-(II) и моноэтаноламинах (III). В I при  $pH > 9,8$  Fe (3+) дает две волны примерно при  $-0,9$  и  $-1,5$  в (насыщ. к. э.). При  $pH < 9,8$  вторая волна сливается с фоном. Вторая волна при pH 9,8—11 вдвое выше первой.  $E_{1/2}$  сдвигаются в отрицательную сторону при снижении pH. Первая волна, судя по величине  $E_{1/2} - E_{1/2}$ , необратима при pH 8—11, а вторая — необратима при всех pH. Первая волна соответствует восстановлению Fe (3+) в Fe (2+), вторая — восстановлению Fe (2+) до металл. Fe. При данной конц-ии I по мере увеличения конц-ии NaOH  $E_{1/2}$  первой волны сдвигается в отрицательную сторону.  $E_{1/2}$  первой волны не зависит от конц-ии I до 0,1 М, а затем становится более положительным. В присутствии

NaOH отношение высот волн  $< 2$ . В присутствии  $Na_2CO_3$  обе волны четкие; вторая волна вдвое выше первой.  $E_{1/2}$  смещаются в положительную сторону при увеличении конц-ии Fe (3+) и в отрицательную сторону при увеличении конц-ии I. При низкой конц-ии I (0,02 М) первая волна обратима. В присутствии  $NH_4Cl$  (1 М) +  $NH_4OH$  (1 М)  $E_{1/2}$  возрастает с ростом конц-ии I и достигает постоянного значения. Первая волна обратима и вдвое ниже второй необратимой волны. Наиболее удобным для определения Fe (3+) фоном является 0,1 М I + (0,1—1,0) М NaOH. В присутствии  $CH_3COONa$  при более высоких конц-иях I первая волна обратима, а  $E_{1/2}$  более отрицателен. Поведение Fe (3+) в р-рах II во многом сходно с поведением в I. В присутствии NaOH и  $Na_2CO_3$   $E_{1/2}$  первой волны почти не зависит от конц-ии II, а  $E_{1/2}$  второй волны с ростом конц-ии II становится отрицательнее. Отношение высот волн уменьшается с ростом конц-ии II. Растворимость комплекса Fe (3+) с II намного ниже растворимости комплекса с I. Растворимость комплекса Fe (3+) с III настолько низка, что детальное исследование невозможно. Характер изменения  $E_{1/2}$  с pH в р-рах I указывает на образование комплексов, содержащих триэтаноламмоний-ион, I и группы  $OH^-$ .

**С. Ж. 74541. Кинетика полярографического восстановления бензила. Лошкарёв М. А., Черников А. И.,** *Тр. Днепротетр. хим.-технол. ин-та*, 1955, вып. 4, 118—124

Исследовалось полярографич. восстановление бензила (I) в спиртово-водных (1:1) цитратно-фосфатных буферных р-рах при pH 4—8. На всех полярограммах наблюдаются две основные хорошо выраженные волны. Первая волна (ПВ) характеризуется «потенциалом восстановления» ( $\phi$ ), равным  $-0,42$  в (насыщ. к. э.) при pH 4, который сдвигается в отрицательную сторону на 90 мВ при увеличении pH на единицу. Высота ПВ линейно зависит от конц-ии I (C) и не зависит от pH. Для второй волны (ВВ) высота волны и  $\phi$ , равный  $-1,0$  в, не зависят от C и pH. Изучена зависимость предельных токов восстановления I от т-ры в интервале 28—59°. Полученные результаты удовлетворительно объясняются при предположении, что ПВ характеризует восстановление I, а ВВ — восстановление бензоина (II), являющегося продуктом восстановления I. При этом предполагается, что имеет место совместная адсорбция I и II, причем II обладает более высокой адсорбируемостью, чем I.

**Г. Ф. 74542. Полярографическое поведение моногалогенатов. Анализ смесей. Эллинг, Ван-Атта** (Polarographic behavior of monohaloacetones. Analysis of mixtures. Elving Philip J., Van Atta Robert E.), *Analyt. Chem.*, 1955, 27, № 12, 1908—1913 (англ.)

В изученных условиях ацетон не восстанавливается. Хлорацетон (I) при pH 4,6—10,5, бромацетон (II) и иодацетон (III) при pH 1,5—9,5 дают одну четкую катодную волну. При более высоких pH волны I—III исчезают благодаря наступающему гидролизу.  $E_{1/2}$  равны  $-0,14$ ;  $-0,35$  и  $-1,15$  в (насыщ. к. э.) соответственно для III, II и I и не зависят от pH.  $i_d$  пропорциональны  $\sqrt{h}$ ; температурные коэфф. равны 1,5—2,5% на 1 градус в интервале 0—25°. По уравнению Ильковича вычислено число электронов, участвующих в р-ции (n), которое для I—III оказалось равным 2. Авторы считают, что волны I—III соответствуют процессу:  $CH_3COCH_2X + 2e \rightarrow CH_3COCH_2^- + X^-$ ;  $CH_3COCH_2^- + H^+ \rightarrow CH_3COCH_3$  (X—Cl, Br, J). На волнах II и III при более высоких конц-иях появляются растущие максимумы, более четкие в кислых р-рах, не мешающие измерениям  $i_d$ . На полярограммах смесей максимумы не наблюдались. При

увеличении ионной силы р-ра ( $\mu$ ) восстановление I облегчается, восстановление II затрудняется; при  $\mu=0,5-2 E_{1/2}$ , III не зависит от  $\mu$ . При  $\mu < 0,5 E_{1/2}$  III более отрицателен. Определение III рекомендуется выполнять в буферных р-рах  $0,5 M CH_3COONa + CH_3COOH$  (рН 4,6),  $0,18 M KH_2PO_4 + NaOH$  (рН 8,2) или  $0,5 M NH_4Cl + NH_3$  (рН 8,8); определение II — в р-рах  $0,45 M KCl + HCl$  (рН 1,5) или  $0,5 M NH_4Cl + NH_3$  (рН 8,2); определение I — в р-рах  $0,27 M KH_2PO_4 + NaOH$  (рН 7) или  $0,18 M KH_2PO_4 + NaOH$  (рН 8,2). Для анализа смесей наиболее пригоден ацетатный буферный р-р. С. Ж.

**74543.** Каталитическое действие серосодержащих органических соединений в полярографии. Тркал (Katalytické účinky sirných organických sloučenin v polarografii. Trkal Viktor), Chem. listy, 1955, 49, № 10, 1499—1507 (чеш.). Сб. чехосл. хим. работ, 1956, 21, № 4, 945—954 (рез. нем.).

Изучались полярографические каталитические токи  $\beta$ -аминоэтилмеркаптана, диэтиламиноэтилмеркаптана, тиогликолевой кислоты, бензилмеркаптана, этандитиола, 2,3-димеркаптопропилового спирта, тиофенола, солянокислого *p*-аминотиофенола, *p*-дитиолдисульфида, диэтиламиноэтилсульфида, диаллилсульфида, тидигликоля, тидигликолевой к-ты, фенотиазина, тиофандикарбоновой к-ты и бис- $\alpha$ ,  $\alpha'$ -хлорметилтиофана (I) в буферных р-рах солей  $Co^{2+}$  и  $Co^{3+}$ . В-ва с тиозфирно связанной S каталитически неактивны. Каталитически активен только продукт р-ции I с  $NH_3$ . Алифатич. сульфогидрильные соединения, содержащие по крайней мере еще одну свободную или замещенную функциональную группу ( $-SH$ ,  $-OH$ ,  $-COOH$  или  $-NH_2$ ), каталитически активны. Простые алифатич. меркаптаны не оказывают каталитич. действия, так как осаждают ионы Co при довольно низких конц-ях. Ароматич. сульфогидрильные соединения каталитически неактивны. В-во может быть каталитически активным, если оно образует достаточно прочный комплекс с Co. Так как  $Co^{3+}$  дает значительно более прочный аммиачный комплекс, чем  $Co^{2+}$ , то мало в-в способно его разрушить и дать более прочный комплекс. Этим объясняется то обстоятельство, что целый ряд в-в каталитически активны в р-рах  $Co^{2+}$ , но не в р-рах  $Co^{3+}$ . Каталитич. эффект в р-рах  $Co^{3+}$  проявляется в том случае, если в-во достаточно быстро образует комплекс с  $Co^{2+}$ , возникающим при восстановлении  $Co^{3+}$ ; этот эффект наблюдается при значительно более высоких конц-ях, чем в р-рах  $Co^{2+}$ . Зависимость величины каталитич. эффекта от конц-и органич. в-в гиперболическая; график  $[(1/h), (1/c)]$  является линейным ( $h$  — высота каталитич. волны,  $c$  — конц-ия). С ростом конц-и Co или  $NH_3$  предельная высота волны растет. V. Kasepa

**74544.** Полярография стероидов. Часть II. Взаимодействие кетостероидов с гидразинами и первичными аминами. Бржезина, Волкова, Волке (Polarographie der Steroide. II. Reaktionen der Kesteroide mit Hydrazinen und primären Aminen. Brzežina M., Volková V., Volke J.), Сб. чехосл. хим. работ, 1954, 19, № 5, 894—904 (нем.; рез. русс.) См. РЖХим, 1955, 54749.

**74545.** Осциллографические полярограммы на твердых электродах. Цапив И. И., Ж. аналит. химии, 1956, 11, № 1, 63—66

С помощью осциллографа ЭО-4 и сконструированной автором одноламповой приставки для преобразования непрерывного пилообразного напряжения в отдельные треугольные импульсы, разделенные промежутками регулируемой величины, получены стабильные осциллограммы (О) ряда катионов и анионов на амальгмированном Ag-микроэлектроде. Стабильность О достигается замыканием ячейки в период между импульсами на сопротивление  $\sim 100 \text{ ом}$ ; благодаря этому электроды деполаризуются. Экспериментально установлено опти-

мальное значение коэфф. использования периода  $\beta = T_1/T_2 = 0,75-0,85$ , где  $T_1$  — длительность импульса, а  $T_2$  — длительность импульса с промежутком. Частота импульсов 20 пер/сек. О  $Cd^{2+}$  и  $Pb^{2+}$  по форме напоминают обычные полярограммы. На О  $Cu^{2+}$  имеется резко выраженный максимум. Вг и J- дают двойные и тройные волны. При перемешивании р-ра высота волны немного увеличивается. Высота волны  $Cd^{2+}$ ,  $Cu^{2+}$  и Вг пропорциональна конц-ии до  $10^{-2} M$ , для  $Pb^{2+}$  — до  $5 \cdot 10^{-3} M$ . Для J- зависимость высоты волны от конц-и нелинейна. С. Ж.

**74546.** Общие принципы полярографии с твердыми электродами и некоторые случаи их практического применения. Наумов В. А., Шмелев Б. А., Аветилян А. А., Файман В. Г., Сб. науч. работ Моск. ин-та нар. х-ва, 1956, вып. 8, 244—265

Изложены принципы полярографии с твердыми стационарными и вращающимися электродами. Авторы считают, что при работе со стационарными электродами единственно перспективным методом является метод измерения максим. токов. По этому методу при данном потенциале измеряется максим. ток, соответствующий миним. толщине диффузионного слоя; измерение длится 2—3 сек. В промежутках между измерениями электроды замкнуты накоротко и деполаризуются. Измеренные этим методом (Ag-катод или Pt-анод) полярограммы  $Cd^{2+}$ ,  $Zn^{2+}$  и  $Pb^{2+}$  имеют обычный вид;  $i_d$  пропорционален конц-ии. Нескольку хуже соблюдается пропорциональность между  $i_d$  и конц-ией для  $Cu^{2+}$ . При работе с вращающимися электродами авторы рекомендуют использовать скорости вращения, превышающие 600 об/мин, так как при этом  $i_d$  перестает зависеть от скорости вращения. С Pt- и графитовым катодами и каломельным анодом получены нормальные волны  $O_2$ . С графитовым анодом получается одна волна  $O_2$ . Удовлетворительные результаты получены с Pt- и амальгмированными Ag-электродами при полярографировании  $Cu^{2+}$ . Воспроизводимость результатов с Pb-электродами низкая;  $i_d$  не пропорционален конц-ии.  $Cd^{2+}$  и  $Pb^{2+}$  дают хорошие волны с Pt-электродами. Изучена зависимость потенциала выделения  $H_2$  на Pt от рН; при низких значениях рН выделение  $H_2$  начинается с очень низкого потенциала. При увеличении рН потенциал выделения  $H_2$  сдвигается в отрицательную сторону, достигая максимума при рН 3—6, затем падает, а при рН  $> 11$  вновь сдвигается в отрицательную сторону. С. Ж.

**74547.** Полярография в расплавленных солях. Макающий платиновый микроэлектрод. Фленгас (Polarography in fused salts. The dipping platinum microelectrode. Flengas S. N.), J. Chem. Soc., 1956, March, 534—538 (англ.)

Исследован предложенный ранее (Ляликов, Кармазин, Завод. лаборатория, 1948, 14, 144) макающийся Pt-электрод, в который внесены усовершенствования. Система, состоящая из анодного диска, макающегося и вспомогательного электродов, жестко скреплена и снабжена микрометрич. винтом. Периодич. погружение электрода в расплав достигалось пропусканием регулируемого тока  $N_2$ . Фоном служила эвтектич. смесь  $NaNO_3-KNO_3$ . Т-ра опытов 250—350°. На примере  $AgNO_3$  ( $2,44 \cdot 10^{-3} - 6,85 \cdot 10^{-4} M$ ) выяснено, что  $i_d$  линейно зависит от

т-ры и обратно пропорционален  $\sqrt{r}$  ( $r = 60/n$ , где  $n$  — число пузырьков  $N_2$  в мин.). Потенциал выделения Ag по отношению к Pt-аноду равен  $-0,05 \text{ в}$ . Из-за сложных гидродинамич. условий макающегося электрода выведенные закономерности носят качеств. характер. Вид кривой ток — время был подтвержден и при помощи осциллографа. Путем амперометрич. титрования определена растворимость AgCl и AgBr в эвтектич. сплаве  $NaNO_3-KNO_3$ , для чего к исходному расплаву

$\text{AgNO}_3$  -  $\text{NaNO}_3$  -  $\text{KNO}_3$  добавлялись навески  $\text{KCl}$  или  $\text{KBr}$ , и наблюдалось уменьшение высоты полярографич. волн. Произведения растворимости  $\text{AgCl}$  и  $\text{AgBr}$  равны соответственно  $3,95 \cdot 10^{-10}$  и  $7,15 \cdot 10^{-8}$  Мл. Получить полярографич. волны  $\text{Pb}^{2+}$ ,  $\text{Cu}^{2+}$ ,  $\text{Ti}^{4+}$ ,  $\text{Zn}^{2+}$ ,  $\text{Hg}^{2+}$ ,  $\text{Cd}^{2+}$  и  $\text{Ni}^{2+}$  не удалось. Ю. Д.

**74548.** Полярография расплавов. I. Предельные токи в расплавленных электролитах. Човнык Н. Г., Ж. физ. химии, 1956, 30, № 2, 277—285

Более подробное изложение опубликованных ранее работ (Докл. АН СССР, 1952, 87, № 6, 1033; РЖХим, 1955, 42693). Ю. Д.

**74549 Д.** Механизм действия галонидных ионов на растворение кадмия и свинца в кислых растворах. Медведева Л. А. Автореф. дисс. канд. хим. н., Н.-и. физ.-хим. ин-т, М., 1956

**74550 Д.** Исследование осциллографическим и обычным методами кинетики электродных процессов, протекающих на железе и амальгаме кадмия в растворах серной кислоты. Кравцов В. И. Автореф. дисс. канд. хим. н., ЛГУ, Л., 1955.

**74551 Д.** Исследование кинетики электродных процессов на хrome, кадмии и амальгаме кадмия в связи с электрохимической теорией растворения металлов. Киш Л. Автореф. дисс. канд. хим. н., ЛГУ, Л., 1956

**74552 Д.** Исследование свойств расплавленных солей методом электродвижущих сил. Марков Б. Ф. Автореф. дисс. докт. хим. н. Ин-т общ. и неорг. химии АН УССР, Киев, 1956

**74553 Д.** Изучение расплавов в черной металлургии методами э. д. с. и поляризации. Гаврилов Л. К. Автореф. дисс. канд. техн. н., Уральский политех. ин-т, Свердловск, 1955.

См. также: Электроосаждение металлов 75605. Коррозия 76903, 76905—76907, 76948. Полярография 74408, 74501, 75220, 75236—75238, 75302, 75328, 75388, 75390, 75394, 75397, 75398, 75463, 75464, 75467. Электропроводность 74381, 74624, 74625, 74633, 74645, 75314. Методика электрохим. измерений 75211, 75234, 75417, 75465. Др. вопр. 74470, 74471, 74500

## ПОВЕРХНОСТНЫЕ ЯВЛЕНИЯ. АДСОРБЦИЯ. ХРОМАТОГРАФИЯ. ИОННЫЙ ОБМЕН

**74554.** Адгезия чистых металлов. Бауден, Роу (The adhesion of clean metals. Bowden F. P., Rowe G. W.), Proc. Roy. Soc., 1956, A233, № 1195, 429—442 (англ.)

Сконструирован прибор для измерения коэфф. адгезии  $\sigma_0$  (отношение силы адгезии к силе, с которой поверхность были прижаты друг к другу) между полусферой и плоской поверхностями металла при различных нормальных и тангенциальных нагрузках в высоком вакууме. Металл очищался от поверхностных пленок нагреванием при разрежении  $10^{-6}$ — $10^{-8}$  мм рт. ст. Изучена адгезия  $\text{Pt}$ ,  $\text{Ni}$ ,  $\text{Au}$  и  $\text{Ag}$ . Показано, что коэфф. трения растет с т-рой обезгаживания, особенно когда начинается испарение металла. Для совершенно чистых поверхностей изученных металлов при нормальной нагрузке  $\sim 20$  г,  $\sigma_0 \approx 0,25$ , что значительно меньше величины, найденной ранее для  $\text{In}$  (McFarlane J. S., Tabor D., Proc. Roy. Soc., 1950, A202, 244). Малая величина адгезии твердых металлов объясняется тем, что металлич. мостики, образующиеся при сжатии поверхностей, разрываются из-за упругости металла после снятия нагрузки. При выдерживании металла под нагрузкой при повышенной т-ре его пластичность увеличивается, мостики не разрываются и  $\sigma_0$  растет, достигая 10 и более. Для  $\text{Pt}$ ,  $\text{Ni}$ ,  $\text{Au}$  и  $\text{Ag}$  т-ры  $\theta$ , при

которых наблюдается рост  $\sigma_0$ , равны соответственно 880, 780, 520 и  $480^\circ \text{K}$ , что близко к т-рам начала спекания порошка и примерно вдвое ниже абс. т-р плавления металлов. Для  $\text{In}$  и  $\text{Pb}$   $\theta$  соответствует комнатной т-ре, чем и объясняется большая величина  $\sigma_0$  этих металлов. Если к нагруженным образцам приложить на некоторое время тангенциальную нагрузку, то площадь контакта увеличивается и  $\sigma_0$  возрастает. При этом, в первом приближении, соблюдается выведенное авторами с помощью простейшей модели уравнение  $1 + \alpha \mu_1^2 = (\sigma / \sigma_0)^{1/2}$ , где  $\sigma$  и  $\sigma_0$  — коэфф. адгезии при наличии и в отсутствие тангенциальной нагрузки,  $\mu_1$  — мгновенное значение коэфф. трения,  $\alpha \approx 3,0$  — эмпирич. постоянная. И. С.

**74555.** Монослой ди- и трикарбоновых жирных кислот. Хота, Исемура (The monolayer of di- and tri-carboxylic fatty acids. Hotta Hiroshi, Isemura Toshizo.), Bull. Chem. Soc. Japan, 1956, 29, № 1, 90—92 (англ.)

Изучены образованные на поверхностях раздела: А) вода — петролейный эфир и Б) вода — воздух, монослои гексадекан-1,1,2-трикарбоновой (I), октадецилмалоновой (II), японовой ( $\omega, \omega'$ -нонадекандикарбоновой), III), а также стеариновой (IV) к-тами при растекании их р-ров в диметилаформамиде или смеси бензола и петр. эфира (9:1). Вода содержала  $\text{HCl}$  в кол-ве 0,01 моль/л. Поверхностное давление  $\pi$  измерялось методом погружения пластинки (для А) и отрыва кольца (для Б). В случае А I и II легко образуют совершенный монослой, в то время как для III и IV это не может быть достигнуто вследствие частичной их растворимости в невод. фазе. В случае Б, как известно, IV дает совершенный монослой. Пленки I и II выше определенной величины  $\pi$ , которой соответствует излом на кривой ( $\pi$ , А) (А — площадь на молекулу) делаются неустойчивыми и растворяются в подложке. При этом постоянные значения  $\pi$  устанавливаются весьма медленно. Прибавление к воде наряду с  $\text{HCl}$  0,05 М  $\text{KCl}$  значительно повышает устойчивость пленки. При сжатии пленок III наблюдается растворение без излома на кривой. Авторы делают вывод, что изменение ориентации молекул в поверхности может иметь место лишь при надлежащем расположении их неполярных частей. Если имеют место стерич. препятствия, пленка растворяется или разрушается, не испытывая превращений. Б. Т.

**74556.** Состояние металлческих ионов в водных растворах и их поверхностно-химические свойства. III. Реологическое исследование процесса взаимодействия металлческих ионов с монослоем стеариновой кислоты. Кимидзука (The state of metal ion in aqueous solutions and its surface chemical effects. III. Rheological study for the effect of metal ions on the monolayer of stearic acid. Kimizuka Hideo.), Bull. Chem. Soc. Japan, 1956, 29, № 1, 123—126 (англ.)

Ранее описанным методом (РЖХим, 1955, 18442) сняты кривые зависимости предельного напряжения сдвига и поверхностного давления от площади на молекулу (А) для монослоев стеариновой к-ты (I) на р-рах, содержащих ионы  $\text{Al}$ ,  $\text{Ca}$ ,  $\text{Co}$ ,  $\text{Sr}$  и  $\text{Fe}$ , при разных рН. Показано, что по характеру влияния на механич. свойства монослоя I при образовании металлч. мыл, ионы могут быть разделены на две группы в согласии с их влиянием на другие свойства монослоев (РЖХим, 1955, 11382). К первой группе относятся ионы  $\text{Li}$ ,  $\text{Ca}$ ,  $\text{Sr}$ ,  $\text{Ba}$ , действующие только в щел. области и образующие твердо-конденсированные монослои мыл, реологич. свойства которых могут быть охарактеризованы моделью Фохта. Ионы  $\text{Th}$ ,  $\text{Fe}$ ,  $\text{Al}$ ,  $\text{Co}$  и  $\text{Ni}$ , составляющие вторую группу, действуют каждый в определенной для него области рН и образуют расширенные твердообразные монослои, по свойствам соответствующие модели Максвелла. Ионы  $\text{Na}$ ,  $\text{K}$ ,  $\text{Rb}$  и  $\text{NH}_4$ , не образующие твердых монослоев, могут быть объединены в третью группу.

Установлена зависимость величины  $A$ , при которой возникает отверждение слоя, от рН р-ра для ионов, относящихся к двум первым группам. Сообщение II см. РЖХим, 1956, 68031.

**74557. Размеры молекул, адсорбированных на поверхности раздела бензол — вода. Пилпел** (The sizes of molecules adsorbed at the benzene — water interface. Pilpel N.), J. Colloid Sci., 1956, II, № 1, 51—59 (англ.)

Измерены по методу отрыва кольца межфазное натяжение на поверхности раздела бензол — вода и криоскопически — понижение т-ры замерзания р-ров некоторых кетонов (ацетофенон, бензофенон, бензил, бензоилацетон, форон, циклогексанон) и спиртов (октанола и деканола). С помощью ур-ния Гиббса определены площади, занимаемые адсорбированными молекулами в мономолекулярных слоях  $A$  и по ур-нию состояния слоев  $(\pi - \pi_0)(A - A_0) = C$  рассчитаны площади, равные поперечному сечению самих ориентированных молекул ( $A_0$ ); здесь  $\pi$  — поверхностное давление,  $\pi_0$  характеризует величину сил сцепления между углеводородными цепями,  $C$  — постоянная. Значения  $A_0$  сопоставлены с площадями, соответствующими структурным ф-лам молекул, и высказаны соображения о характере их ориентации на поверхности раздела.

**74558. Изучение полимолекулярной адсорбции на плоских поверхностях с помощью измерений емкости. I. Адсорбция на стекле при высоких относительных давлениях. Гарбатский, Фолман** (Multilayer adsorption on plane surfaces by capacity measurements. I. Adsorption on glass at high relative pressures. Garbatski U., Folman M.), J. Phys. Chem., 1956, 60, № 6, 793—796 (англ.)

Разработан метод изучения адсорбции на плоских поверхностях. Метод основан на измерениях емкости конденсатора, на обкладках которого происходит адсорбция. Сконструирован прибор, состоящий из двух стеклянных пластинок  $22 \times 50$  мм с тефлоновыми прокладками между ними, укрепленных на расстоянии 0,6 мм друг от друга и зажатых между двумя медными пластинками. Изменение емкости такого конденсатора измеряется с точностью  $\sim 1 \cdot 10^{-3}$  мкф с помощью радиотехнич. схемы. Измерена адсорбция паров воды при относительной влажности  $p/p_0$  0,505—0,9976 и изопропилового спирта при  $p/p_0$  0,2—0,993. При расчете толщины адсорбционного слоя  $r$  принято, что из-за шероховатости истинная площадь поверхности стекла в 5 раз больше геометрической. При больших  $p/p_0$  величина  $r$  доходит до 400 Å и более. При  $p/p_0 \rightarrow 1$  адсорбция непрерывно переходит в конденсацию жидкости. Полученные результаты хорошо описываются изотермами поляризационной теории адсорбции (Брунауэр С. Адсорбция газов и паров. Изд-во ин. лит., 1948, I, 205)  $\lg(p_0/p) = K_1 \cdot K_2' + K_3$ . Значения констант ур-ния  $K_1$ ,  $K_2$ ,  $K_3$  для воды равны 0,275; 0,991;  $-0,004$ ; для спирта 0,026; 0,966; 0,004. Величина разности между хим. потенциалом адсорбированного в-ва и молярной свободной энергии в объеме жидкости уменьшается с  $r$  экспоненциально, что свидетельствует в пользу поляризационной теории адсорбции полярных в-в.

**74559. Монослой миристиновой кислоты при низких поверхностных давлениях. Семелюк, Хан, Моррисон** (Myristic acid monolayer at low surface pressures. Semeluk G. P., Hohn J. W. V., Morrison John L.), Canad. J. Chem., 1956, 34, № 5, 609—616 (англ.)

С помощью поверхностных весов чувствительностью до  $0,01$  дн см<sup>-1</sup> сняты кривые ( $\pi$ ,  $A$ ) газообразных монослоев миристиновой к-ты (I) на  $0,01$  н. HCl в интервале до  $A \sim 30 \cdot 10^3$  Å<sup>2</sup> и  $\pi < 0,25$  дн см<sup>-1</sup>. Показано, что в ур-нии состояния  $(\pi + \alpha/A^2)(A - \beta) = kT$

величина  $\alpha/A^2$ , характеризующая силы бокового сцепления в слое, при  $A = 12 \cdot 10^3$  Å<sup>2</sup> и  $\pi = 0,03$  дн см<sup>-1</sup> равна  $2,80 \cdot 10^{-3}$  дн см<sup>-1</sup>, что эквивалентно трехмерному давлению в  $6 \cdot 10^{-2}$  ат. Это значение почти в шесть раз превышает величину  $a/v^2 = 1,1 \cdot 10^{-2}$  ат для газообразного бутана. При  $A < 6000$  Å<sup>2</sup> в первые минуты после растекания монослой, как показывают измерения  $\pi$  и поверхностного потенциала, является неоднородным и состоит из отдельных островков нерастекшейся I. Сопоставление полученных результатов с данными о существовании в газообразных монослоях I стабильных комплексов из двойных молекул (Moss S. A., Rideal E. K., J. Chem. Soc., 1933, 1525) привели авторов к выводу, что такие комплексы могут существовать только при поверхностной концентрации I в монослое не ниже некоторого критич. значения ее, соответствующего величине  $A \sim 7000$  Å<sup>2</sup>. Установлено, что природа р-рителя, из которого производится растекание, играет существенную роль при исследовании монослоев при низких давлениях; в частности, петр. эфир более удобен для исследования поверхностного потенциала, так как полностью испаряется с поверхности, он, в отличие от бензола, сам не оказывает влияния на потенциал.

**74560. Поверхностная активность на поверхности раздела: органическая жидкость — воздух, Эллисон, Зисман** (Surface activity at the organic liquid/air interface. Ellison Alfred H., Zisman W. A.), J. Phys. Chem., 1956, 60, № 4, 416—421 (англ.)

С помощью поверхностных весов, изготовленных из тефлона, исследована зависимость поверхностного давления  $\pi$  от площади на молекулу  $A$  для нерастворимых монослоев ряда органич. в-в на поверхности неводн. жидкостей — *n*-гексдекана, парафинового масла и трикрезилфосфата. Изучены полиметилсилоксан и его производные, белок (зеин), органич. силикаты, полиалкиленовые эфиры, полиакрилаты, органич. соединения фтора и др. Показано, что эти соединения поверхностноактивны и растекаются на исследованных подкладках. Полученные данные, характеризующие ориентацию и степень упаковки молекул в монослоях, сопоставлены с соответствующими данными для монослоев на поверхности воды. Установлено что обычное выражение для коэфф. растекания  $S = \gamma_1 - (\gamma_2 + \gamma_{12})$  применимо к исследованной поверхности раздела и позволяет точно определять межфазное натяжение  $\gamma_{12}$ . На основании полученных результатов дано объяснение эффекту гашения пены в органич. жидкостях с помощью полиметилсилоксанов.

**74561. Поверхностное натяжение аммиака и аммиачных растворов галогенидов щелочных металлов. Стэрс, Сиэнко** (Surface tension of ammonia and of solutions of alkali halides in ammonia. Stairs R. A., Sienco M. J.), J. Amer. Chem. Soc., 1956, 78, № 5, 920—923 (англ.)

Методом максим. давления в пузырьках по Сегдену измерено поверхностное натяжение  $\sigma$  жидкого аммиака в интервале т-р  $t$  от  $-75$  до  $-40^\circ$ . Полученные результаты описываются эмпирич. ур-нием:  $\sigma = 23,41 - 0,3371t - 0,000943t^2 \pm 0,15$  дн/см. Добавление к аммиаку NaCl, NaBr, KBr и KI в конц-ии с повышает  $\sigma$  на величину  $\Delta\sigma = A\sigma + B\sigma^2$ , причем  $A$  равно соответственно 2,79; 2,76; 2,44; 1,52;  $B$  равно  $-5,96$ ;  $-2,67$ ;  $-1,79$ ;  $+0,16$ . Величина  $A$  закономерно уменьшается с увеличением поляризуемости ионов ( $\Sigma\alpha$ ), как это наблюдается для водн. р-ров тех же солей, однако имеет почти вдвое большее значение. Величина  $B$  убывает обратно пропорционально  $\Sigma\alpha$ , в то время как для всех соответствующих р-ров  $B = 0$ . Полученные результаты авторы трактуют в свете теории Бьеррума и приходят к выводу, что  $B$  обратно пропорционально константе диссоциации электролита.

**74562. Определение поверхностного натяжения рубида путем измерения поверхностной диффузии. Регенер**

(Bestimmung der Oberflächenspannung des Rubidiums aus Erscheinungen der Oberflächendiffusion. Wegener Horst, Z. Phys., 1956, 143, № 5, 548—558 (нем.)

Методом конденсации паров Rb на кварце (I) изучена поверхностная диффузия (ПД) Rb на I (см. также РЖХим, 1956, 9143, 15755, 15756). Исходя из ф-лы Кельвина для данного случая  $p(\varphi) - p_{\infty} = p_{\infty} \zeta / \varphi$  (1) ( $p(\varphi)$  — давление пара над лежащей на I малой каплей (K) Rb с диаметром основания  $\varphi = R / 2 \sin \theta$ ;  $R$  — радиус кривизны K;  $\theta$  — угол смачивания;  $\zeta = 4\sigma m \sin \theta / dkT$ ;  $\sigma$  — поверхностное натяжение;  $m$  — масса молекул и  $d$  — плотность K), автор вывел ур-ния, описывающие ПД Rb на I, но слишком сложные для получения практич. числовых результатов. Однако автором теоретически показано, что поток ПД от K с диаметром  $\varphi$  к окружающему ее большому K с диаметрами  $\varphi_1, \varphi_2, \varphi_3 \dots$  математически эквивалентен потоку электричества от металлического цилиндрич. электрода с диаметром  $\varphi \cdot n$  ( $n$  — произвольный коэфф. увеличения) к окружающему его электродам с диаметрами  $\varphi_1 \cdot n, \varphi_2 \cdot n, \varphi_3 \cdot n \dots$ . Это позволило построить электролитич. ячейку, моделирующую ПД, и с помощью простых измерений электр. величин изучить кинетику ПД при уменьшении малых каплей Rb за счет роста больших K. Проведено 3 серии опытов при 39,5°, в которых через каждые 15 мин. снимались микрофотографии одного и того же участка кварца с уменьшающейся K в центре. По микрофотографиям строились соответствующие электролитич. ячейки и производились измерения, позволявшие определить функцию  $N(\varphi)$ , изменяющуюся во времени согласно ур-нию  $\alpha \zeta (t_0 - t) / 2c = N(\varphi)$  (2), где  $\alpha = RT^2 (1/Q_s) \lim_{T \rightarrow T_s} [D(p(\text{ж.}) - p(\text{тв.}) / (T_s - T)]$  (3);  $c = M \rho^3 = (2 - 3 \cos \theta + \cos^3 \theta) \pi d / 24 \sin^3 \theta$  (4);  $Q_s$  — теплота плавления Rb;  $D$  — коэфф. ПД Rb на I,  $\rho$  (ж.) и  $\rho$  (тв.) — поверхностная конц-ия Rb по периметру переохлажд. жидкой и затвердевшей капли Rb,  $T_s$  — т-ра плавления Rb;  $M$  — масса K в момент времени  $t$ .  $\alpha$  определялось экспериментально по температурной зависимости произведения  $D(p(\text{ж.}) - p(\text{тв.}))$ , а величина  $\zeta$  вычислялась по эксперим. измеренным  $M$  и  $\varphi$  для одной и той же K. Отсюда вычислялось  $\sigma$  и, далее,  $\sigma_{\text{Rb}}$ , равное при 39,5°  $77 \pm 5 \text{ эрг/см}^2$ . З. В.

**74563. Влияние поверхностных пленок на углы поляризации пирита, угля и плавикового шпата. Уилан, Уилкинсон** (The effect of surface films on the polarizing angles of pyrite, coal and fluorspar. Whelan P. F., Wilkinson R. P.), Bull. Inst. Mining and Metallurgy, 1954, № 575, 1—10, 119—121 (англ.). С целью изучения поведения реагентов в процессе флотации разработан метод и сконструирован прибор, при помощи которого измеряются углы поляризации (УП) образцов в воздухе и в р-ре. УП полированного образца пирита, равный в воде 72,1—74,1°, значительно изменяется в р-ре кантата, что указывает на сорбцию кантата. В р-ре терпинеола угол не изменяется. Смесь этих реактивов вызывает такие же изменения, как один кантат. Подобно последнему влияет диэтилдитиокарбамат Na. Изменение УП угля мало, но несомненно. В случае плавикового шпата оно лежит в пределах ошибок опыта. Л. Х.

**74564. Изменения краевого угла смачивания и строения адсорбционных слоев жирных кислот в зависимости от длины их молекул и плотности упаковки. Бигелоу, Брокуэй** (Variation of contact angle and structure with molecular length and surface density in adsorbed films of fatty acids. Bigelow W. C., Brockway L. O.), J. Colloid Sci., 1956, 11, № 1, 60—68 (англ.). В развитие прежних работ (Bigelow W. C. и др., J. Colloid Sci., 1946, 1, 513; 1947, 2, 563) авторы исследовали олеофобные свойства адсорбционных слоев

(АС) жирных к-т (от лауриновой до бегеновой) в зависимости от длины и ориентации, а также от плотности упаковки их молекул. АС получались на поверхности покровных стекол путем погружения их в р-ры к-т в гексадекане разных конц-ий  $c$  ( $10^{-4}$  —  $5 \cdot 10^{-2} M$ ) на разное время  $\tau$ . Смачивание АС каплей гексадекана оценивалось по величине краевого угла натекания  $\theta$ , который определялся из максим. значений высоты  $h$  и ширины  $w$  капли по ф-ле  $\lg \theta / 2 = 2h/w$ . Строение АС исследовалось электронографически. Показано, что для всех к-т максим. значение  $\theta$  одно и то же: 43—44°, причем оно достигается при  $\tau \geq 5$  сек. и при достаточных  $c$ , тем больших, чем короче цепь. При более низких  $c$  олеофобные свойства АС не проявляются. Из этого следует, что основную роль играет плотность упаковки молекул в АС, а не их размеры, что согласуется с представлением о том, что олеофобность определяется свойствами внешней поверхности АС с малой поверхностной энергией, по которой углеводородные жидкости не растекаются. Небольшой наклан углеводородных цепей (2° у арахиновой к-ты и 8° у миристиновой), обнаруженный электронографич. измерениями, и влияние на ориентацию молекул шероховатости подкладки может, по мнению авторов, проявиться на зависимости олеофобных свойств АС от длины адсорбированных молекул.

А. Т.  
**74565. Поверхностная химия  $\text{Cr}_2\text{O}_3$  —  $\text{Al}_2\text{O}_3$ . Волц, Уэллер** (Surface chemistry of chromia-alumina. Voltz Sterling E., Weller Sol W.), J. Amer. Chem. Soc., 1954, 76, № 18, 4701—4703 (англ.). Изучена адсорбция  $\text{O}_2$  при 500° и  $\text{H}_2$  при —78 и 500°, кол-во избыточного кислорода, изменение веса и кол-во образовавшейся  $\text{H}_2\text{O}$  при окислении и восстановлении алюмохромового катализатора (I), содержащего 20%  $\text{Cr}_2\text{O}_3$ , нанесенной на  $\gamma\text{-Al}_2\text{O}_3$ . Адсорбция  $\text{O}_2$  и кол-во избыточного  $\text{O}_2$  близки по величине на I и на чистом  $\text{Cr}_2\text{O}_3$  (РЖХим, 1955, 18449). Адсорбция  $\text{H}_2$  при 500° на восстановленном I в несколько раз меньше, чем на  $\text{Cr}_2\text{O}_3$ , а при —78° не обнаружена. Предположено, что  $\text{Al}_2\text{O}_3$  стабилизирует состояние  $\text{Cr}^{3+}$ , препятствуя восстановлению его водородом. Адсорбция  $\text{O}_2$  на окисленном I значительно превышает адсорбцию на  $\text{Al}_2\text{O}_3$  и может быть использована для определения уд. поверхности  $\text{Cr}_2\text{O}_3$  в смеси. Таким способом показано, что  $\text{Cr}_2\text{O}_3$ , нанесенная на  $\text{Al}_2\text{O}_3$ , имеет втрое большую поверхность, чем в чистом состоянии. О. К.

**74566. О взаимодействии между поверхностью сублимированных пленок никеля и адсорбированными атомами ксенона. Зурман, Дирк, Энгельке, Герман, Шульц** (Über die Wechselwirkung zwischen der Oberfläche aufgedampfter Nickelfilme und adsorbierter Xenonatomen. Suhrmann R., Dierck E.-A., Engelke B., Hermann H., Schulz K.), Naturwissenschaften, 1956, 43, № 6, 127—128 (нем.). Фотоэлектрическими измерениями подтверждено обнаруженное Миньоле (Mignolet J. C. P., Disc. Faraday Soc., 1950, № 8, 105, 326, с помощью измерения контактной разности потенциалов, уменьшение на  $\sim 0,8 \text{ эВ}$  работы выхода  $\phi$  электрона при адсорбции Xe на сублимированных пленках Ni при 90° K. Отдельными измерениями показано, что сопротивление  $R$  пленки при адсорбции Xe увеличивается на  $\sim 0,6\%$ . Уменьшение  $\phi$  с одновременным увеличением  $R$  нельзя объяснить ни переходом электрона, ни простой поляризацией электронного облака Xe при адсорбции. Исходя из того, что и диам. атома Xe и постоянная решетки Ni равны  $\sim 3,5 \text{ \AA}$ , авторы объясняют полученные результаты внедрением атомов Xe в решетку между атомами Ni, в результате чего атомы Xe поляризуются, а соседние атомы Ni раздвигаются, что ведет к уменьшению  $\phi$  и росту  $R$ . Авторы полагают, что наблюдавшаяся ранее «хемосорбция» азота (диам. молекул  $\sim 3,2 \text{ \AA}$ ) при 90° K на пленке Ni, сопровождающаяся обратимым увеличением  $R$ , объясняется подобным же образом. З. В.

## 74567. Физическая химия. Адсорбция в жидкой фазе.

Исэмура (物村壽學, 液相吸着, 伊勢理化 三), 化學, Karaku, Chemistry (Japan), 1956, 11, № 2, 9—11 (япон.)  
Обзор за 1954 г. Библ. 24 назв. В. А.

## 74568. О кислотно-основном механизме адсорбции на силикагеле. Киселев А. В., Докл. АН СССР, 1956, 106, № 6, 1046—1049

Изложено представление о том, что физ. адсорбционные силы (ориентационные, индукционные и дисперсионные) недостаточны для описания многих случаев адсорбции, сопровождающейся дополнительно образованием более или менее стойких молекулярных комплексов адсорбата и адсорбента. Такая хим. адсорбция в случае силикагеля (СГ) и алюмосиликагеля (АСГ) представляет собой взаимодействие кислотно-основного типа, в котором главная роль принадлежит протонодонорным свойствам поверхностных гидроксидов СГ и АСГ. Протоноакцепторная (электронодонорная) функция в молекулах адсорбата осуществляется при этом, напр., атомами О, N или  $\pi$ -электронами в случае воды (спиртов), аминов, ароматич. и непредельных углеводородов соответственно. Адсорбция в-в, вступающих с СГ во взаимодействие кислотно-основного типа, резко уменьшается при дегидратации СГ в результате удаления протонноакцепторных центров. Высказано предположение, что кислотно-основной механизм адсорбции имеет (хотя и меньшее) значение и в случае графитовых тел, обладающих электронодонорными свойствами, и зависит от наличия и характера поверхностных оксидов, а также при адсорбции на иных адсорбентах с слабо выраженной кислотной или основной функцией. З. В.

## 74569. Исследование алюмогеля с большой удельной поверхностью. Имелик, Матьё, Претр (Etude d'un gel d'alumine à grande surface spécifique. Imelik Boris, Mathieu Michel-Vital, Pretre Marcel), C. r. Acad. sci., 1956, 242, № 15, 1885—1888 (франц.)

Рентгенографически и методом низкотемпературной адсорбции  $N_2$  изучено влияние старения в кислой (0,1 н.  $HNO_3$ ,  $HCl$  и  $H_2SO_4$ ), нейтр. (дистилл.  $H_2O$ ) и щел. (0,1 н.  $NaOH$ ) средах и термич. обработки на структуру аморфного алюмогеля (АГ) с большой уд. поверхностью (S), полученного и описанного ранее (РЖХим, 1956, 28537). При старении в к-тах S быстро убывает и значительно изменяется обычная рентгенограмма АГ. Старение в  $H_2O$  и 0,1 н.  $NaOH$  ведет к обычному превращению: аморфный АГ  $\rightarrow$  псевдобемит (за 3 часа S убывает с 600 до 200  $m^2/g$ )  $\rightarrow$  бемит  $\rightarrow$  байерит  $\rightarrow$  гидраргиллит. Термич. обработка дает более устойчивый АГ, причем при очень медленном нагреве уже при 350° получается отличающийся от описанных в литературе стабильный безводн. гель  $Al_2O_3$  (средний радиус пор  $r = 10-13$  А), а при подъеме т-ры со скоростью 8,5°/мин безводный гель образуется лишь при 600°, S убывает быстрее и  $r = 22$  и 30 А при 500 и 700°, соответственно; первоначальная изотерма I типа по Брунауэру изменяется в тип IV. З. В.

## 74570. Влияние катионов и pH гидрогеля кремневой кислоты на структуру сухого силикагеля. Неймарк И. Е., Слиникова И. Б., Коллоид. ж., 1956, 18, № 2, 219—226

По изотермам сорбции паров  $CH_3OH$ , кажущейся плотности и статич. активности силикагелей (СГ) изучено влияние pH гидрогелей и адсорбции металлич. катионов (МК) гидрогелями кремневой к-ты, полученными из кислых и нейтр. золь, на пористую структуру СГ. При  $pH \leq 5,0$  структура СГ не меняется; при изменении pH от 4,5—5,0 до 8,0 в присутствии МК размеры и общий объем пор ( $V_p$ ) СГ постепенно растут; при  $8,0 \leq pH \leq 10,6$  образуются крупнопористые СГ с одинаковым  $V_p$ . Полученные результаты объяснены усилением ионообменной адсорбции МК с ростом pH, что ведет к уменьшению гидро-

фильности гидрогеля и усилению агрегации мицелл, укрепляющей скелет гидрогеля и обуславливающей образование крупнопористого СГ. З. В.

## 74571. Теплоты адсорбции из растворов, рассчитанные по теплоте погружения. Янг, Чессик, Хили (Heats of adsorption from solution from heat of immersion data. Young G. J., Chessick J. J., Healey F. H.), J. Phys. Chem., 1956, 60, № 4, 394—397 (англ.)

Исследована энергетика адсорбции n-бутилового спирта из водн. р-ров на саже графов. Измерены изотерма адсорбции, теплота растворения бутанола в воде и теплота погружения графона в этот р-р. Из полученных данных вычислены теплоты смачивания Q поверхности графона р-рами бутанола различной конц-ии. Q может быть вычислено также по ур-нию, выведенному из рассмотрения простой модели, и результаты расчета очень хорошо согласуются с опытными значениями Q, что служит подтверждением правильности предположений, лежащих в основе принятой модели. В. А.

## 7.572. Калориметрическое определение теплоты реакции соляной кислоты с шерстью. Дербишер, Питерс (Calorimetric determination of the heat of reaction of hydrochloric acid HCl with wool. Derbyshire A. N., Peters R. H.), Trans. Faraday Soc., 1955, 51, № 8, 1081—1090 (англ.)

Измерена теплота Q р-ции  $HCl$  с обезжиренной, нейтрализованной до  $pH 5,0-5,5$  и высушенной на воздухе шерстью при 25° в 0,19 M р-ре  $NaCl$  и в отсутствие соли; в первом случае кол-во связанной  $HCl$   $H = 0,03-0,72$  ммоль на 1 г шерсти, во втором  $H = 0,03-0,70$ . В начальной стадии адсорбции  $HCl$  Q пренебрежимо мала, но с повышением H Q возрастает пропорционально H. В солевых р-рах Q заметно меньше, чем в отсутствие соли. Обнаружен полный параллелизм между изменениями Q и работой растяжения шерстяного волокна, погруженного в р-р  $HCl$ , при возрастании H (Speakman, Hirst, Trans. Faraday Soc., 1933, 29, 148). Авторы полагают, что в начальной стадии сорбции к-ты ионы  $H^+$  соединяются со свободными карбоксильными гистидиновых групп шерсти и что этот процесс идет с ничтожным тепловым эффектом. В отсутствие соли карбоксильные и основные группы шерсти образуют «солевые связи»; при разрыве их под действием  $HCl$  указанные группы освобождаются и соединяются соответственно с ионами  $H^+$  и  $Cl^-$  с выделением значительного кол-ва тепла: Q р-ции  $HCl$  + солевая связь при 25° равна 30 ккал/моль. Результаты определения Q в отсутствие соли хорошо согласуются с вычисленными из кривых титрования шерсти  $HCl$  при 0° и 25°. Н. Ф.

## 74573. О некоторых вопросах динамики адсорбции во взвешенном слое адсорбента. Романков П. Г., Лепилин В. Н., Ж. прикл. химии, 1956, 29, № 4, 548—553

Измерялось время защитного действия  $\theta$  при адсорбции паров бензола и хлористого этила зернами промышленных марок адсорбентов (БАУ, АГ, АР и силикагель ШСМ), поддерживаемыми во взвешенном состоянии быстрым током воздуха. Установлено, что зависимость  $\theta$  от высоты L взвешенного слоя адсорбента выражается упрощенным ур-нием Н. А. Шилова в форме  $\theta = KL$  без дополнительного слагаемого. Вследствие беспорядочного перемешивания зерен адсорбента отсутствует послышность его насыщения, и поэтому к моменту проскаки кол-во в-ва, поглощенного единицей веса сорбента, не зависит от L; вследствие сильно развитой турбулентности улучшается теплоотдача, и т-ра повышается на  $\geq 5-10^\circ$ , тогда как в неподвижном слое она повышается на 30—50°. Метод взвешенного слоя позволяет применять в 3—4 раза большие скорости воздушного потока, чем при неподвижном слое, что позволяет значительно интенсифицировать процесс адсорбции. В. А.

**74574. Исследование в области адсорбции солей активированным углем.** Беленький М. С., Алхазов Т. Г., Азерб. Снае инст. эсэрлэри, Тр. Азерб. индустр. ин-та, 1956, вып. 12, 106—117 (рез. азерб.).

Измерена кинетика (при 14 и 29°) и температурные коэфф.  $k$  адсорбции (А) ионов  $\text{Ag}^+$  из 0,015 н. водн. р-ров  $\text{AgNO}_3$ ,  $\text{AgNO}_2$ ,  $\text{Ag}_2\text{SO}_4$  и  $\text{CH}_3\text{COOAg}$  на обычном активном угле (АУ), обработанном кипящей  $\text{HNO}_3$  и отмытом  $\text{H}_2\text{O}$  (I), и на беззольном АУ из сахара, активированном  $\text{CO}_2$  при 830° до обгара 13,2% (II). Показано, что величина А сильно зависит от природы аниона, а кинетика и  $k$  — также от сорта АУ. На I А  $\text{AgNO}_3$  и  $\text{AgNO}_2$  растет, а А  $\text{CH}_3\text{COOAg}$  — убывает с понижением т-ры; для  $\text{Ag}_2\text{SO}_4$   $k = 0$ . На II  $k \approx 0$  практически во всех случаях. Предложено эмпирич. ур-ние  $A_t = at / (1 + bt)$  ( $A_t$  означает А в момент времени  $t$ , а  $a$  и  $b$  — постоянные), хорошо описывающее кинетику А ионов  $\text{Ag}^+$  на I. З. В.

**74575. Гигроскопичность золы активного угля. 1. Сорбция водяного пара вблизи насыщения и насыщенного пара бензола, смешанного с сухим воздухом, на поверхности золы.** Исобе, Такидзава (Studies on the relative hygroscopticity of ash of charcoal. I. Sorption of water vapour at relative humidities near saturation and that of benzene vapour at saturation pressure in dry air on ash surfaces. Isobe Hajime, Takizawa Masao), 科學研究所報告. Гакаку кэнкюдзэ хококу, Repts. Scient. Res. Inst., 1953, 29, № 1, 67—71 (япон.); Abstrs kagaku-kenkyu-jo hokoku, 1953, 23, № 1, 5 (англ.)

Показано, что зола активного угля более гигроскопична, чем эта же зола после экстракции водой. Это объясняется тем, что пары  $\text{H}_2\text{O}$  поглощаются в массе растворимых щел. составляющих золы, а при их отсутствии происходит только поверхностная адсорбция  $\text{H}_2\text{O}$ . Это подтверждается тем, что адсорбция  $\text{C}_6\text{H}_6$  золой не изменяется при экстрагировании. З. В.

**74576. Сорбция йода целлюлозой из органических растворителей.** Читале (Adsorption of iodine on cellulose from organic solvents. Chitale A. G.), Current Sci., 1956, 25, № 3, 85—86 (англ.)

Ввиду того что целлюлоза набухает не только в воде, но и под действием сорбируемых в-в, для разделения этих двух эффектов предложено производить сорбцию различных в-в целлюлозой из неводн. р-рителей. Для испытания исходное ненабухшее волокно обрабатывается 30 мл р-ра йода в ацетоне или бензоле (на весу 0,3 г сухого волокна). После сорбции остаток J в р-ре определяется и вычисляется кол-во сорбированного целлюлозой J. Таким же образом определяется сорбция J набухшим волокном, которое до опыта промывается сперва ацетоном, затем бензолом. Изотермы сорбции J набухшими и ненабухшими вискозными волокнами имеют S-образную форму, причем сорбция J из бензольного р-ра больше, чем из метанольного, для ненабухших волокон и меньше — для набухших. Разница в поведении набухших и ненабухших волокон объясняется тем, что J сорбируется по ОН-группам целлюлозы, которые при набухании в метаноле оказываются занятыми р-рителем. А. П.

**74577. Метахроматическое взаимодействие красителя с субстратом.** Сьюлвен (Metachromatic dye-substrate interactions. Sylvén Bent), Quart. J. Microscop. Sci., 1954, 95, № 3, 327—358 (англ.)

Приведены результаты спектрофотометрич. и микроскопич. исследования агрегатов, образующихся при взаимодействии основного красителя азура А (I) с различными соединениями. Необходимыми факторами, обуславливающими метахроматич. сдвиг в спектрах поглощения этих агрегатов, являются упорядоченное расположение молекул красителя, высокая плотность электроотрицательного заряда поверхности субстрата (межзарядное расстояние  $\sim 5\text{Å}$ ) и наличие воды. Показано, что моно-, ди- и полисахариды, не имеющие свободного заряда, не дают метахроматич. окрашивания, тогда как замещ. полисахариды, содержащие группы  $\text{COO}^-$ ,  $\text{CH}_2\text{COO}^-$ ,  $\text{OPRO}_3^-$  или  $\text{OSO}_3^-$  (пектиновые к-ты, эфиры целлюлозы и др.), вызывают эту р-цию. Степень метахромазии (МХ) и ее устойчивость по отношению к NaCl и этанолу зависят от типа и числа замещающих групп и величины отношения I: субстрат. Желатина, сывороточные альбумины и глобулины и фибриллярные белки в большинстве случаев дают неустойчивую МХ. Приведены данные о метахроматич. взаимодействии I с некоторыми неорганич. солями. Автор считает, что МХ объясняется особой агрегацией молекул красителя, вызванной образованием новых межмолекулярных связей. Ю. М.

**74578. Хроматографический анализ на фильтровальной бумаге. VIII. Условия для электрофореза на бумаге. 1. Мори, Кимура. IX. Условия для электрофореза на бумаге. 2. Х. Новый метод количественного анализа с помощью фильтровальной бумаги (количественный мостик). 3. Мори (Бер-парт-кромат-граф-анализаの研究. 第8報. 紙電氣泳動に於ける泳動値に及ぼす諸条件に就いて. その1 森五彦. 木村睦男, 第9報. 紙電氣泳動に於ける泳動値に及ぼす諸条件について. その2 第10報. 定量橋による定量法について. その3 森五彦), 藥學雜誌, Якугаку дзасси, J. Pharmac. Soc. Japan, 1954, 74, № 2, 179—181, 181—194, № 5, 525—527 (япон.; рез. англ.)**

VIII. Установлены условия воспроизводимости при определении смещения пятен красителей, употребляемых в пищевой промышленности, при электрофорезе на бумаге. Исследовано влияние сортов фильтровальной бумаги. Результаты представлены в виде таблиц. IX. Исследовано влияние напряжения и силы тока на подвижность красителя тартразина при электрофорезе на бумаге в аппаратах различной конструкции. Показано, что при колич. обработке результатов нельзя пренебрегать величиной побочного тока, протекающего в зоне контакта между бумагой и прижимающими стеклами. Х. Описан метод колич. фотоколориметрич. анализа бумажных хроматограмм, основанный на принудительном растягивании окрашенных зон при прохождении р-ров через узкие «мостики» фильтровальной бумаги, ограниченные парафиновыми барьерами, вследствие чего кривые оптич. плотности делаются более четкими. Установлены оптимальные условия для производства подобных определений. В. А.

**74579. Свойства крахмала как молекулярного сита.** Линдквист, Стургордс (Molecular-sieving properties of starch. Lindqvist Börje, Storgårds Torsten), Nature, 1955, 175, № 4455, 511—512 (англ.)

Колонка с крахмалом использована для хроматографич. анализа фракций в цитратном экстракте сыра. Обнаружены два пика, которые, путем сравнения с электрофоретической, авторы приписывают фракциям аминокислот и пептидов с мол. в.  $\leq 500$ . Более высокомолекулярные фракции (до мол. в. 13 000) не проникают в крахмальный слой, который, таким образом, действует в качестве молекулярного сита и может применяться для фракционирования в-в по мол. весу. В. А.

**74580. Газожидкостная хроматография. Метод разделения и идентификации летучих веществ. Джеймс (Gas—liquid chromatography. A method of separation and identification of volatile materials. James A. T.), Canad. Chem. Process., 1956, 40, № 4, 111—112, 114 (англ.)**

См. РЖХим, 1955, 18466, 48631.

**74581. Газожидкостная хроматограмма. Джеймс (The gas—liquid chromatogram. James A. T.), Endeavour, 1956, 15, № 58, 73—78 (англ.)**

См. РЖХим, 1955, 18466, 48631.

**74582. Лабораторные применения ионообменных смол.** Моррис, Стакки (Laboratory applications of ion exchange resins. Morris P., Stuckey R. E.), Lab. Practice, 1956, 5, № 4, 129—133 (англ.)

В продолжение ранее опубликованной работы РЖХим, 1956, 61225 описано применение ионитов в препаративной органич. химии: разделение альдегидов и кетонов в форме бисульфитных соединений; сахаров, алкалоидов, органич. к-т; удаление мешающих ионов; использование ионитовых мембран при электролизе.

**74583. Исследования анионного обмена. III. Ni (2+) в водной соляной кислоте и в р-рах хлористого лития.** Хербер, Эрвин (Anion-exchange studies. III. Ni (II) in aqueous hydrochloric acid and lithium chloride. Herber Rolfe H., Irvine John W., Jr), J. Amer. Chem. Soc., 1956, 78, № 5, 905—907 (англ.)

В отличие от остальных элементов первого переходного периода, Ni не обладает способностью сорбироваться анионитами из конц. р-ров HCl или LiCl вследствие того, что он не образует отрицательно заряженных комплексов в этих р-рах. Это подтверждается исследованием спектров поглощения: из наблюдаемой зависимости высоты максимумов поглощения от активности Cl<sup>-</sup> делается вывод, что в р-рах, вплоть до 11 M HCl, HClO<sub>4</sub> или LiCl, существуют только катионы Ni<sup>2+</sup> и Ni Cl<sup>+</sup>. Это отмечается как аномалия, поскольку Ni (2+) отличается высокой координирующей способностью по отношению ко многим аллендам. В опытах на колонках с анионитом дауэкс-1 Ni<sup>2+</sup> элюируется даже легче, чем несорбируемый элемент сравнения Na<sup>+</sup>, вследствие большей легкости донаановского поглощения последнего набухшим полимером ионита. Сообщение II см. РЖХим, 1956, 50429.

**74584. Влияние поглощения электролитов на константу равновесия при обмене натрия на водород на дауэкс-50** Бауманн, Арджерсингер (Influence of electrolyte uptake on the equilibrium constant for the sodium-hydrogen exchange on dowex 50. Baumann Elizabeth W., Argersinger William J., Jr), J. Amer. Chem. Soc., 1956, 78, № 6, 4130—4134 (англ.)

При взаимодействии катионита (K) с р-ром электролита (Э) происходят 3 процесса: 1) эквивалентный обмен ионов между K и Э до наступления равновесия; 2) поглощение или отдача набухшим K части воды и 3) поглощение некоторого кол-ва внешнего Э набухшим K. Продолжая начатые ранее (РЖХим, 1955, 42722) исследования по термодинамике ионного обмена, авторы анализируют роль 3-й стадии процесса при вычислениях термодинамич. константы K ионного обмена, вводя в выражение  $\lg K$  член, содержащий логарифм отношения коэфф. активности  $f$  в фазе K, раскрывая его как функцию активности  $a_w$  воды в форме, более точной чем в работе Гейнса и Томаса (РЖХим, 1954, 17882). Измерение поглощения NaCl при обмене Na<sup>+</sup> на H<sup>+</sup> на дауэкс-50 (8% ДВБ) показало, что внесение соответствующей поправки практически не сказывается на вычисленных значениях K. При вычислении  $\lg f_A$  хорошее приближение дает выражение:  $\lg f_A = -(n_A \lg a_w)_{N_A-1}$ , где  $n_A$  — число молей воды, а  $N_A$  — число молей катиона A<sup>+</sup>, поглощенных одним эквивалентом K. В р-рах NaCl + HCl ионной силы 1,0; 0,5 и 0,1 значения K равны соответственно: 1,52; 1,55 и 1,57; точность определений не превышает 2—3%.

**74585. Исследования ионообменных смол. XV. Коэффициенты избирательности метакриловых смол по отношению к катионам щелочных металлов.** Грегор, Гамильтон, Оза, Бернштейн (Studies on ion exchange resins. XV. Selectivity coefficients of methacrylic acid resins toward alkali metal cations.

Gregor Harry P., Hamilton Mary Jane, Oza Ramesh J., Bernstein Fabian) J. Phys. Chem., 1956, 60, № 3, 263—267 (англ.)

В развитие предыдущей работы (сообщение XIV, РЖХим, 1956, 22140) определены практич. молярные коэфф. избирательности  $K_d$  при обмене катионов Li<sup>+</sup>, Na<sup>+</sup> и K<sup>+</sup> на образцах метакрилатного катионита (МК) с различной степенью поперечной связанности полимера (определяемой содержанием в них ДВБ) тремя различными способами (из р-ров гидроокисей, из буферного р-ра с рН 7 и из смешанного р-ра хлоридов с гидроокисями). Найдено, что  $\lg K_d$  почти линейно зависит от степени замещения X, причем прямые пересекают ось абсцисс и знак  $\lg K_d$  меняется. Наклон прямых увеличивается с повышением процента ДВБ. Сорбиционное средство убывает в последовательности Li > Na > K, т. е. обратной наблюдаемой на сильнокислотных катионитах, что напоминает аналогичную инверсию последовательности коэфф. активности ( $\gamma$ ) водн. р-ров гидроокисей и ацетатов. На основании осмотич. теории ионообменного средства, изложенной в данной серии работ, выводится выражение:  $K_d = (\Gamma_{LiR} / \Gamma_{KR})^2$ , где  $\Gamma_R$  — средний коэфф. активности соответствующей солевой формы МК, и проводится сравнение опытных значений  $K_d$  со значениями  $(\gamma_{LiAc} / \gamma_{KAc})^2$ , вычисленными по табличным данным для водн. р-ров ацетатов, показывающее хорошее согласие обеих величин при высоких содержаниях ДВБ (16 и 24%). Благодаря линейному характеру зависимости  $\lg K_d$  от X легко интегрируется уравнение Гиббса—Дюгема—Маргулеса для бинарных систем и находится линейная зависимость между  $\lg K_d$ , X и содержанием ДВБ.

**74586. Ионообменные свойства резорцинформальдегидной смолы.** Гупта (Ion exchange behaviour of resorcinol-formaldehyde resin. Gupta S. L.), J. Indian Chem. Soc., 1956, 33, № 2, 90—98 (англ.)

Химико-аналитически и по кривым потенциометрич. титрования определялась обменная емкость суспензий резорцинформальдегидной смолы с частицами разных размеров вплоть до коллоидных. Предельное значение емкости (1220 мг/экв на 100 г смолы) близко к теоретическому, если считать, что каждый структурный элемент полимера обладает двумя группами OH, служащими обменными центрами. Предельная емкость одинакова для различных катионов (Na<sup>+</sup>, NH<sub>4</sub><sup>+</sup>, Ca<sup>2+</sup> и Ba<sup>2+</sup>). Обе группы OH энергетически слегка различны, о чем можно судить по слабым изгибам на кривой титрования и изотермы сорбции. Прочность сорбционной связи двухвалентных катионов больше, чем одновалентных.

**74587. Обменная адсорбция катионов в зависимости от диэлектрической постоянной среды.** Давыдов А. Т., Скоблионок Р. Ф., Коллоид. ж., 1956, 18, № 2, 163—166

В продолжение прежних исследований (РЖХим, 1955, 28646) произведено сравнение обмена катионов Ca<sup>2+</sup> на Li<sup>+</sup> из водн. и спирто-водных р-ров на адсорбентах различной адсорбционной емкости: каолине, глауконите и волконските. Во всех р-рителях (0, 50, 70 и 90 вес. % спирта) опытные точки хорошо ложатся на теоретич. изотермы в соответствии с уравнением Е. Н. Гапона. С уменьшением диэлектрич. проницаемости среды сорбция катиона Li<sup>+</sup> уменьшается в отличие от того, что наблюдалась авторами при обмене катионов K<sup>+</sup> и Na<sup>+</sup>, и от данных Крессмана и Китченера (Kressman R. E., Kitchener J. A., J. Chem. Soc., 1949, 1211). Состав жидкой фазы не влияет на величину обменной емкости адсорбентов.

**74588. Обмен между адсорбированными и находящимися в растворе ионами сульфата.** Кинг, Леви (Exchange between adsorbed and dissolved sulfate ions. King

Cecil V., Levy Boris, J. Phys. Chem., 1956, 60, № 3, 374—376 (англ.)

Исследован изотопный обмен атомов  $S^*$  при взбалтывании р-ров  $Na_2S^*O_4$  и  $Ag_2S^*O_4$  с осадками  $Ag_2S$ ,  $ZnS$ ,  $MnS$  и  $Ag$ ; параллельно определялась электропроводность р-ров, чтобы установить, является ли сорбция  $S^*$  обменной или сопровождается общей убылью конц-ии соли в р-ре. Сделаны следующие выводы: между  $S^{2-}$  и  $SO_4^{2-}$  изотопного обмена не происходит; обменная адсорбция анионов имеет важное значение лишь в процессе образования осадка сульфида;  $Na_2SO_4$  не адсорбируется ни на  $Ag_2S$ , ни на  $Ag$ , но  $Ag_2SO_4$  заметно сорбируется на  $Ag$ .

**74589. Ионообменные смолы в углеводородах. Джеммант** (Ion exchange resins in hydrocarbons. Gemant Andrew), J. Inst. Petrol., 1954, 40, № 362, 50—54 (англ.)

С целью изучения возможности использования ионитов для очистки углеводородных (включая масла) фракций от присутствующих в них органич. к-т и оснований исследована сорбция меченных радиоизотопом  $C^{14}$  тридециловой к-ты на анионите ХЕ-75 и анилина на катионите ИР-112. Влажный катионит в углеводородной среде обладает такой же емкостью поглощения, как и в водной ( $\sim 4$  мэкв/г), а анионит — значительно меньшей ( $\sim 0,03$  мэкв/г). При высушивании емкость обоих ионитов значительно снижается, так что обезвоженный анионит оказывается практически непригодным и, несмотря на нежелательность внесения воды в углеводородную среду, применять анионит можно только влажным. Нейтрализация свободной к-ты органич. основанием (трибутиланилином) повышает сорбцию на анионите; аналогично нейтрализация основания к-той (пикриновой) способствует сорбции на катионите. Добавление фенолов (о-крезол) снижает сорбцию.

**74590. Изготовление и характеристика биполярных ионообменных мембран. Фрайлетт** (Preparation and characterization of bipolar ion-exchange membranes. Frielette Vincent J.), J. Phys. Chem., 1956, 60, № 4, 435—439 (англ.)

Исследованы свойства биполярных мембран (БМ), одна поверхность которых функционирует как катионит, а другая — как анионит. В отличие от простых катионитовых (КМ) или анионитовых (АМ) мембран потенциал БМ при измерении в концентрационных цепях не является обратимым и устойчивым; он зависит от предварительной поляризации БМ. Электросопротивление БМ зависит от ориентации относительно полюсов: если катионитовой стороной БМ обращена к катоду, ее сопротивление больше, чем при обратном расположении, но вместе с тем она оказывается избирательно проницаемой для  $H^+$ , сильно задерживая как анионы, так и другие катионы. Приводятся результаты колич. определений протон-проницаемости БМ при их поляризации токами различной плотности. Измерения производились в электролитич. ячейке, разделенной на 8 секций, попеременно расположенных БМ и КМ и заполненных р-ром  $NaCl$ . Теоретич. обсуждение результатов основано на представлении об образовании поляризованного слоя и депольаризации под действием ионов, приносимых электрич. и диффузионным током. Указано на применимость БМ в качестве модели при изучении биологич. систем.

**74591. Ионообменники как высокодисперсные системы и их действие на коллоидные вещества. Грисбах, Рихтер** (Ionenaustauscher als hochdisperse Systeme und ihre Wirkung auf kolloide Stoffe. Grisebach R., Richter A.), Kolloid-Z., 1956, 146, № 1—3, 107—120 (нем.)

Структура, физ. и адсорбционные свойства ионообменников (ИО) рассматриваются с коллоиднохим. точки зрения. Предлагается классификация всех ИО на три группы: 1) «внешнедисперсные» или «поверхностные обменники» —

каолин, бентонит, сульфит-целлюлоза, синтетич. линейные полиэлектролиты и т. п., 2) «внутридисперсные» макроколлоиды — природные цеолиты, искусственные смолы-иониты с высокой степенью поперечной связанности и т. п., 3) промежуточная группа — студни и гели, искусственные цеолиты, гуминовые к-ты, искусственные иониты с малой степенью поперечной связанности и т. п. Кроме того, ИО классифицируются по типу сорбционной связи — от чисто химической до чисто физической. Дается обзор применения ИО в препаративной колл. хим. практике: деионизация колл. р-ров, разделение высокополимерных в-в, обменные р-ции с красителями, разрушение колл. р-ров, фракционированное осаждение, разрушение эмульсий, взаимодействие с аэрозолями, использование ИО в качестве защитных коллоидов, полупроницаемые ионообменные мембраны и т. д. Наличие коллоидов нередко является источником осложнений при проведении ионообменных процессов с р-рами электролитов, но в ряде случаев сами ИО могут применяться для удаления этих мешающих примесей.

В. А.

**74592 К. Теория и практика применения ионообменных материалов. Сб. статей. Отв. ред. Чмутов К. В.** М., АН СССР, 1955, 164 стр., илл. 9 р. 85 к.

**74593 Д. Течение газов и паров через пористые среды. Часть I. Влияние неравномерной пористости на кнудсеновское течение в пористой среде. Часть II. Адсорбция и поверхностная диффузия n-бутана на саже «графон». Росс** (Flow of gases and vapors through porous media: Part I. Effect of nonuniform porosity on knudsen flow in porous media. Part II. Adsorption and surface diffusion of n-butane of graphon carbon black. Ross John W. Doct. diss., Univ. Cincinnati, 1955), Dissert. Abstrs, 1955, 15, № 11, 2031—2032 (англ.)

См. также: Хроматография 75230, 75232, 75233, 75261, 75285, 75289, 75303, 75304, 75346, 75381, 75384, 75405, 75466—75468. Ионный обмен 75231, 75257, 75289, 75294. Электрофорез 75372, 75469, 75470. Тонкие пленки, монослон 75108, 75139

## ХИМИЯ КОЛЛОИДОВ. ДИСПЕРСНЫЕ СИСТЕМЫ

**74594. Коллоидная структура смазок из стеарата лития. Вольд** (Colloidal structure in lithium stearate greases. Vold Marjorie J.), J. Phys. Chem., 1956, 60, № 4, 439—442 (англ.)

Изучены свойства смазок (С), приготовленных путем растворения стеарата лития в n-гексадекане при  $220^\circ$  и выдерживания при различной т-ре ( $105$ — $220^\circ$ ) с последующим замораживанием и перемешиванием. Заданная т-ра выдержки достигалась или охлаждением р-ра, нагретого до  $220^\circ$  (1-й способ), или нагреванием предварительно быстро замороженного р-ра (2-й способ). Консистенция (измеренная на пенетрометре), объемы осадков разбавленных суспензий С в гептане и скорость впитывания масла в бумагу различаются у С, приготовленных по разным режимам, в соответствии с изменением их структуры. Энергичное перемешивание суспензий в большинстве случаев приводит к резкому увеличению объема осадка, что свидетельствует о разрушении агрегатов кристаллитов. Электронномикроскопия, исследование показывает, что по 1-му способу получают С с более упорядоченными структурами, состоящими из однородных по размерам частиц. С колл. точки зрения С следует отнести к категории флокулированных дисперсий, в которых связь между частицами обусловлена в основном лондон-ван-дер-ваальсовыми силами.

Б. Ш.

**74595. Об осаждении сернокислого бария в смешанных растворителях. Матневич, Тежак** (Über die Fällungserscheinungen des Bariumsulfats in gemischten

Lösungsmitteln. Matijević E., Težak B., Kolloid-Z., 1956, 146, № 1—3, 65—74 (нем.)

С помощью тиндалиметрич. измерений изучена начальная стадия образования осадка  $\text{BaSO}_4$  при смешении равных объемов водных, водно-спиртовых и водно-ацетоновых р-ров  $\text{BaCl}_2$  (или  $\text{Ba}(\text{NO}_3)_2$ ) и  $\text{Na}_2\text{SO}_4$ . Результаты опытов выражены кривой зависимости мутности  $\tau$  р-ра через 1 мин. после смешения от логарифма концентрации одного из компонентов (0,002—1 н.) при постоянной концентрации второго (0,002 н.). Показано, что в водн. р-ре  $\tau$  сильно увеличивается с возрастанием избытка как  $\text{Na}_2\text{SO}_4$ , так и  $\text{BaCl}_2$ . В водно-спиртовых и водно-ацетоновых р-рах кривые имеют «изоэлектрические» максимумы, соответствующие эквивалентной концентрации обоих компонентов. В серии опытов с сернокислыми солями различных металлов показано, что по величине этого максимума соли могут быть расположены в ряд:  $\text{Th}(\text{SO}_4)_3 > \text{Al}_2(\text{SO}_4)_3 > \text{MgSO}_4 = \text{Na}_2\text{SO}_4$ . В водн. р-рах системы, дающие малые  $\tau$ , не чувствительны к добавкам электролитов; в смешанных же р-рителях добавление нейтр. электролитов к системам с малым  $\tau$ , т. е. при большом избытке одного из компонентов, приводит к образованию осадка  $\text{BaSO}_4$ . При этом по осаждающему действию анионы могут быть расположены в ряд  $\text{Fe}(\text{CN})_6^{4-} > > \text{Fe}(\text{CN})_6^{3-} > \text{NO}_3^- > \text{ClO}_3^- > \text{Br}^- > \text{J}^- > \text{CNS}^-$ , который (за исключением первых двух членов) совпадает с рядом анионов по их адсорбируемости на положительно заряженных золях  $\text{BaSO}_4$ . Отмечено также, что на образование осадка сильное влияние оказывают стереометрич. факторы.

И. Г. 74596. Изучение электровязкостного эффекта. Влияние добавок электролита. Донне, Мартье, Рейтцер (Étude de l'effet électro-visqueux. Influence des additions d'électrolytes. Donnet Jean-Baptiste, Marguier Pierre, Reitzer Claude), С. г. Acad. sci., 1956, 242, № 8, 1024—1025 (франц.). Изучено влияние  $\text{KCl}$  и  $\text{HCl}$  на вязкость гидрозолей сажи, очищенных электролизом и электродекантицией (РЖХим, 1956, 57725). При добавлении электролита вязкость вначале падает, затем возрастает и, наконец, золь флоккулирует. Величина среднего заряда частицы  $Q$ , рассчитанная по теории Бута, при добавлении к золю до 1·10<sup>-5</sup> М  $\text{KCl}$  меняется мало и согласуется с  $Q$ , рассчитанным по рН р-ра. При больших концентрациях  $\text{KCl}$  и в присутствии  $\text{HCl}$  расчет приводит ко все возрастающим значениям  $Q$ , в то время как в действительности заряд, очевидно, должен был бы уменьшаться из-за подавления диссоциации групп  $\text{COOH}$  на поверхности частиц сажи. Расхождение между действительным и вычисленным по вязкости значениями  $Q$  авторы объясняют действием сил притяжения между частицами. Эти силы приводят к увеличению вязкости, когда толщина ионного двойного слоя и заряд частицы становятся достаточно малыми, и расчет по теории Бута дает завышенные значения.

И. С. 74597. Вывод выражения для определения точного значения потенциала двух последовательно соединенных пор с различным средним диаметром. Гхош (Derivation of an expression for the evaluation of exact  $\zeta$ -potential of two pores of different average diameters connected in series. Ghosh B. N.), Naturwissenschaften, 1956, 43, № 5, 104 (англ.)

Рассматриваются поры (каналы) в двух последовательно соединенных диафрагмах (Д), состоящих из равномерно распределенных сферич. частиц одинакового размера и содержащих р-р электролита с заданной электропроводностью. Плотности упаковки частиц в обеих Д несколько различны: отношения объемов жидкой и твердой фаз в 1-й и 2-й Д  $a_1/a_2 = 1 + \delta$ ;  $\delta \ll 1$ . Показано, что ф-ла, выведенная в предыдущей работе (РЖХим, 1956, 6559) для  $\zeta$ -потенциала в одной Д, применима и к случаю сквозного канала, проходящего

через обе Д, если в этой ф-ле положить  $a = a_2$  и  $r = r_2$ . Таким образом,  $\zeta$ -потенциал определяется в основном средним поперечным сечением канала в более плотно упакованной Д.

С. Ф. 74598. Инфракрасная спектроскопия почвенных коллоидов. Бейтельшпахер (Beiträge zur Ultrarotspektroskopie von Bodenkolloiden. Beutelspacher H.), Landwirtsch. Forsch., 1956, Sonderh. № 7, 74—80 (нем.)

Исследованы спектры поглощения в области 7—24  $\mu$  ряда природных и синтетич. колл., микрорекристаллич. и кристаллич. минералов (силикагель, кварц,  $\text{Al}(\text{OH})_3$ , гематит, гетит, гидрагиллит, лепидокрокит, каолинит, дикинт, халлонизит, хризотил, монтмориллонит, гекторит, нонтронит, иллит, саросанит, глауконит, вермикулит, биотит, тальк, мусковит и пирофиллит). Установлено, что для анализа глинистых минеральных составляющих наиболее пригодна область 12—24  $\mu$ . Инфракрасная спектроскопия дает возможность исследовать валентные колебания ОН-групп (коротковолновая часть спектра), имеющие большое значение как при изучении адсорбционных процессов, так и для идентификации глинистых минералов.

В. А. 74599. Влияние температуры на мицеллообразование и солилизацию в бензоле. Китахара (The effect of temperature on micelle formation and solubilization in benzene. Kitahara Aya), Bull. Chem. Soc. Japan, 1956, 29, № 1, 15—19 (англ.)

Криокопическим и эбуллиоскопич. методами определены значения коэфф. Вант-Гоффа,  $i$  для октадециламониевых солей пропионовой и масляной к-т и додециламониевых солей тех же к-т, а также капроновой, каприновой и каприловой в бензольных р-рах различной молярности  $C$ . При  $t$ -ре кипения  $i$  близок к 1, что указывает на отсутствие мицеллообразования, причем в области малых конц-ий  $i > 1$ , что авторы объясняют диссоциацией детергентов на свободные амин и к-ту. При  $t$ -ре замерзания  $i < 1$  и сильно убывает с конц-ией, что является следствием образования мицелл. В связи с этим находится измеренная при 10, 26 и 40° солибилизирующая способность р-ров, выражающаяся кол-вом  $S$  молей воды, солибилизируемой 1 кг р-рителя. В большинстве случаев  $S$  линейно возрастает с  $C$ , по крайней мере, при малых  $C$ . Предлагается соотношение:  $S = \alpha(C - \beta)$ , где  $\alpha$  характеризует «солибилизирующую силу», а  $\beta$  — эффективную крит. конц-ию мицеллообразования детергента.  $\alpha$  и  $\beta$  определяются графич. путем. Значение  $\alpha$  убывает, а  $\beta$  возрастает с увеличением числа атомов углерода в молекуле. С повышением  $t$ -ры  $\beta$  увеличивается, а  $\alpha$  в большинстве случаев убывает.

Б. Т. 74600. Исследование коллоидных свойств растворов некоторых сульфомыл. Кучер Р. В., Ковбуз М. А., Коллоид. ж., 1955, 18, № 2, 193—198

Методом светорассеяния определены крит. конц-ия мицеллообразования  $c_{кр}$  мол. вес (МВ) и полидисперсность  $\text{Na}$ -солей дигексилового (I) и диоктилового (II) эфиров сульфоянтарной к-ты, а также дисульфодинафтилметилена (III) в воде. Из данных по  $c_{кр}$  рассчитаны энергии ассоциации, которые оказались близкими к значениям теплот испарения углеводородов, соответствующих аполярным частям молекул сульфомыл. Число  $N$  молекул в мицелле варьирует в небольших пределах (полидисперсность незначительна) и в присутствии 0,1 н. р-ров  $\text{Na}_2\text{CO}_3$  (I и II) или  $\text{Na}_2\text{SO}_4$  (III) равно в среднем для I, II и III соответственно 25,8; 188,0 и 71,8. Фотометрич. исследование сопряженной растворимости (СР) красителя судана-III подтвердило найденные значения  $c_{кр}$  и позволило сделать заключение о том, что СР симбатна МВ колл. электролита и что величина  $N$  не изменяется в широких интервалах конц-ий. Последний вывод вытекает также из постоянства

коэфф. диффузии  $D$ , определенного рефракционным методом фотографирования шкалы. Величины  $D$  позволили вычислить фактор диссиметрии и характеризовать форму мицелл как близкую к сфере.

**74601. Структура и изменение со временем гелеобразных комплексов гистамина с солями серебра. Хатем** (Structure et évolution de complexes gélatineux histamine-sels d'argent. Hatem Simone), C. r. Acad. sci., 1956, 242, № 8, 1018—1021 (франц.)

Спектрофотометрическим методом показано образование комплекса в разб.  $(1 \cdot 10^{-2} - 1 \cdot 10^{-3} M)$  р-рах гистамина (I) и  $AgNO_3$  по у-рию  $AgNO_3 + 2C_5H_9N_3 \rightleftharpoons [Ag(C_5H_9N_3)_2]NO_3$ . Константа р-ции образования комплекса при ионной силе  $1 \cdot 10^{-2}$ ;  $2 \cdot 10^{-3}$ ;  $1 \cdot 10^{-3}$  равна, соответственно,  $3,6 \cdot 10^{-10}$ ;  $2,2 \cdot 10^{-10}$ ;  $2,9 \cdot 10^{-10}$ . При конции компонентов ( $1/30$ ) M и выше в р-ре образуется гель. Гель неустойчив; при старении образуется не содержащая  $NO_3^-$  масса состава  $(C_5H_9N_3)_2 \cdot (Ag_2O)_3 \cdot n H_2O$ . Аналогичный осадок, но состава  $(C_5H_9N_3)_2 Ag_2O$ , образуется и непосредственно при р-ции свежеприготовленной  $Ag_2O$  с I. Гель I +  $AgNO_3$  обладает волокнистой структурой. Волокна толщиной 3—4  $\mu$  с округлыми концами, иногда раздвоенные, спутаны в клубки и напоминают образования в протоплазме клеток. Т. пл. геля 50—55°. Р-р AgF и кристаллы ацетата Ag также образуют с р-ром I волокнистые, стареющие со временем гели с т. пл. 55°. Образование гелей с волокнистой структурой связано с молекулярной ассоциацией; ассоциация I в водн. р-рах подтверждается наличием полосы поглощения в УФ-спектре при 2500 Å.

**74602. Тиксотропия гелей альгината. Сасаки, Миямото, Моринага** (Thixotropy of alginate gels. Sasaki Tunetaka, Miyamoto Shigeru, Morinaga Yasuko), Bull. Chem. Soc. Japan, 1956, 29, № 1, 32—35 (англ.)

В гелях, образующихся при прибавлении определенных кол-в  $CuCl_2$ ,  $BaCl_2$ ,  $Pb(NO_3)_2$ ,  $CaCl_2$ ,  $CdSO_4$ ,  $ZnSO_4$  и  $NiSO_4$  к р-рам очищенного альгината Na (I), наблюдаются тиксотропные свойства. Время схватывания зависит от кол-ва добавленного электролита, возраста р-ра I, степени полимеризации I, рН и объема системы. Тиксотропные гели получаются, когда 25—54% всех альгинатных ионов связываются ионами  $Cu^{2+}$ , при большем же кол-ве последних образуются нетиксотропные коагуляты. Тиксотропные гели получаются также при обработке осадка альгината Cu р-ром I.

**74603. Новые уравнения для процесса седиментации. Дюнуае** (Formules nouvelles sur la sédimentation. Dunoier J. M.), J. chim. phys. et phys.-chim. biol., 1956, 53, № 4, 352—358 (франц.)

Выведены ф-лы для распределения конци сферич. частиц данного размера в слое седиментирующей по закону Стокса суспензии конечной толщины в функции времени  $t$ , если при  $t = 0$  конци постоянна во всем слое, а также для скорости осаждения этих частиц на подложку слоя. Указан также путь для решения этой проблемы в случае неферич. и не подчиняющихся закону Стокса частиц.

**74604. Стабилизация пигментных суспензий дифильными поверхностноактивными веществами. Гуревич Я. М.**, Коллоид. ж., 1956, 18, № 12, 158—162

Агрегативная устойчивость суспензий из двух типов пигментов, имеющих на своей поверхности преимущественно полярные (тип I) и неполярные (тип 2) активные центры, в лаковом бензине (I), бутаноле (II) и в смеси вода + ацетон (III) в присутствии олеиновой к-ты (IV) и жирнокислого моноэфира триглицерина (эмульгатор ВНИИЖ-У) изучалась по скорости оседания пигмента. Стабилизация суспензий определяется сродством к среде тех активных групп в поверхностноактивном в-ве, которые остаются свободными после адсорбции. Поэтому пигменты типа I в

присутствии IV стабилизируются в I и оседают в II и III, а в присутствии V стабилизируются в II и оседают в III. Силы адсорбции неполярных частей I и V на пигментах типа 2 слабы и могут вовсе уничтожиться сродством неполярных частей к среде. Поэтому пигменты типа 2 оседают в I в присутствии IV и V. В II и III они оседают в присутствии IV и стабилизируются в присутствии V.

**74605. Наблюдения, относящиеся к образованию эмульсий масла в воде под действием ультразвука. Мунье, Бланке, Пиффо, Далли** (Remarques relatives à la formation des émulsions huile dans l'eau sous l'action des ultra-sons. Mounier J., Blanquet P., Piffault G., Dallies G.), Bull. Soc. pharmacie Bordeaux, 1955, 94, № spécial, 161—164 (франц.)

Исследовано образование эмульсии (Э) типа М/В под действием ультразвука. Независимо от природы применяемого масла — оливкового, парафинового, касторового или миндального — Э, получаемые при частотах колебаний 958, 576, 412 и 288 кГц, обладают исключительной стабильностью и не разрушаются под влиянием ультразвука с другой частотой. Проведенные при частоте 288 кГц измерения показали, что содержание масла Э возрастает с течением времени и быстро достигает постоянных значений. Э состоит в основном из капелек диам. 0,5—4  $\mu$ . Электрофоретич. измерения показали, что капельки заряжены отрицательно. Исследованные Э чрезвычайно стойки по отношению к обычно применяемым коагулирующим в-вам. Измерением коэфф. омывания и йодных чисел установлено отсутствие хим. изменений при эмульгировании. Только в случае миндального масла обнаружено понижение йодного числа с 75 до 51.

**74606. Кинетика минерализации воздушных пузырьков в процессе флотации. Добиаши** (Kinetika mineralisace vzdušné bublinky při flotačním procesu. Dobiaš Bohuslav), Rudy, 1956, 4, № 5, 150—152 (чеш.; рез. русс., нем.)

Проведен теоретич. анализ факторов, определяющих силу удара между твердыми частицами и воздушными пузырьками при флотации. Рассмотрены условия, при которых происходит прилипание частицы к пузырьку.

**74607. Экспериментальные исследования ламинарных систем. 22. Коагуляция коллоидных частиц на межфазной поверхности жидкость—газ. Мокрушин С. Г., Потаскуев К. Г.**, Коллоид. ж., 1956, 18, № 2, 215—218

Исследована кинетика извлечения частиц дисперсной фазы (ДФ) из гидрозолей сульфидов Cu, Pb, Hg, Ag, Cd и Bi, а также гидроокисей Fe и Al при продувании воздуха в присутствии различных кол-в примеси желатини (II). Степень извлечения ДФ определялась колориметрически. Достигнуто полное удаление ДФ из р-ра. Оптимальное извлечение ДФ имеет место при добавке 1 мл 1%-ного р-ра I к 50 мл золя. Избыточное кол-во добавленной I уменьшает скорость и степень извлечения ДФ, что авторы объясняют увлечением в этих условиях р-ра без специфич. выделения ДФ. Сообщение 21, см. РЖХим, 1955, 23456. Б. Т.

**74608. К образованию аэрофлокул. Славнин Г. П.**, Изв. АН СССР. Отд. техн. н., 1956, № 4, 136—139

С помощью скоростной кино- и микрокиносъемки исследовано образование и структура минерализованных комплексов — аэрофлокул (АФ), образующихся в динамич. условиях пенной флотации и флотогравитации на концентрационном столе. Аэрофлокуляция является процессом образования комплексов, состоящих из минеральных частиц и присоединившихся к ним пузырьков воздуха. На структуру АФ влияет ряд факторов: дисперсность и форма частиц, режим аэрации, флотореагенты и др. Показано, что образование значительных комплексов из АФ состоит из нескольких последовательных стадий: образования «первичных АФ» путем присоединения пузырьков воздуха к обработанным собирателями частицами, сближение первичных АФ — начало образования «груп-

повых АФ\*, и их последующая более плотная упаковка. Избирательное образование АФ из гидрофобизированных под действием соответствующих реагентов минеральных частиц определенного состава создает, по мнению автора, основную предпосылку для селективного разделения минералов. При скорости киносъемки  $\sim 1800$ — $2000$  кадров в сек. отчетливо наблюдается изменение структуры агрегата АФ в условиях пенной флотации. Приведены рис. АФ различных металлических сульфидов. М. Л.

**74609. О движении аэрозольных частиц в поле диффузии.** Дерягин Б. В., Духин С. С., Докл. АН СССР, 1956, 106, № 5, 851—854

Рассмотрены силы, действующие на диффузионно поляризованную капелю (К), испаряющуюся в одномерном поле диффузии с постоянным градиентом концентрации пара А при квазистационарном и изотермич. протекании процесса. Для упрощения описывающей процесс системы нелинейных уравнений принято  $\rho'/\rho \ll 1$ , где  $\rho'$  — парц. плотность пара,  $\rho$  — воздуха; при этом можно ограничиться линейными членами. Для силы, действующей на К в поле диффузии, получено выражение  $F_n = -(6\pi\eta RDA)/\rho'$ , где  $\eta$  — вязкость паро-воздушной смеси,  $R$  — радиус К,  $D$  — коэф. диффузии пара. Сила  $F_n$  не зависит от скорости и направления фазового превращения и вызывает движение К навстречу внешнему потоку диффузии пара. Это движение К компенсируется встречным стефановским потоком, и К не сближается с поверхностью фазового перехода в противоположность частицам, не поглощающим и не выделяющим пара и поэтому увлекаемым стефановским потоком. При малом  $R$  диффузионные силы могут во много раз превышать гравитационные и инерционные силы, т. е. существенно влиять на осаждение аэрозолей на поверхностях фазового перехода. В. Д.

**74610. Процесс электризации капель и коагуляция в устойчивых и неустойчивых облаках.** Ганн (Droplet-electrification processes and coagulation in stable and unstable clouds. Gunn Ross); Электризация дождевых капель путем коагуляции беспорядочно заряженных облачных капелек. Ганн (Raindrop electrification by the association of randomly charged cloud droplets. Gunn Ross), J. Meteorol., 1955, 12, № 6, 511—518, 562—568 (англ.)

Основываясь на своих прежних работах (РЖХим, 1956, 3612, 4323), автор приходит к следующим выводам о механизме зарядки капель (К) в природных облаках: атмосферные ионы, образующиеся под действием космических лучей, радиоактивности и т. д., диффундируют к К и электризуют их. Устанавливается распределение зарядов, близкое к гауссовскому; около половины К в данном объеме устойчивого облака заряжаются положительно (типичная величина заряда  $11e$ ), вторая половина — отрицательно. Обычно электризуется  $\sim 95\%$  К. Если коагуля-

ция незначительна, то устанавливается равенство между кинетич. энергией броуновского движения К и их потенциальной электрической энергией. В неустойчивом облаке происходит коагуляция заряженных К вследствие относительного движения К различных размеров в поле силы тяжести. При этом К приобретают новые заряды и в облаке возникает статистическое распределение зарядов К, также гауссовского типа. Благодаря различной подвижности положительных и отрицательных ионов, зарядка несколько несимметрична, что может привести к значительному суммарному заряду облака. Электризация оказывает измеримое, но небольшое прямое влияние на скорость гравитационной коагуляции. Однако косвенные эффекты могут быть велики. При выпадении осадков заряды разделяются и возникает электрическое поле. При напряженности поля  $E \gg 600$  в/см скорость электрической коагуляции больше, чем гравитационной; такие значения  $E$  обычны при грозовых явлениях. При теплом дожде или при граде заряды К часто достаточны для объяснения грозовых явлений при условии наличия дополнительного процесса, непрерывно разделяющего положительно и отрицательно заряженные К. Растущие дождевые К или льдинки града сталкиваются и сливаются с положительно и отрицательно заряженными облачными К. Теоретич. распределение зарядов К хорошо согласуется с измерениями, произведенными внутри облака при образовании осадков. Средний абс. заряд К пропорционален квадратному корню из размера К и из кинетич. энергии движения малых К относительно крупных. Заряды, создающиеся на высоте образования дождя, близки к  $50$  эл.-ст. ед. на  $1$  г. В. Д.

**74611. Гидродинамика аэрозолей и аэрозольных частиц.** VI. Подвижность частиц, соотношение между броуновским движением и седиментацией и классификация взвешенных частиц. Эйхборн (Strömungsprobleme bei Aerosolen und Aerosolpartikeln. VI. Partikelbeweglichkeit, Verhältnis von Brownscher Bewegung zu Sedimentationsbewegung und Gruppen-Einteilung suspendierter Partikel. Eichborn Johann-Ludwig), Kolloid-Z., 1956, 146, № 1—3, 157—158 (нем.)

Приведены общие соображения о соотношении между смещениями частиц под действием броуновского движения и постоянной силы (напр. тяжести) и о разделении аэрозолей по величине этого соотношения на два класса. При осаждении аэрозолей обоих классов основная роль принадлежит соответственно седиментации и диффузии частиц. Сообщение V см. РЖХим, 1956, 68063. Н. Ф.

См. также: Структурно-механич. св-ва 75097, 75111, 75112, 75119—75122, 75129, 75130. Полиэлектролиты 75189. Р-ры макромолекул. в-в 75097—75099, 75105—75107, 75110, 75112, 75118, 75124—75126, 75134, 75135. Оптические св-ва 75097, 75100, 75101, 75114, 75121, 75131, 75196. Аэрозоли 75452, 75453, 75472. Суспензии и эмульсии 75471, 75473, 75474

## НЕОРГАНИЧЕСКАЯ ХИМИЯ. КОМПЛЕКСНЫЕ СОЕДИНЕНИЯ

**74612. Второе Украинское республиканское совещание по неорганической химии** [Киев, декабрь, 1955]. Шека И. А., Ж. неорг. химии, 1956, 1, № 5, 1123—1125

**74613. Основные проблемы научно-исследовательской работы в области неорганической химии.** Филалков Я. А., Укр. хим. ж., 1956, 22, № 3, 277—286

Сокращенное изложение доклада на II Украинском республиканском совещании по неорганич. химии 26 декабря 1955 г. В. Ш.

**74614. Принципы номенклатуры неорганических соединений.** — (無機化學物質の系統命名原則). 學通報, Хуасюнь тунбао, 1955, № 12, 757—758 (кит.)

**74615. Редкие металлы.** I. Ким Нэ Су (희유금속에 대하여. I. 김네수, Квахак ка кисуль (хвахак-пхен), 1956, № 3, 27—35 (кор.)

Популярная статья. В. Ш.

**74616. Разделение протактиния и циркония в анонообменной колонке.** Маддок, Пью (The separation of protactinium and zirconium by an anionexchange column. Maddock A. G., Pugh W.), Inorg. and Nuclear Chem., 1956, 2, № 2, 114—117 (англ.)

С помощью радиоактивных индикаторов  $\text{Pa}^{233}$ ,  $\text{Pa}^{231}$  и  $\text{Zr}^{90}$  изучено разделение Pa и Zr на амберлите IRA-400 и дауэксе-2 из р-ров в HCl. Коэфф. распределения К на

амберлите и дауэксе для обоих металлов быстро растет с конц-ей к-ты С: адсорбция незначительна из 5 М и велика из 9М HCl. На амберлите при С 6 М К для Ра в 2 раза больше, чем для Зг, а при С 8М — в 20 раз. При С < 5М Зг адсорбируется в 2 раза сильнее, чем Ра. Наилучшие условия разделения Ра и Зг при С 6—8 М, что подтверждено опытами с полиеновой колонкой с амберлитом. Колонку обрабатывали HCl, пропускали 2 мл р-ра, содержащего Ра и Зг, а затем элюировали к-той той же конц-ии. При С 6—7М при элюции объемом, равным 6-кратному объему колонки, извлекается 95% Зг и менее 0,1% Ра; при С 8М разделение несколько хуже. Для элюции оставшегося в колонке Ра пропускают 10-кратный объем разб. к-ты; при С ≤ 3М извлекается 95% Ра. Разделение проверено на макроконтрациях.

И. С.

**74617. Получение металлического плутония в граммовых количествах.** Анселен, Фожра, Гризон (Préparation de plutonium métallique à l'échelle du gramme. Anselin François, Faugeras Pierre, Grison Emmanuel), C. r. Acad. sci., 1956, 242, № 16, 1996—1998 (франц.)

Оксалат Pu (3+) начинает разлагаться на воздухе при 275°, превращаясь в PuO<sub>2</sub> (I); после повышения т-ры I в токе воздуха в течение 2,5 час. до 400° и высушивания I при этой т-ре в течение 0,5 часа I промывался током N<sub>2</sub> и затем восстанавливался до PuF<sub>3</sub> (II) смесью очищенных безводного HF и H<sub>2</sub> (1:1) при 450° в течение 5 час. Для получения Pu смесь II с 100%-ным избытком Са-стружек в флюоритовом тигле кратковременно нагревалась в индукционной ВЧ-печи в атмосфере Ag с применением стружки из сплава Ti и Зг в качестве геттера. После охлаждения тигля извлекался королек Pu, находившийся под слоем сплавленного СаF<sub>2</sub>.

И. Р.

**74618. Электролитическое окисление плутония.** Го (Electrolytic oxidation of plutonium. Ko Roу), Analyst. Chem., 1956, 28, № 2, 274 (англ.)

Электролитическая ячейка изготовлена из полиэтилена. Катодом служит Pt-проволока, покрытая парафином, за исключением площади ~ 0,033 см<sup>2</sup> на конце. Р-р Pu вносят в электролитич. ячейку и разбавляют до 10 мл (конц-ия HClO<sub>4</sub> 0,5 М). Pt-анод (20 см<sup>2</sup>) вращается. После введения катода пропускают 15 мин. ток 60 ма. В указанных условиях окисляется 98% Pu. Электролитич. осаждение Pu в форме Pu(OH)<sub>4</sub> производят при добавлении NaOH (Miller H. W., Bruns R. J., Analyst. Chem., 1952, 24, 536).

В. Ш.

**74619. Заметка о природе висмутата натрия.** Дюваль (Remarque sur la nature du bismuthate de sodium. Duval Clément), Mikrochim. acta, 1956, № 9, 1432 (франц.)

По данным термогравиметрич. исследования, р-ция образования висмутата Na при взаимодействии Bi<sub>2</sub>O<sub>3</sub> и Na<sub>2</sub>O<sub>2</sub> не сопровождается выделением O<sub>2</sub>. Продукт р-ции представляет собой смесь в-в, в которой по положению полос поглощения в интервале 6—15 м идентифицирован Na<sub>2</sub>CO<sub>3</sub>. Смесь содержит также Bi<sub>2</sub>O<sub>3</sub> и переменные кол-ва Na<sub>2</sub>O<sub>2</sub>. Активным компонентом продукта р-ции, по мнению автора, является главным образом перекись Bi. Н. П.

**74620. Получение чистого метаниобата калия.** Рейсман, Холцберг, Трибуассер, Беркенблит (Preparation of pure potassium metaniobate. Reisman Arnold, Holtzberg Frederic, Triebwasser Sol, Berkenblit Melvin), J. Amer. Chem. Soc., 1956, 78, № 4, 719—720 (англ.) Смесь 50,05—50,2 мол. % K<sub>2</sub>CO<sub>3</sub> с Nb<sub>2</sub>O<sub>5</sub> в Pt-тигле помещают в печь при 800°, нагревают до 1075° со скоростью 5 град/мин, выдерживают сплав 1 час, охлаждают до 840° со скоростью 2 град/мин и затем до комнатной т-ры со скоростью 10 град/мин. Образуется метаниобат калия (I) желтого или светло-синего цвета, содержащий небольшое кол-во восстановленного Nb. Поликристаллич. I выщела-

чивают дважды 2%-ным р-ром K<sub>2</sub>CO<sub>3</sub> и 5 раз кипящей водой, сушат и растирают. Полученный порошок I содержит ≥ 99,9% KNbO<sub>3</sub>. Для получения кристаллич. препарата смесь порошка I и 57,5 мол. % K<sub>2</sub>CO<sub>3</sub> нагревают до 960° со скоростью 10 град/мин, выдерживают 20 час. и охлаждают со скоростью 1 град/мин, давая 2 часа на отжиг в каждой точке перехода. Выщелачивают р-ром K<sub>2</sub>CO<sub>3</sub> и водой и сушат. Образуются кристаллы I размером 40—400 меш, не содержащие восстановленного Nb. Разработан метод определения Nb<sub>2</sub>O<sub>5</sub> в I. 0,2—0,4 г I сплавляют в Au-тигле с 10-кратной навеской K<sub>2</sub>CO<sub>3</sub>, растворяют в 100 мл горячей воды, разбавляют до 200 мл, прибавляют 50 мл 15 М NH<sub>4</sub>OH и 50 мл 12 М HCl. Нагревают до удаления CO<sub>2</sub>, кипятят 20 мин, отфильтровывают осадок Nb<sub>2</sub>O<sub>5</sub>·xH<sub>2</sub>O, промывают, прокалывают 1 час при 1000° и взвешивают Nb<sub>2</sub>O<sub>5</sub>.

И. С.

**74621. Получение и некоторые свойства HAu(CN)<sub>2</sub>.** Пеннеман, Старицкий, Джонс (Preparation and some properties of HAu(CN)<sub>2</sub>. Penneman R. A., Staritzky E., Jones L. H.), J. Amer. Chem. Soc., 1956, 78, № 1, 62 (англ.)

HAu(CN)<sub>2</sub> (I) получен пропусканием водн. р-ра KAu(CN)<sub>2</sub> через колонку с ионитом дауэкс-50 в H<sup>+</sup>-форме. Более чистый препарат I без примеси AuCN получается при пропускании смеси KAu(CN)<sub>2</sub> и KCN. При испарении р-ра в токе воздуха при комнатной т-ре остается I в виде бесцветных кристаллов. I медленно разлагается при 103°, быстро — при 120° с образованием AuCN, кристаллизуется в моноклинной системе, образует оптически двухосные кристаллы. В ИК-спектре р-ра I обнаружена сильная полоса поглощения при 2147 см<sup>-1</sup>, в спектре твердого I — при 2146 и 399 см<sup>-1</sup>. В водн. р-ре I сильно диссоциирован. Приведена дебаегграмма I.

И. С.

**74622. Природа и устойчивость сульфитных комплексов серебра при 25°. I. Изучение водных растворов сульфита натрия.** Шато, Дюранте, Эрвье (Nature et stabilité des complexes argentisulfites à 25° C: (I) Étude des solutions aqueuses de sulfite de sodium. Chateau Henri, Duranté Monique, Hervier Bernadette), Sci. et inds fotogr., 1956, 27, № 3, 81—90 (франц.)

С применением потенциометрич. метода показано, что при добавлении р-ра AgNO<sub>3</sub> к р-рам Na<sub>2</sub>SO<sub>3</sub> различной конц-ии образуются растворимые сульфитные комплексы состава [Ag(SO<sub>3</sub>)<sub>2</sub>]<sup>3-</sup> (константа диссоциации K = 2,1 · 10<sup>-9</sup> при 25°), [Ag(SO<sub>3</sub>)<sub>2</sub>]<sup>5-</sup> (K = 1,0 · 10<sup>-6</sup>) и, по-видимому, в малых кол-вах [AgSO<sub>3</sub>]<sup>-</sup> (K ≈ 10<sup>-6</sup> — 10<sup>-8</sup>). В р-рах с конц-ией Na<sub>2</sub>SO<sub>3</sub> < 1М преобладает [Ag(SO<sub>3</sub>)<sub>2</sub>]<sup>3-</sup>, в более конц. р-рах содержится значительные кол-ва [Ag(SO<sub>3</sub>)<sub>2</sub>]<sup>5-</sup>. При высоких конц-иях Ag<sup>+</sup> выпадает белая нерастворимая соль AgSO<sub>3</sub>Na · 2H<sub>2</sub>O, легко распавшаяся на металлич. Ag и Na<sub>2</sub>SO<sub>3</sub>.

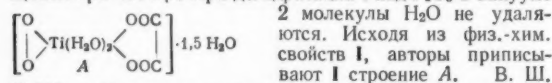
Н. П.

**74623. О иодиде-сульфиде алюминия.** Эбель (Sur un iodure — sulfure d'aluminium. Heubel Joseph), C. r. Acad. sci., 1956, 242, № 25, 2950—2953 (франц.)

При пропускании H<sub>2</sub>S над AlJ<sub>3</sub> при 165—170° выделяется 2 моля HJ и образуется желтоватый иодид-сульфид алюминия (I) суммарного состава (AlJS)<sub>2</sub>. I образуется также в виде осадка при действии H<sub>2</sub>S на кипящий р-р AlJ<sub>3</sub> в CS<sub>2</sub>. Оба препарата рентгеноаморфны. I не изменяется в запаянной ампуле, но быстро темнеет на воздухе. В отсутствие влаги давление пара I при комнатной т-ре незначительно. При нагревании I в атмосфере N<sub>2</sub> от 150 до 450° он теряет в весе 10—20%; при 470—490° выделяется AlJ<sub>3</sub> и потеря в весе достигает 50%. В атмосфере O<sub>2</sub> I полностью теряет J при 170°; в токе H<sub>2</sub>S выше 500° колич. превращается в Al<sub>2</sub>S<sub>3</sub>. I весьма чувствителен к влаге: следы паров H<sub>2</sub>O вызывают выделение H<sub>2</sub>S; при гидролизе в токе инертного газа, насыщ. парами H<sub>2</sub>O при 20°, выделяется H<sub>2</sub>S; в более жестких условиях гидролиза образуются Al<sub>2</sub>O<sub>3</sub>, Al<sup>3+</sup>, J<sup>-</sup>, HJ и H<sub>2</sub>S, на 1 атом J в р-цию вступает 6H<sub>2</sub>O.

При действии спирта на **I** выделяется  $\text{H}_2\text{S}$ . **I** не растворяется в  $\text{CS}_2$ ,  $\text{C}_6\text{H}_6$  и абс. эфире **I** присоединяет 4 молекулы  $\text{NH}_3$ , 2 из них отщепляются при  $100^\circ$ ; одна из оставшихся, как показывает рентгенограмма, связана с **J** в виде  $\text{NH}_4\text{J}$ , а вторая — присоединена к **Al** как  $\text{NH}_2$ . И. С. 74624. Оксалат-пероксид титана. Кхаркар, Пател (Peroxy titanium oxalate. Kharakar D. P., Patel C. C.), Current Sci., 1956, 25, № 2, 56—57 (англ.)

$\text{TiO}_2\text{C}_2\text{O}_4 \cdot 3.5 \text{H}_2\text{O}$  (**I**) получен смешением свежесозданной титановой к-ты с  $\text{H}_2\text{O}_2$  и  $\text{C}_2\text{H}_2\text{O}_4$  в отношении 1 : 3 : 3. Установлено, что  $\text{Ti}_2\text{O}_3(\text{C}_2\text{O}_4)_2$  (Mazzucchelli A., Pontaneli, Atti. Accad. Lincei, 1908, 18 (1), 518) является смесью  $\text{TiO}_2\text{C}_2\text{O}_4$  и  $\text{TiOC}_2\text{O}_4$ . Мол. вес **I**  $230 \pm 4$ ; константа диссоциации, определенная по электропроводности,  $4.5 \cdot 10^{-2}$ ; теплота диссоциации  $15.39 \text{ ккал/моль}$ ; максимум поглощения при  $425 \text{ мк}$ . При дегидратации **I** над  $\text{P}_2\text{O}_5$  в вакууме



2 молекулы  $\text{H}_2\text{O}$  не удаляются. Исходя из физ.-хим. свойств **I**, авторы приписывают **I** строение **A**. В. Ш. 74625. К вопросу о природе гликолята свинца. Волштейн Л. М., Зак. А. М., Тр. Днепрпетр. хим. технол. ин-та, 1956, № 4, 25—32

Описана методика получения чистого безводн. гликолята **Pb** (**I**). Растворение **I** в воде сопровождается гидролизом и выпадением осадка. Избытком свободного гликолята (**II**) гидролиз **I** подавляется, при этом получались прозрачные р-ры; изучена электропроводность этих р-ров. Молекулярная электропроводность ( $\mu$ ) **I** первоначально растет с увеличением конц-ии **II**, достигает максимума (отвечающего негидролизованной соли), когда конц-ия **II** становится в 50 раз больше конц-ии **I**, и далее практически не меняется. При конц-иях **I**, равных  $10^{-2}$ ,  $5 \cdot 10^{-3}$ ,  $1 \cdot 10^{-3}$  и  $5 \cdot 10^{-4} \text{ M}$ , в присутствии 100-кратного избытка **II** найдены величины  $\mu$ , равные соответственно 23, 28, 34 и  $49 \text{ ом}^{-1} \text{ см}^2$  при  $25^\circ$ . Из этих данных сделан вывод, что **I** является относительно непрочной внутрикомплексной солью и вычислена константа нестойкости  $K_2 = 3.2 \cdot 10^{-4}$ , отвечающая равновесию  $\text{Pb}(\text{NH}_2\text{CH}_2\text{CO}_2)_2 \rightleftharpoons \text{Pb}(\text{NH}_2\text{CH}_2\text{CO}_2)^+ + \text{NH}_2\text{CH}_2\text{CO}_2^-$ . Для сравнения с **I** изучен гликолят **Mg** (**III**). Показано, что первая стадия диссоциации **III** идет практически нацело;  $\mu$   $10^{-3} \text{ M}$  р-ра **III** в  $1 \text{ M}$  р-ре **II** составляет  $103 \text{ ом}^{-1} \text{ см}^2$  при  $25^\circ$ . Л. В. 74626. Гидротермальное изучение ортофосфата хрома.

Шейфер, Рой (Hydrothermal study of chromium orthophosphate. Shafer M. W., Roy Rustum), J. Amer. Chem. Soc., 1956, 78, № 6, 1087—1089 (англ.) Исследованы продукты гидротермальной обработки  $\text{CrPO}_4 \cdot 6\text{H}_2\text{O}$  (**I**) под давл.  $700 \text{ кг/см}^2$  в интервале т-р  $170$ — $1000^\circ$ , а также продукты сухого прокалывания **I** на воздухе. В первом случае в интервале  $300$ — $950^\circ$  получена кристаллич. форма  $2\text{CrPO}_4 \cdot \text{H}_2\text{O}$  (**II**), которая при т-ре  $> 950^\circ$  претерпевает разложение, сопровождаемое растворением **P** и образованием  $\text{Cr}_2\text{O}_3$ . Во втором случае при  $200^\circ$  получен рентгеноаморфный продукт, который при электронографич. исследовании оказался идентичным **II**. На воздухе при  $950^\circ$  **II** переходит в  $\beta\text{-CrPO}_4$ , а при  $1175^\circ$  — в  $\alpha\text{-CrPO}_4$ . На основании полученной кривой обезвоживания и ИК-спектра поглощения предполагается наличие в структуре **II** ионов  $\text{OH}^-$ . Показано, что в условиях эксперимента не происходит окисления  $\text{Cr}^{3+}$ . Отмечается, что полученная кристаллич. форма **II** не имеет аналогов среди силикатов и что  $\text{Cr}^{3+}$  не может находиться в четверной координации по отношению к кислороду. В. А. 74627. Новый метод получения перхлорфторида  $\text{ClO}_2\text{F}$ . Барт-Вереналь (A new method for producing perchloryl fluoride ( $\text{ClO}_2\text{F}$ ). Barth-Wehrenal Gerhard), J. Inorg. and Nuclear Chem., 1956, 2, № 4, 266 (англ.)

Для получения  $\text{ClO}_2\text{F}$  (**I**) р-р  $10 \text{ г}$   $\text{KClO}_4$  в  $100 \text{ г}$   $\text{HSO}_3\text{F}$  постепенно нагревают в колбе емк.  $250 \text{ мл}$ , снабженной мешалкой, обратным холодильником и нагревателем. Выделение **I** начинается при  $50^\circ$  и быстро протекает при  $85^\circ$ . Газ **I** промывается р-ром, содержащим  $10\%$   $\text{NaOH}$  и  $5\%$   $\text{Na}_2\text{S}_2\text{O}_8$ , сушится твердым  $\text{KOH}$  и конденсируется в ловушке, охлаждаемой жидким  $\text{O}_2$ ; выход **I**  $67\%$ . В процессе р-ции р-р постепенно окрашивается, а затем вновь обесцвечивается; окраска вызывается промежуточным образованием темнокрасного  $(\text{ClO}_2)_2\text{S}_2\text{O}_{10}$ , разлагающегося при т-рах  $> 85^\circ$  (без опасности взрыва) на  $\text{Cl}_2$ ,  $\text{O}_2$  и  $\text{SO}_2$ . И. Р. 74628. О получении различных модификаций двуокиси марганца. Брене, Грудн (Sur l'obtention de diverses variétés de bioxydes de manganèse. Brenet Jean, Grund Alfred), C. r. Acad. sci., 1956, 242, № 19, 2343—2344 (франц.)

В результате диспропорционирования  $\text{Mn}_2\text{O}_3$  в кислых р-рах, в зависимости от их конц-ии, образуются  $\alpha$ - или  $\gamma$ - $\text{MnO}_2$ . Следовательно, присутствие катионов с большими радиусами ( $\text{K}^+$ ,  $\text{Ca}^{2+}$ ,  $\text{Ba}^{2+}$ ,  $\text{NH}_4^+$ ) не обязательно для образования  $\alpha$ - $\text{MnO}_2$ . Однако введение таких катионов в кислый р-р, из которого обычно выпадает  $\gamma$ - $\text{MnO}_2$ , достаточно для образования  $\alpha$ - $\text{MnO}_2$ . Действие р-ров кислородных к-т на  $\text{Mn}_2\text{O}_3$  авторы связывают с их гидротитич. и окислительными свойствами. Н. П. 74629. Восстановление хлорного железа алюмогидридом и борогидридом лития. Борогидрид двухвалентного железа. Шеффер, Роско, Стюарт (The reduction of iron (III) chloride with lithium aluminohydride and lithium borohydride: iron (II) borohydride. Schaeffer George W., Roscoe John S., Stewart Albert C.), J. Amer. Chem. Soc., 1956, 78, № 4, 729—733 (англ.)

При р-ции избытка  $\text{LiAlH}_4$  с  $\text{FeCl}_3$  в безводн. эфире в отсутствие воздуха выделяется  $\text{H}_2$  и образуется осадок в виде черного порошка. Осадок, оставленный в р-ре или отделенный от него, продолжает выделять  $\text{H}_2$  и превращается в пирофорный порошок  $\text{Fe} \cdot 3\text{Al}$ . Изучение кинетики выделения  $\text{H}_2$  при комнатной т-ре и  $-45^\circ$  и влияния избытка  $\text{FeCl}_3$  показывает, что вначале происходит восстановление  $\text{Fe}(3+)$  до  $\text{Fe}(2+)$  по р-ции  $\text{FeCl}_3 + \text{LiAlH}_4 = \text{FeCl}_2 + \text{AlH}_3 + \text{LiCl} + \frac{1}{2}\text{H}_2$  (1). Затем в результате обмена  $\text{FeCl}_2$  с избытком  $\text{LiAlH}_4$ , по-видимому, получается алюмогидрид  $\text{Fe}(2+)$ ; это соединение не выделено, но образование его весьма вероятно:  $\text{FeCl}_2 + 2\text{LiAlH}_4 = 2\text{LiCl} + \text{Fe}(\text{AlH}_4)_2$  (2). Алюмогидрид  $\text{Fe}$  отщепляет молекулу  $\text{H}_2$ :  $\text{Fe}(\text{AlH}_4)_2 = \text{FeAl}_2\text{H}_6 + \text{H}_2$  (3), превращаясь в сравнительно устойчивое соединение, медленно разлагающееся по ур-нию  $\text{FeAl}_2\text{H}_6 = \text{Fe} \cdot 2\text{Al} + 3\text{H}_2$  (4). В присутствии мелкоизмельченного металла  $\text{AlH}_3$  также разлагается:  $\text{AlH}_3 = \text{Al} + \frac{1}{2}\text{H}_2$  (5). Суммирование ур-ний (1)—(5) дает общую р-цию  $\text{FeCl}_3 + 3\text{LiAlH}_4 = 3\text{LiCl} + \text{Fe} \cdot 3\text{Al} + 6\text{H}_2$ . При взаимодействии  $\text{FeCl}_3$  с  $\text{LiBH}_4$  в эфирном р-ре при комнатной т-ре выделяются  $\text{H}_2$  и  $\text{B}_2\text{H}_6$  и выпадает осадок  $\text{Fe} \cdot 2\text{B}$ . При  $-45^\circ$  образуется борогидрид  $\text{Fe}(2+)$ , остающийся в р-ре:  $\text{FeCl}_3 + 3\text{LiBH}_4 = 3\text{LiCl} + \frac{1}{2}\text{H}_2 + \frac{1}{2}\text{B}_2\text{H}_6 + \text{Fe}(\text{BH}_4)_2$ . После выпаривания эфира остается белый или коричневый  $\text{Fe}(\text{BH}_4)_2$ , разлагающийся при т-ре от  $0^\circ$  до  $-10^\circ$  с образованием пирофорного  $\text{Fe} \cdot 2\text{B}$  и выделением  $\text{H}_2$  и  $\text{B}_2\text{H}_6$ . И. С. 74630. Об экстракции неорганических соединений трибутилфосфатом. Хлориды никеля и меди. Шатле, Нико (Sur l'extraction de composés minéraux par le tributylphosphate: chlorures de nickel et de cuivre. Chatelet Marcel, Nicaud Claude), C. r. Acad. sci., 1956, 242, № 15, 1891—1893 (франц.)

Хлориды  $\text{Ni}$  и  $\text{Cu}$  распределяются между водой и трибутилфосфатом в виде мономеров. На величину коэфф. распределения  $K$  влияет т-ра: при  $50^\circ K$  меньше, чем при  $25^\circ$ . Для обоих хлоридов  $K$  уменьшается с их конц-ией, причем  $\lg K$  изменяется с  $\lg (\text{MCl}_2)$  ( $\text{M} = \text{Ni}, \text{Cu}$ ) в неводн.

слое по линейному закону. Величина  $K$  для  $\text{NiCl}_2$  значительно меньше, чем для  $\text{CuCl}_2$  и  $\text{CoCl}_2$ , что можно использовать для отделения  $\text{Co}$  от  $\text{Ni}$  и  $\text{Cu}$  от  $\text{Ni}$ . Н. П. 74631.

**О солях, образующихся при взаимодействии щелочных металлов с диаммиаком диборана.** Шеффер, Адамс, Кёниг (On the alkali metal salts derived from the diammoniate of diborane. Schaeffer George W., Adams Max D., Koenig Francis J.), J. Amer. Chem. Soc., 1956, 78, № 4, 725—728 (англ.)

Изучены р-ции  $\text{B}_2\text{H}_6 \cdot 2\text{NH}_3$  с  $\text{Li}$ ,  $\text{Na}$  и  $\text{K}$  в жидком  $\text{NH}_3$ . По окончании р-ций избыток  $\text{NH}_3$  удалялся сублимацией при возможно более низкой т-ре. Суммарное ур-ние р-ции:  $\text{M} + \text{B}_2\text{H}_6 \cdot 2\text{NH}_3 = \frac{1}{2} \text{H}_2 + \text{NH}_3 + \text{MBH}_4 + \text{BH}_2\text{NH}_2$ . Борогидрид  $\text{Li}$  изолирован экстракцией диэтиловым эфиром, а  $\text{NaBH}_4$  — диэтиловым эфиром этиленгликоля; образование  $\text{NaBH}_4$  и  $\text{KBH}_4$  подтверждено также рентгенографически. При удалении р-рителя происходит частичный аммонолиз аминоборана с выделением  $\text{H}_2$  по р-ции  $\text{BH}_2\text{NH}_2 + x\text{NH}_3 = \text{BH}_{2-x}(\text{NH}_2)_{1+x} + x\text{H}_2$ . Аммонолиз сильнее в присутствии  $\text{LiBH}_4$  и слабее в присутствии  $\text{KBH}_4$ , так как для удаления  $\text{NH}_3$  из аммиаката  $\text{LiBH}_4$  приходится поднимать т-ру выше, чем после р-ции с  $\text{Na}$  и особенно с  $\text{K}$ . Авторы считают, что хим. свойствам диаммиаката диборана лучше всего соответствует ф-ла  $\text{NH}_4 \cdot \text{BH}_2\text{NH}_2 \cdot \text{BH}_4$ , но что возможно и таутомерное строение  $\text{NH}_4\text{BH}_3\text{NH}_2\text{BH}_4$ . И. С. 74632.

**Осаждение основных карбонатов меди из растворов сульфата меди и карбоната натрия.** Сюй И (Precipitation of basic copper carbonates from cupric sulphate and sodium carbonate solutions. Hsu C. T.), J. Appl. Chem., 1956, 6, № 2, 84—88 (англ.)

Исследовалось влияние молярного отношения  $\text{Na}_2\text{CO}_3 : \text{CuSO}_4$ , конц-й реагирующих р-ров, характера перемешивания при осаждении и старения осадка на хим. состав и физ. свойства продуктов, образующихся при смешении р-ров  $\text{CuSO}_4$  и  $\text{Na}_2\text{CO}_3$ . Для получения продуктов определенного состава, обладающих желательными физ. свойствами, автор рекомендует следующие условия: отношение  $\text{Na}_2\text{CO}_3 : \text{CuSO}_4 = 1,1 : 1$ , конц-ии р-ров  $\sim 1 \text{ M}$ , умеренное перемешивание, достаточное время старения для перехода голубого студенистого осадка в кристаллический зеленый  $\text{CuCO}_3 \cdot \text{Cu}(\text{OH})_2 \cdot x\text{H}_2\text{O}$ . Н. П. 74633.

**О некоторых солях имидосульфамида.** Волштейн Л. М., Писаржевская Н. П., Слуцкая М. М., Ж. общ. химии, 1956, 26, № 2, 389—393. Из сульфамида (I) по р-ции:  $\text{Ba}(\text{OH})_2 + 4\text{NH}_2\text{SO}_2\text{NH}_2 \rightarrow \text{Ba}[\text{N}(\text{SO}_2\text{NH}_2)_2]_2 + 2\text{NH}_3 + 2\text{H}_2\text{O}$  синтезирована Ва-соль имидосульфамида (II). Добавлением  $\text{AgNO}_3$  к р-ру II получен малорастворимый в воде дигидрат  $\text{Ag}$ -соли имидосульфамида (III). Для синтеза  $\text{Cu}$ -соли имидосульфамида (IV) добавляли к титрованному р-ру  $\text{CuSO}_4$  навеску II (молярное отношение 1:1), отфильтровывали  $\text{BaSO}_4$  и испарением фильтрата в вакууме при 30—40° получали IV в виде моногидрата голубого цвета, хорошо растворимого в воде. Соль не обезвоживается при 120—140°, плавится при 149°, разлагается при встряхивании со спиртом. Измерение электропроводности  $10^{-3} \text{ M}$  р-ров II, III и IV показало, что соли являются обычными электролитами, а не внутрикомплексными соединениями. Определена подвижность аниона  $\text{N}(\text{SO}_2\text{NH}_2)_2^-$ , равная в среднем  $57 \text{ ом}^{-1} \text{ см}^2/\text{экв.}$  при 25°. Добавление  $\text{NaOH}$  к р-ру IV дает осадок  $\text{Cu}(\text{OH})_2$ . При добавлении к р-ру III образуется белый осадок  $\text{Ag}$ -соли I. Р-ция идет согласно ур-нию:  $2\text{Ag}(\text{N}(\text{SO}_2\text{NH}_2)_2) + 2\text{NaOH} \rightarrow \text{Ag}_2(\text{NH}_2)\text{SO}_2 + \text{NaOSO}_2\text{NH}_2 + \text{NaN}(\text{SO}_2\text{NH}_2)_2 + \text{H}_2\text{O}$ . И. В. 74634.

**Псевдогалогенопроизводные моносила. МакДермид (Pseudo-halogen derivatives of monosilane. Mac-Dermid A. G.), J. Inorg. and Nuclear Chem., 1956, 2, № 2, 88—94 (англ.)**

Силилизацию  $\text{SiH}_3\text{NC}$  (I) получается с выходом >90% по ур-нию  $\text{SiH}_3\text{J} + \text{AgNC} \rightarrow \text{SiH}_3\text{NC} + \text{AgJ}$  при

комнатной т-ре или р-цией  $\text{SiH}_3\text{J}$  с  $\text{Hg}(\text{CN})_2$  при слегка повышенной т-ре; ранее (Emeléus, Maddock, Reid, J. Chem. Soc., 1941, 353) I был ошибочно принят за силилизианид  $\text{SiH}_3\text{CN}$ . Т. пл. I 32,4°; вследствие переохлаждения жидкость замерзает при 24,0—24,1°. Давление пара твердого I между —20 и +31°:  $\lg p = -2550/T + 10,951$ ;  $\Delta H$  сублимации 11,670 ккал/моль. Давление пара жидкого I между 26 и 46°:  $\lg p = -1567/T + 7,735$ ;  $\Delta H$  испарения 7,169 ккал/моль. Экстраполированная т. кип.  $49,6 \pm 0,3^\circ$ . I горит, но не самовоспламеняется на воздухе. В темноте при комнатной т-ре I разлагается за 1—2 года на 90% по ур-нию:  $2\text{I} \rightarrow x\text{SiH}_4 + x\text{HCN} + [\text{SiHCN}]_x$ ; следы  $\text{Hg}$  резко ускоряют разложение. I количественно гидролизует холодной водой:  $2\text{I} + \text{H}_2\text{O} \rightarrow (\text{SiH}_3)_2\text{O} + 2\text{HCN}$ . Пар I не реагирует с  $\text{AgCl}$ . Силилизотиоцианат  $\text{SiH}_3\text{NCS}$  (II) получен с выходом 66% по ур-нию:  $\text{SiH}_3\text{J} + \text{AgNCS} \rightarrow \text{II} + \text{AgJ}$ . Т. пл. II —51,8 ± 0,2°. Давление пара II между —33 и +10°:  $\lg p = -1950/T + 8,340$ ;  $\Delta H$  испарения 8,923 ккал/моль; т. кип.  $84,0 \pm 4^\circ$  (константа Трутона равна 25, что указывает на ассоциацию жидкости). II — бесцветная жидкость,  $d_{20}^{20} = 1,05$ , с острым запахом. В течение 12 дней при комнатной т-ре II разложился на 74% с образованием  $\text{H}_2$ ,  $\text{SiH}_4$  и неидентифицированного твердого в-ва. II горит, но не самовоспламеняется. II быстро гидролизует холодной водой; выход  $(\text{SiH}_3)_2\text{O}$  равен 46,5% от соответствующего ур-нию  $2\text{II} + \text{H}_2\text{O} \rightarrow (\text{SiH}_3)_2\text{O} + 2\text{HCNS}$ . При безуспешных попытках получения силилизианата наблюдалась р-ция  $\text{SiH}_3\text{J} + 5\text{AgCN} \rightarrow \text{Si}(\text{NCO})_4 + \text{HOCN} + \text{H}_2 + 4\text{Ag} + \text{AgJ}$ .  $\text{SiH}_3\text{J}$  не реагирует с  $\text{KCN}$ ; р-ция пара II с  $\text{AgCNO}$  протекает бурно, но из продуктов изолированы только  $\text{Si}(\text{NCO})_4$  и  $\text{HOCN}$ . Молекулы I и II являются симметричными молекулами. Приведены частоты ИК-спектров I и II. И. Р. 74635.

**Ацидосилокены как самостоятельные поверхностные соединения.** Каутский, Рихтер (Acidosiloxene als selbständige Oberflächen-Verbindungen. Kautsky Hans, Richter Tillman), Z. Naturforsch., 1956, 11b, № 6, 365—366 (нем.)

Авторы рассматривают силоксен как 2-мерное поверхностное соединение, структура которого может быть изображена ф-лой  $\square \text{H}_6$ , где знак  $\square$  означает  $(\text{Si}_2\text{O})_2$ , т. е. цикл из шести атомов  $\text{Si}$ , соединенный с соседними циклами шестью мостиками  $\text{Si} - \text{O} - \text{Si}$ . Шесть атомов  $\text{H}$ , из которых 3 лежат выше и 3 ниже плоскости кольца, могут быть замещены на другие атомы и группы. Исходя из галогенсилосенов, через окси-, алкокси-, amino-, алкиламины или арилиаминосилокены авторы получили ряд кислотных производных силоксена. Количественно проведена р-ция получения диацетосилоксена:  $\square \text{H}_4(\text{OH})_2 + 2\text{CH}_3\text{COOH} \rightleftharpoons \square \text{H}_4(\text{OOCCH}_3)_2 + 2\text{H}_2\text{O}$ . Это же соединение получено действием уксусного ангидрида на диоксисилоксен и р-цией  $\text{CH}_3\text{COOH}$  с диметоксисилоксеном. Исходя из ди(этиламино)силоксена и анилиносилоксена получены йодсилосен, диацетат, дипропионат и дибутиратосилокены. При р-ции присоединения  $\text{CO}$ ,  $\text{SO}_2$ ,  $\text{CS}_2$  к ди(моноэтиламино)силоксену образуются ацидосилокены, в которых амидокислоты связаны с силоксеном через атом  $\text{N}$ . Р-ции типа  $\square \text{H}_4(\text{NHC}_2\text{H}_5)_2 + \text{SO}_2 \rightarrow \square \text{H}_4[\text{HN}(\text{C}_2\text{H}_5)\text{SOOH}]_2$  проводят не в р-ре, а как хемосорбцию газа.  $\text{BF}_3$  присоединяется к диметилсилосену с образованием оксониевого соединения, обладающего сильной зеленой флуоресценцией:  $\square \text{H}_4(\text{OCH}_3)_2 + 2\text{BF}_3 \rightarrow \square \text{H}_4[\text{O}(\text{CH}_3) \cdot \text{BF}_3]_2$ . В дибромосилоксене и получаемых из него других производных силоксена с двумя заместителями последние расположены по разные стороны плоскости кольца. И. С. 74636.

**Соединения германия.** Оикава (ゲルマニウム化合物及河川), 炭研, Танкэн, J. Coal. Res. Inst., 1955, 6, № 10, 9—30 (япон.)  
Обзор. Библ. 212 назв. В. Ш.

**74637. Соединения циркония. II. Термическая диссоциация  $ZrOBr_2 \cdot 8H_2O$ . Такаги** (ジルコニウム鹽類の研究. 第2報. 臭化ジルコニル. 8 水化物の熱分解. 高木貞恵), 日本化学雑誌. Нихон катэку дзэсси, J. Chem. Soc. Japan. Pure Chem. Sec., 1955, 76, № 4, 443—444 (япон.)

Термическое разложение  $ZrOBr_2 \cdot 8H_2O$  во влажном воздухе при 75° приводит к образованию  $ZrOBr_2 \cdot 6H_2O$ , а при 125° к образованию  $ZrOBr_2 \cdot 3H_2O$ ; в сухом воздухе образуются соединения неопределенного состава. Безводн.  $ZrOBr_2$  ни в одном случае обнаружен не был. Предположено, что имеет место р-ция  $ZrOBr_2 + H_2O = ZrO_2 + 2HBr$ . Разложение  $2ZrOBr_2 = ZrO_2 + ZrBr_2$  начинается при 350°, что на 50° ниже т-ры разложения  $ZrOCl_2$ . Часть I см. РЖХим, 1956, 61254

Chem. Abstrs, 1956, 50, № 6, 3937 K. Yamasaki

**74638. Химия кислородных соединений фосфора в свете структурной теории. Ходаков Ю. В., Ж. неорган. химии, 1956, 1, № 3, 368—384**

Обзор работ кафедры химии Московского авиационного ин-та им. С. Орджоникидзе. Библ. 12 назв. А. Н.

**74639. Фосфаты этилендиамина и двухвалентных металлов. Новый ряд двойных солей. Маст, Эспер** (Some divalent metal ethylenediammonium phosphates; a new series of double salts. Mast Roy C., Oesper Ralph E.), J. Amer. Chem. Soc., 1955, 77, № 24, 6474—6477 (англ.)

В результате изучения систем, содержащих  $Mg^{2+}$ ,  $Zn^{2+}$ ,  $Mn^{2+}$  или  $Ni^{2+}$ , Еп и орто- или пиррофосфат-ион, установлено существование ряда двойных солей. Белые кристаллы  $Mg(EnH_2)(HPO_4)_2 \cdot 6H_2O$  образуются при pH 4,6—4,8 и не изменяются до pH 8,0—8,2.  $Mg_2(EnH_2)(PO_4)_2 \cdot 3H_2O$  образуется при pH > 8,0—8,2 при избытке Еп или  $PO_4^{3-}$ .  $Mg(EnH_2)(P_2O_7) \cdot 4,5 H_2O$  получается при pH 3,6—3,8 при избытке Еп или  $P_2O_4^{4-}$ , устойчив до pH 10.  $Zn_2(EnH_2)(PO_4)_2$  образуется в большинстве случаев в системе  $Zn^{2+} - EnH_2^{2+} - PO_4^{3-}$  в широком интервале pH.  $Zn_3(EnH_2)_2(HPO_4)_4(PO_4)_4 \cdot 5H_2O$  получается при прибавлении 0,5 M Еп к р-ру, содержащему 0,8 M  $ZnSO_4 + 0,5 M H_3PO_4 + 30 M M$  Еп (HCl)<sub>2</sub> в отношении 2:1:2.  $Zn(EnH_2)_2(PO_4)_2$  получается при смешении  $Zn_2(EnH_2)(PO_4)_2$  с 40%-ным р-ром Еп, кристаллизуется в виде прямоугольных призм.  $Mn_2(EnH_2)(PO_4)_2 \cdot 5H_2O$  образуется при pH 6,5—6,6 при прибавлении Еп к р-ру  $H_3PO_4 + MnSO_4$  (1:1 или 2:1). Розовые игольчатые кристаллы  $Mn_2(EnH_2)(HPO_4)_2 \cdot H_2O$  получают при прибавлении Еп к р-ру  $H_3PO_4 + MnSO_4$  (2:1) при pH 4,6.  $Mn(EnH_2)(P_2O_7) \cdot H_2O$  получается при pH 4 из осадка, образующегося при pH 1,7 при добавлении Еп к р-ру  $H_4P_2O_7 + MnSO_4$ , устойчив при нагревании (при 155° теряет лишь 3,5% от начального веса), кристаллизуется в виде мелких иголочек или сферолитов.  $Ni(EnH_2)(HPO_4)_2 \cdot 6H_2O$  осаждается при pH 6,1 при прибавлении  $Ni^{2+}$  к  $EnH_2PO_4$ , а также при pH 4,7 при прибавлении Еп к  $NiSO_4 + H_3PO_4$ .  $Ni(EnH_2)(P_2O_7) \cdot 4H_2O$  образуется при pH 6,1 изоморфного осадка, выпадающего при pH 3,2 при прибавлении Еп к р-ру  $NiSO_4 + H_4P_2O_7$  (1:1). При р-ции тетраметафосфата Na с Еп при pH 1,0 получен  $Na_2(EnH_2)(P_4O_{12}) \cdot 2H_2O$ , призматич. кристаллы, не теряющие воду при 105°. И. С.

**74640. Соединения серы с азотом и фтором. II. Получение и свойства  $SNF_3$ . Глемзер, Шрёдер** (Schwefel-Stickstoff — Fluorverbindungen. II. Darstellung und Eigenschaften von  $SNF_3$ . Glemser Oskar, Schröder Hans), Z. anorgan. und allgem. Chem., 1956, 284, № 1—3, 97—100 (нем.)

При пропускании смеси  $SNF$  и  $SN_2F_2$  над  $AgF_3$  при 20° образуется бесцветный  $SNF_3$  (I), очищаемый фракционированием в высоком вакууме и устойчивый в течение долгого времени. Свойства I: т. пл. — 81°, т. кип. — 23°, плотность при —80° 1, 92 г/см<sup>3</sup>; давл. насыщ. пара при 213,3; 221,8; 230,3; 234,3; 237,8; 242,8 и 248,8° К равно 120,0; 197,0; 309,3; 384,0; 444,5; 552,5 и 721,2 мм рт. ст.;  $\Delta H$  испарения 5211 кал/моль, константа Трутона 20,8; газ мономерен. Под действием воды и особенно разб. щелочи I быстро гидролизует, образуя  $NH_4^+$ ,  $F^-$  и  $SO_3^{2-}$ ; на этом основании авторы принимают для I строение  $F_2S = N - F$ . Часть I см. РЖХим, 1956, 15821. И. Р.

**74641. Химия карбонатных соединений урана. Теория и применение. Мак-Клейн Л., Балвинкель Е., Хьюгинс Дж.** В кн.: Химия ядерного горючего (Докл. ин. ученых на Междунар. конференции по мирному использованию атом. энергии, Женева, 1955), М., Госхимиздат, 1956, 59—90

Обзор. Библ. 44 назв. В. Ш.

**74642. О ферратах. Шольдер, Бунзен, Киндерфатер, Цейсс** (Zur Kenntnis der Ferrate. (VI). Scholder R., Bunsen H. v., Kinderfater F., Zeiss W.), Z. anorgan. und allgem. Chem., 1955, 282, № 1—6, 268—279 (нем.)

$K_2FeO_4$  (I) получен окислением при 45° пасты  $Fe_2O_3 \cdot xH_2O$ , смешанной с конц. р-ром KOH, введением избытка р-ра KOH; из отдельной после охлаждения р-ра до 0° смеси разб. р-ром KOH выделяют I и KBr, после чего I высаливается 50%-ным р-ром KOH при 0°.  $Cs_2FeO_4$  (II) получен аналогичным методом из CsOH, смешанного с большим избытком NaOH.  $BaFeO_4 \cdot xH_2O$  (III) и  $SrFeO_4 \cdot xH_2O$  (IV) получены осаждением р-ров I в разб. KOH действием р-ров ацетатов при 0°. I быстро разлагается в атмосфере  $O_2$  при т-рах > 200°. При 350° образуются твердые р-ры I и  $K_2FeO_4$  (V). При 700° в основном протекает р-ция  $2I = V + KFeO_3 + O_2$ ; при 800—1000° V частично разлагается. При выщелачивании продуктов разложения холодным разб. р-ром NaOH образуется I за счет диспропорционирования V. Нагревание смеси I и  $Na_2O$  (2:1,05) в токе сухого  $O_2$  при 450—600° приводит к образованию смеси V и  $Na_2FeO_4$ , диспропорционирующей при выщелачивании. При высушивании III и IV при 4° получены почти безводн. в-ва, содержащие только адсорбированную воду. При хранении III при комнатной т-ре количественно протекает р-ция:  $III = BaFeO_3 \cdot xH_2O + 0,5 O_2$ ; III, содержащий только 1—2%  $H_2O$ , может сохраняться неограниченно долго. При нагревании III в токе  $O_2$  содержание активного O в остатке падает до минимума при 250°; при 320—350° начинается повторное окисление, приводящее при 750—800° к чистому  $BaFeO_3$ . Сходство деаэригма III и IV и  $KMnO_4$  показывает, что эти соединения изотипны и что III и IV кристаллизуются в ромбич. сингонии. И. Р.

**74643. Алкильные соединения переходных металлов. Сообщение V. Алкильные комплексы меди. Наст, Пфаб** (Alkinyloverbindungen von Übergangsmetallen. V. Mitteil.: Alkinylokomplexe von Kupfer. Mast Reinhard, Pfab Wolfgang), Chem. Ber., 1956, 89, № 2, 415—421 (нем.)

Триалкинилокупраты (ТАК) получены р-циями растворенных в жидком  $NH_3$  реагентов  $3 KC \equiv CR + CuI \rightarrow K_3[Cu(C \equiv CR)_3] + KI$ , где R = H (I) или  $CH_3$  (II); они осаждаются в виде бесцветных кристаллоаникатов  $K_2[Cu(C \equiv CH)_3] \cdot xNH_3$ , где  $x \geq 4$ , легко теряющих весь  $NH_3$  в высоком вакууме при комнатной т-ре. II диамагнитен,  $\chi_g = -0,7 \cdot 10^{-6}$ . Желтый  $K_2[Cu(C_6H_5)_3] \cdot 2NH_3$  (III) легко растворим в жидком  $NH_3$  и получен р-цией взвеси  $Cu_2C_6H_5$  и недостатка  $K_2C_6H_5$  в  $NH_3$ . В высоком вакууме III полностью теряет  $NH_3$  при т-ре < 0°. ТАК колич. разлагаются водой:  $2[Cu(C_6H_5)_3]^{2-} + 4 H_2O \rightarrow Cu_2C_6H_5 + 5 C_6H_6 + 4 OH^-$  и  $[Cu(C_6H_5)_3]^{2-} + 2 H_2O \rightarrow Cu_2C_6H_5 + 2RC_6H_5 + 2OH^-$  (R =  $CH_3$ ,  $C_6H_5$ ); в отличие от крайне взрывчатого  $Cu_2C_6H_5$ , эти комплексы не чувствительны к удару.  $Cu_2C_6H_5$  (IV) присоединяет жидкий  $NH_3$ , превращаясь в белые чешуйки  $Cu_2C_6H_5 \cdot NH_3$  (V), пере-

ходящего при комнатной т-ре в токе  $N_2$  в IV. Соединение V получается и р-циями  $CuI$ ,  $NH_3$  и  $H_2C_6H_5$  или  $NaC_6H_5$  (VI). Диалкилокупраты (ДАК) желтоваты и хорошо растворимы в  $NH_3$ . Они получены р-циями в жидком  $NH_3$ :  $Cu_2R + KC_2R \rightarrow K[Cu(C_6H_5)_2]$ , где  $R = CH_3$ ,  $C_6H_5$ ; полученный по р-ции IV + VI +  $2NH_3 \rightarrow Na[Cu(C_6H_5)_2] \cdot 2NH_3$  (VII) легко теряет весь  $NH_3$ ; при  $-78^\circ$  промежуточно образуется моноаммиакат. ДАК образуются и действием  $CuI$  на ТАК в присутствии жидкого  $NH_3$ . Избыток  $CuI$  разлагает VII до V. Смешением р-ров  $[Ni(NH_3)_6](SNC)_2$  и VII получен фиолетовый кристаллич. осадок  $[Ni(NH_3)_6][Cu(C_6H_5)_2] \cdot 2NH_3$ , превращающийся при комнатной т-ре в  $NiCu_2(C_6H_5)_4 \cdot 4NH_3$ . По отношению к протолизу и нечувствительности к ударам ДАК сходны с ТАК. При попытках получения алкинилокупратов установлено, что р-р  $[Cu(NH_3)_4](NO_3)_2$  по-разному реагирует с  $KC_2H$  и  $KC_2CH_3$ . В первом случае выпадает черный ацетиленид  $Cu(2+)$ :  $Cu(NH_3)_4^{2+} + 2C_2H^- \rightarrow CuC_2 + C_2H_2 + 4NH_3$ ; во втором — протекает колич. окисление аниона пропирила  $2[Cu(NH_3)_4]^{2+} + 4[C_2CH_3]^- \rightarrow 2CuC_2CH_3 + H_2C \equiv C + C \equiv C - C \equiv C - CH_3$ . Аналогично протекает реакция с  $K[C_2C_6H_5]$ :  $3[Cu(NH_3)_4]^{2+} + 6[C_2C_6H_5]^- + xNH_3 \rightarrow [Cu(NH_3)_4][Cu(C_2C_6H_5)_2] \cdot xNH_3$  (VIII) +  $C_6H_5C \equiv C - C \equiv C - C_6H_5$  (IX) +  $8NH_3$ ; при испарении  $NH_3$  VIII теряет  $NH_3$ , разлагаясь в результате самоокисления-самовосстановления на IV и IX. Действием этилендиамина на р-р VIII получен фиолетовый  $[CuEn_2][Cu(C_6H_5)_2] \cdot 12NH_3$  (X), разлагающийся при  $-30^\circ$  до зеленого диаминаката; при комнатной т-ре последний теряет  $En$  и разлагается подобно комплексу VIII. Комплексы X разлагаются водой с образованием  $[Cu(En)_2]^{2+}$ , IV и  $C_6H_5C_2H$ . Сообщение IV, РЖХим, 1956, 68100. И. Р.

74644. К вопросу о возникновении комплексного соединения при сплавлении сульфата и теллурида меди. Яковлева В. С., Троицкий Б. П. Ж. неорг. химии, 1956, 1, № 2, 257—263

$CuTeO_3$  (I) получен сплавлением эквимольных кол-в  $CuO$  с  $TeO_2$  или  $TeO_3$  с  $CuSO_4$  (II). Т-ра плавления  $600^\circ$ ,  $d_4^{20} = 5,736 \pm 0,002$ . В точке плавления уд. электропроводность I резко возрастает от 0,030 до 0,151  $ом^{-1}$ , что указывает на ионный характер проводимости I в расплаве. Полнотермические превращения I при его охлаждении до  $200^\circ$  не наблюдаются. До  $700^\circ$  I не разлагается. I не растворим в воде, трудно растворим в р-рах  $H_2SO_4$  и легко растворим в конц. р-рах  $HCl$ . При действии  $NaOH$  I разрушается с образованием  $Cu(OH)_2$  и  $Na_2TeO_3$ . Водн. р-ры  $NH_3$  слабо действуют на I, а р-ры  $En$  заметно его растворяют. При сплавлении I с II или избытка II с  $TeO_2$  образуются темно-зеленые кристаллы комплекса  $CuTeO_3 \cdot 2CuSO_4$  (III), идентифицированного методами растворимости и термич. анализа. III испытывает полиморфное превращение при  $650^\circ$ , плавится при  $760^\circ$  и начинает распадаться при  $790-800^\circ$ . Плотность III  $d_4^{20} = 4,434 \pm 0,002$ . Комплекс III не растворяется и не взаимодействует с пиридином, хинолином, анилином, глицерином и их р-рами. III не растворяется в безводн.  $En$ , но легко растворяется в 2,5 М р-ре  $En$ . В конц.  $HCl$  III растворяется с образованием желтого р-ра, в разб.  $HCl$ , разб. и конц.  $H_2SO_4$  — не растворяется. Н. П.

74645. К вопросу о взаимодействии теллурида меди и дисульфатотеллуридокупрата меди с водным раствором этилендиамина. Яковлева В. С., Троицкий Б. П., Ж. неорг. химии, 1956, 1, № 2, 264—273

$CuTeO_3$  (I) очень медленно растворяется в водн.  $En$ ; в 2,5 М  $En$  при  $25^\circ$  растворимость I составляет 0,174  $моль/л$ . При добавлении спирта к насыщ. р-ру I в  $En$  выделяются негигроскопичные фиолетовые кристаллы, состав которых отвечает ф-ле  $[CuEn_2(H_2O)_2]TeO_3$ . В отличие от I, комплекс  $CuTeO_3 \cdot 2CuSO_4$  (II) нацело растворяется в 2,5 М  $En$ , образуя р-ры интенсивно синего цвета. В широком интервале состава исходных шихт  $CuSO_4$  — I в р-р переходит только II, что указывает на отсутствие каких-либо других

комплексов в изучаемой системе. На основании данных о растворимости II в водн.  $En$  и по результатам определения состава кристаллов, выпадающих из насыщ. р-ра при добавлении спирта и безводн.  $En$ , авторы считают вероятной для II ф-лу  $Cu_2[Cu(SO_4)_2(TeO_3)]$ . Эта ф-ла подтверждается результатами измерений электропроводности и чисел переноса. Фиолетовые кристаллы, выпадающие при добавлении спирта к конц. р-ру II в водн.  $En$ , не гигроскопичны и могут быть высушены над  $H_2SO_4$ . При растворении в воде эти кристаллы дают фиолетовый р-р. Результаты анализа фиолетовых кристаллов и цвет их р-ров согласуются с вероятной ф-лой:  $[CuEn_2(H_2O)_2][Cu(SO_4)_2(TeO_3)]$ . При добавлении безводн.  $En$  к водно-этилендиаминному р-ру II выделяются синие кристаллы, состав которых на основании данных анализа и цвета комплекса авторы выражают ф-лой  $[CuEn_3][Cu(SO_4)_2(TeO_3)]$ . Н. П.

74646. О комплексах металлов с аминокислотами. I.  $\alpha$ -Аланин. Метод непрерывных изменений.  $\alpha$ -Аланин. Кондуктометрический метод и метод функции образования. III.  $\beta$ -Аланин. IV. Фенилаланин. Кюрто (Contribution a l'etude des complexes metalliques des aminoacides. I.  $\alpha$ -Alanine Methode des variations continues II.  $\alpha$ -Alanin. Methode conductimétrique det methode de la fonction de formation. III.  $\beta$ -Alanine. IV. Phenyl-alanine. Curchood Jean), J. chim. phys. et phys.-chim. biol., 1956, 53, № 1, 125—151; № 2, 182—197; № 3, 241—255; 256—263 (франц.)

Подробное изложение опубликованных ранее работ автора (РЖХим, 1956, 22224, 39296).

I. Сочетанием потенциометрич. метода определения конц-ий ионов в р-ре со спектрофотометрич. методом непрерывных изменений (метод назван автором «электро-спектрофотометрическим») подтверждено существование 5 комплексов  $Cu^{2+}$  с  $\alpha$ -аланином (I):  $CuR^+$ ,  $CuR_2$ ,  $CuR^{2+}$ ,  $CuR_2^{2+}$  и  $CuR_3^{2+}$ , где  $R^-$  — отрицательный ион I.

II. Комплексы  $Cu^{2+}$  с I изучались кондуктометрич. методом, методом функции образования и электро-спектрофотометрич. методом. Вычислены коэф. активности ионов, участвующих в р-циях, и ионная сила тех р-ров, которые ранее были использованы для определения кажущихся констант нестойкости комплексов  $Cu^{2+}$  с I. Из этих данных вычислены термодинамич. константы  $pK_1$  и  $pK_2$ , отвечающие равновесиям  $Cu^{2+} + R^- \rightleftharpoons CuR^+$  и  $Cu^{2+} + 2R^- \rightleftharpoons CuR_2$ , равны соответственно 8,49 и 15,58 (электро-спектрофотометрич. метод). Эти величины хорошо совпали с вычисленными из результатов исследования методом функции образования  $pK_1 = 8,41$  и  $pK_2 = 15,49$ . Автор подробно рассматривает сравнительные достоинства и недостатки электро-спектрофотометрич. метода и метода функции образования.

III. Методы, разработанные для изучения комплексов  $Cu^{2+}$  с I, использованы для исследования аналогичных комплексов  $Cu^{2+}$  с  $\beta$ -аланином (II). Вычислены термодинамич. константы нестойкости  $pK_1$  и  $pK_2'$ , отвечающие равновесиям  $Cu^{2+} + R^- \rightleftharpoons CuR^+$  и  $Cu^{2+} + 2R^- \rightleftharpoons CuR_2$  (где  $R^-$  — отрицательный ион II), равны соответственно  $7,60 \pm 0,07$  и  $13,8 \pm 0,3$ .

IV. Автор считает вероятным существование нестойких нециклич. комплексов  $Cu^{2+}$  с фенилаланином (III), содержащих диполярный ион III, и доказанным образованием циклич. комплексов  $Cu^{2+}$  с отрицательным ионом III ( $R^-$ ). Для последних вычислены термодинамич. константы нестойкости: равновесия  $Cu^{2+} + R^- \rightleftharpoons CuR^+$  и  $Cu^{2+} + 2R^- \rightleftharpoons CuR_2$  соответствуют  $pK_1 = 7,87$  и  $pK_2 = 14,77$ . Сравнивается прочность комплексов  $Cu^{2+}$  с I, II и III. Уменьшение прочности циклич. комплексов от I к II связывается с увеличением числа членов в цикле (от 5 до 6). Отмечается, что аммиачные комплексы  $Cu^{2+}$  прочнее нециклич. комплексов с I и II, но менее прочны, чем циклич. комплексы с I, II и III. Л. В.

**74647.** Комплекс двухвалентного серебра с цинхомероновой кислотой. Банерджи, Рай (Bipositive silver complex with cinchomeronic acid. Banerjee Bireswar, Ray Priyadarshan, Sci. and Culture, 1956, 21, № 8, 474—475 (англ.).

Окислением смеси р-ров  $\text{AgNO}_3$ , цинхомероновой к-ты и  $\text{K}_2\text{S}_2\text{O}_8$  на холоду получены темно-красные кристаллы  $\text{Ag}(\text{C}_7\text{H}_4\text{NO}_4)_2$  (I) с 2-валентным Ag, устойчивые в сухом воздухе, умеренно растворимые в воде, разлагающиеся разб. к-тами и щелочами. I количественно выделяет йод из подкисленного р-ра KJ с образованием AgJ. Комплекс I парамагнитен,  $\mu_B = 1,74$ . В. Ш.

**74648.** Роданогалогенидные комплексы двухвалентной ртути в растворе. Яцимирский К. В., Тухлов Б. Д., Ж. общ. химии, 1956, 26, № 2, 356—365

При добавлении р-ров  $\text{KX}$  ( $\text{X} = \text{Cl}, \text{Br}$ ) к системе  $\text{Hg}(\text{NO}_3)_2 - \text{KCNS} - \text{Fe}(\text{NO}_3)_3$ , в которой  $\text{Hg}(2+)$  полностью связана с  $\text{Hg}(\text{CNS})_2$  (I), а Fe образует комплекс  $\text{FeCNS}^{2+}$ , из I вытесняются ионы  $\text{CNS}^-$ , в свою очередь образующие дополнительные кол-ва  $\text{FeCNS}^{2+}$ . Эти р-ции ведут к увеличению оптич. плотности р-ра с возрастанием конц-ии  $\text{KX}$ . Р-ции замещения идут в 2 ступени:  $\text{Hg}(\text{CNS})_2 + \text{X}^- \rightleftharpoons \text{Hg}(\text{CNS})\text{X} + \text{CNS}^-$  (1),  $\text{Hg}(\text{CNS})\text{X} + \text{X}^- \rightleftharpoons \text{HgX}_2 + \text{CNS}^-$  (2). В большом интервале конц-ий KCl равновесие (2) незначительно налагается на (1), так как второй ион  $\text{CNS}^-$  вытесняется с большим трудом и при значительном избытке KCl. В бромидсодержащих системах равновесия (1) и (2) в гораздо большей степени налагаются друг на друга. Однако в обоих случаях сохраняется постоянство ступенчатых констант равновесия (K) с изменением конц-ии  $\text{KX}$ , что подтверждает ступенчатый характер процесса. Средние значения  $K_1^{\text{Cl}}$  и  $K_1^{\text{Br}}$ , вычисленные из результатов спектрофотометрич. определений, равны соответственно  $(4,0 \pm 0,3) \cdot 10^{-2}$  и  $4,7 \pm 0,7$ . Величины  $K_2$  рассчитывались при условии отсутствия I в смеси и с учетом образования комплексов  $\text{HgX}_3^-$ . Средние значения  $K_2^{\text{Cl}}$  и  $K_2^{\text{Br}}$  равны соответственно  $(1,4 \pm 0,2) \cdot 10^{-3}$  и  $0,34 \pm 0,4$ . По значениям  $K_1$ ,  $K_2$  и констант нестойкости  $\text{HgX}_2$  вычислены константы нестойкости  $\text{Hg}(\text{CNS})\text{Cl}$  ( $K = 8,4 \cdot 10^{-17}$ );  $\text{Hg}(\text{CNS})\text{Br}$  ( $K = 1,6 \cdot 10^{-18}$ ) и  $\text{Hg}(\text{CNS})_2$  ( $K = 3,4 \cdot 10^{-18}$ ). Н. П.

**74649.** О некоторых производных фталоцианина. Коллаитис (Sur quelques dérivés de la phthalocyanine. Colaitis Denise, C. r. Acad. sci., 1956, 242, № 8, 1026—1027 (франц.).)

Нагреванием смеси 6 молей о-цианобензамида (I) с 1 молем  $\text{AlCl}_3$  до  $250^\circ$  получен  $(\text{C}_6\text{H}_4\text{N}_2)_4\text{AlCl}$  (II). Аналогичные II продукты образуются при взаимодействии I с  $\text{GaCl}_3$ ,  $\text{InCl}_3$  и  $\text{InI}_3$ . Все они представляют собой мелкокристаллич. в-ва сине-фиолетового цвета. Ge образует при взаимодействии с I окрашенное соединение, содержащее 1 атом J на 1 молекулу фталоцианина. По мнению авторов, это соединение содержит  $\text{Ge}(2+)$  и  $\text{Ge}(4+)$ . Н. П.

**74650.** Комплексы некоторых металлов с эриохромом черным Т. Каненива (Eriochrome Black T. の錯鹽に就いて - 金庭延慶), 薬學雜誌, Якугаку дзасси, J. Pharm. Soc. Japan. 1956, 76, № 2 136—140 (япон.; рез. англ.).

Спектрофотометрическим методом исследовалось комплексообразование эриохрома черного Т (I) с  $\text{Cu}^{2+}$ ,  $\text{Co}^{2+}$ ,  $\text{Ni}^{2+}$ ,  $\text{Zn}^{2+}$ ,  $\text{Cd}^{2+}$ ,  $\text{Mg}^{2+}$ ,  $\text{Ba}^{2+}$ ,  $\text{Sr}^{2+}$  и  $\text{Cr}^{3+}$ . Измерения производились при pH 3,4; 5,9; 8,2; 10,0 и 13,5. Ионы  $\text{Cu}^{2+}$ ,  $\text{Co}^{2+}$  и  $\text{Ni}^{2+}$  образуют комплексы при любых pH;  $\text{Zn}^{2+}$ ,  $\text{Cd}^{2+}$  и  $\text{Mg}^{2+}$  — только в шел. среде;  $\text{Ba}^{2+}$  и  $\text{Sr}^{2+}$ , при конц-ии  $3 \cdot 10^{-4}$  M комплексов не образуют;  $\text{Cr}^{3+}$  в шел. среде комплекса не образует, в кислой среде образуется продукт с неустоявшимся составом. При pH 10 состав комплексов I с  $\text{Cu}^{2+}$  и  $\text{Co}^{2+}$  1:4; I с  $\text{Ni}^{2+}$ ,  $\text{Zn}^{2+}$  и  $\text{Cd}^{2+}$  1:2; I с  $\text{Mg}^{2+}$  1:1. В. Ш.

**74651.** Комплексы салицилатов некоторых металлов. Статья 2. Звягинцев О. Е. Судариков

Б. Н. 1. О салицилатах четырехвалентного циркония. 2. Салицилат тория. 3. Салицилат лантана. Соавтор Барсукова З. С., Ж. неорган. химии, 1956, 1, № 1, 69—75

1. Р-ры солей Zr (4+) начинают осаждаться салициловой к-той ( $\text{H}_2\text{Sal}$ ) при pH 0—1 и количественно осаждаются в виде  $\text{ZrO}(\text{HSal})_2$  (I) при pH 4—5. Растворимость I в воде равна 5—6 мг Zr в 1 л р-ра; I растворяется в разб. р-рах KOH или  $\text{NH}_3$  в виде  $[\text{ZrO}(\text{Sal})_2]^{2-}$  (II), не устойчивого при нагревании.

2. Осаждение салицилата Th (4+) начинается при pH ~ 1; растворимость  $\text{ThO}(\text{HSal})_2$  (III) в воде близка к 1—2 мг/л; в р-ре NaHSal III образует еще менее устойчивый, чем II, комплекс  $[\text{ThO}(\text{Sal})_2]^{2-}$ .

3. Осаждение салицилата La начинается при pH 3 и заканчивается при pH 7;  $\text{La}(\text{HSal})_3 \cdot 1,5 \text{H}_2\text{O}$  (IV) не образует растворимых комплексных салицилатов. Приведены термограммы разложения I, III и IV. Статья 1 см. РЖХим, 1956, 46659. И. Р.

**74652.** Комплексные соединения четырехвалентных циркония и гафния с этилендиаминтетрауксусной кислотой. Морган, Джастус (Complex compounds of zirconium (IV) and hafnium (IV) with ethylenediaminetetracetic acid. Morgan L. O., Justus Norman L., J. Amer. Chem. Soc., 1956, 78, № 1, 38—41 (англ.).)

Прибавление солей этилендиаминтетрауксусной к-ты (I) к р-рам перхлоратов Zr (4+) и Hf (4+) стабилизирует их в отношении выделения осадков гидроокисей при действии NaOH; выделение гидроокисей происходит лишь при pH > 9. При потенциометрич. титровании смесей перхлоратов Zr и Hf I обнаружены те же эквивалентные точки (при pH 4—5 и 7—8), что и для свободной I; осаждение гидроокисей происходит через образование комплексов, возникающих при гидролизе полимерных комплексов Zr (4+) и Hf (4+) с I, в которых две ацетатные группы I остаются несвязанными. Спектрофотометрич. исследованием параллельных р-ций I с ионами  $\text{Zr}^{4+}$  и  $\text{Cu}^{2+}$  найдено, что константа устойчивости комплекса Zr с отношением Zr: I = 1 в 12,5 раз больше, чем для комплекса  $\text{Cu}^{2+}$ , и равна ~  $2,5 \cdot 10^{19}$  при  $25^\circ$ . Устойчивость соответствующего комплекса  $\text{Hf}^{4+}$  меньше в ~ 2 раза. Комплекс, выделенный из водн. р-ров, содержащих избыток I, при pH 6 содержит 1,1 моля I на 1 атом Zr. И. Р.

**74653.** Химия комплексов нитрозила. Часть II. Обмен  $\text{Cl}^{36}$  между нитрозилхлоридом и некоторыми нерастворимыми хлоридами металлов. Льюис, Соуэри (Chemistry of nitrosyl complexes. Part II. Exchange of  $^{36}\text{Cl}$  between nitrosyl chloride and some insoluble metal chlorides. Lewis J., Sowerby D. B., J. Chem. Soc., 1956, Jan., 150—153 (англ.).)

Обмен радиоактивного  $\text{Cl}^{36}$  между тонкоизмельченными  $\text{ZnCl}_2$  (I),  $\text{CdCl}_2$  (II) или  $\text{HgCl}_2$  (III) и жидким  $\text{NOCl}$  (IV) быстро протекает при  $-15^\circ$ , хотя I—III не растворимы в IV. Авторы считают, что это обусловлено образованием неустойчивых комплексов  $[\text{NO}]^+[\text{MCl}_4]^-$  из I—III и адсорбированного IV; при избытке IV протекает более медленный гетерог. обмен. Не образующие комплексов в IV NaCl, KCl или AgCl (V) не обменивают  $\text{Cl}^{36}$  с IV соответственно при  $-10$ ,  $-20$  и  $-15^\circ$ . Весьма устойчивый нитрозонный комплекс  $(\text{NO})_2[\text{SnCl}_6]$  также не обменивает  $\text{Cl}^{36}$  с IV при  $-15$  или  $-20^\circ$ . На свету протекает медленный гетерог. обмен  $\text{Cl}^{36}$  между IV и V, вероятно, связанный с фотохимич. разложением IV и V. Часть 1 см. РЖХим, 1956, 12641. И. Р.

**74654.** Купфераты уранила. Хортон (The uranyl cupferrates. Horton William S., J. Amer. Chem. Soc., 1956, 78, № 5, 897—899 (англ.).)

При смешении р-ра  $\text{UO}_2(\text{NO}_3)_2 \cdot 6 \text{H}_2\text{O}$  в  $\text{CH}_3\text{OH}$  или  $\text{C}_2\text{H}_5\text{OH}$  с р-ром купферона в 50%-ном водн.  $\text{CH}_3\text{OH}$  выделяется устойчивый до  $200^\circ$  оранжево-желтый  $\text{NH}_4[\text{UO}_2(\text{C}_6\text{H}_4\text{N}_2\text{O}_3)_2]$  (I). I кристаллизуется в куб. системе (гр.  $T^h - P_2 1 3$ ),  $a$  13,28 Å,  $\rho$  (рент.) 1,98,  $\rho$  2,02,  $n = 4$ ; опреде-

дляющий положение атомов U параметр  $x = 0,162$ . Атомы U, O и  $\text{NH}_4^+$  лежат на тройной оси, являющейся пространственной диагональю элементарного куба; три остатка купферона расположены симметрично относительно этой оси и эквивалентны между собой. Показатель преломления  $n_D = 1,53$ . Аналогичным методом из продуктов замещения аммония купферона на H или на щел. металлы получены M  $[\text{UO}_2(\text{C}_6\text{H}_5\text{N}_2\text{O}_2)_3]$ , где M — H (II), Na (III), K (IV). Р-циями двойного обмена из водн. или водно-спиртового р-ров III получены соли с M — Rb (V) и Cs (VI). II разлагается при комнатной т-ре; III—VI устойчивы, окрашены в цвета от желтого до красно-оранжевого. Растворимость I, III, IV, V и VI при комнатной т-ре равны  $\approx 2$ ; 7; 0,7; 0,4 и 0,2 ммоль/л. V и VI, но не III, кристаллизуются в куб. системе.

**74655. Образование нитрозилкарбонила кобальта в водных растворах.** Бор, Мохан (Formation of cobalt nitrosyl carbonyl from aqueous solutions. Bor G., Mohai B.), Research, 1956, 9, № 5, S22—S23 (англ.). Количественное изучение р-ции образования нитрозилкарбонила кобальта при действии NO на  $[\text{Co}(\text{CO})_4]^-$  показывает, что окис азота не только присоединяется к Co, но и окисляет его от степени окисления I — до степени окисления 0. Р-ция идет по ур-нию:  $2[\text{Co}(\text{CO})_4]^- + 3\text{NO} + \text{H}_2\text{O} \rightarrow 2\text{Co}(\text{CO})_3\text{NO} (\text{I}) + 2\text{CO} + 2\text{OH}^- + \frac{1}{2}\text{N}_2$ . С чистым р-ром  $[\text{Co}(\text{CO})_4]^-$  выход I доходит до 75—80%. Остальной Co окисляется вследствие побочных р-ций, идущих в щел. р-ре:  $2[\text{Co}(\text{CO})_4]^- + 11\text{NO} + 10\text{OH}^- \rightarrow 2\text{Co}^{2+} + 8\text{CO}_3^{2-} + 5\text{H}_2\text{O} + 5,5\text{N}_2$ .  $2[\text{Co}(\text{CO})_4]^- + 9\text{NO} + 6\text{OH}^- \rightarrow 2\text{Co}^{2+} + 6\text{CO}_3^{2-} + 2\text{CO} + 3\text{H}_2\text{O} + 4,5\text{N}_2$ . Как показывают контрольные опыты, первоначально образовавшийся I также может разлагаться в щел. среде по ур-нию  $2\text{Co}(\text{CO})_3\text{NO} + 6\text{NO} + 8\text{OH}^- \rightarrow 2\text{Co}^{2+} + 6\text{CO}_3^{2-} + 4\text{H}_2\text{O} + 4\text{N}_2$ . Авторы считают, что NO в I связан не в виде нитрозил-иона, а в виде нейтр. группы.

**74656. Кинетики и механизм реакции образования мочевинного комплексного соединения трехвалентного хрома.** Яцимирский К. Б., Ясинскен Э. И., Ж. неорг. химии, 1956, 1, № 3, 438—444. Изучены равновесие и кинетика р-ции  $\text{Cr}(\text{H}_2\text{O})_6^{3+} + \text{CON}_2\text{H}_4 (\text{I}) \rightleftharpoons [\text{Cr}(\text{CON}_2\text{H}_4)(\text{H}_2\text{O})_5]^{3+} + \text{H}_2\text{O} (\text{II})$  (I) путем измерения оптич. плотности р-ров, содержащих различные кол-ва  $\text{Cr}(\text{NO}_3)_3$  и I. Константа неустойчивости II равна  $4,72$  при  $18-20^\circ$  и ионной силе 0,024. Скорость р-ции (I), протекающей по двум механизмам, может быть выражена ур-нием:  $dx/dt = k_1C(a-x) - k_2x + k_3C^2(a-x) - x_2x$ , где  $a$  и  $C$  — начальные конц-ии соответственно  $\text{Cr}(\text{NO}_3)_3$  и I,  $x$  — конц-ия II,  $k_1, k_2$  — константы скорости прямой и обратной р-ций, а  $x_1$  и  $x_2$  — константы скорости автокаталитич. прямой и обратной р-ций. Вычислены значения  $k_1, k_2, x_1$  и  $x_2$  при 20, 30 и  $40^\circ$ . Предполагается, что при р-ции (I) имеет место образование комплекса типа  $(\text{H}_2\text{O})_5\text{CrOH} \dots \text{H} \dots \text{OCN}_2\text{H}_3^+$ , в дальнейшем разрушающегося при взаимодействии со второй молекулой I с образованием II.

**74657. Восстановительные способности тетрацианоамлибдеата.** Михалевич К. Н., Науч. зап. Львовск. политехн. ин-та, 1955, вып. 29, 51—62. При действии цианидов на  $\text{MoO}(\text{OH})_3$  образуются ионы  $\text{MoO}_2^{2-}$  и  $[\text{Mo}(\text{CN})_8]^{4-}$  (I). В I атом настолько сильно окрашен восемью группами CN, что восстановительные свойства для него не характерны. Поэтому даже такие электроположительные металлы, как Cu и Ag, образуют устойчивые соли  $\text{Ag}_4[\text{Mo}(\text{CN})_8]$  и  $\text{Cu}_2[\text{Mo}(\text{CN})_8] \cdot 7\text{H}_2\text{O}$ . В результате замещения 4 групп CN в I на группы OH переход Mo (4+) в Mo (6+) значительно облегчается и окислительно-восстановительный потенциал пары Mo (5+)/Mo (4+) понижается от  $+0,82$  в для I до  $+0,10$  в

для тетраокситетрацианоамлибдеата (II). Потенциометрич. титрование II р-ром  $\text{K}_3\text{Fe}(\text{CN})_6$  с индикаторным Pt-электродом можно использовать для колич. определения растворимых солей этого ряда. Такие соли могут восстанавливать катионы или непосредственно до металлов ( $\text{Ag}^+$  в аммиачных р-рах) или же до низшей степени окисления (образование зеленых кристаллов  $[\text{Cu}(\text{NH}_3)_2][\text{Cu}_2(\text{CN})_4(\text{NH}_3)_2]$  при действии р-ра  $\text{K}_4\text{Mo}(\text{OH})_4(\text{CN})_4 \cdot 6\text{H}_2\text{O}$  на аммиачный р-р  $\text{CuSO}_4$ ). Величина электродного потенциала Mo зависит, по мнению автора, от состояния поверхности и р-ции среды. Mo в виде проволоки вытесняет Ag из кипящего 20%-ного р-ра  $\text{K}[\text{Ag}(\text{CN})_2]$ . На этом основании автор считает, что нормальный электродный потенциал  $\text{Mo} \leq -0,29$  в.

**74658. Радиохимическое изучение ультрамикрочастиц металлоорганических соединений.** II. Состав дитизоната полония. Исимори (Radiochemical studies on ultra-micro quantities of organometallic compounds. II. On the composition of polonium dithizonate. Ishimori Tomitaro), Bull. Chem. Soc. Japan, 1954, 27, № 8, 520—522 (англ.).

Методом, описанным в сообщении I (РЖХим, 1956, 68603), определен состав комплекса Po с дитизоном (Dz). Установлено, что отношение Po: Dz в комплексе равно 1:2. По мнению автора, состав дитизоната может отвечать ф-лам  $\text{PoDz}_2$  или  $\text{PoODz}_2$ .

**74659. Реакция между пентакарбонилем железа и аммиаком при высоких давлениях окиси углерода.** Утида, Бандо (Reaction between iron pentacarbonyl and ammonia under high pressure of carbon monoxide. Uchida Hiroshi, Bando Kenichi), Bull. Chem. Soc. Japan, 1956, 29, № 1, 40—43 (англ.). Смесь  $\text{Fe}(\text{CO})_5$  (I) безводн.  $\text{NH}_3$  (II) и CO не реагирует в автоклаве до  $150^\circ$ ; при  $180^\circ$  образуется не растворимый в большинстве р-рителей порошок эмпирич. состава  $\text{Fe}_2(\text{CN})_4(\text{CO})(\text{NH}_3)_4$  (III) и жидкость. В смесях, 0,25 моля I и 2,35 моля II при  $175-185^\circ$  происходит разложение I. При низких начальных давлениях CO (P) максим. выход III наблюдается при 70 ат, дальнейший рост P уменьшает выход III, но увеличивает кол-во непрореагировавшего I. При P 105—113 ат возрастание отношения II: I увеличивает выход III до 90% и одновременно увеличивает выход формамида (IV). Из р-ра III в холодном 10%-ном р-ре KOH высаливанием спиртом выделены желтые призматич. кристаллы  $\text{K}_2[\text{Fe}(\text{CN})_4(\text{CO})(\text{NH}_3)] \cdot 1,5 \text{H}_2\text{O}$  (V); принято, что III имеет строение  $[\text{Fe}(\text{NH}_3)_3]^{2+}[\text{Fe}(\text{CN})_4(\text{CO})(\text{NH}_3)_2]^{2-}$ . При действии CO на смеси I и II, содержащие избыток I, получен порошок  $\text{Fe}_2(\text{CN})_4(\text{CO})_2(\text{NH}_3)_3$  (VI), при обработке VI р-ром KOH, аналогичной примененной для III, также выделен осадок V. Образование IV из CO и II при  $175-185^\circ$  ускоряется в присутствии смеси III и жидкости; в последней содержится карбамат аммония и мочевина, которая и ускоряет образование IV.

**74660. Шавелевокислые комплексы железа (III).** Бабко А. К., Дубовенко Л. И. Ж. общ. химии, 1956, 26, № 3, 660—668.

Состав комплексов, образующихся в р-рах солей Fe (3+) с ионами шавелевой к-ты (II), изучен оптич. методом физ.-хим. анализа р-ров. Изомольярная серия систем: роданид Fe (3+) — I и салицилат Fe (3+) — I в среде 0,1 н.  $\text{HNO}_3$  — показала максимум ослабления оптич. плотности при отношении Fe (3+): I = 1. Последняя серия изучена также при pH 1,3; 1,9; 2,5; найдено, что положение максимума сдвигается в сторону отношения Fe (3+): I = 1:2. Сделан вывод, что в сильнокислых р-рах образуется комплекс  $\text{FeC}_2\text{O}_4^+$ , а при pH  $\geq 1,9$  он переходит в  $\text{Fe}(\text{C}_2\text{O}_4)_2^-$ . Изучена оптич. плотность р-ров роданида Fe (3+) в среде 0,05 н.  $\text{HNO}_3$  при переменной конц-ии I. Расчет сдвига равновесия показал, что в данных условиях образуется комплекс  $\text{FeC}_2\text{O}_4^+$ . Изучена система: перхлорат Fe (3+) — I по светопоглощению в УФ-области.

Изомольярная серия при 280 мμ подтвердила состав  $\text{FeC}_2\text{O}_4$  в среде 0,1 н.  $\text{HClO}_4$  и состав  $\text{Fe}(\text{C}_2\text{O}_4)_2$  в среде 0,002 н.  $\text{HClO}_4$ . А. Б.

**74661.** О характере растворимого комплекса, образующегося при взаимодействии никеля, диметилглиоксима и окислителя. Бабко А. К., Ж. неорг. химии, 1956, 1, № 3, 485—488

Обсуждается дискуссионный вопрос о р-ции образования растворимого в воде окрашенного комплекса, образующегося при взаимодействии никеля (I), диметилглиоксима (II) и окислителя (III) в щел. среде. Предположение об окислении только I, а не II, приводит, на основании литературных данных о кол-ве затрачиваемого III, к выводу о 4- или 5-валентном I, что автор считает маловероятным. Приведены эксперим. данные, указывающие на более легкую окисляемость II, по сравнению с I. Описаны опыты, при которых медленное действие III на II приводит к образованию продукта, не дающего осадка с I (в слабодокислой среде), но образующего растворимый окрашенный комплекс с I в щел. среде. Автор считает, что комплекс содержит центральный атом 2- или 3-валентного I и адденд—промежуточный продукт окисления II. А. Б.

**74662.** О координационно ненасыщенном формазольном комплексе акридинового ряда. Сейхан (Über einen koordinativ ungesättigten Formazylkomplex der Acridinreihe. Seyhan Muvaffak), Monatsh. Chem., 1956, 87, № 1, 234—235 (нем.)

N-фенил-N'-(2-карбоксифенил)-C-[акридил-(9)]-формазан (I), т. пл. 263—264°, получен конденсацией диазотированной антралиновой к-ты и фенилгидразона акридинового (9)-альдегида в присутствии NaOH и  $\text{CH}_3\text{OH}$  при 0°. Для получения Ni-комплекса р-р I в спирте смешивают с конц. р-ром равного весового кол-ва сульфата или ацетата Ni и кипятят несколько минут; при испарении фильтра выделяются черно-зеленые кристаллы, не плавящиеся при 320°. Комплексу приписано строение А, где R—радикал 9-акридила.

**74663.** Образование аммиаков металлов в растворе. Х. Образование комплексов этаноламинов с ионами серебра и ртути (2+). Бьеррум, Рефин (Metal amine formation in solution. X. Complex formation of ethanalamines with silver and mercuric ions. Bjerrum J. and Reifn Susanne), Suomen kem., 1956, 29, № 2, B68—B74 (англ.)

Потенциометрически определенные логарифмы константы равновесия  $\lg K_H = \lg \{[\text{AH}]/[\text{A}][\text{H}^+]\}$ , где А—амин, при 25° и для  $\text{NH}_2\text{C}_2\text{H}_4\text{OH}$  (I),  $(\text{HOC}_2\text{H}_4)_2\text{NH}$  (II) и  $(\text{HOC}_2\text{H}_4)_3\text{N}$  (III) соответственно равны 9,60; 9,00 и 7,90. Вычисленные из результатов потенциометрич. титрования с помощью стеклянного электрода величины логарифмов ступенчатых констант устойчивости  $\lg K_1 = \lg \{[\text{MA}][\text{M}]/[\text{A}]\}$ ,  $\lg K_2 = \lg \{[\text{MA}_2]/[\text{MA}][\text{A}]\}$  и отношения  $K_1/K_2$  при 25° равны для  $\text{M} = \text{Ag}^+$  и  $\text{A} = \text{I}$  3,11; 3,57 и 0,35;  $\text{A} = \text{II}$  2,69; 2,79 и 0,79;  $\text{A} = \text{III}$  2,30; 1,34 и 9,12. Для  $\text{M} = \text{Hg}^{2+}$  соответствующие величины имеют значения:  $\text{A} = \text{I}$  8,51, 8,81 и 0,50;  $\text{A} = \text{II}$  7,84; 7,82 и 1,05;  $\text{A} = \text{III}$  6,90; 6,18 и 5,25. Сопоставление этих данных и данных по устойчивости соответствующих комплексов  $\text{NH}_3$  указывает на сходство поведения  $\text{NH}_3$  и I; влияние пространственных затруднений возрастает от I к III и более сильно проявляется при присоединении второй молекулы А. Часть IX, РЖХим, 1956, 57786.

**74664.** Влияние ионной силы на устойчивость внутрикомплексных соединений меди с пирокатехиндисульфоновой кислотой. Нясänen (Effect of ionic strength on the stability of the copper chelates of pyrocatecholdisulphonis acid. Näsänen Reino), Suomen kem., 1956, 29, № 3, 91—93 (англ.)

По кривым потенциометрич. титрования установлено,

что  $\text{Cu}^{2+}$  образует с пирокатехиндисульфоновой к-той ( $\text{H}_4\text{A}$ ) комплексные ионы  $\text{CuA}^{2-}$  и  $\text{CuA}_2^{4-}$ . При ионной силе 0,1 и 25° определены константы устойчивости иона  $\text{CuA}^{2-}$  ( $\lg K = 14,31$ ) и  $\text{CuA}_2^{4-}$  ( $\lg K = 25,7$ ). Константа устойчивости  $\text{CuA}_2^{4-}$  сильно зависит от ионной силы р-ра.

**74665.** Об аммоноосновных соединениях. I. Амидохромидбензилат и его амфотерное поведение. Шмиц-Дюмон, Шульте (Über ammonobasische Verbindungen. I. Amidochrombenzylat und sein amphoteres Verhalten. Schmitz-Dumont O., Schulte Hans), Z. anorgan. und allgem. Chem., 1955, 282, № 1—6, 253—267 (нем.)

Аммонолиз жидким  $\text{NH}_3$  (I) растворимых в нем солей  $[\text{Cr}(\text{NH}_3)_6]^{3+}$  и сильных к-т не протекает, так как равновесие  $[\text{Cr}(\text{NH}_3)_6]^{3+} + \text{NH}_3 \rightleftharpoons [\text{Cr}(\text{NH}_3)_5\text{NH}_2]^{2+} + \text{NH}_4^+$ , а также равновесия следующих стадий аммонолиза смещены влево. Введение протофильных ионов  $\text{NH}_3^-$  или  $\text{OR}^-$ , где  $\text{R} = \text{C}_6\text{H}_5\text{CH}_2$ , усиливает аммонолиз. При действии 3 экв  $\text{KNH}_2$  в присутствии избытка ROH на р-р  $[\text{Cr}(\text{NH}_3)_6](\text{NO}_3)_3$  (II) в I выпадает желтый  $[\text{Cr}(\text{NH}_3)_5(\text{OR})_2]$  (III). Чистый III не подвергается аммонолизу при т-рах  $\leq 0^\circ$  (в отличие от осажденного без избытка ROH, загрязненного продуктами аммонолиза III), но медленно превращается в  $[\text{Cr}(\text{NH}_3)_5\text{OR}](\text{OR})_2$  (IV); для получения чистого III он должен быть быстро отфильтрован и промыт I при т-рах от  $-10$  до  $-20^\circ$ . При  $45^\circ$  в токе  $\text{N}_2$  III отщепляет  $\text{NH}_3$ , переходя в продукт состава  $\text{Cr}(\text{NH}_2)_{0,44}(\text{NH})_{0,28}(\text{OR})_2$ . При постепенном введении 3 экв  $\text{KNH}_2$  в р-р II + 3ROH в I сначала выпадает III, превращающийся через ряд промежуточных стадий отщепления  $\text{NH}_3$  и ROH (образование IV,  $[\text{Cr}(\text{NH}_3)_5\text{NH}_2](\text{OR})_2$ ,  $[\text{Cr}(\text{NH}_3)_4\text{NH}_2(\text{OR})\text{OR}]$  и  $[\text{Cr}(\text{NH}_3)_3\text{NH}_2(\text{OR})_2]$  в красный продукт; после многократной промывки последнего I и длительного пропускания  $\text{N}_2$  образуется серовато-фиолетовый амидохромидбензилат  $[\text{H}_2\text{NCr}(\text{OR})_2]_n$  (V). Соединение V рентгеноаморфно и высокополимерно, медленно гидролизует холодной водой, быстро—при  $60^\circ$  с образованием  $\text{Cr}(\text{OH})_3$ ,  $\text{NH}_3$  и ROH и обладает амфотерными свойствами в I. С  $\text{KNH}_2$  V реагирует как основание:  $\text{V} + 3\text{nNH}_4\text{J} + 2\text{nNH}_3 \rightarrow \text{n}[\text{Cr}(\text{NH}_3)_6]_3 + 2\text{nROH}$ ; темно-красный цвет р-ра указывает на наличие побочных р-ций. С  $\text{KNH}_2$  V реагирует как к-та. Свежеприготовленный V, содержащий еще  $\text{NH}_3$  и имеющий состав  $[\text{H}_2\text{NCr}(\text{OR})_2 \cdot \text{NH}_3]_n$  (VI), при действии 1 моля  $\text{KNH}_2$  переходит, не растворяясь, в фиолетовый высокополимерный  $[\text{HNCr}(\text{NH}_2)_3(\text{OR})_2]_n$ . При действии 5 молей  $\text{KNH}_2$  VI растворяется почти полностью; выпариванием досуха и промыванием фиолетового осадка, вероятно  $[\text{Cr}(\text{NH}_2)_3]_n$  (Schmitz-Dumont O. и др., Z. anorgan. und allgem. Chem., 1941, 248, 184).

$\text{Cr}(\text{OR}) - \text{NH} - \text{CO}$  VII аммиаком и сушкой в токе  $\text{N}_2$  получен коричневый рентгеноаморфный высокополимерный  $[\text{Cr}(\text{NH}_2)_3]_n$ . Дифенилкетон в отсутствие воздуха и влаги растворяет V; эфир высаливает из р-ра дифенилацетиламидохромидбензилат  $[\text{OR}_2\text{CrNH.CO.CH}(\text{C}_6\text{H}_5)_2]_n$ ; с фенилизотианатом V образует VII.

**74666.** Перекисные комплексные соединения как промежуточные стадии реакции перемещения электрона. Ежовская-Тжебятовская Б., Пшаварская Г., Булл. Польской АН, Отд. III, 1955, 3, № 8, 425—428; Bull. Acad. polon. sci., 1955, CI. 3, 3, № 8, 429—432 (англ.)

Фотометрически с применением метода непрерывных изменений изучалась образующаяся при действии  $\text{H}_2\text{O}_2$  на  $\text{K}_2[\text{Re}_2\text{OCl}_{10}]$  (I) темно-красное соединение, постепенно

переходящее в бесцветный  $\text{KReO}_4$  (ПЖХим, 1955, 16153). Максимум оптич. плотности в системе  $\text{I} - \text{H}_2\text{O}_2$  отвечает отношению компонентов, равному 1:3, что, по мнению авторов, указывает на образование комплекса  $\text{H}_4[\text{Cl}_5\text{-ReOReCl}_5] \cdot 2\text{H}_2\text{O}_2$  (II). Две молекулы  $\text{H}_2\text{O}_2$  могут быть связаны с атомами O пероксоструктуры водородными связями. Константа устойчивости II равна  $1,02 \cdot 10^{14}$ . Из красных р-ров выделены кристаллич. соли  $\text{Q}_4[\text{Re}_2\text{O}_2\text{Cl}_{10}]$  (III), где Q — хинолин и  $\text{Cs}_3\text{H}[\text{Re}_2\text{O}_2\text{Cl}_{10}]$ , которые в твердом состоянии и в кислом р-ре медленно разлагаются, образуя  $[\text{Re}_2\text{OCl}_{10}]^{4-}$  (IV). Уменьшение кислотности р-ров ( $\text{pH} > 2,2$ ) вызывает изменение окраски р-ра на желтую. Предположено наличие в р-ре равновесия между желтым IV и красным II, описываемое ур-нием  $\text{IV} + 4\text{H}^+ \rightleftharpoons \text{II}$ . Магнитные свойства I и III различны: I диамагнитен, III парамагнитен с  $\mu_{\text{эфф.}} = 3,5 \mu_B$ . В. Б.

**74667. Устойчивость внутрикомплексных соединений металлов с замещенными антралиновыми кислотами.** Гаррис, Суит (The stability of metal chelates of substituted anthranilic acids. Harris William F., Sweet Thomas R., J. Phys. Chem., 1956, 60, № 4, 509—510 (англ.).

Титрованием видоизмененным методом Бьеррума (Calvin M., Wilson K. W., J. Amer. Chem. Soc., 1945, 67, 2003) в 50%-ном диоксане определены константы образования  $\text{K}_1$ ,  $\text{K}_2$  и  $\text{K}_{\text{ср}}$  комплексов Cd и Cu с замещенными антралиновыми к-тами. Для Cd и Cu значения  $\text{K}_1 \cdot 10^{-4}$ ;  $\text{K}_2 \cdot 10^{-2}$  и  $\text{K}_{\text{ср}} \cdot 10^{-3}$  с к-тами: 3-метилантралиновой (0,32; 4,9; 1,2) и (7,9; 44; 18); N-метилантралиновой (0,30; 6,0; 1,1) и (3,7; 24; 11); антралиновой (0,16; 1,4; 0,48) и (14; 110; 40); 5-сульфоантралиновой (0,26; 0,44; 0,33) и (8,7; 13; 11); N-фенилантралиновой (0,21; 5,8; 0,98) и (0,63; 6,3; 2,0); 3,5-динодантралиновой (0,05; 1,4; 0,21) и (0,45; 5,6; 1,6). В. Ш.

**74668. Действие сернистого газа на амальгаму натрия-Остертаг, Шассен** (Action du gaz sulfureux sur l'amalgame de sodium. Ostertag Hélène, m-lle, Chassain Yvette, C. r. Acad. sci., 1956, 242, № 13, 1732—1734 (франц.).

Совершенно сухой  $\text{SO}_2$  не действует на амальгаму натрия (I), но быстро реагирует с ней в присутствии следов воды. Изучалось взаимодействие 0,2—2,2%-ной I с чистым или разб. азотом  $\text{SO}_2$ . Сначала образуется  $\text{Na}_2\text{S}_2\text{O}_4$ , затем содержание его в продукте р-ции уменьшается и появляются возрастающие кол-ва  $\text{Na}_2\text{S}_2\text{O}_3$  и  $\text{Na}_2\text{SO}_4$  наряду с небольшим кол-вом  $\text{Na}_2\text{SO}_3$ . Поскольку в большинстве случаев  $\text{Na}_2\text{SO}_3$  и  $\text{Na}_2\text{S}_2\text{O}_3$  присутствуют в эквивалентных кол-вах, авторы относят образование этих солей за счет р-ции  $3\text{Na}_2\text{S}_2\text{O}_4 + 2\text{Na} \rightarrow 2\text{Na}_2\text{SO}_3 + 2\text{Na}_2\text{S}_2\text{O}_3$ . Если р-цию довести до полного исчерпания I, то образуется серое в-во, содержащее значительные кол-ва  $\text{HgS}$ , 20—30%  $\text{Na}_2\text{S}_2\text{O}_4$  и элементарную S. На этой стадии р-ции выделяется  $\text{H}_2\text{S}$ . Н. П.

**74669. Реакции растворенного фторида натрия с гидратированным трикальцийфосфатом и осажденным гидроксидфосфатом.** Монтель (Réactions du fluorure de sodium dissous sur le phosphate tricalcique hydraté et l'hydroxyapatite précipité. Montel Gérard, C. r. Acad. sci., 1956, 242, № 9, 1182—1184 (франц.).

При перемешивании взвеси 2 г  $\text{Ca}_3(\text{PO}_4)_2 \cdot 0,5 \text{H}_2\text{O}$  (I) с р-рами NaF (II), содержащими 0,05—0,2 г II на 200 мл воды, образуется смешанный фторидгидроксидфосфат  $\text{Ca}_{10}(\text{PO}_4)_6(\text{F}_x, \text{OH}_{1-x})_2$ , где  $x = 0,3—0,6$ ; осадок захватывает  $\sim 0,2\%$  Na. Для препарата с  $x = 0,5$  параметр решетки а 9,38 Å. Наблюденное изменение pH р-ров при р-ции I с II (рост pH при высокой концентрации II и падение — при малой) объяснено наличием равновесия  $7\text{I} + 8,5\text{H}_2\text{O} \rightleftharpoons 6\text{Ca}_{10}(\text{PO}_4)_6(\text{III}) + 3\text{CaH}_2(\text{PO}_4)_2(\text{IV})$  и р-циями II с III и с IV, приводящими соответственно к увеличению или уменьшению pH. И. Р.

**74670. О реакции фторида бора с мочевиной.** Бехер (Zur Reaktion des Borfluorids mit Harnstoff. Becher Hermann J., Chem. Ber., 1956, 89, № 7, 1691—1693 (нем.).

При пропускании смеси  $\text{BF}_3$  с  $\text{N}_2$  через мочевищу образуется, при подогреве, продукт присоединения состава  $\text{OC}(\text{NH}_2)_2 \cdot \text{BF}_3$  (I). Р-цию доводят до конца при  $80^\circ$ . I — кристаллич. масса (т. пл.  $82^\circ$ ), растворяющаяся на воздухе; с 36%-ным р-ром формалина образует белый осадок, в котором сохраняется связь N с  $\text{BF}_3$ . При нагревании выше  $125^\circ$  I разлагается. По-видимому, вначале разложение идет по ур-нию  $\text{OC}(\text{NH}_2)_2 \cdot \text{BF}_3 \rightarrow \text{BF}_3\text{NH}_3 + \text{HNCO}$ . Затем  $\text{BF}_3 \cdot \text{NH}_3$  разлагается на нитрид бора и  $\text{NH}_4\text{BF}_4$ , изоциановая к-та полимеризуется в аморфное в-во. Конечные продукты разложения  $\text{NH}_4\text{BF}_4$  и  $(\text{HNCO})_n$  идентифицированы по рентгенограмме и ИК-спектру. Р-ция разложения  $\text{OC}(\text{NH}_2)_2 \cdot \text{BF}_3$  и его ИК-спектр указывают, что  $\text{BF}_3$  в I связан через атом N. И. С.

**74671. Реакция борогидрида алюминия с триметилхлорсиланом.** Гудспид, Сандерсон (The reaction of aluminium borohydride and trimethylchlorosilane. Goodspeed Neil C., Sanderson R. T., J. Inorg. and Nuclear Chem., 1956, 2, № 4, 266—268 (англ.).

При попытках получения водородных соединений, содержащих B и Si в одной молекуле, установлено, что  $\text{NaBH}_4$  и  $\text{KBH}_4$  инертны по отношению к  $(\text{CH}_3)_3\text{SiCl}$  (I) при давлении ниже атмосферного и при т-рах до  $130^\circ$ . Однако  $\text{Al}(\text{BH}_4)_3$  (II) легко реагирует в газовой фазе с I при  $25^\circ$ , в основном по ур-нию:  $2\text{II} + 6\text{I} \rightarrow \text{Al}_2\text{Cl}_6 + 3\text{B}_2\text{H}_6 + 6(\text{CH}_3)_3\text{SiH}$  (III); образуются также  $(\text{CH}_3)_2\text{SiH}_2$  и  $(\text{CH}_3)_3\text{SiH}$ , кол-ва каждого из которых близки к 0,25 от кол-ва III. Даже при  $-80^\circ$ , когда I и II малолетучи, наблюдается быстрое выделение  $\text{B}_2\text{H}_6$ . И. Р.

**74672. Реакция между цианатом и гипохлоритом.** Листер (The reaction between cyanate and hypochlorite. Lister M. W., Canad. J. Chem., 1956, 34, № 4, 489—501 (англ.).

В дополнение к прежней работе (ПЖХим, 1956, 15817) изучена кинетика р-ции между  $\text{KOCN}$  и  $\text{NaOCl}$  в сильно шел. среде. Р-ция протекает по ур-нию  $2\text{OCN}^- + 3\text{OCl}^- + 2\text{OH}^- \rightarrow 2\text{CO}_3^{2-} + 3\text{Cl}^- + \text{N}_2 + \text{H}_2\text{O}$  (1), но при высоких конц-ях  $\text{OCl}^-$  имеет место и р-ция  $\text{OCN}^- + 4\text{OCl}^- + 2\text{OH}^- \rightarrow \text{CO}_3^{2-} + 4\text{Cl}^- + \text{NO}_3^- + \text{H}_2\text{O}$ . Скорость р-ции (1) соответствует кинетич. ур-нию  $-d[\text{OCN}^-]/dt = 3K[\text{OCl}^-][\text{OCN}^-]/[\text{NaOH}]$ . Вычисленная с учетом поправки на саморазложение гипохлорита константа скорости  $k \cdot 10^4$  при ионной силе  $\mu$  2,2 и 50, 55, 65 и  $75^\circ$  равна 1,00; 1,89; 5,45 и 16,8 мин. $^{-1}$ . При  $65^\circ$  и увеличении  $\mu$  от 1,7 до  $3,5 \cdot 10^{-4}$  растет от 4,22 до 6,20. Кажущаяся энергия активации равна  $25 \pm 0,5$  ккал/моль. Принято, что скорость процесса определяется бимолекулярной р-цией  $\text{OCN}^-$  с  $\text{HOCl}$  с образованием  $\text{Cl}^-$  и быстро окисляющегося далее  $\text{HO}_2\text{CNHONH}$ ; вычисленная энергия активации этой р-ции равна 15,1 ккал/моль. Р-ция  $\text{OCN}^-$  с  $\text{ClO}_2^-$  протекает очень медленно даже при  $98^\circ$ . И. Р.

**74673. Изучение реакций между монокарбидом вольфрама и двуокисью марганца или полтораокисью железа.** Жозьен (Étude sur les réactions entre le monocarbure de tungstène et le bioxyde de manganèse ou le sesquioxyde de fer. Josien F. A., Bull. Soc. chim. France, 1956, № 3, 480—486 (франц.).

Взаимодействие WC с  $\text{MnO}_2$ , судя по уменьшению веса смеси реагентов вследствие выделения CO, начинается около  $1000^\circ$ . При скорости нагревания смеси  $300—400^\circ$  в 1 час, в интервале  $1000—1200^\circ$  наблюдается быстрое уменьшение веса. При  $1200—1400^\circ$  процесс замедляется, и выше  $1400^\circ$  потери веса снова быстро увеличиваются. Те же характерные точки отмечены на кривой зависимости процента непрореагировавшего WC от т-ры, построенной по данным

хим. анализа. В интервале 1200—1400° заканчивается первая стадия р-ции  $2\text{WC} + \text{MnO}_2 \rightarrow \text{MnO} + \text{W}_2\text{C} + \text{CO}$ . При 1550° заканчивается вторая стадия процесса  $\text{MnO} + 2\text{WC} \rightarrow \text{Mn} + \text{W}_2\text{C} + \text{CO}$ . Выше этой т-ры содержание С в продуктах р-ции не изменяется, но потери веса продолжают возрастать, что автор связывает с улетучиванием Мп. Газовыделение выше 1500° прекращается. Увеличение доли  $\text{W}_2\text{C}$  в продукте р-ции выше 1500° автор объясняет возможным протеканием р-ции  $3\text{Mn} + 2\text{WC} \rightarrow \text{Mn}_3\text{C} + \text{W}_2\text{C}$ . Р-ция  $\text{WC}$  с  $\text{Fe}_2\text{O}_3$  начинается при 650°, выше 950° идет с большой скоростью и заканчивается при 1050°. Р-ция идет по ур-нию  $\text{Fe}_2\text{O}_3 + 6\text{WC} \rightarrow 2\text{Fe} + 3\text{W}_2\text{C} + 3\text{CO}$ . При нагревании смеси выше 1000° рентгено-структурным методом в продукте р-ции не обнаруживаются ни  $\text{W}_2\text{C}$ , ни Fe, но появляется W и новая фаза —  $\text{W}_3\text{Fe}_3\text{C}$ . Интенсивность линий последней с повышением т-ры возрастает, а W — уменьшается. Н. П.

**74674. Реакция бромата с соляной кислотой. Левин, Авраами** (The reaction between bromate and hydrochloric acid. Lewin M., Avrahami M.), Bull. Res. Council Israel, 1955, A5, № 1, 56—60 (англ.)

Реакция в р-ре между  $\text{KBrO}_3$ ,  $\text{HCl}$  и  $\text{KCl}$  протекает по кинетич. ур-нию —  $d(\text{BrO}_3^-)/dt = k(\text{BrO}_3^-)(\text{H}^+)^2(\text{Cl}^-)$ . Введение  $\text{KNO}_3$  несколько тормозит р-цию. Энергия активации р-ции равна 19 ккал. По мнению авторов, р-ция складывается из следующих стадий:  $\text{BrO}_3^- + \text{H}^+ \rightleftharpoons \text{HBrO}_3$ ;  $\text{HBrO}_3 + \text{H}^+ \rightleftharpoons \text{H}_2\text{BrO}_3^+$ ;  $\text{H}_2\text{BrO}_3^+ + \text{Cl}^- =$

$= \text{HBrO}_2 + \text{HClO}$  (определяющая скорость процесса);  $\text{HBrO}_2 + \text{H}^+ + \text{Cl}^- = \text{HBrO} + \text{HClO}$ ;  $2\text{HClO} + 2\text{H}^+ + 2\text{Cl}^- \rightleftharpoons 2\text{Cl}_2 + 2\text{H}_2\text{O}$  и  $\text{HBrO} + \text{H}^+ + \text{Cl}^- \rightleftharpoons \text{BrCl} + \text{H}_2\text{O}$ . Суммарное ур-ние р-ции:  $\text{BrO}_3^- + 6\text{H}^+ + 5\text{Cl}^- = 2\text{Cl}_2 + \text{BrCl} + 3\text{H}_2\text{O}$ . И. Р.

**74675 К. Неорганическая химия. I. II. Ред. Иидзума** (無機化学. 第2巻. 飯島俊一郎編. 岩崎書店, 295頁, 12頁, 100圓, Ивасаки-сэтен, 1954, 307 стр., 1000 иен) (япон.)

**74676 К. Неорганическая химия. Учебник для техникумов. Берад, Запан** (Chimie anorganică. Manual pentru scoli de chimie. Beral Edith, Zapan Mihail. Bucuresti, Ed. tehn., 1955, 569 p. il. 29, 75 lei) (рум.)

**74677 Д. Определение констант нестойкости комплексных соединений методом смешения равновесия вторичной диссоциации индивидуального комплекса. Виноградова Л. И., Автореф. дисс. канд. хим. н., Ленингр. технол. ин-т им. Ленсовета, Л., 1956**

См. также: Элементы 74314. Строение и св-ва молекул и кристаллов 74178, 74179, 74181—74183, 74185—74188, 74192, 74206. Кинетика и механизмы неорг. р-ций 74389, 74401, 74403—74406, 74416. Комплексные соед. 74139, 74147, 74191, 74242, 74340, 74379, 74501, 74519, 74999, 75048, 75223. Обзор 73970. История 73965, 73966.

## КОСМОХИМИЯ. ГЕОХИМИЯ. ГИДРОХИМИЯ

**74678. Изучение полос Меррил-Санфорда в спектрах десяти углеродных звезд. Имбле, Маннино** (Observations of the bandes de Merrill-Sanford dans les étoiles carbonées. Humblet J., Mannino G.), Ann. astrophys., 1955, 18, № 5, 321—328 (франц.; рез. англ., русс.) В результате двухлетних наблюдений установлено отсутствие связи между интенсивностями полос Свана и Меррил-Санфорда. Сделан теоретич. подсчет  $\text{C}_2$  и  $\text{C}_3$  в названных звездах в зависимости от содержания Н, С, N. Г. В.

**74679. Модели горячих звезд. Босман-Крепен** (Modèles d'étoiles chaudes. Rosman-Crespin D.), Ann. astrophys., 1954, 17, № 4, 263—274 (франц.; рез. англ.)

См. РЖАстр., 1955, 4316.

**74680. Условия излучения и происхождения группы 4050 А кометных ядер. Гупий, Герман** (Conditions d'émission et origine du groupe 4050 A des noyaux cométaires. Goupil René, Herman Renée), Ann. astrophys., 1953, 16, 444—465 (франц.)

Приводятся эксперим. и теоретич. обоснования происхождения линий группы 4050 А, наблюдаемых в спектрах кометных ядер. Полосы излучения в области 3900—4100 А приписываются наличию в атмосфере комет гипотетич. молекул  $\text{Ca}$ . В лабораторных условиях аналогичные линии наблюдались в электрич. разряде между угольными электродами в атмосфере ксенона (напряжение 3000 в). Предполагается, что во время разряда происходит образование радикалов  $\text{CH}$  и молекул  $\text{C}_2 = \text{C}_2 + \text{C}$ . Водород в разрядной трубке присутствует в качестве примеси. Теоретически энергетич. уровни  $\text{Ca}$  вычисляются по методу Эйринга и Гиршфельдера, который приводит к значению длины волны излучения  $4050 \pm 5$  А. А. М.

**74681. О запрещенных линиях  $\text{Ca}^+$  в спектре Солнца. Никитин А. А., Докл. АН СССР, 1954, 98, № 1, 31—33**

Исследованы запрещенные линии  $\text{Ca}^+$  в спектрах испускания и поглощения:  $\lambda\lambda$  7291,46 и 7323,88 А, со-

ответствующие переходам  $3^2D_{3/2} - 4^2S_{1/2}$  и  $3^2D_{1/2} - 4^2S_{1/2}$ . Обе линии блендированы. Оценка эквивалентных шириин бленда позволяет установить только верхнюю границу содержания  $\text{Ca}^+$  в атмосфере Солнца,  $N < 10^{20}$ . Накопление  $\text{Ca}^+$  на метастабильном уровне может привести к появлению этих линий в эмиссионном спектре. Определен возможный порядок величины отношения их интенсивности к интенсивности ИК-триплета  $\text{Ca}^+$   $\lambda\lambda$  8542,089; 8662,140 и 8498,018 А перехода  $3^2D - 4^2P$ . Отношение  $I_{8498} / I_{7291}$  на основе оценки населенности уровней  $3^2D$  и  $4^2P$  по эквивалентным ширинам линий триплета, оказалось  $\approx 3 \cdot 10^2$ . Вследствие большой интенсивности линий ИК-триплета предполагается, что линии  $\text{Ca}^+$   $\lambda\lambda$  7291 и 7323 А могут наблюдаться в спектре верхних слоев хромосферы. Указано, что эти линии могут служить индикатором интенсивности  $L_\alpha$ -излучения, так как ионизационный потенциал уровня  $3^2D$  почти равен потенциалу возбуждения  $L_\alpha$ . Г. В.

**74682. Сибирский метеорит, упавший в феврале 1947 года, Кривов Е.** (The Siberian meteorite fall of February, 1947. Krinov E.), Sky and Telescope, 1956, 15, № 7, 300—301 (англ.)

Метеор упал в районе Восточной Сибири к западу от Сихотэ-Алиня. На месте падения площадью 1,6 км<sup>2</sup> обнаружено 122 кратера диам. 0,5—30 м и 78 отверстий меньшего диаметра. Метеор пал в атмосферу со скоростью 14,5 км/сек и взорвался на куски различной величины. Общая масса его составляет  $\sim 70$  т. Хим. состав (в %): Fe 93,5, Ni 5,22, Co 0,47, P 0,2 и S 0,06. В. П.

**74683. Изучение радиоактивности железных метеоритов с помощью фотографического метода. Дейч, Пичотто, Хаутерманс** (Radioactivity of iron meteorites by the photographic method. Deutsch S., Picciotto E., Houtermans F. G.), Nature, 1956, 177, № 4515, 885—886 (англ.)

Обсуждены предварительные результаты исследования

$\alpha$ -радиоактивности двух метеоритов Toluca (Hamburg) (I) и Carbo (II) с помощью метода ядерной фотозумуляции. Для I и II  $U < 0.6 \cdot 10^{-8}$  г/г,  $Th < 2 \cdot 10^{-8}$  г/г. Нижний предел концентрации U и Th, полученных из миним. содержания радиогенного He и предполагаемого возраста  $4.5 \cdot 10^9$  лет, для I  $U > 1.5 \cdot 10^{-11}$  г/г; Th  $> 2 \cdot 10^{-10}$  г/г.

Р. Х.

**74684. Геохимия — наука нашего столетия. Борисов** (Геохимията — наука на нашето столетие. Борисов Ив. а. н), Природа и знание (София), 1955, 8, № 10, 15—17 (болг.)

Популярная статья.

М. Я.

**74685. Заключительное сообщение о высотном и географическом распределении изотопов кислорода. Долл, Радд, Заукелис, Браун, Лейн** (Final report height and geographical distribution of the oxygen isotopes. Dole Malcolm, Rudd D. P., Zaukelies D. A., Brown J. B., Lane G. A.), Northwest. Univ. Dept. Chem., Washington, 1954, 108 p. (англ.)

Проведено измерение относительной распространенности изотопов кислорода с помощью модифицированных масс-спектрального и денсиметрич. методов анализа воды. Относительная распространенность изотопов азота измерена масс-спектральным методом. Чувствительность денсиметрич. метода равна  $\pm 0.2 \cdot 10^{-4}\%$  (по плотности воды), масс-спектрального  $\pm 0.025\%$  (в процентах  $O^{18}$ ). Сконструирована новая аппаратура для отбора воздуха на больших высотах. Исследовано около 200 образцов воздуха у земной поверхности США, Южной и Центральной Америки, Финляндии, Голландии, Японии, Австралии и Арктики, а также воздуха, растворенного в воде Тихого океана и собранного на различных высотах с помощью ракет. Воздух у поверхности не обнаруживает колебаний в процентном содержании  $O^{18}$ . Распространенность изотопов кислорода и азота, с учетом экспериментально полученных данных фракционировки на внутренних стенках баллонов для отбора проб, на высотах до 24,93 км не отклоняется от нормальной. Воздух, растворенный в воде Тихого океана, обогащается  $O^{18}$  с уменьшением процентного содержания кислорода в образце. Коэфф. разделения составляет 0,991.

Изотопный состав азота остается нормальным с глубиной. Образцы воздуха, взятые непосредственно над слоем водорослей, благодаря фотосинтезу, содержат меньше кол-во  $O^{18}$  в кислороде, чем в воздухе.

Р. Х.

**74686. Земной гелий. Мейн** (Terrestrial helium. Maupin K. I.), Geochim. et cosmochim. acta, 1956, 9, № 4, 174—182 Pergamon Press, London — New York (англ.)

На основании литературных данных изучены: кол-во инертных газов в атмосфере, эрозия и обезгаживание земной коры, образование He в земной коре и в атмосфере. Скорость высвобождения  $He^4$  из коры и образования  $He^3$  в атмосфере указывают на присутствие дополнительного источника — космической пыли, которая осаждается на земной поверхности в кол-ве 5000 т в день.

Р. Х.

**74687. Исследование химического разложения силикатов. Кармен-Санчес-Кальво** (Las investigaciones sobre la descomposicion quimica de los silicatos. Carmen Sanchez-Calvo M. del.), An. edafol. y fisiol. veget., 1955, 14, № 4, 229—243 (исп.; рез. нем.)

**74688. Корреляция диоктаэдрических калиевых слюд на основании соотношения зарядов. Фостер** (Correlation of dioctahedral potassium micas on the basis of their charge relations. Foster Margaret D.), Geol. Survey Bull., 1956, № 1036D, I—IV, 57—67 (англ.)

Рассмотрен изоморфизм в диоктаэдрич. калиевых слюдах и выведен общий ряд:  $XR^{3+}R^{2+}(Si_3Al)O_{10}(OH)_2$  —  $XR^{3+}R^{2+}(Si_4)O_{10}(OH)_2$ , где X — K с примесью Na и Ca,  $R^{3+}$  —  $Al^{3+}$ ,  $Fe^{3+}$ ,  $Cr^{3+}$ ,  $V^{3+}$ ,  $Mn^{3+}$ ,  $a$ ,  $R^{2+}$  —  $Fe^{2+}$  и  $Mg^{2+}$ . При замещении  $Al^{3+}$  на  $Si^{4+}$  в четвертной координации компенсация валентностей осуществляется за счет замещения  $Al^{3+}$  в шестерной координации на  $Fe^{2+}$  или  $Mg^{2+}$ , причем суммарный отрицательный заряд

октаэдрич. и тетраэдрич. слоев структуры остается постоянным. По мере перехода от слюд с 3 ионами Si к слюдам с 4 ионами Si происходит уменьшение заряда тетраэдрич. слоев и эквивалентное увеличение заряда октаэдрич. слоев. Предложена корреляция и классификация диоктаэдрич. калиевых слюд на основании распределения заряда между тетраэдрич. и октаэдрич. слоями структуры. Крайними членами выведенного ряда являются мусковит и селадонит. У мусковита весь отрицательный заряд сосредоточен на тетраэдрич., у селадонита — на октаэдрич. слоях. Промежуточными членами ряда являются еерцит, роскоэлит, фуксит, жильбертит, фенгит, марипозит, алургит и глауконит. Приведены таблицы и график, показывающие распределение зарядов в 17 различных слюдах. Предположено, что аналогичный метод может быть применен для классификации гидрослюд.

В. А.

**74689. Идентификация зернистых минералов. Хоскинг** (Identifications of mineral grains. Hosking K. F. G.), Mining Mag., 1956, 94, № 2, 80—84 (англ.)

Приведен обзор простых и быстрых физ. методов, легко осуществимых в заводских условиях: 1) оптич. исследование образцов в воздухе или погруженных в жидкость в обычном или УФ-свете; 2) суспендирование, основанное на различных уд. весах; 3) фракционирование с помощью электромагнитов различной силы; 4) разделение на электрохим. магнитному методу Виншета (Vincent H. C. G. Nature, 1951, 167, 1074); 5) измерение радиоактивности.

Р. Х.

**74690. Применение электронного микроскопа в минералогических исследованиях. Дворник, Росс** (Application of the electron microscope to mineralogical studies. Dwornik Edward, Ross Malcolm), Amer. Mineralogist, 1955, 40, № 3—4, 261—274 (англ.)

Электронномикроскопическим методом исследованы нанесенные на коллоидную пленку и подтененные Cr препараты следующих минералов: ванадата железа, шрекингерита, метаксевита, хевеита, урановой черни, гематита, фосфорита, аттапульгита, лигнита, тюзмунита, штаффелита, карнитита, ярозита и синтетич. минералов: ураноцирипта, отунита, парсонита, бассетита, карнитита, гидроксилпатита, а также шламов хвостов фосфоритов. Приведены микротопографии названных минералов.

С. Я.

**74691. Флуорометрическое и колориметрическое микроопределение урана в породах и минералах. Адамс, Мейк** (Fluorometric and colorimetric microdetermination of uranium in rocks and minerals. Adams J. A. S., Maack William J.), Analyt. Chem., 1954, 26, № 10, 1635—1639 (англ.)

Уран входит в состав пород и минералов в виде отдельных соединений или может быть связан внутри кристаллич. решеток. В первом случае  $1$  г образца, содержащего U, разлагают конц. азотной к-той (1 : 1), во втором случае — смесью фтористоводородной и азотной к-т. Отделение U от примесей других ионов производится путем экстракции его 10 мл этилацетата из 10 мл р-ра нитрата алюминия или хроматографич. методом на активированной целлюлозной колонке. Целлюлозу готовят из ватмановской или фильтровальной бумаги. Она обрабатывается смесью  $HNO_3$  и диэтилового эфира. Эта же смесь применяется для извлечения U из адсорбента. При содержании U менее, чем 0,00001%, рекомендуется пользоваться флуорометрич. методом.

Я. К.

**74692. Определение содержания магнетита в минералах, основанное на измерении интенсивности намагничивания (аппарат Форрера). Анжели** (Dosage de la magnétite dans les minerais basé sur la mesure de l'intensité d'aimantation (appareil Forrer). Angeli Monique), Docum. métallurg., 1955, № 23, 59—70 (франц.)

Описан прибор и метод его эталонизирования; дана номограмма расчета показаний; указано, что метод пригоден только для определений магнетита.

М. Я.

**74693. Граниты — источники урана и тория. Вольбурт** (Granititikiivilajit uraanin ja toriumin lähteenä. Volborth A.), Tekn. kemian aikakauslehti, 1956, 13, № 6, 175—180 (фин.; рез. англ.)

Приводятся средние цифры содержания Ra ( $10^{-12}$  г/г) и Th ( $10^{-6}$  г/г) в гранитах различных регионов (соответственно): Финляндия  $4,66 \pm 0,12$ ;  $2,80 \pm 0,24$ ; Северная Америка, Гренландия, Япония и др.  $1,59 \pm 12$ ;  $0,81 \pm 0,08$ ; Альпы  $4,43 \pm 0,68$ ;  $3,30 \pm 0,50$ ; Южная Африка  $2,36 \pm 0,16$ . Предполагается, что страны, обладающие запасами гранита, могут получать из него атомное сырье.

**74694. О генезисе древних гранитоидов Украинского кристаллического щита. Усенко И. С., Докл. АН СССР, 1955, 104, № 6, 895—898**

Отмечается, что названные гранитоиды, будучи в различной степени гибридизированными, имеют тесную генетич. связь с метаморфизованными осадочно-эффузивными породами, находящимися в их кровле. В числе доказательств приводятся данные произведенных хим. анализов пород. Так, состав бердичевского гранита (среднее из 8 анализов):  $\text{SiO}_2$  66,61,  $\text{TiO}_2$  0,43,  $\text{Al}_2\text{O}_3$  15,26,  $\text{Fe}_2\text{O}_3$  0,83,  $\text{FeO}$  4,42,  $\text{Mn}$  0,06,  $\text{MgO}$  2,00,  $\text{CaO}$  2,28,  $\text{Na}_2\text{O}$  3,20,  $\text{K}_2\text{O}$  3,80, близко совпадает со средним составом осадочно-эффузивных пород, компоненты которых соответственно колеблются в пределах: 65,12—69,96; 0,48—0,60; 14,15—16,70; 1,29—1,48; 3,77—4,47; 0,04—0,07; 1,88—2,21; 2,32—2,89; 3,03—3,60; 1,94—2,41. Установлена генетич. связь Кировоградских и житомирских гранитов с бердичевскими, что также подтверждается петрохимич. анализом; при этом в бердичевских гранитах отмечается более высокое содержание K и меньшее кол-во Ca.

**74695. К вопросу о возрастном расчленении интрузивного южного склона Гиссарского хребта. Баратов Р. Б., Докл. АН СССР, 1956, 107, № 1, 128—131**

На основании новых данных предложена следующая схема последовательности образования интрузивных пород (с указанием разновидностей и жильных дериватов) названного района: I. Среднекарбонный комплекс — 1) гранодиоритпорфиры и кварцевые порфиры, 2) гранодиориты и кварцевые диориты, 3) порфировидные граниты, 4) аплитовидные граниты; II. Условно-пермский комплекс — 1) красные граниты, 2) лампрофиры и жильные диабазы. Приведены хим. анализы турмалинового аплитовидного гранита и аплитовидного гранита.

**74696. Биогеохимические методы при исследовании содержания никеля в Нижнесилезских серпентинитах. Валенчак** (Metody biogeochemiczne w badaniu zawartości niklu w serpentynitach dolnośląskich. Walenczak Zygmunta), Arch. mineral., 1954, 18, № 2, 303—317 (польск.; рез. русс., англ.)

Определено колориметрически содержание Ni, Fe и весомым методом Mg в золе листьев деревьев, главным образом берез, растущих в районах развития серпентинитов Нижней Силезии на разных типах почв. В местах, где находятся  $\text{Fe} = \text{Ni}$ -руды, наблюдается повышенное содержание в золе Ni и Fe. В случае Ni кон-ция выражается отношением 1 : 50, в случае Fe 1 : 10, по отношению к нормальному содержанию этих элементов в растении. Содержание Mg не характерно,  $\text{SiO}_2$  находится в повышенном кол-ве. Вероятно, Ni более подвижен, чем Fe. С помощью спектрального анализа определен Cr и установлено, что сосна лучше всего усваивает этот элемент. Спектральные анализы показали также резкое уменьшение содержания Ba, Sr и Zn в золе берез, растущих непосредственно на серпентинитовых почвах. Содержание Cu и Pb обычное; Ag заметно концентрируется.

**74697. Некоторые данные о происхождении концентратов хромита и рудных месторождений хрома в свете новых наблюдений в Анатолии. Вейкерслот** (Einiges über die Entstehung von Chromitkonzentrationen und Chromerzlagernstätten an Hand von neuen Beobachtungen in Anatolien. Wijkerslooth P.),

Neues Jahrb. Mineralogie Monatsch., 1954, № 9, 190—200 (нем.)

Рассмотрено влияние тектоники на кристаллизацию  $\text{Cr}$ -содержащих магм. Отмечено, что кристаллизация в сильно вязкой магне приводит к образованию мелкозернистого хромита (величина зерен 1—2 мм); в относительно менее вязкой магне образуется грубозернистый хромит (величина зерен  $> 2$  мм).

**74698. Основные направления в изучении пегматитов по данным мировой литературы, обзор работ по пегматитам Бельгийского Конго и Руанда-Урунди; предложение классификации для пегматитов Бельгийского Конго и Руанда-Урунди. Варламов** (Tendances actuelles dans l'étude des pegmatites à travers le Monde; revue des travaux sur les pegmatites du Congo Belge et du Ruanda-Urundi; proposition d'une classification des pegmatites du Congo Belge et du Ruanda-Urundi. Varlamoff N.), Bull. Soc. g.-ol. Belgique, 1953—1954, 77, № 7, 8, 9, 245—267 (франц.)

Пегматиты Бельгийского Конго и Руанда-Урунди разделяются по преобладанию: 1) биотита, 2) двух слюд, 3) мусковита и 4) кварцевых прожилков с мусковитом. Отмечена связь между расположением пегматитов по отношению к магматизму, очагу и типом пегматита по вышеизложенной классификации; чем ближе к очагу, тем меньше номер типа пегматита.

**74699. Лазулит и скорцалит из пегматитов Бельгийского Конго и Руанды. Торо, Бастьен** (Lazulite et scorzalite de pegmatites du Congo Belge et du Ruanda. Thoreau J., Bastien G.), Bull. cl. sci. Acad. roy. Belgique, 1954, 40, № 6, 600—607 (франц.)

В верхней части бассейна р. Лувуа, на границе провинции Стэнливилль (Бельгийское Конго) и Руанды, изучены пегматиты с касситеритом, колумбитом, танталитом и амблигонитом. Совместно с последним встречены минералы группы лазулит — скорцалит, образовавшиеся путем замещения в кристаллич. решетке амблигонита Li магнем или железом. Хим. состав (в %): лазулит (месторождение Мвака) —  $\text{SiO}_2$  0,42,  $\text{Al}_2\text{O}_3$  34,14,  $\text{P}_2\text{O}_5$  45,48,  $\text{FeO}$  2,93,  $\text{CaO}$  0,57,  $\text{MgO}$  11,59,  $\text{H}_2\text{O}$  5,45, сумма 100, 58; скорцалит (месторождение Самула) —  $\text{SiO}_2$  3,92,  $\text{Al}_2\text{O}_3$  28,78,  $\text{P}_2\text{O}_5$  40,20,  $\text{FeO}$  19,73,  $\text{CaO}$  0,21,  $\text{MgO}$  2,13,  $\text{H}_2\text{O}$  4,90, сумма 99,87. Приведены результаты кристаллооптич. изучения, термограммы и рентгенограммы названных минералов. Полученные данные связаны с хим. процессом. Г. В.

**74700. К вопросу о значении коллоидных растворов при рудоотложении. Левицкий О. Д.** В сб.: Основные проблемы в учении о магматогенных рудных месторождениях. М., Изд-во АН СССР, 1953, 209—331

**74701. О характерных особенностях рудных месторождений колчеданного типа. Иванов С. Н., Тр. Горногеол. ин-та. Уральск. фил. АН СССР, 1955, вып. 26, 86—91**

Отмечаются следующие особенности в составе руд. Как правило, преобладают сульфиды (80—95%). На долю пирита приходится не менее 80% от всей массы сульфидов. В рудах, богатых Cu, и особенно Zn и Ba, содержание пирита резко снижается. Кроме пирита, в рудах развиты следующие минералы: сфалерит, халькопирит, кварц, барит, пирротин, мельниксит, марказит, галенит, магнетит, борнит, халькозин, силерит, серицит, хлорит, арсенопирит, теннит, кальцит, гипс, рутил. В рудах фиксируются As, Ag, Au, Se, Fe, Cd и некоторые другие элементы.

**74702. Термическое изучение замещающих текстур рудных минералов. Реакция между  $\text{CuFeS}_2$  (твердый) и Bi (жидкость). Такэути, Намбу** (銅黄鉄鉱と黄銅鉱の交代組織に関する熱的研究. 黄銅礦 (固相) と黄銅 (液相) との反応. 竹内 彦, 南村 敏夫), 岩石矿物床學會誌, Гансэки кобун косэ гаккайси, J. Japan. Assoc. Mineral. Petrol. and Econ. Geologists, 1954, 38, № 4, 121—126 (япон.; рез. англ.)

Исследован с помощью отражающего микроскопа про-

дукт, получающийся при нагревании халькопирита (~6 мм) с металлич. В в стеклянной трубке при 271—700° в течение 1—5 час. с последующим охлаждением в ледяной воде или медленным охлаждением в электропечи. Обнаружены: висмутит  $\text{Bi}_2\text{S}_3$ , продукты разложения халькопирита  $\text{Cu}_2\text{S}$ ,  $\text{Cu}_5\text{FeS}_4$  (или  $\text{Cu}_2\text{S}$  тв. p-p),  $\text{FeS}$ ,  $\text{CuFe}_2\text{S}_3$ ,  $\text{Cu}$  и текстуры замещения халькопирита. В. Г.

**74703. Некоторые гидротермические синтезы доломита и протодоломита. Граф, Голдсмит** (Some hydrothermal syntheses of dolomite and protodolomite. Graf Donald L., Goldsmith Julian R.), J. Geol., 1956, 64, № 2, 173—186 (англ.)

Изучался процесс образования доломита из некоторых метастабильных карбонатных материалов: смесей арагонита и основных карбонатов  $\text{Mg}$  (3 образца) с отношением  $\text{Ca} : \text{Mg} = 86 : 14$ ,  $54 : 46$ ,  $28 : 72$ ; 27 опытов;  $\text{Ca} - \text{Mg}$ -карбонатных гелей (2 образца с  $\text{Ca} : \text{Mg} = 48 : 52$ ,  $22 : 78$ ; 200 опытов); 7 образцов природного доломитизированного калциита с содержанием 7—21 мол. %  $\text{MgCO}_3$  (40 опытов). Образцы в присутствии  $\text{H}_2\text{O}$  и  $\text{H}_2\text{O} + \text{CO}_2$  нагревались от 25 до 450°. Доломит, образующийся при более высокой т-ре, представляет собой устойчивое в-во состава  $\text{Ca} - \text{Mg} = 1 : 1$ . Протодоломит является переходной ступенью к образованию стабильной конфигурации и образуется при более низкой т-ре. Авторы полагают, что для формирования правильной структуры доломита необходима подвижность ионов  $\text{Ca}$  и  $\text{Mg}$ , которая достигается при высокой т-ре. А при условиях земной поверхности скорость диффузии падает настолько, что возникает необходимость в водн. среде. Р. Х.

**74704. «Хеветтит» и «метакхеветтит». Барнс** («Hewettite» and «metahewettite»). Barnes W. H.), Amer. Mineralogist, 1955, 40, № 78, 689—691 (англ.)

Исследовались 8 образцов этих минералов с помощью рентгеноструктурного метода. Автор считает, что существуют три типа подобных в-в: 1) хеветтит  $\text{CaO} \cdot 3\text{V}_2\text{O}_5 \cdot \text{H}_2\text{O}$ , где  $n$  равно 3,6 (вероятно) и 9, 2) натриевый аналог  $\text{Na}_2\text{O} \cdot 3\text{V}_2\text{O}_5 \cdot 3\text{H}_2\text{O}$  без названия, не чувствительный к воде, и 3) не чувствительная к гидратации и дегидратации соль смешанного состава. Р. Х.

**74705. Ребанит из Добшина в Восточной Словакии. Падера, Боушка, Пеликан** (Rezbanyit aus Dobšín in der Ostslowakei, CSR. Paděra K., Bouška V., Pelikán J.), Chem. Erde, 1955, 17, № 4, 329—340 (нем.)

В Добшинской рудной области найден минерал, в результате хим. спектрального и рентгенографич. анализов отождествленный с ребанитом. Хим. состав (в %):  $\text{Bi}$  54,  $\text{Pb}$  21,5,  $\text{Cu}$  6,6 и  $\text{S}$  17,9. Качеств. спектральным анализом установлены существенные кол-ва  $\text{Bi}$ ,  $\text{Cu}$ ,  $\text{Pb}$ , от заметных до малых кол-в  $\text{Fe}$ ,  $\text{Si}$ ,  $\text{As}$ , от малых до микроколичеств  $\text{Co}$ ,  $\text{Sb}$ ,  $\text{Ca}$ ,  $\text{Mg}$ ,  $\text{Al}$ ,  $\text{Ag}$ ,  $\text{Hg}$ ,  $\text{Ti}$ ,  $\text{Mn}$ . Рентгенографич. анализ отметил несколько иную интенсивность отдельных интерференционных линий, по сравнению с минералом из Ребанни. Порядок выделения минералов в кварцевых и анкеритовых жилах: 1) анкерит; 2) арсенопирит, пирит, кварцит, халькопирит, ребанит, тетраэдрит. А. Г.

**74706. Гольдичит — новый водный сульфат железа и калия из Сан-Рафаэля. Юта (CUA). Розенцвейг, Гросс** (Goldichite, a new hydrous potassium ferric sulfate from the San Rafael Swell, Utah. Rosenzweig A., Gross Eugene B.), Amer. Mineralogist, 1955, 40, № 5-6, 469—480 (англ.)

Гольдичит открыт при обработке коллекции рудных минералов, собранных в 1953 г. в шахте № 7 округа Каунти (штат Юта) в триасовых отложениях. Образует радиальные скопления кристаллов бледно-зеленого цвета в мелкокристаллич. инкрустациях. Ассоциирующие минералы: алуноген, кокимбит, галотрихит, рёмерит, бутлерит, диферит, мелантерит. Время выделения: совместно с первыми тремя и ранние остальных. Кристаллы в виде моноклинных призм по {001}. Преобла-

дающие формы: {100}, {110} и {011}. Пространственная группа:  $F2_1/c$ . Размеры ячейки:  $a_0$  10,45,  $b_0$  10,55,  $c_0$  9,15;  $\beta = 101^\circ 49'$ ,  $n = 4$ ; оптич. двусный положительный,  $2V = 82^\circ$  (вычис.),  $\alpha = 1,582$ ,  $\beta = 1,602$ ,  $\gamma = 2,629$ ,  $X = b$ ,  $Z \wedge c = 11^\circ$ . Спайность по {100}. Уд. в.: 2,43 (измер.) и 2,419 (вычисл.). Твердость — 2,5. Хим. ф-ла:  $\text{KFe}(\text{SO}_4)_2 \cdot 4\text{H}_2\text{O}$ . Результаты хим. анализа (в %):  $\text{K}_2\text{O}$  12,87,  $\text{Na}_2\text{O}$  0,09,  $\text{Rb}_2\text{O}$  0,03,  $\text{Fe}_2\text{O}_3$  22,24,  $\text{TiO}_2$  0,02,  $\text{Al}_2\text{O}_3$  0,32,  $\text{SO}_3$  43,65,  $\text{H}_2\text{O}$  20,35, неактив. остаток 0,23, сумма 99,72;  $\text{MnO}$ ,  $\text{MgO}$ ,  $\text{CaO}$ ,  $\text{SrO}$ ,  $\text{BaO}$  и  $\text{Cs}_2\text{O}$  — каждого < 0,01%.  $\text{Rb}_2\text{O}$ ,  $\text{Co}_2\text{O}$  и  $\text{Na}_2\text{O}$  определены спектрофотометрически. Минерал назван в честь Самюэля С. Гольдича, профессора геологии ун-та в Миннесоте. Г. В.

**74707. Аксинит Дарваза. Юсупова С.**, Докл. АН Тадж. ССР, 1956, № 15, 3—6.

В районе р. Оби-Хингоу среди пермских зеленокаменных пород прослеживаются низкотемпературные жилы с кварцем, эпидотом, хлоритом и аксинитом. Содержание последнего составляет 10—15 об. %. Произведено хим., спектроскопич., рентгенографич. и кристаллооптич. изучение аксинита. Хим. состав (в %):  $\text{SiO}_2$  42,79,  $\text{Al}_2\text{O}_3$  17,05,  $\text{Fe}_2\text{O}_3$  3,80,  $\text{FeO}$  3,25,  $\text{CaO}$  16,96,  $\text{MgO}$  2,03,  $\text{Na}_2\text{O}$  0,14,  $\text{K}_2\text{O}$  0,25,  $\text{H}_2\text{O}$  1,74,  $\text{B}_2\text{O}_3$  6,14,  $\text{MnO}$  6,25, сумма 100,40. Спектральный анализ дополнительно открыл:  $\text{Cu}$  и  $\text{S}_2$  — средние линии,  $\text{Au}$ ,  $\text{V}$ ,  $\text{Zn}$  и  $\text{As}$  — слабые линии. Кристаллохим. ф-ла  $(\text{Ca}_{1,8}\text{Mg}_{0,3})(\text{Mn}_{0,5}\text{Fe}_{0,3}^{2+}\text{Fe}_{0,2}^{3+})\text{Al}_{1,9}\text{B}_{0,9} \cdot \text{H}_{1,1}[\text{SiO}_4]$  (манганаксинит). Произведено сравнение полученных результатов с литературными данными. Г. В.

**74708. О сульфостаннатах свинца в Боливи. Берндт** (Über die Bleisulfostannate Boliviens. Berndt F.), Neues Jahrb. Mineralogie. Monatsh., 1954, № 9, 200—204 (нем.)

**74709. Химия процессов минералообразования в осадочных породах. Щербина В. В.** Вспр. минералогии осадоч. образований. Кн. 3—4. Львов, Львовск. ун-т, 1956, 27—38

Направление и число хим. р-ций при осадочном минералообразовании зависит от условий протекания хим. процессов. В работе приведена геохим. обстановка образования осадков и процессов дальнейшего диагенезиса. Описана схема последовательности выпадения осадков и распределения в них редких элементов ( $\text{Au}$ ,  $\text{Zr}$ ,  $\text{Hf}$ ,  $\text{W}$ ,  $\text{Nb}$ ); наиболее богатыми оказываются глинистые осадки и наименее — соли  $\text{K}$  и  $\text{Na}$ . Подробно рассмотрены 3 руды: боксит, лимонит и пиролюзит-вал с характерными для них микроэлементами ( $\text{Ti}$ ,  $\text{Ga}$ , — в боксите;  $\text{As}$ ,  $\text{In}$ ,  $\text{Mo}$  — в лимоните;  $\text{Co}$ ,  $\text{Ba}$ ,  $\text{W}$  — в пиролюзите). Рассмотрен перечень типичных геохим. процессов: гидролиз и значение рН, окислительно-восстановительные р-ции для некоторых элементов ( $\text{S}$ ,  $\text{Co}$ ,  $\text{Fe}$ ,  $\text{V}$ ,  $\text{Mo}$ ), образование труднорастворимых солей; разложение растеримых (комплексных) солей, коагуляция золь и раскристаллизация гелей, образование минералов сорбцией, биогенные процессы. В. П.

**74710. Устойчивость карбонатных пород по отношению к агрессивному воздействию вод. Пальвелев В. Т.** В сб.: Кора выветривания. Вып. 2. М., АН СССР, 1956, 349—354

Устойчивость пород является важным фактором при решении многих задач строительства и геологии. Она определяется кол-вом выносимого в-ва за единицу времени и зависит от условий взаимодействия в-ва с водой. В работе изучено взаимодействие р-ров  $\text{CO}_2$  с образцами известняков и доломитов. Описан прибор и методика постановки опытов по выщелачиванию  $\text{Ca}$  и  $\text{Mg}$ , а также их определения в полученном р-ре. Разобрано влияние т-ры на скорость растворения. Установлено, что доломиты в 2—3 раза устойчивее известняков. Зависимость устойчивости от хим. состава выражена 2 графиками. В. П.

**74711. Ускоренный метод определения карбонатов кальция и магния в известняках, доломитах и мергелях. Пчелинцев Д. А. В сб.: Кора выветривания. Вып. 2, М., Изд-во АН СССР, 1955, 417—420**

Метод основан на известном принципе определения суммы карбонатов Са и Mg по кол-ву к-ты, израсходованной на их растворение, и отливается только способом осаждения Mg щелочью в присутствии растворимого сульфата. Последний осаждает большую часть Са для уменьшения влияния его на определение Mg. Применяются титрованные р-ры строго определенных конц-ий, постоянные навески и объемы р-ров, а также спец. таблицы для расчета анализов, необходимые при массовых анализах. После определения суммы карбонатов Са и Mg последний определяется прямым путем, а Са — по разности.

**74712. Методика и техника микрохимического анализа продуктов выщелачивания силикатных пород. Пальев В. Т., Андреева Л. А. В сб.: Кора выветривания. Вып. 2, М., АН СССР, 1956, 409—416**

Продукты, полученные при выщелачивании силикатных пород в кварцевой аппаратуре, упариваются в платиновой чашке и большая часть кремнекислоты переводится в нерастворимое состояние действием конц. HCl с последующим высушиванием. Отфильтрованная  $\text{SiO}_2$  промывается, прокаливается и взвешивается на микровесах, а в р-ре фотокалориметрически из отдельных проб определяются: остаточная кремнекислота (синее окрашивание при восстановлении кремнемолибденового комплекса  $\text{SnCl}_4$ ), Fe (сульфосалициловая к-та), Al (алюминин или «стильбаз»), Ni (диметилглиоксим в присутствии Br) и Mg (титанозный желтый).

**74713. Распространение йода и брома в отложениях верейского горизонта Саратовского Поволжья. Иткина Е. С., Докл. АН СССР, 1956, 107, № 4, 562—563**

По методу Л. С. Селиванова (Тр. Бюгеохим. лаборатории АН СССР, 1946, 8, 5) определено содержание Br и I в 17 образцах глин, песчаников и известняков из трех районов. Получены результаты (в %):  $\text{I } 1,6 \cdot 10^{-4} - 1,82 \cdot 10^{-3}$ , среднее  $6,1 \cdot 10^{-4}$ ;  $\text{Br } 2,5 \cdot 10^{-4} - 3,42 \cdot 10^{-3}$ , среднее  $1,04 \cdot 10^{-3}$ ; в том числе в глинах (11 образцов) —  $\text{I } 2,6 \cdot 10^{-4} - 1,82 \cdot 10^{-3}$  и  $\text{Br } 3,2 \cdot 10^{-4} - 1,72 \cdot 10^{-3}$ ; песчаниках (4 образца) —  $\text{I } 1,6 \cdot 10^{-4} - 1,33 \cdot 10^{-3}$  и  $\text{Br } 2,5 \cdot 10^{-4} - 3,42 \cdot 10^{-3}$ ; известняках (2 образца) —  $\text{I } 2,5 - 5,4 \cdot 10^{-4}$  и  $\text{Br } 4,1 - 7,8 \cdot 10^{-4}$ . Кол-во органич. углерода в тех же образцах незначительное и колеблется между 0,02 и 0,85%. Предполагается зависимость содержания Br и I в породах от содержания органич. в-ва.

**74714. Процессы минералообразования в первично-осадочных богатых железных рудах Кривого Рога. Гершой Ю. Г., Вopr. минералогии осадоч. образований. Кн. 3—4. Львов, Львовск. ун-т, 1956, 160—173**

Криворожские руды имеют различный генезис. Кроме эпигенных рудных столбов саксаганского типа, встречаются первично-осадочные метаморфизированные залежи Ингулецкого типа с характерным пластовым залеганием. В статье разобраны теории образования и разрушения руд Кривбасса и приведена схема последовательности петрогенетич. процессов. Выделены 4 этапа рудообразования: 1) седиментация и диагенез, 2) общий и гидротермальный метаморфизм, 3) глубокое дотермическое выветривание и 4) третичное выветривание.

**74715. Связь богатых руд Кривого Рога с процессами коры выветривания. Коржинский Д. С. В сб.: Кора выветривания. Вып. 2, М., АН СССР, 1956, 239—243**

Вопреки гипотезе об эндогенном происхождении руд саксаганского типа автор приводит следующие дополнительные данные к работе Л. И. Мартыненко (Уч. зап. Черновицкого гос. ун-та, 1950, 8, № 2) о связи богатых руд Кривого Рога с процессами коры выветривания: 1. Минеральный состав руд (кварц, мартит, дисперсный гематит, гидрогематит, гетит, каолин и другие глинистые минералы). 2. Рав-

номерная выщелоченность пород Саксаганского участка, отличающаяся равномерной тонкозернистостью, равномерной пористостью и полурыхлостью; для железорудной толщ характерен «маршалит», никогда не образующийся при эндогенных метаморфич. или гидротермальных процессах. Большая глубина (1000—1200 м) проникновения процессов выветривания связывается с тектонич. ослаблением этого участка.

**74716. О древней коре выветривания в Курчумском районе (Южный Алтай). Хисамутдин М. Г., Материалы Всес. н.-и. геол. ин-та, 1956, вып. 8, 116—117**

Исследованная кора выветривания кварцево-хлоритосерпичитовых сланцев относится по возрасту к концу мезозоя и началу третичного времени. Мощность коры превышает 4 м. Петрографич. состав — в основном белая глина, состоящая из каолинита (29,7%), серпичита (26,7%) и кварца (43,6%). Хим. состав (в %):  $\text{SiO}_2$  60,84,  $\text{TiO}_2$  0,44,  $\text{Al}_2\text{O}_3$  24,43,  $\text{Fe}_2\text{O}_3$  1,23,  $\text{FeO}$  0,28, MnO следы, CaO 0,10, MgO 1,00,  $\text{K}_2\text{O}$  4,03,  $\text{Na}_2\text{O}$  0,26, п. п. 6,36,  $\text{H}_2\text{O}$  (гигр.) 0,77, сумма 100,32. Предполагается, что серпичит должен иметь ф-лу  $\text{K}(\text{Mg}_{0,3}\text{Al}_{1,5}\text{Fe}_{0,2})(\text{OH})_2\text{Si}_2\text{O}_{10}$ . Получена дифференциальная кривая нагрева и определены оптич. константы.

**74717. О причине недостаточности меди в почвах Бретани. Коппенс, Кальве (Sur l'origine des carences en cuivre des sols de Bretagne. Corpenet Marcel, Calvez Janine, m-me), С. г. Acad. sci., 1955, 241, № 16, 1068—1070 (франц.)**

Недостаточное содержание Cu в почвах Бретани, понижающее урожай зерновых, объясняется объединенностью Cu материнских пород этих почв: гранитов и гранулитов. Содержат Cu почвы и породы (в тысячных %): гранулиты граниты 3—6, почвы на них 3,5—6; слюдястые сланцы 16,5—45, почвы на них 10,5—35; гнейсы 37,5.

**74718. Закономерности образования и распространения глинистых минералов в почвах. Горбунов Н. И., Вopr. минералогии осадоч. образований. Кн. 3—4. Львов, Львовск. ун-т, 1956, 564—574**

Определен минералогич. состав фракции  $<0,001$  мм, выделенной из почв, развитых на основных и кислых породах в разных климатич. зонах. Проведены данные хим., рентгенографич. и термич. анализ; определена емкость поглощения катионов и величина pH. Установлено, что минералы монтмориллонитовой (преимущественно бейделлит) и каолинитовой (каолинит, галлузит) групп часто встречаются вместе при различных pH. Одновременно с минералами этих групп в почвах образуются аморфные в-ва (кремнекислота, полутурные окислы, аллофан) и минералы полутурных окислов (гидраргиллит, гетит). Особенно много гидраргиллита в красноземах и латеритах, сформированных на основных породах. В условиях сухого климата образуются преимущественно гидрослюды. Кол-во минералов каолинитовой группы увеличивается в условиях более сильного выветривания изверженных пород. В условиях сильного выветривания на граните и базальте образуется преимущественно каолинитовая группа минералов. Полевые шпаты в этих условиях выветриваются до каолинита, галлузита и гидраргиллита.

**74719. Исследование аутигенных полевых шпатов. Баскин (A study of authigenic feldspars. Baskin Yehuda), J. Geol., 1956, 64, № 2, 132—155 (англ.)**

Исследовались образцы из 40 месторождений, состоящие из моноклинного калиевого полевого шпата (I), микроклина, альбита и впервые описанного натриевого полевого шпата (II), представляющего промежуточную структуру между альбитом и анальбитом. Применялись методы хим., спектрографич., рентгенографич. и кристаллографич. I наблюдался в карбонатах, песчаниках, алевролитах и глинистых сланцах, II был обнаружен только в карбонатных породах. По спектрографич. анализам содержание  $\text{Na}_2\text{O}$  в аутигенных I редко превышает 0,3%, а содержание  $\text{K}_2\text{O}$  и CaO в II редко превышает 0,4 и 0,2%. В кристал-

дографич. отношении аутигенные полевые шпаты мало отличаются от «неаутигенных». На основании текстурной взаимосвязи кристаллов полевых шпатов и материнских пород предполагается вторичное происхождение для большинства полевых шпатов. Р. Х.

**74720. О цинковых глинках из месторождения Акжал в Казахстане. Чухров Ф. В.** В сб.: Кора выветривания. Вып. 2, М., АН СССР, 1956, 107—123

Произведено комплексное изучение цинковой глины (I), открытой автором в 1939 г. Для сравнения изучены глины из месторождений Ачисай в Южном Казахстане (Готман Я. Д., Мин. сырье, 1937, № 5) (II) и Алмалык в Киргизии (III). Применялись методы: хим., термич., оптич., рентгеновский, электронномикроскопич., хроматографич. и метод вытяжек. Хим. состав I (3 образца), II (1 образец) и III (1 образец) в %:  $K_2O + Na_2O$  0,06—1,04,  $CaO$  1,10—1,94,  $MgO$  0,40—1,57,  $ZnO$  31,21—37,99,  $BaO$  0,10—1,06 (3 определения),  $FeO$  0,08—0,10 (2 опр.),  $CuO$  до 2,00 (3 опр.),  $PbO$  до следов (2 опр.),  $NiO$  0,04 (III),  $CaO$  0,03 (III),  $MnO$  0,02 (III),  $Al_2O_3$  8,88—16,48,  $Fe_2O_3$  0,13—3,70,  $Mn_2O_3$  (без III) до 0,02,  $P_2O_5$  до 0,50 (4 опр.),  $SO_3$  0,02—1,02,  $SiO_2$  26,60—35,60,  $TiO_2$  0,12—0,50 (без III),  $CO_2$  + органич. в-во 0,20 (I),  $H_2O^+$  6,65—12,90,  $H_2O^-$  1,45—9,36. Соотношение между окислами: 2,57—4,67  $RO$ :  $R_2O_3$ : 2,95—5,97  $SiO_2$ : 4,87—8,89  $H_2O$ . Все изученные глины состоят, в основном, из нового минерала цинкальсита (по главным компонентам —  $Zn$ ,  $Al$ ,  $Si$ ) с приблизительной ф-лой  $Zn_7Al_4Si_6O_{25} \cdot 10H_2O = Zn_7Al_4(OH)_2(SiO_4)_6 \cdot 9H_2O$  и небольшого кол-ва гидрослюда. Основные свойства цинкальсита: цвет белый, розоватый до красновато-бурого; твердость 2,5—3; уд. вес. 3,007; двуосный, отрицательный; двупреломление  $\sim 0,007$ —0,009; средний показатель преломления 1,56—1,58. Минерал образуется в процессе коагуляции геля простого и сложного состава; в последнем случае со временем происходит обособление отдельных соединений — алюмосиликата цинка и слюды. Время образования: ранние каламина, гидросинкита и кальцита, и позже смитсонита и псиломелана-вада. Приведена литература по цинковым глинкам. Г. В.

**74721. Об эпигенетических новообразованиях эпидота и цоизита из мезозойских и верхнепалеозойских отложений Западного Верхоянья. Коссовская А. Г., Шутов В. Д.** Докл. АН СССР, 1956, 108, № 1, 139—141

Сообщается о новообразованных модификациях минералов группы эпидота в терригенных породах Западного Приверхоянья и Приверхоянского краевого прогиба. В изученных образцах обломочные зерна эпидота и цоизита несут следы эпигенетич. («внутрислойного») растворения, замещения кальцитом (в нижнемеловых породах) и кварцем (в триасовых и нижнепермских породах). Их формирование авторы связывают с эпигенетич. преобразованием первичного глинистого и глинистокарбонатного в-ва, цементирующего песчинки и алевролиты. Новообразованный эпидот обнаружен в породах тех горизонтов, где присутствует обломочный эпидот, зернышки которого, по мнению авторов, являются «затравкой», способствующей возникновению новообразованных модификаций. В. Ш.

**74722. О находке гроднолита на Волини. Дядченко М. Г., Хатунцева А. Я.** (Про знахідку гродноліту на Волині. Дядченко М. Г., Хатунцева А. Я.). Доповіді АН УРСР, 1956, № 2, 169—171 (укр.; рез. русс.)

Описана находка в шлихах из четвертичных и элювиальных отложений в нижнем течении р. Ирши редкого кальцевого фосфата — гроднолита. В тяжелых неэлектромагнитных фракциях содержание этого минерала достигает иногда 10—30%. Ассоциирующие минералы: гипергенный глауконит, марказит, сидерит, эпидот, лимонит, хлорит, лейкоксен, анатаз и др. Хим. состав гроднолита (в %):  $SiO_2$  1,51,  $Al_2O_3$  0,92,  $Fe_2O_3$  9,52,  $FeO$  0,89,  $CaO$  46,22,  $P_2O_5$  30,89,  $CO_2$  7,65,  $H_2O$  (гигр.) 0,16, потеря при прокаливании 2,36. Ф-ла:  $3CaO \cdot Fe_2O_3 \cdot 2P_2O_5 \cdot CaCO_3 \cdot Ca(OH)_2 + 1/4 H_4Al_2Si_2O_9$ , или  $Ca_3[PO_4]_2 \cdot CaFe^{3+}(OH)_2[PO_4]_2 \cdot CaCO_3 + 1/4 H_4Al_2Si_2O_9$ . Предполагается, что минералообразование происходило путем коагуляции в условиях заболачивания придонной части пресноводного бассейна с участием биогенных факторов. Г. В.

**74723. О радиоактивности фосфатов района Тисс (Сенегал). Капдекомм, Пулю** (Sur la radioactivité des phosphates de la région de Thiès (Sénégal). Capdecemme Laurent, Pulou René). C. r. Acad. sci., 1954, 239, № 3, 288—290 (франц.)

Изученные фосфаты состоят, в основном, из паллита и крадаллита. В одном и другом обнаружено значительное содержание урана (до 0,050%), причем в крадаллите его несколько больше, чем в паллите. Предполагается, что в процессе морского осадконакопления U перешел в паллит из воды. Изменение паллита в крадаллит привело к обогащению U. Г. В.

**74724. Аномалии микроэлементов в осадочных породах над нефтеносными пластами. Соколов, Сероусси, Израэль** (Trace-metal anomalies in sedimentary rock over petroleum-bearing horizons. Sokoloff V. P., Seroussi A., Israel Y.). Geochim. et cosmochim. acta, 1956, 9, № 4, 214 (англ.)

Краткое сообщение Израильской Горно-Промышленной лаборатории об исследовании образцов, полученных из двух буровых скважин. Установлено, что породы над нефтеносным слоем содержат аномально высокие кол-ва Ni, Cu, Zn и Au. Образцы, не содержащие нефти, из 14 исследуемых горизонтов содержат не более  $n \cdot 10^{-8}\%$  Ni, Cu, немного Zn и следы Au. Au выделялось по методу, разработанному в этой лаборатории; остальные металлы определялись полярографич. путем. Р. Х.

**74725. Исследование углеводородных залежей геохимическими методами. Филипенку, Теодореску** (Cercetarea zăcămintelor de hidrocarburi cu ajutorul metodelor geochimice, Filipescu Teodorescu Miltiade, Teodorescu Alex). Petrol și gaze, 1956, 7, № 3, 113—117 (рум.; рез. русс., нем.)

Описание двух новых поисково-разведочных методов на нефть: солевого и микробиологического. Солевой метод включает ряд показателей (хлоридное, иодное и натриевое числа), содержание  $CaCO_3$  и  $CaSO_4$ , указывающих на условия, благоприятные скоплению углеводородов. Г. В.

**74726. К вопросу о связи ванадия и никеля с нефтями девонских отложений Волго-Уральской области. Деменкова П. Я., Тр. Всес. н.-и. геол.-развед. ин-та, 1955, вып. 82, 182—198**

Исследовалось свыше 100 образцов нефтей карбона и девона, отличающихся друг от друга амплитудой колебания кол-ва углеводородных компонентов и содержанием серы. Зольность девонских нефтей колеблется от  $n \cdot 10^{-2}$  до  $n \cdot 10^{-2}\%$  по весу. Основную массу золы составляют окислы V и Ni. Высокосернистые нефти ( $>1\%$  S) богаты ванадием; их распространенность носит региональный характер. Более устойчивыми компонентами, независимо от региона, являются N (0,05—0,28%) и Ni. V и Ni полностью связаны с полярными органич. в-вами ( $>50\%$  сосредоточено в асфальтенах). Их содержание в нефтях различных месторождений составляет ( $\mu g$  на 100 г нефти): V 0,38—27,9; Ni 0,29—5,0. Нефти карбона и девона одних и тех же месторождений проявляют постоянство отношения V: Ni, что позволяет предположить генетич. связь между ними. Величина V: Ni как в региональном, так и в межрегиональном плане контролируется, в основном, изменениями в содержании V. Р. Х.

**74727. Необычная радиоактивность ископаемой рыбы из Терсо (Шотландия). Бауи, Аткин** (An unusually radioactive fossil fish from Thurco, Scotland. Bowie S. H. U., Atkin D.). Nature, 1956, 177, № 4506, 487—488 (англ.)

Костная ткань ископаемой рыбы *Homostius* из Древнего красного песчаника, по данным хим. анализа, содержит 0,32%  $U_3O_8$  и 0,51%  $ThO_2$ . Впадины ткани заполнены углеводородами, частично с кальцитом. В шлифах обнаружены также пирит и халькопирит. Карбонат-фторapatит, составляющий основную часть кости, идентифицировался обычными оптич. и рентгеноструктурными методами. Радиоавтографич. исследование показало, что в данных условиях из двух органич. комплексов или соединений U и Th только U фиксируется на костной ткани. Р. Х.

**74728. Определение аргона в природных водах с целью изучения метаболизма кислорода и азота. Сугавара, Тотикубо** (The determination of argon in natural waters with special reference to the metabolisms of oxygen and nitrogen. Sugawara Ken, Tochikubo Ichiro, J. Earth Sci., Nagoya Univ., 1955, 3, № 2, 77—84 (англ.))

Исследовано 12 образцов из 8 источников и 3 озер и один образец дождевой воды.  $O_2$  определялся в шел. р-ре пирогаллола,  $N_2$  — нагреванием с металлич. Са при 500°, Ar — по модифицированному методу Сиверта (Sieverts Ad. von, Brandt R., Z. ang. Chem., 1916, 29, 402). Степень насыщения рассматривается как процентное отношение наблюдаемой величины и теоретической. Изменение в насыщении Ar колеблется в пределах 86—112%,  $O_2$  — от 8,52 до 108,8%. В отличие от  $O_2$  азот во всех образцах, кроме дождевой воды, пересыщает воду. Пересыщенность некоторых грунтовых вод Ar показывает, что эта вода расширяет пузырьки сжатого воздуха, встречающегося на ее пути. Р. Х.

**74729. Содержание азота в дождевой воде в Южной Родезии. Вейнман** (The nitrogen content of rainwater in Southern Rhodesia. Weinmann H.), S. Afric. J. Sci., 1955, 52, № 3, 82—84 (англ.)

Образцы дождевой воды собирались в 1953/54 и 1954/55 гг. В период от декабря до апреля дождевая вода содержит в среднем 0,22 мг/л аммонийного N и 0,11 мг/л нитратного N. В другие месяцы (сентябрь, октябрь, ноябрь, май) дождь содержит больше N, вероятно, за счет пылевых частиц. Между содержанием нитритного и нитратного N и грозами корреляции не установлено. За 1953/54 и 1954/55 гг. кол-ва выпавшего дождя равнялись соответственно ~700 и ~1025 мм и внесли на 1 га поверхности ~1040 и ~1990 г общего N. В каждый из годов ~3/4 общего N составляет аммиак. Среднегодовое кол-во дождя за 60 лет в Салисбери, равное ~825 мм, доставляет ~1360 г общего N на акт. В. К.

**74730. Об изучении растворенной нефти в подземных водах люминесцентным методом. Суббота М. И.**, Разведка и охрана недр., 1956, № 4, 24—29

Опыты ставились на воде, отобранной из колодцев и родников Башкирии. В делительную воронку помещали 400 мл  $H_2O$  и 10 мл  $CHCl_3$ . Три раза через 8—16 час.  $CHCl_3$  меняли. Наблюдения показали, что первая порция  $CHCl_3$  извлекает значительно больше битума, чем вторая и третья. Установлены 2 типа кривых извлечения битума из воды. 1 тип — после первой заливки воды  $CHCl_3$  отмечено уменьшение степени люминесценции воды от 0,5 до 1 балла. Вторая и третья заливки люминесценцию не уменьшают. Первая заливка  $CHCl_3$  извлекает в 2—4 раза больше битума, чем последующие. 2 тип — после экстракции хлороформом люминесценция воды не уменьшается, а извлечение битума в основном происходит при первой заливке. Проведены исследования по определению необходимого объема воды для анализа, объема  $CHCl_3$ , а также скорости извлечения битума. На основании опытов рекомендуется брать для люминесцентного анализа 50 мл  $H_2O$  и 3 мл  $CHCl_3$ . Время экспозиции 4 часа. А. Ф.

**74731. Агрессия воды в связи с ее движением в камне. Гинзбург И. И.** В сб.: Кора выветривания. Вып. 2, М., АН СССР, 1956, 355—387

Исследовались карбонатные породы района Ширяевского

карьера в Жигулях на 24 образцах, имеющих пестрый хим.-минералогич. состав. Произведены необходимые хим. анализы и изучены физ. свойства образцов. Описаны основные процессы при фильтрации воды через породы и дан чертеж установки, на которой изучался коэфф. фильтрации. Величина коэфф. фильтрации колеблется от  $0,2 \cdot 10^{-8}$  до  $0,2 \cdot 10^{-9}$ , а среднего коэфф. хим. агрессии — от  $10^{-7}$  до  $10^{-11}$ . Построены графики зависимости коэфф. фильтрации от пористости и времени. В работе изучены также процессы фильтрации насыщ. р-ров  $CaSO_4 \cdot 2H_2O$ ,  $Ca(OH)_2$ . При применении  $Ca(OH)_2$  средний коэфф. фильтрации возрастает до  $10^{-4}$ — $10^{-5}$ . В. П.

**74732. Железистые воды курорта «Озеро Медвежье». Васильева В. Н.** В сб.: Вопр. изучения курорт. ресурсов СССР, М., Медгиз, 1955, 150—167

По данным 1952 г., исследованные воды имеют Cl— $HCO_3$ — $SO_4$ , Na, —Mg состав с т-рой 6,6°, минерализацией 2,039 г/л, pH 7,8. Вода обогащен. железистого источника (~2) содержит (в мг/л): Cl 453,  $SO_4$  391,  $HCO_3$  604, Na + K 356, Са 78, Mg 126,  $Fe^{2+}$  31 и является лечебной минер. водой. Содержание  $Fe^{2+}$  с 1941 г. уменьшилось в 5 раз; снизилось также содержание  $SO_4$ , кол-во  $HCO_3$  увеличилось. Установленные изменения связаны с увеличением дебита источника. Сезонные колебания зависят от атмосферных осадков. Формирование хим. состава воды объясняется двумя процессами: 1) грунтовые гидрокарбонатные воды, несущие кислород, окисляют пирит вмещающих пород и, обогащаясь  $SO_4$  и Fe, приобретают характер купоросных вод; 2) эти воды, богатые  $Fe^{2+}$ , смешиваясь с безжелезистыми, шел. гидрокарбонатными водами, дают устойчивую в физ.-хим. отношении воду (источник № 1). Основную роль в гидрохим. режиме играют различные пропорции смешения этих вод. Сезонные и многолетние колебания содержания  $Fe^{2+}$  в воде обусловлены в основном режимом уровня гидрокарбонатных безжелезистых вод, определяющим степень насыщения купоросной водой. М. Г.

**74733. О происхождении джавских углекислых соленочных вод. Джаляшвили В. Г.**, Сб. тр. Гос. н.-и. ин-т курорт. и физиотерапии, 1955, 22, 203—210

Дан критич. обзор вопроса о происхождении джавских минер. вод. Выдвинуто предположение, что эти углекислые солено-шел. воды заключены в основном в третичной песчано-глинисто-мергельной толще и генетически с ней связаны. В формировании хим. состава минер. воды большая роль принадлежит воде с морским комплексом. Образование джавских вод связано с отложениями миоценового возраста. Третичные отложения джавского района содержат большое кол-во органич. в-в и  $CaCO_3$ . В результате процессов десульфатизации и обменной адсорбции воды тритичных отложений Джавы претерпели изменения. Они обогатились ионами натрия и гидрокарбонатами, а содержание  $SO_4^{2-}$  резко уменьшилось. Важную роль в формировании вод играют процессы смешивания, благодаря которым в различных скважинах воды одного и того же горизонта имеют разную минерализацию. А. Ф.

**74734. Новые данные о физико-химической природе тбилисских термальных вод. Мзареулишвили М. В.**, Сб. тр. Гос. н.-и. ин-та курорт. и физиотерапии, 1955, 22, 221—222

Проведены исследования для установления гидрохим. и геохим. характеристики термальных вод г. Тбилиси. Установлено, что термальные воды по ионно-солевому составу можно разделить на хлоридно-гидрокарбонатно-натриевые (горячие сульфидные воды), хлоридно-натриево-кальциевые (высокоминерализованные с большим содержанием газов) и хлоридно-сульфатно-кальциевые (с высоким содержанием  $H_2S$ ). Кроме того, эти воды содержат микроэлементы: Br, J и В. Газы термальных источников относятся к азотно-метановому типу с небольшой примесью  $H_2S$ . А. Ф.

**74735. Твердый сток Луары в половодье. Бертуйа** (La sédimentation en Loire en grande marée de vive eau. Berthoult Léopold, C. r. Acad. sci., 1955, 240, № 1, 106—108 (франц.))

Изучено распределение илстых взвесей по длине и глубине р. Луары, причина заиленности порта Нант. В половодье, благодаря эрозии почв, содержание илстых взвесей достигает в верховьях реки 0,27 г на 1 м, в устье 0,225 г на 1 м, в межень — не более 0,05 г на 1 м. М. Я.

**74736. Содержание мышьяка в воде реки Заале [Германия]. Хейде, Мёнке** (Der Arsengehalt des Saalewassers. Heide F., Moenke H.), Naturwissenschaften, 1956, 43, № 4, 80—81 (нем.)

Исследовано 9 образцов воды из различных мест со средней ошибкой определения As 2—5%. Величина содержания, представляющая сумму растворенного и суспендированного в воде As, колеблется в пределах 3,9—22,1  $\mu\text{g/l}$ . Проведено сравнение с содержанием As и P в морской воде, метеоритах и различных горных породах по литературным данным. Р. Х.

**74737. Новые углеводороды в двух озерах Висконсина. Джадсон, Меррей** (Modern hydrocarbons in two Wisconsin Lakes. Judson Sheldon, Murray Raymond C.), Bull. Amer. Assoc. Petrol. Geologists, 1956, 40, № 4, 747—750 (англ.)

Исследовались 6 образцов осадков из двух озер, отобранных на разной глубине. Все образцы содержат парафиновые и ароматич. углеводороды. Анализ  $\text{C}_{14}$  показывает, что углеводородная часть является не результатом загрязнения, а следствием генерации углеводородов в новой седиментарной среде. Содержание углеводородов в образцах составляет 1,2—3,5  $\cdot 10^2$  %, величина органич. в-ва колеблется от 10 до 50%. Средние величины для одного озера соответственно равны  $2,77 \cdot 10^{-2}$  и 45%, для другого озера с более поздними отложениями  $2,32 \cdot 10^{-2}$  и 11%. Различный характер отложений зависит от условий седиментации и окисления углеводородов. Р. Х.

**74738. Гидрофизические измерения вод Сталинского озера. Вранский, Марков, Пеева** (Гидрофизични измервания във водите на Сталинското озеро — V. Врански В. К., Марков П. К., Пеева А. Т.), Изв. Българ. АН. Отд. физ.-матем. и техн. н. сер. физ., 1954 (1955), 4, 251—268 (болг.; рез. рус., англ.)

Измерялись летом 1952 г. и зимой 1953 г. прозрачность, т-ра и проникновение дневного света в воде Сталинского озера. Т-ра по глубине резко меняется лишь в летнее время. Прозрачность по глубине мало меняется. Интенсивность света, проникшего до одной и той же глубины, зимой больше, чем летом. Предыдущее сообщение см. Изв. Българ. АН. Сер. физ. 1952, II, 357—376. М. Я.

**74739. Материалы по сравнительной гидрохимической характеристике прудов лесостепной и степной зон УССР. Коненко А. Д., Тр. Ин-та гидробиол. АН УССР, № 32, 37—47**

Приводятся результаты гидрохим. изучения прудовых вод (ПВ). Минерализация (М) ПВ в весенне-летний период 250—2500  $\text{mg/l}$  (в южных районах летом 5300—7000  $\text{mg/l}$ ). Солевой состав очень разнообразен, содержание (в  $\text{mg/l}$ ):  $\text{SO}_4$  10—20 (на юге до 2000),  $\text{Cl}$  15—20 (в степных районах 500—1000),  $\text{Ca}$  50—100 (в ПВ, связанных с гипсоносными породами, до 200, иногда 400),  $\text{Mg}$  20—30 (в степных районах до 300),  $\text{Mg/Ca} = 0,3—0,5$  в лесостепных и от 1 до 3—5 в степных зонах; общая жесткость 4—5  $\text{mg-экв}$  (по направлению к югу увеличивается до 40), постоянная жесткость, от ничтожных кол-в в ПВ лесостепной зоны, в южных районах достигает 10—20  $\text{mg-экв}$ . Среди исследованных прудов выделяется группа атмосферных прудов с М 600—800  $\text{mg/l}$ , содержанием  $\text{HCO}_3$  45—48% и  $\text{Ca}$  до 37%. Степень М и солевой состав ПВ значительно колеблется в зависимости от сезона, а также от влияния летних дождей и зимних оттепелей. По содержа-

нию биогенных элементов (БЭ) пруды делятся на 2 типа: а) с небольшими конц-иями азотистых соединений и фосфатов (1,0 и 0,25  $\text{mg/l}$ ), со значительным развитием фитопланктона и б) с повышенным содержанием минер. азота и фосфора и малым развитием фитопланктона. На динамику БЭ влияют биогич. и биохим. процессы, а также и внесение удобрений. Окисляемость в течение вегетационного периода 8—23, иногда 9—59  $\text{mg/l}$   $\text{O}_2$ . Конц-ия  $\text{O}_2$  в ПВ в дневные часы 10—17  $\text{mg/l}$  (160—209% насыщения); миним. содержание 3—5  $\text{mg/l}$  (50—70% насыщения). По динамике  $\text{O}_2$  в ПВ выделяют 3 типа прудов: 1) с благоприятным кислородным режимом (к ним относятся спускные, русловые и атмосферные пруды), 2) с неустойчивым кислородным режимом, 3) недонасыщ.  $\text{O}_2$  в дневные часы. К 2 и 3 типам относятся удобряемые пруды, а также пруды, близко расположенные к скотным дворам. М. Г.

**74740. Содержание кальция в водах некоторых рыбных промыслов Уттар Прадеш. Ипадхья** (Calcium content of some fishery waters of Uttar Pradesh. Upadhyaya M. P.), Indian J. Veterin. Sci. and Animal Husbandry, 1955, 25, № 4, 341—345 (англ.)

Исходя из важности наличия кальция в воде для быстрого роста рыб, исследовалось 76 образцов воды из 27 прудов 8 районов. Содержание  $\text{CaCO}_3$  колеблется в пределах 1,4—25,6  $\cdot 10^{-4}$ %. Согласно классификации Оле (Ohle W., Arch. Hydrobiol., 1938, 26, 386) 9,2% исследованных образцов бедны (до  $2,5 \cdot 10^{-1}$  %), 32,8% богаты (2,5—6,25  $\cdot 10^{-4}$  %) и 57,9% очень богаты (свыше  $6,25 \cdot 10^{-4}$  %) кальцием. Р. Х.

**74741. Определение растворимых фосфатов и общего фосфора в морской воде и общего фосфора в морских грязах. Бертон, Райли** (Determination of soluble phosphate, and total phosphorus in seawater and of total phosphorus in marine muds. Burton J. D., Riley J. P.), Mikrochim. acta, 1956, № 9, 1350—1365 (англ.; рез. нем., франц.)

Фосфор встречается в морской воде в органич. и неорганич. форме в кол-ве от 1 до 60  $\text{mg/m}^3$ . Авторы обсуждают ряд методик определения P, применяемых ранее. В работе исследован новый восстановитель фосфор-молибденовой к-ты при колориметрич. определении P, в качестве которого применен метол. При определении общего P органич. в-во разлагают упариванием с  $\text{HNO}_3$  и  $\text{HClO}_4$ . Приведены аналитич. методики определения растворимого и общего P в воде и общего P в грязах. Разобраны возможные ошибки и влияние примесей (As, Si). Методика проверена на ряде органич. соединений, проведены анализы морской воды с 54 северной широты и 3—4 западной долготы и гряды с содержанием P 0,033—0,063%. В. П.

**74742. Сульфаты в воде Черного моря. Скопни-цев Б. А., Губин Ф. А., Гидрохим. материалы, 1955, 25, 16—27**

Сульфаты определены весовым методом в виде  $\text{BaSO}_4$ . Оценка точности метода производилась путем определения  $\text{SO}_4^{2-}$  в 3 образцах искусств. морской воды с соленостью 35,22 и 18‰ и в р-ре  $\text{K}_2\text{SO}_4$ . Ошибка для вод, по солености близких к черноморским, была меньше 0,1%. Содержание  $\text{SO}_4^{2-}$  в исследованных водах глубоководной части моря колебалось (в  $\text{g/kg}$ ) в 1952 г. от 1,4032 до 1,7147, в 1953 г. от 1,4158 до 1,7088. Полученные авторами данные показали, что содержание  $\text{SO}_4^{2-}$  возрастает от поверхности до слоя 750—1000 м, ниже ко дну оно убывает.  $\text{SO}_4^{2-}/\text{Cl}^{-}$ -коэфф. в поверхностных водах максимален (0,1418—0,1410) и выше океанского. Этот коэфф. для поверхностных вод открытой части моря в среднем 0,1410. С глубиной  $\text{SO}_4^{2-}/\text{Cl}^{-}$ -коэфф. понижается, оставаясь в слое 100—200 м постоянным, у дна его значения самые низкие (0,1363—0,1368), они ниже соответствующего коэфф. океанских вод. Изменения  $\text{SO}_4^{2-}/\text{Cl}^{-}$ -коэфф. по вертикали не только указывают на протекание хим. и биохим. про-

цессов, но и на идущий во всей толще вод процесс перемешивания. Исходя из содержания  $\text{SO}_4^{2-}$  в воде, приносимой босфорским течением, и в придонной воде Черного моря, вычислено кол-во  $\text{H}_2\text{S}$  ( $\sim 10$  мл/л), образующегося в придонном слое при восстановлении  $\text{SO}_4^{2-}$ . Вычисленное кол-во восстановленных  $\text{SO}_4^{2-}$  в придонной воде  $\sim 2,5\%$  от их исходного содержания. О. Ш.

**74743. Электрокинетический потенциал лечебных илов и грязей. Хачванкян М. А.** В сб.: *Вопр. изучения курорт. ресурсов СССР*, М., Медгиз, 1955, 287—289. Изложены сущность и значение электрокинетич. потенциала  $Z$ ; приведены описание и чертеж прибора для определения  $Z$ . Определены  $Z$  илов и грязей для несколь-

ких озер; установлено, что  $Z$  колеблется в пределах 0—11 мв. Зависимость  $Z$  от уд. электропроводности представлена графиком. Данные о влажности,  $Z$  и содержании органич. в-в сведены в таблицу. В. П.

**См. также:** Радиоактивность. Изотопы 74320. Структура и состав минералов 74181, 74187, 74190, 74258, 74376. Методы анализа минералов, почв, пород, природных вод и воздуха 75256, 75257, 75265, 75278, 75281, 75287, 75292, 75314, 75319, 75657. Распр. элементов в природных объектах 75870. Микроэлементы и минералы в живых организмах 22542Бх, 22543Бх. Синтез минералов 74184. Др. вопр. 74215, 74221, 74314, 74448, 74568, 74569, 75656

## ОРГАНИЧЕСКАЯ ХИМИЯ

### ТЕОРЕТИЧЕСКИЕ И ОБЩИЕ ВОПРОСЫ ОРГАНИЧЕСКОЙ ХИМИИ

**74744. Современные представления о химическом строении и взаимном влиянии атомов в молекулах.** — (有機化学の原理より化学構造及び分子内原子の相互影響に関する現代的觀念), 化学の領域, Кагаку-но рёнки, J. Jap. Chem., 1955, 9, № 9, 52—59 (япон.)

Перевод одноименной главы из «Введения» О. А. Реутова к 5-му изданию книги А. Е. Чичибабина «Основные начала органической химии». М.—Л., Госхимиздат, 1953.

**74745. Современное состояние и пути развития органической химии. Левенберг (Estado atual e tendências da química orgânica. Löwenberg Peter), Engenharia e quim., 1955, 7, № 5, 8—14 (порт.)**

**74746. Простые пиримидины. Часть III. Метилирование и структура аминопиримидинов. Браун, Хоргер, Мейсон (Simple pyrimidines. Part III. The methylation and structure of the aminopyrimidines. Brown D. J., Hoerger Earl, Mason S. F.), J. Chem. Soc., 1955, Dec., 4035—4040 (англ.)**

Полученные ранее (РЖХим, 1953, 4601) спектральные характеристики 2- и 4-аминопиримидинов (I и II) дополнены исследованием 1,2-дигидро-2- и 1,4-дигидро-4-имино-1-метилпиримидина (III и IV). УФ-и ИК-спектры подтверждают, что аминопиримидины в водн. р-ре, в неполярных р-рителях ( $\text{CHCl}_3$ ) и в твердом состоянии существуют в аминотоме. Сходство УФ-спектров катионов III и IV со спектрами катионов I и II показывает, что протон в катионе находится у азота ядра, а не в аминогруппе, так как в последнем случае спектры катионов должны быть подобны спектру нейтр. молекулы пиримидина, что не наблюдается.  $\text{pK}_a$ , найденный потенциометрически при 20°, для III 10,75, для IV 12,22. Вычисленная константа таутомерного равновесия из отношения констант ионизации N-метилированных аминотоме и иминоформ (Angyal, Angyal, J. Chem. Soc., 1952, 1461) в водн. р-ре порядка  $10^6$ . Иодгидрат III получен действием  $\text{CH}_3\text{I}$  на I при 20° в  $\text{CH}_3\text{OH}$  в течение 15 дней, выход 88%, т. пл. 247—248° (разл.; из 95%-ного сп.); пикрат, т. пл. 198—200° (из сп.). Действием КОН при 0° иодгидрат III переведен в III; очень гигроскопичные желтые иллы, т. пл. 102—104°. В щел. р-ре при нагревании III быстро перегруппировывается в 2-метиламинопиримидин, выход 71%, т. пл. 59—60° (из петр. эф.); пикрат, т. пл. 191° (из  $\text{CH}_3\text{OH}$ ). Иодгидрат IV получен кипячением (1 час) II и  $\text{CH}_3\text{I}$  в  $\text{CH}_3\text{OH}$ , выход 80%, т. пл. 205—206° (из сп.); пикрат, т. пл. 172—173° (из сп.). Иодгидрат IV в щел. р-ре гидролизует в 1,4-дигидро-1-метил-4-оксопиримидин. Часть II см. РЖХим, 1955, 45923.

**74747. Таутомерия твердого секобарбитала натрия. Специале, Корнер, Мейер, Манч (Та-**

utomerism in solid secobarbital sodium. Speziale A. John, Koerner William E., Meyer Ferdinand C., Munch Ralph H.), J. Amer. Pharm. Assoc. Scient. Ed., 1955, 44, № 10, 617—619 (англ.)

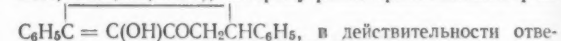
Сравниваются препараты сухой Na-соли 5-аллил-5-(1-метилбутил)-барбитуровой к-ты (секобарбитала Na) (I), выделенные из водно-щел. р-ра к-ты добавлением спирта и выпариванием досуха (в-во Ia) и добавлением бутанола, удалением воды азеотропной перегонкой и кристаллизацией (в-во Ib). Специфич. проба на чистоту препарата при растворении в 2-метилбутаноле-2 (РЖХим, 1953, 5196) показала, что Ia содержит 9% примесей (вероятно, частично Na-соль 5-аллил-5-(1-этилпропил)-барбитуровой к-ты), а Ib, 30,7%. Если Ib растворить в воде и повторно выделить I добавлением спирта и выпариванием, то полученный продукт (Ia) содержит только 3,1% примесей. ИК спектры расплавленных проб Ib и Ia показывают для Ib сильное поглощение в области 2,9  $\mu$ , обусловленное гидроксидом. Авторы приходят к выводу, что Ia и Ib являются таутомерными формами, причем присутствие или отсутствие воды при выделении I смещает амидо-имидное равновесие. В случае Ib равновесие сильнее смещено в сторону имидоформы, чем в Ia. Г. Б.

**74748. Структура тетранитрометана. Паттерсон (The structure of tetranitromethane. Patterson John M.), J. Organ. Chem., 1955, 20, № 9, 1277—1281 (англ.)**

С позиций теорий резонанса дано объяснение хим. поведения  $\text{C}(\text{NO}_2)_4$  и, в частности, образования окрашенных комплексов с олефинами и львиоисовскими основаниями.  $\text{C}(\text{NO}_2)_4$  при р-ции с  $\text{C}_6\text{H}_5(\text{C}_6\text{H}_5\text{CH}_2)_2\text{N}$  образует 14%  $(\text{C}_6\text{H}_5\text{CH}_2)_2\text{NNO}$  и 70%  $(\text{C}_6\text{H}_5\text{CH}_2)(\text{C}_6\text{H}_5)\text{NNO}$ . Г. Б.

**74749. Структура некоторых замещенных дифенилклопентенонов. Аллен, Ван-Аллан, Тинкер (The structure of certain substituted diphenylclopentenones. Allen C. F. H., VanAllan J. A., Tinker J. F.), J. Organ. Chem., 1955, 20, № 10, 1387—1391 (англ.)**

В развитие предыдущей работы (см. РЖХим, 1956, 64780) измерены УФ-спектры ряда замещ. дифенилклопентенонов и показано, что кетол (I) (Vorländer, Schroedter, Ber., 1903, 36, 1490), которому ранее приписывалась ф-ла



чает структуре  $\text{C}_6\text{H}_5\text{C} = \text{C}(\text{C}_6\text{H}_5)\text{COCH}(\text{OH})\text{CH}_2$  (Ia). Аналогично построено диметилловый гомолог I. Структура Ia лучше согласуется с хим. свойствами I. Предложен механизм образования I из дибензальацетона. о-Толуидиновая соль 1-ацетокси-3,4-дифенил-5-сульфат-1, 3-циклопентадиена получена р-цией К-соли с хлоргидратом о-толуидина, т. п. 205—206° (разл., из сп.). Дифенилгидразон I получен

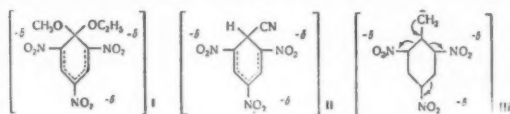
нагреванием (4 часа) I (6 г) и фенилгидразина (8 мл) в спирте; выход 92%, т. пл. 152—154° (из сп.). Г. Б.

74750. Строение продуктов присоединения бисульфита к 2-метил-1,4-нафтохинону. Мур, Уошберн (The structure of 2-methyl-1,4-naphthoquinone addition compounds with bisulfites. Moore M. B., Washburn W. H.), Amer. Chem. Soc., 1955, 77, № 23, 6384—6385 (англ.)

Данные ИК-спектров подтверждают предложенное ранее (Carmack и др., J. Amer. Chem. Soc., 1950, 72, 844) строение продукта присоединения бисульфита калия к 2-метил-1,4-нафтохинону. М. В.

74751. Спектры поглощения этил-1-метоксипикрата калия и родственных ему соединений в видимой области. Фостер (Visible spectrum of potassium ethyl 1-methoxypicrate and of related compounds. Foster R.), Nature, 1955, 176, № 4485, 746—747 (англ.)

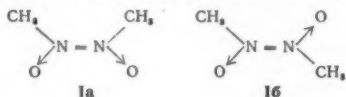
Спектры поглощения продуктов взаимодействия  $C_2H_5OK$  с симм-тринитробензолом и  $CH_3OK$  с симм-тринитрофенолом в области 390—600 мμ идентичны и имеют три максимума 420, 478 и 494 мμ, так что в обоих случаях



получается одно в-во: этил-1-метоксипикрат калия (II). В спектре поглощения смеси KCN и симм-тринитробензола в ацетоне имеются такие же три максимума, но сдвинутые несколько к длинным волнам. Сходство со спектром I говорит об изoeлектронности строения продукта р-ции (II) и I и подтверждает предложенные для них ф-лы. При стоянии II изменяется. Спектры I и II отличаются от спектра продуктов взаимодействия  $CH_3OK$  или  $C_2H_5OK$  с симм-тринитробензолом и симм-тринитрофенолом. Спектр последнего продукта ( $\lambda_{\text{макс}}$  370 мμ) близок к спектру иона пикриновой к-ты ( $\lambda_{\text{макс}}$  356 мμ), на основании чего ему приписывается аналогичное строение (III). Н. С.

74752. Геометрическая изомерия димерного нитрозометана. Гауэнлок, Тротман (Geometrical isomerism of dimeric nitrosomethane. Gowenlock B. G., Trotman J.), J. Chem. Soc., 1955, Dec., 4190—4196 (англ.)

При фотолизе газообразного трет-бутилнитрита образуются два разных димера нитрозометана (I). Если димеризация идет при 20° на неосвещенной поверхности, то образуется димер с т. пл. 122°, которому авторы на основании УФ- и ИК-спектров и других свойств приписывают



транс-строение (Ia). При димеризации на освещенной поверхности или при низкой т-ре образуется *цис*-димер (Ib), т. пл. 97,5°. При освещении Ia переходит в Ib; обратный переход происходит при нагревании или при действии р-рителей с низкой диэлектрич. постоянной. В. П.

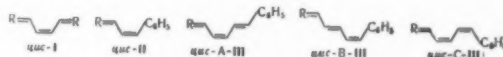
74753. Стереохимия катехинов и галлокатехинов. Кларк-Льюис (Stereochemistry of the catechins and gallo catechins. Clark-Lewis J. W.), Chemistry and Industry, 1955, № 39, 1218 (англ.)

Путем критич. рассмотрения литературных данных автор опровергает конфигурации, приписанные Робертсом (РЖХим, 1956, 25843) катехину (I), эпикатехину (II), галлокатехину (III) и эпигаллокатехину (IV) и в соответствии с прежними взглядами приписывает *цис*-конфигура-

ции [ОН (3П),  $C_6H_5$  (2З)] II и IV и транс-конфигурации [ОН (3П),  $C_6H_5$  (2П)] I и III.

74754. О *цис*-формах некоторых бифениловых производных бутадиена и гексатриена. Магун, Цехмейстер (On the *cis* forms of some biphenylene derivatives of butadiene and hexatriene. Magoon Eugene F., Zechmeister L.), J. Amer. Chem. Soc., 1955, 77, № 21, 5642—5646 (англ.)

Изомеризацией соответствующих транс-изомеров получены *цис*-1,6-дифениленгексатриен (*цис*-I), *цис*-1-бифенилен-4-фенилбутадиен (*цис*-II) и все три возможные *цис*-формы 1-бифенилен-6-фенилгексатриена (*цис*-A-III, *цис*-B-III, *цис*-C-III) (R — остаток флуоренилидена). *Цис*-I является примером *цис*-формы с пространственно «незатрудненной» *цис*-двойной связью. *Цис*-II обладает «затрудненной» *цис*-двойной связью. Три *цис*-формы III



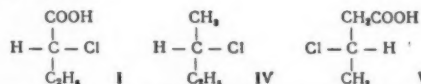
являются «затрудненным» моно-*цис*-стереоизомером, «незатрудненным» моно-*цис*-стереоизомером и «затрудненным» — «незатрудненным» ди-*цис*-стереоизомером. Стереоразмеры разделялись хроматографически (зоны лучше наблюдать в УФ-свете), причем показано, что все *цис*-изомеры адсорбируются слабее, чем транс-изомеры, особенно *цис*-изомеры, с «затрудненной» двойной связью. Спектр *цис*-I подтверждает прежние данные (Zechmeister L. и др. J. Amer. Chem. Soc., 1947, 69, 553; 1948, 70, 1937; РЖХим, 1955, 26064) о том, что в «незатрудненных» *цис*-изомерах тонкая структура главной линии спектра выражена почти так же сильно, как у транс-изомеров. В соответствии с этим главная линия спектра *цис*-II лишена тонкой структуры. Три *цис*-изомера III располагаются по убывающей способности интенсивности поглощения следующим образом: *цис*-A-III, *цис*-B-III, *цис*-C-III. Спектр *цис*-A-III обладает в значительной мере тонкой структурой главной линии и положением максимума мало отличается от положения максимума транс-III. Отсюда сделан вывод, что *цис*-A-III является «незатрудненным» 3-моно-*цис*-изомером. *Цис*-B-III и *цис*-C-III являются «затрудненными» *цис*-изомерами, их спектры не обладают тонкой структурой. Так как максимум *цис*-C-III сильнее сдвинут в сторону коротких волн и значение экстинкции для него ниже, ему приписана конфигурация 3,5-ди-*цис*-изомера, а *цис*-B-III — конфигурация 5-моно-*цис*-изомера. Также отнесение конфигураций подтверждено тем, что под действием  $J_2$  в мягких условиях *цис*-C-III сначала превращается в *цис*-A-III и только потом в транс-III, но никогда в *цис*-B-III. Между тем давно известно, что «затрудненная» *цис*-двойная связь изомерируется под действием  $J_2$  легче, чем «незатрудненная». Показано, что *цис*- и транс-изомеры одинаково устойчивы к кипячению в темноте. *Цис*-формы (особенно «затрудненные») менее устойчивы к облучению. Транс-I получен конденсацией флуорена и дигидромуконовой к-ты и очищен хроматографированием [ $Ca(OH)_2$ -целит], т. пл. 331,5—333°. Изомеризация транс-I (способ изомеризации, отношение транс:цис:  $J_2$  (1—2%  $J_2$ , 15 мин., 60 см от источника света), 96:4; облучение (источник УФ-света без фильтра, 20 мин., 10 см), 90:10; кипячение в циклогексане (60 мин. в темноте), не изомеризует; нагревание (в дифениловом эфире, 200°, 15 мин.), 83:17; плавление (5 сек.), 84:16. Изомеризация *цис*-I:  $J_2$  (20 мин.), 97:3;  $J_2$  (3 мин.), 90:10; облучение (60 мин.), 81:19; освещение солнечным светом (20 мин.), 96:3; кипячение в циклогексане, не изомеризует; нагревание, 86:14; плавление, 57:43. *Цис*-I синтезируют плавлением кристаллов транс-I и выделяют хроматографированием на  $Al_2O_3$ - $Ca(OH)_2$ -целите ( $C_6H_6$ +10%  $C_2H_5OH$ ).

а затем на  $\text{Ca}(\text{OH})_2$ -целите ( $\text{C}_6\text{H}_6$ ), т. пл. 333—335° (из бзл.). Транс-II, т. пл. 150,5—151° (из хлф.). Изомеризация транс-II:  $\text{J}_2$  (1 мин., 60 см от источника света), 98,5:1,5; облучение (источник УФ-спектра без фильтра 15 мин., 5 см), не изомеризует; освещение солнечным светом (2 часа), не изомеризует; нагревание (в нафталине, 140°, 20 мин.), не изомеризует; плавление (70 сек., 345°), 90:10. Изомеризация цис-II:  $\text{J}_2$  (4 мин., 200 см от источника света более низкие конц-ии), 98:2; облучение (90 мин., 15 см), 81:19; освещение солнечным светом (5 мин.), 96:4; кипячение в гексане (30 мин., в темноте), не изомеризует. Цис-II получают плавлением кристаллов транс-II и очищают хроматографированием на  $\text{MgO}$ -целите ( $\text{C}_6\text{H}_6 + 10\% \text{C}_2\text{H}_5\text{OH}$ ), а затем на  $\text{MgO}$ - $\text{Ca}(\text{OH})_2$ -целите. Цис-II представляет собой масло, которое в отсутствие р-рителя даже в темноте при 20° изомеризуется в транс-II. Транс-III получают из  $\omega$ -фенилпентадиена и флуорена и очищают хроматографированием на  $\text{MgO}$ -целите, т. пл. 156—157°,  $\lambda_{\text{макс}}$  388 мμ ( $\epsilon_{1 \text{ см}}^1$  моль 6,78·10<sup>4</sup>). Цис-A-III получают плавлением кристаллов транс-III (30 сек., 275—280°) и очищают хроматографированием на  $\text{Al}_2\text{O}_3$ - $\text{Ca}(\text{OH})_2$ -целите ( $\text{C}_6\text{H}_6 + 5\% \text{C}_2\text{H}_5\text{OH}$ ), а затем на  $\text{MgO}$ -целите ( $\text{C}_6\text{H}_6 + 3\% \text{C}_2\text{H}_5\text{OH}$ ), т. пл. 165,5—167° (из бзл.). Цис-B-III получают так же, но хроматографируют дважды на  $\text{MgO}$ -целите ( $\text{C}_6\text{H}_6 + 8\%$  ацетона и  $\text{C}_6\text{H}_6 + 9\%$  ацетона), т. пл. 122—123,5° (из сп.). Для получения цис-C-III соединяют соответствующие фракции от предыдущих хроматограмм и хроматографируют еще раз на  $\text{MgO}$ -целите ( $\text{C}_6\text{H}_6 + 9\%$  ацетона), т. пл. 118,5—121°. Изомеризация транс-III (способ изомеризации, отношение транс: цис-A: цис-B: цис-C):  $\text{J}_2$  (2 мин., 60 см от источника света), 92:8:следы:следы; облучение (источник УФ-света без фильтра, 60 мин., 10 см), не изомеризует; освещение солнечным светом (120 мин.), не изомеризует; кипячение в гексане (30 мин. в темноте), не изомеризует; плавление (30 сек., 320°), 78,5:16,5:4:1. Изомеризация цис-A-III:  $\text{J}_2$ , 94:6:следы:следы; облучение, 2:98:0:0; освещение солнечным светом (20 мин.), 34:66:0:0; кипячение не изомеризует. Изомеризация цис-B-III:  $\text{J}_2$ , —99:—1:0:0; облучение (30 мин., 10 см), 3:0:97:0; кипячение не изомеризует. Изомеризация цис-C-III:  $\text{J}_2$  (0,1%  $\text{J}_2$ , 30 мин., 200 см от источника света), 20:80:0:0; облучение (30 мин., 10 см), —0:—7:0:93; кипячение не изомеризует. Приведены УФ-спектры цис- и транс-I, цис- и транс-II, цис-A-III, цис-B-III, цис-C-III. Н. В.

**74755. Конфигурация 2-хлорбутана и хлормасляных кислот.** Фрейдбергер, Львовский (Die Konfiguration des 2-Chlorbutans und der Chlorbutter-säuren. Freudenberger Karl, Lwowski Walter), Liebigs Ann. Chem., 1955, 597, № 2, 141—147 (нем.).

Установив относительную конфигурацию  $\alpha$ -хлормасляной к-ты (I) оптич. сравнением с  $\alpha$ -хлорпропионовой к-той, авторы далее превратили I через 2-хлорбутанол-I (II) и его эфир с метансульфокислотой (III) в 2-хлорбутан (IV). Аналогичным путем превращена в IV и  $\beta$ -хлормасляная к-та (V), что доказывает ее конфигурацию. I получена омылением ее хлорангирида (VI) (получен по Марковникову, Liebigs Ann. Chem., 1870, 153, 241) кипящей водой, выход 30—40%, т. кип. 100—106°. Из 800 г I после 159 кристаллизаций цинкснидидовой соли из 25—60% водн.  $\text{CH}_3\text{OH}$  или водн. ацетона (9:10) получено 1,2 г (+)-I,  $[\alpha]_D^{25}$  17,2°,  $d_4^{25}$  1,2058,  $n_D^{25}$  1,4414, т. кип. 98,5°/14 мм. Из 18 г (—)-I,  $[\alpha]_D^{25}$  —9,35°, и 50 г  $\text{C}_6\text{H}_5\text{COCl}$  при перегонке в колонке получено 63% (+)-VI ( $[\alpha]_D^{25}$  6,46°,  $d_4^{25}$  1,2111, т. кип. 132°), 6,25 г которого при действии 4 г диметиламина в абс. эфире при —15° дали диметиламид (+)-I, т. кип. 57—60°/0,1 мм,

$n_D^{25}$  1,4690,  $d_4^{25}$  1,086,  $[\alpha]_D^{25}$  27,8°. Из (+)-VI и  $\text{CH}_3\text{OH}$  получен метиловый эфир (+)-I, т. кип. 146—149°,  $d_4^{25}$  1,090,  $n_D^{25}$  1,4241,  $[\alpha]_D^{25}$  —11,2°. (+)-I восстановлением  $\text{LiAlH}_4$  превращена в (+)-II, т. кип. 53—54°/15 мм,  $n_D^{25}$  1,4442,  $d_4^{25}$  1,0716,  $[\alpha]_D^{25}$  19,42°. К смеси 14,2 г (+)-II и 18 г хлорангирида метансульфокислоты прибавлено 13 г пиридина (т-ра не выше —4°, затем сутки при 0°). После добавления 40 мл 2 н.  $\text{HCl}$ , извлечения эфиром и перегонки получено 83% (+)-III, т. кип. 85°/0,2 мм,  $d_4^{25}$  1,246,  $n_D^{25}$  1,4552,  $[\alpha]_D^{25}$  +5,02°. 19 г (+)-III при восстановлении 3,5 г  $\text{LiAlH}_4$  в 65 мл абс.  $\beta$ , $\beta'$ -диэтоксидиэтилового эфира (45—50°, 12 час.) дали 39% (+)-II,  $[\alpha]_D^{25}$  31,2°,  $n_D^{25}$  1,3953,  $d_4^{25}$  0,867. Из смеси 24 г V, 90 г брусника и 220 мл абс.  $\text{CH}_3\text{OH}$  через 24 часа при 0° выделяются 32 г соли, дающей при разложении 6,6 г (+)-V,  $[\alpha]_D^{25}$  44,5° (оптич. чистота 90%). (—)-V, имеющая  $[\alpha]_D^{25}$  —13,05°, дает при кипячении с тионилхлоридом 70% хлорангирида (—)-V,  $[\alpha]_D^{25}$  —10,4°,  $d_4^{25}$  1,2163, который аналогично I восстанавливается в (—)-3-хлорбутанол, выход 70%,  $n_D^{25}$  1,4418,  $d_4^{25}$  1,06,  $[\alpha]_D^{25}$  —18,6°. Последний аналогично II превращен в метансульфонат



(т. кип. 94°/0,1 мм, выход 60%,  $n_D^{25}$  1,4541,  $d_4^{25}$  1,25,  $[\alpha]_D^{25}$  —16,2°), из которого с  $\text{LiAlH}_4$  получен (—)-IV. На основании произведенных переходов для (+)-изомеров I, IV и V предлагаются приведенные проекционные Ф-ды. В. П.

**74756. Влияние температуры на равновесие частично неустойчивых диастереомеров. Часть I. Раствор солей хиинидина в хлороформе.** Гаррис (The effect of temperature upon the equilibrium between partially labile diastereoisomers. Part I. Quinidine salts in chloroform solution. Harris Margaret M.), J. Chem. Soc., 1955, Dec., 4152—4156 (англ.).

Величина вращения хлороформных р-ров солей хиинидина (I) с к-тами типа 2-COOH-4-R<sup>2</sup>-6-R<sup>3</sup>C<sub>6</sub>H<sub>3</sub>N(COC<sub>6</sub>H<sub>5</sub>)<sub>2</sub>-C<sub>6</sub>H<sub>3</sub>-2-R<sup>3</sup>-4-R<sup>4</sup> (II) (где R<sup>1</sup> = R<sup>2</sup> = R<sup>3</sup> = R<sup>4</sup> = H; R<sup>1</sup> = R<sup>2</sup> = H, R<sup>3</sup> = R<sup>4</sup> = Cl; R<sup>1</sup> = R<sup>2</sup> = H, R<sup>3</sup> = R<sup>4</sup> = CH<sub>3</sub>; R<sup>1</sup> = R<sup>2</sup> = Cl, R<sup>3</sup> = R<sup>4</sup> = H; R<sup>1</sup> = R<sup>2</sup> = Br, R<sup>3</sup> = R<sup>4</sup> = H; R<sup>1</sup> = CH<sub>3</sub>, R<sup>2</sup> = R<sup>3</sup> = R<sup>4</sup> = H; R<sup>1</sup> = CH<sub>3</sub>, R<sup>2</sup> = H, R<sup>3</sup> = R<sup>4</sup> = Cl) заметно меняется с т-рой, что автор объясняет изменением равновесия: I-(+)-II  $\rightleftharpoons$  I-(—)-II, т. е. происходящим под влиянием оптически активного I сдвигом равновесия между (+)- и (—)-формами «оптически неустойчивой» к-ты II. Детально это явление изучалось на примере N-бензоил-6-метил-2-карбоксидифениламина (II, R<sup>1</sup> = CH<sub>3</sub>, R<sup>2</sup> = R<sup>3</sup> = R<sup>4</sup> = H), который удалось также выделить из соли с I в оптически активной (—)-форме, быстро подвергающейся рацемизации в р-ре. Предварительно опыты показали, что аналогичное действие оказывают также цинхонидин и цинхонин. Указывается на значение этих фактов для обнаружения оптич. активности у легко рацемизирующихся соединений и на возможную роль в некоторых асимметрич. синтезах. В. П.

**74757. Циклопропаны. Циклопропилкарбанион.** Вальборский, Хорняк (Cyclopropanes: The cyclopropyl carbanion. Walborsky H. M., Hornyak F. M.), J. Amer. Chem. Soc., 1955, 77, № 22, 6026—6029 (англ.).

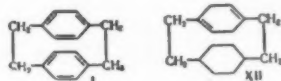
Так как циклопропановая система обладает рядом свойств двойной связи, а алкильные анионы способны сохранять первоначальную геометрию, конфигурацию, то предположено, что циклопропилкарбанион может сохранять свою

оптич. активность. Изучена р-ция 2,2-дифенилциклопропилианида (I) с LiN (изо- $C_3H_7$ )<sub>2</sub> с последующим метилированием образующегося литийорганич. соединения. Обнаружено, что при ~20° происходит полная рацемизация конечного продукта, которая наблюдается также при понижении т-ры до т-ры смеси ацетон-сухая углекислота. Вероятно, существующего напряжения недостаточно для того, чтобы р-ция не проходила через плоское переходное состояние, хотя такой переход связан с преодолением высокого энергетич. барьера. Почти полное сохранение активности (85—90%) при кипячении метилового эфира 2,2-дифенилциклопропанкарбоновой к-ты (II-к-та) с конц. р-ром NaOCH<sub>3</sub> в CH<sub>3</sub>OH либо при омылении его NaOH указывает, что поведение этого эфира (III) подобно поведению сложных эфиров, у которых отсутствуют α-водородные атомы. (+)-II синтезирована из 1,1-дифенилэтилена (0,55 моля) и этилдиазоацетата (0,1 моля) (160°, 6 час.), выход 46%, т. пл. 170—171° (из ацетона). II разделена на стереоизомеры брушином (0,13 моля II и 0,13 моля брушина, в ацетоне), [α]<sub>D</sub><sup>20</sup> −216 ± 6° и +212 ± 6° соответственно для l- и d-изомеров, т. пл. 150—151°. Из оптически активных II были получены амиды, из которых дегидрированием P<sub>2</sub>O<sub>5</sub> (в присутствии N(C<sub>2</sub>H<sub>5</sub>)<sub>3</sub>) получены изомерные I, выход 71%, [α]<sub>D</sub><sup>20</sup> + 304 ± 6°, т. пл. 136—138° и [α]<sub>D</sub><sup>20</sup> −307 ± 6°, т. пл. 137—138° (соответственно для d- и l-изомеров). Неактивный I непосредственно синтезирован конденсацией акрилонитрила (0,064 моля) с дифенилдиазометаном (IV) (0,032 моля) в C<sub>6</sub>H<sub>6</sub> при ~20°. Выход I 64%, т. пл. 106—107°. Из IV (0,044 моля) с CH<sub>2</sub>=CHCOOCH<sub>3</sub> (0,116 моля) в петр. эфире (~20°, 3,5 часа) получен III, т. кип. 170—175°/2 мм, т. пл. 35—38°. Гидролиз III дал II, т. пл. 169—171°. III получен также метилированием (±)-II CH<sub>2</sub>N<sub>2</sub>; (−)-III получен из (−)-II с CH<sub>2</sub>N<sub>2</sub>, α<sub>D</sub><sup>24</sup> D −217 ± 6°, т. кип. 165°/4 мм, т. пл. 46—46,7°. (−)-III при гидролизе дает (−)-II, α<sub>D</sub><sup>24</sup> D −184 ± 6°, т. е. не наблюдается рацемизации. Не происходит рацемизации также при кипячении (15 час.) с CH<sub>3</sub>ONa в CH<sub>3</sub>OH. Из IV с метилметакрилатом (3 час, кипение) получен метиловый эфир (±)-I-метил-2,2-дифенилциклопропанкарбоновой к-ты (V-к-та) т. пл. 92—92,2° (из CH<sub>3</sub>OH), т. кип. 154°/1 мм; V, т. пл. 182—183°. Амид V получен из к-ты, т. пл. 149—150°. Нитрил V получен дегидрированием амида, а также метилированием I CH<sub>3</sub>J с LiN(C<sub>2</sub>H<sub>5</sub>)<sub>2</sub>, т. пл. 141,3—142,8°. Бензиллизанием I с C<sub>6</sub>H<sub>5</sub>CH<sub>2</sub>Cl получен 1-бензил-2,2-дифенилциклопропилианид, т. пл. 164,5—165,2°. В. Т.

**74758. Макроциклы. XII. Стереохимические последствия пространственного затруднения в самом маленьком парациклофане. Крам, Аллингер (Macro rings. XII. Stereochemical consequences of steric compression the smallest paracyclophane. Cram Donald J., Allinger Norman L.), J. Amer. Chem. Soc., 1955, 77, № 23, 6289—6294 (англ.)**

Изучены р-ния наименьшего из доступных парациклофанов — (2,2)-парацклофана (I), в котором вследствие близости ароматич. колец друг к другу они не лежат в одной плоскости и эффект взаимодействия колец достигает максимума. Найдено, что при ацилировании I в мягких условиях (в жестких идет полимеризация) образуется 4-ацетил-(2,2)-парацклофан (II). То, что ацилирование I идет в таких условиях, в которых высшие члены ряда не реагируют, авторы объясняют взаимодействием ароматич. колец. То, что не образуется диацильное производное, объяснено тем, что первая ацильная группа дезактивирует оба кольца. Нитрование I приводит к 4-нитро-(2,2)-парацклофану (III). Попытка нитровать (4,4)- и (6,6)-парацклофаны привела к неразделимым смесям. III был восстановлен в 4-амино-(2,2)-парацклофан (IV). II окислен в 4-карбокс-(2,2)-парацклофан (V). V был последовательно превращен в хлорангидрид (VI) и азид (VII). Найдено, что VII может быть превращен в IV. IV был диазотирован. При попытке

восстановить (щел. HCHO или H<sub>3</sub>PO<sub>2</sub>) диазосоединение до I получены только 4-хлор-(VIII) и 4-окси-(2,2)-парацклофан (IX). Подтверждено предположение, что монозамещ. производные I являются оптически активными в-вами, так как ароматические кольца не могут свободно вращаться и молекула не имеет плоскости симметрии. Так, V в виде соли с брушином (X) полностью разделен на оптич. антиподы. Показано, что элиминирование заместителя



уничтожает оптич. активность. Так, декарбоксилирование оптически активного V приводит к неактивному I; это показывает, что во всех вышеприведенных превращениях сохраняется исходная циклич. система. Исчерпывающим гидрированием I получен пергидро-(2,2)-парацклофан (XI). Исследование модели XI показывает наличие большого напряжения в молекуле. При действии на I 3 молей H<sub>2</sub> получено 62% октагидро-(2,2)-парацклофана (XII) и 20% I. При действии 4 H<sub>2</sub> получен 91% XII; последний очень легко полимеризуется (сохраняется 2 дня под N<sub>2</sub> при −20°, в темноте). Гидрирование XII приводит к XI. Для XII вышеприведенная структура доказана изучением мол. модели и УФ-спектрами: отсутствие максимумов в области >208 мμ показывает, что двойные связи не сопряжены. О том же говорит ИК-спектр λ<sub>макс</sub> 12,4 м (с.), 6,02 м (ср.). Дегидрирование (Pd/C), 210—320°, 45 мин) XI приводит к 1,2-ди-(p-толил)-этану (XIII), т. пл. 81,5—82,3°. Дегидрирование XII тоже приводит к XIII. 2,6 г I в 260 мл CH<sub>3</sub>COOH нитруют 32,5 мл дымящей HNO<sub>3</sub> (70°, 1 мин.) и получают после хроматографирования на Al<sub>2</sub>O<sub>3</sub> III. Выход 33%, т. пл. 155,5—156,5° (из сп.). 0,4 г III восстанавливают (20 мг PtO<sub>2</sub> в 20 мл абс. CH<sub>3</sub>OH, 10 мин.) до IV. Выход 88,5%, т. пл. 239—241,5° (разл.). 9,5 г AlCl<sub>3</sub> и 6,25 г CH<sub>3</sub>COCl в 75 мл симм-тетрахлорэтана прибавляют (−30°) 8,32 г I (от −15 до −20°, 10 мин.), разлагают (−40°) 30 мл 1 н. HCl и получают II, выход 71%, т. пл. 109,7—110,4° (из водн. сп.), II кристаллизуется и в другой полиморфной форме, т. пл. 91,9—92,7° (формы превращаются друг в друга, если при перекристаллизации одной внести затравку из другой); динитрофенилгидразон II, т. пл. 196,4—198,2° (из сп.). К 11,5 г KOH в 60 мл воды приливают 14,6 г Br<sub>2</sub> (10 мин., 0°). К р-ру прибавляют 6,94 г II в 105 мл диоксана (0°, 20 мин., 15—20°, 1,5 часа), разлагают 2 г NaHSO<sub>3</sub> в 250 мл воды и получают V. Выход 90%, т. пл. 223,5—224,5° (из CH<sub>3</sub>COOH при добавлении воды). Из 5,67 г V и 10,5 г X в 250 мл ацетона (18 час., 15—20°; 4 часа, 0°; 18 час., −10°) получают соли X + (−)-V, т. пл. 212—216° (разл.), и X + (+)-V, которые разделяют фракционированной кристаллизацией. Действием 1 н. HCl в эфире на соответствующие соли выделяют (−)-V, т. пл. 211,5—213°, [α]<sub>D</sub><sup>24</sup> D −157° (с 0,93; хлф.), и (+)-V, т. пл. 212—214°, [α]<sub>D</sub><sup>24</sup> D +161° (с 0,943; хлф.). 98 мг

(+)-V декарбоксилируют кипячением с 0,1 г Си в 2 мл хинолина (1,5 часа) и получают после хроматографирования на Al<sub>2</sub>O<sub>3</sub> I, выход 49%, т. пл. 281—284° (из CH<sub>3</sub>COOH), [α]<sub>D</sub><sup>25</sup> −0,1 ± 0,5° (с 0,716; хлф.). Из 1,33 г (−)-V получают (1,15 г PCl<sub>5</sub> в 5 мл C<sub>6</sub>H<sub>6</sub>) VI, который в 30 мл ацетона (0°) действием 1,31 г NaN<sub>3</sub> в 15 мл воды и 10 мл ацетона (20 мин., 15—20°) превращают в VII, выход 1,38 г. VII нагреванием (20 мин.) в толуоле превращают в изотианат. Последний кипячением (48 час.) с 30 мл конц. HCl с последующим подщелачиванием превращают в (−)-IV, выход 60%, т. пл. 239—241,5° (разл.; из гексана), [α]<sub>D</sub><sup>24</sup> D −71,5° (с 0,845; хлф.). Из 35 мг (−)-IV нагреванием (1 час., +100°) с 2 мл (CH<sub>3</sub>CO)<sub>2</sub>O и 2 мл пиридина получают (−)-4-ацетамидо-

(2,2)-парациклофан ((—)-XIV), т. пл. 208—210° (из 63-пентана),  $[\alpha]_D^{22} - 177^\circ$  (0,31; хлф.). (±)-IV получают из (±)-V. Из 25 мг (±)-IV получают 22 мг (±)-XIV, т. пл. 206,7—207,6°. 300 мг IV в 5 мл конц. HCl диазотируют 97,5 мг NaNO<sub>2</sub> в 2 мл воды (5 мин., 0°), обрабатывают 0,4 г SnCl<sub>2</sub> в 5 мл конц. HCl (15—20°, 3 часа; —100°, 0,5 часа) и получают после хроматографирования на Al<sub>2</sub>O<sub>3</sub> VIII, выход 27%, т. пл. 160—162° (из водн. сп.). К соли диазония из 108 мг IV прибавляют 2,7 г H<sub>3</sub>PO<sub>4</sub> (0°, —12 час.), причем получают VIII, выход 20%, и IX, выход 22%, т. пл. 225—229° (из водн. сп.). 204 мг I в 20 мл CH<sub>3</sub>COOH восстанавливают (1 г Pt, 24 часа) до XI, выход 64%, т. пл. 113,5—114,2°; в УФ-спектре отсутствует поглощение выше 215 мμ; в ИК-спектре отсутствует поглощение в области 6 μ (C=C). При восстановлении 428 мг I в 50 мл этилацетата и 25 мл CH<sub>3</sub>COOH (0,2 г PtO<sub>2</sub>, 12 час., поглощение 4 моль H<sub>2</sub>) получают после хроматографирования на Al<sub>2</sub>O<sub>3</sub> XII, выход 91%, т. пл. 94—97°. Попытка озонировать XII привела к полимеру. KMnO<sub>4</sub> не окисляет XII. Приведены ИК-спектры II, III, IV. Сообщение XI см. РЖХим, 1956, 68283. Н. В.

**74759. Радикальные реакции. Имото (ラジカル反応. 井本 稔),** Химия, Какаку, Chemistry (Kyoto), 1955, 10, № 6, 60—62 (япон.) Обзор. М. В.

**74760. Некоторые вопросы реакционной способности и строения при реакциях свободных радикалов в газовой фазе. Такэдаки (氣相遊離基反應における構造と反応性に関する二、三の事實. 竹崎 嘉真),** Химия, Какаку, Chemistry (Kyoto), 1955, 10, № 6, 62—75 (япон.) Обзор. Библ. 35 назв. М. В.

**74761. Сродство хинонов к метилу. Рембаум, Шварц (Methyl affinities of quinones. Rembaum A., Szwarc M.),** J. Amer. Chem. Soc., 1955, 77, № 17, 4468—4472 (англ.).

Исследовано влияние строения хинонов (I) на скорость присоединения CH<sub>3</sub>· к связи C=C. Радикал CH<sub>3</sub>· образовывался при разложении перекиси ацетила. При 65° в р-ре C<sub>6</sub>H<sub>5</sub>CH<sub>3</sub> измерены V — относительные скорости присоединения по изменению отношения CH<sub>4</sub>/CO<sub>2</sub> при введении I вследствие конкуренции р-ций: CH<sub>3</sub>· + C<sub>6</sub>H<sub>5</sub>CH<sub>3</sub> → CH<sub>4</sub> + C<sub>6</sub>H<sub>5</sub>CH<sub>2</sub>· и CH<sub>3</sub>· + I → CH<sub>4</sub> + I·. Скорость присоединения к C<sub>6</sub>H<sub>5</sub> принята за единицу; V для *n*-бензохинона равна 15200; 2-метилбензохинона 10400; 2,5-диметилбензохинона 6500; 2,3,5,6-тетраметилбензохинона 790; 2-метоксибензохинона 8000; 2-хлорбензохинона 27000; 2,5-дихлорбензохинона 39200; 2,6-дихлорбензохинона 38400; хлоранила 300; 1,4-нафтохинона 4900; 2-метил-1,4-нафтохинона 3400; 2,7-диметил-1,4-нафтохинона 4100; 2,3-диметил-1,4-нафтохинона 550; 2,3-дихлор-1,4-нафтохинона 90; 1,2-нафтохинона 3400; фенантрахинона 700; 2-трет-бутилантахинона 90. Из приведенных данных делают выводы, что реакционная способность хинонов возрастает с увеличением «олефинового» характера C=C связи хинона и снижается с введением больших групп или атомов, экранирующих связь C=C. Сопоставлением реакционной способности I с CH<sub>3</sub>· и C<sub>6</sub>H<sub>5</sub>CH=CH. Найдено, что последний в 2,2 раза менее активен, чем CH<sub>3</sub>·. В. А.

**74762. Присоединение свободных радикалов к ненасыщенным системам. Часть XII. Радикальные и электрофильные реакции присоединения к фторолефинам. Хасельдин, Осборн (Addition of free radicals to unsaturated systems. Part XII. Free-radical and electrophilic attack on fluoro-olefins. Haszeldine R. N., Osborne J. E.),** J. Chem. Soc., 1956, Jan, 61—71 (англ.).

Установлено, что скорость электрофильной р-ции присоединения JCl, HCl и HBr к фторолефинам падает в ряду I,1-дифторэтилен (I) > перфторэтилен (II) > перфторциклобутен (III) > перфторциклогексен (IV) > перфторбутен-2 (V). Скорость радикальной р-ции присоединения HBr,

BrCl и CF<sub>3</sub>J к фторолефинам уменьшается в ряду I > перфторэтилен (VI) > 1,1-дифтор-2-хлорэтилен (VII) > перфторэтилен (VIII) > V > III > IV. Эти данные показывают, что замена винильного водорода на F или перфторалкильную группу затрудняет радикальную атаку двойной связи, что объясняется электроноакцепторными свойствами фтора. При р-ции I с HBr, HJ или JCl в темноте при 20° образуются соответственно 1,1-дифтор-1-бромэтан (IX), 1,1-дифтор-1-иодэтан (X) и 1-хлор-1,1-дифтор-2-иодэтан (XI), что указывает на ионный характер р-ции и на направление поляризации C<sup>δ+</sup>F<sub>2</sub>=C<sup>δ-</sup>H<sub>2</sub>. VII присоединяет HJ значительно медленнее, чем I, образуя 2-хлор-1,1-дифтор-1-иодэтан (XII), откуда следует, что VII поляризуется по схеме C<sup>δ+</sup>F<sub>2</sub>=C<sup>δ-</sup>HCl. В темноте III, IV и V не реагируют с HBr даже при 200°. Р-ция V с JCl приводит к 2,3-дихлороктафторбутану (XIII). IV дает с JCl главным образом 1,2-дихлордекафторциклогексан (XIV) и немного 1-хлор-2-иоддекафторциклогексана (XV), в то время как III образует в основном 1-хлор-2-иоддекафторциклобутан (XVI). Строение XV и XVI доказано их фотохим. хлорированием в XIV и 1,2-дихлоргексафторциклобутан (XVII). XVI и XVII дают при р-ции с LiAlH<sub>4</sub> 1,1,2,2,3,4-гексафторциклобутан (XVIII). Радикальная р-ция присоединения HBr к I при УФ-облучении (λ > 2200 Å) приводит к 2-бром-1,1-дифторэтану (XIX), в то время как при λ > 3000 Å образуются, примерно, одинаковые кол-ва IX и XIX, откуда следует, что при этих условиях радикальные и ионные р-ции идут с одинаковой скоростью. В при фотохим. р-ции с HBr дает смесь 2-бром-1,1,1,2,3,4,4,4-октафторбутана (XX) и 2,3-дибромоктафторбутана (XXI), образование которого объясняется фотолизом XX с выделением свободного Br<sub>2</sub>. Фотохим. хлорирование V идет быстрее, чем бромирование. При присоединении CF<sub>3</sub>J к V образуется октафтор-2-иод-3-трифторметилбутан (XXII). В перечисленных р-циях V более инертен, чем перфторбутен-1 и VIII. III реагирует с HBr еще медленнее, чем V, образуя 1-бром-1,2,2,3,3,4-гексафторциклобутан (XXIII), строение которого доказано а) фотохим. бромированием XXIII в 1,2-дибромгексафторциклобутан (XXIV) и дебромированием последнего а) III, б) восстановлением XXIII или XXIV с LiAlH<sub>4</sub> до XVIII и превращением последнего при обработке водн. KOH в 2,3,3,4,4-пентафторциклобутен (XXV). Бромирование или хлорирование III при УФ-облучении приводит к XXIV или XVII, превращающихся при восстановлении LiAlH<sub>4</sub> в XVIII. Структура XVIII установлена окислением его KMnO<sub>4</sub> в перфторантарную к-ту (XXVI) (вероятно, через промежуточное образование XXV). III медленно присоединяет CF<sub>3</sub>J образуя гексафтор-1-иод-2-трифторметилциклобутан (XXVII), восстанавливающийся LiAlH<sub>4</sub> до 1-трифторметил-1,2,2,3,3,4-гексафторциклобутана (XXVIII). Последний с водн. KOH дает пентафтор-м-1-трифторэтилциклобутен (XXIX), образующий при окислении щел. KMnO<sub>4</sub> XXVI и CHF<sub>3</sub>. IV не реагирует с HBr в условиях УФ-облучения, но присоединяет Br<sub>2</sub> и Cl<sub>2</sub> с образованием 1,2-дибромдекафторциклогексана (XXX) и XIV, превращающихся при действии Zn в спирте в IV. Присоединение CF<sub>3</sub>J к IV приводит к 1-иод-2-трифторметилдекафторциклогексану (XXXI), образуемому при фотохим. бромировании и хлорировании соответствующих 1-бром- (XXXII) и 1-хлораналогов (XXXIII). Побочным продуктом при получении XXXI является перфтор-1,2-ди-(трифторметил)-циклогексан (XXXIV). Образование XXXIV представляет собой первый известный случай присоединения двух CF<sub>3</sub>-радикалов к двойной связи. Восстановление XXXI посредством LiAlH<sub>4</sub> и обработка продукта восстановления (XXXV) водн. KOH приводит к нафта-1-трифторметилциклогексену (XXXVI). Последняя р-ция показывает, что третичные F-атомы отщепляются в щел. условиях легче, чем вторичные. При окислении XXXVI посред-

вом щел.  $\text{KMnO}_4$  получена перфторадипиновая к-та. Легкость замены  $\text{Cl}$ ,  $\text{Br}$  или  $\text{J}$  на  $\text{H}$  в полифторхлорбутанах и -гексанах под влиянием  $\text{LiAlH}_4$  авторы объясняют меньшей (по сравнению со фторалканами) экранизацией атомами фтора. Роль эфира сводится к образованию комплекса  $\text{RX} \cdot \text{O}(\text{C}_2\text{H}_5)_2$ . При пиролизе  $\text{K}$ -соли перфторпентаиновой к-ты ( $\text{XXXVII}$ , к-та) образуется смесь  $\text{V}$  и перфторбутена-1 ( $\text{XXXVIII}$ ) в соотношении 48:43. Примерно в таком же соотношении (47:45)  $\text{V}$  и  $\text{XXXVIII}$  образуются при пиролизе смеси (1:1)  $\text{K}$ - и  $\text{Na}$ -солей  $\text{XXXVII}$ , в то время как пиролиз чистой  $\text{Na}$ -соли  $\text{XXXVII}$  приводит только к  $\text{V}$ . Поскольку  $\text{KF}$  не вызывает изомеризации  $\text{XXXVIII}$  в  $\text{V}$ , из приведенных данных следует, что фторкарбанионная перегруппировка катализируется только  $\text{K}$ , но не  $\text{Na}$ . 1,7 г  $\text{I}$  и 6 г  $\text{HJ}$  ( $20^\circ$ , 6 дней в темноте или  $-30^\circ$ , 2 часа, в присутствии  $\text{J}_2$ ) дают  $\text{X}$ , выход 98% (при всех р-циях присоединения выход указан в расчете на прореагировавший olefin), т. кип.  $45^\circ$ ,  $n_D^{20}$  1,4183. Аналогично 1,71 г  $\text{I}$  и 2,28 г  $\text{HJ}$  ( $20^\circ$ , 95 час.) образуют  $\text{IX}$ , выход 100%, т. кип.  $14,4^\circ$ . При УФ-облучении (1,2 часа) смеси 0,68 г  $\text{I}$  и 0,90 г  $\text{NBg}$  получают  $\text{XIX}$ , выход 85%, т. кип.  $56,5-57,0^\circ$ , наряду с небольшим кол-вом  $\text{IX}$ . 1,11 г  $\text{I}$  и 2,1 г  $\text{JCl}$  ( $20^\circ$ , 4 дня в темноте) дают  $\text{XI}$ , выход 74%, т. кип.  $97,5^\circ$ ,  $n_D^{20}$  1,465. Из 3,11 г  $\text{VII}$  и 2,3 г  $\text{HJ}$  ( $20^\circ$ , 6 дней) получают 0,72 г  $\text{XII}$ , т. кип.  $101^\circ$ ,  $n_D^{20}$  1,468, превращающегося при действии  $\text{Zn}$  в спирте ( $20^\circ$ , 19 час.) в  $\text{I}$ , выход 80%. УФ-облучение 2,8 г  $\text{IV}$  и избытка  $\text{Cl}_2$  ( $50^\circ$ , 25 час.) приводит к  $\text{XIV}$ , выход 81%, т. кип.  $109^\circ$ , т. пл.  $37^\circ$ . Аналогично (или в темноте при  $80^\circ$ ) из 2,9 г  $\text{IV}$  и 20%-ного избытка  $\text{Br}_2$  синтезируют  $\text{XXX}$ , выход 83% (возвращается 1 г  $\text{IV}$ ), т. кип.  $39^\circ$ , т. пл.  $30-32^\circ$ . При нагревании  $\text{IV}$  (3,0-5,5 г) с  $\text{JCl}$  (2,2-4,7 г) в запаянной ампуле ( $50-205^\circ$ ) получают 1-хлор-2-ноддекафторхлоргексан ( $\text{XL}$ ), выход 13%, т. кип.  $142^\circ$ . Хлорирование  $\text{XL}$  (4 дня в темноте, 24 часа при УФ-облучении) приводит к  $\text{XIV}$ , выход 78%. 4,2 г  $\text{IV}$  и  $\text{CF}_3\text{J}$  (100%-ный избыток) дают при УФ-облучении (3 недели) 44% неизмененного  $\text{IV}$ ,  $\text{XXXI}$ , выход 68%, т. кип.  $132^\circ$ , и  $\text{XXXIV}$ , выход 11%, т. кип.  $101-102^\circ$ . 4,1 г  $\text{XXXI}$  восстанавливают  $\text{LiAlH}_4$  в эфире ( $20^\circ$ , 1 час; кипячение 1 час) до  $\text{XXXV}$ , выход 62%, т. кип.  $86^\circ$ , образующий при нагревании (запаянная ампула,  $85^\circ$ , 3 часа) с 1,5 г  $\text{KOH}$  и 3 мл воды  $\text{XXXVI}$ , выход 78%, т. кип.  $75^\circ$ . При облучении (48 час.) в присутствии 10%-ного избытка  $\text{Cl}_2$  2,1 г  $\text{XXXV}$  превращаются в  $\text{XXXIII}$ , выход 78%, т. кип.  $103^\circ$ , образующегося также с выходом 85% при фотохим. хлорировании (3 дня) 1,5 г  $\text{XXXI}$ . Аналогично (2 дня в темноте, 2 дня при УФ-облучении) из 2,7 г  $\text{XXXI}$  и 20%-ного избытка  $\text{Br}_2$  получают  $\text{XXXII}$ , выход 78%, т. кип.  $115^\circ$ . 1 г  $\text{XXXVI}$  при облучении ( $80^\circ$ , 4 дня) с 10%-ным избытком  $\text{Cl}_2$  дает 1,2-дихлорнонафтор-1-трифторметилциклогексан, выход 65%, т. кип.  $130^\circ$ . Аналогично при бромировании  $\text{XXXVI}$  получают 1,2-дибромнонафтор-1-трифторметилциклогексан, выход 57%, т. кип.  $160^\circ$ . При УФ-облучении (51 час. в кварцевой ампуле) 1,72 г  $\text{V}$  и 0,73 г  $\text{NBg}$  дают  $\text{XX}$  выход 60%, т. кип.  $53-54^\circ$ ,  $n_D^{20}$  1,307, и  $\text{XXI}$ , выход 40%, т. кип.  $96^\circ$ ,  $n_D^{20}$  1,354. При нагревании 1,93 г  $\text{V}$  и 3,1 г  $\text{JCl}$  ( $200^\circ$ , 16 час.) выделяет 70% неизмененного  $\text{V}$  и  $\text{XIII}$ , выход 90%, т. кип.  $60-60,5^\circ$ . При облучении (14 дней в кварцевой ампуле) смеси 2,6 г  $\text{V}$  и 5,1 г  $\text{CF}_3\text{J}$  получают неизмененный  $\text{V}$  (23%), и  $\text{XXII}$ , выход 79%, т. кип.  $85-86,5^\circ$ . При нагревании 2,62 г  $\text{III}$  и 5,5 г  $\text{JCl}$  ( $140^\circ$ , 2 дня и  $170^\circ$ , 3 дня) возвращается 1,73 г  $\text{III}$  и образуются  $\text{XVI}$ , выход 0,95 г, т. кип.  $99-100^\circ$ ,  $n_D^{20}$  1,4059, и  $\text{XVII}$ , выход 0,3 г, т. кип.  $59^\circ$ . При облучении (3 дня) 3,8 г  $\text{III}$  и 2,5 г  $\text{NBg}$  дают  $\text{XXIII}$ , выход 33%, т. кип.  $96^\circ$ ,  $n_D^{20}$  1,389. При р-ции  $\text{III}$  с 10%-ным избытком  $\text{Cl}_2$  или  $\text{Br}_2$  (облучение 1 день) возвращается 21-24%  $\text{III}$  и образуются соответственно  $\text{XVII}$ , выход 71%, и  $\text{XXIV}$ , выход 65%. Облучение 3,6 г  $\text{III}$  с 100%-ным избытком  $\text{CF}_3\text{J}$  (25 дней) приводит к  $\text{XXVII}$ , выход 67% (возвращается 30%  $\text{III}$ ), т. кип.  $85-87^\circ$ . 4,9 г  $\text{XVI}$  восстанавливают  $\text{LiAlH}_4$  (2 г) в эфире (кипячение 2 часа) до  $\text{XVIII}$ , выход

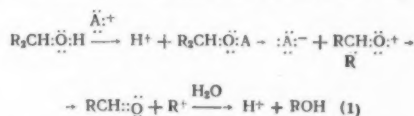
51%, т. кип.  $27^\circ$ . Аналогично, но в диоксане, 5,9 г  $\text{XXVII}$  превращают в  $\text{XVIII}$ , выход 79%, т. кип.  $36^\circ$ , образующий при встряхивании (5 час.) с 4 г  $\text{KOH}$  и 4 мл воды  $\text{XXIX}$ , выход 83%, т. кип.  $24^\circ$ . Хлорирование 1,1 г  $\text{XXIX}$  (облучение 24 часа) приводит к 1,2-дихлорпентафтор-1-трифторметилциклобутану, выход 91%, т. кип.  $80^\circ$ . Часть  $\text{XI}$  см. РЖХим, 1956, 71772. Л. Б.

**74763. Механизм реакции самоокисления и его ингибирования.** Ота (自働酸化と酸化防止の反応機構. 太田暢人), 有機合成化学協会誌. Юки госэй кагаку кёкайси, J. Soc. Organ. Synth. Chem. Japan, 1955, 13, № 11, 501-508 (япон.)

Обзор. Библ. 30 назв. М. В. **74764. Аутоокисление и антиоксиданты.** Имото, Окавара (自働酸化と酸化防止剤. 井本英二, 大河原信), 化学, Karaky, Chemistry (Kyoto), 1955, 10, № 6, 75-83 (япон.)

Обзор. Библ. 34 назв. М. В. **74765. Основы окисления органических соединений в кислом растворе.** Левитт (The common basis of organic oxidations in acidic solution. Levitt Leonard S.), J. Organ. Chem., 1955, 20, № 10, 1297-1310 (англ.)

Дана теория окисления органич. в-в в кислой полярной среде, объясняющая механизм окисления как частных случаев кислотно-основного (по Льюису) процесса. Согласно предлагаемой теории в начале идет образование комплекса, в котором электроотрицательный атом органич. молекулы играет роль основания Льюиса, а окислитель ( $\text{A}^+$ ) является типичной к-той Льюиса. Поэтому первоначальная атака окисляемой молекулы должна происходить в месте наибольшей электронной плотности, напр., в  $\text{RCH}_2\text{OH}$  местом атаки является  $\text{O}$  атом; в  $\text{RSH}$ ,  $\text{R}_2\text{S}$ ,  $\text{R}_3\text{N}$  и  $\text{C}_6\text{H}_5\text{J}$  центрами электроотрицательности будут  $\text{S}$ ,  $\text{N}$ ,  $\text{J}$ , при этом образуются соответственно  $\text{RCHO}$ ,  $\text{RSSR}$ ,  $\text{RSO}$ ,  $\text{R}_3\text{NO}$ ,  $\text{C}_6\text{H}_5\text{JO}$ . Окисляющая частица, непосредственно участвующая в элементарном акте окисления, должна быть или положительным ионом, или нейтр. молекулой, имеющей относительно положительно заряженный атом:  $\text{HO}^+$ ,  $\text{NO}^+$ ,  $\text{Cl}^+$ ,  $\text{Br}^+$ ,  $\text{SO}_3\text{H}^+$ ,  $\text{N}^+\text{O}^{\delta-}$ ,  $\text{Cl}^{\delta+}$  —  $\text{O}^{\delta-}\text{H}$ ,  $\text{Br}^{\delta+}$  —  $\text{Br}^{\delta-}$ ,  $\text{RC}(\text{O})$  —  $\text{O}^{\delta-}$  —  $\text{O}^{\delta+}\text{H}$  и т. п., чтобы быть способной присоединиться к электроотрицательному центру. Окислитель соединяется координационной связью с окисляемым атомом, делая последний положительно заряженным. Затем положительный заряд или отделяется в виде положительного иона, или соединяется с анионом. Окисляющая частица, оттягивая электронную пару координационной связи, приводит к образованию переходного состояния, в котором вновь образующийся у окисляемой молекулы положительный заряд удаляется аналогично первому. Для окисления вторичных спиртов предлагается схема (1), где  $\text{A}^+$  — окислитель. В качестве примеров даются схемы



окисления меркаптанов действием  $\text{H}_2\text{S}_2\text{O}_8$ , сульфидов с  $\text{H}_2\text{O}_2$ , третичных аминов и ариллидов с органич. пероксидами, сульфидов и сульфоксидов с  $\text{H}_2\text{S}_2\text{O}_8$ , формальдегида с  $\text{HOCl}$ , olefinов с  $\text{H}_2\text{CrO}_4$ , альдегидов, третичных спиртов; окислительного расщепления кетонов; декарбоксилирования к-т окислением; перегруппировки Вагнера — Меервейна при окислении циклооктатетраена и камфена. Библ. 70 назв. В. А.

**74766. Подвижность водорода в некоторых кремнийорганических соединениях.** Хаскин И. Г., Ж. общ. химии, 1953, 23, № 1, 32-37

Показано отсутствие водородного обмена (ВО) в  $\text{HSi}(\text{C}_2\text{H}_5)_3$ ,  $\text{HSi}(\text{C}_6\text{H}_5)_3$  и  $\text{HSi}(\text{OC}_2\text{H}_5)_3$  с  $\text{D}_2\text{O}$ ,  $\text{C}_2\text{H}_5\text{OD}$  и  $\text{DN}(\text{C}_2\text{H}_5)_2$  при 18–118° в течение 12–335 час. с катализаторами  $\text{H}_2\text{SO}_4$ ,  $\text{KHSO}_4$ ,  $\text{CH}_3\text{COONa}$ ,  $\text{KOH}$ . Этим подтверждена на примере связи  $\text{Si}-\text{H}$  теория ВО изотопов, предложенная А. И. Бродским, по которой легкий обмен водорода происходит лишь при наличии свободной электронной пары у атома, несущего обменивающийся водород (чего нет у Si). Препятствует ВО и то, что для связи  $\text{Si}^{\delta+}-\text{H}^{\delta-}$  электрофильный обмен маловероятен, зато типичны р-ции нуклеофильного замещения. Так, при нагревании  $(\text{C}_2\text{H}_5\text{O})_3\text{SiH}$  в запаянной трубке при 100° в течение 125 час. даже с таким слабым основанием, как  $\text{C}_2\text{H}_5\text{OH}$ , образуется примерно 50%  $(\text{C}_2\text{H}_5\text{O})_3\text{Si}$  с одновременным выделением водорода. В. Ф.

**74767. Стерический эффект в реакции иодистого калия с  $\alpha$ -хлоркетонами.** Фиренс (Effet stérique dans la réaction de l'iode de potassium sur les  $\alpha$ -chlorocétones. Fierens P. J. C.), Bull. Soc. chim. belges, 1955, 64, № 11–12, 772–779 (франц.; рез. англ.).

Проведено кинетическое исследование действия  $\text{KJ}$  на  $\text{CH}_3\text{COCHClCH}_3$  (I),  $\text{CH}_3\text{COCHClC}_2\text{H}_5$  (II),  $\text{CH}_3\text{COCHClCH}(\text{CH}_3)_2$  (III) и на  $\text{CH}_3\text{COCHClC}(\text{CH}_3)_3$  (IV) с целью выяснения влияния стерич. фактора на скорость замещения  $\text{Cl}$ -атома ионом  $\text{J}^-$ . Измерения проводились с помощью кондуктометрич. метода (в безводн. ацетоне); константы ур-ния 2-го порядка  $k_2$  (л моль $^{-1}$  сек $^{-1}$ ) при 25°,  $E$  ккал/моль,  $\log PZ$  составляют последовательно: I 1,83·10 $^{-3}$ , 19,24, 11,37; II 1,2·10 $^{-3}$ , 18,30, 10,47; III 1,05·10 $^{-3}$ , 20,49, 10,03; IV 1,98·10 $^{-3}$ , 23,75, 9,72. Быстрое падение скорости р-ции с увеличением веса хлорированного радикала автор объясняет параллельным ростом пространственного влияния радикала на реакционную способность  $\text{Cl}$ -атома. Порядок величины этого влияния аналогичен порядку, наблюдаемому ранее для  $S_N2$ -р-ции иона этилата с алифатич. бромидами типа  $\text{RCH}_2\text{Br}$  (Dostrovsky J., Hughes E. D., J. Chem. Soc., 1946, 157). К р-пу 1 моля  $\text{CH}_3\text{COCH}_2\text{R}$  в равном объеме кипящего безводн. эфира, встряхивая, прибавляют по каплям 1 моль  $\text{SO}_2\text{Cl}_2$ , кипятят 1–2 часа, промывают водой и получают смеси хлорированных продуктов, из которых фракционированной разгонкой выделяют  $\text{CH}_3\text{COCHClR}$  (перечисляются т. кип. в °C/мм.,  $n_D^{20}$ ,  $d_4^{20}$  и т. пл. 2,4-динитрофенилгидразонов в °C): I, 115,3–115,45/760, 1,4219, 1,0554, 106–107; II 136,0/700, 1,4290, 1,0298, 78–79; III, 41,1/12, 1,4324, 1,0030, 114,5–115,5; IV 44,6–44,8/10, 1,4375, 0,9856, 103,5–105. Структура впервые синтезированных III и IV доказана гидрированием в р-ре  $\text{CH}_3\text{OH}$  над скелетным  $\text{Ni}$ -катализатором при обычном давлении до поглощения 1 моля  $\text{H}_2$ , причем получены соответственно 4-метилпентанон-2 и 4,4-диметилпентанон-2. В. А.

**74768. Стереохимия реакции галоидных алкилов с азотистокислым серебром.** Корнблум, Фишбейн, Смайлс (The stereochemistry of the reaction of alkyl halides with silver nitrite. Kornblum Nathan, Fishbein Leon, Smiley Robert A.), J. Amer. Chem. Soc., 1955, 77, № 23, 6261–6266 (англ.).

Показано, что утверждение о сохранении конфигурации при р-ции 2-бромооктана (I) с  $\text{AgNO}_2$  (Eistert B., «Chemismus und Konstitution», Stuttgart, 1948, 301) неверно. В действительности взаимное влияние оптически деятельного I с  $\text{AgNO}_2$  приводит к 2-нитрооктану (II) и 2-октилнитриту (III) с обращенной конфигурацией. Отношение конфигурации I и III может быть установлено сравнением оптич. вращения I, III и их производных, так как известно, что в ряду галоидных алкилов, спиртов, алкилнитритов и аминокислотных аналогов с одинаковым знаком вращения имеют одинаковую конфигурацию. Конфигурация II установлена восстановлением его до оптически деятельного 2-аминооктана (IV) (см. след. реф.). Степень рацемизации при р-ции I с  $\text{AgNO}_2$  точно не может быть установ-

лена, так как неизвестно значение  $\alpha$  оптически чистого I. Учитывая общую рацемизацию при последовательных р-циях  $\text{ROH}-\text{I}-\text{III}$ , можно принять, что рацемизация при превращении I в III не превышает 5–10%. Однако вероятно, что эта рацемизация вызвана побочными процессами и что превращение I-III сопровождается 100%-ным обращением конфигурации. (–)-2-нодоктан (VI) реагирует с  $\text{AgNO}_2$  аналогично I, образуя (+)-II (общая рацемизация при превращениях  $\text{ROH}-\text{VI}-\text{II}$  не менее 12%). В отличие от I и VI  $\alpha$ -фенилэтилхлорид (VII) дает с  $\text{AgNO}_2$   $\alpha$ -фенилэтилнитрит (VIII) с конфигурацией исходного VII и  $\alpha$ -фенилнитроэтан (IX) с обращенной конфигурацией. Проведением последовательности р-ций:  $\alpha$ -фенилэтанол (X)  $\rightarrow$  VII  $\rightarrow$  VIII [или X  $\rightarrow$  IX  $\rightarrow$   $\alpha$ -фенилэтиламин] показано, что р-ция VII с  $\text{AgNO}_2$  сопровождается значительной рацемизацией. Л. Б.

**74769. Восстановление оптически деятельных 2-нитрооктана и  $\alpha$ -фенилнитроэтана.** Корнблум, Фишбейн (The reduction of optically active 2-nitrooctane and  $\alpha$ -phenylnitroethane. Kornblum Nathan, Fishbein Leon), J. Amer. Chem. Soc., 1955, 77, № 23, 6266–6269 (англ.).

Оптически деятельный 2-нитрооктан (I) восстанавливается под влиянием Fe-порошка до оптически активного 2-аминооктана (II). Эта р-ция сопровождается рацемизацией менее чем на 18%, в то время как восстановление I  $\text{LiAlH}_4$  приводит только к рацемич. II. Гидрирование I с  $\text{PtO}_2$  в абс. спирте сопровождается рацемизацией на 97%, причем опыты по неполному гидрированию I показывают, что I теряет свою активность на 99% еще до восстановления. Рацемизация I объясняется тем, что р-р становится щелочным вследствие восстановления  $\text{PtO}_2$  до Pt и образования II (показано, что I легко рацемизуется в присутствии II). Этим объясняется также, что гидрирование I с  $\text{PtO}_2$  в  $\text{CH}_3\text{COOH}$  сопровождается рацемизацией всего лишь на 28%. I получался из оптически деятельного октанола-2 (III) и данные о степени рацемизации относятся ко всему процессу  $\text{ROH} \rightarrow \text{RBr} \rightarrow \text{RNO}_2 \rightarrow \text{RNH}_2$ . Полученные данные показывают, что восстановление нитросоединений Fe в  $\text{CH}_3\text{COOH}$  не проходит через стадию промежуточного симметричного производного. Выводы о конфигурации бициклич. герпенов, полученные при гидрировании вторичных нитросоединений над  $\text{PtO}_2$  (Alder K. и др., Ber., 1938, 71, 2455; Noyce D. S., J. Amer. Chem. Soc., 1951, 73, 20; van Tamelen E. E. и др., J. Amer. Chem. Soc., 1952, 74, 2616), становятся сомнительными. Образование рацемич. II при обработке I  $\text{LiAlH}_4$  показывает, что известное положение о том, что при восстановлении  $\text{LiAlH}_4$  асимметричные центры не затрагиваются, неприменимо во всех случаях. Вероятно рацемизация при восстановлении I  $\text{LiAlH}_4$  объясняется образованием соли I. Образование азосоединений при восстановлении  $\text{LiAlH}_4$  ароматич. нитросоединений, возможно, объясняется тем, что последние не способны образовывать соли. Гидрирование (+)- $\alpha$ -фенилнитроэтана с  $\text{PtO}_2$  в  $\text{CH}_3\text{COOH}$  до  $\alpha$ -фенилэтиламина (IV) сопровождается рацемизацией не более чем на 56%. Поскольку процент рацемизации рассчитан на трехстадийный процесс  $\text{RCI} \rightarrow \text{RNO}_2 \rightarrow \text{RNH}_2$ , можно предположить, что на стадии восстановления рацемизация происходит не менее, чем на 20%. (–)-II, т. кип. 60–61°/11 мм.,  $n_D^{20}$  1,4240,  $[\alpha]_D^{25}$  –3,81°, охарактеризован в виде бензамида, т. пл. 101–102° (из циклогексана) (т. пл. рацемич. II 74–75°); IV, т. кип. 71–72°/10 мм.,  $n_D^{20}$  1,5269,  $\alpha_D^{25}$  +6,50°, бензамид, т. пл. 124–125° (из сп. и петр. эф.). При кипячении I в рацемич. II и 1,65 г антрацедида в спирте (10 мл.) получают шиффово основание, вых. 83%, т. пл. 61–62°.

**74770. Влияние  $\gamma$ -метильных заместителей на скорость бимолекулярных реакций отщепления и замещения галоидных алкилов.** Шайнер, Боскин, Смит (The effects of  $\gamma$ -methyl substitution on the rates of the bimolecular displacement and elimination reactions of

alkyl halides. Shiner V. J., Jr, Boskin M. J., Smith M. L., J. Amer. Chem. Soc., 1955, 77, № 21, 5525—5528 (англ.)

Определены константы скорости р-ций замещения и отщепления и выход олефинов при взаимодействии 4-метил-2-бромпентана (I) и 4,4-диметил-2-бромпентана (II) с 1 н.  $C_2H_5ONa$  в абс. спирте. Состав смеси определялся ИК-спектрометрически. Смесь олефинов из II содержит 21  $\pm$  1% 4,4-диметилпентена-1 (III), 79  $\pm$  1% *цис*-(IV) и *транс*-(V)-4,4-диметилпентенов-2 (из которых не более 2% IV). Смесь олефинов, образующаяся из I, содержит в основном *транс*-4-метилпентен-2 (VI), 49  $\pm$  2% 4-метилпентена-1 (VII) и менее 4% *цис*-4-метилпентена-2 (VIII). Показано, что III и VII в условиях р-ции не изомеризуются. Рассчитаны следующие значения констант скоростей р-ции (при 25°) (указаны бромистый алкил,  $k$  р-ции  $S_N 2$ ,  $k$  р-ции E2 с образованием 2-алкена,  $k$  р-ции E2 с образованием 1-алкена): I, 1,27, 1,15, 1,27; II, 1,17, 0,92, 0,24;  $(CH_3)_2CHBr$  1,06, 0,94, 0,94. Сравнением этих значений с данными, полученными ранее для 2-бромбутана (IX) и 2-бромпентана (X) (Dhar и др., J. Chem. Soc., 1948, 2058), показано, что скорость р-ции  $S_N 2$  падает по мере увеличения числа  $\gamma$ - $CH_3$ -групп. Энергия активации примерно одинакова для I, IX и X и резко возрастает лишь в случае II, так как у первых трех соединений возможны конформации, при которых  $\gamma$ - $CH_3$ -группы не вступают в стерич. взаимодействие с реагентом. Полученные данные для р-ции образования 2-алкенов подтверждают гипотезу Ингольда о прямой зависимости скорости образования олефина от числа C—H-связей, находящихся в состоянии гиперконъюгации с вновь образующейся двойной связью (указаны галлоидный алкил, число сверхсопряженных C—H-связей,  $k/H$ , где H — число H-атомов, участвующих в р-ции):  $(CH_3)_2CHBr$  3, 0,31; IX, 6, 1,41; X, 5, 0,94; I, 4, 0,57; II, 3, 0,46. При образовании 1-алкенов из I, II, IX и X  $k/H$  однако меняется несмотря на постоянство числа сверхсопряженных C—H-связей. Кислотная дегидратация 4,4-диметилпентанола-2 (XI) приводит к смеси олефинов, содержащей 85  $\pm$  1% IV + V (в том числе не более 2% IV). Аналогично 4-метилпентанол-1 (XII) дает смесь 60  $\pm$  5% IV, 26  $\pm$  5% VII и 14  $\pm$  5% VII. Восстановлением 4,4-диметилпентанола-2  $LiAlH_4$  получен XI, выход 62%, т. кип. 138°/751 мм,  $n_D^{25}$  1,4168. Добавлением избытка HBr (газа) на XI при 60° синтезирован II, выход 24,9 г, т. кип. 59,3—59,8°/33 мм,  $n_D^{25}$  1,4439. Р-цией Гриньяра из 137 г изобутилбромида и 50 г  $CH_3CHO$  получен XII, выход 41 г, т. кип. 132°, превращающийся при действии HBr в I, выход 45 г, т. кип. 33°. Взаимодействием 5 молей *трет*- $C_4H_9MgCl$  и 605 г  $C_2H_4 = CHCH_2Br$  синтезирован III, выход 105 г, т. кип. 71,0—71,8°/755 мм,  $n_D^{25}$  1,3902, т. зам. —137,62° (—137,70°). Аналогично из *изо*- $C_5H_7MgBr$  получен VII. Л. Б.

**74771. Замещение положительного галоида в три-(*п*-нитрофенил)-метилгалогенидах. Хоттори** (The displacement of positive halogen from tri-(*p*-nitrophenyl)-methyl halides. Hawthorne M. Frederick, J. Amer. Chem. Soc., 1955, 77, № 21, 5739—5740 (англ.))  
Найдено, что при действии на три-(*п*-нитрофенил)-метилнитрат (I) иод-иона образуется три-(*п*-нитрофенил)-метилрадикал (TP) (зеленый) и иод. Предполагались два пути образования TP: а) вследствие нуклеофильной атаки  $J^-$  на «положительный» иод в образующемся три-(*п*-нитрофенил)-метилюиде (II) и последующем окислении органич. аниона йодом (ур-ние 1), или б) вследствие нуклеофильной атаки  $J^-$  на углерод в I и последующем гомолитич. распаде II (ур-ние 2):  $R_3CONO_2 + J^- \rightarrow R_3CJ + NO_2^-$ ;  $R_3CJ + J^- \rightarrow R_3C^- + J_2 \rightarrow R_3C \cdot + J^- + J^-$  (1);  $R_3CJ \rightarrow R_3C \cdot + J^-$  (2) (где R — *п*-нитрофенил). Для того, чтобы установить, проходит ли р-ция по пути (1) или (2), ее проводили в среде  $CH_3COOH - CH_2Cl_2$ , в которой ион  $R_3C^-$  должен немедленно превращаться в углеводород, присоединяя протон из  $CH_3COOH$ . Оказалось, что

при взаимодействии (1 час) 0,0044 моля I и 3,50 г NaI в смеси  $CH_3COOH + CH_2Cl_2$  (1:1) получается 0,0026 моля три-(*п*-нитрофенил)-метана (т. пл. 210—212°), 0,0065 моля три-(*п*-нитрофенил)-карбинола (т. пл. 180—183°) и лишь малые кол-ва TP (0,38 г перекиси, т. пл. 212—214°). При действии  $J^-$  на бромистый три-(*п*-нитрофенил)-метан в тех же условиях TP не образуется, а получаются углеводород и карбинол. Контрольным опытом показано, что  $J^-$  не восстанавливает TP в метидный анион. Таким образом, р-ция проходит по ур-нию (1). З. П.

**74772. Влияние заместителей и  $\alpha$ ,  $\beta$ -ненасыщенности на щелочной гидролиз  $\alpha$ ,  $\beta$ -ненасыщенных алифатических эфиров. Халонен** (The effect of substituents and  $\alpha$ ,  $\beta$ -unsaturation on the alkaline hydrolysis of  $\alpha$ ,  $\beta$ -unsaturated aliphatic esters. Halonen Eero A., Acta chem. scand., 1955, 9, № 9, 1492—1497 (англ.))

Измерена скорость шел. гидролиза этиловых эфиров пропиоловой (I), тетролсвой (II) и *трет*-бутилпропиоловой (III) к-т в воде. р-рах ацетона (IV) в интервале от 0 до 40°. Значения констант скорости ( $k$ ) при повышении конц-ии IV снижаются. Параметры ур-ния Аррениуса ( $E$  ккал/моль,  $lg A$ ) изменяются в пределах соответственно 1500 и 1,2 ед. и проходят через минимум при конц-ии IV 20%. В р-ре, содержащем 50% IV, значения  $lg A$  и  $E$  составляют I 8,45, 11360; II 7,87, 12030; III 7,92, 12190. Снижение значений  $k$  в ряду I, II, III объясняется нарастанием сверхсопряжения в том же ряду. Полученные значения  $k$ ,  $E$  и  $lg A$  в случае гидролиза I и II в воде при 25° сравнены с соответствующими данными для гидролиза ди- и моноэтиловых эфиров ацетилендикарбоновой к-ты (РЖХим, 1955, 23247) и гидролиза эфиров типа  $RCH = CHCOOC_2H_5$  (Skrahal, Stockmair, Monatsh. chem., 1933, 63, 244) и  $RCH_2CH_2COOC_2H_5$  (РЖХим, 1955, 15970), где  $R = H, CH_3, COOC_2H_5, SCO-$ . Значения  $lg k$  в случае *транс*-эфиров при  $R = COO-$  и  $COOC_2H_5$  линейно возрастают с увеличением порядка связи. При всех остальных значениях R при переходе от предельных к олефиновым эфирам  $lg k$  мало изменяется ( $R = H, cis-CH_3$ ) или несколько падает ( $R = cis-SCO-, cis-$  и *транс*- $CH_3$ ), при переходе от олефиновых к ацетиленовым эфирам значения  $lg k$  резко возрастают. Разности между  $lg k$  для предельных эфиров при различных значениях R меньше, чем в случае олефиновых и ацетиленовых эфиров. Полученные данные объяснены на основе учета конъюгационных и гиперконъюгационных эффектов, повышающих  $E$ , и отрицательных индукционных эффектов, увеличивающих скорость гидролиза. И. М.

**74773. Константы ионизации и скорость этерификации замещенных фенилпропиоловых кислот. Ньюман, Меррилл** (Ionization constants and rates of esterification of substituted phenylpropionic acids. Newman Melvin S., Merrill Stewart H., J. Amer. Chem. Soc., 1955, 77, № 21, 5552—5554 (англ.))  
Определены константы ионизации фенилпропиоловой к-ты  $K_0$  и ее *о*-, *м*- и *п*-хлор-, метокси- и нитропроизводных  $K$  в 35%-ном водн. диоксиде при 25° и константы скорости  $k$  этерификации этих к-т метанолом в присутствии HCl при 25 и 35°. Зависимость  $lg k$  от  $lg K/K_0$  для мета- и пара-замещ. к-т удовлетворяет ур-нию Хамметта; для орто-замещ. получаются повышенные значения. Сопоставление полученных результатов с данными для замещ. бензойных к-т показывает, что передача полярных эффектов от заместителя к карбоксилу одинакова для групп  $-C_6H_4-$  и  $-C_6H_4C \equiv C-$ . Приведены данные по УФ-спектрам этиловых эфиров исследованных к-т. Г. Б.

**74774. Получение и гидролиз некоторых эфиров 2,4,6-трифенил-бензойной кислоты. Часть II. Механизм гидролиза. Бантон, Коминс, Грехэм, Куэй** (Preparation and hydrolysis of some esters of 2,4,6-triphenylbenzoic acid. Part II. The mechanisms of hydrolysis. Buntun C. A., Comyns A. E., Graham J.,

Quaile J. R.), J. Chem. Soc., 1955, Nov., 3817—3824 (англ.)

Кинетически и с помощью  $H_2O^{18}$  исследован гидролиз метил-(I), трет-бутил-(II), этил-(III), н-пропил-(IV), изо-пропил-(V), изобутил-(VI)-2,4,6-трифенилбензоатов в водн. р-рах  $CH_3OH$  (VII) и диоксана (VIII) в интервале  $70-130^\circ$  в нейтр., кислых и щел. условиях. При конц-ии щелочи  $0,05 M$ , эфира  $0,02 M$  в водн. 95%-ном р-ре VII при  $118,5^\circ$  процент превращения за 72 часа составляет: I 61, II 72, III 17, IV 6,5, V 3, VI 6. В кислых и нейтр. водн. р-рах VII и VIII гидролиз I, III, IV, V и VI не имеет места, в щел. р-рах скорость гидролиза I пропорциональна конц-ии и конц-ии  $OH^-$  в первой степени. Опытами с водой, обогащенной  $H_2O^{18}$ , установлено, что гидролиз I в р-рах VIII протекает через расщепление  $RCO-OR'$ -связи, в условиях гидролиза наблюдается также обмен между I и  $H_2O^{18}$ . При повышении конц-ии воды в р-ре VIII избыток  $O^{18}$  в образующейся при гидролизе 2,4,6-трифенилбензойной к-те (IX) снижается, что объясняется частичным протеканием гидролиза I по би- или мономолекулярному механизму с разрывом  $RCOO-R'$ -связи. В водн. р-рах VII гидролиз протекает в основном с расщеплением связи  $RCOO-R'$  и в меньшей степени с разрывом  $RCO-OR'$ -связи. Этот факт, а также образование при гидролизе I в этих р-рах диметилового эфира объясняется протеканием метанолиза по схеме  $RCOO-CH_3+CH_3O^-=RCOO^-+CH_3OCH_3$  наряду с щел. гидролизом, включающим бимолекулярную атаку ацильного углерода ионом  $OH^-$ . Скорость гидролиза II в щел. и первоначально-нейтр. р-рах подчиняется ур-нию первого порядка, в кислых р-рах скорость р-ции пропорциональна конц-ии к-ты и конц-ии II в первой степени. Выделенная IX при гидролизе II не содержит избытка  $O^{18}$ , что указывает на протекание р-ции с разрывом  $RCOO-R'$ -связи. Параметры ур-ния Аррениуса ( $A$ ,  $E$ ) для константы гидролиза в нейтр. 70%-ном водн. р-ре VIII составляют  $3,2 \cdot 10^{12} \text{ сек}^{-1}$ ,  $32,4 \text{ ккал} \cdot \text{моль}^{-1}$ , в кислом 95%-ном водн. р-ре VII  $3,7 \cdot 10^{15} \text{ моль}^{-1} \cdot \text{л} \cdot \text{сек}^{-1}$  и  $29,3 \text{ ккал} \cdot \text{моль}^{-1}$ . В водн. р-рах VII скорость р-ции в случае II возрастает с продолжительностью опыта, что объясняется каталитич. действием IX. Предполагается, что лимитирующей р-цию стадией является распад протонированной молекулы II на ион  $CH_2^+$  и молекулу IX. Повышение конц-ии воды в р-рах VII несколько снижает значение константы скорости р-ции II, что объясняется снижением конц-ии протонированных молекул эфира и меньшей способностью воды по сравнению с VII к сольватации  $CH_2^+$ -иона. В нейтр. и щел. р-рах VIII обмен IX или Na-соли IX с  $H_2O^{18}$  практически не наблюдается, в присутствии  $0,7 M HCl$  за 100 дней при  $120^\circ$  обменивается 27%  $O_2$ -рентеля. Для изучения щел. гидролиза в р-рах VIII были использованы серебряные сосуды. Кинетика изучалась титрометрич. индикаторным методом (бромтимолблеу) или потенциометрич. с помощью стеклянного электрода. В опытах по обмену непрореагировавший эфир и IX удалялись из р-ра при пониженном давлении, IX превращали в Ag или Ca-соль и подвергали декарбоксилированию. Выделяющаяся  $CO_2$  подвергалась масс-спектрометрич. анализу. Избыток  $H_2O^{18}$  в воде определялся по составу  $CO_2$  после равновесия газа с исследуемым образцом воды. Часть I см. РЖхим, 1956, 57989. И. М.

74775. Индуктивный эффект при раскрытии кольца у оксидов этилена. Николс, Ингем (The inductive effect in ethylene oxide ring openings. Nichols Peter L., Jr., Ingham John D.), J. Amer. Chem. Soc., 1955, 77, № 24, 6547—6551 (англ.)

Изучено влияние различных заместителей на скорость некатализируемого к-той присоединения к оксиям этилена  $SCN^-$  или  $H_2O$ . Были взяты окиси I)

$RCH_2CH_2CH_2O$ , где  $R = H$  (Ia),  $Cl$  (Ib),  $Br$  (Ic),  $J$  (Id),  $OH$  (Id), а также  $OCH_2CH=CH_2$  (Ie),  $OCH(CH_3)_2$  (Iж),

$ONO_2$  (Iз) и  $CH_3$  (Iи). Скорости р-ций измерялись по виоизмененному методу Бренстеда (J. Amer. Chem. Soc., 1929, 51, 428). Относительные реакционные способности и места присоединения нуклеофильного реагента определялись на основе индуктивных эффектов, которые рассчитаны из распределения зарядов на атомах молекулы. Распределение зарядов на атомах определено методом Смита и Эйринга (J. Amer. Chem. Soc., 1951, 73, 2263, 1952, 74, 229), исходя из данных о поляризации связей, дипольных моментов и межатомных расстояний для Ia—д и для I с  $R = F$ . Присоединение нуклеофильного реагента к вторичному атому  $C_2$  происходит исключительно в нейтр. водн. р-рах, и именно в этом месте перемещение заряда может дать наибольший эффект. Получено было выражение, относящее заряд на  $C_2$  ( $\epsilon_{C_2}$ ) к параметрам, определяющим заряд на этом атоме при различных  $R$  ( $\epsilon_{C_2}^R$  — заряд на атоме  $C_2$  при заместителе R). Из теории абс. скоростей р-ции и выражения для  $C_2$  получено колич. ур-ние, описывающее скорость присоединения  $SCN^-$  к эпигалоидогидринам к скорости присоединения  $SCN^-$  к Ia:  $\ln(k^R/k^H) = - (g_{акт}^R/RT) (\epsilon_{C_2}^R - \epsilon_{C_2}^H)$ , где  $g_{акт}^R = (8\Delta F_{акт}^R / \delta \epsilon_{C_2}^R) \cdot r$ . Константы скорости р-ции:  $XCH_2CHCH_2O + SCN^- + H_2O \rightarrow XCH_2CHONHCH_2SCN +$

$+ OH^-$  определены при различных т-рах, а также  $E_{акт}$ ,  $\Delta H$ ,  $\Delta S$  и  $\Delta F$  для Ia—г. Значения  $\Delta E_{акт}$  (ккал): для Ia 14,90, Ib 12,99, Ic 13,47, Id 13,61. Если  $g_{акт}^R$  постоянно и не зависит от  $\epsilon_{C_2}^R$ , кривая  $\ln(k^R/k^H)$  от  $\epsilon_{C_2}^R - \epsilon_{C_2}^H$  является прямой линией и зависит только от  $T$ , и, следовательно, в изотермич. условиях  $\Delta F_{акт}$  есть линейная функция от  $\epsilon_{C_2}^R$ . При малых стерич. эффектах и  $\Delta H$  должно линейно зависеть от  $C_2$ , но неточное определение  $E_{акт}$  не позволяет доказать это. Подсчитанное значение  $g_{акт}$  для Ib, равное  $-79800 \text{ кал} \cdot \text{моль}^{-1} \cdot \text{см} \cdot \text{ед.}$ , хорошо совпадает с экспериментальным ( $-73900$ ); заряды на атомах прямо пропорциональны заряду на  $C_2$  при изменении R. Таким образом, зная константу скорости для Ia и зная распределение зарядов на атомах для других I, а также используя теорию абс. скоростей, можно довольно точно предсказать скорости остальных I. Для Ia определить скорость таким путем не удалось, так как не было известно точное значение дипольного момента связи C—O. Эксперим. данные для скоростей р-ций для Ie, Iж и Iз при разных т-рах хорошо согласуются со скоростями, полученными на основе распределения зарядов, хотя детальные расчеты не были сделаны. Показано, как зависит ур-ние Скотта и Свайна (РЖХим, 1955, 3460), применимое для р-ций присоединения к оксиям, от индуктивного эффекта. Используя ур-ние Скотта и Свайна, получено выражение, дающее зависимость скоростей катализированной и некатализированной гидратации от индуктивного эффекта. В этом случае главную роль играет заряд на кислородном атоме окисного кольца. Экспериментально определены  $E_{акт}$  для р-ций гидратации (ккал) Ib 17,73; Id 18,72; Ia 18,77.

В. Т. 74776. Реакции этиленов. VII. Константы р-Хамметта для реакций раскрытия цикла бензойными кислотами. Пауэрс, Шап, Клапп (Reactions of ethylenimines. VII. Hammett p constants for ring opening with benzoic acids. Powers Donald H., Jr., Schatz Virginia B., Clapp Leallyn B.), J. Amer. Chem. Soc., 1956, 78, № 5, 907—911 (англ.)

Методом кондуктометрич. титрования определены бимолекулярные константы скорости р-ции 2-этилэтиленими-на (I) и 2,2-диметилаэтиленими-на (II) с замещ. бензойными к-тами в диоксане. Значения р при  $45^\circ$  соответственно равны

$+1,66 \pm 0,17$  и  $+1,50 \pm 0,17$ . Для объяснения такой большой положительной величины  $\rho$  авторы выдвигают предположение, что стадией, определяющей скорость  $r$ -ции в целом, является скорость ионизации  $k$ -ты или же скорость переноса протона с образованием иминиевого иона. При  $r$ -ции этиленмина с бензойной  $k$ -той свободных аминобензоатов  $RR'C(NH_2)CH_2OOCCH_3$  (III) выделить не удалось. При обработке реакционной смеси в нейтр. или щел. среде получены бензамидоспирты  $RR'C(CH_2OH)NHCOC_6H_5$  (IV), а в кислой среде — хлоргидраты III, строение которых было установлено независимым синтезом из хлоргидратов аминспиртов  $RR'C(NH_2)CH_2OH \cdot HCl$  (V) (см. J. Am. Chem. Soc., 1944, 66, 1448), и из хлорбензамидов  $RR'C(CH_2Cl)NHCOC_6H_5$ . Как III  $\cdot HCl$ , так и V легко можно перевести в бензамидобензоаты  $RR'C(NH-COC_6H_5)CH_2OOCCH_3$ . IV с  $R = R' = CH_3$  (IVa) легко можно перевести в III  $\cdot HCl$  и обратно. При перегонке

IVa дегидрируется в  $(CH_3)_2C=CHOC(C_6H_5)=NH$ , но IV ( $R' = H$ ,  $R = C_6H_5$ ) перегоняется без изменения. Для синтеза замещ. IV смесь 0,031 моля I (или II), 0,063 моля  $HC_6H_4COOH$  и 225 мл  $CHCl_3$  после 3-часового кипячения и 3-дневного стояния промывают (0°) 5%-ным NaOH до прекращения выделения осадка  $k$ -ты при подкислении водн. слоя.  $CHCl_3$  отгоняют и перекристаллизовывают остаток из смеси  $CHCl_3$ -гексан. Получены следующие спирты общей ф-лы  $RR'C(CH_2OH)NHCOC_6H_5X$  (перечисляются R, R', X, выход из хлф. и диоксана в %, т. пл. в °C, испр.):  $CH_3$ ,  $CH_3$ , H, 98, 68, 88,5—89,8;  $CH_3$ ,  $CH_3$ ,  $CH_3$ , —, 75, — (соль  $n$ -толуидиновой  $k$ -ты, т. пл. 158,0—159,3°);  $CH_3$ ,  $CH_3$ , Br, —, 91, 93,0—94,7;  $CH_3$ ,  $CH_3$ ,  $CH_3O$ , 61, 88, — (получен в виде масла, переведен с выходом 26% в эфир  $n$ -метоксibenзойной  $k$ -ты, т. пл. 143,2—143,5°);  $CH_3$ ,  $CH_3$ ,  $NO_2$ , 99, 98, 120,0—120,8 (соль  $n$ -нитробензойной  $k$ -ты, т. пл. 167,5—168,5°);  $C_6H_5$ , H, H, 98, 87, 97,5—98,5;  $C_6H_5$ , H,  $CH_3$ , 89, 74, 114,1—115,0;  $C_6H_5$ , H, Br, —, 82, 128, 3—129,0;  $C_6H_5$ , H,  $CH_3O$ , 80, 91, 115,8—117,8;  $C_6H_5$ , H,  $NO_2$ , 77, 84, 112,4—113,5. 2-Фенил-4,4-диметилпексазолин-2 (пикрат, т. пл. 132,2—132,8° из сп.) был получен с выходом 12% при перегонке IVa. Бензойнокислая соль 2-амино-2-метилпропилбензоата получена взаимодействием 0,23 г II и 1,16 г бензойной  $k$ -ты в 10 мл  $CHCl_3$ , выход 74%, т. пл. 143,5—144,0° (возгонка при 100°/0,4 мм). Из хлоргидрата 2-аминобутилбензоата  $r$ -цией Шоттена-Баумана был получен с колич. выходом 2-бензамидобутилбензоат, т. пл. 103,2—103,6° (из сп. с последующей возгонкой). Сообщение VI см. РЖХим, 1956, 71651. Г. Б.

**74777. Пространственное подавление мезомерии и скорость реакции.** Веркаде, Вепстер (Inhibition stérique de mésomérie et vitesse de réaction. Verkaade P. E., Wepster B. M.), Ind. chim. belge, 1955, 20, № 12, 1281—1298 (франц.; рез. англ., нем., флам.) Обзор работ авторов по влиянию вступления заместителей ( $CH_3$ , F, Cl) в различные положения на скорость различных  $r$ -ций: каталитич. омыления 2-, 3- или 4-нитроацетиланилидов (I) в бл. абс. спирте, дегбромирования ароматич. нитробромпроизводных (II) взаимодействием с пиперидином, нитрозирования и азосочетания  $N,N$ -диалкиланилидов (III). Введение заместителей в орто-положение к нитро- или ациланилгруппе I, нитрогруппе II и диалкиламиногруппе III снижает скорость  $r$ -ции приблизительно пропорционально объему заместителя, вследствие затруднения копланарному расположению нитроили аминогрупп с плоскостью бензольного кольца и затруднению, вследствие этого, мезомерных электронных смещений к  $NO_2$ -группе или от  $NR_2$ -группы. Заметно более сильное действие двух орто-стоящих (к  $NO_2$ - или  $NR_2$ -группам) заместителей объяснено с точки зрения «гипотезы отклонения валентностей». Отмечено более сильное действие  $o$ - $CH_3$ -группы в том случае, если в орто-положении к ней находится другая группа. Это явление названо «эффектом  $o$ -ксилола» и объяснено также с позиций «гипотезы отклонения валентностей».

Введение в III в качестве одного из алкилов у атома азота  $tert$ -бутильной группы также вызывает подавление электронных смещений вследствие возникающих пространственных препятствий копланарному расположению диалкиламиногруппы. Библ. 50 назв. Н. С.

**74778. Активированное нуклеофильное замещение в ароматическом ряду. I. Действие пространственных факторов. Реакция обмена брома на иод для ряда 1-алкил-2-бром-3,5-динитробензолов.** Фиренс, Аллэ. II. Полярный эффект алкильных групп. Реакция обмена брома на иод в ряду 1-алкил-4-бром-3,5-динитробензолов. Пенгер, Фиренс, Френне, Аллэ. III. Порядок подвижности галоидов в реакции 1-галонд-2,4-динитробензолов и 1-метил-2-галонд-3,5-динитробензолов с иодистым калием в среде ацетона. Кортэ, Фиренс, Жило, Аллэ. IV. Механизм. Итоговое обсуждение. Фиренс, Аллэ (La substitution nucléophile activée en série aromatique. I. Effets stériques. Réaction d'échange brome-iodé dans une série de 1-alcoyl-2-bromo-3,5-dinitro benzènes. Fierens P. J. C., Halleux A. II. Effet polaire des groupements alcoyle. Réaction d'échange bromo-iodé dans une série de 1-alcoyl-4-bromo-3,5-dinitro-benzènes. Pingaïr A., mlle, Fierens P. J. C., Frennet A., Halleux A. III. Ordre de mobilité des halogènes dans la réaction de 1-halogéno-2,4-dinitro-benzènes et 1-méthyl-2-halogéno-3,5-dinitro-benzènes avec l'iodure de potassium dans l'acétone. Cortier J., Fierens P. J. C., Gilon M., Halleux A. IV. Mécanisme. Discussion générale. Fierens P. J. C., Halleux A.), Bull. Soc. chim. belges, 1955, 64, № 11—12, 696—703, 704—708, 709—716, 717—727 (франц.; рез. англ.)

**Сообщение I.** С целью изучения действия пространственных препятствий на ход  $r$ -ций активированного нуклеофильного замещения изучена кондуктометрич. методом кинетика  $r$ -ции ряда 1-алкил-2-бром-3,5-динитробензолов (I) с KJ в среде сухого ацетона. Ниже перечисляются (алкильный остаток в I, константа скорости бимолекулярной  $r$ -ции при 80°, параметры Аррениуса  $E$  ккал/моль и  $\lg PZ$ ): H,  $2,8 \cdot 10^{-4}$ ,  $23,57 \pm 0,18$ , 12,04;  $CH_3$ ,  $6,2 \cdot 10^{-4}$ ,  $22,28 \pm 0,08$ , 10,59;  $C_2H_5$ ,  $3,6 \cdot 10^{-4}$ ,  $21,85 \pm 0,05$ , 10,09;  $(CH_3)_2CH$ ,  $4,3 \cdot 10^{-4}$ ,  $22,06 \pm 0,07$ , 10,29;  $(CH_3)_3C$ ,  $4,8 \cdot 10^{-6}$ ,  $22,79 \pm 0,10$ , 8,79.

**Сообщение II.** С целью изучения полярного эффекта алкильных групп, находящихся в пара-положении по отношению к замещаемой группе, на ход  $r$ -ции активированного нуклеофильного замещения, изучена кондуктометрич. методом кинетика  $r$ -ции ряда 1-алкил-4-бром-3,5-динитробензолов (II) с KJ в среде сухого ацетона. Ниже перечисляются (алкильный остаток в II, константа скорости бимолекулярной  $r$ -ции при 80°, значения  $E$  в ккал/моль и  $\lg PZ$ ): H,  $2,40 \cdot 10^{-4}$ ,  $21,71 \pm 0,13$ , 9,83;  $CH_3$ ,  $2,95 \cdot 10^{-5}$ ,  $22,81 \pm 0,04$ , 9,60;  $(CH_3)_3C$ ,  $3,80 \cdot 10^{-5}$ ,  $23,65 \pm 0,10$ , 10,23.

**Сообщение III.** С целью установления относительного порядка подвижности различных галоидных заместителей в  $r$ -ции активированного нуклеофильного замещения изучена кондуктометрич. методом кинетика  $r$ -ции 1-хлор-2,4-динитробензола (III), 1-фтор-2,4-динитробензола (IV), 1-метил-2-хлор-3,5-динитробензола (V) и 1-метил-2-фтор-3,5-динитробензола (VI) с KJ в среде сухого ацетона. Подвижность галоидов возрастает в ряду  $F < Cl < Br$ . Ниже перечисляются: исследуемое в-во, константы скорости  $k_2$  бимолекулярной  $r$ -ции с KJ (т-ры указаны в скобках),  $E$  в ккал/моль и  $\lg PZ$ : III,  $2,3 \cdot 10^{-5}$  (80°),  $2,94 \cdot 10^{-4}$  (108,9°),  $23,56 \pm 0,16$ , 9,95; V,  $3,4 \cdot 10^{-6}$  (80°),  $6,28 \cdot 10^{-5}$  (109,7°),  $25,55 \pm 0,16$ , 10,35. Для IV и VI использованная методика дает лишь приближенные значения  $k_2$  (109,1°); IV,  $2 \cdot 10^{-5}$ ; VI, (7—8)  $\cdot 10^{-6}$ . VI синтезирован из  $o$ -фтортолуола (VII) нитрованием в условиях, примененных для  $C_6H_5F$  (см. Ullmann F., Sane S. M., Ber., 1911,

44, 3735), т. пл. 51°. VI дает с  $\text{NH}_3$  в спирт. р-ре 2-метил-4,6-динитроанилин. VII получен диазотированием *о*-толуидина в присутствии  $\text{HBF}_4$  с последующим пиролизом отфильтрованного и высушенного осадка. Выход VII 43%, т. кип. 114°/760 мм,  $n_D^{20}$  1,4704.

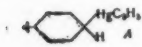
**Сообщение IV.** Ранее установленный порядок подвижности галоидных заместителей, активированных двумя нитрогруппами, находящимися в орто- и пара-положении, в р-ции обмена на J(KJ в ацетоне) (см. сообщения I—III)  $\text{F} < \text{Cl} < \text{Br}$  свидетельствует о том, что эти р-ции идут по типичному синхронному механизму  $\text{S}_\text{N} 2$ , согласно которому значение энергии активации ( $E$ ) определяется энергиями, соответствующими образованию новой и разрыву старой связей и по которому в переходном комплексе углеродный атом обладает гибридным облаком  $sp^8$ . Появление этого механизма у изученных р-ций связано со слабой нуклеофильностью используемого атакующего реагента, иона  $\text{J}^-$ . По мере усиления нуклеофильных свойств атакующего реагента механизм р-ций активированного нуклеофильного замещения приближается к предельному механизму  $\text{S}_\text{N} 2$ , по которому энергия образования новой связи приобретает определяющее значение для величины  $E$ , а факторы, связанные с разрывом старой связи, теряют свое значение. Механизм, предложенный для изученных р-ций, хорошо согласуется с их чувствительностью к пространственным затруднениям; последнее доказывает, что в случае присутствия  $(\text{CH}_3)_3\text{C}$ -группы в орто-положении по отношению к замещаемому Br-атому р-ция обмена замедляется (см. сообщение I) в значительно большей мере, чем в случае присутствия  $(\text{CH}_3)_3\text{C}$ -группы в пара-положении (см. сообщение II), когда небольшое замедление вызывается полярным эффектом этой группы. Дано качественное объяснение изменения значений  $E$  и  $\lg \text{PZ}$  для изученных р-ций на основе рассмотрения пространственного строения переходных комплексов. Г. В.

**74779. Ориентация при электрофильном замещении в ароматических соединениях. Нелсон** (Directive effects in electrophilic aromatic substitution. Nelson L. E. & K. J., J. Organ. Chem., 1956, 21, № 2, 145—155 (англ.))

Рассмотрены влияния на ориентацию различных факторов: полярных и пространственных влияний заместителей, полярных и пространственных влияний реагентов. Особо обсуждаются вопросы о природе пространственных и полярных эффектов, о характере переходного состояния при электрофильном замещении и о роли  $\pi$ - и  $\sigma$ -комплексов; о связи степени ковалентности связей в переходном состоянии с величиной энергии активации. Библи. 89 назв. М. В.

**74780. Ароматическое замещение. II. Кислотное расщепление дифенилртути. Кауфман, Корун** (Aromatic substitution. II. The acid cleavage of diphenylmercury. Kaufman Frederick, Corwin A. I. & S. H., J. Amer. Chem. Soc., 1955, 77, № 23, 6280—6284 (англ.))

Двумя независимыми методами (спектрофотометрия и потенциометрия, титрование) измерена скорость кислотного расщепления дифенилртути (I) в различных р-рителях. Определены константы скорости р-ции  $k$  и вычислены энергии активации и предэкспоненциальный множитель. В присутствии избытка уксусной или муравьиной к-ты  $k$  пропорциональна конц-ии к-ты, но не зависит от конц-ии I. В присутствии разб.  $\text{HClO}_4$  р-ция строго второго порядка. В смесях диоксана с водой  $k$  уменьшается по мере возрастания конц-ии воды. Добавление иона  $\text{Cl}^-$  ускоряет р-цию. Ионы  $\text{ClO}_4^-$  не изменяют величину  $k$ . Предложен механизм р-ции, включающий обратимую бимолекулярную атаку сольватированного протона на атом углерода, связанный



$\text{ClO}_4^-$  не изменяют величину  $k$ . Предложен механизм р-ции, включающий обратимую бимолекулярную атаку сольватированного протона на атом углерода, связанный

со ртутью, и последующую р-цию образовавшегося промежуточного комплекса (A) с анионом.

**74781. Может ли мостик из атома серы рассматриваться как проводник сопряжения? Манджини, Пассерини** (Can the sulphur bridge be considered as a relay conjugation? Mangini A., Passerini R.), Experientia, 1955, 12, № 2, 49—50 (англ.; рез. итал.)

С помощью УФ-спектров показано, что в соединениях типа  $n$ - и  $m$ - $\text{XC}_6\text{H}_4\text{SC}_6\text{H}_4\text{NO}_2$  и  $n$ - $\text{XC}_6\text{H}_4\text{CH}_2\text{SC}_6\text{H}_4\text{NO}_2$ , где  $\text{X} = \text{H}$ ,  $\text{OCH}_3$ ,  $\text{OH}$ ,  $\text{O}^-$ ,  $\text{NH}_2$ ,  $\text{NHCOCH}_3$ ,  $\text{NH}_2 \cdot \text{HCl}$ ,  $\text{N}(\text{CH}_3)_2$ ,  $\text{N}(\text{CH}_3)_2 \cdot \text{HCl}$ , заместители X оказывают лишь однотипное индуктивное влияние на хромофорную систему  $n$ - $\text{O}_2\text{NC}_6\text{H}_4 \text{---} \text{S}$ . Таким образом, не подтверждается заключение (Szman, McIntosh, J. Amer. Chem. Soc., 1951, 73, 4356) о возможности передачи сопряжения по системе Б. М. В.

**74782. Декарбоксилирование. II. Стереохимия превращения дибромидов *цис*-коричной кислоты в  $\epsilon$ -бромстирол. Гроувенштейн, Теофилу** (Decarboxylation. II. The stereochemistry of the transformation of *cis*-cinnamic acid dibromide to  $\epsilon$ -bromostyrene. Grovenstein Erling Jr., Theophilous Spyros P.), J. Amer. Chem. Soc., 1955, 77, № 14, 3795—3798 (англ.)

Установлено, что пространственная направленность р-ции шел. декарбоксилирования дибромидов (I), полученного бромированием *цис*-коричной к-ты (II) в среде  $\text{CH}_3\text{COOH}$ , зависит от р-рителя: в ацетоне или спирте образуется только *транс*- $\beta$ -бромстирол (III), в то время как при проведении р-ции в воде получают смесь III и *цис*- $\beta$ -бромстирола (IV). Ранее было показано (см. предыдущее сообщение, РЖХим, 1954, 14413), что дибромид (V), полученный из *транс*-коричной к-ты, при декарбоксилировании в ацетоне или спирте дает преимущественно IV, в то время как в воде V превращается в смесь III и IV в соотношении 8:2. При декарбоксилировании с  $\text{NaOH}$  в воде I потребляет примерно в 2 раза больше  $\text{NaOH}$ , чем V, и продукт р-ции состоит целиком из III, что объясняется вторичной р-цией дегидробромирования IV со щелочью. При декарбоксилировании I в водн. р-ре  $\text{NaHCO}_3$  продукт р-ции содержит 5% IV. Поскольку исходный I, судя по диаграмме т-р плавления, содержал  $9 \pm 1\%$  V, можно считать, что I в этих условиях превращается в III на 97%. Авторы считают, что декарбоксилирование I и V протекает в ацетоне и спирте преимущественно по стереоспецифичному одностадийному механизму (одновременно отщепление Br и  $\text{CO}_2$ ), а в водн. среде — по нестереоспецифичному двухстадийному ионному механизму. Большая стереоспецифичность декарбоксилирования I (в спирте или воде) по сравнению с V объясняется тем, что при одностадийном *транс*-отщеплении Br и  $\text{CO}_2$  от I активированный комплекс стерически менее затруднен, так как расстояние между  $\alpha$ -Br-атомом и  $\beta$ - $\text{C}_6\text{H}_5$ -группой в I больше, чем в V. Поэтому I декарбоксилируется по одностадийному механизму с большей скоростью, чем V. В случае V скорости декарбоксилирования по обоим механизмам сравнимы и р-ция протекает менее стереоспецифично. Бромирование II в  $\text{CS}_2$  приводит к V, выход 66%, т. пл. 185—191° и смеси в-в с т. пл. 55—80° (24%), содержащей значительное кол-во I. К 100 г II в 250 мл лед.  $\text{CH}_3\text{COOH}$  добавляют за 10 мин. р-р 45 г HBr и 190 г  $\text{Br}_2$  в 300 мл лед.  $\text{CH}_3\text{COOH}$ , выдерживают смесь 8 час., выливают ее в воду и экстрагируют эфиром. Экстракт упаривают, остаток обрабатывают  $\text{CS}_2$ , из нерастворимой части выделяют V, выход 20%; из р-ра упариванием и обработкой кипящим *n*-гексаном выделяют I, выход 50%, т. пл. 87—94,5° (из *n*-гексана) (содержание I  $95,5 \pm 1\%$ ; чистый I имеет т. пл. 93,5—95,0°). Л. Б.

74783. Реакция алкинов-1 с металлоорганическими соединениями. III. Способность этилмагнийбромида вступать в реакцию с некоторыми монозамещенными ацетиленами. Уотиз, Холлингсуэрт, Десси (The reaction of 1-alkynes with organometallic compounds. III. The reactivity of ethylmagnesium bromide toward some monosubstituted acetylenes. Wotiz John H., Hollingsworth C. A., Dessy Raymond E.), J. Organ. Chem., 1955, 20, № 11, 1545—1549 (англ.).

Изучена относительная реакционная способность (PC) монозамещ. ацетилена при взаимодействии с  $C_2H_5MgBr$  по уравнению  $RC \equiv CH + C_2H_5MgBr \rightarrow C_2H_5 + RC \equiv CMgBr$ , причем PC оценивалась по скорости отщепления  $C_2H_2$ . Показано, что заместитель R может изменять PC благодаря его способности оказывать влияние на подвижность ацетиленового водорода. PC гексина-1 (I) в эфире принята за 100. Тогда PC: 1) I в эфире + 1 моль  $(C_2H_5)_3N > 500$ ; 2) I в эфире + 1 моль тетрагидрофурана 100; 3) гетина-1 106; 4)  $HC \equiv C(CH_3)_4 \equiv CH$  100; 5)  $Cl(CH_2)_3C \equiv CH$  96; 6)  $C_4H_9OC \equiv CH$  500; 7)  $CH_3OCH_2C \equiv CH$  165; 8)  $C_2H_5OC(CH_3)_2C \equiv CH$  45; 9)  $(CH_3)_3CC \equiv CH$  23; 10)  $CH_2 \equiv C(CH_3)C \equiv CH$  40; 11)  $BrCH_2C \equiv CH$  неизвестно, но  $> 150$ ; 12)  $C_6H_5C \equiv CH$  77; 13)  $n-C_3H_7C_4H_9C \equiv CH$  77; 14)  $n-BrC_4H_9C \equiv CH$  92; 15)  $n-ClC_4H_9C \equiv CH$  167. Авторы связывают большую PC в I с основностью триэтиламина, влияющую, возможно, на увеличение легкости диссоциации алкинов. Результаты опытов 4, 5 и 6 показывают, что введение заместителя к C, отделенному от тройной связи не менее чем двумя углеродами, не влияет на PC. Результаты опытов 6 и 7 авторы объясняют способностью кислорода притягивать электроны. Уменьшение PC в 8—10 объясняется стерич. трудностями. В II идут три р-ции с образованием  $C_2H_6 + BrMgC \equiv CCH_2Br$ ,  $C_2H_5CH \equiv C = CH_2$  и  $C_3H_5C \equiv CH$ . Уменьшение PC в 12 авторы связывают с тем, что молекулярная модель фенилацетилена близка к модели изопропилацетилена, т. е. и в этом случае имеют место стерич. трудности. Однако введение электроотрицательного заместителя в пара-положение увеличивает PC тем больше, чем больше его электроотрицательность. Сообщение II см. РЖХим, 1956, 39424. З. П.

74784. Реакции отщепления в циклических системах. III. Механизм образования 1-фенилциклогексена из гидрата окиси триметил-транс-2-фенилциклогексилламмония. Уэйнсток, Бордуэлл (Elimination reactions in cyclic systems. III. Mechanism of the formation of 1-phenylcyclohexene from trimethyl-trans-2-phenylcyclohexyl-ammonium hydroxide. Weinstein Joseph, Bordwell F. G.), J. Amer. Chem. Soc., 1955, 77, № 24, 6706—6707 (англ.).

Ранее было показано, что единственным продуктом, образующимся при гофмановском расщеплении гидрата окиси триметил-транс-2-фенилциклогексилламмония (I), является 1-фенилциклогексен (II) (см. сообщение II РЖХим, 1956, 54315). Теперь установлено, что II образуется не в результате изомеризации 3-фенилциклогексена (III), а, по видимому, непосредственно из I в результате *цис*-отщепления. Чистый III, полученный пиролизом скантата *цис*-2-фенилциклогексанола (IV) по Чугаеву, не изомеризуется в II при кипячении со спирт. р-ром КОН в течение 15 мин. При более длительном кипячении III выход II составляет: 24 часа 4,5%, 96 час. 9,8%, 192 часа 14,2%. III не изменяется при кипячении с суспензией  $Al_2O_3$ . *Цис*-отщепление от I объясняется кислотными свойствами «бензильного» Н-атома в положении 2. Структура II и III подтверждена их гидрированием до 3-фенилциклогексана. Л. Б.

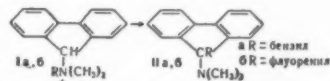
74785. Распад четвертичных аммониевых солей. Часть IX. Строгая внутримолекулярность характера перегруппировки. Джонстон, Стивенс (The degradation of quaternary ammonium salts. Part IX. Demonstration of the strictly intramolecular character of a rearrangement. Johnstone R. A. W., Ste-

vens T. S.), J. Chem. Soc., 1955, Dec., 4487—4488 (англ.).

Для доказательства внутримолекулярного характера перегруппировки диалкилбензилфениламмонийброидов в  $\alpha$ -диалкиламинокетонах (J. Chem. Soc., 1928, 3193; 1930, 2107) изучена перегруппировка смеси меченого  $[n-BrC_6H_4COCH_2N^+(CH_3)_2(C^4H_5C_6H_5)]Br^-$  (I) с  $[C_6H_5COCH_2N^+(CH_3)_2(CH_2C_6H_5)]Br^-$ . При обработке  $C_2H_5ONa$  выделены радиоактивный  $BrC_6H_4COCH_2N(C^4H_5C_6H_5)N(CH_3)_2$  и нерадиоактивный  $C_6H_5COCH_2N(CH_2C_6H_5)N(CH_3)_2$  (II). Отсутствие радиоактивности у II свидетельствует о том, что межмолекулярного обмена мигрирующих групп не происходит. Для получения  $C_6H_5C^4H_5Cl$  (III) через трубку, наполненную 100 мг параформальдегида (из них 3,7 мг радиоактивного), 0,24 мл воды, 450 мг безводн.  $ZnCl_2$ , 2 мл  $C_6H_6$ , нагретых до 65°, пропущен ток сухого HCl (20 мин.). III экстрагирован эфиром, выход 47%. Действием III (200 мг) на диметиламин получен  $C_6H_5C^4H_5N(CH_3)_2$  (150 мг), который с  $n-BrC_6H_5COCH_2Br$  (400 мг) дает I, т. пл. 186—187° (из сп.-эф.). В. Р.

74786. Влияние строения ионов четвертичного аммония на направление действия амида натрия в жидком аммиаке в сторону перегруппировки с орто-замещением или 1,2-перемещения. Влияние температуры. Хаусер, Маньик, Брейсен, Бейлесс (Influence of structure of quaternary ammonium ions on ortho substitution rearrangement versus 1,2 shift with sodium amide in liquid ammonia. Influence of temperature. Hauser Charles R., Manyik Robert M., Brasen Wallace R., Bayless Philip L.) J. Organ. Chem., 1955, 20, № 8, 1119—1128 (англ.).

Некоторые сложные ионы четвертичного аммония, замещ. бензильными или соответствующими группами, при действии  $NaNH_2$  в жидком  $NH_3$  вместо перегруппировки с замещением в орто-положении бензольного кольца (ср. РЖХим, 1955, 9482) подвергаются 1,2-перемещению. При этом бензидрилбензидиметиламмоний  $(C_6H_5)_2CHN^+(CH_2C_6H_5)(CH_3)_2$  дает два третичных амина  $(C_6H_5)_2C(CH_2C_6H_5)N(CH_3)_2$  (60%) и  $(C_6H_5)_2CHCH(C_6H_5)N(CH_3)_2$  (9%). Авторы считают, что р-ция протекает через промежуточное образование карбаниона в результате диссоциации водорода, соседнего с N. Флуоренилбензидиметиламмоний (Ia) и дифлуоренилдиметиламмоний (Ib) образуют также продукты 1,2-перемещения



(IIa) и (IIb). Подобные результаты объясняются, вероятно, влиянием стерич. факторов. Повышение т-ры благоприятствует направлению р-ции в сторону 1,2-перемещения. Дибензидиметиламмоний  $C_6H_5CH_2N^+(CH_2C_6H_5)(CH_3)_2$  под влиянием  $KNH_2$  в жидком  $NH_3$  претерпевает перегруппировку с замещением в орто-положении и образует  $o-CH_2C_6H_4CH(C_6H_5)N(CH_3)_2$  (93%), а с  $KNH_2$  в кипящем толуоле идет р-ция 1,2-перемещения и получается  $C_6H_5CH[N(CH_3)_2]CH_2C_6H_5$ . Флуоренилтриметиламмоний не изменяется при действии  $NH_2Na$  в жидком  $NH_3$  или в кипящем эфире, но в кипящем бутиловом эфире перегруппировывается с образованием продукта 1,2-перемещения. Строение всех продуктов этих р-ций доказано независимыми синтетами и другими методами. Л. К.

74787. Исследование методом меченых атомов образования кетонов при каталитическом расщеплении некоторых кислот. Рид (Isotopic studies on the formation of ketones by the catalytic decomposition of certain acids. Reed Rowland I.), J. Chem. Soc., 1955, Dec., 4423—4426 (англ.).

Найдено, что при пропускании паров  $CH_3CH_2C^{18}OOH$  в смеси с  $RCOOH$  ( $R = C_6H_5CH_2$ ,  $C_6H_5$ , H) над различными катализаторами при 430,5° образующиеся кетоны

$C_2H_5COR$  содержат постоянно 60—65%  $C^{14}O$ -групп, независимо от колич. отношений компонентов смеси. Аналогичные результаты получены при пиролизе (435—450°) бариевых солей фенилуксусной и меченой пропионовой к-ты. Сделан вывод, что каталитич. расщепление к-т с образованием кетонов идет через предварительное образование солей с катализатором:  $RCOOM + R'COOM \rightarrow RR'CO + M_2CO_3$ , где  $M = 1/2 Ba, 1/2 Ca, 1/2 Mn, 1/4 Th$ ;  $R, R' = H, C_2H_5, C_6H_5, C_6H_5CH_3$ .

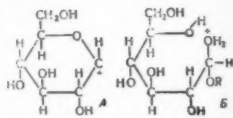
**74788. О роли соляной кислоты в реакции Фриса. III. Гереч, Виндхольц (Beiträge zur Rolle der Salzsäure bei der Fries-Reaktion. III. Gerecs A., Windholz M.), Acta chim. Acad. sci. hung., 1955, № 1—3, 295—302 (нем.; рез. русс., англ.)**

Исследовано влияние добавления HCl или эквивалентной смеси NaCl и  $AlCl_3$  (предполагается образование  $AlCl_4^-$ ) на р-цию Фриса в случае *м*-крезолацетата (I), *м*-крезолпропионата (II) и  $\alpha$ -нафтилацетата (III) в *р*-ре нитробензола при  $\sim 20^\circ$ . При р-ции I миграция ацильной группы происходит в перко-положение, в присутствии HCl выход продукта несильно увеличивается, добавление  $AlCl_3$  значительно снижает выход. Превращение II протекает с образованием орто-производного (ОП), добавление HCl практически не влияет на р-цию, в присутствии  $AlCl_4^-$  выход снижается в меньшей степени, чем в случае I. Превращение III при соотношении III:  $AlCl_3 = 27:90$  протекает с образованием пара-производного (ПП) и незначительных кол-в ОП, присутствие  $AlCl_4^-$  в этих условиях не влияет на р-цию. При повышении соотношения III:  $AlCl_3$  до 15:19 возрастает как ОП, так и ПП, добавление  $AlCl_4^-$  ведет к повышению образования ОП с одновременным снижением выхода ПП. Предполагается, что р-ция протекает через комплекс  $C_6H_5O \rightarrow (H) - C(CH_3)R = O \rightarrow AlCl_3$  (IV), внутримолекулярная перегруппировка которого ведет к образованию ОП, образование ПП протекает межмолекулярно через гетеролитич. расщепление IV. Образование ОП в случае II и ПП в случае I объясняется большей стабильностью комплекса, образующегося из II, за счет индуктивного эффекта  $C_2H_5$ -группы. Снижение образования ПП при добавлении  $AlCl_4^-$  объясняется снижением конц-ии  $H^+$  ионов за счет сдвига влево равновесия  $HCl + AlCl_3 \rightleftharpoons H^+ + AlCl_4^-$ . Основываясь на том, что при смешении р-ров  $AlCl_3$  и II в присутствии NaCl· $AlCl_3$  выделяется  $\sim 6,5$  ккал/моль, а в отсутствие NaCl· $AlCl_3$  5,96 ккал/моль, авторы считают, что нельзя объяснить действие  $AlCl_4^-$  отщеплением  $AlCl_3$  от комплекса IV с образованием  $Na^+[Al_2Cl_7^-]$ . Сообщение II см. РЖХим, 1955, 21152. И. М.

**74789. Механизмы реакций в ряду сахаров. I. Катализируемый кислотами гидролиз  $\alpha$ - и  $\beta$ -метил- и  $\alpha$ - и  $\beta$ -фенил-*D*-глюкопиранозидов. Бантон, Льюис, Льюэлли, Вернон (Mechanisms of reactions in the sugar series. Part. I. The acid-catalysed hydrolysis of  $\alpha$ - and  $\beta$ -methyl and  $\alpha$ - and  $\beta$ -phenyl *D*-glucopyranosides. Bunton C. A., Lewis T. A., Llewellyn D. R., Vernon C. A.), J. Chem. Soc., 1955, Dec., 4419—4423 (англ.)**

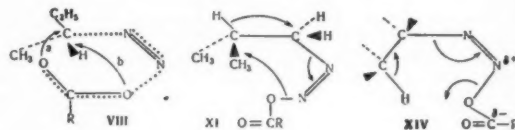
Определены скорости гидролиза  $\alpha$ - и  $\beta$ -метилглюкопиранозидов ( $\alpha$ -I и  $\beta$ -I) и  $\alpha$ - и  $\beta$ -фенилглюкопиранозидов ( $\alpha$ -II и  $\beta$ -II) при различных конц-иях HCl и  $HClO_4$ . При помощи изотопного метода с  $H_2O^{18}$  установлено, что при гидролизе происходит разрыв гексозо-кислородной связи:  $R_1^1 - O - CH_3 + H_2O^{18} \rightarrow R - O^{18} - H + H - O - CH_3$ . На основании того, что логарифмы констант 1-го порядка скоростей гидролиза лежат на прямой линии относительно кислотной функции Хамметта, а не pH (РЖХим,

1955, 39757), сделано заключение о том, что лимитирующей стадией является распад сопряженной к-ты ( $GH^+$ ), с образованием карбоний-катиона  $G^+$ . Быстрая р-ция  $G^+ + H_2O$  приводит к глюкозе.  $G^+$  может иметь строение (А) или (Б). При помощи кинетич. метода ввиду относительно большой скорости мутаротации глюкозы в водн. р-рах нельзя определить, какую из этих структур имеет  $G^+$ .  $\alpha$ -I, т. пл. 164—165° (из сп.),  $[\alpha]^{25}_D + 157,8^\circ$ ;  $\beta$ -I, т. пл. 107—108° (из этилацетата),  $[\alpha]^{25}_D - 32,6^\circ$ ;  $\alpha$ -II получен деацетилированием тетраацетата  $\alpha$ -II ( $[\alpha]^{25}_D + 181,6^\circ$ ),  $NaOCH_3$  в  $CH_3OH$ ;  $\alpha$ -II, т. пл. 169—170°,  $[\alpha]^{25}_D + 181,1^\circ$ ;  $\beta$ -II из тетраацетата  $\beta$ -II, т. пл. 127°,  $[\alpha]^{25}_D - 30,7^\circ$ , т. пл. 173,5—174,5°,  $[\alpha]^{25}_D - 70,7^\circ$ . А. Я.



**74790. Химия *N*-алкил-*N*-нитрозаминов. III. Механизм реакции элиминирования азота. Уайт (The mechanism of *N*-alkyl-*N*-nitrosoamides. III. Mechanism of the nitrogen elimination reaction. White Emil H.), J. Amer. Chem. Soc., 1955, 77, № 22, 6014—6022 (англ.)**

С целью выяснения механизма р-ции исследовано превращение *N*-втор-бутил-*N*-нитробензамида (I) и некоторых родственных соединений  $RN(NO)COR'$  в различных р-рителях, в присутствии к-т и  $Na_2CO_3$ . При осуществлении р-ции I в присутствии стирола (II) не образуется полимеров или каких-либо соединений, включающих II, превращение I не сопровождается выделением  $CO_2$ , которое могло бы ожидать в случае участия в р-ции ацил-оксид-радикалов. Эти факты, а также отсутствие образования оксидов при проведении р-ции I в среде  $CCl_4$  с одновременным пропусканием тока NO рассматриваются как свидетельство против участия свободных радикалов в этой р-ции. При осуществлении превращения оптически активного I в пентане (III) в присутствии бензойной к-ты (IV) выход инвертированного (И) втор-бутилбензоата (V) повышается. При добавлении  $Na_2CO_3$  к р-ру I в среде III для нейтр-ции, образующейся в ходе р-ции IV, выход V с со-



хранением конфигурации (C) растет (сокращения И и C перед названием соединения или его цифровым символом означают инверсию или сохранение конфигурации этого соединения). При превращении I в присутствии  $CH_3COOH$  помимо C V с повышенной активностью образуется И втор-бутилацетат (VI). Предполагается, что р-ция протекает через изомеризацию I в втор-бутилдиазбензоат (VII). Образование продуктов с сохранением конфигурации объясняется внутримолекулярным превращением VII, протекающим через четырехчленный цикл с элиминацией  $N_2$  по механизму (VIII)-b. Образование продуктов с инверсией конфигурации в присутствии избытка к-т обязано механизму, включающему бимолекулярную атаку к-той асимметрич. C-атома VII. Образование VI при р-ции I в присутствии  $CH_3COOH$  объясняется предварительной перезтерификацией VII. Опытами с изобутил-3,5-динитробензоатом (IX) и  $CH_3COOH$  (3 дня, 25° и 1 час, 115°) показано, что обмен ацильными группами между к-той и эфиром не происходит. В случае р-ции *N*-(изо-бутил)-*N*-нитрозо-3,5-динитробензамида (X) в *р*-ре III (см. сообщение II, РЖХим, 1956, 61442) помимо протекания р-ции через комплекс VIII-b, ведущий к образованию IX,

предполагается образование переходного комплекса (XI), в котором миграция H или  $\text{CH}_3$ -группы приводит к образованию соответственно *трет*-бутилового и *втор*-бутилового эфиров. Из смеси 1-бутилена, 2-бутилена и 3,5-динитробензойной к-ты (XII) в условиях, аналогичных условиям р-ции не образуется эфир, это свидетельствует о том, что рацемизация протекает не через промежуточное образование к-ты и олефина. Меньшая активность образующегося в присутствии  $\text{CH}_3\text{COOH}$  VI по сравнению с активностью V, повышение рацемизации в некоторых опытах при добавлении  $\text{Na}_2\text{CO}_3$ , низкий процент сохранения конфигурации в условиях, исключающих бимолекулярный механизм (высокое разбавление, присутствие  $\text{Na}_2\text{CO}_3$ ) рассматриваются как факты, свидетельствующие о том, что при превращении имеет место не истинная, а кажущаяся рацемизация, объясненная одновременному действию механизмов VIII-a и VIII-b. При превращении I в р-ре диоксана (XIII) образуется С V, в присутствии XII кроме С V образуется также С *втор*-бутил-3,5-динитробензоат. Предполагается, что в р-ре XIII вследствие сольватации р-рителем асимметрич. атома углерода бимолекулярный механизм не имеет места, р-ция протекает по механизмам VIII-a и VIII-b (частичная рацемизация) через VII или аналогичный продукт перестерификации VII к-той XII, соотношение между VIII-a и VIII-b в обоих случаях одинаково, так как оба эфира получены с активностью ~40%. Более основной р-ритель пиридин и более нуклеофильный диметилсульфид менее способны защищать асимметрич. атом углерода от атаки к-ты, благодаря чему в этих р-рителях новый эфир образуется с большей инверсией конфигурации, чем нормальный эфир. В р-рах  $\text{CH}_3\text{COOH}$  образуется С V и I VI. На основании распределения изомеров при превращении X (см. сообщение II) высказано предположение о большей сепарации зарядов в переходном комплексе в р-ре  $\text{CH}_3\text{COOH}$ . Установлено, что превращение N-( $\alpha$ -фенилэтил)-N-нитрозоацетамида в р-рах III, XIII и  $\text{CCl}_4$  мало зависит от р-рителя, протекает с более высоким сохранением конфигурации сравнительно с I, что объясняется стабилизацией положительного заряда на углероде фенильной группой, ведущей к усилению сольватации и действия VIII-b. Перегруппировка N-(*втор*-бутил)-N-нитро-3,5-динитробензамида протекает с выделением  $\text{N}_2\text{O}$  и образованием оптически активного эфира; наблюдаемые при этом структурные изменения аналогичны изменениям в случае I. Выход олефина при превращении I не изменяется в присутствии  $\text{Na}_2\text{CO}_3$ , пиридина или IV, для объяснения этого обстоятельства предложена схема XIV.

74791. Современные проблемы теории органических реакций. I. Современные проблемы теории галогенирования, сочетания и меркурирования органических соединений. Огата. II. Нитрование и сульфирование ароматических соединений. Огата. III. Этерификация и реакции эфиров. Огата. IV и V. Нуклеофильное замещение и элиминирование в алифатических галоидпроизводных (I и 2). Огата, Окано. VI. Замещение водорода, замещение натрия, образование эфиров и гидролиз, гидрирование и дегидрирование. Огата. VII. Перегруппировки. Огата, Окано. VIII. Реакции карбонильных соединений. Огата. IX. Радикальное замещение и разложение перекисей. Огата (有機反應理論の最近の問題. I. 芳香族のハロゲン化. カップリング. 水銀化の理論に關する最近の問題. 小方芳郎. II. 芳香族の砒化とスルホン化小方芳郎. III. エステル化とエステルの反應. 小方芳郎. IV. V. 脂肪族ハロゲン化合物の陰性置換と脱離(1,2). 小方芳郎, 岡野正彌. VI. 水素置換. ナトリウム置換. エーテルの形成と加水分解, 水和と脱水. 小方芳郎. VII. 轉位反應. 小方芳郎, 岡野正彌. VIII. カルボニル化合物の反應. 小方芳郎. IX. ラジカル的置換と過酸化合物の分解. 小方芳郎). 化學の領域, Какагу-но рёйкки, J. Japan. Chem., 1955, 9, № 7, 37—42; № 8, 28—32; № 9, 20—27; № 10, 34—41; № 11,

33—41; № 12, 29—37; 10, № 1, 39—51; № 2, 120—132; № 3, 44—56 (япон.)

Обзор.

M. B.

74792. Применение изотопов в органической химии и в биохимии. Миэттинен (Isotoopit orgaanisessa kemiassa ja biokemiassa. Mielttinen Jorma K.), Suomen kem., 1955, 28, № 12, A335—A345 (фин.)

Обзор. Библ. 14 назв.

M. B.

74793. Об использовании радиоактивных изотопов для изучения некоторых проблем в органической химии. Лян Сяо-тянь (利用放射性同位素研究幾個有機化學問題. 梁曉天), 化學通報, Хуасюэ тунбао, 1955, № 12, 728—729 (кит.)

Обзор.

M. B.

74794. Тритий в органической химии. Винклер (Tritium in der organischen Chemie. Winkler Rudolf Ernst), Techn. Rundschau, 1955, 47, № 54, 5 (нем.)

Обзорная статья.

M. B.

74795. Действие ионизирующих излучений на органические вещества. Коллинсон, Суоллоу (The action of ionising radiations on organic compounds. Collinson E., Swallow A. J.), Quart. Revs. London Chem. Soc., 1955, 9, № 4, 311—327 (англ.)

Обзор р-ций полимеризации, конденсации, расщепления, окисления, галогенирования и восстановления, происходящих под влиянием радиации.

M. B.

74796. Успехи в области дифракции рентгеновских лучей и органическая химия. Нита (線解析の進歩と有機化學. 仁田勇), 化學の領域, Какагу-но рёйкки, J. Japan. Chem., 1955, 9, № 12, 1—7. Обзор. Библ. 31 назв.

M. B.

74797. Теломеризация. Нагасака (Telomerizationについて. 永坂晃), 化學, Караку, Chemistry (Kyoto), 1955, 10, № 6, 83—86 (япон.)

Обзор. Библ. 105 назв.

M. B.

74798. Номенклатура в области органической химии. Рихтер (Die Nomenklatur auf dem Gebiet der organischen Chemie. Richter Friedrich), Naturwissenschaften, 1955, 42, № 22, 593—600 (нем.)

Доклад 5 мая 1955 года в ун-те г. Майнца (ФРГ). Рассматриваются типы названий органич. в-в, основные линии развития номенклатуры органич. соединений и стоящая перед Международной комиссией по номенклатуре органич. соединений задача создания официальной номенклатуры, приводящей к получению одного определенного названия для каждого соединения. Более подробно обсуждается вопрос о номенклатуре и нумерации циклич. систем.

B. П.

74799 К. Органическая химия. Общегосударственный учебник для высшей школы. Марко (Organická chemia. Celoštátna vysokošk. učebnica. Marko Miloš. Bratislava, Statne nakl. techn. lit., 1955, 851, [1] s., 79, 50 Kčs) (словац.)

74800 К. Учебник органической химии. 15-е дополненное и исправленное издание. Лангенбек (Lehrbuch der organischen Chemie. 15. verb. u. erg. Aufl. Langenbeck Wolfgang. Dresden, Leipzig, Steinkopff, 1955, XVI, 553 S., 16 DM) (нем.)

74801 К. Учебник органической химии. Изд. 3-е, 4-е, перераб. Бейер (Lehrbuch der organischen Chemie. 3. u. 4. neubearb. Aufl. Beyer Hans. Leipzig, Hinsel, 1955, XVII, 690 S., ill., 22.50 DM) (нем.)

74802 К. Органическая химия. Часть 2. Кислородные и азотистые производные алифатических углеводородов. Изд. 3-е. Пребеновский (Chemia organiczna. Cz. 2: Pochodne tlenowe i azotowe węglowodorów alifatycznych. Wyd. 3. Prebendowski Stanisław. Warszawa, Nakł. Państw. Zakł. Wydawn. Lekars., 1955, 361 s., il., 20 zł. (польск.)

- 74803 К. Основы органической химии. Барджеллини (Elementi di chimica organica. Bargellini Guido. Roma. Ed. Studium, 1955, 112 p., 500 L.) (итал.)
- 74804 К. Лекции по органической химии. Том I. Изд. перераб. Каноника (Appunti di chimica organica dalle lezioni di L. C. Vol. I. Nuova edizione intermanete rifatta. Canonica Luigi (Anno accademico 1954—1955). Milano, Tip. D. Cislighi, 1954, xii, 383 p.) (итал.)
- 74805 К. Справочник Бейльштейна по органической химии. Том 27. Изд. 4-е (Beilsteins Handbuch der organischen Chemie. Bd. 27. 4 Aufl. Hrsg. Richter Friedrich. Berlin, Göttingen, Heidelberg: Springer, 1955, XLIV, 1120 S., 380 DM) (нем.)
- 74806 К. Новый справочник по органической химии. Формулы, характерные реакции и методы получения основных органических соединений (с многочисленными краткими схемами). Дель-Буфало (Nuovo formulario di chimica organica. Formule, reazioni caratteristiche e metodi di preparazione dei principali composti organici... e numerosi schemi riassuntivi. Del Bufalo Luciano. Genova, Ed. Libr. univ. Pacetti, 1954, 205 p.) (итал.)
- 74807 К. Стереоспецифические реакции аминспиртов. Новые данные по стереохимии третичных атомов азота. Кочка (Az amino-alkoholok sztereospecifikus reakciói. Újabb eredmények a terciér nitrogén atom tórkémiájában. Koczka Károly. Kand. értekezés tézisei. Tud. Minősítő Bizottság., 1955, 9 l.) (венг.)
- 74808 Д. Физические свойства и строение. Измерение скорости ультразвука в кремнийорганических соединениях. Исследование тетраалкил-, тетраалкокси- и алкилалкоксиланов. Каннеблей (Physikalische Eigenschaften und Konstitution. Ultraschallgeschwindigkeitsmessungen an siliziumorgan. Verbindungen. Untersuchungen an Tetraalkyl-Tetraalkoxy- und Alkyl-Alkoxysilanen. Kannebley Günter. Diss., T. U., F. f. allg. Ingenieurwiss., Berlin, 1954), Dtsch. Nationalbibliogr., 1955, В, № 17, 1226 (нем.)
- 74809 Д. К вопросу о связи строения с окраской. Фенилоги карбамидных красящих веществ. Швееберг (Beiträge zur Beziehung zwischen Konstitution und Farbe. Über phenyloge Carbonamidfarbstoffe. Schweeberg Hans. Diss., Phil. F., Marburg, 1953), Dtsch. Nationalbibliogr., 1955, В, № 11, 810 (нем.)
- 74810 Д. Установление строения перхлоруглеводородов, образующихся при дегалогенировании перхлорпропилена, сопровождающемся усложнением молекулы. Фосс (Konstitutionsaufklärung der bei der aufbauenden Enthalogenierung von Perchlorpropylen entstehenden Perchlorkohlenstoffe. Voss Gerhard E. W. Diss., Naturwiss. F., Würzburg, 1953), Dtsch. Nationalbibliogr., 1955, В, № 15, 1086 (нем.)
- 74811 Д. Изучение оптически активных производных циклопропана. Хорняк (A study of optically active cyclopropane derivatives. Hornyak Frederick Mathew. Doct. diss., Florida State Univ., 1955), Dissert. Abstrs, 1955, 15, № 3, 335—336 (англ.)
- 74812 Д. Стереохимия производных 5,6-дигидро-4Н-фенантро-(с, d, e)-азепина. Стоун (The stereochemistry of 5,6-dihydro-4H-phenanthro (c, d, e) azepine derivatives. Stone Fred Wilbur. Doct. diss. Univ. Pennsylvania, 1955), Dissert. Abstrs, 1955, 15, № 5, 710 (англ.)
- 74813 Д. Влияние положения радикалов на оптическую активность. Шёневальд (Über den Einfluss von Radikalstellen auf die optische Aktivität. Schönewald Günter. Diss., F. F. allg. Ingenieurwiss., T. U., Berlin, 1954), Dtsch. Nationalbibliogr., 1955, В, № 19, 1375 (нем.)
- 74814 Д. Влияние образования циклов на оптическое вращение. Хамермеш (Effect of ring formation on optical rotatory power. Hamermesh Charles Luther. Doct. diss., New York University, 1954), Dissert. Abstrs, 1955, 15, № 6, 1088 (англ.)
- Оптическое вращение 2-фенилциклопентанона [ $\alpha$ ]<sub>D</sub><sup>20</sup> 5280 (толуол) в 5 раз превышает таковое для алифатич. аналогов и является самым большим для металлсодержащих органич. соединений. М. В.
- 74815 Д. Асимметрическое восстановление кетонов по Гриньяру. Уэлш (The asymmetric Grignard reduction of ketones. Welch Frank Joseph, Jr. Doct. diss., Stanford Univ., 1955), Dissert. Abstrs, 1955, 15, № 3, 338—339 (англ.)
- 74816 Д. Механизм реакции и пространственное протекание асимметрического циангидринового синтеза. Вильгельм (Über den Reaktionsmechanismus und den sterischen Verlauf der asymmetrischen Cyanhydrin-Synthese. Wilhelm Max. Diss., techn. Wiss. ETH, Zürich, 1954), Schweiz. Buch, 1955, В 55, № 2, 93 (нем.)
- 74817 Д. Реакции отщепления и замещения у эритро- и трео-2-дейтеро-1,2-дифенилэтанола и его производных. Келлом (Elimination and replacement reactions of erythro-and threo-2-deutero-1,2-diphenylethanol and derivatives. Kellom David Baker. Doct. diss., Columbia Univ., 1953), Dissert. Abstrs, 1955, 15, № 3, 336 (англ.)
- 74818 Д. Стереохимия реакции Дильса—Альдера между циклопентадиеном и производными замещенных транс-коричных кислот. Образование трицикловых производных при бромировании экзо-2,5-метилена-1,2,5,6-тетрагидробензойных кислот. Вер-Ной (The stereochemistry of the Diels-Alder reaction between cyclopentadiene and substituted trans-cinnamic acid derivatives. The formation of nortricyclic derivatives in brominations of exo-2,5-methylene-1,2,5,6-tetrahydrobenzoic acids. Ver Nooy Charles Depew III. Doct. diss. Univ. Michigan, 1955), Dissert. Abstrs, 1955, 15, № 9, 1500 (англ.)
- 74819 Д. Изучение реакции Фриделя—Крафтса: доказательство механизма согласованного замещения при первичном алкилировании ароматических соединений. Юнг (A study of the Friedel—Crafts reaction: evidence for a concerted displacement mechanism in primary alkylation of aromatic compounds. Jungk Hans. Doct. diss., Purdue Univ., 1955), Dissert. Abstrs, 1955, 15, № 6, 976—977 (англ.)
- Изучался механизм алкилирования бензола и толуола различными галоалкилами под действием  $AlBr_3$ . Исследование изомеризации диалкилбензолов показало, что склонность к изомеризации уменьшается в ряду *трет*-бутил > изопропил > этил > метил. На основании данных по относительной скорости алкилирования бензола и толуола и данных по распределению изомеров автор делает вывод, что метилирование и этилирование является нуклеофильным замещением; введение изопропильного и третичнобутильного радикалов является ионной р-цией. З. П.
- 74820 Д. Доказательство диспропорционирования при реакции ароматического замещения по Фриделю—Крафтсу с высшими галоидными алкилами. Смут (Evidence for a displacement reaction in the Friedel—Crafts reaction of higher alkyl halides in aromatic substitution. Smoot Charles Richard, Purdue Univ., 1955), Dissert. Abstrs, 1955, 15, № 5, 709 (англ.)
- Кинетически изучено диспропорционирование алкилбензолов при 0° в системе  $6Ar : HBr : Al_2Br_6$ . Показано, что склонность к миграции уменьшается в ряду *трет*-бутил > изопропил > этил > метил. Исследована кинетика каталитич. действия  $GaBr_3$  на алкилирование бензола и толуола  $C_2H_5Br$ ,  $C_3H_7Br$  и  $n-C_3H_7Br$ . Предложены механизмы этих р-ций. Изучены факторы, влияющие на отношение *n*-пропилбензола к изопропилбензолу при алкилировании бензола *n*-пропилзамещенными. З. П.

**74821 Д.** Некоторые вопросы электронного влияния сульфонильной группы. Носсп (Some aspects of the electrical effects of the sulfone group. Knosp Robert H. *Hermon. Doct. diss., Purdue Univ., 1955*), *Dissert. Abstr.*, 1955, 15, № 5, 701—702 (англ.)

Ряд  $\beta$ -кетосульфонов (I) получен Кляйзенской конденсацией сложных эфиров к-т с соединениями, у которых группа  $\text{CH}_2$  активирована сульфонильной группой. Определены константы диссоциации I. С помощью УФ-спектров изучена вращательная изомерия ряда жирноароматич. сульфонов. М. В.

**74822 Д.** Изучение некоторых азонитрилов. Нерсасян (A study of some azo nitriles. Nersasian Arthur. *Doct. diss., Univ. Michigan, 1954*), *Dissert. Abstr.*, 1955, 15, № 5, 705—706 (англ.)

Синтезирован ряд азодинитрилов и азохлорнитрилов и изучено влияние электронодонорных и электроноакцепторных заместителей на скорость распада этих в-в. Показано, что такого рода заместители не оказывают влияния на скорость разложения. Разложение подчиняется у-нению 1-го порядка и протекает преимущественно по радикальному механизму. М. В.

**74823 Д.** *p*-Метокситрифенилпропаргильный спирт и механизм его превращения в метоксибурен. Вальс (Alcools *p*-méthoxytriphenylpropargyliques, et étude du mécanisme de leur transformation en rubrènes méthoxylés. Valls Jaime. *Thèse, Ing.-doct., Paris, 1954, Bibliogr. France, 1955, 144, № 47, Suppl. thèses, 1954, № 10, 161* (франц.))

См. также: Строение органич. соед. 74149, 74151, 74160, 74381, 74872, 74873. Реакционная способность 74121, 74125, 74128, 74165. Механизмы и кинетика р-ций 74381, 74392—74397, 74408—74415, 74417—74421, 74440, 74443, 74444, 74450, 74454, 74971, 74994—74996

## СИНТЕТИЧЕСКАЯ ОРГАНИЧЕСКАЯ ХИМИЯ

**74824.** Органические синтезы на основе фосгена. Ваганс, Вевер (Synthèses organiques à partir du phosgène. Vaganay Jean, Wevert Simone), *Mém. poudres, 1955, 37, 417—432* (франц.)

Приведены примеры р-ций  $\text{COCl}_2$  (I) со спиртами, фенолами, аминами, органич. к-тами и их ангидридами, альдегидами и др. в-вами, описание лабор. аппаратуры для работы с I: емкостей, реактора, поглотителей выделяющихся газов. Описаны аналитич. методы, применяемые для исследования процесса р-ций с участием I. Е. К.

**74825.** Приготовление боргидрида алюминия и применение его для восстановления органических веществ. Коллонич, Фукс (Preparation of aluminium borohydride and its applications in organic reductions. Kolonitsch J., Fuchs O.), *Nature, 1955, 176, № 4492, 1081* (англ.)

Описано получение  $\text{Al}(\text{BH}_3)_3$  (I) по у-нию  $2\text{AlCl}_3 + 3\text{Ca}(\text{BH}_4)_2 = 2\text{Al}(\text{BH}_3)_3 + 3\text{CaCl}_2$  в р-ре тетрагидрофурана (II) (см. также РЖХим, 1956, 19148). При использовании  $\text{LiBH}_4$  выход I уменьшается, при применении  $\text{NaBH}_4$  I в тех же условиях совершенно не образуется. Из охлажд. до  $-50^\circ$  или частично упаренного р-ра I в II выделяется относительно устойчивый кристаллич. комплекс I с II. Р-ры I во II на воздухе не воспламеняются. С помощью I было осуществлено восстановление сложных эфиров, альдегидов и кетонов в соответствующие первичные спирты и восстановление нитрилов (напр.,  $\text{C}_6\text{H}_5\text{CH}_2\text{CN}$  и  $3,4\text{-(CH}_3\text{O)}_2\text{-C}_6\text{H}_3\text{CH}_2\text{CN}$ ) в первичные амины, выход аминов 50—60%. В. В.

**74826.** Органические реакции, катализируемые светом. IV. Окисление олефинов нитробензолом. Бухи, Эр (Light catalyzed organic reactions. IV. The oxidation of olefins with nitrobenzene. Buchi G., Ayer D. E.), *J. Amer. Chem. Soc., 1956, 78, № 3, 689—690* (англ.)

Свет катализирует присоединение нитробензола (I) к олефинам с образованием промежуточного продукта, после разложения которого образуются соответствующие карбонильные соединения и азобензол (II). Освещением смеси I и 2-метилбутена-2 (1 : 4) при  $18\text{--}20^\circ$  (ртутная лампа) выделено 12% смеси ацетона и  $\text{CH}_3\text{CHO}$ . Хроматографией остатка выделены *N*-фенилацетамид, т. пл.  $114\text{--}115^\circ$ ; II, т. пл.  $66^\circ$ , и нейтр. в-во  $\text{C}_{18}\text{H}_{22}\text{O}_2\text{N}_2$  (III), т. пл.  $169\text{--}170^\circ$ ,  $\lambda_{\text{макс}}$  246 мμ ( $\epsilon$  10 600); кипячением III с HCl (к-той) получены *p*-хлоранилин и ацетон. Освещением смеси I и циклогексена (1 : 3) получены с 10%-ным выходом II и адипиновый альдегид (диоксим, т. пл.  $170\text{--}172^\circ$ ). При облучении чистого I в паровой фазе выделены нитробензол и *p*-нитрофенол. Сообщение III см. РЖХим, 1956, 68446. Е. Д.

**74727.** Окисление смесью иодной кислоты и перманганата. IV. Определение положения двойных связей в ненасыщенных жирных кислотах и эфирах. Рудлов (Periodate-permanganate oxidations. IV. Determination of the position of double bonds in unsaturated fatty acids and esters. Rudloff E. von), *J. Amer. Oil Chemists Soc., 1956, 33, № 3, 126—128* (англ.)

Окисление ненасыщ. жирных к-т по двойной связи смесью  $\text{NaJO}_4$  и каталитич. кол-в  $\text{KMnO}_4$  при pH 5—10 (предпочтительно 6—9) и т-ре до  $40^\circ$  протекает количественно по у-нию  $\text{RCH}=\text{CH}(\text{CH}_2)_n\text{COOH} + 4\text{O} \rightarrow \text{RCOOH} + \text{HOOC}(\text{CH}_2)_n\text{COOH}$  без образования продуктов расщепления.  $\text{MnO}_4^-$  непрерывно регенерируется за счет  $\text{JO}_4^-$ . Образовавшиеся дикарбоновые к-ты  $\text{C}_6\text{--C}_{13}$  определяют методом распределительной хроматографии на  $\text{SiO}_2$  (100 меш) по методу А, описанному ранее (Recueil trav. chim., 1950, 69, 439); монокрбоновые к-ты  $\text{C}_6\text{--C}_{18}$  хроматографируют по несколько измененной прописи Б, см. РЖХим, 1956, 22782. 0,5 ммоль олеиновой к-ты (I) и 1,5 ммоль  $\text{K}_2\text{CO}_3$  в 100 мл воды добавляют к 100 мл водн. р-ра, 3,9 ммоль  $\text{NaJO}_4$  и 1 мл 0,1 М  $\text{KMnO}_4$ . Через 20—24 часа добавляют 10 мл 10%-ной  $\text{H}_2\text{SO}_4$  и  $\text{NaHSO}_4$  в кол-ве, достаточном для восстановления  $\text{JO}_4^-$ ,  $\text{JO}_3^-$  и  $\text{J}_2$  до  $\text{J}^-$ , экстрагируют 16—20 час. эфиром. Половину эфир. р-ра выпаривают досуха, растворяют в  $\text{C}_6\text{H}_6$  и хроматографируют по методу А. Вторую половину оттитровывают 0,05 н. р-ром NaOH в  $\text{CH}_3\text{OH}$  (по фенолфталеину), испаряют досуха, добавляют 2—3 капли 50%-ной  $\text{H}_2\text{SO}_4$ , 1 мл гексана и 1 г  $\text{Na}_2\text{SO}_4$ , через 5 час. хроматографируют гексановую вытяжку (содержащую монокрбоновые к-ты) по методу Б. Если исследуемые в-ва не растворимы в водн. р-рах  $\text{K}_2\text{CO}_3$ , их начальные концентрации уменьшают вдвое (элаидиновая к-та (II)) или предварительно растворяют к-ту в 10—20 мл пиридина (эруковая к-та (III), метиловые эфиры к-т). Колич. результаты (>98%) получают для I, II, III, эйкозеновой, 10-ундеценной и линолевой к-т (в более разб. р-ре). Для метиллинолеата р-ция идет на 95—96%. Нерастворимые метилолеат и триолеин не окисляются количественно даже в присутствии пиридина. Сообщение III см. РЖХим, 1956, 68783. Б. М.

**74828.** Определение положения двойных связей периодатно-перманганатным реактивом. Рудлов (Determination of the position of double bonds with the periodate-permanganate reagent. Rudloff E. von), *Paint Ind. Mag., 1956, 71, № 4, 8, 10* (англ.)

Разб. р-р  $\text{NaJO}_4$ , содержащий каталитич. кол-во  $\text{KMnO}_4$ , окисляет органич. соединения, напр. олеиновую к-ту, по двойной связи в более полном соответствии со стехиометрич. у-нием  $\text{RCH}=\text{CHR}' + 4\text{O} \rightarrow \text{RCOOH} + \text{R}'\text{COOH}$ , чем при обычном окислении посредством  $\text{KMnO}_4$ . При т-ре до  $40^\circ$  и pH от 6 до 10  $\text{NaJO}_4$  регенерирует  $\text{KMnO}_4$  быстрее, чем последний расходуется, и таким образом при окислении сохраняется постоянная и небольшая конц-ия  $\text{KMnO}_4$ . Дана методика определения непредельных к-т, разработаны методики микроаналитич. определения концевых

CH<sub>2</sub>-групп и определения изопропилиденовых групп. Экспериментальные и числовые результаты см. РЖХИМ, 1956, 50634, 68783. Б. М.

**74829.** Роль N-бромсукцинимидов в образовании сопряженных систем в жирных кислотах. Нанава, Натх, Аггарвал (N-bromosuccinimide in the production of conjugation in fatty acids. Nanavati D. D., Nath Bholi, Aggarwal J. S.), Chemistry and Industry, 1956, № 3, 82—83 (англ.)

Установлено, что метиловые эфиры олеиновой (I), петроселиновой (II), эруковой (III), стеароловой (IV) и бегеновой (V) к-т бромруются эквимолекулярным колвом N-бромсукцинимидом (VI) в присутствии (C<sub>6</sub>H<sub>5</sub>CO)<sub>2</sub>O<sub>2</sub> (катализатор) в алильных положениях. Последующее термич. отщепление HBr ведет к образованию с выходом 30—40%: из I CH<sub>3</sub>(CH<sub>2</sub>)<sub>5</sub>CH=CHCN=CH(CH<sub>2</sub>)<sub>5</sub>COOCH<sub>3</sub> или CH<sub>3</sub>(CH<sub>2</sub>)<sub>5</sub>CH=CHCN=CH(CH<sub>2</sub>)<sub>5</sub>COOCH<sub>3</sub>; из II CH<sub>3</sub>(CH<sub>2</sub>)<sub>7</sub>CH=CHCN=CH(CH<sub>2</sub>)<sub>5</sub>COOCH<sub>3</sub> или CH<sub>3</sub>(CH<sub>2</sub>)<sub>7</sub>CH=CHCN=CH(CH<sub>2</sub>)<sub>5</sub>COOCH<sub>3</sub>; из III CH<sub>3</sub>(CH<sub>2</sub>)<sub>9</sub>CH=CHCN=CH(CH<sub>2</sub>)<sub>5</sub>COOCH<sub>3</sub> или CH<sub>3</sub>(CH<sub>2</sub>)<sub>9</sub>CH=CHCN=CH(CH<sub>2</sub>)<sub>5</sub>COOCH<sub>3</sub>; из IV CH<sub>3</sub>(CH<sub>2</sub>)<sub>11</sub>CH=CHCN=CH(CH<sub>2</sub>)<sub>5</sub>COOCH<sub>3</sub> или CH<sub>3</sub>(CH<sub>2</sub>)<sub>11</sub>CH=CHCN=CH(CH<sub>2</sub>)<sub>5</sub>COOCH<sub>3</sub>; из V CH<sub>3</sub>(CH<sub>2</sub>)<sub>13</sub>CH=CHCN=CH(CH<sub>2</sub>)<sub>5</sub>COOCH<sub>3</sub> или CH<sub>3</sub>(CH<sub>2</sub>)<sub>13</sub>CH=CHCN=CH(CH<sub>2</sub>)<sub>5</sub>COOCH<sub>3</sub> (или их смеси) с λ<sub>макс</sub> 231 мμ. При использовании 3—4-кратного избытка VI образуются небольшие кол-ва в-в, имеющих λ<sub>макс</sub> 230 и 268 мμ, что указывает на наличие диенов и триенов, однако разделить их не удалось. IV и V дают соответственно: CH<sub>3</sub>(CH<sub>2</sub>)<sub>5</sub>CH=CHC≡C(CH<sub>2</sub>)<sub>5</sub>COOCH<sub>3</sub> или CH<sub>3</sub>(CH<sub>2</sub>)<sub>5</sub>CH=CHC≡C(CH<sub>2</sub>)<sub>5</sub>COOCH<sub>3</sub>; из CH<sub>3</sub>(CH<sub>2</sub>)<sub>7</sub>CH=CHC≡C(CH<sub>2</sub>)<sub>5</sub>COOCH<sub>3</sub> или CH<sub>3</sub>(CH<sub>2</sub>)<sub>7</sub>CH=CHC≡C(CH<sub>2</sub>)<sub>5</sub>COOCH<sub>3</sub>; из CH<sub>3</sub>(CH<sub>2</sub>)<sub>9</sub>CH=CHC≡C(CH<sub>2</sub>)<sub>5</sub>COOCH<sub>3</sub> или CH<sub>3</sub>(CH<sub>2</sub>)<sub>9</sub>CH=CHC≡C(CH<sub>2</sub>)<sub>5</sub>COOCH<sub>3</sub> (или их смеси) с λ<sub>макс</sub> 228 мμ, указывающим на наличие сопряженных C=C и C≡C связей (РЖХИМ, 1956, 13042), что подтверждают также ИК-спектры. Т. А.

**74830.** Кислотно-катализируемый распад хлор- и фторформатов. Наканиси, Майерс, Дженсен (Acid-catalyzed decomposition of chloro- and fluoroformates. Nakanishi Susumu, Myers Terrell C., Jensen Elwood V.), J. Amer. Chem. Soc., 1955, 77, № 19, 5033—5034 (англ.)

Показано, что BF<sub>3</sub> является эффективным катализатором распада хлор- и фторформатов этилового, изопропилового, циклопентилового и циклогексилового спиртов с образованием соответствующих алкилгалогенидов. Разложение циклопентилхлорформата (I) сопровождается образованием заметного кол-ва цикlopентена, а распад циклич. фторформатов — образованием более высококипящих продуктов. Выделение CO<sub>2</sub> в присутствии BF<sub>3</sub> из изопропил- и циклогексилфторформата происходит при 20°, а из I даже при 0°. А. Р.

**74831.** Фторорганические соединения. IV. Молекулярные комплексы пиридин-фтористый водород. Накахаси, Янагава (Organic fluorine compounds (IV). Molecular complex of pyridinehydrogen fluoride. Nakanishi Susumu, Yanagawa Tetsunosuke), Doshisha Engng Rev., 1956, 6, № 4, 212—217 (англ.; рез. япон.)

Синтезированы молекулярные комплексы C<sub>5</sub>H<sub>5</sub>N · 3HF · H<sub>2</sub>O (I) и C<sub>6</sub>H<sub>5</sub>NH<sub>2</sub> · 3HF · H<sub>2</sub>O (II). Проведено электрометрич. титрование I и II, а также сняты их УФ-спектры при различных значениях pH. 12 г пиридина и 22,4 г 50%-ной HF смешивают и упаривают на водяной бане при 60—70°. При добавлении ацетона выпадают кристаллы I, выход 80,2%. После сублимации при 80° т. пл. 154—163°. 16 г 50%-ной HF добавляют к 9,31 г анилина при охлаждении водой. При охлаждении льдом выпадают кристаллы II, выход 67,4%, т. пл. 64—68° (после сублимации). С. И.

**74832.** Гексадекатрин-5,8,11. Генслер, Махадеван (Hexadecatriene-5,8,11. Gensler Wal-

ter J., Mahadevan A. P.), J. Amer. Chem. Soc., 1953, 75, № 1, 167—169 (англ.)

Гексадекатрин-5,8,11 (I) получен p-ией нонадин-1,4-илмагнийбромидом с 1-бромгептином-2 (II), а также взаимодействием гексинилмагнийбромидом (III) с 1,4-дибромбутином-2 (IV). Не удалось получить I из MgBrC≡CMgBr и II, 0,234 моля нонадина-1,4 в 50 мл эфира прибавляют в атмосфере N<sub>2</sub> за 1,5 часа к C<sub>2</sub>H<sub>5</sub>MgBr (из 4,86 г Mg) в 100 мл эфира, через 1 час добавляют 0,5 г CuCl и затем за 30 мин. 0,16 моля II в 50 мл эфира, кипятят 70 час., разлагают льдом и HCl, выход I 72%, т. кип. 102—105°/0,12 мм, 100—103°/0,05—0,08 мм, n<sub>D</sub><sup>25</sup> 1,4819, d<sub>4</sub><sup>25</sup> 0,8660. P-ией ди-п-толуолсульфокислого эфира бутиндиола-1,4, с безводн. CaBr<sub>2</sub> в 100%-ном спирте-CHCl<sub>3</sub> (20 час., ~20°) получают IV, выход 90%, т. кип. 54—59°/1,2 мм, n<sub>D</sub><sup>25</sup> 1,5847. 0,135 моля IV в 50 мл эфира прибавляют к p-ру III (из 6,29 г Mg, 0,33 моля C<sub>2</sub>H<sub>5</sub>Br и 0,33 моля гексина-1) в 250 мл эфира, кипятят 20 час., добавляют 0,75 г CuCl, кипятят 72 часа, выделяют I с выходом 64%. I исключительно чувствителен к действию воздуха. Приведены кривая ИК-спектра и данные УФ-спектра I; суля по спектроскопич. данным, I содержит примесь алленового соединения. Гидрированием I над Pt (из PtO<sub>2</sub>) получен гексадекан, выход 78%, т. кип. 105—105,5°/1 мм, n<sub>D</sub><sup>25</sup> 1,4336. А. Ф.

**74833.** Получение и строение нонадина-1,4. Генслер, Махадеван, Казелла (Preparation and constitution of nonadiene-1,4. Gensler Walter J., Mahadevan A. P., Casella Joseph, Jr.), J. Amer. Chem. Soc., 1956, 78, № 1, 163—167 (англ.)

Реакцией гексинилмагнийбромидом с бромистым пропаргилом (I) в присутствии CuCl получен нонадин-1,4 (II), содержащий в качестве примеси алленовое соединение; из продуктов p-цией выделено немного додекатрина-1, 4, 7 (III). К 0,66 g-атома Mg в 250 мл эфира добавляли 0,8 моля C<sub>2</sub>H<sub>5</sub>Br в 100 мл эфира и 0,8 моля гексина-1 в 100 мл эфира (в атмосфере N<sub>2</sub>), затем прибавляли 2 г CuCl и при кипячении вводили за 12 час. 0,53 моля I, кипятили еще 48 час., выделяли II, выход 56%, считая на I, т. кип. 83—84°/41 мм, n<sub>D</sub><sup>25</sup> 1,4518, d<sub>4</sub><sup>25</sup> 0,8117, и III, выход 9,1%, т. кип. 89—90°/1 мм, n<sub>D</sub><sup>25</sup> 1,4994. II быстро темнеет на воздухе, дает Ag- и Cu-производные. 4 г II в 25 мл спирта добавляли к 60 мл 1,4 M шел. p-ра HgI<sub>2</sub>, выделяли Hg-производное (IV), выход 93%, т. пл. 109—111°. II после обработки p-ром NaOH дает IV с выходом лишь 42%, что свидетельствует об изомеризации II под влиянием щелочи. Из II гидрированием над-Pt (из PtO<sub>2</sub>) получен нонан, а из III — додекан. При озонировании II образуется валериановая к-та. В ИК-спектре II имеется пик при 5,15 мμ; этот пик сохраняется в дейтерированном образце II и свидетельствует о наличии алленового соединения в кол-ве 0—7%. Получить трикозатрин-1,4 p-цией эйкозина-I с Mg и I не удалось. А. Ф.

**74834.** Полиацетиленовые соединения. Сообщение IX. Щелочное и кислое присоединение к полинину. Больман, Фие (Polyacetylenverbindungen. IX. Mittelung: Alkalische und saure Addition an Polyline. Bohlmann Ferdinand, Viche Heinz-Günter), Chem. Ber., 1955, 88, № 7, 1017—1027 (нем.)

Метанол присоединяется к полинину в шел. среде с образованием эфиров моненолов, причем скорость присоединения возрастает с увеличением числа сопряженных тройных связей; скорость присоединения CH<sub>3</sub>OH понижается для зашщ. полининов R(C≡C)<sub>n</sub>R, где R=CH<sub>3</sub>, и еще в большей степени, где R=(CH<sub>2</sub>)<sub>3</sub>C. В случае диметилтетраацетилен (I) удается выделить эфир моненола в виде цис- и транс-изомеров; оба изомера при озонлизе дают скататрин-2,4,6-карбоную к-ту (II); оба изомера полимеризуются на свету. Присоединение CH<sub>3</sub>OH к полинину является псевдомомолекулярной p-цией и протекает через образование кумулированных

структур  $RC^+ \{=[C=C]_n\}^- CR$ ; образование таких структур, очевидно, облегчается при увеличении числа сопряженных тройных связей. Однако незамещ. кумулены, напр., кумулированный пентаен, не присоединяют спиртов в подобных условиях. Вода присоединяется к полиинам в кислой среде, причем скорость присоединения уменьшается с возрастанием числа сопряженных тройных связей. Авторы объясняют это тем, что р-ция присоединения воды протекает через присоединение катализатора ( $Hg^{2+}$  или  $H_2SO_4$ ) к тройной связи, а с увеличением числа сопряженных тройных связей ацетиленовый характер полиина ослабляется, так как различие между тройной и простой связью все более сглаживается. Диметилдиацетилен (III) в присутствии  $HgSO_4$  присоединяет воду с образованием смеси пропионилацетона (IV) (80%) и ацетонилацетона (V) (10%); кроме того, образуются следы дипропионила (VI); в то же время присоединение воды к III в присутствии  $H_2SO_4$  идет с образованием только IV (через гексин-2-он-4). Ди-*m*-метилбутилдацетилен (VII) и диметилтриацетилен (VIII) присоединяют воду в присутствии  $H_2SO_4$  также с образованием сопряженного ацетиленкетона; VII присоединяет воду в присутствии  $HgSO_4$  с образованием смеси  $(CH_3)_3CCOCH_2CH_2COCH_2C(CH_3)_3$  (IX) (90%) и  $(CH_3)_3CCOCH_2CH_2COC(CH_3)_3$  (X) (10%). Строение кетона, полученного при гидратации VIII в присутствии  $HgSO_4$ , точно не установлено. I в условиях р-ции гидратации полностью разрушается, а ди-*m*-метилбутилдацетилен (XI) в присутствии  $H_2SO_4$  или  $HgSO_4$  совсем не присоединяет воду и возвращается неизменным. В р-ции гидратации пространственные затруднения также играют отрицательную роль. Р-р 0,234 г XI и 0,33 г Na в 33 мл  $CH_3OH$  кипятят 2,5 часа, разбавляют водой, экстрагируют эфиром, эфир удаляют, остаток растворяют в петр. эфире (ПЭ) и хроматографируют на  $Al_2O_3$ , вымывая ПЭ, получают 50 мг метилового эфира 2, 2,13,13-тетраметилтетрадекатетраин-3,5,7,9-ен-11-ола-12, т. пл. 114–115° (из ПЭ, при –50°);  $\lambda_{max}$  (в  $CH_3OH$ ) 262, 276,5, 318,5, 335, 357,5 мк (ε 37 200, 67 500, 17 000, 26 500, 21 000). Р-р 0,97 г I и 0,9 г Na в 175 мл  $CH_3OH$  кипятят 2 часа, разбавляют водой, экстрагируют эфиром, эфир удаляют, остаток дважды хроматографируют, при вымывании ПЭ получают два изомерных метиловых эфира декатриин-2,4,6-ен-8-ола-9 (XIIa и XIIb): сначала получают 500 мг XIIa, т. пл. 71° (из ПЭ);  $\lambda_{max}$  (в  $CH_3OH$ ) 242,5, 253, 281, 298,5, 317, 339,7 мк (ε 3 800, 79 000, 8 000, 14 800, 20 200, 14 800); из следующей фракции ПЭ получают 250 мг XIIb, т. пл. 61° (из ПЭ);  $\lambda_{max}$  (в  $CH_3OH$ ) 245, 256,5, 283,5, 301, 320, 342,5 мк (ε 44 500, 58 500, 65 000, 12 700, 17 800, 13 400). 0,1 г XIIa озонируют в 20 мл  $CH_3COOC_2H_5$  при –60°, р-ритель удаляют, остаток нагревают 10 мин. при 100° со смесью 10%-ной  $H_2O_2$  и тетрагидрофурана (XIII), встряхивают с  $NaHCO_3$ , подкисляют, получают II. Продукт р-ции II и  $CH_2N_2$  хроматографируют на  $Al_2O_3$ , вымывая смесью  $C_6H_6$ -ПЭ, получают метиловый эфир II, т. пл. 157° (из ПЭ, при –100°);  $\lambda_{max}$  (в  $CH_3OH$ ) 224, 257,5, 272,5, 288,5, 307, 328,5 мк (ε 72 000, 900, 1700, 3200, 3900, 2500). При озонировании XIIb получают тоже II. Р-р 0,5 г VIII и 0,375 г Na в 75 мл  $CH_3OH$  нагревают в ампуле 3 часа при 100°, обрабатывают аналогично XII, получают метиловый эфир октадин-2,4-ен-6-ола-7, т. пл. 43–46° (из ПЭ, при –50°);  $\lambda_{max}$  (в  $CH_3OH$ ) 222, 264,5, 277, 292,5 мк (ε 27 400, 10 700, 15 000, 12 000); ИК-спектр:  $C \equiv C$  2220, 2155, 2050;  $C = C$  1635; OR 1207  $cm^{-1}$ . Смесью 3 г III, 50 мл  $CH_3OH$  и 10 г KOH нагревают в ампуле 14 час. при 120°; после обычной обработки получают 3,9 г метилового эфира гексин-2-ен-4-ола-5, т. кип. 160–170°;  $\lambda_{max}$  (в  $CH_3OH$ ) 236,5 мк (ε 10 400); ИК-спектр:  $C \equiv C$  2210, 2075, 2035;  $C = C$  1630;

OR 1240  $cm^{-1}$ . К 30 мл конц.  $H_2SO_4$  при энергичном перемешивании и охлаждении прибавляют 5 г III, через 45 мин. выливают на лед и экстрагируют эфиром, IV удаляют встряхиванием с 20%-ным KOH, из эфирного р-ра получают гексин-2-он-4, выход 45%, т. кип. 145–146°; динитрофенилгидразон, т. пл. 164° (из  $CH_3OH$ ). Смесью 0,5 г III, 10 мл  $CH_3OH$ , 10 мл 10%-ной  $H_2SO_4$  и 250 мг  $HgSO_4$  кипятят 2,5 часа и перегоняют с паром; дистиллат делят на 3 части и из каждой части получают 150 мг бис-динитрофенилгидразона V, т. пл. 275°, 180 мг  $Si$ -соли IV и небольшое кол-во дисемикарбазона VI. Р-р 0,5 г VIII в 6 мл XIII прибавляют к 15 мл конц.  $H_2SO_4$ , смесь перемешивают 0,5 часа при 20°, выливают на лед, продукт хроматографируют, вымывая смесью ПЭ- $C_6H_6$  (1:4), получают 134 мг октадин-2,4-ола-6, т. кип. 30°/0,5 мм, т. пл. –10°; динитрофенилгидразон, т. пл. 149° (из  $CH_3OH$ ). Смесью 1 г VIII, 20 мл  $CH_3OH$ , 20 мл 10%-ной  $H_2SO_4$  и 2,5 г  $HgSO_4$  кипятят 3 часа, перегоняют с водяным паром, дистиллат экстрагируют эфиром, получают 250 мг кетона с т. кип. 50°/0,2 мм, который хроматографируют на  $Al_2O_3$  и еще раз перегоняют; динитрофенилгидразон, т. пл. 250° (из  $CHCl_3$ - $CH_3OH$ ). 1 г VII растворяют в 10 мл конц.  $H_2SO_4$ , р-р нагревают 10 мин. при 60°, выливают на лед, получают 0,5 г 2,2,7,7-тетраметилоктин-3-ола-5, т. кип. 60°/0,05 мм; динитрофенилгидразон, т. пл. 137–138° (из  $CH_3OH$ ). Смесью 1 г VII, 20 мл  $CH_3OH$ , 10 мл 10%-ной  $H_2SO_4$  и 1 г  $HgSO_4$  нагревают в ампуле 15 час. при 100°, разбавляют водой, экстрагируют эфиром, эфир удаляют, остаток растворяют в 25 мл  $CH_3OH$ ; к 10 мл р-ра в  $CH_3OH$  прибавляют  $Si(CH_3COO)_2$ , получают 450 мг  $Si$ -соли IX, т. пл. 144–146°, из которой при действии 20%-ной  $H_2SO_4$  получают IX, т. кип. ~90°/15 мм, т. пл. 28°. 5 мл р-ра в  $CH_3OH$  кипятят с 500 мг динитрофенилгидразина и 0,5 мл HCl (к-та) в 50 мл  $CH_3OH$ , получают 65 мг бис-динитрофенилгидразона X, т. пл. 260–270° (разл.; из  $CHCl_3$ - $CH_3OH$ ). Сообщение VIII см. РЖХим, 1956, 71836. Г. Ш.

**74835. Некоторые закономерности при термическом хлорировании *n*-додекана.** Галанна Р. С., Некрасов А. С., Докл. АН СССР, 1956, 108, № 2, 251–252. *n*-Додекан (т. кип. 216°,  $d$  0,7588), выделенный из нефти методом экстрактивной кристаллизации с карбамидом, подвергали термич. хлорированию в проточной системе в паровой фазе. Лучший выход монохлоридов (98,8%) получен при 280°, объемной скорости 25 л/л. час и 10-кратном избытке *n*-додекана. При разгонке монохлоридной фракции на колонке (40 теоретич. тарелок) получен *перв*- $ClC_{12}H_{25}$ , выход 48%, т. кип. 241–244°,  $n_D^{20}$  1,4420,  $d_4^{20}$  0,8600, и *втор*- $ClC_{12}H_{25}$ , выход 52%, т. кип. 231–238°,  $n_D^{20}$  1,4390,  $d_4^{20}$  0,8655. И. Ц.

**74836. Неопентилиодид.** Корнблум, Ифланд (Neopentyl iodide. Kornblum Nathan, Ifland and Don C.), J. Amer. Chem. Soc., 1955, 77, № 24, 6653–6654 (англ.)

Неопентилиодид, получаемый из неопентилового спирта, трифенилфосфита и  $CH_3I$  (см. РЖХим, 1954, 21656), содержит ~6% *трет*- $C_4H_9I$ . Для получения чистого препарата р-цию ведут, как описано, но перед конечной перегонкой реакционную смесь перемешивают 5 час. с тремя объемами воды, органич. часть отделяют и взбалтывают 1 час. с равным объемом 0,1 н. р-ра  $AgNO_3$ , выход 53–57%, т. кип. 70–71°/100 мм,  $n_D^{20}$  1,4888. Чистота препарата подтверждена спектрометрически. Предложен возможный механизм р-ции. А. К.

**74837. Метанолиз моноглицеридов при образовании аддуктов с мочевиной.** Эйлаура, Вуд (Methanolysis of monoglycerides during urea adduct formation. Aylward Francis, Wood P. D. S.), Chemistry and Industry, 1955, № 46, 1479 (англ.)

Показано, что при получении аддукта из моностеаринового эфира глицерина (I) и мочевины (II) в среде 90%-ного  $\text{CH}_3\text{OH}$  (с целью очистки I) происходит значительный метанолиз I с образованием метилового эфира стеариновой к-ты (III) и глицерина. 325 г продажного I (39% моностеарина) растворяют при 60° в 5 л 90%-ного  $\text{CH}_3\text{OH}$ , охлаждают до 30°, через 30 мин. быстро фильтруют. Фильтрат (содержит 80% моностеарина) нагревают до 60° при перемешивании с 1250 г II, затем оставляют на 17 час. при ~20°; осадок, промытый сухим эфиром, весит 409 г и содержит 103 г в-ва с содержанием моностеарина 34% (вместо 80—90%). В полученном аддукте, после его разложения и последующей разгонки, найден III. Если р-ция I с II проводится быстро (<30 мин.), метанолиз не происходит и I может быть целиком возвращен.

А. Ф. 74838. Алкилортоформаты. Эрикссон (Alkyl orthoformates. Erickson John G.), J. Organ. Chem., 1955, 20, № 11, 1573—1576 (англ.)

Метил-(I), этил-(II) и бутилортоформаты (III) синтезируются из HCN, HCl и соответствующих спиртов в одну стадию по видоизмененному методу Пиннера (Pinnger, «Die Imidoäther und ihre Derivate», Berlin, 1892). Бурная р-ция с HCl (к-той) предотвращается тем, что: А) через охлаждаемую смесь спирта и HCN медленно пропускают HCl (газ); Б) смешивают холодные спирт. р-ры HCN и HCl. В случае Б р-ция протекает спокойно даже при быстром смешении реагентов. Выход  $\text{HC(OR)}_3$  возрастает с увеличением отношения  $\text{HCN} : \text{HCl}$  до 4 : 1 и  $\text{ROH} : \text{HCl}$  до 6 : 1. Повышенное кол-во HCN приводит к появлению высококипящих диалкоксисапонитрилов, образующихся при катализируемой к-тами р-ции между  $\text{HC(OR)}_3$  и HCN. В пределах 0—30° выход I—III не зависит от т-ры. Добавка  $\text{ZnCl}_2$ ,  $\text{HgCl}_2$  или  $(\text{CH}_3)_2\text{NCl}$  в момент смешения реагентов или добавка эфира  $\text{BF}_3$  через 20 час. после смешения оказывает отрицательное влияние на выход продукта. Полезна добавка  $\text{ZnCl}_2$  в стадии разделения (после отгонки HCN). А) В смесь 18 молей  $\text{CH}_3\text{OH}$  и 6 молей HCN пропускают (20—22°, 6 час.) 2,01 моля HCl, выдерживают 38 час. при 20—22°, охлаждают до 5° и перегонкой фильтра получают I, выход 39,5%, т. кип. 102°,  $n_D^{20}$  1,3770, и 19,0 г высококипящего остатка (BO); Б) В течение 1,5 часа растворяют при 5° в 410 г  $\text{CH}_3\text{OH}$  1,53 моля HCl (газа), быстро добавляют охлажд. до 0° р-р 7,5 моля HCN в 600 г  $\text{CH}_3\text{OH}$ . Через 90 час. выделяют I, выход 50,2%, и II г BO. По методу Б из 1,67 моля HCl, 8,33 моля HCN и 35 молей  $\text{CH}_3\text{OH}$  получают, добавляя к смеси (после отгонки HCN) 0,5 г  $\text{ZnCl}_2$ , I, выход 54,7%, и I г BO. По методу Б из 1 моля HCl, 3 молей HCN и 9 молей  $\text{C}_2\text{H}_5\text{OH}$  (24°, 44 часа) получают II, выход 22,9%, т. кип. 147°,  $n_D^{20}$  1,3900, и 33 г BO. Аналогично из  $\text{C}_4\text{H}_9\text{OH}$  получают (24°, 66 час.) III, выход 42,5%, т. кип. 247°,  $n_D^{20}$  1,4160, и 32,1 г BO.

Б. М. 74839. Восстановление перхлорбутанона до 1-Н-пентахлорбутен-3-она-2. Рёдинг, Беккер Notiz über die Reduktion von Perchlor-butanon zu 1-H-Pentachlorbuten-(3)-on-(2). Roedig Alfred, Becker Hans J o a c h i m, Chem. Ber., 1956, 89, № 4, 906—908 (нем.) Реакция  $\text{CCl}_3\text{COCCL}_2\text{CCl}_3$  (I) с Al-стружками в эфире с последующим разложением водой приводит к образованию  $\text{CHCl}_2\text{COCCL}_2\text{CCl}_2$  (II), вероятно, через промежуточное Al-органич. соединение. Аналогичная обработка I Mg-стружками также приводит к II, но препаративно неудобна. II с Al-стружками далее не дехлорируется. Строение II доказано хлорированием до  $\text{CHCl}_2\text{COCCL}_2\text{CCl}_3$  (III), превращением с  $\text{PCl}_5$  в  $\text{Cl}_2\text{CHCCl}_2\text{CCl}_2\text{CCl}_3$  и расщеплением действием  $\text{NH}_3$  с образованием  $\text{CHCl}_2\text{COOH}$  и  $\text{CCl}_2=\text{CHCl}$  (т. кип. 87°,  $n_D^{17}$  1,4791). I при недостатке Al или при обработке фенилгидразином дает III, таким образом, Cl-H-обмен может протекать без предварительного образования C=C-связи. Хлорированием 65,5 г  $\text{CH}_3\text{COC}_2\text{H}_5$  (160°, 200 час.) получен I, выход 72%, т. кип. 143°/13 мм, т. пл. 25,5° (из петр. эф.),  $n_D^{20}$  1,5406 и перхлорокандион-3,6, выход 23,5 г, т. пл. 111°. 70 г I в 350 мл абс. эфира, 22 г

Al-стружек и 0,5 г  $\text{AlCl}_3$  кипятят 12 час., отделяют Al, р-р выливают в смесь льда и разб.  $\text{H}_2\text{SO}_4$ ; выход II 85%, т. кип. 99—100°/13 мм,  $n_D^{20}$  1,5442. Из 52 г I и 2,7 г Al-стружек (12 час.) получено 3,7 г III, т. пл. 37—38°. 7 г II и 15 мл жидкого  $\text{Cl}_2$  оставляют в запаянной трубке 3 дня, смесь продувают воздухом, при разгонке выделяют III, выход 88%, т. кип. 123—125°/13 мм, 100—107°/2,5 мм, т. пл. 38,5° (из петр. эф.). Ср. РЖХим, 1956, 22354. Е. Ц.

74840. Влияние галогенидов металлов на избирательное гидрирование ненасыщенных кетонов в присутствии никеля Ренея. Хосино, Мията (ラネーニッケル觸媒による不飽和ケトンの選擇水素添加における金属ハライドの効果. 星合和夫, 宮田次郎), 工業化学雑誌, Korë kagaku zasshi, J. Chem. Soc. Japan. Industr. Chem. Sec., 1956, 59, № 2, 236—239 (япон.)

Добавка KJ,  $\text{BaI}_2$ ,  $\text{Cd}_2$  или  $\text{NiI}_2$  при гидрировании окиси мезитила, бензальдегида или изофорона (I) в *n*-бутаноле в присутствии скелетного Ni при обычной т-ре и давлении позволяет осуществить избирательное гидрирование двойной связи. Оптимальная конц-ия галогенида металла зависит от природы металла и гидрируемого в-ва. Увеличение конц-ии галогенида металла приводит к снижению скорости гидрирования. Наилучшие результаты дали добавки KJ и  $\text{BaI}_2$ ; труднее всего осуществить избирательное гидрирование I.

Л. Я. 74841. Геометрическая изомерия некоторых ненасыщенных алифатических кетонов. Хатт, Ламбертон (Geometric isomerism in some unsaturated aliphatic ketones. Hatt H. N., Lambertson J. A.), Austral J. Chem., 1955, 8, № 4, 506—511 (англ.)

Установлено, что получение кетонов нагреванием ненасыщ. жирных к-т в присутствии металлов (или окисей металлов) приводит к образованию смеси *цис-цис* и *транс-транс*-форм с преобладанием последней. Кетоны, относящиеся к *цис-цис*-классу, могут быть получены следующими методами. Метод А. Конденсацией хлорангидридов к-т в присутствии  $(\text{CH}_3)_3\text{N}$  (Sauer J. C., J. Amer. Chem. Soc., 1947, 69, 2444; Org. Synth., 1951, 31, 68). Образующуюся  $\beta$ -кетокислоту без дальнейшей очистки расщепляют 15%-ным NaOH в 90%-ном спирте. После отгонки спирта и разбавления водой кетон извлекают петр. эфиром, упаренную вытяжку хроматографируют на  $\text{Al}_2\text{O}_3$ . Метод Б. Р-р 0,05 моля  $\text{RCOOCH}_3$  в 30 мл кислоты прибавляют к р-ру 0,025 моля  $\text{C}_2\text{H}_5\text{ONa}$  в 70 мл кислоты, кипятят с медленной отгонкой кислоты, остаток (через 6 час.) кипятят 30 мин. с 100 мл 5%-ного KOH в 90%-ном спирте (далее по методу А); получены олеон (I), выход 30%, т. пл. 28—29° (из ацетона при 0°), и прочие кетоны с выходами 60—70%: эрукон (II), т. пл. 50—51° (из ацетона), элантон (III), т. пл. 73—74° (из бэл. + сп.), брассидон (IV) (по методу А), т. пл. 83—84° (из ацетона, затем из бэл. + сп.),  $(\text{CH}_2=\text{CH}(\text{CH}_2)_2)_2\text{CO}$  (V), т. пл. 49—50° (гидрирование V в смеси  $\text{C}_6\text{H}_6$  + сп. дает генэйкозанон-11, т. пл. 63—64° (из  $\text{CH}_3\text{OH}$ )). Восстановление V по Кижнеру—Вольфу в этиленгликоле дает генэйкозадиен-1,2. Метод В. Смесь 5 г оленовой к-ты и 0,5 г порошка Fe нагревают 2 часа при 330° в атмосфере  $\text{N}_2$ , извлекают петр. эфиром (далее по методу А), т. пл. I 59—63°; на основании ИК-спектра показано, что продукт содержит 70% *транс-транс*-формы. Смесь 3,5 г I, 21 мл воды, 9 мл  $\text{HNO}_3$  (d 1,4) и 0,1 г  $\text{NaNO}_2$  перемешивают несколько минут при 40—50°, выход III 0,25 г. II в этих условиях дает IV. Строение I доказано окислением в *трео*- $(\text{CH}_3(\text{CH}_2)_2\text{CHONCHON}(\text{CH}_2)_2\text{CO})$  (VI). Су-пензия 1 г I в 3 мл 98%-ной  $\text{HCOOH}$  + 0,5 г 30%-ной  $\text{H}_2\text{O}_2$  перемешивают 3 часа при 40°,  $\text{HCOOH}$  удаляют в вакууме, остаток нагревают 1 час на бане с 10%-ным NaOH, выход VI 0,5 г, т. пл. 115° (из этилацетата). III дает в этих условиях *эритро*-VI. II дает *трео*- $(\text{CH}_3(\text{CH}_2)_2\text{CHONCHON}(\text{CH}_2)_2\text{CO})$  (VII). IV дает соответствующий *эритро*-VII. Р-р 0,8 г *трео*-VI в 40 мл спирта окисляют р-ром 0,8 г

$\text{KJO}_4$  в 40 мл 1 н.  $\text{H}_2\text{SO}_4$ , с паром отгоняют нонаналь; 2,4-динитрофенилгидразон, т. пл. 104—105°. Продукт окисления, не перегоняющийся с паром, окисляют  $\text{KMnO}_4$  в ацетоне, полученную к-ту этерифицируют  $\text{CH}_2\text{N}_2$ , р-р продукта в петр. эфире хроматографируют на  $\text{Al}_2\text{O}_3$ , омылением фракции, элюированной  $\text{C}_6\text{H}_6$ , получают  $(\text{HOOC}(\text{CH}_2)_7\text{CO})$  (VIII), т. пл. 111—113° (из бзл.). Из V в этих условиях получают  $(\text{CH}_3\text{OOC}(\text{CH}_2)_7\text{CO})$ , т. пл. 63—64° (из петр. эф.). Озонолиз III в  $\text{CCl}_4$  и последующее окисление шел. р-ром  $\text{H}_2\text{O}_2$  дает VIII. Все т-ры плавления исправлены. О. О. 74842. Кристаллизация умеренно растворимых органических кислот. Филиппс (Crystallization of sparingly soluble organic acids. Phillips M. A.), Chem. Age, 1956, 74, № 1911, 483—484 (англ.)

Предложено 2 способа очистки больших кол-в (>50 кг) плохо растворимых в обычных р-рителях органич. к-т через их Na-соли. Способ А. Конц. водн. р-р щелочи прибавляют при перемешивании к горячей суспензии к-ты в спирте, Na-соль отделяют, снова растворяют в воде, подкисляют минер. к-той, выпадает очнщ. органич. к-та. Способ А удобен в случае к-т, содержащих легко гидролизующиеся функциональные группы, напр., 3-ацетида-4-оксифениларсиновая к-та (I), 4-нитро-2-оксифениларсиновая и ее изомеры и др. Способ Б. К-ту суспендируют в горячей воде, прибавляют эквимолярное кол-во NaOH, добавлением NaCl осаждают Na-соль, которую отделяют, снова растворяют в воде и обработкой незначительным избытком минер. к-ты осаждают к-ту. 275 г неочищ. I суспендируют в 1,5 л кипящего спирта, приливают ~330 мл 10%-ного NaOH до pH ~5—6, кипятят с 10 г древесного угля 1 час, отфильтровывают, нагревают до 90° и быстро приливают 15—16%-ную HCl до слабкокислой р-ции, I отделяют, промывают водой и сушат при ~70°, выход I 90%. К суспензии 275 г неочищ. I в 600 мл воды при 60° прибавляют 42 г NaOH в 200 мл воды, разбавляют до 1 л, нагревают до ~90—95°, добавляют 200 г NaCl и оставляют стоять на холоду (~10—12 час.). Na-соль I отфильтровывают, обрабатывают насыщ. р-ром NaCl, снова отделяют и растворяют в 2,5 л кипящей воды с примесью NaOH, полученный р-р кипятят 10 мин. с 10 г древесного угля, фильтруют, из р-ра после аналогичной методу А обработки выделяют I, выход ~90%. Суспензию 123 г неочищ. никотиновой к-ты (II) в 500 мл спирта обрабатывают р-ром 34 г NaOH в воде (~70°, перемешивание), р-р кипятят 30 мин. с 5 г древесного угля, фильтруют, фильтрат подкисляют 20%-ной  $\text{H}_2\text{SO}_4$  при ~70°, по охлаждению II отделяют, промывают водой и высушивают в вакууме при ~50°, выход 94%, т. пл. 232—234°. Аналогично очищают и изоникотиновую к-ту. О. Н. 74843. Синтез карбоновых кислот из олефинов и окиси углерода. Шмиц (Synthese des acides carboxyliques à partir d'oléfines et d'anhydride carbonique. Schmitz P. M. E d m.), Techn. et appl. pétrole, 1956, 11, № 120, 4260—4261 (франц.)

74844. Превращение эруковой кислоты в брассидиновую действием азотистой кислоты. Ранков, Попов (Umwandlung der Erucasäure in Brassidinsäure durch salpetrige Säure. Rankoff G., Porow A.), Докл. Болгар. АН 1955, 8, № 4, 13—15 (нем.; рез. русс.) Эруковая к-та (I) при обработке этилнитритом (II) изомеризуется в брассидиновую к-ту (III). К р-ру 10 г I в 40 мл абс. спирта прибавляют 10% II (считая на I), смесь оставляют на 24 часа при 0°, выход III 45—50%, т. пл. 61° (из сп.); молекулярное число 74,1. И. Ц. 74845. Количественное исследование продуктов окисления олеиновой кислоты газообразным  $\text{O}_2$ . Кинг (A quantitative study of the autoxidation products of oleic acid. King George), J. Chem. Soc., 1956, March, 587—593 (англ.)

Окисление олеиновой к-ты (I) газообразным  $\text{O}_2$  протекает при 49 и 78° в том же направлении, что и ранее

изученное (Р)ЖХим, 1956, 39477) окисление элаидиновой к-ты (II). Однако в отсутствие Со-катализатора из I образуются обе формы 9,10-диоксистеариновой к-ты, между тем как II дает лишь более высокоплавящуюся эритро-форму. Окисление велось также и при ~20°. Максимум выход газо- и паровых продуктов в г на 100 г I в отсутствие катализатора (а) и в присутствии 0,5% Со (б): 20°, 28 дней, а,  $\text{CO}_2$ -следы, HCOOH — следы; 20°, 28 дней, б,  $\text{CO}_2$  0,72, HCOOH 0,52; 49°, 28 дней, а,  $\text{CO}_2$  2,23, HCOOH 0,53; 49°, 7 дней, б,  $\text{CO}_2$  10,5, HCOOH 0,86; 78°, 8 дней, а,  $\text{CO}_2$  4,71, HCOOH 1,11; 78°, 32 часа, б,  $\text{CO}_2$  10,3, HCOOH 0,13. Наибольший выход некоторых продуктов окисления в % от общего кол-ва негазообразных продуктов: 8- и 11-кетостеариновые к-ты 15,6% (при 0,5% Со, за 14 дней, т-ра 20°). Оксикетокислоты (в пересчете на  $\text{C}_{18}\text{H}_{34}\text{O}_4$ ) 10,6% (без катализатора, 8 дней, 78°). Другие кетокислоты, в пересчете на  $\text{C}_{18}\text{H}_{34}\text{O}_4$ , 13,3% (0,5% Со, 32 часа, 78°); эпоксистеариновая к-та 17,0% (0,5% Со, 3 дня, 49°); диоксистеариновая к-та 8,5% (без катализатора, 28 дней, 49°). Гидроперекись олеиновой к-ты 10,8% (без катализатора, 21 день, 49°). Продукты расщепления (нонановая, азелановая и другие к-ты) — 37,3% (0,5% Со, 7 дней, 49°). Б. М. 74846. Превращение карбоновых кислот в их  $\alpha$ -метилгомологи путем перегруппировки диазоэтилкетонов по Вольфу. Баленович, Ямбрешич (Conversion of carboxylic acids into their  $\alpha$ -methyl homologues via the Wolff rearrangement of diazoethylketones. Balenović K., Jambresić I.), Chemistry and Industry, 1955, № 51, 1673 (англ.)

Проведено превращение карбоновых к-т в их  $\alpha$ -метилгомологи (МГ) по описанному ранее методу (Eistert, Angew. Chem., 1941, 54, 99, 124, 308). При перегруппировке соответствующих диазоэтилкетонов в анилине (15—20 мин., 90—100°) в присутствии  $\text{Ag}_2\text{O}$  получают анилид МГ, кислый гидролиз которого дает МГ. Получены  $\alpha$ -метил- $\beta$ -аланин из глицина, выход 91%; гидратроповая к-та из  $\text{C}_6\text{H}_5\text{COOH}$ . И. М. 74847. Химическое строение и фармакологическое действие  $\alpha$ , $\beta$ -замещенных  $\Delta^7$ , $\beta$ -бутенолида. Больце (Chemische Konstitution und pharmakologische Wirkung  $\alpha$ , $\beta$ -substituierter  $\Delta^7$ , $\beta$ -Butenolide. Boltze Karl-Heinz.), Wiss. Z. Friedrich-Schiller-Universität. Math.-naturwiss. Reihe, 1954—1955, 4, № 6, 545—549 (нем.) Разбирается связь между хим. строением, фармакологич. действием и растворимостью  $\alpha$ , $\beta$ -замещ.  $\Delta^7$ , $\beta$ -бутенолида. Синтезированы  $\alpha$ -н-бутил- и  $\alpha$ -бензил- $\beta$ -окси- $\Delta^7$ , $\beta$ -бутенолид, обладающие хорошей растворимостью, но слабой фармакологич. активностью. В. З. 74848. К исследованию бутенолида (Сообщение 2. Рамбо, Дюше (Contribution à l'étude du buténolide (2e mémoire). Rambo René, Ducher Suzanne), Bull. Soc. Chim. France, 1956, № 3, 466—476 (франц.)

С целью выяснения механизма р-ции образования бутенолида (I) из  $\text{CH}_2\text{ClCHClCH}_2\text{COOH}$  (II) изучено взаимодействие II и  $\text{CH}_2\text{ClCHClCH}_2\text{COOC}_2\text{H}_5$  (III) (возможный предшественник  $\text{OCH}_2\text{CHCH}_2\text{COOC}_2\text{H}_5$  (IV)) с  $\text{Na}_2\text{CO}_3$ . Разработан метод получения IV и транс- $\text{CH}_2\text{OHCH}=\text{CHCOOH}$  (Vк) (здесь и далее к — к-та; ее этиловый эфир — э). Предложен механизм р-ции  $\text{Na}_2\text{CO}_3$  с II, объясняющий образование наряду с I побочных продуктов. При действии  $\text{Na}_2\text{CO}_3$  на II на холоду происходит нейтрция с образованием  $\text{CH}_2\text{ClCHClCH}_2\text{COO}^-$  (VI). При 40° в слабощел. среде идут

р-ции: II  $\leftarrow$  VI  $\rightarrow$  C+ $\text{H}_2\text{CHClCH}_2\text{COO}^-$  (А)  $\rightarrow$   $\text{CH}_2\text{CHClCH}_2\text{COO}^-$  (VII) А  $\rightarrow$   $\text{CH}_2\text{CH}=\text{CHCOO}^-$   $\rightarrow$  I. При действии небольших конц-ий  $\text{Na}_2\text{CO}_3$  на III при умеренной т-ре образуются IV. При небольшом кол-ве  $\text{Na}_2\text{CO}_3$ , но повышении его конц-ии и т-ры III  $\rightarrow$   $\text{CH}_2\text{OHCH}=\text{CHCOOC}_2\text{H}_5$  (Vэ).

При большом кол-ве  $\text{Na}_2\text{CO}_3$  и высокой его конц-ии III  $\rightarrow$  Vк. Образование Vк объясняют последовательностью р-ции: III  $\rightarrow$  IV  $\rightarrow$  Vэ  $\rightarrow$  Vк. В кислой среде прогревают р-ции: III  $\rightarrow$

$\rightarrow \text{CH}_2\text{ClCHONCH}_2\text{COOH}$  (IIIк)  $\rightarrow \text{CH}_2\text{CHONCH}_2\text{COO}$  (VIII)  $\rightarrow$  I; III  $\rightarrow$  цис- $\text{CH}_2\text{ClCH}=\text{CHCOOH}$ ; III  $\rightarrow \text{CH}_2\text{OHCHONCH}_2\text{COOC}_2\text{H}_5$  (IXэ)  $\rightarrow \text{CH}_2\text{OHCHONCH}_2\text{COOH}$  (IXк)  $\rightarrow$  VIII  $\rightarrow$  I; IIIк  $\rightarrow$  IXк  $\rightarrow$  VIII  $\rightarrow$  I; IV  $\rightarrow$  IXэ  $\rightarrow$  VIII  $\rightarrow$  I. Образование продуктов превращения II в процессе р-ции контролировалось ацидиметрически и хлорметрически. Органич. продукты р-ции извлекались эфиром и фракционировались. Из 52 г II после 3 последовательных обработок р-ром  $\text{Na}_2\text{CO}_3$  (18 г  $\text{Na}_2\text{CO}_3$ , 115 мл воды, затем 9 г соли, 56 мл воды и, наконец, 2,6 г соли в 16 мл воды) в атмосфере  $\text{CO}_2$  образовалось: 60% I, 9% VII, 2% II (VII не был выделен в чистом виде). Замена  $\text{Na}_2\text{CO}_3$  на  $\text{CaCO}_3$  затрудняет лактонизацию II и уменьшает выход I. 120 г III 4 раза последовательно обрабатывают р-ром соды (4 г  $\text{Na}_2\text{CO}_3$  в 45 мл воды), взбалтывая по 30 мин. при 60—75°. Водн. слой каждый раз тщательно извлекается эфиром. Фракционированием продукта, полученного из объединенных эфирных вытяжек, выделено 26% IV и 21% III. Из водн. слоя (~1 л) по Глаттфельду (Glattfeld, J. Amer. Chem. Soc., 1931, 3164) выделено 6% VIII. 15 г IV перемешивают 1 час при 90° с р-ром 75 г  $\text{Na}_2\text{CO}_3$  в 25 мл воды, через ~12 час. извлекают эфиром, фракционируют, выход Vэ 6 г, т. кип. 119—120°/13 мм; 129,5—130°/19,5 мм,  $n_D^{20}$  1,461,  $d_4^{20}$  1,077. 5 г IV перемешивают 2 часа при 90° с р-ром 7 г  $\text{Na}_2\text{CO}_3$  в 25 мл воды, через ~12 час. подкисляют, после непрерывной экстракции эфиром выделяют Vк, выход 2 г, т. пл. 107°. 86 г IIIэ перемешивают 1 час при 90° с р-ром 43 г  $\text{Na}_2\text{CO}_3$  в 120 мл воды, обрабатывают, как описано выше, выделяют Vэ, выход 14 г, т. кип. 118,5—119°/12,5 мм,  $n_D^{20}$  1,4625,  $d_4^{20}$  1,080. 30 г IIIэ взбалтывают 3 часа при 90° с р-ром 45 г  $\text{Na}_2\text{CO}_3$  в 150 мл воды, подкисляют (HCl), эфиром извлекают Vк, выход (неочищ.) 55%. Из водно-кислотного слоя выделяют VIII, выход ~2 г. 83 г IIIэ кипятят 2 часа с 100 мл воды и 1 каплей конц. HCl, непрерывно извлекают эфиром, фракционированием выделяют ~20 г VIII и немного транс- $\text{CH}_2\text{Cl}-\text{CH}=\text{CHCOOH}$ ; для разделения их растворяют в воде и обрабатывают  $\text{K}_2\text{CO}_3$ , получают I. 8 г VIII взбалтывают с насыщ. р-ром  $\text{K}_2\text{CO}_3$ , при этом 25% VIII превращается в I и 50% — в  $\text{HOCH}_2\text{CHONCH}_2\text{COOK}$ . Сообщение I см. РЖХим, 1956, 22358. Е. К.

**74849. Синтезы с помощью нитрила акриловой кислоты. XXIV. Изучение сравнительной реакционной способности акрилонитрила с другими  $\alpha$ ,  $\beta$ -непредельными нитрилами. Яшунский В. Г., Терентьев А. П., Шведов В. И., Ж. общ. химии, 1955, 25, № 13, 2457—2464**

На примере р-ции взаимодействия с гликолом (I) и восстановления Na в спирте изучена сравнительная реакционная способность некоторых  $\alpha$ ,  $\beta$ -непредельных нитрилов (HN) — гомологов и аналогов акрилонитрила (II). Результаты взаимодействия HN с I в одинаковых условиях оценивались аналитич. методом (РЖХим, 1955, 52243) (перечислены HN, % вхождения в р-цию с I за 1 час, за 2 часа): II, 100, —; кротонитрил, 14,23; цианистый аллил (III), 2,7, 5,3; метакрилонитрил (IV), 1,7, 5,0; нитрил циклогексен-1-карбоновой к-ты (V), 3, 5, 7, 5; циклогексилденациетонитрил, 3,7, 7,6; нитрил коричной к-ты (VI), 1,4, 4,3. Восстановление HN проводилось в одинаковых условиях в абс.  $\text{C}_2\text{H}_5\text{OH}$  при молярных соотношениях HN: спирт: Na = 1 : 4 : 10. Как и при восстановлении II (РЖХим, 1954, 14445), III и IV образуют два ряда аминов — соответствующие алкиламины и  $\gamma$ -н-бутоксикалкиламины; восстановление же V и VI и  $\beta$ ,  $\beta'$ -диметилакрилонитрила (VII) приводит только к предельным аминам (перечисляются нитрил, образующиеся амины, выход в %): II,  $\text{C}_3\text{H}_7\text{NH}_2$ , 11,0;  $\text{C}_4\text{H}_9\text{O}(\text{CH}_2)_3\text{NH}_2$ , 59,6; III,  $\text{CH}_3(\text{CH}_2)_3\text{NH}_2$ , 23,7;

$\text{C}_4\text{H}_9\text{OCH}(\text{CH}_3)\text{CH}_2\text{CH}_2\text{NH}_2$ , 39,6, т. кип. 78—79°/19 мм,  $n_D^{20}$  1,4308,  $d_4^{20}$  0,8442; пикрат, т. пл. 112° (из бэл); IV,  $\text{CH}_3\text{CH}(\text{CH}_3)\text{CH}_2\text{NH}_2$ , 46,2;  $\text{C}_4\text{H}_9\text{OCH}_2\text{CH}(\text{CH}_3)\text{CH}_2\text{NH}_2$ , 34,6, т. кип. 83—85°/25 мм,  $n_D^{20}$  1,4270,  $d_4^{20}$  0,8412; пикрат, т. пл. 63° (из бэл); V,  $\text{C}_6\text{H}_{11}\text{CH}_2\text{NH}_2$ , 50,3; VI,  $\text{C}_6\text{H}_5(\text{CH}_2)_3\text{NH}_2$ , 56,4; VII,  $(\text{CH}_3)_2\text{CHCH}_2\text{CH}_2\text{NH}_2$ , 60,5. Сообщение XXIII, см. РЖХим, 1956, 71718. В. Я.

**74850. Аминирование и амидирование. Огата (岡田 幸彦, 小方 芳郎), 有機合成化学協会誌, Юки гомэй, какаку кёкайш, J. Soc. Organ. Synth. Chem. Japan, 1956, 14, № 2, 55—68 (япон.). Обзор. Библ. 120 назв. И. Ц.**

**74851. Получение ацетата 2-оксэтиламмония. Темин (Preparation of 2-hydroxyethylammonium acetate. Temin Samuel C.) J. Organ. Chem., 1956, 21, № 2, 250—251 (англ.)**

Изучена р-ция между  $(\text{CH}_3\text{CO})_2\text{O}$  (I) и  $\text{NH}_2\text{CH}_2\text{OH}$  (II); найдено, что в условиях, описанных ранее (Jones, J. Organ. Chem., 1944, 9, 484), образуется не N-ацетилэтаноламин (III), а эквимолекулярная смесь III и ацетата 2-оксэтиламмония  $\text{CH}_3\text{COO}^-\text{NH}_3^+\text{CH}_2\text{CH}_2\text{OH}$  (IV), которую разделяют перегонкой в вакууме. При дальнейшем нагревании (макс. т-ра 210°) IV превращается в III (т. кип. 137—138°/0,5 мм  $n_D^{20}$  1,4701; 3,5-динитробензоат, т. пл. 164—165°). Вакуумная разгонка эквимолекулярной смеси I и II без предварительного нагревания дает с колич. выходом IV, т. кип. 103—104°/0,7 мм, т. пл. 65—66° (гигроскопичен); пикрат, т. пл. 158—160°; дибензоат, т. пл. 88—89°,  $\beta$ -бромфенилэфир, т. пл. 84,5—85,0°.

**74852. Восстановление никелем Ренея. Часть VI. Алкилирование аминов спиртами в присутствии никеля Ренея. Гао, Тилак, Венкатараман (Raney nickel reductions: Part VI. Alkylation of amines with alcohols in the presence of raney nickel. Kao G. N., Tilak B. D., Venkataraman K.) J. Scient. and Industr. Res., 1955, (B—C) 14, № 12, B624—B631 (англ.)**

Исследована р-ция алкилирования первичных аминов спиртами в присутствии скелетного Ni. Установлено, что первичные ариламины дают в условиях р-ции вторичные алкилариламины. Циклогексанол (I) образует циклогексилламин и дициклогексилламин (II). Алкилирование первичных алкиламинов приводит к смеси вторичных аминов. Этиленгликоль с о-фенилендиамином образует в качестве одного из продуктов р-ции 1,2,3,4-тетрагидрохиноксалин (III). Смесь первичного ариламина, скелетного Ni и соответствующего спирта нагревают до исчезновения р-ции на первичный ариламин (диазотирование). Смесь аминов, полученную после удаления спирта, очищают перегонкой в вакууме и анализируют тозилрованием по Гинсбергу. 10 г *p*-толуидина (IV), 10 г скелетного Ni кипятят: а) с 200 мл  $\text{C}_2\text{H}_5\text{OH}$ , 2 часа, выход  $\text{C}_2\text{H}_5\text{NHC}_6\text{H}_4\text{CH}_3$  (V) 88,2%; б) с  $\text{CH}_3\text{OH}$  р-ция не идет; в) с 200 мл *n*- $\text{C}_3\text{H}_7\text{OH}$ , 2 часа, выход *n*- $\text{C}_3\text{H}_7\text{NHC}_6\text{H}_4\text{CH}_3$  89,8% (т. кип. *N*-*n*-пропил-*N*-тозил-IV 158—160°/0,2 мм); г) с 200 мл *n*- $\text{C}_6\text{H}_{13}\text{OH}$  (VI), 7 час., 100°, выход *n*- $\text{C}_6\text{H}_{13}\text{NHC}_6\text{H}_4\text{CH}_3$  (VII) 58,6% (т. кип. *N*-*n*- $\text{C}_6\text{H}_{13}$ -*N*-тозил-IV 205—210°/1 мм; т. пл. *N*-*n*- $\text{C}_6\text{H}_{13}$ -*N*- $\beta$ -антрахинонил-IV 138°) и *n*- $\text{C}_6\text{H}_{13}\text{NHC}_6\text{H}_4\text{CH}_3$  (VIII) 30,6%; д) с 100 мл VI кипятят 18 час., выход VII 30,8% и VIII 62,3%; е) с 200 мл  $(\text{CH}_3)_2\text{CHOH}$ , 24 часа, выход  $(\text{CH}_3)_2\text{CHNHCH}_2\text{C}_6\text{H}_4\text{CH}_3$  48,1%; ж) с 200 мл I, 50 г скелетного Ni, 100°, выход цикло- $\text{C}_6\text{H}_{11}\text{NHC}_6\text{H}_4\text{CH}_3$  46,6%, 4-метил-II 19,7% (т. пл. *N*-циклогексил-*N*-4-метилциклогексил-*N'*-фенилмочевины 156—157° (из *n*-гексана)); з) с 200 мл *n*- $\text{C}_{12}\text{H}_{25}\text{OH}$ , 100°, 22 часа, выход *n*- $\text{C}_{12}\text{H}_{25}\text{NHC}_6\text{H}_4\text{CH}_3$  50,5% (т. пл. *N*-додецил-*N*-тозил-IV 41—42° (из сп.); т. пл. *n*-додецил-IV 55—55,5° (из *n*-гексана)). 10 г анилина (IX), 10 г скелетного Ni, 200 мл  $\text{C}_2\text{H}_5\text{OH}$  кипятят 4,5 часа, выход  $\text{C}_2\text{H}_5\text{NHC}_6\text{H}_5$  (X) 80%, II 46,2%. 5 г IX, 50 г скелетного Ni, 200 мл II, 100°, 11 час., выход цикло- $\text{C}_6\text{H}_{11}\text{NHC}_6\text{H}_5$  21,2%, II 46,2%. С-м-2-ксилидином р-ция

не идет (т. пл. *N*-тозил-*m*-2-силидина 135—136° (из  $\text{C}_2\text{H}_5\text{OH}$ ). 5 г *p*- $\text{NH}_2\text{C}_6\text{H}_4\text{COOH}$ , 50 г скелетного *Ni*, 500 мл  $\text{C}_2\text{H}_5\text{OH}$  кипятят 3,5 часа, выход *p*- $\text{C}_6\text{H}_4\text{NHC}_6\text{H}_4\text{COOH}$  69,7%, 5 г дегидриро-IV, 50 г скелетного *Ni*, 500 мл  $\text{C}_2\text{H}_5\text{OH}$  выдерживают сначала 4,5 часа при 0—5°, затем 15 час. при 28—30°, выход V 88,9%. 5 г бензиланилина, 50 г скелетного *Ni*, 200 мл  $\text{C}_2\text{H}_5\text{OH}$ , 28—30°, 7,5 часа, в качестве главного продукта образуется X. Алкилированными алкилировали в присутствии спирта и без него (полнота превращения первичного амина определялась пробой Римини, присутствие вторичных аминов пробой Симона). Отфильтрованную реакцию смесь промывают спиртом, фильтрат подкисляют, отгоняют спирт, остаток подщелачивают, извлекают эфиром, фракционируют. Полученные амины охарактеризованы т-рами плавления соотв. производных A-NRR', где A =  $\alpha\text{-C}_{10}\text{H}_7\text{NHCO}$ . 10 г *n*- $\text{C}_4\text{H}_9\text{NH}_2$  (XI), 80 мл  $\text{C}_2\text{H}_5\text{OH}$ , 10 г скелетного *Ni* кипятят 3,5 часа, получают  $\text{C}_2\text{H}_5\text{NHC}_4\text{H}_9$ ,  $(\text{C}_4\text{H}_9)_2\text{NH}$  и  $(\text{C}_2\text{H}_5)_2\text{NC}_4\text{H}_9$ ; т. пл. A-N  $(\text{C}_2\text{H}_5)_2\text{C}_4\text{H}_9$  124—125°, т. пл. A-N  $(\text{C}_4\text{H}_9)_2$  127—128°, 5 г XI, 10 мл воды, 5 г скелетного *Ni*, 36 час., 26—28°, получают:  $(\text{C}_4\text{H}_9)_2\text{NH}$ ,  $(\text{C}_4\text{H}_9)_3\text{N}$ , т. пл. пикрата 105°. 20 г циклогексилamina (XII), 200 мл  $\text{C}_2\text{H}_5\text{OH}$ , 20 г скелетного *Ni* кипятят 14 час., получают этилциклогексилamin и II. 16 г XII, 10 мл воды, 15 г скелетного *Ni*, 10 час., 130—140°, получают I и II. III был получен для сравнения гидрированием хиноксалина, т. кип. 130°/3 мм. Часть V см. РЖХим, 1956, 32477. О. О.

#### 74853. Синтез 1-аминогексозана. Станачев.

Простенник (Synthesis of 1-aminohexacosane. Stanachev N. Z., Prostenik M.), Arhiv kemiju, 1955, 27, № 4, 203—205 (англ.; рез. хорв.) Показано, что разработанный ранее метод (РЖХим, 1955, 5589) применим для получения 1-аминоалканов с длинной цепью. Из 3-кетозифра, образующегося при конденсации хлорангидрида  $\epsilon$ -фталонилламинапропановой к-ты (I) с дибензилвым эфиром тетрацетилмалоновой к-ты (II), получен (гидрогенолиз; декарбоксилирование) 1-фталонилламиноген-козанон-6 (III); восстановление III по Хуан-Минлоу дало 1-аминоген-козан (IV). При использовании вместо I хлорангидрида  $\epsilon$ -бензонилламинапропановой к-ты (V) с малым выходом получен 1-бензонилламиноген-козанон-6 (VI). Из  $\epsilon$ -аминопропановой к-ты и фталевого ангидрида (по 68 ммоль) получают (135—140°, 2 часа)  $\epsilon$ -фталонилламинапропановую к-ту (выход 59,5%, т. пл. 107° из воды), 2,52 г которой кипятят с 10 мл  $\text{SOCl}_2$  1 час; выход I 52,3%, т. кип. 175—178°/0,2 мм. Добавляют II к На-порошку (по 22,5 ммоль в 50 мл  $\text{C}_6\text{H}_6$ ), кипятят 0,5 часа, добавляют (~20°), 22,5 ммоль I, перемешивают 5 час. и выливают в 300 мл слегка подкисленной ( $\text{H}_2\text{SO}_4$ ) ледяной воды. Экстрагируют  $\text{C}_6\text{H}_6$ , р-ритель отгоняют в вакууме, остаток в 50 мл спирта гидрируют над Pd/BaSO<sub>4</sub> (10%-ным, 2; ~20°, 1 ат., ~20 час.), выпавшие кристаллы кипятят 5 мин. с 250 мл спирта и упаривают досуха; получают III, выход 19,8%, т. пл. 83—84° (из  $\text{C}_2\text{H}_5\text{OH}$ ); оксим, т. пл. 59—60° (из сп.). Смесь 500 мг III, 10 мл этиленгликоля, 1 мл гидразингидрата и 1 г КОН нагревают 1,5 часа при 140° и 2,5 часа при 230—240°, выливают в воду и IV извлекают эфиром, выход 65,4%, т. пл. 93—94° (из сп.); оксалат, т. пл. 170—172° (из сп., разл.). V (из 10 г к-ты и  $(\text{COCl})_2$  в  $\text{C}_6\text{H}_6$ ) конденсируют с дитетрагидрипропиловым эфиром нарттетрацетилмалоновой к-ты (из 165 ммоль дигидропирана, 55 ммоль тетрацетилмалоновой к-ты и 1,27 г Na), продукты р-ни хроматографируют на  $\text{Al}_2\text{O}_3$ ; получают VI, выход 2,7%, т. пл. 94—95° (из сп.). О. О.

74854. Восстановление некоторых фталаминовых кислот алюмогидридом лития. Сунко (The reduction of some phthalamic acids with lithium aluminum hydride. Sunko D. E.), Arhiv kemiju, 1955, 27, № 4, 183—187 (англ.; рез. хорв.)

С целью разработки метода элиминирования фталонильной группы в  $\alpha$ -фталимидокетонах (РЖХим, 1955, 5589 и пред. реф.) 2-фталимидоктадекан (I) и (—)-2-фталимидо-

октадеканон-3 (II) подвергались щел. гидролизу и полученным 2-(*o*-карбоксибензамидо)-октадекан (III) и соответственно (—)-2-(*o*-карбоксибензамидо)-октадеканон-3 (IV) восстанавливались  $\text{LiAlH}_4$ . При восстановлении III получены 2-(*o*-оксиметилбензамидо)-октадекан (V) и 2-(*o*-оксиметилбензамидо)-октадекан (VI) (~1 : 1); из IV получен только (+)-2-(*o*-оксиметилбензамидо)-октадеканол-3 (VII). Гидролиз V и VII и последующее ацилирование образовавшихся аминов дало 2-ацетамидоктадекан (VIII) и 2-бензамидо-3-оксидоктадекан (IX). VIII получен также гидрогенолизом VI. Смешивают 1 г I, 10 мл спирта и 4 мл 17%-ного спирта. КОН, через 24 часа добавляют 12 мл 2 н.  $\text{H}_2\text{SO}_4$ , выход III 91%, т. пл. 110—111° (из сп.). 600 мг II восстанавливают в гильзе микроэкстрактора (600 мг  $\text{LiAlH}_4$  в 40 мл эфира, ~10 час.), V и VI извлекают эфиром; из эфир. р-ра получают V, выход 43,8%, т. пл. 98—99° (из петр. эф.). Маточный р-р упаривают досуха, остаток растворяют в 1 мл абс. спирта и прибавляют к теплomu р-ру 100 мл щавелевой к-ты в 1 мл спирта; при охлаждении получают оксалат VI, выход 180 мг (неочищ.), т. пл. 154—155° (из абс. сп.), который омыляют 2 н.  $\text{Na}_2\text{CO}_3$  VI, светложелтое масло. Р-р 227 мг V в 5 мл 10%-ной метанольной  $\text{H}_2\text{SO}_4$  кипятят 24 часа, подщелачивают водн. КОН, эфиром извлекают 2-аминооктадекан (X), выход 91,6% (неочищ.), ацетилированием которого (см. РЖХим, 1956, 22366) получают VIII, т. пл. 80—81,5° (из сп.). Р-р после извлечения эфиром подкисляют 5 н.  $\text{H}_2\text{SO}_4$ , извлекают эфиром фталид, выход 61 мг, т. пл. 73° (из водн. сп.). К суспензии 1 г Pd/BaSO<sub>4</sub> в 15 мл спирта добавляют теплый р-р 184 мг оксалата VI в 15 мл спирта, гидрируют (~20°, ат) до прекращения поглощения  $\text{H}_2$ , получают оксалат X, выход 96,4% (неочищ.); омылением и последующим ацетилированием получают VIII. IV (получают аналогично III из I и II), выход 87% (неочищ.), т. пл. 117—118,5° (из петр. эф.),  $[\alpha]_D^{20} = -2,32^\circ$  (с 2,33; хлф.). 0,957 мг IV восстанавливают 1 г  $\text{LiAlH}_4$  в 25 мл тетрагидрофурана (кипячение 2 часа), эфиром извлекают VII, выход 77,4% (неочищ.), т. пл. 96—97° (из петр. эф.),  $[\alpha]_D^{20} = +1,7^\circ$  (с 2,04; хлф.). Неочищенный, полученный аналогично X из 148 мг VII, встряхивают с 0,08 мл  $\text{C}_6\text{H}_5\text{COCl}$  и 1 мл 2 н. NaOH 20 мин., выход IX 95% (неочищ.), т. пл. 95—97° (из петр. эф., затем из ацетонитрила),  $[\alpha]_D^{20} = -3,3^\circ$  (с 0,78; хлф.). О. О.

74855. Использование триэтиламина для приготовления диэтиламиноэтиловых эфиров. Джульяно, Стейн (L'impiego della trietilamina nella preparazione di esteri dietilaminoetilici. Giuliano R., Stein M. L.), Farmaco. Ed. scient., 1956, 11, № 1, 3—9 (итал.; рез. англ.)

Предложен способ получения диэтиламиноэтиловых эфиров к-т конденсацией свободной к-ты с диэтиламиноэтилхлоридом (I) в присутствии  $(\text{C}_2\text{H}_5)_3\text{N}$  (II). 0,01 моля *p*-аминобензойной к-ты, 30 мл этилацетата, 0,012 моля хлоргидрата I в 5 мл спирта и 0,024 моля II кипятят 1 час., фильтруют, упаривают в вакууме, получают диэтиламиноэтиловый эфир *p*-аминобензойной к-ты, выход колич., т. пл. 58—60°. Аналогично получены: диэтиламиноэтиловый эфир циклопентанол-1-карбоновой-1 к-ты (III), т. кип. 120—122°/2 мм; хлоргидрат, т. пл. 144—145°; диэтиламиноэтиловый эфир 1-фенил-4-диэтиламиноэтилпиразолон-5-карбоновой-3 к-ты; хлоргидрат, т. пл. 200—201°. III бензоилируют  $\text{C}_6\text{H}_5\text{COCl}$  в 4 н.  $\text{Na}_2\text{CO}_3$ , на следующий день извлекают эфиром, добавляя HCl, получают хлоргидрат диэтиламиноэтилового эфира 1-бензоилоксициклопентанкарбоновой-1 к-ты, т. пл. 123°. Действием на III в пиридине  $\text{p-NO}_2\text{C}_6\text{H}_4\text{COCl}$  (кипячение 1 час) получают диэтиламиноэтиловый эфир 1-*p*-нитробензоилоксициклопентанкарбоновой-1 к-ты (IV); хлоргидрат, т. пл. 172,5° (из абс. сп.). Через р-р 1,8 г хлоргидрата IV в спирте + 1 мл конц.  $\text{NH}_4\text{OH}$  пропускают до насыщения  $\text{H}_2\text{S}$ , нагревают, на водяной бане 1 час, вновь пропускают  $\text{H}_2\text{S}$ , фильтруют, удаляют р-ритель, растворяют в разб.  $\text{H}_2\text{SO}_4$ , фильтруют

подщелачивают р-ром NaOH, извлекают эфиром, выделяют в виде сульфата диэтиламиноэтиловый эфир 1-п-аминобензоилоксициклопентанкарбоновой-1 к-ты (V); сульфат, т. пл. 184, 5° (из сп.). 1-фенил-3-метилпиразолон кипятят 1 час с 1 молем хлоргидрата I и 2 молями II в этилацетате, получают 1-фенил-3-метил-4-диэтиламиноэтилпиразолон, т. кип. 185—190°/3 мм; хлоргидрат, т. пл. 145—146°; пикрат, т. пл. 115,5° (из сп.). Все полученные диэтиламиноэтиловые эфиры имеют слабое местноанестетич. действие; более интенсивное, но кратковременное действие имеет V. Л. Я. 74856. Идентификация аминов. II. Фталимидометильные производные первичных и вторичных аминов.

Хейн, Уинстед, Блэр (Identification of amines. II. Phthalimidomethyl derivatives of primary and secondary amines. Heine Harold W., Winstead Meldrum B., Blair Robert P., J. Amer. Chem. Soc., 1956, 78, № 3, 672—674 (англ.))

Предложенная ранее для идентификации первичных ароматич. аминов конденсация их с  $\text{CH}_2\text{O}$  (I) и фталимидом (II) распространена на алифатич. и вторичные ароматич. амины. Из первичных арилиминов получены N-(арилиаминаметил)-фталимиды  $\text{COC}_6\text{H}_4\text{CONCH}_2\text{NR}$  (III)

(см. сообщение I, РЖХим, 1956, 9770), из вторичных алифатич. и ароматич. аминов — замещ. фталимиды типа  $\text{COC}_6\text{H}_4\text{CONCH}_2\text{NRR}'$  (IV). При конденсации пер-

вичных алифатич. аминов с I и II образуются бис-(фталимидометил)-алкиламины  $(\text{COC}_6\text{H}_4\text{CONCH}_2)_2\text{NR}$  (V).

0,0204 моля II в 35 мл спирта кипятят с 2 мл 37%-ного I, прибавляют 0,023 моля амина и кипятят 0,5—1 час. Синтезированы следующие III и IV (приведены исходный амин, выход в %, т. пл. в °C, в скобках р-ритель): м-аминоацетофенон, 82, 147—148,5 (сп.); 2-амино-3,5-динодбензойная к-та, 40, 195—197 (сп.); п-аминогиппуровая к-та, 68, 211 (разл.; сп.); п-амино-N-метилацетанилид, 32, 203—203,5 (сп.); п-аминофенол, 55, 159—160 (сп.); п-аминофенилуксусная к-та, 27, 151—152 (сп.); о-аминофенилэтанол, 39, 162—163 (сп.); п-аминопропиофенон, 57, 145,5—146,5 (сп.); 3-аминохинолин, 57, 190,5—191,5 (сп.); п-втор-амиланилин, 17, 102—103,5 (ацетон-птр. эф.); 2-анилиноэтанол, 23, 95,5—96 (сп.); 4-бром-2-метиланилин, 45, 167—169 (диоксан-птр. эф.); 5-хлор-2-метоксианилин, 37, 152,5—153,5 (сп.); 3-хлор-2-метиланилин, 48, 194—194,5 (диоксан-птр. эф.); 3-хлор-4-метиланилин, 61, 179—180 (сп.-ацетон); 5-хлор-2-метиланилин, 23, 192—193 (диоксан-птр. эф.); п, п'-диаминодифенилметан, 63, 208—210 (нитробензол-птр. эф.); диэзоамиламин, 33, 52—53 (сп.); дибензиламин, 53, 145—146,5 (сп.); 2,6-дибром-4-аминофенол, 53, 166—168 (разл.; диоксан-птр. эф.); диэтилобутиламин, 73, 63—64 (сп.); 2,5-диэтоксанилин, 17, 89—91 (сп.); N, N-диэтил-п-фенилендиамин, 62, 101—102 (сп.); ди-п-пропиламин, 12, 37—38 (сп.); N-этиланилин, 58, 80—81,5 (сп.); этиловый эфир антрапиловой к-ты, 45, 151,5—152,5 (сп.); N-этил-М-толуидин, 40, 82—83,5 (сп.); N-метиланилин, 64, 93 (сп.); N-метил-М-толуидин, 40, 92—93,5 (сп.); N-метил-л-толуидин, 58, 105—108 (сп.); 2-нафтиламин, 63, 170—171 (162—163) (диоксан-птр. эф.); м-фенетилин, 65, 170—171 (диоксан-птр. эф.); п-фенилазоанилин, 50, 196,5—197,5 (диоксан-птр. эф.); N-фенилбензиламин, 76, 164—165 (сп.-диоксан); п-фенилендиамин, 51, 245—247 (разл.) (258) (нитробензол-птр. эф.); пиперидин, 23, 119,5—120,5 (ацетон-птр. эф.); пирролидин, 59, 123—124 (сп.). V получены кипячением (15 мин.) 0,0105 моля первичных алифатич. аминов с I и II в 10 мл спирта. Синтезированы следующие V (приведены исходный амин, выход в %, т. пл. в °C (из ацетона)): аллиламин, 68, 125—126; N-аминоэтилморфолин, 23, 185—186; 2-амино-4-метилпентан, 29, 122—123 (сп.); N-аминопропилморфолин, —, 119—121; бензиламин, 79, 187—188

(диоксан-птр. эф.); н-бутиламин, 63, 143—144; изобутиламин, 83, 156,5—157,5; втор-бутиламин, 42, 188—190 (диоксан-птр. эф.); додециламин, 43, 61,5—70; этиламин, 90, 172—174 (диоксан-птр. эф.); 2-этилгексиламин, 53, 154—155; м-гептиламин, 55, 111—111,5; гексадециламин, 30, 82—82,5; м-гексиламин, 44, 108,5—109,5; 3-метоксипропиламин, 60, 114—115; метиламин, 67, 216—218 (диоксан-птр. эф.); октадециламин, 49, 77—79; 3-изопропоксипропиламин, 55, 120,5—121; м-пропиламин, 60, 145,5—146,5; изопропиламин, 58, 166—167,5; тетрадециламин, 38, 78,5—79. Т. Е.

74857. Исследование в области производных двухосновных карбоновых кислот. Сообщение XIII. Диалкиламиноэтиламы моноалкиловых эфиров янтарной кислоты. Миджоян А. Л., Миджоян О. Л., Гаспарян О. Е., Докл. АН АрмССР, 1956, 22, № 1, 23—28

В поисках в-в, обладающих курареподобной активностью, синтезированы эфироаминоамиды общей ф-лы  $\text{ROOC}(\text{CH}_2)_2\text{CONH}(\text{CH}_2)_2\text{N}(\text{R}')_2$  (I). 45 г янтарного ангидрида и 21 г абс. спирта нагревают при  $\sim 100^\circ$  1 час, по охлаждению обрабатывают насыщ. р-ром  $\text{K}_2\text{CO}_3$ , эфиром извлекают  $\text{C}_2\text{H}_5\text{OOC}(\text{CH}_2)_2\text{COOH}$  (II), выход 42,4%, т. кип. 123°/1 мм. 25 г II действием 20 г  $\text{SOCl}_2$  (12 час.,  $\sim 20^\circ$  и 3 часа,  $30-40^\circ$ ) превращают в  $\text{ROOC}(\text{CH}_2)_2\text{COCl}$  (III),  $\text{R} = \text{C}_2\text{H}_5$ , выход 82%, т. кип. 89—91°/2 мм. Р-цию получения III ( $\text{R} = \text{C}_6\text{H}_5$  и  $\text{R} = \text{н-изо-C}_3\text{H}_7$ ) проводят в среде абс. эфира при нагревании (15 мин.). К 9 г III ( $\text{R} = \text{C}_2\text{H}_5$ ) в 30 мл абс.  $\text{C}_6\text{H}_6$  прибавляют при охлаждении 5,5 г  $(\text{CH}_3)_2\text{NCH}_2\text{CH}_2\text{NH}_2$  в 30 мл  $\text{C}_6\text{H}_6$ , нагревают 1 час при  $\sim 20^\circ$ , промывают насыщ. р-ром  $\text{K}_2\text{CO}_3$ , бензолом извлекают I ( $\text{R} = \text{C}_2\text{H}_5$ ,  $\text{R}' = \text{CH}_3$ ), выход 47,5%, т. кип. 145—147°/1 мм,  $n_D^{20}$

1,461,  $d_4^{20}$  1,0537; хлоргидрат, т. пл. 195—196°; оксалат, т. пл. 189—190°; подметилат, т. пл. 284—285°; подэтиллат, т. пл. 202—203°. Аналогично получены другие I,  $\text{R}' = \text{CH}_3$  (здесь и далее приведены R, выходы в %, т. кип. в °C/мм,  $n_D^{20}$ ,  $d_4^{20}$ , т-ры плавления в °C хлоргидрата, оксалата, подметилата и подэтиллата):  $\text{CH}_3$ , 28, 118—120/2, 1,467, 1,0871, 172—173, 190—191, 300—301, 204—205;  $\text{C}_2\text{H}_5$ , 71, 132—133/3, 1,449, 1,0187, 192—193, 185—186, 262—263, 204—205;  $(\text{CH}_3)_2\text{CH}$ , 44,4, 121—123/1, 1,462, 1,0523, 196—197, 188—189, 283—284, 183—184;  $\text{C}_4\text{H}_9$ , 67,4, 125—127/1, 1,463, 1,0578, 193—194, 193—194, 285—286, 205—206;  $(\text{CH}_3)_2\text{CHCH}_2$ , 38, 127—128/1, 1,464, 1,0635, 180—181, 192—193, 289—290, 209—210;  $\text{C}_6\text{H}_{11}$ , 72,7, 126—128/1, 1,449, 0,9952, 194—195, 187—188, 273—274, 196—197;  $(\text{CH}_3)_2\text{CHCH}_2\text{CH}_2$ , 64, 143—145/2, 1,447, 0,9966, 176—177, 193—194, 283—284, 201—202;  $\text{C}_6\text{H}_{11}$  (цикло), 63, 143—150/2, 1,4685, 1,0359, 188—189, 191—192, 274—275, 194—195;  $\text{C}_6\text{H}_5$ , 67,5, 151—153/1, 1,4916, 1,1277, 193—194, 191—192, 296—297, 210—211. Получены I ( $\text{R}' = \text{C}_2\text{H}_5$ ):  $\text{CH}_3$ , 65,3, 136—137/1, 1,468, 1,0388, 196—197, 196—197, 100—101, 161—162, 163—164;  $\text{C}_2\text{H}_5$ , 58,4, 134—135/3, 1,466, 1,0324, 202—203, 92, 157—158, 168—169;  $\text{C}_3\text{H}_7$ , 58,4, 125—127/1,5, 1,467, 1,0316, 199—200, 94—95, 165—166, 170—171;  $(\text{CH}_3)_2\text{CH}$ , 69,6, 135—137/3, 1,458, 1,0124, 197—198, 93—94, 154—155, 170—171;  $\text{C}_4\text{H}_9$ , 63,7, 147—148/1, 1,459, 1,0155, 201—202, 98—99, 165—166, 168—169;  $(\text{CH}_3)_2\text{CHCH}_2$ , 37,9, 142—143/1, 1,459, 1,0121, 191—195, 96—98, 165—166, 166—168;  $\text{C}_6\text{H}_{11}$ , 59,4, 154—156/1, 1,445, 0,9781, 207—208, 95—96, 169—170, 163—164;  $(\text{CH}_3)_2\text{CHCH}_2\text{CH}_2$ , 57,2, 155—157/2, 1,460, 0,9952, 207—208, 92—93, 163—164, 170—171;  $\text{C}_6\text{H}_{11}$  (цикло), 52,6, 154—155/1, 1,467, 1,0039, 203—204, 89—90, 168—169, 169—171;  $\text{C}_6\text{H}_5$ , 73,1, 141—142/1, 1,481, 1,0544, 191—192, 99—100, 151—152, 167—168. Оксалаты получались в р-ре абс. эфира и спирта, хлоргидраты, подметилаты и подэтиллаты в среде эфира. Сообщение XII см. РЖХим, 1956, 43103.

Е. Ц. 74858. Присоединение азид-иона к эпоксидам. Ингем, Петти, Никольс (The addition of azide

ion to epoxides. Ingham John D., Petty Walter L., Nichols Peter L., Jr., J. Organ. Chem., 1956, 21, № 3, 373—375 (англ.)

Разработано три метода получения азидоспиртов взаимодействием  $\text{NaN}_3$  (I) с соответствующими эпоксидами (Э); получены 1-азидопропанол-2 (II), 1-азидопропандиол-2,3 (III), 1-азидо-3-хлорпропанол (IV) и глицидилазид (V). А. К смеси 7 молей I и 6,25 моля Э в 1,5 л  $\text{H}_2\text{O}$  добавляют в течение 6 час. 70%-ную  $\text{HClO}_4$  при 25—30° и pH 6—9, смесь сохраняют при 0° ~12 час. и извлекают азидоспирт  $\text{CH}_2\text{Cl}_2$ . Б. К охлажд. до 0—5° р-ру 0,8 моля  $\text{Mg}(\text{ClO}_4)_2$  и 1,8 моля I в 700 мл  $\text{H}_2\text{O}$  добавляют 1,3 моля Э, перемешивают 20 мин., выдерживают в холодильнике ~12 час, отфильтровывают  $\text{Mg}(\text{OH})_2$  и выделяют азидоспирт. В. Смесь р-ра 1,54 моля I в 250 мл воды и 1 моля Э перемешивают ~12 час. (последние 3 часа при 35°) и извлекают  $\text{CH}_2\text{Cl}_2$ . Перечислены в-во, методика, выход в %, т. кип. °C/мм.  $n_D^{25}$ ,  $d_4^{25}$ : II, В, 70, 72—74/21, 1,4533, 1,060, III, А, 65, 92—95/0,3, 1,4892, 1,2581, IV, Б, 75 (или А, 60), 44—48/0,5, 1,4918, 1,291; V, —, 86, 37—39/8, 1,4530, 1,129. Нитрованием V превращен в 1-азидо-3-нитропропанол-2 (VI), выход 45%, т. кип. 88/1 мм,  $n_D^{25}$ , 1,4861,  $d_4^{25}$  1,3636. Выход VI по методу Б 80%. Б. М.

74859. Синтез некоторых О-замещенных производных оксигуанидина и оксигуанида. Найберг, Кристенсен (The synthesis of certain O-substituted derivatives of hydroxyguanidine and hydroxybiguanide. Nyberg David D., Christensen Bert E.), J. Amer. Chem. Soc., 1956, 78, № 4, 781—783 (англ.)

Синтезированы соединения общих ф-л  $\text{RONHC}(\text{=NH})\text{NH}_2$  (I) и  $\text{RONHC}(\text{=NH})\text{NHC}(\text{=NH})\text{NH}_2 \cdot \text{H}_2\text{SO}_4$  (II). Смесь 0,3 моля 85%-ного КОН в 125 мл абс. спирта, 0,3 моля оксиретана (Fuller A. T., King H., J. Chem. Soc., 1947, 963) и 0,3 моля  $\text{CH}_3\text{CH}_2\text{CH}(\text{CH}_3)\text{CH}_3$  кипятят 5—6 час., охлаждают, добавляют равный объем эфира, после осаждения КJ фильтруют, упаривают, получают 3-метилбутоксиретан (III), выход 68%, т. кип. 104—107°/4 мм. Полученный III кипятят 1—1,5 часа со 100 мл воды и 50 г КОН, охлаждают, извлекают 150 мл эфира, получают  $\text{CH}_3\text{CH}(\text{CH}_3)\text{CH}_2\text{CH}_2\text{ONH}_2$  (IV), выход 40—60%, т. кип. 130—132°; из эфирной вытяжки (извлекают 100 мл 3 н. HCl, водн. слой упаривают досуха, остаток растворяют в горячей смеси абс. спирта и  $\text{CH}_3\text{COOC}_2\text{H}_5$  (1 : 1), фильтруют, добавляют 150 мл  $\text{CH}_3\text{COOC}_2\text{H}_5$ ) получают хлоргидрат IV, выход 38%, т. пл. 115—116,5°. К 0,0106 моля сульфата  $\text{CH}_3\text{SC}(\text{=NH})\text{NH}_2$  (V) в 30—40 мл воды добавляют по каплям при 80° 0,0213 моля  $\text{C}_3\text{H}_7\text{ONH}_2$  в 10 мл воды, выдерживают 2 часа при 80°, кипятят 1 час, упаривают в вакууме, остаток кипятят 2—3 мин. с 40 мл абс. спирта, охлаждают, фильтруют, упаривают в вакууме, выход 2 I ·  $\text{H}_2\text{SO}_4$  ( $\text{R} = n\text{-C}_3\text{H}_7$ ) 35%, т. пл. 123—125° (из сп.  $n\text{-C}_3\text{H}_7\text{ONH}_2$ ). Аналогично из 0,0235 моля  $n\text{-C}_3\text{H}_7\text{ONH}_2$  и 0,0117 моля V получают  $\text{H}_2\text{SO}_4 \cdot 2 \text{ I}$  ( $\text{R} = \text{C}_2\text{H}_5$ ), выход 46%, т. пл. 124—126° (из абс. сп.). 0,0125 моля V и 0,025 моля IV в 50 мл 50%-ного спирта кипятят 3 часа, упаривают в вакууме, остаток растворяют в 50 мл смеси эфир-абс. спирт (1 : 1), через ~12 час. фильтруют, после удаления р-рителей добавляют 4 г  $\text{NH}_4\text{NO}_3$  в 25 мл воды, выдерживают 12 час при 0°, выход нитрата I ( $\text{R} = n\text{-C}_3\text{H}_7$ ) 70%, т. пл. 92—94° (разл., из воды), получить сульфат не удается. Смесь 0,027 моля  $\text{NH}_2\text{C}(\text{=NH})\text{NHCN}$ , 0,0125 моля  $\text{CuSO}_4 \cdot 5\text{H}_2\text{O}$ , 0,025 моля  $\text{C}_2\text{H}_5\text{ONH}_2$ , HCl, 50 мл воды и 20 мл 1,25 н. NaOH перемешивают 9 час. при 70—80°, добавляют 50 мл воды, выпавший Cu-комплекс суспендируют в 125 мл горячей воды и разлагают  $\text{H}_2\text{S}$ , фильтруют, упаривают в вакууме почти досуха, добавляют 50 мл смеси  $\text{CH}_3\text{OH}$ -эфир (1 : 1), 4 мл 6 н.  $\text{H}_2\text{SO}_4$  и 50 мл эфира, выход II ( $\text{R} = \text{C}_2\text{H}_5$ ) 19—40%, т. пл. 147,5—149°. Аналогично

получают II (приводятся R, выход в % и т. пл. в °C):  $\text{C}_3\text{H}_7$  (Cu-комплекс выделяют при 0°), 12—16, 136—136,5;  $n\text{-C}_3\text{H}_7$ , 21—27, 138—140;  $\text{CH}_3$ , 6—24, 157—158 (из  $n\text{-C}_3\text{H}_7\text{ONH}_2$ , содержащего 4% воды);  $n\text{-C}_6\text{H}_{13}$  (нагревают 20 час., после упаривания не добавляют 6 н.  $\text{H}_2\text{SO}_4$ ), 6—10, 131,5—132,5;  $\text{C}_4\text{H}_9$  (условия по предыдущему), 8—11, 119—121. Т. А.

74860. Образование сульфонов при сульфинировании алкильного реактива Гриньяра. Аллен, Ред, Фукс (Sulfone formation during sulfination of the alkyl Grignard reagent. Allen Paul, Jr., Rehl, W. R., Fuchs Patrick E.), J. Organ. Chem., 1955, 20, № 9, 1237—1239 (англ.)

Исследованы условия образования сульфонов как побочных продуктов при действии  $\text{SO}_2$  на  $\text{RMgBr}$  ( $\text{R} = \text{алкил}$ ) при различных т-рах и в присутствии избытка RBr. Сульфоны образуются в небольших кол-вах при ~20° и выше, но лишь в виде следов или совсем не образуются при т-ре < 20°. 50%-ный избыток RBr перед введением  $\text{SO}_2$  увеличивает кол-во сульфона, в то время как RBr, прибавленный после введения  $\text{SO}_2$ , не увеличивает выхода сульфона. Присутствие воздуха не влияет на р-цию. Из 0,2 моля Mg и 0,2 моля RBr в 250 мл эфира получают  $\text{RMgBr}$ , пропускают вычисленное кол-во  $\text{SO}_2$  и после разложения р-ром  $\text{NH}_4\text{Cl}$  экстрагируют эфиром,  $\text{CH}_3\text{COCCl}_3$  или  $\text{CH}_2\text{COCCl}_3$ ; вытяжку исследуют на сульфоны. Максим. выходы сульфонов (считая на RBr): из 0,189 г-атома Mg и 0,201 моля  $\text{C}_6\text{H}_{11}\text{Br}$  при 35° 3,8% ( $\text{C}_6\text{H}_{11}\text{SO}_2$ ); из 0,181 г-атома Mg и 0,297 моля  $\text{C}_{12}\text{H}_{25}\text{Br}$  при 27—37° 6% ( $\text{C}_{12}\text{H}_{25}\text{SO}_2$ ); из 0,31 г-атома Mg и 0,311 моля  $\text{C}_{18}\text{H}_{39}\text{Br}$  при 25° ~0,3% ( $\text{C}_{18}\text{H}_{39}\text{SO}_2$ ). Е. К.

74861. О составе продуктов сульфоокисления *n*-додекана.

Азингер, Гейзелер, Экколдт (Über die Zusammensetzung der Produkte der Sulfoxidation von *n*-Dodecan. Asinger Friedrich, Geiseler Gerhard, Eckoldt Hans), Chem. Ber., 1956, 89, № 4, 1037—1043 (нем.)

На примере *n*-додекана (I) изучен характер сульфоокисления парафинов: исследован состав моносульфокислот (II), образующихся при действии на I  $\text{SO}_2$ ,  $\text{O}_2$  и УФ-света. Смесь сульфокислот нейтрализуют NaOH, Na-соли II отделяют от полисульфонатов высаливанием NaCl, сплавлением со щелочами переводят в смесь олефинов. На примере шел. плава додекансульфоната-1 (III), тетрадекансульфоната-1 (IV) и тетрадекансульфонат-2 к-ты (V) показано, что перемещения двойной связи при этом не происходит. Строение олефинов устанавливают окислением до карбоновых к-т, последние разделяют ректификацией их этиловых эфиров. Сульфоокисление I (аналогично хлорированию, нитрованию и сульфохлорированию) дает эквимолекулярную смесь изомерных вторичных II (~ по 18 молярных %) и первичную I (~8 молярных %) — вследствие меньшей реакционной способности  $\text{CH}_3$ -группы. При шел. плаве Na-солей II получают: из  $\text{CH}_3(\text{CH}_2)_{11}\text{SO}_3\text{Na} \rightarrow \text{CH}_3(\text{CH}_2)_9\text{CH}=\text{CH}_2$ , 100%; из  $\text{CH}_3(\text{CH}_2)_9\text{CH}(\text{CH}_2)\text{SO}_3\text{Na} \rightarrow \text{CH}_3(\text{CH}_2)_8\text{CH}=\text{CH}_2$ , 33% и  $\text{CH}_3(\text{CH}_2)_8\text{CH}=\text{CHCH}_2$ , 67%; из  $\text{CH}_3(\text{CH}_2)_7\text{CH}(\text{CH}_2)_2\text{SO}_3\text{Na} \rightarrow \text{CH}_3(\text{CH}_2)_6\text{CH}=\text{CHCH}_2$ , 50% и  $\text{CH}_3(\text{CH}_2)_6\text{CH}=\text{CHCH}_2\text{CH}_2$ , 50%. Через 750 мл I (из *n*- $\text{C}_{12}\text{H}_{25}\text{OH}$  при 320° и 230 ат, катализатор — сульфиды Ni и Wo, т. кип. 83—84°/6 мм, т. пл. 11,5°,  $d_{20}^{20}$  0,751) с добавкой 2%  $(\text{CH}_3\text{CO})_2\text{O}$  пропускают 12 л  $\text{O}_2$  и 30 л  $\text{SO}_2$  в час при УФ-освещении. Через ~24 часа сульфокислоты (~200 г) нейтрализуют 20%-ным NaOH, промывают р-р петр. эфиром, упаривают, высаливают NaCl, осадок сушат в вакууме при 80° и извлекают Na-соли II  $n\text{-C}_3\text{H}_7\text{ONH}_2$ . 537 г Na-солей II и 1300 г смеси 60% NaOH и 40% КОН постепенно нагревают при 12 мм до 380°. Выход додеценон 91%, т. кип. 70—71°/3 мм,  $n_D^{20}$  1,4338,  $d_{20}^{20}$  0,759.195 г додеценон в 150 мл петр. эфира озонируют 12,5 часа (5,6 г  $\text{O}_3$  в 1 час, — 5°), озонид обрабатывают при 95° 600 г  $\text{Ag}_2\text{O}$  в 2,4 л 10%-ного NaOH, через ~12 час (95°)

прибавляют 1 кз конц.  $\text{HNO}_3$  (при 50—60°), оставляют на 2 часа (50—60°), затем жирные к-ты извлекают петр. эфиром и обрабатывают  $\text{KOH}$  в  $\text{CH}_3\text{OH}$ . После подкисления выделяют 161 г жирных к-т. Шел. плав III проводят как описано выше, выход додецена-1 91%,  $d_{20}^{20}$  0,759, озонированием получают ундекановую к-ту. Аналогично из IV получают тетрадецен-1 (в оригинале тридецен), выход 89% и затем тридекановую к-ту, т. пл. 40°. Через 100 г тетрадеканола-2 пропускают  $\text{HBr}$  при 80—85°, выделяют 2-бромтетрадекан, обрабатывают его  $\text{NaHS}$  в  $\text{CH}_3\text{OH}$  +  $\text{iso-C}_3\text{H}_7\text{OH}$ , получают 2-меркаптотетрадекан, который действием  $\text{O}_3$  окисляют в V. Из 68 г Na-соли V щел. плавлением получают 27 г смеси тетрадеценон, которая после озонирования дает 18,1 г смеси к-т, вероятно, состоящей из лауриновой и тридекановой к-т в отношении 62 : 38. Е. К.

**74862. Изучение разложения натриевой соли ацилгидразинотетраацетатной кислоты в водном растворе.**

**I. Таката, Таката** (Natrium-acetylhydrazinotetrasulfonate thansul fonat водной разложенияについて. 第1報. 高田善之, 高田善宏). 薬學雑誌, Якугаку дзасси, 1955, 75, № 11, 1439—1440 (япон.; рез. англ.)

5 г  $\text{H-C}_6\text{H}_4\text{CONHNHC}_6\text{H}_4\text{SO}_3\text{Na}$  в 100 мл воды кипятят 50 час, получают 1,5 г  $\text{H-C}_6\text{H}_4\text{CONHNHCOC}_6\text{H}_4\text{N}_2$  (I), т. пл. 151,5° (из сп.). Строение I подтверждено встречным синтезом — нагреванием 1,5 г гидразида пеларгоновой к-ты с 3 г этилового эфира пеларгоновой к-ты при 130—150° в течение 20 час. Л. Я.

**74863. Дитиолы. Часть XVII. S-бензилпроизводные 2,3-димеркаптопропанола и 1,3-димеркаптопропанола-2. Джохари, Оуэн** (Dithiols. Part XVII. S-benzyl derivatives of 2:3-dimercaptopropanol and 1:3-dimercaptopropan-2-ol. Johary N. S., Owen L. N.), J. Chem. Soc., 1955, Apr. 1302—1307 (англ.)

При р-ции 2,3-дибромпропанола (I) или его ацетата (II) с  $\text{C}_6\text{H}_5\text{CH}_2\text{SNa}$  происходит перегруппировка с образованием 1,3-дибензилтиопропанола-2 (III). III также получают селективным бензилрованием 1,3-димеркаптопропанола-2 (IV). Аналогично из 2,3-димеркаптопропанола (V) синтезируют 2,3-дибензилтиопропанол (VI). Строение III и VI установлено дебензилрованием их в соответствующие димеркапты и обессериванием последних, а также встречным синтезом III. Перегруппировка I протекает, вероятно, через промежуточное образование эпиксисоединений:  $\text{I} \rightarrow \text{BrCH}_2\text{CHCH}_2\text{O} \rightarrow \text{BrCH}_2\text{CHONCH}_2\text{SCH}_2\text{C}_6\text{H}_5 \rightarrow$

$\rightarrow \text{OCH}_2\text{CHCH}_2\text{SCH}_2\text{C}_6\text{H}_5 \rightarrow \text{III}$ . В случае II, возможно, сначала имеет место деацетилирование, а затем образование оксидов. Дисульфоксид III (VII) и дисульфид III (VIII) имеют почти одинаковые т-ры плавления и при смешении почти не дают депрессии ее. ИК-спектр VIII имеет резкие максимумы при 1309, 1264, 1148 и 1131  $\text{cm}^{-1}$ , более слабые при 1406, 1330, 1236, 1210, 1070, 1026 и 1000  $\text{cm}^{-1}$ , полоса OH-группы при 3390  $\text{cm}^{-1}$ , а ИК-спектр VII — максимумы при 3225, 1077 и 1030  $\text{cm}^{-1}$ , и более слабые при 1005, 995 и 976  $\text{cm}^{-1}$ . Синтезирован 2,3-дибензилтиопропил-2,3,4,6-тетра-О-ацетил-β-п-глюкозид (IX) (неочищ. в-во) из  $\text{C}_6\text{H}_5\text{CH}_2\text{SNa}$  и 2,3-дибромпропил-2,3,4,6-тетра-О-ацетил-β-п-глюкозида (X). 27,6 г  $\text{C}_6\text{H}_5\text{CH}_2\text{Cl}$  (XI) прибавляют 25 мин. к 12,4 г V и 9 г  $\text{NaOH}$  в 60 мл воды в атмосфере  $\text{N}_2$ , перемешивают 1 час при ~20° и 1,5 часа при 100°; экстрагируют эфиром, перегоняют и получают VI, выход 23,2 г, т. кип. 215—230°/0,0001 мм (т-ра бани),  $n_D^{20}$  1,6150; α-нафтилуретан, пл. 80—82° (из бзл.-бзн.); ацетат, т. кип. 220—230°/0,0006 мм (т-ра бани),  $n_D^{19}$  1,5856. К 8,8 г VI и 10 мл спирта в ~250 мл жидкого  $\text{NH}_3$  прибавляют 6 г Na, отгоняют  $\text{NH}_3$ , остаток обрабатывают льдом, щелочью и эфиром, щел. слой подкисляют (конц.  $\text{HCl}$  (к-та), 0°) и непрерывно экстрагируют эфиром, получают V, выход 61%, т. кип. 90°/2 мм,  $n_D^{21}$  1,5654. 0,5 г полученного V, 5 г скелетного Ni и 30 мл воды нагревают 4 часа при 100°,

фильтрат перегоняют над 6%-ным  $\text{Na}_2\text{Cr}_2\text{O}_7$  в 10 мл 25%-ной  $\text{H}_2\text{SO}_4$ ; из дистиллата выделяют  $\text{C}_6\text{H}_5\text{CHO}$  в виде 2,4-динитрофенилгидразона. 25 г 1,3-дибромпропанола-2 и 25 г  $(\text{CH}_3\text{CO})_2\text{O}$  нагревают (1 час) при 130—140°, отгоняют  $(\text{CH}_3\text{CO})_2\text{O}$  и  $\text{CH}_3\text{COOH}$  в вакууме и получают соответствующий ацетат (XII), выход 27 г, т. кип. 106—108°/9 мм. 115—117°/20 мм,  $n_D^{19}$  1,5037. Нагревают смесь 20 г XII, 23 г  $\text{CH}_3\text{COSK}$  и 100 мл спирта, после окончания р-ции нагревают при 100° (90 мин.), упаривают в вакууме, разбавляют водой и экстрагируют эфиром, получают 1,3-диацетилтиопропилантат-2 (XIII), выход 16,8 г (неочищ.), т. кип. 140—145°/0,08 мм, т. пл. 46—48° (из бзл.-бзн.). 10 г XIII кипятят 2 часа с 75 мл  $\text{CH}_3\text{OH}$  и 4 мл конц.  $\text{HCl}$  (к-ты), удаляют р-ритель, остаток перегоняют и получают IV, выход 85%, т. кип. 68—69°/0,8 мм,  $n_D^{21}$  1,5696.

Из 3,5 г IV, 7,5 г XI, 2,5 г  $\text{NaOH}$  и 15 мл воды аналогично VI получают III, выход 75%, т. кип. 230—250°/0,0005 мм (т-ра бани),  $n_D^{22}$  1,6100; α-нафтилуретан III, т. пл. 85° (из бзл.-бзн.); ацетат, т. кип. 205—230°/0,0001 мм,  $n_D^{21}$  1,5830. К р-ру 32 г  $\text{C}_6\text{H}_5\text{CH}_2\text{SH}$  (XIV) в спирт.  $\text{C}_6\text{H}_5\text{ONa}$  (из 5,85 г Na и 150 мл сп.) при 70° быстро прибавляют 33 г II, смесь кипятят 2 часа, фильтрат упаривают и извлекают эфиром; экстракт фракционируют и получают  $(\text{C}_6\text{H}_5\text{CH}_2)_2\text{S}$ ; 4,9 г вышекипящей фракции обрабатывают  $\text{CH}_3\text{OH}$  со следами  $\text{CH}_3\text{ONa}$  и выделяют III, выход 3,3 г (неочищ.); ацетилированием получают ацетат III. 9 г III, полученного этим путем, обрабатывают 250 мл жидкого  $\text{NH}_3$ , 10 мл спирта и 6,5 г Na, аналогично VI выделяют дитиол, выход 82%, т. кип. 75—77°/1,8 мм,  $n_D^{23}$  1,5638, 1 г которого обессеривают при помощи скелетного Ni, как описано для V; образуется ацетон. Из 8,6 г I, 10 г XIV, 1,85 г Na и 40 мл спирта получают III, выход 12,7 г (неочищ.). К 0,65 г VI в 2,5 мл  $\text{CH}_3\text{COOH}$  прибавляют 3 мл 30%-ной  $\text{H}_2\text{O}_2$ , смесь нагревают 30 мин. при 100°, разбавляют водой, образуется 2,3-дибензилсульфонилпропанол, выход 0,6 г, т. пл. 171°. К 0,55 г III в 2 мл  $\text{CH}_3\text{COOH}$  прибавляют 2 мл 30%-ной  $\text{H}_2\text{O}_2$ , через 5 мин. смесь выливают в воду и получают VII, выход 0,6 г (неочищ.), т. пл. 212° (из сп.). Аналогично предыдущему III обрабатывают 3 мл  $\text{H}_2\text{O}_2$  и смесь нагревают 35 мин. при 100°; образуется VIII, выход 0,6 г (неочищ.), т. пл. 210° (из  $\text{CH}_3\text{COOH}$ ). 15 г X, 15 г XIV и  $\text{C}_6\text{H}_5\text{ONa}$  (из 2,75 г Na и 65 мл сп.) кипятят 6 час. (атмосфера  $\text{N}_2$ ), фильтрат кипятят 2 часа, нейтрализуют  $\text{CO}_2$ , концентрируют в вакууме, обрабатывают водой, бензином, смесью бензол-бензин 1:1 и затем  $\text{C}_6\text{H}_6$ ; из бензольного экстракта выделяют масло, которое сушат при 100°/0,0001 мм. 2,6 г этого масла ацетируют (15 мл  $(\text{CH}_3\text{CO})_2\text{O}$ , 2 г  $\text{CH}_3\text{COONa}$ , 3 часа, 100°). Смесь выпаривают в вакууме, обрабатывают водой, извлекают эфиром, выделяют IX, выход 2,95 г,  $n_D^{21}$  1,5360. 1,5 г IX обрабатывают р-ром  $\text{CH}_3\text{ONa}$  (0,2 г Na в 20 мл  $\text{CH}_3\text{OH}$ ), через ~12 час. р-ритель удаляют в вакууме, остаток обрабатывают водой и  $\text{C}_6\text{H}_6$ . Из бензольного экстракта выделяют 0,6 г деацетилированного глюкозида. Его дебензилируют действием 1,5 мл спирта, ~30 мл жидкого  $\text{NH}_3$  и 1,2 г Na. В реакционной смеси находится димеркаптопропилглюкозид (не выделен). Часть XVI, см. РЖХим, 1956, 71780. Е. К.

**74864. Дитиолы. Часть XVIII. Некоторые растворимые в воде производные сульфокислот. Джохари, Оуэн** (Dithiols. Part XVIII. Some water-soluble derivatives containing the sulphonic acid group. Johary N. S., Owen L. N.), J. Chem. Soc., 1955, Apr., 1307—1311 (англ.)

Описан синтез растворимых в воде солей 2,3-димеркаптопропансульфоновой к-ты (I—к-та) и 2',3'-димеркаптопропилбензолсульфоновой к-ты (II—к-та); получена чистая пропен-2-сульфоновая-1 к-та (III). К 15 г Na-соли III в 50 мл  $\text{CH}_3\text{COOH}$  прибавляют (30 мин., 10—15°) 17 г  $\text{Br}_2$  в 50 мл  $\text{CH}_3\text{COOH}$ , смесь упаривают в вакууме, осаж-

дают 100 мл эфира неочищ. 2,3-дибромпропансульфонат Na (IV), выход 29,5 г, т. разл.  $\sim 250^\circ$  (из 90%-ного  $\text{iso-C}_3\text{H}_7\text{OH}$ ). 24 г IV, 20 г  $\text{CH}_3\text{COSNa}$  и 120 мл спирта кипятят 6 час., из охлажд. фильтрата выделяется 2,3-бисацетилтипропансульфонат Na (V), выход 17 г (очистка пересаживанием из абс.  $\text{CH}_3\text{OH}$  этиловым спиртом). 1 г V нагревают с 30 мл 15%-ной  $\text{CH}_3\text{COOH}$  (40 час.,  $100^\circ$ , в  $\text{N}_2$ ); выпаривают при 1,05 мм, прибавляют 10 мл спирта, выделяют Na-соль I, выход неочищ. соли 0,6 г. 100 г Na-соли III и 170 г  $\text{POCl}_3$  кипятят 3 часа, отгоняют  $\text{POCl}_3$  при  $100^\circ/120$  мм, остаток обрабатывают 250 мл  $\text{CHCl}_3$  и 200 г льда, выделяют пропен-2-сульфохлорид-I (VI), выход 61%, т. кип.  $74-76^\circ/15$  мм,  $n_D^{20}$  1,4767. 15 г VI перемешивают 30 мин. с 50 мл воды ( $100^\circ$ ), промывают эфиром, водн. р-р выпаривают в вакууме, выход III 12 г, т. кип.  $\sim 180^\circ/0,0001$  мм (т-ра бани),  $n_D^{20}$  1,4620; K-соль III, т. разл.  $\sim 240^\circ$  (из  $\text{CH}_3\text{OH}$ ). 20 г K-соли III в 100 мл  $\text{CH}_3\text{COOH}$  обрабатывают 24 г  $\text{Br}_2$  в 50 мл  $\text{CH}_3\text{COOH}$ , аналогично IV выделяют 2,3-дибромпропансульфонат K (VII), т. разл.  $\sim 260^\circ$  (из  $\text{CH}_3\text{OH}$ ). 10 г VII, 8,5 г  $\text{CH}_3\text{COSK}$  (VIII) и 60 мл спирта кипятят и обрабатывают как при получении V, получают 2,3-бисацетилтипропансульфонат K (IX), выход 8,4 г. При кипячении IX с  $\text{CH}_3\text{COOH}$  и водой (48 час.,  $100^\circ$ , в  $\text{N}_2$ ) деацетилирование проходит на 61%. К 13,9 г VI в 5 г абс. спирта и 15 мл  $\text{CHCl}_3$  при  $-5^\circ$  за 15 мин. прибавляют 7,9 г сухого пиридина в 10 мл  $\text{CHCl}_3$ , смесь оставляют ( $-5^\circ$ , 15 мин. и  $20^\circ$ , 20 мин.), обрабатывают льдом, выделяют этилпропен-2-сульфонат-I (X), выход 12,6 г, т. кип.  $53-55^\circ/0,1$  мм,  $80-82^\circ/0,5$  мм,  $n_D^{25}$  1,4410. К 1,4 г VI, 0,48 г абс. спирта и 15 мл сухого эфира, постепенно прибавляют 1,5 г KOH при  $-5^\circ-0^\circ$ , перемешивают (2 часа,  $0^\circ$ ), выдерживают ( $\sim 12$  час.,  $0^\circ$ ) и обрабатывают льдом, выделяют этил-3-этоксипропансульфонат, выход 0,35 г, т. кип.  $126-132^\circ/18$  мм,  $n_D^{20}$  1,4352. 11 г  $\text{Br}_2$  в 25 мл  $\text{CCl}_4$  прибавляют на ярком солнечном свете к 10 г X в 25 мл  $\text{CCl}_4$ , через 3 часа перегоняют, получают этил-2,3-дибромпропансульфонат. 6,2 г последнего, 5,5 г VIII и 25 мл спирта кипятят 4 часа, р-ритель отгоняют, остаток обрабатывают водой и экстрагируют  $\text{CHCl}_3$ , выделяют 0,7 г в-ва, вероятно, смесь K-солей 2,3-бисацетилтио- и 3-ацетилтио-2-бромпропансульфоновых к-т-5 г  $\text{C}_6\text{H}_5\text{CH}_2\text{CHBrCH}_2\text{Br}$  в 20 мл  $\text{CHCl}_3$  за 10 мин. при  $0^\circ$  прибавляют к смеси 10 мл  $\text{CISO}_3\text{H}$  и 15 мл  $\text{CHCl}_3$ , через  $\sim 12$  час. стояния при  $20^\circ$  выделяют 5 г 2',3'-дибромпропилбензолсульфохлорида (XI), т. кип.  $210-220^\circ/0,0002$  мм (т-ра бани),  $n_D^{21}$  1,6052. 17 г XI и 100 мл спирта кипятят 12 час., прибавляют 20 мл воды, нагревают еще 4 часа, выпаривают, остаток растворяют в 600 мл воды и нейтрализуют KOH, получают 2',3'-дибромпропилсульфонат K, выход 10,6 г, кристаллизуют из 90%-ного спирта. 7,8 г последнего, 5,8 г VIII и 50 мл спирта кипятят 6 час. в атмосфере  $\text{N}_2$ , разбавляют 20 мл спирта, осаждаются 3,3 г 2',3'-бисацетилтипропилбензолсульфоната (XII), кристаллизуют из абс.  $\text{CH}_3\text{OH}$ . 0,75 г XII, 2 мл  $\text{CH}_3\text{COOH}$  и 18 мл воды кипятят 2 дня в атмосфере  $\text{N}_2$ , выпаривают досуха, прибавляют 3 мл спирта, выделяют K-соль II, выход 0,32 г, кристаллизуют из спирта + вода +  $\text{CH}_3\text{COOH}$ .

Е. К.

**74865. 1,4-бутансультам и галоидангидриды некоторых алифатических аминокислот. Диршерль, Отто** (Zur Kenntnis des 1,4-Butansultams und einiger aliphatischer Aminosulfohalogenide. Dirscherl Wilhelm, Otto Klaus), Chem. Ber., 1956, 89, № 2, 393-395 (нем.).

При окислении  $[\text{H}_2\text{N}(\text{CH}_2)_4\text{S}]_2$  (I) хлором или бромом до бутансультама  $\text{HN}(\text{CH}_2)_4\text{SO}_2$  (II) образуются промежуточные продукты:  $\text{H}_2\text{N}(\text{CH}_2)_4\text{SO}_2\text{Br}$  (III) и  $\text{H}_2\text{N}(\text{CH}_2)_4\text{SO}_2\text{Cl}$  (IV), которые при обработке водн. NaOH или при нагревании превращаются в II (РЖХИМ, 1955, 16274). Улучшен метод синтеза II, выход II зависит от т-ры и не снижается

при использовании избытка  $\text{Br}_2$  или  $\text{Cl}_2$ . Через р-р 3 г дихлоргидрата I (Dirscherl W., Weingarten F. W., Liebigs Ann. Chem., 1951, 574, 131) в 30 мл воды пропускают при охлаждении льдом  $+\text{NaCl}$  ток  $\text{Cl}_2$  (1 час.), продувают воздухом, выход IV 29%, т. пл.  $153^\circ$  (разл.; из  $\text{CH}_3\text{OH}$ -хлф.); из фильтрата получают (см. первую ссылку) II, выход 40%. К 20 мл 0,1 н. NaOH добавляют по каплям 208 мг IV в 4 мл  $\text{CH}_3\text{OH}$ , упаривают досуха, извлекают 50 мл  $\text{CHCl}_3$ , выход II 82%; II с выходом 77% получают при нагревании в вакууме ( $160-170^\circ$ , 30 мин.) смеси равных кол-в IV и  $\text{K}_2\text{CO}_3$ . К 4 г дихлоргидрата I в 40 мл воды добавляют за 10 мин. 8 мл  $\text{Br}_2$ , удаляют избыток  $\text{Br}_2$  в вакууме, выход III 24%, т. пл.  $129-130^\circ$  (разл.; из сп.-хлф.). 1 г II в 25 мл 0,5 н. KOH хлорируют при  $0^\circ$ , выход N-хлор-II 65%, т.пл.  $48^\circ$  (из  $\text{CCl}_4$ ); аналогично из 0,54 г II в 8 мл 0,5 н. KOH и эквивалентного кол-ва  $\text{Br}_2$  получают N-бром-II, выход 57%, т.пл.  $59-60^\circ$  (из  $\text{CCl}_4$ ). Р-р 0,54 г II в 20 мл 0,2 н. KOH упаривают в вакууме досуха, выход N-калий-II 66%, т. пл.  $270^\circ$  (из 20 мл  $\text{HCON}(\text{CH}_3)_2$ ). Аналогично II и IV синтезированы хлор- и бромангидриды  $\text{H}_2\text{NC}_2\text{H}_4\text{SO}_3\text{H}$  (т. пл. 155 и  $139^\circ$ ),  $\text{H}_2\text{NC}_3\text{H}_6\text{SO}_3\text{H}$  (т. пл. 147 и  $134^\circ$ ), а также  $\text{H}_2\text{NC}_3\text{H}_6\text{SO}_2\text{Cl}$ , т. пл.  $116^\circ$ .

Т. А.

**74866. Исследование факторов, влияющих на конденсацию циклических кетонов с бенальдегидом. Апостолаке** (Studi asupra factorilor care influentează condensarea ciclotonelor cu benzaldehida. Apostolache Seb.), Rev. chim., 1956, 7, № 4, 216-221 (рум.; рез. рус., нем.).

На основе литературных данных рассматривается влияние следующих факторов: стехиометрич. соотношения реагентов, агента конденсации, среды, величины цикла кетона и наличия заместителей в этом цикле. Библ. 32 назв.

Г. В.

**74867. Реакция Дильса и Альдера. Краббе** (La réaction de Diels et Alder. Crabbé Pierre), Ingr. chimiste, 1956, 37, № 202, 175-180 (франц.).

Обзор. Библ. 10 назв.

Г. В.

**74868. Этилпропенилкетон как псевдоиен в реакции Дильса — Альдера. Бернер** (Ethyl propenyl as a  $\phi$ -diene in the Diels — Alder reaction. Berner E. n. d. e), Acta chem. scand., 1956, 10, № 2, 268-272 (англ.). Показано, что этилаллилкетон (I) при нагревании с малеиновым ангидридом (II) изомеризуется в этилпропенилкетон (III), который затем реагирует с II, образуя ангидрид 3,6-диметил-4-кетогексагидрофталевой к-ты (IV). При омылении из IV получена соответствующая к-та (V), расщепленная на оптич. антиподы. При восстановлении амальгамой Na V дала 3,6-диметил-4-оксигексагидрофталевую к-ту (VI), которая легко превращалась в лактон (VII). Восстановление V по Клемменсену привело к 3,6-диметилгексагидрофталевой к-те (VIII) с т. пл.  $121^\circ$ , а окисление  $\text{HNO}_3$  — к гексантетракарбоновой-2,3,4,5 к-те (IX). Поскольку VIII удалось расщепить на оптич. антиподы, она должна иметь структуру 3(цис),6(транс)-диметилциклогександикарбоновой-1(цис),2(цис) к-ты, описанной ранее (Alder K., Vogt W., Liebigs Ann. Chem., 1951, 571, 137) с т. пл.  $134^\circ$ . Автор полагает, что несовпадение т-р плавления объясняется диморфизмом или самопроизвольным расщеплением в процессе кристаллизации (оптически активная VIII имеет т. пл.  $138^\circ$ ). Идентичность VIII и к-ты с т. пл.  $134^\circ$  подтверждается их изомеризацией в одну и ту же 3(транс),6(транс)-диметилциклогександикарбоновую-1(транс),2(транс) к-ту (X) (ср. ссылку). Из конфигурации VIII следует, что енольная форма III имеет цис, транс-конфигурацию. Смесь 25 г I и 25 г II нагревают 4 дня при  $90^\circ$ , выпавшие кристаллы IV (15,2 г) отфильтровывают, маточный р-р нагревают 3 дня и получают еще IV; общий выход 40%, т. пл.  $146^\circ$  (из этилацетата). Смесь 1 объема I и 2 объемов 20%-ной  $\text{H}_2\text{SO}_4$  кипятят 1 час, получают III, т. кип.  $137-138^\circ$ . Аналогично предыдущему конденсируют 13,5 г III с

13,5 г II; выход IV 41,5%. IV омыляют 1н. NaOH, конц.  $H_2SO_4$  или кипящей водой, получают V, т. п. 206—207° (из воды). 0,5 г V и 5 мл  $CH_3COCl$  кипятят 2 часа, получают IV. V при обработке  $CH_2N_2$  дала диметилловый эфир, т. п. 52—53°; 2,4-динитрофенилгидразон, т. п. 177° (из сп.). 2,7 г V и 4,2 г стрихнина растворяют в 50 мл воды, выделившуюся соль (2,1 г) обрабатывают 10 мл 1н. HCl и после фильтрования и экстракции получают (—)-V. выход 0,35 г, т. п. 195—199°,  $[\alpha]^{20}_D - 21,5^\circ$  (с 3; вода). К р-ру 2 г IV в 60 мл воды прибавляют 11 мл  $HNO_3$  (d 1,4), нагревают 20 мин. при 100°, упаривают досуха и получают IX, т. п. 202° (из 2 н. HCl). Р-р 0,2 г IX в 20 мл  $CH_3OH$ , содержащий сухой HCl-газ, кипятят 11 час., выход тетраметилового эфира IX 0,17 г, т. п. 50° (из разб.  $CH_3OH$ ). Р-р 2 г IV в 40 мл 0,5 н. NaOH обрабатывают 4%-ной амальгамой Na при 50—60° до отрицательной пробы с 2,4-динитрофенилгидразином, выход VI 1,7 г, т. п. 196—197° (из воды). Смесь 1 ч. VI и 5 ч.  $(CH_3CO)_2O$  кипятят 2 часа, получают VII, т. п. 135° (из бзл.). Смесь 10 г амальгамированного Zn, 4 г IV и 20 мл 15%-ной HCl кипятят 3 часа, выход VIII 3 г, т. п. 121° (из воды и  $CH_3CN$ ). 1 г VIII и 3,4 г бруцина в 10 мл спирта выдерживают 5 дней при ~20°, выделившуюся соль обрабатывают 2 н. HCl, выход неочищ. (—)-VIII 0,23 г, т. п. 138° (из воды),  $[\alpha]^{20}_D - 29,3^\circ$  (с 2,5; сп.). Из маточного р-ра получают неочищ. (—)-VIII,  $[\alpha]^{20}_D + 4,2^\circ$ . Смесь 0,4 г VIII и 5 мл конц. HCl нагревают в запаянной трубке 5 час. при 180°, выход X 0,2 г, т. п. 185° (из  $CH_3CN$ ). В. А.

**74869. Конденсация циклогексанона с пировиноградной кислотой. Кристенсен, Кордье** (Sur la condensation de la cyclohexanone avec l'acide phénylpyruvique. Kristensen Johan, Cordier Paul), С. г. Acad. sci., 1956, 242, № 7, 908—910 (франц.).

При конденсации фенилпировиноградной к-ты (I) с циклогексаном в присутствии 3%-ного р-ра KOH (0°, 7 дней) образуется 2,6 бис-( $\alpha$ -окси- $\alpha$ -карбокси- $\beta$ -фенилэтил)-циклогексанон (II), выход 28%, т. п. 285°; семикарбазон, т. п. 254° (разл.); динитрофенилгидразон, т. п. 226° (разл.). Из эфирного р-ра после выделения II 0,1 н. р-ром  $NaHCO_3$  извлекают 2-( $\alpha$ -окси- $\alpha$ -карбоксиэтил)-циклогексанон (III), выход 15%, т. п. 127°. II и III при нагревании в щел. среде распадаются на исходные в-ва. При нагревании II с HCl в  $CH_3COOH$  до 100° образуется в-во, которому авторы приписывают строение 3,8-диокси-3-бензил-7-( $\beta$ -карбокси- $\beta$ -стирил)-гексагидрокумарана-2, т. п. 118°. Под действием конц.  $H_2SO_4$  II превращается в  $\alpha, \alpha'$ -ди-(фенацетил)-циклогексанон, т. п. 90°. Действие  $H_2SO_4$  в  $CH_3COOH$  (1:3) на II приводит к 2,6-бис-( $\beta$ -карбокси- $\beta$ -стирил)-циклогексанону, т. п. 181°. III при действии HCl в  $CH_3COOH$  (100°) дает лактон 1-( $\alpha$ -карбокси- $\beta$ -фенилэтилен)-циклогексен-2-ола-2 (т. п. 91°) наряду с соответствующей III непредельной к-той (т. п. 98°), которую получают также действием  $H_2SO_4$  в  $CH_3COOH$  на III без нагревания. III при действии конц.  $H_2SO_4$  дает 1,2,3,4-тетрагидрофенантренкарбоновую-9 к-ту, т. п. 210°. Восстановление III  $NaNH_4$  приводит к 2-( $\alpha$ -окси- $\alpha$ -карбокси- $\beta$ -фенилэтил)-циклогексанолу, т. п. 184°, и соответствующему лактону (V), т. п. 164°. Каталитич. гидрирование III на скелетном Ni приводит к лактону, изомерному V, т. п. 121°. Гидрирование II осуществить не удалось. Конденсацией о-метилциклогексанона с I в эквимолекулярных соотношениях в 3%-ном водно-спирт. р-ре KOH получена  $\alpha$ -окси- $\gamma$ -кетокислота, т. п. 154°, распадающаяся при нагревании в щел. среде на исходные в-ва. Э. Б.

**74870. Окисление органических сульфидов. Часть IV. Автоокисление циклогексен-2-метилсульфида. Бейтман, Шипли** (Oxidation of organic sulphides. Part IV. Autooxidation of cyclohex-2-enyl methyl sul-

phide. Bateman L., Shipley F. W.), J. Chem. Soc., 1955, June, 1996—2005 (англ.)

Окисление аллилсульфидов молекулярным  $O_2$  характеризуется быстрым первоначальным поглощением относительно небольшого кол-ва  $O_2$  и последующим ингибированием р-ции образующимися продуктами. Циклогексен-2-ил-метилсульфид (I) при 55° поглощает до 0,3 моля  $O_2$ , давая циклогексен-2-он (II), циклогексен-2-ол (III), циклогексанон-2-ил-метилсульфоксид (IV) и смесь кетосульфидов (КС), содержащую небольшое кол-во циклогексен-1-он-3-ил-метилсульфида (V) и много циклогексен-3-он-2-ил-метилсульфида (VI). Синтезируются V, VI, циклогексанон-2-ил-метилсульфид (VII), циклогексанон-3-ил-метилсульфид (VIII), циклогексен-2-он-ил-метилсульфид (IX). Контрольными опытами показано, что именно V и VI являются причиной автоингибирования р-ции окисления I. Авторы объясняют ингибирующее действие V и VI их структурными особенностями. Предложена схема окисления I с участием свободных радикалов. 3-Бромциклогексен обрабатывают спирт. р-ром  $CH_3Na$ , получают I, т. кип. 64,5°/14 мм,  $n^{20}_D$  1,5210; соответствующий сульфоксид, т. кип. 75°/0,1 мм,  $n^{20}_D$  1,5384. Аналогично синтезируют следующие циклогексен-2-ил-алкилсульфиды (перечисляются алкил, т. кип. в °С/мм и  $n^{20}_D$ ): этил, 76/14, 1,5140; изопропил, 84/14, 1,5062; трет-бутил, 97/14, 1,5015; фенил, 77/0,1, 1,5929. К 46 г 2,6-дибромциклогексанона в  $CH_3OH$  добавляют 4 г Na в избытке  $CH_3SH$ , нагревают 1 час при 50°, неочищ. продукт р-ции обрабатывают (3 часа, ~18°, затем кипячение) р-ром 9 г KOH в 90 мл спирта, выход VI 15 г, т. кип. 76—78°/0,1 мм,  $n^{20}_D$  1,5608; 2,4-динитрофенилгидразон (ДФГ), т. п. 234° (из пиридин-сп. и бзл.); семикарбазон (СК), т. п. 234°. К р-ру  $CH_3Na$  (из 1,64 г Na) в 30 мл  $CH_3OH$  добавляют 12,5 г 2-бромциклогексанона в 20 мл эфира, после кратковременного кипячения выход VII 3 г, т. кип. 51°/0,1 мм,  $n^{20}_D$  1,5115; ДФГ, т. п. 137—138°; СК, т. п. 171—172°. 5 г циклогексен-2-она, 0,5 г пиперидина, 20 мл  $C_6H_6$  и 3,5 мл  $CH_3SH$  нагревают в запаянной трубке (5 час., 55°), выход VIII 4,5 г, т. кип. 55°/0,1 мм,  $n^{20}_D$  1,5172; ДФГ, т. п. 148°; СК, 165°. К р-ру  $CH_3Na$  (из 6,9 г Na) в спирте добавляют 65,7 г 1-ацетокси-4-бромциклогексена-2 в 100 мл спирта, кипятят 30 мин., выход 4-ацетоксициклогексен-2-ил-метилсульфида 46 г, т. кип. 67°/0,1 мм,  $n^{20}_D$  1,5375. Гидролиз последнего спирт. р-ром NaOH приводит к 28 г 4-оксициклогексен-2-ил-метилсульфида, т. кип. 65—67°/0,1 мм,  $n^{20}_D$  1,5468, окислением которых по Оппенгауэру получают 4 г IX, т. кип. 60°/0,1 мм,  $n^{20}_D$  1,5489; ДФГ, т. п. 146—147°; СК, т. п. 156—160°. Гидрирование IX на Pd/C приводит к неочищ. циклогексанон-4-ил-метилсульфиду; ДФГ (X), т. п. 145—146° (из петр. эф.-сп.). Действием  $PCl_3$  в  $CHCl_3$  на дигидрорезорцин получают 3-хлорциклогексен-2-он, т. кип. 78°/14 мм,  $n^{20}_D$  1,5204. 8,2 г последнего в 10 мл  $C_6H_6$  добавляют к взвеси  $CH_3Na$  в  $C_6H_6$ , перемешивают 1 час при 0°, нагревают (70—80°) 30 мин., выход V 5 г, т. кип. 75°/0,1 мм,  $n^{20}_D$  1,5902; ДФГ, т. п. 212°; СК, 207—208°. Продукты окисления I были разделены хроматографически на  $SiO_2$ , 200 меш, с последовательным вымыванием петр. эфиром; смесью петр. эфира + эфир; эфир и  $CH_3OH$ . Распределение O в продуктах окисления в % от общего поглощенного кол-ва  $O_2$ :  $H_2O$  25, II 10, III 8, IV 23, КС 22%, остаток 5%. Часть III см. РЖХим, 1956, 71184.

**74871. Некоторые производные циклогептатриена. Ардт** (Some cycloheptatriene derivatives. Ardt J. H. P. v an), J. Chem. Soc., 1954, Aug. 2965—2966 (англ.)

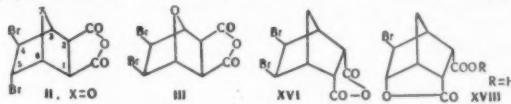
Попытки синтезировать метиленилциклогептатриен (гептафульвен) из производных циклогептатриена не увенчались успехом. Авторы считают, что эта система не мо

жет быть получена при р-ции отщепления, так как очень легко идет перегруппировка семичленного кольца. При действии 10 г диазоуксусного эфира (I) на 100 г дифенила (120—130°, затем 2 часа при 160°) выделено 6 г фенилциклопентатриенкарбоновой к-ты (II), т. пл. 155,5° (из водн. сп.). Восстановлением 10 г этилового эфира II действием 1 г  $\text{LiAlH}_4$  получено 8 г фенилциклопентатриенилметанола (III), т. кип. 140°/0,25 мм. При дегидратации III с  $\text{P}_2\text{O}_5$  получена смола. При пропускании III над  $\text{Al}_2\text{O}_3$  при 350° выделены: 4-фенилстирол, жидкость  $\text{C}_{14}\text{H}_{14}$ , по-видимому, метилфенилциклопентатриен, углеводород  $\text{C}_{20}\text{H}_{24}$  и 1,2-бензазулен. Над  $\text{Pd/C}$  I дает те же в-ва, исключая 4-фенилстирол. Действием 10 г I на 100 г дифенилметана получен этиловый эфир бензилциклопентатриенкарбоновой к-ты (IV), т. кип. 156°/1,5 мм. IV бромировали бромсукцинимидом, но после отщепления  $\text{HBr}$  хинолином индивидуальные в-ва выделить не удалось. При действии I на  $(\text{C}_6\text{H}_5)_2\text{CHOCOC}_6\text{H}_5$  получен метоксиметилловый эфир к-ты, который под действием  $\text{P}_2\text{O}_5$  превращается в метилловый эфир стильбенкарбоновой-4 к-ты. Приведены УФ-спектры: II, III и IV. Р. К. 74572.

**Цис-присоединение при бромировании бициклических олефинов.** Структура и стереохимия дибромидов *экзо-цис-3,6-эндоксо- $\Delta^4$ -тетрагидрофталевой ангидрида* и *эндо-цис-3,6-эндометилен- $\Delta^4$ -тетрагидрофталевой ангидрида*. Берсон, Сундлер (*cis-Addition in the bromination of bicyclic olefins. The structure and stereochemistry of the dibromides of exo-cis-3,6-endoxo- $\Delta^4$ -tetrahydrophthalic anhydride and endo-cis-3,6-endomethylene- $\Delta^4$ -tetrahydrophthalic anhydride*, Berson Jerome A., Swidler Ronald, J. Amer. Chem. Soc., 1954, 76, № 16, 4060—4069 (англ.)).

При действии  $\text{Br}_2$  в  $\text{CH}_2\text{Cl}_2$  на ангидрид *экзо-цис-3,6-эндоксо- $\Delta^4$ -тетрагидрофталевой к-ты* (I) с выходом ~90% получена смесь дибромидов  $\text{C}_8\text{H}_6\text{O}_4\text{Br}_2$  с т. пл. 163° (II) и 331° (III). При обработке  $\text{NH}_3$ , а затем  $\text{SOCl}_2$  II и III переведены в дибромиды с т. пл. соответственно 221° (IV) и 296° (V). Как IV, так и V превращаются в имид *экзо-цис-3,6-эндоксо- $\Delta^4$ -тетрагидрофталевой к-ты* (VI). Авторы считают, что II и III обладают неизменным углеродным скелетом I и сохраняют *экзо-конфигурацию*. Бромированием *эндо-VI* (VII), приготовленного описанным методом (Kwart H., Burchuk J., J. Amer. Chem. Soc., 1952, 74, 3094), получена смесь IV и дибромид с т. пл. 303° (VIII). Гидрирование VIII привело к смеси в-в с т. пл. 130—150°, а не к *эндо-дигидроимиду*. Отщепление  $\text{Br}_2$  от VIII привело к образцу VII, который при бромировании вновь образовывал VIII, а при гидрировании превращался в имид *эндо-цис-3,6-эндоксо-гексагидрофталевой к-ты* (IX). Строение IX подтверждается синтезом из IX-ангидрида (X). Следовательно, продукт присоединения маленимида к фурану является смесью VI и VII, а не чистым VII, как указывалось ранее (см. предыдущую ссылку). Это подтверждено непосредственным выделением VI и VII из аддукта. При бромировании VI получен IV. Образование VII при отщеплении брома от VIII в тех же условиях, в которых IV и V дают VI, показывает, что VI является ближайшим продуктом дебромирования как IV, так и V, и, следовательно, в II и III ангидридное кольцо имеет *экзо-конфигурацию*. Расщеплением к-ты, соответствующей II (XI) на оптич. антиподы, доказано *транс-расположение* Вг-атомов в II. III переведен в кислый метилловый эфир III (XII), который расщеплен на оптич. антиподы, затем (+)- и (—)-XII этерифицированы и при этом получен оптически неактивный диметилловый эфир III (XIII), омыленный в оптически неактивную к-ту (XIV). Этими превращениями доказано *мезостроение* III и тем самым *цис-расположение* Вг-атомов в III. На основании правила *экзо-присоединения* (Alder K., Stein G., Liebig's Ann. Chem., 1935, 515, 185) авторы

приписывают Вг-атомам в III *экзо-цис-конфигурацию*. Установлено, что при бромировании I образованию III благоприятствуют освещение и неполярные р-ители; образование III подавляется кислородом, полярными р-ителями и отсутствием света. Это показывает, что



III образуется по свободнорадикальному механизму; обсуждается тонкий механизм р-ции. Исследовано бромирование *эндо-I* (XV), приводящее к дибромиду (XVI). При гидролизе XVI получена соответствующая дикарбоновая к-та (XVII), которая при нейтр-ции щелочью ее водн. р-ра превращалась в бромлактононуклид (XVIII), полученную ранее (Alder K., Stein G., Liebig's Ann. Chem., 1933, 504, 216) бромированием к-ты соответствующей XV (XIX). Так как XVII устойчива в кислом р-ре, роль щелочи заключается, по-видимому, в образовании иона карбоксилата, в котором происходит интрамолекулярное вытеснение Вг-атома; следовательно, XVIII должна иметь ту же структуру, что и XVI. Образование XVIII при бромировании XIX, по мнению авторов, также не может происходить через устойчивую в кислом р-ре XVII, а идет через промежуточный бромониевый ион (замещ. Вг-атомом в положении 4 и имеющий положительный заряд у  $\text{C}_{(5)}$ ). Исходя из этих представлений и из правила *экзо-присоединения*, авторы принимают конфигурации XVI и XVIII. К р-ру 10,0 г I в 300 мл  $\text{CH}_2\text{Cl}_2$  при перемешивании в атмосфере  $\text{N}_2$  прибавляют 10,0 г  $\text{Br}_2$  и в осадке получают 6,85 г III, а в фильтрате 11,5 г II. Р-р 201,5 г II в 1 л ацетона за 40 мин. при 18—20° прибавляют к 600 мл конц. водн.  $\text{NH}_3$ , через 2,5 часа осадок растворяют в 5 л воды и после подкисления получают соответствующую амидокислоту (XX), выход 213 г, т. разл. 225°. Суспензию 180 г XX в 700 мл  $\text{CHCl}_3$  обрабатывают 152 мл  $\text{SOCl}_2$ , кипятят 6 час., выливают в 500 мл воды, кипятят 30 мин. и после охлаждения получают IV, выход 89% (считая на II), т. пл. 219—221° (из ацетона-сп.). Смесь 20 г III и 50 мл ацетона прибавляют за 10 мин. к 60 мл конц. водн.  $\text{NH}_3$ , обрабатывают, как описано выше, и получают соответствующую амидокислоту (XXI), выход 21 г, т. разл. >250°. Смесь 21 г XXI, 75 мл  $\text{SOCl}_2$  и 25 мл  $\text{CHCl}_3$  кипятят 6 час., после описанной выше обработки получают V, выход 12,8 г, т. разл. 296° (из ацетона). К перемешиваемой суспензии 110 г IV в 450 мл лед.  $\text{CH}_3\text{COOH}$  за 1 час прибавляют 65 г Zn-пыли. перемешивают еще 2 часа, упаривают вдвое, разбавляют 200 мл воды и получают VI; выход 88%, т. пл. 159—161° (из воды). Из 7 г V, 5 г Zn-пыли и 30 мл лед.  $\text{CH}_3\text{COOH}$  аналогично получают VI, выход 87%. Смесь 2 г маленимида и 5 мл фурана в 25 мл абс. эфира выдерживают 12 час. при ~20°, получают смесь VI и VII, выход 2 г, т. разл. 130—132°. Р-р 0,5 г маленимида и 1 мл фурана в 4 мл этилацетата выдерживают 12 час. при ~20° и получают 0,7 г смеси VI и VII, которую под микроскопом вручную разделяют на ромбоэдрич. блоки VI (т. пл. 162°) и столбики VII (т. пл. 127—129°). При конденсации 1,0 г маленимида с 2 мл фурана в 20 мл этилацетата в осадке получают 0,164 г VII. Р-р 0,85 г смеси VI и VII (см. выше) и 0,27 мл  $\text{Br}_2$  в 50 мл этилацетата выдерживают 6 час., в осадке получают VIII, т. разл. 303° (из 80%-ного сп.). Из маточного р-ра выделяют 0,07 г IV. Смесь 0,083 г VII, 0,030 мл  $\text{Br}_2$  и 8 мл этилацетата выдерживают 12 час. при ~20°, получают VIII, выход 0,129 г. Из 1,0 г VI и 0,60 мл  $\text{Br}_2$  в 40 мл  $\text{CH}_2\text{Cl}_2$  (~20°, 25 мин.) получают IV, выход 1,87 г. Р-р 0,205 г

смеси VI и VII (см. выше) в 15 мл этилацетата гидрируют над Pt (из 0,075 г PtO<sub>2</sub>) и получают смесь имидов *экзо-цис*-3,6-эндоксогексагидрофталевой к-ты (XII) с IX. Аналогично получают: из VII—IX, т. п. 195—196° (из этилацетата-гексана); из VI—XXII, т. п. 180,5—181,5° (из CCl<sub>4</sub>-гексана). Суспензия 1,2 г VIII и 2,0 г Zn-пыли в лед. CH<sub>3</sub>COOH встряхивают 10 мин., выдерживают 90 мин. при ~20°, фильтруют и после упаривания получают VII, выход 0,47 г. X обрабатывают жидким NH<sub>3</sub>, через 30 мин. отгоняют NH<sub>3</sub> и после возгонки получают IX, т. п. 195—196° (из этилацетата). К горячему р-ру 48 г тригидрата хинина в 750 мл CH<sub>3</sub>OH прибавляют горячий р-р 47,1 г XI в 200 мл CH<sub>3</sub>OH, кипятят 20 мин. После очистки выделившуюся соль XI и хинина, т. п. 183—185°, разлагают водн. NH<sub>4</sub>OH и выделяют 12,1 г (—)XI, т. п. 134—135,5° (из воды), [α]<sub>D</sub><sup>20</sup> -77,5° (с 3,56; диоксан). При упаривании метанольного маточного р-ра получают (+)XI, [α]<sub>D</sub><sup>20</sup> +14,1° (с 9,09; диоксан). Смесь 2 г (—)XI ([α]<sub>D</sub><sup>20</sup> -52,9°), 20 мл CH<sub>3</sub>OH и 0,5 мл дымящей H<sub>2</sub>SO<sub>4</sub> кипятят 2 часа и получают неочищ. диметилловый эфир (—)XI, выход 1,68 г, т. п. 82—84° (из CCl<sub>4</sub>-гексана), [α]<sub>D</sub><sup>20</sup> -73,4° (с 1,78; диоксан). Смесь 2,8 г (—)XI ([α]<sub>D</sub><sup>20</sup> -52,9°) и 10 мл (CH<sub>3</sub>CO)<sub>2</sub>O нагревают 30 мин. при 100°, разбавляют 20 мл CCl<sub>4</sub> и 50 мл технич. гексана и получают (—)II; выход 2,2 г, т. п. 132—137° (из этилацетата-CCl<sub>4</sub>), [α]<sub>D</sub><sup>20</sup> -59,2° (с 1,53; диоксан). Смесь III с водой кипятят до растворения и получают XIV, т. п. 331° (из воды). Смесь 2,5 г III, 50 мл CH<sub>3</sub>OH и 1 мл дымящей H<sub>2</sub>SO<sub>4</sub> кипятят 2,5 часа и получают XIII, выход 2,6 г, т. п. 199—200° (из этилацетата). Взвесь 10 г III в 100 мл CH<sub>3</sub>OH и 50 мл ацетона кипятят 7 час., получают XII, выход 7,9 г, т. п. 320—321° (из водн. ацетона и из CH<sub>3</sub>OH). Горячий р-р 16 г тригидрата хинина в 200 мл ацетона прибавляют к горячему р-ру 15 г XII в 400 мл ацетона, упаривают до объема 500 мл, выдерживают 12 час. при 0°. Выделившуюся хининовую соль XII (после очистки, т. разл. 145—148°) разлагают конц. HCl, получают (+)XII, выход 2,5 г, т. разл. 319°, [α]<sub>D</sub><sup>20</sup> +2,5° (с 2,0; 5% р-р K<sub>2</sub>CO<sub>3</sub>). Ацетонный маточный р-р упаривают и получают (—)XII, выход 2,4 г, т. разл. 319° (из 90%-ного CH<sub>3</sub>OH), [α]<sub>D</sub><sup>20</sup> -3,3° (с 4,7; 10%-ный р-р K<sub>2</sub>CO<sub>3</sub>). Смесь 0,98 г (+)XII, 15 мл абс. CH<sub>3</sub>OH и 7 капель 30%-ного олеума кипятят 2,75 часа и получают XIII, выход 94%. Аналогично этерифицируют (—)XII и получают XIII. Смесь 0,384 г XII, 10 мл диоксана и 4 мл 6 н. HCl кипятят 82 часа, через 10 дней (~20°) получают XIV. Смесь 2,1 г XVII и 25 мл воды нейтрализуют водн. NaOH, оставляют на 2 часа, подкисляют 6 н. HNO<sub>3</sub>, в осадке получают XVIII, выход 1,2 г, т. п. 157,5—159°. Р-р 122,7 г XV в 500 мл этилацетата при 5° за 1 час 20 мин. обрабатывают 41 мл Br<sub>2</sub> в 100 мл этилацетата и получают XVI, выход 78,3 г. Маточный р-р содержит смесь в-в неясного строения. Р-р 12,5 г XV в 150 мл CH<sub>2</sub>Cl<sub>2</sub> обрабатывают 4,5 мл Br<sub>2</sub> и через 12 час. получают XVI, выход 20,9 г.

**74873.** Строение и стереохимия бициклических производных. VII. Дальнейшее изучение бромирования бициклических олефинов. Бромирование *экзо-цис*-3,6-эндометилен-Δ<sup>4</sup>-тетрагидрофталевого ангидрида. Берсон (Further studies on the bromination of bicyclic olefins. The bromination of *exo-cis*-3,6-endomethylene-Δ<sup>4</sup>-tetrahydrophthalic anhydride. VII. Berson Jerome A.), J. Amer. Chem. Soc., 1954, 76, № 22, 5748—5751 (англ.)

При действии Br<sub>2</sub> на ангидрид *экзо-цис*-3,6-эндометилен-Δ<sup>4</sup>-тетрагидрофталевой к-ты (I) получен дибромид (II), которому ранее (Craig D., J. Amer. Chem. Soc., 1951, 73, 4889; РЖХим, 1954, 30493) была приписана *транс*-структура. Поскольку при взаимодействии с Zn в CH<sub>3</sub>COOH II отщепляет Br<sub>2</sub>, образуя I (см. ссылку

выше), а *эндо*-I (III) в этих условиях устойчив (Alder K., Stein G., Liebigs Ann. Chem., 1933, 504, 247), то для II возможны 4 структуры: производные от II с *транс*-(IIa) (ф-лу см. пред. реф., IIa = II, X = CH<sub>2</sub>), *экзо-цис*-(IIb) и *эндо-цис*-(IIв) расположением Br-атомов и продукт формальной перегруппировки Вагнера—Мееврейна (IIг). Ф-ла IIб отбрасывается так как она ранее (см. пред. реф.) установлена для в-ва с т. п. 249°, а ф-ла IIв маловероятна на основании правила *экзо*-присоединения к бициклич. олефинам (Alder K., Stein G., Liebigs Ann. Chem., 1935, 515, 185; 1936, 525, 183). Кроме того, IIв — мезосоединение, а отвечающая II дикарбоновая к-та (IV) — рацемат, что доказано расщеплением ее на оптич. антиподы. Авторы приписывают II строение IIa, так как при нейтр-ции, 2 экв основания и последующем подкислении IV возвращается неизменной, тогда как в этих условиях *эндо-цис*-3, 6-эндометилен-4,5-*экзо-цис*-дибромгексагидрофталевой к-та (V) быстро отщепляет 1 экв Br<sup>-</sup>, превращаясь в соответствующую бромлактононису (см. пред. реф.). Подобно этому диметилловый эфир IV (VI) устойчив при кипячении в метанольном р-ре AgNO<sub>3</sub>, а диметилловый эфир V (VII) в таких условиях легко дает соответствующий бромлактон эфир (VIII) (ф-лу см. пред. реф., VIII = XVIII, R = CH<sub>3</sub>). По аналогии с поведением II и VII дикарбоновая к-та и диметилловый эфир, отвечающие структуре II г, должны гладко лактонизоваться в соответствующие бромлактононису и бромлактоноэфир, но ни IV, ни VI не могут лактонизоваться без перегруппировки или эпитеризации. Влияние условий на направление бромирования I подобно наблюдавшемуся ранее (см. предыдущую ссылку) при бромировании ангидрида *экзо-цис*-3,6-эндоксо-Δ<sup>4</sup>-тетрагидрофталевой к-ты (IX). В этилацетате I дает только IIa, а в CCl<sub>4</sub> катализируемая светом р-ция привела к сложной смеси в-в, из которой были выделены IIa и IIб. Авторы полагают, что, по меньшей мере, часть IIб образуется по свободнорадикальному механизму. По их мнению, стереохимия присоединения Br<sub>2</sub> отчасти контролируется посредничеством промежуточного радикала (X). *Эндо*-ангидридная функция оказывает существенное блокирующее (стерич. или электронное) влияние на *эндо*-сторону двойной связи. II кипятят 2,5 часа в 50%-ном водн. CH<sub>3</sub>CN, выход IV 95%, т. п. 159—160° (вторая т. п. 184—185°). К горячему р-ру 3,94 г IV в 20 мл ацетона прибавляют горячий р-р 4,15 г тригидрата хинина в 100 мл ацетона и выделившуюся соль (7,28 г) перекристаллизовывают из CH<sub>3</sub>OH, разлагают 15%-ной HCl и выделяют (—)IV, выход 0,230 г, т. п. 146—147° (из этилацетата-лигр.), [α]<sub>D</sub><sup>20</sup> -56,6° (с 0,48; ацетон). Ацетонный и метанольные маточные р-ры объединяют, упаривают до 100 мл, выдерживают 3 дня при ~0° и получают 3,94 г соли, из которой после подкисления и соответствующей обработки получают (+)IV, выход 1,25 г, т. п. 185—186°; [α]<sub>D</sub><sup>20</sup> +11,3° (с 2,13; ацетон). Р-р 0,38 г IV в 10 мл CH<sub>3</sub>OH обрабатывают эфир. р-ром CH<sub>2</sub>N<sub>2</sub>, выход VI 0,39 г, т. п. 57,5—59° (из CH<sub>3</sub>OH и из CCl<sub>4</sub>-лигр.). Аналогично из 0,4 г (+)IV ([α]<sub>D</sub><sup>20</sup> +11,3°) получают 0,44 г неочищ. (+)VI; [α]<sub>D</sub><sup>20</sup> +27,1° (с 0,67; ацетон). Смесь 10 г V, 50 мл CH<sub>3</sub>OH и 4 мл дымящей H<sub>2</sub>SO<sub>4</sub> кипятят 3 часа, получают VII, т. п. 80,5—81,5° (из бzl.-лигр.). Кипятят 5 час. 0,70 г VII и 1,0 г AgNO<sub>3</sub> в 25 мл CH<sub>3</sub>OH, получают VIII, выход 0,37 г, т. п. 71—72° (из водн. CH<sub>3</sub>OH). Р-р 1,0 г I в 10 мл этилацетата обрабатывают 1,0 г Br<sub>2</sub> в 5 мл этилацетата, выход IIa 92%, т. п. 187—188° (из бzl.-лигр.). К 1,0 г I в 35 мл CCl<sub>4</sub> прибавляют в темноте р-р 1,0 г Br<sub>2</sub> в 5 мл CCl<sub>4</sub>, оставляют на 5 час., выход IIa 62%. К р-ру 1,0 г I в 30 мл CCl<sub>4</sub> в атмосфере N<sub>2</sub> прибавляют 1,0 г Br<sub>2</sub> в 5 мл CCl<sub>4</sub> при освещении



шении и получают смесь бромидов (выход 95%), при хроматографировании которой на силикагеле (в хлф. б-зл.; 2:1) или дробной кристаллизацией выделяют **II** и **IIb**. В смеси присутствует, по меньшей мере, еще один продукт р-ции. В. А.

**74874. Новые исследования в области азуленов и азауленов.** Трейбс (Neuere Untersuchungen über Azulene und Azulenbildner. T re i b s W.), Pharmazie, 1956, 11, № 2, 95—101 (нем.)  
Обзор. Библ. 32 назв. Г. В.

**74875. К вопросу о возможности получения пенталена.** Успехи в области химии бицикло-[0, 3, 3]-октанов. Пауль (Zur Frage der Darstellbarkeit des Pentalens Fortschrittsbericht über Bicyclo-[0, 3, 3]-octane. Paul Heinz), Chem. Technik, 1956, 8, № 4, 189—198 (нем.)

Уточнена методика получения бицикло-[0, 3, 3]-октандиона-3,7 (**I**). Дается обзор работ, посвященных вопросу о возможности существования и попытках синтеза бицикло-[0, 3, 3]-октатетраена и его гидрированных производных: р-р 135 г  $\text{Cl}_2\text{CCH}(\text{OH})\text{CH}(\text{COOCH}_3)_2$  (полученного конденсацией диметилмалонового эфира (**II**) с  $\text{Cl}_3\text{CCHO}$ ) в 1080 г конц.  $\text{H}_2\text{SO}_4$  выдерживают 12 час. ( $\sim 20^\circ$ ), выход  $\text{Cl}_3\text{CCH}=\text{C}(\text{COOCH}_3)_2$  (**III**) 103 г, т. пл.  $66^\circ$  (из б-зл.). К 13,8 г Na в 300 мл абс. спирта добавляют 79 г **I** и при  $-10^\circ$  26,1 г **III**, выдерживают 12 час., подкисляют р-ром  $\text{HCl}$  в  $\text{CH}_3\text{OH}$ , из фильтрата выкристаллизовываются 17 г Na-производного тетраметилового эфира бицикло-[0, 3, 3]-октен-1-дион-3,7-тетракарбоновой-2, 4, 6, 8 к-ты, содержащего 1 молекулу кристаллизационного  $\text{CH}_3\text{OH}$ . 10 г этого Na-производного восстанавливают в 100 мл воды с 50 г 2,5%-ной амальгамы Na, выход тетраметилового эф. бицикло-[0, 3, 3]-октандион-3,7-тетракарбоновой-2, 4, 6, 8 к-ты (**IV**) 7 г, масло затвердевающее в стеклообразную массу. 7 г **IV** нагревают 1 час при  $130^\circ$  с 100 мл 25%-ной  $\text{HCl}$ , выход **I** 2 г, т. пл.  $82^\circ$  (из сп.). Библ. 101 назв. Г. В.

**74876. Новый метод синтеза спирановых соединений.** Хейнс, Хейнс (Neuer Syntheseweg zu Spiro-Verbindungen. He y n s K., He i n s A.), Angew. Chem., 1956, 68, № 12, 414 (нем.)

При р-ции циклоанов с алициклич. диазосоединениями, полученными действием щелочи на N-нитрозопроизводные ацилированных алициклич. аминов (ср. РЖХим, 1954, 32327), происходит расширение кольца циклоанона с образованием спирановых кетонов. Диазоциклогексан (**I**) получают действием щелочи на  $\text{C}_6\text{H}_{11}\text{N}(\text{NO})\text{R}$ , где  $\text{R} = \text{CH}_2\cdot\text{CO}$ ,  $\text{C}_2\text{H}_5\text{OCO}$ ,  $\text{H}_2\text{NCO}$  или  $\text{p-CH}_2\text{C}_6\text{H}_4\text{SO}_2$ , или дегидрированием  $\text{C}_6\text{H}_{11}\text{NHNH}_2$  действием  $\text{Ag}_2\text{O}$ . Взаимодействием **I** с циклогексаном в эфире или кислоте синтезируют спиро-[6,5]-додеканон-1; семикарбон, т. пл.  $208,5-210,5^\circ$ . Гладкое течение подобных р-ций и их большая скорость по сравнению с аналогичными р-циями неразветвленных диазоалканов объясняется индуктивным эффектом кольца диазоциклоалкана, увеличивающим положительный заряд C-атома, несущего диазогруппу. Г. В.

**74877. Алкилирование бензола амиленами при помощи катализатора на основе фтористого бора.** Курашев М. В., Топчиев А. В., Паушкин Я. М., Докл. АН СССР, 1956, 107, № 6, 839—842

При алкилировании  $\text{C}_6\text{H}_6$  2-метилбутеном-2 (**I**) и 3-метилбутеном-1 (**II**) над катализатором (КА), содержащим 88,7%  $\text{H}_3\text{PO}_4\cdot\text{BF}_3$  и 11,3%  $\text{BF}_3\cdot\text{H}_2\text{O}$ ,  $d_4^{20}$  1,8784, независимо от условий р-ции образуется *трет*-амилбензол (**III**), т. кип.  $189-191^\circ$ ,  $n_D^{20}$  1,4951,  $d_4^{20}$  0,8735, и *дипрет*-амилбензол (**IV**), т. кип.  $258-260^\circ$ ,  $n_D^{20}$  1,4840,  $d_4^{20}$  0,8500. **III** и **IV** не нитруются по Коновалову. Строение **III** подтверждено гидрированием в *трет*-амилциклогексан (**V**), выход 99%, т. кип.  $198-199^\circ$ ,  $n_D^{20}$  1,4574,  $d_4^{20}$  0,8285. Кроме того, **V** синтезирован из

*п*-*трет*-амилфенола гидрированием в *п*-*трет*-амилциклогексанол, дегидратацией с последующим гидрированием. Получение **III** при алкилировании  $\text{C}_6\text{H}_6$  **II** объясняется изомеризацией **II** в **I**, так как 2-фенил-3-метилбутан после 5 час. нагревания с КА при  $50^\circ$  не изменяется. Для получения КА насыщают расплавленную  $\text{H}_3\text{PO}_4\cdot\text{BF}_3$ . Для получения **I** и **II** дегидратируют *изо*- $\text{C}_3\text{H}_7\text{OH}$  над  $\text{Al}_2\text{O}_3$  при  $320-360^\circ$  смесь амиленов обрабатывают при  $0^\circ$  75%-ной  $\text{H}_2\text{SO}_4$ , из верхнего слоя выделяют **II**, т. кип.  $19-20^\circ$ ,  $n_D^{20}$  1,3461,  $d_4^{20}$  0,6274, а из нижнего кислотного слоя после омыления получают **I**, т. кип.  $37-38^\circ$ ,  $n_D^{20}$  1,3863,  $d_4^{20}$  0,6595. К 35 г **II** прибавляли переменное кол-во  $\text{C}_6\text{H}_6$  и КА, перемешивали 1 час, установлен выход **III** и **IV** (фракции с т. кип.  $> 210^\circ$ , содержащей 93% **IV**). Из 1 моля **II** на 2 моля  $\text{C}_6\text{H}_6$  за 1,5 часа при  $50^\circ$  с 10% КА, выходы **III** и **IV** равны 60 и 35%, с 15%—63 и 33%, с 20%—65 и 31%, с 25%—67 и 30%. В тех же условиях с 15% КА прибавляют **II** за 4 часа, выходы **III** и **IV** равны 66 и 31%, за 2,5 часа—65 и 31%, за 0,5 часа—61 и 34%. В аналогичных условиях при добавлении **II** за 1,5 часа при  $0^\circ$  выходы **III** и **IV** 42 и 47%, при  $15^\circ$ —50 и 41%, при  $80^\circ$ —71 и 25%. При  $50^\circ$  при соотношении  $\text{C}_6\text{H}_6$ :**II**=1:1 получают 42 и 46%, 2:1—63 и 37%, 3:1—64 и 32,6%, 4:1—66 и 30,2%, 8:1—70 и 27%. Алкаты, полученные при высокой скорости подачи и низких отношениях  $\text{C}_6\text{H}_6$ :**II** содержат продукты полимеризации и гидродегидрополимеризации **I** и **II**. Н. Ш.

**74878. Получение  $\beta$ -метилкоричного спирта и некоторых его производных.** Мартен (Sur la préparation de l'alcool  $\beta$ -méthylcinnamique et de quelques-uns de ses dérivés. Martin Henri), C. r. Acad. sci., 1956, 242, № 11, 1486—1488 (франц.)

$\beta$ -Метилкоричный спирт (**I**) получен по схеме:  $\text{C}_6\text{H}_5\text{COCH}_3 + \text{C}_2\text{H}_2 \rightarrow \text{C}_6\text{H}_5\text{C}(\text{CH}_3)\text{OHC} \equiv \text{CH}$  (**II**)  $\rightarrow \text{C}_6\text{H}_5\text{C}(\text{CH}_3)\text{OH CH}=\text{CH}_2$  (**III**)  $\rightarrow \text{C}_6\text{H}_5\text{C}(\text{CH}_3)=\text{CHCH}_2\text{Cl}$  (**IV**)  $\rightarrow \text{C}_6\text{H}_5\text{C}(\text{CH}_3)=\text{CHCH}_2\text{OCOCH}_3$  (**V**)  $\rightarrow$  **I**. **I** получен по ранее описанному методу (Oroshik W., Medane A. D., J. Amer. Chem. Soc., 1949, 71, 2062). Селективным восстановлением **II** над Pd/BaSO<sub>4</sub> (Gibson D., J. Chem. Soc., 1945, 2, 713) получен **III** с колич. выходом, т. кип.  $95^\circ/13$  мм,  $n_D^{18}$  1,5320,  $d_{18}^{18}$  0,994. **III** с выходом 70% получен также по ранее описанному методу (ср. РЖХим, 1956, 9713). **III** при обработке  $\text{PCl}_3$  дал **IV**, т. кип.  $67-70^\circ/1$  мм,  $n_D^{17}$  1,567,  $d_{17}^{17}$  1,067, который действием  $\text{CH}_3\text{COONa}$  в  $\text{CH}_3\text{COOH}$  превращен в **V**, т. кип.  $137^\circ/15$  мм,  $n_D^{20}$  1,5320,  $d_{18}^{18}$  1,0420; при перегонке (из головной фракции, 10%) выделено также 2-фенилбутadiен-1,3, что указывает на возможность отщепления  $\text{HCl}$  с помощью шел. агента в положении 1,4. Омылением **V** получен **I**, выход 90%, т. кип.  $85^\circ/0,1$  мм,  $n_D^{20}$  1,570,  $d_{20}^{20}$  1,0280. А. К.

**74879. Хлорметилирование некоторых эфиров п-крезола.** Яроян, Титаян, Арзоян (Պարզրեզոլի ժի բախի էթրերի քլորմեթիլումը 2 արդյան 2. Ա., Տրոսիյան Ս. Հ. և Արզոյան Գ. Հ.), Науч. тр. Ереванск. ун-та, 1956, 53, 45—51 (арм.; рез. русс.)

В продолжение прежней работы (РЖХим, 1956, 64874) из *п*- $\text{RO-C}_6\text{H}_4\text{CH}_3$ ,  $\text{CH}_2\text{O}$  и  $\text{HCl}$  получены соответствующие 2- $\text{RO-5-CH}_3\text{C}_6\text{H}_3\text{CH}_2\text{Cl}$  (**I**). Показано, что с увеличением алифатич. радикала р-ция хлорметилирования затрудняется. Эфиры *п*-крезола хлорметилируются труднее, чем соответствующие эфиры фенола и *о*-крезола. Получены следующие **I** (приведены значения R, выход в %, т. кип. в  $^\circ\text{C}/\text{мм}$ ,  $n_D^{20}$  и  $d_4^{20}$ ):  $\text{CH}_3$ , 69, 94—95/11, 1,5443, 1,1202;  $\text{C}_2\text{H}_5$ , 67, 73, 103—104/11, 1,5207, 1,0763; *изо*- $\text{C}_3\text{H}_7$ , 73, 109—110/14, 1,5185, 1,0603;  $\text{CH}_2=\text{CHCH}_2$ , 71,2, 110—111/11,

1,5400, 1,0828;  $C_6H_6$ , 58,8, 124—125/11, 1,5163, 1,0480; *изо*- $C_8H_{11}$ , 50,7, 130—132°/11, 1,5125, 1,0230. Г. М.

**74880.** Ацетилирование некоторых диалкилбензолов. II. Найтингейл, Шакелфорд (The acetylation of some dialkylbenzenes. II. Nightingale Dorothy V., Shackelford James M.), J. Amer. Chem. Soc., 1956, 78, № 1, 133—135 (англ.)

Ацетилирование *n* = (I) и *m*-цимола (Ia) действием  $CH_3COCl$  в присутствии  $AlCl_3$  при *t*-ре 0—5° сопровождается миграцией алкильной группы и приводит к смеси 5-изопропил-(II) [т. кип. 125—128°/17 мм,  $n_D^{25}$  1,5255; семикарбазон (СК), т. пл. 147°; 2,4-динитрофенилгидразон (ДНФГ), т. пл. 143,5—144°] и 4-изопропил-2-метилацетофенона (IIa) (т. кип. 140—143°/25 мм,  $n_D^{25}$  1,5198; СК, т. пл. 94°; ДНФГ, т. пл. 130°) (с преобладанием IIa). В аналогичных условиях из *n* = (III) и *m*-тор-бутилтолуола (IIIa) образуется смесь 5-тор-бутил-(IV) (т. кип. 135—137°/15 мм,  $n_D^{24}$  1,5209; ДНФГ, т. пл. 126°) и 4-тор-бутил-2-метилацетофенона (т. кип. 141—142°/16 мм,  $n_D^{24}$  1,5201; ДНФГ, т. пл. 140,0°—141°). Ацетилирование I, Ia, III и IIIa в присутствии  $FeCl_3$  протекает практически однозначно и приводит соответственно к II (выход 41%), IIa (выход 31%), IV (выход 29%) и IVa (выход 54%). При ацетилировании 81 г *n*-ди-тор-бутилбензола в присутствии  $FeCl_3$  при *t*-ре не выше 5° или при 20—30° получен 2,5-ди-тор-бутилацетофенон, выход 2 г, т. кип. 100—105°/1 мм,  $n_D^{20}$  1,5050; СК, т. пл. 161°. Строение II, IV и 2,5-диметилацетофенона доказано окислением разб.  $HNO_3$  до 4-метилизофталевой к-ты (т. пл. 322°), а IVa и 2,4-диметилацетофенона — до метилтерефталевой к-ты (т. пл. 332°). Приведены спектральные данные для 2,5- и 2,4-диалкилацетофенонов. Предыдущее сообщение см. РЖХим, 1954, 49675.

В. 3.

**74881.** Перегруппировка окисей стильбена, катализируемая кислотами. Хаус (The acid-catalyzed rearrangement of the stilbene oxides. House Herbert O.), J. Amer. Chem. Soc., 1955, 77, № 11, 3070—3075 (англ.)

В присутствии  $BF_3 \cdot (C_2H_5)_2O$  (I) как *цис*-(II), так и *транс*-окиси стильбена (III) в эфире или в  $C_6H_6$  перегруппировываются в дифенилацетальдегид (IV). Образование дезоксибензина (V) как промежуточного продукта исключается, так как V не изомеризуется в условиях р-ции. В присутствии  $MgBr_2$  в  $C_6H_6$  или в смеси  $C_6H_6$ -эфир превращается в IV с примесью 1—3% V; III в этих условиях дает смесь IV и V. Присутствие эфира в исходной смеси с III увеличивает содержание V в продуктах р-ции, что подтверждает возможность промежуточного образования в более полярной смеси  $C_6H_6$ -эфир броммагневой соли *эритро*-2-бром-1,2-дифенилэтанола (VI). Для доказательства обработкой как *эритро*-(VII), так и *трео*-2-бром-1,2-дифенилэтанола (VIII)  $C_2H_5MgBr$  с последующим кипячением в  $C_6H_6$  получены: из VII — V, из VIII — IV. В подтверждение того, что VI, а не III — непосредственный предшественник V, изучены перегруппировки изомерных *эритро*-2-бром-1-(4-хлорфенил)-2-фенилэтанола (IX) и *эритро*-2-бром-2-(4-хлорфенил)-1-фенилэтанола (X). При обработке IX и X  $C_2H_5MgBr$  в кипящем  $C_6H_6$  образуются *n*-хлорфенилбензилкетон (XI) и *n*-хлорбензилфенилкетон (XII) соответственно; следовательно, окись *транс*-*n*-хлорстильбена (XIII) не является промежуточным продуктом. Хотя не исключено превращение VIII в II до перегруппировки, предполагается, что броммагневая соль VIII (XIV) непосредственно превращается в IV. IX и X синтезированы восстановлением  $\alpha$ -бромбензил-*n*-хлорфенилкетона (XV) и  $\alpha$ -бром-*n*-хлорбензилфенилкетона (XVI)  $NaBH_4$ . К р-ру  $C_6H_5CH_2MgCl$  (из 0,5 моля  $C_6H_5CH_2Cl$ ) в 450 мл эфира прибавляют по каплям 0,5 моля

*n*- $ClC_6H_4CHO$  в 300 мл эфира, после обычной обработки получают *n*- $ClC_6H_4CHONHC_2H_5$  (XVII), выход 67,5%, т. кип. 145—158°/0,07—0,1 мм, т. пл. 52,5—54° (из  $C_6H_6$ ). 0,1 моля XVII в 250 мл спирта и 125 мл  $HCl$  (к-ты) нагревают 19 час. при 100° с прибавлением спирта и получают *транс*-*n*-хлорстильбен (XVIII), выход 49,2%, т. пл. 128—129° (из сп.). Смесь 0,0325 моля XVIII, 150 мл  $CHCl_3$  и 5 г  $CH_3COONa \cdot 3H_2O$  обрабатывают по каплям 0,05 моля 43,1%-ного р-ра  $CH_3COONH$  при 16°, перемешивают 48 час. и получают XIX, выход 88,7%, т. пл. 99—100° (из  $CH_3OH$ ). Для идентификации получены 2,4-динитрофенилгидразоны (ФГ) IV, т. пл. 150—151° (из сп.); XII, т. пл. 222—223,5° (из сп.-этилацетата); XI, т. пл. 209—210° (из сп.-этилацетата), и димедонное производное (ДП) IV, т. пл. 209,9—210,5°. К р-ру 0,0026 моля II или III в 25 мл  $C_6H_6$  или эфира прибавляют 2 мл I, перемешивают 1—15 мин., разбавляют эфиром и после отгонки р-рителей выделяют IV в виде ФГ или ДП. V в аналогичных условиях не реагирует. К смеси 3 г Mg и 150 мл безводн. эфира прибавляют по каплям 2 мл  $BBr_3$ . Эфират  $MgBr_2$  отделяют и растворяют в 100 мл  $C_6H_6$  или смеси  $C_6H_6$ -эфир. К р-ру 0,5 г II или III в  $C_6H_6$  или смеси  $C_6H_6$ -эфир прибавляют 25 мл р-ра эфирата  $MgBr_2$ , кипятят, разбавляют эфиром и выделяют продукты р-ции в виде ФГ. Для времени р-ции 15 мин. и 17,5 часа в  $C_6H_6$ , 3 часа в смеси эфира- $C_6H_6$  и 100 мин. в смеси 1:1 получен выход IV из II 65, 55, 25, 56%; из III 35, 39, 12, 14%; а также выход V из II 3, 0, 1, 0%; из III 12, 10, 18, 44% соответственно. К 0,01 моля *транс*-стильбена, 2 г  $CH_3COONa \cdot 3H_2O$ , 100 мл ацетона, 25 мл воды и 25 мл  $CH_3COOH$  прибавляют 0,02 моля *N*-бромцетамиды (XIX), через 2 часа упаривают до 75 мл, разбавляют 300 мл воды, экстрагируют эфиром VII, выход 62,2%, т. пл. 84,5—85,5° (из петр. эф.- $C_6H_{14}$ ). Р-р 0,0051 моля II в 25 мл эфира насыщают  $NBr$ , через 24 часа (≈ 20°) отгоняют эфир, остаток растворяют в петр. эфире, охлаждают сухим льдом и с колич. выходом получают VIII, т. пл. 51—52°. 277 мг VIII в 15 мл спирта обрабатывают р-ром 180 мг  $AgNO_3$  в 6 мл воды, нагревают 5 мин. при 50°, разбавляют 10 мл  $C_2H_5OH$ , из фильтрата выделяют IV в виде ФГ, выход 50,5%. Аналогично проводят перегруппировку VII в V, выход 55,3%. К р-ру 0,25 г VII в 15 мл  $C_6H_6$  прибавляют 1 мл 1 М  $C_2H_5MgBr$  в смеси  $C_6H_6$ -эфир (1:1), кипятят 30 мин., выделяют V в виде ФГ, выход 85%. Аналогично перегруппировку VIII получают IV, выход 65%. К р-ру 0,71 г VIII в 10 мл  $C_6H_6$  прибавляют 25 мл р-ра эфирата  $MgBr_2$  в  $C_6H_6$ , кипятят 30 мин., обрабатывают, как описано ранее, выделено 70 мг *мезо*- $\alpha,\alpha'$ -дибромдифенила, т. пл. 241—222°. К смеси 0,01 моля XVIII, 2 г  $CH_3COONa \cdot 3H_2O$ , 125 мл ацетона, 25 мл воды и 25 мл  $CH_3COOH$  прибавляют 0,02 моля XIX, фракционной кристаллизацией выделяют X, выход 8,3%, т. пл. 85—86,5° (из  $C_6H_{14}$ ); *n*-нитробензоат, т. пл. 157—159° (из сп.). К р-ру 0,01 моля XVI в 50 мл  $CH_3OH$  прибавляют 0,11 г  $NaBH_4$  в 15 мл  $CH_3OH$ , через 2 мин. подкисляют разб.  $HCl$ , упаривают и отделяют XII, выход 10%, т. пл. 134—135,5°; фильтрат выливают в воду, экстрагируют эфиром, остаток после отгонки эфира растворяют в  $C_6H_{14}$  и фракционной кристаллизацией получают *трео*-2-бром-2-(4-хлорфенил)-1-фенилэтанол (XX), выход 44,5%, т. пл. 122—123,5°. Аналогично восстанавливают XV, после обработки хроматографируют на 150 г смеси целита- $MgSO_4$  (1:5) и получают XI, выход 4%, т. пл. 104—106° (из  $C_6H_{12}$ ); из других фракций выделяют IX, выход 9%, т. пл. 57—58° (из  $C_6H_{12}$ ). К р-ру 280 мг X в 15 мл  $C_6H_6$  прибавляют  $C_2H_5MgBr$ , обрабатывают как описано выше и получают XII, выход 41%. К р-ру 140 мг IX в 15 мл  $C_6H_6$  прибавляют 0,5 мл 1 М р-ра  $C_2H_5MgBr$  и выделяют XI, выход 22%. Приведены ИК-спектры VIII—X, XII, XVII, XVIII, XX.

Ю. В.

**74882.** Влияние избытка катализатора на бромирование ацетофенона. Пирсон, Поп (The swamping catalyst effect in bromination of acetophenone. Pearson D. E., Pope H. W.), J. Organ. Chem., 1956, **21**, № 3, 381 (англ.)

При бромировании ацетофенона (I) с добавкой 3 молей  $AlCl_3$  получают *m*-бромацетофенон (II), а фенилбромид не образуется. Предполагают, что метильная группа I в комплексе с  $AlCl_3$  дезактивируется, а  $Br_2$  становится активнее. К 0,84 моля безводн.  $AlCl_3$  добавляют 0,28 моля I, затем за 10 мин. 0,28 моля  $Br_2$  и перемешивают 1 час. при 20°, выход II 59,4%. Н. Ш.

**74883.** Изомерия и полиморфизм  $\beta$ -метоксикалкона. Икэда (シベンゾイルメタンのエノールメチルエーテルの異性と多形. 池田健郎), 日本化学雑誌, Нихон кагаку дзасси, J. Chem. Soc. Japan, Pure Chem. Sec., 1954, **75**, № 5, 569—571 (япон.)

Получены два новых  $\beta$ -метоксикалкона: *транс*-(I), т. пл. 74°, и смесь *цис*- и *транс*-(II), т. пл. 45—46°, кроме уже известных *цис*-(III), т. пл. 65°, *транс*-, т. пл. 78° и *транс*-(IV), т. пл. 81°. IV нагревался в  $CH_3OH$ , часть р-рителя удалялась, р-р быстро охлаждался и энергично растирался стеклянной палочкой. Полученный I в твердом состоянии устойчив, но постепенно переходит в IV при соприкосновении со стеклянной стенкой. Его УФ-спектр идентичен спектру IV. IV растворялся в абс.  $CH_3OH$ , который полностью удалялся нагреванием, из оставшегося масла охлаждением в холодильнике получено III, последующее охлаждение дало II, УФ-спектр которого соответствует спектру смеси *цис-транс* 1:1. Чистые *цис*- или *транс*-изомеры оставлены на 2 недели в  $n-C_7H_{16}$ . Получена равновесная смесь *цис-транс* 72:28 (мол. %), как видно из УФ-спектров. Чистые *цис*- или *транс*-изомеры в абс. сп. дали те же результаты.

Chem. Abstrs, 1955, **49**, № 5, 10221. Koji Nakanishi. **74884.** Применение полиэфирной кислоты в качестве конденсирующего агента. I. Ацилирование фенолов карбоновыми кислотами (Новый метод ацилирования фенолов). Накадзава, Мацуура (縮合剤としてのポリ隣酸の應用に關する研究. 第1報. カルボン酸によるフェノールのアシル化 (フェノールの新アシル化法)). 中澤 浩一, 松浦信, 藥學雜誌, Якугаку дзасси, J. Pharm. Soc. Japan, 1954, **74**, № 1, 69—71 (япон.; рез. англ.)

Смесь 3,8 г  $C_6H_5ONa$ , 3 г  $CH_3COOH$  и 20 г  $H_4P_2O_7$  через 24 часа разлагают водой, извлекают эфиром, встраивают с 5%-ным  $NaOH$ , выделено нейтр. масло  $C_6H_5OSOC_2H_5$  (I), т. кип. 70°/9 мм, и растворимый в щелочах  $n-HOC_6H_4 \cdot H_4COCH_3$  (II), т. пл. 107°; при нагревании смеси (15 мин.) получают 1,6 г I и 1,8 г II. Аналогично из 1,7 г  $C_6H_5ONa$ , 2,7 г  $C_6H_5COOH$  и 20 г  $H_4P_2O_7$  при нагревании (10 мин.) получают  $C_6H_5OSOC_2H_5$ , т. пл. 70°. 1,1 г  $n-CH_3C_6H_4ONa$ , 1,5 г  $C_6H_5CH_2COOH$  и 10 г  $H_4P_2O_7$  нагревают 20 мин., получен 1 г  $n-CH_3C_6H_4OOSOC_2H_5$ , т. пл. 78°; аналогично, ацилирование  $n-C_6H_4(OH)_2$  приводит к  $n-C_6H_4(OR)_2$  (перечисляются R и т. пл. в °C):  $CH_3CO$ , 122;  $C_2H_5CO$ , 115;  $C_6H_{11}CO$ , 60;  $C_6H_5CO$ , 203. Ацилирование  $m-C_6H_4(OH)_2$  при помощи  $CH_3COOH$  на холоду ведет к  $m-C_6H_4(OSOC_2H_5)_2$ , т. кип. 146°/12 мм, при нагревании образуется 4,6-( $CH_3CO$ ) $_2$  $C_6H_2(OH)_2$ ·1,3, т. пл. 182°, 4- $CH_3CO$ -5- $OH$ - $C_6H_3OCO$ - $CH_3$ , т. пл. 76° и 2,4-( $HO$ ) $_2$  $C_6H_2COCH_3$ , т. пл. 142°. Смесь 0,55 г  $m-C_6H_4(OH)_2$ , 1,8 г  $C_6H_5COOH$  и 10 г  $H_4P_2O_7$  нагревают 20 мин., получают 1,1 г  $m-C_6H_4(OSOC_2H_5)_2$ , т. пл. 117°. Ацилирование фенолфталеина при помощи  $CH_3COOH$  или  $C_6H_5COOH$  при нагревании ведет к  $o-C_6H_4C(C_6H_4OR)_nOCO$  (R =  $CH_3CO$  т. пл. 143° и R =  $C_6H_5CO$  т. пл. 169°; аналогично 2,2-дифенилизатин дает 2,2-бис-(*n*-ацетоксифенил)-аналог, т. пл. 248°, или 2,2-бис-(*n*-бензоксифенил)-аналог, т. пл. 220°.

Chem. Abstrs, 1955, **49**, 1631; K. Kitsuta.

**74885.** Выделение  $\gamma$ -резорциловой кислоты из смеси  $\beta$ - и  $\gamma$ -резорциловых кислот. Шах, Шах (Separation of  $\gamma$ -resorcylic acid from a mixture of  $\beta$  and  $\gamma$ -resorcylic acids. Shah L. G., Shah G. D.), J. Scient. and Industr. Res., 1956, (B—C) **15**, B159—B160 (англ.)

Предложен удобный метод разделения смеси  $\beta$ - и  $\gamma$ -резорциловых к-т (I, II) переводением I в тозилное производное р-цией с  $n-CH_3C_6H_4SO_2Cl$  (III), с которым II не взаимодействует вследствие наличия в II внутримолекулярной связи. (ср. Venkataraman, Ramanathan, Current Sci., 1952, **21**, 283). К смеси 0,761 г I, 0,759 г II и 1,5 г III в 20 мл ацетона прибавляют при перемешивании 20 мл 25%-ного  $K_2CO_3$ , через 2 часа большую часть ацетона выпаривают, подкислением фильтрата осаждают 2-окси-4-тозилокси-бензойную к-ту, выход неочищ. 1,43 г, т. пл. 182—184° (из водн. сп.), из р-ра эфиром извлекают II выход (после перекристаллизации) 0,650 г. Е. Ф.

**74886.** Исследование в области производных *p*-алкоксибензойных кислот. Сообщение XIII.  $\alpha$ -Метил- $\gamma$ -диалкиламинопропиловые эфиры *p*-( $\beta$ -алкоксиэтил) бензойных кислот и их четвертичные соли. Миджоян А. Л., Дохикян А. А., Докл. АН АрмССР, 1956, **22**, № 3, 111—117 (рез. арм.)

Синтезированы аминоэфиры (АЭ) общей ф-лы  $n-ROCH_2CH_2OC_6H_4COOCH(CH_3)CH_2CH_2NR'_2$ , где  $R' = CH_3$  (I),  $R' = C_2H_5$  (II), их иодметилаты (ИМ) и иодэтилаты (ИЭ) с целью выяснения преимуществ  $\gamma$ -амино- $\alpha$ -метилпропиловой группы по сравнению с  $\beta$ -аминоэтиловой в в-вах этого типа, обладающих холинолитич. действием, а также с целью изучения влияния второго эфирного кислорода группы ROC по сравнению с аналогичными производными *p*-алкоксибензойных к-т. Получены следующие I (приведены R, выход в %, т. кип. в °C/мм,  $n_D^{20}$ ,  $d_4^{20}$ , т. пл. в °C ИМ, ИЭ и пикрата):  $C_2H_5$  85,6, 200—201/12, 1,5025, 1,0320, 94—95, 121—122, 108—109;  $C_3H_7$ , 87,3, 195—196/12, 1,4991, 1,0188, 120—221, 128—129, 102—103; *изо*- $C_4H_9$ , 77,2, 157—158/13, 1,5009, 1,0115, 168—169, 134—135, 99—100;  $C_4H_9$ , 81,9, 211—212/10, 1,4958, 0,9966, 127—128, 124—125, 89—90; *изо*- $C_4H_9$ , 86,7, 201—205/12, 1,4944, 0,9958, 132—133, 106—107, 100—101;  $C_6H_{11}$ , 80,2, 185—186/12, 1,4980, 0,9978, 132—133, 111—112, 104—105; *изо*- $C_8H_{17}$ , 89,2, 194—195/10, 1,4952, 0,9924, 125—126, 95—96,—. Получены следующие II (приведены те же показатели):  $C_2H_5$ , 70,4, 211—212/12, 1,4497, 1,0158, 85—86, 99—100, 68—69;  $C_3H_7$ , 91,0, 208—209/12, 1,4963, 1,0025, 83—84, 101—102,—; *изо*- $C_4H_9$ , 70,9, 195—196/13, 1,4973, 0,9971, 103—104, 131—132, 105—106;  $C_4H_9$ , 76,3, 223—224/10, 1,4962, 0,9874, 93—94, 116—117, 94—95; *изо*- $C_4H_9$ , 84,3, 216—217/12, 1,4927, 0,9819, 88—89, 83—84, 82—83;  $C_6H_{11}$ , 80,2, 199—200/12, 1,4957, 0,9829, 92—93, 99—100, 89—90; *изо*- $C_8H_{17}$ , 86,0, 203—204/10, 1,4938, 0,9804, 65—66, 89—90,—. ИМ и ИЭ получены с выходом 85,4—98,5%. Сообщение XII см. РЖХим, 1956, 64898.

Е. Ф. **74887.** Алкилирование дифенилацетонитрила некоторыми моногалогидопроизводными в присутствии амида калия в жидком аммиаке. Дегидроанирование полифенилнитрилов в олефины. Хаусер, Брейсен (Alkylations of diphenylacetone nitrile with certain halides by potassium amide in liquid ammonia. Dehydrocyanations of polyphenyl nitriles to form olefins. Hauser Charles R., Brasen Wallace R.), J. Amer. Chem. Soc., 1956, **78**, № 1, 82—83 (англ.)

Описано алкилирование ( $C_6H_5)_2CHCN$  (I) хлористым бензолом (II),  $C_6H_5CHClCH_3$  (III) и ( $C_6H_5)_2CHCl$  (IV) в присутствии  $KNH_2$  в жидком  $NH_3$  и эфире. Полученные соответственно  $C_6H_5CH_2C(C_6H_5)_2CN$  (V),  $C_6H_5(CH_2)_2CHC(C_6H_5)_2CN$  (VI) и ( $C_6H_5)_2CHC(C_6H_5)_2CN$  (VII) устойчивы к гидролизу в кислой и щел. средах. V—VII при дальнейшем действии  $KNH_2 + NH_3$  превращаются с отщеплением HCN в полифенилолефины. К р-ру 0,25 моля К в 500 мл жид-

кого  $\text{NH}_3$  прибавляют 0,25 моля I и р-р 0,255 моля II в 100 мл эфира; перемешивают 1 час, приливают 300 мл эфира, после улетучивания  $\text{NH}_3$  прибавляют воду, выход V 99%, т. пл. 126,5—127,5° (из  $\text{CH}_3\text{OH}$ ). Аналогично получают VI, выход 89%, т. пл. 103,5—104,5°, и VII, выход 96%, т. пл. 242° (разл.). К р-ру 0,115 моля  $\text{KNH}_2$  в 500 мл жидкого  $\text{NH}_3$  прибавляют 0,113 моля V и 200 мл эфира и перемешивают 1 час; выход  $\text{C}_6\text{H}_5\text{CH}=\text{C}(\text{C}_6\text{H}_5)_2$  93,5%, т. пл. 68,5—69,5° (из  $\text{CH}_3\text{OH}$ -ацетона). Из VI таким же образом получают  $\text{C}_6\text{H}_5(\text{CH}_2)\text{C}=\text{C}(\text{C}_6\text{H}_5)_2$ , выход 80%, т. пл. 86—87°, и из VII  $(\text{C}_6\text{H}_5)_2\text{C}=\text{C}(\text{C}_6\text{H}_5)_2$ , выход 44%, т. пл. 220—221° (из бзл.- $\text{CH}_3\text{OH}$ ). П. А.

**74888. Бромирование соединений, содержащих два ароматических ядра. Часть XVI. Бромирование некоторых ариламидов 2-окси-3-метилбензойной (о-крезотиновой) кислоты. Патакут, Джадхав** (Bromination of compounds containing two aromatic nuclei. Part XVI. Bromination of some arylamides of 2-hydroxy-3-methylbenzoic acid (o-cresotic acid). Patakoot V. R., Jadhav G. V.), I. Indian. Chem. Soc., 1956, 33, № 2, 143—145 (англ.).

При действии 1 моля  $\text{Br}_2$  на ариламиды 2-НО-3- $\text{CH}_3\text{C}_6\text{H}_3\text{CONHAr}$  (I) в горячей  $\text{CH}_3\text{COOH}$  бром вступает в оба ароматич. ядра (за исключением I, где  $\text{Ar} = \text{o}, \text{m}, \text{p}-\text{NO}_2\text{C}_6\text{H}_4$  (Ia, б, в) и  $\text{Ar} = \text{p}-\text{CH}_3\text{C}_6\text{H}_4$ ). Это указывает на большую реакционную способность I по сравнению с соответствующими аниламидами с группой  $\text{NO}_2$  вместо  $\text{CH}_3$  в положении 3 (ср. J. Univ. Bot., 1951, 20, Pt. III, 97). С 2 молями  $\text{Br}_2$  во всех случаях, за исключением Ia, б, в, образуются дибромпроизводные. Строение бромированных I доказано гидролизом 10%-ным  $\text{NaOH}$  или 80%-ной  $\text{H}_2\text{SO}_4$  до соответствующих к-т и аминов. К 1 г I в кипящей  $\text{CH}_3\text{COOH}$  (в случае I,  $\text{Ar} = \text{нафтил-2, 70—80}^\circ$ ) прибавляют 50%-ный р-р  $\text{Br}_2$  в  $\text{CH}_3\text{COOH}$ , получают бромпроизводное I 2-НО-5-Br-3- $\text{CH}_3\text{C}_6\text{H}_3\text{CONHAr}'$ , выход 1,5—1,8 г (приведены Ar в исходном I, кол-во  $\text{CH}_3\text{COOH}$  и р-ра  $\text{Br}_2$  в мл, положение Br в  $\text{Ar}'$ , т. пл. в °C (из сп. или  $\text{CH}_3\text{COOH}$ ):  $\text{C}_6\text{H}_5$ , 30, 6, 4-Br, 162—163;  $\text{o}-\text{CH}_3\text{C}_6\text{H}_4$ , 15, 5, 2, 4-Br, 154—155;  $\text{m}-\text{CH}_3\text{C}_6\text{H}_4$ , 40, 5, 2, 4-Br, 162—163;  $\text{p}-\text{CH}_3\text{C}_6\text{H}_4$ , 30, 2, 5, —, 162—163;  $\text{p}-\text{CH}_3\text{C}_6\text{H}_4$ , 30, 5, 2, 2-Br, 204—205;  $\text{o}-\text{NO}_2\text{C}_6\text{H}_4$ , 40, 3, —, 184—185;  $\text{m}-\text{NO}_2\text{C}_6\text{H}_4$ , 40, 3, —, 210—211;  $\text{p}-\text{NO}_2\text{C}_6\text{H}_4$ , 60, 3, —, 265—266;  $\text{o}-\text{CH}_3\text{OC}_6\text{H}_4$ , 30, 5, 5-Br, 145—146;  $\text{p}-\text{CH}_3\text{OC}_6\text{H}_4$ , 30, 9, 3-Br, 185—186;  $\text{p}-\text{C}_2\text{H}_5\text{OC}_6\text{H}_4$ , 20, 5, 3-Br, 184—185; нафтил-2, 25, 5, 1-Br, 145—146. 2 г I постепенно прибавляют к 3 мл жидкого  $\text{Br}_2$ , оставляют на ~12 час. при 20°, разбавляют водой, обрабатывают  $\text{NaHSO}_3$ , получают 2-ОН-5-Br-3- $\text{CH}_3\text{C}_6\text{H}_3\text{CONHAr}''$ , выход 1,7—2 г (приведены Ar в I, положение Br в  $\text{Ar}''$ , т. пл. в °C (из сп. или  $\text{CH}_3\text{COOH}$ ):  $\text{C}_6\text{H}_5$ , 2,4-Br<sub>2</sub>, 197—198;  $\text{m}-\text{CH}_3\text{C}_6\text{H}_4$ , 4,6-Br<sub>2</sub>, 183—184;  $\text{p}-\text{CH}_3\text{C}_6\text{H}_4$ , 2-Br, 204;  $\text{o}-\text{NO}_2\text{C}_6\text{H}_4$ , 4-Br, 168—169;  $\text{m}-\text{CH}_3\text{C}_6\text{H}_4$ , 6-Br, 205—206;  $\text{p}-\text{NO}_2\text{C}_6\text{H}_4$ , 2-Br, 240—241;  $\text{o}-\text{CH}_3\text{OC}_6\text{H}_4$ , 5,6-Br<sub>2</sub>, 149—150;  $\text{p}-\text{CH}_3\text{OC}_6\text{H}_4$ , 2,5-Br<sub>2</sub>, 215—216;  $\text{p}-\text{C}_2\text{H}_5\text{OC}_6\text{H}_4$ , 2,5-Br<sub>2</sub>, 245—246; нафтил-2, 1,3,5-Br<sub>3</sub>, 163—164. Часть XV см. РЖХим, 1955, 11631.

Е. Ф.

**74889. Получение ароматических полиоксисоединений и полиоксикарбоновых кислот. Сообщение I. Реакции с тетраэтиловым эфиром I, 1, 3, 3-пропантетракарбоновой кислоты. Фридрих, Шварц** (Über die Darstellung aromatischer Polyhydroxyverbindungen und Polyhydroxycarbonsäuren. I. Mitteilung: Kondensationsreaktionen mit Propanetetracarbonsäure-(1, 1, 3, 3)-tetraäthylester. Friedrich Karlheinz, Schwarz Justus), Chem. Ber., 1956, 89, № 5, 1204—1207 (нем.). С целью получения соединений, близких к дубильным в-вам,  $\text{CH}_2[\text{CH}(\text{COOC}_2\text{H}_5)_2]_2$  (I) превращен в  $\text{CH}_2[\text{C}(\text{MgOC}_2\text{H}_5)(\text{COOC}_2\text{H}_5)_2]_2$  (II), которое хорошо растворимо в неполярных р-рителях; изучены р-ции II с  $\text{ArCOCl}$  (IIIa—в) (здесь и далее а  $\text{Ar} = \text{m}-\text{BrC}_6\text{H}_4$ ; б  $\text{Ar} = \text{p}-\text{NO}_2\text{C}_6\text{H}_4$ ; в  $\text{Ar} = 3,5-(\text{NO}_2)_2\text{C}_6\text{H}_3$ ) и 2' = броммезитолом (IV). При р-ции II

с III образуются diketоны  $\text{ArCO}(\text{CH}_2)_2\text{COAr}$  (Va — в). Из II и IV получен диэтиловый эфир 1,5-бис-(2-окси-3,5-диметилфенил)-пентандикарбоновой-2,4 к-ты (VI), образующий при омылении ди-8-лактон 1,5-бис-(2-окси-3,5-диметилфенил)-пентандикарбоновой-2,4 к-ты (VII). При р-ции II с оксалилхлоридом (VIII) образуется диэтиловый эфир 1,2-дикетопентаметилендикарбоновой-3,5 к-ты (IX), который идентифицирован в виде феназина (X). Все р-ции II проведены без выделения его из р-ра, ввиду склонности II полимеризоваться с образованием  $\text{C}_2\text{H}_5\text{OMg}(\text{CR}_2\text{CH}_2\text{CR}_2)_n\text{OC}_2\text{H}_5$  (XI), где  $\text{R} = \text{COOC}_2\text{H}_5$ . К 0,05 моля I и 0,1 моля Mg в стружке в абс.  $\text{C}_6\text{H}_6$  медленно прибавляют 0,1 моля абс. спирта, полученный р-р II после отделения Mg используют для дальнейших превращений. При упаривании в вакууме остается XI ( $n \approx 3$ ). К р-ру II (из 0,05 моля I) при нагревании прибавляют р-р 0,1 моля IIIa в  $\text{C}_6\text{H}_6$ , осадок гидролизуют разб.  $\text{H}_2\text{SO}_4$  и получают Va в виде масла, выход 15%; дисемикарбон, т. пл. 214° (из  $\text{CH}_3\text{OH}$ ). Аналогично из IIIb получают Vb, выход 11,7%, т. пл. 192°; из IIIв, — Vv, выход 8,3%, т. пл. 219—220° (из бзл.). Из р-ра II и IV получают VI, выход 13,1%, т. пл. 154° (из  $\text{C}_6\text{H}_6$ ); омыление VI 10%-ным водно-спирт. р-ром KOH приводит к VII, выход 90%, т. пл. 135—136° (из водн.  $\text{C}_6\text{H}_5\text{OH}$ ). При р-ции II с VIII в эфире получен IX, который с о-фенилендиаминном образует X, т. пл. 204° К. Х.

**74890. Получение п-анизилнитрометана. Залукаев Л., Ванга Э.** Latvijas PSR Zinātņu Akad. Vestis., Изв. АН ЛатвССР, 1956, № 3 (104), 109—114 (рез. латыш.).

Нитрованием 2-(п-метоксифенил)-индандиона-1,3 (II) получен 2-нитро-2-(п-метоксифенил)-индандион-1,3 (III), гидролиз которого приводит к образованию п-анизилнитрометана (III). При нитровании 2-(м, п-метилendioксифенил)-индандиона-1,3 (IV) образуется динитропроизводное (V), по-видимому 2-нитро-2-(3,4-метилendioкси-5-нитрофенил)-индандион-1,3. К 11,5 г I в 115 мл лед.  $\text{CH}_3\text{COOH}$  добавлено 50 мл  $\text{HNO}_3$  (d 1,38), смесь нагрета, затем охлаждена, получен II, выход 92%, т. пл. 147—148° (разл., из сп.). При нитровании I в 80%-ной  $\text{CH}_3\text{COOH}$  образуется помимо II 1,2-динафтил-1,2-ди-(п-метоксифенил)-этан, т. пл. 247—249°. Действие  $\text{CH}_3\text{ONa}$  на II в  $\text{CH}_3\text{OH}$  приводит к метиловому эфиру α-нитро-α-(п-метоксифенил)-ацетофен-о-карбоновой к-ты (V, к-та), выход 50%, т. пл. 78—79° (из сп.). Аналогично получен этиловый эфир V, выход 74%, т. пл. 70°. Метилловый эфир V (из 22 г II) обработан 10%-ным  $\text{NaOH}$ , после подкисления разб.  $\text{CH}_3\text{COOH}$ , экстрагирования масла  $\text{CCl}_4$ , отгонки р-рителя, нагревания с  $(\text{CH}_3\text{CO})_2\text{O}$ , разбавления через 2 дня водой и перегонки с паром получено 3,6 г III, т. кип. 143—150°/8—10 мм. К I в 3 г лед.  $\text{CH}_3\text{COOH}$  добавлена смесь 5 мл лед.  $\text{CH}_3\text{COOH}$  и 5 мл дымящей  $\text{HNO}_3$ , после перемешивания при нагревании и разбавления водой получено 1,05 г динитропроизводного, т. пл. 143° (из сп.). К р-ру  $\text{C}_2\text{H}_5\text{ONa}$  (из 1 г Na) добавлено 6,7 г фталида и 7,5 г гелиотропина, смесь нагревали 15 мин. и выливали в холодную воду после подкисления разб.  $\text{H}_2\text{SO}_4$  получен IV, выход 23%, т. пл. 155—156° (из сп.). При нитровании IV в лед.  $\text{CH}_3\text{COOH}$   $\text{HNO}_3$  (d 1,38) выделено незначительное кол-во V, т. пл. 155—156° (из сп.). С. И.

**74891. Алкоксилирование п-нитролорбензола в присутствии двухокиси марганца. Засосов В. А., Метелькова Е. И.** Мед. пром-сть СССР, 1956, № 2, 29—31

Разработаны условия алкоксилирования  $\text{p}-\text{NO}_2\text{C}_6\text{H}_4\text{Cl}$  (I) спиртом и  $\text{NaOH}$  в присутствии  $\text{MnO}_2$ . В р-р 0,362 моля  $\text{NaOH}$  в 3,12 моля спирта при 60—65° вносят 7,5 г  $\text{MnO}_2$  и 0,314 моля I и кипятят 8—10 час. Получают п-нитрофенол, выход 90—91%, т. пл. 58—60°. Пригодна  $\text{MnO}_2$ , получающаяся при применении  $\text{KMnO}_4$  в качестве окислителя, а также при р-ции между  $\text{KMnO}_4$  и  $\text{MnSO}_4$ . Применение очищ.  $\text{MnO}_2$ , а также сокращение кол-в спирта и щелочи вызывает образование п, п'-дихлоразоксибензола. Н. И.

**74892. Восстановление ароматических нитропроизводных катализатором гидрированием в присутствии скелетной меди. Жадо, Брен, Руане** (Réduction des dérivés nitrés aromatiques par hydrogénation catalytique en présence de cuivre-Raney. Jadot J., Braine R., Roynet H.), Bull. Soc. roy. sci. Liège, 1956, 25, № 1, 79—88 (франц.).

Показана возможность избирательного восстановления в присутствии скелетной Cu NO<sub>2</sub>-группы в ароматич. соединениях. В замещ. динитросоединениях восстановлению подвергается NO<sub>2</sub>-группа в пара-положении. В динитропроизводных полициклич. углеводородов, а также соединений, содержащих CH<sub>3</sub>O-, C<sub>2</sub>H<sub>5</sub>O- и NH<sub>2</sub>-группы, восстановление обеих NO<sub>2</sub>-групп происходит одновременно. Присутствие HO-группы или Cl препятствует восстановлению NO<sub>2</sub>-группы. Скорость восстановления C<sub>6</sub>H<sub>5</sub>NO<sub>2</sub> одинакова в C<sub>6</sub>H<sub>6</sub>, CH<sub>3</sub>C<sub>6</sub>H<sub>5</sub>, C<sub>2</sub>H<sub>5</sub>C<sub>6</sub>H<sub>5</sub>, C<sub>6</sub>H<sub>5</sub> и CH<sub>3</sub>OH; в х. ч. C<sub>6</sub>H<sub>6</sub> скорость несколько понижена. К р-ру 5 г нитросоединения в 50 мл C<sub>6</sub>H<sub>6</sub> прибавляют 2—3 г скелетной Cu и гидрируют 10—15 мин. при начальном давлении H<sub>2</sub> ~ 90 ат. Из 2,4-динитротолуола при 130° получен с колич. выходом 2-нитро-4-аминотолуол; при > 140° образуется 2,4-диаминотолуол. 2,4-динитроацетоксиафталин при 100° превращается в 2,4-диаминоацетоксиафталин, выход 90%, т. пл. 280° (разл.; из разб. CH<sub>3</sub>COOH). 4,4'-динитродифенил дает при 100° бензидин, выход 90%. Из 2,2'-диацетокси-5,5'-динитродифенилметана получен при 100° диамин, превращенный ацетилированием в тетраацетильное производное, выход 89%, т. пл. 250°. 2,4-динитрофенол дает при 110° диаминофенол, выход 90%, т. пл. 57—68° (из сп.); диацетильное производное, т. пл. 199—200° (из сп.). Из 3,5-(NO<sub>2</sub>)<sub>2</sub>C<sub>6</sub>H<sub>3</sub>COOC<sub>2</sub>H<sub>5</sub> при 130° получен эфир 3-нитро-5-аминобензойной к-ты, т. пл. 155—156° (из сп.); ацетильное производное (АП), выход 95%, т. пл. 169° (из разб. CH<sub>3</sub>COOH); при 140° восстанавливаются обе NO<sub>2</sub>-группы, т. пл. 3,5-(NH<sub>2</sub>)<sub>2</sub>C<sub>6</sub>H<sub>3</sub>COOC<sub>2</sub>H<sub>5</sub> 84° (из воды); диацетильное производное, выход 95%, т. пл. 184°. 2,4-(NO<sub>2</sub>)<sub>2</sub>C<sub>6</sub>H<sub>3</sub>OCOSCH<sub>3</sub> восстанавливают при 100° и ацетилируют; выход 4-нитро-2-ацетилацетоксибензола 40%, т. пл. 196° (из сп.); при 180° и последующем ацетилировании получен 2,4-диацетаминоацетоксибензол, выход 40%, т. пл. 180°. 2,4-(NO<sub>2</sub>)<sub>2</sub>C<sub>6</sub>H<sub>3</sub>OSCH<sub>3</sub> дает при 110° диаминоанилин, т. пл. 67—68° (из CH<sub>3</sub>OH); АП, выход 95%, т. пл. 203—205°. Из m-NO<sub>2</sub>C<sub>6</sub>H<sub>4</sub>COCH<sub>3</sub> при 110° получен m-NH<sub>2</sub>-C<sub>6</sub>H<sub>4</sub>COCH<sub>3</sub>, выход 90%, т. пл. 92—94° (из разб. сп.); АП, т. пл. 128—129° (из сп.); при 150° образуется m-NH<sub>2</sub>-C<sub>6</sub>H<sub>4</sub>CH<sub>2</sub>OH, выход 85%, т. пл. 63°. Из 3-нитро-4-метилбензофенона при 110° получен 3-амино-4-метилбензофенон, выход 90%, т. пл. 108—110°; АП, т. пл. 108° (из разб. CH<sub>3</sub>COOH); при 150° и последующем ацетилировании выделяют 3-ацетаминно-4-метилбензгидрол, выход 80%, т. пл. 132—135,5° (из разб. CH<sub>3</sub>OH). Восстановление p-NO<sub>2</sub>C<sub>6</sub>H<sub>4</sub>CH=CHCOOSCH<sub>3</sub> при 100° дает p-NH<sub>2</sub>C<sub>6</sub>H<sub>4</sub>CH=CHCOOSCH<sub>3</sub>, т. пл. 128—129° (из воды); АП, выход 90%, т. пл. 193°; при 150° образуется p-NH<sub>2</sub>C<sub>6</sub>H<sub>4</sub>CH<sub>2</sub>CH<sub>2</sub>COOSCH<sub>3</sub>, т. пл. 55°; АП, выход 85%, т. пл. 123°. При восстановлении p-NO<sub>2</sub>C<sub>6</sub>H<sub>4</sub>CH<sub>2</sub>CN при 100—230° получают p-NH<sub>2</sub>C<sub>6</sub>H<sub>4</sub>CH<sub>2</sub>CN, т. пл. 45° (из воды); АП, выход 65%, т. пл. 96°. Восстановлением 2,4-(NO<sub>2</sub>)<sub>2</sub>C<sub>6</sub>H<sub>3</sub>NH<sub>2</sub> при 100° и последующим ацетилированием получен 1, 2, 4-триацетаминбензол, выход 55%, т. пл. 235°. П. А.

**74893. Реакция метилвинилкетона. II. Реакция метилвинилкетона с анилином. Мурата, Араи, Такама** (メチルビニルケトンの反応に関する研究 2 第報. メチルビニルケトンとアニリンとの反応. 村田二郎, 新井秀男, 田島榮美), 工業學雜誌, Koréi kagaku zasshi, J. Chem. Soc. Japan. Industr. Chem. Sec., 1953, 56, № 9, 709—711 (япон.).

Анилин (I) обрабатывался различными кол-вами метилвинилкетона (II) при 18° с перемешиванием и охлаждением до 310 час. (15—20°), выход CH<sub>3</sub>COCH<sub>2</sub>CH<sub>2</sub>NHC<sub>6</sub>H<sub>5</sub> (III) определялся периодически. При соотношении I : II =

= 1,1, максим. выход III 78%, через 2 недели; при соотношении I : II = 3 выход III 88%. Дальнейшее увеличение соотношения не ведет к увеличению выхода III. В присутствии NaOCH<sub>3</sub> (0,001—0,008 моля на 1 моль II) скорость р-ции возрастает, выход значительно уменьшается. Свойства III: т. кип. 125—128°/3 мм (слегка разлагается), т. пл. 34,5—35,5° (из сп.),  $n_D^{20}$  1,5468  $d_4^{20}$  1,0365. 32,7 г III, 175 мл спирта, 19 мл 12 н. HCl, 110 г FeCl<sub>3</sub>·6H<sub>2</sub>O и 4 г ZnCl<sub>2</sub> нагревают 2 часа при 85° (перемешивание), отгоняют спирт, нейтрализуют NaOH (т-ра ~ 25°), перегоняют с паром, извлекают C<sub>6</sub>H<sub>6</sub> 21,2 г леопидина, т. кип. 107—127°/10 мм. Сообщение 1 см. РЖХим, 1956, 35788. Chem. Abstr., 1955, 49, 7517. Felix Saunders

**74894. Восстановление азотистых соединений при помощи скелетного Ni и раствора щелочи. I. Синтез аминов путем восстановления оксимо. Камэтани, Номура** (ラネーニッケル合金とアルカリ水溶液による含窒素化合物の還元. その1. オキシムの還元によるアミン類の合成. 巖谷哲治, 野村幸雄), 薬學雜誌, Якугаку засси, J. Pharm. Soc. Japan., 1954, 74, № 4, 413—416 (япон.).

Смесь 8 г NaOH в 80 мл воды, 3 г C<sub>6</sub>H<sub>5</sub>CH=NOH и 5,7 г скелетного Ni (I) перегоняют с паром, продукт р-ции высаливают, извлекают эфиром 1,6 г C<sub>6</sub>H<sub>5</sub>CH<sub>2</sub>NH<sub>2</sub>, т. кип. 182—185°. Аналогично из 3 г вератральдоксима, 8,4 г NaOH, 84 мл воды и 5,7 г I получено 1,4 г 3,4-(CH<sub>3</sub>O)<sub>2</sub>C<sub>6</sub>H<sub>3</sub>CH<sub>2</sub>NH<sub>2</sub>, т. кип. 120°/2,5—3 мм; хлоргидрат, т. пл. 257—258°. Из 9,1 г NaOH, 91 мл воды, 6,4 г I и 3 г 3,4-CH<sub>3</sub>O<sub>2</sub>C<sub>6</sub>H<sub>3</sub>CH=NOH получено 2,4 г 3,4-CH<sub>3</sub>O<sub>2</sub>C<sub>6</sub>H<sub>3</sub>CH<sub>2</sub>NH<sub>2</sub>·HCl, т. пл. 227°. К 3 г C<sub>6</sub>H<sub>5</sub>C(=NOH)CH<sub>3</sub> в 20 мл спирта добавляют 4,3 г NaOH и 10 мл воды, за 30 мин. добавляют при нагревании 3,8 г I, нагревают 1,5 часа, верхний слой подкисляют, отгоняют спирт, остаток растворяют в воде, извлекают эфиром, маточный р-р нейтрализуют KOH, высаливают K<sub>2</sub>CO<sub>3</sub>, извлекают эфиром, получено 1,3 г CH<sub>3</sub>CHNH<sub>2</sub>C<sub>6</sub>H<sub>5</sub>, т. кип. 60°/5 мм. Из 3 г C<sub>6</sub>H<sub>5</sub>CH<sub>2</sub>C(=NOH)CH<sub>3</sub>, 12 г NaOH, 120 мл воды и 7 г I получено 1,35 г C<sub>6</sub>H<sub>5</sub>CH<sub>2</sub>CHNH<sub>2</sub>CH<sub>3</sub>, т. кип. 63—65°/2 мм. Аналогично из 3 г (C<sub>6</sub>H<sub>5</sub>CH<sub>2</sub>)<sub>2</sub>C=NOH, 6,5 г NaOH, 64 мл воды и 4,6 г I выделено 1 г (C<sub>6</sub>H<sub>5</sub>CH<sub>2</sub>)<sub>2</sub>CHNH<sub>2</sub>, т. кип. 165—167°/4 мм; из 3 г (C<sub>6</sub>H<sub>5</sub>)<sub>2</sub>C=NOH, 8,4 г NaOH, 84 мл воды и 6,1 г I получено 1,4 г (C<sub>6</sub>H<sub>5</sub>)<sub>2</sub>CHNH<sub>2</sub>, т. кип. 130—135°/2 мм; хлоргидрат, т. пл. 273—277°, из 4,5 г циклогексаноксима, 13,7 г I, 20 г NaOH и 80 мл воды получено 1,9 г C<sub>6</sub>H<sub>11</sub>NH<sub>2</sub>, т. кип. 132—133°; хлоргидрат, т. пл. 204°. Аналогично из 5 г C<sub>6</sub>H<sub>5</sub>NO<sub>2</sub>, 12 г NaOH, 36 мл воды и 10 г I получено 2 г анилина.

Chem. Abstr., 1955, 49, 5342. K. Kitsuta  
**74895. Алкиланины III. Реакция ненасыщенных замещенных ариламинов с бромом. Вольф** (Über Alkylamine III. Die Reaktion ungesättigter substituierter Arylamine mit Brom. Wolf Viktor), Liebigs Ann. Chem., 1955, 592, № 3, 222—244 (нем.).

Изучены продукты присоединения и замещения, образующиеся при действии 1—3 молей Br<sub>2</sub> на Ar<sup>1</sup>HC<sub>2</sub>CH=CH<sub>2</sub> (I), Ar<sup>1</sup>N(CH<sub>3</sub>)CH<sub>2</sub>CH=CH<sub>2</sub> (II), Ar<sup>1</sup>NHCH<sub>2</sub>C≡CH (III), Ar<sup>1</sup>N(CH<sub>3</sub>)CH<sub>2</sub>C≡CH (IV) по сравнению с Ar<sup>1</sup>NHC<sub>2</sub>H<sub>5</sub> (V) (далее везде а Ar = C<sub>6</sub>H<sub>5</sub>; 6Ar = 2,4-(CH<sub>3</sub>)<sub>2</sub>C<sub>6</sub>H<sub>3</sub>; в Ar = p-CH<sub>3</sub>C<sub>6</sub>H<sub>4</sub>). Строение образующихся продуктов установлено каталитическим гидрированием, актированием, гидролитическим расщеплением, дебромированием боковой цепи и другими р-циями. Нагревают 20 час. 24,2 г 2,4-(CH<sub>3</sub>)<sub>2</sub>C<sub>6</sub>H<sub>3</sub>NH<sub>2</sub> (VI), 24,2 г CH<sub>2</sub>=CHCH<sub>2</sub>Br (VII) и 21,2 г Na<sub>2</sub>CO<sub>3</sub> в 120 мл спирта, из фильтрата после упаривания экстрагируют эфиром 16, т. кип. 119,5—120,5°/9 мм,  $n_D^{25}$  1,5360. Аналогично из VI и HC≡CCH<sub>2</sub>Br получен IIIb, выход 47,5%, т. кип. 128—129°/9 мм, т. пл. 24°; ацетильное производное (АП), т. кип. 155—158°/11 мм. К р-ру 8 г Va в 10 мл CH<sub>2</sub>Cl<sub>2</sub> прибавляют постепенно р-р 9,5 г Br<sub>2</sub> в 20 мл CH<sub>2</sub>Cl<sub>2</sub>, через 24 часа (с -6°) осаждают петр. эфиром бромгидрат (БГ) p-BrC<sub>6</sub>H<sub>4</sub>NHC<sub>2</sub>H<sub>5</sub>,

т. пл. 118—140° (из  $\text{CH}_2\text{Cl}_2$ -п.эф.); свободное основание (СВО). т. кип. 148—149°/11 мм,  $n_D^{20}$  1,5786. Из **Va** и 2 молей  $\text{Br}_2$  в  $\text{CH}_2\text{Cl}_2$  через 4 дня получен БГ пербромид  $\text{C}_6\text{H}_{12}\text{NBr}_6$ , т. разл. 113—116°, после последовательной обработки водой,  $\text{SO}_2$  и  $\text{NaOH}$  экстрагирован эфиром *o*- $\text{Br}-\text{C}_6\text{H}_4\text{NHC}_6\text{H}_7$ , т. кип. 171—172°/10 мм, т. пл. 26—29°,  $n_D^{20}$  1,6061. Из **Ia** и 1 моля  $\text{Br}_2$  в  $\text{CH}_2\text{Cl}_2$  получен БГ *n*- $\text{Br}-\text{C}_6\text{H}_4\text{NHC}_6\text{H}_7\text{CH}=\text{CH}_2$ , т. пл. 140—140,5° (разл.; из  $\text{CH}_2\text{Cl}_2$ -эф.); СВО (**VIII**), т. кип. 145,5—147°/10,5 мм,  $n_D^{20}$  1,5960; АП, т. кип. 167—169°/10 мм. Из продуктов окисления **VIII**  $\text{KMnO}_4$  выделены *n*- $\text{Br}-\text{C}_6\text{H}_4\text{NH}_2$  (**IX**) и после бензоилирования бензойное производное (**BP**) **VIII**, т. пл. 72,5—74°. Из **IX** и **VII** получен **VIII**, т. кип. 87,5—89,5°/0,03 мм,  $n_D^{20}$  1,5971. При действии 2 молей  $\text{Br}_2$  на **Ia** образуется БГ  $\text{C}_{10}\text{H}_{11}\text{NBr}_4$ , т. пл. 169° (разл.), после обработки *p*-ром  $\text{NaHCO}_3$  выделен *n*- $\text{Br}-\text{C}_6\text{H}_4\text{NHC}_6\text{H}_7\text{CHBrCH}_2\text{Br}$  (**X**), т. кип. 152—153°/0,1—0,2 мм,  $n_D^{20}$  1,6383, и немного **VIII**. Из **X** после нагревания 20 час. с  $\text{Zn}$ -пылью в  $\text{C}_6\text{H}_{11}\text{OH}$  получен **VIII**. При действии 3 молей  $\text{Br}_2$  на **Ia** образуется пербромид  $\text{C}_{10}\text{H}_{10}\text{NBr}_6$ , т. пл. 94—123° (разл.), после обработки водой,  $\text{SO}_2$ ,  $\text{NaOH}$  экстрагировано эфиром *o*- $\text{Br}$ -производное **X**, т. пл. 43—45° (из сп.),  $n_D^{20}$  1,6530, которое *p*-цией с  $\text{Zn}$ -пылью превращено в *o*, *n*- $\text{Br}_2\text{C}_6\text{H}_3\text{NHC}_6\text{H}_7\text{CH}=\text{CH}_2$ , т. кип. 159—162°/12 мм,  $n_D^{20}$  1,6221, БП, т. кип. 185—225°/12 мм (разл.). Из **Ib** и 1 моля  $\text{Br}_2$  в  $\text{CH}_2\text{Cl}_2$  при 0° получена соль и из нее 2- $\text{Br}-4-\text{CH}_3\text{C}_6\text{H}_3\text{NHC}_6\text{H}_7\text{CH}=\text{CH}_2$ , т. кип. 86—89°/0,02 мм,  $n_D^{20}$  1,5753. При действии 1 моля  $\text{Br}_2$  на **Ib** образуется  $\text{C}_{11}\text{H}_{13}\text{NBr}_4$ , т. пл. 152—153° (разл.; из  $\text{CH}_2\text{Cl}_2$ -п.эф.), после обычного разложения получено 2,4-( $\text{CH}_3$ )<sub>2</sub>-6- $\text{Br}-\text{C}_6\text{H}_2\text{NHC}_6\text{H}_7\text{CHBrCH}_2\text{Br}$ , т. кип. 139—140°/0,02 мм,  $n_D^{20}$  1,5970. Из **Ia** и 1 моля  $\text{Br}_2$  после обычной обработки получено *N*-метилпроизводное **VIII** (**XI**), выход 79%, т. кип. 78,5—79,5°/0,008—0,001 мм,  $n_D^{20}$  1,5924; при *p*-ции с 2 молями  $\text{Br}_2$  получен пербромид  $\text{C}_{10}\text{H}_{13}\text{NBr}_5$ , т. пл. 113—117° (разл.), после разложения выделено *N*-метилпроизводное **X**, т. кип. 176—179°/0,015 мм,  $n_D^{20}$  1,6337, при действии  $\text{Zn}$ -пыли превращается в **XI**. Из **Ib** и 3 молей  $\text{Br}_2$  получен пербромид  $\text{C}_{10}\text{H}_{13}\text{NBr}_6$ , т. пл. 96—106° (разл.), из которого выделено СВО  $\text{C}_{10}\text{H}_{11}\text{NBr}_4$ . При действии 1 моля  $\text{Br}_2$  на **Ia** образуется БГ *n*- $\text{Br}-\text{C}_6\text{H}_4\text{NHC}_6\text{H}_7\text{CH}=\text{CH}_2$ , т. пл. 143—145° (из бзл.), СВО (**XII**), т. кип. 152,5—153,5°, т. пл. 33—35°, АП, т. пл. 56—57,5° (из бзн.). При *p*-ции **XII** с  $\text{CH}_3\text{I}$  образуется иодметилат, т. пл. 184° (разл.; из  $\text{CH}_3\text{OH}$ -бзл.), при гофманском распаде превращается в *n*-бромдиметиланилин. *p*-цией  $\text{HC}\equiv\text{CCH}_2\text{Br}$  и *n*- $\text{Br}-\text{C}_6\text{H}_4\text{NH}_2$  получен **XII**. Из **Ia** и 2—3 молей  $\text{Br}_2$  в  $\text{CH}_2\text{Cl}_2$  получен пербромид  $\text{C}_9\text{H}_9\text{NBr}_6$ , т. пл. 126—127° (при *p*-ции со спиртом превращается в 2,4- $\text{Br}_2\text{C}_6\text{H}_3\text{NHC}_6\text{H}_7\text{CHBr}=\text{CHBr}$  (**XIII**), т. пл. 72—73° (из сп.); АП, т. пл. 72—73°; с  $\text{Zn}$ -пылью образуется *o*- $\text{Br}$ -производное **XII**, т. пл. 44—45,5° (из п.эф.) и немного **XII**. При *p*-ции **Ia** с 3 молями  $\text{Br}_2$  из фильтрата после отделения пербромидом осаждают бензином БГ 4- $\text{Br}-\text{C}_6\text{H}_4\text{NHC}_6\text{H}_7\text{CHBr}=\text{CHBr}$ , т. пл. 148,5—149,5° (разл.; из  $\text{CHCl}_3$  бзн.); СВО (**XIV**) т. пл. 65,5—66,5°. АП, т. пл. 121,5—122,5° (из бзн.). Из **XIV** и  $\text{Zn}$ -пыли получено после ацетилирования АП **XII**. Из **Ib** и 1 моля  $\text{Br}_2$  в  $\text{CH}_2\text{Cl}_2$  получен БГ 2- $\text{Br}-4-\text{CH}_3\text{C}_6\text{H}_3\text{NHC}_6\text{H}_7\text{CH}=\text{CH}_2$  (**XV**), т. пл. 154,5° (разл.); СВО, т. пл. 31,5—33° (из водно. сп.). При *p*-ции **Ib** с 2 молями  $\text{Br}_2$  образуется неочищ.  $\text{C}_{10}\text{H}_{11}\text{NBr}_4$ ,  $\sim 1/4$   $\text{Br}$ , т. пл. 129—131° (разл.), из которого выделен 2- $\text{Br}-4-\text{CH}_3\text{C}_6\text{H}_3\text{NHC}_6\text{H}_7\text{CHBr}=\text{CHBr}$ , т. пл. 47—48° (из разб. сп.). Из **Ib** и 1 моля  $\text{Br}_2$  образуется БГ 2,4- $\text{CH}_3$ -6- $\text{Br}-\text{C}_6\text{H}_2\text{NHC}_6\text{H}_7\text{CH}=\text{CH}_2$ , т. пл. 129,5—132,5° (из хлф.-бзн.); СВО, т. пл. 33,5° (из разб. сп.); при *p*-ции **Ib** с 2 молями  $\text{Br}_2$  получен пербромид  $\text{C}_{11}\text{H}_{13}\text{NBr}_4$ , т. пл. 94—98° (разл.), и из него 2,4-( $\text{CH}_3$ )<sub>2</sub>-6- $\text{Br}-\text{C}_6\text{H}_2\text{NHC}_6\text{H}_7\text{CHBr}=\text{CHBr}$ , т. пл. 70,5—71,5° (из водн. сп.). Аналогично из **Iva** и

1 моля  $\text{Br}_2$  после упаривания и действия  $\text{NaHCO}_3$  получен *N*- $\text{CH}_3$ -производное **XII**, выход 59,3%, т. кип. 144,5—145,5°/10 мм,  $n_D^{20}$  1,5989; при *p*-ции с 2 молями  $\text{Br}_2$  получен пербромид  $\text{C}_{10}\text{H}_{11}\text{NBr}_5$ , т. пл. 123—124° (разл.) и из него *N*- $\text{CH}_3$ -производное **XVI**, т. пл. 47—49,5° (из водн. сп. и п.эф.), реагирует с  $\text{Zn}$ -пылью с образованием *N*- $\text{CH}_3$ -производного **XII**. Каталитич. гидрированием в спирте с  $\text{Pd/C}$  с последующей обработкой ( $\text{CH}_3\text{CO}_2\text{O}$  получены из 4- $\text{Br}-\text{C}_6\text{H}_4\text{NHC}_6\text{H}_7$  и 2,4- $\text{Br}_2\text{C}_6\text{H}_3\text{NHC}_6\text{H}_7-\text{C}_6\text{H}_5\text{N}(\text{C}_6\text{H}_7)\text{COCH}_3$ , т. пл. 47—49,5°, из 4-бромпроизводных **Ia** и **Ib**, а также **XIV**—4- $\text{Br}-\text{C}_6\text{H}_4\text{NHCOC}_6\text{H}_5$  (**XVI**), т. пл. 165,5—167,5°, из 2,4- $\text{Br}_2\text{C}_6\text{H}_3\text{NHC}_6\text{H}_7\text{CH}=\text{CH}_2$  (**XVII**)—в-во с т. пл. 142—143,5°, из **XIII** (со скелетным  $\text{Ni}$ )— $\text{C}_6\text{H}_5\text{NHCOC}_6\text{H}_5$  и после обработки  $\text{HCl}$  (газом) в эфире—в-во состава  $\text{C}_9\text{H}_9\text{NCl}$ , т. пл. 138—139° (из сп.-эф.). Нагреванием с  $\text{KOH}$  в *iso*- $\text{C}_3\text{H}_7\text{OH}$  получено: из **XVII**—2,4-дигиброманилин (получен также из **XIII** и пиперидина), из **XII**—4- $\text{Br}-\text{C}_6\text{H}_4\text{NH}_2$ , из **XIV**—**XVI**, из **XV** и аддукта с  $\text{Br}_2$ —2- $\text{Br}-4-\text{CH}_3\text{C}_6\text{H}_3\text{NHCOC}_6\text{H}_5$ , т. пл. 118—119,5° (из бзн.), из *o*- $\text{Br}$ -производного **Ib** и аддукта с  $\text{Br}_2$ —2,4-( $\text{CH}_3$ )<sub>2</sub>-6- $\text{Br}-\text{C}_6\text{H}_2\text{NHCOC}_6\text{H}_5$ , т. пл. 197—198°, из 4- $\text{Br}-\text{C}_6\text{H}_4\text{N}(\text{CH}_3)\text{CH}_2\text{C}\equiv\text{CH}$  и аддукта с  $\text{Br}_2$ —4- $\text{Br}-\text{C}_6\text{H}_4\text{N}(\text{CH}_3)\text{COCH}_3$ , т. пл. 98—99°. Я. К.

**74896. Анилиды кислот. II. Получение анилидов насыщенных жирных кислот из жирных кислот и их эфиров. Йонге, Вен, Хертог (Acid anilides. II. The preparation of saturated fatty acid anilides from fatty acids and their esters. Jonge A. P. de, Ven B. van der, Hertog W. de n), Recueil trav. chim., 1956, 75, № 1, 5—21 (англ.)**

Описаны методы (А и Б) колич. получения  $\text{C}_6\text{H}_5\text{NHCOR}$  (I). А. К 0,190—0,210 г насыщ. к-ты прибавляют 0,4 г  $\text{SOCl}_2$ , через 1—1,5 часа добавляют 2—3 мл  $\text{C}_6\text{H}_6$  и, при охлаждении льдом, *p*-р 1,2 г  $\text{C}_6\text{H}_5\text{NH}_2$  (**II**) в 10—15 мл  $\text{C}_2\text{H}_5\text{MgBr}$ , нагревают 1 час при 70—80°, разбавляют 50 мл эфира, *p*-р последовательно промывают 3 н.  $\text{HCl}$ , 0,1 н.  $\text{NaOH}$  и водой. Б. К 10 мл *p*-ра 3,85 г **II** в 50 мл эфира прибавляют при охлаждении льдом 10 мл эфир. *p*-ра  $\text{C}_2\text{H}_5\text{MgBr}$  (из 4,5 г  $\text{C}_2\text{H}_5\text{Br}$ , 0,975 г  $\text{Mg}$  и 50 мл эфира) и *p*-р 0,190—0,210 г  $\text{RCOOC}_2\text{H}_5$  в 5 мл эфира, смесь кипятят 1 час, разлагают разб.  $\text{HCl}$  и льдом. Получены следующие **I** (перечисляются **R**, выходы в % по методам А и Б, т. пл. (испр.) в °C: **H**, —, —, 46,6—47,5 (из эф.-п.эф.);  $\text{CH}_3$ , —, 50, 114,9—115,3 (из воды);  $\text{C}_2\text{H}_5$ , 61, 78, 106,8—107,2 (из эф.);  $\text{C}_3\text{H}_7$ , 90, 87, 96,1—96,4 (из воды);  $\text{C}_4\text{H}_9$ , 96, 99, 61—61,4 (из сп.); *iso*- $\text{C}_4\text{H}_9$ , —, —, 112,3—112,8 (из эф.-п.эф.);  $\text{C}_5\text{H}_{11}$ , 96—100, 96,6—97,3 (из сп.);  $\text{C}_6\text{H}_{13}$ , 99, 101, 63,7—64 (из сп.);  $\text{C}_7\text{H}_{15}$ , 99, 102, 52,4—52,7 (из сп.);  $\text{C}_8\text{H}_{17}$ , 100, 102, 58,2—58,5 (из сп.);  $\text{C}_9\text{H}_{19}$ , 100, 101, 69,5—69,9 (из сп.);  $\text{C}_{10}\text{H}_{21}$ , 98, 101, 70,3—71 (из эф.-п.эф.);  $\text{C}_{11}\text{H}_{23}$ , 100, 101, —;  $\text{C}_{13}\text{H}_{27}$ , 99, 101, —;  $\text{C}_{15}\text{H}_{31}$ , 101, 101, —;  $\text{C}_{17}\text{H}_{35}$ , 99, 100, —. Растворимость **I** (**R** = **H**,  $\text{CH}_3$ ,  $\text{C}_2\text{H}_5$ ,  $\text{C}_3\text{H}_7$ ) в воде определена путем спектрофотометрич. измерения конц-ции насыщ. *p*-ров (**K**); перечисляются **R** и **K** в г/л при 20 и 25° C: **H**, 25,4, 28,5;  $\text{CH}_3$ , 6,2, 6,5;  $\text{C}_2\text{H}_5$ , 2,2, 2,4;  $\text{C}_3\text{H}_7$ , 0,84, 0,90. Предварительное сообщение см. РЖХим, 1956, 26041.

**74897. Конденсация триозоредуктона с ароматическими аминами. Фенек, Томмассини (Condensazione del trioso-riduttore con ammine aromatiche. Fenech G., Tommasini A.), Farmaco Ed. scient., 1956, 11, № 3, 197—208 (итал.; рез. англ.)**

В отличие *o*-*n*-замещ. ароматич. аминов *o*-анизидин (**I**), *o*-фенетидин, *o*-толуидин, *o*-хлоранилин, *o*-нитроанилин и *o*-аминобензойная к-та реагируют с  $\alpha,\beta$ -диоксинакриловым альдегидом (триозоредуктоном) (**II**), образуя в качестве главного продукта *p*-ции *o*- $\text{RC}_6\text{H}_4\text{N}=\text{CH}-\text{C}(\text{OH})=\text{CHNHC}_6\text{H}_4\text{R}$ -*o* (**III**) и лишь побочно *o*- $\text{RC}_6\text{H}_4\text{NHCN}=\text{C}-\text{OH}-\text{CHO}$  или *o*- $\text{RC}_6\text{H}_4\text{N}=\text{CHC}(\text{OH})=\text{CHON}$  (**IV**); выход **IV** зависит от соотношений ароматич. амина и **II** и условий *p*-ции (нагре-

вание благоприятствует образованию IV). Приведены кривые УФ-спектров III и IV. IV обладают восстановительными свойствами и окрашены в красный цвет, III бесцветны. Смешивают р-ры 25 г глюкозы и 13,5 г  $(\text{CH}_3\text{COO})_2\text{Pb}$  в 400 мл и 8,5 г NaOH в 25 мл воды при  $\sim 92^\circ$ , через несколько мин. при охлаждении водой добавляют 4 мл лед.  $\text{CH}_3\text{COOH}$ , получают Pb-соль II. К суспензии 3,84 г Pb-соли II в 40 мл ацетона добавляют понемногу 0,62 мл конц.  $\text{H}_2\text{SO}_4$ , фильтруют, промывают осадок 5 мл ацетона, к фильтрату добавляют 2,46 г I в 30 мл ацетона, получают 1,05 г III ( $\text{R} = \text{CH}_3\text{O}$ ), т. пл. 143—144° (из лед.  $\text{CH}_3\text{COOH}$ ), маточный р-р охлаждают льдом несколько часов, получают 0,3 г IV ( $\text{R} = \text{CH}_3\text{O}$ ), т. пл. 211—212° (разл., из лед.  $\text{CH}_3\text{COOH}$ ). Аналогично получают другие III (указаны R, выход в г (из амина в г), т. пл. в  $^\circ\text{C}$ ):  $\text{C}_6\text{H}_5\text{O}$ , 2,15 (2,74), 151—152 (из  $\text{CH}_3\text{COOH}$ -ацетона; 1:10);  $\text{CH}_3$ , (амин: II = 2:1), 3,40 (2,14), 210—211 (из сп.); Cl (амин: II = 2:1), выход 15%; 174—175 (из сп.);  $\text{NO}_2$  (амин: II = 2:1) —, 199—200 (из сп.);  $\text{COOH}$ , выход 80—85%; 187—188 (из лед.  $\text{CH}_3\text{COOH}$ ). Аналогично получены IV (указаны R, выход в г (из амина в г), т. пл. в  $^\circ\text{C}$ ):  $\text{C}_6\text{H}_5\text{O}$ , 0,25 (2,74), 200—202 (разл., из  $\text{CH}_3\text{COOH}$ );  $\text{CH}_3$  (амин: II = 1:1 или 2:1 при нагревании), 1,08 (2,14), 212—213 (из сп.); Cl, выход 25%; 204—205 (разл., из лед.  $\text{CH}_3\text{COOH}$ );  $\text{NO}_2$  (при нагревании); выход 20%; 214—215 (из лед.  $\text{CH}_3\text{COOH}$ );  $\text{COOH}$  (амин: II = 1:1, при нагревании); выход 25%; 227—228 (из лед.  $\text{CH}_3\text{COOH}$ ). Л. Я.

**74898. О получении и свойствах производных 4-аминопирокатаехина. Райе, Прост, Ирбен** (Sur la préparation et les propriétés des amino-4-pyrocatechols. Rayet P., Prost M., Urbain M.), *Helv. chim. acta*, 1956, 39, № 1, 87—98 (франц.)

С целью изыскания в-в, обладающих активностью витамина Р, синтезированы в-ва типа 3,4-(HO)<sub>2</sub>-6- $\text{RC}_6\text{H}_4\text{NHR}'$  (I). Конденсацией 0,078 моля хлорангидрида дигидрогиднохоловой к-ты с 0,086 моля вератрола (II) в петр. эфире в присутствии 0,09 моля  $\text{AlCl}_3$  получают 4-(дигидрогиднохололи)-II (III), выход 17 г, т. пл. 54—56° (из  $\text{CH}_3\text{OH}$ ). Так же синтезируют 4-пальмитоилвератрол (IV), т. пл. 72—72,5°. 4-ацетовератрол восстанавливают амальгамой Zn + HCl (к-той); выход 4-этил-II 70%, т. кип. 116—123°/17 мм. Так же из IV получают 4-гексадецил-II (V), т. пл. 46,5° (из  $\text{CH}_3\text{OH}$ ) и из I — 4-(дигидрогиднохололи)-II (VI), т. пл. 37—38°. К р-ру 0,1 моля 4-метил-II в 75 мл лед.  $\text{CH}_3\text{COOH}$  прибавляют при 0° 10 мл конц.  $\text{HNO}_3$  + 10 мл  $\text{CH}_3\text{COOH}$  и через несколько минут выливают на лед; выделяют 4-нитро-5-метил-II, т. пл. 118—119° (из водн. сп.); аналогично получают 4-нитро-5-этил-II, т. пл. 52,5—53,5°. Действием  $\text{HNO}_3$  на 4,6 г V в  $\text{CH}_3\text{COOH}$  с последующим нагреванием при 60° получают 4 г 4-нитро-5-гексадецил-II, т. пл. 62,5—63,5° (из  $\text{CH}_3\text{OH}$ ). Нитрование VI в тех же условиях приводит к 4-нитро-5-дигидрогиднохололи-II, т. пл. 37—41° (из  $\text{CH}_3\text{OH}$ ), а нитрование дигидросафрала — к 6-нитродигидросафралу (VII), т. пл. 36°. Восстановлением нитропроизводных  $\text{H}_2$  в спирте над скелетным Ni с прибавлением  $\text{CH}_3\text{CHO}$  (или  $\text{CH}_2\text{O}$ ) и  $\text{CH}_3\text{COONa}$  получены 3,4-( $\text{CH}_3\text{O}$ )<sub>2</sub>-6- $\text{RC}_6\text{H}_4\text{NHR}'$  (VIII) (перечисляются R, R', т. кип. в  $^\circ\text{C}/\text{мм}$ , т. пл. в  $^\circ\text{C}$  и т. пл. в  $^\circ\text{C}$  хлоргидрата, т. пл. в  $^\circ\text{C}$  пикрата):  $\text{CH}_3$ , H, —, 109—109,5 (из петр. эф.), 176 (из сп.);  $\text{CH}_3$ ,  $\text{CH}_3$ , 137—139/15, —, 170 (из сп.);  $\text{CH}_3$ ,  $\text{C}_2\text{H}_5$ , 149—150/16, 86—88 (из петр. эф.), 191 (из этилацетата); —,  $\text{C}_2\text{H}_5$ , H, 165—166/16, 66,5 (из петр. эф.), 118, и 190 (из ацетона); —,  $\text{C}_2\text{H}_5$ ,  $\text{CH}_3$ , 139/14, —, 194 (из сп.);  $\text{C}_2\text{H}_5$ ,  $\text{C}_2\text{H}_5$ , 152—154/14, —, 178 (из сп.);  $\text{CH}_3$ ,  $\text{C}_3\text{H}_7$ , 164—165/13, —, 137—138 (из этилацетата-петр. эф.);  $\text{C}_2\text{H}_5$ ,  $\text{C}_3\text{H}_7$ , 165—167/13, —, 116 (из воды);  $\text{C}_6\text{H}_{13}$ , H, 250—260/0,03 (тра бани), 50—52, 122—123 (из этилацетата); —,  $\text{C}_6\text{H}_{13}$ ,  $\text{CH}_3$ , 220—230/0,01 (тра бани), 27—28, 58 (из этилацетата); —,  $\text{C}_6\text{H}_{13}$ ,  $\text{C}_2\text{H}_5$ , 240—250/0,015 (тра бани), 36—37, 73—75

(из этилацетата); —,  $\text{C}_6\text{H}_{13}$ ,  $\text{C}_2\text{H}_7$ , 260—270/0,02 (тра бани),  $\sim 15$ , 108—110 (из этилацетата); —,  $\text{C}_{17}\text{H}_{35}$ , H, 195—200/0,03 (тра бани), —, 125 (из этилацетата); —. Аналогично, из VII получают 6-алкиламинодигидросафрол (IX) (перечисляются заместители у N, т. кип. в  $^\circ\text{C}/\text{мм}$ , т. пл. в  $^\circ\text{C}$  и т. пл. в  $^\circ\text{C}$  пикрата): H, 162—162,5/13, —, 152 и 154 (из воды);  $\text{CH}_3$ , 138—141/4, —, 196 (из сп.);  $\text{C}_2\text{H}_5$ , 157,5—158,5/15, 73 (из петр. эф.), 171 (из сп.);  $\text{C}_3\text{H}_7$ , 177—178/12, 46,5—47 (из водн. сп.); —, хлоргидрат, т. пл. 154—154,5° (из этилацетата). К эфир. р-ру 0,066 моля  $\text{CH}_3\text{MgI}$  добавляют 25 мл ксилола, отгоняют эфир, прибавляют р-р 0,01 моля VIII или IX в 25 мл ксилола, кипятят 1 час и при 0—25° прибавляют р-р 15 мл конц. HCl и 2 г  $\text{NaHSO}_4$  в 50 мл воды; водн. р-р нейтрализуют до pH 6,5—7 и извлекают эфиром I, быстро изменяющийся на воздухе. При дезалкилировании VIII ( $\text{R}' = \text{H}$ ) образуется смесь I ( $\text{R}' = \text{H}$ ) и ( $\text{CH}_3\text{O}$ )-(HO)-6- $\text{C}_6\text{H}_4\text{NHR}'$  (X) ( $\text{R}' = \text{H}$ ), положение  $\text{CH}_3\text{O}$  и HO-групп в которых не было установлено. Дезалкилирование IX ( $\text{R} = \text{H}$ ) ведет к смеси I ( $\text{R} = \text{C}_6\text{H}_7$ ,  $\text{R}' = \text{H}$ ), X ( $\text{R}' = \text{H}$ ) и аминопропилатоксифенола (XI). X и XI устойчивы при обычных условиях. I отделяют от X превращением в сульфат: 0,001 моля I растворяют в 10 мл  $\text{C}_6\text{H}_6$  и прибавляют 1 мл 5%-ного р-ра  $\text{H}_2\text{SO}_4$  в эфире, выпадает осадок сульфата I; добавлением к фильтрату  $\text{H}_2\text{SO}_4$  выделяют сульфат X. Синтезированы следующие I (перечисляются R, R', выход в %, т. кип. в  $^\circ\text{C}/\text{мм}$  (тра бани), т. пл. в  $^\circ\text{C}$  сульфата (CF) или хлоргидрата (XG):  $\text{CH}_3$ , H, 5, —, т. пл. 137—138° (из петр. эф.);  $\text{CH}_3$ ,  $\text{CH}_3$ , 60, 95—110/0,04, —;  $\text{CH}_3$ ,  $\text{C}_2\text{H}_5$ , 45, 95—105/0,07, 96—99 (CF);  $\text{CH}_3$ ,  $\text{C}_3\text{H}_7$ , 35, 120—140/0,05, 102—104 (CF);  $\text{C}_2\text{H}_5$ , H, 20, 130—150/0,08, 132—133 (CF, из ацетона);  $\text{C}_2\text{H}_5$ ,  $\text{CH}_3$ , 65, 110—130/0,07, 162 (CF, из ацетона);  $\text{C}_2\text{H}_5$ ,  $\text{C}_2\text{H}_5$ , 30, 125—135/0,07, 141—142 (CF);  $\text{C}_2\text{H}_5$ ,  $\text{C}_3\text{H}_7$ , 130—140/0,06, 135—137 (CF);  $\text{C}_3\text{H}_7$ , H, 20, 125—135/0,06, 152—153 (CF, из этилацетата);  $\text{C}_6\text{H}_7$ ,  $\text{CH}_3$ , 30, 130—140/0,06, 210 (XG; разл.; из этилацетата- $\text{CH}_3\text{OH}$ );  $\text{C}_6\text{H}_7$ ,  $\text{C}_2\text{H}_5$ , 10, 140—160/0,08, —;  $\text{C}_6\text{H}_7$ ,  $\text{C}_3\text{H}_7$ , 10, 160—180/0,08, —;  $\text{C}_6\text{H}_{13}$ , H, 60 (неочищ.), 240—250/0,07, 90 (XG; из этилацетата);  $\text{C}_6\text{H}_{13}$ ,  $\text{C}_2\text{H}_5$ , 85 (неочищ.) 220—240/0,06, —;  $\text{C}_6\text{H}_{13}$ ,  $\text{C}_3\text{H}_7$ , 80 (неочищ.), 235—250/0,06, 151—152 (CF);  $\text{C}_7\text{H}_{13}$ , H, 70 (неочищ.), 230—240/0,03, 82—85 (XG; из петр. эф.). Одновременно получены следующие X (перечисляются R, R', выход в %, т. кип. в  $^\circ\text{C}/\text{мм}$  (тра бани), т. пл. в  $^\circ\text{C}$ ):  $\text{CH}_3$ , H, 35, —, возгонка при 100°/0,0001 мм, 256 (из этилацетата);  $\text{C}_2\text{H}_5$ , H, 20, —, 138 (из этилацетата), сульфат, т. пл. 158—163°;  $\text{C}_6\text{H}_{13}$ ,  $\text{CH}_3$ , 80 (неочищ.), 225—235/0,07, —, хлоргидрат, т. пл. 130° (из этилацетата);  $n\text{-C}_8\text{H}_{17}$ , H, 35, —, —.

**74899. Реакция замещенных бензолов с хлоралем. II. Реакция N-ацетил-*p*-толуидина с хлоралем. (I). Ясуэ (ベンゼン置換體とクロラルの反應について. 第2報. N-Acetyl p-toluidine とクロラルの反應. その1. 安江政一), 藥學雜誌, Якугаку дзасси, J. Pharmac. Soc. Japan, 1955, 75, № 6, 615—618 (япон.)**

При р-ции  $\text{CH}_3\text{CONHC}_6\text{H}_4\text{CH}_3$ -п с  $\text{Cl}_2\text{CCH}(\text{OH})_2$  в присутствии конц.  $\text{H}_2\text{SO}_4$  (20 час., 70°) в качестве главного продукта образуется 5-( $\text{CH}_3\text{CONH}$ )-2- $\text{CH}_3\text{C}_6\text{H}_4\text{CH}_3\text{OH}$  (I), т. пл. 229° (разл., из воды); ацетат, т. пл. 115—125° и затем 192° (из ацетона); этиловый эфир, т. пл. 153—154° (из ацетона). Для доказательства строения I гидролизována в амин, который после диазотирования, восстановления,  $\text{H}_2\text{PO}_2$  и окисления  $\text{KMnO}_4$  дал *o*- $\text{CH}_3\text{C}_6\text{H}_4\text{COOH}$ . Окисление I посредством  $\text{KMnO}_4$  на холоду приводит к 5- $\text{CH}_3\text{CONH}$ -2- $\text{CH}_3\text{C}_6\text{H}_4\text{COCOON}$ , т. пл. 198° (разл., из 50%-ного сп.), а при 60° — к 5- $\text{CH}_3\text{CONH}$ -2- $\text{CH}_3\text{C}_6\text{H}_4\text{COOH}$  (II), т. пл. 230° (из 50%-ного сп.). Строение II доказано синтезом из *o*- $\text{CH}_3\text{C}_6\text{H}_4\text{COOH}$ , через *o*- $\text{CH}_3\text{C}_6\text{H}_4\text{CN}$ , 5-нитро-, 5-амино- и 5-ацетамидо-2-метилбензонитрил (т. пл. 166°), который с  $\text{H}_2\text{O}_2$  превращен в 5-ацетамидо-2-метилбензамид (т. пл. 247°); последний переводят ( $\text{H}_2\text{SO}_4$ ,  $\text{NaNO}_2$ ) в II. Сообщение I см. РЖХим, 1956, 64893. Е. Ф.

**74900.** Соединения с возможной противотуберкулезной активностью. Часть V. Получение бензилиденовых и бензильных производных 4'-ацил-4-аминодифенила. Мисра, Кхаре (Possible antituberculous compounds. Part V. Preparation of benzylidene and benzyl derivatives of 4'-acyl-4-aminodiphenyls. Misra Vinay S., Khare Maheswari P., J. Indian Chem. Soc., 1956, 33, № 2, 153—154 (англ.))

С целью изыскания противотуберкулезных в-в, обладающих различной основностью и растворимых в липидах, синтезированы 4-RCOC<sub>6</sub>H<sub>4</sub>C<sub>6</sub>H<sub>4</sub>N = CHC<sub>6</sub>H<sub>4</sub>R' (I) и 4-RCOC<sub>6</sub>H<sub>4</sub>C<sub>6</sub>H<sub>4</sub>NHCH<sub>2</sub>C<sub>6</sub>H<sub>4</sub>R' (II). I получены с выходом 86—98% кипячением 30 мин. эквимольных кол-в 4'-ацил-4-аминодифенила с соответствующими альдегидами в спирте. Гидрируют 0,5 г I в 30 мл лед. CH<sub>3</sub>COOH с 30 мг Pt (из PtO<sub>2</sub>) 6 час. при 4 ат, нейтр-цией конц. NH<sub>3</sub> осаждают II, выход 80—92%. Получены следующие I и II [приведены R, R' и последовательно т. пл. в °C I (из ацетона или диоксана) и II (из сп. или диоксана)]: CH<sub>3</sub>, H, 193—195, 148—150; CH<sub>3</sub>, o-HO, 197—199, 180; CH<sub>3</sub>, n-CH<sub>3</sub>O, 218—221, 179—180; C<sub>2</sub>H<sub>5</sub>, H, 177—179, 163—165; C<sub>2</sub>H<sub>5</sub>, o-HO, 187—189, 179—182; C<sub>2</sub>H<sub>5</sub>, n-CH<sub>3</sub>O, 192—194, 182—184; C<sub>3</sub>H<sub>7</sub>, o-HO, 202, 160—161; C<sub>3</sub>H<sub>7</sub>, n-CH<sub>3</sub>O, 230—232, 163—165; C<sub>3</sub>H<sub>7</sub>, n-N(CH<sub>3</sub>)<sub>2</sub>, 182—184, 187—189. Часть IV см. РЖХим, 1956, 6813. Е. Ф.

**74901.** Аналоги мецкалина. II. Тетра- и пентаметоксифенилэтиламины. Беннингтон, Морин, Кларк (Mescaline analogs. II. Tetra- and penta-methoxy-β-phenethylamines. Benington F., Morin R. D., Clark Leland C., Jr., J. Organ. Chem., 1955, 20, № 1, 102—108 (англ.))

В продолжение работы по синтезу 2, 4, 6-триалкокси — аналогов мецкалина (см. сообщение I, РЖХим, 1955, 18707), описано получение 2, 3, 4, 6-тетраметоксид-**(Ia)**, 2, 3, 4, 5-тетраметоксид-**(Ib)**, 2, 3, 5, 6-тетраметоксид-**(Iв)** и пентаметоксид-β-фенилэтиламина (II). Исходными в-вами служили 1, 2, 3, 5-тетраметоксидбензол (III), 1, 2, 3, 4-тетраметоксидбензол (IIIб), 1, 2, 4, 5-тетраметоксидбензол (IIIв) и пентаметоксидбензол (IV). IIIа и IV готовили по методике, описанной ранее (Baker, J. Chem. Soc., 1941, 665). IIIб получали из галлоацетофенона (Baker, J. Chem. Soc., 1934, 1683). IIIв был приготовлен из п-бензохинона. IIIа по р-ции Гаттермана (Herzig, Monatsh., 1903, 24, 866; Mauthner, J. prakt. Chem., 1937, 147, 287) превращали в 2, 3, 4, 6-тетраметоксидбензальдегид (V), который при конденсации с CH<sub>3</sub>NO<sub>2</sub> (Ratford, Fox., J. Organ. Chem., 1944, 9, 170) дал 2,3,4,6-тетраметоксид-β-нитростирол (VI). При восстановлении VI LiAlH<sub>4</sub> (Ramirez, Burger, J. Amer. Chem. Soc. 1950, 72, 2782) получили Ia. IIIб превращали в 2, 3, 4, 5-тетраметоксидбензальдегид (VII) действием N-фенил-N-метилформамида (VIII) в присутствии POCl<sub>3</sub> (Weston, Michael, J. Amer. Chem. Soc., 1950, 72, 1423). VII, аналогично V, переводили в 2, 3, 4, 5-тетраметоксид-β-нитростирол (IX), который аналогично VI, превращали в Ib. Для получения II использованы следующие р-ции: образующийся при хлорметилировании IV (Smith, Orie, J. Amer. Chem. Soc., 1941, 63, 939) пентаметоксидбензилхлорид (X) действием HCN переводили в пентаметоксифенилацетонитрил (XI), который при восстановлении LiAlH<sub>4</sub> давал II. При обработке IIIв CH<sub>3</sub>OCH<sub>2</sub>Cl (XII) в CH<sub>3</sub>COOH получен 2, 3, 5, 6-тетраметоксидбензилхлорид (XIII), который превращается в 2, 3, 5, 6-тетраметоксифенилацетонитрил (XIV), восстанавливающийся LiAlH<sub>4</sub> в I в. IIIа (выход 50%, т. кип. 109—110°/0,9 мм) р-цией с HCN + ZnCl<sub>2</sub> превращают в V, выход 61%, т. пл. 88,5—89°. Смесь 9 г V, 4 мл CH<sub>3</sub>NO<sub>2</sub>, 15 мл лед. CH<sub>3</sub>COOH и 2,8 г CH<sub>3</sub>COONH<sub>4</sub> кипятят 0,5 часа и выделяют VI, выход 93%, т. пл. 155—155,5° (из CH<sub>3</sub>OH). При восстановлении 14,3 г VI 10 г LiAlH<sub>4</sub> в 60 мл эфира получают Ia в виде пикрата, выход 87%, т. пл. 189—190°

(из сп.). 20,9 г пикрата Ia кипятят с 250 мл 6 н. HCl до полного растворения и получают хлоргидрат Ia, выход 86%, т. пл. 168—169° (из CH<sub>3</sub>OH + этилацетат). К 84 г галлоацетофенона в 500 мл ацетона добавляют 250 г безводн. K<sub>2</sub>CO<sub>3</sub> и 62,5 мл CH<sub>3</sub>J, кипятят 6 час., фильтрат концентрируют в вакууме, из остатка осаждают водой 3,4-диметоксид-2-оксиацетофенон, выход 47%, т. пл. 78—79°. При окислении последнего получают 1,2-диокси-3,4-диметоксибензол, выход 64%, т. кип. 122—124°/0,7 мм, обработка которого (CH<sub>3</sub>)<sub>2</sub>SO<sub>4</sub> в р-ре NaOH дает IIIб, выход 96%, т. пл. 89,5—90°. К смеси 1 г VIII и 1,6 г POCl<sub>3</sub> добавляют 1,3 г IIIб. Через 18 час. при ~20° масло гидролизуют водой, экстрагируют эфиром и получают VII, выход 94%, 2,4-динитрофенилгидразон, т. пл. 194—195° (из этилацетата). Смесь 1,2 г VII, 0,32 мл CH<sub>3</sub>NO<sub>2</sub>, 0,23 г CH<sub>3</sub>COONH<sub>4</sub> и 2,1 мл лед. CH<sub>3</sub>COOH кипятят 15 мин., по охлаждению добавляют воду и CH<sub>3</sub>OH, получают IX, выход 63%, т. пл. 63—64° (из CH<sub>3</sub>OH). К 1,4 г LiAlH<sub>4</sub> в 50 мл эфира приливают 2 г IX в 50 мл эфира, гидролизуют 10%-ной H<sub>2</sub>SO<sub>4</sub>, к водн. слою добавляют Li<sub>2</sub>CO<sub>3</sub> (до pH 6) и фильтруют. Образующийся при обработке р-ра пикриновой к-той маслянистый пикрат нагревают с 15 мл 6 н. HCl и после обычной обработки, из эфирного р-ра получают хлоргидрат Ib, выход 34%, т. пл. 155—156° (из CH<sub>3</sub>OH эф.). В смесь 20 г IX (из IIIа, выход 46%) 62 мл 35%-ного CH<sub>2</sub>O и 75 мл конц. HCl пропускают быстрый ток HCl (т-ра 55—58°), затем продолжают пропускать HCl при 51—53°, выливают в 150 мл ледяной воды и получают X, выход 97%, т. пл. 46—48°, т. кип. 145—147°/2,2 мм. К 8 г KCN в 15 мл воды приливают за 15 мин. 23,5 г X в 35 мл спирта, кипятят 4 часа, упаривают фильтрат в вакууме и получают XI, выход 86%, т. кип. 112—114°/0,2 мм. К 1 г LiAlH<sub>4</sub> в 45 мл эфира приливают 2,7 г XI в 25 мл эфира, кипятят еще 1 час. охлаждают и обрабатывают 2 н. H<sub>2</sub>SO<sub>4</sub> до разделения смеси на два слоя. Обрабатывают далее, как при синтезе Ib из IX и получают пикрат II, выход 82%, и, при его разложении, хлоргидрат II, выход 40%, т. пл. 197—198° (из CH<sub>3</sub>OH + этилацетат). К 24 г ZnCl<sub>2</sub> в 120 мл абс. CH<sub>3</sub>OH добавляют 21,6 г п-бензохинона, кипятят 30 мин., охлаждают до 0° и выделяют 2,5-диметоксид-1,4-бензохинон (XV), выход 64%. К смеси 10,8 г XV и 20 г Na<sub>2</sub>S<sub>2</sub>O<sub>4</sub> приливают 100 мл кипящей воды и при охлаждении до 5° получают 2,5-диметоксигидрохинон (XVI), выход 78%, т. пл. 169—171°. К смеси 10 г XVI, 24 мл спирта, 35 мл (CH<sub>3</sub>)<sub>2</sub>SO<sub>4</sub> и 1 г гидросульфита натрия добавляют за 0,5 часа при 15—20° р-р 14,4 г NaOH в 32 мл воды, нагревают 20 мин. при 70—80°, разбавляют 100 мл воды, охлаждают до 5° и получают IIIв, выход 86%, т. пл. 102—103°. Смесь 14,7 г IIIв, 40 мл лед. CH<sub>3</sub>COOH и 5,6 мл XII кипятят 3 часа, выливают в 600 мл воды и получают XIII, выход 26%, т. пл. 91—92° (из CH<sub>3</sub>OH, после зонгки при 0,05 мм). Смесь 5,4 г XIII, 10 мл спирта, 2 г KCN и 6 мл воды кипятят 5,5 часа, по охлаждению разбавляют 10 мл воды и выделяют XIV, выход 83%, т. пл. 93—94° (из CH<sub>3</sub>OH). 4,8 г XIV в 200 мл эфира приливают к 2,5 г LiAlH<sub>4</sub> в 75 мл эфира, перемешивают 30 мин., гидролизуют водой и 10%-ным р-ром NaOH и экстрагируют эфиром. Эфирный р-р после высушивания обрабатывают HCl (газом), декантируют, остаток растворяют в теплом CH<sub>3</sub>OH (уголь), приливают этилацетат и эфир, получают хлоргидрат Ib, выход 24%, т. пл. 136—137°. К смеси 2,7 г IIIб и 1,4 г 35%-ного CH<sub>2</sub>O добавляют 8 мл конц. HCl, встряхивают 18 час. при ~20°, экстрагируют эфиром. Выделенный продукт кипятят с р-ром I в тиомочевине в 5 мл спирта, добавляют насыщ. спирт. р-р 0,4 г пикриновой к-ты и получают пикрат 2, 3, 4, 5-тетраметоксид-о-ксилилен-S-изомочевины, т. пл. 220—221° (разл.; из CH<sub>3</sub>OH). Р-р 2 г IIIб и 0,8 мл в 5 мл лед. CH<sub>3</sub>COOH кипятят 16 час., выливают в 75 мл воды, экстрагируют эфиром и выделяют 0,6 г в-ва, т. пл. 163—164° (из CH<sub>3</sub>OH), по-видимому бис-(2, 3, 4, 5-тетраметоксифенил)-метан или октаметоксид-9,10-дигидроантрацен.

М. Б.

**74902. Получение  $\alpha$ ,  $\alpha$ -диалкилацетоацетанилидов и их взаимодействие с серной кислотой. Серлс, Келли** (The preparation of  $\alpha$ ,  $\alpha$ -dialkylacetoacetanilides and their reaction with sulfuric acid. Searles A. Langley, Kelly Richard J.), J. Amer. Chem. Soc., 1956, 78, № 10, 2242—2246 (англ.)

Действием избытка  $C_2H_5ONa$  и алкилгалогенида на  $C_6H_5NHCOCCH_2COCH_3$  (I) получены  $C_6H_5NHCOCRR'COCH_3$  (II) с выходами 54—93%. Строение II подтверждено получением одного и того же II ( $R=C_2H_5$ ,  $R'=C_2H_5$ ) метилированием I ( $R=C_2H_5$ ) или этилированием I ( $R=CH_3$ ). При нагревании II за исключением II ( $R=R'=CH_3$ ) 60—100%-ной  $H_2SO_4$  отщепляется одна из алкильных групп и с замыканием цикла образуются 3-алкил-4-метилкарбостирилы (III). Если R и R' обладают нормальным первичным строением, отщепляется больший из них; в особенности легко отщепляется  $(CH_3)_2CH$ - и  $C_6H_5CH_2$ -группы. При нагревании II ( $R=CH_3$ ,  $R'=C_6H_5CH_2$ ) с 30%-ной  $H_2SO_4$  большая часть II не изменяется, помимо III ( $R'CH_3$ ) (здесь и далее R в III радикал в положении 3), выход 8,7%, выделен 3-метил-4-фенилбутанон, выход 19%. Обсуждается вероятный механизм образования III. При р-ции II ( $R=R'=CH_3$ ) с  $H_2SO_4$  отщепляется вода и образуется в-во (IV), идентичное одному из продуктов, полученных при действии оснований на  $o$ - $CH_3COC_6H_4NHCOCCH_3$  (Camps R., Arch. Pharmazie, 1901, 239, 591). По данным УФ-спектров IV и продукта его гидрирования (приведены кривые по сравнению с II ( $R=R'=CH_3$ ), III ( $R=CH_3$ ) и по аналогии с образованием III ( $R=CH_3$ ) при действии оснований на  $o$ - $CH_3COC_6H_4NHCOCCH_3$  (Camps R., Arch. Pharmazie, 1899, 237, 659) в-во IV, как и в-во Кампса (см. ссылку выше), приписывается строение 3,3-диметил-4-метил-1, 2, 3, 4-тетрагидрохинола-2. К р-ру  $C_2H_5ONa$  (из 4,6 г Na и 250 мл спирта) прибавляют 19,1 г I ( $R=CH_3$ ) и затем 28,4 г  $CH_3J$ , нагревают 4,5 часа, трижды через 2 часа вводят по 7,1 г  $CH_3J$ , через ~12 час. (~20°) упаривают до 75 мл, к фильтрату прибавляют 800 мл воды, отделяют осадок II ( $R=R'=CH_3$ ), выход 85,4%, т. пл. 87,5—88° (из водн. сп.). При прибавлении воды к продукту взаимодействия I ( $R=CH_3$ ) и  $C_2H_5ONa$  выделилось масло; после растворения его в эфире, промывания водой, испарения р-рителя получен II ( $R=CH_3$ ,  $R'=C_6H_5$ ), выход 54,1%, т. пл. 55,5—57,5° (из  $HOCH_2CH_2OH$  и затем петр. эф.). При синтезе II ( $R=C_6H_5$ ,  $R'=iso-C_3H_7$ ) (из I ( $R=C_6H_5$ )) получено масло с т. кип. 200—204°/2 мм, выход 84,3%, т. пл. 2,4-динитрофенилгидразона (ДНФГ) 219—222°. Аналогично получены следующие II (перечисляются R из I, введенный R', выход в %, т. пл. в °C, обычно из спирта):  $CH_3$ ,  $C_2H_5$ , 85, 66—67,5;  $CH_3$ ,  $C_4H_9$ , 63, 70,5—72;  $CH_3$ ,  $C_6H_5CH_2$ , 93, 121—123 (из  $CH_3OH$ );  $C_2H_5$ ,  $CH_3$ , 83, 66—67,5;  $C_2H_5$ ,  $C_2H_5$ , 81, 85—87;  $C_2H_5$ ,  $C_3H_7$ , 79, 73,5—75;  $C_2H_5$ ,  $iso-C_3H_7$ , 81, —, т. кип. 177—179°/2 мм, ДНФГ, т. пл. 218—219°;  $C_2H_5$ ,  $C_4H_9$ , 75, 69,5—71,5;  $C_2H_5$ ,  $C_6H_5CH_2$ , 93, 101—102 (из  $CH_3OH$ );  $C_3H_7$ ,  $C_3H_7$ , 80, 71 (из петр. эф.);  $C_3H_7$ ,  $iso-C_3H_7$ , 82, —, т. кип. 197—201°/2 мм, ДНФГ, т. пл. 210—211°;  $C_6H_5CH_2$ ,  $C_6H_5CH_2$ , 73, 117 (из  $CH_3OH$ ). Р-р II ( $R=CH_3$ ,  $R'=C_4H_9$ ) в 125 мл конц.  $H_2SO_4$  нагревают 20 мин. при 85°, выливают в 1,25 л воды со льдом, отделяют III ( $R=CH_3$ ), выход 98%, т. пл. 269—270°. Продукт р-ции из II ( $R=C_2H_5$ ,  $R'=C_4H_9$ ) суспендируют в 200 мл насыщ. р-ра  $K_2CO_3$ , прибавляют 50 мл эфира; выделен III ( $R=C_2H_5$ ), выход 97%, т. пл. 228—229° (из бэл.- $CH_3OH$ ). Аналогично получены следующие III (перечисляются R и R' в II, R в образующемся III, выход в %, продолжительность р-ции в мин.):  $CH_3$ ,  $C_2H_5$ ,  $CH_3$ , 43, 60 (30°, 16 час., выход 31%; 23 часа — 41%; 3 дня — 37%);  $CH_3$ ,  $C_3H_7$ ,  $CH_3$ , 69, 120;  $CH_3$ ,  $C_6H_5CH_2$ ,  $CH_3$ , 100, 60 (74%-ная  $H_2SO_4$ );  $C_2H_5$ ,  $C_2H_5$ ,  $C_2H_5$ , 60, 60;  $C_2H_5$ ,  $C_3H_7$ ,  $C_2H_5$ , 56, 600;  $C_2H_5$ ,  $iso-C_3H_7$ ,  $C_2H_5$ , 66, 60;  $C_2H_5$ ,  $C_6H_5CH_2$ ,  $C_2H_5$ , 99, 60 (74%-ная  $H_2SO_4$ );  $C_3H_7$ ,  $C_3H_7$ ,  $C_3H_7$ , 30, 180;  $C_3H_7$ ,  $iso-C_3H_7$ ,  $C_3H_7$ , 60, 75;  $C_4H_9$ ,  $iso-C_3H_7$ ,  $C_4H_9$ , 40, 75;  $C_6H_5CH_2$ ,  $C_6H_5CH_2$ ,  $C_6H_5CH_2$ , 6,60 (74%-ная  $H_2SO_4$ , ре-

генерировано 86% II; при нагревании 1 час выход III 13%). Р-р 45 г II ( $R=R'=CH_3$ ) в 120 мл 92,7%-ной  $H_2SO_4$  нагревают (1 час, 96°), выливают в воду со льдом, из эфирной вытяжки отгоняют р-ритель, из остатка в аппарате Сохлетки извлекают петр. эфиром IV, выход 64%, т. пл. 144—146° (из  $CH_3OH$ ). Р-р 0,2 г IV в 50 мл абс. спирта гидрируют при 33° с 0,05 г  $PtO_2$ , через 10 мин. отделяют I, 2, 3, 4-тетрагидро-3, 3, 4-триметилхинолон-2, выход 96%, т. пл. 165—166°.

**74903. Перегруппировка Бекмана. VII. Выделение и перегруппировка оксима 2, 4, 6-триметилацетофенона. Грир, Пирсон** (The Beckmann rearrangement. VII. The isolation and rearrangement of 2, 4, 6-trimethylacetophenone oxime. Greer Frances, Pearson D. E.), J. Amer. Chem. Soc., 1955, 77, № 24, 6649—6650 (англ.)

Получен оксим 2, 4, 6-триметилацетофенона (I) и осуществлена его перегруппировка по Бекману (ПБ). Предварительные данные показывают, что скорость ПБ для I превышает скорости для других оксимов, по-видимому, в результате нарушения копланарности молекулы. Р-р 0,084 моля 2, 4, 6-триметилацетофенона в 79 г  $C_6H_5N$  (II) прибавляют к охлажд. р-ру 0,5 моля  $NH_2OH \cdot HCl$  в 79 г II и оставляют на 1 месяц при ~20°; после удаления II в вакууме выделяют I, выход 40,3%, т. пл. 102,5—104° (из водн. сп.). I г I осторожно прибавляют к 20 мл конц.  $H_2SO_4$  при 0° и после стояния 70 мин. при 0° выливают на лед, выход 2, 4, 6-триметилацетанилида 94%. Сообщение VI см. РЖХим, 1956, 49856.

**74904. Сочетание ароматических диазосоединений с жирными диазосоединениями. Хейсген, Кох** (Die Kupplung aromatischer mit aliphatischen Diazoverbindungen. Huisgen Rolf, Koch Hans-Joachim), Liebigs Ann. Chem., 1955, 591, № 3, 200—231 (нем.)

Изучены продукты сочетания ароматич. диазониевых солей  $ArN_2X$  (I) (здесь и далее при X, обычно равном Cl, указаны заместители в бензольном ядре а H, б  $n$ - $NO_2$ , в  $n$ -Br, г  $o$ - $NO_2$ , д  $n$ -Cl, е 2,4- $Cl_2$ ) с  $C_6H_5OOCCHN_2$  (II),  $C_6H_5COCHN_2$  (III),  $CH_3COCHN_2$  (IV),  $(C_6H_5)_2CN_2$  (V),  $C_6H_5CHN_2$  (VI),  $CH_3CHN_2$  (VII),  $CH_3CHN_2$  (VIII) и 9-диазофлуореном (IX). Обсуждается электронный механизм изученных р-ций электрофильных и нуклеофильных II—IX и причина отсутствия сочетания в случае р-ции II с  $\beta$ - $C_{10}H_7N_2X$  (Ж) и I с  $n$ -м- $CH_3O$ -группами в ядре. I получены из хлоргидратов солей и  $C_6H_5ONO$  в лед.  $CH_3COONH$  или абс. спирте, в некоторых случаях осаждены прибавлением эфира или тетрагидрофурана. При р-ции Ia—e с II получены  $C_6H_5COOC(X)=NNAg(X)$  (X = Cl или Br (моноэтиловые эфиры хлорангидридов арилгидразинов шавелевой к-ты); при этом, по-видимому, сначала образуется аддукт  $C_6H_5COOCH(N^+ \equiv NCl^-)N_2Ag$ , затем отщепляется  $N_2$  и образуется карбониевое соединение  $(C_6H_5COO^+CHN_2 \cdot Ar)Cl^-$ , после чего азосоединение перегруппировывается в более стойкое X. Ia с диазокетонами III—IV не реагирует. При взаимодействии же Iб (X = Cl или Br) с III образуется  $n$ - $NO_2C_6H_4NHN=C(X)COC_6H_5$  (XI) (X = Cl или Br), полученные также встречным синтезом. Подобно III реагирует IV с I с образованием  $ArNHN=C(Cl)COC_6H_5$  (XII). В связи с снижением нуклеофильной реакционной способности  $n$ - $NO_2$ -III не реагируют с Iб и с 2,4-( $NO_2$ ) $_2$  $C_6H_3N_2 \cdot HSO_4$  (Iз),  $n$ - $NO_2C_6H_4COCH_2CHN_2$  с Iб—в и Iз,  $(C_6H_5CO)_2CN_2$  с Iб и Iз. V энергично реагирует с I в  $CH_3OH$  или спирте, причем в результате дополнительной обменной р-ции с р-рителем образуется  $(C_6H_5)_2C(OR)N_2Ag$  (XIII). Аналогично протекает р-ция I с IX с образованием  $ArN_2ROCH_3$  (XIV), где R = 9-флуоренилиден. XIII—XIV в отличие от X очень чувствительны к действию к-т. Взаимодействие Iб в  $CH_3OH$ , насыщ. LiCl, с VI приводит к  $n$ - $NO_2C_6H_4NHN=C(C_6H_5)Cl$  (XV) при отсут-

ствии  $\text{LiCl}$  р-ция идет в другом направлении. Р-ция **16** с **VII** в зависимости от условий протекает в различных направлениях. В  $\text{CH}_3\text{OH}$ , насыщ.  $\text{LiCl}$ , гладко образуется  $\text{p-NO}_2\text{C}_6\text{H}_4\text{NHN}=\text{CHCl}$  (**XVI**), который, подобно распаду гипотетич.  $\text{HCOSCl}$ , легко гидролизует с отщеплением  $\text{CO}$  в  $\text{p-NO}_2\text{C}_6\text{H}_4\text{NHNH}_2\cdot\text{HCl}$  (**XVII**). При прибавлении **16** в  $\text{CH}_3\text{OH}$  к избытку **VII** образуется в зависимости от соотношения **16**: **VII** 1-(*p*-нитрофенил)-тетразол (**XVIII**), по свойствам отличающийся от синтезированного 2-(*p*-нитрофенил)-тетразола (**XIX**),  $\text{p-NO}_2\text{C}_6\text{H}_4\text{N}(\text{CH}_3)\text{CN}$  (**XX**), и немного продукта конденсации **16** с 4 молями **VII**  $\text{C}_{10}\text{H}_{11}\text{O}_2\text{N}_3$  (т. пл. 102–103°, строение не установлено). Строение **XX** подтверждено встречным синтезом. При гидролизе **XX** количественно отщепляется  $\text{NH}_3$ . Поэтому для выяснения механизма образования **XX** он получен с применением  $\text{HN}^{15}\text{O}_2$ ; после гидролиза **XX** почти весь  $\text{N}^{15}$  выделен в виде  $\text{N}^{15}\text{H}_3$ , что соответствует образованию **XX** по схеме:  $\text{ArN}_2\text{CH}_2\text{N}^+\equiv\text{N} \rightarrow \text{ArN}_2\text{C}^+\text{H}_2 \rightarrow$

$\rightarrow \text{ArNHN}=\text{C}^+\text{H} \rightarrow \text{ArN}^+\text{HN}=\text{CH} \rightarrow \text{ArNHCH}=\text{N}^+ \rightarrow \text{ArNHCHN} \rightarrow \text{XX}$ . В условиях синтеза **XV** из **I** и **VIII** получены  $\text{ArNHN}=\text{C}(\text{CH}_3)\text{Cl}$  (**XXI**). Р-цию **1a** с **VII** не удается регулировать. В различных опытах выделены  $\text{C}_6\text{H}_5\text{NHNH}_2\cdot\text{HCl}$  (**XXII**), нестойкое в-во, по-видимому,  $\text{C}_6\text{H}_5\text{NHN}=\text{CHCl}$  (**XXIII**) легко превращающееся в **XXII** и в меньших кол-вах 2 изомерных в-ва (**XXIV**—**XXV**) состава  $\text{C}_{14}\text{H}_{15}\text{N}_4$  неустойчивого строения. К р-ру 2,2 ммоль **16** в 6 мл  $\text{CH}_3\text{OH}$  прибавляют при охлаждении 2,64 ммоль **II**, через 15 час. отделяют **X6**, выход 64%, т. пл. 191–193° (из  $\text{CH}_3\text{OH}$  или сп.), не изменяется при нагревании с  $\text{HCl}$  (к-той) при 100°, не восстанавливает  $\text{AgNO}_3$  в  $\text{NH}_4\text{OH}$ . При повышении т-ры р-ции выход **X6** понижается, при 100%-ном избытке **II** выход **X6** 69%. Из **16** ( $\text{X}=\text{Br}$ ) (из 1 г  $\text{p-NO}_2\text{C}_6\text{H}_4\text{NH}_2\cdot\text{HBr}$  в 15 мл спирта и 0,8 мл  $\text{C}_2\text{H}_5\text{ONO}$ ) получен диморфный **X6** ( $\text{X}=\text{Br}$ ), т. пл. 200–201° (из сп. или бзл.). Аналогично получены следующие **X**, перекристаллизованные из  $\text{CH}_3\text{OH}$  (указан выход в % и т. пл. в °C): **Xa**, 16, 77–79; **Xb**, 62, 160–161; **Xg**, 52, 117,8–118, **Xd**, 48, 146–147; **Xe**, 39, 92,5–93,5. К р-ру 1 г **16** ( $\text{X}=\text{Cl}$ ) в  $\text{CH}_3\text{OH}$  прибавляют 0,8 г **III** и отделяют **X16** ( $\text{X}=\text{Cl}$ ), выход 79%, т. пл. 244–245° (разл.; из ацетона). Аналогично получены **X16** ( $\text{X}=\text{Br}$ ), выход 50%, т. пл. 241–242°; **X1d**, т. пл. 194–196° (из сп.). Р-цией **16** с  $\text{CH}_2(\text{COC}_6\text{H}_5)_2$  получен  $\text{p-NO}_2\text{C}_6\text{H}_4\text{NHN}=\text{C}(\text{COC}_6\text{H}_5)_2$ , который действием  $\text{Cl}_2$  или  $\text{Br}_2$  в присутствии  $\text{CH}_3\text{COONa}$  превращен соответственно в **X16** ( $\text{X}=\text{Cl}$  или  $\text{Br}$ ). В условиях синтеза **X1** получены **X116**, выход 42%, т. пл. 224–224,5° (из  $\text{CH}_3\text{OH}$ ), и **X1e**, выход 2,7 г (из 3 г **1e**), т. пл. 116–117°. **X1e**, полученный по описанному методу (Bülow, Neber, Ber., 1913, 46, 2370), также плавится при 116–117°. К охлажд. р-ру 1,4 г **V** в 25 мл  $\text{CH}_3\text{OH}$  прибавляют 1 г **1a**, при упаривании выделяется **X11a** ( $\text{R}=\text{CH}_3$ ), выход 70%, т. пл. 101–101,5° (из  $\text{CH}_3\text{OH}$ ). Из р-ра 4 г **V** в 50 мл спирта и 1,7 г пиридина прибавляют 3 г сухого **1a**, через ~12 час. отделяют **X11a** ( $\text{R}=\text{C}_2\text{H}_5$ ), выход 57%, т. пл. 80,5–82° (из петр. эф.). Аналогично получены следующие перекристаллизованные из  $\text{CH}_3\text{OH}$  **X11i** и **XIV** при  $\text{R}=\text{CH}_3$  (указан выход в % и т. пл. в °C): **X116**, 56, 134–135; **X11d**, 139–140 (из ацетона-петр. эф. и  $\text{CH}_3\text{COOH}$ ); **X11v**, 66, 136–137; **X11ж**, 65, 155,5–156; **X11в**, 60, 115–115,5; **X116**, 81, 138,4–139. При гидрировании 6 час. р-ра 500 мг **X11в** ( $\text{R}=\text{CH}_3$ ) в 50 мл  $\text{CH}_3\text{OH}$  над 30 мг  $\text{PtO}_2$  получено 0,3 г  $\text{p-BrC}_6\text{H}_4\text{NHN}=\text{C}(\text{C}_6\text{H}_5)_2$ , т. пл. 116,5–117,5° (из  $\text{CH}_3\text{OH}$ ). Нагреванием 0,3 г **X116** ( $\text{R}=\text{CH}_3$ ) в 5 мл  $\text{CH}_3\text{OH}$  с 0,1 мл конц.  $\text{HCl}$  10 час. получено 75 мг  $\text{p-NO}_2\text{C}_6\text{H}_4\text{NHN}=\text{C}(\text{C}_6\text{H}_5)_2$  (**XXVI**), т. пл. 151–152. При попытке переэтерификации **X116** ( $\text{R}=\text{CH}_3$ ) действием  $\text{H}_2\text{SO}_4$  и спирта получен **XXVI**. К 1,7 г **16** в

12,5 мл  $\text{CH}_3\text{OH}$ , насыщ.  $\text{LiCl}$ , прибавляют постепенно р-р 1 г **VI** в  $\text{CH}_3\text{OH}$ , выделен **XV**, т. пл. 191–191,5° (из  $\text{CH}_3\text{OH}$ ). В охлажд. р-р 5,8 г **16** в 80 мл  $\text{CH}_3\text{OH}$ , содержащем 12 г  $\text{LiCl}$ , прибавляют за 30 мин. р-р 2,16 г **VII** в 80 мл эфира, через ~12 час. упариванием filtrата выделяют **XVI**, выход 81%, т. пл. 141–142° (из  $\text{CH}_3\text{OH}$ ). При стоянии 4 дня из р-ра **XVI** в  $\text{CH}_3\text{OH}$  выделяется **XVII**, т. пл. 196–197° (осаждение  $\text{CCl}_4$  из спирт. р-ра). К р-ру 1,85 г **16** в 30 мл  $\text{CH}_3\text{OH}$  прибавляют за 12 мин. при –4° р-ра 420 мг **VII** в 185 мл эфира, выпавшие кристаллы обрабатывают  $\text{C}_6\text{H}_6$ , выделено 220 мг **XVIII**, т. пл. 187–187,5 (разл., из  $\text{CH}_3\text{OH}$ -ацетона), идентичны описанному **XVIII** (Freund, Paradies, Ber., 1901, 34, 3120) с т. пл. 205° (причина расхождения неясна). Действием дыма  $\text{HNO}_3$  на 2-фенилтетразол получен **XIX**, т. пл. 143–144° (из  $\text{CH}_3\text{OH}$ ), строение которого подтверждено УФ-спектром. К охлажд. р-ру 10 г 95%-ного **16** в 100 мл  $\text{CH}_3\text{OH}$  прибавляют за 50 мин. р-р 11,3 г **VII** в 350 мл эфира и 100 мл  $\text{CH}_3\text{OH}$ , через ~12 час. (~0°) отделяют 20 мг **XVIII**, filtrат промывают водой, р-ритель отгоняют, прибавляют  $\text{C}_6\text{H}_6$ , хроматографируют на  $\text{Al}_2\text{O}_3$ , вымывают  $\text{C}_6\text{H}_6$  **XX**, выход 24%, т. пл. 155,5–157° (из этилацетата). Нагреванием **XVIII** с разб. р-ром  $\text{NaOH}$  и подкислением получен  $\text{p-NO}_2\text{C}_6\text{H}_4\text{NHCN}$  (**XXVII**), выход 70% (из  $\text{p-NO}_2\text{C}_6\text{H}_4\text{NH}_2$  и  $\text{BrCN}$  выход **XXVII** низкий); при р-ции **XXVII** в  $\text{CH}_3\text{OH}$  с **VII** образуется **XX**. К охлажд. р-ру 12 ммоль **16** в 90 мл  $\text{CH}_3\text{OH}$ , содержащему 10 г  $\text{LiCl}$ , прибавляют за 20 мин. р-р 1,1 г **VIII** в 50 мл эфира, через ~15 час. (~0°) выделен **XX16**, выход 50%, т. пл. 138,5–139,5° (из бзл.). Аналогично получен **XX1e**, выход 57%, т. пл. 57–58° (из ацетона). К 4 г **1a** в 30 мл  $\text{CH}_3\text{OH}$  пропускают при 0° 2 г **VII**, при стоянии (0°) выделяется **XXII**, выход 60%, т. пл. 234–236° (разл., из сп.). В аналогичном опыте при применении  $\text{CH}_3\text{OH}$ , насыщ.  $\text{LiCl}$ , из 17,9 ммоль **1a** и 26,2 ммоль **VII** получено 0,8 г **XXIII**, т. пл. 138–140°, при перекристаллизации образуется **XXII**. В подобном же опыте смесь оставлена на ночь при ~0°, из осадка экстрагированием петр. эфиром в аппарате Соклетта выделен **XXIV**, т. пл. 191–192° (из  $\text{CH}_3\text{OH}$ ), не растворим в нагретой разб.  $\text{HCl}$ , лишен восстановительных свойств. К охлажд. р-ру 21,4 ммоль **1a** в 65 мл  $\text{CH}_3\text{OH}$ , насыщ.  $\text{LiCl}$ , прибавляют за 25 мин. р-р 31 ммоль **VII** в 50 мл эфира и 2,2 г  $\text{CaCO}_3$ , через ~12 час. выделено 400 мг **XXV**, т. пл. 151–151,5° (из бзл.), растворяется в 2 н.  $\text{HCl}$  с образованием нестойкого хлоргидрата с т. разл. 245–246°, при прибавлении  $\text{NH}_3$  выделяется в-во, изомерное **XXIV**–**XXV**, т. пл. 169,5–170° (из толуола или ацетона-бзл.), обладает основными свойствами, очищен через хлоргидрат. Приведены кривые УФ-спектров **XVIII**, **XIX** и других производных тетразола, **XX**, **XXIV**, **XXV**, **XXVIII**, а также  $\text{p-NO}_2\text{C}_6\text{H}_4\text{NHCN}$ ,  $\text{C}_6\text{H}_5\text{NHCN}$ ,  $\text{C}_6\text{H}_5\text{N}(\text{CH}_3)\text{CN}$ ,  $\text{p-NO}_2\text{C}_6\text{H}_4\text{NH}_2$ ,  $\text{p-NO}_2\text{C}_6\text{H}_4\text{NHN}=\text{CRCH}_3$  ( $\text{R}=\text{H}$ ,  $\text{CH}_3$ ,  $\text{Cl}$ ) и  $\text{p-NO}_2\text{C}_6\text{H}_4\text{NHN}=\text{CRCl}$  ( $\text{R}=\text{CH}_3\text{CO}$  или  $\text{COOC}_2\text{H}_5$ ).

Я. К.

**74905. Арилирование ненасыщенных систем свободными радикалами. IV. Влияние катализаторов, pH и растворителей в реакции Meerвейна. Рондестведт, Фогль** (Arylation of unsaturated systems by free radicals. IV. Effects of catalyst, pH and solvent upon the Meerwein reaction. Rondestvedt, Christian S., Jr., Vogl O.), J. Amer. Chem. Soc. 1955, 77, № 12, 3401–3402 (англ.)

Исследовано влияние различных катализаторов (K), р-рителей, pH, и буферных в-в при арилировании кумарина (**I**)  $\text{p-NO}_2\text{C}_6\text{H}_4\text{N}_2\text{Cl}$  (**II**) до 3-*p*-нитрофенилкумарина (**III**) по методу Meerвейна (J. prakt. Chem., 1939, 152, 237). Для определения активности K к водн. р-ру **II** прибавляли  $\text{CH}_3\text{COONa}$  до pH 4, 0,03 моля **I** в 75–90 мл ацетона и 0,0045 моля K. Летучие продукты отгоняли с водяным паром. Лучшим K является  $\text{CuCl}_2$ , выход **III** 37%.

В опытах без К выход III ~ 9%. Положительное влияние на выход III оказывали также:  $\text{HgCl}_2$  (22%);  $\text{CdCl}_2$ ,  $\text{ZnCl}_2$  (16—18%);  $\text{FeCl}_3$ ,  $\text{Pb}(\text{OCOCH}_3)_2$  (8—10%) и  $\text{Cu}$  (16% неочищ.), влияние других солей было меньше или отсутствовало. Влияние р-рителей изучали в присутствии  $\text{CuCl}_2$ ; лучшим р-рителем оказался ацетон, а близким к нему  $\text{CH}_3\text{CN}$  (выход неочищ. III 34%). В  $(\text{CH}_3\text{OCH}_3)_2$ ,  $\text{CHON}(\text{CH}_3)_2$  и тетрагидрофуране (IV) выход неочищ. III ~ 26%. При выпаривании р-рителей в вакууме выход снижается: в случае спирта и IV до 5—8%. рН среды регулировали прибавлением  $\text{CH}_3\text{COONa}$ , р-рителем был водн. ацетон, а  $\text{K CuCl}_2$ . С ростом рН от 1 до 4 выход III увеличивается от 22 до 30%, при рН 5 он падает до 17%. В качестве буфера при рН 3 испытывали Na-соли уксусной, лимонной, янтарной, винной и фосфорной к-т и этилендиаминтетрауксусную к-ту (V). Лучший буфер —  $\text{CH}_3\text{COONa}$ , выход III 33—40%. С цитратом выход III 23—24%, с сукцинатом 19%, с тартратом и фосфатом 11%, а с V 6%. Сообщение III см. РЖХим, 1956, 71555.

А. О.

#### 74906. Фотохимические реакции на солнечном свете.

Часть XIX. Опыты с производными дезоксибензойна Шенберг, Абдель Кадер Фатин, Сайед Мохамед Абдель Рахман Омран (Photochemical reactions in sunlight. Part XIX. Experiments with desoxybenzoin derivatives. Schönberg Alexander, Abdel Kader Fateen, Sayed Mohamed Abdel Rahman Omran, J. Amer. Chem. Soc., 1956, 78, № 6, 1224—1225 (англ.)).

Изучено фотохим. разложение бензилдифенилметана (I) и  $\text{C}_6\text{H}_5\text{COCH}(\text{C}_6\text{H}_5)\text{SR}$  (IIa—д), где IIa  $\text{R}=\text{C}_6\text{H}_5$ ; IIb  $\text{R}=\text{C}_6\text{H}_4\text{CH}_3$ -о, IIв  $\text{R}=\text{C}_6\text{H}_4\text{CH}_3$ -м; IIг  $\text{R}=\text{C}_6\text{H}_4\text{CH}_3$ -п и IIд  $\text{R}=\text{SCOC}_6\text{H}_5$ . Из 0,4 г I в 10 мл  $\text{C}_6\text{H}_6$  после стояния 2 недели на солнечном свете в атмосфере  $\text{N}_2$  или  $\text{CO}_2$  и упаривания до 2 мл получено 0,08 г  $(\text{C}_6\text{H}_5)_2\text{CHCH}(\text{C}_6\text{H}_5)_2$ , т. пл. 209°, фильтрат сконцентрирован, добавлен 2,4-динитрофенилгидразин, получен 2,4-динитрофенилгидразон бензальдегида. 1 г л-тиокрезол в р-ре  $\text{C}_2\text{H}_5\text{ONa}$  (из 0,2 г Na и 10 мл сп.) и 2 г хлористого цезия нагреты 5 мин., добавлено 20 мл воды, выход IIг 2 г, т. пл. 79° (из сп. и петр. эф.). Аналогично получен IIб, т. пл. 115° (из петр. эф.); IIа, т. пл. 83—84°; IIв, т. пл. 63° (из сп.). Из бензольных р-ров IIа-г после стояния не на солнечном свете выделен дидезил (III), т. пл. 255°, и упариванием фильтрата — изодидезил, т. пл. 80—100°. Из р-ра IIд в  $\text{C}_6\text{H}_6$  после стояния на солнечном свете выделен III и дибензилдисульфид. Обсуждается механизм р-ции. Предыдущую часть см. РЖХим, 1956, 50719.

С. И.

74907. Изучение действия серы на дифенилметан. VI. Общие заключения. Моро (Étude de l'action du soufre sur le diphenylméthane. VI. Conclusions générales. Moreau Robert C., Bull. Soc. chim. France, 1955, № 10, 1164—1166 (франц.)).

При действии S на дифенилметан (I) (сообщение V см. РЖХим, 1956, 61411) первой фазой р-ции является превращение I в тиобензофенон (II). Последний частично подвергается термич. разложению с образованием смол и возможно, непосредственно тетрафенилэтана (III). Большая часть II реагирует с I, служа, во-первых, акцептором H, что приводит к образованию радикалов двух типов  $(\text{C}_6\text{H}_5)_2\text{CH}^\bullet$  и  $(\text{C}_6\text{H}_5)_2\text{CHS}^\bullet$ ; первый из них димеризуется в тетрафенилэтан (IV) или реагирует с II, образуя радикал  $(\text{C}_6\text{H}_5)_2\text{C}^\bullet$ ; второй радикал димеризуется в дибензгидридисульфид, который термически распадается на I, II и S. Во-вторых, II, возможно, фиксирует  $(\text{C}_6\text{H}_5)_2\text{C}^\bullet$  с образованием III. Схема р-ции между I и S подтверждена экспериментально первоначальным образованием II без промежуточного образования соответствующего тиола; р-цией I и II с образованием III и IV; р-цией между тионом и углеводородом с обменом функциональными группами.

Л. Я.

74908. Получение некоторых N-производных 2-нитрофенилсульфенамида. Капрон, Сасин, Сасин

(The preparation of some N-substituted 2-nitrobenzenesulfenamides. Capron Nicholas, Sasin Richard, Sasin George' S., J. Organ. Chem., 1956, 21, № 3, 362 (англ.)).

Реакцией 0,26 моля амина в 250 мл эфира и 0,132 моля  $o\text{-O}_2\text{NC}_6\text{H}_4\text{SCl}$  в 250 мл эфира получены сульфенамиды  $o\text{-O}_2\text{NC}_6\text{H}_4\text{SNRR}'$  (I), где при  $\text{R}'=\text{H}$ ,  $\text{R}=\text{C}_6\text{H}_5\text{CH}_2$ ,  $m\text{-O}_2\text{NC}_6\text{H}_4$ , 2,4- $\text{Cl}_2\text{C}_6\text{H}_3$ ,  $\text{CH}_3(\text{C}_6\text{H}_5)\text{CH}$ , 2- $\text{C}_6\text{H}_5\text{C}_6\text{H}_4$ , 4- $\text{C}_6\text{H}_5$ ,  $\text{C}_6\text{H}_4$ , 2- $\text{CH}_3\text{OC}_6\text{H}_4$ , выходы соответственно 70, 55, 60, 77, 95, 95 и 95%, т. пл. в °C 59,5—60 (из лигр.), 192—193 (из ацетона), 182—183 (из ацетона), 57,5—58 (из сп.), 113,5—114 (из ацетона), 145—146 (из бзл.-петр. эф.) и 115,5—116° (из ацетона); получены I ( $\text{R}=\text{R}'=\text{C}_6\text{H}_5\text{CH}_2$ ), выход 85%, т. пл. 107—107,5° (из ацетона), и I ( $\text{R}+\text{R}'=(\text{CH}_2\text{CH}_2)_2\text{O}$ , выход 90%, т. пл. 89,5—90° (из сп.). I получены для испытаний в качестве фунгицидов. При окислении I не образуются соответствующих сульфамидов.

Р. С.

74909. Соединения, возможно представляющие интерес для химиотерапии проказы. Бью Хой, Сынг, Тьен (Compounds of potential interest for the chemotherapy of leprosy. Bui-Hoi N. P., Xuong N. D., Tien N. B., J. Organ. Chem., 1956, 21, № 4, 415—418 (англ.)).

Получен чистый 4,4'-диаминодифенилсульфоксид (I) перегруппировкой Гинзберга (Ber., 1908, 41, 113). Ацилированием I синтезированы ряд  $n\text{-(RCONH)}\text{C}_6\text{H}_4\text{SOC}_6\text{H}_4\text{NHCOR}$  (II) и  $n\text{-(RCONH)}\text{C}_6\text{H}_4\text{SOC}_6\text{H}_4\text{NHCOR}$  (III). Получен ряд тиосемикарбазонов (TCK) с повышенной растворимостью в липидах. Синтезированы также изоникотиноилгидразоны типа  $\text{NC}_6\text{H}_4\text{CONHN}=\text{C(R)Ar}$  (IV) и изомерные производные никотиновой к-ты (V). Смесь 1 ч.  $n\text{-CH}_3\text{CONHC}_6\text{H}_4\text{SOOH}$  и 4 ч. анилина нагревают 48 час. при 125—150° с применением  $\text{C}_6\text{H}_5\text{N}_2\text{HCl}$  как конденсирующего агента, отгоняют избыток анилина с паром, после гидролиза  $\text{HCl}$  (к-той) хлоргидрат I очищают кристаллизацией из воды и выделяют I, выход 10—15%, т. пл. 184°. К охлажд. р-ру 1 моля I в пиридине прибавляют постепенно 2 моля хлорангидрида к-ты, через 10 мин. добавляют воду, через ~12 час. отделяют II, выход 60—80%, перекристаллизованные из  $\text{C}_2\text{H}_5\text{OH}$  или спирта; упариванием маточных р-ров получают III. Описаны следующие II (указаны R и т. пл. в °C):  $\text{C}_6\text{H}_5$ , 233;  $\text{C}_6\text{H}_7$ , 233;  $\text{изо-C}_6\text{H}_7$ , 268;  $\text{C}_6\text{H}_9$ , 226;  $\text{C}_6\text{H}_{13}$ , 220;  $\text{C}_7\text{H}_{15}$ , 216;  $\text{C}_8\text{H}_{19}$ , 210;  $\text{C}_{11}\text{H}_{23}$ , 205;  $\text{C}_{12}\text{H}_{25}$ , 200;  $\text{C}_{13}\text{H}_{27}$ , 194;  $\text{C}_{17}\text{H}_{35}$ , 160;  $\text{C}_{11}\text{H}_{48}$ , 181;  $\beta$ -циклогексил-этил, 187;  $\omega$ -циклопентилдодецил, 159—160;  $\text{C}_6\text{H}_5$ , 272;  $\text{C}_6\text{H}_5\text{CH}_2$ , 224;  $n\text{-CH}_3\text{OC}_6\text{H}_4$ , 300;  $n\text{-CH}_3\text{C}_6\text{H}_4$ , 266;  $n\text{-BrC}_6\text{H}_4$ , > 330. Выделены следующие III (указаны R и т. пл. в °C):  $\text{C}_7\text{H}_{15}$ , 165;  $\text{C}_8\text{H}_{19}$ , 162;  $\text{C}_{10}\text{H}_{21}$ , 152—153;  $\text{C}_{12}\text{H}_{25}$ , 159;  $\text{C}_{13}\text{H}_{27}$ , 154;  $\text{C}_{21}\text{H}_{43}$ , 142—143;  $\omega$ -циклопентилдодецин, 138—139. Эквимольные кол-ва оксосоединения (OC) и тиосемикарбазида в небольшом кол-ве спирта с несколькими каплями  $\text{CH}_3\text{COOH}$  нагревают 30 мин., TCK кристаллизуют из спирта, выход почти колич. Нагреванием 2 часа эквимольных кол-в TCK,  $\text{C}_6\text{H}_5\text{COOH}$  и  $\text{CH}_3\text{CONa}$  в спирте получены с выходами ~95% 4-оксо- $\Delta^2$ -тиазолинил-2-гидразоны исходных оксосоединений (OTG). Получены следующие TCK и OTG (указано исходное OC, к которому относится шифр, т. пл. TCK и OTG в °C): ванилальацетон (VI), 167, 187; 5-бром-VI, 239, 208; вerratральацетон, 230, 216; пиперональацетон, 199, 239; 4-оксibenзальацетон, 226, 257; 4-окси-2-метилбензальацетон (VII), 220, 249; 4-окси-2-метилбензальдегид (VIII), 249, 332; 4-бензилокси-2-метилбензальдегид (IX), 202, 257; 4-(п-хлорбензилокси)-2-метилбензальдегид (X), 214, 289. Смесь 178 г 4-метокси-2-метилбензальдегида и 600 г  $\text{C}_6\text{H}_5\text{N}_2\text{HCl}$  нагревают 45 мин., после прибавления воды экстрагируют эфиром VIII, выход 65—70%, т. кип. 205—207°/18 мм. Р-р 7 г VIII и 3 г KOH в спирте и 7 г  $\text{C}_6\text{H}_5\text{CH}_2\text{Cl}$  нагревают 15 мин., отгоняют спирт, прибавляют воду и экстрагируют IX  $\text{C}_6\text{H}_6$ , выход 9 г т. кип. 232—234°/19 мм,

т. пл. 53° (из лигр.). Аналогично из VIII и 4-ClC<sub>6</sub>H<sub>4</sub>CH<sub>2</sub>Cl получен X, т. кип. 258—260°/19 мм, т. пл. 60° (из сп.). К р-ру 5 г VIII в 25 мл ацетона прибавляют 15 мл 10%-ного NaOH, отгоняют р-ритель, подкисляют разб. CH<sub>3</sub>COOH, экстрагируют эфиром VII, выход 4,5 г, т. кип. 251—252°/20 мм т. пл. 130° (из водн. сп.). Эквивалентные кол-ва изоникотиноилгидразина или изомера и ОС в спирте нагревают несколько часов, при охлаждении или разбавлении водой выделяется IV—V, перекристаллизованные из CH<sub>3</sub>OH или спирта. Получены следующие IV и V (указаны исходное ОС, т. пл. IV и V в °C): VIII, 307, 272, IX, 214, 144; X, 216, 180; 4-оксаацетофенон, 286, —; 4-оксипропиофенон, 247, 202; 3-бром-4-оксипропиофенон, 253, —; 4-метокси-3-метилпропиофенон, 143, —; 4-оксивалерофенон, 206, 152; 3-фтор-4-оксивалерофенон, 228, —; 4-оксикапрофенон, 205, —; 4-оксизантофенон, 203 155; 4-оксикаприлофенон, 206, 148; 4-окси-деканоилбензол, 203, —; 4-метокси-деканоилбензол, 126, —; 4-оксипальмитофенон, 153, —; 4-оксигеогенофенон, 131, —. Приведена характеристика туберкулоустойчив. действия полученных в-в: II in vitro неактивны, III слабо активны, TCK VI и другие активны в конц-ях 10<sup>-6</sup>—10<sup>-7</sup>, IV в конц-ях 10<sup>-7</sup>, V значительно уступают IV. Я. К.

**74910. Водорастворимые сульфамиды. Сообщение I. Баганц, Пейскер** (Wasserlösliche Sulfonamide I. Mitt.: *p*-Nitrobenzolsulfonyl- und *p*-Nitrobenzolsulfonylglycinderivate. Baganz Horst, Peissker Horst), Arch. Pharmazie, 1956, 289/61, № 5, 262—268 (нем.)

Синтезированные растворимые в воде *n*-NO<sub>2</sub>C<sub>6</sub>H<sub>4</sub>SO<sub>2</sub>NH-CH<sub>2</sub>CON (C<sub>2</sub>H<sub>5</sub>)<sub>2</sub> (Ia—б) (здесь и далее а R=H; б R=CH<sub>2</sub>-CH<sub>2</sub>SC<sub>2</sub>H<sub>5</sub>). Ia получен по схеме: *n*-NO<sub>2</sub>C<sub>6</sub>H<sub>4</sub>SCl (II) + NH<sub>2</sub>-CH<sub>2</sub>COOC<sub>2</sub>H<sub>5</sub> (III) → *n*-NO<sub>2</sub>C<sub>6</sub>H<sub>4</sub>SNHCH<sub>2</sub>COOC<sub>2</sub>H<sub>5</sub> (IV) → *n*-NO<sub>2</sub>C<sub>6</sub>H<sub>4</sub>SO<sub>2</sub>NHCH<sub>2</sub>COOC<sub>2</sub>H<sub>5</sub> (Va) → Ia. Синтез Ib осуществлен по схеме: *n*-NO<sub>2</sub>C<sub>6</sub>H<sub>4</sub>SO<sub>2</sub>Cl (VI) + метионин (VII) → *n*-NO<sub>2</sub>C<sub>6</sub>H<sub>4</sub>SO<sub>2</sub>NHCH(COOH)CH<sub>2</sub>CH<sub>2</sub>SC<sub>2</sub>H<sub>5</sub> (VIII) → (Vb) → Ib. Ia обладает туберкулоустойчив. активностью, лишь начиная с 1%-ной конц-ии. К эфир. р-ру III (из 30 г хлоргидрата III) постепенно прибавляют при охлаждении эфир. р-р 12,2 г II, фильтрат после отделения хлоргидрата III упаривают и выделяют 14—15 г IV, т. пл. 63—64°. К р-ру 15 г IV в 500 мл ацетона при 50° прибавляют 500 мл насыщ. р-ра KMnO<sub>4</sub>, содержащего 5 мл лед. CH<sub>3</sub>COOH, нагревают до обесцвечивания. Из фильтрата получают 6,5—7,1 г Va, т. пл. 118—120° (из воды). К 20 г Va прибавляют 350 мл 33%-ного р-ра (C<sub>2</sub>H<sub>5</sub>)<sub>2</sub>NH, через 48 час. добавляют 25 мл спирта, упаривают в вакууме, получают 8,5—9 г Ia, т. пл. моногидрата 148—150°. Взаимодействием 0,125 моля глицина, 0,275 моля NaOH в 60 мл воды и 0,14 моля VI при 80° получена *n*-NO<sub>2</sub>C<sub>6</sub>H<sub>4</sub>SO<sub>2</sub>NHCH<sub>2</sub>COOH, выход 85%, т. пл. 172° (из воды), которая р-чей с абс. спиртом и HCl (газом) превращена в Va. При р-ции хлоргидрата III в CH<sub>3</sub>OH в присутствии Na<sub>2</sub>CO<sub>3</sub> с II при ~15° также образуется Va, выход 30—40%. К 9 г NaOH и 0,1 моля VII в 80 мл воды при 75° постепенно прибавляют 0,1 моля VI, из фильтрата при рН 2—3 выделяется VIII, которая через 1—2 дня закристаллизовывается, выход 83%, т. пл. 119—120°. Из VIII, спирта и HCl (газа) при т-ре ниже 55° получен Vb, выход 90%, т. пл. 99,5°. Из Vb, как из Va, получен Ib, выход 25%, т. пл. моногидрата 181° (из ацетона-эф.). Я. К.

**74911. Синтез и исследование нитро- и сульфопроизводных 3,4-диметил-3,4-дифенилгексана. Халеский А. М., Рукакова А. Н., Ж. общ. хим., 1956, 26, № 5, 1453—1456**

Получена [2,4-(HO<sub>2</sub>S)-C<sub>6</sub>H<sub>4</sub>C(CH<sub>3</sub>)<sub>2</sub>(C<sub>6</sub>H<sub>5</sub>)<sub>2</sub>] (I) по схеме: CH<sub>3</sub>CH=C(CH<sub>3</sub>)C<sub>6</sub>H<sub>5</sub> (II) → CH<sub>3</sub>CB<sub>2</sub> (C<sub>2</sub>H<sub>5</sub>) (III) → [(CH<sub>3</sub>-C(C<sub>2</sub>H<sub>5</sub>)C<sub>6</sub>H<sub>5</sub>)<sub>2</sub>] (IV) → I. При нитровании IV образуется *n*, *n'*-(NO<sub>2</sub>)<sub>2</sub>-IV (V), который обладает высокой эстрогенной активностью (20 γ), I — малоактивна. 45 г II насыщают HBr (газом) (от —2° до +1°), получено 73,5 г

нестойкого III. К 71 г III в 50 мл эфира прибавляют 3,8 г Mg в 40 мл эфира, нагревают 3 часа, разлагают 50 мл воды и 70 мл конц. HCl, из эфирного слоя после отгонки р-рителя и прибавления 100 мл спирта выделено при охлаждении 4,9 г кристаллич. IV, т. пл. 97—98° (из сп.), видимо, мезо-форма; из спирт. маточного р-ра выделено 5,8 г видимо рацемич. IV с т. кип. 306—310°. К 3 г кристаллич. IV в 33 мл (CH<sub>3</sub>CO)<sub>2</sub>O прибавляют 3,1 мл HNO<sub>3</sub> (d 1,39), через ~12 час. перемешивают 1 час с добавлением 3 мл воды и отделяют V, выход 44,8%, т. пл. 194—196° (из бзл.). Нагревают 1,2 г кристаллич. IV с 15 мл конц. H<sub>2</sub>SO<sub>4</sub> и при 80—90° и 4 часа при 120°, после прибавления BaCO<sub>3</sub>, действия Na<sub>2</sub>CO<sub>3</sub> на фильтрат и упаривания выделена Na-соль I, выход 75,6%. Положение NO<sub>2</sub>-групп в IV и SO<sub>2</sub>-H-групп в I предложено на основании общих соображений. Я. К.

**74912. Восстановительное расщепление эфиров *n*-толуолсульфокислоты. Денни, Голдстейн** (Reductive cleavage of tosylates. Denney Donald B., Goldstein Bernard), J. Organ. Chem., 1956, 21, № 4, 479 (англ.)

*n*-CH<sub>3</sub>C<sub>6</sub>H<sub>4</sub>SO<sub>2</sub>OR (Ia—б) (а R = циклогексил; б R = *n*-октил) расщепляются при действии Na в жидком NH<sub>3</sub> с образованием соответствующих спиртов и толуола; судьба S не установлена. К р-ру 13,8 г Na в 300 мл жидкого NH<sub>3</sub> прибавляют за 40 мин. р-р 26,4 г Ia в 100 мл эфира. прибавляют NH<sub>4</sub>Cl до исчезновения оранжевой окраски, затем 50 мл воды, после улетучивания NH<sub>3</sub> и упаривания добавляют 60 мл воды, экстрагируют эфиром (4-50 мл) толуол и C<sub>6</sub>H<sub>11</sub>OH, выход 54%, т. кип. 60—61°/9 мм, *n*<sub>D</sub><sup>20</sup> 1,4675. Аналогично из Ib получен C<sub>8</sub>H<sub>17</sub>OH, выход 56%, т. кип. 86—88°/8 мм, *n*<sub>D</sub><sup>20</sup> 1,4230. Я. К.

**74913. Инденофлуорены ортохиноидного строения и их аутоокисление в нейтральной среде. Этьенн, Ле-Берр** (Hydrocarbures indénofluoréniques orthoquinoides. Leur autooxydation en milieu neutre. Étienne André, Le Berre André), C. r. Acad. sci., 1956, 242, № 15, 1899—1901 (франц.)

11,12-дифенилinden-(2,1-а)-флуорен (I) и 13,14-дифенилinden-[с]-inden-[2,1-а]-флуорен (II) (РЖХим, 1956, 64924) подвергаются аутоокислению с образованием нестойких перекисей, которые охарактеризованы по продуктам их превращения. I и II в C<sub>6</sub>H<sub>6</sub>, CS<sub>2</sub> или эфире медленно и несколько быстрее на свету поглощают молекулу O<sub>2</sub>; при этом темнофиолетовая окраска р-ра переходит в темнооранжевую. По испарению р-рителя остается смолистая масса, не отщепляющая O<sub>2</sub> при нагревании, но выделяющая J<sub>2</sub> из р-ра KJ в CH<sub>3</sub>COOH. Аутоокисление I не ингибируется дио, *о'*-трет-бутил-*n*-крезолом, гидрохиноном (III) или пирогаллолом (IV) в кол-ве 1—25%. В присутствии избытка III и IV выделен 11,12-дифенил-11,12-диоксид-11,12-дигидринден-[2,1-а]-флуорен (см. ссылку выше), выход соответственно 10 и 70%, т. пл. 276° (разл.). По мнению авторов, перекись полимеризована, имеет эндо-строение и O<sub>2</sub> присоединен в положения 1—4. Аналогично I при окислении II образуется смола; в присутствии III или IV выделен 13,14-дифенил-13,14-диоксид-13,14-дигидробенз-[с]-inden-[2,1-а]-флуорен, т. пл. 348°. При аутоокислении I и II в кислой среде выделены соединения состава C<sub>22</sub>H<sub>22</sub>O<sub>3</sub> и C<sub>26</sub>H<sub>24</sub>O<sub>3</sub> соответственно, не являющиеся перекисями, по-видимому, продукты превращения исходных циклич. перекисей. И. Л.

**74914. Фульвены и термохромные этилены. Часть 30. Опыты в ряду 2,3-диариллидонов. Бергман** (Fulvenes and thermochromic ethylenes. Part 30. Experiments in the 2,3-diaryllidone series. Bergmann Ernst D.), J. Organ. Chem., 1956, 21, № 4, 461—464 (англ.)

По описанному методу (Синтез органич. препаратов. М., Изд-во ин. лит., 1949, сб. 2, 80) получен ряд арил-

метилфталидов  $\text{ArCH}=\text{C}_6\text{H}_4\text{COO}$  (Ia—e) (здесь и далее а  $\text{Ar} = \text{C}_6\text{H}_5$ ; б  $\text{Ar} = p\text{-BrC}_6\text{H}_4$ ; в  $\text{Ar} = p\text{-CH}_3\text{OC}_6\text{H}_4$ ; г  $\text{Ar} = o\text{-ClC}_6\text{H}_4$ ; д  $\text{Ar} = \alpha\text{-C}_{10}\text{H}_7$ ; е  $\text{Ar} = \beta\text{-C}_{10}\text{H}_7$ ) и измерены их УФ-спектры в спирте. Все I кроме Ie обладают одинаковой конфигурацией; Ie поглощает в значительно более коротковолновой области, чем Ia, что указывает на их различную конфигурацию. Предположительно Ia находится в *цис*-форме, остальные I в *транс*-форме. Кисденсацией I с  $\text{Ar'MgX}$  (II) ( $\text{Ar}'$  такие же, как в I и дополнительно ж  $\text{Ar}' = o\text{-CH}_3\text{C}_6\text{H}_4$ ) получены 2,3-диарилиндоны (III) ( $\text{Ar}$  в положении 2 и  $\text{Ar}'$  в положении 3) и измерены их спектры в УФ-, и ИК- и видимой области (ср. предварительное сообщение РЖХим, 1955, 6983). В некоторых случаях выделены промежуточно образующиеся *о*-( $\text{ArCH}_2\text{CO}$ ) $\text{C}_6\text{H}_4\text{COAr}'$  (IV), которые легко отщепляют воду и превращаются в III. Получены следующие I (перечисляется  $\text{Ar}$ , выход в %, т. пл. в °C, в скобках *р*-ритель для перекристаллизации): б, 46, 162 (*изо*- $\text{C}_6\text{H}_5\text{OH}$ ); в, 54, 145 ( $\text{C}_6\text{H}_5\text{OH}$ ) (БС); г, 67, 163 (БС); д, 80, 179 ( $\text{CH}_3\text{COOH}$ ; этилацетат) в одном опыте выделена полиморфная модификация Id с т. пл. 157—158° (из лед.  $\text{CH}_3\text{COOH}$ ); е, 51, 171 (БС). К IIa (из 8,6 мл  $\text{C}_6\text{H}_5\text{Br}$  и 2 г Mg) прибавляют 5 г Iб, нагревают 4 часа, разлагают льдом и  $\text{NH}_4\text{Cl}$ , после обычной обработки получен IIб, а (здесь и далее первая буква соответствует  $\text{Ar}$  в I, вторая —  $\text{Ar}'$  в II). Продукт *р*-ции 2 г Mg, 17,9 г *о*- $\text{ClC}_6\text{H}_4$  и 5 г Ia разлагают разб.  $\text{H}_2\text{SO}_4$  и льдом, выделяют IIIa, г, т. кип. 260—270°/5 мм. Взвесы б, I и е в  $\text{C}_6\text{H}_6$  прибавляют к II из 2 г Mg и 8,6 мл  $\text{C}_6\text{H}_5\text{Br}$ , нагревают 4 часа, выделяют на лед, прибавляют небольшой избыток разб.  $\text{H}_2\text{SO}_4$ , отделяют IVe, а, выход 60%, т. пл. 172° (из толуола); при перегонке продуктов *р*-ции выделен IIIe, а, т. кип. 260—270°/2 мм. Нагревание IVe, а 1 час при 200—210° также приводит к IIIe, а. При взаимодействии IIж с Ia в эфире образуется преимущественно IVa, ж, т. пл. 176° (разл.; из БС), при нагревании (1 час, 190°) переходит в IIIa, ж. Из IIж и Ia в присутствии  $\text{C}_6\text{H}_6$  после нагревания 6 час. и дальнейшей обычной обработки получен IIIa, ж, выход 60%, т. кип. 200—220°/0,7 мм. IIe и Ia нагревают 4 часа, разлагают льдом и разб.  $\text{H}_2\text{SO}_4$ , отделяют небольшое кол-во  $\beta\beta'$ -динафтила, перегоняют при 0,7 мм, дистиллат обрабатывают лед.  $\text{CH}_3\text{COOH}$ , механически отделяют желтые кристаллы IVa, е (т. пл. 184—185° (из лед.  $\text{CH}_3\text{COOH}$ )) от красных кристаллов IIIa, е. Описаны свойства следующих III (перечисляются  $\text{Ar}$ ,  $\text{Ar}'$ , т. пл. в °C, в скобках *р*-ритель для перекристаллизации): а, а, 151; а, в, 120 (сп.); в, а, 118—119 ( $\text{CH}_3\text{CH}_2\text{OH}$ ) (ИПС); а, б, 170 (БС); б, а, 145 (ИПС); а, г, 183—184 (ИПС); г, а, 120 (ИПС); а, ж, 125 (ИПС);  $\text{C}_6\text{H}_{12}$ ; а, д, 180 (ИПС); д, а, 156 (ИПС); а, е, 99 ( $\text{CH}_3\text{COOH}$ ); е, а, 159—160 ( $\text{CH}_3\text{NO}_2$ ). Часть 29 см. РЖХим, 1955, 16338.

#### 74915. Синтез и некоторые реакции 9-флуоренилнитрата.

Фриман (The synthesis and some reactions of 9-fluorenyl nitrate. Freeman Jeremiah P.), J. Org. Chem., 1956, 21, № 4, 471—472 (англ.)

При прибавлении *р*-ра 5,1 г  $\text{AgNO}_3$  в 15 мл  $\text{CH}_3\text{CN}$  к *р*-ру 4,9 г 9-бромфлуорена в 100 мл  $\text{CH}_3\text{CN}$  выделяется  $\text{AgBr}$  и из фильтрата получен 9-флуоренилнитрат (I), выход 97%, т. пл. 90—91° (из петр. эф.). Строение I подтверждено ИК-спектром. При действии конц.  $\text{H}_2\text{SO}_4$  на I и разбавлении водой получен 9-флуоренол (II), т. пл. 154—155°. Действие 10%-ного *р*-ра  $\text{KOH}$  в  $\text{CH}_3\text{OH}$  на I ведет к флуоренону (III), т. пл. 82—84°. После нагревания *р*-ра I в  $\text{C}_6\text{H}_5\text{Cl}$  (6 час., 125—130°) в токе  $\text{N}_2$  с последующим упариванием до ~10 мл, хроматографированием на  $\text{Al}_2\text{O}_3$  и вымыванием  $\text{C}_6\text{H}_6$  и  $\text{CH}_2\text{Cl}_2$  выделены II и немного III.

Я. К.

#### 74916. Об ориентации в ароматических соединениях. II. Ориентация в нафталине при реакции Фриделя—

Крафтса. 2. III. Ориентация в реакции Фриделя—Крафтса. IV. Изучение ориентации в нафталиновом ядре при реакции Фриделя—Крафтса. 3. V. Миграция групп — заместителей в ядре нафталина. Конкэ, Окава (芳香族の配向に関する研究. 第2報. フリーデルクラフト反応におけるナフタリンの配向. その2. 第3報. フリーデルクラフト反応におけるベンゼン環の配向. 第4報. フリーデルクラフト反応におけるナフタリン環の配向. その3. 第5報. ナフタリン誘導体の轉位反応. 小池榮二, 大川勝昭), 日本化学雑誌, Нихон кагаку дзасси, J. Chem. Soc. Japan, Pure Chem. Sec., 1953, 74, № 12, 971—974; 1954, 75, № 1, 83—86; 1955, 76, № 2, 117—120; 121—124 (япон.)

Сообщение II. При помощи ИК-спектрометрии изучалось влияние условий на ориентацию при *р*-ции  $\text{C}_{10}\text{H}_8$  с  $\text{C}_6\text{H}_5\text{CH}_2\text{Cl}$ ,  $\text{C}_6\text{H}_5\text{COCl}$  и  $\text{CH}_3\text{COCl}$  в присутствии различных катализаторов. *Р*-ция 51,5 г  $\text{C}_{10}\text{H}_8$  и 12,7 г  $\text{C}_6\text{H}_5\text{CH}_2\text{Cl}$  в присутствии 0,4 г катализатора приводит к следующим результатам (приводятся катализатор, *т*-ра в °C, время *р*-ции в часах, выход продукта в %, содержание 1- и 2- $\text{C}_{10}\text{H}_7\text{CH}_2\text{C}_6\text{H}_5$  в %):  $\text{P}_2\text{O}_5$ , 180—200, 5, 55, 78, 22; без катализатора, 180—200, 18, 64,5, 81,19;  $\text{ZnCl}_2$ , 80,4, 73,5, 71,29;  $\text{FeCl}_3$ , 80,7, 82,5, 74,5, 25,5;  $\text{AlCl}_3$ , 65—70, 4,5, 57,5, 19, 81;  $\text{AlCl}_3$ , 1—3, 8,5, 55, 76,24;  $\text{AlCl}_3$ , 20—22, 7, 52, 68, 32;  $\text{AlCl}_3$ , 30—31,3,5, 50,5, 60, 40.  $\text{C}_{10}\text{H}_8$  и  $\text{C}_6\text{H}_5\text{COCl}$  в  $\text{C}_6\text{H}_5\text{Cl}$  в присутствии  $\text{AlCl}_3$  (50°),  $\text{ZnCl}_2$  (95°) и  $\text{P}_2\text{O}_5$  (200°) привели к 1- и 2- $\text{C}_{10}\text{H}_7\text{COC}_6\text{H}_5$  в соотношении 69—75:31—25; при *р*-ции в  $\text{C}_6\text{H}_5\text{NO}_2$  (I) в присутствии  $\text{AlCl}_3$  (2—10°) не наблюдается заметного изменения в соотношении изомеров. При *р*-ции 12,8 г  $\text{C}_{10}\text{H}_8$ , 7,9 г  $\text{CH}_3\text{COCl}$  и 14 г  $\text{AlCl}_3$  в 50 г *р*-рителя получены следующие результаты (приводятся *т*-ра в °C, время в часах, *р*-ритель, выход в %, содержание 1- и 2- $\text{C}_{10}\text{H}_7\text{COCH}_3$  в %): 5, 3,5, I, 59,5, 28, 72; 5, 3,5,  $\text{C}_6\text{H}_5\text{Cl}$ , 41,2, 66, 34; 10,4, I, 60, 28, 72; —5,6, I, 76,5, 26,74; 20—25, I, I 66, 5, 28, 72.

Chem. Abstrs., 1955, 49, 3913. O. Simamura

Сообщение III. С помощью ИК-спектра изучен эффект влияния условий на ориентацию вступающей группы в *р*-циях  $\text{C}_6\text{H}_5\text{CH}_3$  и  $\text{C}_6\text{H}_5\text{Cl}$  с  $\text{C}_6\text{H}_5\text{CH}_2\text{Cl}$ ,  $\text{C}_6\text{H}_5\text{COCl}$  и  $\text{CH}_3\text{COCl}$  в присутствии  $\text{AlCl}_3$  или  $\text{ZnCl}_2$ . С  $\text{C}_6\text{H}_5\text{CH}_3$  (30 г) и  $\text{C}_6\text{H}_5\text{CH}_2\text{Cl}$  (12,7 г) в присутствии 0,5 г катализатора получены следующие результаты (даны катализатор, *т*-ра в °C, время *р*-ции в час., выход в %, выход в % *о*-, *м*- и *п*- $\text{CH}_2\text{C}_6\text{H}_4\text{CH}_2\text{C}_6\text{H}_5$ ):  $\text{ZnCl}_2$ , 35, 6, 4,4, 53,5, 5,3, 40,9;  $\text{ZnCl}_2$ , 70, 6, 60,4, 46, —, 54;  $\text{AlCl}_3$ , —8,5, 55,3, 46,3, 48,5, 5,2;  $\text{AlCl}_3$ , 0—5, 6, 49,5, 32,5, 50,6, 16,9;  $\text{AlCl}_3$ , 50, 1, 50,5, 44,9, 37,1, 17,2. С 30 г  $\text{C}_6\text{H}_5\text{Cl}$  получены следующие результаты (даны те же показатели):  $\text{AlCl}_3$ , 80, 1,5, 43,8, 57, 32, 11;  $\text{ZnCl}_2$ , 80—90, 6,5, 9,4, 84, —, 16. Бензоилируют 9,2 г  $\text{C}_6\text{H}_5\text{CH}_3$  смесью 14 г  $\text{C}_6\text{H}_5\text{COCl}$  и 14 г  $\text{AlCl}_3$ , к которой добавляют при 5° 50 г *р*-рителя (даны *р*-ритель, *т*-ра *р*-ции в °C и время в час., выход в %):  $\text{C}_6\text{H}_5\text{CH}_3$ , 3, 5, 77;  $\text{C}_6\text{H}_5\text{CH}_3$ , 35,3, 90;  $\text{C}_6\text{H}_5\text{NO}_2$ , от —8 до —6, 39;  $\text{C}_6\text{H}_5\text{NO}_2$ , 0,4, 67,5;  $\text{C}_6\text{H}_5\text{NO}_2$ , 10, 5, 72,5;  $\text{C}_6\text{H}_5\text{NO}_2$ , 20, 5, 69;  $\text{C}_6\text{H}_5\text{NO}_2$ , 0, 4, 39. При аналогичном бензоилировании 11,2 г  $\text{C}_6\text{H}_5\text{Cl}$  получены следующие результаты (даны *р*-ритель, *т*-ра в °C и время *р*-ции в час., выход в %, выход в % *м*- и *п*- $\text{C}_6\text{H}_5\text{COC}_6\text{H}_4\text{Cl}$ ):  $\text{C}_6\text{H}_5\text{NO}_2$ , 80, 6, 43, 21,2, 78,8;  $\text{C}_6\text{H}_5\text{Cl}$ , 80, 7, 71,5, 10,2, 90;  $\text{C}_6\text{H}_5\text{NO}_2$ , 35, 15, 9,2, —, 100;  $\text{C}_6\text{H}_5\text{Cl}$ , 35, 15, 60,2, —, 100. Добавляют за 30 мин. 28 г  $\text{AlCl}_3$  к смеси 0,2 моля  $\text{C}_6\text{H}_5\text{CH}_3$  или  $\text{C}_6\text{H}_5\text{Cl}$ , 15,6 г  $\text{CH}_3\text{COCl}$  и 75 г *р*-рителя, получают ацильное производное (даны реагент, *р*-ритель, *т*-ра в °C и время *р*-ции в час., выход в %):  $\text{C}_6\text{H}_5\text{CH}_3$ ,  $\text{C}_6\text{H}_5\text{CH}_3$ , 5, 2,25, 42,9;  $\text{C}_6\text{H}_5\text{CH}_3$ ,  $\text{C}_6\text{H}_5\text{NO}_2$ , 5, 5,5, 37,3;  $\text{C}_6\text{H}_5\text{CH}_3$ ,  $\text{C}_6\text{H}_5\text{NO}_2$ , —8, 5,5, 35;  $\text{C}_6\text{H}_5\text{Cl}$ ,  $\text{C}_6\text{H}_5\text{Cl}$ , 35, 4,5, 80,3;  $\text{C}_6\text{H}_5\text{Cl}$ ,  $\text{C}_6\text{H}_5\text{NO}_2$ , 35, 6, 20.

Chem. Abstrs., 1955, 49, 12391. O. Simamura.

Сообщение IV. В продолжение предыдущей работы изучена ориентация при ацилировании и алкилировании нафталина (I) по Фриделю—Крафтсу. Как при действии  $\text{C}_6\text{H}_5\text{COCl}$  (II) и  $\text{CH}_3\text{COCl}$  (III) (см. ссылку выше) I ацилируется эквивалентными кол-вами фенилацетил-

хлорида (IV), циннамоилхлорида (V); *n*-бутирилхлорида (VI) и хлорацетилхлорида (VII) в  $C_6H_5Cl$  в присутствии эквимолярного кол-ва  $AlCl_3$ , образуя смесь  $\alpha$ - и  $\beta$ -ацилпроизводных, в которой преобладает  $\alpha$ -изомер (52—74%, определено по ИК-спектрам смесей). При замене  $C_6H_5Cl$  на  $C_6H_5NO_2$  ориентация при ацилировании I действием II, V и VII существенно не меняется; при ацилировании же I действием III, IV и VI образуется смесь ацильных производных с преобладанием  $\beta$ -изомера (63—76%). Ацилирование I посредством  $\beta$ -фенилпропионилхлорида как в  $C_6H_5Cl$ , так и в  $C_6H_5NO_2$  приводит к преимущественному образованию  $\beta$ -изомера, однако кол-во последнего в смеси в случае применения  $C_6H_5NO_2$  значительно выше (71% против 55%). Ацилирование I действием IV в *o*-хлорнитробензоле и *o*-нитротолуоле также приводит к преимущественному образованию  $\beta$ -изомера (57—68%). Алкилирование I в  $C_6H_5Cl$  в присутствии  $AlCl_3$  (молярные отношения 100:1) действием *трет*-бутилхлорида приводит к  $\beta$ -*трет*-бутилнафталину с выходом 41—46%, в случае *n*-бутилхлорида (40—70°) образуется смесь, содержащая 73—81%  $\beta$ -*n*-бутилнафталина; при использовании циклогексилхлорида получена смесь с содержанием 54—64%  $\beta$ -изомера; в случае бензилхлорида и фенилэтилхлорида образуются преимущественно  $\alpha$ -изомеры (содержание в смеси 60—56%). Алкилирование I действием *трет*-бутанола в присутствии 80%-ной  $H_2SO_4$  (50—80°) также приводит только к  $\beta$ -производному с выходом 14—34%, при использовании изобутанола образуется смесь, содержащая 71%  $\beta$ -изомера; в случае алкилирования I посредством *n*-бутанола, изопропанола, циклогексанола,  $C_6H_5CH_2OH$  и  $C_6H_5CH_2CH_2OH$  получены смеси с преобладанием  $\alpha$ -изомера (64—74%). Результаты объяснены тем, что природа промежуточно образующихся комплексов обусловлена строением исходных ацилирующих или алкилирующих агентов и тем, что места наибольшей плотности электронов у ароматич. соединения зависят от природы *p*-рителей и катализаторов.

Л. Я. Сообщение V.  $\alpha$ - и  $\beta$ -Бензилнафталин (I, II) под влиянием  $AlCl_3$  (45°, 1 час 20 мин.) изомеризуются, образуя смесь с соотношением I:II = 11:89; наряду с изомеризацией, проходит деалкилирование до нафталина (III). Особенно легко проходит изомеризация I, который дает смесь I:II = 10:90 даже при 0—1° при действии  $AlCl_3$  в  $C_6H_5Cl$ . Соотношение I:II в равновесной смеси, полученной под влиянием  $AlCl_3$  на I, мало зависит от *т-ры* (0—50°), *p*-рителя ( $C_6H_5Cl$  или без *p*-рителя) и кол-ва  $AlCl_3$ , увеличение продолжительности действия  $AlCl_3$  на I (или II) приводит к повышению выхода III и образованию смол. Под влиянием  $FeCl_3$  и комплекса  $AlCl_3$  с  $C_6H_5NO_2$  (1:1) I и II не изомеризуются. При действии  $AlCl_3$  (15—50°) на смесь  $\alpha$ - и  $\beta$ -метилнафталина ( $\alpha:\beta$  = 68:32 или 5:95) наблюдается лишь незначительное обогащение смеси (на 2—3%)  $\beta$ -изомером. Смесь  $\alpha$ - и  $\beta$ -хлорнафталина (82,4:17,6) при действии  $AlCl_3$  (20—65°) обогащается  $\beta$ -изомером до 53—60%; кол-во  $AlCl_3$ , *т-ра* и время *p*-ции почти не влияют на соотношение  $\alpha$ - и  $\beta$ -изомеров в конечной смеси. 4 моля III нагревают при 180° с 1 молем  $C_6H_5CH_2Cl$  10 час., разгоняют, выделяют смесь I и II, т. кип. 200—220°/10 мм, выход 65%, и разделяют кристаллизацией из спирта.

Л. Я. 74917. Об окислении аценафтена в серной кислоте до нафталевой кислоты. Каришин А. П., Федоренко Т. П., Ж. прикл. химии, 1956, 29, № 6, 955. При окислении аценафтена (I)  $Na_2Cr_2O_7$  в 2—2,5%-ной  $H_2SO_4$  в присутствии  $C_6H_5Cl$  (II) или  $C_6H_5Br$  образуется чистая нафталевая *к-та* (III) с выходом 72—74%. Смесь 5 г I, 20 мл II, 30—50 г  $Na_2Cr_2O_7$  и 3 л разб.  $H_2SO_4$  нагревают при перемешивании 8—10 час., отгоняют II с паром, из осадка извлекают III 6%-ным *p*-ром  $Na_2CO_3$ , подкислением выделяют III, т. пл. 269—270°.

Я. К.

74918. Нитрование 2-нафтиламин-8-сульфокислоты. Бланже (Über die Nitrierung der 2-Naphtylamin-8-sulfosäure. Blangey L.), Helv. chim. acta, 1956, 39, № 3, 977—980 (нем.).

Проведено нитрование 2-нафтиламин-8-сульфокислоты (I) (ср. герм. пат. 57023), выделены помимо 6-нитро-(II) изомерные 5-нитро-(III) и 4-нитро-2-нафтиламин-8-сульфокислоты (IV). 1/3 моля I внесена в 800 мл конц.  $H_2SO_4$ , добавлено 34 г  $KNO_3$  (0°), через 4 часа смесь вылита на 2,9 кг льда, через ~12 час. (0°) осадок отфильтрован, к нему добавлено 900 мл воды и 18 г  $MgCO_3$  (90°), отфильтрована *Mg*-соль II, из которой подкислением  $HCl$  (*к-той*) получена II, выход 30,2%. К нагретому фильтрату добавлен *p*-р 30 г  $ZnCl_2$  в 60 мл воды, по охлаждении отфильтрована *Zn*-соль IV,  $ZnCO_3$  осажден  $Na_2CO_3$ , выход IV 23,5%. К фильтрату добавлено 20 мл конц.  $HCl$ , выход III 29,7%. Строение III и IV установлено диазотированием, кипячением со спиртом и восстановлением нитрогруппы в  $CH_3COOH$ . Из IV получена 1-нафтиламинсульфокислота 5, из III нафтиновая кислота.

С. И.

74919. Синтезы *N*-ацил-4-ацетаминонафталинсульфамида-1. Часть III. Некоторые конденсирующие агенты при синтезе *N*-ацил-4-ацетаминонафталинсульфамида-1. Цуцун, Кавахара, Фудзита (N-Acyl-4-acetaminonaphthalenesulfonamide の合成. 第3報. N-Acyl-4-acetaminonaphthalenesulfonamide の合成に際する縮合剤について. 筒井清, 河原清, 藤田昭夫), 薬学雑誌, J. Pharmac. Soc. Japan, 1956, 76, № 2, 221—222 (япон.; рез. англ.).

Изучено *N*-ацилирование 4-ацетаминонафталинсульфамида-I (I) *p*-цией I с хлорангидридами *к-т* в ацетоне в присутствии  $NaHCO_3$  при применении вместо пиридина в качестве конденсирующего агента триметиламина (II), хинолина (III) или диметилаанилина (IV). Получены следующие I-( $RCONHSO_2$ ) $C_{10}H_6NHCOSCH_3$ -4 (V) (перечисляются R, конденсирующий агент, выход в %, т. пл. в °C):  $CH_3$ , II, 15, 252—255;  $C_2H_5$ , II, 12, 5, 242,5;  $C_3H_7$ , II, 14, 208—210;  $C_4H_9$ , II, 4, 191;  $C_6H_5$ , II, 15, 227—228;  $C_6H_{11}$ , III, 5, 208;  $C_{11}H_{23}$ , III, 2, 189—190;  $C_7H_{15}$ , III, 7, 161;  $C_8H_5$ , III, 4, 226;  $C_8H_5$ , IV, 4, 228—230. V ( $R = C_6H_5$  или  $C_{11}H_{23}$ ) получены также взаимодействием I с  $(CH_3)_3N(COC_6H_5)Cl$  и с  $(CH_3)_3N(COC_{11}H_{23})Cl$  соответственно. Часть II см. РЖХИМ, 1956, 68314.

Я. К.

74920. Производные 4-окси-2-метилантрахинона. Шульц, Кошторж (Deriväty 4-hydroxy-2-methylanthrachinonu. Šulc Miloslav, Kostić Josef V.), Chem. listy, 1955, 49, № 2, 219—221 (чеш.).

При конденсации фталевого ангидрида (I) с *о*, *о'*-диметил-, *п'*-диоксифенилом (II) образуется 4,4'-диокси-2,2'-диметил-1,1'-диантрахинонил (III), который при обработке *Сu* превращается в 4,4'-диокси-2,2'-диметил-мезобенздиантрон (IV). При действии  $AlCl_3$  на IV образуется с замыканием цикла 4,4'-диокси-2,2'-диметил-мезо-нафтилантрон (V). К расплавленной смеси 40 г  $AlCl_3$  и 8 г  $NaCl$  при 130—150° прибавляют 4,5 г II и 13,5 г I, повышают *т-ру* до 200°, выдерживают 1 час при 220—235°, после обычной обработки получено 4,7 г III, т. пл. 333° (разл.; из  $C_6H_5NO_2$ ). К *p*-ру I и III в 30 мл конц.  $H_2SO_4$  прибавляют 2 г *Сu*, нагревают 90 мин. при 55—60°, фильтрат выливают на лед и выделяют 0,8 г IV, т. пл. 303° (из  $C_6H_5NO_2$ ). Нагревают 0,2 г IV и 1,2 г  $AlCl_3$  1 час при 140—150°, после разложения  $HCl$  (*к-той*) и льдом выделено 0,19 г V, т. пл. 425° (разл.).

Я. К.

74921. Синтез полициклических соединений. Часть II. Замыкание кольца в  $\beta$ -карбоксы- $\gamma$ -1-нафтилмасляной кислоте. Бардхан, Насипури, Адхья (Synthesis of polycyclic compounds. Part II. The ring closure of  $\beta$ -carboxy- $\gamma$ -naphthylbutyric acid. Bardhan J. C., Nasipuri D., Adhya R. N.), J. Chem. Soc., 1956, Febr., 355—358 (англ.).

Описан синтез 1, 2, 3, 4-тетрагидро-1-оксофенантренкарбоновой-3 *к-ты* (I). Из этилового эфира 1-нафтилметилма-

доновой к-ты (II) и  $\text{CH}_2\text{BrCOOC}_2\text{H}_5$  (III) с последующим гидролизом и декарбоксилированием получена  $\beta$ -карбокси- $\gamma$ -1-нафтилмасляная к-та (IV), циклизация которой приводит к I, синтезированной также действием  $\text{AlCl}_3$  на ангидрид II (V). Строение I доказано встречным синтезом из триэтилового эфира  $\beta$ -карбокси- $\gamma$ -(2-карбокси-1-нафтил)-масляной к-ты (VI, к-та VII), а также синтезом изомерной I 1-оксо-4,5-бензинданил-2-уксусной к-ты (VIII). Циклизацией метилового эфира 2-оксо-1-фенилбутандикарбоновой-1,4 к-ты (IX) с последующим гидролизом получена  $\beta$ -(2-карбокси-3,4-дигидро-1-нафтил)-пропионовая к-та (X); дегидрирование и последующий гидролиз ее этилового эфира (XI) приводит к  $\beta$ -(2-карбокси-1-нафтил)-пропионовой к-те (XII), диэтиловый эфир (XIII) которой после циклизации по Дикману и обработки III превращается в этиловый эфир 2-карбокси-1-оксо-4,5-бензинданил-2-уксусной к-ты (XIV). Кислотный гидролиз XIV приводит к VIII, шел. к VII. Получены также и другие производные VIII. 45 г II добавляют при охлаждении к р-ру  $\text{C}_6\text{H}_5\text{ONa}$  (из 3,5 г Na), добавляют 16,8 мл III, через ~12 час. кипятят 7 час., добавляют 42 г KOH в 20 мл воды и 65 мл спирта, кипятят 1 час., отгоняют спирт и подкисляют при 0° 2 н. HCl, осадок нагревают (180—190°, 2 часа), полученную IV пересаживают из шел. р-ра, т. пл. 183° (из  $\text{CH}_3\text{COOH}$ ). V получен из 8 г IV и 24 мл ( $\text{CH}_3\text{CO}$ )<sub>2</sub>O (4 часа), выход 5 г, т. кип. 220°/4 мм, т. пл. 135—136° (из петр. эф.). Из V и  $\text{C}_6\text{H}_5\text{NH}_2$  в  $\text{C}_6\text{H}_6$  получена аниловая к-та,  $\text{C}_6\text{H}_5\text{NO}_2$ , т. пл. 197° (из сп.), из которой образуется (207°, 0,5 часа) анил, т. пл. 138° (из сп.). 2 г IV нагревают 1,5 часа с 6 мл конц.  $\text{H}_2\text{SO}_4$  и 2 мл воды, выливают на лед и отделяют I, т. пл. 218° (из сп.), семикарбазон, т. пл. 268° (разл., из разб.  $\text{CH}_3\text{COOH}$ ). Р-р 5 г V в 35 мл  $\text{C}_6\text{H}_5\text{NO}_2$  добавляют при 0° к р-ру 6 г  $\text{AlCl}_3$  в 25 мл  $\text{C}_6\text{H}_5\text{NO}_2$ , через 2 дня (~20°) после разложения комплекса и отгонки р-рителя с паром остается I, этиловый эфир I, т. кип. 210—214°/4 мм, т. пл. 99—100° (из разб. сп.). 5 г IX и 30 мл конц.  $\text{H}_2\text{SO}_4$  перемешивают 3 часа при —10°, выливают на лед и экстрагируют эфиром, остаток после удаления эфира гидролизуют (2,5 г KOH, 2 мл воды, 25 мл спирта) и выделяют X, выход 3 г, т. пл. 171° (из разб.  $\text{CH}_3\text{COOH}$ ), XI, т. кип. 194—195°/3 мм, 10 г XI и 1,07 г S нагревают 2 часа при 240—250°, смесь перегоняют, фракцию (8,5 г, т. кип. 195—205°/4 мм) кипятят 1 час с 50 мл 20%-ного спирта, р-ра KOH, т. пл. XII 203° (из разб. сп.), т. кип. XIII 196—198°/3 мм. Р-р 6 г XIII в 25 мл  $\text{C}_6\text{H}_6$  и 0,46 г Na кипятят 2 часа, охлаждают до 0°, добавляют 2,5 мл III, через ~12 час. кипятят 6 час., добавляют воду и из бензольного слоя выделяют XIV, выход 5 г, т. кип. 210—215°/3 мм, т. пл. 103° (из разб. сп.), 2 г XIV кипятят 10 час. с 5 мл конц. HCl и 10 мл  $\text{CH}_3\text{COOH}$  и получают VIII, т. пл. 226—227° (из сп.). 5 г XIV кипятят 1 час с 5 г KOH в 3 мл воды и 10 мл спирта, отгоняют спирт, экстрагируют эфиром, подкисляют HCl (к-той) и отделяют VII, т. пл. 214—215° (из воды), VI, т. кип. 215—217°/3 мм. 5 г VI и 0,31 г Na в 12 мл  $\text{C}_6\text{H}_6$  нагревают 2 часа, добавляют HCl (к-ту), отделяют органич. слой, отгоняют  $\text{C}_6\text{H}_6$ , остаток (5 г) гидролизуют 10 мл конц. HCl, 20 мл  $\text{CH}_3\text{COOH}$ , (12 час.) и получают I. 5 г X восстанавливают 200 г 3%-ной амальгамой натрия, массу (5 г) кипятят 3 часа с 15 мл ( $\text{CH}_3\text{CO}$ )<sub>2</sub>, получено 3 г 6,7,8,9-тетрагидро-4,5-бензиндано-1 (XV), т. кип. 140°/3 мм; семикарбазон, т. пл. 235°. 5 г XV и 10 мл  $\text{HCOOC}_2\text{H}_5$  добавляют к 5 г порошкообразного Na в 150 мл  $\text{C}_6\text{H}_6$  при 0°, через ~12 час. добавляют лед, подкисляют водн. слой и отделяют оксиметиловое производное, т. пл. 149—150° (из разб. ацетона). X обрабатывают ( $\text{CH}_3\text{CO}$ )<sub>2</sub>O и получают 6,7-дигидро-4,5-бензиндано-1, т. пл. 86° (из петр. эф.); аналогично из XII получают VIII, т. пл. 126—127° (из петр. эф.). IX гидролизуют конц. HCl и  $\text{CH}_3\text{COOH}$  и получают 4-оксо-7-фенилгептановую к-ту, т. пл. 83° (из петр. эф.); семикарбазон, т. пл. 168—169° (из сп.). Аналогично из метилового эфира 1-метил-2-оксо-1-фенилбутандикарбоновой-1,4 к-ты получена 5-

метил-4-оксо-7-фенилгептановая к-та, т. пл. 73—74° (из петр. эф.). Часть I см. РЖХим, 1956, 64921. И. Л.

74922. Синтез углеводородов возможно родственных карциногенным компонентам городского дыма. Клеммо, Гхатге (Syntheses of hydrocarbons possibly related to carcinogenic factors in city smoke. Clemo G. R., Ghatge N. D.), J. Chem. Soc., 1956, Apr., 1068—1072 (англ.)

В связи с исследованием городского дыма (РЖХим-Бх, 1956, 5837) осуществлен синтез 3,4-диметил-(I) и 3,4-диэтилпирена (II). К р-ру 6 г I, 2, 3, 4-тетрагидро-6,7-диметил-1-оксофенантрена в 25 мл  $\text{C}_6\text{H}_6$  прибавляют 5,4 мл  $\text{BrCH}_2\text{COOC}_2\text{H}_5$  (III), 1,9 г Zn и кристалл  $\text{J}_2$ , нагревают 4 часа, к образовавшемуся оксифиру прибавляют  $\text{P}_2\text{O}_5$ , после омыления спирт. р-ром KOH выделена 1,2-дигидро-6,7-диметил-4-фенантрилуксусная к-та (IV), т. пл. 209° (из  $\text{CH}_3\text{COOH}$ ), которая гидролизом над  $\text{PtO}_2$  превращается в 3,4-дигидро-IV, и затем нагреванием с 80%-ной  $\text{H}_2\text{SO}_4$  в 1, 2, 2а, 3, 4, 5-гексагидро-9, 10-диметил-1-оксопирен (V), т. пл. 161—162°. Восстановлением 0,5 г V Zn и конц.  $\text{H}_2\text{SO}_4$  (нагревание 8 час.) получено 0,3 г 1,2,2а,3,4,5-гексагидро-9,10-диметилпирена (VI), т. кип. 190—200°/0,1 мм, т. пл. 127° (из петр. эф.), комплекс с тринитробензолом (ТНБ), т. пл. 163° (из сп.). При нагревании VI с Pd/C (30 мин., 260—270°) образуется I, т. пл. 103° (из петр. эф.); ТНБ, т. пл. 217—218° (из сп.). К 10 г 2,3-диэтилнафталина и 5,4 г янтарного ангидрида в 75 мл  $\text{CHCl}_3$  прибавляют 16 г  $\text{AlCl}_3$  (<35°), через 6 час. (~20°) после обычной обработки выделена 8,5 г  $\beta$ -(6,7-дизтил-2-нафтоил)-пропионовой к-ты (VII), т. пл. 155° (из толуола), после восстановления VII по Клемменсену и очистки над  $\text{Al}_2\text{O}_3$  получено 3,6 г 1, 2, 3, 4-тетрагидро-4-оксо-6,7-диэтилфенантрена (VIII), т. пл. 64° (из петр. эф.). 2,4-динитрофенилгидразон, т. пл. 236—237°. Из 3 г VIII и 2,9 мл III по р-ции Реформатского получено 1,2-этилового эфира 1, 2, 3, 4-тетрагидро-4-окси-6,7-дизтил-4-фенантрилуксусной к-ты, т. пл. 72—73° (из петр. эф.), и после дегидратации над  $\text{P}_2\text{O}_5$  в  $\text{C}_6\text{H}_6$  — этиловый гомолог IV (IX), т. пл. 194—195° (из сп.). При гидроировании IX над  $\text{PtO}_2$  образуется 3,4-дигидро-IX, т. пл. 163° (из петр. эф.), и из него получен этиловый гомолог V, т. пл. 105° (из петр. эф.), затем гомолог VI, т. пл. 70° (из петр. эф.), и, наконец, II, т. пл. 84° (из петр. эф.); ТНБ, т. пл. 173—174° (из сп.). При попытке синтеза 3,5-диметилпирена получены следующие результаты. Из 10 г 1,3-диметилнафталина в условиях синтеза VII получено 9,2 г  $\beta$ -(6,8-диметил-2-нафтоил)-пропионовой к-ты, т. пл. 184° (из толуола), восстановленной в толуоле Zn и конц. HCl в  $\gamma$ -(6,8-диметил-2-нафтил)-масляную к-ту (X), т. пл. 146° (из петр. эф.). При нагревании X с  $\text{H}_2\text{SO}_4$  образуется 1, 2, 3, 4-тетрагидро-5,7-диметил-1-оксоантрацен (XI), т. пл. 110° (из петр. эф.), восстановленный по Клемменсену в соответствующий углеводород, т. пл. 35°, при дегидрировании которого образуется 1,3-диметилантрацен. Из 4 г XI и III в условиях синтеза IV получено 3 г 3,4-дигидро-5,7-диметил-1-антрилуксусной к-ты, т. пл. 182° (из петр. эф.), и из HCl тетрагидроксикислоты (XII), т. пл. 125° (из петр. эф.). При нагревании XII с 80%-ной  $\text{H}_2\text{SO}_4$  (30 мин., ~100°) образуется 2а, 3, 4, 5-тетрагидро-7,9-диметил-1-оксоантрацен, т. пл. 116° (из петр. эф.), восстановленный по Клемменсену в соответствующий углеводород (XIII), т. пл. 50° (из петр. эф.); ТНБ, т. пл. 165° (из сп.). Нагреванием XIII над Pd/C (30 мин., 260—270°) получен 7,9-диметилантрацен (XIV), т. пл. 134° (из сп.); ТНБ, т. пл. 176°. Строение полученных в-в подтверждено сравнением УФ-спектров (приведены кривые) I, II, XIV и 7,8-диметилантрацена. Я. К.

74923. Бициклические карбоновые кислоты — производные цис-2,5-бис-(оксиметил)-тетрагидрофурана. Коп, Андерсон (Bicyclic carboxylic acid derivatives from cis-2,5-bis-(hydroxymethyl)-tetrahydrofuran. Cope Arthur C., Anderson Burton C.), J. Amer. Chem. Soc., 1956, 78, № 1, 149—153 (англ.)

При р-ции *цис*-2,5-ди-(*п*-толуолсульфонил)оксиметил-тетрагидрофурана (I) с малоновым эфиром (II) в тетрагидрофуране (III) получен диэтиловый эфир (IVa) 3,6-эпоксид-циклопентандикарбоновой-1,1 к-ты (IV) и незначительное кол-во в-ва неустойчивого строения, которое, возможно, является тетраэтиловым эфиром 3,6-эпоксидоктан-тетракарбоновой-1,1, 8, 8 к-ты; если эта р-ция проводится в спирте (см. Cason J., Allen C. F., J. Organ. Chem., 1949, 14, 1036), то помимо IV образуется с 25%-ным выходом *цис*-2,5-ди-(этоксиметил)-тетрагидрофуран, т. кип. 50—52°/0,45 мм,  $n_D^{25}$  1,4297. При кипячении IVa с водн. р-ром NaOH в результате гидролиза и частичного декарбоксилирования получены IV и оптически изомерные 3,6-эпоксидциклопентанкарбоновые к-ты (Va и б). Строение IVa подтверждено превращением в 3,6-эпоксиспиро-1-(барбитурил-5)-циклопентан (VI). При р-ции I с  $CNCH_2COOC_2H_5$  (VII) получены оптически изомерные этиловые эфиры 1-циано-3,6-эпоксидциклопентанкарбоновой к-ты (VIII и IX), образующие гидразиды (VIIIa и IXa) и гидролизующие в соответствующие к-ты (X и XI). При декарбоксилировании X и XI нагреванием выше т-ры плавления в хинолине или без р-ригеля образуются изомерные 3,6-этоксидциклопентанкарбонитрилы (XII) и (XIII), колич. соотношения которых в каждом случае определено исследованием ИК-спектров. XII и XIII устойчивы при нагревании при 230—240° с равным по весу кол-вом адипиновой к-ты или без добавок, а также при нагревании в хинолине при 200°. Предположено, что декарбоксилирование в хинолине сопровождается образованием общего в обоих случаях промежуточного продукта, так как из обоих к-т образуются XII и XIII в одинаковых соотношениях. К р-ру 16,7 г II в 0,4 л III постепенно добавляют 2,4 г NaH, затем (через ~1 час) 20 г I, нагревают 17,5 часа при 105—115°, выливают при 0° в разб. р-р HCl, отфильтровывают не вошедший в р-цию I (20%) и извлекают эфиром IVa, выход 57%, т. кип. 105—110°/0,5 мм,  $n_D^{25}$  1,4679,  $d_4^{25}$  1,146.

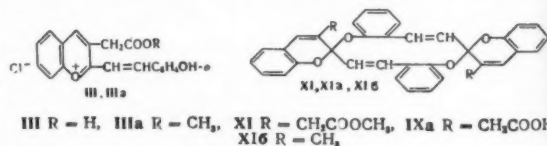
2 г NaOH 50 мл воды и 6 г IVa кипятят 16 час., подкисляют при 0° 6 н. р-ром HCl, продукт извлекают в течение 24 час.  $CH_2Cl_2$ , р-р концентрируют до 20 мл, добавляют 10 мл лигнрина, полученный осадок кипятят с  $CCl_4$ , отделяют IV, т. пл. 161,4—162,6° (разл., из этилацетата), и из фильтра получают Va, т. пл. 133,5—135° (из  $CCl_4$ ); к первому фильтрату добавляют еще 10 мл лигнрина и получают Vб, т. пл. 102,2—103,2° (из лигр.). К р-ру  $C_2H_5ONa$  (из 0,55 г Na в 50 мл спирта) добавляют 0,78 г мочевины и 2,1 г IVa, кипятят 16 час., отгоняют спирт, продукт постепенно добавляют при 0° к 20%-ному р-ру HCl и получают VI, выход 66,5%, т. пл. 285,7—286,8° (из разб. сп.). К 51,5 г VII в 0,6 л III постепенно добавляют 11 г NaH, затем 100 г I, нагревают 19,5 часа при 105—115°, отделяют *n*- $CH_3C_6H_4SO_3Na$  и I, продукт перегоняют и получают смесь VIII и IX, выход 72,5%, т. кип. 92,5—95°/0,2 мм, которую охлаждают до 0° и отделяют VIII, т. пл. 63,5—65° (из лигр.); IX, т. кип. 89°/0,75 мм,  $n_D^{25}$  1,4700. 8,4 г VIII и 160 мл 0,254 н. р-ра NaOH кипятят 18 час., концентрируют до 30 мл и получают X, выход 75%, т. пл. 177,2—178,6° (разл., из этилацетата); аналогично из IX получают смесь к-т, т. пл. 180—215° (разл.), которую кристаллизуют из смеси 0,4 л этилацетата и 0,2 л циклогексана и выделяют XI, т. пл. 214,5—216,6° (из этилацетата). 2,65 г VIII или IX и 0,5 мл 95%-ного  $N_2H_4$  нагревают ~0,5 часа при 130° и получают VIIa, выход 69%, т. пл. 283—285° (разл., из этилацетата), или IXa, выход 50%, т. пл. 249,5—251,5° (из этилацетата). Р-р 4 г X в 50 мл хинолина нагревают ~15 мин. при 160°, затем 10 мин. при 200°, продукт хроматографируют на  $Al_2O_3$  и получают XII, выход 69%, т. пл. 102—103,6° (из лигр.), и XIII, выход 10%, т. пл. 87—88° (из гексана). Аналогично из XI получают XII, выход 53%, и XIII, выход 9,2%. 3 г X (или XI) нагревают 20 мин. при 220° и получают XII, выход 8,8%, и XIII, выход 60%; или XII, выход 23%, и XIII, выход 31%. Д. В.

74924. Реакции некоторых галоидных производных тетрагидропиранола-2. Чарлсуэрт, Гисингер (Reactions of some halogen derivatives of tetrahydropyran-2-ol. Charlesworth E. H., Giesinger A.), Canad. J. Chem., 1956, 34, № 3, 376—382 (англ.).

Исследованы р-ции 3-хлор-(Ia), 3-бром-(Ib) и 3,3-дихлор-(Iв)-тетрагидропиранолов-2. Ia и б (полученные гидролизом соответствующих дигалоидных производных р-ром соды) образуют в слабых или слабощел. водно-спирт. средах одинаковые, не содержащие галоидов производные: 2,4-динитрофенилгидразон, т. пл. 133—134° (из сп.); 2,4-динитрофенилоззон (ДФО), т. пл. 242° (из ацетона); *п*-нитрофенилгидразон, т. пл. 146° (из  $CH_3OH$ ); *п*-нитрофенилоззон, т. пл. 246° (из  $CH_3OH$ ), и *п*-бензилфенилгидразон, т. пл. 74—75° (из  $CH_3OH$ ), идентичные с соответствующими производными тетрагидрофуранола. При р-ции (3 часа, 20°) Ia с эквимоллярным кол-вом NaOH в водн. р-ре образуется растворимый в эфире тетрагидропирандиол-2,3 (II), извлекаемый абс. спиртом из упаренного при 35—40° слабо подкисленного р-ра. II, получаемый также при р-ции 2,3-дихлортетрагидропирана с 2 молями NaOH, представляет собой высококипящую жидкость, образует 3,5-динитробензат, т. пл. 174°, и описанный ранее ДФО, т. пл. 242°. Если р-ция с NaOH проводится при 100°, то образуются продукты состава  $C_{10}H_{16}O_4$ ; в одном случае извлечено хлороформом в-во, т. пл. 101—102°; в другом — выделено в-во, т. пл. 193°. Ib, т. пл. 88—89° (из сп.), получен нагреванием (10 час., 35—40°) 2, 3, 3-трихлортетрагидропирана (III) с р-ром 1 экв  $Na_2CO_3$ . Ib восстанавливается при нагревании фелингову жидкостью, титруется р-ром NaOH, нейтрализуя 2 моля щелочи, и образует ДФО, т. пл. 242°. При нагревании III с 3 молями р-ра NaOH в течение 10 час. при 35—40° и последующем выпаривании слабо подкисленного р-ра при 20° из остатка извлекается абс. спиртом вязкая жидкость (IV), по-видимому, представляющая собой равновесную смесь 2-окситетрагидропиранола-3-ола-2 и  $\alpha$ -кето-8-оксидальдегидного альдегида вместе с более сложными в-вами; IV восстанавливает фелингову жидкость, дает ДФО, т. пл. 242°, и окисляется щел. р-ром  $KMnO_4$  при 20° в янтарную к-ту. Д. В.

74925. Конденсация салицилового альдегида с леволиновой кислотой в присутствии хлористого водорода. Кельш, Каммингс (Condensation of salicylaldehyde with levulinic acid in presence of hydrogen chloride, Koelsch C. F., Cummings R. W.), J. Organ. Chem., 1956, 21, № 2, 215—217 (англ.).

При р-ции салицилового альдегида (I) и леволиновой к-ты (II) в присутствии HCl получается хлорид 2-(*о*-окситетририл)-бензопириллилукусной-3 к-ты (III), описанный ранее как лактон, содержащий 7-членный цикл (см. Ecker, Fellenberg, App., 1909, 364, 1). Строение III подтверждается новыми аналитич. данными и физ. свойствами, в особенности его окраской; кроме того, метиловый эфир II (IIa) и I дают метиловый эфир III (IIIa), обладающий свойствами соли *о*-окситетририлпирилла и превращающийся с слабыми основаниями в метиловый эфир дибензоспиропиранукусной-3 к-ты (IV); УФ-спектры IIIa и IV почти идентичны. Р-цией II или IIa с 2-окси-1-нафталальдегидом (V) синтезированы бензоаналоги III и IIIa: хлорид 2-(2-окси-1-нафтилвинил)-нафтопириллилукусной-3 к-ты (VI)



III R = H, IIIa R =  $CH_3$ , XI R =  $CH_2COOCH_3$ , XIa R =  $CH_2COOH$ , XIb R =  $CH_3$

и соответствующий метиловый эфир (VIa); последний действием нескольких капель  $NH_3$  на его взвесь в ацетоне превращен в метиловый эфир динафтоспиро-2,2'-пиран-

укусной-3 к-ты, т. пл. 191—192° (из сп.). С метилэтилкетом (VII) I образует хлорид 2-(*o*-оксистирил)-3-метилбензопирилла (VIII), превращенный действием  $p$ -ра  $\text{NH}_4\text{OH}$  в 3-метилдибензоспиро-2,2'-пиран, т. пл. 82—83°. При кипячении III, VIa, VIII или метилового эфира хлорида 2-(2'-окси-5'-бромстирил)-6-бромбензопириллийуксусной-3 к-ты (IX), образующегося из 5-бромсалицилового альдегида (X) и II с  $\text{CH}_3\text{OH}$ , они образуют димеры; димерам, образующимся из III и IIIa, приписано строение (XI). XI при кипячении 3 час. с водно-спирт.  $p$ -ром NaOH гидролизуетс в к-ту (XIa), т. пл. 210° (разл., из сп.), которая может быть вновь этерифицирована диазометаном в XI. ИК-спектр димера VIII (X16) показывает наличие  $\text{CH}_2$ -группы и ароматич. эфирной связи и отсутствие OH- и CO-групп. При обработке димеров к-тами регенерируются исходные соли бензопириллия.  $p$ -р 20 г I и 19 г II в 150 мл эфира насыщают при 0° сухим HCl, оставляют на 3 дня при 20° и отделяют III, выход 95%, т. пл. 200—202° (из  $\text{CH}_3\text{COOH}$ ). Аналогично из 25,4 г I и 13,6 г IIa в 0,2 л эфира (4 дня при 20°) получают IIIa, выход 85%, т. кип. 75—80°, образующий в горячей  $\text{CH}_3\text{COOH}$  с  $\text{FeCl}_3 \cdot 6\text{H}_2\text{O}$  моногидрат феррихлорида (ФХ), т. пл. 183—185° (из  $\text{CH}_3\text{COOH}$ ); после высушивания в течение нескольких недель при 20°, т. пл. 208—211°. Суспензию 2 г IIIa в эфире встряхивают с несколькими каплями  $p$ -ра  $\text{NH}_4\text{OH}$  и получают IV, т. пл. 80—81° (из  $\text{CH}_3\text{OH}$ ). 0,5 г III или IIIa и 30 мл  $\text{CH}_3\text{OH}$  кипятят 5 час. и отделяют XI, выход 0,2 г, т. пл. 283—284°. В суспензию 4,5 г XI в 25 мл  $\text{CH}_3\text{OH}$  пропускают при 0° HCl, добавляя  $p$ -р 1,2 г  $\text{FeCl}_3 \cdot 6\text{H}_2\text{O}$  в 20 мл  $\text{CH}_3\text{OH}$  и получают ФХ IIIa, выход 2,3 г. Из 5,8 г II и 8,6 г V в 50 мл эфира (14 дней, 20°) получают моногидрат VI, выход 7,7 г, т. пл. 200—210° (из водн.  $\text{CH}_3\text{COOH}$ ); из 6,5 г IIa и 8,6 г V в 50 мл эфира (4 дня, 20°) получают осадок (2,2 г), который растворением в  $\text{CH}_3\text{COOH}$  разделяют на VIa, т. пл. 203—205°, и ангидробисоксинафтаальдегид, выход 0,25 г, т. пл. 241,5°, превращенный в 2,4-динитрофенилгидразон V, т. пл. 281—282°; димер VI, т. пл. 251—252° (из диоксана- $\text{CH}_3\text{OH}$ ). Из 6,1 г I и 3,6 г VII в 60 мл эфира (8 час., 20°) получают VIII, выход 7,7 г; ФХ, т. пл. 160—170° (из  $\text{CH}_3\text{COOH}$ ); X16, т. пл. 308—309° (из диоксана- $\text{CH}_3\text{OH}$  или сп. хлф.). Из 30 г X и 17 г II в 0,1 л эфира (24 часа, 20°) получают IX, выход 19,8 г;  $p$ -р 10 г IX в 50 мл  $\text{CH}_3\text{OH}$ , содержащий 1 мл  $\text{H}_2\text{SO}_4$ , кипятят 2 часа и получают димер IX, выход 1 г, т. пл. 280—281° (из диоксана- $\text{CH}_3\text{OH}$ ). Д. Ж. 74926. К химии 4-оксикумарина. Сообщение III. Новый метод синтеза 3-замещенных 4-оксикумарина. Шиглер, Юнек (Zur Chemie des 4-Hydroxy-cumarins. III. Mitteilung: Eine neue Synthese von in 3-Stellung substituierten 4-Hydroxy-cumarinen. Ziegler E., Junek H.), Monatsh. Chem., 1956, 87, № 1, 212—217 (нем.).

3-замещенные 4-оксикумарина (I), представляющие физиологич. интерес как антикоагулянты, получены термич. разложением  $\alpha$ -замещ. дифенилового эфира малоновой к-ты (II) ( $\text{R}'\text{C}_6\text{H}_4\text{OCO}$ )<sub>2</sub>CHR. Нагревают 1 час 2 ч. II ( $\text{R} = \text{CH}_3$ ,  $\text{R}' = \text{H}$ ) при 300° и по охлаждению выделяют I ( $\text{R} = \text{CH}_3$ ,  $\text{R}' = \text{H}$ ), выход 65%, т. пл. 226° (из лед.  $\text{CH}_3\text{COOH}$ ). Аналогично синтезированы следующие I (указаны R, R'), выход в %, т. пл. в °C, время р-ции



(в мин.):  $\text{C}_6\text{H}_5$ , H, 96, 154 (из водн. сп.), 90;  $m\text{-C}_6\text{H}_4$ , H, 93, 139 (из воды), 120;  $iso\text{-C}_6\text{H}_4$ , H, 73, 170 (из водн. сп.), 90;  $\text{C}_6\text{H}_5$ , H, 91, 157 (из разб. сп.), 120;  $m\text{-C}_6\text{H}_4$ , H, 81, 135, 60;  $iso\text{-C}_6\text{H}_4$ , H, 91, 122 (из водн. сп.), 90;  $\text{C}_6\text{H}_{11}$ , H, 80, 150 (из сп.), 60;  $\text{C}_6\text{H}_5$ , H, 98, 230 (из сп.), 35;  $\text{CH}_2\text{C}_6\text{H}_5$ , H, 97, 202 (из сп.), 30;  $\text{CH}_2\text{C}_6\text{H}_5$ ,  $\text{C}_6\text{H}_5$ , 80, 196 (из лед.  $\text{CH}_3\text{COOH}$ ), 45;  $\text{CH}_2\text{C}_6\text{H}_5$ ,  $\text{CH}_2\text{C}_6\text{H}_5$ , 82, 203 (из сп.), 45. Сообщение II см. РЖХим, 1956, 9789.

74927. О новом способе синтеза хромонов и флавонов. Менцер, Шопен, Мерсье (Sur un nouveau

mode de synthèse des chromones et des flavones. Mentzer Charles, Chopin Jean, Mercier Marc), C. r. Acad. sci., 1956, 242, № 8, 1034—1036 (франц.).

Показано, что при нагревании 30—100 час. в спирт.  $p$ -ре HCl 3-ацил-4-оксикумарина лактонное кольцо размыкается, происходит декарбоксилирование и в результате последующей циклизации образуются хромоны и флавоны. Таким способом получены: из 3-ацетил-4-оксикумарина 2-метилхромон, т. пл. 71°, из 3-пропионил-4-оксикумарина — 2-этилхромон, выход 47%; 2,4-динитрофенилгидразон, т. пл. 248°; из 3-бензил-4-оксикумарина — флавор, выход 72%, т. пл. 95° (из петр. эф.). А. Е.-С.

74928. Синтез третьего рацемата флавандиола-3,4. Кулкарни, Джоши (Synthesis of the third racemate of a flavan-3:4-diol. Kulkarni A. B., Joshi C. G.), Chemistry and Industry, 1956, № 6, 124 (англ.).

Описан синтез третьего рацемата 6-метил-4'-метоксифлавандиола-3,4 (I), выделенного в виде диацетата (Ia) и дибензоата (Ib). Синтез четвертого рацемата оказался безуспешным. 3-бром-6-метил-4'-метоксифлаванон (II), т. пл. 138°, полученный циклизацией дибромид 2'-ацетокси-5'-метил-4-метоксифлаванона разб.  $\text{CH}_3\text{COOH}$ , восстановлен  $\text{LiAlH}_4$  в 3-бром-6-метил-4'-метоксифлаванол-4 (III), т. пл. 200° (разл.); ацетат, т. пл. 182°, превращенный кипячением со смесью безводн.  $\text{CH}_3\text{COOK}$  и  $\text{CH}_3\text{COOH}$  в Ia, т. пл. 150°, полученный также взаимодействием III с диоксаном и щелочью (или со спирт.  $p$ -ром  $\text{CH}_3\text{COOK}$ ) и последующим ацелированием продукта; Ia гидролизован щелочью или  $\text{LiAlH}_4$  в некристаллизующееся масло, бензонилированное в Ib, т. пл. 196—197°. Бромирование 6-метил-4'-метоксифлаванона, т. пл. 110°, получен изомер II, т. пл. 152° (разл.), восстановленный  $\text{LiAlH}_4$  в изомер III, т. пл. 175°; ацетат, т. пл. 142°, из которого в описанных условиях не удалось получить определенных продуктов; но при действии спирт.  $p$ -ра  $\text{CH}_3\text{COOH}$  и последующем ацелировании продукта получено в-во, т. пл. 165—166°, являющееся, вероятно, ацетатом 6-метил-4'-метоксифлаванона-3. Д. В.

74929. Об одной цветной реакции флаванолов. Пашеко, Шадансон (Sur une réaction colorée des flavanols. Pachesco Henri, Chadenson Michele, m-lle), C. r. Acad. sci., 1956, 242, № 12, 1621—1624 (франц.).

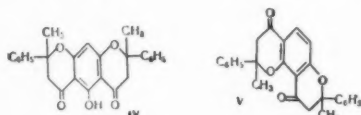
Описана цветная р-ция, специфич. для флаванолов (I), позволяющая определять I с точностью до 0,001 г. 0,01 г I и 0,1 г сплавленного  $\text{CH}_3\text{COONa}$  в 10 мл ( $\text{CH}_3\text{CO}$ )<sub>2</sub>O кипятят 2 часа, отгоняют р-ритель в вакууме, остаток растворяют в миним. кол-ве 50%-ной  $\text{CH}_3\text{COOH}$ , содержащей 20% конц. HCl, кипятят 1 час, выпаривают досуха, извлекают пигмент изометилловым спиртом и хроматографируют на бумаге в  $p$ -ре  $\text{CH}_3\text{COOH}$ -вода-соляная к-та (30:10:3), причем каждое исследованное в-во дает отдельное пятно красного цвета. Из исследованных I только афзелехин не дает в описанных условиях окрашивания. Д. В.

74930. Синтез 6,8-диоксифлавонов. Гауан, Рио, Мак-Джиола, Мак-Махон, О'Фаррел, О'Клери, Филбин, Уилер (Synthesis of 6:8-dihydroxyflavone. Gowen J. E., Riogh S. P., MacGiolla, McMahon G. J., O'Farrell B. R., O'Clairigh S., Philbin E. M., Wheeler T. S.), Chemistry and Industry, 1955, № 51 1672—1673 (англ.).

Нагреванием этилового эфира бензоилуксусной к-ты с 2,4-диметоксифенолом (8 час., 280°) получен 6,8-диметоксифлавор, т. пл. 148—149° и 152—153° (диморфизм), превращенный в последний из оставшихся неизвестным диоксифлавор — 6,8-диоксифлавор, т. пл. 274° (разл.); диацетильное производное, т. пл. 196—197°. Д. В.

**74931. Синтез 2-метил-5,7-диоксифлаванона.** Котакэ (Synthesis of 2-methyl 5,7-dihydroxyflavanone. Kotake Hiroshi, J. Inst. Polytechn. Osaka City Univ., 1953, **C4**, № 2, 246—247 (англ.))

Конденсацией по Фриделю—Крафту флороглюцина (I) с β-метилкоричной к-той (II) синтезированы в-ва, которым по данным анализа приписано строение 2-метил-5,7-диоксифлаванона (III) и изомерных дифлаванонов (IV) и (V). К р-ру 3 г I и 10 г AlCl<sub>3</sub> в 50 мл C<sub>6</sub>H<sub>5</sub>NO<sub>2</sub> приливают по каплям при т-ре ниже т-ры кипения р-р 3,2 г II в C<sub>6</sub>H<sub>5</sub>NO<sub>2</sub>, смесь оставляют на ночь в холодильнике, добавляют подкисленную HCl воду, отгоняют с паром C<sub>6</sub>H<sub>5</sub>NO<sub>2</sub> и остаток извлекают кипящей водой; нерастворившееся в-во растворяют в спирте, отгоняют р-ритель, извлекают эфи-

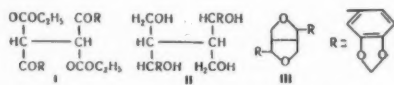


ром, р-р концентрируют и отделяют IV, т. пл. 196°: из маточного р-ра после выпаривания эфира извлекают CCl<sub>4</sub> V, т. пл. 191° (из сп.): водн. р-р концентрируют, продукт извлекают эфиром, хроматографируют в бензольном р-ре и вымывают ацетоном III, т. пл. 153—155° (из лигр.).

Д. В.

**74932. Синтез DL-сесамина.** Фрейденберг, Фишер (Synthese des DL-Sesamins. Freudenberg Karl, Fischer Erich, Naturwissenschaften, 1956, **43**, № 1, 16 (нем.))

При восстановлении жидкой формы диэтилтового эфира дипирипроноилантарной к-ты (I) с помощью LiAlH<sub>4</sub> получены два тетрала: (IIa), выход 8%, т. пл. 157°, и (IIb), выход 2%, т. пл. 186—187°; при восстановлении твердой



формы I—(IIb), выход 15%, т. пл. 177—178°. IIa термич. дегидратацией переведен в DL-сесамин (III), т. пл. 126°, строение которого подтверждено ИК-спектром. Р. Ж.

**74933. 1,2-диоксан.** Криге, Мюллер (1,2-dioxan. Criegee Rudolf, Müller Gerhard, Chem. Ber., 1956, **89**, № 2, 238—240 (нем.))

Взаимодействием бис-метансульфоната (Ia) бутандиола-1,4 (I) с H<sub>2</sub>O<sub>2</sub> в р-ре CH<sub>3</sub>OH синтезирован 1,2-диоксан (II). II растворяется в 20 ч. воды и смешивается с обычными органич. р-рителями; разб. щелочи или к-ты не действуют на II, а при нагревании разлагают его. Конц. щелочи и к-ты разлагают II на холоду. II в уксуснокислом р-ре окисляет HJ и восстанавливается над Pd/Al<sub>2</sub>O<sub>3</sub> в I. К 9,9 г I и 22,8 г метансульфохлорида приливают (25—30°, 4 часа) 31,6 г пиридина, оставляют на несколько часов, смешивают со 150 мл 2 н. р-ра HCl и получают Ia, выход 90%, т. пл. 119° (из сп.). Смесь 29,6 г Ia, 60 мл CH<sub>3</sub>OH, 60 мл 30%-ного р-ра H<sub>2</sub>O<sub>2</sub> и 2 г MgSO<sub>4</sub> нейтрализуют при 60—70° (тигмоблау) 20%-ным метанольным р-ром KOH, приливают 80 мл воды и извлекают CH<sub>2</sub>Cl<sub>2</sub> II, т. кип. 61,5°/110 мм, 116—117°/760 мм, т. пл. —40°,  $n_D^{20}$  1,4262,  $d_4^{20}$  1,009.

Д. В.

**74934. Исследование способов получения 3-замещенных тиофенов.** Гроновиц (3-substituted thiophenes. A study in synthesis. Gronowitz Salo, Arkiv kemi, 1956, **8**, № 5, 441—448 (англ.))

Изучены 3 способа получения 3-замещ. тиофенов: А) бромированием боковой цепи 2-бром-3-метилтиофена (I); Б) хлорметилированием 2,5-дихлортиофена (II) и В) об-

менной р-цией 3-бромтиофена (III) с  $n$ -C<sub>4</sub>H<sub>9</sub>Li. Полученный по способу А 2-бром-3-тиенилбромид (IV) более устойчив и менее токсичен, чем 3-тиенилбромид, конденсированный в присутствии C<sub>2</sub>H<sub>5</sub>ONa с этиловым эфиром этантрикарбонной-1,2,2 к-ты (V) в эфир 1-(2-бром-3-тиенил)-этантрикарбонной-1,2,2 к-ты (VI), из которого после гидролиза кипящим спиртом р-ром KOH и последующего декарбоксилирования при 145° получена 2-бром-3-тиениллантарная к-та, т. пл. 127—128° (из воды), дегрированная в 1 н. р-ре Na<sub>2</sub>CO<sub>3</sub> 5%-ной амальгамой Na (24 часа, 20°) в 3-тиениллантарную к-ту (VII), выход 84%, т. пл. 136° (из воды). По способу Б р-цией II с ClCH<sub>2</sub>OCH<sub>3</sub> (VIII) в CS<sub>2</sub> получен 2,5-дихлор-3-тиенилхлорид (IX), превращенный аналогично IV (декарбоксилирование в кипящей воде) в 2,5-дихлор-тиениллантарную-3 к-ту, выход 78%, т. пл. 105—106° (из петр. эф. этилацетата), дехлорированную амальгамой Na в VII. По способу В р-цией  $n$ -C<sub>4</sub>H<sub>9</sub>Li с III и взаимодействием образующегося 3-тиениллития (X) с HCON(CH<sub>3</sub>)<sub>2</sub> (XI) синтезирован β-тиофенальдегид (XII); при взаимодействии же X с оксидом этилена получен 2-(3-тиенил)-этанол (XIII). XII конденсирован с малоновым эфиром (XIV) в этиловый эфир 3-тиенилмалоновой к-ты (XV), образующий с 2-молями KCN 2-(3-тиенил)-2-цианопропионовую к-ту, гидролизованную кипящей водой в тиениллантарную-3 к-ту (XVI). К кипящему р-ру 0,25 моля I и 0,5 г перекиси бензола (XVII) в 175 мл CCl<sub>4</sub> постепенно добавляют смесь 0,25 моля N-бромсукцинимиды и 0,5 г XVII, р-р кипятят 3 часа, перегоняют и получают IV, выход 71%, т. кип. 88—90°/4 мм. К C<sub>2</sub>H<sub>5</sub>ONa (из 0,18 г Na и 175 мл сп.) добавляют 0,18 моля V, затем приливают по каплям 0,18 моля IV, кипятят 4 часа и получают VI, выход 82%, т. кип. 195—202°/4 мм. К р-ру 0,17 моля II и 0,2 моля VIII в 50 мл CS<sub>2</sub> добавляют по каплям при 0° 0,06 моля SnCl<sub>4</sub>, смесь оставляют на 1 час при 0°, затем на 2 часа при 20°, смешивают с водой и из органич. слоя выделяют IX, выход 55%, т. кип. 107—110°/14 мм. К р-ру 0,6 моля XI в 0,2 л эфира приливают по каплям в атмосфере N<sub>2</sub> р-р X, полученный добавлением при —70° в атмосфере N<sub>2</sub> 0,35 моля III в 0,1 л эфира к 0,4 моля  $n$ -C<sub>4</sub>H<sub>9</sub>Li в 250 мл эфира; оставляют на 12 часа и получают XII, выход 70%, т. кип. 86—87°/20 мм; 2,4-динитрофенилгидразон, т. пл. 235—237°; фенилгидразон, т. пл. 137—138°. Аналогично из X (из 0,35 моля  $n$ -C<sub>4</sub>H<sub>9</sub>Li в 0,25 л эф. и 0,32 моля III в 0,1 л эф.) и 0,5 окиси этилена в 50 мл эфира (причем смесь оставляют на 4 часа при 20°, затем кипятят 2 часа и разлагают разб. HCl), получают XIII, выход 28%, т. кип. 110—111°/14 мм; фенилуретан, т. пл. 75,5—76,5. Смесь 0,24 моля XII, 0,24 моля XIV, 3,5 мл пиперидина, 0,7 г C<sub>6</sub>H<sub>5</sub>COOH и 140 мл C<sub>6</sub>H<sub>6</sub> подвергают в течение 6 час. азотропной перегонке и выделяют XV, выход 77%, т. кип. 148—150°/3 мм. К р-ру 0,07 моля XV в 0,3 л 95%-ного спирта добавляют в атмосфере N<sub>2</sub> 0,14 моля KCN в 30 мл воды, кипятят 5 час. и получают XVI, выход 83%, т. пл. 172—173,5° (из воды).

Д. В.

**74935. О новом способе получения арилтиофенов.** Шмитт, Сюке, Фаллар (Sur une nouvelle préparation d'arylthiophenes. Schmitt Josef, Suquet Michel, Fallard René, C. r. Acad. sci., 1956, **242**, № 13, 1738—1740 (франц.))

Осуществлен синтез диарилтиофенов нагреванием α-этилстильбенов или 2,4-диарилбутенов с S при 250°. Этим путем из 1,2-фенил- или 1-фенил-2п-анизилбутена-1 (синтезированных действием C<sub>2</sub>H<sub>5</sub>MgBr на соответствующие дезоксибензоины) или из 2,4-дифенил- или 2-фенил-4п-анизилбутена-2 (синтезированных из мангилгалондметила и надлежащих арилпропиофенонов) получены тиофены, выделенные разгонкой продуктов р-ции при 0,5 мм; (указаны выход в % и т. пл. в °C): 2,3-дифенил-, 28, 83 (из сп.); 2-фенил-3п-анизил (I), 35, 68 (из сп.); 2,4-дифенил-, 55, 120—122 (из сп.), и 2 фенил-4п-анизил-, 69, 162 (из этилацетата) I дегметилирован хлоридратом пиридина при 200° в 2-фенил-3п-оксифенилтиофен,

т. пл. 104—105° (из бзл.). Р-цией 4-фенилдезоксисбензоина 4-*n*-метил- или 4-*n*-метоксифенилдезоксисбензоина с  $C_2H_5MgBr$  получены поли- $\alpha$ -стильбены, также превращенные с выходами 10—13% в соответствующие 1-(3'-фенил-2'-тиенил)-, т. пл. 184—185° (из этилацетата); 1-(3'-*n*-толил-2'-тиенил)-, т. пл. 136—137° (из сн.), и 1-(3'-*n*-анизил-2'-тиенил)-, т. пл. 140—141° (из этилацетата)-4-(2'-фенил-3'-тиенил)-бензолы. 4-фенил-4'-фенацетилдезоксисбензоин не удалось аналогичной последовательностью р-ций превратить в соединение с 3 тиофеновыми циклами. Д. В.

**74936. Некоторые производные тиофенальдегида-3.** Nobles W. Lewis, J. Amer. Chem. Soc., 1955, 77, № 24, 6675 (англ.)

Конденсацией тиофенальдегида-3 (I) с ацетоном (II) получен 4-(тиенил-3)-3-бутен-2-он (III). Установлено, что тиосемикарбазон III обладает более высокой антибактериальной активностью *in vitro*, чем тиосемикарбазон 4-(тиенил-2)-3-бутен-2-она, т. пл. 128—129° (из 50%-ного сн.). К смеси I (см. РЖХим, 1954, 25150), 0,75 моля II и 30 мл воды медленно добавляют 10 мл 10%-ного р-ра NaOH (20—25°), через 2,5 часа подкисляют охлажд. разб. HCl, экстрагируют  $C_6H_6$  и получают III, выход 63%, т. кип. 148—152°/20—24 мм, т. пл. 52—53°.

Л. Л.

**74937. Производные тиофена. VI. Синтез тиенилбутаноламинов.** Хирао, Мидзунума, Хаяси.

**VII. Ацетиленовые спирты и их производные (XI. Синтез тиофена, Хирао, Хатта (チオフェン誘導体に関する研究. 第6報. チエニルブタノールアミン類の合成. その1. 平尾一郎, 水沼清, 林正樹. 第7報. アセチレンアルコールとその誘導体に関する研究. 第9報. チオフェンの合成. 平尾一郎, 八出弘), 藥學雜誌, Якугаку дзасси, J. Pharm. Soc. Japan, 1954, 74, № 1, 105—106; № 5, 446—449 (япон.; реф. англ.)**

**Сообщение VI.** Присоединением диметиламина к фенил- и тиенилпропенилкетону (I) получают  $\beta$ -диметиламинобутирофенон (II) и  $\beta$ -диметиламинобутиро-2-тиенон (III) соответственно. Присоединением к II и III 2-тиениллития получают 3-диметиламино-1-фенил-1-(2-тиенил)-бутанол-1 (IV), т. кип. 135—145°/0,1 мм; пикрат, т. пл. 158—159°, и 3-диметиламино-1,1-ди-(2-тиенил)-бутанол-1 (V), выход 30%, т. пл. 196—198°, пикрат, т. пл. 141°. Из III и 2-пиридиллития получают 3-диметиламино-1-(2-тиенил)-1-(2-пиридил)-бутанол-1 (VI), т. кип. 135—140°/0,01—0,08 мм; диникрат, т. пл. 165—166°. I получают из тиофена и  $CH_3CH=CHCOCl$  с выходом 70,6%, т. кип. 111—112°/7 мм; 2,4-динитрофенилгидразон, т. пл. 198—199°. IV, V, и VI обладают спазмолитич. активностью.

Chem. Abstrs, 1955, 49, 1696. К. Kitsuta

**Сообщение VII.** Разработан метод синтеза тиофена (VII) на основе бутин-2-диола-1,4 (VIII) с общим выходом 27,8%. VIII гидрируют над скелетным Ni в  $CH_3OH$  (70°, 100—200 ат), получают бутандиол-1,4 (IX), выход 90%, т. кип. 230°, т. пл. 20°. Дегидрирование IX в паровой фазе над  $Al_2O_3$  при 250° приводит к тетрагидрофурану (X), выход 80,2%; при дегидрировании IX над пемзой, пропантанной конц.  $H_2SO_4$  (10 г пемзы, 2 г  $H_2SO_4$ ), при 130—170° X образуется с выходом 91%. При пропускании X над  $Al_2O_3-Cr_2O_3$  (77 : 23) (Юрьев Ю. К., Ж. общ. химии, 1951, 21, 742) в токе  $H_2S$  при 300° образуется тиолан (XI), выход 93,6%; производное с  $HgCl_2$ , т. пл. 128—130°. Дегидрирование XI над  $Al_2O_3-Cr_2O_3$  при 500° в токе  $H_2S$  приводит к VII с выходом 36%. При пропускании IX над  $Al_2O_3-Cr_2O_3$  при 400° одновременно образуются XI, выход 32%, и X, выход 46,6% VII образуется также при пропускании IX или X, над  $Al_2O_3-Cr_2O_3$  в токе  $H_2S$  при 50°, однако выходы VII невелики и составляют соответственно 9,4 и 7%. Сообщение V см. РЖХим, 1955, 45885. Л. Я.

**74938. О метильном расщеплении четвертичных оснований и солей с ненасыщенными алкилами. VI. Реакции бромистого 1,1-диметил-2-бромметил- $\Delta^3$ -пирроли-**

**ния; 1,2-диметилпиррол. Лукеш, Плимль (O methyläcniim stépeni kvart.rnich zásad a soli s nenasyce-nými alkyly. VI. Reakce bromidu 1,1-dimethyl-2-brom-methyl- $\Delta^3$ -pyrrolinina; 1,2-dimethylpyrrol. Lukeš R. u-dolf, Pliml Jiří), Chem. listy, 1955, 49, № 12, 1821—1825 (чеш.); Сб. чехосл. хим. работ, 1956, 21, № 3, 632—637 (нем.; реф. русск.)**

При р-ции бромгидрата *цис*-1-диметиламинопентадиена-2,4 (I) с бромом образуется дибромид, которому приписано строение бромгидрата *цис*-1-диметиламино-4,5-дибромпента-2 (II). Строение II подтверждено образованием бромистого 1,1-диметил-2-бромметил- $\Delta^3$ -пирролиния (III) при действии щелочи. При расщеплении гидрата окиси, полученного из III, образуется диметиламин (IV) и 1,2-диметилпиррол (V), наряду с близне не исследованными полимерными в-вами. II образуется также при действии брома на р-р *цис*-1-диметиламинопентадиена-2,4 (VI) в  $CHCl_3$ . I в 40%-ной водн. HBr бромруют р-ром  $Br_2$  в 40%-ной HBr при  $t$ -ре < 10°. Получен II, выход 96%, т. пл. 131—132°. Бромруют VI в  $CHCl_3$  (~20°, неделя), выход II 25%. При действии NaOH в воде на II образуется осадок, который немедленно извлекают эфиром, из эфир. р-ра выделяют III, выход 60%, т. пл. 186° (из сн.); пикрат, т. пл. 160—162° (из воды). Действием  $Ag_2O$  на III готовят водн. р-р гидрата окиси, который перегоняют, дистиллят титруют HCl и обрабатывают обычным путем. Из нейтр. части выделяют V, т. кип. 140°, из кислого р-ра получают IV; *n*-толуолсульфамид, т. пл. 80°. Сообщение V см. РЖХим, 1956, 57952. Jan Kovář

**74939. Новый путь синтеза 1-арилпирролов. Хант-ресс, Лесли, Хирон (A new route to 1-aryl pyrroles. Huntress Ernest H., Lesslie Thomas E., Hearon William M.), J. Amer. Chem. Soc., 1956, 78, № 2, 419—423 (англ.)**

При р-ции арилгидроксиланов  $RC_6H_4NOH$  (I) с  $CH_3OCOC \equiv COOCH_3$  (II) в зависимости от соотношения между I и II образуются разные аддукты. При соотношении 1 : 1 образуется аддукт (III), который легко распадается на исходные в-ва и представляет собой, вероятно, их непрочный молекулярный комплекс. При соотношении 1 : 2 образуется аддукт, имеющий, вероятно, строение  $CH_3OCOC(OH) = C(COOCH_3)C(COOCH_3) = C(COOCH_3)NHC_6H_4R$  (IV) и одновременно — аддукт, имеющий, вероятно, строение  $RC_6H_4NHC(COOCH_3) = C(OH)COOCH_3$  (V) или его таутомер. При действии конц.  $H_2SO_4$ , насыщ.  $NH_3$  спирта или 1%-ного р-ра HCl в спирте IV превращается в тетраметилловый эфир 1-арилпиррол-2, 3, 4, 5-тетракарбонной к-ты (VI). Декабгосилированием полученной после гидролиза VI 1-арилпиррол-2, 3, 4, 5-тетракарбонной к-ты (VII) синтезирован 1-арилпиррол (VIII). При нагревании V с р-ром HCl в  $CH_3OH$  образуется монометилловый эфир *N*-замещ. индол-2,3-дикарбонной к-ты (IX). В смеси 10 г  $n$ - $NO_2C_6H_4COOCH_3$ , 5 г  $NH_4Cl$ , 100 мл  $CH_3OH$  и 10 мл воды вносят при размешивании за 15 мин. 15 г Zn-пыли, фильтруют, прибавляют к фильтрату 200 мл ледяной воды, осадок экстрагируют 150 мл горячего  $C_6H_6$ ; получают I ( $R = COOCH_3$ ), выход 75%, т. пл. 120,9—121,9° (из бзл.). К 9 г II в 30 мл сухого эфира при  $t$ -ре < 10° прибавляют 7 г I ( $R = H$ ) (Ia) и выдерживают 70 час при 5°; получают III, выход 65%, т. пл. 86,1—86,6° (из смеси эф.  $CH_3OH$ ). К кипящему р-ру 71 г II в 50 мл  $C_6H_6$  за 15 мин. прибавляют р-р 27,2 г Ia, после окончания экзотермич. р-ции кипятят 30 мин., упаривают до 100 мл, оставляют на ~ 12 час, фильтруют, получают IV ( $R = H$ ) (IVa), выход 37%, т. пл. 152,6—153,2°. Аналогично получены другие IV (приведены R, выход в %, т. пл. в °C): *m*- $CH_3$ , 35, 160,5—160,9 (из  $CH_3OH$ ); *n*- $CH_3$  (IVb), 51,5, 174,6—175,1 (из  $CH_3OH$ ); *o*-Cl, 40, 177—177,5 (из  $CH_3OH$ ); *n*-Cl, 28, 189,4—189,9 (из разб.  $CH_3OH$ ; 1 : 1); *n*- $NO_2$ , 61, 185,3—185,8 (из  $CH_3OH$ ); *n*- $CH_2COO$ , 53, 195,9—196,5 (из  $CH_3OH$ ) и IV, где радикал при  $NH=2$ , 4, 6-( $CH_2$ ) $_5C_6H_5$ , выход

20%, т. пл. 203,8—204,8° (из разб.  $\text{CH}_3\text{OH}$ ). При использовании разных р-рителей получены (для IV6) следующие выходы в %: толуол 34,  $\text{CH}_3\text{OH}$  19, лигроиин 35,  $\text{CHCl}_3$  37, ксилол 28, бензол 39. IVa получен также при кипячении III в  $\text{CH}_3\text{OH}$  (выход 44%), при кипячении III с второй молекулой II (выход 50%) и при взаимодействии анилина, диметилового эфира щавелевоуксусной к-ты и диметилового эфира щавелевоуксусной к-ты (выход 11%). В 25 мл холодной конц.  $\text{H}_2\text{SO}_4$  растворяют 6,4 г IVa, выливают в 100 мл холодной воды, собирают осадок, растворяют в миним. кол-ве разб. (1:1)  $\text{CH}_3\text{OH}$ , получают VI (арил= $\text{C}_6\text{H}_5$ ) (VIa), выход 99%, т. пл. 116,3—116,8° (из смеси вода- $\text{CH}_3\text{OH}$ ; 1:1). При попытке дегидратировать IVa отгонкой воды с  $\text{C}_6\text{H}_6$  или кипячением с  $(\text{CH}_3\text{CO})_2\text{O}$  исходный продукт получен неизменным. Аналогично VIa получены другие VI (приведены арил, выход в %, т. пл. в °C, из смеси вода- $\text{CH}_3\text{OH}$ ): *m*- $\text{CH}_3\text{C}_6\text{H}_4$ , 86, 136,9—137,3; *p*- $\text{CH}_3\text{C}_6\text{H}_4$  (VI6), 86, 121,6—122,1; 2,4,6- $(\text{CH}_3)_3\text{C}_6\text{H}_2$ , 75, 119,6—120; *o*- $\text{ClC}_6\text{H}_4$ , —, 102,5—103,2; *p*- $\text{ClC}_6\text{H}_4$ , —, 106,5—107; *p*- $\text{NO}_2\text{C}_6\text{H}_4$  (VIa), —, 137,6—138; *p*- $\text{CH}_3\text{COO}$ , 90, 165,5—166. VIa получен также прямым нитрованием VIa смесью конц.  $\text{H}_2\text{SO}_4$  и конц.  $\text{HNO}_3$  при ~20°, в течение 3 час., выход 63%. При омылении VIa получен VII (арил= $\text{C}_6\text{H}_5$ ) (VIIa), т. пл. >200° (разл.) и ее монокалевая соль, т. разл. >200°; из VI6 получены монокалевая и тетракалевая соли VII (арил=*p*- $\text{CH}_3\text{C}_6\text{H}_4$ ). 1,9 г VIIa нагревают в небольшой пробирке до 210°, соединяют отводную трубку с насосом и поднимают т-ру до 230°; на охлаждаемой части отводной трубки собирают сублимат VIII (арил= $\text{C}_6\text{H}_5$ ), т. пл. 57,5—58°. Смесь 7,1 г X и 5 г Si-порошка нагревают до 250—310°; получают сублимат VIII (арил=*p*- $\text{CH}_3\text{C}_6\text{H}_4$ ), т. пл. 81,4—82,1°. Фильтрат и промывной эфир от IV (см. выше) подкисляют 20 мл конц.  $\text{HCl}$ , упаривают наполовину, оставляют на ~12 час., отделяют осадок, фильтрат снова подкисляют 10 мл конц.  $\text{HCl}$ ; получают IX (N-H) (IXa), общий выход 46%, т. пл. 254,3—255,1° (из диоксана); из IXa и  $\text{CH}_2\text{N}_2$  получен соответствующий диметилловый эфир, т. пл. 112—112,5°. Аналогично получен IX (N- $\text{CH}_3$ ) (IX6), выход 36%, т. пл. 246—247°, и из IX6 с  $\text{CH}_2\text{N}_2$  соответствующий диметилловый эфир, выход 93%, т. пл. 130,3—130,8°. А. Т.

74940. 3,5-дихлоранилин в замейерсовском синтезе изатина. 4,6-дихлорантраниловая кислота. Шибли, Мак-Налти (3,5-dichloroaniline in Sandmeyer isatinsynthesis, 4,6-dichloroanthranilic acid. Scheibley F. E., McNulty J. S.), J. Organ. Chem., 1956, 21, № 2, 171—173 (англ.)

Описано получение 4,6-дихлорантраниловой к-ты (I) окислением 4,6-дихлоризатина (II) щел. р-ром  $\text{H}_2\text{O}_2$ ; строение I подтверждено дезаминированием в 2,4-дихлорбензойную к-ту, т. пл. 163,5—165° (из бзл.), и термич. декарбоксилированием в 3,5-дихлоранилин; в одном опыте (при подкислении реакционной смеси разб. р-ром  $\text{HCl}$ ) получена также растворяющаяся в баритовой воде трихлорантраниловая к-та, разлагающаяся при 171—176°. При повторении модифицированного замейерсовского синтеза  $\alpha$ -изонитрозо-3,5-дихлорантранилида (III) путем нагревания 3,5-дихлоранилина (IV) в водн. р-ре хлоралгидрата (V)  $\text{NH}_2\text{OH} \cdot \text{HCl}$ ,  $\text{Na}_2\text{SO}_4$  и  $\text{HCl}$  отмечено образование в незначительном кол-ве побочного N, N'-бис-(3,5-дихлорфенил)-изонитрозоацетида (VI), циклизированного горячей конц.  $\text{H}_2\text{SO}_4$  в  $\alpha$ -анил (VIIa) 4, 6, 3', 5'-тетрахлоризатина (VII), гидролизующийся спирт. р-ром  $\text{HCl}$  в II и IV. При восстановлении VIIa  $\text{H}_2\text{SO}_4$  в кислом р-ре получен синий краситель, вероятно, имеющий строение 4,4', 6,6'-тетрахлориндиго. Сплавлением 0,13 г II и 0,117 г IV синтезируют изомерный VIIa  $\beta$ -анил VII, выход 84%, т. пл. 311,5° (испр., из  $\text{C}_6\text{H}_5\text{NO}_2$ ). К 10 г IV в 50 мл воды и 12 мл конц.  $\text{HCl}$  приливают 66 г  $\text{Na}_2\text{SO}_4$  и 10,5 г V в 224 мл воды, затем 13 г  $\text{NH}_2\text{OH} \cdot \text{HCl}$  в 60 мл воды, нагревают 2,5 часа при 100°, оставляют на ~12 час., продукт размешивают в 750 мл 1%-ного р-ра  $\text{NaOH}$ , отделяют VI,

выход 14%, т. пл. 191° (испр., из бзл., и разб. сп.), фильтрат подкисляют  $\text{HCl}$  и получают III, выход 75%, т. пл. 197° (испр., разл., из разб. сп.). К 70 мл конц.  $\text{H}_2\text{SO}_4$  добавляют (30 мин. 90—95°) 20,2 г III, нагревают 10 мин. при 105°, охлаждают до 30°, выливают в 0,4 л воды и получают II, выход 98,8%, т. пл. 260,5—261° (испр., из сп.). К охлаждаемой взвеси 21,3 г II в р-ре 21,5 г  $\text{NaOH}$  в 130 мл воды постепенно приливают 130 мл 3%-ного р-ра  $\text{H}_2\text{O}_2$ , через 30 мин. добавляют 172 мл 5 н. р-ра  $\text{H}_2\text{SO}_4$ , продукт растворяют в 0,5 л 2%-ного р-ра  $\text{NaHCO}_3$ , подкисляют и получают I, выход 83,2%, т. пл. 178—178,5° (испр., разл., из бзл.). Р-р 0,5 г VI в 25 мл конц.  $\text{H}_2\text{SO}_4$  нагревают до 100°, охлаждают, выливают в 0,5 л воды и получают VIIa, выход 82%, т. пл. 285,5—286° (испр., из бзл.). Р-р 0,1 г VIIa в 5 мл спирта, содержащего 5 капель конц.  $\text{HCl}$ , выпаривают досуха, остаток смешивают с р-ром  $\text{NaOH}$ , отделяют IV, выход 66%, и из р-ра выделяют II, выход 93%. Д. В.

74941. Разделение изомерных изатинов. Садлер (Separation of isomeric isatins. Sadler P. W.), J. Organ. Chem., 1956, 21, № 2, 169—170 (англ.)

Получасовым кипячением в 90—95%-ной  $\text{H}_2\text{SO}_4$  метазамещ. изонитрозоантранилиды (I) образуют смесь 4- и 6-замещ. изатинов (II). С целью выяснения влияния заместителей I на колич. соотношение образующихся изомеров II синтезированы следующие I (приведены метазаместители, время кипячения в мин., выход в %, т. пл. в °C): Cl, 0, 40, 146; Br, 15, 55, 165; F, 0, 87, 175; J, 0, 74, 157;  $\text{CF}_3$ , 30, 83, 140;  $\text{CH}_3$ , 0, 90, 145;  $\text{CH}_3\text{O}$ , 0, 42, 172;  $\text{NO}_2$ , 0, 48, 168. Из I синтезированы II (приведен заместитель, выход в %, т. пл. в °C): 4-Cl, 33, 256 (из  $\text{CH}_3\text{COOH}$ ); 6-Cl, 35, 263 (из  $\text{CH}_3\text{COOH}$ ); 4-Br, 46, 267 (из  $\text{CH}_3\text{COOH}$ ); 6-Br, 29,3, 270 (из  $\text{CH}_3\text{COOH}$ ); 4-J, 44,7, 260 (из  $\text{CH}_3\text{COOH}$ ); 6-J, 14, 7, 274 (из  $\text{CH}_3\text{COOH}$ ); 4-F, следы, 212 (из сп.); 6-F, 69, 3,197 (из  $\text{CH}_3\text{COOH}$ ); 4- $\text{CF}_3$ , 17,0, 224 (из  $\text{CH}_3\text{COOH}$ ); 6- $\text{CF}_3$ , 0, —, —, 4- $\text{CH}_3$ , 16,3, 193 (из сп.); 6- $\text{CH}_3$ , 140, 0, 189 (из сп.); 4- $\text{CH}_3\text{O}$ , 0, —, —, 6- $\text{CH}_3\text{O}$ , 23,0, 230 (из сп.). *m*- $\text{NO}_2$  замещ. I не образует II. При окислении 11 г 4-J<sub>2</sub> замещ. II в 80 мл 1 н.  $\text{NaOH}$  и 10 мл  $\text{H}_2\text{O}_2$  получают 6-иодантраниловую к-ту, выход 7,3 г, т. пл. 149° (из воды). Т. К.

74942. Реакции производных гидразина. II. Синтез 1, 2, 3, 4, 5, 6, 7, 8-октагидрокарбазола. Кост А. Н., Грандберг И. И. Ж. общ. химии, 1956, 26 № 2, 565—568

Исследованы превращения азина циклогексанона (I) под действием кислотных агентов. Установлено, что в присутствии следов  $\text{ZnCl}_2$  I превращается в 1, 2, 3, 4, 5, 6, 7, 8-октагидрокарбазол (II). Азины ацетона, масляного, изовалерианового альдегидов, циклопентанона, бутирона и ацетофенона подобному превращению не подвергаются. В присутствии  $\text{C}_6\text{H}_5\text{NH}_2 \cdot \text{HCl}$  (IIa) или  $\text{C}_6\text{H}_5\text{N} \cdot \text{HCl}$  (II6) основным продуктом р-ции является 1-циклогексилциклогексен (III). Применение кислого алюмосиликатного катализатора дает III и в-во неизвестного состава. Механизм образования III в присутствии IIa включает в себя перегруппировку I в 3,4-тетраметил-5,5-пентаметилпиразолин (IV), который превращается в 1,1-пентаметилбенцикло-(0, 1, 4)-гептан (V) и далее в III. В целях ослабления конкурирующего процесса, приводящего к IV, I подвергают действию  $\text{CH}_3\text{COCl}$  в безводн. диоксане (VI); выход N-ацетил-II (VII) повышен таким путем до 82%. В аналогичных условиях превращение IV в II не происходит. Попытка использования  $\text{HCONH}_2$  для превращения I в II привела только к IV. Смесь 44,2 г I, 6 г стеклянной ваты и 0,15 г безводн.  $\text{ZnCl}_2$  нагревают 4 часа при 220—230°, получают II, выход 79,3%, т. кип. 154—160°/10 мм, 161,5—162,5°/13 мм, т. пл. 96°; легко окисляется на воздухе; VII, т. пл. 71° (из 75%-ного сп.). К р-ру 19,2 г I в 50 мл VI при кипячении прибавляют по каплям 11,8 г  $\text{CH}_3\text{COCl}$ , кипятят 30 мин., выливают в ледяную воду, получают VII, выход 82,5%. Смесь, 19,2 г I и 5 г

$\text{HCONH}_2$  нагревают 3 часа при 160—190°, перегоняют и фракцию 144—203°/10 мм оставляют при —5° на 25—30 дней для кристаллизации, получают N-формил-IV, выход 37,4%, т. пл. 74° (из 50%-ного  $\text{CH}_3\text{OH}$ ). При кипячении маточного р-ра с конц.  $\text{HCl}$  в течение 0,5 часа получают IV, выход 47,4%, т. кип. 161—169°/16—18 мм, т. пл. 63°. Смесь 38,4 г I и 25,8 г IIa нагревают при 120—140°, разбавляют втрое эфиром, осадок отделяют, растворяют в  $\text{CH}_3\text{OH}$ , прибавляют эфир, фильтрат упаривают и подщелачивают, получают IV, выход 14,1 г; N-фенилкарбамино производное, т. пл. 122° (из сп.). Из эфирного слоя выделяют 2,9 г II. Смесь 38,4 г I и 2 г IIa нагревают 3 часа при 210—230°, получают II, выход 19,7%, и III, выход 61%, т. кип. 235,5—236,5°/746,3 мм,  $n_D^{20}$  1,4949,  $d_4^{20}$  0,9075. В аналогичном опыте с IIb получают II, выход 40,7%, и III, выход 44,6%. Из 19,2 г I с 2 г кислого алюмосиликатного катализатора получают III, выход 39%. В 16,4 г IV при кипячении 3 часа барботируют  $\text{NH}_3$ , получают V, выход 50,7%, т. кип. 230,6°/733,5 мм,  $n_D^{20}$  1,4960,  $d_4^{20}$  0,9320. Смесь 8,2 г V и 0,5 г IIa кипятят 5 час., промывают 5%-ной  $\text{H}_2\text{SO}_4$ ; получают III, выход 95,4%. При кипячении V с  $\text{ZnCl}_2$  (8 час.) наблюдается заметное осмоление. Сообщение 1 см. РЖХим, 1956, 22379.

**74943. Синтезы органических флуоресцирующих соединений. XXIII. Синтез 9-карбоксиметил-3,6-диаминокарбазолдисульфоновой-4,4 кислоты и ее флуоресценция.** Йосида, Ода (有機螢光物質の合成に関する研究. 第23報. 9-カルボキシメチル 3,6 ジアミノカルバゾールジスルホン酸の合成並にその螢光. 吉田善一, 小田良平), 工業化学雑誌, Kōgō karaaku zasshi, J. Chem. Soc. Japan. Industr. Chem. Sec., 1953, 56 № 4, 261—263 (япон.).

Предыдущее изучение показало, что флуоресценция 3,6-диаминокарбазолдисульфоновой-4,4 к-ты (I) постепенно исчезает при действии света, так как I окисляется и сенсибилизируется. Для улучшения в-в типа I синтезирована 9-карбоксиметил-3,6-диаминокарбазолдисульфоновая-4,4 к-та (II). 0,28 моля 3,6-динитрокарбазолдисульфоновой-4,4 к-ты обрабатывают 0,42 моля  $\text{CH}_2\text{O}$ , 0,45 моля  $\text{NaHSO}_3$  и 0,42 моля KCN в водн. р-ре, получают 9-карбоксиметил-3,6-динитрокарбазолдисульфоновую-4,4 к-ту (III), выход 79,5%. III гидрируют над Fe-порошком в  $\text{CH}_3\text{COOH}$ , 2 часа при 95—97°, получают II, выход 75%. II в водн. р-ре при pH 2,2—1,2 обладает сильной и стабильной голубовато-зеленой флуоресценцией. Сообщение XXII см. РЖХим, 1956, 50780.

Chem. Abstr., 1954, 48 № 18, 10748. Katsuya Inouye

**74944. Синтез 4-(2'-пиперидил)-бутандиола-1,2 и некоторых N-замещенных производных; разложение этих диолов посредством тетраацетата свинца.** Вибавут, Хиршель (Synthesis of 4-(2'-piperidyl)butanediol-1,2 and of some nitrogen-substituted derivatives; the degradation of these diols by means of lead tetraacetate. Wibaut J. P., Hirschel M. I.), Recueil trav. chim., 1956, 75, № 3, 225—236 (англ.).

Синтезированы 4-(2'-пиперидил)-бутандиол-1,2 (I) и его N-бензойное (Ia), N-ацетильное (Ib) и N-карбэтоксильное (Iв) производные. Ia—в действии  $(\text{CH}_3\text{COO})_2\text{Pb}$  превращены в соответствующие производные (IIa—в)  $\beta$ -(2-пиперидил)-пропионового альдегида (II). I при аналогичной р-ции разлагается на формальдегид и крайне нестойкий II, который не удалось получить в чистом виде; при попытке выделения л-нитрофенилгидразона, хлоргидрата или бромгидрата II образуются быстро осмолющиеся в-ва; только с d-винной к-той получен продукт, соответствующий по составу тартрату II, восстанавливающий на холоду аммиачный р-р  $\text{Ag}_2\text{O}$  и также осмолющийся при нагревании. Для получения I р-цией  $\alpha$ -пиколон-1 (III) с 4-бромметил-2,2-диметил-1,3-диоксаном (IV) синтезирован 1,2-изопропилденкеталь-4-( $\alpha$ -пиридил)-бутандиол-1,2 (V), гидролизированный кипяче-

нием 15 мин. с 1 н.  $\text{H}_2\text{SO}_4$  в 4-( $\alpha$ -пиридил)-бутандиол-1,2, выход 80%, т. кип. 154°/0,1 мм, т. пл. 52,5° (из эф.); меркурихлорид, т. пл. 115° (из сп.), гидрирован в спирте над скелетным Ni при 125° и 130 ат в I, выход 87%, т. кип. 162°/1 мм, т. пл. 72,5° (из эф.). I получен также гидролизом 1,2-изопропилденкеталь-4-( $\alpha$ -пиперидил)-бутандиола-1,2 (VI), т. кип. 101,5°/0,8 мм,  $n_D^{20}$  1,4664, синтезированного с 94%-ным выходом гидрированием 0,34 моля V в 150 мл спирта над 7 г скелетного Ni при 125° и 120 ат. Ia—в получении гидролизом горячим 1 н.  $\text{H}_2\text{SO}_4$ -N-бензойного (VIa), N-ацетильного (VIb) и N-карбэтоксильного (VIв) производных VI, синтезированных взаимодействием последнего с хлорангидридами соответствующих к-т в присутствии р-ра  $\text{NaOH}$ . Ia, б представляют собой разлагающиеся при перегонке жидкости. Iв перегоняется без разложения при 167°/0,7 мм. К р-ру III (из 0,5 моля  $\alpha$ -пиколонина, 0,5 моля  $\text{C}_6\text{H}_5\text{Br}$  и 1 г атом Li) в 0,4 л эфира добавляют в течение 30 мин. 0,5 моля IV, смесь кипятят 1 час, приливают 0,1 л воды, продукт р-ции (выход 28—31%) превращают в меркурихлорид, т. пл. 127° (из сп.); разложением которого  $\text{Na}_2\text{S}$  получают V, т. кип. 103°/0,1 мм,  $n_D^{20}$  1,4942. К р-ру 0,025 моля VI в 10 мл ацетона постепенно добавляют при 0° 2,9 г  $\text{C}_6\text{H}_5\text{COCl}$  и 50 мл 30%-ного р-ра  $\text{NaOH}$  и получают VIa, выход 96%, т. кип. 184—188°/0,1 мм,  $n_D^{20}$  1,5291; аналогично из 13,5 мл  $\text{CH}_3\text{COCl}$  и 0,027 моля VI получают VIb, выход 83%, т. кип. 149°/0,4 мм,  $n_D^{20}$  1,4844; из 0,024 моля VI и 7 г  $\text{C}_6\text{H}_5\text{COCl}$  — VIв, выход 85%, т. кип. 136°/0,25 мм,  $n_D^{20}$  1,4690. 3,82 г Ia, 10 мл  $\text{C}_6\text{H}_6$  и 7 г  $(\text{CH}_3\text{COO})_2\text{Pb}$  нагревают при 45°, продукт извлекают  $\text{C}_6\text{H}_6$  и получают IIa. К 3,63 г I в 50%-ной  $\text{CH}_3\text{COOH}$  добавляют  $(\text{CH}_3\text{COO})_2\text{Pb}$  по окончании р-ции отделяют осадок, фильтрат подщелачивают и извлекают эфиром IIв, выход 84%, т. кип. 119°/0,1 мм,  $n_D^{20}$  1,4769; аналогично получают IIб, выход 50%, т. кип. 132°/0,2 мм,  $n_D^{20}$  1,4960 (см. Spielman M. A. и др., J. Organ. Chem., 1941, 6, 780).

**74945. Спазмолитики. II. Производные N-замещенных-3-пиперидолов.** Бил, Сперенгелер, Лейсер, Хорнер, Дрюккер, Фридман (Antispasmodics. II. Derivatives of N-substituted-3-piperidols. B. I. John H., Sprengeler Edwin P., Leiser Helen A., Horner Jack, Drukker Alexander, Friedman Harris L.), J. Amer. Chem. Soc., 1955, 77, № 8, 2250—2256 (англ.). Изучалась химия и фармакология 4 типов производных 3-окси- (или 3-мерканто)-пиперидина: замещ. укусных эфиров  $\text{CH}_2\text{N}(\text{R}')\text{CH}_2\text{CH}_2\text{CH}_2\text{CHOCOR}$  (I); дизамещ. карбаматов  $\text{CH}_2\text{N}(\text{CH}_3)\text{CH}_2\text{CH}_2\text{CH}_2\text{CHOCORR}'$  (II); бенз-

гидриловых эфиров  $\text{CH}_2\text{N}(\text{R})\text{CH}_2\text{CH}_2\text{CH}_2\text{CHXCH}(\text{C}_6\text{H}_5)_2$

(III, X=O или S); эфиров л-аминсбензойной к-ты (IV), а также N-метил-3-пиперидилдифенилметилпроизводных  $\text{CH}_2\text{N}(\text{CH}_3)\text{CH}_2\text{CH}_2\text{CH}_2\text{CHC}(\text{C}_6\text{H}_5)_2\text{CONH}_2$  (V). Исходная фенил-2-тиенилгликолевая к-та получена по ранее описанному методу для фенил-3-тиенилгликолевой к-ты (РЖХим, 1954, 19807). Синтез I выполнен тремя методами. Метод А. Обработкой метилового эфира к-т аминокислот в присутствии  $\text{CH}_3\text{ONa}$  и  $n\text{-C}_7\text{H}_{16}$  путем р-ции эфирного обмена (Feldkamp R. F., 1952, 74, 3834). Метод Б. Обработкой хлорангидрида к-ты соответствующим 3-окси-(или меркапто)-пиперидином в присутствии триэтиламина (VI) в  $\text{C}_6\text{H}_6$ . Метод В. Р-цией свободной к-ты с N-замещ. 3-хлорпиперидинами в  $\text{iso-C}_3\text{H}_7\text{OH}$  (VII). Получены следующие I (перечисляются R, R', т. кип. в °C/мм, соль, т. пл. в °C):  $(\text{C}_6\text{H}_5)_2\text{CH}$ ,  $\text{C}_2\text{H}_5$ , —,  $\text{HCl}$ , —;  $(\text{C}_6\text{H}_5)_2\text{CH}$ ,  $\text{CH}_3$ , —,  $\text{HCl}$ , —;  $(\text{C}_6\text{H}_5)_2\text{CH}$ ,  $\text{CH}(\text{CH}_3)_2$ , 180—184°/0,55,  $\text{HCl}$ , 134—136°;  $(\text{C}_6\text{H}_5)_2\text{CH}$ ,  $\text{CH}(\text{CH}_3)\text{CH}_2\text{C}_6\text{H}_5$ , —,  $\text{HCl}$ , 161—162°;  $(\text{C}_6\text{H}_5)_2\text{CH}$ ,  $\text{C}_2\text{H}_5$ , —,  $\text{CH}_3\text{Br}$ , —;

( $C_6H_5$ )<sub>2</sub>CH,  $n-C_4H_9$ , 188—191/0,10,  $CH_3Br$ , 143—145; ( $C_6H_5$ )( $C_6H_{11}$ )CH,  $C_2H_5$ , —, HCl —; ( $C_6H_5$ )( $C_6H_5$ )CH,  $C_2H_5$ , 154—178/0,04, HCl, 181—183; ( $C_6H_5$ )<sub>2</sub>COH,  $CH_3$ , 198—199/0,20, HCl, 221—223; ( $C_6H_5$ )<sub>2</sub>COH,  $n-C_4H_9$ , —, HCl, —; ( $C_6H_5$ )<sub>2</sub>COH,  $CH_3$ , —,  $CH_3Br$ , 234—236; ( $C_6H_5$ )<sub>2</sub>COH,  $n-C_4H_9$ , —,  $CH_3Br$ , 144—146; ( $C_6H_5$ )( $C_6H_{11}$ )COH,  $C_2H_5$ , 166—167/0,05, HCl, 215—217; ( $C_6H_5$ )( $C_6H_5$ )COH,  $C_2H_5$ , 201/0,40, HCl, 205—207; ( $C_6H_5$ )( $n-C_3H_7$ )COH,  $C_2H_5$ , 150/0,10, HCl, 166—167; ( $C_6H_5$ )( $C_4H_9$ )COH,  $C_2H_5$ , —, HCl, 181—182; ( $C_6H_5$ )( $C_4H_9$ )COH,  $CH_3$ , —, HCl, (Ia), 227—228; ( $C_6H_5$ )CH( $CH_2OH$ ),  $CH_3$ , 160—168/0,10,  $H_2SO_4$ , 75 (разл.); ( $C_6H_{11}$ )( $C_6H_{10}$ ),  $C_2H_5$ , 151—161/0,10, HCl, 184—185; ( $C_6H_5$ )( $n-C_3H_7$ )CH,  $C_2H_5$ , 118—120/0,03, HCl, 116—118;  $n-H_2NC_6H_4$ ,  $C_2H_5$ , —, HCl, 120 (разл.);  $n-H_2NC_6H_4$ ,  $CH_3$ , —, HCl, 126 (разл.);  $CH_3$ , —,  $CH_3Br$ , 171—172. Получен также дифенилтиоацетат-1-этил-3-пиперидола, хлоргидрат (Ib), т. пл. 126—128°. II получены: 1) При взаимодействии ариламинов с  $NaNH_2$  (VIII) в толуоле (IX) и конденсацией полученной Na-соли с метилхлоркарбонатом (X) и последующей р-цией эфирного обмена метилкарбамата с N-метил-3-оксипиперидином (XI). 2) Обработкой дизамещ. карбамилхлоридов XI в кипящем пиридине (XII). Получены следующие II (перечисляются R, R', т. кип. в °C/мм. соль, т. пл. в °C):  $C_6H_5$ ,  $C_6H_5$ , 190—192/0,15, HCl, 215—216;  $C_6H_5$ ,  $C_6H_5$ , —,  $CH_3Br$ , 273—274;  $C_6H_5$ ,  $C_6H_5CH_2$ , 163—171/0,025,  $CH_3Br$ , 123—124;  $CH_3$ ,  $CH_3$ , 101—103/3, HCl, 198—199;  $CH_3$ ,  $CH_3$ , (IIa),  $CH_3Br$ , 205—206;  $n-C_4H_9$ ,  $n-C_4H_9$ , 111—112/1,  $CH_3J$ , 103—104. Синтез III может быть выполнен либо обработкой Na-соли аминспирта бензгидрил-бромидом (XIII), или лучше добавлением бензгидрил-хлорида (XIV) к кипящему р-ру аминспирта в IX. III (X=S) получены при взаимодействии хлористого бензгидрил-изотиоурония с N-алкил-3-хлорпиперидинами в абс. спирте (Пат. США, 1949, 2483436). Получены следующие III (перечисляются R, X, т. кип. в °C, соль, т. пл. в °C):  $CH_3$ , O, 160—161/0,11, HCl, 70 (разл.);  $C_2H_5$ , S, —, HCl, 145—146;  $CH_3$ , O, —,  $CH_3Br$ , 186—187;  $C_2H_5$ , S, —,  $CH_3Br$ , 158—161. IV синтезированы через эфиры л-нитробензойной к-ты с последующим каталитич. восстановлением до эфиров л-аминобензойной к-ты. С целью получения V приведена р-ция дифенилацетонитрила (XV) с N-метил-3-хлорпиперидином (XVI) в присутствии VIII в IX. Вероятно, при этом получается смесь изомерных 3-пиперидилфенилацетонитрила и 2-пирролидилметилдифенилацетонитрила, выделенных в виде бромметилатов. При гидролизе этих нитрилов образуются V и 2-пирролидилметилдифенилацетамид соответственно. Некоторые I проявляют спазмолитич. активность, особенно Ia (в два раза больше атропина), II в зависимости от типа заместителя либо подавляют, либо вызывают ацетилхолиновые спазмы, III являются активными спазмолитич. агентами, их бромметилаты увеличивают активность в 10 раз. IV — местные анестетики, равные по силе «прокаину», V — умеренные спазмолитики. Смесь 21,2 г бензальдегида, 22,4 г тиофен- $\alpha$ -альдегида, 100 мл абс. спирта, 20 г KCN в 40 мл воды кипятят 1,5 часа, добавляют 250 мл 50%-ного спирта, при охлаждении получают 2-тиенил- $\alpha$ -фенил- $\alpha$ -оксиметилкетон, выход 50%, т. пл. 132—134°. Смесь 10,6 г кетона, 0,1 г  $Ca(CH_3COO)_2$ , 5 г  $NH_4NO_3$  и 35 мл 80%-ной  $CH_3COOH$  кипятят 1,5 часа, охлаждают твердым  $CO_2$  в ацетоне и получают бенз-2-тенил ( $C_6H_5COCOC_6H_4S$ ), выход 93%, т. пл. 59—60°, который (15 г) при нагревании 10 мин. с 15 г KOH в 30 мл воды и 30 мл спирта дает ( $C_6H_5$ )( $C_6H_5S$ )C(OH)COOH, выход 41%, т. пл. 127—129°. Метод Б. К 0,050 моля  $n$ -бутил-3-оксипиперидина и 0,060 моля VI в 50 мл  $C_6H_6$  добавляют р-р 0,050 моля дифенилацетилхлорида в 50 мл  $C_6H_6$  (< 70°) и поддерживают эту т-ру еще 2 часа. Хлоргидрат (XG) VI отфильтровывают и выделяют I ( $R=(C_6H_5)_2CH$ ,  $R'=n-C_4H_9$ ), выход 88%; бромметилат (BM) ( $CH_3Br$  в VII), выход

75%. Метод В. Смесь 0,13 моля фенилциклогексилгликолевой к-ты, 0,17 моля N-этил-3-хлорпиперидина (XVII) и 70 мл безводн. VII кипятят 20 час. и после обычной обработки получают I. ( $R=(C_6H_5)(C_6H_{11})COH$ ,  $R'=C_2H_5$ ), выход 53%; XG (ацетон и эфирн. HCl) выход 94%. Метод 1. Смесь 0,30 моля диметилкарбамилхлорида, 0,30 моля XI в 100 мл сухого XII кипятят 3 часа, выливают в 700 мл воды, осаждают добавлением твердого NaOH и экстрагируют эфиром, получают IIa, выход 80%. т. кип. 101—103°/3 мм; БМ, выход 97%, т. пл. 205—206°. Хлорбензилат (бензилхлорид в ацетоне, 21 день при ~20°), выход 42%, т. пл. 199—201°. Метод 2. К 0,28 моля VIII в 75 мл безводн. IX добавляют 0,20 моля бензиланилина в 40 мл безводн. IX, кипятят 3 часа, добавляют 0,20 моля X в 40 мл IX, кипятят 4 часа, получают метил-N-фенил-N-фенил-N-бензилкарбамат (XVIII), выход 76%, т. кип. 132—133°/0,035 мм. К 0,167 моля XI в 600 мл  $n-C_7H_{16}$  добавляют 0,167 моля XVIII. Смесь нагревают до кипения и добавляют 1,3 г  $CH_3ONa$ . По окончании отгонки  $CH_3OH$  массу концентрируют до 0,5 начального объема, добавляют эфир и из фильтрата выделяют II ( $R=C_6H_5$ ,  $R'=C_6H_5CH_2$ ), выход 36%. Смесь 0,20 моля XIV и 0,40 моля XI в 100 мл IX кипятят 24 часа и получают III ( $R=CH_3$ , X=O), выход 66%, т. кип. 140—147°/0,08 мм; БМ, выход 87%. К 0,20 моля XI в 150 мл VII медленно добавляют 0,20 моля л-нитробензилхлорида, кипятят 3 часа, получают XG N-метил-3-пиперидил-л-нитробензоата (XIX), выход 53%, т. пл. 218—219° (из сп.). Спирт. р-р, содержащий 15 г XIX, восстанавливают в присутствии 3 г 10%-ного Pd/C (~20°, 4,2 ат), получают XG N-метил-3-пиперидил-л-аминобензоата, выход 96%, т. пл. 126° (разл.; из абс. эф.). Смесь 0,90 моля XVII и 0,90 моля  $CH_3COSH$  в 500 мл безводн. VII нагревают 15 час. и выделяют N-этил-3-пиперидилтиоацетат (XX), выход 52%, т. кип. 66°/0,35 мм,  $n_D^{20}$  1,4963. К 1200 мл 6%-ного NaOH добавляют 0,47 моля XX. перемешивают 2 часа, р-р нейтрализуют 94 мл лед.  $CH_3COOH$ , насыщают 800 г ( $NH_4$ )<sub>2</sub>SO<sub>4</sub> и экстрагируют эфиром N-этил-3-меркаптопиперидин (выход 75%, т. кип. 57,5°/1,7 мм,  $n_D^{20}$  1,4956), из которого и л-нитробензилхлорида в 50 мл IX (кипячение 30 мин.) получают XG N-этил-3-пиперидил-л-нитробензоата, выход 73%, т. пл. 149—151° (из VII). Из 0,60 моля XV, 0,60 моля VIII и 1,20 моля XVI в сухом IX (кипячение 20 час.) получают продукт (A), выход 80%, т. кип. 182—186°/0,05 мм. К р-ру 0,20 моля A в 200 мл спирта и 0,20 моля  $CH_3Br$  (3 дня, ~20°) получают  $C_{21}H_{25}N_2Br$ , выход 30 г, т. пл. 263—265° (разл.; из сп.). Фильтрат упаривают досуха, а остаток суспендируют в 200 мл VII. Получают  $C_{21}H_{25}N_2Br$ , выход 37,5 г, т. пл. 278—281° (разл.; из VII). К 500 мл 90%-ной  $H_2SO_4$  добавляют 0,17 моля A и р-р 3 часа нагревают при 100°, а затем выливают на лед, нейтрализуют конц. р-ром  $NH_4OH$  и экстрагируют эфиром, отфильтровывают 6,4 г производного пирролидила. Эфир отгоняют, остаток суспендируют в кипящем ацетоне и отфильтровывают еще 10,3 г того же в-ва, т. пл. 228—230° (из хлф.-гептана); БМ, т. пл. 315—316°. Ацетоновый фильтрат упаривают досуха, остаток перекристаллизуют из эфира, получают V, выход 5,2 г, т. пл. 150—153°; БМ, т. пл. 259—260° (разл.). Сообщение 1 см. Biel J. H., J. Amer. Chem. Soc., 1952, 74, 1485. Т. К. 74946. Пиридилэтирование соединений с активными атомами водорода. IV. Пиридилэтирование первичных аминов при каталитическом действии кислот. Рейк, Левин (The pyridylethylation of active hydrogen compounds. IV. The acid-catalyzed pyridylethylation of primary amines. Reich H. E., Levine R., J. Amer. Chem. Soc., 1955, 77, № 20, 5434—5436 (англ.)). Путем присоединения первичных аминов (ПА) к  $\alpha$ -винилпиридину (I) в присутствии катализатора  $CH_3COOH$  (или HCl) получены соединения общей ф-лы ( $\alpha-C_5H_4N$ )—

$\text{CH}_2\text{CH}_2\text{NHR}$  (II а—л; а R = OH; б R =  $\text{CH}_3$ ; в R =  $\text{C}_2\text{H}_5$ ; г R =  $n\text{-C}_3\text{H}_7$ ; д R =  $n\text{-C}_4\text{H}_9$ ; е R = *изо*- $\text{C}_4\text{H}_9$ ; ж R =  $\text{C}_6\text{H}_5$ ; з R =  $\text{C}_6\text{H}_5\text{CH}_2$ ; и R =  $\alpha$ -фурфурил; к R =  $\alpha$ -тенил; л R = циклогексил).  $\alpha$ -Аминопиридин в этих условиях не присоединяется к I. В отсутствие катализаторов не присоединяется к I анилин (III) и циклогексиламин. Строение Пж доказано превращением его посредством метилирования в полученный ранее (см. сообщение III, РЖХим, 1956, 29014)  $\alpha$ -( $\beta$ -(N-метиланилино)-этил)-пиридин (IV); синтезировать Пж восстановлением  $\alpha$ -пиридилacetанилида (V) или из  $\alpha$ -пиколина по р-ции Манниха не удалось. Эквимолекулярную смесь (по 0,914 моля) I, III и лед.  $\text{CH}_3\text{COOH}$  кипятят 8 час. в 250 мл  $\text{CH}_3\text{OH}$ , оставляют на 9 час. при  $\sim 20^\circ$ , отгоняют  $\text{CH}_3\text{OH}$ , выливают на лед, подщелачивают, экстрагируют эфиром и получают Пж, выход 78%, т. кип.  $167\text{--}168^\circ/2,5\text{ мм}$ , т. пл.  $40,6\text{--}41,5^\circ$  (из петр. эф.); монопикрат, т. пл.  $169,5\text{--}170,5^\circ$  (из сп.). Аналогично получают следующие II (указаны выход в %, т. кип. в  $^\circ\text{C}/\text{мм}$ , т. пл. монопикрата (М) или дипикрата (Д) в  $^\circ\text{C}$  (из сп.): г,  $49,78\text{--}80,1$ , Д,  $158\text{--}159$ ; д,  $57$ ,  $132\text{--}133/12$ , Д,  $144,6\text{--}146,2$ ; е,  $55$ ,  $85\text{--}87/1,5$ , Д,  $158,6\text{--}159,4$ ; з,  $67$ ,  $140\text{--}141/1,7$ , М,  $163\text{--}164,2$ ; и,  $80$ ,  $120\text{--}121/1$ , М,  $163\text{--}164,5$ ; к (при молярном соотношении ПА, I  $\text{CH}_3\text{COOH} = 0,83 : 1 : 1$ )  $74,144\text{--}146/1,7$ , М,  $168,6\text{--}169,6$ ; л (при молярном соотношении ПА, I и  $\text{CH}_3\text{COOH} = 1 : 1 : 0,2$ )  $60,134\text{--}135/1,5$ , М,  $138\text{--}139,8$ . Без  $\text{CH}_3\text{COOH}$  с применением хлоргидрата ПА (1 моль : 1 моль I) синтезированы (обозначения те же): IIб,  $64$ ,  $117\text{--}118/25$ , Д,  $193,8\text{--}195,2$ , IIв,  $52$ ,  $109\text{--}110/12$ , Д,  $148,4\text{--}149,8$ . IIа получают (при молярном соотношении хлоргидрата ПА : I =  $0,7 : 1$ ) с выходом 75%, т. пл.  $105,9\text{--}106,8^\circ$  (из петр. эф.), М, т. пл.  $169\text{--}170,2^\circ$  (из сп.) Пж получают с выходом 64% также кипячением (10 час.) смеси III (1 моль), I (1 моль) лед.  $\text{CH}_3\text{COOH}$  (0,075 моля) и  $\text{Cu}(\text{CH}_3\text{COO})_2 \cdot \text{H}_2\text{O}$  (0,04 моля) в отсутствие  $\text{CH}_3\text{OH}$ . Смесь 0,06 моля этилового эфира  $\alpha$ -пиридилуксусной к-ты (РЖХим, 1954, 25247) и 0,08 моля III нагревают 3 часа при  $170^\circ$  и получают V, выход 65%, т. пл.  $134\text{--}135^\circ$  (из бзл.). К эфиру р-ру  $\text{C}_6\text{H}_5\text{Li}$  (из 0,8 г атома Li, 0,4 моля  $\text{C}_6\text{H}_5\text{Br}$  и 400 мл эф.) добавляют р-р 0,4 моля Пж в 100 мл эфира и затем р-р 0,4 моля  $\text{CH}_3\text{I}$  в 100 мл эфира, кипятят 1 час, выливают на лед, подщелачивают, экстрагируют эфиром и получают IV, выход 65%, т. кип.  $148\text{--}151^\circ/3,5\text{ мм}$ ; М, т. пл.  $167\text{--}167,7^\circ$ . А. Б. 74947. Восстановление пиридиновых оснований муравьиной кислотой. VII. Восстановление формата I-метил-3,2'-дипиридила. Лукеш, Плимль (Redukce pyridinových zásad kyselinou mravenčí VII. Redukce mravenčanu 1-methyl-3,2'-dipyridyly. Lukeš Rudolf, Pliml Jiří), Chem. listy, 1955, 49 № 12, 1836—1839 (чеш.); Сб. чехосл. хим. работ, 1956, 21, № 3, 638—642 (нем.; рез. русск.).

Восстановление I-метил-3,2'-дипиридилбромид (I) при помощи  $\text{HCOOH}$  в присутствии  $\text{HCOOK}$  приводит, по-видимому, к I-метил-3-(2'-пиридил)-пиперидину (N-метилизоабазин, N-метилизонеоникотин) (II), так как при окислении II (1%-ный  $\text{KMnO}_4$ , нагревание на водяной бане) образуется пиколиновая к-та. Описан улучшенный метод синтеза м-фенатролина (III) и 2,3'-дипиридилкарбонной-3 к-ты (IV). К 552 г 25%-ного олеума при  $70^\circ$  добавляют по каплям 184 г  $\text{C}_6\text{H}_5\text{NO}_2$  (т-ра не выше  $100\text{--}110^\circ$ ), нагревают 1 час при  $110^\circ$ , выливают на лед, фильтрат упаривают в вакууме на кипящей водяной бане до миним. объема, полученный р-р м-нитробензолсульфокислоты кипятят 4 часа с 600 г глицерина, 60 г м-фенилендиамина и 60 г 50%-ного олеума, разбавляют водой до 2 л, подщелачивают 50%-ным  $\text{NaOH}$ , извлекают 5 раз по 500 мл  $\text{C}_6\text{H}_6$ , упаривают, выливают в 15 л кипящей воды, получают дигидрат III, выход 70%. Окисление III по литературным данным при помощи  $\text{KMnO}_4$  (Skraup Zd. H., Vortmann G., Monatsh., 1822, 3, 570; Smith C. R., J. Amer. Chem. Soc.,

1930, 52, 397) дает 2,3'-дипиридилкарбонную-3,2' к-ту (V). 24,4 г V кипятят 20 час. с 250 мл лед.  $\text{CH}_3\text{COOH}$ , разбавляют водой, упаривают в вакууме, получают IV, выход 47%, т. пл.  $183^\circ$  (из воды). 12,5 г IV кипятят 2 часа с 90 г  $\text{SOCl}_2$ , отгоняют избыток в вакууме, добавляют 250 мл  $\text{CH}_3\text{OH}$ , кипятят 1 час, разбавляют водой, нейтрализуют  $\text{K}_2\text{CO}_3$ , извлекают эфиром, упаривают, получают метиловый эфир 2,3'-дипиридилкарбонной-3 к-ты, выход 60%, т. пл.  $83^\circ$  (из петр. эф.); подметилат, т. пл.  $177\text{--}178^\circ$  (из сп.). При смешении р-ра  $18,3$  г 2,3'-дипиридила (VI) в 20 мл  $\text{C}_6\text{H}_6$  с р-ром 20 г  $\text{CH}_3\text{Br}$  в 50 мл  $\text{C}_6\text{H}_6$  получают I, т. пл.  $80^\circ$  (из абс. сп.). Из VI и  $\text{CH}_3\text{I}$  в спирте получен I-метил-3,2'-дипиридилйодид, т. пл.  $167\text{--}168^\circ$  (из сп.). 22,2 г неочищ. I нагревают 105 мин. при  $160^\circ$  с 90 г плавленного  $\text{HCOOK}$  и 30 мл 98—100%-ной  $\text{HCOOH}$ , добавляя каждые 15 мин. по 10 мл  $\text{HCOOH}$ , подщелачивают, перегоняют, дистиллат извлекают эфиром, разгонкой выделяют II, выход 44%, т. кип.  $265\text{--}270^\circ$ , очищают через пикрат, выход 87%, т. пл.  $205^\circ$ , после разложения которого обычным путем получают II, т. кип.  $99/2\text{ мм}$ ,  $n_D^{20}$  1,5291,  $d_4^{20}$  1,0038; подметилат, т. пл.  $211\text{--}212^\circ$  (из сп.). Сообщение VI см. РЖХим, 1955, 29059.

Karel Hejno

74948. Исследования синтеза винилпиридинол (синтез 2,6-дивинилпиридина и 2-метил-6-винилпиридина). Михальский Студиярский (Badania nad syntezą winylopyrydyn (synteza 2,6-dwuwinylopyrydyny i 2-metylo-6-winylopyrydyny. Michalski Jan, Studniarski Kazimierz), Roczn. chem., 1955, 29 № 4, 1141—1144 (польск.; рез. англ.).

2,6-дивинилпиридин (I) и 2-метил-6-винилпиридин (II) синтезированы с выходом 70—80% взаимодействием 2,6-лутидина с  $\text{HCHO}$  с последующей дегидратацией получаемых спиртов; т-ра кипения,  $n_D^{25}$  D и т-ра плавления пикрата I и II соответственно:  $88\text{--}89^\circ/16\text{ мм}$ , 1,5710,  $140,5^\circ$  (из разб. сп.) и  $73/21\text{ мм}$ , 1,5320,  $160,5^\circ$  (из разб. сп.). I и II дают при каталитич. гидрировании соответствующие алкилпиридин. При р-ции I с аминами, спиртами, тиоспиртами и сульфидными к-тами получены следующие соединения общей ф-лы  $\text{RCH}_2\text{CH}_2\text{C}=\text{NC}(\text{CH}_2\text{CH}_2\text{R})=$

$=\text{CHCH}=\text{CH}$  (III) (приведены R, т. кип. в  $^\circ\text{C}/\text{мм}$  или т. пл. пикрата в  $^\circ\text{C}$ ):  $\text{C}_6\text{H}_5\text{SO}_2$ , 136 (из сп.),  $172\text{--}173$  (из  $\text{CH}_3\text{OH}$ );  $n\text{-C}_4\text{H}_9\text{S}$ ,  $197\text{--}198/0,5$ ,  $83\text{--}84$  (из разб. сп.); N-морфолинил,  $126\text{--}127$  (из  $\text{CH}_3\text{OH}$ ), дипикрат,  $164\text{--}165$  (из сп.). Аналогично III из II синтезированы следующие соединения общей ф-лы  $\text{CH}_2\text{C}=\text{NC}(\text{CH}_2\text{CH}_2\text{R})=\text{CHCH}=\text{CH}$  (обозначения те же, что выше):  $n\text{-C}_2\text{H}_5\text{C}_6\text{H}_4\text{SO}_2$ , 55 (из сп.),  $174\text{--}175$  (из сп.);  $\text{C}_6\text{H}_5\text{S}$ ,  $149\text{--}151/0,7$ ,  $87\text{--}88$  (из разб. сп.);  $\text{C}_2\text{H}_5\text{O}$ ,  $116/0,5$ ,  $154\text{--}155$  (из  $\text{CH}_3\text{OH}$ );  $(\text{C}_2\text{H}_5)_2\text{N}$ ,  $125\text{--}128/18$ ,  $62\text{--}63$  (из сп.); N-морфолинил,  $116/0,5$ ,  $136\text{--}137$  (из разб. сп.). Т. А.

74949. О получении 1-пиридил-2-аминоэтанолов. Зималковский (Über die Darstellung von 1-Pyridyl-2-amino-äthanol. Zymalkowski Felix), Arch. Pharmazie, 1956, 289/61 № 1, 52—54 (нем.). С целью получения интересных в фармакологич. отношении аминоспиртов, замещенных в положении 1 пиридиновым остатком, осуществлен синтез 1-(пиридил-4)-(I) и 1-(пиридил-2)-2-аминоэтанолов (II). Присоединением  $\text{CH}_3\text{NO}_2$  к пиридинальдегидам-4 (III) и -2 (IV) получены соответственно 1-(пиридил-4)-(V) и 1-(пиридил-2)-2-нитроэтанолы (VI), каталитич. восстановление которых приводит к I и II. При взаимодействии  $\text{CH}_3\text{NO}_2$  с пиридинальдегидом-3 образуется 1-(пиридил-3)-2-нитроэтилен. К смеси 30 г  $\text{CH}_3\text{NO}_2$ , 5 мл диэтиламина и 50 мл абс. спирта прибавляют при охлаждении 20 г III, выдерживают при  $0^\circ$  24 часа, упаривают при  $45\text{--}50^\circ/12\text{ мм}$  и остаток растворяют в спирте. HCl; получают хлоргидрат V, выход 96%, т. пл.  $142^\circ$  (разл., из сп.); основание, т. пл.  $95^\circ$  (из изопропилового эфира). Из 10 г хлоргидрата V выделяют осно-

вание, растворяют в 80 мл абс. спирта и восстанавливают при  $\sim 20^\circ$  и обычном давлении над скелетным Ni; получают I, выход 70%, т. кип.  $130^\circ/0,2$  мм; дихлоргидрат, т. пл.  $196-198^\circ$  (из лед.  $\text{CH}_3\text{COOH}$ ). Аналогично получают O хлоргидрат V; неочищ. продукт растворяют в небольшом избытке разб. HCl, экстрагируют эфиром остаток  $\text{CH}_3\text{NO}_2$ , эквивалентным кол-вом р-ра  $\text{Na}_2\text{CO}_3$  выделяют основание и экстрагируют этилацетатом; получают VI, который подвергают восстановлению; выход II 45%, т. кип.  $100^\circ/0,2$  мм; дихлоргидрат, т. пл.  $189^\circ$  (из  $\text{CH}_3\text{OH}$ -эф.). Ю. В.

**74950. Об анилах и нитронах в пиридиновом ряду.** В а л. Б р и н к (Über Anile und Nitronen in der Pyridinreihe. Waal Hermanus L. de, Brink Christiaan v. d. M.), Chem. Ber., 1956, 89, № 3, 636-641 (нем.). При р-ции нодметилата (Ia)  $\alpha$ -(I), нодметилата (IIa)  $\beta$ -пиколина (II) или бромметилата II (IIb) с *п*-нитрозодиметиланилином (III) получены неразлагающиеся при нагревании в-ва, которым приписано строение нитронов (IVa, б и в), а не анилы, как предполагалось раньше (см. A. Kaufmann, Valetta L., Chem. Ber., 1912, 45, 1736). При р-ции Ia или IIa с *п*-нитрозодиэтиланилином (V) получают нодметилаты соответствующих анилов (VI) или (VII), причем иногда в качестве продукта самоокисления V образуется *п*-нитродидиэтиланилин. Строение VI подтверждено синтезом из нодметилата (VIIIa)  $\alpha$ -пиридинальдегида (VIII) и *п*-аминодидиэтиланилина (IX). Конденсацией VIIIa с *п*-аминодидиэтиланилином (X) получен анил (XI), кристаллизующийся из смесей *р*-рителей с определенными кол-вами обоих *р*-рителей; так из 5%-ного р-ра  $\text{CH}_3\text{OH}$  в  $\text{C}_6\text{H}_6$  кристаллизуется  $\text{C}_{15}\text{H}_{15}\text{N}_2\text{J} \cdot 0,5\text{CH}_3\text{OH} \cdot \text{C}_6\text{H}_6$ , теряющий  $\text{C}_6\text{H}_6$  на воздухе, а  $\text{CH}_3\text{OH}$  при  $135^\circ$ . Конденсацией при  $100^\circ$  I, II или 2,6-диметилпиридина с *п*-нитробензилбромидом получены бромиды 2-метил-(XIIa), т. пл.  $211^\circ$  (из сп.); 4-метил-(XIIb), т. пл.  $187^\circ$  (из сп.); и 2,6-диметил-(XIIв), т. пл.  $222^\circ$  (из ацетона)-*N*-(*п*-нитробензил)-пиридиния, которые при р-ции с V в присутствии 1 н. р-ра NaOH при  $20^\circ$  превращаются в *п*-нитробензальгид-*п*-диэтиламинофенилнитрон (XIII), а в присутствии пиперидина (XIV) при  $80^\circ$  — в *п*-нитробензилгид-*п*-диэтилфенилендиамин (XV), который образуется также при нагревании *п*-нитробензальдегида с V в присутствии XIV; XIII может рассматриваться как промежуточный продукт при образовании XV. Конденсацией 2 г VIII с 2 г X в 0,5 мл спирта (10 мин.,  $100^\circ$ ) получен *п*-диметиламиноанил  $\alpha$ -пиридинальдегида, выход 4 г, т. пл.  $91^\circ$  (из сп. или бзл.). К горячему р-ру 4,5 г Ia в 20 мл спирта приливают 3 г III, затем 3 капли XIV, кипятят 1 час, оставляют на 12 час. и отделяют IVa, выход 3,1 г, т. пл.  $199^\circ$  (из сп.,  $\text{CH}_3\text{OH}$  или хлф.). Аналогично из 4,5 г IIa и 3 г III в 20 мл спирта получают IVb, выход 2,8 г, т. пл.  $213^\circ$  (из сп.); из 3,6 г IIb и 3 г III-IVa, выход 3 г, т. пл.  $218-220^\circ$ . 2,3 г Ia, 2 г V, 10 мл спирта и 3 капли XIV кипятят 1 час, упаривают до 0,5 объема, разбавляют вдвое  $\text{C}_6\text{H}_6$ , охлаждают и получают VI, выход 1,5 г, т. пл.  $178^\circ$  (из сп.—бзл., 1:3); аналогично из IIa получают VII, т. пл.  $154-156^\circ$  (разл.). 2,5 г VIIIa, 1,7 г IX, 5 мл спирта и несколько капель XIV кипятят 1 час, оставляют на 14 дней в холодильнике и отделяют VI, выход 0,6 г. Из 2,5 г VIIIa и 1,36 г X в 5 мл спирта в присутствии XIV получают XI, выход 1,6 г, т. пл.  $201^\circ$  (из сп.). К р-ру 3 г XIIa, XIIb или эквивалентного кол-ва XIIв и 1,8 г V в 20 мл спирта приливают 7,5 мл 1 н. р-ра NaOH, смесь через 1 час разбавляют водой и получают XIII, выход почти колич., т. пл.  $170^\circ$  (из ацетона). Р-р 2 г XIIa, XIIb, или эквивалентного кол-ва XIIв, 3 г V и 2 мл пиперидина в 20 мл спирта кипятят 30 мин. и получают XV, выход 1 г, т. пл.  $143^\circ$  (из бзл.). Д. В.

**74951. Пирроло-[3,2-с]-пиридины.** Херц, Токкер (Pyrrolo-[3,2-c]-pyridines. Herz Werner, Tos-

ker Stanley), J. Amer. Chem. Soc., 1955, 77, № 23, 6353-6355 (англ.)

При помощи р-ции Бишлера-Напиральского получены из *N*-бензоил-(I) и *N*-ацетил-2-(2-пиррол)-этиламина (II) соответственно 1-фенил-(III) и 1-метил-3,4-дигидропирроло-(3,2-с)-пиридин (IV), которые при дегидрировании Pd/C образуют 1-фенил-(V) и 1-метилпирроло-(3,2-с)-пиридин (VI) (их O и S-аналоги см. РЖХим, 1956, 19282, 25702). Восстановлением III и IV  $\text{LiAlH}_4$  получают 1-фенил(VII) и 1-метил-1, 2, 3, 4-тетрагидропирроло-(3,2-с)-пиридин (VIII). Иодметилаты III (IIIa) и IV (IVa) при восстановлении  $\text{NaBH}_4$  образуют 2-метил-1-фенил- (IX) и 1,2-диметил-1, 2, 3, 4-тетрагидропирроло-(3,2-с)-пиридин (X). *N*-формил-(XI) и *N*-гомовератроил-2-(2-пиррол)-этиламин (XII) не подвергаются циклизации. 3,4-дигидропирролацетонитрила (получен из нодметилата диметиламинометилпиррола и NaCN, выход 63,5%, т. кип.  $110-115^\circ/2$  мм) в 35 мл  $\text{CH}_3\text{OH}$ , насыщ.  $\text{NH}_3$ , гидрируют с Pt (из  $\text{PtO}_2$ ) при 2 ат, получают 0,7 г 2-(2-пиррол)-этиламина (XIII), т. кип.  $91-92^\circ/1,7$  мм, и 1,1 г 2-(2-пиррол)-этил-амина, т. кип.  $190^\circ/2$  мм. К I и XIII в 25 мл воды прибавляют по каплям 2 г  $\text{C}_6\text{H}_5\text{COCl}$ , подщелачивают 10%-ным р-ром NaOH, экстрагируют  $\text{CHCl}_3$ , сублимируют при  $83^\circ/0,5$  мм, получают I, выход 83,5%, т. пл.  $110^\circ$  (из бзл.), 0,5 г XIII и 10 г  $\text{HCOOC}_2\text{H}_5$  кипятят 7 час., избыток  $\text{HCOOC}_2\text{H}_5$  отгоняют, получают XI, выход 73%, т. кип.  $165^\circ/1$  мм,  $n_D^{20} 1,5418$ . 10 г XIII в 60 мл воды обрабатывают 40 мл  $(\text{CH}_3\text{CO})_2\text{O}$ , подщелачивают конц. р-ром KOH и насыщают  $\text{K}_2\text{CO}_3$ , экстрагируют ацетоном II, выход 86%, т. кип.  $163^\circ/1$  мм,  $n_D^{20} 1,5293$ . 2 г XIII в 25 мл воды обрабатывают 4 г хлористого гомероватроила, подщелачивают конц. р-ром KOH, получают XII, выход 48%, т. пл.  $105^\circ$  (из бзл.). Циклизация амидов 2-(2-пиррол)-этиламина: к 0,5-0,6 г амида в 250 мл толуола (XIV) прибавляют (20 мин.) молярное кол-во  $\text{POCl}_3$  в 75 мл XIV, кипятят 3 часа, получают: 1) III из I, выход 24%, т. пл.  $212^\circ$  (из бзл. и ацетонитрила (XV)), IIIa, т. пл.  $214^\circ$  (из абс. сп.) и 2) IV из II, выход 18%, т. пл.  $189^\circ$  (из бзл. и XV), ИК-спектр (в сп.)  $1620 \text{ см}^{-1}$ ; IVa, т. пл.  $203^\circ$  (из абс. сп.). 1 г IIIa в 30 мл  $\text{CH}_3\text{OH}$  восстанавливают 1 г  $\text{NaBH}_4$ ,  $\text{CH}_3\text{OH}$  удаляют струей воздуха, прибавляют 30 мл 2%-ного р-ра KOH, экстрагируют  $\text{C}_6\text{H}_6$  IX (возгонка при  $100^\circ/1$  мм), выход 16%. 15 мл XIV, 0,3 г 5%-ного Pd/C и 190 мг III кипятят 7 час. и выделяют VI, выход 86%, т. пл.  $201^\circ$  (из бзл.). Из 270 мг III и 1 г  $\text{LiAlH}_4$  в абс. эфире получают VII, выход 240 мг, т. пл.  $159^\circ$  (из абс.  $\text{C}_6\text{H}_6$ ). 100 мг III в 35 мл  $\text{CH}_3\text{OH}$  гидрируют с Pt (из 0,1 г  $\text{PtO}_2$ ), получают 58 мг VII, 0,5 г IVa в 20 мл  $\text{CH}_3\text{OH}$  восстанавливают 1 г  $\text{NaBH}_4$ , выделяют 0,14 г X нодметилат X, выход 0,3 г, т. пл.  $182^\circ$  (из абс. сп.). Аналогично V из IV получают VI, выход 84%, т. пл.  $168-168,5^\circ$  (из XIV). Аналогично VII из IV получают VIII, выход 83%, т. пл.  $142^\circ$  (из бзл.). Приведены данные УФ-спектров IV и VI.

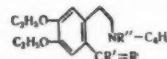
**74952. Раскрытие азотсодержащего цикла 3,4-дигидроизохинолинов, исследованное на примере нодметилата 1-фенил-6,7-диэтоксидигидроизохинолина.** Гардан (Contribution à l'étude de l'ouverture du cycle azoté des dihydro-3, 4 isouquinotéines. Cas de l'iodoéthylate de phényl-1 diéthoxy-6,7 dihydroisouquinoléine. G a r d a n t J e a n), C. r. Acad. sci., 1956, 242, № 10, 1334-1336 (франц.)

При р-ции нодметилата (Ia) 1-фенил-6,7-диэтоксидигидроизохинолина (I) (т. пл.  $185-187^\circ$ ) с  $\text{NH}_2\text{OH} \cdot \text{HCl}$

II R = NOH, R' =  $\text{C}_6\text{H}_5$ , R'' = H

III R = O, R' =  $\text{NHC}_6\text{H}_5$ , R'' = H

V R = O, R' =  $\text{C}_6\text{H}_5$ , R'' =  $\text{COC}_2\text{H}_5$



в пиридине в разб. р-ре  $\text{NH}_4\text{OH}$  азотсодержащий цикл размыкается и образуется с колич. выходом оксим (II),

т. пл. 90—92°, хлоргидрат, т. пл. 210—212°, разлагающийся 10%-ным р-ром HCl на гидроксилантин и хлоргидрат I. При взаимодействии II с конц.  $H_3PO_4$  при 100° в результате бекмановской перегруппировки получается анилин (III), хлоргидрат, т. пл. 203—204° (из сп.-эф.), легко разлагающийся кипящим спирт. р-ром КОН на анилин и N-этил-6,7-диэтоксидигидроизокарбостирил, т. пл. 92°. Аналогичное размыкание цикла наблюдается при р-ции Ia с хлористым бензоилом в щел. среде, причем образуется бензоильное производное (IV), т. пл. 112—113°; оксим, т. пл. 173—174°. Д. В. 74953.

**Исследования в области хинолина и его производных. XIII. Синтез хинолиновых оснований из диаминов ряда дифенила.** Ардашев Б. И., Козленко Ю. М., Ж. общ. химии, 1956, 26, № 2, 498—500

Выходы производных хинолина при их синтезе из диаминов ряда дифенила подчиняются общей закономерности (РЖХим, 1955, 9135), которая была отмечена ранее: наилучший выход достигается в р-ции Скраупа, средний — в р-ции Бейера, наихудший — в р-ции Дебнера-Миллера. Смесь 7,6 г диацетилтолидина, 6,1 г п-нитрофенола, 26,2 г безводн. глицерина, 2,2 г  $FeSO_4$  и 13,1 мл  $H_2SO_4$  (d 1,84) нагревают 5 час. при 135—140°, оставляют на ~12 час. при ~20°, прибавляют 130 мл воды, нагревают до кипения, отделяют смолы, фильтрат подщелачивают 40%-ным р-ром NaOH, осадок отделяют и растворяют в разб. (1:4)  $H_2SO_4$ ; сульфат после фильтрации обрабатывают содой; получают 8,8'-диметилхинолин, выход 73,6%, т. пл. 192°. Смесь 10,6 г толидина, 12 мл конц. HCl и 45 мл паральдегида (I) нагревают 5 час. при ~100°; после обычной обработки получают 2,2', 8,8'-тетраметилхинолин, выход 25,3%, т. пл. 181°. Аналогично синтезированы 8,8'-диметокси-2,2'-диметилхинолин (выход 9%, т. спекания 248—251°; пикрат, т. спекания 269—272°) и 8,8'-дихлор-2,2'-диметилхинолин, выход 9,7%, т. пл. 243° (из эф.). Смесь 8 г 3,3'-дихлорбензидина, 30 мл конц. HCl и насыщ. HCl (газом) смесь 35 мл I и 40 мл ацетона нагревают 5 час. на водяной бане; после обычной обработки получают 2,2', 4,4'-тетраметил-8,8'-дихлорхинолин, выход 36,7%, т. пл. 250°. Приведены также выходы хинолиновых соединений, полученных аналогичным образом из бензидина (31%), толидина (51%) и диаинзидина (18%). Из библиографических оснований, содержащих  $CH_2$ -группы в положениях 2 и 2', получены с выходом 70—75% субстантивные бициклопентановые красители (см. Порай-Кошич, Куликов, Ж. общ. химии, 1938, 8, 124) с т. пл. >360°, красящие хлопок и шелк в желтый цвет с различными оттенками. Часть XII см. РЖХим, 1956, 58076. А. Г. 74954.

**Конденсация хлоралгидрата с хинолином-8.** Мацумура Ито (Condensation of chloral hydrate with 8-quinolinol. Matsuura Konomu, Ito Motoko), J. Amer. Chem. Soc., 1955, 77, № 24, 6671—6674 (англ.)

Хлоралгидрат (I) реагирует с 8-оксихинолином (II), образуя 5-( $\alpha$ -окси- $\beta$ -трихлорэтил)-8-оксихинолин (III), в-во (IV), которое размягчается при 135° и чернеет при 320°, являющееся, вероятно, изомером III, и в-во, возможно, являющееся  $\alpha$ ,  $\alpha$ ,  $\alpha$ -трихлор- $\beta$ ,  $\beta$ -дихинолинолил-8-этаном (V), т. пл. 246° (разл., из  $CH_3COOH$ ). III гидролизует спирт. р-ром КОН в 5-карбокси-(VI) и 5-формил-(VII)-8-оксихинолины; при гидролизе VII р-ром  $CH_3ONa$  в  $CH_3OH$  образуются VII и в-во (VIII), растворимое в  $NaHSO_4$  и содержащее  $COOH$ - и  $OCH_3$ -группы. VII с 1 молем  $Br_2$  образует 5-формил-7-бром-8-оксихинолин, т. пл. 232° (разл., из сп.), а с 2 молями  $Br_2$  — 5,7-дибром-8-оксихинолин (IX); аналогично при бромировании 5-формил-7-нод-8-оксихинолина (X), т. пл. 240° (разл., из сп.), получается 5-бром-7-нод-8-оксихинолин (XI). При сплавлении VII с КОН получен VI. Оксим VII образуется с  $(CH_3CO)_2O$  при 20° диацетилоксим, т. пл. 140—143° (из эф.), а при 140° — 5-циано-8-ацетоксихинолин (XII), т. пл. 153° (из бэл.); поэтому можно полагать, что этот оксим

обладает син-конфигурацией. XII гидролизует кипящим водно-спирт. р-ром  $Na_2CO_3$  в 5-циано-8-оксихинолин, т. пл. 176,5—177° (из сп.); пикрат, т. пл. 251° (из сп.); хлоргидрат, т. пл. 277° (разл., из разб. HCl). К р-ру 0,1 моля II в 45 г 95%-ной  $H_2SO_4$  при <10° приливают 0,11 моля I, встряхивают 3 часа при 20°, затем 7 час. при 70°, выливают в 0,4 л ледяной воды, продукт нагревают 2 часа в р-ром 30 г  $CH_3COONa$  в 0,4 л воды, затем 2 часа 70 мл 5%-ной HCl и действием ацетата Na выделяют III, выход 17 г; хлоргидрат, т. пл. >310° (из разб. HCl), пикрат, т. пл. 204° (разл., из сп.); диацетат, т. пл. 158—159° (из 50%-ной  $CH_3COOH$ ), из маточных р-ров выделяют 5-сульфо-8-оксихинолин, выход 3 г, т. пл. 316—317°, IV, выход 2 г и V, выход 2,6 г. 4 г III, 5 г КОН и 245 мл  $CH_3OH$  кипятят 3 часа, отгоняют р-ритель, остаток растворяют в воде, подкисляют  $CH_3COOH$ , продукт нагревают с 5%-ной HCl и получают VI, т. пл. 280° (разл., из сп.), и VII, выход 38%, т. пл. 178°, полуидрат хлоргидрата, т. пл. 274° (разл., из разб. HCl); пикрат, т. пл. 234,5° (разл., из сп.); дигидрат динитрофенилгидразона, т. пл. 286° (разл., из  $CH_3COOH$ ); полуидрат тиосемикарбазона, т. пл. 265° (разл., из 20%-ной  $CH_3COOH$ ); полуидрат оксима, т. пл. 202° (из сп.); 7-нитро-5-формил-8-оксихинолин, т. разл. 301—311° (из  $CH_3COOH$ ); из солянокислого маточного р-ра выделяют нерастворимое в  $NaHSO_4$  в-во, т. пл. 232—235° (из сп.). Р-р 0,015 моля III и 0,06 моля Na в 120 мл спирта кипятят 8 час., отгоняют р-ритель, остаток растворяют в воде, подкисляют  $CH_3COOH$  и получают VII, выход 50%, и VIII, выход 2,3 г, т. пл. 103—104° (из сп.); пикрат, т. пл. 192° (из сп.). К 0,5 ммоль VII в 10 мл  $CH_3COOH$  приливают по каплям 0,001 моля  $Br_2$  в 1 мл  $CH_3COOH$ , оставляют на несколько часов, добавляют воду и  $CH_3COONa$  и получают IX, выход 0,12 г, т. пл. 196° (из  $CH_3COOH$ ). Аналогично из 0,5 ммоль X и 0,0006 моля  $Br_2$  в  $CH_3COOH$  получают XI, выход 0,17 г, т. пл. 193° (из сп.); или к р-ру 0,5 ммоль 5-бром-8-оксихинолина в 20 мл спирта приливают р-р 0,0005 моля  $I_2$  и 0,2 г КОН в 5 мл воды и получают XI, выход 0,17 г. Д. В. 74955.

**Реакция альдегидов и аминов с 8-оксихинолином.** Сен, Саксена (Reaction of aldehydes and amines with 8-quinolinol. Sen A. B., Saxena M. S.), J. Indian Chem. Soc., 1956, 33, № 1, 62—64 (англ.)

Смесь эквимолекулярных кол-в 8-оксихинолина, альдегида и ароматич. амина и спирта выдерживают при ~20° 100 дней (см. Pirrone, Gazzetta, 1940, 70, 520; 1941, 71, 320; РЖХим, 1954, 32388; 1956, 3895). Этим методом синтезирован ряд производных хинолина общей ф-лы 7-R'NHC(R'')-8-HOC<sub>6</sub>H<sub>4</sub>N (I) (указаны R', R'', время до начала выпадения осадка (в днях), выход в %, т. пл. в °C (из сп.): C<sub>6</sub>H<sub>5</sub>—, n-C<sub>6</sub>H<sub>4</sub>—, 68, 30, 114; C<sub>6</sub>H<sub>5</sub>—, m-(CH<sub>3</sub>)<sub>2</sub>—C<sub>6</sub>H<sub>3</sub>—, 45, 15, 140; C<sub>6</sub>H<sub>5</sub>—, o-C<sub>6</sub>H<sub>4</sub>—, 35, 50, 128; C<sub>6</sub>H<sub>5</sub>—, m-O<sub>2</sub>—NC<sub>6</sub>H<sub>4</sub>—, 8, 85, 145; m-HOC<sub>6</sub>H<sub>4</sub>—, n-O<sub>2</sub>NC<sub>6</sub>H<sub>4</sub>—, 1, 5, 90, 240; m-HOC<sub>6</sub>H<sub>4</sub>—, o-C<sub>6</sub>H<sub>4</sub>—, 39, 30, 102; m-HOC<sub>6</sub>H<sub>4</sub>—, m-C<sub>6</sub>H<sub>4</sub>—, 38, 40, 158; m-HOC<sub>6</sub>H<sub>4</sub>—, o-CH<sub>3</sub>C<sub>6</sub>H<sub>4</sub>—, 8, 38, 172; 6-Br-3-HOC<sub>6</sub>H<sub>3</sub>—, n-O<sub>2</sub>NC<sub>6</sub>H<sub>4</sub>—, 22, 20, 193; CH<sub>3</sub>(CH<sub>2</sub>)<sub>4</sub>CH<sub>2</sub>—, n-O<sub>2</sub>NC<sub>6</sub>H<sub>4</sub>—, 45, 12, 103; o-HOC<sub>6</sub>H<sub>4</sub>—, 4-Cl-2-O<sub>2</sub>NC<sub>6</sub>H<sub>3</sub>—, 65, 25, 175. Предложенные ранее для аналогичных соединений цветные р-ции с  $H_2SO_4$ ,  $HNO_3$  или  $FeCl_3$  в применении к I оказались не всегда характерными. А. Г. 74956.

**Синтез 4-метоксикарбостирила.** Такака (Synthesis of 4-methoxycarbostyryl. Tanaka Yuki), Bull. Chem. Soc. Japan, 1956, 29, № 1, 44—45 (англ.)

Нитрованием 1-окиси хинолина (I) получена 1-окись 4-нитрохинолина (II), которая переведена в 1-окись 4-метоксихинолина (III) и далее известным методом (Henze M., Ber., 1936, 69, 1566) в 4-метоксикарбостирил (IV). К 10 г хинолина в 244 мл лед.  $CH_3COOH$  добавляют 16 мл 30%-ной  $H_2O_2$ , нагревают 8 час. при 70°, отгоняют р-ритель в вакууме, к остатку добавляют насыщ. р-р  $Na_2CO_3$ , экстрагируют  $CHCl_3$  и получают дигидрат I, выход 10 г,

т. пл. 60—62°, т. кип. 171—172°/4 мм. К р-ру 10 г I в 24 мл конц.  $\text{H}_2\text{SO}_4$  добавляют 7 г  $\text{KNO}_3$ , нагревают 3 часа при 70°, по охлаждению выливают на 500 г льда и получают II, выход 8 г, т. пл. 154° (из ацетона). К р-ру  $\text{CH}_3\text{ONa}$  (из 0,65 г Na в 250 мл абс.  $\text{CH}_3\text{OH}$ ) добавляют 5 г II, нагревают 4,5 часа при ~100°, удаляют  $\text{CH}_3\text{OH}$ , добавляют воду, экстрагируют  $\text{CHCl}_3$  и получают III, выход 76%, т. пл. 54—55°. К р-ру 4,6 г NaOH в 180 мл воды добавляют по каплям 7 г III и 7 мл  $\text{C}_6\text{H}_5\text{COCl}$  и получают IV, выход 43%, т. пл. 257° (из  $\text{CH}_3\text{OH}$ ). Р. Ж.

**74957. Синтез Дебнера в приложении к диаллилуksуному альдегиду. Получение 2-(гептадиен-1', 6'-ил-4')-хинолинкарбоновой-4 и 1-фенил-2-(гептадиен-1', 6'-ил-4')-4-фенилиминопирролидона-5.** Циффереро, Фабрици (La sintesi di Doebner applicata all'aldeide diallilacetica. Preparazione dell'acido 2-(4-epta-1,6-dienil)-4-chinolincarbossilico e dell'1-fenil-2-(4-epta-1,6-dienil)-4-fenilimino-5-pirrolidone. Zifferero Maurizio, Fabrizi Giuliano), Ann. chimica, 1955, 45 № 11, 994—999 (итал.)

Восстановлением  $\text{RC}_6\text{H}_4\text{N}=\text{CClCH}(\text{CH}_2\text{CH}=\text{CH}_2)_2$  ( $\text{R}=\text{H}$  (I) или  $o\text{-CH}_3$  (II), полученных действием  $\text{PCl}_5$  на анилин (III) или  $o$ -толуидин (IV) диаллилуksуной к-ты, посредством безводн.  $\text{SnCl}_2$  получен диаллилуksуный альдегид (V). Последний при конденсации по Дебнеру дает 2-(гептадиен-1', 6'-ил-4')-хинолинкарбоновую-4 к-ту (VI) и немного 1-фенил-2-(гептадиен-1', 6'-ил-4')-4-фенилиминопирролидона-5 (VII). К эфирному р-ру  $\text{CH}_3\text{MgBr}$  (6,1 г Mg) добавляют эфирный р-р 26,7 г  $o$ -толуидина, а затем 27 г этилового эфира диаллилуksуной к-ты, разлагают 0,1 н.  $\text{HCl}$ , получают IV, выход 87%, т. пл. 135,5—136° (из водн. сп.). При бромировании IV в эфире (0°, освещение УФ-светом) образуется дибромид, т. пл. 193—194° (из хлф.-эф.); бромирование дибромид в  $\text{CHCl}_3$  (0°, освещение УФ-светом) приводит к тетрабромиду, т. пл. 250° (разл.; из хлф.-эф.). Р-р 22,5 г хлорангидрида диаллилуksуной к-ты в 300 мл безводн. эфира медленно добавляют (0°) к 26,1 г анилина (VIII) в 300 мл безводн. эфира, из фильтрата выделяют III, выход 94%, т. пл. 74,5—75° (из водн. сп.). 7 г III в 5 мл  $\text{C}_6\text{H}_6$  нагревают с 6,7 г  $\text{PCl}_5$  30 мин. при 50°, 15 мин. при 75°, р-ритель и  $\text{POCl}_3$  удаляют в вакууме; полученный I добавляют к суспензии 12 г безводн.  $\text{SnCl}_2$  в 75 мл безводн. эфира, насыщ.  $\text{HCl}$  (газ), после стояния разлагают водой, удаляют эфир, перегоняют с паром, из дистиллата выделяют V, выход 50%, т. кип. 67°/7 мм,  $n_D^{20}$  1,4486,  $d_4^{20}$  0,9492; семикарбозон, т. пл. 97,5—98° (из  $\text{CH}_2\text{OH}$ ). При восстановлении II в аналогичных условиях выход V составляет 45%. Смесь 3,65 г V в 7 мл спирта, 2,21 г пировиноградной к-ты в 5 мл спирта и 2,28 мл VIII в 9 мл спирта кипятят несколько часов, упаривают в вакууме, обрабатывают 50 мл н.  $\text{NaOH}$ , извлекают эфиром; при подкислении шел. р-ра выделяют 0,3 г VI; из эфирной вытяжки выделяют 0,05 г VII, т. пл. 144—144,5° (из сп.). Л. Я.

**74958. Синтез гидразида 4-оксихиналдинкарбоновой-6 к-ты. Бэн Цзинь-цу, Даниэлс (The synthesis of 4-hydroxy-6-quinaldine carbohydrazide. Peng Chin-Tzu, Daniels T. C.), J. Amer. Chem. Soc., 1955, 77 № 24, 6682—6683 (англ.)**

С целью изучения противотуберкулезной активности синтезирован гидразид 4-оксихиналдинкарбоновой-6 к-ты (I). Диазотированием 6-амино-4-метоксихиналдина и последующей обработкой соли диазона  $\text{CuCN}_2$  получают 6-пипан-4-метоксихиналдин (II), выход 60%, т. пл. 172—173° (из 75%-ного водн.  $\text{CH}_3\text{OH}$ ). Нагреванием 9 час. 0,076 моля II при 150—170° с 15%-ным KOH в глицерине получают I, выход 88%, т. пл. >300°. 10 г I с 50 мл  $\text{SOCl}_2$  в 50 мл  $\text{C}_6\text{H}_6$  кипятят 2 часа, отгоняют избыток  $\text{SOCl}_2$  и  $\text{C}_6\text{H}_6$ , остаток кипятят с 60 мл абс. спирта и получают этиловый эфир I, выход 79%, т. пл. 267—268° (из диоксана). Из 7 г эфира I и 5 мл 85%-ного гидразингидрата получают 6,5 г гидразида I, т. пл. >300°, оказавшегося

неактивным против *Mycobacterium tuberculosis* H37Rv. Т. К.

**74959. Нитрование 9-хлор-1-азаантрацена. I. Нитрование дымящей азотной кислотой при низкой температуре. Йокота, Ивата, Имаидзуми. II. Нитрование азотной кислотой (с ледяной уксусной кислотой или без нее) при температуре кипения. Йокота, Канэко (9-クロール-1-アザアントラセンのニトロ化に関する研究. 第1報. 低温に於て濃硝酸を作用するニトロ化について. 横正夫, 岩田一夫, 今泉清次. 第2報. 9-クロール-1-アザアントラセンをそのままは冰酢酸溶液で硝酸と共に加熱するニトロ化について. 横手正夫, 金子良夫) 工業化学雑誌, Koré karaku dzassi, J. Chem. Soc. Japan, Industr. Chem. Sec., 1953, 56 № 9, 673—674; № 10, 770—773 (япон.)**

**Сообщение I.** 9-хлор-1-азаантрацен (I) нитруют дымящей  $\text{HNO}_3$  при —18°, продукты нитрования разделяют на хорошо растворимый (II), слабо растворимый (III) и нерастворимый (IV) в спирте. Окислением  $\text{CrO}_3$  в лед.  $\text{CH}_3\text{COOH}$  получают: из II—8-нитро-1-азаантрахинон (V), т. пл. 213—215° (испр.); из III—5-нитро-1-азаантрахинон (VI), т. пл. 238—240° (не испр.); из IV—7-нитро-1-азаантрахинон, т. пл. 274—277° (здесь и далее испр.). Эти в-ва восстанавливают р-ром  $\text{Na}_2\text{S}$  при кипении; получают следующие производные 1-азаантрахинона (VII): 8- $\text{NH}_2$ -VII, т. пл. 265—266°; 5- $\text{NH}_2$ -VII, т. пл. 273—275°; 7- $\text{NH}_2$ -VII, т. пл. 271—274°.

**Сообщение II.** I и II кипятят с 10 мл  $\text{HNO}_3$  ( $d$  1,52) 3—22 часа, полученный продукт разделяют на растворимую и нерастворимую в горячем спирте части. Из нерастворимой части получают 0,12 г 6,10-динитро-I (VIII), т. пл. 269—272° (испр.), при окислении которого  $\text{CrO}_3$  получают 6- $\text{NO}_2$ -VII, т. пл. 271—272° (испр.); восстановлением последнего  $\text{Na}_2\text{S}$  получают 6- $\text{NH}_2$ -VII, т. пл. 283—286° (испр.). Окислением растворимой в спирте части получают VI. Аналогичная обработка I и II 4 мл лед.  $\text{CH}_3\text{COOH}$  и 0,3 г  $\text{HNO}_3$  ( $d$  1,52) 1—2 часа при т-ре кипения приводит главным образом к 10- $\text{NO}_2$ -I, т. пл. 200—203°, а с избытком  $\text{HNO}_3$  — к VIII. Образуется также соединение, которое при окислении превращается в V.

Chem. Abstrs, 1955, 49, № 10, 6954. Katsuya Inouye.

**74960. Синтезы и антимикробные свойства соединений, родственных деканолацетальдегиду. III. Синтезы и антимикробные свойства различных алкилпиразолов. Косуге, Окэда, Тэраиси, Ито, Косака (Decanoylacetaldehyde 關連化合物の合成及び抗菌性. 第3報. 種々の Alkylpyrazole の合成及び抗菌性. 小寺卓夫, 樺田秀雄, 寺石豊, 伊藤晴之, 小坂瑠香), 藥學雜誌, Якугаку dzassi, J. Pharm. Soc. Japan, 1954, 74, № 8, 819—820 (япон.; рез. англ.)**

1 моль хлорангидрида карбоновой к-ты, 1 моль  $\text{AlCl}_3$  в равном по весу кол-ве  $\text{CCl}_4$  обрабатывают при 0—30° 1 молям  $\text{C}_2\text{H}_2$ , выливают в ледяную воду, получают соответствующий ацилвинилхлорид (I); к р-ру I в спирте прибавляют 1 моль  $\text{HCOONa}$  и 0,8 моля  $\text{N}_2\text{H}_4 \cdot \text{H}_2\text{O}$ , нагревают 5 час. при ~100°, удаляют спирт, остаток промывают водой и перегоняют, получают с выходом 50—60% соответствующие 3-алкилпиразолы (II) (указаны  $n$ -алкил, т. кип.):  $\text{C}_8\text{H}_{17}$ , 133°/28 мм;  $\text{C}_9\text{H}_{19}$ , 133°/18 мм;  $\text{C}_{10}\text{H}_{21}$ , 150°/21 мм;  $\text{C}_{11}\text{H}_{23}$ , 161°/17 мм;  $\text{C}_{12}\text{H}_{25}$ , 136°/2 мм. Ag-соль, т. пл. 64°;  $\text{C}_{10}\text{H}_{21}$ , 203°/16 мм, пикрат, т. пл. 64°. Наибольшим антимикробным действием обладает нонилпиразол (активен по отношению к *Trichophyton interdigitale* в разбавлении 1:200000, и по отношению к *Staphylococcus aureus* — разбавлении 1:2000000).

Chem. Abstrs, 1955, 49, 10273. K. Kitsuta.

**74961. Взаимодействие солянокислого раствора хлористого йода с производными барбитуровой кислоты. III. Тиобарбитураты. Рапапорт Л. И., Филалков Я. А., Ж. общ. химии, 1956, 26, № 1, 279—280**  
Взаимодействие солянокислого р-ра JCl (I) с водно-шел. р-ром этил-(метилбутил)-тиобарбитуровой к-ты (тиопен-

тал) (II) при 60—70° сопровождается окислением серы CS-группы в H<sub>2</sub>SO<sub>4</sub> с одновременным образованием 8 экв HCl и 8 экв J; II превращается при этом в этил-(метилбутил)-барбитуровую к-ту, т. пл. 125—126°. Р-ция протекает быстро и количественно, что позволяет использовать ее для колич. определения II. Тиомочевина реагирует с I аналогично. Сообщ. II, см. РЖХим, 1956, 61566. Л. Х. 74962. Синтезы в ряду пуринов. Сообщение VII. Пурины из формамида. Метилирование и бромирование пуринов. Бредерек, Ульмер, Вальдман (Purin aus Formamid. Methylierung und Bromierung des Purins (Synthesen in der Purinreihe, VII Mitteil). Bredereck Hellmut, Ulmer Hans, Waldmann Hans), Chem. Ber., 1956, 89, № 1, 12—18 (нем.)

Нагревание HCONH<sub>2</sub> (I) в автоклаве без прибавления других N-содержащих в-в приводит к образованию небольшого кол-ва пурина (II) и 4-аминопиримидинкарбоксиамида-6 (III), которые выделены путем повторного осаждения ацетоном (IV) продукта р-ции. При метилировании II (CH<sub>3</sub>O)<sub>2</sub>SO<sub>2</sub> (V) или CH<sub>2</sub>N<sub>2</sub> получается только 9-метил-II (VI), но не 7-метил-II. Обнаружена способность II и его бромидрата к образованию нестойких продуктов присоединения с Br<sub>2</sub>. Строение полученных в-в подтверждено исследованием УФ-спектров II и VI при различных pH, а также сопоставлением R<sub>f</sub> VI и 7-метил-II. 1,5 л I насыщают NH<sub>3</sub> (до объема 1,8 л), нагревают 7—8 час. в автоклаве (180—200°, 280—300 атм), отгоняют в вакууме при 120° 500 мл I, остаток (80—90°) вносят в 2 л IV, отгоняют из фильтрата IV, сгущают остаток на 1/3 (120°/12 мм), вносят его (80°) в 4—5 объемов IV и повторяют осаждение еще 6—8 раз. Начиная с 4-го раза сгущают остаток только на 1/5 объема. Последний остаток 30—40 г неочищ. II очищают двумя путями: а) из р-ра в-ва в 200 мл воды осаждают пикрат II с т. пл. 208°, из которого выделяют 7—9 г II, т. пл. 212—214° (возгонка при 160°/10—4 мм); б) р-р I в в-ва в 1 г конц. HCl осаждают IV, отделяют II HCl. К р-ру 4 г II в 100 мл воды одновременно приливают 0,1 н. NaOH и смесь 7 мл V с 5 мл IV (рН 8,0, 35°, 3 часа), выделяют VI, выход 23%, т. пл. 158—159° (возгонка при 180—200°/10—15 мм, из толуола). Из II и CH<sub>2</sub>N<sub>2</sub> в смеси CH<sub>3</sub>OH-эфир (5 мин. при 0°, 15 мин. при 15—20°) получают VI выход 30%. Охлажд. р-р 0,5 г II в 10 мл 48%-ной HBr осаждают 10 мл IV. Отделяют II-HBr, т. пл. 231—232° (из CH<sub>3</sub>OH) + эф.). К р-ру I в 25 мл 48%-ной HBr прибавляют 10 мл Br<sub>2</sub> (30 мин., 0°). Размешивают 2 часа при 0°, отделяют кристаллы II-HBr-Br<sub>2</sub>, т. пл. 170—180° (разл., из лед. CH<sub>3</sub>COOH). 1 г II-HBr-Br<sub>2</sub> кипятят с 25 мл IV 30 мин., выпадает II-HBr. Для выделения III осаждают 3 раза IV продукт р-ции из 420 г I и 70 г NH<sub>3</sub>, обрабатывают 10 г полученного остатка 30 мл воды, осадок растворяют в H<sub>2</sub>SO<sub>4</sub>, осаждают NH<sub>4</sub>OH, т. возг. III 250°, т. пл. пикрата 273° (разл.), т. пл. перхлората 216—217°. Кипятят 0,39 г III с 5 мл H<sub>2</sub>SO<sub>4</sub> (д 1,12) 3 часа, получают 210 мг в-ва с т. пл. 270—272° (из воды); оно выделяет CO<sub>2</sub> при плавлении, превращаясь в 6-аминопиримидин, т. пл. 151°. Из р-ра 0,73 г III в разб. H<sub>2</sub>SO<sub>4</sub> при действии р-ра I в NaNO<sub>2</sub> (20 мин., 100°) получают 0,5 г кристаллов (из воды), из них при кипячении с H<sub>2</sub>SO<sub>4</sub> (д 1,12, 3 часа) образуется 4-оксипиримидинкарбоновая-6 к-та, т. пл. 268—270° (из воды). Сообщение VI см. РЖХим, 1956, 6831. Е. Г. 74963. Конденсация циклогексана с аммиаком. Разуваев Г. А., Зильберман Е. Н., Светозарский С. В., Ж. общ. химии, 1956, 26, № 2, 601—604

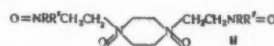
Взаимодействие циклогексана (I) с NH<sub>3</sub> в присутствии CaCl<sub>2</sub> и NH<sub>4</sub>Cl при ~20° под давлением (5 молей I, 6,5 молей NH<sub>3</sub>, 40 г CaCl<sub>2</sub>, 40 г NH<sub>4</sub>Cl, 48 час.) или без давления (203 г I, 60 г CaCl<sub>2</sub>, 6 г NH<sub>4</sub>Cl, 18 л/час NH<sub>3</sub>, 7 час.) приводит к 2,4-дипентаметил-5,6-тетраметил-2,3,4,5-тетрагидропиримидину (II), выход соответственно 94,5 и 70%, т. пл. 52°; в отсутствие CaCl<sub>2</sub> и NH<sub>4</sub>Cl выход II 25%. Строение II доказано кислотным

гидролизом до I, NH<sub>3</sub> и 2-(1-аминоциклогексил)-пиклогексана (n<sup>20</sup>D 1,5058, d<sub>4</sub><sup>20</sup> 1,0280; сульфат, т. пл. 108°), при обработке которого щелочью получен известный 2-Δ'-циклогексенилциклогексанон (III), т. кип. 124°/5 мм, n<sup>20</sup>D 1,5054, d<sub>4</sub><sup>20</sup> 1,002. Найдено, что при взаимодействии III с NH<sub>3</sub> II не образуется.

В. З.

74964. Кислородные производные третичных тетрааминов. Химическое и фармакологическое исследование. Азар, Шемоль, Шабрие, Сеттон (Dérivés oxygénés de tétramines tertiaires. Etude chimique et pharmacologique. Hazard René, Cheymol Jean, Chabrier Pierre, Setton Ralph), C. r. Acad. sci., 1956, 242, № 18, 2259—2261 (франц.)

Обработкой (<15°) H<sub>2</sub>O<sub>2</sub> водн. р-ров бис-(диалкиламиноэтил)-пиперазинов (I) с последующим упариванием в вакууме и кристаллизацией остатка из CH<sub>3</sub>OH или смеси CH<sub>3</sub>OH и ацетона получены тетра-N-окиси I (II). При R=R'=C<sub>2</sub>H<sub>5</sub> (IIa), т. пл. 48° (с 14 H<sub>2</sub>O), 147° (с 2 H<sub>2</sub>O), при попытках дегидратации разлагается, рН 1%-ного р-ра 3,5 и 1,8, в кислой среде более устойчив, чем в щел.; получены соли II: IIa-HCl, т. пл. 220° (разл.); ацетат IIa, т. пл. 126°, нитрат IIa, т. пл. 135°; обработкой IIa конц. водн. р-ром KCNS в присутствии избытка HCl (к-

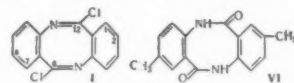


ты) получена кристаллич. соль IIa·4HCNS·II, где NRR'—остаток морфолина (IIb), т. пл. 222°, нитрат IIb взрывается при 160°. Действием CH<sub>3</sub>I на IIa в CH<sub>3</sub>OH получены IIa·2CH<sub>3</sub>I·2H<sub>2</sub>O т. пл. 218°; IIa·4C<sub>6</sub>H<sub>5</sub>CH<sub>2</sub>Br, т. пл. 255°. Были проведены испытания (на мышах и кроликах) курареподобной активности I (алкил=C<sub>2</sub>H<sub>5</sub>), (Ia), IIa·2C<sub>6</sub>H<sub>5</sub>CH<sub>2</sub>Br, IIa·14H<sub>2</sub>O, IIa·4C<sub>6</sub>H<sub>5</sub>CH<sub>2</sub>Br и IIa·2C<sub>6</sub>H<sub>5</sub>CH<sub>2</sub>Br; последнее соединение обладает заметно ослабленной токсичностью и ослабленным парализующим действием. Остаточные соединения типа R'R''N(X)OR обладают слабой токсичностью и практически лишены парализующего действия.

А. К.

74965. Циклические амидины. Часть IV. 5,6,11,12-тетрагидро-5,11-эндометилленфенгомазин и основание Tröger'a. Купер, Партридж (Cyclic amidines. Part IV. 5,6,11,12-tetrahydro-5,11-endo-methylenphenhomazine and Tröger's base. Cooper F. C., Partridge M. W.), J. Chem. Soc., 1955, March, 991—994 (англ.)

6,12-дихлорфенгомазин (I) (Schroeter, Ber., 1919, 52, 2224) при восстановлении с LiAlH<sub>4</sub> превращается в 5,6,11,12-тетрагидрофенгомазин (II), который легко нитрозируется до 5,11-динитрозопроизводного (III). Р-ция II с CH<sub>2</sub>O ведет к 5,6,11,12-тетрагидро-5,11-эндометилленфенгомазину (IV). Метилловый эфир 5-метилантрапириновой к-ты (V) энергично реагирует с C<sub>6</sub>H<sub>5</sub>CN в присутствии Na, при этом образуется 2,8-диметилдиантралид (VI), который при обработке (CH<sub>3</sub>)<sub>2</sub>SO<sub>4</sub> дает



2,8-N,N'-тетраметилдиантралид (VII); р-ция VI с PCl<sub>5</sub> ведет к 6,12-дихлор-2,8-диметилфенгомазину (VIII); последний при взаимодействии с CH<sub>3</sub>OH превращается в 6,12-диметокси-2,8-диметилфенгомазин (IX). Действие LiAlH<sub>4</sub> на VIII ведет к 5,6,11,12-тетрагидро-2,8-диметилфенгомазину (X), который при р-ции с CH<sub>2</sub>O превращается в 5,6,11,12-тетрагидро-2,8-диметил-5,11-эндометилленфенгомазин (XI) (основание Tröger'a). 0,5 г LiAlH<sub>4</sub> в 80 мл эфира добавляют к суспензии 2,5 г I в 50 мл эфира, смесь кипятят 4 часа, разлагают 5 мл CH<sub>3</sub>COOC<sub>2</sub>H<sub>5</sub> и 50 мл воды, подщелачивают 7 г NaOH, получают II, выход 76%, т. пл. 138,5—139,5° (из петр. эф.), λ<sub>макс</sub> (в абс. сп.) 206, 242, 290 мμ/ε 40 000, 13 400, 2900; дихлоргидрат, т. пл. > 400°; дипикрат, т. пл. 161—

163°; 5,11-диацетильное производное, т. пл. 335—337° (из водн.  $\text{CH}_3\text{COOH}$ ); 5,11-дibenзоильное производное (XII), т. пл. 306,5—307,5° (из  $m\text{-C}_6\text{H}_4\text{OH}$ ). К р-ру II в разб.  $\text{HCl}$  прибавляют  $\text{NaNO}_2$ , получают III, т. пл. 233—234° (из бзл.). К холодной смеси 5 мл конц.  $\text{HCl}$ , 2 мл 40%-ного  $\text{CH}_2\text{O}$  и 10 мл спирта добавляют 0,5 г порошкообразного II; на следующий день осадок растворяют в горячей воде, обрабатывают избытком  $\text{NH}_3$ , получают 0,35 г IV, еще 0,1 г IV получают из фильтрата от реакционной смеси, общий выход 85%, т. пл. 138—139° (из петр. эф.);  $\lambda_{\text{макс}}$  (в абс. сп.) 203, 240, 280 мк (с 33 700, 6300, 1600); хлоридрат, т. пл. > 360°; пикрат, т. пл. 190—191° (разл.; из  $m\text{-C}_6\text{H}_4\text{OH}$ ). При действии  $\text{HNO}_3$  (или  $\text{C}_6\text{H}_5\text{COCl}$ ) на IV получают III (или XII). К 10,8 г Na в 125 мл сухого  $\text{C}_6\text{H}_6$  добавляют 38,8 г V и 48,4 г  $\text{C}_6\text{H}_5\text{CN}$ , после окончания экзотермич. р-ции смесь кипятят 5 час., добавляют 10 мл спирта и 150 мл воды, твердую фазу промывают разб.  $\text{HCl}$ , водой и фракционно кристаллизуют из спирта, получают VI, выход 37%, т. пл. 298—299°;  $\lambda_{\text{макс}}$  (в абс. сп.) 210 мк (с 35 600); кроме того, получают 5,7 г 4-окси-6-метил-2-фенилхинолина, т. пл. 265—266°;  $\lambda_{\text{макс}}$  203, 237, 294 мк (с 28 700, 27 700, 16 000); дополнительно 3,1 г последнего получают при осторожном подкислении водн. р-ра. Из 0,4 г VI, 0,5 мл  $(\text{CH}_3)_2\text{SO}_4$  и 10 мл 2 н.  $\text{NaOH}$  получают VII, т. пл. 254—255° (из бзл.-петр. эф.);  $\lambda_{\text{макс}}$  (в абс. сп.) 213 мк (с 31 100). Смесь 7,45 г VI, 12,5 г  $\text{PCl}_5$  и 50 мл  $\text{CHCl}_3$  кипятят 4 часа, р-р концентрируют, фильтруют, получают VIII, выход 48%, т. пл. 203—210° (из петр. эф.). Кипятят VIII в метанольном р-ре  $\text{NaOCH}_3$  в течение 23 час., получают IX, выход 90%, т. пл. 155—156° (из петр. эф.);  $\lambda_{\text{макс}}$  (в абс. сп.) 204, 258 мк (с 47 100, 6600). Для 6,12-диметоксифенгомазина  $\lambda_{\text{макс}}$  (в абс. сп.) 203, 253 мк (с 46 100, 5900); для 6,12-диэтоксифенгомазина  $\lambda_{\text{макс}}$  (в абс. сп.) 203, 252 мк (с 45 500, 6100);  $\lambda_{\text{макс}}$  для этих соединений, данные в части I (РЖХим, 1856, 19232), неверны. Восстанавливают 2,7 г VIII с помощью 0,5 г  $\text{LiAlH}_4$ , в-во, получаемое из эфирного слоя, обрабатывают водн. молочной к-той, получают X, т. пл. 205—206° (из петр. эф.);  $\lambda_{\text{макс}}$  (в абс. сп.) 207, 242, 295 мк (с 46 300, 16 200, 3200); дипикрат, т. пл. 162—164°; 5,11-диацетильное производное (XIII), т. пл. 297—298° (из водн.  $\text{CH}_3\text{COOH}$ ); 5,11-дibenзоильное производное (XIV), т. пл. 301—302° (из ксилола); 5,11-динитропропроизводное (XV), т. пл. 247—248°. Из X и  $\text{CH}_2\text{O}$ , аналогично IV, получают XI, выход 95%, т. пл. 136—137°;  $\lambda_{\text{макс}}$  (в абс. сп.) 205, 235, 285 мк (с 35 700, 8300, 2000);  $\lambda_{\text{макс}}$  (в гексане) 246, 290 мк (с 8200, 2200). При действии  $(\text{CH}_3\text{CO})_2\text{O}$ ,  $\text{C}_6\text{H}_5\text{COCl}$  или  $\text{HNO}_3$  на XI получают соответственно, XIII, XIV или XV. Часть III см. РЖХим, 1956, 22466.

Г. Ш.  
74966. Исследования в области 5,6-диарил-1,2,4-триазинов. III. Каталитическое гидрирование 3-метокси-5,6-дифенил-1,2,4-триазина. Полоновский, Пессон, Райзман (Recherches sur les diaryl-5,6 triazines-1,2,4. III. Hydrogénation catalytique de la méthoxy-3 diphenyl-5,6 triazine-1,2,4. Polonovski Michel, Pesson Marcel, Rajzman, Pessia, m-mé), Bull. Soc. chim. France, 1955, № 10, 1171—1175 (франц.).

Селективное катализирование гидрирование 3-метокси-5,6-дифенил-1,2,4-триазина (I) (получение см. РЖХим, 1956, 6838) удается осуществить в присутствии Pt (из  $\text{PtO}_2$ ), но не над скелетным Ni. В спирт. р-ре I присоединяет 1 моль  $\text{H}_2$  с образованием 3-метокси-5,6-дифенил-4,5-дигидро-1,2,4-триазина (II). Строение II подтверждено тем, что при его гидролизе получают 3-оксо-5,6-дифенил-2,3,4,5-тетрагидро-1,2,4-триазин (III), а ацетилирование

II при  $\sim 20^\circ$  с последующим деметилированием приводит к 4-ацетильному производному III (IV). При гидрировании I в  $\text{CH}_3\text{COOH}$  поглощается 2 моля  $\text{H}_2$  с образованием 1,6,4,5-тетрагидро-I (V), получающегося также при гидрировании II в тех же условиях. Ацетилированием V получают его 1-ацетильное производное (VI). Изомерное VI 4-ацетильное производное V (VII) синтезировано гидрированием 4-ацетильного производного II (VIII) в  $\text{CH}_3\text{COOH}$ . Гидрирование 3-( $\beta$ -(N-пентаметиленамино)-этокси-5,6-дифенил-1,2,4-триазина (IX) протекает аналогично указанному выше для I. Р-р 2 г I в 40 мл спирта гидрируют над Pt (из 0,4 г  $\text{PtO}_2 \cdot \text{H}_2\text{O}$ ) (198 мл  $\text{H}_2$ , 25°, 765 мм), получают II, т. пл. 160—161° (из сп.). 0,6 г II гидролизуют кипячением с 10 мл  $\text{CH}_3\text{COOH}$  и 5 мл дымящей  $\text{HBr}$  (30 мин.) и выливают в воду; выход III 0,3 г, т. пл. 275° (из сп.). Т-ра плавления, полученного из III, 2,4-диацетильного производного (X) 141°, 0,4 г II кипятят 5 мин. с 10 мл  $\text{CH}_3\text{COOH}$ , обрабатывают водой и выделяют 0,35 г III. 0,3 г II растворяют при слабом нагревании в 6 мл  $(\text{CH}_3\text{CO})_2\text{O}$ , оставляют на 48 час. при  $\sim 20^\circ$ , упаривают в вакууме и выделяют VIII, т. пл. 123—124° (из сп.). 0,5 г II кипятят 2 часа с 10 мл  $(\text{CH}_3\text{CO})_2\text{O}$ , выливают в воду, маслянистый осадок обрабатывают спиртом, выделяют X. 0,5 г VIII и 5 мл  $\text{H}_2\text{O}$ .  $\text{CH}_3\text{COOH}$  кипятят 5 час. в атмосфере  $\text{CO}_2$ , выливают в воду, кипятят осадок (0,4 г) с 10 мл этилацетата и добавлением петр. эфира выделяют IV, т. пл. 148—149° (из сп.). IV щел. гидролизом превращают в III. I г I в 30 мл  $\text{CH}_3\text{COOH}$  гидрируют над Pt (из 0,4 г  $\text{PtO}_2 \cdot \text{H}_2\text{O}$ ) (193 мл  $\text{H}_2$ , 25°, 762 мм). Р-р упаривают в вакууме, разбавляют водой, подщелачивают  $\text{NH}_4\text{OH}$ , осадок (0,9 г) извлекают этилацетатом; из вытяжки выделяют V, т. пл. 179—180° (из этилацетата). Тем же способом из 0,24 г II в 10 мл  $\text{CH}_3\text{COOH}$  (28 мл,  $\text{H}_2$ , 19°, 760 мм) получают 0,16 г V. 0,3 г V кипятят 2 часа с 3 мл  $(\text{CH}_3\text{CO})_2\text{O}$ , упаривают в вакууме, остаток извлекают кипящим бензином и получают VI, т. пл. 203° (из бзл.). 0,3 г V, 6 мл  $\text{CH}_3\text{COOH}$  и 3 мл  $\text{HBr}$  (d 1,78) кипятят 30 мин., выливают в воду, подщелачивают и получают 0,2 г 3-оксо-5,6-дифенилгексагидро-1,2,4-триазина (XI), т. пл. 293° (из  $\text{CH}_3\text{OH}$ ). 0,6 г XI кипятят 2 часа с 10 мл  $(\text{CH}_3\text{CO})_2\text{O}$ , получают триацетил-XI, т. пл. 204°. Р-р I г VIII в 30 мл  $\text{CH}_3\text{COOH}$  гидрируют над Pt (из 0,2 г  $\text{PtO}_2 \cdot \text{H}_2\text{O}$ ) (81 мл  $\text{H}_2$ , 17°, 760 мм), упаривают в вакууме, обрабатывают водой и получают VII, т. пл. 172—172,5° (из сп.). Р-р 0,2 г VII в 2 мл спирта кипятят несколько минут с 0,5 мл 2 н.  $\text{NaOH}$  и осаждают водой 0,12 г V. Взвесь 2 г бромгидрата IX в 25 мл спирта нейтрализуют р-ром 0,4 г  $\text{NaHCO}_3$  в 15 мл воды, гидрируют над Pt (из 0,2 г  $\text{PtO}_2 \cdot \text{H}_2\text{O}$ ) (113 мл  $\text{H}_2$ , 20°, 760 мм) и осаждают водой 1,6 г 4,5-дигидропроизводного IX, т. пл. 117—118° (из сп.). 2 г бромгидрата IX в 10 мл  $\text{CH}_3\text{COOH}$  и 20 мл воды гидрируют аналогично (229 мл  $\text{H}_2$ , 22°, 755 мм), подщелачивают  $\text{NH}_4\text{OH}$  и выделяют 1,5 г тетрагидропроизводного IX, т. пл. 148—150° (из  $\text{CH}_3\text{OH}$ ; при 160° плавится вторично). Сообщение II см. РЖХим, 1956, 61570.

Е. Г.  
74967. Исследования в области химии тетразола. IV. Тетразолилукусные кислоты и их эфиры. Джейкобсон, Амстутц (Studies in tetrazole chemistry. IV. Tetrazolylic acids and esters. Jacobson C. R., Amstutz E. D.), J. Organ. Chem., 1956, 21, № 3, 311—315 (англ.).

Эфиры тетразолил-1-уксусной к-ты  $\text{RC}=\text{NN}=\text{NNC}(\text{R}')-$

$(\text{R}'')\text{COOC}_2\text{H}_5$  (I, к-та) синтезированы из эфиров  $\alpha$ -ацетиламиноуксусной кислоты  $\text{RCNNHC}(\text{R}')(\text{R}'')\text{COOC}_2\text{H}_5$  (II) и  $\text{PCl}_5$  с последующей обработкой (без выделения) образовавшегося  $\text{RCCl}=\text{NC}(\text{R}')(\text{R}'')\text{COOC}_2\text{H}_5$  действием  $\text{HN}_3$ . Омылением эфиров I получают I, которые не могли быть приготовлены ранее описанным авторами методом (см. РЖХим, 1954, 48086). Подобно этому, исходя из  $\text{RNHCOCH}(\text{R}')\text{COOC}_2\text{H}_5$  (III) через промежуточный  $\text{RN}=\text{CClCH}(\text{R}')\text{COOC}_2\text{H}_5$  синтезированы эфиры тетразолил-5-уксусных

к-т  $RNN=NN=CCH(R')COOC_2H_5$  (IV, к-та), которые омылены в соответствующие IV. Проведено сравнение некоторых свойств I и IV. Попытки применения в этой р-ции  $C_6H_5NHCOSOCOC_2H_5$  вместо II и ацетилуретана вместо II не увенчались успехом. 0,5 моля хлоргидрата этилового эфира глицина (V), 1 моль пропионового ангидрида и 0,5 моля безводн.  $CH_3COONa$  размешивают и нагревают при 100° 1 час, отгоняют в вакууме, из остатка экстрагируют эфиром этиловый эфир N-пропионилглицина (VI), выход 69%, т. пл. 136—137°/8 мм, т. пл. 51,5—53,0°. К р-ру 0,4 моля V 0,8 моля  $K_2CO_3$  в 500 мл воды прибавляют (10—15°, 1 час) 0,4 моля хлорангидрида циклогексанкарбоновой к-ты. Через 1 час (20°) отфильтровывают этиловый эфир гексагидрогиппуровой к-ты (VII), выход 55%, т. пл. 83—84° (из 60%-ного сп.). Аналогично получают этиловый эфир фенацетуровой к-ты, выход 69%, т. пл. 79—80,5° (из 50%-ного сп.). Аналогично VI из 50 г  $CH_3CH_2CH(NH_2)HCl \cdot COOC_2H_5$  и  $(CH_3CO)_2O$  получают 41,1 г  $CH_3CH_2CH(NHCOSOC_2H_5)COOC_2H_5$ , т. кип. 105—106°/1 мм, 93°/0,4 мм.  $(CH_3)_2C(NHCOSOC_2H_5)COOC_2H_5$  получен из к-ты и  $C_2H_5OH$ , содержащего 4%-ную  $H_2SO_4$  (кипение 24 часа), выход 73%, т. пл. 119—121° (из 50%-ного  $CH_3OH$ ). Аналогично VII из  $\alpha$ -нафтоилхлорида и V получают неочищ. этиловый эфир  $\alpha$ -нафтоилглицина, р-ро его в спирте (1 г в 10 мл) при охлаждении выделяет  $\alpha$ -нафтоилный ангидрид, выход 17%, фильтрат разбавляют водой, выход эфира 47%, т. пл. 80,5—81,5°. К суспензии 0,4 моля  $KOOCCH_2COOC_2H_5$  в 350 мл абс.  $C_6H_6$  прибавляют (0°, 30 мин.) р-р 0,2 моля  $POCl_3$  в 50 мл абс.  $C_6H_6$ , нагревают до образования прозрачного р-ра, добавляют (0°, 30 мин.) р-р 0,8 моля  $n$ - $C_4H_9NH_2$  в 50 мл  $C_6H_6$ , оставляют на 12 час., промывают 400 мл 3н.  $HCl$  и водой и получают III ( $R=n$ - $C_4H_9$ ,  $R'=H$ ), выход 49%, т. кип. 118/1 мм. Получение I. Смесь 0,3 моля II в 500 мл абс.  $C_6H_6$  и 0,3 моля  $PCl_5$  размешивают 20 мин., добавляют (20°, 30 мин.) 0,3 моля  $HN_3$  в 200 мл абс.  $C_6H_6$ , медленно (1,5 часа) нагревают до кипения, упаривают в вакууме, остаток нагревают с 200 мл воды и после охлаждения извлекают эфиром этиловый эфир I. 0,027 моля эфира I кипятят 4 часа со смесью 25 мл лед.  $CH_3COOH$  и 5 мл конц.  $HCl$  и 10 мл воды, отгоняют в вакууме, в остатке I (метод А). Смесь 0,05 моля эфира I в 50 мл абс. спирта и 0,05 моля  $KOH$  в 50 мл абс. спирта периодически встряхивают 3 часа, отфильтровывают К-соли I, растворяют ее в 50 мл воды и подкисляют конц.  $HCl$  до  $pH < 2$  (метод Б). Если эфир I не удается очистить, то целесообразнее подкислить взвесь К-соли I в спирте, отфильтровать  $KCl$ , выпарить р-тель, р-р остатка в воде экстрагировать эфиром и насыщ. р-ром  $NaHCO_3$  извлечь I. Получены следующие в-ва (перечисляются R, R', R'', выход в % и т. пл. в °C этилового эфира I, метод омыления, выход в % и т. пл. в °C II):  $CH_3$ , H, H, 41, 73—74 (из  $CCl_4$ ), A, 85, 191—192 (разл.; из воды);  $C_2H_5$ , H, H, 49, т. кип. 155—156°/1 мм, A, 51, 132—133 (из  $C_2H_5Cl_2$ ); циклогексил, H, H, 87, 62—63, B, 40, 131—132 (из воды);  $C_6H_5CH_2$ , H, H, 90, масло, B, 48, 175—176 (разл.; из воды);  $C_6H_5$ , 92, масло, A, 62, 180—182 (разл.; из воды);  $C_6H_5$ ,  $CH_3$ , H, 95, масло, A, 34, 189—190 (разл.; из воды);  $CH_3$ ,  $C_6H_5$ , H, 99, масло, A, 40, 117—119 (из хлф.);  $C_6H_5$ ,  $C_6H_5$ , H, 12, 106—107 (из разб. сп.), B, 69, 210 (разл.; из разб. сп.);  $C_6H_5$ ,  $CH_3$ ,  $CH_3$ , 45, 82—83 (из  $C_3H_7OH$ ), A, 60, 188—189 (разл.; из воды);  $\alpha$ -нафтил, H, H, 51, масло, A, 16, 222 (разл.; из разб. сп.). Получение IV. Аналогично эфиру I из III,  $PCl_5$  и  $NH_3$  (по 0,19 моля) в 400 мл абс.  $C_6H_6$  получают (прибавление при охлаждении, с водой не нагревают) этиловый эфир IV, который омыляют методом Б (перечисляются R, R', выход в % и т. кип. в °C/мл этилового эфира IV, выход в % и т. пл. в °C IV):  $n$ - $C_4H_9$ , H, 65, масло, 20, 127—128 (разл.; из  $C_2H_5Cl_2$ );  $C_6H_5$ , H, 35, 160/0,1, 72, 135—135,5 (разл.);  $C_6H_5$ ,  $C_2H_5$ , 37, 156—158/0,1 (т. пл. 52—53 (из эф.-петр. эф.)), 70, 88—89 (разл.;

из эф.-петр. эф.). 5-фенилтетразолил-1-ацетамид получают из эфира и конц.  $NH_4OH$  (20°, 12 час.), выход 50%, т. пл. 166,5—167,5° (из воды). Аналогично (24 часа) получают 1-фенилтетразолил-5-ацетамид, выход 90%, т. пл. 176—177 (из воды) и  $\alpha$ -(1-фенилтетразолил-5)- $n$ -бутирамид, выход 61%, т. пл. 126,5—127,5° (из разб. сп.). При попытке получения I ( $R=CH_3$ ,  $R'=C_6H_5$ ,  $R''=H$ ) из этилового эфира  $dl$ - $\alpha$ -ацетамидофенилуксусной к-ты (0,18 моля) выделен 5-этокси-2-метил-4-фенилксасол, выход 36%, т. кип. 123—124°/2 мм; пикрат, т. пл. 104—105° (из сп.). Перегонка неочищ. масла (19,6 г), полученного при пригонении этилового эфира  $\alpha$ -(5-фенилтетразолил-1)-пропионовой к-ты, дала 5-этокси-4-метил-2-фенилксасол, выход 47%, т. кип. 111—113°/0,8 мм (пикрат, т. пл. 121—122°), остаток (7,5 г) был гидролизован в I ( $R=C_6H_5$ ,  $R'=CH_3$ ,  $R''=H$ ). Неудачны были попытки получения I из этиловых эфиров ацетил- $dl$ -аланина и изовалерион-глицина. Сообщение III см. РЖХим, 1955, 51962. Б.Д. 74968. Синтез бетаннов 3,5-диарил-1-(5'-тетразолил)-1Н-тетразолия. Хорунц, Гракаукас (A synthesis for 3,5-diaryl-1-(5'-tetrazolyl)-(1H) tetrazolium betaines. Horwitz Jerome P., Graukauskas Vytautas A.), J. Amer. Chem. Soc., 1955, 77, № 24, 6711—6712 (англ.)

При взаимодействии 1-(5'-тетразолил)-3-фенилтетразена (I) с  $C_6H_5CHO$  получен, в отличие от 1,3-диарилтетразенов, не соответствующий формазан (Busch M., Pfeiffer H., Ber., 1926, 59, 1162), а бензилдиновое производное I (II), т. пл. 116—117° (разл.). Окислением холодной конц.  $HNO_3$  II превращен в бетани 3,5-дифенил-1-(5'-тетразолил)-(1 Н)-тетразолия (III), т. пл. 300°. Строение III как бетаниа установлено расщеплением горячей конц.  $HCl$ , причем образуются 5-окситетразол (выход 60%), и 2,5-дифенилтетразол (выход 98%). Относительное расположение тетразолил- и N-фенилгрупп в III доказывалось его неидентичностью с известным изомерным бетанном (РЖХим, 1956, 39410). Указывается на отсутствие для полученных соединений перегруппировки тетразенформазана, что подтверждает приписываемое им строение. А. Т.



74969. Синтез производных пиридазина. III. Синтез 2,3-триазол- и 1, 2,3-тетразол-7,0-пиридазинов. Такаха-яси (ピリダチン誘導体の合成. 第3報. 2,3-トリアゾロ及び1,2,3-テトラゾロピリダチン類の合成. 高林昇), 薬学雑誌, Якугаку дзасси, J. Pharmac. Soc. Jap., 1955, 75, № 10, 1242—1244 (япон.; рез. англ.) Синтезированы производные 2,3-триазол-7,0-пиридазина (I) и 1,2,3-тетразол-7,0-пиридазина (II) из 3-формил-III и 3-ацетилгидразино-6-хлорпиридазина, т. пл. 172 и 77° соответственно, и 3-формилгидразино-4(или 5)-метил-6-хлорпиридазина (IV), т. пл. 189,5°. Далее приводятся в-ва и т. пл. в °C: 6-хлор-I (V), 203,5; 6-метокси-I (VI), 178; I-тиол-6, 190—193 (разл.); 1-метил-6-хлор-I (VII), 103,5; 1-метил-6-метокси-I, 166; 4 (или 5)-метил-6-хлор-I, 107; 4 (или 5)-метил-6-метокси-I, 120,5; 1,4 (или 5)-диметил-6-хлор-I, 135; 6-хлор-II, 107; 4 (или 5)-метил-6-хлор-II, 97; 6-метокси-II, 154,5; 4 (или 5)-метил-6-метокси-II, 108. Приведены кривые УФ-спектров III, IV, V, VI и VII. Сообщение II см. РЖХим, 1956, 35902. Т. А.

74970. Металлоорганические соединения. XX. Литий- и магний-метилен. Циглер, Нагель, Паткейгер (Metalloorganische Verbindungen XX. Lithium- und Magnesium-Methylen. Ziegler K., Nagel K., Patheiger M.), Z. anorg. und allgem. Chem., 1955, 282, № 1—6, 345—351 (нем.)

Проведено исследование пирилизации  $CH_3Li$  (I) и  $(CH_3)_2Mg$  (II). Разложение идет по схеме:  $2 LiCH_3 = Li_2CH_2$  (III)  $+ CH_4$ ;  $Mg(CH_3)_2 = MgCH_2$  (IV)  $+ CH_4$ . I получают при р-ции Li и  $CH_3Cl$  в эфир. р-ре в атмосфере  $N_2$ .  $LiCl$  отделяют центрифугированием; после отгонки эфира и высушива-

ния под вакуумом I содержит 5% LiCl. Пиролиз 12 г I проводят в атмосфере аргона при перемешивании (230°, 3 часа, затем 240°, 5 час.) до прекращения выделения газа. Выделяется 97,7% (теор.) метана и образуется светлокориичный, крайне легко воспламеняющийся на воздухе порошок III. При гидролизе III происходит выделение газа, состоящего из  $\text{CH}_4$  (82%),  $\text{H}_2$  (11,7%) и  $\text{C}_2\text{H}_2$  (5,6%).  $\text{H}_2$  и  $\text{C}_2\text{H}_2$ , очевидно, образуется за счет того, что III частично разлагается на  $\text{Li}_2\text{C}_2$ , LiH и, возможно, металлич. Li. Для I и III сняты дебаграммы. II получают при обработке эфир. р-ра  $\text{CH}_3\text{MgCl}$  диоксидом (V). Осадок комплекса V с  $\text{MgCl}_2$  отделяют центрифугированием, к р-ру добавляют ~1300 мл сухого, свободного от воздуха гексана и выпаривают р-р в атмосфере  $\text{N}_2$  при перемешивании. II сушат в вакууме (150°, 5 час.). Пиролиз 24,3 г II (240–250°, 4 часа) приводит к образованию коричневого, легко воспламеняющегося на воздухе IV. При гидролизе IV выделяется  $\text{CH}_4$  (92%) и  $\text{H}_2$  (1,8%). IV образуется также при нагревании суспензии II в индифферентных высококипящих в-вах. II и IV охарактеризованы дебаграммами. Ни для III, ни для IV не удалось найти р-ритель. Для IV можно предположить строение  $-\text{Mg}-\text{CH}_2-\text{Mg}-\text{CH}_2-\text{Mg}-\text{CH}_2-$ . III, вероятно, имеет ионную решетку с ионами  $\text{CH}_2^{2-}$ . Описан прибор, позволяющий работать с самовоспламеняющимися в-вами. Сообщение XIX см. РЖХим, 1955, 51975.

**74971. Строение и химические превращения щелочно-органических соединений алилов. II. О превращениях динатриевых и диличиевых соединений бензофенонафенилимида под влиянием галогидных алилов. Михайлов Б. М., Курдюмова К. Н., Ж. общ. химии, 1956, 26, № 3, 786–791**

Установлено, что диметаллич. соединения бензофенонафенилимида  $[(\text{C}_6\text{H}_5)_2\text{C}(\text{NHC}_6\text{H}_5)]_2\text{M} \leftarrow \text{O}(\text{C}_2\text{H}_5)_2]^+$  (I) где  $\text{M}=\text{Na}, \text{Li}$ , при действии  $\text{RX}$ , где  $\text{X}=\text{галогид}$  в первую стадию образуют монометаллич. производное  $(\text{C}_6\text{H}_5)_2\text{CMNHC}_6\text{H}_5$ , которое затем частично превращается в  $(\text{C}_6\text{H}_5)_2\text{CHNHC}_6\text{H}_5$  (II), частично обменивает  $\text{M}$  на  $\text{R}$  с последующим разрывом  $\text{C}-\text{N}$  связи и образованием по радикальному механизму  $(\text{C}_6\text{H}_5)_2\text{C}=\text{CHR}$  (III), анилина (IV) и  $(\text{C}_6\text{H}_5)_2(\text{CH}_3)\text{CC}(\text{CH}_3)(\text{C}_6\text{H}_5)_2$  (V) (в случае  $\text{CH}_3\text{X}$ ). При р-ции  $(\text{C}_6\text{H}_5)_2\text{C}(\text{CH}_3)\text{NLi}$  ( $\text{C}_6\text{H}_5$ ) (VI) с  $\text{CH}_3\text{I}$  получен III ( $\text{R}=\text{H}$ ), V и  $\text{C}_6\text{H}_5\text{NHCH}_3$  (VII). Образование VII и отсутствие в продуктах р-ции IV подтверждает правильность структуры I и радикального механизма и исключает структуру типа  $[(\text{C}_6\text{H}_5)_2\text{C}(\text{NHC}_6\text{H}_5)]_2\text{M} \leftarrow \text{O}(\text{C}_2\text{H}_5)_2]^+$ . Встряхивают в атмосфере  $\text{N}_2$  в склянке с бусами 60–70 час. смесь 0,077 моля бензофенонафенилимида с 0,18 г атома Na в 200 мл эфира. К полученной суспензии добавляют эфир. р-р 11,4 г  $\text{CH}_3\text{I}$ . Полученный маслянистый остаток (20 г) обрабатывают 100 мл 20%-ной  $\text{HCl}$  и кипятят 30 мин., экстрагируют  $\text{C}_6\text{H}_6$ , отфильтровывают нерастворимый хлоргидрат II, из которого выделяют свободный II с выходом 25%. Из солянокислого р-ра получают IV с выходом 48,2%. Из бензольного экстракта выделяют III ( $\text{R}=\text{H}$ ) с выходом 18,6% и после хроматографирования V с выходом 8%. Получено 670 мл газообразных продуктов состава:  $\text{CH}_4$ —32%,  $\text{C}_2\text{H}_4$ —62,5%,  $\text{C}_2\text{H}_6$ —2,5%,  $\text{C}_2\text{H}_2$ —2,5%. При замене в р-ции с I ( $\text{M}=\text{Na}$ )  $\text{CH}_3\text{I}$  на  $\text{CH}_3\text{Cl}$  выходы в % II—32,6, IV—50, III ( $\text{R}=\text{H}$ )—20, V—6,1. Выходы продуктов при р-ции с  $\text{C}_2\text{H}_5\text{I}$  и  $n\text{-C}_4\text{H}_9\text{I}$  (в скобках) II 32,2 (35,3), IV 50,9 (54,1), III ( $\text{R}=\text{CH}_3$ )—32, III ( $\text{R}=\text{C}_2\text{H}_5$ ) 35,3. Из I ( $\text{M}=\text{Li}$ ) с  $\text{CH}_3\text{Cl}$  и  $\text{CH}_3\text{I}$  (в скобках) получают выходы: II 37,5 (18,4), IV—52,6 (50,9), III ( $\text{R}=\text{H}$ ) 26,4 (28,0), V—8,0 (9,1). Из I ( $\text{M}=\text{Li}$ ) с  $\text{C}_2\text{H}_5\text{I}$  или  $\text{C}_6\text{H}_5\text{CH}_2\text{Cl}$  (в скобках) выходы: II=22,8 (15,2), IV—50,9 (59,6), III ( $\text{R}=\text{CH}_3$ ) 45,3; III ( $\text{R}=\text{C}_6\text{H}_5$ )—55,7. К  $\text{C}_6\text{H}_5\text{Li}$  (из 2,8 г Li, 31,4 г  $\text{C}_6\text{H}_5\text{Br}$  и 100 мл эфира) добавляют 16,3 г ацетофенонафенилимида в 20 мл эфира, кипятят 6 час. Выход  $(\text{C}_6\text{H}_5)_2\text{C}(\text{CH}_3)\text{NHC}_6\text{H}_5$  (VIII) 55%, т. кип. 195–197°/4 мм, т. пл. 50–53°; хлоргидрат, т. пл. 190–191° (разл. из хлф. эф.). К  $\text{C}_6\text{H}_5\text{Li}$  (из 0,06 г моля  $\text{C}_6\text{H}_5\text{Br}$ ,

0,9 г Li и 50 мл эфира) добавляют при охлаждении эфир. р-р 0,036 г моля VIII. К полученному р-ру VI добавляют 5,2 г  $\text{CH}_3\text{I}$  в эфире. Оставляют на 2 часа. После разложения водой и подкисления выход хлоргидрата VIII 28%, III ( $\text{R}=\text{H}$ ) 54,4%, хлоргидрата VII 49,8%, V 1,1%. Сообщение I см. РЖХим, 1956, 32542.

**74972. Борорганические соединения. Сообщение 5. Получение изобутиловых эфиров фенилборной и дифенилборной кислот при помощи фениллития. Михайлов Б. М., Аронович П. М. Сообщение 6. О действии пятихлористого фосфора на эфиры диарилборных кислот. Синтез диарилборхлоридов. Михайлов Б. М., Федотов Н. С., Изв. АН СССР, Отд. хим. н., 1956, № 3, 322–326, 375–376**

**Сообщение 5.** Изучено разложение полученных ранее (РЖХим, 1955, 37340) фенилтриизобутоксифторита (I) и дифенилдиизобутоксифторита (II)  $\text{HCl}$  (к-той) (III) и  $\text{HCl}$  (газом). При действии III на II происходит преимущественное образование  $\text{C}_6\text{H}_5\text{B}(\text{OH})_2$  (IV); частично образуются  $(\text{C}_6\text{H}_5)_2\text{BOC}_4\text{H}_9$  (V) и  $\text{C}_6\text{H}_5\text{B}(\text{OC}_4\text{H}_9)_2$  (VI). Обработка II сухим  $\text{HCl}$  приводит к получению V с хорошим выходом. При действии III на I выделяют IV, выход 90%; в водн. р-ре содержится 7,8%  $\text{H}_3\text{BO}_3$ . К эфир. р-ру  $\text{C}_6\text{H}_5\text{Li}$  из 0,11 моля  $\text{C}_6\text{H}_5\text{Br}$  в 175 мл эфира прибавляют при  $-5^\circ$  —  $-50^\circ$  0,1 моля ( $\text{изо-C}_4\text{H}_9\text{O}$ ) $_3\text{B}$  в 50 мл эфира, перемешивают 5 час. при  $-70^\circ$  и на другой день подкисляют 20%-ной III; выход IV 82%, т. пл. 208–212°. При обработке реакционной смеси  $\text{HCl}$  (газом) получают VI, выход 68%, т. кип. 116–117°/5 мм,  $d_4^{20}$  0,9243. К бензольному р-ру  $\text{изо-C}_4\text{H}_9\text{OLi}$  (из 0,1 моля  $\text{C}_4\text{H}_9\text{Li}$  и  $\text{изо-C}_4\text{H}_9\text{OH}$ ) прибавляют при  $-5^\circ$  0,11 моля V в 50 мл эфира, перемешивают 3 часа при  $0^\circ$ , отгоняют р-рители, прибавляют 50 мл  $n\text{-C}_6\text{H}_{14}$  и фильтруют; выход II 78%. К эфир. р-ру II прибавляют при  $-5^\circ$  20%-ную III; выход IV 62,3%, выход V 27,8%. В р-р 0,05 моля II в 50 мл эфира пропускают  $\text{HCl}$  (газ), выделяют 10,3 г смеси с т. кип. 152–154°/8 мм; по анализу вычисляют выход V 81,7%, выход VI 4,9%. К эфир. р-ру  $\text{C}_6\text{H}_5\text{Li}$  (из 0,11 моля  $\text{C}_6\text{H}_5\text{Br}$ ) прибавляют в условиях, описанных при получении IV, 0,1 моля VI; после обработки III выделяют 6,2 г V 2,9 г VI и 5,8 г IV. В тех же условиях проводят р-цию между  $\text{C}_6\text{H}_5\text{Li}$  и VI и смесь насыщают  $\text{HCl}$  (газом); выход V 71%, выход VI 5,5%.

**Сообщение 6.** Описано получение  $(\text{C}_6\text{H}_5)_2\text{BCl}$  (VII) и  $(\alpha\text{-C}_{10}\text{H}_7)_2\text{BCl}$  (VIII) действием  $\text{PCl}_5$  на эфиры соответствующих диарилборных к-т. К 20 г  $(\text{C}_6\text{H}_5)_2\text{BOC}_4\text{H}_9$  прибавляют 18,6 г  $\text{PCl}_5$ , отгоняют  $n\text{-C}_4\text{H}_9\text{Cl}$  и  $\text{POCl}_3$  и перегонкой VII, выход 70%, т. кип. 119–120°/3 мм,  $d_4^{20}$  1,037. Действием  $\text{PCl}_5$  на бензольный р-р  $(\alpha\text{-C}_{10}\text{H}_7)_2\text{BOC}_4\text{H}_9$  получают VIII, выход 70%, т. кип. 213–215°/1,5 мм. Сообщение 4 см. РЖХим, 1956, 29051.

**74973. Устойчивость метиловых эфиров моно- и диборборных кислот. Губо, Бехер, Гриффель (Die Beständigkeit der Methylester der Mono- und Dibromborsäure. Goubeau J., Becher H. J., Griffel F.), Z. anorgan. und allgem. Chem., 1955, 282, № 1–6, 86–92 (нем.)**

Изучено взаимодействие  $\text{BBR}_3$  с  $\text{CH}_3\text{OH}$  и  $(\text{CH}_3\text{O})_2\text{B}(\text{I})$ . Эквимолекулярные кол-ва  $\text{BBR}_3$  и  $\text{CH}_3\text{OH}$  энергично реагируют уже при  $-78^\circ$  до  $-50^\circ$ . Из продуктов р-ции выделен не ожидаемый  $\text{Br}_2\text{BOCH}_3$  (II), а  $\text{BBR}_3$ ,  $\text{HBr}$ ,  $\text{CH}_3\text{Br}$  и летучее в-во состава  $\text{B}_2\text{O}_3\text{Br}$  (III). Получить II из 2 экв  $\text{BBR}_3$  и 1 экв I также оказалось невозможным. Из продуктов р-ции были выделены лишь  $\text{BBR}_3$ ,  $\text{HBr}$ ,  $\text{CH}_3\text{Br}$  и III. Из 2 экв I и 1 экв  $\text{BBR}_3$  был получен не  $\text{BrB}(\text{OCH}_3)_2$  (IV), а  $\text{CH}_3\text{Br}$  и триметоксифторол  $\text{B}_2\text{O}_3(\text{OCH}_3)_2$  (V), который при нагревании распадается на  $\text{B}_2\text{O}_3$  и I. См. также Z. anorgan. und allgem. Chem., 1952, 267, 1). Первоначальным продуктом превращения нестойких эфиров

II и IV является в-во  $B_2O_3Br_2$ , превращающееся в смесь III и  $BBr_3$ :  $4B_2O_3Br_2 \rightarrow 3B_2O_3Br + 3BBr_3$ . Высказано предположение, что III является полимером. К 18,4 ммоль  $BBr_3$  постепенно добавлено 18,4 ммоль абс.  $CH_3OH$ , получено 96,2%  $HBr$ . С помощью спектра комб. расс. в продуктах р-ции установлено наличие  $CH_3Br$ . Бесцветный остаток представляет собой III, 34,4 ммоль  $BBr_3$  смешаны при  $-78^\circ$  с 17,2 ммоль  $(CH_3O)_2B$  и нагреты до  $20^\circ$ , получено 4,8 г  $CH_3Br$ , 3,23 г  $BBr_3$  и 2,15 г III. В высокомолекулярном вакууме или при нагревании до  $60^\circ$  III распадается на  $BBr_3$  и  $B_2O_3$ . К 41,3 ммоль  $(CH_3O)_2B$  постепенно добавлено 20,7 ммоль  $BBr_3$ . После нагревания реакционной смеси до  $10^\circ$  из продуктов р-ции отогнан  $CH_3Br$ . Остаток представляет собой V. При нагревании V при  $40-50^\circ$  в вакууме в течение 5 час. он частично разлагается на  $(CH_3O)_2B$  и  $B_2O_3$ . В. В.

**74974. Галонирование ароматических силанов. I. Получение и свойства хлорпроизводных фенилтрихлорсилана.** Якубович А. Я., Моцарев Г. В., Ж. общ. химии, 1956, 26, № 2, 568—576

Изучена р-ция хлорирования  $C_6H_5SiCl_3$  (I) в присутствии катализаторов — Fe,  $SbCl_3$ ,  $AlCl_3$  и  $J_2$ ; при этом получены хлорпроизводные I (от моно до пента). Показано, что хлорирование I в присутствии  $AlCl_3$ , в отличие от хлорирования в присутствии  $SbCl_3$  и  $J_2$ , сопровождается резко выраженным побочным процессом расщепления хлоромолекулы силана по C—Si связи. В смесь I и катализатора пропускают при нагревании ток сухого  $Cl_2$  со скоростью 40—60 мл/мин. Контроль за концом хлорирования ведут по присеву реакционной массы. По окончании хлорирования смесь продувают сухим воздухом и разгоняют в вакууме. Описано получение моно-(II), ди-(III), три-(IV), тетра-(V) и пентахлорфенилтрихлорсиланов (VI). Хлорирование смеси 15 г I и 0,075 г Fe при  $60-70^\circ$  в течение 40 мин. приводит к получению II, выход 73,5%, т. кип.  $87-88^\circ/7$  мм,  $d_4^{20}$  1,4062 (побочным продуктом является III, суммарный выход II и III 83%). Хлорирование смеси 10 г I и 0,075 г  $J_2$  ( $50-75^\circ$ , 1 час) дает II с выходом 9,5%. Из 15 г I при хлорировании его в присутствии 0,5 г  $J_2$  ( $50-65^\circ$ , 1 час) получают II с выходом 65% (побочным продуктом является III; суммарный выход II и III 86%). Хлорирование I до III проводят в тех же условиях, что и до II, увеличивая кол-во пропускаемого  $Cl_2$ . Из 15 г I при хлорировании его в присутствии 0,075 г Fe ( $70^\circ$ , 1 час 45 мин.) получают III, выход 70%, т. кип.  $102-103^\circ/7$  мм,  $d_4^{20}$  1,4820 (побочным продуктом является IV; суммарный выход III и IV 80%). Хлорирование I в аналогичных условиях 2 часа приводит к получению IV, выход 60,4%, т. кип.  $117-118^\circ/7$  мм,  $d_4^{20}$  1,5651 (побочным продуктом является III; суммарный выход IV и III 81,5%). Хлорирование (2 часа,  $75^\circ$ ) в присутствии  $SbCl_3$  (0,3% от веса I) приводит к смеси IV и V, выход 90%. При хлорировании 15 г I в присутствии 0,045 г  $AlCl_3$  ( $50-55^\circ$ , 2 часа) наряду с IV и III (суммарный выход 55%) образуется 2 г  $SiCl_4$  и 3 г тетрахлорбензола, т. пл.  $115-125^\circ$  (из сп.). Для получения V и VI смесь 15 г I и 0,075 г Fe хлорируют 2 часа при  $100^\circ$  и 2 часа 20 мин. при  $120-125^\circ$ ; выделяют 6,4 г V, т. кип.  $125-126^\circ/4$  мм,  $d_4^{20}$  1,6340; и VI, выход 58,8%, т. кип.  $146-147^\circ/8$  мм, т. пл.  $59,5^\circ$  (из смеси  $CCl_4$  и эфира). Суммарный выход V и VI 84,6%. В отсутствие катализаторов хлорирование I не наблюдается даже при т-ре  $170-180^\circ$ . Строение хлорпроизводных I доказано расщеплением их с помощью  $AlCl_3$  или бромной воды. Установлено, что II является парахлорпроизводным, III представляет собой 2,4-дихлорфенилтрихлорсилан, а IV — 2,4,6-трихлорпроизводное. Поскольку IV является симметрично замещ. производным, то V и VI представляют собой соответственно 2,3,4,6-тетрахлор- и 2,3,4,5,6-пентахлорфенилтрихлорсиланы. Авторами установлено, что хлорирование I в присутствии

$AlCl_3$ ,  $FeCl_3$ ,  $SbCl_3$ , а также  $J_2$  протекает аномально в отношении ориентирующего эффекта  $SiCl_3$ -группы. Вместо нормальной мета-ориентации наблюдается аномальная орто-, пара-ориентация атомов хлора, вступающих в ядро, Г. М.

**74975. Органосиланы, содержащие арилалкильные группы.** Гилман, Майлс (Organosilanes containing aralkyl groups. Gilman Henry, Miles David, J. Organ. Chem., 1956, 21, № 2, 254—256 (англ.))

Описан синтез органосиланов, содержащих один или несколько бензильных,  $\beta$ -фенилэтильных и  $\gamma$ -фенилпропильных радикалов. К 0,0939 моля  $C_6H_5SiCl_3$  и 50 мл эфира прибавляют при перемешивании эфир. р-р  $C_6H_5CH_2MgCl$  (из 0,395 г атом Mg, 0,395 моля  $C_6H_5CH_2Cl$  и 174 мл эфира), смесь кипятят 4 часа, эфир отгоняют; добавляют 400 мл сухого ксилола, р-р кипятят 12 час. и гидролизуют насыщ. р-ром  $NH_4Cl$ . Из органич. слоя при перегонке получают в вакууме фенилтрибензилсилан (I), выход 79,5%, т. пл.  $59-60^\circ$ , т. кип.  $229-234^\circ/1.1$  мм (из петр. эф.). Эта т-ра плавления отлична от т. пл. ( $130^\circ$ ), найденной для I ранее (РЖХим, 1955, 51978). Аналогичным путем (с тем лишь отличием, что вместо добавления ксилола и последующего кипячения смеси в течение 12 час., ее нагревают 4—5 час. при  $150-160^\circ$  в отсутствие р-рителя) получены следующие соединения (перечисляются органосиланы, выход в %, т. кип. в  $^\circ C/мм$ , т. пл. в  $^\circ C$ ,  $n_D^{20}$ ,  $d_4^{20}$ ): тетра- $\gamma$ -фенилпропилсилан, 19, 230—240/0,1, —, 1,5623, 1,001; три- $\gamma$ -фенилпропилфенилсилан, 52, —, 59,5—60, —, —; ди- $\gamma$ -фенилпропилдифенилсилан, 57, 252—253/0,6, —, 1,5920, 1,031;  $\gamma$ -фенилпропилтрифенилсилан, 42, —, 62,5—64, —, —; тетра- $\beta$ -фенилэтилсилан, 28, —, 76—76,5, —, —; три- $\beta$ -фенилэтилдифенилсилан, 47, —, 62—62,7, —, —; ди- $\beta$ -фенилэтилдифенилсилан, 40, —, 74—74,5, —, —;  $\beta$ -фенилэтилтрифенилсилан, 38, —, 146—147, —, —; циклогексилтрибензилсилан, 45, 198—200/0,25, —, 1,5879, 0,848;  $m$ -додецилтрибензилсилан, 65, 215—217/0,06, —, 1,5481, 0,970; три- $\gamma$ -фенилпропилбензилсилан, 26, 214—217/0,04, —, 1,5745, 1,024; три- $n$ -октадецилбензилсилан, 28, 299—302/0,005, —, 1,4797, 0,857. Приведены ИК-спектры полученных соединений. Г. М.

**74976. Химия кремнийорганических соединений. Часть 41. Синтезы кремнийорганических соединений при помощи малонового эфира. Новые кремнийсодержащие малоновые эфиры, моно- и дикарбоновые кислоты, барбитуровые кислоты и дисилоксантетракарбоновая кислота.** Sommer, Гольдберг, Барнс, Стоун (Malonic ester syntheses with organosilicon compounds. New silicon-containing malonic esters, mono and dicarboxylic acids, barbituric acids and a disiloxanetetracarboxylic acid. Organosilicon chemistry. Part 41. Sommer L. H., Goldberg G. M., Barnes G. H., Stone L. S., Jr, J. Amer. Chem. Soc., 1954, 76, № 6, 1609—1912 (англ.))

При взаимодействии этилового эфира малоновой к-ты с  $(CH_3)_2SiCH_2Cl$  (I),  $C_6H_5(CH_2)_2SiCH_2Cl$  (из  $C_6H_5MgBr$  и  $CH_2Cl(CH_2)_2SiCl$ , выход 67—76%, т. кип.  $135^\circ/48$  мм,  $n_D^{20}$  1,5218,  $d_4^{20}$  1,031),  $(CH_3)_3Si(CH_2)_3Br$  (получен аналогично I),  $(CH_3)_3SiCH_2Si(CH_3)_3CH_2J$  (из 2,2,4,4-тетраметил-2,4-дисила-1-хлорпентана и  $NaJ$  в сухом ацетоне, выход 90%, т. кип.  $98^\circ/15$  мм,  $n_D^{20}$  1,4945,  $d_4^{20}$  1,257), получены соответственно  $(CH_3)_2SiCH_2CH(COOC_2H_5)_2$  (II),  $C_6H_5(CH_2)_2SiCH_2CH(COOC_2H_5)_2$  (III),  $(CH_3)_3SiCH_2Si(CH_3)_3CH_2CH(COOC_2H_5)_2$  (IV),  $(CH_3)_2Si(CH_2)_3CH_2CH(COOC_2H_5)_2$  (V). Р-цию проводили в абс. спирте (кипчение 24 часа) в присутствии 1 моля  $C_2H_5ONa$  на 1,05 моля малонового эфира и 1 моль галогалкилсилана. Вследствие частичного разложения II образуется  $\beta$ -триметилсиллилпропионат (7%). При действии  $CH_3J$  и  $C_6H_5Br$

(по 0,27 моля) на 0,25 моля II в присутствии 0,25 моля  $C_6H_5ONa$  в спирте (кипение 37 час.) получены  $(CH_3)_3SiCH_2C(CH_3)(COOC_2H_5)_2$  (VI) и  $(CH_3)_3SiCH_2C(C_6H_5)(COOC_2H_5)_2$  (VII). При действии 1,14 моля акрилонитрила на 1 моль II в присутствии тритона Б в дioxане (110°, 24 часа) выделен  $(CH_3)_3SiCH_2C(CH_3CH_2CN)(COOC_2H_5)_2$  (VIII). Перечисляются выход в %, т. кип. в °C/мм,  $n_D^{20}$ ,  $d_4^{20}$  перечисленных эфиров: II, 67, 119/13, 1,4312, 0,968; III, 73, 132/1, 1,4900, 1,042; IV, 61, 88/1, 1,4460, 0,9516; V, 66, 114/2, 1,4330, 0,9472; VI, 72, 122/15, 1,4352, 0,9663; VII, 71, 89/2, 1,4472, —; VIII, 92, 138/1, 2, 1,4519, —. Омылением перечисленных эфиров с последующим декарбоксилированием при 150° (8 час.) получены к-ты (перечисляются выход в %, т. кип. в °C/мм, т. пл. в °C,  $n_D^{20}$ ,  $d_4^{20}$ ):  $\beta$ -триметилсилилпропионовая (из II), 67, 130/34, —, 1,4279, —;  $\beta$ -фенилдиметилсилилпропионовая (из III), 86, 116/1 (испр.), —, 1,5148, —; 4,4,6,6-тетраметил-4,6-дисилагептановая (из IV), 46, 123/4, —, 1,4521, 0,9163; 5-триметилсилилвалериановая (из V), 74,7, 134/14, —, 2, 1,4358, 0,9047, константа диссоциации (КД)  $K \times 10^5$  — 1,09;  $\alpha$ -метил- $\beta$ -триметилсилилпропионовая (из VI), 85,5, 118/13, —, 1,4312, 0,9102; 6-триметилсилилгептановая (приготовлена карбонизацией гриньяровского реактива, полученного из 5-бромпентилтриметилсилана), 53,260/738, —7,5, 1,4390, 0,8923, КД  $K \times 10^5$  — 0,87. Барбитуровые к-ты общей ф-лы  $(CH_3)_3SiCH_2C(OC-NH_2)_2CO$  были получены действием на II, VI и VII спирт. р-ра мочевины в присутствии  $C_6H_5ONa$  (кипение 12 час., затем подкисление HCl-к-той при 50°) (перечисляются R, выход в %, т. пл. в °C): H, 71, 240—241;  $CH_3$ , 51, 180—181; аллил, 57, 116—118. Триметилсилилметилглутаровая к-та (IX) получена при кипячении VIII с конц. HCl (к-той) и лед.  $CH_3COOH$  (94 часа), выход 67%, т. пл. 63—64° (из петр. эф.), а из HCl — ангидрид, т. кип. 142°/5 мм,  $n_D^{20}$  1,4712. При кипячении IX со смесью спирта и  $C_6H_6$  в присутствии HCl (к-ты) выделен диэтиловый эфир IX, выход 66%, т. кип. 122°/4,5 мм,  $n_D^{20}$  1,4598. Последний после обработки конц.  $H_2SO_4$  (Sommer L. H., Marans N. S., Goldberg G. M., Rockett S., Ploch R. P., J. Amer. Chem. Soc., 1951, 73, 882) 7 час., затем выливания на лед и экстрагирования эфиром дал тетраэтиловый эфир 5, 5,7,7-тетраметил-5,7-дисила-6-оксанонантетракарбоновой-1,3,9,11 к-ты, выход 31%, т. кип. 205°/2 мм,  $n_D^{20}$  1,4500. Аналогично IX была получена 5,5,7,7-тетраметил-5,7-дисила-6-оксанонантетракарбоновая-1,3,9,11 к-та, выход 80%, т. пл. 85—86°. Часть 40 см. РЖХим, 1956, 71758. Б. Б.

74977. Химия кремнийорганических соединений. Часть 42. Винилсиланы, хлорвинилсиланы и  $\beta$ -стрилтриметилсилан. Дальнейшее изучение влияния атома кремния в  $\alpha$ -положении и  $\beta$ -отщеплении с участием атома кремния. Sommer, Бейли, Голдберг, Бак, Бай, Эванс, Уитмор (Vinylsilanes, chlorovinylsilanes and  $\beta$ -stryltrimethylsilane. Further studies on the  $\alpha$ -silicon effect and  $\beta$ -eliminations involving silicon. Organosilicon chemistry. Part 42. Sommer L. H., Bailey D. L., Goldberg G. M., Buck C. E., Bye T. S., Evans F. J., Whitmore F. C.), J. Amer. Chem. Soc., 1954, 76, № 6, 1613—1618 (англ.)

С целью исследования влияния атома Si на поведение олефиновой группы, непосредственно связанной с ним, синтезированы силаны: а) винилтриметилсилан (I), б) винилдиметилэтил- (обработкой винилтрихлорсилана этил-метилмагнийбромидом), в) винилдиэтилметил- (отнятием HCl от  $\alpha$ -хлорэтилметилдиэтилсилана кипячением 5 час. с KOH в  $C_6H_5OH$ ), г) винилдиэтилфенил- (из винилди-

этилхлорсилана и  $C_6H_5MgBr$ ), д) винилдиэтилхлорсилан (обработкой  $\alpha$ -хлорэтилдиэтилхлорсилана хинолином). Выходы, т. кип. в °C/мм,  $n_D^{20}$ ,  $d_4^{20}$ : а) 71, 55/739, 1,3902, 0,6903; б) 68, 88/737, 1,4089, 0,7942; в) 45, 118/734, 1,423, 0,7503; г) 80, 123/29, 1,5117, 0,9023; д) 31, 138/738, 1,4392, 0,9061. Из I после действия брома и хлора (при охлаждении сухим льдом и ацетоном) получены соответственно  $\alpha$ , $\beta$ -дибромэтилтриметилсилан (II),  $\alpha$ , $\beta$ -дихлорэтилтриметилсилан (III); приведены выход, т. кип. в °C/мм, т. пл. в °C,  $n_D^{20}$ ,  $d_4^{20}$ : 89, 74—75/8, —9 до —11, 1,5095, 1,5497; 52, 61/14, —14,5 до —15,5, 1,4617, 1,0573. При действии на I HBr (в присутствии перекиси бензоила) и HJ выделены  $\beta$ -бром- (IV) и  $\beta$ -иодэтилтриметилсиланы (V), выходы, т. кип. в °C/мм,  $n_D^{20}$ ,  $d_4^{20}$ : IV, 79, 64—65/39, 1,4575, 1,1499; V, 65, 76—76,5/27, 1,5008, 1,3862. Соединения, содержащие группу  $(CH_3)_3Si$ , непосредственно не связанную с винильной, или содержащие в последней метильный радикал, присоединяют галогеноводород по правилу Марковникова. Так, при действии на изопропенитриметилсилан конц. HCl получены кристаллы  $\alpha$ -хлоризопропилтриметилсилана, выход 35%, т. пл. 95—97°. Изомеры IV и V  $\alpha$ -бром- и  $\alpha$ -иодэтилтриметилсиланы (нестоек) получены действием брома на  $CH_3CH(MgCl)Si(CH_3)_3$  и NaI в ацетоне на  $CH_3CHClSi(CH_3)_3$ , выходы, т. кип. в °C/мм,  $n_D^{20}$ ,  $d_4^{20}$  соответственно 33, 134/736, 1,4509, 1,144; 20, 156/729, 1,4941, 1,3862.  $\alpha$ -Изомеры стойки к действию щелочей,  $\beta$ -изо-

меры легко расщепляются:  $(CH_3)_3Si(CH_2)_2X \rightarrow (CH_3)_3SiOH + CH_2=CHX + X^-$ . II и III также испытывают  $\beta$ -отщепление с образованием галондного винила:

$(CH_3)_3SiCHXCH_2X \xrightarrow{OH^-} (CH_3)_3SiOH + CH_2=CHX + X^-$ . При действии на I озона (в пентане) получен сиропообразный озонид, гидролизующийся горячей водой с Zn-пылью до триметилсиланола и  $CH_2O$  вследствие нестойкости соединений, у которых группа  $>CO$  связана с Si. При действии бутиральдегида на I в присутствии каталитич. кол-в перекиси диэтила получен 7,7-диметил-7-силактанон-4, т. кип. 53°/4 мм,  $n_D^{20}$  1,4294, семикарбон, т. пл. 72—73°. Хлорирование при помощи  $SO_2Cl_2$  диэтилдихлорсилана (VI) в присутствии перекиси бензоила,  $CH_3CHClSiCl_3$  (VII),  $ClCH_2CH_2SiCl_3$  (VIII) показало, что группа  $SiCl_3$  направляет хлор преимущественно в  $\beta$ -положение. Получены: из VI —  $\alpha$ -хлорэтилдиэтилхлорсилан 15%, т. кип. 76°/43 мм,  $\beta$ -хлорэтилдиэтилхлорсилан 25%, т. кип. 92°/42 мм; из VII —  $CH_3CCl_2SiCl_3$  (IX) 31%, т. кип. 152°/734 мм, т. пл. 112—114°,  $ClCH_2CHClSiCl_3$  (X) 32%, т. кип. 99°/58 мм, 182°/739 мм; из VIII —  $Cl_2CHCH_2SiCl_3$  (XI) 72%, т. кип. 172°/739 мм. Отщепление HCl от IX и X действием хинолина привело к получению  $CH_3 = CClSiCl_3$  (XII), выходы 58 и 80,5%, т. кип. 124°/741 мм, а из XI —  $ClCH = CHSiCl_3$  (XIII), выход 50%, т. кип. 135°/737 мм. XIII не разлагается разб. щелочью. Обработка XII  $CH_3MgI$  привела к получению  $CH_3 = CClSi(CH_3)_3$  (XIV), выход 64%, т. кип. 104°/730 мм,  $n_D^{20}$  1,4299,  $d_4^{20}$  0,8875. XII при ~20° постепенно полимеризуется до твердого состояния; облучение УФ-светом ускоряет процесс. XIV не полимеризуется. Синтезировано  $C_6H_5CH = CHSi(CH_3)_3$  (XV), выход 53%, т. кип. 98°/10,5 мм,  $n_D^{20}$  1,5270,  $d_4^{20}$  0,888, прибавлением  $(CH_3)_3SiCl$  и  $C_6H_5$   $\beta$ -стрилмагнийбромиду с последующим кипячением и гидролизом. XV под действием конц.  $H_2SO_4$  образует гексаметилдисилоксан, выход 69%, и полистирол, выход 90%, а под действием брома — триметилбромсилан, выход 58,5%, т. кип. 78,5°/735 мм, и  $\beta$ -бромстирол, выход 35%. При действии водорода в присутствии скелетного Ni на XV получен  $C_6H_5CH_2CH_2Si(CH_3)_3$ , выход 84%, т. кип. 78°/8,5 мм,  $n_D^{20}$  1,4863,  $d_4^{20}$  0,8629. Аналогичный продукт получен с выходом 80% при р-ции  $C_6H_5CH_2CH_2MgBr$  с  $(CH_3)_3SiCl$ . Б. Б.

74978. Химия кремнийорганических соединений. Часть 43. Дальнейшее изучение высокоразветвленных алифатических кремнийорганических соединений: триметилсилилметильная группа. Соммер, Мерч, Митч (Further studies on highly-branched aliphatic organosilicon compounds: trimethylsilylmethyl group. Organosilicon chemistry. Part 43. Sommer L. H., Murch R. M., Mitch F. A.), J. Amer. Chem. Soc., 1954, 76, № 6, 1619—1621 (англ.).

Синтезированы новые кремнийорганические соединения, содержащие триметилсилилметильную группу [далее везде  $R = (CH_3)_3SiCH_2-$ ], непосредственно связанную с Si. Последовательным замещением Cl в  $SiCl_4$  получены 4 соединения:  $RSiCl_3$  (по Гриньяру), выход 59%, т. кип. 167°/738 мм; три последующих через RLi (его выход равен 66%) в пентане:  $R_2SiCl_2$  (I) (при кипячении, 12 час. и 4 часа при 80°),  $R_3SiCl$  (II) (при кипячении, 72 часа),  $R_4Si$  (III) (при кипячении 12 час. и 12 час. при 150°), выход в %, т. кип. °C/мм: I 40, 92/9, II 50, 112/4, т. пл. 13—14°,  $n_D^{20}$  1,46,  $d_4^{20}$  0,89; III 33, 154/23, т. пл. 28,5°. При взаимодействии RLi с  $CH_3SiCl_3$  получен  $R(CH_3)_2SiCl_2$  и в качестве побочного продукта  $R_2(CH_3)_2SiCl_2$ . Их выходы в %: 25 и 20, т. кип. в °C/мм 63/20, 110/20. II и III в отличие от *n*-алкилсиланов не гидролизуются водой. I при действии 1,5 н. NaOH дает  $R_2Si(OH)_2$  (IV), выход 91%, т. пл. 92° (из сп.). Последний при кипячении в  $C_6H_6$  в присутствии  $J_2$  (16 час.) дегидрируется меньше чем на 20%, и только в ксилоле в присутствии  $J_2$  и  $\beta$ -нафталинсульфокислоты — на 95%. IV заметно конденсируется при 150° в течение нескольких часов. I при обработке жидким  $NH_3$  образует смесь силанозов с т. кип. от 92°/10 мм до 208°/1 мм, но не дает индивидуальных силанозов. Б. Б.

74979. О получении бис-(триметилсилилметил)уксусной кислоты. Эберсон (On the preparation of bis-(trimethylsilylmethyl)-acetic acid.) Eberson Lennart, Acta chem. Scand., 1954, 8, № 6, 1083 (англ.). Автор объясняет неудачу попытки получения диэтилового эфира бис-(триметилсилилметил)-малоновой к-ты,  $[(CH_3)_3SiCH_2]_2C(COOC_2H_5)_2$  (I) из диэтилового эфира триметилсилилметилмалоновой к-ты (II) и  $(CH_3)_3SiCH_2Cl$  (III) (РЖХим, 1956, 74976) неадекватностью атома Cl в III, основываясь на предположении о большей активности атома Br в соответствующем Br-производном. I получен при медленном добавлении 0,2 моля  $(CH_3)_3SiCH_2Cl$  (2 часа) к р-ру  $C_2H_5ONa$  (из 0,2 *g*-атома Na и 70 мл абс. спирта) и 0,2 моля II (т-ра растет до 70—80°) и кипячения в течение 24 часа. После нейтр-ции лед.  $CH_3COOH$ , отгонки спирта, добавления воды, извлечения эфиром и перегонки выделен I, выход 38% (73% на прореагировавший II), т. кип. 108—109°/1,5 мм,  $n_D^{20}$  1,4483,  $d_4^{20}$  0,9508. При кипячении со спирт. KOH в течение 24 час. I дает бис-(триметилсилилметил)-малоновую к-ту (IV), выход 100%, т. пл. 165—166° (разл., из ацетона). Декарбоксилированием IV (170—180°, 20 мин.) получена бис-(триметилсилилметил)-уксусная к-та (V), выход 93%, т. кип. 123—124°/1 мм, т. пл. 41—42°; с конц.  $H_2SO_4$  при ~20° V выделяет метан в кол-ве 80% от теор. вычисленного объема (2 моля  $CH_4$  на 1 моль V), при 100° происходит изменение окраски и выделение  $CO_2$  и  $SO_2$ . И. Х.

74980. Гексаалкилдисиланы. Воронков М. Г., Худобин Ю. И., Ж. общ. химии, 1956, 26, № 2, 584—588

Описан синтез гексаалкилдисиланов  $R_3SiSiR_3$  р-цией триалкилодсиланов  $R_3SiH$  с Na. Р-ция проведена с триметил-(I), триэтил-(II), три-*n*-пропил-(III), три-*n*-бутил-(IV), триизоамил-(V), три-*n*-гексил- (VI) и три-*n*-бутиллорсиланами (VII). I—VI получали р-цией  $(R_3Si)_2O$  с  $J_2$  и Al или действием  $J_2$  на  $R_3SiH$ . VII получали взаимодействием  $[(C_2H_5)_3Si]_2O$  с  $AlCl_3$ . Для синтеза  $R_3SiSiR_3$  к расплавленному Na (т-ра 130—140°) прибавляли по каплям (30—45 мин.)  $R_3SiX$  (молярное со-

отношение  $Na : R_3SiX = 2$ ) и смесь нагревали при этой т-ре 5—25 час. в атмосфере сухого  $N_2$ ; экстрагировали петр. эфиром, р-ритель отгоняли и  $R_3SiSiR_3$  перегоняли над металлич. Na или K. Описан синтез  $(C_4H_9)_3SiSi(C_4H_9)_3$  (VIII). К 0,42 *g*-атом расплавленного Na прибавляли за 45 мин. 0,2 моля IV; смесь нагревали 10 час. при 130—140° и перегоняли. Выход VIII 64,2%, т. кип. 187,5—188,5°/1,5 мм,  $n_D^{20}$  1,4694,  $d_4^{20}$  0,8306. При проведении р-ции 5 час. выход VIII 39,6%. При замене IV на VII и нагревании смеси 35 час. при 130—140° выход VIII 46,6%. Аналогичным образом синтезированы следующие  $R_3SiSiR_3$  (даны R, длительность р-ции в часах, выход в %, т. кип. °C/мм,  $n_D^{20}$ ,  $d_4^{20}$ ):  $CH_3$ , 5, 77,5, 113,3/760, 1,4229, 0,7268 (т. пл. 12,2°);  $C_2H_5$ , 5, 79,6, 251,7/760, 1,4790, 0,8351;  $n-C_4H_9$ , 5, 68,3, 128,5—129/1,5, 1,4721, 0,8291; *изо*- $C_4H_9$ , 20, 74,1, 185,9—186/2, 1,4667, 0,8260; *n*- $C_6H_{13}$ , 25, 42, 235—236/0,5, 1,4691, 0,8366. Полученные соединения, в отличие от гексаалкилдисиланов не выделяют  $H_2$  при кипячении с водой и спирт. щелочью, не растворяются в конц.  $H_2SO_4$  и не разлагаются ею. Попытки замены Na в описанной р-ции оказались безуспешными. II (0,1 моля) при кипячении 24 часа с S или P (0,2 моля) не изменяется. При нагревании 40 час. при 140—150° II (0,05 моля) с Al, Mg, Zn, Hg, Cu (0,2 *g*-атома) в запаянной ампуле в атмосфере  $N_2$  никакой р-ции не наблюдается. Установлено, что II реагирует с Mg в среде абс. диэтилового эфира с образованием  $C_2H_5MgJ$ . Это объясняется тем, что II легко расщепляет эфир на  $C_2H_5J$  и  $[(C_2H_5)_3Si]_2O$  (IX) по схеме:  $(C_2H_5)_3SiJ + (C_2H_5)_2O \rightarrow (C_2H_5)_3SiOC_2H_5 + C_2H_5J$ ;  $(C_2H_5)_3SiOC_2H_5 + (C_2H_5)_3SiJ \rightarrow (C_2H_5)_3Si-O-Si(C_2H_5)_3 + C_2H_5J$ . Р-р 0,05 моля II в 0,3 моля абс. диэтилового эфира кипятили 12,5 часа в атмосфере  $N_2$ . При перегонке смеси получен IX, выход 74,8%, т. кип. 225—235°,  $n_D^{20}$  1,4339, и фракция с т. кип. 34—72°, представляющая собой эфир. р-р  $C_2H_5J$ . Вышеуказанный механизм подтверждается р-цией II с триэтиллорсиланом, приводящей к образованию IX и  $C_2H_5J$ . Р-ция расщепления алкоксисиланов (а также эфиров) иодсиланами, сопровождающаяся образованием иодистых алкилов и силанозов, является общей р-цией и подтверждена авторами на других примерах. Г. М.

74981. Исследования оловоорганических соединений. IV. Синтез триалкил- и триарилоловяных соединений. V. Синтез и фунгицидные свойства несимметричных триалкилацетоксистианнанов. VI. Синтез дианметильных соединений олова декарбоксилированием оловоорганических цианоацетатов. Керк, Лейтен (Investigation on organo-tin compounds. IV. The preparation of a number of trialkyl- and triaryl tin compounds. V. The preparation and antifungal properties of unsymmetrical tri-*n*-alkyltin acetates. VI. The preparation of cyanomethyltin compounds by the decarboxylation of organo-tin cyanoacetates. Kerk G. J. M. van, der Luijten J. G. A.), J. Appl. Chem., 1956, 6, № 2, 49—55, 56—60; № 3, 93—96 (англ.).

Сообщение IV. Описан синтез соединений типа  $R_3SnX$ . К р-ру  $n-C_4H_9MgBr$  (из 0,62 моля  $n-C_4H_9Br$ ) в 300 мл абс. эфира прибавляют 200 мл толуола, эфир отгоняют, добавляют р-р 0,63 моля  $(C_2H_5)_3SnBr_2$  в 400 мл толуола, кипятят реакционную смесь 1 час и разлагают р-ром  $NH_4Cl$ . После отгонки р-рителя и перегонки остатка в вакууме получают  $(C_2H_5)_3(n-C_4H_9)SnBr$ , выход 9%, т. кип. 122°/0,2 мм. В аналогичном синтезе  $(C_2H_5)_3(n-BrC_6H_4)SnBr$  (I) получена смесь I с  $(C_2H_5)_3(n-BrC_6H_4)Sn \times SnCl$ , разделить которую перегонкой не удалось. Следующие соединения получены обычными методами диспропорционирования, деалкилирования и обмена анионов (даются для каждого ряда R, R' или X, выход в %, т. пл. в °C): а) ряд  $R'_2SnOCOCH_3$ :  $(CH_3)_2$ , —, 196,5—197,5;

( $C_2H_5$ )<sub>3</sub>, 95, 134—135; ( $n-C_4H_9$ )<sub>3</sub>, —, 99—100; (*изо*- $C_3H_7$ )<sub>3</sub>, —, 51,5—52; ( $n-C_6H_{13}$ )<sub>3</sub>, 98, 84,5—85; ( $n-C_6H_{13}$ )<sub>3</sub>, 63, 68—69; ( $n-C_8H_{17}$ )<sub>3</sub>, 14, 47—48; ( $C_2H_5$ )<sub>2</sub>,  $\omega$ -Br- $C_8H_{10}$ , —, 68—69; ( $C_2H_5$ )<sub>2</sub>, *n*-Br- $C_6H_4$ , 65, 108—109; ( $C_6H_5$ )<sub>3</sub>, 62, 121—122; ( $C_2H_5$ )<sub>2</sub>,  $C_6H_5$ , 43, 93,5—94,5; ( $C_6H_5$ )<sub>2</sub>, *n*-Cl- $C_6H_4$ , 21, 100—101; (*n*-Cl- $C_6H_4$ )<sub>3</sub>, 68, 148,5—149,5; 6) ряд  $R_3SnOH$ : ( $C_2H_5$ )<sub>3</sub>, —, 49—50; ( $n-C_3H_7$ )<sub>3</sub>, —, 34—35; в) ряд ( $R_3Sn$ )<sub>2</sub>O: (*изо*- $C_3H_7$ )<sub>3</sub>, 75, —, ( $n-C_4H_9$ )<sub>3</sub>, 88, —, ( $n-C_6H_{13}$ )<sub>3</sub>, 51, —; ( $n-C_8H_{17}$ )<sub>3</sub>, 83,5, —; г) ряд ( $C_2H_5$ )<sub>3</sub>SnX, где X = Cl, 80, 12—14, т. кип. 89—91°/12 мм; CN 80, 163,5—164; OSO<sub>2</sub>C<sub>6</sub>H<sub>5</sub>, 64, 74—74,5; OC<sub>6</sub>H<sub>5</sub>, 77, т. кип. 147,5—148°/12 мм; *n*-NO<sub>2</sub>C<sub>6</sub>H<sub>4</sub>O, неперегоняющаяся жидкость; NHSO<sub>2</sub>CH<sub>3</sub>, 20, 38; *n*-CH<sub>3</sub>C<sub>6</sub>H<sub>4</sub>SO<sub>2</sub>NH, 67, 69,5—71; фталимидо, 43, 71—73.

**Сообщение V.** Описан синтез соединений типа  $R_3SnR'$  и  $R_3SnX$ ; исследованы фунгицидные свойства  $R_3SnOCOSnH_3$ . Активность ацетатов определяется суммарным числом C-атомов в радикалах и является наибольшей для соединений, содержащих 9—12 C-атомов. К охлажд. р-ру  $n-C_8H_{17}MgBr$  (из 0,6 моля  $n-C_8H_{17}Br$ ) в 150 мл абс. эфира прибавляют по каплям 0,3 моля ( $C_2H_5$ )<sub>3</sub>SnCl, смесь кипятят 1 час, эфир отгоняют на водяной бане, затем возвращают обратно и разлагают реакционную массу водой, подкисленной HCl. Высушенный эфирный слой обрабатывают NH<sub>3</sub>, фильтруют и фракционируют, получают  $n-C_8H_{17}Sn(C_2H_5)_2$  (II), выход 70%, т. кип. 135—138°/3—4 мм. Аналогично синтезированы (приведены R, R' выход в %, т. кип. °С/мм): ( $C_2H_5$ )<sub>3</sub>,  $n-C_4H_9$ , 76, 73—75°/4; ( $C_2H_5$ )<sub>3</sub>,  $n-C_6H_{13}$ , 63, 102—104/0,75; ( $C_2H_5$ )<sub>3</sub>,  $n-C_{12}H_{25}$ , 33, 158—164/1,4; ( $CH_3$ )<sub>3</sub>,  $n-C_4H_9$ , 71, 150—158/764; ( $CH_3$ )<sub>3</sub>,  $n-C_8H_{17}$ , 98, 102—118/12; ( $CH_3$ )<sub>3</sub>,  $n-C_{12}H_{25}$ , 15,5, 158—160/14; ( $C_2H_5$ )<sub>2</sub>, ( $n-C_5H_{11}$ )<sub>2</sub>, 75, 139—141/14. Кипячением эфир. р-ра эквимольных кол-в II и J<sub>2</sub> 10 час. получают ( $C_2H_5$ )<sub>2</sub>( $n-C_8H_{17}$ )SnJ, выход 69%, т. кип. 132—133°/0,9 мм, который последовательным действием 20%-ного р-ра KOH и лед.  $CH_3COOH$  превращают в ацетат, выход 94%, т. пл. 67—69°. Аналогично получены (перечисляются R, R', выход в %, т. кип. °С/мм иодидов и выход в %, считая на иодид, и т. пл. соответствующих ацетатов): ( $C_2H_5$ )<sub>3</sub>,  $n-C_4H_9$ , 46, 124—128/12, 80, 71—73°; ( $C_2H_5$ )<sub>2</sub>,  $n-C_6H_{13}, 66, 98—100/0,25, 95, 64—65°; ( $C_2H_5$ )<sub>2</sub>,  $n-C_{12}H_{25}, 56, 182—184 > 1,5, 60, 68—72°; ( $CH_3$ )<sub>2</sub>,  $n-C_4H_9, 67,5, 100—103/12, 73,5, 106—108°; ( $CH_3$ )<sub>2</sub>,  $n-C_8H_{17}, 36, 102—118/12, 68, 95—97°; ( $CH_3$ )<sub>2</sub>,  $n-C_{12}H_{25}, 56,5, 156—158/1, 83, 99—102°;  $C_2H_5$ , ( $n-C_5H_{11}$ )<sub>2</sub>, 68,5, 160—164/16, 86,5, 50—53,5°. Для ацетатов приведены таблицы активности по отношению к четырем видам плесени.$$$$$

**Сообщение VI.** Предложен метод образования Sn—C связи декарбосилированием (ДК) солей монокарбоновых к-т. Попытка использовать для этой цели соли полуэфиров малоновой к-ты была безуспешной. При взаимодействии ( $C_6H_5$ )<sub>3</sub>SnCl (III) с KOCOSn<sub>2</sub>COOC<sub>2</sub>H<sub>5</sub> (IV) в спирт. р-ре получен [( $C_6H_5$ )<sub>3</sub>SnOCOSn<sub>2</sub>COOC<sub>2</sub>H<sub>5</sub>], т. пл. 136—137°, образующий при нагревании ( $C_6H_5$ )<sub>3</sub>Sn. Взаимодействие ( $C_2H_5$ )<sub>3</sub>SnCl и IV дает ( $C_2H_5$ )<sub>3</sub>SnOCOSn<sub>2</sub>COOC<sub>2</sub>H<sub>5</sub> (V) с колич. выходом, однако при ДК V получено ( $C_2H_5$ )<sub>3</sub>Sn. Аналогично ( $C_4H_9$ )<sub>3</sub>SnOCOSn<sub>2</sub>COOC<sub>2</sub>H<sub>5</sub> дает ( $C_4H_9$ )<sub>3</sub>Sn (VI). Нагреванием в течение 3 часов при 70—80° эквимольных кол-в III и CNCH<sub>2</sub>COOK (VII) с последующим горячим фильтрованием и упариванием в вакууме получают CNCH<sub>2</sub>COOSn( $C_6H_5$ )<sub>3</sub> (VIII), выход колич., т. пл. 140—142° (из сп.). 0,02 моля VIII нагревают в вакууме (140°, 25 мин.), выход ( $C_6H_5$ )<sub>3</sub>SnCH<sub>2</sub>CN (IX) 49%, т. пл. 106—109° (из петр. эф.). Аналогично из ( $C_4H_9$ )<sub>3</sub>SnCl (X) и VII получают с колич. выходом неочищ. CNCH<sub>2</sub>COOSn( $C_4H_9$ )<sub>3</sub>, ДК которого дает ( $C_4H_9$ )<sub>3</sub>SnCH<sub>2</sub>CN (XI), выход 21%, т. кип. 140—144°/1,3 мм. Связь Sn—CH<sub>2</sub>CN сильно полярна. Едкие щелочи образуют с IX и XI RSnOH; действие LiAlH<sub>4</sub> на IX и XI дает R<sub>3</sub>SnH. При взаимодействии XI с J<sub>2</sub> образуются ( $C_4H_9$ )<sub>3</sub>SnJ и JCH<sub>2</sub>CN. Из эквимольных кол-в IX и J<sub>2</sub>

(45 час. при 0° в  $C_6H_6$  и затем при 35° до полного обесцвечивания) получен ( $C_6H_5$ )<sub>3</sub>Sn(CH<sub>2</sub>CN)J, выход 53%, т. пл. 99—100° (из петр. эф.). Отмечено, что диспропорционированием VI с SnCl<sub>4</sub> можно получить X с выходом до 94,5%, если прервать нагревание, охладить реакционную смесь в течение 45 мин. до 30°, а затем снова нагревать ее при 220—230° 1,5 часа. Сообщение III см. РЖХим., 1956, 43222.

**74982. Фосфорорганические изоцианаты.** Хейвен, (Organophosphorus isocyanates. Haven A. C., J. Amer. Chem. Soc., 1956, 78, № 4, 842—843 (англ.).

Описан синтез соединений общей ф-лы RPO(NCO)<sub>3</sub>, где R =  $C_2H_5$  (I), ClCH<sub>2</sub> (II), *изо*- $C_3H_7$  (III),  $C_6H_{13}$  (IV),  $C_6H_5CH_2$  (V),  $C_6H_5$  (VI), а также  $C_6H_5P(NCO)_2$  (VII). I—VI получают из RPOCl<sub>2</sub> и AgOCN (VIII). Выход не превышает 50%, ввиду образования полимерных продуктов. Замена VIII на KOCN снижает выход. I—VI при действии воды выделяют CO<sub>2</sub>. I с гидрохиноном (IX), резорцином (X), гександиолом-1,6 (XI) и *n*-фенилендиамин (XII) образует огнестойкие полимеры. Суспензию 180 г VIII в 1,5 л  $C_6H_6$  кипятят 15 час. с 73,5 г  $C_2H_5POCl_2$  (XIII). После фильтрования разгоняют и получают I, выход 48%, т. кип. 58—59°/0,7 мм; *бис*-метилуретан из I и CH<sub>3</sub>OH, т. пл. 142—144° (из CH<sub>3</sub>OH и эф.); *бис*-тилуретан, т. пл. 116—117°; *бис*-фенилмочевина из I и  $C_6H_5NH_2$ , т. пл. 204—205°. При р-ции XIII с KOCN выделяют промежуточный продукт  $C_2H_5PO\cdot(CN)NCO$  с т. кип. 45—47°/0,75 мм, который при нагревании с VIII в  $C_6H_6$  превращается в I. Из 30 г ClCH<sub>2</sub>POCl<sub>2</sub> и 60 г VIII в 250 мл  $C_6H_6$  при кипячении 4 час получают 2 г II, т. кип. 80—82°/0,9 мм; *бис*-метилуретан, т. пл. 181—183° (из абс. CH<sub>3</sub>OH); *бис*-фенилмочевина, т. пл. 199—200°. Из 32 г *изо*- $C_3H_7$ POCl<sub>2</sub> и 60 г VIII в 200 мл CH<sub>3</sub>CN (25—50°, 1 час) получают 6 г III, т. кип. 60—61°/1 мм; *бис*-метилуретан, т. пл. 163—166° (из CH<sub>3</sub>OH и эф.); *бис*-фенилмочевина, т. пл. 192—193°. Из 68,5 г  $C_6H_5POCl_2$  и 60 г VIII в 100 мл CH<sub>3</sub>CN при перемешивании 2 часа при ~20° получают IV в виде вязкого масла, выделяющего CO<sub>2</sub> при действии воды. V получают из 70 г VIII в 100 мл CH<sub>3</sub>CN и 47,1 г  $C_6H_5CH_2POCl_2$  в 50 мл  $C_6H_6$  при 40—50°, выход 3 г, т. кип. 145°/1—2 мм; *бис*-метилуретан, т. пл. 179—181° (из CH<sub>3</sub>OH-эф.); *бис*-фенилмочевина, т. пл. 188—193°. Из  $C_6H_5POCl_2 получают неочищ. VI, который полимеризуется при перегонке; *бис*-фенилмочевина, т. пл. 192—193°. Добавляют по каплям суспензию 60 г VIII в 100 мл  $C_6H_6$  к 35,4 г  $C_6H_5POCl_2$ , смесь кипятят 1,5 часа, фильтруют и разгоняют и получают 5 г VII, т. кип. 118—122°/3 мм; *бис*-метилуретан, т. пл. 161—163°; *бис*-фенилмочевина, т. пл. 175—178°. При смешении 4 г I с 2,68 г XII происходит экзотермич. р-ция. После нагревания 1,5 часа при 90° получают полимер, нерастворимый в воде, спирте и пиридине с т. пл. > 300°. Из I и IX после нагревания при 225° получают хрупкий стекловидный негорючий полимер. Из I и X в среде толуола получают полимер с т. пл. 75°. Из I и XI при 250° образуется белый полимер, не растворимый в воде, частично растворимый в кипящем спирте.$

**74983. Получение амидов арилфосфиновых кислот. III.** Амиды вторичных аминов. Фридман, Док (The preparation of amides of arylphosphonic acids. III. Amides of secondary amines. Freedman Leon D., Doak G. O., J. Amer. Chem. Soc., 1955, 77, № 24, 6635—6637 (англ.).

При р-ции  $n-NO_2C_6H_4POCl_2$  (I) с вторичными аминами (BA) получают диамиды общей ф-лы  $n-NO_2C_6H_4POR_2$  (II) или ангидриды фосфамидов [ $n-NO_2C_6H_4PO(NR_2)_2$ ] (III). При гидрировании II со скелетным Ni получают  $n-NH_2C_6H_4POR_2$  (IV). Перечисляются R, выход в %, т. пл. °С для II: N(CH<sub>3</sub>)<sub>2</sub>, 90, 107—110; N(CH<sub>3</sub>)<sub>4</sub>, 74, 67,5—69,5; N(CH<sub>3</sub>)<sub>5</sub>, 71, 139—142 (из водн. сп.); N(CH<sub>2</sub>CH<sub>2</sub>)<sub>2</sub>O, 68, 204—206,5; N(CH<sub>2</sub>H<sub>2</sub>)<sub>2</sub>, 39, 88—92; для IV: N(CH<sub>2</sub>)<sub>4</sub>,

65, 191—193 (из водн. сп.);  $N(CH_3)_3$ , 84, 198—201 (из водн. сп.): для **III** (после выхода указан р-ритель в р-ции):  $C_6H_5$ , 6—19 ( $CCl_4-C_6H_5$ ), 0—30 (ацетон (**V**)), 116,5—118,5 (из сп.):  $n-C_3H_7$ , 0—24 (в **V**), 77—80;  $iso-C_3H_7$ , 0—44 (в **V**), > 200;  $iso-C_4H_9$ , 0—64 (в **V**), 125—128,5; 2-метилпиперидин, 29, 33 ( $CCl_4$ ) 170,5—173. **II** получают в  $CCl_4$  или в **V** (при  $R = N(C_2H_5)_2$ ). **II** ( $R = N(C_2H_5)_2$ ) получают при добавлении р-ра 4,70 г **I** в 150 мл  $CCl_4$  при охлаждении к р-ру 4,5 г (избыток)  $(CH_3)_2NH$  в 50 мл  $CCl_4$ . Для получения **III** ( $R = C_2H_5$ ) к 8,9 мл  $(C_2H_5)_2NH$  в 25 мл **V** добавляют 5,18 г **I** в 100 мл **V** и смесь кипятят 1 час. Образованию **III** при р-ции **I** и **BA** объясняется гидролизом промежуточного продукта  $n-NO_2C_6H_4PO(NR_2)Cl$  влагой воздуха. Сообщение **II** см. РЖХим, 1956, 35926. В. Г.

**74984. Фосафлуореновая кислота. Фридман, Док (Phosphafluoric acid. Freedman Leon D., Doak G. O.), J. Organ. Chem., 1956, 21, № 2, 238—239 (англ.)**

Фосафлуореновая к-та (**I**) получена из  $(o-BrC_6H_4)_2POOH$  (**II**). 9,4 г **II** и 6 г 1%-ного  $Pd/CaCO_3$  добавляют к смеси 80 мл **I**, 25 н. КОН и 90 мл  $C_2H_5OH$  и смесь кипятят 48 час. при размешивании. Фильтрат упаривают до ~80 мл, подкисляют 10 мл конц. HCl и твердый продукт отделяют и растворяют в 20 мл горячего 10%-ного NaOH. Na-соль **I** отделяют и подкислением получают **I**, выход 41%, т. пл. 253—257° (дважды из сп.). Приведен УФ-спектр **I** (сравнивается со спектром арсафлуореновой к-ты). В. Г.



**74985. О взаимодействии диалкилфосфористых кислот с альдегидами и кетонами. IX. Ди-трет-( $\beta'$ ,  $\beta'$ ,  $\beta'$ -трихлор)-бутиловые эфиры замещенной  $\alpha$ -оксиметилфосфиновой кислоты. Абрамов В. С., Хайруллин В. К., Ж. общ. химии, 1956, 26, № 3, 811—813**

При р-ции  $[(CH_3)_2(CCl_3)C=O]_2P(O)H$  (**I**) с альдегидами или кетонами получают эфиры общей ф-лы  $[(CH_3)_2(CCl_3)C=O]_2P(=O)C(OH)RR'$  (**II**). Синтезированы следующие **II** (приводятся  $R$ ,  $R'$ , выход в %, т. пл. °С, р-ритель при кристаллизации:  $H$ ,  $C_2H_5$ , 88, 118,5—120, лигр.;  $H$ ,  $C_2H_5$ , 82, 126—127, лигр.;  $H$ ,  $C_3H_7$ , 62, 133—134, 60%-ный сп.;  $H$ ,  $C_4H_9$ , 52, 84—87, бзл.;  $H$ ,  $iso-C_4H_9$ , 84,5, 134—135, 60%-ный сп.;  $H$ ,  $CCl_3$ , 92, 176—177; ацетон;  $H$ ,  $C_6H_5$ , 96, 164, хлф.;  $H$ ,  $n-C_3H_7C_6H_4$ , 85, 161—162, 96%-ный сп.;  $H$ ,  $o-HOC_6H_4$ , 93, 143—144, 80%-ный сп.;  $H$ ,  $m-O_2NC_6H_4$ , 80, 161—162, 80%-ный сп.;  $H$ ,  $\alpha$ -фурил, 95, 143, 90%-ный сп.;  $C_2H_5$ ,  $C_2H_5$ , 98, 147, ацетон;  $CH_3$ ,  $C_2H_5$ , 42,6, 140, 70%-ный сп.;  $CH_3$ ,  $C_6H_5$ , 38, 140—140,5; 80%-ный сп. Получены также **II** из **I** и цикlopentanона, выход 89%, т. пл. 166—166,5° (из хлф.), и **II** из **I** и циклогексанона, выход 96%, т. пл. 168,5—169° (из хлф.). Катализатором во всех р-циях служил свежеприготовленный насыщ. р-р  $CH_3ONa$  в  $CH_3OH$ . В отсутствие катализатора р-ция протекает значительно медленнее. Сообщение **VIII** см. РЖХим, 1956, 6861. С. И.

**74986. Эфиры алкилтиофосфиновых и алкилтиофосфиновых кислот. Кабачник М. И., Матрющева Т. А., Курочкин Н. И., Изв. АН СССР, Отд. хим. н., 1956, № 2, 193—198**  
 $(RO)_2P(S)R'$  (**I**) получены из  $(RO)_2PSNa$  (**II**) и  $R'X$  (РЖХим, 1953, 1596). Перечисляются  $R$ ,  $R'$ , выход в %, т. кип. в °С/мм,  $n^{20}_D$ ,  $d^{20}_4$ :  $C_2H_5$ ,  $CH_3J$ , 42, 76,5—78/13, 1,4610, 1,0553;  $C_2H_5$ ,  $C_2H_5Br$ , 48, —, —, —;  $C_2H_5$ ,  $C_2H_5Br$ , 24, 63,5—65,5/2, 1,4596, 1,0158;  $C_2H_5$ ,  $C_2H_5Br$ , 46, 74,5—77,5/2,5, 1,4600, 1,0004;  $C_2H_5$ ,  $C_6H_5CH_2Cl$ , 34, —, —, —;  $C_4H_9$ ,  $CH_3J$ , 41, 72—74/1, 1,4535, 0,9848;  $C_4H_9$ ,  $C_2H_5Br$ , 65, —, —, —. При перегруппировке по методу Пичиниуки **I** с  $RB$  (нагревание в запаянной трубке) получают  $R'P(O)(OR)(SR)$  (**III**) (перечисляются  $R$ ,  $R'$ , соотношения **I** и  $RB$  в молях, т-ра в °С, время р-ции в час., выход в %, т. кип. в °С/мм,  $n^{20}_D$ ,  $d^{20}_4$ ):  $C_2H_5$ ,  $CH_3$ , 1:3, 140—150, 10, 31, 106—108,5/18, 1,4718,

1,0904;  $C_2H_5$ ,  $C_2H_5$ , 5:23, 155—165, 4, 33, —, —, —;  $C_2H_5$ ,  $C_3H_7$ , 3:2,8, 190—200, 4, 52, 85—86,5/3, 1,4733, 1,0447;  $C_2H_5$ ,  $C_4H_9$ , 1:2, 180—190, 6, 30, 98,5—100/2,5, 1,4728, 1,0262;  $C_2H_5$ ,  $C_6H_5CH_2$ , 3,3:9, 170—180, 8, 134—136/2, 1,5350, 1,1263;  $C_4H_9$ ,  $CH_3$ , 1:4, 160—170, 10, 22, 102—104,5/1,5, 1,4664, 1,0068;  $C_4H_9$ ,  $C_2H_5$ , 7:12, 170—180, 7, 14, 92—94/2, 1,4660, 0,9951. Из  $RONa$  и  $(RO)_2PHS$  готовят **II** и при охлаждении добавляют по каплям  $R'X$ , нагревают при перемешивании 2—3 часа при 70—80°. Для доказательства строения **III** ( $R = C_2H_5$ ,  $R' = CH_3$ ) получен при действии на 0,1 моля  $C_2H_5SNa$  в эфире  $CH_3P(O)(OC_2H_5)Cl$  (из 0,15 моля  $CH_3POCl_2$ , 0,16 моля  $C_6H_5N(CH_3)_2$  и 0,15 моля  $C_2H_5OH$  в эф. не выделялся), выход 1,8 г т. кип. 110—111°/22 мм,  $n^{20}_D$  1,4743,  $d^{20}_4$  1,0940. **II** ( $R = R' = C_2H_5$ ) получен аналогично из  $C_2H_5POCl_2$ , выход 64%, т. кип. 64°/2 мм,  $n^{20}_D$  1,4721,  $d^{20}_4$  1,0717. В. Г.

**74987. Из области органических инсектофунгицидов. XVIII. Новый метод получения эфиров хлор- и дихлортиофосфорных кислот. Баканова З. М., Мандельбаум Я. А., Мельников Н. Н., Свенцкий Е. И. XIX. Синтез смешанных эфиров дитиофосфорной кислоты, содержащих амидную группу в алифатическом эфирном радикале. Швецова-Шилова К. Д., Мельников Н. Н., Мартемьянова Н. И., XX. Синтез смешанных эфиров тиофосфорной кислоты, содержащих гетероциклические радикалы. Швецова-Шилова К. Д., Мельников Н. Н., Грапов А. Ф., Ж. общ. химии, 1956, 26, № 2, 494—495, 496—498; № 3, 808—810.**

Сообщение XVIII.  $C_2H_5OPSCl_2$  (**I**) и  $(C_2H_5O)_2PSCl$  (**II**) получены р-цией  $(C_2H_5O)_3Al$  (**III**) и  $PSCl_3$ . К 17 г  $PSCl_3$  прибавляют р-р **III** (получен из 0,5 г  $Al$  и 3 г абс. спирта в 8 мл  $C_6H_6$  при активировании  $(CH_3COO)_2Hg$  и  $J_2$ ) при охлаждении и перемешивании, далее нагревают (3 часа, 50°), по охлаждении промывают слабым р-ром HCl; выход **I** 40%. Аналогично получают **II**, выход 42%.

Сообщение XIX. В поисках инсектицидов с системным действием (СД) получены  $(RO)_2PSSCH(R'')NR''COOR''$  (**IV**) р-цией Манниха  $(RO)_2PSSH$  (**V**) с  $RCHO$  (**VI**) и  $R'NHCOOR''$  (**VII**). Для **I** перечисляются (при  $R'' = H$ )  $R$ ,  $R'$ ,  $R''$ , выход в %, т-ра кип. в °С/мм,  $n^{20}_D$ ,  $d^{20}_4$ :  $C_2H_5$ ,  $H$ ,  $C_2H_5$ , 36,3, 107—110/0,2, 1,5091, 1,3498;  $C_2H_5$ ,  $H$ ,  $C_2H_5$ , 42,0, 64—68/0,65, 1,4990, 1,1904;  $n-C_3H_7$ ,  $H$ ,  $C_2H_5$ , 60,7, 82,0/0,75, 1,4912, 1,0866;  $iso-C_4H_9$ ,  $H$ ,  $C_2H_5$ , 46,6, 122—124/0,175, т. пл. 22;  $C_2H_5$ ,  $CH_3$ ,  $C_2H_5$ , 20,8, 107—114/0,15, 1,5041, 1,1814;  $C_4H_9$ ,  $CH_3$ ,  $C_2H_5$ , 53,7, 145—152/0,45, 1,4870, 1,0675;  $iso-C_4H_9$ ,  $CH_3$ ,  $C_2H_5$ , 67,7, 124—127/0,2, 1,4840, 1,0591;  $C_2H_5$ ,  $C_2H_5$ ,  $C_2H_5$ , 52,5, 108—113/0,18, 1,4807, 1,0301;  $C_2H_5$ ,  $C_2H_5$ ,  $iso-C_3H_7$ , 63, 112—120/0,18, 1,4867, 1,1182;  $iso-C_3H_7$ ,  $C_2H_5$ ,  $iso-C_3H_7$ , 39,2, 113—120/0,15, 1,4820, 1,0560;  $C_4H_9$ ,  $C_2H_5$ ,  $iso-C_3H_7$ , 70,5, 136—140/0,18, 1,4890, 1,0718;  $C_4H_9$ ,  $H$ ,  $C_2H_5$ , 80,6, 100/0,20, 1,5000, 1,2523 (при  $R'' = CH_3$ );  $C_2H_5$ ,  $H$ ,  $C_2H_5$ , 44, 74—83/0,1, 1,4896, 1,1592;  $iso-C_3H_7$ ,  $H$ ,  $C_2H_5$ , 39,6, 90—93/0,4, 1,4744, 1,1008;  $iso-C_4H_9$ ,  $H$ ,  $C_2H_5$ , 43,3, 95—114/0,3—0,4, 1,4906, 1,0845;  $CH_3$ ,  $C_2H_5$ ,  $C_2H_5$ , 25,4, 70—71/1, 1,4980, 1,1826;  $C_2H_7$ ,  $C_2H_5$ ,  $C_2H_5$ , 18,8, 75—85/0,3, 1,4925, 1,0703;  $iso-C_3H_7$ ,  $C_2H_5$ ,  $C_2H_5$ , 33, 99/1, 1,4780, 1,0793;  $iso-C_4H_9$ ,  $C_2H_5$ ,  $C_2H_5$ , 61, 92—103/0,3, 1,4855, 1,0554;  $CH_3$ ,  $C_2H_5$ ,  $iso-C_3H_7$ , 30, 65—75/0,3, 1,4973, 1,0595. К смеси **VI** и **VII** при перемешивании добавляют **V** и оставляют стоять при ~20° 1—3 суток. В-во экстрагируют  $C_6H_6$ , р-р  $C_6H_6$  промывают водой. **I** обладает слабым контактным действием и некоторые **IV** сильным СД, приближающимся к действию октаметила.

Сообщение XX. В поисках новых инсектицидов получены эфиры тиофосфорной к-ты с гетероциклич. радикалами  $CH = C(OR) - NR' - N = CCH_3$  (**VIII**),

$R'C = NC(OR) = CH - C(CH_3)_2 = N$  (IX),  $S = C - NHC - (OR) = CHC(CH_3)C = N$  (X) и  $OCH = CH - CH = CCH_2$

(OR) (XI) (R везде =  $P(S)(OC_2H_5)_2$ ). Перечисляются выход в %, т. кип. в °C/мм,  $n_D^{20}$ ,  $d_4^{20}$ : VIII (R' = H), 27, 102—104/0,08, 1,4980, 1,0870; VIII (R' =  $C_6H_5$ ), 42, 125—126/0,1, 1,5572, 1,1773; IX (R' =  $CH_3$ ), 25, 93—95/0,13, 1,5010, 1,1455; IX (R' =  $C_2H_5$ ), 28, 87—92/0,06—0,07, 1,4983, 1,1350; IX (R' =  $n-C_3H_7$ ), 34, 78/0,05, 1,4941, 1,1111; IX (R' = *изо*- $C_3H_7$ ), 29, 85—90/0,05, 1,4922, 1,1088; X, 9, 132—133/0,3, 1,5364, 1,1577; XI, 10, 87—92/0,09—0,1, 1,5001, 1,0820. Для получения IX 0,038 моля 2-алкил-4-метилпиримидинона-6 с 0,036 моля  $K_2CO_3$  в 70 мл толуола кипятят 2 часа и воду отгоняют с толуолом. Добавляют 0,037 моля  $(C_2H_5O)_2P(S)Cl$  (XII), кипятят 20 час. и обрабатывают смесь водой. Аналогично получают VIII. Для получения XI к р-ру 5 г фурурилового спирта, 4 мл  $C_6H_5N$  и 5 мл  $C_6H_6$  добавляют 10 г XII при охлаждении и далее нагревают 2 часа. VIII—XI довольно активные инсектициды, но уступают тиофосу. Сообщение XVII см. РЖХим, 1956, 3953. В. Г.

**74988. Азотистые соединения фосфорной и фосфининовых кислот. II. Гидразиды фенилфосфиновой и фенилтиофосфиновой кислот.** Смит, Гер, Аудриет (Nitrogen compounds of the phosphoric and phosphonic acids. II. Hydrazides of phenylphosphonic and phenylphosphonothionic acids. Smith W. C., Gher Ralph Jr., Audrieth L. E., J. Organ. Chem., 1956, 21, № 1, 113—114 (англ.))

Дигидразиды фенилфосфиновой (I) и фенилтиофосфиновой (II) к-т получены из хлорангидридов этих к-т и гидразина (III). Присутствие в I и II остатка  $NH_2-NH-$  доказано получением из них и кетонов или альдегидов производных, отвечающих общим ф-лам  $C_6H_5PO(NHN=CR_2)_2$  (IV) и  $C_6H_5PS(NHN=CR_2)_2$  (V). С  $ClCOOC_2H_5$  I и II дают  $N^2$ ,  $N^2'$ -дикарбэтоксипроизводные. I и II образуют монопикраты и дихлориды. К 0,66 моля III прибавляют 0,15 моля  $C_6H_5POCl_2$  (в эфире, перемешивание, 0—15°). Эфирный слой сливают, остающийся полутвердый продукт трижды промывают эфиром. 20 г неочищ. продукта обрабатывают 50 мл горячего абс. спирта и фильтруют. Из р-ра выделяют I, выход 23,7%, т. пл. 131°. Из I с *п*-метоксисбензальдегидом, *п*-хлорцетифеноном и ацетоном получены соответствующие IV. даны т. пл. °C, р-ритель). 171,  $CHCl_3$ ; 201, абс. спирт.; 170, ацетон. Из  $C_6H_5PO(OC_2H_5)_2$  и III в присутствии воды получен  $C_6H_5PO(OC_2H_5)_2 \cdot OH \cdot N_2H_4$ , т. пл. 77°. Р-р 0,326 моля  $C_6H_5PSCl_2$  в 100 мл  $CHCl_3$  прибавляют к 2,85 моля III в 600 мл  $CHCl_3$  (перемешивание 75 мин., 0—10°) и нагревают до образования двухслойной жидкости, выход II 82%, т. пл. 115° (из сп.); монопикрат, т. пл. 165—166° (разл., из сп.), дихлоридат, т. пл. 172° (разл., из сп.). Из II и ацетона, *п*-хлорцетифенона и циклогексанола получены соответствующие V; даны т. пл. в °C; р-ритель: 155, спирт; 162, абс. спирт; 133, спирт. Из II и  $ClCOOC_2H_5$  получен  $C_6H_5PS(NHNHCOOC_2H_5)_2$ , т. пл. 133°. Сообщение I см. РЖХим, 1956, 65000. Ю. З.

**74989. Некоторые фосфаты алифатических диаминов.** Маст, Эспер (Some phosphates of aliphatic diamines. Mast Roy C., Oesper Ralph E., J. Amer. Chem. Soc., 1955, 77, № 24, 6513—6515 (англ.))

Получены соли  $H_3PO_4$  (I) и  $H_4P_2O_7$  (II) и диаминов  $NH_2(CH_2)_2NH_2$  (III),  $NH_2CH_2CH(NH_2)CH_3$  (IV),  $NH_2(CH_2)_3NH_2$  (V),  $NH_2(CH_2)_2CH(NH_2)CH_2$  (VI). Водн. р-р III добавляют к I до рН 3,5. Р-р охлаждают и добавляют спирт. Для соли I и II (2 : 1) т-ра разл. 177°. Другие соли получены аналогично. Перечисляются для солей к-та, амин, их соотношение, рН среды при получении и т-ра разл. °C: I, III, 1 : 1, 8—9, 246; II, III, 1 : 1, 2, 7, 170; II, III, 2 : 3, 6, 5, 220 (с 2  $H_2O$ ); II, III, 1 : 2, 10, 5, 245; I, IV,

1 : 1, 9, 216 (с  $H_2O$ ); II, IV, 1 : 2, 5—11, 215 (с 0,5  $H_2O$ ); I, V, 2 : 1, 3, 5, 163; I, V, 1 : 1, 8, 225 (с  $H_2O$ ); II, V, 1 : 2, 10, 225; I, VI, 1 : 1, 9, 232; II, VI, 1 : 2, 10, 5, 230. Соли I и III (1 : 1) с III не реагирует. В. Г.

**74990. О синтезе некоторых галондированных металлоорганических соединений.** Ван-дер-Келен (Remarques sur la synthèse de quelques composés halogénés organométalliques. Van der Kelen G. P., Bull. Soc. chim. belges, 1956, 65, № 3-4, 343—349 (франц.; рез. англ.))

Описаны синтезы  $(CH_3)_2AsX$ , где X = Cl (I), Br (II) и J (III), и  $CH_3AsX_2$ , где X = Cl (IV) и Br (V). Синтезированы  $In(CH_3)_3$  (VI), а также  $(CH_3)_2AlX$ , где X = Cl (VII), Br (VIII) и J (IX), и  $(CH_3)_2AlX_2$ , где X = Cl (X) и Br (XI) в стекле при атмосферном давлении. К 50 мл 37%-ной HCl (или 45 мл 60%-ной HBr) прибавляют 0,2 моля  $(CH_3)_2AsO(ONa) \cdot 3H_2O$  (XII). NaCl(NaBr) отделиют фильтрованием (р-р А). К 75 мл 37%-ной HCl (или 75 мл 60%-ной HBr) добавляют 0,2 моля  $NaH_2PO_4 \cdot H_2O$  и фильтруют (р-р Б). Половину Б смешивают с А и нагревают до 45° (в случае II до 60°), после чего добавляют при 40° остаток Б. Выход I 70%, т. кип. 106,5°/765 мм, выход II 68%, т. кип. 128—129°/760 мм. Подкисляют  $H_2SO_4$  смесь 65 г XII в 35 мл воды и 50 г KJ в 40 мл воды. Разбавляют водой и пропускают  $SO_2$  до прекращения выделения масла; выход III 65%, т. кип. 154—155°. Подкисляют  $H_2SO_4$  водн. р-р 97 г  $CH_3AsO(ONa)_2 \cdot 6H_2O$ , добавляют крупинку KJ и разбавляют равным объемом конц. HCl. После фильтрования насыщают  $SO_2$ ; выход IV 70%, т. кип. 130,7—131,5°. При замене HCl на 60%-ную HBr получают V, выход 80%, т. кип. 181±0,5°/758 мм, т. пл. —70°. Получение VI проводят в токе сухого  $CO_2$ . К 33 г In добавляют 54 г  $Hg(CH_3)_2$  (XIII), 0,2 г  $HgCl_2$  и незначительное кол-во J<sub>2</sub> и Mg и нагревают при 100° 10 час. Затем охлаждают реакционный сосуд ледяной водой и отгоняют током  $CO_2$  непрореагировавший XIII в приемник, охлаждаемый жидким воздухом. Остатки XIII отгоняют несколько часов при ~20°, после чего при т-ре бани 70° и вакууме 3—4 мм перегоняют VI в приемник, охлаждаемый жидким воздухом, выход VI 30%, т. пл. 83°. Получение VII—XI проводилось в атмосфере чистого  $N_2$ , так как они воспламеняются на воздухе и разлагаются водой и  $CO_2$ . Пропускают ток сухого  $CH_3Cl$  через вертикальную стеклянную колонку с рубашкой, содержащую стружку из сплава 92% Al и 8% Cu, промытого  $CCl_4$  с добавкой  $Al_2Br_6$  как катализатора. Т-ру поддерживают 75°. Несоблюдение этих условий приводит к взрыву. Р-ция заканчивается через 20 час. После разгонки продуктов р-ции получают VII, т. кип. 92—93°/200 мм, и X, т. кип. 94,5—95°/100 мм, т. пл. 72°. Для дополнительной очистки VII обрабатывают NaCl, образующим со следами примеси X малолетучее соединение. X очищают дополнительной сублимацией в вакууме при 0,01 мм. При замене  $CH_3Cl$  на  $CH_3Br$  получают VIII, т. кип. 54°/17 мм (очищают NaBr и перегонкой), и XI, т. кип. 93°/16 мм (очищается повторной сублимацией). Кипятят эквимольные кол-ва  $CH_3J$  с Al-пудрой в присутствии следов J<sub>2</sub>. Через 4 часа поднимают т-ру до 200°. После охлаждения и разгонки получают IX, т. кип. 80,5—81°/16 мм. С. И.

**74991. Селеносемикарбазид и его производные. I. Изомеризация селеноцианата гидразина в присутствии карбонильных производных.** Хюлс, Ренсон (La sélénosemicarbazide et ses dérivés. I. Isomérisation du sélénocyanate d'hydrazine en présence de dérivés carbonylés. Huls R., Renzon M., Bull. Soc. chim. belges, 1956, 65, № 5-6, 511—522 (франц.))

Селеносемикарбазоны типа  $NH_2CSeNHN = CRR'$  (I) получены действием моноселеноцианата гидразина (II) на кетоны или альдегиды. Механизм р-ции:  $RR'CO \rightarrow RR'C = NN = CRR' \xrightarrow{H_2O} ORR'C = NNH_2 \xrightarrow{H_2SeCN} I$ . Р-р 0,19 моля KSeCN в миним. кол-ве воды смешивают с 0,21

моля 10%-ного гидразингидрата (III) и к этой смеси прибавляют по каплям при перемешивании 0,19 моля 3,8 н. HCl. К р-ру II прибавляют 0,26 моля ацетона (начальная pH смеси 3,7), нагревают 1 час и фильтруют. Из охлажд. фильтрата выделяют I ( $R = R' = CH_3$ ) (IV), маточный р-р нагревают 1 час; при охлаждении и подкислении получают добавочное кол-во IV; общий выход после перекристаллизации из спирта 27%, т. пл. 185°. При начальной pH 7 в реакционной смеси IV не образуется, при pH 2,6 выход IV составляет 10%. При нагревании 4 часа в присутствии II и HCl при pH 5 из IV получен селеносемикарбазид (V), выход 26%, т. пл. 180°. Аналогично IV, из 0,062 моля  $CH_3CH_2CHO$  получен I ( $R = C_2H_5$ ,  $R' = H$ ), выход 1,5 г, т. пл. 168° (из толуола). При р-ции с метилэтилкетонам для получения гомогенного р-ра добавляют спирт, выход I ( $R' = CH_3$ ,  $R = C_2H_5$ ) 21%, т. пл. 176° (из сп.). При взаимодействии р-ра II с  $CH_3CH_2CH_2CHO$  (VI) I не получается, вместо него выделен V с выходом 20%. I ( $R = C_3H_7$ ,  $R = H$ ) (VII), т. пл. 120° получен осторожным нагреванием 0,2 г V с 0,15 г VI в спирте; выход 0,2 г. Гидролизом VII получают V, выход 56%. При нагревании 2 часа водн. р-ра диметилкетазина и V получают IV, выход 46%. Попытки получения V из  $CSe_2$  и  $NH_3$ , а также из селеномочевины и гидразина не удалось.

Ф. В.

**74992. Получение симметричных диарилтеллуридов из тетрагалогенидов теллура и арлмагнийгалогенидов.** Рейнбольт, Петраньяни (Darstellung symmetrischer Diaryl-telluride aus Tellurhalogeniden und Arylmagnesiumhalogeniden. Rheinboldt Heinrich, Petragiani Nicoló), Chem. Ber., 1956, 89, № 5, 1270—1276 (нем.)

Диарилтеллуриды легко и с хорошими выходами могут быть получены взаимодействием  $TeX_4$  ( $X = \text{галоген}$ ) с  $ArMgX$ . К охлажд. суспензии 0,05 моля порошка  $TeI_4$  в 150 мл абс. эфира добавляют за 40 мин. р-р 0,25 моля  $C_6H_5MgBr$  в 10 мл эфира и 200 мл  $C_6H_6$ . После нагревания 2 часа разлагают р-ром  $NH_4Cl$  и из отфильтрованного, промытого и высушенного эфирного слоя отгоняют р-рители. Полученное масло растворяют в  $CCl_4$ , обрабатывают  $SO_2Cl_2$  и осаждают петр. эфиром ( $C_6H_5$ ) $_2TeCl_2$ , выход 96,1%. Из  $TeCl_4$  выход ( $C_6H_5$ ) $_2TeCl_2$  91,7%, из  $TeBr_4$  — 90,6%. Аналогично из 0,15 моля  $\alpha$ - $C_{10}H_7MgBr$  и 0,025 моля  $TeCl_4$  получают ( $\alpha$ - $C_{10}H_7$ ) $_2TeCl_2$ , выход 80,3%. Ф. В.

**74993. Производные фторуглеродов. Хасельдине** (Fluorocarbon derivatives. Haszeldine R. N.), Lect. Monogr. and Repts. Roy. Inst. Chem., 1956, № 1, 1—47 (англ.)

Монография, содержащая историч. обзор развития химии фтора, методы получения и свойства галоидированных фторуглеродов, их использование в нуклеофильных и свободно-радикальных р-циях, свойства фторуглеродов, содержащих функциональные группы, присоединение фторуглеродных радикалов к непредельным системам, а также методы синтеза и свойства перфторалканов производных Hg, P, As, Sb, S, O, N, Mg, Zn, Li и Si. Библ. 54 назв.

С. И.

**74994. Свободно-радикальное присоединение фтористых соединений. III. Присоединение бромхлордиформетана к олефинам.** Таррант, Лавлейс (Free radical additions involving fluorine compounds. III. The addition of bromochlorodifluoromethane to olefins. Tarrant Paul, Lovelace Alan M., J. Amer. Chem. Soc., 1955, 77, № 3, 768—770 (англ.))

При взаимодействии  $CF_2ClBr$  (I) с  $CH_2 = CHCH_3$  (II),  $CH_3CH = CHCH_3$  (III),  $CH_2 = C(CH_3)_2$  (IV) и  $CH_2 = CF_2$  (V) в присутствии  $(C_6H_5COO)_2$  (VI) соответственно получают  $CF_2ClCH_2CHBrCH_3$  (VII),  $CF_2ClCH(CH_3)CHBrCH_3$  (VIII),  $CF_2ClCH_2CBr(CH_3)_2$  (IX) и  $CF_2ClCH_2CF_2Br$  (X). Предполагается, что р-ция протекает по свободно-радикальному механизму. В отличие от  $CCl_2Br$  I с 1-хлорпропеном (XI) не реагирует. При действии

KOH на аддукты I с олефинами отщепляется HBr. При восстановлении цинком продуктов присоединения I к олефинам группа  $CF_2Cl$  сохраняется. При нагревании (4 часа) 5,6 моля I, 2 молей II и 0,08 моля VI в 1,4 л кипящего автоклава при 100° получен VII, конверсия 42%, т. кип. 55—56°/55 мм,  $n_D^{25}$  1,4194,  $d_4^{25}$  1,5784, структура которого подтверждена восстановлением в известный  $CF_2ClCH_2CH_2CH_3$  (XII). В описанных условиях нагревали (4 часа, 80°) 5,52 моля I, 1,8 моля IV и 0,08 моля VI. Получен IX, конверсия 22%, т. кип. 69°/86 мм,  $n_D^{25}$  1,4281,  $d_4^{25}$  1,4960, низкий выход которого объясняется уткой продуктов из автоклава. Строение IX доказывается тем, что при действии на него основанием выделен описанный  $CF_2ClCH = C(CH_3)_2$  (XII). В описанных для IV условиях из 1,5 моля III получен VIII, конверсия 73,4%, т. кип. 62°/49 мм,  $n_D^{25}$  1,4321,  $d_4^{25}$  1,5322. При нагревании (4 часа) 1,9 моля I, 0,25 моля V и 0,02 моля VI в автоклаве из спецстали при 100° выход X 35%, т. кип. 79°/760 мм,  $n_D^{25}$  1,3669,  $d_4^{25}$  1,7890. 5,6 моля I, 20 молей XI и 0,08 моля VI нагревали (4 часа) в кипящем автоклаве при 100°. Продуктов кипящих выше XI не образовалось. Выделено 918 г I, 115 г VII, 113 г Zn-пыли и 650 мл 1,5 M р-ра HCl кипятят несколько часов, получают 11 г XII, т. кип. 55,5°,  $n_D^{25}$  1,3476 и 18 г  $[CF_2ClCH_2CH(CH_3)]_2$ , т. кип. 81,2°,  $n_D^{25}$  1,3660,  $d_4^{25}$  1,0647. 93 г IX, 30 г Zn-пыли и 170 мл 1,5 M р-ра HCl кипятят 6 час. Образовался  $CF_2ClCH_2CH(CH_3)_2$ , выход 65%, т. кип. 74,5—75,5°,  $n_D^{25}$  1,3665,  $d_4^{25}$  1,064 и 10 г IX. При кипячении 100 г VIII, 130 г Zn-пыли и 200 мл 1,5 M р-ра HCl выделен  $CF_2ClCH(CH_3)CH_2CH_3$ , выход 30%, т. кип. 74,5—75°,  $n_D^{25}$  1,3636,  $d_4^{25}$  1,0487. 165 г VII прибавляли по каплям к р-ру 84 г KOH в 250 мл и  $iso$ - $C_3H_7OH$  и кипятили при 75°, получив  $CF_2ClCH = CHCH_3$ , выход 46%, т. кип. 59,5—60°,  $n_D^{25}$  1,3656,  $d_4^{25}$  1,1100. К кипящему р-ру 28 г KOH в 200 мл  $CH_3OH$  прибавляют по каплям 80 г IX; выход XIII 78%, т. кип. 10—11°/28 мм. Сообщение II см. РЖХим. 1956, 68393. М. Э.

**74995. Свободно-радикальное присоединение фтористых соединений. IV. Присоединение дибромдиформетана к фторолефинам.** Таррант, Лавлейс, Лиликунст (Free radical additions involving fluorine compounds. IV. The addition of dibromodifluoromethane to some fluorolefins. Tarrant Paul, Lovelace Alan M., Lilyquist Marvin R., J. Amer. Chem. Soc., 1955, 77, № 10, 2783—2787 (англ.))

Дибромдиформетан (I) в присутствии перекиси бензоила (II) реагирует с фторэтиленом (III), 1,1-дифторэтиленом (IV), трифторэтиленом (V), 1-фторпропиленом (VI), 2-фторпропиленом (VII), 2-фтор-2-бутином (VIII), образуя продукты присоединения 1:1 с VI, VII, VIII, а с III, IV, V, кроме того, продукты присоединения 2:1. В р-циях присоединения I к фторолефинам группа  $CF_2$  идет к углероду при двойной связи, содержащему меньшее кол-во атомов фтора. Увеличение числа атомов фтора в олефинах замедляет р-цию присоединения и приводит к образованию высокомолекулярных продуктов присоединения. Имеют место две конкурирующие радикальные р-ции: 1)  $CF_2BrCHXCH_2 + CF_2Br_2 \rightarrow CF_2BrCHXCH_2CHXCH_2 + CF_2Br$ ; 2)  $CF_2BrCHXCH_2 + CHX = CH_2 \rightarrow CF_2BrCHXCH_2CHXCH_2$ . У олефинов с небольшим кол-вом фтора в основном идет р-ция 1. Продукты присоединения 2:1 имеют строение  $CF_2BrCHXCH_2CHXCH_2Br$ . Продукты присоединения превращены в фторсодержащие соединения этиленового, диенового и циклич. ряда. Возможна замена брома на водород и фтор. Многие р-ции идут с хорошими выходами и могут ис-

пользоваться для синтеза фторорганич. соединений. Р-ции присоединения I проводились нагреванием реакционной смеси (4 часа, 100°) в автоклаве из нержавеющей стали. Продукты выделяли фракционной разгонкой под вакуумом. При взаимодействии 1383 г I с 118 г III в присутствии 15 г II образуется 32% (на взятый III) 1,3-дибром-1,1,3-трифторпропана (IX), т. кип. 115—116°/760 мм,  $n_D^{25}$  1,4256,  $d_4^{25}$  2,0875, и 10% 1,5-дибром-1,1,3,5-тетрафторпентана (X), т. кип. 71,5°/38 мм,  $n_D^{25}$  1,4560,  $d_4^{25}$  1,8259. Из 1110 г I с 78 г IV и 5 г II получено 93 г фракции, содержащий 1,3-дибром-1,1,3,3-тетрафторпропана (XI), т. кип. 42,5°/85 мм.  $n_D^{25}$  1,3974,  $d_4^{25}$  2,0943 и 23% 1,5-дибром-1,1,3,3,5,5-гексафторпентана, т. кип. 54,2°/44 мм,  $n_D^{25}$  1,4032,  $d_4^{25}$  2,003. 1384 г I, 108 г V и 15 г II дали 9% 1,3-дибром-1,1,2,3,3-пентафторпропана (XII), т. кип. 35°/78,5 мм  $n_D^{25}$  1,3816,  $d_4^{25}$  2,1025 и 18% 1,5-дибром-1,1,2,3,3,4,5,5-октафторпентана, т. кип. 60—63°/24,8 мм,  $n_D^{25}$  1,4237,  $d_4^{25}$  1,9254. Из 1250 г I с 88 г VI и 15 г II образуется 55% 1,3-дифтор-1,4,2-трифторбутана (XIII), т. кип. 56°/43 мм,  $n_D^{25}$  1,4403,  $d_4^{25}$  1,9438. При взаимодействии 315 г I с 22 г VII и 5 г II образуется 58% 1,3-дифтор-1,1,3-трифторбутана (XIV), т. кип. 52°/35 мм,  $n_D^{25}$  1,4346,  $d_4^{25}$  1,9352. 393 г I, 33 г VIII и 5 г II дали 75% 1,3-дифтор-1,1,3-трифтор-2-метилбутана (XV), т. кип. 65°/29,5 мм,  $n_D^{25}$  1,4469,  $d_4^{25}$  1,8414. В тех же условиях I с 2-трифторметилпропеном и 2-Н-пентафторпропеном (XVI) продукта присоединения не дает. Нагреванием в автоклаве (4 часа, 125°) 100 г IX, 40 г HF, 5 г SbCl<sub>5</sub> получено 11 г 3-бром-1,1,1,3-тетрафторпропана (XVII), т. кип. 59,2—59,5°,  $n_D^{25}$  1,3441,  $d_4^{25}$  1,7391. За 12 час. при 50° из 0,5 моля XI, 75 г SbF<sub>5</sub>, 40 г Cl<sub>2</sub> получено 31% 3-бром-1,1,1,3,3-пентафторпропана (XVIII), т. кип. 47—47,3°,  $n_D^{25}$  1,3228,  $d_4^{25}$  1,784. За 4 часа при 100° из 0,5 моля XI, 0,42 моля SbF<sub>5</sub>, 0,42 моля Cl<sub>2</sub> получено 85% 1,1,1,3,3,3-гексафторпропана, т. кип. 0,5—1,0°. За 5 час. при 150° из 0,374 моля 3-бром-1,1,3,3-тетрафторпропана (XIX) 0,75 моля HF выделено 74% XVI, т. кип. —16,5°. За 18 час. при 150° из 1 моля 3-дифтор-1,1-дифторпропана (XX), 3,5 моля HF, 6 мл SbCl<sub>5</sub> получено 56,5% 3-бром-1,1,1-трифторпропана (XXI), т. кип. 62—64°,  $n_D^{25}$  1,3606, а за то же время при 135° из 236 г 1,3-дифтор-1,1-дифторбутана, 100 г HF, 5,6 мл SbCl<sub>5</sub> получено 50% 3-бром-1,1,1-трифторбутана (XXII), т. кип. 84°,  $n_D^{25}$  1,3740,  $d_4^{25}$  1,521. Восстановлением 24 г XVII Zn-пылью (32 г) в 250 мл 1,5 н. р-ра HCl (4 часа на водяной бане), получено 11,5 г 1,1,1,3-тетрафторпропана, т. кип. 28,5—30,0°,  $n_D^{25}$  1,2765,  $d_4^{25}$  1,2584. Из 90 г XXI, 130 г Zn-пыли в 700 мл 1,5 н. HCl за 6 час. получено 41% 1,1,1-трифторпропана, т. кип. —12°. Отгонкой при 54—60° из смеси 325 г Zn-пыли, 5 г ZnCl<sub>2</sub>, 250 мл пропанола и 710 г 1,3-дифтор-1,1-дифтор-2-метилбутана получено 39% 3,3-дифтор-1,3-диметилциклопропана, т. кип. 55—56°,  $n_D^{25}$  1,3521,  $d_4^{25}$  0,926. Из смеси 133 г 1,3-дифтор-1,1-дифтор-3-метилбутана, 65 г Zn-пыли, 1 г ZnCl<sub>2</sub> и 250 мл пропанола отогнано 27%, 1,1-дифтор-2,2-диметилциклопропана, т. кип. 41,5—42,1°.  $n_D^{25}$  1,3455,  $d_4^{25}$  0,891. Обрабатывая 58 г IX р-ром KOH 112 г в 100 мл воды получено 41% 3-бром-1,3,3-трифторпропана, т. кип. 41—42°,  $n_D^{25}$  1,3666,  $d_4^{25}$  1,667. Из 237 г XI, р-ра KOH 168 г в 200 мл воды получено 72% 3-бром-1,1,3,3-тетрафторпропана, т. кип. 35°,  $n_D^{25}$  1,3463,  $d_4^{25}$  1,747. Из 60 г XVIII и р-ра KOH 60 г в 40 мл воды получено 62%

XVI, т. кип. —17—16°, а из 22 г XIII и р-ра KOH 56 г в 100 мл воды получено 59% 3-бромперфторпропана-1, т. кип. 28°,  $n_D^{25}$  1,3324. Из 51 г XX и р-ра KOH 56 г в 100 мл воды получено 63,6% 1-бром-1,1-дифторпропана, т. кип. 42°,  $n_D^{25}$  1,3773,  $d_4^{25}$  1,543. Из 100 г XXI и насыщ. р-ра 75 г KOH в этаноле получено 74,5% 1,1,1-трифторпропана-2, т. кип. —18—16°, а из 37 г XXII обработанного насыщ. спирт. р-ром KOH получено 80% 1,1,1-трифторбутена-2, т. кип. 17,7°. Нагреванием до 180° 194 г XIII и 296 г трет-н-бутиламина (XXIV) получено 19,8% 1,1,2-трифтор-1,3-бутадиена, т. кип. 8,5°. Из 30 г XIV и 55,8 г XXIV получено 42,3% 1,1,3-трифтор-1,3-бутадиена, т. кип. 16,9°,  $n_D^{25}$  1,3464,  $d_4^{25}$  1,113, а из 71 г XV и 111 г XXIV получено 60% 2-метил-1,1,3-трифтор-1,3-бутадиена, т. кип. 50°,  $n_D^{25}$  1,3631,  $d_4^{25}$  1,095. Г. П.

**74996. Свободнорадикальное присоединение фтористых соединений. V. Реакции 1,2-дифтор-2-хлор- и 1,2-дифтор-2-нод-1,1,2-трифторэтана с фторолефинами. Таррант, Лайликуист** (Free radical additions involving fluorine compounds. V. Reactions of 1,2-dibromo-2-chloro- and 1,2-dichloro-2-iodo-1,1,2-trifluoroethane with fluorolefins. Tarrant Paul, Lilyquist Marvin R.), J. Amer. Chem. Soc., 1955, 77, № 13, 3640—3642 (англ.)

Описаны продукты присоединения (ПП) фторолефинов к CF<sub>2</sub>BrCFClBr (I) и CF<sub>2</sub>ClCFClI (II) и олефины и диены, полученные при дегидрогалогенировании ПП. Из I получены следующие ПП (перечисляются фторолефин, ПП (R везде CF<sub>2</sub>BrCFCl), выход в %, т. кип. °C/мм,  $n_D^{25}$ ,  $d_4^{25}$  в скобках t в °C): из CH<sub>2</sub>=CHF, RCH<sub>2</sub>CHFBr, 74, 72/32, 1,4405, 2,075 (25) и RCH<sub>2</sub>CHFCH<sub>2</sub>CHFBr, 6,4, 104,5/15, 1,4428, 1,946 (27), из CH<sub>2</sub>=CF<sub>2</sub>, RCH<sub>2</sub>CF<sub>2</sub>Br, 44, 70,1/50, 1,4230, 2,063 (27) и RCH<sub>2</sub>CF<sub>2</sub>CH<sub>2</sub>CF<sub>2</sub>Br, 23,4, 90—91/20, 1,4112, 2,014 (27), из CHF=CF<sub>2</sub>, RCHFCF<sub>2</sub>Br, 16,2, 61,5/40, 1,4330, 2,013 (23) и RCHFCF<sub>2</sub>CHFCF<sub>2</sub>Br, 20, 79,5/15, 1,3943, 2,0077 (25). Из II и фторолефинов получены следующие ПП (R везде CF<sub>2</sub>ClCFClI): из CH<sub>2</sub>=CFCl, RCH<sub>2</sub>CFClI, 45, 70/10, 1,4741, 2,075 (22), из CHF=CF<sub>2</sub>, RCHFCF<sub>2</sub>Cl, 79, 56/23, 1,4224, 2,110 (28), из CH<sub>2</sub>=CHCF<sub>2</sub>, RCH<sub>2</sub>CH<sub>2</sub>CF<sub>2</sub>, 95, 61/18, 1,4275, 2,013 (22), из CF<sub>2</sub>=CHCH<sub>2</sub>, RCH(CH<sub>2</sub>)CF<sub>2</sub>, 89, 79,5/20, 1,4567, 1,994 (25), из CH<sub>2</sub>=C(CH<sub>3</sub>)CF<sub>2</sub>, RCH<sub>2</sub>CJ(CF<sub>3</sub>)CH<sub>3</sub>, 87, 65,5/12, 1,4418, 1,947 (22). Ниже перечисляются олефины, полученные при дегидрогалогенировании ПП из I (R везде CF<sub>2</sub>BrCFCl) и соответствующие диены, полученные при дегалогенировании олефинов (указаны олефин или диен, т. кип. °C,  $n_D^{25}$ ,  $d_4^{25}$  в скобках t в °C; ИК-поглощение в  $\mu$ ): RCH=CH<sub>2</sub> (III), 99,5, 1,4092, 1,678 (25), 6,07; CF<sub>2</sub>=CFCH=CH<sub>2</sub> (IV), 7,8—8,0, —, 5,53, 5,66, RCH=CHF, 97—97,3, 1,3961, 1,781 (25), 5,70, 5,93; CF<sub>2</sub>=CF=CH=CHF, 16,5, 1,3427, 1,342(0); 5,62, 5,80, 6,02; RCH=CF<sub>2</sub>, 91, 1,3837, 1,838 (24), 5,72; CF<sub>2</sub>=CFCH=CF<sub>2</sub>, 15,5, —, 5,58, 5,78. Ниже перечисляются олефины и диены, полученные из ПП II (R везде CF<sub>2</sub>ClCFClI): RCF=CF<sub>2</sub> (V), 65,5—67, 1,3440, 1,615 (22), 5,60; CF<sub>2</sub>=CFCF=CF<sub>2</sub>, 7,1—7,3, —, 5,55, 5,64; RC(CH<sub>3</sub>)=CH<sub>2</sub>, 100,5, 1,3746, 1,515 (22), 5,73, CF<sub>2</sub>=CFC(CH<sub>3</sub>)=CF<sub>2</sub>, 37, 1,3250, 1,289 (20), 5,59, 5,74; RCH=C(CH<sub>3</sub>)CF<sub>2</sub>, 109,5, 1,3675, 1,485 (20), 5,92; CF<sub>2</sub>=CFCH=C(CH<sub>3</sub>)CF<sub>2</sub>, 71,5, 1,3531, 1,350 (22), 5,71, 5,80; RCH—CHCF<sub>2</sub>, 87,5, 1,3472; 1,519 (23), 5,92; CF<sub>2</sub>=CFCH=CHCF<sub>2</sub>, 50,5, 1,3322, 1,389 (22), 5,68, 5,98; RCH=CFCl (VI), 102,5, 1,3993, 1,586 (24), 5,95, CF<sub>2</sub>=CFCH=CFCl (VII), 53, 1,3894, 1,431 (24), 5,65, 6,02. Р-цию присоединения проводят в присутствии перекиси бензоила (100°, 4 часа). 1,1-Дифторпропен-1 не присоединяет I. Перфторпропен-1 и 1,1,3,3,3-пентафторпропен не реагируют с II. Р-р 3 моля KOH в 1 л н-С<sub>2</sub>H<sub>5</sub>ОН добавляют к нагретому CF<sub>2</sub>BrCFCl.

$\text{CHClCH}_2\text{Br}$ ; выход III 68%, остальные олефины получают с водн. р-ром KOH, выходы от 39% VI до 71% V. I моль III добавляют по каплям к кипящей смеси 2 г-атомов Zn и 1 г  $\text{ZnCl}_2$  в 200 мл пропанола-2. После разгонки на колонке выход IV 88%. Аналогичным путем получают остальные диены. Наихудший выход VII 64%. С. И. 74997. Получение и исследование фторорганических соединений. XII. Нитрование фторбензола. Ола, Павлат, Кун, Варшаньи (Synthesis and investigation of organic fluorine compounds. XII. Nitration of fluorobenzene. Oláh Gy., Pavláth A., Kuhn I., Varsányi Gy.), Acta chim. Acad. sci. hung., 1955, 7, № 3-4, 431—442 (англ.; рез. русс., нем.) См. РЖХим, 1956, 39626.

74998. Некоторые фторзамещенные феноксиуксусных кислот. Классенс, Схот (Some fluoro-substituted phenoxyacetic acids: Klaassens K. H., Schoot C. J.), Recueil trav. chim., 1956, 75, № 3, 186—189 (англ.)

Проведен синтез трех фторзамещ. феноксиуксусных к-т, являющихся ростовыми в-вами. 2,4-Дихлор-6-фторфеноксиуксусная к-та (I) была получена следующим образом: 2-фторанизол при нагревании с  $\text{AlCl}_3$  в бензоле был превращен в 2-фторфенол (II). Хлорированием II при 50° с колич. выходом получен 2,4-дихлор-6-фторфенол (III), т. кип. 89°/10 мм. При кипячении р-ра II с III и 6 г  $\text{ClCH}_2\text{COOH}$  в 80 мл 2 н. NaOH и подкислении смеси выделялись кристаллы I, т. пл. 136° (из бзл.). Исходным в-вом в синтезе 2,4-дихлор-3-фторфеноксиуксусной к-ты (IV) служил 2,6-дихлоранилин, из которого по р-ции Шимана получен 1,3-дихлор-2-фторбензол (V), т. пл. 39°. В нитровании  $\text{HNO}_3$  (d 1,52) при 50—60°, полученный 1,3-дихлор-2-фтор-4-нитробензол восстанавливали  $\text{SnCl}_2$  в HCl до 2,4-дихлор-3-фторанилина (VI), т. пл. 87° (из 50%-ного сп.). VII диазотировали в р-ре  $\text{H}_2\text{SO}_4$  (d 1,84), после разложения смеси кипящим водн. р-ром  $\text{CuSO}_4$  с выходом 65% был выделен 2,4-дихлор-2-фторфенол (VII), т. пл. 62—63°. 10 г VII и 14,1 г  $\text{ClCH}_2\text{COOC}_2\text{H}_5$  нагревали на водяной бане 1 час с р-ром  $\text{C}_4\text{H}_9\text{ONa}$  (из 1,3 г Na и 30 мл бутанола). После омыления эфирного слоя водн. р-ром NaOH (2 часа) выделена IV, т. пл. 149—150° (из воды). В синтезе 2,4-дихлор-5-фторфеноксиуксусной к-ты (VIII) исходили из 3-фторнитробензола, который восстанавливали  $\text{SnCl}_2$  в HCl при нагревании. Выход 3-фторанилина (IX) 70%, т. кип. 71—72°/10 мм. При диазотировании IX и разложении диазосоединения кипячением получен 3-фторфенол (X), выход 65%, т. кип. 178°. 10,7 г X нагревали с 20 мл 33%-ного р-ра NaOH и 25 мл 50%-ного р-ра  $\text{ClCH}_2\text{COOH}$  (6 час. на водяной бане), выход 3-фторфеноксиуксусной к-ты (XI) 80%, т. пл. 113°. Хлорированием в р-ре  $\text{CH}_3\text{COOH}$  XI была превращена в VIII, выход 52%, т. пл. 148°. I и VIII сильно стимулируют рост растений; IV обладает слабой активностью. Н. К.

74999. Перфторалкилалюминиевые комплексы. Хауптшейн, Саджма, Стокс (Perfluoroalkyl aluminium complexes. Hauptschein Murray, Saggiomo Andrew J., Stokes Charles S.), J. Amer. Chem. Soc., 1956, 78, № 5, 680—682 (англ.)

Реакция  $\text{C}_3\text{F}_7\text{J}$  (I) с  $\text{LiAlH}_4$  (II) протекает через образование промежуточных комплексов согласно ур-ниям: I + II →  $\text{LiAl}(\text{C}_3\text{F}_7)_2\text{H}_2\text{J}$  (III) +  $\text{H}_2$ ; III + I →  $\text{LiAl}(\text{C}_3\text{F}_7)_2\text{HJ}_2$  (IV) +  $\text{C}_3\text{F}_7\text{H}$  (V); IV + I →  $\text{LiAl}(\text{C}_3\text{F}_7)_2\text{J}_2$  +  $\text{HJ}$ . Разб. эфир р-р III получают взаимодействием эквимолярных кол-в I и II при —78°. В конц. р-рах р-ция частично доходит до образования IV. Кипячение эфир. р-ра III ведет к образованию сложных продуктов взаимодействия III с эфиром. При упаривании эфира III целиком разлагается. При действии воды на эфир. р-р III образуются V, LiJ,  $\text{Al}(\text{OH})_3$  и  $\text{H}_2$ . Действием II на  $\text{CF}_3\text{J}$  получают  $\text{LiAl}(\text{CF}_3)_2\text{H}_2\text{J}$ , дающий при обработке водой  $\text{CH}_4$ ,  $\text{CHF}_3$ ,  $\text{H}_2$ ,  $\text{Al}(\text{OH})_3$ ,  $\text{AlF}_3$  и LiJ. Ф. В.

75000. Синтез органических веществ, меченных радиоактивными изотопами. Уэно (同位元素標識有機化合物の合成. 上野景平), 化学と工業, Karakura to kōgō, Chem. and Chem. Ind., 1955, 8, № 11, 460—465 (япон.) Обзор. Библ. 8 назв. М. В.

75001. Триолеин- $\text{H}^3$ . Кричевский, Мак-Кандлесс, Холл, Эйденов (Triolein- $\text{H}^3$ . Kritchevsky David, McCandless R. F. J., Knoll Joseph E., Eidinoff Maxwell, L.), J. Amer. Chem. Soc., 1955, 77, № 24, 6655—6656 (англ.)

Описан синтез меченого триолеина путем р-ции обмена  $\text{H}_2^{18}\text{O}$  и жира. 1 г  $\text{PtO}_2$  восстанавливают в стеклянной трубке водородом в присутствии 1 мл  $\text{H}_2^{18}\text{O}$ , трубку заполняют азотом, помещают туда 6 г триолеина, 15 мг KOH и 5 мл  $\text{H}_2^{18}\text{O}$  с радиоактивностью 8,8 мкюри/мл, эвакуируют, запаивают и нагревают 28 час. при 130°. Выделено 5,2 г триолеина с 16,9 мкюри/г, омыление которого дает олеиновую к-ту с 14,8 мкюри/г и глицерин с 0,10 мкюри/г. Стеариновой к-ты среди продуктов омыления нет. А. К.

75002. Получение  $\text{D}_3$ -метанола и фтористого  $\text{D}_3$ -метила. Эджелл, Парте (Synthesis of methyl- $\text{d}_3$  alcohol and methyl- $\text{d}_3$  fluoride. Edgell Walter F., Parts L.), J. Amer. Chem. Soc., 1955, 77, № 21, 5515—5517 (англ.)

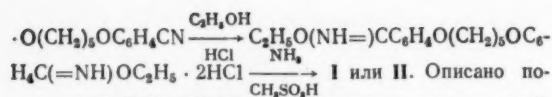
Изучена р-ция восстановления  $\text{CO}_2$ , фосгена и 1,2-пропиленкарбоната (I) действием  $\text{LiAlH}_4$  с целью нахождения способа получения  $\text{CD}_3\text{OH}$ , и р-ция восстановления  $\text{CBr}_3\text{F}$  для получения  $\text{CD}_3\text{F}$ . Практически интересные результаты получены лишь при восстановлении I, из которого  $\text{CD}_3\text{OH}$  получен с выходом 89,6%, считая на I, или 81,5% на  $\text{LiAlD}_4$ .  $\text{CD}_3\text{OH}$  переведен в  $\text{p}$ -толуолсульфонат (выход 82,4%), который при р-ции с KF дал  $\text{CD}_3\text{F}$  (выход 80,5%); изотопный состав:  $\text{CD}_3\text{F}$  94,4;  $\text{CD}_2\text{HF}$  5,2;  $\text{CDH}_2\text{F}$  0,4 (± 0,5%). В. С.

75003. О замещении оксимного водорода дейтерием. Борелло, Коломбо (Sulla sostituzione dell'idrogeno ossiminico con il deuterio. Borello Enzo, Colombo Marina), Ricerca scient., 1955, 25, № 10, 2899—2900 (итал.)

Для полного замещения дейтерием оксимного водорода глиоксима, метилглиоксима, диметилглиоксима и метилэтилглиоксима соответствующие оксими были превращены в Na-соли путем обработки спирт. р-ром  $\text{C}_2\text{H}_5\text{ONa}$  на холоду. Na-соли осаждались и промывались безводн. эфиром, сушились (при 110° в  $\text{H}_2\text{O}$  в эксикаторе над  $\text{CaCl}_2$  или  $\text{H}_2\text{SO}_4$ ) и растворялись в  $\text{D}_2\text{O}$ . Дейтерированные оксими осаждались током  $\text{CO}_2$  и перекристаллизовывались из  $\text{D}_2\text{O}$ . Полнота дейтерирования контролировалась методом абсорбционной ИК-спектроскопии. М. К.

75004. Синтезы 1,5-дибромпентана ( $\text{C}^{11}_{11}$ ) и  $\text{p}$ -оксисбензонитрила ( $\text{C}^{14}\text{N}$ ) и их применение для приготовления радиоактивного 1,5-бис-( $\text{p}$ -амидинофенокси)-пентана (ломидина, пентамидина, 2512 R. P.). Пиша, Баре, Одино (Synthèses du dibromo-1,5-pentane ( $^{14}\text{C}$ —1), du  $\text{p}$ -hydroxybenzonitrile (cyano  $^{14}\text{C}$ ) et leur emploi pour la préparation, de  $\text{b}$ is-( $\text{p}$ -amidino phénoxy)-1,5-pentane (lomidine, pentamidine, 2512 R.P.) radioactif. Pichat L., Baret C., Audinot M.), Bull. Soc. chim. France, 1956, № 1, 151—156 (франц.)

С целью выяснения механизма биологии действия диметансульфоната 1,5-бис-( $\text{p}$ -амидинофенокси)-пентана, применяемого для лечения сонной болезни, синтезированы два его радиоактивных препарата  $\text{p-NH}_2(\text{NH}=\text{C}^{14}\text{H}_4=\text{OC}^{14}\text{H}_2(\text{CH}_2)_4\text{OC}^{14}\text{H}_4(\text{C}^{14}=\text{NH})\text{NH}_2 \cdot 2\text{CH}_3\text{SO}_3\text{H}$  (I) и  $\text{p-NH}_2(\text{NH}=\text{C}^{14}\text{H}_4\text{O}(\text{CH}_2)_4\text{OC}^{14}\text{H}_4(\text{C}^{14}=\text{NH})\text{NH}_2 \cdot 2\text{CH}_3\text{SO}_3\text{H}$  (II) по схеме:  $2\text{p-HOC}^{14}\text{H}_4\text{CN} + \text{Br}(\text{CH}_2)_5\text{Br} \xrightarrow{\text{NaOH}} \text{CNC}^{14}\text{H}_4$



лучение  $\text{Br}(\text{CH}_2)_4\text{C}^{14}\text{H}_2\text{Br}$  (III), исходного для синтеза I. 20 ммоль  $\text{CH}_3\text{O}(\text{CH}_2)_4\text{MgCl}$  в 75 мл эфира обрабатывают 10 ммоль  $\text{CO}_2$  (из 1,99 г  $\text{BaCO}_3$ ) при  $-20^\circ$  в течение 20 мин., разлагают  $\text{H}_2\text{SO}_4$ ; полученную (не выделяя)  $\text{CH}_3\text{O}(\text{CH}_2)_4\text{C}^{14}\text{OON}$  восстанавливают 25 ммоль  $\text{LiAlH}_4$ , получают  $\text{CH}_3\text{O}(\text{CH}_2)_4\text{C}^{14}\text{H}_2\text{OH}$ , выход 66% (на  $\text{BaCO}_3$ ), последний обрабатывают  $\text{HBr}$  (газ) (1,5 часа при  $\sim 20^\circ$ , 4 часа при  $80-110^\circ$ ), выход III 92,5%. I синтезирован с выходом 32% (на  $\text{BaC}^{14}\text{O}_3$ ), выход по радиоактивности (a) 31,4%. Для получения  $n\text{-HOC}_6\text{H}_4\text{-C}^{14}\text{N}$  (IV) диазотроп  $n$ -аминофенола нейтрализуют  $\text{BaCO}_3$  и вливают понемногу при  $90-95^\circ$  в р-р никельсинеродистого калия (из  $\text{KC}^{14}\text{N}$ ) (полученного из 4,04 ммоль  $\text{BaC}^{14}\text{O}_3$ ) и 180 мг  $\text{NiSO}_4 \cdot 7\text{H}_2\text{O}$  в 2 мл воды, нагревают 1,5 часа, по охлаждению р-р подкисляют и экстрагируют эфиром IV, выход 60%. Из полученного IV синтезируют II, выход 12,25% (на  $\text{BaC}^{14}\text{O}_3$ ), выход по a 11,6%.  $\text{KC}^{14}\text{N}$  готовят нагреванием смеси  $\text{BaC}^{14}\text{O}_3$  и  $\text{N}_3\text{Na}$  или  $\text{N}_3\text{K}$  в токе азота 10 мин. от  $20-380^\circ$  и 10 мин. при  $780^\circ$  разлагают спиртом, подкисляют и перегоняют  $\text{HC}^{14}\text{N}$ , в р-р  $\text{KOH}$ , выход 98%, выход по a 85%.

**75005. Использование радиоактивных элементов. Синтез бромметилата  $\beta$ -диэтил氨基этилового эфира ксантенкарбонной-9-( $\text{C}^{14}$ ) кислоты. Накаи, Сугии, Томоно (放射性同位元素の利用研究. 第1. 報.  $\beta$ -ジエチルアミノエチル-9-キサンテンカルボキシレイトカルボキシル- $^{14}\text{C}$  メトブロマイドの合成. 中井利三郎. 杉井通泰. 友野元), 薬学雑誌, Якугаку дзасси, J. Pharm. Soc. Japan, 1955, 75, № 8, 1014-1016 (япон.; рез. англ.)**

Описан синтез бромметилата  $\beta$ -диэтил氨基этилового эфира ксантенкарбонной-9-( $\text{C}^{14}$ ) к-ты (I). К 25 мл эфира р-ра 12,5 ммоль бутилиллития добавляют 2 г ксантена и в полученную вземь Li-соли ксантена вводят  $\text{C}^{14}\text{O}_2$  (получен действием конц.  $\text{H}_2\text{SO}_4$  на 1,037 г  $\text{BaC}^{14}\text{O}_3$  в вакууме), р-ритель удаляют, остаток растворяют в 50 мл воды, фильтруют, подкисляют, получают 1,354 г ксантенкарбонной-9-( $\text{C}^{14}$ ) к-ты (II), выход 50,5% (на  $\text{BaC}^{14}\text{O}_3$ ), т. пл.  $215-216^\circ$ , удельная активность (a) 0,407  $\mu\text{кюри/мг}$ . Весь синтез проведен в спец. аппаратуре. 1,043 г II, 0,63 г  $\beta$ -диэтил氨基этилхлорида и 6 мл изопропанола кипятят 3 часа, получают 1,032 г хлоргидрата  $\beta$ -диэтил氨基этилового эфира II (III), т. пл.  $140-143^\circ$  (из этилацетата-эф.). a 0,247  $\mu\text{кюри/мг}$ . Из 0,856 г III в 2 мл абс. спирта + 2,76 мл 0,862 н. спирт.  $\text{KOH}$  и 10 мл 20%-ного спирт. р-ра  $\text{C}_2\text{H}_5\text{Br}$  ( $\sim 20^\circ$ , 12 час.) получают 0,759 г I, т. пл.  $170-173^\circ$  (из сп.-эф.), a 0,210  $\mu\text{кюри/мг}$ .

**75006. Синтез циклогексанола и циклогексанола, содержащих радиоактивный изотоп углерода в функциональной группе. Березин И. В., Вартаиян Л. С., Казанская Н. Ф., Вестн. Моск. ун-та, 1956, № 2, 61-64**

Циклогексанон (I), меченный  $\text{C}^{14}$  в карбониле, получен взаимодействием пентаметилдиэтилбромидом (II) с  $\text{C}^{14}\text{O}_2$ . Восстановление I с помощью Na приводит к меченому циклогексанолу (III). Р-р II (из 5 ммоль пентаметилдиэтилбромидом (IV) и 5,1 ммоль Mg) в 13-15 мл эфира насыщают в спец. установке  $\text{C}^{14}\text{O}_2$  (из 5 ммоль  $\text{BaC}^{14}\text{O}_3$  с радиоактивностью a 5  $\mu\text{кюри/г}$ ) при  $\sim 20^\circ$ , разлагают льдом, добавляют неактивный циклогексанон и экстрагируют эфиром. Кетон очищают через бисульфитное производное и перегоняют в глубоком вакууме; всего получено 0,8041 г I с a 0,4  $\mu\text{кюри/г}$ . При взаимодействии IV с Mg наряду с II образуются 1,10-, 1,15- и другие высшие диаминпроизводные, вследствие чего выход I со-

ставляет всего 20-21% (лишь в двух случаях выход I достиг 31,3 и 40%). К р-ру I в 20 мл эфира приливают 15 мл 40%-ного р-ра  $\text{K}_2\text{CO}_3$  и добавляют маленькими кусочками I г Na, выход III 0,85 г, n<sub>D</sub><sup>20</sup> 1,4606 (после перегонки в глубоком вакууме), равна a, dI, взятого для восстановления.

**75007. Микросинтез трифенилэтилена, меченного радиоактивным углеродом. Манье, Шётен, Додель, Ижель, Паскаль (Synthèse à l'échelle microchimique du triphényléthylène marqué par le radio-carbone. Maniey J., Cheutin A., Daudel P., Hugel M. F., Pascal A.), Bull. Soc. chim. France, 1955, № 10, 1246-1248 (франц.)**

Микросинтез  $(\text{C}_6\text{H}_5)_2\text{C}^{14}=\text{CHC}_6\text{H}_5$  (I) осуществлен по схеме:  $\text{C}_6\text{H}_5\text{MgBr} \xrightarrow{\text{C}_6\text{H}_5\text{C}^{14}\text{OON}} \text{C}_6\text{H}_5\text{C}^{14}\text{OON} \text{ (II)} \xrightarrow{\text{C}_6\text{H}_5\text{CH}_2\text{MgCl}} \text{C}_6\text{H}_5\text{C}^{14}\text{OC}_6\text{H}_5 \text{ (III)} \xrightarrow{\text{AlCl}_3} (\text{C}_6\text{H}_5)_2\text{C}^{14}(\text{OH})\text{CH}_2\text{C}_6\text{H}_5 \text{ (IV)}$

Р-р  $\text{C}_6\text{H}_5\text{MgBr}$  (из 0,23 мл  $\text{C}_6\text{H}_5\text{Br}$  и 56,5 мг Mg) в 4,5 мл эфира насыщают при  $-20^\circ$   $\text{C}^{14}\text{O}_2$  (из 36 мг  $\text{BaC}^{14}\text{O}_3$ ), выделяют II, которую очищают через бензоат Na, а затем перекристаллизуют из воды и сублимируют, выход II  $\sim 50\%$ , спектральная чистота 98%. 12 мг II кипятят с 0,5 мл  $\text{SOCl}_2$ , отгоняют избыток  $\text{SOCl}_2$ , прибавляют 0,5 мл сухого  $\text{C}_6\text{H}_6$ , 0,5 мл  $\text{CS}_2$  и 35 мг  $\text{AlCl}_3$ , через 24 часа кипятят 1 час, выход 80%, считая на II. К полученному III прибавляют 1 мл р-ра  $\text{C}_6\text{H}_5\text{CH}_2\text{MgCl}$  (из 0,2 мл  $\text{C}_6\text{H}_5\text{CH}_2\text{Cl}$ ), кипятят 45 мин., выделяют IV, выход 80%. Дегидратацию IV осуществляют кипячением 45 мин. IV с 1 мл  $\text{CH}_3\text{COCl}$ , выход I 80%, считая на IV, общий выход 25%; уд. радиоактивность 55  $\mu\text{кюри/мг}$ . Описана аппаратура для микросинтеза I.

**75008. Полумикросинтез салициловой кислоты, меченной радиоактивным углеродом  $\text{C}^{14}$  в карбоксильной группе. Тюйе, Шётен, Додель (Semimicro-synthèse de l'acide salicylique marqué par du radiocarbone-14 sur le groupement carboxyle. Thuillier Germaine, Cheutin Andrée, Daudel Pascaline), Bull. Soc. chim. France, 1955, № 10, 1244-1246 (франц.)**

Полумикросинтез салициловой-(карбоксил- $\text{C}^{14}$ ) к-ты (I) осуществлен по р-ции Кольбе взаимодействием фенолята Na (II) с  $\text{C}^{14}\text{O}_2$  (из 30 мг  $\text{BaC}^{14}\text{O}_3$  с уд. радиоактивностью 66  $\mu\text{кюри/мг}$ ). К р-ру  $\text{C}_6\text{H}_5\text{ONa}$  (из 0,25 г Na и 5 мл абс. сл.) прибавляют I г свежеперегнанного фенола, кипятят 30 мин., отгоняют в вакууме спирт, остаток экстрагируют толуолом, затем безводн. эфиром и высушивают 12 час. в вакууме над  $\text{P}_2\text{O}_5$ . II должен быть абсолютно бесцветным, ибо в противном случае очистка его будет весьма затруднена. Р-цию Кольбе проводят 40 час. при  $130^\circ$ , твердый продукт р-ции растворяют в 0,8-1 мл дистилл. воды, прибавляют 1-2 капли конц.  $\text{HCl}$ , охлаждают 10-15 мин. смесью льда с ацетоном и отфильтровывают I, которую очищают возгонкой при  $110^\circ$  и 1-2 мм, выход 40%, a 100  $\mu\text{кюри/мг}$ . Чистота I (I может содержать примесь фенола) определяется по УФ-спектру. Описан прибор для полумикросинтеза I и ее возгонки.

**75009. Синтез 2-этилнтрахиона, меченного углеродом  $\text{C}^{14}$  в ядре. Терентьев А. П., Сявилько С. В., Савушкина В. И., Жерновская Е. М., Чарская Б. А., Докл. АН СССР, 1956, 107, № 3, 417-419**

2-Этилнтрахион, меченный  $\text{C}^{14}$  в ядре (I), синтезирован этилированием бензола- $\text{C}^{14}$  (II) бромистым этилом с последующей конденсацией этилбензола (III) с  $(\text{C}_6\text{H}_5\text{CO})_2\text{O}$  в 4-этил-2-бензилбензойную к-ту (IV), превращающуюся в I под действием олеума. Смесью 20 г II и 6,1 г  $\text{AlCl}_3$  насыщают 45 мин. сухим  $\text{HCl}$ , приливают при охлаждении льдом 28 г  $\text{C}_2\text{H}_5\text{Br}$  и нагревают до  $100^\circ$ , образующийся III перегоняют на колонке, т. кип.  $133-137^\circ$ ,

$n_D^{20}$  1,4953,  $d_4^{20}$  0,8650. К р-ру 7,5 г III в 66,5 г  $C_6H_5Cl$  прибавляют 10 г ( $C_6H_5CO_2$ )<sub>2</sub>O, а затем 28 г  $AlCl_3$ , выдерживают 1 час при 35—40° и реакционную смесь постепенно прибавляют при 55° к 10%-ной  $H_2SO_4$  (т-ра не должна превышать 95°); после отгонки  $C_6H_5Cl$  с паром выделяют IV, т. пл. 124—126°. К 160 г 8%-ного олеума при 85° постепенно прибавляют IV, выдерживают 4 часа при этой т-ре, охлаждают, выливают в воду со льдом и отфильтровывают I, который очищают возгонкой при 80° и 5 мм, выход I 15—22%, считая на II, т. пл. 106—107°. Л. Х. 75010. Усовершенствования в получении флуорена-9 [ $C^{14}$ ] и фенатрена-9 [ $C^{14}$ ]. Гаррис, Уайт, Мак Нил (Improvements in the preparation of [9- $^{14}C$ ] fluorene and [9- $^{14}C$ ] phenanthrene. Harris A. S., White E. N., McNeil D.), J. Chem. Soc., 1955, Dec., 4216—4218 (англ.)

Усовершенствован метод синтеза флуорена-9 [ $C^{14}$ ] (I) и фенатрена-9 [ $C^{14}$ ] (II). — I получен по ранее предложенной схеме (Ray, Geiser, Cancer Res., 1950, 10, 616): 2-дифенил-магнийдиод (III)  $C^{14}O_2$  дифенилкарбонная-2 [ $C^{14}$ ] к-та (IV) → флуоренон-9 [ $C^{14}$ ] (V) I, но с проведением карбоксилирования в эфир. р-ре (вместо эфирно-бензольного) и с восстановлением V по Кижнеру-Вольфу без применения щел. катализатора (вместо восстановления по Клемменсену), что позволило повысить выход I с 37 до 86%. II получен циклизацией флуоренкарбонной-9 [ $C^{14}$ ] к-ты (VI), которая с 95%-ным выходом образуется при взаимодействии  $C^{14}O_2$  с 9-флуоренилитием (VII). Применение VII вместо флуорениллития (Collins, J. Amer. Chem. Soc., 1948, 70, 2418; Calvin, «Isotopic Carbon», 1949, p. 234) повысило выход II с 58 до 82%. Изучено также восстановление флуоренона (Va) по Клемменсену. При непродолжительном восстановлении Va (1,5 часа) в р-ре 7%-ной HCl в качестве основного продукта образуется флуоренон-9 (VIII), т. пл. 144—145° (из бзл.-петр. эф.), который при дальнейшем восстановлении по Клемменсену дает флуорен (Ia), т. пл. 114—115°. Более продолжительное восстановление Va (6 час.) приводит к Ia, выход ~80%, и ди-9-флуоренилу (IX), выход ~20%, т. пл. 245—246° (из  $C_6H_5OH$ ), а при дальнейшем увеличении продолжительности р-ции с одновременным повышением конц-ии HCl до 25% и уменьшением кол-ва Zn-пыли образуется Ia, VIII, бисдифениленэтилен (ди-9-флуоренилиден), т. пл. 191—192°, и 9-дифенилен-9,10-дигидро-10-оксофенантрен (X), т. пл. 261—262° (из хлф.-петр. эф.). Основываясь на этих результатах, авторы полагают, что Va при восстановлении превращается сначала в 9-оксифлуоренилрадикал, который затем либо восстанавливается в Ia (через VIII), либо димеризуется, образуя 9,9'-диоксиди-9-флуоренил (XI); в зависимости от конц-ии к-ты XI либо восстанавливается в IX, либо претерпевает пинаколиновую перегруппировку, образуя X, что подтверждено восстановлением XI в р-ре 7%-ной и соответственно 25%-ной HCl. Р-р III (из 7 г 2-нодифенила) в 30 мл эфира при -60° насыщают сначала  $C^{14}O_2$  (из 0,245 г  $Na^{14}O_2$  с радиоактивностью (a) 0,987 мкюри), а затем нерадиоактивным  $CO_2$ , выход IV 3,72 г, т. пл. 103—105°. 3,72 г IV нагревают 20 мин. при 80° с 10 мл конц.  $H_2SO_4$ , выливают на лед, подщелачивают и экстрагируют эфиром, выход V 95%, т. пл. 79—80°. 3,21 г V восстанавливают кипячением 5 час. с р-ром 8 мл 90%-ного гидразингидрата в 80 мл этиленгликоля, выход I 97%, т. пл. 112—114°, a 50,5 мкюри/моль. Общий выход I 88,5%, считая на  $Na^{14}O_2$ . Для получения VI р-р  $C_6H_5Li$  (из 8 г  $C_6H_5Br$  и 0,8 г Li) в 50 мл сухого эфира прибавляют в атмосфере  $N_2$  к 8,4 г Ia и образовавшийся VII насыщают при -60° сначала  $C^{14}O_2$  (из 0,244 г  $Na^{14}O_2$ , с a 0,984 мкюри), а затем нерадиоактивным  $CO_2$ , перемешивают несколько часов и подкисляют 2 н.  $H_2SO_4$ , выход VI 95%, т. пл. 228—229°. II получают из VI по ранее описанному методу, но промежуточно образующийся 9-оксиметил- $[C^{14}]$ -флуорен (XII) не хроматографи-

руют на  $Al_2O_3$  из-за его легкой способности к дегидратации на адсорбенте. Продукт, полученный в результате вагнеровской перегруппировки XII, хроматографируют на  $Al_2O_3$  и после вымывания петр. эфиром получают II, выход 89%, считая на XII, и 82%, считая на  $CO_2$ , т. пл. 93—95°, a 50,2 мкюри/моль.

75011. Получение флаванона-2- $C^{14}$  реакцией обмена. Дуглас, Уэндер, Невилл (Preparation of flavanone-2- $C^{14}$  by an exchange reaction. Douglass Carl D., Wender Simon H., Neville O. Kenton), J. Amer. Chem. Soc., 1955, 77, № 23, 6372—6373 (англ.)

Предложен метод получения меченых  $C^{14}$  халконов (а из них флаванонов- $C^{14}$ ) обменной р-цией с  $C_6H_5C^{14}HO$  (I). 0,5 г I (активность (a) 1,49 мкюри/моль) прибавлено к 1,1 г 2'-оксбензилиденацетофенону в 2 мл 20%-ного NaOH и 20 мл спирта. Р-р перемешивают 60 час., разбавляют водой и подкисляют; выход 2'-оксбензилиден- $(a-C^{14})$ -ацетофенона (II) 90%, a 0,130 мкюри/моль. 0,5 г II в 30 мл спирта, содержащего 1 мл 1%-ного NaOH, перемешивают 24 часа, доводят до pH 6 и разбавляют водой, выход флаванона-2- $C^{14}$  80%, a 0,130 мкюри/моль. М. В.

75012. Полумикросинтезы дигидроурацила и урацила, меченных  $C^{14}$  в положениях 4,5 или 6. Фритсон (Semimicro synthesis of dihydrouracil and uracil labeled in position 4,5 or 6 with carbon  $C^{14}$ . Fritzon P.), Acta chem. scand., 1955, 9, № 7, 1239—1240 (англ.)

Синтезированы дигидроурацил (I) и урацил (II), меченные в положении 4,5 или 6, исходя из  $K^{14}N$ ,  $C^{14}H_5N_2COOK$  или  $C^{14}H_5N_2COOK$ . Цианацетат калия, полученный из 126 мг  $K^{14}N$  (2 мкюри) и 244 мг  $C^{14}H_5N_2COOK$ , каталитически восстановлен (18°, 2 ат. 11 час.) до β-аланина-3- $C^{14}$ , из которого с 160 мг  $KCN$  при 25° образовалась К-соль уредопропионовой-3- $C^{14}$  к-ты и далее подкислением HCl и нагреванием при 170° получено 119 мг I-4- $C^{14}$ , т. пл. 274—275° (из воды). II-4- $C^{14}$  получен бромированием I с последующим нагреванием до 200°, выход 88%, т. пл. 335° (из воды). Приготовление β-уредопропионовой к-ты, меченной в положении 1, 2 и 3, производилось щел. разложением (РЖХим, 1955, 28962) соответствующего I, меченного в положении 6, 5 или 4. В. М.

75013. Синтезы тимина (метил- $C^{14}$ ). Гендерсон, Финк, Финк (Synthesis of thymine (methyl- $C^{14}$ ). Henderson Robert B., Fink R. M., Fink Kay), J. Amer. Chem. Soc., 1955, 77, № 23, 6381—6382 (англ.)

Описывается микросинтез тимина (метил- $C^{14}$ ) (I), исходя из  $C^{14}H_5CH_2COONa$  (II) без разбавления и выделения промежуточных соединений.  $C^{14}H_5CH_2COOC_2H_5$  (из 26,7 мг II и 2 мл триэтилфосфата при 170—185°), 0,48 ммоль сухого  $C_2H_5ONa$ , 0,49 ммоль  $(COOC_2H_5)_2$  и 0,3 мл эфира встряхивают 2 часа в вакуумированной колбе и нагревают несколько минут на водяной бане; к образовавшейся Na-соли β-метилкетоянтарного эфира добавляют при 0° 10—20 мл Pt (из  $PtO_2$ ) в 0,5 мл разб.  $CH_3COOH$  и 1,5 мл спирта, гидрируют 2 часа, добавляют 1,0 мл 2,34 н. NaOH и после размешивания 2 часа отгоняют летучие в-ва, доведя вакуум до 50 μ. К остатку (Na-соль β-метил- $C^{14}$  яблочной к-ты) добавляют 0,5 г мочевины в 2,0 мл 20%-ного олеума и нагревают 2,5 часа на водяной бане, выливают в воду и I очищают амберлитом IRA-400 (ОН-форма). Общий выход ~10%. В. М.

75014 Д. Роданирование гемциклических амидинов. Туппак (Über die Rodanierung hemicyclischer Amidine. Tuppäck Hans-Joachim. Diss., Math.-naturwiss. F., Bonn, 1954), Dtsch. Nationalbibliogr., 1955, B, № 19, 1376 (нем.)

75015 Д. Синтез простых ациклических аналогов кортизона. Старр (Studies on the synthesis of simple

acyclic analogs of cortisone. Starr Laurence Dean. Doct. diss. State College, Washington, (1955), Dissert. Abstrs, 1955, 15, № 11, 2022 (англ.)

75016 Д. Поведение одних типичных изомеров пентена при синтезе карбоновых кислот и строение жирных кислот, образующихся при этой реакции. Мёллер (Über das Verhalten der einheitlichen Pentenisoformen bei der Carbonsäuresynthese und über die Konstitution der entstehenden Fettsäuren.— Diss., F. i. allg. Wiss. T. H., Aachen, 1954, M. Möller K. E.), Dtsch. Nationalbibliogr., 1955, B, № 13, 1372 (нем.)

75017 Д. I. Изучение ароматизации 6- и 7-членных гетероциклических циклов II. Ненасыщенные амины: определение положения двойной связи с помощью ультрафиолетовых спектров поглощения. Лок (I. Aromatization studies on six and seven-membered heterocyclic rings. II. Unsaturated amines: diagnosis of double bond position by ultraviolet absorption spectra. Locke D. M. Doct. diss., Univ. Illinois, 1954), Dissert. Abstrs, 1955, 15, № 1, 40—41 (англ.)

75018 Д. Синтез некоторых метилфенантролинов и соответствующих альдегидов. Эйферт (The synthesis of some methylphenanthrolines and their corresponding aldehydes. Eifert Robert L., Doct. diss., Univ. Nebraska, 1954), Dissert. Abstrs, 1955, 15, № 12, 2408—2409 (англ.)

75019 Д. Получение, спектры комбинационного рассеяния и термическое разложение трихлорсиланациальных соединений. Хёни (Darstellung, Ramanspektren und thermische Zersetzung von Trichlorsilanzumacylverbindungen. Höhn R. i. c. h. a. r. d.,— Diss. Techn. H., Stuttgart, 1953, Dtsch. Nationalbibliogr., 1955, B, № 15, 1079 (нем.)

75020 Д. Синтез меченого 4-диметиламиноазобензола из 1- $C^{14}$ -анилина. Данные по синтезу оптически активного эфедрина из оптически активной молочной кислоты брожения. Опыты по меркантилизации и кетализации  $\alpha$ -хлорпропиофенона. Синтез 10-пиперазиноацильных и 10-пиперазиноалкильных производных фенотиазина. Шлагер («Über die Synthese von Radio-4-Dimethylaminoazobenzol aus 1- $C^{14}$ -Anilin», «Ein Beitrag zur Synthese von optisch aktiven Ephedrin aus optisch aktiver Gerungsmilchsäure (Versuche zur Mercaptolisierung und Ketalisierung von  $\alpha$ -Chlor-Propiophenon)» und «Über die Synthese von 10-(Piperazinoacyl)- und 10-(Piperazinoalkyl)-Phentiazin Derivaten». Schlager Ludwig H. a. n. s. Phil. Diss., Wien, 1955), Oesterr. Bibliogr., 1955, № 18, 17 (нем.)

См. также: раздел Промышленный органический синтез и рефераты: Соединения алифатич. 75221, 75517, 76098; 22644Бх, 22682Бх, 22731Бх; алициклич. 74757, 74769, 74784; ароматич. 74446, 74447, 74649, 74774, 74776, 74782, 75308, 75322, 75375, 76090, 76094, 76100, 76105, 76107; гетероциклич. 75227, 75267, 75375, 76091; 22722Бх, 22731Бх; элементоорганич. 75586, 75589, 75590, 75591, 75592; с мечеными атомами 21832Бх.

#### ПРИРОДНЫЕ ВЕЩЕСТВА И ИХ СИНТЕТИЧЕСКИЕ АНАЛОГИ

75021. Низкомолекулярные углеводы водорослей. V. Исследование *Laminaria cloustoni*. Линдберг, Мак Ферсон (Low-molecular carbohydrates in algae. V. Investigation of *Laminaria cloustoni*. Lindberg Bengt, McPherson John), Acta chem. scand., 1954, 8, № 9, 1547—1550 (англ.)

Исследовано содержание низкомолекулярных углеводов в бурой водоросли *Laminaria cloustoni*. Выделены и охарактеризованы: маннит (I) (7%), 1-маннит- $\beta$ -глюкозид (0,5%), 1,6-маннит-ди-( $\beta$ -глюкозид) (0,08%), 1-маннит-ацетат (0,01%), найденные ранее в других бурых водорос-

лях (РЖХим, 1954, 28846, Сообщение IV, РЖХим, 1956, 65039). Выделена также ламинарибиоза (II) (0,02%) и хроматографией на бумаге доказано присутствие ламинариотриозы (III). На хроматограммах наблюдались многочисленные пятна, принадлежащие большей частью неидентифицированным в-вам (более 20). Выделено в-во с т. пл. 250°, вероятно, циклит (0,03%). II и III являются или промежуточными продуктами биосинтеза ламинарана (глюкан с 1,3- $\beta$ -связями, присутствующий в бурых водорослях) или продуктом посмертного ферментативного гидролиза его. Воздушно-сухие водоросли (1045 г) сначала обезжирены эфиром, а затем извлечены  $CH_3OH$  9 дней (А) и 7 дней (Б). Из экстрактов после их выпаривания, растворения остатка в воде, очистки  $(CH_3COO)_2Pb$  и нового выпаривания получено соответственно 179 г и 42 г в-ва. Из 179 г А после деионизации амберлитом получено 69 г в-ва, р-р которого в воде. спирте выделил 20 г I; маточный р-р хроматографирован на колонке с угольцелитом, вымывание проводилось водн. спиртом (1—45%; 12 л); отдельные фракции, испытаны хроматографией на бумаге, сходные объединены и выпарены досуха. Б обработана также, но без деионизации. Дальнейшее разделение полученных смесей и выделение из них указанных выше в-в было осуществлено хроматографированием на колонке с гидроцеллюлозой (вымывание водн.  $CaH_2OH$ ) и кристаллизацией полученных вторичных фракций.

В. В. 75022. Низкомолекулярные углеводы водорослей. VI. Ламинит — новый C-метилинозит из *Laminaria cloustoni*. Линдберг, Мак-Ферсон (Low-molecular carbohydrates in algae. VI. Laminitol, a new C-methyl inositol from *Laminaria cloustoni*. Lindberg Bengt, McPherson John), Acta chem. scand., 1954, 8, № 10, 1875—1876 (англ.)

Ламинит (I) (C-метилинозит) выделен из бурой водоросли *Laminaria cloustoni*; I изомерен, но не идентичен митилиту. Чистый I приготовлен дезацетилированием гексаацетата (II); т. пл. I 266—269° (слегка разл.; из водн. сп.),  $[\alpha]_D^{20} = -3^\circ$  (с 2; вода). I кристаллизуется с 2H<sub>2</sub>O; при 110° I теряет 15,9% воды. C—CH<sub>3</sub> по Куну—Роту найдено 4,92%, по расчету 7,73% (см. Kirsten W., Stenhausen E., Acta chem. scand., 1952, 6, 682). При окислении I (0,1 M NaIO<sub>4</sub>, pH 4,0, в течение 12 час. при ~20°) израсходовано 6,5 моля NaIO<sub>4</sub> с образованием 5,2 моля к-т. Ацетилирование I ( $CH_3CO$ )<sub>2</sub>O, в присутствии равного кол-ва доли пиридина или 1% конц. H<sub>2</sub>SO<sub>4</sub>, дало хороший выход II, т. пл. 151—152° (из сп.);  $[\alpha]_D^{20} = -19^\circ$  (с 2; хлф.); Оптич. вращение соответствует ф-ле 2-метилмезонинозита или соответствующего 3-метилпроизводного.

А. Л. 75023. Низкомолекулярные углеводы водорослей. VII. Исследование *Fucus spiralis* и *Desmarestia aculeata* Боувенг, Линдберг (Low-molecular carbohydrates in algae. VII. Investigation of *Fucus spiralis* and *Desmarestia aculeata*. Bouveng Hans, Lindberg Bengt), Acta chem. scand., 1955, 9, № 1, 168—169 (англ.)

Из бурых водорослей *Fucus spiralis* и *Desmarestia aculeata* экстрагированием и обработкой описанным ранее методом выделены: из *F. spiralis* 0,025% ламинита (I), 3,1% маннита (II), 0,1% 1-ацетата II, 0,04% 1- $\beta$ -глюкозида II и 0,004% 1,6-ди- $\beta$ -глюкозида II; и *D. aculeata* 0,004% I и 5,6% II. 1- $\beta$ -глюкозид и 1,6-ди- $\beta$ -глюкозид II также содержатся в *D. aculeata*.

А. Л. 75024. Низкомолекулярные углеводы водорослей. VIII. Исследование двух зеленых водорослей. Линдберг (Low-molecular Carbohydrates in Algae. VIII. Investigation of two green algae. Lindberg Bengt), Acta chem. scand., 1955, 9, № 1, 169 (англ.)

Исследованы 2 зеленые водоросли: морская *Enteromorpha compressa* и пресноводная *Chlorella*. В. Е. comp-

ressa найдены сахароза (I), маннит (II) и мезоинозит (III), в *Chlorella* — I, III, мальтоза (IV) и мальтоотриоза (V). Хроматографией на бумаге показано присутствие ряда неидентифицированных в-в. 250 г *E. compressa* экстрагировано и обработано, аналогично прежнему методу (см. РЖХим, 1956, 75021). Углеводы разделены на колонке с С, выделено 1,4 г I и 90 мг II; хроматографией на бумаге обнаружен III. 160 г *Chlorella* кипятили (4 часа) с 2 л 75%-ного спирта, экстракт выпарен, из остатка выделены 3,8 г I, 0,22 г III, 80 мг IV и 270 мг V.

А. Л.

**75025. Низкомолекулярные углеводы водорослей. IX. Структура маннозида глицериновой кислоты из красных водорослей. Боувенг, Линдберг, Викберг** (Low-molecular carbohydrates in algae. IX. Structure of the glyceric acid mannoside from red algae. Bouveng Hans, Lindberg Bengt, Wickberg Borge), Acta Chem. scand., 1955, 9, № 5, 807—809 (англ.)

Исследован  $\alpha$ -маннозид  $\beta$ -глицериновой к-ты (I), т. пл. 255° (разл.),  $[\alpha]_D^{20} + 106^\circ$  (вода), выделенный из *Ceramium rubrum*. Na-соль I дважды метилирована  $(CH_3)_2 \cdot SO_4 + NaOH$  (4 часа, 55—65°); с удалением  $Na_2SO_4$  из подкисленного р-ра спиртом. Продукт метилирования обработан  $CH_2N_2$  в эфире (~15 час.), затем восстановлен  $LiAlH_4$  (2 часа). Полученный сироп метилировали  $(CH_3)_2SO_4 + NaOH$  в диоксане (4 часа, 70—75°); после гидролиза 0,5 н. HCl (22 часа, 100°) фракционированием в вакууме (10 мл) выделены 1,3-ди-метилглицерин (II) (т-ра бани 80—100°) и 2,3,4,6-тетра-метил- $\beta$ -манноза (III) (т-ра бани 125—140°); 3,5-динитробензоат II, т. пл. 86—87° (из сп.). Анид III, т. пл. 146—147° (из сп.). Установлена структура I как 2- $\alpha$ - $\beta$ -маннопиранозидо- $\beta$ -глицериновой к-ты.

А. Л.

**75026. Низкомолекулярные углеводы водорослей. X. Исследование *Furcellaria fastigiata*. Линдберг** (Low-molecular carbohydrates in algae. X. Investigation of *Furcellaria fastigiata*. Lindberg Bengt), Acta chem. scand., 1955, 9, № 7, 1093—1096 (англ.)

Из красных водорослей *F. fastigiata* выделены: мезоинозит (I), 0,05%  $\beta$ -маннита (II), 0,3% фторидозид (III); см. РЖХим, 1955, 34556, 0,2% нового глюкозида — 3-фторидозид- $\alpha$ - $\beta$ -маннопиранозид (IV); см. РЖХим, 1955, 48997) и ди-N-метилаурин  $(CH_3)_2N \cdot HCH_2CH_2SO_3^-$  (V); последний найден в природе впервые. 585 г водорослей извлечено эфиром (3 дня), затем  $CH_3OH$  (14 дней);  $CH_3OH$ -экстракт промывает водой, деионизирован, упарен до сиропа (8 г); он хроматографирован из 1%-ного спирта на С/дедите с вымыванием водн. спиртом (от 1—30%); выход V 300 мг т. пл. 298—303° (разл.; из водн. сп.), синтезирован из Na-соли 2-бром-этансульфоновой к-ты и 33%-ного водн. р-ра диметиламина (10 дней, ~20°), выход V 68%; IV аморфный. Ацетат  $C_{38}H_{46}O_{22}$ , т. пл. 153—154°,  $[\alpha]_D^{20} + 103^\circ$  (с 2,0; хлф.); после окисления  $NaO_4$ , последующего действия фенилгидразина и дезацетилирования образуется III. При окислении IV (24 часа ~20°) израсходовано 1,8 моля  $NaO_4$  (0,1 M) с выделением 0,87 моля HCOOH.

А. Л.

**75027. Низкомолекулярные углеводы водорослей. XI. Исследование *Porphyra umbilicalis*. Линдберг** (Low-molecular carbohydrates in algae XI. Investigation of *Porphyra umbilicalis*. Lindberg Bengt), Acta chem. scand., 1955, 9, № 7, 1097—1099 (англ.)

В красных водорослях *P. umbilicalis* (Bangioideae) найдены:  $\alpha$ -маннозид глицериновой к-ты, сцилит >0,1%, ламинит 0,1%, маннит 0,03%, волемит 0,01%, фторидозид (I) и новый глюкозид изофторидозид (II), а также, по-видимому, ди-N-метилаурин. Содержание I + II 3%. Предложена структура II, как 1- $\alpha$ - $\beta$ -галактопиранозил-глицерина. Водоросли экстрагированы как описано ра-

нее (см. пред. реф.); II, т. пл. 134—135° (из сп.);  $[\alpha]_D^{20} + 152^\circ$  (с 2; вода). При окислении II 1 M  $NaO_4$  (12 час., 35°) израсходовано 3 моля  $NaO_4$  с образованием 1 моля HCOOH. Возможно, что наличие II характерно для порядка Bangiales или для всей группы Bangioideae. Скорость движения II на бумаге меньшая, а на угле — большая, чем скорость I; такое соотношение характерно для других пар изомерных или близких углеводов.

А. Л.

**75028. Метил-3-метил- $\alpha$ - $\beta$ -глюкопиранозид и производные. Джинлоз, Гат** (Methyl 3-O-methyl- $\alpha$ -D-glucopyranoside and derivatives. Jeanloz Roger W., Gut Marcel), J. Amer. Chem. Soc., 1954, 76, № 22, 5793—5794 (англ.)

Для получения чистой  $\alpha$ -формы метил-3-метил- $\beta$ -глюкопиранозид (I) использован метил 4,6-бензилден-3- $\alpha$ - $\beta$ -глюкопиранозид (II) (Bolliger, Prins, Helv. chim. acta, 1945, 28, 465). Синтезирован ряд производных I. 6,2 г II в 20 мл  $CH_3OH$  кипятили 2 часа с 20 мл 0,01 н.  $H_2SO_4$ . I выделен в виде сиропа, т. кип. 120°/0,001 мм, выход 95%. На воздухе I кристаллизуется с 1/2  $H_2O$ , т. пл. 80—81° (из этилацетата),  $[\alpha]_D^{21} + 164 \pm 2^\circ$  (с 0,86; вода). Из 60 мг I, 2 мл пиридина (III) и 1 мл  $(CH_3CO)_2O$  (IV) получено с выходом 70% 2,4,6-триацетильное производное I, т. кип. 120°/0,5 мм, т. пл. 71—72° (из эф.-птр.эф.),  $[\alpha]_D^{21} + 113 \pm 2^\circ$  (с 1,86; хлф.). 70 мг I, 3 мл паральдегида и 0,01 мл  $H_2SO_4$  взбалтывали 48 час., выход 4,6-этилен-1 82%; после очистки хроматографией на  $Al_2O_3$  (из бэл.- $C_6H_{14}$ ), т. пл. 106—107° (из эф.-птр.эф.),  $[\alpha]_D^{21} + 150 \pm 5^\circ$  (с 0,46; хлф.),  $[\alpha]_D^{24} + 119 \pm 5^\circ$ ,  $[\alpha]_{435}^{24} + 240 \pm 5^\circ$  (с 0,5; вода). Из 0,57 г I и 0,9 г  $(C_6H_5)_3CCl$  (V) в 4 мл III (100°, 2 часа) получено с выходом 43% 6-третильное производное I, т. пл. 115—118° (из бэл.),  $[\alpha]_D^{28} + 64 \pm 2^\circ$  (с 1,73; хлф.). Не выделяя продукт р-ции 2,25 г I с 3,44 г V в 16 мл III в смесь прибавлены 15 мл IV и 32 мл III, полученный 2,4-диацетил-6-третил-1 очищен хроматографией на  $Al_2O_3$  (из бэл.- $C_6H_{14}$ ), выход 70%, т. пл. 159—161° (из  $CH_3OH$ ),  $[\alpha]_D^{28} + 84 \pm 2^\circ$  (с 1,59; хлф.).

И. Л.

**75029. Исследования по химическому строению агарагара. XVII. Выделение кристаллического диметилацетата агарибиозы частичным метанолизом агарагара. Араки, Хирасе** (Studies on the chemical constitution of agar-agar. XVII. Isolation of crystalline agarobiose dimethylacetate by partial methanolysis of agar-agar. Araki Choji, Hirase Susumu), Bull. Chem. Soc. Japan, 1954, 27, № 2, 109—112 (англ.)

На основании изучения продуктов полного и неполного метанолиза агарагара (I) сделан вывод, что I на 2/3 состоит из остатков 4- $\beta$ -галактопиранозил-3,6-ангидро-1-галактозы (агарибиозы) (II), связанных в положении 1,3, что опровергает ранее принятую для I ф-лу (Jones, Peat, J. Chem. Soc., 1942, 225). 50 г I кипятят 1,5 часа с 500 мл 1%-ного р-ра HCl в  $CH_3OH$ , фильтруют, нейтрализуют  $Ag_2CO_3$ , упаривают, к сиропу прибавляют 500 мл 0,2 н.  $Ba(OH)_2$ , нагревают (60°, 2 часа), нейтрализуют  $CO_2$ , упаривают повторно с  $CH_3OH$ , получают аморфный порошок (44 г); его растворяют в 120 мл абс.  $CH_3OH$ , прибавляют 600 мл н-бутанола, отделяют объемистый осадок (17,4 г), фильтрат упаривают досуха, получают 26,5 г аморфного порошка (A),  $[\alpha]_D^{14} - 13,0^\circ$  (уд. вращение определено всюду в водн. р-рах). Осадок растворяют в 30 мл абс.  $CH_3OH$ , прибавляют 150 мл абс. спирта, фильтруют, промывают смесью  $CH_3OH$ -спирт (1:5), получают 11,9 г гигроскопичного белого порошка (C),  $[\alpha]_D^{13} - 22,8^\circ$ ,  $OSCH_3$  7,58%. Фильтрат при выпаривании дает 5,5 г белого порошка (B),  $[\alpha]_D^{13} - 18,1^\circ$ ,  $OSCH_3$  15,14%. К р-ру в 30 мл абс. спирта прибавляют 60 мл ацетона и через неделю (0°) получают 13,3 г ди-

метилацетата агарибиозы (III)  $C_{14}H_{26}O_{11}$ , т. пл. 162—164° (из абс. сп.),  $[\alpha]_D^{10} = -29,1^\circ$  (с 1,58); —37,4° (с 1,1;  $CH_3OH$ ); гексаацетильное производное (1,6 г из 1 г III), т. пл. 87—88° (из 30%-ного  $CH_3OH$ ),  $[\alpha]_D^{13} = 5,76^\circ$  (с 1,22; хлф.); —12,5° (с 1,2; бзл.). При кипячении 2 г III со 100 мл 2%-ного р-ра  $HCl$  в  $CH_3OH$   $[\alpha]_D$  меняется от —38,5° до +23° (25 час., пост.); после нейтр-ции  $Ag_2CO_3$  и выпаривания на колонке с крахмалом выделены при промывке *n*-бутанолом диметилацеталь 3,6-ангидро-*L*-галактозы (IV) (46,7%), сироп,  $[\alpha]_D^{10} = 28,7^\circ$  (с 0,76),  $OSCH_3$  25,8%; IV гидролизован до свободного сахара, из которого получен дифенилгидразон, т. пл. 154°; вымытием 80%-ным  $CH_3OH$  получен метил-*D*-галактозид (V) (53,6%), при гидролизе V дал *D*-галактозу. При гидролизе III (5 г) 0,01 н.  $(COOH)_2$  (50 мл; 100°)  $[\alpha]_D$  изменилось от —29° до —17,5° (1,5 часа); гидролизат пропускают через амберлит JR = 4B, выпаривают, сушат над  $P_2O_5$ , получают 4,4 г II аморф.,  $[\alpha]_D^{23} = -17,4^\circ \rightarrow 14,2^\circ$  (пост.; с 2,18); фенилозасон, т. пл. 220—221°,  $[\alpha]_D = -136,8^\circ \rightarrow -108,8^\circ$  (24 часа; с 0,432; пиридин-сп., 2:3). Диэтилмеркаптал II (3 г) в абс.  $CH_3OH$  (60 мл) обрабатывают  $HgCl_2$  (5,6 г) и желтой  $HgO$  (6 г) (Green, Paccu, J. Amer. Chem. Soc., 1937, 59, 1205) и получают III (1,1 г); из маточного р-ра получают еще 1,2 г III. Маточный р-р после выделения главной порции III оставил при выпаривании 13,1 г аморфного в-ва (A')  $[\alpha]_D^{14} + 0,65$ ;  $CH_2O$  20,53%. Аморфные фракции A', B и C были подвергнуты распределительному хроматографированию на колонке с крахмалом из р-ра в *n*-бутаноле, насыщ. водой, с последующим вымытием 80%-ным  $CH_3OH$ ; получены дополнительные кол-ва III, IV и V. Общий выход II, вычисленный на основе суммы выходов III, IV и V, составляет 69,5% от кол-ва I, вошедшего в р-цию. Сообщение XVI см. РЖХим, 1956, 61621. В. 3.

**75030. Об истинном *изо-α*-ионе (2,6-*транс*-2,1,2-*цис*-6-метил- $\alpha$ -ионе). Нав** (Sur l'iso- $\alpha$ -ione vraie (*trans*-2,6-*cis*-2,1,2-*methyl*-6,  $\alpha$ -ione). Naves Yves-René), C. r. Acad. sci., 1955, 241, № 18, 1209—1211 (франц.)

На основании изучения ИК-спектра ранее выделенного ирона (II); фенилсемикарбазон, т. пл. 174,5—175,5° (Helv. chim. acta, 1947, 30, 603; 1949, 32, 2552), установлено, что этому ирону ошибочно придавалось строение *изо-α*-I. На самом деле выделенный I представляет собой нео-*изо-α*-I. Из смеси семикарбазонов, приготовленных из неочищ. I (РЖХим, 1953, 8541) выделена фракция с т. пл. 155—158°, гидролизом которой получена смесь иронов, обогащенная *изо-α*-I. Последний выделен разгонкой на колонке в 35 теоретич. тарелок. Строение *изо-α*-I подтверждено ИК- и УФ-спектром и гидрированием до дигидро-*изо-α*-ирона; фенилсемикарбазон, т. пл. 146—147°. Указаны в-во,  $d_4^{20}$ ,  $n_D^{20}$ , фенилсемикарбазон, т. пл. °C, 2,4-динитрофенилгидразон, т. пл. °C: I, 0,9306, 1,49502, 158,5—159,5, 151—152; II, 0,9326, 1,50010, 174—175, 103—103,5. Приведены данные УФ-спектров I, II и их производных. Л. Я.

**75031. Исследования в ряду терпенов. XXIII. Пиролиз *d*-лимонена и родственных углеводородов. Механизм пиролиза. Пайнс, Райер** (Studies in the terpene series. XXIII. Pyrolysis of *d*-limonene and of related hydrocarbons. Mechanisms of pyrolysis. Pines Herman, Ryer Jack), J. Amer. Chem. Soc., 1955, 77, № 16, 4370—4375 (англ.)

Изучен процесс пиролиза *d*-лимонена (I) и смеси (II), состоящей из  $\alpha$ -(15%) и  $\beta$ -пиронена (70%) и 1,5-диметил-5-этилциклогексана-1,3 (15%), при 450° над  $Si$ -катализатором. II приготовлена пиролизом аллооцимена ранее

описанным методом (Goldblatt L. A., Palkin S., J. Amer. Chem. Soc., 1941, 63, 3517). Пиролиз проводился в трубке диам. 21 мм при длине слоя катализатора 6,25 см. При пиролизе I образуется катализат, состоящий из газов ( $H_2$ ,  $CH_4$ ,  $C_2H_6$ ,  $C_2H_4$ ) и конденсата, из которого выделено 6% изопрена (III) и 86% фракции А с т. кип. 115—190°. Селективным гидрированием и хроматографированием на силикагеле из фракции А выделено 9% смеси ароматич. углеводородов (фракция Б), состав которых определен изучением ИК-спектров, разгонкой и получением кристаллич. производных, и 91% смеси алкилциклогексанов (фракция В). Состав фракции Б: *m*-ксилот (IV) 16%, *m*-этилтолуол (V) 3%, *p*-этилтолуол (VI) 2%, 1,2,3-триметилбензол (VII) 6%, 1,2,4-триметилбензол (VIII) 6%, *p*-цимол (IX) 30%, 1,3-диметил-4-этилбензол (X) 2%, 1,2,3,5-тетраметилбензол (XI) 19%. 4,6-дибромпроизводное X имеет т. пл. 198°. После дегидрирования фракции В при 280° над  $Pt/Al_2O_3$ -катализатором и хроматографировании продуктов *p*-чин выделена смесь ароматич. углеводородов (60%): V 1%, VIII 1%, IX 88%, и XI 2%, и остаток. Последний при повторном дегидрировании при 330° дал смесь ароматич. углеводородов (выход 49%): IV 4%, V 38%, VII 26%, VIII 7% и IX 12%. Газ, полученный при дегидрировании, содержит  $H_2$ ,  $CH_4$ ,  $C_2H_6$ . Пиролизом II в тех же условиях получен газ (54%  $CH_4$ ) и конденсат, из которого выделено 1,3% III и 89% фракции с т. кип. 133—220°, из которой вышеуказанным методом получают IV, V, VI, VII, VIII, 1,3,5-триметилбензол, X и XI. На основании этих данных предлагается следующий радикальный механизм пиролиза: вначале образуются биаллильные радикалы, которые в результате внутримолекулярного перемещения водорода превращаются в конъюгированные триолефины. Последние путем внутримолекулярной диеновой конденсации превращаются в алкилциклогексаны. В свою очередь алкилциклогексаны могут ароматизироваться с выделением  $CH_4$ ,  $C_2H_6$  и  $H_2$ , либо образовывать новые биаллильные бирадикалы, приводящие к бициклич. в-вам. Сообщение XXII см. РЖХим, 1956, 3785. Г. С.

**75032. Действие тетраацетата свинца на терпингидрат в присутствии уксусного ангидрида. Мацуура, Аратани** (Action of lead tetraacetate on terpinhydrate in the presence of acetic anhydride. Matsuura Tamon, Aratani Takaaki), J. Sci. Hiroshima Univ., 1955, A18, № 3, 439—445 (англ.)

Действие  $Pb(OCOCH_3)_4$  в среде  $(CH_3CO)_2O$  на 1,8-терпингидрат (I) (65°, 8 час.) приводит к *dl*- $\alpha$ -терпинеолу (II) и терпинмоноацетату (III), тогда как в бензольном р-ре в тех же условиях образуются лишь следы II. Обработка I с помощью  $(CH_3CO)_2O$  и  $CH_3COOH$  в отсутствие  $Pb(OCOCH_3)_4$  приводит к II, *dl*- $\alpha$ -терпинилацетату и III ( $n_D^{25}$  1,4572,  $d_4^{25}$  1,0104), причем выход этих продуктов выше, чем в присутствии  $Pb(OCOCH_3)_4$ . Отсюда сделан вывод, что указанные превращения I происходят не за счет окисления при действии  $Pb(OCOCH_3)_4$ , а за счет дегидратации и ацетилирования под действием  $(CH_3CO)_2O$ . Л. Х.

**75033. Терпены. Тейбер** (Die Terpene. Teuber Wolfgang), Riechstoffe und Aromen, 1956, 6, № 5, 130, 132—136 (нем.)

Обзор свойств важнейших терпенов, применяемых в про-изве дущих и ароматич. в-в. Кратко описан синтез витамина А из  $\beta$ -иона. Л. Б.

**75034. Новый метод получения борнилена. Клеман, Вилька, Дюпон, Дюлу** (Nouvelle méthode de préparation du bornylène. Clément Geneviève, m-ile, Vilkas Michel, Dupont Georges, Dulou Raymond), C. r. Acad. sci., 1956, 242, № 9, 1184—1185 (франц.)

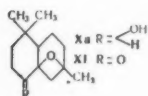
Смесь стереоизомерных (при  $C_{12}$ ) гидробромидов борнилена (I), полученных восстановлением 3 $\alpha$ -бромкамфоры



роалантолактон, т. пл. 117—119°,  $[\alpha]^{21}_D - 22,6^\circ$ . Пиролиз бензоата III дает 2,3-дигидродигидроизоалантолактон, т. пл. 157—158°,  $[\alpha]^{20}_D + 95^\circ$ , при гидрировании которого получен тетрагидроалантолактон, т. пл. 139—140°,  $[\alpha]^{20}_D + 12,1^\circ$ ,  $[\alpha]_D$  определены в  $\text{CHCl}_3$ . Даны кривые ИК-спектров I и II. С. Н.

**75039. Запах и строение XVI. О строении амбринола** ( $\Delta^4$ ,  $\Delta^9$  и  $\Delta^{5(10)}$ -1,6-триметил-6-оксикталинов). Штоль, Зейдель, Вильхальм, Хиндер (Odeur et constitution. XVI. Sur la constitution de l'ambrinol ( $\Delta^4$ ,  $\Delta^9$  et  $\Delta^{5(10)}$ -triméthyl-4,1,6-hydroxy-6-octalène. Stoll M., Seidel C. F., Willhalm B., Hinder M.), Helv. chim. acta, 1956, 39, № 1, 183—199 (франц.).

Показано, что амбринол (I), образующийся при циклизации дигидро-γ-иона (II), представляет собой смесь трех изомеров, из которой удалось выделить и идентифицировать α-амбринол (1,1,6-триметил-6-окси- $\Delta^4$ -окталин) (III) и γ-амбринол (1,1,6-триметил-6-окси- $\Delta^{5(10)}$ -окталин) (IV). Строение IV доказано его встречным синтезом путем конденсации 1,1-диметил- $\Delta^{5(10)}$ -окталоно-6 (V) с  $\text{CH}_3\text{MgBr}$ . Бромированием I до дибромгидроамбринола (VI), дегидробромированием VI до бромамбринола (VII), превращением VII (под влиянием  $\text{CH}_3\text{MgBr}$ ) в 1,1,4,6-тетраметил-6-окси- $\Delta^9(10)$ -окталин и дегидрированием последнего с Pd/C получают 1,2,4,6-тетраметилнафталин (?) (VIII). Обработка I надфталевой к-той приводит к оксидоамбринолу (IX) (образующемуся, вероятно, из III) и к жидким неидентифицированным непредельным кетонам. IX реагирует с  $\text{HCOOH}$ , превращаясь в смесь продуктов (X), состоящую, судя по ИК-спектру, в основном из оксидоспирта (Xa). Окисление X  $\text{CrO}_3$  приводит к 1,1,6-триметил-6,10-ок-



сидо-декалону-4 (XI), наряду с небольшим кол-вом соответствующего 9,10-непредельного-6-оксикетона (XII) (?) (не выделен). При кипячении с водой IX дает 1,1,6-триметил-4,5,10-триоксидекалин (XIII), 1-моноацетат которого (XIV) образуется как при ацетилировании XIII, так и при р-ции IX с  $\text{CH}_3\text{COOH}$ . Дегидратацией маточных р-ров от XIV получают ионен (XV). Поскольку XIV в тех же условиях не образует XV, отсюда следует, что в маточных р-рах от XIV присутствует 10-моноацетат XIII. При обработке II спирт. р-ром  $\text{HCl}$  получают этиловый эфир I, обладающий лишь слабым запахом. I быстро осмоляется при стоянии на воздухе. 260 г смеси семикарбазонов дигидро-α- и γ-ионов (т. пл. 178—181°) кипятят 2,5 часа с р-ром 400 г фталевого ангидрида в 500 мл спирта и 2,5 л воды. Продукт, полученный после перегонки с водяным паром и экстракции петр. эфиром (182 г), обрабатывают уксуснокислым семикарбазидом и выделяют 109 г семикарбазонов, т. пл. 155—157°, и 102,7 г некотонных продуктов. Разгонкой последних получают I, выход 91,1 г, т. кип. 78—84°/0,15 мм,  $n^{20}_D 1,5021$ ,  $d^{20}_4 0,9568$ . Дальнейшей разгонкой и обработкой этилборатом I может быть разделен на более узкокипящие фракции, также представляющие собой смеси и по своему составу не отличающиеся от I. I дает следующие производные: 3,5-динитробензоат, т. пл. 82,5—84° (из сп.); аллофанат, т. пл. 183—184° (из бзл.-этилацетата), т. пл. 161—162° (разл.), т. пл. 171—172° (аморфный), т. пл. 139—141° (аморфный). 1 г I в 5 мл  $\text{CH}_3\text{COOH}$  гидрируют с  $\text{PtO}_2$  под давлением при 100—120° до углеводорода  $\text{C}_{12}\text{H}_{24}$ , т. кип. 108—109°/14 мм. При гидрировании с  $\text{PtO}_2$  в  $\text{CH}_3\text{COOH}$  при 20° и атмосферном давлении I поглощает <1 моля водорода (I вызывает коагуляцию катализатора). 30 г I и 34 г надфталевой к-ты в 370 мл

эфира выдерживают 22 часа при  $-10^\circ$ . Из продукта р-ции (выход 27,33 г, т. кип. 87—106°/0,27 мм,  $n^{18,5}_D 1,4868$ ,  $d^{19}_4 1,024$ ) при стоянии выпадает IX, т. пл. 55—56° (из петр. эф.); аллофанат, т. пл. 181—181,4°. При добавлении  $\text{J}_2$  в шел. р-ре к смеси I с надфталевой к-той образуется неидентифицированный в-во  $\text{C}_{12}\text{H}_{22}\text{O}_2$ , т. разл. 99°. К р-ру  $\text{CH}_3\text{MgBr}$  (из 150 мг Mg) в эфире добавляют при 10° р-р оптически деятельного V в 10 мл эфира, смесь выдерживают 2 часа, кипятят 30 мин. Продукт р-ции с помощью реактива Т Жирара разделяют на кетонную и некотонную фракцию. Из последней разгонкой выделяют углеводород  $\text{C}_{12}\text{H}_{20}$  (XVI), т. кип. 75°/0,09 мм (256 мг) и т. кип. 76—84°/0,09 мм (186 мг), и IV, т. кип. 98°/0,09 мм, выход 118 мг, т. пл. 61—61,5° (после хроматографирования и возгонки при 50°/0,01 мм). XVI гидрируется с  $\text{PtO}_2$  в  $\text{CH}_3\text{COOH}$  до углеводорода  $\text{C}_{12}\text{H}_{24}$ ,  $n^{24,8}_D 1,4791$ ,  $d^{24}_4 0,8857$ . К р-ру 4,17 г I в 40 мл  $\text{CHCl}_3$  добавляют при  $-10^\circ$  3,44 г  $\text{Br}_2$  в 34 мл  $\text{CHCl}_3$ , р-ритель отгоняют в вакууме, остаток растворяют в эфире, освобождают от  $\text{HBr}$ , добавляют р-р  $\text{CH}_3\text{MgBr}$  (из 7,5 г Mg) в 120 мл эфира, кипятят смесь 48 час., продукт р-ции (3,24 г) нагревают с 0,6 г Pd/C 20 час. при 260—280° и экстракцией эфиром выделяют VIII, выход 2,71 г, т. кип. 120°/12 мм,  $n^{20,8}_D 1,5260$ ,  $d^{20,2}_4 0,9340$ ; тринитробензолат, т. пл. 153—155° (из сп.); стифнат, т. пл. 132—133° (из сп.). Фильтрованием тринитробензолата через  $\text{Al}_2\text{O}_3$  регенерируют VIII, т. пл. 40—40,5° (после возгонки). 6 г IX смешивают при охлаждении с 6,5 г 100%-ной  $\text{HCOOH}$  (т-ра поднимается до 50°), выдерживают 1 час и выделяют X, выход 2,25 г, т. кип. 120—122°/10 мм, наряду с фракциями, т. кип. 124—125°/10 мм (0,83 г) и 134—168°/10 мм (1,09 г). К смеси 2,9 г X, 18 мл  $\text{C}_6\text{H}_6$ , 27 г лед.  $\text{CH}_3\text{COOH}$  и 0,65 г  $\text{KHSO}_4$  добавляют при 6° р-р 2,5 г  $\text{CrO}_3$  в 1,35 мл воды и 27 г  $\text{CH}_3\text{COOH}$ . После обработки получают XI в виде 2,4-динитрофенилгидразона, т. пл. 184—184,5° или семикарбазона, т. пл. 192—193°. Омылением 290 мг семикарбазона XI (500 мг фталевого ангидрида, 7,5 мл  $\text{CHCl}_3$ , 3 мл  $\text{H}_2\text{O}$ , 100°, 2 часа) выделяют XI, выход 200 мг, т. кип. 125—126°/7 мм, т. пл. 49—51°. Р-ция IX с  $\text{CH}_3\text{COOH}$  (15°, 60 час.) приводит к XIV, т. пл. 159—161° (из этилацетата), полученному также ацетилированием XIII (пиридин,  $(\text{CH}_3\text{CO})_2\text{O}$ , 25°, 12 час.). При омылении маточных р-ров от XIV выделяют XIII т. пл. 175,5—176,5° (из этилацетата). Остаток маточных р-ров от XIV (5,8 г) кипятят 7 час. с 60 мл  $\text{C}_6\text{H}_6$  в присутствии 0,2 г  $n\text{-CH}_3\text{C}_6\text{H}_4\text{SO}_3\text{H}$ ; после обработки выделяют XV, т. кип. 118—119°/15 мм,  $n^{24,5}_D 1,5205$ ,  $d^{24,5}_4 0,9344$ . XV отличается от препарата ионена, полученного Тиманом (Tiemann, Ber., 1893, 26, 2675), что объясняется наличием в XV примесей изомерных углеводородов. Смесь 2,4 г II и 1 г  $\text{HCl}$  в 40 мл спирта выдерживают 24 часа при 0°. После перегонки продукта р-ции над Na и хроматографирования на  $\text{Al}_2\text{O}_3$  выделяют XVI, выход 1,23 г, т. кип. 114—114,5°/8 мм,  $n^{21}_D 1,4828$ ,  $d^{20}_4 0,9262$ . Сообщение XV см. РЖХим, 1956, 61466. Л. Б.

**75040. Запах и строение XVII. Получение 2'-метил-3,4-дигидро-γ-иона и 2,6-транс-дигидро-γ-иона и их циклизация в бициклические продукты. Штоль, Зейдель, Вальхальм, Хиндер** (Odeur et constitution XVII. Préparation de la méthyl-2,4-dihydro-γ-ionone et de la trans-2,6-dihydro-γ-ionone et leur cyclisation en produits bicycliques. Stoll M., Hinder N., Willhalm B.), Helv. chim. acta, 1956, 39, № 1, 200—207 (франц.; рез. англ.)

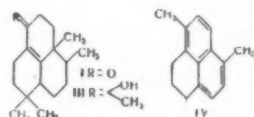
Описано получение 2'-метил-3,4-дигидро-γ-иона (I) из 2'-метил-γ-иона (II) и 2,6-транс-дигидро-γ-иона

(III) из  $\gamma$ -иона (IV). При обработке семикарбазона I фталевой  $\kappa$ -той получают 1,1-диметил-6-этил-6-оксикталаин (V); III циклизуется под влиянием  $H_2SO_4$  в 1,1,2,6-тетраметил-6-оксикталаин (VI). I изомеризуется легче, а III значительно труднее дигидро- $\gamma$ -иона (см. РЖХим, 1956, 61466). При восстановлении  $LiAlH_4$  2'-метил-3,4-дигидро- $\alpha$ -ион (VII) и дигидро- $\alpha$ -ион (VIIa) превращаются соответственно в 2'-метил-3,4-дигидро- $\alpha$ -ион (VIII) и дигидро- $\alpha$ -ион (IX), ацетаты которых присоединяют HCl, образуя хлориды (X) и (XI). Дегидрохлорирование X и XI под влиянием лаурата K в ксилоле и последующее омыление проводят соответственно к смеси 2'-метил-3,4-дигидро- $\alpha$ - и  $\gamma$ -ионов (XII) или к смеси дигидро- $\alpha$ - и  $\gamma$ -ионов (XIII), которые при окислении с  $CrO_3$  в  $CH_3COOH$  дают I или III. 384,4 г II в 2,5 л спирта восстанавливают 270 г Ni на силикагеле (20% Ni) при 26–29° до VII, выход 555 г, т. кип. 83–91°, 0,02 м.м.,  $n_D^{20}$  1,4825,  $d_4^{20}$  0,9179,  $n_D^{22}$  1,4825. Восстановлением 707 г технич. IV в 2,5 л спирта с помощью 200 г Ni на силикагеле (20% Ni) при 1,35 ат (9,5 часа) получают VIIa, выход 635 г, т. кип. 68–75°, 0,04 м.м.,  $n_D^{20}$  1,4837,  $d_4^{20}$  0,9277. 552,8 г VII восстанавливают кипячением (70 мин.) с 33,5 г  $LiAlH_4$  в 2 л эфира до VIII, выход 100%. В тех же условиях 530 г VIIa дают IX, выход 531,5 г, т. кип. 82–90°, 0,15–0,02 м.м.,  $n_D^{20}$  1,4874,  $d_4^{20}$  0,9236; ацетат, т. кип. 83–90°, 0,001 м.м.,  $n_D^{20}$  1,4686,  $d_4^{25}$  0,9356. В р-р 625 г ацетата VIII в 2,5 л лед.  $CH_3COOH$  пропускают при 14° HCl (газ) (1,5 часа), смесь выдерживают 3 дня при 14–18°, насыщая ее периодически HCl (газом). Продукт р-ции (660 г) нагревают 20 час. с суспензией 1250 г лаурата K в 2 л ксилола и после обработки выделяют ацетат XII, выход 456 г, т. кип. 75–95°, 0,05 м.м.,  $n_D^{21,5}$  1,4685,  $d_4^{21,2}$  0,9319, гидролиз которого (KOH в сп., 20–25°, 18,5 часа) приводит к XII, разделенной разгонкой на 2 основные фракции: а, выход 197,45 г, т. кип. 68–80°,  $n_D^{20,5}$  1,4852,  $d_4^{20,1}$  0,9187, и б, выход 172,36 г, т. кип. 78,5–80°,  $n_D^{21,5}$  1,4832,  $d_4^{20,4}$  0,9194. Аналогично 592 г ацетата IX превращают через XI ( $n_D^{20}$  1,4794,  $d_4^{20}$  1,0172) в ацетат XIII, выход 438 г, т. кип. 75–85°, 0,02 м.м.,  $n_D^{20}$  1,4712,  $d_4^{20}$  0,9406, омылением которого получают XIII, т. кип. 73–85°, 0,02 м.м.,  $n_D^{20}$  1,4882,  $d_4^{20}$  0,9249. К смеси 150 г XII в 1,5 л лед.  $CH_3COOH$ , 1 л  $C_6H_6$  и 35 г  $KHSO_4$  в 225 мл воды добавляют до 7° р-р 126 г  $CrO_3$  в 75 мл воды и 1400 г  $CH_3COOH$ ; после обработки выделяют I, выход 111,66 г, т. кип. 62–79°, 0,07 м.м.,  $n_D^{21}$  1,4769;  $d_4^{21,5}$  0,9253; семикарбазон, т. пл. 197,5–199,5° (в вакууме 199–200°) (из  $CH_3OH$ ). Аналогично 160 г XIII дают смесь дигидро- $\alpha$ - и  $\gamma$ -ионов, из которой выделяют семикарбазон III, т. пл. 172–172,5° (из хлф.  $CH_3OH$ ). 22 г фталевого ангидрида сбрабатывают водяным паром, добавляют 4,235 г семикарбазона I и отгоняют от смеси 4,5 л воды. Продукт р-ции нагревают с 6 мл этилбората до 140°, отгоняют кетонную фракцию, оставшиеся бораты растворяют в эфире и перемешивают 10 час. при 20° с 10%-ным р-ром  $Na_2CO_3$  и затем 5,5 часа с 10%-ным р-ром KOH. Продукт р-ции хроматографируют  $Al_2O_3$  и смесью эфир-петр. эфир- $C_6H_6$  вымывают V, т. кип. 60° (т-ра бани) 0,001 м.м.,  $n_D^{18}$  1,4974. При аналогичной обработке из семикарбазона III выделяют чистый III, т. кип. 70–72°, 0,05 м.м.,  $n_D^{20}$  1,4821,  $d_4^{20}$  0,9273. Смесь 3 г III и 30 мл 20%-ной  $H_2SO_4$  перемешивают 2 часа. Продукт р-ции обработкой этилборатом разделяют на непрореагировавший III (1,955 г) и VI, выход 591 мг,

т. кип. 66–68°, 0,01 м.м.,  $n_D^{20}$  1,5037,  $d_4^{20}$  0,9729, 205 мг I восстанавливают кипячением (15 мин.) с 42 мг  $LiAlH_4$  в эфире до 2'-метил- $\gamma$ -иола, т. кип. 85–90° (т-ра бани) 0,005 м.м. Приведены кривые ИК-спектров полученных в-в.

Л. Б. 75041. Терпены. III. Перегруппировка амбреинолида при каталитическом влиянии кислот. Бюхи, Зар, Эшменозер (The acid catalyzed rearrangement of ambrenolide. Terpenes III. Büchi G., Saar W. S., Eschenmoser A.), Experientia, 1956, 12, № 4, 136–137 (англ.; рез. нем.)

Установлено строение кетона  $C_{17}H_{26}O$  (I), полученного ранее при кислотной изомеризации амбреинолида (II) (Collin-Asselineau и др., Bull. Soc. chim. France, 1950, 720). Р-р 2 г II в 20 мл диоксана и 30 мл 80%-ной  $H_2SO_4$  нагревают 1,5 часа при 60° в атмосфере  $N_2$ ; выделяют I, выход 32%, 2,4-динитрофенилгидразон I, т. пл. 196,5–198° (разл.); фенилсемикарбазон I, т. пл. 218,2–219,6°; семикарбазон I, т. пл. 207,1–208,6°. Р-ция 1,3 г I с избытком  $CH_3MgI$  приводит к соответствующему спирту (III), выход 1,2 г, образующему (820 мг) при дегидрировании с  $SeO_2$  (310°, 19 час.) известный углеводород (IV), выход 205 мг; пикрат IV, т. пл. 135–136°; стифнат IV, т. пл. 152,6–153,6°. Приведены данные УФ- и ИК-спектра для I и IV: I,  $\lambda_{\max}$  251,6 мк;  $\log \epsilon$  4,07; ИК-спектр 6,05 у 617 мк; IV  $\lambda_{\max}$  (в циклогексане) 233, 283, 294, 328 мк;  $\log \epsilon$  4,51, 3,57, 3,49, 3,05. Сообщение II см. РЖХим, 1955, 14067.



Л. Б. 75042. О поведении азуленогенных веществ рыжика. Предварительное сообщение. Бенешова, Шорм, Героут (O povaze azulenogennich látek z ryzce pravého. Predběžné sdělení. Benešová V., Herout V., Šorm F.), Chem. listy, 1955, 49, № 5, 779–780 (чеш.); Сб. чехосл. хим. работ, 1955, 20, № 2, 510–511 (англ.; рез. русск.)

Из предварительных результатов изучения аззуленогенных в-в рыжика (*Lactarius deliciosus* L.) (I) вытекает, что в нетронутых растениях присутствуют только оранжево окрашенные проазулены (IIA); аззулены, напр. лактарвиолин (II) и лактаразулен (III), образуются лишь при их разложении. При хроматографировании экстрактов I на  $Al_2O_3$  обнаружены 2 или 3 оранжевых полосы весьма неустойчивых ПА. Один из них (IV), содержащийся в спирт. экстракте I в наибольшем кол-ве, был исследован ближе. Из вырезанной хроматографич. полосы IV был извлечен эфиром и в этом же р-рителе прогидрирован на Pt (из  $PtO_2$ ) до обесцвечивания р-ра. После удаления эфира в-во догидрировано на Pt (из  $PtO_2$ ) в лед.  $CH_3COOH$ . Выделены два продукта гидрирования, из которых один оказался 8-оксиметил-2-метил-5-изопропилбицикло-(0,3,5)-деканом (V), идентичным с продуктом гидрирования II (даны ИК-спектры), а другой — 2,8-диметил-5-изопропилбицикло-(0,3,5)-деканом (гваяном), образующимся, по видимому, в результате гидрогенолиза V. Таким образом IV имеет гваяновый скелет; на основании положения его полосы на хроматограмме можно заключить, что он является первичным спиртом. На основании подобия свойств IV и хамазуленогена из полыни (РЖХим, 1956, 14158) авторы считают, что IV имеет 4–5 двойных связей. Положение полос остальных двух оранжевых ПА на хроматограмме показывает, что один из них является альдегидом, отвечающим II, но с меньшим кол-вом двойных связей, а второй представляет собой менее насыщ. углеводород, отвечающий III.

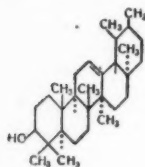
Zdeněk Šekán 75043. О тритерпеновых кислотах из чашечек японских персиммон. Исэда, Ягисита (かきのへたのト

リテルベン酸について・伊勢田陵・柳一愛), 薬学雑誌, Якугаку дзасси, J. Pharm. Soc. Japan, 1955, 75, № 2, 230—231 (япон.; рез. англ.)

Приготовлен спиртовой экстракт из чашечек сухих плодов *Kaki* (*Diospyros Kaki* L.). Отделены фракции, нерастворимые в воде, разб. щелочи (1,2%) и в эфире (0,35%). Из эфирного экстракта выделены оксигртерпеновые к-ты (0,37%) в виде их К-солей и 0,37% нейтр. в-ва. Тримерпеновые к-ты были повторно очищены через их К-соли и ацетилированы. Фракционированной кристаллизацией продукта из  $\text{CH}_3\text{OH}$  выделены ацетилстеариновая и ацетилбегулиновая к-ты. Гидролиз остатка с последующей кристаллизацией продукта из  $\text{CH}_3\text{OH}$  дает урсоловую к-ту. При перекристаллизации смеси метиловых эфиров продуктов ацилирования легко получается чистый метиловый эфир ацетилстеариновой к-ты. Порция спиртового экстракта, растворимая в воде, была обработана ацетатом Pb; из фильтрата путем хроматографирования на бумаге были выделены глюкоза и фруктоза. Из щел. фракции выделены кислые в-ва, 1,4% флорафена (?) и 0,105% нейтр. жирного масла. С. А.

**75044. Стереохимия  $\alpha$ -амирина. Битон, Холсэлл** (The stereochemistry of  $\alpha$ -amyrin. B. Eton J. L., Hulsall T. G.), Chemistry and Industry, 1954, № 51 1560—1561 (англ.)

На основании хим. и спектральных данных для  $\alpha$ -амирина предлагается строение (I) и отвергаются ф-лы, предложенные для него ранее (Ewen и др., J. Chem. Soc., 1944, 28; РЖХим, 1955, 542). УФ-спектр (—)- $\alpha$ -амиридина (II) идентичен с УФ-спектром  $\Delta^{7,9(12)}$ -эпидиенола-3 $\beta$  и характерен для гетероанулиарных диеновых хромофорных групп. ИК-спектр II содержит полосы при 801 и 789  $\text{cm}^{-1}$  (в  $\text{CS}_2$ ), характерные для тризатмещ. двойных связей. В отличие от  $\beta$ -амирина (III) не дает сопряженного диена, что авторы объясняют различным соединением колец D и E в I и III. 17- $\text{CH}_3$ -группы в I занимает более устойчивое  $\alpha$ -положение, малая реакционная способность I объясняется аксиальной ориентацией 20- $\text{CH}_3$ -группы



(20 $\beta$ ) и  $\alpha$ -положением 19- $\text{CH}_3$ -группы (19  $\beta$ ). Л. Б.

**75045. Стероиды. Фишер** (Steroids. Fieser Louis F.), Scient. Amer., 1955, 192, № 1, 52—60 (англ.) Популярное изложение основных достижений химии стероидов. Л. Б.

**75046. Синтезы в группе эстрогенных гормонов. VIII. Химия производных 2-метил-2-карбок-6-оксидиоксепанона. Проти́ва, Нилек, Новак, Адлерова, Шима́к, Кно́блех** (Synthetické pokusy v skupině estrogenních hormonů. VIII. Chemie derivátů 2-methyl-1-2-karboxy-6-hydroxy-cyklohexanonu. Protíva Miroslav, Jilek Jiří O., Novák Ludvík, Adlerová Edit, Šimák Vladislav, Knobloch Eduard), Chem. listy, 1955, 49, № 8, 1193—1217 (чеш.); Сб. чехосл. хим. работ, 1955, 21, № 1, 159—180 (нем.; рез. русс.)

С целью нахождения нового пути синтеза эстрогена предпринята попытка синтеза 3-метил-3-карбокциклогексанион-2-уксусной к-ты (I). Бромированием 2-метил-2-карбокциклогексана в  $\text{CCl}_4$  получен 2-метил-2-карбок-6-бромциклогексанон (II), т. кип. 132—134°/3,6 мм, выход 93%. При кипячении (10 мин.) 1 г II, 2 г 2,4-динитрофенилгидразина (ДНФ), 30 мл спирта и 6 мл конц. HCl получают 2,4-динитрофенилгидразон 1,2-дикет-3-метил-3-карбокциклогексана (III), т. пл. 184—185° (из этилацетата). Кипячение II с метилатом Na в  $\text{CH}_3\text{OH}$  приводит к смеси изомеров (т. кип. 128—136°/10 мм, выход 81%), состоящей на 50% из 2-метил-2-карбок-6-метоксидиоксепанона (IV), из которой обычно полу-

чали III [однажды был получен 2,4-динитрофенилгидразон IV, т. пл. 180—181° (из этилацетата)]. При внесении р-ра 82 г II в 100 мл  $\text{CH}_3\text{OH}$  в кипящий р-р  $\text{CH}_3\text{ONa}$  (из 11,5 г Na) в 200 мл  $\text{CH}_3\text{OH}$  получают 13 г диметилкетальлактона 2-метил-2-карбок-6-оксидиоксепанона (V), т. пл. 83° (из петр. эф.). 33,3 г метилового эфира 2-циклогексанон-карбонной к-ты кипятят 3 часа с 250 мл  $\text{C}_6\text{H}_6$  и 4,9 г Na-порошка и затем еще 4 часа с 30,2 г  $\text{CH}_3\text{I}$ ; получают 2-метил-2-карбокметоксидиоксепанон, т. кип. 98—99°/7,5 мм, который при бромировании 23,7 г Br в 25 мл  $\text{CCl}_4$  дает 6-бромпроизводное, при кипячении (2 часа) которого с р-ром 3,3 г Na в 100 мл  $\text{CH}_3\text{OH}$  получают V и 2-метил-2-карбокметоксидиоксепанон (VI), т. кип. 145—147°/15 мм; 2,4-динитрофенилгидразон, т. пл. 175° (из петр. эф.-бзл.). VI получают также при кипячении IV с  $\text{CH}_3\text{ONa}$  в  $\text{CH}_3\text{OH}$ ; при действии ДНФ на жидкую часть продукта этой р-ции получают 2,4-динитрофенилгидразон лактона 2-метил-2-карбок-6-оксидиоксепанона (VII), т. пл. 173° (из сп.). При кипячении 2 г V с р-ром 0,5 г КОН в 30 мл спирта раскрывается лактонный цикл и образуется соответствующая Na-соль. При кипячении V с 5%-ной метанольной HCl происходит этерификация карбоксила, реакционная смесь с ДНФ дает метиловый эфир, соответствующий III, т. пл. 179—180° (из петр. эф.). Гидролиз V с р-ром HCl в бутиловом спирте приводит к соответствующему бутиловому эфиру, т. пл. 105—108° (из в бзл.-петр. эф.). При кипячении V с р-ром 5 мл конц.  $\text{H}_2\text{SO}_4$  в 50 мл диоксана (2 часа) получают в-во с т. кип. 100—130°/10 мм, которое с ДНФ в  $\text{CH}_3\text{COOH}$  дает VII; аналогично кипячением V со смесью HCl-к-ты и  $\text{CH}_3\text{COOH}$  получают 2,4-динитрофенилгидразон 6-метил-2-циклогексен-1-она, т. пл. 193—195° (из петр. эф.-этилацетата). 21,4 г неочищ. IV при гидролизе (кипячение 10 час., с 60 мл 10%-ного NaOH) дают 1,5 г V обработкой водн. слоя получают 1-метил-1-карбок-2-метоксидиоксепанон, т. пл. 141—143° (из бзл.). Перемешиванием 10,7 г IV, с 100 мл петр. эфира, 7,9 г  $\text{NH}_4\text{Cl}$  и 9,7 г KCN получают 5,9 г 1-циан-2-метил-2-карбок-6-метоксидиоксепанона, т. пл. 142° (из сп.-петр. эф.). Обработка II этилатом Na приводит к 2-метил-2-карбок-6-этоксидиоксепанону, т. кип. 110—135°/10 мм, который с ДНФ дает III. Аналогично из II и бензилата Na получают 2-метил-2-карбок-6-бензилоксидиоксепанон, т. кип. 128—130°/0,4 мм; 2,4-динитрофенилгидразон, т. пл. 135° (из петр. эф.-этилацетата). Нагреванием (3 часа, 140°) II с  $\text{CH}_3\text{COONa}$  и  $\text{CH}_3\text{COOH}$  получают 2-метил-2-карбок-6-ацетоксидиоксепанон (VIII) в виде смеси стереоизомеров (VIIIa) и (VIIIb), выход 66%, т. кип. 105—115°/0,5 мм. Конденсация VIII с  $\text{BrCH}_2\text{COOC}_2\text{H}_5$  по Реформатскому приводит к 1-карбокметил-2-метил-2-карбок-6-ацетоксидиоксепанолу (IX), выход 35%, т. кип. 120—130°/0,1 мм. Дегидратацией неочищ. IX кипячением с 97%-ной  $\text{HCOOH}$  (3 часа) получают этиловый эфир 2-метил-2-карбок-6-ацетоксидиоксепанонил-уксусной к-ты (X) (положение двойной связи не установлено), выход 49%, т. кип. 111—120°/0,4 мм. При гидроировании на Pd в спирте X дает этиловый эфир 2-метил-2-карбок-6-ацетоксидиоксепанонил-уксусной к-ты (XI), выход 50%, т. кип. 95—97°/0,1 мм. Кипячением (6 час.) XI с изопропилом алюминия (XII) в спирте получают этиловый эфир 2-метил-2-карбок-6-оксидиоксепанонил-уксусной к-ты, выход 74%, т. кип. 106—111°/10 мм. При попытке дезацетилирования X с XII вместо ожидаемого I после р-ции с ДНФ получают III. При разгонке большого кол-ва VIII выделяют фракцию с т. кип. 137—140°/2,5 мм, п D 1,462, из которой при добавлении петр. эфира выпадает VIIIa, т. пл. 83—84° (из петр. эф.); 2,4-динитрофенилгидразон, т. пл. 180—181° (из сп.). VIIIb выделен из реакционной смеси при попытке дегидратации IX с  $\text{SOCl}_2$  в пир-дине при 50°, т. пл. 76° (из петр. эф.); 2,4-динитрофенилгидразон, т. пл. 138° (из сп.). При щел. гидролизе (кипячение 7 час.

с р-ром КОН в  $\text{CH}_3\text{OH}$  из VIIIa и VIIIb получают смесь изомеров 2-метил-6-оксикиклогексанола (XIIIa), т. кип. 88–92°/10 мм, и (XIIIb), т. кип. 90–94°/10 мм; 2,4-динитрофенилгидразон, т. пл. 223° (из бзл.). Деацетилированием VIIIa 5%-ным спирт. HCl (20°, 70 час.) получают 2-метил-2-карбоксо-6-этоксикиклогексанола (XIV), т. кип. 130–132°/12 мм, 2,4-динитрофенилгидразон, т. пл. 109° (из сп.). Аналогично из VIIIb получают стереоизомер XIV (XIVa), т. кип. 100°/2,5 мм; 2,4-динитрофенилгидразон, т. пл. 105–107° (из сп.). С избытком ДНФ XIV и XIVa дают III. При стоянии метанольного р-ра VIIIb с водн. р-ром  $\text{KHCO}_3$  (48 час.) получен 2-метил-2-карбоксо-6-этоксикиклогексанола, т. кип. 80–83°/0,4 мм, который с ДНФ дает III. Конденсация VIIIa с  $\text{BrCH}_2\text{COOCH}_3$  по Реформатскому приводит к 2,6-лактону 2-метил-2-карбоксо-6-этоксикиклогексаниденуксусной к-ты, т. пл. 172–176° (из эф.  $\text{CH}_3\text{OH}$ ), который при кипячении со спирт. КОН дает 2-метил-6-оксикиклогексаниден- (или циклогексенил)-уксусную к-ту, т. пл. 101–103° (из водн.  $\text{CH}_3\text{OH}$ ). На основании образования 2,6-лактона авторы придают VIIIa *цис*-конфигурацию. Из VIIIb с  $\text{BrCH}_2\text{COOCH}_3$  получают лактон 2-метил-2-карбоксо-1,6-диоксикиклогексан-1-уксусной к-ты, т. пл. 92–93° (испр., из петр. эф. бзл.), на основании чего авторы приписывают VIIIb *транс*-конфигурацию. Приведены данные об ИК-спектрах VIIIa и VIIIb. Сообщение VII см. РЖХим, 1956, 938. Antonin Emr

75047. Изучение синтеза половых гормонов. (Работа, удостоенная «Премии прогресса»). Оки (薬情化合物の合成研究. 進歩賞. 大木道見君), 化学と工業, Kagaku to kogyo, Chem. and Chem. Ind., 1953, 6, № 5, 205–207 (япон.).

Дан обзор эстрогенной активности синтезированных ранее аналогов гексэстрола и диэтилстильбэстрола. Библ. 10 назв. Н. Ш.

75048. О молекулярных комплексах холестерина. Гарлинская Е. И., Ж. прикл. химии, 1955, 28, № 1, 87–93.

Изучались условия образования молекулярных комплексов холестерина (I) с хлоридами Ca, Zn, Mg, Mn, Co, Ni, Fe, K. Установлено, что две молекулы I присоединяют 1 молекулу хлорида металла. Предложен метод получения комплексных соединений I и выделения чистого I из смесей. Р-р I в ацетоне (1 : 15) осаждают избытком спирт. р-ра  $\text{CaCl}_2$  (0,4 : 1). Осадок промывают спиртом и растворяют в спирте при кипячении, причем по охлаждению выделяется чистый I. Этим путем можно выделить чистый I из шерстяного жира. С. Б.

75049. Синтез желчных стероидов. XX. Частичный синтез триокси-24-метилкопростана. Сено (The synthesis of stero-bile acids. XX. The partial synthesis of trihydroxy-24-methyl-coprostan. S. H. Irofu m i), Proc. Japan Acad., 1955, 31, № 10, 733–736 (англ.).

С целью выяснения деградации желчных стероидов в животном организме авторы синтезировали 24-метилкопростантриол-3а,7а,12а (I). К р-ру  $(\text{CH}_3)_2\text{CHMgBr}$  (из 4,5 г Mg, 21,5 г  $(\text{CH}_3)_2\text{CHBr}$  в 100 мл эф.) прибавляют 10 г норхилилметилкетона в  $\text{C}_6\text{H}_6$  и кипятят при перемешивании 5 час. Из продуктов р-ции после хроматографирования выделяют 24-метилкопростантриол-3а,7а,12а (II), выход 0,6 г, т. пл. 156–158°. Р-р 4,5 г II в 100 мл лед.  $\text{CH}_3\text{COOH}$  кипятят 2 часа, добавляют 50 мл  $(\text{CH}_3\text{COO})_2\text{O}$  и кипятят еще 10 мин. Остаток после отгонки р-рителя гидролизуют 6%-ным р-ром КОН в  $\text{CH}_3\text{OH}$  (кипячение 1 час). После хроматографирования получают 2,5 г некристаллизирующегося 25-метил-Δ<sup>24</sup>-копростантриола-2а,7а,12а (III), который при окислении  $\text{CrO}_3$  в  $\text{CH}_3\text{COOH}$  при 20° дает 24-метил-Δ<sup>24</sup>-копростантрион-3,7,12, т. пл. 235°. При гидролизании 2,5 г III в  $\text{CH}_3\text{COOH}$  с  $\text{PtO}_2$  и последующем омылении кипячением с 3%-ным р-ром КОН в  $\text{CH}_3\text{OH}$  получают 350 мг

I, т. пл. 181–182°. Окисление I с  $\text{CrO}_3$  в  $\text{CH}_3\text{COOH}$  дает 24-метилкопростантрион-3,7,12, т. пл. 242°; оксим, т. пл. 245–246°. Сообщение XIX см. РЖХим, 1956, 58161. И. З.

75050. Δ<sup>5</sup>-Стероиды и провитамины D с разветвленной боковой цепью. IV. Превращение некоторых Δ<sup>5</sup>-стероидов в провитамины D. Лау, Стратинг, Баккер (Δ<sup>5</sup>-Steroids and provitamins D with branched side-chains. IV. The conversion of some Δ<sup>5</sup>-steroids into provitamins D. Louw D. F., Strating J., Backer H. J.), Recueil trav. chim., 1955, 74, № 11, 1540–1554 (англ.).

При обработке N-бромсукцинимидом (NEC) и последующем дегидробромировании сим-коллиндином и гидролизе ацетат-17-(1,6-диметилгептил)-Δ<sup>5</sup>-андростенола-3β (I) и ацетат-17-(1,7-диметилгептил)-Δ<sup>5</sup>-андростенола-3β (II) дают соответственно 17-(1,6-диметилгептил)-Δ<sup>5,7</sup>-андростадиенол-3β (III) и 17-(1,7-диметилгептил)-Δ<sup>5,7</sup>-андростадиенол-3β (IV). Аналогично диметиламид (V) и диэтиламид (VI) 3β-ацетокси-Δ<sup>5,7</sup>-бис-норхоландиенол-3-к-ты превращают в диметиламид (VII) и диэтиламид (VIII) 3β-ацетокси-Δ<sup>5,7</sup>-бис-норхоландиенол-3-к-ты (VIII в чистом виде не выделен). При восстановлении VII  $\text{LiAlH}_4$  получен 3β-окси-Δ<sup>5,7</sup>-бис-норхоландиен-22-диметиламин (IX). Попытка бромирования посредством NEC 3β-ацетокси-Δ<sup>5</sup>-бис-норхоландиен-22-диэтиламина (X) не удалась. Проведено сравнительное исследование УФ-спектров 3,5-динитробензоатов, полученных Δ<sup>5,7</sup>-стероидов и динитробензоатов холестерина (XI), холестерина (XII) и 7-дегидрохолестерина (XIII). При изучении противорахитного действия продуктов облучения III, IV, VII, IX и витамина D<sub>3</sub> (на крысах) получены следующие значения (активность витамина D<sub>3</sub> = 100): III 1,8%; IV 0,9%; VII 0,4%; IX 1,9%. Эти данные указывают на существенное влияние метильных групп в боковой цепи на противорахитную активность. Противорахитное действие усиливается при восстановлении диметиламидогруппы в боковой цепи до диметиламиногруппы. К кипящему р-ру 4 г I в 25 мл  $\text{CCl}_4$  добавляют в атмосфере N<sub>2</sub> 2,02 г NBC, смесь кипятят 4 мин. при свещении, фильтруют, от фильтра отгоняют  $\text{CCl}_4$ , добавляют 20 мл сим-коллиндина, нагревают 18 мин. при 135–140° и кипятят с метанольным р-ром КОН (все в атмосфере N<sub>2</sub>). Продукт р-ции обработкой 3,5-динитробензоилхлоридом превращают в 3,5-динитробензоат III, выход 1,2 г, т. пл. 194–195,5° (разл.; из бзл.), [α]<sub>D</sub> –39,8°, гидролиз которого (кипячение 20 мин. с 5%-ным р-ром КОН в  $\text{CH}_3\text{CN}$  в атмосфере N<sub>2</sub>) приводит к III, выход 87%, т. пл. 110–112° и 127–128° (возможно с кристаллизационной водой). Аналогично 3 г II превращают в 3,5-динитробензоат IV, выход 1,6 г (неочищ.), т. пл. 193,5–195,5° (разл.; из  $\text{C}_6\text{H}_6$ ), [α]<sub>D</sub> –18,4°, образующий при гидролизе IV, т. пл. 75–80° (с выделением воды). В условиях синтеза III превращают V в VIII, т. пл. 236–238° (из ацетона), [α]<sub>D</sub> –67,1°, гидролиз которого приводит к диметиламиду 3β-окси-Δ<sup>5,7</sup>-бис-норхоландиенол-3-к-ты, т. пл. 239,5–240,5° (из бзл.), [α]<sub>D</sub> –113,5°, а из VI получают смесь VIII и его Δ<sup>4,6</sup>-изомера, содержащую ~50% VIII. Аналогичный результат получен при бромировании и дегидробромировании диэтиламида 3β-(3,5-динитробензоокси)-Δ<sup>5</sup>-бис-норхоландиенол-3-к-ты и диметиламида 3β-ацетокси-Δ<sup>5</sup>-холандиенол-3-к-ты. 820 мг VII восстанавливают с 800 мг  $\text{LiAlH}_4$  в кипящем эфире (24 часа в аппарате Сокслета). После обработки выделяют IX, выход почти колич., т. пл. 163,5–165,5° (из ацетона); ацетат (пиридин,  $(\text{CH}_3\text{CO})_2\text{O}$ , 20°, 24 часа), т. пл. 171,5–172,5° (из ацетона), [α]<sub>D</sub> –55,7°. 1 г X кипятят 4,5 мин. с 560 мг NBC в 20 мл  $\text{CCl}_4$ . После обработки получают бромгидрат X, т. пл. 293–294,5° (из сп.). Этерификацией 3,5-динитробензоил-

хлоридом из холестерина, холестерина и 7-дигидрохолестерина получают соответственно **XI**, т. пл. 187—188°; **XII**, т. пл. 205—207°, и **XIII**, т. пл. 192—193°. [ $\alpha$ ]. *D* определены в  $\text{CHCl}_3$  (1,5—2%-ный р-р). Сообщение III см. РЖХим, 1956, 50880. Л. Б.

**75051. Стереохимия реакции расширения кольца D. II. Дезаминирование  $\text{C}_{21}$ -17 $\beta$ -окси-20-аминостероидов азотистой кислотой. Рамирес, Стаффей (The nitrous acid deamination of 17 $\beta$ -hydroxy-20-amino- $\text{C}_{21}$  steroids. Stereochemistry of D-homoannulation. II. Ramirez Fausto, Stafiej Stanley), J. Amer. Chem. Soc., 1956, 78, № 3, 644—650 (англ.)**

Реакция  $\text{HNO}_2$  с 20 $\beta$ -амино-17-изоаллопрегнандиол-17 $\beta$ -метил-*D*-гомоандростанол-3 $\beta$ -ону-17 (**II**). Наличие активной  $\text{CH}_2$ -группы в **II** доказано его превращением в 17 $\beta$ -метил-16-оксиметил-*D*-гомоандростанол-3 $\beta$ -он-17 (**III**). При обработке щелочью **II** переходит на 30% в 17 $\alpha$ -метил-*D*-гомоандростанол-3 $\beta$ -он-17 (**IV**), полученный также нитрозированием 20 $\alpha$ -аминоаллопрегнандиола-3 $\beta$ ,17 $\alpha$  (**V**). Такое же состояние равновесия **II** и **IV** (7:3) достигается также при обработке щелочи чистого **IV**, откуда следует, что 17 $\alpha$ - $\text{CH}_2$ -группа занимает экваториальное положение в **II** и аксиальное положение в **IV**. Аналогичное равновесие 17 $\alpha$ -эпимеров устанавливается при обработке щелочью 17 $\beta$ -метил-*D*-гомоандростандиона-3,17 (**VI**) или его 17 $\alpha$ -эпимера. Образование термодинамически менее устойчивого **IV** из **V** показывает, что р-ция **V** с  $\text{HNO}_2$  проходит через промежуточное состояние, в котором наиболее затрудненное положение занимают наименьшие по объему заместители. На основании литературных данных рассчитаны значения частот вращения 17 $\alpha$ -ОН-группы, 17 $\alpha$ - $\text{CH}_2$ -группы, 20 $\alpha$ - $\text{CH}_2\text{COO}$ -группы и 20 $\alpha$ - $\text{CH}_2\text{CONH}$ -группы в различных стероидных соединениях. 5 г ацетата дегидроэпиандростерона в спирте гидрируют 18 час. с Pd/C; омылением продукта р-ции ( $\text{K}_2\text{CO}_3$ ,  $\text{CH}_3\text{OH}$ , кипячение 2 часа) получают андростанол-3 $\beta$ -он-17 (**VII**), выход 91%, т. пл. 172—174°. Ранее описанным методом (Shorre S. W., Prins D. A., Helv. chim. acta, 1943, 26, 185) **VII** превращают в 3-ацетат 17-изоаллопрегнандиол-3 $\beta$ ,17 $\beta$ -она-20 (**VIII**), т. пл. 184—186°. К р-ру 4,3 г **VIII** в 185 мл спирта добавляют р-р 9,25 г  $\text{NH}_4\text{OH} \cdot \text{HCl}$  и 9,35 г  $\text{CH}_3\text{COONa}$  в 93 мл воды, смесь кипятят 12 час., упаривают и отфильтровывают 3-ацетат 20-оксимидо-17-изоаллопрегнандиола-3 $\beta$ ,17 $\beta$  (**IX**), выход 98%, т. пл. 255—257° (из водн. сп.), [ $\alpha$ ] $^{25}_D$   $-15 \pm 2^\circ$  (с 1; в пиридине), 8 г **IX** гидрируют в  $\text{CH}_3\text{COOH}$  с  $\text{PtO}_2$  (41 час.); омыление продукта р-ции ( $\text{K}_2\text{CO}_3$ , водн.  $\text{CH}_3\text{OH}$ , кипячение 2 часа) приводит к **I**, выход 53,5%, т. пл. 221—223° (из водн.  $\text{CH}_3\text{OH}$ ), [ $\alpha$ ] $^{25}_D$   $-12 \pm 1^\circ$  (с 1; в сп.); 3-ацетат **I** (пиридин,  $(\text{CH}_3\text{CO})_2\text{O}$ , 20°, 24 часа), т. пл. 260—261° (из бзл.), [ $\alpha$ ] $^{25}_D$   $-29 \pm 2^\circ$  (с 1; в хлф.). К р-ру 0,76 г **I** в 10 мл  $\text{CH}_3\text{COOH}$  и 20 мл воды добавляют при охлаждении (1,5 часа) 1,28 г  $\text{NaNO}_2$  в 250 мл воды, смесь выдерживают 8 час. при 0° и 10 час. при 20°, выливают в воду и экстрагируют эфиром. После обработки получают **II**, выход 68%, т. пл. 210—212° (из бзл.), [ $\alpha$ ] $^{25}_D$   $-54 \pm 1^\circ$  (с 1; в хлф.); 2,4-динитрофенилгидразон **II**, т. пл. 237—238° (из хлф.- $\text{CH}_3\text{OH}$ ); ацетат **II** (пиридин,  $(\text{CH}_3\text{CO})_2\text{O}$ , 20°, 12 час.), т. пл. 162—164° (из водн.  $\text{CH}_3\text{OH}$ ), [ $\alpha$ ] $^{25}_D$   $-45 \pm 2^\circ$  (с 1; в ацетоне);  $-51 \pm 2^\circ$  (с 1; в хлф.). Смесь 160 мг **II**, 52 мг  $\text{CrO}_3$ , 3,2 мл  $\text{CH}_3\text{COOH}$  и 5 капель воды выдерживают 18 час. при 20°; после обычной обработки выделяют **VI**, выход 52%, т. пл. 196—199° (из водн. сп.), [ $\alpha$ ] $^{25}_D$   $-35 \pm 1^\circ$  (с 0,38; в хлф.). К р-ру 200 мг **II** в 10 мл  $\text{C}_6\text{H}_6$  добавляют сухой  $\text{CH}_3\text{ONa}$  (из 43 мг  $\text{Na}$ ) и затем р-р 0,26 мл  $\text{HCOOC}_2\text{H}_5$  в 13 мл  $\text{C}_6\text{H}_6$ . Смесь перемешивают в атмосфере  $\text{N}_2$  40 час. при 20°, выливают в воду, органич. слой экстрагируют водн.  $\text{NaOH}$ , из объединенного водн. р-ра после подкисления выде-

ляют **III**, выход 170 мг (неочищ.), т. пл. 159—169° (из эф.). 75 мг **IV** (т. пл. 222—225°) и 269 мг  $\text{KOH}$  в 35 мл спирта кипятят 13 час. в атмосфере  $\text{N}_2$ , р-р упаривают, подкисляют, разбавляют водой, осадок экстрагируют эфиром и выделяют смесь **II** (77%) и **IV** (23%). При аналогичной обработке **II** получают смесь 66% **II** и 34% **IV**. Ацетилированием смеси эпимерных циангидринов, полученных из дегидроэпиандростерона, синтезируют диацетат 17 $\alpha$ -циано- $\Delta^5$ -андростендиол-3 $\beta$ ,17 $\beta$ , т. пл. 203—206°, который восстанавливают  $\text{LiAlH}_4$  до 17 $\alpha$ -аминметил- $\Delta^5$ -андростендиола-3 $\beta$ ,17 $\beta$ , т. пл. 215—220°. Обработка последнего  $\text{NaNO}_2$  в водн.  $\text{CH}_3\text{COOH}$  приводит к  $\Delta^5$ -*D*-гомоандростенол-3 $\beta$ -ону-17 (т. пл. 178—180°), ацетат которого при гидрировании с Pt-катализатором и последующим окислением  $\text{CrO}_3$  в  $\text{CH}_3\text{COOH}$  и щел. гидролизе дает *D*-гомоандростанол-3 $\beta$ -он-17а, т. пл. 193—195°. Приведены данные об ИК-спектрах **I**, **II** и **IV**. Предыдущее сообщение см. РЖХим, 1956, 6919. Л. Б.

**75052. Сапонин из китайского лекарственного средства бай-тоу-вэн *Anemone chinensis* Bunge. Чжу Жэнь-хун, Чжоу Юнь-ли (中藥白頭翁中的皂素. 朱任宏, 周祖麗), 化學學報, Хуасюэ сюэбао, Acta chim. sinica, 1955, 21, № 23, 328—331 (кит.)**

При экстракции эфиром китайского лекарственного средства бай-тоу-вэн (корни *Anemone chinensis* Bunge), применяемого при лечении дизентерии и лихорадки, выделено нейтр. кристаллич. в-во  $\text{C}_{30}\text{H}_{52}\text{O}_{10}$ , т. пл. 229—232°. Последующей обработкой растительного материала горячим спиртом и осаждением спирт. р-ра ацетоном выделен новый сапонин (**I**) (выход 9%), который после очистки и обработки  $\text{MgO}$  имеет состав  $\text{C}_{45}\text{H}_{76}\text{O}_{20}$  и плавится при 220—230° (разл.). [ $\alpha$ ] $^{25}_D$   $-40^\circ$ . При гидролизе **I** 5%-ной  $\text{H}_2\text{SO}_4$  получен кристаллич. сапонин (**II**)  $\text{C}_{27}\text{H}_{44}\text{O}_4$ , выход 43,2%, т. пл. 284°, [ $\alpha$ ] $^{17}_D$   $0,351^\circ$  (с 1,0;  $\text{C}_6\text{H}_5\text{N}$ ); ацетат т. пл. 253°. Из гидролизата после отделения **II** получен озонглюкозы. Содержание сахара 38,41%. Эфирных масел в **I** после извлечения нейтр. в-ва, а также в корнях растения не обнаружено. В связи с тем, что **I** и **II** по свойствам отличаются от всех описанных в литературе, для них предложено название анемосапонин и анемосапонин. Г. Ч.

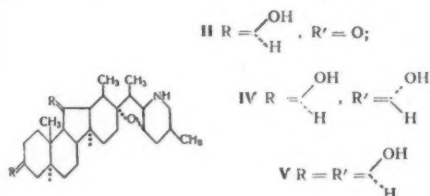
**75053. Терпеноиды. XVIII. Сапонин из клевера *Trifolium repens*. Уолтер, Быков, Томпсон, Робинсон, Дьерасси (Saponin from ladino clover (*Trifolium repens* Terpenoids. XVIII. Walter E. D., Bickoff E. M., Thompson C. R., Robinson C. H., Djerassi Carl), J. Amer. Chem. Soc., 1955, 77, № 18, 4936—4937 (англ.)**

Из спирт. экстракта свежеобрезанного клевера *Trifolium repens* (**I**) выделена смесь (не менее трех) сапонин (**II**), гидролизом которой получают глюкозу, галактозу, ксилозу, рамнозу, идентифицированные хроматографированием на бумаге, и к-ты неизвестного строения, а также соясапонолы **B** (**III**), **C** (**IV**) и, вероятно, **A**. 150 мг **I** на 2 дня погружают в 360 л 95%-ного спирта, фильтрат упаривают до 30 л и, отделив спирт. р-р, остаток экстрагируют эфиром и водой. Из водн. и эфирных р-ров экстрагируют последний водой, получают **II**, выход 0,23%, считая на сухой **I**, т. разл. 225° (из водн.  $\text{CH}_3\text{OH}$ ),  $\alpha^{25}_D$   $-3,3^\circ$  ( $\text{CH}_3\text{OH}$ ). Р-р 2 г  $\text{Ca-Mg}$ -соли **II** в 1800 мг 50%-ного спирта фильтруют через 50 г смолы Дауэкс-50, концентрируют до 100 мл и получают **II**, выход 1,93 г. Смесь 10 г **II**, 600 мл 50%-ного спирта и 20 мл конц.  $\text{H}_2\text{SO}_4$  кипятят 68 час., промытый сухой осадок в среде эфира (800 мл) обрабатывают углем и получают смесь сапоненинов, выход 1,35 г (неочищ.), т. разл. 235° (из  $\text{CH}_3\text{OH}$ -хлф.). Р-р 20 г этого в-ва в 1 л  $\text{C}_6\text{H}_6$  хроматографируют на  $\text{Al}_2\text{O}_3$ ; вымыванием 0,5 и 2,5%-ным р-ром  $\text{CH}_3\text{OH}$  в  $\text{C}_6\text{H}_6$  и затем абс.  $\text{CH}_3\text{OH}$  и выделяют соответственно **III**, выход 75%, т. пл. 260°,

(из  $\text{CH}_3\text{OH}$  с  $\text{CHCl}_3$ ),  $\alpha^{25} D +91^\circ$  (хлф.); триацетат, т. пл.  $180-181^\circ$  (из  $\text{CH}_3\text{OH}$ -хлф.),  $\alpha^{24} D +78^\circ$ ; IV, выход 20%, т. пл.  $240-241^\circ$  (из  $\text{CH}_3\text{OH}$ -хлф.),  $\alpha^{25} D +63^\circ$  (хлф.); диацетат, т. пл.  $205-207^\circ$  (из  $\text{CH}_3\text{OH}$ -хлф.),  $\alpha^{27} D +58^\circ$  (хлф.). Окислением диацетата IV  $\text{SeO}_2$  описанным ранее методом (Ruzicka L. и др., *Helv. chim. acta*, 1939, 32, 767) получают  $\Delta^{11-13(18)}(?)^{15}$ -триен, т. пл.  $208-211^\circ$  (из  $\text{CH}_3\text{OH}$ ),  $\lambda_{\text{макс}}$  (в сп.) 241, 249 и 259 мμ,  $\lg \epsilon$  4,2, 4,23 и 4,17. Сообщение XVII см. РЖХим, 1956, 50873.

С. К. 75054. Иервин. IX. Различные новые производные. Айзлин, Мур, Винтерштейнер (Jervine). IX. Miscellaneous new derivatives. Iselin B. M., Moore M., Wintersteiner O., J. Amer. Chem. Soc., 1956, 78, № 2, 403-407 (англ.)

Описан ряд новых производных иервина (I) и исследование стереохим. конфигурации этих соединений. При восстановлении тетрагидроиервина (II) Na в бутаноле получен диол, образующий триацетат или N-моноацетат — в зависимости от условий; последний при окислении дает N-ацетилтетрагидроиервин (III). III так же получен при окислении N-ацетилтетрагидроиервина. На основании этих данных вышеуказанному диолу придается строение тетрагидроиервинола-11а (IV). Соответствующий 11а-эпимеру (Va) 11β-эпимер (V) получен восстановлением II  $\text{LiAlH}_4$ . Строение V подтверждается устойчивостью одного из гидроксильных к ацетилированию и образованием диацетилтетрагидроиервина (IIa) при окислении диацетата V (Va). Особенности значения  $[\alpha] D$  и характера  $\Delta [M] D$  при переходе от α-эпимеров к β- или от 11-кетонных к эпимерным 11-спиртам, по

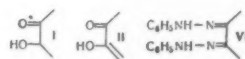


сравнению с аналогичными данными для обычных стероидов, объясняются наличием рядом с  $\text{C}_{(11)}$  двух асимметрич. центров у  $\text{C}_{(9)}$  и  $\text{C}_{(13)}$ . При восстановлении I  $\text{LiAlH}_4$  получен дигидроиервин (VI) и иервинол (VII), быстро изменяющийся при хранении. Ацетилирование VII не затрагивает одной OH-группы; на этом основании VII придается строение 11β-ола. Бромирование диацетата I (Ia) приводит к образованию двух стереоизомерных дибромидов, которым на основании УФ-спектров, легкой отщепляемости брома  $\text{Zn}$  в спирте придается строение транс-5,6-дибромидов (VIIIa и VIIIb), VIIIa — стойкий изомер, оба брома экваториальные, VIIIb — быстро изменяющийся изомер, оба брома полярные. Отличия значений  $\Delta [M] D$  в этом случае, по сравнению с 5,6-дибромидами для других стероидных соединений, объясняется влиянием специфичи строения или совместной кристаллизацией VIIIa и VIIIb. При бромировании I в аналогичных условиях получен бромидат дибромид I (VIIIc). Предлагается метод превращения I, VI или II в соответствующие О-ацетаты I, VI или II путем кипячения в  $\text{CH}_3\text{COOH}$ . В аналогичных условиях образуется и ацетат холестерина. IV получен, как описано ранее (Jacobs, Huebner, J. Biol. Chem., 1947, 170, 635), т. пл.  $283-285^\circ$ ,  $[\alpha]^{27} D +39,5^\circ$  (с 0,86). Ацетилированием IV  $(\text{CH}_3\text{CO})_2\text{O}$  в пиридине (20 час.,  $20^\circ$ ) получен триацетат (IVa), т. пл.  $175-178^\circ$  (из гексана),  $[\alpha]^{25} D +69^\circ$  (с 1,17); ацетилированием IV с  $(\text{CH}_3\text{CO})_2\text{O}$  в  $\text{CH}_3\text{OH}$  получен N-ацетат IV (IVb), т. пл.  $257-259^\circ$  (из ацетона),  $[\alpha]^{25} D +84^\circ$ . Окисляют 120 мг IVb в

4 мл  $\text{CH}_3\text{COOH}$  р-ром 37 мг  $\text{CrO}_3$  в 7,4 мл  $\text{CH}_3\text{COOH}$ , выделяют 76 мг III, т. пл.  $267-271^\circ$  (из сп.),  $[\alpha]^{28} +27,5^\circ$  (с 0,950); моно-2,4-динитрофенилгидразон, т. пл.  $225-256^\circ$  (из бзл.-сп.). Восстанавливают II с помощью  $\text{LiAlH}_4$  в тетрагидрофуране, продукт р-ции хроматографируют на  $\text{Al}_2\text{O}_3$ , из фракций  $\text{CHCl}_3$  и  $\text{CHCl}_3\text{-CH}_3\text{OH}$  (до 5%) получают V, т. пл.  $246,5-248,5$  (из водн.  $\text{CH}_3\text{OH}$ , с последующим высушиванием при  $138/0,1$  мм),  $[\alpha]^{21} D +25^\circ$  (с 0,938), ацетилированием V, как указано выше, получают Vb,  $[\alpha]^{20} D +59^\circ$  (с 0,77). Окисляют 51 мг Va  $\text{CrO}_3$  в  $\text{CH}_3\text{COOH}$ , получают 32 мг IIa, т. пл.  $218-220^\circ$  (из водн. сп.). Восстанавливают 1,5 г I  $\text{LiAlH}_4$ , как указано выше. Из нерастворимой в эфире части (394 мг) продуктов р-ции после кристаллизации из  $\text{CH}_3\text{OH}$ -ацетона получают VII, т. пл.  $278-283^\circ$ ,  $[\alpha]^{25} D -70^\circ$  (с 0,922) диацетат, т. пл.  $213-217^\circ$  (из ацетон-эф.),  $[\alpha]^{25} D -36^\circ$  (с 0,894). Из растворимой в эфире части получают 122 мг VI, т. пл.  $240-242^\circ$  (из ацетона),  $[\alpha]^{25} D -73^\circ$  (с 1,03; в сп.). К р-ру 1 г Ia в 10 мл  $\text{CH}_3\text{COOH}$ , содержащей 1 г  $\text{CH}_3\text{COOK}$ , добавляют 4,4 мл р-ра Br в  $\text{CH}_3\text{COOH}$  (90,6 мг Br в 1 мл). Продукт р-ции разделяют на растворимую (A) и нерастворимую (B) в эфире фракции. Из B получают 80 мг VIIIa, т. пл.  $157-158^\circ$  (из сп.),  $[\alpha]^{25} -46^\circ$  (с 1,196); из A получают 615 мг VIIIb, т. пл.  $146-147^\circ$  (из сп.),  $[\alpha]^{24} D -68^\circ$  (с 1,39). Кипятят 40 мг VIIIa (или VIIIb) с 200 мг  $\text{Zn}$ -пыли в 5 мл спирта 1 час, после добавления воды кристаллизуется 27 мг Ia. К р-ру 100 мг I в 3 мл  $\text{CH}_3\text{COOH}$  добавляют 3,1 мл брома в  $\text{CH}_3\text{COOH}$  (15,1 мг/мл) в течение 90 мин. При стоянии кристаллизуется 51 мг VIIIb, т. пл.  $217-219^\circ$  (из  $\text{CH}_3\text{OH}$ ),  $[\alpha]^{25} D -88^\circ$  (с 0,328; в 50%-ном сп.). Кипятят 500 мг I в 10 мл  $\text{CH}_3\text{COOH}$  18 час., после обычной обработки получают 221 мг О-ацетилиервина (IX), т. пл.  $227-229^\circ$  (из ацетона),  $[\alpha]^{27} D -138^\circ$  (с 0,54; в абс. сп.). Аналогично получены: О-ацетилдигидроиервин (X), выход 66%, т. пл.  $280-282^\circ$  (из  $\text{CH}_3\text{OH}$ ),  $[\alpha]^{24} D -100^\circ$  (с 0,948),  $-86^\circ$  (с 0,548; в абс. сп.); О-ацетилтетрагидроиервин (XI), выход 49%, т. пл.  $250-252^\circ$ ,  $[\alpha]^{25} D -48^\circ$  (с 0,851),  $[\alpha] D$  определены в  $\text{CHCl}_3$ . Приведены данные ИК-спектров для III, IVa, V, Vb, VII, VIIIb, IX и УФ-спектров для VIIIa — b, IX и X. Сообщение VIII см. РЖХим, 1956, 50890.

А. М. 75055. К изучению изомерных форм гермина. Сообщение 5. Об алкалоидах *Veratrum*. Аутерхофф, Крафт (Zur Kenntnis der isomeren Formen des Germins. 5. Mitteilung: Über Veratrin-Veratrum-Alkaloide. Аутерхофф Н., Крафт Н. В.), Arch. Pharmazie, 1954, 287/59, № 6, 332-336 (нем.)

Показано наличие α-кетольной группировки в изогермине (I) сравнением УФ-спектров дегидроизогермина (II) и дегидроцевагинина (III), полученных при действии хлористого трифенилэтилоксида (IV) на I и цевагинин (V) (см. сообщение IV РЖХим, 1956, 58166, см. также РЖХим, 1955, 14081), и образованием из I и II бис-фенилгидразона дегидроизогермина (VI). II дает с  $\text{FeCl}_3$  черное окрашивание, характерное для диосфенольной группировки. При действии 20%-ного KOH на смеси гермина (VII) и I получают псевдогермин (VIII). Авторы указывают на взаимосвязь аминоспиртов этой группы:



верацевин (γ-цевин), VII (α-гермин) и протOVERIN представляют первоначальные, естественные формы аминоспиртов; V (изоцевин, изоверацевин), I и изопротоверин — соответствующие α-кетольные формы аминоспиртов; α-цевин (цевин), VII и псевдопротоверин — соответствующие стабильные формы. 5 г алкалоидов из *Veratrum album*, очищенных от цевина и протOVERATRI-

на, нагревали с 25 мл спирта и 4,5 мл 2 н. NaOH 30 мин., после отделения слабых оснований смесь I и VII была разделена обработкой этилацетатом, из фильтрата получено 0,5 г VII, из нерастворившейся части I 1 г, т. пл. 250° (из этилацетата-эф.),  $\lambda_{\text{макс}}$  275 мк ( $\lg \epsilon \sim 2,0$ ). 200 мг I, 15 мл 1%-ного р-ра IV и 20 мл 1 н. NaOH оставили на 4 дня в темноте при ~20°, после отделения фармазана получен II, выход 25%,  $\text{C}_{27}\text{H}_{41}\text{O}_5 \cdot \text{H}_2\text{O}$ , т. пл. 175° (из эф.),  $[\alpha]_D^{20} -16^\circ$  (с 0,3, сп.),  $\lambda_{\text{макс}}$  270 мк ( $\epsilon$  3,70). К р-ру 100 мг I в 20 мл  $\text{CH}_3\text{COOH}$  и 2 г воды прибавили 300 мг  $\text{C}_6\text{H}_5\text{NHNH}_2 \cdot \text{HCl}$ , 0,6 г  $\text{CH}_3\text{COONa}$  в 2 г воды и кипятили 4 часа, получен VI, выход 99%,  $\text{C}_{29}\text{H}_{39}\text{O}_6\text{N}_6$ , т. пл. 250° (разл.). 2 г смеси I и VII, 40 мл 20%-ного КОН в спирте нагревали 5 час., продукт р-ции хроматографировали на  $\text{Al}_2\text{O}_3$  из эфира, вымывали последовательно  $\text{CHCl}_3$  и  $\text{CH}_3\text{OH}$ ; из метанольного р-ра получено 300 мг VIII,  $\text{C}_{27}\text{H}_{45}\text{O}_8\text{N}$ , т. пл. 170°,  $[\alpha]_D^{20} +9,7^\circ$  (с 1,025; сп.). Т. П.

**75056. Алкалоиды Veratrum.** Сообщение 7. Строение кольца F и абсолютная конфигурация атома  $\text{C}_{25}$  в цефине. Егер, Прелог, Зундт, Вудуорт (Veratrum-Alkaloide. 7. Mitteilung. Die Konstitution des Ringes F und die absolute Konfiguration des Kohlenstoffatoms 25 des Cevins. Jeger O., Prelog V., Sundt E., Woodward R. B.), Helv. chim. acta, 1954, 37, № 7, 2302—2306 (нем.)

Ранее при окислении цефина (I)  $\text{CrO}_3$  среди других продуктов получено в-во  $\text{C}_{27}\text{H}_{41}\text{ON}$ , предположительно, 5-метилпепридон-(2) (II) (Craig L. C., Jacobs W. A., J. Biol. Chem., 1941, 141, 258, 267), который может образоваться из I за счет кольца F. Для доказательства строения II предпринят его синтез. Из D-(+)-цитронеллала (III) получен амид D-(+)-цитронеллового к-ты (IV) (по способу Caldwell A. G. и др. J. Chem. Soc., 1946, 599). Из IV при озонировании и последующем окислении  $\text{H}_2\text{O}_2$  в  $\text{CH}_3\text{COOH}$  синтезирован моноамид D-(+)- $\beta$ -метилгидропириновой к-ты (V). При гофмановском расщеплении V образовалась  $\delta$ -амино- $\gamma$ -метилвалериановая к-та, которая была циклизована в D-(+)-5-метилпепридон-2 (VI). ИК-спектры II и VI идентичны,  $[\alpha]_D$  равны, но противоположны по знаку, откуда следует, что II представляет собой L-(—)-5-метилпепридон-2. Этим же показано, что в I C-атомы с 23 по 27 не имеют кислородной функции и что кольцу F может быть приписано строение VII, где  $\text{C}_{(25)}$  имеет L-конфигурацию (Chan R. S., Ingold C. K., J. Chem. Soc., 1951, 612), а  $\text{CH}_3$ -группа находится в  $\beta$ -положении к кольцу F. 34,5 г оксима III (т. кип. 125—128°/9 мм,  $n_D$  1,472) с 5,5 г скелетного Ni перемешивают 2 часа при 102°, получают IV  $\text{C}_{10}\text{H}_{19}\text{ON}$ , т. пл. 80—81,5° (из петр. эф.),  $[\alpha]_D^{20} +9^\circ$  (с 1,08). 1 г IV растворяют в 20 мл лед.  $\text{CH}_3\text{COOH}$ , пропускают 20 мин. 4%-ную смесь  $\text{O}_3$  с  $\text{O}_2$  (500 мл/мин); р-р кипятят 2 часа с 2 мл 30%-ной  $\text{H}_2\text{O}_2$ ,  $\text{CH}_3\text{COOH}$  отгоняют в вакууме, выделяют V,  $\text{C}_7\text{H}_{13}\text{O}_3\text{N}$ , выход 0,6 г, т. пл. 132—133° (из  $\text{CH}_3\text{OH}$ -эф.),  $[\alpha]_D^{20} +13,5^\circ$  (с 1,18); 1 г V медленно прибавляют к охлажд. до 0° р-ру, приготовленному из 1,2 г Br, 1,5 г NaOH и 20 мл  $\text{H}_2\text{O}$ . После растворения V слабо нагревают на водяной бане 1 час, подкисляют разб. HCl и выпаривают досуха. Остаток растворяют в воде, р-р промывают эфиром, подщелачивают водн.  $\text{NH}_3$  до pH 6 и выпаривают в вакууме досуха, остаток обезвоживают выпариванием с абс.  $\text{CH}_3\text{OH}$ , затем к нему многократно добавляют  $\text{CH}_3\text{OH}$ , насыщ. HCl с последующим упариванием. Остаток растворяют в 20 мл р-ра  $\text{NH}_3$  и извлекают эфиром. Водн. р-р доводят до pH 7 прибавлением HCl

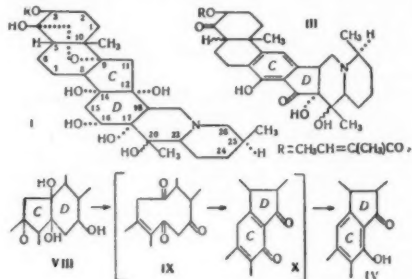


и извлекают эфиром непрерывно 48 час., выход неочищ. VI 0,41 г, масло, 0,44 г неочищ. VI в 10 мл  $\text{C}_6\text{H}_6$  хроматографируют на 14,2 г  $\text{Al}_2\text{O}_3$ , вымывают  $\text{C}_6\text{H}_6$  и эфиром. При вымывании эфиром-метанолом (9:1) получают VI,  $\text{C}_{27}\text{H}_{41}\text{ON}$ , т. кип. 136—145° (т-ра бани)/9 мм, выход 0,115 г, т. пл. 40°,  $[\alpha]_D^{20} +84^\circ$  (с 2,18), в-во гигроскопично. Для получения II из I к 1 л сернокислого р-ра, полученного после окисления I  $\text{CrO}_3$  и извлеченного эфиром, прибавляют при нагревании 30%-ный р-р NaOH до pH 6—7, выпавший осадок отсасывают, промывают водой, из фильтрата при охлаждении выпадают кристаллы  $\text{Na}_2\text{SO}_4$ , которые отфильтровывают, фильтрат подщелачивают до pH 8 и пропускают  $\text{CO}_2$  до pH 7, оставляют на 12 час. Остаток отфильтровывают, фильтрат выпаривают в вакууме. Из остатка кипящим  $\text{CHCl}_3$  извлекают II, выход неочищ. II 42 мг. 273 мг неочищ. II в 10 мл  $\text{C}_6\text{H}_6$  хроматографируют на 8,5 г  $\text{Al}_2\text{O}_3$ , вымывают эфиром- $\text{CH}_3\text{OH}$  (9:1), получают II, т. пл. 38—40°,  $[\alpha]_D^{20} -89^\circ$  (с 0,96). Приведены кривые ИК-спектров IV, V, II и VI.  $[\alpha]_D$  определено в спирте. Сообщены VI см. РЖХим, 1955, 49034. К. У.

**75057. Алкалоиды Veratrum.** Сообщение 8. О строении колец C и D цевадина и родственных ему алкалоидов. Мийович, Зундт, Кибурц, Егер, Прелог (Veratrum-Alkaloide. 8. Mitteilung. Über die Konstitution der Ringe C und D des Cevadins und verwandter Alkaloide. Mijović M. V., Sundt E., Kyburz E., Jeger O., Prelog V.), Helv. chim. acta, 1955, 38, № 1, 231—239 (нем.)

Цевадин (I)  $\text{C}_{29}\text{H}_{49}\text{O}_9\text{N}$  — эфир ангеликовой к-ты (II) и алкамина верацевина  $\text{C}_{27}\text{H}_{43}\text{O}_8\text{N}$ , при окислении  $\text{CrO}_3$  дает соединение  $\text{C}_{29}\text{H}_{41}\text{O}_7\text{N}$  (III). III дает сине-фиолетовое окрашивание с  $\text{FeCl}_3$  и характерный УФ-спектр, аналогичный спектру 7-окси-индана-1 (IV). Авторы предполагают, что в молекуле III имеется система IV, что подтверждено ИК-спектром III и следующими р-циями. При действии на III  $\text{CH}_2\text{N}_2$  получают метилсвой эфир (V), который не дает цветной р-ции с  $\text{FeCl}_3$ , вследствие метилирования фенольного гидроксильного. При каталитич. гидрировании III с  $\text{PdO}_2$  в спирте присоединяется  $\text{H}_2$ ; УФ-спектр идентичен III. При гидрировании III с  $\text{PtO}_2$  в  $\text{CH}_3\text{COOH}$  присоединяются 2  $\text{H}_2$ ; УФ-спектр отличается от спектра III и является типичным спектром замещ. фенола; в этом случае кроме двойной связи остатка II гидрируется и карбонил в системе IV. Восстановление III  $\text{LiAlH}_4$  приводит к кристаллич. в-ву  $\text{C}_{27}\text{H}_{49}\text{O}_8\text{N}$  (VI). УФ-спектр в нейтр., кислой и щел. среде показывает, что это соединение — замещ. фенол; в ИК-спектре отсутствуют типичные полосы CO-групп, следовательно, остаток II отщепляется и карбонильные группы восстанавливаются во вторичные OH-группы. Из сравнения состава VI и III следует, что III имеет две CO-группы, из которых одна входит в систему IV. При действии разб. щелочей III изомеризуется с образованием кристаллич. в-ва (VII), ИК-спектр которого не идентичен спектру III, УФ-спектр остается неизменным, очевидно, происходит эпитеризация при  $\text{C}_{(5)}$ . Результаты исследования являются подтверждением недавно предложенной ф-лы I (РЖХим, 1955, 49032). Следует считать, что при образовании III происходит перегруппировка циклов C и D по схеме (VIII) → (IX) → (X) → IV. В I и II и в изомерах последнего — цевагенине и цефине, а также в родственных сложных эфирах — цевадине и вератридине, кольцо C пятичленное, а D — шестичленное; при  $\text{C}_{(16)}$  находится вторичный OH; в кольце B атом O находится при  $\text{C}_{(9)}$ ; при  $\text{C}_{(17)}$  не может находиться атом H, так как при наличии OH-группы при  $\text{C}_{(20)}$  в  $\beta$ -положении к карбинолу легко мог бы образоваться  $\alpha, \beta$ -непредельный кетон, который был бы обнаружен УФ-спектром. К р-ру

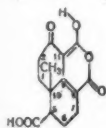
1 г I в 10 мл  $\text{CH}_2\text{Cl}_2$  и 20 мл  $\text{CH}_3\text{COOH}$  прибавляют по каплям 5 мл смеси Килиани (60 г  $\text{Na}_2\text{Cr}_2\text{O}_7$ , 80 г конц.  $\text{H}_2\text{SO}_4$  и 270 мл  $\text{H}_2\text{O}$ ), через 10 мин. ( $\sim 20^\circ$ ) охлаждают до  $0^\circ$ , прибавляют 15 мл  $\text{CH}_3\text{OH}$  для разложения  $\text{H}_2\text{Cr}_2\text{O}_7$ ; прибавляют 15%-ный р-р  $\text{NH}_3$  до pH 9 и извлекают эфиром, выход III 100 мг, после противо-



точного распределения ( $\text{CCl}_4$ -85%-ный  $\text{CH}_3\text{OH}$ ) т. пл.  $230-231^\circ$  (из водн. ацетона),  $[\alpha]_D^{25} +22,5^\circ$  (с 1,47; хлф.). К 135 мл III в 50 мл  $\text{CH}_3\text{OH}$  прибавляют избыток эфирного р-ра  $\text{CH}_2\text{N}_2$ , получают V  $\text{C}_{32}\text{H}_{43}\text{O}_7\text{N}$ , т. пл.  $222-224^\circ$  (из водн. ацетона),  $[\alpha]_D \pm 0^\circ$  (с 0,57; хлф.). К 1,1 г III в 6 мл  $\text{CH}_3\text{OH}$  прибавляют 1,15 мл 2 н. NaOH, кипятят в атмосфере  $\text{N}_2$  30 мин., охлаждают, прибавляют 6 мл 5%-ной  $\text{CH}_3\text{COOH}$  до pH 6-7, выпаривают в вакууме, раст. орлят в  $\text{CHCl}_3$ , промывают водой, получают VII  $\text{C}_{32}\text{H}_{41}\text{O}_7\text{N}$ , т. пл.  $226-228^\circ$  (из ацетона-эф.),  $[\alpha]_D +57^\circ$  (с 1,38; хлф.). 600 мг III в 50 мл тетрагидрофурана (XI) с 600 мг  $\text{LiAlH}_4$  в XI оставляют 2 часа при перемешивании, кипятят 20 час., получают 60 мг VI, т. пл.  $260-261^\circ$  (из ацетона-эф.),  $[\alpha]_D +19^\circ$  (с 0,896; хлф.-сп.). Приведены кривые УФ- и ИК-спектров III, V, VI, VII.

75058. Алкалоиды *Veratrum*. Сообщение 9. Абсолютная конфигурация  $\text{C}_{10}$  в цевине и родственными ему алкалоидам. Гаучи, Егер, Прелог, Вудуорд (*Veratrum-Alkaloide. 9. Mitteilung. Absolute Konfiguration des Kohlenstoffatoms 10 in Cevin und verwandten Alkaloiden. Gautschi F., Jeger G., Prelog V., Woodward R. B.*), *Helv. chim. acta*, 1955, 38, № 1, 296-303 (нем.).

При расщеплении дегидропиновой к-ты (I), продукта распада цевина (II) (см. ф-лу I в пред. реф.,  $\text{C}_8$ -эпимер, R = H), получают (+)-цис-9-метилдекалон-1 (III), который связан конфигура-



тивно со II (РЖХим, 1955, 49033). III имеет только два асимметр. атома C, из которых  $\text{C}_{(9)}$  соответствует  $\text{C}_{(10)}$  III. II использован авторами для установления абс. конфигурации  $\text{C}_{(10)}$  II. III с этилформиатом в присутствии  $\text{C}_2\text{H}_5\text{ONa}$  переходит в 2-оксиметилсоединение (IV), которое при окислении  $\text{H}_2\text{O}_2$  в щел. среде дает (+)-цис-β-[2-метил-2-карбосициклогексил-(1)]-пропионовую к-ту (V). Авторами V конфигуративно связана с (-)-транс-2-оксо-10-метил-Δ<sup>3,6</sup>-гексагидронафталином (VI), который связан со стероидами и с глицириновым альдегидом (РЖХим, 1955, 43106). VI восстановлен в (-)-транс-9-метилдекалон-3 (VII). При окислении VII  $\text{HNO}_3$  получена (-)-транс-1-метилциклогексан-1,2-диуксусная к-та (VIII), которая циклизована в (+)-транс-8-метиллинданон-(2) (IX); IX окислен в (-)-транс-[2-метил-2-карбосициклогексил-(1)]-уксусную к-ту (X); X была превращена в ее цис-изомер (XI) (см. РЖХим, 1956, 9667) через получение (+)-транс-9-метил-1,3-диоксидекагидроизохинолина (XII) и его цис-изомера (XIII). Ввиду труд-

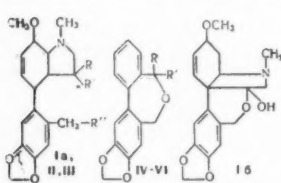
ной доступности XI был приготовлен ее рацемат (XIV) (Bachmann и др., *J. Amer. Chem. Soc.*, 1943, 65, 1963) из эфира циклогексанон-2-карбонной-1 к-ты; из смешанного метил-(—)-ментилового эфира XIV хроматографированием на  $\text{Al}_2\text{O}_3$  выделен (—)-изомер, при омылении которого получена (—)-цис-2-метил-2-карбосициклогексил-(1)-уксусная к-та (XV). Последняя р-цией Ардта-Эйстерта превращена в (—)-цис-β-[2-метил-2-карбосициклогексил-(1)]-пропионовую к-ту (XVI), отличающаяся от V только знаком вращения. ИК-спектры XVI и V (приведены кривые) идентичны. Таким образом,  $\text{C}_{(10)}$  II имеют ту же абс. конфигурацию, как у стероидов и тритерпенов. Из 14 асимметр. атомов II 7 могут быть конфигуративно связаны с  $\text{C}_{(10)}$  и у  $\text{C}_{(10)}$  стоит α-OH (РЖХим, 1955, 49032). О конфигурации  $\text{C}_{(15)}$  см. РЖХим, 1956, 74056. Конфигурация  $\text{C}_{(8)}$ ,  $\text{C}_{(13)}$ ,  $\text{C}_{(20)}$  и  $\text{C}_{(22)}$  не определена. К взвеси 250 мг  $\text{C}_2\text{H}_5\text{ONa}$  в 7 мл абс.  $\text{C}_6\text{H}_6$  в атмосфере  $\text{N}_2$  ( $0^\circ$ ) при перемешивании прибавляют 0,5 мл этилформиата, через 30 мин. прибавляют р-р 157 мг III в 2,5 мл  $\text{C}_6\text{H}_6$ , перемешивают  $\sim 18$  час. при  $20^\circ$ ; прибавляют охлажд. 2 н.  $\text{H}_2\text{SO}_4$ , извлекают эфиром, из эфирного р-ра извлекают охлажд. 2%-ным р-ром KOH, получают 150 мг IV, которое растворяют в 4,5 мл спирта и 5 мл 2 н. NaOH и окисляют 1,5 мл 30%-ной  $\text{H}_2\text{O}_2$  1 час ( $\sim 20^\circ$ ), кипятят 2 часа, прибавляя 2 раза по 1,5 мл 30%  $\text{H}_2\text{O}_2$ , получают 142 мг маслянистой жидкости; из фракции т. кип.  $150-180^\circ/0,15$  мм выделено 35 мг V,  $\text{C}_{11}\text{H}_{15}\text{O}_4$ , т. пл.  $124-125,5^\circ$  (из ацетона-гексана),  $[\alpha]_D +30^\circ$  (с 0,89; ацетон), 1,2 г VII приливают по каплям к 1,5 мл кипящей конц.  $\text{HNO}_3$ , прибавляют 4,8 мл горячей воды, кипятят 20 мин.; выход VIII 500 мг,  $\text{C}_{11}\text{H}_{15}\text{O}_4$ , т. пл.  $194-195^\circ$  (из ацетона-гексана),  $[\alpha]_D -31^\circ$  (с 1,13; ацетон). 500 мг VIII смешивают с 50 мг Ва ( $\text{OH}_2$ ), медленно нагревают до  $280-300^\circ$  30 мин.; отгоняется IX, выход 300 мг,  $\text{C}_{10}\text{H}_{16}\text{O}$ ,  $[\alpha]_D +275^\circ$  (с 0,85; ацетон); 2,4-динитрофенилгидразон, т. пл.  $153-155^\circ$  (из хлф. и  $\text{CH}_3\text{OH}$ ). 1,75 г IX окисляют  $\text{HNO}_3$  как при VII, выход X 440 мг,  $\text{C}_{10}\text{H}_{16}\text{O}_4$ , т. пл.  $140-141,5^\circ$  (из ацетона-гексана), (с 1,78; ацетон). 748 мг X и 2,5 мл  $\text{CH}_3\text{COCl}$  кипятят 2 часа без доступа влаги,  $\text{CH}_3\text{COCl}$  отгоняют в вакууме, остаток растворяют в 10 мл диоксана с 10 мл конц. водн.  $\text{NH}_3$  и кипятят 1,5 часа; выпаривают в вакууме, остаток нагревают ( $160^\circ$ , 45 мин.), сублимируют при  $160-200^\circ/11$  мм; выход XII 538 мг,  $\text{C}_{10}\text{H}_{15}\text{O}_2\text{N}$ , т. пл.  $146-147,5^\circ$  (из  $\text{CH}_2\text{Cl}_2$ -гексана),  $[\alpha] +66^\circ$  (с 1,03; хлф.). 187 мг XII и 190 мг Pd/C нагревают в трубке при  $250-260^\circ$  4 часа, растворяют в  $\text{C}_6\text{H}_6$  и хроматографируют на 7 г  $\text{Al}_2\text{O}_3$ , вымывают 60 мл  $\text{C}_6\text{H}_6$ , получают 75 мг XIII, т. пл.  $105-107^\circ$  (из  $\text{CH}_2\text{Cl}_2$ -гексана);  $[\alpha]_D +4^\circ$  (с 1,02; хлф.). 38 мг XIII и 7 мл 20%-ного спирта. р-ра KOH нагревают в трубке при  $160-165^\circ$  10 час., получают 37 мг XI, т. пл.  $161-163^\circ$ ,  $[\alpha]_D +8^\circ$  (с 1,15; ацетон). 2,15 г XIV в ацетоне этирфицируют эфирным р-ром  $\text{CH}_2\text{N}_2$ , растворяют в 30 мл спирта, прибавляют 11 мл 1 н. NaOH и кипятят 2,5 часа, выход (+)-цис-[2-метил-2-карбосициклогексил-(1)]-уксусной к-ты (XVII) 2,216 г, т. кип.  $187-190^\circ/11$  мм. 627 мг XVII, 2 мл  $\text{SOCl}_2$  и 1 каплю  $\text{C}_6\text{H}_5\text{N}$  нагревают 10 мин. при  $50-60^\circ$ ; продукт р-ции перегоняют при  $142-155^\circ$  (водоструйный насос), прибавляют р-р 445 мг (—)-ментола в 5 мл  $\text{C}_6\text{H}_5\text{N}$  и оставляют при  $\sim 20^\circ$  на 24 часа, получают 979 мг эфира. Для разделения р-р 4,535 г эфира в смеси петр. эфир-бензол (10:1) хроматографируют на 270 г  $\text{Al}_2\text{O}_3$ , вымывают 1 л того же р-рителя, получают 1,393 г; затем вымывают смесью эфира с  $\text{CH}_3\text{OH}$  (10:1); эту фракцию омыляют кипячением с р-ром 3,5 г KOH в 12 мл  $\text{H}_2\text{O}$  и 12 мл спирта 10 час., получают 410 мг к-ты,  $[\alpha]_D -1,9^\circ$  (с 2,46; аце-

тон) после нескольких перекристаллизаций получают 95 мг XV,  $[\alpha]_D -9^\circ$  (с 1,86; ацетон). 170 мг XV переводят в хлорангидрид монометилового эфира, как описано при рацемате, затем рацематуют в эфире, прибавляют 12 мл эфирного р-ра  $\text{CH}_2\text{N}_2$ , через 4 часа р-ритель отгоняют в вакууме, диазокетон растворяют в 5 мл  $\text{CH}_3\text{OH}$  и при кипячении прибавляют взвесь  $\text{Ag}_2\text{O}$  (из 3 мл 10%-ного р-ра  $\text{AgNO}_3$ ) по порциям в течение 2,5 часа; получают 220 мг диэфира, который омыляют кипячением с р-ром 750 мг KOH в 2,5 мл  $\text{H}_2\text{O}$  и 2,5 мл спирта 9 час.; после перегонки в высоком вакууме при 150–190° получают 110 мг XVI,  $[\alpha]_D -30^\circ$  (с 0,9; ацетон); для V и XVI  $\text{pK}$  7,89 (в  $\text{CH}_2\text{OHCH}_2\text{OCH}_3$ ).

**75059. О строении тацеттина.** Икеда, Тейлор, Уео (Concerning the structure of tazettine. Ikeda T., Taylor W. J., Uyeo S.), Chemistry and Industry, 1955, № 35, 1088–1089 (англ.)

Восстановление тацеттина (I)  $\text{LiAlH}_4$  получают секотазеттин (II) с т. пл. 118–119°,  $[\alpha]_D +65^\circ$  (сп.); ди-*n*-нитробензоат, т. пл. 184–185°. II с 3%-ным р-ром  $\text{H}_2\text{SO}_4$  дегидрируют в ангидросекотазеттин (III), т. пл. 135–136°,  $[\alpha]_D +224^\circ$  (сп.); иодметилат, т. пл. 221–223° (разл.).

Гофманское расщепление III приводит к продукту (IV); иодметилат, т. пл. 249–251° (разл.). Из последнего при гофманском расщеплении получено безазотистое в-во (V), т. пл. 147–150°; в ИК-спектре отсутствует карбоксильная полоса, но в-во образует 2,4-динитрофенилгидразон, т. пл. 227–229°. При окислении V  $\text{KMnO}_4$  образуются



Ia R = OH, R' + R'' = O;

II R = OH, R' = H,

R'' = OH;

III R = H, R' + R'' = O;

IV R =  $\text{CH}_2\text{N}(\text{CH}_3)_2$ ,

R' = H;

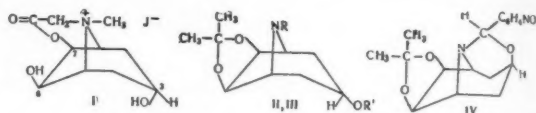
V R + R' =  $\text{CH}_2$ ;

VI R + R' = O.

лактон (VI), т. пл. 151–152°. Дальнейшее окисление VI приводит к 3,4-метилendioксибензилдикарбоновой-2',6-к-те (VII), т. пл. 251–253°. Строение VII доказано синтезом. При нагревании (230°, 3,5 часа) метиловых эфиров 6-бромпириперониловой к-ты и 2-иодбензойной к-ты (VIII) в присутствии медной Си-бронзы получают VII, выход 10%. Аналогично из 6-бромпириперониала и VIII синтезируют 6-формил-2'-карбометокси-3,4-метилendioксибензил, выход 7%, т. пл. 103–104°, восстановление которого с  $\text{NaBH}_4$  приводит к VI. Указанные выше р-ции согласуются с ф-лой (Ia), предложенной для I ранее (РЖХим, 1956, 39705). Основываясь на ней, нельзя удовлетворительно объяснить образование из I фенантридиновых производных, поэтому авторы предлагают для I новую ф-лу (Ib), как возможную.

**75060. К стереохимии метелондина.** Хейснер (Notiz zur Stereochemie des Meteloidins. Heusner A. I. ex), Z. Naturforsch., 1954, 9b, № 10, 683 (нем.) Работой Фодора с сотрудниками (РЖХим, 1956, 61653) в основном выяснена пространственная конфигурация тикалонда метелондина (3,6,7-триокситропан-3-тиглюиновый эфир) путем превращения продукта его гидролиза — телондина в четвертичный лактониодид (I). Автор провел опыты, подтверждающие, что гидроксил при  $\text{C}_3$  находится в *транс*-положении к N-мостику. В этих опытах из 3-ацетилпсевдотелондинацетонида (II) ( $\text{R} = \text{CH}_3$ ,  $\text{R}' = \text{COCH}_3$ ) окислением  $\text{KMnO}_4$  получен норпсевдотелондинацетонид (III) ( $\text{R} = \text{R}' = \text{H}$ ), иглы, т. пл. 177,5–179,5° (из бзл.), который при действии *l*-нитробензальдегида (РЖХим, 1954, 28867) дал 2-(*l*-нитрофенил)-тетрагидрооксазин норпсевдотелондинацетонида (IV), выход 90%, т. пл. 134–135° (из изопропилового эфира). Эти превращения

доказывают, что в псевдотелондине OH при  $\text{C}_3$  находится в *цис*-положении к N-мостику, а следовательно, в эимерном телондине — в *транс*-положении. Таким образом



метелондин является эфиром 3 $\alpha$ , 6 $\beta$ , 7 $\beta$ -триокситропана.

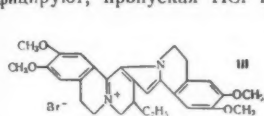
**75061. Синтез цефрантина.** VII. Кондо, Катака, Баба (Cepharranthine の合成研究. 第7報. 近藤平三郎, 片岡英世, 馬場義雄), 乙卯研究所年報, Ицуу канкюдзэ нэмпо, Annual Rept. ITSUU Lab., 1953, 4, 20–29, 70–72 (япон.; рез. англ.)

Различными методами получены производные  $\beta$ -фенилэтиламина с целью изучения путей синтеза 2-метокси-2',3'-метилendioкси-4,5'-бис-( $\beta$ -аминоэтил)-дифенилового эфира (I) из 2-метокси-2',3'-метилendioкси-4,5'-диформилдифенилового эфира (II),  $3,4\text{-CH}_2\text{O}_2\text{C}_6\text{H}_3\text{CHO}$  (III) с помощью KCN и последующего ацетилирования превращают в  $3,4\text{-CH}_2\text{O}_2\text{C}_6\text{H}_3\text{CH}(\text{OCOCH}_3)\text{CN}$  (IV), выход 90%, т. пл. 69–71°. Восстановление IV над Pd/C приводит к образованию  $3,4\text{-CH}_2\text{O}_2\text{C}_6\text{H}_3\text{CH}_2\text{CH}_2\text{NHNH}_2$  (V), выход 66,5%, т. пл. 207–210°. Применение этого метода к II не дало положительного результата. III с  $\text{CH}_3\text{NO}_2$  дает  $3,4\text{-CH}_2\text{O}_2\text{C}_6\text{H}_3\text{CH}=\text{CHNO}_2$  (VI), выход 70%, т. пл. 160–161°; восстановление последнего над PdO в среде  $\text{CH}_3\text{COOH}$  и  $\text{CH}_3\text{OH}$  при 2,1 ат получают V, выход 72%. Из III и  $\text{CH}_3\text{NO}_2$  получен так же  $\alpha$ -(3,4-метилendioксибензил)- $\beta$ -нитроэтанол (VII), выход 51%, т. пл. 94–95°. Из VII синтезируют  $\alpha$ -(3,4-метилendioксибензил)- $\alpha$ -хлор- $\beta$ -нитроэтан, превращенный в VI. Аналогично производное нитроэтилола (ПНС), полученное из II, при восстановлении дает I лишь с выходом 32%. Предполагают, что низкий выход замещ.  $\beta$ -фенилэтиламина при гидрировании ПНС обусловлен трудностью восстановления аминотирилола, образующегося на первой стадии гидрирования. Показано, что восстановление дибромидов ПНС над PdO в  $\text{CH}_3\text{OH}$  при атмосферном давлении приводит к замещ.  $\beta$ -фенилэтиламинам с высокими выходами. Дибромиды ПНС получают действием  $\text{Br}_2$  в  $\text{CHCl}_3$  и  $\text{CS}_2$  на ПНС. Получены следующие в-ва (перечислены дибромид ПНС, выход в %, т. пл. в °C, продукт его восстановления, выход в %, т. пл. в °C):  $\text{C}_6\text{H}_5(\text{CHBr})_2\text{NO}_2$ , 92, 85–86,  $\text{C}_6\text{H}_5(\text{CH}_2)_2\text{NH}_2\cdot\text{HBr}$ , 91, 256–259,  $3,4\text{-CH}_2\text{O}_2\text{C}_6\text{H}_3(\text{CHBr})_2\text{NO}_2$ , —, масло:  $3,4\text{-CH}_2\text{O}_2\text{C}_6\text{H}_3(\text{CH}_2)_2\text{NH}_2\cdot\text{HBr}$ , —, 210–212°,  $3,4\text{-CH}_2\text{O}_2\text{C}_6\text{H}_3(\text{CHBr})_2\text{NO}_2$ , 94, 112–113;  $3,4\text{-CH}_2\text{O}_2\text{C}_6\text{H}_3(\text{CH}_2)_2\text{NH}_2\cdot\text{HBr}$ , 85,3, 176–177; пикрат, т. пл. 165–166;  $3\text{-CH}_2\text{O}-4\text{-(C}_6\text{H}_5\text{CH}_2\text{O)}\text{C}_6\text{H}_3(\text{CHBr})_2\text{NO}_2$ , 84, 116–117.  $3\text{-CH}_2\text{O}-4\text{-(C}_6\text{H}_5\text{CH}_2\text{O)}\text{C}_6\text{H}_3(\text{CH}_2)_2\text{NH}_2\cdot\text{HBr}$ , 95, 234–235, пикрат, т. пл. 197–198. Получен также  $3,4\text{-CH}_2\text{O}_2\text{C}_6\text{H}_3\text{CH}_2\text{CH}_2\text{CHBrNO}_2$ , г. пл. 101–102°.

**75062. Исследование путей синтеза эметина.** II. Синтез бромистого рац-рубреметиния. Сугасавы, Бан (Studies on the synthesis of emetine. II. Synthesis of rac-rubremetinium bromide. Sugawara Shigehiko, Ban J. shio), Proc. Japan. Acad., 1955, 31, № 1, 31–35 (англ.)

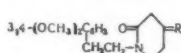
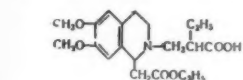
Исследован путь синтеза эметина из  $\beta$ -3,4-диметоксифениламина (I) по той же схеме, по которой из бензиламина был получен 1-(*N*-бензил-2-оксо-5-этил-4-пиперидилметил)-6,7-диметокси-3,4-дигидроизохинолин (см. сообщение РЖХим, 1956, 71723). Синтез закончен получением хлоргидрата хлористого 9,10,1 $\alpha$ ,2 $\alpha$ -тетрагидроэметиния (II), строение которого доказывают превращением в бромистый рубреметиний (III), полученный так же из природного эметина. Смешивают I, этилмалоновую к-ту и формалин в водно-спиртовом р-ре, выпадает *N*-гомовера-

триламинометилэтилмалоновая к-та (IV), выход 93%, т. пл. 166° (разл.). Декарбоксилируют IV кипячением с 60%-ной  $\text{CH}_3\text{COOH}$ , упаривают досуха и остаток этерифицируют, пропуская  $\text{HCl}$  в спирт. р-р до насыщения.

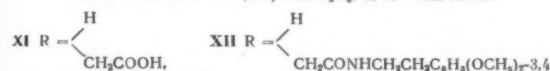


Получают этиловый эфир N-гомовертриламинометил- $\alpha$ -масляной к-ты (V), т. кип. 160–162°/0,02 мм; пикрат, т. пл. 129–130,5° (из сп.). При обработке V  $\text{SiOCH}_2\text{COOC}_2\text{H}_5$  и  $\text{Na}_2\text{CO}_3$  по Шоттен — Бауману получают этиловый эфир  $\alpha$ -(N-карбоксинацетогомовертриламинометил)- $\alpha$ -масляной к-ты (VI), который при циклизации под действием  $\text{POCl}_3$  и гидрировании дает 2-(2-карбоксипентил)-1-карбетоксиметил-6,7-диметокси-1,2,3,4-тетрагидроизохинолин (VII), т. пл. 78–79° (из гексана).

полученный ранее другим путем (РЖХим, 1954, 21713). При циклизации VI Na в ксилоле по Дикману и кипячении продукта р-ции с 10%-ной  $\text{CH}_3\text{COOH}$  ( $\text{HCl}$  (к-та) вызывает раскрытие лактама и декарбоксилирование) получают 1-гомовератрил-2,4-диоксо-4-этилпиперидин (VIII); семикарбазон, т. пл. 169° (из сп.); фенилгидразон, т. пл. 169° (разл.; из сп.). Обработка VIII этиленгликолем в кипящем  $\text{C}_6\text{H}_6$  с добавкой  $\eta$ -толуолсульфокислоты приводит к образованию с высоким выходом N-гомовератрил-2-оксо-4-этилпиперидин-2-оксо-5-этилпиперидина, т. пл. 275–280°/0,07 мм. При конденсации VIII с  $\text{CNCH}_2\text{COOC}_2\text{H}_5$  по Копу получают этиловый эфир 1-гомовератрил-2-оксо-5-этил-4-пиперидилден- $\alpha$ -циануксусной к-ты (IX), выход 80%. При этерификации IX, гидролизе и декарбоксилировании получают 1-гомовератрил-2-оксо-5-этил-4-пиперидилденуксусную к-ту (X), которая при каталитич. гидрировании дает 1-гомовератрил-2-оксо-5-этил-4-пиперидилденуксусную к-ту (XI). В результате обработки последней  $\text{SOCl}_2$  и конденсации с I получают N-гомовератрил-2-оксо-5-этил-4-пиперидилденуксусный амид (XII). Двойная изохинолиновая циклизация XII под действием  $\text{POCl}_3$  в кипящем толуоле приводит к образованию II. При добавлении KJ к р-ру II в 10%-ной  $\text{HCl}$  и спирте выпадает аморфный подгидрат иодида (XIII). Получить в кристаллич. виде в-ва IX, X, XI, XII и XIII не удалось. Обрабатывают II водн. р-ром  $\text{Hg}(\text{CH}_3\text{COO})_2$ ,  $\text{CH}_3\text{COOK}$  и  $\text{CH}_3\text{COOH}$ , нагревая при  $\sim 100^\circ$ , затем кипятят, фильтруют и фильтрат обрабатывают  $\text{H}_2\text{S}$ . Р-р упаривают в вакууме и подкисляют конц.  $\text{HCl}$ , выпадает хлористый рубрэметиний, т. пл. 120° (разл.). При добавлении к водн. р-ру последней KBr получают III, т. пл. 180–185° (из воды). Н. Ш. 75063. Алкалоиды *Stephania japonica*. Miers XVIII.

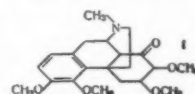


VIII R = O, IX R = C(CH<sub>3</sub>)COOC<sub>2</sub>H<sub>5</sub>, X R = CHCOOH



О хасубанонине. III. Синтезы 3,4,6,8- и 3,4,5,7-тетраметоксифенантрена. (Алкалоиды *Menispermaceae*. CVII). Кондо, Сатоми, Одера (Alkaloids of *Stephania japonica* Miers. (XVII). On Hasubanonine (III). Syntheses of 3,4,6,8- and 3,4,5,7-Tetramethoxyphenanthrene. (Alkaloids of menispermaceae plants. CVII.). Kondo Heisaburo, Satomi Masakichi, Odera Toshiko, 乙卯研究所年報, Ицуу кэнкюдзэ нэмпо, Annual Rept ITSUU Lab., 1953, 4, 1–5 (япон.), 45–50 (англ.). Установлена идентичность метилхасубанола, продукта разложения алкалоида хасубанонина (I) с синтетич. 3,4,6,8-тетраметоксифенантеном (II), что подтверждает предлагаемую авторами ф-лу I. Синтез II осуществлен следующим образом. Резорцин превращен в  $\beta$ -резорциловую к-ту, которая при метилировании  $(\text{CH}_3)_2\text{SO}_4$  в шел. среде дала 2,4-диметоксибензойную к-ту (III). Действием на эфир. р-р хлорангидрида III (из 6,4 г III) избытка  $\text{CH}_2\text{N}_2$  (выдержка  $\sim 12$  час) получен 2,4-диметокси- $\omega$ -дiazоацетофенон (IV), выход 4,4 г, т. пл. 82–85° (из бзл.-петр. эф.). К р-ру 4,4 г IV в 100 мл диоксана добавляя смесь 30 мл 28%-ного  $\text{NH}_4\text{OH}$  и 5 мл 10%-ного  $\text{AgNO}_3$ , нагревают 30 мин. при 70°, прибавляя еще 40 мл 28%-ного  $\text{NH}_4\text{OH}$ , кипятят 1 час, выделяют амид 2,4-диметоксифенилуксусной к-ты (V — к-та), выход 2,2 г, т. пл. 131–132° (из воды), омыляемый нагреванием с 40%-ным  $\text{NaOH}$  (30 мин., при т-ре бани 150°) до V, выход 0,9 г, т. пл. 110–111° (из водн. сп.). V превращена в 3,4,6,8-тетраметоксифенантренкарбовую-9 к-ту (VI) по методу Пшора (Ann., 1911, 382, 59). При конденсации V с 2-нитровератровым альдегидом получена  $\alpha$ -(2',4'-диметоксифенил)-2-нитро-3,4-диметоксикоричная к-та (VII), т. пл. 230–232° (испр.). VII восстановлена до  $\alpha$ -(2',4'-диметоксифенил)-2-амино-3,4-диметоксикоричной к-ты (VIII), т. пл. 209–210° (испр.). Диазотирование и циклизация VIII привели к VI, т. пл. 229–230° (испр.). Декарбоксилированием VI (0,05 г) в хинолине (2,1 мл) в присутствии 0,1 г Cu-порошка (нагревание 10 мин. при 195–210° и 20 мин. при 250–255°) получен II, т. пл. 107–108°. Аналогичным методом проведен также синтез не описанного в литературе 3,4,5,7-тетраметоксифенантрена (IX), исходя из  $\alpha$ -резорциловой к-ты (Синтезы органич. препаратов, М., Изд-во ин. лит. 1949, сборн. 2) через следующие в-ва: 3,5-диметоксифенантренкарбовую-9 к-ту; 3,5-диметокси- $\omega$ -дiazоацетофенон, т. пл. 72–73° (из бзл.); 3,5-диметоксифенилуксусную к-ту, т. пл. 100–105° (из эф.);  $\alpha$ -(3',5'-диметоксифенил)-2-нитро-3,4-диметоксикоричную к-ту, т. пл. 195–198°;  $\alpha$ -(3',5'-диметоксифенил)-2-амино-3,4-диметоксикоричную к-ту, т. пл. 183–186°; и 3,4,5,7-тетраметоксифенантренкарбовую-9 к-ту, т. пл. 205–207° (из 70%-ного  $\text{CH}_3\text{OH}$ ). При декарбоксилировании последней получен IX, т. пл. 92–93° (из  $\text{CH}_3\text{OH}$ -эф.); пикрат, т. пл. 160–161° (из  $\text{CH}_3\text{OH}$ ). Сообщения II см. Annual Rept ITSUU Lab., 1952, 3, 37. Л. Н. 75064. Алкалоиды *Stephania japonica* Miers. XVIII.

О протостефанине. VIII. Алкалоиды *Menispermaceae*. CVIII. Кондо, Такэда (Alkaloids of *Stephania japonica* Miers (XVIII). On protostephanine (VIII). Alkaloids of menispermaceae plants. CVIII. Kondo Heisaburo, Takeda Kyoji, 乙卯研究所年報, Ицуу кэнкюдзэ нэмпо, Annual Rept. ITSUU Lab., 1953, 4, 6–11 (япон.), 51–58 (англ.). Установлено, что тетраметоксифенантрен, образующийся при перегонке с Zn-пылью алкалоида протостефанина (I) (Annual Rept. ITSUU Lab., 1950, 1, 39), представляет собой 2,3,6,8-тетраметоксифенантрен (II). Окисление 12%-ным р-ром  $\text{KMnO}_4$  привело к метиловому эфиру метагемипиновой к-ты. Осуществлен синтез II, исходя из 2,4-диметоксифенилуксусной к-ты (III) по методу Пшора (Ber., 1900, 32, 3412). Конденсацией III с 6-нитровератровым альдегидом получена  $\alpha$ -(2',4'-диметоксифенил)-2-нитро-4,5-диметоксикоричная к-та, выход 41%, т. пл. 183–190° (из  $\text{CH}_3\text{OH}$ ). Последняя восстановлена до  $\alpha$ -(2',4'-диметоксифенил)-2-амино-4,5-диметоксикоричной к-ты (IV), т. пл. 204–206°. Диазотированием и циклизацией в присутствии Cu IV превращена в 2,3,6,8-тетраметоксифенантренкарбовую-9 к-ту (V), выход 40%, т. пл. 229–230° (из ацетона- $\text{CH}_3\text{OH}$ ). При декарбоксилировании в хинолине V дала II, т. пл. 165–166° (из ацетона-эф.); пикрат, т. пл. 188°. III получена



по способу, ранее примененному авторами (см. пред. реф.). При окислении  $\text{H}_2\text{CrO}_4$  образуется 2,3,6,8-тетраметоксифенантринин (VI), т. пл. 268° (из хлф.). Взаимодействие VI с избытком *o*-фенилендиамина в смеси  $\text{CHCl}_3$  и  $\text{CH}_3\text{OH}$  (кипение 1 час) приводит к феназину, т. пл. 193° (из хлф.- $\text{CH}_3\text{OH}$ ). Действием  $\text{Ag}_2\text{O}$  на водно-метанольный *p*-р иодметилата I получено четвертичное аммониевое основание, из продуктов окисления его 2%-ным *p*-ром  $\text{KMnO}_4$  выделен VI и в-во (VII), т. пл. 281° (разл.), являющееся, вероятно, тетраметоксифлуоренонкарбоновой-4 к-той; метилсвй эфир (VIII), т. пл. 223—224° (из хлф. =  $\text{CH}_3\text{OH}$ ); оксим VIII, т. пл. 251—252° (разл., из  $\text{CH}_3\text{OH}$ ). Приведены кривые УФ-спектров II, VII, флуоренсна и флуоренсикарбоновой-4 к-ты.

Л. Н. 75065. **Алкалоиды *Stephania japonica* Miers. XIX. О протестефанине. IX.** (Алкалоиды *Menispermaceae*. CXVII). Кондо, Такэда (Alkaloids of *Stephania japonica* Miers. (XIX). On protostephanine (9). (Alkaloids of menispermaceous plants. CXVII). Kondo Heisaburo, Takeda Kyoji, 乙卯研究所年報, Иууу кэнкюдзэ нэмпо, Annual Rept. ITSUU Lab., 1954, 5 1—4 (япон.), 51—54 (англ.).

Основание (I), т. пл. 162—164°, полученное при гофмановском распаде бромпротестефанина (см. Annual Rept. ITSUU Lab., 1952, 3, 45), было подвергнуто озонированию; образовавшийся озонид (II), при каталитич. гидрировании с Pd/C поглощает 2 моля  $\text{H}_2$ , что устанавливает наличие в I двух винильных групп, одна из которых расположена в ядре, а другая в конце боковой цепи, так как при разложении II водой образуется 1 моль  $\text{HCHO}$ . Разложение II в присутствии скелетного Ni приводит к образованию тетраметоксифенантринина (III), т. пл. 178°; диоксим III, т. пл. 242° (из  $\text{CH}_3\text{OH}$ ). Положение заместителей в III не установлено. Окислением III  $\text{KMnO}_4$  в ацетоне получена тетраметоксифенантриндикарбоновая к-та (IV), т. пл. 259° (разл., из ацетона); диметилсвй эфир IV, т. пл. 194—195° (из ацетона). На основании этой и предшествующих работ авторы считают доказанным наличие сопряженных двойных связей в третьем кольце протестефанина (V). Приведены кривые УФ-спектра III и ИК-спектра V.

Л. Н. 75066. **Алкалоиды *Stephania japonica* Miers. XX. Об алкалоиде с курареподобным действием. Выделение инсуларина. (Алкалоиды *Menispermaceae*. CXXVIII). Са-томи (Alkaloids of *Stephania japonica* Miers (XX). On the alkaloid with a curare-like action. Isolation of insularine. (Alkaloids of menispermaceous plants. CXXVIII). Satomi Masakichi, 乙卯研究所年報, Иууу кэнкюдзэ нэмпо, Annual Rept. ITSUU Lab., 1955, 6, 1—2 (япон.), 31—33 (англ.).**

Инсуларин (I), главный алкалоид *Cissampelos insularis* Makino, выделен из стеблей *Stephania japonica* Miers. Приведены кривые ИК- и УФ-спектров. Фармакологич. испытания показали значительную курареподобную активность I. 5 кг растения экстрагируют горячим  $\text{CH}_3\text{OH}$ , отделяют фенольные и кристаллич. нефенольные алкалоиды, остаток растворяют в 4—5 объемах  $\text{CH}_3\text{OH}$ . *p*-р концентрируют, прибавляют пикриновую к-ту, аморфный осадок пиратов растворяют в 5%-ном NaOH, экстрагируют эфиром основания, которые растворяют в 2—3 объемах  $\text{CH}_3\text{OH}$ , прибавляют  $\text{CH}_3\text{I}$  и нагревают смесь на водяной бане. При охлаждении выпадает иодметилат I,  $\text{C}_{28}\text{H}_{40}\text{O}_6\text{N}_2 \cdot 2\text{CH}_3\text{I} \cdot 2\text{H}_2\text{O}$ , выход 0,3 г, т. пл. 298—300° (разл., из водн.  $\text{CH}_3\text{OH}$ ).

Л. Н. 75067. **Алкалоиды *Stephania japonica* Miers. XXI. О протестефанине. X.** (Алкалоиды *Menispermaceae*. CXXIX). Кондо, Такэда (Alkaloids of *Stephania japonica* Miers. (XXI). Of protostephanine. (10). Alkaloids of menispermaceous plants. CXXIX). Kondo Heisaburo, Takeda Kyoji, 乙卯研究所年報, Иууу

кэнкюдзэ нэмпо, Annual Rept. ITSUU Lab., 1955, 6, 4—8 (япон.), 34—40 (англ.).

С целью выяснения строения продуктов разложения бромпротестефанина (см. РЖХим, 1956, 75065) были предприняты попытки синтезировать 6-бром-4,5,3',5'-тетраметоксифенил-2,2'-дикарбоновую к-ту (I). По методу, примененному авторами для получения 2,3,6,8-тетраметоксифенантриникарбоновой-9 к-ты (см. РЖХим, 1956, 75064), осуществлен синтез 35-бром-2,3,6,8-тетраметоксифенантриникарбоновой-9 к-ты (II):  $\beta$ -резорциловая к-та при метилировании избытком  $(\text{CH}_3)_2\text{SO}_4$  (в шел. среде) дала 2,4-диметоксифенильную к-ту (III), выход 70—93%, т. пл. 106—108°. К *p*-ру 5 г III в 20 мл лед.  $\text{CH}_3\text{COOH}$  добавляют по каплям *p*-р 4,5 г  $\text{Br}_2$  в 10 мл лед.  $\text{CH}_3\text{COOH}$  и перемешивают при 0—2° 30 мин., при стоянии выпадает 5-бром-2,4-диметоксифенильная к-та (IV), выход 89%, т. пл. 198° (из  $\text{CH}_3\text{OH}$ ). IV получена также метилированием 5-бромрезорциловой к-ты (выход 19—30%) и из 5-амино-2,4-диметоксифенильной к-ты (V) диазотированием и последующим разложением (выход 42—45%). Хлорангидрид IV (7,5 г), т. пл. 147—148° (из бзл.) действием  $\text{CH}_2\text{N}_2$  превращен в 5-бром-2,4-диметокси- $\alpha$ -диазоацетонен (VI), выход 6,2 г, т. пл. 143° (разл.). Р-ция VI с  $\text{Ag}_2\text{O}$  и  $\text{Na}_2\text{S}_2\text{O}_3$  привела к 5-бром-2,4-диметоксифенилуксусной к-те (VII), выход 75%, т. пл. 138,5° (из  $\text{CH}_3\text{OH}$  и из эф.). На-соль VII при конденсации с 6-нитросерватровым альдегидом дала 2-нитро-4,5-диметокси- $\alpha$ -(5'-бром-2',4'-диметоксифенил)-коричную к-ту, выход 53%, т. пл. 232° (последовательно из  $\text{CH}_3\text{OH}$ , ацетона,  $\text{CH}_3\text{OH}$ ). Последняя (1 г) была восстановлена до соответствующей аминокислоты (VIII), выход 0,9 г, т. пл. 176° (из  $\text{CH}_3\text{OH}$ ). Диазотированием и выдержкой в присутствии *Si*-порошка при 10—15° (4—6 час.) из 0,7 г VIII получена II, выход 0,25 г, т. пл. 223° (разл., из ацетона). Было проведено декарбоксилирование II в хинолине в присутствии *Si*-порошка (240°, 5 мин.), однако соответствующий фенантрин (который предполагалось окислить до I) выделить в чистом виде не удалось. Второй план синтеза I заключался в *p*-ции Ульмана между метиловым эфиром 6-иод-3,4-диметоксифенильной к-ты (IX) и метиловым эфиром 6-бром-5-ацетаминно-2,4-диметоксифенильной к-ты с последующей заменой ацетаминогруппы на *Br*. IX получен из метилового эфира 6-амино-3,4-диметоксифенильной к-ты диазотированием (0—2°), выдержкой с *p*-ром KJ ~12 час. и нагреванием до полного выделения  $\text{N}_2$  выход IX, 57,5%, т. пл. 107—108° (из  $\text{CH}_3\text{OH}$ ). 15,8 г 2,4-диметоксифенильной к-ты нитрованием 75 мл  $\text{HNO}_3$  (d 1,5) при *t*-ре 3—5° превращены в 5-нитро-2,4-диметоксифенильную к-ту (X), выход 85,7%, т. пл. 215,5° (из  $\text{CH}_3\text{OH}$ ). При метилировании 5-нитрорезорциловой к-ты  $(\text{CH}_3)_2\text{SO}_4$  получен метиловый эфир X, т. пл. 149,5° (из  $\text{CH}_3\text{OH}$ ). X восстановлена в присутствии Pd/C до 5-амино-2,4-диметоксифенильной к-ты (XI), выделенной в виде хлоргидрата, выход 95,5%, т. пл. 210° (разл.). При ацетилировании XI дала соответствующую ацетаминокислоту (XII), т. пл. 212,5°. Все попытки ввести *Br* в XI или XII в положение 6 остались неудачными.

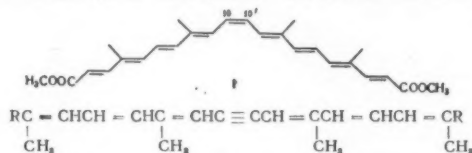
Л. Н. 75068. **Изучение антиметаболитов. IV. Синтез  $\alpha$ ,  $\alpha$ -диметилного аналога (+)-пантотеновой кислоты. И ё н с с о н (Studies on antimetabolites. IV. Synthesis of the  $\alpha$ ,  $\alpha$ -dimethyl analogue of (+)-panthothenic acid. J ö n s s o n A k e), Acta chem. scand., 1954, 8, № 8, 1491—1492 (англ.).**

Получена  $\alpha$ ,  $\alpha$ -диметилпантотеновая к-та  $\text{HOCH}_2\text{C}(\text{CH}_3)_2\text{CH}(\text{OH})\text{CONHCH}_2\text{C}(\text{CH}_3)_2\text{COOH}$  (I) конденсацией пантолактона (II) и  $\text{NH}_2\text{CH}_2\text{C}(\text{CH}_3)_2\text{COOCH}_2\text{C}_6\text{H}_5$  (III) с последующим удалением бензильного остатка восстановлением. Ингибирует рост *Lactobacillus arabinosus* 17—5 с индлеком ингибирования, равным 10 000. 60 г этилового эфира  $\text{CHONHCH}_2\text{C}(\text{CH}_3)_2\text{COOC}_2\text{H}_5$  кипятят ~12 час. с 150 мл 20%-ной HCl, выпаривают досуха, экстрагируют эфиром

и прибавляют 400 мл  $\text{CH}_3\text{COCl}$  и 80 г  $\text{PCl}_5$ . Через ~12 час. добавляют 750 мл эфира, осадок центрифугируют и нагревают с  $\text{C}_6\text{H}_5\text{CH}_2\text{OH}$ . Р-р фильтруют, разбавляют эфиром и отделяют III-HCl, выход 41 г, т. пл. 94,5—96° (переосажден эф. из ацетона); пикрат, т. пл. 147—148° (из водн. сл.). 15 г III-HCl подщелачивают 6 н. NaOH, экстрагируют эфиром, упаривают и конденсируют при 5 час. нагревании на водяной бане с 10 г II. Разбавляют 50 мл воды, подкисляют 2 н. HCl до pH 1—2, экстрагируют эфиром; при упаривании экстракта получают 13,5 г масла, которое гидрируют 5 час. в 50 мл лед.  $\text{CH}_3\text{COOH}$  над 2 г 10%-ного Pd/C. Р-р упаривают, остаток растворяют в 75 мл ацетона, фильтруют и упаривают. Оставшийся сироп растворяют в 300 мл воды, встряхивают 2 часа с  $\text{CaCO}_3$ , фильтруют и экстрагируют ~12 час. эфиром. Водн. р-р упаривают в вакууме досуха. Остаток растворяют в 75 мл  $\text{CH}_3\text{OH}$ , фильтруют и упаривают досуха. 5 г полученного в-ва растворяют вновь в 50 мл  $\text{CH}_3\text{OH}$ , прибавляют 500 мл ацетона и после длительного охлаждения фильтруют и упаривают досуха. Выход моногидрата Са-соли I 4,2 г,  $[\alpha]_D^{20} +27,2^\circ$  (с 0,44; вода). Сообщение III см. РЖХим, 1956, 68497.

С. А. 75069. Синтезы в ряду каротиноидов. XXXI. Синтез метилового эфира 10,10'-*цис*-биксина. К стереохимии *цис-транс*-изомерных биксинов. Инhoffe, R. и Scheele (Synthesen in der Carotinoid-Reihe XXXI. Synthese des 10,10'-*cis*-Bixinmentylesters. Ein Beitrag zur Stereochemie der *cis-trans*-isomeren Bixine. Inhoffe Hans Herloff, Rasp Gerhard, Liebigs Ann. Chem., 1955, 592, № 3, 214—221 (нем.).

Осуществлен полный синтез метилового эфира 10,10'-*цис*-биксина (I). Диметилый эфир 8,8'-дегидрооксиретина (II) (см. РЖХим, 1954, 18136) восстановлен посредством  $\text{LiAlH}_4$  до спирта (III), последний окислен при помощи  $\text{MnO}_2$  до  $\text{C}_{20}$ -дигидроксида (IV), который по р-ции Реформатского с  $\text{BrCH}_2\text{COOCH}_3$  (V) превращен в  $\text{C}_{22}$ -эфирдиол (VI). Дегидратация VI привела к метилому эфиру 10,10'-дегидробиксина (VII), гидрирование последнего над катализатором Линдлара дало I. Сравнением УФ-спектров I, природного метилового эфира биксина (Zechmeister L., Chem. Rev., 1944, 34, 267), изомерных неометилбиксинов А и С (Zechmeister L., Escue R. B., J. Amer. Chem. Soc., 1944, 66, 322) и метилового эфира полностью *транс*-биксина (VIII) показано, что I не идентичен с вышеуказанными тремя изомерными *цис*-соединениями. Изо-



II R =  $\text{COOCH}_3$ , III R =  $\text{CH}_2\text{OH}$ , IV R =  $\text{CHO}$ ,

VI R =  $\text{CHONCH}_2\text{COOCH}_3$ , VII R =  $\text{CH} = \text{CHCOOCH}_3$ .

меризация I привела к VIII, идентичному полученному из природного соединения и синтетич. путем (РЖХим, 1955, 2166). К р-ру 100 мг I в 30 мл абс. тетрагидрофурана при  $-10^\circ$  и сильным перемешивании прибавляют по каплям р-р 5 ммоль  $\text{LiAlH}_4$  в 4,9 мл анизола, через 10 мин. вводят 1 мл метанола, разлагают разб.  $\text{H}_2\text{SO}_4$ , выход 46 мг кристаллин. III. III встряхивают 2 часа в 10 мл петр. эфира с 1 г  $\text{MnO}_2$ , фильтрат выпаривают, остаток растворяют в 50 мл  $\text{C}_6\text{H}_5\text{CHCl}_2$  (здесь и далее 4 : 1), фильтруют через  $\text{Al}_2\text{O}_3$  (2 см), выпаривают, получают 28 мг IV, т. пл. 190—192° (из бzl.-петр. эф.; здесь и далее в капилляре, заполненном  $\text{N}_2$ ). К 2,94 г IV в 150 мл абс. тетрагидрофурана с 6 г активированного Zn добавляют (15 мин.) 12 г V, кипятят (1 час), получают 4,5 г VI. Из р-ра 4 г VI в 250 мл  $\text{C}_6\text{H}_6$  + 1 г  $n\text{-CH}_3\text{C}_6\text{H}_4\text{SO}_3\text{Na}$  за 10 мин. отгоняют 100 мл  $\text{C}_6\text{H}_6$ , промывают р-ром  $\text{NaHCO}_3$ , выпаривают, р-р остатка

в  $\text{C}_6\text{H}_5\text{CHCl}_2$  фильтруют через  $\text{Al}_2\text{O}_3$ , получают 570 мг VII, т. пл. 177—179° (из  $\text{CH}_2\text{Cl}_2$ -петр. эф.); 100 мг VII гидрируют в 30 мл  $\text{C}_6\text{H}_6$  с 500 мг катализатора Линдлара (в темноте, 50°), фильтрат выпаривают в вакууме при 50°, получают 50 мг I, т. пл. 193—194° (испр., из  $\text{CH}_2\text{Cl}_2$  + петр. эф.). 50 мг I в 100 мл циклогексана + немного  $\text{C}_6\text{H}_6$  кипятят в токе  $\text{N}_2$  12 час., выпаривают, хроматографируют на  $\text{Al}_2\text{O}_3$  (р-ритель  $\text{C}_6\text{H}_5\text{CHCl}_2$ ), выделяют 13 мг VIII, т. пл. 207° (испр. из  $\text{CH}_2\text{Cl}_2$  + сл.). Приведены кривые УФ-спектров I, IV, VII и VIII  $\lambda_{\text{макс.мд}}$  в петр. эф. ( $\epsilon \cdot 10^{-3}$ ): I, 350, 430, 455, 487 (61, 75, 100, 81); III (в  $\text{CH}_3\text{OH}$ ), 380, 403 (66, 57); IV, 260, 410, 435 (18, 92, 95); VI, 385, 407 (60, 55); VII, 435, 464 (119, 110); VIII, 432, 458, 490 (99, 147, 136). Сообщение XXX см. РЖХим, 1956, 61664.

Л. Я.

75070. Изучение производных цианамидов. XLII. Синтез гуанидиновых соединений и их производных. 6. Синтез аргинина (2). Одо (シアナミド誘導體に關する研究 第42報. グアニン化合物の合成的研究. 第6報. アルギニンの合成. その2. 大戸敏二郎), 日本化学雑誌, Нихон кагаку дзасси, J. Chem. Soc. Japan. Pure Chem. Sec., 1953, 74, № 10, 774—775 (япон.).

5,06 г хлоргидрата орнитина (I), 5,21 г  $\text{Ba}(\text{OH})_2 \cdot 8\text{H}_2\text{O}$ , 25 мл воды и 6,8 г  $\text{CH}_3\text{SC}(=\text{NH})\text{NH}_2 \cdot \text{HCl}$  нагревают 2 часа при 80°, смесь нейтрализуют разб.  $\text{H}_2\text{SO}_4$ , отфильтровывают осадок  $\text{BaSO}_4$ , фильтрат упаривают в вакууме до сиропа, нейтрализуют NaOH, добавляют пикриновую к-ту и  $\text{CH}_3\text{OH}$  для осаждения непрореагировавшего I, фильтруют, после удаления  $\text{CH}_3\text{OH}$  фильтрат нагревают с HCl (к-той), выделившуюся пикриновую к-ту экстрагируют эфиром, водн. слой упаривают в вакууме для удаления HCl, нейтрализуют NaOH, подкисляют до слабкокислой р-ции разб.  $\text{H}_2\text{SO}_4$ , нагревают с 9 г флавиановой к-ты в 43 мл воды и охлаждают, получают 9,81 г аргининфлавианата (II); хлоргидрат аргинина,  $[\alpha]_D^{12} +10,22^\circ$  (с 9,20; вода). 1,98 г  $\text{H}_2\text{NCH}_2\text{N}_3$  в 3 мл воды прибавляют 2 часа к 5,06 г I в 8,52 мл 1 н. NaOH, выдерживают 2 часа при 80°, смесь нейтрализуют HCl, доводят до объема 100 мл, 90 мл р-ра упаривают, полученный сироп нагревают 10 мин. при 100 с 15 мл конц. HCl и обрабатывают, как указано выше, получают 6,11 г II; хлоргидрат аргинина,  $[\alpha]_D^{12} +10,55^\circ$  (с 7,76; вода). Аналогичный синтез с 7,11 мл 1 н. NaOH при 10—12° дал 6,12 г II; хлоргидрат аргинина,  $[\alpha]_D^{14} +10,64^\circ$  (с 8,70; вода). Сообщение 5 см. РЖХим, 1956, 50920.

Chem. Abstrs, 1955, 49, 3914.

O. Simamura.

75071. Получение некоторых дипептидов, содержащих аспарагин, аспарагиновую кислоту и глутамин. Линдли (The preparation of some dipeptides containing asparagine, aspartic acid, and glutamine. Leach S. J., Lindley H.), Austral. J. Chem., 1954, 7, № 2, 173—180 (англ.).

Исследованы различные методы синтеза дипептидов аспарагина (I), глутамина и аспарагиновой к-ты (II). Р-ция проводилась с хлорангидридами, смешанными ангидридами карбоновых к-т, амидов фосфитов и изоцианатами аминокислот. Для защиты аминогруппы применялись хлор-ацетильные, фталильные (ФТЛ) и карбобензоксис (КБЗ) производные. ФТЛ легко получаются, но при гидролизе иногда образуют О-карбобензоксис производные. Отщепить фталильную группу от ФТЛ глицил-глицил-*l*-аспарагина и глицил-*dl*-фенилаланил-*l*-аспарагина действием спирта р-ра  $\text{NH}_2\text{NH}_2$  не удалось. Производные II можно получить лишь взаимодействием эфиров аминокислот со смешанными ангидридами; производные I не образуются совсем. Последние можно получить действием О-фенил-хлорфосфита на ациламиноокислоты. Этиловый эфир карбобензоксисаспарагинил-глицина синтезирован конденсацией ациламиноокислоты с эфиром изоцианата аминокислоты, в качестве побочного соединения получено производное дикарбэтоксиптиломочевины. К 0,05 моля фталилглицина в 100 мл дioxана (5°) добавлено с переме-

шиванием 0,05 моля триэтиламина, затем 0,05 моля  $\text{ClCOOCH}_2\text{H}_5$  (III) и через 5 мин. 0,05 моля I в 50 мл 1 н. NaOH. Выход фталилглицил-*l*-аспарагина 79%, т. пл. 205—207° (из воды). Аналогично получены (приведены выходы и т. пл.): КБЗ-глицил-*l*-аспарагин, —, 129,5—131°; фталил-*dl*-аланил-*l*-аспарагин, 50%, 197,5—199°; фталил-*l*-аланил-*l*-аспарагин, —, 201—202°; фталил-*l*-лейцил-*l*-аспарагин, 65%, 210—212° (водн. диоксан); КБЗ-*l*-лейцил-*l*-аспарагин (IV), 55%, 162—163° (из воды), фталил-*l*-лейцил-*l*-глутамин (V), 30%, 123—126° (из этилацетата). КБЗ-*S*-бензил-*l*-цистеин-*l*-аспарагин (VI), т. пл. 180—181°. Сочетание КБЗ-*l*-аспарагина с этиловым эфиром глицина в этих условиях приводит, вероятно, к линейному ангидриду, т. пл. 124—126°. Глицил-*l*-аспарагин (VII) синтезирован а) из 3 г хлорэтил-*l*-аспарагина и 30 мл  $\text{NH}_4\text{OH}$  (3 дня, 20°). б) нагреванием 0,01 моля фталилглициласпарагина с 10 мл  $\text{N}_2\text{H}_4 \cdot \text{H}_2\text{O}$  в 30 мл спирта и обработкой 25 мл 2 н. HCl (40°, 10 мин.). в) гидрированием КБЗ-*l*-лициласпарагина над Pd в 90%-ном спирте VII, т. пл. 220° (95% чистоты),  $R_f$  0,58 (в феноле). *l*-Лейцил-*l*-аспарагин получен аналогично из IV, т. пл. 219—220° (99% чистоты),  $R_f$  0,85 (в феноле). Глицил-*dl*-глутамин — из хлорэтил-*dl*-глутамин, выход 50%, т. пл. 205° (86,6% чистоты). *l*-Лейцил-*l*-глутамин из V, выход 34%, т. пл. 227—229° (93,2% чистоты),  $R_f$  0,85 (фенол, вода). *l*-Цистинил-*l*-аспарагин (VIII) получен восстановлением VI Na в жидком  $\text{NH}_3$  и очищен через Hg-комплекс (Harrington C. R., Pitt-Rivers R. V., Biochem. J., 1944, 38, 417), т. пл. 250° (водн. сп.). Продукт р-ции дитилхлорфосфита с 8,6 г этилового эфира глицина в присутствии триэтиламина кипятился в 200 мл толуола с 21 мл КБЗ-аспарагина (IX), получен этиловый эфир КБЗ-*l*-аспарагинилглицина (X), выход 24%, т. пл. 181—193° (из воды). 10,5 г IX и 5,1 г эфира изоцианата глицина нагревались при 90° в сухом диоксане до прекращения выделения  $\text{CO}_2$ . Выход X 30%. При подкислении маточных р-ров выделена дикарбоксиметилмочевина, выход 15%, т. пл. 147° (из сп.). 10 г X омылены 1,1 экв NaOH в 500 мл  $\text{CH}_3\text{OH}$  (10 мин., 40°), выход КБЗ-*l*-аспарагинилглицина 54%, т. пл. 166—169° (из воды). Восстановлением 4 г последнего получен *l*-аспарагинилглицин, выход 75%, т. пл. 207—208° (из воды, 86,7% чистоты),  $R_f$  0,14 (в коллинне). 11 г КБЗ-аспарагинсвой к-ты обработаны  $(\text{CH}_3\text{CO})_2\text{O}$  (2 дня) упарены в вакууме; ангидрид КБЗ-*l*-аспарагинсвой к-ты (выделен эфиром и петр. эфиром) в 50 мл этилацетата добавлен к 11,2 г хлоргидрата этилового эфира *S*-бензилцистеина с 11,2 мл триэтиламина в 50 мл этилацетата (12 час.). р-р промыт HCl и водой. Этиловый эфир КБЗ-аспаргил-*S*-бензил-*l*-цистеина (XI) извлечен 0,5 моля р-ром  $\text{NaHCO}_3$  и разделен на  $\alpha$ - и  $\beta$ -изомеры фракционированной экстракцией водн.  $\text{NaHCO}_3$  из этилацетата, выход  $\alpha$ -изомера 15%, т. пл. 114—116°, т. пл.  $\beta$ -изомера 146—147°. 3 г XI в 60 мл  $\text{CHCl}_3$  (—5°) обработаны 1,45 г  $\text{PCl}_5$  и прилиты к 200 мл эфира, насыщ.  $\text{NH}_3$ . Выход этилового эфира КБЗ-*l*-аспарагинил-*S*-бензил-*l*-цистеина 47%, т. пл. 188—190° (из  $\text{CH}_3\text{OH}$ ). 10 г хлоргидрата бензилового эфира *S*-бензил-*l*-цистеина (Miller H. K., Weals H. J., Amer. Chem. Soc., 1952, 74, 1092), т. пл. 148—151° (из хлф.-циклогексана) обработаны  $\text{NH}_3$  в  $\text{CHCl}_3$ . Р-р упарен в вакууме, к остатку добавлено 200 мл эфира 1 экв триэтиламина и *O*-фениленхлорфосфит. Через час к упаренному фильтрату добавлены 250 мл бензола 1 экв. *l*-IX. После кипячения 1 час получен бензиловый эфир КБЗ-*l*-аспарагинил-*S*-бензил-*l*-цистеина, выход 41%, т. пл. 185—187° (из сп.). Восстановлением Na в жидком  $\text{NH}_3$  получен *l*-аспарагинил-*l*-цистеин, выход 10%, т. пл. 168,5—169° (из водн.  $\text{CH}_3\text{OH}$  на холоду). 13,4 г этилового эфира изоцианата *S*-бензилцистеина и 13 г *l*-IX кипятили в 30 мл диоксана до прекращения

выделения  $\text{CO}_2$ . Получена, по-видимому, ди-( $\alpha$ -карбэтокс- $\beta$ -бензилмеркаптоэтил)-мочевина, т. пл. 125—127°, 0,3 моля II и 0,33 моля толуолсульфокислоты нагревали в 150 г бензилового спирта (1 час, 130—140°), последний отогнан в вакууме и остаток обработан  $\text{NH}_3$  в  $\text{CHCl}_3$ , дибензиловый эфир аспарагиновой к-ты выделен в виде хлоргидрата из р-ра эфира насыщ. HCl, выход 40%, т. пл. 108—109° (из хлф.-циклогексана). 22,5 г толуолсульфоната дибензилового эфира *dl*-аспарагиновой к-ты обработаны  $\text{NH}_3$  в  $\text{CHCl}_3$  и  $\text{CHCl}_3$  и затем 10 г КБЗ-глицина, в условиях получения фталилглицил-*l*-аспарагина, и восстановлены  $\text{H}_2$ /Pd в метаноле. Выход глицил-*dl*-аспарагиновой к-ты 34%, т. пл. 199—202°.

Н. Ш.

**75072. Полиацетиленовые соединения. Сообщение X. Синтез полиинов из *Oenanthe crocata*. Больман, Физ (Polyacetylenverbindungen. X. Mitteilung: Synthese der Polyine aus *Oenanthe crocata*. Bohlmann Ferdinand, Viehe Heinz-Günter), Chem. Ber., 1955, 88, № 8, 1245—1251 (нем.)**

Для доказательства строения выделенных ранее из *Oenanthe crocata* (см. РЖХим, 1953, 3137) гептадекатриен-7,9,15-дин-11,13-она-4 («энантотон») (I), гептадекатриен-2,8,10-дин-4,6-ола-1 («энантол») (II) и гептадекатриен-7,9,15-дин-11,13-диола-4,17 («*dl*-энантотоксин») (III) соединения I—III получены синтетически. 2 г Na в 80 мл эфира смешивают с 14,5 г этилового эфира бутилуксусной к-ты, прибавляют 10,5 г 1-бромгептадиен-2,4-ина-6 (0°), через 20 час. (—20°) добавляют 3 г KOH в 50 мл воды, водн. слой промывают эфиром, подкисляют и извлекают эфиром декадиен-7,9-ин-11-он-4 (IV), выход 27%, т. кип. 80—100°/0,02 мм. 0,5 г IV и 0,75 г пентен-2-ина-4 (см. РЖХим, 1955, 45770) в 30 мл  $\text{CH}_3\text{OH}$  добавляют к р-ру 15 г  $\text{NH}_4\text{Cl}$ , 5 г  $\text{Cu}_2\text{Cl}_2$  и 0,3 мл  $\text{HCl}$  (к-ты) в 30 мл воды, встряхивают 3 часа с  $\text{O}_2$ , извлекают эфиром, остаток растворяют в смеси петр. эфира с  $\text{C}_6\text{H}_6$  (4:1), хроматографируют на  $\text{Al}_2\text{O}_3$ , вымывают декадиен-2,8-дин-4,6 (петр. эф.), затем I (смесь петр. эф. и  $\text{C}_6\text{H}_6$ , 3:1) и тетракозатетраен-7,9,15,17-дин-11,13-дион-4,21 (V) (эф. после отделения смолистой зоны), выход I 100 мг, т. пл. 45,7° (из петр. эф. при —50°), V, т. пл. 76° (из петр. эф.). 5 г пентен-2-ин-4-ола-1 (VII), 2 г IV, 200 мл  $\text{CH}_3\text{OH}$ , 20 г  $\text{Cu}_2\text{Cl}_2$ , 60 г  $\text{NH}_4\text{Cl}$ , 1 мл HCl (к-ты) и 100 мл воды насыщают  $\text{O}_2$ , извлекают эфиром, вытяжку упаривают, остаток кипятят с  $\text{CHCl}_3$ , нерастворившийся остаток — декадиен-2,8-дин-4,6-диол-1,10 (VIII). Остаток после упаривания  $\text{CHCl}_3$ -экстракта экстрагируют  $\text{C}_6\text{H}_6$  и хроматографируют на кислой  $\text{Al}_2\text{O}_3$ . Смесь петр. эфира и  $\text{C}_6\text{H}_6$  вымывают сначала V, затем гептадекатриен-7,9,15-дин-11,13-ол-17-он-4 (VIII), получено 770 мг VIII, т. пл. 56–57° (из петр. эф. после повторного хроматографирования). К 760 мг VIII в 20 мл эфира прибавляют при —30° 250 мг  $\text{LiAlH}_4$  в 30 мл эфира, т-ру поднимают за 1 час до —20°, прибавляют 5 мл  $\text{HCOOCH}_3$ , разлагают р-ром  $\text{NH}_4\text{Cl}$ , остаток эфирной вытяжки экстрагируют  $\text{C}_6\text{H}_6$  и хроматографируют на 90 г кислой  $\text{Al}_2\text{O}_3$  (вымывают  $\text{C}_6\text{H}_6$  + 1%  $\text{CH}_3\text{OH}$ ), выход III 20 мг, т. пл. 68° (из бзл. и петр. эф.; хлф. и петр. эф. при —15°). Из  $\text{C}_6\text{H}_{13}\text{MgBr}$  (55 г  $n\text{-C}_6\text{H}_{13}\text{Br}$ ) и 19 г акролина получают нонен-1-ол-3 (IX), выход 61%, т. кип. 90—95°/12 мм. К 19 г IX в 100 мл эфира добавляют 0,2 мл пиридина и 10 мл  $\text{PBr}_3$  в 20 мл эфира при 0°, через 12 час. выделяют смесь (X), 1-бромнонена-2 и 3-бромнонена-1, выход 79%, т. кип. 95—105°/16 мм. К 6 г  $(\text{C}_6\text{H}_5)_3\text{P}$  в 20 мл  $\text{C}_6\text{H}_6$  добавляют 4,2 г X, через 3 дня осаждают 3,86 г бромистого трифенилнонен-2-ил-фосфония (XI), т. пл. 170°. 3,86 г XI обрабатывают в эфирном р-ре  $\text{C}_4\text{H}_9\text{Li}$ , через 2 часа прибавляют 1 мл  $\text{CH} \equiv \text{C} - \text{CHO}$ , из р-ра выделяют додекадиен-3,5-ин-1 (XII), выход 43%, т. кип. 50°/0,05 мм (т-р бани). 475 мг XII, 3 г VI, 120 мл  $\text{CH}_3\text{OH}$ , 10 г  $\text{Cu}_2\text{Cl}_2$ , 30 г  $\text{NH}_4\text{Cl}$ , 0,7 мл HCl (к-ты) и 75 мл воды встряхивают с  $\text{O}_2$ , 2,5 часа, смесь извлекают эфиром; II, тетракозатетраен-7,9,15,17-дин-11,13 (XIII) и VII разделяют аналогично

смеси V, VII и VIII. XIII вымывают петр. эфиром, II— $C_6H_6$ . Выход II 100 мг, т. пл. 70,7—71° (из петр. эф.). Приведены УФ-спектры I и V; ИК-спектры I, II, III, V и данные по УФ-спектрам II, III, IV, VIII, XII. Все р-ции проводились в атмосфере  $N_2$ . Сообщение IX см. РЖХим, 1956, 74834. И. М. 75073.

**Полиацетиленовые соединения. Сообщение XI.** Синтез полина, выделенного из *Coreopsis*. Больман, Манхардт (Polyacetylenverbindungen. XI. Mitteilung: Synthese eines aus *Coreopsis*-Arten isolierten Polyins. Bohlmann Ferdinand, Mannhardt Heinz-Jürgen, Chem. Ber., 1955, 88, № 8, 1330—1334 (нем.).

Синтезирован тридекатетраен-1,3,5,11-динн-7,9 (I), выделенный ранее из *Coreopsis* (см. РЖХим, 1956, 22575). 1 г декадиен-2,8-динн-4,6-ола-1 (2,8-транс, транс-матрикардианол) (II) встряхивают 5 час. с 20 г  $MnO_2$  в 120 мл ацетона. После высушивания в высоковакууме экстрагируют смесью  $C_6H_6$  и петр. эфира и хроматографируют на  $Al_2O_3$  (вымывают петр. эф.), выход декадиен-2,8-динн-4,6-ола-1 (2,8-транс, транс-матрикардианаль) (III) 41,5%, т. пл. 68,5° (из петр. эф.). К 780 мг бромистого аллилтрифенилфосфония (см. РЖХим, 1955, 34535) в 10 мл абс. эфира добавляют 0,86 мл 1,2 н. р-ра  $C_4H_9Li$ , через 2 часа прибавляют 150 мл III в 10 мл эфира, перемешивают 2 часа, фильтруют, р-р нейтрализуют, упаривают в вакууме, остаток извлекают петр. эфиром, фильтруют через  $Al_2O_3$  и упаривают, получают I, т. пл. 70,5° (из петр. эф. при -0°). Побочо образуются жидкий 3-цис-изомер I (Ia). Общий выход I и Ia 50%. Аддукт I с маленовым ангидридом, т. пл. 150° (из бзл.+ петр. эф.). К 1,48 г II в 20 мл эфира добавляют 0,2 мл пиридина и 0,95 г  $PBr_3$  в 2 мл эфира, кипятят 30 мин., разлагают льдом и экстрагируют эфиром 1-бромдекадиен-2,8-динн-4,6 (IV), который очищают хроматографией в петр. эфире, выход IV 87%, т. пл. 44,5° (из петр. эф. при -50°). 1,84 г IV образует с 3 г  $(C_6H_5)_3P$  фосфониевую соль (выход 77%), которая при р-ции с  $C_4H_9Li$  и акролеином дает I с выходом 1%. Приведены УФ-спектры I, III и ИК-спектры I, Ia и III. И. М. 75074.

**О химическом составе *Filix mas*. II. О горьких веществах хмеля. VII. Метилирование флорацетофенона в ядро. Ридль, Риссе (Kernmethylierung von Phloracetophenon über Bestandteile von *Filix mas* II und über Hopfenbitterstoffe VII. Riedl Wolfgang, Risse Klaus Heinz), Liebigs Ann. Chem., 1954, 585, № 3, 209—219 (нем.).**

Изучались продукты три- и тетраметилирования флорацетофенона (I). В опытах триметилирования в разных органич. р-телях при т-ре 20, 32 и 56° из реакционных смесей выделены следующие соединения: 3-метилфлорацетофенон-4,6-диметиловый эфир (II), т. пл. 141° (из сл. или  $CH_3OH$ ) (хороший выход (19%) получен только при метилировании в кипящей смеси  $(CH_3)_2CO-CH_3OH$ ), 3-метилфлорацетофенон (III), диметилфлорацетофенон неизвестного строения (IV), 3,5-диметилфлорацетофенон (V) (в небольшом кол-ве только при метилировании в смеси эф.-сп. при 32°; т. пл. 222° (из разб.  $CH_3OH$ )), и три новых соединения: 5-ацетил-3-метилфилициновая к-та (VI), 1-ацетил-3,3,5,5-тетраметилциклогексен-1-ол-2-дион-4,6 (тетраметилфлорацетофенон) (VII) и 3-ацетилфилициновая к-та (VIII). При расщеплении щелочью с  $Zn$ -пылью при кипячении с 2 н.  $HCl$  VII дает 3-метилфилициновую к-ту (IX), т. пл. 179—180° (из  $CH_3OH$ ); как простейший аналог лупулона (X) и ацетолупофенона (XI) VI дает УФ-спектр, совпадающий с спектрами X и XI. VII устойчив по отношению к щелочи с  $Zn$ -пылью или без нее, но дает при кипячении с 2 н.  $HCl$  «тетраметилфлоролуцин», т. пл. 187—190° (из  $C_6H_6$ ); как простейший аналог 2-ацетилдигидрорезорцина и лептоспермона VII дает УФ-спектр, совпадающий с их спектрами. VIII дает при кипячении с 2 н.  $HCl$  филициновую к-ту, т. пл. 214—215° (из  $CH_3OH$ ); УФ-спектр

VIII совпадает со спектрами 3-бутирилфилициновой к-ты и аналогов X. Результаты этих опытов и сравнительное изучение непосредственного тетраметилирования I «стандартным» методом авторов (в  $CH_3OH$ , ~20°) и в воде при 70° (Hassal, Briggs, Taylor, J. Chem. Soc. (London), 1948, 1208) показали, что лучшим является стандартный метод. В этих условиях выход соединений I, метилированных в ядре, достигает 70—95% всех выделенных соединений; образование метиловых эфиров весьма ограничено, о-метилирование практически не имеет места. На основании почти полного выпадения образования V (симм. диметилированного I) и получения VIII высказано предположение, что метилирование I в ядро протекает ступенчато, причем каждая следующая  $CH_3$ -группа предпочтительно становится в положение, которое уже замещено одной такой группой, и что это представление следует перенести и на механизм введения аллильных групп в ядро, т. е. на синтез X. Этим объясняется небольшой выход 4-дезоксигуμουлона (3,5-диприенилфлоризовалерофенона, аналога V (прилигруппа  $(CH_3)_2C=CH-CH_2-$ )) при диприенилировании в смеси эфир- $CH_3OH$  в проведенных ранее опытах (см. сообщение VI, РЖХим, 1954, 43049). При прилигировании I в ядре ( $CH_3OH$ , ~20°) XI получен с выходом 32% вместо 26,2% в прежних опытах. По мнению авторов, стандартный метод может быть использован и для синтеза метиленис-флорацетофенонов. 20 г I растворяют в 150 мл  $CH_3OH$  и прибавляют (охлаждение) к р-ру 8,21 г Na в 50 мл  $CH_3OH$ . Продолжая охлаждать, прибавляют 101,5 г  $CH_3I$  и оставляют на 5 дней (~20°). Выпарив в вакууме (40°), растворяют остаток в 250 мл воды с прибавлением эфира. Подкислив разб.  $H_2SO_4$  (конго), извлекают водн. р-р эфира еще 2 раза и последовательно извлекают соединенные эфирные экстракты а) насыщ. р-ром  $KHCO_3$  (8×30 мл), б) 10%-ным р-ром  $Na_2CO_3$  (9×50 мл) и в) 2 н.  $NaOH$  (9×50 мл) и промывают каждую фракцию небольшим кол-вом эфира. Осадок, выпадающий при подкислении фракции а  $HCl$  (1:1), извлекают  $C_6H_6$  (4×50 мл) на холоду. Выход VII 1,1%, т. пл. 37° (из разб. сп.) и 54° (из разб.  $CH_3OH$ ). Из остатка, нерастворимого в  $C_6H_6$ , получают VI, выход 40,8%, т. пл. 160—161° (из 30%-ного  $CH_3OH$ ). При разбавлении маточного р-ра 100 мл воды выпадает VIII, выход 4,3%, т. пл. 174—176° (из разб.  $CH_3OH$ ). Из фракции б к-той осажается III, выход 24,6%, т. пл. 211° (из воды). При подкислении фракции в выпадает IV, кристаллизующийся при 0°, т. пл. 176—178° (из разб.  $CH_3OH$ ). Окрашивание с  $FeCl_3$ : VI, IV — красно-коричневое, III темно-фиолетовое, VII, VIII коричнево-красное — винно-красное, VII оранжево-красное, IX фиолетовое, быстро переходящее через коричневое в винно-желтое. Сообщение I см. РЖХим, 1955, 16482. Р. Т. 75075.

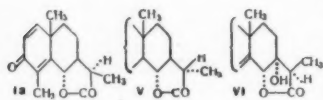
**О химическом составе *Filix mas*. III. Синтез n-бутирилфилициновой кислоты. Ридль, Риссе (Synthese des Filicinsäurebutanons. III. Mittel über Bestandteile von *Filix mas*. Riedl Wolfgang, Risse Klaus Heinz), Chem. Ber., 1954, 87, № 6, 865—868 (нем.).**

Изучена р-ция ацилирования филициновой к-ты (1,1-диметилциклогексадиен-3,5-диол-4,6-ола-2) (I) и 3-метилфилициновой к-ты (II). 2 г II, 3,16 г  $AlCl_3$  в 8 мл  $CS_2$  кипятили с 6 мл  $C_6H_5NO_2$  и, добавив 1,4 г  $CH_3COCl$ , кипятили еще 1 час. После разложения льдом (60 г) и подкисления конц.  $HCl$  (8 мл) экстрагировали эфиром (20 мл) и осалили из водн. слоя конц.  $HCl$  (30 мл) 5-ацетил-3-метилфилициновую к-ту, выход 64%, т. пл. 160° ( $CH_3OH$ -вода). Аналогично проведены р-ции с 1,9 г  $n-C_3H_7COCl$ , выделена 5-n-бутирил-3-метилфилициновая к-та, закристаллизовавшееся при замораживании масло, выход 28%, т. пл. 87° (водн. ацетон 5:1). 0,5 г I, 0,86 г  $AlCl_3$ , 0,42 г  $n-C_3H_7COCl$  в 2 мл  $CS_2$  и 2 мл  $C_6H_5NO_2$  обработаны аналогично. Из р-ра после отделения масла через 4 дня выделена 5-n-бутирилфилициновая к-та, идентифицированная с продуктом гид-

рогенолиза природной филиксовой к-ты, выход 14%, т. пл. 97°.

**75076. Стереохимия сantonина,  $\beta$ -сantonина и артемизина. Кори** (The stereochemistry of santonin,  $\beta$ -santonin and artemisin. Corey E. J.), J. Amer. Chem. Soc., 1955, 77, № 4, 1044—1045 (англ.)

Приведены дополнительные доводы, подтверждающие структуру сantonина (I). Из факта превращения (—)- $\alpha$ -десмогросантонина (II) в (+)- $\beta$ -десмогросантонин (III) под влиянием 50%-ной  $H_2SO_4$  (с обращением при  $C_5$ )



и  $C_{10}$ ) следует, что 11- $CH_3$ -группа  $\alpha$ -ориентирована в II и  $\beta$ -ориентирована в III. Абс. конфигурация (—)-I определена методом сравнения разностей молекулярных вращений ( $\Delta M_D$ ).  $\Delta M_D$  (—)-I и его 1,2-дигидропроизводного (+613°) сравнимо с  $\Delta M_D$   $\Delta^{1,4}$ -холестадиенона-3 (IV) и  $\Delta^4$ -холестерона-3 (+235°).  $\Delta M_D$  I и его тетрагидропроизводных ( $\sim +450^\circ$ ) соответствуют по знаку  $\Delta M_D$  IV и холестерона (+245°), что указывает на конформационную связь (—)-I со стероидами. Таким образом, (—)-I соответствует ф-лу (Ia), но не ее зеркальное изображение. На основании ф-лы Ia для  $\beta$ -сantonина и артемизина следует принять ф-лы (V) и (VI). Л. Б.

**75077. Неисследованные вещества экстрактов древесины. IV. Новые флавоновые производные из сердцевин дикой вишни (*Prunus avium*). Менцер, Пашеко, Виль** (Indet. miné chimique des extraits de bois. IV. Nouveaux dérivés flavoniques du coeur de merisier (*Prunus avium*). Mentzer C., Pacheco H., Ville A.), Bull. Soc. chim. biol., 1954, 36, № 8, 1137—1150 (франц.)

Эфирный экстракт (ЭЭ) сердцевин *Pr. avium* выделяет кристаллы хризина (выход 1% от веса древесины) и содержит также дигидрохризин. Насыщ. р-р  $NaHCO_3$  извлекает из ЭЭ: флаванон (I), т. пл. 153° (из сп.),  $R_f$  0,85—0,9 (р-ритель  $CH_3COOH$ -вода, 60:40), и в-во  $C_{16}H_{14}O_7 \cdot H_2O$  (II), т. пл. 236° (из сп.). В 10%-ный р-р  $Na_2CO_3$  из ЭЭ переходят: флаванол, т. пл. 204°,  $R_f$  0,62 (р-ритель  $CH_3COOH$ -вода, 60:40), затем изомер сакурнетина  $C_{16}H_{14}O_5$  (III), т. пл. 150° (из сп.), и в-во  $C_{16}H_{14}O_7$  (IV), т. пл. 225° (из воды),  $R_f$  0,65 (р-ритель 15%-ная  $CH_3COOH$ ), по-видимому, производное таксифолина. 5%-ным р-ром  $NaOH$  из ЭЭ извлечены: сакурнетин (V) и халкон  $C_{16}H_{14}O_5 \cdot H_2O$  (VI), т. пл. 183—184° (из сп.), по-видимому, 4,2',6'-триоксид (в оригинале 3,4,2',6'-тетраоксид)-4'-метоксикалкон, при нагревании (220°, 5 мин.) циклизуется в V. Вероятно, VI образуется из V в процессе извлечения. В остатке ЭЭ найдены тектохризин (VII), выход 0,33%, и 2,3-дигидротектохризин (VIII), выход 0,1%. В ЭЭ, особенно весной, хроматографически обнаруживаются также еще и кверцетин; вообще же хроматографически можно найти лишь часть в-в, выделенных из ЭЭ. Принимается, что сложность набора флавонов связана со степенью эволюции вида, а также с сезоном, возрастом и состоянием дерева. Приведены данные и кривые УФ-спектров I, II, III, IV, V, VI, VII и VIII. Сообщение III см. РЖХимБх, 1955, 7620. В. Н.

**75078. Красящие вещества из глей. XII. Реакции присоединения эритроафрина-sl и превращение его в эритроафрин fb. Браун, Колдербанк, Джонсон, Мак-Доналд, Куэйл, Тодд** (Colouring matters of the aphididae. Part XII. Addition reactions of erythroaphrin-sl and its conversion into erythroaphrin-fb. Brown B. R., Calderbank A., Johnson A. W., MacDonald S. F., Quayle J. R.,

Todd Alexander R.), J. Chem. Soc., 1955, March, 954—958 (англ.)

Эритроафрин-fb (I) (J. Chem. Soc., 1952, 4928), выделенный из *Aphis fabae* и эритроафрин-sl (II) (J. Chem. Soc., 1950, 485), полученный из *Tuberolachnus salignus*, являющиеся стереоизомерами, дают одинаковые УФ- и видимые спектры и показывают различие только в ИК-спектре. Оба в-ва оптически активны и отличаются по уд. вращению. Следовательно, во II должен присутствовать тот же 4,9-диоксиперил-3,10-хиноновый хромофор, что и в I. Дикси, диамино-, дипиперидино-, бис-циклогексиламинопроизводные II идентичны соответствующим производным I и при восстановлении этих в-в Zn и к-той получаются I. Дибромэритроафрин-sl (III) отличается от дибромэритроафрина-fb (IV), при восстановлении III получается II. Из III и IV в результате р-ций с пиперидином,  $NH_3$  и аминами образуются одни и те же производные. При восстановлении дибромдипиперидинэритроафрина (V) Zn и к-той получается I, поэтому V относят к fb-ряду. Присоединение аминов к I и II идет по двойным ароматическим связям. Атомы Br в дибромдипиперидинэритроафине-fb тоже находятся в ароматич. части молекулы, так как эти в-ва не реагируют с горячим водн.  $NH_3$  и аминами. Моноксис-эритроафрин-sl (VI), полученный из II ацелированием, гидролизом и окислением, отличается от моноксисэритроафрина-fb (VII). С пиперидином VI и VII дают один и тот же оксипиперидиноэритроафрин-fb (VIII). При восстановлении II  $Na_2S_2O_8$  или Zn в  $NaOH$  и окислении в щел. р-ре или в к-те изомеризации не происходит и возвращается II. Подкисление водн. р-ра Na-соли II при 0° так же не вызывает изомеризации. Р-р 500 мг II, 2 г гидрохинона и 10 мл нитробензола в 200 мл диоксана обрабатывают 25 мл  $NH_4OH$  (d 0,880) при 70°, реакционная смесь обрабатывается 10%-ной  $HCl$  и  $CHCl_3$ , через 50 мин. выливают в петр. эфир, получают диаминоэритроафрин-fb (IX) (см. J. Chem. Soc., 1952, 4928), выход 159 мг (из хлф. и  $CH_3OH$ ). 48,4 мг IX обрабатывают  $HNO_3$  (см. ссылку выше), получают диоксисэритроафрин-fb (X), выход 29 мг (из ацетона). Нагревают 1 г II и 2 г  $KMnO_4$  в 150 мл пиридина (водн.) 2 часа при  $\sim 100^\circ$ , осадок обрабатывают горячим пиридином, выливают на лед с  $HCl$  (к-той), экстрагируют  $CHCl_3$ , получают X. Восстанавливают 159 г IX Zn в  $CH_3COOH$ . Получают I, выход 19 мг. Р-р 110 мг II в 15 мл пиперидина оставляют на 3 часа при  $\sim 20^\circ$ . Получают дипиперидиноэритроафрин-fb (XI), выход 75 мг (из пиридина- $CH_3OH$ ). Р-р 100 мг II в 15 мл циклогексиламина оставляют на 3,5 часа, получают бис-циклогексиламиноэритроафрин-fb (XII), выход 70 мг (из  $CH_3OH$ -пиридина). При восстановлении 90 мг XII действием Zn в  $CH_3COOH$  получают I, выход 22 мг. Суспензию 281 г II в 20 мл лед.  $CH_3COOH$  и 0,5 мл Br встряхивают 1 час и выливают в 200 мл воды. Получают III, выход 353 мг (из хлф.-сп.). К суспензии 180 мг III в 200 мл лед.  $CH_3COOH$  добавляют 40 мг Zn-пыли и нагревают при  $\sim 100^\circ$  15 мин., получают II, выход 40 мг (из хлф.-сп.). Р-р 87 мг III в 20 мл пиридина и 2 мл пиперидина оставляют на ночь, получают V, выход 54 мг (из хлф.-сп.). В тех же условиях из 115 мг I получают 91 мг V. Восстанавливают 167 мг V, также как III, получают I, выход 28 мг (из хлф.-сп.). Пропускают  $NH_3$ -газ в р-р 105 мг IV и 300 мг гидрохинона в 60 мл диоксана и 5 мл воды при 70° (1,5 часа). Получают диаминодибромэритроафрин-fb (XIII) (из пиридина, хлф. и 10%-ной  $HCl$ ). Перемешивают 500 мг II, 100 мл  $(CH_3CO)_2O$  и 10 капель 60%-ной  $HClO_4$  (6,5 часа, 0°) и гидролизуют полученный пентаацетат дигидрооксисэритроафрина-sl (см. ссылку выше), получают VI, выход 220 мг (из хлф.-сп.). Р-р 100 мг VI в 5 мл пиридина и 5 мл пиперидина оставляют при  $\sim 20^\circ$  на 24 часа. Получают VIII (из хлф.- $CH_3OH$ ). Аналогично из 97 мг VII получают 40 мг VIII. Восстанавливают 74 мг VIII в тех же условиях, что и V, получают I, выход 15 мг. Приведены спектры III—XIII. Сообщение XI см. РЖХим, 1956, 22585. Н. Ш.

75079. Горькие вещества растений из семейства тыквенных. I. Химическая характеристика кукурбитацина А. Энслин (Bitter principles of the cucurbitaceae. I. Observations on the chemistry of cucurbitacin A. Enslin P. R.), J. Sci. Food and Agric., 1954, 5, № 9, 410—416 (англ.)

Из мякоти плодов некоторых тыквенных выделены горькие в-ва в виде аморфной пены, из которой удалось получить четыре в кристаллич. виде. Кукурбитацин А (I) изолирован из *Cucumis myriocarpus* и *C. leptodermis* в кол-ве 0,06% к весу плодов. I,  $C_{28}H_{40}O_8$ , кристаллы с нейтр. р-цией, т. пл. 207—208°,  $[\alpha]_D^{25} + 97,3^\circ$  (с 1,044; сп.); 2,4-динитрофенилгидразон, т. пл. 228,5° (разл.). I содержит одну ацетильную группу. При гидрировании над Pd/CaCO<sub>3</sub> в спирте получено кристаллич. лигиро-производное, т. пл. 139—141°; диоксим, т. пл. 228,5° (разл.); при омылении I дает аморфные продукты; токсичен (миним. летальная доза при внутривенном впрывивании кроликам равна 0,7 мг/кг). Выделенные ранее из этих же плодов Римингтоном кукурмин и лептодермин оказались смесью, а не чистыми в-вами. Кукурбитацин В изолирован из *C. africanus* и *Lagenaria leucantha*; ф-ла  $C_{28}H_{42}O_7$ , т. пл. 180—182°,  $[\alpha]_D^{25} + 87,5^\circ$  (с 1,554; сп.), токсичен (миним. летальная доза для кроликов 0,5 мг/кг). Кукурбитацин С из *Cucumis sativus*,  $C_{28}H_{42}O_7$ , т. пл. 207—207,5°,  $[\alpha]_D^{25} + 95,2^\circ$  (с 1,033; сп.). Кукурбитацин D — из разновидности садовой тыквы *Cucurbita pepo*, т. пл. 151—152°. А. Е.

75080. Исследование антоксианов. Часть V. Окрашенное вещество корня лакирицы. Пурн, Сешадри (Survey of anthoxanthins. Part V. Colouring matter of liquorice roots. Puri B. Miss Seshadri T. R.), J. Scient. and Industr. Res., 1954, 13, № 7, 475—480 (англ.)

Корни лакирицы содержат желтый 4'-гликозид — изоликвирицин (I), агликоном которого является изоликвирицигенин — 2,4,4'-триоксихалкон (II). При хранении и сушке I частично превращается в изомерный ему бесцветный ликвирицин (III) (см. Shinoda, Ueada, Chem. Ber., 1934, 67, 434), — 4'-гликозид агликона ликвирицигенина — 7,4'-диоксифлаванона (IV). При гидролизе 7%-ной H<sub>2</sub>SO<sub>4</sub> (кипячение 2 часа) из I или III получена смесь II и IV. Содержание антоксиановых гликозидов в корнях 2,2%. Корни извлекают холодным спиртом; I, т. пл. 185—186° (разл., из водн. сп.); II, т. пл. 202—204° (из водн. сп.). При круговой хроматографии на бумаге (р-рители: вода + фенол) R<sub>f</sub> I 0,71; II 0,50; III 0,86; IV 0,78; кольца III и IV желтеют при действии водн. NH<sub>3</sub>. Метилированием I или III (в ацетоне, с (CH<sub>3</sub>)<sub>2</sub>SO<sub>4</sub> + K<sub>2</sub>CO<sub>3</sub>, кипячение 48 час.) и последующим гидролизом получен один и тот же 2,4-диметокси-4'-оксихалкон (V), т. пл. 143—144° (из сп.). При медленном испарении (1 неделя, ~20°, над сухим KOH) р-ра III в 5%-ном водн. NaOH, подкисленного лимонной к-той, образуется I. Конденсацией 3 г 2,4-диметоксиацетофенона (VI) и 1 г п-оксисбензальдегида (VII) в водн. спирте с K<sub>2</sub>CO<sub>3</sub> (3 дня, ~20°) получен V (в оригинале опечатка — переставлены цифры 4 и 4'). 2,4'-диметокси-4-оксихалкон синтезирован аналогично из бензоата изопронола и анисового альдегида (VIII), т. пл. 183—185° (из сп.). Так же, из VII и р-ацетофенона получен II, а из VIII и VI (или метилированием II) — 2,4,4'-триметоксихалкон, т. пл. 91—93° (из сп.). Часть IV см. РЖХимБх, 1956, 16494. В. Н.

75081. Исследование антоксианов. Часть VI. Красящее вещество *Tamarix troupii*. Строение агликона и его синтез. Гупта, Сешадри (Survey of anthoxanthins. Part VI. Colouring matter of *Tamarix troupii*. Constitution of the aglycone and its synthesis. Gupta S. R., Seshadri T. R.), J. Chem. Soc., 1954, Sept., 3063—3065 (англ.)

Из зеленых листьев *Tamarix troupii* (I) выделен флаво-

ноловый гликозид тамариксин (II); агликоном его является 3,5,7,3'-тетраокси-4'-метоксифлаван (III), строение которого подтверждено синтезом. 1200 г I извлекают дважды (по 8 час.) кипящим спиртом, экстракт упаривают в вакууме, отделяют выпавшие хлорофилл и воски, извлекают концентрат петр. эфиром, затем эфиром; из водн. слоя выпадает II, выход 1,5 г, прямоугольные призмы, т. пл. 315—317° (разл.; из воды и водн. сп.); R<sub>f</sub> 0,71 (бутанол-CH<sub>3</sub>COOH-вода, 4:1:5, 30°). 0,5 г II кипятят с 75 мл 7%-ной H<sub>2</sub>SO<sub>4</sub> 2 часа, отделяют III, добавочное кол-во III выделяют извлечением фильтрата эфиром, выход III 62%, золотисто-желтые призмы, т. пл. 259—260° (из водн. сп.), R<sub>f</sub> 0,85 (в смеси фенол-вода, 30°), в спирт. р-ре дает оливково-коричневое окрашивание с FeCl<sub>3</sub>, оранжевую Pb-соль с Pb(CH<sub>3</sub>COO)<sub>2</sub>, красное окрашивание с Mg и HCl, растворяется в конц. H<sub>2</sub>SO<sub>4</sub> с золотисто-желтым окрашиванием и зеленой флуоресценцией и в водн. р-рах NaOH (1%) и Na<sub>2</sub>CO<sub>3</sub> (5%) с желтым окрашиванием. Ацетильное производное III — бесцветно, т. пл. 203—204° (из сп.). 0,2 г III в 30 мл безводн. ацетона кипятят 10 час. с 0,22 мл (CH<sub>3</sub>)<sub>2</sub>SO<sub>4</sub> (IV) и 2 г безводн. K<sub>2</sub>CO<sub>3</sub> (V) и выделяют 5-окси-7,3,3',4'-тетраметоксифлаван (0,21 г), т. пл. 159—160° (из сп.). С избытком IV (1 мл) и 3 г прокаленного V при кипячении в течение 50 час. III образует пентаметиловый эфир кверцетина, т. пл. 151—152° (из сп.). 0,5 г III с 10 мл (CH<sub>3</sub>CO)<sub>2</sub>O и 10 мл HJ нагревают при 145—150° 2 часа, разбавляют р-ром NaHSO<sub>4</sub> и отделяют кверцетин, т. пл. 314—315° (разл.; из разб. сп.), который с (CH<sub>3</sub>CO)<sub>2</sub>O и пиридине дает пентаацетат кверцетина, т. пл. 193—195° (из сп.-бэл.). 0,3 г III, 50 мл безводн. ацетона, 1 мл (C<sub>2</sub>H<sub>5</sub>)<sub>2</sub>SO<sub>4</sub> (VI) и 3 г V кипятят 50 час. и получают тетраэтиловый эфир III (VII), выход 0,35 г, т. пл. 136—137° (из сп.), который (0,3 г) при кипячении (6 час.) с 8%-ным р-ром KOH в спирте (30 мл) дает оранжево-красный осадок; после отгонки спирта остаток растворяют в 20 мл воды, р-р подкисляют, трижды извлекают эфиром, взбалтывают экстракт с р-ром NaHCO<sub>3</sub>, последний подкисляют и выделяют О-этилизованилиновую к-ту (VIII), т. пл. 165—166° (из водн. сп.). Оставшийся эфирный р-р выпаривают, получают ω,4,6-триэтокси-2-оксинацетофенон, т. пл. 97—98° (из эф.-петр. эф.). Строение III подтверждено следующим рядом синтезов: 18,2 г метилпротокатахуата в 150 мл сухого ацетона нагревают с 10 мл IV и 25 г V 3 часа, отфильтровывают K-соли, промывают горячим ацетоном, ацетон отгоняют, остаток обрабатывают водой, осадок отделяют и промывают водой. Полученный эфир кипятят со 150 мл 10%-ного р-ра NaOH (2 часа), подкисляют HCl (к-той), получают изованилиновую к-ту (IX), выход 13 г, т. пл. 255—257° (из сп.). 16,8 г IX кипятят 10 час. с 38,5 г VI и 80 г V в 150 мл безводн. ацетона, выделенный эфир омыляют кипячением с 10%-ным р-ром NaOH и получают VIII, выход 15 г, т. пл. 165—166° (из водн. сп.). К охлажд. смеси 9,8 г VIII в 40 мл сухого эфира и 4 мл пиридина прибавляют р-р 2 мл SOCl<sub>2</sub> в 25 мл эфира, через 12 час. (0°) разлагают лимом и осадок обрабатывают последовательно холодной разб. HCl (к-той), р-ром NaHCO<sub>3</sub>, водой, сушат в вакуум-эксикаторе; получают ангидрид VIII (X), выход 7,5 г, т. пл. 149—150° (из сухого бэл.). Смесь 0,4 г ω-этоксифлорацетофенона, 2,5 г X и 0,8 г K-соли VIII нагревают в вакууме при 170—180° 3 часа, к р-ру продукта р-ции в 20 мл спирта прибавляют р-р 2,8 г KOH в 2 мл воды и кипятят 20 мин. Отгоняют р-рители, разбавляют водой, извлекают эфиром и насыщают CO<sub>2</sub>, причем выпадает 3,3'-диэтокси-5,7-диокси-4'-метоксифлаван (XI), выход 0,5 г, т. пл. 183—185° (из сп.), в спирт. р-ре дает красно-коричневое окрашивание с FeCl<sub>3</sub>, 0,3 г XI, 0,4 мл VI и 2 г V в 50 мл безводн. ацетона кипятят 30 час., получают 0,28 г VII. 0,5 г 5,7,3'-триокси-3,4'-диметоксифлавана (King и др. J. Chem. Soc., 1952, 92) в 4 мл сухого C<sub>6</sub>H<sub>5</sub>NO<sub>2</sub> обрабатывают р-ром 1 г AlCl<sub>3</sub> в 4 мл C<sub>6</sub>H<sub>5</sub>NO<sub>2</sub> (~90°, 1,5 часа), прибавляют петр. эфир,

осадок обрабатывают разб. HCl (к-той), нагревают почти до кипения, фильтруют, промывают водой, выход III 0,4 г. В. З.

**75082. Исследование антоксантинов. Часть VI. Выделение и строение нео-сакуранина. Пурн, Сешадри** (Survey of anthoxanthins: Part VI. Isolation and constitution of neo-sakuranin. Puri B., Miss, Seshadri T. R.), J. Scient. and Industr. Res., 1954, 13, № 10, sec. B, 698—701 (англ.).

Из коры *Prunus puddum* выделен кроме ранее описанного сакуранина (I) изомерный ему новый глюкозид нео-сакуранин  $C_{22}H_{24}O_{10} \cdot H_2O$  (II), т. пл. 110—112° (разл.), являющийся 2,4'-диокси-4-метокси-6-глюкозидоксисахаром. 2 кг высушенной коры *P. puddum* экстрагировали по ранее описанному методу (Narasimhachari, Seshadri, Proc. Indian Acad. Sci., 1952, A35 202.). Экстракт после концентрирования (300 мл) оставляли в 2 дня, фильтровали и фильтрат экстрагировали горячим  $C_6H_6$ . Из водн. р-ра после насыщения с эфиром на холоду выпадает I; фильтрат от I обрабатывали средним Pb-ацетатом, фильтровали и фильтрат осаждали основным Pb-ацетатом. Осадок суспендировали в спирте и разлагали при помощи  $H_2S$ . Из фильтрата при стоянии выпадает II, желтые призмы, т. пл. 110—112° (разл.; из сп.). При круговом хроматографировании на бумаге (р-ритель — вода, насыщ. фенолом) II образует желтое кольцо.  $R_f$  0,62; I образует желтое кольцо лишь после проявления 1%  $NH_3$ ,  $R_f$  0,76. При гидролизе как I, так и II (7%-ная  $H_2SO_4$ , 2 часа) получили глюкозу и сакуранин ( $R_f$  0,2). I и II растворяли в 5%-ном NaOH, через 15 мин. подкислили 5%-ной лимонной к-той и упаривали при ~20° над KOH; через несколько дней выпадает II. I и II растворяли в спирте (5 мл), добавляли 40 мл воды и 2 г Na-ацетата; через 3 дня (38°) выпадает I. При метилировании и гидролизе как I, так и II образуется 2,4,4'-триметокси-6-оксисахарон, т. пл. 112—113° (из сп.). А. Т.

**75083. Дезоксиподофиллотоксин, выделенный из подофиллина. Кофод, Йергенсен** (Desoxypodophyllotoxin, isolated from podophyllin. Kofod Helmer, Jørgensen Chr.), Acta chem. scand., 1955, 9, № 2, 346—347 (англ.).

При хроматографич. исследовании (РЖХимБх, 1956, 17858) подофиллина, смолы растения *Podophyllum peltatum*, выделено кристаллич. в-во,  $C_{22}H_{22}O_7$ , выход 0,1%, т. пл. 170—172° (испр.),  $[\alpha]^{22}_D = 123^\circ \pm 10^\circ$  (с 0,98; хлф.), идентифицированное по этим данным и спектроскопически как дезоксиподофиллотоксин, полученный ранее гидрогенолизом хлористого подофиллотоксина (РЖХим, 1954, 18156). Р. Т.

**75084. Исследования в области химии лишайников. VII. Строение порфириловой кислоты. Вахтмейстер** (Studies on the chemistry of lichens. VII. Structure of porphyritic acid. Wachtmeister Carl Axel), Acta chem. scand., 1954, 8, № 8, 1433—1441 (англ.).

Ацетоновый экстракт *Haematomma coccineum* выделяет кристаллы порфириловой к-ты  $C_{16}H_{16}O_7$  (I), в-ре найдены атранорин и L-усниновая к-та; выход I 2—6%, т. пл. 280—283° (разл.; из сп.); после промывки горячим  $C_6H_6$  и перевода через циклогексиламиновую соль, т. пл. 274—278° (разл.; из 50%-ного сп.), разлагаемую HCl (к-той), I выделяется с 1—2  $H_2O$ , удаляемый при 180° (вакуум). При действии  $(CH_3)_2SO_4 + NaOH$  из 5,1 г I получено 5 г O-диметилпорфириловой к-ты (II), т. разл. 320°. Из I и  $CH_2N_2$  образуется метиловый эфир II, т. пл. 270—272° (из пиридина-сп.). При действии на I  $(CH_3CO)_2O +$  пиридин образуется диацетоксид-I, т. пл. 262—265° (разл.; из ацетона или сп.), дающая с  $CH_2N_2$  метиловый эфир, т. пл. 241—243° (из ацетона). Взаимодействием I только с  $(CH_3CO)_2O$  получен смешанный ангидрид диацетоксид-I и  $CH_3COOH$ , т. пл. 197—199° (из ацетона).

При т-ре плавления I теряет  $CO_2$  и превращается в порфириллин  $C_{15}H_{16}O_5$  (III), выход 70—80%, т. пл. 295—300° (возгон.; из лед.  $CH_3COOH$ ); диметиловый эфир III, т. пл. 267—269° (из лед.  $CH_3COOH$ ); диацетат III, т. пл. 235—237° (из ацетона). II окисляется  $KMnO_4$  до к-ты  $C_{12}H_{12}O_5 \cdot (OCH_3)_2(COOH)_4$  (IV), выход 60%, не имеет резкой т-ры плавления, при нагревании (150°) образует диангидрид (V), т. пл. 330—335° (после возгонки). Тетраметиловый эфир IV, т. пл. 221,5—223° (из ацетона). При кипячении 920 мг V с HBr (к-той) (d 1,5; 3 дня) получено 750 мг к-ты  $C_{12}H_{14}O_5(OH)_2(COOH)_2$  (VI), разлагается выше 250°, кристаллизуется с 2 молекулами диоксана; тетраметилпроизводное VI, т. пл. 149,5—150,5° (из сп.  $CH_3COOH$ ). При декарбоксилировании VI (кипение с хинолином и Сухромитом) образуется 1,7-диоксидибензофуран (VII), не известный ранее, выход 70%. Синтез VII: нагреванием смеси диметиловых эфиров 2-иодрезорцина (3 г) и 4-иодрезорцина (27 г) с 90 г Cu-бронзы (250—280°, 30 мин.) получен 2,6,2',4'-тетраметоксифенил (VIII), т. пл. 106—107° (из  $CH_3OH$ ); отделение VIII от изомеров — кристаллизацией или хроматографированием на  $Al_2O_3$  из  $C_6H_6$ -петр. эфира (7 : 93), вымывание той же смесью с постепенным изменением состава до 30 : 70 соответственно. Кипячением 0,47 г VIII с HBr (к-той) (10 час., атмосфера  $CO_2$ ) получено 0,27 г VII, т. пл. 163,5—164,5° (из бзл.), другая форма, т. пл. 156—157°. Диацетат VII, т. пл. 142—143° (из  $CH_3OH$ ); диметиловый эфир VII, т. пл. 67—68° (из 50%-ной  $CH_3COOH$ ). Предложены структуры: I —  $\gamma$ -лактон (типа фталида) либо 1,7-диокси-9-метил-3-оксиметилдibenзофурандикарбоновой-2,8 к-ты, либо 1,7-диокси-3-метил-9-оксиметилдibenзофурандикарбоновой-2,8 к-ты; IV — 1,7-диметоксидибензофурантетракарбоновой-2,3,8,9 к-та; VI — 1,7-диоксидибензофурандикарбоновая-3,9 к-та (нумерация атомов дibenзофурана в оригинале: O-атом «5»). Хроматографирование на бумаге, пропитанной буферным р-ром (р-ритель n-бутанол-вода, обнаружение пятен в УФ-лучах, даны значения  $R_f$ ): фосфатный буфер, pH 4,5, VI, 0,55; pH 8,7, I 0,15, II 0,45; III 0,72; pH 11,7, I 0,02, II 0,30, III 0,50; боратный буфер, pH 8,7, I 0,03, III 0,69. Без буфера (р-ритель бензол-вода, проявление диазотированным бензидином,  $R_f$ ): VII 0,14; 3,7-изомер 0,07; 1,9-изомер 0,75. Сообщение VI см. РЖХим, 1956, 39664. Р. Ш.

**75085. Исследования в области химии лишайников. VIII. Изучение *Dermatocarpon miniatum* и некоторых видов *Rocella*. Линдберг** (Studies on the chemistry of lichens. VIII. Investigation of a *Dermatocarpon* and some *Rocella* species. Lindberg Bengt), Acta chem. scand., 1955, 9, № 6, 917—919 (англ.).

Из *D. miniatum* выделены D-маннит (0,4%), D-волемит (4%),  $\alpha$ , $\alpha$ -трегалоза (1,1%) и сахараза (0,17%). Из *Rocella fuciformis*, *R. hypomecha* и *R. linearis*, кроме эритрита, арабита, маннита и холинсульфата, получены аморфные — дисахарид (I) и трисахарид (II), дающие при гидролизе галактозу и тагтозу (I—1:1, II—2:1). Р. Т.

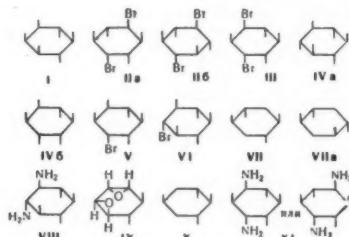
**75086. Исследования в области химии лишайников. IX. Идентичность оцеллатовой и тамнолевой кислот. Вахтмейстер** (Studies on the chemistry of lichens. IX. On the identity of ocellatic acid and thamnolic acid. Wachtmeister Carl Axel), Acta chem. scand., 1955, 9, № 8, 1395—1396 (англ.).

Оцеллатовая к-та из лишайника *Pertusaria corallina* (выход 2,8%) идентична с тамнолевой к-той  $C_{10}H_{16}O_{11}$  (I) из *Thamnolia vermicularis* (Asahina Y., Shibata S., Chemistry of lichen substances, Tokyo, 1954). I извлекают эфиром; кристаллизуется с 1 молекулой диоксана, после высушивания (100°, вакуум) т. разл. 221—223°; диметиловый эфир (с  $CH_2N_2$ , —15°, в ацетоне), т. пл. 157—158° (из бзл.-сп.). При хроматографировании I на бумаге, пропитанной 0,1 M  $Na_2HPO_4$  (n-бутанол-вода).

$R_f$  0,06; на непропитанной бумаге (*n*-бутанол-спирт-вода, 4:1:5)  $R_f$  0,15; хроматограммы рассматривают в УФ-свете или проявляют *n*-фенилендиаминном либо бис-диазобензидином.

**75087. Циклитолы. VII. Дебромирование дибромгидринов инозита. Синтез новых циклогексантиолов.** Мак-Касленд, Хорсуилл (Cyclitols. VII. Debromination of inositol dibromohydrins. Synthesis of new cyclohexanetetrols. McCasland G. E., Horswill E. C. J. Amer. Chem. Soc., 1954, 76, № 9, 2373—2379 (англ.).

Ранее (Müller H., J. Chem. Soc., 1907, 91, 1790; 1912, 101, 2383; Menzel A. E. O., Moore M., Wintersteiner O., J. Amer. Chem. Soc., 1949, 71, 1268) при бромировании инозинита (I) были выделены два дибромциклогексантиола: с т. пл. 190° (II) и с т. пл. 216° (III). Эти же в-ва получены и из циклоинозита (IVa) (Müller H., см. выше) и пинита (Griffin E. G., Nelson J. M., J. Amer. Chem. Soc., 1915, 37, 1552), а также, по-видимому, из квебрахита и DL-инозита (IVb). Бромирование 6-бромквиберита-A (V) также привело к образованию II и III, но в аналогичных условиях 6-бромциклогексантиол-A (VI) вернулся неизменным (символы A и R означают абс. и относительная конфигурация). Возможно, V является промежуточным продуктом при образовании II и III из I. II и III подобно бромциклогексантиолам (РЖХим, 1955, 3808), легко претерпевают каталитич. дебромирование и превращаются в соответствующие циклогексантиолы. Изучение конфигурации этих в-в весьма важно, вследствие близкого родства их с инозитом и стрептоидином. Гидрированием II над скелетным Ni приготовлен новый циклогексантиол с т. пл. 208° (VII), тетрабензоат которого оказался



идентичным тетрабензоату, полученному авторами из циклогексантина-1,4 р-цией Прево (см. Сообщение VI РЖХим, 1956, 35823), и, следовательно, VII имеет *n*-структуру. Попытки установления строения VII окислением его  $HJO_4$  или  $(CH_3COO)_4Pb$  были безуспешными. Из двух возможных ф-л (VII и VIIa) авторы считают более вероятной ф-лу VII. Для II возможны 5 *транс-транс*-конфигураций, из которых вероятными являются только две (IIa и IIb), так как ранее (см. ссылку Menzel A. E. O. и др.) было показано, что II при аминировании образует *о*-диаминотетрол (VIII). Эта р-ция может идти лишь через промежуточное образование диэпоксидола (IX). Поскольку II получается также и из V, то на основании предположения, что бромирование V протекает по механизму соседней ацетоксигрупп (Winsten и др., J. Amer. Chem. Soc., 1942, 64, 2792, 2796), ему приписана ф-ла IIa. DL-(1,3,4)-R-3,6-дибромциклогексантиола-1,2,4,5. Строение III как *м*-изомера установлено ранее. Аминирование III привело, подобно аминированию II, к образованию VIII, поэтому для III наиболее вероятна конфигурация DL-(1,3,4)-4,6-дибромциклогексантиола-1,2,3,5. (Авторы применяют также название *мезо*-(1,3) А-4,6-дибромциклогексантиола-1,2,3,5). При гидрировании III над скелетным Ni-катализатором получен новый тетрол с т. пл. 182° (X), который имеет *м*-строение. Наиболее вероятная для него

конфигурация *мезо*-(1,3) А-циклогексантиола-1,2,3,5. Аминирование III (см. ссылку Menzel A. E. O. и др.), кроме VIII, дает второй диаминотетрол (XI) (гексабензойное производное т. пл. 262—263°), для которого равновероятно как *м*- так и *n*-строение, поскольку обе структуры одинаково легко могут возникнуть через один и тот же промежуточный IX. Смесь 20 г I и 80 г  $CH_3COBr$  нагревают 6 час. при 120° в запаянной трубке, после чего вносят в 560 мл теплого абс. спирта и через 4—24 часа отфильтровывают кристаллы (10—12 г). К 50 г этих кристаллов прибавляют 1000 мл 1 М р-ра HCl в 50%-ном спирте, кипятят 6 час. упаривают в вакууме, вновь растворяют в 100 мл абс. спирта и упаривают до наступления кристаллизации. Кристаллы кипятят 30 мин. с 500 мл этилацетата, фильтруют, фильтрат разбавляют 2,5 л  $CHCl_3$  и через несколько дней получают IIa, выход 8—9%, т. пл. 187—189° (из  $CH_3OH$ -бзл.). Остаток от экстракции этилацетатом кристаллизуют из разб. спирта и получают VI, выход 2,8 г, т. пл. 224,5—226,5°. К р-ру 4,6 г II в 110 мл воды прибавляют 10 г скелетного Ni-катализатора и 15 г ионообменной смолы амберлит IR-4B, встряхивают 5 час. при 3 ат.  $H_2$  (25°). Катализатор и смолу отфильтровывают, фильтрат обрабатывают 2 г ионообменной смолы амберлит IR-120, а затем смолу амберлит IR-4B и упаривают в вакууме досуха. Кристаллич. остаток несколько раз растворяют в 25 мл абс. спирта и снова упаривают, после чего получают VII, выход 68%, т. пл. 203—207° (из  $CH_3OH$ -бзл.). 0,150 г VII прибавляют к р-ру 0,62 г  $CaH_2COCl$  в 1,0 мл сухого  $C_5H_5N$ , оставляют на 24 часа при 25°, разбавляют 5 мл  $CHCl_3$ , получают тетрабензоат VII, выход 56%, т. пл. 182,5—183,5° (из сп.). К 4 мл насыщ. р-ра  $NH_3$  в  $CH_3OH$  при 25° прибавляют 100 мг тетрабензоата VII, оставляют на 24 часа, получают VII, выход 22 мг, т. пл. 207,5—208° (из  $CH_3OH$ -бзл.). К 20 г скелетного Ni-катализатора и 20 г ионообменной смолы амберлит IR-4B прибавляют р-р 6,1 г III в 200 мл воды. Смесь гидрируют при 25° и 3 ат.  $H_2$  и получают X, выход 57%, т. пл. 181,5—182,5° (из  $CH_3OH$ -бзл.). К 300 мг X прибавляют 1,60 мл  $(CH_3CO)_2O$  и 3 мг свежеплавленного  $ZnCl_2$ , кипятят 2 мин., упаривают в вакууме, обрабатывают остаток 4 мл абс. спирта и получают тетраацетат X, выход 87%, т. пл. 91—92° (из разб.  $CH_3OH$ ). 74 мл X бензоилируют, как описано выше, и получают тетрабензоат X, выход 75%, т. пл. 207—208° (из абс. сп.). Смесь 2,5 ммоль VI и 24,8 ммоль  $CH_3COBr$  нагревают 6 час. при 120° в запаянной трубке, выливают в 15 мл абс. спирта и получают ацетилированный VI, выход 90%, т. пл. 241,5°. Подобным образом 1,13 г V обрабатывают 2,00 мл  $CH_3COBr$  и получают тетраацетат III, выход 14%, т. пл. 223—225°. Маточный р-р упаривают, оставляют на несколько дней при 4° и получают III, выход 36%, т. пл. 219,5—220,5° (из воды). Смесь 5,0 г квебрахита и 19 г  $CH_3COBr$  нагревают 6 час. при 120° в запаянной трубке, выливают в 50 мл абс. спирта и получают пентаацетат VI (2,7%) и III, выход 1,79 г.

**75088. Циклитолы. VIII. Бромирование эпи-инозита. Синтез кондурита.** С. Мак-Касленд, Ривс (Cyclitols. VIII. Bromination of *epi*-inositol. Synthesis of conduritol-C. McCasland G. E., Reeves J. O. H. M.). J. Amer. Chem. Soc., 1955, 77, № 7, 1812—1814 (англ.).

Описан синтез нового диастереомера природного кондурита. Из *эпи*-инозита (I), в условиях, аналогичных применяемым для миоинозита (РЖХим, 1955, 3808), получен пентаацетат 6-бромквиберита (II), который при обработке  $Zn$  и  $CH_3COOH$  дал тетраацетат DL-(1)-циклогексен-5-тетрола-1,2,3,4 (III). Аммонолиз III привел к DL-(1)-циклогексен-5-тетролу-1,2,3,4 («кондуриту-С») (IV). Конфигурация IV доказана гидрированием, при котором получен известный (РЖХим, 1953, 4548) DL-(1)-циклогексантиол-1,2,3,4 (V). Гидрирование III привело к ранее неизвестному тетраацетату V. Для II наиболее вероятна

DL-(1,2,3,5)-конфигурация, в частности потому, что ацетоксигруппа у C<sub>3</sub> в I является аксиальной и, имея две соседние *цис*-экваториальные группы, наиболее доступна для S<sub>N</sub>2-замещения. Цифры в скобках указывают №№ С-атомов (включая наименьший №), при которых замещающие группы лежат по одну сторону плоскости кольца (предположительно). Смесь 1,5 г I, 1,32 мл CH<sub>3</sub>COBr и 3,85 мл (CH<sub>3</sub>CO)<sub>2</sub>O охлаждают (0°), затем нагревают (130°, 6 час.) в запаянной трубке. Остаток после отгонки в вакууме кипятят 0,5 часа с 3 мл CH<sub>3</sub>COBr, получают II, выход 38%, т. пл. 151,5—152,5° (из сп.). III, выход 58%, т. пл. 90,5—92° (из CH<sub>3</sub>OH-воды; 1:2). Из 0,31 г III в 22 мл насыщ. р-ра NH<sub>3</sub>-газа в абс. CH<sub>3</sub>OH (24 час. 25°) получают IV, выход 83%, т. пл. 151,5—152,2° (из абс. сп.), 0,150 г IV в 5 мл воды гидрируют над скелетным Ni (при 28°, 2 часа, 3 атм H<sub>2</sub>), получают V, выход 39%, т. пл. 155—157° (из абс. сп.). 0,12 г III в 5 мл абс. спирта гидрируют над скелетным Ni (26°, 2 часа, 1 атм H<sub>2</sub>), выход тетраацетата V 50%, т. пл. 111,0—111,5° (из водн. CH<sub>3</sub>OH). Все т-ры плавления исправлены. В.А.

**75089. Реакции производных 3,4-ангидрогалактозы.** Бьюкенен (The reactions of derivatives of 3:4-anhydro-galactose. Buchanan J. G.), Chemistry and Industry, 1954, № 48, 1484—1485 (англ.)

## ХИМИЯ ВЫСОКОМОЛЕКУЛЯРНЫХ ВЕЩЕСТВ

**75091. Совещание по макромолекулярной химии.** Эйхенбергер (Symposium für makromolekulare Chemie. Eichenberger W.), Schweiz. Arch. angew. Wiss. und Techn., 1955, 21, № 9, 308—311 (нем.)  
Сообщение о совещании по макромолекулярной химии, состоявшемся в заключительные два дня на 14-м Международном конгрессе по чистой и прикладной химии в Цюрихе. Р. М.

**75092. Химия высокомолекулярных соединений.** Имото, Оцу (高分子化学・井本総, 大津隆行), 化学, Кагаку, Chemistry (Kyoto), 1955, 10, № 1, 29—31 (япон.)  
Обзор за 1953 г. Библ. 23 назв. М. П.

**75093. Химия высокомолекулярных соединений I.** Имото, Танигаки. II. Реакции высокомолекулярных веществ. Оива, Имото (高分子化学. I. 井本総, 谷垣順一. II. 高分子物質の反応・大岩正芳, 井本総), 化学, Кагаку, Chemistry (Kyoto), 1955, 10, № 4, 14—16; № 5, 17—20 (япон.)  
Обзор за 1954 г. Библ. 95 назв. М. П.

**75094. Химия высокомолекулярных соединений.** Цудзи, Мори (高分子化学・辻和一郎, 森昇), 化学, Кагаку, Chemistry (Kyoto), 1955, 10, № 3, 18—22 (япон.)  
Обзор за 1953 г. Библ. 96 назв. М. П.

**75095. Об общем числе конфигураций в решетчатой модели полимерной цепи.** Тюдзё (格子鎖の總配置数について・中條利一郎, 物性論研究, Буссейрон кэнкю, 1955, № 87, 29—35 (япон.; рез. англ.)

С использованием решетчатой модели полимерной цепи получено выражение для общего числа конфигураций полимерной цепи с учетом стерич. препятствий. Р. М.

**75096. Статистическая термодинамика цепных молекул, обладающих ограниченной гибкостью.** Флори (Statistical thermodynamics of semi-flexible chain molecules. Flory P. J.), Proc. Roy. Soc., 1956, A234, № 1196, 60—73 (англ.)

При исследовании свойств макромолекул в р-рах, а также при изучении кристаллизации полимеров обычно принимают во внимание лишь межмолекулярное взаимодействие, не учитывая при этом важного значения внутримолекулярных сил, способствующих ориентации звеньев молекулярных цепей и снижающих тем самым гибкость последних. Используя метод квазирешетки и введя пара-

При действии HCl-газа в ацетоне на метил 2,3-ангидро-4,6-бензидилен- $\alpha$ -D-гулозид (I) выделен в качестве единственного продукта р-ции метилхлордезоксигексозид (II), идентичный с описанным ранее одним из продуктов аналогичной обработки 3,4-ангидро-6-тритил- $\alpha$ -D-галактозида (III), которому было приписано строение метил-4-хлор-4-дезоксид- $\alpha$ -D-глюкозида (РЖХим, 1954, 21687). II образует бензидиеновое производное (IV), которое при действии CH<sub>3</sub>ONa переходит в I. Таким образом, II является метил-2-хлор-2-дезоксид- $\alpha$ -D-идозидом, а IV его 4,6-бензидиеновым производным. Образование II в опыте Лабатона и Ньюта может быть объяснено тем, что в их распоряжении была смесь III с метил-2,3-ангидро-6-тритил- $\alpha$ -D-гулозидом. И. Л.

**75090 Д. Взаимодействие алкалоидов с красителями.** Эозинаты и эритрозинаты алкалоидов. Барабаш Т. И. Автореф. дисс. канд. хим. н., Киевск. ун-т, Киев, 1956

См. также: Углеводы и родств. соед. 74413. Стероиды 21711Бх, 22620Бх. Алкалоиды 22637Бх, 22667Бх. Аминокислоты и белки 22602Бх

метр  $f$ , характеризующий гибкость цепей, автор вывел уравнение для свободной энергии растворения полимеров, в котором члены, содержащие  $f$ , оказались не зависящими от конц-ии; это свидетельствует о том, что конфигурация молекул существенно не меняется при изотермич. разбавлении. Получены соотношения, связывающие размеры макромолекулярных клубков с  $f$ , а также высказывается точка зрения, согласно которой внутримолекулярное взаимодействие, снижающее гибкость цепей, играет существенную роль при кристаллизации производных целлюлозы,  $\alpha$ -формы протеинов, полипептидов и др. И. П.

**75097. Теория эффекта Максвелла растворов цепных макромолекул.** Серф (Une théorie de l'effet Maxwell des solutions de macromolécules en chaînes. Cerf Roger), C. r. Acad. sci., 1955, 241, № 21, 1458—1460 (франц.)  
Развита автором (РЖХим, 1956, 16289, 61706) общая теория гидродинамич. свойств макромолекул в р-ре применена для изучения динамики двойного лучепреломления р-ров макромолекул. Получена ф-ла, связывающая начальный наклон  $\lg \alpha$  кривой зависимости угла гашения (экстраполированного к нулевой конц-ии) от градиента скорости с мол. весом  $M$ , вязкостью р-рителя  $\eta_0$ , характеристик. вязкостью  $[\eta]$  и внутренней вязкостью макромолекулы  $f_i$ . Эта ф-ла позволяет получить значение  $f_i$  по ординате, отсекаемой кривой зависимости  $TR$  от  $M$  от  $M\eta_0[\eta]$ . Рассмотрены два предельных случая, когда вязкость р-рителя значительно больше и значительно меньше, чем внутренняя вязкость макромолекулы. В первом случае в динамич. двойном лучепреломлении преобладает деформационный, а во втором — ориентационный эффект. С. К.

**75098. Третий вириальный коэффициент для растворов полимеров.** Каваи (The third virial coefficient in polymer solutions. Kawai Tokuo), Bull. Chem. Soc. Japan, 1955, 28, № 9, 679—685 (англ.)

В рамках теории р-ров полимеров Флори на основании статистич. соображений получено выражение для третьего вириального коэфф. в уравнении осмотич. давления. Вытекающие из этого выражения закономерности обсуждаются в связи с теоретич. и эксперим. данными других авторов. И. П.

75099. **Определение степени свернутости в клубок нитроцеллюлозы в растворе методом рассеяния рентгеновских лучей под малыми углами.** Краткий, Зембах (Der Verknäuelungsgrad von gelöstem Cellulosenitrat nach der Röntgenkleinwinkelmethode. Klatky O., Sembach H.), Makromolek. Chem., 1956, 18-19, 463-487 (нем.; рез. англ.)

Кратко рассмотрены существующие косвенные методы определения формы цепных молекул и современное состояние теории рассеяния рентгеновских лучей под малыми углами для клубкообразных цепных молекул. Приведены эксперим. и теоретич. (вычисленные на основании модели Краткий и Порода) кривые рассеяния ( $I, x^2$ ) для различной концентрации ацетоновых р-ров фракционированной и нефракционированной нитроцеллюлозы со степенью полимеризации (СП) 220—2300. Для 4%-ных р-ров при СП 1100 и 2%-ных р-ров при СП 2300 наблюдается хорошее соответствие с теоретич. формой кривой. Однако повышение концентрации р-ров соответственно до 8 и 3% уже приводит к отклонению от теоретич. кривой. При низких степенях полимеризации (220—720) горизонтальная ветвь кривой сильно укорочена,  $1/x$  ветвь достигает значительно меньших углов. Персистентная длина  $a$  для малых концов и СП 1100, 1200 и 1730 равна  $75 \pm 4$ А. Предполагается, что значительные отклонения  $a$  (45—47А) в случае 1-ой фракции со СП 2300 обязаны присутствию примесей. Степень ассоциации, вычисленная на основании измерения абс. интенсивности, составляет 0,88, что подтверждает взгляд Штаудингера на молекулярно-дисперсную природу р-ров нитроцеллюлозы. О. И.

75100. **К вопросу рассеяния под малыми углами для целлюлозы.** Краткий, Порода (Zur Kleinwinkelstreuung der Cellulose. Klatky O., Porod G.), Z. Elektrochem., 1956, 60, № 2, 188—189 (нем.)

Возражение авторов на крит. замечания Хоземана (РЖХим, 1956, 47170), касающиеся основных положений теории Порода. О. И.

75101. **К теории рассеяния под малыми углами.** Хоземан (Zur Theorie der Kleinwinkelstreuung. Hoesemann R.), Z. Elektrochem. 1956, 60, № 2, 189—190 (нем.)

Дополнительные замечания автора на возражения Краткий и Порода (см. пред. реф.). О. И.

75102. **Поперечные водородные связи и разветвления в дезоксирибонуклеате натрия.** Пикок (Cross-linking hydrogen bonds and branching in sodium deoxyribonucleate. Peacocke Arthur Robert), Ricerca scient., 1955, 25, Suppl., 812—823 (англ.; рез. итал., франц., нем.)

Обсуждение литературных и собственных данных по исследованию кривых титрования дезоксирибонуклеата Na, а также его УФ-спектров поглощения и данных дифракции рентгеновских лучей привели авторов к заключению о наличии в нем поперечных водородных связей. Подвергнут также обсуждению вопрос о разветвленности молекулы, дезоксирибонуклеата Na. Библ. 53 назв. Р. М.

75103. **Ядерно-магнитное резонансное поглощение в полиизобутилене.** Поулс (Nuclear magnetic resonance absorption in polyisobutylene. Powles J. G.), Proc. Phys. Soc., 1956, B69, № 3, 281—292 (англ.)

Измерен протонный магнитный резонанс в полиизобутилене (ПИБ) при  $T$ -рах от  $-196$  до  $+90^\circ$ . При низких  $T$  наблюдается аномально широкая полоса поглощения (второй момент  $\Delta H_2^2$  резонансной кривой равен  $41 \text{ }^\circ$ ), интерпретируемая как результат тесного сближения метильных групп и в несколько меньшей степени метильных и метиленовых групп противоположащих С-атомов до расстояний, близких к таковым в кристаллич. полимере. Обычное уменьшение ширины линий, связываемое с переориентацией групп  $\text{CH}_3$  относительно их оси  $\text{C}_3$ , в данном случае отсутствует, что свидетель-

ствует о практически полном замораживании этих групп. При повышении  $T$ -ры  $\Delta H_2^2$  монотонно убывает (если не считать резкого скачка на  $8 \text{ }^\circ$  при  $-135^\circ$ ) до  $13 \text{ }^\circ$  вблизи  $-30^\circ$ , после чего кривая  $\Delta H_2^2 = f(T)$  начинает спадать более круто. Это понижение  $\Delta H_2^2$  около  $-10^\circ$  связывается с начинающимся движением («оттаиванием») цепочек ПИБ. Такая точка зрения хорошо согласуется с результатами измерений механич. свойств и набухания ПИБ. Для набухшего ПИБ кривая  $\Delta H_2^2 = f(T)$  имеет совершенно ту же форму, что и для сухого, но смещена приблизительно на  $30^\circ$  в сторону более низких  $T$ . Анализ кривых позволяет заключить, что падение  $\Delta H_2^2$  сопряжено с термически активированным процессом, который характеризуется энергией активации  $12,6 \text{ ккал/моль}$  и энтропией  $22,3 \text{ энтр. ед.}$  С. Ф.

75104. **Инфракрасные спектры пропускания вулканизованного каучука.** Блох Г. А., Мальнев А. Ф., Тр. Ин-та физики АН УССР, 1956, вып. 7, 116—130

В вакуумном ИК-спектрометре ВИКС-МЗ в области  $2370\text{—}750 \text{ см}^{-1}$  исследованы ИК-спектры поглощения натурального, натрий-бутадиенового СКБ, бутадиен-нитрильного СКН-26 и полиизобутиленового П-200 каучуков, подвергнутых термообработке в присутствии противостарителя (фенил- $\beta$ -нафтиламин), серы и ускорительных (каптакс и тиурам) в-в. В спектре не защищенного противостарителем СКБ после часового прогрева при  $145^\circ$  появляется широкая полоса поглощения  $1748\text{—}1650 \text{ см}^{-1}$ , свидетельствующая об окислительном процессе с образованием соединений с группами  $>\text{C}=\text{O}$ : альдегидов, кетонов, кетозифров и ангидридов. После дополнительного 120-минутного прогрева при  $145^\circ$  появляется полоса поглощения у  $1725 \text{ см}^{-1}$ , связанная со структурирующими процессами с образованием связей  $>\text{C}-\text{O}-\text{C}<$  (кетозифры), которые происходят за счет уменьшения числа боковых винильных групп ( $\text{CH}=\text{CH}_2$ ) (уменьшение поглощения у  $916 \text{ см}^{-1}$ ). Появление полосы поглощения  $1187 \text{ см}^{-1}$  связано с образованием эфиров типа  $\text{R}-\text{CH}_2-\text{O}-\text{CH}_2-\text{R}$ . В ИК-спектре СКБ, защищенного противостарителем, не наблюдалось при прогреве таких изменений; также не наблюдалось заметных изменений при прогреве 180 мин. СКБ без противостарителя в атмосфере азота. В спектрах СКБ с 10%-ным содержанием S независимо от присутствия противостарителя возникает сильная полоса  $1748\text{—}1650 \text{ см}^{-1}$ , связанная не только с образованием кетонных групп  $\text{C}=\text{O}$ , но и тиозифров  $\text{R}-\text{CO}-\text{S}-\text{R}$  и тиокислот  $\text{R}-\text{CO}-\text{SH}$ . В спектрах СКБ с вулканизующими и ускорительными в-вами (СКБ + 3% S + 1,5% каптакс + 0,5% тиурама) заметных изменений при прогреве не обнаружено. В образцах СКН-26 с противостарителем при прогреве появляется полоса поглощения  $1748\text{—}1650 \text{ см}^{-1}$ , а без противостарителя возникает полоса поглощения групп  $>\text{C}-\text{O}-\text{C}<$   $1187 \text{ см}^{-1}$ . Образцы СКН-26 без противостарителя исследовались также при ступенчатом нагреве при 25, 100, 150 и  $180^\circ$ . При нагреве увеличивалась интенсивность полосы поглощения  $1748\text{—}1650 \text{ см}^{-1}$ , достигая максимума при  $150\text{—}180^\circ$  и сохраняясь при охлаждении; кроме того, наблюдались изменения в области  $1034\text{—}1200 \text{ см}^{-1}$ , указывающие на появление эфирных группировок и структурирование. В спектрах вулканизатов полоса кислородсодержащих соединений  $1748\text{—}1650 \text{ см}^{-1}$  отсутствует. Опыты по набуханию СКН-26 в бензоле показали возможность образования новых структурных соединений цепочек каучука с O. В спектре поглощения предельного полиизобутиленового каучука П-200 после 3-часового прогрева при  $145^\circ$  никаких изменений не обнаружено. В подвергнутом термообработке НК обнаружены резкие изменения; исчезает ряд полос поглощения и появляется интенсивная полоса  $1748\text{—}1650 \text{ см}^{-1}$ , связанная с глубокими деструктивными окисли-

тельными процессами. В спектрах вулканизатов НК никаких изменений при прогреве не обнаружено. Е. П. 75105. Эффект ассоциации в растворах полимеров.

Фриш (Association effects in polymer solutions. Frisch H. L.), J. Polymer Sci., 1955, 18, № 88, 299—302 (англ.).

Проводится расчет термодинамич. функций для р-ров, содержащих в равновесии комплексы полимерных молекул из  $i = 2, 3, \dots, \infty$  макромолекул. Получены выражения для свободной энергии растворения и осмотич. давления р-ров. Расчет проведен с применением теории квази-решетки Флори — Хаггинса. Показано, что предельное значение приведенного осмотич. давления  $\pi/c$  при  $c \rightarrow 0$  и, следовательно, величина мол. веса  $M$ , определенного осмотич. методом, не отличается от соответствующих величин для неассоциированного полимера. Таким образом, значения  $M$ , полученные при различных т-рах, не могут служить характеристикой степени ассоциации молекул полимера в р-ре. Константа равновесия бинарных комплексов  $K_1$  может быть определена из наклона кривой  $\pi/c = f(c)$  при достаточно больших значениях  $K_1$ . И. П.

75106. Об определении средних молекулярных весов ( $M_n$ ) полимерных веществ. Шульц (Über die Bestimmung des mittleren Molekulargewichts ( $M_n$ ) von polymolekularen Stoffen. Schulz G. V.), Z. Elektrochem., 1956, 60, № 3, 199—207, Diskuss., 216—218 (нем.).

Для определения среднечисленного мол. веса ( $M_n$ ) рекомендуется определять сначала средневесовой мол. вес ( $M_w$ ) фракций исследуемого полимера с помощью одного из абс. методов — ультрацентрифуги, светорассеяния или вискозиметрии. методом. Затем, построив интегральную кривую распределения по  $M$ , можно путем так называемого «теоретич. фракционирования» найти  $M_n$  полимера. И. П.

75107. Определение молекулярного веса при повышенных температурах. Дух, Кюхлер (Molekulargewichtbestimmungen bei höheren Temperaturen. Duche E., Küchler L.), Z. Elektrochem., 1956, 60, № 3, 218—222, Diskuss., 222—229 (нем.).

Описывается метод определения мол. веса в-в, для которых не удается получить даже разб. р-ров при комнатной т-ре. Метод основан на измерении светорассеяния под углами  $45^\circ$ ,  $90^\circ$  и  $135^\circ$  при т-рах до  $150^\circ$  на специально сконструированном для этой цели фотометре. Приведены эксперим. данные для поливинилацетата, полиэтилена, полученного под высоким давлением и по методу Циглера, для политрифторхлорэтилена. И. П.

75108. Определение молекулярного веса полиэфира и оценка его молекулярного объема. Росано (Measurement of the molecular weight of a polyester and evaluation of its molecular volume. Rosano Henri L.), J. Colloid Sci., 1955, 10, № 4, 362—369 (англ.).

Изучалась возможность определения мол. весов ( $M$ ) полимеров путем измерения поверхностного давления ( $P$ ) монослоев из разб. р-ров, образованных на поверхности жидкости, в которой эти полимеры не растворяются. Исследовались р-ры полиэфира, полученного конденсацией себаценовой к-ты с диоксипропангликолем, в ряде р-рителей на поверхности воды. При конечных конц-ях ( $C$ ) р-ра автор пользуется ур-нием  $P(1/C - b) = RT/M$ , согласно которому из графика зависимости  $C/P = f(C)$  помимо  $M$  можно определить также величину  $b$ , равную  $C$  при  $C/P = 0$ , и непосредственно связанную с пространством, занимаемым молекулой полимера при  $P = 0$ . Установлено, что вычисленный этим способом  $M$  полиэфира практически не зависит от природы р-рителя и величина его (4000) хорошо согласуется с определенной независимым методом по числу свободных гидроксильных групп. С другой стороны, величина поверхности, занимаемой одной молекулой, различна для разных р-рителей,

в связи с зависимостью свернутости молекулярной цепи от степени сольватации. И. П.

75109. Кажущийся молекулярный вес политрифторхлорэтилена. Ниснока, Кояма (Apparent molecular weight of polytrifluorochloroethylene. Nishio-ka Atsuo, Koyama Ryuzo), J. Polymer Sci., 1956, 19, № 91, 207—210 (англ.).

Описан метод приближенной оценки мол. веса ( $M$ ) полимеров путем определения т-ры, при которой наступает разрушение образца заданной конфигурации под действием приложенной к нему нагрузки. Приведен вывод зависимости т-ры разрушения ( $T_c$ ) образца, имеющего форму стержня, от  $M$ , согласно которому  $T_c = \text{const } M + \text{const } \lg(A_0 k/W) + \text{const}$ , где  $A_0$  — начальное поперечное сечение образца,  $k$  — скорость нагрева,  $W$  — нагрузка. И. П.

75110. Определение молекулярно-весовых распределений путем фракционирования раствором. Фукс (Bestimmung der Molekulargewichtsverteilung durch Lösungsfraktionierung. Fuchs O.), Z. Elektrochem., 1956, 60, № 3, 229—236, Diskuss. 241—245 (нем.).

Излагаются детали предложенного автором способа фракционирования полимеров путем дробного растворения полимерных пленок толщиной  $\sim 10 \mu$  в специально подобранных смесях переменного состава. Благодаря использованию тонких пленок равновесие наступает уже через 6—7 мин. Вместо изменения состава растворителя можно извлекать каждую последующую фракцию путем соответствующего повышения т-ры. Метод не может быть рекомендован в случаях, когда полимер частично кристаллический, так как в этом случае кристаллич. и аморфная компоненты данной фракции будут обладать различной растворимостью. И. П.

75111. Определение молекулярных размеров из вязкости, седиментации и диффузии. Петерлин (Bestimmung von Molekülabbmessungen aus Viskosität, Sedimentation und Diffusion. Peterlin Anton), Makromolek. Chem., 1956, 18—19, 254—261 (нем.; рез. англ.).

Предлагается метод определения величины эффективного радиуса молекулярного клубка  $R$  и гидродинамич. радиуса мономерного звена цепи, не зависящий от соотношения между  $R$  и мол. весом. Метод основан на совместной обработке эксперим. данных по вязкости и седиментации или диффузии с помощью теории Бринкмана и Дебая — Бьюка, не предполагающих спец. зависимости молекулярных размеров от степени полимеризации. Найденные с помощью указанного метода значения  $R$  для систем полиметилметакрилат—ацетон, полиакрилонитрил—диметилформамид и полиизобутилен—циклогексан во всех случаях превышают соответствующие значения, найденные из одних вискозиметрич. измерений, и для полиметилакрилата в ацетоне прекрасно согласуются с результатами, полученными на основании измерения светорассеяния. И. П.

75112. К вопросу об определении молекулярного веса и полидисперсности полимеров по данным реологических измерений. Эдельман (Über Molekulargewicht und Uneinheitlichkeit von Hochpolymeren aus rheologischen Messungen. Edelmann K.), Kolloid-Z., 1956, 145, № 2, 92—100, Diskuss. 100—102 (нем.).

Излагается абс. метод определения мол. веса и степени полидисперсности полимеров, основанный на измерениях структурной вязкости их р-ров. Из результатов измерений следует, что ордината точки перегиба кривой зависимости скорости истечения от приложенного давления не зависит от конц-и р-ра, а определяется мол. весом полимера и уменьшается с ростом последнего. При малых конц-ях с кривые  $\eta_{уд}/c = f(c)$  для полиакрилонитрила в диметилформамиде проходят через максимум, а для нитроцеллюлозы в бутилацетате — через минимум; при этом, как правило, экстремумы кривых для данного полимергомо-

логич. ряда с увеличением мол. веса выражены резче и смещаются в сторону меньших  $c$ .

**75113. К вопросу фракционирования растворимой в щелочах части целлюлозы искусственных волокон.** Клейнерт, Мёссер, Винкор (Über einige Fraktionierungen laugenlöslicher Anteile von Kunstfaser-Zellstoffen. Kleinert T. N., Moessner V., Winkor W.), Monatsh. Chem., 1956, 87, № 1, 82—86 (нем.)

Исследовались состав и молекулярно-весовое распределение  $\beta$ - и  $\gamma$ -целлюлозы, полученной из целлюлозы искусств. волокон буковой и сосновой древесины. С этой целью гемиллюлоза подвергалась нитрованию и полученные нитраты обработкой ацетоном разделялись на растворимую и нерастворимую части; первая из них дробным осаждением водой из ацетоновых р-ров разделялась на ряд фракций и для некоторых из них определялась приведенная вязкость. На основании данных по содержанию азота сделано заключение о том, что растворимые в ацетоне фракции состоят в основном из нитратов гексозанов, а нерастворимые — из смесей нитратов пентозанов и полнурановых к-т.

**75114. Исследование растворов поливинилацетата методом светорассеяния.** Цветков В. Н., Котляр С. Я., Ж. физ. химии, 1956, 30, № 5, 1100—1103 (рез. англ.)

Методом светорассеяния определены мол. веса фракций поливинилацетата в ацетоне и установлено соотношение мол. веса с характеристич. вязкостью вида  $[\eta] = 1,58 \cdot 10^{-4} M^{0,69}$ . Вычисление гидродинамич. размеров молекул в р-ре по теории Дебая и сопоставление со средней статистич. длиной молекулы, вычисленной в предположении линейности цепочки, полной свободы вращения и отсутствия объемных эффектов, не показало значительных разветвлений в образцах поливинилацетата, в противоположность утверждениям, сделанным ранее (Bosworth P. и др., J. Polymer Sci., 1952, 9, 565).

**75115. Проблема получения мембран для осмотических измерений высокополимерных соединений.** Патат (Das Problem der Membran bei osmotischen Messungen an Hochpolymeren. Patat F.), Z. Elektrochem., 1956, 60, № 3, 208—216 (нем.)

Подробно рассматривается вопрос получения полупроницаемых мембран, причем предпочтение отдается мембранам из регенерированной целлюлозы, а также металлич. мембранам, удовлетворяющим требованиям «молекулярного сита». Приводятся данные по проницаемости мембран для чистого р-рителя и по влиянию на свойства мембран обработки чистыми р-рителями и р-рами исследуемых полимеров. Из числа исследованных источников ошибок — неудовлетворительная полупроницаемость, сорбция, асимметрия и пластозластич. деформация — наибольшее значение приписывается первым двум, для которых введение поправки представляет большие трудности.

**75116. Определение проникающих низкомолекулярных фракций при осмотических измерениях.** Диалер, Элиас (Nachweis permeierender niedermolekularer Anteile bei osmotischen Messungen. Dialer K., Elias H.-G.), J. Polymer. Sci., 1955, 18, № 89, 427—429 (нем.)

Происходящее в ряде случаев уменьшение величины осмотич. давления р-ров полимеров во времени связано в основном с проникновением низкомолекулярных фракций сквозь мембрану в получающую р-рителя. Этим эффектом объясняется наблюдаемая зависимость величины молекулярного веса, определенного осмотич. методом, от природы и метода приготовления мембран. Предложен метод определения молекулярного веса проникающих сквозь мембрану фракций, заключающийся в замене р-рителя на свежий после установления равновесного давления и измерения величины наблюдающегося при этом увеличения осмотич. давления. Определенные этим методом молеку-

лярные веса фракций поливинилацетатов и поливинилового спирта, проникающих через целлофановые мембраны, лежат в пределах от 1600 до 4600.

**75117. Осмотические измерения разбавленных растворов декстрана.** Мариани, Чиферри, Маранини (Osmotic measurements on dilute dextran solutions. Mariani E., Ciferri A., Maraghini M.), J. Polymer Sci., 1955, 18, № 88, 303—304 (англ.)

Установлено, что зависимость приведенного осмотич. давления ( $\pi/c$ ) от конц-ии ( $c$ ) для разб. р-ров трех фракций декстрана средневесового мол. веса ( $M_w$ ) 130 000, 190 000 и 250 000, характеризующихся примерно равными значениями  $M_w/M_n$  ( $M_n$  — численное среднее значение  $M$ ) и одинаковыми показателями разветвленности, хорошо описывается ур-нием Флори:  $\pi/c = (\pi/c)_0 (1 + \Gamma_2 c + g \Gamma_2^2 c^2 + \dots)$ . Зависимость между  $\Gamma_2$  и  $M_n$  при значениях  $g$ , принятых равными  $1/4$  и  $5/8$ , выражается соответственно ур-ниями:  $\lg \Gamma_2 = -2,93 + 0,469 \lg M_n$  и  $\lg \Gamma_2 = -2,95 + 0,469 \lg M_n$ ; при этом величина  $(\pi/c)_0$  фракций сохраняет постоянное значение.

**75118. Осмотические свойства тетрадецилсульфокислоты.** Фуллер (The osmotic properties of tetradecylsulfonic acid. Fuller George W.), J. Colloid Sci., 1955, 10, № 4, 403—405 (англ.)

Рассматриваются эксперим. данные по осмотич. свойствам водн. р-ров тетрадецилсульфокислоты (I). Для области конц-ий 0,0016—0,435 н. приведены значения осмотич. коэфф.  $g$ , представляющего собой отношение экспериментально наблюдаемых величин понижения т-ры замерзания или упругости паров к соответствующим значениям для полностью диссоциированного идеального электролита. При низких конц-иях « $g$ » приближается к единице, что свидетельствует о принадлежности I к классу колл. электролитов.

**75119. Теория неньютоновского течения.** II. Растворы высокополимеров. Рн, Эйринг (Theory of non-Newtonian flow. II. Solution system of high polymers. Ree Taikyue, Eyring Henry), J. Appl. Phys. 1955, 26, № 7, 800—809 (англ.)

Путем подбора параметров  $x_n$ ,  $\beta_n$  и  $\alpha_n$  в ур-нии для вязкости (сообщение I, РЖХим, 1956, 68524) получено хорошее воспроизведение эксперим. кривых для р-ров полистирола, полиизобутилена и бутадистирольного сополимера (24% стирола и 76% бутадена). Для р-ров полистирола рассмотрено влияние мол. веса в области  $0,3 \cdot 10^6$ — $9,2 \cdot 10^6$  при т-рах 35 и 60°, конц-ии в области  $0,0145$  г/см<sup>3</sup>— $0,1162$  г/см<sup>3</sup>, р-рителей (бензол, толуол и бутанол) и т-ры р-ров. Для полиизобутилена рассмотрен эффект конц-ии в области  $0,05$  г/см<sup>3</sup>— $0,13$  г/см<sup>3</sup> и р-рителя (четырёххлористый углерод, диизобутилен и бензол).

**75120. Неньютоновские свойства растворов макромолекул.** Гольдберг, Фьюсс (Non-newtonian behavior of solutions of macromolecules. Goldberg Paul, Fuoss Raymond M.), J. Phys. Chem., 1954, 58, № 8, 648—653 (англ.)

На основе степенной зависимости вязкости неньютоновской жидкости от скорости сдвига даны ур-ния, позволяющие установить начальные коэфф. степенного ряда из эксперим. данных, полученных на капиллярном вискозиметре Бингама. Показано, что опыты, сделанные при одном и том же значении  $Rp/L$  в различных вискозиметрах совпадают ( $R$  — радиус,  $L$  — длина капилляра,  $p$  — действующее давление). Неньютоновские свойства р-ров обуславливаются молекулярным взаимодействием или изменением внутренней вязкости со скоростью сдвига. Если изменение внутренней вязкости равно нулю, то зависимость  $\eta_{уд}/c$  —  $c$  для различных значений  $Q = Rp \cdot q / 2L\eta$  имеет одинаковый отрезок, отсекаемый

на оси ординат; если межмолекулярное взаимодействие равно нулю, то кривые имеют один и тот же наклон. В общем случае кривые зависимости  $\eta_{уд}/c$  —  $c$  при фиксированных  $Q$  отсекают разные отрезки на оси ординат и имеют разный наклон. В результате для ряда систем автором было показано, что зависимость кажущейся вязкости от  $Q$  при низких  $Q$  скорее линейна, чем квадратична.

**75121. Полиэтилметакрилат. II. Свойства разбавленных растворов по данным вискозиметрии и светорассеяния. Чинаи, Самюэлс (Polyethyl methacrylate. II. Dilute solution properties by viscosity and light scattering. Chinai Suresh N., Samuels Robert J.), F. Polymer Sci., 1956, 19, № 93, 463—475 (англ.; рез. франц., нем.)**

Определены характеристич. вязкость  $[\eta]$  и светорассеяние десяти фракций образца эмульсионного полиэтилметакрилата (I), растворенных в метилэтилкетоне (МЭ) и в смеси (С), состоящей из МЭ и изопропилового спирта, взятых в объемном отношении 1:7 соответственно. Установлены следующие зависимости между  $[\eta]$ , средним квадратом расстояния между концами цепи  $\bar{r}^2$  и средневесовым мол. весом ( $M_w$ ). Для МЭ  $[\eta]_{23^\circ} = 2,83 \cdot 10^{-5} M_w^{0,79}$ ;  $(\bar{r}^2)^{1/2} = 0,27 M_w^{0,58}$ ; для С  $[\eta]_{23^\circ} = 4,73 \cdot 10^{-4} M_w^{0,5}$ ;  $(\bar{r}^2)^{1/2} = 0,56 M_w^{0,5}$ . Полученные результаты обсуждаются в свете существующих теорий р-ров полимеров, а также сравниваются с аналогичными данными других авторов для полиметилметакрилата (II). В частности, установлено, что, вопреки тому, что следовало бы ожидать на основании стерич. соображений, вращение звеньев относительно валентных связей в молекулах II более затруднительно, чем в молекулах I, что можно объяснить более полным заполнением молекулами р-рителя пространства, непосредственно прилегающего к молекулярным цепям II. Предыдущую часть см. РЖХИМ. 1956, 29209.

**75122. Вязкость растворов молекул полигексаметиленадипамида. Ликюри, Меле (Viscous behavior of polyhexamethylenadipamide molecules in solution. Liquori A. M., Mele A.), J. Polymer Sci., 1954, 13, № 72, 589—594 (англ.)**

Исследована характеристич. вязкость фракций 6—6 найлона в м-крезоле и смешанных р-рителях — смеси  $H_2SO_4-H_2O$  и  $HCOOH-H_2O$ . Зависимость приведенной вязкости для всех р-рителей (кроме 90%  $HCOOH$ ) линейна, что указывает на отсутствие ионизации амидных групп в водн. р-рах к-т. Константа Хаггинса  $k'$  возрастает в смешанных р-рителях с уменьшением растворяющей способности. Константа  $a$  в ур-нии  $[\eta] = kM^a$  уменьшается с уменьшением содержания р-рителя в смеси, достигая 0,5 вблизи точки осаждения. Таким образом, степень свернутости молекул полиамида меняется с изменением р-рителя. Полученные данные обработаны в соответствии с теорией Флори и Фокса (Flory P. J., Fox T. G., J. Amer. Chem. Soc., 1951, 73, 1904). Вычисленное в соответствии с теорией среднеквадратичное расстояние указывает, что наибольшую вытянутость молекулы полиамида имеют в м-крезоле.

**75123. К исследованию изотактического полипропилена. Чампа (Contributo allo studio del polipropilene «isotattico». Ciampa Giuseppe), Chimica e industria, 1956, 38, № 4, 298—303 (итал.; рез. англ., нем., франц.)**

Описаны измерения характеристич. вязкости  $[\eta]$ , осмотич. давления  $\pi$  и плотности ряда фракций полипропилена (I), в том числе изотактич. (ИТ) фракции. Ввиду довольно резких различий растворимости образцов в качестве универсального р-рителя был выбран тетралин, и измерения производились при  $135^\circ$ . В процессе подбора р-рителя были сравнены «равновесные т-ры раство-

рения» (т. е. т-ры, при которых начинается выпадение I из 1%-ного р-ра) для 13 р-рителей. В результате измерений  $\pi$  получены значения среднечисленного мол. веса  $\bar{M}_n$  от 24 700 до 133 000; второй виральный коэфф. не зависит от  $\bar{M}_n$  и равен  $B = 39,1 \cdot 10^{-4} \text{ атм (100 мл/г)}^2$ . Плотность, измерявшаяся методом флотации, колеблется от 0,842 для «обычных» до 0,914 для ИТ образцов. Несмотря на эти явные различия, а также на различия растворимости, точки на графике  $[\eta]-f(\bar{M}_n)$  ложатся на одну прямую:  $[\eta] = 2,5 \cdot 10^{-5} \bar{M}_n$  (100 мл/г). Следовательно, упорядоченная ИТ структура молекулярных цепей не отражается на их конфигурации в р-ре. С. Ф.

**75124. Термодиффузия в растворах высокомолекулярных веществ. Лангхаммер (Thermodiffusion in Lösungen hochmolekularer Stoffe. Langhammer G.), Kolloid-Z., 1956, 146, № 1—3, 44—48 (нем.)**

В металлич. аппаратуре исследована термодиффузия водорастворимых высокополимеров: гемоглобина, поливинилового спирта, полиакриловой к-ты и поливинилпирролидона (I). Показано, что эффект разделения для I зависит от конц-ии р-ра при постоянном времени разделения и разности т-р ( $50^\circ$  в опытах автора). Эффект разделения возрастает с ростом времени разделения тем сильнее, чем выше мол. вес. Зависимость величины  $\gamma = (C_H/C_B - 1)$  ( $C_H$  и  $C_B$  — конц-ии в момент времени  $t$  в нижней и верхней камерах) от времени разделения дается прямой линией, из которой можно вычислить коэфф. Сорета  $D'/D$  ( $D$  и  $D'$  — коэфф. диффузии и термодиффузии). Вычисленный на основании значений коэффициента Сорета коэфф. термодиффузии I близок по порядку величины к соответствующей величине для хлористого калия при сравнимых конц-иях. Коэфф. Сорета линейно зависит от мол. веса, что позволяет определять мол. вес по его величине. Указывается, что эффект разделения зависит не только от природы полимера, но и от характера взаимодействия полимера с р-рителем. Для поливинилового спирта мол. веса, близкого к мол. весу I, разделение происходит значительно медленнее и в меньшей степени. Приведены данные по фракционированию I методом термодиффузии. Ю. Л.

**75125. Термическая диффузия в растворах полимеров. Эмери, Дриккамер (Thermal diffusion in polymer solutions. Emery A. H., Jr., Dricamer H. G.), J. Chem. Phys., 1955, 23, № 12, 2252—2257 (англ.; Исправления (Erratum), 1956, 24, № 3, 620)**

Изучена термич. диффузия в р-рах фракций полистирола различного мол. веса. В качестве р-рителей использовались о-ксилол, этилбензол, пиридин и диоксан, бинарные смеси стирола (мономер) с толуолом, диоксаном и пиридином, а также димера стирола со стиролом и толуолом. Установлено, что при термич. диффузии молекулярных цепей происходит последовательное перемещение их отдельных участков — сегментов, состоящих из 10—13 мономерных звеньев, причем число звеньев в таком сегменте не зависит от мол. веса. На основании эксперим. данных подтверждено предположение, согласно которому в исследованных системах процесс диффузии можно рассматривать как совокупность актов последовательного замещения положений, занимаемых кольцами одного компонента, кольцами другого.

**75126. О концентрационной зависимости константы диффузии. Канэко (On the concentration dependence of the diffusion constant. Kaneko Katsumasa), 金澤大學工学部記要. Каналзава дайгаку когакубу кнэ, Mem. Fac. Technol. Kanazawa Univ., 1953, 1, № 2, 35—43 (англ.)**

Дан метод численного решения ур-ния диффузии для случая, когда константа диффузии зависит от конц-ии. Х. Б.

75127. О действии мочевины и гуанидин-хлоргидрата на арахин. Джонсон, Нейсмит (On the action of urea and guanidine hydrochloride upon arachin. Johnson P., Naismith W. E. K.), Trans. Faraday Soc., 1956, 52, № 2, 280—290 (англ.)

Действие мочевины (I) и гуанидин-HCl (II) при различных мол. конц-иях  $s$  на  $\rho$ -ры арахина исследовалось методами растворимости, седиментации в ультрацентрифуге, а также осмометрич. и вискозиметрич. методами. Показано, что при сравнимых  $s$  II оказывает на арахин значительно более сильное и быстрое действие, чем I, но даже при максим. конц-иях ( $s_{II} = 4,7$  M) потеря растворимости (процент инсольubilизации (ПИ) не превышает 80%. При  $s_{II} \geq 3$  M ПИ быстро возрастает до указанного предельного значения, на котором далее сохраняется сколько угодно долго (до 400 час.). В аналогичных условиях I вызывает меньшую инсольubilизацию, которая с течением времени ( $t$ ) выдерживания в I проходит через максимум (в области 100—150 час. при  $s_I > 4$  M), а затем постепенно падает до нуля. Аналогичный характер имеют кривые зависимости характеристик. вязкости  $[\eta]$  от  $t$ . Исследования в ультрацентрифуге показывают, что при большихх  $s_I$  белок седиментирует, как арахиноподобное в-во (седиментационный коэфф.  $s = 12$  ед. Сведберга), конц-ия которого постепенно убывает с  $t$  за счет превращения арахина в медленно седиментирующий компонент ( $s = 1,9$  и даже  $< 1$  при  $t = 5$  месяцев, в 4,7 M I). Повышение ионной силы фосфатного буфера тормозит это превращение. При малых  $t$  этот компонент нерастворим в отсутствие I и обладает большой  $[\eta]$  в ее присутствии, но с ростом  $t$  его растворимость увеличивается,  $[\eta]$  уменьшается, а мол. вес падает до  $\sim 20$  000. При малых  $t$ , когда I не успевает в достаточном кол-ве проникнуть в нативную глобулу, удаление I путем диализа приводит практически к полной регенерации белка. При больших  $t$  происходят далеко идущие изменения структуры, включающие развертывание и распад глобулы на субмолекулы. В известной мере сходные, но более быстрые изменения вызываются II. Пренебрежение указанными временными факторами может привести к неверным заключениям, касающимся обратимости денатурации. С. Ф.

75128. Изменение формы молекулы сывороточного альбумина в зависимости от pH. Шампань, Садрон (Modifications de la forme des molécules de sérumbalbumine en solution en fonction du pH. Champagne M., Madeleine, Sadron Charles), Ricerca scient., 1955, 25, Suppl., 756—767 (франц.; рез. англ., итал., нем.) Масса молекулы сывороточного альбумина определена по методу светорассеяния. Принимая модель эллипсоида вращения, авторы определили его размеры путем измерения коэфф. поступательной диффузии и характеристик. вязкости при определенных pH и ионной силе. Путем систематич. изменения последних параметров найдены размеры эллипсоида. Сделаны выводы, что молекула альбумина сферическая в изоэлектрич. точке и удлиняется с одновременным уменьшением объема при удалении от изоэлектрич. точки. Морфол. изменения обратимы только в области pH 3,5—10. Резюме авторов.

75129. Вязкостные свойства ионов полиакрилата в концентрированных растворах солей. Кагава, Фьюсс (Viscometric behavior of polyacrylate ion in concentrated salt solutions. Kagawa I., Fuoss R. A. M.), J. Polymer Sci., 1955, 18, № 90, 535—542 (англ.; рез. нем., франц.)

Изучено влияние присутствия различных электролитов — NaBr, KBr, LiBr, KJ и NaOH — на характер зависимости приведенной вязкости ( $\eta_{уд}/c$ ) от конц-ии для водн.  $\rho$ -ров ионов полиакрилата. Установлено, что введение указанных электролитов приводит к уменьшению величины  $\eta_{уд}/c$  и выпрямлению кривой зависимости

$\eta_{уд}/c = f(c)$ ; последнее делает возможным точное определение характеристик. вязкости  $[\eta]$  путем экстраполяции  $\eta_{уд}/c$  к  $c = 0$ ; при этом  $[\eta]$  зависит как от природы электролита, так и от его конц-ии ( $c_2$ ). Зависимость  $[\eta] = f(c_2)$  для NaBr и NaOH выражается кривой с минимумом. Высказывается предположение, что и для остальных электролитов эта зависимость должна проходить через минимум, но в области пересыщ.  $\rho$ -ров. Обсуждается возможный молекулярный механизм этого явления.

И. П.

75130. О тиксотропии и структурных характеристиках натрийкарбоксиметилцеллюлозы. Отт, Эллиотт (Observations on the thixotropy and structural characteristics of sodium carboxymethylcellulose. Ott E., Elliott John H.), Makromolek. Chem., 1956, 18—19, 352—366 (англ.; рез. нем.)

Реологические свойства 1—3%-ных водн. дисперсий и  $\rho$ -ров натрийкарбоксиметилцеллюлозы (I) изучались с применением вращательного вискозиметра. Объектами исследования служили образцы I со степенью замещения 0,65—0,85 и с кажущейся вязкостью 1%-ных  $\rho$ -ров 13—22 пуаз при 25°. Для различных образцов и в зависимости от способа приготовления дисперсий получаются реограммы псевдопластич. (без гистерезиса) и тиксотропная с большей или меньшей различно выраженной гистерезисной петлей. Проявление тиксотропии авторы объясняют наличием упорядоченных (кристаллич.) участков, возникающих благодаря взаимодействию отрезков молекул I, содержащих незамещ. гидроксилы. При равномерном распределении заместителей вдоль цепи стерически маловероятно образование водородных связей и  $\rho$ -ры оказываются истинными, течение — псевдопластическим. При энергичном разбалтывании тиксотропных систем кристаллич. участки разрушаются в большей или меньшей степени, что отражается на характере тиксотропных реограмм. 5%-ная NaOH разрушает кристаллич. участки и образует истинный  $\rho$ -р I. Введение поливалентных катионов ( $Ca^{2+}$ ,  $Fe^{3+}$ ,  $Al^{3+}$ ,  $Cu^{2+}$ ) приводит к усилению межмолекулярных связей: повышается вязкость истинных  $\rho$ -ров, а при большем содержании этих катионов возникает тиксотропия, застуднение и, наконец, осаждение. С. Г.

75131. Измерения светорассеяния растворов целлюлозы в концентрированных кислотах. Чаудхури, Франк (Light scattering measurements of cellulose solutions in concentrated acids. Choudhury P. K., Frank H. P.), J. Polymer Sci., 1956, 20, № 94, 218—223 (англ.) Исследована интенсивность светорассеяния под углом 90° к падающему свету от  $\rho$ -ров целлюлозы и глюкозы в конц. фосфорной к-те (85%-ной) и серной к-те (65%-ной) и ее изменение с течением времени. Отношение интенсивностей  $I_{90^\circ}/I$  для раствора сульфитной целлюлозы (степень полимеризации 740) в начале наблюдения несколько падает, затем постепенно возрастает; для  $\rho$ -ра хлопкового линта (степень полимеризации 1785) остается почти постоянным во времени. Асимметрия светорассеяния  $\rho$ -ров в фосфорной к-те остается без изменения за все время наблюдения (500 час.). Одновременно с измерениями светорассеяния изучены спектры поглощения в зависимости от времени. Во всех случаях наблюдается резкая полоса поглощения в области 290 м $\mu$ , которая может быть приписана 5-гидроксиметилфурфуролу (I), образующемуся при взаимодействии кислот с глюкозой и целлюлозой. Оптическая плотность полосы линейно возрастает со временем. Возрастание ее во времени и увеличение интенсивности светорассеяния авторы объясняют образованием полимера I в кислотном  $\rho$ -ре. Ю. Л.

75132. Распределение макромолекулярных веществ между двумя растворителями. Добри (Partage des substances macromoléculaires entre deux solvants. Dobry A. m-me), Makromolekl. Chem., 1956, 18—19, 317—321 (франц.; рез. нем.)

Показано существование систем из двух не смешивающихся друг с другом жидкостей и высокомолекулярного в-ва (ВМВ), которое, будучи растворимо в каждой из этих жидкостей, при их соприкосновении либо полностью переходит в одну из жидкостей, либо распределяется между ними. Из 3-компонентных систем, образуемых 17 ВМВ и 43 р-рителями (вода, спирты, эфиры, нитрилы, кетоны, углеводороды и др.), этим требованиям отвечают только 9 систем. Для 6 из них коэфф. распределения равен нулю: так, напр., поливинилпирролидон из изоамилового спирта полностью переходит в глицерин, а бутилцеллюлоза — из нитрометана в четыреххлористый углерод. В трех системах, где жидкости частично взаимно растворимы, ВМВ распределяется между двумя фазами: для фенола и воды при 20° распределение метилцеллюлозы соответствует соотношению 23 : 1, поливинилпирролидона 10 : 1, полиакриламида 1 : 18. Коэфф. распределения ВМВ между двумя жидкостями, по мнению автора, может служить прямым показателем того, какой из этих двух р-рителей является для данного ВМВ лучшим.

**75133. Изменение полимерных телес в мономере.** Ж а к (Změny polymerových tělísek v monomeru. Z á k B e d í c h), Práce Brněnské základ. ČSAV, 1955, 27, № 11, 553—559 (чеш.; рез. русс., франц., англ.)

Полимерные частицы эфиров акриловой к-ты для стоматол. работ сохраняются не только при смешивании с мономером до нужной консистенции, но и после затвердевания мономера. Это подтверждается микрофотографич. снимками препаратов. При условиях, приведенных в работе, полимерные частицы вполне растворяются в мономере, но гомог. фаза не возникает без механич. вмешательства даже при избытке мономера. Так как стоматология не пользуется таким избытком мономера, нельзя доказать, что полимерные частицы всегда вполне растворяются в мономере. Степень растворения полимерных частиц в мономере находится в обратной зависимости от их величины.

**75134. Критика теорий растворения целлюлозы и других веществ в электролитах.** Б л е ш и н с к и й С. В. 1-я науч. сессия АН КиргССР, Фрунзе, 1955, 151—170. Критически рассмотрены различные теории растворения целлюлозы в электролитах и указан их основной недостаток, заключающийся в признании решающей роли гидратации соли или ее ионов. Автор доказывает хим. природу взаимодействия ряда водн. р-ров электролитов с целлюлозой. Изучена сорбция целлюлозой тетраодмеркуроата калия, стронция, натрия, роданидов кальция и стронция, комплекс целлюлозы с подмеркуроатом стронция и на основании полученных данных предложено строение комплекса: (молекула целлюлозы · катион соли) · анион соли. Выводы, полученные применительно к целлюлозе, были проверены на низкомолекулярных соединениях, а именно на системах изоамиловый спирт — вода — тетраодмеркуроат калия (стронция). Характер кривых состав — свойства позволяет предположить образование соединений кислородсодержащих групп с солями. См. также РЖХим, 1956, 16299.

**75135. Обратимая ассоциация нитроцеллюлозы в этаноле.** Ньюман, Кригбаум, Карпентер (Reversible association of cellulose nitrate in ethanol. Newman Seymour, Krigbaum William R., Carpenter Dewey K.), J. Phys. Chem., 1956, 60, № 5, 648—656 (англ.)

Нитроцеллюлоза образует при нагревании в этаноле термически обратимый гель. При охлаждении геля наблюдается его плавление и при дальнейшем охлаждении — дезагрегация р-ра. Т-ра плавления геля и т-ра исчезновения последних агрегатов в р-ре определены в зависимости от конц-ии для различных фракций нитроцеллюлозы. Для фракции с среднечисленным мол. в. 197000 при конц-ии р-ра 0,25% агрегаты являются стабильными при т-рах >20°. Скорость процесса агрегации, определенная как

время, необходимое для образования геля из р-ра при данной т-ре, чрезвычайно чувствительна к т-ре. Относительная вязкость заметно возрастает по мере приближения к началу гелеобразования, причем кривые зависимости ее от времени аналогичны кривым зависимости вязкости от времени при полимеризации полифункционального мономера. Методом светорассеяния в области т-р 13,4—39,5° определены размеры агрегатов и их форма. Из значений  $(c/I_{90})_{c=0}$  при нулевой конц-ии  $c$  и нулевом

угле рассеяния  $\theta$  определены средневесовой мол. вес и  $z$  — средний среднеквадратичный радиус вращения  $(\langle R^2 \rangle_z)^{1/2}$ . Средневесовая степень агрегации  $\langle x \rangle_w$  возрастает с т-рой и составляет для фракции с  $M_w = 366\,000$  при т-рах 24,6; 29,5; 33,7; 33,9° соответственно 17, 24, 41 и 54. Ширина функции распределения агрегатов по размерам возрастает с увеличением  $\langle x \rangle_w$ . Отношение  $\langle M \rangle_w / (\langle R^2 \rangle_z)^{3/2}$  является почти постоянной величиной; интерпретируя ее как плотность сферы, авторы заключают, что агрегаты имеют форму сфер, плотность которых возрастает с их размером. В интервале т-р проведены определения осмотич. давления и изучена сорбция паров этанола нитроцеллюлозой, а также определены характеристич. вязкости. На основании полученных данных вычислен второй вириальный коэфф.  $A_2$  и т-ра  $\theta$ , при которой  $A_2 = 0$ ,  $\theta = 301-310^\circ \text{K}$  и определен энтропийный параметр  $\psi_1 = -2$  до  $-4$ . На основании полученных термодинамич. параметров построены теоретич. фазовые диаграммы для систем жидкость — жидкость и кристалл — жидкость. Сравнение их с опытными данными по т-рам плавления гелей показало, что наблюдаемая концентрационная зависимость т-ры плавления геля описывается удовлетворительно только диаграммой кристалл — жидкость. Авторы делают вывод, что процесс гелеобразования аналогичен процессу образования бесконечной сетчатой структуры или кристаллизации, и, исходя из этого, рассматривают механизм гелеобразования.

**75136. Рентгеновское рассеяние под малыми углами от рами и искусственного шелка.** Хейкенс, Херманс, Ван-Велден, Вейдигер (X-ray small angle scattering of ramie and rayons. Heikens D., Hermans P. H., Van Velden P. F., Weidinger A.), J. Polymer. Sci., 1953, 11, № 5, 433—446 (англ.)

Исследовано рентгеновское рассеяние под малыми углами от рами и 25 образцов высокоориентированных вискозных волокон различного происхождения. Приведены кривые интенсивности для всех образцов как в сухом, так и набухшем (влажном) состоянии. Ряд этих кривых характеризуется наличием максимумов или точек перегиба, не зависящих от состояния данного образца и указывающих на существование реального максимума сравнительно низкой интенсивности, накладывающегося на обычную нисходящую кривую. Периоды повторяемости, соответствующие этим максимумам, составляют ~80 Å для набухших и 50 Å для сухих волокон. По-видимому в образцах искусств. шелка, характеризующихся наличием таких максимумов, часть материала волокна обладает мицеллярной структурой очень большой регулярности с указанными периодами. Интерпретация кривых интенсивности остальных набухших образцов методом Гинье, в предположении, что основой структуры волокон являются параллельные цилиндры, дает для их диаметров значения порядка 35—55 Å. Анализ этих же кривых, согласно Кратки и Породу (на основе модели плотно упакованных слоев, или «пластинок»), указывает на существование преимущественных расстояний того же порядка (~40 Å) для сухих и (~60 Å) для набухших волокон. Какая-либо заметная корреляция между особенностями рентгеновского рассеяния под малыми углами и другими свойствами исследованных вискоз отсутствует.

С. Ф.

**75137. Тонкая структура сферолитов полиэтилена. Клейвер, Букдал, Миллер** (Spherulite fine structure in polyethylene. Claver George C., Jr, Buchdahl Rolf, Miller Robert L.), *J. Polymer Sci.*, 1956, 20, № 94, 202—205 (англ.)

Методами электронной, световой и фазовой микроскопии исследована тонкая структура сферолитов полиэтилена и показано, что тонкая структура может значительно меняться в зависимости от условий образования сферолитов.

**75138. Рост сферолитов из переохлажденного расплава полимера. Бернетт, Мак-Девит** (Growth of spherulites from supercooled polymer melts. Burnett Bruce B., McDevit W. F.), *J. Polymer Sci.*, 1956, 20, № 94, 211—213 (англ.)

Исследована природа серых полей (см., напр., РЖХим, 1956, 19443), наблюдаемых при микроскопическом исследовании роста сферолитов из переохлажденного расплава. Авторы показали, что серые поля обусловлены возникновением транскристаллических областей на границе раздела полимер—стекло и что сферолиты образуются не из этих областей, а из оптически бесструктурного фона. Исследование проведено на нейлоне 66 и полихлортрифторэтилене. Снимки в поляризованном свете поперечных срезов образцов показывают, что на границе раздела возникают упорядоченные области, видимые при наблюдении их через слой расплава как серые поля.

**75139. Рассеяние света ориентированными пленками полиэтилена. Кин, Норрис, Стейн** (Light scattering from oriented polyethylene films. Keane John J., Norris Forrest H., Stein Richard S.), *J. Polymer Sci.*, 1956, 20, № 94, 209—211 (англ.)

Интенсивность светорассеяния от кристаллич. полимеров существенно зависит от угла между рассеянным и падающим светом, что указывает на размер рассеивающих областей, соизмеримый с длиной волны. При этом интенсивность рассеянного света имеет цилиндрич. симметрию относительно направления падающего света. Исследование светорассеяния от ориентированных полиэтиленовых пленок показало, что интенсивность рассеяния не обладает цилиндрич. симметрией и зависит как от угла между падающим и рассеянным светом, так и от угла, характеризующего ориентацию рассеянного света относительно оси падающего света. Асимметрия светорассеяния, зависящая от величины последнего угла, указывает на анизотропную форму рассеивающих единиц, больший размер которых совпадает с направлением вытяжки. Деполаризация рассеянного света уменьшается с ростом удлинения пленки. Интенсивность рассеяния больше в случае, когда плоскость поляризации падающего света совпадает с направлением вытяжки; это указывает на большую поляризованность в направлении вытягивания. Абсолютные интенсивности рассеяния от ориентированных пленок меньше, чем от неориентированных. Так как асимметрия рассеяния показывает возрастание при вытяжке среднего размера частиц, рассеивающих свет, то падение абсолютной интенсивности может быть связано с уменьшением флуктуаций показателя преломления при вытяжке, обусловленным уменьшением флуктуаций плотностей и ориентации.

**75140. Исследование кристалличности полиамидов методами инфракрасной спектроскопии, удельного объема и рентгенографии. Сандеман, Келлер** (Crystallinity studies of by polyamides infrared, specific volume and x-ray methods. Sandeman I., Keller A.), *J. Polymer Sci.*, 1956, 19, № 93, 401—435 (англ.; рез. франц., нем.)

Степень кристалличности (СК) полигексаметиленсебаамида (I) и поликапроамида (II) исследована путем изучения ИК-спектров поглощения, рентгенографически и по изменению уд. объемов. Предложен метод сравнения интенсивности полос поглощения в растянутом и неориенти-

рованном полимере и сформулирована теория ИК-дихроизма в в-вах, обладающих ротационной симметрией в одном направлении. СК I определялась по интенсивности полосы  $940\text{ см}^{-1}$ ; исследовано влияние отжига и вытяжки и показано, что холодная вытяжка I понижает СК и может привести к образованию полостей. При этом нет соответствия между СК, определенной из спектров и по уд. объемам. В исследованных образцах СК менялась от 20 до 55%. СК II увеличивается как при отжиге, так и при холодной вытяжке. На основании измерения величины дихроизма полос, характеризующих аморфные и кристаллические области, сделан вывод, что в растянутых образцах кристаллиты ориентированы лучше, чем аморфные участки. Определено направление момента перехода для полосы  $935\text{ см}^{-1}$ . Рентгенография. Исследование выявляет новый тип упорядоченности, промежуточный между беспорядочной и полностью кристаллической упаковкой макромокул. При этом цепочки параллельны друг другу на значительных участках своей длины. Такому типу упаковки соответствуют полосы  $990$  и  $720\text{ см}^{-1}$ .

**75141. Интерпретация инфракрасного дихроизма в структурах волокнистых протеинов. Фрейзер** (The interpretation of infrared dichroism in fibrous protein structures. Fraser R. D. B.), *J. Chem. Phys.*, 1953, 21, № 9, 1511—1515 (англ.)

Выведено уравнение, устанавливающее зависимость между направлением момента перехода и величиной отношения дихроичности, и рассмотрено влияние на эту зависимость дихроизма формы, сложения пучка и потерь на отражение. Рассмотрен также вопрос о неопределенности, возникающей при выборе направлений моментов перехода, связанных с главными колебаниями группы  $\text{CO-NH}$ .

**75142. Кристаллизация натурального каучука. IV. Температурная зависимость. Джент** (Crystallization in natural rubber. IV. Temperature dependence. Gent A. N.), *J. Polymer Sci.*, 1955, 18, № 89, 321—334 (англ.; рез. нем.; франц.)

Дилатометрически исследован процесс кристаллизации невулканизованного НК и его вулканизатов, полученных с помощью перекиси ди-*т*-мет-бутила. Кинетич. кривые (скорость образования кристаллич. фазы) для тщательно очищ. образцов в первом приближении описываются уравнениями (Avrami M., *J. Chem. Phys.*, 1939, 7, 1103; 1940, 8, 212; 1941, 9, 177), выведенными для случая роста сферолитов при статистич. возникновении центров кристаллизации с постоянной скоростью. Классич. термодинамич. теория возникновения центров кристаллизации дает удовлетворительное объяснение температурной зависимости скорости кристаллизации в области  $t$ -р от  $-37$  до  $0^\circ$ . Оценено значение свободной энергии фазовой границы кристалл—аморфная фаза,  $\sigma = 6,3\text{ эрг/см}^2$ , и энергии активации образования кристаллитов,  $\Delta U = 10\text{ ккал/моль}$ . Замедление скорости кристаллизации и уменьшение равновесного для данной  $t$ -ры кол-ва кристаллич. фазы в вулканизатах количественно описываются с помощью ф-л, учитывающих падение подвижности элементов цепи макромолекулы и невозможность образования центров кристаллизации в некоторой области вокруг узла. Показано, что в неочищенных каучуках и резинах процесс кристаллизации при  $t$ -рах  $< 0^\circ$  значительно ускорен из-за возникновения центров кристаллизации за счет примесей. Сообщение III см. РЖХим, 1956, 68541.

**75143. Исследование ориентации в высокополимерах. I. Аморфные полимеры. Липатов, Ю. С., Каргин** (V. A., Слонимский Г. Л., *Ж. физ. химии*, 1956, 30, № 5, 1075—1081 (рез. англ.)

Определены теплоты растворения и изучена сорбция паров для ориентированных и неориентированных пленок полистирола, поливинилхлорида, полиметилметакрилата, ацетата целлюлозы (последнего также в виде ацетатного шелка). Полученные данные показывают, что в результате ориентации первых трех полимеров плотность упаковки

уменьшается, в то время как при ориентации ацетата целлюлозы плотность упаковки повышается. Различный характер изменений плотности упаковки при ориентации объясняется авторами кинетич. природой процессов перегруппировок молекул при ориентации и их зависимостью от гибкости цепи, величин межмолекулярных сил и условий деформации (соотношения времени растяжения и времени установления равновесия в расположении молекул в ориентированном полимере). Авторы считают, что если условия ориентации благоприятствуют протеканию процессов с большими временами релаксации, то ориентация сопровождается повышением плотности упаковки; при отсутствии таких условий ориентация приводит к разрыхлению упаковки полимера несмотря на имеющее место выпрямление цепей, приводящее в возникновению механич. и структурной анизотропии. Ю. Л.

**75144. Термохимические исследования структуры полиамидного волокна.** Манкаш Е. К., Тр. Ивановск. хим.-технол. ин-та, 1956, вып. 5, 127—130

Показана зависимость теплоты растворения капронового волокна в муравьиной к-те от способа его обработки. Результаты обсуждены с точки зрения изменения числа межмолекулярных связей в волокне. Ю. Л.

**75145. Эластическая податливость полиметилметакрилата. Уоткинс (Elastic compliance of polymethylmethacrylate. Watkins J. M.), J. Appl. Phys., 1956, 27, № 4, 419—420 (англ.)**

При помощи ротационного вискозиметра, позволяющего производить непрерывное изменение угла сдвига при постоянном напряжении, измерена податливость сдвигу для конц. (35 вес. %) р-ров полиметилметакрилата в дибутилфталате. Образцы характеризовались различной шириной молекулярно-весового распределения. Полученные результаты подтверждают зависимость стационарной эластич. податливости от молекулярно-весового распределения, даваемую теорией Ферри (РЖХим, 1956, 47178) и Бьюка (РЖХим, 1956, 32670), в предположении, что молекулярно-весовое распределение исследованных объектов описывается ф-лой Шульца. Ю. Л.

**75146. Термодинамика кристаллизации в высокополимерах: гуттаперча. Манделкern, Куинн, Робертс (Thermodynamics of crystallization in high polymers: gutta percha. Mandelkern L., Quinn F. A., Jr., Roberts D. E.), J. Amer. Chem. Soc., 1956, 78, № 5, 926—932 (англ.)**

Методами рентгеновской дифракции и дилатометрически определены равновесные т-ры плавления  $T_m^0$  двух кристаллич. модификаций гуттаперчи и их смесей с метилолеатом или тетрадеканом. Т-ра плавления низкоплавкой формы (I) равна 64°, высокоплавкой формы (II) 74°; эти полиморфные формы соответствуют  $\beta$ - и  $\gamma$ -гуттаперче по Фишеру (РЖХим, 1953, 1557). Из понижения т-ры плавления в присутствии р-рителя по ур-нию Флори:  $1/T_m - 1/T_m^0 = (R/\Delta H_u)(V_u/V_1)(v_1 - \chi_1 v_1^2)$  ( $T_m$  — т-ра плавления смеси полимера с р-рителем,  $R$  — газовая константа,  $\Delta H_u$  — теплота плавления в расчете на повторяющуюся структурную единицу цепи,  $V_u$  — ее молярный объем,  $V_1$  и  $v_1$  — молярный объем и объемная доля р-рителя,  $\chi_1$  — термодинамич. параметр взаимодействия) вычислено значение  $\Delta H_u$  для II  $3070 \pm 130$  кал/моль повторяющихся единиц. Трудности точного определения  $\Delta H_u$  для I позволили только приблизительно оценить  $\Delta H_u$  для I, значение которой лежит между  $1/2$  и  $3/4$  соответствующего значения для II. Стабильность полиморфных форм обсуждена на основе значений соответствующих им свободных энергий плавления в расчете на повторяющуюся единицу. Если за стандартное состояние принять жидкий полимер, то более стабильной будет модификация, имеющая большую свободную энергию плавления.

Так как  $\Delta f_u = \Delta H_u(1 - T/T_m^0)$ , условие стабильности I будет  $\Delta H_u^I > \Delta H_u^{II} \{ (1 - T/T_m^{II}) / (1 - T/T_m^I) \}$ . Так как  $T_m^{II} > T_m^I$  и  $\Delta H_u^I < \Delta H_u^{II}$ , то менее стабильной формой будет I. Теплоты плавления II значительно больше, чем теплоты плавления *цис*-полиизопрена и НК (РЖХим, 1956, 4027), что связано с различиями кристаллич. структуры. Энтропия плавления на повторяющуюся единицу для II составляет 8,8 кал/град и для I, 0 кал/град; эти значения также превосходят значения, полученные для НК. Учет изменения энтропии, связанного с увеличением объема при плавлении, не изменяет заметного различия в энтропии плавления НК и гуттаперчи, что указывает на большую гибкость гуттаперчи в жидком состоянии. Изучение кинетики кристаллизации показало, что скорость кристаллизации не зависит от полиморфной формы, образующейся при кристаллизации. Ю. Л.

**75147. Приготовление и свойства волокон из смесей полимеров. I. Волокна из полиакрилонитрила и ацетата целлюлозы. II. Волокна из полиакрилонитрила и целлюлозы. Кейтс, Уайт (Preparation and properties of fibers containing mixed polymers. I. Polyacrylonitrile-Cellulose acetate fibers. II. Polyacrylonitrile-cellulose fibers. Cates David M., White Howard J.), J. Polymer Sci., 1956, 20, № 94, 155—195 (англ.; рез. франц., нем.)**

**Сообщение I.** Исследованы свойства смешанных волокон из полиакрилонитрила (I) и ацетата целлюлозы (II), полученных прядением из р-ра в общем р-рителе (диметилформамиде). Для волокон, растянутых в 4 и 8 раз, исследованы механич. свойства, влагопоглощаемость, электрич. сопротивление, растворимость, плотность, абсорбция красителей и проведено рентгеновское изучение структуры. Сопоставление рентгенограмм от растянутых смешанных волокон с рентгенограммами волокон из I и II показало, что наблюдаемые картины дифракции соответствуют сумме картин от индивидуальных волокон, хотя для II наблюдается большая ориентация, чем для индивидуальных волокон. Авторы полагают, что волокна состоят из смеси агрегатов молекул, которые сами по себе не являются достаточно кристаллическими, хотя и дают различные картины, характерные для волокон из I и II. Мутность волокон, наблюдаемая при их оптич. исследовании и возрастающая с ростом вытяжки, а также увеличение уд. объемов при вытяжке указывают на неомогенность структуры волокон, т. е. на возникновение при вытяжке пустых пространств внутри волокна. Такие пустоты, как полагают авторы, возникают на границах раздела двух полимеров в смеси и обусловлены различной способностью I и II к вытяжке. Рентгеновское исследование молекул, набухших в хлорформе и ацетоне, показывает, что I образует в волокне непрерывную сетку даже при содержании ~20% всей массы волокна; очевидно также, что каждый полимер образует непрерывную сетку по всему волокну. Взаимодействие двух структур волокна определяет способность волокна к набуханию и другие его свойства. При большом содержании в волокне I свойства II в волокне сильно изменяются.

**Сообщение II.** Путем гидролиза смешанных волокон из I и II (часть I) получены смешанные волокна I и целлюлозы (III) и изучены те же свойства, что и для волокон из I и II (часть I). Рентгеновское исследование волокон показало, что III значительно сильнее ориентирована в смешанном волокне, чем в коммерческой вискозе, но слабее, чем в волокне фортисан. Картина дифракции от смешанных волокон в общих чертах аналогична наблюдавшейся для волокон из I и II, хотя имеются некоторые незначительные различия, вызванные проведением гидролиза. Механич. свойства волокон из I и III сравнены со свойствами волокон из I и II. Показано, что в результате гидролиза уменьшается модуль и разрывное сопротивление волокон и увеличивается разрывное удлинение, хотя на

основании большей кристалличности III по сравнению с II можно было бы ожидать обратную картину. Ю. Л.

**75148. Динамические механические свойства пластифицированного поливинилацетата. Вильямс, Ферри** (Dynamic mechanical properties of plasticized polyvinyl acetate. Williams Malcolm L., Ferry John D.), J. Colloid Sci., 1955, 10, № 1, 1—11 (англ.)

Определены вещественная и мнимая части  $I'$  и  $I''$  комплексной податливости при  $t$ -рах от  $-41$  до  $+40^\circ$  и в диапазоне частот от 30 до 4500  $гц$  для 50%-ного  $p$ -ра поливинилацетата в три- $m$ -крезилфосфате. В исследованной области частот и  $t$ -р  $I'$  меняется от  $10^{-0.6}$  до  $10^{-9.6}$  и  $I''$  от  $10^{-6.3}$  до  $10^{-10}$ . Для возможности получения данных по значениям  $I'$  и  $I''$  для  $25^\circ$  в широком диапазоне частот применен метод приведенных переменных (РЖХим, 1956, 47177) и определены значения  $lg a_T$  ( $a_T$  выражает изменение времени запаздывания с  $t$ -рой) для  $t$ -р от  $-10,8$  до  $+14,8$ . Фактор приведения  $a_T$  вычислен также из определений вязкости установившегося потока в хорошем совпадении со значениями, определенными из динамич. свойств. Показано, что зависимость  $lg I'$  и  $lg I''$  от  $lg \omega a_T$ , где  $\omega$  — круговая частота, близки к найденным для непластифицированного полимера, но тангенс угла потерь  $I''/I'$  для пластифицированного полимера имеет более низкий и широкий максимум. По приближенной ф-ле, выведенной ранее (РЖХим, 1956, 43405) на основании данных по  $I'$  и  $I''$ , вычислены функции распределения релаксации и запаздывания и показано, что мономерный коэф. трения для пластифицированного полимера снижается по сравнению с чистым полимером в  $\sim 10^7$  раз. Полученные данные авторы использовали для нахождения функции распределения времени механ. релаксации при  $25^\circ$ , охватывающей 13,5 порядков времен. Вид функции близок к полученному для концентрированных  $p$ -ров полистирола (РЖХим, 1954, 47927).

**75149. Кристалличность и механическое затухание полиэтилена. Хельвеге, Кайзер, Куфаль** (Kristallinität und mechanische Dämpfung von Polyäthylen. Hellwege K. H., Kaiser R., Kuphal K.), Kolloid-Z., 1956, 147, № 3, 155—156 (нем.)

Определен логарифмич. декремент затухания свободных крутильных колебаний при  $t$ -рах от  $-170$  до  $+110^\circ$  при частотах 1,25  $гц$  ниже  $-40^\circ$  и 0,33  $гц$  выше  $240^\circ$  для пленок полиэтилена высокого (I) и низкого давления (II). II показывает более широкий максимум в области  $t$ -р 50— $100^\circ$ , чем I, что связано с большей кристалличностью II. Для I, растянутого на 300%, наблюдается максимум при  $t$ -рах  $\sim 0^\circ$ ; такой максимум отсутствует для нерастянутого II и слегка выражен для нерастянутого I. Для растянутого I отсутствует максимум при высокой  $t$ -ре, что авторы связывают с уменьшением степени кристалличности при вытяжке.

**75150. Сравнение распространения продольных волн в стержнях из вязко-упругих материалов. Ли, Моррисон** (A comparison of the propagation of longitudinal waves in rods of viscoelastic materials. Lee E. H., Morrison J. A.), J. Polymer Sci., 1956, 19, № 91, 93—110 (англ.; рез. франц., нем.)

Рассмотрено поведение стержней и вязко-упругого материала, работающих в условиях импульсной нагрузки, приложенной к их осям. Поведение таких стержней может быть описано с помощью моделей, состоящих из различного числа пружин и амортизаторов. Наиболее простая модель состоит из 1 пружины или 1 амортизатора в зависимости от того, соответствует ли данная модель упругому или вязкому материалу. Наиболее сложная модель состоит из 4 элементов (2 пружин и 2 амортизаторов). Исследуя аналитич. зависимости напряжений, возникающих в стержне под воздействием импульсной нагрузки, и ско-

рости распространения волны напряжения как функций времени и координаты стержня, авторы приходят к выводу, что сложная модель, состоящая из 4 элементов, в ряде случаев может быть заменена более простой. Ю. П.

**75151. Предельные свойства простых эластомеров. Бьюк** (The ultimate properties of simple elastomers. Bueche A. M.), J. Polymer sci., 1956, 19, № 92, 275—284 (англ.; рез. нем., франц.)

Дан теоретич. анализ разрывных свойств эластомеров в области, где несущественны кристаллизация и вязкое течение. Постулируется критерий разрыва, согласно которому образец рвется, когда увеличение напряжения при удлинении становится равным уменьшению напряжения, вызванному разрывом связей. Увеличение напряжения определяется скоростью деформации ( $d\alpha/dt$ ) и формой кривой напряжение — деформация, определяемой  $f(\alpha)$ , где  $\alpha$  — кратность растяжения. Предполагается, что разрыв связей описывается ур-нием теории скоростей

$r$ -ций со свободной энергией активации, равной  $\Delta F^\ddagger$  в отсутствии сетки, и добавкой  $\Delta F$ , связанной с образованием сетки и с деформацией. Энтропийная часть  $\Delta F$  складывается из энтропий дезориентации цепей и конформационных энтропий образования и деформации сетки. Энергетич. часть  $\Delta F$  есть энергия образования поперечных связей  $\Delta H$ . Из критерия разрыва следует ур-ние  $W_c/RT - Z \ln (d\alpha/dt)_c +$

$+ 1/2 \ln Z - 3/2 \ln (8/e) = BZ - \Delta H/RT$  и  $B = \Delta F^\ddagger/RT + \ln (d\alpha/dt)_c - \ln A$ , где  $A = kT/h$ ,  $Z$  — число главных связей в цепи,  $W$  — работа деформации, а индекс  $c$  указывает на разрывное значение. Это ур-ние описывает данные по разрыву полидиметилсилоксана, вулканизованного быстрыми электронами, с точностью до ошибок

эксперимента. Значения  $\Delta F^\ddagger$ , найденные из разрывных испытаний и из данных по релаксации напряжений, приблизительно совпадают. Т. Х.

**75152. Наполнение и вулканизация высокомолекулярных веществ, содержащих карбоксильные группы и двойные связи. Павлов С. А., Хромова Н. С.** Сообщ. о научн. работах Всес. хим. о-ва им. Менделеева, 1955, вып. 3, 50—52

Изучено влияние различных наполнителей на технологич. свойства пластифицированного этиленгликолем омыленного дивинилакрилонитрильного каучука (I), применяемого в качестве гидрофильного пленкообразующего материала для получения искусств. кожи с высокими гигиенич. свойствами. По признакам предельной прочности вулканизатов при растяжении и водостойкости невулканизованных смесей наполнители составляют ряд: окись цинка  $>$  каолин  $>$  ламповая сажа  $>$  мел, а по скорости пластич. течения этих смесей ряд: окись цинка  $<$  каолин  $<$  ламповая сажа  $<$  I без наполнителя  $<$  мел. В вулканизатах мел, напротив, оказывает усиливающее действие, что, повидимому, объясняется хим. взаимодействием его с карбоксильными группами I при вулканизации. При нагревании пластифицированного I до  $120^\circ$  в присутствии фосфорной к-ты в качестве катализатора наблюдается р-ция этерификации и происходит структурирование; полученный вулканизат обладает повышенными водостойкостью, способностью к набуханию в сложных эфирах и пониженной щел. емкостью. И. П.

**75153. О влиянии малых количеств одного из компонентов на механические свойства сополимера. Малинский Ю. М., Ж. физ. химии, 1956, 30, № 4, 934—936** Исследованы температурная зависимость деформации и зависимости деформации от времени при постоянных  $t$ -ре и усилиях для сополимеров стирола с метакриловой к-той и акрилонитрилом при их содержании в сополимере до 10 мол.%. Показано, что введение в макромолекулу по-

листирола небольшого числа полярных звеньев лишь незначительно повышает  $t$ -ру стеклования, но заметно замедляет скорость развития деформации. Полученные данные объяснены образованием в пространственной структуре полимера узлов за счет полярных групп, не изменяющих гибкости участков молекулы между узлами, но затрудняющих перемещение больших участков молекул.

Ю. Л.

**75154. Трение тефлона, скользящего по тефлону. Флом, Порайл** (Friction of teflon sliding on teflon. Flom D. G., Porile N. T.), J. Appl. Phys., 1955, 26, № 9, 1088—1092 (англ.)

Показано, что низкий коэф. трения тефлона по тефлону (0,04—0,1) наблюдается только в случае низких скоростей скольжения (0,01 см/сек) и лишь на свежеприготовленных поверхностях. С увеличением скорости скольжения кинетич. коэф. трения  $\mu_k$  возрастает и достигает постоянного значения 0,32—0,36 при скоростях 40—70 см/сек. Определение  $\mu_k$  при малых скоростях скольжения после предшествовавшего определению скольжения при высоких скоростях показывает необратимое 2—3-кратное возрастание  $\mu_k$ , объясняемое локальным нагревом и изменением структуры поверхностей. Исследование влияния  $t$ -ры показало резкое увеличение  $\mu_k$  в области 15,5—17,5° для малых и 16,4—19° для больших скоростей. Влияние  $t$ -ры связывается авторами с происходящим в тефлоне при указанных  $t$ -рах фазовым переходом. Выше и ниже  $t$ -ры перехода  $\mu_k$  не зависит от  $t$ -ры.

Ю. Л.

**75155. Температурная зависимость разрушения, вызванной механическим напряжением сдвига. Гудман, Бестул** (Temperature dependence of mechanical shear degradation. Goodman P., Bestul A. B.), J. Polymer Sci., 1955, 18, № 88, 235—244 (англ.; рез. нем., франц.)

С помощью консистометра Мак-Ки изучалась механич. разрушения (Д) нефракционированного полиизобутилена с начальным средневязкостным мол. в. 1740 000 в 10%-ном  $p$ -ре в цетане при  $t$ -рах 60 и 80° С и различных скоростях сдвига. Установлено, что в ходе первых 2—6 пропусков  $p$ -ра через капилляр средневязкостный мол. вес уменьшается; при дальнейших же пропусках Д практически прекращается. Аналогично зависит от числа пропусков и усилие, необходимое для поддержания заданной скорости. Предполагается, что Д является следствием конч-ни механ. энергии на небольших участках цепных молекул, чему должна способствовать перепутанность их друг с другом. С повышением  $t$ -ры степень Д понижается, что объясняется уменьшением числа межмолекулярных связей. Установлено, что миним. энергия, необходимая для того, чтобы произошла Д, возрастает с увеличением  $t$ -ры, что также свидетельствует о преобладающей роли в процессе Д механ. напряжений, а не  $t$ -ры, так как в последнем случае следовало бы ожидать прямой зависимости между  $t$ -рой и степенью Д.

И. П.

**75156. О новых идеях в области кинетики полимеризации. Мага** (Sur les nouveaux aspects de la cinétique de la polymérisation. Magat Michel), Bull. Soc. chim. France, 1956, № 4, 535—541 (франц.)

Автор отмечает, что при обрыве реакционных цепей на первичных радикалах зависимость скорости полимеризации от скорости инициирования отклоняется от закона  $I^{1/2}$  в сторону меньших значений показателя степени. Анализ собственных и литературных данных по радиационной ( $\gamma$ -лучи) полимеризации стирола и метилметакрилата подтверждает существование этого эффекта. Отклонение от закона  $I^{1/2}$  увеличивается при разбавлении стирола толуолом и пропанолом.

Х. Б.

**75157. Синтез и структура некоторых кристаллических полууглеводородов, содержащих асимметрические атомы углерода в главной цепи. Натта, Пино, Мац-**

**цанти** (Sintesi e struttura di alcuni polidiodrocarburi cristallini contenenti atomi di carbonio asimmetrici nella catena principale. Natta G., Pino P., Mazzanti G.), Chimica e industria, 1955, 37, № 12, 927—932 (итал.; рез. англ., нем., франц.)

Кристаллические изотактич. полимеры (ИП) могут быть получены из виниловых мономеров различными путями. ИП получают из  $\alpha$ -олефинов при помощи катализаторов того же типа, которые применяются при полимеризации этилена при низкой  $t$ -ре и низком давлении по методу Циглера. Небольшие кол-ва изотактич. полипропилена обнаружены среди продуктов полимеризации пропилена с некоторыми катализаторами на основе металл. окислов. ИП виниловых эфиров получены с катализаторами на основе  $\text{BF}_3$ . ИП с высоким мол. весом сохраняют регулярность структуры даже после продолжительной термич. обработки с энергичными катализаторами изомеризации ( $\text{AlCl}_3$ ). ИП подвергаются быстрой деполимеризации в  $r$ -иях, протекающих по радикальному механизму (окисление в присутствии перекисей, хлорирование элементарным хлором и т. д.); термич. деполимеризация под действием ионных катализаторов протекает гораздо медленнее. Хлорирование ИП приводит к понижению их кристалличности, которая полностью исчезает в случаях полипропилена и полибутилена при введении в полимер свыше 30% хлора.

Резюме авторов.

**75158. О зависимости между строением и способностью к полимеризации замещенных стиролов. Докукина А. Ф., Котон М. М., Крюкова К. Н., Минеева О. К., Парибок В. А., Ж. физ. химии, 1956, 30, № 1, 190—195**

Проводилась термич. полимеризация 2-хлор-5-метилстирола (I), 4-хлор-3-метилстирола (II), 2-бром-5-метилстирола (III), 4-бром-3-метилстирола (IV), 2,5-, 2,4-, 3,4-диметилстирола (V, VI, VII) соответственно,  $m$ -метилстирола и стирола (VIII) при 80—120° (I, II, III, IV синтезированы превращением  $o$ - и  $p$ -толуидинов в галогенотолуолы с последующим ацилированием, восстановлением полученных замещ. ацетофенонов в карбинолы и дегидратацией последних). По скорости и степени полимеризации (за исключением VIII, образующего более высокомолекулярный полимер, чем его производные), они образуют ряды:  $I > II > III > IV$  и  $V > VI > VII > VIII$ . Энергия активации  $E$  процесса полимеризации возрастает в этом ряду слева направо ( $E$  для I равна 13,5, для VIII 21,5 ккал/моль).

Р. М.

**75159. Взаимодействие между акрилонитрилом и аморфными углями. Саймонс** (Interaction between acrylonitrile and amorphous carbons. Symons M. C. R.), J. Chem. Soc., 1955, Dec., 4344—4347 (англ.)

Уголь, полученный нагреванием сахарозы при 400° в высоком вакууме ( $10^{-4}$  мм), инициирует полимеризацию акрилонитрила при 60°. Уголь из сахара, активированный при 400—550° в струе влажного воздуха не инициирует полимеризацию в темноте и ингибирует фотополимеризацию до тех пор, пока присутствуют следы  $\text{O}_2$ , после чего начинается интенсивная полимеризация. Способность освободенных от  $\text{O}_2$  углей инициировать полимеризацию в темноте, автор объясняет полициклическим ароматич. строением углей, вследствие чего в них могут присутствовать свободные радикалы. Дезактивация угля влажным воздухом, по мнению автора, происходит в результате образования фенольных и хиноновых групп.

Е. К.

**75160. Фотополимеризация стирола, сенсibilизированная красителями. Части 1, 2, 3. Мияма** (色素によるスチレンの光増感重合に関する研究. 1. 2. 第3報. 三山創) 3 日本化学雑誌, Нихон катяку дзасси, J. Chem. Soc. Japan, Pure Chem. Sec., 1955, 76, № 9, 1013—1018; № 12, 1361—1363 (япон.)

1. При освещении смеси стирола (I) и нейтр. красного (II) как сенсibilизатора ( $\lambda = 4600 \text{ Å}$ ) наблюдается линейная зависимость  $I_g$  оптич. плотности от времени освеще-

щения. Вычисленная из этой зависимости константа скорости ( $k$ ) распада II не зависит от  $t$ -ры (25—42°), что характерно для фотохим. распада.

2. Скорость полимеризации I, в присутствии II как сенсibilизатора (дилатометрич. метод), пропорциональна корню квадратному из конц-ии II. Из рассмотрения механизма р-ции сделано заключение, что полимеризация инициируется активными продуктами или радикалами, образующимися при фотораспаде II, а не путем передачи световой энергии молекулой сенсibilизатора.

3. Исследовалась полимеризация I, сенсibilизированная красителями ряда трифенилметана (виктория синяя и др.). Скорость полимеризации пропорциональна корню квадратному из конц-ии сенсibilизатора, однако сенсibilизирующие свойства этих красителей слабее, чем II (азинный ряд). В противоположность р-ции сенсibilизированной II изменение конц-ии трифенилметановых красителей при освещении не может быть обнаружено спектрофотометрич. измерением оптич. плотности в ходе процесса.

Chem. Abstrs, 1956, 60, № 8, 5412.

М. К.

75161. Относительные скорости при сроднения акриловых мономеров при сополимеризации. Саббьони (Velocità relativa di addizione di monomeri acrilici nella copolimerizzazione. Sabbioni Franco), Ricerca scient., 1955, 25, Suppl., 59—65 (итал.; рез. англ., нем., франц.)

Исследована совместная полимеризация, инициированная перекисью бензоила в р-ре  $C_6H_6$  при 60°, следующих пар мономеров: бутилакрилат—метилакрилат; этилакрилат—метилакрилат; акриловая к-та—метилакрилат, стирол—этилакрилат. Получены следующие значения констант совместной полимеризации  $r_1$  и  $r_2$  (индекс 1 относится к первому мономеру перечисленных пар):  $1 \pm 0,05$  и  $1 \pm 0,05$ ;  $1 \pm 0,1$  и  $1 \pm 0,1$ ;  $2,5 \pm 0,1$  и  $0,30 \pm 0,05$ ;  $0,8 \pm 0,1$  и  $0,16 \pm 0,03$ .

Р. М.

75162. Фотолиз полиметилвинилкетона, образование блокных полимеров. Гилль, Норриш (Photolysis of polymethyl vinyl ketone: formation of block polymers. Guillet J. F., Norrish R. G. W.), Nature, 1954, 173, № 4405, 625—627 (англ.)

См. также РЖХим, 1956, 54663.

А. П.

75163. Полимеризация виниловых соединений. II. Влияние соотношения между перекисью бензоила и диметиланилина, используемых в качестве инициаторов, на скорость полимеризации акрилонитрила. Имото, Какиутти, Фусэдаки (ビニル重合に關する研究. 第2報. アクリロニトリルの溶液重合に於いて觸媒としての過酸化ベンゾイルおよびジメチルアニリンの使用比について. 井本稔, 垣内弘, 伏崎芳男), 工業化學雜誌, Kōgō Kagaku Zasshi, J. Chem. Soc. Japan, Industr. Chem. Sec., 1954, 57, № 10, 736—738 (япон.)

Проводилась полимеризация акрилонитрила при 30—60° в присутствии различных молярных соотношений перекиси бензоила и диметиланилина. При всех  $t$ -рах макс. выход полимера при молярном соотношении 1:1. Сообщение 1 см. РЖХим, 1956, 50998.

Chem. Abstrs, 1955, 49, № 13, 9321.

К. J.

75164. Полимеризация виниловых соединений. III. Полимеризация аценафтилена. Имото, Такемото IV. Влияние диметиланилина на полимеризацию винилхлорида в растворе, инициированную перекисью бензоила. Имото, Оцу, Кимура V. Распад симметричных перекисей бензоила в присутствии диметиланилина. Имото, Тёэ. VI. Полимеризация акрилонитрила в присутствии замещенных перекисей бензоила и диметиланилина. Имото, Такемото (Vinyl polymerization. III. Polymerization of acenaphthylene. Minoru Imoto, Kiichi Takemoto. IV. Influence of dimethylaniline on solution polymerization of vinyl chloride catalyzed by benzoyl peroxide. Minoru Imoto, Takayuki Otsu, Ko Kimura V. Decomposition of sym-substituted benzoyl peroxides in the presence of dimethylaniline. Imoto Minoru, Choe Seuckon. VI. Polymerization of acrylonitrile in the presence of substituted benzoyl peroxide and dimethylaniline. Imoto Minoru, Takemoto Kiichi), J. Polymer Sci., 1955, 15, № 79, 271—276; № 80, 475—484, 485—501; 18, № 89, 377—387 (англ.; рез. франц., нем.)

Сообщение III. Исследована полимеризация аценафтилена в р-ре  $C_6H_6$ , катализируемая комплексом  $BF_3 + (C_2H_5)_2O$  при 20—50° в присутствии воздуха. Р-ция — первого порядка относительно мономера и катализатора. Суммарная энергия активации 12,5 ккал/моль. Мол. вес образующихся полимеров, измеренный осмометрич. методом, составляет 125000—195000. Полимеры растворимы в  $C_6H_6$ ,  $C_6H_5CH_3$ ,  $C_6H_5(CH_3)_2$ ,  $CHCl_3$ ,  $CCl_4$ , нерастворимы в  $(C_2H_5)_2O$ ,  $(CH_3)_2CO$ ,  $C_2H_5OH$ . При нагревании до 280° полимеры не изменяются.

Сообщение IV. Исследована полимеризация хлористого винила (I), инициированная системой: перекись бензоила (II)—диметиланилин (III) при  $t$ -рах 20—60°, в атмосфере  $N_2$ , в р-рах тетрагидрофурана, этиленхлорида, диоксана, циклогексана, метилэтилкетона. Скорость полимеризации зависит от природы растворителя и линейно возрастает с увеличением V [III]. В присутствии III полимеризация прекращается во всех случаях при глубине меньше 20% из-за полного исчерпания II и возбуждается при его последующем добавлении в систему. Суммарная энергия активации для полимеризации I под влиянием II 16 ккал/моль, под влиянием (II + III) 12,5 ккал/моль. Степень полимеризации также зависит от р-рителя и в присутствии III заметно снижается. Полимеры, очищенные повторным переосаждением из тетрагидрофурана метанолом, не содержат N (анализ по Кьельдалю). Поэтому авторы считают, что полимеризацию инициируют только бензоатные радикалы.

Сообщение V. Исследован распад II и ее симметрично замещенных в р-ре  $C_6H_6$  в присутствии III, при 5,7—40°. Конц-ия II  $0,5 \cdot 10^{-2}$ — $5,00 \cdot 10^{-2}$  М, III  $0,5$ — $20 \cdot 10^{-2}$  М. Р-ция имеет первый порядок относительно обоих компонентов. В присутствии III электроноотталкивающие заместители в II тормозят ее распад, электронопритягивающие — ускоряют. Начальные скорости распада ( $10^6$  моль/л мин) в присутствии III при конц-иях обоих компонентов  $5,0 \cdot 10^{-3}$  М и  $t$ -ре 5,7° составляют: для перекиси  $n, n'$ -диметоксibenzoла 0,7;  $n, n'$ -диметилбензола 1,9; бензола 3,4; 3,5,3',5'-тетрабромбензола 5,0;  $n, n'$ -динитробензола 6,5; 3,5,3',5'-тетранитробензола 33,5. Результаты согласуются с правилом Хамметта. Авторы полагают, что взаимодействие перекиси с III протекает через нестойкое промежуточное соединение, образующееся в результате координации изолированной электронной пары атома N в III с перекисным кислородом. Авторы считают, что в перекисях отталкивание карбонильных атомов O, несущих частичный отрицательный заряд, облегчает распад. Электронопритягивающие заместители в III, снижая отрицательный заряд кислорода карбонильных групп, уменьшают скорость разрыва перекисной связи; в присутствии же III они ускоряют распад перекиси, так как, увеличивая положительный заряд центральных кислородных атомов, облегчают их координацию с изолированной электронной парой атома N в III. Обратное влияние оказывают электроноотталкивающие заместители.

Сообщение VI. Начальная скорость ( $R_0$ ) полимеризации при 40° акрилонитрила (IV), инициированная II и ее замещенными (заместители:  $n$ - $CH_3O$ ,  $n$ - $CH_3$ ,  $m$ ,  $m'$ -(Br) $_2$ ,  $n$ - $NO_2$ ,  $m$ ,  $m'$ -( $NO_2$ ) $_2$ ), подчиняется уравнению Хамметта ( $\rho = -0,270$ ).  $R_0$  при инициировании полимеризации IV системой: II (или ее замещенные) + III также согласуется с уравнением Хамметта, но  $\rho > 0$ , т. е. влияя не замест

телей на скорость обратное.  $\rho$  увеличивается при увеличении молярного отношения III к II. Установлена зависимость:  $R_0 = k [IV], [III]^{1/2} [II]^{1/2}$ , где  $k$  — константа. Р. М.

**75165. Полимеризация виниловых соединений. VII. Влияние загрязнений на скорость полимеризации нитрила акриловой кислоты. Имото, Ямагути** (ビニル重合に關する研究. 第7報. アクリロニトリルの重合に及ぼす不純物の影響について. 井本稔, 山口政明), 工業化學雜誌 Korē какаку дзасси, J. Chem. Soc., Japan Industr. Chem. Sec. 1954, 57, № 11, 821—823 (япон.)

Добавки  $H_2O$ ,  $CH_3COOH$ ,  $CH_3CON$  и нитрила янтарной к-ты в кол-вах 0,01—0,3 моль/л уменьшают скорость полимеризации нитрила акриловой к-ты, инициированную перекисью бензоила, но не влияют на индукционный период.

Chem. Abstrs, 1955, 49, № 16, 10715. Katsuya Inouye. **75166. Полимеризация виниловых соединений VIII. Кинетика полимеризации стирола, инициированной перекисью бензоила с диметиланилином. Имото, Оцу, Ота** (Kinetics of the polymerization of styrene catalyzed by benzoyl peroxide an dimethylaniline. VIII. On vinyl polymerization. Imoto Minoru, Otsu Takayuki, Ota Tadatoshi), Makromolek. Chem., 1955, 16, № 1, 10—20 (англ.; рез. нем.)

Для начальной скорости полимеризации ( $R_0$ ) стирола (I), найденной экстраполяцией к нулевому времени, при инициировании системой перекись бензоила (II) + диметиланилин (III) получено уравнение  $R_0 = K [II]^{1/2} [III]^{1/2}$ , где [II] и [III] — начальные конц-ии II и III.  $[II] = 2,06 \cdot 10^{-2}$  моль/л, отношение [II]:[III] равно 1—5, т-ра 50° Полимеризация идет с замедлением и останавливается при ~10% превращения I. Из данных по мол. весам (вискозиметрич. измерения) и кинетике полимеризации и распада II в исследуемой системе для эффективности инициирования  $f$  получена величина 0,25. Считая  $f$  для аминного радикала равной нулю, авторы принимают, что  $f$  для радикала  $C_6H_5COO$  равна 0,50;  $f$ , вычисленная из результатов определения продуктов р-ции, равна 0,29. Р. М.

**75167. Влияние диметиланилина на эффект сверхсопряжения в радикальной полимеризации. Имото, Такемото** (Influence of dimethylaniline on the hyperconjugation effect in radical polymerization. Imoto Minoru, Takemoto Kiichi), J. Polymer Sci., 1956, 19, № 91, 205—207 (англ.)

Добавки диметиланилина (I) ( $0-2,4 \cdot 10^{-2}$  M) не влияют на начальную скорость полимеризации ( $R_0$ ) стирола ( $0,455$  M) в р-ре  $C_6H_6$ , инициированную 2,2'-динитрилом азонимасляной к-ты (II) ( $2,5 \cdot 10^{-3}$  M) при 70°, а также на скорость распада II в р-ре  $C_6H_6$ . При полимеризации *п*-метилстирола в тех же условиях  $R_0$  в присутствии I вначале возрастает и, пройдя через максимум при конц-ии I, равной  $\sim 0,5 \cdot 10^{-2}$  M ( $R_0$  возрастает на ~20%), падает ниже своего первоначального значения. Эффект влияния I слабее в случае *п*-этилстирола и незначителен в случае *п*-трет-бутилстирола. По мнению авторов, сверхсопряжение двойной связи с алкильными группами усиливается в присутствии I. Р. М.

**75168. Изучение зависимости между строением эмульгаторов типа алкилароматических сульфокислот и процессом полимеризации неспределенных соединений. 3. Влияние анионов на процесс полимеризации. Апухтина Н. П., Лягалева А. М.** Коллоид. ж., 1956, 18, № 1, 3—6

Изучалось влияние KCl и  $K_2SO_4$  на коллоидную растворимость (КР)  $\alpha$ -метилстирола (I) в водн. р-рах Na-солей втор-бутиленбензол- и втор-бутилнафталинсульфокислот, а также влияние KCl,  $K_2SO_4$ , NaCl, NaF, NaBr, NaI и  $Na_2SO_4$  на скорость полимеризации (СП)

дивинила с I. С увеличением конц-ий KCl и  $K_2SO_4$  КР и СП проходят через максимум. Малые конц-ии  $F^-$ ,  $Br^-$  и  $Cl^-$  на СП заметно не влияют,  $J^-$  сильно ее замедляет. Увеличение конц-ий приводит к уменьшению СП в ряду:  $J^- > Br^- > F^- > Cl^- > SO_4^{2-}$ . Предполагается, что влияние анионов на КР и СП связано с их сольватацией. Сообщение 2 см. РЖХим, 1956, 61748. Т. Г. **75169. К реакции полимеризации изоктоенов. Николеску, Сандулеску, Ионеску** (Asupra reacției de polimerizare a izooctenelor. Nicolescu I. V., Săndulescu Th., Ionescu Olga), An. Univ. «C. I. Parhon». Ser. știint. natur., 1956, № 9, 115—120 (рум.; рез. русс., франц.)

Полимеризация изоктоена и тримеров бутенов, полученных при полимеризации олефинов из фракции  $C_4$  термич. крекинга в присутствии  $H_3PO_4$  под действием  $AlCl_3$  или  $H_2SO_4$  при 20—60°, протекает, по мнению авторов, по карбониевому механизму наряду с параллельно идущими деполимеризацией и изомеризацией и приводит к смеси олефинов  $C_{16}-C_{48}$ . Р. М.

**75170. Полимеризация I-пропиленоксида. Прайс, Осган, Хьюз, Шамбелан** (The polymerization of I-propylene oxide. Price Charles C., Osgan Maseh, Hughes Robert E., Shambellan Charles), J. Amer. Chem. Soc., 1956, 78, № 3, 690—691 (англ.)

При встряхивании I-пропиленоксида (I) с порошкообразным КОН при 25° образуется кристаллич. полимер с выходом 88%. При нагревании эфирного р-ра I в присутствии комплекса  $FeCl_3 + I$  при 80° получается смесь аморфного (30%) и кристаллич. (20%) полимеров. Рацемич. мономер в присутствии  $FeCl_3 + I$  также образует смесь аморфного 60(%) и кристаллич. (30%) полимеров. На основании данных рентгенографии. исследования кристаллич. полимеров и данных об их плотности высказано предположение, что звенья этих полимеров имеют *транс*-конфигурацию. Предложен механизм полимеризации I в присутствии комплекса  $FeCl_3 + I$ , согласно которому образование кристаллич. полимера происходит на поверхности частиц катализатора. Растворенный катализатор образует аморфный полимер. А. П.

**75171. Изучение полимеризации  $\epsilon$ -капролактама в конденсированной фазе и в растворах. Волохина А. В.** Науч.-исслед. тр. Всес. н.-и. ин-т искусств. волокна, 1955, вып. 2, 129—134

Исследовано равновесие  $\epsilon$ -капролактама  $\rightleftharpoons$  поликапролактама в конденсированной системе и в р-рах  $\alpha$ -пиперидина и хинолина при 220, 260 и 300°. Равновесный выход полимера резко снижается в р-рах, содержащих <40—50%  $\epsilon$ -капролактама. Снижение мол. веса полимера в 3—4 раза мало сказывается на соотношении мономер — полимер в равновесии. Мол. вес поли- $\epsilon$ -капролактама определялся потенциометрич. титрованием концевых аминогрупп посредством HCl в тройной смеси фенол-спирт-вода. Полученные результаты автор объясняет предположением, что термодинамич. активность полимера значительно больше единицы и пропорциональна длине макромолекулы. З. С.

**75172. Полимеризация капролактама. I. Каталитическое действие 6-аминокапроновой кислоты на полимеризацию капролактама. Ван Бао-жэнь, Ван Ю-хуай, Бао Цзи-и-шэн** (己内酰胺的聚合. I. 6-氨基己酸對己内酰胺聚合反應的催化作用. 王葆仁, 王有槐, 費淨生), 化學學報, Хуасюэ сзюэбао, Acta chim. sinica, 1956, 22, № 1, 39—48 (кит.; рез. англ.)

Определялось содержание  $\epsilon$ -капролактама (I), циклич. олигомеров (II), поли- $\epsilon$ -капролактама (III) и мол. вес III в процессе полимеризации I при 230° в присутствии 6-аминокапроновой к-ты (IV). В начальной стадии полимеризации скорость расхода I и образования III велика, затем уменьшается. Содержание II сохраняется постоянным. Отношение I, II, и III достигает определенного значения

при разном исходном соотношении компонентов. Мол. вес III с наибольшей скоростью растет в начале процесса. Мол. вес III при малой конц-ии IV после некоторого времени превышает мол. вес при большой конц-ии IV. IV действует как центр роста цепи и инициатор зарождения новых цепей из I. При полимеризации протекают конкурирующие р-ции полимеризации, поликонденсации, разрыва цепей и р-ции обмена с участием цепей. В начальной стадии процесса преобладает р-ция полимеризации с последующей конденсацией макромолекул. И. Т.

75173. К вопросу о каталитической полимеризации  $\epsilon$ -капролактама под влиянием щелочного металла. Хейкенс (Contribution to the alkali catalyzed polymerization of  $\epsilon$ -caprolactam. Heikens D.), Makromolek. Chem., 1956, 18-19, 62-74 (англ.; рез. нем.).

При нагревании  $\epsilon$ -капролактама (I) с небольшим кол-вом Na при  $\sim 100^\circ$  последний медленно растворяется с образованием Na-соли I, после чего при  $253^\circ$  наблюдается полимеризация, сопровождающаяся резким повышением вязкости реакционной смеси. Изучалось изменение вязкости в зависимости от времени (методом падающего шарика) и показано, что после достижения максимума вязкость медленно снижается до равновесного значения, наблюдаемого для полимеров, полученных из I и небольших кол-в воды. Изменение вязкости объясняется перераспределением цепей с различным мол. весом. В полимерах определялось содержание I и циклич. олигомеров (7,7 и 2,7% соответственно). Потенциометрич. титрование р-ров полимера в бензиловом спирте показало, что конечные группы представляют собой карбоксильные и аминогруппы, причем содержание их эквивалентно кол-ву примененного Na. Н. М.

75174. Кинетика образования полипептидов из N-ангидрида *d*, *l*-фенилаланина. Брейтенбах, Аллинггер (Kinetik der Polypeptidbildung aus *d*, *l*-Phenylalanin-N-carbonsäureanhydrid. Breitenbach J. W., Allinger K.), Monatsh. Chem., 1953, 84, № 6, 1103-1118 (нем.).

Исследована кинетика выделения  $\text{CO}_2$  при образовании полипептидов из N-ангидрида *d*, *l*-фенилаланина (I) в р-ре бензола (II) и нитробензола (III) в присутствии *p*-хлоранилина (IV) и N-этилглицилэтиламида (V) при 30 и  $50^\circ$ . Показано, что в системах II-V и III-V р-ция протекает по 1-му порядку относительно конц-ии I; в системе III-IV р-ция носит автокаталитич. характер. Во всех случаях кол-во выделяющегося  $\text{CO}_2$  не достигает 100% от теоретического; это, по мнению авторов, связано с тем, что часть I реагирует без отщепления  $\text{CO}_2$ . По методу Ван-Слика определено содержание азота в первичных аминоклупах полимеров, полученных в присутствии V и показано, что найденные значения во всех случаях выше теоретически рассчитанных (средняя степень полимеризации при расчетах принята равной отношению конц-ий I к V). Полученные результаты рассмотрены в свете представлений о механизме образования полипептидов из I в присутствии аминов (Woodward R. B., Schramm C. H., J. Amer. Chem. Soc., 1947, 69, 1551). А. П.

75175. О механической деструкции растворенных цепных молекул при столкновении частиц суспендированного твердого вещества. Зонгаг, Енкель (Über den mechanischen Abbau von gelösten Kettenmolekeln beim Zusammenstoß suspendierter Festkörper (I). Sonntag Franz; Jenckel Ernst), Kolloid-Z., 1954, 135, № 1, 1-9 (нем.).

Исследована деструкция полиметилметакрилата в р-ре толуола при встряхивании или перемешивании (500-1000 об/мин) р-ра в присутствии кварцевого песка или стеклянного порошка;  $t$ -ра  $25^\circ$ . Показано, что скорость деструкции пропорциональна числу и размеру частиц и скорости перемешивания. Конечные продукты деструкции представляют собой низкомолекулярный растворимый полимер и сшитый нерастворимый полимер, прилипший к поверх-

ности частиц. Полученные результаты авторы объясняют чисто механич. воздействием твердых частиц на молекулы полимера. А. П.

75176. Рекомбинация высокомолекулярных свободных радикалов, образующихся из полиметилметакрилата и полистирола под действием ультразвука. Хенглейн (Die Kombination von freien makromolekularen Radikalen, die durch Ultraschallabbau von Polymethacrylsäuremethylester und von Polystyrol gebildet werden. Henglein A. G. m. b. H.), Makromolek. Chem., 1956, 18-19, 37-47 (нем.; рез. англ.).

Исследована деструкция полиметилметакрилата (I) и полистирола (II) в р-ре бензола под действием ультразвука в присутствии и в отсутствие соединений, перехватывающих свободные радикалы ( $\text{J}_2$ ,  $\text{O}_2$ , дифенилпикрилгидразил). Показано, что в случае I 20%, а в случае II 40% от общего числа образующихся радикалов дезактивируется в результате реакции рекомбинации. Полученные результаты сопоставлены с соответствующими данными, полученными при исследовании полимеризации метилметакрилата и стирола (РЖХим, 1955, 54860), и высказано предположение, что наблюдающееся расхождение связано с образованием при деструкции радикалов двух типов:  $\sim\text{CH}_2-(\text{R}_1\text{R}_2)\text{C}\cdot$  и  $\sim\text{CH}_2-\text{C}(\text{R}_1\text{R}_2)\cdot$ , в то время как при полимеризации образуются только радикалы типа  $\sim\text{CH}_2-(\text{R}_1\text{R}_2)\text{C}\cdot$  ( $\text{R}_1=\text{H}$  или  $\text{CH}_3$ ,  $\text{R}_2=\text{C}_6\text{H}_5$  или  $\text{COOCH}_3$ ). При действии ультразвука на р-ры, содержащие I + II, рекомбинирует 33% радикалов; в результате рекомбинации в этом случае образуются блочные сополимеры. А. П.

75177. Механизм изменений, вызываемых в высокополимерах действием радиации. Бевингтон, Чарльсби (The mechanisms of radiation induced changes in high polymers. Bevington John Cuthbert, Charlesby Arthur), Ricerca scient., 1955, 25, Suppl., 408-412 (англ.; рез. нем., франц. итал.).

На основании литературных данных высказано мнение, что деструкция полимеров происходит в том случае, если радикалы, образующиеся при разрыве главной цепи, стабилизируются в результате р-ции диспропорционирования и что для образования поперечных связей необходимо, чтобы в результате одного акта поглощения энергии происходила активация двух соседних полимерных молекул в местах, расположенных очень близко друг к другу. А. П.

75178. Стабильность и распад полиацетальдегида. I. Гомолитическое разложение полиацетальдегида. Дельзени, Сметс (Stabilité et dégradation du polyacétaldéhyde. I. Dégradation homolytique du polyacétaldéhyde. Delzenne G., Smets G.), Makromolek. Chem., 1956, 18-19, 82-101 (франц.; рез. англ., нем.).

По структуре полиацетальдегид (I) представляет собой высший гомолог полиоксиметилена —  $(\text{O}-\text{CH}(\text{CH}_3))_n$ , однако отличается от него меньшей стабильностью. Распад происходит по боковым группам перекисного характера, для определения которых был использован полярографич. метод. Анализ показал, что на 1000-4000 звеньев ацетальдегида в I приходится одна перекисная связь. Для изучения распада I применен вискозиметрич. метод в предположении, что  $\eta_{\text{уд}}/c$  изменится пропорционально степени полимеризации. Термич. распад подчиняется радикальному механизму, что доказываются иницирующим влиянием I при полимеризации винильных соединений, а также возможностью его ингибирования (динитробензол, гидрохинон). Деполимеризация I, происходящая вслед за распадом, определена при помощи ИК-спектроскопии и р-ции с динитрофенилгидразином; р-ция 1-го порядка относительно содержания ацетальдегида, энергия активации 18,8 ккал/моль. Н. М.

75179. Термический распад 66-наилона, дальнейшее исследование пиролиза ди-*n*-бутиладипамида. Гуд-

ман (The thermal degradation of 66 nylon: Further studies on the pyrolysis of di-*n*-butyl adipamide. Goodman and Isaac, J. Polymer Sci., 1955, 17, № 86, 587—590 (англ.).

Изучался состав фракций продуктов пиролиза при 330—350° дибутиладиамида, оогнанных в пределах 50—150° при 0,1 мм рт. ст., с помощью УФ- и ИК-спектров поглощения и масс-спектрометрии. Для высококипящих фракций характерно поглощение при 278 мμ в УФ-области (наличие N в ароматич. ядре) и 1575 см<sup>-1</sup> в ИК-области (ароматич. системы), для всех фракций — при 1735 см<sup>-1</sup> (пятичленные циклич. кетоны); в масс-спектрах особо характерны пики, соответствующие массам 140 и 116 (кетоны общей ф-лы C<sub>8</sub>H<sub>16</sub>O и C<sub>12</sub>H<sub>24</sub>O). Хим. путем подтверждено присутствие 2-*n*-пропил-3,4,5,6-бис-триметиленпиридина, 2-метил-*N*-бутилпиррола, 2-*n*-бутилциклопентана и 2,5-дибутилциклопентана. В меньших кол-вах среди продуктов пиролиза были *N*-бутилциклопентиламин, дибутиламин, насыщ. и ненасыщ. углеводороды с пятичленным циклич. скелетом, *n*-валеронитрил и *N*-бутил-*n*-валерамид. Аналогичные продукты присутствуют и в продуктах пиролиза (в том числе высокомолекулярных) 6,6-найлона (РЖХим, 1956, 65169). Делается вывод, что при распаде замещ. адипамида происходит разрыв каждой связи, соседней с амидной, и в процессах дальнейшего синтеза участвует α-метиленовая группа амидной части; аналогичным образом происходит структурирование в случае 6,6-найлона. Т. Г.

75180. Кинетика гидролиза целлюлозных волокон. Меллер (Kinetics of hydrolysis of cellulose fibres. Meller Alexander, Chemistry and Industry, 1956, № 7, 138 (англ.).

Теория кинетики гидролиза целлюлозных волокон, предложенная Стюартом и Уильямсом (РЖХим, 1956, 68569), не соответствует эксперим. данным автора (J. Polymer. Sci., 1949, 4, 619; РЖХим, 1953, 6312). А. Р.

75181. Влияние характера и положения функциональных групп в элементарном звене на устойчивость ацетальной связи в молекуле ди- и полисахарида. Рогов Ю. А. В сб.: Вopr. хим. кинетики, катализа и реакционной способности. М., Изд-во АН СССР, 1955, 821—832.

Устойчивость ацетальной связи (АС) в молекулах ди- и полисахаридов к действию к-т и щелочей резко меняется в зависимости от характера и положения функциональных групп в элементарном звене. Для устранения влияния структуры полисахарида при изучении устойчивости АС к действию к-т измерялась скорость гидролиза полисахарида в гетерог. и гомог. средах и скорость распада той же связи в гомог. среде в молекуле соответствующего глюкозида или дисахарида. При гидролизе в щел. среде разработан косвенный метод определения числа АС (РЖХим, 1953, 3103). Целлобионовая к-та (I) в сотни раз устойчивее целлобиозы (II) в щел. р-ре, в то время как I и II имеют одинаковую устойчивость в кислом р-ре. Введение карбоксильной группы (КГ) в положение 2 и 3 также повышает устойчивость АС к действию щелочи (Reeves, Industr. and Engng Chem., 1943, 35, 1281). Скорость кислотного гидролиза целлюлозы и I (40% H<sub>2</sub>SO<sub>4</sub>) не отличается от скорости гидролиза монокарбоксилцеллюлозы (III) и монокарбоксилцеллобионовой к-ты, т. е. введение КГ в положение 6 не изменяет устойчивости АС к действию к-т. Устойчивость АС к действию разб. щелочей и горячей воды в продуктах, содержащих КГ в положении 6, резко понижена по сравнению с исходными полисахаридами (при нагревании III в воде при 60° в течение 30 час. распадается ~30% общего числа АС). Скорость гидролиза II и изопропилглюкозида в кислой среде в 3,5—4 раза меньше, чем скорость гидролиза силана и силкозида. Следовательно, отсутствие спирт. группы снижает устойчивость АС к действию к-т. Изменение положений одной из спирт. групп

в элементарном звене изменяет скорость гидролиза в гомог. среде в 4—5 раз и резко влияет на скорость гидролиза в гетерог. среде (галактан гидролизуетя в гетерог. среде в 300 раз быстрее, чем II), что можно объяснить изменением интенсивности межмолекулярного взаимодействия. Это положение подтверждается тем, что повышение конц-ии II в р-ре с 0,25 до 30% понижает скорость гидролиза более чем в 25 раз.

И. Т.  
75182. Сравнительное исследование скорости гидролиза маннана и целлюлозы. Конкин А. А., Яшунская А. Г., Бычкова Е. М., Науч.-исслед. тр. Всес. н.-и. ин-т искусств. волокна, 1955, вып. 2, 3—7

Исследовано влияние строения полисахаридов на устойчивость ацетальной связи к гидролизу. При проведении гидролиза в гомог. среде скорость гидролиза маннана в 2,8 раза больше скорости гидролиза целлюлозы. Для сравнения измерена скорость гидролиза α-метилманнозида и α-метилглюкозида. Среднее значение константы скорости гидролиза α-метилманнозида в 2,14 раза больше соответствующего значения для α-метилглюкозида. Отсюда вытекает, что различное пространственное расположение гидроксильных групп у второго углеродного атома элементарного звена макромолекулы полисахарида в слабой степени влияет на скорость гидролиза. В гетерог. условиях маннан гидролизуетя быстрее целлюлозы в 62 раза. Таким образом, для устойчивости ацетальной связи к действию гидролизующих агентов решающее значение имеют структурные особенности строения полисахаридов. С. З.

75183. Действие растворов едкого натра на целлюлозные волокна, равновесие фиксации едкого натра, мерсеризация. Шеден, Марсодон (Action des solutions de soude sur les fibres de cellulose — Equilibres de fixation de la soude — Mercerisation. Chédin Jean, Marsaudon André, Makromolek. Chem., 1955, 15, № 2/3, 115—160 (франц.).

По аналогии с р-цией между водн. р-рами HNO<sub>3</sub> и целлюлозой (Ц) при взаимодействии Ц с водн. р-рами NaOH происходит присоединение гидратированных молекул NaOH. Анализируя продукты р-ции между NaOH, H<sub>2</sub>O и Ц при пропитке Ц р-рами NaOH, содержащими нейтр. соль (NaNO<sub>3</sub> или NaJ), и меняя степень отжима после пропитки Ц щел. р-рами, авторы показали, что образуются соединения типа целл. — OH... NaOH... (i — 1) H<sub>2</sub>O, в которых i = 7, 5, 4, 3, 5, 2, 1. Степень гидратации молекул NaOH зависит от конц-ии NaOH в водн. р-ре. С ростом конц-ии NaOH в р-ре (5—20%) величина i уменьшается с 5 до 1,5, а отношение NaOH/Ц растет с 0,2 до 1,0. Предполагается, что максим. гидратация молекул NaOH в р-ре может равняться 6. Доступность внутренних областей природных целлюлозных волокон действию щелочи зависит от конц-ии NaOH в р-ре. В гидратцеллюлозных волокнах все внутренние области доступны действию щелочи при любой конц-ии NaOH в р-ре. Сравняется взаимодействие Ц с NaOH с взаимодействием производных Ц с активными р-рителями, напр., нитроцеллюлозы с ацетоном. А. П.

75184. Поливинилсульфокислота как катализатор гидролитических реакций. Керн, Херольд, Шерхаг (Polyvinylsulfonsäure als Katalysator hydrolytischer Reaktionen. Kern W., Herold W., Scherhag B.), Makromolek. Chem., 1956, 17, № 3, 231—240 (нем.; рез. англ.).

При полимеризации Na-соли винилсульфокислоты под действием УФ-света получена Na-соль поливинилсульфокислоты. Свободная поливинилсульфокислота (I) получена при пропускании водн. р-ра соли через колонку с ионообменной смолой с последующей очисткой электродиализом. I является сильной многоосновной поликислотой, приближающейся по силе к H<sub>2</sub>SO<sub>4</sub>. Константы скорости инверсии сахарозы при 25° в 0,1 н. р-ре I, H<sub>2</sub>SO<sub>4</sub> и HCl равны соответственно 5,8·10<sup>-4</sup>, 5,5·10<sup>-4</sup> и 8,8·10<sup>-4</sup> мин.<sup>-1</sup> Скорость гидролиза белков в присутствии I повышается в 3—5 раз по сравнению с H<sub>2</sub>SO<sub>4</sub>. Хроматографич. методом пока-

зано, что в присутствии I гидролиз идет до свободных аминокислот, а в присутствии  $H_2SO_4$  — до полипептидов.

**И. Т. 75185. Превращение серных связей в вулканизатах при термическом воздействии.** Тихомирова Н. Н., Кузьминский А. С., Ж. физ. химии, 1955, 29, № 7, 1278—1284

С помощью радиоактивного изотопа  $S^{35}$  исследовано влияние различных факторов на структуру серной сетки вулканизатов. В ненаполненном вулканизате на основе технич. На-бутадиенового каучука с вулканизирующей группой (в вес. ч.): сера-6, дифенилгуанидин-1, каучук-100 — в интервале 100—143° в атмосфере  $N_2$  происходит интенсивный обмен между свободной и связанной серой. Исследование серных структур вулканизатов проводилось по методу, предложенному ранее (см. РЖХим, 1955, 22485). Сделаны следующие выводы: 1) независимо от природы ускорителя во всех вулканизатах имеются лабильные, легко поддающиеся разрыву серные связи; 2) кол-во подвижных серных связей определяется природой ускорителя и каучука; 3) чем больше содержание серы в исходном вулканизате, тем больше относительное кол-во лабильно связанной серы. При тепловой обработке вулканизатов происходит перестройка серных структур с образованием новых серных связей, более прочных и имеющих меньшую степень сульфидности. На этом основании сделан вывод о влиянии т-ры вулканизации на свойства серной сетки, образующейся при вулканизации. При повышении т-ры вулканизации уменьшается относительное содержание подвижных серных связей. Сделано предположение о существовании в серных вулканизатах равновесия  $S_{связ.} \rightleftharpoons S_{своб.}$ , которое при тепловой обработке вулканизатов смещается влево.

**Н. Т. 75186. Исследование механизма вулканизации каучука с помощью меченой серы.** Бреслер (Investigation on the mechanism of vulcanization of rubbers with the help of marked sulphur. Bresler S. E.), Ricerca scient., 1955, 25, Suppl. 923—941 (англ.; рез. итал., франц., нем.).

Описан метод исследования кинетики р-ций в твердых полимерах по измерению процесса диффузии в них низкомолекулярного компонента. На основании измерения диффузии  $S^{35}$  в каучуке в широком интервале т-р и конц-ий сделан вывод, что свободная сера растворяется и диффундирует в виде молекулы  $S_8$ . Показано, что взаимодействие серы (конц-ия до 1%) с каучуком в присутствии тетраметилтиурамдисульфиды (I) протекает как р-ция I-го порядка с энергией активации 23 ккал/моль. Установлен бимолекулярный механизм р-ции обмена элементарной серы с I в парафиновом масле и равенство констант этой р-ции и р-ции взаимодействия серы с полимером. Автор считает, что основная стадия в обеих р-циях — образование тетрасульфиды при взаимодействии I с  $S_8$  с последующим выделением свободного бирадикала  $S_2$ . При конц-иях S до 5% скорость р-ции взаимодействия S с каучуком быстро растет с конц-ией S, что автор объясняет образованием полисульфидных мостиков, предполагая также медленную миграцию последних по механизму «хим. диффузии», происходящую благодаря термич. диссоциации части полисульфидных связей, диффузии свободных молекул S и образованию новых полисульфидных связей. Резюме автора.

**И. Т. 75187. Определение степени сшитости вулканизатов натурального каучука.** Часть II. Мур, Уотсон (Determination of degree of crosslinking in natural rubber vulcanizates. Part II. Moore C. G., Watson W. F.) J. Polymer Sci., 1956, 19, № 92, 237—254 (англ.; рез. франц., нем.).

Приготовлены вулканизаты НК методом, позволяющим определить хим. путем число узлов между цепями. Вулканизирующим агентом являлся ди-трет-бутил-перекись. Рассмотрена схема р-ций, протекающих в каучуке в при-

сутствии перекиси; определение числа узлов производилось на основе анализа продуктов распада перекиси третичного бутанола, ацетона, метана и этана. Анализ продуктов производился методами масс-спектрометрии, ИК-спектров и манометрич. методом. Третичный бутанол и метан образуются в результате отрыва  $\alpha$ -метиленового водородного атома от каучука трет-бутокс- и метильным радикалами. Число узлов между молекулярными цепями, выраженное через  $1/2 M_c$ , равно  $1/2$  (число молей трет-бутанола + число молей метана). Полученные результаты и литературные данные подтверждают принятую авторами схему протекающих при вулканизации р-ций. Проведено сравнение степеней сшитости, определенных хим. и физ. методами (см. часть I РЖХим, 1956, 68535). Установлено, что физ. методы дают большие значения степени сшитости, причем различия увеличиваются с ростом степени сшитости. Наблюдается линейная зависимость между значениями степени сшитости, определенными двумя методами, причем нулевой степени сшитости, определенной хим. путем, отвечает значение  $1/2 M_c = 0,3 \cdot 10^{-4}$ . Это указывает на то, что взаимные помехи перемещению цепей проявляют себя в каучуке, как дополнительные узлы. С учетом этого эффекта, а также влияния концов цепей, не входящих в сетчатую структуру, установлена зависимость «физической» степени сшитости ( $1/2 M_{с(физ)}$ ) от «химической» ( $1/2 M_{с(хим)}$ ) вида:  $(1/2 M_{с(физ)}) = (1/2 M_{с(хим)}) (1 - 2M_{с(хим)} M^{-1}) + 0,3 (1 - 2M_{с(хим)} M^{-1}) \times 10^{-4}$ , (где  $M$  — мол. вес до сшивания).

**Ю. Л. 75188. Сополимеризация антрацена с 1,3-бутадиеном.** Марвел, Андерсон (Copolymerization of anthracene with 1,3-butadiene. Marvel C. S., Anderson W. S.), J. Amer. Chem. Soc., 1953, 75, № 18, 4600—4601 (англ.).

Из 0,5 г антрацена (I), 5 мл  $C_6H_6$ , 0,025 г лаурилмеркаптана, 1 мл 3%-ного р-ра  $K_2SO_5$ , 17,5 мл 2,8%-ного р-ра Na-мыла и 12 г жидкого бутадиена (II) выдувают воздушном избыток II, смесь нагревают 11 час. при 50°, полимер осаждают 5 мл насыщ. р-ра N-фенил- $\beta$ -нафтиламина и 5 мл 13%-ного р-ра  $H_2SO_4$ , насыщ. NaCl. УФ-спектр сополимера указывает на присоединение и I в положении 9,10. Полибутадиен с I не реагирует. Я. К. 75189. Амфотерные полиэлектролиты. III. Сополимеризация аллиламина и метакриловой кислоты. Драккер, Моравец (Amphoteric polyelectrolytes. III. Copolymerization of allylamine and methacrylic acid. Drucker A., Morawetz H.), J. Amer. Chem. Soc., 1956, 78, № 2, 346—347 (англ.).

Изучалась зависимость кол-ва N (общего и аминного) в сополимерах аллиламина (I) и метакриловой к-ты (II) от состава исходной смеси и степени ионизации I ( $\alpha_1$ ) и II ( $\alpha_2$ ). Полимеризация проводилась при 60° с динитрилом азотомасляной к-ты в качестве инициатора. При эквимолярном составе исходной смеси и  $\alpha_1 = 0,5$  общее содержание N минимально, а при  $\alpha_1 = 1$  равно 6,91%; при сополимеризации эквимолярных кол-в I и II в нейтр. среде сополимер содержит 15 вес. % лактамных колец; с понижением кислотности или с ростом отношения I к II возрастает разница между общим кол-вом N и кол-вом аминного N, что связывается со сдвигом равновесия аминокислота — лактам. Скорость полимеризации резко падает с увеличением основности среды и при  $\alpha_2 < 0,2$  полимер не образуется. Часть II см. Alfrey T. и др., J. Amer. Chem. Soc., 1952, 74, 438. Т. Г. 75190. Эфиры тиаокриловой кислоты, их получение, полимеризация и сополимеризация с винильными соединениями и 1,3-бутадиеном. Джейкобс (Thiolacrylic esters: their preparation, polymerization and copolymerization with vinyl monomers and 1,3-butadiene. Jacobs S. Lawrence. Doct. diss. Univ. Illinois, 1955), Dissert. Abstrs., 1955, 15, № 5, 700—701 (англ.).

Изучена полимеризация эфиров тиоакриловой к-ты (I) и сополимеризация их с акрилонитрилом, стиролом, трихлорэтиленом, изобутилвиниловым эфиром, малеиновым ангидридом, метиловым эфиром акриловой к-ты, винилацетатом, аллилацетатом, 2-винилпиридином и 1,3-бутадиеном. Установлено, что I более реакционноспособны при полимеризации и сополимеризации, чем их кислородные аналоги; полимеры и сополимеры I обладают более высокими  $T_g$ -рами размягчения и значительно тверже, чем полимеры и сополимеры эфиров акриловой к-ты. Е. К.

**75191. Полимеризация циклического диметилсилоксана. Араки, Осуга** (環状ジメチル・シロキサンの重合. 荒木綱男, 大須賀清), 工業化学雑誌, Koré kagaku dzasshi, J. Chem. Soc. Japan. Industr. Chem. Sec., 1955, 58, № 4, 302—307 (япон.).

Исследованы следующие методы полимеризации циклич. диметилсилоксана (октаметил циклотетрасилоксана) (I): 1) встраивание I с  $H_2SO_4$  (0,05—1,00% от I) при 50 и 90° и с 1—5% NaOH (p-p в  $CH_3OH$ ) при 100 и 150°; 2) обработка I посредством 0,05—0,5% KOH или комплексом KOH + изопропанол при 150°; 3) обработка I посредством 0,3—5,0%  $FeCl_3$  при 90—180°; 4) эмульсионная полимеризация в избытке 70%-ной  $H_2SO_4$  при 0°. Полимеризация I, полученного разложением продукта гидролиза диметилдихлорсилана, катализируемым NaOH, протекает медленно. Фракционированная перегонка этого продукта приводит к ускорению процесса. Установлено, что методы 4) и 2) благоприятствуют получению полимера с высокой степенью полимеризации, но случай 2) требует более продолжительного времени p-ции (5—10 час.). Исследована зависимость характеристик, вязкости от условий p-ции. Chem. Abstrs, 1955, 49, № 20, 14369. Katsuya Inoue

**75192. Изучение механизма синтеза и полимеризации ненасыщенных четвертичных аммониевых солей. Анджелов** (Synthetic and polymerization mechanism studies of unsaturated quaternary ammonium salts. A. ngelo Rudolph John. Doct. diss., Univ. Florida, 1955), Dissert, Abstrs, 1955, 15, № 9, 1495—1496 (англ.).

Исследование механизма образования ненасыщ. третичных диаминов типа  $(CH_2 = CHCH_2)_n N(CH_2CH = CH_2)_2$  (где  $n = 2, 3, 4, 5$  и т. д.) и механизма полимеризации полученных из них четвертичных аммониевых производных. Подчеркнуто большое влияние при синтезе мономеров и при полимеризации p-ции внутримолекулярной циклизации, приводящей в первом случае к образованию гетероциклич. замещ. аминов, во втором — к растворимым ненасыщ. полимерам низкого мол. веса. Е. К.

**75193. Ди- и поликетонная конденсация арилатифатических кетонов с формальдегидом. Тиличенко** М. Н., Ж. прикл. химии, 1956, 29, № 2, 274—282.

Изучалась способность арилатифатич. кетонов к ди- и поликетонной конденсации с  $CH_2O$ . Установлено, что к ди- и поликетонной конденсации способны лишь  $\alpha$ -метил- и  $\alpha$ -метиленарилкетоны, образующие продукты поликонденсации общей ф-лы:  $ArCOCH_2CH_2[CH(COAr)CH_2]_nCH_2COAr$ , где  $Ar = C_6H_5$  (I);  $CH_3C_6H_4$  (II);  $n$ - $BrC_6H_4$  (III);  $\beta$ -нафтил (IV);  $\alpha$ -фурил (V).  $\alpha$ -Метил-арилкетоны к такой конденсации неспособны. Наиболее благоприятным для p-ции является 3-кратный избыток кетона; увеличение избытка последнего снижает степень поликонденсации ( $n$ ) до 0. Изучена конденсация ацетофенона, метилацетофенона, бромацетофенона,  $\beta$ -ацетонафталина и  $\alpha$ -ацетофурана, проводившаяся по методике diketонного уплотнения (Тиличенко М. Н., Астахова Н. К., Докл. АН СССР, 1950, 74, 951). Выход продуктов поликонденсации 80—90%, янтарного вида смолообразные массы, хорошо растворимые в  $C_6H_6$  (кроме V), ацетоне; плохо — в холодном спирте (особенно IV), очень мало — в бензине. P-ры в льняном масле дают водоустойчивые пленки. Перечисляются ф-ла продукта поликонденсации, т. пл. в °C, мол. вес,  $n$ : I, 35—60, 505—507, 1,93; II — (мягкое тело), 462—479, 1,30; III, 70—96,

705—711, 1,41; IV, 70—110, 720—726, 2,04; V, 65—69, 505—508, 2,25. При 12-кратном избытке ацетофенона получается метиленацетофенон, выход 60%, т. пл. 65—67° (из сп.); диоксим, т. пл. 161°. Продукты поликонденсации являются смесью полимергомологов. Показано, что полученные поликетоны легко образуют с реагентами на CO-группу соответствующие функциональные производные только за счет двух конечных кетонных групп. Е. К.

**75194. О сульфировании полистирола продуктом присоединения диоксана к серному ангидриду. Зигнер, Демаджистри, Мюллер** (Über die Sulfonierung von Polystyrol mit der Anlagerungsverbindung von Schwefeltrioxyd an Dioxan. Signer R., Demagistri A., Müller C.), Makromolek. Chem., 1956, 18-19, 139—150 (нем.; рез. англ.).

Сульфирование полистирола соединением  $SO_3$  и диоксана в p-ре дихлорэтана гладко идет при  $T$ -ре 20—50°. Через несколько минут от начала p-ции наблюдается желатинирование p-ра с последующим синерезисом геля. При нейтрин полистиролсульфокислоты посредством NaOH образуются соли, растворимые в полярных p-рителях, а при высокой степени сульфирования (выше 0,45) — растворимые в воде.  $Na_2SO_4$  удаляется путем последовательного пропускания p-ра через колонки с катионо- или анионообменными смолами. УФ-спектры солей полистиролсульфокислот, подобно спектрам полистирола и бензолсульфокислоты, имеют полосы поглощения в области 2300—2800 Å. И. Т.

**75195. Взаимодействие поливинилпирролидона с иодом. Баркин, Франк, Эйрих** (The interaction of polyvinylpyrrolidone with iodine. Barkin S., Frank H. P., Eirich F. R.), Ricerca scient., 1955, 25, Suppl., 844—853 (англ.; рез. итал., франц., нем.).

Взаимодействие поливинилпирролидона мол. в. 1 000 000 с иодом в  $H_2O$  исследовалось с применением вискозиметрии, светорассеяния, диализа и спектрофотометрии. Обнаружено значительное изменение формы и размера молекулы полимера в результате p-ции с J, найдена температурная зависимость комплексообразования полимера с иодом и установлено влияние на течение p-ции выбора иодирующего агента ( $J^-$ ,  $J$ ,  $J_3$ ). Р. М.

**75196 Д. Измерения светорассеяния в растворах полистиролов и D,L-фенилаланинполипептидов. Корев** (Lichtstreuungsmessungen an Lösungen von Polystyrolen und D, L-Phenylalanin-Polypeptiden. Korei Alfred. Diss. phil., Wien, 1955), Oesterr. Bibliogr., 1955, № 19, 14 (нем.).

**75197 Д. Исследование разрыва каучукоподобных полимеров в высокоэластическом состоянии. Брюханова Л. С.** Автореф. дисс. физ. матем. н., Моск. гор. пед. ин-т, М., 1956.

**75198 Д. Полимеризация виниловых соединений под действием гамма-излучения. Никитина Т. С.** Автореф. дисс. канд. хим. н., Н.-н. физ.-хим. ин-т, М., 1955.

**75199 Д. Синтез некоторых диеновых соединений из дивинилацетилена и их полимеризация. Акопян А. Е.** Автореф. дисс. докт. хим. н., Ереванск. ун-т, Ереван, 1955.

**75200 Д. Синтез, полимеризация и сополимеризация 2-винилпиридина и 2-винилпиридина. Сурина О. К.** Автореф. дисс. канд. хим. н., Ин-т высокомолекул. соединений, АН СССР, Л., 1956.

**См. также разделы: Каучук натуральный и синтетический. Резина и Синтетические полимеры. Пластмассы и рефераты.** Физ. св-ва высокополимеров 74477. Механизм полимеризации 74834. Синтезы высокомолекул. в-в 76530, 76531, 76892. Юбилейный сборник, посвящ. Г. Штаудингеру, 74053

## АНАЛИТИЧЕСКАЯ ХИМИЯ

## ОБЩИЕ ВОПРОСЫ

75201. О систематических и случайных ошибках химического анализа. Нахимов В. В., Ж. аналит. химии, 1956, 11, № 3, 341—350 (рез. англ.)

Химический анализ является сложным измерительным процессом, принципиально отличающимся от элементарных измерительных процессов, с которыми имеет дело метрология. В хим. анализе, наряду со случайной ошибкой воспроизводимости, имеется еще случайная ошибка, обусловленная особенностями хим. (а иногда и фазового) состава проб. Рассмотрен вопрос о законе распределения этой ошибки. Критически рассмотрены различные способы оценки величины этой ошибки, выяснены условия, при которых эталоны могут применяться для установления доверительных пределов.

В. С.  
75202. Аналитическая химия. Применение радиоактивных изотопов. Исибаси, Исиды (分析化学 放射性指示作用. I. II. 石橋雅義, 石田孝信), 化学, Kagaku, Chemistry (Kyoto), 1955, 10, № 7, 5—7; № 10, 7—10 (япон.).

Обзор за 1954 г. Библ. 43 назв.  
75203. Об осаждаемости оксалата стронция в присутствии посторонних ионов. Бакин М. П., Ж. аналит. химии, 1956, 11, № 3, 337—340 (рез. англ.)

Определен процент осаждаемости  $\text{SrC}_2\text{O}_4$  в водн. р-рах различных конц-ий  $\text{KNO}_3$ ,  $\text{KCl}$ ,  $\text{CH}_3\text{COONH}_4$  и вычислена растворимость  $\text{SrC}_2\text{O}_4$  в них. Выяснено влияние избытка ионов  $\text{C}_2\text{O}_4^{2-}$  на осаждаемость  $\text{SrC}_2\text{O}_4$  из водн. р-ров  $\text{KCl}$  и  $\text{NaCl}$ . Определена растворимость  $\text{SrC}_2\text{O}_4$  в водн. р-рах  $\text{KNO}_3$ .

В. С.  
75204. Аналитическая химия. Совместное осаждение в результате образования смешанных кристаллов. Исиды, Исиды (分析化学 混晶生成による共同沈殿. 石橋雅義, 石田孝信), 化学, Kagaku, Chemistry (Kyoto), 1955, 10, № 2, 5—8 (япон.).

Обзор за 1953 г. Библ. 8 назв.  
75205. Аналитическая химия. Методы объемного анализа. Исиды (分析化学 容量分析法の現況. 石橋雅義), 化学, Kagaku, Chemistry (Japan), 1956, 11, № 2, 7—9 (япон.).

Обзор за 1954 г. Библ. 24 назв.  
75206. Способ концентрирования следов меди с применением органических реагентов. Чуйко В. Т., Мамеико А. У., Ж. аналит. химии, 1956, 11, № 3, 332—336 (рез. англ.)

На примере концентрирования меди из р-ров соли свинца путем частичного осаждения последнего показано, что при применении в качестве реагента 8-оксихинолина медь количественно увлекается в осадок лишь в том случае, когда конц-ия ее достигает известного предела. С понижением конц-ии меди ниже этого предела увеличение ее в осадок быстро уменьшается. Количественное выделение меди из р-ра соли свинца в последнем случае может быть достигнуто путем извлечения осадка несмешивающимся р-рителем. При извлечении следов меди хлороформом в виде диэтилдитиокарбамата из водн. р-ра нитрат свинца превращает экстрагирование примесей  $\text{Bi}$ ,  $\text{Fe}$ ,  $\text{Ni}$  и  $\text{Co}$ , но не препятствует колич. выделению  $\text{Cu}$ . Аналогично ведет себя  $\text{SnCl}_2$  при извлечении меди из р-ра, содержащего примеси  $\text{Fe}$ . На основании такого рода действия солей свинца и кадмия разработаны методы определения следов  $\text{Cu}$  в солях свинца, кадмия, никеля и кобальта.

В. С.  
75207. Новый метод химического титрования. Вердьер (A new chemical titration. Verdier E. T.), S. Afric. J. Sci., 1956, 52, № 9, 203—206 (англ.)

В предлагаемом варианте ранее описанного (Semerano G., Riccoboni L., Gazz. chim. ital., 1942, 72, 297—304) метода дифференциальной полярографии полная компен-

сация полярографич. токов, протекающих в 2 р-рах одинакового состава, не является необходимой. Для определения  $\text{Cd}$  небольшой объем анализируемого р-ра помещают в обе полярографич. ячейки  $E_1$  и  $E_2$  и добавляют индифферентный электролит, доводя конц-ию  $\text{NH}_4\text{Cl}$  и  $\text{NH}_4\text{OH}$  до 1 моль/л и желатины — до 0,02%. В  $E_1$  и  $E_2$  вводят капилляры с одинаковыми характеристиками, соединенные с резервуарами со ртутью, и регулируют высоту одного из них до тех пор, пока будет достигнута компенсация токов в обеих ячейках и гальванометр перестанет отклоняться. Компенсацию выполняют при таком потенциале, когда полярографич. ток достигнет величины диффузионного тока ( $\sim 0,9$  в по отношению к насыщ. к. э.). Затем, не меняя положения электрода, заменяют  $E_1$  другой ячейкой, заполненной определенным объемом индифферентного электролита. Сделав отсчет гальванометра, в новую ячейку добавляют определенный объем стандартного р-ра  $\text{Cd}$  и снова производят отсчет. После нескольких последовательных добавлений стандартного р-ра и измерений показаний гальванометра строят график зависимости отклонения гальванометра от объема введенного стандартного р-ра. При условии введения поправки на изменение объема в ячейке график оказывается прямолинейным и пересекает ось абсцисс при равных конц-иях  $\text{Cd}$  в известном и анализируемом р-рах. Чтобы элиминировать различие скорости капания  $\text{Hg}$  из обоих капилляров, измерения повторяют, помещая известный р-р в  $E_2$ , неизвестный — в  $E_1$ . Точность определения  $\text{Cd}$ ,  $\text{Mn}$ ,  $\text{Cu}$  и  $\text{Zn}$  при конц-ии 0,0001—0,02 моль/л  $\sim 0,5\%$ . Метод можно использовать для определения любых в-в, восстанавливающихся на капельном  $\text{Hg}$ -электроде.

Н. П.  
75208. Капельный метод титрования. Кобяк Г. Г., Уч. зап. Молотовск. ун-т, 1955, 9, № 4, 183—192

Капельный метод титрования, позволяющий производить объемноаналитические определения без применения бюретки, основан на прибавлении к отмеренному объему испытуемой жидкости по каплям титрованного р-ра и на учете числа добавленных капель. Для вычислений пользуются «титром капли» р-ра для данной гидростатич. капиллярной трубочки. Для титрования пользуются 0,1 н. титрованными р-рами; объем капли  $\sim 0,02$  мл; последней капли, вызывающей изменение окраски индикатора, не добавляют и титрование заканчивают, пользуясь той же капиллярной трубочкой и р-ром, разбавленным в 10 раз. Капиллярная трубочка имеет П-образную форму, длина одного колена (с оттянутым капилляром) 5,5 см, другого 4 см. Длина трубки между изгибами 4,5—5,5 см, внутренний диам.  $\sim 1$  мм, диам. капиллярного отверстия  $\sim 0,5$  мм. После заполнения трубочки титрованным р-ром короткое колено вводят в стакан с тем же р-ром; поднятием стакана вызывают вытекание р-ра по каплям. Произведено титрование  $\text{NaOH}$  0,1 н. р-ром  $\text{HCl}$  с дотитрованием 0,01 н. р-ром. Относительная погрешность капельного титрования 0,41%, погрешность титрования из микробюретки 0,82%. Метод удобен в полевых условиях.

Т. Л.  
75209. Цементация некоторых металлов амальгамой пинка. Сперанская Е. Ф., Ж. аналит. химии, 1956, 11, № 3, 323—328 (рез. англ.)

Показана возможность применения амальгамы  $\text{Zn}$  для колич. извлечения  $\text{Cd}$  и  $\text{Sb}$  из солянокислых, сернокислых и аммиачных р-ров;  $\text{Pb}$  — из солянокислых и аммиачных р-ров;  $\text{Ni}$  — из аммиачных р-ров с последующим образованием амальгамы (исключение —  $\text{Sb}$ ). Установлено, что при эквивалентных соотношениях  $\text{Zn}$  в амальгаме и  $\text{Cu}^{2+}$  в р-ре медь не количественно извлекается из р-ров вследствие образования хим. соединений  $\text{Zn}_2\text{Cu}$  и  $\text{ZnCu}$ . Образованию указанных соединений соответствуют определенные скачки потенциалов. Колич. извлечения  $\text{Cu}^{2+}$  можно достичь применением амальгамы, содержащей  $\text{Zn}$  в кол-вах, превышающих содержание  $\text{Cu}^{2+}$

в р-ре не менее чем в 3 раза. Измерение потенциалов амальгамы в процессе цементации дает возможность фиксировать наличие хим. соединений цементируемого и цементирующего металла в амальгаме в момент образования, что может служить одним из наиболее эффективных методов исследования амальгам. Выяснено влияние конц-ии фона на скорость процесса цементации и процент полезного использования Zn.

**В. С. 75210. Ацидиметрический анализ карбоната. Гринберг** (Acidimetric carbonate analysis. Grinberg Stina), Göteborgs kgl. vetenskaps-och vitterhets-samhäl handl., 1953, **В6**, № 9, 32 pp. (англ.)

Изучен ацидиметрич. метод анализа карбонатов и показано, что погрешность этого метода частично зависит от фиксации  $H^+$  на решетке глины за счет обмена с адсорбированными катионами. Побочные р-ции при титровании устраняют употреблением для растворения пробы 0,2 н.  $CH_3COOH$ , кислотность которой уменьшают добавлением 2 н.  $Ba(CH_3COO)_2$ . Это вызывает увеличение рН среды и  $Ba^{2+}$  входит в решетку глины вместо  $H^+$ . Титрование осуществляют электрометрич. методом, но титруют не до конечной точки и содержание карбоната определяют по диаграмме зависимости между величиной рН р-ра и кол-вом добавленного р-ра  $Ba(OH)_2$  (0,1 н., содержащий 1 экв./л  $Ba(CH_3COO)_2$ ). Среднее абс. отклонение от среднего значения 0,2%, среднеквадратичная погрешность  $\pm 0,3\%$ . **Т. Л.**

**75211. Потенциометрическое титрование очень слабых кислот. Титрование в этилендиаминных растворах с применением платиновых электродов. Харлоу, Нобл, Уайлд** (Potentiometric titration of very weak acids. Titration in ethylene diamine solution using platinum electrodes. Harlow G. A., Noble C. M., Wild Garrard E. A.), *Analyst. Chem.*, 1956, **28**, № 5, 784—786 (англ.)

Потенциометрическое титрование (ПТ) растворов слабых к-т в 95—100%-ном этиленdiamине (II) выполняют с использованием Pt- или Sb-индикаторных электродов (ИЭ). Sb-электрод не дает устойчивых показаний. Результаты ПТ с Pt ИЭ зависят от состояния его поверхности. Анодно поляризованный Pt ИЭ при ПТ р-ров слабых к-т в 10,2 н. р-ром КОН в изопропиловом спирте (II) чувствительнее стеклянного электрода (СЭ). Кривые ПТ с Pt ИЭ охватывают в 2—3 раза большую область потенциалов, чем в случае титрования с СЭ. Поляризационная обработка состоит в погружении двух Pt-электродов в  $H_2SO_4$  1 : 100 и проведении электролиза током от источника с э. д. с. 3 в течение 1 мин. Для получения воспроизводимых результатов ПТ такую обработку производят перед каждым титрованием. Время от времени можно восстанавливать способность Pt к поляризации погружением в горячую  $HCl$  1 : 1 на 3—4 часа. Чтобы воспроизводимость Pt ИЭ и СЭ была примерно одинаковой, первые нужно выдержать 2—3 мин. в анализируемом р-ре перед началом титрования до установления постоянного значения потенциала. С Pt ИЭ и электродом сравнения из Pt-проволочки можно титровать фенол, резорцин, катехин и его замещенные, 4,4'-изопропиленидиол, фенолсодержащие смолы. В отличие от СЭ, чувствительность Pt ИЭ в присутствии ионов Na в р-ре не уменьшается. Поэтому Pt ИЭ применим для ПТ р-ра салициловой к-ты в II 0,2 н. р-ром аминокислоты Na в II.

**Н. П. 75212. Потенциометрические дифференциальные кривые титрования. Толстиков В. П.**, *Укр. хим. ж.*, 1956, **22**, № 3, 373—378

Дифференциальные потенциометрич. кривые титрования описываются общим ур-нием вида  $dE/dx = f(x)$ , где  $E$  — окислительный потенциал;  $x$  — кол-во прибавленного реактива. За конечную точку титрования принято считать такую точку, в которой функция  $dE/dx$  принимает максим. значение. Математич. анализ показывает, что эта точка не всегда совпадает с эквивалентной точкой. Предложена общая ф-ла, позволяющая вычислять ошибку титрования,

возникающую вследствие несовпадения указанных точек. Кроме того, показано, что симметрия дифференциальных кривых определяется соотношением стехиометрич. коэфф. в ур-нии р-ции титрования.

**В. С. 75213. О потенциометрическом титровании солей трехвалентного железа при помощи NaOH. Санини** (Sulla titolazione potenziometrica dei sali ferrici con NaOH. Sani Guido), *Atti Accad. sci. Torino. Cl. sci. fis., mat. e natur.*, 1952—1953, **87**, № 1, 326—335 (итал.) Изучено потенциометрич. титрование  $Fe(ClO_4)_3$  в присутствии различных электролитов ( $NaClO_4$ ,  $Na_2SO_4$  и  $Ba(ClO_4)_2$ ) при помощи 0,109 н. NaOH. Ход кривой потенциометрич. титрования зависит от присутствующего электролита и его конц-ии, что, по-видимому, объясняется флюктуирующим влиянием, оказываемым добавленной солью на коллоидальные ионы  $FeOH^{2+}$  и  $Fe(OH)^+$ , образующиеся в процессе титрования за счет гидролиза соли  $Fe(3+)$ . Попытки определить произведение растворимости  $Fe(OH)_3$  на основании кривой потенциометрич. титрования соли  $Fe(3+)$  оказались безуспешными.

**Т. Л. 75214. Определение эквивалентов нейтрализации титрованием в среде спирта. Элленбоген, Бранд** (Determination of neutral equivalents by titration in alcohol. Ellenbogen Eric, Brand Erwin), *Analyst. Chem.*, 1955, **27**, № 12, 2007 (англ.)

Эквиваленты нейтр-ции аминокислот, пептидов и пептидных производных (2—10 ммоль) определены титрованием спирт. 0,01 н. р-ром КОН в среде спирта, в присутствии различных смешанных индикаторов. Наиболее отчетливые конечные точки при титровании карбоксильной группы, групп  $\alpha$ -амино  $HCl$  (или  $HBr$ ,  $HJ$ ,  $H_2SO_4$ ; ниже молекула к-ты обозначена X),  $\delta$ -амино-X,  $\epsilon$ -амино-X, имидазол-X, фенольной и сульфогрупп получены при употреблении следующих смешанных индикаторов: 1) 3 мл 0,1%-ного р-ра феносафранина в 40%-ном  $C_2H_5OH$  + 4 мл 0,1%-ного р-ра м-крезолового пурпурного в 95%-ном  $C_2H_5OH$ ; 2) 3 мл 0,1%-ного р-ра этил-бис-(2,4-динитрофенил)-ацетата (I) в  $CH_3OH$  + 1 мл 0,1%-ного р-ра фенолового красного в 95%-ном  $C_2H_5OH$ ; 3) 3 мл 0,1%-ного р-ра I в  $CH_3OH$  + 1 мл 0,1%-ного р-ра м-крезолового пурпурного в 95%-ном  $C_2H_5OH$ ; 4) смесь 0,1%-ных р-ров о-крезолафталена и аминоксантилоула в 95%-ном  $C_2H_5OH$  (1 : 1); 5) смесь 0,1%-ных р-ров тропеолина 000 и о-крезолафталена в 95%-ном  $C_2H_5OH$  (1 : 1); 6) смесь 0,1%-ного р-ра феносафранина в 40%-ном  $C_2H_5OH$  и 0,1%-ного р-ра тимолового синего в 95%-ном  $C_2H_5OH$  (1 : 1); 7) смесь 0,1%-ного р-ра I в  $CH_3OH$  и 0,1%-ного р-ра крезолового красного в 95%-ном  $C_2H_5OH$ . Наиболее универсальным индикатором является смесь 1. Приведены эквиваленты нейтр-ции 20 органич. соединений, полученные при употреблении индикатора 1. Погрешность от +1,5 до -0,8%.

**Т. Л. 75215. Каталитический анализ. III. Определение следов ванадия и меди. Браун** (Analiza catalitometrică. III. Dozarea urmelor de vanadiu și cupru. Браун Т.), *Rev. chim.*, 1955, **6**, № 7, 375—377 (рум.; рез. рус.) Теоретические обоснования каталитиметрич. анализа изложены ранее (см. РЖХим, 1956, 61785). Для определения следов V к 1 мл испытуемого р-ра прибавляют по 1 мл 1%-ного р-ра пирокатахина, насыщ. р-ра  $KBrO_3$  и 0,1%-ного р-ра хлоргидрата л-фенетидина и разбавляют до 5 мл. В присутствии следов V постепенно развивается фиолетовая окраска. Для определения V измеряют время, за которое стрелка гальванометра у фотоколориметра проходит определенное расстояние и которое пропорционально конц-ии катализатора (V). По калибровочной кривой определяют содержание V. Способ позволяет определять 0,002—0,01  $\gamma$  V. Для определения следов Cu в качестве реактивов употребляют следующие р-ры: 0,03%-ный металл, 2%-ный пиридина и 3%-ный  $H_2O_2$  (+0,05%  $H_2SO_4$ ). При смешении этих р-ров в присутствии следов Cu развивается интенсивная красная окраска. Определению Cu мешает присутствие тяжелых металлов (Cd). Если предварительно определить

последние обычным макрометодом и при построении кривой пользоваться вместо воды р-рами, содержащими тяжелые металлы в найденном кол-ве, то результаты определения  $\text{Cu}$  будут вполне удовлетворительны. Метод позволяет определить  $0,1-20 \text{ } \mu\text{g}$   $\text{Cu}$ , погрешность лежит в пределах, допускаемых для обычных микроаналитич. определений. Предложенный метод определения следов  $\text{V}$  и  $\text{Cu}$  в такой же степени чувствителен, как спектроскопич. или радиометрич., но отличается большой простотой. Сообщение II см. РЖХим., 1956, 68604. А. А.

75216. К вопросу о применении периодата калия в качестве титранта. Берка, Зыка (Přispěvek k rozšíření jodistanu draselného jako odměrného činidla. Berka A., Zýka J.), Chem. listy, 1956, 50, № 2, 314—316 (чеш.).

Авторы исследовали потенциометрич. путем окисление гидразидов изоникотиновой к-ты (I), фенилгидразина (II), семикарбазида (III), тиосемикарбазида (IV), цистеина (V), аскорбиновой к-ты (VI), гидрохинона (VII), тиомочевны (VIII) и тизинамина (IX) титрованным р-ром  $\text{KJO}_4$  (X) (0,01 M). В среде 9 н.  $\text{HCl}$  происходит окисление I, II, III и IV по ур-нию  $\text{JO}_4^- + 6e + 8\text{H}^+ = \text{J}^+ + 4\text{H}_2\text{O}$ . Во взаимодействие вступают 3 моля в-ва с 2 молями X. V реагирует при тех же условиях по ур-нию  $2\text{JO}_4^- + 16\text{H}^+ + 14e = \text{J}_2 + 8\text{H}_2\text{O}$  (7 молей V на 2 моля X). Одинаковым способом реагирует также VI, но здесь возможно титровать еще до второго скачка:  $3\text{J}_2 + \text{JO}_4^- + 8\text{H}^+ = 7\text{J}^+ + 4\text{H}_2\text{O}$ . Потребление составляет всего 3 моля VI на 1 моль X. VII окисляется аналогично VI в среде 1 н.  $\text{HCl}$ . VIII и IX реагируют также в 1 н.  $\text{HCl}$  при потреблении 1 моля X на 8 молей в-ва по ур-нию  $\text{JO}_4^- + 8\text{H}^+ + 8e = \text{H}^- + 4\text{H}_2\text{O}$ . Установление потенциалов длится обычно не более 5 мин. Jiří Horáček

75217. Сульфатоцерат диэтилететраммония как объемный реактив. I. Метод с одноклористым иодом. Сингх, Сингх (Diethylenetetra-ammonium sulphatocerate as volumetric reagent. I. Iodine monochloride method. Singh Balwant Singh Surjit), Analyst. chim. acta, 1956, 14, № 2, 109—111 (англ.; рез. нем., франц.).

Для приготовления  $[\text{Ce}(\text{NH}_2\text{CH}_2\text{CH}_2\text{NH}_2)_2](\text{SO}_4)_2 \cdot 2\text{H}_2\text{SO}_4 \cdot 7\text{H}_2\text{O}$  (I) эквимолекулярные кол-ва  $\text{Ce}(\text{SO}_4)_2$  и  $\text{NH}_2\text{CH}_2\text{CH}_2\text{NH}_2 \cdot \text{H}_2\text{O}$  растворяют соответственно в 2 н. и 4 н.  $\text{H}_2\text{SO}_4$ . Р-ры объединяют, упаривают и оставляют на ~18 час. Образовавшиеся оранжевые кристаллы отфильтровывают через воронку Бюхнера, промывают  $\text{C}_2\text{H}_5\text{OH}$  и высушивают при  $60^\circ$ . I применяют в качестве окислителя при объемном определении  $\text{KJ}$ , соли Мора,  $\text{As}_2\text{O}_3$ ,  $\text{SnCl}_2$ ,  $\text{N}_2\text{H}_4 \cdot \text{H}_2\text{SO}_4$ ,  $\text{TiCl}_3$ ,  $\text{C}_6\text{H}_4(\text{OH})_2$  и  $\text{K}_4[\text{Fe}(\text{CN})_6]$ . К известному кол-ву определяемого в-ва прибавляют ~25 мл воды, 50 мл конц.  $\text{HCl}$ , 5 мл 0,01 M  $\text{JCl}$ , 5 мл  $\text{CHCl}_3$ , смесь охлаждают до  $18-20^\circ$  и титруют стандартным р-ром I при встряхивании, пока слой  $\text{CHCl}_3$  не станет бледно-желтым. Кислотность титруемого р-ра составляет 6 н. по  $\text{HCl}$ . Ф. Л.

75218. Аналитическая химия. Органические реактивы [в аналитической химии]. Исбаси, Ямамбо (分析化学. 有機試薬. 石橋雅義, 山本勇寛), 化学, Кагаку, Chemistry (Kyoto), 1955, 10, № 8, 2—4 (япон.).

Обзор за 1954 год. Библ. 17 назв. А. Б.

75219. Эффект утяжеления. Мустафин И. С., Науч. ежегодник за 1954 г. Саратовск. ун-т. Саратов, 1955, 514—516

Увеличение мол. веса реактива может: 1) совершенно не отражаться на чувствительности его р-ции с данным ионом; 2) сопровождаться некоторым повышением чувствительности; 3) вызывать снижение чувствительности и 4) вызывать ненормальное повышение чувствительности. Отсюда сделан вывод, что чувстви-

тельность р-ций определяется не только соотношением мол. весов реактивов и представление об эффекте утяжеления является ограниченным эмпирич. обобщением. Исследованы аналитич. свойства различных замещ. в бензольном кольце N-арил-2-оксинафтохинон-1,4-иминов, производных л-диоксисбензохинона, нитрозофенолов, ряда N-содержащих гетероциклич. оснований и их N-алкилатов и показано, что в ряду пиридиновых и N-содержащих гетероциклич. оснований чувствительность р-ций с  $\text{Bi}$  и  $\text{Sb}$  строго подчиняется эффекту утяжеления; производные л-диоксисбензохинона и замещенные N-арил-2-оксинафтохинон 1,4-имины не всегда ведут себя в соответствии с эффектом утяжеления; N-алкилаты N-содержащих гетероциклич. оснований эффекту утяжеления не подчиняются и наивысшую чувствительность дает N-метилат пиридина. Т. Л.

75220. Аналитическая химия. Этилендиаминтитраусусная кислота в полярграфии. II. Исбаси, Фудзинага (分析化学. ポーラログラフィーにおける EDTA. II. 石橋雅義, 藤永太一郎), 化学, Кагаку, Chemistry (Kyoto), 1955, 10, № 5, 2—4 (япон.). Обзор за 1954 год. Библ. 21 назв. Часть I см. РЖХим, 1956, 61826. А. Б.

75221. Получение и свойства этиленбисоксипропиламин-N, N, N', N'-тетрауксусной кислоты. Джигарджан, Мартелл (The preparation and properties of ethylenebisoxypyrrolamine-N, N, N', N'-tetraacetic acid. Jigarjian H., Martell A. E.), J. Organ. Chem., 1956, 21, № 1, 90—92 (англ.).

Для получения этиленбисоксипропиламин-N, N, N', N'-тетрауксусной к-ты (I) исходят из этиленбисоксипропиламина, который карбоксиметилируют ранее описанным методом (Smith R. и др., Martell A. E., J. Org. Chem., 1949, 14, 355), несколько модифицированным. I умеренно растворима в холодной, но хорошо растворима в горячей воде, не растворима в этаноле, ацетоне и малополярных р-рителях. При нагревании выше  $200^\circ$  она разлагается. Данные анализа I и результаты ее потенциометрич. исследования удовлетворительно согласуются с эмпирич. ф-лой  $\text{C}_{16}\text{H}_{22}\text{N}_{10}\text{O}_{10}$ . I содержит 2 сильноокислых (остатки уксусной к-ты) и 2 сильноосновных (третичные аминогруппы) радикала. Каждые 2 группы отщепляют свои протоны почти одновременно. Приближенное значение  $\text{pK}_1$  и  $\text{pK}_2$  составляет ~2,  $\text{pK}_3$  и  $\text{pK}_4$  — около 10 или несколько выше. При  $\text{pH} > 5$  I ( $\text{H}_4\text{A}$ ) образует с  $\text{Ca}^{2+}$  комплекс согласно ур-нию  $\text{H}_2\text{A}^{2-} + \text{Ca}^{2+} \rightleftharpoons \text{CaA}^{2-} + 2\text{H}^+$ .  $\text{CaA}^{2-}$  является гексадентатным комплексом с константой устойчивости порядка  $10^7$ ; он уступает по устойчивости внутрикомплексному соединению этилендиаминтетрауксусной к-ты, которая образует с Ca пятичленные циклы. Зато он приближается по устойчивости к Са-комплексу этилендиамин-N,N'-диуксусной-N,N'-дипропионовой к-ты, в котором содержатся 2 шестичленные и 3 пятичленные цикла с ионом  $\text{Ca}^{2+}$ .  $\text{Cu}^{2+}$  образует с I после добавления 3 молей  $\text{KOH}$  на 1 моль I тридентатный комплекс  $\text{CuHA}(\text{H}_2\text{O})$ , логарифм константы образования которого  $> 10$ . При дальнейшем добавлении щелочи нейтрализуется и второй протон аминогруппы с образованием комплекса  $\text{CuA}^{2-}$ . Возможные структурные ф-лы комплексных соединений  $\text{Cu}$  и  $\text{Ca}$  с I приводятся. Н. П.

75222. Хелатометрия. VII. Проблема забуферивания. Применение гексаметилентетрамина (уротропина) и монохлоруксусной кислоты для комплексометрических титрований. Вебер (Chelatometrie. VII. Das Problem der Pufferung. Die Verwendung von Hexamethylentetramin (Urotropin) und von Monochloressigsäure für komplexometrische Titrationen. Wehber Peter), Z. analyt. Chem., 1956, 149, № 6, 419—432 (нем.).

Использование буферных систем со слабыми комплексообразующими свойствами для связывания ионов  $\text{H}^+$  при

титровании комплексами позволяет значительно расширить область применения этилендиаминтетрауксусной к-ты (I) и особенно нитролтриуксусной к-ты (II). Забуферивая анализируемый р-р монохлоруксусной к-той до pH ~ 2, создают благоприятные условия для титрования  $Fe^{3+}$  0,1 M р-ром II по хромазуролу S при 50–60°.  $Cu^{2+}$  мешает титрованию. При титровании  $CuCl_2$  0,1 M р-ром I по мурексиду (III) анализируемый р-р забуферивают до pH 5,5–6,0 смесью из уротропина (IV) + HCl. Чтобы избежать выпадения осадка  $Cu(OH)_2$ , анализируемый р-р приливают к р-ру 2 г IV + 2 н. HCl (до pH 5,5–6,0) в 100 мл воды с добавкой мурексиды, а затем титруют смесь 0,1 M р-ром I. Небольшие кол-ва щел.-зем. металлов не мешают титрованию. В присутствии  $Mn^{2+}$  в качестве маскирующего комплексообразователя добавляют  $NH_4F$  и титруют р-р при 45°. Для титрования  $CuCl_2$  по III при pH 5–6 можно также использовать 0,1 M р-р II. Са и Mg не мешают титрованию. В присутствии осадков  $CaF_2$ ,  $Na_3FeF_6$  и  $PbSO_4$  получают заниженные результаты, что автор связывает с адсорбцией. Титрованием забуференных ацетатной смесью р-ров  $CuCl_2$  р-ром I по хромазуролу S мешают щел.-зем. металлы и даже большие кол-ва  $Na^+$ ,  $K^+$ ,  $NH_4^+$ . Мешающее влияние этих ионов устраняется заменой ацетатного буферного р-ра на уротропиновый; в этом случае р-р с pH 6 можно титровать даже 0,1 M р-ром II, причем  $Fe^{3+}$  связывают в  $Na_3FeF_6$  добавлением  $NH_4F$  и NaCl. Забуференный IV + HCl р-р  $CuCl_2$  или  $CuF_2$  с pH 5,5 можно титровать 0,1 M р-ром II по редокс-индикатору — вариамину синему В (основание). В этом случае к буферному р-ру добавляют сначала индикатор, а потом анализируемый р-р. Щел.-зем. металлы и небольшие кол-ва  $Mn^{2+}$ , а также  $Fe^{3+}$  и  $Al^{3+}$  маскируют  $NH_4F$ ;  $Pb^{2+}$  осаждают в виде сульфата.  $Zn^{2+}$  и  $Cd^{2+}$  мешают. Сообщение VI см. РЖХим, 1956, 68602. Н. П.

**75223. Изучение экстракции металлических комплексов. XXII. Образование комплекса тория с 1-нитрозо-2-нафтолом и 2-нитрозо-1-нафтолом.** Дюрсен, Дюрсен, Юханссон (Studies on the extraction of metal complexes. XXII. The complex formation of thorium with 1-nitroso-2-naphthol and 2-nitroso-1-naphthol. Dyrssen David, Dyrssen Margareta, Johansson Ebbe), Acta chem. scand., 1956, 10, № 1, 106–112 (англ.)

Изучена экстракция Th хлороформом и метилизобутилкетонем с использованием 1-нитрозо-2-нафтола и 2-нитрозо-1-нафтола в качестве комплексообразователей. Экстракцию вели при 25° и постоянной конц-ии  $ClO_4^-$  (0,1 M) в водн. фазе. Средняя величина константы комплексообразования равна  $10^{8,50}$  для 1-нитрозо-2-нафтола и  $10^{8,30}$  для 2-нитрозо-1-нафтола. Эти величины ниже, чем для 8-оксихинолина, но выше, чем для ацетилацетона. Ч. XXI см. РЖХим, 1956, 68588. Б. Т.

**75224. Комплексометрические микротитрования с применением 1-(2-пиридилазо)-2-нафтола как индикатора.** Флашка, Абдине (Complexometric microtitrations using PAN as indicator. Flaška H., Abdine H.), Chemist-Analyst, 1956, 45, № 1, 2–3 (англ.) Для определения Fe, Cu, Ni, Co, Zn, Cd, Pb или же Ca анализируемый р-р нейтрализуют, подкисляют 1–2 каплями 50%-ной  $CH_3COOH$ , разбавляют до 50–100 мл, прибавляют 1–2 капли 0,05%-ного р-ра 1-(2-пиридилазо)-2-нафтола в спирте и определенный избыток 0,01 M р-ра комплекса III. Желтый р-р титруют 0,01 M р-ром  $CuSO_4$  до появления фиолетового окрашивания. Индикаторная ошибка составляет +0,05 мл р-ра  $CuSO_4$ . Для ее устранения фиолетовый р-р нагревают до кипения и затем титруют 0,01 M р-ром комплекса III до появления желтого окрашивания. После оттитровывания названных металлов в том же р-ре определяют Ca, Mg или Mn. Для этого оттитрованный

р-р нейтрализуют, прибавляют 15 мл буферного р-ра (13,5 г  $NH_4Cl$  и 88 мл конц.  $NH_3$  разбавляют до 250 мл), затем прибавляют определенный избыток титрованного р-ра комплекса III и оттитровывают его 0,01 M р-ром  $CuSO_4$  при комнатной температуре до появления фиолетового окрашивания. В. С.

**75 25. Химические индикаторы. II. Константы диссоциации пирокатехинового фиолетового. Рыба, Цифка, Малат, Сук** (Chemické indikátory. II. Disociační konstanty pyrokatechinové violeti. Ryba Olen, Cifka Jiri, Malát Miroslav, Suk Václav), Chem. listy, 1955, 49, № 12, 1786–1791 (чеш.); Сб. чехосл. хим. работ, 1956, 21, № 2, 349–355 (нем.; рез. русс.)

Определены константы диссоциации пирокатехинового фиолетового (I) потенциометрич. и колориметрич. методами. Диссоциация I является 4-ступенчатой:  $H_4PV \rightleftharpoons H^+ + H_3PV^- \rightleftharpoons 2H^+ + H_2PV^{2-} \rightleftharpoons 3H^+ + HPV^{3-} \rightleftharpoons 4H^+ + PV^{4-}$ , где  $PV^{4-}$  — 4-основный анион I. В водн. р-ре I атомы Н, связанные с группой  $-SO_3H$ , практически полностью диссоциированы и поэтому I титруется кондуктометрически или потенциометрически как сильная к-та. Остальные 3 группы OH обладают только слабокислыми свойствами. Нейтр-ция I до 2-й ступени начинается при pH 5,5, до 3-й ступени при  $pH > 9$ , причем желтая окраска (ионы  $H_2PV^{2-}$ ,  $\lambda$  (макс.) 445 мμ) переходит в фиолетовую (ионы  $H_2PV^{2-}$ ,  $\lambda$  (макс.) 590 мμ) и красно-фиолетовую (ионы  $HPV^{3-}$ ,  $\lambda$  (макс.) 560 мμ). Нейтр-ция до 4-й ступени не сопровождается изменением окраски. В сильноокисл. р-рах ( $pH < 2,2$ ) I образует окрашенные в красный цвет диполярные ионы  $H_4PV$  или катионы  $H_3PV^+$  с острым максимумом поглощения при 550 мμ. Положительный заряд ионов  $H_3PV^+$  и отрицательный ионов  $H_2PV^{2-}$  доказаны электрофорезом на бумаге ватман № 2 (разность потенциалов 4,5 в/см). Константы  $K_1$ ,  $K_2$  и  $K_3$  определены графически по кривой нейтр-ции, полученной при потенциометрич. титровании I р-ром NaOH. Вследствие легкой окисляемости I в щел. р-рах титруют в атмосфере  $N_2$ .  $K_1$  и  $K_2$  вычислены также на основе зависимости экстинкции р-ра I от pH. Найдено:  $K_1 = 1,50 \cdot 10^{-9}$ ,  $1,56 \cdot 10^{-9}$ ;  $K_2 = 1,74 \cdot 10^{-10}$ ,  $1,58 \cdot 10^{-10}$ ;  $K_3 = 1,87 \cdot 10^{-12}$ . Результаты исследований показывают, что I ведет себя аналогично другим сульфосталениам, как амфотерный индикатор. Сообщение I см. Chem. listy, 1952, 46, 139. Karel Kámen.

**75226. Спектрофотометрическая оценка универсальных индикаторов.** Чута, Камен (Spektrofotometrické hodnocení universálních indikátorů. Čůta František, Kámen Karel), Chem. listy, 1956, 50, № 2, 227–231 (чеш.); Сб. чехосл. хим. работ, 1956, 21, № 4, 880–885 (нем.; рез. русс.)

Метод спектрофотометрич. оценки универсальных индикаторов (УИ) (Woods J. T., Mellon M. G., J. Phys. Chem., 1941, 45, 313) применен для оценки УИ, описанного ранее (Čůta F., Kámen K., Chem. listy, 1936, 30, № 22, 129; Сб. чехосл. хим. работ, 1936, 8, 395). Измерения выполнены в области 380–740 мμ при 20°; отмечено большее число максимумов поглощения у УИ, чем у индикаторов Кольтоффа (Kolthoff I. M., Pharmaz., weekbl., 1929, 66, 67) и Богена (Bogen E., J. Amer. Med. Assoc., 1927, 89, 199). Ход кривых светопропускания показывает, что УИ более чувствителен в диапазоне pH 3–6 и 7–10, тогда как индикаторы Кольтоффа и Богена чувствительны только при pH 10–11. После пересчета максим. относительной пропускваемости УИ таким образом, чтобы при pH 6,0 ее значение было равно 88,5%, получая для относительной пропускваемости следующие значения: для pH 1,2 9,8%, для pH 12,7 14%, для pH 2,6 40% и для pH 10,6 33,5%. Использован также более наглядный способ графич. изображения чувствительности УИ: при помощи кривых зависимости светопропускания от pH при опреде-

ленной длине волны. Крутизна кривой характеризует чувствительность при данной длине волны. В сравнительно узких областях pH, при pH 3,5, 6,0, 8,5 и 10—11, у большинства кривых наблюдается максимум, сопровождаемый небольшой крутизной вблизи вершин кривых, являющихся местами с наименьшей чувствительностью. Аналогичным способом обработанные данные Вудса и Меллона для индикаторов Кольтоффа и Богена показывают, что оба индикатора чувствительнее всего в области pH 3—5 и 8,5—11. J. Horáček

**75227. Новый индикатор — оксин синий.** Лев И. Е., Ж. аналит. химии, 1956, 11, № 3, 359—360 (рез. англ.) Интервал перехода оксина синего (8-оксо-7-п-диэтил-аминофенилимино-5,8-дигидрохинолин) находится при pH 3,90—5,0 от ярко оранжевого до синего окрашивания. Солоеой и температурный эффекты весьма незначительны. На 100 мл титруемого р-ра прибавляют 4—5 капель 0,25%-ного р-ра индикатора в этиловом спирте. Описан синтез индикатора. В. С.

**75228. Новая теория адсорбционных индикаторов. л-Этоксихризоидин как адсорбционный индикатор.** Пунгор, Шулек (Neue Theorie der Adsorptionsindikatoren. Das p-Athoxychrysoidin als Adsorptionsindikator. Pungor E., Schulek E.), Z. analyt. Chem., 1956, 150, № 3, 166—178 (нем.)

По представлениям авторов, адсорбция является первичным, но не единственным процессом, обуславливающим индикацию эквивалентной точки (ЭТ) с помощью адсорбционных индикаторов (АИ). Такой АИ, как л-этоксихризоидин (I), добавленный перед осаждением AgJ, сильно сорбируется мелкими частицами осадка, образующими рыхлые агрегаты. В отсутствие I образуется крупнозернистый осадок, который лишь незначительно сорбирует I. При образовании AgJ в присутствии I сорбция красителя в ЭТ не меняется скачкообразно. Зато pH при титровании KJ р-ром AgNO<sub>3</sub>, как и при обратном титровании в присутствии I, в ЭТ меняется скачкообразно. Следовательно, в присутствии избытка ионов Ag<sup>+</sup> или J<sup>-</sup>, I, сорбированный осадком AgJ, ведет себя как кислотно-основной индикатор. Его константа диссоциации в ЭТ скачкообразно изменяется. Окислительно-восстановительный потенциал, при котором изменяется окраска I, сорбированного AgJ, зависит от условий образования осадка и варьирует от 0,85 в в присутствии избытка ионов Ag<sup>+</sup> до 0,98 в в присутствии избытка ионов J<sup>-</sup>. Следовательно, индикация ЭТ с помощью АИ основана не только на адсорбции красителя, но и на изменении таких физ.-хим. констант сорбированных АИ, как константа диссоциации, произведение растворимости, окислительно-восстановительный потенциал и т. д. В зависимости от состава среды одна из этих констант обуславливает изменение окраски в ЭТ. Н. П.

**75229. Исследование окислительно-восстановительных реакций объемным методом. VII. Восстановление двойным сульфатом железа (2+) и этилендиамина. Титрование сульфатом церия (4+).** Сингх, Сингх (Volumetric studies in oxidation-reduction reactions. VII. Reduction with ferrous ethylenediamine sulphate ceric sulphate method. Singh Balwant, Singh Sarwan), Analyt. chim. acta, 1956, 14, № 3, 213—216 (англ.; рез. франц., нем.)

Двойной сульфат Fe (2+) и этилендиамина FeSO<sub>4</sub>·(CH<sub>2</sub>NH<sub>2</sub>)<sub>2</sub>SO<sub>4</sub>·4H<sub>2</sub>O (I) применим в качестве восстановителя в кислой среде для косвенного объемного определения KClO<sub>3</sub>, KBrO<sub>3</sub>, KJO<sub>4</sub>, K<sub>2</sub>Cr<sub>2</sub>O<sub>7</sub>, K<sub>3</sub>Fe(CN)<sub>6</sub>, KMnO<sub>4</sub>, K<sub>2</sub>S<sub>2</sub>O<sub>8</sub>, H<sub>2</sub>O<sub>2</sub> и Ce(SO<sub>4</sub>)<sub>2</sub>. К известному количеству соединения добавляют избыток титрованного р-ра I, подкисляют H<sub>2</sub>SO<sub>4</sub> до 1—2 н. (для KClO<sub>3</sub> и KBrO<sub>3</sub> до 4—6 н.). В случае KClO<sub>3</sub> нагревают 10 мин. в CO<sub>2</sub> до 80°; при определении K<sub>3</sub>Fe(CN)<sub>6</sub> добавляют 5 мл свежеприготовленного р-ра FeCl<sub>3</sub> (1 г в 100 мл), 20 мл

1 н. HCl, 30 мл воды и избыток I. Отфильтровывают осадок Fe<sub>3</sub>[Fe(CN)<sub>6</sub>]<sub>2</sub>, промывают его водой и подкисляют фильтрат, содержащий избыток I, H<sub>2</sub>SO<sub>4</sub>. Во всех случаях избыток I оттитровывают р-ром Ce(SO<sub>4</sub>)<sub>2</sub> в присутствии индикатора ферроина. Погрешность определения от —0,2 до +0,3 мг. Сообщение VI см. РЖХим, 1956, 68596. М. П.

**75230. Применение хроматографии в качественном анализе.** Стойко Янков, Ж. аналит. химии, 1956, 11, № 3, 355 (рез. англ.)

Описано открытие иона Mn<sup>2+</sup> в присутствии Cr<sup>3+</sup> и микроаналитич. открытие Co<sup>2+</sup> в смеси Fe<sup>2+</sup>, Fe<sup>3+</sup>, Ni<sup>2+</sup>, Mn<sup>2+</sup>, Cr<sup>3+</sup>, Zn<sup>2+</sup>, Al<sup>3+</sup>. В. С.

**75231. Разделение магния, алюминия, хрома, марганца, железа, никеля и меди ионообменным методом.** Рябчиков Д. И., Осипова В. Ф., Ж. аналит. химии, 1956, 11, № 3, 278—285 (рез. англ.)

Отделение Cu от Al осуществляется пропусканием р-ра, содержащего комплексный анион [Cu(S<sub>2</sub>O<sub>3</sub>)<sub>2</sub>]<sup>3-</sup> и ион алюминия Al<sup>3+</sup> через колонку с катионитом КУ-2 в натриевой форме. Можно также пропускать через колонку р-р, содержащий [Cu(NH<sub>3</sub>)<sub>4</sub>]<sup>2+</sup> и AlO<sub>2</sub><sup>-</sup>. Описан метод разделения Cu, Al и Mg. Для отделения Cr от Fe переводят Cr в анион [Cr(SCN)<sub>6</sub>]<sup>3-</sup>, Fe остается в форме катиона. Можно также Fe перевести в пирофосфатный анионный комплекс, причем Cr остается в форме катионов. Аналогичным путем можно отделить Fe от Mn. Для отделения Cr от Mn переводят Cr в роданидный комплекс; Mn остается в форме катионов. Можно также отделить Cr от Ni и разделить тройные и четверные смеси перечисленных металлов. В. С.

**75232. Люминол в качестве реактива для обнаружения пятен при хроматографии на бумаге.** Моучка, Паржизек (Luminol jako detekční činidlo při papírové chromatografii. Moučka V., Pařízek R.), Chem. listy, 1956, 50, № 2, 312—314 (чеш.); Сб. чехосл. хим. работ, 1956, 21, № 5, 1356—1359 (рез. нем.)

При хроматографировании пероксидазы на бумаге (Jermyn M. A., Nature, 1952, 169, 488) для опрыскивания употребляли смесь р-ров 0,5 г люминола в 50 мл 0,5%-ного р-ра NaOH + 15 мл 3%-ной H<sub>2</sub>O<sub>2</sub>, разбавленную до 100 мл, и обнаруживали люминесцирующие зоны. Слабо люминесцирующий р-р реактива применим для обнаружения некоторых катионов после хроматографич. разделения. Fe<sup>3+</sup> и Bi<sup>3+</sup> значительно повышают люминесценцию реактива; Hg<sup>2+</sup> ее полностью подавляет. Некоторые циклофалгидразиды были обнаружены путем опрыскивания смесью 0,14 г гемеина в 100 мл 0,1%-ного р-ра NaOH и после сушки 3%-ной H<sub>2</sub>O<sub>2</sub>. Хемилюминесценцию наблюдали при конц-ии в-ва 8 γ/см<sup>2</sup>. Václav Holeyšovský

**75233. Ультрамикрoалкалиметрия с применением хроматографии на бумаге.** Преис, Эрленмейер (Papierchromatographische Ultramicro-Alkalimetrie. Prijs B., Erlenmeyer H.), Experientia, 1956, 12, № 2, 77—78 (нем.; рез. англ.)

Метод определения ~ 1,5 γ аминокислот (Wieland Th., Fischer E., Naturwissenschaften, 1948, 35, 29) использован для идентификации и определения неорганич. ионов. Для определения ~ 2 γ OH<sup>-</sup> анализируемый р-р наносит на линию старта и хроматограмму проявляют 1—2,5 часа 0,1—0,01%-ным (в зависимости от содержания основания в интервале от 5 до 20—30 γ) р-ром HCl в 96%-ном C<sub>2</sub>H<sub>5</sub>OH с добавкой 1% C<sub>6</sub>H<sub>6</sub> (1,3—0,13 мл 2н. HCl на 100 мл). Проявленную хроматограмму опрыскивают р-ром конго красного или изучают в УФ-свете. Площадь пробелов в фронте к-ты на линии старта измеряют планиметром. Параллельно ведут опыт со стандартным р-ром основания. Погрешность определения NaOH, Na<sub>2</sub>CO<sub>3</sub>, NaHCO<sub>3</sub> ± 5%. Вместо HCl можно применять другие неорганич. к-ты. Т. Л.

## 75234. Электролиз при контролируемом потенциале.

I. Милликулометр и его применение при кулометрическом определении меди, свинца и кадмия. Масун, Саэ (定電位電解法の研究. 第1報. 計數微量電量計及びその銅, 鉛, カドミウムの電量分析への應用. 梶井 雅一郎, 佐用 博昭), 藥學雜誌, Якугаку дзасси, J. Pharmas. Soc. Japan, 1955, 75, № 12, 1515—1519 (япон.; рез. англ.)

Изготовлен опытный милликулометр с блокирующим ВЧ-генератором. При изменении напряжения за счет тока, проходящего через сопротивление в контуре сети, автоматически изменяется сопротивление в контуре с лампой 6SJ7-GT; частота пропорциональна силе тока. Воспроизводимость результатов  $\sim 0,2\%$ . При определении Cu погрешность  $1\%$ , при анализе смеси Pb и Cd погрешность несколько больше. Т. Л.

75235. О кондуктометрическом методе определения свободных кислот в присутствии солей металлов, склонных к гидролизу. Сообщение I. Об определении свободной серной кислоты в присутствии сульфатов титана (4+), хрома (3+) и железа (3+). Хан, Буrow (Über eine konduktometrische Methode zur Bestimmung freier Säuren in Gegenwart von zur Hydrolyse neigenden Metallsalzen. I. Mitteilung. Über die Bestimmung von freier Schwefelsäure in Anwesenheit von Titan (IV)-, Chrom (III)- und Eisen (III)-sulfat. Hahn Harry, Burow Fritz), Z. analyt. Chem., 1956, 151, № 2, 91—98 (нем.)

График кондуктометрич. титрования (КТ) смесей свободных к-т с гидролизующими солями имеет по меньшей мере 2 перелома. Первый отвечает началу гидролиза соли, сопровождающегося освобождением дополнительных  $H^+$ -ионов. По достижении полного осаждения гидроокиси металла, входившего в состав соли, график КТ проходит через минимум, после которого электропроводность увеличивается при дальнейшем добавлении щелочи. Эквивалентную точку для оттитрования свободной к-ты авторы находят по положению абсциссы точки пересечения продолжения прямой, предшествующей первому перелому графика КТ, с прямой, проведенной из точки минимума электропроводности параллельно оси объемов. Определение свободной  $H_2SO_4$  в смесях с сульфатами Ti (4+),  $Cr^{3+}$  или  $Fe^{3+}$  методом КТ в н. р-ом NaOH выполнено с относительной погрешностью не выше  $\pm 1\%$ . Точность метода не зависит от кол-ва гидролизующей соли в анализируемом р-ре. Однако для точного определения эквивалентной точки желательно поддерживать оптимальное соотношение конц-ий к-ты и соли. В случае необходимости такое соотношение устанавливают на нужном уровне введением добавок определенного кол-ва той же к-ты. Метод ориентирован на определение свободной  $H_2SO_4$  в Ti- и Fe-содержащих сернокислых продуктах разложения ильменита. Благодаря легкости автоматизации, метод можно использовать для определения свободных к-т в радиоактивных р-рах. Он превосходит по точности ранее описанный кондуктометрич. метод (Perkowitz L. P. и др., *Anal. Chem.*, 1952, 24, 1956) и не требует введения комплексобразователей. Н. П.

75236. Исследование полярографического анализа (Часть 20). Об I. F.-дифференциальном полярографе. III. Фулзинага (ポーログラフによる分析化学的研究. 第20報. I. 示差ポーログラフ法. III. 藤永太一郎, 電気化学, Дэнки кагаку, J. Electrochem. Soc. Japan, 1955, 23, № 10, 537—540 (япон.; рез. англ.))

Описана схема дифференциального I. F.-полярографа, в котором используется четырехполюсный двухколпачатый переключатель, управляемый эксцентриком. Переменный ток сглаживают емкостно-индукционным фильтром; дифференциальный ток измеряют с помощью обычного полярографа. Математически показано, что идеальная дифференциальная кривая обратимой поляро-

граммы должна иметь максимум потенциала, равный потенциалу полуволны. Максимум силы тока пропорционален конц-ии восстанавливающегося в-ва. Максимум тока увеличивается с возрастанием разности потенциалов ( $\Delta E$ ), достигая предельного значения, примерно в 7 раз превышающего диффузионный ток обычной обратимой полярографич. волны, но равного диффузионному току для необратимых систем. Дифференциальный полярограф с успехом использован для определения более электроотрицательных ионов в присутствии значительно больших кол-в ионов электроположительных. Выполнены определения Cd в присутствии Cu и Zn в присутствии Cd без удаления мешающих ионов. Н. П.

75237. Количественная осциллографическая полярография с помощью двухлучевого осциллографа. Молнар, Молнар (Kvantitatívna oscillografická polarografia pomocou dvojkanálového oscilografu. Molnar L., Molnárová K.), Chem. zvesti, 1956, 10, № 4, 227—234 (словац.; рез. русс., нем.)

Метод осциллографич. полярографии на двухлучевом осциллографе применен для колич. определения в-в с использованием горизонтальной оси титрованием с парой электродов для быстрого и точного измерения потенциала деполаризации, для идентификации при близких осциллограммах, для точного определения следов примесей. Погрешности при колич. анализе 3—5%. Описанный метод требует мало времени; результаты хорошо воспроизводимы. М. П.

75238. Вольтамметрия на твердых электродах. Анодная полярография фенилендиаминов. Паркер, Адамс (Voltammetry at solid electrodes. Anodic polarography of the phenylenediamines. Parker Ronald E., Adams Ralph N.), *Anal. Chem.*, 1956, 28, № 5, 828—832 (англ.)

Метод полярографии на вращающемся Pt-электроде (600 об/мин) использован для измерения формальных потенциалов таких лабильных окислительно-восстановительных систем, как диамин — диимин. В качестве катода служит амальгамированный Pb, погруженный в 1 M  $H_2SO_4$ . Насыщ. каломельный электрод использован как электрод сравнения. Анодная волна окисления л-фенилендиамина (I) в 1 M HCl расщепляется на 2 волны примерно одинаковой высоты, что авторы связывают с первоначальным одноэлектронным окислением I до семхинона. о-Фенилендиамина (II) в 1 M HCl ведет себя аналогично I, хотя расщепление анодной волны на 2 в случае II выражено наименее четко. Расщепление анодной волны установлено и для м-изомера в 1 M HCl. При полярографировании р-ров I и II в ацетатно-боратно-фосфатной буферной смеси при pH 1,7—10 получается одна волна с особенно четко выраженным предельным током для I. В этом случае сразу протекает двухэлектронный процесс окисления диамина до диимина. Для забуференных р-ров I и II ур-ние Ильковича выполняется, что дает возможность определять оба диамина при конц-ии  $10^{-4}$ — $10^{-5}$  M с воспроизводимостью 2—3%. За исключением кислых р-ров, в которых наблюдается расщепление анодной волны, величина диффузионного тока I и II в пределах  $\pm 5\%$  не зависит от pH. Колич. определение I и II в их смесях возможно только при отношении компонентов 1:1 и pH 7,7. При других соотношениях возможны только полуколич. определения. По графику зависимости потенциала полуволны от pH вычислены показатели констант диссоциации окисленных и восстановленных форм I и II. Н. П.

75239. Аналитическая химия. Фотометрическое титрование. Исибаси, Сигэмацу (分析化学. 光度測定. 石橋雅義, 重松恒信), 化学, Karaky, Chemistry (Kyoto), 1955, 10, № 6, 4—6 (япон.)

Обзор за 1954 год. Библ. 23 назв.

75240. Первое аналитическое применение «эффективной ширины» линии. Интанти (Prime applicazioni

analitiche della «larghezza effettiva» di una linea. Intonti Roberto), Metallurgia ital., 1956, 48, Suppl. № 1, 31—34 (итал.; рез. англ., нем., франц.); Rend. Ist. super. sanità, 1956, 19, № 6, 449—460 (итал.; рез. англ., нем., франц.)

Описаны результаты предварительных опытов, ставивших своей целью изучение возможности использования «эффективной ширины» спектральных линий для определения интенсивности линий и конц-ии элементов. Опыты вели при постоянном точечном источнике света (Hg-лампа), перемещаемом на определенное расстояние от щели спектрографа Цейсса, Q-24; интенсивности измеряли при помощи электрофотометра. В одинаковых опытных условиях снят ряд спектров на пластинки с двумя типами эмульсий. Зависимость между «эффективной шириной» спектральной линии и  $\lg$  интенсивности выражается прямой при степени почернения  $\geq 1$ . Для аналитич. целей использованы электроды из Al-сплава с различными конц-иями Si и Mg; установлено, что зависимость между «эффективной шириной» спектральной линии и конц-ией элемента имеет линейный характер. Т. Л.

75241. Расчеты в спектрографическом анализе, использующем микрообъемы проб. Херунц (Calculations in spectrographic micro-volume analysis. Hurwitz I. K.), Appl. Spectroscopy, 1954, 8, № 1, 28—34 (англ.)

Описан динамич. спектральный метод; указаны возможности применения предложенной ранее теории (J. Opt. Soc. America, 1952, 42, 484) при анализе сегрегатов. Метод применим для изучения явлений диффузии в металлах и сплавах. Т. Л.

75242. О целесообразности учета фона непрерывного спектра при определении малых содержаний примесей. Лившиц Д. М., Завод. лаборатория, 1956, 22 № 4, 451—456

При определении малых конц-ий примесей учет фона, вопреки распространенному мнению, не повышает точности анализа и является ненужной операцией. Погрешность определения конц-ии  $C$  по обычному ур-нию  $\lg R = \lg I_a / I_{\phi} = b \lg C + A$  равна:  $d(\lg C) = d(\lg R) / b = \Delta / b$ . Без учета фона и при использовании его в качестве «линии» сравнения ур-ние графика в величинах почернений  $\lg(R+1) = \lg(ac^b + 1)$  и график в координатах  $\lg(R+1)$  и  $\lg C$  будет криволинейным. При замене кривой касательной получают:  $\lg(R+1) = b_1 \lg C + A_1$ . Погрешность определения  $\Delta S$  линии  $\lg C$  равна  $\Delta_1 = d[\lg(R+1)]$ , погрешность определения  $\lg C$  равна  $d(\lg C) = \Delta_1(R+1) / bR$ . Но  $\Delta = \Delta_1(R+1) / R$  и погрешность определения конц-ии с учетом фона равна  $\Delta / b$ . Поэтому повышение точности анализа достигается не учетом фона, а увеличением числа эталонов для уверенного построения графиков. Г. К.

75243. Отливка образцов чугуна и их подготовка для квантометрического анализа. Паванелли (La colata e la preparazione del provino nell'analisi quantitativa della ghisa. Pavanelli Venceslao), Metallurgia ital., 1956, 48, suppl. № 1, 40—42, discus. 42 (итал.; рез. англ., нем., франц.)

Изучены условия анализа проб закаленного чугуна при помощи квантометра и установлено, что вне зависимости от периода охлаждения структура проб закаленного чугуна является одинаковой. Для определения Si в сером и ковком чугуне рекомендуется пользоваться индивидуальными калибровочными кривыми. Описаны изложницы для получения опытных образцов. Т. Л.

75244. Применение спектрального анализа к исследованию паровозной фазы, возникающей при электроискровой обработке металлов. Палатник Л. С., Люличев А. Н., Ж. техн. физики, 1956, 26, № 4, 839—849

Исследование выполнено на искровой установке для

поверхностного упрочнения при емк. 280  $\mu$  ф, напряжении 220 в и силе тока 0,5—3 а с применением стило-скопа, среднего кварцевого и стеклянного спектрографов. В основу взято приближенное равенство:  $c_a / c_k \approx I_a / I_k$ , где  $c$  и  $I$  — соответственно конц-ии и интенсивности у анода и катода. Термины «анод» и «катод» характеризуют полярность первого колебания разряда. Проверился критерий взаимодействия и переноса в-ва электродов, предложенный Л. С. Палатником (Изв. АН СССР, сер. физ., 1951, 15, 80, 469). Исследованы линии следующих элементов, взятых в качестве электродов при 377 взаимных комбинациях: Be, Mg, Al, Si, Ti, Cr, Fe, Co, Ni, Cu, Zn, Mo, Ag, Cd, Sn, Sb, W, Pb, Bi. Изучено влияние режима и времени обработки, полярности, пористости и формы электродов и эффекта избирательного поглощения на состав паровозной фазы. Исследование подтверждает определяющую роль термич. эффекта в процессах электроискровой обработки. В соответствии с критерием взаимодействия состав пара зависит от физ.-хим. свойств электродов. Режим обработки мало влияет на состав пара. В паре чаще всего преобладает элемент, служащий анодом. Обратное явление наблюдается для легкоокисляющихся элементов. Увеличение пористости электродов и уменьшение их диаметра приводит к более интенсивному испарению материала. Г. К.

75245. Взаимосвязь между интенсивностью флуоресценции за счет рентгеновых лучей и химическим составом. Шерман (The correlation between fluorescent X-ray intensity and chemical composition. Sherman J.), ASTM Spec. Techn. Publ., 1954, № 157, 27—33 (англ.)

Разработан и проверен опытным путем метод градуировки счетчика Гейгера; установлена взаимосвязь между интенсивностью флуоресценции за счет рентгеновых лучей и хим. составом. В связи с полихроматизмом падающего луча аналитич. кривые представляют собой гиперболы, параметры которых зависят от числа компонентов в смеси. Предложены приближенные линейные ур-ния для вычисления конц-ий элементов в смеси для практич. целей. Метод применен для анализа трехкомпонентных смесей (окиси Fe, Cr и Ni). Т. Л.

75246. Исследование металлических материалов методом эмиссионной рентгенографии. Брисси, Лебхавский, Пфейффер (Examination of metallic materials by X-ray emission spectrography. Brissey R. M., Liebhaufsky H. A., Pfeiffer H. G.), ASTM Spec. Technol. Publ., 1954, № 157, 43—56 (англ.)

Описано применение эмиссионной рентгенографии для определения Mo, Ni, Cr, Co и Fe в сложных сплавах и сравнены результаты, полученные методами эмиссионной рентгенографии и эмиссионной спектроскопии. Среднеквадратичная погрешность метода эмиссионной рентгенографии  $< 1\%$ . Т. Л.

75247. Масс-спектропия в промышленности. Дакворт (Mass spectroscopy in industry. Duckworth H. E.), Canad. Chem. Process, 1955, 39, № 11, 119—120, 122—126 (англ.)

Описано применение масс-спектропич. метода анализа в пром-сти, в частности для анализа газовых смесей (определение  $O_2$  в азоте, He в воздухе), для определения примесей в полупроводниках и кислорода в органич. в-вах. Обсуждены некоторые типы масс-спектрометров. Т. Л.

75248. Масс-спектрометр для анализа газовых смесей [Схема масс-спектрометра]. Меньшиков М. И., Рыбинский Р. Е., Завод. лаборатория, 1954, 20, № 7, 826—829

Сконструирован масс-спектрометр для анализа газовых смесей, отличающийся тем, что в плоскости щели коллектора фокусируется не изображение щели в элект-

трое источника, а некоторая резко ограниченная область ионизации. Для предотвращения попадания вторичных и отразившихся электронов в области ионизации и устранения погрешности в измерении ионизирующего электронного потока, коллектор снабжен отклоняющей пластинкой, имеющей отрицательный заряд относительно коллектора. Электрич. поле между коллектором и отклоняющей пластинкой перекрещивается с магнитным полем, вследствие чего электроны, вошедшие в коллектор через небольшое отверстие, отклоняются в направлении, перпендикулярном электрич. полю, и попадают на дно коллектора сбоку от отверстия. Вторичные и отраженные электроны еще больше отклоняются в том же направлении и не могут выйти из коллектора. Разрешающая способность масс-спектрометра  $>30$ . Т. Л.

**75249. Метод молекулярной спектроскопии и его применение при анализе нефтепродуктов. Ландсберг, Сушчинский** (Die Methode der Molekularspektroskopie und deren Anwendung für die Analyse der Erdölzerzeugnisse. Landsberg G., Suschtschinsky M.), Exptl. Techn. Phys., 1955, 3, Sonderheft, 106—114 (нем.)

Доклад, сделанный на конференции Физ. общества в ГДР в октябре 1955 г. в Веймаре, посвящен обсуждению метода молекулярной спектроскопии и обсуждению результатов, полученных при использовании указанного метода для определения парафинов, циклопентана и циклогексана и их производных и ароматич. соединений в нефтепродуктах. Т. Л.

**75250. Определение следов элементов при помощи активации нейтронами. Моррисон** (Neutron activation analysis for trace elements. Morrison George H.), Appl. Spectroscopy, 1956, 10, № 2, 71—75 (англ.)

Изложение основ и примеры применения радиоактивного анализа. Указаны возможности метода. А. Б.

**75251. Некоторые аналитические применения измерений способности к рассеянию отражению. Фишер, Вратный** (Some analytical applications of diffuse reflectance measurements. Fischer Robert B., Vrátný Frederick), Analyt. chim. acta, 1955, 13, № 6, 588—593 (англ.; рез. нем., франц.)

При употреблении спектрофотометра Бекмана со спец. приставкой для измерения способности к рассеянию отражению можно изучить спектральные свойства непрозрачных материалов. Рассеянные лучи улавливаются кольцеобразным эллипсоидальным зеркалом и отражаются на фотоэлемент. Данный способ применен для изучения окрашенных материалов, адсорбированных на полосках фильтровальной бумаги, и порошкообразных твердых в-в. При изучении окрашенных материалов, адсорбированных на бумаге, для сравнения применяют диск бумаги. Для некоторых в-в (напр., для малахитового зеленого) спектры светопропускания и отражения почти совпадают, для других (аммиакат Cu) — отличаются. Сорт бумаги оказывает существенное влияние на отражательную способность; рекомендуется пользоваться высокопористой бумагой ватман № 2. Продолжительность выдержки бумаги в р-ре окрашенного материала не имеет значения. Изучена отражательная способность аммиаката Cu (рабочий интервал конц-ий 12—100 г/л Cu), роданида Fe (интервал конц-ий 0,003—0,2 г/л), малахитового зеленого (интервал конц-ий 0,008—0,4 г/л при 620 мμ и 0,06—1 г/л при 420 мμ) и конго красного (интервал конц-ий 0,006—0,25 г/л). Кривые зависимости 100-% R (где R — отражательная способность) от логарифма конц-ий (в г/л) в основном являются линейными. При изучении отражательной способности порошков, последние смешивают с  $MgCO_3$  и спрессовывают; для сравнения употребляют таблетку  $MgCO_3$ . Зависимость между 100-% R (ординат) и логарифмом

конц-ии в-ва в смеси  $MgCO_3$  (в %) (абсцисса) для конго красного, нафтолового желтого S и  $Fe_2O_3$  в интервале абсцисс 0,5—2 выражается прямыми. Т. Л.

**75252. Определение водорода в жидкостях и суспензиях методом измерения ядерного магнитного поглощения. Шоу, Элскен** (Determination of hydrogen in liquids and suspensions by nuclear magnetic absorption. Shaw T. M., Elskén R. H.), Analyt. Chem., 1955, 27, № 12, 1983—1985 (англ.)

Изучена применимость метода модуляции поглощения магнитного резонанса для определения водорода в различных жидкостях и водн. суспензиях крахмала, содержащих  $1,1\text{--}6,7 \cdot 10^{22}$  атомов H на 1 мл водн. фазы. Период термич. релаксации  $T_1$  менялся в интервале 0,3—3,7 сек. Влияние  $T_1$  на результаты измерений за счет ВЧ-насыщения устраняли экстраполяции к нулевой частоте магнитного поля при интенсивности радиочастот в интервале  $10^{-4}\text{--}10^{-3}$  эс. Погрешность измерений составляла ~ 2%. Метод магнитного поглощения применен для определения влагосодержания биологич. тканей. Т. Л.

**75253. Прием для получения раствора дифениламинсульфоната. Эренрейх** (Expedient for preparation of diphenylamine sulfonate solution. Ehrenreich W. J.), Chemist Analyst, 1956, 45, № 1, 24 (англ.)

Из-за своей гидрофобности дифениламинсульфонат бария (I) в сухом состоянии растворяется с трудом. Для приготовления водн. р-ра к порошкообразному I добавляют несколько капель такого увлажняющего агента, как аэрозоль (соль сульфогидратной к-ты). В результате I сразу растворяется в воде с образованием довольно устойчивого р-ра 0,3%-ный р-р I применяют в анализе порландского цемента как индикатор конца титрования  $Fe^{2+}$  бихроматом. Н. П.

**75254. Тонкая очистка газов от кислорода. Конторич Л. М., Рапопорт Ф. М.**, Тр. Гос. н.-и. и проект. ин-та азот. пром-сти, 1952 (1953), № 1, 202—204

Для очистки газов от  $O_2$  применена Cu, осажденная на силикагеле. 250 г  $CuCl_2 \cdot 2H_2O$  растворяют в 2 л воды, добавляют 250 г силикагеля (размер зерен 1,5—2 мм), нагревают до 60°, смешивают с р-ром 200 г NaOH в 0,5 л воды (60°) и выдерживают 10 мин. при 60°. Смесь выливают в 10 л воды, осадок промывают, отсасывают, сушат и формуют шарики диам. 3—4 мм, которые нагревают при 180° несколько часов. Препарат загружают в колонку и пропускают  $H_2$  при 200° до восстановления Cu (2+) в металл. Cu. Колонку сначала продувают очищаемым газом, затем нагревают до 200° и продолжают пропускать газ. При употреблении колонки диам. 35 мм, длиной 600 мм, описанный препарат пригоден для очистки ~ 900 л газа с конц-ией  $O_2$  ~ 1%. Препарат применен для очистки азота и водорода от  $O_2$ . Содержание  $O_2$  в выходящем газе < 0,001%. Т. Л.

См. также: Полярография 74538, 74545, 74546. Хромотография 74578, 74580; 21704Бх. Др. вопр. 21716Бх, 21723Бх, 21726Бх, 21727Бх, 21729Бх, 21730Бх, 21738Бх, 21762Бх, 21764Бх, 21769Бх, 21771Бх, 21773Бх. Новый журнал 74068

## АНАЛИЗ НЕОРГАНИЧЕСКИХ ВЕЩЕСТВ

**75255. Об одновременном открытии натрия и калия. Мерлан, Ромен** (Sur la recherche simultanée du sodium et du potassium. Merland R., Romain P.), Bull. Soc. pharmacie Bordeaux, 1955, 93, № 1, 25—30 (франц.)

Для открытия Na и K в отсутствие Li к 2 мл анализируемого р-ра добавляют  $NH_4OH$  до щел. р-ции по лакмусу и 1—2 мл 5%-ного р-ра  $BaCl_2$ . Кипятят, филь-

труют, к фильтрату прибавляют щепотку  $(\text{NH}_4)_2\text{CO}_3$ , вновь кипятят, фильтруют (фильтрат А); к 2 мл фильтрата А прибавляют  $\text{NaBrO}$  до слабо-желтой окраски,  $\text{CH}_3\text{COOH}$  до отчетливо кислой р-ции и 2 капли  $\text{H}_2\text{O}_2$  для обезвреживания р-ра. В присутствии К добавление равного объема р-ра  $\text{Na}_2\text{Co}(\text{NO}_2)_6$  вызывает образование желтого осадка. В отсутствие К к фильтрату А прибавляют  $\text{CH}_3\text{COOH}$  до кислой р-ции; к 10 каплям р-ра цинкуранилацетата добавляют 3 капли кислого фильтрата; в присутствии Na в свете лампы Вуда заметен микрокристаллич. осадок. В присутствии К к фильтрату А добавляют  $\text{HClO}_4$  до кислой р-ции, фильтруют, добавляют к фильтрату  $\text{NH}_4\text{OH}$  и далее ведут анализ, как описано выше. В присутствии Li его предварительно отделяют осаждением в форме фосфата. Для удаления  $\text{PO}_4^{3-}$  и  $\text{AsO}_4^{3-}$  их осаждают в форме  $\text{BaHPO}_4$  и  $\text{BaHAsO}_4$ . Т. Л.

**75256. Определение калия и натрия в питьевой воде при помощи пламенного фотометра.** Молт, Тио Лионг Хьен (De bepaling van kalium en natrium in drinkwater met behulp van de vlamfotometer. Molt E. L., Tio Liong Hien), Chem. weekbl., 1956, 52, № 18, 313—316 (голл.).

Изучена применимость пламенного фотометра для определения К и Na в питьевой воде и сделан вывод, что непосредственное измерение эмиссии К и Na ведет к чрезмерно высоким погрешностям. Рекомендуется для определения К добавлять на 1 л анализируемой воды 200 мг Na+ и 300 мг Ca+, а для определения Na добавлять 100 мг K+. Описанный метод достаточно точен. Т. Л.

**75257. Об определении обмениваемых катионов в почвах, в частности в почвах Сардинии. Часть I. Сравнение современных методов определения натрия и калия. Джованнини** (Sulla determinazione dei cationi scambiabili nei terreni con particolare riguardo ai terreni della Sardegna. Nota I. Studi comparativi sui metodi più correnti moderni di dosaggio del sodio e potassio Giovanni Erminio), Studi sarsaresi, 1953, Sez. 3, 1, 113—122 (итал.).

При использовании методов, основанных на экстракции почвы, для определения Na установлено, что результаты частично зависят от типа и концентрации применяемого р-ра (1 н.  $\text{CH}_3\text{COOH}$ , 0,5 н.  $\text{CH}_3\text{COOH}$ , 1 н.  $\text{CH}_3\text{COONH}_4$ ); в случае известковых почв, результаты, полученные при экстракции  $\text{CH}_3\text{COOH}$ , как правило, выше полученных при экстракции р-ром  $\text{CH}_3\text{COONH}_4$ . При проверке методов экстракции К установлена удовлетворительная сходимость результатов при употреблении реактива Краусса (Krauss, Die Gartenbau wissenschaft, 1934, 8) и р-ра  $\text{CH}_3\text{COONH}_4$ . Для экстракции рекомендуется пользоваться 1 н.  $\text{CH}_3\text{COONH}_4$ . Как для определения Na, так и для определения К в экстрактах рекомендуется пользоваться пламеннофотометрич. методом. Подтверждена взаимосвязь между содержанием щел. металлов в почве и pH вытяжки. Т. Л.

**75258. Спектрофотометрическое определение меди в железе и стали.**— (The absorptometric determination of copper in iron and steel.—), J. Iron and Steel Inst., 1956, 182, № 3, 301—303 (англ.).

Изучены методы определения Cu при помощи диэтилдитиокарбамата и дихинолила (I). Метод с I рекомендован в качестве стандартного для определения Cu в железе и стали. Навеску 0,5 г растворяют в 10 мл смеси  $\text{H}_3\text{PO}_4$ - $\text{H}_2\text{SO}_4$  (15/15%) и обрабатывают 2 мл  $\text{HNO}_3$ . Выпаривают, охлаждают, разбавляют ~ 30 мл воды, нагревают до растворения растворимых солей, охлаждают и разбавляют до 50 мл. К 10 мл полученного р-ра добавляют 1 г  $\text{NH}_4\text{OH}$ -HCl и нагревают 5 мин. на паровой бане; охлаждают до  $< 20^\circ$ , добавляют 10 мл р-ра цитрата аммония (500 г лимонной к-ты растворяют

в ~ 200 мл воды, добавляют 500 мл  $\text{NH}_4\text{OH}$ , уд. в. 0,880 и разбавляют до 1 л) и встряхивают с 10 мл р-ра I (0,05 г в 100 мл  $\text{C}_5\text{H}_{11}\text{OH}$ ) 1 мин. Органич. слой фильтруют и фотометрируют с фильтром Илфорд H503 в фотометре Хильгера, в 1 см кювете, употребляя в качестве р-ра сравнения р-р контрольного опыта с чистым Fe. При 0,1% Cu воспроизводимость результатов  $\pm 0,01\%$ , при 1% Cu  $\pm 0,03\%$ . Т. Л.

**75259. Содержание меди в галеновых препаратах. I. Дитиокарбаматный метод и его применение для определения меди в галеновых препаратах.** Скоу (Kobberindholdet i galenica. I. Dithiokarbamatmetodens grundlag og dens anvendelighed til bestemmelse af kobber i galenica. Schou Svend Aage), Dansk tidsskr. farmaci, 1955, 29, № 9, 202—213 (дат.; реза. англ.).

Обсуждены основы дитиокарбаматного метода определения небольших кол-в Cu и применимость этого метода для анализа лекарственных сырья и галеновых препаратов. При 436 мд, при  $\leq 50$  γ Cu в 50 мл р-ра закон Бера выполняется. Показано, что комплексное соединение Cu, в отсутствие света, в р-ре  $\text{CCl}_4$  является весьма устойчивым, в связи с чем рекомендуется пользоваться рядом эталоном (р-ры комплекса в  $\text{CCl}_4$ ) для ориентировочных опытов. В отсутствие света, в герметически закрытых стеклянных контейнерах эталоны пригодны в течение 1 месяца. По прошествии 6 недель наблюдается незначительное изменение максимума поглощения, которое практич. значения не имеет. Т. Л.

**75260. Салициламидоксим как аналитический реактив. Часть II. Весовое определение и отделение меди и никеля от других металлов.** Бандьопадхай, Рай (Salicylamidoxime as an analytical reagent. Part II. Gravimetric estimation of copper and nickel and their separation from other metals. Bandyopadhyay Debabrata, Ray Priyadarshan), J. Indian Chem. Soc., 1956, 33, № 1, 65—72 (англ.).

Салициламидоксим (I) применяют для весового определения Cu (6—100 мд) при pH 4—4,5 и Ni (6—77 мд) при pH 7,0—7,5 в форме  $\text{M}(\text{C}_7\text{H}_7\text{O}_2\text{N}_2)$  (M = Cu или Ni). Определенный объем р-ра Cu или Ni нейтрализуют  $\text{NH}_4\text{OH}$  и слегка подкисляют HCl, разбавляют до ~ 100 мл, нагревают на водяной бане и осаждают избытком I (3,5—4 мл 1%-ного р-ра в горячей воде или разбавл. HCl на каждые 5 мг Cu). Смесь нагревают на водяной бане 5—10 мин., фильтруют, осадок сушат  $\geq 1$  часа при  $110^\circ$  и взвешивают. Описанным методом Cu отделяют от Cd и Zn, в отсутствие Cl<sup>-</sup> и  $\text{SO}_4^{2-}$  от Co, Mn и Pb, от Hg, Sb и Bi — без добавления до ~ 200 мл и увеличением кол-ва I, от Fe — добавлением к анализируемому р-ру винной к-ты и избытка I (8—9 мл на 5 мг Fe). При совместном присутствии Cu и Ni р-р нейтрализуют разб.  $\text{NH}_4\text{OH}$ , добавляют 6 мл 6 н.  $\text{CH}_3\text{COOH}$  и 10 мл 10%-ного р-ра  $\text{CH}_3\text{COONa}$ . В разб. до ~ 100 мл горячем р-ре определяют Cu, а в фильтрате Ni, как описано выше. Для отделения Ni от Zn р-р обрабатывают 4 г  $\text{NH}_4\text{Cl}$ , добавляют до 200 мл, добавляют к горячему р-ру I и осаждают Ni разб. р-ром  $\text{NH}_4\text{OH}$  (по каплям) до pH 7—7,5. Часть I см. РЖХим, 1956, 65185. Л. А.

**75261. Открытие катионов серебра, свинца и ртути хроматографическим методом.** Шалварев К. (Открытие на серебряни, оловни и живачни катиони по утаечния хроматографски метод. Шалварев Кр.), Техника (Бълг.), 1956, 5, № 2, 37—38 (болг.).

Описан метод открытия  $\text{Ag}^+$ ,  $\text{Pb}^{2+}$  и  $\text{Hg}^{2+}$  хроматографией на колонке силикагеля (длина 10 см, внутренний диам. 4 мм) с размером частиц 0,09 мм. Через адсорбент пропускают 3 капли смеси  $\text{Ag}^+$ ,  $\text{Pb}^{2+}$  и  $\text{Hg}^{2+}$  с конц-ией 0,01 н. (pH 1), а затем 3 капли 0,01 н. р-ра KJ. Образуются светло-желтая зона  $\text{AgJ}$ , желтая зона

PbJ<sub>2</sub> и оранжево-красная зона HgJ<sub>2</sub>. При анализе трехкомпонентной смеси открываемый минимум (в 2-экв/л) для Ag соответствует 0,0092 AgJ, для Pb 0,0037 PbJ<sub>2</sub>, для Hg 0,001 HgJ<sub>2</sub>. При анализе двухкомпонентной смеси открываемый минимум 0,013 PbJ<sub>2</sub> и 0,006 Hg<sub>2</sub> или 0,0055 AgJ и 0,014 HgJ<sub>2</sub> или 0,013 AgJ или 0,0058 Pb<sub>2</sub>. При анализе однокомпон. р-ра открываемый минимум (в γ) соответствует (в 3 каплях р-ра) 24 Ag<sup>+</sup>, 15 Pb<sup>2+</sup> или 10 Hg<sup>2+</sup>. Продолжительность опыта 10—12 мин.

Т. Л.

**75262. Спектрофотометрическое определение магния при помощи 1-азо-2-окси-3-(2,4-диметилкарбоксанилидо)-нафталин-1'-(2-оксисбензол-5-сульфоната) натрия.** Манн, Йо (Spectrophotometric determination of magnesium with sodium 1-azo-2-hydroxy-3-(2,4-dimethylcarboxyanilido)-naphthalene-1'-(2-hydroxybenzenesulfonate). Mann Charles K., Yoe John H.), Analyst. Chem., 1956, 28, № 2, 202—205 (англ.)

К 5 мл реактива (0,15 мг/мл 1-азо-2-окси-3-(2,4-диметилкарбоксанилидо)-нафталин-1'-(2-оксисбензол-5-сульфоната) натрия в 95%-ном C<sub>2</sub>H<sub>5</sub>OH) добавляют пробу, содержащую 0,5—10 γ Mg в ≤ 5 мл р-ра, подкисленного по фенолфталеину, затем 0,5 мл 0,08 М Na<sub>2</sub>B<sub>4</sub>O<sub>7</sub> и разбавляют до 25 мл 95%-ным C<sub>2</sub>H<sub>5</sub>OH. Через ≥ 30 мин. фотометрируют при 510 мμ, применяя для сравнения дистилл. воду. Калибровочную кривую строят для каждой свежеприготовленной порции реактива по р-рам с известным содержанием Mg. Большинство катионов мешает; анионы мешают, если они образуют соли, не растворимые в C<sub>2</sub>H<sub>5</sub>OH. Предельная конц-ия щел. металлов 0,01 н. Для отделения Al, Cd, Co, Cu<sup>2+</sup>, Fe<sup>3+</sup>, Mn<sup>2+</sup>, Ni и Zn их экстрагируют в форме 8-оксихинолинов (р-р 5 г 8-оксихинолина в 100 мл CHCl<sub>3</sub>) в нейтр. или слабокислой среде; Mg определяют в водн. фазе. Для отделения Ca пользуются ионитом дауэкс 50-X12 (200—400 меш), промытым разб. HCl (1:1) до бесцветных промывных вод. Описанный метод применим для определения 0,5—10 γ Mg; чувствительность соответствует 1 ч. Mg в 50·10<sup>6</sup> ч. р-ра; он может быть использован для определения Mg в «золе синтетической крови» и в доломитах.

М. П.

**75263. Объемное определение магния в алюминиевых сплавах с применением оксихинолина.** Фрейтаг (Maßanalytische Bestimmung von Magnesium in Aluminiumlegierungen mit Oxychinolin. Freitag Christa), Chem. Technik, 1956, 8, № 3, 165—167 (нем.)

В сплавах с высоким содержанием Mg (до 5%) этот элемент определяют оксидиметрич. титрованием оксихинолята (I), который осаждают без предварительного отделения Fe или Al. 2 г анализируемых стружек растворяют сначала на холоду, а потом при нагревании в 12 г NaOH + 100 мл воды и осаждают Mg добавлением 15 мл 10%-ного Na<sub>2</sub>CO<sub>3</sub> с последующим кипячением смеси и ее разбавлением до 150 мл. Осадок отфильтровывают, тщательно промывают горячей водой, растворяют на фильтре в HNO<sub>3</sub> 1:1, промывают фильтр горячей водой и разбавляют р-р до 250 мл. 25 мл полученного р-ра после добавления 4 г винной к-ты и 50—100 мл воды нейтрализуют 2 н. NaOH по фенолфталеину, добавляют избыток 15—20 мл щелочи, приливают 15 мл ~ 5%-ного спирт. р-ра 8-оксихинолина, кипятят, отфильтровывают и тщательно промывают I горячей аммиачной водой, растворяют на фильтре в HCl 1:1, промывают фильтр горячей водой и после приливания 10 мл воды медленно вводят 0,1 н. KBrO<sub>3</sub>-KBr до появления окраски свободного брома. К р-ру приливают 10 мл 10%-ного KJ и оттитровывают J<sub>2</sub> гипосульфитом по крахмалу. Этот метод неприменим для определения Mg в сплавах, легированных кремнием. В таких случаях необходимо удалить полуторные окислы аммиачным осаждением. С этой целью

к р-ру основного карбоната магния в разб. HNO<sub>3</sub> добавляют 5 г NH<sub>4</sub>Cl и аммиак, гидроокиси отфильтровывают, растворяют в HCl, переосаждают, аммиачные фильтры объединяют и разбавляют до 500 мл водой. В аликвотной пробе объемом 50 мл, разб. 150 мл воды, осаждают I. В случае анализа сплавов, содержащих до 1% Mg, I осаждают после электролитич. удаления Cu, аммиачного осаждения полуторных окислов и выделения из аммиачных фильтратов диметилглиоксимата Ni.

Н. П.

**75264. Определение магния в различных сортах чугуна и стали.** Рейхерт (Die Bestimmung von Magnesium in Eisensorten. Reichert R.), Z. analyt. Chem., 1956, 150, № 4, 250—253 (нем.)

Стружки (при ≥ 0,01% Mg 1 г ≥ 0,005% Mg 5 г, ≥ 0,001% Mg 10 г) растворяют в HCl с добавкой HNO<sub>3</sub>, горячий р-р подщелачивают NH<sub>4</sub>OH, добавляют 1—2 г NH<sub>4</sub>Cl и пропускают H<sub>2</sub>S. Осадок отсасывают, слегка промывают. К бесцветному, подогретому фильтрату добавляют 1 г аскорбиновой к-ты, 10 мл 10%-ного р-ра KCN и 2 мл триэтанолamina (1:1). При навеске 1 г конечный объем р-ра должен составлять ~ 200 мл. Добавляют еще 0,5 г аскорбиновой к-ты, нагревают, вводят индикатор эриохромчерный Т (1:100, с NaCl), добавлением NH<sub>4</sub>OH устанавливают pH р-ра на уровне ~ 10 и титруют при 60° 0,01 М р-ром комплексона III до перехода окраски в чисто синюю. 1 мл 0,01 М р-ра комплексона III эквивалентен 0,2432 мл Mg. Анализ продолжается ~ 45 мин. Погрешность определения от -1,5 до +1,7%.

Т. Л.

**75265. Определение в воде кальция и магния с помощью трилона Б.** Штукowska Я. А., Гигиена и санитария, 1956, № 3, 47—48

Результаты определения жесткости в образцах артезианских и колодезных вод Московской области комплексометрич. методом и обычным методом раздельного определения Ca<sup>2+</sup> и Mg<sup>2+</sup> хорошо совпадают; расхождение < 0,1—0,2°. При определении в природных водах Московской области Ca<sup>2+</sup> комплексометрич. и перманганатометрич. методами расхождение результатов ≤ 0,2—0,4 мг/л Ca<sup>2+</sup>. Mg<sup>2+</sup> определяли по разности результатов определения общей жесткости воды и комплексометрич. анализа и весовым методом; расхождение соответствует 0,1—1,3 мг/л Mg<sup>2+</sup>.

Т. Л.

**75266. К комплексометрическому определению кальция и магния в водах.** Червенка, Корбова (Přspěvek ke komplexometrickému stanovení vápníku a hořčíku ve vodách. Cervenka R., Korbová M.), Chem. listy, 1956, 50, № 2, 306—308 (чеш.)

Описан метод определения Ca и Mg в одном и том же образце. К 200 мл исследуемой воды прибавляют несколько капель 1 н. HCl (превращение бикарбонатов в хлориды) и добавкой 4 мл 1 н. NaOH, не содержащего карбонатов, доводят pH до ~ 12,4. Ca титруют р-ром комплексона III (1 мл эквивалентен 2 мг CaO или 1,44 мг MgO) с миним. кол-вом мурексиды. Затем титруемый р-р подкисляют 4 мл 1 н. HCl (растворение эвентуально выделившегося Mg(OH)<sub>2</sub> и разрушение большей части мурексиды), прибавляют 5 мл буферного р-ра (54 г NH<sub>4</sub>Cl + 350 мл 25%-ного NH<sub>3</sub> в 1 л воды), 2 мл р-ра эриохромчерного Т (I) и титруют Mg при помощи комплексона. При этих условиях остаток мурексиды не мешает переходу I. Р-р индикатора: 1 г красителя, 300 мл 96%-ного спирта, 1 мл 1 н. NaOH, 10 мл буферного р-ра, 50 мл 0,2%-ного р-ра MgSO<sub>4</sub> в дважды перегнанной воде, титрованный р-р комплексона до изменения окраски индикатора, спирт до 500 мл. Fe или тяжелые металлы удаляют еще до прибавления I с помощью 2 мл сульфидного буферного р-ра: 40 г буры, 10 г NaOH, 5 г Na<sub>2</sub>S и вода до 1 л. Jiří Hořáček

**75267. Индикатор для титрования кальция в присутствии магния двузамещенной натриевой солью эти-**

**ленидинтетрауксусной кислоты. Дил, Эллинго** (Indicator for titration of calcium in presence of magnesium using disodium dihydrogen ethylenediamine tetraacetate. Diehl Harvey, Ellingboe John L.), *Analyt. Chem.*, 1956, 28, № 5, 882—884 (англ.)

Кальцеин (I), новый индикатор для титрования кальция комплексом III (II), готовят конденсацией имидиуксусной к-ты с флуоресцеином. При  $pH < 12$  и I, и его комплекс с Ca имеют желто-зеленый цвет. В более щел. средах индикатор становится коричневым, а его комплекс с Ca сохраняет желто-зеленую окраску. Поэтому Ca титруют при  $pH > 12$ , определяя конец титрования по переходу окраски от желто-зеленой к коричневой. Четкость определения конца титрования с I больше, чем с мурексином, причем особенно хорошие результаты обеспечивает добавление к твердому индикатору древесного угля. Такой индикатор готовят растворением 1 г I с 10 г угля и 100 г KCl. Несколько худшие результаты дает применение 2%-ного р-ра I в 0,25 н. NaOH. Титрование выполняют при энергичном перемешивании, чтобы облегчить растворение  $Ca(OH)_2$ , выпадающего в сильнощел. р-рах. 20—30-кратные кол-ва Mg и 2—3 г NaCl не мешают определению Ca титрованием р-ром II по I. Ba и Sr титруются подобно Ca. Cu и Fe мешают титрованию, но могут быть легко замаскированы добавлением цианида. Титрование Ca р-ром II по I можно осуществить в присутствии хлоридов, нитратов, ацетатов и сульфатов. Метод использован для определения Ca в воде, известняке и гипсе. В последнем случае пробу растворяют в избытке II при  $pH 12$ , добавляют определенный избыток стандартного р-ра  $CaCl_2$  и оттитровывают непрореагировавший Ca р-ром II.

**75268. Пламеннотометрическое определение стронция в порландском цементе. Даймонд** (Flame photometric determination of strontium in portland cement. Diamond J. J.), *Analyt. Chem.*, 1955, 27, № 6, 913—915 (англ.)

Опыты вели с пламенным фотометром Бекмана DU с фотомножителем и кислородно-водородной горелкой. Навеску цемента 1 г растворяли в 5 мл конц. HCl, р-р разбавляли до ~ 20 мл, фильтровали, остаток промывали водой и фильтрат разбавляли до 100 мл. Пики эмиссии Sr наблюдаются при 461 и 675 мμ. Линия при 461 мμ попадает в интервал работы чувствительного фотореле фотомножителя, что допускает снятие показаний при ширине щели 0,06 мм. Для определения вычитают показатель эмиссии при 466 мμ из показателя эмиссии при 461 мμ. Sr можно определять в присутствии 150—3000-кратного кол-ва Ca. В качестве стандартного р-ра употребляли р-р  $SrCO_3$  в миним. кол-ве HCl. При низком содержании Sr в цементе ( $< 0,05\%$  SrO) применяют метод стандартных добавок. Произведен анализ 128 образцов различных цементов; содержание Sr, из расчета на SrO, колебалось в пределах 0,02—0,39%.

**75269. Количественное определение цинка с помощью тетраметилдиаминодифенилантипирилкарбинола. Абрамова З. А., Живописцев В. П., Уч. зап. Молотовск. ун-та, 1955, 9, № 4, 167—169**

В присутствии SCN<sup>-</sup> тетраметилдиаминодифенилантипирилкарбинол (I) образует с Zn труднорастворимое комплексное соединение. Высокая чувствительность р-ции (открываемый минимум 2—3 γ/мл Zn) обусловлена резким изменением окраски в процессе комплексообразования. Состав осадка  $(C_{28}H_{31}N_4O)_2Zn(SCN)_4$  является постоянным. Кислотность р-ра  $Zn^{2+}$  должна составлять 0,5—1,5 н. по HCl или  $H_2SO_4$ . К 20—30 мл подкисленного р-ра, содержащего 5—20 мг Zn и 1—1,5 г  $NH_4SCN$ , прибавляют на холоду по каплям при перемешивании 1%-ный р-р I в 1 н. HCl до перехода окра-

ски р-ра в красную. В присутствии  $Fe(3+)$  сначала добавляют 1—2 капли р-ра  $NH_4SCN$  и несколько капель 10—15%-ного р-ра аскорбиновой к-ты (до обесцвечивания р-ра); после этого добавляют остальное кол-во  $NH_4SCN$ . Р-р с осадком выдерживают 30—40 мин., осадок отфильтровывают, промывают 0,5 н. р-ром HCl, содержащим 1%  $NH_4SCN$  и 0,1% I, затем 0,1 н. р-ром HCl, содержащим 0,5%  $NH_4SCN$  и 0,1% I. Осадок сушат при 105—110°. Фактор пересчета на Zn 0,0556. Mn, Cr, Ni, Mg, другие щел.-зем. и щел. металлы не мешают. Т. Л.

**75270. Объемное определение ртути с помощью тетраметилдиаминодифенилантипирилкарбинола. Живописцев В. П., Уч. зап. Молотовск. ун-та, 1955, 9, № 4, 163—166**

Тетраметилдиаминодифенилантипирилкарбинол (I) реагирует в кислой среде с ионом йодомеркуроата с образованием труднорастворимого комплексного соединения; избыток I вызывает появление красной окраски. К подкисленному испытываемому р-ру, содержащему в 30—50 мл 4—50 мг Hg, добавляют ~ 1 г KJ, затем HCl до кислотности 0,7—1,5 н., 2—3 мл бензина (способствующего собиранию образующегося осадка на поверхности р-ра) и титруют 0,01 н. р-ром I в 1 н. HCl до перехода окраски водн. фазы в красную. При приближении к конечной точке титрование ведут медленно. Mn, Zn, Al,  $Fe(2+)$ , Mg и другие щел.-зем. и щел. металлы не мешают.  $Fe(3+)$  восстанавливают до  $Fe(2+)$  10%-ным р-ром аскорбиновой к-ты. 1—2% Cu не мешают. Относительная погрешность метода 3—4%. Т. Л.

**75271. Количественное определение официальных неорганических солей ртути. Чоголя, Морайт, Теодореску** (Dozarea sãrurilor anorganice oficinale de mercur. Ciogolea Gh., Morait Gh., Teodorescu N.), *Farmacia*, 1955, 3, № 3, 16—21 (рум.; рез. русс., франц.)

Соль  $Hg(I+)$  или  $Hg(2+)$  обрабатывают KJ для превращения ее в комплекс  $K_2HgJ_4$ ; Hg вытесняют при помощи металла. Zn и определяют соль Zn титрованием 0,1 н. р-ром NaOH, пользуясь в качестве индикаторов метиловым красным и (после нагревания титруемого р-ра до 70—80°) фенолфталеином. 1 мл 0,1 н. NaOH эквивалентен 0,013576 г  $HgCl_2$ , 0,02361 г  $Hg_2Cl_2$ , 0,0126 г  $HgNH_2Cl$ , 0,03275 г  $Hg_2J_2$ . Погрешность метода от +0,66 до -0,50%.

Т. Л.

**75272. Определение алюминия методом пламенной фотометрии. Касима, Мутагути** (炎光法によるアルミニウムの定量. 鹿島次郎, 牟田口元堂), *分析化学*, Бунсэки кагаку, *Japan Analyst*, 1955, 4, № 7, 420—423 (япон.; рез. англ.)

При определении методом пламенной фотометрии элементов, не входящих в I и II группы, следует учитывать возможность помех со стороны присутствующих элементов I и II групп. Установлено, что Al оказывает заметное влияние на эмиссию Ca и поэтому Al может быть определен косвенным путем. Определение Al в Zn-сплавах показало, что описанный метод дает почти такую же точность, как хим. анализ.

**75273. Отделение микроколичеств индия от цинка экстракцией из жидкости в жидкость. Коста, Хосте** (The separation of micro-amounts of indium from zinc by liquid-liquid extraction. Kosta L., Hoste J.), *Mikrochim. acta*, 1956, № 4-6, 790—796 (англ.; рез. франц. нем.)

Диэтиловый эфир не пригоден для разделения In и Zn экстракцией из р-ра в HBr. Большие кол-ва Zn экстрагируются совместно с In при различных конц-ях HBr. Так, из 3—5 М HBr экстрагируется ~ 9% Zn. Растворимость диэтилового эфира в водн. фазе возрастает с увеличением конц-ии HBr, а также  $ZnBr_2$ . Показана возможность разделения In и Zn экстракцией диизопропилового эфиrom (I) из р-ра в HBr. I количественно экстрагирует In за один раз из 6 М HBr и очень

мало экстрагирует Zn из 0,5—6 М HBr. Напр., из 6 М HBr  $\text{InBr}_3$  экстрагируется на 97%, а  $\text{ZnBr}_2$  только на 0,7%. Коэфф. распределения  $\text{ZnBr}_2$  остается очень маленьким при изменении конц-ии  $\text{ZnBr}_2$  от 2 до  $6,5 \cdot 10^{-4}$  моль/л. Определен коэфф. распределения  $\text{InBr}_3$  при экстракции I из 1—8 М HBr. Коэфф. распределения  $\text{InBr}_3$  увеличивается при увеличении его конц-ии. Полнота экстракции  $\text{InBr}_3$  из 6 М HBr в присутствии очень высоких (2 М) конц-ий  $\text{ZnBr}_2$  несколько уменьшается. Однако при общей конц-ии  $\text{Br}^-$ , равной 8 М (4 М HBr + 2 М  $\text{ZnBr}_2$ ), за один раз экстрагируется еще ~ 95% In. Отмечена возможность экстракционного выделения следов In при помощи I при анализе сфалеритов и металлич. Zn.

**75274. Объемный метод определения трехвалентного церия с помощью титрантов.** Ощеповский В. В., Укр. хим. ж., 1956, 22, № 3, 383—386

Изучено взаимодействие солей  $\text{Ce(3+)}$  с солями винной к-ты в присутствии щелочи с точки зрения кислотного баланса. Показано, что эта р-ция может быть использована для определения  $\text{Ce(3+)}$  в его солях объемным методом.

**75275. Свойства и аналитические применения фторидов редкоземельных элементов.** Кнудсон (Properties and analytical applications of the rare earth fluorides. Knudson George Ellert), Dissert. Abstrs, 1955, 15, № 10, 1717 (англ.)

Увлажненные окиси низших членов группы редкоземельных элементов (РЗЭ) почти количественно реагируют с  $\text{ClF}_3$ , в то время как окиси высших групп РЗЭ с  $\text{ClF}_3$  почти не реагируют. Фториды РЗЭ превращаются в фторокиси на воздухе при нормальной влажности и т-ре, требующейся для колич. прокаливаний осадков. Превращение в указанных условиях в окиси происходит весьма медленно. При нагревании фторидов в токе влажного воздуха,  $\text{N}_2$ ,  $\text{H}_2$  или  $\text{NH}_3$  скорость гидролиза для фторокисей возрастает. Подтверждена ромбодрих. кристаллич. структура фторокиси La, установлена куб. кристаллич. структура фторокиси  $\text{Ce(3+)}$ . Определены характеристики кристаллич. решетки фторокисей Pr, Nd, Sm, Eu, Gd, Tb. Для определения 10—100 мг F последний отгоняют в форме  $\text{H}_2\text{SiF}_6$  и осаждают определенным кол-вом  $\text{La(NO}_3)_3$ ; избыток La определяют осажждением в форме купфероната и прокаливанием до  $\text{La}_2\text{O}_3$ .

**75276. Определение титана в ферротитане методом амперометрического титрования купфероном.** Усатенко Ю. И., Беклешова Г. Е., Гренберг Е. И., Генис М. Я., Карпуша Е. Е., Завод. лаборатория, 1956, 22, № 5, 528—529

Навеску тонкоизмельченного ферротитана 0,2 г растворяют в 20 мл смеси к-т (600 мл  $\text{H}_2\text{SO}_4(1:1)$ —150 мл  $\text{HNO}_3$  (уд. в. 1,40)+300 мл HCl (уд. в. 1,19), накрыв стакан часовым стеклом, нагревают до прекращения бурной р-ции, снимают стекло, выпаривают до обильных паров  $\text{SO}_3$ , охлаждают, приливают 50 мл HCl(1:5) и нагревают до растворения солей. При одновременном определении Si отфильтровывают остаток, прокалывают его, обрабатывают  $\text{H}_2\text{SO}_4$  и HF, остаток сплавляют с пиромульфатом, растворяют и присоединяют р-р к основному фильтрату. Р-р разбавляют до 250 мл, отбирают для анализа 5 мл, приливают 25 мл воды и нейтрализуют  $\text{NH}_4\text{OH}$  по метиловому фиолетовому до темно-зеленой окраски (обычно добавления  $\text{NH}_4\text{OH}$  не требуется), приливают 5 мл 1%-ного р-ра комплексона III, добавляют 5 г NaCl, опускают в р-р электроды (вращающийся Pt-электрод и ключ от насыщ.  $\text{Hg}_2\text{Cl}_2$ -полуэлемента), прилагают э. д. с. (0,8 в), включают мешалку и титруют р-ром купферона, выжидая ~ 1 мин. после добавления каждой порции; после конечной точки титруют быстро. Вычерчивают кривую титрования и производят расчет. Точность метода удов-

летворяет требованиям ГОСТ 2887-45. Продолжительность анализа 30 мин.

**75277. Колориметрическое определение титана с помощью диантипирилметана.** Минин А. А., Уч. зап. Молотовск. ун-та, 1955, 9, № 4, 177—181

При взаимодействии Ti с диантипирилметаном в кислой среде образуется комплексное соединение, которое в разб. р-рах дает желтую, а в конц. р-рах яркую оранжевую окраску. К испытуемому солянокислому или сернокислому р-ру добавляют 0,01 г аскорбиновой к-ты (при значительном содержании Fe кол-во аскорбиновой к-ты увеличивают), 2 капли 5%-ного р-ра  $\text{CuSO}_4$  и 8—10 мл 5%-ного р-ра диантипирилметана в 1 н. HCl. Смесь разбавляют конц. HCl до 25 мл (кислотность р-ра 5—6 н.) и колориметрируют в электрофотоколориметре КФЭ-1 с синим светофильтром, в кюветах диам. 12 мм. Закон Бера выполняется при  $\leq 30 \gamma$  Ti. Для сравнения применяют воду. V, Co, Zn, Cd, Hg, Al, шел. и щел.-зем. металлы, F- и  $\text{PO}_4^{3-}$  не мешают. Чувствительность описанного метода в 20 раз выше чувствительности метода с  $\text{H}_2\text{O}_2$ .

**75278. Определение микроколичеств тория (3). Колориметрическое определение микроколичеств тория в гранитах.** Исисаби, Хигаси (トリウム微量分析法. 第3報. 岩石中の微量トリウムの比色分析法. 石橋雅義, 東慎之介), 分析化学, Буэнзэки какагу, Japan analyst, 1956, 5, № 3, 135—138 (япон.; рез. англ.)

Для определения микроколичеств Th в горных породах и осадках применяют колориметрич. метод. Изучено: 1) экстракция циклогексаном (I) (определено оптимальное значение pH, объем I и конц-ия  $\text{NO}_3^-$ , разработан способ удаления мешающих ионов); 2) разложение пород смеси HF-HClO<sub>4</sub> и экстракция I. Метод применим для быстрого определения Th в монацитовом песке.

**75279. Титрование солей двухвалентного олова раствором перекиси водорода.** Вултерин, Зыка (Titrace cinatých solí roztokem peroxidu vodíku. Vulterin J., Zýka J.), Chem. listy, 1956, 50, № 2, 311—312 (чеш.)

Реакция  $\text{Sn}^{2+} + \text{H}_2\text{O}_2 + 2\text{H}^+ = \text{Sn}^{4+} + 2\text{H}_2\text{O}$  протекает в сильно кислой среде (конц. HCl) с достаточной скоростью; она была использована для колич. определения Sn. Титруют потенциометрически в инертной ( $\text{N}_2$ ) атмосфере. Потенциалы устанавливаются очень быстро. В эквивалентной точке скачок достигает 400 мв. 0,1 М титрованный р-р  $\text{H}_2\text{O}_2$  при хранении в бутылке из коричневого стекла практически не изменяет титра в течение 8 час. Определению мешает As, но не Sb.

**75280. Колориметрическое определение следов олова с помощью дитиола.** Ониси, Санделл (Colorimetric determination of traces of tin with dithiol. Onishi Hiroshi, Sandell E. B.), Analyt. chim. acta, 1956, 14, № 2, 153—161 (англ.; рез. нем., франц.)

Метод состоит в дистилляции Sn из р-ра в HCl-HBr и определении Sn в форме комплекса с дитиолом. Анализируемый р-р помещают в дистилляционную колбу с 25 мл  $\text{H}_2\text{SO}_4(1:1)$ , 5 г  $\text{K}_2\text{H}_2\text{PO}_4$  (или 3 мл 85%-ной  $\text{H}_3\text{PO}_4$ ), 20 мл 6 н. HCl и 1 г  $\text{N}_2\text{H}_4 \cdot \text{H}_2\text{SO}_4$ ; кончик холодильника погружают в воду, пропускают  $\text{CO}_2$ ; при 160° по каплям начинают прибавлять 6 н. HCl (1 капля в 4 сек.); по добавлении 20 мл р-ра HCl прекращают нагрев, промывают холодильник и удаляют дитионат; под холодильник ставят стакан с 15 мл воды, к смеси прибавляют 15 мл 6 н. HCl + 7 мл 48%-ной HBr (145—160°, ток  $\text{CO}_2$ ) в течение ~ 15—20 мин., прекращают нагрев; к дистиллату прибавляют 0,50 мл  $\text{H}_2\text{SO}_4(1:2)$  + 5 мл конц.  $\text{HNO}_3$ , нагревают и упаривают. При  $> 3 \gamma$  Sn к остатку прибавляют ~ 7 мл воды, 1 каплю ~ 80%-ной тиогликолевой к-ты, перемешивают, прибавляют 0,05 мл сантомерса S(1:19),

0,50 мл р-р дитиола (0,1 г в 50 мл 1%-ного р-ра NaOH; прибавляют 0,3—0,5 мл тигликолевой к-ты), нагревают 5±1 мин. при 50±5°, прибавляют 0,5 мл р-ра сано-мепза S(1:3); разбавляют до 10 мл и колориметрируют при 530 мμ. При < 3 γ Sn используют визуальный метод. В случае силикатных пород последние разлагают смесью к-т (H<sub>2</sub>SO<sub>4</sub>, HNO<sub>3</sub>, HF) или сплавлением с NaOH и определяют Sn по описанным методам; при определении Sn в железе (стали, метеорите) 0,5 г пробы растворяют в 7 мл H<sub>2</sub>SO<sub>4</sub>(1:1)+10 мл HNO<sub>3</sub>(1:1), упаривают и поступают, как описано выше; сульфиды разлагают дымящей HNO<sub>3</sub> и определяют Sn; в присутствии Se дистиллят после упаривания охлаждают, прибавляют 4 мл 6н. HCl+0,1 мл H<sub>2</sub>SeO<sub>3</sub>(0,1 мг Se), нагревают ~ 5 мин., охлаждают до ~ 18°, прибавляют 2 мл насыщ. р-ра H<sub>2</sub>SO<sub>4</sub>+0,2 г NH<sub>2</sub>OH·HCl, нагревают 0,5—1 час. (90°), собирают осадок, промывают HCl(1:99), фильтрат и промывные воды упаривают до паров SO<sub>3</sub>, охлаждают, добавляют 2 мл воды, фильтруют и далее поступают как описано выше. Определению не мешают ≤ 50 γ As, Ge, ≤ 10 γ Sb, Se и Te; мешают Mo, Bi.

**75281. Количественное спектрографическое определение ванадия в нефтяных продуктах методом логарифмического сектора.** Кейнхан (Quantitative spectrographic determination of vanadium in petroleum products by logarithmic sector method. Kanehan J. A.), *Analyt. Chem.*, 1955, 27, № 12, 1873—1874 (англ.)

Порошки графита, содержащие V в пределах 1—56%, смешивают для приготовления эталонов с бумером в отношении 1:9. Буфер состоит из 1 ч. SiO<sub>2</sub>, 2 ч. графита и содержит 1% Ti, 50 г пробы сжигают в фарфоровом тигле с 2—3 мл абс. спирта. Зола прокаливается в муфеле при 560°. 10 мг зола смешивают с 90 мг буфера и смесь набивают в графитовые электроды. Анод (диам. 3,2 мм) затачивают на плоскость; катод (диам. 6,3 мм) имеет отверстие глубиной и диам. 1,6 мм. Конец катода затачивают на конус с углом 30°. Спектры возбуждают дугой постоянного тока при силе тока 7,5 а и фотографируют на большом спектрографе при ширине щели 20 мμ. Участок эмульсии с аналитич. линиями снимают бритвой с влажного негатива, помещают на стекло спец. лупы и после высыхания пленки определяют длину линий с точностью до 0,05 мм. Градуировочные графики строят в координатах ΔI-линии—lgC. Аналитич. линии V 2977,5—Ti 2956 Å. Продолжительность проведения анализа 1 час. Получено хорошее совпадение результатов анализа с логарифмич. сектором и с микрофотометром.

**75282. Новый чувствительный и избирательный метод определения висмута.** Остинг (Eine neue selektive und empfindliche Wismutbestimmung. Oosting M.), *Mikrochim. acta*, 1956, № 1—3, 528—534 (нем.; рез. англ., франц.)

При взаимодействии Bi с брунином в присутствии J-образуется комплексное соединение, экстрагируемое CHCl<sub>3</sub> (λ<sub>макс</sub> 4300 Å). Закон Бера выполняется при концентрации Bi ≤ 400 γ в 25 мл. Присутствие Ag, Cu, Hg и Pb мешает, так как осадок иодилов может удержать Bi. Cd мешает вследствие образования комплексного иодида, Sb и Sn образуют с J- и брунином окрашенные комплексы, экстрагируемые CHCl<sub>3</sub>. Возможные помехи за счет окисляемых органич. соединений устраняют добавлением H<sub>2</sub>SO<sub>3</sub>. Для отделения Bi от мешающих элементов его выделяют в форме диэтилдитиокарбамата. Пробу металла (10—400 γ Bi) растворяют при нагревании в небольшом кол-ве HNO<sub>3</sub> (уд. в. 1,2), нагревают до удаления окислов азота и р-р разбавляют до ~ 50 мл; пробу органич. в-ва нагревают с конц. H<sub>2</sub>SO<sub>4</sub> до появления паров SO<sub>3</sub>; добавляют при нагревании 70%-ную HClO<sub>4</sub> до осветления р-ра и выпаривают до

паров SO<sub>3</sub>; р-р разбавляют до 50 мл. К 50—100 мл р-ра, 1—2 н. по H<sub>2</sub>SO<sub>4</sub>, добавляют 2 мл р-ра SO<sub>2</sub> (смесь насыщ. р-ра SO<sub>2</sub> с водой, 1:1), 3 мл 10%-ного р-ра KJ и 5 мл 1%-ного р-ра цитрата брунина. Смесь экстрагируют CHCl<sub>3</sub> (порциями по 5 мл), экстракт фильтруют, разбавляют CHCl<sub>3</sub> до 25 мл и фотометрируют при 4250 Å в спектрофотометре Колемана или с фильтром 45 в колориметре Энгеля. В присутствии мешающих элементов к кислому р-ру добавляют 2 мл 10%-ного р-ра KNaC<sub>4</sub>H<sub>4</sub>O<sub>6</sub>, 2 н. NaOH до шел. р-ции, 3 мл 2 M Na<sub>2</sub>CO<sub>3</sub>, 2 мл 2,5%-ного р-ра комплексона III, 2 мл 2,5%-ного р-ра KCN, доводят при помощи NaOH pH р-ра до 11—12, добавляют 5 мл р-ра диэтилдитиокарбамата Na (250 мг в 250 мл 2%-ного р-ра Na<sub>2</sub>CO<sub>3</sub>) и экстрагируют CHCl<sub>3</sub> (3 × 5 мл). Экстракт нагревают с 25 мл 2 н. H<sub>2</sub>SO<sub>4</sub>, выпаривают CHCl<sub>3</sub> и определяют Bi, как описано выше.

**75283. Выделение висмута при помощи арсанитовой кислоты.** Пич (Wismuttrennung mit Arsanilsäure. Pietsch R.), *Z. analyt. Chem.*, 1956, 150, № 3, 190—192 (нем.)

Осаждением Bi в форме арсанилата при pH 2,5—3 достигнуто колич. отделение его от Co, Ni, Cu, Zn, Pb, Ag, Cd, Al и Mg, а также от шел.-зем. металлов. Отделения Bi от Hg<sup>2+</sup> и Fe<sup>3+</sup> не достигнуто. Присутствие в р-ре арсанитовой к-ты (I) не мешает комплексометрич. определению ионов металлов, весовому определению Ni в форме диметилглиоксимата, Cu, Mg, Zn и Al в форме оксихинолинов, Mn, Cd, Zn и Mg в форме фосфатов. I почти не мешает определению Ba<sup>2+</sup> и Sr<sup>2+</sup> в форме сульфатов. Возможно определение Bi в присутствии As<sup>3+</sup> при отношении Bi:As ≤ 1:8. Присутствие AsO<sub>3</sub><sup>3-</sup>, MoO<sub>4</sub><sup>2-</sup> и WO<sub>4</sub><sup>2-</sup> мешает.

**75284. Фотометрическое определение хрома в форме надхромовой кислоты в растворе в этилацетате.** Гласнер, Штейнберг (Photometric determination of chromium as perchromic acid in ethyl acetate solution. Glasner Abraham, Steinberg Menachem), *Analyt. Chem.*, 1955, 27, № 12, 2008—2009 (англ.)

Метод отделения Cr от V (Brookshier R. K., Freund H., *Analyt. Chem.*, 1951, 23, 1110) модифицирован и использован для определения Cr в присутствии Fe, Mn, V, Mo и W. К 5 мл анализируемого водн. р-ра добавляют 6 мл этилацетата, охлаждают до ~ 10° и вводят H<sub>2</sub>O<sub>2</sub>; р-р (pH 1,7 ± 0,2) перемешивают 30 сек. Через 2 мин. после прекращения перемешивания голубой р-р надхромовой к-ты переносят в кювету спектрофотометра Уникам SP350 и спектрофотометрируют при 580 мμ, употребляя в качестве р-ра сравнения этилацетат (при употреблении спектрофотометра Бекман DU спектр поглощения имеет 2 небольших максимума при ~ 300 и 750 мμ). Закон Бера выполняется в широком интервале конц-ий.

**75285. Разделение молибдена в различных валентных состояниях методом хроматографии на бумаге.** Часть II. Стивенс (The separation of molybdenum valencies by paper chromatography. Part II. Stevens H. M.), *Analyt. chim. acta*, 1956, 14, № 2, 126—130 (англ.; рез. нем., франц.)

Mo(6+) и Mo(5+) разделяют в виде оксихинолинов, хлороформный р-р которых наносят на бумагу ватман № 1 и после испарения р-рителя элюируют этанолом, выделяя при этом ~ 93% Mo(5+). R<sub>f</sub> для Mo(6+) и Mo(5+) соответственно равны 0 и 0,9—1,0. Хлороформный р-р оксихинолината Mo(6+) имеет максимум светопоглощения при 250 и 370 мμ и минимум поглощения при 280 мμ. Оксихинолинат Mo(5+) выпадает в виде темнопурпурного аквокомплекса при добавлении р-ра MoCl<sub>5</sub> в 10 н. HCl (освобожденного от следов Mo(6+)) действием амальгамы Na) к ~ 10%-ному спирт. р-ру

8-оксихинолина с последующим разбавлением смеси водой. Этот осадок почти не растворим в эфире,  $\text{CCl}_4$  и воде, но растворяется в спирте, ацетоне, этилацетате и  $\text{CHCl}_3$ . Его спирт. р-р имеет максимум светопоглощения при 243 и 540 м и минимум поглощения при 480 м. При нагревании с 10%-ным р-ром  $\text{KSCN}$  в 2 н.  $\text{HCl}$  в присутствии 2 мл ацетона образуется роданид  $\text{Mo}(5+)$ , который после разбавления роданидным реактивом экстрагируют этилацетатом и колориметрируют. Отделение  $\text{Mo}(5+)$  от  $\text{Mo}(3+)$  осуществляют хроматографированием на промытой к-той бумаге ватман № 1, используя для элюирования р-р  $\text{HSCN}$  в эфире.  $R_f$  для  $\text{Mo}(3+)$  и  $\text{Mo}(5+)$  соответственно равны 0 и 0,8—0,9, но некоторое кол-во  $\text{Mo}(3+)$  окисляется  $\text{HSCN}$  в присутствии  $\text{O}_2$  воздуха.  $\text{Mo}(6+)$  также окисляет  $\text{Mo}(3+)$  до  $\text{Mo}(5+)$  в роданидном р-ре.  $\text{Mo}(3+)$  и  $\text{Mo}(5+)$ , сорбированные из солянокислого р-ра целлюлозной колонкой, прекрасно разделяются элюированием р-ром  $\text{HSCN}$  в эфире, который извлекает только  $\text{Mo}(5+)$ ; после промывания колонки эфиром  $\text{Mo}(3+)$  элюируют водой.  $\text{Mo}(3+)$ , являющийся сильным восстановителем, получают действием  $\text{Zn}$ -пыли на 3%-ный р-р  $\text{Na}_2\text{MoO}_4$  в ~3,3 н.  $\text{HCl}$  и отделяют от  $\text{Mo}(5+)$  и  $\text{Zn}^{2+}$  хроматографированием на целлюлозной колонке.

Сообщение I см. РЖХим, 1956, 68704.

Н. П. 75286. К вопросу о фотометрическом определении молибдена в стали. Бюнгер (Beitrag zur photometrischen Bestimmung des Molybdäns im Stahl. Bün-ger Johannes), Arch. Eisenhüttenwesen, 1955, 26, № 6, 333—335 (нем.)

Сравнены различные фотометрич. способы определения  $\text{Mo}$  и подробно изучен метод, основанный на применении  $\text{SCN}^-$  и восстановлении р-ра пробы  $\text{SnCl}_2$ . Разработан вариант, не требующий отделения  $\text{Mo}$  от других элементов путем осаждения. Навеску стальных стружек 0,5 г растворяют в смеси к-т (150 мл конц.  $\text{H}_3\text{PO}_4$  + 150 мл конц.  $\text{H}_2\text{SO}_4$  разбавляют до 1 л), окисляют  $\text{HNO}_3$ , выпаривают и разбавляют до 250 мл. Если навеска не растворяется в указанной смеси к-т, для растворения употребляют смесь  $\text{HCl-HNO}_3$  (1:1:1); к р-ру прибавляют 30 мл смеси  $\text{H}_3\text{PO}_4\text{-H}_2\text{SO}_4$  и нагревают до выделения паров. 10 мл полученного р-ра встряхивают с 20 мл смеси  $\text{H}_2\text{SO}_4\text{-HNO}_3$  (100 мл конц.  $\text{H}_2\text{SO}_4$  + 50 мл конц.  $\text{HNO}_3$  разбавляют до 1 л), 10 мл р-ра  $\text{NH}_4\text{SCN}$  (100 г в 1 л р-ра) и 10 мл р-ра  $\text{SnCl}_2$  (100 г  $\text{SnCl}_2$  растворяют при нагревании в 100 мл конц.  $\text{HCl}$  и разбавляют до 1 л). Через 5 мин. измеряют экстинкцию, пользуясь лампой накаливания и фильтром S 53; в качестве р-ра сравнения употребляют воду. Метод проверен на ряде легированных сталей. При  $\leq 1,8\%$   $\text{Mo}$  зависимость между содержанием  $\text{Mo}$  и экстинкцией (толщина слоя 5 см) прямолинейна; прямая проходит через ось ординат в точке, соответствующей экстинкции 0,03. Для сталей с содержанием  $\text{Mo} \sim 0,1\%$  показатели экстинкции завышены. Установлено, что при  $< 2\%$   $\text{Mo}$  в стали, при анализе следует употреблять смесь  $\text{H}_2\text{SO}_4\text{-HNO}_3$ , к которой прибавлено 2 г/л  $\text{Mo}$ ; показатель экстинкции для 5-см толщины слоя уменьшают на 0,23. Присутствие в стали 2—3%  $\text{V}$  не мешает; при 1%  $\text{Co}$  показатель экстинкции следует уменьшить на 0,006;  $\leq 6\%$   $\text{Cu}$  не мешает. Погрешность определения 2%  $\text{Mo}$  составляет  $\sim \pm 0,03\%$ . При анализе сталей с высоким содержанием карбида необходимо дополнительно обработать р-р навески перед упариванием конц. р-ром  $\text{HNO}_3$ .

Т. Л. 75287. Определение молибдена в почвах и горных породах с помощью дитиола. Кларк, Аксли (Molybdenum determination in soils and rocks with dithiol. Clark Lewis J., Axley John H.), Analyst. Chem., 1955, 27, № 12, 2000—2003 (англ.)

Смесь 2 г порошкообразной почвы или горной породы с 4 г безводн.  $\text{Na}_2\text{CO}_3$  нагревают в  $\text{Pt}$ -тигле 30 мин. на

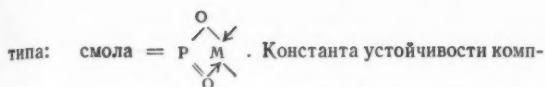
горелке Мекера (сплавнение в печи приводит к переходу  $\text{Pt}$  в р-р); охлаждают, промывают тигель водой и обрабатывают плав 20 мл конц.  $\text{HCl}$  на паровой бане  $\geq 2$  час. (лучше  $\sim 18$  час.); выпаривают р-р почти досуха, остаток смачивают 5 мл конц.  $\text{HCl}$ , приливают 25 мл воды, нагревают  $\sim 15$  мин. на паровой бане, фильтруют, промывают фильтр горячей разб.  $\text{HCl}$  (2:98) и водой, р-р охлаждают и разбавляют до 100 мл (р-р должен содержать  $\sim 6$  мл конц.  $\text{HCl}$ ). К 25 мл р-ра в делительной воронке приливают 10 мл конц.  $\text{HCl}$  (смесь  $\sim 4$  н. по  $\text{HCl}$ ), прибавляют 1 мл свежеприготовленного 50%-ного р-ра  $\text{KJ}$ , через 10 мин. (поляется окраска  $\text{J}_2$ ) прибавляют 10%-ный р-р  $\text{Na}_2\text{S}_2\text{O}_3$  до обесцвечивания р-ра, 1 мл 50%-ной винной к-ты, 2 мл 0,2%-ного р-ра дитиола (1 г реактива растворяют в 500 мл 1%-ного р-ра  $\text{NaOH}$ , периодически перемешивают 1 час, прибавляют р-р тиогликолевой к-ты до помутнения, р-р хранят при 5°), встряхивают 30 сек. и оставляют на 10 мин.; прибавляют 5 мл изоамилацетата, встряхивают 30 сек., органич. слой фильтруют в кювету и колориметрируют при 680 м (р-р сравнения — изоамилацетат). Содержание  $\text{Mo}$  находят по калибровочной прямой, построенной в пределах 0—10  $\gamma$   $\text{Mo}$  (необходима поправка на присутствие  $\text{Mo}$  в реактивах). Метод дает точные результаты при 0,02—10  $\gamma$   $\text{Mo}$ ; не мешают (на 1  $\gamma$   $\text{Mo}$ )  $\leq 100 \gamma$   $\text{As}$ ,  $\leq 50 \text{ mg}$   $\text{Cu}$ ,  $\leq 10 \gamma$   $\text{Re}$ ;  $\leq 10 \gamma$   $\text{Pt}$  несколько мешает;  $\text{W}$  и  $\text{Sn}$  не мешают;  $\text{Fe}(3+)$ , восстанавливают  $\text{J}^-$ ; окраска комплекса устойчива 2 недели; при 1—2  $\gamma$   $\text{Mo}$  погрешность  $\leq 0,04 \gamma$ .

А. 3. 75288. Разделение и идентификация молибдена и вольфрама. Блэкман (Separation and identification of molybdenum and tungsten. Blackman L. C. F.), Mikrochim. acta, 1956, № 9, 1366—1368 (англ.; рез. нем., франц.)

Пробу водн. р-ра, содержащего 1,5  $\gamma$   $\text{W}$  и  $\text{Mo}$ , помещают в центре диска фильтровальной бумаги ватман № 40 diam. 5,5 см и осторожно окружают кольцом из 30%-ного водн. р-ра хлоргидрата хинина; этот же р-р наносят и поверх пятна пробы. Затем бумагу помещают на кольцевую печь и промывают 0,1 н.  $\text{HCl}$ . После сушки горячим воздухом центральную часть (diam. 1 см) с осадком  $\text{W}$  вырезают штампом.  $\text{Mo}$  в кольцевой зоне идентифицируют опрыскиванием свежеприготовленным р-ром, содержащим 10%  $\text{KSCN}$ , 5%  $\text{SnCl}_2$  в 3 н.  $\text{HCl}$ . Вырезанную часть бумаги помещают в центр второго диска и промывают 0,1 н.  $\text{NH}_4\text{OH}$ . Затем диск погружают в 0,1%-ный р-р роданина  $\text{V}$  в 6 н.  $\text{HCl}$  и промывают проточной водой. Появляется фиолетовое кольцо комплекса  $\text{W}$  с роданином  $\text{V}$ . Метод применим в области конц-ий  $\text{W}$  1—100  $\gamma$ ,  $\text{Mo}$  1,0—5  $\gamma$ . В сочетании с электрографией, методом его можно использовать для открытия  $\text{W}$  и  $\text{Mo}$  в сплавах. Избыток  $\text{Fe}$  не мешает. В качестве электролита применяют 0,1 н.  $\text{NaOH}$ . Прилагаемый потенциал составляет 3 в.

М. П. 75289. Отделение урана от тяжелых металлов с помощью комплексообразующих смол, содержащих фосфиновую кислоту. Кеннеди, Дейвис (The separation of uranium from heavy metals with phosphonic acid chelating resins. Kennedy J., Davies R. V.), Chemistry and Industry, 1956, № 18, 378—380 (англ.)

Смолы, содержащие фосфиновые функциональные группы, подобно соответствующим мономерам, поглощают различные катионы, которые в порядке убывающего сродства можно расположить в следующий ряд:  $\text{Th}(4+) > \text{U}(4+) > \text{UO}_2^{2+} \cong \text{Fe}^{3+} > 3\text{-валентные редкие земли} > \text{H}^+ > \text{Cu}^{2+}, \text{Co}^{2+} \text{ и } \text{Ba}^{2+} > \text{Na}^+$ . По всей вероятности,  $\text{UO}_2^{2+}$  и большинство 3-валентных катионов связаны с функциональными группами ковалентными или частично ковалентными связями, образуя четырехчленный цикл



лексов таких ковалентно связанных катионов, как  $\text{UO}_2^{2+}$  или  $\text{Fe}^{3+}$ , со смолой  $\sim$  в  $10^6$  раз  $>$  чем с соответствующими мономерами. Щел., щел.-зем. металлы или двухвалентные переходные металлы, по предположению авторов, связываются главным образом ионной связью. Для отделения  $\text{UO}_2^{2+}$  от  $\text{La}^{3+}$ ,  $\text{Fe}^{3+}$ ,  $\text{Cu}^{2+}$ ,  $\text{Co}^{2+}$  и  $\text{Ca}^{2+}$  пользуются сравнительно малой устойчивостью комплекса  $\text{UO}_2^{2+}$  с этилендиаминтетрауксусной к-той ( $\text{H}_4\text{Y}$ ) в сравнении с комплексами остальных перечисленных металлов. Из р-ра солей этих металлов и  $\text{UO}_2^{2+}$  в 0,5–3%-ном  $\text{Na}_2\text{H}_2\text{Y}$  натриевая форма аллилфосфорированной смолы поглощает только  $\text{UO}_2^{2+}$ , который элюируют сначала 3%-ным  $\text{CH}_3\text{COONa}$ , а затем 0,25 М р-ром  $\text{Na}_2\text{CO}_3$ . При пропускании через смолу р-ра  $\text{UO}_2^{2+}$  в  $\text{Na}_2\text{H}_2\text{Y}$ , содержащего продукты деления уранового ядра, наряду с  $\text{UO}_2^{2+}$  колонка поглощает 7–10%  $\beta$ -активности, которую авторы приписывают главным образом  $\text{Zr}$  (4+) и  $\text{Th}$  (4+). Р-р  $\text{Na}_2\text{CO}_3$  элюирует  $\text{UO}_2^{2+}$  вместе с  $\beta$ -активностью.

Н. П.

75290. Объемный анализ с применением сульфата двухвалентного хрома. XII. Потенциметрическое титрование вольфрама при помощи раствора сульфата двухвалентного хрома. Мураки (第一クロム鹽による容量分析法の研究・第12報・硫酸第一クロムによるタンゲステンの電位差滴定について・村木勇夫), 日本化学雑誌, Нихон кагаку дзасси, J. Chem. Soc. Japan. Pure Chem. Sec., 1955, 76, № 2, 193–196 (япон.).

Вольфрамат в конц.  $\text{HCl}$  восстанавливается до  $\text{W}(5+)$  при комнатной т-ре 0,1 н.  $\text{CrSO}_4$ . При потенциметрич. титровании вначале конц-ия  $\text{HCl}$  должна быть  $\sim 10$  н. Мешают  $\text{H}_3\text{PO}_4$  и  $\text{F}^-$ . Можно титровать смесь вольфрамата и  $\text{Fe}^{3+}$ , при этом  $\text{Fe}^{3+}$  восстанавливается первым. Часть XI см. Осака когё гидзюцу сикэнсё кихо, 1953, 4, 132.

Chem. Abstrs, 1955, 49, № 21, 14567. К. Yamasaki 75291. Аналитическая химия. Аналитическая химия урана. II. Исидаси, Исидаси (分析化学・ウランウムの分析化学・石橋雅義, 石田幸信), 化学, Кагаку, Chemistry (Japan), 1956, 11, № 3, 4–7 (япон.). Обзор за 1954 г. Библ. 32 назв. Часть I, РЖХим, 1956, 65294. А. Б.

75292. Быстрое определение урана в речной и морской воде. Коркиш, Тьяр, Хехт (Schnellbestimmung des Urans in Meer-und Flußwässern. Korckisch J., Thiard A., Hecht F.), Mikrochim. acta, 1956, № 9, 1422–1430 (нем.; рез. англ., франц.). Для выделения  $\text{U}$  применяют ионообменную смолу амберлит IRA-400 в  $\text{Cl}^-$ -форме. Диаметр слоя 8 мм, длина 12 см. Для полного удаления следов  $\text{Fe}$  смолу промывают 50 мл 1 н. и 20 мл 0,1 н.  $\text{HCl}$ , и затем — до нейтр. р-ции  $\sim 100$  мл воды и обрабатывают колонку 50 мл р-ра  $\text{NaCl}$  (28 г/л). 1 л морской воды с рН 3–9 (предварительно профильтрованной) пропускают через колонку со скоростью 3 мл/мин, промывают 100 мл буферного р-ра (500 мл 0,1 н.  $\text{HCl}$  + 300 мл 1 М  $\text{CH}_3\text{COONa}$  разбавляют до 1 л, рН 5) и 100 мл воды. Затем вымывают 50 мл 0,8 н.  $\text{HCl}$  со скоростью 1 мл/мин. Аликвотную часть или вытекающий р-р выпаривают досуха, растворяют  $\text{U}$  в 10 мл 0,01 н.  $\text{HNO}_3$  и определяют его полярографически. При исследовании речной воды смолу после промывания  $\text{HCl}$  переводят при помощи буферного р-ра в ацетатную форму. 1 л воды подкисляют 5 мл конц.

$\text{HCl}$ , фильтруют через фильтр с белой лентой, добавляют 20 мл лед.  $\text{CH}_3\text{COOH}$  и 5 н.  $\text{NaOH}$  доводят до рН 4,25–5,25. Скорость пропускания пробы, промывание и вымывание не отличаются от таковых при анализе морской воды. При большом кол-ве  $\text{U}$  для вымывания пользуются дополнительно 50 мл 0,8 н.  $\text{HCl}$ . Определение  $\text{U}$  ведут, как указано выше. В обоих случаях анализ продолжается 8 час. Средняя погрешность от  $\pm 10$  до  $\pm 15\%$ . Анализ морской воды может быть проведен и по второму методу. М. П.

75293. Протактиний. I. Аналитические разделения. Голден, Маддок (Protactinium—I. Analytical separations. Golden J., Maddock A. G.), J. Inorg. and Nuclear Chem., 1956, 2, № 1, 46–59 (англ.).

Выпаривание р-ров  $\text{Ra}^{233}$  в конц.  $\text{HF}$ ,  $\text{HCl}$ ,  $\text{HNO}_3$  и  $\text{H}_2\text{SO}_4$  и перегонка солянокислых р-ров  $\text{Ra}^{231}$  почти не сопровождаются потерей активности (А). Прокаливание  $\text{Ra}$  до  $800^\circ$  ведет к потере  $\geq 1\%$  А, что важно для отделения этого элемента от  $\text{Po}^{210}$ . Для выделения  $\text{Ra}$  из разб. р-ров можно использовать сорбцию на осадке  $\text{MnO}_2$ . Последующей обработкой 0,1 н. р-ром  $\text{HF}$  удаётся удалить 68%, 1,0 н. р-ром  $\text{HF}$  — 94% сорбированной А.  $\text{Ra}$  соосаждается с фторцирконатом бария из р-ра, содержащего 2 мг/мл  $\text{Zr}$ , 10 мг/мл  $\text{Ba}$  и 2,5 г-экв  $\text{HF}$ . Для выделения 95%  $\text{Ra}$  смесь выдерживают в течение часа. Из 2,5 н. р-ров  $\text{HF}$ , содержащих 10 мг/мл  $\text{Ba}$ ,  $\text{Ra}$  соосаждается на  $> 99\%$  с  $\text{BaF}_2$ , что авторы объясняют предположением о малой растворимости  $\text{BaRaF}_7$ . Из ряда исследованных р-рителей наиболее эффективным экстрагентом для  $\text{Ra}$  является динопропилкетон (I), который экстрагирует из 6,0 н. относительно  $\text{HCl}$  р-ра 99% А. Величина коэфф. распределения (КР)  $\text{Ra}$  возрастает с конц-ией  $\text{HCl}$  в водн. фазе. Т-ра почти не влияет на величину КР. Если в качестве экстрагента  $\text{Ra}$  из 6 н.  $\text{HCl}$  используют р-р I в бензоле (II), то логарифм коэфф. распределения линейно возрастает с логарифмом молярной конц-ии I в II. Судя по наклону прямой,  $\text{Ra}$  образует с I комплекс  $\text{RaCl}_5 \cdot 3(\text{C}_3\text{H}_7)_2\text{CO}$  (III). III устойчив до рН  $\sim 9,0$  и разрушается при действии р-ра  $\text{NaOH}$ , что используют для выделения  $\text{Ra}$  на гидроокисном осадке. III рекстрагируют в 7,4 н.  $\text{HCl}$ , содержащую добавку  $\sim 0,5$  М  $\text{HF}$  в качестве комплексообразователя для  $\text{Ra}$ . Из полученных рекстрактов снова можно экстрагировать  $\text{Ra}$  с помощью I, предварительно связав  $\text{F}^-$  добавками  $\text{AlCl}_3$ . При отношении  $\text{Al}:\text{F} = 1,6$  в I переходит 100%  $\text{Ra}$ . Применением циклич. экстракционного процесса достигают отделение  $\text{Ra}$  от большинства элементов. Н. П.

75294. Разделение железа (трехвалентного) и хрома при помощи ионообменной смолы. Вентурелло, Гуаланди (Separazione ferro (ferrico)-cromo su resina a scambio ionico. Venturello Giovanni, Gualandi Clemente), Ann. chimica, 1956, 46, № 4, 229–234 (итал.).

Для разделения  $\text{Fe}^{3+}$ - $\text{Cr}$  применяют колонку длиной 30 см, диам. 1,3 см с амберлитом IRA-410. В колонку загружают 20 г смолы, проходящей через сито 625–900 меш, промывают водой, 200 мл 4 н.  $\text{HCl}$ , 150 мл воды и равным кол-вом 4 н.  $\text{HCl}$ . Скорость вытекания р-ров 8–9 мл/мин. При промывании 50 мл 0,3 М р-ра  $\text{NH}_4\text{SCN}$  (рН 1) установлено, что  $\text{Fe}$  адсорбируется смолой,  $\text{Cr}$  проходит через колонку и может быть определен в вытекающем р-ре. Затем вымывают и определяют  $\text{Fe}$ . Погрешность 0,2–0,3%. Разделение возможно при различном соотношении между компонентами (0,7–2,7 мг  $\text{Fe}$  в присутствии 10–80 мг  $\text{Cr}$  или 8–80 мг  $\text{Cr}$  в присутствии 20–120 мг  $\text{Fe}$ ). М. П.

75295. Кулометрическое титрование трехвалентного железа электролитически выделенным этилендиаминтетраацетатом двухвалентного железа. Шмид, Рейлли (Coulometric titration of iron (III) with electrolytically

generated iron (II) — ethylenediamine tetraacetate. Schmid R. W., Reilley Charles N.), *Analyt. Chem.*, 1956, 28, № 4, Part 1, 520—522 (англ.)

Метод основан на восстановлении этилендиаминтетраацетата  $\text{Fe}^{3+}$  ( $\text{FeY}^-$ ) на Pt-катоде до соответствующей соли  $\text{Fe}^{2+}$ , являющейся сильным восстановителем. Последняя восстанавливает  $\text{Fe}^{3+}$  согласно ур-нию:  $\text{FeY}^{2-} + \text{Fe}^{3+} \rightarrow \text{FeY}^- + \text{Fe}^{2+}$ . Окислительно-восстановительный потенциал пары  $\text{FeY}^-/\text{FeY}^{2-}$  в интервале pH 1—2,5 и 7—10 резко смещается в отрицательную область с повышением pH. В интервале pH 2,5—7 окислительно-восстановительный потенциал почти постоянен. Поскольку  $\text{FeY}^{2-}$  является достаточно сильным восстановителем при pH > 2, ионы  $\text{H}^+$ , освобождающиеся при получении  $\text{FeY}^-$  взаимодействием эквивалентных кол-в  $\text{FeCl}_3$  с комплексом III, нейтрализуют до pH 2,5 ацетатом натрия. Во избежание окисления  $\text{FeY}^{2-}$  кислородом воздуха при титровании через р-р пропускают медленный ток  $\text{N}_2$ ; перемешивание осуществляют магнитной мешалкой. Анод и индикаторный электрод изготавливают из Pt. Титрование производят при токе 4 или 43 мА, применяя соответственно 0,05 или 0,1 М р-р  $\text{FeY}^-$ . При этом сначала выполняют предварительное титрование после добавления небольшого произвольного кол-ва анализируемого р-ра. Затем добавляют анализируемую пробу и снова титруют. По расстоянию между обеими конечными точками находят содержание  $\text{Fe}^{3+}$  в р-ре. Хроматы и перманганаты окисляют органич. часть  $\text{FeY}^-$  и потому не могут быть определены этим методом. Р-ция с  $\text{UO}_2^{2+}$  и  $\text{VO}_3^-$  протекает очень медленно и потому непригодна для прямого определения этих ионов. В этом случае авторы допускают возможность обратного титрования.

Н. П. 75296. Объемное определение железа в присутствии титана. Акт, Леруа (Miareczkowe oznaczenie żelaza w obecności tytanu. Axt M., Leroy M.), *Przegl. geol.*, 1956, № 3, 125 (польск.)

75297. Иодометрическое определение железа. Патнаик, Махпатра, Чиранджиби (On the estimation of iron by iodometry. Patnaik D., Mahapatra G., Chiranjeebi A.), *Current Sci.*, 1956, № 25, № 2, 55 (англ.)

Предложен простой и быстрый метод иодометрич. определения Fe с использованием  $\text{Cu}_2\text{I}_2$  в качестве катализатора. К 25 мл р-ра, 0,1—0,3 М по  $\text{Fe}^{3+}$  и 0,1 н. по к-те, добавляют 2 мл 6 н.  $\text{HClO}_4$  и 4 г твердого КJ. Титруют обычно 0,1 н. р-ром  $\text{Na}_2\text{S}_2\text{O}_3$  с крахмалом в качестве индикатора. При определении более низких конц-ий  $\text{Fe}^{3+}$  увеличивают кол-во КJ и уменьшают кол-во  $\text{HClO}_4$ ; титруют 0,05 н. или 0,025 н. р-ром  $\text{Na}_2\text{S}_2\text{O}_3$ . Описанный метод так же точен, как и бихроматный при использовании в качестве индикатора N-фенилантрапиновой к-ты.

Т. М. 75298. Определение никеля в окисных пленках на металлическом никеле. Браммет, Хольвег (Determination of nickel in oxidized films on nickel metal. Brummet B. D., Hollweg R. M.), *Analyt. Chem.*, 1956, 28, № 5, 887—888 (англ.)

При окислении металлич. Ni на воздухе и при его электролитич. обработке в забуференном боратной смесью р-ре  $\text{NiSO}_4$ , образуются пленки, легко растворяющиеся в 2%-ной  $\text{HCOOH}$  или 0,5%-ном KCN. В то время как  $\text{HCOOH}$  медленно растворяет и металл-субстрат, KCN в отсутствие кислорода на него не действует, но количественно снимает окисную пленку. Образующийся при растворении пленки в 0,5%-ном KCN комплексный цианид никеля имеет 3 резко выраженных максимума поглощения УФ-света при 208, 268 и 286 мμ и 1 небольшой максимум при 310 мμ. При 268 мμ и конц-ии Ni от  $2 \cdot 10^{-7}$  до  $25 \cdot 10^{-7}$  г/мл закон Бера выполняется, что можно использовать для определения Ni в составе окисной пленки после ее растворения в 0,5%-ном KCN.

Для выполнения определения Ni, окисную пленку которого нужно анализировать, погружают на 2—5 мин. в 0,5%-ный KCN, предварительно освобожденный от  $\text{O}_2$  10-минутным пропусканием  $\text{N}_2$ . По окончании растворения прекращают ток  $\text{N}_2$ , если нужно, разбавляют полученный р-р 0,5%-ным KCN и спектрофотометрируют при 268 мμ. Метод можно использовать для изучения скорости коррозии металлич. Ni.

Н. П. 75299. Титрование никеля этилендиаминтетрауксусной кислотой при pH 2,8. Хар, Базан (The titration of nickel with EDTA at pH 2.8. Haar K. Ter, Bazan J.), *Analyt. chim. acta*, 1956, 14, № 5, 409—413 (англ.; рез. нем., франц.)

Объемное определение Ni при помощи этилендиаминтетрауксусной к-ты (I) основано на оттитровывании ее избытка р-ром  $\text{Th}(\text{NO}_3)_4$  при pH ~ 2,8 в присутствии ализарина S в качестве индикатора. К р-ру, содержащему 30—120 мг Ni, добавляют небольшой избыток (1—5 мл) 0,05 М I, разбавляют смесь до 100 мл и нейтрализуют 2 н.  $\text{NH}_4\text{OH}$  по бумажке конго красный. Затем добавляют по 5 мл 2 М  $\text{CH}_3\text{COOH}$  и 1 М  $\text{CH}_3\text{COONa}$ , измеряют pH и при необходимости доводят его добавлением  $\text{NH}_4\text{OH}$  или 2 н.  $\text{HCl}$  до 2,7—2,9. После добавления 1,5 мл 0,1%-ного р-ра ализарина S немедленно оттитровывают избыток I 0,05 М  $\text{Th}(\text{NO}_3)_4$  до изменения зеленой окраски в коричневую. Погрешность ≤ 0,3 мг. Присутствие ≤ 10 мг Co на точность не влияет. Описан приближенный метод определения константы комплексобразования Th-соли I, основанный на измерении экстинкции р-ра Ni-соли I, к которому добавляют  $\text{Th}^{4+}$ .

Б. Т. 75300. Изменение окраски смеси хлорида трехвалентного железа и роданида аммония во времени. Гиани, Мисра (Time variation of the colour in mixtures of ferric chloride and ammonium thiocyanate. Giani B. P., Misra Rani, Miss), *J. Indian Chem. Soc.*, 1956, 33, № 3, 160—166 (англ.)

Произведено исследование изменения окраски смеси  $\text{FeCl}_3$  с  $\text{NH}_4\text{SCN}$  во времени. Отмечено самопроизвольное восстановление  $\text{Fe}^{3+}$  до  $\text{Fe}^{2+}$ , на которое не влияет свет. Добавление к-ты сначала углубляет окраску, затем она бледнеет. Увеличение конц-ии  $\text{NH}_4\text{SCN}$  также углубляет окраску, и ослабление окраски замедляется. При больших конц-иях окраска стабилизируется. Существующие теории ослабления окраски вследствие диссоциации двойной соли  $\text{Fe}(\text{SCN})_3 \cdot 9\text{KSCN}$ , восстановления  $\text{Fe}(\text{SCN})_3$  до  $\text{Fe}(\text{SCN})_2$ , гидролиза  $\text{Fe}(\text{SCN})_3$  до  $\text{Fe}(\text{OH})_3$  и т. д. не дают объяснения наблюдаемым явлениям.

М. П. 75301. Комплексометрическое определение никеля, магния, цинка и марганца в присутствии титана. Добкина Б. М., Петрова Е. И., Завод. лаборатория, 1956, 22, № 5, 525—527

Для определения Ni в присутствии Ti навеску 0,5 г растворяют при нагревании в 50 мл  $\text{HCl}$  (уд. в. 1,19), добавляют ≤ 10 капель  $\text{HNO}_3$  (уд. в. 1,4) до исчезновения фиолетовой окраски, кипятят для удаления окислов азота, охлаждают и разбавляют до 250 мл разб.  $\text{HCl}$  (1 : 99). 25 мл полученного р-ра разбавляют до ~ 100 мл приливают 2 мл 50%-ного р-ра винной к-ты, нейтрализуют по лакмусу  $\text{NH}_4\text{OH}$  и добавляют избыток 1—2 мл. Затем вводят ~ 0,4 г мурексида (1 : 500 с.  $\text{NaCl}$ ), помещивают 2—3 мин. до появления яркой розовато-желтой окраски и титруют 0,05 или 0,025 М р-ром комплексона III (I) до розовато-фиолетовой окраски. 1 мл 0,025 М р-ра I эквивалентен 1,467 мг Ni. При определении Mg или Zn добавляют 3 мл избытка  $\text{NH}_4\text{OH}$ . Если определяют только Mg, вводят 1 мл 10%-ного р-ра гидроксид-аминна и ~ 0,2 г эриохром черного Т (1 : 200 с.  $\text{NaCl}$ ). Титруют при перемешивании до сине-голубой окраски. Из общего числа мл, израсходованных на титрование, вычитают 0,05 мл. 1 мл 0,025 М р-ра I эквивалентен

0,608 мг Mg и 1,634 мг Zn. Содержание Fe должно быть  $\leq 0,5\%$  (по отношению к общей навеске). При определении Mn вместо гидроксиланина после добавления эриохром черного Т вводят 2—3 мг аскорбиновой к-ты до появления винноокрасной окраски; 1 мл 0,025 М р-ра I эквивалентен 1,373 мг Mn. Содержание Fe должно быть  $\leq 1\%$ . Титрование по точности не уступает методу Фольгарда и точнее фотоколориметрического. М. П.

**75302. Полярографическое определение кобальта в присутствии никеля.** Мейтс (Polarographic determination of cobalt in presence of nickel. Meites Louis), *Anal. Chem.*, 1956, 28, № 3, 404—406 (англ.).

Полярографическое определение Co в присутствии Ni включает окисление  $\text{Co}(2+)$  до  $\text{Co}(3+)$  избытком  $\text{KMnO}_4$  и разрушение избытка  $\text{KMnO}_4$  при помощи  $[\text{H}_3\text{NOH}_2\text{SO}_4]$ . К двум навескам по 2,5 г соли Ni добавляют по  $\sim 50$  мл воды, 2—3 г  $\text{NH}_4\text{Cl}$  и  $\sim 10$  мл конц.  $\text{NH}_4\text{OH}$ . В одну колбу добавляют 2 мл насыщ. р-ра  $\text{KMnO}_4$ ; через 1—2 мин. появляется помутнение за счет  $\text{MnO}_2$ . При образовании осадка, указывающего на присутствие As, Sb, Cu или Mn, добавляют еще  $\text{KMnO}_4$  до пурпурной окраски р-ра. Затем в каждую колбу добавляют по 2 мл насыщ. р-ра  $[\text{H}_3\text{NOH}_2\text{SO}_4]$  и 1 мл 0,2%-ного р-ра поверхностно-активного агента тритон X-100 и разбавляют р-ры до 100 мл. После встряхивания часть окисленного р-ра вводят в полярографию. Ячейку, пропускают  $\text{H}_2$  или  $\text{N}_2$  и полярографируют от  $-0,2$  до  $-0,8$  в (насыщ. к. э.). Затем в ячейку вносят порцию р-ра, не подвергавшегося обработке  $\text{KMnO}_4$ , и полярографируют в тех же условиях. Полученная полярограмма всегда характеризуется небольшой волной примерно при  $-0,5$  в (насыщ. к. э.), обусловленной восстановлением аммиачного комплекса  $\text{Co}(1+)$ , образующегося при р-ции между присутствующей в образце Cu и избытком  $\text{NH}_4\text{OH}$ .  $I_d$  измеряют по разности ординат обеих кривых при потенциале плато волны  $\text{Co}(3+)$  (примерно  $-0,70$  в по отношению к насыщ. к. э.). При 0,096% Co среднеквадратичная погрешность  $\pm 2,6\%$ . Т. Л.

**75303. Разработка метода прямого спектрофотометрического определения кобальта на бумаге.** Лакур, Хейндрикс (Mise au point du microdosage spectrophotométrique direct du cobalt sur papier. Lacour A., Heindrickx P.), *Mikrochim. acta*, 1956, № 9, 1389—1414 (франц.; рез. нем., англ.).

Ацетоновый р-р (1%-ный)  $\alpha$ -нитрозо- $\beta$ -нафтола (I) и его соединения с Co имеет максимум поглощения (МП) при 800 м $\mu$ . Поэтому избыток I оказывает небольшое влияние на пропорциональность между светопропусканием (С) и конц-ией Co в интервале 3—5  $\gamma$ . Пятно комплексного соединения Co с I на бумаге, помещенной в воду или р-р реактива, также имеет МП при 800 м $\mu$ . Однако наибольшее различие оптич. плотности (ОП) комплекса в р-ре и на бумаге наблюдается при 850 м $\mu$ . При этой длине волны в интервале 0,1—3  $\gamma$  Co ОП линейно изменяется с конц-ией Co. Для данного кол-ва Co величина С комплекса зависит от способа определения поправки на контрольный опыт, способа проявления пятна комплекса на бумаге (описаны 4 различных способа) и метода измерения. Для получения воспроизводимых результатов измерения производят на полоске бумаги, кондиционированной и рекондиционированной в течение дня и ночи при относительной влажности 52%. Аналогично измеряют поправку на контрольный опыт, которую вводят для каждой серии определений. В этом случае погрешность определения 3  $\gamma$  Co не превышает 3%. В результате хроматографии, отделения Co от Cu и Zn линейная зависимость между ОП и конц-ией Co не нарушается, но воспроизводимость результатов улучшается. Размеры окрашенных пятен после хроматографирования при содержании 1—3  $\gamma$  Co в 0,01 мл р-ра постоянны. С увеличением объема пробы

размер пятна после хроматографирования возрастает. Этот факт не препятствует колич. определению Co в пробах различных объемов, если пятно после хроматографирования спектрофотометрируют целиком. Н. П.

**75304. Количественное хроматографическое определение кобальта в электролитах для получения цинка.** Бертореале, Палья (Dosaggio cromatografico quantitativo del cobalto negli elettroliti per zinco. Bertorelle Eugenio, Paglia Ernestina), *Chimica e industria*, 1956, 38, № 5, 384—385 (итал.; рез. англ., нем., франц.).

Zn-электролит для совместного осаждения Mn и Co должен содержать  $\geq 0,05$  мг/л Co и 5 г/л Mn (в форме  $\text{MnCl}_2$ , полученного восстановлением  $\text{KMnO}_4$  с помощью  $\text{HCl}$ ). К 1 л исследуемого р-ра добавляют 100 г  $\text{NH}_4\text{Cl}$ , доводят до кипения, прекращают нагревание, добавляют небольшой избыток  $\text{NH}_4\text{OH}$  до слабого потемнения р-ра и 5 г  $\text{NaHSO}_4$ , причем образуется коричнево-черный осадок. 5 мин. кипятят и через 2 часа фильтруют через воронку Бюхнера. Осадок разлагают при нагревании 30 мл конц.  $\text{HCl}$ . Через 15 мин. добавляют 5—6 мл конц.  $\text{HNO}_3$ . Смесь разбавляют до 10—15 мл и фильтруют через тигель Гуча; осадок промывают. Фильтрат выпаривают на песчаной бане до нескольких мл, разбавляют до 10 мл и каплю р-ра наносят на хроматографич. бумагу. Проявляют смесью 85% ацетона, 5% метилэтилкетона, 5% воды и 5% конц.  $\text{HCl}$ , 3 часа сушат на воздухе, опрыскивают смесью 0,5 г нитрозо-R-соли, 100 мл глицерина, 100 мл спирта и 1 мл  $\text{HCl}$ . Снова оставляют на 15 мин. на воздухе и с помощью электрофотометра сравнивают полосу Co со стандартной шкалой (градуированной на 0,5—2  $\gamma$  Co). Продолжительность определения  $\sim 6$  час. М. П.

**75305. Определение кобальта в высоколегированных сталях и магнитных сплавах.** Касси (The determination of cobalt in highly alloyed steels and magnet alloys. Cassy F.), *Chemistry and Industry*, 1956, № 16, 305—307 (англ.).

Пробу сплава растворяют в  $\text{HCl}$ , окисляют  $\text{HNO}_3$  и р-р разбавляют. К 100 мл р-ра, содержащего  $\sim 0,025$  г Co, добавляют 30 мл р-ра лимонной к-ты (500 г/л) и 50%-ный  $\text{NH}_4\text{OH}$  до шел. р-ции по лакмусу. Разбавляют до 300 мл, добавляют горячий р-р фенилтиогидантоиновой к-ты (2 г в 60 мл горячей 50%-ной смеси спирта с водой) и кипятят 1 мин. Выдерживают в теплом месте 5 мин. и фильтруют через ватман № 541, промывая  $\geq 6$  раз горячей водой. Фильтр с осадком переносят в стакан, где производили осаждение, и обрабатывают  $\text{H}_2\text{SO}_4$  (10 мл) и  $\text{HNO}_3$ , выпаривая и вновь добавляя  $\text{HNO}_3$  до удаления органич. в-в (для ускорения вводят небольшое кол-во  $\text{H}_2\text{O}_2$ ). Затем р-р разбавляют до 60 мл, нейтрализуют избыток к-ты  $\text{NH}_4\text{OH}$ , слегка подкисляют разб.  $\text{H}_2\text{SO}_4$  и охлаждают. К 200 мл цитратно-сульфатного р-ра (500 г лимонной к-ты и 400 г  $(\text{NH}_4)_2\text{SO}_4$ , добавляют к небольшому кол-ву воды, приливают 1575 мл  $\text{NH}_4\text{OH}$  (уд. в. 0,880), охлаждают и разбавляют до 2,5 л, добавляют 150 мл воды, опускают в стакан электроды (кадомельный и платиновый) и приливают  $\sim 26$  мл титрованного р-ра  $\text{K}_3\text{Fe}(\text{CN})_6$ . Отмечают отклонение гальванометра за счет изменения потенциала и оттитровывают стандартным р-ром Co до тех пор пока добавление 1 капли не вызовет изменения потенциала. Погрешность определения  $\pm 1\%$ . М. П.

**75306. Образование внутрикомплексных соединений (этилендинитрил) тетрауксусной кислоты с металлами группы платины.** Спектрофотометрическое определение иридия. Мак-Невин, Криг (Ethylenedinitrilo; tetraacetic acid chelation of platinum group metals. Spectrophotometric determination of iridium. MacNevin William M., Kriege Owen H.), *Anal. Chem.*, 1956, 28, № 1, 16—18 (англ.).

При содержании хлорида  $\text{Ir}(3+)$  р-р нагревают 1 час

на водяной бане и медленно пропускают  $\text{Cl}_2$ . Избыток  $\text{Cl}_2$  удаляют 5-минутным кипячением. Добавляют двухзамещенную Na-соль (этилендинитрил) тетрауксусной к-ты (I) из расчета 2—3 ммоль на 1 ммоль  $\text{Ir}^{4+}$ , доводят pH до 11,4—12,6 с помощью KOH. Разбавляют до содержания  $\text{Ir}^{4+}$  5—60  $\gamma/\text{л}$ , нагревают 10 мин. на водяной бане при 80—90°, охлаждают до 18—20° и спектрофотометрируют в 1-см кювете при 313 м $\mu$  в кварцевом спектрофотометре Бекмана, модель DU. Окраска устойчива 12 час. Преимущество метода: чувствительность, практически линейная зависимость между конц-ией  $\text{Ir}$  и поглощением в области 2,5—75  $\gamma/\text{л}$ , быстрота р-ции, стойкость окраски, избыток I не требует разрушения,  $\text{SO}_4^{2-}$  не мешает, анализ можно вести в сильно щел. р-рах, для которых другой метод неприменим. Недостатки — необходимость отделения  $\text{Ir}$  от других металлов группы Pt, вредное влияние  $\text{NO}_3^-$  (в его присутствии такие же кол-ва  $\text{NO}_3^-$  добавляют к стандартным р-рам). Погрешность определения 0,006  $\gamma/\text{л}$  (при конц-ии  $\text{Ir}$  10,12  $\gamma/\text{л}$ ). М. П.

**75307. Взаимодействие элементов группы платины с 1,2,3-бензотриазолом.** Вильсон, Вильсон (Interaction of platinum group elements with 1,2,3-benzotriazole. Wilson Ray F., Wilson Louberta E.), *Analyt. Chem.*, 1956, 28, № 1, 93—96 (англ.)

1,2,3-бензотриазол (I) количественно осаждает Pd. При добавлении избытка I к р-ру  $\text{PdCl}_2$  забуференному  $\text{CH}_3\text{COOH}$  —  $\text{CH}_3\text{COONa}$ , в отсутствие или в присутствии комплексона III (II), образуется белое комплексное соединение  $\text{Pd}(\text{C}_6\text{H}_4\text{NHNH}_2)_2\text{Cl}_2$ . При избытке палладия образуется красновато-бурое соединение  $\text{Pd}(\text{C}_6\text{H}_4\text{NHNH}_2)_2\text{Cl}_2$ . Осадки практически нерастворимы в минер. к-тах и в большинстве органич. р-рителей. Ru и Os в отсутствие II дают с I при комнатной т-ре соответственно интенсивно красное и светложелтое окрашивание, при нагревании переходящее в голубовато-зеленое и оранжевое; в присутствии II оба элемента не дают видимых р-ций, но при стоянии Ru медленно образует бурый осадок. Другие платиновые металлы не дают видимой р-ции с I в отсутствие и в присутствии II (при комнатной т-ре). Rh (3+) и Pt (2+) в отсутствие II взаимодействуют очень медленно с образованием суспендированного осадка, в присутствии II Rh не дает видимой р-ции, а Pt (2+) образует муть при стоянии. Разработаны методы весового и амперометрич. определения Pd в виде  $\text{PdCl}_2$  в забуференном р-ре  $\text{CH}_3\text{COOH}$  —  $\text{CH}_3\text{COONa}$  (ион  $\text{CH}_3\text{COO}^-$  благоприятствует коагуляции осадка) при помощи I. Осадок высушивают 30 мин. до постоянного веса при 110°. Фактор пересчета на Pd 0,2566. При определении 3—60 мг Pd средняя ошибка менее 0,1 мг. Не мешают небольшие кол-ва Pt(4+), Ir(4+), Rh(3+), Os(8+), Ru(3+), Fe(3+), Al, Zn, Mg, Ni, Co (в присутствии II). Не мешают умеренные кол-ва  $\text{SO}_4^{2-}$ ,  $\text{NO}_3^-$ . Мешают Pt(2+) и Au(3+). Амперометрич. титрование 0,2—6 мг Pd выполняется при потенциале —0,5 в относительно насыщ. к. э. на фоне ацетатного буферного р-ра; при этом образуется  $\text{Pd}(\text{C}_6\text{H}_4\text{NHNH}_2)_2\text{Cl}_2$  (при титровании I р-ром  $\text{PdCl}_2$  образуется  $\text{Pd}(\text{C}_6\text{H}_4\text{NHNH}_2)_2\text{Cl}_2$ ). При титровании 0,2 мм и более конц. р-ра  $\text{PdCl}_2$  относительная ошибка равна  $\pm 0,3\%$ . В присутствии Os(8+), Ru(3+), Ni получаются недостаточно точные результаты. В присутствии Fe(3+) и Au(3+) расходуются больше реактива, чем требуется по теории. Не мешают умеренные кол-ва Co и Ir. Не мешают Pt(4+), Pt(2+), Rh(3+), Cr(3+), Al, Ca, Mg,  $\text{SO}_4^{2-}$  и  $\text{NO}_3^-$ . В. С.

**75308. 3-окси-1,3-дифенилтриазин как реактив на палладий.** Согани, Бхаттачария (3-hydroxyl-1,3-diphenyltriazine as reagent for palladium. Sogani N. C., Bhattacharya S. C.), *Analyt. Chem.*, 1956, 28, № 1, 81—83 (англ.)

3-окси-1,3-дифенилтриазин (I)  $\text{C}_{12}\text{H}_{11}\text{N}_3\text{O}$  осаждает

$\text{Pd}^{2+}$  в виде комплекса  $(\text{C}_{12}\text{H}_{10}\text{N}_3\text{O})_2\text{Pd}$  при pH 1,6—8. Комплекс представляет желтовато-бурое в-во, очень хорошо растворимое в  $\text{CHCl}_3$  и бензоле, заметно растворимое в эфире и ацетоне и очень мало — в спирте. Т. пл. 252° (после перекристаллизации из ацетона) без заметных признаков разложения. Максимумы абсорбции р-ра I в спирте находятся при 239, 284 и 350 м $\mu$  ( $\lg E = 4,096$ ; 3,668; 4,276 соответственно), а  $(\text{C}_{12}\text{H}_{10}\text{N}_3\text{O})_2\text{Pd}$  — при 225, 255 и 413 м $\mu$  ( $\lg E = 4,5847$ , 4,5847, 4,3835). При весовом определении  $\text{Pd}^{2+}$  и его отделении от Ni, Co, Zn, Al, Cr, Cd, Mn, Sb(3+), Bi, As(3+), Be, U, Fe(2+), Fe(3+), Zr, Ce(4+), Pt(4+) палладий осаждают при pH 2—2,5 небольшим избытком I (для повышения его специфичности и облегчения удаления избытка реактива гидролизом). Осадок легко отфильтровывается. Его высушивают 30—45 мин. при 120—130° до постоянного веса и взвешивают. Фактор пересчета на Pd 0,2009. При определении 10—25 мг Pd получены хорошие результаты. Хотя Au(3+), Ag и Os(4+) не образуют комплексов с I, однако, они мешают вследствие восстановления до элементарного состояния. Мешает Sn(2+), так как оно восстанавливает  $\text{Pd}(2+)$  до металла. Реактив во многих отношениях превосходит диметилглиоксим. Синтезирован I из фенилгидроксиламина и бензолдиазонийхлорида (светложелтые кристаллы, т. пл. 119,5—120°). В. С.

**75309. 4-метил и 4-изопропил-1,2-циклогександиондиоксим-реактивы для весового определения никеля и палладия.** Банкс, Хукер (4-methyl- and 4-isopropyl-1,2-cyclohexanedioneoxime. Gravimetric reagents for nickel and palladium. Banks Charles V., Hooker Donald T.), *Analyt. Chem.*, 1956, 28, № 1, 79—81 (англ.)

4-метил-1,2-циклогександиондиоксим (I) растворим в воде (3,4 г/л при 25°), количественно осаждает  $\text{Ni}^{2+}$  при pH 3—7, осадок не загрязнен избытком реактива, легко отфильтровывается, не ползет и имеет высокий эквивалентный вес. Хотя  $\text{Ni}^{2+}$  количественно осаждается и при pH > 7, но в этом случае образуется объемистый и более труднообрабатываемый осадок. I пригоден для весового определения  $\text{Pd}^{2+}$ . 4-изопропил-1,2-циклогександиондиоксим (II) несколько менее растворим в воде (0,75 г/л при 25°) и более пригоден для определения небольших кол-в  $\text{Ni}^{2+}$  и  $\text{Pd}^{2+}$ . Осадки никеля с I или II (полученные в присутствии  $\text{CH}_3\text{COONH}_4$ ) промывают водой, высушивают 2 часа при 105° и взвешивают. Фактор пересчета на Ni при осаждении I равен 0,1590, при осаждении II 0,1380. При определении 1—60 мг Ni в синтетич. смесях, сталях и алюминиевом сплаве получены хорошие результаты. Избыток I до 300% практически не влияет на точность. На определение Ni при помощи I не влияют присутствие по 1 г ацетата, хлорида, нитрата, перхлората, сульфата, тартрата, цитрата, сульфосалицилата и роданида. Первые 6 анионов не мешают определению Ni также при помощи II. Не мешают Al,  $\text{NH}_4$ , Sb(3+), Ba, Be, Bi, Cd, Ca, Ce(3+), Cr(3+), Co, Cu, Fe, La, Pb, Li, Mg, Mn, Pd, Pt(2+), Rh, Ru(3+), Ag, Sr, Th, Ti(3+), U, V(4+), Zn. Для маскировки Al, Sb(3+), Bi, Cr(3+) и Fe(3+) прибавляют тартрат, а для Co, Cu и Pd соответственно — цианид, роданид и аммиак. I количественно осаждает  $\text{Pd}^{2+}$  при pH 0,7—5, но при его весовом определении осаждают при pH 1—1,5. Осадок с I или II промывают водой, высушивают 2 часа при 105° и взвешивают. Фактор пересчета на Pd 0,2558 для I и 0,2255 для II. При определении 6—50 мг Pd при помощи I и 1—5 мг при помощи II получены точные результаты. При осаждении  $\text{Pd}^{2+}$  при помощи I и II не влияют по 1 г ацетата, хлорида, нитрата, перхлората, сульфата, сульфосалицилата, тартрата. Практически не влияют по 1 г Al, Sb(3+), Ba, Be, Bi (в отсутствие  $\text{Cl}^-$ ), Cd, Ca, Ce(3+), Fe(3+), Co, Fe(2+), Fe(3+) (в присутствии тартрата), La, Pb, Li,

Mg, Mn, Pt(2+), K, Rh, Ru(3+), Ag (в отсутствие Cl<sup>-</sup>), Na, Sr, Th, Ti(3+), U, V и Zn. Немного влияют Ir(3+), Ni, Nb (в присутствии оксалатов) и Zr. I и II восстанавливают Au(3+) до металла. Большие кол-ва высокозарядных ионов (Al<sup>3+</sup>, Th<sup>4+</sup>) понижают результаты определения небольших кол-в (2 мг) Pd.

В. С. 75310. Колориметрическое определение шестивалентного осмия с 1-нафтиламин-3,5,7-трисульфокислотой. Уингфилд, Йо (Colorimetric determination of osmium (VI) with 1-naphthylamine-3,5,7-trisulfonic acid. Wingfield Henry C., Joe John H.), *Anal. chim. acta*, 1956, 14, № 5, 446—451 (англ.; рез. нем., франц.)

Колориметрический метод определения Os в шестивалентном состоянии основан на образовании устойчивого фиолетового комплекса с 1-нафтиламин-3,5,7-трисульфокислотой (I). Установлено, что комплекс образуется в результате р-ции осмата с аминогруппами при молярном соотношении реагента и осмата 2:1. Основные преимущества предложенного метода: простота выполнения, высокая чувствительность (1 ч. Os в 15 млн. ч. р-ра) и слабая кислотность среды (pH 1,5). Цветная р-ция получается только для Os (6+). Р-р I сильно поглощает только при длине волны меньше 450 мμ; максимум поглощения окрашенного комплекса находится при 560 мμ. Это позволяет вводить даже семикратный избыток реагента. Среда р-ра сильно влияет на окрашивание: при добавлении 1 к р-ру осмата возникает пурпуровая окраска, переходящая в фиолетовую при pH 1, в синюю при более высоких значениях pH и в бледно-зеленую при pH 10—11. Интенсивность окраски возрастает в течение 4 час. после смешивания, а затем остается почти постоянной в течение месяца. Максим. окраска наблюдается при pH 1,5. Р-ры подчиняются закону Бера. При 35° интенсивность окраски и поглощение несколько выше, чем при 15°, но определение можно производить при комнатной т-ре. Подкисление испытуемого р-ра до pH 1,5 следует производить после достижения максим. окраски. Определению мешают следующие ионы: Ru<sup>3+</sup>, Rh<sup>3+</sup>, Pd<sup>2+</sup>, Ir(4+); Pt(4+), Al<sup>3+</sup>, VO<sup>+</sup>, Cr<sup>3+</sup>, Fe<sup>3+</sup>, Fe<sup>2+</sup>, Co<sup>2+</sup>, Ni<sup>2+</sup>, Cu<sup>2+</sup>, Zn<sup>2+</sup>, Pb<sup>2+</sup>, Mn<sup>2+</sup>, Mg<sup>2+</sup>, Ag<sup>+</sup>. Для отделения Os применяют дистилляцию и экстракцию CHCl<sub>3</sub>. В обоих случаях Os получается в 8-валентной форме, а попытки количественно превратить его в 6-валентную форму окончились безуспешно. А. Ш.

75311. Аналитическое определение радиоактивного родия в продуктах деления. Кимура, Икэда, Йосихара (核分裂生成物中の放射性ロジウム の分析化学的研究. 木村健二郎, 池田長生, 吉原賢二), *電気試験所報*, 1955, 19, № 12, 913—917 (япон.; рез. англ.)

Отделение Rh от Ru выполнено с помощью колонки, наполненной катионообменной смолой дауэкс-50. Этим способом было подтверждено наличие Rh<sup>103m</sup> в радиоактивном пепле, выпавшем после атомного взрыва на острове Бикини.

Н. П. 75312. Определение углерода и водорода в самопроизвольно воспламеняющихся газах. Брэдли (Determination of carbon and hydrogen in spontaneously flammable gases. Bradley Howard B.), *Anal. Chem.*, 1955, 27, № 12, 2021—2022 (англ.)

Для анализа силансодержащих газовых смесей предложен метод сжигания, исключающий опасность взрыва и основанный на последовательном смешении малых порций анализируемого газа с большим избытком O<sub>2</sub>. Применяемый прибор сходен с используемым при стандартном полумикросжигании (Niederl J. B., Niederl Victor, *Organic Quantitative Microanalysis*, 2nd ed., New York, Wiley, 1942, 101 pp.; Pregl Fritz, *Quantitative Organic Microanalysis*, 4th. engl. ed., Philadelphia, Blakiston, 1946, 33 pp.), за исключением того, что трубка для сжигания изготовлена из прозрачного плавного квар-

ца, имеет внешний диам. 10,5 мм, внутренний диам. 8,5 мм, длину 30 см и снабжена боковым отводом с трехходовым краном. Внутри трубки находятся прокаленный асбест, Pt-сетка, Pt-катализатор, CuO-катализатор, Ag-катализатор, Ag-сетка и прокаленный асбест. Зону с Ag и CuO нагревают в печи Фишера для микросжигания; т-ра этой зоны составляет 550—650°. Зону с Pt обворачивают сеткой из Ni-Cr-сплава и нагревают горелками до 850—1000°. Для приготвления Pt-, CuO- и Ag-катализаторов пользуются соответственно р-рами хлорида и нитрата; указанными р-рами пропитывают цилиндрич. таблетки Al<sub>2</sub>O<sub>3</sub> (алоксит). ~ 20 мл анализируемого газа разбавляют в газометре Нидерля 40—50 мл Ar. Газометр соединяют с трехходовым краном, систему продувают 1 час O<sub>2</sub>, затем начинают подачу газа и O<sub>2</sub>. Небольшие взрывы, происходящие вблизи бокового отвода, в зоне Pt-сетки, могут быть устранены уменьшением тока газа. Связи Si—H расщепляются на нагретом Pt-катализаторе. Органич. соединения окисляются на CuO-катализаторе, галогениды задерживаются на нагретом Ag-катализаторе. Описанный метод дал хорошие результаты при анализе газов, содержащих SiH<sub>4</sub> и C<sub>2</sub>H<sub>5</sub>SiH<sub>3</sub>.

Т. Л. 75313. Методы открытия и определения окиси углерода. Битти (Methods for detecting and determining carbon monoxide. Beatty R. L.), *Bull. Bur. Mines* (Wash.), 1955, № 557, 34 p. (англ.)

Критический обзор методов колич. и качеств. определения СО в воздухе и других газовых смесях. Наиболее чувствительный метод определения низких конц-ий СО в воздухе основан на восстановлении Pd<sup>2+</sup>-содержащих реактивов до металл. Pd или молибденовой сини (I). Хорошие результаты дает применение р-ра PdCl<sub>2</sub> + фосформолибденовой к-ты в ацетоне. Фотоколориметрируя интенсивность окраски I, образующейся в этом реактиве при действии СО, можно определить 0,002—0,06% СО в воздухе. Применяя индикатор из силикагеля, импрегнированного PbSO<sub>4</sub> + (NH<sub>4</sub>)<sub>2</sub>MoO<sub>4</sub>, определяют до 0,001% СО. Для точного лабор. определения СО применяют метод, основанный на восстановлении J<sub>2</sub>O<sub>5</sub> до элементарного J<sub>2</sub>. Непрерывная регистрация низких конц-ий СО в воздухе осуществляется с помощью самописца. Такие приборы, используемые для автоматич. управления вентиляцией в штольнях, СО в анализируемом воздухе окисляют в присутствии гокаллитового катализатора при 100° и выделяющуюся теплоту окисления регистрируют с помощью терморпар, соединенных с потенциометром. Этим способом удается определить 1—2 части СО на миллион частей воздуха. На том же принципе основаны так называемые индикаторы — портативные приборы для непрерывного определения СО и другие приборы, сигнализирующие опасные конц-ии СО в воздухе. Для непрерывной регистрации содержания СО в воздухе шахт и различных промышленных газах пользуются специфич. поглощением ИК-лучей. H<sub>2</sub>, N<sub>2</sub> и O<sub>2</sub> не мешают определению. Описаны и другие методы, основанные: а) на взаимодействии с солями закиси меди, б) на стехиометрич. окислении СО нагретой CuO, в) на медленном сжигании СО в O<sub>2</sub> воздуха при накоплении Pt-нитей, г) на каталитич. сжигании СО в воздухе или O<sub>2</sub> в присутствии платинированного силикагеля или д) на поглощении СО кровью с образованием карбоксигемоглобина. Библи. 175 назв.

Н. П. 75314. Определение углекислого газа в воде методом измерения электропроводности. Ноля, Польский (Determination of carbon dioxide in water by conductivity measurements. Noll C. A., Polsky J. W.), *Tappi*, 1956, 39, № 1, 51—54 (англ.)

Метод основан на поглощении выделяемого из образца CO<sub>2</sub> 0,1 н. р-ром Ba(OH)<sub>2</sub> (I) и на измерении изменения электропроводности (Э) I вследствие осаж-

дения  $\text{BaCO}_3$ . Для выделения  $\text{CO}_2$  к анализируемой пробе добавляют 1 мл 5%-ной  $\text{H}_2\text{SO}_4$  и, пропуская ток воздуха, кипятят смесь до достижения постоянной Э р-ра I. Поглощение  $\text{CO}_2$  производят в двух последовательно соединенных склянках с р-ром I, снабженных термометром и чейкой для измерения Э. Перед поглощением р-ром I, выделяющийся газ проходит через дрексель, заполненный р-ром  $\sim 330$  г  $\text{CrO}_3$  в 1 л 34%-ной  $\text{H}_2\text{SO}_4$ . Если же определению подлежит углерод в составе органич. в-ва, то вводят дополнительную промывную склянку с 20%-ным  $\text{KJ}$ . Органич. в-ва в воде окисляют при кипячении хромовой к-той. 25—75  $\mu$ /мл  $\text{C}$  в составе растворенной винной к-ты или бифталата калия определены этим методом с относительной погрешностью  $< 2\%$ . Погрешность определения 22—76  $\text{мг CO}_2$  в составе  $\text{Na}_2\text{CO}_3$  или  $\text{CaCO}_3$  лежит в пределах от  $-0,50$  до  $+0,65$   $\text{мг CO}_2$ . График зависимости изменения Э р-ра I от кол-ва поглощенного  $\text{CO}_2$  в интервале 22—76  $\text{мг CO}_2$  прямолинеен. Н. П.

**75315.** Применение карбометра для ускоренного определения углерода по ходу плавки мартеповской стали. Чуб Г. Ф., Трейгер И. Н., Савранская А. П., Бабич Г. А., Завод. лаборатория, 1956, 22, № 4, 391—397

При определении  $\text{C}$  в стали при помощи карбометра использована обратная зависимость между содержанием  $\text{C}$  в стали и Э. д. с. индукции. Для определения пользуются стержнями длиной 120, диам.  $12,90 \pm 0,01$  мм, отливаемыми в спец. разъемных изложницах. Толщина стенок изложниц  $\geq 35$  мм. При  $> 0,40\%$   $\text{C}$  отбирают закаленные пробы, при  $< 0,40\%$   $\text{C}$  — незакаленные. К пробе металла до заливания в изложницу прибавляют металл.  $\text{Al}$  (0,1% или 0,2%, соответственно, в случае закаленных и незакаленных проб). Т-ра пробы при извлечении из изложницы должна составлять 900—1000° при  $< 1\%$   $\text{C}$  и 800—900° при  $> 1\%$   $\text{C}$ . Стержень (т-ра 18—20°) вставляют в отверстие карбометра. Заводят часовой механизм, устанавливают стрелку гальванометра на нуль; при замыкании постоянного магнита и пробы при остановке якоря возникает максим. напряженность поля; при повороте якоря на 90° постоянный магнит замыкается накоротко и напряженность поля изменяется. Стрелку гальванометра возвращают к нулю и находят содержание  $\text{C}$  по калибровочной кривой, построенной в координатах:  $\text{C}$  (%) — отклонение стрелки. В присутствии  $> 0,3\%$   $\text{Mn}$ ,  $> 1\%$   $\text{Si}$  и др. элементов строят спец. калибровочные кривые. Сравнение полученных результатов с данными хим. анализа и металлографич. исследование показали, что для мартенсит и феррита имеет место хорошая сходимость. Определение  $\text{C}$  продолжается 1 мин. Т. Л.

**75316.** Цветная реакция на цианиды. Федотов В. П., Ж. аналит. химии, 1956, 11, № 2, 250 (рез. англ.)

Для определения  $\text{CN}^-$  предложено использовать р-цию взаимодействия хлорциана с анабазиним и анилином, при которой образуется красный с желтой флуоресценцией краситель полиметиновое ряда. К 5 мл испытываемого р-ра прибавляют 1—2 капли насыщ. р-ра хлорамина и 0,2—0,3 мл р-ра кремнефторида анабазина (7 вес. ч. в 20 вес. ч. воды), нейтрализуют (по лакмусу), прибавляют 0,25—0,5 мл насыщ. р-ра  $\text{C}_6\text{H}_5\text{NH}_2$  в воде и через 5 мин. подщелачивают 3—4 каплями р-ра  $\text{Na}_2\text{CO}_3$ . В присутствии  $\text{CN}^-$  появляется окраска, достигающая максимума через 5—20 мин. Затем краситель экстрагируют органич. р-рителями. Открываемый минимум  $\sim 0,4$   $\text{мг/л CN}^-$ . Р-ция в предлагаемых условиях специфична. Мешает  $\text{J}$ . В. К.

**75317.** Определение: А. Цианистоводородной кислоты ( $\text{HCN}$ ) и дициана ( $\text{CN}_2$ ) в газах. В. Берлинский лаури  $\text{Fe}_4[\text{Fe}(\text{CN})_6]_3$  в переработанной железной руде. I—II. Хьюверс (De bepaling van: A. cyanwaterstof ( $\text{HCN}$ ) en cyanogeen ( $\text{CN}_2$ ) in gassen. В. Berlijns

blauw,  $\text{Fe}_4[\text{Fe}(\text{CN})_6]_3$ , in afgewerkte ijzeraarde. I—II. Huvers P. C.), Het gas, 1956, 76, № 5, 118—122; № 6, 131—132, 134—135 (голл.)

I. В первой части настоящей серии статей описаны существующие методы определения  $\text{HCN}$  в газах, основанные на ее поглощении с образованием  $\text{AgCN}$ ,  $\text{K}_4[\text{Fe}(\text{CN})_6]$ , роданидов и других соединений, в том числе колориметрич. и комплексометрич. методы.

II. Описаны способы растворения проб для определения  $\text{Fe}_4[\text{Fe}(\text{CN})_6]_3$  (при помощи  $\text{HCl}$ , р-ра  $\text{KOH}$ , р-ра  $\text{NaOH}$ , р-ра  $\text{FeSO}_4 + \text{NaOH}$ ) и предложен метод, основанный на образовании в слабодиссоциирующей среде осадка, состоящего из смеси  $\text{K}_2\text{Zn}_3[\text{Fe}(\text{CN})_6]_2$  и  $\text{Zn}_2[\text{Fe}(\text{CN})_6]$ ; кол-во  $\text{Fe}_4[\text{Fe}(\text{CN})_6]_3$  вычисляют на основе соотношения  $\text{Zn}/\text{Fe}(\text{CN})_6$ . Т. Л.

**75318.** Дробное открытие ионов родана экстрагированием. Жаровский Ф. Г., Укр. хим. ж., 1956, 22, № 2, 232—233

Показана возможность дробного открытия ионов  $\text{SCN}^-$  (I) в присутствии анионов группы  $\text{AgNO}_3$ . Р-ция основана на экстракции  $\text{CHCl}_3$  синего соединения антипина или диантипирилметана с I в присутствии  $\text{Co}$ . Открываемый минимум соответствует 0,13  $\text{мг/мл}$  I. Присутствие 650-кратного кол-ва  $\text{J}^-$  и до 2000-кратного кол-ва  $\text{Br}^-$  и  $\text{Cl}^-$  не мешает. Т. М.

**75319.** Определение двуокиси и окиси азота в воздухе линейно-колористическим методом. Филянская Е. Д., Тр. науч. сессии Всес. н.-и. ин-та охраны труда, 1954 (1955), вып. 1, 205—209

Линейно-колористический метод определения газообразных примесей в воздухе основан на изменении окраски порошка индикаторной трубки после просасывания через последнюю исследуемого воздуха. Конц-ию примеси (в  $\text{мг/л}$ ) отсчитывают по длине изменившегося окраску столбика порошка на шкале прибора. В качестве носителя реактива выбран силикагель МСК, увлажненный до 38%; для определения  $\text{NO}_2$  в воздухе этот носитель пропитывали спирт. р-ром дифениламина с добавкой  $\text{NaCl}$ . С увеличением конц-ии дифениламина в р-ре длина окрашенного столбика ( $\text{OC}$ ) уменьшается и нарастает интенсивность окраски (т. е. увеличивается хемосорбционная емкость). С увеличением конц-ии  $\text{NaCl}$  длина  $\text{OC}$  увеличивается, падает интенсивность окраски (хемосорбционная емкость уменьшается); с увеличением конц-ии  $\text{C}_2\text{H}_5\text{OH}$  в р-ре длина  $\text{OC}$  уменьшается, интенсивность его окраски нарастает (увеличивается хемосорбционная емкость). Установлена линейная зависимость длины  $\text{OC}$  от конц-ии  $\text{NO}_2$  в воздухе. При просасывании воздуха, содержащего 0,012  $\text{мг/л NO}_2$ , в течение 5 мин. длина  $\text{OC}$  составляет 10 мм. Для определения  $\text{NO}$  последний окисляют до  $\text{NO}_2$  и измеряют его содержание в воздухе, содержащем  $\text{NO}_2$ , по разности. При конц-ии  $\text{NO}_2$  или  $\text{NO} + \text{NO}_2$  0,005—0,2  $\text{мг/л}$  погрешность определения  $\leq 10\%$ . Т. Л.

**75320.** Индол-реактив на нитриты. Зеленова Т. К., Каранович Г. Г., Тр. Всес. н.-и. ин-та хим. реактивов, 1956, № 21, 55—56

При взаимодействии между индолом и  $\text{NO}_2^-$  образуется нитрозоиндол, окрашенный в красный цвет. Р-цию ведут в среде 0,1—0,3  $\text{M}$  по  $\text{H}_2\text{SO}_4$ ; к р-ру навески нитрата щел. металла или  $\text{NH}_4^+$  в 40 мл воды прибавляют 1 мл 0,015%-ного р-ра индола и 0,75 мл конц.  $\text{H}_2\text{SO}_4$ . Через 10—15 мин. интенсивность окраски измеряют на фотоколориметре с зеленым фильтром (520  $\text{м}\mu$ ) или пользуются шкалой эталонов. Окраска стабильна 1 час; окислители не мешают. Чувствительность р-ции 0,0003  $\text{мг NO}_2^-$  в 40 мл, предельное разбавление 1 : 133 000 000. 5  $\mu\text{г NO}_2^-$  определяют в 3 г нитрата с погрешностью  $\leq 4\%$ . Т. Л.

**75321.** Кулометрическое титрование аммиака гипобромитом. Арканд, Свифт (Coulometric titration of ammonia with hypobromite. Arcand G. Myron,

Swift Ernest H.), *Analyt. Chem.*, 1956, 28, № 4, Part 1, 440—443 (англ.)

Метод основан на окислении аммиака до элементарного  $N_2$ . Окислителем служит гипобромит, образующийся из электролитически выделяемого  $Br_2$ . В щел. р-рах бром выделяется с эффективностью по току 100%. В качестве индикаторных электродов используют Pt-пластинки  $2 \times 2,5$  см. Индикаторный потенциал поддерживают на уровне 150 мВ, так как при этом потенциале индикаторный ток является линейной функцией концентрации. Подлежащий титрованию р-р должен иметь pH 8,5. Такой р-р готовят смешением 15,0 мл воды, 15,0 мл боратного буферного р-ра с pH 8,9, 10 мл 5 M NaBr и 10,0 мл стандартного р-ра  $NH_4Cl$ . Во избежание потерь  $NH_3$  р-р  $NH_4Cl$  добавляют непосредственно перед началом определения. С выделением брома индикаторный ток повышается до 20  $\mu$ А и остается на этом уровне почти на протяжении всего титрования. Вблизи конца титрования (КТ) ток начинает увеличиваться. Как только скорость возрастания тока достигнет 1  $\mu$ А за 5 сек., титрование прекращают (обычно за 5—15 сек. до КТ). В щел. среде КТ не удается определить с достаточной воспроизводимостью. Поэтому для определения КТ выжидают, пока ток достигнет постоянного значения  $< 10$   $\mu$ А и продолжают выделение брома до стабилизации тока на уровне  $\sim 10$   $\mu$ А. Затем к р-ру приливают 2 мл  $HClO_4$  и определяют КТ, снова выделяя бром до достижения определенного тока. Метод позволяет определить  $14—230 \gamma NH_3$  с максим. погрешностью 0,4  $\gamma$ .  $CuSO_4$  и  $Hg(NO_3)_2$  не мешают определению. Селениты восстанавливают гипобромит и потому должны быть удалены перед определением  $NH_3$ . Полное восстановление селена металлич. свинцом в сернистом р-ре длится 4 дня. Во избежание потерь  $NH_3$  и для предотвращения р-ций окисления  $NH_3$  до  $N_2O$  и окисления-восстановления  $BrO^-$  до  $BrO_3^-$  и  $Br^-$  титрование  $NH_3$  нужно проводить точно при pH 8,5. Н. Г.

75322. Титрование гидразина и его производных при помощи нитрита натрия. Вултерин, Зыка (Titrate hydrazinu a jeho derivátů dusitanem sodným. Vultérin Jaroslav, Zýka Jaroslav), *Chem. listy*, 1956, 50, № 3, 364—369 (чеш.)

В кислом р-ре титрование  $N_2H_4$  (I) р-ром  $NaNO_2$  (II) протекает на холоду мгновенно и количественно по общему уравнению  $N_2H_4 + 2HNO_2 = N_2 + H_2N_2O_2 + 2H_2O$ ,  $H_2N_2O_2 = N_2O + H_2O$ . При титровании образуются также высшие окислы азота, но на колич. течение р-ции это не оказывает влияния. Р-ция протекает лучше всего в среде 7—10%-ной  $HCl$ , 15—30%-ной  $HClO_4$  и 50%-ной  $H_3PO_4$ ; конечную точку находят потенциометрич. путем. При применении 10—12%-ной  $H_2SO_4$  потенциал устанавливается в течение 2 мин. и величина потенциала в точке перегиба составляет +570 мВ (по отношению к насыщ. к. э.). Титрованный р-р II (0,1 M) при хранении в бутылки из темного стекла достаточно стоек. При применении 0,01 н. р-ра II можно выполнить определение 0,1—1  $\gamma$  I. Определению не мешает 100-кратный избыток  $NO_3^-$  и  $NH_4^+$ -солей;  $CO(NH_2)_2$  и  $NH_2OH$  мешают. Фенилгидразин (III) после растворения в спирте определяют с помощью II в 10%-ной  $HCl$ . Ввиду того, что на 1 моль III расходуется 1 моль II, предполагается образование фенилнитрозогидразина, легко превращающегося в соответствующий азид или амин и  $N_2O$ . Потенциал в точке перегиба +520 мВ. Сходным способом определяют семикарбазид. Р-ция протекает по уравнению  $NH_2 \cdot NH \cdot CO \cdot NH_2 + HNO_2 = N_2O + 2NH_3 + CO_2$  (в среде 10—15%-ной  $HCl$ , а также и с 0,01 н. р-рами II). Потенциал в точке перегиба +680 мВ. Аналогично реагирует тиосемикарбазид в 1—5%-ной  $HCl$  или  $H_2SO_4$ , 20—30%-ной  $H_3PO_4$ , 1—15%-ной  $HClO_4$ ; потенциал в точке перегиба +580 мВ. Jiří Horáček

75323. Фотометрическое определение кремния и фосфора в форме их молибденовых комплексов. Применение к определению кремния и фосфора в стали. Жан (Étude du dosage du silicium et du phosphore par photométrie de leurs complexes molybdéniques. Application au dosage du silicium et au dosage du phosphore dans les aciers. Jean M.), *Chim. analyt.*, 1956, 38, № 2, 37—49 (франц.)

Экспериментально изучены условия получения кремнемолибденовой (I) и фосфорномолибденовой к-ты (II). Доказано полярографич. методом наличие двух модификаций I:  $\alpha$  и  $\beta$ .  $\beta$ -I сильнее поглощает световые лучи, чем  $\alpha$ -I.  $\beta$ -I образуется при pH 1,5—2, а  $\alpha$ -I — при более низкой кислотности. При выдержке  $\alpha$ -I переходит в  $\beta$ -I. Обе модификации имеют одинаковый стехиометрич. состав  $MoO_3 : SiO_2 = 12$ . II, полученная в присутствии 1 н.  $H_2SO_4$ , отвечает стехиометрич. составу  $MoO_3 \cdot P_2O_5 = 12$ . Описан метод определения P в стали. I в стали обрабатывают 20 мл смеси к-т ( $HClO_4$ , уд. в. 1,61, 75 мл;  $HNO_3$ , уд. в. 1,33, 55 мл;  $HCl$  уд. в. 1,18, 20 мл). Нержавеющую сталь растворяют в 10 мл  $HCl$ , уд. в. 1,18. Выпаривают до белых паров, прибавляют 30 мл воды, нагревают до кипения, охлаждают и разбавляют до 100 мл. Фильтруют, отбирают 10 мл, прибавляют 10 мл р-ра  $Na_2S_2O_5$  (200 г/л), кипятят 1 мин., охлаждают. Нейтрализуют р-ром  $NaOH$  (400 г/л) до осаждения  $Fe(OH)_3$ , прибавляют 5 мл 12 н.  $H_2SO_4$  (осадок полностью растворяется). Прибавляют 5 мл р-ра  $Na_2MoO_4$  (20 г/л), 5 мл р-ра аскорбиновой к-ты (22 г/л) и разбавляют до 50 мл. Нагревают 5 мин. на водяной бане, охлаждают. Для построения калибровочной кривой употребляют чистое Fe (полученное восстановлением  $H_2$ ) и прибавляют 0; 0,5; 1; 1,5; 2; 2,5 мл р-ра  $Na_2HPO_4$  (0,240 г/л); 1 мл р-ра содержит 0,0000208 г P. Фотометрируют при 670 м $\mu$ . Ю. М.

75324. Колориметрическое определение фосфорной кислоты с тиомочевинной. Мещеряков А. М., Изв. Отд. естеств. наук АН Тадж. ССР, 1956, № 13, 17—28

Для определения  $PO_4^{3-}$  колориметрич. способом к анализируемому р-ру, содержащему 0,02—0,06 мг  $P_2O_5$ , добавляют 2—3 капли р-ра индикатора  $\alpha$ -динитрофенола и 1%-ную  $H_2SO_4$  до исчезновения окраски. При кислой р-ции р-ра после добавления индикатора сначала добавляют 1%-ный р-р щелочи до появления слабой окраски, затем к-ту до ее исчезновения. Затем добавляют 2 мл молибдатного реактива (содержащего в 500 мл водн. р-ра 3,762 г  $MoO_3$  или 4,232 г  $H_2MoO_4$ , растворенных в 75 мл  $H_2SO_4$ , уд. в. 1,785), р-ра 5%-ного р-ра  $CS(NH_2)_2$  и разбавляют до 40 мл. Анализируемый, а также стандартные р-ры (из  $KH_2PO_4$ ), содержащие 0,02 и 0,04 или 0,05 мг  $P_2O_5$  р-рами, после 30 мин. нагревания при 80—90° и охлаждения, разбавляют до 50 мл и колориметрируют. Описан способ определения фосфатов с восстановителем, состоящим из  $CS(NH_2)_2$  и  $SnCl_2$ , позволяющим без нагревания быстро получить фосфорномолибденовую синь, устойчивую в течение 6—8 часов. Б. Т.

75325. Определение фосфористого водорода в ацетиле. Стриженский И. И., Зайцева В. П., Завод. лаборатория, 1956, 22, № 5, 546—547

$CS_2$  (I) из прибора для определения литража карбида пропускают через 2 газопромывалки, содержащие р-р  $Cd(CH_3COO)_2$  и дистилл. воду. Затем I отбирают в газометр, заполненный 25%-ным  $NaCl$ , насыщ. I. В пробирку длиной 150 мм, диам. 15 мм наливают 10 мл реактива (15 г  $KCl$  растворяют в 200 мл воды, добавляют небольшими порциями 10,9264 г  $HgSO_4$ , разбавляют до 1 л и алкалиметрически определяют  $Hg$ ), опускают в нее соединенную с газометром стеклянную трубку (внутренний диам. 5 мм) с оттянутым концом (диам. отверстия 0,5—0,7 мм) и пропускают I со скоростью 0,2—0,3 л/мин. Давление регулируют так, чтобы реак-

тив не выбрасывало из пробирки. I пропускают, пока не исчерпается поглотительная способность р-ра (проверка фильтровальной бумажкой, смоченной 0,5%-ным р-ром  $\text{AgNO}_3$ ). При р-ции между  $\text{PH}_3$  и реактивом образуется осадок. При снижении поглотительной способности р-ра осадок окрашивается в желтый цвет. После обнаружения проскока  $\text{PH}_3$  поступление газа прекращают и измеряют объем пропущенного I. При 0,03—0,06%  $\text{PH}_3$  необходимо пропустить 4—8 л I. Содержание  $\text{PH}_3$  (в %) находят по ф-ле  $x = 0,254/V$ , где 0,254 — эмпирич. коэфф., а V — объем I в л в нормальных условиях. Расхождение с результатами фотоколориметрич. метода  $\leq 0,003$  об. %. Можно применять сорбент, пропитанный р-ром соли Hg.

**75326. Определение водорастворимого фосфора в удобрениях методом повторной отмывки и настаивания.** Гофман, Олив, Хилл (Determination of water-soluble phosphorus in fertilizers by repeated washing and by digestion. Hoffman W. M., Olive B. M., Hill W. L., J. Assoc. Offic. Agric. Chemists, 1955, 38, № 4, 888—897 (англ.).

Метод повторной отмывки состоит в промывании 1 г анализируемого в-ва на фильтре из бумаги ватман № 2. Промывание производят небольшими порциями воды при 25—30°, доводя общий объем фильтра до 240 мл. В методе настаивания 2 г удобрения выдерживают 30 мин. при 25—30° и непрерывном помешивании с 150 мл воды, затем разбавляют смесь до 200 мл, фильтруют, отбрасывают первые 25—30 мл жидкости и в остатке фильтрата определяют фосфор объемным методом. Этот метод дает лучшие (хотя и несколько заниженные) результаты, чем метод последовательной промывки. Последний дает несколько большие содержания P, чем первый. На результаты определения P оказывают некоторое влияние сорт бумаги, из которой изготовлен фильтр и способ фильтрования пробы. Применение отсасывания уменьшает продолжительность фильтрования до  $\sim 10$  мин. и ведет к заниженным результатам при определении водорастворимого P. Н. П.

**75327. Определение фосфорной кислоты в лимоннокислых экстрактах почвы.** Жоливе, Жоле (Dosage de l'acide phosphorique dans les extraits citriques de terre. Jolivet E., Jolais A., m-lle), Ann. Inst. nat. rech. agron., 1954, A5, № 3, 371—376 (франц.)

Почву (30 г) встряхивают 4 часа с 150 мл 2%-ного р-ра лимонной к-ты, через 16 час. снова встряхивают 4 часа и фильтруют. К 20 мл экстракта, после нагревания 5 мин. на водяной бане, прибавляют  $\frac{1}{2}$  объема молибдатно-сульфатного реактива (50 г молибдата аммония и 200 г  $(\text{NH}_4)_2\text{SO}_4$  растворяют в 1 л горячей воды, охлаждают, добавляют 100 мл конц.  $\text{H}_2\text{SO}_4$ , выдерживают 1 час на водяной бане, охлаждают и фильтруют) и перемешивают до осаждения. Через 10 мин. осадок отфильтровывают через асбестовый фильтр со слоем талька, промывают, помещают фильтр с осадком над колбой с металлич. Zn, сенсibilизированным следами Cu, растворяют осадок на фильтре  $\leq 20$  мл 1 н. NaOH, промывают фильтр водой, добавляют в колбу 2 мл конц.  $\text{H}_2\text{SO}_4$ , выдерживают 15 мин. на водяной бане, охлаждают, фильтруют над сосудом с 5 мл молибдатно-фосфатного реактива (кипятят смесь 300 мл воды, 10 г NaOH и 20 г молибденовой к-ты или 40 г молибдата аммония до удаления  $\text{NH}_3$ , охлаждают, добавляют 200 мл конц.  $\text{H}_3\text{PO}_4$ , кипятят 15 мин. в присутствии нескольких капель р-ра  $\text{KMnO}_4$ , охлаждают, разбавляют до 1 л, добавляют р-р соли Мора до обесцвечивания), промывают фильтр водой и немедленно титруют 0,025 н. р-ром  $\text{KMnO}_4$  до обесцвечивания молибденового синего. Добавляют несколько капель р-ра ацетата бензидина (1 г бензидина кипятят с 10 мл лед.  $\text{CH}_3\text{COOH}$ , добавляют 50 мл воды, фильтруют) и титруют до перехода окраски р-ра в желтую. Кол-во усвояемого  $\text{P}_2\text{O}_5$  (мг/кг)

вычисляют по ф-ле  $x = 51,76 n/a$ , где n кол-во 0,025 н.  $\text{KMnO}_4$  (мл), а — навеска почвы (г).

**75328. Применение осциллографической полярографии в количественном анализе.** VI. Осциллография серы. Кальвода (Použití oscilografické polarografie v kvantitativní analýze. VI. Oscilografie síry. Kalvoda Robert), Chem. listy, 1955, 49, № 11, 1631—1639 (чеш.); Сб. чехосл. хим. работ, 1956, 21, № 4, 825—835 (нем.; рез. русс.)

Элементарная сера (I) образует зубцы на осциллограмм. кривых, полученных в среде лед. уксусной к-ты насыщ.  $\text{CH}_3\text{COONa}$ , а также в р-ре  $\text{CHCl}_3$  и  $\text{CH}_3\text{OH}$  с 15%-ным LiCl как при применении капельного, так и струйчатого электрода. Описан метод обнаружения и колич. определения I в  $\text{CH}_3\text{OH}$ ,  $\text{C}_2\text{H}_5\text{OH}$ ,  $\text{CHCl}_3$ ,  $\text{C}_6\text{H}_6$ , ксилоле, бензине и  $\text{CS}_2$ . При катодном цикле I вероятно восстанавливается до  $\text{H}_2\text{S}$ . Сообщение V см. РЖХим, 1956, 65339.

**75329. Быстрый метод объемного определения иона сульфата.** Бокач-Полгар, Секереш (A szulfát-ionok gyors terfogatos meghatározásáról. B. a k. a. c. s. ne Polgar Erssébet, Szekeres László), Magyar kém. folyó i rat., 1956, 62, № 4, 135—139 (венг.; рез. франц.)

Для определения  $\text{SO}_4^{2-}$  в присутствии ионов Zn, Al, Sn, Sb навеску растворяют в небольшом объеме воды (3—5 мл), добавляют 2 капли фенолфталеина и осаждают гидраты NaOH, приливая щелочь по каплям до розовой окраски. Затем добавляют спирт до 30%-ной конц-ии и приливают титрованный р-р  $\text{Na}_2\text{CO}_3$  в колбе, примерно эквивалентном содержанию ионов  $\text{SO}_4^{2-}$ . Сумму  $\text{SO}_4^{2-} + \text{CO}_3^{2-}$  определяют титрованием р-ром  $\text{BaCl}_2$  по фенолфталеину. В присутствии ионов Cd осторожно приливают р-р  $\text{Na}_2\text{CO}_3$  до резкого перехода окраски в розовую. В присутствии ионов Mn осаждение при помощи  $\text{Na}_2\text{CO}_3$  производят при кипячении. Метод пригоден для серийного анализа.

**75330. Определение свободной серной кислоты в присутствии водорастворимых жирных кислот.** Маньковская Н. К., Удовенко С. А., Маслоб.-жир. пром-сть, 1956, № 3, 30—32

При анализе сульфатной воды в присутствии 90%-ного ацетона диссоциация жирных к-т настолько снижается, что эти к-ты не титруются 0,5 н. р-ром щелочи. К 20 мл пробы добавляют 110 мл ацетона и 40 мг хингидрона. В р-р опускают электроды. Собранный каломельно-хингидродный элемент подключают к потенциометру ЛП-5, хингидродный электрод к плюсу, каломельный — к минусу. В стакан опускают мешалку, определяют начальную точку титрования, приливают из бюретки 1 мл 0,5 н. спирт. р-ра NaOH или KOH, перемешивают, устанавливают стрелку гальванометра на нуль и, записав показания, продолжают приливать по 1 мл, пока стрелка гальванометра не начнет резко отклоняться от нулевого положения, затем по 0,1 мл, пока показания шкалы реохорда не дойдут до нуля. По полученным данным строят график. Абсцисса — число мл добавленной щелочи, ордината — величина отношения изменения э. д. с. к кол-ву добавленной щелочи. Максим. значение этого отношения являются конечной точкой. Расчет содержания  $\text{H}_2\text{SO}_4$  производят обычным путем. Погрешность определения  $\pm 5\%$  от абс. содержания  $\text{H}_2\text{SO}_4$  (даже при 0,5%-ной ее конц-ии).

**75331. Объемное определение сульфата при помощи хлоргидрата 4-амино-4'-хлордифенила.** Белчер, Наттен, Парри, Стивен (The titrimetric determination of sulphate with 4-amino-4'-chlorodiphenyl hydrochloride as reagent. Belcher R., Nutton A. J., Parry E., Stephen W. I.), Analyst, 1956, 81, № 958, 4—8 (англ.)

Для объемного определения  $\text{SO}_4^{2-}$  предложен хлоргидрат 4-амино-4'-хлордифенила (I). Пользуясь этим реак-

тивом, определяют 25—100 мг  $\text{SO}_4^{2-}$  в 100 мл р-ра и 2,5—25 мг  $\text{SO}_4^{2-}$  в 50 мл. Для полноты осаждения  $\text{SO}_4^{2-}$  необходимо, чтобы конечная конц-ия I составляла  $>0,12\%$ . Промытый водой осадок кипятят с водой и титруют р-ром NaOH в присутствии смешанного индикатора (феноловый красный-бромтимоловый синий) до перехода окраски в пурпурную. Zn, Cu, Mg, Fe(3+), Cr(3+), Ca и щел. металлы не мешают. Фосфат, теллурид, селенат и оксалат предварительно удаляют ( $\text{PO}_4^{3-}$  в форме  $\text{MgNH}_4\text{PO}_4$ ), так как они взаимодействуют с I. Метод применим для определения I в органич. соединениях после их сжигания. Т. М.

**75332. Употребление пентоксида ванадия при определении серы в огнеупорных материалах методом сжигания.** Хейгерман, Фост (Use of vanadium pentoxide in combustion method for sulfur in refractory materials. Hagerman D. B., Faust R. A.), *Analyt. Chem.*, 1955, 27, № 12, 1970—1972 (англ.)

При нагревании образца при 900—950° с  $\text{V}_2\text{O}_5$  S взаимодействует с  $\text{V}_2\text{O}_5$  с образованием пированадатов и  $\text{SO}_2$ . В поглотители вводят 30 и 10 мл 6%-ной  $\text{H}_2\text{O}_2$ . В лодочку помещают тонкий слой  $\text{SiO}_2$  (1 г)  $\text{V}_2\text{O}_5$ , навеску измельченного образца 0,3—0,6 г (в зависимости от содержания S в огнеупоре), второй слой  $\text{V}_2\text{O}_5$  и слой  $\text{SiO}_2$ . Лодочку помещают на подставку из тонкого листового Ni и вдвигают в трубку (на расстоянии ~ 50 мм от печи), которую нагревают с помощью горелки Фишера на расстоянии ~ 30 мм от передней части лодочки. Через 3 мин. горелку начинают продвигать вдоль трубки, по направлению к печи (Peters E. D. и др. *Analyt. Chem.*, 1952, 4, 710). Через 25—30 мин. сжигание заканчивают. Поддачу воздуха ведут со скоростью 2 л/мин. К объединенному р-ву из поглотителей добавляют 3 капли р-ра метилового пурпурного и образовавшуюся  $\text{H}_2\text{SO}_4$  титруют 0,01 или 0,1 н. NaOH в зависимости от предполагаемого содержания S. Параллельно определяют кислотность за счет других компонентов и вносят соответствующую поправку. Метод применяется для определения неорганич. сульфатов и сульфидов в синтетич. катализаторах и для анализа суспензий  $\text{BaSO}_4$  в масле. При определении неорганич. сульфидов и сжигаемой смеси добавляют Cr. Определение продолжается 35—45 мин. Т. Л.

**75333. Объемный способ определения селенита и теллурида при помощи раствора перманганата в щелочной среде.** Исса, Исса (Volumetric estimation of selenite and tellurite with alkaline permanganate. Issa I. M., Issa R. M.), *Chemist-Analyst*, 1956, 45, № 1, 16—18 (англ.)

Для определения селенита или теллурида добавляют к 25 мл 0,1 н.  $\text{KMnO}_4$  0,1 г  $\text{H}_2\text{TeO}_4$  и, после добавления 5 н. NaOH до конц-ии 0,1—2,0 н., приливают р-р теллурида или селенита и перемешивают. Полученную смесь вливают в охлажденный на льду р-р из 40 мл 0,01 н. р-ра соли Мора (I), подкисленный 6 н.  $\text{H}_2\text{SO}_4$  в кол-ве, достаточном для конечной конц-ии к-ты 2 н. Избыток I оттитровывают р-ром  $\text{KMnO}_4$  в присутствии  $\text{H}_3\text{PO}_4$  для предотвращения осаждения  $\text{MnO}_2$ . Вместо р-ра I можно использовать  $\text{H}_2\text{C}_2\text{O}_4$  (без охлаждения). В последнем случае смешивают 5 мл р-ра теллурида или селенита с ~ 0,1 г  $\text{H}_2\text{TeO}_4$  и р-ром NaOH, как указано выше, добавляют 10 мл  $\text{KMnO}_4$ , перемешивают и заканчивают анализ, как с р-ром I. Б. Т.

**75334. Алкаиметрическое определение теллурической кислоты в присутствии многоатомных спиртов.** Эдуардс, Лаферрьер (Alkalimetric determination of telluric acid in the presence of polyhydric alcohols. Edwards John O., Laferriere A. L.), *Chemist-Analyst*, 1956, 45, № 1, 12, 13, 16 (англ.)

При проверке методов определения  $\text{H}_2\text{TeO}_4$  в форме комплексных соединений с многоатомными спиртами

установлено, что наиболее точные результаты получают при использовании рН-метра или индикатора. Определение проводят следующим образом: к аликвотной части анализируемого р-ра добавляют 20 мл свободного от к-ты пропиленгликоля и, после разбавления до 100 мл, вводят электроды рН-метра и титруют стандартным р-ром KOH до рН ~ 6,5. Затем добавляют р-р KOH небольшими порциями до рН ~ 10. Точку перегиба определяют графич. методом по кривой зависимости между  $\Delta \text{pH}/\Delta \text{мл}$  и кол-вом добавленного р-ра KOH. Воспроизводимость результатов, как и при титровании с фенолфталеином, составляет  $\pm 0,5\%$ . Б. Т.

**75335. Методы количественного анализа теллуродержащих смесей.** Лотар, Пато (Méthodes d'analyse quantitative de divers composés contenant du tellure. Lautard J., Pateau L.), *Chim. analyt.*, 1956, 38, № 5, 158—160 (франц.)

Анализ смесей Te-Pb, Te-Bi и Te-Cu начинают с их растворения в  $\text{HNO}_3$  уд. в. 1,38. Р-р смеси Te-Pb нейтрализуют едким натром и осаждают Pb действием  $\text{Na}_2\text{S}$  и определяют Pb взвешиванием  $\text{PbO}_2$ , электролитически осажденной из азотнокислого р-ра. Фильтрат от осаждения Pb подкислением  $\text{HCl}$  и выпариванием досуха освобождают от  $\text{NO}_3^-$ , пропускают ток  $\text{SO}_2$  и взвешивают металл. Т. Азотнокислый р-р смеси Te-Bi нейтрализуют карбонатом аммония в присутствии нескольких капель  $\text{H}_2\text{O}_2$ , выделившийся основной карбонат висмута промывают 5%-ным  $(\text{NH}_4)_2\text{CO}_3$ , прокаливают при 750—800° и взвешивают в виде  $\text{Bi}_2\text{O}_3$ . Те можно определять в отдельной пробе в присутствии Bi, окисляя Te(4+) до Te(6+) бихроматом в сильно сернистым р-ре. Этот же метод применяют для определения Te в смеси с Hg после осаждения  $\text{H}_2\text{TeO}_3$  из уксуснокислого р-ра с рН 5,5. Фильтрат от отделения  $\text{TeO}_2$ , образующейся при стоянии  $\text{H}_2\text{TeO}_3$  в р-ре в течение 4—6 час., подкисляют конц.  $\text{H}_2\text{SO}_4$ , упаривают р-р до появления белого дыма, растворяют остаток в воде и точно нейтрализуют р-р едким натром по фенолфталеину. Выпавший осадок  $\text{HgO}$  растворяют добавлением небольшого избытка 50%-ного KJ и образовавшийся  $\text{HgJ}_4(\text{OH})_2$  титруют 0,1 н.  $\text{H}_2\text{SO}_4$  по фенолфталеину. Вышеописанный метод осаждения Te в виде  $\text{H}_2\text{TeO}_3$  применяют для отделения Te от Cd. Из уксуснокислого фильтрата с рН 5 добавлением KJ и 15 мл р-ра 40 г пирамидона (Pyr) в 100 мл воды + 100 мл  $\text{CH}_3\text{COOH}$  осаждают  $\text{CdJ}_4\text{Pyr}_2$ , являющийся весовой формой для определения Cd. Смесь Te + Ag + Se + S + Cu растворяют для окисления S в дымящей  $\text{HNO}_3$ , а затем определяют Ag в виде  $\text{AgCl}$ , Te + Se взвешиванием металлов, выделенных солянокислым гидразином, S — осаждением  $\text{BaSO}_4$ , Cu — электролитически. Те определяют после растворения осадка Se + Te окислением бихроматом. Н. П.

**75336. Влияние рН на титрование фторида торием в концентрированном солевом растворе.** Адамс, Копп (Effect of pH on high-salt-thorium fluoride titration. Adams Donald F., Koppe Robert K.), *Analyt. Chem.*, 1956, 28, № 1, 116—117 (англ.)

Расход р-ра  $\text{Th}^{4+}$  на титрование малых (1—100 γ) кол-в  $\text{F}^-$  возрастает с падением рН р-ра; определение может быть сделано более точным титрованием при рН 2,9, а также введением графич. поправок на незначительные изменения рН в оттитрованном р-ре. F отгоняют обычным методом; дистиллат нейтрализуют NaOH. Аликвотную часть дистиллата разбавляют до 80 мл, прибавляют 1 мл 1%-ного р-ра  $\text{NH}_2\text{OH} \cdot \text{HCl}$  (для восстановления  $\text{Cl}_2$ ), 5 мл 5 н. NaCl и 2 мл р-ра индикатора (к р-ру 0,020 г ализаринсульфоната Na прибавляют 16 мл 1 н. HCl и разбавляют до 200 мл); добавлением 0,1 н. HCl или NaOH доводят рН р-ра (по рН-метру) до 2,90. Р-р вводят в пробирку Несслера и титруют подкисленным р-ром  $\text{Th}^{4+}$  (0,268 г  $\text{Th}(\text{NO}_3)_4$  ·

$\cdot 4\text{H}_2\text{O}$  растворяют в  $\sim 1$  л воды, прибавлением 1 н.  $\text{HCl}$  доводят рН до 2,90 по рН-метру и разбавляют до 1 л на флуоресцентном фоне, пользуясь свидетелем (6 мл 0,65 н.  $\text{HCl}$ , 52 мл 3,66%-ного  $\text{CoCl}_2 \cdot 6\text{H}_2\text{O}$  и 4 мл 0,1%-го  $\text{K}_2\text{CrO}_4$  разбавляют до 100 мл; 5 мл этого р-ра разбавляют до 100 мл). Параллельно титруют контрольную пробу р-ра  $\text{Th}^{4+}$  устанавливают по стандартным р-рам  $\text{NaF}$  (10 мл), содержащим 1—100  $\gamma$   $\text{F}^-$ ; при  $\leq 50 \gamma$   $\text{F}^-$  наблюдается линейная зависимость между объемом р-ра  $\text{Th}^{4+}$  и содержанием  $\text{F}^-$ . Для введения поправок на рН, позволяющих снизить среднюю квадратичную погрешность (при конечных рН 2,83—2,94) от 7,3 до 2,8%, проводят серию титрований р-ров, содержащих известные кол-ва  $\text{F}$ , при различных конечных рН.

**75337. Прямое определение фтора в воде при помощи алюминина (колориметрическое определение фтора и железа в одной навеске).** Шер (A viz fluor tartalmának közvetlen meghatározása alumininnal. Scher Aron, Hidrol. közl., 1956, 36, № 2, 138—141 (венг.; рез. рус., нем.).

Описан метод определения  $\text{F}^-$  и  $\text{Fe}$  из одной пробы воды, основанный на свойстве  $\text{Al}$ -алюминового лака взаимодействовать с  $\text{F}^-$ .  $\text{Fe}^{3+}$  мешает, вследствие чего его следует восстановить до  $\text{Fe}^{2+}$  аскорбиновой к-той.  $\text{Mn}$  не мешает. Незначительное мешающее действие других анионов снижают добавлением к р-ру  $\text{NaCl}$ . В анализируемом р-ре обычным колориметрированием с  $\text{KSCN}$  или аскорбинометрич. титрованием определяют  $\text{Fe}$ . После обесцвечивания р-ра аскорбиновой к-той (при наличии  $\text{Fe}^{3+}$ ) колориметрически определяют  $\text{F}^-$  в забуференном  $\text{CH}_3\text{COONH}_4$  р-ре с помощью  $\text{Al}$ -алюминового лака.

**75338. Об определении фтора в техническом фтористом алюминии и криолите.** Ржезач, Кубец (O stanovení fluoru v technickém fluoridu hlinitém a kryolitě. Rezáč Zdeněk, Kubec Zdeněk), Chem. průmysl, 1956, 6, № 5, 195—198 (чеш.; рез. рус., англ.) Описан видоизмененный аппарат Варфа для пирогидролитич. определения фтора. Этот модифицированный аппарат пригоден для серийных анализов нерастворимых и комплексных фторидов. Для определения фтора в  $\text{AlF}_3$  рекомендуется добавление  $\text{TiO}_2$  вместо  $\text{U}_3\text{O}_8$  по методу Варфа.

**75339. Радиометрический способ определения неорганических фторидов.** Онстотт, Эллис (Radiometric determination of inorganic fluoride. Onstott E. I., Ellis W. P.), Analyt. Chem., 1956, 28, № 3, 393—397 (англ.)

Метод определения  $\text{NaF}$  и  $\text{Na}_2\text{SiF}_6$  состоит в титровании их р-ров  $\text{Sm}^{3+}$ , содержащим  $\text{Eu}$  в качестве меченого атома и носителя. Конечную точку титрования определяют измерением избытка титрованного р-ра радиометрич. способом. В оптимальных условиях 20—30 мг  $\text{F}^-$  определяют с погрешностью  $< 1\%$ . Погрешность определения  $\text{Na}_2\text{SiF}_6$  несколько выше. Для лучшей флоккуляции коллоида добавляют  $\text{CH}_3\text{COOH}$ , другие флоккулянты вызывают сосаждение, что приводит к завышенным результатам. Титрование можно осуществлять в микромасштабе. 38  $\gamma$  фторидов определяют с погрешностью  $< 2\%$ .

**75340. Определение фторидов в электролитах для хромирования.** Бранчароли, Колман (Determination of fluoride in chromium plating solutions. Branciaroli Joseph P., Coleman June G.), Analyt. Chem., 1956, 28, № 5, 803—804 (англ.)

Определение  $\text{F}^-$  в электролитах для хромирования может быть ускорено, если вместо перегонки  $\text{F}$  в форме  $\text{H}_2\text{SiF}_6$ , отделить мешающие металлы в форме гидроксидов и  $\text{Ag}_2\text{CrO}_4$ . К 4 мл анализируемого р-ра прибавляют 1 н.  $\text{NaOH}$  (стехиометрически нужное для перевода  $\text{CrO}_3$  в  $\text{CrO}_4^{2-}$  кол-во + избыток 2 мл) и затем,

при помешивании, 0,5 н.  $\text{AgNO}_3$  (стехиометрически нужное кол-во + избыток 5 мл); после выдержки фильтруют через фильтр ватман № 40 и промывают осадок 5 порциями (по 10 мл) воды. В фильтрат (+ промывные воды) вводят 10 капель 0,1%-ного р-ра ализаринсульфоната  $\text{Na}$  и прибавляют по каплям разб.  $\text{HNO}_3$  (1:50) до изменения окраски из розовой в желтую; прибавляют 2,5 мл буферного р-ра (7,56 г  $\text{CH}_2\text{ClCOOH}$  в 160 мл воды + 40 мл 1 н.  $\text{NaOH}$ ) и титруют 0,04 н. р-ром  $\text{Th}(\text{NO}_3)_4$ , установленным в тех же условиях по смеси 4 мл р-ра  $\text{CrO}_3$  (250 г/л) и 10 мл р-ра  $\text{NaF}$  (2,215 г/л). Средняя погрешность при анализе р-ров, содержащих 1, 2, 3 и 4 г/л  $\text{F}$ , соответственно, +8,75, +1,17, —1,28 и —1,79; изменение концентрации  $\text{CrO}_3$  и наличие в р-ре по 2,5 г/л  $\text{Cr}^{3+}$ ,  $\text{Fe}^{3+}$ ,  $\text{Ni}^{2+}$ ,  $\text{Cu}^{2+}$  незначительно влияет на точность метода. Продолжительность определения  $\sim 20$  мин.

**75341. Улучшенный метод определения фтора в фосфоритах.** Енчалик (Ulepszona metoda oznaczania fluoru w fosforytach. Jeczalik Augustyn), Przegl. Geol., 1956, № 4, 168—171 (польск.)

Обзор. Библ. 9 назв. Приведены прописи определения  $\text{F}$  в фосфоритах (Gerick S., Kurmies B., Z. analyt. Chem., 1952, 132; Ehrlich P., Pietzka G., Z. analyt. Chem., 1951, 133). При определении  $\text{F}$  путем перегонки в форме  $\text{H}_2\text{SiF}_6$  с  $\text{HClO}_4$  и водяным паром предложено сократить время перегонки до 40 мин. (т-ра перегонки 125—130°).

**75342. Кулометрические титрования электролитически генерированной ртутью (одно- и двухвалентной). Определение хлорида, бромидов и йодида.** Пшибылович, Раджерс (Coulometric titrations with electrolytically generated mercury (I and II). Determinations of chloride, bromide, and iodide. Przybyłowicz Edwin P., Rogers L. B.), Analyt. Chem., 1956, 28, № 5, 799—802 (англ.)

Пробу помещают в ячейку для титрования, разбавляют до 50 мл, добавляют 5 мл электролита (5М по  $\text{NaClO}_4$  и 0,2 М по  $\text{HClO}_4$ ). Анодом служат амальгамированные  $\text{Au}$ - или  $\text{Ag}$ -электроды или донная  $\text{Hg}$ . Включение в цепь осуществляется  $\text{Pt}$ -проволокой. Катод —  $\text{Pt}$ -фольга в стеклянной трубочке. Электролит в катодном пространстве тот же, что и во всем р-ре. Уровень жидкости в катодном пространстве выше, чем в ячейке для титрования. Индикаторные электроды такие же, но меньших размеров. Их применяют в комбинации с насыщ. к. э. (электрод сравнения), соединенным с ячейкой мостиком из насыщ. р-ра  $\text{KNO}_3$ . Потенциал в конечной точке определяют измерением потенциала максимума кривой и вычитанием из последнего 0,018 в. При определении  $\text{Cl}^-$  (0,24—13,6 мг в 55 мл р-ра) применяют генерирующий ток силой 5—50 ма (параллельно ведут контрольный опыт). В р-рах, содержащих 80%  $\text{CH}_3\text{OH}$ , можно определить 0,014 мг  $\text{Cl}^-$  при токе 0,4 ма.  $\text{Br}^-$  титруют в области конц-ий 0,027—14,0 мг. В среде  $\text{CH}_3\text{OH}$  можно определить 0,007 мг  $\text{Br}^-$ . Поправки на контрольный опыт при определении  $\text{Br}^-$  не требуется.  $\text{I}^-$  можно определить в кол-ве  $\geq 1,1 \gamma$  в 55 мл р-ра. Только при нижнем пределе конц-ий вводят поправку на контрольный опыт (34 сек. при токе 10 ма). С точностью до 1% в 55 мл р-ра можно определить 0,24 мг  $\text{Cl}^-$ , 0,067 мг  $\text{Br}^-$  и 0,038 мг  $\text{I}^-$ . При меньших конц-иях погрешность  $\pm 5\%$ .

**75343. Амперометрическое титрование и автоматическая регистрация количества остаточного хлора.** Уир (Amperometric titration and chlorine residue recording. Weir F. Morley), Water and Sewage Works, 1956, 103, № 3, 114—117 (англ.)

Способ амперометрич. титрования  $\text{Cl}_2$  основан на взаимодействии его с окисью фениларсина (I) в широком интервале рН. Связанный  $\text{Cl}$  с I не взаимодействует. Принцип определения  $\text{Cl}_2$  состоит в измерении

тока, создающегося в Pt-Ag-ячейке за счет окислительного действия свободного  $\text{Cl}_2$ . Ток измеряют микроамперметром, последовательно соединенным с ячейкой. При добавлении каждой порции р-ра I к непрерывно перемешиваемому образцу сила тока уменьшается и стрелка прибора отклоняется. Конечный момент титрования соответствует отсутствию отклонения стрелки при добавлении I. Остаточный связанный Cl определяют путем добавления к анализируемому р-ру небольшого кол-ва KJ. Кол-во выделившегося свободного  $\text{J}_2$  прямо пропорционально присутствующему в р-ре связанному Cl и определяется выше указанным способом. Метод применим для точных лабораторных определений и может быть использован для определения в одном образце, помимо свободного  $\text{S}_2$ , дихлорамина (при pH 14) и монохлорамина (при pH 7) путем суммарного определения связанного Cl. Воспроизводимость результатов  $\sim 0,01 \text{ } \gamma/\text{мл}$ . Б. Т.

**75344. Полумикрометод определения хлоридов. Блан, Бертран, Льяндье** (Semi-microméthode de dosage des chlorures. Blanc P., Bertrand P., L'andier, m-lle), Chim. analyt., 1966, 38, № 5, 156—157 (франц.)

Метод основан на нефелометрировании суспензии AgCl, стабилизированной поверхностноактивными в-вом «вин-20» (I). Для анализа берут 40 мл профильтрованной питьевой воды, добавляют к пробе 1 мл 10%-ной  $\text{HNO}_3$  и 5 мл 0,1 н.  $\text{AgNO}_3$  в 20%-ном I. Смесь перемешивают, выдерживают 30 мин. в термостате при 40° и нефелометрируют на фотометре Жобена-Жуана с зеленым фильтром. Затем производят отсчет после замены анализируемой воды на дистиллированную и по разности обоих измерений находят содержание Cl в пробе с помощью калибровочного графика. При содержании Cl  $< 20 \text{ мг/л}$  закон Бера выполняется. Описанный метод применим для определения Cl в минер. водах, а с некоторыми изменениями — и к анализу биологич. жидкостей и вин. В случае определения Cl в биологич. жидкостях, напр. в моче, в качестве р-ра сравнения используют анализируемую жидкость, разб. 20%-ным водн. р-ром I. К винам этот способ применяют после очистки анализируемой пробы ранее описанным методом (Jaulmes P., Analyse des Vins, Poullain éd. Montpelier, Изд. 2-е, 1951, 172) разбавления до 100 мл и отфильтровывания. Результаты нефелометрич. и объемного определения Cl в винах, моче, минер. и природных водах хорошо согласуются между собой. Н. П.

**75345. Неорганические комплексы в объемном анализе. Часть I. Использование комплексного оксалата железа при определении нитида. Раманджанеюлу, Шукла** (Inorganic complexes in volumetric analysis. Part I. Use of ferric oxalate complex in the estimation of nitride. Ramanjaneyulu J. V. S., Shukla B. K.), Z. analyt. Chem., 1966, 151, № 1, 31—33 (англ.)

Для определения J— 5—10 г нитрированной соли растворяют в 50 мл воды и добавляют 5 мл 0,01 н.  $\text{K}_2\text{C}_2\text{O}_7$ , 10 мл 4 н.  $\text{CH}_3\text{COOH}$ , 2 мл 0,1 н.  $\text{Na}_2\text{C}_2\text{O}_4$  и закрытую колбу оставляют на 10—15 мин. Затем к реакционной смеси добавляют 6 мл 0,01 н. р-ра соли Мора, несколько мл 0,1 н. KJ и выделившийся  $\text{J}_2$  титруют 0,002 н. р-ром  $\text{Na}_2\text{S}_2\text{O}_3$ . Добавленное кол-во  $\text{Na}_2\text{C}_2\text{O}_4$  является достаточным для катализа р-ции между NJ и  $\text{H}_2\text{CrO}_4$  и для образования оксалатного комплекса  $[\text{Fe}(\text{C}_2\text{O}_4)_3]^{3-}$ . Соль Мора добавляют в некотором избытке для полного восстановления всего  $\text{Cr}_2\text{O}_7^{2-}$ . Описан химизм, положенный в основу метода. Б. Т.

**75346. Определение йода в воде методом хроматографии на бумаге. Германович, Сикоровская** (Badania nad oznaczaniem jodu w wodzie metoda chro-

matografii bibulowej. Hermanowicz Witold, Sikorowska Celina), Roczn. Państw. zakł. hig., 1956, 7, № 2, 177—184 (польск.; рез. рус., англ.)

Разработан метод определения йода (I) в природных водах путем хроматографич. отделения I от других соединений, его выделения и определения видоизмененным каталич. периметрич. методом с применением  $\text{Fe}(\text{SCN})_3$  в качестве индикатора на невосстановленные ионы  $\text{Ce}^{4+}$ . Предел чувствительности метода соответствует  $0,5 \text{ } \gamma/\text{л}$  I. М. П.

**75347. Линейно-колористический метод определения газов и паров в промышленно-санитарной химии. Филинская Е. Д.**, Тр. науч. сессии Всес. н.-и. ин-та охраны труда, 1954 (1955), вып. 1, 198—204

При определении вредных примесей по длине столбика индикаторного порошка (ИП), изменившего свой первоначальный цвет, большое значение имеет хемосорбционная емкость ИП, которая может быть изменена для создания оптимальных условий изменением кол-ва реактива и его доступной поверхности в единице объема носителя, а также изменением свойств реактива и условий р-ции, протекающей в индикаторной трубке в процессе просасывания исследуемого воздуха. Изучено влияние уд. поверхности силикагеля и фосфора и конц-ии р-ра  $(\text{CH}_3\text{COO})_2 \text{ Pb}$  на длину окрашенного столбика (ОС) и на границу его раздела, влияние т-ры прокалывания силикагеля, влияние добавок  $(\text{Ba}(\text{CH}_3\text{COO})_2, \text{BaCl}_2, \text{CaCl}_2)$  и влияние влажности. Показано, что при уменьшении уд. поверхности силикагеля путем его прокалывания длина ОС уменьшается, но интенсивность окраски и четкость границы раздела снижаются. Наличие большого кол-ва реактива на внешней поверхности зерен ИП приводит к интенсивной окраске и четкой границе столбика ИП. Введение Cl— в состав реактивов ИП (при взаимодействии последнего с  $\text{H}_2\text{S}$ ) вызывает увеличение длины ОС с 21—22 мм до 67—70 мм. В нейтр. среде, в присутствии KCl, длина ОС достигает 30 мм. При увеличении влажности ИП с 23 до 42% длина ОС увеличивается с 18 до 50 мм. Сообщено о выпуске индикаторных трубок для определения  $\text{H}_2\text{S}$ ,  $\text{Cl}_2$ ,  $\text{NH}_3$  паров бензина,  $\text{C}_6\text{H}_6$ , толуола и окислов азота в воздухе. Т. Л.

**75348. Бумажка, пропитанная раствором роданида трехвалентного железа, в качестве аналитического реактива для исследования воздуха. Деккерт** (Eisen (III)-rhodanidpapier als analytisches Reagens bei Luftuntersuchungen. Deckert Walter), Z. analyt. Chem., 1956, 150, № 6, 421—425 (нем.)

С помощью полосок бумаги, пропитанной р-ром  $\text{Fe}(\text{SCN})_3$ , можно открывать в пробах воздуха щел. реакционноспособные газы или пары  $\text{NH}_3$ , аминов и окиси этилена. При этом степень обесцвечивания бумаги, окрашенной в темный красно-коричневый цвет, зависит от стехиометрич. соотношений, что позволяет судить о кол-вах указанных компонентов воздуха; так, для обесцвечивания 1  $\text{м}^2$  бумаги достаточно  $0,132 \text{ } \gamma$  монометиламина,  $0,192 \text{ } \gamma$  диметиламина,  $0,252 \text{ } \gamma$  триметиламина или  $0,188 \text{ } \gamma$  окиси этилена. Пробы воздуха отбирают в кол-ве до 1 л в зависимости от мол. веса определяемых в-в; напр., для  $\text{NH}_3$  при содержании  $0,07 \text{ } \gamma/\text{л}$  воздуха ( $0,07 \text{ мг/м}^3$ ), а для триметиламина при  $0,25 \text{ } \gamma/\text{л}$  воздуха ( $0,25 \text{ мг/м}^3$ ). Реактивная бумажка хорошо сохраняется на воздухе, на свету при 18—20°. Смачивания бумаги не требуется. Скорость обесцвечивания реактивной бумаги мгновенна, зависит от содержания ионов  $\text{OH}^-$ . Описанный способ применим для анализа воздуха, содержащего алкаламины на рыбоперерабатывающих предприятиях. Б. Ш.

**75349. Определение низкой химической потребности в кислороде в поверхностных водах окислением бихроматом. Мур, Уокер** (Determination of low chemical oxygen demands of surface waters by dichromate oxida-

tion. Moore Allan W., Walker W. W.), *Analyst. Chem.*, 1956, 28, № 2, 164—167 (англ.)

Для более точного определения хим. потребности в кислороде (ХПК) в области конц-ий 5—50  $\gamma/\text{мл}$  исследована окисляющая способность 0,025 и 0,05 н. р-ров  $\text{K}_2\text{Cr}_2\text{O}_7$ . Воспроизводимость результатов улучшается, если выходное отверстие холодильника закрывают стеклянной ватой. Для разбавления и промывки следует пользоваться подкисленной дистилл. водой, стыки между колбой и холодильником очищать влажной тканью при употреблении более разб. р-ров  $\text{K}_2\text{Cr}_2\text{O}_7$ . Окисление хлоридов и органич. соединений протекает полнее, чем при использовании 0,25 н.  $\text{K}_2\text{Cr}_2\text{O}_7$ . При применении  $\text{Ag}_2\text{SO}_4$  в качестве катализатора и содержания хлорида 40—300  $\gamma/\text{мл}$  поправка при вычислении ХПК составляет 40  $\gamma/\text{мл}$ . Конц-ия органич. в-в должна быть такой, чтобы в р-цию вступало  $\leq 50\%$   $\text{K}_2\text{Cr}_2\text{O}_7$ . Отношение ХПК к БПК (биохим. потребность в кислороде) может резко возрастать при увеличении расстояния от источника загрязнения. При постоянных условиях движения потока БПК может быть определена по известному соотношению между ХПК и БПК. М. П.

**75350. Микрофлотационный метод анализа тяжелой воды.** Грагеров И. П., Ж. аналит. химии, 1956, 11, № 3, 264—268 (рез. англ.)

Описана модификация микрофлотационного метода анализа тяжелой и тяжелоокислородной воды, позволяющая за 1,5—2 часа анализировать 0,03—0,05 г воды с точностью 2%. В. С.

**75351. Определение чистоты кислорода, получаемого методом электролиза.** Годяев Ю. Л., Масл.-жир. пром-сть, 1956, № 1, 29—30

Видоизмененный аппарат Гемпеля (АГ) состоит из уравнительной склянки, бюретки и поглотительной pipетки, изготовленной из уравнительной трубки от АГ и стеклянного цилиндра (Ц) емк.  $\sim 0,5$  л, диам. 50—60 мм. Трубку от АГ нижним оттянутым концом укрепляют в корковой пробке, снабженной прорезью (диам. пробки соответствует диам. Ц) и опускают в Ц верхним концом с тем, чтобы пробка закрыла Ц. Оттянутый конец соединяют изогнутым капилляром и резиновой трубкой с бюреткой. Уравнительную трубку заполняют Си-стружками или спиралью, Ц и уравнительную склянку — на  $1/2$  объема смесью р-ра  $\text{NH}_4\text{Cl}$  и  $\text{NH}_4\text{OH}$ . При определении  $\text{O}_2$  pipетку не встряхивают; образовавшуюся окись меди растворяют омыванием Си-стружки р-ром  $\text{NH}_4\text{Cl}-\text{NH}_4\text{OH}$ , вытекающим из бюретки. Газ переводят из pipетки в бюретку и обратно до постоянного объема остатка. Результаты определения  $\text{O}_2$  на обычном и видоизмененном АГ совпадают. Т. Л.

**75352. Определение водорода в титане и титановых сплавах.** Коделл, Норриц (Determination of hydrogen in titanium and titanium alloys. Codell Maurice, Norwitz George), *Analyst. Chem.*, 1956, 28, № 1, 106—110 (англ.)

Метод основан на прокаливании смеси анализируемого в-ва с металлич. Pb в качестве флюса в токе  $\text{O}_2$  и колич. определении образующейся воды по привесу трубки, наполненной перхлоратом магния (I). При окислении Ti выделяется большое кол-во тепла, которое может вызвать растрескивание реакционной трубки (РТ). Во избежание растрескивания РТ, пробу загружают в кварцевую трубку, которую помещают на глиняных подставках в РТ из кварца. Перед использованием кварцевую трубку и глиняные подставки прокалывают при  $1100^\circ$  2 часа и хранят в эксикаторе с I. Затем собирают всю аппаратуру для сжигания, отдельные части которой должны быть соединены шлифами, и нагревают трубку с  $\text{CuO}$ , предназначенную для очистки  $\text{O}_2$ , до  $750^\circ$ , а РТ до  $900^\circ$ . Трубку с  $\text{CuO}$  для окисления  $\text{H}_2$  нагревают газовой горелкой, пропуская через аппара-

туру  $\text{O}_2$ . Не прекращая тока  $\text{O}_2$ , к аппаратуре присоединяют на несколько минут трубку с I для поглощения воды. Затем трубку с I взвешивают и, продолжая пропускать  $\text{O}_2$ , удаляют печь (не выключая ее), охлаждают РТ ниже  $300^\circ$  и берут навеску Ti (1—5 г), предварительно промытого  $\text{CCl}_4$  и высушенного при  $70^\circ$ . Пробу в виде стружки или опилок смешивают с 2—8 г гранулированного Pb, вводят смесь в кварцевую трубку, прогревают последнюю газовой горелкой для удаления влаги, помещают на подставки в РТ, присоединяют трубку с  $\text{CuO}$ , нагревают ее на полном пламени газовой горелки, пропуская 2 мин. ток  $\text{O}_2$ , и присоединяют трубку с I и защитную колонку, наполненную стеклянной ватой, I и аскаритом. Через систему пропускают  $\text{O}_2$  со скоростью  $\sim 400$  мл/мин, помещают РТ в печь, прокалывают образец 5 мин., а еще через 15 мин. отсоединяют трубку с I для взвешивания. Метод с успехом использован для определения 0,005—0,97%  $\text{H}_2$  в Ti-сплавах. Анализ длится  $1/2$  часа. Н. П.

**75353. Определение водорода в сталях; анализ газов, экстрагированных из образцов, нагревавшихся в вакууме при температурах от 500 до  $1100^\circ$ .** Маро (Dosage de l'hydrogène dans les aciers; analyse des gaz extraits d'échantillons chauffés sous vide à des températures de 500 à  $1100^\circ$  C. Marot J.), *Rev. métallurgie*, 1955, 52, № 12, 943—960 (франц.; рез. англ., нем.)

Метод экстракции в вакууме при  $600^\circ$  применим для анализа сталей с высоким содержанием водорода (I); при анализе сталей с низким содержанием I следует учитывать дополнительное выделение газов (0,7—1,5 мл на 100 г) при т-ре  $\geq 900^\circ$ , вследствие чего необходим анализ экстрагированного газа. При т-рах  $600$ — $1000^\circ$ , по прошествии 20 мин.  $>95\%$  общего I извлекается из образца. При экстрагировании в течение дополнительного времени при т-рах  $>800^\circ$  диффундирующий газ состоит из  $\sim 60\%$   $\text{N}_2$  и  $30\%$   $\text{CO}$ . Авторы считают, что извлекаемый I присутствует только в одной форме и отвергают гипотезу о существовании легко и трудно диффундирующего I. Полученные результаты табулированы. Т. Л.

**75354. Определение содержания газов в металлах и сплавах.** Карасев Р. А., Поляков А. Ю., *Вестн. АН СССР*, 1954, № 11, 61—62

Разработана схема типовой установки для определения газов в металлах и сплавах методом вакуум-плавки. Вместо стеклянных коммуникаций применены трубки из нержавеющей стали диам. 16 мм, соединенные фланцами. При помощи шлифованных поверхностей соединяются только реакционная кварцевая трубка и смотровое стекло. Вакуумные краны заменены Hg-затворами. Вакуум измеряют термомпарными лампами. Применены двухканальная газоаналитич. система и универсальный переключатель. Экстрагированный газ анализируют фракционированным вымораживанием. Индуктор плавильной печи питается от ВЧ-генератора ЛГ-15 (10—12 кгц); т-ра тигля  $2000$ — $2200^\circ$ . Без разбора вакуумной плавильной печи можно подвергнуть анализу 120 г металла. С и  $\text{H}_2$  окисляются над  $\text{CuO}$  с т-рой  $400$ — $450^\circ$ . Производительность установки 15—16 анализов за 8-часов. Т. Л.

**75355. Определение состава примесей в техническом водороде методом концентрирования.** Шполянский М. А., Завод. лаборатория, 1954, 20, № 7, 825

Технический  $\text{H}_2$  пропускают (15 л/час) через охлаждаемый жидким азотом змеевик с  $\sim 20$  мл силикагеля (размер зерен 1—2 мм). При т-ре кипения азота силикагель адсорбирует все примеси, включая  $\text{N}_2$ . Выходящий чистый  $\text{H}_2$  собирают в газометре. Присутствующие в технич.  $\text{H}_2$  примеси воды и других жидкостей предварительно вымораживают при т-ре от  $-75^\circ$  до  $-80^\circ$ .

Для десорбции газов из силикагеля последний нагревают до 80—90° и определяют десорбируемые примеси обычными методами. Т. Л.

**75356. Выделение нитрида кремния из продажной стали с 4% кремния. Сломан** (The isolation of silicon nitride from a commercial 4% silicon steel. Sloman H. A.), J. Iron and Steel Inst., 1956, 182, № 3, 307 (англ.)

При анализе образцов листовой стали, содержащей 4% Si, установленное хим. методом содержание N равнялось 0,001—0,002%, в то время как при анализе образцов той же стали методом вакуум-плавки было показано, что содержание N составляет 0,0055%. При производстве данной стали не добавляли Al. Опытным путем установлено, что во всех случаях, в отсутствие Al, результаты определения N хим. методом и методом вакуум-плавки не совпадают, что объясняется образованием в процессе прокатки стали не растворимого в  $\text{Si}_3\text{N}_4$ . Рентгеноструктурным анализом обнаружена идентичность выделенного и синтетически приготовленного  $\text{Si}_3\text{N}_4$ . Т. Л.

**75357. Последние достижения в анализе титана.**— (Recent advances in titanium analysis.—), Spectrogr. News Letter, 1955, 8, № 4, 1—3 (англ.)

Разработано 2 спектральных метода анализа металлич. Ti в форме р-ров и в форме блоков толщиной >6 мм. При анализе р-ров источником возбуждения служил генератор ARL, напряжение 1000 в, индуктивность 50 мГн, емк. 2 мФ. Пары анализируемого р-ра подавали через канал в нижнем отрицательном градиентном электроде длиной ~75 мм, с внешним диам. 6,15 мм, внутренним диам. 3,18 мм. В 3 контейнера из пластмассы, расположенных под углом друг к другу в одной горизонтальной плоскости, помещают по ~5 мл анализируемого р-ра (навеску 1 г смачивают 10 мл воды, добавляя HF до растворения, 1—2 мл конц.  $\text{HNO}_3$ , 5 мл р-ра Co, содержащего 21,64 г/л  $\text{CoCl}_2 \cdot 6\text{H}_2\text{O}$ , и разбавляют до 25 мл). В контейнерах создают избыточное давление ~64 мм рт. ст. и пары р-ра подают в межэлектродное пространство. Время обжигания 20 сек., экспозиция ~20 сек. В качестве внутреннего стандарта служит Co (линия Co 3412 Å). При анализе металлич. блоков источником возбуждения служит генератор ARL; пиковое напряжение ~20 000 в; индуктивность 360 мГн, емк. 0,007 мФ. Металлич. блок служит положительным электродом; контрэлектрод — графитовый, диам. 6,15 мм, заточенный на конус под углом 120°. Время обжигания 30 сек., экспозиция ~20 сек. (свежий контрэлектрод). Аналитич. линии: Ti 4321,7 (внутренний стандарт); Al 3961,5; Sn 3175,0; Fe 2756,3; Mn 2949,2; Cr 3593,5; Mo 2816,2; V 3185,4 Å. Вследствие значительной сегрегации, наблюдаемой для Ti-сплавов, замеры следует произвести не менее чем в 9 точках. Максим. отклонение от среднего ~5%. Воспроизводимость результатов при обоих описанных методах 1—1,5%. Т. Л.

**75358. Определение содержания водяного пара в неочищенном генераторном газе. Бейерсдорфер, Маруш** (Bestimmung des wasserdampfgehaltes von unreinigtem Generatorgas. Beyersdorfer Paul, Marusch Hubert), Silikattechnik, 1955, 6, № 8, 332—334 (нем.)

Для определения водяного пара (ВП) в генераторном газе пробу газа, отобранную с помощью газовой пипетки емк. 10 л, пропускают через поглотительную трубку длиной 500 мм, внутренним диам. 12—14 мм с 30—50 г силикагеля (С), предварительно высушенного при 300—400°. После пропускания пробы газа нижний участок столбика С (50—100 мм) должен быть окрашен в термосиний цвет. Для отгонки ВП из С пользуются термосином (т. кип. 190—240°); отгонку ведут в круглодонной колбе ем. 500 мл с шлифованной

насадкой с термометром и с направленным книзу змеевиковым холодильником; верхняя часть приемника состоит из трубки с внутренним диам. ~30 мм, нижняя — из трубки с внутренним диам. ~6 мм. Отгонку ведут с такой скоростью, чтобы через 15 мин. была достигнута т-ра 90—95°; отгонку заканчивают через 50—60 мин. после начала нагревания. Результаты определения ВП занижены в среднем на 7,3%. Для расчета предложена ф-ла  $W = 100/[210 \cdot V_{\text{кг}}/w \cdot T_{\text{кг}}] + 1$ , где W — содержание ВП (в об. %),  $T_{\text{кг}}$  — т-ра анализируемого газа после обезвоживания и охлаждения (в °K),  $V_{\text{кг}}$  — объем пробы газа после обезвоживания и охлаждения (в л), w — исправленный вес выделенной воды (в г). Продолжительность определения ВП в генераторном газе, включая отбор пробы и расчет, составляет ≤ 2 часов. Т. Л.

**75359. Экспресс-метод определения окисленности свинцовых порошков. Теньковцев В. В., Багдасаров К. Н.**, Завод. лаборатория, 1956, 22, № 6, 657—658

Быстрый метод определения окисленности Pb-порошков основан на весовом определении металлич. Pb после обработки навески (20 г) порошка горячей 5%-ной  $\text{CH}_3\text{COOH}$  (250 мл). Образовавшийся губчатый осадок спрессовывают при 75—100 ат и полученный диск осушают фильтровальной бумагой. Расхождения между результатами описанного и стандартного методов для порошков, окисленных на 50—80%, не превышают ±0,6% (абс.). Продолжительность определения (без учета взвешивания) 5 мин. Описанный метод применен на аккумуляторных заводах. Т. Л.

**75360. Анализ желтых, оранжевых, красных и коричневых пигментов, содержащих железо и марганец.**— (Chemical analysis of yellow, orange, red, and brown pigments containing iron and manganese.—), Offic. Digest, 1956, 28, № 374, 178—185 (англ.)

При анализе сухих пигментов образец измельчают и просеивают через сито № 80 (177 м). Влажность и летучие в-ва определяют по стандартному методу ASTM (D 280), потери при прокаливании — при т-ре ~900°.  $\text{CO}_2$  при необходимости определяют отдельно. Дисперсность частиц определяют по стандарту ASTM (D 185), водорастворимые в-ва — по стандарту ASTM (D 1208), органич. окрашенные в-ва — последовательным кипячением с водой, спиртом, р-ром NaOH и  $\text{CHCl}_3$ . Содержание  $\text{Fe}_2\text{O}_3$  в окиси железа определяют титрованием р-ром  $\text{K}_2\text{Cr}_2\text{O}_7$  в кислой среде после продолжительного нагрева при 80—90° и восстановления р-ром  $\text{SnCl}_2$ . Соединения Ca определяют в форме  $\text{CaO}$  путем прокаливании при т-ре тускло-красного каления, обработки HCl и  $\text{NH}_4\text{OH}$  и титрования р-ром  $\text{KMnO}_4$ . Сульфаты, растворимые в HCl, определяют путем кипячения, осаждения при помощи  $\text{NH}_4\text{OH}$  и  $\text{BaCl}_2$  и прокаливании промытого осадка  $\text{BaSO}_4$ . Pb в охрах определяют по стандартному методу качеств. анализа,  $\text{CaCO}_3$  в венецианской красной — по методу ASTM (C 25). Mn в сienaх и умбрах определяют прокаливанием пробы при т-ре тусклокрасного каления с последующей обработкой  $\text{H}_2\text{SO}_4$  (уд. в. 1,84), 48%-ной HF,  $\text{H}_2\text{SO}_4$ , прокаливанием, сплавлением с небольшим кол-вом  $\text{Na}_2\text{S}_2\text{O}_7$  или  $\text{K}_2\text{S}_2\text{O}_7$ , обработкой  $\text{HNO}_3$ ,  $\text{NaBiO}_3$ , добавлением  $\text{NaNO}_2$  или  $\text{KNO}_3$  до растворения  $\text{MnO}_2$ , кипячением, добавлением висмута, определенного кол-ва соли Мора и титрованием р-ром  $\text{KMnO}_4$ . Пигменты можно анализировать и в виде масляных паст. Определяют по стандартным методам ASTM: содержание пигментов (D 1208), влагу, летучие и нелетучие в-ва (D 215), влагу путем дистилляции (D 1208), дисперсность твердых в-в (D 185) и консистенцию (D 562). Метод пригоден для хим. анализа желтых, оранжевых, красных и коричневых пигментов, содержащих Fe и Mn: гидрата окиси железа, охры, красной и коричнев-

вой окисей железа, сырых и прокаленных умбр и снен и венецианской красной.

Б. Ш.

**75361. Определение влаги по методу Фишера. Шрайбер М. С., Мед. пром-сть СССР, 1956, № 2, 44—45**

Навеску образца фармацевтич. препарата (камфора, спирт и др.), содержащую 50—200 мг влаги, растворяют в 10 мл  $\text{CH}_3\text{OH}$  и титруют реактивом Фишера (смесь 269 мл безводн.  $\text{C}_5\text{H}_5\text{N}$ , 84,7 г  $\text{J}_2$ , 667 мл  $\text{CH}_3\text{OH}$  и 64 г  $\text{SO}_2$  в 1 л р-ра) до бурой окраски, устойчивой 30 сек. Параллельно титруют 10 мл  $\text{CH}_3\text{OH}$ . Ф. Л.

**75362. Весовое определение осадка, присутствующего в мутной воде в форме суспензии. Бертюа (Dosage pondéral des sédiments en suspension dans les eaux à forte turbidité. Berthois L.), Bull. Soc. scient. Bretagne. Sci. math., phys. et natur., 1953 (1954), 28, № 1—4, 7—12 (франц.)**

Прямое нефелометрич. определение при употреблении 100-мм кювет применимо при мутности воды  $\leq 200$  мг/л. При анализе более мутной воды пробу воды (1 л) отстаивают, воду декантируют, мутность ее определяют нефелометрически, а осадок переносят во взвешенный стакан, сушат при  $105^\circ$  и определяют взвешиванием. Общее кол-во осадка определяют, суммируя результаты, полученные весовым и нефелометрич. методами. Установлено, что нефелометрич. измерение остаточной муты не необходимо при отстаивании в течение 63 час.; при отстаивании в течение 24 час. для воды с мутностью  $< 3$  г/л необходимо нефелометрич. измерение остаточной муты. При отстаивании в течение 16—19 час. при мутности  $< 900$  мг/л погрешность весового определения  $> 10\%$ , при мутности  $\sim 300$  мг/л погрешность достигает 15 %. Т. Л.

**75363. Обнаружение нефтепродуктов в природных водах по флуоресценции. Нич (Nachweis von Erdölprodukten in natürlichen Wässern durch Fluoreszenz. Nielsch Berther), Microchim. acta, 1956, № 1—3, 171—178 (нем.; рез. англ., франц.)**

Пробу воды встряхивают с  $\text{MgO}$  ( $\sim 0,01$  г на 100 мл) и фильтруют через фильтр («синяя лента», Шлейхер-Шюль). Фильтр помещают на часовое стекло и изучают в УФ-свете (кварцевая лампа, 365—366 мμ). Более точные результаты получают при встряхивании пробы воды с эфиром или петр. эфиром (уд. в. 0,645—0,655). При применении метода адсорбции на  $\text{MgO}$  предельное разбавление для рафинатов составляет  $1:10^6$ , для сырых масел  $1:10^6$ . При применении метода экстракции предельное разбавление для рафинатов  $1:10^6$ , для сырых и остаточных масел  $1:10^6$ — $1:10^6$ . Присутствие окисляемых органич. в-в (расход  $\text{KMnO}_4$  составляет  $\leq 140$  мг/л) не мешает. Метод может быть использован для полуколич. определений. Т. Л.

**75364. Потенциометрический анализ растворов, поступающих в батареи для производства марганцовокислого калия. Ржезач, Кадич (Potenciometrická analýza pítoků k bateriím pro výrobu manganistanu draselneho. Rezáč Zdeněk, Kadíček Karel), Chem. průmysl, 1956, 6, № 5, 192—195 (чеш.; рез. русс., англ.)**

Определение перманганата и манганата калия основано на прямом потенциометрич. титровании  $\text{KMnO}_4$  в 0,5 н.  $\text{NaOH}$  0,1 н. р-ром  $\text{K}_4\text{Fe}(\text{CN})_6$  в присутствии избытка  $\text{Ba}^{2+}$ . Основная р-ция представлена ур-нием:  $\text{MnO}_4^- + [\text{Fe}(\text{CN})_6]^{4-} \rightarrow \text{MnO}_4^{2-} + [\text{Fe}(\text{CN})_6]^{3-}$ . Описанным методом можно определить перманганат наряду с манганатом даже при соотношении  $\text{KMnO}_4:\text{K}_2\text{MnO}_4 = 1:9$ . Объемное определение так называемого «общего числа окисления» титрованием 0,1 н.  $\text{KMnO}_4$  в избытке 0,1 н. шавелевой к-ты позволяет вычислить содержание обоих компонентов. М. П.

**75365 Д. Некоторые вопросы методики спектрального анализа стали. Корицкий В. Г. Автореф. дисс. канд. техн. н., Моск. ин-т стали, М., 1956**

**75366 Д. Исследование методов определения сурьмы. Нарушкевичус Л. Р. Автореф. дисс. канд. хим. н., Ин-т химии и хим. технол. АН ЛитССР, Вильнюс, 1956**

**75367 П. Методы отделения ионов фосфата от ионов железа (Methods of separating phosphate ions from iron ions) [N. V. Philips Gloeilampenfabrieken]. Англ. пат. 717277, 27.10.54 [Chem. Abstrs, 1955, 49, № 7, 4464] (англ.)**

Навеску фосфористого железа 2 г, после бомбардировки дейтронами, измельчают и смешивают (1:10) со смесью  $\text{NaNO}_3\text{--KNO}_3$  (1:1). Полученную смесь прибавляют к 2 г плавящего  $\text{NaOH}$  в  $\text{Ag}$ -тигле и покрывают слоем (2 г)  $\text{NaOH}$ . Смесью нагревают до прекращения выделения газов и еще 15 мин. Не охлаждая, полученную зеленоватую массу выщелачивают водой. Р-р кипятят 5—10 мин. и, не охлаждая, фильтруют. Осадок, содержащий гидрат окиси  $\text{Fe}$  и примеси других катионов, растворяют в конц.  $\text{HCl}$ . Радиоактивный щел. р-р, содержащий  $\text{PO}_4^{3-}$ , обрабатывают конц.  $\text{HNO}_3$  до кислотности 1 н. Затем к горячему р-ру прибавляют 120 мл 10%-ного р-ра  $\text{Bi}(\text{NO}_3)_3$  в 1 н.  $\text{HNO}_3$ . Осадок  $\text{BiPO}_4$  собирают на фильтре G-4 и промывают 20 мл разб. р-ра  $\text{Bi}(\text{NO}_3)_3$  в  $\text{HNO}_3$ . К фильтрату добавляют равный объем кипящей воды, кипятят 30—45 мин., осаждают оставшийся  $\text{PO}_4^{3-}$  в форме  $\text{BiPO}_4$ , осадок промывают. В фильтрате  $\text{PO}_4^{3-}$  не обнаруживается. Осадок  $\text{BiPO}_4$  растворяют в  $\text{HCl}$  и  $\text{Bi}$  осаждают при помощи  $\text{H}_2\text{S}$ . Осадок сульфида отфильтровывают, а р-р, содержащий радиоактивную  $\text{H}_3\text{PO}_4$ , выпаривают при  $120^\circ$  до сиропообразной консистенции для удаления избытка  $\text{HCl}$ . Можно заменить  $\text{HCl}$  на  $\text{HBr}$  и осаждают  $\text{Bi}$  добавлением  $\sim 10$  объемов воды при  $80^\circ$ . Т. Л.

См. также: Технич. анализы 76113, 76172; 21702Бх. Др. вопр. 74691, 74711, 74712, 74741; 21698Бх, 21699Бх, 21739Бх

## АНАЛИЗ ОРГАНИЧЕСКИХ ВЕЩЕСТВ

**75368. Краткий обзор современных быстрых методов органического элементарного микроанализа. Каналь (Breve rassegna sui metodi rapidi moderni nella microanalisi organica elementare. Canal F.), Lab. scient., 1956, 4, № 1, 1—5; № 2, 41—45; № 3, 77—84 (итал.)**

Обзор. Библ. 92 назв.

Т. Л.

**75369. Новый автоматический прибор для микроопределения азота по Дюма. Коно, Сато, Судзуки, Исоба (自動式Micro Dumasの改良. 河野哲郎, 佐藤嘉子, 鈴木瑞枝, 磯部有子), 日本農藝化學誌, Нихон ноэй кагаку кайси, J. Agric. Chem. Soc. Japan, 1954, 28, № 9, 744—748 (япон.; рез. англ.)**

Прибор снабжен подвижной печью, которая перемещается до начала кипения или разложения пробы. Изменения давления в трубке для сжигания регистрируются с помощью манометра, заполненного р-ром  $\text{CaCl}_2$ . В небольшую кварцевую трубку, отделенную от трубки для сжигания трехходовым краном, помещают восстановленную  $\text{Cu}$ . Скорость сжигания пробы при  $1030^\circ$  в атмосфере  $\text{CO}_2$  незначительна. Лучшие результаты обеспечиваются сжиганием пробы, покрытой слоем  $\text{CuO}$ , при  $900^\circ$ . Н. П.

**75370. Открытие и определение серы в органических материалах. Розенталер (Nachweis und Bestimmung des Schwefels in organischen Stoffen. Rosenthaler L.), Pharmaz. acta helv., 1955, 30, № 7, 282—283 (нем.; рез. итал., франц., англ.)**

Для открытия и определения S в органич. материалах водн. или щел. р-р или водн. суспензию испытуемого материала обрабатывают ~12%-ным р-ром NaClO (не содержащим  $\text{SO}_4^{2-}$ ), после выдержки в течение ~12 час. подкисляют HCl, обрабатывают полученный осадок HCl (в случае необходимости при кипячении), фильтруют, нагревают фильтрат до кипения, добавляют  $\text{BaCl}_2$ , кипятят еще некоторое время и отфильтровывают  $\text{BaSO}_4$ . Метод дал хорошие результаты при опытах с KSCN,  $\text{CS}_2$ , ксантогенатом Na, аллилизородановым эфиром, изородановым фенилом, тиозинамином,  $\text{CS}(\text{NH}_2)_2$ , пропилюрацилом и метиленовой синью; низкий выход  $\text{BaSO}_4$  наблюдался при опытах с цистином, метронином, этнином, сахаринном и витамином В. Отрицательный результат получен при опыте с *p*-толуолсульфамидом.

Т. Л.  
75371. Определение малых количеств органической серы в газах. Ильинская А. А., Конторович Л. М., Рапопорт Ф. М., Тр. Гос. н.-и. и проект. ин-та азот. пром-сти, 1952 (1953), № 1, 269—274

Объемный метод определения органич. S в газах основан на окислении серосодержащих соединений при  $750 \pm 25^\circ$ ; при этой т-ре окислы азота не образуются.  $\text{SO}_2$  поглощают 3%-ным нейтр. р-ром  $\text{H}_2\text{O}_2$  и определяют  $\text{SO}_4^{2-}$  титрованием 0,01 н. р-ром щелочи по метиловому красному. При содержании S 10—30 мг/м<sup>3</sup> относительная погрешность 10—15%. Результаты описанного и лампового метода хорошо сходятся. При ~100 мг/м<sup>3</sup> S продолжительность анализа 30—40 мин. (газ пропускают со скоростью 300 л/час); при <10 мг/м<sup>3</sup> S продолжительность анализа соответственно увеличивается. Метод применен для анализа азото-водородных смесей.

Т. Л.  
75372. Изучение анализа кислых веществ с помощью электрохроматографии. (Часть I). Электрохроматография радикалов многоосновных кислот. Атива (Elect. ochromatographyによる酸根の系統的分析法の研究. その1. 多塩基酸のElectrochromatographyについて. 阿知波繁一), 電気化学, Дэнки какаку, J. Electrochem. Soc. Japan, 1956, 24 № 1, 13—18 (япон.; рез. англ.)

В электрохроматографич. ячейке (ЭЯ), использованной для разделения анионов, между двумя стеклянными пластинами с парафинированной поверхностью плотно зажаты 2—3 листка толстой фильтровальной бумаги (20 × 20 × 0,16 см). Через прорезь одной из пластин проходят Pt-электроды диам. 0,3 мм. К ЭЯ присоединены приборы для промывной жидкости (ПЖ) и для введения небольших кол-в анализируемого р-ра. Сначала устанавливают равномерный поток ПЖ в ЭЯ, а затем поблизости от электрода наносят образец и пропускают ток от источника с напряжением 200 в. При использовании различных ПЖ наблюдается значительный электроосмос в направлении к катоду. При промывании ЭЯ кислотными (0,01 н.  $\text{CH}_3\text{COOH}$ , 0,02 н.  $\text{H}_2\text{SO}_4$ ) или основными (1 н.  $\text{NH}_4\text{OH}$ , 0,05 н.  $\text{NaOH}$ ) ПЖ радикалы многоосновных к-т располагаются по равнобедренному треугольнику. Радикалы же одноосновных к-т перемещаются прямолинейно. В случае применения основных ПЖ радикалы мигрируют сильнее, чем в случае кислотных ПЖ.

Н. П.  
75373. Смещение нитрогрупп во время определения нитрофенолов и нитроанилинов методом Коппешаара. Поправка. Джонсон Мак-Набб, Вагнер (Displacement of the nitro group during determination of nitrophenols and nitroanilines by the koppeschaar method. Correction. Johnson L. D., McNabb W. M., Wagner E. C.), Analyt. Chem., 1956, 28, № 3, 392 (англ.)

В статье «Смещение нитрогрупп во время определения нитрофенолов и нитроанилинов методом Коппешаара»

шаара» (РЖХим, 1956, 26011) восьмое ур-ние на стр. 1494 следует читать:  $2\text{NO} + \text{O}_2 \rightarrow 2\text{NO}_2$ . Ур-ние на стр. 1498 следует читать  $\text{HgO} + 2\text{Br}_2 + \text{H}_2\text{O} \rightarrow 2\text{HOBr} + \text{HgBr}_2$ .

М. П.

75374. Определение карбонильного соединения путем экстракции его 2,4-динитрофенилгидразона. Торен, Хейрих (Determination of a carbonyl compound by extraction of its 2,4-dinitrophenylhydrazone. Torén Paul E., Heinrich B. J.), Analyt. Chem., 1955, 27, № 12, 1986—1988 (англ.)

Для определения продукта конденсации бутадиена с фурфуролом 2, 3, 4, 5-бис-( $\Delta^2$ -бутилен)-тетрагидрофурол (I) применен спектрофотометрич. метод, основанный на получении соответствующего 2,4-динитрофенилгидразона (II). II является более растворимым в изоктане (III), чем исходный 2,4-динитрофенилгидразин. 10 мл III, содержащего 1—20 γ/мл I, прибавляют к 10 мл реактива (ежедневно смешивают 1 объем насыщ. р-ра 2,4-динитрофенилгидразина в спирте, не содержащем карбонильных соединений, с 3 объемами разб.  $\text{H}_3\text{PO}_4$ , 1 : 2). После выдержки в течение 30 мин. в герметически закрытой склянке при непрерывном встряхивании, фазу реактива отсасывают, а фазу III промывают 10 мин. разб. (1 : 2)  $\text{H}_3\text{PO}_4$ . Затем отбирают фазу III (для образца и контрольной пробы) и спектрофотометрируют при 340 мμ. Конц-ию I определяют по калибровочной кривой, построенной по образцам с известным содержанием I. Построена диаграмма фазового состояния для системы III — спирт — вода, показывающая, что в присутствии относительно небольшого кол-ва воды неводн. фаза полностью состоит из III. Избыток реактива остается в водн. фазе и не мешает спектрофотометрированию. При употреблении в качестве р-ра сравнения р-ра контрольного опыта зависимость между оптич. плотностью р-ра II и молярной конц-ией I линейная. Т. Л.

75375. Микроопределение ароматических нитросоединений при помощи пентацетианоаминоферрата натрия. Окума (ナトリウムペンタシアノアミンフェロエイトによる芳香族ニトロ化合物の微量検出法について. 大熊誠一), 薬学雑誌, Якугаку дзасси, J. Pharm. Soc. Japan, 1955, 75, № 11, 1342—1345 (япон.; рез. англ.)

Изучены р-ции между ароматич. и гетероциклич. нитросоединениями и пентацетианоаминоферратом натрия, приведены полученные окраски и высказаны предположения о механизме образования окрашенных в-в. Т. Л.

75376. Раздельное определение органических соединений серы в газах. Рапопорт Ф. М., Тр. Гос. н.-и. и проект. ин-та азот. пром-сти, 1952 (1953), № 1, 275—285

Метод раздельного определения  $\text{CS}_2$ , COS, тиофена (I) и меркаптанов в газах основан на избирательном поглощении компонентов газовой смеси; для поглощения  $\text{CS}_2$  применяют 98%-ную  $\text{H}_2\text{SO}_4$ ; для поглощения I —  $\text{H}_2\text{SO}_4$  с конц-ией ≤ 93%. Опыты вели с искусств. газовыми смесями с содержанием  $\text{CS}_2$  220 мг/м<sup>3</sup>, COS 200—300 мг/м<sup>3</sup>, I 140 мг/м<sup>3</sup>. Анализируемый газ разделяют на 3 потока; в первом потоке определяют общее содержание органич. S, во втором — содержание органич. S после промывки газа 98%-ной  $\text{H}_2\text{SO}_4$  и в третьем — содержание органич. S после промывки газа 93%-ной  $\text{H}_2\text{SO}_4$  и веретенным маслом. Скорость газовых потоков 12 л/час. Т-ра масла для поглощения  $\text{CS}_2$  должна быть не выше —5°. Содержание I рассчитывают по разности между содержанием S в первом и во втором потоках,  $\text{CS}_2$  по разности между содержанием S во втором и в третьем потоках, а содержание COS соответствует содержанию S в третьем потоке. Погрешность определения  $\text{CS}_2$  и COS ≤ 5%, I ~1%. Метод применен для анализа коксового газа. Т. Л.

75377. Масс-спектрометрическое определение пропилена и этилена в некоторых промышленных газовых сме-

сях. Тихомиров М. В., Касперович А. И., Бых С. Ш., Завод. лаборатория, 1954, 20, № 7, 830—835

Разработан масс-спектрометрич. метод определения  $C_3H_6$  в этилене и этан-этиленовой смеси и определения  $C_2H_4$  в метан-водородной смеси, содержащей  $C_3H_6$ ; при определении  $\sim 0,1\%$   $C_3H_6$  анализ продолжается 20—30 мин.; средняя вероятная погрешность 10%. Анализ осуществляют относительным методом (Johnson C. E., Analyt. Chem., 1947, 19, 305), при котором измеряют отношения пиков, характерных для массового спектра данного компонента к некоторому (обычно максимальному) пику в спектре смеси. Анализ смеси  $C_2H_4$ - $C_3H_6$  проводили по отношению ионных токов  $I_{41}/I_{28}$ , где  $I_{41}$  — ионный ток за счет осколочных ионов  $C_3H_5^+$ , а  $I_{28}$  — ионный ток за счет мол. ионов  $C_2H_4^+$ . Установлено, что отношение  $I_{41}/I_{28}$  линейно зависит от конц-ии  $C_3H_6$ . Для анализа смеси  $C_2H_6$ - $C_2H_4$ - $C_3H_6$  выбраны пики  $I_{41}$ ,  $I_{30}$  и  $I_{28}$ , соответствующие ионам  $C_3H_5^+$ ,  $C_2H_6^+$  и  $C_2H_4^+$ . Зависимость отношений  $I_{41}/I_{30}$  и  $I_{41}/I_{28}$  от конц-ии  $C_3H_6$  в смеси линейная при близких конц-иях двух компонентов. При определении 1—5%  $C_2H_4$  в смеси  $C_2H_6$ - $H_2$ - $C_2H_4$ , при постоянной конц-ии  $H_2$ , пользуются отношениями ионных токов  $I_{26}/I_{16}$  или  $I_{26}/I_{15}$ , где  $I_{26}$  — ионный ток за счет  $C_2H_4^+$ , а  $I_{16}$  и  $I_{15}$  — за счет  $C_2H_6^+$  и  $C_2H_5^+$ . При содержании 30%  $H_2$  погрешность определения  $C_2H_4$  составляет 25%. Т. Л.

75378. Новый простой метод качественного и количественного определения малых количеств параантисалициловой кислоты. Островский Ю. М., Аптеч. дело, 1955, 4, № 6, 10—13

При окислении *p*-аминосалициловой к-ты (I) в щел. среде развивается интенсивная оранжево-коричневая окраска. Наибольшая интенсивность окраски достигается при конц-ии щелочи 3—4%. При конц-ии  $I \leq 0,1\%$  кол-во  $K_4Fe(CN)_6$ , употребляемого в качестве окислителя, составляет 0,4—0,5%. Избыток окислителя на развивающуюся окраску практически не влияет. Окраска стабильна 15—20 мин. Добавление аскорбиновой к-ты стабилизирует окраску, но несколько ослабляет ее. Закон Бера почти выполняется при 0,05—0,1% I. Салициловая к-та, аспирин, антифебрин, антипирин, стрептоцид, сульфидин, альбумид, анестезин и кордиамин в конц-иях  $\leq 0,1\%$  не мешают. Салицилаты (в отношении к I, равном 1:1) вызывают положительную погрешность (4—5%), в присутствии равных кол-в сульфаниламидов погрешность равна +2%. Описанная р-ция применима для качеств. и колич. определения I. Т. Л.

75379. Неводное титрование фенолов. I. Новый индикатор, *p*-нитро-*p*-аминоазобензол. Такикура, Такино (フェノールの非水滴定. 第1報. 新しい指示薬. p-ニトロ-p'-アミノアゾベンゼン. 龍浦義, 龍野吉雄), 薬学雑誌, Якугаку дзасси, J. Pharmac. Soc. Japan, 1954, 74, № 9, 971—974 (япон.; рез. англ.)

После испытания ряда азосоединений с группами  $NO_2$  и  $NH_2$  в орто- и пара-положениях, в качестве индикатора для титрования фенолов (I) в среде этилендиамина выбран *p*-нитро-*p*-аминоазобензол (II). Произведено титрование ряда I р-ром  $C_2H_5OK$  в присутствии II и получены весьма точные результаты. Для титрования I с отрицательно заряженными заместителями, напр. нитрофенола, в качестве р-рителя рекомендуется употреблять пиридин, а в качестве индикатора азобифталевый. Т. Л.

75380. Термический капиллярный анализ с помощью нового прибора для серийных определений. Лауэр (Thermische Kapillaranalyse mit einem neuen Reihenuntersuchungsgerät. Lauer F. J.), Fette und Seifen, 1955, 57, № 10, 789—793 (нем.; рез. англ., франц., исп.)

Описан прибор для проведения одновременного термич. капиллярного анализа 20 проб восков, жиров и масел (в частности минеральных) в идентичных условиях.

Установлено, что погрешности обусловлены способом подвески полос бумаги, сортом бумаги, характером материала сравнения, соотношением т-р и вентиляцией термостата, продолжительностью нагрева и типом исследуемого материала. Применение нового автоматич. прибора устраняет указанные погрешности. Рекомендуется употреблять для термич. капиллярного анализа восков фильтровальную бумагу № 0910. В качестве материалов сравнения применяют стеариновую к-ту, парафин и пчелиный воск. Приведены результаты термич. капиллярного анализа для молока, кофе и чая. Т. Л.

75381. Разделение и идентификация кислот с помощью хроматографии на бумаге. I. Анионы галогеноводородных кислот. Митчелл (Separation and identification of acids by paper chromatography. I. The halides. Mitchell Lloyd C.), J. Assoc. Offic. Agric. Chemists, 1955, 38, № 3, 832—835 (англ.)

Метод применим к аммониевым, калиевым и натриевым солям галогеноводородных к-т (I). Вдоль линии у основания листов бумаги ватман № 1 ( $20 \times 20$  см) наносят через равные промежутки порции по 0,001 мл 0,1 М (или 0,01 М) исследуемых р-ров, помещают лист в сосуд для хроматографирования и проявляют по восходящему методу р-рителем, состоящим из 5 мл конц.  $NH_4OH$ , разбавленных до 100 мл 2-метоксиэтанолом (монометиловый эфир этиленгликоля «метилцелло-соль»). По достижении р-рителем верхнего края листа ( $\sim 4,5$  часа) бумагу извлекают из сосуда, отмечают фронт р-рителя и подвешивают в сушильном шкафу для просушки. Опрыскивают 0,005 М (или 0,0025 М) р-ром  $AgNO_3$  (170 мл соответственно 85 мг  $AgNO_3$  растворяют в 1 мл  $H_2O$ , добавляют 5 мл конц.  $NH_4OH$  и разбавляют  $C_2H_5OH$  до 200 мл), если хроматографировали 0,01 М (или соответственно 0,01 М) р-ры. После испарения спирта один из листов выдерживают несколько секунд на солнечном или ярком дневном свете, а другой опрыскивают свежеприготовленным 0,0005 М р-ром пирогаллола (13 мг в 200 мл этилового спирта) и сушат на воздухе. Описанный способ обнаружения пятен анионов I очень чувствителен и позволяет одновременно с ними открывать и пятна К и Na.  $R_f$  при 27—29° для  $F^-$ ,  $K^+$ ,  $Na^+$ ,  $Cl^-$ ,  $Br^-$  и  $J^-$  в 0,01 М р-рах солей  $NaF$ ,  $KBr$ ,  $NH_4Cl$  и  $NH_4J$  (по данным из 10 измерений) равны соответственно: 0,0; 0,07—0,10; 0,15—0,20; 0,50—0,59; 0,65—0,71 и 0,82—0,86; а в 0,1 М р-рах каждой из указанных солей: 0,0; 0,08—0,10; 0,16—0,19; 0,45—0,52; 0,58—0,65 и 0,75—0,82.  $F^-$  не образует четкого пятна, а образует едва заметную полосу; конец ее часто достигает местоположения пятен катионов и перекрывается ими, но иногда располагается выше их. А. Г.

75382. Определение тетраметилтирамдисульфида. Индзима (テトラメチルチウラムジサルファイドの分析. 飯島友夫), 日本ゴム協会誌, Нихон гому кёкайси, J. Soc. Rubber Ind., 1956, 29, № 1, 14—15 (япон.; рез. англ.)

Тетраметилтирамдисульфид (I) определяют модифицированным методом Кларка (Clarke D. C., Baum H., Stanley E. L., Hester W. F., Analyt. Chem., 1951, 23, 1842) следующим образом: I восстанавливают  $Na_2S$  в водн. р-ре до дитиокарбамата и разлагают последний к-той. Образовавшийся  $CS_2$  титруют в форме ксантогената. Т. Л.

75383. Определение альдегидов при помощи несимметричного диметилгидразина. Сиджа, Стал (Determination of aldehydes using unsymmetrical dimethylhydrazine. Siggia Sidney, Stahl C. R.), Analyt. Chem., 1955, 27, № 12, 1975—1977 (англ.)

Метод определения альдегидов (I) основан на прибавлении к анализируемой пробе избытка несимметричного диметилгидразина (II) и на оттитровывании непрореагировавшего II стандартным р-ром к-ты. II реагирует

также и с кетонами (III), но основность гидразонов III мало отличается от основности II, вследствие чего при оттитровании избытка II титруются также и гидразоны III; благодаря этому в присутствии III описанным методом могут быть определены ароматич. (но не алифатич.) I. Применяют II в виде 0,2 М р-ра в этиленгликоле при определении алифатич. I, 1 М р-ра в этиленгликоле при определении ароматич. I и 1 М р-ра в  $\text{CH}_3\text{OH}$  при определении двузамещ. бензальдегидов. К 25 мл реактива прибавляют навеску ( $\sim 0,002$  моля алифатич. и 0,01 моля ароматич. I), выдерживают при 18–20° 15–20 мин. (в зависимости от типа I), добавляют  $\sim 50$  мл  $\text{CH}_3\text{OH}$  и оттитровывают избыток II потенциометрически 0,1 или 0,5 н. р-ром  $\text{HCl}$  в  $\text{CH}_3\text{OH}$ . Параллельно ведут контрольный опыт с 25 мл реактива. При титровании употребляют стеклянный и  $\text{Hg}_2\text{Cl}_2$ -электроды. Кол-во I (в %) вычисляют по ур-нию  $x = (a - b) \cdot N \cdot M \cdot 100 / p \cdot 1000$ , где  $a$  — кол-во  $\text{HCl}$ , израсходованной на титрование р-ра контрольного опыта,  $b$  — кол-во  $\text{HCl}$ , израсходованной на титрование пробы,  $N$  — нормальность  $\text{HCl}$ ,  $M$  — мол. вес. I,  $p$  — навеска. Погрешность определения  $\pm 1\%$ . Ацетали и карбоновые к-ты не мешают.

Т. Л.

**75384. Определение циклогексана в техническом метилциклогексане методом распределительной хроматографии на силикагеле.** Франц (Kvantitativní stanovení cyklohexanu v technickém methylycyklohexanu rozdělovací chromatografií na silikagelu. Franc Jaroslav, Chem. listy, 1956, 50, № 1, 73–76 (чеш.); Сб. чехосл. хим. работ, 1956, 21, № 3, 581–585 (нем.; рез. русс.).

Ранее описанный метод (РЖХим. 1956, 37605) разделения одноатомных фенолов на колонке силикагеля в системе циклогексан — вода применен для быстрого выделения циклогексана из технич. метилциклогексана (I). Эффективного разделения технич. I (4 мг) достигают через 4 часа на колонке длиной 65–75 см при скорости протекания 180 мл/час. В первых фракциях вытекающего р-ра содержатся неотделимые один от другого изомеры I, в последующих — чистый циклогексан, который определяют колориметрически в форме красного продукта р-ции с 2,4-динитрофенилгидразином. Относительная погрешность отдельного определения  $\pm 4\%$ ; присутствие  $\leq 30\%$  циклогексанола не мешает.

Jiri Vaněček

**75385. Определение типа углеродных атомов в тяжелых углеводородных продуктах.** Мирон (Type carbon atom analysis of heavy hydrocarbon products. Miron Simon, Anal. Chem., 1955, 27, № 12, 1947–1956 (англ.).

Описан метод определения процентного содержания ароматич. нафтеновых и алкильных атомов C в углеводородных продуктах с мол. весом  $> 150$ . Для определения олефиновых и ароматич. двойных связей применяют селективное гидрирование. Атомы C, связанные в кольцо, определяют на основе молекулярной ф-лы после исчерпывающего гидрирования. Размер колец вычисляют на основе зависимости между плотностью и мол. весом по ранее описанному способу (Kurtz S. S., Jr, Lipkin M. R., Industr. and Engng Chem., 1941, 33, 779). Для некоторых продуктов определяют степень конденсации; для других принимают, что 50% способных конденсироваться атомов C в кольце являются конденсированными. Предположение о связывании атомов C в 6-членные кольца или ката-конденсированные кольца не необходимо при ненасыщ. соединениях с олефиновыми связями.

Т. Л.

**75386. Быстрое определение содержания диальдегида в крахмалах, окисленных периодатом, основанное на количественном взаимодействии со щелочью.** Хофрейтер, Александер, Вулф (Rapid estimation of dialdehyde content of periodate oxystarch through

quantitative alkali consumption. Hofreiter B. T., Alexander B. H., Wolff I. A., Anal. Chem., 1955, 27, № 12, 1930–1931 (англ.).

Для определения степени превращения звеньев андигроглюкозы в крахмале (I), окисленном периодатом, в звенья диальдегида (II) предложен быстрый метод, основанный на колич. взаимодействии щелочи со звеном II в молекуле окисленного I. К навеске I, с известным содержанием влаги, 0,15–0,2 г прибавляют 10 мл 0,25 н.  $\text{NaOH}$  (не содержащего  $\text{CO}_2$ ) и выдерживают в паровой бане 1 мин. Затем охлаждают 1 мин. в водопроводной воде, добавляют 15 мл 0,25 н.  $\text{H}_2\text{SO}_4$ , 50 мл воды, 1 мл нейтр. 0,2%-ного р-ра фенолфталеина и титруют 0,25 н. р-ром  $\text{NaOH}$ . Титрование может быть также осуществлено потенциометрич. методом. Кол-во звеньев II (в%) вычисляют по ф-ле  $x = 161(a - b) \cdot 100 / p$ , где  $a$  — общее кол-во основания (в экв),  $b$  — общее кол-во к-ты (в экв),  $p$  — навеска (из расчета на сухое в-во, в мг), 161 — средний мол. вес звена I, 50% которого превращено в звено II. Результаты описанного и гидросилиманового метода хорошо согласуются. Метод применим для определения 1–100%-ной степени окисления (выраженной в числе звеньев II на 100 повторяющихся звеньев). Предположено, что взаимодействие II со щелочью происходит по типу р-ции Каннищаро.

Т. Л.

**75387. К вопросу об аналитическом изучении бромгидрата гиосцина и бромиды N-бутилгиосцина.** Билинино, Феррато (Contributo allo studio analitico del bromuro di joscina e dell' N-butil bromuro di joscina. Biglino Giuseppe, Ferrato Carlo, Atti Accad. sci. Torino. Cl. sci. fis., mat. e natur., 1952–1953, 87, № 1, 170–175 (итал.).

Изучены спектры поглощения в УФ-области бромгидрата гиосцина (I) и бромиды N-бутилгиосцина (II), их уд. вращение в ряд качеств. р-ций. Установлено, что уд. вращение II в водн. р-ре меняется с конц-ией; спектр поглощения I в УФ-области не может быть использован для аналитич. целей, так как характеризуется тремя максимумами — при 252, 257,5 и 263,5 мμ.

Т. Л.

**75388. Полярографическое определение маленького гидразида.** Такэути, Йокоути, Онода (ポーラログラフ法によるマレイン酸ヒドラジドの定量. 武内次夫, 横内成人, 小野田潔, 電気化学, Дэнки какаку, J. Electrochem. Soc. Japan, 1955, 23, № 10, 541–544 (япон.; рез. англ.).

Для определения маленького гидразида (I) в технич. диэтаноламиновой соли I растворяют образец в 0,1 н. р-ре  $\text{LiCl}$  для получения р-ра с конц-ией  $1 \cdot 10^{-3}$  М. При полярографировании получают две четкие волны восстановления при  $-1,77$  в (н. к. э.) и  $-2,19$  в (н. к. э.). Первая волна исчезает при добавлении 9-кратного избытка (из расчета экв. вес I) диэтанолamina, вследствие чего для измерений пользуются второй волной. Установлено, что между конц-ией I в р-ре диэтанолamina и высотой полярографич. волны существует линейная зависимость. Описанный метод применен для анализа химикатов, употребляемых для обработки картофеля.

Т. Л.

**75389. Определение полиэтиленгликолей и их производных.** Браун (The analysis of polyethylene glycols and their derivatives. Brown E. G., Manufact. Chemist, 1955, 26, № 10, 441–442 (англ.).

Обзор. Библ. 19 назв.

Т. Л.

**75390. Полярографический метод идентификации и определения глюкозы.** Ионеску, Раду (O metodă polarografică de identificare și de dozare a glucozei. Ionescu Silvia, Radu Antonia, Bul. stiint. Acad. R. P. Romine. Sec. mat. și fiz., 1955, 7, № 4, 1143–1148 (рум.; рез. русс., франц.).

Глюкоза (I) восстанавливается на капельном  $\text{Hg}$ -электроде при  $-1,64$  в; полярограммы хорошо воспроизво-

16\*

димы в интервале 0,1—0,6 М. I. Высота волны зависит от  $t$ -ры; зависимость между  $\lg H$  и  $1/t$ , так же как и зависимость между конц-ией I и  $H$ , прямолинейна ( $H$  — высота волны,  $T$  —  $t$ -ра). В качестве фона рекомендуется 0,01 н. KCl. Для построения калибровочных кривых используются  $r$ -рамы I, стабилизированными толуолом. До 3% декстрина полярографич. определению I не мешает. Установлено, что в водн.  $r$ -рах всегда присутствует альдегидная форма I и что I восстанавливается на катоде в альдегидной форме. В момент измерений возникает состояние равновесия.

**75391. О весовом определении циклогексанона. Кастильони** (Sul dosamento gravimetrico del cicloesanoone. Castiglioni Angelo), Atti Accad. Sci. Torino. Cl. sci. fis. mat. e natur., 1952—1953, 87, № 1, 18—20 (итал.)

К  $r$ -ру  $\sim 0,1$  г циклогексанона в 5 мл 50%-ного  $C_6H_5ON$  прибавляют 5 мл 10%-ного  $r$ -ра свежеперегнанного фурфурола в  $C_6H_5ON$  (95%) и 5 мл 10%-ного  $r$ -ра NaOH. Перемешивают, выдерживают 12—16 час. при 18—20°, вносят кусочек льда и через 15 мин. отфильтровывают продукт конденсации ( $\alpha, \alpha'$ -дифурфуриден-циклогексанон), промывают его  $\sim 100$  мл воды (4—5°) и сушат при 100°. Весовое соотношение между  $\alpha, \alpha'$ -дифурфуриденциклогексаном и циклогексаном составляет 2,5899:1. Описанный метод дает точные результаты.

**75392. Определение сульфонамидов методом амперометрического титрования. Рыбарж, Скршиван** (Stanovení sulfonamidů polarometrickou titrací. Rybář D., Skřiván V.), Českosl. farm., 1956, 5, № 3, 147—149 (чеш.; рез. русс., англ., нем.)

Для определения сульфонамидов с помощью  $NaNO_2$  конечная точка титрования определялась амперометрич. методом. Ртутный капельный электрод не может быть использован в качестве индикаторного. Индикаторным электродом служит неподвижный или вращающийся Pt-электрод. В качестве электродов сравнения испытаны насыщ. каломельный, графитовый и Pt-электроды. Электроды присоединяют непосредственно к гальванометру; при использовании Pt-электрода сравнения налагают разность потенциалов 0,4 в.

**75393. Флуорометрическое определение N'-метилниацинамида в присутствии ниацинамида с использованием синтетических ионообменивающих смол. Като, Симидзу, Хамамура** (Fluorometric determination of N'-methylniacinamide separately from niacinamide by use of synthetic ion exchange resins. Kato Masaru, Shimizu Hiroshi, Hamamura Yasuji), (京都工芸繊維大学 職 學部學藝報告, Kёто когэй сэнги дайгаку. Сэнги гакубу гакудзюу кококу, Bull. Fac. Text. Fibers. Kyoto Univ. Industr. Arts and Text. Fibers, 1954, 1, № 1, 131—135 (англ.))

Пробу тканей или органов насекомых (5 г) обрабатывают (Kato M., Shimizu H., Science, 1951, 114, 12) для получения 40 мл экстракта; при анализе мочи карбонат удаляют обработкой конц.  $r$ -ром  $Ba(OH)_2$ . К 6 мл экстракта прибавляют 4 мл воды ( $r$ -р А); к другим 6 мл экстракта добавляют 1 мл  $r$ -ра ниацинамида (I) (10  $\gamma$ /мл), 1 мл  $r$ -ра N'-метилниацинамида (II) (10  $\gamma$ /мл) и 2 мл воды ( $r$ -р В).  $r$ -ры А и В пропускают со скоростью 1 мл/мин через трубки с 3 мл амбурлита IRA-400 в OH-форме (для удаления мешающих анионов), вымывают 5 мл воды, устанавливают pH  $r$ -ра на уровне 5 и пропускают через трубки с KN-4B в Na-форме (для удаления мешающих катионов и I); вымывают 39 мл горячей воды (при 80—85°). Каждый из объединенных фильтров (80 мл) охлаждают до 18—20° и употребляют для определения I (см. ссылку выше). Для определения II через трубки с KN-4B пропускают 80 мл горячего 25%-ного  $r$ -ра KCl в 0,1 н. HCl (1 мл/мин) и к фильтрам (80 мл) прибавляют по

20 мл 25%-ного  $r$ -ра KCl в 0,1 н. HCl. К пробам полученных  $r$ -ров (из  $r$ -ров А и В) по 25 мл прибавляют по 0,03 мл 6 н. NaOH, 0,5 мл 30%-ного  $H_2O_2$  и после встряхивания (1 мин.) 0,03 мл HCl. По 1 мл каждой смеси помещают в пробирки из нефлуоресцирующего стекла и добавляют по 1 мл 25%-ного  $r$ -ра KCl в 0,1 н. HCl, 9,5 мл ацетона, 8,2 мл 6 н. NaOH (в контрольных опытах добавляют 9 мл ацетона). Через 4 мин. в каждую пробирку добавляют по 0,3 мл 6 н. HCl, нагревают в водяной бане 2 мин., охлаждают, добавляют по 1 мл 20%-ного  $r$ -ра  $KH_2PO_4$ , 1 мл воды и измеряют флуоресценцию с помощью флуорометра или путем титрования флуоресцентным  $r$ -ром, приготовленным из  $r$ -ра II с конц-ией 5  $\gamma$ /мл. Кол-во II (в  $\gamma$  на 5 г пробы или 20 мл мочи) равно  $x = acf/(b - a)$ , где  $a$  — кол-во стандартного  $r$ -ра (в мл), добавленного к  $r$ -ру контрольного опыта (для А);  $b$  — кол-во стандартного  $r$ -ра (в мл), добавленного к  $r$ -ру контрольного опыта (для В);  $c$  — кол-во II (в  $\gamma$ ), добавленного к  $r$ -ру В;  $f$  — фактор разбавления (40/6). Метод применен для исследования метаболизма триптофана.

**75394. Полярографическое определение акрилонитрила в присутствии персульфата калия. Страус, Дайер** (Polarographic determination of acrylonitrile in presence of potassium persulfate. Strause Sterling F., Dyer Elizabeth), Analyt. Chem., 1955, 27, № 12, 1906—1908 (англ.)

Метод полярографич. определения акрилонитрила (I) в водн.  $r$ -рах (Bird W. L., Hale C. H., Analyt. Chem., 1952, 24, 586) изучен и модифицирован для определения I в присутствии  $K_2S_2O_8$ . Полярографич. измерения вели в полярографе Гейровского, с периодом каплепадения 5,11 сек. (в качестве фона употребляли 0,02 М  $r$ -р нидрата тетраметиламмония).  $E_{1/2}$  I (по отношению к анодному Hg-аноду) составляет —1,75 в (присутствие  $O_2$  не мешает, полярографируют при —1,5 и —2,0 в). Ввиду того, что  $E_{1/2} K^+$  составляет —1,90 в, диффузия  $K^+$  начинается в тот момент, когда диффузия I достигает максимума; в результате этого образуется сплошная полярографич. волна. Установлено, что диффузионные токи I и  $K^+$  являются алгебраически аддитивными в широком интервале конц-ий, вследствие чего, для определения конц-ии I в водн.  $r$ -рах, в присутствии известного кол-ва  $K_2S_2O_8$  можно пользоваться графич. способом или проверенным статистич. методом ур-нием  $X_2 = 0,0845 Y - 0,0609 X_1 - 0,0254$ , где  $X_2$  — конц-ия I (М  $10^4$ ),  $Y$  — наблюдаемая величина диффузионного тока (в мл высоты волны),  $X_1$  — конц-ия  $K^+$  (М  $10^3$ ). Для предотвращения окисления нидрата тетраметиламмония за счет  $S_2O_8^{2-}$  к смеси прибавляют гидрохинон в кол-ве  $6 \cdot 10^{-4}$  М на  $4 \cdot 10^{-4}$  М  $K_2S_2O_8$ . Присутствие HCN,  $CH_2O$  и других продуктов, образующихся при окислении I в присутствии  $K_2S_2O_8$ , не мешает. Метод применим для контроля при процессах полимеризации, в которых в качестве сомономера присутствует I.

**75395. Открытие оксисбензальдегидов и мочевины при помощи диметилглиоксима и тиосемикарбазида. Окума** (ジメチルグリオキシムとチオセミカルバツドによるオキシベンツアルデヒド及び尿素化合物の検出法. 大熊誠一), 薬学雑誌, Якугаку дзасси, J. Pharm. Soc. Japan, 1955, 75, № 10, 1291—1292 (япон.; рез. англ.)

o- или p-оксисбензальдегиды или их алкильные эфиры и производные мочевины дают окраску (от красной до красновато-пурпурной) при взаимодействии с диметилглиоксимом и тиосемикарбазидом. Р-ция является специфической и применима для идентификации указанных соединений.

**75396. Цветная реакция семикарбазонов и тиосемикарбазонов с диметилглиоксимом и оксисбензальдегидами. Окума** (ジメチルグリオキシムとオキシベンツアルデヒドによるセミカルバゾン及びチオセミカルバゾン類の呈

色反応について。大熊誠一), 薬学雑誌, Якугаку дзаси, J. Pharm. Soc. Japan, 1955, 75, № 10, 1249—1252 (япон.; рез. англ.)

Семикарбазоны (I) и семикарбазиды (II) альдегидов или кетонов при нагревании с диметилглиоксимом (III) и HCl дают характерную окраску от красной до красновато-пурпурной. Небольшое кол-во образца или каплю его спирт. р-ра смешивают с 1 каплей 3%-ного р-ра III в HCl и нагревают на водяной бане. Тиссемикарбазоны и тиссемикарбазиды не дают описанной р-ции, но в присутствии *o*- или *p*-ксибензальдегидов и алкоксибензальдегидов появляется окраска (от красной до красновато-пурпурной). Присутствие указанных оксикбензальдегидов значительно повышает чувствительность р-ции I и II с III. Небольшое кол-во образца или 1 каплю его спирт. р-ра смешивают с 1 каплей 3%-ного р-ра III в HCl и 1 каплей 10%-ного спирт. р-ра ванилина и нагревают на водяной бане; через  $\leq 5$  мин. развивается окраска (от красной до красновато-пурпурной). Т. Л.

75397. Полярграфическое определение акрилонитрила в спирто-водных растворах. Платонова М. Н., Ж. аналит. химии, 1956, 11, № 3, 310—312 (рез. англ.)

Между высотой волны акрилонитрила в спиртовом р-ре 0,01 М хлорида тетраэтиламмония и его конц-ией в пределах от 0,3 до 12,04 ммоль/л существует прямая пропорциональность. Потенциал полуволны  $E_{1/2}$  равен 2,05 в относительно насыщ. к. э. Акрилонитрил восстанавливается на капельном Hg электроде необратимо. В электродной р-ции участвует два электрона. Предполагаемый механизм восстановления акрилонитрила  $\text{CH}_2 = \text{CH} - \text{C} \equiv \text{N} + 2e + 2\text{H}^+ \rightarrow \text{CH}_3 - \text{CH}_2 - \text{C} \equiv \text{N}$ . В. С.

75398. Полярграфическое определение нафталина в виде  $\alpha$ -нитронафталина. Безуглый В. Д., Огданец Н. Д., Тр. Комис. по аналитич. химии АН СССР, 1956, 7(10), 149—154

Нафталин (0,0005—0,01 г) для последующего полярграфич. определения нитруют действием 3 мл  $\text{HNO}_3$  уд. в. 1,33 при 60° в течение 15 мин. Аликвотную часть полученного продукта вводят в электролизер, содержащий 0,2 н. р-р  $\text{CH}_3\text{COONa}$  в 50%-ном  $\text{CH}_3\text{OH}$ , пропускают  $\text{H}_2$  и полярграфируют. В кислом р-ре на полярграмме появляются 2 волны с потенциалами полуволны соответственно 0,55 и от -1,0 до 1,1 в по отношению к внутреннему аноду. Первую волну, вдвое превосходящую по высоте вторую, авторы приписывают следующей электродной р-ции:  $\text{C}_{10}\text{H}_7\text{NO}_2 + 4\text{H}^+ + 4e \rightarrow \text{C}_{10}\text{H}_7 \cdot \text{NHON} + \text{H}_2\text{O}$ . Вторую волну авторы приписывают дальнейшему восстановлению  $\text{C}_{10}\text{H}_7 \cdot \text{NHON}$  до  $\text{C}_{10}\text{H}_7\text{NH}_2$  с присоединением 2 электронов. Вторая волна полностью исчезает в щел. среде, а высота первой волны в интервале pH 2—13 остается постоянной. Максимумы в кислой и щел. средах подавляются введением добавок желатин. График  $E = f(\lg(i/i_d - i))$  имеет вид прямой линии с наклоном 0,5, что указывает на необратимый характер восстановления  $\alpha$ -нитронафталина. При навеске нафталина от 0,001 до 0,011 г ур-ние Ильковича выполняется, что использовано для колич. определения нафталина. При конц-ии нафталина в воздухе 0,000333—0,00062 г/л ошибка определения не превышает 3,6%. Н. П.

75399. Изучение действия аминов на цветную реакцию с участием хлорного железа и новая цветная реакция на амины. Косугэ, Миасита, Кавамура (鹽化鉄呈色反応におけるアミン類の影響及びアミン類の新呈色反応について小菅卓夫, 宮下修一, 河村富美子), 金澤大學藥學部研究年報, Канадзава дайгаку якугакубю кэнкю нэмбо, Annual Rep. Fac. Pharmacy Kanazawa Univ., 1955, 5, 9—11 (япон.; рез. англ.)

Амины тормозят цветную р-цию открытия фенолов с помощью хлорного железа. Описана новая цветная р-ция

некоторых аминов с хлорным железом и пирогаллолом.

Н. П.  
75400. Фотометрическое определение *p*-оксифенилметиламинопропанола. Вольдан (Kolometrické stanovení *p*-hydroxyfenylmethylaminopropanolu. Voldan M.), Ceskosl. farm., 1956, 5, № 3, 146—147 (чеш.; рез. русс., англ., нем.)

Метод колич. определения солянокислого *p*-оксифенилметиламинопропанола в препаратах Корнинген и Суприфен основан на использовании цветной р-ции с реактивом Милона. Максимум поглощения образующегося окрашенного продукта находится при 510 мμ. Закон Бера при конц-ии солянокислого *p*-оксифенилметиламинопропанола от 20 до 100 γ/мл выполняется. Н. П.

75401. Определение винилацетата в сополимерах винилхлорида с винилацетатом. Лардера, Черния, Мори (Determinazione dell'acetate di vinile nei copolimeri clorure di vinilacetato di vinile. Lardera Maria Rosa, Cernia Enrico, Mori Adelio), Ann. chimica, 1956, 46, № 1-3, 194—198 (итал.)

К навеске сополимера ~0,5 г прибавляют 20 мл диоксиана, пропускают струю  $\text{N}_2$  и после 5-минутного кипячения вводят по каплям 10 мл 1 н.  $\text{C}_2\text{H}_5\text{ONa}$ . После омыления при кипячении в течение 1 часа (в струе  $\text{N}_2$ ) добавляют 80 мл воды и отгоняют 50 мл дистиллата. Добавляют 20 мл 20%-ной  $\text{H}_2\text{SO}_4$ , 2 г  $\text{Ag}_2\text{SO}_4$  и начинают отгонять  $\text{CH}_3\text{COOH}$  с водяным паром; дистиллат собирают в приемнике с 0,1 н. NaOH. Конеч отгонки  $\text{CH}_3\text{COOH}$  определяют отдельной пробой с подщелоченной водой с добавкой фенолфталеина. При анализе пластич. материала, полученного сополимеризацией в эмульсии, в суспензии и в р-ре получены достаточно точные результаты. Т. Л.

75402. Статистическое изучение реакции Фрейндлейера, применяемой для определения тартрата эрготамин. Бонтан (Etude statistique de la réaction de Freudweiler appliquée au dosage du tartrate d'ergotamine. Bontemps R.), J. pharm. Belgique, 1955, 10, № 11-12, 369—378 (франц.; рез. флам.)

Для отыскания оптимальных реакционных условий при определении миним. числа экспериментов рекомендуется описанный ранее метод (Box G. E. P., Wilson K. B., J. Roy. Statist. Soc., B13, № 1, 2—45). Данный метод проверен на спектрофотометрич. определении тартрата эрготамин р-цией с ванилином в присутствии  $\text{H}_2\text{SO}_4$ ; изучено влияние конц-ий  $\text{H}_2\text{SO}_4$  и ванилина и т-ры водяной бани и показана целесообразность применения указанного статистич. метода. Т. Л.

75403. Определение  $\beta, \beta'$ -оксидипропионитрила и этиленциангидрина в присутствии акрилонитрила методом спектрометрии в инфракрасной области. Дапр, Армстронг, Клейн, О'Коннор (Determination of Beta, Beta'-oxydipropionitrile and ethylene cyanohydrin with acrylonitrile by infrared absorption Dupre Elsie F., Armstrong Anne C., Klein Elias, O'Connor Robert T.), Analyst. Chem., 1955, 27, № 12, 1878—1879 (англ.)

Опыты вели с ИК-спектрофотометром Бекмана IR-2T с кюветой 0,4 мм из NaCl. В области 8—11 мμ акрилонитрил (I) и образующиеся в качестве побочных продуктов при р-циях I  $\beta, \beta'$ -оксидипропионитрил (II) и этиленциангидрин (III), применявшиеся при опытах в виде р-ров в  $\text{CHCl}_3$ , дают сильные полосы поглощения при таких длинах волн, при которых 2 других компонента являются прозрачными. Для колич. анализа выбраны максимумы поглощения: для I при 10,36 мμ, для III при 9,42 мμ и для II при 8,85 мμ (Ширина щели, соответственно 0,35; 0,44 и 0,28 мм). Закон Бера выполняется для I при конц-ии I 4—10 г/л, II 2—10 г/л, III 2—10 г/л. Уд. поглощение при макс для чистых I, II и III соответственно 2,14; 2,70 и 2,08. Содержание I, II и III в смеси вычисляют на основании системы ур-ий:

$x = (0,4671 C - 0,0119 A - 0,0199 B) \cdot 100$ ,  $y = (0,3715 A - 0,0158 B - 0,0073 C) \cdot 100$ ;  $z = (0,4821 B - 0,0364 A - 0,0028 C) \cdot 100$ , где  $x$ ,  $y$  и  $z$  — соответственно содержание I, II и III (в %),  $A$ ,  $B$  и  $C$  — уд. поглощение образца соответственно при 8,85, 9,42 и 10,36  $\mu$ . При опытах со спектрофотометром Перкина — Эльмера, модель 21, характеристики которых отличаются от характеристик спектрофотометра Бекмана, пользуются уравнениями:  $x = (0,5565 C - 0,0071 A - 0,0162 B) \cdot 100$ ,  $y = (0,4095 A - 0,0173 B - 0,0056 C) \cdot 100$ ;  $z = (0,5788 B - 0,0323 A - 0,0065 C) \cdot 100$  (ширина щели, при замерах при 10,36, 9,42 и 8,85  $\mu$ , соответственно 0,11; 0,092 и 0,08 мм). Метод дает достаточно точные результаты и применим для анализа смесей, получаемых при цианэтировании хлопка.

**75404. Новая цветная реакция витаминов D. Лайнесс, Куаккенбуш** (New color reaction for vitamins D. Lyness W. I., Quackenbush F. W.), *Analyt. Chem.*, 1955, 27, № 12, 1978—1980 (англ.)

При взаимодействии витамина D (I) ( $D_2$  и  $D_3$ ) с реактивом на основе  $J_2$  и дихлорэтана развивается желтая окраска, интенсивность которой может быть повышена путем добавления  $n$ -хлорбензоата  $Hg(2+)$  (II). Для приготовления реактива 750 мл технич. дихлорэтана встряхивают с 2 порциями (по 50 мл) конц.  $H_2SO_4$ , органич. слой промывают водой и 2%-ным р-ром  $NaHCO_3$ , сушат над  $Na_2SO_4$  и фильтруют через колонку ( $20 \times 200$  мм) силикагеля; к вытекающему р-ру добавляют 80  $\gamma$  (мл) II и  $J_2$  в таком кол-ве, чтобы оптич. плотность р-ра при 500 м $\mu$  составила  $0,182 \pm 0,002$  (или при 450 м $\mu$   $0,076 \pm 0,002$ ). Для построения кривых светопоглощения в ряд пробирок с 3 мл реактива добавляли, через различные периоды времени, по 3 мл 0,10 мМ р-ра I. Установлено, что окрашенный комплекс I имеет отчетливый максимум поглощения при 450 м $\mu$ ; максим. интенсивность окраски достигается через  $\sim 7$  мин, после чего окраска становится слабее. Реактив является весьма специфичным для I, различные стерины не дают окраски; витамин A дает слабую фиолетовую окраску и частично поглощает при 450 м $\mu$ , вследствие чего его рекомендуется удалять (напр., хроматографич. методом). Погрешность определения  $\pm 2\%$ . Предполагено, что окрашенное соединение образуется в результате р-ции между активным  $J$ - и I, добавление II повышает конц-ию  $J$ .

**75405. Хроматографическое разделение и количественное определение производных стерина, аминов, кислот и альдегидов, меченных  $J^{131}$ . Стокс, Фиш, Хикки** (Chromatographic separation and quantitative estimation of iodine-131-labeled derivatives of sterols, amines, acids, and aldehydes. Stokes William M., Fish William A., Hickey Frederick C.), *Analyt. Chem.*, 1955, 27, № 12, 1895—1898 (англ.)

В качестве адсорбента употребляли смесь кремневая к-та-целит 535 (2:1). Компоненты смеси выдерживали 12 час. при 200°. Опыты вели в приборе, основными частями которого являются хроматографич. колонка, резервуар с проявителем, Рб-экран и сцинтилляционный счетчик для непрерывного измерения активности отдельных зон. Произведены опыты по разделению меченных  $J^{131}$ ,  $n$ -нодбензоатов холестеринила и холестерила (длина колонки 60 см, диам. 1,8 см, р-ритель  $C_6H_6$ -скеллисолев, С, 1:10),  $n$ -нодбензоатов  $\Delta^7$ -холестеринила и холестерила (длина колонки 90 см, диам. тот же, р-ритель тот же),  $N$ - $n$ -нодбензоил-о-толуидина и  $N$ - $n$ -нодбензоил-м-толуидина (длина колонки 45 см, диам. 1,4 см, р-ритель 1%-ный р-р  $CH_3COOH$  в  $C_6H_6$ ), пропионо- и ацето- $n$ -ноданилидов (длина колонки 75 см, диам. 1,8 см, р-ритель 5%-ный р-р пропанола-1 в скеллисолев С),  $n$ -нодфенилгидразонов о- и м-нитробензальдегидов (диам. колонки 1,8 см, длина 60 см, р-ритель 5%-ный р-р 1,4-диоксана в скеллисолев С). Степень разделения контролировали

в некоторых случаях при помощи  $C^{14}$ . Для всех изученных пар производных достигнуто удовлетворительное разделение.

**75406. Химическое определение веществ наперстянки, действующих на сердце. Ваштаг, Тужон** (Adatok a digitalis szívreható anyagainak kémiai meghatározásához. Vastagh Gábor, Tuzson Pálné), *Magyar kém. folyóirat*, 1953, 59, № 7, 212—218 (венг.)

**75407. Исследование крахмала и родственных полисахаридов. Морита** (Characterization of starch and related polysaccharides by differential thermal analysis. Morita Hirokazu), *Analyt. Chem.*, 1956, 28, № 1, 64—67 (англ.)

Навеску полисахарида (150 мг) помещали между двумя слоями (весом по 200 мг) прокаленной  $Al_2O_3$  и спрессовывали под давл. 14 кг/см $^2$ . Термограммы снимали при нагревании проб в атмосфере очищ.  $N_2$  со скоростью 10° в 1 мин. Установлено, что моносахариды, как правило, подвергаются эндотермич. разложению вскоре после т-ры плавления ( $\alpha$ -D-глюкоза при 205°). Термограммы, полученные для крахмала, показывают влияние предварительной обработки; существенное различие отмечено для фракций амилозы и амилопектина. Термограммы макромолекулярных в-в, содержащих  $\alpha$ -связи (кукурузный крахмал, гликоген, декстран), отличаются ходом эндотерм в области 150—320°. Термограммы для целлюлозы различного ботанич. источника являются почти идентичными. Методом спектроскопии в ИК-области продуктов пиролиза при т-рах эндотермич. р-ции показано, что  $Al_2O_3$  не может расцениваться в качестве совершенно инертного продукта; при повышении т-ры интенсивность полосы поглощения группы OH при 3000 см $^{-1}$  уменьшается.

**75408. Некоторые компоненты газовой фазы табачного дыма. Осборн, Адамек, Хобс** (Some components of gas phase of cigarette smoke. Osborne J. Scott, Adamek Stephen, Hobbs Marcus E.), *Analyt. Chem.*, 1956, 28, № 2, 211—215 (англ.)

Разработан метод анализа газовой фазы табачного дыма, включающий стандартизацию процедуры курения, фильтрование, низкотемпературное фракционирование газов в замкнутой цельностеклянной системе и качеств. анализ полученных фракций методом компенсационной спектрометрии в ИК-области; для проверки полученных результатов пользовались масс-спектрометром. Установлено, что содержание карбонильных соединений,  $CH_3OH$ , HCN, CO,  $CO_2$  и углеводородов высокого мол. веса значительно изменяется в зависимости от сорта табака, в то время как содержание углеводородов низкого мол. веса, в частности  $CN_4$ , остается примерно постоянным. Кроме указанных соединений, в газовой фазе табачного дыма обнаружен воздух, избыток  $N_2$ , избыток  $ArH_2$ ,  $C_2H_6$ ,  $C_3H_8$ ,  $C_2H_4$ ,  $C_3H_6$ ,  $C_2H_2$ , изопрен, бутадиев, ацетальдегид, ацетон, метилэтилкетон, диацетил, COS, хлористый метил и вода. Результаты методов спектрометрии в ИК-области и масс-спектрометрического удовлетворительно совпадают.

**75409. Определение анионных моющих средств в поверхностных и сточных водах при помощи метилового зеленого. Мур, Колбесон** (Determination of anionic detergents in surface waters and sewage with methyl green. Moore W. Allan, Kolbeson Raymond A.), *Analyt. Chem.*, 1956, 28, № 2, 161—164 (англ.)

К пробе воды (20 мл) добавляют 10 мл буферного р-ра (7,5 г глицина и 5,8 г NaCl в 1 л р-ра разбавляют 0,1 н. HCl до pH 2,5) и 2 мл 0,5%-ного р-ра метилового зеленого. Перемешивают, добавляют 40 мл  $C_6H_6$  и встряхивают 1 мин. После отстаивания снова встряхивают, к органич. слою добавляют 15 мл воды, забуференной до pH 2,5 и встряхивают  $\sim 30$  сек. После отделения воды органич. слой переносят в кювету и спектрофотометри-

руют при 615 мк. Калибровочную кривую строят по Na-соли лаурилсульфата. При  $\sim 10$  γ Na-соли лаурилсульфата среднеквадратичная погрешность  $\pm 0,31$ , при  $\sim 50$  γ  $\pm 0,84$ . Т. Л.

**75410. Лабораторные методы оценки потерь за счет испарения для нефтепродуктов. Головачев, Балдешвицер** (Laboratory methods for evaluation of evaporation losses of petroleum products. Holowchak Joseph, Baldeschwieler E. L.), *Analyst. Chem.*, 1955, 27, № 12, 1941—1947 (англ.)

Разработано 2 лабораторных метода для точной оценки потерь за счет испарения и описаны применяемые приборы. 1. Описанный ранее метод (Chenicek G. W., Whitman W. G., *Oil and Gas J.*, 1930, 29, 78) модифицирован: измеренное кол-во сухого воздуха барботируют через определенный объем смеси углеводородов при установленной т-ре со скоростью, обуславливающей насыщение воздуха парами углеводородов. Упругость

паров смеси углеводородов вычисляют на основе объема выделенных паров, общего кол-ва воздуха и паров и давления на газометре. 2. Для оценки влияния потерь за счет испарения на плотность исследуемого образца строят кривую плотности — потери за счет испарения. Оба метода дают достаточно точные результаты; чувствительность 1-го метода соответствует потере в весе 0,04%, чувствительность 2-го 0,01%. Результаты исследования сырой нефти обоими описанными методами хорошо согласуются. Т. Л.

См. также: Хроматография 21708Бх, 21710—21714Бх. Технич. анализ 75954, 76113, 76115, 76639, 76667, 76785, 76885; 21705Бх, 21741Бх. Др. вопр. 75953, 76193—76196, 76571, 76672, 76805; 21698Бх, 21699Бх, 21721Бх, 21725Бх, 21728Бх, 21731—21735Бх, 21737Бх, 21739Бх, 21747Бх, 21749Бх, 21753Бх, 21799Бх, 22170Бх, 22506Бх

## ОБОРУДОВАНИЕ ЛАБОРАТОРИЙ. ПРИБОРЫ, ИХ ТЕОРИЯ, КОНСТРУКЦИЯ, ПРИМЕНЕНИЕ

**75411. Автоматический β-спектрометр высокого разрешения. Беркхофф, Смит, Хаббелл, Чека** (High resolution automatic beta spectrometer. Birkhoff Robert D., Smith Arthur W., Hubbell Harry H., Jr., Cheka Joseph S.), *Rev. Scient. Instrum.*, 1955, 26, № 10, 959—962 (англ.)

Кратко описана конструкция β-спектрометра с однородным магнитным полем и его электрич. схема. Разрешение момента прибором таково, что ширина однородных по энергии линий на половине максимума интенсивности составляет 0,22%. Спектрометр используется для анализа линий спектра конверсии γ-лучей  $Hg^{198}$  с энергией 411 кэВ. Полученные для конверсии отношения  $K:L:M:N$  равны 1:0,361:0,100:0,027, а отношение  $(L_1 + L_2):L_{III}$  составляет 5,9. В. Л.

**75412. Теория молекулярного генератора и молекулярного усилителя мощности. Басов Н. Г., Прохоров А. М., Ж. эксперим и теор. физики**, 1956, 30, № 3, 560—563

См. РЖХим, 1956, 29435.

**75413. Исследование возможности улучшения техники съемки спектров комбинационного рассеяния. Сообщение I. Разработка новых Hg-ламп. Зимон, Кригсман, Штегер** (Untersuchungen zur Verbesserung der Ramanspektroskopischen Aufnahmetechnik. I. Mitteilung: Die Entwicklung von neuen Hg-Brennern. Simon A., Kriegsmann H., Steger E.), *Z. phys. Chem. (DDR)*, 1956, 205, № 4, 190—201 (нем.)

Описана конструкция новых ртутных ламп среднего давления, постоянного и переменного тока, высокой интенсивности с воздушным и водяным охлаждением, предназначенных для получения спектров комб. расс. (СКР) жидких в-в, и спец. лампы для исследования спектров твердых тел. Интенсивность возбуждающей линии Hg<sub>2</sub> (4358 Å) в Hg-лампах среднего давления значительно выше интенсивности двух других линий Hg<sub>1</sub> и Hg<sub>2</sub> триплета и соотношение их интенсивности более благоприятно для исследования СКР, чем в лампах высокого давления. Hg-лампы среднего давления не дают фона и мешающих линий в получаемом с их помощью СКР. В приведенном спектре (NaPO<sub>3</sub>), полученном при использовании описанных ламп и трудно возбуждаемом с помощью Hg-ламп высокого и низкого давления, отчетливо наблюдаются линии  $\Delta\nu 660$  см<sup>-1</sup> и  $\Delta\nu 1154$  см<sup>-1</sup>. В. Л.

**75414. Иенский спектроскоп с интерференционным фильтром. Рётгер** (Das Jenaer Interferenzfilter-

Spektroskop. Rötger Helmut), *Exptl. Techn. Phys.*, 1955, 3, Sonderheft, 88—103 (нем.)

Описана конструкция спектроскопа для области длин волн 40—75 мк. В приборе применяется интерференционный фильтр размером 20 × 76 мм, в котором слои металла напылены таким образом, что длина волны максим. пропускания в интервале длин волн 40—75 мк практически линейно смещается по всей длине фильтра. Приведены кривые пропускания одиночного и двойного фильтра такого типа для длин волн 40, 45, 50, 55, 60, 65, 70, 75 мк. Показано, что разрешающая способность спектроскопа с таким фильтром позволяет разделять линии Hg 578 и Na 589 м. Описана конструкция регистрирующей части спектроскопа, позволяющая устанавливать длину волны с точностью до 1—2 мк. Применяемый интерференционный фильтр пригоден для получения всех дополнительных цветов. Приводятся сенситометрич. кривые эмульсий Agfa-Isoran F 17/10<sup>0</sup>, Agfa-Röntgen-Fluorapid, полученные на описываемом спектроскопе. Спектроскоп предназначен для колориметрич. измерений в хим. и фармацевтич. пром-сти, а также для анализа красок в текстильной пром-сти. В. Л.

**75415. Определение силы линий из исследований относительных интенсивностей. Пеннер** (Line-strength determinations from relative intensity experiments. Penner S. S.), *Proc. Nat. Sci. Found. Conf. Stellar Atmosph. Indiana Univ.*, 1954, 50—51 (англ.)

Для облегчения колич. определения силы линий  $f$  в спектрах излучения пламен предлагается использовать метод измерения относительных интенсивностей линий при одно-, двух- и трехкратном прохождении луча через пламя. При этом условия опыта делаются такими, чтобы полное поглощение для двух- и трехкратных прохождений луча были заметно меньше, чем соответственно удвоенное или утроенное поглощение в опытах с одним проходом луча. Используя теоретич. кривые для возрастания поглощения, можно определить форму и значение  $f$  для каждой из спектральных линий. Этим путем можно обнаружить эффект вращательно-колебательного взаимодействия на значение  $f$ . В. Д.-К.

**75416. Способ фотометрирования с широкой и длинной щелью. Тэйт В. П., Хейн Е. А., Тр. Ленингр. металл. з-да**, 1955, № 2, 100—105

**75417. Прием, применяемый при определении pH. Рёдер** (Ein praktischer Kunstgriff bei der pH-Bestimmung. Roeder Georg), *Chem. Labor und Betrieb*, 1953, 4, № 9, 473 (нем.)

Описана конструкция стеклянной ячейки с трубкой, заполненной насыщ. р-ром KCl с добавкой агар-агара, предназначенной для соединения к. э. сравнения с электродом для измерения pH. В. Л.

**75418. Инфракрасная капиллярная кювета для летучих жидкостей. Пирсон, Олсен** (Infrared capillary cell for volatile liquids. Pierson Raymond H., Olsen Allen L.), *Analyt. Chem.*, 1955, 27, № 12, 2022 (англ.)

Капиллярная кювета для умеренно летучих жидкостей состоит из двух пластинок каменной соли, прижатых одна к другой и имеющих небольшую полость в верхней части для пополнения убыли испаряющейся жидкости. Наполнение кюветы исследуемой жидкостью осуществляется шприцем. При исследовании в кювете без прокладок между пластинами толщина слоя жидкости определяется предварительно по сравнению ее поглощения с поглощением той же жидкости в кювете с известной толщиной прокладки. Кювета для сильно летучих жидкостей имеет стеклянные или тефлоновые прокладки. В верхнюю полость кюветы вставляется тефлоновый переход к стеклянной трубке, из которой осуществляется пополнение убыли испаряющейся жидкости. Объем в-ва, необходимый для записи спектра, в описываемых кюветах, для CS<sub>2</sub> составляет 1,5 см<sup>3</sup>, а для ацетона ~ 0,5 см<sup>3</sup>. В. Л.

**75419. Определение длин волн в спектре, регистрируемом с помощью спектрофотометра Бекмана, модель ДК-1. Левин, Фэрбанкс** (Assignment of wave lengths on spectra recorded with Beckman model DK-1 spectrophotometer. Lewin S. Z., Fairbanks R. H.), *Analyt. Chem.*, 1955, 27, № 12, 2020 (англ.)

Для точного определения длин волн в спектре, получаемом на регистрирующем спектрофотометре Бекмана, модель ДК-1, имеющем нелинейную шкалу длин волн, используется градуировочная шкала, нанесенная на пластинку из органич. стекла. Описывается способ изготовления шкалы. Градуировка шкалы длин волн производится по эмиссионному спектру Hg и по полосам поглощения H<sub>2</sub>O и CHCl<sub>3</sub>. В. Л.

**75420. Прибор для автоматического измерения интегрального поглощения. Вильямс** (Device for automatic measurement of integrated absorbance. Williams V. Z.), *Analyt. Chem.*, 1955, 27, № 12, 2017—2018 (англ.)

Кратко описано приспособление к двулучевому ИК-спектрометру Перкина-Эльмера, модель 21, позволяющее определять интегральное поглощение (ИП) исследуемых в-в. При измерении ИП исключаются ошибки, связанные с нелинейностью отсчета спектрального прибора, и достигается точность измерения 1%. На примере измерения ИП и поглощения в максимуме полосы  $\Delta\nu = 961,5\text{—}1001,5\text{ см}^{-1}$  изооктана, растворенного в  $\eta$ -гептане, показано более точное выполнение закона Бера в широкой области конц-ий в единицах ИП. Отмечается, что нестабильность шумов электр. части прибора вносит меньшую погрешность в отсчеты величин ИП. В. Л.

**75421. Новый тип интерференционного эталона. Тарасов К. И.**, *Оптика и спектроскопия*, 1956, 1, № 1, 103—104

Предлагаемый интерференционный эталон представляет собой видоизмененный эталон Фабри-Перо, в котором в качестве отражателей использованы две плоскопараллельные пластинки, покрытые с обеих сторон интерференционными пленками диэлектриков. С внешней стороны пластинки покрываются пятью, а с внутренней — семью пленками TiO<sub>2</sub>—SiO<sub>2</sub>—...—TiO<sub>2</sub>, нанесенным хим. способом. Показано, что описываемый тройной эталон обладает большей разрешающей силой, чем обычный эталон Фабри-Перо с тем же общим числом интерференционных пленок диэлектрика. В. Л.

**75422. Простой метод контроля температуры призмы. Норрис** (A simple method of controlling the temperature of a prism. Norris K. P.), *J. Scient. Instrum.*, 1956, 33, № 3, 125 (англ.)

В существующих системах ИК-монокроматоров осуществляется контроль т-ры призмы с точностью до ~ 0,6°. Эта величина обуславливается большой теплоемкостью деталей монокроматоров, вызывающей появление времени задержки при передаче тепла от нагревателя к призме. Автор поместил у термометра, контролирующего т-ру призмы, дополнительный нагреватель, работающий синхронно с основным нагревателем и повышающий т-ру термометра с той же скоростью, с которой основной нагреватель повышает т-ру призмы (0,01° в 30 сек.). Введение такого нагревателя улучшило точность контроля т-ры призмы в рабочих условиях до  $\pm 0,025^\circ$ . В нерабочих условиях, когда отсутствует нагревание в результате поглощения призмой ИК-излучения, достигается контроль т-ры призмы с точностью до  $\pm 0,005^\circ$ . Для уменьшения разности т-р между верхним и нижним основаниями призмы ставилась медная пластинка, соединяющая оба основания и выравнивающая т-ру до 0,2°. Л. В.

**75423. Многослойные пленки для ультрафиолетовой области спектра. Барр, Дженкинс** (Multilayer films for the ultraviolet. Barr William L., Jenkins F. A.), *J. Opt. Soc. America*, 1956, 46, № 2, 141—142 (англ.)

Кратко обсуждаются оптич. свойства диэлектриков: Sb<sub>2</sub>O<sub>3</sub>, MgF<sub>2</sub>, PbCl<sub>2</sub> и криолита, используемых обычно для получения многослойных покрытий пластинок эталона Фабри-Перо в УФ-области спектра. Исследовано пропускание покрытий из PbCl<sub>2</sub> и Sb<sub>2</sub>O<sub>3</sub> с толщиной пленки, равной удвоенной длине волны в области 3500 Å. Показано, что область пропускания Sb<sub>2</sub>O<sub>3</sub> на 80 Å сдвинута в более коротковолновую область по сравнению с областью пропускания покрытия из PbCl<sub>2</sub>. Пропускание 11-слойного интерференционного фильтра из этих в-в в области полосы пропускания 3725 Å, составляет 93,6%. Кварцевые пластины интерферометра с 7-слойными покрытиями этими в-вами полностью сохраняют свои оптич. свойства в течение нескольких недель. В. Л.

**75424. Об определении абсолютных интенсивностей из абсорбционных измерений с однократной и многократной длиной оптического пути. Пеннер, Аресте** (On the determination of absolute intensities from single- and multiple-path absorption measurements. Penner S. S., Aröeste H.), *J. Chem. Phys.*, 1955, 23, № 12, 2244—2247 (англ.)

Рассматриваются различные способы расчета величин абс. интенсивностей спектральных линий. Предложена эксперим. методика, позволяющая определять абс. интенсивность и контур спектральной линии на основе абсорбционных измерений с однократной и многократной длиной оптич. пути. Предлагаемая методика включает абсорбционные измерения в условиях, при которых интегральное поглощение является чувствительной функцией спектрального контура линий. Предлагаемый метод применен к расчету абс. интенсивности линии, принадлежащей переходу  $^{25}\text{Mg} \rightarrow ^3\text{P}$  (0,0) полосы OH и основных линий вибрационно-ротационного спектра CO. Эксперим. данные для расчета абс. интенсивности полосы (0,0) OH получены путем измерения поглощения смеси H<sub>2</sub>O и O<sub>2</sub> в кювете длиной 50 см с исходной и утроенной длиной оптич. пути. В. Л.

**75425. Разработка и исследование термостойких поляризационных светофильтров. Дистлер Г. И., Парова Е. В.**, *Кристаллография*, 1956, 1, № 2, 221—227

На основе дегидратированных пленок поливинилового спирта получены образцы термостойких поляризаторов для видимой области спектра. Природа дихроизма этих пле-

вок изучена с помощью ИК-спектров поглощения; обнаружены сопряженные двойные связи, обуславливающие дихроизм. В. Л.

**75426. Оптические свойства новых ультрафиолетовых поляризационных светофильтров.** Дистлер Г. И., Кристаллография, 1956, 1, № 2, 218—220

В качестве основы поляриондов были применены растянутые пленки поливинилового спирта, обладающие хорошей прозрачностью в области длин волн 240—400 мμ. Пленки поливинилового спирта приобретают поляризующие свойства в УФ-области спектра после окраски различными реагентами. Набор поляриондов позволяет поляризовать УФ-излучение, начиная от 240 мμ и видимый спектр — до 750 мμ. В. Л.

**75427. Стандартизация рентгеновской аппаратуры.** Пуллин (Standardisation of X-ray apparatus. Pullin V. E.), Engineer, 1954, 197, № 5134, 903—904 (англ.)

**75428. Стандартизация рентгеновской аппаратуры.** Ковол (Standardisation of X-ray apparatus. Kowol E. W.), Engineer, 1954, 198, № 5139, 129 (англ.)

**75429. Применение многоканальной регистрации в рентгеновском флуоресцентном анализе.** Хаслер, Кемп (Use of multichannel recording in X-ray fluorescent analysis. Hasler M. F., Kemp J. W.), ASTM Spec. Techn. Publ., 1954, № 157, 34—42 (англ.)

Применена многоканальная регистрация (МР) рентгеновских флуоресцентных спектров в дисперсионных и бездисперсионных приборах. Исследованы режимы работы Г.—М.-счетчиков для такого рода приборов. Подробно разобрана конструкция бездисперсионного прибора с МР, предназначенного для исследования флуоресцентных рентгеновских спектров элементов с атомным номером > 20 (Вакуумная аппаратура позволяет работать с элементами с атомным номером до 16—17). Для выделения того или иного участка спектра в каналах помещаются фильтры в виде тонких фольг или р-ров. Показано, что напряжением на рентгеновской трубке является важным параметром при анализе. Исследованы источники возможных ошибок при анализе. Приведены результаты анализа Al-сплава 75 С. Точность анализа составляет ~ 1%. А. Б. З.

**75430. Рентгеновская трубка большой интенсивности для рентгеноструктурного анализа.** Дапкевичюс (Didelid intensyvuomo rentgeno lempa struktūrinei analizei. Darpevičius A.), Kauno politechnikos inst. Darbai, Tr. Kaunas. politeh. in-ta, 1955, 4, 235—239 (лит.; рез. русс.)

Сконструирована разборная рентгеновская трубка с фокусным пятном 0,5 мм и постоянной интенсивностью по всему пространственному углу. Анод имеет конич. форму с углом при вершине конуса 36°; катод имеет соответствующую конич. выемку. Максим. анодный ток 6 ма. Трубка позволяет получить дебаграмму от металл. столбика за 5—10 мин. при напряжении на трубке 40 кВ и токе 6 ма. А. Л.

**75431. Новый способ фотографирования кристаллодифракционных максимумов.** Яворский И. В., Сб. статей Ленингр. ин-та точной механ. и оптики, 1955, вып. 18, 71—81

Предложен способ фотографирования нулевых сечений обратной решетки, исключающий неэффективные области и дающий лучшую сравнимость интенсивностей различных порядков отражений. Снимаемый кристалл устанавливается в обычной гониометрич. головке так, чтобы ось зоны обратной решетки была перпендикулярна двум другим осям той же решетки. Это налагает ограничения при выборе оси зоны для различных сингоний. Гониометрич. головка с кристаллом укрепляется на кольце параллельно фотопленке под углом 45° к рентгеновскому лучу и вращается синхронно с фотопленкой. Необходимость синхронизации значительно усложняет

конструкцию гониометра для фотографирования новым способом. А. Л.

**75432. Дифференциальные рентгеновские фильтры для экспериментов при малой интенсивности рассеяния.** Соулс, Гордон, Шоу (Design of differential X-ray filters for low-intensity scattering experiments. Soules Jack A., Gordon William L., Shaw C. H.), Rev. Scient. Instrum., 1956, 27, № 1, 12—14 (англ.)

Детально разобраны условия, определяющие оптимальную толщину дифференциальных фильтров (Ross P. A., Phys. Rev., 1926, 28, 425). Для дифференциальных фильтров, используемых вместо монохроматора с целью выявления  $\text{Cu-K}_\alpha$ -излучения, взята фольга из Ni или Co.

Для Ni рассчитанная толщина 9,6 мг/см<sup>2</sup> для Co 10,3 мг/см<sup>2</sup>. Так как невозможно подобрать в-ва и толщину их так, чтобы полностью уравновесить поглощение рентгеновских лучей в широком спектральном интервале, рекомендуется проводить измерения с помощью пропорционального счетчика с одноканальным амплитудным анализатором, который сам может работать как грубый монохроматор. Такая схема с использованием ксенонового пропорционального счетчика при регистрации 90% монохроматич. рентгеновского излучения с  $\lambda = 1,54$  Å понижает регистрацию фона с 30 счетов в мин. до четырех. Дифференциальные фильтры с пропорциональным счетчиком были применены для определения коэфф. поглощения в алюминии. Результаты сопоставлялись с измерениями, проведенными с помощью спектрометра Брэгга с кристаллом кальцита. Различные в определенных коэфф. ~ 1%. М. У.

**75433. Электронная разборная рентгеновская трубка.** Гогоберидзе, Д. Б., Левин Н. В., Остапченко Г. А. Сб. статей Ленингр. ин-та точной механ. и оптики, 1955, вып. 18, 31—36

Сконструирована разборная рентгеновская трубка с охлаждаемым анодом и катодом. Для вакуумного уплотнения применены резиновые прокладки. Трубка работает с заземленным катодом, что позволяет избежать частых чисток внутренних поверхностей и деталей. Конструкция трубки позволяет изменять размер фокусного пятна с  $6 \times 12$  до  $2 \times 12$  мм. При максимально допустимой нагрузке 50 ма и 32 кВ трубка работала 1,5 час. без разогрева деталей. Комплект трубки снабжен набором анодов с наконечниками, срезанными под углами 0°—19°. А. Л.

**75434. Рентгеновская камера для изучения расплавленных солей при высоких температурах.** Жажицкий (Chambre de diffraction de rayons X pour étude des sels fondus aux températures élevées. Zarzycki Jerzy), J. phys. et radium, 1956, 17, № 3, suppl., A 44—A 51 (франц.)

Анализируются условия, каким должна удовлетворять камера для исследования жидкостей при высоких т-рах. Указывается необходимость применения строго монохроматизированного излучения, регистрации достаточно широкого интервала величин  $\sin \theta/\lambda$ , учета поглощения в образце и рассеяния в воздухе. Описано устройство для исследования жидкостей при т-рах до 1600°, состоящее из изогнутого кварцевого кристалломонокроматора, жестко скрепленного с рентгеновской трубкой, нагревателя-держателя образца, дифракционной камеры и Г.—М.-счетчика. Использована схема фокусировки Гинье: достаточно тонкий образец просвечивается монохроматич. рентгеновским пучком, сходящимся, как и отраженные пучки, на цилиндр. фотопленке. Нагреватель-держатель образца представляет собой пластинку толщиной 0,2 мм из сплава Pt с 20% Rh, нагреваемую током от спец. трансформатора напряжением 0—2 в. Тонкая пленка расплава удерживается капиллярными силами на вырезе ( $1 \times 4$  мм) в нагревателе. Когда капиллярные силы малы, вырез закрывает-

ся платиновой сеткой, на которой держится расплав. Т-ра определяется с точностью  $\pm 10^\circ$ . Г.-М.-счетчик позволяет учесть интенсивность пучка и поглощение в образце. Для выявления деталей снимок фотометрируется. Для примера приведены фотометрич. картины для  $\text{GeO}_2$ , снятого на излучении  $\text{Cu-K}_\alpha$  при 1150 и  $20^\circ$  и для натрий-кальциевого стекла (состав: 70%  $\text{SiO}_2$ , 20%  $\text{Na}_2\text{O}$ , 10%  $\text{CaO}$ , снятого на излучение  $\text{Mo-K}_\alpha$  при 1400 и  $20^\circ$ .

М. У.

**75435.** Измерение повышения температуры объекта при интерференции электронов. Винкельман (Messung der Temperaturerhöhung der Objekte bei Elektroneninterferenzen. Winkelmann Albert), Z. angew. Phys., 1956, 8, № 5, 218—221 (нем.)

Описан способ измерения повышения т-ры объекта при электронографии. исследованиях тонких металлич. пленок. Изучены пленки сплава  $\text{Au-Cu}$  (25/75%), имеющего т-ру превращения  $388^\circ$ . Достижение т-ры превращения сплава при облучении пленки электронами отмечается по исчезновению интерференционной картины, соответствующей упорядоченной кристаллич. структуре сплава  $\text{Au-Cu}$ . Расчет нагревания пленки при электронном облучении проведен без учета потери тепла за счет теплопроводности пленки. Рассчитанные и полученные экспериментально результаты повышения т-ры образца хорошо согласуются при условии, что средняя потеря энергии падающего электрона составляет 20 эв. Найдено, что повышение т-ры пленки при обычно используемых плотностях тока  $5 \cdot 10^{-6}$ — $2,5 \cdot 10^{-4}$  а/см<sup>2</sup> меньше  $18^\circ$ .

В. Л.

**75436.** Простой одноступенчатый метод угольных реплик для изучения поверхности в электронном микроскопе. Брэдли (Ein einfaches einstufiges Kohleaufdampfverfahren für Oberflächenabbildung im Elektronenmikroskop. Bradley D. E.), Naturwissenschaften, 1956, 43, № 6, 126 (нем.)

Описан метод получения угольных реплик с поверхности металлов без разрушения структуры их поверхности. Поверхность полированных или травленных шлифов металла предварительно очищается путем двукратного нанесения и удаления лакового отпечатка и покрывается угольной пленкой толщиной 50—200 А. Полученная таким образом угольная пленка после легкого царапания с краев отделяется в воде, вылавливается на сеточку и исследуется в электронном микроскопе. В ряде случаев для облегчения отделения угольной реплики в воде она укрепляется слоем бедакрила или формвара. После вылавливания такой комбинированной реплики слой лака растворяется в соответствующем р-ителе и угольная реплика исследуется в электронном микроскопе. Трудности отделения угольной реплики с поверхности ряда металлов объясняются сильным сцеплением угольной пленки с шероховатой структурой поверхности металла. Описанный метод применялся к изучению поверхности  $\text{Ge}$ ,  $\text{Si}$ ,  $\text{Ti}$ ,  $\text{Al}$ ,  $\text{U}$  и латуни.

В. Л.

**75437.** Загрязнение объектов в электронном микроскопе. Мидзусима, Хирата, Ноаке (Specimen contamination in electron-microscope. Mizushima Y., Hirota S., Noake H.), J. Phys. Soc. Japan, 1956, 11, № 4, 463—464 (англ.)

Приведены результаты исследования загрязнений, наблюдаемых при электронномикроскопич. изучении золя  $\text{Au}$ , наносимого на подложки из кварца, коллодия и  $\text{Ge}$ . Исследование проведено в электронном микроскопе, эвакуируемом с помощью диффузионного насоса, содержащего силиконовое масло. Найдено, что загрязнения обнаруживаются только на поверхности, подвергавшейся электронной бомбардировке, и что степень загрязнения пропорциональна времени бомбардировки и не зависит от размера изучаемых частиц. Характер загрязнения не зависит от природы и проводимости подложки.

Загрязнения наблюдаются даже в том случае, если бомбардировка происходит в вакуумной камере при низких напряжениях (1—5 кэ) при давл.  $10^{-6}$  мм рт. ст. Полученные результаты указывают, что электронный пучок реагирует с органич. молекулами только на поверхности частиц металла, что, вероятно, объясняется особой активностью поверхности металлич. частиц.

В. Л.

**75438.** О повышении температуры объекта в электронном луче. Ямагути (Über die Temperaturerhöhung der Objekte im Elektronenstrahl. Yamaguchi Shiget), Z. angew. Phys., 1956, 8, № 5, 221—222 (нем.)

Описан простой способ оценки т-ры объекта в электронном пучке микроскопа. Пары парафина, получаемые при нагревании парафина в тигле при  $150^\circ$ , осаждаются на предметные сеточки. С полученных таким образом кристаллов парафина в электронном микроскопе снимаются электронограммы. Наличие отдельных колец на электронограмме с такого образца указывает на кристаллич. состояние парафина и, следовательно, на т-ру образца, меньшую т-ры плавления кристаллов парафина ( $50^\circ$ ). Полученные результаты указывают, что при обычно используемых плотностях тока электронного луча т-ра непроводящих образцов  $< 50^\circ$ , что совпадает с теоретич. рассчитанными величинами повышения т-ры непроводящего объекта.

В. Л.

**75439.** Обработка электронограмм, получаемых в электронном микроскопе. Коберштейн (Zur Auswertung von im Übermikroskop aufgenommenen Elektronenbeugungsdiagrammen. Koberstein E.), Monatsh. Chem., 1956, 87, № 2, 291—312 (нем.)

Обсуждаются возможные ошибки электронографич. анализа порошкообразных препаратов в электронном микроскопе. Отмечается, что применение способа совместной дифракции в-ва пробы и стандарта (РЖХим, 1956, 19666) позволяет определять постоянную кристаллич. решетки с точностью  $\pm 1\%$ . Установлено, что наименьшая ошибка в определении размера диаметра колец электронограммы вносится при применении фотометрич. метода измерения. Отмечается, что при исследовании порошкообразных проб интенсивность колец зависит от величины частиц препарата, их ограничения, положения на пленке объектодержателя, а также от глубины проникновения электронного луча и потому не может служить аналитич. признаком для анализа. Это обстоятельство ограничивает применение метода к анализу смешанных проб. Отмечается возможность улучшения резкости колец электронограммы при увеличении нагрузки электронного пучка на объект, что ведет в ряде случаев к дегидратации и рекристаллизации в-ва пробы. Другой способ повышения резкости электронограмм состоит в проведении микрохим. р-ций в капле пробы, наносимой на образец для получения мелкодиспергированного осадка. Подробно обсуждаются возможные ошибки электронографич. анализа в электронном микроскопе, вызываемые различного рода загрязнениями и разрушением препарата в процессе исследования.

В. Л.

**75440.** Разрешающая способность автоионного микроскопа (ионный проектор). Мюллер (Das Auflösungsvermögen des Feldionenmikroskopes. Müller Erwin W.), Z. Naturforsch., 1956, 11a, № 1, 88—94 (нем.)

Рассматриваются механизмы эмиссии положительных ионов с поверхности металлов, обусловленной действием сильных электрич. полей, в частности механизм так называемой автодесорбции и механизм автоионной эмиссии. В результате рассмотрения получено выражение для разрешающей способности автоионного микроскопа, проверенное и подтвержденное экспериментально. Наиболее подходящим газом для заполнения внутреннего пространства автоионного микроскопа при исследовании поверхности очень твердых металлов является  $\text{Ne}$ . Микроскоп охлаждают жидким азотом или водородом,

что увеличивает коэфф. аккомодации соответственно увеличению промежутка времени между моментами адсорбции и повторного испарения атома газа, которым заполнен микроскоп и повышает разрешающую способность прибора. Так напр. посредством охлаждаемого автономного микроскопа удается отчетливо различать соседние атомы W-острия, находящиеся на расстоянии 2,74 А. Приводится схема прибора. А. Р.

**75441. Стекланный интерференционный поляризатор с малыми потерями света. Маковский Ф. А.,** Ж. техн. физики, 1954, 24, № 10, 1859—1863

Описан стекланный интерференционный поляризатор (анализатор) с широким пучком поляризованного света ( $12$  и  $40 \text{ см}^2$ ) с применением тонких пленок из  $\text{TiO}_2$  и  $\text{SiO}_2$ . Степень поляризации прошедшего через стопу света — 99%, отраженного — 94%. Общие потери света не превышают 11%. В. Г.

**75442. Поляризационный микроскоп в лабораторных работах. Симкок (The polarizing microscope in a works laboratory. Simcock J. H.),** Trans. Brit. Ceram. Soc., 1956, 55, № 3, 204—224; Discuss. 224—226 (англ.)

Кратко описаны техника поляризационной микроскопии и возможности ее применения к исследованию минералогич. состава глинистых материалов, а также их физ. и хим. изменения при прокаливании. Эти изменения иллюстрируются на примере полевого шпата, корнваллийского камня, флинта и кварца. Изучены размеры частиц составных частей глинистых тел и показана разница в зернистости китайской глины и глины высокой пластичности. Изменения глинистых материалов в процессе прокаливания иллюстрируются рядом микрофотографий тонких срезов этих в-в. В. Л.

**75443. Компенсатор для измерения оптических разностей фаз при двойном лучепреломлении высокополимеров и кристаллов. Фойгт (Über einen Kompensator zur Messung optischer Phasendifferenzen an Hochpolymeren und Kristallen. Voigt Wilfried),** Z. angew. Phys., 1956, 8, № 2, 75—81 (нем.)

Предлагаемый фотоэлектрич. метод позволяет непрерывно измерять с повышенной чувствительностью двойное лучепреломление малых образцов и мутных сред. Двойное лучепреломление образца сравнивается с преломлением калиброванной стеклнной пластинки, деформируемой посредством пневматич. устройства. Два когерентных, поляризованных пучка света падают соответственно на образец и на стеклнную пластинку и выходят с разностью фаз, обусловленной неравным двойным лучепреломлением. Затем эти пучки попадают на синхронно вращающиеся поляризаторы и дифференциально регистрируются двумя фотоумножителями, сигналы с которых поступают на нуль-гальванометр. Диаметр образцов 1,8 мм. Скорость вращения поляризатора ~ 2000 об/мин. Точность измерений  $5 \cdot 10^{-6} \pi$ . Установка применена для изучения структуры полиэтилена, а также свойств полиуретана, полиамида и терилена при механич. и термич. воздействии. И. Т.

**75444. Оптический компаратор, скombинированный с двухлучевым осциллографом. Стеррок (A combined optical comparator and scanner with dual trace cathode ray display. Sturrock R. F.),** Canad. Chem. Process., 1955, 39, № 12, 98—100 (англ.)

В оптич. систему обычного двойного компаратора помещается вращающееся со скоростью 60 об/сек полупрозрачное зеркало, которое посылает два пучка света на фотоэлементы. Сигналы от этих пучков подаются на вход двухлучевого осциллографа. На экране осциллографа появляется изображение кривых почернения, соответствующих изучаемому спектру и спектру сравнения. Большое увеличение, особенно вдоль спектров, облегчает идентификацию линий. Возможны колич. измерения. А. Ш.

**75445. Быстрый метод создания столбов жидкости с линейным градиентом плотности. Милс (A rapid method of constructing linear density gradient columns. Mills J. M.),** J. Polymer Sci., 1956, 19, № 93, 585—587 (англ.)

Описано устройство, позволяющее получить столбики жидкости с линейным градиентом плотности, применяющиеся для определения плотности очень малых образцов и для точного определения очень малых различий в плотности. Прибор снабжен электрич. мотором и редуктором, вращающими с постоянной скоростью шкив, через который перекинут ремень с подвешенными к двум его концам сосудами, наполненными жидкостями разной плотности. Сосуды с помощью гибких полиэтиленовых трубок соединены с иглами (для подкожного впрыскивания), предназначенными для замедления течения жидкости до величины, обеспечивающей отсутствие турбулентности. Смешение жидкостей осуществляется в снабженном подогревателем шприце, из которого смесь стекает в стеклнную трубку, помещенную в термостат. Путем одновременного поднятия сосуда, содержащего более легкую жидкость, и опускания сосуда, содержащего более тяжелую, удается получить столбики с линейным градиентом плотности за сравнительно короткое время. Приведена схема, поясняющая устройство прибора. Л. А.

**75446. Циркуляционная система с постоянной скоростью течения. Шапиро, Ландесман (Constant flow-rate circulating system. Shapiro I., Landesman H.),** Rev. Scient. Instrum., 1955, 26, № 7, 652—654 (англ.)

Сконструировано приспособление для получения газовых потоков с постоянной скоростью течения 0,2—1,0 л/мин при давл. 200—800 мм рт. ст. Скорость течения газа регулируется поршнем двойного действия, который приводится в возвратно-поступательное движение кулачковым механизмом. Поршень движется в цилиндрич. сосуде, наполненном ртутью и сообщающемся с двумя резервуарами. Понижение уровня ртути в одном из резервуаров, вызываемое движением поршня, приводит к засасыванию газа в него. При движении поршня в обратном направлении газ из этого резервуара выталкивается через систему клапанов, а в другой резервуар газ засасывается. Клапаны (стекло с металлич. сердцевинкой), регулирующие вытекание и засасывание газа, помещаются внутри соленоидов, питание на которые подается в требуемый момент при помощи реле. Работа реле синхронизирована с движением кулачкового механизма. А. Б.-З.

**75447. Новые счетчики. Керран (The new counters. Cugan S. C.),** Sci. Progr., 1954, 42, № 165, 32—45 (англ.)

Обзор. Библ. 47 назв.

А. Б.-З.

**75448. Приготовление тонких светонепроницаемых окошек для сцинтилляционных счетчиков. Франзен, Шелленберг (Preparation of thin light-tight windows for scintillation counters. Franzen W., Schellenberg L.),** Rev. Scient. Instrum., 1956, 27, № 3, 171 (англ.)

Описан способ приготовления тонких светонепроницаемых окошек из Al для сцинтилляционных счетчиков, предназначенных для изучения частиц малой энергии. Окошки получают конденсированием Al в вакууме на стеклнную подложку, покрытую слоем сахара. Слой сахара получают при погружении стеклнной пластинки в р-р сахара (10 г сахара в 600 мл воды при 50°) и последующей просушки в печи при 70°. Толщина слоя Al контролируется путем взвешивания подложки до и после напыления. Отделение Al пленки происходит при растворении сахара в горячей воде. Авторам удалось, таким образом, получать окошки площадью  $5 \times 5 \text{ см}^2$  с толщиной слоя  $50 \mu \text{г/см}^2$ . В. Л.

**75449.** Механические руки, чувствующие усилие, для проведения опытов с радиоактивными материалами. Барнет Дж. Р., Герц Р. К., Томпсон В. М. В сб.: Дозиметрия ионизирующих излучений. М., Гостехтеоретиздат, 1956, 586—601

Описаны манипуляторы с 7 степенями свободы, разработанные Аргонской национальной лабораторией. Рассмотрены два копирующих манипулятора с механич. связями (тросы из нержавеющей стали или ленты из спец. сплава; развиваемое усилие в любом направлении 1,5 кг) и один копирующий манипулятор с электр. связью, которая осуществляется сервосистемой, состоящей из 2-фазных сервомоторов, соединенных с тахометрич. генераторами. Дан анализ 2-сторонней сервосистемы на основании теории 4-полосников.

**75450.** Атомно-энергетическая радиохимическая лаборатория — устройство и опыт работы. Спенс Р. В сб.: Дозиметрия ионизирующих излучений. М., Гостехтеоретиздат, 1956, 489—501

Опыт эксплуатации радиохим. лаборатории в Харуэлле.

**75451.** Оборудование горячих лабораторий для радиохимических исследований. Филдс П. Р., Янгквист К. Х. В сб.: Дозиметрия ионизирующих излучений. М., Гостехтеоретиздат, 1956, 475—488

Описано оборудование Аргонской национальной лаборатории.

**75452.** Свойства электростатических осадителей для измерения радиоактивных аэрозолей. Бергстедт А. В сб.: Дозиметрия ионизирующих излучений. М., Гостехтеоретиздат, 1956, 279—286

Описана конструкция электростатич. осадителя (ЭО) с эффективной скоростью осаждаемых частиц  $v$ , в 10 раз большей, чем в ЭО системы Коттрелла. Максим. скорость осаждения для данной поверхности коллектора, не зависящая от величины воздушного потока  $q$ , и равномерное распределение пыли по поверхности коллектора получены при режиме работы ЭО, близком к насыщению. ЭО состоит из кругового электрода с разрядными острями (РО), смонтированного на трубчатом изоляторе, и из непрерывно движущейся Al-ленты-коллектора. Вычислена эффективность ЭО как функция  $q$  при коронирующем токе 1,5 мА и расстоянии РО — коллектор 5,6 мм. Эксперим. данные согласуются в пределах 1,5% с теоретическими при  $q > 0,3$  м<sup>3</sup>/мин;  $q < 0,3$  м<sup>3</sup>/мин наблюдается значительное расхождение. Измерена  $v$  как функция разрядного тока для трех разрядных промежутков. Найдено, что большая  $v$  для данной мощности получается при разрядных промежутках  $> 5$  мм.

**75453.** Измерение радиоактивных аэрозолей. Бергстедт (Messung von radioaktiven Aerosolen. Bergstedt B. A.), Schwebstofftechn. Arbeitstag., 1955, Mainz, 1955, 36—45 (нем.)

Описан переносный пылесос-осадитель с кольцевой собирающей поверхностью диам. 4,5 см, смонтированный на комнатном пылесосе. К. п. д. пылесоса 10—20% при воздушном потоке 0,6 м<sup>3</sup>/мин. Высоковольтная аппаратура для создания коронирующего разряда смонтирована на месте пылесобирающего мешка пылесоса. Приведены некоторые данные о работе Hasenclevera по применению термопреципитатора для радиоактивных пылей. См. также пред. реферат.

**75454.** Комбинированный ионнорезонансный масс-спектрометр. Робинсон (Compound ion-resonance mass spectrometer. Robinson Charles F.), Rev. Scient. Instrum., 1956, 27, № 2, 88—89 (англ.)

Предлагается новый масс-спектрометр, являющийся комбинацией обычного 180-градусного прибора с «карманным» циклотроном. Выйдя из источника в центре камеры, расположенной в магнитном поле, ионы проходят 180-градусный анализатор и далее движутся по

окружностям возрастающего радиуса, имеющим общую точку касания у выходной щели анализатора; здесь ионы ускоряются пульсирующим напряжением при каждом прохождении зазора между дуантами и после ряда оборотов попадают на коллектор, находящийся в противоположном конце зазора. Ионы, изменившие свою энергию при обратном прохождении зазора, отсеиваются. Разрешающая сила прибора растет с уменьшением скважности импульсов напряжения и может достигать нескольких сот при магнитном поле диам. 4 см. Преимущества данного прибора перед омегатроном (Hipple и др., Rhys. Rev., 1949, 76, 1877) — отсутствие помех от пространственного заряда и дискриминационных эффектов, меньший диапазон изменения частоты ускоряющего поля, большая интенсивность пучка — должны сказываться, главным образом, при работе с большими массами или ионными токами. Как и в омегатроне, фокусировка ионов не зависит от их энергии.

**75455.** Новый калориметр бунзеновского типа. Джессуп (A new Bunsen-type calorimeter. Jessup Ralph S.), J. Res. Nat. Bur. Standards, 1955, 55, № 6, 317—322 (англ.)

Описан калориметр для измерения малых кол-в тепла. Вместо воды в качестве калориметрич. в-ва употребляется дифениловый эфир. Это в-во имеет ряд преимуществ перед другими органич. смесями, так как оно устойчиво, легко может быть приготовлено с высокой степенью чистоты (99,9926 мол. %), имеет т. пл. 26,87°, что соответствует легко поддерживаемой т-ре. Приведен схематич. разрез калориметра, описан способ введения дифенилового эфира и ртути в калориметр, методика калибровки калориметра и работы с ним. Испытания калориметра показали, что с его помощью может быть измерено кол-во тепла в 38 кал с точностью 0,05%.

**75456.** Новый метод проточной калориметрии. Хокстон, Уэйсс (New method of flow calorimetry. Hoxton L. G., Weiss R. A.), Rev. Scient. Instrum., 1955, 26, № 11, 1058—1060 (англ.)

Метод служит для определения отношения  $C_p$  жидкости или газа в одном состоянии к  $C_p$  в другом состоянии. Поток проходит последовательно через 2 калориметра, в каждом из которых находится нагревающее сопротивление (НС). Т-ра в каждом калориметре измеряется Pt-термометрами сопротивления. НС включены в схему моста Уитстона. Приведена ф-ла для вычисления отношения  $(C_p)_B : (C_p)_A$  из разности т-р до и после каждого НС и отношения сопротивлений плеч моста Уитстона при нулевом токе. Учитываются ошибки, вносимые сопротивлением подводящих проводов и утечками в каждом калориметре.

**75457.** Измерение действительной удельной теплоты тел. Лейденфрост (Messung der wahren spezifischen Wärme fester Körper. Leidenfrost W.), Arch. techn. Messen, 1956, № 243, 93—94 (нем.)

**75458.** Описание тонометрического прибора. Мунд, Хейскенс, Пире (Description d'un appareil tonométrique. Mund W., Huyskens P., Piret P.), Bull. cl. sci. Acad. roy. Belgique, 1956, 42, № 1, 13—18 (франц.)

Описан прибор, позволяющий измерять с точностью до 1% разность  $\Delta P$  давлений паров р-рителя и р-ра при  $\Delta P \geq 1$  мм рт. ст. Метод основан на измерении (при помощи микробюретки) кол-ва Hg, требуемого для поднятия до определенного уровня отсчета Hg в одном из колен дифференциального манометра.

**75459.** О высокочувствительном манометре Пирани с термистором. Али Али Арафа, Фатхи Султан Ахмед Султан, Ибрагим Саед Шафи (On a thermistor-Pirani gauge of high sensitivity. Ali Ali

Arafa, Fathi Sultan Ahmed Sultan, Ibrahim Sayed Shafie, Z. angew. Math. und Phys., 1956, 7, № 1, 75—80 (англ.; рез. нем.)

Предлагается электрич. схема манометра Пирани, в которой два плеча представляют собой активные сопротивления (1000 и 250 ом), одно — термистор типа D 163 903 (V-519) и одно — лампу (110 в, 25 вт), присоединенную к вакуумной системе. Так как термистор имеет падающую вольтамперную характеристику, происходящее при изменении давления перераспределение токов в мостовой схеме оказывает на сопротивление термистора действие, вызывающее еще большее увеличение разбаланса моста. Благодаря этому чувствительность манометра постоянна в широком диапазоне и имеет величину  $170 \cdot 10^3 \mu\text{a}$  на 1 мм рт. ст. Приведена электрич. схема манометра и кривые, характеризующие ее работу. Л. А.

**75460. Новый прибор для измерения влажности. Гегауф** (Ein neues Feuchtigkeitsmeßgerät. Gaegauf H.), Schweiz. Arch. angew. Wiss. und Techn., 1956, 22, № 4, 129—135 (нем.; рез. англ.)

Прибор измеряет влажность материалов с волокнистой структурой. Измеряемый объект проходит по поверхности массивной металлич. плиты под измерительной головкой, открытой со стороны объекта. Равновесная влажность, имеющаяся над объектом, измеряется с помощью тонкого слоя р-ра гигроскопич. соли. Изменение электрич. сопротивления этого слоя измеряется мостовой схемой с электронной схемой в качестве нуля-прибора. Температурная компенсация осуществляется при помощи второго аналогичного гигроэлемента, помещенного в атмосферу с постоянной влажностью и включенного в другое плечо моста. Применение массивной металлич. плиты обеспечивает быстрое выравнивание т-р измеряемого объекта и измерительного пространства. Прибор измеряет относительную влажность в интервале 10—90% с чувствительностью 0,2% относительной влажности и максим. отклонением показаний за неделю непрерывной работы  $\pm 2\%$  относительной влажности. А. Л.

**75461. Емкостно-омический гигрометр. Каттинг, Джейсон, Вуд** (A capacitance-resistance hygrometer. Cutting C. L., Jason A. C., Wood J. L.), J. Scient. Instrum., 1956, 33, № 1, 36 (англ.)

Указано, что в одноименной статье авторов (РЖХим, 1956, 47482) опущена ссылка на работу Ансбахера (Ansbacher F. Ph. D. Thesis, Univ. London, 1949), впервые предложившего такой метод измерения влажности. В. Д.-К.

**75462. Измерение электропроводности концентрированных растворов электролитов с помощью трансформаторного моста. Калверт, Корнелиус, Гриффитс, Сток** (Measurement of the conductivity of concentrated electrolyte solutions using a transformer bridge. Calvert R., Cornelius J. A., Griffiths V. S., Stock D. I.), Research, 1956, 9, № 4, S16—S17 (англ.)

Описано применение трансформаторного моста (Robinson R. A., Stokes R. H., Electrolyte Solutions. Chapter 7. (London) Butterworths Scientific Publ. 1955) вместо обычного моста Уитстона для измерения электропроводности конц. р-ров электролитов. Точность измерения (до 0,05%) проверена на водн. р-рах NaBr,  $\text{NH}_4\text{Cl}$  и  $\text{Ca}_2[\text{Fe}(\text{CN})_6]$ . В. М.

**75463. Новый тип полярографического микрососуда. Еншовский** (Nový typ polarografické mikronádoby. Jenšovský L.), Chem. listy, 1956, 50, № 3, 398—399 (чеш.)

Прибор состоит из грушевидного резервуара, в который погружен изогнутый электрод Смолера (ЭС) (РЖХим, 1954, 46177), обмотанный проволоочным электродом сравнения (Schwarz K., Z. anal. Chem., 1939, 115, 161; РЖХим, 1955, 36981, 51592). Резервуар через

капилляр соединен с цилиндрич. сосудом (ЦС), снабженным кранами для выпуска анализируемого р-ра и для введения инертного газа. Ртуть из ЭС падает мелкими каплями и проходит через капилляр в ЦС. При этом анализируемый р-р удерживается в верхнем сосуде благодаря давлению газа. Унос анализируемого р-ра в ЦС незначителен. Описанный прибор позволяет выполнять анализ с объемом  $\geq 0,1$  мл и имеет стабильный потенциал электрода сравнения. Недостатком прибора является то, что при пробуживании пузырька газа из ЦС в анализируемый р-р возникает помеха на полярографич. кривой. Однако это не мешает проведению анализа. Luboš Matoušek

**75464. Полярографический сосуд для непрерывного анализа газов. Недорост** (Polarografická nádoba pro kontinuální analýzu plynů. Nedorost M.), Chem. listy, 1956, 50, № 2, 317—318 (чеш.)

Описан полярографич. сосуд для непрерывного анализа газов (напр., галогенидов, сероводорода и т. п.). Газ впускается в сосуд небольшими пузырьками и проходит около стеклянной спирали. При этом происходит перемешивание р-ра, которое не оказывает влияния на равномерное отпадание капель ртутного электрода. Petr Zuman

**75465. Определение pH с помощью стеклянного электрода. Требре** (Die pH-Messung mit der Glaselektrode. Trebbe E.), Wiss. und Fortschr., 1956, № 5, 138—139 (нем.)

Популярная статья. В. Л.  
**75466. Хроматография на бумаге с высокочастотной регистрацией. Эме** (Registrierende Hochfrequenzpapierchromatographie. Oehme F.), Z. analyt. Chem., 1956, 150, № 2, 93—99 (нем.)

Метод анализа бумажных хроматограмм по изменению сеточного тока в колебательном контуре генератора, стабилизированного кварцем (РЖХим, 1955, 9634), усовершенствован путем улучшения конструкции измерительного конденсатора, между обкладками которого протягивается бумажная хроматограмма, и устройства автоматич. записи кривой с помощью шлейфового осциллографа или регистрирующего приспособления полярографа Гейровского. Метод характеризуется как полуквалиф., основанный на измерении емкости конденсатора, когда между его обкладками помещается бумажная прокладка, пропитанная р-ром электролита; поэтому существенное значение имеет поддержание постоянной влажности хроматограммы, что достигается пропиткой ее метанол-глицериновой смесью с последующим испарением метанола. Метод пригоден только для анализа сильных электролитов. В. А.

**75467. Анализ бумажных хроматограмм прямым полярографическим способом. Лангер** (Evaluation of paper chromatograms by direct polarographic scanning. Langer Alois), Analyt. Chem., 1956, 28, № 3, 426—427 (англ.)

Описано приспособление, с помощью которого бумажная хроматограмма медленно протягивается между роликом, с Au-амальгамированной проволокой на его окружности, и пористым цилиндром, омываемым снизу насыщ. р-ром KCl каломельного электрода. Таким путем задается постоянное значение поляризующего напряжения  $E$  и с помощью полярографа регистрируются изменения тока при контакте Au-электрода с участками бумаги, содержащими хроматографич. зоны восстанавливающихся в-в. Наиболее выгодное значение  $E$  подбирается по полярографич. кривым чистых компонентов анализируемой смеси, снятых с тем же Au-амальгамным микроэлектродом. Способ иллюстрирован примером разделения смеси  $\text{Co}^{2+}$ ,  $\text{Cd}^{2+}$ ,  $\text{Ti}^{4+}$  и  $\text{Pb}^{2+}$ . В. А.

**75468. Кювета для нисходящей хроматографии на бумаге. Томпсон, Марион** (Trough for use in descending paper chromatography. Thompson John F.,

Marion Maurice V.), *Analyt. Chem.*, 1956, 28, № 2, 288 (англ.)

В качестве питающей кюветы рекомендуется применять трубки из боросиликатного стекла с толщиной стенок 4 мм, внешним диам. 42 мм и длиной 650 мм. В. А.

**75469. Устройство прибора для микроэлектрофореза на горизонтальной полоске бумаги. Моргантини** (Costruzione di un apparecchio per la microelettroforesi su striscia di carta crizzontale. Morgantini Marcello), *Chimica*, 1956, 32, № 2, 55—56 (итал.)

Прибор состоит из обычного выпрямителя переменного тока с фильтром и делителем напряжения, сосуда из пластмассы для электрофореза, содержащего две ванночки с буферным р-ом, в которых укреплены токоподводящие держатели для бумаги и электроды, соединенные с источником тока, и фотокolorиметра, регистрирующего результаты электрофореза. Для придания прозрачности бумагу перед фотометрированием обрабатывают смесью 3 ч. парафинового масла и 1 ч. бромнафталина.

В. Ш.

**75470. Противоточный электрофорез на бумаге. II. Прибор. Грубнер, Дворжак, Немец** (Protiproudová elektroforesa na papíře. II. Aparatura. Grubner O., Dvořák J., Němec L.), *Chem. listy*, 1956, 50, № 1, 148—151 (чеш.)

Приведена принципиальная схема универсального прибора, для preparativного разделения смесей в-в. Прибор состоит из источника стабилизированного постоянного напряжения (максим. 50 ма при 100—1000 в) и электронной схемы для поддержания постоянного уровня электролита в обеих кюветках. Сообщение 1 см. РЖХим, 1956, 64634.

Jiří Vaněček

**75471. О приготовлении суспензий для ультрамикроскопа с помощью ультразвука. Келер, Кох, Тессер** (Über die Präparation von Suspensionen für das Übermikroskop im Ultraschallnebel. Kehler H., Koch A., Tesser K.), *Z. wiss. Mikrosk.*, 1956, 62, № 8, 521—524 (нем.)

Описана аппаратура и методика приготовления суспензий в-в, не образующих суспензий обычными методами. Аппаратура состоит из двух ультразвуковых генераторов с кварцем (1 и 3 Мгц) и позволяет получать суспензии с частицами  $\sim 1\mu$ , более однородные, чем при приготовлении другими методами.

А. Л.

**75472. Современное состояние технологии и физики аэрозолей и тенденции к дальнейшему развитию. Клумб** (Stand und Entwicklungstendenzen der modernen Schwebstofftechnik und Schwebstoffphysik. Klumb H.), *Schwebstofftechn. Arbeitstag.*, 1955, Mainz., 1955, 2—4 (нем.)

Кратко изложены результаты выполненных в лаборатории автора за последний год работ — конструирование и усовершенствование ряда приборов для изучения аэрозолей (А): распылителя для получения высокодисперсных однородных А, прибора для отбора проб А и осаждения их на предметных стеклах под действием центробежной силы с пространственным разделением частиц по величине (аэрозольный спектрограф), кюветки для ультрамикроскопии, исследования электрич. свойств А, диффузионной камеры Вильсона для изучения радиоактивных А, аппарата для непрерывного автоматич. осаждения А на движущуюся ленту и чрезвычайно интенсивного источника света для изучения высокодисперсных А.

Н. Ф.

**75473. Упрощенный аппарат для определения размера частиц суспензий. Суй Чжэнь-энь** (一個測定懸浮體粒子大小的簡單儀器. 隋振恩), *化學世界*, Хуасякэ шицзе, 1956, № 5, 254—255, 256 (кит.)

**75474. Основные проблемы, связанные с измерением размеров частиц. Огава, Окубо, Окуда** (粒度測定上の問題點について. 小川和彦, 大久保大蔵, 奥田欽之助), *工業化學雜誌*, Koré kagaku дзасси, *J. Chem.*

*Soc. Japan. Industr. Chem. Sec.*, 1956, 59, № 3, 297—303 (япон.)

**75475. Компактный осмометр. Янко** (A compact osmometer. Yanko John A.), *J. Polymer Sci.*, 1956, 19, № 93, 437—444 (англ.; рез. нем., франц.)

Корпус осмометра с конич. камерой емк. 2 мл изготовлен из нержавеющей стали. К нижней части корпуса крепится полупроницаемая мембрана толщиной 0,05—0,08 мм при помощи перфорированного латунного держателя и фланца с центральным отверстием. В верхнюю часть корпуса ввертывается латунная муфта со стеклянным капилляром с отверстием диам. 1 мм. Уплотнение муфты с корпусом и капилляра с муфтой достигалось с помощью припоя 1/1 Pb/Sn. Собранный осмометр, напленный р-ром, помещали в 500-мл цилиндр, который служил второй камерой, и наполняли р-рителем, рядом с первым закреплялся второй капилляр, открытый с обоих концов. Разность уровней в капиллярах отсчитывалась с помощью катетометра. Описана методика приготовления полупроницаемых мембран. В качестве примера приведены результаты измерений мол. веса полимера винилиденцианида винилацетата в р-ре диметилформамида, равного 134 000, и константы  $\mu_1 = 0,35$  при т-ре  $25,00 \pm 0,01^\circ$ .

А. Л.

**75476. Прибор для исследования термомеханических характеристик полимеров. Цетлин Б. Л., Гаврилов В. И., Великовская Н. А., Кочкин В. В.**, Завод. лаборатория, 1956, 22, № 3, 352—355

Описан прибор для снятия термомеханич. кривых в условиях непрерывного действия на образец нагрузки сжатия или растяжения в течение всего времени нагревания. Приведены схемы механич. устройств для исследования термомеханич. кривых одноосного сжатия с диапазоном сжимающих нагрузок от 20 г до 10 кг и кривых растяжения с диапазоном растягивающих нагрузок 2—200 г. Чувствительность измерения деформаций сжатия 0,005 мм, деформаций растяжения 0,05 мм. Конструкция прибора позволяет автоматически компенсировать термич. расширения механич. частей и обеспечивает постоянную скорость нагревания, причем продолжительность нагревания пропорциональна повышению т-ры. Регулирование т-ры производится путем наложения на регулирующую термопару компенсирующей э. д. с., соответствующей необходимой т-ре. Приведена термомеханич. кривая сжатия винилпласта, снятая при нагрузке 4 кг/см<sup>2</sup> и скорости нагревания 50 град/час.

И. Л.

**75477. Аппаратура. Мюллер** (Instrumentation. Müller Ralph H.), *Analyt. Chem.*, 1956, 28, № 4, Part 2, 649—660 (англ.)

Обзор современной аппаратуры, применяемой в аналитич. химии. Библи. 115 назв.

А. С.

**75478. Гамма-абсорбциометрия: новый инструмент для аналитической химии. Лебёф, Миллер, Коннали** (Gamma absorptiometry. A new tool for analytical chemistry. Leboeuf M. B., Miller D. G., Connelly R. E.), *Nucleonics*, 1954, 12, № 8, 18—21 (англ.)

Получены абсорбционные кривые (АК)  $\gamma$ -излучения для Си при помощи скитилизационных кристаллов различной толщины. Показано, что для получения более отрицательного начального наклона АК необходимо работать с очень тонкими кристаллами NaJ(Tl). Исследована абсорбция энергии  $\gamma$ -лучей от смеси  $\text{Am}^{241}$  и  $\text{Pu}^{239}$  (10:500 мг) как функция массы атома абсорбента. Возможность применения  $\gamma$ -абсорбциометрии для оценки кол-в присутствующих элементов показана на примере Al/Pb. При использовании источника  $\text{Se}^{75}$  и 2-мм кристалла NaJ(Tl) установлено увеличение тока в фотомножителе при внесении тонкого абсорбера между источником и детектором. Авторы считают, что это связано с возбуждением рентгеновских лучей в абсорбере.

Исследована зависимость величины наклона АК для различных детекторов, а также зависимость величины тока детектора от напряжения. Установлено, что точность измерения тока детектора (2-мм кристалл NaJ (Tl)) для Cu-абсорбера с плотностью 708 мг/см<sup>2</sup> составляет  $\pm 0,4\%$ . Подобная флюктуация тока при определении плотности соответствует точности  $\pm 0,3\%$ . Отмечено, что при использовании абсорбциометрич. метода для анализа р-ров результаты анализа тем точнее, чем выше поверхностная плотность и менее точен при изменении конц-ий.

А. Б.-З.

**75479. Простой дистилляционный аппарат Кельдаля. Скидмор** (A simple Kjeldahl distillation apparatus. Skidmore D. W.), Industr. Chemist, 1954, 30, № 355, 386 (англ.)

Описан улучшенный аппарат Кельдаля для определения азота. Стеклый прибор состоит из водяного парогенератора емк. 1,5 л, снабженного электр. нагревателем, который присоединяется к дистилляционной камере с помощью шлифа. Добавление воды в генератор осуществляется через боковую горловину. Дистилляционная камера состоит из резервуара, окруженного паровой рубашкой. Заполнение резервуара дистиллируемой жидкостью осуществляется через нижний отвод, который одновременно сообщается с паровой рубашкой, обеспечивая, таким образом, перегонку с паром. Пары исследуемой жидкости и воды из резервуара поступают в водяной холодильник. Сконденсировавшаяся жидкость, проходя через абсорбент, помещенный в нижней части отводной трубки холодильника, собирается в приемнике, присоединенном на шлифе к отводной трубке.

Н. М.

**75480. Новый прибор для полумикро- и микроопределения активного водорода в органических веществах. Соучек** (Nová aparatura pro semimikro- a mikrostanovení aktivního vodíku v organických látkách. Souček M.), Chem listy, 1956, 50, № 2, 323—325 (чеш.)

Описан новый тип прибора для полумикро- и микроопределения активного Н в органич. в-вах по Церевитинову (Cerevitinov T., Ber., 1907, 40, 2023). Прибор стекл. и состоит из плоскодонного реакционного сосуда (РС) емк. 12 мл, манометра и бюретки емк. 10 мл. Все детали прибора соединены капиллярными трубками. Манометр и бюретку наполняют дибутыловым эфиром (I) или диамилловым эфиром (II). Анализируемое в-во помещают в стеклянную корзиночку с впаянным кусочком железа и подвешивают в верхней части РС. В РС помещают 0,5—1,5 мл р-ра  $\text{CH}_3\text{MgJ}$  в I или  $\text{LiAlH}_4$  в II и 2 мл подходящего р-рителя. После заполнения прибора азотом и выравнивания т-р корзиночку сбрасывают с подвески при помощи магнита и содержимое РС интенсивно перемешивают магнитной мешалкой. Для измерения кол-ва газа, выделившегося в приборе в результате р-ции, из бюретки, а, следовательно, и из прибора выпускают жидкость до получения начального давления. Кол-во жидкости равно объему выделившегося газа.

Karel Kámen

**75481. Стол для визуального титрования. Остроушко Ю. И., Логвиненко И. А.**, Завод. лаборатория, 1956, 22, № 5, 612

Стол сварен из углового железа, обшит листовым винилпластом и его рабочая часть покрыта органич. стеклом молочного цвета. В спец. держателях укрепляют 1 автоматич. бюретку и 3 микробюретки. Титрование производят на фоне органич. стекла при освещении равномерным комбинированным светом. Дополнительная лампа дневного света облегчает наблюдение положения менисков.

Д. К.

**75482. Недорогой прибор для микротитрования. Аллен** (Inexpensive microtitrator. Allen Kenneth A.), Analyt. Chem., 1956, 28, № 2, 277 (англ.)

Прибор состоит из микробюретки, в которой движется поршень (аналогично шприцу), ход которого измеряется микрометром. В случае надобности бюретку можно снабдить водяной рубашкой.

В. М.

**75483. Автоматический отбор проб с фильтрацией. Ермаков П. И.**, Завод. лаборатория, 1956, 22, № 5, 611—612

Предложен прибор для контроля непрерывно протекающих производственных процессов и для лабораторных исследований кинетики гетерог. р-ций. Пористый фильтр (типа Шотта), помещенный в реакционную среду, герметично соединен с приемником отфильтрованной пробы, который в свою очередь может быть соединен последовательно через ловушку и буферную емкость или с вакуум-насосом, или с источником сжатого воздуха посредством трехходового крана (ТХК). Переключение ТХК позволяет отбирать пробу, выливать ее из приемника и промывать фильтр остатком р-ра. В производственных условиях используют 2 буферные емкости. Взятая в этих условиях проба может быть подвергнута в самом сосуде анализу колориметрич., потенциометрич., кондуктометрич. и другими методами.

Д. К.

**75484. Улучшение аппарата DAB-6 для определения точек плавления. Рихтер** (Eine Verbesserung des Schmelzpunktapparates DAB 6. Richter Joachim), Dtsch. Apoth.-Ztg., 1956, 96, № 16, 351 (нем.)

Предложено закреплять капилляры с исследуемыми в-вами около термометра при помощи стекл. стержня, укрепленного в пробке аппарата. Устройство позволяет быстро извлекать сразу несколько капилляров с исследуемыми в-вами.

А. Л.

**75485. Лабораторный парообразователь. Фосблад** (A steam generator for laboratory use. Forsblad Ingemar), Svensk kem. tidskr., 1956, 68, № 3, 129—130 (англ.)

Парообразователь состоит из трехгорлой кодьбы емк. 3 л, в которой дистилл. или деионизированная вода нагревается, соприкасаясь непосредственно со спиралью из кантала В диам. 0,4 мм и сопротивлением 40 ом, намотанной на сердечник из огнеупора. Среднее горлышко закрыто пробкой, через которую проходят пароотводная трубка и трубка для добавления воды, служащая одновременно регулятором давления и указателем уровня воды в колбе. В боковых горлышках помещаются пробки с зажимами для электр. проводов.

В. М.

**75486. Простая защита диффузионных насосов и холодильников при авариях в системе водоснабжения. Хоутон** (A simple water failure guard for diffusion pumps and condensers. Houghton G.), J. Scient. Instrum., 1956, 33, № 5, 199 (англ.)

Прибор представляет собой U-образный стекл. сосуд, в который залита ртуть. Охлаждающая вода создает над ртутью одного из колен сосуда водяной столбик, высота которого прямо пропорциональна скорости протекания воды. Благодаря этому уровень ртути в другом колене повышается и замыкаются контакты, которые подают питание на реле, включающее подогреватель. В случае прекращения подачи воды или при падении ее напора ниже допустимой величины, ртуть размыкает контакты, что влечет за собой обесточивание подогревателя.

Л. А.

**75487. Некоторые проблемы, связанные с измерением трения при помощи маятникового прибора. Наган, Тамаи** (振子による摩擦測定の問題. 永井雄三郎, 玉井康勝), 工業化学雑誌, Koré какагу дзаси, J. Chem. Soc. Japan. Industr. Chem. Sec., 1956, 59, № 3, 368—371 (япон.)

**75488. Микрообработка с помощью виртуального электрода. Улер** (Micromachining with virtual electrodes Uhler A., Jr.), Rev. Scient. Instrum., 1955, 26, № 10, 965—968 (англ.)

Описан способ микрообработки металлов (Ge, Mo, Fe,

Си, Аи) и карбида вольфрама с помощью электролитич. зонда, оттянутого на конце в тонкий капилляр (К) с внутренним диам.  $\sim 1 \mu$ . Прибор состоит из двух сосудов (А и Б) с р-ром электролита. В сосуд А помещают горизонтально пластинку металла, подлежащую обработке (анод), и подводят к ее поверхности заполненный электролитом К, соединенный через гибкий шланг с сосудом Б, в котором находится катод. С помощью К, пропуская ток и постепенно углубляя К «просверливают» в аноде отверстия диам.  $20 \mu$  и глубиной  $1 \text{ мм}$ , делают пазы шириной  $2 \mu$  и т. п. Приведены составы электролитов для обработки Ge, Mo и WC, а также расчеты скорости сверления. На этом же приборе можно делать «точечные» и «линейные» покрытия на поверхностях, а также гальванич. образование тонких соединительных проводников между малыми объектами с электронной проводимостью (напр. в цианистом электролите для золочения был сделан золотой «мостик» длиной  $1 \text{ м}$  и диам.  $0,1 \text{ мм}$ ). Рекомендуется поддерживать медленный поток электролита через капилляр.

И. З.  
75489. Лучевой зонд — новый прибор для определения запаса воды в снежных покровах. Фишмейстер (Die Strahlensonde, ein neues Gerät zur Bestimmung des Wasservorrates einer Schneedecke. Fischmeister Viktor), Atompraxis, 1956, 2, № 4, 113—115 (нем.)

Источник радиоактивного излучения  $\text{Co}^{60}$  (40 мюри) подвешивался на Г-образной штанге над снежным покровом. Радиоактивное излучение, прошедшее снежный слой, регистрировалось Г.—М.-счетчиком, связанным с коротковолновым передатчиком, передававшим автома-

тически каждые 10 мин. показания счетчика. Интенсивность  $I$ , зарегистрированная счетчиком, пересчитывалась на водн. показатель  $h$  (см) по ф-лам:  $I = I_0 e^{-kh}$ ,  $h = g/\gamma$ , где  $k$  — константа, не зависящая от т-ры и агрегатного состояния молекул воды,  $g$  — снеговая нагрузка ( $\text{г/см}^2$ ),  $\gamma$  — уд. вес воды ( $\text{г/см}^3$ ). Показания лучевого зонда сравнивались с результатами отбора снеговых кернов. Максим. расхождение результатов 15%.

А. Л.

75490 Д. Молекулярный генератор. Басов Н. Г. Автореф. дисс. докт. физ.-матем. н., Физ. ин-т АН СССР, М., 1956

75491 П. Складная мешалка для лабораторных сосудов с узкими горлышками. Брюкнер (Zusammenklappbarer Rührer für enghalsige Laboratoriumsgefäße. Brückner Joachim). Пат. ГДР 9488, 2.04.55

Даны чертеж и описание мешалки из коррозионно-стойкого материала, вводимой в сосуд в сложенном виде и расправляемой внутри его с помощью распорок.

В. М.

См. также: Масс-спектрометр 75247. Прибор для измерения диэлектрич. проницаемости 74301. Калориметр 74365. Равновесия 74349. Изотенископ 74351. Дилатометр 74382. Прибор для измерения упругости пара 74490. Милликулометр 75234. Полярограф. 75236. Анализ неорганич. 75313, 75354. Анализ органич. 75369, 75380. Др. вопр. 74423, 74554, 74563, 75639—75641; 21705Бх, 21776Бх, 21779Бх. Мостик для кондуктометрии 74048. Ионитная очистка воды 74050

## ХИМИЧЕСКАЯ ТЕХНОЛОГИЯ. ХИМИЧЕСКИЕ ПРОДУКТЫ И ИХ ПРИМЕНЕНИЕ

### ОБЩИЕ ВОПРОСЫ

75492. Развитие химической промышленности в Китайской Народной Республике. Хальпап (Entwicklung der chemischen Industrie der Volksrepublik China. Halpar Paul), Chem. Technik, 1956, 8, № 4, 232—234 (нем.)

Приведен обзор развития хим. пром-сти в Китае, восстановления и строительства новых з-дов в 1-м пятилетии (1953—1957 гг.) по произ-ву удобрений, пестицидов,  $\text{H}_2\text{SO}_4$ , соды, красителей и других хим. продуктов, а также резиновой и фармацевтич. пром-сти.

Г. Р.

75493. Развитие химической промышленности Румынии. Сьон (Développement de l'industrie chimique en Roumanie. Sion Robert), Mécanic, 1956, № 4 (франц.)

Обзор развития хим., нефтеперерабатывающей, фармацевтич., целлюлозной пром-сти и производства искусств. волокна во 2-м пятилетии (1956—1960 гг.).

Г. Р.

75494. Нью-Орлеан — главный химический центр. Хоган, Поминский, О'Коннелл (New Orleans — major chemical center. Hogan J. T., Pominski J., O'Connell H. E.), Chem. Engng Progr., 1956, 52, № 3, 51—52, 58 (англ.)

Обзор хим. з-дов штата Луизиана (США).

Г. Р.

75495. Общегосударственная конференция работников химической промышленности (Celostátní konference pracovníků v chemickém průmyslu. Бс.) Chem. průmysl, 1955, 5, № 11, 484—486 (чеш.)

Конференция, созванная министром хим. пром-сти 17—19 октября 1955 г. в Праге, обсуждала: текущие задачи развития и использования техники для выполнения

государственного плана, научно-исследовательские работы, проблему кадров.

И. Л.

75496. Научно-исследовательские работы в Р. Р. Л. Ледингем (Research at P. R. L. Ledingham G. A.), Chemistry in Canada, 1955, 7, № 11, 38—44 (англ.)

Обзор н.-и. работ в Prairie Regional Laboratory в Саскатуне (Саскачеван, Канада) по химической технологии и химии растительных продуктов, микробиологии и химии брожения.

Г. Р.

75497. Применение радиоактивных изотопов в промышленности. Нейман М. Б. (Radioaktiv izotópok alkalmazása az iparban. Neiman M. B.), Műszaki élet, 1955, 10, № 10, 2—5 (венг.)

Перевод. См. РЖХим, 1956, 47493.

75498. Флотация неметаллов. Том, Гислер (Flotation of non-metallics. Thom Clarence, Gisler H. J.), Canad. Mining and Metallurg. Bull., 1954, 47, № 504, 240—250 (англ.)

Обзор промышленного применения флотационного метода для обогащения 15 полезных ископаемых: элементарной S, пиролизита, графита, угля, талька, фосфоритов, калийных руд, барита, шеелита, плавикового шпата и др. Для каждого из них приведена технологич. схема флотации и указана наиболее эффективная комбинация флотореагентов.

М. Л.

75499. Значение графических и статистических методов исследования в химической технологии. Ватерман (De betekenis van grafisch-statistisch onderzoek in de chemische industrie. Waterman H. I.), Ingenieur (Utrecht), 1954, 63, № 13, 23—31 (голл.)

Обзор. Начало см. РЖХим, 1956, 47494. Библ. 33 назв.

К. Г.

## СЕРНАЯ КИСЛОТА, СЕРА И ЕЕ СОЕДИНЕНИЯ

**75500. Пуск нового завода «Акрагаз» компании Монтекатини в Сицилии.**— (L'entrata in funzione del nuovo stabilimento «AKRAGAS» del Gruppo Montecatini in Sicilia.—), Rassegna chim., 1955, 7, № 6, 25—27 (итал.) 3-д будет производить контактную  $H_2SO_4$ ,  $H_3PO_4$ , простой и двойной суперфосфат, конц. и гранулированные N-P-удобрения. Г. Р.

**75501. Получение серы из газов при помощи растворов тиоарсенатов.** Хельм, Брихта (Die Gewinnung von Schwefel aus Gasen mittels Thioarsenatlösung. Helm J., Brychta M.), Energietechnik, 1954, 4, № 8, 357—360 (нем.)

Приведены результаты исследования аммиачно-мышьякового способа очистки газа от S на опытной установке в Кладно (Чехословакия), очищающей в час 880 м<sup>3</sup> коксового газа, содержащего  $H_2S$  5 г/м<sup>3</sup>, HCN 0,5 г/м<sup>3</sup> и CO<sub>2</sub> 3,2%. Скруббер высотой 21 м и диам. 806 мм, и регенератор (Р) высотой 37 м и диаметром 558 мм термозолированы по всей высоте. Рабочий р-р готовился растворением водн. пасты As в избытке 5%  $NH_4OH$ . Регенерация р-ра осуществлялась продувкой через р-р воздуха (расход его до 1 м<sup>3</sup> на 1 кг полученной S). Часть р-ра (10—25%) циркулирует помимо Р; в случае необходимости в него добавляют  $NH_3$ . Оптимальные условия: отношение  $As_2O_3$  (в р-ре) к  $H_2S$  (в газе)  $\leq 10$ , рН 7,2, при этом коэфф. абсорбции равен 6,5—8,0, что значительно выше, чем в случае содового варианта (2,5—3,5). Из Р небольшая часть р-ра с суспензией S (5—10% S) пропускается через фильтр, остаток промывается 1%  $NH_4OH$  при 50°. Получают пасту с 50% S, особенно пригодную для приготовления средства для защиты растений. Переплавкой пасты можно уменьшить содержание As в S до 0,02%. На 1 т полученной S расходуется 150 кг  $NH_3$ . За 9 месяцев работы не замечено значительной коррозии железной аппаратуры. Я. З.

**75502. Окончание пускового периода на новом серно-кислотном и цементном заводе в Уайтхеве (Камберленд, Англия).**— (The end of the beginning at Whitehaven. Opening of a new sulphuric acid and cement plant.—), Chem. and Process Engng, 1956, 37, № 1, 5—7; Times Rev. Ind., 1955, 9, № 107, 13, 15 (англ.) См. также РЖХим, 1956, 40083. Г. Р.

**75503. Ухудшение активности ванадиевого катализатора, применявшегося для получения контактной серной кислоты. II. Термические свойства изношенного катализатора.** Кубо, Танигучи (接觸硫酸用劣化バナジウム触媒の研究. 第2報. 劣化触媒の熱的性質. 久保輝一郎, 谷口雅男.), 工業化學雜誌, Koré kara-ku dzasshi, J. Chem. Soc. Japan. Industr. Chem. Sec., 1953, 56, № 8, 571—573 (япон.)

Методами термогравиметрии и дифференциального термич. анализа исследованы изменения свойств V-катализатора. У изношенного V-катализатора при нагревании установлена большая потеря в весе (по сравнению со свежим) за счет разложения и дегидратации сульфатов. Найдена большая разница в характере кривых теплоустойчивости нового и изношенного V-катализатора. Сообщение I см. РЖХим, 1956, 36386. В. Ш.

**75504. Взаимодействие сернистого ангидрида с моноэтаноламином.** Тезиков А., Холодильн. техника, 1956, № 1, 67

Обсуждаются причины физ. и хим. потерь моноэтаноламина (МЭА) при применении его р-ра для поглощения  $SO_2$  из дымовых газов при произв. жидкой  $CO_2$  и сухого льда и мероприятия для устранения этих потерь. Хим. потери вызываются: 1) наличием в дымовых газах  $SO_2$  (при недостаточной промывке их водой и р-ром соды), образующего тиосульфат, не разлагающийся при регенерации; 2) окислением и полимеризацией МЭА кис-

лородом. Установлено, что МЭА и продукты его окисления в присутствии даже небольших кол-в  $SO_2$  дымят и образуют туман. Г. Р.

**75505. Очистка газов от органической серы пероксидной рудой.** Чагунава В. Т., Тр. Груз. политехн. ин-та, 1955, № 5 (40), 86—97 (рез. груз.)

Проведены опыты по очистке азото-водородной смеси и  $CO_2$  от  $CS_2$  и опыты по очистке промышленных водяной и полуводяной газов, содержащих 5,52—7,42 г/м<sup>3</sup>  $H_2S$  и 0,4—0,8 г/м<sup>3</sup> органич. S, с помощью пероксидной измельченной до 2—4 мм Мп-руды (Чиатуры), содержащей  $> 90\%$   $MnO_2$  (главным образом в виде пиролюзита). Лучшие результаты получены с мягкой рудой. Для очистки от органич. S необходима восстановительная атмосфера, без которой степень очистки газа и срок службы массы незначительны. Водяной и полуводяной газы полностью очищаются от  $H_2S$  и органич. S при 300—400° и объемной скорости 1000, причем емкость массы достигает 20% S или 400—420 г S на 1 л массы. При очистке газа происходит восстановление  $MnO_2$  в  $MnO$ , сопровождающееся заметным увеличением объема, и конверсия органич. S в  $H_2S$ ; последний связывается  $MnO$  с образованием  $MnS$ . Для регенерации отработанную массу продувают паро-воздушной смесью при 700°. Г. Р.

**75506 П. Извлечение элементарной серы из сульфидов железа** (Extraction of elemental sulphur from sulphides of iron) [Minister of Mines and Technical Surveys of Canada]. Англ. пат. 722143, 19.01.55

В суспензию тонкоизмельченного FeS или пирротина в воде, находящуюся в автоклаве (напр., качающемся) и подогретую до  $\geq 110^\circ$ , пропускают при перемешивании воздух или  $O_2$  под давлением, причем выделяется S. Т-ру поддерживают  $\leq 140^\circ$  для предотвращения окисления S. Затем S отделяют от суспензии образовавшейся  $Fe_2O_3$ , напр. пропусканием через сито.  $O_2$  подают под давл. 7—21 атм. S следует отделять в течение 2 час. FeS получают нагреванием пиритов. Г. Р.

**75507 П. Способ извлечения элементарной серы из газов.** Батлер, Дью, Зинк (Method for recovering elemental sulfur from gases. Butler John R., Dew Jess E., Zink Donald G.) [Stanolind Oil and Gas Co.]. Пат. США 2724641, 22.11.55

$H_2S$ , содержащийся в большом кол-ве в углеводородных газах или полученный при очистке этих газов, сжигают с газом, содержащим  $O_2$  (мол. соотношение  $H_2S : O_2 = 2 : 1$ ), в горелке (в которой находится катализатор, напр. боксит), погруженной в жидкость — расплавленную S или воду, т-ру которой поддерживают в пределах 110—160°. Продукты сгорания приходят в непосредственное соприкосновение с жидкостью, ввиду чего в зоне р-ции устанавливается т-ра 200—540°, при которой другие газы (напр.  $CH_4$ ) не сгорают; при применении воды в зоне р-ции поддерживают давл. 1—10 атм. Образующаяся при р-ции S конденсируется в расплавленной S или в воде. Можно также работать при т-ре водяной ванны  $\sim 93^\circ$  и атмосферном давлении; при этом S получается в колл. виде. Если газы, выходящие из I реактора, содержат  $H_2S$  и  $SO_2$ , то к ним добавляют один из этих газов до соотношения  $H_2S : SO_2 = 2 : 1$  и направляют через подогреватель (425—540°) во II реактор, где находится слой (неподвижный или псевдооживленный) катализатора, напр. боксита или  $SiO_2$ , активированного  $Al_2O_3$ ,  $B_2O_3$  и  $Na_2O$  или  $K_2O$ . Р-ция  $H_2S$  и  $SO_2$  с образованием S происходит при  $\sim 232^\circ$ ; т-ра регулируется циркуляцией диффенла или другого теплоносителя через рубашку II реактора. Выходящие из него газы проходят последовательно 2 конденсатора: в 1-м конденсируются пары S, во 2-м — пары воды. Часть газов после 1-го конденсатора можно рециркулировать во II реактор. Г. Р.

**75508 П.** Способ получения элементарной серы из газов, содержащих сероводород. Карль (Verfahren zur Gewinnung von elementarem Schwefel aus schwefelwasserstoffhaltigen Gasen. Karl Alfred) [Heinrich Koppers G. m. b. H.]. Пат. ФРГ 910113, 8.03.56

Газы (светильный газ), содержащие  $H_2S$ , промывают щел., в частности аммиачным, р-ром органич. переносчика  $O_2$ , а затем поглощенный р-ром  $H_2S$  окисляют  $O_2$  (воздухом) в элементарную S; при этом р-р регенерируется. Для большего превращения  $H_2S$  в S целесообразно применять в качестве переносчика  $O_2$  хлорированные (с 2 и более атомами Cl) ароматич. окси- и полиоксисоединения, напр. 2,5-дихлор- и 2, 3, 5-трихлоргидрохинон. Г. Р.

**75509 П.** Способ очистки горючих газов от соединений серы. Херберт, Рюпинг, Хубман, Данулат (Verfahren zur Entfernung von Schwefelverbindungen aus brennbaren Gasen. Herbert Wilhelm, Rüping Helmut, Hubmann Otto, Danulat Friedrich) [Metall. Ges. A.-G.]. Пат. ФРГ 919734, 2.11.54 [Chem. Zbl., 1955, 126, № 30, 7121 (нем.)]

Горючие газы, напр. газы для синтеза бензина, очищают от соединений S (особенно органич.) с помощью массы для тонкой очистки под давлением. Процесс проводят под давл. 2—50 ат при 150—300° (190—250°), пропускавая через 1 м<sup>3</sup> реакционного пространства газ в кол-ве > 800 (800—2500) мм<sup>3</sup>/час. Г. Р.

**75510 П.** Способ получения газов, содержащих двуокись серы. Йохансен, Данц, Панмюллер, Вольф (Verfahren zur Herstellung schwefeldioxydhaltiger Gase. Johansen Adolf, Danz Willi, Pfannmüller Wilhelm, Wolf Herbert) [Badische Anilin- & Soda-Fabrik A.-G.]. Пат. ФРГ 934473, 27.10.55

При обжиге серного колчедана размером 0,1—10 мм в псевдооживленном слое огарка, для устранения неполадок, вызываемых накоплением крупных частиц внизу слоя, отводят основное кол-во огарка из верхней части слоя и некоторое кол-во огарка из средней или нижней части слоя, которое возвращают в слой для вторичного обжига. Г. Р.

**75511 П.** Способ переработки отработанной кислоты после нитрования. Бенен, Барцен (Verfahren zur Aufarbeitung von Nitrierabfallsäure. Behnen Georg, Barzen Matthias) [Chemische Werke Rombach G. m. b. H.]. Пат. ФРГ 890941, 24.09.53 [Chem. Zbl., 1955, 126, № 24, 5624 (нем.)]

Через отработанную к-ту с примесями органич. в-в пропускают горячие газы, содержащие  $SO_2$ , при такой т-ре, чтобы выходящая к-та (при достаточном содержании  $SO_2$ ) имела конц-ию  $H_2SO_4 \geq 76\%$ . Процесс проводят в интенсивных газосмесителях или в реакционных башнях, напр. в башнях Гловера произ-ва  $H_2SO_4$  нитрозным способом. При применении обжиговых газов их необходимо предварительно подогреть. Г. Р.

**75512 П.** Способ переработки промывной кислоты — отхода производства контактной серной кислоты из колчеданов, содержащих мышьяк. Вегенер (Verfahren zur Aufarbeitung der bei der Verarbeitung von arsenhaltigen Kiesen auf Kontaktschwefelsäure anfallenden Wäsche. Wegener Ernst) [Metallgesellschaft A.-G.]. Пат. ФРГ 929605, 30.06.55

Промывную к-ту (напр. содержащую 62%  $H_2SO_4$  и ~25 г/л  $As_2O_3$ ) смешивают с колчеданным огарком в соотношении 0,7 : 1, причем образуется сульфат Fe, и большая часть As связывается с Fe. Смесь добавляют к колчедану, при обжиге которого As остается в огарке и не переходит в обжиговый газ. Для осуществления процесса достаточно производить циркуляцию 10% огарка. Г. Р.

См. также: 77025, 77113

## АЗОТНАЯ ПРОМЫШЛЕННОСТЬ

**75513.** Газ для синтеза аммиака. Мейленд, Камли, Рейнольдс (Ammonia synthesis gas. Mayland B. J., Comley E. A., Reynolds C.). Canad. Chem. Process., 1954, 38, № 9, 22, 24, 28—29 (англ.) См. РЖХим, 1956, 47514.

**75514.** Синтетический аммиак. — (Synthetic ammonia.—), Chem. Engng, 1954, 61, № 5, 332—335 (англ.) Приведена принципиальная схема синтеза аммиака на недавно пущенном в США з-де (см РЖХим, 1954, 24054, 1956, 62069), на котором получение смеси ( $N_2 + H_2$ ) осуществляется на основе неполного окисления углеводородов природного газа. А. И.

**75515.** Каталитическое окисление NO. Бокховен, Эвтеринг (De katalytische oxydatie van NO. Bokhoven C., Zwietering P.). Chem. weekbl., 1956, 52, № 5, 83—87 (голл.; рез. англ.)

Исследован катализируемый силикагелем (C) процесс окисления NO. Фактор ускорения р-ции  $NO \rightarrow NO_2$  (отношение времени контактирования над C к времени гомог. газовой р-ции при одинаковом проценте превращения) составил при 20° ~ 39—85, при 60° ~ 13—14. Изотермы адсорбции  $NO$  и  $O_2$  на C выражаются прямыми; теплота адсорбции  $NO$  на C составляет 3370 кал/моль. Механизм гетерог. р-ции рассматривается как столкновения адсорбированных молекул  $NO$  и  $O_2$ . Ускорение р-ции объяснено концентрированием реагирующих компонентов на поверхности C. Фактор ускорения возрастает от 2,6 до 21,6 при увеличении поверхности C от 228 до 1007 м<sup>2</sup>/г. К. Г.

**75516.** Гидразин. Производство, свойства и применение. Бедюно (Hydrazine. Préparation, propriétés et emplois. Beduneau H.). Rev. prod. chim., 1954, 57, № 1201, 178—182 (франц.)

Описаны области применения гидразина, его солей, органич. производных и смесей с другими в-вами: в качестве топлива (для реактивных двигателей и двигателей внутреннего сгорания), для удаления  $O_2$  из воды, для питания котлов, в качестве флюса при сварке, для фототграфии, в произ-ве фармацевтических продуктов, инсектицидов, стимуляторов роста, резины, пластмасс, искусств. волокна, смол, в текстильной и красильной пром-сти, в аналитич. химии. Отмечены мероприятия по технике безопасности при работе с гидразином. Библ. 23 назв. Начало см. РЖХим, 1956, 16561. Г. Р.

**75517.** Краткий обзор химии гидразина. Шифер (Kurzer Überblick über die Chemie des Hydrazins. Schiefer Erich), Lab.-Praxis, 1956, 8, № 4, 38—41 (нем.)

Приведены хим. р-ции и методы получения и применения органич. производных гидразина для произ-ва искусств. волокна, красителей, фармацевтич. продуктов, резины, вспомогательных материалов для текстильной пром-сти, фотоматериалов, гербицидов и других хим. продуктов. Приведены также сведения по технике безопасности. Предыдущее сообщение см. РЖХим, 1956, 58623. Г. Р.

**75518 П.** Способ непрерывного получения азотной кислоты реакцией серной кислоты с селитрой. Паулинг (Verfahren zur kontinuierlichen Herstellung von Salpetersäure durch Umsetzung von Schwefelsäure mit Salpeter. Pauling Harry). Пат. ФРГ 931588, 11.08.55

Р-цию  $H_2SO_4$  с  $NaNO_3$  проводят в насадочной или тарельчатой колонне, состоящей из нескольких частей и обогреваемой подаваемым снизу водяным паром. В нижней части колонны подают кипящий насыщ. р-р  $NaNO_3$ , в верхнюю — соответствующее кол-во подогретой  $H_2SO_4$ , которая служит также для концентрирования поднимающихся паров  $HNO_3$ . Водяной пар может быть полу-

чен при выпаривании выходящего снизу колонны р-ра  $\text{NaHSO}_4$ . В середину колонны можно подавать часть  $\text{NaNO}_3$  в кристаллич. виде.

Г. Р.  
75519 П. Способ приготовления и отбеливания высококонцентрированной азотной кислоты. Катала (Verfahren zur Herstellung und Bleichung hochkonzentrierter Salpetersäure. Cathala Marie Edouard Joseph). Пат. ФРГ, 890040, 17.09.53 [Chem. Zbl., 1955, 126, № 24, 5624 (нем.)]

$\text{HNO}_3 \leq 90\%$  конц-ии подвергается двойной ректификации с полным отделением паров  $\text{NO}_2$ . В верхней части 1-й колонны получают чистую  $\text{HNO}_3$ , содержащую  $\text{NO}_2$ , а разб.  $\text{HNO}_3$  вытекает снизу. Конц.  $\text{HNO}_3$  освобождается от  $\text{NO}_2$  во 2-й колонне. Исходную к-ту можно освобождать от большей части  $\text{NO}_2$  в колонне предварительного подогрева к-ты.

В. Ш.  
75520 П. Гидразин. Арнолд, Джеймисон (Hydrazine. Arnold Orlan M., Jamison Robert M.). [Olin Mathieson Chemical Corp.] Пат. США 2715564, 16.08.55

Для предотвращения растворения Си в гидразине в последнем растворяют тетраметилтиураммоно- (или дитиульфид, 2,2-дибензотиазилсульфид или смесь этих в-в.

Г. Р.

См. также: 75555

## СОДОВАЯ ПРОМЫШЛЕННОСТЬ

75521. Хайрпурская трона и ее использование. Мухтаг, Сиддики, Бухари (Khairpur Khar and its utilization. Mushtag, Siddigi A., Bukhari M. S.). Pakistan J. Sci., 1956, 8, № 1, 35—37 (англ.)  
Обсуждаются возможности расширения произ-ва  $\text{NaOH}$  методом каустификации за счет увеличения добычи троны из многочисленных озер княжества Хайрпур и провинции Синд (западный Пакистан).

Г. Р.

75522 П. Способ рационального использования отходящих газов при кальцинировании бикарбонатов, в частности бикарбоната натрия. Бауманн (Verfahren zur wirtschaftlichen Ausnutzung der Abgase der Kalkinierung von Bicarbonaten, insbesondere Natrium-Bicarbonat. Baumann Friedrich). Пат. ГДР 10683, 20.10.55

Процесс кальцинирования ускоряют предварительным подогреванием пропускаемых над  $\text{NaHCO}_3$  газов ( $\text{O}_2$ , воздух,  $\text{N}_2$ ,  $\text{CO}_2$  и др.). Кол-во и состав последних выбирают так, чтобы смесь их с газами, образующимися при кальцинировании, могла быть использована для получения синтетич. газа в генераторах или в процессах расщепления без затраты дополнительной энергии и (или) сырья. Способ особенно выгоден в сочетании с установкой для выделения  $\text{CO}_2$  из синтез-газа и для получения обогащенного  $\text{CO}$  водяного газа.

М. А.

## МИНЕРАЛЬНЫЕ СОЛИ. ОКИСЛЫ. КИСЛОТЫ. ОСНОВАНИЯ

75523. Синтез сульфамата аммония. Ито (スルファミン酸アンモニウムの加圧合成. 伊藤幸夫). 工業化学雑誌 Koré kagaku zasshi, J. Chem. Soc. Japan. Industr. Chem. Sec., 1954, 57, № 11, 797—800 (япон.)

$(\text{NH}_4\text{SO}_3)_2\text{NH}_3$ , полученный р-ции избытка  $\text{NH}_3$  с  $\text{SO}_2$  (см. РЖХим, 1956, 50509), нагревали в запаянном стеклянном сосуде или в автоклаве при 220—250° с  $\text{NH}_3$  под давл. 10—38 ат; полученный  $\text{NH}_4\text{SO}_3\text{NH}_2$  был выделен растворением в  $\text{C}_2\text{H}_5\text{OH}$  и рекристаллизован. При высоком давлении  $\text{NH}_3$  ( $\text{NH}_4\text{SO}_3$ ) $_2\text{NNH}_4$  диссоциирует на 2 моля  $\text{NH}_4\text{SO}_3\text{NH}_2$ ; при низком давлении  $(\text{NH}_4\text{SO}_3)_2\text{NH}_3$

при р-ции с  $\text{NH}_3$  образует  $\text{NH}_4\text{SO}_3\text{NH}_2$ . Предполагается наличие нового продукта присоединения —  $(\text{NH}_4\text{SO}_3)_2\text{NNH}_4 \cdot \text{NH}_3$ . Лучший выход  $\text{NH}_4\text{SO}_3\text{NH}_2$  (80—90%) получен в автоклаве при давл.  $\text{NH}_3$  20—50 ат и 220—250° при продолжительности р-ции 30—40 мин.

Г. Р.

75524. Давление паров и скрытая теплота возгонки солей аммония. Лафт (Sublimation pressures and latent heats of ammonium salts. Luft N. W.). Industr. Chemist, 1955, 31, № 369, 502—504 (англ.)

Приведены скрытая теплота возгонки и номограмма для определения давления паров (при различных т-рах) 18 солей  $\text{NH}_4$ .

Г. Р.

75525. Возможность получения магния из оливины путем хлорирования. Бенгтсон (Magnesium from olivine via chlorination: a possibility. Bengtson Kermit B.). Trend Engng Univ. Wash., 1956, 8, № 1, 21—26, 35—36 (англ.)

В лабор. условиях исследован процесс хлорирования оливины эквимольной смесью  $\text{CO}$  и  $\text{Cl}_2$ . Основная р-ция протекает (согласно ур-нию  $\text{Mg}_2\text{SiO}_4 + 2\text{CO} + 2\text{Cl}_2 = 2\text{MgCl}_2$  (газ) +  $\text{SiO}_2 + 2\text{CO}_2$ ) почти до конца при размере частиц до 48 меш и при т-рах, достаточных для испарения образующегося  $\text{MgCl}_2$ . Установлено, что хлористые соединения Si из зоны р-ции практически не выделяются. Подробно изучены факторы, определяющие скорость хлорирования оливины, которая очень высока и превосходит скорость хлорирования чистой  $\text{MgO}$ . Этот способ получения безводн.  $\text{MgCl}_2$  для электролиза очень рентабелен и дешев.

Л. Х.

75526. Исследование процесса получения сухого льда и обжига известняка в электрических печах. Аояма (A study of the calcination of lime stone by electric heating and the production of dry-ice. Aoyama Shin-ichi). Караку кэнкюдзэ хококу, Repts. Scient. Res. Inst., 1953, 29, № 5-6, 433—435 (англ.)

Сконструирована цилиндрич. печь диам. 2 м, высотой 6 м, емк. 19 м<sup>3</sup> для обжига известняка электронагревом с применением полупроводниковых нагревателей (сил-конит). Печь выложена огнеупором, имеет теплоизоляцию и оборудована для длительного поддержания в ней вакуума ~ 5 мм рт. ст. Обжиг продолжается ~ 12 час., причем получается 624 кг чистой (без запаха)  $\text{CO}_2$  и 800 кг чистой обожженной 99%-ной извести.

Abstrs kagaku-kenkyu-jo hokoku, 1953, 23, № 1, 34—35.

С. А.

75527. Производство четыреххлористого титана с применением окиси углерода. Такимото, Хаттори (一酸化炭素を還元剤とする四酸化チタンの製造について. 瀧本幸三, 服部弘). 工業化学雑誌, Koré kagaku zasshi, J. Chem. Soc. Japan. Industr. Chem. Sec., 1955, 58, № 4, 253—255 (япон.)

Титановый пигмент (I) ( $\text{TiO}_2$  97,62%), восстановленную  $\text{TiO}_2$  (II) ( $\text{Ti} : \text{O} = 1 : 1,88$ ) и ильменитовый шлак (III), полученный из малайского ильменита ( $\text{TiO}_2$  49,8% и  $\text{FeO}$  40,9%), брикетировали с магнезией ( $\text{MgO}$  65,4%) и антрацитом, а затем подвергали действию  $\text{Cl}_2$  (250 мл/мин) и  $\text{CO}$  (100 мл/мин) в смеси или попеременно в электрич. печи при 1000° в течение различных периодов времени (вплоть до 5 час.).  $\text{TiCl}_4$  был получен с выходом ~ 70% из I пропускаясь попеременно хлора и смеси  $\text{CO}$  с хлором. Для р-ции с II и III лучше применять только смесь  $\text{CO} + \text{Cl}_2$ , но кол-во  $\text{Cl}_2$ , потребное для такого же выхода  $\text{TiCl}_4$ , на 30% выше, чем по методу, описанному в предыдущей работе (см. РЖХим, 1956, 40110). Библ. 8 назв.

Г. Р.

75528. Элементарный фосфор. Производство в электрических печах. Бикслер, Уорк, Латтиг (Elemental phosphorus electric furnace production. Bixler Gordon H., Work Josiah, Lattig R. M.). Industr. and Engng Chem., 1956, 48, № 1, 2—15 (англ.)  
Приведены данные о развитии произ-ва Р в США.

характеристика 27 работающих электр. печей, принципы проектирования печей, а также подробное описание добычи и подготовки сырья, процесса, контроля и автоматизации произ-ва Р, оборудования и его ремонта на 3-де Westvaco Mineral Products Division в Покателло (Айдахо), на котором работают 3 печи типа TVA № 6, удлиненные с закругленными концами и расположением 3 графитовых электродов в ряд, мощностью 18, 20 и 25 тыс. квт, и 1 круглая с треугольным расположением электродов, мощностью 36 000 квт. Сырьем служат низкосортные фосфориты Айдахо, содержащие 24%  $P_2O_5$ ; мелочь предварительно гранулируется. Выходящий из печи газ проходит последовательно 2 электрофильтра для очистки от пыли, а затем конденсатор, в котором распыляется вода, причем газ охлаждается до 55–60°; жидкий Р поступает в подземные сборники. Г. Р.

**75529. Восстановление оксидов вольфрама водородом.** Хауген, Ривс, Маннелла (Reduction of tungsten oxides with hydrogen. Haugen Joel O., Reeves Robert R., Mannella Gene G.), Industr. and Engng Chem., 1956, 48, № 2, 318–320 (англ.)

Изучалась кинетика восстановления водородом таблеток  $WO_3$  и  $WO_2$ . Установлено, что процесс идет ступенчато. Вначале равномерно по всей массе таблетки образуется  $W_{2}O_{11}$ , а затем на поверхности появляется оболочка  $WO_2$ , которая постепенно распространяется внутрь образца. Затем на поверхности образуется металлический W, слой которого так же растет внутри таблетки, но с несколько меньшей скоростью. Скорость восстановления замедляется после определенного начального периода, что объясняется лимитирующим влиянием диффузионных процессов. Процесс может быть выражен р-циями:  $4WO_3 + H_2 \rightarrow W_{2}O_{11} + H_2O$ ;  $W_{2}O_{11} + 3H_2 \rightarrow 4WO_2 + 3H_2O$ ;  $WO_2 + 2H_2 \rightarrow W + 2H_2O$ ;  $W_{2}O_{11} + 11H_2 \rightarrow 4W + 11H_2O$ . При высоких т-рах доминируют первые три р-ции; при низких (520°) — 1-я и 4-я. Общая продолжительность восстановления зависит от величины таблетки и растет с увеличением ее размеров. Присутствие паров  $H_2O$  (~7%) в восстановителе снижает скорость восстановления, прекращая его на стадии образования  $WO_2$ . Изменение скорости газа в некоторых пределах не влияет на скорость восстановления. При т-ре < 542° образуется  $\beta$ -фазный W, а при более высоких т-рах —  $\alpha$ -фазный. Л. Х.

**75530. Извлечение железного купороса из травильных растворов.** Шефтель Н. И., Сталь, 1954, № 7, 655–657

Приведены данные о составе  $FeSO_4 \cdot 7H_2O$  (I), получаемого из травильных р-ров на различных 3-дах; проект стандарта на I, получаемый в вакуум-кристаллизаторах, и на I, получаемый в ваннах-кристаллизаторах с естественным охлаждением; данные о растворимости I в зависимости от т-ры и конц-ии  $H_2SO_4$ . Указаны мероприятия: улучшение качества I; повышение производительности ванн-кристаллизаторов, в которых степень извлечения I достигла 48,6%; экономия  $H_2SO_4$  при травлении стали и использовании травильных р-ров. Показан наиболее экономичный способ извлечения I из травильных р-ров в вакуум-кристаллизаторах. См. также РЖХим, 1956, 58647. Г. Р.

**75531. Улучшение способа фильтрации суспензии гидрата закиси никеля.** Лемке П. П., Сб. рац. предложений. М-во электротехн. пром-сти СССР, 1955, вып. 55, 19–20

Описан процесс фильтрации горячей (60–70°) суспензии  $Ni(OH)_2$  на фильтрессах под давл. 9,5–10,5 ат. На каждую раму навешивают по 2 салфетки из бейтинга, которые служат 50–55 циклов, после чего заменяются наполовину новой тканью и наполовину стиральной. Средняя влажность отпрессованного  $Ni(OH)_2$  составляет 55–57%. Г. Р.

**75532. Аргон.** Слэйс (Argon. Sluis K. J. H. van), Chem. courant, 1956, 55, № 1773, 260–263 (голл.)  
Излагаются история и современные способы получения Ar из воздуха и его применение в пром-сти. К. Г.

**75533 П. Очистка перекиси водорода.** Данлоп, Дуслин, Пьеротти (Purification of hydrogen peroxide. Dunlop Arthur K., Douslin Donald R., Pierotti Cino J.) [Shell Development Co.]. Пат. США 2695217, 23.11.54

При непрерывном процессе очистки  $H_2O_2$  к 0,5–2,5%-ному (по весу) исходному р-ру  $H_2O_2$  прибавляют р-р, содержащий  $PO_4^{3-}$  (кол-во  $PO_4^{3-}$  0,05–10% от веса  $H_2O_2$ ). Р-р подается в первую реакционную зону, где он смешивается с водн. суспензией  $Ca(OH)_2$ . Образующийся твердый  $CaO_2 \cdot 8H_2O$  отфильтровывается, промывается и суспендируется в  $H_2O$ . Суспензия поступает во вторую реакционную зону, где поддерживается постоянная т-ра (в интервале ~30°–80°) и давление  $CO_2$  (7 кг/см<sup>2</sup>). Выходящая из второй зоны смесь  $CaCO_3$  и водн.  $H_2O_2$  фильтруется, причем  $CaCO_3$  возвращается в цикл. Р-р  $H_2O_2$  может дополнительно пропускаться через монообменную смолу. Л. Х.

**75534 П. Способ получения алюмогидрида лития.** Виберг, Шмидт (Verfahren zur Herstellung von Lithiumaluminiumhydrid. Wiberg Egon, Schmidt Max) [Hans-Heinrich-Hütte G. m. b. H.]. Пат. ФРГ 931527, 11.08.55

Согласно прежних патентов (см. РЖХим, 1955, 46389; 1956, 36411) р-р алюмогидрида лития (I) в эфире или тетрагидрофуране получают обработкой р-ра  $AlBr_3$  в соответствующем р-рителе суспензией LiH. Предлагаемая примесь LiBr, содержащаяся в р-ре I, отделяет, напр., с помощью высаливания. После удаления растворенного LiBr и упаривания р-рителя из полученных р-ров получают I в твердом состоянии. Л. Х.

**75535 П. Получение пербората натрия с низким напыльным весом.** Гилберт (Verfahren zur Herstellung von Natriumperborat mit niedrigem Schüttgewicht. Gilbert Harvey N.), [E. I. du Pont de Nemours and Co.]. Пат. ФРГ, 941370, 12.04.56

Кристаллический  $NaBO_3 \cdot 4H_2O$  (I) насыпают тонким слоем на алюминиевый противень и нагревают постепенно, начиная с 40° (начало дегидратации). При 64° I начинает плавиться и переходит в прозрачную вязкую массу. При дальнейшем нагревании расплавленная масса вспучивается и мутнеет. Получается пористый  $NaBO_3 \cdot H_2O$  (II) с размером частиц 10–20 меш. II не пылит и не крошится, содержит до 15,05 вес. % кислорода. Растворимость его в воде значительно выше растворимости I. Насыпной вес в 6 раз ниже насыпного веса I. Повышать т-ру выше 170° не следует, так как I начнет плавиться. Т. С.

**75536 П. Приготовление рассола хлористого натрия.** Хантер, Блу, Нейперт (Preparing sodium chloride brine. Hunter Ralph M., Blue Robert D., Neipert Marshall P.) [The Dow Chemical Co.]. Канад. пат. 511795, 12.04.55

Крепкий рассол NaCl (приготовленный из NaCl, содержащего примесь гипса) очищают снижением растворимости  $CaSO_4$ : 1) выдерживают р-р NaCl над твердой NaCl при т-ре, которая выше переходной точки  $CaSO_4 \cdot H_2O$  к безводн. гипсу; 2) получают при 30° насыщ. р-р NaCl и выдерживают 60 дней над твердым NaCl, а затем отделяют; 3) вводят  $Na_2SO_4$  (2–6 г/л) для уменьшения растворимости  $CaSO_4$ . И. 3.

**75537 П. Метод и оборудование для получения солей из рассолов.** Лоц (Verfahren und Einrichtung zur Gewinnung von Salzen aus Sole. Lotz Erwin) [Ver-einig-te Badische Staats-Salinen Dürreim-Rappenau A.-G.]. Пат. ФРГ 937286, 5.01.56

Соли (NaCl,  $NaClO_4$ ,  $Na_2CO_3$  и др.) из насыщ. р-ров

выпаривают и кристаллизуют в естественных условиях путем разбрызгивания их по обширной горизонтальной поверхности. Возможны следующие варианты взаимного расположения поверхности при кристаллизации и разбрызгивающего устройства. 1. Подвижная форсунка разбрызгивателя располагается в одном конце движущейся с постоянной скоростью конвейерной ленты, служащей поверхностью кристаллизации, — кристаллы непрерывно удаляются в противоположном от разбрызгивателя конце ленты. 2. Ряд разбрызгивающих форсунок передвигается относительно неподвижного стола либо наоборот — движется стол. Устройство для удаления кристаллов соответственно выполняется подвижным или неподвижным. Ленту и покрытие стола рекомендуется изготавливать из материалов на основе поливинилхлорида, окрашенных в темный или черный цвет. Л. Х.

**75538 П.** Способ уменьшения самовоспламеняемости фосфидов щелочных, щелочно-земельных или земельных металлов и выделяющегося из них фосфористого водорода. Хютер (Verfahren zur Unterdrückung der Selbstentzündlichkeit von Phosphiden der Alkalien, Erdalkalien oder Erdmetalle und von aus diesen entwickeltem Phosphorwasserstoff. Hüter Ludwig) [Deutsche Gold- und Silber-Scheideanstalt vormals Roessler]. Пат. ФРГ 923006, 31.01.55

Для уменьшения самовоспламеняемости фосфидов и получающегося из них  $\text{PH}_3$  (в частности при гидролизе во влажном воздухе) фосфиды смешивают с в-вами, легко разлагающимися при нагревании, желательнее при  $t\text{-ре} \leq 60^\circ$  с выделением  $\text{CO}_2$ , напр. с  $\text{NaHCO}_3$ , карбонатом  $\text{NH}_4$ ,  $\text{NH}_4\text{HCO}_3$ , мочевиной или ее производными; эти в-ва берут в кол-ве 10—65% (33—55%) от всей смеси. Лучше всего смешивать тонкоизмельченные компоненты и брикетировать их в таблетки. Указаны области возможного применения смесей фосфидов. Е. Б.

**75539 П.** Способ получения твердого, устойчивого кислотоустойчивого натрия. Линднер (Verfahren zur Herstellung von festem, haltbarem, saurem Natriumacetat. Lindner Alois Franz) [Joh. A. Benckiser G. m. b. H.]. Пат. ФРГ 932607, 5.09.55

Твердый, устойчивый кислый  $\text{CH}_3\text{COONa}$  (заменитель  $\text{CH}_3\text{COOH}$ ) получают обработкой лед.  $\text{CH}_3\text{COOH}$ , стехиометрич. кол-вом безводн.  $\text{NaOH}$  или безводн.  $\text{Na}_2\text{CO}_3$  при 100—120°. Полученный расплав состава  $\sim \text{CH}_3\text{COONa} + 2\text{CH}_3\text{COOH}$  (прозрачная жидкость при 80°) затвердевает в формах. Измельченный продукт устойчив при хранении и транспортируется в бумажной таре. М. А.

**75540 П.** Извлечение цезия (Recovery of caesium) [United Kingdom Atomic Energy Authority]. Англ. пат. 736429, 7.09.55

К р-ру продуктов ядерного деления в водн.  $\text{HNO}_3$  добавляют фосфорновольфрамовую к-ту, причем осаждаются Cs-соли фосфорновольфрамовой к-ты. Осадок можно растворить в щелочи и осадить снова с помощью  $\text{HNO}_3$ . К исходному р-ру можно добавить  $\text{NH}_4\text{NO}_3$  для того, чтобы фосфорновольфрамвоксикид  $\text{NH}_4$  явился носителем Cs-соли. Окончательную очистку можно производить с помощью ионообменной смолы. Г. Р.

**75541 П.** Способ получения сульфата аммония. Робинсон, Миллер, Мак-Доннелл (Process for the production of ammonium sulphamate. Robinson Joseph Newton, Miller Frederick John Leslie, McDonnell Basil) [The Consolidated Mining and Smelting Co. of Canada, Ltd.]. Пат. США 2715563, 16.08.55

Р-цию между  $\text{NH}_3$  и  $\text{SO}_2$  (почти не содержащего  $\text{SO}_3$ ) проводят при 100—400° под давлением.  $\text{NH}_3$  берут с избытком. Из продукта р-ции извлекают сульфат  $\text{NH}_4$ . Г. Р.

**75542 П.** Способ осаждения сульфата аммония из водного раствора, в частности из сточных вод производства медно-аммиачного шелка. Хальтмейер (Verfahren zur Fällung von Ammonsulfat aus wässriger Lösung, insbesondere aus Abwasser der Kupfer-Reyon-Fabrikation. Haltmeier Alfred) [Farbenfabriken Bayer A.-G.]. Пат. ФРГ 935427, 17.11.55

К р-ру, содержащему 10—50 г/л  $(\text{NH}_4)_2\text{SO}_4$  (I), для выделения последнего добавляют  $\text{NH}_3$ , который затем удаляют из обессоленного р-ра и возвращают в соледержащий р-р. Оба р-ра движутся противотоком в двух желобах, находящихся в длинной трубе и снабженных приспособлениями для перемещения жидкостей. В общем паровом пространстве над желобами и параллельно им вращается длинный вал с вентиляторными лопастями, расположенными в камерах, разделяющих паровое пространство по длине. При противоточном массообмене с 20%-ной  $\text{NH}_3$ -водой содержание  $\text{NH}_3$  в р-ре I, движущемся, напр. в 1-м желобе, повышается от 0 до 15%; затем к р-ру добавляется еще 20%  $\text{NH}_3$  в жидком виде, причем т-ра р-ра понижается до  $-30^\circ$  и кристаллизуется  $\sim 70\%$  I, который отводится из соледоделителя. 35%-ный р-р  $\text{NH}_3$  поступает во 2-й соледоделитель, паровое пространство которого соединено с всасывающим штуцером  $\text{NH}_3$ -компрессора. При отсосе паров  $\text{NH}_3$  т-ра р-ра понижается до  $-40^\circ$ , причем кристаллизуется дополнительно  $\sim 15\%$  I.  $\text{NH}_3$  после компрессии возвращается в жидком виде в 1-й соледоделитель. 20%-ная  $\text{NH}_3$ -вода, содержащая  $\sim 0,3\%$  I, поступает во 2-й желоб и после массообмена с р-ром I с содержанием  $\sim 5\%$   $\text{NH}_3$  направляется в колонну для отгонки  $\text{NH}_3$ , который затем сжижается и возвращается в 1-й соледоделитель. Г. Р.

**75543 П.** Способ получения сульфата меди ( $\text{CuSO}_4 \cdot 5\text{H}_2\text{O}$ ) или раствора сульфата меди и выделение благородных металлов из медных сплавов, содержащих более 10% благородных металлов. Вольтерс, Юнгман (Verfahren zur Gewinnung von Kupfersulfat ( $\text{CuSO}_4 \cdot 5\text{H}_2\text{O}$ ) oder Kupfersulfatlösung und Rückgewinnung der Edelmetalle aus einer Kupferlegierung mit über 10% Gehalt an Edelmetallen. Wolters Hermann, Jungmann Günther) [Zahn & Co. G. m. b. H.]. Пат. ФРГ, 940764, 29.03.56

Способ получения  $\text{CuSO}_4 \cdot 5\text{H}_2\text{O}$  и выделения благородных металлов из медных сплавов (МС), содержащих > 10% благородных металлов (Ag, Au, Pt и другие металлич. примеси), отличается тем, что в качестве окислителя к сплаву добавляют 8—15%-ную  $\text{HNO}_3$  (соответственно содержанию благородных металлов). Растворение и перевод меди в сульфат производят смесью  $\text{H}_2\text{SO}_4$  и  $\text{HNO}_3$ , а из остатка выделяют благородные металлы обычным способом. Соотношение конц-ий  $\text{H}_2\text{SO}_4$  и  $\text{HNO}_3$  в смеси устанавливают таким образом, чтобы предотвратить образование  $\text{Cu}(\text{NO}_3)_2$ . Раздробленный МС орошают в башне циркулирующей смесью  $\text{H}_2\text{SO}_4$  и  $\text{HNO}_3$ . Насыщ. р-р сульфата меди стекает в сборник, очищается от шлама и кристаллизуется. Маточник и промывные воды обогащают свежей  $\text{HNO}_3$  и подают в систему в кол-ве, необходимом для повышения конц-ии  $\text{CuSO}_4$  в р-ре. Нитрозные газы окисляют  $\text{O}_2$  воздуха в присутствии избытка воды до  $\text{HNO}_3$ . Окислы азота ( $\text{N}_2\text{O}_5$  и  $\text{N}_2\text{O}_3$ ) из отходящих газов поглощают 76%-ной  $\text{H}_2\text{SO}_4$ , в результате чего снижается расход  $\text{HNO}_3$ . М. А.

**75544 П.** Способ и устройство для получения цианамидов. Риндторф, Рушман, Даниэльс (Verfahren und Vorrichtung zur Herstellung von Cyanamiden. Rindtorff Ermbrecht, Ruschmann Wilhelm, Daniels Joseph) [Heinrich Koppers G. m. b. H.]. Пат. ФРГ 909454, 22.04.54 [Chem. Zbl., 1955, 126, № 15, 3487 (нем.)]

Цианамиды щел. или щел.-зем. металлов, в частности  $\text{CaCN}_2$ , получают р-цией окиси металла с  $\text{CO}_2$  или  $\text{CO}$

и  $\text{NH}_3$  при повышенной т-ре. При этом тонкоизмельченную окись, нагретую до т-ры выше т-ры р-ции (в данном случае вместе с контактным в-вом), вдувают в нагретую реакционную камеру так, чтобы она распылялась в газе. Одновременно вводится  $\text{NH}_3$  (газ) при т-ре ниже т-ры р-ции. Смесь окиси и газоносителя вводят в цилиндрич. реакционную камеру так, чтобы в ней установилось винтообразное движение от одного конца к другому.

**75545 П.** Способ получения кристаллического сульфата алюминия высокой чистоты. Крещмар (Verfahren zur Herstellung von kristallisiertem Aluminiumsulfat hoher Reinheit. Kretschmar Hermann). Пат. ФРГ, 920964, 6.12.54 [Chem. Zbl., 1955, 126, № 20, 4671 (нем.)]

Пульпу с кристаллами спускают из выпарного аппарата перед центрифугированием в промежуточный сборник, обеспечивающий постепенный, регулируемый переход от вакуума к небольшому давлению. При этом кристаллы в сборнике и центрифуге поддерживают приблизительно при той же т-ре, что и в выпарном аппарате.

**75546 П.** Процесс получения силицидов. Брайни (Process for producing silicides. Briney Robert M.). [Union Carbide and Carbon Corp.]. Канад. пат. 517242, 2.10.55

Дисилициды W или Mo получают тесным смешением в стехиометрич. соотношениях указанных металлов с Si и последующим нагреванием смеси в инертной среде до т-ры 1400°, обеспечивающей их соединение.

**75547 П.** Способ получения хлористого алюминия из алюминиевых руд. Вейсс (Verfahren zur Herstellung von Aluminiumchlorid aus Aluminiumerzen. Weiß Paul) [Vereinigte Aluminium-Werke A.-G.]. Пат. ФРГ 933688, 29.09.55

Руду нагревают в присутствии избытка  $\text{Cl}_2$  или хлорирующих в-в ( $\text{HCl}$ -газ) и восстановителя до 900—1500° при давл. 5—80 мм рт. ст. При применении твердых восстановительных средств руду вместе с ними брикетируют. Спутники Al получают в металлической форме. Парциальное давление  $\text{Cl}_2$  или  $\text{HCl}$  (газ) и т-ру устанавливают так, чтобы хлориды примесей металлов не образовывались или, в случае их образования, подверглись термич. разложению до свободных металлов. Последнее осуществляют фракционно в отдельных камерах, последовательно присоединенных к реакционной зоне.

**75548 П.** Фосфорная кислота (Phosphoric acid) [The Davidson Chemical Corp.]. Австрал. пат. 166000, 1.12.55  
Сухой измельченный природный фосфат быстро, почти мгновенно, смешивают с  $\text{H}_2\text{SO}_4$ , конция которой  $\geq 98\%$ . Полученную пульпу подвергают горячему выщелачиванию при т-ре  $> 193^\circ$ , но ниже т-ры перехода пирофосфорной к-ты в метафосфорную; при этом ускоряется рост кристаллов и увеличивается их устойчивость в воде. Из вызревшей массы выщелачивают  $\text{H}_3\text{PO}_4$ .

**75549 П.** Способ получения тиохлорида фосфора. Фашалек (Verfahren zur Herstellung von Phosphorsulfchlorid. Faschalek Johann) [VEB Farbenfabrik Wolfen]. Пат. ГДР 10041, 11.07.55

Способ получения  $\text{PSCl}_3$  из  $\text{PCl}_3$  и S в присутствии катализатора (хлорид металла) отличается тем, что к нагретой  $> 30^\circ$  смеси измельченной S и безводн.  $\text{AlCl}_3$  или  $\text{FeCl}_3$  прибавляют  $\text{PCl}_3$  в кол-ве, необходимом для образования  $\text{PSCl}_3$ . Пример. 320 ч. измельченной сухой S и 25 ч.  $\text{AlCl}_3$  помещают в колбу с обратным холодильником, термометром и капельной воронкой, нагревают на масляной бане до  $60^\circ$ , приливают 1370 ч.  $\text{PCl}_3$ . После приливания первых мл т-ра поднимается до 110—120°. После окончательного приливания меняют холодильник и дистиллируют продукт. Выход  $\text{PSCl}_3$  1660 ч.

М. А.

**75550 П.** Способ выделения фтора из растворов кислоты и нитрата. Плюсье (Process for removing fluorine from acid nitrate containing solutions. Plusje Mathijs H. R. J.) [De Directie van de Staatsmijnen in Limburg]. Канад. пат. 511785, 12.04.55

Из р-ра, полученного азотнокислотным разложением природного фосфата, выделяют F в виде HF или  $\text{SiF}_4$ , перегонкой с водяным паром при т-ре паров 120—140°. Процесс можно проводить циклически: природный фосфат разлагают  $\text{HNO}_3$  с добавлением маточного р-ра, содержащего меньше  $\text{Ca}(\text{NO}_3)_2$ , чем р-р, получаемый при разложении природного фосфата одной  $\text{HNO}_3$ ; затем отгоняют F с водяным паром и делят р-р на 2 ч: одну используют для получения удобрения, а из другой выделяют  $\text{Ca}(\text{NO}_3)_2$ , после чего ее возвращают в цикл.

**75551 П.** Извлечение фтора из природного фосфата. Холлингсворт (Recovery of fluorine from phosphate rock. Hollingsworth Clinton A.) [Smith-Douglass Co., Inc.]. Пат. США 2726928, 13.12.55

Природный фосфат, напр. фторидский фосфорит размером 12,7—0,85 мм или агломерат размером 12,7—6,3 мм, подвергают хлорирующему обжигу в верхней половине (зоне хлорирования) обогреваемой снаружи реторты (Р) при 760—1200° в присутствии  $\text{HCl}$ ,  $\text{NH}_4\text{Cl}$  или  $\text{Cl}_2$  (взятого в избытке). Соотношение  $\text{Cl} : \text{F} \geq 10$ . При этом большая часть F в фосфате замещается Cl и улетучивается. Обжиг частично обесфторенного фосфата продолжается в нижней половине Р (зоне обесхлоривания) при той же т-ре в атмосфере  $\text{Cl}_2$ , выделяющегося из фосфата, поступающего в верхнюю часть Р. Сверху из Р отводится смесь газов, из которой в конденсаторе, абсорбере, скруббере (или другим способом) извлекается часть HF (или  $\text{NH}_4\text{F}$ ); остальные газы с помощью газодувки возвращаются в середину Р, причем к ним добавляется  $\text{HCl}$  для восполнения потерь Cl (главным образом, с продуктом обжига), а также  $\text{H}_2$  для компенсации расхода H на образование HF; при применении  $\text{NH}_4\text{Cl}$  добавляют  $\text{NH}_3$ , а при применении  $\text{Cl}_2$ — $\text{H}_2\text{O}$ . Продукт обжига, содержащий  $\geq 0,5\%$  F, выходит снизу Р; его можно подвергнуть дополнительному обжигу в присутствии водяного пара для обесфторивания и обесхлоривания и получить конечный продукт, пригодный в качестве удобрения или кормовой добавки.

**75552 П.** Способ производства хлора окислением хлористого водорода. Дейвис, Элерс, Эллис (Process for manufacture of chlorine by oxidation of hydrogen chloride. Davis Clyde W., Ehlers Forrest A., Ellis Roger G.) [Dow Chemical Co.]. Канад. пат. 517129, 4.10.55

Смесь  $\text{HCl}$  с газом, содержащим  $\text{O}_2$ , подогревают и пропускают снизу вверх через контактную массу при 400—600° (450—500°) со скоростью, достаточной для псевдооживления ее слоя. Контактная масса представляет собой гранулированный пористый носитель, на который нанесено соединение металла, слабо испаряющееся при т-ре р-ции, напр.  $\text{CuCl}_2$  в кол-во 3—15 вес. %. Выходящие из контактного аппарата газы охлаждаются для конденсации части водяных паров и поглощения паров катализатора, причем получается р-р последнего в  $\text{HCl}$  (к-та), из оставшихся газов и паров выделяют  $\text{Cl}_2$ . Р-р катализатора подают в псевдооживленный слой для поддержания в нем необходимого кол-ва катализатора.

**75553 П.** Способ получения хлористого водорода. Чернюцкий (Verfahren zur Herstellung von Chlorwasserstoff. Czernotzky Adolf). Пат. ГДР 10779, 28.11.55

Способ получения  $\text{HCl}$ -газа из  $\text{Cl}_2$  и  $\text{H}_2$  (см. РЖХим, 1956, 4388) отличается тем, что отходящие газы, содержащие  $\text{H}_2$ , подаются для р-ции с  $\text{Cl}_2$  в добавочную печь

с помощью инжектора, работающего за счет избыточного давления свежего  $H_2$ . Г. Р.

**75554 П. Установка для растворения солей, Эйхштедт (Salt dissolver, Eichstaedt Alvin W.) [International Salt Co., Inc.]. Канад. пат. 509709, 1.02.55**

Состоит из камеры растворения, солевого бункера, расположенного рядом с камерой для растворения, и устройств для подачи порций соли и р-рителя. В общей стенке бункера и камеры растворения, в нижней ее части, имеется отверстие, регулируемое задвижкой. В нижней же части камеры смонтировано устройство для разгрузки р-ра в спец. резервуар. Скорость потока регулируется клапаном, соединенным с приспособлением, чувствительным к изменению уровня в резервуаре. В камере также имеется ввод для р-рителя, снабженный клапаном, регулирующим подачу р-рителя в зависимости от уровня жидкости в резервуаре. Разгрузочная насадка, расположенная в резервуаре ниже нормального уровня жидкости в камере, обеспечивает постоянную скорость разгрузки при постоянном давлении столба жидкости в резервуаре. Насадка связана с устройством, передающим жидкость к месту потребления и исключающим противодействие в насадке. Л. Х.

См. также: 75741.

## УДОБРЕНИЯ

**75555. Национальное промышленное азотное управление — производитель удобрений. Ланнелюк (L'office national industriel de l'azote, producteur d'engrais. Lanneluc Henry), Cahiers franc. Docum. actual., 1956, № 4, 16—19 (франц.)**

Описано развитие Государственного азотно-тукового з-да О. Н. 1. А. около Тулузы (Франция), производительность которого достигла в 1954 г. 106 тыс. т  $NH_3$  и 73 тыс. т  $N$  в виде  $(NH_4)_2SO_4$  (из ангидрита),  $NH_4NO_3$ , сложных удобрений, мочевины и др. З-д реконструируется для замены газификации кокса кислородной конверсией природного газа и нефти. Г. Р.

**75556. К вопросу слеживаемости аммиачной селитры. Шнейерсон А. Л., Клевке В. А., Миннович М. А., Ж. прикл. химии, 1956, 29, № 5, 682—688**

Исследовано влияние различных факторов на слеживаемость аммиачной селитры (АС). Степень слеживаемости определяли по кол-ву мелочи, образующейся при вибрационном измельчении АС. Установлено, что слеживаемость влажной АС вызывается переходом модификации  $NH_4NO_3$  (III) в  $NH_4NO_3$  (IV) при 32,27°. Добавка 2 и 2,5%  $KNO_3$  к АС снижает т-ру перехода III → IV соответственно до 22,5 и 20,6°; при 5%  $KNO_3$  переход не наблюдался в пределах 32—10°. Слеживаемости АС, вызванной модификационным переходом, способствуют давление и влага, особенно резко при повышении влажности от 0,45 до 0,9%. Слеживаемость АС при нагреве от 28 до 36° объясняется только ее возникновением в момент перехода IV → III, причем влажность в пределах 0,18—1,4% существенного влияния не оказывает. Г. Р.

**75557. Новая установка для получения сульфата аммония. — (A new sulphate-of-ammonia plant.), Coke and Gas, 1956, 18, № 203, 128—133 (англ.)**

Описаны новые установки з-да в Гринвиче (Англия) для переработки сырой аммиачной воды (3—4%  $NH_3$ ) в сульфат аммония и конц. аммиачную воду, содержащую 22%  $NH_3$  и ≤ 0,04%  $H_2S$ . Г. Р.

**75558. Получение преципитата и аммиачной селитры при азотнокислотном разложении фосфатов. Марголис Ф. Г., Дубовицкий А. М., Глазова Т. В., Хим. пром-сть, 1956, № 1, 26—31**

На основании данных по растворимости  $Ca(H_2PO_4)_2 \cdot H_2O$  в р-рах с разным содержанием  $Ca(NO_3)_2$ ,  $NH_4NO_3$ ,  $HNO_3$  и  $H_2O$  рассчитаны конц-ии  $H_2PO_4$  и  $Ca(NO_3)_2$  в исходной азотнокислотной вытяжке, при которых предотвращается загустение пульпы (выпадение  $Ca(H_2PO_4)_2 \cdot H_2O$ ) при получении преципитата (П) и  $NH_4NO_3$ . Проведены лабор. опыты по получению П и  $NH_4NO_3$  разложением фосфорита Кара-Тау ( $P_2O_5$  28,4%,  $MgO$  4,2%) и апатита при 50—60° 47—50%-ной  $HNO_3$ , взятой с 2—5%-ным избытком из расчета на  $CaO$  и  $MgO$ . П удовлетворительного качества получен при нейтр-ции аммиаком необесфторенных вытяжек (после отделения нерастворимого остатка), содержащих ~ 6%  $P_2O_5$  и 18—22%  $N_2O_5$ . Миним. скорость фильтрования П наблюдалась при т-ре нейтр-ции 60°. Скорость фильтрования П из бесфторенной (действием  $NaNO_3$ ) вытяжки ~ в 2 раза выше. При преципитировании рН р-ра изменялась от 4 до 8 без ретроградации  $P_2O_5$ , очевидно, ввиду присутствия солей  $Mg$ . Из бесфторенной вытяжки апатита П с хорошими физ. свойствами получен при тех же условиях, но при добавлении к вытяжке соли  $Mg$ . Фильтрат после отделения П, содержащий нитраты  $Ca$ ,  $NH_4$  и  $Mg$ , может быть переработан действием  $NH_3$  и  $CO_2$  в  $NH_4NO_3$  или после частичного выпаривания и насыщения  $NH_3$  — в конц. жидкое удобрение. Е. Б.

**75559. О непрерывном производстве суперфосфата.**

Охаси (連続化への考之方. 過磷酸石灰製造の連續化. 大橋輝一), 化學工業, Кагаку когаку, Chem. Engng, 1953, 7, № 10, 412—413 (япон.)

Рассматривается целесообразность непрерывного произ-ва суперфосфата и, в связи с этим, температурный режим и скорость р-ции и некоторые другие факторы. Н. Ш.

**75560. Исследование химических свойств суперфосфата электрометрическим методом. Добрянку (Cercetarea insusirilor chimice ale superfosfatului cu metoda, electronometrică. Dobreaanu M.), Rev. chim. 1956, 7, № 6, 339—342 (рум.; рез. русс., нем.)**

Применение электрометрич. метода для исследования компонентов суперфосфата основано на эквивалентности между интенсивностью излучения, числом излучающих электронов и кол-вами компонентов суперфосфата, введенных в возбуждающую среду. Н. Ш.

**75561. Ретроградация суперфосфата при смешении с плавным кальциймагнийфосфатом. Корнс (The reversion of superphosphate by fused calcium magnesium phosphate. Cornes J. J. S.), New Zealand J. Sci. and Technol., 1955, B37, № 1, 78—85 (англ.)**

При смешении вызревшего простого суперфосфата (ПС) с равным весовым кол-вом измельченного плавного  $Ca-Mg$ -фосфата (ПФ) и добавлении до 10% воды получен нейтр. продукт, содержащий ~ 20%  $P_2O_5$ , большей частью не растворимой в воде, но растворимой в лимонной к-те. Ретроградация ПС происходит с повышением т-ры без подвода тепла и после 7-суточного хранения достигает 77%. Общее содержание  $P_2O_5$  не изменяется, так как ПФ содержит одинаковое с ПС кол-во  $P_2O_5$ , что является преимуществом продукта по сравнению со смесью ПС и серпентина. Кроме того,  $MgO$  и  $SiO_2$ , содержащиеся в продукте, растворяются в лимонной к-те лучше, чем  $MgO$  и  $SiO_2$ , содержащиеся в смеси ПС и серпентина. При смешении сухих ПС и ПФ и в смесях, содержащих < 50% ПФ, также образуется нейтр. продукт, протекает ретроградация водорастворимой формы  $P_2O_5$  и улучшаются физ. свойства удобрения. Е. Б.

**75562. Фтор в плавных фосфатах. Наган, Андо (熔成磷肥製造に際しての弗素の問題. 永井彰一郎 安藤淳平), 工業化学雜誌, Koré кагаку дзасси, J. Chem. Soc. Japan Industr. Chem. Sec., 1953, 56, № 8, 583—585 (япон.)**

Содержание F в плавящихся фосфорных удобрениях зависит от метода плавления. При проведении плавок в электропечи улетучивается 30% всего F, а при работе с пылевидным углем, мазутом или природным газом улетучивается 40—75% F в соответствии с содержанием воды в обогревающем газе. Наличие F в P-удобрениях не оказывает значительного влияния на растворимость в лимонной к-те, но возможно, что подогрев газом и т. п. вызывает некоторое взаимодействие F с  $\text{CaCO}_3$  и другими примесями, содержащимися в фосфатах, так как F в выделяющихся при плавлении газах находится в виде HF при среднем содержании 0,3—0,7 вес. %.

Chem. Abstrs, 1954, 48, № 19, 11702. K. Jnoui

**75563.** Еще о получении нитрофосфорных удобрений. Брихта (Jaš o dabivanju nitrifosfatnih gnojiva. Brihta Ivan), Kemija u industriji, 1953, 2, № 12, 380 (хорв.)

Приводится обзор литературы по получению нитрофосфорных удобрений разложением природных фосфатов азотной к-той и высказывается мнение о желательности более полного использования в Югославии  $\text{HNO}_3$  для произ-ва удобрений, а  $\text{H}_2\text{SO}_4$  — для произ-ва целлюлозы и других продуктов. А. С.

**75564.** Влияние температуры и влажности при гранулировании удобрений. Смит (Temperature and moisture relationships in granulation. Smith Rodger C.), Agric. Chemicals, 1956, 11, № 2, 34—36, 121, 123 (англ.)

Рассмотрено влияние различных факторов на гранулирование смешанных удобрений. Приведены данные о теплотах аммонизации простого и двойного суперфосфата и нейтр-ции  $\text{H}_3\text{PO}_4$  аммиаком. При увеличении степени аммонизации р-рами т-ра в смесителе повышается до 71° при 5% N и до 93° при 8—10% N. Т-ру можно повысить до 100° добавлением  $\text{H}_2\text{SO}_4$  или  $\text{H}_3\text{PO}_4$  и дополнительного кол-ва  $\text{NH}_3$  или добавлением пара, или горячей воды. Удобрения, содержащие 8—10% N, можно гранулировать при начальной влажности ~ 6%, а удобрения, содержащие 5—6% N, при влажности ~ 12%. При высоком содержании растворимых солей и низкой влажности гранулирование может происходить немедленно по выходе из смесителя, а при низком содержании растворимых солей и необходимой вследствие этого высокой влажности гранулирование происходит постепенно при удалении влаги и заканчивается в грануляторе, сушилке или холодильнике в зависимости от состава удобрения и типа оборудования. Рассмотрены работа сушилок (прямоточной и противоточной) и холодильника в зависимости от состава удобрений, конечной влажности и т-ры при выгрузке, а также контроль произ-ва. Е. Б.

**75565.** Химическая характеристика пыли отходящих газов цементного производства и ее значение для сельского хозяйства. Олексина (Charakterystyka chemiczna cementowych pyłow odlotowych i ich wartość dla rolnictwa. Oleksynowa Krystyna), Cement. Warpo Gips, 1955, 11, № 3, 62—64 (польск.) Микроскопическое исследование показывает, что пыль является мелкодисперсным ( $\leq 7 \mu$ ) продуктом, ~ 50% зерен которого обладают двупреломлением. Насыпной вес пыли 0,85, уд. в. 2,60; рН водн. р-ра ~ 8,5. В 2%-ном р-ре лимонной к-ты растворяется ~ 72% в-ва, K, Na, и Ca содержатся в нем в виде сульфатов, хлоридов и карбонатов. Исследованная пыль может рассматриваться как удобрение. Е. С.

**75566.** Применение гипса в сельском хозяйстве. Юрковская (Zastosowanie gipsu w rolnictwie. Jurkowska H.), Wszechświat, 1955, № 7, 205—208 (польск.)

Вкратце характеризуется гипс как сырье для получения искусств. удобрений. Рассмотрено применение

гипса в с. х. и влияние его на урожай и строение почвы.

W. Turnowska

**75567 П.** Аппаратура для гранулирования материалов, в частности удобрений. Шмидлапп (Vorrichtung zum Granulieren von Stoffen, insbesondere von Düngemitteln. Schmidlapp Kurt) [Wintershall A.-G., Bernhard Beumer, Maschinenfabrik]. Пат. ФРГ, 930990, 15.12.55

Одинаковые по размерам гранулы можно получить, снимая их с поверхности вращающегося тарельчатого гранулятора, установленного под углом 90°, при помощи устройства в виде желоба, верхний конец которого соответствующими приспособлениями устанавливается в любой точке поверхности гранулятора. Это устройство может быть снабжено вибратором или приводом от эксцентрика; иметь расширяющиеся к низу борта и отдельный верхний отвод, укрепленный на шарнирах; иметь для обогрева двойное дно со щелями или без них. Г. Р.

**75568 П.** Гранулированное азотсодержащее удобрение. Мак-Ран, Старк, Тонг (Granulated nitrogen product. MacRahn Frederick, Stark William F., Tongue Thomas O.) [W. R. Grace and Co.]. Канад. пат. 515740, 16.08.55

К измельченному до необходимых размеров суперфосфату добавляют при сильном перемешивании безводн.  $\text{NH}_3$ ,  $\text{H}_2\text{SO}_4$  и воду; последняя дозируется в кол-ве, необходимом для образования гранул и поддержания такой т-ры, чтобы основная масса воды испарялась, но ниже т-ры плавления находящихся в смеси солей, и получался продукт с желательной влажностью. Водяные пары удаляются потоком воздуха. Безводн.  $\text{NH}_3$ ,  $\text{H}_2\text{SO}_4$  и воду можно подавать в находящееся в грануляторе смесительное сопло, из которого полученный р-р поступает на орошение суперфосфата. Затем гранулы проходят холодильник и сита. Готовый продукт с размером частиц 4,8—0,55 мм содержит 5—15% N. Е. Б.

**75569 П.** Способ получения рассыпчатого, стойкого и несгорающегося удобрения. Бауэр, Кесс, Фогель (Verfahren zur Herstellung eines streufähigen, stabilen und lagerbeständigen Mischdüngers. Bauer Richard, Kaess Franz, Vogel Erwin) [Süd-deutsche Kalkstickstoff-Werke A.-G.]. Пат. ФРГ 937167, 29.12.55

Природный фосфат разлагают  $\text{HNO}_3$ , полученный р-р без отделения нерастворимого остатка охлаждают (до —20°), отделяют центрифугированием кристаллы  $\text{Ca}(\text{NO}_3)_2 \cdot 4\text{H}_2\text{O}$  и промывают их р-ром  $\text{Ca}(\text{NO}_3)_2$ . Маточный р-р, содержащий (г/л):  $\text{P}_2\text{O}_5$  250—500 (380—400) и нитратный N 30—200 (50—70), смешивают с таким кол-вом  $\text{CaCN}_2$ , чтобы  $\geq 95\%$   $\text{P}_2\text{O}_5$  в конечном продукте находилось в лимоннорастворимой форме (целесообразно соотношение N:P=1:1). При этом за счет тепла нейтр-ции испаряется почти вся вода, введенная с  $\text{HNO}_3$ . Продукт, получаемый в виде гранул с небольшим содержанием влаги, сушат при 110°. Примерный состав продукта (в %):  $\text{P}_2\text{O}_5$  общей 16,3,  $\text{P}_2\text{O}_5$  лимоннорастворимой 15,5, N общего 15,3, N нитратного 2,7, CaO 41. Е. Б.

**75570 П.** Производство растворимых фосфорных удобрений. Хамм, Хасселдер (Manufacture of soluble phosphate containing products. Hamm Gerhard G. H., Hasselder Willem) [De Directie van de Staatsmijnen in Limburg]. Канад. пат. 515703, 16.08.55

Природный фосфат разлагают минер. к-той, напр.  $\text{HNO}_3$ . Р-р, содержащий  $\text{H}_3\text{PO}_4$  и  $\text{Ca}^{2+}$  и F', нейтрализуют, напр.  $\text{NH}_3$ , до рН 1—2,5, испаряя одновременно часть воды, и продолжают выпарку и концентрирование пульпы при указанном рН до получения плава, который нейтрализуют до рН от 3 до X, где X=4,5 при

избытке  $\text{CaO}$  в плаве из расчета связывания его со всем  $\text{P}_2\text{O}_5$  и  $\text{F}$  в  $\text{CaHPO}_4$  и  $\text{CaF}_2$ , или  $X=7$  при недостатке  $\text{CaO}$ . Затем плав сушат и получают удобрение. Можно также от горячего р-ра после нейтр-ции до рН 1—2,5 отделить образовавшийся осадок  $\text{CaHPO}_4$ , а жидкость сконцентрировать, получить плав и обработать последний, как указано выше. Е. Б.

**75571 П. Способ получения смешанных удобрений. Форстер** (Verfahren zur Herstellung von Mischdüngern. Vorster Fritz) [Chemische Fabrik Kalm G. m. b. H.]. Пат. ФРГ 932015, 22.08.55

Способ отличается от ранее описанного (РЖХим, 1955, 14419) тем, что в смеси с жидкими продуктами разложения природного фосфата  $\text{HNO}_3$  аммонизированный суперфосфат частично или полностью заменяется аммонизированным двойным суперфосфатом, применяемым в тонкоизмельченной форме. Н. А.

**75572 П. Способ и аппаратура для производства фосфорно-азотных удобрений. Паолони, Эузеппи** (Method and apparatus for producing phospho-nitrogenous fertilizers. Paoloni Carlo, Eusepi Alberto) [Rumianca S. p. A.]. Канад. пат. 516812, 20.09.55

Фосфорит смешивают в двух конич. смесителях с разб.  $\text{H}_2\text{SO}_4$ , взятой в избытке против кол-ва, необходимого для получения  $\text{Ca}(\text{H}_2\text{PO}_4)_2$ . Пульпу обрабатывают  $\text{NH}_3$ -газом при давлении выше атмосферного во вращающемся реакторе, имеющем полые валы. Выделяющиеся пары воды выходят по одному из валов и конденсируются, поглощая увлеченный  $\text{NH}_3$ ; последний выделяют из воды в испарителе и возвращают в реактор по другому валу. Пульпа в реакторе высушивается и продукт получают в гранулированном виде. Е. Б.

**75573 П. Способ получения магниевого удобрения, состоящего из смеси гидрооксида магния и сульфата кальция. Шмидт** (Verfahren zur Gewinnung eines aus einem Gemisch von Magnesiumhydroxyd und Calciumsulfat bestehenden Magnesiadüngemittels. Schmidt Theodor). Пат. ФРГ 923917, 24.02.55

Для получения  $\text{Mg}$ -удобрения, не содержащего  $\text{CaO} \cdot \text{CaCl}_2$  и легко фильтруемого, осаждают  $\text{Mg}(\text{OH})_2$  из р-ра  $\text{MgCl}_2$  действием  $\text{Ca}(\text{OH})_2$  в присутствии  $\geq 1$  вес. ч. крупнокристаллич. сульфата  $\text{Ca}$  на 2 ч.  $\text{Mg}(\text{OH})_2$ . Если исходный р-р  $\text{MgCl}_2$  содержит недостаточно  $\text{MgSO}_4$  для получения указанного соотношения, то к р-ру добавляют необходимое кол-во  $\text{MgSO}_4$ , а затем при 25—80° (50—80°) — р-р  $\text{CaCl}_2$  для осаждения всего сульфата. Не отделяя осадка, к р-ру при кипячении добавляют  $\text{Ca}(\text{OH})_2$ , кипятят 15 мин. для превращения  $\text{Ca}(\text{OH})_2$  в  $\text{CaCl}_2$  и осаждения  $\text{Mg}(\text{OH})_2$  и отфильтровывают р-р  $\text{CaCl}_2$ , часть которого возвращают в цикл. Осадок промывают и сушат. Сухой продукт содержит  $\text{Mg}(\text{OH})_2$  и  $\text{CaSO}_4$  в весовом соотношении  $\leq 2:1$ , напр. 63,5%  $\text{Mg}(\text{OH})_2$  и 32,7%  $\text{CaSO}_4 \cdot 2\text{H}_2\text{O}$ . Можно также осаждают  $\text{Mg}(\text{OH})_2$  из р-ра неполностью; в этом случае в качестве отхода получается р-р  $\text{CaCl}_2$  и  $\text{MgCl}_2$ , который можно использовать для получения рассола для холодильных установок. Г. Р.

См. также: 75500, 77104.

## ПЕСТИЦИДЫ

**75574. Препарат КЭАМ. Фраткин А.** Защита растений от вредителей и болезней, 1956, № 1, 54

**75575. Местное внесение дуста гексахлорана. Ненааров М.** Защита растений от вредителей и болезней, 1956, № 1, 38—40

**75576. Инсектициды алдрин и дильдрин. Нильссон** (Insekticiderna aldrin och dieldrin. Nilsson Börje), Tekn. tidskr., 1956, 86, № 19, 451—452 (швед.)

**75577. Опрыскивания смесями азобензол-арамит и азобензол-хлорбензилат против устойчивых паутиных клещиков на оранжевых розах. Джефферсон, Морисита** (Azobenzene-aramite and azobenzene-chlorobenzilate sprays for resistant spider mites on greenhouse roses. Jefferson R. N., Morishita F. S.), J. Econ. Entomol., 1956, 49, № 2, 151—153 (англ.)

Против устойчивой разновидности двупятнистого паутиного клещика *Tetranychus telarius* L. высокоэффективными оказались суспензии, содержащие 350 г 70%-ного смачивающегося порошка азобензола на 100 л препарата хлорбензилата или арамита. Обработка такими суспензиями вызывала смертность всех активных стадий паразитов. З. Н.

**75578. Репелленты для предохранения деревьев и кустарников от повреждений кроликами. Хилдрет, Браун** (Repellents to protect trees and shrubs from damage by rabbits. Hildreth A. C., Brown G. B.), Techn. Bull. U. S. Dept. Agric., 1955, № 1134, 31 pp. (англ.)

Для отпугивания кроликов были испытаны 123 препарата путем обработки ими моркови или коры вязов. Высокоактивными и нетоксичными для растений репеллентами оказались препараты никотина, никотинсульфата, тетраметилтиурамид- и тетраметилтиурамоносульфидов в асфальтовом масле в качестве р-рителя (в виде водн. эмульсий). Хорошими репеллентами, но высокотоксичными для растений, были каменноугольное масло, различные препараты  $\text{Cu}$ ,  $\text{FeSO}_4$ , известково-серный отвар в достаточной для отпугивания кроликов концентрации, льняное масло (смола) латекс марки Natureseal, тринитробензоланилиновый комплекс, карбонат и сульфат  $\text{Zn}$  в асфальтовой эмульсии. В-ами, привлекающими кроликов, оказались алюминиевая краска, животный клей, эмульсии парафина и синтетич. смола — резил. З. Н.

**75579. Химия фтора. III. Упаковка аэрозолей. Фишер** (Fluorchemie III. Aerosolverpackungen. Fischer H.), Technik, 1955, 10, № 9, 543—546 (нем.)

Обзор, посвященный различным видам контейнеров для аэрозолей, содержащих газообразные, негорючие и неядовитые фтористые углеводороды, а также пестициды, косметич. препараты и т. д. Библ. 11 назв. Сообщение II см. РЖХим, 1954, 20390. Ю. Б.

**75580. Фунгициды, не содержащие металлов. Махатра** (Non-metallic fungicides. Mahapatra G. N.), Nature, 1956, 177, № 4516, 938 (англ.)

На фунгицидную и бактерицидную активность испытаны 17 5-бромпроизводных 2-амино-4-арилтиазолов (фенил-, *p*-толил-, *p*-этилфенил-, *p*-метокси- и *p*-этоксифенил-(I),  $\beta$ -фенилэтил-(II),  $\beta$ -(*p*-метокси)-фенилэтил-, 2,5- и 3,4-диметилфенил-,  $\alpha$ -(III) и  $\beta$ -нафтил-(IV), *o*- и *p*-оксифенил-(V), *p*- и *m*-аминофенил-(VI), *p*-бромфенил-(VII) и 2-тиенилгруппы в качестве арилов). В-ва получали бромированием  $\text{Br}_2$  в  $\text{CH}_3\text{COOH}$  2-амино-4-арилтиазолов (VIII), после защиты в последних аминогруппы путем ацетилирования или перевода в  $\text{NBr}$ -соль. VIII получали по методу Кинга и Хлавачека (King L. C., Hlavacek R. J., J. Amer. Chem. Soc., 1950, 72, 3722) из арилметилкетон и тиомочевину в присутствии  $\text{J}_2$ . V, III и VII в конц-ях 20, 20 и 22  $\text{мг/кг}$  соответственно подавляли прорастание спор грибов *Piricularia oryzae* Cav. полностью, а в конц-ях 10, 12 и 10  $\text{мг/кг}$  — на 50%. VIII подавляли прорастание спор в конц-ях 90  $\text{мг/кг}$ . Рост 24-часовой культуры *Staphylococcus aureus* VI, I, III подавляли при разбавлении 1:2000. IV и II — 1:15000. VIII были активны при разбавлении 1:8000. З. Н.

**75581. Борьба с вирусными болезнями картофеля при помощи инсектицидов. Бродбент, Берг** (The control of potato virus diseases by insecticides. Bro-

adbert L., Burt P.), Agric. Rev., 1955, 1, № 1, 60—62 (англ.)

Для борьбы с вирусными болезнями картофеля, которые переносятся тлями, рекомендуется, начиная с мая, проводить многократную обработку полей ДДТ. В дальнейшем возможно применение системных инсектицидов.

К. Ш.-Ш.

75582. Каптан в ряду других фунгицидов, возможности и области применения. Мессинг (Captan im Rahmen der anderen Fungizide, Möglichkeiten und Grenzen des Einsatzes. Mässing W.), Mitt. Biol. Bundesanst. Land- und Forstwirtschaft., 1955, № 83, 59—68 (нем.)

N-Трихлорметилтиотетрагидрофталмид (каптан) (I) — белое кристаллич. в-во с т. пл. 172—173°, уд. в. 1,690. I практически не растворим в воде, максим. растворимость I в органич. р-рителях 8%. I относительно устойчив к воздействию влаги и к-т, но разлагается щелочами. Острая токсичность I для крыс LD<sub>50</sub> 10 г на 1 кг живого веса. Пища, содержащая 1% I, при 2-летнем скормлении оказалась безвредной. LD<sub>50</sub> I, определенная методом проращивания спор, равна для *Alternaria solani* 1,10—1,10<sup>-3</sup>%, а для *Sclerotinia fructicola* < 1,10—4%. I обладает бактерицидной активностью и подавляет *Staphylococcus citreus*, *Streptococcus haemolyticus* Cr. A., *Streptococcus faecalis* и *Proteus vulgaris*. I применяют в борьбе с болезнями винограда, вызываемыми *Stagonospora curtisii* (Berk.) и *Peronespora* с паршей фруктовых деревьев, и с болезнями овощных культур. Обработкой I предохраняют также при хранении от гнили плоды земляники, персиков и вишни. Сделана попытка систематизации фунгицидов по группам и показано место I в ряду других фунгицидов. Установлена закономерность и связь между хим. строением отдельных групп фунгицидов и их физиологич. активностью. Предложена гипотеза хим. природы фунгицидного действия.

Ю. Б.

75583. Испытания средств для борьбы с мильдью в 1954 г. Агульон, Амфу (Essais de produits de lutte contre le mildiou en 1954. Agulhon R., Amphoux M.), Progr. agric. et vitic., 1955, 143, № 23-24, 350—356 (франц.)

Начало см. РЖХим, 1953, 5280.

Я. С.

75584. Колориметрический микрометод количественного определения пентахлорфенола. Эркама, Лааманен (A colorimetric micro-method for quantitative determination of pentachlorophenol. Erkaama Jorgma, Laamanen Arvo), Suomen kem., 1956, 29, № 2, B37—B39 (англ.)

Для определения пентахлорфенола (I) применена цветная р-ция тетрахлор-л-хинона с тетраметил-л-диаминодифенилметаном (II), предложенная Фейглем (Feigl F., Spot Tests, 1954, 2, Амстердам). Образцы р-ров, содержащие > 2 мг I, подкисляют HCl, I экстрагируют эфиром, экстракт переливают в колориметрич. пробирки. После полной отгонки эфира в каждую пробирку прибавляют по 0,05 мл конц. HNO<sub>3</sub>, нагревают на кипящей водн. бане, через 1 мин. пробирки охлаждают до комнатной т-ры и в каждую добавляют по 0,04 мл насыщ. р-ра мочевины, затем по 0,2 мл р-ра, содержащего 0,5 г II в 100 мл C<sub>2</sub>H<sub>5</sub>OH. После перемешивания добавляют 1 мл насыщ. р-ра CH<sub>3</sub>COONa, выпавший сине-зеленый осадок растворяют добавлением 4 мл 5%-ной CH<sub>3</sub>COOH, и р-р колориметрируют на фотометре Клетт-Саммерсона с фильтром № 60. Конц-ию I определяют по калибровочной кривой. Метод позволяет определять 20—200 мкг I на 1 мл колориметрируемого р-ра (0,1—1,5 мг I в целом). Чувствительность и точность метода увеличивается (2,5 мкг I), если вместо фотометра, применяя спектрофотометр. Окрашенное соединение в р-ре образует чувствительную окислительно-восстановительную систему. Голубое хиноид-

ное соединение устойчиво при pH 4,6—5,2. В ацетатном буфере цвет сохраняется несколько часов. Голубой р-р имеет максимумы поглощения при 600 и 415 мμ. Метод применим для биохим. или токсикологич. исследований, напр. для определения фунгицида в крови и моче.

З. Н.

75585 П. Производство гексахлорциклогексана с повышенным содержанием γ-изомера. Элсуэрт, Херскорн (Production of benzene hexachloride containing enhanced gamma isomer content. Ellsworth Arthur C., Hirsekorn Fred S.) [Columbia-Southern Chemical Corp.]. Пат. США 2713076, 12.07.55

ГХЦГ с повышенным содержанием γ-изомера (I) получают хлорированием C<sub>6</sub>H<sub>6</sub> в жидкой фазе при ~ 70° до образования реакционной массы, содержащей твердый ГХЦГ (I практически полностью находится в жидкой фазе). Т-ру массы поднимают > 70° для растворения ~ 2 вес.% твердой фазы, а затем понижают со скоростью не более 12° в час до тех пор, пока растворившееся твердое в-во снова не выпадает в осадок; т-ра не должна быть ниже той, при которой осаждалось бы заметное кол-во I. Из охлажд. массы механически удаляют твердую фазу и выделяют из р-рителя I.

И. Ш.

75586 П. Способ получения эфиров тиофосфорной кислоты. Лоренц (Verfahren zur Herstellung von Thiophosphorsäureestern. Lorenz Walter) [Farbenfabriken Bayer A.-G.]. Пат. ФРГ 927270, 2.05.55

N-галондиметилбензозимиды обрабатывают солями диалкилтио- или диалкилдитиофосфорной к-ты в р-рителе (спирты, C<sub>6</sub>H<sub>6</sub>, толуол и, в особенности, кетоны), предпочтительно при повышенной т-ре (до 50—60°). Р-р 38 г О,О-диметилдитиофосфорной к-ты в 100 мл ацетона и 5 мл воды нейтрализуют 28 г NaHCO<sub>3</sub>, при 25—30° добавляют по каплям р-р 40 г N-хлорметилбензозимида (т. пл. 125°) в 400 мл ацетона, перемешивают 1 час при 50—60°, отсасывают NaCl, отгоняют ацетон, маслянистый остаток растворяют в C<sub>6</sub>H<sub>6</sub>, промывают водн. NaHCO<sub>3</sub>, водой, высушивают над Na<sub>2</sub>SO<sub>4</sub> и отгоняют C<sub>6</sub>H<sub>6</sub>, остаток — маслянистый быстро затвердевающий О,О-диметил-S-(бензазиминометил)-дифосфат, выход 12 г, т. пл. 72° (из CH<sub>3</sub>OH). Описано получение О,О-диэтил- (т. пл. 49—50°), О,О-ди-н-пропил- (т. пл. 53°) и О,О-динизопропил-S-(бензазиминометил)-дифосфата (т. пл. 56°), О,О-диэтил-(масло), О,О-ди-н-пропил-(масло) и О,О-динизопропил-S-(бензазиминометил)-тиофосфата (т. пл. 55°). Соединения обладают сильными инсектицидными свойствами.

Я. К.

75587 П. Метод приготовления тиофосфорилхлорида. Кноц (Method of preparing thiophosphorylchloride. Knotz Florian F.). Пат. США 2715561, 16.08.55

Метод получения PSCl<sub>2</sub> состоит в р-ции PCl<sub>3</sub> с S в присутствии каталитич. смеси, содержащей хлор, бром или их смесь и порошок Fe, Al или их смесь, а также следы J<sub>2</sub>.

З. Н.

75588 П. Тиофосфорное соединение (Thiophosphorus compound.) [Monsanto Chemical Co.]. Австрал. Пат. 166354, 12.01.56

Инсектицид, моллюскоцид или другой биоцид содержит в качестве основного действующего начала бис-ди-метиламид диэтилтиофосфорилфосфорной к-ты.

К. Ш.-Ш.

75589 П. Пестицидные составы, содержащие 2-диоксантиол-S-(О,О-диалкилдитиофосфаты). Дейвлин (Pesticidal composition containing 2-p-dioxanethiol S-(O,O-dialkylphosphorodithioates). Diveley William R.) [Hercules Powder Co.]. Пат. США 2725327, 29.11.55

Соединения общей ф-лы C<sub>4</sub>H<sub>6</sub>O<sub>2</sub>—SP(S)(OR)<sub>2</sub> (I), где C<sub>4</sub>H<sub>6</sub>O<sub>2</sub>—остаток л-диоксана, а R—алкильные радикалы, являются высокоактивными инсектицидами и

могут применяться в виде 0,001—10%-ных водн. дисперсий с эмульгаторами, диспергаторами, поверхностно-активными в-вами, наполнителями, в виде р-ров в соевом масле, углеводородах, дифтордихлорметане и т. п.; для обработки растений могут применяться как самостоятельно, так и с добавками других инсектицидов (токсафена, ДДТ, танита, хлордана, ротенона, пиретрума). I получают р-цией соответствующих диалкилдитиофосфорных к-т с *п*-диоксеном (II) или галоид-*п*-диоксаном. Пример. К нагретой до 50° смеси из 0,02 ч. гидрохинона, 50 ч.  $C_6H_6$  и 20,5 ч. О,О-диэтилдитиофосфорной к-ты прибавляли в течение 10 мин. 8,6 ч. II; т-ру экзотермич. р-ции поддерживали до 50—60° в течение 2 час. После охлаждения до комнатной т-ры к смеси добавляли 100 ч. воды и 50 ч.  $C_6H_6$ , нейтрализовали 1 н. КОН, органич. слой промывали водой и сушили  $Na_2SO_4$ . После отгонки  $C_6H_6$  в вакууме получено 21,4 ч. I ( $R = C_2H_5$ ),  $n_D^{20} = 1,5232$ . Концентрат для эмульсии готовили смешением 1 г остатка с 1 мл  $C_6H_6$  и 1 мл эмульгатора твин-20. 0,025 и 0,005%-ные эмульсии вызывают смертность двупятнистых клещиков через 5 дней на 97 и 72% соответственно. 0,1%-ная эмульсия через 48 час. убивает гороховую тлю на 80%. Аналогично получены I, где  $R = \text{изо-}C_3H_7$  (III),  $n-C_3H_7$  (IV), *втор-}C\_4H\_9 (V) и  $CH_3$  (VI). Соответствующие О,О-диалкилдитиофосфорные к-ты получены взаимодействием  $P_2S_5$  со спиртом. Инсектицидная активность полученных соединений следующая (приведены в-во, смертность клещика в процентах и тли при конц-ии в-ва 0,1%): III 80, 80; IV 90, 80; V 80, 50; VI 90,—.*

З. Н.  
75590 П. 2,3-*п*-диоксандитиол-*S,S*-бис-(О,О-диалкилдитиофосфаты). Дай в Ли, Лор (2,3-*p*-dioxanedithiol-*S,S*-bis (O,O-dialkylphosphorodithioates). Diveley William R., Lohr Arthur D.) [Hercules Powder Co.]. Пат. США 2725328, 29.11.55

В качестве инсектицидов предложены соединения общей ф-лы  $(RO)_2P(S)S-CHOCH_2CH_2OCH-SP(S)(OR)_2$  (I), которые получены при р-ции 2,3-дихлор- (II) или 2,3-дибром-*п*-диоксана с О,О-диалкиловым эфиром дитиофосфорной к-ты. Соединения могут применяться в виде водн. дисперсий или р-ров в органич. р-рителях в конц-ях 0,0001—10% с поверхностноактивными в-вами, смачивателями, диспергаторами, глинами и т. д. К препаратам могут быть добавлены другие инсектициды (ДДТ, токсафен, танит, хлордан, ротенон, пиретрум). Пример. К перемешиваемому р-ру 15,6 ч. пиридина и 0,2 ч. гидрохинона в 200 ч.  $C_6H_6$  в течение 15 мин. добавляли 41 ч. О,О-диэтилдитиофосфорной к-ты и затем 15,7 ч. II. Смесь кипятили 6 час., причем выделялся солянокислый пиридин (III). После окончания р-ции добавляли воды до полного растворения III, органич. слой промывали 5%-ным NaOH и водой, сушили  $Na_2SO_4$  и  $C_6H_6$ , отгоняли в вакууме до 85°/0,5 мм, в остатке 34,7 ч.

I ( $R = C_2H_5$ ),  $n_D^{20} 1,5409$ . 1 г остатка смешивали с 1 мл  $C_6H_6$  и 1 мл эмульгатора твин-20, получали концентрат для эмульсии, водн. эмульсию которого испытывали против насекомых. Опрыскивание 0,1%-ной эмульсией гороха, зараженного гороховой тлей, давало 100%-ную смертность тли. Для испытаний на остаточную активность бобовые семена опрыскивались 0,025%-ной водн. эмульсией, через 10 и через 29 дней растения заражались двупятнистым клещиком, смертность которого в обоих случаях через 5 дней после заражения составляла 100%. 1%-ный р-р в-ва в дезодорированном керосине убивал комнатных мух на 100%. Аналогично получены I, где  $R = \text{изо-}C_3H_7$  (IV),  $n-C_3H_7$  (V), *втор-}C\_4H\_9 (VI) и  $CH_3$  (VII). Следующие препараты IV вызывали 100%-ную смертность: комнатных мух—1%-ный и гороховой тли—0,1%-ный р-ры в керосине, мексиканского бобового жука—1%-ная и двупятнистого клещика—*

0,1%-ная эмульсии. Активность V и VI аналогична, а VII несколько менее, чем IV.

З. Н.  
75591 П. Пестицидные составы, содержащие 2,3-*п*-диоксандитиол-*S,S*-бис-(ди-(галоидалкил)-дитиофосфаты). Хаубейн (Pesticidal composition containing 2,3-*p*-dioxanedithiol *S,S*-bis(phosphorodithioates) of halogenated alcohols. Haubein Albert H.), [Hercules Powder Co.]. Пат. США 2725330, 29.11.55

В качестве инсектицидов предложены соединения общей ф-лы  $(RO)_2P(S)S-CHOCH_2CH_2OCH-SP(S)(OR)_2$  (I), которые получены при р-ции 2,3-дибром- или 2,3-дихлор-*п*-диоксана (II) с соединением ф-лы  $(RO)_2PSSH$ , где R—галоидированный  $C_1-C_4$ -алкильный радикал. Соединения могут применяться в виде водн. эмульсий или р-ров в органич. р-рителях при конц-ях 0,001—10% с добавками различных вспомогательных в-в или с добавками других инсектицидов. Пример. К р-ру 15,8 ч. пиридина и 0,2 ч. гидрохинона в 200 ч.  $C_6H_6$  в течение 15 мин. при перемешивании добавляли 60 ч. О,О-бис-(2-хлорэтил)-дитиофосфорной к-ты и затем 15,7 ч. II. После 6-часового кипячения, добавления воды для растворения выпавшего во время р-ции гидрохлорида пиридина, промывки органич. слоя 5%-ным NaOH и водой, сушки и отгонки  $C_6H_6$  в вакууме до 85°/0,5 мм в остатке получено 37,4 ч. I, где R—2-хлорэтил. Для испытаний применялись 0,0025—1%-ные водн. эмульсии, полученные из концентрата (1 г I, 1 мл  $C_6H_6$  и 1 мл эмульгатора твин-20). 0,05%-ная эмульсия вызывала 30%-ную смертность гороховой тли на горохе. 0,1%-ная эмульсия убивала на 5-й день 80% двупятнистого клещика на бобах. Аналогично были получены I, где R— $\beta,\beta,\beta$ -трихлорэтил (III), фторэтил (IV),  $\omega$ -хлорпропил, и  $\beta$ -бромэтил. Активность IV следующая (приведены насекомое, конц-ия в-ва и смертность в процентах): комнатные мухи, 0,1, 66; мексиканский бобовый жук, 1, 100; гороховая тля, 0,1, 100; двупятнистый клещик, 0,1, 100. Эмульсия III в конц-ии 0,1% через 5 дней вызывала 58%-ную смертность клещиков. Инсектицидная активность остальных соединений была в тех же пределах.

З. Н.  
75592 П. 2,3-диалкокси-5,6-*п*-диоксандитиол-*S,S*-(О,О-диалкилдитиофосфаты). Бантин (2,3-dialkoxy-5,6-*p*-dioxanedithiol *S,S*-(O,O-dialkyl phosphorodithioates). Buntin George Allen) [Hercules Powder Co.]. Пат. США 2725332, 29.11.55

Новые орган. тиофосфаты общей ф-лы:  $(R'O)_2P(S)S-CHOCH(RO)CH(RO)OCH-SP(S)(OR')_2$  (I) предложены в качестве инсектицидов для борьбы с вредителями растений—сосущими и грызущими насекомыми. Соединения могут применяться в виде водн. эмульсий и р-ров в органич. р-рителях в конц-ях 0,0001—10% вместе с различными вспомогательными в-вами (смачиватели, диспергаторы, наполнители и т. п.). Их можно также применять с добавками токсафена, ДДТ, танита, хлордана, ротенона, пиретрума и др. инсектицидов. I получают при р-ции 2,3-диалкокси-5,6-дигалонд-1,4-диоксана с соответствующими эфирами дитиофосфорной к-ты. Получение 2,3-диэтокси-*п*-диоксана (II): р-р 15,7 ч. 2,3-дихлор-*п*-диоксана в 160 ч. сухого толуола и 110 ч. абс. спирта кипятили 30 час., при этом выделялся HCl (газ). Затем толуол и избыток спирта отгоняли в вакууме, а остаток разгонялся. Фракция 100—110°/18 мм представляла собой II, выход 139 ч. Хлорирование II: в р-р 53 ч. II в  $CCl_4$  в течение 2 час. при 76—78° и УФ-облучении пропускослось 60,5 ч.  $Cl_2$ . Реакционная смесь разгонялась, фракция 75—95°/2,2 мм (15 ч.) представляла собой 2,3-диэтоксидихлор-*п*-диоксан (III), содержание Cl 28,9%. Получение I ( $R = R' = C_2H_5$ ) (IV): к 21 ч. диэтилдитиофосфорной к-ты в 160 ч.  $C_6H_6$  прибавлялось по каплям при 30—40° 8,6 ч. пиридина и

12,5 ч. III. Смесь кипятилась, нагревалась при 80° в течение 4 час., затем охлаждалась, а к ней добавлялось 200 ч. 15%-ного водн. р-ра NaCl для растворения гидрохлорида пиридина. Органич. слой промывали 5%-ным Na<sub>2</sub>CO<sub>3</sub> и 15%-ным NaCl и сушили Na<sub>2</sub>SO<sub>4</sub>. После отгонки р-рителя оставалось 23 ч. IV (красная жидкость). Аналогично I были получены из диметокси-, диизопропокси-, ди-*n*-пропокси-, ди-*n*-бутокси-, диизо-бутокси-, бис-(β-хлорэтокси)- и бис-β, β, β-трихлор-этокси)-*n*-диоксанов. Инсектицидная активность I была следующей (приведены R и R', смертность двупятнисто-го клещика от 0,2%-ной эмульсии и процент смертности тли при системном действии): C<sub>2</sub>H<sub>5</sub>, то же, 100, 90; изо-C<sub>3</sub>H<sub>7</sub>, C<sub>2</sub>H<sub>5</sub>, 90, 30; C<sub>4</sub>H<sub>9</sub>, C<sub>2</sub>H<sub>5</sub>, 90, 60; C<sub>2</sub>H<sub>5</sub>, C<sub>4</sub>H<sub>9</sub>, 100, 40; изо-C<sub>3</sub>H<sub>7</sub>, C<sub>4</sub>H<sub>9</sub>, 90, 80; C<sub>4</sub>H<sub>9</sub>, то же, 90, 70; C<sub>2</sub>H<sub>5</sub>, CH<sub>3</sub>, 100, 100; C<sub>2</sub>H<sub>5</sub>, ClC<sub>2</sub>H<sub>4</sub>, 100, 30; C<sub>2</sub>H<sub>5</sub>, Cl<sub>3</sub>C<sub>2</sub>H<sub>2</sub>, 80, 80. Эмульсия готовилась разбавлением в воде концентрата, содержащего 1 г I, 1 мл C<sub>6</sub>H<sub>6</sub> и 1 мл эмульгатора твин-20. З. Н.

См. также: Инсектициды: фумиганты 76695; обраб. пищевых продуктов 76852; токсикология 22764Бх; механизм действия 21850Бх. Фунгициды: действие на бактерии 22083Бх, 22105Бх, 22261Бх, 22758Бх; консервирование 76491, 76668, 76696; противогрибковый антибиотик 22091Бх. Регуляторы роста: выделение из растений 22241Бх; действие на микроорганизмы 22052Бх; действие на растения 22236—22238Бх, 22240Бх; механизм действия 22246Бх.

#### ЭЛЕКТРОХИМИЧЕСКИЕ ПРОИЗВОДСТВА. ЭЛЕКТРООСАЖДЕНИЕ. ХИМИЧЕСКИЕ ИСТОЧНИКИ ТОКА.

75593. Завод электролитического цинка фирмы «Гудзон». Остин, Мак-Фадден (The electrolytic zinc plant of the Hudson Bay Mining and Smelting Company, Limited. Austin E., McFadden W. E.), Canad. Mining and Metallurg. Bull., 1956, 49, № 529, 344—359 (англ.)

Подробно описывается технологич. схема произ-ва цинка из полиметаллич. руд, содержащих Cu, Cd, As, Sb, Mg, Mn, Ge, Co и Fe. И. Е.

75594. Спецификация по металлопокрытиям и обработке поверхности. Промисел (Digest of government specifications metal coating and surface treatments (other than organic coatings). Promisel N. E.), Plating, 1956, 43, № 5, 628—631 (англ.)

75595. Гальванические осадки на резбовой поверхности. Келлерман, Клейн (Galvanische Niederschläge an Gewinden. Kellermann R., Klein H.-Ch.), Werkstattstechnik und Maschinenbau, 1956, 46, № 6, 298—305 (нем.)

Описана модель распределения плотности тока при электроосаждении металла на резбовую поверхность. Исследовано распределение Cd, Cu, Cr, Ni и Zn-осадков по толщине на резбовой поверхности методом шлифов. Показано, что угол наклона боковой поверхности нарезки меняется от 0 до 10° в результате осаждения металла, причем с увеличением толщины слоя он увеличивается, особенно для более мелкой нарезки. Описан способ вычисления и измерения изменения размера резьбы в результате нанесения покрытия. З. С.

75596. Полировка и шлифовка. Келлер (Polishing and buffing. Kellner H. L.), Metal Finish. Guidebook-Directory, 1956, 24. Westwood, N. J. Finish. Publ. Inc., 1955, 117—118, 120, 122, 124, 126, 128, 130, 132, 134 (англ.)

Рассматриваются процессы полировки и шлифовки металл. поверхностей, материалы полировочных кругов и абразивы, скорость их вращения, абразивные па-

сты, жидкостная полировка и другие вопросы тонкой механич. отделки поверхности металлов. З. С.

75597. Обработка поверхности нержавеющей стали. Спенсер (Surface finishing the stainless steels. Spencer Lester F.), Metal Finish. Guidebook-Directory, 1956, 24. Westwood, N. J. Finish. Publ. Inc., 1955, 136, 138, 140, 142—144, 146, 147 (англ.)

Обсуждаются различные типы нержавеющей сталей (аустенитные, ферритные и мартенситные), их свойства и ряд промышленных способов механич. обработки. Рекомендованы условия шлифовки, полировки и глязков нержавеющей сталей, в частности, типы абразивов, материал кругов, размер и скорость их вращения и т. п. З. С.

75598. Абразивы и составы для полировки и шлифовки. Мак-Алир (Abrasives and compounds for polishing and buffing. McAleer Howard J.), Metal Finish. Guidebook-Directory, 1956, 24. Westwood, N. J. Finish. Publ. Inc., 1955, 148, 150, 152, 154—157 (англ.)

Рассматривается материал абразивов, применяемых при полировке (триполи, аморфный и кристаллич. кремнезем, окись Al, крокус, наждак и т. д.), размер зерна, связующие в-ва (сало, стеарин и др.) и жидкие полирующие в-ва. З. С.

75599. Абразивное обдувание. Стайн (Abrasive blasting. Stine Victor F.), Metal Finish. Guidebook-Directory, 1956, 24. Westwood, N. J. Finish. Publ. Inc., 1955, 157—165 (англ.)

Описана обработка металл. поверхностей путем обдувания их абразивными материалами сухим и мокрым способом, применяемые при этом методы подачи абразивных материалов и преимущества этого способа обработки. З. С.

75600. Приготовление основных металлов к нанесению покрытий. Холл (Preparation of basis metals for plating. Hall Nathaniel), Metal Finish. Guidebook-Directory, 1956, 24. Westwood, N. J. Finish. Publ. Inc., 1955, 226—234 (англ.)

Описаны способы подготовки поверхности различных металлов и сплавов к нанесению электролитич. покрытий. Приведены условия и режимы предварительной щел. и кислой очистки, обработки различных металлов активированием и поверхностной обработки при покрытии мало- и высокоуглеродистой стали, нержавеющей стали, Zn-литых изделий, Al-сплавов, Pb-Sn-сплавов, Pb-Sb-сплавов, Pb-латуни, Pb-бронзы и др. Обсуждаются особенности обработки различных материалов и указываются причины, могущие вызвать неудачное покрытие. З. С.

75601. Обезжиривание металлов. Крахирус (Die Entfettung der Metalle. Krahirus), Metallwaren-Ind. und Galvanotechn., 1954, 45, № 5, 222—229 (нем.)

Описаны различные методы обезжиривания металлов: а) три- и перхлорэтиленом, б) щелочами, в) электролитич. путем. Предыдущее сообщение см. РЖХим, 1955, 44992. Т. Ш.

75602. Выбор способа обезжиривания. Фишлок (Degreasing systems and their choice. Fishlock D. J.), Prod. Finish., 1955, 8, № 9, 50—55 (англ.)

Описаны хим. методы обезжиривания металл. поверхностей перед электроосаждением и механизм удаления жировых загрязнений в щел. р-рах (сапонификация, эмульсификация и пептизация), а также применяемое при обезжиривании оборудование. Рассматривается способ и механизм процесса электролитич. обезжиривания металлов и обсуждается контроль и оценка качества процесса обезжиривания. Предыдущее сообщение см. РЖХим, 1956, 58739. З. С.

75603. Регенерация отработанного раствора фтористоводородной кислоты и анализ травильных ванн. Доменикали (Decaraggio di getti di fusione con

acido fluoridrico e controllo analitico dei bagni relativi. Domenicali Benito), Riv. ingegneria, 1954, 4, № 7, 769—774 (итал.)

Описан способ приготовления травильного р-ра, содержащего HCl, HF, H<sub>2</sub>O и 0,1% замедлителя X<sub>35</sub>. Ванна для травления футеруется полиеном или свинцом.

З. С.

**75604. Электрополировка титана. Тадзима, Мори** (チタンの電解研磨. 田島榮, 森健實), 電気化学, Д-ни какаку, J. Electrochem. Soc., Japan, 1954, 22, № 6, 289—291 (япон.; рез. англ.)

Для электрополировки Ti рекомендуются электролиты состава: (в объемн. ч.): 1) H<sub>3</sub>PO<sub>4</sub> (90%) 75—80, HF (50%) 15—25, H<sub>2</sub>O 5—10, D<sub>a</sub> 50—100 а/дм<sup>2</sup>, напряжение 6 в; 2) H<sub>3</sub>PO<sub>4</sub> (90%) 45—85, HF (50%) 10—18, CH<sub>3</sub>OH 5—40, D<sub>a</sub> 50—100 а/дм<sup>2</sup>, напряжение 8—17 в; 3) H<sub>3</sub>PO<sub>4</sub> (90%) 50—85, HF (50%) 5—13, CH<sub>3</sub>COOH 8—38, D<sub>a</sub> 50—100 а/дм<sup>2</sup>, напряжение 8—10 в; 4) H<sub>3</sub>PO<sub>4</sub> (90%) 57—82, HF (50%) 11—19, (CH<sub>3</sub>CO)<sub>2</sub>O 8—27, D<sub>a</sub> 50—100 а/дм<sup>2</sup>, напряжение 20—30 в; 5) (вес. %): CrO<sub>3</sub> 2—45, HF 3—12, H<sub>2</sub>O 43—96, D<sub>a</sub> 20—50 а/дм<sup>2</sup>, напряжение 3—7 в, т-ра низкая. Может применяться H<sub>2</sub>SO<sub>4</sub> = H<sub>2</sub>O = HF-электролит. Составы электролитов представлены также на трейных диаграммах.

Е. Д.

**75605. Особенности анодного поведения стали в электрополировочном электролите при малых плотностях поляризующего тока. Воздвиженский Г. С., Валеев А. Ш., Горбачев Г. А., Докл. АН СССР, 1956, 108, № 2, 299—301**

Исследовался процесс анодного растворения стали 50 и других сталей в электрополировочном электролите, содержащем (в %): H<sub>3</sub>PO<sub>4</sub> 70, CrO<sub>3</sub> 14, H<sub>2</sub>O 16, при т-ре 80° и малых D (0,1—1,25 а/дм<sup>2</sup>). При анодной поляризации током малой D (0,1 а/дм<sup>2</sup>) в течение длительного времени (27 час.) заметных невооруженным глазом изменений поверхности не происходит. Под неизменным поверхностным слоем металла находится тонкий равномерный слой черной рыхлой массы. Примерно такая же картина наблюдается при D, не превышающих 0,7 а/дм<sup>2</sup>. При D<sub>a</sub> = 2,9 а/дм<sup>2</sup> начинается выделение газообразного O<sub>2</sub> и темная масса не образуется. Образующаяся под металл. пленкой черная рыхлая масса состоит в основном из чистого железа с небольшой примесью фосфата. Выход по току увеличивается прямо пропорционально времени поляризации и через 27 час. при D<sub>a</sub> = 0,1 а/дм<sup>2</sup> достигает 200%, что означает усиление саморастворения стали более, чем в 200 раз по сравнению с поляризованным состоянием (отрицательный дифференц-эффект). Предложена гипотеза для объяснения явления разрушения металла в глубине образца без видимого разрушения его поверхностного слоя.

П. Ш.

**75606. Оксидирование латуни в аммиачных растворах. Дезидерьева И. П., Безсонова Э. М., Уч. зап. Казанск. ун-та, 1956, 116, № 1, 175—178**

Исследовалось влияние следующих факторов на качество и скорость образования оксидных пленок на латуни при хим. оксидировании в медно-аммиачных р-рах: конц-ии компонентов ванны, т-ры, времени обработки, изменения состава ванны в процессе оксидирования, состава латуни и способа предварительной подготовки поверхности образцов. Пленки лучшего качества получаются в р-рах, содержащих 60—40 г/л NH<sub>3</sub> (25%) и 30—20 г/л Cu. Предлагается готовить ванну следующим образом. Углемедная соль [CuCO<sub>3</sub>·Cu(OH)<sub>2</sub>] (лучше свежесожденная) вносится небольшими порциями при перемешивании в 25%-ный р-р аммиака из расчета 70 г соли на 1 л р-ра. Затем конц-ия NH<sub>3</sub> доводится до 60 г/л либо улетучиванием NH<sub>3</sub> из открытой ванны, либо разбавлением р-ра. Нерастворившийся осадок (или

выпавший при разбавлении р-ра) оставляется на дне ванны. Когда в процессе работы ванны конц-ия компонентов р-ра приближается к указанному нижнему пределу, необходимо корректировать ванну добавлением 25%-ного р-ра NH<sub>3</sub>. Т-ра обработки 15—25°, время оксидирования 2—10 мин. Латуни с содержанием 71,2% Cu дают хорошие оксидные пленки в более широких пределах конц-ий р-ра, чем латуни, содержащие 59—62% Cu. Применение электрополировки перед оксидированием улучшает качество пленок.

П. Ш.

**75607. Окрашивание анодированного алюминия. Стиллер** (Coloring anodized aluminum. Stiller Frank P.), Metal Finish. Guidebook-Directory, 1956, 24, Westwood, N. J. Finish. Publ. Inc., 1955, 439—440, 442—443 (англ.)

Рассматривается влияние различных факторов на качество и оттенок окрашенных анодированных пленок на Al, в частности, состава Al, подготовки его поверхности, условий анодирования (толщины, твердости, пористости анодной пленки, т-ры, D и времени анодирования) и условий окрашивания (конц-ии, pH р-ра), а также оборудование, материалы и роль промежуточных операций — промывок.

З. С.

**75608. Успехи в цветном анодировании. Дарби** (Success in color anodizing. Darby Kim), Mod. Metals, 1956, 11, № 12, 74, 76, 78, 80, 82 (англ.)

Сообщается о быстром росте произ-ва изделий из окрашенного анодированного алюминия и даются некоторые перспективы применения таких изделий. Описан овальный автомат типа «Стивенс» для анодирования с последующим окрашиванием анодной пленки.

И. Е.

**75609. К гальванотехнике палладия. Тевс** (Zur Galvanotechnik des Palladiums. Thews Edmund R.), Metalloberfläche, 1956, 10, № 7, 193—196 (нем.)

Рассматривается общее развитие техники Pd, физ. свойства и применение Pd, общие свойства Pd-покрытий и способы их осаждения, а также подготовка поверхности к палладированию.

З. С.

**75610. Золочение. Паркер** (Gold plating. Parker Edward A.), Metal Finish. Guidebook-Directory, 1956, 24, Westwood, N. J. Finish. Publ. Inc., 1955, 290, 292, 294, 296, 298—302 (англ.)

Описаны условия получения осадков Au разнообразных оттенков (темного, зеленого, белого и т. д.) из цианистых ванн.

Л. П.

**75611. Серебрение. Промисел** (Silver plating. Promisel N. E.), Metal Finish. Guidebook-Directory, 1956, 24, Westwood, N. J. Finish. Publ. Inc., 1955, 346, 348—350, 352—353 (англ.)

Обзорная статья. Описаны различные типы ванн. Л. П.

**75612. Электроосаждение индия. Грей** (Indium plating. Gray Daniel), Metal Finish. Guidebook-Directory, 1956, 24, Westwood, N. J. Finish. Publ. Inc., 1955, 302—305 (англ.)

Описаны свойства и применение In. In может диффундировать в другие металлы при относительно низкой т-ре, образуя твердое, износостойкое покрытие, имеющее защитные декоративные свойства. In можно осадить из целого ряда ванн. Наибольший интерес представляют четыре. 1. Сульфат In 20 г/л, Na<sub>2</sub>SO<sub>4</sub> 12 г/л, pH 2—2,5, т-ра 20°, D<sub>k</sub> 2 а/дм<sup>2</sup>, аноды — In + Pt или C, выход по току (BT) 30—80%, рассеивающая способность (PC) плохая. 2. Фторборат In 240 г/л, H<sub>3</sub>BO<sub>3</sub> 24—32 г/л, NH<sub>4</sub>BF<sub>4</sub> 42—50 г/л, pH ~ 1, т-ра 20—25°, D<sub>k</sub> 5—10 а/дм<sup>2</sup>, BT 40—75%, PC высокая, аноды In + Pt (или C). 3. Сульфат In 105,36 г/л, сульфатом Na 150 г/л, сульфатом к-та 26,4 г/л, NaCl 45,84 г/л, декстроза 8 г/л, триэтанолламин 2,19, pH 3,5, D<sub>k</sub> до 10 а/дм<sup>2</sup>, оптим. 2 а/дм<sup>2</sup>, BT 90%, т-ра 20°, PC очень высокая. 4. InCl<sub>3</sub> 15—30 г/л, KCN 140—160 г/л, KOH 30—40 г/л, декст-

рин 30—40 г/л, т-ра 20°,  $D_k$  1,5—3 а/дм<sup>2</sup>, ВТ ~ 50%, аноды — сталь, РС очень высокая. Л. П.

**75613. Сглаживание в растворах блестящего никелирования.** Лангфорд (Levelling in bright nickel plating solutions. Langford K. E.), Electroplat. and Metal Finish., 1956, 9, № 3, 71—76 (англ.)

В продолжение предыдущих работ (см. РЖХим, 1956, 58754) изучено влияние сглаживающих добавок на структуру Ni-осадков в р-рах блестящего никелирования и обсуждается механизм действия сглаживающих добавок. Исследовались органич. в-ва циклич. структуры и их алкильные производные. Показано, что Ni-осадки, полученные из электролитов с добавками блескообразующих и сглаживающих в-в, имеют ярко выраженную слоистую структуру и сильный блеск. Дополнительное введение смачивающих добавок не меняет структуры Ni-осадков, несмотря на уменьшение их твердости. Введение  $MgSO_4$  в электролит блестящего никелирования со сглаживающими добавками не ухудшает качества Ni-осадков. Аналитически показано наличие в Ni-осадках S, попадающей, по мнению автора, в осадок вследствие включения блескообразующих добавок. Обнаружено наличие азота в Ni-осадках. Отмечается, что для сглаживающего действия органич. молекулы должны иметь определенную хим. структуру и размеры. Нафталиновые соединения, имеющие двойную кольцевую структуру, также оказывают сглаживающее действие. Соединения молекул с прямой линейной цепью не являются сглаживающими в-вами. Высказывается мнение об осаждении сглаживающих добавок на катоде на участках высокой  $D$ , где происходит обеднение прилегающего слоя ионами  $Ni^{2+}$  и  $H^+$ . Благоприятное действие смачивающих добавок на сглаживание Ni-осадков объясняется снижением поверхностного натяжения и улучшением проникновения электролита в микроуглубления катода. Выяснение причин снижения твердости в присутствии смачивающих добавок и наличия азота в Ni-осадках нуждается в дополнительном исследовании. Приводятся методы аналитич. контроля электролитов для определения органич. добавок. З. С.

**75614. Никелирование.** Прайн (Nickel plating. Prine Walter H.), Metal Finish. Guidebook-Direct., 1956, 24, Westwood, N. J. Finish. Publ. Inc., 1955, 321—322, 324—330 (англ.)

Рассматривается роль т-ры, pH, конц-ии р-ра и перемешивания при электроосаждении Ni и приведены условия электроосаждения Ni из различных ванн, дающих Ni определенного качества. Обсуждаются также неполадки, возможные при никелировании, и способы их устранения. З. С.

**75615. Никелирование в кислых ваннах риверсивным током.** Брук, Яски, Ниварт, Хогланд (De toerpassing van PR-plating in zure nikkelbaden. Broek W. H. van den, Jaski C. J., Nievaart M. C. J., Hoogland J. G.), Chem. weekbl., 1955, 51, № 51, 907—911 (голл.)

Исследована возможность получения блестящих и нехрупких Ni-покрытий при периодич. изменении направления тока. Состав ванны (в г/л):  $NiSO_4 \cdot 7H_2O$  240,  $NiCl_2 \cdot 6H_2O$  45,  $H_2BO_3$  30, сахарина 0,5; pH ванны 5,4, т-ра 50—55°. Кривые зависимости степени блеска (Springer, Z. Elektrochem., 1940 46, 3) от анодного периода тока в % при  $D_k = 1$  и 6 а/дм<sup>2</sup> показали максимум блеска (~ 5) при 5—15% анодного периода тока. Появление максимума объясняется пассивированием покрытия, почему дальнейшего увеличения блеска не происходит. При обогащении ванны хлоридом наибольший блеск был при содержании 1—2 г/л  $Cl^-$ , но одновременно увеличилась хрупкость покрытия. Для получения блестящих Ni-покрытий способ риверсирования тока преимуществ не дал, можно отметить только воз-

можность получения этим способом менее пористых и более тонких покрытий. К. Г.

**75616. Твердость электролитического хрома.** Федотьев Н. П., Вячеславов П. М., Бардин В. В., Ж. прикл. химии, 1956, 29, № 3, 476—478

Исследовалась твердость Cr-осадков, полученных из электролита состава (в г/л):  $CrO_3$  250 и  $SO_4^{2-}$  2,5, при  $D_k$  10—500 а/дм<sup>2</sup> и т-ре 25—85°. Кривая зависимости твердости Cr-осадков от т-ры электролиза для каждой  $D_k$  имеет минимум и максимум. С увеличением  $D_k$  минимум и максимум сдвигаются в сторону более высоких т-р, причем абс. величина минимума несколько увеличивается, а максимума — уменьшается. Авторы объясняют указанные явления изменением величины зерна и изменением структуры хрома с т-рой. И. Е.

**75617. Лужение из кислых электролитов.** Матерс (Tin plating from acid baths. Mathers F. C.), Metal Finish. Guidebook-Direct., 1956, 24, Westwood, N. J. Finish. Publ. Inc., 1955, 353—357 (англ.)

Обзорная статья. Описано лужение из р-ров  $SnSO_4$  (30—100 г/л) +  $H_2SO_4$  (30—150 г/л) и применяющихся блескообразователи. Библ. 41 назв. Л. П.

**75618. Лужение из щелочных станиннатных электролитов.** Лоуэнхейм (Tin plating from alkaline stannate baths. Lowenheim Frederick A.), Metal Finish. Guidebook-Direct., 1956, 24, Westwood, N. J. Finish. Publ. Inc., 1955, 359—365 (англ.)

Приводятся составы станиннатных ванн и режимы работ. Описано влияние компонентов на анодные и катодные выходы по току, проводимость, скорость осаждения. Описана ванна скоростного лужения ( $D_k$  до 40 а/дм<sup>2</sup>). Л. П.

**75619. Некоторые взгляды на лужение способом погружения.** Уэймер, Прайс (Some aspects of tinning by immersion processes. Weimer D. E., Price J. M.), Trans. Inst. Metal Finish., 1953—1954, 30, 95—108, Discuss. 108—111 (англ.)

Обсуждается контактный способ лужения в щел. и кислых Sn-р-рах, в частности в контакте с Al, и целесообразность этого способа лужения в сочетании с электроосаждением Sn. Рассматривается процесс лужения Al-сплавов простым погружением в щел. станиннатные р-ры (предварительная обработка и условия процесса) и удаление из р-ра накапливающейся в процессе щелочи (хим. или анодным растворением Sn). З. С.

**75620. Бронзирование.** Холл (Bronze plating. Hall Nathaniel), Metal Finish. Guidebook-Direct., 1956, 24, Westwood, N. J. Finish. Publ. Inc., 1955, 252, 254 (англ.)

Приводятся составы цианистых р-ров для осаждения Cu-Cd-, Cu-Sn-, Cu-Zn-сплавов и режим процесса. Л. П.

**75621. Электроосаждение сплава Sn-Pb.** Карлсон, Стрейк (Lead-tin alloy plating. Carlson A. E., Struyk Clifford), Metal Finish. Guidebook-Direct., 1956, 24, Westwood, N. J. Finish. Publ. Inc., 1955, 317—320 (англ.)

Сплавы Sn-Pb с различным содержанием компонентов осаждаются из ванны, содержащей борфтораты

Sn (общ.)	Содержание в г/л			Содержание в осадке Sn, %
	Sn <sup>2+</sup>	Pb	клей	
5	4	85	0,5	5
7	6	88	0,5	7
10	9	90	0,5	10
15	13	80	1,0	15
25	22	65	1,5	25
40	35	44	3,0	40
50	45	35	4,0	50
60	55	25	5,0	60

этих металлов. Состав ванны при  $\text{HBF}_4$  (своб.) 40 г/л,  $\text{H}_2\text{BO}_3$  (своб.) 25 г/л приведен в таблице.

Аноды — сплав Pb-Sn такого состава, какой должен быть осажден. Дк 3 а/дм<sup>2</sup>, т-ра 30—50°, pH ~ 0,2, слабое перемешивание (механич.). Аноды помещаются в чехлы из виньона. Добавка 0,5—1 г/л резорцина стабилизирует ванну и способствует уменьшению кол-ва Sn в осадке. Описаны методы приготовления и контроля электролита. Л. П.

**75622. «Электроформовка». Гальванический способ массового изготовления изделий. Паук** («Elektroforming») Ein galvanotechnisches Verfahren für Massenfabrikation. Pauck, W. J. F., Metallwaren-Ind. und Galvanotechn., 1956, 47, № 5, 201—206 (нем.).

Рассматривается гальванопластика, способ изготовления изделий металлич. изделий, их свойства, стоимость процесса и преимущества по сравнению с другими методами. З. С.

**75623. Снятие металлических покрытий. Холл, Хогабум, Молер** (Stripping metallic coatings. Hall Nathaniel, Hogaboom G. B., Jr, Mohler J. B.), Metal Finish. Guidebook-Directory, 1956, 24, Westwood, N. J. Finish. Publ. Inc., 1955, 426—428, 430—434 (англ.).

Рассматриваются общие принципы хим. и электрохим. снятия металлич. покрытий с бракованных изделий, обсуждаются условия электрохим. удаления металлич. осадков и приведены составы р-ров для колич. хим. снятия осадков латуни, Cd, Cu, Cr, Au, Pb, Ni, Rh, Ag, Sn, Zn, Sn-Zn, а также окисных и фосфатных пленок с различных подкладок (стали, Cu, Mg, Zn и т. д.). З. С.

**75624. Контроль гальванических ванн в ячейке для покрытия. Халл** (Control of plating baths with plating cells. Hull R. O.), Metal Finish. Guidebook-Directory, 1956, 24, Westwood, N. J. Finish. Publ. Inc., 1955, 500—503 (англ.).

Описан способ контроля гальванич. ванн при проведении электролиза в ячейке Халла, в частности, определение загрязнений, органич. и неорганич. добавок, pH, т-ры, D и других факторов по изменению качества осадков, и приведены параметры, которые могут контролироваться в процессах осаждения блестящих осадков Ni, Cu, Zn, Ag, Sn, Cd и латуни этим способом. З. С.

**75625. Испытание пористости, сцепляемости и твердости. Прайн** (Testing porosity, adhesion and hardness. Prine Walter H.), Metal Finish. Guidebook-Directory, 1956, 24, Westwood, N. J. Finish. Publ. Inc., 1955, 482—485 (англ.).

Описан способ определения пористости различных покрытий, механич. и термич. методы испытания сцепляемости и различные методы определения микро- и макротвердости. З. С.

**75626. Определение осадков. Холл** (Identification of deposits. Hall Nathaniel), Metal Finish. Guidebook-Directory, 1956, 24, Westwood, N. J. Finish. Publ. Inc., 1955, 525—526 (англ.).

Описан способ определения природы металлич. покрытий путем механич. снятия его и обработки р-ром  $\text{HNO}_3$  и перечислены признаки для опознавания Au, Al, Cr, Cu, Ni, Sn, Zn, Cd и металлов Pt-группы. З. С.

**75627. Современная гальванотехника. Беннингхофф** (Wo steht die Galvanotechnik heute? Benninghoff Hanns), Techn. Rundschau, 1956, 48, № 25, 3, 5, 7 (нем.).

Обзор современных гальванич. процессов и конструкций основного и вспомогательного оборудования гальванич. произ-ва. В. Л.

**75628. Обработка растворов для нанесения покрытий посредством активированного угля. Хелбиг** (Activated carbon treatment of plating solutions. Helbig

Walter A.), Metal Finish. Guidebook-Directory, 1956, 24, Westwood, N. J. Finish. Publ. Inc., 1955, 396—399 (англ.).

Рассматривается процесс очистки р-ров от различных загрязнений обработкой их активированным углем периодич. и непрерывным методом и указываются типы загрязнений, которые могут быть удалены этим способом. З. С.

**75629. Нанесение покрытий на пластики. Наркус** (Plating on plastics. Narcus Harold), Metal Finish. Guidebook-Directory, 1956, 24, Westwood, N. J. Finish. Publ. Inc., 1955, 380—385 (англ.).

Рассматриваются различные способы осаждения металлич. покрытий на поверхность пластмассовых изделий, в частности методы хим. восстановления, распыления и испарения, подготовка поверхности к покрытию и технология процессов осаждения. Обсуждаются также преимущества и недостатки каждого способа и рассматриваются некоторые новые методы покрытия пластмассовых изделий (осаждение из газовой фазы и др.). З. С.

**75630. Существенное в конструкции гальванических подвесок. Белк** (Essentials of plating rack design. Belke William E.), Metal Finish. Guidebook-Directory, 1956, 24, Westwood, N. J. Finish. Publ. Inc., 1955, 41—42, 44—46, 48, 50—53 (англ.).

Описан ряд подвесных приспособлений для нанесения электролитич. покрытий на различные детали в зависимости от их формы и размера и способы их расположения в ваннах, а также форма и размер дополнительных анодов, экранов и контактирующих устройств, обеспечивающих получение равномерных и качествен. электролитич. осадков. Приведены данные по оптимальным способам зашивания деталей в различные гальванич. ванны, в частности материал подвесок, и способ контактирования их с деталями, и рассматривается изоляция подвесных приспособлений. З. С.

**75631. О получении хрома электролизом расплавов. Марьон, Андриё** (Sur la préparation du chrome par électrolyse ignée. Marion Suzanne, Andrieux Jean-Lucien), C. r. Acad. sci., 1956, 242, № 25, 2903—2906 (франц.).

Изучены условия электроосаждения Cr из расплавленных солей. Показано, что в атмосфере воздуха из расплавленного  $\text{CrF}_3 \cdot 4\text{H}_2\text{O}$ , растворенного в криолите, Cr получается чистотой 83—87%. В атмосфере воздуха в эвтектич. смесях NaF с LiF, KF,  $\text{CaF}_2$  или  $\text{MgF}_2$  можно получить Cr чистотой 94%, но он загрязнен окислами и выход по току ≤ 20%. В атмосфере аргона осадок, полученный из тех же эвтектик, содержит ~ 96% Cr. Анод — графитовый, катод — Mo. Т-ра электролиза 800—950°. Cr выделяется в виде дендритов. С повышением напряжения на электродах увеличивается размер кристаллов Cr и уменьшается выход по току из-за выделения щел. металла. Снятие поляризационных кривых I—V показало, что Cr выделяется при напряжении 1 в а щел. металл 4 в. Из смеси 130 г  $2\text{NaF} \cdot 3\text{KF} + 20$  г  $\text{CrF}_3 \cdot 3\text{H}_2\text{O}$  при 800° и напряжении 3 в выход по току достигает 42%. Осадок содержит 96,8% Cr и 2,2% Fe. Содержание Fe может быть уменьшено до 0,8% и повышено кол-во Cr до 99,1% путем проведения предварительного электролиза при напряжении < 1 в. Отмечается, что чистота полученного Cr определяется чистотой исходных продуктов. В атмосфере азота из эвтектики  $2\text{NaF} \cdot 3\text{KF}$  получается Cr такой же степени чистоты, но выход по току снижается до 30%. З. С.

**75632 П. Сепаратор для электродов в электрических аккумуляторах. Ярдин, Каган** (Scheider für die Elektroden elektrischer Sammler. Yardney Michel

Nathan, Kagan Martin Eli) [Yardney International Corp.]. Пат. ФРГ 902398, 15.09.55

Сепаратор для электродов серебряно-цинковых аккумуляторов состоит по крайней мере из одного слоя поливинилспирта. (I), одного слоя пористого непроводящего материала, напр. бумаги, и слоя целлюлозной пленки. I может применяться в виде простого полимера без поперечных связей между цепями, а также с поперечными связями, которые образуются при прибавлении бифункциональных спиртов, альдегидов или к-т. Слой I расположен ближе к положительному полюсу, а слой из целлюлозно-гидратной пленки ближе к отрицательному электроду. Слой I находится в напряженном состоянии и образует замкнутую оболочку со сварными краями вокруг электрода или, соответственно, электродной группы. Я. М.

75633 П. Электрод для электролиза растворов солей, в особенности для электролиза щелочных солей в ваннах с ртутным катодом с анодами, имеющими прорези. Конфортто (Elektrode für die Elektrolyse von Salzlösungen, insbesondere mit Aussparungen versehene Anode für die Elektrolyse von alkalischen Salzen in Zellen mit Quecksilberkathode. Conforto Gaetano) [Pintsch Barmag A.-G.] Пат. ФРГ 941482, 12.04.56

Патентуется устройство прорезей в анодах для ванны с ртутным катодом. Прорези прямоугольного профиля выполняются так, что их верхняя ограничительная поверхность имеет наклон для облегчения удаления пузырьков газа. Наклон вверх делается преимущественно в сторону протекания электролита либо в обе стороны от середины анода, а прорези выполняются в любом направлении по отношению к движению электролита. Г. В.

75634 П. Раствор для полировки стали химическим способом. Сайто (鉄鋼用化学研磨液. 齋・長男), 三菱電機株式会社. [Мицубиси Дэнки Кабусики Кайся]. Япон. пат. 4407, 19.07.54

Для хим. полировки изделий из углеродистой стали, спец. инструментальной стали, стали с низким содержанием Ni или Cr, марганцевистой и других видов стали применяется водн. р-р  $H_3PO_4$  или  $H_2SO_4$ , их смесь или же смесь их солей, в которую добавляется окислитель (напр.,  $NaNO_3$ ,  $KNO_3$ ,  $HNO_3$ ,  $H_2CrO_4$ ,  $K_2Cr_2O_7$ ,  $KMnO_4$ ) и фториды ( $HF$ ,  $HBF_4$ ,  $CaF_2$  и т. д.). Сталь обрабатывается в очень короткое время при т-ре от нормальной до  $200^\circ$ . Малоуглеродистая листовая сталь (0,2% C) и листовая пружинная сталь (0,7% C, закаленная) обрабатываются в течение 5 сек. в р-ре состава (в вес. ч.):  $H_3PO_4$  (уд. в. 1,75) 3,  $H_2SO_4$  (уд. в. 1,8) 2,  $CaF_2$  0,5,  $K_2Cr_2O_7$  1. Т-ра р-ра  $160^\circ$ . Для обработки этой же стали применяется р-р состава (в вес. ч.):  $Ca_3(PO_4)_2$ , 2,  $H_2SO_4$  (уд. в. 1,8) 3,  $CaF_2$  1,  $KMnO_4$  1. Т-ра р-ра  $110^\circ$ . Время обработки 5 сек. Листовая пружинная сталь (0,7% C, закаленная) полируется в р-ре состава (в вес. ч.):  $CaF_2$  2,  $NaNO_3$  2,  $Na_2SO_4$  5,  $H_3PO_4$  (уд. в. 1,75) 5. Т-ра р-ра  $200^\circ$ . Спец. инструментальная сталь № 2 полируется в течение 10–30 сек. в р-ре состава (в вес. ч.):  $CaF_2$  5,  $NaNO_3$  3,  $H_2SO_4$  (уд. в. 1,8) 5. Т-ра р-ра  $150^\circ$ . Сталь с низким содержанием Ni и Cr-сталь обрабатываются 10–30 сек. в р-ре состава (в вес. ч.):  $NaF$  5,  $NaNO_3$  4,  $H_2SO_4$  (уд. в. 1,8) 5. Т-ра р-ра  $170^\circ$ .  $HNO_3$  и другие окислители ускоряют растворение поверхности стали фосфорной к-той и ее солями и в то же время уменьшают растворение включений ферритов и углублений на поверхности металла. Фториды ускоряют растворение включений мартенсита. Добавление колл. в-в придает вязкость р-ру, а  $CH_3COOH$  или другие органич. к-ты образуют растворимые комплексные соли и стабилизируют процесс полировки, однако их добавление в р-р не обязательно. Н. К.

75635 П. Метод травления металлов. Мичлер (Method of etching metals. Michler Robert W.). Пат. США, 2730435, 10.01.56

Патентуется метод травления Fe, Al и его сплавов. Поверхность металлич. пластинки покрывается слоем озокерита и слоем гильсонита, в этом изолирующем слое прорезываются фигуры (буквы или цифры) и вся пластинка погружается в р-р  $CuCl_2$ , к которому добавлено немного изопропилового спирта. В результате нового обмена происходит местное травление металла в местах прорезей, где изолирующий слой нарушен. После травления пленка озокерита легко удаляется с пластинки. И. Е.

75636 П. Защита тантала от наводороживания. Крекелер, Шлехт (Schutz von Tantal bei Gefährdung durch elektrolytisch an ihm entwickelten Wasserstoff. Krekeler Heinz, Schlecht Helmut) [Badsche Anilin- und Soda-Fabrik A.-G.]. Пат. ФРГ 895892, 9.11.53 [Chem. Zbl., 1955, 126, № 15, 3482 (нем.)]

Защита Ta в аппаратах, построенных в сочетании с неблагоприятными металлами от угрозы выделения  $H_2$  на нем, производится наложением переменного напряжения на защищаемый Ta и вспомогательный Ta-электрод, помещенный в то же место. З. С.

75637 П. Электрополирование литых цинковых изделий. Киси, Мацумото (亜鉛ダイカストの電解研磨法. 岸松平, 松本功) 工業技術院長, [Kogyo Gakkaishu]. Япон. пат. 8707, 29.11.55

Обычные способы электрополирования чистого цинка в р-рах  $NaOH$  и  $H_3PO_4$  неприменимы для цинковых отливок. Предлагаемый способ обеспечивает получение ровной и блестящей поверхности литого Zn-сплава, содержащего Al, Si, Mg и др. При анодировании Zn-отливки в смешанном р-ре  $Na_2S$  и  $NaCN$  в результате выделения кислорода образуется  $ZnO$  по р-ции  $Zn + O \rightarrow ZnO...$  (1), которая из-за присутствия  $Na_2S$  переходит в  $ZnS$  по р-ции:  $ZnO + Na_2S + H_2O \rightarrow ZnS + 2NaOH...$  (2), а в присутствии  $NaCN$  происходит р-ция  $2ZnO + 4NaCN = Na_2Zn(CN)_4 + Na_2ZnO_2...$  (3). Таким образом в присутствии только одного  $Na_2S$  или же в присутствии  $Na_2S$  и лишь небольшого кол-ва  $NaCN$  будет иметь место р-ция только по ур-нию (2). Нерастворимый  $ZnS$  затвердеет на полированной поверхности и не даст возможности получить блестящую поверхность. В случае избытка  $NaCN$  р-ция пойдет по ур-нию (3), ускорит растворение поверхности изделия и сделает ее неровной. Следовательно, для получения блестящей полированной поверхности необходимо обеспечить равновесие р-ций (2) и (3). В начале процесса электрополирования на поверхности изделия образуется пепельно-белый налет, но при установлении постоянных напряжений и силы тока затвердевшая пепельно-белая пленка растворяется и образуется блестящая поверхность. По мере повышения т-ры растворение пленки облегчается. Кстати, эта пленка легко удаляется при погружении изделия в водн. р-р  $HCl$ . Присутствие небольших кол-в Al, Si, Mg и др. в Zn помехой в полировании не является. Поскольку при данном способе получается очень ровная и чистая поверхность, то изделие можно сразу же покрывать другим металлом. Кроющая способность в данном случае оказывается очень высокой. Состав р-ра (в г/л):  $Na_2S$  200–500,  $NaCN$  30–150. Т-ра р-ра  $40$ – $80^\circ$ ; напряжение 12–25 в;  $D$  10–40 а/дм<sup>2</sup>; время электролиза 30 сек.—10 мин. Н. К.

75638 П. Ванна для электроосаждения Sb-покрытий. Пражак, Голинка (Lázeň pro elektrolytické vylučování antimonových povlaků. Pražák Vilém, Holinka Miroslav). Чехосл. пат. 84784, 1.11.55

Ванна для электролитич. осаждения Sb-покрытий от

дичается тем, что состоит главным образом из водн. р-ра  $\text{SbF}_3$  органич. к-ты (лимонной, винной и т. п.) и  $\text{NH}_4\text{OH}$ . Для тонкозернистых покрытий рекомендуется добавка соли  $\text{Bi}$ , для блестящих покрытий — добавка тимолевины (0,05 г/л) (отдельно или вместе с солями  $\text{Bi}$ ). Аноды — сплав  $\text{Sb}$  с 2,5—3%  $\text{Bi}$ . Пример состава ванны (в г/л):  $\text{SbF}_3$  130—175,  $\text{C}_6\text{H}_{10}\text{O}_8$  (лимонная к-та) 180—220;  $\text{NH}_3$  12—15,  $\text{Bi}(\text{NO}_3)_3 \cdot 5\text{H}_2\text{O}$  1,2—2,5; т-ра комнатная,  $D_k$  1—2 а/дм<sup>2</sup>, ВТ ~100%. Покрытие толщиной в 10 мкм образуется за 30 мин. при  $D_k$  1 а/дм<sup>2</sup> и 15 мин. при  $D_k$  2 а/дм<sup>2</sup>. И. Е.

**75639 П.** Аппарат для электрополировки металлических изделий. Грей (Apparatus for electropolishing metallic articles. Gray Alvin N.) [Western Electric Co., Inc.]. Пат. США 2725355, 29.11.55

Аппарат для электрополировки изделий состоит из сосуда с электролитом катода, расположенного горизонтально поперек ванны; приспособления для передвижения электрополируемого изделия через ванну вдоль траектории, параллельной катоду, начиная от входа в ванну и до выхода из нее; приспособления для создания разности потенциалов между изделием и катодом, причем ток течет от изделия к катоду. Непроводящий экран, помещаемый между катодом и изделием, перфорирован в такой степени, что имеет место постепенное возрастание поверхности катода, обращенной к изделию, по мере его продвижения от входной части сосуда к выходной. Я. Л.

**75640 П.** Способ и аппаратура для электрополировки металлической ленты. Меррей (Methods of and apparatus for electropolishing metallic articles. Murray Guy E.) [Western Electric Co., Inc.]. Пат. США 2725354, 29.11.55

Патентуется способ электрополировки металлич. нитей, которые пропускаются непрерывно через электролит. ванну. Одновременно через ванну пропускается две плоских металлич. ленты по обе стороны от нити в соответствии с направлением нити, начиная от входа и до выхода из ванны. Ленты постепенно изгибаются и направляются в трубу, в которую включена нить. Между нитью и лентами создается соответствующая разность потенциалов для полировки поверхности нити. Я. Л.

**75641 П.** Способы и аппаратура для растворения выступов поверхности, электрополировки и пассивации металлической ленты. Стробел (Methods of and apparatus for dissolving surface projections, electropolishing and passivating metallic tapes. Strobел Herman R.) [Western Electric Co., Inc.]. Пат. США 2725352, 29.11.55

Предлагается способ растворения выступов поверхности, а также способ электрополировки и пассивации металлич. ленты, имеющей зазубренные края. Способ заключается в продольном перемещении нитевидного катода вдоль заранее определенной траектории через электролит. ванну с одновременным перемещением металлич. ленты через ванну по траектории, постепенно приближающейся к траектории катода, начиная от входного конца к выходному концу ванны. Край ленты покрывается электроизоляционным материалом для предотвращения электролитич. воздействия на зазубренные участки поверхности. Между катодом и лентой прилагается разность потенциалов, обеспечивающая электрополировку поверхности ленты в входной части ванны и пассивирование этой поверхности в выходной части. Я. Л.

**75642 П.** Нанесение гальванических покрытий на  $\text{Al}$  и его сплавы. Кумагаи (アルミニウム及其の金の鍍金方法. 熊谷隆太郎) [富士工業株式会社, Фудзи Когэ Кабусики Кайси]. Япон. пат. 860, 12.02.55

Подпиранием поверхности изделия из  $\text{Al}$  или его сплава удаляется оксидная пленка и получается глад-

кая поверхность. После этого изделие погружается на короткое время в щел. р-р с целью удаления жира и оставшейся оксидной пленки. После этого изделие помещается в вакуум-камеру, наполненную смешанным р-ром 5—10%-ной  $\text{HF}$  и ~10%  $\text{HNO}_3$ , благодаря чему удаляются  $\text{Al}_2\text{O}_3$  в порах изделия, остаточные газы и щелочь. Состав щел. р-ра: (в г/л):  $\text{Na}_2\text{CO}_3$  10,  $\text{NaOH}$  15, т-ра р-ра 70—80°, время обработки изделия в р-ре 5—10 сек. Обработка в вакуум-камере производится при 30°. Перед хромированием на поверхность изделия из  $\text{Al}$  или его сплава наносится подслоя  $\text{Cu}$  из ванны:  $\text{CuSO}_4$  или  $\text{Cu}(\text{NO}_3)_2$  100 г,  $\text{HNO}_3$  65 г,  $\text{H}_2\text{O}$  1 л.  $D$  1—15 а/дм<sup>2</sup>, напряжение 1 в, т-ра 20°. Подслоя может быть  $\text{Ni} = \text{Cd}$ . Н. К.

**75643 П.** Электровыделение марганца. Багли, Кароселла (Electrowinning of manganese and cathodes therefor. Bagley Glen D., Carosella Michael C.) [Union Carbide and Carbon Corp.]. Канад. пат. 519280, 6.12.55

Патентуемый метод заключается в электролитич. осаждении металлич.  $\text{Mn}$  из водн. р-ров  $\text{Mn}$  и аммонийных солей неорганич. к-т в электролизере с диафрагмой с использованием прокатанных, отожженных и полированных катодов из  $\text{Ni}$ -сплава состава (в %):  $\text{Cr} \leq 30$ ,  $\text{W} \leq 10$ ,  $\text{Fe} \leq 25$ ,  $\text{Mo} \leq 20$  и остальное  $\text{Ni}$  ( $\text{Cr}$  10—25,  $\text{W}$  0,5—10,  $\text{Fe}$  4—25,  $\text{Mo}$  2—20 и остальное  $\text{Ni}$ ), в последующем удалении катода из электролизера, обработкой осажденного металлич.  $\text{Mn}$  разб. р-ром  $\text{Na}_2\text{Cr}_2\text{O}_7$  для предотвращения окисления, снятия осадка с катода, промывки катода для удаления грязи, обезжиривания катода и возвращения его в электролизер. Л. П.

**75644 П.** Блестящее меднение. Мураками (光澤銅鍍金方法. 村上透) オリジン電気株式会社, [Оризин дэнки кабусики кайся]. Япон. пат. 1058, 19.02.55

Патентуется способ блестящего меднения из щел. ванны, содержащей небольшое кол-во  $\text{H}_2\text{SeO}_3$ . Состав электролита: (в г/л):  $\text{CuCN}$  65,  $\text{NaCN}$  80,  $\text{H}_2\text{SeO}_3$  0,1,  $\text{HCN}$  свободная 9—11; рН электролита 10,5; т-ра р-ра 30—40°; напряжение 1,3 в;  $D = 0,7$ —2 а/дм<sup>2</sup>. Ток прерывается через каждые 24 сек. Электролит взбалтывается.  $\text{H}_2\text{SeO}_3$  способствует образованию блеска, а взбалтывание электролита дает ровную поверхность покрытия. Периодич. прерывание тока предупреждает рост кристаллов меди в виде зерен. Н. К.

**75645 П.** Метод электрорафинирования никеля в электролите сульфатхлоридного типа. Кук, Баркер, Так (Forfarande för elektrorafinering av nickel genom elektrolytisk utfällning ur en elektrolyt av sulfat-kloridtypen. Cook W. J., Barker W. V., Tuck J. H.) [The Mond Nickel Co. Ltd]. Швед. пат. 151053, 9.08.55

Способ электрорафинирования  $\text{Ni}$  путем осаждения его на катоде в электролите сульфатхлоридного типа, в частности циркулирующем в ячейке, заключается в том, что до того как попасть в анодное пространство электролит обрабатывается для удаления из него  $\text{Co}$ , а затем используется в качестве католита. Отличительной чертой метода является то, что к этому электролиту добавляется один или несколько конденсатов полиэтиленоксида  $m$ -метил- $n$ -октилфенола с содержанием 8—11 молей оксидилен и (или) подобных конденсатов лаурилового спирта, содержащих 4—6 молей оксидилен на 1 моль конденсата, с общим кол-вом их между 0,00025 и 0,001 г/л. М. Г.

**75646 П.** Хромирование оцинкованных изделий. Огава Киёити, Такамисава Тасуке (亜鉛鍍金物に対するクロムの電着法. 小川喜代一, 高見澤太助) Япон. пат. 2011, 26.03.55

Данный способ заключается в цинковании изделия из стали или цинкового сплава и хромировании его после оксидирования цинковой поверхности. Оксидиро-

вание изделия проводится в р-ре  $\text{CrO}_3 + \text{H}_2\text{SO}_4 + \text{HNO}_3$  и бихромата. Получается ровное блестящее износостойкое покрытие. Весь процесс делится на три стадии: I. Изделие из стали или цинкового сплава покрывается цинком любым из существующих способов. Время электролиза более 5 мин. II. С целью оксидирования оцинкованного изделия оно погружается на 10—20 сек. в водн. р-р состава (в г/л):  $\text{CrO}_3$  70—260,  $\text{H}_2\text{SO}_4$  1—20 мл,  $\text{HNO}_3$  1—90 мл и бихромат 50—80 г ( $\text{K}_2\text{Cr}_2\text{O}_7$ ,  $\text{Na}_2\text{Cr}_2\text{O}_7$ ,  $(\text{NH}_4)_2\text{Cr}_2\text{O}_7$ ). Последние необходимы для предупреждения образования хромовокислого цинка, который может проникнуть в оксидную пленку. III. Хромирование из ванны, содержащей 250—300 г/л  $\text{CrO}_3$  и  $\text{H}_2\text{SO}_4$  ( $\text{SO}_4 : \text{CrO}_3 = 1 : 200$ ).  $D = 15 \text{ а/дм}^2$ . Время электролиза свыше 1 мин. С целью увеличения твердости покрытия и толщины покрытия т-ра р-ра должна поддерживаться в пределах 45—50°.

Н. К.

75647 П. Хромирование. Сугахара (クロム鍍金法・菅原善治) Япон. пат. 202, 21.01.55

Патентуется усовершенствованный способ хромирования, обеспечивающий получение твердого покрытия с высокой жаростойкостью, кислотоупорностью и щелочестойкостью. К хромовому электролиту добавляется смешанный р-р  $\text{HBF}_4$  и фтористого титана и, кроме того, небольшое кол-во гелидия. Электролиз проводится при постепенном повышении т-ры электролита.  $\text{Ti}(\text{BF}_4)_2$ , образующийся при соединении  $\text{HBF}_4$  и фтористого титана, находится в колл. состоянии и выполняет роль стабилизатора. Благодаря его присутствию водород выделяется в сравнительно малом кол-ве и обеспечивается очень низкая зернистость хромового покрытия, а соответственно предупреждается образование пузырьков и трещин на покрытии. Свободная  $\text{HBF}_4$  и гелидий регулируют  $D$  и обеспечивают равномерность зерен хрома. Пример хромирования:  $\text{CrO}_3$  250 г,  $\text{H}_2\text{SO}_4$  1 г,  $\text{HBF}_4$  1 г, фтористый титан 3 г, гелидий 1 г, вода 1000 мл. Водн. р-р подогревается до 40—60°, напряжение 6—10 в,  $D = 5\text{—}7 \text{ а/дм}^2$ , время электролиза от 1 до 10 ч. При покрытии ножей достаточно 5—30 мин. Покрытое изделие промывается теплой водой и прокаливается в течение нескольких часов при т-ре 200—230°, после чего постепенно охлаждается. На аноде используется свинцовая пластинка или железная пластинка, покрытая толстым слоем свинца. Расстояние между изделиями на катоде должно быть одинаковым. Способ применим для хромирования деталей машин и инструментов.

Н. К.

75648 П. Метод нанесения покрытий и электролит для электроосаждения. Честер (Electroplating method and compositions. Chester Allan E.) [Poor and Co.] Канад. пат. 509745, 1.02.55

Патентуется способ электролитич. осаждения  $\text{Zn-Cu}$ -сплава белого цвета из электролита, содержащего щел. р-р цианидов указанных металлов. В электролите на 85—70  $\text{Zn}$  приходится 15—30 ч.  $\text{Cu}$ . Составной частью электролита является дитиокарбамат, который включает одну из групп:  $-\text{SC}(=\text{S})\text{NH}_2$ ,  $-\text{SC}(=\text{S})\text{N}(\text{CH}_3)_2$ ,  $-\text{SC}(=\text{S})\text{NHCH}_3$ . В электролит добавляются также цинковые соли альдоновых к-т, в частности глюконат цинка.

И. Е.

75649 П. Способ изготовления прокладочного материала, в основном состоящего из асбестового волокна, для покрытия его металлом электролитическим путем. Холмс (Förfarande för att göra ett tätningsmaterial i huvudsak bestående av asbestfibrer lämpligt för astadkommande av en metallbeläggning genom elektrolys. Holmes H. A.) [Turner Brothers Asbestos Co. Ltd], Швед. пат. 151684, 27.09.55

Патентуемый метод получения прокладочного или уплотнительного материала, годного для гальванич. покрытия его металлом, в состав которого в основном входит асбестовое волокно, резина и минер. наполни-

тель, и состоящего из относительно толстого основного и 2 тонких поверхностных слоев, отличается тем, что к последним добавляется обладающая высокой электропроводностью сажа, которая вводится в грунтовой слой в кол-ве 4—10%, а в поверхностные слои — 8—15%.

М. Г.

См. также: Электроосаждение металлов 74515, 74516, 74520, 75340, 77059. Электрохим. произ-ва без выделения металлов 74514, 74524

## СИЛИКАТЫ. СТЕКЛО. КЕРАМИКА. ВЯЖУЩИЕ МАТЕРИАЛЫ

75650. Новые соединения типа перовскита и смешанные кристаллы в системе  $\text{La}_2\text{O}_3 - \text{In}_2\text{O}_3 - \text{Y}_2\text{O}_3$ . Падуров, Шустерус (Neue Verbindungen vom Perowskittyp und Mischkristalle im System  $\text{La}_2\text{O}_3 - \text{In}_2\text{O}_3 - \text{Y}_2\text{O}_3$ . Padurow N. N., Schusterus C.), Ber. Dtsch. keram. Ges., 1955, 32, № 10, 292—297 (нем.)

В тройной системе рентгенографически исследовано образование твердых р-ров. Образование соединения  $\text{La}(\text{In}, \text{Y})\text{O}_3$ , которое относится к решетке типа перовскита, происходит при  $\text{La}_2\text{O}_3$  (50 мол. %). Это новое псевдокубич., орторомбич. соединение способно растворить в себе до 5—10 мол. %  $\text{La}_2\text{O}_3$ , 5 мол. %  $\text{In}_2\text{O}_3$  и до 8 мол. %  $\text{Y}_2\text{O}_3$ . Гексагональная решетка  $\text{La}_2\text{O}_3$  образует твердые р-ры  $(\text{In}, \text{Y})_2\text{O}_3$  (до 25—30 мол. %). Куб., объемноцентрированная решетка  $(\text{In}, \text{Y})_2\text{O}_3$  образует твердые р-ры типа флюорита и растворяет до 5—25 мол. %  $\text{La}_2\text{O}_3$ . См. также РЖХим, 1955, 55737.

Б. В.

75651. Структура керамических поверхностей (Влияние поверхностного натяжения). Салманг (Das Gefüge der keramischen Oberfläche (Die Auswirkung der Oberflächenspannung. Salmang H.), Ber. Dtsch. keram. Ges., 1955, 32, № 9, 251—256 (нем.)

Структура поверхности керамики изделий исследовалась методом погружения в 2%-ный р-р  $\text{KMnO}_4$  на 1 сек. Места, обладающие повышенной плотностью, при этом не окрашивались. Подробно рассмотрено образование литевых пятен, шлиров и нитей. Более плотные места проявляются на внутренней стороне изделий. Это уплотнение внутренней поверхности происходит от влияния поверхностного натяжения (ПН) шликера. Свободно падающая струя литья, шликерная масса и потоки шликера внутри формы немедленно окружаются водяной мембраной. Она возникает в связи с очень большим ПН воды и располагается снаружи шликерной массы с содержанием тончайшей глины. Струи воды с частицами достигают гипсовой формы, вода немедленно впитывается, а тончайшая глина остается снаружи изделия, образуя литевое пятно. Точно также образуются литевые шлиры и нити. При снижении ПН воды с помощью тензопола (~1%) с 73 до 28  $\text{дин/см}$  структурирование шликера, равно как и литевые пятна, полностью исчезает, но керамич. свойства шликера резко ухудшаются. ПН является важной характеристикой шликера. Предыдущее сообщением см. РЖХим, 1954, 38375.

Б. В.

75652. Роль поверхностной энергии и смачивания в металл-керамических уплотнениях. Кингери (Role of surface energies and wetting in metal-ceramic sealing. Kingery W. D.), Amer. Ceram. Soc. Bull., 1956, 35, № 3, 108—112 (англ.)

Указывается, что поверхностная энергия (ПЭ) оказывает решающее влияние на микроструктуру полифазных систем, на способность материалов спекаться при повышении т-ры, на процессы травления, механич. свойства

вного  
и, что  
элек-  
тродой  
— 8—  
М. Г.

74516,  
аделе-

мешан-  
а. Па  
и vom  
а<sub>2</sub>O<sub>3</sub> —  
егий  
92—297

довано  
инения  
перво-  
новое  
раство-  
и<sub>2</sub>O<sub>3</sub> и  
O<sub>2</sub> об-  
л. %).  
з обра-  
до 5—  
37.

Б. В.  
(Влия-  
(Das  
wirkung  
Dtsch.

ледова-  
1 сек.  
и этом  
зование  
е места  
уплот-  
влияния  
вободно  
поток  
водяной  
шим ПН  
ы с со-  
стицами  
впнты-  
изделия,  
я литье-  
омощью  
рование  
ую исче-  
шаются  
иликера.  
38375.

вания в  
и (Role  
amic se-  
e. Bull.

оказы-  
ифазных  
ри повы-  
свойства

тонких нитей и волокон, на теплоты растворения порошков и на ряд других процессов. Особенно важна роль ПЭ при смачивании в твердо-жидкостных системах, напр. в металлокерамике, уплотнениях, так как имеется зависимость между ПЭ и смачиваемостью. Уменьшение ПЭ приводит к улучшению смачиваемости. Уменьшения ПЭ можно достигнуть, если вводить в жидкую фазу поверхностноактивные в-ва. Указывается, что у расплавленных металлов ПЭ, выраженная в  $\text{эрг/см}^2$ , численно приблизительно равна  $t$ -ре плавления по абс. шкале. ПЭ расплавленных окислов составляет  $1/4$ — $1/6$  от абс. т. пл. Отмечается, что ПЭ зависит от газовой среды. Так напр., ПЭ твердого Ag равен 1140  $\text{эрг/см}^2$  в среде He и 350  $\text{эрг/см}^2$  в среде воздуха. Зависимость наблюдается и для ПЭ контактов жидкое — твердое. Поэтому газовая среда и ее состав имеют большое значение в технологии изготовления соединений между металлич. и керамич. деталями. С. Т.

75653. Коэффициент насыщения является единственным надежным критерием для суждения о морозостойкости керамических изделий. Брейер (Der S-Wert, das einzige, verlässliche Kriterium für die Beurteilung der Frostbeständigkeit keramischer Erzeugnisse. Breyer H.), Ziegelindustrie, 1955, 8, № 11 433—436 (нем.)

Автор оспаривает мнение Мака (РЖХим, 1956, 36652) о неприменимости метода определения морозостойкости керамич. черепка по коэфф. насыщения (S). Предельные кривые для  $\sigma_{\text{сж}}$  и S Мака и приведенные им примеры, по которым к морозостойким относятся изделия с отношением  $\sigma_{\text{сж}} : S = 50 : 0,70, 100 : 0,77$  и  $150 : 0,82$ , а к неморозостойким — у которых отношение  $\sigma_{\text{сж}} : S = 40 : 0,72, 80 : 0,78, 140 : 0,85$ , противоречат физ. законам. Определение S по DIN 52103 рекомендуется как единственно надежный и быстрый метод определения морозостойкости, оправдавший себя на практике Немецкого железнодорожного союза в течение последних 25 лет. Д. Ш.

75654. Германский стандарт DIN 51100. Проект. Методы испытания керамических сырьевых материалов и определения растворимых солей с использованием перколятора. — (Prüfung keramischer Roh- und Werkstoffe. Bestimmung der löslichen Salze. (Perkulatorverfahren) Norm-Entwurf. Februar 1955, DIN 51100.—), Sprechsaal Keramik, Glas, Email, 1955, 88, № 8, 172—173 (нем.)

См. РЖХим, 1955, 46524.

75655. Характеристика реологической зависимости дисперсий водных бентонитов. Барна, Маршалко (Vizes bentonit diszperziók reológiai viszonyainak jellemzése. Barna János, Marschalkó Béla), Magyar tud. akad. műsz. tud. oszt. közl., 1956, 18, № 1-4, 297—299 (венг.)

75656. Исследование физико-химических свойств монтмориллонитовых глин БССР. Сообщение II. Глина месторождения Левая Руба. Маркевич С. В., Литвиненко Э. Е., Изв. АН БССР, 1955, № 6, 70—75, (белорусс.) 75—80 (русс.)

Сообщение I см. РЖХим, 1956, 16793.

75657. Распространение ванадия в глинах. VI. Нерастворимые ванадаты. VII. Нерастворимые сульфиды. VIII. Комплекс органических соединений. Хаммер (Occurrences of vanadium in clays. VI — Insoluble vanadates. VII — Insoluble sulfides. VIII — Complex organic compounds. Hammett A. J.), Ceramic Age, 1955, 66, № 4, 28—29, № 5, 24—27 (англ.)

VI. Среди нерастворимых ванадатов в глинах найдены: кальциевые ванадаты — пинтагонд ( $\text{Ca}_2\text{V}_2\text{O}_7 \cdot 9\text{H}_2\text{O}$ ), россит ( $\text{CaV}_2\text{O}_6 \cdot 4\text{H}_2\text{O}$ ), пасконт ( $\text{Ca}_2\text{V}_6\text{O}_7 \cdot 11\text{H}_2\text{O}$ ),  $\alpha$ -узебекит ( $3\text{RO} \cdot \text{V}_2\text{O}_5 \cdot 3\text{H}_2\text{O}$ ),  $\beta$ -узебекит ( $3\text{RO} \cdot \text{V}_2\text{O}_5 \cdot 4\text{H}_2\text{O}$ ), в которых R может быть Ca или Mg, фернандинит

( $\text{CaO} \cdot \text{V}_2\text{O}_4 \cdot 5\text{V}_2\text{O}_5 \cdot 14\text{H}_2\text{O}$ ); ванадаты железа — ферванит ( $2\text{Fe}_2\text{O}_3 \cdot 2\text{V}_2\text{O}_5 \cdot 5\text{H}_2\text{O}$ ); ванадаты алюминия — штегингит ( $\text{Al}_2\text{O}_3 \cdot \text{V}_2\text{O}_5 \cdot 5\text{H}_2\text{O}$ ).

VII, VIII многие исследователи находили V в осадочных горных породах в виде коллоидных сульфидных соединений — тивованадатов, которые с кислыми водами образуют нерастворимые полисульфиды  $\text{V}_2\text{S}_4$  или  $\text{V}_2\text{S}_6$ . Таким образом можно объяснить присутствие сульфидов V в глинах. Известно наличие V в растениях и животных в виде окрашенных органич. соединений — порфиринов. Разновидности таких порфиринов обнаружены в битуминозных сланцах, известняках, нефти, минер. смолах, фосфоритах и углях. Глинами могут быть легко адсорбированы эти комплексные соединения V из керосина, нефти, чем и пользуются при очистке последних. Этим можно объяснить присутствие этих соединений в глинах. Библ. 19 назв. Сообщение V см. РЖХим, 1956, 58797. С. Т.

75658. Изучение технологии обрабатываемости различных японских глин и керамических масс. Исомацу, Такеока (本邦産諸粘土及び陶磁器坯土の成形能に關する研究・磯松嶺造, 竹岡清), 同志社工學會誌, Досиса когаку кайся, Doshisha Engng Rev., 1956, 6, № 4, 196—204 (япон.; рез. англ.)

Приводятся результаты изучения технологии обрабатываемости (предел текучести и максим. величина скольжения) различных японских глин и керамич. масс посредством аппаратуры, позволяющей измерять эти свойства в слое глиняной пасты или керамич. массы. Установлено, что керамич. массы с высокой пластичностью (для жаровен, бутылей для к-ты, глазурированных поваренной солью трубопроводов и др.) показывают хорошую обрабатываемость. Массы, изготовленные методом протяжки, характеризуются большой величиной скольжения, что соответствует практич. данным. В образцах масс для винных бутылей значение предела текучести соответствует значению их плотности. Однако в некоторых случаях, напр. для глин Nonuyata-kibushi и Goizuka-gairome, характеризующихся высокой пластичностью, не получено соответствующих значений по их обрабатываемости. Глины Murakami, содержащие в-во подобное серициту, отличаются хорошей обрабатываемостью, причем последняя возрастает с уменьшением величины зерна серицита. Для глин, содержащих монтмориллонит, величина обрабатываемости в основном определяется пределом текучести. Для бентонита наибольшее значение имеет предел текучести при небольшом содержании воды. При доведении содержания воды в бентоните до минимума можно получить бентонит с максим. длиной скольжения, что обеспечивает рост величины обрабатываемости в несколько раз. Указывается, что каменные породы Izushi характеризуются значительно большей обрабатываемостью по сравнению с глиной. Рекомендуется увеличить обрабатываемость фарфоровых масс небольшими добавками эффективных глинистых материалов. Г. М.

75659. О свойствах стекла тройной системы: окись натрия — борный ангидрид — кремнезем. Молчанова О. С. В сб.: Строение стекла. М.—Л., АН СССР, 141—144

Изучена хим. устойчивость стекла системы  $\text{Na}_2\text{O} - \text{B}_2\text{O}_3 - \text{SiO}_2$  и выделены области стекла максим. и миним. устойчивости к HCl, HF и  $\text{H}_2\text{O}$ . Особо исследована область составов, образующих в результате выщелачивания так называемое пористое стекло, образование которого в основном обусловлено возможностью гидратации кремнезема не только по месту обрыва связей O—Na, но и связей V—O—Si. Слой пористого стекла макроскопич. толщины обладает ничтожным защитным действием, и отношение между гидратированным и негидратированным кремнеземом в нем значительно выше, чем в поверхностном слое обычного стек-

ла. В этой тройной системе — три типа стекла: боратное, силикатное и промежуточное. В малокремнеземистых стеклах боратного типа не образуется защитного слоя; кремнезем гидратируется полностью вплоть до растворения. В стеклах силикатного типа, за исключением очень богатых щелочью, образуется обычный защитный слой, в котором степень гидратации относительно мала. Аномальные стекла являются промежуточными, они меняют хим. строение в результате термич. обработки и дают пористый продукт, содержащий значительное кол-во гидратированного кремнезема. Наличие последнего определяет ряд свойств пористого стекла, в частности его сорбционную активность. Процесс образования пористого стекла можно представить как пептизацию кремнезема, осложненную ассоциацией получающихся гидратов. Этот процесс проходит в объемах порядка нескольких молекул. Факт образования пористого стекла не доказывает наличия или отсутствия кристаллитов в стекле. Если микрогетерогенность есть некое эмульсионное строение стекла, то группа пористых стекол, возможно, и обладает таким строением, хотя их свойства могут быть объяснены и без этого допущения.

Н. П.

**75660. Противоречивая природа стекла. Молчанов В. С.** В сб.: Строение стекла. М.—Л., АН СССР, 1955, 300—301

Автор полагает, что правильнее считать стекло образованием двойственным: в нем есть элементы упорядоченного построения и вместе с тем имеются области неупорядоченного строения. Меньшую плотность, меньшую твердость, отсутствие определенной т-ры плавления, больший запас энергии у кварцевого стекла и т. п. нельзя объяснить, считая стекло совокупностью мелких кристалликов, если не допускать, что между ними есть поверхности раздела. Представления Захарясова об областях, где валентные углы изменяются, а расстояния между ионами увеличены, лучше объясняют отсутствие точки плавления, меньший уд. вес и т. п. Стекло имеет черты кристалличности и черты хаотич. строения. Н. П.

**75661. О координационном принципе расположении ионов в силикатных стеклах. Аппен А. А.** В сб.: Строение стекла. М.—Л., АН СССР, 1955, 96—106

Изложены соображения о зависимости свойств стекол от координации катионов. Исследования физ.-хим. свойств стекол, по мнению автора, подтверждают теорию, усматривающую наличие в стекле непрерывного кремне-кислородного скелета. Причем, взамен Si в структурную сетку стекла могут становиться ионы  $Al^{3+}$ ,  $B^{3+}$ , вероятно  $Ti^{4+}$ , и некоторые другие. Главнейшими структурными факторами, оказывающими решающее влияние на свойства стекла, являются: а) степень связности кремне-кислородного скелета, определяемая отношением числа ионов кислорода к числу ионов кремния; б) координационное состояние катионов. Координация катионов влияет на свойства стекла гораздо сильнее, чем, напр., полиморфные превращения предполагаемых кристаллитов кремнезема. Типичное состояние стекла ближе к неопределенному, чем к определенному хим. соединению кремнезема с другими окислами. Подтверждением этому является, в частности, изменение свойств от состава по закону непрерывных кривых. Автор не согласен с предложением считать стекло микрогетерогенной системой или рассматривать стекло как скопление микрокристаллич. образований, либо сводить сущность строения стекла к понятию о кристаллитах. Неопределенность хим. соединений, аморфность и однородность — три главных качества типичного стекла, а наличие неупорядоченного скелета и координационный принцип расположения ионов (атомов) — две важнейшие характеристики его атомной структуры. Автор признает в принципе возможность существования в стеклах кристаллитов, но считает наименование «кристаллитная теория» неудач-

ным и предлагает современную теорию строения стекла именовать скелетно-координационной теорией. Н. П.  
**75662. Об атомной структуре стекла. Белов Н. В.** В сб.: Строение стекла. М.—Л., АН СССР, 1955, 344—350

По данным рентгеноструктурного анализа стекол можно получить представление не о кристаллич. периодах, а о наиболее часто повторяющихся в стекле коротких межатомных расстояниях. Ранее имевшееся утверждение о том, что в работах Н. Н. Валенкова и А. Е. Порай-Кошица установлены линейные размеры кристаллитов (12 Å для  $SiO_2$ -стекла и 7,5 Å для  $Na_2O-SiO_2$  и вообще сложных стекол) и молекулярная природа стекла (кристаллиты  $\alpha$ -кристаллита в  $SiO_2$ -стекле и они же плюс метасиликаты в сложном стекле) является результатом недоразумения. В действительности рентгеноструктурным методом установлены межатомные расстояния, которые оказались близкими к расстояниям между кремнием и кислородом, кремнием и кремнием, кислородом и кислородом, натрием и кислородом в кристаллич. силикатах. Других данных рентгеноструктурный анализ в отношении стекла не дает. Основой строения стекла является кремнекислородный тетраэдр, общими вершинами связанными с другими, вблизи которого располагаются атомы Na. Близость состава обычных стекол к составам метасиликатов заставляет предполагать, что не менее двух третей общего кол-ва кислорода являются общими вершинами для двух  $SiO_4$ -тетраэдров. Основную массу стекла составляют обрывки, более или менее крупные, тех бесконечных (в одном-двух-трех измерениях) анионов из  $SiO_4$ -тетраэдров, которые входят в состав кристаллич. фазы, выделяющейся из стекла данного состава при благоприятных для расстекловывания условиях. Расстекловывание облегчается введением минерализаторов, напр. фторидов, которые укорачивают отрезки бесконечных цепочек и сеток и тем самым способствуют их более быстрой взаимной ориентировке в растущем из стекломассы кристалле. Натриево-боросиликатные стекла — единая система как в жидком, так и в твердом состояниях. В этих стеклах нет гетерогенности, которая якобы установлена Е. А. Порай-Кошицем. Выщелачивание водой В-составляющей является результатом извлечения неустойчиво расположенных атомов В и катионов Na. Неустойчивость этих атомов определяется переходом атомов В из тройной координации в четверную, а также промежуточным состоянием атомов В.

Н. П.

**75663. Визуально-политермический метод исследования кристаллизации стекла и силикатных систем. Бергман А. Г.** В сб.: Строение стекла. М.—Л., АН СССР, 1955, 245—247

Для физ.-хим. анализа расплавленных солевых многокомпонентных систем автор разработал очень быстрый и точный метод определения поверхности кристаллизации, с помощью которого исследовано ~ 300 диаграмм плавкости. Метод заключается в визуальном наблюдении появления первых кристаллов при охлаждении и энергичном размешивании (с применением затравок от соседних закристаллизованных сплавов), а также в определении при медленном нагревании и энергичном размешивании т-ры исчезновения последних кристаллов. Для наблюдения выделения кристаллов внутренняя часть печи освещается сильным пучком света. Дано описание деталей метода и приведены конкретные примеры применения новой методики к исследованию ряда систем. Н. П.

**75664. Измерение расширения стекла как метод исследования его строения. Стожаров А. И.** В сб.: Строение стекла. М.—Л., АН СССР, 1955, 120—125

Простейшие стекла ( $B_2O_3$ ,  $SiO_2$ ) расширяются до т-ры отжига без скачков и изломов. Стекла простых систем характеризуются скачками коэфф. расширения при

т-рах, мало зависящих от состава системы. Стекла систем, не содержащих кремнезема, так же как и силикатные стекла, при нагревании расширяются скачкообразно. Скачки коэфф. расширения у стекла всегда одинаковы, различия заключаются лишь в величине и положении на температурной кривой. В области отжига коэфф. расширения возрастает в несколько раз, иногда в 10—15 раз, в области более низких т-р увеличение коэфф. расширения редко достигает 10%. Установлено, что специфич. изменения свойств стекла, резко проявляющиеся при размягчении, не заканчиваются в области т-р отжига; очень слабые, но совершенно аналогичные явления, повторяются в области значительно более низких т-р в уже твердом стекле. Область отжига не ограничивается участком высоких т-р, о чем свидетельствует смещение нуля термометров и изменение длин точных шкал. Автор полагает, что процесс застывания стекла не только растягивается на широкую область, но и распадается на ряд ступеней. Сперва застывает наиболее тугоплавкая часть стекла, затем в порах образовавшегося стекла застывает следующая часть и т. д., иными словами намечается некоторое расслоение. В особых случаях эта тонкая структура становится видимой (пористые, опалесцирующие стекла).

**Н. П. 75665. К вопросу об ориентированной структуре стекла. Багдыкьян Г. О. В сб.: Строение стекла. М.-Л., АН СССР, 1955, 216—218**

Стекло, охлажденное от высокой т-ры под напряжением, после достижения комнатной т-ры и снятия нагрузки обладает аномальным остаточным двойным лучепреломлением, отличающимся от двойного лучепреломления, вызываемого закалкой. Для объяснения этого явления ставились дополнительные опыты, в том числе и с натриево-боросиликатными стеклами, которые не подтверждают высказанного предположения об ориентации асимметричных элементов и указывают на наличие химически разнородных областей. Были поставлены опыты по дифракции электронов, аналогичные тем, которые ставятся для исследования ориентации в тонких полимерных пленках в каучуке. Для исследования были взяты стекла, в которых наиболее вероятно можно ожидать образования цепей (стекло № 23, «Нонекс», натриево-боросиликатное). Тонкие стеклянные пленки при незначительном нагревании подвергались растяжению, и с них получены электронограммы, которые не подтверждают ориентации цепей в стеклах.

**Н. П. 75666. Об электропроводности кварцевого стекла. Прянишников В. П. В сб.: Строение стекла. М.-Л., АН СССР, 1955, 270—272**

Электропроводность непрозрачного кварцевого стекла при обычной т-ре составляет  $10^{-16}$  (1/ом.см.), а прозрачного  $\leq 10^{-18}$  (1/ом.см.). В прозрачном кварцевом стекле содержалось шел. окислов  $\sim 0,01\%$ , а в непрозрачном  $\sim 0,02\%$ . Электропроводность кварцевого стекла с содержанием щелочей до  $0,5\%$  в  $10^4$ — $10^8$  раз выше приведенных значений. Автор установил, что в области 500—600° наблюдаются аномалии, состоящие в резком уменьшении электропроводности, что, возможно, является следствием структурных изменений, происходящих в кварцевом стекле при 550—575°.

**Н. П. 75667. О стеклообразном состоянии органических полимеров. Сергеев Л. В. В сб.: Строение стекла. М.-Л., АН СССР, 1955, 280—282**

Изложены эксперим. данные и соображения автора о стеклообразном состоянии органич. полимеров ввиду того, что этот вопрос представляет большой интерес также и в отношении силикатных стекол. Органич. стекло неизменно получается в тех случаях, когда хим. природа отдельных звеньев и всей полимолекулы в целом допускает образование местной ориентации отдельных звеньев соседних молекул при общей неорганизованности их расположения. Такие условия возникают

при достаточной величине диполей элементарных молекул. Диполи затрудняют плотную ориентированную упаковку полимолекул, ведущую к кристаллизации.

**Н. П. 75668. О диэлектрических свойствах стекла в связи с его строением. Сканава Г. И. В сб.: Строение стекла. М.-Л., АН СССР, 1955, 337—342**

В стекле, в отличие от кристалла, отсутствует дальний порядок расположения атомов. Ближний дистанционный порядок в стекле имеется всегда. В сложных стеклах имеется в ряде случаев, кроме того, ближний сортовой порядок, означающий, что средневзвешенные плотности вероятности произвольного расстояния между атомами разных сортов различны. Для суждения о строении стекла важно исследование его диэлектрич. свойств. Электрич. прочность стекла высока ( $10^6$  в/см) и мало зависит от состава стекла; она на один-два порядка выше, чем электрич. прочность поликристаллов. Этот факт делает маловероятным предположение о наличии в стекле резко выраженных фаз с различными физ. свойствами. Диэлектрич. проницаемость стекол лежит в сравнительно узких пределах (3—15), пока неизвестны стекла с очень высокой диэлектрич. проницаемостью, какую имеют некоторые монокристаллы или поликристаллич. в-ва. Диэлектрич. проницаемость кристаллов во многом обусловлена структурными особенностями кристаллич. решетки, и исследование этого свойства в стеклоподобном состоянии помогло бы ответить на вопрос о структуре ближнего порядка стекла. Электропроводность является величиной, которая сравнительно мало связана с внутренней структурой стекла. Электропроводность сильно зависит от малых примесей, и ее изучение для суждения о структуре ближнего порядка может дать весьма мало. Наибольшие результаты по строению стекла может дать изучение, в первую очередь, диэлектрич. потерь.

**Н. П. 75669. Электропроводность простых борных систем в стеклообразном состоянии. Маркин Б. И. В сб.: Строение стекла. М.-Л., АН СССР, 1955, 264—266**

Изучалась электропроводность стекол систем  $\text{Me}_2\text{O} - \text{B}_2\text{O}_3$ , и установлено, что при конц-ях щелочи 1,5—2 моль/л молярная электропроводность имеет минимум, наиболее ярко выраженный у калиевоборной системы. При дальнейшем увеличении конц-ии щелочи в 5—6 раз молярная электропроводность увеличивается в сотни тысяч и миллионы раз. Это указывает на какие-то значительные структурные изменения в стекле. Кроме этого, исследовалась электропроводность ряда 3-компонентных борных стекол, в которых присутствуют одновременно два подвижных катиона (два шел. металла, серебра и шел. металла, серебра и таллия). Электропроводность 3-компонентных стекол при замещении в них одного вида катиона другим, при сохранении их суммарной конц-ии, изменяется в первом приближении так же, как она изменяется с конц-ией в 2-компонентных стеклах с одним видом подвижного катиона. Это изменение электропроводности в зависимости от состава в сложных стеклах объясняется, во-видимому, тем, что каждый вид катионов образует в стекле присущую ему структуру.

**Н. П. 75670. За дальнейшее развитие науки о стекле! Пономарев И. Ф. В сб.: Строение стекла. М.-Л., АН СССР, 1955, 358—359**

Соображения о значимости теории строения стекла для практич. целей.

**Н. П. 75671. Кислородный потенциал стекла. Репа А. Г. В сб.: Строение стекла. М.-Л., АН СССР, 1955, 276—279**

СМ РЖХим, 1956, 23092.

**75672. За комплексный метод исследования природы стекла! Безбородов М. А. В сб.: Строение стекла. М.-Л., АН СССР, 1955, 353—356**

**75673. О химической устойчивости стекол. Гастев Ю. А.** В сб.: Строение стекла. М.-Л., АН СССР, 1955, 187—189

Изложены результаты опытов, из которых следует, что при выщелачивании водой, как и при выщелачивании к-той, защитные свойства поверхностной пленки, состоящей из чистой кремневой к-ты, очень невелики. По мере увеличения содержания в пленке окислов типа  $\text{MeO}$  ее защитные свойства возрастают до того момента, с которого начинается наряду с выщелачиванием окиси натрия, выщелачивание окислов  $\text{MeO}$ . Такой ход выщелачивания, одинаковый для стекол, содержащих  $\text{CaO}$ ,  $\text{MgO}$ ,  $\text{ZnO}$ ,  $\text{Fe}_2\text{O}_3$  и  $\text{PbO}$ , автор объясняет образованием в стекле простых и двойных силикатов.

**75674. Применение электронного микроскопа для исследования стекла. Шелюбский В. И.** В сб.: Строение стекла. М.-Л., АН СССР, 1955, 219—223

Описаны опыты применения электронного микроскопа для исследования стекла. Для реализации максим. разрешающей способности электронного микроскопа применен метод отделения частиц микрофазы стекла с помощью тонкой кварцевой пленки — отпечатка. При исследовании процесса восстановления свинца в свинцовом стекле, подвергнутом обработке в восстановительном пламени, обнаружена агрегация восстановленного атомарного свинца с размером микрочастиц от 100 до 1000 Å и более. Приведены примеры исследования ливки и опалесценции, строения травленной поверхности, разрушения стекла водой и полированной поверхности.

**75675. Структура и свойства органических стекол. Кобеко П. П.** В сб.: Строение стекла. М.-Л., АН СССР, 1955, 19—25

При переохлаждении жидкости, переходе ее в стеклообразное состояние как для органич., так и для неорганич. стекол, наблюдаются одни и те же закономерности. Переход аморфного состояния в кристаллич. невозможен из-за малой скорости процесса. Стекло нельзя назвать определенным хим. соединением и соотношением между катионами и анионами в нем может быть совершенно различным. Отдельные компоненты, сплавляясь образуют единую систему, теряя в значительной мере свою индивидуальность. Понятие структурной сетки является неясным, так как трудно представить механизм распада сетки при нагревании и ее обратимую рекомбинацию при охлаждении.

**75676. О структуре натриево-боросиликатных стекол. Порай-Кошиц Е. А.** В сб.: Строение стекла. М.-Л., АН СССР, 1955, 145—161

Описаны опыты по измерению областей неоднородности методом рентгеноструктурного анализа, которые подтверждают гипотезу И. В. Гребенщикова о субмикрогетерогенном строении сложных стекол. Натриево-боросиликатные стекла, способные давать опалесценцию и выщелачиваться с образованием пористых стекол, построены из кремнеземистого скелета, ячейки которого заполнены вторым компонентом; в состав последнего входят борный ангидрид, окись натрия и частично кремнезем, образующие в зависимости от состава и т-ры те или иные хим. соединения. Эти области неоднородности являются причиной рассеяния света вплоть до возникновения сильной опалесценции. Размеры областей диспергированного компонента, оцененные на основании измерения методом малых углов основных каналов пористых продуктов выщелачивания, в которых кремнеземистый скелет сохраняется почти неизменившимся, превышает 300—1000 Å. С повышением т-ры, выше некоторой крит., опалесценция исчезает, вследствие резкого уменьшения размеров каналов кремнеземистого скелета и соответственно возрастания степени дисперсности второго компонента, обладающего при этой т-ре незначительной вязкостью. Стекло продолжает сохра-

нять две независимые структуры, степень дисперсности которых резко возрастает и размеры областей неоднородности уменьшаются до 80—100 Å. Изложены также соображения относительно хим. состава диспергированного в кремнеземистом скелете компонента.

**75677. Некоторые свойства высокоглиноземистых стекол. Августиник А. И.** В сб.: Строение стекла. М.-Л., АН СССР, 1955, 227—229

Были исследованы высокоглиноземистые стекла с добавками. При этом оказалось, что один и тот же окислитель оказывает различное действие на микротвердость полученных стекол. При добавке  $\text{CaO}$  к кислым или  $\text{ZrO}_2$  к основным стеклам значительно увеличилась поверхностная микротвердость и почти не изменилась микротвердость глубинных слоев. Это явление автор объясняет образованием кристаллитов достаточно устойчивого хим. состава, а поверхностное натяжение содействует ориентированию таких кристаллитов, что и дает соответствующее увеличение микротвердости только поверхностных слоев. Далее изучались спектры отражения указанных стекол, позволившие установить появление связей, определяющих повышенную прочность стекол. На основании этих опытов автор считает целесообразным применение кристаллитной теории строения стекла.

**75678. Распределение трещин и изменение прочности стекла в зависимости от размеров образца. Грин (Flaw distributions and the variation of glass strength with dimensions of the sample. Greene Charles H.).** J. Amer. Ceram. Soc., 1956, 39, № 2, 66—72 (англ.)

Дан математич. анализ процесса разрушения в зависимости от числа трещин и размера образца. Показано, что разброс значений прочности при испытании стеклянных штабиков зависит от распределения трещин на поверхности образцов. Установлена степенная зависимость между напряжением, вызывающим разрушение образца, и числом трещин на его поверхности.

**75679. Электронографическое исследование химических неустойчивых стекол. Багдыкьянц Г. О.,** Стекло и керамика, 1956, № 4, 9—11

Приводятся результаты электронографич. исследования стекол системы  $\text{Na}_2\text{O} - \text{SiO}_2$ , содержащих от 23 до 50 мол. %  $\text{Na}_2\text{O}$ . Для исключения возможности разрушения препаратов была разработана методика, по которой тщательно измельчение и приготовление мелкодисперсных препаратов производилось в атмосфере, очищ. от углекислого газа и влаги. Установлено, что приготовление мелкодисперсных препаратов стекол системы  $\text{Na}_2\text{O} - \text{SiO}_2$  по методике, не учитывающей атмосферного воздействия, ведет к образованию на поверхности стекла кристаллов, не связанных со структурой исходного стекла. При разрушении на воздухе натриево-силикатных стекол нормального состава на их поверхности образуется  $\text{Na}_2\text{CO}_3$ , а при длительном воздействии также  $\text{Na}_2\text{CO}_3 \cdot \text{H}_2\text{O}$ .

**75680. Железо в стекле. Стевелс (Iron in glass. Stevens J. M.).** Proc. Internat. Comm. Glass, 1954, I, June, 68—76 (англ.)

Дано описание представлений различных авторов о механизме окрашивания стекла железом неодинаковой степени окисления. Показано, что в объяснении этого явления существует терминологич. путаница, которая является результатом необоснованных теорий и гипотез, применяемых при анализе механизма окрашивания стекла железом. Автор предлагает единый подход к изучению этой важной проблемы в стеклотехнике. Для описания состояния железа в стекле автор предлагает три параметра: структурный параметр —  $\alpha$  который приблизительно характеризует влияние компонентов решетки на положение иона железа в ней; редукционный параметр —  $\beta$ , который показывает насколько окислено или

ности  
одно-  
также  
рован-  
Н. П.  
х сте-  
стекала.

с до-  
кисел-  
отвер-  
ислым  
илась  
автор  
устой-  
содей-  
и дает  
ко по-  
граже-  
о явля-  
е сте-  
есооб-  
роения  
Н. П.  
ности  
Грин  
length  
gles  
66—72

зави-  
зави-  
екля-  
на по-  
образ-  
Н. П.  
и чески  
Стекло

ведова-  
23 до  
разру-  
кото-  
кодис-  
ощи.  
готов-  
системы  
ферно-  
ности  
исход-  
о-сили-  
ности  
и так-  
Г. М.  
glass.  
1954, 1

оров о  
яковой  
этого  
которая  
ипотез.  
я стек-  
изуче-  
я опи-  
ает три  
прибли-  
ишести  
и пара-  
ено или

восстановлено стекло; электронно-энергетич. пара-  
метр —  $\gamma$  определяющий легкость с которой электроны  
перемещаются внутри среды, состоящей из ионов кисло-  
рода. Н. П.

75681. Железо в стекле. Крейдл (Iron in glass.  
Kreidl N. J.), Proc. Internat. Comm. Glass, 1954, 1,  
June, 77—80 (англ.)

Изложение взглядов автора по поводу соображений  
Стевьельса (см. предыдущий реферат). Автор поддержи-  
вает предложение Стевьельса о введении единой методи-  
ки при изучении влияния железа на окрашивание стек-  
ла. Н. П.

75682. Атомистические представления об адгезии к  
стеклу. Грувер (Atomistic approach to the adhesion  
to glass. Gruver Robert M.), Glass. Ind., 1956, 37,  
№ 2, 77—80, 94, 100—101 (англ.)

Дано изложение взглядов Вейля о механизме адге-  
зии и рассмотрены различные случаи прилипания стек-  
ла к металлу, металла к металлу и т. п. Н. П.

75683. Глушенье стекла. Йохман (Trübgelaser.  
Jochmann Fritz), Sprechsaal Keramik. Glas,  
Email, 1956, 89, № 9, 204—206 (нем.)

Освещается история глушения стекла. Литературные  
данные по некоторым глушеным и опаловым стеклам  
проверены повторными варками стекол соответствующе-  
го состава. Исследовались стекла, не содержащие F,  
 $H_2PO_4$  и  $Pb_3(AsO_4)_2$ , а также непрозрачные стекла с  
высоким содержанием  $SiO_2$ , известные под названием  
молочных и опаловых стекол. Молочное стекло имело  
состав (в вес. %):  $SiO_2$  55—67,  $Al_2O_3$  10—18, CaO  
15—35. Стекло указанного состава варилось при 1460°,  
причем проба нагревалась 5 раз до 1300° и каждый раз  
охлаждалась, в то же время эффекта глушения не на-  
блюдалось. На основании этих опытов автор приходит  
к выводу, что необычный состав (пониженное содержа-  
ние  $SiO_2$ , высокое —  $Al_2O_3$  и CaO) еще не может служить  
доказательством глушения стекла вследствие выделе-  
ния кристаллов. При повышении содержания  $Na_2SO_4$  в  
составе тарного стекла было получено глушеное стекло.  
Эффект глушения в данном случае автор объясняет  
присутствием неразложившегося сульфата. Опыты по  
глушению стекол с высоким содержанием глинозема и  
окиси кальция, стекол щел. и бесщел., подтвердили, что  
только при содержании F в колве  $> 2,5\%$  получается  
глушеное стекло. Приведен состав стекла, заглушенно-  
го без введения фторидов ( $CaF_2$  и NaF). А. Б.

75684. Развитие производства стекла в Болгарии.  
Тодоров (Rozwój przemysłu szklarskiego w Bułgarii.  
Todorow Iwan), Szkło i ceram., 1956, 7, № 4,  
98 (польск.)

Предприятия стекольной пром-сти оснащены ванни-  
ми печами с газовым отоплением, полуавтоматами для  
произ-ва стеклотары и других штучных изделий, маши-  
нами Фурко для вытягивания оконного стекла. Монти-  
руются автоматы для произ-ва стеклотары, электроколб  
и других изделий. Организовано произ-во архитектурно-  
го стекла, которое дешевле керамики. Продукция стек-  
лольной пром-сти в настоящее время не только полно-  
стью покрывает потребность страны, но и вывозится в  
другие страны. С. Г.

75685. Продолжительное действие воды на оконное  
стекло: выветривание средневековых стекол из замка  
Веолей в Бирмингеме. Ро (The long-continued action  
of water on windowglass: weathering of the mediaeval  
glass of Weoley Castle, Birmingham. Raw Frank),  
J. Soc. Glass Technol., 1955, 39, № 188, 128T—133T  
(англ.)

Исследовано оконное стекло, относящееся к 14 веку.  
Размеры кусков стекла от 2,5 до 4 мм и более. Состав  
стекала (в %):  $SiO_2$  50,07, CaO 19,64, MgO 7,86,  $Na_2O$   
3,20,  $K_2O$  12,45,  $Fe_2O_3$  0,81,  $Al_2O_3$  4,84,  $TiO_2$  0,04, MnO  
0,97, CuO 0,12. Состав продукта выветривания (в %):

$SiO_2$  53,66, CaO 6,28, MgO 0,54,  $Na_2O$  0,16,  $K_2O$  0,14,  
 $Fe_2O_3$  1,90,  $Al_2O_3$  11,38,  $TiO_2$  0,18, MnO 0,98, CuO 0,15,  
PbO 0,59; п. п. п. и высушивании 23,56. Изложены взгля-  
ды автора на процесс разрушения стекла. Н. П.

75686. Закаленные очковые стекла устойчивы при  
ударе. Науман (Gehärtete Brillengläser sind schlag-  
und fallfest. Nauman H.), Industrie- und Forsch., 1956, 9, № 16, 213 (нем.)

Для рабочих многих профессий, работа которых свя-  
зана с опасностью поражения глаз осколками, горячей  
металлич. стружкой и т. д., предлагается использовать  
в защитных очках закаленные стекла, прочные по отно-  
шению к удару и различным сотрясениям. Закалка та-  
ких очковых стекол ничем не отличается от обычной  
технологии закалки стекол для автомобильной пром-сти.  
А. Б.

75687. Опыты по производству оптического стекла.  
Пьедрад-де-ла-Сьерва (Ensayos de fabricación de vidrio  
óptico. Piedrad de la Cierva), Rev. cienc. apl,  
1955, 9, № 4, 289—301 (исп.)

Изучению подвергались следующие вопросы техноло-  
гии: а) произ-во огнеупорных горшков для плавки стек-  
ла; б) подбор местных сырьевых материалов; в) кон-  
струкция печей; г) разработка способа плавки некото-  
рых видов оптич. стекол (ОС). Кратко изложены физ.  
и термич. свойства и требования пром-сти к качеству  
ОС. Формовку горшков диам. 500 мм производили мето-  
дом литья в гипсовые формы; сушку — воздухом при  
20—25° ( $\varphi = 70$ —80%). Предварительный обжиг горш-  
ков производили в печи на 1000°, в течение 36 час.,  
а затем переносили их в стеклоплавильную печь, запол-  
ненную исходными материалами и доводили т-ру до 1450°.  
В качестве сырья использовали местные чистые кварце-  
вые пески, обработанные разб. HCl (к-та), с последую-  
щей отмывкой водой до содержания (в %):  $Fe_2O_3 < 0,02$ ,  
 $Cr_2O_3$ , CuO, MnO, NiO, CoO  $< 0,001$ ; Cl,  $SO_4 < 0,1$ ; в  
качестве добавок (х. ч.)  $Na_2CO_3$ ,  $K_2CO_3$ , PbO, BaNO<sub>3</sub>,  
BaO. После расплавления шихты производили переме-  
шивание стекла в течение 3—4 час. при 8—24 об/мин.  
мешалки, а затем скорость перемешивания снижали.  
Процесс плавки и осветления стекла занимал 20—24 ча-  
са. После быстрого охлаждения в пределах опасного  
интервала расстекловывания (800—1000°) горшок с ОС  
охлаждали в течение 3 суток, разбивали на куски и  
определяли физ. свойства ОС. Определение дробности  
ОС, кол-во пузырей и неравномерности производили по  
методике Национального бюро стандартов США. В ре-  
зультате опытов были получены удовлетворительные  
ОС — боросиликатный крон с ( $n_D = 1,5148$ ) и флинт  
( $n_D = 1,6659$ ). На основе указанных опытов автор счита-  
ет возможным перейти к полупромышленному освое-  
нию произ-ва ОС в Испании. С. Г.

75688. Применение трахитов в производстве бутылок  
на вакуумных машинах. Кутателадзе К. С., Дем-  
ченко В. Д., Тр. Груз. политех. ин-та, 1955, № 5,  
(40), 102—113 (рез. груз.)

Проведены опыты, в результате которых установлена  
возможность использования трахитов и трахандезитов  
месторождений Цихис-Убани, Букис-Цихе и Шемокме-  
ди при произ-ве бутылочного стекла на вакуумных ма-  
шинах из высокоглиноземистых стекломасс, содержащих  
до 11%  $Al_2O_3$ . Трахиты и трахандезиты позволяют сни-  
зить расход шелочи на 25%, стекло получается с зеле-  
ной окраской без применения спец. красителей. Содер-  
жание трахитов и трахандезитов в шихте может быть  
увеличено при обогащении пород с целью удаления пи-  
рита и глинистых компонентов. Н. П.

75689. Алюминатные стекла и их применение в каче-  
стве камней в часовой промышленности. Рогожин  
Ю. В., Тр. Всес. н.-и. ин-та стекла, 1956, № 36,  
112—114

См. РЖХим, 1956, 7462.

**75690. Изготовление стеклянных шариков для покрытия отражающих поверхностей.** Хартуэйн (For safe driving-reflective glass beads. Hartwein Charles E.), Industr. Gas, 1956, 34, № 8, 10—11, 24 (англ.)

Описывается технология изготовления мелких стеклянных шариков (СШ), широко применяющихся в красных отражающих линзах ж.-д. вагонов, автомобилей, при изготовлении дорожных указателей и сигналов, для обозначения стартовых дорожек и границ полей аэродромов, для киноэкранов, реклам и т. д. СШ диам. 0,10—2,2 мм вклеиваются в спец. матрицы и действуют как отражатели просветляемого на них света. СШ должны быть прозрачными, твердыми, блестящими и иметь сферич. форму. Они изготовляются из высококачественного бора оконного стекла натриево-кальцево-кремнеземистого типа и электроколбоного стекла. Существуют два основных способа произ-ва СШ. По одному из них маленькие частички (Ч) стекла вводятся с помощью форсунок в газо-воздушное пламя, по другому Ч стекла смешиваются с каким-либо в-вом, необходимым для разделения Ч, и смесь нагревается. Основная трудность в произ-ве СШ заключается в необходимости разделения Ч стекла в процессе образования СШ; непосредственно после формирования шарики должны быть охлаждены до твердого состояния во избежание прилипания их друг к другу. Методы произ-ва СШ основаны в большинстве случаев на поддержании Ч стекла во взвешенном состоянии в пламени вдвухаемого горячего газа. Горячий газ вводится в трубу с огнеупорной футеровкой, а измельченные Ч стекла падают сверху в пламя газо-воздушной смеси или вдвухаются со дна трубы. Ч стекла, падающие сверху вниз, попадая в пламенную зону, начинают размягчаться. Затем направление потока стеклянных Ч быстро меняется с помощью регулятора тяги. В результате действия сил поверхностного натяжения Ч превращаются в СШ и движутся к верхней части трубы, откуда отводятся в приемник. Регулированием газо-воздушной смеси, длины и скорости пламени, а также потока Ч стекла и воздуха, добиваются того, что Ч расплавленного стекла выходят из пламени в верхней части трубы в виде затвердевших СШ, которые затем отводятся в приемник. В качестве материала для разделения стеклянных Ч при произ-ве СШ может применяться порошок из угольной сажи, древесного угля, тонкоизмельченного кокса, а также нитрида бора. Смесь Ч стекла и тонкоизмельченной сажи нагревается до необходимой т-ры. Когда Ч стекла достигают т-ры, достаточной для образования сферич. поверхности, они быстро охлаждаются, после чего отделяются от сажи промыванием.

А. Б.

**75691. Стекло как армирующий материал для пластиков.** Алгра (Glas als wapening voor kunststoffen. Algra E. A. H.), Plastica, 1955, 8, № 12, 637—639 (голл.)

См. предыдущее сообщение РЖХим, 1956, 40297.

**75692. Перспективы конструирования и производства стекломаталлических трубок для цветного телевидения.** Роз (Structural aspects of metal-glass color television bulbs. Rose Arnold S.), Amer. Ceram. Soc. Bull., 1956, 35, № 3, 97—104 (англ.)

Круглая трубка для цветного телевидения диам. 533 мм изготавливается спайиванием размягченной стеклянной пластины и горлышка воронки с оболочкой из нержавеющей стали. Стальная оболочка формируется механич. обжимкой или выдавливанием на спец. станках. Контроль характеристик термич. расширения составных элементов колбы обеспечивается относительно простым испытанием спая. Особое внимание должно быть обращено на точный контроль механич. напряжений, возникающих в контуре спая стекла с металлом. Анализируются напряжения в стекле, определенные количественно

полярископом и измеренные с помощью эталона напряжений. Обсуждается влияние термич. обработки, которой подвергаются отдельные составные элементы трубки, на распределение напряжений при ее испытании на сжатие. Показано, что контроль напряжений в стекле является необходимым для дальнейшего успешного развития произ-ва телевизионных трубок. Описаны свойства круглой трубки из малоуглеродистой стали и свойства 559-мм прямоугольной трубки.

А. Б.

**75693. Процесс разрушения стекол.** Шардин (Fracture processes in glass. Schardin H.), Proc. Internat. Comm. Glass, 1954, 1, June, 81—95 (англ.)

Описаны опыты по изучению процесса разрушения стекла с помощью сверхскоростной киносъемки (~300 000 кадров в 1 сек.). Процесс разрушения изучался при ударе, растяжении и взрыве в центре и по краям стеклянных пластинок. Даны фотографии процесса разрушения в разных условиях.

Н. П.

**75694. Дополнение к докладу Бухкремера «Электропечи в керамической и стекольной промышленности».** Шевен (Aussprache zum Vortrag des Herrn. Dr.-Ing. Buchkremer. Scheven Otto), Techn. Mitt., 1954, 47, № 2, 68 (нем.)

Описана кольцевая туннельная печь объемом 30 м<sup>3</sup> с электрич. обогревом для обжига керамич. изделий при 1060°. Производительность печи 12 т в сутки. Характерным для этой конструкции печи является использование отбросного тепла для подогрева воздуха и воды, используемой как отопление и для нагрева форм. Тепло отходящего воздуха используется для предварительного подогрева и сушки изделий. Расход энергии при непродолжительной работе печи составляет ~110 квт-ч/м<sup>3</sup> См. также РЖХим, 1956, 51618.

Г. В.

**75695. Искусственные драгоценные камни.** Кулаков (Man-made gemstones. Kulakow Richard), Wisconsin Engr., 1956, 60, № 6, 18—20, 54 (англ.)

Приведены данные об истории получения искусств. алмаза, корунда и изумруда и о произ-ве их в США. Указано, что синтетич. алмаз получают при давл. > 100 000 атм, т-ре 2500° и длительности процесса ~1 часа. Наибольший искусств. алмаз имеет поперечник ~1,5 мм. Одна из фирм производит тонкие рубиновые стержни длиной до 750 мм. Синтетич. изумруды производятся в Сан-Франциско в кол-ве ~2000 карат в месяц. Отмечается, что методы произ-ва алмазов и изумрудов сохраняются в строгой тайне.

Н. П.

**75696. Обзор польских работ по вопросам стекловолна и задачи ближайшего будущего.** Завадский (Przebieg prac nad jedwabiem szklanym w kraju i zamirzenia na najbliższą przyszłość. Zawadzki Antoni), Szkło i ceram., 1956, 7, № 4, 89—93 (польск.)

Приводится краткое описание 3 способов произ-ва стекловолна (СВ): выдуванием волокна сжатым газом (паром), центрифугированием, вытягиванием волокна через фильеры; даны схемы произ-ва по последнему методу. Организовано опытное произ-во стеклянного шелка (СШ) для электротехнич. целей. Разработана методика определения различных свойств СВ и проведена работа по сравнению физ. свойств СВ разных видов. Для электротехнич. целей наиболее пригоден СШ (диаметр волокна 5—6 м) в виде ткани, тесьмы, оплетки и пр. изготовленных из бесцел. стекла. Приведены состав и сравнительные свойства СВ и СШ СССР, Германии, Англии, Чехословакии, США и опытной продукции Польши.

С. Г.

**75697. «Застывшие» деформации в стеклянных волокнах.** Стерлинг (Frozen strains in glass fibres. Stirling J. F.), J. Soc. Glass Technol., 1955, 39, № 188, T134—T144 (англ.)

Производились исследования изменений размеров при отжиге стеклянных волокон (СВ), вытянутых и охлаж-

денных под постоянной осевой нагрузкой. При этом была поставлена цель определить, как изменяются радиус и продольное сокращение в зависимости от напряжений, образующихся в СВ в процессе его формирования. Изучались СВ из боросиликатного стекла пирекс состава (вес. %):  $\text{SiO}_2$  80,5,  $\text{B}_2\text{O}_3$  12,8,  $\text{Na}_2\text{O}$  4,2,  $\text{Al}_2\text{O}_3$  2,0 и из натриево-кальциевого стекла состава:  $\text{SiO}_2$  72,2,  $\text{Na}_2\text{O}$  16,5,  $\text{CaO}$  7,5,  $\text{BaO}$  1,5,  $\text{Al}_2\text{O}_3$  1,5. СВ вытягивались в вертикальной электропечи из стеклянных штабиков длиной 10 см и diam.  $\sim 1$  мм при нагружении от 100 г до 4 кг; путем выключения тока можно было прекращать процесс вытягивания СВ. Изменение плотности СВ определялось по крит. т-ре его всплывания в смеси бромформа и ксилола. Отжиг СВ из стекла пирекс производился в течение 4 час. при 575°, а натриево-кальциевого стекла — в течение 2 час. при 500°. Установлено, что изменения линейных размеров СВ при отжиге прямо пропорциональны величине нагрузки на единицу сечения СВ. Анализ полученных кривых дает основание полагать, что если бы СВ вытягивались без нагружения, то продольные и радиальные сокращения были бы точно одинаковыми вследствие равномерного уплотнения стекла, но в процессе вытягивания СВ под определенной нагрузкой происходит его дополнительное поперечное расширение и продольное сокращение, что, по-видимому, является результатом «застывшей» упругой деформации. Для каждого стекла можно вывести по значению «застывшей» упругой деформации величины, аналогичные модулю Юнга и коэфф. Пуассона; для стекла «Пирекс» и натриево-кальциевого эти величины составляют соответственно  $1,5 \times 10^{11}$  дин/см<sup>2</sup> и 0,40;  $4,2 \times 10^{11}$  дин/см<sup>2</sup> и 0,24. В зависимости от приложенной нагрузки в процессе вытягивания СВ обнаруживаются определенные оптич. активности, пропорциональную этой нагрузке. На основании этого делается вывод, что вытянутые СВ не являются изотропными. Приведены соображения о значении полученных результатов для теории строения стекла. Математич. анализ, основанный на предположении, что стекло, вытянутое в виде волокна, состоит одновременно из ряда упругих и вязкотекучих элементов, дает линейное ур-ние, связывающее изменение длины СВ с приложенными нагрузками. С. И.

**75698. Новый процесс плавления стекла путем введения пламени в расплав. Бричард** (A new process of glass-melting by introducing flames into the molten glass. Brichard E.), J. Soc. Glass Technol., 1955, 39, № 188, T162—T172 (англ.)

Ванные печи имеют низкий коэфф. использования тепла, что объясняется способом обогрева плавящейся шихты. В конвертерах для получения стали сгорание топлива осуществляется внутри нагреваемого материала, что позволяет увеличить к. п. д. в 17 раз по сравнению с ванной печью. Описана печь, работающая на принципе сгорания топлива внутри расплавляемого материала (варка во взвешенном состоянии). Шихта подается путем пудверизации в поток нагретых газов. Получены удовлетворительные результаты при плавлении промышленного стекла. Печь производительностью 132 т в сутки имеет diam.  $\sim 2$  м. К. п. д. такой печи  $\sim 35$  %. Получаемое в этом процессе стекло содержит газы, включения, и его необходимо осветлять в отдельном бассейне с независимым отоплением. При плавлении стекла т-ра в центре камеры достигала 1600°. Н. П.

**75699. Эффективность применения светящегося пламени в стекловаренных печах. Степаненко М. Г., Шелудяков Н. А.**, Стекло и керамика, 1956, № 4, 5—8

Рассматривается влияние коэфф. пропускания стекломассы на процесс варки стекла, а также зависимость прогрева поверхностных слоев стекломассы в ванных печах от степени свечения (степень черноты) пламени. Приводятся данные по характеристике горения факелов

с различной степенью черноты, обусловленной наличием частичек углерода и анализируются методы повышения светимости пламени в условиях работы большинства стекловаренных печей СССР (генераторный газ с  $Q_p^p < 1500$  ккал/м<sup>3</sup>). М. С.

**75700. Гомогенизация стекла в ванных печах. Саваи, Тасиро, Такахаси, Табути** (Homogenization of glass in a tank furnace. Sawai I., Tashiro M., Takahashi K., Tabuchi K.), Proc. Internat. Comm. Glass, 1954, 1, June, 96—109 (англ.)

Описаны опыты по моделированию течений потоков стекломассы в ванной печи. В качестве модельной жидкости применен различно окрашенный глицерин. В результате опытов были установлены изотермич. участки, главные конвекционные потоки и их скорость. С помощью фотографий показано положение потоков окрашенного глицерина в зависимости от скорости выпуска глицерина из рабочей части модели печи. Использован глицерин и определялась кон-ция щелочи в зависимости от времени с начала подачи глицерина в модель. Полученные результаты обработаны математически. Н. П.

**75701. Автоматизация стекловаренных печей. Грабось** (Automatyzacja wapien szklarskich. Grabos Witold), Szklo i ceram., 1956, 7, № 3, 58—61 (польск.)

Описание автоматич. регулирования процесса горения генераторного газа и важнейших регулирующих и измерительных приборов. Е. С.

**75702. Определение дефектов в керамике с помощью стереомикроскопа. Шоблик** (Fehler-Erkennung an Keramik mit dem Stereomikroskop. Schoblik Alphons), Sprechsaal Keramik-Glas-Email, 1954, 87, № 9, 203—206 (нем.)

Рассмотрено применение стереомикроскопа для исследования дефектов в глазурах фаянса и фарфора. Указывается на выгодность применения стереомикроскопии, исследований при небольших увеличениях. Исследования особенно удобны тем, что не требуют приготовления тонких шлифов. См. также РЖХим, 1956, 51563.

Б. В.

**75703. Картотека глазурей. Купе** (Eine Glasurkartei. Kure Franz), Keram. Z., 1956, 8, № 5, 210—214 (нем.)

В виде картотеки описывается порядок систематич. записей по изменению составов глазурей. Состав выражается ф-лой Зегера, данными хим. анализа и репентурой. В картотеке отмечаются физич. характеристика глазури и т-ра обжига. С. Т.

**75704. Кристаллизационная способность фаянсовых глазурей и поведение их при обжиге. Штейнберг Ю. Г., Никулина Л. Н.**, Стекло и керамика, 1956, № 5, 16—19

Для изучения были взяты две глазури: малоборная стронциевая, применяемая на фаянсовом э-де им. Калинина, и безборная стронциево-литиевая глазурь. Кристаллич. способность определялась путем плавления фритт (до 1300°) до однородного состава стекла с последующей принудительной кристаллизацией при заданной т-ре в течение 3 час. Для опытов брались не штабики фритты, а спрессованные в цилиндрики порошкообразные фритты, просеянные через сито 6100 от/см<sup>2</sup>. В 1-й серии опытов CaO в малоборной фритте последовательно заменялась эквимолекулярным кол-вом SrO при постоянном содержании MgO (0,9 вес. %) и остальных компонентов, во 2-й серии — сумма SrO + CaO замещалась MgO при сохранении постоянного оптимального соотношения этих окислов. Устанавливается, что в стронциевых малоборных глазурах миним. скорость кристаллизации фритт наблюдается при соотношении SrO : CaO, равном 1,69 : 1. Более высокое содержание во

фритте CaO увеличивает температурный предел кристаллизации. Глазурь с оптимальным соотношением  $\text{SrO} : \text{CaO}$  имеет нормальный блеск и не подвержена в отличие от остальных составов поверхностной кристаллизации при мазутном обжиге. Для безборной стронциево-литиевой фритты миним. скорость кристаллизации наблюдается при соотношении  $\text{SrO} : \text{CaO} = 3,6 : 1$  по мере увеличения содержания CaO за счет SrO. Помимо выделения псевдоволластонита начинает также выделяться волластонит.

**75705. О применении автоматических глазуровочных машин в керамической промышленности Северной Америки.** Шлегель (Über die Anwendung automatischer Glasiermaschinen in der keramischen Industrie Nordamerikas. Schlegel W.), Ber. Dtsch. keram. Ges., 1956, 33, № 5, 157—164 (нем.).

В США во всех отраслях керамич. пром-сти с успехом применяются автоматич. глазуровочные машины. Указывается, что глазуровочные машины, основанные на принципе окунания, встречаются относительно редко. В основном распространены машины, основанные на принципе распыливания, подразделяющиеся на 2 типа: транспортные и карусельные. Описываются различные типы машин, применяемые для глазурования самых разнообразных керамич. изделий.

**75706. Исследование заглушенной цирконовой глазури с температурой плавления ПК 010а.** Карини (Studio di una vetrina opaca allo zirconio per il cono 010a. Carini Luigi), Ceramica, 1955, 10, № 7, 46—47 (итал.).

В основу подбора блестящей бессвинцовой заглушенной глазури на основе соединений Zr была принята мол. ф-ла глазури Даниельсона (J. Amer. Ceram. Soc., 1947, 30, № 8, 245—249):  $0,3 \text{ Na}_2\text{O}$ ,  $0,2 \text{ K}_2\text{O}$ ,  $0,1 \text{ CaF}_2$ ,  $0,2 \text{ Al}_2\text{O}_3$ ,  $0,6 \text{ B}_2\text{O}_3$ ,  $2,2 \text{ SiO}_2$ ,  $0,25 \text{ ZrO}_2$ . К этой смеси добавляли  $\text{ZnO}$ ,  $\text{BaO}$ ,  $\text{CaO}$  от 0,0 до 0,4 моля. На этой основе было составлено 15 фритт, к которым в одинаковых кол-вах добавляли 0,05 глины и 0,25 «циркосиль» (мол. ф-ла  $0,25 \text{ ZrO}_2$ ,  $0,27 \text{ SiO}_2$ ). После помола смесей в фарфоровом барабане фритты сплавляли во вращающейся печи с нефтяным отоплением емк. 10 кг. Наилучшей кроющей способностью, яркочелом цветом и блеском обладала глазурь следующего состава (в вес. ч.): глины 13, циркосиль 47, фритты 11—68,39; фритты 15—175,98. Состав фритт 11 и 15 (в вес. ч.): полевой шпат 123,8,  $\text{KNO}_3$ , 17,39, бура 87,35,  $\text{CaF}_2$  7,81,  $\text{B}_2\text{O}_3$  17,57,  $\text{SiO}_2$  16,82, кроме того, во фритту 11 добавляли 78,95 вес. ч.  $\text{BaCO}_3$ , а во фритту 15—40,04,  $\text{CaCO}_3$ . Т-ра плавления Zr-глазури ПК 010а ( $\sim 900^\circ$ ).

**75707. Действие Na-Ti-силикатов на фаянсовые и декоративные глазури.** Ленк (Wirkung von Na-Ti-Silikaten in Steingut-und Kunst-Glasuren. Lenk Siegfried), Keram. Z., 1956, 8, № 4, 152—154 (нем.).

Приводятся составы прозрачных, кроющих блестящих и матовых, а также окрашенных глазури на т-пу  $950\text{—}1100^\circ$  с применением  $\text{Na} = \text{Ti}$ -силикатных фритт. Фритты плавятся в ваннах или лучше во вращающихся печах и сливаются для грануляции в чан с проточной водой. Фритта может быть окрашена от разных степеней окисления Ti в коричневые тона. Эта окраска пропадает при вторичном обжиге. Замутненность фритты свидетельствует о недостаточной ее выдержке при плавлении.  $\text{Na} = \text{Ti}$ -силикатные фритты снижают растворимость Pb в глазури, и в связи с их большей легкоплавкостью позволяют сократить содержание Pb и B в глазури. Глазури с  $\text{Na} = \text{Ti}$ -силикатными фриттами обладают следующими преимуществами: 1) они более стойки после обжига и не обнаруживают выцветов солей, благодаря сокращению содержания в глазури щелочей и Pb; 2) интервал обжига длиннее, чем у обычных глазури; 3) эти глазури не дают потеков вследствие большого интервала между т-рами размягчения и оплавления;

4) глазури обладают большой твердостью; 5) глазури, обладающие меньшим уд. вес., наносятся на изделие более тонким слоем; 6) они не обнаруживают явления пережога. Глухие глазури обладают чистым белым цветом и большой кроющей способностью.

**75708. Наблюдения над низкой растворимостью фаянсовых глазури.** Гилл, Рой (Observations on low solubility earthenware glazes. Gill B. S., Roy H. N.), Trans. Indian Ceram. Soc., 1955, 14, № 4, 189—202 (англ.).

На двух сериях масс с содержанием талька и без него опробовались две серии в 15 и 18 образцов легкоплавких свинцовых глазури. Многие составы показали значительно меньшую растворимость против нормальных глазури.

**75709. Опыты по снижению растворимости свинца в керамических глазури и фриттах.** Ленк (Experiments for lowering the lead solubility in ceramic glazes and frits. Lenk Siegfried), Interchem, 1955, № 4, 20—21 (англ.).

Растворимость Pb в богатых PbO стеклах обязана слабой связи Pb с  $\text{SiO}_2$ . Для уменьшения растворимости рекомендуется применение 3-компонентной системы, в которой 3-й компонент представляет стекло, способное к соединению с Pb. В качестве такого стекла брались известная фритта V 26, состоящая из Na-титанового силиката. Она вводилась в шихту глазури в кол-ве 12,1—20% и при добавлении каолина (6,55—7,2) до 8,55—9,4%. Таким образом, построенные глазури имели т-пу плавления выше на  $10\text{—}30^\circ$ , растворимость же стекла понижалась.

**75710. Технология подбора красок для декорирования изделий.** I. II. Коултер (How color technology will help sell your ware. Part. I. How to select and prepare underglaze colors. Part. II. Coulter William G.), Ceramic Ind., 1954, 62, № 4, 168—169, 171, 201; № 5, 80—80, 101, (англ.).

Обзорная статья о приготовлении подглазурных красок с краткой характеристикой пигментов для получения желтых, оранжевых, красно-розовых, коричневых и синих окрасок. Кратко описывается также гамма циркониванадиевых подглазурных красок.

**75711. Основы получения блестящего и матового золота.** Сыска (Zasady produkcji złota błyszczącego i matowego. Syska Zbigniew), Szkło i ceram., 1956, 7, № 3, 79—83 (польск.).

Приведена рецептура приготовления разных видов препаратов керамич. Au, Ag, Pt (по известным литературным данным Зингера, Будникова, Пукаля, Гехта и др.).

**75712. Налеты на матовой позолоте и повреждение декоративной раскраски при хранении фарфора во влажных помещениях.** Сыска (Naloty na złocie matowym i niszczenie dekoracji z powoszu magazynowania w wilgotnych pomieszczeniach. Syska Zbigniew), Szkło i ceram., 1956, 7, № 4, 109—110 (польск.).

При длительном хранении во влажном помещении зернутого в бумагу фарфора, особенно декорированного матовой позолотой, на последней появляется радужный блеск, как будто налет. Исследования показали, что причиной повреждений декоративной раскраски является в основном воздействие на керамич. краски  $\text{H}_2\text{SO}_4$ , содержащейся в оборточной бумаге, в кол-ве от 0,04 до 0,10%. Происхождение к-ты — плохая отмывка в процессе произ-ва целлюлозы, содержащейся в бумаге. Другими причинами появления налетов на раскраске могут быть: действие органич. к-т, которые образуются при гниении упаковочной древесной стружки или электролитич. действие токов между частицами металла, присутствующих в декоративной раскраске фарфора. Для борьбы с порчей декорированного фарфора следует

хранить его только в сухих складах и без бумажной или древесно-стружечной упаковки. С. Г.

**75713. Строение эмалей и их свойства. Азаров К. П.** В сб.: Строение стекла. М.-Л., АН СССР, 1955, 273—275

Рассмотрено строение эмалей, содержащих борный ангидрид, а также различные поверхностноактивные добавки. Изложив вопросы смачивания и вопросы кислотности — основности силикатных расплавов, автор приходит к заключению, что с эксперим. данными наиболее согласуется скелетно-координационная, а не кристаллитная теория. Н. П.

**75714. Применение фonoлита для приготовления эмалей. Варка (Použití fonolitu k přípravě smaltů, Varka J.), Chem. průmysl, 1956, 6, № 3, 119—120 (чеш.; рез. рус., англ.)**

Исследовалась возможность использования фonoлита для приготовления грунтовой эмали в качестве заменителя полевого шпата. Было доказано, что фonoлитом можно пользоваться как добавкой при помоле. Удалось получить грунтовую эмаль, обладающую удовлетворительными свойствами при однократном помоле. И. М.

**75715. Зависимость вязкости стекловидных эмалей от их состава. И Динь-бо, Мейчин, Андриус (Relation of composition to viscosity of enamel glasses. Yee Tin Boo, Machin J. S., Andrews A. I.), J. Amer. Ceram. Soc., 1955, 38, № 10, 378—382 (англ.)**

Цель данного исследования — установить влияние отдельных компонентов, а также смещения твердых и мягких фритт, на вязкость эмалей. Образцы шихт приготавливались из технич. материалов, которые сплавлялись в тиглях в газовых печах. Изучалось влияние следующих компонентов на вязкость эмалей:  $\text{CaF}_2$ ,  $\text{Fe}_2\text{O}_3$ ,  $\text{Co}_3\text{O}_4$ ,  $\text{NiO}$ ,  $\text{MnO}_2$ ,  $\text{TiO}_2$ ,  $\text{NiSO}_4$  и  $\text{FeSO}_4$ .  $\text{CaF}_2$  является наиболее эффективным реагентом для изменения вязкости эмали; первые небольшие добавки  $\text{CaF}_2$  сильно понижают вязкость, дальнейшие добавки менее эффективны, а кол-ва  $> 11\%$  (по весу) могут привести к образованию порока в виде кристаллич. фазы. Небольшие кол-ва  $\text{Fe}_2\text{O}_3$  значительно понижают вязкость эмалей при обычных т-рах отжига, но большие кол-ва оказывают менее эффективное действие. Композиции из мягких и твердых фритт имеют средние значения вязкости пропорционально содержанию каждой из этих фритт. Красители  $\text{Co}_3\text{O}_4$ ,  $\text{NiO}$  и  $\text{MnO}_2$  в обычно применяемых кол-вах оказывают небольшое, но заметное влияние на вязкость эмалевых фритт. В кол-вах до  $11\%$   $\text{TiO}_2$  снижает в максим. степени вязкость эмалей; дальнейшая добавка  $\text{TiO}_2$  приводит к образованию кристаллич. фазы. С. И.

**75716. Производство фарфоровидных эмалей. Мак-Интайр (Porcelain enamel manufacturing processes. McIntyre G. H.), Industr. Finish. (Engl.), 1956, 9, № 94, 492—495 (англ.)**

Даются общие сведения о свойствах и произ-ве эмалей. Приводятся типовые составы, кратко описаны составление шихт, варка, помол, способы нанесения и обжиг эмалей. М. С.

**75717. Эмаль, как строительный элемент. Фильхабер (Email als Bauelement. Vielhaber Louis), Glas-Email-Keram.-Technik, 1956, 7, № 4, 120—122 (нем.; рез. англ., франц.)**

В строительстве применяются стальные эмалированные плиты, покрытые с обратной стороны различными изоляционными материалами. Облицовка кирпичной кладки эмалированными пластинами теперь не применяется. М. С.

**75718. Пять лет деятельности Керамической исследовательской ассоциации [Израиль]. Вишинский (Activities of the ceramics research association.— five years. Wişinski E.), Bull. Ceram. Res. Ass., 1955, № 7, 5—6 (иврит; рез. англ.)**

**75719. Отчет о поездке в США для ознакомления с керамической промышленностью. Апрель — ноябрь 1954 г. Унгар (Report on a study trip to the USA in the field of ceramics. April—November, 1954. Unger J.), Bull. Ceram. Res. Ass., 1955, № 7, 8—15 (иврит; рез. англ.)**

Освещается произ-во огнеупоров, канализационных труб, санитарного фарфора, фарфоровых изоляторов, посуды, кафеля для полов и стен. М. С.

**75720. Керамика в промышленности настоящего и будущего. Смок, Кёниг (Ceramics in industry—present and future. Smoke E. J., Koenig J. H.), Ceramic Ind., 1956, 66, № 4, 147—150 (англ.)**

Обзор свойств некоторых видов керамики (окисной и керамич. покрытий).

**75721. Силикатная керамика Анатолии и Среднего Востока. Кифер (Les ceramiques siliceuses d'Anatolie et du Moyen Orient. Kiefer Ch.), Bull. Soc. franç. céram., 1956, № 30, 3—24 (франц.; рез. англ., нем.)**

После изучения анатолийской керамики с помощью различных аналитич. методов хим. анализа, электроскопич., дилатометрич., термовесового, дифференциального, разработан новый способ, позволяющий характеризовать и легко дифференцировать сходные продукты. Этот метод состоит в проведении наблюдений над черепком до его расплавления и изучения аномалии расширения и усадок при т-рах более высоких, чем т-ры начала плавления. С. Т.

**75722. Методы лабораторного изучения горных пород, применяемых в керамике. Изучение с помощью рентгеновских лучей.— (Méthodes d'étude au laboratoire des roches utilisées en céramique. Examen à l'aide des rayons X.—), Ind. céram., 1956, № 474, 71—77 (франц.)**

На примере определения монтмориллонита и др. глинистых материалов и их смесей показывается возможность с помощью рентгеновских лучей не только определять природу первичных материалов, но и следы их загрязнений. В равной степени возможно и определение компонентов обожженных керамич. изделий. Анализируя образцы этих изделий в различные температурные периоды обжига, можно проследить различные этапы образования черепка. С. Т.

**75723. Сырье для керамической промышленности в Израиле и методы его обогащения. Радаи (Raw materials for the ceramics industry in Israel, and methods for their recovery. Radaï H.), Bull. Ceram. Res. Ass., 1955, № 7, 31—32 (иврит; рез. англ.)**

**75724. Заметки о разрушении керамических материалов при повышенных температурах под действием ударных нагрузок. Кингери, Паппис (Note on failure of ceramic materials at elevated temperatures under impact loading. Kingery W. D., Pappis J.), J. Amer. Ceram. Soc., 1956, 39, № 2, 64—66 (англ.)**

Описывается методика определения прочности керамич. материалов при высоких т-рах под действием ударных нагрузок, создаваемых маятниковым прибором. Определены прочности при ударных нагрузках (ПУН) образцов из  $\text{MgO}$  (до  $1400^\circ$ ),  $\text{Al}_2\text{O}_3$  (до  $1600^\circ$ ), обычного и стекла пирекс (до  $600$  и  $800^\circ$  соответственно) и полуфарфоровой массы (до  $1200^\circ$ ). ПУН имеет размерность  $\text{кгм}$  и выражается в виде энергии маятника, вызывающей разрушение образца. Установлено, что ПУН у образцов из  $\text{MgO}$  выше в среде сухого воздуха и ниже при испытаниях в среде влажного воздуха. При повышении т-ры ПУН медленно уменьшается. ПУН образцов из  $\text{Al}_2\text{O}_3$  по мере повышения т-ры довольно резко снижается в интервале т-р  $800$ — $1000^\circ$ , но остается выше, чем ПУН образцов из  $\text{MgO}$ . ПУН стекла мало изменяется в температурном интервале  $0$ — $500^\circ$  и при повышении т-ры выше  $500^\circ$  возрастает. Также изменяются значения ПУН и у образцов из полуфарфора. Повышение ПУН

начинается у этого материала с  $1000^\circ$ . Значение ПУН для испытанных керамич. материалов лежит в пределах от 0,004 ксм (MgO при  $1400^\circ$ ) до 0,012 ксм ( $Al_2O_3$  при  $0^\circ$  пирекс при  $800^\circ$  и др.). С. Т.

**75725.** Отливка изделий из щелочных шликеров. Часть I. Приготовление шликера. Вильямсон (Casting from alkaline slips. Part I. Preparing the slip. Williamson W. O.), Clay Prod. J. Australia, 1956, 23, № 4, 9—11, 13 (англ.)

Дан ряд практич. рекомендаций по литью керамич. изделий с применением щел. шликеров. В качестве электролитов обычно применяют растворимое стекло (PC) или  $Na_2CO_3$ . Свойства шликеров изменяются в зависимости от модуля PC, который колеблется в пределах от  $Na_2O \cdot SiO_2$  до  $Na_2O \cdot 4SiO_2$ . Текучесть шликера зависит от кол-ва  $SiO_2$ , находящегося в PC; состав PC должен изменяться в зависимости от степени пластичности глины. В массы, содержащие большое кол-во пластичной глины, следует вводить PC  $Na_2O (2SiO_2 - 3SiO_2)$ , а в тонкие массы  $Na_2O \cdot 4SiO_2$ . Для борьбы с внезапным загустеванием шликеров частично заменяют PC ( $NaPO_3$ )<sub>6</sub> или  $Na_4P_2O_7$ , однако введение большого кол-ва фосфатов вызывает быстрый износ гипсовых форм. При наличии в составе глины гипса,  $MgSO_4$ , алюминита и др. примесей получение жидкотекучего шликера становится затруднительным; в некоторых случаях этот недостаток устраняют введением  $BaCO_3$ , который способствует осаждению солей из р-ра. В. З.

**75726.** Приготовление керамических литейных масс с подогретой водой. Рольке (Aufbereitung keramischer Gießmassen mit erwärmtem Wasser. Rolke Heinz), Silikattechnik, 1956, 7, № 4, 149 (нем.; рез. англ., русс.)

В лабор. условиях исследована зависимость между т-рой воды, используемой в мешалке для роспуска глины, высушенной до постоянного веса, и временем, необходимым для этой операции. Установлено что при использовании воды с т-рой  $30-40^\circ$  время роспуска глины сокращается на  $1/4$  времени, потребного при холодной воде. Дальнейшее повышение т-ры не приводит к сокращению времени для подготовки глины. Г. М.

**75727.** Применение торфяной вытяжки на жидком стекле как пептизатора для шликера. Иосевич А. И., Куколь Г. В., Петров Г. В. (Zastosowanie wyciagu torfowego na szklo wodnym jako peptyzatora dla leiw. Josewicz A. J., Kukolew G. W., Pietrow G. W.), Szklo i ceram., 1956, 7, № 5, 147—148 (польск) Перевод. См. РЖХим, 1955, 49560.

**75728.** Метод повышения прочности сырца керамических изделий из непластичных материалов. Майер А. А., Огнеупоры, 1956, № 3, 139—140

Предложен способ повышения прочности изделий из чистых окислов металлов в высушенном состоянии, литых из водн. шликера путем введения в шликер водорастворимых органич. в-в, способных полимеризоваться при высушивании сырца. Особенно хорошие результаты дает добавка 5% (от объема дисперсионной среды шликера) мочевиноформальдегидной смолы, которая не изменяет литейных свойств шликера. Вынутые из форм изделия для полимеризации смолы нагреваются в течение 1 часа при т-ре  $\sim 100^\circ$ . В результате прочность их при изгибе повышается, в случае тонкомолотого обожженного технич. глинозема, до  $30 \text{ кг/см}^2$ , что в 10—20 раз превышает прочность сухих и в 3—4 раза влажных необожженных изделий, изготовленных без добавки. Сырец может подвергаться механич. обработке без предварительного обжига. Вместо смолы можно добавлять поливиниловый спирт, который, однако, повышает прочность несколько менее, а при вакуумировании вызывает вспенивание шликера. Это явление может быть устранено добавкой  $\sim 5\%$  этилового спирта. В. З.

**75729.** Спекание глинозема с добавками талька и двуокиси титана и свойства спекшегося черепка. Булавин И. А., Захаров И. А., Тр. Моск. хим.-технол. ин-та, 1956, № 21, 86—88

Исследовано влияние талька и  $TiO_2$  при их совместном введении в технич. глинозем марки Г<sub>0</sub>, предварительно обожженный при  $1450^\circ$ , до т-ры спекания и свойства полученного черепка. Помол глинозема производили корундовыми шарами в гумированной мельнице в течение 100 час. Омотский тальк имел размеры частиц 2—3 м.  $TiO_2$  марки В использовали без предварительной обработки. Смесь талька и  $TiO_2$  составляли в соотношениях, отвечающих минимумам по кривой плавкости системы тальк— $TiO_2$  (25 и 55 вес. %  $TiO_2$ ). Из массы, смешанной в виде шликера и подсушенной до влажности 7—8%, прессовали образцы диам. 15 мм, высотой 15—20 мм под давл.  $300 \text{ кг/см}^2$ . Обжиг до  $1450^\circ$  производили в силитовой печи, а свыше  $1450^\circ$  — в печи с керосиновым отоплением. Установлено, что при содержании 95% глинозема и введении добавки 2,25—3,75% талька и 2,75—1,25%  $TiO_2$  может быть достигнуто спекание массы при относительно низкой т-ре  $1400-1450^\circ$ . При этом  $\sigma_{изг.}$  материалов составляет  $1620-2400 \text{ кг/см}^2$ ,  $\sigma_{ст.}$  5500—6000  $\text{кг/см}^2$ , пробивное напряжение (эффективное) 18—22  $\text{кВ/мм}$ , диэлектрич. постоянная при 1  $\text{мгц}$  8—12,  $\text{тг}$  при 1  $\text{мгц}$  (18—30)  $10^{-4}$ . Материалы могут быть использованы для произ-ва свечных изоляторов. Г. М.

**75730.** Слюда и слюдяные изделия. Либшер (Glimmer und Glimmererzeugnisse. Liebscher F.), Elektrotechn. Z., 1955, В7, № 10, 359—369 (нем.)

Описываются свойства и применение слюды в пром-сти. Отмечается, что, несмотря на все большее внедрение в электротехнику искусств. материалов, слюда сохраняет свое значение. С. Т.

**75731.** Изучение временного хода поляризации и депольризации в керамике. Бондаренко С. И., Уч. зап. Ростовск. н/Д. ун-та, 1955, 32, № 4, 191—202

Исследованы смеси стронциево-бариевых титанатов в пределах —60 до +300. Процентное содержание стронция в титанате: 5, 10, 15, 20, 25, 30, 35, 40%. С помощью специально сконструированного осциллографа записывались на киноплёнку процессы разрядки на активное сопротивление конденсаторов с исследуемыми диэлектриками. Строились зависимости приложенного к образцу напряжения  $V$  и  $\ln V_0/V$  от времени. Кривые показывают, что при т-рах, равных и меньших т-ры Кюри ( $T_K$ ), обнаруживаются быстро действующая и медленно действующая поляризации; последняя связана с наличием спонтанной поляризации. При т-рах, больших  $T_K$ , спонтанная поляризация исчезает. При т-рах, много больших  $T_K$  проявляется ионнотепловая поляризация. Прибавление титаната стронция сдвигает  $T_K$  смеси в сторону низких т-р и уменьшает диэлектрич. проницаемость. Это обусловлено «разрыхлением» решетки примесями титаната стронция. Исследована зависимость тангенса угла диэлектрич. потерь ( $\text{tg } \delta$ ) от конц-ии титаната стронция в титанате бария и от т-ры. Обнаружен максимум  $\text{tg } \delta$  при т-рах, много больших  $T_K$ , обусловленный увеличением «дрейфа» зарядов с увеличением т-ры. А. В.

**75732.** Влияние влажности на диэлектрические свойства керамики из титаната бария. Марутанэ, Утино (チタン酸バリウム酸化物の誘電的性質に及ぼす湿度の影響). 丸竹正一, 野小次郎, 小林理學研究所報告, Kobayasi rikagu kenzokusei hokoku, Bull. Kobayasi Inst. Phys. Res., 1955, 5, № 2, 108—110 (япон.; рез. англ.)

Измерялись диэлектрич. постоянные, диэлектрич. потери и электропроводность керамики из  $BaTiO_3$  при различной влажности. Найдено, что влажность мало влияет на свойства образцов с плотностью  $> 5,5$  (пористость

10%), и что они пригодны для работы на звуковых частотах. М. С.

**75733. Работы по изготовлению керамических диэлектриков для высокочастотной техники.** Бадян (Prace nad przygotowaniem dielektryków ceramicznych dla potrzeb techniki wielkiej częstotliwości. Badian L., Prace Przemysł. inst. telekomun., 1956, 6, № 17-18, 15-28 (польск.; рез. русс., англ., франц.).

Обзор исследований диэлектриков для ВЧ-изоляторов и конденсаторов в Польше. С. Г.

**75734. Свойства и применение диэлектриков из титаната бария.** Леннарц (Eigenschaften und Anwendungen barium-titanathaltiger Dielektriken. Lennartz Herbert), Funk und Ton, 1954, 8, № 10, 537-548 (нем.).

Обзор эксперим. и теоретич. работ по диэлектрич. свойствам титаната бария и смешанных с ним диэлектриков. Описаны способы их изготовления, отмечена большая усадка при обжиге (до 50%). Приведены: температурные зависимости диэлектрич. проницаемости (ДП) титанатобариевой керамики в слабых полях ( $< 10$  в/см) в пределах от  $-80$  до  $+200^\circ$ ; ДП достигает 10 000 при  $120^\circ$ ; зависимость ДП различных смешанных диэлектриков из титаната бария и титаната стронция. Отмечена нелинейность ДП от напряженности электрич. поля, обусловленная доменным строением материала. Тангенс угла диэлектрич. потерь ( $\text{tg } \delta$ ) у титанатобариевой керамики достигает  $100 \cdot 10^{-4}$ , частота релаксации  $> 100$  Мгц. Отмечено старение материала: ДП за первую неделю уменьшается, следуя логарифмич. закону, на  $10-20\%$ . Приведена температурная зависимость ДП и  $\text{tg } \delta$  «свежих» и «старых» образцов. Пьезоэлектрич. свойства достигаются остыванием материала от т-ры Кюри в поле напряженности нескольких 1000 в/мм. Сегнетоэлектрич. и пьезоэлектрич. свойства в работе объясняются особенностью кристаллич. и мол. строений решетки титаната бария, имеющего при т-рах, меньших т-ры Кюри, решетку типа «перовскит». Отмечены 3 направления развития применений титанатобариевых диэлектриков: 1) изготовление конденсаторных масс; 2) изготовление электромеханизм. преобразователей; 3) применение в диэлектрич. усилителях, модуляторах и т. п. В конденсаторах с титанатобариевыми диэлектриками  $\text{tg } \delta$  сохраняет порядок  $100 \cdot 10^{-4}$ , сопротивление изоляции  $10^9$  ом, пробивная прочность лежит  $> 20$  кВ/см. Высокая ДП требует спец. мер предотвращения возникновения тлеющего разряда в конденсаторах из данных материалов. Допускаемая поверхностная плотность энергии в преобразователе из титаната бария  $\sim 3$  вт/см<sup>2</sup>. Приведены принципиальные схемы диэлектрич. усилителя и модулятора на высоких частотах. Библ. 45 назв. А. В.

**75735. Массы для керамических конденсаторов.** Беляев И. Н., Новосильцев Н. С., Ходалов А. Л., Тр. Н.-и физ.-матем. ин-та Ростовск.-н-Дону ун-та, 1955, 27, № 6, 63-66

Изложены результаты исследования смесей на основе  $50\% \text{ TiO}_2 + 50\% \text{ ZrO}_2$  и добавки трех плавней в кол-вах 2-12,5%. Образцы в виде дисков диам. 22 мм, толщиной 1,2-1,5 мм обжигались в силиковой печи при  $1350-1375^\circ$ . Измерение диэлектрич. параметров производилось в диапазоне  $50-2 \cdot 10^8$  гц. Получены две массы, имеющие близкие к нулю температурные коэфф.  $\epsilon$  и малые  $\text{tg } \delta$  как на высоких, так и на низких частотах. Составы плавней не приведены. И. З.

**75736. Металлография ферритов.** Левек, Герлак (The metallography of ferrites. Levesque P., Gerlach L.), J. Amer. Ceram. Soc., 1956, 39, № 3, 119-120 (англ.).

Описывается методика приготовления полированных шлифов из ферритов (Ф) Ni, Mn, Zn. Рекомендуется производить шлифовку карборундовыми порошками и ми-

крошкурками, а смачивание 25%-ной водно-спиртовой смесью. Полировку шлифов рекомендуется производить пастами из окислов алюминия или хрома с размерами зерен до 1 м. Как шлифовка, так и предварительная полировка шлифов должна производиться на станке, имеющем 550 об/мин. Окончательную доводку при полировке рекомендуется производить шелковым полировальником с пастой, имеющей зерна  $\leq 5$  м, при числе оборотов станка 160 об/мин. При изучении структур желательно применять травление шлифов — Ф Мп 50% водн. р-р HCl (время травления 4-15 мин. при  $85-90^\circ$ ), Ф Ni или Zn — смесь из 50% конц.  $\text{H}_2\text{SO}_4$  и 50% насыщ. р-ра щавелевой к-ты (время травления 1 час при  $110^\circ$ ). С. Т.

**75737. Изучение свойств керметов на основе боридов.** Ставролакис, Барр, Райс (An investigation of boride cermets. Stavrolakis J. A., Barr H. N., Rice H. H.), Amer. Ceram. Soc. Bull., 1956, 35, № 2, 47-52 (англ.).

Приводится классификация материалов, получивших название керметы (К). Предлагается разделение К на следующие три группы. 1. Типа механич. смесей окисла и металла, напр. К, составы которых лежат в системах: Ni — BeO, Mo — ThO<sub>2</sub>, Be — BeO, Mo — Al<sub>2</sub>O<sub>3</sub>, Be — ThO<sub>2</sub> и WC — Co. 2. С промежуточным слоем между металлом и окислом, обычно из шпинели; примером К этого класса являются К, состав которых лежит в системе Cr — Al<sub>2</sub>O<sub>3</sub>. Такие К являются метастабильными системами. 3. Однородные, в которых атомы металла и окисла образуют единую систему, напр. К, составы которых лежат в системах: Zr — Al<sub>2</sub>O<sub>3</sub>, Be — MgO, Si — ThO<sub>2</sub> и TiC с Ni, Co и Fe. Указывается, что при выборе композиции и состава К необходимо руководствоваться следующими соображениями. 1. Между металлом и керамикой должно быть хорошее прилипание и смачивание керамики металлом. 2. Т-ра плавления металла должна быть выше, чем рабочая т-ра. 3. Керамич. составляющая К должна быть стойкой при рабочих т-рах. 4. Образующаяся при окислении К пленка окиси должна быть плотной и стойкой. Указывается, что плотную пленку образуют окислы, имеющие структуру шпинели или перовскита. Всем этим условиям в значительной степени удовлетворяют К на основе боридов 2-валентных металлов. Изучалась технология приготовления К из боридов Мп (MnB и MnB<sub>2</sub>), связанных кремнием и К из смеси элементарных Si и В. Синтез боридов и изготовление К производилось путем прессования при высоких т-рах. Наилучшим К из К на основе боридов Мп признан К, содержащий (в вес. %): Мп 57,5, В 22,5 и Si 20. Для изготовления К смесь указанного состава прессуется под давл.  $17,5$  кГ/см<sup>2</sup> при  $1500^\circ$  в течение 15 мин., измельчается и повторно прессуется под тем же давлением при  $1250^\circ$  с той же выдержкой. Об. вес этого К  $4,10$  г/см<sup>3</sup> и предел прочности при изгибе  $260$  кГ/см<sup>2</sup>. Безмарганцовый К был получен тем же методом из смеси (в вес. %): Si 71 и В 29 путем однократного прессования смеси при  $1500^\circ$  в течение 15 мин. Об. вес этого К  $2,4$  г/см<sup>3</sup>, предел прочности при изгибе  $\sim 260$  кГ/см<sup>2</sup>. По величине отношения прочности к единице веса К из Si + В приближается к лучшим сортам известных К. При нагреве на воздухе в течение 4 час. при  $1100^\circ$  уменьшение в весе составляет 0,03%. Отмечается также, что К, содержащие MnB, обладают хорошими магнитными свойствами и могут быть применены как магнитные материалы. С. Т.

**75738. Реакционное спекание.** Мейер-Харвит (Das Reaktions-Sintern. Meyer-Hartwig E.), Ber. Dtsch. keram. Ges., 1956, 33, № 3, 85-91 (нем.).

Спекание прессованных изделий из металлокерамич. композиции происходит при высоких т-рах, обычно лишь на 30% более низких, чем т-ра плавления этих материалов, и производится в спец. высокотемпературных

печах в водородной или нейтр. среде. Предлагается быстрый термитный способ спекания, названный автором «реакционный». По этому способу смесь порошкообразного Al или Mg с каким-либо окислом, напр.  $\text{Cr}_2\text{O}_3$ , отпрессовывается обычным способом с каким-либо органич. пластификатором, подогревается в низкотемпературной печи до т-ры возгорания металла. Загораясь, металл отнимает кислород у окисла и образуется необходимое металлокерамич. соединение. Проведенные опыты позволили автору сделать следующие выводы: весь процесс спекания совершается всего в несколько минут; для самых высоких т-р спекания не требуется спец. высокотемпературных печей; можно получать беспористые изделия. Указывается на возможность изготовления этим способом полупроводников, высокоогнеупорных и термостойких материалов, высокотемпературной и нормальной керамики и связующих покрытий. Приводится таблица констант различных бинарных смесей с Al и Mg. См. также РЖХим, 1955, 7909.

С. Т.  
75739. Достижения в области разработки метода уплотнения между металлом и керамикой в магнетронах. Кронин (Trends in design of ceramic-to-metal seals for magnetrons. Cronin Leo J.), Amer. Ceram. Soc. Bull., 1956, 35, № 3, 113—116 (англ.)

Рассматриваются свойства материалов, которые могут быть применены для изготовления выходных окон в магнетронах. Указывается, что для магнетронов большой мощности наилучшим материалом является керамика из чистой  $\text{Al}_2\text{O}_3$ . Сплавание круглой пластинки из  $\text{Al}_2\text{O}_3$  должно производиться с металлич. кольцом из ковра. При диаметре окна  $\sim 25$  мм средняя прочность спайки должна быть  $\geq 210$  кг. Описывается устройство зажима для спайки. Рекомендуется спайвание производить в печи непрерывного действия при  $900^\circ$  регулируемой газовой средой.

С. Т.  
75740. Обсуждение плана исследований в области магнитной керамики. — (Discuss research projects in ferromagnetic ceramics.—), Ceramic Ind., 1955, 65, № 4, 126—128 (англ.)

Сообщается об исследовании р-ции образования феррита марганца из гаусманита и окиси железа методами рентгеновского, микроскопич. и термич. анализов с измерением также некоторых магнитных свойств синтезированного в различных условиях термообработки материала. При обжиге в атмосфере воздуха образование феррита марганца начинается при  $1000^\circ$ , в атмосфере азота — при  $850^\circ$ . Детально изучен процесс окисления и восстановления окислов марганца в области, лежащей ниже т-р образования феррита, и выяснено влияние медленного охлаждения на структуру и свойства феррита Mn. Указывается, что на форму петли гистерезиса существенное влияние оказывают размеры зерен поликристаллич. материала, синтезированного при  $1380^\circ$  и различной продолжительности термообработки. Показано, что в зависимости от условий синтеза размеры зерен могут изменяться в пределах  $10\text{—}100 \mu$ , а иногда и в более широком интервале. Изучены условия образования Mn-Zn-феррита и фазовый состав продукта термообработки при  $1450^\circ$ . Кратко изложена зависимость магнитных потерь от приложенного поля для серии ферритов, полученных в различных условиях. В другой работе показано, что коэрцитивная сила зависит от величины монокристаллических образований в феррите. Приведены результаты изучения фазовых соотношений и магнитных свойств материалов, реализующихся в системе  $\text{Fe}_2\text{GeO}_4\text{—ZnFe}_2\text{O}_4$ . Отмечается необходимость дальнейшего выявления факторов, влияющих на форму петли гистерезиса.

А. Б.  
75741. Магнитная керамика. II. Свойства магнита и феррита марганца, полученных обжигом в различной атмосфере. III. Влияние способов приготовления на магнитные свойства феррита магния. IV. Разработка

ферритов, обладающих прямоугольной петлей гистерезиса. Экономос (Magnetic ceramics. II. Properties of magnetite and manganese ferrite fired in various atmospheres. III. Effects of fabrication techniques on magnetic properties of magnesium ferrite. IV. Development of a complex ferrite with a rectangular hysteresis-loop characteristic. Economos George), J. Amer. Ceram. Soc., 1955, 38, № 8, 292—297; № 9, 335—340; № 10, 353—357 (англ.)

II. Синтезированы образцы магнетита и феррита марганца. Проведено исследование их электрич. и магнитных свойств. Магнетит синтезирован путем обжига чистой окиси железа в атмосфере  $\text{CO}_2 + \text{CO}$  при  $800^\circ$  в течение 5 час. Отношение  $\text{CO}_2 : \text{CO}$  увеличивалось с повышением т-ры, изменяясь от 4 : 1 при  $400^\circ$  до 15 : 1 при  $800^\circ$ . Для предотвращения возможного окисления магнетита продукт термообработки охлаждался до  $100^\circ$  в атмосфере с максим. содержанием  $\text{CO}$  20%. Атомное отношение  $\text{Fe}^{3+} : \text{Fe}^{2+}$  в полученном по такому способу продукте составляло 2,07. Феррит марганца получен путем термообработки смеси  $\text{MnCO}_3$  и  $\text{Fe}_2\text{O}_3$  при  $550^\circ$  в течение 6 час. с последующим сухим размолом в стальной шаровой мельнице и применением окончательного обжига прессовок при  $1400^\circ$  в атмосфере  $\text{CO}_2 + \text{CO}$  или  $\text{CO}_2 + \text{H}_2$ . Содержание  $\text{CO}_2$  и  $\text{CO}$  в печи, в которой производился обжиг феррита марганца, варьировало от 15 : 1 при  $500^\circ$  до чистой углекислоты при  $1400^\circ$ . Исследования электрич. и магнитных свойств производилось на образцах торoidalной формы — наружный диам. 22 мм, внутренний диам. 17 мм, высотой 2,5 мм. Измерялась начальная магнитная проницаемость, уд. электрич. сопротивление и снималась петля гистерезиса. Кроме того, были определены параметры решетки и кажущаяся плотность. Показано, что наилучшими свойствами обладают те образцы магнетита, которые синтезированы в атмосфере  $\text{CO}_2 + \text{CO}$ , но не в атмосфере чистой  $\text{CO}_2$  или  $\text{H}_2$ . Оптимальные условия получения феррита марганца, содержащего в своем составе только ионы  $\text{Mn}^{2+}$ , которые размещаются в местах с координационным числом 4, еще не найдены. Однако образцы феррита марганца, полученные в атмосфере  $\text{CO}_2$ , обнаруживают наибольшее приближение к составу  $\text{MnO} \cdot \text{Fe}_2\text{O}_3$ .

III. Изучена зависимость электрич. и магнитных свойств феррита магния от условий синтеза: давление прессования, т-ра обжига, время выдержки при наибольшей т-ре, атмосфера, в которой ведется термообработка и закалка изделий от высоких т-р. Влияние указанных факторов изучалось на 2 исходных материалах: тонкомолотой смеси  $\text{Mg}(\text{OH})_2 + \text{Fe}_2\text{O}_3 \cdot x\text{H}_2\text{O}$  и предварительно синтезированном при  $1050^\circ$  в течение 4 час. магнезиоферрите ( $\text{MgO} \cdot \text{Fe}_2\text{O}_3$ ). Всего исследовано 54 торoidalных образца, полученных при давл. 545, 1090 и  $2180 \text{ кг/см}^2$ , т-рах 1350, 1400 и  $1450^\circ$ , продолжительности обжига 2,4 и 8 час. Для каждого образца определена плотность и найдены параметры кристаллич. решетки. Показано, что с увеличением плотности феррита магния начальная магнитная проницаемость и максим. индукция возрастают, а коэрцитивная сила уменьшается. Установлено, что продолжительность, т-ра и атмосфера обжига существенно влияют на микроструктуру материала. Отмечено, что скорость р-ции образования феррита из окислов зависит от размеров частиц, скорости диффузии, энергии активации и т-ры. С повышением т-ры, от которой производится закалка, начальная магнитная проницаемость возрастает, а коэрцитивная сила уменьшается. Расхождения в численных значениях индукции, приводимых для  $\text{MgO} \cdot \text{Fe}_2\text{O}_3$  различными исследователями, автор объясняет неодинаковыми условиями синтеза.

IV. Исследована зависимость магнитных и электрич. свойств сложного феррита, содержащего (в мол. %):  $\text{MgO}$  35,6,  $\text{MnO}$  34,1 и  $\text{Fe}_2\text{O}_3$  33,3, от метода его синтеза. Определены начальная и максим. магнитная проницае-

стерепер-  
ties  
arious  
es on  
velop-  
ystere-  
e), J.  
№ 9,

а мар-  
агнит-  
а чи-  
е по-  
с те-  
I при  
магне-  
100° в  
ное от-  
пособу  
ен пу-  
е в те-  
альн-  
роби-  
жи-  
CO<sub>2</sub> +  
онизов-  
15:1  
едова-  
сь на  
22 мм,  
сь на-  
сопро-  
е того,  
а плот-  
адают  
атмос-  
и. Не-  
а, со-  
отные  
4, еще  
полу-  
ольше

итных  
вление  
и боль-  
аботка  
занных  
тонко-  
итель-  
магне-  
торон-  
1090 и  
ности  
делена  
ишетки.  
магния  
дукция  
станов-  
обжига  
на. От-  
э окис-  
фузии,  
т кото-  
про-  
пьяет-  
и, при-  
телями,  
за.

электр.  
л. %):  
интеза-  
ониче-

мость, коэрцитивная сила, максим. индукция и уд. электр. сопротивление, кроме того, определены параметры кристаллич. решетки и кажущаяся плотность для образцов сложного феррита, полученных при различных давлениях прессования, времени и т-ре обжига, скорости охлаждения обожженных образцов. Приводятся характеристики материала, полученного в атмосфере воздуха, кислорода и восстановительной газовой среде. Показано, что форма петли гистерезиса зависит от т-ры и атмосферы обжига. Выказано предположение, что каждый из ионов  $Mg^{2+}$ ,  $Mn^{2+}$ ,  $Mn^{3+}$ ,  $Mn^{4+}$ ,  $Fe^{2+}$  и  $Fe^{3+}$  может занимать места с координацией 4 или 6, в зависимости от скорости охлаждения и т-ры, от которой производится закалка. Обжиг в сильно восстановительной атмосфере ( $P_{O_2} = 10^{-6}$  атм) резко снижает все магнитные и электрич. характеристики сложного феррита. Наибольшая прямоугольность петли гистерезиса достигается обжигом при высоких т-рах ( $\sim 1400^\circ$ ), однако уже при  $1450^\circ$  происходит пережог и связанное с ним ухудшение технич. свойств материала. Форма петли гистерезиса может также изменяться в зависимости от т-ры закалики и атмосферы обжига. Сообщение I см. РЖХим, 1956, 51601.

**75742. Материалы переменного сопротивления.** Микке (Materiały zmiennopiętrowe. Mikke K.), Przegl. elektrotechn., 1955, 31, № 10-11, 711—717 (польск.).

Приведены литературные данные о свойствах, способах изготовления и применении полупроводников. Материалы для термисторов изготавливаются из  $Mn_2O_3$ ,  $NiO$ ,  $SrO$  путем обжига октана марганца, карбида никеля и оксидов меди с применением технич. окиси марганца и чистой окиси никеля. Плиточные термисторы изготавливают из материала, размоленного в шаровой мельнице, с последующей прессовкой на гидравлич. прессе под давл. 1000  $kg/cm^2$ , с применением связки из каннфола, растворенной в этиловом спирте, либо из каолина и с последующей термич. обработкой в трубчатой печи при  $1100$ — $1300^\circ$ . Контакты получают путем восстановления окиси серебра, нанесенной в виде пасты на плитку. Шариковые термисторы получают из того же материала в виде пасты, накладываемой на платиновые или платиново-иридиевые проволочки; для придания достаточной липкости материалу применяется пчелиный мед. Е. С.

**75743. Переменные сопротивления из карбоната (SiC).** Токива (カーボランダム・バスター・常葉隆道), 化学. Кагаку, Chemistry (Kyoto), 1955, 25, № 9, 476—477 (япон.).

**75744. Термостойкие керамические материалы.** Часть I, II, III. Хаммел (Ceramics for thermal shock resistance. Hummel F. A.), Ceramic Ind., 1955, 65, № 5, 73—75, 104; № 6, 84—86; 1956, 66, № 1, 72—74 (англ.).  
I. Приведен обзор современных отраслей техники, для которых требуются термостойкие керамич. материалы (лопатки турбин, детали камер сгорания, сопла и др. реактивных и ракетных двигателей; наконецники форсунок, трубы, запальные свечи и т. д.). Определение и анализ. выражение термич. стойкости керамики чрезвычайно сложны; так как зависят от многих факторов. При низких значениях теплопередачи через керамич. материал максим. температурный градиент  $\Delta T_{\max}$  может быть выражен упр-ем:  $\Delta T_{\max} = k \cdot S/E\alpha (1-\mu)$ , для высоких значений теплопередачи  $\Delta T_{\max} = S/E\alpha (1-\mu)$ , где  $k$  — коэфф. теплопроводности,  $S$  — прочность,  $\mu$  — отношение Пауссона,  $E$  — модуль упругости,  $\alpha$  — коэфф. расширения. В. З.

II. Описывается влияние на термостойкость керамич. материалов следующих факторов: механич. прочности, эластичности, коэфф. термич. расширения, теплопроводности, величины и формы изделий. В ряде таблиц приводятся численные значения указанных факторов для

следующих керамич. материалов: алюмосиликатов лития, кордиерита, фарфора, муллита, циркона, форстерита, плавяного глинозема, карбида титана. Для указанных материалов приводится также интересная диаграмма температурного перепада, который может выдерживать эти материалы в зависимости от различных скоростей передачи тепла.

III. Приведен обзор термич. устойчивости различных окисных и карбидных керамич. материалов (КМ). Все рассмотренные КМ разделены по коэфф. термич. расширения  $\alpha$  на 3 группы: 1) с высоким  $\alpha > 80 \cdot 10^{-7}$  ( $MgO$ ,  $ZrO_2$ ,  $BeO$ ,  $Al_2O_3$ ,  $MgAl_2O_4$ ,  $ThO_2$ ); 2) со средним  $20 < \alpha < 80 \cdot 10^{-7}$  ( $ZrSiO_4$ ,  $3Al_2O_3 \cdot 2SiO_2$ , полевощпатовый фарфор,  $SiC$ ,  $SnO_2$ ,  $CaO \cdot 2Al_2O_3$ ,  $CaO \cdot Al_2O_3 \cdot SiO_2$ ,  $BaO \cdot Al_2O_3 \cdot 2SiO_2$ ); 3) с низким  $\alpha < 20 \cdot 10^{-7}$  ( $SiO_2$  плавянная, вкор, кордиерит, алюмосиликаты Li, титанат Al, фосфат Zr,  $Ta_2O_5$ ,  $Nb_2O_5$ ,  $V_2O_5$ ) и кратко рассмотрены основные свойства этих материалов. С. Т.

**75745. Развитие керметов как конструктивных материалов.** Нортон (Development of cermet as structural materials. Norton J. T.), Ceramic Age, 1956, 67, № 4, 32—34, 36, 38—39 (англ.).

Дается определение понятия кермета (К) как материала, состоящего из частиц прочного и огнеупорного в-ва связанных металлч. фазой. Рассматриваются механич. свойства К из TiC, содержащих от 40 до 65% связки. В качестве связки рекомендуется смесь (в %): Ni 60, Co 20 и Cr 20. Отмечается, что наибольшую прочность при высоких т-рах имеют К из TiC, содержащие 40% связки. Кратко рассматриваются свойства К на основе карбида хрома. Указывается, что К этого класса имеют очень высокую устойчивость против окисления, но механич. прочность их ниже, чем К на основе TiC. К на основе ZrC также менее устойчивы и прочны сравнительно с К на основе TiC. К на основе боридов циркония хорошо сопротивляются разрушающему действию расплавленных металлов, и поэтому могут применяться для изготовления деталей, погружаемых в расплавленный металл. К на основе боридов хрома подобны по свойствам К на основе боридов циркония. Из К, состоящих из огнеупорного оксида и металла, рекомендуется К из  $Al_2O_3$ , связанной 70% Cr по весу (50% по объему). Этот вид К достаточно стоек до  $1200^\circ$ . Указывается, что К могут быть получены и на основе интерметаллидов, напр. алюминидов Ni, силлицидов Mo, титанидов Cr и др. Указывается, что при высоких т-рах (выше  $900^\circ$ ) К прочнее и устойчивее, чем известные в настоящее время жаропрочные сплавы. С. Т.

**75746. Керметы. I. Основные взаимоотношения между микроструктурой и физико-химическими свойствами в керметных системах.** Гуменик, Парикх (Cermets: I, fundamental concepts related to microstructure and physical properties of cermet systems. Humenik Michael, Jr., Parikh Niranjan M.), J. Amer. Ceram. Soc., 1956, 39, № 2, 60—63 (англ.).

Изучено влияние на структуру изделий из карбидов степени смачивания цементующей фазой (ЦФ) зерен карбидной фазы (КФ). Установлено, что степень смачивания оказывает большое влияние на структуру изделий из карбидов. Так, напр., если при изготовлении изделий из карбида W брать в качестве ЦФ Cu, то наблюдается слипание (коалесценция) карбидных зерен. Этого не наблюдалось, если в качестве ЦФ брать Co. При изготовлении изделий из карбида Ti слипания КФ не наблюдается, если в качестве ЦФ брать сплав Ni с 10% Mo. Оценку смачивания КФ со стороны ЦФ можно производить по краевому углу смачивания (КУС) ЦФ. При хорошем смачивании этот угол должен быть равен 0. Устранение слипания зерен КФ улучшает качество изделий из карбидов, повышает их твердость и сопротивляемость ударным нагрузкам. Дано описание методики определения КУС. С. Г.

**75747. О влиянии пирита на качество строительного камня.** Овсянников Н. В., Тр. Дальневост. политех. ин-та, 1954, № 43, 65—72

Автор считает, что пирит более устойчив к выветриванию и окислению, чем большинство силикатных пород. (П). Быстро разрушаются лишь зерна пирита поврежденные при шлифовке. Применять содержащие пирит П в качестве облицовочного камня не рекомендуется. Такие П можно широко использовать в качестве каменных строительных материалов.

**75748. Размер пор и морозостойкость строительного камня.** Карлссон (Porengröße und Frostbeständigkeit an Bausteinen. Carlsson O.), Ber. Dtsch. keram. Ges., 1954, 31, № 7, 230—239; № 8, 261—270 (нем.)

Исследовалась зависимость морозостойкости кирпича от размера пор и их соотношения, изменяющегося от условий произ-ва (способа формовки, т-ры обжига и др.). Приведены теоретич. соображения по определению распределения пор различных размеров при помощи ф-лы Кантора  $P_1 = 2\sigma/r_1 \cos \varphi$  и  $P_2 = 2\sigma/r_2 \cos \varphi$ , где  $P$  — оказываемое на образец давление;  $r$  — радиус пор;  $\sigma$  — поверхностное напряжение между жидкостью, в которой находится испытуемый образец, и воспроизводящей на нее давление средой;  $\varphi$  — угол между жидкостью и стенками пор. Скорость истечения по закону Пуазейля выражается ф-лой:  $U = r^4 \pi PN/8 \cdot \eta \cdot l$ , где  $U$  — скорость истечения,  $\eta$  — вязкость,  $N$  — кол-во пор и  $l$  — их длина. Представлены графики, показывающие результаты экспериментов по измерению скорости истечения  $U$  в зависимости от давления  $P$  и график. метод установления по  $U-P$  диаграмме размера пор. Описывается прибор для определения размера пор и методика работы на нем. Даны результаты, выраженные на графиках, определения размера пор в зависимости от т-ры обжига образцов, изготовленных при идентичных условиях, из двух различных по физ.-хим. свойствам глин.

Д. Ш.

С повышением т-ры обжига глиняного кирпича до 850—900° резко увеличивается максим. радиус пор. При дальнейшем повышении т-ры обжига в одной из глин (желтая) максим. радиус пор резко возрастал, в другой (красная) почти не изменялся. Автор объясняет эти явления различным содержанием карбонатов кальция в глинах. При определении величины капиллярного подсоса установлено, что с повышением т-ры обжига глины интенсивность миграции воды изменяется так же, как и максим. диаметр пор. Наблюдается определенная зависимость морозостойкости от капиллярного подсоса и максим. диаметра пор.

Е. Ш.

**75749. Модернизация норвежских кирпичных заводов.** Свенсен (Modernisation of a Norwegian Brickworks. Svendsen J. H.), Brit. Clayworker, 1956, 64, № 765, 289—292

Для увеличения производительности сезонных кирпичных заводов предполагается оборудовать их новейшими глинообработывающими, формовочными и транспортирующими машинами, камерными сушилками и печами. Описана новая технологич. схема одного из заводов в окрестностях Осло.

Т. Р.

**75750. К вопросу скоростного обжига глиняного кирпича.** Иванов М. Г., Тр. Горьковск. политех. ин-та, 1955, 11, № 3, 33—43

Исследованы физ.-мех. свойства глин, используемых Афонинским кирпичным заводом (Горький), при обжиге 900—1000°. Приведены температурные кривые обжига, рассчитанные по допустимым напряжениям на разрыв при определении механич. свойств как в холодном, так и нагретом состоянии, и фактич. температурная кривая обжига в кольцевой печи на Афонинском заде.

Д. Ш.

**75751. Тенденция к увеличению размеров кирпича.** Баттеруэрт, Фостер (The trend to the bigger

brick. Part I. Butterworth B., Foster D.), Brit. Clayworker, 1956, 64, № 766, 320—323 (англ.)

В порядке обсуждения приводятся: форма и размеры дырчатого и пустотелого кирпичей и блоков различных типов; достоинства и недостатки каждого из них с точки зрения архитектуры, строительной техники и керамич. технологии, по сравнению с таковыми сплошного стандартного кирпича.

Т. Р.

**75752. Изменение сушки и транспортировки в процессе производства изделий строительной керамики.**

Мопье (Evolution dans la manutention et le séchage des produits céramiques du bâtiment. Maupied A.), Ind. céram. 1953, № 446, 235—242 (франц.)

Описываются различные методы транспортировки изделий строительной керамики к печам и сушилкам, а также готовых изделий. Кроме того, приводятся: метод загрузки в печь и сушила (система сажки), схемы обслуживания печей и сушил, а также примерный технико-экономич. расчет произ-ва для за-да, выпускающего 40 000 шт. кирпича в сутки.

М. С.

**75753. Устройство и эффективность кирпичеобжигательных печей.** Роуден (Betrieb und Wirkungsgrad von Ziegelbrennöfen. Rowden E.), Ziegelindustrie, 1956, 9, № 7, 220—225 (нем.)

Обзор применяемых в Англии печей для обжига кирпича и черепицы.

Л. Б.

**75754. Печи для обжига кирпича, черепицы и извести в колхозах.** Марченко Г., Сельское стр-во, 1955, № 9, 20—22

Характеристика 14—16 камерной сводчатой кольцевой печи производительностью 2—3 млн. кирпичей и 100—150 тысяч черепицы в год обжигаемых совместно. Приводятся типы рациональной сажки кирпича и черепицы, порядок ведения обжига, контроль его, обслуживающий персонал и стоимость такой печи, включая сушильные сараи и механич. оборудование.

Е. Г.

**75755. Влияние сырья и технологических процессов на точность формы и размеров керамических плиток для полов.** Гатак (Vliv surovin a technologických pochodů na rozměrovou a tvarovou přesnost kameninových dlaždic. Hatač J.), Stavivo, 1956, 34, № 4, 135—138 (чеш.; рез. русск., нем.)

Указано на повышающиеся в Чехословакии требования к точности формы и размеров керамич. плиток (П) для полов (до  $\pm 0,25$  мм). Отклонения от установленной формы и размеров П зависят от минералогич. состава масс и степени соблюдения в процессе произ-ва технологич. параметров. По минералогич. составу П можно разделить на каолиново-пегматитовые и глинистые. Первые отличаются от вторых светлой окраской при обжиге (серый, голубой до белой). Для устранения колебания минералогич. состава и достижения постоянства необходимых керамич. свойств, особенно окраски после обжига, глинистые массы составляются из нескольких глин. Приведен хим. состав глин и пегматитов, применяемых в Чехословакии. Точность размеров П зависит от кол-ва глины, вида и формы частиц глин, пластичности масс, добавок для понижения т-ры спекания, особенно доломита. Наибольшие колебания свойств наблюдаются у пегматито-каолинового сырья. На качество и точность размеров П оказывает влияние прессовое давление (Д), которое при влажности массы 7,5% должно быть  $\geq 350$  кг/см<sup>2</sup>, равномерность распределения Д по площади, равномерность влажности массы и заполнения формы, режим сушки, плотность сажки и режим обжига; снижение Д приводит к увеличению усадки. Отрицательное влияние неравномерной влажности устраняется вылеживанием массы минимум в течение 24 час. Неправильный режим сушки не влияет на точность размеров П, а приводит к их растрескиванию. С увеличением плотности сажки увеличивается неравномерность обжига П. Для обеспечения необходимого качества П задачей из-

), Brit

измеры

личных

с точ-

грамм.

о стан-

Т. Р.

процес-

сажики.

séchage

d A),

аки из-

лам, а

метод

облу-

эконо-

ающего

М. С.

обжига-

ngsgrad

industrie,

га кир-

Л. Б.

известн

о, 1955,

льцевой

и 100—

ю. При-

репции,

вающий

ильные

Е. Г.

рессов на

ток для

rochodí

inových

135—138

требуют

(П)

ановле-

ч. соста-

ва тех-

I можно

ые. Пер-

обжиге

олебания

необхо-

е обжи-

х глина

янения

от кол-ва

сти масс,

доломия

ся у пер-

ость раз-

(Д), ко-

о быть

о площа-

ния фор-

обжиге;

рицатель-

с. Непра-

размер

нем плот-

обжиге П.

дачей из-

тов и з-дов является изыскание светло-жгущихся глин с возможно низкой т-рой спекания и осуществление наибольшей механизации и автоматизации производственных процессов, особенно прессования.

Д. Ш. 75756. Прочность связи мозаичных плиток. Балинкин, Мак-Хью, Шолц (Bond strength of ceramic mosaic tile. Balinkin Isay, McHugh J. N., Scholz J. A.), Amer. Ceram. Soc. Bull., 1956, 35, № 3, 123—127 (англ.)

Образцы мозаичных плиток размером 50,8 × 50,8 мм при помощи портландцемента соединялись с основанием и прижимались ударами спец. бойка. Образцы выдерживались при определенной т-ре и влажности в течение недели, затем определялась их прочность связи (ПС). Наиболее благоприятна толщина слоя цемента 0,79—1,59 мм. С увеличением числа ударов бойка ПС растет. Наибольшая ПС составляла 30 кг/см<sup>2</sup>.

М. С. 75757. Процессы, протекающие при отборе гипсовой формы воды из керамического шликера. Часть II. Исчисление коэффициентов диффузии шликерной воды и шликера в черепке на основе трехфазной системы гипс — черепок — шликер. Опребание предложенной теории в подсчете производительности. Часть III. Вхождение шликерной фазы в гипсовую форму как проблема пропитывания, разделение пор. критика метода выдавливания пузырьков. Часть IV. Рентгенографическое определение текстуры черепка. Дитцель, Мостецкий (Vorgänge beim Wasserentzug aus einem keramischen Schlicker durch die Gipsform. Teil II: Berechnung der Diffusionskoeffizienten von Schlickerwasser in Scherben und Schlicker Überprüfung der auf das Dreiphasensystem Gips (Scherben) Schlicker erweiterten Theorie auf ihre Leistungsfähigkeit. Teil III: Eindringen des Schlickerwassers in die Gipsform als Benetzungproblem Porenverteilung, Kritik an der Blasendruckmethode. Teil IV: Röntgenographischer Nachweis der Scherbentextur. Dietzel A., Mostetzky H.), Ber. Dtsch. keram. Ges., 1956, 33, № 2, 47—52; № 3, 73—85; № 4, 115—118 (нем.)

II. На двух примерах показано, что диффузионная теория, основанная на трехфазной системе гипс — черепок — шликер, в состоянии правильно предсказать изменение конц-ии в этой системе, и что с помощью такой теории могут быть вычислены коэфф. диффузии воды из шликера в черепок. Усовершенствованный Джостом метод Больцмана в этом случае непригоден. При диффузии воды в гипс отмечаются отклонения эксперим. данных от теоретич.

III. Наблюдаемые закономерные явления при пропитывании твердых пористых тел жидкостью позволяют судить об изменении конц-ии жидкости для линейного случая (проникновение воды в пористый материал только в одном направлении, не принимаая в расчет силы тяжести), которое количественно согласуется с эксперим. данными. Этим объясняется отклонение в распределении конц-ии воды в гипсовой форме от требуемой по теории образования черепка. Предлагаемый метод определения распределения пор в гипсе по изменению в нем конц-ии воды должен быть еще опробован повторными экспериментами. Метод определения пористости гипса по выдавливанию пузырьков воздуха не дает удовлетворительных результатов. В дальнейшем необходимо исследовать в испытуемом черепке ориентацию глинистых частиц.

IV. Рентгенографич. способом устанавливается, что при литье пластинчатые глинистые частицы отлагаются параллельно гипсовой форме и перпендикулярно диффузионному потоку, причем водосодержание черепка со стороны гипсовой формы меньше, чем со стороны шликера. Эта разница в зависимости от толщины черепка достигает 10 и более процентов, что дает разницу в усадке при сушке до 3—4%. Она и является основной причиной «коробления» литых изделий. Проникновение воды

в гипсовую форму пропорционально  $V \sqrt{t}$  Часть I см. РЖХим, 1956, 51614.

С. Т. 75758. Полиэфирные смолы для производства моделей, стержней, форм в керамической промышленности. Рено (Fabrication des modèles, mères, pouvaux, moules en matières plastiques. Emploi de résines de polyesters. Renault Pierre), Ind. céram., 1954, № 455, 181—189 (франц.)

Недостаточная механич. прочность и разбухаемость гипса, который широко применяется для моделей и форм в керамич. пром-сти, являются основными недостатками этого материала, которые до известной степени устраняются или пропиткой их синтетич. смолами (фурановыми, р-рами фенолформальдегидных, мочевиноформальдегидных, меламиноформальдегидных) или введением их в состав во время приготовления массы (меламиновые или мочевиновые смолы). Еще лучшие результаты достигаются заменой гипса пластич. массами на основе термореактивных полиэфирных смол, отверждающихся при нормальной т-ре и низком (контактном) давлении и не требующих применения дорогого оборудования. Приводятся ряд рецептов пластич. масс, в состав которых входят сами смолы, сополимеризующиеся со смолами мономеры для снижения вязкости, катализаторы, ускорители или замедлители р-ций отверждения. Приводятся спец. рецепты с включением минер. наполнителей в целях уменьшения стоимости, усадки, внутренних напряжений, избежания растрескивания, повышения твердости. Приведены также различные конструкции стержней, форм, изготовляемых целиком или частично из пластмасс и частично из гипса. Описаны методы изготовления таких форм, моделей с указанием рецептуры и последовательности операций.

Е. Х. 75759. Сушка керамических изделий. Керкандейл (Drying ceramic wares. Kirkandale G. A.), Bull. Ceram. Res. Ass., 1955, № 7, 6—8 (иврит; рез. англ.) Указывается на необходимость тщательного контроля подачи воздуха, циркуляции влаги, т-ры и времени сушки для получения более однородного продукта и снижения брака.

М. С. 75760. Струйная сушка керамических изделий. Дейл, Берд (Jet-drying of ceramic clayware and dipped ware. Dale A. J., Bird G. W.), J. Inst. Fuel, 1954, 27, № 158, 129—136 (англ.)

Описывается способ сушки мелких керамических изделий посредством обдувания струями теплоносителя. Указывается на технич. и экономич. преимущества этого способа по сравнению с общепринятым. В частности, отмечается, что все одновременно высушиваемые изделия подвергаются сушке в совершенно одинаковых условиях, причем глазурированные изделия сразу после нанесения глазури (окунанием).

И. Г. 75761. Сушка санитарно-технических изделий. Дейл, Джонсон (Drying of sanitary earthenware. Dale A. J., Johnson J. A.), J. Inst. Fuel, 1954, 27, № 158, 137—141 (англ.)

Рассматриваются некоторые особенности процессов движения воды в отлитых с применением шаблонов изделиях. Описывается поточная, замкнутая система литья и сушки изделий, обеспечивающая экономичность работы сушиль.

И. Г. 75762. I. Сушка столовой посуды и других керамических изделий. II. Струйная сушка чашек. III. Струйная сушка больших и малых плоских изделий. IV. Струйная сушка тарелок и электрофарфора. V. Струйная сушка глазурированной столовой посуды и санитарных фаянсовых изделий. Ханкок (I. The drying of tableware and other ceramic goods. II. The jet drying of cups. III. The jet drying of large and small flatware and saucers. IV. Jet drying of dishes, deep flattered ware and electrical porcelain. V. The jet drying of glaze-dipped table and sanitary ware. Hancock W.),

Ceramics, 1953, 5, № 57, 408—410; № 58, 454—457; 1954, 5, № 59, 507—511; № 60, 555—558; 6, № 62, 72—76 (англ.)

I. Рассматриваются практические принципы струйной сушки, конструкции многоструйной сушилки, подача воздуха, контроль т-ры и передвижение воздуха по сушилке. И. М.

II. Описывается струйная сушилка средней производительности для сушки полых изделий — чашек и т. д. Приводятся размеры сушилки, расход пара и скорость подачи воздуха в сушилку. И. М.

III. Сушка производится горячим воздухом, дувямым в сушилку и используемым по принципу рециркуляции. В полках, где сушатся изделия, сделаны отверстия, через которые проходит нагнетаемый вентилятором воздух. Эти отверстия расположены в определенном порядке над каждым изделием и составляют 6 концентрич. окружностей, diam отверстий в трех наружных окружностях 6 мм, в трех внутренних 3 мм. Скорость сушки в течение процесса усадки изделий пропорциональна линейной скорости воздуха, которая составляет 150—610 м/мин. По окончании усадки изделий скорость сушки падает и может быть усилена лишь за счет увеличения скорости воздуха. При нагревании выше 60° происходит быстрая порча гипсовых форм, поэтому т-ра дувяемого воздуха обычно составляет  $\leq 57^\circ$  с колебаниями  $\leq \pm 0,5^\circ$ , а т-ра изложниц  $\leq 43^\circ$ . В результате достигается значительная долговечность служб гипсовых форм. Для малых изделий экономия топлива составляет против обычной сушилки 50% и против конвейерной 60%, а экономия энергии 50—60%. Г. З.

IV. Указывается, что сушка плоских керамич. изделий и посуды дает хорошие результаты при пропускании горячего воздуха с большой скоростью. Описывается устройство сушильных камер и подсчитывается экономич. эффект. Г. М.

V. Указаны преимущества сушки глазурированной столовой посуды или санитарных фаянсовых изделий в туннельных сушилах с циркуляцией горячего воздуха, обеспечивающих экономичность, высокую производительность и улучшенное качество глазури. Описаны сушильные камеры для посуды, имеющие ширину 1,5 м и длину 5,3 м, с двумя транспортерами, перемещающими изделия со скоростью 0,6 м/мин. Система циркуляции воздуха включает вентилятор производительностью 141 м³/мин, создающий скорость воздуха в камере до 450 м/мин, и калорифер. Воздух поступает в сушилку при 140° и его т-ра контролируется автоматически. Расход пара в калорифере составляет 36,3 кг/час. За это время из обрабатываемых изделий удаляется 33,6 кг влаги, что отвечает 95% тепловой эффективности. Для крупных санитарно-технич. изделий сушильная камера имеет длину 13 м, скорость транспортера до 0,45 м/мин и расход пара составляет 81,5 кг/час. Сообщение VI см. РЖХим, 1956, 26434. А. Р.

75763. Скорость сушки глины инфракрасными лучами. Ву, Саймонс, Джонс (Drying rates in infra-red drying of clay. Woo Davis, Simons H. P., Jones P. R.), Brit. Clayworker, 1956, 64, № 765, 279—285 (англ.)

См. РЖХим, 1956, 58898.

75764. К вопросу о туннельной печи. Мазурек (Etwas über den Tunnelofen. Mazurek E.), Ber. Dtsch. keram. Ges., 1955, 32, № 4, 108—113 (нем.)

Дана история развития и внедрения туннельной печи (ТП) в керамич. пром-сть, преимущества ТП по сравнению с другими печными установками. Описываются конструктивные особенности различных видов ТП и возможности их усовершенствования, а также необходимые регулирующие и измерительные приборы и контроль об-

жига. Указано на значение газогенераторов в совокупности с очисткой газа от подсмоленной воды. Н. Ф.

75765. О генераторном газе в керамической промышленности. Траустель (Über das Generatorgas in der keramischen Industrie. Traustel Sergei), Tonind.-Ztg., 1955, 79, № 34, 31—36 (нем.)

Излагаются стехиометрич. основы горения и вытекающий из них упрощенный метод газового анализа. Выведено ур-ние для определения одного из компонентов генераторного газа и продуктов горения (в зависимости от содержания CO₂ и других компонентов) и дано графич. его решение. Приведены ур-ния для вычисления некоторых теплотехнич. характеристик газа, кол-ва кислорода и воздуха для горения, объема продуктов горения. Описывается приближенное определение нижней теплотворной способности генераторного газа, если она не превышает 2500 ккал/м³. Н. Ф.

75766. Измерение температуры в туннельных печах.

Мир (Die Messung des Temperatur-Verlaufes in Tunnelöfen. Miehr W.), Keram. Z., 1956, 8, № 5, 215—216 (нем.)

Указывается на недостатки контроля температурного режима в туннельных печах по обжигу керамич. изделий с помощью конусов Зегера и описывается применение так называемой измерительной вагонетки, предложенной Гацке еще в 1930 г. Вагонетка снабжается 2 или 3 термопарами, которые кабелем соединяются со стационарным самописцем. Приводится ряд записей температурных кривых по длине печи в различных туннельных печах (по обжигу огнеупоров, фарфора, санитарного фаянса), анализируется тепловой режим печи с точки зрения перепада т-р в сечении туннеля и делаются выводы о влиянии системы садки на распределение т-р по высоте. Подчеркивается значение применения такой вагонетки для регулирования теплового режима с целью повышения качества обжигаемых изделий. Кроме того, указывается на целесообразность установки на измерительной вагонетке газоанализаторов и автоматич. газоанализатора, позволяющего контролировать газовую среду, что весьма существенно для ряда произв (фарфора, фаянса и т. п.). М. С.

75767. Применение центробежных печей при использовании солнечной энергии для высокотемпературной плавки различных материалов. Тромб, Фокс (Utilisation de fours centrifuges pour le traitement par l'énergie solaire des substances à haute température. Trombe Félix, Foex Marc), Bull. Soc. chim. France, 1954, 10, 1315—1322 (франц.)

Описывается принцип работы и конструкция печей по использованию солнечной радиации, в которых производится плавка муллита и кварца. Эти печи дают одновременно возможность получать изделия, напр. из непрозрачного кварца, имеющие форму тел вращения (тигли, горшки и т. п.). Мощность указанных печей 2,5—75 квт, производительность для получения муллита 15 кг-ч, кварца 8 кг-ч. Скорость вращения печи (средняя) 2000 об/мин. Приводится зависимость между производительностью процесса центробежной плавки и размерами получаемых изделий. М. С.

75768. Экономия топлива в системах при сжигании газа в туннельных печах. Легрип (Considerations in the design of gas combustion systems on tunnel kilns affecting fuel economy. Legrip R. G.), Ceramics, 1953, 5, № 58, 458—469 (англ.)

75769. Автоматический хромоселектор для керамики. Ронки (Cromoselektore automatico per mattonelle in ceramica. Ronchi Vasco), Atti Fondaz. «Gioglio Ronchi», 1956, 11, № 2, 89—94 (итал.)

На кооперативной керамич. ф-ке Имола (Италия) смонтирован и используется в течение 4 лет полуавтоматич. селектор (ПС) для сортировки по просвечиваемости светлоокрашенных керамич. плиток. За этот срок на ма-

шине рассортировано ~ 1 млн. шт. плиток. На ПС работают 3 человека: кладчица, отъемщица и техник-оператор; производительность ПС 1500 шт. плиток в час. Плитки вручную укладывают на движущийся транспортер, который проходит под источником излучения. В зависимости от степени просвечиваемости данной плитки от оптич. системы машины приходят в действие механ. молоточки, штемпелюющие каждую плитку соответствующим номером. Чувствительность аппарата позволяет рассортировывать плитки на 21 сорт. Отъемщица укладывает плитки в стопки по сортам. С. Г.

**75770. Значение питателей в керамической технологии. Оцельник (Význam podávácov v keramickej technológii. Ocelník Ján), Stavivo, 1953, 31, № 3, 83—86 (чеш.)**

Описаны питатели, применяемые на словацких магнетитовых з-дах: качающийся производительностью до 1,5 т/мин для обслуживания скиповых подъемников шахтных печей; качающийся желоб для подачи кускового материала размером до 250 мм; барабанный питатель для вращающихся печей и вибрационный для дробильных установок. Е. С.

**75771. Образование магнезиальной шпинели из хромита при нагревании в восстановительной среде. Карякин Л. И., Пятикоп П. Д., Минералог. сб. Львовск. геол. о-ва при ун-те, 1955, № 9, 246—259**

При помощи хим., минералогич. и рентгенографич. методов были исследованы превращения, происходящие с хромшпинелидами (Х) сарановской и кемпирсайской хромитовых руд в условиях восстановительного обжига в атмосфере коксового газа при 1400, 1500, 1600 и 1700°; подъем т-ры 250° в час, выдержка 2 часа, охлаждение 13—15 час. Такой же обработке были подвергнуты образцы, выточенные из указанных руд, и образцы хромомагнезитовых огнеупоров на их основе. Результаты исследования показали, что при нагревании в восстановительной среде происходит восстановление окислов Cr и Fe до металла; Х обогащается  $Al_2O_3$  и переходит в  $MgO \cdot Al_2O_3$  с повышением т-ры кол-во выплавки и  $MgO \cdot Al_2O_3$  увеличивается. При нагревании смеси, состоящей из Х, серпентина и периклаза, наряду с восстановлением окислов Fe и Cr происходит восстановление  $MgO$  и  $SiO_2$  (из силикатов) до металлич. Mg и Si; при охлаждении в окислительной среде Mg и Si вновь окисляются до  $MgO$  и  $SiO_2$  с возникновением на образцах и стенках печи белого налета периклаза, форстерита и реже клиноэстатита. В. З.

**75772. Прессование изделий из порошковой массы в резиновой форме. Яшин В. Д., Голушко Н. А., Ипатов В. Г., Огнеупоры, 1956, № 3, 135—138**

Описаны принцип действия, схема установки и конструкция камеры и баллона для гидравлич. прессования крупногабаритных толстостенных графито-шамотных изложниц (высота 1 м, диам. 250 мм, толщина стенки 50 мм) или тиглей в резиновой форме. В качестве передатчика давления жидкости (вода) служит резина. Во время прессования массу вакуумируют (0,6—0,8 атм). Изложницы и тигли изготавливают из чешуйчатого графита (40—45%), часов-ярской глины, шамота (для изложниц) или SiC (для тиглей); влажность массы 11—13%, гидравлич. давление при прессовании 100 атм. Равномерность пропрессовки изложниц характеризуется стабильностью свойств на различных участках по высоте. Изделия обжигают в капсулах с углеродистой засыпкой. Свойства и срок службы тиглей выше, чем при пластичном методе формовки. Гидравлич. метод формования может быть применен также для формирования крупных абразивных изделий, где требуется высокий класс балансировки. В. З.

**75773. Бескапельный обжиг изделий санитарно-строительного фаянса в Венгрии. Романов П. Р., Стекло и керамика, 1956, № 5, 29—30**

Бескапельный обжиг санитарного фаянса в Венгрии осуществляется в туннельных печах на вагонетках, оборудованных спец. каркасом из фасонных шамотных плит. Конструкция пода вагонетки обеспечивает хорошую циркуляцию газов и равномерный нагрев садки. С. Т.

**75774. Исследование взаимодействия окислов, входящих в состав боксита, с сульфидом. Верт Ж. Л., Каменцев М. В., Абразивы, 1956, № 15, 3—12**

Исследовано взаимодействие окислов, входящих в состав бокситов, с сульфидом (главным образом Fe). Реакционный сосуд с изучаемой смесью ( $Al_2O_3 + FeS + C$ ;  $SiO_2 + FeS + C$ ;  $CaO + FeS$ ;  $Al_2S_3 + FeO$ ) после выдержки при заданной т-ре (400—2000°) быстро охлаждали, после чего определяли состав продуктов р-ции. Реакционными сосудами для шихт без углерода были фарфоровые лодочки, а в опытах с углем графитовые тигли. До 1200° опыты вели в силиковой печи в инертной атмосфере (N, Ar), выше 1200° — в печи Таммана в восстановительной атмосфере. По р-ции:  $SiO_2 + FeS + 2C$  при 1400° восстанавливаются Fe и Si с образованием FeSi, и одновременно образуется  $SiS_2$ , который при плавке летуч и легко разлагается водой. Эффективность и полнота отделения от корунда  $SiO_2$  увеличивается примерно в 10 раз (0,1—0,2%  $SiO_2$  против 1,5—2% в нормальном электрокорунде). По р-ции:  $Al_2O_3 + 3FeS + 3C$  при 1500—1600° образуется  $Al_2S_3$  — в-во, не растворяющееся при низкой т-ре в корунде и легко разложимое водой. Присутствие в шихте сернистого железа препятствует получению корунда, содержащего карбид Al и непригодного для произ-ва абразивов. При взаимодействии  $Al_2S_3$  с окислами Fe, Si, Ca и Ti происходят обменные р-ции с образованием сульфидов этих металлов и, следовательно, отделение этих примесей от корунда. Особенно это важно для  $CaO$ , восстановление которой при плавке электрокорунда обычно не достигается. Наличие  $CaO$  в расплаве ведет к образованию  $CaO \cdot Al_2O_3 \cdot 2SiO_2$  или  $CaO \cdot 6Al_2O_3$  — в-во, не обладающих абразивными свойствами. S имеет большее сродство с Ca, чем с Al, и в присутствии S особенно хорошо идет образование CaS, который легко растворим и разложим. Это позволяет использовать для произ-ва абразивов бокситы с повышенным содержанием  $CaO$ , т. е. расширяет сырьевую базу для произ-ва абразивов. В. К.

**75775. Исследование возможности использования шлака от алюминотермического производства марганца как сырья для получения абразивного материала. Речменский И. Н., Сб. науч. работ Моск. ин-та нар. х-ва, 1956, № 8, 217—222**

После окончания плавки Mn в шахтной печи образуется блок, нижняя часть которого состоит из металлич. Mn, а верхняя представляет собой шлак сложного хим. состава со значительным содержанием  $Al_2O_3$ . Проведено хим. и минералогич. (с помощью металлографич. микроскопа МИМ-5) исследование образцов этого шлака с точки зрения использования его в качестве абразивного материала. Микротвердость материалов исследовали прибором ПТМ-3. Установлено, что шлак состоит в основном из трех минералов: 1) шлаковой марганцовистой шпинели, содержащей до 32% Mn и 61%  $Al_2O_3$ ; 2)  $CaO \cdot 2Al_2O_3$ ; 3) своеобразного  $\beta-Al_2O_3$ . После обогащения шлака шпинелью и  $\beta-Al_2O_3$  крупные классы дробленого материала можно использовать для получения шлифовального зерна, мелкие — для шлифовального порошка. Из зерна могут быть изготовлены различные абразивные изделия — шлифовальные круги, бруски и др. Шлифовальный порошок может быть использован непосредственно или для изготовления шлифовальных и полировальных паст. Г. М.

**75776. Плотность шлифовальных кругов и ее измерение. Бухнер (Die Dichte und Dichtemessung von**

Schleifkörpern. Buchner Siegfried), Keram. Z., 1956, 8, № 3, 113—115 (нем.)

Кратко описаны методы определения плотности штифальных кругов на керамич. связке. Первый метод основан на измерении их диэлектрич. свойств, изменяющихся в зависимости от их пористости. Проведенные автором измерения плотности ряда специально изготовленных образцов, отличающихся различной пористостью, показали применимость этого метода для контроля однородности структуры. Преимуществами метода является быстрота и точность определений, не требующих при их выполнении разрушения исследуемых изделий. Плотность характеризуется также сопротивлением, оказываемым при прохождении сквозь изделие потока воздуха.

А. К. 75777. Применение гидросиликатов в строительстве.

Греченлиев, Стаменов, Митов, Златанов (Приложение на гидросиликатите в строительстве. Греченлиев Хр., Стаменов Ст., Митов М., Златанов В.), Строителство, 1956, 3, № 2, 16—19 (болг.)

Из известково-песчаной смеси (ИПС) можно изготовлять не только силикатный кирпич, но также материалы, заменяющие тяжелый и легкий бетон. Для этого требуется более тонкий помол песка и хорошее перемешивание ИПС. Оформлять изделия можно прессованием или литьем пластичной массы в формы, как обыкновенный бетон. В некоторых случаях добавляется крупный наполнитель — щебень. Твердение изделий происходит в автоклаве. Важным свойством такого гидросиликата является возможность его армирования сталью, подобно железобетону, причем при определенном режиме термообработки и некоторых особенностях подготовки основных материалов (ИПС и арматуры) армированный силикат самонапрягается, т. е. получается самоупрочное натяжение арматуры. Это свойство позволяет получать железобетон с напряженной арматурой без механ. сооружений для создания напряжения в арматуре. Кроме того, использование известки в качестве вяжущего в-ва является более выгодным, чем использование цемента.

В. Р. 75778. Применение грунтов в гажевых растворах.

Персиянов М. А., Тр. Тбилис. ин-та инж. ж.-д. трансп., 1955, № 28, 105—123

Гажа применяется в штукатурных, кладочных р-рах и для изготовления строительных изделий. В гажевых р-рах в качестве заполнителей можно применять различные грунты: глину, суглинок, пески и др. Грунты предварительно разводят водой в кол-ве, потребном на замес. Состав гажегрунтовых р-ров зависит от содержания в гаже гипса. При содержании 25—40% гипса состав при соотношениях 1:1; 40—50% 1:2; 50—60% 1:3 и от 60% и более 1:4. Глина и суглинок в гажегрунтовых р-рах являются не только заполнителями, но и способствуют повышению прочности р-ра.

Е. Ш.

75779. Новый вид гипса. Передерий (Новый вид гипса. Передерий И. А.), Строителство, 1956, 3, № 2, 19—20 (болг.)

Обыкновенный гипс (Г), полученный в варочных котлах, состоит из мелких кристаллов и агрегатов, представляющих собою пористые обломки. Такая структура Г обусловлена свободным и быстрым удалением гидратной воды при нагревании его в негерметизированных устройствах. Качество готового продукта при этом значительно ухудшается. Изменить структуру Г и улучшить его качества можно путем обработки гипсового камня в герметичных устройствах (пропарка) с последующим высушиванием и размолом. Такой Г состоит из плотных игольчатых кристаллов, изделия из него имеют значительно большую прочность и превосходят обычный Г по другим показателям (водостой-

чивость против пластич. деформации, сроки схватывания и т. д.), что позволяет использовать его в несущих конструкциях.

В. Р. 75780. Движение воды в гипсовых формах. Нис, Лам (Movement of water in plaster molds. Nies B. W., Lamb C. M.), Amer. Ceram. Soc. Bull., 1956, 35, № 8, 319—324 (англ.)

Описываются серии экспериментов по определению скорости адсорбции гипсовыми образцами воды в условиях полного или частичного погружения в воду. Приводятся результаты измерения внутреннего давления в сухих гипсовых формах, развиваемого в них проникновением воды по капиллярам. Приведены расчеты скорости сушки гипсовых образцов для типичных производственных условий. Приведены данные о максимумах скоростей проникновения воды в форму и выхода из нее в условиях, характерных для их произ-ва, кондиционирования и использования. Полученные экспериментальные данные позволяют получать гипсовые изделия более высокого качества.

С. Т. 75781. Леунит, специальные массы из леуна — эстрих-гипса, половые настилы из леунита. Гельмрот

(Leunit, Leuna — Estrichmasse spezial, Leuna-Fußboden. Gelmroth Werner), Bauzeitung (DDR), 1956, 10, № 5, 143—145 (нем.)

Описывается процесс произ-ва строительных материалов на основе ангидрита: леунит, твердая масса для покрытий, спец. массы для полов. Приводятся методы испытаний готовых материалов и способы их обработки. Даются примеры применения указанных материалов в строительстве, особенно в качестве материала для полов. Предыдущ. сообщение см. РЖХим, 1956, 62351. Ю. Ш.

75782. Строительный микропорит на базе лессовидных суглинков Грузии. Джикаева Г. А., Айзенберг А. А., Тр. науч. корреспондентов Ин-та стрит. дела АН ГрузССР, 1956, 1, 19—21

Исследовалась возможность получения микропорита из лессовидных суглинков Грмагельского месторождения г. Тбилиси, содержащего до 10,35% СаО. Масса состава 80% суглинка и 20% известки со 100% воды от веса массы, подвергнутая мокрому помолу в течение 40—60 мин. и запаренная при 8 атм в течение 16 час., имела прочность на сжатие 86 кг/см<sup>2</sup>, а в течение 6 час. 33 кг/см<sup>2</sup>. Микропорит выдерживает не более одного цикла замораживания.

Г. К.

75783. 1955 год — девятый год подъема цементной промышленности. Троффер (1955 ninth consecutive peak year. Tfauffer Walter E.), Pit and Quarry, 1956, 48, № 1, 143—157, 170 (англ.)

Приведены следующие данные ежегодной производительности всех цементных з-дов США за последние 8 лет: 1948 г. — 40 529 308 т, 1949 г. — 41 172 794 т, 1950 г. — 43 256 212 т, 1951 г. — 44 817 807 т, 1952 г. — 45 158 292 т, 1953 г. — 45 712 234 т, 1954 г. — 46 799 332 т, 1955 г. — 43 054 000 т.

В. Г.

75784. Современное состояние промышленности вяжущих материалов и ее дальнейшее развитие по пятилетнему плану. Гжимек, Невядомский (Dolychasowy stan przemyslu materialow wiążących i dalszy jego rozwój w Planie Pięcioletnim. G r z y m e k J e r z y, Niewiadomski Jerzy), Cement. W.pno. Gipsy, 1956, 12, № 4, 70—89 (польск.)

Обзор.

Е. С.

75785. К вопросу развития цементной промышленности в южной части Сахалина. Остапенко В. Е., Сообщ. Сахалинск. фил. АН СССР, 1955, вып. 2, 87—93

75786. Обзор и перспективы канадской цементной промышленности. Троффер (Review and forecast of the Canadian cement industry. Trauffer Walter E.), Pit and Quarry, 1956, 48, № 8, 68, 70, 72 (англ.) По официальным данным, в течение 10 месяцев

1955 г. выработано 3 399 050 т цемента, т. е. на 12% больше, чем выработано в течение тех же 10 месяцев 1954 г.

В. Г.

75787. Современное состояние цементной промышленности [Японии]. Мацусима (最近のセメント工業の現状. 松島清重), 窯業協會誌, Eri kikaiji, J. Ceram. Assoc. Japan, 1954, 62, № 701, 646—647 (япон.)

75788. Физико-химические процессы, определяющие сцепление в дорожном строительстве. Рейс, Сентро (Aspects physico-chimiques de l'adhésion dans l'industrie routière. Reis Th., Ceintrey N.), Techn. mod.—constr., 1954, 9, № 6, 9—16 (франц.)

Обзор и теоретич. исследование явлений, происходящих на поверхности и в пограничных слоях; особое внимание уделено смачиванию и влияющим на него факторам (состояние поверхности, состав твердого тела, характер смачивающей жидкости и др. свойства). Библ. 94 назв.

З. Б.

75789. О методике измерения тепла гидратации цементов. Грюнер, Гаца (O metodach pomiaru ciepła hydratacji cementów. Grüner Malgorzata, Gaca Witold), Cement. Wapno. Gips, 1956, 12, № 4, 95—99 (польск.)

Разработан вариант метода измерения тепла гидратации цементов по теплотам растворения, выполняемый с помощью сосуда Дьюара, наполненного смесью азотной и плавиковой к-т (последней 8 мл в 425 г), в котором вращается мешалка со скоростью 600 об/мин. Измерение т-р производится термометром Бекмана. Расчет количества тепла растворения производится по формуле:  $Q = t_{\text{погр.}} \cdot K/C_{\text{проб.}}$ . В этой ф-ле  $t_{\text{погр}}$  означает установленную постоянную т-ру с поправкой на среднюю величину из ряда 5-минутных интервалов наблюдения;  $C_{\text{проб.}}$  — кол-во цемента в пересчете на в-во, прокаленное при 900° (для водн. р-ров после предварительного высушивания при 150°).

Е. С.

75790. Определение удельной поверхности пасты в производстве порландцемента. Вилас (Determinación de la superficie específica de la pasta en la fabricación del cemento portland. Vilas Arturo), Cemento-hormigón, 1956, 22, № 265, 138—139 (исп.)

Метод определения уд. поверхности пасты цементного клинкера заключается в добавлении 1,3 мл воды к навеске высушенной пасты (2 г), затем в обработке ее 100 мл дистил. воды + 20 мл 0,07 н-ра уксуснокислого натрия ( $\text{NaOAc}$ ); спустя 30 мин. пасту фильтруют через асбестовый фильтр, к фильтрату добавляют 10 г  $\text{NH}_4\text{Cl}$  и полученный осадок вновь отфильтровывают через бумажный фильтр. В фильтрате определяют оставшийся  $\text{NaOAc}$  титрованием перманганатом К. Разница представляет собой поглощенный пастой  $\text{NaOAc}$ ; кол-во поглощенного  $\text{NaOAc}$  пропорционально уд. поверхности пасты. Для определения уд. поверхности исследуемой пасты предварительно строят градуировочную прямую в координатах: уд. поверхность ( $\text{см}^2/\text{г}$ ) — кол-во поглощенного р-ра  $\text{NaOAc}$  (мл).

С. Г.

75791. Изучение взаимодействия цемента с заполнителями. XXI. Реагирующая способность различных кремнеземистых материалов и связь ее с расширением строительных растворов. Гаскин, Джонс, Вивиан. XXII. Влияние тонкоизмельченного опала на расширение раствора. Беннетт, Вивиан. XXIII. Влияние нагрузки на расширение балочек из раствора. Мак-Гауан, Вивиан. XXIV. Восстановление трещиноватого раствора, поврежденного в результате реакции заполнителя с щелочами цемента. Робертс, Вивиан (Studies in cement-aggregate reaction. XXI. The reactivity of various forms of silica in relation to the expansion of mortar bars. Gaskin A. J., Jones R. H., Vivian H. E. XXII. The effect of fine-ground opaline material on mortar expansion. Bennett I. C.,

Vivian H. E. XXIII. The effect of superincumbent load on mortar bar expansion. McGowan J. K., Vivian H. E. XXIV. The restoration of cracked mortar which has deteriorated through alkali-aggregate reaction. Roberts J. A., Vivian H. E.), Austral. J. Appl. Sci., 1955, 6, № 1, 78—87, 88—93, 94—99, 100—104 (англ.)

XXI. В опытах использовались заполнители из различных кремнеземистых материалов (опала, халцедона, кварцевого песка и их смеси), а также из искусственных материалов (кристаллита, тридимита, стекла пирекс). Р-р приготавливали на двух цементах — высокощелочном, содержащем  $\text{K}_2\text{O}$  0,81 и  $\text{Na}_2\text{O}$  0,45%, и малощелочном, в котором содержалось  $\text{K}_2\text{O}$  0,22%. Состав р-ра 1:2 (цемент:песок) при В/Ц=0,5. Балочки хранились в закрытом сосуде над водой при 15 и 43°. Расширение образцов определялось в возрасте 0,5; 1; 2; 3; 4 лет. Активность различных кремнеземистых материалов с щелочами зависит от размера кристаллов кремнезема. Из исследуемых материалов только р-р на кристаллич. кварце не обнаруживал деформаций расширения. Введением в р-р пуццолановых добавок можно регулировать р-ции взаимодействия заполнителей с щелочами в цементах.

XXII. В опытах использовался цемент с большим содержанием щелочей (в%):  $\text{Na}_2\text{O}$  0,45 и  $\text{K}_2\text{O}$  0,81. Р-р приготавливается на кварцевом песке, к которому добавлялось 5% раздробленных и отсеянных фракций опала, реагирующего с щелочами цемента. Образцы балочек  $2,5 \times 2,5 \times 25$  см готовились из р-ра состава 1:2 (цемент:заполнитель) при В/Ц=0,5. Образцы хранились в закрытом сосуде над водой при комнатной т-ре. Часть цемента 20—40% заменялась тонкоизмельченным кварцем и опалом. Величина расширения образцов и прочность при растяжении определялись в возрасте более года. Опыты показали, что тонкоизмельченные частицы опала характеризуются пуццоланч. свойствами и введение их в большой кол-ве в р-р предохраняет его как от ненормального расширения, так и от образования трещин. Введение в р-р измельченного опала содействовало также повышению прочности р-ра, тогда как добавка измельченного кварца являлась лишь добавкой, отошающей цемент. Если опал подвергать обжигу при т-рах до 900° и применять в качестве заполнителя, то обнаруживается тенденция уменьшения в р-ре деформаций расширения. При применении таким образом обожженного материала в качестве пуццолановой добавки уменьшается эффективность этой добавки как регулятора р-ции взаимодействия цемента с заполнителем. Кол-во вводимого в р-р измельченного опала зависит от реагирующей способности используемого заполнителя с цементом.

XXIII. Балочки  $2,5 \times 2,5 \times 25$  см из р-ра хранились в закрытом сосуде над водой в вертикальном положении. В целях ограничения расширения их в вертикальном направлении к верхней части образцов прикладывались различные нагрузки 0,453; 2,265; 4,53; 9,06 и 21,65 кг. Р-р приготавливался на цементе с большим содержанием щелочей ( $\text{K}_2\text{O}$  0,81 и  $\text{Na}_2\text{O}$  0,45%) и заполнителем — кварцевом песке, к которому было добавлено 5% зерен опала. Контрольные образцы изготовлялись на том же цементе с заполнителем, не реагирующим с цементом. Состав р-ра 1:2 (цемент:заполнитель) при В/Ц=0,5. Возраст испытываемых образцов 84—364 суток. Величина нагрузки оказывает влияние на ход р-ции заполнителя с цементом и на величину расширения р-ра, на начало образования трещин, их распространение и характер. Ширина раскрытия трещин и их число уменьшаются с увеличением нагрузки. Содержание щелочей в р-ре оказывает большое влияние на величину деформаций расширения.

XXIV. Образцы получены из р-ра, приготовленного

на цементе с большим содержанием щелочей и заполнителе, в котором были зерна опала, реагирующие с щелочами цемента. Состав р-ра 1:2 (цемент:заполнитель) при В/Ц = 0,5. Опыты проведены на образцах балочек  $2,5 \times 2,5 \times 7,5$  см. После 6 месяцев хранения растрескавшиеся образцы цементовались различными р-рами и вновь выдерживались во влажных условиях. Для цементации применялись р-р  $\text{Ca}(\text{NO}_3)_2$  (109 г/л) с последующим нагнетанием р-ра  $\text{Na}_2\text{SiO}_3$  и один р-р  $\text{Na}_2\text{SiO}_3$  уд. в. 1,41, разб. водой в отношении 2:1 по объемам. Р-р нагнетался в трещины под давл.  $6,3 \text{ кг/см}^2$ . Наблюдения под микроскопом показали, что трещины в образцах как с поверхности, так и внутри хорошо заполнялись р-ром  $\text{Na}_2\text{SiO}_3$ . В зацементированных образцах снизилась водопроницаемость р-ра. Из исследуемых р-ров наиболее эффективным для цементации является р-р  $\text{Na}_2\text{SiO}_3$ . Опыты показали, что цементацией можно восстановить прочность р-ра, поврежденного вследствие расширения его под влиянием р-ций заполнителя с щелочами цемента. П. З.

**75792. Зависимость между гидратацией гидравлических вяжущих и прочностью заполнителей. Монден** (Relation entre l'hydratation des liants hydrauliques et les résistances mécaniques des conglomerats. (F. Campus), Mondin Charles), Rev. matér. constr. et trav. publics, 1956, № 485, 49—50 (франц.)

Приведен краткий обзор работ и ф-лы для расчета прочности р-ра и бетона при сжатии в зависимости от степени гидратации цемента. Необходимо максим. увеличивать степень использования цемента за счет увеличения тонкости его помола, твердения бетона под водой, введения  $\text{CaCl}_2$  и т. д. И. С.

**75793. Применение глиноземистого цемента. Гаррис** (Applications of high alumina cement. Harris P. H.), Engng J., 1956, 39, № 3, 219—222 (англ.)

В Канаде за последнее время увеличилось использование глиноземистого цемента (ГЦ) для приготовления огнеупорных, теплоизоляционных и устойчивых против хим. воздействия бетонов. Значительное тепловыделение ГЦ отрицательно влияет на конечную прочность бетона, поэтому рекомендуется после укладки в течение 24 час. поливать бетон холодной водой. В жаркую погоду перед приготовлением бетона необходимо охлаждать наполнитель холодной водой. ГЦ используется там, где требуется высокая стойкость к воздействию агрессивных вод. ГЦ используется также для приготовления огнеупорных бетонов. В. Г.

**75794. Проблемы рекристаллизации глиноземистого цемента. II, III. Брзакович** (Problemi rekristalizacije aluminatnog-Lafarge cementa. II, III. Brzaković Predrag), Tehnika, 1955, 10, № 10, 1392—1396; № 11, 1576—1579 (хорв.)

II. Описаны физ.-мех. свойства, технология произ-ва и условия применения глиноземистого цемента.

III. Непостоянство свойств бетонов на глиноземистом цементе объясняется явлением его рекристаллизации. Она вызывается переходом гидратированных компонентов из неустойчивого в устойчивое состояние. Сообщения I см. РЖХим, 1956, 62357. Е. С.

**75795. Исследование пуццолановых материалов. III. Пуццолановые материалы как добавка к портландцементам. Нагаи, Оцука, Исии** (セメント混合材としてのフライアッシュの諸性質. セメント混合材の研究. 第3報. 永井彰一郎, 大塚淳, 石井淳美), 建築協會誌, Егё кёкайси, J. Ceram. Assoc. Japan, 1955, 63, № 715, 573—579 (япон.; рез. англ.)

Исследованию подверглись три типа летучей золы электростанций, охлажденная в воде зола каменного угля и два типа природных пуццолан. Исследование проводилось путем изучения адсорбции пуццолан на глине, электронномикроскопич. наблюдений, а также определения разбухания добавок в дистилл. и известко-

вой водах, испытания прочности на сжатие и изгиб в известковом р-ре 1:2 и определения водоотделения теста. Получены данные, характеризующие исследованные материалы. Часть II см. РЖХим, 1956, 62366. В. Т.

**75796. Рассмотрение вопросов обработки природных пуццолан. Часть II. Механика термической активизации. Бауэр** (Technical considerations in natural pozzolan production. Part II. Mechanics of thermal activation. Bauer Wolf G.), Pit and Quarry, 1954, 47, № 5, 83—86 (англ.)

Все природные пуццоланы, активность которых по отношению к известке может быть вызвана или повышена тепловой обработкой, содержат химически связанную воду в кол-ве 6—14%. Для большинства пуццолановых в-в удаление этой воды уменьшает показатель преломления и плотность. Активизация материала может рассматриваться как дегидратация его, происходящая без разрушения или с разрушением исходной кристаллич. решетки. Нагревание выше оптимальных т-ры и времени уменьшает активность пуццолан благодаря перекристаллизации, образованию стекловидных форм и образованию связей между активным кремнеземом и другими к-тами и основаниями. Оптимальная т-ра обжига глинистых минералов различна: для каолинита ~ 650°, для бентонита 980°, а для монтмориллонита в пределах 650—980°. Размер частиц, их зерновой состав и форма в значительной мере определяют физ. свойства пуццолановых материалов, их способность к абсорбции воды, вязкость, водопроницаемость, плотность. Для пуццолановых материалов желательно наличие частиц субмикроскопич. размеров. Обычно пуццоланы измельчаются до тонины, характеризуемой уд. поверхностью 3000—12 000  $\text{см}^2/\text{г}$ , диатомиты характеризуются более высокой дисперсностью — 20 000  $\text{см}^2/\text{г}$ . Дано описание процесса обработки пуццолан из диатомитов, гли и глинистых сланцев. Часть I см. РЖГеология, 1956, 3341. П. З.

**75797. Пуццолана. Технические условия на изготовление и применение легких бетонов на пуццолановом заполнителе.**— (La pouzzolane et les conditions d'exécution et d'emploi des bétons légers de pouzzolane.—), Bâtiment, 1955, 92, № 38, 13 (франц.)

Приведены хим. состав, кажущаяся плотность и гранулометрич. состав пуццоланового заполнителя, состав бетона, способ его изготовления и укладки, условия хранения и область применения. Хим. состав (в %):  $\text{SiO}_2$  43—55,  $\text{Al}_2\text{O}_3$  12—24,  $\text{Fe}_2\text{O}_3$  8—20. Кажущаяся плотность 0,75—0,90. Крупность заполнителя до 40 мм. В качестве вяжущего рекомендуется применять портландцемент высоких марок или быстротвердеющий портландцемент. Расход цемента 150—250  $\text{кг}/\text{м}^3$ . При укладке рекомендуется применять высокочастотное вибрирование (5000—6000 кол/мин). Бетон должен твердеть  $\geq 4$  недель. Рекомендуется применять его как теплоизоляционный материал. И. С.

**75798. Влияние качества портландцементного клинкера на прочность шлакопортландцемента в начальные сроки твердения. Блондью** (Influence de la qualité du clinker à ciment portland sur les résistances initiales du ciment de haut fourneau. Blondiau Léon), Silicates industr., 1956, 21, № 2, 74—81 (франц.)

Исследовано влияние КН портландцемента на прочность в ранние сроки и сульфатостойкость шлакопортландцемента. Применение цемента с КН, близким к единице, не увеличивает прочность цемента в начальные сроки и снижает сульфатостойкость. Наиболее подходящий клинкер должен иметь КН = 0,90,  $\text{C}_3\text{A}$  ~ 13%. И. С.

**75799. Расширение применения доменных шлаков при изготовлении цемента. Мари** (Extension de l'emploi en cimenterie des laitiers de hauts fourneaux. Confé-

rence. Mary M.), Travaux, 1955, 39, № 251, 743—744 (франц.)

Приводятся данные по использованию во Франции гранулированных доменных шлаков для изготовления цемента. Описывается характеристика получаемого при этом цемента, его поведение в условиях воздействия минерализаторов, а также механич. оборудование для помола шлака. Даются технико-экономич. показатели произ-ва цемента при применении доменного шлака.

М. С.

**75800. Активность гранулированных кислых доменных шлаков, применяемых для производства гидравлических вяжущих материалов.** Малиновский (Aktywność granulowanych, kwaśnych żużli wielkopiecowych stosowanych do produkcji spoiw hydraulicznych. Malinowski Roman), Cement. Wapno. Gips, 1956, 12, № 4, 90—95 (польск.)

Сравнение фактич. активности шлаков с определяемой по модулям подтверждает положительное значение кремнеземистого модуля для их оценки. Активными можно считать шлаки с кремнеземистым модулем  $4 > M_h > 2$  и модулем основности  $1,3 > M > 0,85$ , либо с тем же кремнеземистым модулем и коэфф. активности  $2,3 > F > 1,5$ . Треугольная диаграмма  $CaO(+MgO) - Al_2O_3 - SiO_2$  хорошо выражает взаимозависимость между хим. составом и потенциальной активностью шлака. Действующие польские нормы на шлаки следует пересмотреть, учтя при этом советский ГОСТ 3476 52.

Е. С.

**75801. Обкладка труб раствором.** Ивацук (水道管のモルタルライニングに関する研究. 岩塚良三), 土木學會誌, Добоку гаккайси, J. Japan Soc. Civil. Engrs, 1955, 40, № 7, 1—7 (япон.)

**75802. Новое в обжиге клинкера во вращающейся печи.** Мусьяк (Nowe poglądy na wypalanie klinkru w piecu obrotowym. Musiałik Mieczysław), Cement. Wapno. Gips, 1956, 12, № 5, 114—119 (польск.)

**75803. Теплотехнические испытания центрифугированных силикатных блоков.** Ушков Ф. В., Шварцзайд М. С., Ижевская Г. М. В сб.: Автоклав. материалы и изделия. М., Гос. изд-во лит. по стр-ву и архитектуре, 1956, 30—38

Силикатные блоки средних размеров (объемом до  $0,25 - 0,3 \text{ м}^3$ ) изготавливали методом центрифугирования, позволяющим получать без вкладышей пустотелые изделия высокой прочности и правильной формы;  $\sigma_{\text{сж}}$  600—800  $\text{кг}/\text{см}^2$ . Полость блока до или после автоклавной обработки заполняется утеплителем, в качестве которого используются ячеистые материалы, минер. вата и войлок, легкие засыпки и др. Определение теплоизоляционных свойств силикатных блоков было осуществлено на электромодели и на стенке, выполненной в натуральную величину по толщине при различных перепадах  $t$  внутреннего и наружного воздуха. Установлено, что стена из центрифугированных пустотелых блоков сечением  $30 \times 30 \text{ см}$ , утепленных минер. ватой, имеет общее термич. сопротивление  $1,10 \text{ час} \cdot \text{м}^2 \cdot \text{град}/\text{ккал}$ , что отвечает требованиям, предъявляемым к наружным стенам с учетом климатич. условий Москвы. Стены подобного типа могут использоваться для жилых и гражданских зданий. При тщательном выполнении кладки обеспечивается необходимая степень воздухо-непроницаемости.

Г. М.

**75804. Современная цементная шахтная печь.** Шпон (Modern cement shaft kiln has low installation cost. Spohn Eberhard), Rock Prod., 1955, 58, № 9, 58—60, 62, 65, 67 (англ.)

Описана шахтная печь для обжига клинкера с усовершенствованными загрузочным шнековым питателем и разгрузочным механизмом, представляющим двойную вращающуюся колосниковую решетку винтового типа. Введение описанного усовершенствования позволяет

снизить расход топлива с 100 ккал до 960 ккал на 1 кг клинкера. Послойная загрузка обеспечивает равномерное распределение воздуха по всему сечению печи.

В. Г.

**75805. Определение постоянных параметров в уравнении Болема.** Кучинский (Wyznaczanie stałych parametrów we wzorze Bolomeya. Kuczyński Władysław), Inż-ia i budown., 1956, 13, № 3, 92—95 (польск.)

Приводятся аналитич. и графич. способы подсчета величин  $A$  и  $a$  в уравн. Болема, применяемом для определения прочности бетона.

Е. С.

**75806. Огнеупорный бетон (из новых исследований, проведенных в Советском Союзе).** Харада (耐火コンクリート. 最近の研究より. 原田千三), セメントコンクリート, Сэмэнто конкрито. Cement and Concrete, 1955, № 105, 24—27; 1956, № 108, 28—33 (япон.)

**75807. Использование золы пыли для изготовления бетона.** Косака (フライアッシュをコンクリートに. 小坂賢二), 建築技術, Кэнтэку гидзюцу, 1954, № 8, 23—24 (япон.)

Предлагается использовать золу электростанций для изготовления бетона, частично заменяя ею цемент.

М. Г.

**75808. «Препактбетон» и возможности его применения в строительстве туннелей.** Тишер (Prenaktbeton a možnosti jeho použití v tunelovém stavitelství. Tischer Jan), Inžen. stavby, 1956, 4, № 4, 181—184 (чеш.; рез. русс., нем.)

Применяемый в США для целей бетонирования способом нагнетания в пустоты «препактбетон» имеет следующий примерный состав (в кг): щебня с величиной зерен 15—80 мм 1522 (равно 58 об. %); портланд-цемента 263; летучей золы 87; песка размером зерен 0,1—1,00 мм 350; воды 175 л; пластификатора, содержащего некоторое кол-во алюминиевого порошка, 3.

Е. С.

**75809. Требования и нормы на напряженный бетон в некоторых странах.** Гжегожевский (Przepisy i normy dla betonu sprężonego w niektórych krajach. Grzegorzewski Wiktor), Inż-ia i budown., 1956, 13, № 3, 75—81 (польск.)

Сопоставление польских норм с бельгийскими, германскими, французскими, английскими, итальянскими, голландскими и американскими приводит к целесообразности установления международных норм.

Е. С.

**75810. Влияние возраста на бетоны с глиноземистым цементом.** Матич (Утицај старости на бетоне са алуминатним цементом. Матић Видан), Изградња, 1956, 10, № 1, 3—9 (серб.)

Прочность глиноземистого (бокситового или плавленого) цемента со временем понижается, уменьшаясь за 5 лет 3 мес. на 50%, после чего уменьшение прочности почти прекращается, что позволяет получать необходимую прочность сооружений, применяя бетон удвоенной прочности.

Е. Р.

**75811. Литые бетоны. Теория и практика.** Фиско (Støping av betong om vinteren. Teori og praksis RILEM, København 12—18 febr. 1956. Fiskaa Odd M.), Tekn. ukebl., 1956, 103, № 17, 394—398 (норв.)

Изложение докладов на конференции Международного союза лабораторий по испытанию строительных материалов и конструкций в Копенгагене (Дания) 12—18 февраля 1956 г.

К. Г.

**75812. Интенсивность сцепления битума с поверхностью частиц лёсса.** Харченко В. А., Изв. АН КазССР. Сер. горн. дела, металлургии и обогащения, стройматериалов, 1956, № 8, 59—65 (рез. казах.)

Коэфф. гидрофильности лёсса колеблется в пределах 0,98—1,04, что допускает его применение в качестве наполнителя при изготовлении асфальтового бетона. Конечная гидрофобизация лёсса достигается при увеличенной конц-ии битума в р-ре.

Е. Ш.

**75813. Исследование слоистых крупнопанельных плит и их применение в строительстве.** Фарбер С. Г., Сб. науч. тр. Харьковский ин-та инж. коммунал. стр-ва, 1954, № 5, 22—61

**75814. Свойства и применение минеральной пробки.** Горайнов К., Строит. материалы, изделия и конструкции, 1956, № 4, 6—7

Приводятся требования к минер. пробке. Обращается внимание на большую величину остаточных деформаций при работе пробки под длительной нагрузкой. Приведено несколько составов минер. пробки, пригодной для термоизоляции кровель и в качестве звукоизоляционных прокладок для устройства беспустотных полов по сплошному упругому основанию. Е. Ш.

**75815. Огневая калориферная установка для пропаривания железобетонных изделий,** Сельский строитель, 1956, № 6, 30.

**75816. Использование железобетона для изготовления аппаратуры бромной промышленности.** Герман Ф. Ф., Хим. пром-сть, 1956, № 2, 105—106

На Перекопском бромном з-де были изготовлены два железобетонных адсорбера: один из монолитного бетона — для поглощения Вг из бромовоздушной смеси железными стружками (при этом образуется р-р бромисто-бромного железа с содержанием Вг до 600 г/л); 2-й из сборных колец (царг) — для поглощения Вг из той же смеси известковым молоком (при этом образуется р-р бромисто-бромного кальция). Оба адсорбера изготовлены из мелкозернистого бетона состава 1:3 (портландцемент марки 300 : речной песок) с последующим железнением внутренней поверхности. 3-летнее испытание адсорбера из монолитного бетона и 2-летнее — адсорбера из сборных колец, в производственных условиях показало полное отсутствие каких-либо следов коррозии бетона. Г. К.

**75817. Развитие промышленности сборного железобетона.** Марий (L'évolution de l'industrie du béton manufacturé, Marill L.), Rev. matr. constr. et trav. publics, 1955, (1956) № 482—483, 57—63 (франц.)

Рассмотрены основные задачи, стоящие перед промышленностью сборного железобетона, приведен перечень основных типов выпускаемых изделий и краткое описание механизмов для изготовления бетонной смеси и для формирования изделий. Для изготовления бетонной смеси рекомендуется применять бетономешалки принудительного смешения периодич. или непрерывного действия. Большое значение придается дозированию воды. Водосодержание бетонной смеси контролируется по величине электрич. сопротивления бетонной смеси. Некоторые предприятия Франции, применявшие мокрый помол цемента, отказались от этого способа из экономич. соображений. Для формирования блоков применяют различные станки производительностью от 300 до 10 000 шт. в сутки. Панели площадью до 9 м<sup>2</sup> и весом до 5 т изготавливают способом вибрации с последующим пропариванием. Оборачиваемость форм составляет 4 часа. Для изготовления плит, бордюрных камней и т. п. получила применение машина BSH производительностью 150 т за смену. Расформовка, транспорт изделий на пропаривание, смазка форм производятся автоматически. Вибрирование и центрифугирование труб осуществляется машинами. Интересен датский способ формирования труб вибрированием в сочетании с прессованием и американский способ, объединяющий центрифугирование и вибрирование. И. С.

**75818. Геоэтические и экспериментальные исследования в области легкого железобетона.** Якубович М. А., Бетон и железобетон, 1956, № 4, 126—130

Описание сооружений, выполненных из легкого железобетона на природных пористых заполнителях с анализом динамич. свойств бетонов и методов расчета конструкций. Приводятся результаты исследования ра-

боты пролетных строений (мостов) при динамич. воздействиях, а также результаты их исследования на выносливость. Установлено, что легкожелезобетонные пролетные строения при воздействии на них динамич. и ударных нагрузок работают примерно так же, как и конструкции из обычного железобетона. Г. К.

**75819 П. Способ получения синтетических слюд.** Рейхман, Миддель (Verfahren zur Herstellung von synthetischem Glimmer. Reichmann Reinhold, Middel Viktor) [Siemens & Halske A.-G.]. Пат. ФРГ 915937, 2.08.54 [Chem. Zbl., 1955, 126, № 37, 8701 (нем.)]

Получение легко раскалывающихся больших плоских кристаллов синтетич. слюды из жидкого расплава соединений 1-, 2- и 3-валентных металлов таких, как К, Mg и Al, особенно в виде окислов, фторидов и фторида Si, характеризуется тем, что для плавки применяют тигли из материала с высоким содержанием SiO<sub>2</sub>, наряду с Al<sub>2</sub>O<sub>3</sub> и K<sub>2</sub>O, причем содержание SiO<sub>2</sub> в нем превышает содержание SiO<sub>2</sub> в твердом фарфоре. При оценке состава следует учитывать разделение материала тигля в процессе плавки. Г. М.

**75820 П. Прозрачные стеклянные детали** (Transparent glass elements) [Minnesota Mining and Manufacturing Co.]. Австрал. пат. 200701, 23.02.56

Патентуется способ изготовления прозрачных стеклянных деталей толщиной до 2 мм, формуемых из стекла с показателем преломления  $\geq 2,1$ . Хим. состав стекла (в вес. %): TiO<sub>2</sub> 20—50; PbO 10—65; группа RO 0—45; ZnO 0—10; CdO 0—20; Bi<sub>2</sub>O<sub>3</sub> 0—5; PbO + ZnO + группа RO 35—80; CdO + ZnO + группа RO 5—45; PbO + CdO + Bi<sub>2</sub>O<sub>3</sub> 10—70. Группа RO состоит из BaO, SrO, CaO, MgO. А. Б.

**75821 П. Неорганический конструкционный листовой материал.** Бифелд, Армстронг (Inorganic structural sheet material. Biefeld Lawrence P., Armstrong Marshall C.) [Owens-Corning Fiberglass Corp.]. Пат. США 2712512, 5.07.55

Гибкий листовой материал на основе неорганич. цементов получается из шлама, представляющего собой смесь воды с MgO и MgSO<sub>4</sub> в отношении 3—9 мол. эквив. MgO на 1 мол. эквив. MgSO<sub>4</sub>; при этом образуется магnezальный цемент, содержащий 2—8 вес. ч. соединений Si на 1 вес. ч. MgO. Шлам набрызгивается в один или несколько слоев толщиной <1,6 мм на поверхность, с которой они легко снимаются и сочетаются со стеклянной тканью с открытыми ячейками. С. И.

**75822 П. Полые электроды для электрических стекловаренных печей по производству стекловолна** (Hohle Electrode für elektrische Glasschmelzöfen, insbesondere Glasspinnöfen) [Soc. An. des Manufactures des Glaces et Produits Chimiques de Saint-Gobain]. Пат. ФРГ 941383, 12.04.56

Предлагается полый электрод цилиндрич. или иной формы, снабженный устройством для охлаждения, причем охлаждающее в-во непосредственно не входит в соприкосновение с материалом электрода. Кроме того, предусмотрена возможность заполнения пространства между самим электродом и устройством для охлаждения (система concentрич. труб) соответствующим теплоизоляционным материалом, могущим служить при заданных т-рах. Вместе с тем электрод, выполненный из стали или других металлов или сплавов, отличается тем, что он снаружи снабжен сменяемой оболочкой из теплопроводного и токопроводящего материала, выбранного соответственно типу стекла (спец. сталь, графит, благородные металлы и т. п.). При этом различие в коэфф. расширения оболочки и электрода учитывается наличием соответствующей винтовой нарезки, с помощью которой они соединяются. М. С.

**75823 П.** Способ загрузки плавильных печей, в частности стекловаренных (Dispositif de chargement pour fours de fusion, en particulier pour fours à fondre le verre) [A.-G. der Gerrecheimer Glashüttenwerke vorm. Ferd. Heyel. Франц. пат. 1082054, 27.12.54 [Verres et réfract., 1955, 9, № 2, 105 (франц.)]]

Шихта попадает на наклонную плоскость, разделенную перегородками на несколько секций и расположена над зеркалом стекломассы у загрузочного кармана. Наклонная плоскость с помощью электромагнитного вибратора вибрирует с двумя периодами и амплитудами: частая вибрация (50—100 пер/сек) с малой амплитудой и медленная вибрация с большей амплитудой, что обеспечивает поступательное движение шихты. Данный способ обуславливает образование равномерного слоя шихты на зеркале стекломассы. М. С.

**75824 П.** Способ и аппарат для вытягивания стекла. Бришар (Process of and apparatus for drawing glass. Brichard Edgar) [Union des Verreries Mecaniques Belges Soc. An.]. Пат. США 2726486, 13.12.55

Описан способ вертикального вытягивания листового стекла со свободной поверхности стекломассы ванной печи при одновременном отсосе воздуха из шахты вблизи поверхности стекломассы. Воздух отсасывается со скоростью, достаточной для поддержания такого же низкого давления в наружной зоне, как и давления во внутренней зоне, примыкающей непосредственно к основанию листа. Отсос воздуха имеет целью устранить воздушные потоки, направляющиеся снаружи вниз к внутренней зоне. Аппарат для вертикального вытягивания стекла включает шахту и вертикально расположенные над ней холодильники. Вытягивание осуществляется с помощью пары валиков, находящихся в шахте и расположенных горизонтально и параллельно листу стекла с двух противоположных сторон его. Каждый валик имеет с одной стороны отверстия, служащие для всасывания воздуха из шахты и создания низкого давления в зоне над валиками. А. Б.

**75825 П.** Метод и аппарат для перемешивания расплавленного стекла. Лабино (Method and apparatus for mixing molten glass. Labino Dominick) [L. O. F. Glass Fibers Co.]. Канад. пат. 513508, 7.06.55

Аппарат для перемешивания расплавленного стекла с целью увеличения его однородности состоит из цилиндрич. приемника с выпускным отверстием у дна и коаксиально расположенного внутреннего цилиндрич. приемника. Расплавленное стекло поступает во внутренний цилиндр, который вращается и имеет в своей нижней части множество мелких отверстий для вытекания стекла. Вытекающее тонкими струйками стекло перемешивается и попадает во внешний цилиндрич. приемник, обогреваемый электричеством, откуда через выпускное отверстие поступает на формирование. Н. П.

**75826 П.** Аппарат для плавки стекла. Родс (Apparatus used in processing molten glass. Rhodes Edwin C.) [International Nickel Co. of Canada, Ltd.]. Канад. пат. 513146, 24.05.55

Патентуется состав стержня и его покрытия для перемешивания расплавленной стекломассы при  $t$ -рах  $\sim 1400^\circ$ . Стержень состоит (в %): Mo 50 и W 50 с малой добавкой Th как ингибитора кристаллизации. Указанный стержень имеет покрытие толщиной  $\sim 0,6$  мм из Pt или сплава, состоящего (в %): Pt 90—80 с Rh 10—20. Н. П.

**75827 П.** Предварительное прессование гнутого стекла триплекс. Крейвенер (Preliminary pressing of bent laminated glass. Cravener Earl) [Pittsburgh Plate Glass Co.]. Пат. США 2714567, 2.08.55

Патентуется аппарат для предварительной термич. обработки гнутого стекла триплекс, состоящего из двух листов стекла, скленных прозрачным промежуточным

слоем органич. в-ва. В аппарате имеется воздушенепроницаемый резиновый мешок, стенки которого покрыты слоем из электропроводящей резины. Быстрое открытие и герметичное заграждение мешка при выгрузке и загрузке стекла обеспечивается посредством откачки воздуха из камеры через гибкий шланг. Электрич. ток подводится к электропроводящим слоям резины через стенки мешка и нагревает находящиеся там пакеты стекла триплекс. А. Б.

**75828 П.** Способ изготовления тонкостенных строительных деталей с прокладкой из стеклянного волокна. Дёлер (Verfahren zur Herstellung dünnwandiger, mit Glasfasereinlagen versehener Bauelemente. Doeher Hermann). Пат. ФРГ 928219, 26.05.55

Патентуется способ изготовления тонкостенных строительных деталей с прокладкой из стеклянного волокна (СВ), отличающийся тем, что один или несколько матов из неориентированного СВ диаметром до 0,025 мм формуется с помощью гипса в качестве связующего в плиту толщиной в несколько мм. До сих пор применяли гипсовые плиты толщиной 9 мм, обклеенные с двух сторон картоном. В то время как обычный гипс в связанном состоянии является хрупким материалом, легко разрушающимся при незначительном механич. нагружении, тонкие гипсовые пластины с прослойкой из СВ обладают гибкостью, высокой механич. прочностью и могут выдерживать значительные нагрузки в различных направлениях. Такие пластины могут применяться в строительном деле в качестве облицовочных плит. Преимуществом метода является простота его осуществления. Известен способ изготовления тонкостенных пластин и труб из цемента с прослойкой из СВ. При данном методе вместо цемента в качестве связующего применяется гипс. Цемент раздвигает СВ, в случае же гипса раздвигание не имеет места. В качестве примера приводится гипсовая плита общим весом 150 г толщиной 10 мм и площадью в 1 м<sup>2</sup>, в которой укладываются 4 слоя из СВ диаметром от 0,015 до 0,018 мм. А. Б.

**75829 П.** Способ производства пружинящего, амортизирующего материала из стекловолокна. Буш (Process for manufacturing compressible glass fiber shock absorption material. Bush Joachim G.) [Vibradamp Corp.]. Канад. пат. 513014, 17.05.55

Амортизирующий, пружинящий материал состоит из большого кол-ва наложенных друг на друга стеклянных волокон, образующих массу определенной плотности. Преобладающее кол-во этих волокон располагают параллельно одной и той же плоскости, а другую их часть располагают перпендикулярно к ней. Образованную таким образом волокнистую массу склеивают при помощи смолистого материала, нанесенного на поверхность волокон, которые связываются между собой в некоторых точках их соприкосновения. Пружинящие характеристики массы стабилизируют путем приложения к ней равномерно сжимающего усилия. По своей величине это усилие должно быть большим по сравнению с усилием, необходимым для разрушения большей части указанных выше волокон, расположенных перпендикулярно к плоскости. В. З.

**75830 П.** Шлифованная поверхность стекла с защитным и стабилизирующим термореактивным силиконовым покрытием. Голдман (Ground glass surfaces with protective and stabilizing thermoset polysiloxane coating. Goldman Ernest A.) [Westinghouse Electric Corp.]. Пат. США 2719098, 27.09.55

Патентуется способ нанесения защитной силиконовой пленки на шлифованные поверхности прозрачных стеклянных деталей. На шлифованную поверхность стекла, имеющую неровности глубиной 1—2,5 м, наносится ровный слой прозрачной термореактивной полисиликоновой смолы. Нанесенное защитное покрытие

сообщает стеклу прозрачность и делает его устойчивым к растрескиванию и к воздействию хим. агентов. А. Б.

**75831 П. Метод и аппарат для шлифовки стекла.** Лавердисс (Method and apparatus for grinding glass. Laverdisse Edmond) [Les Glaceries de la Sambre, Soc. An.]. Канад. пат. 517181, 4.10.55

Описаны метод и аппарат для шлифовки стекла, в котором подача абразивной пульпы к планшайбе, обрабатываемой нижней поверхностью листа стекла, основана на использовании центробежной силы, отбрасывающей распыленную пульпу и пары воды на нижнюю поверхность листа стекла. Пульпа по трубопроводу подается к распыляющему соплу, направленному на нижнюю поверхность листа стекла, гидравлич. давлением или посредством сжатого воздуха. При использовании сжатого воздуха в трубопроводах предусмотрены клапаны для регулирования расхода воздуха, определяющего кол-во пульпы, распыляемой на поверхность стекла. А. Б.

**75832 П. Высокотемпературный коэффициент сопротивления композиции, имеющей силикатное или боросиликатное покрытие.** Сюше, Нгуэн Тхиен Чи (High temperature coefficient resistances, compositions and resistance formed therefrom having silicate or borosilicate coating thereon. Suchet Jacques, N'Guyen Thien-Chi). Пат. США 2720471, 11.10.55

Высокотемпературный стабильный отрицательный коэфф. сопротивления имеет спеченный гомогенный материал, состоящий в основном из  $Mn_2O_3$  и  $Ni_2O_3$ . Отношение между суммарным весом ионов Mn и ионов Ni в указанной композиции лежит между 1 и 4. Из общего веса указанной композиции 10—50 вес. % состоит из в-ва, выбранного из группы, состоящей из  $SiO_2$  и  $Al_2O_3$ . Покрытие на всей поверхности материала состоит из в-ва, выбранного из группы силикатов Zn и Pb и боросиликатов. Н. П.

**75833 П. Метод эмалирования алюминиевых изделий.** Капс, Ванден-Берг, Вудхаус (Process for enameling aluminum. Kappes Walter R., Vanden Berg L., Russel V., Wodehouse Richard A., Jr.) [Aluminum Co. of America]. Пат. США 2719796, 4.10.55

Метод заключается в обработке изделий водн. р-ром к-ты, содержащей (в вес. %):  $H_2CrO_4$  2—4,  $H_2SO_4$  10—25 при 70—100°, в течение 1—5 мин., затем в нанесении эмали с т. пл. < 580° и в обжиге эмалированного изделия при т-ре в пределах 500—580°. И. М.

**75834 П. Метод эмалирования изделий стекловидными эмалями.** Честер, Шрам (Vitreous enamel base stock, vitreous enamelled articles and method. Chester Allan E., Schram Irwin H., Jr.) [Poor and Co.]. Канад. пат. 515282, 2.08.55

Патентуется метод, обеспечивающий адгезию эмали с железом, содержащим (в %): C < 0,05, Mn < 0,30, P < 0,01, S < 0,025. Перед эмалированием металл травится в р-ре, содержащем  $Fe_2(SO_4)_3$ , некоторое кол-во  $MnO_2$ , 4—8%  $H_2SO_4$  и фосфат Li. После промывания в 0,05—1%-ном р-ре  $H_2SO_4$  металл обрабатывают р-ром разб.  $H_3PO_4$ , содержащей  $Li_3PO_4$ , и неорганич. соединения S, которое при разложении дает на поверхности осадок элементарной S. Сверх этого слоя наносятся последовательно тонкие слои Sb и Ni. Эмаль наносится на Ni-слой. М. С.

**75835 П. Химический состав проволоки для впаивания в стекло** (Wire composition for sealing into glass) [Stand rd Telephones and Cables Pty. Ltd.]. Австрал. пат. 200704, 23.02.56

Патентуется хим. состав проволоки для образования воздухонепроницаемого спая со свинцовым стеклом. Внутренний сердечник проволоки состоит из сплава никеля с железом, наружная оболочка — из красной Cu. Указаны процентное содержание Ni в сплаве и процент-

ное содержание Cu по отношению к весу всей проволоки. А. Б.

**75836 П. Получение жженого гипса по способу водного раствора при нормальном давлении.** Матида, Енэяма (常壓水溶液法に依る焼石膏製造法. 町田和夫, 米山昭) 徳山曹達株式会社, [Токуяма сода кабусики кайся.]. Япон. пат. 5621, 6.09.54

Природный гипс смешивают с водн. р-ром одной или нескольких таких солей, как NaCl, квасцы и  $MgCl_2$  и все это подогревают при постоянном давлении. В целях ускорения образования полуводн. гипса к смеси добавляют соли пектиновой к-ты, продукты гидролиза пектина, небольшое кол-во яблочного сока и сока цитрусовых плодов. М. Г.

**75837 П. Производство доломитового клинкера.** Кадзивара (ドロマイトリンカーの製造方法. 梶原政次). Япон. пат. 3688, 23.06.54

Размельченный доломит обжигают при высокой т-ре во вращающейся печи, используя в качестве топлива тяжелые масла, газ, угольную пыль или же их смесь. Одновременно с поступлением доломита вдувают порошок окиси магния или же порошок, содержащий окись магния и железа. На поверхности зерен клинкера образуется пленка, содержащая окись магния, магнезиоферрит ( $MgO \cdot Fe_2O_3$ ), кордиерит ( $2MgO \cdot 2Al_2O_3 \cdot 5SiO_2$ ), энстатит ( $MgO \cdot SiO_2$ ) и форстерит ( $2MgO \cdot SiO_2$ ). М. Г.

См. также: Стекло 74231, 74309, 74310, 74312. Керамика строительная 77122. Вязущие материалы 75268, 76940, 77035, 77091. История 73963. Др. вопр. 74176, 74183

## ПОЛУЧЕНИЕ И РАЗДЕЛЕНИЕ ГАЗОВ

**75838. К вопросу о замене сидерита губчатым железом в производстве водорода.** Кириллов И. П., Демидов В. А., Тр. Ивановск. хим.-технол. ин-та, 1956, вып. 5, 72—73

Для предотвращения снижения активности губчатого железа (I) в произ-ве водорода железо-паровым способом вследствие процессов рекристаллизации и спекания контактной массы из I проведены сравнительные испытания I и сидерита (II) при пониженной т-ре (600°). Установлено, что в этих условиях контактная масса из II быстро и весьма резко снижает свою активность, что объясняется созданием неблагоприятных кинетич. условий в период восстановления. В то же время контактная масса из I при 600° показала значительно большую активность, чем из II, причем после нескольких периодов эта активность оставалась практически неизменной. А. Р.

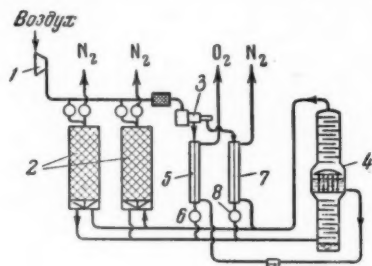
**75839 П. Разделение газовых смесей.** Этьенн (Separation of gaseous mixtures. Etienne Alfred) [L'Air Liquide]. Пат. США 2729954, 10.01.56

Способ разделения газовых смесей (преимущественно бинарных), компоненты которых обладают небольшой относительной летучестью, отличается применением двух ректификационных колонн, работающих под различными давлениями, и циркуляцией одного из продуктов разделения. Газовая смесь в состоянии насыщения или частично ожиженная вводится в колонну высокого давления А, где происходит предварительное ее разделение с получением дистиллата, богатого легколетучим компонентом, и кубовой жидкости, обогащенной тяжелолетучим компонентом. Дистиллат из А направляется в змеевик испарителя колонны низкого давления В, где сжимается, отдавая теплоту конденсации кипящей в кубе жидкости, а затем дросселируется в верхнюю часть колонны В. Жидкость из куба колонны А также дросселируется в В. Продуктами разделения колонны В являются технически чистые компоненты исходной смеси.

Дистиллат колонны В выводится через теплообменники С и В, где он нагревается, после чего часть продукта сжимается компрессором, охлаждается в Д и поступает в змеевик испарителя колонны А, где происходит конденсация: выделяющееся тепло обеспечивает кипение жидкости в кубе колонны А и ее работу. Образовавшаяся в змеевике жидкость переохлаждается в С и распределяется по двум направлениям: одна ее часть поступает в межтрубное пространство конденсатора колонны А, образуя флегму в трубках конденсатора, необходимую для работы А; другая часть используется для орошения В. Представлены варианты схемы, в одном из которых для циркуляции используется продукт, обогащенный тяжелолетучим компонентом.

**75840 П. Разделение воздуха сжижением и ректификацией.** Вухерер, Беккер (Method for fractionating air by liquefaction and rectification. Wucherer Johannes, Becker Rudolf) [Linde's Eismaschinen Akt.-Ges.]. Пат. США 2712738, 12.07.55

Воздух (В) сжимается турбокомпрессором 1 и распределяется по двум направлениям: одна часть В поступает в регенераторы 2, а другая — в трехступенчатый компрессор 3. Из 2 поток В направляется в нижнюю колонну воздуходелительного аппарата 4; после



2-й ступени 3 часть В проходит через теплообменник 5, дросселируется через вентиль 6 и присоединяется к В, идущему из регенераторов 2; после 3-й ступени 3 В поступает в теплообменник 7, дросселируется через вентиль 8 и присоединяется к потоку В, идущему в нижнюю колонну аппарата 4. Газообразный  $N_2$  из верхней колонны аппарата 4 выводится через 2 и теплообменник 7; жидкий  $O_2$  поступает в насос 9 и под давлением испаряется и нагревается в 5, откуда и выводится под нужным давлением.

**75841 П. Процесс получения окиси углерода и водорода из метана или других углеводородов** (Process for the production of carbon monoxide and hydrogen from methane or the like) [Koppers Ges.]. Англ. пат. 736600, 14.09.56

$CO$  и  $H_2$  получают в двухступенчатом процессе пропусканием смеси газов, содержащих углеводороды (метан) и кислород (или воздух), которые дозируются так, чтобы в 1-й ступени процесс протекал при недостатке кислорода и часть углеводородов окислялась во 2-й ступени. Наличие промежуточного объема между ступенями желательно, однако возможно осуществление обеих ступеней в одной трубчатой или башенной камере. Если продукт не должен содержать значительных кол-в азота, то следует применять кислород или обогащенный кислородом воздух и к исходной газовой смеси добавлять водяной пар. В 1-й ступени применяется никелевый (или кобальтовый) катализатор, который можно приготовить нанесением нитрата никеля на жженую магнезию с последующим нагреванием и обработкой водородом. Для 2-й ступени применяется железный катализатор, который готовится сплавлением смеси железных опилок с активаторами (напр., глиноземом),

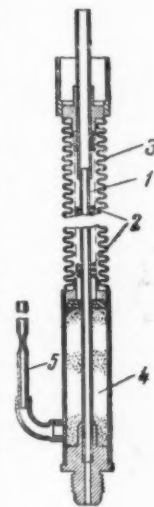
охлаждением и дроблением массы с последующим восстановлением ее в токе технич. водорода при  $400-500^\circ$ .

**75842 П. Метод и устройство для очистки газов** (Methods and means of purifying gases) [National Research Development Corp.]. Англ. пат. 722034, 19.01.55

Очистка редких газов, водорода и азота от примесей кислорода и водяных паров осуществляется пропусканием этих газов над раздробленным инертным материалом с развитой поверхностью, на котором нанесен слой щел. металлов. Для нанесения тонкого слоя поглотителя газ пропускается над поверхностью расплавленного металла и смешивается с его парами. Парц. давление паров должно быть  $\sim 1$  мм рт. ст., что соответствует т-ре жидкого лития  $723^\circ$ , натрия  $439^\circ$ , калия  $341^\circ$ , рубидия  $297^\circ$  и цезия  $279^\circ$ . Затем смесь пропускается через патрон с инертным материалом, на поверхности которого пары конденсируются с образованием мельчайшего высокоактивного порошка. Предлагается также прибор для обнаружения малых примесей водяных паров в газе путем охлаждения его до т-ры ниже точки росы. Прибор отличается тем, что медный диск, над которым продувается анализируемый газ, покрывается слоем ламповой сажи и охлаждается жидким воздухом. При наличии в газе водяных паров на поверхности диска образуется слой ледяных кристаллов, хорошо заметный на поверхности сажи.

**75843 П. Трубка для переливания сжиженных газов.** Киз (Delivery tube for liquefied gases. Keyes Frederick G.) [Arthur D. Little, Inc.]. Пат. США 2722105, 1.11.55

Гибкая трубка состоит из внутренней металлич. трубки 1, отделенной набивкой 2 из теплоизоляционного материала от наружной трубки 3, выполненной в виде силфона. У одного из концов гибкой трубки расположен патрон с адсорбентом 4, непосредственно соприкасающимся с поверхностью 1, благодаря чему т-ра его приближается к т-ре переливаемого сжиженного газа. Адсорбент служит для поддержания первоначального вакуума (создаваемого в процессе изготовления между 1 и 3) путем присоединения к вакуумнасосу через отросток 5.



См. также: 75936, 76896

## ПОДГОТОВКА ВОДЫ. СТОЧНЫЕ ВОДЫ

**75844. Поддержание и увеличение производительности водяных скважин.** Льюис (Water well capacities-improving them and maintaining them. Lewis Harold L.). Plant Engng. 1956, 10, № 2, 112—113 (англ.)

Для восстановления производительности скважины (глубина 32 м, диам. 600 мм) была проведена промывка ее р-ром  $(NaPO_3)_6$  (750 л). После промывки дебит скважины возрос с 7 до 23 м<sup>3</sup> (на 1 м снижения уровня воды). Первые порции откачиваемой воды содержали до 200 мг/л Fe и до 50 мг-экв/л жесткости. Периодически производимые в дальнейшем промывки позволили поддерживать производительность скважины на уровне не ниже 88% ее начального значения.

**75845. Дистанционное управление на водопроводных станциях.** Соша, Рожерс (Remote control in water works operations. Soscia B. L., Rogers M. E.),

Public Works, 1956, 87, № 2, 109—111, 139—140, 142—143 (англ.)

Приведены схемы дистанционного контроля и управления сетями городских водопроводов, включая пуск и остановку насосов и наблюдение за уровнем воды в резервуарах.

Г. К.  
75846. Современное состояние водоподготовки. Хаусон (Water treatment reaches high stage of development. Howson L. R.), Civil Engng, 1955, 25, № 10, 104—109 (англ.)

См. РЖХим, 1956, 55448.

75847. Дискуссия по статье Блэка «Приготовление и применение активированной кремнекислоты». Гриффин (Preparing and using activated silica by Black Charles A. Discussion. Griffin A. E.), Water and Sewage Works, 1954, 101, Part 2, № 5, R-132 (англ.)

Приводится описание непрерывного (прямоточного) метода приготовления золя активированной кремнекислоты при помощи  $\text{Cl}_2$ . Полученный р-р имеет рН порядка 7,0—8,5. Описанный процесс прошел многочисленные полупромышленные испытания и сейчас применяется в промышленном масштабе. См. РЖХим, 1956, 13775.

О. М.  
75848. Озон. 2. Промышленное применение. Саксби (Ozone. 2. Industrial applications. Saxby D. J.), Chem. and Process Engng, 1955, 36, № 11, 387—389 (англ.)

Рассмотрены некоторые области применения озона для кондиционирования воздуха, дезинфекции и дезодорации холодильников, обработки воды, а также в хим. и пищевой пром-сти. Сообщение 1 см. РЖХим, 1956, 29080.

А. Р.  
75849. Фильтрация воды через диатомит. Баббитт, Бауман (Practical studies on the filtration of water through diatomite. Babbitt Harold E., Baumann E. Robert), Municip. Utilities Mag., 1955, 93, № 3, 26—32, 36, 38, 40, 42, 44, 46, 48, 50, 53—54, 56—59 (англ.)

Описаны опыты по определению наиболее эффективного режима работы диатомитовых фильтров. См. также РЖХим, 1956, 20101.

Г. К.  
75850. Фторирование городской водопроводной воды. Грей (Fluoridation of town water supply. Grey F. J.), Commonwealth Engr, 1955, 43, № 3, 91—94 (англ.)

Водопроводная станция г. Биконсфилд в Тасмании, использующая поверхностную воду, производит ее фторирование с 1953 г. В воду при помощи мембранных дозирующих насосов вводится р-р  $\text{Na}_2\text{SiF}_6$ . Конц-ия F доводится до 0,8 мг/л.

Г. К.  
75851. Гигиеническое значение чистой воды. II. Тиман (De betekenis van hygiënisch verantwoord drinkwater (II). Tjeman G. W.), Oliën, vetten en Zeep, 1953, 37, № 3, 32 (голл.)

Описано загрязнение воды бактериями. Часть I см. РЖХим, 1955, 55904.

К. Г.  
75852. К вопросу о нормировании содержания анилина в общественных водоемах. Обухов П. Ф. (Contribuții la problema normării conținutului de anilina din bazinele de utilitate publică. Obuhov P. F.), An. Rom.-Sov. Ser. igienă și organiz. sanit., 1955, Ser. 3-a, 9, № 4, 47—52 (рум.)

Перевод. См. РЖХим, 1956, 51775.

75853. Применение единых методов при исследовании воды Боденского озера. Визер (Die Anwendung einheitlicher Methoden bei der Untersuchung des Bodensee-wassers. Wieser Erwin), Gas- und Wasserfach, 1956, 97, № 6, 209—213 (нем.)

Указывается на необходимость применения единой методики анализа. Рекомендуется определять: жесткость с комплексомном  $\text{Z}$ , хлориды — меркуриметрич. методом. нитраты — с натрий салицилатом, фенолы — с нитрозодиметиланилином; для бактериологич. контроля исполь-

зовать мембранные фильтры. Конц-ия фенолов, доходящая в некоторых пунктах озера до 40  $\mu\text{g/l}$ , побудила соответствующие насосные станции перейти от хлорирования к озонированию воды.

Н. В.  
75854. Определение растворенного в воде кислорода при помощи платинового электрода. II. Работы Технологического института, штат Джорджия. Инголс (Experience with solid platinum electrodes in the determination of dissolved oxygen. II. Georgia Institute of Technology studies. Ingols Robert S.), Sewage and Industr. Wastes, 1955, 27, № 1, 7—9 (англ.)

Вращающийся платиновый электрод можно рекомендовать для определения растворенного кислорода в воде с достаточным содержанием, но свободной от грубодисперсных примесей. Рекомендуемая скорость вращения электрода 600 об/мин; воспроизводимость результатов  $\pm 10\%$ . Ч. I см. РЖХим, 1956, 20154.

О. М.  
75855. Водоснабжение предприятий бумажной промышленности компании Кетчикан. Стантон (Ket-chikan pulp Co. Water storage and treatment. Stanton Roland J.), Tappi, 1955, 38, № 11, A155—A156 (англ.)

Часть воды, забираемой из водохранилища, подается необработанной, другая (4750  $\text{м}^3/\text{час}$ ) коагулируется алюминатом натрия (3,5 мг/л) и сульфатом алюминия (8,5 мг/л) при рН 5,2. При этом цветность воды снижается с 20—90 до 1—2 мг/л. Конц-ия Fe — до  $< 0,02$  мг/л.

Г. К.  
75856. Очистка воды для промышленных надобностей. IV. Бомби-Льопис (Depuración industrial de aguas. (IV). Bombi Llopis J.), Ion, 1953, 13, № 147, 583—585 (исп.)

Сообщение III см. РЖХим, 1955, 35188.

З. Б.  
75857. Результаты полупроизводственных опытов по применению полифосфатов в распределительных системах. Бери (Résultats d'expériences, faites à grande échelle, sur l'emploi des polyphosphates en distribution d'eau. Bury M. G.), Techn. eau, 1953, 7, № 77, 9—18; № 78, 9—17 (франц.)

75858. Накипеобразование. Морен (Qu'est-ce que l'entartrage dont on ne sait encore que mitiger les effets. Maurin A.-J.), L'grs et techniciens, 1956, № 87, 69, 71, 73, 75 (франц.)

Рассмотрен состав накипей, образующихся при различных т-рах на поверхности металла. Приведены закономерности, количественно определяющие процессы накипеобразования и условия выделения твердой фазы  $\text{CaCO}_3$ ,  $\text{Mg}(\text{OH})_2$  и  $\text{CaSO}_4$ .

И. С.  
75859. Полный метод анализа производственной воды. Хейден (Komplizierte Verfahren der Betriebswasseranalyse. Heiden K. von der), Z. Techn. Überwachungs-Vereines München, 1955, 7, № 11, 412—414 (нем.)

Описаны известные методы определения  $\text{O}_2$ ,  $\text{SiO}_2$ ,  $\text{CO}_2$ ,  $\text{P}_2\text{O}_5$  и жесткости воды для питания котельных установок.

А. З.  
75860. Повторное использование воды на бумажных фабриках. Амберг (Re-use of water in pulp and paper mills. Amberg Herman R.), Tappi, 1955, 38, № 11, A154—A155 (англ.)

К 1975 г. до 90% всех вод США (с доступной стоимостью получения) будут использованы для ирригации или пром-сти. Это, а также загрязнение рек сточными водами, заставляет переводить целлюлозно-бумажные предприятия на повторное использование сбрасываемых вод. Можно использовать промывные воды для приготовления р-ров, а также очищать в отстойниках и спец. фильтрах сточные воды и конденсаты.

Г. К.  
75861. Обработка сточных вод кожевенных заводов. Саутгейт (Treatment of waste water from tanneries. Southgate B. A.), Australas. Leather Trades Rev., 1954, 50, № 601, 3—5, 7 (англ.)

Сточные воды (СВ) кожевенных заводов имеют БПК 1000—2000 мг/л и содержат наряду с сульфидами много органич. в-в. Автор предлагает очищать такие СВ коагуляцией  $\text{FeCl}_3$  или  $\text{Al}_2(\text{SO}_4)_3$ , предварительно снижая pH до 5,5 (добавлением серной к-ты). Расход  $\text{Al}_2(\text{SO}_4)_3$  0,330 кг на 1 м<sup>3</sup> воды. БПК снижается при коагуляции с 1200 мг/л до 44 мг/л, далее СВ могут быть доочищены на биофильтрах с последующим фильтрованием через песчаные фильтры. См. также РЖХим, 1954, 44136.

Л. М.

75862. Очистка рудничных сточных вод. Рапсон (Purification of mine water in the free state. Rapson W. S.), Mining and Industr. Mag. S. Africa, 1955, 45, № 9, 335—337 (англ.)

Рассматривается вопрос опреснения громадных кол-в соленых вод, выдаваемых на поверхность из рудников по добыче золота. В качестве возможных путей разрешения проблемы указываются гелиоопреснение, термич. и электроионитное.

А. Ф.

75863. О допустимых концентрациях солей в сточных водах, используемых в сельском хозяйстве. Ритман Г. А., Техн. информ. по водоснаб. и канализ. пром. предприятий. [Вып. 2], М., 1955, 30—31

Предлагаются следующие предельно допустимые концентрации солей в сточных водах при очистке их на полях орошения или фильтрации, сооружаемых на хорошо проницаемых почвах (в г/л):  $\text{Na}_2\text{CO}_3$  1,  $\text{NaCl}$  2,  $\text{Na}_2\text{SO}_4$  5 (для суммы солей предельно допустимые концентрации должны быть уменьшены). Вода, содержащая  $\text{CaSO}_4$ , безвредна для орошения.

А. Ф.

75864. Рекомендуемые методы анализа промышленных сточных вод.—(Recommended methods for the analysis of trade effluents.—), Analyst, 1956, 81, № 958, 59—63 (англ.)

Описан метод разрушения органич. в-в в сточных водах, необходимый для последующего определения As и Cu. Пробу подкисляют конц.  $\text{HNO}_3$  (+ 5 мл избытка) и упаривают до объема 5—10 мл; добавляют 2—3 мл конц.  $\text{H}_2\text{SO}_4$ , нагревают до обильного появления паров  $\text{SO}_3$ . В присутствии обугленных органич. в-в и при коричневой окраске смеси добавляют еще 2 мл конц.  $\text{HNO}_3$ . К охлажд. р-ру прибавляют 10 мл насыщ. р-ра  $(\text{NH}_4)_2\text{C}_2\text{O}_4$  и нагревают до образования паров, дистиллят отбрасывают, к остатку добавляют 10 мл воды и фильтруют; снова к остатку в дистилляционной колбе прибавляют 1 мл конц.  $\text{HCl}$ , нагревают, добавляют 5 мл горячей воды и фильтруют. Описанную операцию повторяют, объединенный фильтрат разбавляют до 100 мл. Параллельно ведут контрольный опыт. Кол-ва  $\leq 10 \gamma$  As определяют методом Лутайта (восстановление до  $\text{AsH}_3$ , пропускание последнего через бумагу, пропитанную  $\text{HgCl}_2$ , и сравнение окраски пята с эталонами); 0,4—100 мг As определяют гипофосфитным методом (восстановление до  $\text{As}^3$ , отделение последнего фильтрованием с иодометрич. определением; мешают Hg, Se и Te); кол-во Cu  $\leq 50 \gamma$  определяют колориметрич. методом (в форме дитизонкарбамата после экстракции  $\text{CCl}_4$  из щел. р-ра в присутствии цитрата; в присутствии Bi вводят соответствующую поправку).

Т. Л.

75865. Промыватель газа, получающегося при метановом брожении осадков сточных вод. Пилецкий (Pluczyński do gazu z metanowej fermentacji osadów ściekowych. Przyłęcki Henryk), Gaz, woda, techn. sanit., 1955, 29, № 10, Biul. inst. gosp. komunalnej. (польск.)

На основе изложенной ранее теории (см. РЖХим, 1956, 36873) произведен расчет газопромывателя. Г. К.

75866 П. Обработка сточных вод, содержащих щелочные отходы. Мак-Интайр (Treatment of alkaline waste waters. Mac-Intyre Walter H.) [The Uni-

versity of Tennessee Research Corp.]. Пат. США 2697658, 21.12.54; 2697659, 21.12.54

Процесс обработки сточных вод (СВ), получающихся при сбраживании отходов бумажно-целлюлозных ф-к и содержащих щелочи и органич. примеси, состоит в добавлении к ним  $\text{CaCl}_2$  и  $\text{H}_3\text{PO}_4$ . При этом образуется двузамещенный фосфат кальция, который осаждается вместе с суспендированными в СВ органич. примесями. Пат. 2697659 отличается тем, что вместо  $\text{H}_3\text{PO}_4$  применяют суперфосфат.

С. К.

См. также: Анализ 75256, 75262, 75265—75267, 75292, 75314, 75316, 75320, 75324, 75337, 75344, 75346, 75349, 75362, 75363, 75409. Св-ва примесей 74188. Образование гуминовых к-т 76481. Влияние звука на рост кристаллов 74263. Кинетика образования осадков 74363, 74366. Ур-ние седиментации 74603. Кинетика р-ции  $\text{KCNO} + \text{NaOCl}$  74672. Теория ионного обмена 74584—74586, 74588, 74592; ионитовые мембраны 74593. Коррозии 74710, 76917, 76921. Утилизация и удаление отходов 75530, 76577, 76579, 76506, 75892. Аппараты и кип. 77076. Подготовка воды для пром. надобностей 76497

## ПЕРЕРАБОТКА ТВЕРДЫХ ГОРЮЧИХ ИСКОПАЕМЫХ

75867. Запасы углерода и химическая промышленность. Ферреро (Les sources de carbone et l'industrie chimique. Ferrero Paul), Ind. chim. belge, 1954, 19, № 12, 1293—1301 (франц.; рез. голл., англ., нем.)

75868. Развитие химического использования топлив в Италии. Падовани (Die Entwicklung der chemischen Verwertung der Brennstoffe in Italien. Padovani Carlo), Brennstoff-Chemie, 1956, 37, № 1—2, 1—9 (нем.)

Подобная характеристика состояния переработки твердых и жидких топлив.

Б. Э.

75869. Вопросы химической структуры каменного угля. Кревелен (Het probleem van de chemische structuur van steenkool. Krevelen D. W. van), Geol. et mijnbouw., 1955, 17, № 5, 117—128 (голл.)

75870. Форма содержащихся в угле соединений хлора. 1. Водная вытяжка из угля. Эджком (State of combination of chlorine in coal I-extraction of coal with water. Edgcombe L. J.), Fuel, 1956, 35, № 1, 38—48 (англ.)

Применяемая методика извлечения Cl из угля заключается в 3-х последовательных водн. вытяжках по 30 мин. каждая при т-ре кипения. Содержание Cl в водн. вытяжках определялось волюметрич. методом по Фольгарду, содержание Na, K, Ca и Mg — с помощью фотометрич. и полярографич. методов анализа. Исследование вытяжек из 37 различных углей с содержанием от 0,2 до 1% Cl показало, что содержание Cl может быть снижено до 0 путем его извлечения водой, если уголь достаточно тонко измельчен. Найдено, что в водн. вытяжке присутствует только часть Na и (или) K-хлоридов: воднорастворимая щелочь эквивалентна 15% общего содержания Cl. Больше половины Cl может быть удалено из угля в виде HCl при его нагревании на воздухе до 200°, хотя при нагревании до этой же т-ры в атмосфере азота Cl не выделяется. Показано, что хлориды щел. металлов или хлорид Ca не выделяют Cl при нагревании с углем в этих же условиях. Наличие значительных кол-в солей Ca и Mg в водн. вытяжке согласуется с гипотезой автора о том, что Cl, выделяющийся в виде HCl при нагревании на воздухе, превращается в HCl-к-ту во время извлечения водой и что образовавшаяся к-та реагирует с имеющимися в угле окислами или карбонатами Ca и Mg. Cl, выделяющийся в виде

НСI при нагревании в воздухе, удерживается в-вом угля в виде СI-ионов. М. Л.

**75871. Влияние скорости нагревания топливных частиц на процесс термического разложения их.** Кашуричев А. П., Чуханов З. Ф., Докл. АН СССР, 1955, 101, № 1, 115—118

Процесс термич. разложения топлива включает два этапа: прогрев частицы и разложение органич. части. Продолжительность нагревания частицы зависит от произведения критериев  $Fo \cdot Bi$ . Для заданного  $Q/Q_a$ , где  $Q_a$  — максим. кол-во тепла при полном прогреве, можно написать равенство:  $\tau_{Q/Q_a} = BiFo \cdot c \gamma R/a$ , которое получается из решения ур-ния Фурье. Анализ решения показывает, что при  $1/Bi \geq 5$  интенсивность прогрева не зависит от теплопроводности частицы. Доказано, что равномерного прогрева частиц топлива до заданной т-ры можно достигнуть при применении мелких частиц. Установлено, что при высоких скоростях нагревания (до 100 град/сек) даже при 500° разлагается незначительная часть органич. массы топлива. При разложении топлива по 2 м и более р-циям, имеющим различную энергию активации, процесс протекает сложнее, так как уже разлагаются продукты первичного выделения. Однако при равномерном прогреве топлива, увеличивая его скорость нагревания, удается разлагать большую часть топлива при повышенной т-ре и регулировать качество продуктов. При скоростях нагрева 30—50 град/мин необходимо быстро удалять продукты разложения, чтобы не допускать их долгого пребывания в зоне высоких т-р. Возможно применение высоких скоростей нагревания 1000—10000 град/мин, когда выделение летучих происходит после прогрева в стационарных условиях. Г. С.

**75872. Селективная экстракция и теплота размягчения угля.** Баба, Юки (溶抽出よりみた石炭の軟化熱・馬場有政, 結城仲治), 燃料協会誌, Нэнрекскайси, J. Fuel. Soc. Japan, 1954, 33, № 330, 537—545 (япон.; рез. англ.)

**75873. О механизме растворения каменных углей.** Забавин В. И., Тр. Ин-та горючих ископаемых АН СССР, 1955, 5, 36—47

В результате исследования установлено, что уголь Донбасса марки Г при т-ре 350° растворяется в антраценовом масле (АМ) на 81—86%, в ретене (Р) на 59%, в канифольном масле на 33%. Путем многократного ступенчатого растворения можно растворить уголь в Р в такой же степени, как и в АМ. В АМ с т-рой кипения 350—380°, содержащем 3% фенолов и 3% оснований, уголь ПЖ растворялся на 88%. При удалении фенолов и оснований растворимость понижалась на 2—13%. Прибавление к смеси угля Г с Р при 350°, пиридина, фенола повышает растворимость на 8—11%, прибавление анизола снижает растворимость на 11%. При нагревании каменного угля с р-рителями при 350° происходит деструкция угольного в-ва. Повышение величины растворимости угля в соединениях основного характера по сравнению с соединениями фенольного характера объясняется хим. их взаимодействием с в-вом угля и диспергирующими свойствами р-рителей. Замещение гидроксильного водорода фенола метильной группой приводит к коагуляции растворенного и ретене угольного в-ва. Г. С.

**75874. Замечание к формулировке закона Риттингера.** Харват (Poznámka vyjádření Rättingerova zákona soupadnosti. Charvát Vladimír), Paliva, 1954, 34, № 8, 215—217 (чеш.)

**75875. Происхождение, структура, свойства и обогащение каменного угля.** Кревелен (Origine, structure, propriétés et valorisation de la houille. Krevelen D. W. van), Ann. mines Belgique, 1954, № 4, 502—510 (франц.)

Статья посвящена вопросу происхождения угля. Дает-

ся обзор методов исследования углей. Рассматривается теория автора о двух стадиях растительного происхождения каменного угля. Приводятся графики углефикации твердых топлив в координатных осях Н/С и О/С. Н. К.

**75876. Классификация углей; использование данных технического анализа.** Часть I. Мазумдар (Coal systematics: deductions from proximate analysis of coal: Part 1. Mazumdar B. K.), J. Scient. and Industr. Res., 1954, 13, № 12B, 857—863 (англ.)

Попытка проводить расчеты элементарного состава угля по его технич. анализу. Сравнение свойств ряда углей показывает, что для углей с летучими менее 35%, их выход не определяет состава угля. Более показательным является комбинация выхода летучих (V) с влажностью (Wг) на воздушно-сухой уголь (при относительной влажности воздуха 60%). Автор получил для вычисления в %: углерода  $C = 97 - 0.27 V - Wг$  (0.6—0.01 Wг), водорода  $H = 3.6 + 0.05 V - 0.0035 Wг$  (1—0.02 Wг), кислорода  $O = 0.25 V + 0.4 Wг - 2.80$ . Точность ф-л для большого числа эксперим. проверок: для  $C \pm 0.69$ , для  $H \pm 0.09$ , для  $O \pm 0.67$ . Проверка проводилась на 18 английских углях с  $V = 17—46.8\%$  и  $Wг = 0.5—15.6\%$  (для С и Н) и со 146 индийскими углями для О. Вообще ф-лы применимы к малометаморфизованным углям с большой влажностью. Н. К.

**75877. Улучшение методов микроскопического исследования и классификации углей.** Альперн, Номарский (Contribution à l'amélioration des méthodes d'examen microscopique et de classification des charbons. Alpern B., Nomarski G.), Bull. Soc. franç. minéral. et cristallogr., 1954, 77, № 4—6, 905—938 pl. II—VII (франц.)

Изучение состава углей в отраженном свете требует исключения оптических и световых искажений. Описывается способ полного устранения паразитного освещения при исследовании шлифов углей при помощи иммерсионного объектива. Дается метод переустройства обычного сухого объектива слабого увеличения в более сильный — иммерсионный. Приводится обзор современной номенклатуры углей по микроскопич. данным. Автор предлагает изменить нормы колич. оценки, принятые для классификации углей. Н. К.

**75878. Современные направления в подготовке углей.** Кеншон (Les tendances actuelles de la préparation des charbons. Quinchon F.), Ingrs et techiciens, 1951, № 66, 45, 47—49 (франц.)

**75879. Новые методы обработки угля.** Роз (New methods of coal treatment. Rose K.), Mining Congr. J., 1954, 40, № 6, 72—73 (англ.)

Кратко сообщается о работах по использованию низкосортных углей, проведенных Центральным исследовательским бюро Британского угольного департамента. Обогащение мелкого угля проводится флотацией с применением во флотационных камерах вместо ткани или перфорированной резины пористых металлич. плиток, получаемых спеканием. При флотации зольность угля снижается с 25—30% до 10—15%, хвосты имеют ее выше 60%. Обезвоживание угля проводится в вакуум-фильтрах. Получение брикетов бездымного топлива из угля с большим выходом летучих (более 13%) требует его предварительного окисления, проводимого во взвешенном слое при скорости газа, отвечающей началу сепарации частиц. Исследуются процессы брикетирования после двойной предварительной обработки: окисления и термич. обработки для частичного удаления летучих. Поставлена работа по получению брикетов без предварительного удаления летучих. Применяется метод определения влажности угля по величине диэлектрич. постоянной его. Н. К.

**75880. Форма угольных частиц.** Гурсвами, Сринивасан (The shape of coal particle. Guruswa-

вається  
исхо-  
жаки  
Н. К.  
данных  
(Coal  
sis of  
nd In-

остава  
ряда  
е 35%,  
затель-  
влаж-  
итель-  
ля вы-  
(0,6—  
(1—  
ность  
для  
прово-  
8% и  
искини  
тамор-  
Н. К.  
иссле-  
ма в р-  
ethods  
s char-  
franc.  
938 pl.

ребует  
Описы-  
осве-  
и им-  
ойства  
более  
времен-  
м. Ав-  
принял  
Н. К.  
углей.  
aration  
iciens,  
ew me-  
ngr. J.

ю низ-  
дедова-  
амента.  
с при-  
ни или  
плиток,  
ь угля  
ют ее  
вакуум-  
ива из  
ребует  
о взве-  
началу  
гирова-  
окисле-  
аления  
гов без  
метод  
эктрич.  
Н. К.  
Сри-  
s wa-

my S., Srinivasan S. R.), J. Scient. and Industr. Res., 1954, 13, № 5, sec. B, 368—369 (англ.)

Форма частиц (Ч) угля при различных способах дробления неодинакова. Оценка коэфф. формы может быть дана расчетом по объему, поверхности, статистич. диаметру, числу Ч и плотности. Определялось отклонение Ч по форме, от условно принятой формы Ч в виде треугольных призм. Для этого рассчитывалась и экспериментально определялась поверхность Ч при различном способе дробления и отсева в пределах от 1 до 0,15 мм. Отношение подсчитанной поверхности к действительной 0,66—0,98. Меньшие значения относятся к Ч, полученным при дроблении угля в результате падения, большие — при измельчении угля в ступке или дробилке. При растрескивании угля получаются более четко выраженные призматич. Ч, чем при его сдавливании и дроблении.

Н. К. 75881. Основные результаты работ по флотации углей и перспективы ее теоретического и технического развития. Плаксин (Résultats généraux de travaux sur le flottation des charbons et perspectives scientifiques et techniques de son expansion. Plaksine I. N.), Rev. ind. minérale, 1955, 36, № 626, 755—765 (франц.)

75882. О влиянии тонких шламов на флотацию карагандинской каменноугольной мелочи. Бергер Г. С., Уголь, 1954, № 6, 29—30

Основной причиной неудовлетворительного обогащения угольной мелочи на ряде обогатительных ф-к Караганды является подавление флотации тонкими шламами и илами, содержащимися в оборотной воде. При лабор. опытах флотации в чистой воде угольного шлама, осажденного из флотационной пульпы, были получены удовлетворительные результаты. При расходе коллектора — Эмбенского керосина 1,5—2 кг/т, концентраты содержали 8—10% угля при извлечении в 76—87%. Указано, что борьба с депрессирующим действием колл. и тонких частиц может быть осуществлена: 1) путем предварительного отмучивания тонких шламов и илов. Для этой цели автор рекомендует включение в схему флотации чана-декантатора и подвод свежей воды к флотационным машинам; 2) путем добавления специально подбираемых реагентов-пептизаторов в случаях резкого увеличения кол-ва тонких шламов.

М. Л. 75883. Изучение процесса фазового разделения системы графит — минерал — вода — масло. Вейнгертнер, Гхоэ (Studie über den Vorgang der Phasen-Trennung am System Graphit—Mineral—Wasser—Öl. Weingaertner E., Ghoë T. K.), Erdöl und Kohle, 1953, 6, № 12, 776—783 (нем.)

Процесс, который лежит в основе способа разделения фаз, исследован для деминерализации сырого графита с применением масла. Показано, что закономерности экстрагирования жидких фаз могут с соответствующими изменениями применяться для разделения фаз. Отсюда, процесс описывается как разделение двух или более находящихся в смеси твердых фаз, проявляющих различное сродство к смачиванию в отношении двух несмешивающихся жидких фаз. Конкретно разделение графита и минерала может быть произведено с помощью двух несмешивающихся жидкостей — воды и масла. Обсуждаются различные возможности графич. изображения процесса обогащения твердой фазы.

Б. Э. 75884. Дешевая установка для пенной флотации. Грегори, Симпсон, Уилан (Low-cost froth flotation. Gregory D. H., Simpson D., Whelan P. F.), Coal Age, 1953, 58, № 11, 94—95 (англ.)

Описана передвижная флотационная ф-ка производительностью 5,5 т/час для обогащения угольной мелочи из шахтных отвалов или отходов действующих ф-к. Технологич. процесс обогащения состоит из: 1) получения угольной пульпы гидравлич. способом с применением насосов и грохота для определения фракции

+12,7 мм; 2) прохочения на вибрационном грохоте, в процессе которого фракция +1,6 мм выдается на ж.-д. транспорт, а фракция —1,6 мм направляется в чаны, в которых уравнивается плотность пульпы; 3) флотации пульпы, содержащей 17% твердого в-ва, 35% — 100 меш, в пневматич. флотационной машине с реагентом собирателем и пенообразователем, состоящим из смеси 2 объемов креозота и 1 объема технич. крезола; некоторая часть очень мелкого угля с высоким содержанием золы удаляется из процесса; 4) обезвоживания пенного концентрата, содержащего 40% твердого в-ва, 40% — 100 меш, с помощью грохота и пористой ленты с отжимом, нижний слив которых направляется в циклон. В результате флотации получается 1,5 т/час +1,6 мм и 4,5 т/час —1,6 мм чистого угля с зольностью 12,25% (против 25% у исходного материала) и 30% влажности, снижающихся через 35 час. до 10—12%. Вся ф-ка управляется двумя операторами, причем для перемещения она легко демонтируется.

М. Л. 75885. Новые процессы коксования. — (New coking processes.—), Gas Times, 1953, 76, № 800, 794—795, 798—800, 802—804 (англ.)

Приводятся основные показатели новых, прошедших испытания на опытных установках и внедренных в промышленность процессов коксования.

Н. К. 75886. Развитие новых процессов термической переработки угля и их связь с существующей практикой. Барритт, Кеннавей (Some new carbonization processes under development and their relation to established practice. Barritt D. T., Kennaway T.), J. Inst. Fuel, 1954, 27, № 160, 229—248 (англ.)

Описание трех технологич. процессов переработки некокующихся углей с получением бытового или промышленного кокса: Национальный топливный процесс (НТП), Бреннштофф-техник процесс (БТП), Баумко-процесс (БП). В НТП исходный уголь с большим выходом летучих сушат до 1% влаги, измельчают до размера 100% < 0,85 мм и не менее 90% < 0,59 мм, частично окисляют при необходимости, брикетируют со смолой или пеком и коксуют при 850—900° в вертикальной реторте непрерывного действия. В процессе получают кокс, пригодный для домен и газогенераторов. На 1 т сухих брикетов получают: смолы 154 л, аммиака 2 кг, бензола 3,8 л. БТП основан на свойстве улучшения коксемости углей с высоким выходом летучих при большой скорости нагрева. В БТП для этого применяются узкие стальные камеры (ширина 100 мм). Обогрев производится репиркулирующими горячими газами, получаемыми в спец. камере сгорания. Из 1 т угля с 35—38% летучих получают при 650°: 0,75 т кокса, 74 л смолы, 9,9 л бензола, 10 кг аммиака. БП основан на предварительном удалении из угля летучих при 800° и последующей обработке полуккокса. Полукокс брикетируют со смолой или коксующимся углем, а затем коксуют с большой скоростью в реторте при 1200° в потоке газа. Из 1 т битуминозного угля (брикетировался с 9% коксующегося угля и 9% пека) получено: 0,73 т кокса, 150 кг пека и смолы, 38 л масел.

Н. К. 75887. Работа экспериментальной станции в Мариен-ау (Франция). Луазон (Rapport sur l'activité de la station expérimentale de Marienau en 1953. Loison R.), Rev. ind. minérale, 1954, 35, № 609, 563—583 (франц.)

Проводилось изучение: 1) угольных шихт в обычных условиях коксования, 2) влияния условий коксования и подготовки шихт, 3) новых методов получения полуккокса. В обычных условиях коксования исследовалась влажная и сухая загрузки шихт в печь без трамбования. Исходные шихты состояли из смеси двух различных жирных углей и полуккокса (15%) или тощих углей. Качество кокса улучшалось за счет подготовки углей и условий коксования. Исследован ряд факторов, влияю-

щих на коксование мокрой нетрамбованной шихты: тип тощего угля, способ подготовки угля, ситовый состав, выход летучих, насыпной вес загрузки и период коксования. Новым методом получения полукокса является полукоксование в псевдооживленном слое. Подготовлена к пуску установка для этого процесса.

Н. К. 75888. Применение дутьевого газа в производстве бездымного твердого топлива. Ходкинсон (The application of the «Carrier» gas process to the production of solid smokeless fuel. Hodkinson W.), Gas World, 1956, 143, № 3728, 270—273 (англ.)

Приводятся показатели и технико-экономич. сопоставления заводских опытов коксования угля в вертикальных ретортах с вводом в них дутьевого газа. Показано, что производительность реторт по коксу может быть при этом удвоена. Теплотворность получаемого газа 4050—4130 ккал/м<sup>3</sup>. Процесс отличается гибкостью; стоимость вырабатываемого бездымного твердого топлива и газа снижается.

П. Б.

75889. Достижения в области исследования дегтя для дорожных покрытий. Франк (Recent developments in road tar research. Frank Heinz-Gerhard), Quarry Managers' J., 1954, 38, № 3, 167—185 (англ.)

75890. Новые взгляды на оценку и получение кокса с точки зрения целей его применения. Реринк (Neue Erkenntnisse für die Beurteilung und Herstellung von Koks unter Berücksichtigung der verschiedenen Verwendungszwecke. Reerink Wilhelm), Stahl und Eisen, 1955, 75, № 6, 322—335 (нем.)

Дается обзор работ по исследованию углей и коксов в ФРГ. Для оценки коксемости каменных углей применяются разработанные в последнее время методы определения размягчения углей и динамики выделения летучих. Применение углей для коксования основывается на новой международной классификации (1953 г.). На коксемость угольных шихт существенное влияние оказывает механич. прочность отдельных компонентов. Селективное дробление отдельных компонентов и хорошее смешение шихты дает равномерный по качествам и свойствам кокс. Описаны исследования по определению микро- и макроповерхности кокса. Реакционная способность, константа скорости р-ции и энергия активации оказывают большое влияние на эффективность проникновения газов внутрь куска кокса. От структуры, пористости и реакционной способности кокса зависит поведение его в доменных печах, а также применение его для других целей. Приведены сведения по структуре и реакционной способности спец. коксов — антрацитного (с п-ком), кокса из жирных углей, пекового, формованного и ряду других. Даны фотографии микрошлифов различных коксов.

Г. С.

75891. Пути понижения зольности металлургического кокса. Улицкий Л. И., Сталь, 1954, № 3, 208—213

75892. Эксплуатация обесфеноливающей установки на Московском коксогазовом заводе. Нагорный Г. К., Холопов В. П., Каплина Е. Г., Кокс и химия, 1955, № 2, 44—48

Приведены показатели работы установки по обесфеноливанию надсмольной воды паровым методом на Московском коксогазовом заводе и ее технологич. схема; производительность установки 18—20 м<sup>3</sup> воды в час, содержание фенолов (Ф) до обесфеноливания 1,5—1,7 г/л, после обесфеноливания — 0,315 г/л, расход щелочи 0,8 т на 1 т 100%-ного Ф. Проведенными опытами было установлено, что снижением конц-ии NH<sub>3</sub> в воде до 0,068—0,085 г/л, увеличением кол-ва циркулирующих фенолатов до 23—25 м<sup>3</sup>/час и увеличением кол-ва циркулирующего пара можно достигнуть снижения содержания Ф в сточной воде до 0,130 г/л.

Н. К.

75893. Дверь конструкции Гольдшмидта для коксовых печей. Селлан-Джонс (The goldschmidt coke-

oven door. Cellan-Jones G.), Coke and Gas, 1954, 16, № 183, 307—310 (англ.)

75894. Фотометрический метод определения выхода масла из битуминозных сланцев. Куттита (A photometric method for the estimation of the oil yield of oil shale. Cuttitta Frank), Geol. Survey Bull., 1953, № 992, 15—31 (англ.)

75895. Объемный способ определения выхода масла из горючих сланцев. Куттита (A volumetric method for the estimation of the oil yield of oil shale. Cuttitta Frank), Geol. Survey Bull., 1953, № 992, 33—37 (итал.)

75896. Международное совещание в Льеже по безостаточной газификации угля. Брейтенштейн (Internationale Tagung in Lüttich über restlose Vergasung von Kohle Breitenstein), Gas. Wasser. Wärme, 1955, 9, № 1, 12—15 (нем.)

75897. Метан из низкосортного твердого топлива. Монти (Metano dai combustibili solidi inferiori. Monti Mario), Idrocarburi, 1954, 3, № 11, 11—13, 15—19, 22 (итал.)

75898. Получение газа, предназначенного для дальнего газоснабжения путем одновременной газификации кокса и топочных нефтепродуктов. Оме (Ferngaszeugung durch gleichzeitige Vergasung von Koks und Öl. Ohme Wolfram), Erdöl und Kohle, 1956, 9, № 1, 17—18 (нем.)

Приводятся результаты по одновременной газификации кокса и топочного мазута в опытном генераторе для получения водяного газа. Теплотворность получаемого газа в зависимости от кол-ва впрыскиваемого мазута и времени газификации составляет 2700—5000 ккал/м<sup>3</sup>.

Б. Э.

75899. Автоматическое оборудование газораспределительной станции сжато коксового газа в Нанси. Клерк (L'équipement automatique de la station de Nancy pour la réception et la distribution du gaz de cokeries. Clerc F.-P.), J. usines gaz., 1954, 78, № 11, 408—414 (франц.)

75900. Двухступенчатая газификация в газогенераторах с швельшахтой. — (Two-stage pre-distillation producer gas plant.), Glass, 1955, 32, № 5, 230—232 (англ.)

Описаны две установки в Англии для газификации битуминозных углей в газогенераторах с швельшахтой. Пресейяный уголь загружается в швельшахту автоматическим действующим грузочным устройством с интервалами 5 мин. Снабженный паро-водяной рубашкой газогенератор имеет два выхода газа: нижний — из верхней части зоны газификации, через который выводится часть горячего (500—500°), не содержащего смолы, генераторного газа, и верхний из верхней части швельшахты, через который при т-ре 100—150° выводится газ, содержащий продукты перегонки. Наличие двух выходов газа позволяет регулировать тепловой режим швельшахты. Для улавливания смолы и масла из газа применены электрофильтры; содержание смолы и пыли в очищ. газе не превышает 0,05 г/м<sup>3</sup>. Термич. КПД процесса (включаяющий теплотворность газа и смолы) составляет 0,9. Приведены схема установки и экономич. показатели процесса газификации.

В. К.

75901. Современные газогенераторы низкалорийного газа. Готье (Les gazogènes modernes a gaz pauvre. Gauthier Pierre), Usine nouvelle, 1955, avril, 45, 47, 49, 51 (франц.)

75902. О реакционной способности кокса по отношению к водяному пару. Герен, Мутах (Sur l'hydro-réactivité des cokes. Guérin H., Moutach M.), C. r. Acad. sci., 1954, 239, № 3, 276—278 (франц.)

Определялась реакционная способность (РС) к водяному пару. Выработана методика сравнения РС. Через навеску кокса при 1000° пропускали смесь водяного

пара и азота. Измерялась потеря веса кокса в г/час в зависимости от удельного расхода разлагающегося водяного пара. Показано, что р-ция  $\text{CO} + \text{H}_2\text{O} \rightleftharpoons \text{CO}_2 + \text{H}_2$  не влияла на точность замеров. В результате опытов показано, что: 1) различные образцы кокса имеют примерно постоянную скорость газификации в интервале 10—60% убыли веса, меняющуюся в зависимости от типа кокса до 30%; 2) резкое повышение РС в начальный период связано с изменением поверхности при газификации, следовательно, начальная РС не может служить сравнительным критерием РС по отношению к водяному пару.

Н. К. 75903. **Обогрев установок для переработки топлив.**

Неф (Wirtschaftliche und konstruktive Erwägungen zur Beheizung von Entgasungsanlagen. Neef R.), Energietechnik, 1954, 4, № 12, 547—549 (нем.).  
Проводится сравнение работы локальных газогенераторов (ЛГ) с центральными (ЦГ). ЛГ обслуживают отопительным газом одну установку или один нагревательный элемент. Генераторный газ без очистки горячим направляется на сжигание. ЦГ могут обслуживать группу установок или нагревательных устройств. ЦГ в большинстве случаев подают на сжигание очищ. холодный газ. Иногда строятся ЦГ, подающие горячий газ без очистки и охлаждения (при работе на крупном коксе). ЦГ с очисткой и охлаждением газа имеют преимущества перед ЛГ. Применение регенеративного подогрева позволяет ввести ЦГ на небольших з-дах. Продолжительность работы реторт и печей, применяющих для обогрева газ ЦГ, возрастает вдвое вследствие сжигания чистого газа. ЦГ с очисткой газа могут работать на низкосортных топливах.

Г. С. 75904. **Расчет состава газообразных продуктов горения. Траустель** (Über die Berechnung der Zusammensetzung von dissoziierten Verbrennungsgasen. Traustel S.), Brennstoff-Wärme-Kraft, 1954, 6, № 5, 163—165 (нем.).

В дополнение к графич. методу расчета состава газообразных продуктов горения топлива, изложенному Сале на IV международном конгрессе в Париже в 1952 г. (группа I, секция 12, доклад 48, Nouvelle methode graphique de calcul de la composition des gaz a haute temperature), дается аналитич. решение на основании ур-ний материальных балансов и констант равновесия отдельных реакций.

Н. К. 75905. **Отбор проб твердого топлива. Бауман** (Zur Frage der Brennstoffprobenahme. Baumann E. d.), Z. Techn. Überwachungs-Vereins, München, 1955, 7, № 12, 440—441 (нем.).

Описаны условия отбора проб угля для анализа при его транспортировке и хранении. Отмечается, что уголь для передачи на анализ должен быть измельчен до кусочков размером 12 мм, отдельно для определения влаги должны быть приготовлены пробы с измельчением до 20 мм.

С. Г. 75906. **Изучение компонентов каменноугольной смолы методом ультрафиолетовой спектрометрии. Кимура, Ясуи** (紫外線吸収スペクトルによる石炭タール成分の研究. その原理及び成績. 木村作治郎, 安井博), コールタール. Кору тару, J. Japan Tar Ind. Assoc., 1953, 5, № 8, 11—15 (япон.).

75907. **Ускоренное определение серы в коксе. Пашенко М., Десятова И.**, Новости нефт. техники. Нефтепереработка, 1954, № 5, 10—14

Навеску кокса сжигают в струе воздуха при 1250° в течение 25 мин., улавливая  $\text{SO}_2$  0,1%-ным р-ром  $\text{Na}_2\text{CO}_3$  и определяют S объемным методом. Улавливание  $\text{SO}_2$  производилось также 3%-ным р-ром  $\text{H}_2\text{O}_2$ ; полученный  $\text{SO}_3$  определялся объемным методом с помощью 0,01 н. р-ра NaOH. Предлагаемые методы требуют меньше времени по сравнению с принятыми по ГОСТ и дают более точные результаты. Приведены методика

анализов, расчетные ф-лы, характеристика необходимых приборов и схема их установки.

Л. Р. 75908. **Новые методы оценки коксующести углей. Эхтерхофф** (Neue Methoden zur Beurteilung der Verkokbarkeit von Kohlen. Echterhoff H.), Erdöl und Kohle, 1955, 8, № 5, 294—298 (нем.).

Предложено исследовать коксующесть углей, регистрируя динамику выделения летучих, а также снимая кривые размягчения углей. Прибор для регистрации выделения летучих состоит из электропечи и точных масляных весов, которые связаны с записывающим устройством. Результаты выражаются в координатах: потеря веса — т-ра. На основе этих данных строят кривые скорости выделения летучих. Прибор для определения размягчения сконструирован на основе пластометра Брабендера. В цилиндр, нагретый до 300° в атмосфере аргона, насыпается 10 г исследуемой шихты. Скорость повышения т-ры равна 3 град/мин. Динамометр, связанный с пенетрометром, в это время устанавливается на нулевое деление. В момент размягчения угля сопротивление пенетрометру резко возрастает и достигает максимума. Затем кривая резко падает. Этот минимум есть характеристика размягчения пробы. При дальнейшем нагреве сопротивление вновь увеличивается ввиду затвердевания вязкой массы, и затем пенетрометр разрушает затвердевший полукокс, при этом кривая круто падает до нуля. В работе приведены кривые выделения летучих и размягчаемости углей для ряда немецких, американских, югославских и испанских углей, с выходом летучих 15—30%.

Г. С.

75909 К. **Теория и практика флотации углей. Емельянов** (Theorie a praxe flotace uhli. Jemeljanov D. S., Z. ruš. SNTL, 1955, 210, [1], s., il., 18,30 Kčs.) (чеш.).

75910 К. **Некоторые вопросы теории флотации углей. Емельянов Д. С.**, Углетехиздат, М., 1953, 1 р. 40 к.

75911 Д. **Исследование состояния угля при нагревании в токе кислорода. Шрёдер** (Untersuchungen über das Verhalten von Kohlen beim Erhitzen im Sauerstoffstrom. Schröder Hildegard. Diss. Aachen Techn. H., 1953), Dtsch. Nationalbibliogr., 1954, № 17, 1430 (нем.).

75912 Д. **Разработка метода глубокой деминерализации каменных углей. Демидов Л. Г.** Автореф. дисс. канд. техн. н. Ин-т горючих ископаемых АН СССР, М., 1956

75913 П. **Метод и аппаратура для извлечения побочных продуктов при работе коксовой печи. Рейнольдс** (Method and apparatus for coke oven by-product recovery. Reynolds Thomas G.) [United Engineers and Constructor Inc.] Пат. США 2697067, 14.12.54

Процесс извлечения из горячих газов коксовой печи побочных продуктов, состоящих из неочищ. смолы, содержащей от 2 до 15% воды и аммиак, заключается в удалении этих продуктов из газов и их очистки. Для этого неочищ. смолу нагревают до т-ры в пределе 91—230° с одновременным повышением давления в пределе от 1,75 до 14 кг/см<sup>2</sup>, после чего ее загружают в разделительный котел, давление в котором поддерживается в том же пределе; при этом в котле происходит образование трехфазной системы, содержащей слой жидкой смолы, жидкий водно-аммиачный слой и паровую фазу; разгрузка материала производится отдельно для каждой фазы.

В. Ш.

75914 П. **Способ получения пекового кокса с низким содержанием цинка. Джонс** (Process for producing pitch cokes with low zinc content. Jones W. D.), [Kohlenwertstoff A.-G.] Англ. пат. 708653, 5.05.54

Пековый или аналогичный ему кокс с низким содержанием Zn получается при коксовании пека или других остаточных продуктов, получаемых в процессе перегонки смол или нефтяных остатков, в присутствии до 0,5% Cl или до 2% его соединений, реагирующих с Zn, содержащимся в углеводородной смеси с образованием летучих продуктов р-ции. В качестве хлористых соединений могут быть использованы:  $AlCl_3$ ,  $FeCl_3$ ,  $NH_4Cl$ , хлорнафталин, высокохлорированный нафталин, гексилхлорид, солянокислый анилин, *n*-бензилхлорид и HCl в смеси с  $MnO_2$ . Эти соединения могут быть добавлены в чистом виде или в р-ре соответствующего р-рителя. Добавление желательно производить во время перегонки, но после удаления более летучих компонентов из углеводородной смеси. В случае применения Cl, последний вводится в смесь до ее перегонки. Коксование продолжается в течение 36—48 час. и заканчивается при 1200—1270°. Один из образцов кокса содержал только 0,016% Zn. Б. Т.

**75915 П. Газификация битуминозных материалов.** Руммель (Carbonization and gasification of bituminous material. Rummel Roman). Пат. США 2709153, 24.05.55

Процесс карбонизации и газификации битуминозных материалов (БМ) с помощью газообразных теплоносителей состоит в том, что БМ пропускают сверху вниз через зону обработки, в верхнюю и нижнюю части которой подают по крайней мере два отдельных потока промывных газов, вступающих в тесный контакт с БМ. Верхний поток газа имеет низкую влажность и обладает теплом, достаточным для нагрева поверхности БМ до т-ры выше точки росы нижнего потока газа после контакта с БМ. Промывные газы и летучие продукты перегонки и сушки выводят из верхней части зоны обработки. И. Ш.

**75916 П. Переработка шлама углеродистого материала.** Кларк (Conversion of a carbonaceous material-water slurry. Clarke Alexander B.) [The Standard Oil Co.]. Пат. США 712495, 5.07.55

Процесс переработки суспензии углеродистого материала (УМ) в воде с целью получения пара и водяного газа с помощью р-ции образования водяного газа заключается в разделении суспензии на две части и нагревании одной части суспензии в газогенераторе под давлением, причем теплопередача осуществляется от горячего теплоносителя, находящегося в псевдооживленном состоянии. При этом вода превращается в пар при т-ре р-ции водяного газа, а затем УМ и пар превращаются в водяной газ. Раздельно из газогенератора удаляют образовавшийся водяной газ и охлажденный теплоноситель. Последний пропускают с воздухом через нагреватель. Вторую часть суспензии в присутствии нагретого теплоносителя пропускают через пароотделитель, где УМ сушится, а образовавшиеся пары воды и УМ раздельно выводятся из пароотделителя. Часть теплоносителя и сухой УМ вместе с воздухом поддают в нагреватель, где УМ сгорает в присутствии воздуха и нагревает теплоноситель, который снова возвращается в процесс (в газогенератор и пароотделитель). И. Ш.

**75917 П. Получение синтез-газа из углеродсодержащих веществ.** Пири, Мак-Кейн, Мозес (Preparation of synthesis gases from carbonaceous solids. Peery Luther C., McKane Robert H., Moses Douglas V.). Пат. США 2698227, 28.12.54

Процесс получения синтез-газа, содержащего CO и  $H_2$ , за счет неполного сгорания угля под действием практически чистого  $O_2$  складывается из следующих стадий: получение однородной суспензии пылевидного угля в водяном паре; полное смешение этой суспензии с  $O_2$  более 90% чистоты в кол-ве, достаточном для превращения угля в CO и  $H_2$ , но меньшем, чем нужно для превращения угля в  $CO_2$  и  $H_2O$ ; поддержание суспензии угля и

водяного пара и суспензии угля, пара и  $O_2$  при т-ре выше точки росы их водяных паров и ниже т-ры, при которой уголь находится в пластич. состоянии; подача угле-паро-кислородной суспензии в реакционную зону, где происходит неполное сгорание в присутствии водяного пара с получением синтез-газа. Л. Г.

**75918 П. Брикеты из топлива и минерала** (Procédé pour l'agglomération d'un combustible et d'une matière à chauffer, et agglomérés ainsi produits) [Particomm Soc. An.]. Франц. пат. 1053164, 30.09.53 [Chem. Zbl., 1954, 125, № 47, 10855 (нем.)]

Мелкоразмельченные материалы с 3—12% отходов сульфитцеллюлозы в тестообразном состоянии формуруются в теплоем состоянии или на холоду в мелкие брикеты и сушатся при 80—250°. Кол-во топлива должно быть достаточным, чтобы расплавить металл руды. Н. К.

**См. также:** Свойства углей 74283, 74284. Горение тверд. горюч. ископаемых 74433. Переработка каменноугольных газов 76896. Газификация (газовая коррозия) 76905. Электроочистка газов 76991. Газификация (контр. измер. приборы) 77062

## ПЕРЕРАБОТКА ПРИРОДНЫХ ГАЗОВ И НЕФТИ. МОТОРНОЕ ТОПЛИВО. СМАЗКИ

**75919. Перспективы нефтеперерабатывающей промышленности.** Попов С. Н. (石油化学加工の途徑. 波夫 С. Н.), 科學通報, Каскюэ тунбао, 1954, № 11, 5—10 (кит.)

Доклад, прочитанный в Н.-и. ин-те жидкого топлива Китайской Академии наук. М. С.

**75920. Успехи в технологии переработки нефти.** Янг (Progress in petroleum refining. Young C. R.), J. and Trans. Soc. Engrs, 1954, 45, № 1, 27—48 (англ.)

Доклад и дискуссия по вопросам технологии переработки нефти. Б. М.

**75921. Новый нефтеперерабатывающий завод в Ричфилде.** Келли (Richfield's new \$ 40 million refinery — a lesson in petroleum conservation. Kelley C. E.), Petrol. World and Oil, 1954, 51, № 39, 19 (англ.)

**75922. Применение низкотемпературных процессов, в том числе при нефтепереработке.** Голуин (Applying low temperature processing. Goalwin Daniel S.), Petrol. Refiner, 1954, 33, № 12, 168—172 (англ.)

**75923. Влияние расширения производства химических продуктов из нефтяного сырья на выпуск продукции нефтеперерабатывающими заводами.** Хьюз (Petrochemical expansion — it will not revolutionize oil and gas market outlook. Hughes T. G.), Oil and Gas J., 1954, 53, № 28, 183—185 (англ.)

**75924. Оптимальная температура подогрева нефтепродуктов при сливе их из железнодорожных цистерн.** Лиц Е. А., Черникин В. И., Тр. Всес. н.-и. ин-та по переработке нефти и газа и получению искусств. жидк. топлива, 1956, № 5, 117—121

Приводится методика расчета для определения мощности подогревателей и оптимальной т-ры подогрева нефтепродуктов, обеспечивающей своевременный слив их из железнодорожных цистерн для наиболее характерного случая, когда истечение происходит при ламином режиме. Дается пример расчета. Б. Э.

**75925. Потери от испарения — анализ экономической эффективности оборудования для улавливания паров углеводородов.** Прейтер, Хафф (Evaporation losses... and an economic analysis of equipment for recovering vaporized hydrocarbons, by two Gulf Coast engineers. Prater N. H., Huff R. M., Jr.), Oil and Gas J., 1953, 52, № 7, 178—180, 183 (англ.)

Приведены основные ф-лы расчета потерь от дыханий для резервуаров с неподвижными крышами. Эксперим. определение фактических потерь производилось для резервуаров с сырыми нефтями, автомобильными и авиационными бензинами. Определялось кол-во поглощенного солнечного тепла для резервуаров с различной наружной окраской. Дан экономич. анализ эффективности мероприятий по борьбе с потерями.

**И. Р. 75926. Новый метод снижения потерь от испарения. Эластичный плавающий экран на 90% уменьшает потери в резервуарах для хранения бензина. Шампанья** (Conceptions et réalisations nouvelles pour la réduction des pertes par évaporation. L'écran plastique flottant. Pour réduire de 90% les pertes par évaporation dans les réservoirs de stockage d'essence. Chaptagnat M.), Ind. pétrole, 1955, 24, août, 29—30; Techn. et applic. pétrole, 1955, 10, № 118, 4150—4152 (франц.)

**75927. Меры, предупреждающие образование твердых осадков и шлама в аппаратуре. Кейс, Риггин** (Early preventive action helps to rid production equipment of costly scale and sludge. Case L. C., Riggins D. M.), Oil and Gas. J., 1953, 52, № 15, 98—102, 145 (англ.)

Описаны причины образования осадков в аппаратуре нефтеперерабатывающих з-дов, отложения солей из буровых вод и коррозии аппаратуры. В первом случае осадки состоят преимущественно из  $\text{CaCO}_3$  (и др. карбонатов) или сульфатов  $\text{Ca}$ ,  $\text{Ba}$ ,  $\text{Sr}$ , во втором — из  $\text{FeS}$ , свободной серы или же окислов  $\text{Fe}$ . Указаны причины образования карбонатов, сульфатов и меры для предупреждения их выпадения.  $\text{FeS}$  образуется при наличии  $\text{H}_2\text{S}$ , а окислы железа в присутствии  $\text{CO}_2$  и  $\text{O}_2$ . В том случае, если  $\text{H}_2\text{S}$  образуется в результате жизнедеятельности анаэробных бактерий, применяют бактерициды, в других же случаях — ингибиторы. Для предупреждения образования окислов железа следует не допускать контакта содержимого аппаратуры с воздухом, применять ингибиторы окисления и пр. Методами скоростного определения типов осадков являются проба на растворимость, окраска пламени и исследование под микроскопом. Описаны методы колич. определения общей  $\text{S}$ , общего  $\text{Fe}$ ,  $\text{Ca}$ ,  $\text{Mg}$ ,  $\text{Ba}$ ,  $\text{Sr}$  и др. и показаны способы установления состава осадков.

**Н. К. 75928. Спектры флуоресценции нефтяных фракций и смолистых веществ. Кац М. Л., Сидоров Н. К., Научн. ежегодник за 1954 г. Саратовск. ин-т, Саратов, 1955, 591—594**

Исследовались спектры флуоресценции узких нефтяных фракций с т-рой кипения в пределах 300—500° и смолистых в-в (СВ), выделенных из нефтяных фракций адсорбционным методом. Люминесценция нефтяных фракций обуславливается наличием в них СВ, при этом низкомолекулярные СВ имеют интенсивное свечение в коротковолновой области спектра, а более высокомолекулярные — в длинноволновой области.

**Б. Э. 75929. Температурная зависимость поверхностного натяжения нефтепродуктов. Ахвердиев Б. А., Азерб. довлэт. пед. инст. эсэрлэри, Тр. Азерб. гос. пед. ин-та, 1955, 2, 75—80**

Изучалась температурная зависимость в пределах 10—100° коэф. поверхностного натяжения ( $\sigma$ ) и полной поверхностной энергии ( $E$ ) отдельных фракций нефтей Азизбековского и Ленинского районов. Изменение  $\sigma$  с т-рой имеет линейный характер, а значение  $E$  в указанном температурном интервале практически постоянно.

**Б. Э. 75930. Влияние микроорганизмов на химическую природу нефтей. Аппер, Луи** (Note sur l'attaque des pétroles par les microorganismes. Appert J., Louis M.), Rev. Inst. franc. pétrole, 1955, 10, № 5, 345—348 (франц.; рез. англ.)

**75931. Депарафинизация нефтяных продуктов. Кулчар, Липовшак** (Deparaffinacija naftnih derivata. Kulčar Juraj, Lipovšćak Radovan), Nafta (Jugosl.), 1956, 7, № 3, 67—78 (хорв.; рез. англ.)

Рассмотрены основные принципы депарафинизации нефтяных продуктов, сделан краткий историч. обзор развития процесса. Даны описания наиболее важных методов депарафинизации, с приложением соответствующих схем.

**З. В. 75932. Значение сжиженных нефтяных газов как тракторного топлива. Ламурья** (The place of LP gas as a tractor fuel. Lomouria Lloyd H.), Agric. Engng, 1953, 34, № 12, 825—826 (англ.)

**75933. Установка каталитического крекинга в Ричфилде — наиболее крупная в западных штатах. Бейлор, Хофберг** (Richfield's catalytic cracking unit is largest of its kind in west. Baylor E. W., Hoffberg R. V.), Petrol. World and Oil, 1954, 51, № 39, 32, 34—36, 40 (англ.)

См. также РЖХим, 1956, 75921.

**75934. Термический крекинг, фракционировка и очистка продуктов крекинга. Мур, Ро** (Thermal cracking fractionation and treating. Moore P. B., Roe J. H.), Petrol. World and Oil, 1954, 51, № 39, 41—43 (англ.)

См. также РЖХим, 1956, 75921

**75935. Факторы, влияющие на выбор типа каталитического реформинг-процесса. Стл, Бак, Хертуиг, Рассум** (Factors in selecting a catalytic reforming process. Steel R. A., Bock J. A., Hertwig W. R., Russum L. W.), Petrol. Engr., 1955, 27, № 2, C25—C26, C29—C30, C32 (англ.)

**75936. Использование водорода и углерода в процессе деструктивной гидрогенизации топлив. Каржев В. И., Шаволина Н. В., Химия и технол. топлива, 1956, № 2, 30—34.**

Приводятся результаты анализа опытных и промышленных данных различных процессов деструктивной гидрогенизации по эффективности использования  $\text{H}_2$ ; с повышением т-ры процесса в результате увеличивающегося газообразования, эффективность использования  $\text{H}_2$  сильно снижается. Использование  $\text{H}_2$  по существующим в промышленности схемам гидрогенизационной переработки топлив мало эффективно и прежде всего в жидкофазной ступени, где применяются малоактивные катализаторы. Применение активных стационарных катализаторов в жидкой фазе позволяет резко повысить эффективность использования  $\text{H}_2$ .

**Б. Э. 75937. Осветительный керосин из туймазинской девонской нефти. Леонова Л. И., Ивиченко Е. Г., Новости нефт. техн. Нефтепереработка, 1956, № 1, 15—16**

Отдельные керосиновые фракции, выделенные из туймазинской девонской нефти, подвергавшиеся обработке 98%-ной  $\text{H}_2\text{SO}_4$  при 24, 55 и —12° по схеме противотока в три ступени с расходом к-ты 3,3—10 об. % с целью снижения в них содержания  $\text{S}$ -соединений и увеличения высоты языка некоптящего пламени. Показано, что очистка при т-ре 24°, которая найдена оптимальной, позволяет получать осветительный керосин из туймазинской девонской нефти. Приводятся данные по содержанию различных классов  $\text{S}$ -соединений в отдельных фракциях керосина.

**Б. Э. 75938. Современные способы сульфирования нефтепродуктов. Вейль** (Aspects modernes de la sulfonation des dérivés du pétrole. Weil Pierre), Ind. pétrole, 1954, 22, № 276, 87—88 (франц.)

Краткое описание проз-ва детергентов сульфированием алкилированных нефтяных богатых парафиновыми углеводородами ( $\text{C}_{10}$ — $\text{C}_{15}$ ) фракций и полимеров пропилена.

**Г. М. 75939. Новые способы выделения ароматических углеводородов. Шервуд** (Nuovi metodi per la separa-

zione degli idrocarburi aromatici, Sherwood P. W.), Riv. ital. petrol., 1955, 23, № 268, 43—48 (итал.)

**75940. Приборы для точного фракционирования бензола и толуола.** Бергман (Instrumentation for precise fractionation, Bergman D. J.), Oil and Gas. J., 1954, 52, № 49, 127, 128, 130 (англ.)

Разделение сырого бензола ректификацией на чистый бензол, толуол, ксилол возможно при автоматич. контроле процесса. Основными точками контроля т-р являются: питание, рефлюкс, испаритель, дистиллат, остаток. Кроме того, необходим замер давления в верхней и нижней частях колонны. Чистота нефтяного нитрационного бензола требует содержания  $< 0,1\%$  толуола, что отвечает отклонению от т-ры кипения на  $0,063^\circ$  при постоянном давлении, или от давления насыщения на  $0,6$  мм рт. ст. при постоянной т-ре. Для приборов контроля необходим больший интервал т-ры или давления, который может иметь место на промежуточных тарелках. Для колонны из 47 тарелок даются схемы регулировки: по давлению на 12 тарелке сверху и по разности т-р между 7 и 12 тарелками с датчиками на регулировку расхода флегмы. Приводится график распределения т-р по высоте колонны при различных режимах ее работы и схемы регулировки агрегата. Н. К.

**75941. Исследование битумов и битуминозных материалов.** Ле Мер (A study of asphalts and asphaltic materials, LeMaire George W.), Quart. Colorado School Mines, 1953, 48, № 2, 1—89 (англ.)

Фундаментальный обзор современного состояния исследований работ в области хим. состава битумов и основных их компонентов, природы кислородных, сернистых и азотистых соединений, физ. и колл. строения, методов произ-ва и испытаний битумов из нефтей различного происхождения. Библ. 69 назв. И. А.

**75942. Переработка и применение битуминозных материалов** по данным немецкой патентной литературы за 1951—1952 гг. Гофман (Die bituminösen Stoffe, ihre Verarbeitung und Verwendung im Spiegel der neueren deutschen Patentliteratur. Hoffmann H.), Stoffe, 1953, 4, № 2, 34—39 (нем.)

**75943. Кислые битумные эмульсии.** Белланже (Les émulsions activées à pH acide, Bellanger J.), Rev. gén. routes et aérodr., 1953, 23, № 263, 39—50, 53—57 (франц.)

Наряду с анионными, щел. битумными эмульсиями, стабилизированными мылами типа олеатов или резинатов щел. металлов, в технике дорожного строительства находят применение катионные, кислые эмульсии, получаемые путем эмульгирования нагретого битума в воде, содержащей соли 4-замещ. аммониевых оснований. Недостатками щел. эмульсий являются: зависимость стабильности от содержания в битуме нафтеновых к-т, необходимость определенного времени для прочного сцепления битума с поверхностью кремнекислых материалов и невозможность образования с ней влагоустойчивого хим. соединения. Кислые катионные эмульсии почти мгновенно коагулируют на поверхности кремнекислых материалов, образуя прочные, нерастворимые хим. соединения. Прочное сцепление с известковыми материалами может быть также обеспечено путем выбора радикалов, соединенных с атомом азота, в которых ионы Са вступают в р-цию, давая нерастворимые соединения. И. В.

**75944. Конденсация продуктов окисления при производстве битумов.** Наумов Н. Н., Новости нефт. техн. Нефтепереработка, 1956, № 1, 18—19

Приводится описание реконструированного конденсатора смешения, предназначенного для конденсации продуктов окисления, образующихся при произ-ве битумов методом окисления. Аппарат обеспечивает полную конденсацию и улавливание продуктов окисления. Б. Э.

**75945. Свойства смесей смолы и битумов для дорожного строительства.** Франк, Беренер (Über die Eigenschaften von Straßenteeren mit Bitumenzusatz. Franck Heinz-Gerhard, Wegener Otto), Bitum., Teere, Asph., Pechе und verw. Stoffe, 1953, 4, № 5, 120—124 (нем.)

Смолы, применяемые для строительства дорог, при добавлении в них битума затвердевают на  $30\%$  скорее по сравнению со смолами, не содержащими битума. Повышение вязкости в процессе затвердевания может быть вычислено на основании потерь при испарении как  $\lg v_1 = g/5,3 + \lg v$ , где  $v$  — вязкость исходной смолы или смеси,  $v_1$  — вязкость затвердевшей смолы или смеси,  $g$  — потери при испарении. Эта ф-ла применима, с приближением, и для определения вязкости смол, не содержащих битума. Скорость процесса затвердевания смеси смол с битумом — есть функция вязкости и т. размягч. остатка от перегонки. При заданных показателях вязкости и скорости затвердевания можно определить весовое соотношение смолы и битума в смеси. И. Н.

**75946. Гидраты смесей сероводорода и метана.** Нокер, Кац (Gas hydrates of hydrogen sulfide methane mixtures. Noaker Leslie J., Katz Donald L.), J. Petrol. Technol., 1954, 6, № 9, 135—137 (англ.)

Приведены эксперим. данные по условиям образования гидратов смесей  $H_2S$  и  $CH_4$  в присутствии воды в интервале т-р  $0$ — $32^\circ$  и давл. до  $70$  ата. Показано, что присутствие  $H_2S$  облегчает условия образования гидратов метана; так, если метан образует с водой гидрат напр. при  $0^\circ$  и  $31$  ата, то в присутствии  $4\%$   $H_2S$  гидратообразование наступает при  $+8^\circ$  и  $31$  ата или при  $0^\circ$  и  $17$  ата. Образование гидратов чистого  $H_2S$  при  $7$  ата наступает уже при  $+18^\circ$ . Для  $H_2S$  даны константы равновесия пар — твердый гидрат, выраженные как отношения молярных долей  $H_2S$  в паровой и твердой фазах; эти константы даны для т-р  $0$ — $32^\circ$  и давл. до  $140$  ата. Н. К.

**75947. Газолиновый завод в Тайогре (США).** Тейлор (Absorption and distillation process Tioga plant. Taylor I. B.), Calif. Oil World, 1955, 48, № 17, 1—2, 5—6, 8 (англ.)

Приводится краткое описание технологич. схемы абсорбционного газолинового з-да. Вследствие резкого континентального климата и нехватки воды, исходный газ, после очистки от  $H_2S$  и  $CO_2$ , подвергается глубокой осушке. Применено в основном воздушное охлаждение аппаратуры; водяное охлаждение применяется лишь в жаркое время года. П. Б.

**75948. Каталитический процесс производства городского газа в Стаффорде.** Хобсон (Catalytic production of town gas at Stafford. Hobson R. B.), Gas J., 1956, 285, № 4832, 101—102 (англ.)

**75949. Получение городского газа из богатых метаном и сжиженных газов.** Лоренцен (Stadtgas aus hochmethanhaltigen Gasen und Flüssiggasen. Lorenzen Gerhard), Gas. und Wasserfach, 1955, 96, № 23, 767—770 (нем.; рез. англ., франц.)

Описывается получение городского газа путем расщепления газов, богатых  $CH_4$ , или сжиженных газов. Дается описание газового з-да в Вене, работающего на природном газе, и з-да в Косфельде, работающего на сжиженном газе. Б. Э.

**75950. Экспериментальное исследование разложения углеводородов в присутствии водяных паров или углекислого газа.** Гийомар (Etude expérimentale de l'évolution du craquage des hydrocarbures en présence de vapeur d'eau ou de gaz carbonique. Guyomard F.), J. usines gaz, 1954, 78, № 6, 210—217 (франц.)

Разложение углеводородов в присутствии паров воды или углекислого газа изучалось в установке, представляющей горизонтальную трубку, обогреваемую горячими газами. Внутри трубки проходит реагирующая смесь.

Для исследования кинетики р-ции в трубке имеются пять шпунцов для отбора проб продуктов р-ции. Приведены результаты опытов по разложению газойля ( $C_n H_m$ ) и пропана. Пропан реагирует с водой по р-ции  $C_3H_8 + nH_2O$ , где  $n = 1,4$  (при  $950^\circ$ ),  $n = 2,5$  (при  $950^\circ$ ) и  $n = 4$  (при  $850^\circ$ ). В зависимости от  $n$  время полного распада различно и равно соответственно: 1,4—0,2 сек., 2,5—0,4 сек., 4—0,5 сек. Для газойля в этой смеси время распада соответственно: 0,3 сек., 0,6 сек., более 1 сек. Продукты разложения состоят из  $H_2$ ,  $CO$ ,  $CH_4$  и для них даны кинетич. кривые. Исследовалось разложение пропана в смеси с  $CO_2$  по р-ции  $C_3H_8 + mCO_2$ , где  $m = 3(1100^\circ)$  и  $m = 2(1000^\circ)$  в присутствии газойля. Полный распад  $C_3H_8$ : при  $m = 2$  через 0,41 сек., при  $m = 3$  через 0,35 сек. Равновесное разложение  $C_n H_m$  для этих случаев — 0,3 и 0,5 сек. Для газойля  $C_7H_{14} + 5,5 H_2O$  получено время достижения равновесия 1,5 сек. при  $900^\circ$ . Анализ состава продуктов в зоне до равновесной конверсии углеводородов приводит к заключению о возможности регулирования состава газа по уд. весу, теплотворности и пр. Н. К.

**75951. Производство городского газа и побочных продуктов путем термического крекинга тяжелого нефтяного сырья. Катлер** (Town gas and by-products from thermal cracking of heavy oils. Cutler W. J.), Gas World, 1956, 143, № 3733, 522—524, Discuss. 524—525, 535 (англ.)

Рассмотрен метод реформинга высококалорийного газа термич. крекинга тяжелого нефтяного сырья для получения стандартного городского газа. Проведено технико-экономич. сравнение термич. и каталитич. крекинга нефтепродуктов с учетом получающихся хим. продуктов: смолы, бензола, толуола, ксилола и этилена. Показано, что газ каталитич. крекинга может оказаться дешевле газа термич. крекинга, но последний практически свободен от серы (органич. сера при реформинге конвертируется в  $H_2S$ ) и дает более ценные хим. продукты. П. Б.

**75952. Порядок расчетов при низкотемпературной аналитической дистилляции. Престон** (LTFD calculation procedures. Preston S. T., J. Petrol. Refiner, 1953, 32, № 8, 109—114 (англ.))

Если два или большее число компонентов собираются в один ресивер объема  $V_R$ , то точное определение нормального объема газа  $V_N$  (при  $t$ -ре  $T_N$ ,  $^\circ K$  и давлении  $P_N$  мм рт. ст.), повышающего в нем давление от  $P_1$  до  $P_2$  при  $t$ -ре  $T_R$ , следует производить по ф-ле  $V_N = V_R \times \frac{(P_2/Z_2 - P_1/Z_1) T_N / P_N \cdot T_R}{\dots}$ , где  $Z_1$  и  $Z_2$  — коэфф. сжимаемости (КС) газа, ранее находившегося в ресивере и сформировавшегося после добавления данного компонента; для смеси газов, содержащих  $n_A, n_B, \dots$  молекулярн. долей компонентов с КС, равными  $Z_A, Z_B, \dots$  КС смеси равен  $Z_m = Z_A n_A + Z_B n_B + \dots$  Приведены диаграмма значений  $Z$  девяти предельных углеводородов от метана до  $n$ -гептана при  $t$ -ре  $37,8^\circ$  в области давления от 0 до 800 мм рт. ст., а также таблица плотностей жидких углеводородов и коэфф. для пересчета объема пара в объем жидкости. Все расчеты по вычислению точного состава смеси в процессе аналитич. дистилляции иллюстрируются численными примерами. А. Р.

**75953. Определение содержания нормальных углеводородов в парафине и церезине посредством мочевины. II. Хеслер, Мейнхардт** (Über eine Methode zur Bestimmung der unverzweigten Kohlenwasserstoffe in Handelsparaffinen und -ceresinen mit Hilfe der Harnstoff-Einschlussverbindungen II. Hessler W., Meinhardt G.), Fette und Seifen, 1953, 55, № 12, 855—859 (нем.)

Описано использование ранее предложенного метода (РЖХим, 1955, 27335) для колич. разделения углеводо-

родов с прямой и разветвленной цепью, основанного на свойстве первых вступать в р-цию со спирт. р-ром мочевины. Р-р 10 г парафина или церезина в 700 мл  $CCl_4$  смешивают с равным кол-вом 10%-ного спирт. р-ра мочевины и размешивают до начала кристаллизации. Оставляют на 2 часа, отсасывают и в фильтрат добавляют 70 г мочевины. Растворяют при нагревании на водяной бане, перемешивают и спустя 2 часа снова отсасывают; осаждение проводят 3-й раз. Все три осадка соединяют и разлагают кипячением с водой. Полученную органич. массу снова растворяют в 700 мл  $CCl_4$ , прибавляют 700 мл 10%-ного спирт. р-ра мочевины и отфильтровывают. Фильтрат обрабатывают трижды, как описано выше, и полученные кристаллы разлагают кипячением с водой. Трижды переосажденный парафин, многократно переплавленный над водой, промывают и сушат в сушильном шкафу. Из очищ. фильтрата отгоняют р-ритель на водяной бане и после многократной промывки водой получают фракцию углеводородов с разветвленной цепью. Фракция углеводородов с прямой цепью выделяется с точностью до 1%, для разветвленных — ошибка несколько выше. Приведены данные о процентном содержании углеводородов с прямой и разветвленной цепью в различных парафинах, церезинах и озокерите. Полученные данные подтверждены ИК-спектрами поглощения. А. Б.

**75954. Способ определения содержания парафина и силикагелевых смол в нефти. Славин Э. Я.**, Новости нефт. техн. Нефтепромысл. дело, 1956, № 1, 27

Приводится описание методики определения силикагелевых смол, извлекаемых силикагелем из р-ра нефти в бензине, не содержащем ароматич. соединений и выкипающего до  $105^\circ$ , а также парафина. После удаления силикагелевых смол и отгонки бензина оставшееся масло растворяется в 15-кратном кол-ве дихлорэтана с последующим охлаждением р-ра и фильтрацией выделившегося парафина. Б. Э.

**75955. Механические свойства битумов. Саал** (Die mechanischen Eigenschaften von Bitumen. Saal R. N. J.), Erdöl und Kohle, 1954, 7, № 2, 70—72 (нем.)

Определена устойчивость битумов к деформациям, характеризуемая «жесткостью». Последняя характеризуется модулем эластичности и является функцией времени. Высшее значение жесткости практически не зависит от природы битума и составляет  $3 \cdot 10^4 \text{ кг/см}^2$ . Пене-трация битума и  $t$ -ра размягчения по кольцу и шару находятся в соответствии с соотношением между «жесткостью», временем и  $t$ -рой. А. К.

**75956. Правила обращения, транспортировка и хранение жидких ракетных топлив. Терлицци, Стрейм** (Liquid propellant handling transfer and storage. Terlizzi Paul M., Streim Howard), Industr. and Engng. Chem., 1955, 48, № 4, 774—777 (англ.)

Приводится обзор основных свойств компонентов жидких ракетных топлив: дымящей азотной к-ты, трифтористого хлора, окиси этилена, нитрометана, гидразина, перекиси водорода, а также правил обращения, транспортировки, размещения, очистки, защиты персонала и способов тушения при воспламенении. А. С.

**75957. Бензины для зимней эксплуатации и явление образования льда в карбюраторе. Бонези, Аннараторе** (Le benzine invernali in relazione al fenomeno della formazione di ghiaccio nel carburatore. Bonesi A., Annaratone S.), Termotecnica, 1954, 8, № 11, 651—656 (итал.)

**75958. Зависимость вязкости дизельного топлива от давления. Лышевский А. С.**, Науч. тр. Новочеркас. политехн. ин-т, 1955, 30, 225—228

На основании литературных данных, по изменению вязкости различных дизельных топлив и масел с повышением давления выводится аналитич. зависимость вязкости топлива от давления. Б. Э.

75959. Индивидуальные углеводороды бензиновой фракции западнонебитагской нефти (акчагыльского яруса). Топчиев А. В., Мусаев И. А., Кислинский А. Н., Гальперин Г. Д., Химия и технол. топлива, 1956, № 2, 9—13

Исследован углеводородный состав бензина, отобранного до 175° из западнонебитагской нефти (акчагыльского яруса), и сопоставлен с ранее изученным углеводородным составом бензина той же нефти из красной цветной толщи. Б. Э.

75960. Исследование сгорания в ракетных камерах. Трент (Investigation of combustion in rocket thrust chambers. Trent C. H.), Industr. and Engng Chem., 1956, 48, № 4, 749—758 (англ.)

Кинетическая характеристика процесса сгорания в ракетной камере определяется: процентом выгорания ракетного топлива (РТ) — смеси углеводорода с дымящей азотной к-той; скоростью превращения РТ; объемом камеры, необходимым для сгорания на единицу весовой скорости подачи РТ  $— V_c / w$ . Для определения этих величин по длине и сечению ракетной камеры с тягой  $\sim 450$  кг измерялись: состав, средний мол. вес и отношение теплоемкостей механич. отбираемых проб газа; его т-ра пневматич. методом, используя калиброванные отверстия в отборочной трубке; скорости газового потока трубкой Пито. Применение этих методов возможно только на стационарном режиме и при полном отсутствии в пробах капле РТ или твердых частиц. Т-ры и скорости непрерывно повышаются по мере приближения к соплу и неравномерно распределены по сечению камеры, что указывает на слоистую структуру пламени в продольном направлении. У стенок т-ра и скорость резко снижены по сравнению с их значениями по оси — на 340° и на 30 м/сек. Анализ проб газа с помощью масс-спектрометра показывает: с удалением от форсунки резкое снижение конц-ии NO и O<sub>2</sub> и рост конц-ии N<sub>2</sub>-продукта р-ции NO. Отношение NO/N<sub>2</sub> служит мерой развития процесса сгорания и связано с т-рой у-нием  $NO/N_2 = \exp(-95,574) T^{0,952} / \exp[1,996(\ln T)^2]$ . На определенном расстоянии от форсунки 9,5—11,8 см (3,72—4,72 дм) наблюдается максим. градиент т-ры значения NO/N<sub>2</sub> и скорости сгорания. Эта зона определяется, как фронт пламени. Миним. измеренное значение NO/N<sub>2</sub> = 0,096 соответствует т-ре 335°, близкой к т-ре воспламенения углеводорода с азотной к-той. По изменению конц-ии несгоревшего РТ —  $W_u$  по длине камеры и соответствующему изменению т-ры и давления определены порядок р-ции и энергия активации для кинетич. у-ния:  $-dW_u/dt = k_{w/n}(W'_n)^{1/3}$ , где  $k_{w/n} = 1,4 \times 10^{10} \exp(-24433/RT)$  (дьюм<sup>3</sup>/м<sup>2</sup> сек<sup>-1</sup>). Расчет  $V_c/w$  для различных степеней выгорания РТ показывает, что для выгорания 80% РТ требуется очень малая часть объема камеры и весь остальной объем для догорания 20% РТ. Испытаниями различных типов форсунок показано сильное влияние их конструкции на  $V_c/w$  и отсутствие влияния на протекание р-ции на достаточном удалении от них. Предполагается, что в части камеры от форсунки до фронта пламени идет гетерогенное сгорание с превращением  $\sim 50\%$  РТ. А. С.

75961. Горение в газовой турбине мощностью 22,5 мвт, устанавливаемой в Италии. Де-Анджелис (La combustione in un turbo a gas da 22,5 MW di prossima installazione in Italia. De Angelis Raffaele), Calore, 1954, 25, № 10, 447—452 (итал.)

75962. Синтез и исследование присадок, понижающих температуру застывания смазочных масел. Фейш, Гардош, Калло (Dermedés pont csökkentő adalékanyag szintézise és vizsgálata. Fejes Pál, Gárdos György, Kalló Dénes), Magyar. kémik. lapja, 1953, 8, № 12, 346—351 (венг.)

Подробное описание синтеза присадок, типа «парафлу», для понижения т-ры застывания смазочных масел. Приводятся схема опытной установки по хлорированию парафина, оптимальные условия проведения р-ции и методы очистки конечного продукта. Г. В.

75963. Присадки к смазочным маслам. Кнейле (Warum Schmierölzusätze? Kneule F.), Umschau, 1954, 54, № 3, 71—73 (нем.)

75964. Смазочный материал на основе дисульфида молибдена. Вейсс (Schmiermittel auf der Basis von Molybdändisulfid. Weiss Friedrich), Ind.-Anz. 1954, 76, № 82, 1237—1238 (нем.)

75965. Оценка химической стабильности консистентных смазок. — Новости нефт. техники. Нефтепереработка, 1955, № 6, 44—50

Разработан метод оценки хим. стабильности консистентных смазок, состоящий в том, что образец смазки, нанесенный на стеклянную пластинку, помещенную в кварцевую термостатируемую пробирку, заполненную кислородом, облучается УФ-светом, что инициирует окисление смазки в условиях низких т-р. Хим. стабильность смазки характеризуется индукционным периодом, tg α кинетич. кривых и общим падением давления. Метод апробирован на смазках различных типов: солидол, консталин, ГОИ-54, ЦИАТИМ-201. В. С.

75966. Определение вязкости смазочных материалов. Киндерманн (Viskositätsprüfung von Schmiermitteln. Kindermann Rudi), Textil- und Faserstofftechnik, 1954, 4, № 12, 706—707 (нем.)

75967. Проект норм DIN 51801 на испытание смазочных материалов. Определение температуры текучести и точки каплепадения (Prüfung von Schmierstoffen. Bestimmung von Fließpunkt und Tropfpunkt DIN 51801. Entwurf 1954), Erdöl und Kohle, 1954, 7, № 10, 659—660 (нем.)

Описание способа и прибора для определения точек текучести и каплепадения вазелина и смазочных жиров. И. Ш.

75968 К. Технология первичной перегонки нефти. Мамедли М. Г., (Нефтин илк дистиллясинин технологиясы, Маммадлы М. Г. Баки, Азәрнефтшәвр, 1955, 214 стр., 8 мен. 50 гал.) (азерб.)

75969 К. Химические продукты из нефтяного сырья. Исибаси, (ベトロケミカル・ズ石橋弘毅・共立, 昭和28年, 270頁, 330圖). Кёрицу, 1953, 270 стр., 330 (япон.)

75970 К. Смазочные материалы и методы смазки. Доп. и испр. изд. Ямагучи (潤滑剤及び潤滑法・増補新訂版・山口文之助・山海堂, 333, 11頁, 500圖・サンカヨ, 1955, 344 стр., 500 нен) (япон.)

75971 К. Английские индустриальные масла (British industries oil, 120 pp., ill., Cassell, 1953, 9 s. 6d.) (англ.)

75972 Д. Микроопределение элементарного состава нефтяных продуктов. Байбаева С. Т. Автореф. дисс. канд. хим. н. Ин-т нефти АН СССР, М., 1956,

75973 П. Каталитическая конверсия углеводородов и аппаратура для этого. Грин (Catalytic conversion of hydrocarbon oil and apparatus therefor. Green Thomas H.) [Shell Development Co.], Пат. США 2718491, 20.09.55

Предложена усовершенствованная схема каталитич. конверсии углеводородов с мелко раздробленным твердым катализатором (К), в котором К непрерывно циркулирует через две зоны конверсии (1К и 2К) и зону регенерации (3Р). Через относительно высокий слой К в 3Р снизу вверх пропускается газ, регенерирующий К, при таких скоростях, чтобы К находился в псевдооживленном состоянии. Регенерированный К выводится снизу

ЗР, суспендируется в парах углеводородов, направляемых на конверсию, и полученная разб. суспензия пропускается снизу вверх через удлиненную узкую 1К в центрифугу (1Ц), расположенную выше 2К; здесь К выделяется из частично конвертированных паров и под действием силы тяжести спускается по катализаторопроводу до точки, расположенной несколько ниже границы псевдооживленного слоя. Второй поток регенерированного К удаляется снизу ЗР, суспендируется частично конвертированными парами, поступающими из центрифуги по трубопроводу, и разбавленная суспензия проходит снизу вверх через 2К и поступает в центрифугу (2Ц), расположенную выше ЗР. Конвертированные пары отделяются в 2Ц от К, который спускается по катализаторопроводу несколько ниже верхней границы псевдооживленного слоя. Одновременно предлагается усовершенствованная методика каталитич. конверсии углеводородных масел порошкообразным К, в котором К циркулирует через ЗК и ЗР. Пары конвертируемых углеводородов пропускаются через длинную узкую ЗК постоянного сечения в условиях, обеспечивающих конверсию. Регенерированный К суспендируется в парах вблизи входа в ЗК, разб. суспензия К проходит до промежуточной (по длине ЗК) точки, где К выделяется из паров и возвращается под действием силы тяжести в ЗР. Во второй промежуточной по длине ЗК точке производится суспендирование второй части регенерированного К в парах, разб. суспензия проходит до выходящего конца ЗК, где из паров выделяется К, возвращающийся под действием силы тяжести в ЗР.

Н. К.

**75974 П. Метод и аппарат для конверсии углеводородного сырья в присутствии сравнительно тонкого слоя движущихся частиц. Мак-Косленд** (Method and apparatus for converting a hydrocarbon oil stream in the presence of a relatively thin moving particle bed. McCausland John Woods) [Universal Oil Products Co.]. Пат. США 2723949, 15.11.55

Непрерывный метод каталитич. конверсии углеводородов состоит в том, что катализатор (К) в виде мельчайших частиц движется непрерывно в сравнительно тонком слое через реакционную зону в горизонтальном направлении, а углеводороды проходят через этот слой К в вертикальном направлении. Пары продукта р-ции выводятся из зоны р-ции с противоположной стороны слоя, а частицы К непрерывно из реакционной зоны — в зону регенерации; здесь при помощи кислородосодержащего газа происходит выжигание углерода с поверхности К. Горячие газы выводятся из зоны регенерации, а регенерированный К возвращается в реакционную зону. Углеводородное сырье может применяться в жидком состоянии. Приводятся чертеж и описание аппарата. С. Г.

**75975 П. Крекинг углеводородов. Литл** (Hydrocarbon conversion. Little Donald M.) [Phillips Petroleum Co.]. Пат. США 2702782, 22.02.55

Предложена схема переработки отбензиненной нефти (Н), включающая: нагрев и крекинг Н при  $t \sim 477^\circ$  в присутствии газойля (Г), имеющего анилиновую точку 20—50 при объемном соотношении  $H:G = G:0.5$  до 1:1.5 выделение из продукта крекинга бензиновой фракции; выделение из продукта крекинга фракции, содержащей Г и печное топливо, и ее вакуумную перегонку (причем получают вначале Г с указанной анилиновой точкой, а в остатке пек с т. размягч. 93—150°); выделение ароматич. углеводородов из головного продукта вакуумной перегонки путем селективной экстракции с последующим разделением р-рителя и экстрагированных углеводородов; рециркуляцию ароматич. фракции в качестве разбавителя через зону крекинга Н. Фракцию Г после выделения ароматических углеводородов можно направить на вторичный крекинг или на получение сажи.

Н. К.

**75976 П. Крекинг нефтяных остатков с помощью горячей насадки, движущейся по спирали. Бэрер, Гойнс** (Conversion of heavy oils by means of hot pebbles along a spiral path. Bearer Louis C., Goinc Robert R.) [Phillips Petroleum Co.]. Пат. США, 2726996, 13.12.55

Предложен метод крекинга нефтяных остатков (НО) в процессе их теплообмена с разогретой насадкой (Н). Н представляет собой шарiki диам. 0,2—12 мм из инертного или каталитически активного минерала, выдерживающего нагревание до  $1930^\circ$ . Н, нагретая до  $t$ -ры, выше необходимой для осуществления крекинга НО, под действием силы тяжести спускается по спирали через первичную зону — зону контактирования (ЗК), причем высота слоя Н равна 4—30 диаметрам частиц Н. Поток жидких НО непосредственно контактируется с горячей Н с помощью множества каналов, расположенных вдоль спирали. Весовое отношение Н и НО составляет от 14:1 до 30:1. Пары из ЗК выводятся через те же каналы, расположенные вдоль спирали. Из ЗК покрытая пленкой сырья Н поступает в зону крекинга (ЗКР) при  $t$ -ре, обеспечивающей крекинг НО на поверхности Н. Пары, выходящие из ЗКР, являются конечным продуктом процесса; Н, выходящая из ЗКР, подвергается выжигу углерода, разогревается и возвращается в ЗК. Газообразные и жидкие продукты крекинга составляют 91% (из них газы 36%), а углистые отложения на насадке — 9%. Приводится схема. Н. К.

**75977 П. Конверсия углеводородов и отпарка отработанного катализатора с помощью газов регенерации, содержащих водород. Кит** (Hydrocarbon conversion process and the stripping of the fouled catalyst with regeneration gases containing hydrogen. Keith Percival C.) [Hydrocarbon Research, Inc.]. Пат. США 2702267, 15.02.55

Улучшение процесса состоит в том, что дополнительно введена промежуточная между реактором и регенератором третья зона, в которой поддерживается промежуточная  $t$ -ра. Отработанный катализатор (К) с углеродистыми отложениями и адсорбированными углеводородами на его частицах поступает из реактора самотеком в третью зону; сюда же поступает из регенератора водородсодержащий газ, при помощи которого от К отдувают адсорбированные на его частицах углеводороды. В регенераторе с помощью газа, содержащего  $\geq 90\% O_2$  и водяной пар (чтобы получить газ, состоящий главным образом из водорода и окиси углерода), выжигаются при  $t$ -ре не ниже  $870^\circ$  углеродистые отложения на К. Регенерированный К при помощи пневмотранспорта подает в третью зону. Дана схема установки. Ю. Г.

**75978 П. Каталитический крекинг с теплообменом. Мак-Керди** (Catalytic cracking heat exchange process. McCurdy William N.) [Esso Research and Engineering Co.]. Пат. США 2723948, 15.11.55

Улучшение теплообмена в системе каталитич. крекинга достигается нагреванием сырья (газойля) в зоне подогрева до 205—345° за счет теплоты продуктов крекинга, которые выводятся из псевдооживленного слоя катализатора. Продукты крекинга вместе с частицами твердого катализатора поступают через зону фракционирования, где от них отделяется горячая смесь высококипящих маслянистых углеводородов, содержащая 0,2—1% твердого катализатора. Эта горячая смесь тяжелых углеводородов пропускается через теплообменник противотоком поступающему в реактор (в зону подогрева) исходному газойлю. Направление этих двух потоков периодически меняют путем ввода их через противоположные концы теплообменника. Направление потоков поддерживается в течение длительного времени, обеспечивая таким образом удаление при помощи твердых частиц, содержащихся в масле, загрязнений из зоны подогрева, осаждаемых там из исходного газойля, и

улучшение коэфф. теплопередачи между двумя потоками.

С. Г.

**75979 П. Каталитический реформинг углеводородного сырья с высоким содержанием азотистых соединений.** Меррей, Хензель, Грот (Catalytic reforming of hydrocarbon charge stocks high in nitrogen compounds. Murray Maurice J., Haensel Vladimir, Grote Henry W.) [Universal Oil Products Co.] Пат. США 2717230, 6.09.55

1. Предложен улучшенный метод каталитич. реформинга углеводородных фракций (УФ), содержащих значительное кол-во N-соединений, отравляющих катализатор реформинга (К) и уменьшающих гидрокрекинг. Метод особенно пригоден для каталитич. реформинга бензина термич. крекинга, лигроина или смеси последнего с прямогонным бензином или лигроином в случае, если продукты термич. крекинга получены из нефти, богатой азотистыми соединениями. Процесс ведется в присутствии избытка  $H_2$ . Применение К, содержащего Pt и  $Al_2O_3$ , особенно же Pt на  $Al_2O_3$ , в котором присутствует связанный галлоид — фтор и (или) хлор-наиболее целесообразно. В этих условиях идет насыщение непредельных углеводородов и крекинг сырья. Для удаления образовавшегося  $NH_3$  смесь из реактора спец. охлаждения пропускается через слой твердой полифосфорной к-ты, обработанной при 315—540°. УФ, очищенная в 1-й ступени от N-соединений, подвергается во 2-й ступени каталитич. реформингу в присутствии того же К. В результате реформинга повышается октановое число УФ. 2. Метод согласно п. 1, в котором УФ контактируется в 1-й ступени с тем же К при более низкой т-ре, чем во 2-й ступени реформинга; кроме того, объемная скорость и отношение водород: углеводороды в 1-й ступени больше, чем во 2-й. 3. Метод согласно п. 2, в котором УФ контактируется в 1-й ступени с тем же К при 260—483°, объемной скорости 4—20 и отношении  $H_2$ : углеводороды от 2 до 10; очисти. от азота УФ во 2-й ступени (реформинга) контактируется с К того же состава при 400—538°, объемной скорости 0,5—20 и отношении  $H_2$ : углеводороды от 1,0 до 8,0. 4. Метод осуществляется согласно п. 1, на твердом, фосфорном катализаторе, представляющем собой смесь полифосфорной к-ты и силикатного адсорбента, прокаленной при 600—1000°. 5. При реформинге УФ в присутствии К, содержащего Pt и  $Al_2O_3$ , N-соединения, содержащиеся в УФ, снижают гидрокрекинг и отравляют К. Предложен метод, при котором крекируются N-соединения с выделением  $NH_3$ , в результате контактирования УФ с К гидро-дегидрогенизации в присутствии  $H_2$ . Для удаления  $NH_3$  из продуктов конверсии последние контактируются с твердой  $H_3PO_4$ , прокаленной при 600—1000°. После этого УФ подвергается реформингу в присутствии К, содержащего Pt и  $Al_2O_3$ . 6. Процесс, аналогичный описанному в п. 5, характеризуется тем, что содержащиеся в УФ олефины гидрируются при контактировании с К гидро-дегидрогенизации. 7. В процессе реформинга в присутствии К, содержащего Pt и  $Al_2O_3$ , включая гидрокрекинг содержащей N-соединения УФ, путем контактирования УФ в присутствии  $H_2$  с К гидро-дегидрогенизации,  $NH_3$ , образовавшийся в результате крекинга N-соединений, удаляется из УФ путем контактирования его со смесью полифосфорной к-ты и силикатного адсорбента, прокаленной при 600—1000°. УФ подвергается реформингу в присутствии К, содержащего Pt и  $Al_2O_3$ . Приведена схема.

Н. К.

**75980 П. Платиновые катализаторы гидроформинга** (Platinum hydro-forming catalysts) (Standard Oil Development Co.) Австрал. пат. 163198, 16.06.55

Патентуется метод приготовления катализатора для конверсии углеводородов, состоящего из 0,1—1,0 вес. % Pt на носителе, содержащем  $Al_2O_3$ . Метод предусматривает приготовление промежуточного концентрата (К) в виде содержащего Pt-соединения, отложенного на твер-

дом окисном носителе путем пропитки носителя водн. р-ром Pt-соединения в кол-ве от 1 до 35 вес. % Pt, считая на суммарный вес Pt и носителя в этом К. К высушивается и разбавляется тонко раздробленной предварительно высушенной активной  $Al_2O_3$ , чтобы получить катализатор желаемой концентрации.

М. П.

**75981 П. Процесс изомеризации.** Ступс (Isomerization process. Stoops Forrest D.) [Phillips Petroleum Co.] Пат. США 2695325, 23.11.54

Описан процесс каталитич. изомеризации n-парафиновых углеводородов в изопарафиновые углеводороды. Поток массы частиц, твердого тела движется под действием собственного веса сверху вниз, проходя последовательно через ряд зон: зону приготовления катализатора, зону конверсии, зону регенерации катализатора и зону сгорания. Поток твердых частиц, проходя через зону приготовления катализатора, контактируют с газовым потоком, содержащим пары хлорида алюминия и пары хлорида железа, которые выводятся из зоны регенерации. В зоне приготовления катализатора поддерживают такие условия т-ры и давления, чтобы гарантировать конденсацию этих паров на поверхности твердых частиц. Поток твердых частиц проходит далее через зону конверсии, где контактирует с потоком n-парафиновых углеводородов в паровой фазе при таких условиях (т-ра и давление), которые обеспечивают изомеризацию n-парафинов в изопарафины. В качестве побочных продуктов этого процесса образуются углеродистые в-ва и жидкий комплекс, образованный углеводородами и хлоридами алюминия и железа. Эти побочные продукты прилипают к поверхности твердых частиц, проходящих через зону конверсии. Поток твердых частиц, покрытых побочными продуктами процесса, при прохождении через зону регенерации контактируют с химически инертным газом при т-ре, достаточно высокой для того, чтобы отделить активные хлориды алюминия и нужное кол-во хлорида железа от этого комплекса. Затем инертный газ, содержащий пары хлоридов алюминия и железа, выводят из зоны регенерации катализатора и направляют в зону приготовления катализатора; здесь хлориды алюминия и железа конденсируются на твердых частицах (как это было описано выше). Поток твердых частиц, содержащих на своей поверхности углеродистый материал и оставшийся хлорид железа, поступает из зоны регенерации в зону сгорания, где углеродистый материал сгорает, а остатки хлорида железа отделяются от твердых частиц. Поток регенерированных твердых частиц поступает из зоны горения в зону приготовления катализатора. Изопарафиновые углеводороды выводятся из зоны конверсии.

И. Ш.

**75982 П. Экстрактивная кристаллизация.** Феттерли (Extractive crystallization process. Fetterly Lloyd C.) [Shell Development Co.] Канад. пат. 509105, 11.01.55

Углеводороды с прямыми цепями выделяют из смеси, содержащей углеводороды с прямыми и разветвленными цепями и кипящей в пределах между т-рами кипения бензина и смазочного масла, обработкой смеси в жидкой фазе при т-ре ниже 78° водн. р-ром мочевины в присутствии  $\geq 1$  кетона (ненасыщ. алифатич. кетонов, замещенных алкилкетонов, содержащих только Н, О и С, причем не кетонные атомы О соединены с атомами Н в ОН-группы, или алкилкетонов, напр., метилэтилкетон), не образующего комплексов с мочевиной в условиях процесса. Кетон присутствует в кол-ве, по крайней мере, равном объему взятой смеси углеводородов. Процесс состоит в контактировании нефтепродукта, содержащего углеводороды с прямыми и разветвленными цепями, и равного объема метилэтилкетона с водн. р-ром мочевины, перемешивании 2-фазной жидкой системы, причем образуются молекулярные комплексы мочевины и нефтяных углеводородов с пря-

мыми цепями, и выделении этих комплексов из жидких фаз. Г. М.

**75983 П. Разделение углеводородов (Separation of hydrocarbons)** [The British Petroleum Co. Ltd]. Австрал. пат. 165437, 13.10.55

Процесс экстрактивной кристаллизации углеводородной смеси состоит в обработке ее р-ром, содержащим мочевины (М). В результате такой обработки образуется эмульсия, состоящая из жидкой фазы, включающей рафинат аддукта М и жидкой фазы, включающей р-р М; эмульсия содержит в виде суспензии твердый аддукт М в присутствии или отсутствии твердой М. Жидкие фазы разделяются, но предварительно смесь перемешивается потоком пузырьков инертного газа, при этом верхний жидкий слой содержит рафинат, а твердые продукты переходят в нижний жидкий слой, содержащий р-р М. Верхний слой отделяется от остальной части продукта декантацией; затем регенерируется твердая фаза экстракта аддукта М из остающейся жидкости. Г. М.

**75984 П. Способ очистки углеводородов. Ланглау** (Hydrocarbon purification process. Langlois Gordon E.) [California Research Corp.]. Пат. США 2695324, 23.11.54

Патентуется способ произ-ва изопропильных производных ароматич. углеводородов путем алкилирования бензольных углеводородов, имеющих мол. вес не выше мол. веса ксилола, с пропиленом в присутствии фосфорнокислого катализатора. Метод получения высоких выходов изопропильных производных бензольных углеводородов, в основном свободных от бутильных производных этих углеводородов, получающихся при фракционировании продуктов алкилирования, заключается в тесном контактировании последних с 90—100% серной к-той, разделении кислой фазы и углеводородной фазы и последующем фракционировании углеводородной фазы, с целью отделения высококипящей фракции, состоящей преимущественно из изопропилбензола и практически свободной от бутильных производных бензольных углеводородов. И. Ш.

**75985 П. Способ очистки углеводородных продуктов. Юраско, Норт** (Refining process. Yurasko Frank H., North Howard C.). [Standard Oil Development Co.]. Канад. пат. 509320, 18.01.55

Предлагается усовершенствованный процесс выделения асфальтообразных в-в из углеводородов. К асфальтовому маслу добавляется ожженный углеводородный газ (I), напр. пропан, в результате чего отделяется асфальтовая фаза, содержащая некоторое кол-во I; последняя нагревается до т-ры кипения I, напр. до 204°, путем пропускания нагретого потока с большой скоростью (4,6—61 м/сек) из трубопровода через испаритель в среднюю часть зоны разделения, представляющую собой вертикальный удлиненный котел. В котле на одной линии с поступающим потоком на расстоянии, равном 1—3-кратному диаметру входного отверстия, размещена упругая масса волокнистого твердого материала слоем толщиной 76—309 мм при диаметре волокна 0,127—0,5 мм. Свободная поверхность должна составлять  $\geq 80$ —80% массы. Поступающий поток ударяется о волокнистую массу, на которой происходит отделение парообразных углеводородов от жидкого асфальта. Газ удаляется из верхней, жидкий асфальт — из нижней части котла. Приведена схема процесса. Л. П.

**75986 П. Конверсия меркаптанов (Converting mercaptans)** [N. V. de Bataafsche Petroleum Maatschappij]. Австрал. пат. 165391, 13.10.55

Процесс превращения меркаптанов или меркаптидов в дисульфиды с помощью кислорода, но без применения катализатора, протекает в двухфазной системе, причем одной фазой является легкое углеводородное масло, а другой — стабильный водн. р-р гидроокиси щел. металла и фенолята. Фенолят может иметь (или не иметь) алкиль-

ные заместители в кольце с общим кол-вом углеродных атомов  $\leq 3$  и не содержит других заместителей. Обе фазы хорошо смешиваются одна с другой. Водн. р-р гидроокиси щел. металла содержит  $\leq 54\%$  по объему воды и  $\leq 2$  моль/л свободной гидроокиси. Г. М.

**75987 П. Окисление углеводородов. Кит, Риблетт, Белчез** (Oxidation of hydrocarbons. Keith Percival C., Riblett Earl W., Belchetz Arnold) [The M. W. Kellogg Co.]. Канад. пат. 509269, 18.01.55

Предлагается циклич. процесс частичного окисления углеводородов в паровой фазе в присутствии частиц твердого контакта. Углеводороды в паровой фазе со сравнительно малой скоростью пропускаются снизу вверх через зону окисления, где они частично окисляются при контактировании с частицами твердого контакта в присутствии кислорода. Кислород может быть химически связан с контактным материалом. Основная масса контакта имеет малую скорость свободного падения. Скорость введения контактных частиц в зону окисления такова, что кол-во вводимого контакта превышает кол-во уноса его, что позволяет создавать в зоне окисления высокотурбулентную сравнительно плотную псевдожидкую фазу частиц контакта. Плотность фазы контакта поддерживается на нужном уровне за счет продолжающегося его введения со скоростью, равной скорости уноса. Скорость поднимающихся паров реагента немногим больше 0,61 м/сек. В зависимости от изменения кол-ва выделяющегося при р-ции окисления тепла дается подогрев, необходимый для поддержания постоянной т-ры. Часть контакта выводится из плотной псевдожидкой фазы в зоне окисления и в виде газовой суспензии поступает в зону регенерации. Регенерирующий газ пропускается через зону регенерации снизу вверх со сравнительно малой скоростью. Скорость введения суспендированного контакта в зону регенерации такова, что кол-во поступающего контакта превышает его унос с регенерирующим газом, чем обеспечивается создание нужной высокотурбулентной сравнительно плотной псевдожидкой фазы частиц контакта в этой зоне. Плотность фазы контакта поддерживается путем дальнейшего его введения со скоростью, равной скорости уноса. Регенерированный контакт удаляется из зоны регенерации и снова поступает в зону окисления. Л. П.

**75988 П. Газойли, содержащие органические соединения фосфора. Бартласон** (Furnace oils containing organic phosphorus compounds. Bartleson John D.) [The Standard Oil Co.]. Пат. США 2695223, 23.11.54

Патентуется композиция, состоящая в основном из крекинг-газояля, вязкость которого делает возможным его сжигание в специальной горелке. При сжигании этого топлива обычно образуется нагар в колпачке горелки. В состав композиции входит диспергируемое в масле органич. соединения фосфора, не содержащее атомов металла и имеющее точку кипения не ниже 200°. Применяют следующие фосфорные соединения: фосфины, соли фосфиновой к-ты, эфиры фосфорной к-ты, соли тиофосфиновой к-ты или тиометафосфаты. Эти соединения добавляются в масло в таком кол-ве, чтобы содержание связанного фосфора было не выше 0,015 вес.%. В присутствии фосфорных соединений улучшается процесс сгорания масла, а отложение углерода сводится к минимуму. И. Ш.

**75989 П. Производство кокса из жидких углеводородов. Бредли** (Manufacture of coke from liquid hydrocarbons. Bradley John M.) [Godfrey L. Cabot, Inc.]. Пат. США 2697069, 14.12.54

Аппаратура для коксования жидких углеводородов состоит из: реторты с теплоизолированными стенками; пустотелого, нагреваемого изнутри, вращающегося барабана; длинного металлич. ножа, укрепленного одним

концом к стенке реторты, а другим концом находящегося в тангенциальном положении к стенке барабана; резервуара для жидких углеводородов, образованного стенкой вращающегося барабана и прижимающимся к ней металлич. ножом; ввода для жидких углеводородов. Металлич. нож счищает кокс, образующийся на поверхности барабана. В. К.

**75990 П. Котельное топливо, обработанное цинком. Бреннеман (Fuel oil treated with zinc. Brenne-man Albert E.) [Esso Research and Engineering Co.]. Пат. США 2706149, 12.04.55**

Улучшенный процесс произ-ва котельных топлив, дающих небольшое кол-во отложений, включает обработку в жидкой фазе S-содержащих котельных топлив, кипящих  $> 160^\circ$ , металлич. Zn в таких условиях, чтобы перевести в топливо 0,005—0,05 вес. % Zn в растворимой форме. Б. Э.

**75991 П. Метод выделения углеводородов из газа. Мейерс, Маэр (Method for recovering gaseous hydrocarbons. Meyers Charles O., Maher Joseph L.) [National Tank Co.]. Канад. пат. 508582, 28.12.54**

1. Предложен метод абсорбции углеводородов из газов, отличающийся тем, что перед поступлением в абсорбционную зону газовый поток разбивается на две части: основную (I) и отпарную (II). II нагревается и используется для десорбции насыщ. абсорбента, после чего из обогащенного II извлекаются углеводороды обычными методами. Давление I понижают так, чтобы обеспечить его смешение с II после выделения из последнего углеводородов. Абсорбент после десорбции возвращается в абсорбционную зону. Десорбция проводится под давлением выше давления абсорбционной зоны, чтобы подать без помощи насосов тощий абсорбент в зону абсорбции. 2. Метод по п. 1, в котором выделение углеводородов из обогащенного II производится путем охлаждения и конденсации. 3. Метод по п. 1, в котором жидкие углеводороды примешиваются к обогащенному II перед удалением из II углеводородов. 4. Метод по п. 1, в котором в нагретый II перед подачей его в зону десорбции, добавляются со стороны жидкие углеводороды. Дана схема процесса. Н. К.

**75992 П. Способ производства сажи (Procédé pour la fabrication de noir de fumée) [Deutsche Gold und Silber Scheideanstalt Vormalis Roessler]. Франц. пат. 1064687, 17.05.54 [Dtsch. Farben.-Z., 1955, 9, № 1, 22 (нем.)]**

Предлагается при получении сажи из жидких (или) газообразных углеводородов путем неполного сгорания в присутствии воздуха вводить  $H_2$ -содержащий горючий газ с теплотворностью 2000 ккал/м<sup>3</sup>. При применении низкокалорийных горючих газов процесс в камере горения ведут в присутствии катализаторов-окислов Mg, Ca, Ba или Be. М. Р.

**75993 П. Обработка легких углеводородов. Сквилл (Treatment of light hydrocarbons. Scovill Warner E.) [The Standard Oil Co.]. Пат. США 2699420, 11.01.55**

С целью устранения коррозирующего действия сжиженного нефтяного газа (НГ), напр. пропановой фракции, предложено НГ в жидком состоянии контактировать с твердым меркаптидом металла из группы Pb или Zn, который может быть нанесен на адсорбент — носитель типа глинозема. Меркаптид имеет от 1 до 6 атомов S, напр. этилмеркаптид. При применении носителя предложено этилмеркаптид свинца наносить на глиноземы в кол-ве 5—20%. Н. К.

**75994 П. Получение масляных растворов сульфатов щелочно-земельных металлов. Чечот, Хау (Production of oil solutions of alkaline earth metal sulfates. Chechot Vladimir L., Howe**

**Llewellyn S.) [The Atlantic Refining Co.]. Канад. пат. 507518, 23.11.54**

Патентуется способ очистки от твердых примесей фильтрованием трудно фильтрующихся масляных р-ров сульфатов Са (или других щел.-зем. металлов). Для понижения вязкости р-ра к нему добавляют 0,01—2% органич. р-рителя из числа алифатич. спиртов, гликолей или эфиров гликолей (напр., монобутилового эфира диэтиленгликоля), а в некоторых случаях еще спец. добавки для фильтрования. Фильтрование производят при 50—80° через фильтр, способный удерживать твердые примеси. Е. П.

**75995 П. Центробежный фильтр, особенно пригодный для очистки от твердых загрязнений горючих и смазочных масел, применяемых в двигателях внутреннего сгорания (Filtre centrifuge utilisable notamment pour débarrasser de ses impuretés solides une huile combustible ou une huile lubrifiante utilisée dans un moteur à combustion interne) [The Glacier Metal Co. Ltd]. Франц. пат. 1087724, 28.02.55 [Génie chim., 1955, 73, № 6, 179 (франц.)]**

**75996 П. Способ отгонки и высушивания хлорированных углеводородов после использования их при депарафинизации минеральных масел. Хоппе (Process for evaporating and drying chlorinated hydrocarbons used in the dewaxing of mineral oils. Hoppe Alfred), [Edeleanu Gesellschaft m. b. H.]. Пат. США 2712519, 5.07.55**

Патентуется непрерывный процесс рекуперации р-рителей (низкокипящие хлорзамещ. углеводороды) из фильтрата и парафина, получаемых при депарафинизации минер. масел, отгонкой в многоступенчатой установке. Пары р-рителя из первого эвапоратора (Э), имеющего т-пу  $< 100^\circ$ , подвергаются ректификации, и фракция, отобранная сверху, для рециркуляции р-рителя разделяется при охлаждении на водн. слой и слой р-рителя. Во втором Э при более высоких т-ре и давлении испаряется остаток из первого Э. Остаток из второго Э испаряется в одном или нескольких Э с повышающимися т-рами и понижающимся давлением. М. Щ.

**75997 П. Производство масел с низкой анилиновой точкой. Мейти (Production of low aniline point oil. Mathy Eugene V.) [Phillips Petroleum Co.]. Пат. США 2695262, 23.11.54**

Предложен процесс получения углеводородов с более низкой анилиновой точкой, чем исходное сырье, с большим выходом, чем в случае применения метода избирательной экстракции ко всему сырью. Углеводороды применяются в качестве сырья для произ-ва печной сажи и для приготовления парафинового масла. В процессе газойлевого сырья (аналиновая точка 51,7—71°, пределы выкипания 230—395°) разделяется на две части. Одну часть сырья подвергают экстракции избирательно действующим р-рителем (объемные отношения р-рителя к сырью берутся в пределах от 0,5:1 до 5:1), который извлекает из нее ароматич. углеводороды с анилиновой точкой от  $-50^\circ$  до  $4^\circ$ . Экстракцию проводят при т-рат порядка 10—71°. После экстракции из каждой фазы выделяют р-ритель и снова возвращают его на экстракцию. Парафиновое углеводородное масло, освобожденное от р-рителя, используют как парафиновый газоль. Ароматич. экстракт, освобожденный от р-рителя, смешивают со второй частью газойлевого сырья и полученную смесь выводят из процесса в виде углеводородного продукта, имеющего нужную анилиновую точку, меньшую, чем анилиновая точка сырья, причем выход этого углеводородного продукта выше, чем при экстракции всего продукта. И. Ш.

**75998 П. Смазочный материал. Лоренс, Смит, Погорилла (Lubricant. Lawrence Franklin I. L., Smith Robert K., Pohorilla Michael J.) [Kendall Refining Co.]. Пат. США 2721181, 18.10.55**

Патентуется смазочный материал, состоящий из смазочного масла: фракции минер. масла, синтетич. масла, напр., производных полиалкиленоксида или 2-этилгексилсебацата, и 5—100% органич. соединения бора. Для получения последнего в жидкую парафинистую нефтяную фракцию, кипящую в пределах 176—427°, пропускают при т-ре 151—196° газ, содержащий свободный  $O_2$ . Во фракцию должна быть добавлена  $H_2BO_3$  или  $HBO_2$  в кол-ве 1—3 эквивалента на 1 моль парафинового углеводорода. Газ пропускают со скоростью, обеспечивающей подачу не более  $0,017 \text{ м}^3 O_2$  на 3,78 л фракции в 1 час. Получают продукт р-ции, содержащий не менее 0,2 вес. % химически связанного бора, добавляемого в кол-ве достаточном для ингибирования окисления. В некоторых случаях предварительно отгоняют легкие фракции. Минер. масло может содержать значительное кол-во ароматич. углеводородов. Для предупреждения гидролиза органич. соединений бора добавляют 0,1—5,0 вес. % (на соединение В) спирта из числа полиэтиленгликолей, полипропиленгликолей, глицерина, пентаэритрита, маннита или сорбита или же одноатомного алифатич. спирта с 5—20 атомами С в молекуле. Е. П.

75999 П. Способ получения высокомолекулярных углеводородных масел. Клар, Гётель, Трамм (Verfahren zur Herstellung hochmolekularer Kohlenwasserstofföle. Clar Karl, Goethel Herbert, Tramm Heinrich) [Ruhrchemie A.-G.]. Пат. ФРГ 934 765, 3.11.55

Высокомолекулярные углеводородные масла получают путем полимеризации непредельных углеводородов, образующихся при крекинге фракции синтина, выкипающей при т-ре 150°. В качестве катализатора полимеризации применяется  $AlCl_3$ , причем  $AlCl_3$ , использованный однажды в процессе полимеризации, применяется в дальнейшем в качестве разбавителя для небольших кол-в свежего  $AlCl_3$ . Для получения менее вязких масел берут 0,5% свежего  $AlCl_3$ , считая на комплекс; процесс полимеризации ведут при постепенном повышении т-ры от 20 до 80—100°. При получении более вязких масел свежий  $AlCl_3$  прибавляют в кол-ве до 1,3%, а продолжительность конденсации увеличивают на 16—18 час. в тех же условиях т-ры. Б. Э.

76000 П. Консистентная смазка с антикоррозийной присадкой. Меркер (Grease compositions containing an antirust. Merker Robert L.). Пат. США, 2722516, 1.11.55

Для улучшения антикоррозийных свойств консистентных смазок к ним предлагается добавлять водорастворимые нейтр. соли одно- и двухосновных карбоновых к-т как нормального, так и изостроения с 6—10 и 7—20 атомами С в молекуле к-ты, соответственно. Для синтеза водорастворимых солей щел. и щел.-зем. металлов, аммония или аминов используются одноосновные к-ты: гексановая, гептановая, октановая, 2-нонановая и декановая, и двухосновные к-ты: нимеиновая, пробоновая, тетраметилантарная, азаелиновая, гептилмалоновая, бутиладелиновая, себаиновая, додекадикарбоновая, тетрадекадикарбоновая и гексадекадикарбоновая. Патентуется добавление к консистентным смазкам, полученным загущением смазочных масел металлич. мылами небольшого кол-ва антикоррозийной присадки — водорастворимой соли дикарбоновой к-ты с 8—10 атомами С, у которой карбоксильные группы находятся на противоположных концах алкилиновой цепочки с 6—8 атомами С. Ввиду нерастворимости описываемых присадок в минер. маслах, для их диспергирования в консистентных смазках используются трехлопастные мельницы. Испытания на коррозию стальных деталей, покрытых смазкой, содержащей от 0,2—0,5 вес. % присадки (при т-ре 80° в присутствии воды), показали их высокую антикоррозийную активность. В. С.

76001 П. Консистентные смазки на основе сульфонов. Спруэл, Паттенден (Sulfonate base lubricating greases. Sproule Lorne W., Pattenden Warren C.) [Standard Oil Development Co.]. Канад. пат. 507437, 16.11.54

Патентуется консистентная смазка с высокой т-рой плавления, состоящая, в основном, из минер. смазочного масла с вязкостью от 12,5 сст при 37,8° до 208 сст при 100°, содержащего 5—25 вес. % (на конечный продукт) растворимой в масле соли сульфоната (напр., Ва), кислотный радикал которой имеет мол. вес > 300, но не превосходит значительно 500 и 3—20% не растворимой в масле соли (напр., Na) алкилсульфонокислоты с мол. в. 96—250. В другом варианте в качестве 1-го сульфоната берут Са-соль сульфокислоты с мол. в. 300—400, в качестве 2-го — Са-соль этансульфонокислоты. Кол-во обеих сульфонатов должно быть достаточным для загущения масла до консистенции смазки. Е. П.

См. также: Свойства консистентных смазок 74594. Испытания нефти и нефтепродуктов 74730, 75281, 75363, 75410. Перераб. природн. газов 76896. Нефтехранилища, корр. 76969. Хим. перераб. нефти, корр. 76977. Алкилирование ароматических соединений 74819, 74877. Хим. перераб. нефти, оборудование 77062. Природные газы, оборудование 77665. Нефть, хранение 77086, 77130. Горение в двигат. 77105.

## ПРОМЫШЛЕННЫЙ ОРГАНИЧЕСКИЙ СИНТЕЗ

76002 К. Химия и технология алифатических углеводородов. Азингер (Chemie und Technologie der Paraffinkohlenwasserstoffe. Asinger Friedrich. Akademie-Verlag, Berlin, 1956, 719 S.) (нем.)

76003 П. *п,п'*-Диаминодифенил — ингибитор полимеризации диацетилена. Нелсон (*p,p'*-Diaminodiphenyl as a polymerization inhibitor for diacetylene. Nelson Herbert H.) [Monsanto Chemical Co.]. Пат. США 2715105, 9.08.55

*п,п'*-Диаминодифенил применяется в кол-ве 0,01—5% от общего веса диацетилена и р-рителя, в котором находится последний. Г. Ш.

76004 П. Способ получения бромистого метила. Хютер, Петцольд (Verfahren zur Herstellung von Methylbromid. Hüter Ludwig, Petzold Martin) [Deutsche Gold- und Silber-Scheideanstalt vormals Roessler]. Пат. ФРГ 933986, 6.10.55

$CH_3Br$  (I) получают р-цией  $CH_3OH$  с  $B_2$  и S в присутствии  $H_2SO_4$ , приводя р-цию и перегонку I при повышенной т-ре (75—85°) и повышенном давлении. В реакционный сосуд (емк. 900 л) непрерывно действующей установки при 75° и 2,75 ат подают 324 кг/час технич.  $B_2$ , 158 кг/час  $CH_3OH$  и 27 кг/час S. Фракционированный перегонкой отбирают 378 кг/час 99%-ного I и непрерывно удаляют разб.  $H_2SO_4$  (66 кг/час  $H_2SO_4$ , 30 кг/час  $CH_3OH$  и 25 кг/час воды). Получаемый I имеет т. кип. 33,5° и может применяться без дополнительной очистки. В. К.

76005 П. Способ получения 1,1,2-трихлорэтана из транс-1,2-дихлорэтилена или цис-1,2-дихлорэтилена и хлористого водорода. Зениевальд, Поля, Вестфаль (Verfahren zur Herstellung von 1,1,2-Trichloräthan aus trans-1,2-Dichloräthylen bzw. cis-1,2-Dichloräthylen und Chlorwasserstoff. Sennewald Kurt, Pohl Franz, Westphal Horst) [Knapsack-Griesheim Akt.-Ges.]. Пат. ФРГ 939324, 23.02.56

1,1,2-трихлорэтан (I) получают из 1,2-дихлорэтилена (II) и HCl при т-ре до 110°, проводя первую стадию процесса при 50—70° под давлением, напр., при 10—40 ат и вторую стадию при т-ре до 110° и нормальном давлении или при давл. 1—40 ат. Образова-

ние побочных продуктов, напр. пентахлорбутана, предотвращают прибавлением  $< 1\%$   $AlCl_3$ , считая на образующийся I. В качающийся автоклав из стали V<sub>4</sub>A помещают 265 г охлажденного II и 3 г измельченного безводн.  $AlCl_3$ . Нагнетают HCl до давл. 30 ат и при встряхивании нагревают 30—40 мин. при 60°. Давление при этом повышается на 40—50 ат. При достижении т-ры 60—70° давление быстро падает до нуля. Тру поднимают до 90°, после этого пропускают HCl при практически нормальном давлении до прекращения поглощения HCl (25—40 мин.). Продукты р-ции перегоняют. Получают 310 г I (выход 85%) и непрореагировавший II; побочные продукты и продукты разложения отсутствуют. В смесь 265 г II и 2,5 г безводн.  $AlCl_3$  нагнетают HCl до давл. 30 ат. При т-ре ~60° давление быстро падает. Дальнейшим нагнетанием HCl создают давл. 25—30 ат при 85—90°. Поглощение HCl заканчивается через 10 мин. После перегонки получают 348 г I, выход 95,5%. В. К.

**76006 П. Очистка винилхлорида (Purification of vinylchloride.)** [Monsanto Chemical Co.] Австрал. пат. 166516, 26.01.56

Для очистки мономерного винилхлорида его обрабатывают в жидкой фазе твердой гидроокисью щел. металла. В. К.

**76007 П. Способ получения пропиленхлоргидрина. Ферреро, Флам, Фуре** (Procédé de préparation de chlorhydrate propylénique. Ferrero Paul, Flamme Léon R., Foureux Michel) [Soc. Carbochimique, Soc. An.] Франц. пат. 1071177, 26.08.54 [Chimie et industrie, 1955, 73, № 1, 107 (франц.)]

Реакцию проводят с разб. пропиленом в приборе, имеющем 2 реакционных сосуда отдельно для хлора и олефина, с рециркуляцией р-ра хлоргидрина между ними, таким образом, чтобы конц-ия хлора в этом р-ре поддерживалась слабой. Л. Б.

**76008 П. Способ получения спиртов гидрированием окиси углерода** (Procédé pour la transformation en alcools d'oxyde de carbone avec de l'hydrogène) [Badisene Anilin & Soda-Fabrik] Франц. пат. 1052285, 22.01.54 [Chem. Zbl., 1955, 126, № 15, 3484 (нем.)]

Изобутиловый и метиловый спирты получают гидрированием СО в присутствии одного или нескольких окислов 3-валентных металлов, напр. окиси Zr, в частности, в присутствии окислов In и K, при 300—500° и давл. 50 ат. В примере приведено получение смеси спиртов, содержащей 51%  $CH_3OH$ , 25% *изо*- $C_4H_9OH$  и 10,5% высших спиртов. В. К.

**76009 П. Способ непрерывного получения высокомолекулярных спиртов по реакции Буво и Блана. Пулен** (Procédé de fabrication en continu des alcools suivant la réaction de Bouveault et Blanc. Poullain François). Франц. пат. 1061101, 8.04.54 [Chem. Zbl., 1955, 126, № 29, 6848 (нем.)]

К смеси 9,66 ч. пальмового масла, 6,76 ч. изобутилового спирта и 83,58 ч. ксилола, нагретой до 125°, непрерывно прибавляют смесь 246 ч. ксилола, 250 ч. Na и 4 ч. олеиновой к-ты. Улетучившуюся из верхней части аппарата смесь сложного эфира, спирта и р-рителя направляют в гидролизер и обрабатывают водой. Смесь спиртов и ксилола отделяют и перегоняют. Получают 7 ч. жирных спиртов. Из изобутилового эфира олеиновой к-ты, изобутилового спирта и ксилола получают олеиловый спирт. В. К.

**76010 П. Полиэтиленгликоли из эфиров алкоксиуксусной кислоты. Грешем** (Polyethylene glycols from ether-esters of glycolic acid. Gresham William F.) [E. I. du Pont de Nemours and Co.] Канад. пат. 15882, 23.08.55

Процесс получения триэтиленгликоля (и других полиэтиленгликолей), состоящий в эстерификации и этерификации оксиуксусной к-ты этиленгликолем при

100—225° в присутствии слабокислых катализаторов, напр. глины, активированной к-той, гидрогенизации образовавшегося продукта, отделении триэтиленгликоля (или другого полиэтиленгликоля) от смеси продуктов и возвращении остальной смеси в р-цию. Г. Ш.

**76011 П. Гидрогенолиз замещенных мета-диоксанов. Арундейл, Микешка** (Hydrogenolysis of substituted meta dioxanes. Arundale Erving, Mikeska Louis A.) [Esso Research and Engineering Co.] Пат. США, 721223, 18.10.55

3-Метилбутанол-1 получают р-цией 4,4-диметил-1,3-диоксана с  $H_2$  при 84—140 ат в присутствии  $Cu-Cr_2O_3$  катализатора при 215—250°. В. К.

**76012 П. Способ получения альдегидов. Хейбшоу, Рей** (Verfahren zur Herstellung von Aldehyden. Habeshaw John, Rae Robin William) [Anglo Iranian Oil Co. Ltd.] Пат. ФРГ 921934, 7.01.55

Получающиеся при оксосинтезе альдегидов из олефинов высококипящие продукты отделяют от основных продуктов и частично превращают в альдегиды с помощью крекинга. Крекинг проводят либо в отсутствие катализатора при 150—450° и давл. 1—10 ат, либо с расщепляющим катализатором при 100—350° и давл. 1—20 ат. В качестве катализатора для т-р 150—300° применена синтетич. смесь силикагеля и алюминия. Продукт крекинга подвергают дистилляции, дистиллят присоединяют к основному продукту оксосинтеза и совместно с ним подвергают фракционированию. Высококипящий остаток гидрируют и перегоняют образовавшиеся спирты. Высококипящий продукт, полученный при оксосинтезе масляного альдегида (I) из пропилена, в течение 24 час. пропускали над катализатором ( $SiO_2-Al_2O_3$ -гель) при 229—238° и атмосферном давлении со скоростью 2 объема жидкости на объем катализатора в час. При фракционировании продукта получено 9% фракции, содержащей 81,4% изомасляного альдегида, и 27% фракции, содержащей 90,2% I. Остаток подвергли гидрированию над  $Ni/SiO_2$  при 133—146° и 91 ат. Из продуктов гидрирования выделены: смесь бутиловых спиртов (16%), смесь октиловых спиртов, преимущественно 2-этилгексанол (7%), смесь  $HCOOH$  и масляных к-т (12%). В качестве катализаторов крекинга могут быть использованы, кроме указанного, пемза и активированная  $Al_2O_3$ . Приводится технологич. схема. Л. Б.

**76013 П. Способ получения алифатических альдегидов, содержащих 3—5 атомов С. Нинбург, Вальдмау, Плаут** (Verfahren zur Herstellung von aliphatischen Aldehyden mit 3 bis 5 Kohlenstoffatomen. Nienburg Hans, Waldmann Hans Joachim, Plauth Ernst.) [Chemische Verwertungs. Ges. Oberhausen m. b. H.] Пат. ФРГ, 933338, 22.09.55

Способ получения альдегидов р-цией олефинов, содержащих 2—4 атома С, с СО и  $H_2$  при повышенной т-ре и повышенном давлении в присутствии водн. р-ра Со-соли отличается тем, что р-цию проводят непрерывно в гомогенной среде. Продукт р-ции охлаждают, спускают давление и, не вводя СО, но прибавив воду, нагревают до т-ры  $\geq 50^\circ$ , лучше до 80—200°. Затем смесь охлаждают, отделяют водн. фазу и возвращают ее в цикл. Р-цию проводят в вертикальной трубе, пригодной для работы под давлением, диам. 30 мм, высотой 2 м и внутренним объемом 1,5 л. Труба снабжена рубашкой, в которой циркулирует под давлением вода, для поддержания в трубе т-ры  $> 170^\circ$ . Через трубу при общем давл. 350 ат снизу вверх пропускают 2,5%-ный р-р Со-ацетата (70 мл/час). Одновременно снизу подают в 1,7 м<sup>3</sup>/час (при нормальных условиях) смеси газов, содержащей 23% пропилена, 37% СО, 37%  $H_2$  и 3% инертных газов. Из верхней части трубы гомогенный при этих условиях продукт

аторов,  
изации  
инглико-  
продукт  
Г. Ш.  
кансана,  
of sub-  
g, Mi-  
teering

тил-1,3-  
-C<sub>2</sub>O<sub>2</sub>-  
В. К.  
бшоу,  
ehyden,  
(1 am)  
7.01.55  
олефи-  
новных  
с по-  
сут-

т, либо  
и давл.  
0—300°  
могели,  
стилла  
и сов-

высоко-  
азовав-  
щенный  
пилене,  
атором

ам да-  
ката-  
полу-  
слыного

Оста-  
3—146°  
смесь

спиртов,  
COOH  
ов кре-  
анного,  
ологич.

Л. Б.  
лениги-  
бург,  
tellung  
enstoff-  
Hans  
Verwer-

933338,

ов, со-  
щенной  
н. р-ра  
прерыв-

ждают,  
воду,  
Затем  
возвра-  
альной

диам.  
Труба  
д давл.  
> 170°.

х про-  
новре-  
альных  
пилене,  
ерхней  
продукт

р-цию поступает через холодильник в ресивер для спуска давления, из которого выделяется в 1 час 0,3 м<sup>3</sup> отходящих газов, 1 кг неочищ. масляного альдегида (I), содержащего 0,05% Со и 42 мл воды. Добавляют воду и смесь альдегида и воды (1 л/час) без разделения пропускают при 150° снизу вверх через трубу емк. 1 л, охлаждают и разделяют две фазы. Масляная фаза, содержит 90% I, и не содержит Со. Водн. фазу — р-р Со-ацетата — возвращают в цикл. В таком же аппарате при 185° и 600 ат пропускают снизу 2,5%-ный р-р Со-ацетата (65 мл/час) и 1,7 м<sup>3</sup> газовой смеси, содержащей 24% CH<sub>2</sub>=CH<sub>2</sub>, 36% СО, 37% Н<sub>2</sub>. Продукт р-цию охлаждают и после отделения отходящих газов получают 0,93 кг/час жидкой гомогенной смеси, содержащей 0,03% Со и 7% воды. Прибавляют 10% воды и в течение 1 часа пропускают через трубу при 150°, охлаждают до 20° и разделяют две фазы. Неочищ. пропионовый альдегид имеет чистоту 86% и не содержит Со. Водн. фазу также возвращают в цикл. В. К.

**76014 П.** Способ получения полиендиальдегидов. Ислер, Монтавон, Рюэгг, Целлер (Förfarande för framställning av en polyendialdehyd. Isler O., Montavon M., Rüegg R., Zeller P.) [F. Hoffmann-La Roche & Co. A.-G.]. Швед. пат. 151211, 151212, 23.08.55

4,9-диметилдодекатетраен-2,4,8,10-ин-6-диаль-1,12 превращают в соответствующий диацеталь, который конденсируют в присутствии кислого агента с пропениловым эфиром и превращают образовавшийся 2,6,11,15-тетраметилгексакатетраен-4,6,10,12-ин-8-диэфир-3,14-диацеталь-1,16 в 2,6,11,15-тетраметилгексакатетраен-2,4,6,10,12,14-ин-8-диаль-1,16 обработкой к-той, причем происходит гидролиз и отщепление спирта из 2,3- и 14,15-положений (пат. 151211). Бутендиальдиацеталь конденсируют в присутствии кислого агента с пропениловым эфиром и превращают полученный 2,7-диметилтетраен-4-диэфир-3,6-диацеталь-1,8 в 2,7-диметилтетраен-2,4,6-диаль-1,8 обработкой к-той, причем происходит гидролиз и отщепление спирта из 2,3 и 6,7-положений (пат. 151212). Б. Ф.

**76015 П.** Получение ненасыщенных кетонов (Procédé de préparation de cétones non-saturées) [The Distillers Co. Ltd.]. Швейц. пат. 298505, 16.07.54 [Chem. Zbl., 1955, 126, № 30, 7080 (нем.)]

Кетоны общей ф-лы CH<sub>2</sub>RCOCH<sub>2</sub>CHRCR=CHR получают из эфиров общей ф-лы CH<sub>2</sub>RCOCH<sub>2</sub>COOCHRCR=CHR (где R=H, CH<sub>3</sub>, C<sub>2</sub>H<sub>5</sub>, изо-C<sub>3</sub>H<sub>7</sub>, n-C<sub>4</sub>H<sub>9</sub>) в нагревании паров последних при 300—600° (лучше 450—550°) в течение 0,5—15 сек. Выходы лучше, чем получены ранее (нагревание при 185—200°). Г. Ш.

**76016 П.** Метод получения фумаровой кислоты. Ньютон (Method for the preparation of fumaric acid. Newton Lawrence W.) [Union Carbide and Carbon Corp.]. Канад. пат. 513193, 24.05.55

Процесс превращения малеинового к-ты (I) в фумаровую к-ту (II), заключающийся в нагревании (в безводн. условиях) под давлением р-ра I в расплавленном малеиновом ангидриде (III), содержащем 10—70% (лучше 40—60%) I по весу при 100—250° (лучше при 130—180°), отделении выпавшей II от III, промывании отделенной II определенным кол-вом воды, смешивании промывных вод, примерно с эквимолярным кол-вом III. Полученную смесь повторно подвергают превращению I в II. Г. Ш.

**76017 П.** Способ получения адипиновой кислоты. Кох, Грейне, Тисс (Verfahren zur Herstellung von Adipinsäure. Koch Kurt, Greune Heinrich, Thiess Karl) [VEB Farbenfabrik Wolfen]. Пат. ГДР 4562, 3.09.54

Очень чистую адипиновую к-ту (I), пригодную для получения бесцветных полиамидов и полиэфиров, по-

лучают, окисляя гексагидропирокатехин (I) 30—70%-ной HNO<sub>3</sub> при 20—40° в присутствии обычных ускорителей окисления. К 150 вес. ч. 52%-ной HNO<sub>3</sub>, содержащей 0,3 вес. ч. NH<sub>4</sub>-ванадата в течение 1,5 часа, прибавляют при хорошем перемешивании и охлаждении 54 вес. ч. II, поддерживая т-ру 32—37°, затем перемешивают 2 ч. при 35° и охлаждают до 0°. Выпавшие кристаллы I отсасывают, промывают водой, сушат на фильтре. Получают 64 вес. ч. I с влажностью 0,8% (выход 93,5% теор.), т. пл. 152° (с предварительным размягчением при 150—151°). При длительном нагревании до 180—200° I дает лишь слегка желтый плав. Разбавленную отработанную HNO<sub>3</sub> можно использовать повторно, укрепляя ее конц. HNO<sub>3</sub>. Приведен пример получения I окислением II HNO<sub>3</sub> в присутствии V<sub>2</sub>O<sub>5</sub>; получаемая I имеет т. пл. 154°. В. К.

**76018 П.** Способ получения α-оксикарбоновых кислот или их эфиров. Бредерек, Тейлинг, Гомпер (Verfahren zur Herstellung von α-Oxycarbonsäuren oder ihren Estern. Brederick Hellmut, Gompfer Rudolf, Theilg Gerhard) [Hellmut Brederick]. Пат. ФРГ 919466, 25.10.54 [Chem. Zbl., 1955, 126, № 24, 5651 (нем.)]

α-Алондкарбоновые к-ты или их эфиры вводят в р-цию с HCONH<sub>2</sub>, иногда в присутствии р-рителя при повышенной т-ре. 38 г CH<sub>3</sub>CHBrCOOH и 14 г HCONH<sub>2</sub> в 100 мл бутилглицерола нагревают, пока не начнет выделяться NH<sub>4</sub>Br (~15 мин.), фильтруют и получают после перегонки в вакууме 19 г (86%) CH<sub>3</sub>CHCOOC<sub>2</sub>H<sub>5</sub>, т. кип. 70°/15 мм; CH<sub>3</sub>CHBrCOOC<sub>2</sub>H<sub>5</sub> дает CH<sub>3</sub>CH<sub>2</sub>CHONCOOH; CH<sub>3</sub>ClCOOC<sub>2</sub>H<sub>5</sub> дает CH<sub>3</sub>CHONCOOC<sub>2</sub>H<sub>5</sub>, т. кип. 70°/15 мм; CH<sub>3</sub>CHBrCOOC<sub>2</sub>H<sub>5</sub> дает CH<sub>3</sub>CHONCOOC<sub>2</sub>H<sub>5</sub>, т. кип. 52°/10 мм; CH<sub>3</sub>CH<sub>2</sub>CHBrCOOC<sub>2</sub>H<sub>5</sub> дает CH<sub>3</sub>CH<sub>2</sub>CHONCOOC<sub>2</sub>H<sub>5</sub>, т. кип. 57—60°/10 мм. В. К.

**76019 П.** Способ получения α,β-ненасыщенных карбоновых кислот или их производных. Крёгер (Verfahren zur Herstellung von α,β-ungesättigten Carbonsäuren oder deren Abkömmlingen. Krogger Hugo) [Badische Anilin- & Soda-Fabrik A.-G.]. Пат. ФРГ. 895767, 5.11.53 [Chem. Zbl., 1955, 126, № 29, 6849 (нем.)]

Винилгалогениды или их гомологи вводят в р-цию с соединениями, содержащими по крайней мере один атом О, S или N, связанный с атомом Н (вода, спирты, меркаптаны, NH<sub>3</sub>, первичные и вторичные амины, карбоновые к-ты) и карбонилами металлов в присутствии СО. Из винилбромидов, Ni(CO)<sub>4</sub> и спирта при 160° получают этиловый эфир акриловой к-ты. В качестве исходных в-в можно применять винилиодид, α- или β-хлорстирол, хлоракриловую к-ту. Получаемые в-ва являются полупродуктами. В. К.

**76020 П.** Получение продуктов этерификации эфиров α-оксикарбоновых кислот дикарбоновыми кислотами. Реберг, Фишер (Production of dicarboxylic acid esters of alpha-hydroxycarboxylic acid esters. Rehberg Chessie E., Fisher Charles H.) [United States of America as represented by the Secretary of Agriculture]. Пат. США 2712025, 28.06.55

В качестве пластификаторов предложены полные эфиры, образующиеся при взаимодействии дикарбоновых алифатич. к-т (HOOC—X—COOH или фталевой к-ты) и эфиров алифатич. α-оксикислот R'CHON COOR, где X—алкенил с числом атомов C ≤ 8, R—алкил, хлоралкил, алкоксиэтил, алкенил, хлоралкенил или тетрагидрофурил с числом C-атомов ≤ 8; R'—H или алкил. В качестве побочных продуктов получают соединения типа ROOC—X—COOR (I), ROOC—X—COOC(R')H—COOR, ROOCCH(R')OOC—X—COOC(R')HCOOC(R')HCOOR, RO [OCCH(R')O]<sub>n</sub>OC—X—CO [OC(R')HCO]<sub>n</sub>—OR, где n ≥ 2 (II). Образование соединений типа I и

II подавляется добавлением к реакционной смеси соединений I и ROH соответственно. Л. Б

**76021 П.** Способ получения дзамещенных малоновых эфиров. Хак, Хердт (Verfahren zur Herstellung von disubstituierten Malonestern. Haack Erich, Heerdt Ruth). [VEB Chemische Fabrik von Heyden]. Пат. ГДР 10375, 30.08.55

Дзамещенные малоновые эфиры общей ф-лы  $R''R'NC(R')(COOR)_2$ , где  $R'$  — насыщ. или ненасыщ. алифатич., циклоалифатич. или ариалифатич. углеводородный остаток, присоединенный к атому С малонового эфира через первичный или вторичный атом С;  $R''$  и  $R'''$  — алкил, алкенил или аралкил (кроме того,  $R''$  и  $R'''$  вместе с атомом N могут образовывать гидрированный гетероциклич. остаток) получают р-цией шел. производного N-замещ. малонового эфира в отсутствие спирта с алкил-, алкенил- или аралкилгалогенидами или с соответствующими эфирами серной к-ты или органич. сульфокислот, применяя в качестве р-рителя диалкилкарбонат. 0,1 моля Na растворяют в 40 мл абс. спирта и, отогнав спирт в вакууме, получают сухой алкогольат, к которому приливают 0,1 моля дипропиламиномалонового эфира и 0,6 моля диэтилкарбоната, после чего отгоняют выделившийся спирт при 70 мм. После прибавления бромистого кротила выпадает NaBr. Реакционную смесь нагревают 6 час. при 100—120° до нейтр. р-ции по лакмусу, охлаждают, фильтруют и отгоняют диэтилкарбонат. Остаток растворяют в HCl-к-те и осаждают дипропиламинокротилмалоновый эфир  $Na_2CO_3$ . Продукт перегоняют в вакууме через колонну. Т. кип. 106—111°/2,5 мм, выход 74%. Из диэтиламиномалонового эфира при нагревании с диэтилсульфатом в течение 100 час. при 110° получают диэтиламиноэтилмалоновый эфир, т. кип. 125—130°/12 мм, выход 60%. Из пиперидиномалонового эфира при нагревании с диэтилсульфатом (48 час.) получают пиперидиноэтилмалоновый эфир, т. кип. 152°/15 мм, выход 73%. Продукты служат для получения лекарственных веществ. В. К.

**76022 П.** Способ получения ангидридов карбоновых кислот Кёниг (Verfahren zur Herstellung von Carbonsäureanhydriden. Koenig Franz) [Deutsche Gold- und Silber-Scheideanstalt vormals Roessler]. Пат. ФРГ 899938, 17.12.53 [Chem. Zbl., 1955, 126, № 30, 7081 (нем.)]

Ангидриды карбоновых к-т получают окислением соответствующих альдегидов  $O_2$  в присутствии ускорителей окисления, которые кроме солей Cu, Ag, Co, Ni, Fe или Cr (за исключением солей Mn) содержат в-ва, которые являются более кислыми, чем к-ты, соответствующие получаемым ангидридам. В. К.

**76023 П.** Очистка уксусного ангидрида (Purification of acetic anhydride) [Courtaulds Ltd]. Австрал. пат. 200776, 1.03.56

Уксусный ангидрид, получаемый абсорбцией кетена уксусной к-той, очищают обработкой  $H_2O_2$  или надуксусной к-той с последующей перегонкой. В. К.

**76024 П.** Способ получения N-диметилзамещенных амидов кислот. Даунинг (Verfahren zur Herstellung N-dimethylsubstituierter Säureamide. Downing Cole) [Monsanto Chemical Co.]. Пат. ФРГ 910295, 29.04.54 [Chem. Zbl., 1955, 126, № 25, 5896 (нем.)]

Способ получения N,N-диметилзамещ. амидов к-т ф-лы  $RCON(CH_3)_2$ , где R — алкил с 1—3 атомами С, из диметиламина и уксусной, пропионовой или масляной к-ты, заключающийся в том, что диметиламин и одну из указанных к-т или ее ангидрид прибавляют к некоторому кол-ву жидкости, состоящей из N,N-диметиламида к-ты, и соответствующей к-ты, причем кол-во к-ты по отношению к кол-ву диметиламида должно быть меньше, чем требуется для образования азетропной смеси. При получении  $CH_3CON(CH_3)_2$  жидкость содержит

< 21,1%  $CH_3COOH$ , при получении  $C_2H_5CON(CH_3)_2$  < 23,4%  $C_2H_5COOH$ , при получении  $C_3H_7CON(CH_3)_2$  жидкость содержит < 32%  $C_3H_7COOH$ . В. К.

**76025 П.** Способ получения амидов ζ-галогеноскарбонных кислот из галоидированных лактонов. Мольденхауэр, Траутман (Verfahren zur Herstellung von ζ-Halogenoxycarbonylsäureamiden aus halogenierten Lactonen. Moldenhauer Otto, Trautmann Günther) (Phrix-Werke A.-G.). Пат. ФРГ 896345, 12.11.53 [Chem. Zbl., 1955, 126, № 30, 7081 (нем.)]

Метод заключается в обработке ζ-галоидированного γ-лактона  $NH_3$  или аминами в инертном р-рителе (напр., ароматич. или хлорированных алифатич. углеводородах) при низкой т-ре. 20 ч. γ-лактона ζ-хлорэнантовой к-ты растворяют в 60 ч.  $CCl_4$ , высушенном над  $CaCl_2$ , р-р охлаждают ледяной водой и пропускают умеренный ток  $NH_3$  в течение 5—7 час., отделяют осадок амида ζ-хлороксизантовой к-ты, т. пл. 89° (из  $CHCl_3$ ). Г. Ш.

**76026 П.** Способ приготовления амидов α, β-ненасыщенных карбоновых кислот, из амидов β-галоидкарбоновых кислот (Procédé pour la préparation d'amides, d'acides carboxyliques non saturés en α, β à partir d'amides d'acides carboxyliques β-halogénés.) [CIBA, Akt.-Ges.]. Франц. пат. 1047236, 11, 12. 53 [Chem. Zbl. 1955, 126, № 36, 8495—8496 (нем.)]

Метод заключается в нагревании амидов β-галоидкарбоновых к-т при 100—180° (в основном при 130—140°) в присутствии алифатич. третичных аминов, содержащих 4—30 (лучше 4—9) атомов С в безводн. органич. р-рителе. К смеси 100 ч. N, N-диметил-β-хлорпропионамида, содержащего 0,5 ч. Cu-порошка (стабилизатор), прибавляют при 130—140° в течение 1 час. 75 ч.  $(C_2H_5)_3N$ , получают N, N-диметилакриламид, т. кип. 63—64°/0,5 мм. Аналогично получают: N, N-диэтилакриламид, т. кип. 66—67°/0,2 мм; N-изопропилакриламид, т. пл. 59°; N-бутилакриламид, т. кип. 106—108°/0,3 мм; N-(N', N'-диэтиламиноэтил)-акриламид, т. кип. 118—120°; N-метилакриламид, т. пл. 73—75°; пиперидил акриловой к-ты, т. кип. 93—94°/0,3 мм; N-циклогексилакриламид, т. пл. 110—111°. Г. Ш.

**76027 П.** Парофазный способ производства N-замещенных акриламидов. Кувер, Ширер (Vapor phase method of producing N-substituted acrylamides. Coover Harry W., Jr., Shearer Newton H., Jr.) [Eastman Kodak Co.]. Пат. США 2719178, 27.09.55

Способ произ-ва N-фенилакриламида состоит в нагревании N-фенил-β-N-анилинопропионамида в паровой фазе в присутствии  $Al_2O_3$  при 300—550°; период р-ции должен быть < 10 сек. Патентуется непрерывный способ получения N-замещ. акриламидов общей ф-лы  $H_2C=CH(X)NCONR''$ . В. К.

**76028 П.** Способ получения амидов или лактамов из оксимов. Хьюбер (Production of amides or lactams from oximes. Huber Melvin L.) [E. I. du Pont de Nemours and Co.]. Пат. США 2721199, 18.10.55

Соответствующие оксимы кипятят с трифторуксусной к-той. В. К.

**76029 П.** Способ получения хлорангидрида карбаминной кислоты. Слаком, Харди (Verfahren zur Herstellung von Carbamylchlorid. Slocombe Robert J., Hardy Edgar E.) [Monsanto Chemical Co.]. Пат. ФРГ 939928, 08.03.56

Фосген (I) и  $NH_3$ -газ непрерывно вводят в стеклянную реакционную трубку при т-ре  $\geq 450^\circ$  (лучше 500—525°) и молярном отношении I:  $NH_3 \geq 1$  (лучше 1,5). В 1 час вводят 3,6 моля I и 2,4 моля  $NH_3$ . Образовавшийся газообразный продукт поступает в охлаждаемый водой конденсатор для отделения  $NH_2COCl$ , который затем медленно нагревают до 190°. При этом получают 91 г циануровой к-ты, что соответствует выходу

$\text{NH}_2\text{COCI}$  88,5% (теор.), считая на  $\text{NH}_3$ . I и  $\text{NH}_3$  смешивают в соотношении 1,5:1, но хороший результат получается также при молярном отношении I:  $\text{NH}_3$  1,1:2. Возможны и другие отношения, но они всегда должны быть < 1. Кроме получения пиауровой к-ты,  $\text{NH}_2\text{COCI}$  можно применять для получения других ценных продуктов. Напр., р-цией с алифатич. или алициклич. спиртами и ароматич. в-вами, содержащими ОН-группу, получают уретаны, р-цией с алифатич. алициклич. и ароматич. аминами получают производные мочевины и т. д. В. К. 76030 П. Способ получения эфиров карбаминной кислоты. Энслин, Мейер (Förfarande för framställning av karbaminsyrastrar. Ensslin H., Meier K.) [Ciba A.-G.]. Швед. пат. 151308, 30.08.55

Эфиры карбаминной к-ты получают, обрабатывая известным способом карбинолы общей ф-лы  $\text{R}'\text{R}''\text{C}(\text{OH})\text{C}\equiv\text{CH}$  соединениями, способными заменять оксигруппу на карбамилосигруппу ф-лы —  $\text{OCONHR}$ . В ф-лах  $\text{R}'$  и  $\text{R}''$  — одновалентные алифатич. или циклоалифатич. углеводородные остатки, или же  $\text{R}'$  и  $\text{R}''$  вместе могут образовывать 2-валентный алифатич. углеводородный радикал,  $\text{R}'''$ -алифатич. углеводородный остаток. Б. Ф. 76031 П. Получение N-карбангидридов α-аминокислот. Причард (Preparation of N-carboanhydrides of alpha-amino acids. Prichard William W.) [E. J. du Pont de Nemours and Co.]. Канад. пат. 515015, 26.07.55

Метод заключается в р-ции  $\text{COCl}_2$  с α-аминокислотами (имеющими при азоте хотя бы 1 атом H) и их солями (с неорганич. к-той, щел. металлом или щел.-зем. металлом), которая проводится в простом эфире, не содержащем ароматич. углеводородных остатков, и имеющем от 2 до 4 атомов C на каждый эфирный атом кислорода. Г. Ш. 76032 П. Способ получения хлоргидрата диаминогуанидина. Питерс, Кайзер (Method of preparing diaminoguanidine hydrochloride. Peters Grace A., Kaiser Donald W.) [American Cyanamid Co.]. Пат. США, 2721217, 18.10.55

Хлоргидрат диаминогуанидина получают р-цией 2 молей гидразина с 1 молем  $\text{SiCN}$  в практически насыщ. водн. р-ре NaCl при  $t$ -ре  $\leq 20^\circ$ . В. К. 76033 П. Получение цианамидов. Ботрайт, Маккей (Preparation of cyanamides. Boatright Leslie G., Mackay Johnstone S.) [American Cyanamid Co.]. Пат. США 2721786, 25.10.55

Метод произ-ва цианамидов состоит в пропускании смеси  $\text{NH}_3$  и  $\text{CO}_2$ , молярные соотношения которых могут быть от 1:20 до 20:1, через нагретый до 350—800° термостойкий материал с высокоразвитой поверхностью (силикагель, окислы Al, Ti, Zr и др.), адсорбирующий продукт р-ции. Лучше поддерживать  $t$ -ру  $> 500^\circ$ , но  $< 800^\circ$  во избежание разложения  $\text{NH}_3$ . Процесс можно вести при разрежении, при атмосферном или повышенном давлении. Последнее рекомендуется в случае высоких  $t$ -р для установления нужной скорости прохождения газов. По охлаждению силикагеля (или другого материала) из него извлекают цианамид обработкой низшим первичным спиртом или водой. Дегидрированные отходящие газы и отделенный от цианамидов и высушенный силикагель (или другой материал) снова используют для указанного процесса. Для более полного использования  $\text{NH}_3$  соотношение его и  $\text{CO}_2$  должно быть 1:20; отходящий при этом газ, содержащий, в основном,  $\text{CO}_2$  и немного воды, сушат пропусканием через  $\text{H}_2\text{SO}_4$  и возвращают в реактор, добавляя требуемое кол-во  $\text{NH}_3$ . Метод может быть непрерывным, если из зоны р-ции непрерывно порциями удаляют силикагель, содержащий цианамид, отделяют его и возвращают в сухом состоянии в реакционную зону, куда также вводят высушенные пары непрореагировавших в-в. Пример: смесь  $\text{NH}_3$  и  $\text{CO}_2$  (2,5:1) пропускают в течение 1,5 час.

со скоростью 40 г газа в 1 час через нагретую до  $650 \pm 5^\circ$  кварцевую реакт. трубку, приближ. наполовину (по длине) заполненную хорошо измельченным силикагелем, помещенным в центральную часть трубки. Отходящие газы ( $\text{NH}_3$ ,  $\text{CO}_2$  и  $\text{H}_2\text{O}$ ) собираются в ловушки со щелочью и к-той. Силикагель охлаждают и промывают миним. кол-вом воды. Водн. р-р экстрагируют эфиром и выделяют цианамид с хорошим выходом. Следует отметить, что даже при  $t$ -ре красного каления, образующийся цианамид не уходит с поверхности катализатора с отходящими газами. И. Ш. 76034 П. Приготовление продукта, содержащего Na-соль цианамидов. Винджи, Ленто (Preparation of product containing sodium acid cyanamide. Vingee Raymond A., Lento Louis L., Jr.) [American Cyanamid Co.]. Канад. пат. 515169, 2.08.55

Метод получения дефолантов, содержащих кислый Na-цианамид и  $\text{Ca}(\text{OH})_2$  с заключающийся в смешении воды,  $\text{Ca}(\text{CN})_2$  (можно в виде технич. продукта) и NaOH (в мол. отношении 1—2:1:1), нагреванием смеси до 90—110° в течение по крайней мере 1 часа при перемешивании. Можно применять смачивающие агенты, устойчивые по отношению к Ca. После удаления избытка воды получают практически сухой продукт. Приводится график зависимости выхода кислого Na-цианамидов от  $t$ -ры и времени; лучший выход получается при 100° и времени р-ции 1,5 часа. Г. Ш. 76035 П. Способ получения замещенных нитроэтиленов. Шуман, Кальтоффен (Verfahren zur Herstellung von substituierten Nitroäthylenen. Schumann Kurt, Kaltoffen Rolf.) Пат. ГДР 10935, 7.12.55

Метод заключается во взаимодействии ароматич. или гетероциклич. альдегидов, которые могут быть замещены в ядре, и  $\text{CH}_3\text{NO}_2$  со щел. в-вами: KOH, NaOH,  $\text{NaOC}_2\text{H}_5$ ,  $\text{K}_2\text{CO}_3$ ,  $\text{Na}_2\text{CO}_3$ , алифатич. аминами или лучше гидратами окисей щел.-зем. металлов. К р-ру 20 г NaOH в 80 мл воды прибавляют при перемешивании и 0—5° смесь 48 г фурфурола (I) и 30,5 г  $\text{CH}_3\text{NO}_2$  в течение 3 час., оставляют на 1 час, выливают на 200 г льда, подкисляют HCl (к-та), получают 1-(2-фурил)-2-нитроэтилен (II), выход 53,9%, т. пл. 74° (из сп.). К 200 г известкового молока (из 28 г  $\text{CaO}$ ) прибавляют при перемешивании и 0—5° смесь 48 г I и 30,5 г  $\text{CH}_3\text{NO}_2$  в течение 2 час., оставляют на 1 час, выливают на смесь 400 г льда и 100 мл конц. HCl, осадок промывают 2%-ной HCl, получают II, выход 85%. Аналогично из 100 г известкового молока (из 14 г  $\text{CaO}$ ) и смеси (37,5 г  $\text{m-O}_2\text{NC}_6\text{H}_4\text{CHO}$  и 16 г  $\text{CH}_3\text{NO}_2$  в 50 мл  $\text{CH}_3\text{OH}$ ) в течение 2 час. получают 1-( $\text{m}$ -нитрофенил)-2-нитроэтилен, выход 79,6%, т. пл. 125°. Полученные соединения пригодны как исходные в-ва для синтеза инсектицидов. Г. Ш. 76036 П. Способ получения оксимов, не растворимых или плохо растворимых в воде. Кар (Förfarande för framställning av i vatten svårösliga eller olösliga oximer. Kahr K.) [Inventa A. G. für Forschung und Patentverwertung.]. Швед. пат. 150913, 2.08.55

Указанные оксими (О) получают р-цией оксосоединений (ОС) с эквивалентным кол-вом соли гидроксиланина (СГ) при нейтр-ции к-ты, выделяющейся при р-ции, до pH 2,7—4,5. Процесс ведут таким образом, что в одной стадии берут избыток ОС, а в другой — избыток СГ. Усовершенствование способа заключается в том, что ОС смешивают при  $t$ -ре, выше  $t$ -ры плавления оксима, содержащего воду, с водн. р-ром СГ, взятой в кол-ве менее стехиометрич. необходимого для р-ции и отделяют смесь жидкого О с непрореагировавшим ОС от солевого р-ра. Жидкую смесь вводят в р-цию с избытком СГ, взятой в избытке  $\geq 100\%$ , считая на кол-во, необходимое для р-ции с непрореагировавшим ОС, затем отделяют О в жидком виде от солевого р-ра. Приведена схема процесса. Б. Ф.

**76037 П. Способ получения насыщенных  $\alpha, \omega$ -динитрилов. Роджерс** (Verfahren zur Herstellung von gesättigten  $\alpha, \omega$ -Dinitrilen. Roges Arthur Osmond) [E. I. Du Pont de Nemours and Co]. Пат. ФРГ 881648, 02.07.53 [Chem. Zbl., 1955, 126, № 30, 7081 (нем.)]

Насыщенные  $\alpha, \omega$ -динитрилы получают р-цией насыщ.  $\alpha, \omega$ -дигалогенида с цианидом Na, K, Cu или Zn в среде эфироспиртов, напр. моноалкильного или моноарильного эфира этиленгликоля, моноалкильного эфира диэтиленгликоля или тетраметилэтиленгликоля, диалкильного эфира глицерина или в среде тетрагидрофурилового спирта. Из 1,4-дихлорбутана и NaCN в среде монометилового эфира получают адилодинитрил (выход 90%) и  $\delta$ -хлорвалеронитрил (выход 5,1%). Получен также динитрил янтарной к-ты. В. К.

**76038 П. Способ регенерации фосгена** (Procédé pour la récupération de phosgène) [Farbenfabriken Bayer A.-G.]. Франц. пат. 1089476, 17.03.55 [Chimie et industrie, 1956, 75, № 3, 551 (франц.)]

При произ-ве изоцианатов действием  $\text{COCl}_2$  (I) на амины отходящие газы, содержащие I и HCl, охлаждают до т-ры ниже кипения I, но выше т-ры кипения HCl и пропускают противотоком в жидкий I. В. К.

**76039 П. Способ получения серосодержащих органических соединений. Бётхер** (Verfahren zur Herstellung von schwefelhaltigen, organischen Verbindungen. Böttcher Bruno). Австр. пат. 181275, 10.03.55 [Chem. Zbl., 1955, 126, № 30, 7085 (нем.)]

Углеводороды или их производные, содержащие по крайней мере одну  $-\text{CH}=\text{CH}-$  группу, напр. концевую пропенильную группу, или же содержащие в цикле группу  $\text{H}_3\text{CC}=\text{CH}$ , обрабатывают избытком S или соединений, отщепляющих S при т-ре  $> 175^\circ$ . При этом соотношение реагентов должно быть таким, чтобы на каждую ненасыщ. группу приходилось  $> 3$  атомов S. Р-цию проводят в токе  $\text{CO}_2$ . Из 103,2 г анетолы и 89,8 г S получают 80,4 г неочищ. кристаллич. продукта, содержащего на 4 атома H меньше, чем исходное в-во. Осерненный продукт присоединяет галоидалкилы и соли тяжелых металлов. При окислении  $\text{CrO}_3$  получают анисовую к-ту. Обработывая пинен серой получают продукт состава  $\text{C}_{10}\text{H}_{16}\text{S}_3$ , из изопрена получают продукт состава  $\text{C}_5\text{H}_8\text{S}_3$ . В. К.

**76040 П. Способ получения тиосоединений. Кун, Квадбек** (Verfahren zur Herstellung von Thiolverbindungen. Kuhn Richard, Quadbeck Günter) [Badische Anilin- & Soda-Fabrik A.-G.]. Пат. ФРГ 932374, 29.08.55. Доп. к пат. ФРГ 893795. (РЖХим., 1956, 7776). N-ацилпроизводное этиленимина вводят в р-цию с  $\text{H}_2\text{S}$  или в-вами, выделяющими  $\text{H}_2\text{S}$ . В смесь 1 об. ч. ацетилэтиленимина (получен по пат. 735008) и 2 об. ч.  $\text{CH}_3\text{OH}$  пропускают при охлаждении  $\text{H}_2$ . Реакционную смесь разгоняют в вакууме. При  $138-140^\circ$  (7 мм отгоняется N-ацетилцистамин. Выход 80% (теор.)). В колонку с насадкой (напр.  $160 \times 8$  см) пропускают снизу  $\text{H}_2\text{S}$ , одновременно сверху приливают по каплям р-р 50 вес. ч. N-ацетилэтиленимина в 100 вес. ч.  $\text{CH}_3\text{OH}$ . Скорость приливания регулируют так, чтобы основное тепло р-ции выделялось в середине колонны. Полученный продукт разгоняют в вакууме. В. К.

**76041 П. Процесс получения винилсульфамидов. Парк** (Process for preparing vinyl sulfonamides. Park Harold F.). Пат. США 2715142, 9.08.55. Парофазный процесс превращения винилсульфоната аммония (I) в винилсульфамид, заключающийся в нагревании I при  $250-400^\circ$  в присутствии небольших кол-в в-в, состоящих из серы и замещ. фенолов, не испаряющихся при т-ре реакции. Г. Ш.

**76042 П. Способ получения цианатов. Хампхрейт, Опп** (Verfahren zur Herstellung von Cyanaten. Hamprecht, Opp) [Badische Anilin- & Soda-Fabrik A.-G.]. Пат. ФРГ 933750, 06.10.55. Безводные трехзамещенные щел. соли циануровой к-ты (I, к-та) нагревают при  $400-600^\circ$ . Для получения солей можно применять технич. I. 43 вес. ч. технич. I смешивают с 117 вес. ч. 48,3%-ного KOH, смесь высушивают при  $130^\circ$ , 20 вес. ч. сухой массы нагревают 15 мин. при  $550^\circ$ . Получают 18,85 вес. ч. 93,5%-ного KOCN. 20 вес. ч. три-Na-соли I прокалывают 20 мин. при  $600^\circ$ , получают 19 вес. ч. 96%-ного NaOCN. 50 вес. ч. три-K-соли I прокалывают 20 мин. при  $550^\circ$ . Получают 49 вес. ч. 99%-ного KOCN. В. К.

**76043 П. Способ получения эфиров ортофосфорной кислоты. Бретшнейдер** (Verfahren zur Herstellung von Orthophosphorsäureestern. Bretschneider Horst) [Metall. Ges. A.-G.]. Пат. ФРГ 842043, 16.02.56. 16.02.56

Способ получения эфиров обработкой органич. в-в, способных к образованию сложных эфиров, заключающийся в том, что в-ва, не содержащие OH-групп, напр. кичлч. простые эфиры — окись этилена (I) или пропилена, тетрагидрофуран, моно- или диангидрогекситы, свободные гидроксильные группы которых защищают этерификацией, обрабатывают  $\text{POCl}_3$  в присутствии  $\text{PCl}_3$ . В 300 ч.  $\text{POCl}_3$  прибавляют 3 ч.  $\text{PCl}_3$  и при перемешивании пропускают I, т-ра при этом поднимается до  $110-120^\circ$ . После пропускания 2 моль-экв I р-ция ослабевает. Бесцветный продукт р-ции содержит главным образом ди-( $\beta$ -хлорэтил)-фосфорилхлорид,  $(\text{ClC}_2\text{H}_4\text{O})_2\text{POCl}$  и немного три-( $\beta$ -хлорэтил)-фосфата. Неочищ. продукт пригоден для дальнейших р-ций, напр. для р-ции с Na-нитрофенолятом или Na-хлорфенолятом, в результате чего получают в-ва, обладающие инсектицидным и фунгицидным действием. В. К.

**76044 П. Способ обнаружения эфира диэтилтионофосфорной кислоты и  $\beta$ -этилмеркаптоэтилового спирта. Гросскопф** (Process for the detection of diethylthiophosphoric acid ester of  $\beta$ -oxethylthioethyl ether. Grosskopf Karl.) [Otto Heinrich Drager]. Пат. США, 2709127, 24.05.55

Качественное определение эфира диэтилтионофосфорной к-ты и  $\beta$ -этилмеркаптоэтилового спирта (I) состоит в хроматографировании р-ра I на колонке с  $\text{SiO}_2$ , пропитанном хлоридом металла из группы благородных, Hg или Cu, с последующим проявлением хроматограммы сильным гетерополярным в-вом. Приведена схема прибора. Л. Б.

**76045 П. Расщепление органических галоидполисиланов. Блустейн** (Cleavage of organohalogenopolysilanes. Bluestein Ben A.) [General Electric Co.]. Пат. США 2709176, 24.05.55

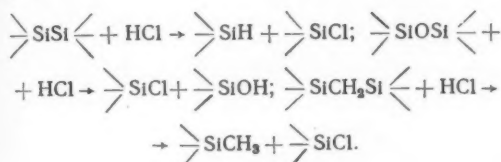
Способ получения галоидмоносиланов из органич. галоидполисиланов, в которых органич. группы, являющиеся одновалентными углеводородными радикалами, непосредственно связаны с кремнием связью C—Si, состоит в действии на полисилан галоидоводорода в присутствии третичных аминов или их солей. В качестве третичного амина могут быть использованы как гетерокичлч., так и ароматич. или алифатич. амины. Л. Б.

**76046 П. Реакция винилсиланов с некоторыми пергалойд-алканами и гидролиз получаемых продуктов. Гордон** (Reaction of vinyl silanes with certain perhaloalkanes, the products, and their hydrolysis products. Gordon Arthur F.) [Dow Corning Corp.]. Пат. США 2715113, 9.08.55

Соединения ф-лы  $(\text{CH}_2=\text{CH})\text{R}_n\text{SiZ}_{3-n}$ , где R — одновалентный насыщ. углеводородный радикал;  $n = 0-2$ ; Z — галоид, нагревают с соединениями ф-лы  $\text{X}_{2m+1}\text{C}_m\text{Y}$  (где X = Cl, Br;  $m = 1, 2$ ; Y = Br, J) при  $\geq 50^\circ$  в присутствии в-в, образующих свободные радикалы. Г. Ш.

**76047 П.** Способ получения метилхлорсиланов. Барри, Гилки (Verfahren zur Herstellung von Methylchlor-silanen. Barry Arthur John, Gilkey John Woodbury) [Dow Corning Corp.]. Пат. ФРГ 936444, 15.12.55

Метод состоит в нагревании остатка (I) (образующегося после отгонки в-в, кипящих  $\leq 70^\circ$  от продукта р-ции  $\text{CH}_3\text{Cl}$  с Si) с HCl (газ). Содержание HCl (газ) во вводимой смеси должно быть по меньшей мере 4 вес.%, но не больше 50 вес.%. HCl может быть разбавлен  $\text{N}_2$  или  $\text{CO}_2$ . Процесс может быть непрерывным (при пропуске смеси через нагретую до 400–900° трубку, покрытую внутри кварцем (II), глиноземом (III) или кремневой к-той глинозем (IV), причем, даже после 24 час. скорость р-ции не снижается; непрореагировавшая часть I и HCl возвращают в р-цию или разделяю и в смеси) или периодич. (в автоклаве, давление до 105 ат, т-ра р-ции 200–500°). Точный состав I неизвестен. В различных условиях р-ции  $\text{CH}_3\text{Cl}$  с Si (т-ра, скорость введения исходных в-в, катализаторы) можно получить в I соединения, содержащие различные кол-во органич. групп на 1 атом Si; вообще I содержит от 1,4 до 2,8 подвижных Cl-атомов на 1 атом Si и от 1 до 1,5 углеводородных остатков на 1 атом Si. I содержит SiSi-, SiOSi- и SiSiSi-связи, которые реагируют с HCl, вероятно, следующим образом:



I и HCl (~1 моль на 185 г I) вводят в нагретую трубку из нержавеющей материала длиной 1,22 м и внутренним diam. 2,54 см, продукты р-ции собирают в два приемника, один из которых охлаждают водой, а другой твердой  $\text{CO}_2$ , содержащее обоих приемников объединяют и фракционируют; в-ва, кипящие между 35 и 75°, анализируют с помощью ИК-спектров. В ряде опытов получают (последовательно указаны материал, которым покрыта трубка внутри, т-ра в °C, скорость введения I в мл/мин, скорость введения HCl в мл/мин, продолжительность опыта в час, вес. % образовавшихся  $\text{SiCl}_4$ ,  $\text{CH}_3\text{SiCl}_3$ ,  $(\text{CH}_3)_2\text{SiCl}_2$ ,  $\text{CH}_3\text{SiCl}_2$ ,  $\text{CH}_3\text{SiCl}$ ): II, 700, 2, 300, 4,5, 4,2, 2,3, 13,5, 20,2; III, 750, 2,12, 300, 6, 4,5, следы, 18,1, 25,6; IV, 500, 2,77, 300, 4,3, 5,3, 2,1, 9,2, 23,8; IV, 600, 2,1, 300, 3,5, 5,4, 1,8, 8,2, 29,5; III, 450, 2,1, 300, 2,25, 9,6, следы, 5,1, 21,2; III, 600, 2,1, 300, 4,75, 13,5, следы, 9,2, 39,5; без покрытия, 700, 4,3, 500, 3,25, 8,9, 0,8, 10,3, 28,8. Во вращающийся автоклав емк. 2,4 л загружают I и HCl и нагревают до определенной т-ры, после конца р-ции охлаждают до 20° и продукт фракционируют. В ряде опытов получают (последовательно указаны загрузка I в г, загрузка HCl в г, т-ра в °C, давление в ат, продолжительность опыта в час, вес. % продуктов р-ции в г, вес. % образовавшихся  $\text{SiCl}_4$ ,  $\text{CH}_3\text{HSiCl}_2$ ,  $(\text{CH}_3)_2\text{SiCl}_2$ ,  $\text{CH}_3\text{SiCl}_3$ ): 600, 97, 342–354, 94,5–97,3, 16, 620, 5,5, 1,8, 11,3, 43,4; 600, 97, 390–400, 112–114,8, 16, 610, 11,8, 1,8, 11,3, 38,7; 600, 132, 295–310, 94,5–110,2, 16, 550, 5,9, 2, 7,3, 35,5; 600, 97, 395–409, 99,7, 2, 605, 9,5, 0,9, 4,2, 31. Вес. % рассчитывают, исходя из общего веса продуктов р-ции. И в непрерывном и в периодич. процессах используют I приблизительно следующего состава: 18,3% инертных углеводородов, 4,4% метилхлорсиланов ф-лы  $(\text{CH}_3)_n\text{SiCl}_{4-n}$ , 27% высших алкилхлорсиланов ф-лы  $\text{R}_n\text{SiCl}_{4-n}$ , 6,1% дисилоканов ф-лы  $(\text{CH}_3)_n\text{Si}_2\text{OCl}_{6-n}$ , 4,4%  $\text{Cl}_3\text{SiSiCl}_3$ , 8,8% ме.

21 Химия, № 23

тилхлордисиланов ф-лы  $(\text{CH}_3)_n\text{Si}_2\text{Cl}_{6-n}$ , 26,9% соединения ф-л  $(\text{CH}_3)_n(\text{SiCH}_2\text{Si})\text{Cl}_{6-n}$ ,  $(\text{CH}_3)_n\text{SiCH}_2\text{CH}_2\text{Si}(\text{Cl}_{6-n})$ ,  $(\text{CH}_3)_n(\text{SiCH}_2\text{SiCH}_2\text{Si})\text{Cl}_{6-n}$ , 4,1% непересекающегося остатка, содержащего высокополимерные силаны, силосаны и др. в-ва; во всех случаях  $n = 1, 2, 3$ . Г. Ш.

**76048 П.** Хлорирование хлорметилметилсиланов. Спейер (Chlorination of chloromethylmethylsilanes. Speier John L., Jr) [Dow Corning Corp.]. Пат. США 2715134, 9.08.55

Метод получения поли-(монохлорметил)-силанов (I), заключающийся в непрерывном пропускании через реакционную зону  $\text{Cl}_2$  и метилхлорметилсиланов общей ф-лы  $(\text{CH}_3)_a(\text{CH}_2\text{Cl})_b\text{SiCl}_{4-a-b}$ , (где  $a = 1, 2, 3$ ;  $b = 1, 2$ ;  $a + b = 2, 3, 4$ ) при т-ре между т-рой кипения вводимого метилхлорметилсилана и т-рой кипения хлорированного продукта, содержащего на 1 атом Cl (на каждый атом Si) больше, чем вводимое соединение, причем образующиеся I конденсируют и непрерывно удаляют из аппарата. Дается чертеж аппаратуры. Г. Ш.

**76049 П.** Гидрирование кремнийорганических соединений. Уагнер (Hydrogenation of silicon compounds. Wagner George H.) [Union Carbide Canada, Ltd.]. Канад. пат. 509116, 11.01.55

Соединение, имеющее один атом Si в молекуле, получают нагреванием при т-ре  $\geq 300^\circ$  и давл.  $\geq 35$  ат в-ва, содержащего галонд и имеющего Si—Si связь (напр., хлорированных производных дисилана), в присутствии  $\text{H}_2$ . Б. К.

**76050 П.** Метод получения производных оловоорганических соединений. Мак, Паркер (Method of preparing organo-substituted stannane derivatives. Mack Gerry P., Parker Emery) [Advance Solvents & Chemical Corp.]. Пат. США 2727917, 20.12.55

Метод заключается в р-ции соединений ф-лы  $\text{R}_x\text{Sn}(\text{OCH}_3)_y$ , (где R — одновалентный углеводородный радикал;  $x + y = 4$ ;  $x = 2, 3$ ) с органич. соединениями, содержащими подвижный водородный атом в безводн. условиях, и отгонке образующегося при р-ции  $\text{CH}_3\text{OH}$ . Г. Ш.

**76051 П.** Арсонсоединения и метод их приготовления. Фокс, Веннер (Arsono compounds and method of preparation. Fox Herman H., Wenner Wilhelm) [Hoffmann-La Roche Ltd.]. Канад. пат. 514570, 12.07.55

N-(n-Арсонобензил)-глицинамид и его соли получают взаимодействием n-арсонобензиламина, растворенного в водн.  $\text{NH}_3$  или KOH с хлорсетамином. Г. Ш.

**76052 П.** Способ получения эфиров титановой кислоты. Раст, Спайалтер (Method of preparing esters of titanic acid. Rust John B., Spialter Leonard) [Montclair Research Corp., Ellis-Foster Co.]. Пат. США 2709174, 24.05.55

При взаимодействии  $\text{TiCl}_4$  с эпоксиалканами получают  $\beta$ -хлоралкиловые эфиры титановой кислоты. Л. Б.

**76053 П.** Способ дегидрохлорирования хлорсодержащих соединений. Хамфрис (Procédé de déshydrochloruration des composés de chlore. Humphreys David D.) [Ethyl. Corp.]. Франц. пат. 1068983, 2.07.54 [Chimie et industrie, 1955, 73, № 4, 772 (франц.)]

Полихлорциклоксан контактируют при повышенной т-ре с катализич. кол-вом в-ва ф-лы  $\text{MmXn}$ , где M — щел. или щел.-зем. металл. X — галонд или радикал, замещающийся галондом при взаимодействии с галондодородными к-тами при т-ре не более 180°; m и n — небольшие целые числа. Л. Б.

**76054 П.** Гексагидронафталин (Hexahydronaphthalene) [Monsanto Chemical Co.]. Австрал. пат. 167077, 8.03.56

Транс-1-окси-4-кето-2-алкокси-4а-метил-1, 4, 4а, 5, 8, 8а-гексагидронафталин, алкоксильная группа которого содержит 1–5 атомов С, получают, обрабатывая соответствующий транс-1,4-дикето-2-алкокси-4а-метил-1, 4, 4а, 5,

8, 8а-гексагидронафталин цинком и разб.  $\text{CH}_3\text{COOH}$ . В. К.

**76055 П.** Способ получения тетралонов, замещенных в положении 1. Гроб (Process for the manufacture of tetralones substituted in the 1-position, Grob Cyril) [Organon, Inc.]. Пат. США 2715143, 9.08.55

Метод введения алкильных групп в 1-е положение 5,8-диалкокситетралонов-2 (I) обработкой продукта р-ции I и щел. металла галоидалкилом в жидкой среде, в которой щел. металл. производное I нерастворимо. Г. Ш.

**76056 П.** Замещенные фенантроны-2. Ноулс (Substituted phenanthren-2-ones, Knowles William S.) [Monsanto Chemical Co.]. Канад. пат. 513154, 24.05.55

dl-анти-транс-1,8а-диметил- $\Delta^{6,10a}$  (I) - декагидрофенантрена-2 получают гидрированием 1,8а-диметил- $\Delta^{6,9,10a}$  (I) - октагидрофенантрена-2 в присутствии  $\text{Pd/SrCO}_3$ ; аналогично восстановлен 8а-метил- $\Delta^{6,9,10a}$  (I) - октагидрофенантрон-2. Г. Ш.

**76057 П.** Производство замещенных фенантронов (Production of substituted phenanthrene) [Research Corp.]. Англ. пат. 719529, 1.12.54

1,14-Диметил-2-кето-2,3,4,5,8,12,13,14 - октагидрофенантрон (I) получают из 1-( $\beta$ -пропионил)-2-кето-10-метил-1,2,5,8,9,10-гексагидронафталин-1-альдегида с помощью мягкого конденсирующего агента — напр. КОН в водн. органич. р-рителе или HCl в  $\text{CH}_3\text{COOH}$ , вызывающего циклизацию. I может быть окислен  $\text{OsO}_4$ , пербензойной к-той,  $\text{C}_6\text{H}_5\text{COOAg}$  и иодом или  $\text{H}_2\text{O}_2$  в присутствии  $\text{OsO}_4$  в качестве катализатора. Продукт окисления, если необходимо, гидролизуют в 6,7-диокси-1,14-диметил-2-кето-2,3,4,5,6,7,8,12,13,14-декагидрофенантрон, который превращают в изопропилиденное производное конденсации с ацетоном в присутствии безводн.  $\text{CuSO}_4$ . Катализатор гидрирования получающегося продукта в неполярном р-рителе, напр.  $\text{C}_6\text{H}_6$ , с последующим введением с помощью ортомуравьиного эфира в положение 3 формильного остатка и защитой его конденсацией с метиланилином приводит к изопропилиден-6,7-диокси-2-кето-1-метиланилинометил-3,14-диметил-2,3,4,5,6,7,8,12,13,14-декагидрофенантрону, который с акрилонитрилом в присутствии четвертичных солей аммония превращается в изомерные цианэтильные производные, омыляемые без разделения в соответствующие к-ты. Жидкий изомер отделяют и превращают в лактон, напр., кипячением с  $(\text{CH}_3\text{CO})_2\text{O}$  и  $\text{CH}_3\text{COONa}$ . Лактон с метилмагнийгалогенидом дает D-гомостероид, окисление которого, напр., йодной к-той, приводит к 1,2-бис-(альдегидометил)-2,13-метил-7-кето-1,2,3,5,6,7,9,10,11,13 - декагидрофенантрону (см. также англ. пат. 712550, 712599, 712600). См. РЖХим, 1956, 44504, 40870, 52147. И. Ш.

**76058 П.** Способ очистки загрязненных лактамов (Verfahren zur Reinigung von unreinen Lactamen) [Der Niederländische Staat, vertreten durch De Directie van de Staatsmijnen in Limburg]. Австр. пат. 180058, 10.11.54 [Chem. Zbl., 1955, 126, № 17, 3966 (нем.)]

Лактамы, напр., получаемые при переработке отходов полиамидных смол, растворяют в олеуме, содержащем 2—10 вес. %  $\text{SO}_2$ ; р-р нагревают до 120—190°. Нейтриней выделяют масляный слой, который перегоняют. При переработке отходов полиамида, полученного полимеризацией капролактама, получают очист. капролактама. В. К.

**76059 П.** Взаимодействие дициклопентадиенилжелеза с альдегидами. Грехэм (Aldehyde-dicyclopentadienyliron reaction product and method of making, Graham Peter J.) [E. I. du Pont de Nemours and Co.]. Пат. США 2709175, 24.05.55

При р-ции дициклопентадиенилжелеза с альдегидом  $\text{RCHO}$  (R-углеводородный радикал) получается нерастворимый в воде и нелетучий продукт. Л. Б.

**76060 П.** Получение диарилэтанов (Preparation of diarylethanes) [American Cyanamid Co.]. Австрал. пат. 200302, 05.01.56

При получении 1,1-диарилэтанов р-цией ацетилена с моно- и (или) диалкилзамещ. бензолами в присутствии катализатора, содержащего  $\text{H}_2\text{SO}_4$  и соединения Hg, ацетилен применяют в кол-ве 15—45% от кол-ва стехиометрич. необходимого для р-ции со всеми взятыми моно- и (или) диалкилзамещ. бензолами. В. К.

**76061 П.** Способ получения фенилциклогексана каталитическим гидрированием дифенила. Шукман (Verfahren zur Herstellung von Phenylcyclohexan durch katalytische Hydrierung von Diphenyl, Schuckmann Gustav von) [Farbenfabriken Bayer A.-G.]. Пат. ФРГ 937950, 19.01.56

Фенилциклогексан получают каталитич. гидрированием дифенила в присутствии Cu—Cr-катализатора, не содержащего Ni и Co (получен по герм. пат. 851053), при 240—260° и давлении  $\text{H}_2$  20—250 атм 300 ч. Дифенил и 12 ч. Cu—Cr-окисного катализатора, содержащего 31,9% Cu и 23,4% Cr, обрабатывают  $\text{H}_2$  под давл. 200 атм при 250° до прекращения р-ции (4—4,5 часа). После отделения катализатора получают 300 ч. фенилциклогексана с  $n_D^{20}$  1,5250, что соответствует выходу 96%. Если при той же т-ре и давл.  $\text{H}_2$  дать выдержку еще 1 час, результаты опыта практически не меняются. Таким образом, применяемый катализатор в данных условиях действует строго селективно, так что гидрируется только одно ядро. В. К.

**76062 П.** Способ выделения 1, 2, 4, 5-тетрахлорбензола. Розин (Treatment of tetrachlorobenzene, Rosin Jacob) [Montrose Chemical Co.]. Пат. США 2721224, 18.10.55

1, 2, 4, 5-тетрахлорбензол (I) выделяют из реакционной смеси, содержащей три-, тетра- и пентахлорбензолы, охлаждением смеси до т-ры  $< 25^\circ$ . выпадающий осадок, содержащий кристаллич. I, отфильтровывают и маточный р-р растирают вместе с водн. р-ром смачивающего в-ва. Пасту фильтруют и осадок промывают водой. В. К.

**76063 П.** Производство фенола (Manufacture of phenol) [Stamicarbon N. V.]. Австрал. пат. 164803, 08.09.55

Непрерывный процесс произ-ва фенола (I), состоящий в нагревании тонкоизмельченной смеси щел. соли бензолсульфокислоты и гидрата окиси щел.-зем. металла при 350—450° (во взвешенном состоянии) и отделении I из твердого остатка р-ции (ОР) улучшен тем, что ОР циркулирует через реактор и к нему непрерывно добавляется исходная смесь в кол-ве 10—15% от общего веса вводимых веществ. Г. Ш.

**76064 П.** Способ получения простых эфиров фенола из арилмоносульфокислот. Тайер (Verfahren zur Herstellung von Phenoläthern aus Arylmonosulfonsäuren, Tyler Daniel) Пат. ГФР 901176, 07.01.54 [Chem. Zbl., 1955, 126, № 17, 3967 (нем.)]

Простые эфиры фенола получают нагреванием твердой смеси соли арилмоносульфокислоты со щел. металлом, с неорганич. основанием и газообразным спиртом в отсутствие  $\text{O}_2$  в таких условиях, чтобы образующийся простой эфир фенола отгонялся во время р-ции. К смеси соли сульфокислоты с КОН полезно прибавлять окись или гидроокись щел.-зем. металла, сульфит или сульфат щел. металла, мелкоизмельченный уголь или смесь этих в-в в кол-ве  $\geq 2\%$  (20—30%) от веса реакционной смеси. В. К.

**76065 П.** Способ получения ароматических нитроспиртов. Краусс, Оле (Verfahren zur Herstellung von aromatischen Nitroalkoholen, Krauss Wilhelm, Ohle Heinz) Пат. ГДР 10292, 25.03.55

Ароматические нитроспирты (HC) формулы  $\text{O}_2\text{NAsCH}(\text{OH})\text{R}$ , где А — любой ароматич. остаток (напр., фенилен или нафтилен), который может содержать нейтр. или основные заместители; R — любая груп-

па, не содержащая явно выраженных кислых заместителей, таких как энольная или фенольная оксигруппа, карбонильная или сульфогруппа, получают из соответствующих сложных эфиров НС с карбоновыми к-тами, отщепля ацильную группу р-цией с каталитич. кол-вом алкоголята щел. металла. Можно исходить из арачнатич. соединений ф-лы  $O_2NACHClR$ , которые р-цией с щел. солями карбоновых к-т превращают в сложные эфиры ф-лы  $O_2NACH(R)OCOR'$  и без выделения обрабатывают каталитич. кол-вом алкоголята щел. металла. 390 г п-нитробензилацетата (I), т. пл. 78°, суспендируют в 2 л абс.  $CH_3OH$ , к суспензии прибавляют р-р 4 г Na в 100 мл абс.  $CH_3OH$  и перемешивают до тех пор, пока I не растворится (15 мин.). После этого в течение 1 часа прибавляют 17 мл 10 н. HCl, отгоняют  $CH_3OH$ , промывают измелченный остаток водой и сушат. Получают 300 г неочищ. п-нитробензилового спирта (II). После перекристаллизации из 1200 мл  $C_6H_6$  получают 280 г II с т. пл. 94°. Вместо кристаллизации II можно очистить перегонкой в высоком вакууме (т. кип. 124°/0,07 мм). Из 32,5 г  $O_2NC_6H_4CH_2Cl$  в безводн.  $m-C_6H_4OH$  действием  $KOOCCH_3$  и  $m-C_6H_4ONa$  получают 27 г  $o-O_2NC_6H_4CH_2OH$  с т. пл. 74°. 20 г диацетил-*dl*-хлорамфеникола т. пл. 114° в абс.  $CH_3OH$  с  $CH_3ONa$  дает *dl*-хлорамфеникол, выход колич., т. пл. 150—151° (из разб.  $CH_3OH$ ). Из 2,4-динитробензилацетата в среде абс.  $C_2H_5OH$  действием  $CH_3ONa$  получают 2,4-динитробензиловый спирт, выход колич.; т. пл. 113—115°. Способ особенно пригоден для получения II (сырье для произ-ва п-нитробензальдегида и п-нитробензойной к-ты) и хлорамфеникола и его О-ацильных производных. Б. Ф.

**76066 П.** Способ получения терефталевого диальдегида. Юргейт (Verfahren zur Herstellung von Terephthalaldehyd. Jurgeleit Wolfgang). Vereinigte Glanzstoff-Fabriken Akt.-Ges.]. Пат. ФРГ 937891, 19.01.56

Терефталевый диальдегид (I) получают, пропуская  $\omega\omega$ -галоид-*p*-кислот в газовой фазе над катализатором окисления (Мо-окись, уранилмолибдат,  $V_2O_5$  на пемзе) в смеси с воздухом при 300—600° (предпочтительно при 330—400°). Скорость пропускания смеси подбирают так, чтобы время ее пребывания над катализатором составляло  $\geq 1$  сек. (лучше 4—5 сек.). Применяют смеси, содержащие большой избыток воздуха (20—30 объемн. ч. воздуха на 1 объемн. ч. паров п-кислилендиалогенида). 5 г п-кислилендиалогенида расплавляют в атмосфере  $N_2$ , расплав медленно и равномерно прибавляют по каплям в испаритель, из которого пары увлекаются током воздуха (скорость 0,6—0,8 л/мин) в кварцевую трубку (внутренний диам. 20 мм, длина 250 мм), наполненную  $V_2O_5$ , нанесенной на пемзу; т-ра в трубке  $\sim 380^\circ$ . Время контактирования 4—5 сек. Охлажденную смесь пропускают снизу в цилиндр, наполненный кольцами Рашига, орошаемыми  $C_6H_6$ , который используют повторно. Выпавшую терефталевую к-ту отфильтровывают,  $C_6H_6$  отгоняют, получают смесь I с небольшим кол-вом п-формилбензойной к-ты и непрореагировавшего п-кислилендиалогенида. I очищают перегонкой с паром. Выход I 76%, конверсия — 25%. Описано также получение I из п-кислилендибромидов. I является промежуточным продуктом, напр. для получения красителей. Б. Ф.

**76067 П.** Производство дикилфталидов (Production of dixylyl phthalides) [Petrochemicals, Ltd]. Англ. пат. 178171, 17.11.54

Из комплекса фталилхлорида (получаемого из дихлорангидрида фталевой к-ты, нагреванием с  $AlCl_3$  с избытком  $AlCl_3$  и ксилола, который берут в избытке (70—200%), служащего также р-рителем получают дикилфталид. Р-цию лучше проводить путем выдерживания смеси, содержащей комплекс и ксилол, при 15—20° в течение 20—200 мин., нагревая затем до 40—100° (лучше 50—70°). Когда комплекс реагирует со смесью изомер-

ных ксилолов в которой м-изомер содержится в кол-ве 2 молей на 1 моль комплекса (м-изомер — наиболее реакционноспособный, о-изомер — наименее), преимущественно образуется дикилфталид из м-изомера. Комплекс фталилхлорида с  $AlCl_3$ , реагируя с м-ксилолом или п-ксилолом, дает ди-м- или ди-п-ксилифталид, соответственно. Из смеси м- и п-ксилолов, взятой в избытке, получают ди-м-ксилифталид. В качестве побочных продуктов в указанных р-циях образуются дикилбензоилбензойные кислоты. И. Ш.

**76068 П.** Способ приготовления алкилированных в ядро 2, 4, 6-триоксациклофенонов. Ридль (Verfahren zur Herstellung von kernalkylierten 2, 4, 6-Trioxacyclophenonen. Riedl Wolfgang) [Knoll Akt. Ges. Chemische Fabriken]. Пат. ФРГ 899198, 10.12.53 [Chem. Zbl., 1955, 126, № 36, 8444 (нем.)]

Указанные соединения получают р-цией Na производных 2, 4, 6-триоксациклофенонов (или их алкилированных в ядро производных) с арилгалогенидами, обладающими подвижным галоидом в атмосфере инертного газа в среде недиссоциирующего р-рителя. Ди-*Na*-фенолят флоризовалерофенола (I) +  $\gamma$ ,  $\gamma$ -диметилаллилбромид (II) в абс. эфире и  $C_6H_6$  при 0° в токе  $N_2$  — 3,5-ди- ( $\gamma$ ,  $\gamma$ -диметилаллил) -2,4,6- триоксизовалерофенон-1 (III); в смеси эфира +  $CH_3OH$  из I и II, кроме III, образуется 3-фенилфлоризовалерофенон, т. пл. 138,5—140°. Три-*Na*-фенолят I + 3 моля II  $\rightarrow$  лулулон, т. пл. 91,5—92,5°. Три-*Na*-фенолят флорцетифенона + 3 моля II  $\rightarrow$  1-ацетил-3,3,5-три- ( $\gamma$ ,  $\gamma$ -диметилаллил) - циклогексадиен-1, 5-диол-2, 6-он-4, т. пл. 119—120°. Три-*Na*-фенолят флор-*m*-бутерофенона + 3 моля II  $\rightarrow$  1-*m*-бутирил-3,3,5-три- ( $\gamma$ ,  $\gamma$ -диметилаллил) - циклогексадиен-1, 5-диол-2, 6-он-1, т. пл. 106—107°. Три-*Na*-фенолят флоризобутирофенона + 3 моля II  $\rightarrow$  1-изобутирил-3,3,5-три- ( $\gamma$ ,  $\gamma$ -диметилаллил) - циклогексадиен-1, 5-диол-2, 6-он-4, т. пл. 91—92°. Три-*Na*-фенолят флор-*m*-капрофенона + 3 моля II  $\rightarrow$  1-*m*-капронил-3,3,5-три- ( $\gamma$ ,  $\gamma$ -диметилаллил) - циклогексадиен-1, 5-диол-2, 6-он-4, т. пл. 89—90°. Также получены: 1-изокапроил-3,3,5-три- ( $\gamma$ ,  $\gamma$ -диметилаллил) - циклогексадиен-1, 5-диол-2, 6-он-4, т. пл. 89—91°; 1-бензоил-3,3,5-три- ( $\gamma$ ,  $\gamma$ -диметилаллил) - циклогексадиен-1, 5-диол-2, 6-он-4, т. пл. 149—152°; 1-фенацетил-3,3,5-три- ( $\gamma$ ,  $\gamma$ -диметилаллил) - циклогексадиен-1, 5-диол-2, 6-он-4, т. пл. 107,5—109°. Физиологически активные продукты. Г. Ш.

**76069 П.** Способ получения терефталевой кислоты. Рунге, Хюнкхас, Райнхардт (Verfahren zur Herstellung von Terephthalsäure. Runge Franz, Kühnhanss Gerhard, Reinhardt Herbert). Пат. ГДР 10866, 3.12.55

Метод заключается во взаимодействии  $CH_3C_6H_5$  с  $H_2NCOCl$ , (который сразу после получения переводится в р-р) в присутствии катализаторов типа Фриделя — Крафта, омылении получающегося при этом амида п-толуиловой к-ты (I, к-та) в I и окислении последней в терефталевую к-ту (II); также описано превращение амида I (III) прямо в II. 6 молей  $COCl_2$  в час и 6 молей  $NH_3$  в час при 450—550° дают  $H_2NCOCl$ , выход 90%. Смешивают при охлаждении р-р 50 молей  $H_2NCOCl$  в 12 л  $C_2H_4Cl_2$  с 50 молями  $AlCl_3$  и при перемешивании прибавляют 50 молей  $CH_3C_6H_5$ , нагревают 3 часа при 50—60°, разлагают льдом, отгоняют с паром  $C_2H_4Cl_2$  и непрореагировавший  $CH_3C_6H_5$ , получают 10 кг продукта, содержащего 50—60% III, выход 82—90%, т. пл. 161°. Смесь 50 молей III и 25 л 4 н. NaOH кипятят до прекращения выделения  $NH_3$ , подкисляют конц. HCl, получают I, выход 88—92%. К р-ру 50 молей I в 25 л 4 н. NaOH прибавляют при 80—90°  $\sim 160$  л р-ра  $KMnO_4$  (до неисчезающего красного окрашивания), избыток  $KMnO_4$  восстанавливают, р-р фильтруют и подкисляют 20 л конц. HCl, получают II, выход 90% (чистота 99,5—99,9%). Смесь I моля III, 350 мл 4 н. NaOH и 4,7 л 10%-ного

р-ра  $\text{KMnO}_4$  кипятят 4 часа, добавляют р-р  $\text{KMnO}_4$  до неисчезающего красного окрашивания, обрабатывают, как описано выше, получают II, выход 75—81%. Омыление и окисление можно также проводить высокопроцентной  $\text{HNO}_3$  или избытком смеси бихромата и  $\text{H}_2\text{SO}_4$ . Получающаяся II может быть прямо использована как исходное в-во для приготовления пленок, фольги и волокон. Г. Ш.

**76070 П. Эфиры терефталевой кислоты** (Terephthalic acid esters.) [Imhausen & Co. G. m. b. H.]. Австрал. пат. 163210, 23.06.55

Способ получения моноэфиров терефталевой к-ты заключается в окислении в жидкой фазе эфиров *n*-толуоловой к-ты и ароматич. спиртов  $\text{O}_2$  или газами, содержащими  $\text{O}_2$ , при 80—250°. В. К.

**76071 П. Ариловые эфиры арилоксиуксусных кислот** (Aryl esters of aryloxyacetic acids) [Timbrol Ltd]. Австрал. пат. 166921, 23.02.56

Улучшение процесса получения ариловых эфиров арилоксиуксусных к-т, заключающееся в том, что фенолы и арилоксиуксусная к-та вводятся в р-цию при 120—300° в присутствии кислотных катализаторов этерификации, напр.  $\text{H}_2\text{SO}_4$ , арисульфокислоты и агентов, дающих азеотропную смесь с водой. Агенты подбираются по кол-ву и т-ре кипения так, чтобы вода, выделяющаяся в процессе р-ции, непрерывно удалялась. Г. Ш.

**76072 П. Способ получения бензилового эфира миндальной кислоты**. Клагес (Verfahren zur Herstellung von Mandelsäurebenzylester. Klages August) [Much Akt.-Ges. Chem. pharm. Fabrik]. Пат. ФРГ 919467, 25.10.54 [Chem. Zbl., 1955, 126, № 25 ä, 5898 (нем.)]

Бензиловый эфир миндальной к-ты получают р-цией  $\text{C}_6\text{H}_5\text{CH}_2\text{OH}$  с миндальной к-той в присутствии карбонатов щел.- или щел.-зем. металлов или соответствующих солей миндальной к-ты при 140—160°. Воду, выделяющуюся при р-ции, непрерывно удаляют продуванием воздуха или с помощью азеотропообразователя. В. К.

**76073 П. Продукты реакции лактамов и некоторых ароматических полиизоцианатов**. Мэстин, Сигер (Reaction products of lactams and certain aromatic polyisocyanates. Mastin Thomas G., Seeger Nelson V.) [The Goodyear Tire and Rubber Co.]. Пат. США 2698845, 4.01.55

Взаимодействием лактамов  $\text{RCONH}$  с ароматич. полиизоцианатами получают продукты ф-лы  $\text{RCON}-\text{CONHR}'$ , где  $\text{R}'$  — ароматич. радикал, имеющий не менее одной — $\text{NCO}$ -группы. В частности,  $\text{R}'$  — двухвалентный ароматич. радикал, напр.,  $\text{C}_6\text{H}_4$ ,  $\text{C}_6\text{H}_3\text{CH}_3$ ,  $\text{C}_{10}\text{H}_6$ ,  $\text{C}_6\text{H}_4\text{C}_6\text{H}_4$ ,  $\text{CH}_3\text{C}_6\text{H}_3\text{C}_6\text{H}_3\text{CH}_3$ ,  $\text{CH}_3\text{OC}_6\text{H}_3\text{C}_6\text{H}_3\text{OCH}_3$ ,  $\text{C}_6\text{H}_4\text{CH}_2\text{C}_6\text{H}_4$ , вторая валентность которого связана с — $\text{NCO}$ -группой. Л. Б.

**76074 П. 1-арилпроизводные 2-нитроизопропилфенилалканов и содержащие их смеси с инсектицидными свойствами**. Джонсон (1-aryl derivatives of 2-nitroisopropylphenylalkanes and insecticidal compositions containing the same. Johnson Arnold N.) [Commercial Solvents Corp.]. Пат. США 2716627, 30.08.55

Конденсацией 2-нитро-1-*n*-изопропилфенилалканов-1 с некоторыми алкилбензолами в присутствии конц.  $\text{H}_2\text{SO}_4$  при т-ре 5—50°, преимущественно 15—30°, получают соединения общей ф-лы  $n-(\text{CH}_2)_m\text{CH}(\text{C}_6\text{H}_4\text{CH}(\text{Ar})\text{CH}(\text{NO}_2))$ , ( $\text{R}$  — метил или этил,  $\text{Ar}$  — толил, ксилл, этилфенил, диэтилфенил или изопропилфенил), обладающие сильными инсектицидными свойствами. Исходными в-вами служат 2-нитро-1-*n*-изопропилфенил-пропанол-1 (I) и 2-нитро-1-*n*-изопропилфенилбутанол-1 (II) и алкилбензолы: толуол, этилбензол, ксилол, изопропилбензол и диэтилбензол. Для получения II 3 моля 1-нитропропана (III) вводят в р-цию с 1 молем *n*-изопропилбензальдегида (IV) в присутствии 0,2 молей 3,7 н. спиртового  $\text{KOH}$  (20°, 4 часа). По окончании р-ции подкисляют до рН 2 и отгоняют с паром избыток III и непрореагировавший IV.

Аналогично с нитроэтаном получают I. Смесь 3,1 моля этилбензола и 1,425 моля II прикапывают к 595 г 90%  $\text{H}_2\text{SO}_4$  и 350 мл  $\text{CCl}_4$  при 5—15°, после чего 2 часа перемешивают. Полученное масло промывают  $\text{NaHCO}_3$  и после отгонки с паром примесей получают с выходом 82,5% 2-нитро-1-*n*-изопропилфенил-1-*n*-этилфенилбутан. Аналогично получены: 2-нитро-1,1-бис-(*n*-изопропилфенил)бутан, выход 59,5%, 2-нитро-1-*n*-изопропилфенил-1-*n*-этилфенилпропан, выход 60%, 2-нитро-1-*n*-изопропилфенил-1-*n*-толилбутан, выход 83%, 2-нитро-1-*n*-изопропилфенил-1-ксиллбутан, выход 85%, а также 2-нитро-1-*n*-изопропилфенил-1-диэтилфенилбутан, 2-нитро-1-*n*-изопропилфенил-1-диэтилфенилпропан, 2-нитро-1,1-бис-(*n*-изопропилфенил)-пропан, 2-нитро-1-*n*-изопропилфенил-1-*n*-толилпропан, 2-нитро-1-*n*-изопропилфенил-1-ксиллпропан. Полученные в-ва представляют собой вязкие масла и в неочищ. состоянии в виде эмульсий в углеводородах или дустов на силикатной основе с конц-ей 0,005—5% могут применяться для борьбы против насекомых. М. Б.

**76075 П. Дифениламин** (Diphenylamine) [American Cyanamid Co.] Австрал. пат. 200820, 8.03.56

Непрерывный паровый способ произ-ва дифениламина заключается в пропускании неразб. паров  $\text{C}_6\text{H}_5\text{NH}_2$  под повышенным давлением в реактор, нагретый до 400—550°, содержащий катализатор дезаминирования, конденсации выходящих паров и отделения дифениламина от непрореагировавшего  $\text{C}_6\text{H}_5\text{NH}_2$  и  $\text{NH}_3$ . В. К.

**76076 П. Получение фенилтрихлорсилана**. Брейер (Préparation du phenyltrichlorosilane. Brewer Stuart D.) [Cie Francaise Thomson-Houston]. Франц. пат. 1055352, 18.02.54 [Chem. Zbl., 1955, 126, № 25, 5899]

Фенилтрихлорсилан получают из смеси тетрахлорсилана и дихлорсилана с  $\text{C}_6\text{H}_6$  нагреванием в присутствии  $\text{BF}_3$  ~4 час. при 400° под давлением. В. К.

**76077 П. Способ получения  $\alpha$ -аминоантрахинона** (Procédé de préparation d'alpha-aminoanthraquinone) [American Cyanamid Co.]. Швейц. пат. 301810, 1.12.54 [Chem. Zbl., 1955, 126, № 29, 6852 (нем.)]

Na-соль антрахинон-1-сульфокислоты нагревают в автоклаве при 175—180° с K-солью нитробензолсульфокислоты и разб. водн.  $\text{NH}_3$  в присутствии  $\text{B}(\text{OH})_3$ . В. К.

**76078 П. Способ получения димидида N,N-дифенилперилена и его хлорированных производных**. Мейер, Шрейдер (Process for the preparation of N, N'-diphenyl perylene diimid and the chlorinated derivatives thereof. Meier Juerg A., Shrader Marvin O.) [General Atline & Film Corp.]. Пат. США 2715127, 09.08.55

Способ заключается в нагревании ангидрида перилентетракарбоновой к-ты с избытком (но не более 100% свыше теоретич.)  $\text{C}_6\text{H}_5\text{NH}_2$  в высококипящем инертном органич. р-рителе в присутствии дегидратирующих галогенидов металлов. Г. Ш.

**76079 П. Способ гидрирования тетрагидрофурфурилового спирта**. Индест (Verfahren zur Hydrierung von Tetrahydrofurfurylalkohol. Indest Heinz) [Vereinigte Glanz-stoff-Fabriken A.-G.]. Пат. ФРГ 918325, 23.09.54 [Chem. Zbl., 1955, 126, № 15, 3491 (нем.)]

Гидрирование проводят при повышенном давлении в 200—400° (лучше 250—300°). Применяют Cu-Al-катализатор, который содержит также до 20% Cr в виде порошка или кусочков. В частности, гидрирование проводят в присутствии 20—100% (напр., 50%) воды, получают тетрагидропирани, *n*-амиловый спирт и пентандиол-1,5. В. К.

**76080 П. Способ получения тетрахлорфурана**. Кшикала, Линге (Verfahren zur Herstellung von Tetrachlorfuran. Krzikalla Hans, Linge Hermann) [Badische-Anilin- & Soda-Fabrik Akt.-Ges.]. Пат. ФРГ 932612, 05.09.55

Тетрахлорфуран (I) получают, обрабатывая гексахлордигидрофуран (II), возможно в среде р-рителя (эфир,

диоксан, этилацетат, углеводороды и др.) порошками или стружкой металлов, напр. Zn или Mg. К 500 л эфира, 10 л спирта, 650 кг Zn-пыли и 0,5 кг Hg при перемешивании постепенно прибавляют р-р 1440 кг II в 600 л эфира. Скорость р-ции регулируют наружным охлаждением, а также обратным холодильником. Затем прибавляют 400 л воды, образующиеся слои разделяют. Эфирный слой сушат и перегоняют. Получают 887 кг I, т. кип. 61°/10 мм. К 40 кг Mg-стружки в 250 л этилацетата в течение 4—6 час. прибавляют при хорошем охлаждении и работающем обратном холодильнике 270 кг р-ра II в 50 л этилацетата. MgCl<sub>2</sub> отмывают 30 л разб. HCl, органич. слой отделяют. После сушки и перегонки р-ра получают 150 кг I. 40 кг II, в 10 л метилацетата (III) постепенно прибавляют (без перемешивания) к 10 кг Zn-стружки и 20 л III, после окончания р-ции, р-р промывают 4 раза по 30 л воды. Верхний водн. слой, содержащий ZnCl<sub>2</sub> и III, декантируют. Выход перегнанного I 74%. I пригоден как инсектицид и как полупродукт, в частности, для получения полимерных соединений.

Б. Ф.

**76081 П. Способ получения новых 2,3-дигидропиран-2,4-дионов** (Verfahren zur Herstellung von neuen 2,3-Dihydropyran-2, 4-dionen) [F. Hoffmann-La Roche and Co. A.-G.]. Австр. пат. 174907, 26.05.53 [Chem. Zbl., 1954, 125, № 32, 7309—7310 (нем.)]

Патентуется способ получения новых 2,3-дигидропиран-2,4-дионов, соответствующих общей ф-ле (I), где R — алкильный остаток, который для случая X = H содержит более одного атома C. X = H, или группа COR', где R' — остаток иного состава, чем R. Для получения патентуемых в-в, исходят из соединений с общей ф-лой I (X = COR), которые нагревают примерно до 130° с 90%-ной H<sub>2</sub>SO<sub>4</sub>, и они переходят при этом в соединения I (X = H).

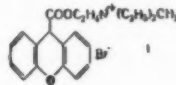
Последние обрабатывают ангидридами к-ты с общей ф-лой (R''CO)<sub>2</sub>O, где R'' — алкильный остаток иного состава, чем R, в р-ре пиридина при 160—180°. 5 вес. ч. гомолога дегидрацетовой к-ты нагревают с 15 ч. 90%-ной H<sub>2</sub>SO<sub>4</sub> в течение 8 мин. на масляной бане до 130°. Из реакционной смеси выделяют быстро кристаллизующееся на льду масло. Таким образом получают: а) из 3-пропионил-6-этил-2,3-дигидропиран-2,4-диона — 6-этил-2,3-дигидропиран-2,4-дион с т. пл. 103,5°; б) из 3-бутирил-6-пропил-2,3-дигидропиран-2,4-диона — 6-пропил-2,3-дигидропиран-2,4-дион с т. пл. 94—95°; в) из 3-изо-бутирил-6-изопропил-2,3-дигидропиран-2,4-диона — 6-изопропил-2,3-дигидропиран-2,4-дион с т. пл. 86°; г) из 3-валероил-6-бутил-2,3-дигидропиран-2,4-диона — 6-бутил-2,3-дигидропиран-2,4-дион с т. пл. 58,5°; д) из 3-изовалероил-6-β-метилпропил-2,3-дигидропиран-2,4-диона — 6-β-метилпропил-2,3-дигидропиран-2,4-дион с т. пл. 106—107°; е) из капроил-6-пентил-2,3-дигидропиран-2,4-диона — 6-пентил-2,3-дигидропиран-2,4-дион с т. пл. 47—48°; ж) из 3-гептоил-6-гексил-2,3-дигидропиран-2,4-диона — 6-гексил-2,3-дигидропиран-2,4-дион с т. пл. 50—52°. Лактон триацетовой к-ты нагревают с ангидридом пропионовой к-ты в присутствии небольшого кол-ва высушенного пиридина в течение 2 час. в масляной бане при 163°. При этом образуется 3-пропионил-6-метил-2,3-дигидропиран-2,4-дион с т. пл. 101—102°. Из ангидрида масляной к-ты аналогичным путем получают 3-бутирил-6-метил-2,3-дигидропиран-2,4-дион с т. пл. 57—58°, а из ангидрида изомасляной к-ты соответствующее изобутирилсоединение с т. кип. 165—170°/12 мм. 3-валероилсоединение имеет т. пл. 73—74°. Из 6-этил-2,3-дигидропиран-2,4-диона и ангидрида изомасляной к-ты образуется 3-изобутирил-6-этил-2,3-дигидропиран-2,4-дион с т. кип. 164—170°/12 мм, а из 6-пропил-2,3-дигидропиран-2,4-диона и ангидрида уксусной к-ты — 3-ацетил-6-пропил-2,3-дигидропиран-2,4-дион,



с т. кип. 160°/12 мм. Вновь синтезированные в-ва тормозят развитие микроорганизмов, препятствуют сбраживанию плодовых соков, консервов и пр.

В. Г.

**76082 П. Способ получения бромметилата диэтиламиноэтилового эфира 9-ксантенкарбоновой кислоты.** Рasmussen (Förfärande för framställning av metyldiethylaminoethyl-9-xantenkarboxylatbromid, Rasmussen H.B.) [AC Grindstedtvaerket]. Швед. пат. 151941, 18.10.55



Вещество ф-лы (I) получают р-цией β-бромэтилового эфира 9-ксантенкарбоновой к-ты с метилдиэтиламином.

Б. Ф.

**76083 П. Выделение γ-пиколина.** Вильямс, Хенселл (Separation of gamma picoline. Williams Gordon M., Hensel Jack) [Pittsburgh Coke & Chemical Co.]. Пат. США 2728771, 27.12.55

γ-Пиколин (I) выделяют из его смеси с другими в-вами основного характера, содержащей, кроме I, β-пиколин и (или) 2,6-лутидин, растворением в этой смеси щавелевой к-ты и последующим охлаждением р-ра, при чем выпадает оксалат I.

В. К.

**76084 П. Способ получения дилактама.** Опперманн (Verfahren zur Herstellung eines Dilactams. Oppermann Adolf Christian Josef). Пат. ФРГ 937955, 19.01.56

Дибутаолактамы (I) ф-лы  $\text{HNCH}_2\text{CH}_2\text{CH}_2\text{C}=\text{CCH}_2\text{CH}_2\text{NHCO}$  получают, обрабатывая дибутаолактон

ф-лы  $\text{OCH}_2\text{CH}_2\text{CH}_2\text{C}=\text{CCH}_2\text{CH}_2\text{OC}=\text{O}$  аммиаком или обрабатывая α-пирролидон алкогоятами щел. металлов. 12 г дибутаолактона (т. пл. 86°), полученного из бутиролактона р-цией с CH<sub>3</sub>ONa, расплавляют в автоклаве и пропуская NH<sub>3</sub>-газа поддерживают 3 часа давл. 8 атм. После этого пропускание NH<sub>3</sub> прекращают и повышают т-ру до 240°, причем давление повышается. Через 2 часа р-ция заканчивается. Продукт очищают перегонкой в высоком вакууме I получают в виде желтых кристаллов с т. кип. 155°/4,5 мм. Выход 40%. В 400 мл абс. CH<sub>3</sub>OH растворяют 2 г Na, к р-ру при слабом кипении с обратным холодильником прибавляют 85 г α-пирролидона. Смесь нагревают 3 часа, CH<sub>3</sub>OH отгоняют. Желтый остаток доводят прибавлением 15%-ной HCl до pH 3. Кислый р-р экстрагируют эфиром, эфир отгоняют при возможно низкой т-ре. Остаток доводят прибавлением 3%-ного NaOH до pH 8—9. Щел. р-р повторно экстрагируют эфиром, эфир отгоняют в вакууме. Получают кристаллич. I, т. пл. 105°, выход 40%.

В. К.

**76085 П. Процесс получения 5-окситриптамина.** Хамлин (Process for producing 5-hydroxytryptamine. Hamlin Kenneth E.) [Abbott Labs.]. Пат. США 2715129, 09.08.55

Метод заключается в смешении 5-бензилоксиндола с CH<sub>2</sub>O и (CH<sub>3</sub>)<sub>2</sub>NH, нагревании получившегося 5-бензилоксиграмина с цианистой солью, восстановлении образовавшегося 5-бензилоксиндолацетида-3 и гидрировании полученного при этом 5-бензилокситриптамина в 5-окситриптами.

Г. Ш.

**76086 П. 1,4-аралкилпиперазины и способ их получения.** Морран (1, 4-alkylpiperazines and method of making same. Morren Henri) [Union Chimique Belge Soc. An.]. Пат. США 2709169, 24.05.55

Несимметричные 1,4-аралкилпиперазины получают действием на 1-аралкилпиперазин галогенных аралкилов, радикал которых отличается от заместителя, стоящего в положении 1. Одна из аралкильных групп представляет собой бензгидрильный, а другая — бензильный радикал, которые могут содержать в качестве заместителей один или несколько низших алкоксильных или алкильных ра-

дикалов или атомов Cl, Br. В частности, бензгидрильная группа может содержать хлор, а бензиловая — низший алкил.

**76087 П. Оксинзомеламин. Кайзер, Ромер** (Hydroxy-iso-melamine. Kaiser Donald W., Roemer John J.) [American Cyanamid Co.] Канад. пат. 510311, 22.02.55

Оксинзомеламин получают р-цией дициангуанидина с гидроксилмином в среде инертного р-рителя или р-цией практически эквимольных кол-в Д-дициангуанидина и  $\text{HCl} \cdot \text{H}_2\text{NOH}$  в среде моноэфира гликоля при т-ре, развивающейся за счет теплоты реакции.

**Б. Ф. 76088 П. Катализаторы гидрирования и способ их приготовления** (Catalyseurs d'hydrogénation et leur procédé de préparation.) [Soc. d'Electro-Chimie, D'Electro-Metallurgie et des Acieries Electriques d'Unige]. Франц. пат. 1066582, 08.06.54 [Chem. Zbl., 1955, 126, № 15, 3485 (нем.)]

Катализаторы (К) состоят из Ni или Co и 0,5–10% одного или нескольких металлов группы W (Mo, W, V). Смесь 3 г W-порошка и 97 г Ni—Al-сплава, содержащего 40% Ni, нагревают в токе  $\text{H}_2$  до 1560°, охлаждают, измельчают и обрабатывают порошок как при получении скелетного Ni р-ром NaOH. К промывают водой и 1%-ной  $\text{CH}_3\text{COOH}$  и хранят его 45 час. под изо- $\text{C}_3\text{H}_7\text{OH}$ . К применяют для получения метилизобутилкетона из окиси мезитила при низкой т-ре.

См. также: Общие вопросы 73972. Фосген, применение 74284. Алифатич. карбонов. к-ты, синтез 74843. Эфиры тифосфорн. к-ты 75586. Гексахлорциклогексан, произ-во 75585. Ароматич. углеводороды, выделение 75939, 75940. Бензол, алкилирование 74877. Фенолы, ацилирование 74884.

## ПРОМЫШЛЕННЫЙ СИНТЕЗ КРАСИТЕЛЕЙ

**76089. Столетие синтетических красителей. Ланг** (The centenary of synthetic dyes. Lang W. R.), Text. J. Australia, 1956, 30, № 12, 1486–1487 (англ.)

Популярный обзор.

**В. У. 76090. Кубовые красители ряда бензантраона. XXIX. Хлорирование 16, 17-диоксивиолантраона при помощи пятихлористого фосфора. Маки, Маэдзава** (Vat dyes of benzanthrone series. XXIX. Chlorination of 16, 17-dihydroxy-violanthrone with phosphorus pentachloride. Maki Toshio, Maetzawa Mamoru), Bull. Chem. Soc. Japan, 1955, 28, № 1, 77–80 (англ.)

При действии  $\text{PCl}_5$  на 16, 17-диоксивиолантрон (I) в  $\text{o-C}_6\text{H}_4\text{Cl}_2$  при нагревании в атмосфере  $\text{N}_2$  для предотвращения ОН-групп от окисления, наряду с заменой ОН-групп на Cl проходит хлорирование ядра I и образуется смесь: 16, 17-эпокси-15-хлорвиолантраона (II), 16, 17-эпокси-15,18-дихлорвиолантраона (III), 17-хлор-16-оксивиолантраона (IV), 15,17-дихлор-16-оксивиолантраона (V), 16,17-дихлорвиолантраона (VI), 15,16,17-трихлорвиолантраона (VII). Эта смесь (II–VII) разделена благодаря различной растворимости компонентов в  $\text{C}_6\text{H}_5\text{NO}_2$  и  $\text{o-C}_6\text{H}_4\text{Cl}_2$ . Наличие ОН-групп в 16-, 17- или обоих положениях (IV и V) подтверждено изменением цвета хлопка при действии разб. минер. к-т или щелочи. Отсутствие свободных ОН-групп у II, III, VI и VII подтверждено образованием исчезающего красного пятна при действии капли воды на хлопок, окрашенный III и VII, и устойчивостью окраски к разб. HCl и разб. NaOH. II и III — новый тип соединений в ряду виолантраона. Строение II и III подтверждается: 1) заметным гипсохромным сдвигом окраски хлопка (от желтовато-зеленого в случае I к сине-фиолетовому в случае использования II и III); 2) нерастворимостью в органич. р-рителях; 3) низким процентным содержанием Cl; 4) легкой растворимостью в щел. гидросульфите с образованием сме-

го куба. Положение Cl-атомов принято с учетом орто-ориентирующей способности ОН-групп в I, на основании прежних работ (Вег., 1937, 70, 1867). При хлорировании виолантраона свободным  $\text{Cl}_2$  или  $\text{SO}_2\text{Cl}_2$  в органич. р-рителях ( $\text{C}_6\text{H}_5\text{NO}_2$ ,  $\text{o-C}_6\text{H}_4\text{Cl}_2$  или  $\text{CH}_3\text{COOH}$ ) образуется 15,18-дихлорбензантрон. Из 3 г I, 24 г 25%-ного NaOH, 5 г гидросульфита и 600 мл воды (55°, 20 мин.) получают куб, фильтруют, окисляют воздухом, осадок тщательно промывают водой и затем на фильтре 3 раза  $\text{CH}_3\text{OH}$  (20 мл, 10 мл, 10 мл). Пасту размешивают со 150 г  $\text{o-C}_6\text{H}_4\text{Cl}_2$  и  $\text{CH}_3\text{OH}$  с  $\frac{1}{2}$  объема  $\text{o-C}_6\text{H}_4\text{Cl}_2$  отгоняют в атмосфере  $\text{N}_2$ ; к полученной суспензии I прибавляют 6,4 г  $\text{PCl}_5$  и размешивают в атмосфере  $\text{N}_2$ : 1 час при 20°, 4 часа при 100° и 1 час при т-ре кипения  $\text{o-C}_6\text{H}_4\text{Cl}_2$ , нейтрализуют безводн.  $\text{Na}_2\text{CO}_3$ , отгоняют р-ритель с паром, осадок (сухой порошок) нагревают 1 час при 80° с 20 ч. конц.  $\text{H}_2\text{SO}_4$  и затем выливают в воду. Получают 3,17 г смеси в-в; последнюю кипятят с 317 г  $\text{C}_6\text{H}_5\text{NO}_2$  1 час; нерастворимый осадок (1,11 г) кипятят вновь с 111 г  $\text{C}_6\text{H}_5\text{NO}_2$ , получают смесь нерастворимых в  $\text{C}_6\text{H}_5\text{NO}_2$  II, выход 23,9% и III, выход 8,2%. Из  $\text{C}_6\text{H}_5\text{NO}_2$  (маточные р-ры) при стоянии в течение ночи выпадает 0,81 г осадка, который кипятят 1 час с 81 г  $\text{o-C}_6\text{H}_4\text{Cl}_2$  и затем снова кипятят с 50 г  $\text{o-C}_6\text{H}_4\text{Cl}_2$ , получают смесь нерастворимых в  $\text{o-C}_6\text{H}_4\text{Cl}_2$  IV, выход 8,4% и V, выход 4,7%; кубовые красители, красят хлопок в зеленовато-серо-синий цвет, изменяющийся от к-ты в темно-синий, а от щелочи в серо-зеленый цвета. Фильтрат после отщепления IV и V охлаждают в течение ночи выпавший осадок (0,27 г) растворяют в 54 г кипящего  $\text{o-C}_6\text{H}_4\text{Cl}_2$ , хроматографируют на  $\text{Al}_2\text{O}_3$ , промывают 32,4 г кипящего  $\text{C}_6\text{H}_5\text{NO}_2$ , промывают 10 мл спирта и темно-синий верхний слой вымывают  $5 \times 50$  г кипящего  $\text{o-C}_6\text{H}_4\text{Cl}_2$ , отгоняют с паром р-ритель, получают VI, выход 3,7%, красит хлопок в фиолетово-синий цвет. От нитробензольных фильтратов после отделения VI–VII отгоняют  $\frac{5}{6}$  р-рителя, фильтруют, отгоняют с паром, получают VII; кубовый краситель красит хлопок в серовато-синий цвет, дополнительное небольшое кол-во VII получают упариванием дихлорбензольных фильтратов; общий выход VII 27,6% теоретич. Сообщение XXVIII см. J. Chem. Soc. Industr. Japan, 1947, 50, 142.

**Е. К. 76091. Красители, содержащие пирролидиновые циклы. Юрьев Ю. К., Арбатский А. В.**, Вестн. Моск. ун-та, 1954, № 12, 63–70

Взаимодействие N-фенилпирролидина (I) с солями диазния  $\text{RO}_2\text{N}(\text{R}) - \text{C}_6\text{H}_5$ ,  $\text{C}_6\text{H}_4\text{SO}_3\text{Na}$ -л,  $\text{C}_6\text{H}_4\text{COONa}$ -о, или  $\text{C}_6\text{H}_4\text{ON}(\text{C}_2\text{H}_5)_2$ , с бензальдегидом (II) или кетоном Михлера (III), и с N-(п-аминофенил)-пирролидином (IV) получены азокрасители (V) общей ф-лы  $\text{RNH}_2$  (диазотированный) → I, красители трифенилметанового ряда и N,N'-бис-тетраметилениндамин (VI), окрашивающие ткани в те же цвета, что и аналогичные красители из  $\text{C}_6\text{H}_5\text{N}(\text{CH}_3)_2$  вместо I. Спектры поглощения пирролидинового оранжевого V ( $\text{R} - \text{C}_6\text{H}_4\text{SO}_3\text{Na}$ -л) и VI сдвинуты, по сравнению с аналогами, метилоранжем (VII) и зеленым Биндшедлера, в длинноволновую область (приведены кривые их спектров поглощения в УФ- и видимой области). Как индикатор V ( $\text{R} - \text{C}_6\text{H}_4\text{SO}_3\text{Na}$ -л) имеет преимущества перед VII, так как дает при титровании меньшую относительную ошибку. К р-ру 1,87 г  $\text{NaNO}_2$  и 1,01 г NaOH в 13,7 мл воды прибавляют при размешивании при 10° смесь 4 г I, 2,53 г  $\text{C}_6\text{H}_5\text{NH}_2$  и 5,9 мл HCl, уд. в. 1,17. После перемешивания в течение 1 часа при 10° отфильтровывают V ( $\text{R} - \text{C}_6\text{H}_5$ ); выход 27%, краснокоричневые листочки, т. пл. 157° (из сп.). К охлажденному до 0°–3° р-ру 7,3 г I в 8 мл HCl, уд. в. 1,19 и 50 мл воды прибавляют при хорошем перемешивании р-р п-диазобензолсульфокислоты (из 12,1 г сульфаниловой к-ты), нейтрализуют через 1,5 часа р-ром NaOH и выделившийся в виде Na-соли V ( $\text{R} - \text{C}_6\text{H}_4\text{SO}_3\text{Na}$ -л) через сутки отделяют и перекристаллизуют из воды, окрашивающие кри-

сталлы, выход 89% свободную к-ту V ( $R-C_6H_4SO_3H-n$ ) получают, растворяя при нагревании 3,5 г ее Na-соли в 75 мл воды и упаривая полученный р-р с 2 мл HCl при 100° до 30 мл, выход 93,5%, фиолетовые кристаллы т. пл. 211°. Диазораствор из 8 г антрапиновой к-ты смешивают с охлад. р-ром 6,5 г I в 50 мл 4%-ной HCl, размешивают 1 час и затем через 2 часа нейтрализуют 40 мл 8%-ного NaOH; V ( $R-C_6H_4COONa-o$ ) высаливают NaCl, промывают водой и сушат при 40° в вакууме, выход 28,5%. Аналогично получают V ( $R-C_6H_4OCH_3-n$ ) сочетанием л-диазоанизола (из 4,9 г л- $CH_3OC_6H_4NH_2$ ) с 5,9 г I в 20 мл 4%-ной HCl; выход 55%, т. пл. 182—184° (из сп. или  $C_6H_5N$ ). Нагревают на водяной бане при частом встряхивании 4 часа смесь 8,8 г I, 2,1 г II и 2 г безводн.  $ZnCl_2$ , отгоняют непрореагировавшие I и II с водяным паром, промывают вязкий продукт р-ции холодной водой, растворяют в 20 мл горячего спирта, горячий р-р фильтруют и через несколько суток из р-ра выделяется лейкооснование красителя — фенил-ди-(л-тетраметиленаминофенил)-метан (выход 81%), который растворяют в 40 мл 8%-ной HCl, разбавляют 300 мл воды, прибавляют 5 г лед.  $CH_3COOH$ , а затем при размешивании (т-ра 3°) окисляют 3,9 г свежей  $PbO_2$ , обрабатывают через 20 мин. р-ром 4,9 г  $NaSO_4 \cdot 10H_2O$  в 25 мл воды, отфильтровывают  $PbSO_4$  и приливанием к фильтрату р-ра 2,5 г  $ZnCl_2$  в 5 мл воды и высаливанием выделяют хлорцинковую соль (VIII) красителя; сине-зеленое кристаллич. в-во. Карбинольное основание красителя получают разложением р-ра 1,14 г VIII в 30 мл воды 2,4 мл 10%-ного NaOH, выход 91,5%, т. пл. 216—217° (из лигнана). Растворяют при нагревании 5,4 г III в 14,7 г I, добавляют постепенно 5,5 г  $POCl_3$ , нагревают 3 часа на водяной бане, прибавляют 50 мл воды, подщелачивают 10%-ным NaOH, отгоняют избыток I с водяным паром, отфильтровывают по охлаждению основание красителя (л-л-тетраметилдиамино-л'-тетраметиленамино-трифенилкарбинола) (IX), промывают водой, кипятят 1 час с 125 мл воды + 1 мл конц.  $H_2SO_4$ , отфильтровывают нерастворившуюся часть IX и повторяют обработку до почти полного его растворения; из соединенных фильтратов высаливают (NaCl) соль IX; темно-фиолетовые кристаллы (из  $H_2O$ ) выход 70%. Карбинольное основание IX получают разложением 0,45 г хлоргидрата IX в 25 мл воды 1,2 мл 10%-ного NaOH и кристаллизацией из  $C_6H_6$ ; выход 70%. Растворяют 2,9 г I и 3,2 г IV в 15 мл HCl, уд. в 1,19, и 15 мл воды, приливают при 0° р-р 4 г  $K_2Cr_2O_7$  в 8 мл воды, размешивают 2 часа, прибавляют 2,7 г  $ZnCl_2$  в 8 мл воды, отфильтровывают через 5 дней соль VI,  $C_{10}H_{12}N_4Cl_2KZn$ , зеленые кристаллы, выход 43%. О. ч. 76092. Фототропные красители. — (Phototropic dyes.), Fibres, 1954, 15, № 8, 258—260 (англ.)

Изучены спектры поглощения (СП) фототропных тиониндигоидных и азокрасителей в бензольном или  $CHCl_3$  р-ре. СП тиониндигоидных красителей зависят от облучения, которому подвергался р-р перед измерением. Облучение светом, соответствующим по длине волны первой полосе поглощения (с наибольшей длиной волны), приводит к уменьшению интенсивности этой полосы и к появлению новой полосы в области более коротких волн (~на 50 мμ). Первоначальный СП легко восстанавливается путем облучения светом длиной волны, соответствующей новой полосе поглощения. В отдельных случаях (6, 6'-диэтокситиониндиго) эти изменения можно наблюдать визуально. Установлено, что такие фототропные изменения в р-рах тиониндигоидных красителей связаны со сдвигом равновесия: *цис*-форма  $\rightleftharpoons$  *транс*-форма. *Цис*- и *транс*-изомеры были разделены хроматографич. абсорбцией в отсутствие света и определены их СП. Изучены СП производных 4-аминоазобензола в бензольном р-ре. Основное отличие их от тиониндигоидных красителей — быстрое восстановление первоначального СП после прекращения облучения, особенно в отсутствие света; в

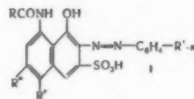
этом случае *цис*-изомер значительно менее устойчив. Приведены СП тиониндиго и 4-диметиламиноазобензола в бензольном р-ре, в различных условиях облучения. Предположено, что красители, содержащие оксигруппу или другую группу, способную к образованию водородной связи, и тем самым имеющие более стойкую хим. структуру, обладают повышенной прочностью к свету. Н. В.

76093 П. Моноазокрасители (Monoazo-dyestuffs) [Ciba A.-G.] Австрал. пат. 200908, 15.03.56

Патентуются моноазокрасители общей ф-лы  $RN=NR'X$  ( $R$  — остаток нафтаминсульфокислоты, связанный с азогруппой в соседнем положении к аминогруппе;  $R'$  — остаток диазосоставляющей бензольного ряда;  $X$  — гетероциклич. остаток, не обладающий характером красителя, связанный через N с  $R'$  и содержащий реакционный атом галоида и простое гетероциклич. кольцо). Описан способ получения красителей и их применения. В. У. 76094 П. Способ получения нерастворимых в воде моноазокрасителей. Функе, Раб (Verfahren zur Herstellung von wasserunlöslichen Monoazofarbstoffen. Funke Albert, Raab Hans) [Farbenfabriken Bayer A.-G.] Пат. ФРГ 925122, 14.03.55

Нерастворимые в воде моноазокрасители получают сочетанием диазотированного 2,4-динитроанилина (I) с о-алкоксиариламидами II (2,3-оксинафтойная к-та — II) непосредственно или на материале в качестве основы. 18,3 г I в течение 30 мин. вносят в смесь 198 г  $H_2SO_4$  (66° Вё) и 17,3 г нитрозилсерной к-ты (= 6,9 г  $NaNO_2$ ) при т-ре до 30° (при диазотировании осадок постепенно растворяется), выливают на 300 г льда и немного воды и очищают обработкой активированным углем. 32,3 г о-фенетида II растворяют при 70° в 200 мл воды и 12,4 мл 44%-ного р-ра NaOH, прибавляют эмульгатор (напр.,  $C_{15}$ -алкилсульфонат), охлаждают льдом до 2° и осаждают азосоставляющую подкислением 21 мл 50%-ной  $CH_3COOH$ . Затем быстро приливают диазораствор и длительно перемешивают (к концу при 40°) до окончания сочетания. Получают 48 г бордо-красного пигмента с выдающейся светопрочностью. Растертый с маслом пигмент дает прекрасную лазурь. Он может применяться для масляных покрытий, полиграфии и лаков на основе нитроцеллюлозы и алкидных смол. Аналогично получают пигментный краситель с более синим оттенком из I и о-анизида II. Сочетание можно проводить в присутствии прокаленной  $TiO_2$  или  $BaSO_4$ , а в качестве эмульгатора применять алкилполигликолевый эфир. В. У. 76095 П. Кислотные моноазокрасители. Фриш, Верли (Acid monoazo dyestuffs. Frisch Franz, Wehrli Walter) [Sandoz A.-G.] Пат. США 2714590, 2.08.55

Патентуются кислотные моноазокрасители общей ф-лы (I) ( $R$  — алкил, хлоралкил, алкилоксиалкил, алкоксил, циклоалкоксил или одноядерный арилалкил, арилоксиалкил, арил, арилоксил и арилоксиал, причем в арилпроизводных алкил есть низший алкил;  $R'$  — алкил с прямой или разветвленной цепью, содержащий 4 или 5 атомов C; один  $R''$  — сульфогруппа, другой —  $R''-H$ ). В. У.



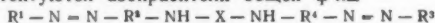
76096 П. Усовершенствование способов получения окрасок азокрасителями. Арменго (Perfectionnements aux procédés de production de teintures azoiques. Armento William H.) [General Aniline & Fom Corp.] Франц. пат. 1093433, 04.05.55 [Teintex, 1955, 20, № 12, 1007 (франц.)]

При получении нерастворимых азокрасителей непосредственно или на волокне во всех случаях, когда сочетание проводят в щел. среде в присутствии пиридина,

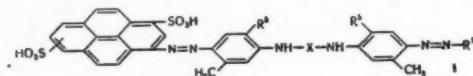
применяемого в качестве вспомогательного в-ва для сочетания, предпочтительно применять формамид в кол-ве 1—10% по отношению к объему сочетаемого р-ра. Способы получения состоят, напр., в проведении следующих операций: а) сочетание диазотированного ароматич. амина с 2-этокси-1-нафтиламин-6-сульфокислотой или другим аминафталиловым эфиром. Диазотирование полученного аминазосоединения, а затем сочетание в щел. среде в присутствии формамида с нафтолсульфокислотой (напр., *п*-аминобензол-У-кислотой или 1,8-диоксинафтали-4-сульфокислотой) или пиразолоном или его производными. Возможно дальнейшее диазотирование полученного дисазосоединения и сочетание с фенилметилпиразолоном; б) сочетание бисдиазопроизводного ароматич. полиамида (напр., 4,4'-диаминодифенил-3,3'-дикарбоновой к-ты или 5,5'-урелен-бис-антралиновой к-ты) в щел. среде в присутствии формамида с нафтолсульфокислотой и (или) пиразолоном [напр. смесь ацетосетанилида и *м*-(3-метил-5-оксо-2-пиразолинил-1)-бензолсульфокислотой].

О. С. 76097 П. Азокрасители. Андерау (Azo dyestuffs. Anderau Walter) [Ciba Ltd]. Канад. пат. 512895, 17.05.55

Патентуются азокрасители общей ф-лы



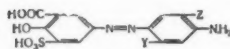
( $R^1$  — арил;  $R^2$  и  $R^4$  — бензольные остатки, содержащие NH-группу в пара-положении к азогруппе;  $R^3$  — остаток пирена, содержащий  $\geq 1$  сульфогруппу и связанный с азогруппой в положении 3; X — CO-группа, остаток 1,3,5-



триазины или хиназолиновый остаток, связанный с NH-группами в положениях 2 и 4). В частности, приведены следующие красители общей ф-лы (I): а)  $R^3$  — метоксил; X — CO;  $R^1$  — остаток пирена, содержащий 2 сульфогруппы (в том числе одну из них у C(1)) и связанный через азогруппу у C(3); б)  $R^5$  — метил; X и  $R^1$  как у Ia; в)  $R^5$  — метоксил; X — остаток 2-амино-1,3,5-триазины, связанный с NH-группами в положениях 4 и 6;  $R^1$  — 1-окси-3,6-дисульфокислота-нафтил-8.

В. У. 76098 П. Способ получения дисазокрасителей. Зенн (Verfahren zur Herstellung von Disazofarbstoffen. Senn Otto) [Sandoz A.-G.]. Пат. ФРГ 909242, 15.04.54 [Chem. Zbl., 1955, 126, № 24, 5661 (нем.)]

Дисазокрасители получают превращением 2 молей аминомоноазокрасителя общей ф-лы (I) (Z — H, алкил или алкоксил; Y — алкил, алкоксил или ациламиногруппа) при обработке фосгеном в соответствующие производные мочевины. Аминоазокраситель из 4-аминофенол-2-сульфо-6-карбоновой к-ты и *м*-толуидина обрабаты-



вают фосгеном в нейтр., слабо-щел. или уксуснокислой среде до окончания выделения производного мочевины из р-ра. Получают дисазокраситель, окрашивающий волокна хлопка и регенерированной целлюлозы в зеленовато-желтый цвет.

В. У. 76099 П. Полупродукты для металлсодержащих азокрасителей, их получение и применение (Nouveaux produits réactionnels de colorants azoïques métallifères, leur préparation et leur emploi) [Ciba Akt.-Ges.]. Франц. пат. 1098830, 22.08.55 [Teintex, 1956, 21, № 2, 149 (франц.)]

Металлсодержащие азокрасители получают р-цией следующих соединений: А — азотсодержащих оснований, не являющихся красителями, которые могут быть первичными, вторичными или третичными органич. ами-

нами и преимущественно алифатич. или ароматич. аминами с низким мол. весом, содержащими 3—7 атомов С, напр. метиламином, этиламином, изопропиламином, *н*-бутиламином, втор-бутиламином, трет-бутиламином, октиламином, дециламином, додециламином, циклогексиламином, анилином, *п*-толуидином, диметиламином, диэтиламином, *Н*-метиланилином, *Н*-этиланилином, триэтиламином, триэтиламином, *Н*-диметиланилином, бензиламином, этаноламинами, пиридином, хинолином, пирролидином, фурфуриламином и аминами, получаемыми из пальмового масла; эти амины могут быть использованы как таковые или в виде солей с минер. к-тами; Б — азокрасителей, содержащих связанный комплексной связью металл и не содержащих карбоксильных и сульфогрупп в орто-положении к азогруппе. Эти красители могут быть Cr-или Со-содержащими комплексами — о-окси-о'-амино- или о'-диоксимомоноазокрасителей, в которых на 1 моль моноазокрасителя приходится менее 1 атома металла, и присутствует, предпочтительно, сульфамидная или алкилсульфонильная группа. Получаемые красители красят и окрашивают в массе пластмассы, синтетич. волокна, ацетатный шелк, органич. р-рители и нитроцеллюлозные лаки в желтый, оранжевый, красный, фиолетовый, синий, хаки, черный и коричнево-желтый цвета.

О. С. 76100 П. Способ получения хромсодержащих моноазокрасителей. Кустер, Шетти (Verfahren zur Herstellung von chromhaltigen Monoazofarbstoffen. Kuster Werner, Schetty Guido), [J. R. Geigy A.-G.]. Пат. ФРГ 921224, 13.12.54 [Chem. Zbl., 1955, 126, № 30, 7090 (нем.)]

Cr-содержащие красители получают обработкой моноазокрасителей, не содержащих сульфогрупп, общей ф-лы (I) ( $R$  — галлонид или метил) Cr-отдающими средствами таким образом, чтобы в получаемом Cr-комплексе содержалось  $\geq 1$  атом Cr на 2 моля I. Азокрасители строения 5-нитро-2-амино-4-хлор (или 4-метил)-фенол-1-нафтол-3,6-дисульфометиламид хромируют  $NH_4$ -дисульфатом хромата в присутствии  $NH_3$ , получают комплексы, окрашивающие шерстяные волокна из нейтр. или слабосидовой ванны в зеленовато-синий цвет.

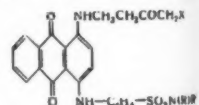
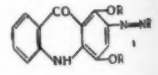
В. У. 76101 П. Ледяные красители акридонового ряда. Броди (Ice colors of the acridone series. Brody Frederick) [American Cyanamid Co.]. Пат. США 2725375, 29.11.55

Патентуются азокрасители общей ф-лы (I): ( $R$  — низший алкил;  $R'$  — остаток азосоставляющей нафталинового ряда, применяемой для ледяного крашения).

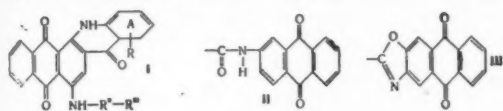
В. У. 76102 П. Антрахиноновые красители. Рандау (Anthraquinone dyestuffs. Randall David I., Renfrew Edgar E.), [General Aniline and Film Corp.]. Пат. США 2727903, 20.12.55

Патентуются красители общей ф-лы (I) (X — H, OH, низший алкил или ацилоксигруппа; R и R' — H, низший алкил или оксиалкил). В. У. 76103 П. Кубовые красители (Colorants de cuve nouveaux) [Imperial Chemical Industries Ltd.]. Франц. пат. 1094507, 20.05.55 [Teintex, 1955, 20, № 12, 1003 (франц.)]

Патентуются кубовые красители общей ф-лы (I) [ $R$  — остаток  $COR'$ ,  $SO_2R'$ ,  $CF_3$ , CN или  $CON(R')$ ;  $R'$  — алкил или арил;  $R''$  — арилен;  $R'''$  — остаток общей ф-лы (II или III)]. I окрашивают волокна целлю-



лозы или регенерированной целлюлозы и зеленые цвета, более яркие чем у аналогичных красителей, не содержащих заместителей в кольце А. О. С.



**76104 П.** Сернокислые эфиры лейко соединений серых кубовых красителей. Харди (Leuco-sulfuric ester of gray vat dye. Hardy William B.) [American Cyanamid Co.]. Канад. пат. 516240, 6.09.55

Кислые сернокислые эфиры лейко соединений кубовых красителей получают хлорированием бензантрацена в 85—100%-ной  $H_2SO_4$  при 10—50° до тех пор, пока осадок, полученный разбавлением пробы реакционной массы водой, не покажет содержания Cl 11,5—13,5%. После этого хлорирование прекращают и смесь хлорированных бензантронов с содержанием 11,5—13,5% Cl выделяют и конденсируют с ~1 моль-экв.  $\alpha$ -аминоантрахинона в нитробензоле в присутствии связывающих к-ту средств и Cu-содержащего катализатора. После этого выделяют полученную смесь вторичных аминов и подвергают сплавлению со спирт. едкой щелочью. Приведены спектры поглощения в области 400—700 м $\mu$  выскоса на хлопке кубового красителя и сернокислого эфира его лейко соединения. В. У.

**76105 П.** Пигментные красители изотиазолантронового ряда (Pigment dyestuffs of the isothiazolanthronone series) [Sandoz, Ltd.]. Англ. пат. 733460, 13.07.55

Пигментные красители получают нагреванием 5-амино-1,9-изотиазолантрона с галоидбензантроном или галоидантрахиноном и измельчением или переосаждением из  $H_2SO_4$  продукта р-ции. Нагревание может быть проведено в органич. среде, в присутствии связывающих к-ту средств, в токе инертного газа и в присутствии Cu-катализатора. Измельчение может быть выполнено в присутствии способствующих добавок и диспергаторов. Описана конденсация 5-амино-1,9-изотиазолантрона с BzI-бромбензантроном, 1-хлорантрахиноном, 1,5-дихлорантрахиноном или 2-хлорантрахиноном; во всех случаях продукт подвергался переосаждению из  $H_2SO_4$  и перерабатывался в пасту с добавкой диэтилметандисульфокислоты. Полученные пигменты окрашены в красный цвет; приведены примеры их применения для окраски бумаги, крашения вискозы в прядильной массе и в текстильной печати. Указано также применение других галоидбензантронов и галоидантрахинонов, а именно: BzI-хлорбензантрона, 6BzI-дибромбензантрона, 1-бромантрахинона, 1,8-дихлорантрахинона, 1-окси-4-бромантрахинона, 1-амино-2-метил-4-бромантрахинона, 1-бензоиламино-2-метил-4-бромантрахинона и 1-амино-2,4-дибромантрахинона. В. У.

**76106 П.** Способ получения красителей фталоцианинового ряда. Тартер (Verfahren zur Herstellung von Farbstoffen der Phthalocyaninreihe. Tarter Arnold) [Badische Anilin- und Soda-Fabrik, A.-G.]. Пат. ФРГ 918104, 20.09.54 [Chem. Zbl. 1955, 126, № 15, 3496 (нем.)]

Доп. к швейц. пат. 289073 (см. РЖХим, 1955, 8362). Различные содержащие или не содержащие металла фталоцианины обрабатывают лактонами (кроме  $\gamma$ -бутиролактона), напр.  $\gamma$ - или  $\delta$ -валеролактонами, или их высшими гомологами в присутствии конденсирующих средств типа катализаторов Фриделя — Крафтса, напр. галогенидов Al, Zn или Fe, BF<sub>3</sub> или их продуктов присоединения к лактонам (напр., бутиролактон-BF<sub>3</sub>). Полученные производные фталоцианинов пригодны частично в качестве кубовых, частично в качестве прямых красителей. В. У.

**76107 П.** Способ получения щелочных соединений фталоцианинов. Ветштейн (Verfahren zur Herstellung von Alkaliphthalocyaninen. Wettstein Walter) [Ciba A.-G.]. Пат. ФРГ 933047, 15.09.55

Щелочные соединения (I) (фталоцианин — I) получают р-цией спиртового р-ра фталоцитрила (II) или спиртового р-ра II, к которому добавлен органич. инертный разбавитель с суспензией гидроксида щел. металла (напр. NaN в инертном разбавителе). В качестве спирта применяют алифатич. или ариалфатич. спирты, преимущественно с т. кип. выше 130°, а в качестве инертного органич. разбавителя — алифатич. ароматич. или гидроароматич. углеводороды, преимущественно с т. кип. выше 140°. На 1 моль II берут I (лучше 1,5) моль спирта, кол-во инертного разбавителя составляет ~1—5 ч. на 1 ч. спирта. К смеси 75 ч. амилового или бутилового спирта, 75 ч. кислоты и 32 ч. II при 90° при размешивании постепенно небольшими порциями прибавляют суспензию 3,1 ч. NaN в 15 ч. ксилола, после чего реакционную смесь кипятят 3 часа, фильтруют, осадок промывают C<sub>2</sub>H<sub>5</sub>OH или пропиловым спиртом и сушат при 100°, получают 23,5 ч. Na-соединения I (III). К смеси 200 ч. декалина (IV), 50 ч. бензилового, гексадецилового или октадецилового спирта и 41 ч. II при 100° и хорошо перемешивании прибавляют 4,2 ч. NaN в IV, нагревают 30 мин. при 160°, фильтруют, промывают C<sub>2</sub>H<sub>5</sub>OH и сушат. Получают 36 ч. III. К смеси 125 ч. IV, 125 ч. бензилового спирта и 41 ч. II при 175° постепенно прибавляют 1,4 ч. LiH в ~50 ч. IV, нагревают еще 40 мин. при 180°, фильтруют, промывают C<sub>6</sub>H<sub>6</sub> и сушат; получают 34 ч. Li-соединения I. Описано также превращение III (а также без его промежуточного выделения) в не содержащий металла I, являющийся ценным пигментом. В. У.

**76108 П.** Способ получения кубовых красителей. Цервек, Хонольд, Шуберт (Verfahren zur Herstellung von Küpenfarbstoffen. Zerweck Werner, Honold Ernst, Schubert Max) [Cassella Farbwerke Mainkur A.-G.]. Пат. ФРГ 936943, 22.12.55

Синие кубовые красители, обладающие выдающейся прочностью к свету и погоде, и некорродирующие волокна получают конденсацией бензтиазолкарбоновых к-т с 3,4-фталил-2-аминоакридоном (I). К суспензии 34 кг I в 300 кг дихлорбензола при 130—150° при размешивании приливают р-р 30 кг хлорангидрида 2-фенилбензтиазол-6-карбоновой к-ты, нагревают до 200° и кипятят ~6 час., по охлаждению выделяют кубовый краситель, окрашивающий хлопок из горячего куба по способу, применяемому для индантенового красителя IN. Аналогично получают краситель, окрашивающий хлопок по способу, употребляемому для индантрена IW, из 34 кг I и хлорангидрида, полученного обработкой SOCl<sub>2</sub> 22 кг бензтиазол-6-карбоновой к-ты. Указано также получение аналогичных красителей конденсацией I с хлорангидридами 2-метил-, 2-дифенил- или 2-фурилбензтиазол-6-карбоновой к-ты. В. У.

См. также: Связь между строением и окраской 74809

## КРАШЕНИЕ И ХИМИЧЕСКАЯ ОБРАБОТКА ТЕКСТИЛЬНЫХ МАТЕРИАЛОВ

**76109.** Распознавание пороков в текстильных изделиях. Биглер (Schadenerkennung in Textilien. Bigler N.), SVF Fachorgan Textilveredlung, 1955, 10, № 11, 574—621 (нем.)

Обзор основных пороков текстильных волокон (хлопка, искусств. шелка, штапельных и синтетич. волокон и шерсти), микроскопич. и хим. методов их обнаружения. Л. Б.

**76110.** Исследования текстильных материалов в ультрафиолетовом свете. Кюн (Untersuchungen von

Textilien im ultravioletten Licht. Kuhn N.), Z. ges. Textilind., 1955, 57, № 19, 1234—1236 (нем.)

Наблюдения различных текстильных материалов при освещении УФ-излучением (лампа с алюминиевым рефлектором, фильтр Вуда) показали возможность контроля степени зрелости хлопка, наличия повреждений, примесей и т. д. Л. Б.

**76111. Изучение свойств цианэтилированного хлопка.**— (An investigation of the properties of cyanoethylated cotton.—), Amer. Dyestuff Reporter, 1954, 43, № 24, 774—779 (англ.)

При изучении волокна T-7, получаемого действием акрилонитрила на целлюлозу хлопка, установлено, что волокно хорошо поддается отбеливанию и обладает повышенным сродством к некоторым красителям для хлопка (особенно к прямым). Максим. сродством обладает волокно, содержащее 1,5—2% азота; при дальнейшем увеличении содержания азота сродство волокна к красителям быстро падает. Сродство волокна T-7 к дисперсным, основным и кислотным красителям допускает возможность использования его в смесях с другими видами волокон. Волокно обладает хорошим сопротивлением действию микроорганизмов, которое возрастает с увеличением содержания в волокне азота. К недостаткам цианэтилированного волокна относятся сравнительно высокая стоимость процесса, тенденция к снижению светопрозрачности окрасок, слабая устойчивость к мокрым обработкам окрасок дисперсными, основными и кислотными красителями, а также гидролизимость CN-групп. В. З.

**76112. Улучшение блеска хлопкового волокна. Часть V. Влияние формы волокна на его блеск. Часть VI. Влияние структуры пряжи на ее блеск. Часть VII. Влияние на блеск свойств и видов волокна.** Форт, Хауорт, Ратерфорд, Стрейкер (Improvement of luster of cotton. Part V. Fiber shape in relation to luster. Part VI. Yarn structure in relation to luster. Part VII. Fiber properties and variety characteristics in relation to luster. Fourt Lyman, Howorth Ruth M., Rutherford Marjorie B., Streicher Pauline), Text. Res. J., 1954, 24, № 2, 156—163, 163—172; № 3, 279—291 (англ.)

Часть V. Для оценки блеска природного хлопкового волокна было выбрано контрастное отношение, т. е. отношение величины отражения при угле освещения 45° к угле наблюдения 45° к величине отражения при угле освещения 0° и угле наблюдения 45°. Показано, что в крученых пряжах величина отражения почти не изменяется с изменением угла, под которым волокна расположены в пряже. Мерсеризация ведет к уменьшению рассеивания света под другими углами. Искусств. filamentарная пряжа имеет более высокий и более острый максимум отражения по сравнению со штапельной пряжей. Уменьшение максимума отражения при переходе от более тонких тканей к более грубым объясняется увеличением рассеивания за счет многократного отражения света в более глубоких слоях. В пряжах, окрашенных в темные тона, величина отражения уменьшается за счет поглощения света.

Часть VI. Изучалось влияние на блеск хлопчатобумажной пряжи толщины волокна, длины волокна, кардочесания и гребенчесания, опаливания, крутки, мерсеризации, номера пряжи, числа сложений и др.

Часть VII. Показано, что блеск волокна является видовой характеристикой, которая изменяется вместе с другими свойствами волокна, хотя на него влияют также условия роста. Наиболее отчетливо видна зависимость блеска от увеличения длины, крепости и круглости волокна, причем увеличение блеска и длины идут параллельно. Эти тенденции, выявленные для сырого природного хлопка, сохраняются и для хлопка мерсеризованного. Установлена четкая взаимосвязь между проч-

ностью волокна и углом отражения рентгеновских лучей. Часть IV см. РЖХим, 1956, 72906. В. З.

**76113. Микроопределение хлорида диффузионным методом и содержание хлорида в сыром хлопке.** Нейлор (The micro-determination of chloride by the diffusion technique, and the chloride content of raw cotton. Naylor H.), J. Text. Inst., 1955, 46, № 9, 576—583 (англ.)

Главной частью прибора является пирексовый бюкс с двумя концентрич. стенками. В наружное отделение бюкса помещают испытуемый р-р, слабо подкисляют его уксусной к-той и упаривают досуха. Во внутреннее отделение наливают титрованный р-р арсенита натрия (I). После этого бюкс герметически закрывают коллоидом, в который введена трубка для засасывания р-ра  $H_2SO_4$  и конец бюретки для подачи р-ра  $KMnO_4$ . Этими р-рами обрабатывают сухой остаток во внешнем отделении бюкса, причем выделяющийся хлор в течение 18 час. диффундирует к р-ру I и поглощается им. После опыта обратным титрованием I определяют выделившийся хлор и пересчитывают на хлорид. Метод позволяет уловить ~99% хлора. Содержание хлоридов в сыром хлопке, рассчитанное на NaCl, колеблется в пределах 0,05—0,15% и в среднем равно 0,08%. В. Ш.

**76114. Исследование шерсти. Выделение пептидов из экстрактов, полученных при комнатной температуре.** Цан, Мейенхофер (Studies on wool gelatin: isolation of acid peptides from room-temperature extracts. Zahn Helmut, Meienhofer Johannes), Text. Res. J., 1955, 25, № 8, 738—739 (англ.)

Предварительные исследования показали, что аминокислотный состав воды экстракта, полученного из шерсти (Ш) при т-ре ~20°, значительно отличается от состава самой Ш. При экстрагировании кипящей водой это различие сглаживается и тем значительнее, чем больше продолжительность обработки. При обработке Ш кипящей водой 25 час. аминокислотный состав экстракта точно совпадает с аминокислотным составом необработанной Ш, за исключением цистина. При dialизе экстракта Ш, полученного при т-ре ~20° в течение 70 час., наблюдается проникновение через пергаментную мембрану белковых в-в, хроматографич. анализ которых показал присутствие глутаминовой и аспарагиновой к-т и некоторых простейших пептидов. В-ва, не прошедшие через мембрану, при хроматографич. анализе показывают отрицательную р-цию с нингидрином и положительную р-цию с  $Cl_2/KJ$ -крахмалом, что указывает на присутствие более сложных пептидов, разделенных на три составные части. Аминокислотный состав этих трех пептидов при полном гидролизе оказался следующим: I — аспарагиновая и глутаминовая к-ты, серин, глицин, валин, лейцин, аланин; II — аспарагиновая и глутаминовая к-ты, серин, глицин, лейцин, треонин, аланин; III — аспарагиновая и глутаминовая к-ты, глицин, треонин, аланин. Работа продолжается с экстрактами, полученными при 50 и 100°. Н. С.

**76115. Колориметрический метод анализа тирозина.** Фритце, Цан (Eine kolorimetrische Methode der Tyrosinanalyse. Fritze Ernst-Robert, Zahn Helmut), Melland Textilber., 1955, 36, № 11, 1136—1139 (нем.)

Навеску тирозинсодержащего материала (10—45 мг тирозина) отвешивают в мерную колбу (100 мл), доливают точно 10 мл 30%-ного р-ра  $H_2SO_4$  и доводят до метки дистил. водой. 10 мл полученного р-ра переносят во вторую мерную колбу (100 мл), содержащую 10 мл 30%-ной  $H_2SO_4$ , вводят 10 мл р-ра  $HgSO_4$  (150 г  $HgSO_4$  х.ч. растворено в смеси 300 мл конц.  $H_2SO_4$  и 1300 мл воды при нагревании). После 5-часового выдерживания приливают 8 мл 0,2%-ного р-ра (свежеприготовленного)  $NaNO_2$ , хорошо перемешивают 7 мин., дополняют водой до метки и колориметрируют (фотоколо-

риметр с зеленым светофильтром). Чувствительность метода  $\sim 20$   $\mu$  тирозина в 100 мл р-ра. Л. Б.

**76116. Применение сульфанола для мойки шерсти.** Шеришев В. М., Рожкова В. В., Текстильная пром-сть, 1955, № 9, 7—9

Новый отечественный синтетич. препарат сульфол при промывке грязной шерсти более эффективен, чем мыло, и позволяет снизить конц-ию соды в барках шерстомоечных машин, что повышает качество промывки шерсти. Для повышения активности р-ров в последние барки следует вводить NaCl в кол-ве 4 г/л. В. Ш.

**76117. Гипохлоритно-перекисная отбелка шейных ниток.** Суrowая А. В., Текстильная пром-сть, 1955, № 11, 34—38

На основе лабор. исследований и частичной проверки в производственных условиях предложен следующий режим гипохлоритно-перекисного беления шейных ниток из белых и желтых сортов хлопка: связка мотков в цепь и укладка в тележку; пропитка на проходном аппарате р-ром гипохлорита натрия 1,5—2,0 г/л актив-ного хлора, 0,7—1 г/л NaOH и 1 г/л ОП-10, при 20—25° с последующими прожимами; выдерживание в компенсаторе 1 час; замочка на пропиточной машине р-ром  $H_2O_2$  и укладка в котел; варка с  $H_2O_2$  5 час. (от начала нагрева) при 85—95° в котле из нержавеющей стали или с облицовкой керамикой; промывка в котле горячей и холодной водой; промывка или мыловка на проходном аппарате; отжим. Целесообразна подцветка пряжи в р-ре  $H_2O_2$  прямым белым флуоресцирующим красителем (0,03 г/л). Достигнута белизна 78,5—80%, вязкость 0,5%-ных р-ров 78—105 спуз, смачиваемость 208%. Л. Б.

**76118. Беление джута.** Каулгуд (Bleaching of Jute. Kaulgud M. R.), Bombay Technologist, 1954—1955 (1955), 5, March, 25—28 (англ.)

Разбираются особенности беления джута  $NaOCl$ ,  $H_2O_2$  и  $NaClO_2$  (текстоном). Обработку  $NaOCl$  нужно вести в щел. среде с pH 9—10 в присутствии  $Na_2CO_3$  и  $Na_2SiO_3$  при 40°. Белиение джута в щел. среде  $H_2O_2$  идет достаточно хорошо даже при удалении всего лишь 4—5% лигнина. Это объясняется возможностью существования лигнина в двух изомерных формах, одна из которых окрашена, а другая нет. Во время перекисного беления происходит переход окрашенной формы лигнина в неокрашенную или связывание окрашенной формы. При обработке джута щел. р-ром  $H_2O_2$  при 80° удаляется 4% гемицеллюлоз независимо от конц-ии перекиси. Белиение текстоном рекомендуется вести при pH 4—5,5 и 80° так, чтобы получить бледный кремовый оттенок в течение одного часа. П. М.

**76119. Оптическое белиение текстильных изделий.** Берту (Das optische Aufhellen von Textilien. Berthoud R.), SVF Fachorgan Textilveredlung, 1955, 10, № 4, 188—195 (нем.)

Применение оптических белителей существенно улучшает белизну беленых тканей и тон ярких и слабых окрасок. Препараты фирмы Ciba носят общее название «увитекс». Для хлопка и вискозного волокна их можно применять в отдельной ванне после беления или вводить в технологич. р-ры. Рекомендуются марки RS и RT (с розоватым оттенком, причем RT более прочен, чем RS). Марки BS и BT дают голубоватый оттенок. RS вводят в хлоритные, гипохлоритные ванны и в некислые аппреты; RT — в промывные, перекисные, бисульфитные, гидросульфитные и красильные ванны, в аппреты на основе синтетич. смол и в вытравки для улучшения бели. Условия беления хлопка в отдельной ванне: 0,05—0,5% увитекса, 5 г/л  $Na_2SO_4$ , 20°, 20—30 мин. Для животных волокон можно применять марки RT, WS, WGS и NA. WS устойчив к к-там, но не допускает т-р выше 50°. Марки WGS и NA можно добавлять к промывным, перекисным, гидросульфитным и другим нейтр.,

слабокислым и слабощел. некипящим ваннам. При их применении в отдельной ванне в нее вводят, напр., 5% уксусной к-ты. Для ацетатного волокна применяют марки WGS, NA и U; для полиамидных волокон — увитекс NL. Для полиэфиновых годеи рецепт: 0,5—2% увитекса и 1—2 мл конц. р-ра аммиака, 0,5—1 г/л ультравон W (пасты). Начальная т-ра 60—70°, затем обработка  $1/2$ —1 час при кипении. Для полиакрилонитриловых волокон применяют увитекс WGS (конц.) в нейтр. или слабокислой ванне в течение 30 мин. при кипении, а смешанные ткани обрабатывают спец. марками TW. В. Ш.

**76120. Сорбция едкого натрия текстильными волокнами.** Попович, Урлич (Absorpcija natrijum-hidroksida u tekstilnim vlaknima. Popović Atanasije. Urlić Nada), Tehnika, 1955, 10, № 7, 1065—1067 (серб.; рез. нем.)

Установлено, что сорбция NaOH текстильными волокнами с увеличением конц-ии возрастает. С повышением т-ры при постоянной конц-ии сорбция у некоторых образцов падает. Высказано предположение, что NaOH связывается волокнами не только механически, но и химически, особенно в целлюлозных волокнах, содержащих большое кол-во лигнина. С. Б.

**76121. Пути технической реконструкции отделочного производства (по материалам Техсовета).** Садов Ф. И., Текстильная пром-сть, 1955, № 10, 40—42

Необходимо повысить качество продукции, улучшить использование сырья, хим. материалов, а также уменьшить расход пара и энергии. Основные положения, которые должны быть использованы при конструировании нового и модернизации имеющегося отделочного оборудования, следующие: создание более высокопроизводительных машин; их агрегирование с целью обеспечения законченных технологич. процессов; уменьшение размеров; автоматизация; регулирование скоростей отдельных машин и агрегатов; централизованное управление агрегатами; улучшение санитарно-гигиенич. условий труда; автоматич. питание машин р-рами. Указан ряд машин и агрегатов, рекомендуемых для проведения процессов белиения, крашения и печатания. Н. С.

**76122. Физико-химия крашения новых текстильных материалов.** Корбьер (Physico-chimie de la teinture des nouveaux textiles. Corbiere M.), Teintex, 1955, 20, № 10, 788, 791, 793—794 (франц.)

Обзор физ.-хим. основ крашения текстильных волокон, содержащих и не содержащих гидроксильные группы (образование водородных и ионных связей). Отмечена возможность повышения ср-ства новых синтетич. волокон к красителям подбором надлежащих условий крашения. Л. Б.

**76123. Равновесная сорбция прямых красителей целлюлозой.** Шенай (Equilibrium absorption of direct dyes by cellulose. Shenai V. A.), Bombay Technologist, (1954—1955), 1955, 5, March, 54—58 (англ.)

Краткий обзор теории крашения. Библ. 8 назв. В. Ш.

**76124. Применение природных красящих веществ в текстильной промышленности.** Парси (Les emplois actuels des extraits tinctoriaux dans l'industrie textile. Parsy G.), Teintex, 1955, 20, № 11, 859, 861—862, 865, 867—868, 871, 873—874, 877 (франц.)

Обзор методов приготовления красильных экстрактов (из камешкового дерева и др.) и способов их применения для крашения растительных волокон, дерева, кожи, фетра, шерсти, шелка, найлона, ацетатного шелка и др., а также для печатания. Л. Б.

**76125. О действии света на окраски.** Гольдштейн (Actiunea luminii asupra vopsirilor. Goldstein P.), Ind. textilă, 1955, 6, № 7, 231—236 (рум.)

Изложение современных представлений по вопросу о выцветании окрасок на текстильных материалах. Г. М.

**76126.** Новая силовая станция бредфордской ассоциации красильных фабрик.— (Bradford dyers' new power plant.—), Text. Recorder, 1955, 73, № 873, 72—73 (англ.)

Описана новая паросиловая станция с производительностью в 68 000 кг пара в час.

О. С.

**76127.** Крашение вискозного волокна. Верунг (Viskoserayon in der Färberei. Wehrung A.), Textil-Rundschau, 1955, 10, № 7, 359—364 (нем.)

Обзор по теории прямого крашения целлюлозных волокон. Библ. 29 назв.

В. Ш.

**76128.** Крашение металлосодержащими комплексными красителями, имеющими сродство к белковым и полиамидным волокнам. Вебер (Einige Beobachtungen beim Färben mit protein-bzw. polyamidaffinen 1:2-Komplexen. Weber Franz), Textil-Praxis, 1955, 10, № 8, 825—828 (нем.; рез. англ., франц., исп.)

Изучено крашение шерсти металлосодержащими комплексными красителями (с отношением металла к органич. остаткам 1:2) в присутствии различных добавок (уксусная к-та, сульфат аммония) и без добавок. Показано, что некоторые красители этого ряда более чувствительны к добавке к-т, чем другие, а некоторые обладают в жесткой воде большим сродством к волокну, чем в мягкой.

В. Ш.

**76129.** Поведение лейкосоединений кубовых красителей при температурах выше 100°. Блэкберн, Фокс (The behaviour of leuco vat dyes above 100° C. Blackburn S., Fox M. R.), J. Soc. Dyers and Colourists 1955, 71, № 2, 80—89 (англ.)

Исследованы выбираемость, устойчивость, миграция и прокрашивание хлопчатобумажной пряжи для шести кубовых красителей при обычных (20—60°) и повышенных (110—130°) т-рах. Опыты производились в фарфоровых стаканах, помещенных в автоклав, и в лабор. аппарате Лонглоза из нержавеющей стали при модулях ванны 30:1 и 15:1. Статич. давл. (до 1,8 кг/см<sup>2</sup> при 120°) достигалось с помощью сжатого азота. Длительность крашения до 40 мин. Кол-во красителя на волокне определялось путем удаления его с волокна р-ром целлольва и шел. р-ром гидросульфита с последующим колориметрированием. Белый декстрин, сульфитцеллюлозный шелок и целлофас В не защищают термочувствительных лейкосоединений кубовых красителей (каледон золотисто-оранжевый 3 G, каледон синий XRC) при 120°; защищают нитрит натрия, мальтоза и глюкоза, но окрашиваемость при этом несколько понижается; лучшим ингибитором является глюкоза. Повышение т-ры уменьшает выбираемость красителей; рекомендуется красить на остывающей бане для улучшения выбираемости (напр., начинать крашение при 120°, затем постепенно охлаждать до 50°). При повышении т-ры уменьшается сродство лейкосоединений к целлюлозным волокнам и улучшается миграция; улучшается прокрашивание и ровнота крашения; при этом не наблюдается повышения набухаемости целлюлозы или диспергирование лейкосоединений.

Л. Б.

**76130.** О применении клея для уменьшения расхода гидросульфита при крашении мерсеризованной ткани № 190 синим кубовым красителем. Чжао Чжи-юн, Вань Цзя-чжао, Гоу Шунь-шэн, Ма Хуа (190號絲光士林藍布用膠降低保險粉用量的報導·趙志永, 萬嘉熙, 勾順生, 馬華), 染化 Жэньхуа, 1954, № 11, 11—13 (кит.)

Описаны лабор. опыты по применению костяного клея и клея из шкур крупного рогатого скота при крашении хлопчатобумажных тканей с целью экономии гидросульфита. Описываемый метод позволяет при крашении 75.000 кусков ткани в год экономить ~3 т гидросульфита. Опыты в основном проводились с синим кубовым красителем. Выяснено, что метод может быть применен

также при крашении другими кубовыми красителями. Приводится рецептура красильного р-ра.

К. Ч.

**76131.** Применение льда при крашении пряжи в пакетах. Джонс (Ice for uniform package dyeing. Jones W. Riley), Text. Inds, 1955, 119, № 8, 98—99 (англ.)

Рекомендуется применение льда для получения более ровного крашения по суспензионному методу кубовыми красителями, которые характеризуются малым сродством к суровому хлопку и хорошей растворимостью в восстановленном состоянии. При помощи льда охлаждается вода для промывки после восстановления, перед окислением, что препятствует смыванию восстановленного красителя. Аналогичное охлаждение целесообразно также при диазотировании и при сочетании с 2-нафтолом прямых диазотирующихся красителей.

Н. С.

**76132.** Непрерывный метод крашения антразолевыми красителями. Штробах (Die kontinuierfärberei mit Anthrasol-Farbstoffen. Strobach Günter), Textil-Praxis, 1955, 10, № 11, 1151—1157 (нем.; рез. англ., франц., исп.)

Детально рассмотрены оборудование, отдельные стадии и рецептура обычно применяемого способа крашения антразолевыми красителями. Приведены рекомендации по приготовлению красильных р-ров, температурному режиму и режиму проявления окрасок.

Н. А.

**76133.** Крашение ацетатного шелка. Мен В. Промысл. кооперация, 1955, № 12, 27—28

Разработаны рецептура и режим крашения ацетатно-вискозного трикотажного полотна. Перед крашением полотно подвергается размасловке в р-ре 2 г/л эмульгатора ОП-10 в течение 1 часа при 75°, затем промывается в теплой (40—50°) воде. Крашение ацетатного полотна красителями для ацетатного шелка проводят в мыльном р-ре (2 г/л 60%-ного мыла). Т-ру постепенно повышают от 30—40° до 75°, обрабатывают полотно при этой т-ре 45 мин. и в остывающей ванне еще 15 мин. Затем следует обычная промывка. Для полотна, состоящего из смеси ацетатного и вискозного шелка, предварительную отварку ведут в мыльной ванне и в ней же проводят крашение смесью прямых красителей и красителей для ацетатного шелка в присутствии NaCl (5 г/л). Равномерность окраски достигается постепенным повышением т-ры ванны до 75—80°. Крашение ацетатного полотна в черный цвет производили диазочерным С для ацетатного шелка в р-ре ОП-10 (0,5 г/л) с последующим диазотированием и сочетанием на волокне с β-оксинафтойной к-той.

О. С.

**76134.** О процессах, происходящих при крашении синтетических волокон дисперсными красителями. Крамер (Über die Vorgänge beim Färben vollsynthetischer Fasern mit Dispersionsfarbstoffen (I). Kramer Bernhard), Reyon, Zellwolle und and. Chemiefasern, 1955, № 9, 607—609 (нем.)

Обсуждается вопрос о силах, связывающих дисперсные красители с полиамидным волокном. Рассматривается влияние диполей на диффузию и сродство красителей к волокну. Описаны принципы и метод измерения дипольных моментов красителей и указаны источники возможных ошибок при измерениях.

Н. А.

**76135.** Основные принципы крашения волокон дакрона и их практическое применение. Ландерл, Ремингтон (Die Grundlagen über das Färben von Dacron Polyester-Fasern und ihre Anwendungen für den praktischen Färber. Landerl H. P., Remington W. R.), Z. ges. Textilind., 1955, 57, № 11, 598, 601—602 (нем.)

Изучение распределения индивидуальных красителей и их смесей между водой и дакроновым волокном при различных т-рах показало прямолинейную зависимость между содержанием красителя в волокне и его конц-цией в р-ре в соответствии с законом Генри. Следовательно процесс крашения дакрона можно рассматривать как

телями.  
К. Ч.  
и в па-  
dyeing.  
№ 8.

я более  
большими  
и сред-  
ностью в  
охлаж-  
да, перед  
опреде-  
образно  
2-нафто-  
Н. С.  
олевыми  
erei mit  
r), Tex-  
из. англ.,

ные ста-  
краше-  
команда-  
ператур-  
Н. А.  
В. Про-

ацетатно-  
рашением  
эмульга-  
промы-  
детатного  
проводит  
остепенно  
полотно  
це 15 мин.

а, состоя-  
а, предва-  
в ней же  
и крася-  
CI (5/24).  
и новые  
детатного  
черным  
С с после-  
волокне  
О. С.

ении син-  
телями. I  
n vollsyn-  
(I). K. G.  
and. Che

х диспер-  
Рассматр-  
ство крас-  
измерени-  
источники  
Н. А.

кна дакро-  
Реминг-  
on Dacron  
den prä-  
on W. R.  
-602 (нем.)  
красители  
поком при-  
зависимост-  
го конц-не  
довательно  
ривать на

распределение красителя между двумя р-рителями, а окрашенное волокно — как твердый р-р красителя в волокне. Рассматривается влияние в крашении дакрона интенсификаторов-носителей таких как бензойная к-та, в присутствии которых выбираемость красителя из ванны возрастает и тем в большей степени, чем выше конц-ия бензойной к-ты (интервал исследованных конц-ий 0,5—3%). На основе этих исследований предлагаются два практич. способа крашения дакрона: 1) при 120° без применения спец. добавок, вызывающих ускорение пере-хода красителя из ванны в волокно и 2) при 100° с применением интенсификаторов-носителей. Приводятся некоторые данные о крашении дакроновых волокон в смеси с шерстью и с целлюлозными волокнами. П. М.

76136. Крашение искусственного каракуля. — (Dyeing astrakhan. «Concord». —). Text. Mercury and Argus, 1955, 133, № 3468, 550—552 (англ.)

Искусственный каракуль — ворсовая ткань или трико-таж с петлеобразным ворсом из чистошерстяной, смешанной (шерсть и нейлон), иногда джутовой пряжи. Ткань с чистошерстяным и смешанным ворсом перед крашением запаривают. Если хлопчатобумажное основа-ние окрашено сернистым черным, то ворс окрашивают кислотными или хромирующимися красителями в при-сутствии НСООН. Если основа ткани не окрашена, то красят одновременно ворс и основание прямыми кра-сителями, добавляя иногда нейтрально красящие кис-лотные красители для подцветки ворса. Указаны марки красителей, наиболее пригодные для окраски искусств. каракуля. Н. А.

76137. Двухсторонний поворотный стол для фото-фильмпечат. Гофф Л. А., Рыков А. Х., Текстиль-ная пром-сть, 1955, № 9, 32—33

Предлагается новая конструкция печатного стола, который при помощи электромеханизма может вра-щаться вокруг своей продольно-горизонтальной оси со скоростью 3 об/мин. Стол совмещается с устройством для подсушивания ткани. Стол обслуживают 2 человека; производительность при длине стола 25 м составляет 200—250 м ткани в смену. Производственная площадь сокращается в два раза, уменьшается расход пара и электроэнергии. П. М.

76138. Экономичная и прочная печать протравными красителями. Шенефельд (Kostensparende und echte Textildrucke mit Beizenfarbstoffe. Schönefeld Heinrich), Textil- und Faserstofftechnik, 1955, 5, № 8, 476—479 (нем.)

Несмотря на ряд недостатков (большая продолжи-тельность запаривания, неполнота гаммы цветов и не-достаточная прочность некоторых тонов) печать про-травными красителями приблизительно в 10 раз деше-ле печати кубовыми красителями. В связи с этим при-ведены практические типовые рецепты приготовления печатных красок, хромовых и железных протрав, рецеп-тура последующей промывки, советы по выбору хроми-рующихся и метакромовых красителей, рецепты резер-вов. В. Ш.

76139. Новые виды отделки. Юинг (New finishes and technical developments. Ewing J.), Text. Weekly, 1955, 56, № 1440, 1260, 1262, 1264—1266 (англ.)

Обзорный доклад о современных направлениях в от-делке текстильных материалов из природных и синтет-ич. волокон. Л. Б.

76140. О выделении формальдегида при глажении тканей, покрытых прочными аппретами. Фаук (Über die Formaldehydabspaltung beim Bügeln echtausrer-ster Gewebe. Vauk Wilhelm), Textil- und Faser-stofftechnik, 1955, 5, № 9, 529—531 (нем.)

Выделение  $\text{CH}_2\text{O}$  (I) при глажении влажных тканей, обработанных мочевиноформальдегидной смолой, про-исходит за счет групп  $\text{—NCH}_2\text{OH}$  или  $\text{—NCH}_2\text{—O—CH}_2\text{N—}$  имеющихся в смоле, за счет адсорбированного I в след-

ствие частичной обратимости р-ции конденсации. Изу-чалось выделение I при глажении в течение 6 мин. образцов ( $30 \times 30 \text{ см}$ ) штапельных костюмных тканей и штапельного габардина после хранения при содержа-нии в них 140% влаги. Выделявшиеся газы в кол-ве 5 л отсасывались в р-р йода, что позволяло определять в них кол-во I (С). Оказалось, что при  $C < 120$  у запах был слабым, при  $120 < C < 200$  — средним и при  $C > 200$  — сильным. Повышение т-ры и времени конде-сации, а также последующее хранение, делая конденса-цию более полной, снижает С. Зависимость С от времени хранения (t) выражается ф-лой  $C = a - \mu \lg t$ , где a и  $\mu$  — постоянные. Ткани, лежавшие в течение года, не-зависимо от условий обработки смолами, имели С от 80 до 60. Последующие тепловое споласкивание с содой или декатировка сильно снижают С. Отсюда следует, что ткани, не промытые после обработки смолой, годны к употреблению только после четырех недель хранения в хорошо проветриваемом помещении, а споласкивание или декатировка позволяют сократить это время вдвое. В. Ш.

76141. Измерение смываемости аппретов. Коэн (Measuring laundability of finishes — a new approach. Cohen Harry), Mod. Text. Mag., 1955, 36, № 10, 69—72 (англ.)

Доклад о принципах подбора и оценки аппретирую-щих средств для текстильных материалов. Л. Б.

76142. Применение термопластических смол в отделке тканей. Стас, Кентен (Utilisation des résines ther-moplastiques dans l'achèvement des textiles. Stas N., Quintin I.), Rayonne et fibres synthét., 1954, 10, № 10, 75, 77, 79, 81, 83, 85 (франц.)

Описаны способы применения термопластич. полиме-ризационных смол (ПС) в отделке тканей для улучше-ния их внешнего вида, прочности, устойчивости к исти-ранию и т. д. Приводится классификация ПС и их ха-рактеристика. Наиболее распространенными являются полимеры этилена, стирола, винилхлорида и винилаце-тата, соли и эфиры акриловой и метакриловой к-т. Опи-саны физ. и хим. свойства получаемых пленок. В от-делке тканей применяются только те ПС, которые об-разуют прозрачные, бесцветные пленки, обладающие устойчивостью к воде, маслам, хим. воздействиям, свету, теплу, стирке и долго сохраняющие свою эластичность. Таковы акриловые смолы и некоторые их сополимеры, напр. с винилацетатом, стиролом или бутадиеном. По-дробно разбираются свойства акриловых аппретов, даются рецептура и описание способов их применения в отделке различных текстильных изделий: скатертей, бархата, трикотажа из нейлона, тканей для зонтов, а также заменителей кожи. Л. Г.

76143. Пропитка тканей с целью увеличения их устойчивости к действию воды. Арсениевич, Трифунович, Марушич (Uporedna ispitivanja nekih sredstava za impregnaciju tkanina koja ih cine otpornim prema dejstvu vode. Arsenijević Miro, Trifunović Dušan, Marušić Mirjana), Tehnika, 1955, 10, № 9, 1301—1304 (серб.; рез. англ.)

Испытаны 10 различных препаратов для пропитки тканей. Описан аппарат для определения устойчивости тканей к действию воды и воздуха. С. Б.

76144. Интенсификация процессов пропитки и краше-ния брезентовых парусин. Зусман М. Н., Подо-бедов М. С., Петрова Е. А., Якубенко З. К., Текстильная пром-сть, 1955, № 12, 43—46

Проведены исследования по ускорению процессов пропитки и крашения брезентовых парусин путем при-менения упругих колебаний звуковой частоты и прин-ципа подвода. отжима. Пропитки преследовали цель придать льняным, полужельным и хлопчатобумажным парусинам противогнильные и водоупорные свойст-ва. Приведена схема эксперим. пропиточной ванны.

В качестве источника упругих колебаний был применен механик. вибратор с гибким валом (6950 колеб/мин). Пропитка с применением вибрационных\* воздействий повышает водоупорные свойства тканей по сравнению с обычной пропиткой, и не влияет на их прочность. Изучен принцип подводного отжима тканей при пропитках (дана схема пропиточной ванны). Наибольший эффект подводный отжим дает в случае трудносмачиваемых тканей.

З. П.

**76145.** О повышении износоустойчивости и долговечности хлопчатобумажных тканей. Копьев А. А. (Über die Erhöhung der Verschleißfestigkeit und Güte der Baumwollgewebe. Korpjew A. A.), Textil- und Faserstofftechnik, 1956, 6, № 1, 26—28 (нем.)

Перевод см. РЖХим, 1956, 1894.

**76146.** Разложение ронгалита. — (離白粉の分解作用), 染化 Жаньхуа, 1956, № 3, 118, 119 (кит.)

**76147.** Исследование некоторых свойств препарата сапоноля альфа. Маркевич, Барткович (Badanie niektórych własności saponolu alfa. Markiewicz Wacław, Bartkowiec Stanisław), Zesz. nauk. Politechn. łódzkiej, 1955, № 6, 59—71 (польск.; рез. рус., англ.)

Количественно исследованы следующие свойства сапоноля альфа: а) моющая способность по отношению к искусственно нанесенным на ткань загрязнениям; испытание проведено при разных т-рах; б) смачивающая способность (методом Ландольта и при помощи стагмометра); в) защитные свойства сапоноля в кислых и щел. ваннах. Параллельно проведено испытание свойств петепона G и мыла.

О. С.

**76148.** Испытание текстильных замасливающих материалов на способность к самоокислению. I. Керен, Шаррба (Prüfung der Autoxydationsneigung textiler Schmalzmittel I. Kehren M., Scharroba W.), Melland Textilber., 1955, 36, № 7, 735—737 (нем.)

Обзор работ по теории и механизму самоокисления жиров и жирных к-т. Библ. 26 назв.

Л. Б.

**76149.** Прибор для определения температуры воспламенения хлопчатобумажных тканей. Белобородова Л. Г., Уч. Зап. Томского ун-та, 1955, № 26, 111—114

Прибор состоит из двух одинаковых вертикально расположенных и закрепленных на штативе электрич. трубчатых печей длиной 17,5 см, диаметром фарфоровых трубок 2 см, с обмоткой из нихромовой проволоки. Максим. т-ра нагрева печей 600°, общая мощность 88 вт. В фарфоровые трубки вставлены стержни из красной меди. Контролируемые образцы помещаются на спец. жестяной рамке в прорезь изолированного воспламенительного пространства между трубчатыми печами. Т-ра определяется термпарой. Достигнута воспроизводимость в пределах 5°.

Л. Б.

**76150.** Закрепление ткани для получения микротомных срезов. Де-Грэй (Fabric embedding for microtome sectioning. de Gruy Ines V.), Text. Res. J., 1955, 25, № 10, 887—888 (англ.)

Полоска ткани (~1,3 × 8 см) замачивается в чашке Петри дистилл. водой с добавкой смачивателя, выдерживается под вакуумом для лучшего смачивания, после сливания воды замачивается р-ром поливинилового спирта малой вязкости (25 г поливинилового спирта в 75 г воды, с добавкой 0,5% фенола для предупреждения развития микроорганизмов) и вносится в вакуум-экспикатор на 1 час, в котором периодически (с интервалами 10 мин.) создается вакуум. После удаления избытка р-ра образец высушивается (за ночь) на воздухе и заливается расплавленным парафином в форме, изготовленной из бумаги, обернутой вокруг деревянного бруска 2,5 × 0,8 см. Способ рекомендуется для образцов, непригодных для обработки в неводн. средах.

Л. Б.

**76151.** Применение микродайоскопа для наблюдения процессов, происходящих в красильных ваннах при крашении. Милсон (Microdyescope permits during entire dyeing cycle. Millson Henry E.), Text. Age, 1955, 19, № 9, 40, 42, 44 (англ.)

**76152.** О необходимости учета фактора пожелтения шелка при обработке моющими средствами. Пент, Пьерре, Роша (Mise au point de tests de controle de non jaunissement de la soie par les produits lessiviels. Pinte Ch., Pierret m-me, Rochas Paul), Bull. Inst. text. France, 1955, Juin, № 54, 39—47 (франц.; рез. англ.)

С помощью фотозлектрич. колориметра с четырьмя светофильтрами (фиолетовым (Ф), λ 4200 Å; синим (С), λ 4600 Å; желтым (Ж), λ 5750 Å; оранжевым (О), λ 6100 Å) измерено пожелтение образцов натурального шелка при обработке р-рами детергента Х и оптически отбеливающего в-ва и последующей сушке. В качестве меры пожелтения принята разность сумм коэфф. яркости, измеренных четырьмя светофильтрами (Ж + О) — (Ф + С). Установлено, что предельно допустимая величина пожелтения равна +2; визуальное сравнение с контрольным образцом исходного шелка показывает при этом отчетливое пожелтение. Л. Б.

**76153.** Определение воды в текстильных вспомогательных материалах по методу Карла Фишера. Фаук, Каллис (Zur Wasserbestimmung in Textilhilfsmitteln nach der Methode von Karl Fischer. Vauck Wilhelm, Kallies Karl-Heinz), Textil- und Faserstofftechnik, 1955, 5, № 10, 575—577 (нем.)

Метод Карла Фишера, основанный на взаимодействии йода с SO<sub>2</sub> в присутствии воды, пригоден для определения малых кол-в воды в мылах, моющих средствах, полиглицериновых эфирах, составах, содержащих минер. масло. Присутствие свободных едких щелочей мешает определению. В остальных случаях получается хорошее совпадение с методом определения воды по отгонке ее с ксилолом.

А. П.

**76154.** Измерение и регулирование температуры в текстильном производстве. Крейзель (Temperaturmessung und -regelung zur Kontrolle im Textilbetrieb. Kreisel Kurt), Textil-Praxis, 1955, 10, № 6, 604—607 (нем.)

Обзор принципов контроля и регулирования т-ры в белии и крашении.

Л. Б.

**76155 К.** Новые способы крашения. Нагацу (實用染色法・最新加工編・長津勝治・丸善, 516 頁, 950 圓. Марудзен, 1954, 516 стр., 950 иен (япон.)

**76156 Д.** Изменения светопрозрачности окрасок хлопчатобумажных красителями под влиянием последующей обработки катионактивными препаратами. Венус (Die Beeinflussung der Lichtechtheit von substantiven Baumwollfärbungen durch Nachbehandlung mit kationaktiven Textilhilfsmitteln. Venus Gisela), Diss. T. H., F. i. Math. u. Naturwiss. Dresden, 1954, 105, 100 Bl. Maschinenschr.), Dtsch. Nationalbibliogr., 1955, В, № 21, 1543 (нем.)

**76157 П.** Материал для шлихтования основ. Ла-Пьяна (Warp sizing material. La Piana Fred G.), [Stein, Hall & Co., Inc.], Канад. пат. 508869, 04.01.55

Составы для шлихты отличаются тем, что приготовленные из них водн. суспензии при т-ре ~ 20° практически не застудневают и при нанесении на пряжу дают гибкую, крепкую и хорошо противостоящую истиранию основу. Они содержат: а) 40—70% пшеничного или кукурузного крахмала и 60—30% крахмала (II), полученного из кукурузы восковой спелости, для

б) 55—85% крахмала из маниоки и 45—15% I или в) 40—70% прокипяченного кукурузного крахмала и 60—30% модифицированного I или г) 40—70% модифицированного кукурузного крахмала и 60—30% прокипяченного I. С. С.

**76158 П.** Обработка суровых хлопчатобумажных изделий. (Treating cotton gray goods) [International Cellucotton Products Co.]. Австрал. пат. 162862, 2.06.55

Ткань перед отбелкой обрабатывают относительно разб. р-ром гидрофильного смачивателя, имеющего высокомолекулярные гидрофобные группы. Содержание жиров и восков в ткани — не менее 0,4%. З. П.

**76159 П.** Получение гидрофильных беленых тканей из хлопка и смеси хлопка и штапельного волокна. Байер (Verfahren zur Herstellung von hydrophilen gebleichten Baumwollwaren oder Mischgespinnsten aus Baumwolle und Zellwolle. Baier Hermann) [Deutsche Gold- und Silber-Scheideanstalt vormals Roessler]. Пат. ФРГ, 924510, 3.03.55

Ткань после хлоритного отбеливания дополнительно обрабатывают слабым р-ром щелочи при повышенной т-ре. Пример: 2000 кг хлопчатобумажной или штапельной ткани обрабатывают в циркуляционном аппарате, выложенном керамикой, 9 м<sup>3</sup> р-ра 20 кг NaClO<sub>2</sub> при pH 3,7 при т-ре, постепенно повышающейся с 60 до 80°. Время обработки 4—5 час. После спуска отбельной жидкости ткань промывают водой и затем обрабатывают 9 м<sup>3</sup> р-ра 30 кг соды и 5 кг моющего средства (1/2 часа при 70—80°). Жидкость спускается и ткань промывается водой. При этой обработке предварительная щел. отварка становится излишней. А. П.

**76160 П.** Смачивающие вещества, добавляемые в мерсеризационные щелока (Agents mouillants pour lessives de mercerisage) [Farbenfabriken Bayer A.-G.]. Франц. пат. 1089448, 17.03.55 [Bull. Inst. text. France, 1955, № 56, 175 (франц.)]

Эти в-ва состоят из сульфамидных производных предельных углеводородов с низким мол. весом, содержащих 5—8 атомов С, и могут быть получены, напр., р-цией сульфохлоридов этих углеводородов с р-ром аммиака или алкилоламинами (напр., этаноламинам). Их можно применять вместе с некоторыми другими обычными текстильными вспомогательными в-вами, напр., с диэтилглицериновым эфиром. Кол-во добавляемого в щелок смачивателя легко определяется предварительными опытами (обычно 5—20 г/л). Смачиватели не имеют запаха, не отравляют сточных вод, длительное время сохраняются в мерсеризационном щелоке в растворенном состоянии и не имеют тенденции к кристаллизации. О. С.

**76161 П.** Способ улучшения прочности окрасок (Procédé pour améliorer les propriétés de solidité des teintures) [Badische Anilin und Soda-Fabrik A.-G.]. Франц. пат. 1089097, 14.03.55 [Bull. Inst. text. France, 1955, № 56, 168—169 (франц.)]

Для улучшения прочности окрасок, в частности окрасок прямыми красителями к мокрым обработкам, их обрабатывают полимерами, содержащими основные группы и не содержащими карбонильные связанные циклические группы, или водорастворимыми солями или четвертичными аммониевыми соединениями этих полимеров. Последние могут быть получены из N-винилимидазола и его производных. О. С.

**76162 П.** Способ крашения изделий из виниловых полимеров (Procédé pour la teinture d'articles en polymères de vinyle) [Badische Anilin und Soda-Fabrik]. Франц. пат. 1094157, 13.05.55 [Teintex, 1955, 20, № 12, 1005 (франц.)]

Волокна или другие изделия из виниловых полимеров, напр. из полиакрилонитрила, поливинилового спирта, поливинилхлорида, поливинилидена, поливи-

нилацетата или полиакриловых и полиметакриловых эфиров, обрабатывают при нагревании р-рами или водн. суспензиями металлч. комплексов изо- или азометиновых красителей, не содержащих сульфогрупп, возможно, в присутствии вспомогательных в-в, напр. диспергаторов (таких как продукты конденсации 2-нафталинсульфокислоты с CH<sub>2</sub>O или бисульфитные щелока) или в-в, способствующих набуханию, напр. фенолов, крезолов, салициловой к-ты, галондированных ароматич. соединений или эфиров карбаминной к-ты. О. С.

**76163 П.** Способ крашения (Procédé de teinture) [Ciba A.-G.]. Франц. пат. 1091705, 14.04.55 [Bull. Inst. text. France, 1955, № 56, 169—170 (франц.)]

Крашение в сильноокислой ванне, в частности серно-кислой, хромирующимися азокрасителями проводят в присутствии хромсодержащих водорастворимых соединений и аминокислот алифатич. ряда с низким мол. весом, напр. гликоля, в кол-ве 1—5 г/л. Несмотря на повышенное значение pH ванны окраски получают ровными и полностью прохромированными. О. С.

**76164 П.** Способ крашения кубовыми красителями (Procédé de teinture au moyen de colorants de cuve) [Casella Farbwerke Mainkur A.-G.]. Франц. пат. 1092203, 19.04.55 [Bull. Inst. text. France, 1955, № 56, № 166—167 (франц.)]

Восстановление красителя и крашение проводят в присутствии соединений бетанногового типа ф-лы Y—O—X—R, где X—атом N, S, или P, к которым

в соответствии с их валентностью могут быть присоединены другие радикалы, образующие гетероциклич. ядро с этим гетероатомом, Y—CO или SO<sub>2</sub>, R—алкил. О. С.

**76165 П.** Смеси, содержащие пирантроновый краситель, и способ крашения ими. Мекко (Pyranthrone dye composition and process for dyeing. Мессо Jerry M.) [American Cyanamid Co.]. Канад. пат. 507321, 16.11.54

Кубовое крашение волокнистых материалов солями щел. металлов лейкосоединений кубовых пирантроновых красителей (напр., пирантрона) проводят при ~100° в ванне, содержащей краситель, щелочь, восстановитель и неорганич. галогенат (напр., NaClO<sub>3</sub>) в кол-ве 25% от веса 100%-ного красителя. В. У.

**76166 П.** Способ печатания ацетилцеллюлозных и полиамидных волокон не растворимыми в воде моноазокрасителями. Лёвенфельд, Лёе (Verfahren zur Herstellung von Drucken mit wasserunlöslichen Monoazofarbstoffen auf Acetylcellulose- und Polyamidfasern. Löwenfeld Rudolf, Löhe Konrad) [Farbwerke Hoechst A.-G. vormals Meister Lucius & Brünig]. Пат. ФРГ 925044, 10.03.55

На ткань методом машинной или фотофильмпечатания наносят диазоаминосоединение из оксидиалкиламинов с низшими алкильными группами (напр., диэтанолamina) и диазотированного диметиламида 1-амино-2-метоксибензол-5-сульфокислоты или диазотированного диэтиламида 1-амино-2-метоксибензол-5-сульфокислоты одновременно с азокомпонентой, применяемой для холодного крашения, и затем проявляют краситель путем нейтр. запаривания и обработки в р-ре к-ты. Пример: 20 г 1-(2', 3'-оксинафтоиламино)-2,4-диметоксibenзола растворяют с 35 г диазоаминосоединения из диазотированного диэтиламида 1-амино-2-метоксибензол-5-сульфокислоты и диэтанолamina с добавлением 8 г бензилсульфанилвоксиглового натрия в 10 мл NaOH (32%-ного), 50 мл денатурированного спирта и 50 мл воды; полученный р-р размешивают с 750 г трагантовой загустки (60:1000) и 77 мл воды. Полученной краской печатают промытую ацетилцеллюлозную или полиамидную ткань, высушивают, запаривают 10 мин. в нейтр. среде,

проявляют окраску в ванне, содержащей 5 г/л  $H_2SO_4$  (96%-ной), мылуют и высушивают. В патенте приведены данные о цвете окрасок, полученных при помощи других азосоставляющих.

**76167 П. Получение и применение новых солей аминов.** Томас (Manufacture and use of new amine salts. Thomas Edward B.) [Canadian Celanese Ltd.] Канад. пат. 509010, 11.01.55

Составы, пригодные для аппретирования текстильных материалов, содержат минер. масло и диэтилэтилендиаминную соль кислого сернокислого эфира алифатич. спирта, имеющего не менее 12 атомов С, напр., лаурилсульфата. Одновременно патентуются волокна из ацетилцеллюлозы, аппретированные составом из минер. масла и указанной соли, или из этих в-в с добавкой кокосового масла и циклогексанола.

**76168 П. Отделка шерстяных тканей.** Ройер, Эймик (Finishing of woolen textiles. Royer George L., Amick Chester A.) [American Cyanamid Co.] Канад. пат. 508975, 11.01.55

Для уменьшения способности к усадке и одновременно придания инсектицидных свойств на шерстяную ткань наносят (в кол-ве 0,15—10 вес.%) тонкоизмельченный дихлордифенилтрихлорэтан, или другой не растворимый в воде инсектицид, после чего ткань пропитывают водн. р-ром алкилированной (напр., метилированной) метилдмеламиновой смолы в кол-ве 2—15 вес.%. Затем ткань нагревают, вследствие чего происходит переход смолы в нерастворимое состояние, при этом инсектицид не смывается при стирке.

**76169 П. Способ придания волокнам водоотталкивающих свойств.** Дозер, Байер, Хинцман (Verfahren zum Wasserbasto Bendmachen von Faserstoffen. Doser Arnold, Bayer Otto, Hintzmann Karl) [Farbenfabriken Bayer Akt.-Ges.]. Пат. ФРГ 928343, 31.05.55

Волокна пропитывают эмульсиями парафина, воска или жиров и водн. р-рами или суспензиями оксихлорида или оксинитрата циркония или продуктов гидролиза этих солей. Эмульсии парафина и других в-в получают с помощью высокоактивных синтетич. эмульгаторов, напр. продуктов поликонденсации олеилового спирта с избытком окиси этилена, обработанных избытком окиси этилена продуктов поликонденсации канифоли и фенола, или продуктов поликонденсации высших жирных к-т и аминокислот. После такой обработки волокна сушат, промывают горячей водой и вновь сушат при повышенной т-ре. Можно промывать без промежуточной сушки. Пример. Готовят пропиточную ванну следующего состава: 62,5 г эмульсии, состоящей из 8% парафина, 8% церезина, 7% эфира монтановой к-ты, 2% эмульгатора (продукт конденсации олеилового спирта с избытком окиси этилена) и 75% воды, перемешивают с 600 мл воды при 70°; эту эмульсию добавляют в р-р оксихлорида циркония (12 г оксихлорида циркония, содержащего 46%  $ZrO_2$ , растворено в 300 мл воды при 70°). В этот р-р при 65° добавляют 30 мл 10%-ного водн. р-ра  $Na_2CO_3$  и после охлаждения до 45° вводят 2 мл  $CH_3COOH$  и 2,2 г  $CH_3COONa$  в виде 20%-ного водн. р-ра, рН р-ра 3,9. В этот р-р при 45° погружают на 1 мин. текстильные изделия из гидратцеллюлозных волокон (штапель, неокрашенного вискозного шелка), ацетатного шелка, свежеприготовленного свободного от к-ты медноаммиачного штапельного волокна, окрашенных плотных хлопчатобумажных тканей, тонких шерстяных тканей, смешанных тканей из шерсти и штапельного волокна (1:1) или шелковых тканей. Затем текстильные изделия отжимают и сушат обычным способом. При первой промывке ткани погружают на 1 мин. в воду при 95°, быстро споласкивают и сушат в течение 30 мин. при 85—95°. С обработанных таким образом тканей вода скатывается,

причем этот эффект сохраняется и после пятой стирки. Медноаммиачное штапельное волокно можно валать в течение 32 час. без заметного снижения водоотталкивающих свойств. Обработку горячей водой можно проводить при более низкой т-ре, но не ниже 80°.

**76170 П. Обработка текстильных материалов.** Пауэрс, Россин (Treatment of textile materials. Powers Donald H., Rossin Elmer H.) [Monsanto Chemical Co.]. Канад. пат. 509085, 11.01.55

Текстильные материалы обрабатывают водн. р-ром алкиленполиаммина и аммонийной соли (или соли аммиака) сополимера стирола и малеинового ангидрида. Обработку можно вести при т-ре ниже 43°. Кол-во соли, осажденной на волокне, составляет 2—15%, а кол-во полиаммина — 5—30% от веса соли. Далее следует сушка ткани в течение короткого времени при 93—149°, причем соль связывается с алкиленполиаммином поперечными связями, образуя нерастворимую смолу.

**См. также:** Влияние света на текстильные волокна 76526. Получение нерастворимых азокрасителей на волокне 76096. Облагораживание текстильных изделий из гидратцеллюлозных волокон 76533. Прорезиненные ткани 76292. Оборудование красильно-отделочных ф-к 76994. Автоматич. регулирование температурного режима в красильных ваннах 77082. Роль пластмасс в текстильной пром-сти 76368. Новый журнал 74069.

## ВЗРЫВЧАТЫЕ ВЕЩЕСТВА. ПИРОТЕХНИЧЕСКИЕ СОСТАВЫ

**76171. Изучение стабилизации нитрокрахмала и взрывчатых веществ на его основе.** Икбал Ахмад, Каримулла (Studies on nitrostarch: stabilization and some explosive compositions. Iqbal Ahmad, Karimullah), Pakistan J. Sci., 1954, 6, № 4, 133—135 (англ.)

Показано, что добавка к нитрокрахмалу (N 13,1%) 5% нитроцеллюлозы делает его достаточно стойким как по пробе на т-ру воспламенения, так и по пробам нагревания и на выделение бурых паров. Описаны способы его стабилизации и указано, что стабилизированный таким методом нитрокрахмал обладает большей пластичностью, что делает его пригодным для произв. порохов.

**76172. Определение магнезия в бездымном пороке.** Вржешталь, Гавирж, Йилек (Stanovení hořčiku v bezdýmých práších. Vřešťál J., Havíř J., Jilek A.), Chem. zvesti, 1956, 10, № 3, 188—191 (чеш.; рез. русс., нем.)

Описан надежный объемный экспресс-метод определения магнезия в золе бездымного пороха титрованием комплексом III в присутствии эриохромового черного Т или смеси его с метиловым красным в качестве индикаторов.

**76173 П. Способ получения низкоплавающих взрывчатых веществ на основе нитрата аммония.** Чезаротти (Verfahren zur Herstellung eines niedrig schmelzbaren Ammoniumnitrat-Sprengstoffes. Cesarotti Vittorio) [Polverifici Giovanni Stacchini Soc. An.]. Пат. ФРГ 922513, 17.01.55

К  $NH_4NO_3$  или смеси его с  $NaNO_3$ , содержащих мочевины или тиомочевину, прибавляют какое-либо конденсирующее в-во, которое частично или полностью превращает мочевины в смолу, применяя в частности для этой цели альдегиды алифатич. ряда. Примером может служить следующий состав:  $NH_4NO_3$  50—70%,  $NaNO_3$  0—15%, мочевины 1—15%, тиомочевина 0—15%, нитропентазритрит (тзи) 10—30%, к которому для осмоления мочевины и тиомочевины прибавляют  $CH_2O$ . Та-

кие смеси плавятся при 80—120°, обладают пониженной чувствительностью к механич. воздействиям и могут применяться как для снаряжения бомб и снарядов, так и для работ в горной промышленности. М. Ф.

**76174 П. Способ получения окислительно взрывчатого вещества. Барлоу** (Liquid oxygen explosive and method of preparing same. Barlow Lester P.) [Glmitte Corp.]. Пат. США 2723188, 8.11.55

Указанное в-во состоит из 2—5 ч. жидкого  $O_2$  и 1 ч. угля, активированного обработкой водн. р-ром  $H_2PO_4$ , в кол-ве 2,5—18% последнего от веса угля с последующей сушкой его и пропиткой жидким кислородом. М. Ф.

**76175 П. Патрон для пиротехнических составов. Беркхольц** (Patrone zur Aufnahme einer pyrotechnischen Ladung. Berckholtz Wilhelm) [Fa. J. G. W. Berckholtz]. Пат. ФРГ 936012, 1.12.55

Патентуется устройство патронной гильзы, снабженной вышибным зарядом и предназначенной для снаряжения пиротехнич. составами. М. Ф.

**76176 П. Метод обработки взрывчатых веществ и применяемый для этой цели аппарат** (Method and apparatus for treating explosives) [Imperial Chemical Industries Ltd]. Австрал. пат. 164187, 4.08.55

Промывные воды, получающиеся в произ-ве жидких взрывчатых в-в типа азотнокислых эфиров, обрабатывают каким-либо жидким невзрывчатым нитроуглеводородом, растворяющим эмульгированный азотнокислый эфир, после чего отделиют водн. фазу от неводн. и нейтрализуют ее, промывая разб. водн. р-ром щелочи. М. Ф.

См. также: Энергия активации распада нитроцеллюлозы 74422

## ЛЕКАРСТВЕННЫЕ ВЕЩЕСТВА. ВИТАМИНЫ. АНТИБИОТИКИ

**76177. Пробы на новые лекарственные вещества. Майер** (Reaktionen neuerer Substanzen. Mayer H. W.), Dtsch. Apoth.-Ztg., 1954, 94, № 29, 675—676 (нем.)

Предложены р-ции для идентификации новых, еще не вошедших в фармакопое лекарственных препаратов: бензилового эфира миנדальной к-ты, диацетилдиоксифенилзатина, дифегидрамина (димедрола), стеарата магния, стадакаина (хлоргидрата диэтиламиноэтилового эфира *п-н*-бутоксibenзойной к-ты), рутина, салициламида, сиротола (гваяколглицеринового эфира), метилового эфира никотиновой к-ты и витаминного концентрата (А + D). А. Т.

**76178. Определение алкалоидов при помощи ионообменных смол. Бьерлинг** (Alkaloider och jonbytare. Björling C. O.), Svensk farmac. tidskr., 1954, 58, № 15, 321—329 (швед.)

Обзор применения ионообменных смол для определения алкалоидов и таких препаратов, как амфетамин-сульфат, акрихин, метадон, лидол и др. (РЖХим, 1956, 52288). К. Г.

**76179. Идентификация морфина и папаверина с помощью осциллографической полярграфии. Душинский** (Die Identifizierung des Morphins und Papaverins mit Hilfe der oszillographischen Polarographie. Dušinský G.), Pharmazie, 1956, 11, № 1, 42—44 (нем.)

Морфин (I) и папаверин (II) в лекарственных в-вах и вытяжках из растений идентифицируют с помощью характерных осциллограмм функции  $dV/dt = f(V)$ , где V — напряжение,  $t$  — время. К пробе, содержащей 0,5—1 мг I в 10 мл 5%-ного р-ра NaOH, прибавляют 2 капли 0,5 М р-ра  $K_2Fe(CN)_6$  и идентифицируют I

при — 0,65 V (чувствительность: 0,2 мг I в 10 мл); примеси в вытяжках, тинктурах и пр. не препятствуют определению I; органич. р-рители следует удалять. Определению I препятствует только диацетильное производное I, обычно не сопровождающее I в его препаратах. Для определения II исследуемый материал растворяют в воде (в случае соли II) или в 0,1 н. HCl (в случае основания); р-р разбавляют до содержания 0,3—0,6 мг II в 5 мл и прибавляют 5 мл 10%-ного р-ра NaOH. Можно II определять наряду с атропином, кодеином, морфином, тебанином, теобромином, экстрактом белладонны, салицилатом Na, неорганич. соединениями Bi, Al и пр. Особенно важно определение II наряду с наркотином, не отделяемым от II хроматографией на бумаге. Ю. В.

**76180. Определение витамина D<sub>2</sub> в присутствии витамина А в фармацевтических препаратах и натуральных концентратах. Марини, Кавина** (Determinazione di vitamina D<sub>2</sub> in presenza di vitamina A in prodotti farmaceutici ed in concentrati naturali. Mariani A., Cavina G.), Rend. Ist. super. sanità, 1955, 18, № 3-4, 232—237 (итал.; рез. англ., франц., нем.)

Разработаны условия и нормы анализа фармацевтич. продуктов, основанные на избирательном разрушении витамина А при соприкосновении с активированными бетонитоподобными землями. При этом витамин D<sub>2</sub> не подвергается изменению, что позволяет затем его определять обычным путем по колориметрич. кривой. О. М.

**76181. Синтез адренокортикотропных гормонов. 4. Финч** (The synthesis of adrenocortical hormones. 4—Recent developments. Finch C. A.), Manufact. Chemist, 1954, 25, № 10, 428—430, 432 (англ.)

Обзор. Разбирается структура нового соединения с адренокортикотропной активностью — электрокортина ( $C_{21}$ -стероидного кетона с альдегидной группой вместо метильной у  $C_{18}$ ); приведены данные по усовершенствованию существующих методов частичного синтеза кортизона и родственных ему соединений, по получению и определению свойств аналогов адренокортикотропных гормонов, по новым сведениям клинич. применения кортизона и родственных ему соединений. Библ. 37 назв. Сообщение 3 см. РЖХимБх, 1956, 13437. Л. М.

**76182. Изготовление настоев и отваров в деколяторе. Гурвич** З. Г., Аптеч. дело, 1955, 4, № 6, 40—41

Автор предложил вместо инфундирки вести изготовление настоев и отваров в приборе, названном им «деколятор», состоящем из цилиндрич. металлич. сосуда, в центре которого впаив перфорированный цилиндр с поршнем, что позволяет проводить настаивание при хорошей циркуляции и отжимать вывариваемую массу. Деколятор дает более полное извлечение действующих веществ. О. М.

**76183. Стабилизация настоек наперстянки. Сриставата, Саксена, Ийер** (Stabilisation of tincture of digitalis. Srivastava G. P., Saxena V. N., Iyer S. S.), Indian Pharmacist, 1954, 10, № 3, 66—70 (англ.)

**76184. Переработка лакричного корня и некоторые связанные с ней химические проблемы. Саг** (Licquorice root processing and some related chemical problems. Sag Georges), Manufact. Chemist, 1954, 25, № 7, 297—299, 306 (англ.)

Приведено подробное описание процесса получения лакричного экстракта; процесс состоит из 3 стадий — измельчения, экстрагирования и концентрирования. Указаны различные детали вопросов, связанных с измельчением лакричного корня. Приведены оптимальные температурные условия экстрагирования измельченного корня, материал экстрактов и способ подготовки воды, применяемой для экстрагирования. Указаны методы

снижения вязкости полученных р-ров и способы предохранения экстрактов от бактериальных загрязнений. Выпарка рекомендуется многокорпусная или в аппаратах Кестнера, приведены данные о содержании As и Si в экстрактах в зависимости от материала выпарных аппаратов. Из выпарных аппаратов горячий тестообразный продукт (влажность < 15%) поступает в железные формы или формовочную машину, где формируется в лепешки весом 0,5—5 кг. Приведены способы получения глицирризиновой к-ты или ее солей из сиропа, сконцентрированного до 7—12° Bé. Я. К.

**76185. Хлоргидрат лигнокаина и его растворы: чистота, испытание, устойчивость и анализ.** Буллок, Гранди (Lignocaine hydrochloride and its solutions: purity, tests, stability and assay. Bullock Kenneth, Grundy James), J. Pharmacy and Pharmacol., 1955, 7, № 10, 755—773 (англ.)

Использованы в качестве аналитич. стандартов синтезированные и очищ. образцы лигнокаина (I) и его хлоргидратов — безводн. и моногидрата. Исследован ряд аналитич. методов определения I, его солей и р-ров. Предложен метод определения степени разложения р-ров I путем раздельного определения неразложившегося I (ацидиметрич. титрованием) и продукта гидролиза I — 2-амино-1,3-диметилбензола (II) путем измерения оптич. плотности окрашенного комплекса II с 4-аминофенолом и  $K_2Fe(CN)_6$ . Для клинич. испытания предложены рецептуры щел. забуференных р-ров хлоргидрата I и изучены их устойчивость и свойства. Ю. В.

**76186. О растворимости и солюбилизации салициламида.** Рунти (Sulla solubilità e solubilizzazione della salicilamide. Runti Carlo), Gazz. chim. ital., 1955, 85, № 4, 314—323 (итал.)

Растворимость (P) салициламида (I), находящегося в значительном фармацевтич. применении, составляет в дистилл. воде при 22° 0,260%. P минимальна при pH 5 (0,028%) и возрастает как при повышении pH до 11,73 (1,214%), так и при понижении pH до 1,48 (0,207%); I хорошо растворим в пропиленгликоле, образуя устойчивые 10%-ные р-ры, могущие комплексно связывать медь. Для повышения P с целью парентерального применения I испытаны различные солюбилизаторы. Пиперазин в отношении 1,5 моля на 1 моль I повышает P и дает возможность готовить устойчивые 10%-ные р-ры I, пригодные для указанного применения. Аналогично действуют этилендиамин и диэтиламиноэтанол в отношениях 2 моля на 1 моль I. Морфолин, этаноламин и моноизопропаноламин повышают P значительно меньше и полученные р-ры I неустойчивы. Определялась также P гентизинамида (II) в дистилл. воде при 22°, оказавшейся равной 0,318%. При pH 11,23 она повышается до 1,29%, при pH 1,62 равна 0,536%; II также хорошо растворяется в пропиленгликоле, давая устойчивые 10%-ные р-ры. Салицилат Na, этилуретан и антипирин практически не влияют на P салициламида. Б. А.

**76187. О несовместимости сульфацида натрия и сульфата цинка.** Баркер (The sodium sulphacetamide-zinc sulphate incompatibility. Barker Harold E. R.), Australas. J. Pharmacy, 1955, 36, № 429, 991—992 (англ.)

Исследовано влияние конц-ий ингредиентов, pH и нагревания на условия образования осадка  $Zn(OH)_2$  в глазных каплях, содержащих сульфацид Na (I), сульфацид (II) и  $ZnSO_4$ , причем найдено, что р-р 0,5% (и менее)  $ZnSO_4$ , 0,5% II и 9,5% I в 100 мл воды (pH р-ра 6,8) не образует осадка  $Zn(OH)_2$  при хранении. Растворяют II в ф-ре I при 40° и охлаждают перед прибавлением р-ра  $ZnSO_4$ . Р-р нельзя нагревать при 100° или в автоклаве. Ю. В.

**76188. Межфазное натяжение растворов арабовой кислоты.** Шоттон (The interfacial tension of solu-

tions of arabic acid. Shotton E.), J. Pharmacy and Pharmacol., 1955, 7, № 12, 990—1003 (англ.)

Исследовано действие арабовой к-ты (I) на межфазное натяжение (МН) между водой и бензолом. МН зависит от объема капли и лежачей капли, причем найдено незначительное изменение МН во времени. Характер кривых МН — время и МН — конц-ия указывает на существование адсорбированного множественного слоя, содержащего высокую конц-ию I и обладающего свойствами геля; подобная пленка должна обладать такими физ. свойствами, как сцепление, эластичность и поверхностный потенциал, которыми и объясняются эмульгирующие свойства смолы акации, из которой была получена исследованная арабовая кислота. Ю. В.

**76189. Устойчивость эмульсий, приготовленных на жесткой и дистиллированной воде.** Маркизотто, Кристиан, Сперандио (Stability of emulsions prepared with hard and distilled water. Marchisotto Robert, Christian John E., Sperandio Glen J.), J. Amer. Pharm. Assoc. Pract. Pharmacy Ed., 1955, 16, № 10, 613—615 (англ.)

Исследование эмульсий, приготовленных на дистилл. воде и воде с разной степенью жесткости (с применением в качестве эмульгатора типа одновалентного мыла), показало при хранении наибольшую устойчивость эмульсий на дистилл. воде и наименьшую — на воде с содержанием 0,05%  $CaCO_3$ . Добавление стехиометрич. кол-ва диэтилендиаминтетрауксусной к-ты к воде с содержанием 0,037%  $CaCO_3$  повышает устойчивость эмульсии. Ю. В.

**76190. Эмульсии парафинового масла с поверхностно-активными веществами «неионного» типа.** Коста, Санкирино, Тони (Emulsioni di oli di paraffina con agenti tensio-attivi del tipo «non ionico». Costa C., Sanguirico B., Toni G.), Boll. chim. farm., 1955, 93, № 10, 406—418 (итал.)

Изучены в качестве эмульгаторов парафинового масла (I) спэн 40 (сорбитан-моноальмитат), спэн 60 (сорбитан-моностеарат), твин 40 (полиоксизетилен-сорбитан-моноальмитат), твин 60 (полиоксизетилен-сорбитан-моностеарат), мири 45 (II, полиоксизетилен-моностеарат). Наиболее пригодным из них для эмульгирования I оказался II, принадлежащий к поверхностно-активным в-вам неионного типа. Присутствие гидрофильных агентов в эмульсиях, изготовленных с II, оказывает отрицательное влияние на их стабильность, тогда как весьма небольшие кол-ва иродажной стеариновой к-ты способствуют стойкости эмульсий. Приведены составы эмульсий оптимального качества по стабильности, текучести, микро- и макроструктуре, эффективности и переносимости. Способ приготовления заключается в том, что смешивают масляные и водн. компоненты, предварительно нагретые соответственно до 70 и 75°; эмульгируют, встряхивая смесь вручную до ее охлаждения, или же гомогенизируют ее (теплой или холодной) в течение 30 мин. с помощью электр. гомогенизатора. Л. М.

**76191. Усовершенствованная техника приготовления глицериновых суппозиториев.** Эренштейн, Тайс (An improved technique for preparing glycerin suppositories U.S.P. Ehrenstein Elsa, Tice Linwood F.), J. Amer. Pharm. Assoc. Pract. Pharmacy Ed., 1955, 16, № 10, 609—610, 630 (англ.)

Для повышения плотности и прозрачности суппозиториев предложено увеличить (сравнительно с рецептурой Фармакопей США) на 8—9% содержание стеарата Na, устранить прибавление воды, расплавлять смесь 9 г стеарата Na и 91 г глицерина при 115—120° и выливать в предварительно нагретую в течение 1 часа при 80° металлич. форму; при медленном охлаждении происходит более совершенная ориентировка частиц мыла в структуру геля. Ю. В.

**76192. Определение камфоры в фармацевтических препаратах.** Митал, Гайнд (Estimation of camphor in pharmaceutical preparations. Mital H. C., Gaiind K. N.), J. Pharmacy and Pharmacol., 1956, 8, № 1, 37—41 (англ.)

Определения камфоры (I) объемным методом в различных фармацевтич. препаратах (I в скипидаре, чистая I, мазь I, скипидарная мазь, мазь I с  $\text{NH}_3$ , мазь I на мыле) производят путем взаимодействия препарата с спирт. р-ром хлоридрата гидроксилamina (II) в присутствии  $\text{NaHCO}_3$  и титрованием непрореагировавшего II 0,2 н.  $\text{HCl}$  (в присутствии диметилжелтого) и 0,2 н.  $\text{KOH}$  (в присутствии фенолфталеина). Определение требует контрольного опыта. В семи опытах было определено от 97 до 102% содержания I в препаратах. Ю. В.

**76193. Определение эффективности предохраняющих средств в фармацевтических продуктах.** Рдзюк, Гранди, Керкмейер, Силвестер (Determining the efficacy of preservatives in pharmaceutical products. Rdzok E. J., Grundy W. E., Kirchmeyer F. J., Sylvester J. C.), J. Amer. Pharm. Assoc. Scient. Ed., 1955, 44, № 10, 613—616 (англ.)

Разработан и описан стандартный метод испытания в парентеральных, пероральных, глазных и наружных препаратах эффективности консервирующих средств (исследованы: бензиловый спирт, бензойная к-та, метилпарабен, пропилапарабен и др.). Указанные препараты заражают известным числом микроорганизмов (напр., *B. cereus spores*, *E. coli*, *Ps. aeruginosa*, *Strep. faecalis*, *C. albicans*, *A. niger spores* и др.) и, выдерживая в термостате, периодически отбирают пробы, по содержанию микроорганизмов в которых судят об эффективности добавленного к препарату консерванта. Ю. В.

**76194. Избирательное полумикроаналитическое определение п-хлорфенола.** Прегер (Ein selektiver Halbmikronachweis für p-Chlorphenol. Praeger K.), Pharmazie, 1955, 10, № 12, 733 (нем.)

Способ качеств. определения п-хлорфенола (I) в смеси с другими изомерами и моно- и полигалондпроизводными фенола, крезола и ксиленолов основан на образовании, при конденсации с фталевым ангидридом, 1,4-диоксидантрахинона, щел. р-ры которого интенсивно флуоресцируют в УФ-свете. Смесь изомерных хлорфенолов (~ 20 мг) нагревают 5 мин. при  $200^\circ\text{C}$  с 50 мг фталевого ангидрида и 0,5 мл конц.  $\text{H}_2\text{SO}_4$ , разбавляют 5 мл воды и подщелачивают 15 мл 2 н.  $\text{KOH}$ ; наличие голубой флуоресценции в УФ-свете указывает на присутствие I. Чувствительность р-ции 0,2 мг I в смеси. Из других, упомянутых выше, галондпроизводных положительную р-цию в УФ-свете дают только о-бензил-п-хлорфенол и п-хлорфениловый эфир п-хлорбензолсульфокислоты. Ю. В.

**76195. Качественное и количественное определение N-содержащих лекарственных веществ с помощью цезиогста.** Шульц, Гёрнер (Die qualitative und quantitative Bestimmung von N-haltigen Arzneimitteln mit Cäsionst. Schultz Otto-Erich, Goerner Hans), Arch. Pharmazie, 1955, 288/60, № 11—12, 520—525 (нем.)

Для качеств. и колич. определения N-содержащих лекарственных в-в применен цезиогст (трифенилцианборнатрий), образующий нерастворимые осадки с указанными в-вами. Гравиметрич. определение ненадежно; титрометрич. определение дает максим. отклонения от +2,7 до -3,0%, при навесках 0,5—4 мг исследуемого в-ва. Количественно определялись соли морфина, атропина, хинина, пилокарпина, кодеина, папаверина и стрихнина, а также пирамидон, уротропин и колхицин. К р-ру навески (максимально 3 мг в 5 мл) прибавляют 3 капли 0,2 н. р-ра  $\text{AlCl}_3$ , 3 капли 1%-ной  $\text{CH}_3\text{COOH}$  и 0,5 мл 3%-ного р-ра цезиогста, оставляют на 2—3 часа, фильтруют, промывают 2—3 раза промывной жидко-

стью (0,4 мл р-ра трифенилцианборната — К в ацетоне (I), содержащего 15 мг в 1 мл, разбавляют водой до 100 мл) и несколькими каплями чистой воды, растворяют в 1 мл I, промывают дважды по 0,5 мл I и 0,5 мл I обмывают стенки сосуда. К р-ру в I прибавляют 1 мл насыщ. водн. р-ра  $\text{HgCl}_2$  и смывают 20 мл воды в колбу на 100 мл; происходит р-ция:  $\text{RNH}_2 \cdot \text{H}[\text{BCN}(\text{C}_6\text{H}_5)_3] + 3\text{HgCl}_2 + 3\text{H}_2\text{O} \rightarrow 3\text{C}_6\text{H}_5\text{HgCl} + \text{HCN} + \text{RNH}_2 \cdot \text{HCl} + 2\text{HCl} + \text{H}_3\text{BO}_3$ . Прибавляют 5 капель 0,02%-ного спирт. р-ра метилрота, 5 мл 0,01 н. р-ра  $\text{NaOH}$ , кипятят (индикатор не должен краснеть, иначе добавляют еще  $\text{NaOH}$ ), при кипении прибавляют по каплям 20%-ный р-р  $\text{KJ}$  до перехода в р-р выпавшей  $\text{HgCl}_2$ ; к горячему р-ру прибавляют 0,01 н.  $\text{HCl}$  до перехода индикатора в ярко-красный цвет, кипячением удаляют  $\text{HCN}$  и  $\text{CO}_2$  и титруют 0,01 н.  $\text{NaOH}$ . Необходим контрольный опыт с равными кол-вами I,  $\text{HgCl}_2$  и  $\text{KJ}$ . Аналитич. фактор  $\text{MG}/2$  может меняться в зависимости от степени основности органич. молекулы, содержания в ней ацидифицирующих групп и т. п. Ю. В.

**76196. Способ исследования необработанных лекарственных веществ на содержание антрахинонов.** Имаи, Фуруя (生薬中アントラキノンの新検出法. 今井統雄, 古谷潔), 薬学雑誌, Якугаку дзасси, J. Pharm. Soc. Japan, 1953, 73, № 6, 646 (япон.; рез. англ.)

В тигель небольших размеров (35 мм в диаметре, 22 мм высоты) помещают 50—100 мг неочищ. лекарственного препарата, измельченного в порошок, покрывают фильтровальной бумагой, смоченной водой, и нагревают на металлич. или воздушной бане в течение 5 мин. при  $220^\circ\text{C}$ . На фильтровальную бумагу, с сублима-том исследуемого в-ва, приливают по каплям водн. 5%-ный р-р  $\text{KOH}$ ; при этом, в присутствии антрахинона, появляется светло-карминовое или фиолетовое окрашивание. Этот способ применим для качеств. анализа всего лекарственного сырья, содержащего антрахинон. Л. М.

**76197. Предложения для испытания Paraffinum subliquidum и Paraffinum perliquidum в немецкой фармакопее.** Гюнцель, Вейднер, Вейсс (Vorschläge für die Artikel Paraffinum subliquidum und Paraffinum perliquidum im Deutschen Arzneibuch. Günzel Christina, Weidner G., Weiß F.), Pharmaz. Zentralhalle, 1955, 94, № 12, 467—470 (нем.)

Приведено подробное изложение предложенного авторами испытания указанных препаратов. Ю. В.

**76198 Д. Исследование по вопросам получения жидкого экстракта «Chamomillae» (к вопросу о перколяции лекарственных материалов эфирными маслами).** Хубер [Untersuchungen über die Herstellung von Extractum Chamomillae fluidum (Gleichzeitig ein Beitrag zur Frage der Perkolation von Drogen mit ätherischem Öl). Huber Kurt. Diss. Zürich, ETH, 1954, 152 s. Abb], Schweiz. Buch, 1954, B54, № 4, 155 (нем.)

**76199 П. Производные салициловой кислоты.** Симор, Банерджи, Овертон (Salicylic acid compounds. Seymour D. E., Banerjee P. R., Overton K. H.) [Herts Pharmaceuticals Ltd]. Англ. пат. 713178, 4.08.54 J. Appl. Chem., 1955, 5, № 3, 1429 (англ.)

Арильные эфиры  $4,2,1\text{-NH}_2\text{-C}_6\text{H}_3(\text{OH})\text{COOH}$  (где арильная группа включает фенильное ядро с конденсированным циклом или имеет, по меньшей мере, одно замещающую группу, представляющую собой алкил,  $\text{NO}_2$  или  $\text{NH}_2$ ) получают восстановлением соответствующего арильного эфира  $4,2,1\text{-NO}_2\text{-C}_6\text{H}_3(\text{OH})\text{COOH}$ . Напр.,  $2\text{C}_{10}\text{H}_7\text{OH}$ ,  $4,2,1\text{-NO}_2\text{-C}_6\text{H}_3(\text{OH})\text{COOH}$  и  $\text{POCl}_3$  при  $120^\circ\text{C}$  в течение 4 час. образуют 2-нафтил-4-нитро-2-оксибензоат, т. пл.  $189\text{—}190^\circ\text{C}$ ; при восстановлении с помощью  $\text{H}_2$  в  $\text{CH}_3\text{COOC}_2\text{H}_5$  в присутствии  $\text{PtO}_2$  или  $\text{Zn}$ -пыли и

$\text{NH}_4\text{Cl}$  в кипящем р-ре водн.  $\text{C}_2\text{H}_5\text{OH}$  (1:1) получают нафтил-4-амино-2-оксисбензоат, т. пл. 160—161°. Таким же способом были получены следующие соединения: *о*-, т. пл. 94°, *м*-, т. пл. 94—95°, и *п*-толил-4-нитро-2-оксисбензоат, т. пл. 122°; *о*-, т. пл. 86—88°, *м*-, т. пл. 129—130° и *п*-толил-4-амино-2-оксисбензоат, т. пл. 112°; *о*-, т. пл. 105—105,5°, *м*-, т. пл. 166,5—167° и *п*-нитрофенил-4-нитро-2-оксисбензоат, т. пл. 154—154,5°; *о*-, т. пл. 161—161,5°, *м*-, т. пл. 157—157,5° и *п*-аминофенил-4-амино-2-оксисбензоат, т. пл. 180,5—181°. Синтезированные соединения обнаружили *in vitro* туберкулостатич. активность.

Л. М.

**76200 П.** Производные тригалоидметилсульфона (Trihalo-methyl sulphone derivatives) [Imperial Chemical Industries, Ltd]. Австрал. пат. 165371, 13.11.55

Производные трибром- или трихлорметилсульфона получают р-цией 1 моля тиогликолевой к-ты или ее соли общей ф-лы  $\text{RSC}_2\text{COOH}$  ( $\text{R}$  — углеводородный или гетероциклич. радикал, связанный через один из своих атомов  $\text{C}$  с атомом  $\text{S}$  указанной ф-лы и могущий быть замещ. галондом, нитроацетиламино-, алкокси-, карбокси- и сульфогруппой) не менее чем с 5 молями гипобромита или гипохлорита в виде водн. р-ров, содержащих ионы гипобромита и гипохлорита.

Ю. В.

**76201 П.** Новые производные четвертичных аммониевых солей и их получение. Барбер, Уин, Геймстер, Мейсон (Nouveaux dérivés d'ammonium quaternaire et leur préparation. Barber James H., Wien Ronald, Gaimster Kenneth, Mason Donald F. J.) [Soc. May & Baker Ltd]. Франц. пат. 1073411, 24.09.54 [Prod. pharm., 1955, 10, № 1, 35—36 (франц.)]

Соединения ф-лы  $\text{X} - (\text{CH}_2)_4 - \text{X}$ , где  $\text{X}$  может быть кислотным остатком, напр. галондом, или метилэтиламино- и диэтиламиногруппой вводят в р-цию, соответственно, напр. с диэтиламином, или метиловым или этиловым эфиром к-ты. Для введения желаемого аниона в четвертичную соль используют обменную р-цию с соответствующей солью или же переводят через четвертичное основание.

О. М.

**76202 П.** Диаминосоединения и способ их получения (Composés de diammonium et leur procédé de préparation) [J. R. Geigy Soc. An.]. Франц. пат. 1079998, 6.12.54 [Prod. pharm., 1955, 10, № 7, 438 (франц.)]

Дитретичные бис-аминоалкоксисилканы, отвечающие общей ф-ле  $[\text{R}_2\text{N}(\text{CH}_2)_m\text{O}]_2\text{Si}(\text{CH}_3)_2$  вводят в р-цию с 2 молями алкильного эфира галоидуксусной к-ты общей ф-лы  $\text{R}'\text{CH}_2\text{COOR}'$ , причем в указанных ф-лах  $\text{R}'$  — атом галоида, который может быть заменен другим анионом,  $\text{N}(\text{R}_2)$  — диалкиламин низкого мол. веса или пиперидин, метилпиперидин, пирролидин, метилпирролидин, морфоллин или метилморфоллин;  $\text{R}'$  — алкил с низким мол. весом,  $n = 8-20$ ,  $m = 2-4$ .

Ю. В.

**76203 П.** Способ получения производных *п*-аминосалициловой кислоты, замещенных в аминогруппе и обладающих туберкулостатическим действием (Werkwijze ter bereiding van in de aminogroep desubstitueerde derivaten van *p*-aminosalicylzuur met tuberculostatische werking) [Organon N. V.]. Голл. пат. 73962, 73963, 15.01.54 [Chem. Zbl., 1955, 13, № 28, 6570 (нем.)]

Реакцией хлоридрата *п*-аминосалициловой к-ты с цианамидом в спирте получают *п*-гуаниламиносалициловую к-ту (I), т. пл. ~260°. Аналогично получают метиловый эфир I, т. пл. ~260°; нитрат эфира, т. пл. 230°. Из метилового эфира *п*-аминосалициловой к-ты и  $\text{NH}_4\text{SCN}$  получают метиловый эфир *п*-тиоуредосалициловой к-ты, т. пл. 172°, который обработкой  $\text{CH}_3\text{I}$  превращают в метиловый эфир *п*-(*S*-метилизотиоурендо)-салициловой к-ты, т. пл. 132°. При обработке последнего  $\text{NH}_4\text{OH}$  получают I. Полученные в-ва пригодны в качестве средств для лечения туберкулеза.

В. У.

**76204 П.** Способ получения солей 1,1-дизамещенных производных 3-аминопропана, содержащих сульфидрильные группы. Эрхарт, Бестиан (Verfahren zur Herstellung Sulfhydrylgruppen enthaltender Salze von 1,1-disubstituierten 3-Aminopropanverbindungen. Ehrhart Gustav, Bestian Walter) [Farbwerke Hoechst A.-G. vormals Meister Lucius & Brünning]. Пат. ФРГ 908137, 1.04.54 [Chem. Abstr., 1955, 49, № 5, 3265—3266 (англ.)]

Меркаптобензимидазол-, меркаптобензоксазол- или меркаптобензтиазол-карбоновые к-ты обрабатывают соединениями общей ф-лы  $\text{R}(\text{R}')\text{CHCH}_2\text{CH}_2\text{R}''$  ( $\text{R}$  — арил или гетероциклич., возможно замещ.;

$\text{R}'$  — гетероциклич., возможно замещ.;

$\text{R}''$  — третичная аминогруппа) с образованием солей 1,1-дизамещ.-3-аминопропанов, содержащих SH-группу и обладающих химиотерапевтич. (в частности, противоаллергич.) свойствами. Смесь 48 вес. ч. 1-фенил-1-(пиридил-2)-3-диметиламинопропана (I),

39 вес. ч. 2-меркаптобензоксазол-6-карбоновой к-ты (II), 20 вес. ч. воды и 60 объемн. ч. ацетона нагревают до почти полного растворения, горячий р-р фильтруют, прибавляют 150 вес. ч. ацетона и выделяют соль ф-лы (III), т. пл. 155—156° (из сп.). Аналогичные соли получены (указаны исходные компоненты и т-ра плавления соли): из 1-(*п*-хлорфенил)-1-(пиридил-2)-3-диметиламинопропана и II, т. пл. 164—165° (из 90%-ного ацетона); из 1-фенил-1-(тиазолил-2)-3-диметиламинопропана и II, т. пл. 130—131° (из уксусного эфира + ацетон); из I и гидрата 2-меркаптобензимидазол-6-карбоновой к-ты, т. пл. 115—118°.

В. У.

**76205 П.** Способ получения 2,4,6-триидо-3-оксифенилалкановых кислот. Арчер (Procédé de préparation d'acides 2,4,6-triiodo-3-hydroxy-phénylalceniques. Archer Sydney) [Sterling Drug Inc.]. Франц. пат. 1073073, 20.09.54 [Prod. pharm., 1955, 10, № 1, 35 (франц.)]

Указанные к-ты получают исчерпывающим иодированием *м*-оксифенилалкановых к-т избытком хлорида в кислотной среде.

О. М.

**76206 П.** Антигистаминные соли (Antihistamine salts) [Cassella Farbwerke Mainkur]. Англ. пат. 710327, 9.06.54 [J. Appl. Chem., 1954, 4, № 12, ii 780 (англ.)]

Терапевтически ценные антигистаминные соли получают взаимодействием гентизиновой к-ты с *N*-(аминоалкил)-фентанизином, замещ. в аминогруппе. В качестве примера приведен гентизат *N*-(диэтиламиноэтил)-фентиазин, т. пл. 148—149°.

О. М.

**76207 П.** Способ получения производных никотиновой кислоты. Кшикала, Кирш, Планкенхорн (Verfahren zur Herstellung von Derivaten der Nicotinsäure. Krzikalla Hans, Kirsch Alfred, Planckenhorn Erwin) [Badische Anilin & Soda-Fabrik]. Пат. ФРГ 883898, 23.07.53 [Chem. Zbl., 1954, 125, № 49, 11248 (нем.)]

Производные никотиновой к-ты, напр. ее пирролидин (I), т. кип. 166°/0,6 мм, получают нагреванием в течение 8 час. 123 ч. никотиновой к-ты (II) с 213 ч. пирролидина до 180°, спуская давление, достигающее 8—10 атм. I легко растворим в воде и спиртах, плохо растворим в эфире и углеводородах. Таким же образом получен  $\alpha$ -метилпирролидин никотиновой к-ты; вместо последней могут быть применены ее галогениды или эфиры. Полученные в-ва действуют против коллапса и обладают анагетич. действием.

Б. Д.

**76208 П.** Способ получения двузамещенных амидов никотиновой кислоты (Verfahren zur Herstellung eines neuen disubstituierten Nicotinsäureamids) [Cilag A.-G.]. Швейц. пат. 296180, 1.04.54; 299257—299269, 16.08.54

[Chimie, 1954, 8, № 7, 186; Chem. Zbl., 1955, 126, № 11, 2489—2490 (нем.)]

Двузамещенные амиды никотиновой к-ты (амид-1), обладающие спазмолитич. действием, в частности по пат. 296180, против спазм, вызванных гистамином, и являющиеся промежуточными продуктами для получения лекарственных в-в, общей ф-лы  $C_6H_4NCON(R)CH(C_6H_5)CH_2(C_6H_5)$  II (причем по пат. 296180 R может быть в отличие от значений, указанных в пат. 299257—299269, также и  $NH_2$ -группой; в остальных патентах R — амин, в котором атом N может входить в гетероцикл. кольца) получают взаимодействием никотиновой к-ты или ее эфиров, галоидангидридов, азидов или ангидридов, включая смешанные ангидриды с  $H_3PO_4$  и  $H_2SO_4$ , напр. с аминами как таковыми или их N-металлпроизводными в присутствии основного конденсирующего в-ва (прокаленного  $Na_2CO_3$ ,  $K_2CO_3$  или самого амина) и, в данном случае, р-рителя или разбавителя (напр., бензола). Получены: [N-(1,2-дифенилэтил)-N-(диметиламиноэтил)]-I, т. кип. 230—240°/0,1 мм, HCl-соль (из метилизобутилкетона), т. пл. 164—165°; [N-(1,2-дифенилэтил)-N-(диметиламинопропил)]-I, т. кип. 215—225°/0,05 мм, HCl-соль, т. пл. 70—80°; [N-(1,2-дифенилэтил)-N-(диэтиламинопропил)]-I, т. кип. 235—240°/0,15 мм, HCl-соль, т. пл. 50—70°; [N-(1,2-дифенилэтил)-N-(β-пирролидинэтил)]-I, т. кип. 245—250°, HCl-соль, т. пл. 188—190°; [N-(1,2-дифенилэтил)-N-(γ-пирролидинпропил)]-I, т. кип. 250—255°/0,08 мм, HCl-соль, т. пл. 127—130°; [N-(1,2-дифенилэтил)-N-(2'-пиперидинэтил)]-I, т. кип. 250—260°/0,08 мм; [N-(1,2-дифенилэтил)-N-(2-морфолинэтил)]-I, т. кип. 280—290°/0,08 мм, хлороплатинат, т. пл. 185—188° (разл.); [N-(1,2-дифенилэтил)-N-(N'-метил-N'-н-бутиламиноэтил)]-I; [N-(1,2-дифенилэтил)-N-(N'-метил-N'-н-бутиламинопропил)]-I; [N-(1,2-дифенилэтил)-N-(N'-динпропиламинопропил)]-I; [N-(1,2-дифенилэтил)-N-(β-2,6-диметилпиперидинэтил)]-I; [N-(1,2-дифенилэтил)-N-(γ-2,6-диметилпиперидинпропил)]-I. Легко растворимы в разб. к-тах, мало растворимы в воде и петр. эфире; выходы 55—75%.

Ю. В.

**76209 П. Пиримидины (Pyrimidines)** [Burroughs Wellcome and Co. (Aust.)]. Австрал. пат. 165125, 29.09.55

Патентуют соединения (и их соли с к-тами) общей ф-лы  $RR'N = N - C(R^2) = C(C_6H_5R^4) - C(NH_2) = N$ , где R и R' — низшие алкилы, содержащие 1—3 атома C, которые могут объединяться с образованием (при участии атома N) гетероцикл. радикала;  $R^2$  — низший алкил, содержащий 1—3 атома C или аралкил;  $R^3$  и  $R^4$  — могут быть одинаковыми и разными и являются H или атомами галоида.

Ю. В.

**76210 П. Способ получения новых простых и сложных эфиров моно- и диоксикал-2-меркаптобензимидазолов.** Цельнер (Verfahren zur Herstellung von neuen Estern bzw. neuen Äthern von 2-Mercaptobenzimidazol-mono- oder-dialkylolen. Zellner Hugo) [Donau-Pharmazie G. m. b. H.]. Пат. ФРГ 928712, 10.06.55

Для получения указанных эфиров (в частности моно- и диоксиметил-2-меркаптобензимидазолов) алкилируют или ацилируют (напр., ангидридами или хлорангидридами к-т) OH-группы указанных спиртов. Патентуемые соединения растворимы в жирах, обладают терапевт. действием на центральную нервную систему и значительной активностью в отношении патогенных бактерий и грибов. Последняя повышается при увеличении кол-ва C-атомов в ацильном, соответственно, алкильном остатке. 52 г диоксиметил-2-меркаптобензимидазола (I) кипятят 5 час. с 112 г пропионовой к-ты в токе HCl и получают дипропоксиметил-2-меркаптобензимидазол, т. пл. 120—124° (разл.; из сл.). 105 г I нагревают 45 мин. с 110 г  $C_2H_5COONa$  и 474 г  $(C_2H_5CO)_2O$ , разбавляют 5 л воды и через 12 час. выделяют дибутират I, т. пл.

145—147° (из бзл.). К охлажд. р-ру 84 г I в 432 г 7,5%-ного NaOH постепенно прибавляют 104 г  $(CH_3)_2SO_4$ , не допуская повышения т-ры, и оставляют на 2 дня; получают диметилловый эфир I, т. пл. 142—144° (из бзл.). К р-ру 150 г меркаптобензимидазола в 2 л воды и 42 г NaOH при 40° прибавляют по каплям 79 г  $CH_3COCl$  и нагревают 1 час при 100°. Нейтр. реакционную массу обрабатывают 400 мл 30%-ного формалина; при неполном растворении через 2 часа прибавляют еще 100 мл формалина и оставляют на 12 час. Полученный ацетилмеркаптооксиметилбензимидазол растворяют в 1 л воды с 40 г NaOH и после метилирования 128 г  $(CH_3)_2SO_4$  и 40 г NaOH в 500 мл воды выделяют метоксиметилмеркаптобензимидазол, т. пл. 160° (разл.; из разб. сл.).

М. К.

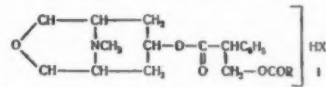
**76211 П. Способ получения бромбутилата скополамина.** Бёрингер, Бёрингер, Либрехт, Либрехт (Process for the production of scopolaminebromobutylate. Boehringer A., Boehringer E., Liebrecht J., Liebrecht I.). [Boehringer Sohn C. H.]. Англ. пат. 708370, 5.05.54 [J. Appl. Chem., 1954, 4, № 11, ii650 (англ.)]

Бром-н-бутилат скополамина (т. пл. 142—144°)  $[\alpha]_D^{20} -20,5^\circ, -20,8^\circ$  (с = 3, в воде) получают с выходом ~65% при нагревании основания скополамина с избытком бромистого н-бутила в  $CH_3CN$  160 час. при 65° или с выходом 70% при стоянии 6 месяцев при 20°. При гидрировании бутенобромида скополамина получают бромгидрат скополамина.

В. У.

**76212 П. Производные гиосцина (Hyoscine derivatives)** [Drug Houses of Aust. Ltd]. Австрал. пат. 161262, 3.03.55

Патентуются в-ва общей ф-лы (I) (R — остаток углеводорода с ≤ 9 атомами C; HX — к-та, образующая с органич. основанием соль) и применение их в форме таблеток, пилюль, капсулей и пр., а также стерильных



р-ров в закрытых ампулах или вагинальных свечей, и способ получения этих веществ.

В. У.

**76213 П. Производные тиазолия.** Яосида, Уноки (Thiazolium derivatives. Yoshida Shigeru, Uonoki Jun) [Sankyo Co.]. Япон. пат. 5185, 9.10.53 [Chem. Abstrs., 1955, 49, № 10, 7005 (англ.)]

Обрабатывают 3-(2-метил-4-амино-5-пиримидилметил)-4-метил-5-(2-ацетоксиэтил)-4-тиазолин-2-тион (10 г в 200 мл воды) в течение 0,5—1 час при 25—35% 10 г 30%-ной  $H_2O_2$  и 0,0005—0,001 г  $FeSO_4$ . Продукт р-ции фильтруют с углем, концентрируют фильтрат в вакууме и получают 10 г О-ацетилвитамина  $B_1$ , 0,5  $H_2SO_4$ , т. пл. 195° (из сл.); с  $BaCl_2$  дает хлоргидрат О-ацетилвитамина  $B_1$ , т. пл. 219—220°. Аналогично получают О-бензоил витамин  $B_1$ , 0,5  $H_2SO_4$ , т. пл. 208°, хлоргидрат, т. пл. 226—227°.

Б. М.

**76214 П. Получение концентратов витамина Е.** Сандерман (Production of vitamin E concentrates. Sandermann W.). Англ. пат. 708154, 28.04.54 [J. Appl. Chem., 1954, 4, № 12, ii780—ii781 (англ.)]

Жирные к-ты, полученные омылением жиров и масел, содержащих витамин Е (I) (масла из проростков пшеницы, кукурузы, из семян хлопка, бобов сои, льна, подсолнечника или орехов), в мягких условиях, т. е. со щелочью низкой крепости в течение 30 мин. при <100°, перегоняют с паром при 170—260° (200°). Получают концентрат, содержащий I (частично в виде эфира жирных к-т), который может быть использован сам по себе или после очистки (омылением и перегонкой в вакууме) в качестве добавки к корму для скота или в ветеринарной медицине для предотвращения яловости. Для кормовых целей его смешивают с питательными солями, кле-

вером, рыбной мукой или с другими витаминами. Напр., 500 г масла проростков пшеницы (0,15% I) омыляют, жирную к-ту отделяют, промывают, сушат и перегоняют с паром при 2 мм рт. ст. Получают остаток, содержащий 1,2% I, который после смешения с 9 ч. клевера можно использовать в качестве добавки к корму для скота или спрессовать в таблетки. Л. М.

**76215 П.** Способ получения изомера эстрона (Verfahren zur Herstellung eines Oestron-Isomeren) [Ciba A.-G.]. Швейц. пат. 288314 [Chem. Abstrs, 1955, 49, № 11, 7607 (англ.)]

Изомер эстрона, т. пл. 230—232° (из метанола), получают из 1-оксо-2-метил-2-метоксикарбонил-7-метокси-1,2,3,4,4а,9,10,10а-октагидрофенантрена (I), т. пл. 87—89°, путем следующего ряда превращений: 15 г I 15 мл  $\text{BrCH}_2\text{COOCH}_3$ , 45 г Zn и 1,5 г J в 250 мл  $\text{C}_6\text{H}_6$  и 250 мл эф. нагревают 18 час. при 60—70°, охлаждают, прибавляют разб. охлажд. уксусную к-ту, отделяют органич. слой, промывают его сначала разб.  $\text{NH}_4\text{OH}$  для удаления окраски, затем водой, выпаривают органич. р-ритель и получают 7-метилловый эфир диметил-1-оксимарианола, т. пл. 86—87° (из метанола), 16 г которого кипятят 45 мин. с 16 г  $\text{POCl}_3$  и 160 мл пиридина, охлаждают, выливают на лед, подкисляют избытком  $\text{HCl}$ , р-р образовавшегося осадка в эф. промывают р-ром  $\text{HCl}$  и водой, сушат и концентрируют, получая маслянистый ненасыщ. метилловый эфир диметил-7-метилмарианола, р-р 13,7 г последнего в 500 мл лед. уксусной к-ты гидрируют при 40° в присутствии Pd-катализатора, маслянистый продукт нагревают с 0,1 н. сп. р-ром  $\text{KOH}$  и кристаллизуют по фракциям из ацетона, получая 2 изомерных полуэфиров: IIа, т. пл. 132—134,5°, и IIб, т. пл. 173—175°; суспензию I г IIа в 10 мл бензола смешивают с 1 мл  $(\text{COCl})_2$  и оставляют на ночь при 20°, выпаривают для удаления р-рителя и получают хлорангидрид IIа-к-ты, который превращают в diazo-кетон желтого цвета с помощью  $\text{CH}_2\text{N}_2$  при 0° в среде бензола; полученный diazo-кетон кипятят в метаноле с 2 г свежеприготовленного и высушенного  $\text{Ag}_2\text{O}$  до прекращения выделения  $\text{N}_2$ ; продукт, полученный из профильтрованного метанольного р-ра, омыляют при 160—170° смесью 10 мл сп., 1 мл воды и 3 г  $\text{KOH}$ , выпаривают р-ритель, водн. р-р полученной К-соли промывают эф. и подкисляют для выделения метилового эфира 7-метилгомомарианолевой к-ты, т. пл. 201—203° (из метанола); смесь 0,5 г полученного эфира и 0,5 г  $\text{PbCO}_3$  нагревают до начала р-ции и перегоняют в высоком вакууме; метанольный р-р дистиллата обесцвечивают животным углем и, после удаления р-рителя, получают метилэстрон, т. пл. 146—147°, 0,5 г которого нагревают в смеси с 0,5 г  $\text{HCl}$ -пиридина при 180° в течение 4 час., охлаждают, обрабатывают  $\text{HCl}$  и эф., экстрагируют водн. р-ром  $\text{KOH}$ , подкислением экстракта осаждают патентуемый изомер эстрона, бензоат которого плавится при 134—136°. Ю. В.

**76216 П.** 11 $\alpha$ -Окси-17 $\alpha$ -прогестерон. Меррей, Питерсон (11 $\alpha$ -hydroxy-17 $\alpha$ -progesterone. Murray Herbert C., Peterson Durey H.) [The Upjohn Co.]. Канад. пат. 508650, 28.12.54

11 $\alpha$ -Окси-17 $\alpha$ -прогестерон получают, подвергая 16-дегидропрогестерон действию культуры грибов *Rhizopus*, в частности *Rhizopus nigricans*, или же с окислительными ферментами, полученными с ними. Контактное окисление также может производиться варьированием применения грибов в питательной среде. О. М.

**76217 П.** Способ избирательного окисления 17 $\beta$ -оксигруппы в 6 $\beta$ -окситестостероне. Эпштейн, Ли (Process for selective oxydation of 17 $\beta$ -hydroxy group of 6 $\beta$ -hydroxytestosterone. Eppstein Samuel H., Leigh Hazel Marian) [The Upjohn Co.]. Пат. США 2697715, 21.12.54

Окисляют 17 $\beta$ -оксигруппу в 6 $\beta$ -окситестостероне, не

затрагивая 6 $\beta$ -оксигруппы и двойной связи, находящейся в положении 4, при помощи хромовой к-ты при т-ре ниже 15° и отделяют полученный 6 $\beta$ -окси-4-андростен-3,17-дион. О. М.

**76218 П.** Способ получения пенициллина. Кристенсен (Process for the production of penicillin. Christensen Henry Marinus). Пат. США 2698274, 28.12.54

При получении пенициллина глубинным методом с помощью культуры *Penicillium chrysogenum* предлагается вводить в питательную среду тонкоизмельченные железные животных, включая желудок, кишечную часть пищеварительного тракта, поджелудочную железу. Прямой кривая, показывающая резкий подъем накопления пенициллина по сравнению с прибавлением кукурузного экстракта. О. М.

**76219 П.** Способ получения солей пенициллина. Анслоу (Verfahren zur Herstellung von Penicillinsalzen. Anslow Winston Kennay) [Glaxo Lab. Ltd.]. Пат. ФРГ 916207, 2.08.54 [Pharmaz. Ind., 1954, 16, № 12, 518 (нем.)]

Соли пенициллина (I) с некоторыми третичными органич. основаниями (II) можно получить обработкой в подходящем органич. р-рителе солью подходящего II и подходящей органич. к-ты. Требуемая соль I выделяется, иногда очень быстро, в практически чистом виде; ее еще можно очистить промыванием или перекристаллизацией; II представляет собой соединения ф-лы  $\text{NR}'\text{R}''\text{R}'''$ , где  $\text{R}'$ ,  $\text{R}''$  и  $\text{R}'''$  — алкил или алкилен, содержащие не больше 4 атомов C; или  $\text{R}'$  и  $\text{R}''$  являются частью гетероцикл. кольца, причем кольцо вместе с алкильным заместителем содержит  $\leq 8$  атомов C. В качестве подходящей органич. к-ты берут алифатич. или замещ. алифатич. к-ту, содержащую  $\leq 8$  атомов C в прямой цепи. Л. М.

**76220 П.** Способ получения трудно растворимой в воде кристаллической соли пенициллина. Хилтман, Бауэр (Verfahren zur Herstellung eines in Wasser schwer löslichen Kristallisherten Penicillinsalzes. Hiltmann Rudolf, Bauer Klaus) [Farbenfabriken Bayer O.-G.I.]. Пат. ФРГ 916950, 23.08.54 [Chem. Zbl, 1954, 126, № 12, 2731 (нем.)]

Указанную соль (т. пл. 146°), обладающую продолжительным действием, получают взаимодействием пенициллина (I) или его соли (соль — I G) с фталимид-N-этил-изотиомочевой или ее солями (напр., фталимид-N-этил-изотиомочевым бромидом, т. пл. 240—242°). Способ может служить также для выделения I из его растворов. Ю. В.

**76221 П.** Способ получения антибиотиков. Брокман, Реннеберг (Verfahren zur Gewinnung von antibiotischen Wirkstoffen. Brockmann Hans, Renneberg Karl-Heinz) [Farbenfabriken Bayer A.-G.]. Пат. ФРГ 918162, 20.09.54 [Pharmaz. Ind., 1954, 16, № 12, 517—518 (нем.)]

Адсорбционным методом разделены новые антибиотики, выделенные после ферментации на культуральной среде *Streptomyces collinus* s. sp. путем экстракции из отдельного мицелия. Рубромиины (I) кристаллизуются из метанола или уксусного эфира в виде тонких палочкообразных кристаллов, сине-фиолетового цвета под микроскопом и красного при макроскопич. осмотре; I в второй антибиотик — колиномицин (II) разлагается при 215°. I не содержит N, отличаюсь в этом отношении от родомицина. II также не содержит N, но в отличие от I имеет значительное кол-во метоксильных групп. Приведена таблица активности I против *Bact. coli*, *B. typhi*, стафилококков, стрептококков и др. Л. М.

**76222 П.** Антибиотик и способ его получения (Antibiotic and a process for the production thereof) [Chas. Pfizer & Co., Inc.]. Англ. пат. 719878, 8.12.54 [Chem. Abstrs, 1955, 49, № 10, 7199—7200 (англ.)]

Антибиотик Р. А. 86 (I) с сильным фунгицидным действием получают ферментацией в культуральной жидко-

щейся  
и т-ре  
остен-  
О. М.  
стен-  
hris-  
598274,

и с по-  
гаются  
желе-  
пище-  
Прило-  
пления  
узного  
О. М.  
а. Ан-  
salzen.  
Ltd.].  
54, 16,

и орга-  
ткой в  
ткой II  
ляется,  
ее еще  
ващией;  
", где  
е боль-  
ироцик-  
мести-  
одящей  
фатич.  
Л. М.  
имой в  
илт-  
ines in  
illinsal-  
Farben-  
[Chem.

должи-  
нциил-  
N-этил-  
N-этил-  
может  
Ю. В.  
кман,  
antibio-  
еппе  
A.-G.].  
54, 16,

ибиоти-  
альной  
ции из  
изуется  
падко-  
од ми-  
е; I в  
агаются  
ошения  
ичие от  
п. При-  
v. typhi.  
Л. М.  
(Anti-  
[Chas.  
[Chem.

ым дей-  
жидко-

сти из соевых бобов разновидности *Streptomyces Rimosis*. После продувания воздуха в течение 4 дней культуральную жидкость осветляют, устанавливают pH 7,8; 25 л такой жидкости экстрагируют два раза по 8 л бутанола. Экстракт, содержащий воду, упаривают, удаляя воду до 2 л, и, после вымораживания в течение ночи, получают 4,65 г сырого I. Фильтрат концентрируют до 550 мл и получают дополнительно 1,7 г I. Сырой I растворяют в 1000 мл горячего метанола, прибавляют 300 мл воды. Смесь выпаривают при нагревании до 175 мл, вымораживают и получают 900 мг чистого I, который можно перекристаллизовать из 50%-ного ацетона (мелкие пластинки). I оптически неактивен и разлагается при 230—250°. Анализ: C—60,3%, H—8,30%, N—3,41%. O—27,99%, не содержит P, S или галогена.

Ю. В.  
76223 П. **Продукт перегруппировки микоминина, Селмер** (Rearrangement products of mycomycin. Selmer Walter D.) [Chas. Pfizer & Co., Inc.]. Пат. США 2703328, 1.03.55

Для получения активного препарата микоминин обрабатывают при 15—30° водн. р-ром щелочи.

А. Б.  
76224 П. **Способ получения лекарственных препара-**  
тов. Шанс (Process for the preparation of a medica-  
ment. Schaps E.). Англ. пат. 689533, 1.04.53

Зеленые части американского красного кедра или других растений, напр. иглы сосны, ветви можжевельника или рододендрона заливают высокопроцентным этиловым или другими спиртами, прибавляют растительное масло (напр., из семян мака, репы, оливковое или арахисовое) в кол-ве, достаточном для появления капель, после чего прибавляют большее кол-во (образование двух слоев) и настаивают при частом взбалтывании продолжительное время. Слой зеленого масла, содержащий активные в-ва, отделяют от спирта и удаляют растительные остатки и небольшое кол-во воды. Вариант способа: спирты заменяют алифатич. р-рителем, напр. эф., хлф. или углеводородом, после отделения слоя р-рителя удаляют отгонкой. Маслянистый слой можно очищать промывкой водой, р-ром NaCl или разб. к-т, напр. борной, салициловой, HCl или CH<sub>3</sub>COOH, и окончательной промывкой спиртом.

Ю. В.  
76225 П. **Хлоралгидрат в желатиновых капсулах** (Gelatin capsules containing chloral hydrate) [Fellows Medical Manufacturing Co., Inc.]. Англ. пат. 709283, 19.05.54

Для получения указанного препарата сухой хлоралгидрат (I) растворяют в жире животного или растительного происхождения. Жиром может быть любой глицерид жирной к-ты, нерастворимый в воде, или их смеси, особенно жидкие при 40—50°. В примерах указаны масло земляного ореха, сезамовое, хлопковое, миндальное, подсолнечное, оливковое, кукурузное, топленое свиное сало и куриный жир. Масло может содержать до 10% лецитина и 100 г I в 100—250 мл фиксированного жира. Предпочтительно растворять I в жире, нагретом до 40—50°, с расчетом на содержание 1 ч. I в 2 ч. конечного р-ра. Лецитин может присутствовать в жире в качестве природного продукта или быть добавлен в нужной концентрации.

Ю. В.  
76226 П. **Получение антибактериальных составов.**

Вермелен, Ледру (Preparation of antibacterial composition of matter. Vermeulen M., Ledrut J. H. T.). Англ. пат. 692060, 27.05.53

Патентуются противобруцеллезные составы, состоящие из одной гидрофильной и одной липофильной компонент, задерживающих рост *Brucella* как в гидрофильной, так и в липофильной среде. В качестве гидрофильной компоненты применяют антибиотики, напр. ауреомидин, стрептомицин, хлормицетин или патулин; сульфамидные препараты, напр. сульфадiazин или п-фенилсульфанамид, а также гидрохинон, а-нафтохинон или 3-метил-

а-нафтохинон; типичными липофильными компонентами являются хлор-, бром-, нитро- или ацилпроизводные гидрохинона, 2-бром-, 2-хлор-, 2,5-дибром-, 2,5-дихлорпроизводные хинацетифенона, тиосемикарбазоны (I) патулина, семикарбазоны патулина, 1-халконов общей ф-лы  $RCH = CR''C(=NNHCSNH_2)R'$  (R — арил, замещ. или незамещ.; R' — алкил, замещ. или незамещ.; R'' — H или алкил, замещ. или незамещ.). В примерах указаны I бензальацетона (II), I 6-окси-3-метил-II, I салицилацетона, I 4-ацетамин-II, и I 3-нитро-II. Можно добавлять в-ва, усиливающие рост *Lactobacillus*, напр. галактозу, лактозу, глюкозу или стабилизированные культуры *Lactobacilli*, особенно в случае применения в вагинальных свечах и в суппозиториях. Приведены примеры: вагинальных свечей, содержащих гидрохинон и 2-бром-гидрохинон, лактозу, галактозу, глюкозу или стабилизированную культуру *Lactobacillus*, полистиленоксид, как таковой или с добавлением I и семикарбазона патулина, а также крахмала, парафина, глицерина и желатина; мазей на основе загущенного керосина, жидкого парафина, ланолина, эмульгаторов и воды. Пероральные препараты содержат активные компоненты, галактозу или лактозу, или фосфатный буфер; таблетки содержат в качестве носителя стеарат Mg. Составы могут применяться для лечения человека и животных перорально, ректально, вагинально и для инъекций. Водн. эмульсии минер. и растительных масел применяют также в клевах, конюшнях и пр. I патулина описан в англ. пат. 679391. I халконов получают взаимодействием тиосемикарбазида с халконом.

Ю. В.  
76227 П. **Противоглистные композиции** (Anthelmintic compositions) [Salsbury's Lab. Dr.]. Англ. пат. 711563, 7.07.54 [J. Appl. Chem., 1954, 4, № 12, ii780 (англ.)]

В состав противоглистных композиций (I) для животных входит соединение 4-валентного Sn, в котором две валентности связаны с незамещ. или замещ. алкильной, арильной или арахильной группами, другие же 2 валентности связаны с электроотрицательными группами; Sn-соединение находится в мономерной, полимерной или комплексной форме. Кроме того, в состав I входит подводящее в-во, не вода. Особенно активным оказался дихлорид ди-н-бутилолова, (C<sub>4</sub>H<sub>9</sub>)<sub>2</sub>SnO · Sn(C<sub>4</sub>H<sub>9</sub>)<sub>2</sub> · Cl<sub>2</sub>. Приведены таблицы капсул и лекарственных препаратов, вводимых с кормом, для применения против *Raillietina cesticollis* и *Ascaridia galli*, с указанием степени эффективности препарата.

Л. М.  
76228 П. **Способ получения препаратов окситоциноного действия** (Werkwijze ter bereiding van oxytocisch werkzame preparaten) [N. V. Amsterdamsche Chininefabriek]. Голл. пат. 74485, 15.04.54 [Chem. Abstrs, 1954, 48, № 22, 14132 (англ.)]

Для указанных целей применяют 3-(1-метилпиперидил)-индол (I) в виде хлоргидрата или маленната в водн. р-ре, не содержащем пирогенных в-в, или же в таблетированном виде в смеси с лактозой, крахмалом и т. п.; I проявляет 20% активности эргометрина при испытании на матке.

О. М.  
76229 П. **Лекарственная форма рентгеноконтрастных средств и способ ее получения.** Леб, Мунтеан,

Лидль, Шауэнштейн, Гагер (Geformte Röntgenkontrastmittel und Verfahren zu deren Herstellung. Leb Anton, Muntean Eugen, Lidl Hans, Schauenstein Erwin, Gager Romuald) [Byk-Gulden Lomberg, Chemische Fabrik G. m. b. H.]. Пат. ФРГ 914542, 5.07.54 [Chem. Zbl., 1955, 126, № 3, 646 (нем.)]

Формованные рентгеноконтрастные средства, состоящие из порошкообразных не растворимых в воде неорганич. или твердых органич., по преимуществу невсасывающихся в-в, покрывают слоем и (или) пропитывают жиром или белком. Их перерабатывают в драже, капсулы, пилюли. Белковые покрытия делают нераствори-

мыми нагреванием или обработкой формальдегидом. Жиры применяют с т. пл.  $> 37-40^\circ$ . Средства эти распадаются в желудочном или кишечном соке и служат для диагностич. целей.

О. М.  
76230 П. Лекарственные препараты, содержащие ионообменные смолы. Термон (Therapeutic preparations containing ion-exchange resins. Thurmon F. M.) [Röhm & Haas Co.]. Англ. пат. 711886, 14.07.54 [J. Appl. Chem., 1955, 5, № 2, i254 (англ.)]

Предлагается композиция для наружного применения (для поддержания pH поверхности тела в норме), состоящая из дисперсии тонкоизмельченной карбоксильной ионообменной смолы (частицы должны проходить через сито № 100) с pH 3—5,5 (в 0,15 н. р-ре NaCl) в гидрофильном основе (мазь или желатиновая паста) в концентрации 5—35 (10—25) %. К композиции может быть прибавлено лекарственное в-во для специфич. действия, как то: местный анестетик, антибиотик и др. Напр., композиция для лечения кожных грибковых заболеваний состоит из 75 ч. мазевой основы (цетилового спирта 18, полиглицевого воска 10, глицерина 10, октилфеноксиполиэтоксизнанолевого эмульгатора 4 и воды 48), к которой прибавлено 2 ч. ундециленовой к-ты, 3 ч. Zn-соли смолы, приготовленной из  $(\text{CH}_3\text{COOH})_2$ , стирола и дивинилбензола, и 20 ч. смолы (Н-форма), полученной из акриловой к-ты и дивинилбензола.

О. М.  
76231 П. Терапевтические препараты, содержащие ионообменные смолы (Therapeutic preparations containing ion-exchange resins) [Rohm & Haas Co.]. Англ. пат. 714473, 25.03.54

В состав терапевтич. препаратов входят тонко диспергированные (а) сульфированные катионообменные смолы в их Н-форме (фенолформальдегидные конденсаты с метиленовыми сульфогруппами, сополимеры стирола, с сетчатой структурой молекул, с дивинилбензолом, содержащие сульфогруппы и углеродистые цеолиты); (б) четвертичные аммониевые анионообменные смолы в их основной форме (соединения ф-лы  $(\text{R}^1)(\text{R}^2)\text{N}(\text{R}^3)(\text{R}^4)-\text{R}^5$  ( $\text{R}^5-\text{OH}$  или анион слабой к-ты, напр. угольной, борной или  $\text{HCO}_3$ ),  $\text{R}^4$ —цепь сополимера, связанная с  $\text{N}$ ,  $\text{R}^1$ ,  $\text{R}^2$  и  $\text{R}^3$ —алкил или арил, содержащий  $\leq 7$  атомов С, или оксикарбон, содержащий 2—3 атома С); (в) карбоксильные катионообменные смолы в их Н-форме (сополимеры малеинового ангидрида и стирола, образующиеся в присутствии полиненасыщ. соединений, напр. ди- и тривинилбензола, этилендиакрилата, диаллилмалеата, фумарата или итаконата; или сополимеры акриловой или метакриловой к-ты с указанными полиненасыщ. соединениями; некоторые из  $\text{COOH}$  можно использовать для присоединения солеобразующих в-в, обладающих терапевтич. свойствами, напр. Zn, Cu, Pb или азотистых оснований, напр. местных анестетиков) и (г) анионообменных смол в их основной форме (конденсаты диоксифенилметана или диоксифенилсульфона с  $\text{CH}_2\text{O}$  и полиэтиленполиаминами, напр. триэтилтетраамином или тетраэтиленпентамином,  $\text{CH}_2\text{O}$ -полиаминов мочевины или меламины и м-фенилендиамин— $\text{CH}_2\text{O}$  смолы). Применяют стехиометрич. эквиваленты а и б, а также в и г. Отношения  $a + b/a + g$  колеблются в пределах от 2:1 до 1:5. Смолы примешивают к порошкам (I), мылам (II), пастам (III) и мазям (IV). I могут содержать тальк, глину, крахмал, стеараты Zn и Mg или их комбинации, увлажняющие (напр., глицерин) или смачивающие в-ва, II, III и IV можно готовить с глицерином, водн. р-рами одного или более загустителей, напр. траганта, смолы карайя, смолы семян айвы, ирландского мха, альгинатов, пектина, эфиров целлюлозы и полиэтиленгликолей, эмульгированными маслами и восками, напр. сперматомом, цетиловым спиртом, ланолином, петролатумом, стеариновой к-той и гелями бетонита. В качестве эмульгаторов рекомендованы этаноламинные мыла, монолаураты глицерина и гликоля, сульфа-

ты, сульфаты и неионизирующие диспергаторы. Указаны добавки 2-этоксизнанола, спирта, консервирующих в-в и отдушек.

Ю. В.  
76232 П. Способ разложения декстрана (Tara hajoitaa dekstraania) [Dextran Ltd]. Фин. пат. 27396, 10.12.54

Для использования в терапевтич. жидких препаратах декстрана с меньшим мол. весом весь процесс распада или большая часть его выполняется методом нагревания декстрана в неокисляющихся условиях.

М. Т.  
76233 П. Антибиотические лекарственные препараты, содержащие в качестве носителя диэфиры полиэтиленгликоля. Джеффрис (Antibiotic pharmaceutical preparation containing polyethylene glycol diester as vehicle. Jeffries Sampson F.) [Allied Lab., Inc.]. Пат. США 2713019, 12.07.55

В качестве основы для мазей, содержащих антибиотики, предложено применение диэфиров полиэтиленгликоля с мол. в. 200—600 с алифатич. к-тами, содержащими 12—18 атомов С, причем могут добавляться другие в-ва, напр. глицерид стеариновой к-ты. Преимущества таких носителей, сравнительно с обычно применяемыми жировыми основами, заключается в лучшей сохранности таких антибиотиков как бацитрацин (I), полимиксин (II) и пенициллин G, и в их способности значительно быстрее диффундировать в рекомендуемом носителе. Напр., 24 г дистеарата полиэтиленгликоля (мол. в. 400), 24 г дилаурата того же полиэтиленгликоля и 12 г глицерида стеариновой к-ты (Glycowax S932) нагревают до плавления, охлаждают при непрерывном размешивании до  $20^\circ$ , прибавляют 600 000 ед. II и 30 000 ед. I и растирают до однородной консистенции. Можно добавлять другие безводн. носители, сохраняя нужную консистенцию изменением соотношений носителей, а также местноанестезирующие в-ва. Действие препаратов успешно проверено на лечении ран (у кроликов), зараженных *Staphylococcus aureus* и *Pseudomonas aeruginosa* или одновременно той и другой инфекцией.

Ю. В.  
См. также: Орган. синтез. лек. в-ва 74898, 74900, 74909, 74910, 74911, 74926, 74936, 74937, 74945, 74949, 74960, 74964; 22612Бх, 22614Бх, 22616Бх, 22617Бх, 22626Бх, 22629Бх, 22639Бх, 22644Бх, 22645Бх, 22646Бх, 22651Бх, 22658Бх, 22659Бх, 22664Бх, 22683Бх, 22708Бх, 22710Бх, 22718Бх, 22721Бх, 22765Бх, 22767Бх. Алкалоиды 75055—75058, 75060, 75063—75067; 22215Бх, 22636Бх, 22637Бх, 22640Бх, 22679Бх. Глюкозиды 75052, 75053, 75406; 22692Бх. Витамин 75050, 75069, 75404; 21751Бх, 21883Бх, 21904Бх. Гормоны 75015, 75046, 75047; 21752Бх, 21796Бх, 21963Бх, 21964Бх, 22444Бх, 22620Бх, 22627Бх, 22628Бх, 22641Бх. Антибиотики 22091Бх, 22093—22095Бх, 22110—22111Бх, 22117Бх, 22118Бх, 22170Бх, 22171Бх, 22266Бх. Лекарств. формы 75076; 22219Бх, 22621Бх, 22625Бх, 22630Бх, 22635Бх, 22647Бх. Методы анализа 75392; 21725Бх, 21728—21732Бх, 22106Бх. Фармацевтич. журналы 74023.

#### ФОТОГРАФИЧЕСКИЕ МАТЕРИАЛЫ

76234. Сенсибилизирующее действие фотографических желатин и его измерение. Кубал, Вацек, Бенеш (Sensibilizační účinek fotografických želatin a jeho měření. Kubal Josef, Vacek Karel, Beneš Jaroslav), Chem. listy, 1955, 49, № 7, 991—995 (чеш.)

Авторы заменяют физ.-хим. методами существующий до сих пор длительный и ненадежный фотографич. способ определения содержания малых кол-в активных в-в в желатине, ускорителей (I) и активаторов (II). На основании изменения pH р-ров четырех образцов желатин (А—DGF 7068, В—русский (без обозначения),

ергаторы  
ервирую  
Ю. В.  
a hajoit  
27396,

епаратах  
распада  
нагрева  
М. Т.  
епараты,  
интилен-  
ical pre-  
as ve-  
b., Inc.]

антибио-  
ингли-  
содержа-  
сь дру-  
еимущи-  
рименяе-  
щей со-  
ции (1),  
особности

ендуемом  
инглико-  
инглико-  
ах S932)

ерьяном  
ед. II и  
истенции,  
сохраняя  
й носите-

е (у кро-  
seudomo-  
инфек-  
Ю. В.

00, 74909,  
9, 74960,  
22626Bx,  
22651Bx,  
22710Bx,

алкалоиды  
22636Bx,  
2, 75053,  
21751Bx,  
75047;

22620Bx,  
22091Bx,  
22118Bx,  
ы 75076;

22635Bx,  
21728—  
023.

фических  
Бенеш  
a ježo  
Beneš  
991—995

ствующий  
фич. спо-  
ияния в-в  
(). На ос-  
ов жела-  
начения),

С — Свит 7581, D — SPC 29) с увеличением конц-ии желатин, измерения их окислительно-восстановительного потенциала и изменения pH эмульсий в зависимости от времени первого созревания (от 0 до 30 мин.) можно судить о присутствии и влиянии I. При втором созревании были исследованы изменение светочувствительности и вуали эмульсий. pH эмульсий из желатин В и D, pH которых линейно возрастает с конц-ией их р-ров, на протяжении первого созревания увеличивается, между тем как pH эмульсий из А и С, pH которых не изменяется с увеличением конц-ии желатины, уменьшается. При втором созревании значения pH эмульсий мало изменяются. Далее полярографически установлена поверхностная активность II путем измерения понижения кислородного максимума образцов желатины (Трусов В. В., Завод. лаб., 1947, 303). Разность высот стандартных и пониженных максимумов является мерой адсорбционной способности желатины (вычислена в процентах). У желатин с повышенной адсорбционной способностью установлен сдвиг падения интенсивности диффузионного тока после максимума к более положительным значениям погениала капельного электрода. Полярографич. результат был подтвержден аналогичным поведением синтетич. активатора л-диметиламиностирилбензтиазола (2). Активные желатины имеют пониженный окислительно-восстановительный потенциал и по ходу процесса изготовления эмульсий их pH возрастает. Чем больше снижение кислородного максимума желатины, тем выше светочувствительность получаемой эмульсии.

Jiří Vaněček

76235. Исследование поддержания постоянства состава подслонной ванны в непрерывном процессе подслаживания основы кинофотопленок. Кириллов Н. И., Фельдшерев Е. М., Ж. прикл. химии, 1956, 29, № 5, 750—755

Проведено теоретич. и эксперим. исследование процесса подслаживания основы фотопленок в отношении поддержания постоянства состава подслонной ванны с точки зрения теории непрерывных процессов. Выведены ур-ния и теоретич. кривые изменения конц-ии компонентов подслоя в рабочем р-ре в зависимости от кол-ва обработанной основы фотопленки. Приведены результаты эксперим. исследования процесса нанесения обычного кислого подслоя с метанолом, ацетоном и фталевой к-той на основу на спец. лабор. установке, подтверждающие теоретич. расчеты. Описаны применявшиеся методы контроля процесса: определения содержания ацетона, кислотности и электропроводности. Приведен ряд выводов, представляющих теоретич. и практич. интерес: установившееся состояние в системе достигается после добавления в кювету пополняющего р-ра в кол-ве трехкратного объема рабочего р-ра в кювете; установившийся состав рабочего р-ра значительно отличается от состава применяемого пополняющего р-ра; повторное использование перетекающего избытка подслоя не должно применяться без анализа и изменения состава возвращаемого избытка; применявшийся метод определения электропроводности р-ра непосредственно в кювете характеризует постоянство состава и свойств подслонной ванны и рекомендуется для практич. применения. К. М.

76236. Свойства проявляющих веществ. V. Аминофенилфенолы. Реакция автосочетания. Хенн (Properties of developing agents. V. Aminophenylphenols. An autocoupling reaction. Hen n R. W.), Photogr. Sci. and Techn., 1953, 191, № 4, 149—150 (англ.)

Установлена относительная фотография. проявляющая активность аминофенолов при pH 10,0: л-аминофенол 1,0; о-аминофенол 0,055; 2-оксидифениламин 0,27; 3-оксидифениламин не проявляет; 4-амино-2-фенилфенол 0,47; 2-амино-6-фенилфенол 0,60; 2-амино-4-хлор-6-фенилфенол 0,57. 2-Амино-6-фенилфенол дает интенсивное желто-оранжевое изображение наряду с серебряным изо-

бражением, по-видимому, вследствие образования аминоксаноказинового красителя. Конц-ия сульфита в проявителе не влияет на эту р-цию. Сообщение IV см. РЖХим., 1956, 52354.

А. Р.

76237. О роли диффузии при химико-фотографической обработке пленки. Блюмберг И. Б., Новацкая Т. А., Оболянинова Н. А., Успехи науч. фотографии, 1955, 4, 190—201

Процессы химико-фотографич. обработки пленки идут по смешанной кинетике, которая вследствие высоких градиентов конц-ий диффундирующих в-в более близка к диффузионной, чем к хим. При утолщении эмульсионного слоя, увеличении диффузионной части пограничного слоя и ускорении хим. стадии процесса кинетика приближается к чисто диффузионной. Диффузионные явления определяют скорость процесса и его характер и приводят к различным фотографич., технологич. и механич. дефектам, которые можно устранить изменением гидромеханич. режима обработки. Для ускорения процесса применяется общая турбулляция. Для наиболее равномерного проявления применяется местная турбулляция, разрушающая весь пограничный слой. При проявлении слоя по кинетике, близкой к диффузионной, характеристик. кривая выражает сложную зависимость плотности от логарифма экспозиции и условий проявления, при этом в изображении искажается распределение яркостей в объекте. Проявление всех участков слоя в проявителе одинакового состава возможно лишь в случае применения очень медленно работающих проявителей; при обработке толстых эмульсионных слоев может быть достигнуто лишь приближение к такой точной обработке применением р-ров с максим. общей буферностью.

Т. Т.

76238. Некоторые расчеты процессов химико-фотографической обработки кинопленки. Блюмберг И. Б., Новацкая Т. А., Успехи науч. фотографии, 1955, 4, 263—268

Приводятся результаты работы в области усовершенствования расчетных ф-л для процессов химико-фотографич. обработки кинопленки. Изложена методика расчета системы, работающей в установившемся режиме, и приведено ур-ние баланса системы  $bc \pm \dot{a} = bk$ , где  $b$  — кол-во пополнителя в л, поступающего в систему в 1 час;  $\dot{a}$  — кол-во образовавшегося или израсходованного в-ва в час;  $c$  — конц-ия в-ва в пополнителе;  $K$  — установившаяся конц-ия в-ва в р-ре в г/л. Приведены примеры использования ур-ния для определения скорости подачи пополнителя в систему и нахождения состава пополнителя. Показано, что при помощи приведенных ф-л можно достаточно точно определить стехиометрич. соотношения в-в, участвующих в р-ции проявления, а также установить долю проявляющего в-ва, окисляемую кислородом воздуха. Отмечено, что данное ур-ние можно использовать для расчетов установившегося состояния различных систем.

Т. Т.

76239. Исследование отношений между величинами светочувствительности и контрастности фотографических слоев. Шеберстов В. И., Успехи науч. фотографии, 1955, 4, 44—53

Исследованы функциональные зависимости  $S = f(g)$  и  $S = f_1(\gamma)$  при трех критериях светочувствительности ( $S$ ): 1) точка инерции ( $i$ ); 2) плотность 0,85 над плотностью вуали ( $D_0$ ) и 3) плеснения 0,2 над  $D_0$ . Приведены ур-ния для определения  $S_i(b)$  (без вычитания вуали),  $S_i$ ,  $S_d$  и таблица коэфф. перехода от  $S_i$  к  $S$  при заданных значениях  $\gamma$  и  $D_0$ . Приведены в общем виде ф-лы определения  $S$  и  $S_i$ , справедливые для любого положения общей точки пересечения (ОТП) продолжений прямых участков характеристик. кривых при различной продолжительности проявления ( $t_{пр}$ ). При исследовании различных фотослоев найдено, что большинство из них

для большого интервала  $t_{пр}$  (1—8 или 2—16 мин.) имеет ОТП, которая лежит ниже оси абсцисс. При большой  $t_{пр}$  (большая  $D_0$ ) ОТП отсутствует. Показано, что при возрастании  $\gamma$  до некоторой величины скорость возрастания  $S_d$  увеличивается, а затем уменьшается и приведена таблица значений  $\gamma$  в точке перегиба кривых  $S_d$ .  $\gamma$ . В большинстве случаев  $(S_d)_{макс}$  достигается при достижении  $\gamma_{макс}$ ; исключения представляют фотобумаги, у которых  $(S_d)_{макс}$  достигается часто после достижения  $\gamma_{макс}$ . Так как  $S_d$  с изменением  $\gamma$  изменяется значительно больше, чем  $S_i$ , подчеркивается необходимость проведения сравнений светочувствительности по  $S_d$  при  $\gamma = const$ . При определении  $S$  для прямолинейного участка характеристик кривой рекомендуется способ определения  $S_i$  при  $D_0 = 0$  и  $\gamma = const$ , так как эта величина характеризует относительную  $S$  слоя и вместе с тем пригодна для любого экспонетрич. расчета, будучи связана с  $S_d$  ф-лой  $S_d = S_i \cdot 10^{-d/\gamma}$ . Т. Т.

**76240.** О сенситометрическом контроле процесса химико-фотографической обработки многослойных цветных пленок. Горюховский Ю. Н., Успехи науч. фотографии, 1955, 4, 295—305

Описана методика сенситометрирования многослойных цветных пленок и отмечены ее особенности в сравнении с методикой сенситометрич. испытания черно-белых пленок. Рекомендованы изменения стандартного сенситометра ФСР-4: новая лампа К-22, имеющая значительно большую силу света; новый трехкомпонентный стеклянный светофильтр искусств. среднего солнечного света и ступенчатый сенситометрич. клин с наименьшей спектральной избирательностью поглощения. Предлагается проведение денситометрирования цветных сенситограмм путем спектрофотометрич. измерений каждого поля в трех длинах волн и вычисления искоемых поверхностных коэффициентов красителей при помощи системы трех линейных уравнений. Показано, что при оценке коэфф. контрастности ( $\gamma$ ) и светочувствительности ( $S$ ) многослойных пленок целесообразно ориентироваться на достижение заданного  $\gamma$  среднего слоя и положение характеристик кривой относительно оси  $\lg H$  также для среднего слоя при условии соблюдения баланса трех изображений по величинам эффективной плотности потемнений. Проведением практич. испытаний доказано, что при выборе сенситометрич. норм цветного проявления негативных материалов целесообразно проявлять до значений, близких к максимуму; при этом повышается  $S$  пленок. При исследовании влияния условий проявления на цветодетальные свойства найдено, что с увеличением продолжительности проявления несколько расширяются области спектральной  $S$  каждого слоя. Т. Т.

**76241.** Фотометрический контроль производства цветных фильмокопий. Крауш Л. Я., Антонова О. Ц., Успехи науч. фотографии, 1955, 4, 307—315

Для улучшения качества цветных кинофильмов рекомендуется проведение фотометрич. контроля каждой операции в процессе их изготовления. На практике наиболее целесообразен простой и достаточно точный способ визуального уравнивания сравнением тона и плотности отпечатка серой шкалы с эталонными шкалами. Найдены максим. допустимые искажения цвета позитивов, при которых они могут быть помещены в одну фильмокопию. Для осуществления способа визуального колориметрич. контроля предложена таблица с цветными эталонными шкалами, описан способ изготовления таблицы и пользование ею. Т. Т.

**76242 П.** Повышение светочувствительности галондосеребряных эмульсий. Ристер (Empfindlichkeitsstei-

gerung von Halogensilberemulsionen. Riester Oscar) [AGFA A.-G. für Photofabrikation]. Пат. ФРГ 932533, 1.09.55

Патентуется способ повышения светочувствительности галондосеребряных эмульсий введением в эмульсию на любой стадии ее изготовления или в светочувствительный слой (путем последующей обработки) органич. соединений бора (ОСБ), образующих бораты. Наиболее целесообразно вводить ОСБ в эмульсии перед поливом слоя, растворяя их в воде или в органич. р-рителе, напр. ацетоне или метилом спирте. При этом способе повышается светочувствительность эмульсии как естественная, так и от оптич. сенсibilизации. Концентрация вводимого р-ра может изменяться в широких пределах, а кол-во вводимого в-ва может колебаться от нескольких мг до нескольких г на 1 кг эмульсии. Наибольший эффект получается при введении ОСБ в хлоро- и хлоробромосеребряные эмульсии. Применение ОСБ не препятствует введению антиуалирующих, смачивающих, стабилизирующих, матирующих, дубящих в-в, сенсibilизаторов и цветных компонент. Действие ОСБ объясняется увеличением мест нарушения кристаллич. решетки, чем достигается повышение проявляемости галондосеребряных зерен. Примеры: 1. В 1 кг хлоросеребряной эмульсии, сенсibilизированной 20 мг 5-(пироллидинометин)-3-этилоданина, вводят р-р 6 мг 1-метилхинолинтетрафенилбората. Светочувствительность повышается на 150%. Р-р бората может быть введен также до введения сенсibilизатора. Остальные обычные добавки могут вводиться до или после введения указанных двух р-ров без изменения эффективности действия. 2. К эмульсии, сенсibilизированной по примеру 1, добавляют 10 мг N-диметилтетрагидроизохинолинтетрафенилбората. Светочувствительность повышается на 200%. Приведены также примеры применения натрий-, аммоний-, триэтиламмоний-, 1-метилпиридиний-, 1-метилпиролидиний- и 3-метилбензотиазолтетрафенилбората. К. М.

**76243 П.** Способ сенсibilизации мероцианинами галондосеребряных эмульсий, в особенности хлоро- и бромосеребряных эмульсий для фотобумаг. Ристер (Verfahren zur Sensibilisierung von Halogensilberemulsionen, insbesondere von Chlor- und Bromsilberemulsionen für Photopapiere, mit Hilfe von Merocyaninen. Riester Oscar) [Agfa A.-G. für Photofabrikation]. Пат. ФРГ 918308, 23.09.54. [Chem. Zbl., 1955, 126, № 29, 6900 (нем.)]

Патентуется способ сенсibilизации галондосеребряных эмульсий смесью основного сенсibilизатора (I)  $N(R^1)CH=CHCH=CHC=SCSN(R^2)CO$  ( $R^1$  — замещ. алкил или арилалкил,  $R^2$  — замещ. алкил, фенил, алкилзамещ. эфир карбоновой к-ты) и добавочного сенсibilизатора (II)  $N(R^2)CH(R^1)CH(R^1)CH(R^1)C=CHC(R^3)=CN(R^4)CSN(R^2)CO$  ( $R^1$  — H, алкильная, фенильная или фурильная группа,  $R^2$  — алкильная и фенильная группа,  $R^3$  — H или алкил,  $R^4$  — алкил). Пример: К 75 мл эмульсии добавляют 3 мг I (при  $R^1=CH_3$  и  $R^2=C_6H_5$ ) и 0,6 мг II (при  $R^1=H$ ,  $R^2=C_2H_5$ ,  $R^3=H$  и  $R^4=CH_3$ ). Изготовленные из такой эмульсии фотобумаги не имеют окраски, не вуалируются при свете желтого защитного светофильтра и имеют максимум сенсibilизации между 490 и 510 мμ. К. М.

**76244 П.** Молекулярные соединения солей ртути с бензотиазолами в качестве антиуалирующих веществ в галондосеребряной эмульсии. Нотт, Морган (Molecular compounds of mercury salts with benzothiazoles as fog inhibitors in a silver halide emulsion. Knott Edward B., Morgan John). Пат. США 2728667, 27.12.55

Патентуется галондосеребряная эмульсия, которая со-

держит небольшое кол-во молекулярного соединения галоидной соли ртути и бензотиазола из группы, включающей аминобензотиазолы и галоидоводородные соли бензотиазола. С. Б.

**76245 П.** Способ проявления фотографических галодосеребряных эмульсий. Валь, Мюллер (Verfahren zur Entwicklung photographischer Halogensilberemulsionen. Wahl Ottmar, Müller Reinhard) [Agfa A.-G. für Photofabrikation]. Пат. ФРГ 923891, 21.02.55

Патентуется способ проявления серебряных или цветных изображений на галодосеребряных эмульсионных слоях, отличающийся тем, что проявление проводят в присутствии алифатич. моно- или полиаминов (I), содержащих полиэтиленоксидные остатки, напр. аминов ф-лы  $R^1-N(R^2)(R^3)$ , где  $R^1$  и  $R^2$  — атомы водорода или алкильные остатки, которые в известных случаях могут содержать атомы азота, связанные с  $R^3$  — полиэтиленоксидным остатком  $(CH_2-CH_2-O-)_n-CH_2-CH_2-OH$ . Число  $n$  выбирают таким образом, чтобы мол. вес I равнялся 3000—100 000. Рекомендуются I, в отличие от применявшихся ранее различных аминосоединений и многоатомных спиртов, вызывают повышение светочувствительности и контраста, не увеличивая вуали, что особенно важно для многослойных материалов с цветным проявлением. При большем мол. весе получается особенно сильный эффект. Подобные I могут получаться, напр., действием окиси этилена на третичные алифатич. амины, содержащие хотя бы одну группу  $-CH_2-CH_2-OH$ . Высокомолекулярные I легко растворимы в проявляющих р-рах обычного состава и не оказывают вредного действия на кожу человека. I вводят в проявитель в кол-ве 1—10 г/л или применяют в р-ре для предварительной обработки. Предлагаемый способ особенно ценен для многослойных пленок с цветным проявлением, так как позволяет повысить чувствительность негативного материала, в различной степени влияя на чувствительность каждого из слоев и приводить баланс материала к освещению другой цветовой т-ры. Наибольшие преимущества способа выявляются в процессе цветного проявления при введении в цветной проявитель черно-белого проявляющего в-ва. Пример: для обработки рентгеновской пленки в проявитель вводят 5 г/л в-ва с мол. в. ~ 5000, получающегося при действии окиси этилена на триэтанолламин. Для обработки многослойной негативной пленки в цветной проявитель вводят 10 г/л в-ва с мол. в. ~ 80 000, получаемого действием окиси этилена на диэтиленоксидиламин. Введение I возможно в эмульсию, а также во вспомогательные или защитные слои. К. М.

**76246 П.** Способ визитирования фотографических материалов и удаления дефектных мест. Гаррисон, Херкок, Хорнер (Verfahren zur Prüfung von lichtempfindlichem photographischem Material und Entfernung der fehlerhaften Stellen. Harrison Geoffrey Bond, Hercock Robert James, Horner Reginald Geoffrey) [Ilford Limited]. Пат. ФРГ 927431, 9.05.55

Патентуется способ визитирования светочувствительных материалов при изготовлении их в виде непрерывной полосы или потока отдельных единиц и удаления обнаруживаемых при этом дефектных мест. Полоса или поток фотоматериалов проходит мимо места контроля, где движущийся материал освещается фотографически неактивным светом, действующим на сопряженно работающее и показывающее фотоэлектрич. устройство. Материал визитируется при помощи узкого пучка ИК-лучей, который колеблется поперек или под углом 45—135° к направлению движения материала, и после от его поверхности направляется на фотоэлектрич. устройство, чувствительное к ИК-лучам. Получаемый электрич. импульс используют для видимого или слышимого сиг-

нала или графич. регистрации, благодаря чему устанавливают наличие и местоположение различных дефектов в контролируемом материале. Видоизменения предложенного способа предусматривают усиление первичного импульса фотоэлемента, дополнительные устройства для дифференцированного определения различных видов брака, устройство для маркировки дефектных мест визитируемого материала, остановки движущейся полосы или потока материала для удаления дефектных частей его. Предложено несколько вариантов прибора для осуществления описанного способа контроля и дано их схематич. описание. К. М.

**76247 П.** Способ изготовления печатных форм. Вейде (Verfahren zur Herstellung von Druckformen. Weide Edith) [Agfa A.-G. für Photofabrikation]. Пат. ФРГ 910983, 10.05.54 [Chem. Zbl., 1955, 126, № 17, 4020 (нем.)]

Способ автоматич. изготовления печатных форм, при котором галодосеребряный слой экспонируют через оригинальное изображение, после чего экспонированное галодное серебро проявляют, а неэкспонированное — переводят в присутствии растворяющего в-ва путем диффузии при контакте в другой слой, состоящий из способного к задуванию коллоида. В этом слое галодное серебро проявляется, и образующееся позитивное изображение из металла. серебра обрабатывается отбеливающим р-ром, содержащим бихромат. В результате на месте серебряного изображения получают задубленный рельеф, который может быть применен в качестве печатной формы. К. М.

**76248 П.** Способ нанесения растворов шеллака для фототехнического получения шкал. Кроэ (Verfahren zum Auftragen von Schellacklösungen, die zur Herstellung von phototechnischen Teilungen bestimmt sind. Krohe Walter) [Dr. Bekk & Kaulen, Chemische Fabrik G. m. b. H.]. Пат. ФРГ 932646, 5.09.55

Для получения шкал с достаточной резкостью в глубокой травлении штрихов подложку из любого материала вертикально погружают в р-р шеллака, sensibilizированный солью хромовой к-ты, и медленно извлекают ее из р-ра, подвергая материал одновременно тепловому воздействию. Р-р должен содержать  $\geq 20\%$  шеллака (плотность не ниже 4° Bé), а скорость извлечения подложки из р-ра не должна превышать 1 м в 11 мин. В момент выхода из р-ра материал должен находиться при т-ре ~ 60° с тем, чтобы максимально предотвратить стекание р-ра шеллака. После высушивания материала печать, проявление и травление слоя для получения шкалы проводят обычным способом. С. Б.

**76249 П.** Матрицы на бумажной подложке для плоской печати (Coated paper-base planographic printing plates) [Warren Co., S. D.]. Англ. пат. 692387, 30.06.53

Патентуются печатные формы, на бумажную подложку которых нанесен поверхностный слой, содержащий нерастворимый гидрофильный связующий материал и высокодисперсный инертный минер. пигмент. Слой имеет капиллярные щели и поры, содержащие остатки после испарения водн. р-ров: а) соли поливалентного металла (Al, Cr, Fe, U или Zr) и б) соли щел. металла или аммония и к-ты (муравьиной или уксусной), способной образовывать водорастворимую соль с указанными поливалентными металлами. Р-ры солей могут быть нанесены последовательно в любом порядке или совместно на сухой гидрофильный слой или введены в состав слоя перед нанесением его на подложку. С. Б.

**76250 П.** Полутоновой растр. Монрой (Halftone screen. Monroy Johan F.) [Stichting Instituut Voor Grafische Techniek T. N. O.]. Пат. США 2719790, 4.10.55

Растр переменной плотности для фотомеханич. репродукции представляет собой слой прозрачного материала с соприкасающимися практически квадратными ячейками, оптич. плотность каждой из которых непрерывно

изменяется от максимума у одного конца диагонали до минимума — у другого. Направление изменения плотности одно и то же во всех ячейках. Каждая точка в ячейке имеет плотность, равную плотности соответствующих точек в других ячейках. Точки вдоль одной линии любой пары взаимоперпендикулярных линий, пересекающихся на этой диагонали и перпендикулярных к двум сторонам квадратной ячейки, имеют ту же плотность, что и соответствующие точки другой пары линий.

С. Б.

См. также: Фотографич. эмульсии 74474—74476. Сенсibilизаторы 74477, 74479. Замедлители вуалеобразования 74480. Проявители и проявление 74481.

### ДУШИСТЫЕ ВЕЩЕСТВА. ЭФИРНЫЕ МАСЛА. ПАРФЮМЕРИЯ И КОСМЕТИКА

76251. Эфирные масла, производящиеся в Австралии. Пенфолд, Уиллис (The essential oil industry of Australia. Extracts from an article. Penfold A. R., Willis I. L.), Austral. Timber J., 1955, 21, № 9, 825, 826, 829, 831, 833, 834, 837, 839, 840, 883, 885 (англ.) См. РЖХим, 1956, 11031.

76252. Производство камфоры и камфарного масла на Тайване перед второй мировой войной. Хирога (Camphor and camphor oil production, etc. in Formosa before world war II. Hirota Naonori), Perfum. and Essent. Oil Rec., 1956, 47, № 1, 17—22 (англ.)

76253. Лимонный котовник (*Nepeta cataria* L. var. *citriodora* Balb.) как цитральсодержащее сырье. — (Kocimietka cytrynowa (*Nepeta cataria* L. var. *citriodora* Balb.) jako surowiec cytrynowy.—), Biul. nauk, 1955, 1, № 3, 67—69 (польск.)

Рассмотрены различные виды сырья, которое может служить источником получения цитраля. Указано на перспективность применения в качестве цитральсодержащего сырья лимонного котовника.

С. В.

76254. Лимонный котовник как цитральсодержащее сырье. Оптимальные условия уборки. Богаевская, Павелчик (Kocimietka cytrynowa jako surowiec cytrynowy. Optymalne warunki zbioru. Rogajewska B., Pawelczyk E.), Biul. nauk, 1955, 1, № 3, 97—103 (польск.; рез. русс., нем.)

Исследованиями, проведенными в течение двух сезонов (1952 и 1953 гг.), установлено, что оптимальным сроком уборки лимонного котовника является начальный период цветения при времени уборки 11—16 час. Выход масла, полученного перегонкой с паром, достигает 0,99—0,995% от веса подсушенных листьев, содержание цитраля в масле ~14%, выход цитраля на 100 м<sup>2</sup> площади посева составляет 7,26 г. Константы полученного масла:  $d_{15}^{20}$  0,9752,  $n_D^{20}$  1,4740,  $[\alpha]_D^{20}$  —2,05° кислотное число 2,42.

С. В.

76255. Изучение масла из коры ливенницы. I. Фукус (カラマツ屬樹皮精油成分について. 第1報. 福土俊一), 鳥取農學會報, Тотори ногаку кайхо, Trans. Tottori Soc. Agric. Sci., 1955, 10, № 4, 26—29 (япон.; рез. англ.)

Изучено эфирное масло из коры ливенницы (*Larix kaempferi* и *L. dahurica* var. *japonica*). Найдено, что масло *L. kaempferi* ( $n_D^{20}$  1,4946,  $d_4^{20}$  0,8730) содержит 5% жирных к-т (в основном стеариновую и небольшое кол-во каприновой), масло *L. dahurica* ( $n_D^{20}$  1,4812,  $d_4^{20}$  0,8797) — каприловую и лауриновую к-ты.

Н. Л.

76256. Эфирное масло змееголовника тычиночного (*Dracoserphalum stamineum* Kar. et Kir.). Горьев М. И., Пугачев М. Г., Шабанов И. М., Изв. АН КазССР. Сер. хим., 1956, № 9, 55—60

Изучено эфирное масло (М) змееголовника тычиночного (*Dracoserphalum stamineum* Kar. et Kir.), собранного в стадии бутонизации. М после ректификации име-

ло слабый лимонно-желтый цвет, сильный лимонный запах, выход 0,4% на абсолютно сухое в-во (при влажности растения 80%),  $n_D^{18}$  1,4788;  $d_{20}^{20}$  0,899;  $[\alpha]_D^{20}$  —7,01°, кислотное число 1,2; эфирное число (ЭЧ) 109, ЭЧ после ацетилирования 210, 34. Запах М действует одуряющим образом на нервную систему, вызывает рвоту, головокружение и слабость, что дает повод предполагать наличие в составе М иона. Найдено, что М содержит (в %): цитраль 34,13, нераль 11,6, гераниол в свободном состоянии 22, гераниол в форме эфиров 13,35, азулены 1—2, следы линалола. М, несомненно, представляет промышленный интерес как источник цитраля и гераниола, а относительно короткий вегетационный период, нетребовательность к почвам и высокое содержание ценных душистых в-в указывают на его преимущество перед культивируемым змееголовником молдавским. М может служить также источником азуленов, находящихся применение в медицине.

Н. Л.

76257. Материалы к исследованию эфирных масел некоторых видов полыней. Горьев М. И., Серкбаева Т. Е., Игнатова Л. А., Шабанов И. М., Изв. АН КазССР. Сер. хим., 1956, № 9, 50—54

Исследован хим. состав эфирных масел (М) трех видов полыней, произрастающих в Казахстане. М из *Artemisia lessingiana* Bess., собранной в начале цветения, получено перегонкой с водяным паром из травы с влажностью 7,69%. Выход М 0,46% (на воздушно-сухое в-во),  $n_D^{20}$  1,473;  $d_{20}^{20}$  0,9337, кислотное число (КЧ) 4,17; эфирное число (ЭЧ) 23,3. М содержит карбонильные соединения — 54,4% (в том числе 43,8% камфоры), альдегиды, вероятно, метилгептенон, терпеновые спирты, фенолы и другие соединения, природа которых не определена. М из *A. persica* Boiss., собранной в стадии цветения, получено из воздушно-сухого материала (влажность 12%) с выходом 0,35%,  $n_D^{20}$  1,4675;  $d_{20}^{20}$  0,9293; КЧ 5,34; ЭЧ 55,28; ЭЧ после ацетилирования 121,24. Растворимость М в 70%-ном спирте 1:3,6, в 80%-ном 1:1,1, в 90%-ном — во всех отношениях:  $[\alpha]_D^{20} + 29,78^\circ$ , поверхностное натяжение 28,56 дн/см, вязкость при 20° 3,168 спуаз, 40° — 1,91 спуаз, 60° — 1,192 спуаз, 80° — 0,802 спуаз, 92° — 0,72 спуаз. Коэфф. объемного расширения  $\beta_{80-20} = 0,000875$ . М содержит (в %): d-а-пинен 7,2; борнеол 18,3; эфиры борнеола (в основном, борникапропрат) 25,5; камфен 14; фенолы 1,43, а также небольшие кол-ва терпеновых спиртов и карбонильных соединений, природа которых не определена. М из *A. arenaria* D. С. получено из травы в фазе цветения с влажностью 44%, выход 0,14% на абсолютно сухое в-во;  $n_D^{20}$  1,4183;  $d_{20}^{20}$  0,8692; КЧ 2,05; ЭЧ 28,4, число омыления 30,45. М содержит моноциклич. терпены (тра-плавления нитрозиита 157°) и, возможно, азуленобразующие сесквитерпены, дающие р-цию Сабетая.

Н. Л.

76258. Исследование эфирного масла *Artemisia santolinifolia* Turcz. (*A. sacrorum* var. *minor* Ledeb.). Горьев М. И., Круглыхина Г. К., Пугачев М. Г., Шабанов И. М., Изв. АН КазССР. Сер. хим., 1956, № 9, 33—42

Исследовано эфирное масло (М) полыни *Artemisia santolinifolia* (полыни сantoninolistной), собранной в стадии цветения. Выход М 0,22% на абсолютно сухое в-во, кислотность погонных вод 0,048% (в пересчете на СН<sub>3</sub>COОН). М имеет лимонно-желтый цвет, довольно приятный запах,  $n_D^{20}$  1,4695;  $d_{20}^{20}$  0,9342  $[\alpha]_D^{20} + 6,57^\circ$ , кислотное число 1,89; эфирное число (ЭЧ) 70,0; ЭЧ после ацетилирования 118,85, растворимость в спирте; в 70%-ном не растворимо, в 80%-ном 1:1 и в 90%-ном — во всех отношениях. Вязкость М (в спуазах): при 20° 6,41, 40° 3,12, 60° 1,91, 80° 1,24, 97° 0,83; поверхностное натяжение 28,32 дн/см; коэфф. объемного расширения  $\beta_{80-20} = 0,0008$ . Найдено, что М содержит 30% карбонильных соединений (в основном туйон), небольшое кол-во фенона (предположительно) и 3,7% камфоры.

13,2% свободных и 19,24% связанных в виде эфиров спиртов (в основном туйловый спирт), борнеол (2,3%) и, возможно, фенхильный спирт. В М имеются также небольшие кол-ва цинеола (~1%), органич. к-т (8%, в том числе муравьиная и изовалериановая к-ты), фенолоз (9%, в основном м-крезол), терпеновых углеводородов и азуденообразующих сесквитерпенов, природа которых не определена, а также альдегидов, выделить которые не удалось. М может служить источником туйона и туйлового спирта.

**76259. Исследование эфирного масла *Artemisia tomentella* Trautv.** Горьев М. И., Серкебаева Т. Е., Шабанов И. М., Изв. АН КазССР. Сер. хим., 1956, № 9, 43—49

Исследовано эфирное масло (М) полыни *Artemisia tomentella* Trautv. (полынь войлочно-опушенная), собранной в стадии цветения. М получено из свежей зеленой растительной массы с влажностью 58%, выход 0,147% на абсолютно сухой материал, кислотность погонных вод 0,0236% (в пересчете на  $\text{C}_8\text{H}_7\text{COOH}$ ). М представляет собой легкоподвижную светлую жидкость слегка зеленоватого цвета с очень стойким и малоприятным запахом;  $n_D^{20}$  1,4806;  $d_{20}^{20}$  0,8705;  $[\alpha]_D^{20}$  18,74°; не растворяется в 70—90%-ном спирте; кислотное число 8,26; эфирное число (ЭЧ) 45,3, ЭЧ после ацетилирования 132,5; поверхностное натяжение 27,52 дин/см; вязкость (в сантизах): при 20° 1,825, 40° 1,236, 60° 0,828, 80° 0,596, 97° 0,482; коэфф. объемного расширения  $\beta$  80—20° = 0,000842. Найдено, что М содержит до 26% углеводородов (в основном смесь 1-а- и -пиненов), 12,45% связанных спиртов в форме эфиров и 23,98% свободных спиртов, природа которых не установлена. В высших фракциях масла найдены в значительных кол-вах азуденообразующие сесквитерпены, которые при дегидрировании с селеном дают азуден голубого цвета, пикрат, т. пл. 119,5—121°. Выход азудена ~1%, считая на все масло. Хим. состав М имеет по физ.-хим. константам определенное сходство с маслами полыней, близких в систематич. отношении (*A. campestris*, *A. Marshalliana* и др.).

**76260. Химическое исследование эфирного масла лимонника.** Запотько Ф. Т., Материалы к изучению жень-шеня и лимонника, № 2, М.—Л., АН СССР, 1955, 97—99

Исследовано эфирное масло (М) лимонника, выделенное из семян, собранных в состоянии полной зрелости. Воздушно-сухие семена измельчают и разделяют на две части; из одной части получают методом экстракции натуральное М, которое параллельно со второй частью семян подвергают перегонке с паром при нормальном и пониженном давлении, при различном кол-ве подаваемого в единицу времени пара. Установлено, что при отгонке под вакуумом выход М резко понижается; более полный выход получается при таком кол-ве пара, когда накопление масла в приемнике заканчивается после 2—3 час. перегонки. Выход М из семян 2,6—2,9%, из натурального М в среднем 8,3%. М представляет собой зеленовато-желтую, легко подвижную жидкость со своеобразным запахом и горьковатым вкусом,  $n_D^{20}$  1,497;  $d_{20}^{20}$  0,9116;  $[\alpha]_D^{20}$  +11,52°; иодное число 169,7; эфирное число (ЭЧ) 31; ЭЧ после ацетилирования 43,65; кислотное число 0,4; растворяется в 15—15,5 ч. 90%-ного спирта, хорошо растворяется в органич. р-рителях и в безводн.  $\text{C}_2\text{H}_5\text{COOH}$ , не растворяется в  $\text{C}_2\text{H}_5\text{COOH}$ , содержащей 1% воды, и не застывает при 30°; М легко разрушается щелочами, относительно устойчиво к действию к-т. Качеств. р-ции указывают на отсутствие альдегидов, кетонов и ароматич. углеводородов. Свойства М меняются в зависимости от сырья, из которого оно получено (целые или измельченные семена, натуральное М и др.), и от длительности хранения (так как оно содержит легко окисляющиеся в-ва). М относительно

хорошо сохраняется в натуральном М и в семенах. Найдено, что для определения фармакологич. свойств М оно должно применяться свежеегоженным, с определенными константами и в форме натурального М, так как именно последнее содержит весь комплекс ценных составных в-в, в том числе и М в натуральном состоянии.

**76261. Технология получения масла лимонного котонника.** Часть I. Получение масла. Качмарек. Часть II. Опыты по ректификации масла и по получению цитраля. Дембицкая, Качмарек (Technologie olejku z kocimietki cytrynowej. Część I. Otrzymywanie olejku. Kaczmarek F. Część II. Próby rektyfikacji olejku oraz etrzymywania cytralu. Dębicka K., Kaczmarek F.), Biul. nauk, 1955, 1, № 3, 104—110; 111—115 (польск.; рез. русск., нем.)

Часть I. В лабор. и ползаводском масштабе (перегонный куб емк. 500 л) изучено влияние сушки лимонного котонника на выход эфирного масла. Установлено, что наилучший выход масла 0,126% на свежую массу (по лабор. опытам при когобации дистилляционных вод) или соответственно 0,095% в ползаводских условиях (без когобации вод) получается при переработке свежего или подсушенного в тени при  $t_{\text{ре}} \sim 20^\circ$  сырья. Сушка на солнце или с помощью ИК-лучей дает значительное (до ~93%) снижение выхода масла. Содержание масла в дистиллате при перегонке в ползаводских условиях в зависимости от степени сушки сырья и скорости гонки менялось от 0,087 до 0,125%.

Часть II. Масло, полученное в ползаводских условиях ( $d_{15}^{15}$  0,8943,  $n_D^{20}$  1,4880,  $[\alpha]_D^{20}$  —5,30°, кислотное число 3,75, число омыления 10,61, содержание альдегидов 18,88%), имеет лимонно-розовый запах с неприятным оттенком. Испытан ряд методов его очистки: 1) перегонка с паром; 2) дробная перегонка с паром после предварительного омыления спирт. р-ром KOH; 3) вакуум-перегонка после омыления; 4) выделение альдегидов обработкой бисульфитом натрия с последующей перегонкой в вакууме. Из первых трех способов наилучший результат по органолептич. оценкам дал метод 3: получена с выходом 14% фракция с запахом пальмарозового масла. При бисульфитной обработке выделено 13,7% смеси альдегидов, разогнанной в вакууме на две фракции (А и Б). А — т. кип. 110—116°/13 мм,  $d_{15}^{15}$  0,9600,  $n_D^{20}$  1,4980,  $[\alpha]_D^{20}$  +0,21°; Б — т. кип. 124—128°/13 мм,  $d_{15}^{15}$  0,9737,  $n_D^{20}$  1,4992,  $[\alpha]_D^{20}$  +0,61°. В А и Б показано наличие цитраля — семикарбазон т. пл. 153°, 2,4-динитрофенилгидразон т. пл. 95,5°.

**76262. Перегонные аппараты для перегонки эфирных масел с водяным паром.** Бласинский (Destylatory do destylacji olejków eterycznych z parą wodną. Błasinski H.), Przem. spożywczy, 1955, 9, № 5, 186—192 (польск.)

Рассмотрены вопросы теории перегонки с паром зернового эфиромасличного сырья. Приведены методы расчета: а) сопротивления прохождению пара; б) диффузии эфирного масла; в) теплопередачи от пара к сырью. Описаны конструкции периодически действующих перегонных аппаратов.

**76263. Химия цедрена и родственных соединений.** Мейо (The chemistry of cedrene and related compounds. Mayo P. de), Perfum. and Essent. Oil Rec., 1956, 47, № 4, 116—121 (англ.)

Обзор работ, посвященных строению, стереохимии и синтезу цедрена, цедрола и родственных им соединений. Библ. 17 назв.

**76264. α-Фелландрен и его перекиси.** Блуман (Alpha-phellandrene and its peroxides. Blümann A.), Perfum. and Essent. Oil Rec., 1956, 47, № 4, 128 (англ.)

Обзор данных о перекисях фелландрена. Указано на вероятность их присутствия в продажном фелландрене.

**76265. Рецептатура аромата малины. Джейкобс** (Raspberry flavor formulation. Jacobs Morris B.), Amer. Perfumer and Arom., 1956, 67, № 1, 49—50, 56 (англ.)

Описаны отдельные компоненты и приведены рецептуры отдушек, имитирующих аромат малины. Г. М.

**76266. Скорость испарения духов и одеколонов как критерий стойкости запаха. Войткевич С. А., Осипова В. П., Рейнгач Б. Я., Масл.об.-жир. пром-сть, 1956, № 2, 21—25**

Разработан метод определения скорости испарения духов (Д) и одеколонов с ткани при подаче жидкости к поверхности испарения за счет капиллярных сил. Испарение ведется из испарителя спец. конструкции в аэродинамич. трубе (Масл.об.-жир. пром-сть, 1952, № 10, 22) при 35°, скорости воздуха 2 м/сек и поверхности испарения 20 см<sup>2</sup>. Навеска Д 2 г, одеколона 7 г; длительность испарения 6—11 час. Абс. ошибка определений  $\pm 2,5\%$ . Определены скорости испарения 18 наименований Д и 14 одеколонов при одновременной органолептической оценке запаха остатка жидкости на ткани. Установлено, что наиболее стойкие по запаху Д имеют малую скорость испарения и сохраняют характерный запах после испарения значительной части композиции. Разработанный метод рекомендуется для сравнительной оценки стойкости запаха: а) парфюмерных жидкостей, имеющих подобный состав и одинаковое направление запаха; б) данного сорта Д или одеколонов по сравнению с эталоном; в) при изучении влияния на стойкость запаха Д различных настоев, смол и т. п. Приведены примеры замедления испарения Д («Гвоздика», «Белая ночь», «Крымская фиалка»), при введении цетилового спирта, бензойной смолы, парафина. С. В.

**76267. Химические реакции в косметических изделиях. Рюмеле** (Chemische Reaktionen in kosmetischen Erzeugnissen. Ruehle T.), Prakt. Chem., 1956, 7, № 3, 87—88 (нем.)

Обсуждаются хим. р-ции, протекающие в косметич. изделиях. Отмечается, что при составлении косметич. смеси (КС) необходимо наблюдать за хим. процессом, происходящим между отдельными ее компонентами, так как КС может быть несмешиваема, иметь непригодную среду, взрывоопасна. Указывается на непригодность некоторых смесей компонентов (напр., формалин-перекись водорода), и усиление бактерицидности H<sub>2</sub>O<sub>2</sub> в смеси с фосфорной, борной, бензойной к-тами и основными ацетатами алюминия. Отмечается, что аммиак, щелочи и бура разлагают хлоргидрат, содержащийся в туалетной воде для волос, крема в щел. среде могут образовывать белый осадок аммиачного соединения хлорида ртути. Особенно осторожно следует вводить в КС окислители (хлораты, броматы, иодаты), при смешении которых с серой или сернистыми соединениями образуются взрывчатые соединения. Перекись натрия в соприкосновении с алюминием может взрываться, при взаимодействии иода и аммиака получается взрывчатое соединение. Эфирные масла могут давать взрывчатые смеси с солями хрома, иодом, серной и азотной кислотами. Е. Ш.

**76268. Воска в косметике. Ивановский** (Wax and the cosmetic chemist. Ivanovsky L.), J. Soc. Cosmetic Chemists, 1955, 6, № 2, 130—139 (англ.)

Лекция, прочитанная в Американском обществе химиков-косметологов в январе 1955 года. Обсуждается понятие «воск» (В) с хим. и физ. точек зрения. Отвергается хим. определение В и предлагается классификация В, основанная на их физ. структуре. Приводится прежнее определение масел, жиров, В и смол и их новое определение, основанное на современных воззрениях. Рассматривается сходство и различие В и родственных им материалов. Излагаются современные воззрения на анализ и оценку В. Н. З.

**76269. Молоко и его производные в косметике. Д'Атен** (Il latte ed i suoi derivati in cosmetologia. D'Atène Jean), Riv. ital. essenze profumi, piante offic., olii veget., saponi, 1954, 36, № 11, 594—595 (итал.)

См. РЖХим, 1955, 20011.

**76270. Пергидросквален. Сабете** (5 years of perhydrosqualene. Sabetay Sebastien), Soap, Perfum. and Cosmetics, 1955, 28, № 10, 1125—1127 (англ.)

См. РЖХим, 1956, 41145.

**76271. Косметические лосьоны. Хилфер** (Make-up lotions. Hilfer Harry), Drug and Cosm. Ind., 1956, 78, № 2, 172—173, 273—274 (англ.)

**76272. Лак для ногтей и жидкость для снятия лака. Швейсхеймер** (Nagellacke und Nagellack-Entferner. Schweisheimer W.), Seifen-Öle-Fette-Wachse, 1956, 82, № 8, 189—190 (нем.)

Обсуждается состав лаков для ногтей и жидкостей для снятия лака. Приводится рецептура приготовления лаков, перечень применяемых р-рителей, «мягчителей», смол и указывается на их значение для качества лака. Отмечается, что двуокись титана в кол-ве 3—8% в смеси с лакокраской следует вводить тонкоразмельченной и в смеси с окисью железа. Добавка парфюмерной отдушки для высокосортных лаков составляет 1—4%. В качестве жидкостей для снятия лака применяются р-рители, к которым может быть добавлено касторовое масло, предохраняющее ногти от обезжиривания. Е. Ш.

**76273. Адсорбция мыла на коже. Рамзи, Джонс** (The adsorption of soap on the skin. Ramsay Alastair G., Jones Kenneth K.), Brit. J. Dermatol., 1955, 67, № 1, 1—4 (англ.)

Установлено, что при мытье водой с мылом на коже образуется адсорбционный слой мыла, который через 25—60 мин. превращается в слой свободных жирных к-т, крепко связанных с кожей. Это приводит к неправильному определению кол-ва жиров на коже и может вызвать ее заболевания. Мытье одной водой или спиртом не изменяет нормального липоидного слоя кожи. И. В.

**76274. Анализы в косметике. Велон** (Analysis in cosmetology. Velon Pierre), Internat. Perfumer, 1955, 5, № 11, 14—15; № 12, 6 (англ.)

Обзор. Библ. 46 назв. См. РЖХим, 1956, 8060. Н. Л.

См. также: Эфирные масла, состав 76831, 76832; 22218Бх, 22219Бх, 22258Бх.

## КАУЧУК НАТУРАЛЬНЫЙ И СИНТЕТИЧЕСКИЙ. РЕЗИНА

**76275. Исследование электрофоретического отложения каучука для получения электрической изоляции. IV, V, VI. Электрофоретическое отложение каучука из латексной смеси. VII. Связь между диэлектрической прочностью вулканизата, полученного электроотложением и условиями анодного отложения. Иннума** (電気絶縁材料としての電着ゴムに関する研究. 第 4, 5, 6 報. ゴム配合剤を含むラテックス電着液よりのゴム電着. 第7報. 加硫電着ゴムの絶縁耐力と電着条件との関係. 飯沼義雄), 電気化学, Дэнки кагаку, J. Electrochem. Soc. Japan, 1953, 21, 74—75, 129—132; 1954, 22, № 5, 225—228; № 6, 300—302 (япон.; рез. англ.)

IV, V. Исследовалось влияние ряда переменных на электроотложение каучука. Важнейшим фактором для получения однородного отложения является поддержание кажущейся скорости переноса, близкой к постоянной. Введение в латексную ванну р-ра электролита приводит к увеличению электропроводности и к нежелательному уменьшению выхода каучука по току. Полученный продукт при этом легче становится твердым и

метике.  
ologia.  
riante  
4—595of per-  
Per-  
(англ.)ake-up  
1956,  
лака,  
Entfer-  
Wach-коостей  
влияния  
гелей,  
лака,  
в сме-  
ченной  
от  
1—4%.оровое  
Е. Ш.  
жонс  
Ala-  
matol,лаже  
через  
кирных  
непра-  
может  
из спир-  
ки.  
И. В.  
ysis in  
rflumer.

Н. Л.

76832;

КИИ.

ожения  
ни. IV,  
ука из  
ической  
тложе-ума  
4, 5, 6  
а. 電  
保. 飯  
oschem.  
№ 5,ных на  
для  
держа-  
стояни-  
та при-  
желде-  
Полу-  
дым

хрупким. Это вредное влияние меньше в случае введения р-ра  $\text{Na}_2\text{S}_2\text{O}_3$  или  $\text{NaCl}$ . Кол-во каучука, отлагающегося на единице поверхности электрода, пропорционально плотности тока на этом электроде. Выход по току уменьшается с увеличением плотности тока и продолжительности отложения. Содержание влаги в отложении возрастает с конц-ией и кислотностью ванны и плотностью тока.

VI. Исследовалась возможность получения резины методом электроотложения из латексной ванны следующего состава (в вес. ч.): каучук 100, S 0.5—1.0, казеин (10%) 0.5—1.0, ускоритель 0.2—0.8, формалин (38%) 6.0—6.5, 20%-ный р-р тиосульфата 8—10, содержание сухого в-ва 37—45%, pH 8.5—9.0 или 9.5—10.0. Оптимальные условия отложения: рабочее напряжение 10—20 в, плотность тока 1—2 а/дм<sup>2</sup>, продолжительность 60—150 сек, т-ра 20—25°. После отложения рекомендуется сушка 60—120 мин. при 60—70° или 30—50 мин. при 70—80°. Вулканизация 15—20 мин. при 80—90°. Сопротивление разрыву достигает 360 кг/см<sup>2</sup>, относит. удлинение 1290%. После старения, соответственно, 170 кг/см<sup>2</sup> и 1100%.

VII. Диэлектрич. прочность (ДП) увеличивается с возрастанием конц-ии каучука в ванне при сохранении pH 9.0—10.0. Близкая к постоянной кажущаяся скорость переноса частиц каучука обеспечивает однородность и высокую ДП вулканизата. ДП возрастает с уменьшением скорости переноса (при сохранении последней постоянной). ДП вулканизата, полученного из латексной ванны конц-ией 40% с pH 10.5 (условия наиболее низкой скорости переноса), ~57.0 кВ/мм (при толщине 0.2 мм). Легко достигается ДП 40—46 кВ/мм для вулканизата толщиной в 0.2—0.26 мм при отложении из ванны конц-ией 37—45% с pH 9.5—10.0 или 8.5—9.0. Части I, II и III см. Дэнки кагаку, J. Electrochem. Soc. Japan, 1952, 20, 433—438; 438—441; 566—567.

Н. П.  
76276. Микробиологическое разрушение резиновых изоляций. Блейк, Китчин, Прайт (The microbiological deterioration of rubber insulation. Blake John T., Kitchin Donald W., Pratt Orison S.), Appl. Microbiol., 1955, 3, № 1, 35—39 (англ.)

Различают 2 типа разрушения: образование видимых язвочек (только в резинах из НК) и образование микропич. пор, характерное как для НК, так и для СК. Последнее явление исследовалось на резиновых трубках, внутри которых помещался агар-агар. Поверхность трубки стерилизовалась. После длительной выдержки в почве внутри трубки было обнаружено присутствие микроорганизмов (гл. образом *Spicaria violacea* Abbott). Изоляция из неопрена более стойка, чем из GR-S. Полиэтилен, полихлорвинил и силикон полностью устойчивы против действия бактерий.

А. Л.  
76277. Покрyтия на основе циклокаучука. Пфистер (Anstrichstoffe auf Basis von cyclisiertem Kautschuk. Pfister F.), Chem. Rundschau, 1956, 9, № 5, 93—95 (нем.)

Циклокаучук (I), пригодный для покрытий, поставляется в твердом виде или в виде 50—60%-ного р-ра в бензине. I высокоплавкая, прочная твердая смола (мол. вес. ~ 5000), уд. в. 1.0, кислотное число 0—5, вязкость при 20° в бензине (1:1) 20 пуаз. I менее хрупок, чем модифицированные фенольные или малиновые смолы, легко воспринимает пигменты, более тепло- и погодоустойчив, чем хлоркаучук. Кроме неограниченного растворения в бензине, растворяется в скипидаре, ксилоле, толуоле, тетралине и циклогексаноне; нерастворим в спирте, этилгликоле, метилэтилкетоне; последние можно добавлять в малых кол-вах как разбавители. Для получения эластичных пленок I рекомендуется смешивать с маслами, алкидными смолами, вводить пластификаторы, главным образом, неомыляемые хлорированные в-ва, такие как дифенил, нафталин и т. д. I обла-

дает высокой хим. стойкостью. При пониженных требованиях к хим. стойкости покрытия можно вводить омыляемые пластификаторы. I рекомендуется для покрытия машин и аппаратов, защиты от коррозии и атмосферных воздействий, в качестве водоустойчивых покрытий на текстильных и бумажных ф-ках, для бассейнов, лодок и судов, неомыляемых покрытий бетона, для уличных знаков и т. д. Покрытия могут наноситься различными способами.

M. M.

76278. Новейшие успехи в исследовании синтетического каучука. Гао Го-цзин (合成橡膠及其近期的發展. 高國經), 化學通報, Хуасюэ тунбао, 1955, № 9, 521—532 (кит.)

76279. Синтетический «натуральный» каучук. «Коралловый» каучук — *цис-1,4*-полиизопрен. Стэйвли (Coral rubber — a *cis-1,4*-polyisoprene. Stavelly F. W.), Industr. and Engng Chem., 1956, 48, № 4, 778—783 (англ.)

Фирмой Firestone Tire and Rubber Co. получен синтетический *цис-1,4*-полиизопрен (I), названный «коралловым» каучуком из-за внешнего сходства с кораллом. I получается при ионной полимеризации изопрена (II) с Li. II тщательно очищается кипячением над Na 4 час., перегоняется и пропускается через колонку, заполненную кремнеземом. Все операции производятся в строгой изоляции от воздуха и влаги. Катализатор — 35%-ная дисперсия Li в вазелине или петролатуме (уд. поверхность 1 м<sup>2</sup>/г), полученная диспергированием расплавленного под слоем вазелина Li в атмосфере He. Дозировка катализатора — 0.1 ч. на 100 ч. II. Проводилась полимеризация на опытной установке в паровой фазе при 60—80° и в жидкой фазе при 40—50°. I заправляется триметилдигидрохинолином в изопропиловом спирте, освобождается от Li при помощи  $\text{CH}_3\text{COOH}$ , промывается водой и высушивается при 50°. Готовый I менее светостоек, чем НК, но превосходит его по термостойкости. По абсолютной величине мол. веса (669000 отстич.) и его распределению I аналогичен НК. Методами ИК-спектров и озонирования показано, что I имеет структуру *цис-1,4* и содержит незначительное кол-во структур 3,4, 1,1 и 4,4. Рентгенограммы растянутого I и НК идентичны. При растяжении на 1000% I кристаллизуется на 25%. Нерастянутый I кристаллизуется медленнее НК. Непредельность I — 98%, 94,3% двойных связей находится в главной цепи. Смеси из I легко каландруются, т-ру валков рекомендуется поддерживать 70—100°. Сопротивление разрыву ненаполненных вулканизатов из НК и I приблизительно одинаково, но последние имеют более низкие модули и более высокое относит. удлинение. Смеси из I, содержащие 35 ч. сажи ЕРС или 50 ч. сажи HAF, имеют невысокое внутреннее трение, так же как и смеси из НК, и сохраняют свои свойства при повышенной т-ре. Покрyшки, изготовленные полностью из I, имеют ходимость 95% по сравнению с ходимостью покрyшек из НК и менее подвержены растрескиванию протектора.

И. Т.

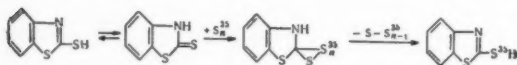
76280. Синтетический «натуральный» каучук. Америк. пол SN — *цис-1,4*-полиизопрен. Хорн, Кил, Шипман, Фолт, Гиббс, Вильсон, Ньютон. Рейнхарт (Synthetic «natural» rubber. Ameripol SN — a *cis-1,4*-polyisoprene. Horne S. E., Jr, Kiehl J. P., Shipman J. J., Folt V. L., Gibbs C. F., Willson E. A., Newton E. B., Reinhart M. A.), Ind. Engng Chem., 1956, 48, № 4, 784—791 (англ.)

Фирмой Goodrich Co. получен синтетич. *цис-1,4*-полиизопрен (I), на катализаторе Циглера, названный Америк. пол SN. По данным ИК-спектров, содержание структуры 1,2 в I менее 1%, содержание структуры 3,4 — несколько больше, чем в НК. Транс-форма в I не может быть обнаружена спектральным методом (чувствительность 10%). Методом фазоконтрастной микроскопии показано, что содержание транс-формы в I менее 2%, кроме того,

возможно наличие изопреновых групп в транс-положении. Из рентгенографич. данных скорость кристаллизации нерастянутого I при  $-26^\circ$  значительно ниже, чем НК. Рентгенограммы ненаполненных вулканизатов из I и НК при растяжении 1000% полностью идентичны. Т. стекл. I  $-70^\circ$ . Вискозиметрич. мол. вес (в толуоле), осмотич. мол. вес и параметр Хаггинса равны соответственно: для I, содержащего 6,3% геле-фракции: 658600, 230000, 0,398; для низкомолекулярного I: 135000, 77200, 0,406; для светлого крепа, вальцованного: 157000, 118700, 0,431; невальцованного 2126000, 838000, 0,434. Пониженные значения параметра Хаггинса у I по сравнению с НК указывают на большую степень сольватации молекул I. Наиболее эффективными противокислителями I при  $100^\circ$  является сим-ди-3-нафтил-п-фенилендиамин (эджрайт белый) и 2,5-ди-трет-бутилгидрохинон (сантовар О) или их комбинация. I рекомендуют пластицировать при  $t$ -ре  $\sim 80^\circ$ . Смещение I осуществляется в резинесмесителе. Смеси легко каландруются и шприцуются. Отсутствие в I естественных противостарителей, белков и жирных к-т необходимо компенсировать добавкой соответствующих ингредиентов. Физ.-мех. свойства ненаполненных и наполненных (каркасные или протекторные резины) вулканизатов из I и НК почти одинаковы. При станочных испытаниях до разрушения каркаса ходимость покрышек  $11.00 \times 20$  из НК и I одинакова, причем последние обнаруживают лучшее сопротивление надрезу. При дорожных испытаниях индекс износа протектора для покрышек из I составляет 85% от индекса для НК.

И. Т. 76281. Механизм обмена серы с ускорителями вулканизации каучука. Блох Г. А., Голубкова Е. А., Миклухин Г. П. В кн.: Проблемы механизма органических реакций. Тр. Киевск. совещания 2—5 июня 1952 г. (Отд. физ.-матем. и хим. наук АН УССР), Киев, Изд-во АН УССР, 1953, 339—348

Предложен механизм процесса ускорения вулканизации каучука тиазольными ускорителями, по которому последние образуют с S промежуточные соединения. Распад этих соединений приводит к обмену атомов S ускорителя. Вулканизирующую роль выполняет выделяющаяся химич. активная S. Р-ция между 2-меркаптобензотиазолом (каптаксом) (I) и радиоактивным изотопом  $S^{35}$  в слыве при  $145^\circ$ ,  $150^\circ$  и  $154^\circ$  и в каучуке в условиях глубокой вулканизации приводит к активному I, что говорит о наличии изотопного обмена между сульфидрильной S I и элементарной S. В каучуке эта р-ция замедляется вследствие уменьшения конц-ии реагирующих в-в и частичного связывания S каучуком. При  $100^\circ$  обмен не происходит. При проведении процесса в кумольном р-ре при  $148^\circ$  р-ция обмена замедляется. 2-аминобензотиазол и 2-метилбензотиазол не обменивают S, что подтверждает отсутствие обменной способности у S тиазольного кольца. Возможная схема р-ции изотопного обмена S для I:



Неспособный к таутомеризации 2-бензилмеркаптобензотиазол не обменивает S, что подтверждает предложенный механизм. При обработке каучука тетраметилтиурамдисульфидом (II) и  $S^{35}$  получают активную диметилдитиокарбаминную к-ту (III). При нагревании радиоактивного I и II получают активную III, что говорит об обмене атомами S между I и II.

Е. К. 76282. Масла для введения в синтетический каучук, полученный из нефти. Индо (石油系ゴム用配合油. 印藤英次郎), Япон. Гому Кэкайси. J. Soc. Rubber Ind., Japan, 1956, 29, № 2, 98—104 (япон.) Обзор. Библ. 32 назв.

76283. Характеристика саж. Роль шероховатости поверхности и пористости. Данненберг, Бонстра (Performance of carbon blacks. Influence of surface roughness and porosity. Dannenberg E. M., Bonstra B. B. S. T.), Industr. and Engng. Chem., 1955, 47, № 2, 339—344 (англ.)

Исследовалось влияние величины уд. поверхности печной сажи и пористости ее частиц на свойства резины. Пористые сажи с высокой уд. поверхностью без изменения размера частиц получались или непосредственно при обычном процессе изготовления печных саж, или в лаборатории окислением воздухом непористой сажи с высоким сопротивлением истиранию типа «НАГ» при  $400-450^\circ$ . Дана колич. зависимость скорости вулканизации и других свойств резиновых смесей от величины уд. поверхности сажи. Для резиновых смесей с сажами, полученными непосредственно при печном процессе и имеющими высокую уд. поверхность, характерна замедленная скорость вулканизации, пониженная эластичность по отскоку и высокая электропроводность. Для резиновых смесей с сажей, полученной в лаборатории, характерна замедленная вулканизация; электропроводность и эластич. свойства мало зависят от пористости и уд. поверхности сажи. Измерения «связанного» каучука, модуля, прочности и истирания указывают на улучшение усиливающих свойств сажи, окисленной в лаборатории с увеличением ее уд. поверхности. Характерным для таких саж является значительное увеличение уд. поверхности в связи с образованием тонких пор на поверхности, без практически заметного уменьшения геометр. размера частиц сажи. Приведена ф-ла для расчета величины уд. поверхности сажи в зависимости от убыли веса в процессе ее окисления.

М. П. 76284. Термические проблемы при вулканизации каучука. I. Практический метод расчета теплопроводности при вулканизации каучука. II. Применение теоретического уравнения для расчета теплопроводности при вулканизации шин. Кубота, Гоми. III. Эквивалентная вулканизация. Кубота (ゴムの加硫の際の熱の問題. 第1報. ゴム加硫中の熱傳導の取扱ひ方. 第2報. 理論式のタイヤ加硫中の熱傳導への應用. 久保田威夫, 五味正彦, 第3報. 等價加硫の考へ方. 久保田威夫), Япон. Гому Кэкайси, J. Soc. Rubber Ind., 1955, 28, № 6, 333—342; 342—346; 347—351; 387—388 (япон.; рез. англ.)

Предложен теоретич. метод определения зависимости т-ры внутри изделия от времени при вулканизации массивных резиновых изделий. Решено основное ур-ние для одномерной задачи теплопроводности при условии: изделие имеет форму однородной толстой пластины с теплоемкостью  $c$ , плотностью  $\rho$ , коэфф. теплопроводности  $k$ . Скорость теплопередачи от источника нагрева к изделию бесконечно велика, тепловой эффект р-ции каучука с S незначителен.  $\theta'$  — начальная т-ра изделия,  $\theta_i$  — т-ра поверхности нагрева с одной стороны изделия,  $\theta_e$  — т-ра поверхности нагрева с другой его стороны. Для избранной точки внутри пластины с координатой  $x$  решение имеет вид:

$$\theta = \theta_i + (\theta_e - \theta_i) x/a + 2(\theta_e - \theta_i) / \pi \sum_{s=1}^{\infty} [(-1)^s / S] \times \\ \times \exp(-S^2 \pi^2 a t / a^2) \sin S \pi x / a + 4(\theta' - \theta_i) / \pi \sum_{s=0}^{\infty} [1 / \\ / (2S + 1)] \exp[-(2S + 1)^2 \pi^2 a t / a^2] \sin (2S + 1) \pi x / a,$$

где  $a$  — толщина изделия,  $t$  — время. Полученное ур-ние применено для расчета повышения т-ры при вулканизации шин. Предложена методика расчета эквивалентного времени вулканизации, т. е. времени, потребного для обеспечения той же степени вулканизации при данной

постоянной т-ре, которая определяется из полученной зависимости.

И. Т. 76285. Температурные коэффициенты вулканизации. Лоуэнштейн, Роллинс (Temperature coefficients of vulcanization. Lowenstein J. G., Rollins J. H.), Rubber Age, 1956, 78, № 4, 543—546 (англ.)

Время вулканизации ( $\theta_2$ ), необходимое для достижения оптимума при т-ре, отличающейся от первоначальной на  $\Delta t$ , рассчитывается по ф-ле:  $\theta_2 = \theta_1 C^{-\Delta t/10}$ , где  $\theta_1$  — первоначальное время вулканизации,  $C$  — температурный коэфф. вулканизации. Значения  $C$  для НК, пербуна, неопрена, GR-S, Хайкара 1001 и GR-J равны соответственно 2,34; 2,07; 1,94; 1,91; 1,81 и 1,67. Составлены номограммы для определения  $\theta_2$  при вулканизации указанных каучуков. Результаты определения  $\theta_2$  по номограммам и по ф-ле различаются на 1%.

И. Т. 76286. Исследование ускорителей вулканизации. 42, 43, 44. Ускорители замедленного действия. VII. Влияние количества серы на N-циклогексилбензотиазол-2-сульфенамид. VIII. Влияние глета на N-циклогексилбензотиазолсульфенамид в присутствии другого ускорителя. IX. Совместное действие N-циклогексилбензотиазол- $\alpha$ -сульфенамида и других ускорителей. Каванока, Ода (加硫促進劑の研究. 第42, 43, 44 報. 遲滯性促進劑の研究. 第7報. サンセラー CM に対する硫黄の量の影響. 第8報. 二次促進劑を使用した場合のN-シクロヘキシル. ベンゾ. チアゾール. スルフエン. アマイド 第9報. N-クロ. ヘキシル. ベンゾチアゾール-2-スルフエンアマイドと他の促進劑との併用効果. 河岡豊, 小田英夫), Япония, 1954, 27, № 6, 372—376, 421; № 11, 738—740; 1955, 28, № 7, 408—414, 453—454 (япон.; рез. англ.)

VII. VIII. Исследовалось влияние ускорителя сульфенамидного типа (N-циклогексилбензотиазол-2-сульфенамида) (I) на физ.-мех. свойства резины при различных дозировках S (1,25—2,5 вес. ч.) как при самостоятельном применении, так и в комбинациях с дифенилгуанидином (II), тетраметилгурамдисульфидом (III) и глетом (IV). I уменьшает преждевременную вулканизацию, является активатором III. IV служит активатором для I. С точки зрения прочности и цены резины, а также опасности преждевременной вулканизации удовлетворительные результаты дает комбинация I, II и IV.

З. Т. IX. Комбинация I с гексаметилентетрамином (0,5:0,1 и 0,4:0,2), аналогично применению одного I, устраняет преждевременную вулканизацию смесей. Сопrotивление разрыву и модули при этом повышаются. Применение комбинации I с альтаком (0,3:0,5 или 0,2:0,5) повышает скорость вулканизации и сопротивление разрыву, но дает меньшее плато. Комбинация I с альтаком и гексаметилентетрамином активнее, чем комбинация I, только с альтаком, дает не выцветающие вулканизаты и обеспечивает широкое плато вулканизации.

И. Т. 76287. Разъяснения к проекту изменений стандарта DIN 7711. Эбонит. Технические условия при поставке. Титце (Hartgummi. Technische Lieferbedingungen. Norm-Entwurf August 1954, DIN 7711 (mit Erläuterungen von Titze A.), DIN-Mitt., 1954, 33, № 10, 432—433 (нем.))

По сравнению со стандартом DIN 7711 (февраль 1937 г.) внесены следующие изменения: уменьшено число групп эбонита, повышена теплостойкость группы 6, изъяты некоторые малохарактерные показатели, изменены стандартные величины хрупкости и теплостойкости групп 1—3, исправлено миним. значение диэлектрич. постоянная.

А. Л. 76288. Каучук из отходов. Мараховский М., Захаров Н., Пекарская Г., Промысл. кооперация, 1956, № 2, 25

Получаемые при изготовлении обуви отходы картона, проклеенного синтетич. латексом ДВХБ-70, сортируют, измельчают и обрабатывают 10%-ным р-ром NaOH (4—5 час. при 60—70°) или ~70% H<sub>2</sub>SO<sub>4</sub> (4—5 час. при ~20°). Регенерированный каучук нейтрализуют, промывают и сушат до содержания влаги ≤ 4%. Наряду с обычными свойствами невулканизованного каучука, он обладает стойкостью к органич. р-рителям и может быть использован для изготовления маслястой обуви, как заменитель дибутилфталата при пластикации полихлорвинила и для приготовления заменителей кожи для шорно-седельных изделий. Может быть превращен в дисперсию, не уступающую в качестве проклеивающего материала исходному ДВХБ-70.

В. К. 76289. Регулирование температуры плит пресса с паровым обогревом. — (Régulation de température de plateaux de presse chauffés à la vapeur.), Rev. gén. caoutchouc, 1955, 32, № 10, 886—888 (франц.; рез. нем., исп., итал.)

76290. Крепление резины к металлам. Берендс, Берендс (Estudos de adesão de borracha a metais. Behrends Frederico L., Behrends Adeline R.), Rev. brasileira quim., 1955, 40, № 238, 328, 330, 339 (порт.)

76291. Об электроизоляционных материалах. Сири-мацу (電気絶縁材料について. 白松豊太郎), Япония, Япония, 1955, 28, № 3, 155—161 (япон.)

Краткий обзор электроизоляционных материалов на основе полихлорвинила, полиэтилена, неопрена, полиизопрена, бутылкаучука, GR-S, хайпалона, силиконового каучука, фтор-каучуков и др. Библ. 39 назв.

Ц. Ч. Д. 76292. Прорезиненные ткани. Гиртаннер (Gummierte Stoffe. Girtanner V.), Textil-Rundschau, 1955, 10, № 3, 105—113 (нем.)

Обзор произ-ва одно- и двусторонне прорезиненных и дублированных тканей для непромокаемых плащей, палаток и т. п. Указано на применение для этих целей грунтово-важных станков, шпединг-машин, каландров, вулканизации в термокамерах, на машине Берсторфа, а также холодной вулканизации хлористой серой. Смесей для покрытия тканей готовятся не только из НК и различных СК, но широко используется полихлорвинил, полиизобутилен и др. Кратко описан патент изготовления плащевых материалов с порами (получаемыми за счет введения в бензиновые р-ры большого кол-ва осажденного мела с ограниченной влажностью), достаточными для проникновения пара, но не пропускающими капли влаги.

М. М. 76293 П. Способ стабилизации конъюгированных диеновых каучуковых полимеров. Хантер (Verfahren zum Stabilisieren von konjugierten Dien-Kautschuk-Polymerisaten. Hunter Byron Alexander) [United States Rubber Co.]. Пат. ФРГ 924532, 3.03.55

Для стабилизации сополимеров бутадиена и стирола или бутадиена и акрилонитрила, либо их водн. дисперсий, применяют небольшое кол-во трифенилфосфита, в котором в каждое бензольное кольцо введены 1—2 алкильные группы, с ≥ 8 атомами С, напр. три-(октилфенил)-, три-(нонилфенил)-, монооктилфенил-ди-(нонилфенил)- или три-(додецилфенил)-фосфит. Пример: к 100 г арилфосфита, очищ. от следов кислот примесей, добавляют 4 г олеиновой к-ты. Эту смесь, нагретую до текучей консистенции, при сильном перемешивании приливают к шел. мыльному р-ру из 394 г воды, 1,35 г NaOH и 0,65 г олеиновой к-ты. Такие эмульсии устойчивы свыше 10 дней. Добавленные к водн. дисперсии бутадиенстирольного каучука, из расчета 1,5 ч. арилфосфита на 100 ч. каучука, придают устойчивость при 60° до 78 час. (без флоккуляции): высаженный промытый и высу-

шенный полимер не оседает в термостате при 130° в течение 4 час. Наилучшие результаты получены со смесью октил- и нонилфенилфосфитов.

**М. М. 76294 П.** Способ вулканизации бутилкаучука. Шейфер, Браффорд (Verfahren zum Vulkanisieren von Butylkautschuk. Schaefer William Edward, Brafford Donald Arthur) [United States Rubber Co.]. Пат. ФРГ 935283, 17.11.55

Для ускорения вулканизации диметилфенолом (в частности, 2,6-диметил-4-алкилфенолом) (0,2—20 ч. на 100 ч. каучука) применяют хлорсульфированный полиэтилен (1—10 ч. на 100 ч. каучука). Вулканизацию ведут 5 мин.—3 часа при 93—204°. Пример: бутилкаучук (с 2,5% изопрена) 100 вес. ч., усиливающая печная сажа 60 вес. ч., стеариновая к-та 1 вес. ч., фенольная смола (из 1 моля *p*-октилфенола, 2 молей формальдегида и 1 моля NaOH при тщательной нейтр-ции щелочи после конденсации) 12 вес. ч., каучукоподобный хлорсульфированный полиэтилен (мол. в. 30000; содержание Cl ~ 28%, S 1,5%, большая часть Cl в виде SO<sub>2</sub>Cl находится в цепи; 1 атом Cl на 6—7 атомов S и одна группа SO<sub>2</sub>Cl на 90—130 атомов S) 5 вес. ч. Из смеси формируют варочную камеру и вулканизуют 30 мин. при 177°. Камера обладает большой долговечностью.

**М. М. 6295 П.** Вулканизуемая масса для получения силоксанового каучука. Уоррик (Vulkanisierbare Masse zur Herstellung von Siloxan-Kautschuk. Warrick Earl Leathen) [Dow Corning Corp.]. Пат. ФРГ 935284, 17.11.55

Применяют легко формуемый силоксановый каучук в виде геля или жидкости с вязкостью  $\geq 5000$  сст при 25°, со степенью замещения 1,95—2,05 органич. радикалов на 1 атом Si (радикалы CH<sub>3</sub> или CH<sub>2</sub> и моноцикл. арил). Диметилсилоксан составляет  $\geq 50$  мол. % силоксана. В смесь добавляют наполнитель и 1—10% (на силоксан) *трет*-бутилперацетата (I). Вулканизация  $\geq 1$  мин. при 100—300°. Пример I: 600 г смеси из 60 вес. % гидроперекиси *трет*-бутила и 40 вес. % перекиси ди-*трет*-бутила растворяют в 400 г пиридина. При 0° в р-р добавляется 325 г ацетилхлорида, затем выдерживают при 20—30°, отделяют пиридинхлорид, промывают ледяной водой и разбавленным р-ром Na<sub>2</sub>CO<sub>3</sub>. Пиридиновый слой сушат безводн. Na<sub>2</sub>SO<sub>4</sub> и фильтруют. Перегонкой (30° и 50 мм рт. ст.) удаляют перекись ди-*трет*-бутила, остаток I. 100 вес. ч. геля, не растворимого в толуоле, полученного полимеризацией диметилсилоксана с KOH, смешивают со 100 вес. ч. TiO<sub>2</sub> и 2 вес. ч. I. Смесь нагревают в прессе 5 мин. при 150°. Сопротивление разрыву 11,9 кг/см<sup>2</sup>, относит. удлинение 268%, твердость по Шору 37.

**М. М. 76296 П.** Способ получения каучукоподобных пластмасс. Кур (Verfahren zur Herstellung von kautschukartigen Kunststoffen. Kurr Eugen) [Dynamit. A.-G. vorm. Alfred Nobel und Co.]. Пат. ФРГ 934501, 27.10.55

Каучукоподобные пластмассы получают при взаимодействии линейных полиэфиров, содержащих реакционноспособные атомы Н в форме групп OH, SH или COOH, с полифункциональными изоцианатами или изотиоцианатами в кол-ве  $\geq 10\%$  от полиэфира. Можно также применять производные указанных изоцианатов, реагирующие аналогично последним при повышенной т-ре. Пример. Из адипиновой к-ты и избытка этиленгликоля постепенным нагревом до 240° получают полиэфир. Воду и избыток гликоля отделяют под конец отсасыванием. Кислотное число эфира ~ 5·100 г воскообразного полиэфира расплавляют и смешивают с 20 г толуолдиизоцианата. Из смеси выливают пленку, которую выдерживают 4 часа при 90°, затем 4 часа при 120° и 8 час. при 140°. Полученные пленки прозрачны, долго сохраняют каучукоподобную эластичность. Сопротивление разрыву 450—660 кг/см<sup>2</sup>, относит. удлинение 640—720%, остаточ-

ное 0—20%. При смешении подобных составов на смесителе и на вальцах при повышенных т-рах (100—140°) и прессовании (165°) можно получать блоки и пластины.

**М. М. 76297 П.** Способ получения твердых или эластичных легких материалов. Цаунбрехер, Барт (Verfahren zur Herstellung von Leichtstoffen fester oder elastischer Natur. Zaubrecher Karl, Barth Herbert) [Farbenfabriken Bayer A.-G.]. Пат. ФРГ 936113, 7.12.55

Твердые или эластичные пористые материалы для изоляции, строительства, а также для губок и т. п. получают на основе продуктов взаимодействия диизоцианатов, или аналогично реагирующих соединений, с высокомолекулярными в-ми, содержащими  $\geq 2$  подвижных Н-атомов в молекуле, соответственно пат. ФРГ 913474 (РЖХим, 1955, 50598). Порообразователем является вода или низкомолекулярные органич. соединения, содержащие OH, применяемые не в виде эмульсий. Пример: 100 ч. продукта конденсации адипиновой к-ты, фталевой к-ты и триметилпропана смешивают с 60 ч. толуолдиизоцианата. При 50°, когда начинают появляться пузырьки, вводится 5 ч. воды. Образуется сильная пена, отверждающаяся через некоторое время. Уд. в. 0,05, равномерная пористость, хорошие механич. свойства. Добавление вместо воды 110 ч. бутанола также дает легкий материал. Для дальнейшего увеличения прочности рекомендуется нагрев в течение нескольких часов при 120—160°. Введение наполнителей — саж, сланцевой муки, отмыченного мела, стеклянной ваты или Al-порошка не приводит к заметному повышению уд. веса.

**М. М. 76298 П.** Новые пластификаторы и мягчители каучука (Nouveaux agents de plastification et émoullissants pour le caoutchouc) [DEHYDAG, Dtsche Hydrierwerke G. m. b. H.]. Франц. пат. 1095244, 31.05.55 [Rev. gén. caoutchouc, 1955, 32, № 12, 1169—1170 (франц.)]

Новыми пластификаторами являются электрически нейтр. соли, получаемые р-цией эквимолекулярных кол-в катионных соединений (аммониевых, сульфонных, фосфонных и т. д.) и анионных (водорастворимых солей жирных к-т с большим мол. весом, различных органич. соединений S и т. д.). Пример: в смолку шит на вальцах вводят нейтр. соль, полученную из хлорида диметилциклогексилдодециламмония и додецила Na, а также обычный пластификатор — диоктилфталат.

**М. Л. 76299 П.** Каучуковые полимеры, пластифицированные тио-производными полихлорбензолов. Лобер, Байер, Бёгеман, Шнейдер (Rubbery polymers plasticized with thio derivatives of polychlorobenzenes. Lober Friedrich, Bayer Otto, Bögemann Max, Schneider Paul) [Farbenfabriken Bayer A.-G.]. Пат. США 2695898, 30.11.54

В качестве пластификатора для НК, бутадиеновых полимеров или их вулканизатов применяют соединения с ф-лой C<sub>6</sub>Cl<sub>4</sub>ASH, где А — алкильная группа.

**М. Л. 76300 П.** Способ получения смесей из каучука или каучукоподобных веществ. Пербе (Verfahren zur Herstellung von Mischungen aus Kautschuk bzw. kautschukartigen Stoffen. Zerbe Carl) [Deutsche Shell A.-G. und Metallgesellschaft A.-G.]. Пат. ФРГ 935157, 10.11.55

В смеси вводят добавки, представляющие собой органич. остатки к-т, получаемых в виде отходов при очистке минеральных масел H<sub>2</sub>SO<sub>4</sub>, освобожденные от свободной H<sub>2</sub>SO<sub>4</sub> и не содержащие сульфогрупп, отщепляющихся при т-ре вулканизации, либо подвергшиеся для их удаления термообработке при 200—350°. Указанные добавки подвергают совместной обработке при 200—350° с в-ми, содержащими большое кол-во ароматич. или ненасыщенных углеводородов, способных к

смолообразованию в присутствии  $H_2SO_4$ . Рекомендуются для получения кожеподобных вулканизатов, пластмасс типа линолеума, клеенки, а также для искусственной кожи. Для облегчения обработки этим битумоподобным продуктом (способным к вулканизации) при введении в каучук следует добавлять минеральные масла или растворители.

**76301 П. Пневматические шины.** Купер, Брайерли (Pneumatic tyres. Cooper D. H. D'O, Brierley P.) [Dunlop Rubber Co., Ltd]. Англ. пат. 720149 и 720150, 15.12.54 [Rubber Abstrs, 1955, 33, № 3, 126]

Для усиления протектора покрышки вокруг шины концентрически накручиваются смежные слои практически нерастяжимого материала. Так как продольные края материала имеют боковые выступы, то смежные слои обмотки переплетаются. Указанной цели удовлетворяют эбонит или свитый вдвое кабель, также могут быть использованы многожильный металл. кабель, нейлон, терилон или стальной кабель, обвитый стальной проволокой. Поперечное крепление усиливающей полосы осуществляется обмоткой тонкой металл. проволокой. По второму патенту, усилительный слой протектора образуется двумя концентрически расположенными слоями обрезиненного стального корда, между слоями которого помещают листы материала, обладающего большим сопротивлением сдвигу и разрыву, чем резина (напр., нейлон или терилон). Нити стального корда могут быть расположены под углом  $0-30^\circ$  к средней плоскости шины, причем эти углы в соседних слоях должны быть противоположными друг другу. **М. Х.**

**См. также:** Латексные краски 76422. Действие радиации 75177. Хлоркаучук 76971. Омыление бутадиев-нитрильного каучука 75152. Соплимеризация бутадиена с метилстиролом 75168. Полиуретановые каучуки 76332. Кристаллизация НК 75142. Прочность 75197. Влагопроницаемость 76307. Теория р-ров 75119. Смеси со смолами 76406. ИК-спектры вулканизата 75104. Термическое воздействие на вулканизат 75185. Вулканизация, исследование с радиоактивной S 75186. Структура вулканизатов 75187. Определение тирама 75382. Защита от коррозии 76436, 76969. Гуттаперча 75146

## СИНТЕТИЧЕСКИЕ ПОЛИМЕРЫ. ПЛАСТМАССЫ

**76302. Развитие производства и применения пластмасс в Чехословакии.** Мачак (Rozvoj výroby a použití plastických hmot v CSR. Mačák Rudolf). Za socialist. vědu a techn., 1955, 5, № 1, 15—22 (чеш.)

В настоящее время Чехословакия изготавливает фенопласты, аминопласты, литьевые и лаковые смолы, поливинилхлорид, целлулоид, галалит, полиметакрилаты, полиамиды (из капролактама). За период 1948—1954 гг. потребление пластмасс в Чехословакии возросло более, чем в 3 раза. Отмечено, что в полупромышленном масштабе организовано получение модифицированных полиамидов (I) нагреванием отходов полиамидных волокон с параформом в  $CH_3OH$ . I средней степени замещения ( $\sim 30\%$ ) обладают т. пл.  $100^\circ$ , хорошо растворимы в спирте и, в особенности, в его водн. смесях, легко перерабатываются на нагретых вальцах. I можно перевести нагреванием в присутствии катализаторов в практически неплавкое и нерастворимое состояние с прочностью на разрыв  $300 \text{ кг/см}^2$ . Полученный материал обладает известной эластичностью и может быть применен для изготовления деталей хим. аппаратуры клеен, лаков, искусств. кожи, а также для улучшения свойств прессовочных фенопластов. **Л. П.**

**76303. Радиоактивность и производство высокополимеров.** Сакурада (放射線と高分子化学工業. 桜田一郎), 化学工業, Kagaku koré, Chem. Ind. (Tokyo), 1955, 6, № 9, 818—821 (япон.)

Обзор по использованию радиоактивности для улучшения некоторых свойств полиэтилена, полистирола, поливинилового спирта, полиметилметакрилата, политетрафторэтилена и других полимеров. Библ. 5 назв. **В. И. 76304. Испытание полиэтиленовой пленки на старение.** — (ポリエチレンフィルムの老化試験), プラスチックス, Пурасутикусу, Japan Plastics, 1956, 7, № 3, 34—38 (япон.)

Описаны основные методы испытания полиэтиленовой пленки на старение под действием света, тепла и других факторов. **В. И.**

**76305. Испытание светостойкости и стойкости пластмасс против старения.** Фукая (プラスチックの耐侯および耐光試験. 深谷三男), プラスチックス, Пурасутикусу, Japan Plastics, 1955, 6, № 6, 15—20 (япон.)

Кратко описаны приборы для испытания светостойкости, а также стойкости пластмасс против старения под влиянием различных атмосферных условий. **В. И.**

**76306. Производство «литых» пленок.** Поццо (Fabricazione di pellicole e di fogli «colati». (Cast films). Pozzo R.), Mater. plastiche, 1955, 21, № 4, 296—304 (итал.)

Обзор. Библ. 16 назв. **И. Р.**

**76307. Строение и влагопроницаемость пленкообразующих полимеров.** Морган (Structure and moisture permeability of film-forming polymers. Morgan R. W.), Industr. and Engng Chem., 1953, 45, № 10, 2296—2306 (англ.)

Определялась влагопроницаемость (В) пленок из различных полимеров при  $39.5^\circ$  и разности упругости пара 53 мм рт. ст. В выражалась кол-вом  $g$  пара, проникающего через пленку толщиной 50  $\mu$  и площадью 100  $\text{м}^2$  за 1 час ( $g/100 \text{ м}^2 \cdot \text{час}$ ). Найдено, что наименьшей В ( $< 50$ ) обладают политетрафторэтилен (В 10), саран (В 5—40 в зависимости от марки), сополимеры винил-иденхлорида с винилхлоридом (при соотношении 92:8 и 80:20 В 12—13 и при соотношении 50:50 В 44), сополимер винил-иденхлорида с акрилонитрилом и винилхлоридом (соотношение 75—80:10:10—15, В 22), поли-лортрифторэтилен (В 10), полиэтилен (В 36), полиизо-бутилен (В 38), бутилкаучук (В 40) и гидрохлорированный каучук (В 44). Элементарные звенья этих полимеров гидрофобны и обладают высокой степенью симметрии, а сами полимеры содержат кристаллич. фазу, хотя наличие только одной кристаллич. фазы не обеспечивает низкого значения В (полиамиды). Полимеры, содержащие амидные, эфирные, кетонные, гидроксильные или ацетальные группы, обладают большой В (полиамиды, поливинилбутираль В  $\sim 1000$ , полиметилвинил-кетон В  $> 2000$ , поливиниловый спирт В  $\sim 4000$ ). Из этой закономерности представляет исключение кристаллич. полиэфир этиленгликоля и терефталевой к-ты, обладающей невысокой В. Полимеры, содержащие гидрофобные, но несимметричные группы занимают среднее положение (поливинилхлорид В 184, полистирол В 370). Уменьшение симметрии полимера введением все более крупных заместителей приводит к последовательному увеличению величины В (полиметилметакрилат В 1150, полиэтилметакрилат В 1580 и полибутилметакрилат В 1790). Введение умеренного кол-ва небольших несимметричных звеньев в состав симметричного полимера не оказывает большого влияния на величину В. **Л. П.**

**76308. Полимеризация ацетилена.** Кури (アセチレンの重合反応. 九里善一郎), プラスチックス, Пурасутикусу, Japan Plastics, 1954, 5, № 2, 37—40 (япон.) Краткий обзор р-ций полимеризации ацетилена под действием света и тепла. Библ. 5 назв. **В. И.**

**76309. Полиэтилен и полистирол.** Везер (Polyethylene and Polystyrene. Waeser Bruno), Gummi und Asbest, 1955, 8, № 3, 139—140 (нем.)

Обзор свойств и применения в пром-сти полиэтилена

и полистирола марок, выпускаемых в США фирмой Union Carbide International Co. (Bakelite Division). И. Р. 76310. Полиэтилен — его получение, свойства и применение. Краузе (Polyäthylene — seine Herstellung, Eigenschaften und Anwendung. Krause Anneliese), Chemiker-Ztg., 1955, 79, № 19, 657—663 (нем.)

Приведены сравнительные данные по физ.-механич. свойствам полиэтилена (I), полученного при высоких и низких давлениях. Показано преимущество I, полученного при низких давлениях (способы Филиппа и Циглера) по т-ре размягчения, механич. прочности и непрозрачности. Рассмотрена зависимость свойств I от его молекулярного строения и величины мол. веса. Дана таблица, характеризующая стойкость I к различным хим. реагентам. Описаны некоторые способы переработки и важнейшие области применения I. С. Ш. 76311. Окраска полиэтилена. Гудвин (Coloring polyethylene. Goodwin William J.), Mod. Plast., 1954, 31, № 12, 104—105, 196 (англ.)

76312. Количественный метод определения внутренних упругих напряжений в полистироле фотографическим способом. Руфф (Determinazione quantitativa delle tensioni interne nel polistirolo mediante l'esame fotoelastico. Ruff Wolfgang), Materie plastiche, 1953, 19, № 5, 369—377 (итал.)

Описана методика исследования величины и распределения внутренних и поверхностных напряжений в полистироле путем изучения фотографий, полученных при съемке образцов в поляризованном свете. И. Р.

76313. Виниловые смолы. Часть I. Палеолого (Resine viniliche. Parte I. Paleologo Teo), Riv. mes., 1955, 6, № 117, 27—33; № 118, 7—12 (итал.)

Популярно описаны метод получения поливинилхлорида, жесткого поливинилхлоридного пластика (I) и изделий из него, а также приемы механич. обработки I. Даны свойства и приведены примеры основных применений I. Кратко изложены методы получения и применения поливинилиденхлорида, поливинилацетата и поливинилового спирта. Л. П.

76314. Некоторые вопросы пластификации поливинилхлорида. Халми (A PVC lágyítás néhány kérdése. Halmi Gábor), Magyar kémik. lapja, 1955, 10, № 8, 238—242 (венг.)

Дан обзор современных взглядов на механизм пластификации высокополимеров и в частности поливинилхлорида. Библ. 19 назв. Л. П.

76315. Миграция пластификаторов в поливинилхлорид. Рёсиг (Zur Weichmacherwanderung in Polyvinylchlorid. Rössig Lisa), Kunststoffe, 1954, 44, № 6, 250—253 (нем.)

Рассмотрены факторы, влияющие на миграцию пластификатора (I) из пластика и поглощение I твердым поливинилхлоридом. С. Ш.

76316. Производство изделий из поливинилхлорида. Граматиков, Тошев (Производство на изделия от поливинилхлорид. Граматиков М., Тошев В.), Лека промишленост, 1955, 4, № 4, 40—43 (болг.)

Кратко описаны свойства поливинилхлорида и влияние пластификаторов на его свойства. Приведена технология произ-ва поливинилхлоридного пластика и изделий из него. Отмечено, что с 1954 г. в Болгарии на з-де «Зебра» начато освоение произ-ва большого ассортимента изделий из поливинилхлоридных материалов. Л. П.

76317. Продукты горения пластмасс, содержащих хлор. Колман, Томас (The products of combustion of chlorinated plastics. Coleman E. H., Thomas C. H.), J. Appl. Chem., 1954, 4, № 7, 379—383 (англ.)

С целью определения возможности образования токсичных газообразных продуктов при сгорании или разложении пластмасс, содержащих хлор (ПСХ), были поставлены опыты по термич. деструкции (в интервале

т-р от 300 до 950°) хлорированного полиметилметакрилата (45% С, 27% Cl), нестабилизированного поливинилхлорида (57% Cl), стабилизированного поливинилхлоридного пластика с диоктилфталатом (33% Cl), стабилизированного поливинилхлоридного пластика с трикрезилфосфатом (31% Cl), поливинилхлоридной ткани и нестабилизированного сополимера винилхлорида с винилиденхлоридом (61% Cl). При исследовании установлено, что основными газообразными продуктами при термич. деструкции являются HCl, CO и CO<sub>2</sub>, причем больше кол-ва HCl, соответствующие ~30% содержания Cl в исходном пластике, выделились уже при 300°; Cl<sub>2</sub> в газообразных продуктах обнаружен не был, в отдельных случаях найден в виде следов СОС<sub>2</sub>. Вследствие большого содержания в газах СО и, в особенности, HCl ПСХ в случае пожара опасна (токсична) (1 кг ПСХ, приходящийся на 20 м<sup>3</sup> помещения) при отсутствии вентиляции. Л. П.

76318. Фторуглеродные пластики. Ли (Fluorocarbon plastics today. Lee Henry), Prod. Engng, 1954, 25, № 10, 168—173 (англ.)

76319. Покрытия из полихлортрифторэтилена (KEL-F) и методы его переработки. Хондзё (弗素樹脂KEL-F-加工法の研究. 山本好雄), Япон. Пластик, 1956, 7, № 2, 32—42 (япон.)

Подробно приведены физ. и механич. свойства полихлортрифторэтилена и полихлортрифторэтилена (I), а также стойкость I к агрессивным средам. Описаны основные методы переработки I в изделия и изготовление из I защитных покрытий. В. И.

76320. Полимеризация метилакрилата. Влияние кислорода на полимеризацию. Судзуки, Татэмити (アクリル酸エステルの重合に関する研究. 重合時に於ける酸素について. 鈴木重成, 立道秀磨), 工業化学雑誌, Koré kagaku zasshi, J. Chem. Soc. Japan. Industr. Chem. Sec., 1953, 56, № 11, 872—873 (япон.)

Изучалась полимеризация метилакрилата, а также образование перекисей и альдегидов в процессе полимеризации под влиянием кислорода. В. И.

76321. Причина появления пузырьков у полиметилметакрилата. Мидзуки (メタアクリル樹脂中の気泡について. 水島敦), 工業化学雑誌, Koré kagaku zasshi, J. Chem. Soc. Japan. Industr. Chem. Sec., 1953, 56, № 11, 894—895 (япон.)

Изучалась причина появления пузырьков в процессе полимеризации метилметакрилата. Установлено, что пузырьки, содержащиеся в полимере, состояли из O<sub>2</sub> и N<sub>2</sub>. Высказано предположение, что наличие пузырьков связано с абсорбцией O<sub>2</sub>, происходящей в начальный период, и выделением N<sub>2</sub> в конце р-ции полимеризации. Проведение полимеризации в присутствии перекиси бензола значительно уменьшало кол-во пузырьков, образующихся в полимере. В. И.

76322. Техника окрашивания акриловых смол. Келтон (Acrylic color techniques. Kelton Stanton C. J.), Mod. Plast., 1954, 31, № 12, 99—100, 195 (англ.)

Кратко изложены приемы окрашивания (в массе и поверхностно) акриловых смол, в частности, полиметилметакрилата. Описаны области применения окрашенного полиметилметакрилата с различной степенью светопропускаемости (в архитектуре, для дорожных и рекламных знаков, в автостроении и т. д.). И. Р.

76323. Акриловое стекло и его применение в электротехнике. Эссер (Acrylglass und seine Anwendung in der Elektrotechnik. Esser Franz), Elektro-Technik, 1955, 37, № 18, 148—152 (нем.)

Рассмотрены хим. природа органич. стекла, вопросы полимеризации метилметакрилата, оптич., механич. и электрич. свойства полиметилметакрилата, методы его формования и механич. обработки. Описано применение

полиметилметакрилата в электротехнике и осветительной технике. О. Ш.

**76324. Полиэфирные смолы. I. Приготовление диаллилфталата.** Иосида, Осима (ポリエステル樹脂に関する研究. 第1報. ジアリルフタレートの製造について. 吉田綏, 大島敬治), 工業化学雑誌, Kōgō Kagaku Zasshi, J. Chem. Soc. Japan. Industr. Chem. Sec., 1953, 56, № 11, 863—865 (япон.).

Диаллилфталат (I) приготавливался из (в г) 43 аллилового спирта (II), 37 фталевого ангидрида (III), 50 бензола (IV), 0,3 гидрохинона (V) и от 1,8 до 4,5 п-толуолсульфоновой к-ты (IV). Р-ция проводилась 6 час. при т-ре кипения. Мол. отношение II:III = 3:1. Выход I при использовании VI (в г) 1,8; 2,7; 3,2; 3,6; 4,1; 4,5 был соответственно (в %) 77,7; 85,4; 84,5; 83,0; 82,1; 74,8. При использовании (в г) II 36,2, III 37, IV 50, V 0,3, VI 2,7 и молярном отношении, II:III = 2,5:1 выход I — 87,7%. I промывался 5% Na<sub>2</sub>CO<sub>3</sub>, сушился безводн. Na<sub>2</sub>SO<sub>4</sub> и перегонялся под вакуумом. При использовании 65%-ной H<sub>2</sub>SO<sub>4</sub> в качестве катализатора (1,9% от III) выход I увеличивался до 95,5%. При добавлении небольших кол-в H<sub>2</sub>O скорость р-ции увеличивалась. Применение H<sub>2</sub>SO<sub>4</sub> в качестве катализатора позволяет применять описанный метод в промышленных масштабах. В. И.

**76325. Физические свойства полиэфирных смол.** Паркер, Моффетт (Physical properties of polyester resins. Parker Earl E., Moffett E. W.), Industr. and Engng Chem., 1954, 46, № 8, 1615—1618 (англ.). Исследована зависимость между физ.-мех. свойствами отвержденных смол на основе линейных полиэфиров и их хим. составом. В работе менялись степень ненасыщенности полиэфира, отношение полиэфира к стиролу в смоле и компоненты, входящие в состав полиэфира. Были изготовлены 4 группы полиэфиров: 1) пропиленмалеатфталатный, 2) пропиленфумаратфталатный, 3) пропиленмалеатадипатный и 4) диэтиленфумаратфталатный. Все полиэфиры готовились примерно одинаковой вязкости и, следовательно, примерно одинакового мол. веса. Каждая смола из группы 1 смешивалась с 20, 30, 40 и 50% стирола. Для получения полиэфиров брали 20 молей к-ты (или ангидрида) и 22 моля глицерола, нагревали в присутствии ксилола с обратным холодильником до снижения КЧ продукта до ~50, затем пропускали сильную струю инертного газа для удаления ксилола и повышения мол. веса. После получения определенной вязкости в полиэфир вводили 0,02% ингибитора (гидрохинона), затем в готовый полиэфир добавляли стирол и катализатор (1% перекиси бензоила), смесь нагревали до желатинизации при 54° и отверждали 1 час при 77° и 1 час при 121°. Испытания готовых смол показали, что наибольшую прочность на изгиб имеет смола 1-й группы с 40% малеиновой и 60% фталевой к-т, содержащая 20% стирола, максим. предел прочности при растяжении — смола 4-ой группы с 30% стирола. Наибольшая теплостойкость была получена со 100 мол. % ненасыщ. к-т, наименьшая влагопоглощаемость — с 20 мол. % этих к-т. С. Ш.

**76326. Применение эпоксидных смол.** Вилдсхют (Toepassingsontwikkeling van aethoxylinesharsen. Wildschut A. J.), Plastica, 1954, 7, № 9, 432—435 (голл.).

Обзор применения эпоксидных смол в судостроении (строительство танкеров), изготовлении цистерн, трубопроводов и хим. машиностроении. Л. П.

**76327. Применение эпоксидных смол в электронной аппаратуре.** Эриес (Epoxy casting resins in electronics. Aries Robert S.), Mod. Plast., 1954, 31, № 11, 118, 121 (англ.).

Приведена характеристика эпоксидных смол «Ари-теп» (I), применяющихся для пропитки и заливки деталей электронной аппаратуры. Полимеризацию I осу-

ществляют без катализатора. Отвержденные I марки 201 имеют показатели предела прочности (в кг/см<sup>2</sup>): на разрыв 910, сжатие 1050, изгиб 1470, разрывное удлинение 30—45%, диэлектрич. постоянная при 1000 гц 3,5 при 1 Мгц 3,3—3,4, сопротивление изоляции (Мом) 500 000, после выдержки 100 час. при 100°—200 000 (у типичных полиэфирных смол соответствующие величины 100 000 и 5000). Л. П.

**76328. Термореактивные пластмассы. Литые материалы.** Грейсон (Thermosets. Casting plastics. Grayson Robert A.), Mod. Plast., 1954, 32, № 1A, 164—167 (англ.).

Приведена характеристика фенопластов и описаны методы литья изделий из них. Л. П.

**76329. Карбамидные смолы.** Танабэ (尿素樹脂. 田邊昌紀), 化学, Кагаку, Chemistry (Kyoto), 1955, 10, № 8, 46—50 (япон.).

Обзор. К. Т.  
**76330. Аминопласты (мочевинно- и меламиноформальдегидные смолы).** Бритт (Aminos (Urea and melamine). Britt C. E.), Mod. Plast. Encycl. issue, 1955, 33, № 1A, 72—74 (англ.).

Краткий обзор методов получения, свойств и применения мочевинно- и меламиноформальдегидных смол и пластмасс на их основе. Отмечено, что мочевинноформальдегидные прессматериалы применяют для изготовления корпусов радиоприемников и телевизоров, а меламиноформальдегидные материалы для мешалок стиральных машин (одно из новых применений). Библ. 7 назв. Л. П.

**76331. Нейлон (полиамиды).** (Nylons (Polyamides.—), Mod. Plast. Encycl. issue, 1955, 33, № 1A, 162, 164 (англ.).

Приведена характеристика различных типов полиамидов и дан обзор их применения. Отмечено, что новая марка полиамидов «цитель 105 ВК-10» отличается высокой стойкостью к действию УФ-лучей. Библ. 9 назв. Л. П.

**76332. Полиуретановые смолы.** (Polyurethanes on the way.—), Mod. Plast. 1955, 32, № 12, 102—104, 212, 213, 215 (англ.).

Обзор применения полиуретановых смол для произ-ва пенопластов (наибольшее потребление), прессматериалов, лаков, клеев и каучукоподобных материалов. Библ. 4 назв. Л. П.

**76333. Изучение гидрофобных свойств кремнийорганических смол. Часть I. Изучение смачиваемости на стекле, обработанном по жидкофазному методу.** Араи, Накакуки (珪素樹脂による撥水性の研究. 第1報. 液相法によるガラスの撥水性試験. 荒井漢吉, 中久喜厚), 高分子化学, Кобунши кагаку, Chem. High. Polymers, 1953, 10, № 98, 242—246 (япон.).

Изучались оптимальные условия обработки стекла кремнийорганич. смолами, а также смачиваемость обработанного стекла. Для нанесения покрытий применялся жидкофазный метод с использованием в качестве р-рителя CCl<sub>4</sub>. Приведены результаты исследований. В. И.

**76334. Наполнители для прессматериалов.** Хак (Fillers for molding compounds. Huck Rodney M.), Mod. Plast. Encycl. issue, 1955, 33, № 1A, 278—280, 282 (англ.).

Приведен обзор органич. и минер. наполнителей для прессматериалов на основе термореактивных смол (фенольных, мочевинных и меламиноформальдегидных). Библ. 8 назв. Л. П.

**76335. Окрашивание фтороуглеродных пластиков.** Джонс (Coloring the fluorocarbons. Jones James R.), Mod. Plast., 1954, 32, № 2, 111—113, 224 (англ.).

Приведены основные требования к пигментам для окрашивания фторопластов. Наиболее широко применяются прокаленные (при т-ре 540—1260°) неорганич.

пигменты, такие как окислы Fe, Cr, Zn, Cu, Cd, Ti и т. д. Окрашивание фторопластов, перерабатываемых методами литья под давлением и компрессионного прессования, может производиться методом сухого смешения в барабане; для политетрафторэтилена (I) требуется измельчение при отрицательных т-рах. Рекомендуется смешивать 2 ч. смолы с 1 ч. пигмента, подвергать полученную смесь тонкому измельчению (микроизмельчению) и затем смешивать с остальным кол-вом смолы так, чтобы кол-во пигмента в готовом продукте составляло 0,2—1,0%; при переработке фторопластов методом шприцевания достаточно перемешивания их с пигментами в барабане. Для получения окрашенных дисперсий рекомендуется производить смешивание с пигментами в шаровой мельнице в присутствии смачивающих агентов, причем предварительно готовится окрашенная паста, которая затем смешивается с диспергированной смолой. Приводится рецептура типографской краски для маркировки I, содержащей дисперсию I и полиизобутилена, смачивающий агент, пигмент, воду. С. Ш.

**76336. Окрашивание полиэфирных смол. Каун, Моффетт** (Colors for polyesters. Cowee Merie, Moffett E. W.), Mod. Plast., 1954, 32, № 2, 113—115 (англ.)

Полиэфирные смолы (I) окрашиваются в массе смешением с пигментными пастами, затертыми на обычных связующих или I. Пасты смешиваются с I перед применением. При содержании 2—5% пигментных паст получаются прозрачные I. Окрашивание сухими пигментами и красками, растворимыми в I, менее практично. Пигменты для I должны быть светостойкими, термостойкими с высокой кроющей способностью и интенсивностью, хим. инертностью по отношению к I и к перекисам. Ингибирующее действие проявляют окись цинка, саж, фталоцианин, литол, кадмий; ускоряющее действие — сена, умбра, охра. И. Р.

**76337. Вспениватели. Сондерс, Тродал** (Foaming agents. Saunders J. H., Throdahl M. C.), Mod. Plast. Encycl. issue, 1955, 33, № 1A, 322—323 (англ.)

Приведено хим. строение основных типов вспенивателей, выпускаемых пром-стью, и рекомендуемые дозировки вспенивателей при получении некоторых видов пенопластов. Библ. 4 назв. Л. П.

**76338. Растворители. Сьютер** (Solvents. Suter John F.), Mod. Plast. Encycl. issue, 1955, 33, № 1A, 350, 352, 357—359 (англ.)

Обзор свойств и применения р-рителей. Приведены данные об относительной скорости испарения ~100 наиболее употребительных р-рителей (легко летучих, средней степени летучести и труднолетучих). Библ. 5 назв. Л. П.

**76339. Влияние размера частиц наполнителя на прочность пластических масс. Уитт, Чижек** (Effect of filler particle size on resins. Witt R. K., Cizek E. P.), Industr. and Engng Chem., 1954, 46, № 8, 1635—1639 (англ.)

Исследовано влияние размера частиц и кол-ва наполнителя на предел прочности на изгиб пластич. масс с связующим из меламиноформальдегидной или ненасыщ. полиэфирной смолы. В качестве наполнителя применялся  $\text{SiO}_2$ , так как она совместима с полиэфирными смолами и сравнительно легко классифицируется на ситах по крупности. Кол-ва смолы менялись в пределах 5—30% для меламиновых (МП) и 10—30% полиэфирных пластич. масс (ПП). Размер частиц наполнителя менялся в пределах 42—492  $\mu$ . Образцы МП запрессовывались в охладной форме с уд. давл. 422  $\text{кг/см}^2$ , после чего они отверждались вне формы в течение 10 час в интервале т-р от 25 до 130°. Образцы ПП изготавливались и отверждались в прессформе при уд. давл. 2,32  $\text{кг/см}^2$  и т-ре 93,3—107,2° в течение 30 мин. Опыты показали, что предел прочности на изгиб МП увеличивается с увеличе-

нием размера частиц наполнителя, а у ПП уменьшается. Авторы объясняют это различными методами приготовления образцов. Что касается влияния кол-ва смолы в пластмассе, то в общем «пустотная» теория подтверждается: наибольшая прочность достигается при кол-ве смолы, достаточном для заполнения пустот между частицами. Для МП наибольшая прочность была достигнута при содержании смолы 15% при теоретич. кол-ве 14,8% (по объему пустоты). В ПП наибольшая прочность была достигнута при содержании смолы 20—25% при теоретич. кол-ве 14,1%. Е. Х.

**76340. Термореактивные смолы. Грейсон** (Thermosets. Grayson Robert A.), Mod. Plast. Encycl. issue, 1955, 33, № 1A, 604—606 (англ.)

Дана краткая характеристика фенольных, эпоксидных и полиэфирных литевых смол и описаны методы получения отливок из них. Библ. 4 назв. Л. П.

**76341. Автоматическое оборудование для приготовления смесей смол. Шнейдер** (Automatic production equipment for resin mixes. Schneider Marvin), SPE Journal, 1954, 10, № 7, 22—28 (англ.)

Описана установка для непрерывного приготовления многокомпонентных смол и эластомеров с деаэрацией компонентов, их дозировкой, гомогенным смешиванием и дозированным расходом готового продукта. Приведена схема расположения аппаратуры и коммуникаций. Е. Х.

**76342. Методы обработки термoplastических материалов. Якоби** (Neue Verarbeitungsmethoden thermoplastischer Kunststoffe. Jacobi H. R.), Ind.-Anz., 1954, 76, № 59, 7—8 (нем.)

Приведены примеры, подтверждающие возможность применения для пластицирующих червячных прессов (ЧП) теории выдавливания, разработанной для случая поступления в ЧП расплавленного материала. Дано конструктивное оформление цилиндра и червяка, которое позволило устранить явление сводообразования в цилиндре. Практика работы с таким ЧП позволяет сделать вывод, что и полиамиды с высокой т-рой плавления и полиэтиленотерефлат можно без всяких затруднений выдавливать из ЧП. Особенностью конструкции этого ЧП является то, что после загрузочной зоны следует сравнительно короткая зона уплотнения, в которой, в противоположность другим ЧП, материал охлаждается, чтобы не происходило плавления; материал из этой зоны поступает на гладкий, слегка конусный, длинный сердечник без нарежи в виде сплошного, плотного, кольцевого поршня, который постепенно плавится в зоне плавления, простирающейся на всю длину сердечника. См. РЖХим, 1956, 69893. Е. Х.

**76343. Скорость литья под давлением крупных изделий. Шмидт** (Grandes pieces moulees et vitesse d'injection. Schmidt P.-E.), Ind. plast. mod., 1954, 6, № 8, 36—37, 39, 41, 43 (франц.)

Литье под давлением крупных и тонких изделий (с поверхностью более 0,32  $\text{м}^2$  и толщиной 2—2,5 мм) производится с большой скоростью с тем, чтобы материал, затвердевающий на поверхности прессформы, не успев закупорить проход перед тем, как полость прессформы полностью не заполнится. Для обеспечения такой скорости принимается ряд мер: повышают т-ру прессформы, увеличивают сечение каналов, по которым течет расплавленный материал, повышают т-ру расплавленного материала, повышают текучесть материала, регулируют насос на максим. давление и подачу. Практика показала, что единственным недостатком высоких скоростей заливки прессформ может быть неполное удаление воздуха из полости, в результате чего возникает так называемая недопрессовка. Однако устройством соответствующих каналов в прессформе этот недостаток можно устранить. Высокие скорости заливки влекут за собой удорожание литевых машин, вследствие необходимости установки более мощных насосов или аккумуляторов.

Поэтому необходимо знать какова должна быть оптимальная скорость заливки, дальнейшее повышение которой особой пользы не приносит. Эксперим. исследование этого вопроса, проведенное автором, не дало еще исковых результатов, но в ходе исследования обнаружилось закономерности, важные для технологии литья под давлением и для конструирования литейных машин: 1) отношение максим. длины течения материала к его толщине прямо пропорционально скорости заливки; 2) давление, необходимое для заливки, возрастает пропорционально квадрату скорости (в  $\text{г/сек}$ ), но с поправкой на увеличение живого сечения каналов при возрастании скорости, благодаря уменьшению при этом толщины слоя материала, затвердевающего на их стенках; 3) воспринимаемая пластич. материалом работа и мощность возрастают с увеличением скорости заливки. Все эти зависимости представлены в виде кривых, которые относятся к вполне определенному частному случаю: определенному изделю, прессформе определенной конструкции, определенной литейной машине и т. д. Е. Х.

**76344. Стеклопластики.**— (Les matières plastiques renforcées à la fibre de verre.—), Techn. mod., 1954, 46, № 1, 16—19 (франц.)

Обзор по произ-ву и свойствам стеклопластиков на основе полиэфирных смол и изделий из них. Библ. 14 назв. С. И.

**76345. Сопротивление усталости стеклопластиков, изготовленных на основе полиэфирных смол.** Он, Огура (ポリエステル積層板の疲労強さについて. 大井光四郎, 小倉公達),自動車技術, Дзидося гидзю, 1955, 9, № 2, 47—49 (япон.)

Приведены физ.-хим. и механич. свойства полиэфирных смол, стекловолокна и стеклопластиков, изготовленных на их основе. Описаны методы испытания стеклопластиков на усталость. В. И.

**76346. Арматура для слоистых пластиков.** Мейнс, Плейс (Sheet reinforcements for laminates. Mains G. H., Place S. W.), Mod. Plast., 1954, 32, № 1A, 680, 682—684, 686 (англ.)

Описаны свойства и области применения слоистых пластиков с тканевым (хлопчатобумажным, стеклянным, нейлоновым), бумажным (крафт-бумага, бумага из тряпок или а-целлюлоза) и асбестовым наполнителями. Дана характеристика отдельных видов хлопчатобумажной, асбестовой и стеклянной ткани и приведены краткие сведения о неориентированных наполнителях в виде матов из хлопка, асбеста, стекловолокна и синтетич. органич. волокон. С. И.

**76347. Стеклопластики на основе полиэфирных смол.** Часть I, II. Стивенсон (Technology of polyesters. Part I, II. Stevenson J. R.), Rubber and Plast. Age, 1954, 35, № 8, 388—389; № 9, 437—438 (англ.)

**Часть I.** Описана история развития произ-ва стеклопластиков (I), типы полиэфирных смол (с большой реакционной способностью, со средней реакционной способностью, огнестойкие, теплостойкие и др.) и других материалов, входящих в состав I (стеклянное волокно, инициаторы и ускорители, в-ва, препятствующие прилипанию к форме, инертные наполнители, окрашивающие пасты).

**Часть II.** Кратко описаны основные способы применения полиэфирных смол: литье (для обеспечения длительного хранения животных, рыб, бабочек, растений, а также для изготовления точных электр. деталей), ручная выкладка I, предварительное формование с последующим прессованием I, формование I из пасты, получение слоистых I, получение сухого предварительного пропитанного стекловолокнистого материала для последующего формования I. С. И.

**76348. Применение полиэфирных смол.** Симмада (ポリエステルの應用. 嶋田吉英), 化学工業, Karaku kogé, Chem. Ind. (Tokyo), 1955, 6, № 8, 686—690 (япон.)

Дана характеристика основных видов полиэфирных

смол и динамика их потребления в США за 1952—55 гг. Приведены физ. свойства стеклопластика на основе полиэфирной смолы «Селектрон-5003» и стекломата «Т-36», а также электр. свойства полиэфирных, фенолформальдегидных смол и полистирола. Указаны области применения стеклопластиков. В. И.

**76349. Применение стеклопластиков в авиастроении.**— (Plastics have arrived as a major factor in the production of aircraft.—), West. Mach. and Steel World, 1955, 46, № 4, 98—102 (англ.)

Выпуск пластмасс в США увеличился за последние 10 лет в 5 раз, составив в 1954 г. 1 360 800 т, что превосходит произ-во алюминия и приближается по весу к общему выпуску стекла. Одним из основных преимуществ применения стеклопластиков (I) в авиастроении является возможность изготовления из них крупногабаритных деталей сложной конфигурации. Основные недостатки I: расщепляемость на углах и малая износостойкость краев изделий, но этот недостаток компенсируется быстротой и легкостью ремонта, не требующего сложных форм и приспособлений; малая производительность, даже при серийном произ-ве, по сравнению с металлич. изделиями, изготовляемыми прессованием. Кратко описана организация произ-ва I. Приведены примеры применения прессформ, штампов и инструмента из I. I на основе кремнийорганич. смол имеют большие преимущества для произ-ва управляемых снарядов, т. к. они лучше выдерживают высокотемпературный нагрев в течение короткого периода времени, чем снаряды с металлич. оболочкой. С. И.

**76350. Фюзеляжи самолетов из стеклопластиков.** Брейам (Reinforced plastics fuselages for U. S. aircraft. Braham William E.), Plastics, 1954, 19, № 200, 83—85 (англ.)

Приведено краткое описание форм, приспособлений и технологии изготовления фюзеляжа и других частей самолета из стеклопластиков. С. И.

**76351. Штампы из пластических масс для штамповки стали.**— (Emboutissage de l'acier avec outillages en matière plastique.—), Usine nouvelle, 1954, 10, № 2, 29 (франц.)

Описано изготовление штампов из пластмасс на основе полиэфирных смол и стекловолокна. Е. Х.

**76352. Сотовые конструкции.** Пауэлл (Sandwich constructions. Powell J. H.), Mod. Plast. Encycl. issue, 1955, 33, № 1A, 400, 402 (англ.)

Обзор применяемых материалов для сотовых конструкций, методов изготовления сотовых структур, их свойств и применения. Библ. 7 назв. Л. П.

**76353. Пенопласты.** Никерсон, Де-Белл (Foamed plastics. Nickerson M. H., DeBell John M.), Mod. Plast. Encycl. issue, 1955, 33, № 1A, 117—120 (англ.)

Обзор методов получения, свойств и применения основных типов пенопластов. Библ. 13 назв. Л. П.

**76354. Полиэтилен.** Хиггинс (Polyethylene. Higgins W. T.), Mod. Plast. Encycl. issue, 1955, 33, № 1A, 614—615 (англ.)

Обзор методов получения, свойств и применения пенопласта из полиэтилена. Библ. 2 назв. Л. П.

**76355. Поропласт из поливинилхлорида и его применения.** Пардуччи (Il cloruro di polivinile espanso e le sue applicazioni. Parducci M.), Materie plastiche, 1954, 20, № 10, 765—769 (итал.)

Описано применение поропласта из поливинилхлорида для теплоизоляции, предохранительной упаковки, нетонущего морского снаряжения и т. п. И. Р.

**76356. Пенопласты из фенолформальдегидных смол.** Кортни (Phenolic. Courtney R. P.), Mod. Plast. Encycl. issue, 1955, 33, № 1A, 610—612 (англ.)

Обзор методов получения пенопластов из фенольных смол и их применение. Библ. 2 назв. Л. П.

76357. Слабокислотные иониты. IV. Продукты конденсации диоксисбензойных кислот и формальдегида. V. Иониты из поливинилового спирта и неорганических трехосновных кислот. VI. Иониты из *p*-оксифенилглицина и формальдегида. VII. Влияние обычных ионов на обмен нейтральных ионов в анионитах. VIII. Феноксисукусно-формальдегидные смолы. Асида (слабая тип ион-обмен) に関する研究. 第4報. ジオキシン安息香酸とホルムアルデヒドの縮合物. 第5報. ポリビニールアルコールと三鹽基性無機酸とより得られるイオン交換樹脂について. 第6報. *p*-アオキシ, フェニールグリシン, ホルムアルデヒド樹脂について. イオン交換樹脂に関する研究. 第7報. アニオン交換樹脂の中性イオン交換におよぼす共通イオンの影響. 第8報. フェノキシ酢酸ホルムアルデヒド樹脂について. 芦田包義, 高分子化学, Кобунсикагаку, Chem. High Polymers, 1953, 10, № 93, 27—31; № 95, 117—121, 121—125, № 103, 485—489, 490—495 (япон.)

Часть IV. При изучении *r*-ции конденсации между диоксисбензойными к-тами:  $\alpha$ -резорциновой (I) или  $\beta$ -резорциновой к-той (II) и формальдегидом (III), в присутствии щел. ( $\text{NH}_3$  или  $\text{NaOH}$ ) и кислот ( $\text{H}_2\text{SO}_4$  или  $\text{HCl}$ ) катализаторов (K), установлено, что при использовании кислот K получался растворимый в щелочи ионит, а при применении щел. K — не растворимый в щелочи ионит. Ионит с наилучшими свойствами получен при  $\text{NaOH}$  в качестве K, при этом емкость ионита из I превосходила емкость ионита, приготовленного из II. При *r*-ции конденсации мол. соотношение I или II и III было 1:3. Условия проведения *r*-ции показаны на таблицах.

Часть V. Изучалась этерификация (Э) поливинилового спирта при помощи  $\text{H}_3\text{PO}_4$ ,  $\text{H}_3\text{AsO}_4$ ,  $\text{POCl}_3$  и  $\text{H}_3\text{BO}_3$ , в процессе которой образовались не растворимые в воде соединения. При Э первыми двумя к-тами образовывался желеобразный или каучукообразный продукт. Бораты представляли собой белое жгучеобразное в-во. У полученных эфиров монообменная емкость уменьшалась под действием горячей воды. При применении  $\text{H}_3\text{PO}_4$  и  $\text{H}_3\text{AsO}_4$  можно вести Э при  $\sim 100^\circ$  с получением монообменной емкости у первого 9,66 мгэкв/г, у второго — 9,05 мгэкв/г. При Э при  $120$ — $130^\circ$  емкость ионитов оказывается незначительной.

Часть VI. При изучении *r*-ции конденсации *p*-оксифенилглицина и III в присутствии  $\text{HCl}$  в качестве K, образования ионита не наблюдалось. В случае применения  $\text{NaOH}$  в качестве K получена смола, отверждающаяся при нагревании. Для улучшения щелочустойчивости целесообразно при конденсации добавлять фенол. Конденсацию проводили при  $70$ — $80^\circ$  и использовании 16,7 г *p*-оксифенилглицина 26 мл 35% III и 16 мл 20%-ного  $\text{NaOH}$ . Отверждение полученного желеобразного в-ва проводили при  $98$ — $100^\circ$  в течение 16—35 час. Емкость полученного ионита была меньше, чем ионита типа —  $\text{COOH}$  или —  $\text{OH}$ .

Часть VII. Исследовался ионный обмен в ионитах в форме  $\text{RCl}$  и изучалось влияние обычных ионов на ионный обмен  $\text{RCl}$ — $\text{SO}_4$ . Обычные ионы оказывали на слабоосновные смолы большее влияние нежели на слабоосновные смолы. Кол-во  $\text{SO}_4$ , подвергавшееся обмену, увеличивалось с увеличением конц-ии ионов. Коэфф. обмена  $\text{SO}_4$  увеличивался по мере уменьшения концентрации  $\text{KCl}$ .

Часть VIII. Изучалось влияние конц-ии III,  $\text{H}_2\text{SO}_4$  (IV) и т-ры при изготовлении феноксисукусно-формальдегидной смолы. Прозрачный продукт получали при соотношении: феноксисукусная к-та: III:IV = 1:4:1. При этом установлено, что при увеличении конц-ии III время эмульсификации увеличивалось. Энергия активации *r*-ции равна 15 ккал/моль. Между конц-ией (с) IV, применявшейся в качестве K, и временем эмульсификации *t* установлено соотношение:  $c \cdot t = k$ , где  $\alpha$  и  $k$  — константа. Результаты опытов показаны на графиках и

в таблице. Часть III см. Кобунсикагаку, Chem. High Polymers, 1952, 9, 404—410. В. И.

76358. Клеящие материалы для склеивания труб из поливинилхлорида. Вакано (硬質塩化ビニル管の接着剤. 若野精二), Пластикс, Пирасутиккусу, Japan Plastics, 1955, 6, № 4, 22—27 (япон.)

Описаны физ.-мех. свойства клеящих материалов, применяемых для склеивания труб из поливинилхлорида. В. И.

76359. Искусственные смолы как клеящие материалы. Кселик (Kunstharze als Klebstoffe. Kselik Georg), Seifen-Öle-Fette-Wachse, 1954, 80, № 10, 261—264, № 11, 285—287 (нем.)

Дана характеристика поливиниловых эфиров, полиизобутилена поливиниловых спиртов, поливинилхлоридных дисперсий и ряда продуктов поликонденсации (эпоксидные смолы, модифицированные фенольные смолы, полиуретаны) как клеевых материалов, а также приведена таблица синтетич. клеев, выпускаемых в ФРГ с расшифровкой фирменных названий. Описаны методы склейки древесины, тканей, бумаги, металлов, кожи, резины, стекла, заливки экспонатов, применения синтетич. полимеров в качестве загустителей, клеев для липких лент, инсектицидных клеев и др. Начало см. РЖХим, 1956, 63155. Л. П.

76360. Исследование вязкости перхлорвиниловых клеевых растворов в зависимости от состава растворителей и концентрации клея. Сапегин Ф. А., Науч.-исслед. тр. Центр. н.-и. ин-та кож.-обув. пром-сти, 1955, 25, 48—79

Изложены результаты работ по изучению вязкости *r*-ров перхлорвиниловых клеев, применяемых в обувном произ-ве. Изучено влияние исходной вязкости смолы, отдельных р-рителей и их смесей для разных конц-ий клеев, сравнительное определение вязкости тремя типами вискозиметров, изменение вязкости клеев при их хранении. Клеевые *r*-ры, содержащие значительное кол-во ацетона, отличаются низкой вязкостью, при применении этилацетата (I) и бутилацетата (II) или при их преобладании в составе смеси р-рителей получаются более вязкие клеевые *r*-ры. Введение до 30% бензина снижает вязкость как ацетоновых, так этилацетатных клеевых *r*-ров. Введение больших кол-в бензина одновременно с I и II в конц. клеевые *r*-ры резко повышает их вязкость вплоть до образования гелей. При высоких конц-иях клеев I дает более вязкие *r*-ры, чем II. При хранении меньше изменяется вязкость малоконцентрированных *r*-ров. При высокой исходной вязкости смолы, растворенной в I или II, при хранении *r*-ров вязкость их повышается, а в некоторых случаях *r*-ры переходят в желеобразное состояние. Из трех методов определения вязкости, по погружению стержня с поплавком, по истечению объема клея (вискозиметр ФЭ-36) и по подъему пузырьков воздуха в трубке наиболее удобным и точным оказался последний, который рекомендуется для применения. Одновременно приводятся коэфф. для пересчета результатов определения вязкости по одному из этих методов на вязкость по другим двум. Приведена методика определения вязкости перхлорвиниловых клеев по скорости прохождения пузырька воздуха через слой клея. И. Э.

76361. Механические испытания и проверка конструктивных клеев. Гринсфелдер, Ко, Голкинс (Mechanical testing and inspection of structural adhesives. Grinsfelder H., Coe B., Hopkins R. P.), ASTM Bull., 1953, № 194, 62—66 (англ.)

Рассмотрено значение отдельных факторов, влияющих на результаты испытаний прочности склейки, и предложены статистич. методы оценки прочности склейки, позволяющие уменьшить число испытаний, связанных с разрушением образцов. С. С.

**76362. Клеи для склеивания слоистых и других конструкционных материалов. Ясуда** (合板と合材の接着. 安田貞次), *Пласчаккуссу*, Пурасутиккуссу, Japan Plastics, 1955, 6, № 4, 14—19 (япон.)

Описано применение мочевиноформальдегидных смол для изготовления клеев, приведены физ.-мех. свойства.

В. И.

**76363. Замазки из синтетических смол в химическом аппаратостроении. Хьюз** (Synthetic resin cements in chemical plant construction. Hughes H.), Trans. and J. Plast. Inst., 1955, 23, № 53, 219—235 (англ.)

Приведены типичные рецептуры замазок из синтетич. смол (фенольных и фуруфурольных), инертных наполнителей (китайской и пластичной глины,  $\text{BaSO}_4$ ,  $\text{TiO}_2$ , кислотостойкой кирпичной муки, кварцевой муки, сажи, кокса, графита) и отвердителей (органич. к-т, хлорангидридов, к-т или солей аминов и неорганич. к-т), стойких к действию разб. к-т и щелочей, органич. в-в и пригодных для применения при рабочей т-ре  $> 100^\circ$ . Фенолформальдегидные смолы для замазок получают конденсацией 1 моля фенолов с 1,75 молями формальдегида при т-ре  $\sim 100^\circ$  в присутствии  $\text{Na}_2\text{CO}_3$  или  $\text{NaOH}$ . Фенолфуруфурольные смолы получают нагреванием 1 моля фенола с 1,5 молями фуруфурола в присутствии 5%  $\text{Na}_2\text{CO}_3$  (от фенола), с последующей нейтрацией и промывкой образующейся сырой смолы. Для повышения щелочестойкости замазок из фенолфуруфурольной смолы добавляют фуриловый спирт и дихлоридрин.

Л. П.

**76364. Мочевиноформальдегидные смолы (сведения о пластмассах для электротехников). Мики** (機械電気技術者のためのプラスチックスクリア樹脂. 参義雄), *Пласчаккуссу*, Пурасутиккуссу, Japan Plastics, 1955, 6, № 2, 49—56 (япон.)

Обзор хим., физ. и механич. свойств мочевиноформальдегидных смол и методов их переработки. Подробно освещены электроизоляционные свойства аминоклеидных смол и приведены примеры использования их для изготовления электроизоляционного оборудования. В. И.

**76365. Машины для обработки пластмасс. Хасимото** (プラスチックの加工機械. 橋本宇一), *Пласчаккуссу*, Пурасутиккуссу, Japan Plastics, 1955, 6, № 5, 1—3 (япон.)

Н. Л.

**76366. Прессы для переработки пластмасс. Кобаяси, Икава** (壓縮成型機. 小林正二, 井川政己), *Пласчаккуссу*, Пурасутиккуссу, Japan Plastics, 1955, 6, № 5, 21—29 (япон.)

Дана общая характеристика выпускаемых в Японии прессов для формовки изделий из термоактивных пластмасс, а также указаны цены прессов различных типов и марок.

В. И.

**76367. Высокочастотная сварка. Джонсон** (Electronic heat sealing. Johnson Reino), Mod. Plast. Encycl. issue, 1955, 33, № 1A, 425—426 (англ.)

Кратко описано образование для ВЧ-сварки пластмасс (генератор ВЧ, прессы, штампы, три типа машин для автоматич. сварки, приспособление, предотвращающее образование электрич. дуги при сварке и др.) и техника ВЧ-сварки. Указано влияние отдельных факторов (природы пластика, толщины материала, наличия лакового покрытия, конструкций изделия и др.), на производительность и качество сварки. Библ. 3 назв.

Л. П.

**76368 К. Роль пластмасс в текстильной и кожаной промышленности. Фурнье, Татю** (Le rôle des matières plastiques dans le textile et le cuir. Fournier Maurice, Tatu Henri. Paris, ed. Amphora, 1955, 270 p., 1600 fr.) (франц.)

**76369 К. Силиконы и их применение. Мак-Грегор** (Les silicones et leurs emplois. Mac Gregor Rob

Roy. Trad. de l'angl. Paris, Eyrolles, 1955, 307 p., ill., 2500 fr.) (франц.)

**76370 П. Способ получения полимеров** (Procédé de production de polymères) [Badische Anilin- & Soda-Fabrik A.-G.]. Франц. пат. 1087197, 22.02.55 [Ind. chim., 1955, 42, № 461, 400 (франц.)]

К твердому порошкообразному полимеру постепенно добавляют в реакторе при непрерывном перемешивании мономер, содержащий катализатор полимеризации. Способ, в частности, применим для полимеризации акрилонитрила, винилхлорида и винилиденхлорида.

Я. К.

**76371 П. Способ полимеризации олефинов в двухфазной системе и получаемые полимеры** (Process for polymerizing olefinically unsaturated compounds in a two-phase system and the resulting polymers) [N. V. de Bataafsche Petroleum Maatschappij]. Англ. пат. 721290, 5.01.55 [Rubber Abstrs, 1955, 33, № 4, 146 (англ.)]

Через воду, содержащую эмульгатор и катализатор, пропускают (без механич. перемешивания) мономер в виде газообразной струи с такой величиной пузырьков, чтобы  $\leq 25\%$  (предпочтительно  $\leq 10\%$ ) пузырьков поглощалось водн. фазой. Пузырьки поднимаются в водн. фазе в силу меньшего уд. веса, образуя непрерывный верхний газовый слой, который рециркулирует. В приведенных примерах полимеризуют этилен при  $70^\circ$  и 650 ат (или  $80^\circ$  и 40 ат) и винилхлорид при  $56^\circ$  и 4 ат.

Я. К.

**76372 П. Способ полимеризации мономеров винилиденового типа или их смесей. Лайтфут** (Verfahren zum Polymerisieren eines polymerisierbaren, eine Vinyliden-Gruppe enthaltenden Monomeren oder einer Mischung solcher Monomeren. Lightfoot William J.) [United States Rubber Co.]. Пат. ФРГ 929508, 25.07.55

Способ полимеризации винилиденовых мономеров (М) (автор называет «винилиденовыми» мономеры, содержащие группу  $\text{CH}_2 = \text{C}$ , независимо от наличия заместителей), образующих полимеры, нерастворимые в М (напр., акрилонитрила, винилхлорида, бромиды или винилиденхлорида), смесей этих М или их смесей с М другого характера (стиролом, л-метилстиролом, винил-ацетатом или -бутиратом, винилэтиловым или -изобутиловым эфирами, метилакрилатом, метил- или изобутилметакрилатом) отличается тем, что жидкие М диспергируют в форме мелких однородных капель с помощью перемешивания в водн. среде, содержащей растворимый в воде, но нерастворимый в М или полимере катализатор полимеризации (персульфат, или перацетат щел. металла) при  $25-100^\circ$  и давлении, незначительно превышающем давление насыщ. паров смеси М. Образующийся полимер должен быть нерастворим в смеси М. Подобным путем полимеризуют винилхлорид при  $40-55^\circ$ . В сосуд емк. 1 л загружают р-р 1 г  $\text{K}_2\text{S}_2\text{O}_8$  в 300 г дистилл. воды,  $94,7$  г охлажд. винилхлорида и 5 г изобутилметакрилата; смесь встряхивают 22 часа при  $55^\circ$ ; выход полимера в виде гранул составляет 95% от загруженного М.

А. Ж.

**76373 П. Влагостойкие пленки** (Moisture-proof film) [British Cellophane Ltd.]. Австрал. пат. 166844, 23.02.56

Доп. к австрал. пат. 148921. Усовершенствование процесса состоит в том, что применяемая для нанесения на пленку водн. дисперсия полимера или сополимера винилиденхлорида имеет рН водн. фазы в пределах от 4 до 14.

А. Ж.

**76374 П. Производство смол из производных акриловой кислоты. Крофорд, Секкер** (Manufacture of resinous products from acrylic acid derivatives. Crawford J. W. C., Secker J. S.) [Imperial

Chemical Industries, Ltd.]. Англ. пат. 711423, 30.06.54 [Chem. Abstr., 1955, 49, № 2, 1368 (англ.)]

Предложен процесс получения низших алкиловых эфиров  $\alpha$ -хлоракриловой к-ты и их полимеров. Эти эфиры отделяют перегонкой от гидразинового производного, у которого один или оба атома Н одной из аминогрупп замещены остатком RCO—, где R—органич. радикал, свободная аминогруппа или аминокетонная группа, у которой один или оба атома Н замещены органич. радикалом. Так, 500 вес. ч. желтого перегнанного метил- $\alpha$ -хлоракрилата обрабатывают 100 вес. ч. 10%-ного р-ра семикарбазида в  $\text{CH}_3\text{OH}$  и 0,1 вес. ч. трет-бутилкатахиона (ингибитор) и после 15-часового стояния оранжево-желтую жидкость перегоняют в атмосфере  $\text{N}_2$ . Полученный бесцветный эфир (т. кип.  $56^\circ/50$  мм) полимеризуют в запаянной трубке в атмосфере  $\text{N}_2$  под действием света и затем при  $120^\circ$  в течение 24 час. Получают бесцветную смолу. Я. К.

**76375 П. Отверждение продуктов конденсации эпоксидных соединений** (Hardening ethoxyline condensates) [N. V. De Bataafsche Petroleum Maatschappij]. Австрал. пат. 162566, 5.05.55

Твердые смолы получают из продуктов конденсации эпоксидных соединений, у которых среднее число эпоксигрупп в молекуле  $> 1$ , применяя для отверждения соли аминов и жирных к-т в таком кол-ве, чтобы число атомов N аминогруппы составляло 0,05—0,85 на одну эпоксигруппу. Ю. В.

**76376 П. Способ получения сложных полиэфиров** (Procédé de préparation de polyesters) [Farbwerke Hoechst A.-G. Vormalis Meister Lucius & Bruning]. Франц. пат. 1085319, 31.01.55 [Ind. chim., 1955, 42, № 461, 400 (франц.)]

Полиэфиры высокого мол. веса получают нагреванием многоосновных карбоновых к-т с циклич. эфирами многоатомных алифатич. спиртов и летучих многоосновных минер. к-т, напр., с карбонатами или сульфатами диолов. Катализаторами р-ции служат  $\text{H}_2\text{SO}_4$ , ароматич. сульфокислоты и т. д. Б. К.

**76377 П. Полиэфиры** (Polyesters) [Imperial Chemical Industries Ltd.]. Австрал. пат. 163532, 7.07.55

Способ произ-ва высокополимерных полиметилентерфталатов состоит в поликонденсации бис-(оксикал)-терфталата в присутствии катализатора — соединения сурьмы, растворимого в реакционной смеси. Б. К.

**76378 П. Фенольные смолы. Хак** (Phenolic resins. Huck Rodney M.). Пат. США, 2715114, 9.08.55

1 моль одноатомного фенола (фенола, крезолов или ксиленолов) нагревают с 0,75—0,85 моля альдегида (фурфуrolа или алифатич. насыщ. незамещ. альдегида с 1—4 атомами С) при pH 8—11 и  $90$ — $110^\circ$  в течение 15—30 мин. Смесь охлаждают до  $40$ — $50^\circ$ , устанавливают pH среды в пределах 1—3, завершают процесс при  $60$ — $110^\circ$  и обезвоживают продукт р-ции. Получается плавкая смола. А. Ж.

**76379 П. Набухающая композиция для покрытий, связующее и способ его получения.** Гилкрист, Харруп, Хендрикссон, Рехор (Intumescent coating composition, and binder and process therefor. Gilchrist Allan E., Harrup Laurence D., Hendrickson Robert C., Rehore Donald T.) [Glidden Co.]. Пат. США. 2725223, 1.11.55

Способ получения термореактивного растворимого в воде связующего состоит в том, что водн. р-р, содержащий многоатомный спирт (сорбит, маннит, глицерин, пентаэритрит, сахарозу, моно-, ди-, три- или тетраэтиленгликоль, пропилен- или бутиленигликоль) и альдегид (формальдегид, ацетальдегид, параформ или их смеси) обрабатывают амидом к-ты (мочевиной, амидами монокарбоновых или оксикарбоновых к-т жирного ряда, содержащих  $\geq 18$  атомов С или диамидами дикарбоновых или оксидикарбоновых к-т, содержащих 2—36 ато-

мов С). После введения амида смесь подщелачивают до pH 8, кипятят до завершения конденсации, подкисляют до pH 4,5—5,0, отгоняют воду до тех пор пока теоретич. содержание твердых в-в в остатке не достигнет  $\geq 60\%$  и полученный остаток не будет иметь вязкость между  $Z_2$  и  $Z_4$  по Гарднер — Холдт, после чего продукт нейтрализуют щелочами или щел.-зем. основаниями до pH 7—8 и охлаждают. А. Ж.

**76380 П. Кетондиариламинные смолы** (Ketone-diarylamine resins) [United States Rubber Co.]. Австрал. пат. 163451, 7.07.55

Дифениламин и мол. избыток ацетона конденсируют при  $275$ — $310^\circ$  в автоклаве в присутствии катализатора —  $\text{Br}_2$ ,  $\text{I}_2$  или соединений, их содержащих. Продукт конденсации имеет вязкость при  $30^\circ$  1—100 пуаз. Б. К.

**76381 П. Промежуточные продукты для производства полиимидов.** Грешам, Нейлор (Polyimide intermediates. Gresham William F., Naylor Marcus A., Jr) [E. I. du Pont de Nemours and Co.]. Пат. США 2712543, 5.07.55

Патентуются: 2,2-бис-(3,4-дикарбоксибензил)-пропан и его диамидрид. Б. К.

**76382 П. Способ получения суперполиамидов.** Хентрих, Кайзер (Verfahren zur Herstellung von Superpolyamiden. Hentrich Winfried, Kaiser Wilhelm Jakob) [DEHYDAG Deutsche Hydrierwerke G. m. b. H.]. Пат. ФРГ 926757, 25.04.55

Способ получения суперполиамидов из  $\epsilon$ -аминокапроновой к-ты, капролактама или их смесей с другими, образующими полиамиды в-вами отличается тем, что исходный капролактam получают из фурфурола по схеме: фурфурол  $\rightarrow$  фурфурокриловая к-та (нагреванием с  $\text{CH}_3\text{COONa}$  и  $(\text{CH}_3\text{CO})_2\text{O}$ , выход  $80$ — $90\%$ )  $\rightarrow$  3-оксопимелиновая к-та (обработкой HCl в среде бутанола; выход дибутилового эфира 3-оксопимелиновой к-ты  $\sim 83\%$ )  $\rightarrow$  пимелиновая к-та (гидрированием  $\text{H}_2$  в присутствии Cu-Ni-Mn-катализатора и NaOH и омылением; выход пимелиновой к-ты  $68\%$ )  $\rightarrow$  циклогексанон (нагреванием в присутствии оксалата Fe; выход  $\sim 50\%$ )  $\rightarrow$  циклогексаноксоним  $\rightarrow$  капролактam (обработкой олеумом р-ра оксима в перхлорэтилене, выход  $90\%$ ). Приведены лабор. методики получения указанных продуктов. А. Ж.

**76383 П. Способ получения высокомолекулярных соединений типа полиамидов.** Шлак (Verfahren zur Herstellung von hochmolekularen Polyamidverbindungen. Schlack Paul) [Farbwerke Bayer A.-G.]. Пат. ФРГ 925497, 24.03.55

Соединения типа полиамидов получают при взаимодействии в-в, содержащих в молекуле по крайней мере один остаток карбаминовой к-ты, этерифицированной OH-содержащими соединениями бензольного ряда или енольного характера, и в-в, содержащих способные к ацилированию  $\text{NH}_2$ -, OH- или SH-группы, или  $\text{COOH}$ -группы. Для указанной цели используют с одной стороны дифункциональные эфиры карбаминовых к-т с ароматич. OH-содержащими соединениями, в частности галогидрированными в ядре, а также эфиры карбаминовых к-т и твердых при  $\sim 20^\circ$  OH-содержащих соединений, и с другой стороны — диамины, гликоли или дикарбоновые к-ты. При р-ции можно применять катализаторы. 1 моль гексаметилендиизоцианата смешивают с 2,5 ч.  $\text{C}_6\text{H}_5\text{OH}$ . Полученный диуретан смешивают с 1 молем 1,4-бутандиола и 0,005 моля  $\text{C}_6\text{H}_5\text{OLi}$ , нагревают 3 часа при  $160^\circ$  и отгоняют выделившийся фенол в вакууме, под конец с продувкой азота. Смола имеет т. пл.  $\sim 175^\circ$  и способна образовывать нити из расплава. А. Ж.

**76384 П. Способ получения высокомолекулярных полиамидов с полисульфидными группами в цепи.** Шлак (Verfahren zur Herstellung von hochmolekularen Polyamiden mit Polysulfidgruppen in der Kette

Schlack Paul) [Farbwerke Hoechst A.-G. vormalis Meister Lucius & Brüning]. Пат. ФРГ 928733, 10.06.55

Способ состоит в том, что соли многоосновных органич. тиосерных к-т, содержащих в молекуле одну или несколько амидных групп (особенно бис-тиосерные к-ты) обрабатывают растворимыми сульфидами или полисульфидами щел. металлов при обычной или несколько повышенной т-ре в водн. среде. В качестве исходных продуктов можно применять в-ва, содержащие группу  $-\text{N}(\text{R})-\text{SO}_2-$ , где  $\text{R} = \text{H}$  или алкил, причем группировка  $-\text{SO}_2-$  связана второй валентностью с атомом  $\text{S}$  или  $\text{N}$ , а также соединения с гидразидной группой (особенно вторичной) или содержащие, наряду с амидной группой основной атом  $\text{N}$ . Кроме амид-содержащих тиосерных к-т, в р-цию можно вводить соли многоосновных тиосерных к-т, не содержащих амидных групп. Процесс можно проводить в среде, вызывающей набухание полимера. Исходными продуктами для получения солей тиосерных к-т являются амид-содержащие дигалогидропроизводные, в числе которых названы  $\text{N}$ ,  $\text{N}'$ -ди-( $\zeta$ -хлоргексил)-диамид пимелиновой к-ты (из пимелиновой к-ты и хлоргексилизоцианата (I) нагреванием при  $120^\circ$  до окончания выделения  $\text{CO}_2$ , перекрест. из ацетона, т. пл.  $85-86^\circ$ );  $\text{N}$ ,  $\text{N}'$ -ди-( $\zeta$ -хлоргексил)-диамид себаценовой к-ты (из себаценовой к-ты и I, перекрест. из сп., т. пл.  $110^\circ$ ); ди- $\delta$ -хлорбутиловый эфир  $\text{N}$ ,  $\text{N}'$ -гексаметилен-бис-карбаминной к-ты (из гексаметилендиизоцианата и  $\delta$ -хлорбутилового спирта, перекрест. из сп., т. пл.  $91-93^\circ$ ); диэфир  $\zeta$ -хлоргексил-карбаминной к-ты и тетраметиленгликоля (из тетраметиленгликоля и I, перекрест. из сп., т. пл.  $84-86^\circ$ );  $\text{N}$ ,  $\text{N}'$ -ди-( $\zeta$ -хлоргексилкарбаминил)-пиперазин (из пиперазина и I, перекрест. из диоксана, т. пл.  $116-117^\circ$ ); димочевина ф-лы  $[\text{C}(\text{CH}_2)_6\text{NHCONH}(\text{CH}_2)_6\text{N}(\text{CH}_3)]_x$  (из  $\text{N}$ -метил- $\text{N}$ -ди-( $\gamma$ -аминопропил)-амин и I, т. пл.  $79^\circ$ );  $\text{N}$ ,  $\text{N}'$ -ди-( $\zeta$ -хлоргексил)-гексаметилендисульфамид (II) (из гексаметилендисульфохлорида и  $\zeta$ -хлоргексил-амин, перекрест. из толуола, т. пл.  $135-136^\circ$ );  $\text{Na}$ -соль бис-тиосерной к-ты (из II и  $\text{Na}_2\text{S}_2\text{O}_3$  т. пл.  $218^\circ$ );  $\text{N}$ ,  $\text{N}'$ -дихлорацетилгексаметилендиамин (из гексаметиленди-амин и метилхлорацетата, т. пл.  $117-118^\circ$ );  $\text{N}$ ,  $\text{N}'$ -ди-( $\delta$ -хлорвалеронил)-гидразин (из гидразина и  $\delta$ -хлорвалеронилхлорида по Шоттен-Бауману, т. пл.  $136-137^\circ$ ). Напр., 0,2 моля  $\text{N}$ ,  $\text{N}'$ -ди-( $\zeta$ -хлоргексил)-мочевина (из I и водн. ацетона, перекрест. из  $\text{CH}_3\text{OH}$ , т. пл.  $79^\circ$ ) кипятят с 0,44 моля  $\text{Na}_2\text{S}_2\text{O}_3$  и 600 мл 40%-ного спирта в течение 10 час. К прозрачному р-ру добавляют 0,4 моля  $\text{Na}_2\text{S}$  при  $\sim 20^\circ$ . Выпавшую полимочевину ф-лы  $[-\text{S}(\text{CH}_2)_6\text{NHCONH}(\text{CH}_2)_6\text{S}-]_x$  фильтруют и промывают кипячением с водой. Смола имеет т. пл.  $142-153^\circ$ , относительную вязкость 1,48, способна образовывать нити и может быть переработана в изделия прессованием или литьем под давлением. А. Ж.

**76385 П. Способ получения полидиметилсилоксанов. Уоррик** (Method of preparing dimethylpolysiloxane diols. Warrick Earl L.) [Dow Corning Corp.] Канад. пат. 510696, 8.03.55

Способ состоит в том, что полностью конденсированный полидиметилсилоксан нагревают в присутствии водяного пара (взятого в кол-ве  $\geq 1,6$  мол. % от полимера или в молекулярном соотношении 1:1) при  $200-400^\circ$  и повышенном давлении. В результате образуются диолы ф-лы  $\text{HO}[(\text{CH}_3)_2\text{SiO}]_x\text{H}$ , где  $x$  имеет в среднем значения от 5 до 61. А. Ж.

**76386 П. Сернокислая полимеризация диорганосилоксанов. Мак-Греггор, Уоррик** (Sulphuric acid polymerization of diorgano siloxanes. McGregor Rob R., Warrick Earl L.) [Corning Glass Works.] Канад. пат. 515205, 2.08.55

Способ полимеризации жидких дегидратированных полидиорганосилоксанов, содержащих только 2 органич. радикала у каждого атома  $\text{Si}$ , состоит в том, что

полидиорганосилоксан, который содержит один алкильный и второй алкильный или арильный радикал, смешивают с  $\text{H}_2\text{SO}_4$  и проводят р-цию при т-ре  $< 250^\circ$ , наблюдая за ходом процесса по увеличению вязкости. Этим путем полимеризуют жидкие дегидратированные полидиметилсилоксаны, полидибутилсилоксаны или фенилэтилциклотрисилоксан (последний при  $100-250^\circ$ ). А. Ж.

**76387 П. Способ полимеризации диорганозамещенных силоксанов. Ницше, Вик** (Verfahren zur Polymerisation von im wesentlichen diorganosubstituierten Siloxanen. Nitzsche Siegfried, Wick Manfred) [Wacker-Chemie G. m. b. H.] Пат. ФРГ 930481, 18.07.55

Способ полимеризации диорганозамещенных (диметил-, метилалкил- или метиларилзамещенных) силоксанов с образованием жидких или твердых эластичных материалов, пригодных для изготовления каучука, состоит в том, что исходные продукты обрабатывают соединениями, содержащими  $\text{P}$  и  $\text{N}$  — фосфонитрилгалогенидами или азотсодержащими производными фосфористой или фосфорной к-ты, замещенными при  $\text{N}$  органич. радикалами и (предпочтительно) содержащими также атомы галогена. Эти в-ва имеют ф-лы  $\text{R}(\text{R}')\text{NPX}_2$ ,  $\text{R}(\text{R}')\text{NP} = \text{NR}''$ ,  $\text{R}(\text{R}')\text{NP}(=\text{O})\text{X}_2$ ,  $\text{R}(\text{R}')\text{NP}(=\text{O}) = \text{NR}''$  или  $(\text{PNX}_2)_n$ , где  $\text{R}$ ,  $\text{R}'$  и  $\text{R}'' = \text{H}$ , алкил, арил, или алкил,  $\text{X}$  — галогид и  $n$  — целое число  $\geq 3$ . Процесс проводят при  $20-150^\circ$ ; кол-во фосфорных соединений составляет 0,1—10 вес. % от полимера. 100 г жидкого полидиметилсилоксана с вязкостью 100 000 сстокс смешивают с р-ром 0,5 г  $\text{C}_6\text{H}_5\text{NHP} = \text{NC}_6\text{H}_5$  в 5 мл толуола и нагревают 24 час. при  $150^\circ$ . Образуется эластичный гель, хорошо перерабатывающийся в каучук. А. Ж.

**76388 П. Термостабильные полибензилсилоксаны и их получение. Айлер** (Thermally stable benzyl silicone polymer and process. Iler Ralph K.) [E. I. du Pont de Nemours and Co.] Канад. пат. 513910, 21.06.55

Термостабильный полимер содержит  $> 1$ , но  $< 1,5$  бензильного радикала на каждый атом  $\text{Si}$  и образуется при гидролизе смеси бензилтрихлорсилана с другим бензилхлорсиланом, с последующей конденсацией продуктов гидролиза. А. Ж.

**76389 П. Способ получения смол из полисилоксанов. Берберик, Андерсон** (Verfahren zur Herstellung von harzartigen Produkten aus Polysiloxanen. Berberich Leo Joseph, Anderson Orville Emmett) [Westinghouse Electric Corp.] Пат. ФРГ. 923334, 10.02.55

Способ получения смол из полисилоксанов отличается тем, что 50—99 вес. ч. полифенилалкилсилоксана смешивают с 1—50 вес. ч. жидкого, гидрированного по крайней мере на 40% дифенилбензола и смесь подвергают термообработке с целью дальнейшей полимеризации. Применяют полимеры, содержащие  $\geq 20\%$   $\text{C}_6\text{H}_5$ -групп (от общего числа алкильных и  $\text{C}_6\text{H}_5$ -групп), и в частности полифенилметилсилоксаны. Смоляную композицию можно наносить на ткани из неорганич. волокон; после термообработки получают прочные и эластичные электронизоляционные материалы типа лакотканей. Пропитанную ткань можно также прессовать для изготовления фасонных изделий. Материал обладает лучшей эластичностью в сравнении с таковым, полученным без добавки дифенилбензола. А. Ж.

**76390 П. Полиорганосилоксановые эластомеры, содержащие окись или перекись цинка и двуокись кремния. Уоррик** (Siloxane elastomers containing zinc oxide or zinc peroxide and silica. Warrick E.) [Dow Corning Corp.] Пат. США, 2718512, 20.09.55

Композиция содержит полидиорганосилоксан с вязкостью  $\geq 5000$  сстокс при  $250^\circ$ , двуокись кремния, вулканизующий агент типа органич. перекиси и 0,0625—10 вес. ч. (на 100 вес. ч. полимера) окиси или перекиси

Zn. Полидиорганосилоксан имеет у каждого атома Si 1,9—2 органич. (алкильных, фенильных или ф-лы  $(\text{CH}_3)_2\text{SiCH}_2-$ ) радикала, причем  $\geq 50\%$  общего числа радикалов составляют алкильные группы. А. Ж.

**76391 П.** Полиорганосилоксановые смолы, содержащие метильные и фенильные радикалы, связанные с атомом кремния, и слоистые материалы. Кларк (Siloxane resins containing methyl and phenyl bonded to silicon and laminates. Clark Horal d A.) [Dow Corning Corp.]. Пат. США 2718483, 20.09.55

Патентуемая смола содержит (в мол. %): 4,5—17 дифенилсилоксановых звеньев, 22—55 монофенилсилоксановых звеньев и 40—65 монометилсилоксановых звеньев. А. Ж.

**76392 П.** Аллилароксидихлорсилан, способ его получения и применение для обработки стекла. Эрикссон, Сильвер (Allylaroxydichlorosilane and method of its preparation and application to glass. Erickson Porter W., Silver Irving) [United States of America as represented by the Secretary of the Navy]. Пат. США 2720470, 11.10.55

Способ обработки стекла, используемого для усиления пластиков, состоит в том, что освобожденное от замасливателя стекло обрабатывают избытком р-ра аллилароксидихлорсилана в безводн. неполярном р-рителе, удаляют избыток р-ра, смачивают стекло водой и высушивают. Ароматич. группа аллилароксидихлорсилана имеет структуру одинарного бензольного ядра. А. Ж.

**76393 П.** Аминоальдегидные смолы, модифицированные полиорганосилоксанами (Silicon-modified amine-aldehyde resins) [Standard Telephones and Cables Pty. Ltd.]. Австрал. пат. 164710, 8.09.55

Композиция содержит продукт р-ции аминоальдегидного производного и силана, содержащего по крайней мере одну функциональную группу. А. Ж.

**76394 П.** Кремнийорганические полиэферы. Спейер (Organosilicon polyesters. Speier John Leopold, Jr) [Dow Corning Corp.]. Канад. пат. 510695, 8.03.55

Способ получения кремнийорганических полиэферов состоит в том, что в-во ф-лы  $\text{ACH}_2(\text{R}_2\text{SiO})_n\text{SiR}_2\text{CH}_2\text{A}$  [A — ацилоксигруппа, R — углеводородный (алкильный или арильный) радикал и n — положительное целое число], обрабатывают многоосновной к-той, удаляя образующуюся в результате р-ции карбоновую к-ту. В качестве исходных в-в указаны симм. бис-(ацетоксиметил)тетраметилдихлорсилан и симм. бис-(ацетоксиметил)диметилдифенилдихлорсилан. Образующуюся уксусную к-ту удаляют по мере ее выделения. А. Ж.

**76395 П.** Пластификаторы на основе эфиров каприловой и каприновой кислот (Caprylic-capric ester plasticiser) [E. F. Drew & Co., Inc.]. Англ. пат. 713355, 11.08.54 [Rubber Abstrs, 1954, 32, № 11, 507-508 (англ.)]

Пластификаторы для синтетич. смол состоят из смеси полиэтиленгликолей, почти полностью этерифицированных смесью жирных к-т (80,5—92% каприловой, 5—15% каприновой, 0,8—3% капроновой и 0,1—1,5% лауриновой). Смесью полиэтиленгликолей содержит 75—95% триэтиленгликоля, 4—20% диэтиленгликоля (лучше ~5%) и 1—5% высших полиэтиленгликолей. Эти пластификаторы (названные SC-пластификаторами) пригодны для пластификации полимеров и сополимеров винилхлорида; снижают т-ру хрупкости до —60°, имеют хорошие технологич. характеристики и могут быть использованы для пластификации неопрена и нитрильных каучуков. Ю. В.

**76396 П.** Поливинилгалогениды, пластифицированные диэфирами кислотных производных 2-бензотиазолимеркаптана. Даци (Vinyl halide polymers plasticized with diesters of acid derivatives of 2-benzothiazolyl mercaptan. Dazzi Joachim) [Monsanto Chemical Co.]. Пат. США 2725364, 29.11.55

В составе композиции находится полимер, содержащий  $\geq 70\%$  связанного винилхлорида и  $\leq 30\%$  совместимого с ним и полимеризующегося мономера, и 2-бензотиазол, замещенный у внеядерного атома С группой — $\text{SCH}(\text{COOR}')\text{CH}_2\text{COOR}'$ , где R' и R'' — одновалентные алифатич. углеводородные радикалы, содержащие (каждый) 3—12 атомов С или оксауглеводородные радикалы, содержащие (каждый) 3—12 атомов С и О. А. Ж.

**76397 П.** Способ производства содержащих пигменты изделий из плавких синтетических линейных полимеров (Procédé de production de produits conformés pigmentés à partir de superpolymères linéaires synthétiques fusibles) [Farbenfabriken Bayer]. Франц. пат. 1072440, 13.09.54 [Teintex, 1955, 20, № 4, 313 (франц.)]

Для введения пигментов (напр.,  $\text{TiO}_2$  или органич. пигментов) в плавкие синтетич. линейные полиамиды без образования агломератов к полимерам или исходным продуктам добавляют те же или другие полимеры (предпочтительно с более низкой степенью полимеризации), содержащие значительные кол-ва ( $\geq 50\%$ ) пигмента. Я. К.

**76398 П.** Тиодипропионаты — антиоксиданты для полиэтилена. Гриббинс (Thiodipropionates-polythene antioxidants. Gribbins Myers F.) [E. I. du Pont de Nemours and Co.]. Канад. пат. 516282, 6.09.55

Композиция содержит полиэтилен (напр., твердый полиэтилен с мол. в  $\geq 4000$ ) и небольшое кол-во эфира  $\beta$ -тиодипропионовой к-ты с линейной структурой ф-лы  $\text{ROOCCCH}_2\text{CH}_2\text{SX}$  (R — углеводородный радикал, содержащий  $> 3$  атомов С, и X — углеводородный радикал, который может также содержать атомы О, S, О и S или N и S). Так, напр., композиция содержит полиэтилен и 0,001—5 вес. % дилаурил  $\beta$ -тиодипропионата или 0,005—2 вес. % дистеарил  $\beta$ -тиодипропионата. А. Ж.

**76399 П.** Способ получения светостойкого полистирола (Procédé de préparation de polymères de styrolène résistant à la lumière) [Badische Anilin- & Soda-Fabrik]. Франц. пат. 1087127, 21.02.55 [Ind. chim, 1954, 42, № 461, 400 (франц.)]

Мономер полимеризуют в присутствии соединений типа диэтиленгликолябутилового эфира, продукта р-ции дипропилкрезола с окисью этилена и т. п. Я. К.

**76400 П.** Стабилизация хлорсодержащих высокомолекулярных соединений. Эккельман, Лёфлер (Stabilisieren von chlorhaltigen hochmolekularen Verbindungen. Eckelmann Alfred, Löffler Karl) [VEB Elektrochemisches Kombinat Bitterfeld.]. Пат. ГДР 5482, 11.10.54

Хлорсодержащие высокомолекулярные соединения, их р-ры и суспензии стабилизируют добавками основных или амфотерных соединений, содержащих группу — $\text{C(X)}-$  = N—, где X — О, S или NR и R — H, алкил или арил. Такими в-вами могут быть, напр. амидины, амидоксимы, имидазолины, имидазолы, имидоэфиры, имидотиоэфиры, оксазолы, оксазолины, тиазолы, тиазолины, пиримидины с алифатич. или ароматич. остатками, не замещ.  $\text{NH}_2$ -группами. Кол-во стабилизатора составляет 1—3% от полимера. С. К.

**76401 П.** Способ стабилизации поливинилгалогенидов (Procédé de stabilisation de polymérisats vinyliques halogénés) [Dynamit A.-G. vormals Alfred Nobel & Co] Франц. пат. 1086182, 10.02.55 [Ind. chim., 1955, 42, № 461, 400 (франц.)]

В полимеры вводят нейтр. или основные соли полуэфиров или полуамидов этилен-1,2-дикарбоновой к-ты, спиртовые или аминные остатки которых содержат  $\geq 10$  атомов С. Я. К.

**76402 П.** Оловоорганические соединения и смеси, содержащие их. Уэйнберг (Organo tin compounds and compositions containing same. Weinberg El-

liot L.) [Metal & Thermit Corp.]. Пат. США 2715111, 9.08.55

Патентуется алкидная смола, в цепи которой содержатся атомы Sn, связанные с атомами O алкидной смолы и одновременно с двумя углеводородными радикалами. Патентуется также галондвинильная смола, содержащая указанную выше алкидную смолу, в кол-ве, достаточном для стабилизации. А. Ж.

**76403 П.** Винилхлоридные смолы, стабилизированные смесью, содержащей фенолят и соли поливалентного металла и жирной кислоты. Лейстнер, Хеккер (Vinyl chloride resins stabilized with a mixture containing a phenolate and a polyvalent metal salt of a fatty acid. Leistner William E., Hecker Arthur C.). Пат. США 2716092, 23.08.55

Пластическая композиция состоит из поливинилхлорида и равномерно распределенного в пластике стабилизатора, который представляет собой смесь фенолята бария, имеющего 4—24 атомов С в углеводородном заместителе ароматич. ядра, и Cd-соли жирных к-т, содержащих 6—18 атомов С. Б. К.

**76404 П.** Полимеры акрилонитрила, стабилизированные простыми эфирами гликолей. Стантон, Элерс (Acrylonitrile polymers stabilized with certain glycol ethers. Stanton George W., Ehlers Forrest A.). [The Dow Chemical Co.]. Пат. США 2715112, 9.08.55

Композиция содержит полимер, имеющий в своем составе  $\geq 60$  вес. % связанного акрилонитрила, полимеризованного совместно с другим моноолефиновым соединением и 1—20 вес. % стабилизатора — эфира гликоля ф-лы  $\text{ROCH}(\text{X})\text{CH}_2\text{OCH}_2\text{CH}(\text{X})\text{OR}'$ , где X — H или  $\text{CH}_3$ , R —  $\text{CH}_3$  или  $\text{C}_2\text{H}_5$  и R' — H,  $\text{CH}_3$  или  $\text{C}_2\text{H}_5$ . А. Ж.

**76405 П.** Акрилонитрильные полимеры, стабилизированные формальдами и ацетатами. Стантон, Элерс (Acrylonitrile polymers stabilized with certain formals and acetals. Stanton George W., Ehlers Forrest A.). [The Dow Chemical Co.]. Пат. США 2716095, 23.08.55

Композиция состоит из полимера, содержащего  $\geq 60$  вес. % связанного акрилонитрила и  $\leq 40$  вес. % сополимеризуемого моноэтиленового соединения, и содержит в качестве стабилизатора 1—20 вес. % соединения ф-лы  $\text{XCH}_2\text{CH}_2\text{OCH}(\text{R})\text{OCH}_2\text{CH}_2\text{X}$ , где R — H или  $\text{CH}_3$ , а X — H, Cl,  $-\text{OCH}_3$ ,  $-\text{OC}_2\text{H}_5$ ,  $-\text{OC}_4\text{H}_9\text{OCH}_3$  и оба одинаковы. Б. К.

**76406 П.** Смеси смол с синтетическими каучуками (Resin and synthetic rubber mixtures) [United States Rubber Co.]. Англ. пат. 721340, 5.01.55 [Rubber Abstrs, 1955, 33, № 4, 157 (англ.)]

Твердая пластмасса с повышенной прочностью к удару состоит из смеси 70—95 ч. поливинилацетатевой смолы (содержащей  $\leq 25\%$  оставшихся звеньев поливинилацетата и поливинилового спирта) и 5—30 ч. СК (полибутадиена или сополимеров бутадиена с акрилонитрилом, стиролом, алкилакрилатом или метакрилатом, диэтилфумаратом, винилпирролидином или винилхлоридом). Модуль упругости композиции составляет  $> 7000 \text{ кг/см}^2$ . С. К.

**76407 П.** Слоистые материалы. Маллен (Laminated materials. Mullen William T.). Пат. США 2695854, 30.11.54

Водонепроницаемый многослойный листовой материал состоит последовательно из тонкого листа электролитич. меди, фольги из сплава Pb и двух листов крепкой крафт-бумаги; все слои склеены между собой асфальтом; между бумажными листами для усиления находится слой стеклянного волокна. Материал легко гнется и сохраняет приданную форму. Я. К.

**76408 П.** Производство искусственных пленок (Fabrication de pellicules artificielles) [Imperial Chemical

Industries Soc. An.]. Франц. пат. 1072735, 17.03.54 [Chimie et industrie, 1954, 72, № 6, 1231 (франц.)]

Расплавленную пленку, полученную шприцеванием из синтетич. линейного суперполимера, пропускают сверху вниз через жидкий хладагент между двумя цилиндрами, вращающимися в противоположных направлениях с одинаковой окружной скоростью. Хладагентом служит вода, глицерин или смесь глицерина, предпочтительно с  $\leq 25$  вес. % воды. Я. К.

**76409 П.** Способ получения водных дисперсий полиэтилена или других термопластичных полимеров. Шермессер, Шпиндлер (Process for the production of an aqueous dispersion of polyethylene or other thermoplastic polymer. Scheermesser W., Spindler W.). Англ. пат. 719320, 1.12.54 [Corros. Prevent. and Control, 1955, 2, № 2, 62 (англ.)]

Пленки или защитные покрытия с улучшенными свойствами могут быть получены при применении водн. дисперсии полиэтилена или другого полимера, к которой добавлено органич. в-во, смешивающееся с водой, не растворяющее полимер и не взаимодействующее с ним, и которое может испаряться при  $t_{\text{ре}} \leq 200^\circ$ . Такими в-вами являются одно- и многоатомные спирты или гетероциклич. соединения. Ю. В.

**76410 П.** Состав для выравнивания полов (Floor levelling compositions) [Armstrong Cork Co.]. Англ. пат. 714782, 1.09.54

Состав для выравнивания полов состоит из 76—80% песка и 15—19% эмульсии поливинилацетата. Эмульсия может содержать 40—55% твердого в-ва. Часть эмульсии (50%) может быть заменена асфальтовой эмульсией, содержащей 50—75% твердого компонента. В состав могут добавляться небольшие кол-ва воды, силиката Na, асбест и эмульгатор (Na-соль полимеризованной алкиларилсульфоновой кислоты). Ю. В.

**76411 П.** Слоистые материалы (Laminated structures) [Wingfoot Corp.]. Англ. пат. 718035, 10.11.54

Патентуются ленопласты, полученные нагреванием композиции, содержащей алкидную смолу, стирол, 2,4-толуилен-, гексаметилен- или дифенилметандиизоционат, перекись бензоила, воду и лаурилсульфат Na. Алкидная смола получена из фумаровой или малеиновой к-ты и гликоля. Б. К.

**76412 П.** Стабилизированные галоидные соединения и приборы с их использованием. Берберик, Фридман (Stabilized halogenated compounds and apparatus embodying them. Berberich Leo J., Friedman Raymond) [Westinghouse Electric Corp.]. Канад. пат. 516387, 6.09.55

Диэлектрик для заливки конденсаторов содержит галоидированный ароматич. углеводород (напр., 50—60% хлорированного дифенила или хлорированного нафталина) и 0,1—10 вес. % (от галоидоуглеводородов) растворенного в нем и не проводящего тока ароматич. азосоединения (азобензола). Композиция может также содержать в небольшом кол-ве хлорированный ароматич. углеводород, понижающий  $t_{\text{р}}$  замерзания смеси, напр. хлорированный бензол или хлорированный алкилбензол. А. Ж.

**76413 П.** Электрические провода и кабели. Пиллинг (Electric wires and cables. Pilling H. S.) [Cables & Plastics, Ltd.]. Англ. пат. 730812, 1.06.55 [Rubber Abstrs, 1955, 33, № 9, 393 (англ.)]

На кабель последовательно наносят на червячном прессе оболочку из трех слоев. Внутренний слой оболочки состоит из полиэтилена, средний — из поливинилхлорида и наружный — из нейлона. Ю. В.

**76414 П.** Смеси, содержащие полиорганосилоксаны (Silicone mixtures) [General Electric Co.]. Австрал. пат. 163282, 23.06.55

Патентуется электрич. проводник, имеющий однород-

ное покрытие, которое состоит из смеси политетрафторэтилена и полиорганосилоксановой смолы. А. Ж.

См. также: Общие вопросы 75091—75094, 76415. Исходные продукты 76006. Физ.-хим. исследования 75106—75112, 75119, 75121, 75122, 75132, 75133, 75140, 75143, 75145, 75148, 75153, 75154, 75177, 75476, 75667. Анализ 75401. Полимеризационные смолы: получение 76423, 76470, 76530; процессы полимеризации 75156—75158, 75160, 75161, 75163—75174, 75189, 75190, 75192, 75198, 75200; инициаторы 75159; применение 76142; обработка 76162, 76476; полиэфиры 75758, 76531. Кремнийорганич. смолы 74977, 75191, 75830, 76045, 76046, 76295, 76474. Фосфорсодержащие смолы 74982. Битуны 75941, 75942, 75945, 75955. Целлюлозные пластики 76505. Материалы 75691, 75827, 75829, 76291, 76296, 76297. Оборудование для произ-ва 76289

### ЛАКИ. КРАСКИ. ЭМАЛИ. ОЛИФЫ. СИККАТИВЫ

76415. Развитие пластических масс и лакокрасочная промышленность (рефераты докладов). Сириакс, Минес, Хаман, Грет, Херберте (Kunststoffentwicklung und Lackindustrie. (Mit den Vortragserferaten) Cyriax B., Mienes K., Hamann K., Greth A., Herberts K.), Farbe und Lack, 1954, 60, № 6, 245—256 (нем.)

76416. Пленкообразование, свойства и старение пленок. Блэкмор (Film formation, film properties and film deterioration. Blackmore P. O.), J. Oil and Colour Chemists' Assoc., 1956, 39, № 1, 9—38; Paint Technol., 1955, 19, 215, 193—194 (англ.)

Сообщение о результатах 9-летнего изучения следующих свойств пленок: увеличение веса, растяжение и разрыв, ИК- и УФ-абсорбция, пожелтение и сохранение блеска, влагопроницаемость и пенетрация, пористость, молекулярное строение и окисляемость. Исследованы 3 типа связующих и 20 чистых масел и фталевых алкидов из 95%-ных чистых жирных к-т — олеиновой, линолевой, линоленовой и элестеариновой. Масла приготавливали этерификацией к-т чистыми глицерином, пента- и дипентаэритритом. Образцы пигментировали 75% TiO<sub>2</sub> (рутил) и 25% ZnO в кол-ве ~30% от объема твердых в-в связующего, содержавшего Со- и Рб-сиккативы. Кол-во О<sub>2</sub>, абсорбировавшегося при высыхании пленок, было непостоянным и зависело от условий сушки; последние в большей степени влияли на увеличение веса пленок, чем хим. состав. Свойства растяжения и прочности на разрыв у пленок их технич. сортов алкидов ухудшались медленнее, чем из чистых алкидов; в последнем случае пигмент не влиял на изменение этой скорости, но у пленок из эфиров элестеариновой к-ты и глицерина или пентаэритрита такое изменение происходило более медленно, чем у пленок из соответствующих эфиров линоленовой к-ты, так же как и у пленок из технич. алкидов против лаковых пленок из льняного масла. Пожелтение пленок всех эфиров и алкидов при выдержке на свету или в темноте зависело от природы их к-т, пожелтение увеличивалось в следующей последовательности к-т: олеиновая < линолевая < элестеариновая < линоленовая; пожелтение в темноте значительно сильнее, чем на свету и непосредственно зависит от содержания масла — увеличивается для чистых эфиров и уменьшается для алкидов со слабо полимеризованным маслом, на свету это соотношение не обнаруживалось. Влияние на пожелтение различных типов многоатомных спиртов не установлено. Скорость и степень изменения блеска пленок не зависела от структуры, но блеск уменьшался в следующей последовательности к-т: линоленовая > линолевая > олеиновая > элестеариновая. Алкиды

способствовали более высокому блеску, чем соответствующие чистые эфиры. С увеличением степени ненасыщенности радикалов жирных к-т масла, влагопроницаемость пленок уменьшалась, она была ниже у пентаэритритовых эфиров и алкидов, чем у глицериновых эфиров и масел. Б. Ш.

76417. Реакционноспособные лаки. Киттель (Reaktionslacke. Kittel H.), Dtsch. Farben-Z., 1956, 10, № 1, 16—18 (нем.)

Автор относит к реакционноспособным лакам полиизоцианатные системы (десмодур — десмофены); системы этоксилиновых смол с аминами; ненасыщ. полиэфирные смолы (композиции стирола и др. подобных ненасыщ. компонентов); системы поливинилбутираль — тетраоксихромат — фосфорная к-та. Отверждаемые к-тами на холоду фенольные и мочевиные смолы автор не относит к реакционноспособным лакам. Н. А.

76418. Покрытия на основе десмофенов и десмодуров. Хебермель (Les vernis à base de Desmophen-Desmodur. Hebermehl R.), Chim peintures, 1955, 18, № 12, 441—449 (франц.)

Подробно описаны св-ва полуретановых покрытий на основе смесей десмофенов (гидроксилсодержащие эфиры) и десмодуров (полиизоцианата). Н. А.

76419. Полиамидноэпоксидные смолы. (Polyamide-epoxy resins.—), Paint and Varnish Prod., 1954, 44, № 11, 54—57, 128 (англ.)

Сравнительная характеристика лаковых покрытий на основе эпоксидных смол и смешанных полиамидноэпоксидных смол. Л. П.

76420. Лаки из кислого гудрона. Иванов К. А., Коданашвили В. А., Тр. Груз. политехн. ин-т, 1955, № 5 (40), 76—85 (рез. груз.)

Исследовали получение асфальтовых лаков из автолового кислого гудрона (I) — отброса сернокислотной очистки нефтяных дистиллатов. Проведены следующие опыты: 1) получение асфальта раскислением I кипячением с водой и продувкой воздуха через органич. часть при 280° без катализатора; 2) нагревание органич. части I без продувки воздуха и катализаторов; 3) окисление и полимеризация сырого I без предварительного вымывания водой. Приведены физ.-хим. св-ва полученных битумов, состав и св-ва 10 лаков. Лучшие защитные св-ва показал лак, содержащий 20 г битума с т. пл. 130°, 30 г олифы, 10 г канифоли и 30 г скипидара с уайт-спиртом (1:1). Повышение т-ры плавления органич. части масляных лаков повышает их защитные свойства. Безмасляные скипидарные лаки быстро набухали, но медленно разрушались. Органич. часть I с высокой т-рой плавления способствует получению лучших лаков, чем нефтяной битум. Испытан свежий автоловый гудрон, органич. часть I получали путем прямого многократного выщелачивания свежего гудрона водой до нейтр. р-ции при 60—65°. Испытаны 7 образцов лаков в атмосферных условиях, приведены результаты. Лаки из I имели удовлетворительную маслоустойчивость. Установлено, что из органич. части, получаемой после отмывки горячей водой I, можно варить лаки без продувки воздуха и термич. обработки. Лаки образуют прочные, эластичные, нелипкие, защитные и изоляционные покрытия. Б. Ш.

76421. Связующее для водных красок. Бейкер (Media for water paints. Baker J.), Paint Manufact., 1955, 26, № 1, 23—24 (англ.)

Водные краски обычно выпускают в виде 4-х основных типов. Первые два типа образуют моющиеся покрытия, в составе связующего содержится масло; третий тип основан на связующем не содержащем масла (напр., на щел. казенновом р-ре), образует моющиеся покрытия; четвертый тип дает немоющиеся, но прочные покрытия, обычно на основе клея. Краски, содержащие масло, несколько увеличивают стойкость покрытий к

мытью после 14 суток воздушной сушки. Связующее водн. красок содержит защитный коллоид (казеин), агент сгущения для увеличения вязкости водн. фазы (клеи или производные целлюлозы и соли полиакрилатов), высыхающее масло или масляный лак, эмульгаторы, предохранительные в-ва для защиты от воздействия грибов и бактерий. Все эти в-ва диспергируют в воде до образования эмульсии; для жаркого климата должен быть подобран стабильный состав эмульсии.

Б. Ш.

**76422. Дисперсионные и латексные краски. Леман** (Dispersions- und Latexfarben. Lehmann Albert), Chem. Rundschau, 1954, 7, № 13, 247—248 (нем.)

Общие сведения о дисперсионных и латексных красках.

М. Г.

**76423. Последние достижения в области эмульсионной полимеризации винилацетата. Лакман, Хауэлл** (Latest development in vinyl acetate emulsion polymerization technique. Lukman John C., Howell Donald D.), Paint Ind. Mag., 1955, 70, № 12, 23—25 (англ.)

Предлагается новый метод получения поливинилацетата (I) для эмульсионных красок повышенного качества. Технология проведения эмульсионной полимеризации в данном случае отличается от обычной тем, что первоначальная загрузка мономера составляет 5—10% от общего его кол-ва, а 95—90% добавляются постепенно в течение 2—4 час. во время полимеризации. Это позволяет получать I с малым размером частиц (диам. 0,1 м) и низким содержанием коллоидной части. Применение нового I дает возможность увеличения кол-ва вводимого в краску пигмента в 2 раза без снижения прочности пленок на разрыв. Покрытия красками на этом I, помимо повышенной водостойкости, отличаются высоким блеском и гладкостью. Для увеличения эластичности рекомендуется применять сополимеры винилацетата с акрилатами, виниловыми эфирами стеариновой, пропионовой, масляной к-т или с бутиловыми полными эфирами малеиновой, фумаровой кислот.

К. Б.

**76424. Черные пигменты, полученные из сланцевых пород. Шаррен** (Les pigments noirs dérivés des roches schisteuses. Charrin V.), Peintures, pigments, vernis, 1954, 30, № 3, 218—219 (франц.)

Описаны французские сланцевые породы — угольнокитумные, графитовые, шиферные, фосфатно-кальциевые, — которые можно использовать для получения черных пигментов.

М. Г.

**76425. Новые пигменты и лаки. Фулон** (Neuere Pigmente und Lacke. Foulon A.), Farbe und Lack, 1955, 61, № 7, 331—332 (нем.)

Пигмент светостойкого, насыщ. цвета от коричневого до черного, с большой красящей силой, мягкой и укрывистой, получают из р-ров Fe-солей путем осаждения Fe(OH)<sub>3</sub> небольшим избытком суспензии извести при добавлении водорастворимых соединений Mn, окислении первоначально выпадающего осадка воздухом и последующего дегидратирования осадка при прокаливании. К 150 кг отработанной (травильной) к-ты, содержащей 44 кг FeCl<sub>2</sub>, прибавляют 2 кг MnCl<sub>2</sub>, нагревают до 95° и осаждают 30%-ной суспензией Ca(OH)<sub>2</sub> до pH = 8,5 при окислении до соотношения Fe(2+) : Fe(3+) = 1 : 4. Осадок промывают, сушат и прокаливают при 800°. Получение свинцовых белил по французскому модернизированному, непрерывному способу может быть улучшено применением ультразвука, ускоряющего отделение пигмента. Осаждающиеся белила можно удалять из реакционной зоны при помощи скребков или шнека, в ходе процесса. Посредством продувания предварительно нагретой CO<sub>2</sub> с примесью горючего инертного газа свинцовые белила можно высушивать непосредственно в реакционной зоне. Для

предотвращения седиментации в связующем смеси пигмента с BaSO<sub>4</sub> вследствие различного уд. веса компонентов рекомендуется применять высокоосновные, гидратированные соли (напр., основной Al-сульфат), высокоосновной силикат или гидратированные окиси металлов в р-ре Zn-тетрамина. Кислотные органич. красители (напр., ализарин), адсорбируемые минер. субстратами и образующие легко диспергируемые частицы колл. размерности, можно применять в качестве наполнителей для каучука и пластмасс. Применение Al-алкоголятов для ускорения сушки лаков и получения толстых, неморщинистых покрытий с высокой водостойкостью; применение для повышения прочности покрытий р-ров алкоксисолей, особенно при добавлении таких соединений, как эфиры кетокислоты или малоновой к-ты, т. е. в-в, способных образовывать енольные ОН-группы. Применение Fe(3+)-алкоголятов, напр. Fe(3+)-бутилата в р-ре кислоты для ускорения сушки и получения более твердых, нежелтеющих лаковых покрытий.

Б. Ш.

**76426. Влияние размера частиц на маслосмкость пигментов. Кауфман** (Der Einfluß der Teilchengröße auf das Olaufnahmevermögen von Pigmenten. Kaufmann W.), Dtsch. Farben-Z., 1956, 10, № 2, 45—46 (нем.)

За последние годы увеличилось применение для произ-ва лаков и красок высокодисперсных, микронизированных пигментов (П) с размером частиц порядка нескольких м. Размол производят в высокоскоростных, струйных мельницах, которые дают более высокую степень размола, при сохранении структуры П. П, получаемые при размоле, имеют значительно большую удельную поверхность, чем обычные П, и поэтому следовало бы ожидать, что они будут иметь и соответственно большую маслосмкость. Однако, оказалось, что с увеличением дисперсности П, маслосмкость их не всегда увеличивается, а в отдельных случаях уменьшается. Маслосмкость выше у более высокодисперсных П, но только в том случае, если они до размола не имели больших объемов пор, как напр., сажа, маслосмкость которой составляла 145,2 после размола против 192,0 до размола, хотя величина частиц высокодисперсного сорта составляла 3 м, а обычного 20 м. Этот неожиданный результат может быть объяснен особым способом размола в названных мельницах, который сопровождается уменьшением объема пор.

Б. Ш.

**76427. Флуоресцирующие краски дневного света. Дерибере** (Daylight fluorescent colours. Deribère Maurice), Paint Manufact., 1955, 25, № 7, 251—253 (англ.)

В практике нашли применение твердые р-ры флуоресцирующих красителей в синтетич. смолах. Описано два способа изготовления флуоресцирующих красочных лаков. По одному из них 0,2 г 4-амино-1,8-нафтол-п-кислида растворяют в 50 г 50%-ного р-ра мочевиноформальдегидной смолы, модифицированной бутиловым спиртом, нагревают при 90° до образования геля и повышают т-ру до 140°, в результате смола полимеризуется с образованием твердого, прозрачного, стекловидного в-ва, которое измельчается до размера частиц, проходящих сквозь сито с 64 отверстий на см<sup>2</sup> и при помощи соответствующего р-рителя переводится в р-р. Полученный р-р обладает флуоресценцией бриллиантового желто-зеленого красителя. Коэфф. преломления р-рителя должен быть близок к коэфф. преломления флуоресцирующего «пигмента». Наряду с мочевиными могут применяться и меламиноформальдегидные, а также метакриловые смолы. Флуоресценция происходит только в очень разб. р-рах. Красители с большим мол. весом могут применяться в больших концентрациях, по сравнению с низкомолекулярными в-вами. Длина волны испускаемого света возрастает с мол. весом.

Слишком сильное измельчение «пигмента» приводит к потере флуоресцирующих свойств, что ограничивает возможность получения достаточно тонких типографских красок. Другой способ заключается в осаждении смолы в присутствии флуоресцирующих красителей. Полученный продукт пригоден для изготовления типографских красок и лаков, а также прозрачных лаков. Отмечено, что описанные «пигменты» не должны применяться в смеси с белыми непрозрачными пигментами или другими материалами, снижающими флуоресценцию. Р-итель должен быть достаточно проницаем к УФ-лучам, а также к фиолетовым, синим и зеленым лучам. При изготовлении покрытий на маслах необходимо учитывать абсорбцию их частицами пигмента. Отмечено, что 1 кг флуоресцирующей краски хорошего качества достаточно для покрытия 5—10 м<sup>2</sup> поверхности.

М. В. 76428. Заменитель масляных красок для внутренней отделки жилых зданий. Голант Ш. Н., Ривина Р. И., Бюл. строит. техники, 1956, № 3, 21—22

Сообщается о выпуске синтоловых красок. Связующим служит уайт-спирит, окисленный продуванием воздуха при повышенном давлении и т-ре 135—160° в присутствии катализаторов. Продукт — синтоловая олифа состоит в основном из смеси карбоновых, оксикарбоновых к-т и их эфиров. Рецепт краски синтол-У (в %): 30 синтоловой олифы, 15 ксилола, 1,2 парафина, 36 пигмента, 17,8 уайт-спирита. Для грунтовки состав разбавляют перед применением 10—15% уайт-спирита; он высыхает через 18—20 час. После просушки грунтовки, поверхность дважды шпаклюется с интервалом 3—4 часа составом (в %): 15—20 синтоловой краски, 73—68 мела, 12 клевого 1%-ного р-ра. Синтоловые покрытия наносят в 2 слоя, первый высыхает через 24—36 час., второй слой наносит через 3 часа после проклейки поверхности 1%-ным р-ром клея, высыхает через 36—48 час. На 1 м<sup>2</sup> расходуется 200 г грунтовочного состава, 250 г шпаклевки, 30 г 1%-ного клея и 240 г краски. Применяют для окраски по штукатурке, дереву и металлу (2 покрытия без грунтования и шпаклевания). Запах исчезает через 3—5 дней после окраски. Практич. результаты показали возможность замены внутренних масляных покрытий синтоловыми, при почти равноценном сроке службы.

Б. Ш. 76429. Синтез высыхающих масел термическим разложением вторичных жирнокислых эфиров касторового масла. Пенoyer, Фишер, Бобалек (Synthesis of drying oils by thermal splitting of secondary fatty acid esters of castor oil. Penoyer C. E., Fischer W. von, Bodalek E. G.), J. Amer. Oil. Chemists' Soc., 1954, 31, № 9, 366—370 (англ.)

Гидроксил при C<sub>12</sub> радикала рицинолевой к-ты касторового масла (КМ) обладает свойствами вторичного спирта и может образовывать с жирными к-тами (ЖК) сложные эфиры (I). При последующем термич. разложении I выделяются свободные ЖК (II) с одновременным возникновением второй двойной связи и превращением рицинолевой к-ты в октадекадиеновую к-ту. Конечный продукт разложения — высыхающее масло. Для опытов сначала была получена смесь II сырого КМ путем его омыления NaOH (избыток против теоретич. 5%) и последующим разложением полученных мыл H<sub>2</sub>SO<sub>4</sub> (избыток против теоретич. 10%). 10 ч. II КМ смешивались с 90 ч. II. В первой стадии процесса этой смесью этерифицировались КМ при 250° в течение 2—3 час. в атмосфере CO<sub>2</sub> при соотношении КМ: смесь к-т 7:10. Во второй стадии процесса производилось разложение I при т-ре > 260° и давл. 90—150 мм рт. ст. в атмосфере CO<sub>2</sub>. Дистилляция II происходила со скоростью 2 мл/мин. Способность полученного продукта к высыханию испытывалась нанесением его пленки на

стеклянную пластинку и экспозицией в вентилируемой комнате при рассеянном дневном свете, т-ре 30 ± 3° и относительной влажности воздуха 46—64%. Масло, полученное при более высокой т-ре разложения I, обладало лучшей высыхающей способностью. Установлена зависимость продолжительности высыхания пленки от степени разложения I. В отсутствие сиккативов остатки I в конечном продукте разложения снижают скорость его высыхания, что не замечается в случае присутствия сиккативов. По сравнению с каталитич. дегидратированным КМ полученный продукт имеет более высокое кислотное число и хуже по цвету. Эти недостатки могут быть частично устранены при применении коррозионноустойчивой аппаратуры и при улучшении процесса дистилляции ЖК при низких давлениях. Описанный способ исключает необходимость удаления сильной к-ты, применяемой при каталитич. дегидратации КМ.

Г. Ф. 76430. Полимеризация льняного масла в растворителе. Симс (Dilution polymerization of linseed oil. Sims R. P. A.), J. Amer. Oil. Chemists' Soc., 1954, 31, № 8, 327—331 (англ.)

При термич. полимеризации масел и жиров в зависимости от условий р-ции последняя может протекать как между кислотными остатками одной и той же глицеридной молекулы, так и между кислотными остатками разных молекул. Р-ция первого типа изучалась при полимеризации рафинированного и отбеленного льняного масла при 270, 280 и 290° в присутствии р-рителя — минер. масла, предварительно подвергнутого молекулярной дистилляции для удаления летучих в-в. При 90%-ной конц-ии р-рителя полимеризация кислотных остатков происходит внутримолекулярно, без междумолекулярной реакции.

Г. Ф. 76431. Хлорофилл-сиккатив, предотвращающий образование пленок. Севестр (La chlorophylle: siccatisif et antipeaux. Sevestre J.), Peintures, pigments, vernis, 1955, 31, № 12, 1097—1098 (франц.)

Описаны опыты по изучению влияния хлорофилла на масляные лаки, приведены его структурные ф-лы. Хлорофилл, полученный спиртовой вытяжкой из листьев крапивы, при введении его в белую масляную эмаль сиккативирует ее, а с другой стороны — предотвращает образование пленок на поверхности краски при хранении. Хлорофилл в пасте, выпускаемый в продажу, не обнаруживает таких свойств. Причины, обуславливающие свойства хлорофилла, еще неясны.

Н. А. 76432. Стеараты для лакокрасочной промышленности. Ч. I. Стампф (Stearates for the paint industry — I. Stumpf M. L.), Paint Manufact., 1955, 25, № 12, 453—458 (англ.)

Характеристика, свойства и применение для лакокрасочной пром-сти металлич. мыл-стеаратов различных металлов. Приведены результаты исследования физ.-хим. свойств 24 твердых стеаратов. Наиболее широкое и разностороннее применение в настоящее время имеет Al-стеарат. Его высокая желатинизирующая способность способствует улучшению красочной суспензии, содержащей пигменты, склонные к оседанию. Al-стеараты можно применять в качестве суспендирующего агента для люминесцентных красок при низком содержании железа и воды в мыле, для составов против ржавления — предотвращающих коррозию оборудования при его хранении, для произ-ва лаков, образующих покрытия с сеткой искусств. трещин и других щелей. Кратко описано применение стеаратов аммония, Ba, Bi, Cd, Ca, Ce, Cr, Co, Cu, Fe, Pb, Li, Mg, Mn, Hg, Ni, K, Ag, Na, Sr, Ti, Zn и Zr. Библ. 32 назв.

Б. Ш. 76433. Химия сиккативов. Часть I, II, III, IV. Брашуэлл (The chemistry of driers. Часть I, II, III, IV. Brushwell William), Amer. Paint J., 1955, 40, № 8, 70, 72, 74, 76, 80, 82, 83; № 10, 100,

102, 104, 106, 108; № 12, 72, 74, 76, 78, 79, 82; № 14, 82, 84, 88, 90, 92, 94, 96, 100, 102 (англ.)

**Часть I.** Обсуждение исследовательских работ некоторых авторов по полимеризации масел в применении металлов в виде нафтенатов, таллатов, линолеатов и других соединений, в качестве сиккативов для ускорения высыхания пленок и улучшения их свойств; рассмотрение теоретич. положений и предположений о химизме и механизме действия сиккативов.

**Часть II.** Исследовалось влияние аминов (I) на активность Со- и Мп-сиккативов. Испытано 160 I, из которых некоторые улучшали каталитич. действие Со, напр., диэтилэтанолламин и дифенилгуанидин. Другие (напр., 1,10-фенантролин) задерживали действие Со-сиккатива. С Мп-сиккативом, катализ при 44 различных I, особенно дифункциональных и гетероциклических, ускорился на 180%, наиболее активными I были N,N'-дисульфидилэтилэтилендиамин, дициклогексикамин, гексаметилентетрамин. Активность Мп сильно тормозили основные диамины, замещ. фенилендиамины и S-содержащие I. Действие Fe-сиккатива ускорилось на 300% многими I, которые были активны с Мп. Со-сиккатив можно заменять аминными комплексами Мп и Fe. 1,10-фенантролин ускоряет высыхание пленок, содержащих металл. сиккативы, и стабилизирует красный состав, способствуя сохранению активности металл. сиккатива. При смешанных сиккативах влияние фенантролина аддитивно. Неметаллич. сиккативы — органич. соединения применяют в сочетании с металл. сиккативами для улучшения действия последних. Исследовали возможность полного устранения металл. катализаторов в случае применения подходящих, благоприятных органич. соединений; некоторые соединения ускоряли процесс полимеризации при комнатной т-ре. Соединения типа альдегидов могут служить в качестве эффективных сиккативов для масляных покрытий. Со-сиккатив — наиболее сильный катализатор окисления, эффективен в кол-ве ~ 0,005%. Для обычных высыхающих масел I ч. Со-сиккатива равноценна 40 ч. Рb-сиккатива. Вследствие высокой активности и способности промотировать поверхностное окисление Со-сиккативы следует вводить в состав ближе к концу процесса, применяя вместе с другими менее активными, напр., Рb-сиккативами и добавляя в-ва, предотвращающие образование в красках и лаках поверхностной пленки. Со-сиккативы имеют широкое применение для лакокрасочных покрытий и очень важны для типографских красок, в которые вводятся в кол-ве 0,03—0,4%. Мп-сиккативы подобны Со, но менее активны; 1 ч. Мп-сиккатива эквивалентна 8 ч. Рb-сиккатива. Мп-сиккатив менее склонен промотировать образование поверхностной пленки, чем Со. Для улучшения свойств пленок Мп-сиккатив применяют в смеси с другими сиккативами. Применяется в кол-ве 0,01—0,1% от содержания связующего; сиккативирующее действие Мп лучше проявляется при повышенных т-рах и для покрытий горячей сушки он применяется в меньшем кол-ве, нередко 0,005—0,03%.

**Часть III.** Свойства и способы получения сиккативов Рb, Fe, Са, Zn, Cu, Al и редких земель — Се, La, Pr, Zr.

**Часть IV.** Свойства, получение и применение металл. мыл жирных к-т — октоатов, линолеатов, резинаатов, нафтенатов, таллатов; расчет сиккативов в зависимости от требуемого кол-ва металла, общая спецификация и выбор сиккативов во взаимосвязи с лакокрасочным составом и условиями применения покрытий. Октоаты катализируют высыхания в условиях высокой влажности, особенно рекомендуются для силиконовых лаков воздушной сушки. Октоаты дороже других сиккативов. Наиболее широкое применение имеют наф-

тенаты, содержащие ~ 45% Рb, их получают способом осаждения.

Б. Ш.

**76434.** Пептизация смесей алюминиевых мыл с уайт-спиритами. Родригес (Peptization of aluminum soap-mineral spirits mixtures. Rodriguez Ferdinand), Amer. Paint J., 1954, 38, № 31, 86, 88, 89, 92 (англ.)

Исследовано влияние некоторых пептизирующих полярных соединений (так называемых модификаторов) на скорость желатинирования и равновесную вязкость (при ~ 20°) смесей уайт-спиритов с октоатом алюминия, вводимым в качестве загустителя. Скорость загустевания смесей определялась с помощью ротационного вискозиметра Брукфилда, модель RVF (шпindel № 6, скорость — 4 об/мин), в пределах до 10000 спуз; равновесная вязкость — посредством вискозиметра Гарднера при 26,7 ± 2,6°; консистенция выражалась в г при продолжительности падения 100 сек. В гомологич. ряду первичных спиртов с повышением мол. веса наблюдается увеличение времени желатинирования и повышение получаемой консистенции. Увеличение концентрации первичного спирта снижает оба указанных показателя. Изопропиловый спирт несколько менее эффективен, чем n-гексильный при той же конц-ии. Помимо эффективности модификатора следует учитывать его стоимость, допустимые пределы скорости желатинирования и консистенции, т-ру вспышки и скорость испарения модификатора, стабильность получаемой системы и влияние модификатора на другие компоненты краски.

М. Г.

**76435.** Применение высокосортных шпаклевочных составов. Хибберт (Good paint joms through high grade calking compounds. Hibbert H. Wesley), Paint Ind. Mag., 1954, 69, № 7, 12—13 (англ.)

Общие сведения о шпаклевках.

М. Г.

**76436.** Сравнение свойств защитных покрытий. Гилберт (Comparative properties of protective coatings. Gilbert Gerald F., Jr), Paint Ind. Mag., 1955, 70, № 12, 10, 12—17 (англ.)

Сравнение противокоррозионных свойств покрытий лакокрасочными материалами, выпускаемыми промышленностью на основе неопрена, хлоркаучука, виниловых полимеров и сополимеров, асфальтов, масел, стиролбутадиена, фурана и смол: фенольных, эпоксидных и алкидных. Составлена таблица с 10-балльной оценкой стойкости указанных покрытий к действию атмосферы, солнечного света, тепла, воды, соли, р-рителей, к-т, щелочей, окислителей и их физ.-мех. свойств: прочности на удар и на истирание. Наивысшей суммой баллов по всем видам коррозионных воздействий обладают покрытия на основе неопрена, хлорвинила, винилиденхлорида и эпоксидных смол. Среднее положение занимают хлоркаучуковые, стиролнобутадиеновые, фурановые и на фенольных смолах. Для улучшения адгезии стиролнобутадиеновых сополимеров и неопрена рекомендуется добавка терпенофенольной смолы, а для виниловых — нанесение по фосфатирующему поливинилбутиральному грунту. Приводятся примеры методов нанесения покрытий на различных связующих.

К. Б.

**76437.** Проблемы аэрозольного покрытия. Палмер (Aerosol coating problems related to the propellant. Palmer Fred S.), Paint Ind. Mag., 1954, 69, № 8, 29 (англ.)

Перечислены проблемы в области аэрозольных покрытий, из которых важнейшими являются совместимость разбрызгивающего в-ва (пропеллента) с лакокрасочными материалами и правильное регулирование консистенции и давления. Максим. содержание сухого остатка в применяемых составах аэрозольного распыления равно (в вес. %): у алкидных эмалей 18—22, нитроэмалей 10—15, акрилатов 8—10, виниловых материалов 5—10.

М. Г.

**76438.** Нанесение пластмассы как антикоррозионного покрытия методом обрызга. Прокунина А., Новострой нефт. техники, М., Гостехиздат, 1953, № 6, 26—30

Описан метод напыления на поверхность порошков смол с помощью установки УПН-1. Порошки наносят, расплавляя их в ацетиленовом пламени. Т-ра размягчения порошков может варьировать в пределах 60—450°. Поверхность предварительно подвергают пескоструйной обработке и нагревают до т-ры ~80°. Толщина нанесенного слоя покрытия — от 0,5 до 3 мм. Приведено описание устройства установки УПН-1 и ее технич. характеристика.

М. Г.

**76439.** Пистолет БКФ для бескомпрессорного распыления окрасочных составов. По материалам треста «Союзспецстрой» М-ва строительства СССР. Бюллетень стронт. техники, 1954, № 8, 18

Описано устройство пистолета БКФ, в котором осуществляется замкнутый поток красочного состава под гидравлич. давлением. Величина струи регулируется за счет кол-ва, отводимого (сбрасываемого) потока краски. Распыление краски осуществляется развивающейся в выходящей из сопла струе центробежной силой. Применение пистолета БКФ повышает производительность по сравнению с пневматич. краско-распылителем в 2—3 раза.

М. Г.

**76440.** Агрегат БКФ-47 для бескомпрессорного распыления окрасочных составов. По материалам треста «Союзспецстрой» М-ва строительства СССР. Бюллетень стронт. техники, 1954, № 8, 19—20

Агрегат БКФ-47 осуществляет распыление красок под гидравлич. давл. до 45 ат при помощи спец. пистолета БКФ с замкнутой циркулирующей краски. Описано устройство агрегата, приведены его технич. характеристика, схемы устройства и действия. Агрегат применяется для наружных и внутренних малярных работ, имеет производительность в 2—3 раза выше агрегатов воздушного распыления и в 12—20 раз больше, чем при немеханизированной окраске. Туманообразование сведено к минимуму.

М. Г.

**76441.** Распыление красок. Вейнерт (Das Farbspritzen. Weinert W.), Industrie-Lackier-Betrieb, 1956, 24, № 1, 1—10 (нем.)

Описание различной известной аппаратуры и процессов распыления красок.

В. Ш.

**76442.** Прозрачные покрытия для внешней отделки домов. Браун (Clear finishes for exteriors of houses. Browne F. L.), Amer. Paint J., 1954, 38, № 36, 88, 90, 92, 94, 95, 96, 98, 100 (англ.)

Рассмотрены свойства прозрачных покрытий по дереву, полученных на основе масляных лаков, пропиточных масляных лаков, высыхающих и не высыхающих масел. Нанесение красок по масляным и пропиточным лакам не рекомендуется, и лаки требуются предварительно удалить смывками, зачиств после этого поверхность. Покрытия на основе высыхающих масел можно окрашивать не ранее, чем через год после их нанесения; покрытия на основе не высыхающих масел с большим содержанием воска даже после нескольких лет службы плохо сцепляются с краской.

М. Г.

**76443.** Окраска металлических изделий. Часть I, II. Окраска стальных бензиновых цистерн. Часть III, IV. Сайер (Painting metal products in Singapore. Part I, II. Painting steel drums in Singapore. Part III, IV. Syer C. R.), Industr. Finish. (Indianapolis), 1954, 30, № 7, 50—52, 54, 56; № 9, 66, 70, 72, 74, 76, 78; № 10, 30, 32, 34, 36, 38, 40, 41; № 12, 37—38, 40, 42 (англ.)

Кратко описан процесс подготовки и окраски стальных листов, применяемых для изготовления цистерн для перевозки высокооктанового бензина. Стальные листы очищают травлением в 10% р-ре  $H_2SO_4$ , дважды промыва-

ют водой, фосфатируют, обрабатывают р-ром  $CrO_3$ , высушивают и окрашивают спец. эмалевыми красками. Составы фосфатирующей ванны и типы красок не указаны. Описан новый тип спец. эмалевых красок на основе смолы «Эпон», примененных для окраски стальных листов, предназначенных для изготовления цистерн для перевозки высокооктанового бензина. Покрытие обладает высокой эластичностью, хорошей адгезией к фосфатированной и обработанной  $CrO_3$  поверхности стали, атмосферостойкостью, а также стойкостью к р-рителям и хим. воздействиям, отверждается при 20° и образует пленки достаточной толщины при однослойном нанесении. При содержании твердого в-ва до 60—70% толщина пленки составляет 5—7 мм. Пленки, высушенные при 20° и 232°, обладают одинаковыми свойствами. В зависимости от т-ры сушки, в качестве катализатора отверждения применяются этилендиамин или диэтилтриамин в кол-ве 6 вес. % от смолы. Покрытие имеет светлую окраску, в случае необходимости может быть пигментировано. Окраска внутренней поверхности цистерны производилась дважды распылением; краска разводилась смесью толуола с бутиловым спиртом, в соотношении 1:1. Кол-во р-рителя составляло 20% вес. %, вязкость краски — 18 при 25°, толщина пленки 0,075 мм. Во избежание образования вздутий сушка окрашенной цистерны производилась в два приема: сначала в спец. печах 5 мин. при 93° и окончательная — 2 мин. при 208° в печах конвекционного типа.

М. В.

**76444.** Органические покрытия для бетонных полов.

Лорен (Organic finishes for concrete floors. Lauren Sidney), Organ. Finish., 1955, 16, № 9, 13—14, 16 (англ.)

Краски, наносимые на бетонный пол с целью удаления пыли, грязи, придания химстойкости, для украшения, различных отметок, размягчаются, теряют адгезию или совсем разрушаются под действием щелочей, вымываемых влагой из бетона. Перед нанесением масляно-смоляных красок рекомендуют предварительную обработку бетонного пола водн. р-ром  $ZnSO_4$  (0,9072—1,3608 кг на 4,5435 л) с последующей промывкой и сушкой, водн. р-ром, содержащим 2%  $ZnCl_2$  и 3%  $H_3PO_4$ . Наиболее успешно применяются покрытия на основе хлорированного и стирольнобутадиенового каучука благодаря своей влаго-, масло-, химстойкости и стойкости к истиранию, образующие пленку после удаления р-рителя. Однако под действием р-рителя эта пленка может вновь размягчаться и растворяться, напр. стирольнобутадиеновая под действием смеси алифатич. и ароматич. р-рителей. Перед нанесением таких красок пол обрабатывают каустиком и очищающими р-рителями, промывают водой, затем 10%  $HCl$ , опять водой и сушат. Первый слой краски разбавляют, последующие покрытия (2—4 слоя) наносят не разбавляя. Нанесение производят длинным валиком с ручкой. Пленки, образуемые смолами под действием хим. катализаторов или других реактивных смол, стойки к к-там, щелочам, маслам и р-рителям. Напр., эпокси смола, растворенная в метилизобутилкетоне с добавками целлолольва, ксилола, мочевиноформальдегидной смолы, после прибавления этилендиамина высыхает за 24 час. и дает исключительно стойкую пленку через 4—7 дней. Свободный от масел полиэфир, растворенный в мономерном стироле, после прибавления нафтената Со и органич. перекиси образует пленки при комнатной т-ре, отличающиеся высокой стойкостью к воде, р-рителям и хим. агентам.

Б. Б.

**76445.** Окраска внутренних поверхностей помещений синтоловыми красками. Голант Ш., Ривина Р., Жил.-комму. х-во, 1955, № 7, 13—14

Для окраски внутренних поверхностей хорошо проветриваемых помещений рекомендуется безмасляная краска на основе «Синтола-У», представляющего собой окис-

ленный уайт-спирит. Приведены рецептура и технология нанесения по штукатурке и дереву.

**76446. Сушка лакокрасочных покрытий при помощи ИК-лучей.** Хейдингсфельдер, Вебер (Die Infrarotrocknung von Lackfarben mit Hellstrahlern. Heidingfeld M., Weber K.), *Fertigungstechnik*, 1956, 6, № 1, 35—38 (нем.)

Описаны опыты по сушке лакокрасочных покрытий на основе алкидных смол при помощи ИК-лучей с определенной длиной волны и определению зависимости т-ры от продолжительности облучения. Исследовали в основном черные, белые и зеленые краски на листовом железе и алюминии толщиной 1 мм, при облучении лампами ИК-света мощностью 250 и 500 ватт. Результаты опытов представлены в виде кривых. Восприимчивость тепловой энергии была различна не только для разных красок, но она зависела также и от типа подложки. Почти во всех случаях, после первого энергичного теплового воздействия, процесс сушки начинался через 6—8 мин. после начала облучения и далее протекал при различных температурных условиях, в зависимости от состава покрытия.

**76447. Об определении малых количеств орто-трикрезилфосфата в техническом трикрезилфосфате.** Фейерзенгер (Über die Bestimmung kleiner Mengen Ortho-Trikresylphosphat in technischem Trikresylphosphat. Feuersenger M.), *Dtsch. Lebensmitt.-Rundschau*, 1956, 52, № 3, 68—70 (нем.)

Химические методы определения небольших количеств ядовитого о-изомера (I) в технич. трикрезилфосфате недостаточно точны. Для этой цели пригодна ИК-спектроскопия, позволяющая обнаружить  $\geq 0,1\%$  I. Максимумы ИК-спектра лежат у I при 13,15 мкм, м-изомера 12,85 мкм и п-изомера 12,20 мкм.

**76448. Практическое применение цветовой теории в производстве красок.** Хантер (The practical application of color theory to paint manufacture. Hunter L. P.), *Amer. Paint J.*, 1954, 38, № 30, 32, 34, 36, 76, 78, 80, 82, 84, 86, 88 (англ.)

Отмечено отсутствие данных о цвете, укрывистости и стабильности цвета смесей, получаемых из двух или более пигментов. На ряде примеров показано, что эти характеристики смесей могут значительно отклоняться от значений, которые можно было бы ожидать в соответствии с правилом прямой пропорциональности. Взамен моделей цветового тела, предложенных Манселлем и Оствальдом и имеющих, соответственно, форму шара или двойного конуса, предложено пользоваться цветовым телом цилиндрич. формы, благодаря чему достигается большая точность при определении оттенков, приближающихся к белому и черному цвету. Поперечные сечения этого тела, имеющие форму прямоугольников, оформленные в виде карт, в кол-ве 20—24 штук, могут быть использованы в практич. целях. Для изготовления карт выбраны пигменты, обладающие хорошим оттенком, укрывистостью и стабильностью цвета и дешевой. Пользуясь цветовыми картами, можно определить, сколько и каких пигментов наиболее рационально взять для получения краски желаемого цвета. В отношении цветных пигментов допустимы отклонения от указанных в картах кол-в в пределах от 20 до 30%, поскольку интенсивность этих пигментов сильно зависит от степени их дисперсности.

**76449. Исследование адгезии красок во влажных условиях.** Джеймс (Experiments on paint adhesion under moist conditions. James D. M.), *J. Oil and Colour Chemists' Assoc.*, 1956, 39, № 1, 39—62, 62—66 (англ.) См. РЖХим, 1956, 41429.

**76450. Разрушение автомобильных лакокрасочных покрытий в тропических условиях.** Берч (Tropical deterioration of automobile paint finishes. Birch A. J.), *Prod. Finish*, 1956, 9, № 1, 50—64 (англ.)

Окрашенные панели экспонировались во многих тропич. районах в течение 6—12 мес. При этом наблюдалось меление, микрорастрескивание, микровздутие (микрораздутие), уменьшение блеска покрытий. При ускоренном испытании в везерометре, для приближения его к тропич. условиям, покрытия подвергают одновременному действию тепла, влажности и УФ-света. Однако избыток тепла или влажности может дать результаты, не воспроизводимые при выдержке в естественных условиях. Рассматривается значение этих трех факторов при ускоренном испытании. Проведены сравнительные испытания погодостойкости покрытий по ускоренному методу и при выдержке в тропич. условиях. Целлюлозные покрытия разрушались подобно эмалям печной сушки, но установить тип наиболее долговечного автомобильного покрытия при многообразии и различии красочных цветов было невозможно. Тип растрескивания покрытия в искусств. условиях испытания соответствует результатам испытания в естественных условиях, но испытание на выцветание, стойкость в первом случае не дает возможности правильного суждения об этом по причине соларизации стекла; УФ-лучи с некоторой длиной волны вызывают передвижение электронов в стекле, действуя как фильтр, препятствующий прохождению коротких волн света. Везерометр по стандартному циклу испытаний можно применять для испытания внешних покрытий по дереву на микрорастрескивание, напр., алкидных лаков и лаков на эпоксид-смолах, наносимых кистью. Ускоренным способом испытаны автомобильные покрытия, закрывавшиеся чехлами из пластмасс, напр., из полиэтилена, поливинилацетата и поливинилхлорида; чехлы оставляли следы на покрытиях, пузырение же последних в значительной степени зависит от водонепроницаемости материала. Результаты испытания покрытий в тропич. условиях иллюстрированы фото, цифровой материал и рецептура покрытий не приведены.

**76451. Способность покрытий «дышать».** Рик (Atmungsfähigkeit von Anstrichen. Rick Anton W.), *Dtsch. Farben-Z.*, 1956, 10, № 1, 15—16 (нем.)

Краткое сообщение о исследовании связи пористости пленок с влажностью и паропроницаемостью покрытий по дереву.

**76452. Ускоренные испытания стойкости покрытий.** Рейнс, Уайлд (Accelerated durability tests. Rains H. G., Wild G. L. E.), *J. Oil and Colour Chemists' Assoc.*, 1954, 37, № 414, 675—676 (англ.)

Ускоренные испытания многослойных накрасок (грунт, подслои и покровный слой) в аппаратах типа везерометра, вопреки установившемуся мнению, не дают результатов, которые могли бы служить критерием для оценки практич. долговечности накрасок. При таких испытаниях многослойные накраски обычно более прочные в эксплуатации, чем однослойные, быстрее вспучиваются и разрушаются. Высказаны предположения, объясняющие это явление.

**76453. Влияние атмосферных агентов на образование синего налета на накраках.** Мёбес (Der Einfluß der Atmosphären auf die Blauschleierbildung von Anstrichen. Mebes Karl Heinz), *Farbe und Lack*, 1954, 60, № 7, 305—307 (нем.)

Испытаны накраски белой эмали, изготовленной на основе льняного полимеризованного масла и пигментированной цинковыми белилами, в атмосфере очищ. воздуха и в воздухе, содержащем водяной пар, аммиак, серный ангидрид, хлористый водород. Испытания проводились в сосудах в течение 30 дней при  $t = 20 \pm 5^\circ$  на рассеянном свете. Установлено, что присутствие  $NH_3$  в воздухе сильно ускоряет пожелтение эмали.  $SO_2$  и  $HCl$  ухудшают пленкообразование и разрушают пигмент. Образование синего налета наблюдается при одновременном присутствии в воздухе паров воды,  $NH_3$  и  $SO_2$  и в меньшей степени — в присутствии паров воды,

$\text{NH}_3$  и  $\text{HCl}$ . Обработка смывогой водой налета реактивом Несслера и  $\text{BaCl}_2$  обнаруживает наличие в нем ионов аммония и сульфата. Таким образом, синий налет представляет собой серноокислый аммоний. Свеженанесенная окраска от воздействия серноокислого аммония матовеет, а на пленке, сохнувшей 24 часа, появляется поверхностный налет. Посинение на красок на основе конъюгированного льяного масла наблюдается в меньшей мере вследствие более высокой стойкости их к водонабуханию. Ускоренная проверка на красок на склонность к посинению может проводиться в лабор. условиях. М. Г.

**76454. Изучение водопроницаемости битумной пленки с помощью меченых атомов.** Турчихин Э., Жилкоммун. х-во, 1955, № 5, 24—25

С помощью меченых атомов  $\text{Sr}$  и  $\text{P}$  исследовалась водопроницаемость пленок безмасляных битумных лаков, нанесенных на различный щебень. Установлено, что проницаемость пленки не зависит от марки битума и всецело определяется природой щебня. Так, при одном и том же битуме известняковый щебень обуславливает наименьшую проницаемость, а гранитный — наибольшую. К. Б.

**76455. Содержащие аэрозоли смывки для удаления лакокрасочных покрытий.** Гейжа (Pressurized paint removers. Herzka A.), Paint Technology, 1955, 19, № 217, 333—335 (англ.)

Состав смывки (I) в вес. %: парафин. (т. пл.  $\sim 45^\circ$ ) или неочищенный воск (т. пл.  $\sim 100^\circ$ ) 1,5; этил- или ацетилцеллюлоза 1,5; метилхлорид 55,0; сложные эфиры, эфиры этиленгликоля, кетоны, спирты 17,0; аэрозольдиформатан 25,0. Для стабилизации вводится добавка 0,15%  $\text{CaF}_2$  (в расчете на всю I). I упаковывается в стеклянные бутылки со спец. насадкой, которая дает возможность при нажиме на нее пальцем наносить I при  $22^\circ$  на подлежащее удалению лакокрасочное покрытие. Преимущества этого метода нанесения I по сравнению с кистевым заключаются в меньшей трудоемкости, чистоте, уменьшении расхода I и в более легком удалении покрытий с поверхности. К. Б.

**76456. Производительность мешалок. Испытание эмульгирующей способности мешалок.** Магнуссон (Stirrer efficiency. Emulsifying performance of stirrers tested. Magnusson K.), Paint Manufact., 1954, 24, № 6, 183—185 (англ.)

Определялись скорость мешалки и требуемая мощность для получения эмульсии, расслаивающейся не ранее, чем через 20 мин. после смешивания. Лабор. опыты показали непригодность мешалок пропеллерного и турбинного типа. Наилучшие результаты получены с мешалкой однолопастного типа, обеспечивающей хорошее эмульгирование и теплопередачу от эмульгатора к эмульсии. Если важно достигнуть только хорошего эмульгирования с меньшей затратой энергии, можно пользоваться шестилопастной мешалкой с лопастями, расположенными под углом  $45-60^\circ$  к горизонту. Хорошая теплопередача от эмульгатора к эмульсии без тщательного смешивания может быть получена с помощью якорной мешалки, снабженной двумя — четырьмя узкими вертикальными лопастями, расположенными по возможности ближе к эмульгатору. Затраты энергии якорной мешалкой в 3 раза меньше, чем однолопастной. При вычислении потребляемой мешалкой мощности в производственном реакторе на основе данных, полученных на небольшой модели, необходимо пользоваться высокими значениями числа Фрода (Fr). М. Г.

**76457 П. Покрытие целлофана и аналогичных материалов.** Россер (Coating cellophane and the like. Rosser Charles M.) [American Viscose Corp.]. Пат. США 2699405, 11.01.55

Неволокнистую гидрофильную пленку пропитывают в

присутствии небольшого кол-ва к-ты термореактивной смолой, находящейся в начальной стадии конденсации (преконденсатом); в качестве смолы берут прекоденсаты формальдегида с меламином, с мочевиной и их смесями, растворимые при добавлении к-ты. Прекоденсат в пленке переводят в нерастворимую форму путем нейтр-ции к-ты щел. соединением лития. М. Г.

**76458 П. Получение линейных ненасыщенных полиэфиров** (Preparation of linear unsaturated polyesters) [Atlas Powder Co.]. Англ. пат. 722264, 19.01.55 [Paint, Oil and Colour J., 1955, 127, № 2943, 665 (англ.)]

Сополимеры ненасыщ. линейных полиэфиров, пригодные для использования в летучих лаках, эмалях и подобных им покровных материалах, совместимые с обычными наполнителями и пигментами для смол. Смолы имеют т. пл.  $\leq 80^\circ$  и содержат двухатомные спирты с алкиленовыми или алкилиденными радикалами, этерифицированные маленовой или фумаровой кислотой. М. Г.

**76459 П. Способ получения смол.** Дитрих, Рат (Verfahren zur Herstellung von Harzen. Dietrich Wilhelm, Rath Hubert) [Chemische Werke Huls G. m. b. H.]. Пат. ФРГ 892975, 12.10.53 [Chem. Zbl., 1954, 125, № 46, 10597—10598 (нем.)]

Сущность предлагаемого способа заключается в том, что жирноароматич. кетоны и  $\text{CH}_2\text{O}$  (или выделяющие его соединения) подвергают конденсации в присутствии щелочей в кол-ве, не менее 0,2 моля на 1 моль кетона, при продолжительности р-ции, обеспечивающей получение плавких продуктов. Полученные светлые продукты растворимы в ацетоне, уксусном эфире, этиленгликоль-моноэтиловом эфире, метилхлориде и циклогексаноне, совместимы с нитроцеллюлозой, простыми эфирами целлюлозы, алкидными смолами, хлоркаучуком и поливиниловыми соединениями. Применяются для получения лаков. Пример: к 1200 ч. ацетофенона и 240 ч. конц. КОН постепенно добавляются 1160 ч.  $\text{CH}_2\text{O}$  (30%-ного) при повышении т-ры до  $90^\circ$ , смесь подвергается кипячению с обратным холодильником (10 час.), затем подкисляется  $\text{H}_2\text{SO}_4$ . Образовавшаяся смола промывается горячей водой, плавится и обезвоживается под вакуумом. Светлая, прозрачная смола имеет т. размягч.  $69^\circ$ . М. А.

**76460 П. Состав для покрытия** (Coating compositions) [B. V. Chemical Co. of Aust., Pty. Ltd.]. Австрал. пат. 164097, 28.07.55

Состав, пригодный для грунтового покрытия металлич. поверхности, состоит из тройного сополимера винилацетата, винилхлорида и маленовой к-ты, хлоркаучука и растворителя. Б. Ш.

**76461 П. Покровные составы, содержащие этилцеллюлозу, и процесс их изготовления.** Асафф (Coating compositions containing ethyl cellulose and a process of making the same. Asaff Annis G.). Пат. США 2698807, 4.01.55

Пластичный покрывной состав содержит не смешивающуюся с водой фазу геля. Для образования этой фазы к р-ру этилцеллюлозы в смеси из менее чем 80 вес.% жидких ароматич. углеводородов и 20 вес.% спирта (напр., метанола, этанола, норм. пропанола и изопропанола) добавляется вода в кол-ве, достаточном, чтобы вызвать разделение на две фазы. М. Г.

**76462 П. Покровные составы и метод их изготовления.** Татт, Хаббард (Coating compositions and method of making the same. Tutt Richard, Jr, Hubbard John R.) [Peter Cooper Corp.]. Канад. пат. 506276, 5.10.54

Стабильный водн. покрывной состав (I) содержит в качестве связующего в-ва животный клей (II) и состоит главным образом из глины; II в I защищен от щел. гидролиза и бактериального разложения. Процесс получения I состоит из стадий образования дефлокулирован-

ной дисперсии глины в воде с помощью дефлокулянта, добавления щел. материала (III) к указанной водн. дисперсии в кол-ве, достаточном для доведения у конечного I значения pH 8,5—11,5, тщательного смешивания III с указанной смесью, изготовления бесшел. р-ра II, содержащего II в кол-ве, достаточном для связывания частиц глины после нанесения I на поверхность, добавления этого р-ра II к III и указанной дисперсии глины в воде с тщательным перемешиванием полученного I. В качестве III можно пользоваться каустич. содой, содержание которой составляет 0,25—1,0% от веса глины в I.

M. Г.

**76463 П. Усовершенствования в области пигментов.** Кук, Исте (Perfectionnements relatifs aux pigments. Cooke Theodore F., Eastes John W.) [American Cyanamid Co.] Франц. пат. 1092695, 26.04.55 [Teintex, 1955, 20, № 12, 995 (франц.)]

Способ получения пигментов, обладающих повышенными, гидрофобными и органофильными свойствами, пригодных для окраски литографских и типографских чернил, эмалей и т. п. состоит в покрытии частиц пигмента небольшим кол-вом изоцианата общей ф-лы RNC(O) (R — алкил с  $\geq 6$  атомами C, напр. гексил, додецил, гексадецил, гептадецил, октадецил и т. п.), напр., путем обработки пигмента р-ром изоцианата при  $t$ -ре  $> 100^\circ$ .

O. C.

**76464 П. Способ получения свинцовых белил.** Леманн (Verfahren zur Gewinnung von Bleiweiß. Lehmann Fritz.) Пат. ФРГ 900256, 21.12.53 [Dtsch. Farben-Z., 1955, 9, № 7, 267 (нем.)]

Раствор ацетата-Pb вводят в контакт с  $\text{CO}_2$ -газом при помощи инжектора, в котором  $\text{CO}_2$ -газ отсасывает р-р ацетата-Pb из сосуда. Распыленный р-р вместе с образовавшимися Pb-беллами вдвигается в сушилку (напр., сушильный барабан), из которой белила непрерывно отбираются с требуемой степенью влажности.

B. Ш.

**76465 П. Способ приготовления  $\text{TiO}_2$  пигмента и соответствующие продукты, полученные при осуществлении этого способа.** Манди, Демпстер (Procédé de préparation de pigment de bioxyde de titane et produits conformes à ceux obtenus par la mise en oeuvre de ce procédé. Mundy Roy J., Dempster Augustine N.) [Titan Co. Inc.] Франц. пат. 1058517, 25.06.54 [Peintures, pigments, vernis 1955, 31, № 1, 51 (франц.)]

В реакционной зоне осуществляют взаимодействие в паровой фазе между  $\text{TiCl}_4$  (I) и  $\text{O}_2$  (II) при  $t$ -ре 900—1200°. Кол-во II составляет  $\sim 1$ —5 объемн. ч. на I ч. I. Р-цию проводят, пропуская в реакционную зону, ток паров I с линейной скоростью 2,7—21 м/сек; линейная скорость тока  $\text{O}_2$  равна от 0,05- до 2,5-кратной скорости тока пара I, что позволяет получить пигмент с высокой интенсивностью.

M. Г.

**76466 П. Циклический процесс производства  $\text{TiO}_2$ .** Тернер, Плехнер, Плехнер (Cyclical process for the manufacture of titanium dioxide. Turner Joseph L., Plechner Walter W., Plechner Sophie L.) [Canadian Titanium Pigments Ltd.] Канад. пат. 506094, 28.09.54

Циклический процесс произ-ва  $\text{TiO}_2$  состоит в выщелачивании Fe-содержащей титановой руды (ильменита) избытком, против теории, 18—35%-ной HCl (к-ты) для полного растворения при  $t$ -ре  $\sim 70^\circ$  всех примесей, с получением в р-ре  $\text{FeCl}_3$ . Ti-содержащий остаток смешивают с C-содержащим восстановителем и связующим, смесь кристаллизуют, обугливают, хлорируют при  $t$ -ре 600—700° и отделяют  $\text{TiCl}_4$  от  $\text{FeCl}_3$ , образовавшегося при хлорировании; последний используют в произ-ве вторично, добавляя к р-ру, получаемому при выщелачивании руды.  $\text{TiCl}_4$  растворяют до достижения конц-ии 150—350 г/л в расчете на  $\text{TiO}_2$ , р-р подвергают гидро-

лизу до осаждения  $> 90\%$  Ti в виде водн.  $\text{TiO}_2$ , с образованием маточного р-ра HCl, промывают и прокачивают. Свободную HCl, содержащуюся в р-ре  $\text{FeCl}_3$ , полностью нейтрализуют, Fe (3+) восстанавливается до Fe (2+), р-р подвергают электролизу при плотности тока 2—10 а/дм<sup>2</sup> до получения металлич. железа и газообразного хлора. Последний вместе с HCl гидролизованного маточного р-ра и отработанным электролитом возвращают в производственный цикл.

B. Ш.

**76467 П. Кислотостойкий ультрамарин.** Швал (Acid resistant ultramarine pigment. Schwahl Frederick J.) [American Cyanamid Co.] Канад. пат. 507928, 7.12.54

Процесс получения ультрамарина (I) с улучшенной кислотостойкостью состоит в обработке I очень разб. р-ром сильной минер. к-ты, напр.  $\text{H}_2\text{SO}_4$  (2—7% от веса I) с последующим нагреванием водн. пасты I до 90° и выдержки до прекращения выделения  $\text{H}_2\text{S}$ . В полученный продукт вводится р-р силиката щел. металла до полной абсорбции I ионов металла. Силикатированный I прокаливается при 350—800° до прекращения выделения воды и затем медленно охлаждается во влажной атмосфере.

K. B.

**76468 П. Композиция для морщинистых покрытий, содержащая тройной сополимер винилхлорида, винилацетата и винилового спирта и алкидную смолу.** Уолди (Wrinkle finish coating composition containing a vinyl chloride-vinyl acetate-vinyl alcohol terpolymer and an alkyd resin. Waldie William A.) [New Wrinkle, Inc.] Канад. пат. 509095, 11.01.55

Композиция состоит из следующих в-в: 1) алкидной смолы, полученной конденсацией (в вес.%) глицерина  $\sim 19$ , фталевого ангидрида  $\sim 38$ , жирных к-т льняного масла  $\sim 21,5$ , тунгового масла  $\sim 21,5$ , или конденсацией глицерина  $\sim 12,28$ , фталевого ангидрида 19,93, maleинового ангидрида  $\sim 1,15$ , жирных к-т льняного масла  $\sim 16,94$ , канифоли  $\sim 23,12$  и тунгового масла  $\sim 26,58$  2) тройного сополимера винилхлорида, винилацетата и винилового спирта, 3) р-рителя, а также пигмента и металлич. сиккатива и получается раствором алкидной смолы в соответствующем р-рителе, смешением р-ра с пигментом до состояния пасты и разбавлением пасты р-ром тройного сополимера, р-ром алкидной смолы, содержащим металлич. сиккатив. и достаточным кол-вом добавочного р-рителя до получения покрывной композиции, пригодной для нанесения методом распыления.

Я. К.

**76469 П. Состав высыхающего масла.** Ченисек, Розенуолд (Drying oil composition. Chenicek Joseph A., Rosenwald Robert H.) [Universal Oil Products Co.] Пат. США 2715072, 09.08.55

Патентуется состав для покрытия, состоящий из высыхающего масла, обычно склонного к образованию поверхностной пленки, металлич. сиккатива и ингибитора поверхностного пленкообразования, состоящего из 2-трет-алкил-4-алкоксифенола.

M. B.

**76470 П. Прозрачные сополимеры стирола с высыхающим маслом** (Transparent styrene-drying oil copolymers) [Scado Kunstharindustrie N. V.] Голл. пат. 75341, 15.07.54 [Chem. Abstrs, 1955, 49, № 4, 2754 (англ.)]

Высыхающие масла предварительно нагревают при 200° с 0,05—0,2% Se и подвергают сополимеризации со стиролом или  $\alpha$ -метилстиролом в присутствии органич. перекисей: напр., льняное масло нагревают с 0,1% Se при 240° 4 часа; 55 вес. ч. такого обработанного масла и 45 вес. ч. стирола нагревают в присутствии 1,35% трет-бутила сначала до 165° в течение 2 часов затем за 3 часа до 300° и при этой  $t$ -ре делают 3-часовую выдержку. Повышение  $t$ -ры или увеличение кол-ва Se (при предварительной обработке) сокращает время сополимеризации. Прозрачные сополимеры применяются в

лаках, а также для приготовления алкидных смол и т. д. С маслом, прошедшим предварительную тепловую обработку с Se, сополимеризуются значительно большие кол-ва стирола и в меньший промежуток времени, чем с обычными льняными маслами или стандоялами. М. В. 76471 П. Сиккативные композиции. Уилер (Drier compositions, Wheeler Gordon K.) [R. T. Vanderbilt Co. Inc.]. Канад. пат. 509786, 01.02.55

Композиции, содержащие в качестве активных сиккативных компонентов смесь Мп-сиккатива и о-фенантролина, о-фенантролиномонооксида или  $\alpha, \alpha'$ -дипиридила в качестве модификаторов, в весовом соотношении модификатор: Мп  $\approx 0,5:10(2:5)$ , в частности композиция с сиккативной смесью из о-фенантролина и Мп-нафтената (в весовом соотношении модификатор: Мп = 2 : 5), связующие, обычно применяемые в красках, лаках, эмалях, типографских красках и красках для набивки линолеума, и содержащие остатки жирных к-т, высыхающих или полувсыхающих масел, а также смесь Мп-сиккатива и  $\alpha, \alpha'$ -дипиридила в весовом соотношении модификатор: Мп  $\approx 0,5:10$ . Я. К.

76472 П. Получение окрасок (Producing dycings) [Ciba A.-G.]. Австрал. пат. 161679, 17.03.55

Прочные окраски на анодно-окислированном алюминии получают из водной бани с применением Со- или Сг-содержащих моноксидокрасителей, содержащих не меньше 2 сульфогрупп, общей ф-лы  $(\text{HO}_2\text{S})(\text{OH})\text{R}-\text{N}=\text{N}-\text{R}'(\text{OH})$  (где R — бензольный остаток, содержащий в 1-положении оксигруппу, во 2-положении азогруппу и в 6-положении сульфогруппу; R' — радикал окисоединения, содержащий азогруппу в соседнем положении к оксигруппе; этот радикал содержит два 6-членных сконденсированных ядра, связан с 9- или 10-членным кольцом и содержит не больше 1 атома N в  $\alpha$ -положении). В. У.

76473 П. Способ нанесения светлых покрытий на окрашенные в черный цвет листы из полимеризационных пластиков или полотнища пропитанной ткани. Загель (Verfahren zum Aufbringen einer hellen Deckschicht auf schwarz eingefärbte Polymerisatkunstharzschichten oder auf mit schwarz eingefärbten Polymerisatkunstharzen beschichtete bzw. imprägnierte Gewebestoffen, Sagel Hans). Пат. ФРГ 931585, 11.08.55

Для нанесения светлых покрытий на окрашенные в черный цвет материалы из полимеризационных пластиков (поливинилгалогенидов, поливиниловых эфиров, поливинилового спирта, полиизобутилена и др.) лист материала предварительно покрывают порошком металла в таком р-ителе, который обладает хорошим растворяющим действием по отношению к полимеру. Можно также опудривать металл. порошком еще не высохшую окончательно поверхность листового материала в процессе его произ-ва с последующим пропусканием материала через отжимные валки. Напр., джутовую ткань пропитывают смесью (в ч.) 50 полиизобутилена, 10 сажи, 25 битума, 15 ZnO и 150 бензина (т. кип. 140—180°), опудривают влажную поверхность Al-порошком, пропускают ткань через отжимные валки, нагретые до 60—70°, и высушивают в сушилке. Материал применяют в качестве кровли для железнодорожных вагонов. А. Ж.

76474 П. Гидрофобизация различных предметов. Штамм, Аренс (Silikonisieren von Gegenständen aller Art. Stamm Hellmuth, Arens Hugo) [The Goldschmidt A.-G.]. Пат. ФРГ 903621, 8.02.54 [Chem. Zbl., 1955, 126, № 12, 2790 (нем.)]

Для гидрофобизации различных изделий (силикатных или керамич. материалов, текстиля, вискозы или пресс-форм) используется полисилоксановая эмульсия (Пат. ФРГ 900018, РЖХим, 1956, 23922). Изделия (напр., бутылки или ампулы) после обработки эмульсией ополас-

киваются мягкой или дистилл. водой и высушиваются при  $\sim 200^\circ$  для отверждения пленки. А. Ж.

76475 П. Материалы и метод подготовки поверхности металлов с целью улучшения адгезии к лакокрасочным покрытиям (Method of and materials for producing paint-bonding surfaces on metal) [American Chemical Paint Co.]. Англ. пат. 714541, 1.09.54 [Paint, Oil and Colour J., 1954, 126, № 2930, 1371 (англ.)]

Метод подготовки стали и цинковых сплавов с целью получения адгезионноспособного слоя под различные лакокрасочные материалы (краски, лаки, олифы, японский лак и воски) заключается в очистке поверхности р-ром, содержащим ионы  $\text{Cl}'$ ,  $\text{F}'$  и хромата при pH 0,8—5,5. Процентное соотношение между указанными соединениями соответственно 0,05—17 : 0,5—2,0 : 0,05—5. Предполагается, что арсенаты и фосфаты отсутствуют. Хлориды могут быть заменены более активными бромиды. Р-р действует в течение 5—90 сек. при 22—34° и не является токсичным. Предусматривается применение хромовой к-ты, галлоидов и ферроцианидов, в результате чего на металле образуется черная матовая пленка. К. Б.

76476 П. Печатание на поливинилхлоридных пленках. Симура (Dye printing of vinyl chloride films, Shimura Kichizo). Япон. пат. 144, 11.01.54 [Chem. Abstrs, 1954, 48, № 21, 13276 (англ.)]

Родаминовый краситель (10 ч.) в небольшом кол-ве спирта разбавляют 200 мл амилацетата. 1 л полученного р-ра смешивают с 700 г густой пасты, печатают на винилхлоридной пленке и сушат 8 час. при 80°. М. Г.

См. также: Анализ пигментов, содержащих Fe и Mn 75360

## ЛЕСОХИМИЧЕСКИЕ ПРОДУКТЫ. ЦЕЛЛЮЛОЗА И ЕЕ ПРОИЗВОДНЫЕ. БУМАГА

76477. Перспективы использования коры в качестве химического сырья. Врум (The future of bark as a chemical raw material, Vroom A. H.), Chemistry in Canada, 1955, 7, № 11, 74, 76, 78 (англ.)

Обзор работ о хим. составе и использовании коры канадских хвойных и лиственных пород. Библи. 23 назв. Н. Р.

76478. Составные части древесины и ее объемное набухание. Феррейтер (Holzkonstituenten und Raumquellung des Holzes. Vorreiter Leopold), Holz Roh- und Werkstoff, 1954, 12, № 6, 223—226 (нем.) Установлено отсутствие зависимости между объемным набуханием древесины и содержанием в ней целлюлозы или лигнина и обнаружена зависимость объемного набухания древесины от содержания в ней полиоз. Г. Б.

76479. Влияние формальдегида на стабилизацию размеров древесины. Таркоу, Стамм (Effect of formaldehyde treatments upon the dimensional stabilization of wood. Tarkow Harold, Stamm Alfred J.), J. Forest Prod. Res. Soc., 1953, 3, № 2, 33—37 (англ.)

Пары формальдегида в присутствии крепкой минер. к-ты в качестве катализатора значительно стабилизируют размеры древесины. Практически этот способ не может быть рекомендован из-за возникающей хрупкости древесины. Е. Г.

76480. Образование динитрогваякола при нитровании лигнина и лигнинных моделей. Густафссон, Андерсен (The formation of dinitroguaiacol by nitration of lignin and lignin models. Gustafsson Charley, Andersen Lars), Papperi ja Puu, 1955, 37, № 1, 1—2, 4 (англ.)

Нитрованием древесной муки азотной к-той в эфире

при  $t \sim 20^\circ$  в течение одного часа было получено небольшое кол-во 4,6-динитрогваякола (I). Нитрованием модельных в-в установлено, что эта р-ция не идет, если фенольные гидроксилы метилированы. Колич. определение выхода I с помощью спектрофотометра Бекмана после хроматографирования показало, что в лигнине еловой и сосновой древесины (1,66—1,52% I) одна группа типа  $RC_6H_3 = p-OH-m-OCH_3$ , где  $R = CH_2OH, CH_2O$ -алкил,  $CHO, COOH$ , приходится примерно на 15 фенилпропановых единиц, а в лигнине березовой и ольховой древесины (1,04—1,05% I) одна группа этого типа приходится на 25 фенилпропановых единиц. М. Ч.

**76481. Образование гуминовых кислот из лигнина.** Флайг (Zur Bildungsmöglichkeit von Huminsäuren aus Lignin. Flaig W.), *Holzforschung*, 1955, 9, № 1, 1—4 (нем.; рез. англ.)

Высказано предположение, что лигнин можно считать одним из источников образования гуминовых к-т. В первой ступени деструкции лигнина происходит потеря метоксильных групп, в результате чего образуются фенольные в-ва. Указывается возможность полимеризации хинона в шел. р-ре и описываются получаемые в этих р-циях путем разрыва кольца дикарбоновые к-ты. Они являются моделями для построения гуминовых к-т из продуктов разложения лигнина. М. Ч.

**76482. Получение высших эфиров.** Рыбников А. Н., *Гидролизная и лесохим. пром-сть*, 1956, № 4, 22—23

Для получения высших эфиров используются кислые кубовые остатки от непрерывной этерификации лесохим. уксусной к-ты *n*-бутанолом и кубовые остатки от ректификации сырого бутилацетата (I). Кубовые остатки от этерификации, содержащие пропионовую, масляную, валериановую к-ты и смеси эфиров этих к-т, дотерцируют *n*-бутанолом в цехе высших эфиров. Смесь бутильных эфиров уксусной к-ты и ее гомологов вместе с кубовыми остатками от ректификации I нейтрализуется 5—8%-ным р-ром кальцинированной соды в нейтрализаторах и ректификуется. 1-я фракция — сырой I отгоняется до  $116^\circ$  при атмосферном давлении. 2-я фракция — технич. I отгоняется при  $117$ — $128^\circ$  при атмосферном давлении. 3-я фракция (1-я промежуточная), 4-я (бутилпропионат), 5-я (2-я промежуточная) и 6-я (бутилбутират) отгоняются при вакууме 360 мм рт. ст. соответственно при  $110$ — $120^\circ$ ,  $120$ — $130^\circ$ ,  $130$ — $140^\circ$  и  $140$ — $150^\circ$ . 3-я фракция возвращается на ректификацию вместе с кубовыми остатками, 5-я присоединяется к 3-й. Остальные фракции — готовые продукты. Кубовый остаток от ректификации состоит в основном из бутилизвалерианата. А. Х.

**76483. Нейтральные масла древесных смол.** Силишская Н. М., *Гидролизная и лесохим. пром-сть*, 1956, № 4, 11—13

Нейтральные масла (нерастворимая в щелочи часть смоляных масел) древесной газогенераторной смолы представляют собой смесь примерно равных кол-в ароматич. углеводородов (нафталин и его производные, производные антрацена и фенантрена) и кислородных соединений (спирты и карбонильные соединения). В чистом виде выделены и охарактеризованы нафталин, диметилнафталин, диметилантрацен, дегидроетен, парафин. Нейтр. масла содержат (%) спиртов 19, альдегидов 14 и простых эфиров 5. А. Х.

**76484. Быстрый метод определения влажности живицы.** Снесарев К. А., Воробьева М. Т., Заракская А. И., *Гидролизная и лесохим. пром-сть*, 1956, № 4, 19

Предложен диэлектрич. метод определения влажности живицы. Метод основан на разнице диэлектрич. проницаемости воды и других компонентов живицы (для воды при  $18^\circ$  она составляет 81, а для других компонентов живицы от 2 до 7). Для определения использован влагомер ВЭБ, датчик которого переделан авторами и

приспособлен для испытания живицы. По калибровочному графику по снятым показаниям прибора находят соответствующее значение влажности. Приведена пропись метода. А. Х.

**76485. О применении абетиновой смолы и ее производных в промышленности.** Медников Ф. А., Жернакова В. Н., *Техн. информ. по результатам науч. исслед. работ. Ленингр. лесотехн. акад.*, 1956, № 38, 21—26

Приведены режимы получения глицеринового эфира абетиновой смолы, являющейся продуктом переработки еловой серки, и препарата СНВ, представляющего натриевые соли смоляных к-т абетиновой смолы. Выявлены возможности использования абетиновой смолы и ее производных (эфир, СНВ) в электротехнике, лакокрасочном произ-ве, горнорудном деле и для проклейки бумаги. А. Х.

**76486. Быстрый цеховой метод определения температуры размягчения канифоли.** Снесарев К. А., Воробьева М. Т., Агеев М. Е., *Гидролизная и лесохим. пром-сть*, 1956, № 4, 17—18

Сущность метода заключается в определении времени, необходимым для размягчения канифоли (К) в кипящей воде. После определения времени находят *t*-ру размягчения испытуемой К по соответствующему калибровочному графику. Описаны методика работы и схема цехового прибора для определения времени размягчения К. Калибровочный график был построен на основании результатов определения *t*-ры размягчения 51 образца готовой к разливу К на описанном цеховом приборе и лабор. приборе ЦНИЛХИ. А. Х.

**76487. О производстве сахара из древесины** (木から砂糖をつくる (實業之日本, Дзичугё-но нихон, 1956, 59, № 9, 156—157 (япон.)

**76488. Осахаривание древесины по способу «Рейнау».** Хеглунд (Добижане мефера из дрвета по поступку Rheinau. Хеглунд Ерик), *Гласник Хем. друштва*, 1955, 20, № 6, 381—383 (серб.; рез. нем.)

Проводится предварительный гидролиз гemicеллюлоз древесины разб. HCl (удаление маннозы, ксилозы и арабинозы) и после их отделения гидролиз конц. HCl. Удаление HCl из гидролизатов производится при помощи ионообменных смол. После такой очистки глюкоза очень быстро кристаллизуется, отличаясь высокой чистотой уже после первой кристаллизации. Из 100 кг хвойной древесины получается: 31 кг кристаллич. глюкозы, 30 кг сахаров в маточном р-ре и в предварительном гидролизате в виде сиропа желтого цвета, а также 30 кг лигнина, используемого в резиновой пром-сти и при произ-ве аккумуляторов. На достаточно крупной установке получение глюкозы из древесных отходов обходится дешевле, чем из кукурузы. Л. Ш.

**76489. Сушка древесины парами органических жидкостей.** Кауман (Séchage par vapeurs organiques. Kauman W. G.), *Rev. bois*, 1955, 10, № 11, 3—6 (франц.)

Изучены условия ускоренной сушки досок (лиственных и хвойных пород) и железнодорожных шпал путем обработки парами органич. жидкостей, скрытая теплота конденсации которых вызывает испарение влаги, находящейся в древесине. Опытная установка (в Мельбурне) состоит из цилиндрич. камеры диам. 0,4 и длин. 2,30 м, испарителя производительностью 2—3 л в мин., холодильника и сосуда для разделения сконденсировавшихся паров и воды. Обычно используют пары ксилола, толуола, тетрагидротилена. Воздушносухие доски, толщиной в 25 мм, могут быть высушены до 12% влажности за время от 4 до 25 час. Сушка производится при нормальном давлении и в случае древесины, подверженной растрескиванию, под вакуумом (50—150 мм остаточного давления) и при сохранении

определенной т-ры. При сушке этим методом древесина несколько темнеет. Н. Р.

**76490.** К вопросу о расходе расходуемого масла на пропитку древесины. Ханмамедов К. М., Докл. АН АзССР, 1955, 11, № 4, 279—283 (рез. азерб.).

Предложена ф-ла для расчета потребного кол-ва масла на пропитку древесины. Е. А.

**76491.** Новые способы консервирования древесины и деревянных построек. Тейле (Moderne Verfahren zur Konservierung von Holz und Holzbauten, Theile Klaus), Seifen-Öle-Fette-Wachse, 1956, 82, № 1, 15—20 (нем.; рез. англ., франц., исп.).

Приведены современные способы защиты древесины от грибов и насекомых и таблица наиболее употребительных антисептиков с указанием способов их применения и нужных доз. Н. Р.

**76492.** Источники для получения целлюлоз и их углеводные компоненты. Уайз (Carbohydrate constituents of pulps and pulp sources. Wise Louis E.), Indian Pulp and Paper, 1956, 10, № 8, 395—398 (англ.).

Дано краткое содержание докладов на 128 собрании Американского хим. о-ва (влияние гемицеллюлоз на свойства целлюлозы, составные части холоцеллюлозы, содержащейся в бумаге из целлюлозы березы и их ацетильные производные, определение карбоксильных групп, фракционирование сульфитных целлюлоз, гемицеллюлоз из западного гемлока, дисахариды из  $\alpha$ -целлюлозы, гемицеллюлозы из сосны, осины и березы, исследования ксилана, сахаринные к-ты в черном щелоке, устойчивость пентозанов к к-там, выделение гемицеллюлоз из холоцеллюлозы осины, исследования лигнина). Ю. В.

**76493.** Термохимическое исследование реакции целлюлозы с щелочью. Швабе, Тробис (Thermochemische Untersuchungen über die Alkalisierung von Zellstoffen. Schwabe Kurt, Trobisch Ursula), Zellstoff und Papier, 1956, 5, № 3, 55—58 (нем.).

Калориметр (К) (приложен чертеж) для быстрого определения теплоты р-ции целлюлозы с р-рами NaOH с хорошей воспроизводимостью результатов состоит из реакционного сосуда, сосуда Дьюара и термометра Бекмана. Период выравнивания т-ры до начала опыта 2 часа, продолжительность измерения теплоты р-ции 40 мин.; водяное число К определяют с помощью платинового электронагревателя в условиях, близких к условиям р-ции. К пригоден также для других определений. С помощью указанного К установлена линейная зависимость повышения теплоты р-ции в зависимости от содержания примеси смол в целлюлозе. Попытка найти зависимость теплоты р-ции от степени полимеризации целлюлозы не привела к положительным результатам. Ю. В.

**76494.** Целлюлозный завод в Якобштате компании Jakobstads Cellulosa AB—Pietarsaaren Selluloosa OY. Альфтан [Cellulosafabriken i Jakobstad, (Jakobstads cellulosa AB—pietarsaaren selluloosa OY). Alfthan Harry], Papperi ja puu, 1953, 35, № 12, 495—500 (фин.; рез. русс.).

**76495.** Мокрое или сухое сепарирование. Иёрг (Naß oder Trockenseparation? Jörg), Wochenbl. Papierfabr., 1954, 82, № 2, 41 (нем.).

Показаны преимущества мокрого сепарирования целлюлозы по сравнению с сухим; дана схема такой переработки. Г. В.

**76496.** Получение из соломы целлюлозы, пригодной для производства ацетилцеллюлозы. II. Влияние содержания кремневой кислоты. Яйме, Шейринг (Acetatzellstoffe aus Getreidestroh. II. Einfluss des Kieselsäuregehaltes. Jayme Georg, Scheuring Ludwig), Das Papier, 1953, 7, № 15/16, 298—305; № 17/18, 347—351 (нем.; рез. англ., франц.).

Пшеничную солому разделяли на междоузлия, узлы, листья и колосья, причем содержание их в процентах от

веса сухой соломы соответственно 52,4; 9,2; 29,1 и 9,3. Анализ показал, что 51,3% от всего кол-ва золы и 52,9% от общего содержания  $\text{SiO}_2$  концентрируется в листьях. Выход целлюлозы (Ц) при сульфатной варке с предгидролизом составил из междоузлий 29,55%, из листьев 21,95%. Предгидролиз производили водой при 180°. Ц из листьев отличалась меньшим содержанием  $\alpha$ -целлюлозы (90,11% против 95,65%), чем Ц из междоузлий, меньшей степенью полимеризации (665 против 774%) и высокой зональностью (3,35% против 0,21%); при многоступенчатой отбелке Ц из листьев требовала значительно большего расхода отбеливающих средств и отбелка давала значительно меньший эффект. Ц из листьев совершенно не пригодна для ацетилирования, а из колосьев мало пригодна, т. к. дает мутные и темные р-ры ацетатов. Присутствие этих частей в соломе поступающей на варку, неблагоприятно влияет на свойства получаемой Ц. См. РЖХим, 1955, 10665. В. В.

**76497.** Завод сульфатной целлюлозы. Олкорн (Engineering a sulphate pulp mill. Alcorn Gerald), Southern Pulp and Paper Manufacturer, 1954, 17, № 10, 198—202 (англ.).

Описаны целлюлозный завод «Everett Kraft Mill» «Weyerhaeuser Timber Company», его оборудование, условия водоснабжения, энергетич. база. Е. К.

**76498.** Целлюлоза из листенной древесины, полученная обработкой щепы едким натром. Вилар (Pâte de feuillus obtenue par traitement des copeaux avec la soude caustique à l'air libre. Vilars J.), Chimie et industrie, 1954, 72, № 1, 67—68 (франц.).

Щепу граба, тополя, березы, липы, дуба и бука обрабатывали едким натром на холоду, при 60 и 90° в открытом сосуде без размешивания. Полученные образцы целлюлозы (Ц) после очистки обладают удовлетворительной устойчивостью, в частности Ц из березы. Образцы Ц из тополя и бука, после обработки на холоду, светлые. Полученная Ц может быть использована в произ-ве картона и, из некоторых пород, в произ-ве бумаги. Ю. В.

**76499.** Производство полуцеллюлозы из буковой древесины. Кац (Obtinerrea pastei chimico-mecanice din lemn de fag. Katz S.), Ind. lemn., celul. si hirt., 1956, 5, № 5, 221—225 (рум.; рез. русс., нем.).

Приведены результаты предварительных исследований по получению полуцеллюлозы. А. Х.

**76500.** Полуцеллюлозы из хвойных и лиственных древесных пород. Брехт, Пульст (Chemische Schläffe aus Nadelhölzern und Laubhölzern. Brecht Walter, Pulst Sepo), Das Papier, 1955, 9, № 23—24, 551—562 (нем.; рез. англ., франц.).

Исследованы различные способы обработки древесины (еловой, сосновой, березовой, осиновой и буковой) перед ее дефибрированием. Древесина подвергалась вакуумированию, пропариванию с различными хим. реагентами (поваренной солью, известковой водой, сульфитом кальция, моносulfитом Na + бикарбонатом Na). Описано оборудование, на котором производились опыты. М. Н.

**76501.** Отношение к размолу полуцеллюлозы в сравнении с другими полубаффиками бумажного производства. Брехт, Пульст (Das Mahlverhalten chemischer Schläffe im Vergleich mit dem anderer Halbstoffe der Papierfabrikation. Brecht Walter, Pulst Sepo), Das Papier, 1956, 10, № 1—2, 12—16 (нем.; рез. англ., франц.).

Образцы для испытания готовились тремя различными способами: 1) из еловой древесины по методу Либби-о-Нейл, 2) из еловой древесины мягкой моносulfитной варкой и 3) из тополевой древесины по методу Либби-о-Нейл. Обработанная хим. реагентами древесина подвергалась затем дефибрированию обычным способом на дефибрере. Полученные продукты подвергались размолу

на м...  
луче...  
пыты...  
нию...  
тани...  
сма...  
ме...  
от п...  
риро...  
пред...  
срав...  
ной...  
кото...  
шей...  
7650...  
ва...  
38...  
Д...  
7650...  
(Р...  
и...  
Д...  
зы...  
ных...  
ход...  
7650...  
в...  
di...  
im...  
D...  
ф...  
О...  
лю...  
ам...  
вом...  
про...  
тер...  
под...  
800...  
вис...  
сто...  
сп...  
КЭ...  
765...  
х...  
Г...  
при...  
765...  
Д...  
с...  
1...  
2...  
сп...  
же...  
11...  
14...  
17...  
Н<sub>2</sub>...  
ж...  
т...  
SC...  
но...  
16...  
да...  
М...  
сп...

на мельнице Иокро до разной степени помола. Из полученной массы изготавливалась бумага, которая затем испытывалась на белизну, об. вес, сопротивление раздиранию, излому, продавливанию и разрывную длину. Испытания показали, что полученный продукт следует рассматривать как полуцеллюлозу, свойства которой лежат между целлюлозой и древесной массой и зависят как от предварительной обработки, так и от режима дефибрирования. Эти свойства можно изменять в широких пределах. Полуцеллюлозы получены с высоким выходом сравнительно светлого цвета, приближающимся к небеленой сульфитной целлюлозе, высокой механич. прочностью, которая может быть еще повышена размолом, и с хорошей обезвоживаемостью. С. И.

**76502. Отбелка перекисью. Хентола** (Peroksidivalkaisusta. Hentola Yrjö), Paperi ja Puu, 1956, 38, № 4, 167—173 (фин.; рез. англ.)

Даны условия отбелки перекисью древесной целлюлозы (сульфитной и сульфатной) и древесной массы. А. Х.

**76503. Промывка целлюлозы после отбелки. Бенко** (Pranje bijeljene celuloze. Benko Stane), Kemija u industriji, 1954, 3, № 11, 309—312 (хорв.)

Дан анализ работы барабана для промывки целлюлозы и приведена диаграмма для определения оптимальных условий промывки при соответственно миним. расходе воды, времени и энергии. З. Б.

**76504. Об определении молекулярного веса целлюлозы в растворе куприэтилениаминагидрата. Маркс** (Über die Bestimmung des Molekulargewichtes von Cellulose in Kupferäthylendiamin (Cuen). Marx Marianne), Das Papier, 1956, 10, № 7—8, 135—139 (нем.; рез. англ., франц.)

Определение вязкости и степени полимеризации целлюлозы (Ц) более надежно в р-ре Ц в куприэтилениамине (КЭ), чем в медноаммиачном р-ре, так как в первом окислительная деструкция Ц кислородом воздуха протекает менее интенсивно. Приведены данные, характеризующие поведение Ц в р-рах в КЭ. Исследованию подвергался материал со степенью полимеризации 1500—8000. Измеряемые числа характеристич. вязкости не зависят от состава и содержания Си в КЭ. Описаны простой способ растворения Ц в КЭ и быстрый и простой способ определения степени полимеризации Ц в р-рах в КЭ. Ю. В.

**76505. Карбоксиметилцеллюлоза. Кирмаер** (Carboximetilceluloza. Kirmaer G.), Rev. chim., 1956, 7, № 5, 291—293 (рум.; рез. рус., нем.)

Приведены методы изготовления, свойства и области применения. А. Х.

**76506. Выделение и идентификация ваниллина из продуктов окисления отработанных сульфитных щелоков. Джонсон, Маршалл** (The isolation and identification of vanillin in the oxidation products of sulfite waste liquor. Johnson A. Margaret, Marshall H. Borden), J. Amer. Chem. Soc., 1955, 77, № 8, 2355—2356 (англ.)

Окисление сульфитных щелоков (СЩ) проводят в спец. реакторе снабженном турбомешалкой. 95 л сброженных СЩ (содержащих 53,1 г/л лигнина) смешивают с 11,3 кг Са(ОН)<sub>2</sub>, пропуская воздух (скорость 14,5 м/сек, давл. 10 ат), смесь нагревают (80 мин., т-ра 170°). Охлажд. реакционную массу подкисляют СО<sub>2</sub>, Н<sub>2</sub>SO<sub>4</sub> (рН 6,2), экстрагируют С<sub>6</sub>H<sub>5</sub>CH<sub>3</sub>. Экстракт (содержащий ваниллин (I), ванилин (II), ацетованиллин и т. д.) промывают 10%-ным р-ром NaOH, подкисляют SO<sub>2</sub> (II определяют осаждением м-нитробензоилгидразином). Осадок, выпавший после нескольких часов стояния, отфильтровывают, промывают, сушат. Получают 16,6 г технич. I. Осадок растворяют в NaHCO<sub>3</sub> и осаждают I Н<sub>2</sub>SO<sub>4</sub>, выход 10,2 г, т. пл. 227—228° (из абс. сп.). Моно-2,4 динитрофенилгидразон, т. пл. 247,5—248,5° (из сп.). Ацетат ваниллина, т. пл. 139,5—140,5° (из абс. сп.),

выход 90%. I переводят действием (CH<sub>3</sub>)<sub>2</sub>SO<sub>4</sub> в продукт идентичный вератрилу, выход 83%, т. пл. 219—221° (из абс. сп.), смешанная проба с вератрилом депрессии не дает. Приведены другие производные I. Г. В.

**76507. Варочный аппарат «Пандиа» для непрерывной варки багассы и соломы. Атчисон** (Pandia continuous digester for pulping bagasse and straw. Atchison Joseph E.), Paper Trade Rev., 1955, 144, № 14, 1133, 1134, 1136 (англ.)

Варочный агрегат «Пандиа» состоит из горизонтальных труб, соединенных между собой. Передвижение щепы в трубах производится при помощи шнека. Щепка варится во время этого движения. Подача ее в агрегат производится из бункера при помощи червячного питателя. В настоящее время варочные агрегаты изготавливаются из труб с диам. от 305 до 1068 мм и число труб от 2 до 8. Производительность агрегатов колеблется от 50 до 175 т в сутки. Время варки в случае переработки древесины, колеблется от 10 до 60 мин., т-ра варки 185—190°, давл. ~12 ат. При работе с соломой агрегаты несколько видоизменены. Перечислены преимущества варки багассы и соломы процессом «Пандиа». М. Н.

**76508. Определение кальция в целлюлозе при помощи пламенного фотометра. Кашиная** (Oznaczenie wapnia w masach celulozowych za pomoca fotometru płowieniowego. Kaszynska Janina), Prace Inst. celul.-papiern., 1955, 4, № 2, 55—60 (польск.; рез. рус., англ.)

Определено содержание Са в шести видах вискозной целлюлозы методом титрования и фотометрическим (фотометр Цейсса модель III). Результаты, полученные фотометрич. методом, точнее результатов, полученных по методу титрования; кроме того, он отличается большей быстротой и дешевизной. Анализ правильнее при содержании Са в испытуемом р-ре в пределах 0,01—0,001%. Фотометрич. метод можно рекомендовать для серийных определений Са в вискозной целлюлозе. А. Х.

**76509. Прибор для контроля за процессом варки целлюлозы. Бондаренко С. С.**, Бум. пром-сть, 1956, № 5, 21

Принцип работы прибора основан на изменении интенсивности светового потока, пропускаемого через измеряемую жидкость во время варки целлюлозы, и на способности фотоэлемента превращать направленный на него световой поток в электрич. ток. По тому же принципу сконструирован прибор для определения концентрации массы в ролах, массных бассейнах, напорном ящике бумагоделательной машины и в сточных водах. Прибор может быть использован для определения плотности бумажного полотна. Приведена принципиальная схема потока. Г. Б.

**76510. Второй пленум Центрального правления НТО бумажной и деревообрабатывающей промышленности.** Бум. пром-сть, 1956, № 4, 29—30

**76511. Проклейка бумаги хлорированным парафином. Опреску** (Încercări de încléiere a hîrtiei cu răşini de clorparafină. Opreşcu Gh.), Ind. lemn. celul. şi hîrt., 1956, 5, № 4, 178—186 (рум.; рез. рус., нем.)

Отмечаются преимущества (технич. и экономич.) применения для проклейки бумаги хлорированного парафина, содержащего 60—70% хлора по сравнению с каннфольным клеем. А. Х.

**76512. Новые вещества для проклейки бумаги — димеры алкилкетена. Дейвис, Робертсон, Уэйсгербер** (A new sizing agent for paper-alkylketene dimers Davis J. W., Robertson W. H., Weisgerber C. A.), Tappi, 1956, 39, № 1, 21—23 (англ.)

Димеры алкилкетена (I), получившие в настоящее время технич. применение для проклейки бумаги (Б), имеют общую ф-лу R—CH=C—O—C(O)CH<sub>2</sub>R, где R — алкил, напр. C<sub>16</sub>H<sub>33</sub>. Они вступают в р-цию со спир-

тами, образуя эфиры: с первичными и вторичными аминами образуют амиды, с к-тами — ангидриды и, в жестких условиях гидролиза, превращаются в кетоны. I реагируют с ОН- группами целлюлозы. Наиболее эффективны для проклейки димеры с насыщен. алкильными группами, содержащими не менее 4 атомов С; обычно применяют димеры тетрадецил- и гексадецилкетена; I не требуют квасцов и могут применяться как в кислых, так и в щел. условиях, следовательно пригодны для материалов, содержащих щел. наполнители, и для проклейки листов, которые не должны содержать квасцов или другого электролита. Являясь жидкостями или низкоплавкими твердыми телами, I при смешении с эмульгаторами легко диспергируют в теплой воде, совместимы с большинством материалов, применяемых для обработки бумаги; поэтому обработку Б проклеенной I проводят на обычной аппаратуре. Эффективность I в низких конц-ях (в среднем для проклейки применяют 0,2% I) и высокая устойчивость Б проклеенной I к проникновению в нее р-ров молочной к-ты, щелочей и т. п. позволяют I успешно конкурировать с смоляным клеем и дают возможность создавать новые сорта проклеенных Б.

**Ю. В. 76513. Модернизация бумагоделательной машины № 2 в Порт Таунсенде. Марриотт** (Grown zellerbach modernizes No. 2 paper machine at Port Townsend. Marriott R. R.), Tappi, 1955, 38, № 7, A117—A119 (англ.)

Первоначальная рабочая ширина, скорость и производительность бумагоделательной машины, вырабатывающей крафт мешочную бумагу, были соответственно 6,2 м, 150 м/мин и ~100 т в сутки. В результате реконструкции ее рабочая скорость в 1955 г. достигла 395 м, а суточная производительность — 346 т. Намечается довести рабочую скорость до 450 м/мин.

**С. И. 76514. О диаметрах гладильных цилиндров и давлении пара в них. Булл, Вальберг** (Om glättcylianderns diameter och ångtryck. Boll Karl Wahlberg O.), Svensk papperstidn., 1955, 58, № 18, 668—673 (швед.) Рассматривается вопрос о целесообразности применения гладильных (янки) цилиндров большого диаметра или цилиндров меньшего диаметра, но при более высоком давлении пара. В результате расчетов сделан вывод, что уменьшать диаметры цилиндров и соответственно поднимать давление пара выше 5 атм не рационально. Более высокие давления пара допустимы только для некоторых сортов бумаг (напр., крепированные туалетные бумаги и т. п.), для которых не требуется получения высокой гладкости.

**М. Н. 76515. Модернизированные прессовые устройства. Лысков М. И., Марков И. Г., Бум. пром-сть, 1956, № 5, 24—25**

Для устранения частых обрывов влажного полотна бумаги между гауч-валом и первым прессом на бумагоделательных машинах устанавливают пересасывающие устройства, что связано с необходимостью удлинения сеточного стола и увеличения сушильной части. Рекомендуются одновременно с установкой пересасывающих устройств заменять обычные прессы двойными или строенными. Приведены схемы этих устройств и отмечены выгоды их применения (улучшение процесса формирования и сушки бумажного листа, упрощение обслуживания прессовой части машины и наблюдения за ее работой).

**Г. Б. 76516. Теория эластичных напряжений в зазорах каландров и эффект гистерезиса. Малмстром, Наш** (Elastic theory of calender nip stresses and hysteresis effect. Malmstrom Homer E., Nash J. P.), Pulp and Paper Mag. Canada, 1954, 55, № 13, 223—231 (англ.)

**76517 К. Состав канифоли и строение смоляных кислот сосны и ели. Комшилов М. Ф. М.—Л., АН СССР, 1955, 75 стр., 4р. 10 к.**

**76518 П. Способ отбели дерева, кожи, губки и перьев. Гнант** (Verfahren zum Bleichen von organischen Produkten, wie von Holz, Leder, Schwämmen und Federn. Gnant Josef). Швейц. пат. 299803, 1.09.54 [Chem. Zbl., 1955, 126, № 21, 4965 (нем.)]

Отбелку производят водн. р-ром х. ч.  $\text{H}_2\text{O}_2$ , связанной в виде твердого в-ва с карбамидом. Преимущества указанного способа: повышенное отбеливающее действие, безвредность для отбеливаемого товара и для потребителя, устранение промывки после белины и неограниченная устойчивость товара. Препарат  $\text{H}_2\text{O}_2$  должен храниться в неломкой упаковке.

**Ю. В. 76519 П. Хлорацетат ацетилокситилцеллюлозы. Морган** (Hydroxyethyl cellulose acetate chloroacetate. Morgan Paul W.) [E. I. du Pont de Nemours and Co.], Канад. пат. 510699, 8.03.55

Патентуется хлорацетат ацетилокситилцеллюлозы (I), содержащий 0,05—1,7 окситилльных групп и 2—3 общих эфирных групп на элементарное звено целлюлозы. I может содержать 0,6 хлорацетиловых групп, 0,33 окситилльных групп и 2—3 общих эфирных группы на элементарное звено целлюлозы или при том же кол-ве общих эфирных групп I—0,05—0,35 окситилльных групп.

**Ю. В. 76520 П. Этилцеллюлоза, содержащая гексахлорлор-логексан. Хорст** (Ethyl cellulose containing benzene hexachloride. Horst William Peter) [Olin Mathieson Chemical Corp.], Пат. США 2727824, 20.12.55

Патентуется состав из этилцеллюлозы и гексахлор-циклогексана, примешанного в кол-ве 1% от предела совместимости.

**Ю. В. См. также:** Лесохим. продукты и их применение 76255, 76822, 77073. Аутоокисление пиролиз и исследование в ряду терпенов 74410—74412, 75031, 75035, 75036, 76192. Гидролиз и методы определения 75180—75182, 75330, 75390, 76571, 76589, 76677; 21727Бх, 22193Бх, 22197Бх. Консервирование древесины: определение пентахлорфенола 75584. Целлюлоза и ее производные 75134, 75135, 75460, 75183, 75493, 75576. Бум. произ-во; водоснабжение, использование и обработка сточных вод 75855, 75860, 75866

## ИСКУССТВЕННОЕ И СИНТЕТИЧЕСКОЕ ВОЛОКНО

**76521. Получение синтетических волокон. Габлер** (Die Herstellung der vollsynthetischen Fasern. Gabler R.), Chem. Rundschau, 1955, 8, № 9, 193—194 (нем.)

Приводится краткое описание методов получения различных типов карбо- и гетероцепных полимеров. Описаны методы формирования и последующей крутки волокон из указанных полимеров, а также свойства получаемых волокон. Приводится ряд схем и таблиц. Начало см. РЖХим, 1956, 27406.

**76522. Окраска текстильных волокон по способу «колорэй». Лунд** (The techniques of using «Coloray». Lund Geoffrey V.), Papers Amer. Assoc. Text. Technol., 1953, 9, № 1, 39—42 (англ.)

Общие сведения о применении способа окраски волокон по методу «колорэй» фирмы Courtaulds, Ltd при переработке смесок хлопка, вискозного и других волокон. См. также РЖХим, 1956, 41558.

**А. П. 76523. Работа опытной вискозной установки Норвежского исследовательского института целлюлозы и бумаги. 2. Пористость фильтрующего материала и влияние ее на фильтруемость вискозы. Эллефсен** (Experiences with the P. F. I. Viscose Pilot Plant 2. Variations in the porosity of the filter medium and its influence upon the filterability values. Ellefsen Ø.). Norsk skogind., 1954, 8, № 11, 360—366 (англ.)

Плохая воспроизводимость результатов, получаемых при определении фильтруемости вискоз, связана с влиянием различной пористости фильтрующего материала. Исходя из закона Пуазейля и ур-ния фильтрации, предложенного Германсом и Бреде, автор вывел эмпирич. ур-ния, исключаяющие влияние пористости фильтра на изменение скорости фильтрации. Коэфф. в эмпирич. ур-ниях рассчитаны автором на основании обработки статистич. методом опытных данных 52 вискозных р-ров. Часть I см. РЖХим, 1956, 45115. П. Ч.

**76524. Промышленное использование растительных белков. Факторы, влияющие на вязкость белковых растворов. (Сообщение VII). Симионеску, Калистру, Опря (Considerațiuni asupra obținerii și industrializării proteinelor vegetalefactorii care influențează viscozitatea soluțiilor proteice. Comunicarea VII. Simionescu Crist, Calistru Elena, Oprea Joan), Studii și cercetări științ. Acad. RPR Fil-Laso, 1954, 5, № 1—2, 133—150 (рум.; рез. русс., франц.)**

Для выяснения условий регулирования вязкости ( $\eta$ ) конц. р-ров белков, выделяемых из подсолнуха и тыквы при получении из них искусств. волокон, было исследовано влияние на  $\eta$  этих р-ров конц-ии белка, т-ры, добавок сернокислых солей, конц-ии NaOH в р-ре и времени созревания. Установлено, что наибольшее влияние на величину  $\eta$  оказывают первые 3 фактора: при этом эффект повышения  $\eta$  р-ров при добавлении сернокислых солей падает в ряду  $KCr(SO_4)_2$ ,  $FeSO_4$ ,  $AlK(SO_4)_2$  и  $K_2SO_4$ . При формировании волокна из смеси вискозных и белковых р-ров продолжительность созревания должна быть меньше, чем при формировании волокон из вискозных р-ров. Сообщение VI см. РЖХим, 1956, 63131. Л. П.

**76525. Проблемы при производстве искусственного волокна. Зигнер (Probleme der Kunstfaserherstellung. Signer R.), Chemiker—Ztg., 1955, 79, № 11, 371—373 (нем.)**

Приведены сравнительные данные для различных природных, искусств. и синтетич. волокон: диаграммы нагрузка—удлинение, диаграммы эластичных и пластичных деформаций, данные о теплопроводности, гигроскопичности и влагопроницаемости волокон. Теплопроводность волокон резко возрастает с увеличением плотности их укладки и уменьшается с увеличением содержания воздуха в ткани. Влагопроницаемость различных волокон через слой заданной толщины характеризуется следующими данными: для вискозного волокна 3,5 (по сравнению с пустым сосудом того же размера, для которого влагопроницаемость принята равной 1), для хлопка 2,5, для шерсти и казенного волокна 1,1. Чем выше влагопроницаемость, тем хуже «физиологич. теплоизоляция». Если заполнить сосуд волокном, оставляя промежутки воздуха толщиной в 1 см, влагопроницаемость всех волокон снизится до 1, т. е. теплоизоляция улучшится. Библ. 10 назв. Начало см. РЖХим, 1956, 19419. А. П.

**76526. Влияние света на текстильные волокна. Ульрих (Die Einwirkung des Lichtes auf Textilfasern. Ulrich Herbert M.), Prakt. Chem., 1954, 5, № 10, 235—238 (нем.)**

Приводятся данные о светостойкости различных природных и хим. волокон. Подтверждается вывод о том, что наиболее светостойким волокном является полиакрилонитрильное, а затем полиэфиговое волокно. Делается попытка установить связь между хим. строением волокон и их светостойкостью. Указывается ряд мероприятий, уменьшающих потерю прочности волокна при облучении (в частности, устранение добавок  $TiO_2$  в качестве матирующего реагента), и подбор соответствующих красителей, снижающих фотохим. разрушение полимеров. Часть II см. РЖХим, 1956, 62848. З. Р.

**76527. Химические и физические свойства волокна терилена. II. (Chemische und physikalische Eigenschaften von Terylene.—), SVE Fachorgan Textilveredlung, 1954, 9, № 9, 409—415 (нем.)**

Приводятся данные о механич. свойствах, гигроскопичности, эластичности волокна терилена по сравнению с другими волокнами, об устойчивости терилена к действию к-т различной конц-ии при различной т-ре, к действию 4—12,4%-ной NaOH при 100°, к действию окислителей и восстановителей, данные о термостойкости и светостойкости терилена по сравнению с другими волокнами. Часть I см. РЖХим, 1956, 63429. З. Р.

**76528. Быстрый метод распознавания текстильных волокон. Фишер-Бобзин (Verbesserte Schnellnachweisplan für alle derzeit bedeutenden Textilfasern. Fischer-Bobsien C.-H.), Z. ges. Textilind., 1955, 57, № 21, 1410—1412 (нем.; рез. англ., франц., исп.) См. РЖХим, 1956, 14607.**

**76529. Кинетика абсорбции воды и водорастворимых веществ сухой вискозной пленкой и вискозным волокном. Манн, Мортон (The kinetics of absorption of water and aqueous solutes by dry viscose cellulose (The physical chemistry of dyeing and tanning). Mann H., Morton T.), Disc. Faraday Soc., 1954, № 16, 75—84 (англ.)**

Для сухого вискозного волокна и целлофановой пленки было определено поглощение воды и водорастворимых в-в после пропитывания волокна или пленки водой, или р-ром и отжима между отжимными валиками. Исследование скорости поглощения воды, электролитов, мочевины, глицерина и сахарозы показало, что все эти в-ва поглощаются быстро, и процесс поглощения их вискозной пленкой заканчивается в 30—80 сек. Характерной константой является время поглощения половины равновесного кол-ва в-ва. Эта константа равна для целлофановой пленки с толщиной 0,040 мм при 0° для воды 16 сек., для различных Na-солей — 20—30 сек., для мочевины — 18 сек., для сахарозы — 40 сек. Субстантивные красители поглощаются вискозным волокном и пленкой медленно и процесс их поглощения резко отличается от процесса поглощения воды и водорастворимых в-в меньшего молекулярного веса. Некоторая, небольшая часть красителя сорбируется волокном или пленкой быстро, но затем наблюдается переход части поглощенного красителя в р-р. Затем происходит дополнительное медленное поглощение красителя вплоть до равновесной величины. В первый период процесса красители, так же как вода и другие в-ва, поглощаются внешним слоем волокна или пленки. Но в дальнейшем в результате медленной диффузии красителей диффузия внутри целлюлозного волокна или пленки происходит медленно, а диффузия красителя из пленки в р-р может идти быстрее. Были вычислены коэфф. диффузии, которые оказались для воды и простых водорастворимых соединений равными  $10^{-6}$  до  $10^{-7}$   $cm^2/sec$ , а для красителей значительно меньше — от 1,3 до  $5,0 \times 10^{-9}$   $cm^2/sec$ . Энергия активации процесса диффузии прямых красителей в вискозное волокно и пленку оказалась равной 17 000 кал/моль, воды и водорастворимых простых соединений 7000 кал/моль. См. также РЖХим, 1956, 62859. А. П.

**76530 П. Способ получения смеси полимеров (Verfahren zur Herstellung eines Polymergemisches) [The Chemstrand Corp.] Швейц. пат. 302490, 03.01.55 [Chem. Zbl., 1955, 126, № 35, 8292 (нем.)]**

Отличие предлагаемого способа состоит в том, что с одной стороны, путем полимеризации в водн. среде в присутствии соли щел. металла перекислоты, кол-во которой достаточно для поддержания кислой р-дин дисперсии, получается водн. дисперсия полимера, содержащего  $\geq 90\%$  акрилонитрила, а с другой стороны — по-

лучается водн. дисперсия полимера, содержащего 15% четвертичного амина с одной группой  $>C \equiv C<$ . При смешении кислот и щел. дисперсий образуется осадок смеси полимеров, который отделяется. В качестве четвертичного амина применяются: 2-, 4-, 5-этил-2-, 5-метил-2-винилпиридин. Р-р продукта р-ции в N,N-диметилацетамиде прядется в воду, образуются волокна, легко окрашивающиеся кислотными красителями. М. А. 76531 П. Способ переработки ароматических полиэфиров, полученных из ароматических дикарбоновых кислот и гликолей в растворе (Procédé pour la préparation, en vue du filage, de polyesters aromatiques condensés dans des solvants, formés avec des acides dicarboxyliques aromatiques ou leurs dérivés et des glycols) [Vereinigte Glanzstoff-Fabriken Akt.-Ges.]. Франц. пат. 1078845, 23.11.54 [Bull. Inst. text. France, 1955, № 54, 143 (франц.)]

Полиэфир, содержащий до 40% р-рителя (желательно 25—30%), резко охлаждается в холодной воде или на охлажденной поверхности. Получаются аморфные прозрачные или непрозрачные кристаллич. ленты, покрытые твердой пленкой, не позволяющей воде проникнуть внутрь. Они нарезаются на мелкие кусочки, которые затем равномерно нагреваются в сосуде, на дне которого скапливается р-ритель. Т-ра в сосуде вначале 180°, вакуум — 5—10 мм, затем т-ра постепенно поднимается до 210°, но не более чем до 240°, до полного удаления р-рителя. После этого кусочки полимера становятся прозрачными и могут применяться для прядения. С. С. 76532 П. Способ облагораживания регенерированной целлюлозы. Зиферт (Verfahren zur Veredelung von umgefällter Cellulose. Siefert Fritz.) [Badische Anilin- & Soda-Fabrik A.-G.]. Пат. ФРГ 914489, 5.07.54 [Textil Praxis, 1954, 9, № 12, 1199 (нем.)]

В пат. 902003 описан способ облагораживания осажденной целлюлозы продуктами конденсации мочевины или тиомочевины с  $CH_2O$  в присутствии окислителя, вызывающего отверждение. В данном патенте предлагается применить в качестве средства, способствующего затвердеванию, соединения, которые содержат другие катионы, чем катионы аммония и мочевины. См. РЖХим, 1956, 59938. П. Ч. 76533 П. Способ облагораживания текстильных изделий из гидратцеллюлозных волокон. Зиферт (Verfahren zum Veredeln von Cellulosehydratfasertextilgut. Siefert Fritz.) [Badische Anilin- & Soda-Fabrik Akt.-Ges.]. Пат. ФРГ 936325, 07.12.55

Для улучшения ряда свойств (уменьшения сминаемости, увеличения прочности в мокром состоянии и т. д.) гидратцеллюлозных волокон и изделий из них, предлагается способ обработки водн. 2,5—5%-ным р-ром  $CH_2O$  в присутствии небольших кол-в сульфокрбоновых к-т (напр., сульфокрбоновой, сульфобензойной и др.) с последующей сушкой при 80—100°. Одновременно с этой обработкой могут быть проведены другие операции, облагораживающие волокно. А. В.

См. также: Сырье для производства искусств. и синтетич. волокон 76376, 76377, 76382, 76384, 76496. Изучение полимеризации капролактама 75171—75173. Строение и свойства искусств. и синтетич. волокон 75136, 75140, 75144, 75147

#### ЖИРЫ И МАСЛА. ВОСКИ.

#### МЫЛА. МОЮЩИЕ СРЕДСТВА. ФЛОТОРЕАГЕНТЫ

76534. Современная технология жиров и жировых продуктов. II. Краткий очерк исторического развития. III. Источники сырья. Кауфман (Chemie und Technologie der Fette und Fettprodukte II: Kurzer Abriss der geschichtlichen Entwicklung. III. Die Rohstoffquel-

len. Kaufmann H. P.), Fette und Seifen, 1954, 56, № 6, 426—428; № 7, 543—548 (нем.)

Обзор. Библ. 100 назв. Часть I см. РЖХим, 1955, 10696. В. Б.

76535. Простая проба, применимая в опытах установления и предупреждения липолитической порчи продуктов, вызываемой микробами. Моссел, Толленар (A simple test for use in experiments on the occurrence and the prevention of microbial lipolytic spoilage in foods. Mossel D. A. A., Tollenaar F. D.), Antonie van Leeuwenhoek J. Microbiol. Serol., 1955, 21, № 3, 247—251 (англ.)

Для опытов брали гидрогенизированный кокосовый жир (т. пл. 27°; эфирное число 257, иодное — 1,7, кислотность 0,07 мг КОН на г). Питательную среду из 1%-ной декстрозы и 0,5%-ного экстракта дрожжей, различные значения pH в которой получали добавлением 10%-ной винной к-ты, заражали культурой *Candida lipolytica*, после чего покрывали слоем расплавленного жира. После 2 недель инкубации при 30° систему пастеризовали, отделяли жировую фазу и титровали 0,1 н. спиртовым р-ром КОН с фенол-фталеином. Испытаны три группы антимикробных в-в: сложные эфиры галловой к-ты, натриевые соли двух к-т и бензоат натрия. Найдено, что бутил- и октилгаллаты, натриевые соли дегидроуксусной, сорбиновой и бензойной к-т задерживают в большей или меньшей степени разложение жира бактериями, додецилгаллат оказался неактивным. А. Е.

76536. Изучение жирных масел, полученных из некоторых индийских стручковых овощей. Часть I. Митра, Чакрабартти (Studies on the fixed oils obtained from some Indian pulses.— Part I. Mitra C. R., Chakrabarty M. M.), Indian Soap J., 1956, 21, № 7, 143—144 (англ.)

Изучено масло, полученное из семян Cajans Cajans, сем. Leguminosea, экстракцией петр. эфиром (40—60°) с выходом 1,4% от веса семян,  $n_D^{40}$  1,4745; сапонификационный эквивалент 318,3; иодное число (Вийс, 30 мин.) 103,6; свободные жирные к-ты (аскорбиновая) 0,2%, неомыляемые 6,1%. Смесь жирных к-т содержит (%) к-ты: линоленовую 5,56; линолеовую 51,4; олеиновую 6,33; насыщ. 36,70. Н. Л.

76537. Взаимозависимость между материалом и растворителем при экстрагировании растительных масел. Христов (Зависимость между материала и растворителя при экстрагировании на растительных масла. Христов А.), Лека промышленность, 1954, № 7, 22—24 (болг.)

Кратко изложены сущность и механизм экстрагирования растительных масел, применяемые установки (батареи экстракторов, система «Хильдебранд»). Подчеркнуто значение подготовки материала и его влажности (не более 8—10%), качества применяемого бензина и оптимальные условия ведения технологии. процесса для достижения максим. эффекта с наименьшими потерями р-рителя. А. М.

76538. Уменьшение содержания свободного госсипола в хлопковом лепестке по время экстракции растворителем. Арнолд, Джул (The reduction of free gossypol in cottonseed flakes during solvent extraction. Arnold Lionel K., Juhl William G.), J. Amer. Oil Chemists. Soc., 1955, 32, № 3, 151—152 (англ.)

Изучен процесс экстракции хлопковых семян трихлорэтиленом. Содержание свободного госсипола (I) определялось по ранее описанному методу (Pons W. A., Guthrie J. D., J. Amer. Oil Chemists' Soc., 1949, 26, 671—676). Найдено, что кол-во I в лепестке уменьшается с увеличением т-ры экстракции (от ~1,5% при ~30° до ~0,15% при ~95°). При постоянной т-ре экстракции кол-во I зависит от остаточного содержания экстрагируемых в-в (ЭВ) в лепестке. При 50° содержа-

ние I понижается на  $\sim 85\%$  при остаточном кол-ве ЭВ  $\sim 1,4\%$  и на  $\sim 70\%$  при остатке ЭВ  $6,0\%$ . Низкая т-ра экстракции дает возможность получить более высокое содержание растворимых протеинов, чем в муке, в которой содержание I понижается тепловой обработкой.

Н. Л. 76539. Дегидратированное касторовое масло (Ridesol). Дримуш, Ионеску, Стойка (Uleiul de ricin deshidratat (Ridesol)). Drimuş I., Ionescu I., Stoica A., Studii şi cercetări chim., 1955, 3, № 3-4, 253—263 (рум.; рез. русс., франц.)

Изложен технологич. процесс дегидратации касторового масла. Рассмотрены факторы (катализаторы, давление, т-ра и продолжительность процесса), влияющие на качество готового продукта. Указаны оптимальные условия обезвоживания масла: т-ра  $225^\circ$ , катализатор  $\text{KHSO}_4$  (2% от веса масла), давл. 15—20 мм рт. ст., т-ра полимеризации  $280^\circ$ . Дана схема установки. Результаты проведенных опытов отражены в таблицах и диаграммах.

А. М. 76540. Уменьшение потерь при рафинировании растительных масел. Бичев (Намаляване загубите рафиниране на растителни масла. Бичев Р.), Лека промышленност, 1954, № 9, 17—19 (болг.)

Описаны роль нейтр-ции при рафинации растительных масел. Даны схема аппарата и метод обработки осадка после нейтр-ции: к осадку прибавляют 2%  $\text{NaCl}$ , подогревают паром до  $90^\circ$  и через 10—12 час. осадок делится на три слоя: верхний — масло, средний — фосфатиды, нижний — вода. Слой масла снова обрабатывают в нейтрализатор, таким образом из осадка извлекают  $\sim 50\%$  удержанного им масла. Даны оптимальные условия проведения нейтр-ции для уменьшения потерь.

А. М. 76541. Определение потерь при рафинации. Джеймс (The determination of refining loss. James E. M.), J. Amer. Oil Chemists' Soc., 1955, 32, № 11, 581—587 (англ.)

Краткое описание истории применения стандартной методики лабор. рафинации и усовершенствованный метод определения содержания в неочищ. масле нейтр. жира. Описаны методы Вессона, метод, основанный на определении в ацетоне, и хроматографич. метод.

В. Б. 76542. Непрерывная рафинация пищевых растительных масел. Смит (The continuous refining of edible vegetable oils. Smith Fred H.), J. Scient. and Industr. Res., 1955, A14, № 2, 69—73 (англ.)

Неочищенное масло смешивают с р-ром щелочи, сопосток отделяют на суперцентрифуге. Для удаления остаточного мыла масло дважды промывают водой, после чего следует центрифугирование и сушка под вакуумом. Повторная рафинация после гидрогенизации не требуется. Для уменьшения потерь перед обработкой щелочью добавляют 0,5% лимонной к-ты в виде 20%-ного р-ра.

В. М. 76543. Обзор исследований земляного ореха и получаемых из него продуктов. — (Synopsis of investigations on groundnut and groundnut products.), Oils and Oilseeds. J., 1955, 8, № 4, 4—6, 8 (англ.)

Обсуждение результатов применения скорлупы ореха для получения древесного угля, жмыха — для получения белков, масла — для использования в медицине. Приведены также соображения относительно добычи масла и его фракционирования посредством хроматографии. Библ. 35 назв.

В. Б. 76544. Изучение стабильности аромата и самоокисления говяжьего жира. Чжан, Куммеров (A study of the flavor stability and autoxidation of beef fats. Chang S. S., Kummerow F. A.), J. Amer. Oil Chemists' Soc., 1955, 32, № 11, 547—551 (англ.)

Исследование показало, что неприятный запах пищевых жиров не является результатом возникновения окис-

лительных полимеров, так как обнаруживается при порче жиров и в условиях исключающих появление полимеров. Летучие пахучие в-ва, выделенные из свежего пищевого жира, являются сложными соединениями, не взаимодействующими с  $\text{NaHSO}_3$  и  $\text{NH}_2\text{OH}$  и согласно ИК-спектру они могут содержать карбонильные группы, алифатич. простые эфиры, сложные эфиры, сопряженные связи и связи углерод—азот, а также 6-членное лактонное кольцо. После удаления этих соединений из жира и самоокисления остатка при  $65^\circ$  образуется другой тип пахучих в-в, содержащих карбонильные соединения, взаимодействующие с  $\text{NaHSO}_3$  и  $\text{NH}_2\text{OH}$ . Характерный запах олео-маргарина и пищевого жира может быть удален селективным гидрированием на никеле при атмосферном давлении (0,5—1,5 час.,  $90$ — $110^\circ$ ). При этих условиях гидрогенизации т-ра плавления увеличивается не больше, чем на  $2^\circ$ , а иодное число уменьшается меньше, чем на 4, но значительно уменьшается содержание линоленовой и арахидоновой к-т; что, очевидно, является причиной смягчения аромата и увеличения стабильности гидрогенизованного жира.

Г. М. 76545. Антиокислительное действие розмарина. Рац, Оштрич (Antioksidativno djelovanje ružmarina. Rac Marijan, Oštrič Biserka), Kemija u industriji, 1954, 3, № 11, 301—306 (хорв.; рез. англ., франц., нем.)

Описаны приготовление и исследование в-ва, полученного из листьев розмарина, применяющегося в качестве противокислителя. Лучшие результаты получены для метанольного экстракта листьев розмарина, очищ. бензином и эфиром. Противокислительное действие этого экстракта мало отличается от действия известных в настоящее время противокислителей.

А. В. 76546. Метанолиз триглицеридов. Хартман (Methanolysis of triglycerides. Hartman L.), J. Amer. Oil Chemists' Soc., 1956, 33, № 3, 129 (англ.)

На образцах воловьего жира, хлопкового и льняного масел исследованы щел. катализаторы метанолиза жиров. Степень метанолиза в присутствии испытываемых катализаторов определялась по кол-ву свободного глицерина в водн. экстракте, который получался после извлечения органич. массы диэтиловым эфиром, причем это извлечение выполнялось после обработки продукта р-ции (метанолиза) уксусной к-той. Побочная р-ция омыления жира оценивалась на основании определения кислотного числа извлеченной эфиром жировой массы и ее числа омыления. Наилучшим катализатором оказался  $\text{NaOCH}_3$ .

Г. М. 76547. О методе одновременного гидролиза жиров и увеличения содержания твердых жирных кислот. Ранков, Чобанов (Ober ein Verfahren zur Fettsäure und gleichzeitigen Vermehrung der festen Fettsäuren. Rankoff G., Tschobanov D.), Докл. Болгар. АН, 1955, 8, № 2, 49—52 (нем.; рез. русс.)

Описаны опыты по гидролизу оливкового и пальмового масел и говяжьего и костного жиров в закрытой трубке при  $220^\circ$  в течение 3—4 час. в присутствии 50% воды, 1% серы или 3% фосфора. В результате почти полного расщепления жиров жирные к-ты содержали большее кол-во твердых жирных к-т, чем исходный жир. Установлено, что это происходит вследствие элаидинирования олеиновой к-ты. Опытами по элаидинированию олеиновой к-ты в присутствии селена и его соединений ( $\text{SeO}_2$ ,  $\text{H}_2\text{SeO}_3$ ,  $\text{H}_2\text{SeO}_4$ ), а также теллура и его соединений ( $\text{TeO}_2$  и  $\text{H}_2\text{TeO}_4$ ) доказано, что только селен и его соединения обладают этой способностью, которая проявляется также одновременно с расщеплением жиров в автоклаве в присутствии 1% селена при нагревании в течение 4 час. при  $220$ — $225^\circ$  (24—26 атм). Указывается, что элаидинированные жиры дают мыло с повышенной моющей способностью. Глицериновая во-

да, полученная при опытах, чиста, прозрачна и бесцветна.

Г. Ш.  
76548. Экспульсионная установка для вытопки жира в эксплуатации. Либерман С., Петровский В., Асламов В., Жижевский В., Мясная индустрия СССР, 1955, № 4, 28—31

Описана установка непрерывного действия для вытопки жира, состоящая из экспульсора, циклона с конденсатором, ротационного фильтра, винтового пресса, сепараторов и охладителя. Экспульсор, являясь комбинированной машиной для измельчения и плавления жирсырья, состоит из воронки с питательным шнеком; секции для измельчения, обогреваемой паром, с питающим шнеком, двумя поперечными ножами, приемной решетки и решеток с отверстиями диам. 20 и 5 мм, предварительного подогревателя с полым шнеком, снабженным спиральными витками. Установка обладает следующими характерными особенностями: быстрота процессов, быстрота обработки сырья, возможность перерабатывать чистое животное сырье в парном виде, а кишечное и субпродуктовое — в промывом, очистка жира посредством эмульгирования его с паром или горячей водой и двух- или трехкратного сепарирования, высокая производительность труда. Производительность установки 1000 кг/час говяжьего жирсырья или 1500 кг/час свиного, выход топленого жира из говяжьего жирсырья (без кишечного) 66,1%, из свиного окопачечного салника и брызжеечного — 80,1%.

В. Б.  
76549. Дилатометрические измерения. Браун (Dilatometric measurements. Braun W. Q.), J. Amer. Oil Chemists' Soc., 1955, 32, № 11, 633—637 (англ.)

Обсуждение различных методов и конструкций приборов для дилатометрич. измерений при исследовании жиров.

В. Б.  
76550. Методы определения степени отбелки и цветности. Стилман (Bleach and color methods. Stilman R. C.), J. Amer. Oil Chemists' Soc., 1955, 32, № 11, 587—593 (англ.)

Описаны применяемые в практике методы отбелки жиров (адсорбционные и основанные на хим. р-циях), а также методы определения степени отбелки (спектрофотометрич., колориметрический).

В. Б.  
76551. Определение суммарного содержания госсипола и его производных в сыром хлопковом масле. Ржехин В. П., Чудновская М. А., Маслоб-жир. пром-сть, 1955, № 7, 27—30

Разработан простой колориметрич. метод анализа, позволяющий определить в неочищ. хлопковом масле суммарное содержание госсипола (I) и его производных, а также приблизительное содержание в масле темноокрашенных производных I, трудно удаляемых при щел. рафинации. Метод основан на способности I и некоторых его производных давать при нагревании их масляных р-ров, содержащих фосфатиды, стабильные по интенсивности окраски продукты. Для анализа берут две пробы по 5 мл масла и помещают их в два бюкса (диам. 40—45 мм). Бюксы нагревают в термостате 2,5 часа (в случае высокогоссипольных масел 3 часа) при 145°. Более длительное нагревание масла вызывает снижение интенсивности окраски. Затем бюксы охлаждают до 20° и готовят р-ры масла в бензине (1:10). Одновременно готовят бензиновый р-р непрогретого масла (той же конц-ии). Цвет бензиновых р-ров прогретого и непрогретого масел определяют в клиновом цветомере ВНИИЖ-12 при толщине слоя 1 см (при 35 желтых). Суммарное содержание I и его производных находят по таблице (см. оригинал). Содержание производных I, неосаждаемых анилином, находят по разности между колориметрич. определением и содержанием I, определенным по анилиновому методу. Приблизительное (условное) содержание в масле производных I, не имеющих свободных альдегидных

групп и кислых гидроксидов (x), находят по ф-ле:  $x (\text{в } \%) = a - [a(c_1 - c_2)]/c_1$ , где a — суммарное содержание I и его производных, определенное колориметрически в процентах,  $c_1$  — цвет бензинового р-ра прогретого масла, а  $c_2$  — цвет р-ра непрогретого масла в единицах красных. Проверка метода на модельных образцах с известным содержанием I и его производных, а также на производственных образцах, в которых суммарное содержание I и его производных параллельно определялось щел. и рефрактометрич. методами показала удовлетворительные для практич. целей результаты. Точность определения предлагаемым методом I и его производных в неочищ. масле 0,05% (при среднем содержании этих в-в в масле).

Н. Л.  
76552. Анализ липидов при помощи противоточного распределения. Даттон (The analysis of lipids by countercurrent distribution. Dutton Herbert J.), J. Amer. Oil Chemists' Soc., 1955, 32, № 11, 652—659 (англ.)

Общие положения, математич. теория, конструкция аппаратов и применение противоточного распределения к разделению пигментов, фосфатидов, глицеридов жирных к-т, их метиловых эфиров и продуктов окисления. Библ. 15 назв.

В. Б.  
76553. Современные вопросы науки о питании, особенно о пищевых жирах. Кауфман (Gegenwartsfragen der Ernährungswissenschaft, mit besonderer Berücksichtigung der Nahrungsfette. Kaufmann H. P.), Fette und Seifen, 1955, 57, № 11, 897—902 (нем.)

76554. Новые масла для жарения. Мельник, Волкмут (New frying oils. Melnick Daniel, Gooding Chester M., Volkmut Albert R.), Potato Chipper, 1955, 15, № 1, 30, 32, 34, 36 (англ.)

Селективно гидрированные масла с иодным числом 77—94, т. пл. 26,6—35,0°, т. заст. 12,7—18,3°, по вкусовым свойствам, сообщаемым обжариваемым продуктам, не уступают растительному маслу, но более устойчивы к окислению.

В. М.  
76555. Изучение обесцвечивания жира рыб. VIII. Нока, Андо, Комацу (魚油の油焼に関する研究. VIII. 野中順三, 安藤一夫, 小松勝), 日本水産学会誌. Нихон суйсан гаккайси, Bull. Japan Soc. Scient. Fisheries, 1954, 20, № 1, 40—45 (япон.; рез. англ.)

Сравниваются характеристики окисленных к-т, выделенных из предварительно подвергнутых самоокислению жиров различных рыб, и интенсивность окраски спирто-эфирных р-ров (1:2), приготовленных растворением жиров и определенных кол-в  $\text{NH}_3$ . Установлено, что молекулы окисленных к-т не содержат азота в качестве составной их части. Роль  $\text{NH}_3$  в обесцвечивании окисленных жиров заключается не в образовании азотосодержащих соединений с ними, а в каталитич. действии. Установлено, что и другие соединения, как органич. так и неорганич., также оказывают каталитич. действие при обесцвечивании жиров рыб, подвергшихся самоокислению. Часть VII см. РЖХим, 1955, 20207.

Н. Л.  
76556. Непрерывный процесс обесцвечивания в противотоке под вакуумом. Синглтон, Мак-Майка (Décoloration continue sous vide a contre-courant. Singleton W. A., McMichael C. E.), Oléagineux, 1955, 10, № 1, 25—31 (франц.)

76557. К отбелке жиров и масел. Витка (Zur Bleichung der Fette und Ole. Wittka F.), Seifen-Öle-Fette-Wachse, 1955, 81, № 26, 752—755 (нем.; рез. англ., франц., исп.)

Краткое описание основных методов отбелки жиров и масел: адсорбционной, отбелки хим. агентами, р-рителями, термической и отбелки путем ввода новых красящих в-в, — оптических отбеливающих средств. Обсуждение достоинств и недостатков указанных методов.

В. Б.  
76558. Классификация оливковых масел. Мартинес-и (Sulla revisione della classificazione degli oli d'oli-

va. Martinenghi G. B.), Olii miner. grassi e saponi, colori e vernici, 1955, 32, № 11, 249—251 (итал.) Изложены основные принципы, на основании которых указывается на необходимость новой классификации оливковых масел. Согласно этим принципам экстракционное оливковое масло В не может быть отнесено к оливковым маслам. А. М.

**76559. Получение синтетических жирных кислот непосредственным окислением соляров.** Анастасиу, Векслер (Obținerea acizilor grași sintetici prin oxidarea directă a motorinelor. Anastasiu St., Wexler T.), Rev. chim., 1955, 6, № 5, 241 (рум.; рез. русс.) Изучалось окисление солярового масла (г-ра затвердевания  $+7.5^\circ$ ,  $d$  0,837, кислотное число (КЧ) 0,12, число омыления (ЧО) 0,96) в качестве исходного сырья для получения синтетич. жирных к-т. Окисление продолжалось 36 час. (24 час. при  $85-95^\circ$ , последние 12 час. при  $100^\circ$ ), катализатор стеарат Mn (1% по весу масла). Полученные жирные к-ты имели: КЧ 164, ЧО 194, неомыляемые 24%; выход 25%. К-ты могут служить сырьем для мыловаренной промышленности. А. М.

**76560. Охлаждение легко застывающих жиров.** Эйкхоф (Il raffreddamento continuo dei grassi che solidificano. Eickhof Carsten), Olii miner., grassi e saponi, colori e vernici, 1955, 32, № 12, 267—272 (итал.) Даны схемы различных холодильников, работающих под давлением и применяемых в произ-ве маргарина, разных пищевых жиров из кокосового масла и рыбьего жира, топленого сала. Приспособления, имеющиеся в этих холодильниках, позволяют регулировать их работу для получения твердых жиров с желаемой величиной кристаллов. А. М.

**76561. Состав и действие моющих средств.** Сребров (Състав и действие на перилните средства. Сребров Б.), Лека промишленост, 1954, № 7, 9—11 Подчеркнута роль гидрофильных ( $\text{SO}_3\text{Na}$ ,  $\text{SO}_2\text{Cl}$ ,  $\text{COONa}$  и др.) и гидрофобных (в большинстве случаев общей ф-лы  $(\text{CH}_2)_x \cdot \text{CH}_3$ ) частей молекул детергентов, применяемых в текстильной про-сти и определяющих их моющие свойства. Кратко изложена общепринятая теория действия моющих препаратов, кинетика процесса и оптимальные условия, при которых достигается наибольший эффект. А. М.

**76562 П. Метод обработки животных и растительных масел.** Берсуэрт (Method of treating animal and vegetable oils. Bersworth Frederick C.) [The Dow Chemical Co.], Канад. пат. 512032, 19.04.55

Очищают животные и растительные масла от загрязнений, металлич. солей, свободных жирных к-т и пр. перемешиванием масла с 2—10%-ным водн. р-ром соли щел. металла этилендиаминотетрауксусной к-ты (на металл могут быть замещены атомы Н двух карбоксильных групп) или с водн. р-ром, содержащим свободную гидроокись щел. металла в кол-ве, достаточном для нейтр-ции свободных жирных к-т известного объема очищаемого масла, плюс избыток его, эквивалентный 2 молярным весам на 1 молярный вес этилендиаминотетрауксусной кислоты. Г. М.

**76563 П. Воскообразные вещества, полученные из соединений с конденсированными пятичленными циклами** (Substances cireuses obtenues à partir de composés à noyaux pentagonaux condensés) [Ruhchemie Akt.-Ges.], Франц. пат. 1086695, 15.02.55 [Ind. chim., 1955, 42, № 461, 400 (франц.)]

Синтетические воска с т. пл.  $> 100^\circ$  и совмещаемые с парафинами получают полимеризацией циклопентадиена с последующим гидрированием продуктов р-ции. Я. К.

**76564 П. Восковые смеси.** Мазе, Лош (Wax compositions. Mazee Willem M., Loois Hendrikus J.) [Shell Development Co.], Канад. пат. 511029, 15.03.55

Патентуются смеси восков, содержащих в основном: 1) крупнокристаллич. парафин с т. пл.  $48,8-85^\circ$  и 1—8% глицериновых эфиров дитерпеновых к-т; 2) крупнокристаллич. парафин с т. пл.  $57,2-60^\circ$  и 5% эфира смоляных к-т. О. С.

**76565 П. Инактивация первичных аминов в детергенте, содержащем β-аланин.** Элони, Уиткофф (Inactivation of primary amines in β-alanine detergent mixture compositions. Aelony David, Wittcoff Harold) [General Mills, Inc.], Пат. США, 2720536, 11.10.55

Инактивируют β-аланин в детергенте взаимодействием с альдегидом, при котором в аминогруппу вводится заместитель — алифатич. углеводород из 8—22 атомов С и образуется инертный для кожи человека продукт. Г. М.

**76566 П. Аппарат для стирки, химической чистки или крашения одежды** (Machine for washing, dry cleaning or garment dyeing) [Braithwaite & Son Engineers, Ltd.], Англ. пат. 717974, 3.11.54

Патентуемый аппарат имеет цилиндрич. кожух, внутри которого на отдельной оси расположены цилиндры: ситчатый для обрабатываемого материала и сплошной цилиндр с периферич. отверстиями в верхней части. Между этими цилиндрами расположены ситчатые подъемники, выступающие через прорези в ситчатом цилиндре и ковши, двигающиеся вместе с подъемниками для направления жидкости в нижнюю часть кожуха. Подъемник и ковши закреплены на сплошном цилиндре. Камера расположена в нижней части кожуха. Водослив с каждой стороны камеры и кольца присоединены к сплошному цилиндру и удерживают жидкость в тех частях кожуха, где действуют ковши. Цилиндры закрыты крышками. Приведена схема аппарата. О. С.

**76567 П. Щелочной детергент** (Alkaline detergent) [The Diversey Corp.], Австрал. пат. 164813, 8.09.55

Патентуется щел. детергент, колл. мицеллы которого характеризуются наличием ядра, состоящего из щел. детергента и окружающих его частиц кислого смачивающего в-ва, взаимодействующего с детергентом. рН частиц в целом значительно больше, чем на поверхности самой частицы. Г. М.

**76568 П. Жидкий детергент** (Liquid detergent) [Unilever Ltd.], Австрал. пат. 164644, 01.09.55

Патентуется прозрачный водн. р-р, не содержащего мыла детергента (10—40 вес.%) и сернистого эфира целлюлозы ( $\leq 5$  вес.%). Г. М.

**76569 П. Способ получения моющей жидкости для химической чистки.** Гутман, Фогт, Монхейм (Sätt att framställa tvättvätskor för kemisk tvätt samt på sättet framställa tvättvätskor. Gutmann A., Vogt A., Monheim J.) [Farbwerke Hoechst Akt.-Ges. vormals Meister Lucius & Brüning], Швед. пат. 151839, 11.10.55

Жидкость для хим. чистки текстильных изделий готовят путем смешения р-ра, приготовленного из обыкновенных моющих средств с высокомолекулярными соединениями четвертичных амониевых оснований, а также с небольшими кол-вами гликоля или полигликоля. Указанная жидкость может содержать и другие добавки. Б. Ф.

См. также: Состав растит. масел. 22047Бх, 22223Бх, 22225Бх; 74301. Жир сельди 76828. Специал. жиры для кондитерского производства 76728—76730, 76857. Воск для косметики 76268. Определение моющих средств в сточных водах 75409. История 73967

## УГЛЕВОДЫ И ИХ ПЕРЕРАБОТКА

**76570. Процессы кристаллизации сахара.** Рюквардт (Der Vorgang der Kristallisation, unter besonderer Berücksichtigung der Zuckerglasur. Rückwardt

Günter), Bäcker und Konditor, 1956, 10, № 1, 23, (нем.)

Рассматриваются вопросы кристаллизации сахара и, в частности, кристаллизации в процессе глазурирования кондитерских изделий сахарной глазурью. Обсуждаются условия, благоприятствующие выкристаллизовыванию сахара: высокая плотность сахарных р-ров, высокая т-ра, наличие имеющихся уже в р-ре кристаллов сахара, влияние движения воздуха и влияние инвертного сахара, тормозящего процессы кристаллизации. В. Н.

**76571. Быстрый метод определения восстанавливающих веществ, в частности сахаров. Сочинский (Szybka metoda oznaczania substancji redukujących zwłaszcza cukrów. Soczyński Stanisław), Przem. spożywczy, 1955, 9, № 10, 416—418 (польск.)**

Методика основана на титровании восстановителем кипящего р-ра фелинговой жидкости, в который вводится KCN для связывания выделяющейся  $\text{Cu}_2\text{O}$ , и метиленовой голубой в качестве индикатора. 10 г х. ч.  $\text{CuSO}_4 + 0,04$  г метилового голубого растворяют в 1 л дистилл. воды (р-р А); 50 г сегнетовой соли, 75 г NaOH и 4 г KCN растворяют в 1 л дистилл. воды (р-р В). 5 мл р-ра А + 5 мл р-ра В титруют восстановителем в спец. пробирке, содержимое которой поддерживают в состоянии кипения пропусканием пара. Титр фелинговой жидкости устанавливают по глюкозе. Приведены примеры определения сахара в рафинаде, сахарном песке и бражке. Дан чертеж прибора. Я. Ш.

**76572. Растворимость сахарозы в присутствии несахарозных веществ сиропа из денауского сахарного тростника. Абдурашидов Т. Р., Тр. Среднеаз. политехн. ин-та, Ташкент, Госиздат УзССР, 1955, 327—333**

При определении растворимости сахарозы в присутствии несахаров, собственных очищ. сиропам, полученным из сахарного тростника, выращенного в Узбекистане, было установлено, что с увеличением конц-ии редуцирующих в-в при неизменном кол-ве нередуцирующих коэфф. насыщения сахарного р-ра уменьшается, и что высаливающее действие редуцирующих в-в тем больше, чем меньше конц-ия нередуцирующих несахаров. Опыты проводились при 40 и 50°; доброкачественность нормального сока денауского тростника составляла по сахарозе 62 ед. и по общему содержанию сахаров 82 ед. Г. Б.

**76573. О конференции по сахарному производству в Праге. Левон (O konferencji cukrowniczej w Pradze. Lewon J.), Techn. przem. spożywczy, 1956, 5, № 2, 77—79 (польск.)**

Краткое сообщение о работе конференции по вопросам сырья и технологии сахарного произ-ва в Праге 14—19 октября 1955 г. Г. О.

**76574. Новые области применения сахара. Хасс (Les nouvelles utilisations du sucre. Hass H. B.), Sucrerie belge, 1956, 75, № 5, 185—191 (франц.)**

Обзорная статья. Сахар может быть использован в качестве исходного сырья для получения пластич. масс, лекарственных в-в, инсектицидов, красителей синтетич. волокна, заменителя окиси этилена, средства, замедляющего черствление хлеба. Аммонизацией мелассы можно получить ценное, содержащее белки, кормовое средство для скота и птицы. Обширное применение сахара для получения ряда синтетич. продуктов составляет предмет изучения нового раздела прикладной химии — «сахаро-химии». И. Л.

**76575. Метод увеличения сладости свежесваренного сахара. Иида (甜菜糖甘味増強方法, 飯田廉雄), 栄養と健康, 1956, 8, № 4, 36—39 (япон.)**

**76576. Международная конференция в Праге. (Międzynarodowa Konferencja w Pradze.), Gaz. cukrown., 1955, 57, № 12, 221—224 (польск.)**

Краткий отчет о состоявшейся 14—19 октября 1955 г. международной конференции по вопросам выращивания сахарной свеклы и технологии сахарного произ-ва с участием Болгарии, Венгрии, ГДР, Польши, Румынии, СССР и Чехословакии. Л. Ш.

**76577. Модернизация работы диффузионной батареи Пелетминский В. Н., Сахарная пром-сть, 1956, № 1, 13**

Для работы диффузионной батареи рекомендуется: применять свежесваренную стружку квадратного сечения, загружать стружку в диффузор вместе с соком; автоматизировать работу мерников диффузионного сока и процесса ошпаривания стружки; возвращать диффузионную воду на диффузию с обработкой этой воды  $\text{Ca}(\text{HSO}_3)_2$  в кол-ве 0,1% к весу свеклы. Внедрение указанных мероприятий позволит снизить потери сахара на диффузии на 0,2% к весу свеклы. Г. Б.

**76578. Снижение вязкости сиропов. Тышка (Obniżanie współczynnika lepkości syropów. Tyska Henryk), Gaz. cukrown., 1955, 57, N 10, 181 (польск.)**

Заводскими опытами установлена возможность значительного снижения вязкости сиропов посредством добавления в вакуум-аппараты во время варки утфеля  $\text{MnSO}_4$  в кол-ве 0,001—0,025% к весу утфеля в виде водн. р-ра той же т-ры. Продолжительность варки уменьшилась на 20 мин., утфель фуговался легче, с сокращением цикла на 10—20%. Сахар получался белый с хорошо выраженной формой кристаллов, не был гигроскопичен и хорошо высыхал на воздухе. Добавляемые незначительные кол-ва  $\text{MnSO}_4$  не оказывали влияния на образование инверта и не вызывали повышения цветности. Л. Ш.

**76579. Опыты промывки фильтрпрессной грязи первой сатурации чистой и диффузионной водой. Загородский, Загорская (Badania nad wysładzaniem błota po I saturacji z pomocą wody czystej i zawracanej z dyfuzji. Zagrodzki Stanisław, Zaorska Helena), Gaz. cukrown., 1955, 57, № 10, 177—179 (польск.)**

Сравнительными опытами установлено, что диффузионная, а также жомопрессовая вода, подщелоченные при помощи известкового молока до щелочности 0,06%  $\text{CaO}$ , вполне пригодны для высаливания фильтрпрессов, причем грязь ничем не отличается от получаемой после промывки чистой водой. Доброкачественность промывок получается при этом такой же и даже несколько выше, а цветность такой же и даже несколько ниже, чем при чистой воде. Принятое направление диффузионной и жомопрессовой вод является наиболее целесообразным применением их и сокращает расход чистой воды. Л. Ш.

**76580. Несколько замечаний по вопросу о фуговке утфеля первого продукта. Никель (Kilka uwag o wirowaniu cukrzyc I rzutu. Nikiel Stanisław), Gaz. cukrown., 1956, 58, № 1, 9—17 (польск.)**

Отмечаются расхождения в даваемых крупнейшими авторитетами указаниях о рац. методах получения и обработки утфеля 1-го продукта. На основе теоретич. соображений и практич. данных предложена подробная инструкция по проведению процессов варки и обработки утфеля, обеспечивающая получение белого сахара цветностью до 0,3—0,2 ед. Штамера при миним. потерях тепла при пробелке утфеля паром. Л. Ш.

**76581. Распределение несахаристых веществ в желтом сахаре-песке и выбор метода очистки. Силина (Распределение на несахарите в желта захар-пясък и избор на метод за очистване. Силина Н. П.), Лека промышленост, 1956, 5, № 1, 40—41 (болг.)**

Перевод. см. РЖХим, 1956, 5545.

**76582. Рафинирование сахара-сырца. Кернок (The sugar you eat. Curnock David), Meccano Mag.,**

Краткое описание известных процессов, применяемых при рафинировке сахара-сырца с перечислением ассортимента продукции, выпускаемой рафинадными э-дами Англии.

**Г. Б. 76583. Электрическая прочность рафинада. Павлов И. С., Орел А. И.,** Тр. Киевск. технол. ин-та пищ. пром-сти, 1955, № 15, 243—246

В результате изучения электрич. прочности (ЭП) прессованного сахара-рафинада в зависимости от его влажности и от характера прикладываемого напряжения было установлено, что ЭП воздушно-сухого рафинада нарушается в полях напряженностью 5—20 кВ/см; ЭП сахара зависит от состояния приэлектродного слоя и от характера приложенного напряжения меняется вид пробоя; с увеличением содержания влаги ЭП рафинада быстро уменьшается и уже при 2% влаги падает до 1,5 кВ/см. При испытании на промышленной частоте разрушения сахара имеют ясно выраженный вид теплового пробоя, а при импульсном напряжении — механич. повреждений.

**Г. Б. 76584. Известь и сатурационный газ как средства, применяемые при очистке свекольных соков. Новаковский (Wapno i gaz saturacyjny jako środki stosowane przy oczyszczaniu soków buraczanych. Nowakowski Bronisław),** Gaz. cukrown., 1955, 57, № 12, 230—233 (польск.)

На основе теоретич. соображений и производственных данных указываются условия, влияющие на эффективность обработки известью и сатурационным газом свекольных соков и клеровок желтых песков: повышение доброкачественности, уменьшение содержания кальциевых солей и снижение цветности. Рассматривается влияние качества извести в зависимости от обжига и гашения, а для клеровок также ее кол-ва. В отношении сатурационного газа рассматриваются главным образом способ его введения в сок, плотность и т-ра сока, скорость прохождения газа через сок, степень его раздробления на пузырьки и т. п.

**Л. Ш. 76585. Вычисление количества мелассы в сухом комбикорме из мелассы и жома. Андреас (Berechnung der an Melassetrockenschnitzeln angetrockneten Melassemenge. Andres P.),** Z. Zuckerind., 1955, 5, № 12, 562 (нем.; рез. англ., франц.)

Выведены ф-лы для вычисления кол-в использованных для изготовления комбикорма и содержащихся в готовом продукте жома и мелассы в процентах к весу продукта и к весу свеклы, а также для вычисления кол-ва выпаренной воды.

**Л. Ш. 76586. Контроль скоростей фильтрации и отстаивания сока I сатурации. Жура К. Д., Архипович Н. А.,** Тр. Киевск. технол. ин-та пищ. пром-сти, 1955, № 15, 70—75

Применяемые приборы для определения скорости фильтрации не дают сравнимых результатов при исследовании соков, обработанных различным кол-вом CaO, так как в этих приборах фильтрация протекает при меняющемся слое осадка. Описан прибор, в котором фильтрация соков производится через слой осадка заданной толщины; использование этого прибора для определения скорости отстаивания и скорости фильтрации показало, что с увеличением расхода извести на очистку диффузионного сока наблюдается заметное уменьшение скорости отстаивания и что скорость фильтрации через слой осадка одинаковой толщины увеличивается с увеличением расхода извести на очистку.

**Г. Б. 76587. Применение полярографического метода для контроля сахарного производства. Шульц (Zastosowanie metody polarograficznej do kontroli fabrykacji cukru. Szulc Jan),** Gaz. cukrown., 1955, 57, № 10, 184—186 (польск.)

Сравнение результатов по определению цветности

сахаров при помощи применяемых до сих пор колориметрич. методов с полярографич. показало значительно более высокую чувствительность последнего, а также большую согласованность его результатов с содержанием в сахаре золы, чем у получаемых колориметрич. способами. Делается вывод, что введение полярографич. метода в аналитику сахарного произ-ва значительно уточнит оценку сахаров и поможет лучшей классификации их.

**Л. Ш. 76588. Определение и контроль цветности в сахарной промышленности. Мак-Гиннис (Farbmessung und Farbkontrolle in der Zuckerindustrie. McGinnis R. A.),** Z. Zuckerind., 1955, 5, № 5, 231—237 (нем.; рез. англ., франц.)

Обзор разных методов определения цветности белого сахара и сахаросодержащих продуктов. Библи. 26 назв.

**Л. Ш. 76589. Применение электрометрического определения pH в сахарном производстве. Новаковский (Zastosowanie elektromagnetycznego oznaczania stężenia jonów wodorowych w cukrownictwie. Nowakowski Bronisław),** Gaz. cukrown., 1955, 57, № 10, 187—189 (польск.)

Краткая инструкция по применению pH-метров с сурьмяным электродом на произ-ве с периодич. проверкой получаемых результатов при помощи лабор. потенциометра со стеклянным электродом. Приведены таблицы поправок на т-ру для разных соков и продуктов и рецепты по изготовлению контрольных буферных р-ров.

**Л. Ш. 76590. Содержание оболочек в крахмальных зернах картофеля. Ляпунова Г. М.,** Сб. работ студ. науч. о-ва, Ленингр. технол. ин-т пищ. пром-сти, 1956, № 1, 64—69

Исследовались 11 образцов крахмала различных сортов картофеля на содержание оболочек крахмальных зерен по методу М. И. Княгиничева, метод подробно описан. Установлено, что кол-во оболочек у зерен крахмала различных сортов картофеля сильно колеблется (в пределах 76,74—92,68%), что обуславливается в первую очередь величиной его зерен. В работе уточнены некоторые приемы аналитич. метода М. И. Княгиничева.

**Н. Б. 76591. Новая возможность отделения крахмала от сопутствующих продуктов при получении пшеничного крахмала. Маурер (Eine neue Möglichkeit zur Abtrennung der Stärke von ihren Begleitstoffen bei der Weizenstärkegewinnung. Maurer Wolfgang),** Stärke, 1956, 8, № 1, 6—12 (нем.; рез. англ.)

Описываются современные методы и патенты по переработке пшеницы на крахмал (К). Для отделения в крахмальных суспензиях, сопровождающих К, клейковины и клетчатки исследовался новый метод этого отделения при помощи H<sub>2</sub>O<sub>2</sub>. Устанавливались оптимальные pH, конц-ия H<sub>2</sub>O<sub>2</sub>, плотность молока, его т-ра и влияние механич. размешивания. Описана методика работы и в таблицах приведены результаты исследований. Установлено, что хорошее отделение К от сопровождающих его примесей достигается при переработке свежеприготовленного молока К и при его pH 6,3, которое должно устанавливаться прибавлением р-ра аммиака. Т-ра р-ции должна быть в пределах 10—15°, а плотность молока от 1,02 до 1,03. На 1000 мл такого молока требуется давать 2 мл 30%-ного р-ра H<sub>2</sub>O<sub>2</sub>.

**Н. Б. 76592. О саго. Новак (Über Sago. Nowak A.),** Stärke, 1956, 8, № 1, 13—15 (нем.)

Описаны методы произ-ва «немецкого саго» из картофельного крахмала с изложением технич. условий на него и некоторых методов испытания (определение доброкачественности и набухающей способности). Кратко сообщается о районах распространения сырья

для выработки саго из тапиоки, саговой пальмы и местные способы его произ-ва. Н. Б.

**76593. Изучение измененного крахмала. I. Приготовление и физические свойства частично гидролизованного крахмала.** Кадо, Нисида (澱粉化工に関する研究. 第1報. Thin boiling starch of the modification and its physical properties. 加戸安之, 西田淳三良), 醸工學雜誌, Хакко когаку дзасси, J. Ferment. Technol., 1954, 32, № 3, 10, 98—102 (япон.; рез. англ.)

При изучении свойств измененного (частично гидролизованного) крахмала установлена зависимость между условиями приготовления его и степенью расщепления молекулы крахмала в производственных условиях. Для гидролиза крахмала оказалась вполне пригодной 0,1—0,2 н. HCl и нет надобности пользоваться 0,3 н. HCl. Время обработки более, чем 6 ч. вредно. Наиболее важным фактором процесса гидролиза является т-ра. Данные подтвердили мнение Керра, считающего, что процесс расщепления крахмала в кислой среде идет по месту 1—6 связи амилопектина, более непрочной по отношению к к-те, чем связь 1—4 в других фракциях крахмала. В. Г.

**76594. Изучение муки из зерен тамаринда. Часть IV. Сравнительная устойчивость против плесневения клейких веществ и влияние вымачивания в воде тамариндовой муки на ее клейкую способность.** Макмиллан, Чакраверти, Пал (Studies on tamarind kernel powder: Part IV. Comparative mildew susceptibility of sizing materials and the effect of steeping T. K. P. on sizing quality. Macmillan W. G., Chakraverti I. B., Pal P. N.), J. Scient. and Industr. Res., 1954, 13, № 1B, 66—71 (англ.)

Исследовалась сравнительная устойчивость против плесневения муки из зерен тамаринда (ТМ), кукурузного крахмала и пшеничной муки, а также влияние частичного или полного удаления из ТМ белковых в-в, сахаров и жиров на развитие микроорганизмов. Сравнительно с кукурузным крахмалом, торговые сорта ТМ и пшеничная мука в более сильной степени подвержены плесневению. Частичное удаление из ТМ белковых и растворимых в-в заметно снижает ее способность плесневеть. Удаление жиров и восков не дает такого эффекта. Вымачивание ТМ в воде изучалось с целью выяснить, не дает ли такая обработка положительных результатов в отношении уменьшения плесневения и улучшения клейких свойств ТМ, как то имеет место для пшеничной муки. Несмотря на то, что ТМ и пшеничная мука с биохим. точки зрения являются в-вами весьма близкими, оказалось, что длительное вымачивание в воде до использования ТМ в шликте не дает положительных результатов. Дано описание методов обработки ТМ для удаления из нее белковых в-в, растворимых углеводов и обезжиривания, а также различных методов заражения муки плесневыми грибами и бактериями, приведены таблицы полученных результатов. Часть III см. J. Scient. and Industr. Res., 1952, 11B, 438. С. С.

**76595. Мука и пектин из отходов цитрусовых плодов.** Вильямс (Meal and pectin from citrus waste. Williams W.), Food Manufacture, 1955, 30, № 8, 319 (англ.)

Описывается способ использования отходов при переработке цитрусовых плодов для получения кормовой муки для скота и пектина. Произ-во муки включает механич. обработку кожуры и пульпы цитрусовых отходов, хим. обработку (гашеной известью) для уничтожения липкости, прессование и сушку. Жидкость, получаемая при прессовании и содержащая ~ 7—9% сахаров, может быть использована при произ-ве дрожжей, спирта и т. д. Приводится хим. состав муки (главную часть составляют углеводы). Из 1 т апельсинов

получается 85,25 кг сушеной кожуры, дающей 13,5—18 кг пектина. В. Н.

**76596. Производство пектина в качестве важнейшего побочного продукта переработки яблок.**— (Pectin—major by-product of the apple.—), Food Manufacture, 1956, 31, № 4, 133—137 (англ.)

Краткие сведения по химии пектина и описание произ-ва яблочного пектина (П) на старейшем эде William Evans & Co. в Англии. Произ-во включает купажирование яблочных выжимок различных партий, гидролиз П в подкисленной воде, отделение р-ра П от пульпы при помощи спец. рамных фильтр-прессов с тонкой проволочной сеткой из нержавеющей стали, нейтр-ция вытяжки и обработка активированным углем для обесцвечивания и удаления запаха яблочных выжимок, повторная фильтрация с помощью спец. вертикальных фильтров с добавлением ускорителя фильтрации, ферментативная обработка вытяжки для расщепления крахмала и уваривания вытяжки. Готовый экстракт консервируют SO<sub>2</sub> и выпускают в бочках или цистернах следующих пяти видов: жидкий быстрой садки, светлый, темный, медленной садки и порошкообразный. Описаны различные применения П в пищевой пром-сти. Л. С.

**76597. Определение качества пектиновых веществ.** Хёплер (Wertbestimmung der Pektinstoffe. Höppler F.), Chem.-Technik, 1954, 6, № 3, 129—132 (нем.)

Дан обзор методов анализа пектиновых веществ (ПВ). Описан новый способ определения желеобразующей способности ПВ, основанный на деструкции гелей при продавливании через шель реовискометра Хёплера. Густота гелей, полученных путем желеобразования ПВ инвертированного р-ра сахара (60%-ный р-р сахара + + 0,34% винной к-ты + 0,145% виннокислого натрия), характеризуется отношением времени продавливания геля через шель к времени продавливания вышеуказанного буферного р-ра сахара. Величины вязкости не характеризуют технич. свойств ПВ, которые в большой степени зависят от времени их хранения. Свежие экстракты обладают низкой вязкостью и высокой желеобразующей способностью. Старые — высокой вязкостью и низкой желеобразующей способностью. Приведены величины вязкости и густоты гелей 14 пектиновых экстрактов. Т. И.

**76598. Определение состава продажных пектинов.** Лука (Caratterizzazione delle pectine commerciali. Luca Guido de), Ind. conserve, 1953, 28, № 2, 83—86 (итал.)

Приведены методика и результаты анализов четырех образцов пектинов разных стран. А. М.

**76599. Агар-агар как сырье в кондитерском производстве.** Ватанабэ (製菓原料としての寒天について. 渡邊長男), 製菓製パン, Сэйка сэйпан, Baking and Confection, 1955, 21, № 7, 128—132 (япон.)

Научно-популярная статья о способах получения агар-агара (методы очистки водорослей, составление смесей сырья, разварка, фильтрование, разрезание студня на куски, плавление, сушка, упаковка). Описаны сорта агар-агара и их физ.-хим. свойства. С. К.

**76600. Альгинаты.** Берни (The alginates. Birney J. W.), S. Afric. Industr. Chemist, 1956, 10, № 1, 13—19 (англ.)

Обзорная статья об использовании морских водорослей, получении студнеобразователей, в том числе альгиновой к-ты (полимера d-маннуронозой к-ты, по хим. активности близкой к винной или монохлоруксусной к-те), о свойствах альгинатов и способности к студнеобразованию. Приводятся сведения о различных видах применения альгинатов в косметич., фармацевтич., резиновой, текстильной, бумажной, красочной, керамич. и пищевой пром-сти. Л. С.

76601. Новые данные о «жидком сахаре» в США. (Neues über «flüssigen Zucker» in den USA. D.), Z. Zuckerind., 1955, 5, № 12, 573—574 (нем.).

Сообщены данные о произ-ве, а также потреблении и потребителях сахарного сиропа, по своему достоинству близкого к рафинадным клерсам. Указан состав такого сиропа, изготовляемого в виде «жидкого сахара» и «жидкого инверта», приведена технологич. схема его изготовления и способы его хранения и транспортировки, а также общие данные по хим. составу и методике исследования. Л. Ш.

76602. Изучение свойств шотландского верескового меда. Митчелл, Эрвин, Скаулер (An examination of scottish heather honey. Mitchell T. J., Irvine L., Scouler R. H. M.), Analyst, 1955, 80, № 953, 620—622 (англ.).

Определялось содержание общего азота в коллоидах верескового меда. Установлено, что оно составляет 10,25%, что соответствует 64% белка. Начало см. РЖХим., 1956, 70193.

76603. Поточная линия для обработки и упаковки меда. Лукас (A honey of a line. Lucas Edward R.), Glass Packer, 1956, 35, № 4, 42—43, 76 (англ.). Описание процесса произ-ва на предприятии фирмы «Silverbow Honey Co». Мед хранится на складе без охлаждения, так как брожение меда происходит только при влажности > 18%. Поступающий в произ-во мед подогревают в камере с т-рой 72°. Мед приобретает текучесть, его перекачивают в баки с паровым обогревом, где поддерживают т-ру меда ~ 27°. Из баков мед поступает в эмеевик, погруженный в воду с т-рой 72°, где он быстро прогревается и расплавляются кристаллы, а затем проходит через фильтр. Подогрет в эмеевике и фильтрование длятся ≤ 5—6 мин. Мед охлаждают до 60°, расфасовывают и упаковывают. Г. Н.

76604 Д. Исследования в области химии инулина и фруктозы и технологии их получения. Роминский И. Р. Автореф. дисс. докт. техн. н., Киевск. технол. ин-т пищ. пром-сти, Киев, 1956

76605 Д. Зависимость между содержанием кислоты и изменением окраски при сухом нагревании сахарозы. Эйххорн (Beziehung zwischen Säuremengen und Verfärbung beim trockenen Erhitzen von Saccharose. Eichhorn Helmut. Diss., Techn. Univ., Berlin, 1953), Dtsch. Nationalbibliogr., 1955, B, № 13, 944 (нем.).

76606 Д. Влияние диэлектрического нагрева на свойства кукурузного крахмала. Симмонс (Some effects of dielectric heating on the properties of a cornstarch. Simmons Benjamin Augustus. Doct. diss. Kansas State College, 1955), Dissert. Abstr., 1955, 15, № 8, 1315—1316 (англ.).

76607 П. Способ получения мелкокристаллической лактозы. Влеттер (Verfahren zur Herstellung kleiner Lactose-Kristalle. Vliet Robert de) N. V. Lijempfl. Пат. ФРГ 929600, 30.05.55 [Z. Zuckerind., 1955, 5, № 7, 337—338 (нем.)]

Для получения лактозы (Л) с величиной кристаллов ~ 2 м. р-р Л, содержащий < 30% воды (лучше 15—20%) и имеющий рН > 8,5, выпаривают, избегая при этом местного подсыхания массы, и в спокойном состоянии быстро охлаждают, не допуская в это время кристаллизации. Охлажд. массу перемешивают, в результате чего выпадают кристаллы. К р-ру Л можно добавлять глюкозу, галактозу, кандис и инвертный сахар или другие подобные продукты. Л. Ш.

См. также: Глюкоза: методы определения 75390, 76851; 21747Бх. Сахара из древесины 76487, 76488. Сахароза: вязкость р-ров 76753; автоматич. контроль

произ-ва 77080. Св-ва крахмалов 74579, 75386, 76853. Методы исслед. камедей 22197Бх. История 73961, 73962

## БРОДИЛЬНАЯ ПРОМЫШЛЕННОСТЬ

76608. «Развитие и современное состояние химической промышленности Испании». Симпозиум по технологии продуктов, получаемых из растительного сырья (брожение и экстракция). Гарсия-Гарсия и др. (Symposium sobre el «Desarrollo y estado actual de la industria química española». Derivados de productos vegetales (Fermentation y extracción). García García Marcos et al.), Jon, 1956, 16, № 176, 166—176 (исп.).

Приведены данные о произ-ве и потреблении спирта для промышленных целей, винной к-ты и винного камня, лимонной, муравьиной, щавелевой и молочной к-т, дубильных экстрактов, таннина и галловой к-ты, прессованных дрожжей для хлебопечения, агар-агара и других хим. продуктов. Г. Р.

76609. Сернистая кислота в бродильном производстве. Ходзуми, Харада (醸造と亜硫酸 穂積忠彦, 原田哲夫), 日本醸造協會雜誌, Ниппон дзёдо кёкай дзасси. J. Soc. Brewing., Japan. 1953, 48, № 9, 37—32 (япон.).

Исследовано применение солей сернистой к-ты в произ-ве вина и других спиртных напитков. Рассмотрен механизм действия сернистой к-ты. Отношение между сернистой к-той и ферментами, методы определения ее и применение. С. К.

76610. Влияние глюкозы на образование инверта и инвертазы в культурах *Bacillus subtilis*. Дедонде, Пео-Леноэль (Influence du glucose sur la synthèse de lévane et de lévansucrase par des cultures de *Bacillus subtilis*. Dedonder Raymond, Péaud-Lenoel Claude), C. r. Acad sci., 1954, 239, № 3, 325—327 (франц.).

При культивировании *Bacillus subtilis* на средах, содержащих 6% сахарозы и 6% глюкозы, определялось кол-во инверта через 15, 19, 24 и 39 час., а также и в контрольных опытах — в среде, содержащей только сахарозу. В присутствии глюкозы задерживалось образование инверта: конц-ция инверта в присутствии глюкозы составляла в среде 0,52%, а в контрольных средах к 39-му часу накапливалось инверта в кол-ве 1,24%. При колич. определении инвертазы в бактериях, выращенных на средах, содержащих одну сахарозу или смесь сахарозы и глюкозы, не обнаружено разницы в кол-ве этого фермента. Очевидно, глюкоза не оказывает задерживающего влияния на образование инвертазы в микроорганизмах. М. П.

76611. Хранение дрожжей. Бишоп, Хиксон, Александер, Корн (The storage of yeast. Bishop L. R., Hickson W., Alexander A., Cory F. H. M.), J. Inst. Brew., 1955, 61, № 2, 150—160 (англ.).

Сравнение результатов хранения прессованных дрожжей в разных средах показало, что наиболее действительно и с удовлетворительными результатами было хранение в 2%-ном р-ре дигидрофосфата калия на холоду. И. Б.

76612. Получение спирта из фруктов с допустимым содержанием метилового спирта. Тончев, Геров, Манчев (Проучване възможностите за получаване плодови ракии, съдържащи позволено количество метилов алкохол. Тончев Т. А., Геров Ст. Ив., Манчев Ст. Хр.), Науч. тр. Висш. ин-та хранит и вкус. пром-сти. Пловдив, 1955, 2, 75—90 (болг.; рез. русс.).

Предложены два способа получения из яблок спирта с допустимой по кол-ву примесью метилового спирта.

Яблочную мезгу обрабатывают 16—24 часа при 20° пектиногидролизующим ферментным препаратом «Бистин» в кол-ве 2—4 г/кг и выдерживают перед брожением 30 мин. при 90° для удаления метилового спирта. По второму способу яблочную мезгу нагревают 20 мин. при 80° для отгона имеющегося метилового спирта и инактивации, содержащихся в мезге пектиногидролизующих ферментов, после чего проводят брожение.

Г. О.

**76613. Применение эбулиметра для определения крепости спирта.** Корбан (The ebulliometer and its use in determining alcohols. Corban Alex A.), Austral. Rrew. and Wine J., 1955, 73, № 9, 10, 12 (англ.)

Показано, что эбулиметр не пригоден для определения содержания спирта в винах, ввиду отсутствия соответствующих таблиц.

И. Б.

**76614. Производство сакэ и витаминов.** Кавасаки (清酒醸造とビタミン. 川崎恒), 日本醸造協会雑誌, Нихон дзёдо кёкай дзасси, J. Soc. Brewing, Japan, 1953, 48, № 3, 33—26 (япон.)

Обзорная статья о витаминах сакэ. Библ. 43 назв.

С. К.

**76615. Об использовании салициловой кислоты в производстве сакэ.** Такахаси (清酒醸造にサリチル酸の利用について. 高橋茂), 日本醸造協会雑誌, Нихон дзёдо кёкай дзасси, J. Soc. Brew. Japan, 1953, 48, № 11, 25—22 (япон.)

Указывается, что при добавлении салициловой к-ты к сусу останавливается брожение и увеличивается кол-во экстракта. Даны конц-я р-ра салициловой к-ты и кол-во р-ра, требуемое для прекращения брожения.

С. К.

**76616. Пенообразующие свойства пива. IV. Пеностойкость.** Клоппер (De schuimhoudendheid van bier. IV. Het schuimhechtvermogen. Kloppe W. J.), Internat. tijdschr. brouw. en mout, 1954—1955, 14, № 5—6, 67—73 (флам.; рез. англ., франц., нем.)

Обычные методы определения пены в пиве не учитывают важного свойства прилипания ее к стеклу. Это свойство легко может быть выражено числовой величиной, оно зависит от охмеления и связано, очевидно, с содержанием изогумулона в пиве. Часть III см. РЖХим, 1956, 66940.

Н. Л.

**76617. О применении слышимого звука в пивоварении.** Рокита, Достал (Kurze vorläufige Mitteilung über die Verwendung von hörbarem Schall in der Brauerei. Rokita W., Dostal F.), Mitt. Versuchsstat. Gärungsgew., 1956, 10, № 1—2, 13—14 (нем.)

Сонатор фирмы «Ultrakust» Но 200 (частота 50 гц, мощность 50 вт) применен при затирании солода (40 л затора из крупной крупки, содержащей 25% муки). Установлено увеличение выхода экстракта на 3%, ускорение процесса осахаривания почти вдвое и повышение степени сбраживания углеводов. Исследованием влияния звуковой обработки заторов найдено повышение содержания общего N в заторе, при уменьшенном содержании фракции А (по Лундину) и увеличении фракции С. Фракция В осталась без изменения. Отмечено, что затор, обработанный звуком, труднее фильтруется, что объясняется более тонким распределением частиц теста. Опыты с отарами не обнаружили большего различия в выходе экстракта и во времени осахаривания. Степень сбраживания здесь также повысилась.

А. Е.

**76618. Производство пива по новой советской технологической схеме.** Зюлковский (Produkcja piwa wg nowego radzieckiego schematu technologicznego. Ziolkowski Zbigniew), Przem. spożywczy, 1955, 9, № 9, 264—266 (польск.)

Кратко изложены теоретич. положения и практич. способы произ-ва пива по новой технологич. схеме,

предложенной Всес. н.-и. ин-том пивоваренной пром-сти (Ф. Д. Дейнега и М. Г. Вульфсон, Киев, 1954 г.) для проведения заводских опытов, по которой на пивоваренных 3-дах Польши создана рационализаторская бригада.

С. С.

**76619. Состав веществ небоиологического происхождения, образующих помутнение пива, и некоторые факторы, обуславливающие их образование.** Бенгоу, Гаррис (General composition of non-biological hazes of beers and some factors in their formation. Part I. Bengough W. I., Harris G.), J. Inst. Brew., 1955, 61, № 2, 134—145 (англ.)

**76620. Помутнение пива при охлаждении.** Мендлик (On chill haze in beer. Mendlik F.), J. Inst. Brew., 1956, 62, № 2, 144—150 (англ.)

Рассмотрены современные воззрения на природу в-в, вызывающих помутнение пива при охлаждении. Эти в-ва являются смесью полипептидов и безазотистых в-в, состоящих из одного или нескольких танинов. Вопрос о составе полипептидной части остается невыясненным. Безазотистые в-ва также представляют собою смесь и состоят из глюкозидов и более конденсированных соединений. Факторы, способствующие появлению мутн, остаются невыясненными, но можно считать установленным, что наличие тяжелых металлов, в особенности меди, содействует появлению помутнения, которое быстро становится необратимым (не исчезающим при последующем подогревании).

С. С.

**76621. Актуальные вопросы использования хмеля.** Кольбах (Aktuelle Fragen der Hopfenverwertung. Kolbach P.), Wiss. Beilage «Braueri», 1955, 8, № 5, 59—64 (нем., рез. англ., франц., исп.)

Задача хмеля во время спуска первого сусла не дает технологич. преимуществ: выход горьких в-в (ГВ) не увеличивается, вкус пива не меняется. Для упрощения технологии первую порцию хмеля можно задавать к началу кипячения. С увеличением продолжительности кипячения в сусло переходит больше ГВ и меньше летучих масел. Последняя порция хмеля, заданная в сусло от 30 до 5 мин. до конца кипячения, придает пиву хмелевой аромат. Опыты по экономии хмеля за счет обработки сусла с хмелем ультразвуком не дали положительных результатов. ГВ пива частично адсорбируются свежесжатым фильтромассой при начале фильтрации. После прохождения большого кол-ва пива кол-во ГВ в нем уже не меняется. Фильтрация через диатомит не дает значительного снижения в содержании ГВ. Между горьким вкусом пива и содержанием ГВ существует прямая пропорциональность. Светлое пиво в Германии содержит 35—100 мг ГВ в 1 л. Пильзенское пиво 70—100 мг.

Л. Ш.

**76622. Пивоварение, приготовление солода и другие подобные производства за 1955 г.** Олт, Хадсон (Brewing, malting and allied processes 1955. A literature survey, prepared for the institute of brewing. Ault R. G., Hudson E. J.), J. Inst. Brew., 1956, 62, № 2, Suppl. 28 (англ.)

Обзор литературы, подготовленный для и-та пивоварения. Библ. 421 назв.

А. П.

**76623. Оценка ячменной урожай 1953 г. опытными варками пива.** Беркхарт (Pilot brewing evaluations of barleys grown in 1953. Burkhardt B. A.), Amer. Brewer, 1955, 88, № 4, 48—49 (англ.)

Приведены сравнительные данные исследования 20 образцов ячменя урожая 1953 г., принадлежащих к 11 селекционным сортам, полученных из пяти штатов США. Из образцов ячменя получен пивоваренный солод и проведены опытные варки пива в лабор. условиях. Ячмень, солод и пиво проанализированы. Различия между образцами ячменя, выращенными в одном штате, оказали небольшое влияние на качество пива.

С. С.

**76624. Об определении разницы выхода экстракта**

солода при мелком и грубом помоле. Дидеринг (Beitrag zur Differenz der Feinschrot-Grobschrot-Ausbeute. Diederich P.), Brauerei, 1955, 9, № 78-79, 561—564 (нем.)

По принятой прописи для определения разницы между выходом экстракта солода в мелком и грубом помоле допускаются отклонения процентного содержания муки в мелком и грубом помоле  $\pm 1\%$ . Для мелкого помола указанные отклонения не играют роли, а для грубого помола (25% муки) могут отражаться на получаемых результатах. Для установления влияния допускаемых отклонений в содержании муки в грубом помоле были поставлены опыты при трех установках мельницы для грубого помола: а) 25% муки — расстояние между вальцами 1,15 мм; б) 26% — 1,075 мм; в) 24% — 1,225 мм на 15 образцах солода различного растворения. Правильность установки мельницы проверялась измерением расстояния между вальцами с помощью калибровочного шупа и по составу помола, получаемому при размолке контрольного солода (цветность 0,20—0,25 по Бранду, влажность  $4,0 \pm 0,2\%$ , разница между выходом экстракта в мелком и грубом помоле 2—3%). Установлено, что разница в расстоянии между вальцами 1,075—1,225 мм значительно влияет на разницу выходов экстракта: в солоде хорошего растворения — на 0,5%, а в солоде плохого растворения значительно больше и доходит до 2,3%. Для получения правильных результатов необходимо снизить допускаемые отклонения по точности установки мельницы для грубого помола, добиваясь их установки по возможности точно на 25% содержания муки. Установку мельницы следует проводить как по контрольному солоду, так и путем измерения расстояния между вальцами.

Л. Ш.

**76625. Новые результаты анализа солода. Хартонг** (Neue Ergebnisse der Malzanalyse. Hartong B. D.), Brauwelt, 1955, № 95B, 1585—1590 (нем.)

Приводится краткое изложение принципа 4-заторного метода Хартонга для испытания пригодности ячменя для пивоварения и результаты анализов этим методом солода из чистосортных ячменей различных районов произрастания. Сравнение анализов ячменей одного сорта, выращенных в разных районах, показывает, что величина их экстрактивности зависит от климатич. условий урожая. Для увеличения точности определения разности между экстрактивностью в мелком и грубом помоле, характеризующей степень растворения солода, абс. величина этой разницы может быть увеличена в 3—4 раза путем применения затирания при 80°. Так как точность анализа при 80° меньше, чем при 65°, для затирания целесообразно выбрать другую т-ру, напр. 70 или 75°. Обычный метод определения разницы между экстрактивностью в мелком и грубом помоле может быть изменен путем затирания грубого помола при 70°. При одновременном затирании солода в четырех стаканах берут два стакана с мелким помолом и два стакана только с водой и процесс ведут по обычному конгрессному методу до достижения 70°, после чего к воде в двух стаканах задают навески с грубым помолом и заканчивают анализ обычным образом. Приводится дискуссия по затронутым вопросам.

Л. Ш.

**76626. Растворение солода и качество пива. Зигфрид** (Malzauflösung und Bierqualität. Siegfried H.), Schweiz. Brauer.-Rundschau, 1955, 66, № 12, 227—231 (нем.)

Для установления влияния степени растворения солода на качество готового пива были приготовлены две партии солода из ячменя с содержанием белка 10,2%. Ращение солода проводили на току при одинаковых условиях, за исключением времени проращивания, которое для 1-й партии составило 5 суток (недорастворенный солод), а для 2-й — 7 суток (солод нормального

растворения). Основные аналитич. показатели высушенного солода были соответственно следующие: вес 1 г (в кг) 58,0 и 55,8; вес 1000 зерен на абс. сухое в-во (в г) 33,2 и 32,4; разница экстрактивности при тонком и грубом помоле (в %) 5,8 и 3,2%. Число Кольбаха 38,4 и 41,8, число Хартонга 4,8 и 7,1. Конечная степень сбраживания лабор. сусла 75,9 и 79,4. Потери при солодоращении на воздушно-сухое в-во соответственно 14,6 и 17,5%. После 6-недельного облеживания из солода приготовили сусло по 2-му отварочному методу, сброженное затем и выдержанное при одинаковых условиях. Переработка в варочном цехе обоих солодов протекала нормально. Во 2-й партии солода при одинаковой установке мельниц помол был более тонкий, выход экстракта был больше на 2%, дробина легче выщелачивалась и содержала меньше вымываемого экстракта. Экономия за счет сокращения потерь при проращивании солода короткого ращения погашалась уменьшением выхода экстракта в варочном цехе. Оба заводских сусла отличались главным образом за счет отношения сахара к несахару и имели конечную степень сбраживания 69,4 и 77,7%. Брожение вели с одинаковыми дрожжами при начальной т-ре 5°. Варка из солода короткого ращения была перекачена в лагерный подвал уже на 6-й день при 5,4° и степенью сбраживания 58,0%, так как брожение прекратилось. Варка из солода нормального ращения была перекачена на 10-й день при 4,3° и степени сбраживания 64,7%. Вкус готового пива из солода нормального ращения был более полный и отчетливый, с уравновешенной, быстро исчезающей горечью. Оба образца пива через 30 суток сохранили прозрачность, осадок у пива из солода короткого ращения был меньше. Исходя из того, что при оценке пива вкус имеет решающее значение, делается вывод, что следует предпочесть работу на хорошо растворенном солоде.

Л. Ш.

**76627. Определение степени растворения белка солода путем осаждения фосфорновольфрамовой кислотой в конгрессном сусле. Линдeman** (Zur Bestimmung des Eiweißlösungsgrades von Malzen durch Fällung mit Phosphorwolframsäure in der Kongresswürze. Lindemann Max), Brauwissenschaft, 1955, 8, № 12, 285—289 (нем.; рез. англ.)

Для возможности применения метода осаждения белка при определении степени растворения белка в солоде были рассмотрены различные осадители; в качестве наилучшего осадителя белка в лабор. сусле рекомендуется фосфорновольфрамовая к-та (I), осаждающая ~ 35—40% общего растворимого белка; при этом следует избегать избытка осадителя, определение вести при одной и той же кислотности и применять одинаковые кол-ва жидкости для промывания осадка. Разработанная следующая методика осаждения: 100 мл лабор. сусла смешивают с 5 мл 10%-ного р-ра  $H_2SO_4$  при комнатной т-ре, осаждают 5 мл 10%-ного р-ра I и размешивают в течение 2 мин. После оседания осадка, на что требуется 20—25 мин., жидкость отфильтровывают через круглый фильтр диам. 12,5 см (№ 589, белая полоса, фирмы Шлейхер и Шуль). Осадок количественно переносят на фильтр, смывая 0,5%-ной  $H_2SO_4$ , дают фильтрату стечь и промывают 3 раза 0,5%-ной  $H_2SO_4$ , при этом после стекания каждой порции фильтр заполняют до верхнего края. Для более быстрой фильтрации рекомендуется применять воронку диам. 7,5 см с трубкой длиной 15 см; конец трубки должен быть оттянут. Вся фильтрация с 3-кратным промыванием занимает 3—4 часа. После стекания последней промывной жидкости фильтр с осадком переносят в колбу Кельдаля и сжигают с серной к-той и селеновой смесью по Виннигеру. Дистилляцию ведут в аппарате Парнаса в модификации Рупперта. Из колбы Кельдаля содержимое переводят в мерную колбу емк. 200 мл и для дистилля-

ции берут 20 мл. В приемник наливают 10 мл 0,05 н.  $H_2SO_4$ ; обратное титрование ведут 0,05 н.  $NaOH$  с индикатором бромкрезолгрюн (0,3%-ный спирт. р-р). Применение метода осаждения для солодов с различным растворением показало что отношение общего растворимого азота к азоту, осаждаемому I, названное автором числом I, может служить критерием для оценки степени растворения белка в солоде. Для солодов с нормальным или хорошим растворением эти числа относительно низкие, а у солодов с недостаточной степенью растворения белка — относительно высокие. Здесь имеет место обратная зависимость по отношению к числу Кольбаха. В рекомендуемом методе, как и в других методах для определения степени растворения белка, имеет место влияние года урожая, сортовых свойств, почвенных и климатич. условий, а также условий соложения. Л. Ш.

**76628. О значении лабораторного соложения для селекции ячменя и производства солода** (Die Kleinmälzung im Dienste der Brauerstanzucht und der betrieblichen Malzherstellung. Ze.), Brauwelt, 1955, 95B, № 95, 1590—1591 (нем.)

Лабораторное соложение применяется для оценки солодовых и пивоваренных качеств ячменя при селекции и заготовках и установления оптимального технологич. режима замочки, рашения и сушки. Навеску ячменя (500 г) помещают в корзинку из латунной или стальной сетки с размером ячеек 2 мм, которую опускают в замочный сосуд и заливают водой. Режим замочки воздушно-водяной: во время воздушной замочки корзинку с ячменем вынимают из сосуда и подвешивают на стойке для удаления  $CO_2$ . Для предохранения зерна от высыхания поверхность корзинки покрывают влажной резиновой губкой, сверху которой накладывают войлочную пластинку. Перед 3-й водяной замочкой, спустя 48 час. от начала замочки, массу переворачивают. Хим. фаза рашения производится путем ферментирования по Кропфу при абс. исключении воздуха и  $8-10^\circ$  в стеклянных банках (1,5 л) с крышками, снабженными резиновыми прокладками и металлич. затворами. Всушивание производят в сетчатом ящике при высоте зеленого солода в 2 см (2 часа продувка холодным воздухом, затем продувка теплым воздухом при  $40-45^\circ$  и в заключение медленный подъем т-ры до  $80^\circ$  при естественной тяге и отсушка при  $80^\circ$  5 час.). Сразу после высушивания удаляют ростки и взвешивают солод для последующего определения потерь при солодоращении. Общая продолжительность солодоращения 9,25 суток (8 суток рост и 1,25 суток высушивание). Результаты опытного солодоращения оцениваются по методу Хартонга — Кречмера. Селекция ячменя должна наряду с хорошими с.-х. качествами обеспечить достаточную конц-ию ферментов в готовом солоде за несколько лет урожая. Л. Ш.

**76629. Определение крахмала в ячмене и солоде.** Холл, Гаррис, Мак-Вильям (The determination of starch in barley and malt. Hall R. D., Harris G., MacWilliam I. C.), Chemistry and Industr., 1955, № 46, 1483—1484 (англ.)

Химическая структура крахмала солода отличается от ячменного, и поэтому методы определения крахмала (К), основанные на физ. свойствах (рефракция, посинение с иодом), менее точны, чем хим. методы. Наиболее точные результаты получены при непосредственном определении К с реактивом антрон-серная к-та (I). Установлено, что кислотный гидролиз солодового К, выделенного водн. хлоралом с последующим осаждением ацетоном, приводит к определению только 92% гексов, устанавливаемых с I. Хим. методы осахаривания К имеют преимущество перед энзиматич. Найдено, что в солодовом экстракте (Э), предварительно освобожденном от простых сахаров 80%-ным спиртом и тепловой

водой, содержится больше углеводов (У), чем в йодном осадке Э при пользовании 30%-ной хлорной к-той, формамидом или 1%-ным  $NaOH$ . Неосаждаемые йодом УЭ состоят из молекул глюкозы с небольшим кол-вом остатков арабинозы и ксилозы и относятся к гемицеллюлозе. Йодный осадок Э солода содержит  $98,6 \pm 0,9\%$  К ячменя. При пользовании 33%-ным хлоралом нет расхождений между содержанием У в Э и йодном или ацетоновом осадке последнего. Экстракция хлоралом требует больше времени и не допускает непосредственного определения У в Э, поскольку хлорал частично задерживает образование окраски с I. Наиболее быстрый производственный способ определения К состоит в экстрагировании хлорной к-той по Нильсон и Пучеру (Analyst. Chem., 1948, 20, 850), осаждении йодом в присутствии  $NaCl$ , регенерации осадка и определении К с I. Г. О.

**76630. Изменения белковых веществ ячменя при соложении. Кольбах** (The protein modification of barley during malting. Kolbach P.), Brewers' Digest, 1955, 30, № 8, 49—52, 61 (англ.)

Обзор работ об изменениях белковых в-в ячменя в процессе приготовления пивоваренного солода и их влиянии на качество солода и пива. Библ. 15 назв. С. С.

**76631. Изменения углеводов в процессе соложения. Мак-Лауд** (Carbohydrate behavior in malting. McLeod Anna M.), Brewers Digest, 1955, 30, № 12, 50, 52, 58 (англ.)

Обзор работ по исследованию изменений в углеводном составе ячменя при его соложении. Библ. 14 назв. С. С.

**76632. Применение несоложенных материалов для производства пива. Парцш** (Über die Verwendung von Rohfrucht (Malzsurrrogat) zur Bierherstellung. Partzsch Hellmut), Lebensmittelindustrie, 1955, 2, № 12, 305—306 (нем.)

Рассмотрены особенности применения несоложенных материалов для пивоварения. Во избежание затруднений при фильтрации кукуруза и рис должны размалываться до мелкой крупки на спец. мельницах. Солод должен применяться из высокобелкового ячменя и иметь хорошее растворение. Затвор должен более интенсивно кипятиться, в некоторых случаях с добавлением к-ты. Норма задаваемого хмеля должна быть сокращена на  $8-10\%$ , чтобы избежать неприятной раздражающей горечи. Содержание жира в кукурузе  $\leq 1\%$ . Брожение проводят при  $4,5-8^\circ$ , так как выше этой т-ры образуются сивушные масла. Выдержка пива с несоложенными материалами проводится в течение 6—8 недель при  $1^\circ$ . При соблюдении указанных условий получается пиво с хорошим вкусом и пеной при отсутствии каких-либо затруднений при фильтрации. Л. Ш.

**76633. Усвоение дрожжами углеводов сусле. Филлипс** (Utilization by yeasts of the carbohydrates of wort. Phillips A. W.), J. Inst. Brew., 1955, 61, № 2, 122—126 (англ.)

С помощью хроматографии на бумаге исследовано сбраживание различных углеводов сусле разными расами дрожжей. Установлено, что при сбраживании сусле пивными дрожжами сахара в сусле исчезают в следующей последовательности: сахароза, моносахариды, мальтоза и мальтотриоза. Мальтотетраоза и другие более сложные сахара не ассимилировались этими дрожжами, но энергично атаковались *Saccharomyces diastaticus*, *Schizosaccharomyces pombe* и *Brettanomyces bruxellensis*. Разложение декстрина *Sch. pombe* привело к появлению в среде глюкозы и биосинтезу изомальтозы и, по-видимому, панозы. В общем, испытанные дикие дрожжи не расщепляли декстрины в заметном кол-ве, на основании чего сделано заключение, что углеродное питание их в пиве связано с другими в-вами. А. Е.

**76634. О применении опытных варок пива для оценки качества ячменя. Беркхарт** (A pilot brewing procedure its reproducibility and its application to barley quality evaluation. Burkhardt B. A.), Wallerstein Labs Communs, 1954, 17, № 59, 283—297 (англ.; рез. франц., исп.)

Подробно описаны оборудование для проведения опытных варок пива (с фотографиями) и способ приготовления пива. Сравнены результаты анализа пивоваренного солода, приготовленного в лабораториях и производственных условиях из ячменя сортов: Киндред, Норд Дакота, Висконсин; и 6 образцов ячменя и солода, полученных от различных солодовых компаний США. Приведены сравнительные результаты анализа сусла и пива, приготовленного из этих солодов. Для выяснения вопроса о степени точности получаемых результатов были проведены опытные варки пива в 3-кратной повторности из 11 образцов товарного солода 7 различными лабораториями. Найдено, что опытное соложение и варка пива из небольшого образца ячменя допустимы для качеств. оценки его пригодности для пивоварения.

**76635. Добавки к пиву в старое и новое время с обзором баварских рецептов. Фрей** (Zusätze zum Bier in alter und neuer Zeit unter besonderer Berücksichtigung der bayerischen Verhältnisse. Frey Hans), Brauwelt, 1955, B95, № 87, 1489—1492 (нем.)

Рассмотрено применение в пивоварении заменителей и дополнительных солода и хмеля, а также других продуктов, применяемых для фальсификации или для улучшения вкусовых качеств и стабилизации пива. Приведены данные, относящиеся к средним векам, новому времени и к современной пивоваренной промышленности. А. Е.

**76636. Определение горьких продуктов превращения хмеля в сусле в пиве. Банг-Мольте, Мейлгор** (Bestimmung der bitterstschmeckenden Hopfenumwandlungsprodukte in Würze und Bier. Bang Moltke A., Meilgaard M.), Brauwelt, 1955, B95, № 75, 1265—1270 (нем.)

Приводится описание методов определения содержания «изогумулона» в сусле и пиве: противоточного распределения по Ригби и Бетгону, быстрого метода Ригби и Бетгона и собственной модификации последнего. В пиво при 20° добавляют 2 капли октилового спирта и декарбонизируют его путем проведения 2 × 20 декантаций. 20 мл переводят в колбу с притертой пробой и после прибавления 1 мл 6 н. HCl и 20 мл изоктана встряхивают 5 мин. После 10—15-минутного центрифугирования при 3000 об/мин. прозрачный изоктан декантируют и производят отсчет экстракции в спектрофотометре Бекмана при длине волны 275 мμ. Модифицированный метод совпадает с «быстрым» методом в пределах 5% и имеет воспроизводимость 2%.  $E_{1\text{ см}}^{1\%}$  для «изогумулона» определена как средняя всех трех компонентов «изогумулона», равная 287. Кол-во «изогумулона» в пиве в мг/л рассчитывают по ф-ле:  $X = E_{275}/287 \cdot 10\,000$ . Для получения точных результатов все отсчеты должны проводиться при  $20 \pm 0,5^\circ$ . Метод может быть рекомендован для контроля стабильности горечи пива и степени использования горьких в-в хмеля.

**76637. Фотоэлектрическое измерение помутнения пива при охлаждении. Паукнер** (Über die photoelektrische Messung der Kälteübung im Bier. Paukner E.), Brauwelt, 1955, B95, № 45/46, 765—766 (нем.)

Описываются способ и прибор для фотоэлектрич. определения помутнения пива при т-ре, близкой к 0°. Прибор дает показание на циферблате; этому показанию соответствует на спец. диаграмме цифра интенсивности помутнения пива по шкале Холма; цвет пива не оказывает влияния на результаты определения. И. Б.

**76638. Исследование и оценка питательных сортов пива. Ребелейн** (Ein Beitrag zur Untersuchung und Beurteilung von Nährbieren. Rebelein H.), Dtsch. Lebensmitt.-Rundschau, 1955, 51, № 8, 204—209 (нем.)

Углеводный состав питательных сортов пива включает слабосброженные углеводы сусла и добавленный сахар. Добавка сахара в «солодовое питательное пиво» не разрешается. Разработан быстрый метод определения сахара в готовом пиве по величинам  $d$  и  $n^{20D}$  и основанный на сильном снижении  $n^{20D}$  пива даже при незначительном добавлении сахара по сравнению с чистым пивом с одинаковым содержанием экстракта и спирта. На основании статистич. материала по хим. составу пива выведены следующие соотношения: первоначальное содержание мальтозы (М)  $(\varepsilon/l) = (2A + M)$ ; где А — содержание спирта. Содержание декстринов (Д)  $\varepsilon/l = (2A + M) \cdot 0,35$ ; содержание несхаров (НС)  $\varepsilon/l = (2A + M) \cdot 0,14$ . Из этих соотношений, учитывая, что экстракт пива (Э) состоит из несброженной М, Д и НС, получаются две ф-лы:  $M \varepsilon/l = \frac{2}{3} (\varepsilon - A)$ ;  $D \varepsilon/l = \frac{1}{4} (\varepsilon - A) + \frac{2}{3} A$ . По двум последним ф-лам с помощью номограммы Герума и Виснера для различного содержания спирта и экстракта определяют М и Э и сопоставляется величина  $n^{20D}$ , рассчитанная по соответствующему  $n^{20D}$  М и Д с  $n^{20D}$  в пиве, полученной экспериментально. Для упрощения расчетов построен график зависимости между величинами рефракции,  $d^{25/l}$  и  $n^{20D}$  для пива, не содержащего добавленного сахара. Проверка получаемых результатов может быть произведена путем определения  $n^{20D}$  пива до и после инверсии и сопоставления  $n^{20D}$ , рассчитанного на основании дифференцирования сахаров, с экспериментально полученной.

**76639. Определение фенола в пиве. Горбах, Дедич, Кох** (Zur Phenol-Bestimmung in Bier. Gorbach S., Dedic G., Koch O. G.), Fette, Seifen, Ausrüstungsmittel, 1955, 57, № 6, 421—422 (нем.; рез. англ., франц., исп.)

Для определения фенола в пиве, 0,005 г/мл которого уже дает неприятный привкус, разработан колич. метод, основанный на перегонке фенола с водяным паром, цветной р-ции дистиллата с 2,6-дибромхинон-4-хлоримидом при pH 9,4 и последующем колориметрич. определении экстинкции окрашенного р-ра. 250 мл пива с 10 мл фосфатного буфера (pH 6,0) перегоняют с водяным паром в мерную колбу (250 мл) до метки. В зависимости от ожидаемого содержания фенола, определение ведут по одной из двух прописей: 1) При содержании фенола от 0,05—5 г/мл к 50 мл дистиллата в колбе Эрленмейера (100 мл) прибавляют 10 мл боратного буферного р-ра (0,2 М бората натрия и 0,1 н. NaOH до pH 9,4) и 0,5 мл р-ра реактива Гиббса (0,4 г 2,6-дибромхинон-4-хлоримида растворяют в 100 мл этилового сп. и отфильтровывают; р-р стоек в течение 4 дней в темноте, при низкой т-ре), хорошо размешивают и оставляют стоять 1 час в темноте. Одновременно аналогичным образом проводят слепой опыт. Затем в этих р-рах определяют экстинкцию в 1. или в 4-см кювете при 590 мμ. Содержание фенола определяют по калибровочной кривой по величине экстинкции, за вычетом показаний слепого опыта. 2) При содержании фенола 0,001—0,1 г/мл: к 250 мл дистиллата в колбе Эрленмейера (500 мл) прибавляют 50 мл буферного р-ра и 0,5 мл р-ра реактива Гиббса, хорошо размешивают и оставляют стоять 1 час. Одновременно ставят слепой опыт. Полученную смесь количественно переносят в делительную воронку емк. 500 мл и встряхивают последовательно 4 раза с порциями н-бутанола по 45, 10, 5 и 5 мл каждый раз по 45 сек. Отдельные фракции бутанола собирают в мерный цилиндр (50 мл) и доводят чистым н-бутанолом до конечного объема 40 мл (~ 30 мл н-бутанола остается при первом встряхивании растворенным в водн. фазе). После 5-минутного отстаивания в полученном р-ре определяют

экстинкцию при 610 мμ и по ее величине, за вычетом слепого опыта, находят на калибровочной кривой содержание фенола. Л. Ш.

**76640.** Косвенное определение содержания спирта в пиве. Брофельдт (Von der indirekten Bestimmung des Alkoholgehaltes der Biere. Brofeldt M.), Brauwissenschaft, 1955, № 5, 112—115 (нем.); Mallasjuomat, 1954, № 2-3 (фин.)

Рассматриваются опубликованные ф-лы определения содержания спирта в пиве по показателям экстрактов исходного сусла и пива (истинного и видимого). Г. О.

**76641.** Динамика жидкостей и перемещение материалов. Фарбар (Fluid dynamics and material handling. Farbar Leonard), Brewers Digest, 1955, 30, № 11, 73 (англ.)

Краткие соображения о приложении теории перемещения жидкостей и пластич. материалов к пивоваренной промышленности. А. Е.

**76642.** Санитарная обработка пивоваренных заводов и пивных складов. Дейвис (Brewery and bottling store hygiene. Davis J. G.), Brewers' Guardian, 1955, 84, № 5, 38—42 (англ.)

Указания по санитарной обработке оборудования пивоваренных заводов и складов готовой продукции. И. Б.

**76643.** Аминоислоты как дезинфицирующее средство для пивоваренного производства. Гурка (Aminosäuren als Desinfektionsmittel für Brauereibetriebe. Hürka W.), Mitt. Versuchsstation. Gärungsgew., 1955, 9, № 5/6, 83—85 (нем.)

В поисках в-в, обладающих дезинфицирующими и моющими свойствами, но не осаждающих белков, исследованы различные соли амфолитных аминокислот (амфолитные мыла) и установлено, что этими свойствами обладают соли карбоновых аминокислот, имеющих ф-лу

$R \cdot \dot{N}H_2 \cdot CH_2 \cdot CH_2 \cdot \dot{N}H_2 \cdot CH_2 \cdot COO^-$ , где R — алифатич. радикал с длиной цепи  $C_3—C_{14}$ . При испытании 0,1%-ного р-ра додецил-ди-(аминоэтил)-глицингидрохлорида выявлены его сильные бактерицидные свойства для разного вида бактерий: стафилококков, стрептококков и др. При использовании в качестве тест-организма чистой культуры низовых пивных дрожжей для амфолитного мыла при 20° и воздействии в течение 3 мин. установлен фенольный коэфф. 175. Концентрация амфолитных аминокислот, практически необходимая для проявления полного бактерицидного действия, понижается с повышением т-ры. Эти соединения обладают также хорошими моющими свойствами. Р. З.

**76644.** Современное холодильное хозяйство пивоваренных заводов. Клайбер (Die Kälteversorgung in der Brauerei, ihre Bedeutung und Durchführung nach modernen Gesichtspunkten. Klaber Rudolf), Brauwelt, 1954, 13, № 52, 773—776 (нем.)

Рассматриваются централизованные и децентрализованные холодильные установки и применение автоматики. И. Б.

**76645.** Бродильные подвалы на пивоваренном заводе фирмы «Намм».—(Hamm's new fermenting cellars.—), Brewers' Digest, 1955, 30, № 8, 47, 83 (англ.)

Краткое сообщение о вновь построенном, после реконструкции 3-да, отдельном пятиэтажном корпусе для сбраживания пива с общей емкостью бродильных чанов (4 блока по 15 чанов) в 523 600 дкл. Чаны построены из железобетона и облицованы внутри большими листами из эбенового дерева, толщиной 9,5 мм. С. С.

**76646.** Применение ацидофильных бактерий для производства кваса. Семенюк К. А., Сб. работ студ. науч. о-ва. Ленингр. технол. ин-т пищ. пром-сти, 1956, № 1, 41—45

Установлена возможность изготовления хлебного кваса с применением ацидофильных бактерий для повыше-

ния диетич. достоинств кваса. При этом происходит нормальное повышение кислотности и продукт по вкусу не уступает обычному квасу. А. П.

**76647.** Опыты по производству пенных напитков из фруктовых соков. Кривунь П. И., Сб. науч. работ. Ленингр. ин-т сов. торговли, 1955, № 9, 57—61

Исследованиями установлено, что с повышением давления  $CO_2$  повышается объемный выход пенного напитка (ПН), а растворимость  $CO_2$  снижается с повышением т-ры сока. Состав ПН отличается от состава исходного сока только наличием незначительного кол-ва  $CO_2$ . В ПН полностью сохраняются витамины сока. Сахара и декстрины сока повышают стабильность пены, а к-ты снижают ее. Наличие альбумина в соке вызывает образование высокодисперсной газовой фазы с повышенной стабильностью пены. Оптимальными условиями при изготовлении ПН являются: давление  $CO_2$  в сатураторе для абрикосового, сливового и томатного соков 3 атм, а для яблочного и виноградного 3,5 атм; т-ра газирования 10°. В 200 мл ПН содержится 90—95 г абрикосового, 65—70 г сливового или 70—75 г яблочного сока. Вкусовые качества ПН выше, чем у обычных соков, и они лучше утоляют жажду. Произ-во ПН доступно любому торговому предприятию, имеющему сатураторную установку для газирования воды. Г. О.

**76648.** Минеральные воды и лимонады. Катс (Les eaux et limonades. Cats Marcel), Petit J. brasseur, 1956, 64, № 2588, 214—216 (франц.)

Излагаются основы происхождения минер. воды, их свойства и составы. Г. О.

**76649.** Аналитические показатели австрийского кола-лимонада. Шаллер, Клаусхофер (Ergebnisse einer vergleichenden Untersuchung inländischer Kola-Limonaden. Schaller A., Klaushofer H.), Mitt. Versuchsstation Gärungsgew., 1955, 9, № 12, 203—206 (нем.)

Приведены показатели анализа 15 образцов австрийского кола-лимонада местного изготовления: уд. в. 1,037—1,048; pH 2,6—3,89; общий метилксантин в мг/л безводн. кофена 18,6—183,3; общая фосфорная к-та в мг/л  $P_2O_5$  0—348,2, краситель — карамель. Определения проводились общепринятыми методами после предварительного освобождения исследуемых проб от  $CO_2$ . Приведено описание использованной методики определения. Г. О.

**76650.** Новые виды напитков на натуральных настояках из плодов цитрусовых гибридов. Чекан Л. И., Филатов С. С., Черкасова А. А., Котида Е. П., Тр. Всес. н.-и. ин-та пивоваренной пром-сти, 1953, № 3, 101—114

Изучено использование плодов 26 сортов цитрусовых гибридов для приготовления новых видов газированных напитков с применением цедры. Установлено, что на цедре этих плодов можно готовить настойки, придающие напиткам тонкий и оригинальный аромат и вкус. А. Ч.

**76651.** Использование соков зимою. Бауман (Süßmost im Winter. Bauman n K.), Flüssiges Obst, 1955, 22, № 12, 7—8 (нем.)

Приводится перечень 17 рецептов для составления безалкогольных напитков на базе плодоягодных и виноградных соков, предназначенных к употреблению в подогретом виде в зимнее время. Г. О.

**76652.** Основы и практика ароматизации напитков. Морган (Getting down to principles on the what and why of drink flavors. Morgan Eugene A.), Food Engng, 1954, 26, № 4, 82—84 (англ.)

Рассмотрено применение естественных и искусств. в-в для ароматизации напитков. Приведен список наименований напитков с указанием, что должно применяться для их ароматизации. И. Б.

**76653.** Топинамбур — сырье для получения фруктовых напитков. Кюпперс-Зонненберг (Topinambur

bur — Rohstoff für die Herstellung von Fructosegetränken. Küppers-Sonnenberg G. A.), Flussiges Obst, 1956, 23, № 4, 24—26 (нем.)

Популярная статья о топинамбуре (Т), дающая сведения о его основных свойствах. Продуктивность углеводов Т на 1 га (6310 кг) превышает картофель (4417 кг) и сахарную свеклу (4705 кг). В сравнительной таблице хим. состава ряда плодов и клубнеплодов показано, что калорийность Т (77 кал) очень близка к картофелю (78 кал) и винограду (79 кал) и превышает свеклу (73 кал). Содержание углеводов в Т зависит от его сорта и колеблется в пределах 18,07—23,69%. Приведен сравнительный минер. состав солы картофеля и Т. Отмечено весьма широкое распространение Т во Франции, где в некоторых департаментах посевная площадь составляет иногда 50% посевов свеклы. Т используется для приготовления фруктозы и ее сиропов, для приготовления напитков, в кулинарии (часто как диетич. продукт).

**76654. Об определении экстракта или сахара в шипучем лимонаде. Браунсдорф** (Über die Feststellung des Extrakt- bzw. Zuckergehaltes von Brauselimonaden. Braunsdorf K.), Dtsch. Lebensmitt.—Rundschau, 1954, 50, № 12, 311—313 (нем.)

При отсутствии инверта нет заметных расхождений между показателями по экстракту, определяемому рефрактометрически, и содержанием сахара. Точное определение содержания сахара обеспечивается хим. способами. Указывается на необходимость учета объема жидкости в бутылке при проверке сахаристости лимонада в тех случаях, когда сахарный сироп вводится непосредственно в бутылку при розливе.

**76655. Об определении содержания сока в соковых напитках и лимонадах. Бенк** (Über die Ermittlung des Fruchtsaftgehaltes in Fruchtsaftgetränken und trüben Limonaden. Benk E.), Brauwelt, 1956, B96, № 9, 119—120 (нем.)

Предлагается применить формальное титрование аминокислот в качестве способа для отличия синтетич. от натуральных соковых напитков. Формальные числа для соков колеблются в пределах 0,5—3,8 в зависимости от сорта и качества соков. Для напитков, в составе которых нет сока, формальное число близко нулю.

**76656. Описание завода в Гамильтоне фирмы «Seven up Ontario Ltd». Уодделл** (Seven-up Hamilton a model plant. Woddel J. C.), Canad. Bever. Rev., 1955, 25, № 4, 26—28, 31 (англ.)

Описание вновь построенного з-да безалкогольных напитков в г. Гамильтоне (Канада). Дана технологич. схема произ-ва и характеристика процессов на отдельных машинах — мойка бутылок, розлив сиропа и содовой воды, смешивание их, укупорка (без подробного описания самих машин). Изложена система обработки поступающей воды и снабжения углекислым газом.

**76657. Описание завода безалкогольных напитков. Часть I. II. Саттон, Геммилл** (I. Plant that's «long» on engineering «show-cases» its process. II. Automatic signals and controls robotize soft-drink process. Sutton J. N., Gemmill Arthur V.), Food Engng, 1954, 26, № 8, 61—63; № 9, 48—50, 256 (англ.)

Дается описание (с 10 фото) автоматизированного з-да в Детройте (США) по произ-ву имбирного эля.

**76658. Предотвращение инфекции при производстве минеральных вод и лимонада. Кучер** (Zum Infektionsschutz bei der Mineralwasser- und Limonadenherstellung. Kutscher U.), Brauerei, 1956, 10, № 25—26, 163—164 (нем.)

Общие положения о значении санитарно-гигиенич. мероприятий в деле недопущения возникновения очагов инфекции и способов ее подавления, в случае появле-

ния таковой на отдельных стадиях произ-ва напитков.

**76659. К вопросу о возможности консервирования безалкогольных напитков. Джонсон, Мак-Олпайн, Шенк** (Some aspects of canning soft drinks. Johnson H. T., McAlpin A. W., Schenck A. M.), Food Technol., 1955, 9, № 12, 643—647 (англ.)

Разбираются теоретич. вопросы и излагаются эксперим. данные относительно возможности консервирования газированных безалкогольных напитков в металлич. таре. Главными затруднениями являются коррозия металлич. тары и высокое давление внутри банки. Показано, что увеличение незаполненного пространства и присутствие воздуха повышает внутренние давления в банке и одновременно увеличивает коррозию. Скорость растворения железа увеличивается при повышении содержания в напитке меди. Добавление аскорбиновой к-ты замедляет коррозию. Для характеристики интенсивности воздействия консервируемого напитка на металлич. тару разработан метод, основанный на измерении силы тока, возникающего при погружении в исследуемый напиток железного и оловянного электродов.

**76660. О производстве силикагеля на уксусном заводе.—** (Comment une fabrique de vinaigre lança la production de déshydratant.—), Emballages, 1955, 25, № 156, 41—43 (франц.)

Описан процесс изготовления силикагеля из серной к-ты и силиката натрия. Силикагель применяют для концентрирования разб. р-ров уксусной к-ты. Даны обзор других применений силикагеля и описание способа его хранения в спец. мешках, предохраняющих от влаги.

**76661. Дрожжи и вино. Марто, Гальзи** (Les levures et le vin. Marteau G. Galzy P.), Progr. agric. et vitic., 1954, 142, № 31, 53—64; № 32—33, 81—89; № 34—35, 108—117 (франц.)

Монографическая статья. Дрожжи и микрофлора вина. Среда для развития дрожжей; виноградное сусло. Проблема применения чистых культур. Селекция дрожжей в лаборатории. Промышленное размножение дрожжей. Принципы применения и приготовления разводов на производстве.

**76662. Дрожжевая микрофлора винограда и вина и возможность их комплексных применений в виноделии. Моснашвили** (ყურძნის და ღვინის საფუძრის მიკროფლორა და მათი კომპლექსური გამოყენების შესაძლებლობები მეღვინეობაში. მოსნაშვილი ა. ჯ.), Гр. Ин-та виноградарства и виноделия АН Груз.ССР, 1956, 9, 217—227 (груз.; рез. рус.)

Установлено, что в брожении основных сортов винограда Грузии участвуют следующие виды дрожжей *S. vini* и его гибриды: *S. vini F. h.*, *S. vini nova*, *S. paradoxus*, *S. globosus*, *Z. Bailli*, *Z. eupagius*, *H. anomala*, *D. globosus*, *H. apiculata* и *T. pulcherima*. В процессе брожения происходит смена указанных культур. Применение комплексных культур повышает выход спирта и улучшает качество. При использовании *T. pulcherima*, *Z. Bailli* и *Z. eupagius* вместо винных дрожжей брожение протекает нормально, и получается продукция хорошего качества. Возможно получение сладких вин при сбраживании вместо *D. globosus* винными дрожжами.

**76663. Мгновенная пастеризация. Сальвини** (Lamporizzazione. Salvemini Stefano), Riv. viticolt. e enologia, 1953, 6, № 5, 155—156 (итал.)

Обсуждаются преимущества мгновенной пастеризации перед другими способами термич. обработки вин. В результате проведенного изучения найдено, что мгновенная пастеризация убивает уксусные и другие бактерии вина, не изменяя его внешнего вида, вкуса и букета.

**76664.** Влияние кислорода при ускоренной обработке на качество ординарных вин. Павлов-Гришин С. И. (Influența oxigenului asupra calității vinurilor obisnuite, în cazul condiționării accelerate. Pavlov-Grișin S. I.), Rev. ind. aliment. prod. vegetale, 1955, № 6, 17—18 (рум.)

Перевод. См. РЖХим, 1956, 41692.

**76665.** Дульцин и его обнаружение в напитках. Экхаут (La dulcine et sa recherche dans les biossons. Eeckhaut R. G.), Fermentatio, 1955, № 2, 86—93 (франц.)

Дается описание физ., хим. и фармакологич. свойств дульцина (I) и методов его качеств. и колич. определения. Предложена следующая модификация метода Денине. 50 мл пробы напитка смешивают с 5 мл 20%-ного уксуснокислого свинца (II). Добавляют 2 мл аммиака (уд. в. 0,91), смешивают, выдерживают 30 мин. и фильтруют. Фильтрат должен быть прозрачным, в противном случае повторяют определение с добавлением 30 или 40%-ного II. В делительной воронке взбалтывают 1 мин. 40 мл фильтрата с 20 мл уксусноэтилового эфира, выдерживают 15 мин. и отделяют нижний слой. Верхний слой взбалтывают с 5 г безводн.  $\text{Na}_2\text{SO}_4$ , выдерживают 5 мин., отбирают 10 мл и смешивают с 1 мл  $\text{HNO}_3$  (уд. в. 1,4). Происходит желтое окрашивание р-ра, наиболее интенсивное после 2 час. с начала р-ции.  $\lambda_{\text{макс}}$  410 м $\mu$ . Метод проверен на образцах лимонада, вин, пива. При отсутствии I окрашивания не наблюдалось, при добавлении 0,5 мг I к 100 мл напитка наблюдалось ясное, а при 6 мг I сильное окрашивание. Интенсивность окраски изменяется почти прямолинейно, содержание I определяют по шкале эталонных р-ров. Присутствие сахара не мешает определению. Г. О.

**76666.** Удаление углекислоты из напитков при помощи центрифугирования. Коттас (Szénsavtartalmú italok szénsavmentesítése centrifugálással. Kottász József), Elem. ipar., 1956, 10, № 2, 51—52 (венг.; рез. русс., нем., англ.)

При исследовании напитков, содержащих углекислый газ (шампанское, пиво и др.), последний может быть легко и быстро удален при помощи центрифуги «Альфа». Этот метод дает большую экономию во времени при серийных анализах. А. П.

**76667.** Ускоренный метод определения винной кислоты в ВКИ. Короткевич А. В., Бекирова Л. М., Садоводство, виноградарство и виноделие, 1955, № 2, 45

Метод основан на переводе винной к-ты в р-р при кипячении виннокислой извести с 10%-ным р-ром поташа, осаждении винной к-ты в виде битартрата из отфильтрованного р-ра прибавлением уксусной к-ты, спирта и порошка хлористого калия и титровании растворенного в горячей воде битартрата щелочью. Метод достаточно точен и требует значительно меньшей затраты времени и реактивов по сравнению с общепринятым ацидометрич. Применим для винного камня и дрожжей. Н. П.

**76668.** Пересчет градусов Эске на объемные проценты спирта. Таннер (Die Berechnung des zu erwartenden Alkoholgehaltes aus den Öchslegraden von Traubenmosten. Tanner H.), Schweiz. Z. Obst. und Weinbau, 1955, 64, № 25, 511—523 (нем.)

В результате ежегодно проводимых определений уд. веса сусла и крепости полученного из него вина автор рекомендует для расчета ожидаемой крепости при градусах Эске меньше 80 из их числа вычитать 3 и разность делить на 8. При градусах Эске больше 80 их число делить на 8. В осветленном сусле во всех случаях число градусов Эске следует делить на 8. Все эти пересчеты носят ориентировочный характер. О. З.

**76669 К.** Винокурение. Том I. Дыр, Грегг, Кутельвашер, Сейлер, Томашек, Зеленка

(Lihovarství. I. díl. Sborník. Dyr Josef, Grégr V. Kuttelvašer Z., Seiler A., Tomašek J., Zelenka St., Praha. SNTL, 1956, 316 (1) s., il., 35.80 Kčs.) (чеш.)

**76670 К.** Технология спирта (Учебник для пищевых вузов). 2-е изд. переработ. и доп. Климовский Д. Н., Стабников В. Н. М., Пищепромиздат, 1955, 44 стр., илл., 12 р. 30 к.

**76671 К.** Ректификационный и брагоректификационный аппараты. Фертман Г. И. М., Пищепромиздат, 1956, 92 стр., илл., 1 р. 65 к.

**76672 К.** Техно-химический контроль производства безалкогольных и слабоалкогольных напитков. Булгаков Н., Зубенко А., М., Пищепромиздат, 1956, 320 стр., илл., 11 р. 50 к.

**76673 К.** Химические вещества в виноделии. Паронетто, Даль-Чин (I prodotti chimici nella tecnica enologica. Paronetto Lambert, Dal Cin Gildo, Verona, Tip. D. Bosco, 1954, XX, 459 p., 3000 L.) (итал.)

**76674 К.** Очерк по технологии виноделия. Изд. 2-е, перераб. и доп. Пияновский, Василевский (Zarys technologii winiarstwa. Wyd. 2 uzupełn. i rozsz. Pijanowski Eugeniusz, Wasilewski Zygmunt. Warszawa, Wydawn. Przem. Lekkiego a Srozywz., 1955, 256, 1 nrb s., il., 19.60 zł) (польск.)

**76675 К.** Ампелография СССР. Отв. ред. Фролов-Багреев А. М., М., Пищепромиздат, 1955, 440 стр., илл., 50 р.

**76676 Д.** Поточный метод брожения при производстве спирта из крахмалистого сырья. Яровенко В. Л. Автореф. дисс. канд. техн. н. Ленингр. технол. ин-т пищ. пром.-сти, Л., 1956

**76677 Д.** О едином точном рефрактометрико-пикнометрическом методе определения спирта и экстракта в водке, спиртах, сухих и десертных винах. Ребелейн (Über eine einheitlich anwendbare, exakte Methode zur refraktometrisch — pyknometrischen Alkonol- und Extraktbestimmung in Branntweinen, Brennweinen, trockenen Weinen und Dessertweinen. Rebelein Hans. Diss., Naturwiss. F., Würzburg, 1953, 46, 3 Bl., Maschinenschr.), Dtsch. Nationalbibliogr., 1955, B, № 17, 1228 (нем.)

**76678 П.** Перегонка спирта (Alcohol distillation) [Soc. des Etalissements Barbet]. Австрал. пат. 165785, 10.11.55

Патентуется аппарат двойного действия для простой перегонки и ректификации спирта. Аппарат представляет собой комбинацию из перегонного аппарата и ректификационной колонны. Каждая часть имеет собственное питание, отдельный поток спирта и свое удаление примесей. Перегонный аппарат функционирует под небольшим давлением и подогревается паром. Вторая часть работает под умеренным вакуумом и подогревается теплом от спирта, испаряющегося в верхней части I-го аппарата. С. С.

**76679 П.** Извлечение органических кислот из отходов бродильного производства путем осаждения солью железа. Форт, Смит (Recovering organic acids from fermentation wastes by iron salt precipitation. Fort Charles A., Smith Burns Ashby) [United States Secretary of Agriculture]. Пат. США 2711425, 21.06.55

Патентуется способ получения аконитовой к-ты из отходов при сбраживании сырья, содержащего тростниковый сахар. Отходы подкисляют до pH 3.5—4.5 и вводят в них водорастворимую соль железа. Отделяют осадок железной соли аконитовой к-ты и растворяют в водн. р-ре неорганич. к-ты для выделения аконитовой к-ты. Г. Н.

**76680 П.** Выделение глицерина или бутандиола-2,3 (Glycerol or 2,3 butandiol recovery) [Imperial Chemical Industries Ltd]. Австрал. пат. 162812, 26.05.55

Способ выделения глицерина или бутандиола-2,3 из жидкости, содержащей одно из указанных в-в в качестве продуктов брожения углеводов, заключается в непрерывном возобновлении разжиженного слоя зернистой смеси (последняя состоит из гранулированного материала и конц. сброженной жидкости) путем пропуска пара. Удаляемый пар, содержащий высококипящее в-во, конденсируют; отработанный гранулированный материал заменяют с той же скоростью, с которой он удаляется из указанной зернистой смеси.

**И. Ш.**  
**76681 П.** Способ предварительной обработки зерна, как ячмень и др., предназначенного для приготовления солода. Рейнш (Verfahren zur Vorbehandlung von zur Malzherstellung bestimmtem Getreide, wie Gerste u. dgl. Reinsch Otto) [Joh. A. Benckiser G. m. b. H.]. Пат. ФРГ 917423, 4.09.54 [Brauwelt, 1955, B95, № 18, 263 (нем.)]

Для улучшения качества солода или вырабатываемых из него продуктов добавляют к воде, применяемой для замочки зерна, полимеры фосфорной к-ты в виде ее нейтр. или слабосильных солей щел. металлов, аммонийных или аминных (напр., гексаметафосфат натрия), после чего дальнейший процесс соложения производится обычным образом. Такое же действие наблюдается при добавлении этих в-в к естественно мягкой или искусственно умягченной воде. Специфич. действие указанных фосфорнокислых соединений предположительно основано на том, что с одной стороны, ускоряется или увеличивается поглощение воды, и с другой стороны, ослабляются структурные связи высокомолекулярных крахмальных и белковых соединений, что облегчает и усиливает процесс их расщепления под действием ферментов. Это подтверждается и тем, что наблюдается такое же, хотя и меньшее действие при опрыскивании зерна после замочки разб. р-ром изобретенного средства до того, как зерно поступит на сушку. Применяемые кол-ва полимера могут колебаться в широких пределах; рекомендуется применять 0,1% к весу зерна.

**Л. Ш.**  
**76682 П.** Приготовление солодового экстракта. Кунц (Process of preparing malt extract. Kunz Frederick L. G.). Пат. США 2726957, 13.12.55

Солод размалывают до такой тонины, чтобы 90% его проходило через сито с отверстиями 0,25 мм. Полученный помол смешивают с водой в соотношении 2,5—3 вес. ч. воды на 1 ч. солода. Смесь нагревают для окончательного осахаривания крахмала и затем центрифугируют для отделения шелухи. Вытекающую жидкость снова центрифугируют для отделения сусла от нерастворившихся белковых в-в. Твердые в-ва, полученные в результате 1-го и 2-го центрифугирования, смешивают с водой и снова в том же порядке дважды центрифугируют. Отделенный от сусла при 3-м и 4-м центрифугировании твердый остаток выгружают отдельно для дальнейшей обработки.

**С. С.**  
**76683 П.** Способ изготовления специального пива. Паульс (Verfahren zur Herstellung eines Spezialbieres. Pauls Emil) Швей. пат. 305702, 16.05.55 [Brauwelt, 1955, 1635, № 98В (нем.)]

Патентуется спец. пиво для диабетиков и ожиревших людей с содержанием спирта 4,5—5,0% и сброживаемого экстракта, включая декстрины, < 0,75%. Сбраживание углеводов в такой степени, чтобы они не были вредны для диабетиков и ожиревших людей, может быть достигнуто поддержанием т-ры 64° при затирании в течение ≥ 40 мин., доведением рН готового сусла до ≥ 5,1, прибавлением диастатич. вытяжки до начала и после окончания главного брожения в кол-ве 2% от общего кол-ва пива, имеющей такое же содержание диастаза, как и затор. Может оказаться целесообразным прибавление к выдерживаемому пиву диастатич. экстракта той же конц-ии в кол-ве 1—2% к общему кол-ву

пива. Далее выдерживаемое пиво освобождается от старых дрожжей путем перекачки и снова выдерживается после прибавления свежих дрожжей, находящихся в состоянии брожения. При этом способе к сырью предъявляются следующие требования: 1. Солод должен легко отдавать экстрактивные в-ва, содержать ≤ 11% белка и должен быть высушен при т-ре ≥ 80°. 2. Хмель должен иметь нежную горечь и величину горечи по Вельмеру ≥ 7. 3. Дрожжи должны быть высокосбраживающими, пылевидными. 4. Вода должна содержать мало карбонатов или в результате обработки иметь < 6° карбонатной жесткости. Диастатич. экстракт, необходимый для даного способа, может быть получен путем стягивания жидкой части неосахаренного затора при т-ре ≤ 62°.

**Л. Ш.**  
**76684 П.** Сухой пенообразующий напиток. Томоз, Фудзимори (Foam-forming solid beverage. Томозе Микю, Fujimori Senju), Япон. пат. 1532, 23.03.54 [Chem. Abstrs, 1955, 49, № 1, 538 (англ.)]

Смесь (35 г) лимонной, винной, дубильной, глюконо-вой и аскорбиновой к-т в отношении 10:100:5:2:1 смешивают с 32 г NaHCO<sub>3</sub>, 4 г смеси KCl, CaCl<sub>2</sub>, MgSO<sub>4</sub>, NaCl и FeSO<sub>4</sub> в отношении 100:30:10:10:5; 5,9 г эквивалентной смеси альбумина и гуммиарабика, 10 г сахарозы и 10 г фруктозы, 0,03 г пищевой краски и 1,5 г ароматич. экстракта. Для приготовления напитка 1 г смеси растворяют в 100 мл воды.

**С. Ш.**  
**См. также:** Дрожжи 22016Бх, 22037Бх. Хмель: исследование 75074. Солод: состав 75074. Лимонная и яблочная к-ты 21734Бх, 22021Бх

## ПИЩЕВАЯ ПРОМЫШЛЕННОСТЬ

**76685.** Коллоидные явления в химии и технологии пищевых продуктов. Мацелка (Az élelmiszerkémia és élelmiszeripari technológia kolloidikai vonatkozásai. Maczelka László), Élelm. ipar, 1955, 9, № 7, 199—202 (венг.)

Обзор. Библ. 10 назв.  
**Г. Ю.**  
**76686.** Холодная стерилизация пищевых продуктов. Проктор, Голдблит (Cold sterilization of foods. Proctor B. E., Goldblith S. A.), Chemistry, 1955, 29, № 3, 33—41 (англ.)

Изложена история и современное состояние вопроса о применении ионизирующих излучений для стерилизации пищевых продуктов. Рассмотрено их действие на микроорганизмы, ферменты и качество пищевых продуктов. Приведены дозировки ионизирующих излучений, необходимые для стерилизации некоторых продуктов.

**Г. Н.**  
**76687.** Оценка источников радиации с точки зрения их использования для обработки пищевых продуктов. Эванс (An evaluation of radiation sources as a means for processing foods. Evans Belmont S., Jr), Food Technol., 1955, 9, № 12, 615—620 (англ.)

Дается характеристика различных источников ионизирующих излучений с целью использования их для стерилизации пищевых продуктов. Для облучения продуктов (в банках) применяют γ-лучи или электроны. Кратко описаны источники облучения γ-лучами и техника работы с ними: 1) периодически извлекаемые из реактора отработанные стержни ядерного горючего, помещаемые в канал с водой глубиной 5,5 м непосредственно в пункте расположения реактора; 2) спец. установка из 8 отработанных стержней, приспособленная для получения дозы облучения определенной мощности (максимум — 2 Мф.э.р./час), в которой легко регулируется т-ра. Монтируется новая установка лабор. типа с использованием облученных в реакторе пластин кобальта (5 шт. размерами 355,6 × 60,3 × 3,5 мм, с активностью 600—700 кюри каждая), которые дадут мощность

дозы приблизительно 0,5 Мф.э.р/час. Используются и другие установки. Для облучения электронами применяются различного типа электронные ускорители; приводятся данные о сообщаемой ими энергии электронам и возможной их производительности в отношении получения стерилизованных продуктов. В заключение автор приходит к выводу, что в данное время нельзя отдать предпочтение тому или другому источнику ( $\gamma$ -лучи или электроны) для облучения данного вида продуктов; необходимы дальнейшие испытания. С. С.

**76688. Развитие применения антибиотиков в пищевой промышленности. Реншалл, Мак-Махен** (Recent developments in food uses for antibiotics. Wrenshall C. L., McMahon J. R.), J. Milk and Food Technol., 1956, 19, № 4, 104—106 (англ.)

Освещено современное состояние вопроса, дана общая характеристика антибиотиков, действия и приведены примеры практик. использования антибиотиков для сохранения рыбы, птицы, мясных туш, молока, овощей. Рассмотрены перспективы применения антибиотиков в пищевой промышленности. Библ. 3 назв. Г. Н.

**76689. К методике измерения твердости пищевых продуктов. Володкевич** (Zur Methodik der Festigkeitsmessungen an Lebensmitteln. Wlodkewitch N.), Z. Lebensmittel-Untersuch. und-Forsch., 1956, 103, № 4, 261—272 (нем.)

Описан способ определения твердости пищевых продуктов с содержанием небольшого кол-ва клетчатки и без нее (напр., земляники, сливы, меда, желе) в аппарате, гильзу которого плотно (без воздушных пространств) заполняют частицами испытуемого продукта и опускают в нее постепенно, с определенной постоянной силой, почти до дна штемпель, диаметр которого меньше диаметра гильзы. Происходит разрезание материала между стенками гильзы кантом штемпеля. Чем тверже продукт, тем большая работа требуется для разрезания и тем больше величина силы, затраченной на эту работу. Так как в большинстве случаев испытываются неомогенные продукты, берут среднее значение силы  $p_m$ , выраженное в кг из диаграммы силы — путь, вычерчиваемой аппаратом. Приводятся величины  $p_m$ , полученные при различных скоростях движения штемпеля для образцов земляники, бананов, слив, абрикосов, эментальского сыра, картофельного пюре. Отмечено соответствие между этими величинами и органолептич. оценками консистенции, а также с величинами сопротивления давления в кг/см<sup>2</sup>, полученными определением силы, потребной на пробивание отверстия известного диаметра в диске продукта установленной толщины. А. Е.

**76690. О возможности использования метода измерения диэлектрических потерь в области аномального поглощения для определения качества пищевых продуктов. Аладжалова Н. А.** В сб.: Тр. научной сессии, посвященной достижениям и задачам сов. биофизики в с. х. М., Изд-во АН СССР, 1955, 257—262

Изучена возможность определения ранних изменений качества мяса методом, основанным на изменении электрич. свойств в-в или их колл. р-ров в зависимости от изменений структурного состояния белковых молекул. Образец мяса помещали между серебряными электродными пластинками конденсатора. Сопротивление и емкость конденсатора измеряли в схеме мостика путем компенсации параметров образца эталонными сопротивлениями и емкостью, включенными параллельно. Индикатором баланса служила прямая линия на экране катодного осциллографа. Измерения производили в диапазоне частот, в котором проявлялся максимум частотной характеристики диэлектрич. потерь. Угол потерь вычисляли по ф-ле:  $\operatorname{tg} \delta = 1/2\pi fRC$ , где  $f$  — частота переменного тока,  $R$  — сопротивление,  $C$  — емкость. Установлено, что метод измерения диэлектрич. потерь в области

аномального поглощения может служить индикатором тонких молекулярных изменений в мышечной ткани. Применение этого метода позволит изучить природу изменений, наступающих при хранении, и выявить их ранее, чем это возможно органолептич. путем. Г. Н.

**76691. Исследование окиснвого метода для определения магния в пищевых продуктах. Такано, Аки-та, Акияма** (食品中マグネシウムの定量法としてのオキシソ法の再吟味. 高野晃一, 秋田勉, 秋山典之), 栄養と食糧, Эйё то сёкурё, J. Japan. Soc. Food and Nutrition, 1955, 3, № 2, 40—43 (япон.)

Установлено, что при удалении  $Mn^{2+}$  из исследуемого продукта или малом его содержании присутствие  $Fe^{2+}$ ,  $Al^{3+}$ ,  $Cu^{2+}$ ,  $Ca^{2+}$  не оказывает влияния на точность окиснвого метода определения Mg. При содержании в пищевом продукте  $Mn^{2+}$  в кол-ве, превышающем в ~1,5 раза кол-во  $Mg^{2+}$ , трудно устранить влияние указанных ионов. Весовой метод определения Mg более точен, чем окиснвый метод. С. К.

**76692. Микробиологический контроль на консервных предприятиях. Тодоров** (За микробиологичния контрол в консервните предприятия. Тодоров Т.), Лека промышленност, 1955, 4, № 6, 21—23 (болг.)

На основании результатов микробиологич. исследования основных этапов технологич. процесса произ-ва консервов «фаршированный перец», «голубцы» и «свинина» в собственном соку» намечены мероприятия по устранению брака и повышению качества консервов: строгий микробиологич. контроль всех этапов произ-ва, максимум сокращения задержек в продвижении полуфабрикатов при переработке, точное соблюдение санитарно-гигиенич. норм для оборудования и работников. Б. Б.

**76693. Новая система транспортировки консервных банок. Мидлбрукс** (New can-handling system reduces labor, boosts output. Middlebrooks B. M.), Food Engng, 1956, 28, № 1, 49—51, 152 (англ.)

Описание и фотографии последовательных операций с банками, начиная с погрузки (навалом) на заводе-поставщике и кончая подачей их для заполнения продуктом на консервном з-де. Все операции автоматизированы и обслуживаются одним рабочим. Новая система сравнительно с ранее применявшейся на этом з-де имеет значительные преимущества в отношении уменьшения рабочей силы, увеличения выпуска продукции и сокращения производственных площадей. С. С.

**76694. Действие ультрафиолетовых лучей на плесневые грибы. Гдловкин Н. А.** Тр. Ленингр. техн. ин-та холодильн. пром-сти, 1955, 9, 140—155

Споры различных штаммов 6—8-дневных культур плесневых грибов высевали на чашки Петри и облучали при разных экспозициях и прочих одинаковых условиях. В зависимости от дозы облучения плесневые грибы умирали или значительно изменяли процесс развития. Показано, что совместное воздействие низкой т-ры и УФ-лучей вызывает более интенсивную гибель плесневых грибов. Непрерывное облучение или такое же кол-во УФ-лучей, данное с перерывами, производят одинаковый микоцидный эффект. Питательная среда после облучения сохраняет в течение некоторого времени бактерицидные свойства. А. К.

**76695. Бромистый этилен как фумигант для пищевой промышленности. Пингале, Сваминатхан** (Ethylene dibromide — a fumigant for the food industry. Pingale S. V., Swaminathan M.), Bull. Central Food Technol. Res. Inst. Mysore, 1955, 4, № 2, 38—40 (англ.)

Обзорная статья о применении бромистого этилена в качестве фумиганта для зерна, плодов, овощей и других продуктов. Для фумигации свежих плодов требуется  $CH_2Br \cdot CH_2Br$  (в г/м<sup>3</sup>) 8—12, для зерна — 32, для клубней тапиоки — 96. Получены хорошие результаты при фумигации картофеля и бататов. Библ. 29 назв. Г. Н.

**76696. Четвертичные аммониевые соединения в качестве бактерицидов. Ресагган** (Quaternary ammonium compounds as germicides. Resuggan J. C. L.), Chem. Prod., 1955, 18, № 9, 335—336 (англ.)

В качестве бактерицидов применяются соединения с открытой цепью, как бромид додецилдиметиламмония и бромид цетилтриметиламмония, и гетероциклич. соединения, как бромид цетилпиридиния и бромид тетрадецилпиридиния. Эти соединения используются в различных областях пищевой пром-сти (молочной, пивоваренной, в произ-ве фруктовых вод). Р-ры этих соединений не вызывают коррозии. Для предотвращения развития микроорганизмов достаточно применение р-ра конц-ии 1/50 000. **Ф. Н.**

**76697. Хлебопекарные свойства некоторых сортов американских пшениц, культивируемых в Толедо. Мартин-Варгас** (La calidad panadera de algunos trigos americanos cultivados en Toledo. Martin Vargas Vicente), Bol. Inst. nac. invest. agron., 1955, 15, № 32, 73—93 (исп.; рез. англ., франц.)

Исследованы помольные и хлебопекарные качества нескольких сортов пшениц, импортированных из США в Испанию и давших хороший урожай в некоторых районах. Представлены результаты испытаний на фаринографе и ферментографе Брабендера, на альвеографе Шопена, а также опытных выпечек. **А. Е.**

**76698. Декстриновый метод определения степени поврежденности мучных зерен. Леммерцаль** (Die Dextrinmethode zur Bestimmung der Höhe der Auswuchsschädigung bei Getreidemehlen. Lemmerz ahl J.), Brot und Gebäck, 1955, 9, № 8, 139—141 (нем.)

Предлагается колориметрич. метод, отличающийся от других применением декстрина. 10 г испытуемой муки и 2 г декстрина взбалтывают со 1000 см<sup>3</sup> воды и смесь оставляют на ночь (не менее 8 час.). После этого смесь взбалтывают и фильтруют через складчатый фильтр. К 20 мл<sup>3</sup> фильтрата добавляют 0,6 мл 1/20 н. р-ра йода в йодистом калии, взбалтывают и определяют изменение цвета по цветной шкале. **Л. Л.**

**76699. Мукомольное производство. Эймос** (The milling industry. Amos A. J.), Food Manufacture, 1956, 31, № 2, 52—57 (англ.)

Рассматриваются итоги за 1955 г. по мукомольной пром-сти Англии. Обсуждаются вопросы качества пшеницы, ее импорта, особенностей английской и шотландской пшениц, порчи зерна при его хранении, выработки муки разных выходов, качества муки, обработки с целью улучшения ее качества и питательной ценности. Рассматриваются вопросы нового американского способа тестоведения на жидких дрожжах с молочным порошком. **Б. З.**

**76700. Липиды муки. Окислительные процессы, происходящие при хранении и обработке улучшителями. Моран, Пейс, Мак-Дермотт** (The lipids in flour oxidative changes induced by storage and improver treatment. Moran T., Pace J., McDermott E. E.), Nature, 1954, 174, № 4427, Suppl., 449—452 (англ.)

Изучалось влияние окислителей — двуокиси хлора и треххлористого азота на окисление жиров муки при различном сроке хранения. Отмечалось, что некоторые условия окисления вызывают образование полимероподобных в-в, существующих в виде гидроперекисей, что приводит к снижению содержания токоферолов или уменьшению эффективности антиоксидантов. **Ф. Г.**

**76701. Использование лабораторных хлебопекарных методов для оценки пригодности муки для крекеров. Микка** (The utility of laboratory bread baking tests in evaluating cracker flours. Micka Jan), Trans. Amer. Assoc. Cereal Chemists, 1955, 13, № 3, 249—256 (англ.)

Рекомендуется модифицированный хлебопекарный метод определения пригодности пшеничной муки для выпечки крекеров. **Р. Т.**

**76702. Определение хлебопекарных свойств муки физическими методами. Пагенштедт** (Determination of the baking value of wheat by means of physical testing methods. Pagenstedt Bernd), Australas. Baker and Millers. J., 1955, 58, № 697, 26, 29, 31, 33, 35—36, 39 (англ.)

Приводятся результаты физ. испытаний 2-х типов муки разного качества, полученных на фаринографе и экстенсографе Брабендера. Феринограммы показывают разную водопоглотительную способность муки; у слабой 50,5%, у сильной 58,6%. Экстенсограммы показывают изменение способности теста растягиваться в зависимости от силы муки и поэтому могут характеризовать качество муки. Текст иллюстрирован графич. записями приборов. **Ф. Г.**

**76703. О методах определения кислотности муки. Уокер** (Some aspects of flour acidity. Walker E. L. (Miss.), Brit. Food J. and Hyg. Rev., 1955, 57, № 682, 81—83 (англ.)

На основании исследования методов определения кислотности муки сделаны выводы, что кислотность болтушки не бывает равной сумме кислотности экстракта и остатка после экстрагирования; не наблюдается зависимости между кислотностью экстракта и pH. Между кислотностью болтушки и кислотностью экстракта нет точной зависимости, но она настолько близка, что можно принять соотношение ~ 3,75. Таким образом, для определения кислотности экстракта муки достаточно определить кислотность болтушки и полученный результат разделить на 3,75. Автор дает предпочтение методу определения кислотности в болтушке, считая, что он более быстрый и позволяет оттитровать всю к-ту. Кроме того, кислотность экстракта не может служить критерием возраста муки. **Л. Т.**

**76704. Покрывание шлифованного риса питательным слоем. Миккус** (Seals enriching additives on white rice. Mickus R. R.), Food Engng, 1955, 27, № 11, 91—93, 160 (англ.)

Шлифованный рис пропитывают р-ром тиамина и ниацина, высушивают, обрабатывают затем сп. р-ром стеариновой к-ты, белковых в-в кукурузы и абетиновой к-ты. Высушенные зерна опяляют смесью пирофосфата железа с тальком. Получают концентрат, который затем смешивают с необработанным шлифованным рисом в соотношении 1:199. Приводится описание произ-ва с фотографиями, схема технологич. процесса и рецептура. **А. Е.**

**76705. Предварительное определение цвета макаронных изделий** (Pré-détermination de la couleur des pâtes alimentaires. M. B.), Rev. techn. ind. aliment., 1956, 3, № 29, 44—45, 47 (франц.)

Приведены общие сведения о цвете макаронных изделий, который зависит от естественных красящих в-в (каротиноидов и флавоноидов), содержащихся в пшенице. Разрушение или разложение каротиноидов ухудшает цвет макаронных изделий. Описан способ (см. РЖХимБх, 1956, 17735), с помощью которого можно предсказать цвет макаронных изделий по содержанию пигментов и активности полиоксидазы в применяемой крупчатке. Метод применен для определения качества твердой пшеницы как сырья для произ-ва крупчатки и уточнена ф-ла расчета. **В. Г.**

**76706. О пищевой ценности хлеба из муки высоких выходов. Феттер** (Warum sollen wir unseren Kunden dunkles Brot empfehlen? Vetter Roland), Bäcker und Konditor, 1956, 10, № 5, 25—26 (нем.)

Рассмотрены известные физиологич. преимущества хлеба, выпеченного из муки с большим содержанием отрубнистых частиц (минер. состав, содержание вита-

минов, значение клетчатки для нормальной перистальтики кишок).

**76707. Изучение хлебопечения. IX. Действие окислителей на диспергированную клейковину. Мацумото (パン醸造に関する研究. (第9報). Gluten dispersion に対する酸化剤の作用. 松本博), 醸酵工學雜誌, Хакко когаку дзасси, J. Ferment. Technol., 1954, 32, № 12, 487—491 (япон.; рез. англ.)**

Изучалось влияние  $\text{KBrO}_3$  и  $\text{H}_2\text{O}_2$  на вязкость клейковины, диспергированной в 0,1 н.  $\text{CH}_3\text{COOH}$  (I) или 10% Na-салицилате (II). Установлено:  $\text{KBrO}_3$  и  $\text{H}_2\text{O}_2$  восстанавливали вязкость дисперсии клейковины в I; вязкость нагретой дисперсии клейковины в I и ненагретой дисперсии во II увеличивалась особенно заметно под действием  $\text{H}_2\text{O}_2$ . Действие окислителей, повышающих вязкость, тормозилось добавлением парахлорбензоата ртути. Результаты работы и данные амперометрического титрования на SH-группу приводят к выводу о влиянии окислителей на SH-группу в молекуле клейковины. Часть VIII см. РЖХим, 1956, 73525.

**76708. Влияние фракций клейковины на физические свойства теста. Гаррис, Салливан (Effects of gluten fractions. On farinogram and extensogram patterns. Harris R. H., Sullivan J. W.), Baker's Digest, 1955, 29, № 3, 21—23 (англ.)**

Исследовалось влияние фракций клейковины муки, полученной из твердой красной яровой пшеницы, на свойства теста. Клейковина обрабатывалась 0,0125 н. молочной к-той, высушивалась при  $\sim 20^\circ$  и измельчалась, после чего подвергалась гидролированию в течение часа и смешивалась с мягкой мукой из озимой пшеницы в такой пропорции, чтобы общее содержание белка составило 14%. Для лучшего отделения фракций клейковины каждое последующее осаждение проводилось при несколько более высоком pH. Результаты исследований подтверждают ранее полученные данные о значительном влиянии фракций клейковины на свойства теста и качество хлеба. В то же время отмечается небольшое влияние на физ. свойства теста условий произрастания пшеницы и вида пшеницы.

**76709. Жидкая ферментативная система. Суортфигер (Liquid ferment system. Swortfiguer M. J.), Baker's Digest, 1955, 29, № 5, 65—69, 113—114 (англ.)**

Американским ин-том сухого молока разработан новый метод тестоведения, применяемый с 1954 г. на ряде хлебозаводов США: однофазный процесс брожения теста на особо приготовленных жидких дрожжах (ЖД). Способ состоит из двух стадий: разводка жидких дрожжей (стабильного жидкого фермента) и замеса (брожения) теста. В результате опытов рекомендована следующая рецептура для ЖД на 32 вес. ч. воды: обезжиренного сухого молока 6 ч., дрожжей 2,25 ч., подкормки для дрожжей (минер. соли) 0,19 ч., сахара 4 ч., соли поваренной 1 ч. и жиропогасителя 0,03 ч. Разводку ЖД выдерживают 6 час. при  $37,8^\circ$ . Готовые ЖД можно хранить до 48 час. при  $12,8$ — $15,6^\circ$ . Тесто готовят по рецептуре на 100 вес. ч. пшеничной муки: ЖД 43,25 ч., воды 34 ч. (в зависимости от муки), дрожжей 0,5 ч., подкормки для дрожжей 0,5 ч., сухого солода ( $60^\circ$ ) 0,62 ч., сахара 5 ч., соли 1,25 ч., жира 3 ч., ди-гидрофосфата кальция 0,19 ч. Брожение теста в среднем 30 мин. при  $30^\circ$ . Приведены сравнительные данные по качеств. показателям теста и хлеба и затрате труда и времени на приготовление хлеба указанным способом и на опаре, а также фотографии аппаратуры, применяемой при пользовании этим методом тестования.

**76710. Оптимальные условия приготовления и заквашивания мучных заварок для жидких дрожжей. Ройтер И. М., Баширова Р. С., Тр. Киевск. технол. ин-та пищ. пром-сти; 1954, № 4, 73—89**

Изучалось влияние основных технологич. факторов на скорость накопления к-ты при заквашивании мучных заварок молочнокислыми бактериями типа Дельбрюка и динамики накопления продуктов гидролиза углеводов и белков. Установлено, что оптимальное соотношение муки и воды перед заквашиванием должно быть равно 1:3—1:4. С увеличением концентрации заварки образование сахаров и к-т при заквашивании мучных заварок, считая на единицу сырья, уменьшается. Лучшими условиями для накопления к-ты и продуктов гидролиза углеводов и белковых в-в следует считать заквашивание методом нагрева при начальной т-ре  $75^\circ$  или методом залива при т-ре воды  $75$ — $80^\circ$ . Эти условия не увеличивают закисание жидких дрожжей, опары и теста и не ухудшают подъемную силу дрожжей. Приготовление заварки с низкой начальной т-рой не требует осахаривания мучной заварки перед заквашиванием. Содержание к-ты в заквашенной мучной заварке не зависит от содержания в ней сахара, а зависит от наличия в среде стимуляторов, содержащихся в солоде и в крупных фракциях муки.

**76711. О процессе непрерывного замеса теста. Пельшенке (Aspects of continuous mixing. Pelshenke P. F.), Australas. Baker and Miller's J., 1955, 58, № 700, 29, 31, 33 (англ.)**

При непрерывном замесе теста затрудняется сохранение подъемной силы дрожжевой суспензии. Попытка хранить дрожжевую суспензию однодневной потребности при  $5$ — $8^\circ$  не дала положительных результатов из-за трудностей в осуществлении темперирования суспензии перед поступлением ее в месилку. Предложен способ приготовления устойчивой суспензии из дрожжей, соли и воды в соотношении 1:1:10. Получаемые при этом плазмолитич. дрожжи заметно улучшают пластичность теста, увеличивают объем хлеба, улучшают корочку изделий и обеспечивают однородность хлеба, возможно за счет увеличения времени брожения. При непрерывном замесе ржаного теста предлагается осуществлять непрерывное приготовление закваски путем подачи ингредиентов с определенной скоростью в резервуар, снабженный мешалкой и водяной рубашкой для поддержания т-ры  $35,5^\circ$ . Закваска из резервуара поступает непрерывным потоком в месилку непрерывного действия.

**76712. Теория и практика выхода теста. Гротелюшен (Theorie und Praxis der Teigausbeute. Grotelüschen Karl), Bäcker und Konditor, 1956, 10, № 4, 9—11 (нем.)**

Рассмотрено определение термина «выход теста» (ВТ) [кол-во теста, получаемое из 100 г муки = (весу теста  $\times$  100)/вес муки] и область его применения (строго говоря, только к муке, замешанной на воде без сдобы); влияние различных факторов на величину ВТ и связь ВТ с консистенцией теста. Сопоставлены литературные данные о величине ВТ разных сортов муки ржаной и пшеничной.

**76713. Влияние температуры на структурную релаксацию бромированного и небромированного теста, приготовленного в атмосфере азота. Демпстер, Глинна, Андерсон (Influence of temperature on structural relaxation in bromated and unbromated doughs mixed in nitrogen. Dempster C. J., Hlynka I., Anderson J. A.), Cereal Chem., 1955, 32, № 4, 241—254 (англ.)**

При помощи экстенсографа Брабендера исследовалось поведение бездрожжевого теста, приготовленного при  $15$ — $35^\circ$  в атмосфере азота с добавлением различных кол-в бромата. Установлено, что структурная релаксация небромированного теста, по мере удлинения продолжительности р-ции и повышения т-ры, возрастает, бромированного теста — снижается. Величина энергии активации, равная примерно 11—19 ккал на 1 моль для

структурной релаксации небромированного теста, по мере повышения концентрации бромата возрастает. Р. Т.

**76714. Разрыхление теста кислородом.** Рот (Teiglockerung mit Sauerstoff. Rotsch A.), Bäcker und Konditor, 1955, 9, № 8, 21—23 (нем.)

Предлагается при производстве пшеничного хлеба применять в качестве разрыхлителя  $O_2$ , который образуется расщеплением  $H_2O_2$  катализатором муки. Установлено, что такой способ разрыхления особенно эффективен при добавлении 1% дрожжей к весу муки за счет катализаторов дрожжей. Преимущество такого способа разрыхления состоит в том, что значительно сокращается цикл производства и увеличивается объем хлеба. Тем не менее автор выражает сомнения в возможности применения этого способа разрыхления в Германии из-за высокой цены химически чистой  $H_2O_2$ . Л. Л.

**76715. Об отклонениях в процессе приготовления теста и выпечки хлеба в условиях производства.** Хенгст (Über Schwankungen der Teigführung und des Backprozesses in der Praxis. Hangst Martin), Dtsch. Lebensmitt.-Rundschau, 1955, 51, № 9, 213—217 (нем.)

В течение 17 месяцев в производственных условиях проводилось определение ряда показателей, характеризующих процесс приготовления теста и выпечки хлеба (выход теста, т-ра закваски, т-ра теста, кислотность, бактериальная флора и др.). Полученные результаты обработаны статистич. методом. Обсуждаются причины обнаруженных колебаний. Р. Т.

**76716. Ускорение производства ржаного хлеба.** Плотников П. М., Тр. Ленингр. технол. ин-та пищ. пром-сти, 1955, 12, 40—68

Подробно рассмотрено влияние условий среды (влажности, т-ры и кислотности) на состав и развитие микрофлоры ржаной закваски (дрожжи, молочнокислые бактерии). Обзор работ по ускорению производства ржаного хлеба повышением т-ры брожения закваски и теста, а также результатов внедрения ускоренного способа тестоведения на производстве. Предложена технология производства ржаного хлеба на закваске без дрожжей на культуре молочнокислых бактерий при 33—35° и двухфазный метод ведения закваски, по которому обычная закваска с т-рой 27—28° используется как бродильный материал для выведения закваски с повышенной т-рой. Предложенные способы сокращают процесс брожения закваски и теста в 2—2,5 раза, значительно уменьшают потери сухих в-в муки и потребность в дежах и улучшают вкус хлеба. Библ. 23 назв. А. Е.

**76717. Пробная выпечка хлеба.** Самсонов М. М., Информ. бюл. Гос. комис. по сортоиспыт. при М-ве с. х. СССР, 1955, № 7, 25—29

Метод пробной выпечки ВИР'а не позволяет полностью выявить потенциальные возможности некоторых сортов пшеницы и недостаточно точно разграничивает «сильные» пшеницы. Поэтому автор предлагает для хлебопекарной оценки сортов мягкой пшеницы применять безопарный способ с добавлением сахара, наряду с оценкой «силы» муки необходимо определять смешительную ценность «сильных» в хлебопекарном отношении пшениц, путем выпечки из смеси муки «сильных» и «слабых» пшениц. Для выявления потенциальных хлебопекарных возможностей муки выпечку проводить с добавлением улучшителей, а качеств. оценку сортов твердой пшеницы (дурум) проводить на макаронные качества. Мукомольные качества зерна следует определять при односортом 70%-ном помоле зерна без отбора цветковых проб. Л. Т.

**76718. Замораживание хлеба и мучных кондитерских изделий.** Ниссен (Das Einfrieren von Brot und Backwaren. Nissen Reinhold), Kälte, 1955, 8, № 11, 393—396, 398—401 (нем.)

Изложение американских работ по замораживанию

хлеба, хлебобулочных и мучных кондитерских изделий.

**76719. Влияние помола муки на качество сухарей и кондитерских изделий.** Дёрнер, Тесмер (Die Beeinflussung der Zwieback- und Feingebäckqualität durch den Feinheitsgrad der Mehle. Dörner H., Tehsmer E.), Bäcker und Konditor, 1955, 9, № 10, 4—5 (нем.)

Приводятся результаты исследования муки тонкого и крупного помолов, а также их смеси при производстве слобных сухарей. Установлено, что изделия лучшего качества по намокаемости и пористости получаются при применении муки тонкого помола или смеси тонкой и крупной муки в соотношении 3:1. Положительное влияние оказывает также мука, вылежавшаяся после помола в течение 4-х недель. Л. Л.

**76720. О новых и особо отмечаемых сортах сухарей.** Бенк (Zur Beurteilung neuartiger und besonders bezeichneter Zwiebacksorten. Benk E.), Gordian, 1956, 55, № 1327, 40—41 (нем.)

Обсуждается вопрос о торговых наименованиях сухарей; указывается на необходимость нормирования состава «яичных сухарей» и «питательных с лецитином», а также на недопустимость обозначений «высшего качества» и других для сухарей, не выдерживающих установленной нормы сахара, масла или яиц.

**76721. Обзор вспомогательных средств в хлебопечении за 50 лет.** Хубер (50 Jahre Backhilfsmittel-Rückblick und Ausblick. Huber H.), Brot und Gebäck, 1955, 9, № 9, 160—162 (нем.)

Обзор патентов, начиная с 1905 г., когда впервые было применено понятие «хлебопекарное вспомогательное средство». Рассмотрены вспомогательные средства трех типов: набухающая или клейстеризованная мука (в ряде случаев высушенная мучная заварка), подкисляющие тесто средства и ферментативные препараты. А. Е.

**76722. О пригодности муки из конских бобов в качестве примеси к хлебу.** Менгер, Штефан (Über die Eignung von «Bohnenmehle» als Backhilfsmittel. Menger A., Stephan H.), Brot und Gebäck, 1956, 10, № 6, 129—131 (нем.)

Проведены опытные выпечки хлеба из пшеничной муки с примесью 2 и 5% муки из конских бобов (Vicia faba L.) для выяснения ее действия на клейковину, физ. свойства теста, ход брожения, качество хлеба и его пищевую ценность. При этом не наблюдалось улучшения свойств клейковины (водопоглощительная способность, число набухания) и ускорения брожения теста. Отмечено повышение пластичности и растяжимости теста, а также улучшение цвета корки хлеба. Примесь 2% бобовой муки лишь незначительно увеличивает пищевую ценность хлеба (на 0,06% минер. в-в и 0,5% белка). На основании этих данных сделано заключение о нецелесообразности примеси бобовой муки к пшеничной в качестве улучшителя. А. Е.

**76723. О выставке хлебо-булочных изделий.** Гутгезель (Gebäcke aus aller Welt. Eine Leistungsschau des Backgewerbes und ihre Bedeutung. Gutgesell O.), Brot und Gebäck, 1956, 10, № 5, 104—107 (нем.)

Краткое описание образцов хлебо-булочных изделий различных земель Германии, представленных на международную выставку продуктов хлебопечения в Детмольде (ФРГ). Приводятся 8 фотографий. А. Е.

**76724. Процессы коллоидной химии в кондитерской промышленности.** Рюквардт (Kolloidchemische Vorgänge in der Konditorei. Rückwardt Günter), Bäcker und Konditor, 1954, 8, № 8, 9 (нем.)

Обсуждаются свойства белка (альбумина), как коллоида. Отмечается важность колл. свойств белков при изготовлении тортов и ванского теста (способность связывать воду). Обсуждается влияние качества крахмала

и белков муки (глиадина и глютенина) на кол-во связываемой воды и качество изделий.

**В. Н. 76725.** Свойства кукурузной патоки. Льюис (Five properties of versatile corn syrup aid confectioners. Lewis Floyd A.), Canady Ind. 1956, 24, № 5, 52, 57 (англ.). Обсуждаются свойства кукурузной патоки и крахмала как сырья для кондитерской промышленности.

**В. Н. 76726.** Новые исследования в области бисквитного производства. Фогт (Neue Erkenntnisse in der Feinbackwarenherstellung. Vogt E.), Bäcker und Konditor, 1955, 9, № 10, 9 (нем.).

Устанавливаются влияние технологич. параметров и отдельных видов сырья при произ-ве бисквитных масс. Бисквитные массы могут изготавливаться теплым и холодным способом. Во всех случаях сахар должен полностью раствориться, что достигается добавлением достаточного кол-ва жидкости, т-рой и продолжительностью сбивания массы. Добавление жира может производиться до 50% к весу муки. При применении муки с сильной клейковиной добавляется крахмал до 50% к весу муки. Мелкоизмельченный миндаль снижает дозировку муки на  $\frac{1}{3}$  к весу миндаля. Шоколадный порошок сверх 10% к весу муки требует добавления 30% воды по отношению к шоколаду. Приведены рецепты.

Л. Л.

**76727.** Схематическое изложение методики расчета кондитерских рецептов. Бансбах (Die zweckmäßige Darstellung von Rezepten in der Feinbäckerei in einem Schema. Banschach J.), Brot und Gebäck, 1955, 9, № 7, 127—129 (нем.).

Обычно расчет рецептов производят на 1 т готовых изделий. Предлагается производить расчет, исходя из кол-ва изделий. В основу расчета рецептов для различных групп изделий применяется рецептура на пшеничный хлеб. Добавление в рецептуры сдобривающих в-в, а также соли и дрожжей влечет за собой изменение дозировки муки и жидкости: добавление соли и дрожжей снижает дозировку воды; сахар снижает дозировку муки и воды в размере 50% каждого из них к весу сахара; жир уменьшает дозировку воды; сухое цельное молоко уменьшает в том же размере дозировку муки. Примерная методика расчета рецептов представлена в виде таблиц. Предлагается наиболее рациональный и быстрый способ приготовления теста путем предварительного сбивания жира, сахара и сухого молока до кремообразного состояния с последующим добавлением к этой массе остальных видов сырья.

**А. Л. 76728.** Шортенинг. Моррис, Хардер (Shortening. Morris C. E., Harder M. J.), Baker's Digest, 1955, 29, № 5, 53—55, 112 (англ.).

Приводятся сравнительные данные физ. и хлебопекарных свойств шортенингов из модифицированного лярда и гидрогенизированных растительных жиров (с добавлением и без добавления моноглицеридов).

А. Е.

**76729.** Значение обычно приводимых аналитических величин для характеристики шортенинга. Стингли, Уилер (The meaning of commonly quoted analytical values of shortenings as related to shortening performance. Stingley D. V., Wheeler F. G.), Cereal Sci. Today, 1956, 1, № 1, 39—42 (англ.).

Рассмотрены применяемые в США методы хим. техн. контроля произ-ва и качества шортенингов (Ш). Кроме обычных определений, принятых в анализе жиров (кол-во свободных жирных к-т в пересчете на олеиновую к-ту, йодное число по Вийсу), проводят определение цвета по методу Вессона в единицах красного и желтого цвета (по Ловибонду) (Official and tentative method American Oil Chemists' Society, 1946). Допускается максим. соотношение 20 ед. желтого и 2 ед. красного. Т-ру плавления устанавливают по методу Вили (см. Cereal laboratory methods American Associati-

ons of Cereal Chemists., 1947). Имеется ряд других методов (ИФ- и УФ-спектрофотометрия, дифракция рентгеновских лучей и др.), применяемых при научных исследованиях Ш, но не вошедших в практику товароведных определений. Отмечена перспективность дилатометрического метода, определяющего соотношение твердых жиров к жидким при разных т-рах. Для испытания технологич. свойств Ш разработаны методы определения их стойкости при хранении и физ. показателей, характеризующих их пекарные качества. Изменение вкуса Ш при хранении устанавливают выдержкой образца под действием кислорода при 97,7° в течение 50—100 час. или при 110°—25 час., определяя его органолептически и по перекисным числам. Консистенцию Ш характеризуют пенетрометром или органолептически, давая определения «липкая», «воскообразная», «зернистая», «тягучая», «комковатая». Пекарные пробы: 1) проба «фунтового» кекса определяет способность Ш удерживать воздух при взбивании теста, 2) объем влажного крема — тот же показатель взбиваемости в присутствии воды; 3) проба на объем глазури определяет водоудерживающую способность Ш; 4) проба на пирожное со 140% сахара определяет способность Ш поддерживать объем изделий с большим кол-вом сахара; применяется к Ш с высокой степенью абсорбции; 5) этот же тип Ш испытывают на абсорбцию воды; 6) объем сухого крема — способность Ш давать пену при взбивании с сахаром; 7) опытные выпечки соответствующих кондитерских изделий с добавлением Ш. Объем готового продукта определяют отношением  $\text{см}^2/100 \text{ г}$  или  $\text{см}^2/1 \text{ г}$ . Отмечается необходимость дальнейшей разработки и уточнения методов исследования Ш.

А. Е.

**76730.** Влияние консистенции шортенингов и добавления антиоксидантов на сохранение бисквита. Сахасрабудхе, Бхатия, Субрахманьян (Effect of shortening consistency and added antioxidants on the keeping quality of biscuits. Sahasrabudhe M. R., Bhatia D. S., Subrahmanyam V.), J. Scient. and Industr. Res., 1954, 13, № 7, 521—524 (англ.).

В результате исследования влияния двух типов шортенингов на сохранение бисквита установлено, что бисквит с гидрированным растительным шортенингом сохраняется дольше, нежели с шортенингом на основе смеси растительного и животного жиров. Сохраняемость бисквита увеличивается при применении в качестве антиоксидантов лимонной к-ты, лецитина, пропилгаллата и бутилоксианизола.

М. В.

**76731.** Влияние методов приготовления масла и добавления эмульгирующих веществ на физические свойства кексов. Хант, Грин (Physical properties of cake as affected by method of butter manufacture and addition of an emulsifying agent. Hunt Fern Ensminger, Green Mary Eloise), Food Technol., 1955, 9, № 5, 241—246 (англ.).

Было исследовано влияние масла, изготовленного двумя различными способами (стандартным и непрерывным методами сбивания), а также добавления эмульгатора моно- и диглицеридного типа в кол-ве 3,5% к весу масла на физ. свойства кексов. Отмечается незначительное влияние способа приготовления масла на физ. свойства болтушки и кекса. Добавление эмульгатора к любому типу масла давало болтушку однородной консистенции, легко текучей с равномерно распределенным жиром во всей массе. Тип масла оказывал незначительное влияние на объем кексов, а добавление эмульгатора несколько увеличивало объем кексов.

Л. Т.

**76732.** Изучение влияния воды на качество мучных кондитерских изделий и хлеба. Цудзима (菓子パンの品質を左右する「水」の研究(一, 二, 完)・辻村

泰作), 製菓製パン, Сэйка сэйпан, Baking and Confection, 1955, 21, № 8, 72—75; № 9, 70—73 (япон.).

**76733. Производство пряников формы саночек.** Лейгер (Die Herstellung von Nikolaus-Schlitten. Länger Rudolf), Bäcker und Konditor, 1955, 9, № 11, 21—23 (нем.).

Дается описание способа приготовления саночек из пряничного теста. Для получения блестящей поверхности пряники сразу после выпечки смазываются белком или декстриновым лаком, который изготавливается подсушиванием картофельной муки при 160° до табачного цвета с последующим добавлением его к воде. Смесь кипятят и процеживают. Поверхность саночек украшают разноцветной белковой глазурью, непараллельно или сахарным песком. Приводятся иллюстрации производственного процесса.

**76734. Получение стойких замороженных пудингов.** Хансон, Нисита, Лайнувер (Preparation of stable frozen puddings. Hanson Helen L., Nishita K. D., Lineweaver Hans), Food Technol., 1953, 7, № 11, 462—465 (англ.).

**76735. Органолептическая оценка вкуса кекса, приготовленного на сухом яичном белке, обработанном дрожжами и ферментами.** Карлин, Эрс, Хомейер (Consumer evaluation of the flavor of angel cakes prepared from yeast-fermented and enzyme-treated dried albumen. Carlin Agnes Frances, Ayres John C., Homeyer Paul G.), Food Technol., 1954, 8, № 12, 580—583 (англ.).

Приводятся результаты массовой дегустации кексов, приготовленных на замороженном и сухом яичном белке. Отмечается ухудшение вкуса кексов, приготовленных на сухом яичном белке, предварительно обработанном дрожжами или ферментами (для удаления глюкозы), по сравнению с кексами, приготовленными на замороженном яичном белке. Применение ванилина маскирует разницу во вкусе изделий.

**76736. О пекарских порошках в кондитерском производстве.** Икэмия (製菓用膨脹劑に就いて・池宮仰) 製菓製パン, Сэйка сэйпан, Baking and Confection, 1955, 21, № 9, 149—151 (япон.).

Научно-популярная статья. Описаны свойства, механизм действия и нормы добавления пекарских порошков.

**76737. Поточная линия производства мучных кондитерских изделий.** (Streamlined cookie and cracker production.—), Food Manufacture, 1954, 29, № 5, 175—181 (англ.).

См. также РЖХим, 1955, 41975.

**76738. О производстве драже.** Морис (Remarques sur la fabrication des dragées. Maurice), 9-e art franç., 1956, 3, № 22, 6—8, 11 (франц.).

Краткое описание приготовления корпусов из миндаля, ядра лесинного ореха, фисташки, ядра арахиса, из ликера, шоколада и др., их обкатки в несколько приемов в дражировочном котле, отбели, окраски и глянецки. Корпуса шоколадного драже готовят из сахара, обезжиренного какао и патоки. Полученное тесто пропускают через формирующие вальцы.

**76739. О летнем ассортименте кондитерских изделий.** Берман (Summer suggestions for manufacturing retailers. Bergman Matthew), Confectioners J., 1955, 81, № 962, 10—12 (англ.).

Рецепты и способы приготовления разных видов конфет, стойких в хранении, особенно летом. Рекомендуется изготавливать нарезной маршмеллоу с желатиной, конфеты с орехами типа грильяжа, конфеты сбитые с белком яйца (с орехами или цукатами) и конфеты с вафлями с шоколадной либо другой прослойкой.

**76740. К вопросу хранения фруктово-ягодных кондитерских изделий при низких температурах.** Собо-

лева М. И., Сб. науч. работ Моск. ин-та нар. х-ва, 1956, № 8, 120—134

Изучалось хранение пастилы резной клеевой, мармелада формовочного и пластового в течение 10 месяцев при непостоянном температурном режиме (от 30 до —35°) в холодильных камерах. Через каждые 30 дней определялись pH, кислотность, инвертный сахар, цвет, а также внешний вид, форма, состояние поверхности, вид и изломе, консистенция, вкус и запах изделий. Установлена возможность хранения изделий при —2° и —5° и относительной влажности 75—82%.

**76741. Новая ускоренная технология производства яблочного формового мармелада** (Краткое сообщение). Грюнер В. С., Сб. науч. работ Моск. ин-та нар. х-ва, 1956, № 8, 100—102

Описывается новый ускоренный способ изготовления яблочного формового мармелада с сокращенным процессом сушки. Это достигается получением мармеладного студня с низкой остаточной влажностью (29—30%), благодаря введению в мармеладную массу поверхностноактивных в-в в виде цитрата или лактата натрия (соли слабых к-т) в кол-ве 0,15—0,35%. Эти соли, разжижая мармеладную массу, позволяют легко уваривать ее до нужной консистенции и ускорять тем самым подсушивание поверхности. Съем продукции с 1 м² производственной площади увеличился на 50%; производительность мармеладно-отливочной машины увеличилась на 40%. Производительность труда повысилась на 6,85%.

**76742. Получение желеобразных кондитерских изделий из крыжовника.** Грюнер В. С., Афанасьева Н. В., Любимов П. В., Сб. науч. работ Моск. ин-та нар. х-ва, 1956, № 8, 103—119

Приводится агробиол. и хим. характеристика некоторых сортов крыжовника, пюре из крыжовника и заготовок из пюре с сахаром. Приведены данные производственных испытаний по получению пюре из крыжовника и изготовлению желеобразных кондитерских изделий. Пюре обладает хорошими желеобразующими свойствами и вполне удовлетворительными хим. показателями и сохраняет желеобразующие свойства свыше 1,5 лет. Крыжовниковое пюре по своим желеобразующим свойствам близко к абрикосовому, но обладает более высокой кислотностью. Оно пригодно для изготовления резной пастилы, зефира, пата, жележных конфетных масс и конфет с желеобразной структурой.

**76743. Кристаллизация масла какао и других жиров.**

I. Адиабатический калориметр и его применение к термическому анализу масла какао. Стейнер (The crystallization of cocoa butter and alternative fats. I.—An adiabatic calorimeter and its application to the thermal analysis of cocoa butter. Steiner E. H.), J. Sci. Food and Agric., 1955, 6, № 12, 777—790 (англ.).

Описан адиабатич. калориметр и его применение к изучению термич. характеристик и фазового состава жиров в пределах широкого температурного интервала. Кол-ва твердой и жидкой фаз в жире определяются по кривым удельной теплоты, что является удобным аналитическим критерием для жиров в данном температурном интервале. Скрытая теплота плавления определяется по кривой длиной вертикального отрезка между полученными линиями жидкости и твердого в-ва при т-ре, соответствующей точке пересечения отрезка с кривой количества тепла. При расчете тепла, требуемого для плавления масла какао при комнатной т-ре, удельную теплоту следует принимать 0,5 кал/г, а скрытую теплоту плавления 32 кал/г.

**76744. Улучшение качества какао-массы химическим путем.** Палик (Úprava jakosti kakaové hmoty chemickou cestou. Palik František), Listy cukrovarn., 1954, 70, № 12, 272—276 (чеш.).

Высокая кислотность и большое кол-во вяжущих ду-

бильных в-в какао-массы зависят от недостаточной ферментации бобов какао, когда образующаяся в них  $\text{CH}_3\text{COOH}$  не успевает прореагировать с производными катехина и перевести их в нерастворимые (а потому безвкусные) соединения. Эти пороки можно в значительной мере устранить обработкой массы щелочью, применяя  $\text{K}_2\text{CO}_3$ , конц.  $\text{NH}_4\text{OH}$ ,  $\text{NH}_4\text{HCO}_3$ ; особенно хорошо действует  $\text{K}_2\text{CO}_3$ , связывающий летучие и нелетучие к-ты и снижающий общую кислотность иногда на 66,4%. Подщелачивание можно вести как сухим, так и мокрым путем; если после обработки получается щел. р-ция, ее доводят до слабокислой с помощью винной к-ты. Массу для какао рекомендуется обрабатывать  $\text{K}_2\text{CO}_3$  для шоколада —  $\text{NH}_4\text{OH}$  или  $\text{NH}_4\text{HCO}_3$  для молочного шоколада — только  $\text{NH}_4\text{HCO}_3$ . При этом цвет, вкус и запах массы значительно улучшаются. З. Б. 76745. О коншировании и коншах. Мюллер (Über Conchieren und Conchen. Müller A.), Fette und Seifen, 1955, 57, № 11, 964—966 (нем.).

Излагаются известные физ.-хим. изменения шоколадной массы в трех видах конширования; 1) сухого — с малым содержанием жира, в коншах (К) без тяжелых катков; 2) жидкого — в К с большой поверхностью для испарения летучих в-в и 3) растиранием в К с катками. Приведены схемы указанных типов коншей. В. Р.

76746. Нерешенные проблемы при изготовлении пищевых веществ: шоколад. Липском (Ungelöste Probleme bei der Herstellung von Nahrungsmitteln: Schokolade. Lipscomb A. G.), Fette, Seifen, Anstrichmittel, 1954, 56, № 10, 803—809 (нем.; реф. англ., франц., исп.); Chemistry and Industry, 1954, № 45, 1369—1376 (англ.).

В области изготовления и проблем качества шоколада рассматривают вопросы, связанные с выращиванием, ферментацией, сушкой и обжариванием какао-бобов, коншированием шоколада, определением степени измельчения и темперированием шоколадной массы. Приводятся результаты последних хим., а также физ.-хим. исследований и соображения автора. Аромат шоколада зависит прежде всего от вида какао-дерева, а потом уже от способов обработки какао-бобов. Начало образования аромата происходит в процессе ферментации в результате изменения полифенолов, пуриновых оснований (теобромнина) и др. в-в. В свежих какао-бобах хроматографич. методом установлено наличие по крайней мере 11 полифенолов, в том числе — 6 катехинов (главным образом — *l*-эпикатехинов), 3 антоцианов и 2 лейкоантоцианов. На развитие аромата влияет обжарка какао-бобов, причем происходит конденсация полифенолов, удаление уксусной к-ты и другие изменения. Хроматографич. методом установлено, что лейкоантоцианин после обжарки может быть обнаружен, а *l*-эпикатехин после обжарки исчезает. При коншировании происходит также абсорбция шоколадной массой кислорода воздуха. Описаны метод, прибор и результаты опытного изучения этого явления. Для определения степени измельчения следует знать кол-во (вес) нежировых частиц размером  $>25\mu$ . Описаны методы определения степени измельчения шоколада при помощи микроскопа, седиментации и механич. сепарации; приведены рисунки приборов. Разбираются условия изменения фаз какао-масла ( $\gamma$ ,  $\alpha_1$  и  $\beta$ ) во время темперирования, охлаждения и хранения шоколада. Рекомендуется в начале охлаждения отлитого шоколада держать в шкафу сравнительно высокую т-ру, чтобы воспрепятствовать образованию кристаллов неустойчивой  $\beta$ -фазы. Указаны работы по изучению рентгено-спектрографич. методом процесса темперирования. В. Р.

76747. Аромат шоколада. Кох (The flavor of chocolate. Koch J.), Manufact. Confectioner, 1954, 34, № 12, 17—18 (англ.).

Общие соображения о сохранении и развитии аромата в шоколаде в зависимости от различной обработки шоколадных масс, в частности, при применении ультразвуковых коншей, а также о сохранении аромата в зависимости от качества жиров, смешиваемых с маслом какао. В. М.

76748. Шоколад для больных диабетом. — (Schokolade für Diabetiker.—), Rev. internat. chocolat., 1954, 9, № 5, 142 (нем.).

Шоколад для диабетиков изготавливается из заменителей сахара, являющихся одновременно и наполнителем для получения массы соответствующей консистенции с добавлением сахарина. Заменителями сахара могут быть белковые препараты (пептон, гемоглобин, плазмон, мутаза, соматоза, тропон, зуказин); лучшими терапевтич. и вкусовыми качествами обладают пептоны и зуказин. Рецепт: 60 кг какао-крупки, 40 кг пептона (или зуказина), 60 г ванилина, 50—100 г сахарина. Обработка смеси обычная с предохранением от перегрева пептона (зуказина), подвергающегося хим. изменениям и теряющего свою ценность при высокой т-ре. Л. Б.

76749. Метод определения  $\beta$ -каротина в витаминизированном шоколаде. Бергер, Дитль (Metoda oznaczania  $\beta$ -karotenu w czekoladzie witaminizowanej. Berger Stanislaw, Dietl Barbara), Roczn. Państw. zakł. hig., 1955, 6, № 3, 181—184 (польск.; реф. русс., англ.).

Каротиноиды экстрагируют петр. эфиром на холоду из р-ра шоколада (1,5 г в 5 мл воды). С помощью колориметра или спектрофотометра определяют экстинкцию р-ра, сравнением с калибровочной кривой находят содержание каротиноидов. Для определения  $\beta$ -каротина его отделяют на хроматографич. колонке и определяют с помощью спектрофотометра. Предлагаемым методом открыто 97,3%  $\beta$ -каротина, добавленного к витаминизированному шоколаду. Длительность выполнения двух параллельных определений 90—120 мин. Я. Ш.

76750. Новый и простой способ непрерывного получения молочных корпусов и «фуджей» (конфет типа «ирис»). Горфинкл (A new and simple system for making cream centers and fudge continuously. Gorfinkle William I.), Manufact. Confectioner, 1955, 35, № 6, 95, 96, 98 (англ.).

Предлагается добавлять в конфетную массу желатин высшего качества (0,6—0,8%) и подвергать ее сбиванию. Полученную массу отливают в крахмал или в широкие формы пластом, который после остывания режется на отдельные конфеты (или корпусы). Приводится примерная рецептура и метод изготовления таких конфет. Указывается на возможность получения их непрерывным способом. В. Р.

76751. Изменение процесса производства конфетных масс. Слейтер (Applying food engineering at its best. Mars revolutionizes process. Slater Lloyd E.), Food Engng, 1953, 25, № 5, 57—60, 168, 170 (англ.).

Описаны отдельные узлы поточного произ-ва конфет (непрерывно действующие агрегаты формовки, охлаждения, глазирования и резки конфетных масс) и устройство для изготовления многослойных масс, а также автоматич. приборы для контроля и регулирования процессов производства. В. Н.

76752. Новые методы производства халвы. Гэйнэ (Noi metode de fabricare a halvalei. Găină G. H.), Rev. ind. aliment. prod. vegetale, 1955, № 1, 9—11 (рум.). Предложена обязательная промывка семян и сушка их теплым воздухом до влажности 11% в горизонтальных (с некоторым уклоном) ротационных печах, из которых семена выходят с т-рой 120°. Измельчение семян производится в аппарате, подогретом паром, внутри которого вращается ось (100—120 об/мин), имеющая лопасти под углом 120°. Т-ра карамели (сахар 30%,

глюкоза 70%) держится 110—115°. От входа карамели в аппарат до ее выхода не должно пройти больше 15—20 мин. Окончательную операцию получения халвы предлагается проводить инжектором, с вращающейся головкой.

**А. М. 76753.** Измерение вязкости и ее значение для промышленности. Клейнерт (Die Viskositätsmessung und ihre Bedeutung für die Industrie. Kleinert J.), Techn. Rundschau, 1954, 46, № 24, 29—31 (нем.)

Приводятся данные измерения вязкости структурным вискозиметром «DRAGE» р-ров сахарозы различной конц-ии, масла какао, кокосового масла, бисквитного жира, смеси масла какао с кокосовым маслом или бисквитным жиром, какао массы и помадного кувертюра. Вязкость дается в абс. единицах — динах/см<sup>2</sup> и сантипуазах. Начало см. РЖХим, 1956, 15097.

**М. А. 76754.** Определение наличия молока в некоторых кондитерских изделиях хроматографическим методом. Подразкий, Панхаткова (Chromatografický důkaz přídavku mléka v některých pekařských a cukrářských výrobcích. Podrazký Vladimír, Panchátková Pavla), Průmysl potravin, 1956, 7, № 1, 21—24 (чеш.)

Наличие молока в кондитерских изделиях устанавливали по содержанию в них лактозы (Л). Последнюю определяли методом хроматографии на бумаге (на ватмане № 4) с применением в качестве р-рителя (в оригинале проявитель) смеси *n*-бутанола, уксусной к-ты и воды в соотношении 4:1:5. Проявителем служил р-р кислого шавелевокислого анилина (сп. р-р 1,86 г анилина в 100 мл C<sub>2</sub>H<sub>5</sub>OH и 0,2 н. р-р шавелевой к-ты смешивают в соотношении 1:1). При определении Л методом круговой хроматографии р-рителем служила смесь *n*-бутанола, ацетона и воды в соотношении 2:7:1. Хорошие результаты получены, в частности, при анализе печенья, при применении смеси амлового и изопропилового спиртов, метилэтилкетона, воды в соотношении 3:1:8:1. Л определяли в нескольких пробах печенья, в мороженом и кремах. Приведенный метод пригоден для качеств. определения Л.

**Е. Ш. 76755.** Новейшее развитие кондитерского производства в Нидерландах. Брэдфорд (Modern developments in confectionery production in the Netherlands. Bradford Enid A. M.), Brit. Packer, 1956, 18, № 2, 98—100 (англ.)

Описана крупная голландская кондитерская ф-ка Феркада и Заандам и способы произ-ва бисквита, шоколада и национальных мучных изделий (медовых хлебцев и баски — выпеченных дрожжевых хлебцев из муки, молока, сахара и яиц, разрезанных на ломтики и вновь подсушенных).

**Л. Т. 76756.** Новая фабрика фирмы «Huntley and Palmers» (Huntley and Palmers' new factory.—), Food, 1956, 25, № 293, 50—54 (англ.)

Описана бисквитная ф-ка в Ливерпуле, оборудованная четырьмя механизированными линиями, производительностью 225 т в неделю. Статья иллюстрирована фотоснимками.

**Л. Т. 76757.** Использование лесных плодов, грибов и ягод в отечественной пищевой промышленности. Мрожевский (Użytkowanie produktów runa leśnego w krajowym przemyśle spożywczym. Mrożewski Stefan), Przem. spożywczy, 1955, 9, № 12, 513—515 (польск.)

Обзор важнейших достижений в области использования лесных плодов, грибов и ягод в польской пищевой пром-сти. Вкратце описаны значение, развитие и организация этой отрасли пром-сти, а также направления важнейших исследовательских работ. Библи. 12 назв.

**Я. Ш. 76758.** Влияние влаги и высокой температуры на стенки клеток в растительных тканях. Стерлинг (Effect of moisture and high temperature on cell walls

in plant tissues. Sterling Clarence), Food Res., 1955, 20, № 5, 474—479 (англ.)

Изучено влияние варки на стенки клеток тканей моркови, картофеля и яблок. После варки в различных условиях образцы микроскопировали. При варке в течение ≤ 1 часа клеточные стенки не повреждались. Во всех случаях изменения, происходившие в тканях, ограничивались отделением неповрежденных клеток.

**Г. Н. 76759.** Созревание абрикосов сорта канино в естественных условиях и дозревание плодов в холодильных камерах; технологическое сортоиспытание абрикосов в Марокко в сезон 1954 года. Эрсю, Свинцова (Evolution des abricots canino au verger et en chambres froides, aptitude de ces fruits à la préparation de conserves appertisées durant la campagne 1954 au Maroc. D'Ersu Ph., Swinzow H., m-me), Fruits, 1955, 10, № 10, 469—481 (франц.)

Для изучения физ.-хим. изменений, которым подвергаются абрикосы при дозревании и хранении, определяли легкость отделения плодов от ветки, жесткость плодов на прокол, цветность плодов, трудность отделения косточки, pH сока, содержание растворимых сухих в-в, общую кислотность сока, содержание сахарозы, редуцирующих в-в, аскорбиновой к-ты; проводили органолептич. оценку плодов. Плоды снимали с дерева недозрелыми и в технич. стадии зрелости, хранили при 0, 5, 10°, после чего заливали горячей водой, пастеризовали и подвергали дегустации. Показано, что при хранении недозрелые абрикосы теряют в весе больше, чем в стадии технич. зрелости. При хранении плодов кислотность, содержание сахарозы, аскорбиновой к-ты и жесткость уменьшается. Возрастает содержание редуцирующих в-в, улучшается цветность. При сортоиспытании плодов наибольшее значение имеют следующие показатели: цветность, проба на прокол, содержание растворимых сухих в-в, кислотность, содержание редуцирующих сахаров, отношение редуцирующих сахара к-та. При 10° плоды возможно хранить не более одной недели, при 5° 1—3 недели. Плоды, хранившиеся при 0°, рекомендуются перед консервированием выдерживать при ~20°. Качество консервов, изготовленных из плодов технич. стадии зрелости, значительно выше, чем из недозрелых плодов, подвергнутых дозреванию в холодильных камерах.

**Т. С. 76760.** Хранение в инертной атмосфере. Пфлаг, Дьюи (Controlled-atmosphere storage. Pflug I. J., Dewey D. H.), Agric. Engng, 1955, 36, № 3, 171—172 (англ.)

Описан метод хранения фруктов и овощей в рефрижераторе в инертной атмосфере. Путем понижения содержания O<sub>2</sub> и повышения содержания CO<sub>2</sub> в камере холодильника достигается заметное уменьшение интенсивности дыхания фруктов и овощей, вследствие чего удлиняется время их хранения.

**М. Л. 76761.** Факторы, влияющие на количество плесени в малине. Стейнкранс, Копленд, Педерсон (Factors influencing the mold count of raspberries. Steinkraus Keith H., Copeland Janet M., Pederson Carl S.), Food Technol., 1955, 9, № 3, 124—125 (англ.)

Показано, что продолжительность и т-ра хранения ягод с момента сбора до переработки влияет на количество плесени в ягодах малины. Ягоды, собранные в период дождей, сильнее заражены плесенью. Мойка и сортировка ягод мало снижает количество в них плесени.

**Т. С. 76762.** Влияние заболевания паршой на сохраняемость яблок. Джафаров А. Ф., Сб. науч. работ. Всес. заоч. ин-та сов. торговли, 1956, № 1, 51—72

Изучено влияние повреждения плодов паршой (П) на сохраняемость позднелистных сортов яблок (ренет бумажный, сарсинап и др.), хранившихся с октября по

март — май месяцы в плодохранилище заземленного типа при среднегодовой  $t$ -ре  $1-1,5^\circ$  и относительной влажности воздуха 89—90%. Опыты проводили в течение двух сезонов. Показано, что поражение П увеличивает интенсивность дыхания плодов при хранении, резко увеличивает активность инвертазы и пероксидазы. Через 3—4 месяца хранения наступает изменение хим. состава плодов. В зависимости от степени поражения П яблоки теряли влагу при хранении в 3—7 раз больше, чем контрольные; содержание  $K$ -ты уменьшилось на 43—57,2% (в 2 раза больше, чем в контрольных образцах). Поражение П увеличивает потерю сахаров и витамина С в плодах и не влияет на изменение величины pH. За 6 месяцев хранения в среднем потери в весе здоровых плодов составили 3,1% и пораженных П 8,6%. Плоды, значительно пораженные П, хранить дольше 3—4 месяцев нецелесообразно; при слабом поражении (1—4 пятна) яблоки можно хранить на 2—3 месяца дольше.

**76763. Связь между цветом и влажностью желтой сладкой кукурузы. Люкенс, Мак-Кензи, Кансман** (Color-moisture relations of yellow sweet corn. Lukens H. C., MacKenzie R. P., Kunzman C. H.), J. Assoc. Agric. Chemists, 1954, 37, № 2, 489—499 (англ.)

Изучалась зависимость цвета желтой сладкой кукурузы (К) от влажности — одного из критериев ее зрелости. Початки, замороженные с наружной оболочкой в течение 15 мин., исследовались через 5 час. С помощью фотозлектрич. фотометра получены кривые, показывающие отражение световых лучей разной длины волны в процентах по отношению к отражению света от стандартного окрашенного стекла. На основании полученных кривых вычислены данные, характеризующие цвет, яркость. Затем зерна отделялись от початков и в них определялась влажность высушиванием в вакуум-сушилке. Дальнейшее усовершенствование фотометра позволило получить линейную зависимость преобладающей длины волны, выраженной в показателях шкалы цветности, от влажности кукурузы. Сконструированная опытная модель фотозлектрич. фотометра может использоваться для автоматич. сортировки початков по степени зрелости.

**76764. Влияние жесткости воды на набухание сушеных плодов и овощей. Симпсон, Чжан, Аппел, Болман** (Effect of water hardness in reconstituting dehydrated fruits and vegetables. Simpson Jean I., Chang Irene C. L., Appel Evelyn C., Bollman Marion C.), Food Technol., 1955, 9, № 12, 613—615 (англ.)

Сушеный картофель, лук, зеленые бобы, сахарную кукурузу и яблоки подвергали набуханию в воде, жесткость которой повышена добавлением различных кол-в хлористых, углекислых и сернокислых солей магния и кальция, и в дистилл. воде.  $CaCl_2$  и  $CaSO_4$  вызвали уменьшение поглощения воды всеми изучаемыми продуктами. Влияние  $MgSO_4$  и  $MgCl_2$  менее ясно выражено, они снижали поглощение воды картофелем и зелеными бобами; присутствие  $MgSO_4$  повышало поглощение воды яблоками и очень мало влияло на набухание лука. Наименее закономерным было влияние  $Ca(HCO_3)_2$ . Добавление солей не оказывало большого влияния на набухание сахарной кукурузы и ее структуру после набухания.

**76765. Производство обжаренных в горячем жире ломтиков овощей. Келли, Баум** (Preparation of tasty vegetable products by deep-fat frying. Kelley Edward G., Baum Reba R.), Food Technol., 1955, 9, № 8, 388—392 (англ.)

Опыты обжарки в горячем жире овощей (моркови, свеклы и пастернака), нарезанных тонкими ломтиками и приправленных пряностями, дали положительные ре-

зультаты. Полученный продукт аналогичен жареному картофелю ломтиками. Обжарка погружением в жир зеленого горошка и лимской фасоли дала продукт, напоминающий орехи. В зависимости от вида овощей, обжарку производят при  $135-149^\circ$  в течение 3—10 мин. Конечная влажность продукта 1,8—3,9%. Обжаренные в жире ломтики овощей отличаются высокой питательностью и сохраняются в течение 6—12 месяцев.

**76766. Исследования по приправам из зеленых маслин. XI. Применение чистых культур молочнокислых бактерий. Барболя-и-Алькала, Гомес-Неррера, Искьердо-Тамayo** (Estudio sobre el aderezo de aceitunas verdes. XI. Empleo de cultivos puros de lactobacilos. Borbolla J. Alcalá J. M. R. de la, Gómez Herres C., Izquierdo Tamago A.), An. Real. Soc. española fis. y quim. Ser B., 1954, 50, № 5, 497—504 (исп.; рез. англ.)

Для получения при засоле зеленых маслин хорошо сбраживаемого рассола начальная конц-ия NaCl не должна быть высокой ( $\sim 7\%$ ), конц-ия органич. солей 0,090—0,190 н., желательна добавка 2% глюкозы или сахарозы. Добавка чистой культуры молочнокислых бактерий способствует более быстрому развитию кислотности, улучшает сохранность рассола (препятствует изменению цвета, повышению pH и потемнению из-за быстрого развития дрожжей). В сочетании с органич. сбрасываемыми в-вами добавка чистой культуры вызывает новое брожение и дает возможность исправить рассолы, хранившиеся в течение года и отчасти испорченные.

**76767. Взгляды на технологию производства томатопродуктов. Барре** (Aspects technologiques de la production des tomates. Barret A.), Ann. nutr. et aliment., 1955, 9, № 5—6, 217—219, discuss. 219—220 (франц.)

Доклад о произ-ве томатопродуктов во Франции и Северной Африке; приводятся данные о размерах произ-ва, о содержании в томатах кожицы (3,6—3,7%), семян (10—11%) и мякоти (82—83%), о хим. составе томатов, содержании витаминов и о влиянии некоторых технологич. процессов на потери витаминов ( $\leq 15-20\%$ ). В обсуждении доклада отмечаются вопросы, связанные с бактериальными заболеваниями томатов, с содержанием каротина и аскорбиновой к-ты в томатах и с трудностями селекционной работы.

**76768. Применение электричества в консервировании. Бъчваров** (Консервирване с електричество. Бъчваров Н.), Наука и техника младежта, 1954, № 4, 5, 37—38 (болг.)

Популярное изложение применения токов высокой частоты для стерилизации плодовоовощных консервов.

**76769. Уменьшение количества отходов и увеличение выхода продукции на консервном заводе по переработке ананасов в Кении.** — (Kenya pineapple cannery cuts down waste and raises output.—), Food Manufacture, 1954, 29, № 12, 469—471 (англ.)

Описывается технология произ-ва консервов из ананасов. Особенностью процесса является увеличение использования мякоти ананасов с 23 до 47%. После снятия кожицы и выемки сердцевин, что делается машинным способом, остатки мякоти из отходов отделяют вручную и консервируют отдельно. Остальная часть отходов поступает в протирачную машину, соединенную с экстрактором для произ-ва соковых экстрактов. Получающиеся выжимки идут на корм скоту.

**76770. Аскорбиновая кислота в консервах, изготовленных из плодов манго вместе с другими фруктами. Сиддаппа, Бхатия** (Ascorbic acid in mangoes canned with other fruits. Siddappa G. S., Bhatia B. S.), Indian J. Hort., 1955, 12, № 3, 129—136 (англ.)

Приведены данные о содержании аскорбиновой к-ты (I) и о ее сохранности при хранении фруктовых салатов, приготовленных из плодов манго в различных комбинациях с другими фруктами: бананами, ананасами, апельсинами, плодами хлебного дерева, а также с ананасным соком и с добавлением или без добавления лимонной к-ты в сахарный сироп, применяемый для заливки. Опыты проводились с плодами четырех различных сортов манго. Найдено, что при хранении в течение 63—67 недель при 24—30° общее содержание I в салатах составляло от 5,8 до 21,9 мг%, причем кол-во усвояемой формы I в большинстве случаев находится в пределах 70—90% от общего содержания I. Наиболее высоким содержанием I отличались салаты, изготовленные из плодов манго сортов *Badami* и *Bangalore*. Добавление возрастающих кол-в лимонной к-ты к сиропу от 0 до 1,2% не оказывает заметного влияния на содержание усвояемой формы I. Приводится краткое описание техники определения содержания закисного железа и редуктонов наряду с общим кол-вом I и ее усвояемой формой. Отмечается, что не прямое определение закисного железа может служить в качестве показателя коррозии консервной тары. В. Г.

**76771. Перемещение воды и сахаров в консервированных плодах. Росс** (The translocation of sugars and water in canned fruits. Ross E.), Food Technol., 1955, 9, № 1, 18—22 (англ.)

Исследовалось влияние пяти типов заливочного сиропа (с различным содержанием сахарозы, глюкозы и др.) при 3-месячном хранении фруктовых компотов из 6 видов плодов на изменения веса плодов и плотности сиропа. Эти изменения обуславливаются диффузионными свойствами сахаров и объясняются их перемещением из заливки в плоды и воды из плодов в заливку. Перемещение воды прекращается при достижении изотонич. условий в плодах и сиропе; проникновение сахаров в плоды не прекращается вследствие разности конц-ий. Установлено, что плотность сиропа при хранении компотов практически не зависит от типа заливочного сиропа, а увеличения веса плодов зависят от вида плодов и типа заливочного сиропа. Сироп с относительно высоким содержанием высокомолекулярных сахаров показал меньшую степень перехода сахаров в плоды и более интенсивное перемещение воды в сироп. Г. П.

**76772. Сообщение об опытах по изготовлению варенья из померанцев в технологической лаборатории Института колониальных фруктов и овощей в Марокко (Эн-Себаа). Патрон** (Compte-rendu des essais de fabrication de confitures d'orange amère (Bigarade) au Laboratoire de technologie de l'Institut des fruits et agumes coloniaux du Maroc (Ain-Sebaa). Patron A.), Fruits et prim. Afrique Nord, 1955, 25, № 270, 313—315 (франц.)

Описываются рецептуры и способы приготовления варенья из померанцев и апельсинов, аналогичного английскому апельсиновому мармеладу. Выполнено 8 испытаний в комбинации померанцевой пульпы с сахаром в различном соотношении с добавлением отходов, получаемых при изготовлении соков из различных цитрусовых. Приводятся данные органолептит. испытаний. Б. К.

**76773. Мероприятия для улучшения качества зеленого горошка при производстве консервов. Хейнце** (Maßnahmen zur Qualitätsverbesserung von grünen Erbsen bei der Konservenherstellung. Heintze K.), Industr. Obst- und Gemüseverwert., 1956, 41, № 10, 199—201 (нем.)

Исследовалось ухудшение качества зеленого горошка в зависимости от условий и продолжительности хранения и при последующем бланшировании, для чего определялась его кислотность и потери в содержании сахара и витамина С. Описаны опыты по сохранению цвета

зеленого горошка в зависимости от состава и щелочности воды, применяемой для бланширования, а также воды, используемой при приготовлении р-ра для заливки горошка и по выяснению условий, препятствующих помутнению заливочной жидкости в консервах. Для улучшения качества консервов из зеленого горошка рекомендуется перерабатывать по возможности наиболее свежее сырье; горошек в стручках при охлаждении можно хранить ≤2 дней; душистый горошек должен храниться в ледяной воде или в мелкодробленом льду. Для лучшего сохранения цвета и вкуса следует применять замачивание зеленого горошка в 2%-ном р-ре соды в течение 30—60 мин. с последующим бланшированием в течение 3 мин. в водопроводной воде с добавлением 0,5 или 1 г СаО на 1 л. Для приготовления заливки рекомендуется применять водопроводную воду с содержанием СаО от 100 до 150 мг/л с добавлением 1% сахара и 1% поваренной соли. Кол-во СаО, необходимое для осаждения карбонатной жесткости в водопроводной воде, нужно определять отдельно и прибавлять к ранее указанному кол-ву; подщелоченная заливочная жидкость должна перед применением осаждаться в течение одного дня. Рекомендуется также применять стерилизацию в течение более короткого времени, но при более высокой т-ре, а также употреблять для консервирования сорта горошка, наиболее богатые хлорофиллом: «Зальцмюндерский зеленый» или «Зальцмюндерский ранний» и применять лакированные банки. В. Г.

**76774. Разработка стандартного образца замороженного зеленого горошка для оценки изменения вкуса при хранении. Уорд, Богс** (Development of a frozen pea reference standard for taste tests involving storage. Ward Alice Collings, Boggs Mildred M.), Food Technol., 1956, 10, № 3, 117—119 (англ.)

Исследовались условия замораживания, упаковки и хранения зеленого горошка, при которых в нем сохраняются после одного года хранения вкусовые качества свежесобранного горошка, для выработки стандартного образца для дегустаций, определяющих изменение вкуса продукта при его хранении. Применена стандартная схема подготовки горошка и его замораживания: бланширование паром — 60 сек. (контроль — отрицательная проба на перекисидазу и каталазу), охлаждение 2 мин.; замораживание в потоке воздуха, охлажденного до —23°. Упаковку производили в жестяные банки с герметич. закаткой на воздухе и в атмосфере N<sub>2</sub>. Образцы хранили при —23, —34 и —51° в течение 4, 8, 10 и 13 месяцев. После дегустации рекомендованы в качестве контрольных образцы зеленого горошка, герметич. упакованные на воздухе, замороженные после стандартной обработки и хранившиеся при —34° и ниже не более 13 месяцев. А. Е.

**76775. Качество замороженных персиков и нектаринов некоторых сортов. Демари, Каллеппер, Хейвис** (Quality of some varieties of frozen peaches and nectarines. Demaree Kenneth D., Culpepper Charles W., Havis Leon), Food Packer, 1955, 36, № 9, 28, 39—40 (англ.)

Произведена сравнительная оценка пригодности для хранения замороженных персиков и нектаринов различных сортов, выращенных в Мерилэндо в 1949, 1950 и 1951 гг. Плоды были собраны оптимально спелыми, заморожены с добавлением 1 ч. сахара на 4 ч. плодов и 1 ч. аскорбиновой к-ты на 1000 ч. плодов и расфасованы в небольшие картонные пакеты. После хранения при —17,8° в течение 5,5 месяца имели превосходное качество персики: Stevenson Cling, Judy Elberta, Raritan Rose, Kalhaven, Fredberta, Ranger, Vedette, Prairie Schoner, Herbhale, Rio-Oso-Gem, Short, Late Rose; хорошее — Salberta, Romance, Southland, Wild Rose, Ozark, Triogem, Prairie Rambler, Sandhill № 1, Elberta; удовлетворительное — Sullivan Elberta, White Hale, Golden

Beauty, Loring, Prairie Daybreak, Autumn, G. H. Hale, Newday; плохое — Ambergem и Cheryred. Нектарины Rubired имели хорошее качество, Peacharina — удовлетворительное и Gower — плохое. Г. Н.

**76776.** Значение образцового культивирования плодовых и ягодных растений для качества фруктово-ягодных соков. Хейнрикс (Die Bedeutung beispielhafter Beerenobstanpflanzungen für den Betriebserfolg der Süßmosterei. Heinrichs Peter), Flüssiges Obst, 1956, 23, № 3, 18—20 (нем.)

**76777.** Фундаментальное изучение производства сока цитрусового плода натсумикана (VIII). Использование отходов при производстве сока (I). Номура, Найто (夏蜜柑果汁製造に關する基礎的研究. (第8報). 果汁製造残渣の利用について. (其の1). イオン交換樹脂を利用してのペクチンの製造. 野村男次, 内藤信隆), 醸酵工學雜誌, Хакко когаку дзасси, J. Ferment. Technol., 1953, 31, № 7, 275—279 (япон.; рез. англ.)

Проведен опыт изготовления пектина из кожицы натсумикана после получения сока с применением ионообменников. Пектин экстрагируют из кожицы 0,1%-ной HCl, осаждают из экстракта 0,02%-ным р-ром  $\text{CuCl}_2$  и отфильтровывают через тканевый фильтр. Полученную  $\text{Cu}$ -соль пектина (1000 г) растворяют при добавлении HCl (4 мл) и пропускают через ионообменные смолы (катиониты и аниониты). Р-р пектина после обработки не содержит ионов  $\text{Cu}$ , бесцветен и не имеет горького и кислого привкусов, его желеобразующая способность 5—6. Сухой пектин, изготовленный из этого р-ра, обладает очень высокой желеобразующей способностью ( $> 110$ ) и по качеству выше пектиновых препаратов из цитрусовых плодов, изготовленных другими способами. Часть VII, см. РЖХим, 1956, 73546. В. Г.

**76778.** Влияние количества мякоти на химические и физические свойства цитрусовых соков и концентратов. Рауз, Аткинс, Хаггарт (Effect of pulp quantity on chemical and physical properties of citrus juices and concentrates. Rouse A. H., Atkins C. D., Huggart R. L.), Food Technol., 1954, 8, № 10, 431—435 (англ.)

Изучались концентраты из ананасов, апельсинов, грейпфрутов; хим. и физ. данные определялись до концентрирования, после обработки и после выдержки при 27° в течение 24 час. Содержание мякоти было от 2 до 26%. Определялось ее влияние на кол-во нерастворимых в воде сухих в-в, на активность пектинстеразы и на пектиновые в-ва. И. Б.

**76779.** Клюквенный экстракт. Битнер (Ekstrakt żurawinowy. Bitner J.), Techn. przem. spożywc., 1956, 5, № 1, 28—29 (польск.)

Описана технология получения клюквенного экстракта. Размельченные ягоды подвергают спиртовому брожению при 30—35°, сок отжимают и уваривают в вакуум-аппарате при  $t$ -ре  $< 60^\circ$  до уд. в. 1,28—1,32. Экстракт имеет кислотность в пересчете на лимонную к-ту 25—32%, содержание растворимых в-в 61%, содержание сухих в-в 64%, витамина С 30—50 мг%. 1 г экстракта соответствует 65—70 г свежих ягод. Я. Ш.

**76780.** Изготовление сухих фруктовых и овощных соков пульверизацией. Гарсилльян, Госальвес (L'essiccamento dei succhie di frutta e d'ortaggi mediante atomizzazione. Garcillan A., Gosalvez F.), Ind. conserve, 1955, 30, № 3, 187—188 (итал.)

Краткое описание методов с анализом стоимости готовой продукции. А. М.

**76781.** Факторы, влияющие на образование осадка в томатном соке. Робинсон, Кимбалл, Рэнсфорд, Мойер, Ханд (Factors influencing the degree of settling in tomato juice. Robinson W. B., Kimball Lillian B., Ransford J. R.,

Moyer J. C., Hand D. B.), Food Technol., 1956, 10, № 2, 109—112 (англ.)

Различия в условиях произ-ва приводят к значительным колебаниям в степени образования осадка в томатном соке. Проведенным исследованием установлена обратная зависимость величины осадка плотных частиц сока от его вязкости. Степень образования осадка определяется кол-вом нерастворимых частиц в суспензии. Гомогенизация снижает осаждаемость частиц, уменьшая их величину. Кол-во пектина не оказывает большого влияния на образование осадка. А. Е.

**76782.** Развитие техники десульфитации и производства ароматизированных соков. Фланзи, Андре (L'évolution des techniques de désulfuration et l'élaboration des jus aromatisés. Flanz M., André P.), Compt. rend. Acad. agric. France, 1955, 41, № 17, 738—740 (франц.)

Излагаются основы существующих методов десульфитации соков. Разработан способ непрерывной десульфитации соков с помощью аппарата, состоящего из двух концентрич. труб, сборника и конденсатора. Внутренняя труба оборудована плоскими тарелками, через которые проходят пары  $\text{SO}_2$  и  $\text{H}_2\text{O}$  по пути в конденсатор.  $\text{SO}_2$  отсасывается, а конденсат стекает по внутренней поверхности внешней трубы в сборник, куда одновременно стекает сок из тарелок внутренней трубы. Десульфитированный сок из сборника поступает на розлив в бутылки, который осуществляется под разрежением. Давление в аппарате 45 см рт. ст.,  $t$ -ра кипения сока 80°,  $t$ -ра сока при розливе 70°. Содержание общего  $\text{SO}_2$  в соке снижается с 800—1000 мг/л до 12—45 мг/л, причем отмечено, что содержание остаточного  $\text{SO}_2$  возрастает со снижением кислотности сока. Экспериментально установлено, что наилучшего качества сок получается из не вполне созревшего винограда. Для улучшения ароматич. свойств сока рекомендуется примешивать к основному соку незначительное кол-во постороннего высокоароматного сока, избегая добавления синтетич. ароматич. соединений. Г. О.

**76783.** Значение предварительного испытания на присутствие бактерий типа *Coli* в применении к апельсиновому соку. Уолфорд (Significance of the presumptive coliform test as applied to orange juice. Wolford E. R.), Appl. Microbiol., 1955, 3, № 6, 353—354 (англ.)

Предварительное испытание замороженного апельсинового сока на присутствие бактерий типа *Coli*, основанное на сбраживании спец. лактозного бульона, зараженного испытуемым продуктом, и на образовании при этом газа, часто дает неправильные положительные результаты, которые не подтверждаются при полном микробиол. исследовании. Образование газа вызывают другие микроорганизмы, сбраживающие сахара апельсинового сока. Опыты параллельного заражения продажным, не подвергавшимся тепловой обработке, конц. замороженным апельсиновым соком после разведения и нейтр-ции NaOH до pH 6,0 пробирок со стандартным лактозным бульоном и с питательным бульоном, не содержащим сбраживаемого сахара, показали, что газ образуется в обеих средах. Полное исследование микрофлоры газообразующих пробирок подтвердило наличие бактерий типа *Coli* не во всех пробирках. Кол-во неправильных положительных результатов предварительного испытания доходило до 77%. А. К.

**76784.** Определение кислотности некоторых естественных соков кондуктометрическим способом. Выхалковская (Kwasowość stechiometryczna niektórych soków naturalnych miareczkowana konduktometrycznie. Wyszalkowska W.), Przem. spożywczy, 1955, 9, № 1, 25—28 (польск.; рез. русс., англ.)

Проверка возможности применения кондуктометрич. метода для определения кислотности жидкостей в тех

случаях, когда титрование в присутствии индикатора не дает удовлетворительных результатов (при титровании сильно окрашенных р-ров или при низкой концентрации слабых к-т в присутствии  $\text{CO}_2$ ). Описан прибор и методика определения (титрование  $\text{LiOH}$ ). Приведены результаты определения кислотности сока картофеля, свеклы, моркови и томата. Во всех случаях оказалось возможным точно определить момент нейтр-ции. Полученные результаты позволяют считать, что кондуктометрич. метод может быть с успехом применен для определения титруемой кислотности естественных соков в тех случаях, когда прямое титрование невозможно или затруднено. Отмечена слабая буферность томатного сока и сильная буферность остальных соков. Л. Ш.

**76785. Открытие и количественное определение бензойной кислоты в фруктовых соках, мармеладе, кондитерских изделиях и аналогичных продуктах.** Порретта (Riconoscimento e determinazione quantitativa dell'acido benzoico nei succhi di frutta, marmellate, confetture e prodotti analoghi. Porretta Antonino), Ind. conserve, 1954, 29, № 4, 281—283 (итал.; рез. англ.)

Для открытия бензойной к-ты (I) и ее производных пищевые продукты извлекают щел. р-ром (2—3 мл 2 н.  $\text{NaOH}$  в 25—30 мл воды), выпаривают на водяной бане досуха, извлекают 80° спиртом + 0,2 мл конц.  $\text{HCl}$  и фильтруют. Фильтрат наносят на бумагу Ватман № 1 и хроматографируют. Р-ритель смесь: ацетон — бутильный спирт — 1 н.  $\text{NH}_4\text{OH}$  + 1 н.  $(\text{NH}_4)_2\text{CO}_3$  (20 : 15 : 20). Через 16 час. хроматограмму нагревают 5 мин. при 150° и наблюдают в УФ-свете — отчетливо видно пятно салicyнловой к-ты. Проявляют р-ром 5 ч. 0,1%-ного спирт. метилового красного + 10 ч. фосфатного буфера pH 7. Наблюдают пятна I и ее производных. Для колич. определения I щел. экстракт пищевого продукта, содержащий ~ 0,3—0,8 мг I выпаривают на водяной бане досуха, прибавляют 1 мл конц.  $\text{H}_2\text{SO}_4$ , содержащей 10%  $\text{NaNO}_3$  и нитруют на кипящей водяной бане 30 мин. Охлаждают, прибавляют 2 мл воды, 2 мл 3%-ного р-ра сульфата гидроксиламина и 10 мл  $\text{NH}_4\text{OH}$  (1 : 1). Хорошо перемешивают и нагревают на водяной бане до 65° в течение 3 мин. Охлаждают и фотокolorиметрируют при 510 мк. Содержание I находят по калибровочной кривой, построенной по чистой I. Средняя погрешность < 3%. В присутствии производных I, мешающих определению, выделяют I, как указано при ее открытии, вымывают I из хроматограммы 95° спиртом, выпаривают досуха и определяют I. Б. А.

**76786. Быстрый метод определения содержания сухих веществ в томатах.** Ахмед Фахми Мабрук, Абдель Азиз Хуссейн, Хуссейн Ареф (A rapid method for the determination of total solids in tomatoes. Ahmed Fahmy Mabrouk, Abdel Aziz Hussein, Hussein Aref), J. Sci. Food. and Agric., 1956, 7, № 4, 257—261 (англ.)

Проверена применимость ур-ния Крюсса, выведенного им для определения содержания сухих в-в в калифорнийских томатах, к определению сухих в-в в томатах, произрастающих в Египте. В 101 образце сырой томатной пульпы содержание сухих в-в определялось высушиванием в вакууме при 70° и с помощью рефрактометра с последующим вычислением по ф-ле Крюсса. На основании полученных данных выведена уточненная ф-ла для вычисления содержания сухих в-в в египетских томатах:  $X = 522,60 \cdot n_D - 695,26$ . Отмечается, что расхождение в результатах, получаемых при вычислении по этому ур-нию и по ур-нию Крюсса, зависит от различия в соотношении растворимых и нерастворимых веществ в калифорнийских и египетских томатах. В. Г.

**76787. Влияние ионов кальция на стойкость молока.** Шмидтова (Wpływ jonów wapnia na trwałość

mleka. Schmidtowa Lidia), Przegl. mleczarski, 1955, 3, № 4, 21—22 (польск.)

Дается описание порока молока, известного под названием «Утрехтской аномалии», обусловленное слишком высоким содержанием в молоке свободных ионов Са. Высказывается предположение, что свертывание молока во время грозы может объясняться ионизацией связей Са. В. Н.

**76788. Основные положения современных процессов производства стерилизованного молока.** Бешоле, Брей, Карвалло, Жатон, Лансело, Мокко, Бянь (Méthodes générales des procédés modernes de préparation du lait stérilisé. Becholey, Breil, Carvallo, Jaton, Lancelot, Mocquot Pien), Ann. nutr. et aliment., 1955, 9, № 2, C 11—C 29 (франц.)

Обзорная статья по вопросам подготовки молока, гомогенизации разными способами, пастеризации при высоких т-рах, стерилизации в автоклавах непрерывного действия, а также моментальной стерилизации непрерывным способом путем прямой конденсации пара. Даны схемы процессов. А. Т.

**76789. Стерилизация молока горячим воздухом.** Спорл (Sterilizing milk by hot air. Spörle Charles H.), Food., 1955, 24, № 286, 232—233 (англ.)

Описан новый способ стерилизации молока, применяющийся в Швеции. Консервные банки емк. 310 и 400 г предварительно стерилизуются паром, затем наполняются гомогенизированным, подогретым до 72° молоком и закатываются. Применяются крышки с резиновой кольцевой прокладкой. Банки орошаются горячей водой при 80° и поступают в трехсекционный стерилизатор емк. на 800 банок, где они при непрерывном движении стерилизуются горячим сухим воздухом при 145°, движущимся со скоростью 10 м/сек. Т-ра воздуха регулируется автоматически. Т-ра продукта при входе в аппарат 70°, при выходе 123°, время стерилизации 15 мин., производительность установки 3200 банок в час. Из стерилизатора банки поступают на охлаждение водой до 30° в течение 10 мин. После обработки молоко полностью стерильно, не имеет привкуса кипячения и сохраняет нормальный цвет. Способ успешно применен для стерилизации сливок жирностью 40 и 15%. Эксплуатационные расходы при стерилизации молока этим методом очень низки. В. С.

**76790. Термоустойчивые бактерии в молоке.** Ийенгар, Джаяшанкар, Ия (Thermophilic bacteria in milk. Iyengar M. K., Krishna, Jayashankar S. R., Iya K. K.), Proc. Soc. Biol. Chemists (India), 1954, 12, 36 (англ.)

Приведены результаты изучения термоустойчивых бактерий, выдерживающих 63° в течение 0,5 часа, в 1200 образцах молока. А. П.

**76791. Бактерии, выдерживающие пастеризацию, и их влияние на качество рыночного молока.** Свартлинг (Postörintia kestävätkä bakteerit ja niiden vaikutus kulkutusmaidon laatuun. Swartling Per), Karjantute, 1954, 37, № 6, 165—169 (фин.)

Приведены результаты опытов по кратковременной пастеризации и последующему хранению рыночного молока. М. Т.

**76792. Приготовление шоколадного молочного напитка.** Гибсон (Manufacturing chocolats flavoured dairy drink. Gibson D. L.), Canad. Dairy and Ice Cream J., 1955, 34, № 2, 60 (англ.)

Описаны способ и спец. установка для приготовления напитка из молока, какао-порошка и сахара. Смешивание происходит при помощи насоса, который одновременно засасывает из чана нагретое до 71° молоко, а из воронки какао-порошок с сахаром или без него; в последнем случае сахар добавляется в молоко. Циркуляция продолжается до израсходования рецептурного кол-ва

какао и сахара. Приготовленный напиток пастеризуется и охлаждается. В. Р.

**76793. Редуктазная проба. Часть 1. Чарлетт** (The methylene blue reduction test. I. Charlett S. M.), Dairy Inds, 1955, 20, № 7, 576—579 (англ.)

Обзор литературы по вопросу изучения редуцирующей способности молока с применением метиленового синего и других красящих в-в. Библ. 102 назв. Л. К.

**76794. Определение жира в молоке. Войнов** (Определение процента млечна мазнина на млякото. Войнов Димитър Г.), Животновъдство и вет. дело, 1955, 9, № 3, 35—38 (болг.)

Описаны отбор проб, их подготовка и определение жира в молоке по методам Гербера и Димова. По методу Димова, вместо  $H_2SO_4$  и амидового спирта, применяют следующий реактив: 40 г NaCl и 80 г NaOH растворяют в 1 л воды; 950 мл 95%-ного  $C_2H_5OH$  смешивают с 45 мл амидового спирта; р-р сливают вместе. А. М.

**76795. Розлив высококачественного молока. Финнеган, Бабб, Уоссум, Граф** (Dispensing quality milk. Finnegan E. J., Babb E. M., Jr, Wassum G. C., Graf G. C.), Milk Plant Monthly, 1955, 44, № 6, 27—30, 43 (англ.)

Проведено сравнительное изучение качества пастеризованного молока при автоматич. розливе во флаги и бутылки и производительности этих способов розлива. Е.

**76796. О конструкции дозирующих устройств для молока. Тайдман, Майлон** (Bulk milk dispensers. Tideman Walter D., Milone N. A.), J. Milk and Food Technol., 1955, 18, № 5, 122—129 (англ.)

Изучалось влияние разных систем молочных насосов, стеклянных и бумажных бутылок, а также нескольких дозирующих устройств на бактериальную обсемененность гомогенизированного пастеризованного молока после розлива в тару. На основе полученных результатов рекомендуется применение автомата для розлива во флаги, сходного по устройству с бутылорозливочной машиной. Г. Т.

**76797. Сушка молока быстрым замораживанием. Ле-Рой** (Quick-freeze drying of milk. Le Roi David), Irish Agric., Creamery Rev., 1953, 18, № 236, 19—22 (англ.)

См. РЖХим, 1954, 22879.

**76798. Метод определения содержания l-аскорбиновой кислоты в сухом молоке. Седлачек, Рыбин** (Metodika stanovení kyseliny L-askorbové v sušeném mléce. Sedláček B., Rybín R.), Českosl. hyg., 1956, 1, № 1, 48—53 (чеш.; рез. русс., англ.)

Для стабилизации аскорбиновой к-ты применяется 0,2%-ный р-р щавелевой к-ты; депротенизация производится насыщ. р-ром щавелевой к-ты и NaCl. Содержание аскорбиновой к-ты определяется титрованием 0,001 н. 2,6-дихлорфенолиндифенолом. А. П.

**76799. Переработка молока, имеющего различную А-витаминную активность. Давидов Р., Порядкова К.** Молоко. пром-сть, 1955, № 7, 39—40

При кормлении трех групп коров кормами с различной А-витаминной активностью (1-я группа — корм, относительно бедный каротином; 2-я группа — естественные корма, богатые каротином; 3-я группа — рацион 1-й группы с добавлением концентрата витамина А) получено молоко со следующим содержанием витамина А (в мг/кг): 1-я группа 0,23, 2-я — 0,39 и 3-я — 0,91. Продолжительность сбраживания масла из сливок, полученных сепарированием этого молока, была почти одинакова для 1-й и 2-й групп. Сливки 3-й группы отличались наибольшей продолжительностью сбраживания и повышенным содержанием жира в пахте, что говорит о существенных изменениях в белковой и жировой фазах молока этой группы. Существенной разницы в органи-

ческих показателях качества масла из молока трех групп не обнаружено. Содержание витамина А в масле 1-й, 2-й и 3-й групп соответственно составляло 3,85; 5,85 и 11,42 мг/кг. Наиболее стойким к окислению является жир, полученный из молока коров 3-й группы. В. Ф.

**76800. Об использовании молока первых дней лактации при выработке масла. Сапрыгин** (Die Verwertung der Milch der ersten Tage der Laktation bei der Buttererzeugung. Saprygin G.), Dtsch. Milchwirtsch., 1956, 3, № 5, 102—103 (нем.)

Перев. См. РЖХим, 1956, 38107.

**76801. Сезонные колебания числа масляной кислоты в заводских маслах. Лясковский** (Liczba kwasu masłowego w masłach mleczarnianych w poszczególnych miesiącach 1952—1953R. Laskowski Kazimierz), Roczn. Państw. zakł. hig., 1954, 5, № 4, 391—393 (польск.; рез. русс., англ.)

По данным определения чисел масляной к-ты (ЧМК) в образцах сливочного масла, выработанного на польских маслодельных з-дах на протяжении 1952—1953 г., этот показатель составлял 17,65—21,42, со средним для 605 образцов 19,78. В результате аналогичной работы Рейнарта, проведенной в 1937 г. с бельгийскими маслами, среднее ЧМК для 93 образцов равнялось 19,5. Тесная сходимость польских данных с результатами Рейнарта и незначительность сезонных колебаний, не превышавших 2,20, позволяют считать ЧМК довольно постоянной константой с колебаниями в пределах 19—21; автор полагает, что ЧМК может служить основой для определения фальсификации масла с учетом приведенных цифр. В. Н.

**76802. Влияние хранения на константы коровьего масла. Черутти** (Influenza della conservazione sulle costanti del burro. Cerutti Giuseppe), Latte, 1953, 27, № 11, 602—604 (итал.)

См. РЖХим, 1956, 27675.

**76803. Неоднородность цвета масла. Долби** (Spotted colour in butter. Dolby R. M.), New Zealand J. Sci. and Technol., 1955, A36, № 6, 527—547 (англ.)

Исследованы возможные причины наблюдающейся иногда пятнистости в соленом масле. Установлено, что она вызывается в основном недостатком воды для полного растворения кристаллов соли. Это наблюдается в тех случаях, когда значительная часть воды во время обработки масла содержится не между отдельными зернами, а внутри их. Такому распределению воды способствует: вкрапление, разбавление и недостаточное охлаждение сливок, высокая т-ра сбивания и постановка крупного зерна. Даны рекомендации для предупреждения порока «пятнистость». А. Г.

**76804. Окисление сливочного масла. Чалмерс** (Die Oxydation des Butterfettes. Chalmers C. H.), Osterr. Milchwirtsch., 1955, 10, № 23, 349—350 (нем.)

Указывается на то, что пороки, связанные с окислением масла, обусловлены частично наличием лецитина и легко окисляющейся олеиновой к-ты. Развитию порока благоприятствуют: пониженное содержание каротина, присутствие металлов, в частности меди, и повышенное содержание молекулярного кислорода. Пастеризация и гомогенизация молока также способствуют развитию этого порока в масле. Каротин и аскорбиновая к-та являются антиоксидантами. Питание коров кормами, богатыми каротином, предупреждает появление окисленного вкуса и улучшает цвет и вкус молока. В. Ф.

**76805. Метод определения посторонних жиров в молочных продуктах. Бхалерао, Куммеров** (A method for the detection of foreign fats in dairy products. Bhalerao V. R., Kummerow F. A.), J. Dairy Sci., 1954, 37, № 2, 156—161 (англ.)

Предложен метод, позволяющий открыть примесь

10% посторонних, растительных или животных жиров к молочному жиру, основанный на различной растворимости триглицеридов в абс. этаноле и различной скорости этерификации их при определенных условиях. Исследуемый образец масла разделяется на фракции триглицеридов. По изменению показателя преломления  $n$  в одной из фракций устанавливают наличие постороннего жира. Растворимая и не растворимая в абс. этаноле фракции натурального молочного жира мало отличаются по величине  $n$ . Нерастворимая фракция натурального масла имеет  $n = 1,4542$ , с примесью 10% постороннего (не кокосового) масла  $n = 1,4550$ . В растворимой фракции натурального масла 1,4540 при добавлении 10% кокосового масла снижается до  $n = 1,4532$ . Искусств. молочный жир, приготовленный из смеси кокосового и животного жира, может иметь одинаковые константы с натуральным маслом и примесь 10% такой смеси к натуральному маслу по  $n$  можно установить лишь с применением точного рефрактометра. Во всяком случае метод может служить для отсеивания подозрительных образцов.

Н. Б.

**76806. Качество молока для выработки сыра. Кнуру** (Juustolamidon laatu. Kiuru Vilho), Karjalainen, 1955, 31, № 5, 113—115 (фин.).

Указывается, что в 1954 году в Финляндии выработано 23 000 т сыра, что на 100% превышает его произ-во в довоенные годы; из этого кол-ва экспортировано 11 300 т. Резко улучшилось качество сыра. Излагаются требования к молоку для произ-ва сыра, в частности указывается на влияние кормов, лекарственных препаратов и лактационного периода на качество молока для сыроварения.

М. Т.

**76807. Липазы, применяемые в производстве итальянских сыров. I. Общая характеристика. Харпер, Гулд** (Lipase systems used in the manufacture of Italian cheese. I. General characteristics. Harper W. J., Gould I. A.), J. Dairy Sci., 1955, 38, № 1, 87—95 (англ.).

Изучалась активность липаз, содержащихся в 10 различных препаратах, применяемых в произ-ве итальянских сыров и изготовленных из сычугов, в зависимости от т-ры и продолжительности инкубации, величины pH и конц-ии субстрата. В качестве последнего применялись сливки 20% жирности. Для устранения изменений pH во время выдерживания применялись фосфатные и фталатные буферные смеси. Активность липаз устанавливалась измерением кол-ва свободных жирных к-т, определяемого титрованием экстракта, полученного обработкой сливок р-рителем. В препаратах из сычуга теленка и козленка обнаружены по три липазы с оптимальной активностью при pH соответственно 5,3; 6,1; 7,5 и 8,6; 6,2 и 5—6. В препаратах из сычуга агнаты найдены две липазы с оптимальным pH 5,9 и 6,6.

В. Н.

**76808. Расщепление жира в шведских твердых сырах. Шюстрём, Вилларт** (Fettsjälkning i svensk hård löseost. Sjöström Gunnar, Willart Stig), Svenska mejeritidn., 1954, 46, № 19, 293—295, 297—298 (швед.).

Начало см. РЖХим, 1956, 63694.

**76809. Современное состояние техники пастеризации в Западной Германии. Хильбург** (Der derzeitige Stand der Milcherhitzertechnik in Westdeutschland. Hilburg W.), Arch. Lebensmittelhyg., 1955, 6, № 13—14, 141—144 (нем.).

Новые пастеризационные установки характеризуются применением штампованных одностипных пластин, между которыми молоко движется потоком по всей ширине пластины. Для повышения коэфф. теплопередачи на поверхности пластин имеются выступы, рифлы, вызывающие искусств. турбулизацию потока при сравнительно малой скорости движения жидкости. Такие пластины обладают высокими механич. и теплотехнич. показате-

лями, легки и компактны. При тех же размерах аппарата увеличена секция регенерации и повышена регенерация тепла с 65% у старых моделей до 80% у новых. Кратковременная пастеризация при 71—74° с выдерживанием в потоке 30—36 сек. применяется не только в цельномолочной пром-сти, но и в сыроделии. Используют преимущественно трубчатые выдерживатели. В качестве теплоносителя широко применяют горячую воду и пар. Пластины изготовляют из хромоникелевой стали (Cr—18%, Ni—8%) с содержанием углерода  $\leq 0,1\%$ , а также из хромоникельмолибденовой стали, обладающей большей хим. стойкостью. Установки повсеместно снабжаются приборами автоматич. контроля и регулирования процесса. Эффективность пастеризации новыми аппаратами составляет при 71° 98%, 74° 99,5%. Число микробов в молоке после высокой пастеризации  $\sim 1$  тыс., при кратковременной 25—80 тыс. в мл.

Н. Б.

**76810. Реконструкция фабрики мороженого фирмы «Acme Farmers Dairy Ltd» (Торонто).**— (Acme Farmers Dairy modernizes ice cream plant.—), Canad. Dairy and Ice Cream J., 1955, 34, № 2, 34—35, 54 (англ.).

Описание ф-ки после реконструкции. Ф-ка выпускает  $\sim 5700$  т мороженого в год. Реконструкция основных цехов осуществлена на ходу во время рабочего сезона.

Н. Б.

**76811. Определение убойных выходов кур. Любушкина З. С., Маринец П. Г., Мостовских З. П., Сб. студ. работ. Моск. технол. ин-та, мясной и молочной пром-сти, 1955, № 3, 78—80**

Определены убойные выходы продукции петушков и курочек — молодок породы леггорн. В зависимости от сорта птицы выхода разделанной тушки (без субпродуктов, внутреннего и подкожного жира) составляют от убойного веса 54—59%; подкожного жира 2,5—5,49%, внутреннего жира 2,37—5,51%, кишечного жира 0,49—1,95%. Выход органов и тканей, не используемых в пищевых целях, с повышением сортности уменьшается.

Л. Ш.

**76812. Исследование водопоглотительной способности свинины. Яницкий, Вальчак** (Badania nad wodochłonnością mięsa wieprzowego. Janicki M. A., Walczak Z.), Med. weteryn., 1955, 11, № 5, 286—291 (польск.; рез. русс., англ.).

Водопоглотительная способность (ВС) свинины в летние месяцы значительно изменяется по сравнению с другими временами года. ВС окорока, филе, лопатки и верхней части лопатки может быть представлена пропорцией 100 : 72,3 : 120,6 : 122,7. В окороке наибольшую ВС имеют мышцы голяшки, затем три основные группы мышц: quadriceps, semitendinosus и biceps femoris и, наконец, semimembranosus, adductor, gracilis и pectineus. Передняя часть филе обладает большей ВС, чем задняя. ВС свинины быстро понижается после убоя и достигает минимума к 48 час. хранения, после чего наблюдается медленное повышение ВС. Для уменьшения усушки необходимо быстрое охлаждение мяса после убоя животного. Начало см. РЖХим, 1956, 21219. А. П.

**76813. О пороке «водоотдача» в свинине. Вальц** (Über das Vorkommen des Fleischfehlers «Wasserlässigkeit» in Schweinefleisch. Walz E.), Arch. Lebensmittelhyg., 1955, 6, № 9/10, 103—107 (нем.).

Установлено, что часть воды в мясе прочно связана с белковыми в-вами мышц электростатич. силами (связанная вода) и не отжимается при прессовании; другая связана менее прочно (адсорбция, капиллярные силы в межфибрильном пространстве) и отделяется при прессовании мяса. Шёнберг ввел термин «водоотдача», под которым понимают спонтанное выделение воды из мышц при разрубе туши. Исследовано общее содержание воды (ОВ), водоотдача (ВО) и кол-во свободной

воды (СВ) в образцах свинины, полученных из двух мышц: *M. longissimus dorsi* (котлетное мясо) и *M. triceps brachii* (ококор) от 174 свиней различных пород, самок и самцов, при разных способах их откорма. ОЕ определяли высушиванием образцов в электросушильном шкафу при 105° до постоянного веса. ВО устанавливали по отношению величины поверхности мокрого пятна на фильтровальной бумаге, к общей поверхности образца мяса, лежащего на бумаге, выраженному в процентах. СВ определяли также, но образцы мяса подвергались сжатию с определенной постоянной силой. Найдено, что 20,25% образцов котлетной свинины и 45,9% образцов окоорока имели среднюю или большую ВО и соответственно 63,8% и 47,7% образцов — большое содержание СВ. ОВ (в образцах I группы в среднем 72,918%, в образцах 2 группы 75,919%) не связано, как указывалось и другими исследователями, с ВО и СВ. Отмечается значение показателя ВО в произве твердокопченых колбас.

**76814. Влияние глицина на вкус конского мяса. Вартенберг** (Wplyw glicyny na smak mięsa konińskiego. Wartenberg Lech), Wojskowy przegl. weteryn., 1955, 26, № 2, 29—33 (польск.).

Исследованы 35 туш говядины и конины на содержание гликогена, глицина и аланина непосредственно после убоя и по истечении 24, 48, 60 час. Установлено, что кол-во гликогена в мясе постепенно уменьшается при созревании, доходя до нуля через 48 (конина) и 60 час. (говядина). В мясном соке конины появляются свободные аминокислоты, в частности глицин, в больших кол-вах, чем в говядине. Аланин находится в меньших и равных кол-вах как в говяжьем, так и в конском мясе. Сладкий привкус конины обусловлен не гликогеном, а наличием глицина, который образуется в значительном кол-ве в процессе созревания мяса (6,7% по истечении 60 час.). На специфич. вкус конины влияет также кол-во аланина, доходящее до 1,3% после 60 час. созревания мяса.

**76815. К диагностике сальмонелл при бактериологическом исследовании мяса. Раш** (Zur Salmonellendiagnostik in der bakteriologischen Fleischuntersuchung. Rasch Kurt), Arch. Lebensmittelhyg., 1956, 7, № 1-2, 10—11 (нем.).

**76816. О содержании жира в рубленом мясе. Коттер, Шмидхофер** (Zur Bewertung des Fettes in Hackfleisch. Kotter L., Schmidhofer Th.), Arch. Lebensmittelhyg., 1955, 6, № 5/6, 62—63 (нем.).

Рассматривается вопрос о допустимом содержании жира в полуфабрикатах из рубленого мяса. Кол-во жира, по мнению авторов, должно быть  $\leq 40\%$ .

**76817. Опыты по применению полифосфатов при переработке мяса. Яницкий, Невярович, Бурый** (Próby zastosowania polifosforanów w przetwórstwie mięsnym. Janicki Józef, Niewiarowicz Adam, Bury St.), Przem. spożywczy, 1955, 9, № 10, 414—416 (польск.).

Исследовано влияние добавления полифосфата натрия (I) на качество мясных изделий. Описаны способ его получения и применение. Добавление I в кол-ве 0,5 вес.% улучшает качество мяскопченостей (цвет, сочность, плотность). Введение 1,2 г I на 1 л крови стабилизирует последнюю. pH мясных изделий от добавки I не изменяется.

**76818. Термoeлектрические измерения и определение времени и температуры варки колбас из условно годного стерилизованного мяса. Эйльман** (Thermoelektrische Messungen und Bestimmung der Brühzeiten und-temperaturen bei Brühwürsten aus Freibankfleisch. Eilmann H.), Arch. Lebensmittelhyg., 1955, 6, № 5/6, 55—60 (нем.).

Определялось распространение тепла в колбасе при ее варке в воде при 80° (при изготовлении вареных

колбас) в зависимости от калибра оболочки для установления времени, требуемого для поддержания этой т-ры в центральной части колбасы в течение 30 мин. Установлено, что для этого требуется при калибре оболочки в мм: до 34—45 мин., до 43—60 мин., до 60—75 мин., до 90—150 мин. При воздушной или паровой варке прогревание колбас происходит быстрее. Исследования проведены в связи с обсуждением вопроса о применении в колбасном произ-ве условно годного мяса, прошедшего стерилизацию, в частности, от животных, больных туберкулезом.

**76819. Термoeлектрические измерения и определение времени и температуры варки колбас из условно годного стерилизованного мяса. Келлер** (Thermoelektrische Messungen und Bestimmung der Brühzeiten und-temperaturen bei Brühwürsten aus Freibankfleisch. Keller H.), Arch. Lebensmittelhyg., 1955, 6, № 13—14, 144—145 (нем.).

Замечания по поводу статьи Эйльмана. См. РЖХим, 1956, 76818.

**76820. О диетических колбасах. Бергнер** (Beobachtungen an Diätwürsten. Bergner K. G.), Mitt. Gebiete Lebensmitteluntersuch. und Hyg., 1955, 46, № 6, 536—539, Diskuss. 539 (нем.).

Обсуждены результаты анализа образцов 2 сортов торговой диетич. колбасы: «желтой» и мартаделлы. Отмечены значительные колебания в содержании жира и поваренной соли. Предлагается ограничить кол-во жира в диетич. колбасе до 8—10%, а кол-во Na<sup>+</sup> и Cl<sup>-</sup> их естественным содержанием в сырье.

**76821. Влияние хранения на состав и питательные свойства оокороков домашнего посола. Филдс, Данкер, Свифт** (The effect of storage on the composition and nutritive properties of farm-style hams. Fields M. D., Dunker C. F., Swift C. E.), Food Technol., 1955, 9, № 10, 491—495 (англ.).

Для улучшения качества широко распространенных среди сельского населения США домашних оокороков (ДО), приготовленных сухим посолом с применением только поваренной соли, изучали их хим. состав, питательную ценность и изменения при хранении. Исследованы 108 ДО весом 6,64—7,06 кг, полученные от животных одной породы, прошедших одностипный откорм. После сухого посола в течение 23 суток при 3,3° ДО копчили 42 часа при 65,6° по 6 час. ежедневно до 51,7—54,4° в толще продукта. После каждого периода копчения ДО охлаждали до 3,3°. Готовые ДО хранили при 4,4; 21,1 и 32,2° в течение 6 недель, 6 и 12 месяцев. Потери веса ДО после обработки (посол и копчение) составляли в среднем 11,5%. Потери веса при хранении изменялись в зависимости от т-ры, относительной влажности воздуха и продолжительности хранения. Содержание белков, жира, золы и хлористого натрия возрастало по мере усушки продукта при хранении. Заметное увеличение кол-ва растворимого и небелкового азота наблюдалось в образце, хранившемся 12 месяцев при 32,2°. Значительный гидролиз жира наблюдался в ДО, хранившихся 12 месяцев при 21,1 и 32,2°. Технологич. обработка и хранение ДО не оказывали влияния на питательность, исчисленную по азоту, которая определялась по величине среднего привеса белых крыс за 30 дней на 1 г азота в рационе. При обработке и хранении ДО рибофлавин и ниацин не разрушаются, а содержание тиамина понижается. По органолепч. данным ДО, хранившиеся при 4,4° 12 месяцев, были слегка перезревшими; ДО, хранившиеся при 21,1° 6 месяцев или дольше, заметно испорченными; ДО, хранившиеся при 32,2°, через 6 месяцев оказались непригодными для употребления. Кол-во микроорганизмов составляло  $\leq 1000$  на 1 г продукта и представлено главным образом непатогенными микрококками; анаэробы не обнаружены. Установлено, что бактериальное загряз-

ление не являлось решающим фактором длительности хранения ДО. Г. Л.

**76822. Определение срока возможной продолжительности хранения мясных консервов на складах при различной температуре. Зайончковский (Określenie czasu składowania konserw na podstawie kontroli termostatowej w magazynach o różnych warunkach termicznych. Zajączkowski Edmund), Gospod. mięsna, 1955, 7, № 4, 18—24 (польск.)**

Мясные консервы «гуляш говяжий» двухлетней давности и свежеприготовленные в банках из белой жесты подвергнуты органолептическому, хим. и бактериологич. анализу. Изучена возможность сокращения продолжительности обязательной 10-дневной термостатной выдержки консервов до 7 дней. Установлено, что партия консервов, прошедшая термостатную выдержку, может храниться в течение 3 лет. Возможность дальнейшего хранения зависит от качества металл. тары. Л. Ш.

**76823. Консервы «заливное из свинины и говядины» и «паштет из свиной печени» (Galantines porc et boeuf, patés de foie pur porc en conserve), Rev. conserve France et Union franç., 1956, 11, № 1, 79—82, 84 (франц.)** Приводится рецептура и способы изготовления указанных консервов, предложенные Матоном (Mathon P.). А. Е.

**76824. Вопросы хранения яиц на холодильниках. Хаман (Probleme der Eierkühlung. Haman P.), Technik, 1956, 11, № 2, 135—142; Kälte, 1956, 9, № 8, 267—268 (нем.)**

Исследовано влияние предварительного хранения яиц (от сбора до холодильника) на изменение их качества, устанавливаемого органолептически и физ. методами (определение величины воздушной камеры яиц, желткового индекса, индексов качества и возраста, содержания воды в желтке и его вязкости). Хранение проводили при 10, 15, 20 и 25° и относительной влажности воздуха 60% (при 20°—71%) в течение 6 недель. Установлено, что с повышением т-ры и сроков хранения качество яиц ухудшается, что подтверждено приведенными диаграммами, суммирующими результаты опытов. Рекомендуются закладывать яйца на холодильник возможно скорее после сбора и хранить их до закладки при  $\leq 15^\circ$ . Предложена схема 10-балльной оценки яиц по вкусу и запаху. Приведены указания со схемами по укладке яиц и по режиму хранения на холодильниках. А. Е.

**76825. Охлаждение и замораживание рыбы. Часть I. Мак-Каллум (The chilling and freezing of fish. Part I. Mac-Callum W. A.), Canad. Fisherman, 1956, 43, № 3, 6, 8, 10, 24—25 (англ.)**

Обзор экономически проверенных и успешно применяемых на практике методов хранения рыбы с охлаждением и замораживанием, а также некоторых усовершенствований холодильного оборудования. Обзор представляет краткое изложение доклада автора на IX международном холодильном конгрессе (1955 г.). Рассмотрены способы охлаждения и замораживания тунцов, глубоководных рыб, креветок, лососевых, технич. усовершенствования для термич. обработки рыбы на берегу и ее транспортировки и вопрос о применении льда из морской воды для хранения рыбы. А. Е.

**76826. Изучение процесса порчи водных промысловых.**

**Х. О гниении солено-сушеной рыбы. Симидзу, Тихара (水産動物肉の學敗に関する研究. X. 鹽・乾魚腐敗の (その1). 清水亘, 千原到), 日本水産學會誌, Нихон суйсан гаккайси, Bull. Japan Soc. Scient. Fisheries, 1954, 20, № 1, 30—32 (япон.; рез. англ.)**

Исследовано совместное действие посола и сушки рыбы для предупреждения ее порчи. Установлено, что они предупреждают гниение рыбы, эффект их действия постоянен и не зависит от концентрации соли в мясе рыбы. Консервирующее действие посола в этом случае следует считать физ. явлением, препятствующим поступле-

нию воды в бактериальные клетки. Часть IX см. РЖХим, 1956, 73605. В. Г.

**76827. Изучение метода определения свежести рыбы по коэффициенту дистилляции летучих кислот. VI. Обработка образца для исследования. VII. Шкала, предложенная для определения свежести. Асакава (揮発酸の溜出比による鮮度判定法の研究. VI. 試料の取扱について. VII. ベーバークロマトグラフィーによる吟味と判定規準の提案・浅川末三), 日本水産學會誌, Нихон суйсан гаккайси, Bull. Japan Soc. Scient. Fisheries, 1954, 20, № 2, 151—157, 158—167 (япон.; рез. англ.)**

VI. Установлено, что для определения свежести мяса рыбы по коэфф. дистилляции летучих к-т необходимо измельчать образец, растирая в ступке, и затем суспендировать в жидкости в отгонной колбе. Для титрования дистиллата следует применять  $\sim 0,02$  н. р-ры. Опыты по выявлению условий хранения образцов мяса рыбы, помещенных в разб.  $H_2SO_4$  (I) до перегонки, показали, что образцы мяса (20 г) в 50 мл 1%-ного р-ра I при 30° могут храниться 1 сутки, при 25° 1—2 дня, при 20° до 2 дней, при 15° 4—5 дней, при 10° 7—8 дней и при 5—0° 10—12 дней. Образцы в 25 или 50 мл 5%-ного р-ра I могут храниться в холодильном шкафу 2—3 дня.

VII. На основании значения коэфф. корреляции между кол-вом азота летучих оснований и коэфф. дистилляции (КД), равным 0,83, а также определения летучих жирных к-т на различных стадиях свежести и порчи рыбы, установлено, что КД является показателем степени свежести рыбы. Предложена шкала для определения степени свежести на основании КД, применимая не только ко многим видам костистых, но и для акул, скатов и каракатиц. КД  $> 130$  — очень свежая рыба, 130—100 — свежая, 99—90 — подозрительной свежести, 89—80 — ранняя стадия порчи, 79—70 — испорченная и 70 — сильно испорченная. Часть V см. РЖХим, 1956, 73611. Г. Н.

**76828. Определение содержания жира в целой, непотрошенной сельди на основе соотношения между жиром и влагосодержанием. Брандес, Дитрих (Über die Bestimmung des Fettgehaltes im ganzen unausgenommenen Heiring auf Grund der Korrelation Fett und Wasser. Brandes C. H., Dietrich R.), Fette und Seifen, 1954, 56, № 7, 495—499 (нем.; рез. англ., франц., исп.)**

На основании опытных данных (147 анализов, из которых 29 анализов средних проб из 50 целых, непотрошенных сельдей, а остальные — анализы отдельных непотрошенных сельдей разных зон лова) установлен коэфф. соотношения между жиром и водой в целой, непотрошенной сельди. Значение этого коэфф., близкое к единице ( $r = -0,979$ ), указывает на наличие закономерной зависимости между этими компонентами и для целой сельди (ранее была установлена такая зависимость для съедобной части). Кривые «жир — вода» для целой сельди и для ее съедобной части резко расходятся в области низкого содержания воды и очень близки друг к другу в области практически возможных высоких значений влажности (при 57% воды в съедобной части сельди содержится жира на 4,2% больше, чем в целой сельди; при 76% воды разница составляет лишь 0,7%). Поэтому авторы считают возможным на практике пользоваться кривой «жир — вода» для определения жира в целой сельди при данном значении содержания влаги, аналитич. определение которой требует небольшой затраты времени. Погрешность между аналитич. определенным кол-вом жира в целой сельди и вычисленным по кривой «жир — вода» не превосходила 1% в 102 случаях из 147. Г. Ф.

**76829. Исследование системы белок — масло — вода в японском рыбном паштете. I. Влияние добавления**

масла на прочность студня рыбного паштета. Икэути, Симидзу (かまぼこにおける蛋白・油・水一系の研究. I. 油の混入による足の變化. 池内常郎, 清水昌), 日本水産學會誌, Нихон суйсан гаккайси, Bull. Japan. Soc. Scient. Fisheries, 1955, 20, № 9, 814—815 (япон.; рез. англ.)

Исследована возможность повышения питательности японского рыбного паштета и улучшения запаха рыбных колбас путем введения в них масла или жира в процессе их произ-ва. Установлено, что незначительные кол-ва масла (2%) снижали прочность студня, но при введении больших кол-в масла (до 15%) прочность студня не изменялась и даже иногда повышалась. При введении > 15% масла физ. свойства паштета ухудшались и студнеобразная структура продукта заметно нарушалась.

Г. Н.

76830. Новое в исследовании кофе и его технологии. Натараджан, Бхатия (Progress in coffee research and technology. Natarajan C. P., Bhatia D. S.), Bull. Central Food Technol. Res. Inst. Mysore, 1955, 4, № 4, 89—92 (англ.)

Обзор. Библ. 46 назв.

В. Н.

76831. Аромат кофе. Рейхштейн, Штаудингер (The aroma of coffee. Reichstein T., Staudingger H.), Parfum. and Essent. Oil Rec., 1955, 46, № 3, 86—88 (англ.)

Обзор. Библ. 21 назв. Перепечатка из Ciba-Leitschrift № 125.

Н. С.

76832. Химический метод испытания аромата и вкуса в концентратах кофе. Гринбаум (Report of chemical process for testing coffee aroma and flavor. Greenbaum Frederick R.), Tea and Coffee Trade J., 1955, 109, № 2, 40, 42 (англ.)

Жидкий концентрат кофе или р-р порошка наливают в прибор для дистилляции и отгоняют. ароматич. в-ва дистиллируют с паром в приемный сосуд, в котором находятся серная к-та и измеренное кол-во 0,1 н. р-ра перманганата натрия (до двойного объема жидкости в приемнике). Подогретый до кипения р-р оттитровывают 0,1 н. р-ром щавелевой к-ты. Разница между первоначальным кол-вом перманганата натрия и кол-вом, которое оттитровано щавелевой к-той, и является кол-вом перманганата натрия, пошедшего на окисление летучих в-в. Приведены результаты исследования аромата в 7 образцах кофейного концентрата. Проведены опыты по хранению кофе в тонком слое на воздухе. Установлено, что в течение 4 недель происходит потеря 25% летучих в-в.

В. Н.

76833. Перечень сортов суррогатов чая, допущенных к пищевому потреблению. Хёгль, Руффи, Вилер (Liste der als Lebensmittel zugelassenen Kräuterteesorten. Högl O., Ruffy J., Wyler O.), Mitt. Gebiete Lebensmitteluntersuch. und Hyg., 1954, 45, № 4, 241—250 (нем.)

Описание чайных суррогатов, узаконенных в качестве самостоятельного продукта. Приведен перечень на нем., франц. и итал. языках важнейших и наиболее широко распространенных в природе растений, пригодных для приготовления чайных суррогатов с указанием используемых частей растений.

Н. Т.

76834. О ферментации махорки в Липецкой области. Дьячкин И. И., Третьяков В. Г., Тонких Т. С., Эрдман А. А., Табак, 1956, № 1, 32—36

Проведенные на заготовительном пункте и в совхозе опыты по ферментации махорки показали, что в одних и тех же условиях различные сорта дают неодинаковый разогрев и имеют различную стойкость к плесневению, что связано, по-видимому, с разной их влагоемкостью. Потеря сухого в-ва, зависящая от интенсивности окислительных процессов, пропорциональна степени разогрева махорки при ферментации. Изучение влияния сроков укладки и влажности махорки сорта Воронежская 2 по-

казали, что закладка штабелей должна производиться не позже сентября.

Г. Д.

76835. Химические изменения во время трубо-огневой сушки и их влияние на качество листьев сигаретных табаков. Састри (Chemical changes during flue-curing and their bearing on the quality of leaf of cigarette tobacco. Sastry A. S.), Proc. Indian Acad. Sci., 1953, B38, № 3, 125—143 (англ.)

Описана методика опытов; приведены изменения сухого веса, содержания воды, углеводов, азотистых и других в-в во время трубо-огневой сушки при 4 режимах т-ры и относительной влажности воздуха, а также данные о влиянии методов трубо-огневой сушки на качество табака (по ассортименту получаемого табака).

Г. Д.

76836. Влияние состава табака на вкусовые ощущения при курении. Пирики (Der Einfluß der Tabakzusammensetzung auf die geschmackliche Wirkung beim Rauchen. Pyriki C.), Lebensmittelindustrie, 1954, 1, № 11, 264 (нем.)

76837. К оценке качества сигаретных фильтров. Виске (Zur Beurteilung von Filterzigaretten. Wieske Reinhold), Z. Lebensmittel-Untersuch. und Forsch., 1955, 102, № 2, 123—127 (нем.)

Автор сравнивает различные аппараты для скуривания сигарет и методы анализа удерживающей способности фильтров сигарет (Венуша, Пфиля-Шмитта, Валя и Гайля и др.). При использовании аппарата Валя и Гайля необходимо оценку действия фильтров производить путем сравнительного скуривания сигареты с фильтром и такой же сигареты без фильтра. Твердо-жидкие составные в-ва и никотин, находящиеся в дыме, улавливают ватным тампоном. Приведенные данные по исследованию различных фильтров сигарет на аппарате Валя и Гайля последней конструкции, применяемом в Форхгеймском институте исследований табака, показывают, что в главную струю дыма переходит 50% никотина, содержащегося в табаке, в то время как по литературным данным на аппарате Пфиля и Шмитта переходит 35%.

Г. Д.

76838. Измерение флуоресценции дыма сигарет. Шмэль, Консбрух, Друкрей (Fluoreszenzmessungen an Zigarettenrauch. Schmähl Dietrich, Consbruch Ursula, Druckrey Hermann), Arzneimittel-Forsch., 1954, 4, № 2, 71—75 (нем.)

Описана методика колич. измерения флуоресценции табачного дыма в р-ре бензола. Найдено, что кол-во флуоресцирующих в-в в различных сортах сигарет неодинаково. При ингаляции дыма сигарет в легких задерживается до 98% флуоресцирующих веществ.

С. Д.

76839. О технологической схеме производства майонеза. Стяжкина А. Г., Маслоб.-жир. пром-сть, 1955, № 4, 32—33

Описана измененная технологич. схема произ-ва майонеза, принятая на Ленинградском жировом комбинате. Для увеличения растворимости сухого яичного порошка и сухого молока т-ра воды повышена до 80—90°. Стойкость и однородность эмульсии майонеза достигнута включением в схему произ-ва эмульсатора. Такая схема произ-ва значительно сокращает ручной труд.

В. Д.

76840. Современное состояние вопроса о красителях для продуктов питания. Мёрон (L'état actuel de la question des colorants pour denrées alimentaires. Meuron G. de), Mitt. Gebiete Lebensmitteluntersuch. und Hyg., 1955, 46, № 1, 97—119 (франц.)

Описываются основные свойства органич. и синтетич. красителей с указанием канцерогенного действия некоторых из них. Указывается на отсутствие в странах единого списка красителей, утвержденного законодательством. Предлагается провести проверку канцерогенного действия красителей одновременно на животных, пробой Генца и действием на бактерии. Указывается на необходимость создания спец. комиссии, без разрешения кото-

рой красители для пищевых целей не могут применяться.

**76841. Расширяющееся применение антиоксидантов.** Таппел (Expanding uses of antioxidants. Tappel A. L.), Food Engng, 1954, 26, № 6, 73—75, 133—134 (англ.)

Обзор по применению антиоксидантов для стабилизации жиров, жирных продуктов, сладостей, грибов. Для стабилизации ненасыщ. жиров предлагаются антиоксиданты типа токоферола, нордигидрогвайаретовой к-ты, бутилированного оксанизола (I), пропилгаллата, задерживающие окисление жира р-цией со свободными промежуточными радикалами жирных к-т, и синергисты типа лимонной, аскорбиновой к-т, образующие прочные соединения со следами металлопримесей. Рекомендуются оправдавшая себя смесь антиоксидантов для коровьего масла, лярда, пирожных (в %): I—20, пропилгаллат 5—6, лимонная к-та 4, пропиленгликоль 70.

**76842. Химическое консервирование пищевых продуктов.** Шельхорн (Die chemische Konservierung von Lebensmitteln. Schelhorn M. v.), Chem. Labor und Betrieb, 1956, 7, № 4, 165—171 (нем.)

Рассмотрены различные способы консервирования продуктов. Отмечено значение государственного санитарно-гигиенич. контроля над пищевыми продуктами, содержащими хим. консерванты. Приводится перечень применяемых в различных странах хим. консервантов и краткие сведения о действии консервирующих в-в на микроорганизмы.

В. Г.

**76843 К. Успехи и проблемы холодной стерилизации пищевых продуктов.** Проктор Б. Е., Голдблит С. А. В сб.: Применение радиоактивных изотопов в пром-сти, медицине и с. х., М., АН СССР, 1956, 695—708

**76844 К. Хранение сельскохозяйственных продуктов и основы их переработки. Часть 1 и 2.** Гошпес (Skaldování zemědělských plodin a zaklady zemědělské technologie. I. část. Hošpes Boh a. j. Praha, SPN, 1955, 285 [1] s., il., 19,90 Kčs; 2 část, 287—542 s., il., 17, 40 Kčs) (чеш.)

**76845 К. Сушка и обезвоживание пищевых продуктов.** 2-е изд. Лёсекке (Drying and dehydration of foods. 2nd. ed. Loescke Harry Willard von. New York, Reinhold, London, Chapman & Hall, 1955, 11, 300 pp., ill., 60sh.) (англ.)

**76846 К. Замораживание пищевых продуктов в домашних условиях на Гавайе.** Фентон, Опп, Миллер (Home freezing in Hawaii. Fruits, vegetables, meats, poultry, game, and fish. Fenton Faith, Orr Kathryn J., Miller Carey D.), Circ. Univ. Hawaii Agric. Expt. Stat., 1955, № 47, 1—60 (англ.)

Руководство по отбору, подготовке, упаковке, замораживанию, последующему хранению и контролю качества различных пищевых продуктов местного происхождения.

Г. Н.

**76847 Д. Исследования по применению генераторного газа в сушильных установках пищевой промышленности.** Фирдман П. Д. Автореф. дисс. канд. техн. н., Белорус политехн. ин-т, Минск, 1956

**76848 Д. Измерение восстановительной способности молока.** Тоблер (Reduktions-Potentialmessungen in Milch. Tobler Fritz Rudolf. Diss. techn. Wiss. ETH, Zürich, 1955), Schweiz. Buch, 1955, B55, № 5, 233 (нем.)

**76849 Д. Исследование изменений рыбы в процессе приготовления и хранения консервов с томатным соусом.** Калантарова М. В. Автореф. дисс. канд. техн. н., Моск. техн. ин-т рыб. пром-сти и х-ва, М., 1956

**76850 П. Способ обработки замороженных пищевых продуктов.** Нойс (Method of treating frozen foodstuffs. Noyes Harry A.), Канад. пат. 511117, 22.03.55

Патентуется способ введения ароматич. в-в в замороженные пищевые продукты. На поверхность продукта, замороженного охлажд. воздухом, наносят путем опрыскивания р-р ароматич. в-в. Конц-ия этих в-в в р-ре должна превышать их конц-ию в продукте. На продукт последовательно наносят несколько слоев р-ра, выдерживая продукт при т-ре ниже т-ры его замерзания, но выше точки замерзания наносимого р-ра в течение времени, достаточного для равномерного проникновения в продукт каждого слоя р-ра. Выдерживание продукта при указанной т-ре предотвращает переход составных частей продукта в р-р ароматич. в-в и обеспечивает поглощение продуктом растворимых сухих в-в из р-ра. При этом происходит равномерное распределение ароматич. в-в в продукте и достигается значительная их конц-ия без утраты естественного запаха продукта. Поглощенные в-ва удерживаются продуктом при т-рах, лежащих в интервале от эвтектич. точки р-ра до т-ры дефростации продукта, во время хранения в холодильнике и при дефростации.

Г. Н.

**76851 П. Удаление глюкозы из пищевых продуктов.** Саретт (Removing glucose from food products. Sarett B. L.), Австрал. пат. 164972, 22.09.55

Для удаления глюкозы из пищевых продуктов, содержащих глюкозу и белковые в-ва, их подвергают действию ферментативной системы, обладающей способностью окислять глюкозу в присутствии воды при добавлении свободного  $O_2$  из внешнего источника. При этом глюкоза окисляется в глюконовую кислоту.

В. Г.

**76852 П. Установка для получения воздушного потока, пригодного для обработки муки и дезинсекции мучных складов.** Доллингер (Vorrichtung zur Herstellung von zur Mehlbehandlung und Sterilisierung von Lagerräumen für Mehl geeigneter Luft. Dollinger Auguste), Пат. ФРГ 931161, 1.08.55

Патентуется электр. установка, состоящая из 4 вольтовых дуг с напряжением последовательно 8, 10, 12 и 15 тысяч в, озонатора, электрообогревателя с испарителем и общего сопла для подачи воздуха к вольтовым дугам, расположенным таким образом, что протягиваемый воздух последовательно проходит от одной дуги к другой. Каждая вольтова дуга питается через отдельный трансформатор и дополнительно снабжена регулируемым отверстием для индивидуальной подачи воздуха и собственным выключателем. Воздухом, прошедшим через одну или несколько вольтовых дуг, обрабатывают мучные или зерновые склады. Эту установку можно использовать для испарения никотина и других инсектицидов и обработки ими разных помещений. Приводится схематич. чертеж одного из вариантов установки.

Б. З.

**76853 П. Разделение крахмала и клейковины муки.** Харрел, Хей, Браун (Separation of the starch and gluten constituents of flour. Harrel Chastain G., Haigh John T., Brown Robert O.) (Pillsbury Mills, Inc.), Канад. пат. 512981, 17.05.55

Для отделения клейковины из муки мягкой пшеницы с добавлением или без добавления  $Ca_3(PO_4)_2$ , а также из муки твердой пшеницы, содержащей  $Ca_3(PO_4)_2$ , к муке добавляют 0,25—3,5 вес. % гипосульфита натрия и затем небольшое кол-во воды до получения густого теста. При перемешивании последнее промывают большим кол-вом воды, которую удаляют вместе с уносимым ею крахмалом от клейковины.

С. С.

**76854 П. Приготовление витаминизированного риса.** Иман, Маяма (栄養強化米の製造方法・今井統雄, 眞山節子) [三共株式会社, Санкио Кабусики Кайся]. Япон. пат. 9128, 15.12.55

Патентуется способ приготовления высокопитательно-го витаминизированного риса, сохраняющего витамин В<sub>1</sub>

при промывании, не склеивающегося при варке, имеющего твердую структуру и хорошо переносящего длительные перевозки и хранение. Шлифованный рис обрабатывают во вращающемся барабане солью витамина В<sub>1</sub> и нафталинсульфокислоты, растворенной в воде при  $t$ -ре  $> 120^\circ$  ( $\sim 100$ — $1000$  мг %), в течение нескольких часов. После сушки в барабан подают определенное кол-во клейкого р-ра (напр., желатины) и вводят препарат кальция (карбонат кальция или вторичный фосфат кальция), который ровным слоем покрывает зерна риса, укрепляя их структуру. Затем через барабан пропускают теплый воздух и одновременно распыляют р-р виниловых смол в ацетоне или р-р воска в хлороформе, который ровно покрывает поверхность зерен риса. Зерно сушат при непрерывном помешивании. Рис, приготовленный патентуемым способом, после 10 час. промывания в воде теряет 89% витамина В<sub>1</sub>, в то время как рис, обработанный др. способами, теряет 100%. Во время варки рис сохраняет  $\sim 87\%$  витамина В<sub>1</sub>. Пример. Водн. р-р, содержащий 200 мг % соли витамина В<sub>1</sub> и нафталинсульфокислоты, постепенно нагревают до  $36$ — $37^\circ$ . В 800 см<sup>3</sup> р-ра засыпают 1 кг отборного шлифованного риса и оставляют на 6—7 час., после чего его отделяют и сушат. Затем рис помещают во вращающийся барабан и добавляют туда 20 см<sup>3</sup> р-ра желатины, вводят 40 г вторичного фосфата кальция и сушат. После сушки, пропуская теплый воздух, одновременно в распыленном состоянии вводят 10 г 1%-ного р-ра виниловых смол в ацетоне. Полученный рис содержит 11—12% воды,  $> 500$  γ/г витамина В<sub>1</sub> и  $\sim 1\%$  кальция. В. Г.

**76855 П. Продукты из кукурузы. Кавер** (Corn products. Cover Ralph) [The United Products Co.]. Канад. пат. 507846, 30.11.54

Патентуется очищ. от сорных примесей смесь из освобожденных от оболочек целых зерен кукурузы или их частей (по размеру  $> 1/3$  целого зерна) и мелко раздробленного эндосперма зерна кукурузы, проходящего через сито с отверстиями в 8 меш. Кол-во целых зерен и их крупных частей составляет  $1/4$ — $1/5$  от кол-ва всей смеси. С. С.

**76856 П. Формы для выпечки хлеба или хлебных изделий. Дайримпл** (Baking pans for bread or the like. Dairymple, J. R.). Англ. пат. 719383, 1.12.54 [Food Manufacture, 1955, 30, № 3, 133 (англ.)]

Патентуется способ покрытия внутренней поверхности хлебопечкарных форм (ХФ) органосилоксановой смолой. Предпочтительнее алюминиевые ХФ или с внутренней поверхностью из алюминия, на которых предварительно получают слой окиси алюминия и затем покрывают его органосилоксановой смолой особого состава. Указанное покрытие не требует возобновления при повторных выпечках хлеба и устраняет необходимость смазки форм жиром, а также облегчает выемку хлеба из формы. Рекомендуется делать корпус ХФ целиком из алюминия с матовой, шероховатой, неполированной наружной поверхностью темного цвета для увеличения теплопоглощающей способности. При выпечке хлеба в обычных ХФ окраска верхней корки его, вследствие непосредственного омывания ее горячим воздухом, получается темнее боковых корок. Опыт показал, что боковые корки хлеба, выпеченного в ХФ с темной, шероховатой наружной поверхностью, имеют одинаковую с верхней коркой окраску и более гладкую поверхность. Свободное выпадение хлеба из ХФ при их опрокидывании частично обусловлено покрытием внутренней поверхности пленкой смолы и также более интенсивной подачей тепла к боковым поверхностям хлеба, вследствие чего боковые корки образуются быстрее и происходит боковое сжатие хлеба, устраняющее необходимость встряхивания и ударов по ХФ, что особо важно при автоматич. выгрузке хлеба из форм. Г. К.

**76857 П. Твердое масло для кондитерского производства** (Confectioner's hard butter) [Drew & Co., Inc., E. F.]. Англ. пат. 711569, 7.07.54

Патентуется жировой пищевой состав, применяемый в качестве ингредиента мороженого и глазури для конфет. Этот состав не размягчается при летних  $t$ -рах, но легко плавится во рту без ощущения воска. Он состоит из сложных эфиров глицерина, исключая моно- и диглицериды, получаемые путем этерификации смеси жирных к-т, в которой содержание лауриновой и миристиновой к-т в сумме составляет 60—80 вес.%, содержание каприновой и каприловой к-т  $\leq 2,5\%$ , а остаток представляет пальмитиновую и стеариновую к-ты и, если желательно, некоторое кол-во олеиновой и линолевой к-ты. Предпочтительно, чтобы содержание лауриновой к-ты по крайней мере в 2 раза превышало содержание миристиновой к-ты, а содержание пальмитиновой к-ты не превышало 13%. Если в исходной смеси присутствуют олеиновая и линолевая к-ты, продукт, полученный этерификацией, следует подвергнуть гидрогенизации. Г. Н.

**76858 П. Пищевой продукт из кокосового ореха. Уэкер. Боддингтон, Вудрафф** (Coconut product. Welker Paul L., Boddington Richard J., Woodruff Stewart) [The Glidden Co.]. Канад. пат. 512050, 19.04.55

Патентуется способ произ-ва сладкого, измельченного продукта, содержащего 2—8% сорбита, 2—4% пропиленгликоля, 24—30% сахара, 55—62% ядра кокосового ореха, 0,5—2,5% соли и 8—15% влаги. Пропиленгликоль вводится в кол-ве, не придающем продукту горького вкуса. Сорбитол придает продукту нежную консистенцию и обеспечивает сохранение его окраски при продолжительном хранении вне холодильника. Г. Н.

**76859 П. Метод изготовления пищевого молочного продукта, растворимого в воде. Дюбуа-Превэ** (Procédé de préparation d'un produit alimentaire lacté soluble dans l'eau. Dubois-Prévost Raoul-Eugène-Léon) [Ch. Gervais Soc. An.]. Швейц. пат. 302516, 3.01.55 [Chem. Zbl., 1955, 126, № 35, 8284 (нем.)]

В обезжиренное молоко вносят молочнокислую культуру при  $t$ -ре  $< 37^\circ$ . После свертывания при pH 4,3—4,5 молоко нагревают до  $37^\circ$  и подвергают гидролизу под воздействием протеолитич. диастазы до разжижения сгустка. Затем т-ру молока повышают до инактивации фермента и полученный продукт сушат. В. Н.

**76860 П. Усовершенствование производства сыров. Ивон** (Perfectionnements à la fabrication des fromages. Yvon P. L.). Франц. пат. 1069281, 6.07.54 [Lait, 1955, 35, № 347, 449 (франц.)]

Установленные на столе спец. сосуды наполняют молоком и сычужным ферментом в соотношении, применяемом в произ-ве сыра камамбер. После свертывания молока сосуды накрывают решетом и переворачивают вверх дном; под каждый сосуд подставляют форму с отверстиями в боковых стенках для стекания сыворотки, и сосуды осторожно удаляют. Во избежание прилипания сгустка к стенкам сосуды и формы делают из пластмассы, в частности из поливинилхлорида. В. Н.

**76861 П. Способ получения казеина в виде очень нежных тонко диспергированных хлопьев** (Procédé pour l'obtention de floculations de caséine extrêmement dispersées et molles) [Hipp Werk]. Франц. пат. 1076077, 22.10.54 [Lait, 1955, 35, № 347, 451 (франц.)]

Осаждение казеина из молока производят в присутствии углеводов при  $t$ -рах выше  $t$ -ры клейстеризации крахмала. При необходимости добавляют дополнительные защитные коллоиды, напр. пектины, при pH 6—7 и средней кислотности 12° по Сокслет-Генкелю. В качестве буферных р-ров применяют цитраты или фос-

фаты. Полученный казеин используют для изготовления детских диетич. продуктов.

**76862 П.** Способ предупреждения слипания колбасной оболочки с фаршем. Вейнганд, Оствальд (Method for preventing the adhering of sausage casings to the sausage mass. Weingand and Richard, Ostwald U Irich). Пат. США 2709138, 24.05.55

Патентуется содержащая целлюлозный материал оболочка, внутренняя стенка которой химически связана со стеарилизоцианатом или N-стеарилэтиленмином. Г. Л.

**76863 П.** Колбасные оболочки (Sausage skins) [Wolff and Co.]. Австрал. пат. 162453, 28.04.55

Патентуется способ произ-ва искусств. колбасных оболочек, состоящий в том, что исходный материал — водн. р-р соли альгиновой к-ты, впрыскивают в непрерывно действующее трубчатое устройство — фильеру. Соль коагулирует и отвердевает, образуя удерживающие свою форму оболочки. Г. Л.

**См. также:** Общие вопросы: питательная ценность пищ. прод. 22569Бх. Зерно 77069; 22601Бх, 22602Бх, 22603Бх. Хлебопечение 76611; 22604Бх. Кондитерское произ-во 76598, 76599, 76600. Молоко 77015; 21706Бх, 22084Бх, 22337Бх, 22338Бх, 22588Бх, 22589Бх. Сыр 22045Бх. Яйца 22287Бх. Табак 75408; 22160Бх, 22162Бх, 22206Бх, 22257Бх, 22607Бх.

## КОЖА. МЕХ. ЖЕЛАТИНА. ДУБИТЕЛИ. ТЕХНИЧЕСКИЕ БЕЛКИ

**76864.** Способы выработки кожи и меха. Краснов К. А., Легкая пром-сть, 1956, № 2, 37—38

Установлено, что для ускорения технологич. процессов выработки кожи и меха необходимо исключить колл. свойства материалов, участвующих в этих процессах. Это возможно при замене водн. среды жидкой органич. средой (напр., этиловый спирт). Спирт оказывает на дерму действие, которое можно сравнить с действием зольения, мячения, пикелевания, т. е. спирт способен формировать из обводненной дермы кожу. Несмотря на полное отсутствие гидролиза белка в спиртовой среде, спирт не только обезвоживает дерму, но и производит в ее структуре определенные изменения. При этом можно полностью исключить некоторые процессы и выделять мех по следующей схеме: мездрение, спиртование, жиrowание намазью, подсушка, дубление. Эта схема в основном пригодна и для выработки кожи. Дубление спиртованных шкур в спирт. или водно-спирт. р-ре хлоридов хрома протекает 1—2 часа и дает удовлетворительные результаты. Можно производить дубление без р-рителя парами формальдегида в вакуум-камере. Динамичность и быстрота указанных процессов создают условия, благоприятствующие механизации, конвейеризации и автоматизации кожевенного и мехового производств.

**76865.** Вопросы шпарки цельных свиных туш перед обработкой шкуры. Будзинский (Problem otrzadzania calych tusz swinskiach przed skórowaniem. Budzyński Stanisław), Przegl. skorzany, 1954, 9, № 3, 59—61 (польск.)

Рассмотрены различные режимы шпарки свиных туш перед обработкой шкуры, указаны достоинства и недостатки этой операции и влияние на качество шеттины и кожи.

**76866.** Об использовании кожи моржа в обувном и галантерейном производстве. Солнцева Р. Р., Сб. научн. работ. Моск. ин-та нар. х-ва, 1956, № 8, 194—203

Изучался хим. состав и физ.-мех. свойства кожи, выделанной из шкуры моржа растительным дублением. Установлено, что в коже моржа растительного дубления

колебаний физ.-мех. свойств по отдельным топографич. участкам не наблюдается. Вследствие низкой прочности, высокой тягучести и влагоемкости кожи моржа ее нельзя применять в качестве материала для произ-ва обуви. Шкуру моржа можно распиливать в голье, верхний лицевой спилкок использовать в качестве галантерейной кожи, средний и нижний спилки использовать на выработку технич. кожи. Кроме того, средний спилкок может применяться в обувном произ-ве для внутренней подметки обуви на резиновой подошве, а также для комнатной обуви.

**76867.** Химическая чистка голья фосфатными солями. Суворова В. П., Маргулис М. Г., Трубицын Н. Д., Легкая пром-сть, 1956, № 1, 26—28

Для улучшения качества чистки лицевого слоя голья применялись различные химикаты. Для хим. чистки наилучший эффект дали фосфорные соли. Хим. чистка голья производится в баркасе после зольения и промывки и совмещается с обеззолкой. Расход трехзамещ. фосфата натрия составляет для овчины 2% от гольевого веса, для козылки 1,5—2%, для опойка 1—1,5%. Продолжительность обработки 35—40 мин. Сернистый аммоний добавляется сразу же после введения фосфата. Хим. чистка голья в р-ре устраняет машинную и ручную чистку, излишние перегрузки голья, возможность механич. повреждений голья, а также сокращает время мячения.

**76868.** Современные направления в хромовом дублении. Торстенсен (Modern trends in chrome tanning. Thorstensen Thomas C.), Leather Manufact., 1955, № 12, 8—10, 12 (англ.)

При однованном хромовом дублении в хромовом р-ре может протекать несколько р-ций; взаимодействие хрома с  $\text{OH-}$  и  $\text{SO}_4^{2-}$ -группами (в случае р-ров хром-сульфатов), с маскирующими в-вами и с белками шкуры. В практике хромового дубления ни одна из этих р-ций не достигает равновесия. Равновесие сдвигается в зависимости от продолжительности взаимодействия, т-ры и рН. Изменение рН р-ра, с одной стороны, ведет к изменению основности хромовой соли, а с другой — к изменению способности белка связывать эти соли. В практике известно значение операций обеззоливания и пикелевания для хромового дубления. При добавлении маскирующих агентов р-ры хромовых солей становятся устойчивее по отношению к щелочи. Реакционная способность хрома сильно зависит от кол-ва прибавленных маскирующих в-в. При этом разные маскирующие в-ва связываются с хромом с различной прочностью. Маскирующие в-ва нужно прибавлять к хромовому р-ру осторожно, так как избыток их может снизить дубящее действие р-ра хромовой соли. Указывается на необходимость изыскания новых маскирующих в-в, пригодных для хромового дубления. Температурный режим при хромовом дублении тоже является весьма важным фактором. Указано, что при хромовом дублении можно применять ряд в-в, способных взаимодействовать с хромом (жиры, высокополимеры и растительные дубители). При этом хром может служить связующим звеном между этими в-вами и белком.

**76869.** Зависимость эксплуатационных свойств кожи от характера взаимодействия таннидов с коллагеном. Бабун В. Н., Науч. зап. Харьковск. ин-та сов. торговли, 1956, № 5 (7), 153—163

Исследование показало, что в процессе дубления взаимодействие таннидов с активными группами боковых цепей коллагена происходит во всех частях фибриллы, а не только на поверхности структурных элементов. Сопротивляемость выдубленной кожи набуханию объясняется тем, что молекулы дубителя, проникая в коллаген, скрепляют между собой смежные молекулярные цепи и препятствуют их разъединению при набухании. Процесс сваривания кожи рассматривается

как следствие разрыва связей между отдельными цепями, который происходит в результате гидролиза соединения коллагена с танидами под действием тепла и влаги. Сделан вывод, что прочность кожи, степень формирования, сопротивляемость усадке, противодействие набуханию в воде и разб. к-тах, гидротермич. устойчивость связаны с характером взаимодействия танидов с коллагеном.

**76870. Импрегнирование кожи водными дисперсиями полимеров.** Зурабян К. М., Павлов С. А., Легкая пром-сть, 1956, № 4, 32—38

Обработка кожи водн. дисперсиями полимеров затрудняется возможностью коагуляции дисперсии на поверхности кожи. Показано, что импрегнирующая способность дисперсий зависит от их агрегативной и сорбционной устойчивости, которые могут характеризоваться высаливанием электролитами. С увеличением относительной твердости полимера протитывающая способность его дисперсии повышается. При одинаковой твердости полимера введение сильно полярных (карбоксильных) групп в его боковые цепи приводит к повышению протитывающих свойств дисперсий. Перед импрегнированием кожи водн. дисперсиями полимеров необходимо возможно более полно удалить из нее электролиты, коагулирующие дисперсию. Импрегнирование кожи целесообразно проводить после хромирования или дубления, когда она обладает наибольшей проницаемостью. Изменять сорбирующую способность кожи можно предварительной обработкой разбавленными дисперсиями полимеров, незначительным кол-вом танидов, крашением, жированием. Разработана методика эмульсионного импрегнирования, позволяющая ввести до 30% сухой смолы от веса воздушно-сухой кожи.

**76871. Увлажнение кожи паро-воздушной смесью.** Захарьев М. П., Маслов И. Г., Хренников Н. С., Легкая пром-сть, 1956, № 3, 25—27

При увлажнении кожи в парообразной фазе происходит поглощение кожей утерянной при сушке равновесной влаги. Увлажнение кожи паро-воздушной смесью сразу сообщает коже влажность в той форме, которая влияет на упруго-пластич. свойства, и занимает меньше времени, чем отволаживание. Для увлажнения жестких кож паро-воздушной смесью спроектирован сушильно-увлажнительный агрегат. В результате освоения этого агрегата цикл отделочных операций сократится на 20—25%, благодаря устранению пролежки и интенсификации сушки. Устраняется дополнительная подсушка кож после прокатки, отволажка, укладка и переборка кож и т. д., что повысит производительность труда.

**76872. Влияние структуры верхней кожи хромового дубления на газопроницаемость.** Зимин С. Н., Кирюхин Т. Ф., Сб. научн. работ. Моск. ин-та нар. х-ва, 1956, № 8, 186—193

Изучалось влияние условий выработки кожи на ее пористость, а также зависимость между пористостью и воздухопроницаемостью. Применялось сырье выростка мокросоленой консервировки. Методика выработки соответствовала принятой в пром-сти с изменениями длительности зольения и подготовки к дублению. Результаты показали, что структура кожаной ткани изменяется в зависимости от продолжительности зольения. С увеличением продолжительности зольения повышается пористость хромовой кожи и резко увеличивается ее воздухопроницаемость.

**76873. Окраска овчины в серый цвет кубовыми красителями.** Метляева Н. Г., Макарова Н. В., Легкая пром-сть, 1956, № 5, 32

Разработана технология крашения овчины кубовыми красителями. Описан применяемый для этого красильный барабан и последовательность технологич. процессов подготовки к крашению, крашения и последующей

обработки. Крашение меха кубовыми красителями представляет большой интерес, так как позволяет получать более светопрозрачные окраски красивых светлых тонов. Указано на необходимость расширения ассортимента кубовых красителей, пригодных для этой цели.

**76874. Изучение продуктов окисления меховых красителей методом каталитической хроматографии.** Пчелин В. А., Григорьева Н. В., Науч.-исслед. тр. н.-и. ин-та меховой пром-сти, 1955, сб. 6, 24—32

Выяснялся вопрос о том, являются ли окрашенные продукты окисления «красителей для меха» индивидуальными хим. соединениями или смесями нескольких продуктов различной степени окисления. Применение для этой цели классич. метода адсорбционной хроматографии оказалось невозможным, так как в практич. условиях крашения меха окисление полупродуктов происходит очень медленно, а образующееся незначительное кол-во продуктов окисления не дает возможности наблюдать результаты хроматографирования. Разработан метод каталитич. хроматографии, основанный на получении интенсивно окрашенных хроматограмм, даже из слабоокисленных р-ров на силикагеле, содержащем небольшое кол-во  $\text{Fe}_2\text{O}_3$ , которая, по-видимому, катализирует р-цию окисления полупродуктов  $\text{H}_2\text{O}_2$ . Исследовались продукты окисления  $\text{H}_2\text{O}_2$  *п*-фенилендиамина, *п*-аминофенола, *о*-аминофенола, пирокатехина, резорцина, 4-нитро-*о*-фенилендиамина и др., а также продукты окисления смесей *п*-фенилендиамина с пирокатехином, *м*-толуилендиамин, резорцином, пирогаллолом. При крашении меха, даже индивидуальным полупродуктом ароматич. ряда, при окислении его  $\text{H}_2\text{O}_2$  образуется сложный комплекс продуктов окисления, обуславливающий конечный эффект окраски. Кол-во образующихся продуктов окисления определялось по кол-ву различно окрашенных зон на хроматограммах и составляло от 2-х до 4-х продуктов. При этом окраска верхних двух зон близка к окраске волоса меховой шкурки. Кроме того, более интенсивная окраска этих зон указывает на то, что данный продукт находится в смеси в преобладающем количестве.

**76875. Радиометрический метод определения густоты волосяного покрова меховых шкурок.** Пчелин В. А., Шмелёва Т. А., Науч.-исслед. тр. н.-и. ин-та меховой пром-сти, 1955, № 6, 3—13

Сконструирован прибор (радиометрич. густомер) и разработана методика быстрой объективной оценки густоты волосяного покрова меховой шкурки без ее повреждения. Метод основан на применении радиоактивных изотопов. Используются изотопы с  $\beta$ -излучением малой энергии. Методика позволяет достаточно точно и объективно оценивать в широком диапазоне густоту волосяного покрова в течение 1—2 мин. на любом участке шкурки без ее повреждения. Предложены новые объективные показатели, характеризующие состояние волосяного покрова меховой овчины: показатель равномерности волосяного покрова (коэффициент равномерности) и показатель средней густоты волосяного покрова. Р. К.

**76876. Изучение хромового дубления. Часть 5. Определение размеров частиц в коллоидных растворах хромовых комплексов с помощью монообменных смол.** Кавамура, Вада, Окамура (Кроум-кёの研究, 第5報, イオン交換樹脂によるクローム液の膠質性検定・川村亮, 和田敏三, 岡村浩), Япон. хим. ин-т, 1955, 29, № 8, 587—590 (япон.; рез. англ.)

Увеличение размеров частиц хромового комплекса при прибавлении щелочи определяли с помощью ионообменной смолы стирольного типа. Установлено, что увеличение размеров частиц может происходить как однородно, так и неоднородно. В р-рах и соках, содержащих в основном  $[\text{Cr}^{3+}\text{-комплекс}]^{1+}$ , размеры частиц увели-

чиваются неоднородно. Часть 4 см. РЖХим, 1956, 73651.

**76877. Новый метод анализа дубильных веществ.** Онникенко А. Я., Вестн. Ленингр. ун-та, 1956, № 6, 111—115

Сделана попытка использовать для анализа дубильных в-в метод спектрального анализа. Были исследованы спектры поглощения в УФ-области (полученные с помощью спектрофотометра Бекмана) р-ров таниндов квебрахо, нвы, лабазника, дуба. Сравнение кривых поглощения и результатов хим. анализа показало, что дубящим свойствам таниндов соответствует полоса поглощения в области 250—280 мμ. Интенсивность полосы поглощения в этой области характеризует дубящие свойства изученных таниндов. После использования экстракта в процессе дубления полосы поглощения ослабляются. Указано, что спектральный метод анализа дубильных в-в может заменить более дорогостоящий, длительный и трудоемкий метод хим. анализа. Р. К. 76878.

**Коры для производства дубильных экстрактов.**

Лапиров-Скобло С. Я., Сиротов И. И., Науч. тр. Моск. лесотехн. ин-та, 1955, № 4, 299—319

Рассмотрены дубильные материалы промышленного значения — древесина дуба, кора нвы, ели и лиственницы. Установлено, что при доставке лесных материалов сплавом танинность коры значительно понижается, а при последующем лежании до окорки потери увеличиваются. Добавление еловой древесины к еловой коре снижает содержание таниндов. Кол-во таниндов в коре уменьшается также от действия гнили, червоточины, глубокой плесени. Поверхностная плесень не влияет на танинность коры. На основании исследований разработан ГОСТ на коры для произ-ва дубильных экстрактов. Р. К. 76879.

**Переработка нележалого дубового сырья.** Красухин М. Н., Михайлов А. Н., Легкая пром-сть, 1956, № 3, 31—33

Дубовые экстракты, полученные из нележалого сырья, имеют пониженные аналитич. показатели и худшие дубящие свойства, что выражается в понижении числа продуба кож, выдубленных этими экстрактами. Установлено, что доброкачественность дубового экстракта, выработанного из нележалого сырья, можно повысить изменением некоторых параметров технологии. режима. Максим. т-ра при экстрагировании нележалого сырья должна быть не выше 115°. При этом для улучшения использования сырья предлагается удлинить диффузионные батареи до 10 диффузоров. Рекомендуются также снизить т-ру экстрагирования лежалого сырья до 120°. Работа на длинных батареях позволит сделать это без ущерба для использования сырья. Р. К. 76880.

**Некоторые кустарниковые и травянистые растения северных районов как новый дубильный материал.** Соловьев И. А., Тр. Сибирск. лесотехн. ин-та, 1955, 10, 7—10

Изучено содержание дубильных в-в 12 растений, наиболее распространенных в различных северных районах СССР. Показано, что некоторые из них, напр. толокнянка, черника и ряд других, содержат большое кол-во (20—21%) дубильных в-в. Эти растения могут играть существенную роль в развитии в северных районах произ-ва дубильных экстрактов и кожевенной пром-сти. Р. К. 76881.

**Растительные дубильные материалы в Пакистане.** Кора горана. Сайед Мустафизур Рахим (Vegetable tanning materials in Pakistan goran bark. Syed Mustafizur Rahim), Tanner, 1955, 9, № 8, 13—15 (англ.)

Описан растительный дубильный материал из коры растения горана, произрастающего в Пакистане и Индии. Перечислены способы, улучшающие цвет дубителя из коры горана с целью получения светлой кожи. Об-

суждается высокое содержание солей в коре горана. Экстракт из коры горана рассматривается как заменитель экстракта из коры мимозы. Начало см. РЖХим, 1956, 73662.

**П. Ф. 76882. Искусственные дубители из лесохимических фенолов.** Тищенко Д. В., Уваров И. П., Гидролизная и лесохим. пром-сть, 1956, № 2, 9—11

Для выяснения зависимости между строением, мол. весом и свойствами синтанов были получены синтаны определенного хим. строения и испытаны их дубящие свойства. Показано, что хорошие синтаны могут быть получены из фенолов лесохим. происхождения. Синтаны, полученные из омыленных лесохим. фенолов, обладают высокими дубящими свойствами и могут полностью заменять растительные дубители или применяться в смеси с ними. Широкое внедрение энергохим. способов переработки отходов древесины даст пром-сти СССР неограниченный источник фенолов, что позволит наладить широкое произ-во высококачественных синтанов. Р. К. 76883.

**Радиоактивные изотопы для изучения структуры искусственной кожи.** Пчелин В. А., Колосова Г. И., Легкая пром-сть, 1956, № 4, 23—24

Для изучения структуры пласткожи применен метод радиографии, заключающийся в наблюдении за потемнением фотопластины под действием излучения, прошедшего через испытываемый объект. При этом в местах скопления одного из компонентов или присутствия компонента с большим уд. весом происходит большее поглощение радиоактивного излучения и на фотопластинке этот участок получается более светлым. Менее плотные участки объекта получают на пластинке более темными. В качестве источника β-частиц применялся изотоп таллия 204. Метод радиографии прост, не требует подготовительных работ; пробу рассматривают в естественном состоянии, не подвергая разрушению. Установлено, что для изучения структуры пласткожи можно также применить метод поглощения радиоактивного излучения. Кол-во излучения, которое проходит через образец, измеряют прибором с ионизационной камерой или счетчиком Гейгера. Результаты показали, что между толщиной образца и проникаемостью излучения существует линейная зависимость. Расположение прямых определяется составом образцов. Метод поглощения радиоактивного излучения, так же как и метод радиографии, может найти практическое применение в производстве искусств. кожи. Р. К. 76884.

**К. Основы химии и технологии кожи.** Вудрофф (Podstawy nauki o skórze. Woodroffe D. Flum z. ang. Państwowe Wydawnictwa Warszawa, 1953, s. 148, rys. 15, tabl. 13, Techniczne, 13 zł., 70 gr) (польск.)

**76885 К. Ускоренные методы химического анализа в промышленности заменителей кожи (теор. основы и практ. применение).** Хорошая Е. С., Авилон А. А. М., Гизлегпром, 1955, 152 стр., илл., 5 р. 90 к.

**76886 Д. Исследование влияния некоторых физико-химических факторов на процессы, протекающие при растительном дублении жесткой кожи.** Блажис К. С. Автореф. дисс. канд. хим. н. Ин-т химии и хим. технол. АН ЛитССР, Вильнюс, 1956

**76887 Д. Исследование ольховых таниндов.** Шукис В. И. Автореф. дисс. канд. хим. н. Ин-т химии и хим. технол. АН ЛитССР, Вильнюс, 1956

**76888 Д. Исследования в области ускорения процесса сушки и вулканизации пласткожи.** Шаповалова А. И. Автореф. дисс. канд. техн. н. Моск. технол. ин-т легкой пром-сти, М., 1955

**76889 П. Усовершенствование процесса обезволивания шкур (Perfectionnements a l'épilage et au délai-**

nage des peaux) [Soc. Rapidase]. Франц. пат. 1096450, 21.06.55 [Rev. techn. ind. cuir., 1935, 47, № 8, 185—186 (франц.)]

Предложено при обезволаживании набухание в шел. среде заменить набуханием в кислой среде; это дает возможность наряду с быстрым обезволаживанием, сохранить качество дермы и волоса. После кислотного набухания, кожи нейтрализуют до pH 6—8,5 в зависимости от природы применяемых ферментов. Сначала кожи отмачивают обычным способом, а затем подвергают набуханию в кислой среде в течение 12—14 час. в ванне при pH 3—4. Лучше применять органич. к-ты: молочную, уксусную, масляную и пр. После промывки кожи обрабатывают р-ром бикарбоната натрия или другой слабощел. соли, позволяющей получить в течение 2—5 час. синее окрашивание среза дермы бромти-молем. Затем кожи погружают в ванну, содержащую ферменты и имеющую pH оптимальный для выбранных ферментов: 8—8,5 для панкреатина; 7—8 для диастазы бактериального происхождения; 6—7,5 для ферментов плесеней. В ванну добавляют некоторое кол-во антисептика. Шкуры обрабатывают при 18—38°. Чем выше т-ра, тем меньше длительность процесса обезволаживания. Если обработка ведется при т-ре ~ 37° происходит одновременно и мягчение кожи. Пример. 100 кг шкур овец (сухо-соленой консервировки) отмачивают в течение 10 час., загружают в баркас, содержащий 1000 л р-ра уксусной к-ты (4—5 г/л) и смачиватель, жидкость перемешивают, загружают шкуры и вращают в течение нескольких минут, затем останавливают на 10—14 час. Шкуры промывают в проточной воде в течение получаса, заливают в баркас р-р бикарбоната (5 г/л) и через 3—4 часа заканчивают нейтр-цию. Готовят ванну следующего состава: бикарбонат натрия 4 г/л, протеолитич. диастаза 2 г/л, антисептик параклор-метакрезол 1 г/л; т-ра 20—24°. Через 36 час. обезволаживание заканчивается. Волос прополаскивают, сушат, а шкуры могут быть подвергнуты последующей обработке. Е. Л.

**76890 П.** Процесс производства кожи с применением сульфированного дубителя и конденсирующего средства из полигуаниларилалкилена. Надъ (Leather manufacturing process using sulfonate tanning agents and poly-guanylarylalkene condensing agents. Nagy Daniel E.). Канад. пат. 506935, 2.11.54

Голье импрегнируют сульфированным дубителем и солью основного полигуаниларилалкилена в качестве конденсирующего средства, имеющего ф-лу:  $R[(X)-C(Y)-R]_n$ , где  $n$  — число от 1 до 10, X и Y — водород или углеводородные радикалы с 1—3 атомами C и R — моногуанидо- или моногуанидозамещ. арилен (напр., фенилен). Обработка конденсирующим средством может проводиться после обработки дубителем. П. Ф.

**76891 П.** Составы для обработки кожи, содержащие кремнийорганические и циркониевые соединения. Хантер, Дадли (Organosilicon compositions containing zirconium compound and leather treated with same. Hunter Melvin J., Dudley Charles F.). [Dow Corning Corp.]. Пат. США 2728736, 27.12.55

Составы содержат: 1) 15—50 вес. % циркониевых соединений общей ф-лы  $Zr(OR)_4$  или растворимых в алифатич. углеводородах частичных гидролизатов этих соединений; R — алифатич. углеводородный остаток с менее чем 13 атомами C, или остаток алифатич. оксисоединения, содержащего менее 13 атомов C и менее 4 OH-групп; 2) 5—70 вес. % метилполисилоксана, состоящего, главным образом, из триметилсилоксановых и  $SiO_2$ -остатков, причем, отношение метильных групп к атому Si от 1:1 до 2,5:1; 3) 15—80 вес. % полисилоксана, имеющего ф-лу  $R'_nSiO_{(4-n)/2}$ , где  $R'$  — алкил

или алкенил с менее чем 6 атомами C, или одноядерный арил;  $n$  имеет среднее значение от 2 до 2,9 включительно. Каждый атом Si в полисилоксане связан, по крайней мере, с одним углеводородным остатком. Р. К.

**76892 П.** Пластицированный заменитель кожи. Джейн, Кропа, Дэй (Plasticized leather. Jayne David W., Kropp Edward L., Day Harold M.). [American Cyanamid Co.]. Канад. пат. 512202, 26.04.55

Заменитель кожи, являющийся полиэфиром — полиамидом, получают нагреванием: первичного моноалкилоламина ф-лы  $HO-Y-NH_2$  (Y — 2-валентный ненасыщ. алифатич. углеводородный радикал с неразветвленной цепью), гликоля (напр., этиленгликоля, диэтиленгликоля или триэтиленгликоля), насыщ. алифатич. дикарбоновой к-ты, не образующей ангидрид при нагревании, и полифункционального соединения, напр., алифатич. многоатомного спирта, содержащего не менее 3 OH-групп, алифатич. полиамина, содержащего не менее 3  $NH_2$ -групп, или алифатич. аминокислоты, содержащего не менее 3 OH- и  $NH_2$ -групп. Молярное соотношение дикарбоновой к-ты, моноалкилоламина, гликоля и полифункционального соединения от 1:0,4:0,5:0,1 до 1:0,6:0,3:0,15. Этот кожеподобный продукт получают также нагреванием себаиноидной к-ты с моноэтаноламином и этиленгликолем в молярном соотношении от 1:0,4:0,5 до 1:0,6:0,3. Полученный продукт нагревают с диэтианоламином (молярное соотношение себаиноидной к-ты и диэтианоламина должно быть от 1:0,1 до 1:0,15) и отверждают. Р. К.

**76893 П.** Способ получения заменителя кожи из фибры. Шелль, Шелль (Verfahren zur Herstellung von Lederersatzmaterial aus Vulkanfaser. Scheld Ernst, Scheld Hermann). Пат. ФРГ 912629, 31.05.54 [Chem. Zbl., 1955, 126, № 1, 266 (нем.)]

Высококачественную фибру, отличающуюся особенно высоким сопротивлением разрыву и изгибу, а также водо- и кислотонепроницаемостью, помещают в р-р, который вызывает ее набухание и содержит  $CaCl_2$ , простые эфиры целлюлозы,  $CH_2O$  и некоторое кол-во смеси частично омыляемых природных или синтетич. эфирных масел, содержащих ароматич. углеводороды — производные терпенов или эвгенола. Для повышения клейкости фибру затем обрабатывают дисперсиями сложных поливиниловых эфиров. М. А.

**См. также:** Дистилляционный аппарат Кьельдаля для определения азота 75479. Отбеливание кожи 76518; искусственная кожа 75152; роль пластмасс в кожевенной промышленности 76368; обработка сточных вод кожевенных заводов 75861

## ПРОЧИЕ ПРОИЗВОДСТВА

**76894.** Инъекционное упрочнение и уплотнение грунта с помощью гелей кремневой кислоты. Нейман (Injektionen zur Bodenverfestigung und Abdichtung mit Silikatgelen. Neumann Hans), Bautechnik 1956, 33, № 6, 212—215 (нем.)

Обзор. Рассмотрен метод Джустена (1), основанный на последовательном введении конц. р-ров натриевого растворимого стекла с большим содержанием кремнекислоты и  $CaCl_2$  и другой метод (2), при котором вводят разб. р-р растворимого стекла, содержащий  $Na_3AlO_3$ . Обсуждаются достоинства и недостатки 1 и 2 методов и механизмы гелеобразования. Приведены данные о степени уплотнения и упрочнения грунтов и указаны области применения 1 и 2 методов. Библиография 7 назв. И. С.

**76895 П.** Способ каталитического связывания свободного кислорода в газах, содержащих свободный

водород и сероводород (Method for catalytic binding of free oxygen in gases containing free hydrogen and hydrogen sulphide) [Svenska Skifferolje Aktiebolaget]. Англ. пат. 719791, 8.12.54 [J. Appl. Chem., 1955, 5, № 5, 1752 (англ.)]

Свободный  $O_2$  удаляется из промышленного газа, содержащего  $H_2$  и  $H_2S$  пропусканием при  $<450^\circ$  ( $<250^\circ$ ) над катализатором газа со скоростью 100—2000 (600—1800) л/час на кг катализатора, состоящего из носителя ( $Al_2O_3$ ,  $SiO_2$ -геля,  $Al_2O_3-SiO_2$  и (или)  $MoO_3$ ), содержащего  $Cr$ - и (или)  $Mo$ -катализатор (предпочтительно сульфид) и активатор — один из металлов:  $Co$ ,  $Ni$ ,  $Fe$ ,  $Cr$ ,  $U$  и (или)  $V$  (отношение металла к носителю,  $Mo$ -катализатору и активатору выражается соответственно: 10:0,5—15:0,5—1:5). В. Б.

76896 П. Способ удаления кислорода из сырого газа, содержащего сероводород, кислород и свободный водород. Хаммар (Sätt att borttaga fritt syre ur en rågas, som innehåller fritt väte och svavelväte samt syre. Hammar C. G. B.), [Svenska Skifferolje A B]. Швед. пат. 148333, 4.01.55

Предложен способ удаления  $O_2$  (каталитич. р-цией его с  $H_2$ ) из сырого газа, содержащего  $H_2$ ,  $H_2S$  и  $O_2$ , причем  $O_2$  в этом газе находится в конц-ии, превосходящей крит. конц-ию для данного катализатора. Для проведения р-ции неочищ. газ разбавляют газом, конц-ия  $O_2$  в котором значительно ниже крит. (см. РЖХим. 1956, 24416). Эту газовую смесь пропускают над катализатором при 150—350°. При высоких конц-иях  $O_2$  возможно проводить многоступенчатое разбавление для снижения т-ры катализатора. К. Г.

76897 П. Сенсибилизированный порошок магния и способ его получения. Кларк (Sensitized magnesium powder and method of producing same. Clarke Richard G.), Пат. США 2718463, 20.09.55

Порошкообразные или чешуйчатые частицы  $Mg$ , обладающие при нормальной т-ре и атмосферном давлении пирофорными свойствами, обрабатывают 30—90 сек. разб. р-ром  $NH_4OH$  (уд. в. 0,9508). Затем р-р быстро отделяют и порошок сушат в слое  $\leq 25$  мм при 65—100°. Скорость сгорания, обработанного таким образом материала, существенно увеличивается. Сенсибилизированный порошок может быть покрыт тонким слоем фукуина. Л. Х.

76898 П. Люминесцентный состав. Матида, Накаяма (螢光體・町田充作, 中山正夫) [日本電気化学株式会社, [Нихон Дэнки Кагаку Кабусики Кайсй]. Япон. пат. 2824, 24.05.54

Смесь (в г):  $Cd_3(PO_4)_2$  158,  $CdSO_4$  10—30,  $MnHPO_4$  1—5 и  $Sn$  1—10 нагревают необходимое время при 700—1200° в электрич. печи. К. К.

Chem. Abstrs, 1955, 49, № 7, 4413в.

76899 П. Люминесцентный экран и способ его изготовления. Класенс, Вингерхутс (Lumineszierender Schirm und Verfahren zur Herstellung eines solchen Schirmes. Klasens Hendrik Anne, Vingerhoets Antonius Wilhelmus) [N.V. Philips' Gloeilampenfabriken]. Пат. ФРГ 929891, 4.07.55

Люминесцентный экран (для трубок Брауна, рентге-

новских трубок и т. д.) изготовляют из люминофоров (напр., вольфрамата  $Mg$ ), кристаллы которых имеют форму удлиненных призм. Все кристаллы, образующие экран, расположены так, что их длинные ребра параллельны друг другу и перпендикулярны подложке, благодаря чему достигается выигрыш в яркости экрана. Для этого осаждают электрофорезом на подложку люминофор, суспендированный в каком-либо диэлектрике (бензол, толуол). Кристаллы располагаются вдоль электрич. поля, направленного перпендикулярно поверхности электродов, одним из которых является подложка экрана. Для закрепления люминофора на подложке в суспензию добавляют эфир целлюлозы. М. Ш.

76900 П. Способ получения люминесцентного вещества, состоящего из фосфата бария, активированного оловом (Verfahren zur Herstellung eines mit Zinn aktivierten Bariumphosphatleuchtstoffs) [The General Electric Co. Ltd]. Пат. ФРГ 935494, 24.11.55

Смесь  $BaHPO_4$  (I) с  $Sn$  или его соединениями (II) или смесь I и II с добавками  $BaCO_3$  (III) или  $(NH_4)_2HPO_4$  прокаливают в три стадии при 600—1100°. 1-я и 3-я прокатка производятся на воздухе, 2-я в восстановительной атмосфере ( $H_2$ ). II вводится в кол-ве до 10 вес.% (лучше 1—2%). II может быть добавлен в виде р-ра к р-ру соли бария и осажден совместно с I. Люминофор может быть получен также смешением сухих солей  $Ba(PO_3)_2$  и  $BaP_2O_7$  или  $BaCO_3$  и  $(NH_4)_2HPO_4$  с II при последующем их прокаливании. В зависимости от состава и т-ры прокаливания в восстановительной среде люминофор может находиться в 4 модификациях, дающих люминесценцию различного цвета (синюю, зеленую, красную, белую). М. Ш.

76901 П. Люминесцентный экран в электрических установках (Leuchtschirme in elektrischen Vorrichtungen) [Patent-Treuhand-Ges. für elektrische Glühlampen m. b. H.]. Пат. ФРГ 921011, 6.12.54, [Chem. Zbl., 1955, 126, № 29, 6821 (нем.)]

Люминесцирующее в-во состоит из «галогенфосфата» общей ф-лы:  $3Me_3(PO_4)_2 \cdot lMe'l_2$ , где  $Me$  и  $Me'$  — одинаковые или разные 2-валентные металлы, более половины которых составляют  $Ca$  и  $Sr$ , а  $l$  — одинаковые или разные атомы галогенов, более половины которых составляют атомы  $F$ ,  $Cl$  или  $Br$ . В качестве активирующей добавки вводится 2—6 вес.%  $Sb$  или 0—10% фосфата  $Mn$ . Примеры:  $3Ca_3(PO_4)_2 \cdot CaF_2$ ;  $12Ca_3(PO_4)_2 \cdot 3CaF_2 \cdot CaCl_2$ ;  $6Ca_3(PO_4)_2 \cdot 6Sr_3(PO_4)_2 \cdot CaF_2 \cdot CaCl_2$ ;  $SrF_2 \cdot SrCl_2$ ;  $6Ca_3(PO_4)_2 \cdot CaCl_2CaBr_2$ . В. Л.

76902 П. Состав для обработки тормозной ленты. Тейт (Compound for conditioning brake lining. Tate Brack F.). Пат. США 2721842, 25.10.55

Для устранения скрипа и захвата тормозной ленты предлагается паста, состоящая из объемн. ч.:  $Fe_2O_3$  1—3, графита 1—3 и фуллеровой земли 1—3, которые смешиваются и разбавляются водой (до консистенции жидкой пасты). Лучшим считается состав, содержащий равные объемн. ч. графита, фуллеровой земли и  $Fe_2O_3$ . Паста наносится на тормозную ленту шпателем, щеткой или тряпкой слоем толщиной  $\sim 0,4$  мм. Н. П.

## КОРРОЗИЯ. ЗАЩИТА ОТ КОРРОЗИИ

76903. Наши современные представления об электрохимическом механизме коррозии. Часть I. Шварц (Unsere heutige Vorstellung vom elektrochemischen Mechanismus der Korrosion, I. Teil. Schwarz W.), Metall, 1956, 10, № 11-12, 513—519 (нем.)

Путем построения кривых для скорости отдельных электродных процессов рассмотрен механизм установления равновесного потенциала изолированного элект-

рода. Обсуждается поведение металла при одновременном протекании на его поверхности двух пар сопряженных электрохим. процессов в случае коррозии с выделением водорода или при восстановлении — кислорода. Показано влияние состава р-ра на потенциал и скорость коррозии, механизм которой трактуется в свете электрохим. кинетики. А. Ш.

76904. Коррозия. Кроссетт (Corrosion. Crossett

J. W.), Mod. Railroads, 1955, 10, № 12, 113, 115—116 (англ.)

Приведены результаты исследования явлений коррозии (К) оборудования на ж.-д. транспорте и мероприятий по уменьшению К. За 1953 г. стоимость ремонта оборудования, поврежденного К, составила 410 млн. долларов. Наблюдались К вагонов-холодильников, оборудованных бункерами, охлаждаемыми рассолом. Найдены нетоксичные замедлители коррозии, которые, будучи добавлены в кол-ве 2% от кол-ва добавленной соли, уменьшают К на 85—90%. Была также уменьшена К системы охлаждения воды дизельных локомотивов. Рекомендуется применение защитных покрытий, описаны способы подготовки поверхности и возможные случаи применения катодной защиты. Я. Л.

76905. К механизму газовой коррозии стали. Жук Н. П., Ж. физ. химии, 1956, 30, № 5, 1173—1176

В письме автора в редакцию Журнала физической химии указывается, что в большинстве статей сборника Ученые записки ЛГУ 1954 г. допущены ошибки при обработке опытных данных, которые привели к заключению, что газовая коррозия железа и сталей в атмосферах  $H_2S$ ,  $CO_2$ ,  $H_2O$  (пар) и т. д. подчиняется закону квадратичной параболы, что равносильно признанию чисто диффузионного контроля. Проведенный автором пересчет этих опытных результатов привел его к заключению, что в большинстве случаев коррозия протекала по параболич. закону с показателем, меньшим чем 2, что свидетельствует о диффузионно-кинетич. контроле процесса. Р. А.

76906. Строение внутренней поверхности окисленного железа. Сифферлен, Коллонг (Sur la structure de l'interface d'oxydation du fer. Sifferlen Raymond, Collongues Robert), C. r. Acad. sci., 1954, 238, № 22, 2167—2169 (франц.)

Результаты микрографич. изучения поверхности раздела металл-оксидная пленка у окисленного смеси водяного пара с водородом Fe очень высокой степени чистоты (99,8% Fe). Т. Ш.

76907. Определение методом электронной дифракции строения окисных слоев на поверхности железа. Моро, Бардолль (Détermination par diffraction électronique de la constitution des films d'oxydes formés à la surface du fer. Moreau Jean, Bardolle Jean), C. r. Acad. sci., 1955, 240, № 5, 524—526 (франц.)

Изучение методом электронной дифракции строения окисных слоев, образующих цвета побежалости на поверхности Fe при 250—700°. Т. Ш.

76908. Коррозия магния. III. Об антикоррозионном поведении ионов, в частности нитрата, хромата и бихромата. IV. Влияние концентрации раствора хлористого калия. V. О соотношении между реакциями со свободной и связанной водой в растворах хлористого калия. Вада (マグネシウムの腐蝕反應・(第3報・防蝕性イオン・特に硝酸イオン・クロム酸イオン及び重クロム酸イオンの作用について・第4報・鹽類・特に鹽化カリウムの濃度の影響について・第5報・鹽化カリウムの水溶液における自由水應反と水和水應反との關係について・和田悟朗), 日本化学雑誌, Нихон какаку дзасси, J. Chem. Soc. Japan. Pure Chem. Sec., 1954, 75, № 3, 279—282; № 7, 746—753 (япон.)

Коррозионное поведение Mg в 2 н.  $KNO_3$ ,  $K_2CrO_4$ ,  $K_2Cr_2O_7$  и некоторых других электролитах при 25 и 50° показывает, что вследствие вторичных процессов восстановления ионов  $NO^-$ ,  $CrO_4^{2-}$ ,  $Cr_2O_7^{2-}$ , выделяющимся водородом его объем не может служить истинной мерой скорости коррозии в указанных р-рах. Предложена электрохим. методика изучения механизма действия указанных ионов, состоящая в снятии кривых зависимости силы тока пары Mg—Pt от времени. По степени антикоррозионного действия различные ионы распола-

гаются в ряд  $Cr_2O_7^{2-} > CrO_4^{2-} > NO_3^- > SO_4^{2-}$ . Автор установил следующие закономерности скорости коррозии Mg в р-рах KCl: постоянство скорости коррозии  $v$  во времени; возрастание  $v$  при увеличении конц-ии р-ра; линейное соотношение между  $lgv$  и  $1/T$ , согласно которому рассчитаны значения  $E$ —энергии активации р-ции коррозии; уменьшение  $E$  по мере увеличения конц-ии KCl. Коррозия Mg идет двумя путями вследствие прямого вытеснения  $H_2O^+$ -ионов и разложения молекул воды по ур-нию  $Mg + 2H_2O \rightarrow Mg^{2+} + 2OH^- + H_2$  (1). Р-ция (1) преобладает в нейтр. и щел. р-рах. Общую скорость процесса определяет кинетика наиболее медленно идущего разложения промежуточного продукта  $Mg \cdot 2H_2O$ , рассчитывая конц-ию которого, автор приходит к выражению  $v = k_x [H^+]^2$  (2), где  $[H^+]$  означает конц-ию  $H$ -ионов возле корродирующей поверхности Mg. Эта величина не зависит от pH р-ра, так как определяется произведением растворимости  $Mg(OH)_2$ , но на нее оказывают влияние посторонние катионы и анионы, присутствующие в р-ре. Для р-ра KCl, насыщ.  $Mg(OH)_2$ , ионная сила совпадает с нормальностью N, р-ра KCl, так как  $H^+$  и  $OH^-$ -ионы находятся в весьма малой конц-ии. Это дало возможность константу ур-ния (2) представить в виде  $lnk = lnk_0 + 2A \sqrt{N}$  (3). Соответственно этому для энергии активации р-ции (1) получается ур-ние  $E = E_0 - \text{const} \sqrt{N}$  (4), которое приближенно экспериментально подтверждается автором. Константа  $E_0$ , отвечающая энергии активации коррозии в чистой воде, равна 13,3 ккал/моль. При весьма малой конц-ии KCl  $E$  убывает вместе с уменьшением конц-ии и в действительности для чистой воды  $E_0 = 4,1$  ккал/моль. Ф-ла (4) относится к р-ции 2-го типа и потому теряет смысл при переходе к весьма разб. р-рам. В общем случае кинетика процесса (1) определяется р-цией Mg с молекулами как свободной, так и связанной воды. Рассматривается соотношение между скоростями р-ций Mg в нейтр. или щел. р-ре со свободными молекулами воды (1) и связанной водой (2) (входящей в состав гидратных оболочек ионов), соответственно обозначаемыми  $v_0$  и  $v_1$ . Общая скорость коррозии Mg  $v = v_0 + v_1$ . Так как раздельное определение величин  $v_0$  и  $v_1$  невозможно, то автор определяет  $v_0$ , используя аналогию между понижением упругости пара над водн. р-ром и величиной  $v_0$ . В обоих этих случаях играют роль только свободные молекулы воды; и с увеличением конц-ии р-ра  $v_0$  будет уменьшаться так же, как и упругость пара. Для р-ров KCl эта зависимость выражается ур-нием  $v_0(N) = (1 - 0,00345 N) v_0$  (5), где  $v_0(N)$ —скорость р-ции в р-ре, конц-ия которого равна N,  $v_0$ —скорость при N=0. На основании таким путем рассчитанных значений  $v_0$  и  $v_1$  для р-ров KCl в области конц-ий  $N/32 - 2/N$  и при 20, 30, 40° автор устанавливает зависимость от конц-ии общей  $E$  и р-ции (2)  $E_1$ , а также соотношение между величинами  $v_0$  и  $v_1$ . В области  $N > 1/8$  величины  $E$  и  $E_1$  близки между собою и убывают пропорционально  $\sqrt{N}$ . При малых конц-иях  $E$  определяется энергией активации р-ции (1), близкой к 4 ккал/моль, в большей степени, чем величиной  $E_1$ . Поэтому в N/8-р-ре  $E$  достигает максимума. Зависимость от конц-ии  $v$  практически полностью определяется изменением  $v_1$ , поскольку изменения  $v_0$  относительно очень малы, при этом величина  $v_1/v_0 + v_1$  для р-ров с  $N > 1$  достигает 0,8—0,9. Повышение т-ры вследствие различий энергии активации р-ций (1) и (2) приводит к увеличению доли 1-го процесса для р-ров с  $N < 2$ . Сообщение II см. РЖХим, 1956, 38270. А. Ш.

76909. Влияние структуры свинца на коррозию его в серной кислоте. Дасоян М. А., Докл. АН СССР, 1956, 107, № 6, 863—866

На основании результатов структурного анализа и коррозионных испытаний установлена связь между диспергированием структуры Pb и Pb-Sb-сплава и их коррозионной стойкостью в  $H_2SO_4$ . Показано, что такие модифицирующие добавки, как Ca, Ag, а также металлоиды S и Te, существенно измельчают структуру Pb и замедляют его коррозию в  $H_2SO_4$ . Добавки же Sn, Na, Bi, Li, K и Zn не диспергируют структуры Pb и не влияют заметно на ход его кристаллизации, но ускоряют коррозию Pb. Ag в кол-ве 0,3% вдвое замедляет растворение Pb-Sb-сплава в  $H_2SO_4$  при его анодной поляризации. Высокие защитные свойства Ag установлены также при испытании 8%-ного Pb-Sb-сплава и того же сплава с добавкой 0,25% Ag в стартерных аккумуляторах. М. К.

**76910. Примечания к объяснению межкристаллитной коррозии Cr-Ni-стали. Чигал, Пражак (Přispěvek k vysvětlení mezikrystalové koroze oceli Cr-Ni. Číhal Vladimír, Pražák Milan), Hutnické listy, 1956, 11, № 4, 225—230 (чеш.; рез. русс., нем., англ., франц.)**

**76911. Исследование склонности стали ЭЯИТ к коррозионному растрескиванию в растворе сероводорода. Никифорова В. М., Решеткина Н. А. В сб.: Влияние коррозионных сред на прочность стали. М., Машгиз, 1955, 79—102**

Сталь ЭЯИТ, закаленная с  $1200^\circ$  и отпущенная при 500, 600, 700 и  $800^\circ$  с выдержкой при каждой t-ре в течение 2, 10 и 100 час., исследовалась в p-ре  $H_2S$ . Установлено, что по общей коррозионной стойкости в насыщ. p-ре  $H_2S$  сталь ЭЯИТ относится ко II и III группам стойкости (ГОСТ 5272-50). Склонность к коррозионному растрескиванию в насыщ. p-ре  $H_2S$  определялась 2 методами, описанными ранее: ускоренным (РЖХим, 1956, 49494) и методом длительной коррозионной прочности (РЖХим, 1956, 56875). ЭЯИТ в закаленном и отпущенном состоянии имеет значительную склонность к разрушению вследствие коррозии под напряжением в среде  $H_2S$ . В зависимости от режима термообработки трещины могут иметь внутрикристаллитный, межкристаллитный и смешанный характер. Характер трещин зависит от характера распределения  $\alpha$ -фазы. Насыщ. водн. p-р  $H_2S$  наводороживает указанную сталь. Образование трещин в результате коррозионного растрескивания как в среде  $H_2S$ , так и при искусств. наводороживании происходит в основном во время пластич. деформации, т. е. в тот период, когда в ЭЯИТ происходят структурные превращения. Высказано предположение, что возникновение трещин при коррозии под напряжением у стали ЭЯИТ в среде  $H_2S$  является следствием интенсивного выделения избыточного водорода из  $\alpha$ -фазы в момент ее возникновения по плоскостям скольжения при пластич. деформации. И. Л.

**76912. Механизм коррозионного растрескивания в Mg-сплавах. Прист, Бек, Фонтана (Stress-corrosion mechanism in a magnesium-base alloy. Priest D. K., Beck F. H., Fontana M. G.), Trans. Amer. Soc. Metals, 1955, 47, 473—492 (англ.)**

Механизм коррозионного растрескивания Mg-сплавов, содержащих (в %): Al 6, Zn 1 и Mn 0,2, изучался в p-ре 3% NaCl + 3%  $K_2CrO_4$  при комнатной t-ре. Изучалось влияние термич. обработки, ориентации кристаллов, наложения тока и величины pH. М. М.

**76913. Сквозная коррозия и качество стали. Детерман (Lochfraßkorrosion und Stahlqualität. Determination H.), Hansa, 1956, 93, № 12-13, 538—540 (нем.)**

Рассмотрены причины возникновения сквозной коррозии (СК) наружной обшивки кораблей, перевозящих нефть и нефтепродукты, а также меры для уменьшения этого вида коррозии. Отмечена значительно меньшая агрессивность сырой нефти по сравнению с нефтепро-

дуктами. Указано на увеличение СК при резкой неравномерности состава стали, а также при местных нарушениях пассивной пленки. Предполагается возможность легирования стали добавками, выделяющимися при местной коррозии и проявляющимися местное замедляющее коррозионное действие. Отмечена непригодность применения для обшивки судов нержавеющей стали, а также плакированных медью железных листов. Уменьшение СК, по мнению автора, может быть достигнуто не за счет материала обшивки, а путем ряда других мер. Я. Л.

**76914. Механизм нитевидной коррозии. Слейб, Гротир (Mechanism of filiform corrosion. Slaybaugh W. H., Grotheer Morris), Industr. and Engng Chem., 1954, 46, № 5, 1014—1016 (англ.)**

Термин нитевидная коррозия (НК) названо явление образования тонкой нити продуктов коррозии, наблюдаемое под пленкой лака или краски для некоторых металлов во влажных условиях. Испытание стальных образцов, покрытых прозрачным лаком, при длительной экспозиции на воздухе при комнатной t-ре и 65% относительной влажности показало, что под пленкой происходило образование таких нитей шириной 0,5 мм и растущих на 2—3 мм в неделю. По отношению к твердым продуктам коррозии нити и к металлу головка растущей нити анода. Она содержит высококонцентрированный p-р солей  $Fe^{2+}$ ; твердые продукты коррозии, образующие нить, состоят из гидроокиси  $Fe^{3+}$ . Высказан следующий взгляд на природу НК. Первичная стадия НК — проникновение влаги из окружающей атмосферы под пленку лака или краски. Эти зоны становятся в дальнейшем очагами активной коррозии, благодаря которой в них резко повышается концентрация p-ра. Высокая концентрация p-ра солей в головке нити делает возможным дальнейшее проникновение влаги сквозь пленку за счет осмотич. сил. Пленка при этом играет роль полупроницаемой перегородки. Такое проникновение p-рителя вызывает увеличение объема головки нити путем постепенного подрыва пленки на границе с металлом и, следовательно, рост нити. Твердые продукты коррозии в нити образуются вследствие окисления  $Fe^{2+} \rightarrow Fe^{3+}$  и осаждения гидроокиси на катодных участках с повышенной щелочностью. А. Ш.

**76915. О коррозионной стойкости Cr-Ni-сталей (18-8) в водных растворах, содержащих галоиды. Карнус (Beitrag zur Kenntnis des Korrosionsverhaltens der austenitischen 18/8-Cr/Ni-Stähle in Halogenen enthaltenden wäßrigen Lösungen. Carius C.), Werkstoffe und Korrosion, 1955, 6, № 5, 246—247 (нем.)**

Изученные три марки малоуглеродистых хромо-никелевых сталей типа 18-8, различавшиеся по содержанию Mo (0,3—5,2%) и Ni (10,0—15,1%), после закалки от  $1050^\circ$  в воду в  $10^{-4}$  н. KCl, чистой воде (pH 7) и 1 н.  $H_2SO_4$  обнаружили потенциал кислородного электрода, что служит, по мнению автора, признаком пассивного состояния стали, поскольку Fe-ионы совсем не переходят в p-р. Ионы галоидов нарушают нормальное течение коррозионного процесса, и сталь уже не может обладать в таких p-рах функцией O-электрода. Указанные нарушения были установлены на кривых потенциал — время в p-рах NaCl, KCl, NaF, и были исследованы путем снятия поляризационных кривых в этих p-рах. Полученные поляризационные характеристики позволяют объяснить коррозию сталей (местная коррозия) и их стойкости в присутствии ионов галоидов. А. Ш.

**76916. К вопросу о воздействии цинка на систему железо — карбид железа. Крос (Bemerkungen über den Zinkangriff auf das System Eisen-Eisenkarbid. Kross W.), Metalloberfläche, 1956, 10, № 6, 187—188 (нем.)**

При воздействии расплавленного Zn на малоуглеродистую сталь происходит его взаимодействие с карби-

дами железа и образуется гартцинк; с ферритом Zn медленно взаимодействует. При повышении т-ры взаимодействие Zn со сталью становится более интенсивным. Лучшее качество покрытия получается при сухом цинковании, так как время нахождения стали при этом методе в расплавленном Zn меньше, чем при мокром методе, и на поверхности стали не образуется хрупкого слоя сплава Zn с железом. Указывается, что для изготовления ванн горячего цинкования применяют железо, не реагирующее с Zn (D. R. P.). Стойкость материала ванны может быть также повышена применением стали, в которой карбиды железа переведены в графит. На коррозионную стойкость материала ванны отрицательно влияет относительно высокое содержание Al в цинковальной ванне. М. К.

**76917. Коррозия, образование трещин и эрозия наружной поверхности конденсаторных трубок из медных сплавов. 1 часть. Ноттинг** (Korrosion, Rißbildung und Erosion an der Außenfläche von Kondensatorrohren aus Kupferlegierungen, I. Teil. Nothing F. W.), Metall, 1956, 10, № 11-12, 520—523 (нем.)

Указаны составы принятых в Германии марок Cu-сплавов, предназначенных для изготовления конденсаторных трубок (КТ) в различных системах. Приводится ряд примеров коррозионных разрушений, вызываемых действием агрессивной среды на наружную поверхность КТ. Рекомендуемые способы защиты от коррозии: а) устранение из конденсата растворенных газов, часто являющихся главной причиной коррозии ( $H_2S$ ,  $SO_2$ ,  $CO_2$ ,  $O_2$ , летучие органич. в-ва); б) добавление к котловой воде аммиака или аминов для понижения коррозии теплообменников, вследствие повышения pH конденсата; в) добавление  $N_2H_4$  для связывания  $O_2$  в котловой воде; г) целесообразно применение КТ, наружная и внутренняя стенка которых изготовлены из различных, правильно подобранных материалов. А. Ш.

**76918. Изучение коррозии подогревателей воздуха котлов, работающих на жидком топливе. Лиз** (An investigation into the air-heater corrosion of oil-fired boilers. Lees B. J., J. Inst. Fuel, 1956, 29, № 183, 171—175 (англ.))

Приведены результаты определения скорости коррозии металла трубок подогревателей воздуха котлов, работающих на жидком топливе, а также данные исследований по разработке методов снижения износа подогревателей воздуха и накипобразования в них. Указывается, что износ подогревателей воздуха может быть значительно снижен при увеличении содержания  $CO_2$  в дымовых газах до 13—14%. Приведен общий вид и описание прибора, служащего для определения концентрации твердых горючих материалов в дымовых газах. М. К.

**76919. Конструкционные материалы, стойкие против водородной коррозии. Мортон** (M-O-C for hydrogen. Morton B. V.), Petrol. Refiner, 1956, 35, № 3, 164—166 (англ.)

В произ-ве водорода с целью предохранения аппаратуры от растрескивания и обезуглероживания наиболее часто применяются нержавеющая сталь типа 310 (25% Cr, 20% Ni), Cr-Ni-сталь (35% Ni, 20% Cr) и высоконикелевый сплав (79% Ni, 15% Cr), обладающие высокой жаростойкостью. Топливо не должно содержать серы, так как наличие в газе  $SO_2$  может вызвать коррозию Ni. В этом отношении сталь 310 является наиболее пригодной, однако в ней в некотором интервале т-р может наблюдаться выделение хрупкой  $\sigma$ -фазы, что ухудшает механич. прочность металла. Атомарный водород, проникая в металл, может вызвать обезуглероживание и растрескивание его. Степень воздействия водорода на металл зависит от парц. давления и т-ры его, а также от т-ры металла. Для борьбы с обезуглероживанием желательное введение в сталь карбидообразующих элементов (V, Mo, Ti, W, Cr). Атомарный водо-

род в пустотах и трещинах в металле может подвергаться рекомбинации, образуя молекулярный водород и создавая высокое давление внутри трещины или пустоты, может вызвать разрушение металла, которое облегчается в случае наличия в металле внутренних напряжений. Р. А.

**76920. Некоторые замечания по защите от коррозии на судах. Вельман** (Einige Bemerkungen zum Korrosionsschutz auf Schiffen. Wellmann E.), Hansa, 1956, 93, № 12-13, 556—559 (нем.)

Рассматриваются основные факторы, влияющие на процессы коррозии морских судов. Указывается, что ускорение коррозии котлов вызывается наличием в топливе серы, которая при сгорании образует  $SO_2$  и  $SO_3$ . Также опасно понижение т-ры выхлопных газов, так как уже при 150—180° имеет место конденсация, усиливающая коррозию, поэтому нецелесообразны сильное охлаждение выхлопа или слишком низкая т-ра охлаждающей воды. Т-ра должна быть не ниже 60°, тогда как выхлоп должен иметь т-ру не ниже 180°. Для защиты внешней поверхности корпуса судов рекомендуются краски на основе фталевых и полиэфирных смол. Для морских судов с малой скоростью движения, таких как доки, понтоны, применяют бесфенольные битумные покрытия. Большую роль при окраске играет хорошая подготовка поверхности. Наилучшее качество дает пескоструйная очистка при крупности песка 0,5—1 мм. Также хорошие результаты дает огневая очистка восстановительным пламенем. При отсутствии обрастания лучшей защитой было бы покрытие цинком, наносимое распылением при расходе цинка  $\geq 400$  г/м<sup>2</sup>, согласно DIN 50961. Для борьбы с коррозией применяются также Zn- и Mg-аноды в системе катодной защиты. Zn должен быть или высокой чистоты (99,99%-ный) или в сплаве с 1% Mg. Для защиты многих стальных деталей и узлов, не подверженных прямым механич. воздействиям, с успехом применяется покрытие «целит», изготовляемое на основе минер. масла. Для защиты легких металлов используется элоксация, т. е. электрохим. анодирование. Для защиты легких сплавов применяются и бесфенольные битумные покрытия, срок работы которых бывает обычно 1,5—2 года. В последнее время все чаще для окраски стали применяют ингибированный праймер — грунтовку. Сообщается о создании Европейской федерации по коррозии из представителей 8 стран и 30 технич. исследовательских организаций. В. П.

**76921. Повреждения медных труб на судах. Вальбаум** (Über die Korrosion von Schiffseewasserleitungen aus Kupfer. Wallbaum H. J.), Hansa, 1956, 93, № 12-13, 547—550 (нем.)

Рассматриваются вопросы коррозии медных трубопроводов на судах. Указывается, что стойкость Cu по сравнению с другими металлами в морской воде основана на ее благородном потенциале и на защитном действии окисных пленок, образующихся на ее поверхности. Защитная пленка при своем росте вызывает потери металла  $\sim 10$  мг/дм<sup>2</sup>, что отвечает разрушению металла на глубину  $\sim 0,04$  мм/год. Приводится таблица скорости коррозии для Cu и ряда ее сплавов. Указывается на опасность обесцинкования латуней, которая зависит от содержания Zn и которая начинается при 20% Zn, достигая максимума для  $\alpha$ ,  $\beta$ -латуней. Опасность обесцинкования устраняется добавлением самых небольших кол-в As, Sb или P. При содержании в сплаве 30% Zn достаточно добавление указанных элементов всего в кол-ве сотых процента. Ускоренная коррозия обычно наблюдается в водах гаваней, вероятно, из-за загрязнений их серой. Указывается на ускорение коррозии частыми сменами действующих сред: морской воды и воздуха, а также на конц-ию коррозионных разрушений у границы воздух — вода. В этих

условиях наиболее стойки As-бронзы с содержанием As 0,4%. На стойкость Cu и ее сплавов большое влияние оказывает т-ра, с повышением которой скорость коррозии увеличивается. В движущейся морской воде, помимо коррозии, имеют место также и эрозионные явления, вызываемые ударами пузырьков воздуха. Приводятся значения крит. скорости движения морской воды для различных Cu-сплавов, при которых может иметь место эрозия. Значения крит. скоростей изменяются для различных сплавов от 1,8 до 4,5 м/сек и лишь для Sn-бронзы составляет 20 м/сек. По DIN 1785 и DIN 17664 рекомендуются для труб, транспортирующих морскую воду, Cu-Ni-сплавы. Устранение эрозии в трубах может осуществляться или путем конструктивных мероприятий или путем применения более стойких материалов. Приводятся сведения из иностранной техники (Англия и США) о рекомендуемых сплавах для судовых трубопроводов.

**76922. Три способа борьбы с сероводородной коррозией. Баккенсто, Дру, Стейплфорд** (Three ways to fight  $H_2S$  corrosion. Backensto E. B., Drew R. D., Stapleford C. C.), Oil and Gas J., 1956, 54, № 44, 104—106 (англ.)

Результаты испытаний углеродистых, Cr, Cr-Ni-сталей и Al-покрытий в средах, содержащих  $H_2S$  0,002—1,0 об. %, при т-ре среды от 260 до 704° и давлении водорода 0—35 атм показали, что скорость коррозии (СК) указанных сталей возрастает с увеличением конц-ии  $H_2S$ . Наиболее коррозионностойкими являются Cr-Ni-стали. Не установлено существенной разницы в СК углеродистых сталей и сталей с содержанием Cr до 5%, а в некоторых случаях до 9%. Большое влияние на СК сталей оказывает т-ра среды. При т-рах среды до 537° СК возрастает с повышением т-ры и достигает максимума при 537—649°. Результаты испытаний Al-покрытий, полученных различными способами, показали, что коррозионностойкими являются покрытия, полученные только диффузионным способом. Результаты испытаний позволили защитить оборудование термокаталитич. риформинга: был установлен скруббер для снижения содержания  $H_2S$  в газе повторного цикла, вся теплообменная аппаратура была алитирована, узлы реактора, наиболее подверженные коррозии, были заменены на детали, изготовленные из нержавеющей стали типа 18-8. Последующий осмотр оборудования, проведенный после 55 дней эксплуатации, показал, что оно находилось в хорошем состоянии.

**76923. Что происходит при коррозии в  $H_2 + H_2S$ . Баккенсто, Дру, Стейплфорд** (What happens in  $H_2-H_2S$  corrosion. Backensto E. B., Drew R. D., Stapleford C. C.), Petrol. Refiner, 1956, 35, № 1, 147—150, discuss. 150—151 (англ.)

Изучалось коррозионное поведение в смеси  $H_2 + H_2S$  при различных условиях т-ры и общего давления сталей следующих марок: простые углеродистые, хромистые, содержащие 2,25—16,0% Cr, хромоникелевые 18/8, 25/12 и 25/20. Учитывалось влияние конц-ии  $H_2S$ , т-ры, общего давления, времени выдержки образцов, % Cr в стали на скорость коррозии (СК), выраженную в линейных единицах. С увеличением конц-ии  $H_2S$  СК возрастает. Увеличение % Cr в интервале 7—16% приводит к резкому снижению СК; кривая в зависимости от т-ры СК образует пологий максимум. Сделан вывод о защитном действии сульфидных пленок, образующихся на поверхности образцов уже при 0,006%  $H_2S$  в смеси. Рекомендованные способы защиты от газовой коррозии этого типа: применение Cr-Ni-сталей, снижение %  $H_2S$  в смеси; защитные Al-покрытия, наносимые горячим способом.

**76924. Случай утечки кислоты из свинцовых камер. Валло, Сальмон** (Une cause de fuite d'acide dans les chambres de plomb. Vallaud A., Salmon P.),

Corros. et anticorros., 1956, 4, № 4, 135—138 (франц.)

Описан случай утечки к-ты из Pb-камер через отверстия, проделанные насекомыми *Sirex (Urocerus) gigas* L. из семейства перепончатокрылых, встречающихся в областях с хвойными лесами. Эти насекомые кладут яички в стволы хвойных деревьев. Впоследствии появившиеся личинки, рост и жизнь которых продолжают в течение 1—3 лет, протачивают ходы в древесине. Личинка, стремясь выйти наружу, просверливает отверстия диам. 5—8 мм на Pb-листах, соприкасающихся со строительным лесом. Для предотвращения этого явления рекомендуются предварительное пропаривание и сушка материалов из хвойных пород, предназначенных для соприкосновения с оборудованием из Pb. Более радикальным средством является применение инсектицида, в частности диэдрина, который наносится на древесину распылением, кистью или погружением. Наилучшее проникновение инсектицида в древесину обеспечивается при использовании нефтяных р-рителей.

**76925. Коррозия стали в почве. Аррениус** (The corrosion of steel in soil. Arrhenius O.), Tekn. skr. (sver.), 1956, № 159, 19 pp. (англ.)

Приводятся данные 14-летних натурных коррозионных испытаний стали, проводившихся в США в почвенных условиях. В результате обработки данных по трем группам почв, распределенных по их кислотности (значения pH), построена кривая зависимости коррозионной активности почвы от ее уд. сопротивления, которая имеет вид гиперболы. Соответственно этой кривой предложена ф-ла, связывающая указанные величины. Значение постоянной в этой ф-ле для почв США было выведено равным 300 000. Приведенные данные позволяют сделать выводы, что уд. сопротивление почвы оказывает решающее влияние на коррозионную активность почвы. Увеличение кислотности почвы также увеличивает скорость коррозии (СК), причем для кислых почв (pH 5—6) на 30%, а для очень кислых (pH ниже 5) на 55%. При низких сопротивлениях почвы влияние pH на СК значительно меньше, чем при больших сопротивлениях. Влажность почвы также связана со СК. Приведены также данные коррозионных испытаний в почвенных условиях Швеции. Для 5000—6000 точек приводятся данные о кол-ве случаев коррозии для различных значений сопротивления почвы, величине pH, высоте уровня грунтовых вод и др. Указывается на взаимосвязь между поверхностными слоями почвы и нижележащими ее слоями. Отмечается влияние гумусовых составляющих почв и окислительно-восстановительного потенциала на СК. Результаты исследования показывают, что необработываемые и необжитые почвы обладают наименьшей агрессивностью. Почвы, загрязненные человек. и животными отходами, обычно бывают очень коррозионноактивными. Указывается на отдельные засоленные почвы Швеции, которые по этой причине весьма агрессивны. Пиритовые, глиноземистые и болотистые почвы также весьма агрессивны. Исследование железных изделий из захоронений железного века показывает зависимость сохранности железа от коррозионной активности почв.

**76926. Практика контроля коррозии, обусловленной действием воды, в скважинах сырой нефти с малым количеством сернистых соединений.**—(Field practices for controlling water-dependent sweet oil well corrosion. A report of Technical Unit Committee T-1C on sweet oil well corrosion. (Compiled by task group T-1C-1 on field practices.)—) Corrosion, 1956, 12, № 3, 67—71 (англ.)

Приведены данные опроса 19 фирм, эксплуатирующих скважины сырой нефти с малым содержанием серы, о применяемых ими способах контроля коррозионного разрушения оборудования и методах защиты от

коррозии, обусловленной воздействием воды. Для оценки коррозии металла в скважинах принимаются во внимание различные факторы: кол-во образующейся воды, содержание Fe в воде, уменьшение толщины стенки и др. Перечисляются способы, применяемые различными фирмами для снижения коррозии оборудования.

М. К.

**76927. Коррозия отопительного и вентиляционного оборудования.** Льюис (Corrosion of heating and ventilating appliances. Lewis D. G.), J. Instn Heat. and Ventil. Engrs, 1956, 23, March, 453—460 (англ.) Обзор причин коррозии отопительного и вентиляционного оборудования.

М. К.

**76928. Коррозия грузовых судов.** Адамс, Хадсон (Corrosion of cargo ships. Adams H. J., Hudson J. C.), Shipp. World and World Shipbuild., 1956, 134, № 3276, 357—358 (англ.)

Обсуждается влияние различных факторов (конструктивные особенности, сварка и др.) на коррозию судов. Указаны способы защиты судов от коррозии.

М. К.

**76929. Роль никеля и заменители никеля в изготовлении ювелирных изделий.** Мэрс, Вильямс (The role of nickel and nickel substitutes in jewelry making. Mairs K. H., Williams J. M.), Corrosion, 1956, 12, № 3, 31—36 (англ.)

С целью замены Ni в изготовлении ювелирных изделий, покрываемых затем Au методом плакирования, изучена коррозионная стойкость Ni и различных сплавов (нержавеющей стали, сплавов Ag и Ni, бронзы) в р-рах синтетич. пота методом измерения потенциалов во времени. Коррозионная стойкость Ni не вполне удовлетворительна: в кислой среде он подтачивается, но не дает питтингов и трещин, а продукты коррозии не объемны и бесцветны, поэтому Ni пригоден для изготовления ювелирных изделий. Не обнаружено материала, который успешно заменял бы Ni. Нержавеющая сталь 305 является наилучшим материалом, но высокая т-ра отжига непригодна для золочения. Сталь 430 недостаточно коррозионностойка. Ag-сплавы обладают хорошей коррозионной стойкостью, но не пригодны из-за недостаточной твердости, износостойкости и склонности к потемнению от других коррозионных агентов.

З. С.

**76930. Защитные мероприятия для железа** (Protective processing of ferrous metals.—), Industr. Progr. and Develop., 1956, 17, № 5, 225—229 (англ.)

**76931. Подготовка стальной поверхности. Часть I.** Байгос (Surface preparation of steel. Part I. Bigos Joseph), Chem. in Canada, 1956, 8, № 5, 30—34 (англ.)

Приводится классификация очистки стальной поверхности при антикоррозионной окраске. Очистка включает 5 классов: I класс — очистка проволочными щетками и скребками. Этот метод применяется для очистки мостов, зданий, баков и пр.; II класс — огневая очистка, очистка песком и абразивами, применяется для поверхностей, предназначенных под покрытия в более сильных коррозионных условиях; III класс включает струйную очистку и травление. Применяется для поверхности, находящейся в жестких агрессивных условиях (погружение в пресную или морскую воду, нахождение в атмосфере, загрязненной промышленными газами; IV класс включает струйную очистку с последующей обработкой горячим р-ром фосфатов (ваш-праймер). Эта очистка применяется для особо агрессивных условий хим. з-дов. V класс очистки применяется для поверхности, не имеющей окислов, вредных окислов и ржавчины. Обработка производится смачивающими маслами, холодными и горячими р-рами фосфатов. Горячие р-ры фосфатов (ваш-праймеры) содержат поливинил-бутиральную смолу, фосфорную к-ту и пигмент-замедлитель коррозии, напр. основной хромат Zn, хро-

мат свинца или фосфат хрома. Они отличаются исключительно хорошей адгезией к поверхности.

Т. Ф.

**76932. Очистка и обезжиривание металлов.** Келлер (Das Reinigen und Entfetten von Metallen. Keller H.), Technica (Suisse), 1956, 5, № 2, 63—66, 71—72 (нем.)

Обзор методов очистки и обезжиривания металлов. Дано описание автоматич. аппаратуры для очистки и обезжиривания. Приведено описание способов ультразвуковой очистки деталей, указано на возможность обработки деталей размером  $50 \times 50 \times 50$  см. Приведены спец. способы очистки и обезжиривания (отжиг и огневая очистка), а также способы удаления лакокрасочных покрытий.

Я. Л.

**76933. Снижение коррозионных потерь с помощью огневой очистки.** Хейс (Corrosion loss cut by flame cleaning. Hayes B. A. J.), Municip. J., 1956, № 3294, 755—756 (англ.)

Указывается, что наиболее эффективным способом очистки металлич. изделий перед окраской является огневая очистка (ОО). При ОО с поверхности металла удаляется вся ржавчина, окалина и влага. Поверхность металла при этом нагревается, что способствует уменьшению вязкости краски и лучшему проникновению ее во все углубления и трещины на поверхности металла. ОО осуществляется кислородно-ацетиленовым пламенем с помощью паяльной горелки со спец. наконечниками. Отмечается целесообразность применения ОО в судостроении, а также при очистке конструкций больших габаритов. Указаны объекты, в которых очистка поверхности металла перед окраской проведена способом ОО. На примерах показано преимущество этого способа очистки перед окраской по сравнению с другими.

М. К.

**76934. Диффузионное силицирование.** Горбунов Н. С., Аюпджанян А. С., Ж. прикл. химии, 1956, 29, № 5, 655—659

Приведены результаты исследований покрытий, полученных по разработанному авторами методу диффузионного силицирования, который отличается тем, что хлором заполняется лишь реакционное пространство печи при комнатной т-ре. Установлено, что толщина диффузионного слоя Si зависит от т-ры и продолжительности процесса силицирования, а также от содержания C в покрываемом металле. Большие т-ры и большая длительность процесса обработки обуславливают образование больших по толщине Si-покрытий. Более высокое содержание C в покрываемом металле приводит к образованию меньших по толщине диффузионных слоев Si. Установлено, что вес и размеры образцов после силицирования изменяются. При более высоких т-рах и большей длительности диффузии наблюдаются большие потери в весе образцов. Размеры образцов после силицирования увеличиваются, причем при более высоких т-рах и большей длительности процесса силицирования наблюдается и большее изменение размеров изделий.

М. К.

**76935. Горячее цинкование болтов и гаек и других мелких изделий.** Горде (La galvanisation à chaud de la boulonnerie et des petites pièces. Gordet A.), Metallurgie et constr. méc., 1955, 87, № 7, 611—612; № 9, 729, 731; № 12, 979, 981, 983 (франц.)

**76936. Достижения в области предварительной обработки поверхности. II. Химическая обработка: б) химические покрытия.**—(Developments in preparatory treatments. 2. Chemical: (b) conversion coatings.—), Corros. Prevent. and Control, 1955, 2, № 11, 39—43, 56 (англ.)

Указывается, что цинкофосфатные покрытия устойчивы при нагревании до 300°. Согласно спецификации Военного министерства США, потеря веса после снятия фосфатного покрытия в 10%-ном р-ре NaOH должна

составлять  $\geq 16 \text{ мг/дм}^2$ . Фосфатирование широко применяют для облегчения процессов холодной деформации металлов и уменьшения износа трущихся деталей. Процесс хромирования применяют главным образом для пассивации и создания подслоя под краску на Zn- и Cd-покрытиях на цинковом литье, получаемом под давлением и оцинкованном Fe. При помощи радиоактивных изотопов установлено, что содержание в хроматном покрытии Cr- и  $\text{SO}_4$ -ионов возрастает по мере увеличения в ванне для хромирования концентрации  $\text{H}_2\text{SO}_4$ . Для предупреждения образования белого налета продуктов коррозии в условиях воздействия влажной атмосферы детали непосредственно после горячего цинкования обрабатывают в течение 30 сек. при  $65^\circ$  в 0,07%-ном р-ре  $\text{K}_2\text{Cr}_2\text{O}_7$ . Предыдущее сообщение см. РЖХим, 1956, 40188.

**76937. Очистка и фосфатирование деталей стальных барабанов перед окрашиванием. Рейнир** (Cleaning and phosphatizing steel drums to be painted. Rainier J. M.), Industr. Finish, 1956, 32, № 6, 70, 72, 76 (англ.)

**76938. Фосфатные покрытия. Спринг** (Phosphate coatings. Spring S.), Metal Finish. Guidebook-Directory, 1956, 24. Westwood, N. J. Finish. Publ. Inc., 1955, 477—481 (англ.)

Рассматриваются способы получения фосфатных покрытий на поверхности Zn-, Mg- и Fe-изделий, улучшающих сцепляемость красок с основным металлом и коррозионную стойкость. Обсуждается влияние различных факторов на процесс получения фосфатных покрытий, в основном структурной характеристики основного металла, описывается подготовка основной поверхности и приводится рецептура процессов фосфатирования Zn, Mn и Fe методами погружения и разбрызгивания, а также указываются способы контроля процессов. З. С.

**76939. Анодное пассивирование железа. Мельников А. М.,** Тр. Ивановск. хим.-технол. ин-т, 1956, вып. 5, 37—42

Изучен характер пассивной пленки (ПП) изменения анодного потенциала (АП) во времени в конц. р-рах КОН в зависимости от различных факторов. Показано, что ПП представляет окисел Fe, причем кристаллизация его на аноде сопровождается изменением цвета. Рост пленки ускоряется с повышением концентрации КОН и т.р. Показано, что ПП является пористой, причем расположение пор соответствует расположению границ кристаллитов окисла. Вначале электролиза пленка растет равномерно по толщине, затем рост ее ускоряется. Этому соответствует постоянное значение АП. При дальнейшем росте ПП поры ее затягиваются и растворение Fe полностью прекращается, что сопровождается скачкообразным повышением АП. При продолжительном электролизе в пленке появляются трещины, и она начинает шелушиться. Электролит пассивного превращается в активный, и АП снижается до первоначального значения. З. С.

**76940. О коррозии цементного камня в Каспийской морской воде. Шахтахтинская Г. Г.** В сб.: Пути изучения гидрометеоролог. режима и освоения акваторий нефть. промыслов Каспийск. моря. Баку, Азерб. ун-т, 1956, 47—55

Исследования стойкости 6 различных видов цемента в воде Каспийского моря (тампонажного, тампонажного СГБ Бакинского з-да, портландцемента Карадагского з-да, новороссийского и каспийского тампонажных цементов, гипсо-глиноземистого расширяющегося цемента Пашийского з-да) показали, что наиболее стойкими в указанных условиях оказались бакинские цементы — тампонажный и портландцемент Карадагского з-да. К нестойким следует отнести гипсо-глиноземистый расширяющийся цемент. Нанесение битумного покрытия на цементный камень повышает его прочность и стойкость

в морской воде при нанесении покрытия через 14 дней после изготовления образцов. Уменьшение содержания песка в цементном р-ре до 1:2 уплотняет цементный камень и уменьшает его пористость, что значительно повышает прочность и стойкость его в воде Каспийского моря. Затворение цементного р-ра морской водой приводит к некоторому снижению прочности цементного камня (до 7%), но не отражается на его стойкости в указанной воде. П. Ф.

**76941. Подвергаются ли коррозии обсадные трубы пластовыми жидкостями? Нейши, Уэстбрук** (Formation fluids corroding your casing? Nation John H., Westbrook S. S.), Oil and Gas J., 1955, 54, № 11, 96—98 (англ.)

Обзор практич. работ по цементированию обсадных труб в нефтяных скважинах западного Канзаса составом: 50:50 пуццоланового и портландцементов. Для увеличения скорости схватывания и механич. прочности к смеси добавляется 2%-ный р-р KCl. Одним из основных достоинств этого материала является его высокое сопротивление разрушению при действии рассолов, благодаря чему он лучше защищает обсадные трубы от коррозии. Указанные свойства были проверены при произ-ве работ более чем на 6000 объектах. М. Ш.

**76942. Битумы как антикоррозионные материалы. Белл, Уилдон** (Bitumen in the prevention and control of corrosion (2). Bel R. P., Wheeldon K. A.), Corros. Prevent. and Control, 1955, 2, № 11, 5, 33—37 (англ.)

Рассматриваются состав и свойства композиций на основе различных битумов и минер. наполнителей. В зависимости от консистенции покрытий их толщина составляет 1,5—3 мм. Такие покрытия в последнее время широко применяют для защиты от коррозии больших поверхностей рифленого железа. В битумные эмульсии добавляют эмульгаторы в виде бентонита или мыла. Эмульсии наносят при помощи щетки или путем распыления. Максимально допустимая толщина покрытия ~ 3 мм. Проницаемость эмульсионных покрытий, содержащих бентонит, заметно выше, чем покрытий, содержащих мыло. Подготовка поверхности покрываемых изделий предусматривает очистку поверхности от жировых загрязнений и ржавчины и фосфатирование. В качестве замедлителя коррозии применяют  $\text{PbO}_2$ , который вводят в битум. Часть I см. РЖХим, 1956, 34713. Э. З.

**76943. Сдираемые покрытия для защиты обработанных на станке металлических частей и инструментов. Меткаф** (Strippable coatings for machined metal parts and tools. Metcalfe Lyne S.), Plating, 1956, 43, № 4, 497—499 (англ.)

Описан метод нанесения легко удаляемых покрытий на основе этилцеллюлозы или ацетомасляного эфира целлюлозы с добавлением к ним смол, пластификаторов, стабилизаторов и т. п. Покрытия наносятся погружением изделия в расплав пластификатора при  $149\text{—}177^\circ$ . Прозрачная пластичная пленка толщиной 1,27—2,54 мм предохраняет изделие от ржавчины, коррозии, механич. воздействий и пр. и легко снимается с изделия. Следует избегать местных перегревов ванны, так как пластификатор не теплопроводен и разлагается при т-ре выше  $200^\circ$ . В. Л.

**76944. Защита сооружений от коррозии при помощи защитных оберток. Фишер, Кирш** (Der Korrosionsschutz auf der Baustelle mit Hilfe von Schutzbinden. Fischer Walter, Kirsch Werner), Gas, Wasser, Wärme, 1956, 10, № 4, 99—101 (нем.)

Недостатком обмотки «Денсо», изготовленной из текстильной ткани, пропитанной вазелиноподобными углеводородами, было гниение ее при воздействии бактерий и грибов. С целью устранения этого недостатка в дальнейшем стали применять стеклянные ткани. Однако они также обладали капиллярностью и были дороги. По-

этому была разработана новая обмотка — «Денсо 51» с текстильной основой, защищенной пропиткой от гниения.

**76945. Металлические покрытия в антикоррозионной защите и производство покрытий. Колон** (Les revêtements métalliques dans la protection anticorrosive et l'industrie des revêtements. Colomb P.), Chem. Rundschau, 1956, 9, № 7, 163 (франц.)

Рассмотрена роль защитных красок на металлич. основе (Al, Zn, бронза и т. д.), применяемых в настоящее время для предохранения стальных конструкций от коррозии.

**76946. Новые данные в области защиты от коррозии путем окраски и путем умягчения воды в отопительных котельных установках. Фулон** (Neue Erkenntnisse auf dem Gebiet des Korrosionsschutzes durch Anstriche und durch die Wasser-Enthärtung in Kesselsystemen. Foulon A.), Metalloberfläche, 1956, 10, № 6, 188—189 (нем.)

Приведены общие соображения о влиянии различных факторов на устойчивость и механич. свойства лакокрасочных покрытий. Рассмотрены различные органич. покрытия (на основе виниловых смол, хлоркаучука, фурановых и эпоксид-смол и т. д.) и указаны области их применения. Отмечена теплостойкость (при 200—260°) красок на основе алкидно-силиконовых смол. В качестве способов защиты металлоизделий от коррозии во время их хранения рекомендуются кондиционирование воздуха в складском помещении и защитная упаковка. Описана установка для предотвращения накипи и коррозии в отопительных котельных установках путем размещения в баке горячей воды Al- или Fe-анодов и подвода постоянного тока. При этом кислород связывается растворяющимся металлом анода в гидроксиды; кроме того, ток производит умягчение воды и осаждение  $\text{CaCO}_3$ . Приведен пример успешного применения этого метода.

**76947. Защита стали. III. Грунты на основе хромата цинка. IV. Цинковая пудра для грунтов. V. Графит. Шлейкер** (Protection of steel. III. Zinc chromate for primer coats. IV. Zinc dust for primer coats. V. Graphite. Schleicher Martin E.), Paint Ind. Mag., 1954, 69, № 9, 17—18, 22 (англ.)

Общие сведения о механизме защитного действия хромата Zn, тетраоксихромата Zn и хромата Sr. Для повышения укрывистости к грунтам добавляют FeO. В США для окраски Fe и дерева применяют грунт, содержащий хромат Zn и FeO, с использованием в качестве связующего р-ра алкидной смолы. Покрытие подвергают горячей сушке при 120° или холодной сушке ~8 час. Краски, содержащие Zn-пудру, обладают повышенным сцеплением и для улучшения их сцепления горячие Zn-покрытия подвергают воздействию атмосферы, травлению в щел. р-ре или в р-ре  $\text{H}_3\text{PO}_4$ . В 1 л краски содержится ~140—180 г Zn-пудры. Отмечается, что введенный в грунт графит может ускорить образование ржавчины. Часть II см. РЖХим, 1956, 31329. Е. З.

**76948. Коррозионные исследования, связанные с изучением адсорбции. Нейтан** (Corrosion investigations related to adsorption studies. Nathan C. C.), Corrosion, 1956, 12, № 4, 23—30 (англ.)

Исследован ряд аминов и органич. к-т с целью установления зависимости между структурой молекул и их адсорбцией на железном порошке из бензолного р-ра и соотношения между адсорбцией и уменьшением скорости коррозии в 1 н.  $\text{CH}_3\text{COOH}$ . Скорость коррозии определялась по выделению водорода, а величина адсорбции — по разности начальной и конечной конц-ий адсорбирующегося в-ва. Установлено, что более сильно адсорбирующиеся материалы являются лучшими замедлителями коррозии (ЗК), чем слабо адсорбирующиеся. В гомологич. ряду адсорбция увеличивается с уменьше-

нием растворимости в-ва. Вторичные амины менее эффективны как ЗК, чем первичные, а третичные амины менее эффективны, чем вторичные. Разветвление алкильной цепи алифатич. аминов затрудняет адсорбцию. Ароматич. амины, состоящие более чем из одной арильной группы, адсорбируются слабо и являются плохими ЗК. Наличие нескольких полярных групп не увеличивает существенно адсорбцию.

**76949. Влияние травильных присадок на водородную хрупкость. Келлер** (Einfluss der Beizzusätze auf die Beizsprödigkeit. Keller A., Keller R.), Draht, 1956, 7, № 2, 35—38 (нем.)

Изучено влияние на водородную хрупкость стальной проволоки (0,58% C) 18 различных травильных присадок, вводившихся в р-ры 15%-ной  $\text{H}_2\text{SO}_4$  и 7,5%-ной  $\text{H}_2\text{SO}_4 + 230 \text{ г/л FeSO}_4 \cdot 7\text{H}_2\text{O}$ . Наилучшие результаты дает добавка 0,75 г/л адацида-ЕВ.

**76950. Коррозия упакованных изделий. Харброн** (Evaluating corrosion in packaging. Harbron John D.), Canad. Packag., 1956, 9, № 3, 47—49 (англ.)

Обзор способов защиты от коррозии упакованных изделий при их хранении и перевозке.

**76951. К вопросу о влиянии оптических осветлителей на коррозию меди. Нивенхейс** (Zur Frage des Einflusses der optischen Aufheller auf die Korrosion des Kupfers. Nieuwenhuis K. J.), Fette-Seifen-Anstrichmittel, 1956, 58, № 1, 29—30 (нем.)

Приводятся замечания к одноименной статье Уля (см. РЖХим, 1956, 60429), содержащие пояснения к методике постановки опытов в одной из трех лабораторий, проверявших влияние отбеливающих средств на коррозию медных деталей стиральных машин. Опыты проводились применительно к реальным производственным условиям, в частности опыты велись на барабанах из меди и латуни, покрытых  $\text{CuO}$  или  $\text{Cu}_2\text{O}$ , образующейся во время стирок при высоких т-рах. Указано на влияние многочисленных факторов, ускоряющих коррозию. Я. Л.

**76952. Коррозионные проблемы в судостроении. Ферли** (Corrosion problems in the marine industry. Fearnley Late George), Chem. in Canada, 1956, 8, № 4, 71, 72, 74 (англ.)

Для выбора способа окраски трюмов были проведены испытания органич. и металлич. покрытий и катодной защиты. Предварительные результаты пока не дали хорошей оценки какой-либо системе защиты. Добавка замедлителя в груз дала удовлетворительные результаты. Обработка балластной воды танкеров 5%-ным р-ром  $\text{NaNO}_2$  в смеси с 0,5%  $\text{NaOH}$  заметно уменьшила как общую коррозию, так и образование питтинга. Для сухогрузных судов хорошие результаты дает грунтовка свинцовым суриком или свинцовым суриком-хроматом цинка-окисью железа с покровным покрытием алюминиевой краской. Применяемые для корпуса судна Al и его сплавы при содержании в воде самых небольших кол-в Cu (напр., из антиобрастающей краски) могут подвергаться сильной язвенной коррозии. Указывается, что скорость морской коррозии в условиях британских вод составляет 0,10—0,12 мм/год, тогда как в промышленной атмосфере она равна 0,15 мм/год. Из пигментов хорошие результаты дает применение хромата цинка и тетрагидроксихромата цинка ф-лы  $\text{ZnCrO}_4 \cdot 4\text{Zn(OH)}_2$ . Прекрасные результаты дало покрытие по грунтовке двумя слоями виниловой краской на свинцовом сурике и затем еще двумя слоями виниловой антиобрастающей краской. Для защиты от коррозии листов коры практикуется покрытие несколькими слоями краской на битуминозной основе вместе с установкой гальванич. анодов.

**76953. Коррозия на компрессорных станциях. Беррингер** (Corrosion in compressor stations. Berringer J. C.), Oil and Gas J., 1955, 54, № 11, 123—125 (англ.)

Для компрессорных установок при открытой системе водяного охлаждения рекомендуется катодная защита Mg-анодами. Для уменьшения коррозии поршневых штоков применяется Mg-лента. Кавитационная эрозия деталей поршня, увеличивающаяся с возрастанием скорости движения воды, может быть уменьшена путем выбора рационального диаметра штуцера. Защита рубашек вторичных холодильников сжатого воздуха размерами  $1,2 \times 0,3 \times 0,6$  м может быть осуществлена тремя Mg-анодами диам. 38 мм, рассчитанными на работу в продолжении 9 месяцев. Водяные резервуары емк. 283 м<sup>3</sup> могут быть защищены наложенным током при помощи выпрямителя и пяти анодов, подвешенных с крыши внутри резервуара. Подвеска анодов производится с крыши по кругу на расстоянии 1,2 м от стенки и 0,6 м от дна. Материалом анодов служит последнее время кремнистый чугун с 14,5% Si. Вместо пяти железных анодов можно устанавливать три анода из кремнистого чугуна ввиду его большей стойкости. Выпрямитель для защиты должен давать ток напряжением 14 в и силой 10 а. H<sub>2</sub>S-коррозию хорошо предупреждает смазка деталей смазочным маслом. Защита сальников осуществляется путем замены Си и ее сплавов мягким железом или Al. Всасывающие клапаны могут быть защищены инъекцией смазочного масла или газойля в струю газа перед его поступлением в цилиндры компрессора.

В. П.

**76954. Катодная защита. Уэбстер** (Cathodic protection. Webster H. A.), *Canad. Oil and Gas Inds.*, 1956, 9, № 5, 73—74 (англ.)

**76955. Подземная коррозия и катодная защита. Тагаре** (Underground corrosion & cathodic protection. Tagare D. M.), *Chem. Age India*, 1956, 7, № 1, 63, 65—67 (англ.)

Рассматриваются некоторые вопросы коррозии подземных сооружений. Так, ток силой 0,1 а на площади в 6,44 см<sup>2</sup> при толщине стенки трубы в 6,35 мм образует сквозное отверстие за 17 дней. На трубах Мадраса и Коломбо были обнаружены блуждающие токи силой 0,55 и 0,31 а в ночное время и 17,29 и 1,69 а в дневное. Указывается, что потенциал металл — почва для стали, измеренный при помощи медно-сульфатного электрода, показывает наличие катодной защиты при величине — 0,8 в. Измерения сопротивления почвы в ом см определяют очаги коррозии в местах низких значений. Разность потенциалов между двумя электродами показывает градиент потенциала на поверхности почвы, по падению которого определяют очаги коррозии. Отмечается эффективность сочетания защитных покрытий и катодной защиты. В случае обнаженной поверхности ориентировочно могут быть названы следующие D, необходимые для защиты: при сопротивлениях почвы от 0 до 500 ом см — D 107,5 ма/м<sup>2</sup>, при сопротивлении от 500 до 1500 ом см — 32,2 ма/м<sup>2</sup>, при сопротивлении выше 1500 ом см — 10,75 ма/м<sup>2</sup>. Гальванич. аноды из Zn и Mg устанавливаются примерно на расстоянии 3 м от трубопровода. При наложенном токе применяют графитовые аноды.

В. П.

**76956. Совместное применение катодной защиты и обработки воды для предупреждения коррозии. Олив** (Cathodic protection teams up with water treatment to stop corrosion the pair gives good results on water side of equipment. Olive M. J.), *Oil and Gas J.*, 1956, 54, № 50, 220, 223—224, 227 (англ.)

На газолиновых з-дах коррозия проявляется главным образом в трех местах: на подземных трубах и днищах резервуаров, на рабочем оборудовании в связи с воздействием вырабатываемого продукта и на оборудовании, подверженном действию воды. В конце 1955 г. регулярная полугодовая очистка показала, что обработка охлаждающей воды бихроматом является недостаточной для предупреждения коррозии. Наибольшие разрушения

были в каналах, трубных решетках и незакрепленных крышках. Продукты коррозии ухудшали теплообмен. Срок очистки конденсаторов и холодильников был снижен до 2—3 месяцев. Обработка воды была изменена и осуществлялась комбинацией двух замедлителей коррозии: фосфатов и хроматов. Однако и этот метод не обеспечивал устранения отложений ржавчины. Были рассмотрены различные системы катодной защиты: с наложенным током и Pt-анодами, с Zn- и Mg-анодами. Наилучшей была признана катодная защита с Mg-анодами. Mg-аноды весом 0,45 кг в виде пластинок были прикреплены к крышке конденсатора. После 6 недель работы, обследование показало хорошие результаты. Было также установлено, что выход тока из анодов был излишне большим. Было решено его ограничить плотностью в 107,5 ма/м<sup>2</sup>. Для получения такой плотности плоские аноды размерами 114 × 114 × 51 мм весом 0,9 кг были изолированы неопреном, оставляя открытой поверхность, создающую указанную плотность тока. В результате совместного применения обоих методов защиты были получены хорошие результаты.

В. П.

**76957. Коррозионные изыскания и проектирование перед сооружением трубопровода. Расселл** (Corrosion survey and planning before pipe line construction. Russell G. L.), *Oil in Canada*, 1956, 8, № 25, 32, 34—36 (англ.)

Обосновывается необходимость проведения предварительных коррозионных изысканий и проектирования мер защиты от коррозии перед сооружением каждого трубопровода.

В. П.

**76958. Коррозия тугоплавких материалов в расплавах.**

1 часть. Флад, Сельтвейт (Corrosion of refractory materials in melts. I. A method for quantitative measurements of the dissolution of refractory materials in melts by use of radioactive isotopes. Flood H., Seltveit A.), *Kgl. norske videnskab. selskabs forhandl.*, 1955 (1956), 28, № 27—28, 150—153 (англ.)

Рассматривается метод колич. определения скорости коррозии тугоплавких материалов в расплавах (Al<sub>2</sub>O<sub>3</sub>, корунд, MgO·Al<sub>2</sub>O<sub>3</sub>, шпинель) с помощью радиоактивных изотопов Cr<sup>51</sup> с периодом полураспада 26,5 дней. В связи с отсутствием подходящих Ra-активных изотопов Mg и Al к указанным материалам в кол-ве 10 ат.% добавлялся Cr, и после отжига при 1700—1800° они подвергались облучению в урановом котле для образования Cr<sup>51</sup>. Методика определения активности расплава или же скорости диффузии Ra-активного компонента расплава в испытуемый образец является несложной.

А. Ш.

**76959. Испытания соевым разбрызгиванием. Хогабум** (Salt spray testing. Hogaboom G. B., Jr.), *Metal Finish. Guidebook-Directory*, 1956, 24. Westwood, N. J. Finish. Publ. Inc., 1955, 496—499 (англ.)

Рассматриваются различные условия испытания на коррозионную стойкость металлов в камерах соевого разбрызгивания.

З. С.

**76960. Модельные испытания эффективности изолирующих прокладок при коррозии блуждающими токами. Бекман, Буккель, Тальхофер** (Modellversuche über die Wirksamkeit von Isolierstücken bei Fremdstromkorrosion. Baeckmann Walter von, Buckel Rolf, Thalhofer Karl), *Elektrotechn. Z.*, 1956, A77, № 5, 145—150 (нем.)

Применение изолирующих прокладок как средство борьбы с коррозией блуждающими токами. Эксперим. методика сводилась к установлению распределения потенциала и плотности тока вдоль проводника, разделенного в средней части изолирующей прокладкой, и к определению весовых потерь отрезков проволоки из мягкого Fe, различным образом расположенных в плоской ванне между проводящими ток шинами. Электролитом служила водопроводная вода или 1,5%-ный р-р NaCl.

Авторы приходят к заключению, что защита находящихся в почве трубопроводов или кабелей изолирующими прокладками способна существенно понизить коррозию, вызванную блуждающими токами, в особенности при дополнительной изоляции вблизи изолирующих прокладок. В этом случае, однако, возникает опасность коррозионных явлений при наличии местных повреждений изоляции.

А. Ш.

**76961. Изучение состояния поверхности методом электронной дифракции.** Пашли (The study of surface finish by means of electron diffraction. Pashley D. W.), Oil, 1956, 3, № 4, 33—36 (англ.)

Описаны принцип действия и устройство камеры электронной дифракции, результаты исследования этим методом, возможные случаи применения этого метода для изучения поверхностного состояния металлов, в частности обнаружения присутствия ничтожных кол-в окисных и жировых загрязнений и смазок, продуктов коррозии, не обнаруживаемых никакими другими методами, возможность изучения состояния поверхности полированного металла, поверхностной структуры металлов и т. д.

З. С.

**76962 П. Металлические изделия с покрытиями (в частности, турбинные лопатки) и их изготовление** (Coated metal articles, particularly turbine buckets, and manufacture of same) [American Electro Metal Corp.]. Англ. пат. 723307, 9.02.55

Предлагается производить изготовление профилированных деталей, к которым предъявляются требования коррозионной стойкости и жаростойкости (напр., деталей газовых турбин или реактивных двигателей), из Ti-сплавов с покрытиями. Сплав Ti может содержать от 1 до 25% (предпочтительно 1—15%) Cr, Ni или Co, а также до 10% Zr, Ta, Nb, W или Mo. Непроницаемое для газов покрытие может состоять из одного или нескольких следующих металлов: Al, Cr, Si, Zr или жаростойких сплавов Ni-Cr и Co-Cr. Для покрытия Ti-сплава вместо металлов могут быть применены их окислы. После покрытия деталь подвергается соответствующей термич. обработке.

М. К.

**76963 П. Антикоррозионные электропроводные металлические покрытия.** Эллеман (Electrically conducting coating compositions containing a nonoxidized magnetic metal powder. Elleman Albert J.) [Imperial Chemical Industries Ltd.]. Пат. США 2718506, 20.09.55

Установлено, что если вводимый в защитный слой металл, порошок обладает магнитными свойствами, то для придания пленке той же электропроводности необходимо вводить такого порошка гораздо меньше, чем немагнитного. Улучшение проводимости обусловлено наличием магнитных свойств у частиц металла, которые взаимодействуют между собой, притягиваясь друг к другу, и образуют, таким образом, в тонкой пленке цепи проводимости. Весьма эффективным оказывается введение в состав покрытия порошков металлов, обладающих остаточным магнетизмом. Так, напр., добавка 13,8 об. % порошка Ni снижает сопротивление пленки на основе хромата Zn с 50 000 до 30 мом. С увеличением содержания Ni, а также с уменьшением кажущейся плотности Ni-порошка, вводимого в состав защитной пленки, наблюдается рост электропроводности антикоррозионного покрытия. Кроме Ni, в качестве добавок могут быть использованы также порошки Zn, латуни, нержавеющей стали и Fe. Электропроводные защитные покрытия содержат в своем составе 5—25 об. % порошка, представляющего собой неокисляющийся магнитный металл, обладающий остаточным магнетизмом и отношением истинной плотности к кажущейся свыше 4:1. Покрытия в качестве связующего содержат смолу.

А. Б.

**76964 П. Кухонная утварь.** Мак-Кей (Cooking utensil. McKay Robert J.) [The International Nickel Co. of Canada, Ltd.]. Канад. пат. 513302, 31.05.55

Патентуются способы хим. и электрохим. обработки Al и Al-сплавов для получения кухонной утвари, обладающей хорошей теплопроводностью и коррозионной стойкостью.

М. К.

**76965 П. Методы пайки и покрытия изделий из нержавеющей стали.** Кейп, Джонс (Methods of brazing and coating stainless steel parts. Cape Arthur T., Jones Robert E.). [Superweld Corp.]. Пат. США, 2727834, 20. 12. 55

Предлагается метод пайки и покрытия изделий из нержавеющей стали сплавом, содержащим Ni, Si и В. Подлежащие пайке или покрытию изделия помещаются вместе со сплавом, легированным указанными элементами и углем в плотно закрывающийся ящик. Ящик со всем содержимым нагревается до необходимой т-ры в печи, в которой поддерживается восстановительная атмосфера.

М. К.

**76966 П. Химическое никелирование** (Chemical plating with nickel) [General American Transportation Corp.]. Австрал. пат. 166610, 2. 02. 56

Предлагается состав ванны для хим. никелирования, содержащий в качестве основных компонентов водн. р-р соли Ni, гипофосфит, комплексобразователь и различные добавки. Комплексобразователь вводится в ванну для того, чтобы перевести все ионы Ni в комплексные соединения, добавки — для ускорения процесса никелирования. Указанные добавки содержат простые с короткой цепью насыщ. алифатич. дикарбоновые к-ты, их соли, алифатич. аминокислоты, их соли или смеси этих в-в.

М. К.

**76967 П. Метод увеличения коррозионной и абразивной стойкости Al-поверхностей.** Спруанс (Method of improving the resistance to corrosion and abrasion of certain coated aluminum surfaces. Spruance Frank P.) [American Chemical Paint Co.]. Канад. пат. 513377, 31.05.55

Патентуется метод увеличения коррозионной и абразивной стойкости Al-поверхностей путем предварительной обработки их в водн. р-ре, содержащем ионы  $F^-$ ,  $Cr_2O_7^{2-}$  и  $PO_4^{3-}$  (или  $AsO_4^{3-}$ ), и погружением при 60° в р-р, содержащий 5—250 г/л  $ZnCrO_4$  и свободную  $H_2CrO_4$ . Отношение свободной к-ты к общей колеблется от 1:1,5 до 1:2,5. pH р-ра 3,5—6,0.

И. Е.

**76968 П. Метод увеличения коррозионной и абразивной стойкости Al-поверхностей.** Спруанс (Method of improving the resistance to corrosion and abrasion of certain coated aluminum surfaces. Spruance Frank P.) [The American Chemical Paint Co.]. Канад. пат. 513375, 31.05.55

Патентуется метод увеличения коррозионной и абразивной стойкости Al-поверхностей путем предварительной обработки их в водн. р-ре, содержащем ионы  $F^-$ ,  $Cr_2O_7^{2-}$  и  $PO_4^{3-}$  (или  $AsO_4^{3-}$ ), и погружением в водн. р-р  $H_2CrO_4$  с добавками  $H_3PO_4$  или  $H_3AsO_4$  следующей концентрации (в г/л):  $CrO_3$  25—75 или  $CrO_3$  0,5—40 и  $P_2O_5$  0,2—30, или  $CrO_3$  0,5—40 и  $As_2O_5$  3,5—48.

И. Е.

**76969 П. Защита внутренних поверхностей нефтяных хранилищ от коррозии.** Мей, Геннеп (Method of protecting the interior surfaces of oil tanks from corrosion. May G., Gennep W. V. van) [V. G. (London), Ltd.]. Англ. пат. 721510, 5.01.55 [Rubber Abstrs, 1955, 33, № 4, 143 (англ.)]

Поверхность покрывают, по крайней мере, двумя тонкими слоями, содержащими гидравлич. цемент (напр., порландский и спец. цемент с высоким содержанием  $Al_2O_3$ ), смешанный с водн. эмульсией устойчивой к действию нефти синтетич. смолы (поливинилхлорид, поли-

винилацетат или смесь поливинилхлорида и синтетич. каучука), склеивающей цемент с металлич. поверхностью и уменьшающей хрупкость защитного слоя. Между слоями помещают прочную ткань. Ю. В.

**76970 П. Способ покрытия металлических поверхностей. Мак-Тайг (Process of coating metallic surfaces. McTigue Frank H.) [Hercules Powder Co.] Пат. США 2722487, 1.11.55**

Способ покрытия металлич. поверхностей композицией, содержащей полимер 3,3-ди (хлорметил) этоксана с уд. вязкостью 1% р-ра в циклогексаноне при  $50^\circ \geq 0,3$ , состоит в нанесении указанной композиции на металлич. поверхность, нагревании покрытия до т-ры выше точки размягчения полимера и охлаждения покрытия в водн. среде до т-ры от 0 до  $30^\circ$ . Т. Ф.

**76971 П. Антикоррозионная защита (Corrosion protection) [B. V. Chemical Co. of Aust. Pty. Ltd.] Австрал. пат. 164185, 4.08.55**

Метод заключается в нанесении на предмет распылением композиции, образующей покрытие, защищающее против коррозии, истирания и т. п. и способной легко сниматься. Композиция состоит из сополимера  $\text{CH}_2 = \text{CHCl}$  и  $\text{CH}_2 = \text{CCl}_2$ , с содержанием  $\text{CH}_2 = \text{CHCl} > 79\%$ , хлоркаучука и органич. р-рителя. Т. Ф.

**76972 П. Покрытие поверхностей политетрафторэтиленом (Composite material) [Glacier Metal Co., Ltd.] Англ. пат. 735854, 31.08.55**

Металлические поверхности, предпочтительно Al и Mg, анодируются или фосфатируются для получения пористой или неровной поверхности, после чего покрываются политетрафторэтиленом, который наносится распылением порошка под давлением на поверхность, нагреваемую до  $300-400^\circ$ , или погружением изделия в водн. суспензию политетрафторэтилена в вакуум-камере. Изделие извлекается из суспензии, высушивается при  $40^\circ$  при нормальном или слегка уменьшенном давлении и погружение повторяется до заполнения всех пор поверхности политетрафторэтиленом и образования сплошной пленки, после чего нанесенное покрытие нагревается до  $350^\circ$ . Т. Ф.

**76973 П. Методы покрытия поверхностей (Processes for coating surfaces) [Edison Swan Electric Co., Ltd.] Англ. пат. 731974, 15.06.55**

Пластическую массу, напр. политетрафторэтилен, в виде ленты, полоски, листа или корда один или несколько раз обертывают вокруг цилиндра, электрич. проводника или другого покрываемого изделия так, чтобы концы перекрывали друг друга, после чего пластик обертывается металлич. полоской, играющей роль прессформы. Полоска нагревается, при этом смежные слои пластика сплавляются, образуя сплошное покрытие, и металлич. полоска удаляется. Лента из пластмассы может быть обернута вокруг изделия с перекрытием до половины; два или более слоя ленты можно обертывать с промежуточным прогревом или без него. Металлич. полосу нужно обертывать таким образом, чтобы края примыкали один к другому, обеспечивая гибкость формы и гладкую внутреннюю поверхность. На спиральные стыки полоски накладываются дополнительные металлич. пластинки (можно из Al). Для поддержки металлич. полосы ее можно обернуть проволокой. Процесс покрытия может быть непрерывным, пропуская покрываемые изделия через зону нагрева и попеременно накручивая или снимая металлич. полосы. Нагрев можно производить ИК-лучами или токами Фуко. Т. Ф.

**76974 П. Замедлитель коррозии. Пакстон (Rust preventive composition. Paxton Charles E.) [Esso Research and Engineering Co.] Пат. США 2716611, 30.08.55**

Состав: минер. масло и 2—8 вес. % пленкообразующего в-ва мелкокристаллич. воска с т. пл.  $60-82^\circ$ , а также 0,2—3 вес. % замедляющего коррозию и поверхностноактивного в-ва — эфира жирной к-ты (число С = атомов 12—22) и многоатомного спирта (сорбитана, маннитана или пентаэритрита). Г. Р.

**76975 П. Двухаземные арсенаты и тетрабораты щелочных металлов в качестве замедлителей коррозии в водно-гликолевых смесях. Уайт, Иванчич (Dibasic alkali metal arsenate and alkali tetraborate mixture as corrosion inhibitor for aqueous glycol composition. White Chester M., Ivancic Robert E.) [Genesee Research Corp.] Пат. США 2721183, 18.10.55**

Патентуемыми замедлителями коррозии Fe, Cu, стали, латуни в водно-гликолевых р-рах являются замещ. арсенаты Na или K и бура (в виде 10- или 5-водн. гидрата) в кол-вах соответственно 0,15—4,0 вес. % и 1,5—6,5 вес. %, вводимые в смеси, изготовленные на основе этиленгликоля и содержащие пропиленгликоль, диэтилен- или дипропиленгликоль и некоторое кол-во децилового спирта и красителя. А. Ш.

**76976 П. Состав для чистки металла. Снелл, Стал (Composition for cleaning metal. Snell Foster Dee, Stahl William H.) [Foster D. Snell, Inc.] Канад. пат. 515728, 16.08.55**

Патентуется состав для чистки металла, содержащий бентонит в кол-ве от 2,5 до 8% от веса состава; воду; к-ту, имеющую константу ионизации в пределах  $1 \times 10^{-5} - 1 \times 10^{-2}$ , в кол-ве (считая на безводн. основание) — 5% по весу от предельной ее растворимости в воде, но  $> 70\%$  от веса состава; поверхностноактивный агент (неионоактивный или катионоактивный) в кол-ве от 2,5% до 8% от веса бентонита, имеющегося в составе. В качестве к-ты предлагаются: фосфорная в кол-ве 5—70% от веса состава; уксусная с замедлителем коррозии, добавляемым в кол-ве 0,025—0,25% от веса состава и с добавкой неионоактивного в-ва; фосфорная к-та и полиоксидиленовый эфир алкилфенола в кол-ве 2,5—8% от веса бентонита с добавкой лауринового хлористого пиридина в кол-ве 0,025—0,25% от веса состава. Я. Л.

**76977 П. Получение погонов при перегонке нефти, не вызывающих коррозию при их дистилляции. Милликен (Production of naphthas passing the distillation-corrosion test. Millikan Allen F.) [Pure Oil Co.] Пат. США 2724681, 22.11.55**

Для уменьшения коррозионной активности первых погонов, получаемых при перегонке нефти и обладающих агрессивными свойствами при испытании их методом дистилляции над Cu-образцом, предлагается смешение 90% (объемн.) этих погонов с 10% аналогичного малосернистого продукта, кипящего при более высоких т-рах и выдерживающего такое коррозионное испытание. Добавление продукта, кипящего в интервале более высоких т-р, приводит к тому, что сернистые соединения, находящиеся в коррозионноактивном продукте, подвергаются перегонке, не разлагаясь. И. Л.

См. также: Теоретич. вопр. 74529—74531, 74549. Защита от коррозии 76994, 76000, 76277

## ПРОЦЕССЫ И ОБОРУДОВАНИЕ ХИМИЧЕСКИХ ПРОИЗВОДСТВ

## ПРОЦЕССЫ И АППАРАТЫ ХИМИЧЕСКОЙ ТЕХНОЛОГИИ

76978. Номограмма для расчета трубопроводов при ламинарном и турбулентном режимах течения. Хованский Г. С., Нефть. х-во, 1956, № 6, 53—56

Номограмма позволяет определить режим и скорость течения жидкости, а также уклон трения, представляющий собой отношение  $H/L$ , где  $H$  — напор в м столба жидкости,  $L$  — длина трубопровода в м. Г. Ф.

76979. Скорость движения жидкостей по трубопроводам. Ин Цзун-тай (流動速度: 殷宗泰), 化學世界, Хуасюэ шицзе, 1956, № 5, 262—263 (кит.)

Кратко рассмотрено основное ур-ние движения жидкости по трубопроводам, приведена таблица расхода энергии на перекачивание воды в зависимости от ее кол-ва и диаметра трубопровода и даны сведения о скоростях движения жидкостей и газов в технике. В. Ж.

76980. Установившееся турбулентное движение в гладких трубах. Часть III. Влияние механических вибраций на образование турбулентного движения. Бурка (Ustalony przepływ burzliwy przez gładkie rury prostosiowe o przekroju kołowym. Część III. Wpływ wstrząsów mechanicznych na tworzenie się ruchu burzliwego. Burka Eustachy), Arch. hydrotechn., 1955, 2, № 4, 239—254 (польск.; рез. русск., англ.)

Проведено эксперим. исследование влияния механич. вибраций на турбулентность движущейся в трубопроводе жидкости. В опытах частота колебаний доводилась до 50 сек.<sup>-1</sup>, амплитуда до 100  $\mu$  и критерий Рейнольдса изменялся от 5 до 3000. Опытные данные обрабатывались в виде функциональной зависимости  $\xi = f(Re)$ , где  $\xi$  — коэфф. трения. Сделан вывод, что в условиях опытов вибрация не оказывает влияния на турбулентность потока. Указывается, что теория турбулентного движения Голфа, устанавливающая связь турбулентности с вибрацией, опытными данными не подтверждается. Часть II см. РЖХим, 1956, 42014. С. К.

76981. Метод гидродинамического расчета диффузоров и конфузоров. Саноян В. Г., Изв. АН АрмССР. Физ.-матем., естеств. и техн. н., 1956, 9, № 3, 63—89 (рез. арм.)

76982. Потеря напора в пористых средах. Браунелл, Гами, Миллер, Некарвис (Pressure drop through porous media. Brownell L. E., Gami D. C., Miller R. A., Nekarvis W. F.), A. I. Ch. E. Journal, 1956, 2, № 1, 79—81 (англ.)

Исследовалась потеря напора при течении капельных жидкостей (воды и др.) через пористые слои, образованные стеклянными шариками диам. 5,3 мм. Опытная установка описана ранее (Brownell L. E., Dickey C. A., Dombrowski H. S., Chem. Engng Progr., 1950, 46, № 8, 415). Для изменения пористости  $x_t$  в пределах 12,3—36,4% поверхность стеклянных шариков покрывалась тонким слоем бакелитового лака, который заполнял частично пустоты и уменьшал сечение каналов для прохода жидкости. В слое насадки жидкость течет не во всех каналах, так как некоторые из них слишком узки или закупорены; поэтому весь свободный объем насадки  $x_t$  делится на нерабочий (мертвый) и эффективный  $x_e$ . На основании результатов обработки опытных данных установлено соотношение:  $x_e = 0,0316 x_t^{1,75}$  ( $x_e$  и  $x_t$  выражены в % всего объема, занимаемого насадкой). Зависимость между потерей напора и скоростью жидкости в исследованных насадках удовлетворительно отображается известным графиком, устанавливающим связь между фактором трения ( $f$ ) и  $Re$  для гладких труб, при введении в выражения

для  $f$  и  $Re$  поправочных множителей:  $f = 2g D_p \cdot \Delta p / (v^2 \cdot \rho \cdot F_f L)$  и  $Re = D_p G \cdot F_{Re} / \mu$ , где  $D_p$  — средний размер частиц насадки;  $\Delta p$  — потеря напора;  $v$  — скорость жидкости, отнесенная ко всему сечению слоя насадки;  $L$  — длина потока;  $\rho$  — вес единицы объема жидкости;  $G$  — весовой расход жидкости;  $\mu$  — вязкость;  $F_f$  и  $F_{Re}$  — поправочные коэфф., вычисляемые по ур-ниям:  $F_f = 2,2 \times 10^6 (x_e)^{-2,5}$  и  $F_{Re} = 182 (x_e)^{-0,5}$ . Средние отклонения экспериментально определенных значений от расчетных составляют 6,1% для слоя с  $x_t = 12,3\%$  и 24,6% для слоя с  $x_t = 27\%$ . П. Ю.

76983. О скорости подъема пузырька воздуха в неподвижной жидкости. Хасэгава (静止液柱内における気泡の上昇速度. 長谷川猛虎), 京澤大學工學部紀要, Канадзава дайгаку когакубу кие, Mem. Fac. Technol. Kanazawa Univ., 1954, 1, № 3, 128—135 (япон.; рез. англ.)

Результаты определения скорости подъема пузырька воздуха через неподвижный столб воды представлены в виде эмпирич. ур-ния  $Re (d/D)^{0,237} = 2,66 (d^3 g \rho / \mu^2)^{0,40}$ , где  $Re = 450 \div 3510$ ,  $d/D = 0,0357 \div 0,518$ . Данные, полученные с другими жидкостями (минер. и касторовым маслами, спиртом) выражены в графич. форме. В исследованной области не выявлено влияние поверхностного натяжения жидкости на скорость подъема пузырьков. Ю. П.

76984. Исправление к статье «Новый метод измерения турбулентности потоков». Тулуевский Ю. Н., Завод. лаборатория, 1955, 21, № 4 К РЖХим, 1955, 45037.

76985. Промышленное обеспыливание. Мюльрад (Le dépolluissage industriel. Muhlrad M.), Rev. mater. constr. et trav. publics, 1955, № 481, 263—275 (франц.)

Изложена теория работы циклонных пылеулавливателей с 3 точек зрения: а) гидродинамики движения потока; б) потери давления газа; в) механизма отделения пыли. Приведены диаграммы первичного и вторичных потоков, движения циклонных вихрей, распределения скоростей и давлений. При рассмотрении механизма пылеотделения учтено влияние размера частиц пыли, т-ры газа, уд. веса пыли, центробежной силы, диаметра циклонного элемента и числа параллельно включенных элементов. Дан график изменения отношения скорости газа к эффективности обеспыливания в функции т-ры газа. Рассматриваются особенности работы многоэлементных устройств, в частности мультициклона, с оценкой проблемы перетока газа между соседними элементами по аналогии с приведенной эквивалентной электрич. схемой. Разбираются физ. предпосылки, основы техники, результаты опытов и ограничения звукового и ультразвукового агломерирования взвешенных в газе частиц. Приведены основные принципы выбора системы обеспыливания в зависимости от характеристик пыли и газа, требований к эффективности пылеулавливателя и остаточной конц-ии пыли в газах, выбрасываемых в атмосферу. В приложении дана оценка прогресса в технике обеспыливания за 1950—1955 гг. Начало см. РЖХим, 1956, 38346. Ю. С.

76986. Очистка воздуха. IV. Лоренс (Air filtration. IV. Lawrence B. G.), Industr. Heat Engrn, 1954, 16, № 106, 233—236 (англ.)

Сообщение II см. РЖХим, 1956, 31551.

76987. Циклонные сепараторы. — (Cyclone separators.), Mining Mag., 1955, 93, № 4, 245—246 (англ.) См. также РЖХим, 1956, 31368.

76988. Фильтрующие перегородки из нержавеющей стали. Мак-Брайд (Stainless steel filters. McBride Don), Purdue Engr, 1956, 51, № 5, 38—39 (англ.)

Приведены краткие сведения об изготовлении, свойствах и областях применения фильтрующих элементов, изготовленных из спекшегося однородного порошка нержавеющей стали с размерами частиц 3—30 м. Эти фильтрующие элементы характеризуются пределом прочности на растяжение 630—1760 кг/см<sup>2</sup>, пористостью 30—50% и могут применяться при разности давл. 140 кг/см<sup>2</sup> и т-ре 650°.

Г. Ф. 76989. Свойства фильтрующей массы и фильтрующих слоев для фильтров «Зейтц». Салач, Достал (Die Beurteilung der Filtermasse und den Filterschichten zum «Seitz»-Filter. Salač V., Dostál Valentin), Dtsch. Genußmit.-Z., 1953, 5, № 10, 258—260; № 12, 316—317 (нем.)

Для определения осветляющего действия фильтрующей массы и изготавливаемых из нее фильтрующих плиток применяют способ фильтрации сквозь них стандартных тонкодисперсных суспензий, напр. таких, которые имеют твердые частицы, по величине соответствующие размеру белковых частиц в пиве. Качество массы и плиток характеризуется проницаемостью. Для приготовления исследуемого образца фильтрующую массу сначала гомогенизируют в спец. аппарате путем перекачивания с водой, а затем отделиют от воды на сетке в том же аппарате. Полученную кашеобразную массу промывают водой и отжимают под вакуумом на фильтре. Отжатую под вакуумом фильтрующую массу (ФМ) спрессовывают на фильтре до толщины ~3 мм при помощи поршня и определяют ее проницаемость следующим образом. При строго постоянном давлении 1,5 атм сквозь образец ФМ пропускают сначала 1 л, а затем 50 мл дистилл. воды, измеряя секундомером продолжительность фильтрации каждого из этих объемов жидкости. Далее пропускают сквозь образец еще 1 л дистилл. воды и снова определяют продолжительность фильтрации 50 мл жидкости. Проницаемость  $D = (Vh/\mu)/(tF\Delta P)$ , где  $V$  — объем профильтрованной жидкости, мл;  $h$  — высота исследуемого образца ФМ, см;  $\mu$  — вязкость дистилл. воды, пуаз;  $t$  — продолжительность фильтрации, сек;  $F$  — поверхность исследуемого образца ФМ, см<sup>2</sup>;  $\Delta P$  — давление при фильтрации, дин/см<sup>2</sup>. В это ур-ние подставляют данные, относящиеся ко второй фильтрации. Эффект вымывания твердого в-ва из ФМ определяют путем отстаивания воды, применявшейся в процессе гомогенизации ФМ в другом приборе, с последующей фильтрацией образовавшегося осадка на заранее взвешенном бумажном фильтре и сушкой отфильтрованного осадка. Значения  $D$  для фильтровальных плиток определяют по той же методике. Предыдущее сообщение см. РЖХим, 1956, 45684. См. также РЖХим, 1955, 5020.

В. Ж. 76990. Центрифуга для разделения жидких смесей с регулировочным вентилем. Гофман (Ventilgesteuerte Zentrifuge zum Trennen von Flüssigkeitsgemischen. Hoffmann K.), Chem.-Ingr.-Tech., 1956, 28, № 4, 257—259 (нем.; рез. англ., франц.)

Пена, поступающая во вращающийся горизонтальный барабан центрифуги, под действием центробежной силы разделяется на жидкость, которая располагается по периферии барабана, и газ, накапливающийся в средней части барабана. По мере накопления газа давление его увеличивается, вследствие чего происходит вытеснение жидкости из барабана. Избыток газа выходит через регулировочный вентиль. Такая центрифуга может быть использована для разделения смеси жидкостей с различными уд. весами.

Я. Д. 76991. Электрическая газоочистка. Основы, принцип действия и опыт работы. Хейнрих (Die elektrische Gasreinigung. Grundlagen, Arbeitsweise und Erfahrun-

gen. Heinrich D. O.), Brennstoff-Wärme-Kraft, 1955, 7, № 9, 389—394 (нем.)

Наибольшее значение при конструировании электрофильтров имеет величина скорости ( $W$ ) осаждения частиц. Эффективность газоочистки ( $\eta_{oc}$ ) может быть определена по ф-ле:  $\eta_{oc} = 1 - e^{-k}$  где  $e$  — основание логарифмов и  $K$  — показатель степени, зависящий от  $W$ , геометрич. размеров фильтра, скорости движения газопотока. Применительно к специфике работы фильтра  $K$  можно вычислять по ф-лам:  $K = W(2L/RV)$ ;  $K = W(L/DV)$ ;  $K = W(LS/G)$ , где  $L$  — длина электр. поля;  $R$  — радиус осадительной трубы;  $V$  — скорость газа в поле;  $D$  — расстояние от провода до пластины;  $S$  — периметр осадительного электрода;  $G$  — объемная скорость газового потока. Из этих ф-л 1-я применяется для трубчатых электрофильтров, 2-я для пластинчатых и 3-я для концентрич. цилиндров или некруглых труб. Приведены значения  $K$  в зависимости от  $\eta_{oc}$ .

Из теоретич. ф-л следует, что скорость осаждения частиц пропорциональна их размерам, однако промышленная практика не подтверждает такой зависимости. Фактически осаждение малых частиц происходит со скоростью, значительно превышающей теоретич. Частицы средних размеров (10—60 м) осаждаются с постоянной скоростью; лишь для крупных частиц (60—100 м) скорость осаждения слегка повышается, оставаясь все же намного ниже теоретич. Если для малых частиц расхождение теоретич. и практич. скоростей осаждения может быть объяснено агломерацией, то для такого же расхождения у крупных частиц объяснения пока не найдено и при конструировании электрофильтров величину  $W$  необходимо определять экспериментально. Библ. 22 назв. Предыдущее сообщение см. РЖХим, 1956, 45675.

Ю. С. 76992. Принцип действия пароструйных насосов. Виганд (Wirkungsweise von Dampfstrahlapparaten. Wiegand J.), Ingenieur (Utrecht), 1955, 67, № 27, Ch. 61 — Ch. 64 (нем.)

См. также РЖХим, 1956, 5821.

76993. Применение пароструйных насосов для получения вакуума. Виганд (Dampfstrahlapparate in der Vakuumtechnik. Wiegand J.), Ingenieur (Utrecht), 1955, 67, № 27, Ch. 65 — Ch. 71 (нем.)

76994. Стекланный трубопровод для подачи химических продуктов. Кендрик (Glass piping installed to convey chemical dyes. Kendrick M. C.), Heat, Piping and Air Condit., 1955, 27, № 9, 97—99 (англ.)

Фирма American Thread Co. оборудовала отделочную ф-ку прозрачными, коррозионностойкими и теплостойкими стекланными трубами для транспортировки агрессивных хим. в-в и красителей. Описаны способы соединений трубопровода, состоящего из 3,81 см стекланных труб общей протяженностью 600 м. Особое внимание уделено укладке, подвеске и креплению труб, так как при этом нельзя допускать жестких соединений, препятствующих термич. расширению труб. Приведены соображения об экономич. эффективности применения стекланных труб на отделочных и красильных ф-ках.

С. И.

76995. Теплоотдача при кипении воды в стекающей пленке. Тананайко Ю. М., Изв. Киевск. политехн. ин-та, 1956, 17, 75—82

Исследована теплоотдача при кипении пленки воды, стекающей внутри вертикальной трубы. Опыты проводились при атмосферном давлении и толщине стекающей пленки 0,25 мм. Труба обогревалась паром при давл. 1,41—1,82 атм. Уд. тепловая нагрузка менялась от 25 000 до 99 800 ккал/м<sup>2</sup> час. Кол-во воды, стекающей в виде пленки  $G = 20 \div 400$  кг/час на 1 м периметра трубы. Опытные данные свидетельствуют о наличии двух различных режимов стекания жидкости. При  $G < 150$  кг/час скорость стекания пленки мала, возможны разрывы пленки и местные перегревы. В этой области значений  $G$

коэфф. теплоотдачи при кипении  $\alpha$  может быть определен по ур-нию  $\alpha = 8,15 \cdot q^{0.6}$ . При  $G > 150$  кг/час гидродинамика стекающей пленки и отвод тепла от стенки улучшаются,  $\alpha$  имеет большее значение и может быть определен по ур-нию  $\alpha = 22 \cdot q^{0.527}$ . А. Р.

**76996.** О теплоотдаче при конденсации пара на вертикальной стенке цилиндра, имеющего основание в форме шарового сегмента. Славичек, Коварж. Heat transfer between a condensing vapor and a vertical cylindrical jacket with a spherical dished bottom. Slaviček E., Kovář J., Сб. чехосл. хим. работ, 1955, 20, № 1, 170—175 (англ.; резюме русс.) См. РЖХим, 1956, 49531

**76997.** Использование гидравлической аналогии для изучения теплообмена при стационарном режиме. Стандарт (Hydraulic analog for studying steady-state heat exchangers. Standard G.), Сб. чехосл. хим. работ, 1954, 19, № 4, 632—645 См. РЖХим., 1956, 49531

**76998.** Новые данные по теплоотдаче. — (New data fill vacuum.) Chem. Engng, 1956, 63, № 3, 116, 118 (англ.)

Экспериментально исследована теплоотдача к воде, протекающей вдоль пучка из 37 стержней диам. 16 мм и длиной 1,2 м отстоящих друг от друга на 23 мм. Скорость воды изменялась в пределах 1,5—7,6 м/сек; т-ра 71—163°; значения критерия  $Re = 70\,000 \div 700\,000$ . Тепловая нагрузка поверхности теплоотдачи составляла 136 000—540 000 ккал/м<sup>2</sup> · час. Измеренные падения напора оказались на 65% выше вычисленных по ур-нию Фаннинга. Опытные значения коэфф. теплоотдачи оказались также на 40% выше рассчитанных по ур-нию Кольборна и отображаются ур-нием  $Nu = 0,032 \cdot Re^{0.8} \cdot Pr^{0.33}$ , где  $Re_f$  и  $Pr_f$  — значения критериев, подсчитанные при т-ре воды. А. Р.

**76999.** Сокращенный способ вычисления коэффициента теплоотдачи. Эйкерс, Сампсон (Shorten heat transfer problems. Aker W. W., Sampson O. A.), Petrol. Refiner, 1956, 35, № 3, 152 (англ.)

Критериальное ур-ние для определения коэфф. теплоотдачи  $\alpha$  в условиях вынужденной конвекции в трубах  $Nu = 0,023 Re^{0.8} \times Pr^{0.33}$  представлено в форме:  $\alpha = 0,023 \times (G^{0.8} / D^{0.2}) \Phi$ , где  $G$  — весовая скорость,  $D$  — диаметр и  $\Phi$  — коэфф., характеризующий физ. свойства среды. В случае обтекания труб в поперечном направлении  $\alpha = 0,21 (G_{\max}^{0.6} \times \mu^{0.2} / D^{0.4}) \Phi$ , где  $G_{\max}$  — весовая скорость в наименьшем сечении,  $\mu$  — вязкость, кг (масса)/м · час. Составлена номограмма для определения  $\Phi$  для смесей углеводородных газов и смесей этих газов с водородом. охватывающая т-ры от —18° до 540° и значения среднего молекулярного веса 2—320. Величина  $\Phi$  мало зависит от давления, что позволяет пользоваться номограммой для давлений до 70 кг/см<sup>2</sup> без каких-либо поправок. Ю. П.

**77000.** Исследование теплоотдачи к жидкому азоту Дин, Томпсон (Study of heat transfer to liquid nitrogen. Dean L. E., Thompson L. M.), Paper. Amer. Soc. Mech. Engrs, 1956, № SA-4, 7pp. (англ.) Исследована теплоотдача к жидкому азоту в условиях вынужденной конвекции, ядерного и пленочного кипения при течении жидкости в кольцевом канале с  $Re = 2 \times 10^5$ . Поверхность нагрева выполнена из горизонтально расположенной трубы нержавеющей стали диам. 4,8 мм со стенкой толщиной 0,25 мм, которая включалась в цепь постоянного тока; длина нагреваемого участка 50 мм. Нагревательный элемент расположен по оси стеклянной трубки, внутри которой протекал азот; последняя заключена в кожух из органич. стекла, заполненный сухим газообразным азотом. Опыты проводились при трех различных давлениях:  $p = 21, 35$  и  $42$  атм, одно из которых

приближалось к крит. ( $p_{кр} = 34,6$  атм). В условиях вынужденной конвекции при отсутствии кипения при скорости жидкости  $w = 12$  м/сек ( $Re = 2 \times 10^5$ ) в канале с эквивалентным диам. 0,0035 м коэфф. теплоотдачи  $\alpha = 3450$  ккал/м<sup>2</sup> · час · град (с точностью  $\pm 7\%$ ). Ядерное кипение наблюдалось при  $p < p_{кр}$  в узкой области значений температурного напора ( $\Delta t$ ); влияние  $w$  выражено слабо, так как основное турбулизирующее действие оказывают образующиеся пузырьки пара. Переход в область пленочного кипения при  $p < p_{кр}$  затруднителен: происходит очень резкое возрастание  $\Delta t$ , сопровождающееся перегоранием греющей трубки. При  $p > p_{кр}$  ядерное кипение вообще не наблюдалось; так, при  $p = 42$  атм переход от условий теплоотдачи при вынужденной конвекции без кипения к пленочному кипению начинается при  $\Delta t = 42 \div 47^\circ$  и завершается при  $\Delta t = 550^\circ$ ; при этом уд. тепловая нагрузка  $q$  возрастает с  $1,27 \times 10^6$  до  $4,2 \times 10^6$  ккал/м<sup>2</sup> · час, в то же время  $\alpha$  уменьшается с 3450 до 760 ккал/м<sup>2</sup> · час · град. Прогорание и разрушение греющей трубки наступает при  $q_{\max}$ , значение которой зависит от давления, скорости и физ. свойств жидкости, а также от свойств самой поверхности нагрева. При  $p < p_{кр}$  (в опытах  $p = 21$  атм)  $q_{\max} \approx 1,4 \times 10^6$  ккал/м<sup>2</sup> · час, чему соответствует  $\Delta t_{\max} = 33,5^\circ$ ; при  $p \geq p_{кр}$  были достигнуты  $q = 7 \times 10^6$  ккал/м<sup>2</sup> · час и  $\Delta t = 1100^\circ$ . Описан характер разрушения греющих трубок и приведены данные металлографич. анализа. Ю. П.

**77001.** Применение смеси хлористого и бромистого алюминия в качестве теплоносителя. Робин В. А., Теплоэнергетика, 1956, № 7, 27—34

Исследованы физ.-хим. и теплофиз. свойства эвтектич. смеси хлористого и бромистого алюминия [1] как теплоносителя. Опыты проводились с технич. продуктами. Найдено, что для эвтектич. точки содержание  $AlCl_3$  в I составляет 20—25 вес.% и т-ра плавления эвтектики равна 67—68°. Давление пара кипящей I составляет (в атм) при 200°—1,12, 250°—2,6, 300°—6,13 и при 350°—12,0. Теплоемкость жидкости равна 0,15 ккал/кг град, теплоемкость пара 0,07—0,075 ккал/кг град, теплоемкость твердого сплава 0,07—1,05 · 10<sup>-3</sup> (t + 273). Теплота плавления  $I_{rf} = 54,72 \div 0,071$  т. Приведены данные об уд. весах, вязкости и коэфф. теплопроводности жидкости и пара, а также о поверхностном натяжении жидкости. Результаты испытаний на коррозию, которые проводились в течение 24—620 час. при 200—500°, показали, что при действии I на Fe происходит равномерное растворение металла с поверхности; межкристалльной и точечной коррозии не обнаружено. Исследована теплоотдача при кипении I на горизонтальной и вертикальной трубках в условиях свободной конвекции и найдено, что в обоих случаях коэфф. теплоотдачи  $\alpha$  может быть подсчитан по ур-нию  $\alpha = 0,625 \cdot q^{0.7}$ , где  $q$  — тепловая нагрузка, ккал/м<sup>2</sup> · час. Тепловая нагрузка отвечающая явлению кризиса пузырькового кипения, оказалась равной 80 000—100 000 ккал/м<sup>2</sup> · час. Переход от пленочного к пузырьковому кипению (второй кризис кипения) имеет место примерно при 35 000 ккал/м<sup>2</sup> · час. Для случая кипения в условиях естественной циркуляции  $\alpha$  может быть определен из ур-ния  $Nu = 0,048 \cdot Re^{0.8}$ . А. Р.

**77002.** Новый метод подбора калориферных установок. Сандер А. А., Тр. Новосибир. инж.-строит. ин-та, 1955, 5, 245—256

**77003.** Конструкция и расчет теплообменников. Янке (Gestaltung und Berechnung von Wärmeaustauschern. Janke W.), Chemiker-Ztg., 1955, 79, № 24, 853—856 (нем.)

Введено понятие о к.п.д.  $\eta$  теплообменника (Т) и

приведены максим. значения  $\eta$  для Т различных типов. Приведено основное дифференциальное уравнение теплообмена и рассмотрены факторы, влияющие на интенсивность теплоотдачи, критериальное уравнение для определения коэфф. теплоотдачи и уравнение для вычисления его в явном виде. Предыдущее сообщение см. РЖХим, 1956, 38376. Э. Н. 77004.

**Расчет распределения температуры в теплообменнике типа «открытая труба в трубе».** Силван (Hőmérsékleteloszlás számítása kettőscsőves hőcserélőben. Szilvay Géza né, A magyar tud. akad. Alkalm. mat. int. közl., 1954 (1.55), 3, № 1-2, 265—274 (венг.; рез. русс., нем.)

Дано решение задачи о распределении т-ры в теплообменнике типа «открытая труба в трубе» при постоянной скорости газового потока для двух случаев: 1) произвольного распределения наружной т-ры и любой т-ры на входе газового потока; 2) постоянства т-ры газового потока в радиальном направлении. Ю. П. 77005.

**Коллектор новой конструкции, обеспечивающий равномерное распределение жидкости.** — (New head design distributes flow evenly.), Chem. Engng, 1956, 63, № 3, 118, 120 (англ.)

Описана новая конструкция коллектора трубчатого теплообменника, обеспечивающая равномерное распределение жидкости по трубкам и характеризующаяся небольшими свободными объемом и сопротивлением. Ю. П. 77006.

**Проектирование теплообменников. Часть II. Теплопередача. Донован** (Heat exchanger design. Part 2. Heat transfer. Donohue Daniel A.), Petrol. Refiner, 1955, 34, № 10, 129—138 (англ.)

Рассмотрена методика расчета поверхности теплопередачи для кожухотрубных теплообменников. Для вычисления среднеарифмич. разности т-р построены вспомогательные графики применительно к кожухотрубным теплообменникам с двумя или большим числом ходов жидкости в трубном пространстве и с одним или двумя ходами в межтрубном пространстве; приведены также ф-лы, на основании которых построены эти графики. При ламинарном движении жидкости в трубках ( $Re < 2100$ ) для определения коэфф. теплоотдачи  $h$  рекомендуется ф-ла:  $Nu = 1,86 [Re \times Pr \times (D_i/L)]^{1/3} (\mu/\mu_w)^{0,14}$ , где  $D_i$  — внутренний диаметр трубки,  $L$  — ее длина,  $\mu$  и  $\mu_w$  — вязкость жидкости при средней т-ре потока и т-ре стенки. При значениях  $Gr > 25\,000$  значение  $h$  должно быть умножено на  $0,8 (1 + 0,015 Gr^{1/4})$ . При турбулентном движении жидкости в трубках для определения  $h$  рекомендуется ф-ла:  $Nu = 0,027 (Re)^{0,8} (Pr)^{1/3} (\mu/\mu_w)^{0,14}$ . Значение  $h$  для жидкости, протекающей в межтрубном пространстве кожухотрубного теплообменника со сплошными сегментными перегородками, определяется по ф-ле:  $Nu = 0,22 (Re)^{0,6} (Pr)^{1/3} (\mu/\mu_w)^{0,14}$ , причем  $Re = (D \cdot G_e/\mu)$ ,

где  $G_e = (G_c \times G_b)^{1/2}$ ;  $G_c$  — весовая скорость жидкости в поперечном сечении,  $G_b$  — весовая скорость жидкости через отверстие в перегородке,  $D$  — наружный диаметр трубок. Для решения приведенных уравнений составлены номограммы. Часть I см. РЖХим, 1956, 38375. Ю. П. 77007.

**Расчет башенных газоохладителей.** Брук (Computing cooling tower performance. Brooke Maxey), Petrol. Refiner, 1956, 35, № 3, 183—185 (англ.)

Изложены упрощенные приемы расчета контактных башенных воздухоохладителей — определение кол-ва воздуха; тепловой нагрузки; условий, исключающих выделение отложений на контактной поверхности; мощности вентиляторов; размеров охладителя. Приведены расчетные примеры. Ю. П. 77008.

**Развитие холодильной техники.** Мейснер (Die Weiterentwicklung der Kältetechnik. Meißner W.), Kältetechnik, 1956, 8, № 2, 34—39 (нем.)

Освещены некоторые достижения современной техники низких т-р: 1) получение кислорода по схеме с одним низким давлением с применением эффективных турбодетандеров (к. п. д.  $\sim 86\%$ ), что позволило повысить надежность эксплуатации и снизить расход электроэнергии до  $0,37-0,49 \text{ кВт} \cdot \text{ч}/\text{м}^3 \text{ O}_2$  (в зависимости от чистоты  $\text{O}_2$ ); 2) получение этилена из соответствующей фракции коксового газа, содержащей  $\text{C}_2\text{H}_4$ ,  $\text{C}_2\text{H}_6$  (34%),  $\text{C}_2\text{H}_2$ ,  $\text{C}_3$  и выше, а также примеси  $\text{CO}$ ,  $\text{C}_2\text{H}_2$ ; чистота продукта ( $\text{C}_2\text{H}_4$ ) 99,9%, расход электроэнергии  $2,6 \text{ кВт} \cdot \text{ч}/\text{м}^3$  сырого газа; 3) получение жидких воздуха, азота при помощи газовых холодильных машин фирмы Филипс (РЖХим, 1956, 11799, 42040); 4) получение низких т-р с использованием эффекта Пельтье на базе полупроводников; в США уже сооружены холодильные шкафы на этом принципе; 5) получение жидких  $\text{H}_2$  и  $\text{He}$ ; ныне сооружаются установки, производительность которых достигает  $200-300 \text{ л/час}$ . Приведена схема получения дейтерия методом ректификации жидкого водорода и указано, что получение тяжелой воды ректификацией жидкого  $\text{H}_2$  (с последующим окислением получаемого дейтерия) примерно в 25 раз дешевле получения ее методом электролиза. Построена ректификационная установка для переработки  $6000 \text{ м}^3 \text{ H}_2/\text{час}$ , дающая дейтерий чистотой 99,7% с последующим получением  $800 \text{ г/час D}_2\text{O}$ . Жидкий  $\text{H}_2$  применяется в камере для фотографирования пути ядерных частиц высоких энергий. Принцип устройства камеры аналогичен камере Вильсона, но вместо переохлажденных паров  $\text{H}_2\text{O}$  используются пары  $\text{H}_2$ . Транспортировка жидкого  $\text{He}$  в сосудах Дюара дешевле, чем в газообразном состоянии в баллонах высокого давления. Э. Н. 77009.

**Многоступенчатые абсорбционные холодильные установки. Часть II. Рихтер** (Mehrstufige Absorptions-Kälteanlagen. II. Richter K. H.), Kälte, 1954, 7 № 2, 49—56 (нем.)

Рассматриваются многоступенчатые абсорбционные холодильные установки, их преимущества и области применения. Даны описание и теоретич. анализ работы абсорбционно-резорбционных холодильных установок немецких фирм с одинаковыми и различными т-рами в испарителе и дегазаторе. Приведено сравнение с эжекционными холодильными установками. Рассмотрены низкотемпературные двухступенчатые абсорбционные холодильные установки, работающие с одним генератором и двумя ступенями испарения. Приведены данные по установкам, выпускаемым английскими и американскими фирмами. Предыдущее сообщение см. РЖХим, 1956, 49541. Г. В. 77010.

**Хладагент F-115. Планк** (F 115, ein vernachlässigtes Kältemittel. Planck R.), Kältetechnik, 1956, 8, № 4, 127—128 (нем.)

Приведены свойства  $\text{C}_2\text{F}_5\text{Cl}$  (F-115): т-ра кипения при атмосферном давлении  $-38^\circ$ , объемная холодопроизводительность при т-ре исп.  $-15^\circ$ , т-ре конд.  $30^\circ$  и т-ре переохлаждения  $25^\circ$  равна  $490 \text{ ккал/м}^3$ . Рассмотрены специфич. свойства F-115, обусловленные высокой степенью фторирования. Р. А. 77011.

**Действие монохлордиформетана на электрическую изоляцию.** Элси, Флауэрс (The reaction between electrical insulating paper and monochlorodifluoromethane. Elsey H. M., Flowers L. C.), Refrig. Engng, 1956, 64, № 4, 31—33, 78 (англ.)

Исследовано действие дихлордиформетана (I) и монохлордиформетана (II) на различные виды бумажной изоляции, применяемой в моторах герметизированных холодильных установок. Опыты проводились с полосками изоляционной бумаги, бумажным шнуром и хлопчатобумажным волокном, которые выдерживались длительное время (до 10 недель) в запаянных ампулах со смесью I (или II) со смазочным маслом при  $125^\circ$ . Найдено, что все материалы темнеют, теряют эластичность,

становятся хрупкими и разрушаются в II значительно быстрее, чем в I. Особое внимание было обращено на осушку примененных в опытах хладагентов и материалов, и таким образом было доказано, что разрушение целлюлозы не является следствием гидролиза хладагентов. Установлено, что целлюлоза разрушается хлористым водородом, который образуется при пиролизе II, протекающем по ур-нию  $2\text{HClF}_2 \rightarrow \text{C}_2\text{F}_4 + 2\text{HCl}$ . Хотя скорость этой р-ции при исследованных т-рах очень мала и кол-во образующегося HCl ничтожно, даже следы HCl быстро разрушают целлюлозу. А. Р.

**77012. Обзор изоляционных материалов, применяемых при температуре, ниже температуры окружающей среды.** Сондерс (A survey of insulation materials as applied for use in temperatures lower than atmosphere. Saunders R.), Mod. Refrig., 1956, 59, № 697, 128—129, 131—132 (англ.)

Рассмотрены свойства изоляционных материалов и требования, которые должны предъявляться к теплоизоляционным материалам холодильных установок. А. Р.

**77013. Испарение жидкости с поверхности продольно обтекаемой пластинки.** Самозванцев М. П., Теплоэнергетика, 1956, № 5, 34—40

Теоретически исследованы закономерности процесса испарения жидкости с продольно обтекаемой пластинки в области высоких т-р окружающей среды. Показано, что при больших скоростях испарения нарушается подобие процессов тепло- и массообмена. Полученные результаты сопоставлены с критериями зависимости при малых скоростях испарения и эксперим. данными. Р. А.

**77014. Диаграммы и уравнения для расчета процессов выпаривания.** Киршбаум (Charts and Formulae for evaporation processes. Kirshbaum E.), Engng Digest, 1954, 15, № 1, 21—24 (англ.)

См. РЖХим, 1956, 49572.

**77015. К вопросу об естественной циркуляции в вакуум-аппаратах.** Чекулаев Н. М., Тр. Вологод. молоч. ин-та, 1955, № 13, 261—283

Проведены исследования естественной циркуляции сахарных р-ров, цельного и обезжиренного молока (с сахаром и без сахара) при выпаривании в вакуум-выпарной установке лабор. типа из стекла с однотрубным вертикальным циркуляционно-нагревательным контуром. Установлены три основные разновидности естественной циркуляции: жидкостная, парожидкостная и раздельная, и дана их характеристика. В. Ф.

**77016. Одинаково направленный тепло- и массообмен при высокой относительной влажности в колонне со смоченными стенками.** Кэрнс, Ропер (Uni-directional heat and mass transfer at high humidities in a wetted wall column. Cairns R. C., Roper G. H.), Chem. Engng Sci., 1955, 4, № 5, 221—228 (англ.)

Исследован процесс охлаждения и одновременной осушки горячего влажного воздуха, поступающего в полую колонну, по внутренним стенкам которой стекает пленкой охлаждающая вода. При этом потоки тепла и в-ва направлены к стекающей пленке воды. Опытная установка и методика работы описаны авторами ранее (РЖХим, 1955, 34776). Опыты проводились при высокой относительной влажности воздуха: содержание водяного пара в газовой пленке составляло 0,49—0,80 молекулярной доли. В таких условиях известные ур-ния Чилтона и Колберна (Chilton T. H., Colburn A. P., Industr. and Engng Chem., 1934, 26, № 11, 1183—1186) и Колберна и Дрю (Colburn A. P., Drew T. B., Trans. Amer. Inst. Chem. Engng., 1937, 33, 197—215) неприменимы. На основании опытных данных авторы получили ур-ние:  $[h/(cG)]Pr^{1/4} \times \times (P_1/PP)^{0.22} / [1 + (a/2)] = 0,025 Re^{-0.2}$ ; где  $h$  — коэффициентный coeff. теплоотдачи;  $c$  — уд. теплоемкость;  $G$  — весовая скорость;  $P_1$  — логарифмич. среднее парциальное давление инертного газа в газовой пленке;

$P$  — общее давление;  $a$  — соотношение между кол-вом физ. тепла, переносимого диффундирующими парами, и кол-вом тепла, переданного при отсутствии массопередачи. Как и следовало ожидать, перенос в-ва в направлении, совпадающем с направлением теплового потока, интенсифицирует теплопередачу. Количественно это отображается обеими группами ( $P_1/P$  и  $a$ , а не одним только  $a$ , как считалось ранее. Ю. П.

**77017. Всесоюзная научно-методическая конференция по массопередаче.** — Хим. пром-сть, 1956, № 3, 187—188

**77018. О теоретическом анализе диффузионных процессов.** Кафаров В. В., Ж. прикл. химии, 1956, 29, № 1, 40—46

Дается критич. анализ пленочной теории массопередачи. Указывается на недопустимость отождествления гидродинамич. условий на твердых и свободных поверхностях раздела. Отмечается отсутствие эксперим. доказательств наличия пленок на свободных поверхностях раздела. Пленочная теория сводит все явления массопередачи к молекулярной диффузии, не учитывает гидродинамич. условий процесса и не указывает пути интенсификации процессов массопередачи. Доказывается неправильность представлений о механизме процесса массопередачи, согласно которым стабильность границ раздела на свободных поверхностях создается за счет сил поверхностного натяжения, а роль турбулентного переноса уменьшается в каждой фазе по направлению к поверхности раздела фаз. Наличие свободных поверхностей является причиной возникновения турбулентности; при противоточном движении фаз создаются условия для возникновения вихрей, которые могут приводить к разрыву поверхности раздела, что вызывает резкое увеличение потока в-ва и энергии. С увеличением турбулентности возрастает роль турбулентной диффузии и при развитой турбулентности роль молекулярного переноса становится пренебрежимо малой. Высказывается предположение о существовании трех режимов переноса энергии и в-ва в зависимости от значения критерия Рейнольдса (Re). При малых значениях Re имеет место гидродинамически ламинарный режим, в котором преобладающую роль играет молекулярный обмен. Этот режим может возникнуть только в однофазном потоке у твердой поверхности. С увеличением Re наступает промежуточный режим, в котором перенос осуществляется как молекулярной, так и турбулентной диффузией. С дальнейшим увеличением Re возникает режим развитой свободной турбулентности — режим эмульгирования. Для этого режима определяющий гидродинамич. критерий выражает отношение сил инерции к силам турбулентного трения, а в определяющий критерий массообмена Пекле входит coeff. турбулентной диффузии. См. также РЖХим, 1956, 31416. В. К.

**77019. Графоаналитическое определение коэффициентов переноса вещества в белковых материалах.** Маковозов М. И., Тр. Моск. технол. ин-та мяс. и молоч. пром-сти, 1956, № 6, 58—63

На основании опытных данных по кинетике сорбции влаги предложен графоаналитич. способ определения coeff. потенциалопроводности  $D$  и coeff. массообмена  $\beta_\omega$ . Метод применим для определения  $D$  и  $\beta_\omega$  во всех влажных телах, по форме приближающихся к пластине. Определены и приведены значения  $D$  и  $\beta_\omega$  для сухого молока, дифибринированной крови, панкреатина и сухих янчных продуктов. А. Р.

**77020. Определение термостатического коэффициента переноса вещества в коллоидных материалах.** Ласточкин Я. Л., Сб. студ. работ Моск. технол. ин-та мяс. и молоч. пром-сти, 1956, № 4, 54—59

Для определения coeff. термостатической проводимости  $\delta$  в порошковых материалах (М) стеклянный цилиндр (диам. 42 мм, длина 70 мм) с исследуемым М размещал

ся между двумя термостатами. Один из термостатов заполнялся льдом, а другой — водой с нагревателем и терморегулятором. По длине трубки в М закладывались 4 термпары, а торцы трубки изолировались от влаги так, что образец не подвергался сушке. В М устанавливалось стационарное поле т-ры и, соответственно, постоянное поле влажности. После установления теплового равновесия измерялись т-ры  $t$  и отбирались пробы для определения влаги в разных точках образца;  $\delta$  определялось из выражения  $\delta = -\Delta U / \Delta t$ . Определены значения  $\delta$  для ряда мясных и молочных продуктов при различных влажностях исследуемых образцов и различных т-рах прогрева. Найдено, что для исследованных колл. материалов  $\delta$  не зависит от т-ры и увеличивается с возрастанием  $U$ ; максим. значение  $\delta$  для этих М находится около крит. влажности.

**77021. Периодическая и непрерывная дистилляция. Хайет** (Batch v. continuous distillation. Highet H. C.), Chem. and Process Engng, 1954, 35, № 2, 47 (англ.)

Критические замечания к статье (РЖХим, 1954, 31880).

**77022. Колонны с промежуточными выводами для ректификации многокомпонентных смесей. Франклин, Гулчер** (Columns with sidestreams in multicomponent distillation. Franklin N. L., Goulcher R. W.), Trans. Instn Chem. Engrs, 1955, 33, № 4, 264—279 (англ.)

Для трехкомпонентной смеси показано применение диаграммы разделения (РЖХим, 1955, 28101) с целью оценки изменений составов продуктов разделения при промежуточном отборе продуктов из средней части колонны и меняющихся значений флегмового числа. Выполненный анализ дает представление о качеств. изменениях, происходящих в колонне, и указывает способы применения диаграммы разделения при расчетах колонн с промежуточными выводами при ректификации многокомпонентных смесей.

**77023. Колонны для прецизионной разгонки системы Куна. Манд** (Colonne à rectifier de précision, système Kuhn. Mende H.), Génie chim., 1956, 75, № 1, 4—14 (франц.; рез. англ., исп.)

Колонна системы Куна для пленочной ректификации состоит из пучка вертикальных трубок небольшого диаметра, которые закреплены в трубных решетках. Нижние концы трубок выведены в паровое пространство куба, обогреваемого электрич. током. Верхние участки трубок образуют конденсатор: они охлаждаются снаружи, причем на внутренней поверхности образуется флегма, стекающая пленкой по внутренней поверхности трубок, взаимодействуя с поднимающимися из куба парами. Дистиллат выводится в парообразном состоянии и конденсируется в холодильнике. Для поддержания адиабатич. условий колонна окружена греющей рубашкой: в нижней ее части кипит спец. жидкость, пары которой конденсируются в особом холодильнике, откуда жидкость стекает обратно в рубашку. В настоящее время выпускаются полупромышленные модели таких колонн, которые по своему разделительному действию эквивалентны ~ 400 тарелкам. Колонны отличаются малым сопротивлением; применять их целесообразно для ректификации небольших кол-в трудноразделяемых смесей. Изложены основные положения теории работы таких колонн, разработанной ранее. См. также РЖХим, 1956, 18864.

**77024. Унос с колпачковых тарелок. Аттеридж, Лемье, Шрейнер, Сандбак** (Entrainment from bubble-cap trays. Atteridge P. T., Lemieux E. J., Schreyner W. C., Sundback R. A.), A. I. Ch. E. Journal, 1956, 2, № 1, 3—12 (англ.)

Исследовался унос жидкости с тарелок, снабженных стандартными прямоугольными колпачками размером

340 × 70 мм при числе колпачков 8, 12 и 16. Опыты проводились с водой и воздухом на модели, содержащей 3 тарелки размером 1600 × 460 мм, расположенные одна от другой на расстоянии 610 мм. Тарелки помещались в стеклянную колонну прямоугольного сечения, что позволяло осуществлять визуальные наблюдения. Воздух подавался центробежной воздуходувкой производительностью 170 м³/мин; расход воды менялся в пределах 1,1—68 м³/час. Помимо исследования уноса, определялись сопротивления сухих и работающих тарелок, условия течения жидкости по тарелке и слива ее; соответствующие данные представлены в графич. форме. Установлено: унос увеличивается с уменьшением пути жидкости по тарелке; унос уменьшается с увеличением расстояния между колпачками; уменьшение числа прорезей в колпачках при сохранении той же площади для прохода газа практически не влияет на унос; увеличение или уменьшение расхода жидкости может привести к увеличению или уменьшению уноса, так как кривые, выражающие унос при определенном расходе воздуха, имеют максимум или минимум.

**77025. Влияние плотности орошения на скорость абсорбции окислов азота серной кислотой. Бухман** А. С., Малин К. М., Ж. прикл. химии, 1956, 29, № 3, 334—341

Экспериментально исследовано влияние плотности орошения на коэфф. скорости абсорбции  $K_r$  окислов азота (I) серной к-той (II) при различных скоростях газа V. Опыты производились в стеклянной колонне с орошаемыми стенками. Конц-ия II была равна 78%, конц-ия I колебалась от 4 до 4,5% NO·NO₂ и т-ра изменялась в области 20—60°. Найдено, что зависимость между общим сопротивлением абсорбции  $1/K_r$  и частным сопротивлением газовой пленки, выраженным через  $1/V^n$  (где n — коэфф., зависящий от т-ры) при постоянной плотности орошения, представляет собой, для всех исследованных т-р, прямые, проходящие через начало координат, и, таким образом, сопротивление жидкостной пленки равно нулю. При полной смачиваемости стенок колонны увеличение кол-ва орошения практически влияния на  $K_r$  не оказывает.

**77026. Расчет абсорбционных насадочных колонн. Гойда** (Calculul coloanelor de absorbtie cu umplutură. (Partea II-A). Goida D.), Rev. chim., 1954, 5, № 5, 207—212 (рум.; резюме русс.)

Приведен общий обзор по расчету коэфф. абсорбции для насадочных колонн, поверхности фазового контакта, объема насадки, а также расчетные ф-лы для частных случаев абсорбции. Рассмотренный способ расчета абсорбционных насадочных колонн иллюстрирован примером. Библи. 9 назв. Начало см. РЖХим, 1956, 38399.

**77027. О механизме барботажной абсорбции. Кишиневский М. Х., Мочалова Л. А., Ж. прикл. химии, 1956, 29, № 2, 170—175**

При абсорбционных процессах, сопровождающихся р-циями второго порядка, численное значение времени контакта фаз  $\Delta t$  можно определить на основании теоретич. ур-ния (РЖХим, 1956, 15026), если известны сопротивления жидкой и газовой фаз, а также коэфф. растворимости и константа скорости р-ции. В случае барботажной абсорбции, в определенном интервале значений скорости барботаж, можно считать  $\Delta t = r/\omega$ , где  $r$  — радиус пузырька, см;  $\omega$  — скорость подъема, см/мин. Это позволяет сопоставить значения  $\Delta t$ , рассчитанные по теоретич. ур-нию и определенные из гидродинамич. условий процесса. Барботажная абсорбция CO₂ водн. р-рами NaOH осуществлялась в стеклянном барботере diam. 32 мм и высотой 110 мм с боковым входом газа в нижнюю часть; расстояние от центра входного отверстия до зеркала жидкости 12 мм. Опытные

данные подтвердили, что значения  $\Delta t$ , рассчитанные по теоретич. ур-нию и установленные из гидродинамич. условий, совпадают. Показано, что значение эффективного коэфф. диффузии намного выше коэфф. молекулярной диффузии. Ю. П.

**77028. Некоторые теоретические сведения об экстракции и адсорбции.** Дирикс (Nékeré theoretické úvahy o extrakci a adsorpci. Dierichs Alfred), Chem. průmysl, 1956, 6, № 6, 225—231 (чеш.; рез. русс., англ.)

Показана возможность установления расчетным путем хода процессов экстракции и адсорбции, в частности определения конц-ии продуктов и необходимого числа ступеней процесса. Дан пример расчета извлечения фенола из фенольных вод. Установлено, что в данном случае способ экстракции имеет преимущества перед способом адсорбции. Г. Ф.

**77029. Применение ледяного психометра в сублимационных сушильных установках.** Смольский Б. М., Сб. науч. работ Белорус. политехн. ин-та, 1956, № 55, 119—121

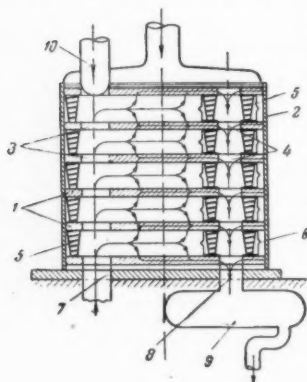
Для определения парц. давления водяного пара в сублимационных сушильных установках предложен ледяной психометр, состоящий из двух термпар (Т), защищенных экраном от воздействия лучистого тепла. На чувствительной части одной Т наморозен кусочек льда и она показывает  $t$ -ру испарения льда  $t_{\text{л}}$ , а другая Т —  $t$ -ру в сублиматоре  $t_{\text{с}}$ . По этим величинам, в зависимости от общего давления среды  $P_{\text{общ}}$ , находится  $P_{\text{п}} = P_{\text{л}} - CP_{\text{общ}} [1 - (t_{\text{л}} + 273) / (t_{\text{с}} + 273)]^2$ , мм. рт. ст., где психометрич. коэфф.  $C = 0,182 (\alpha D / \beta \lambda)^{1,75}$ . В этих выражениях  $P_{\text{л}}$  — давления у поверхности льда, мм рт. ст.,  $\alpha$  — коэфф. теплоотдачи, ккал/м<sup>2</sup>·час·град.,  $D$  — коэфф. диффузии, м<sup>2</sup>/час.  $\beta$  — коэфф. испарения, м<sup>2</sup>/час, и  $\lambda$  — коэфф. теплопроводности, ккал/м<sup>2</sup>·час·град. А. Р.

**77030. Теория адиабатических сушилок периодического действия.** Стандарт (The theory of adiabatic batch driers. Standard G.), Сб. чехосл. хим. работ, 1955, 20, № 1, 82—94 (англ., резюме русс.) См. РЖХим, 1956, 42070.

**77031. Основные сведения об уплотнениях.** Бон. Крейгсман (Enkele grondbeginselen van afdichtingen. Boon E. F., Krijgsman A.), Chem. weekbl., 1956, 52, № 27, 526—532 (голл.; рез. англ.)

Описаны некоторые свойства прокладочных и уплотнительных материалов. Г. Ф.

**77032 П. Фильтрпресс.** Мос (Filterpresse. Moos Georges Hugo), Дат. пат. 79102, 12.04.55



материал, покрывающий обе стороны пластин 1, и про-

ходит по ним через 4 и выходное отверстие 8 в резервуар 9. Поршень 10 служит для вытеснения суспензии из фильтрата при его освобождении. К. Г.

**77033 П. Нагреватель (Fluidheaters.)** [Petro-Chem. Process Co., Inc.]. Англ. пат. 708126, 28.04.54

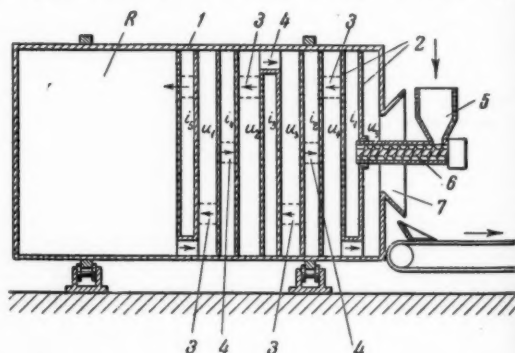
Нагреватель для парообразных углеводородов состоит из ряда плоских радиальных пучков труб, концы которых объединены верхним и нижним коллекторами; трубы заключены в цилиндрич. футерованный кожух, в днище которого установлены горелки; по окружности кожуха также установлен ряд горелок. Теплоотдача от горячих продуктов сгорания к трубам происходит в основном за счет теплового излучения. Продукты сгорания выводятся через штуцер в верхнем днище кожуха. Нагреваемые углеводороды движутся в трубах, куда они попадают через один из коллекторов, и выводятся из труб через 2-й коллектор. Ю. П.

**77034 П. Теплообменный аппарат в холодильных системах (Heat transfer apparatus in refrigeration systems)** [Serval, Inc.]. Англ. пат. 718978, 24.11.55

Аппарат представляет собой цилиндрич. трубу, ось которой наклонена под небольшим углом к горизонту; на внутренней поверхности трубы выполнены узкие винтовые канавки с большим шагом. Жидкость подается со стороны приподнятого конца трубы и движется под действием силы тяжести к противоположному ее концу. При этом, под влиянием капиллярных сил, жидкость поднимается по винтовым канавкам; в нисходящих частях канавок, благодаря наклону трубы, напор жидкости превышает напор в восходящей части, что обуславливает стекание жидкости вниз (восходящая и нисходящая части канавки подобны сифону). Описанное устройство обеспечивает равномерное смачивание жидкостью внутренней поверхности трубы и большую контактную поверхность. Аппарат может быть использован в качестве абсорбера или испарителя абсорбционной холодильной установки. Ю. П.

**77035 П. Вращающаяся печь с рекуперационными камерами.** Каллинг, Юханссон (Drehofen mit Rekuuperatorkammern. Kalling Michael Sture, Johansson Folke Carl Evald) [Stora Kopparbergs Bergslags Aktiebolag]. Пат. ФРГ 933086 15.09.55

Печь 1 имеет реакционную R и рекуперационную зоны. Последняя представляет собой ряд небольших камер  $i$  и  $u$ , образованных вертикальными перегородками 2. Эти камеры сообщаются каналами 3 и 4. Исходный материал из бункера 5 шнеком 6 загружается в камеру  $i_1$ , из которой по каналам 3 перемещается через



камеры  $i_2, i_3, i_4, i_5$  в R. Из последней материал по 4 движется через камеры  $u$  и выгружается через 7. Противоточное движение исходного и полученного материалов обеспечивает рекуперацию тепла через стенки камер  $i$  и  $u$ . Для улучшения условий теплообмена 2 рекомендуется изготовлять из тонкого рифленого металла. В. К.

**77036 П.** Аппарат для разделения жидкостей методом термодиффузии (Apparatus for separating liquids by thermal diffusion) [Standard Oil Co.]. Англ. пат. 728562, 20.04.55

Аппарат состоит из двух концентрич. трубок с небольшим зазором между ними, поверхности которых поддерживаются при различных т-рах, отличается применением дистанционных перегородок (ДП), исключающих возможность соприкосновения обеих поверхностей. ДП выполняются из материала инертного и непроницаемого в отношении разделяемых жидкостей, в виде отрезков проволоки или шнура, располагающихся на одной из поверхностей. Материалом ДП может быть металл, стекло, пластмасса, причем к поверхности они крепятся сваркой, пайкой, наплавлением или с помощью зажимов, винтов; возможна фиксация ДП за счет сил трения. Ю. П.

**77037 П.** Аппарат для термодиффузионного разделения жидкостей. Джонс (Thermal diffusion apparatus and method. Jones Arthur Letcher) [The Standard Oil Co.]. Пат. США 2720979, 18.10.55

Аппарат состоит из двух горизонтальных массивных плит 1 и 2, непроницаемых для жидкостей, между которыми при соединении образуется узкая полость 3, куда вводится жидкость, подлежащая разделению. 3 ограничивается пористыми перегородками 4 и 5, которые сообщаются с системами каналов 6 и 7, служащими для отвода пордиффундировавшей жидкости. В 1 и 2 заложены змеевики 8 и 9, через которые циркулируют нагревающая и охлаждающая жидкости, создающие необходимый температурный градиент в вертикальном направлении. Ю. П.

**77038 П.** Способ фракционирования и аппарат для его осуществления. Эрвин (Fractionating method and apparatus. Irvine Robert L.) [Gulf Oil Corp.]. Пат. США 713023, 12.07.55

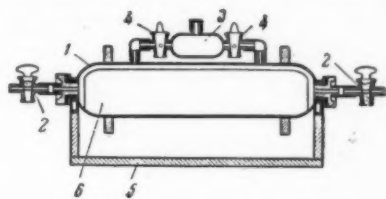
Ректификационная колонна состоит из концентрационной 1 и отгонной 2 секций, разделенных тарелкой 3, жидкость с которой выводится в сборник 4 и не попадает в секцию 2. Жидкая смесь, подлежащая разделению, вводится в отгонную секцию 2, в нижней части которой размещен элемент 5, имеющий форму усеченного конуса с мелкими перфорированными отверстиями 6 по поверхности. Жидкость собирается на кольцевой тарелке 7 и сливается на внутреннюю поверхность конуса 5, где взаимодействует с паром, проходящим сквозь 6. Неиспаренная жидкость собирается в нижней части 8 колонны, откуда выводится. Пары из секции 2 через колпачки на тарелке 3 поступают в 1, на тарелках 9 которой происходит ректификация. Дистиллат выводится сверху по линии 10. Ю. П.

**77039 П.** Аппарат для молекулярной дистилляции. Кретчмар (Apparatus for molecular distillation. Kretschmar Gustave) [The Givaudan Corp.]. Канад. пат. 513564, 7.06.55

По оси цилиндрич. корпуса дистиллятора 1, соединенного трубой 2 с высоковакуумным насосом, смонтирован горизонтальный вал 3 с дисками 4. Между дисками установлены плоские поверхностные конденсаторы 5, через которые последовательно протекает охлаждающая жидкость. Под 5 смонтированы сборники дистиллата 6. В-во, подлежащее дистилляции, подается по трубке 7 и заполняет нижнюю часть 1; при вращения 4 это в-во растекается по ним тонкой пленкой и испаряется, а конденсат собирается в 6 и выводится через холодильник 8 в сборники 9. Скорость вращения 3 выбирается такой, чтобы за один оборот с поверхности 4 испарилась только небольшая часть находящейся на них жидкости. А. Р.

**77040 П.** Аппарат для измерения количества абсорбируемого газа. Дроз (Gas measuring absorption apparatus. Droz A.) Англ. пат. 711110, 23.06.54

Аппарат состоит из баллона 1 известной емкости с двумя кранами 2. Сосуд 3 соединен с 1 каналами, перекрываемыми кранами 4. Аппарат размещается на подставке 5 и может поворачиваться вокруг своей оси. Баллон заполняется газовой смесью, а сосуд 3 — абсор-

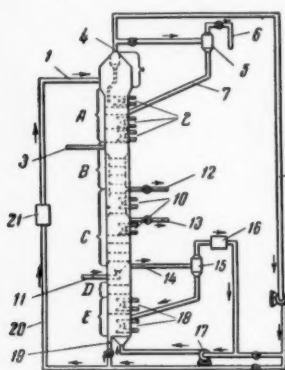


бентом. Аппарат переводится в вертикальное положение и при открытии 4 абсорбент перетекает в 1. Затем аппарат вновь размещается на 5 и вручную поворачивается так, чтобы все стенки и перегородки 6, установленные в 1 для увеличения поверхности контакта, были смочены абсорбентом. А. Р.

**77041 П.** Метод проведения процессов адсорбции, десорбции и дегидратации в движущемся слое адсорбента. Фриц, Этерингтон (Method for adsorbing, desorbing, and dehydrating adsorbent in fluid adsorption system. Fritz Robert J., Etherington Lewis D.) [Esso Research and Engineering Co.]. Пат. США 2723000, 8.11.55

Описано разделение газовой смеси, компоненты которой V и W различаются по величине адсорбции. Аппарат представляет собой вертикальную колонну, имеющую пять секций: адсорбционную А, ректификационную В, десорбционную С, дегидратационную D и охлаждающую Е. Гранулированный сорбент (ГС) поступает в А по трубе 1 и перемещается сверху вниз, охлаждаясь с помощью змеевиков 2. Газовая смесь подается в нижнюю часть А по трубе 3. Легкая неадсорбированная фракция V удаляется по трубе 4, освобождается от унесенного ГС в сепараторе 5 и отводится по трубе 6; ГС из 5 по трубе 7 возвращается в А. Часть V отводит-

ся по трубе 8 и газодувкой 9 подается в нижнюю часть Е. В С ГС нагревается змеевиками 10 и освобождается от основной массы тяжелого адсорбированного компонента W. Для полного удаления W по трубе 11 подается водяная пар. Фракции десорбирующегося газа, содержащие W и некоторую часть V, отводятся по трубам 12 и 13. В D подаваемый V обезвоживает ГС, удаляется по трубе 14, освобождается в сепараторе 15 от унесенных частиц ГС, сушится в 16 и газодувкой 17 возвращается в А. Сухой, свободный от W и охлажденный в Е змеевиками 18 ГС выводится из Е по трубе 19 и потоком газа по трубе 20 через охладитель 21 вновь подается в А.



газа по трубе 20 через охладитель 21 вновь подается в А.

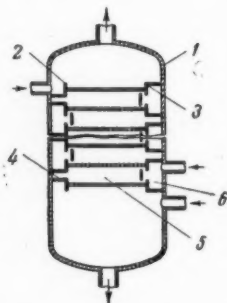
**77042 П.** Конструкция и способ эксплуатации адсорбиров с адсорбционным и теплоаккумулирующим слоями. Вемейер, Хельбиг (Verfahren und Vorrichtung zum Betrieb von mit Adsorptionsmittelschicht und Wärmespeicherschicht ausgerüsteten Adsorbent. Wehmeyer Georg, Helbig Paul). Пат. ГДР 10031, 1.07.55

Вертикальный цилиндрический адсорбер разделен двумя перфорированными горизонтальными перегородками на верхнюю часть, заполненную адсорбентом, среднюю часть, в которую через штуцер поступает газовая смесь, и нижнюю часть, заполняемую в-вом, аккумулирующим тепло, напр. гравием. Из средней части адсорбера газовая смесь поступает в верхнюю, где поглощаются адсорбируемые компоненты смеси, после чего оставшиеся компоненты смеси удаляются из адсорбера через верхний штуцер. Десорбция производится паром, подаваемым через верхний штуцер и отводимым из адсорбера через нижний штуцер. Воздух, используемый для сушки адсорбента, подается через нижний штуцер, нагревается в слое, аккумулирующем тепло, и отводится через верхний штуцер. Такой способ позволяет проводить адсорбцию при низких т-рах и рекуперировать тепло.

В. К.

**77043 П.** Колонна для экстракции в системе жидкость — жидкость. Каслер, Нелсон (Liquid — liquid extraction tower. Casler John R., Nelson Channing C.) [Esso Research and Engineering Co.]. Канад. пат. 515500, 9.08.55

Патентуется конструкция экстракционной колонны, состоящей из корпуса 1, внутри которого размещены тарелки с внутренней полостью, разделенные вертикальными перегородками 2, 3 на три зоны 4, 5 и 6. Горизонтальные стенки 4 и 6 перфорированы. Жидкие фазы противотоком движутся через отверстия в 4, где смешиваются. Затем обе фазы движутся в горизон-

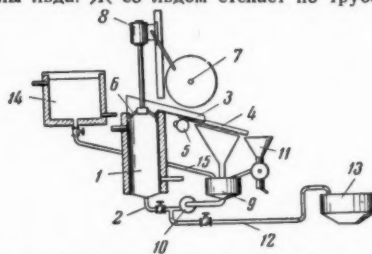


тальном направлении через 5. После расслоения, происходящего в этой зоне, жидкие фазы поступают в 6, через отверстия в горизонтальных стенках которой легкая фаза движется вверх, а тяжелая — вниз. В. К. **77044 П.** Сушка материалов с высоким сопротивлением диффузии влаги. Джакино (Process for drying materials of high moisture diffusion resistance. Giachino Marcello Thomas) [Commercial Solvents Corp.]. Пат. США 2730814, 17.01.56

Предлагается сушка в-в, имеющих тенденцию к слеживанию и повышенное сопротивление диффузии влаги в процессе сушки (как, напр., нитрат аммония, нитрат кальция и сульфат аммония), производить после нанесения на них не растворимого в воде пористого неорганич. материала с развитой поверхностью (напр., ирригаторной земли с частицами 200—300 меш) в кол-ве, не превышающем 5% от веса этих в-в. После этого сушка в-в осуществляется в токе воздуха при 38—82° до получения остаточной влажности ниже 1%.

А. Р. **77045 П.** Метод обезвоживания вымораживанием. Беншейдт, Паттинсон (Method of dehydrating by freezing. Benscheidt Newton H., Pattinson John R.) [The Commonwealth Engineering Co.]. Канад. пат. 512899, 17.05.55

Обработываемая жидкость (Ж) поступает в нижнюю часть обезвоживателя 1 по трубе 2 и, протекая по 1 снизу вверх, охлаждается хладагентом, омывающим стенки 1. В результате охлаждения в Ж образуются кристаллы льда. Ж со льдом стекает по трубе 3 и по-



падает на вибрирующее сито 4, приводимое в действие мотором 5. Для удаления льда, оседающего на стенках, в 1 размещено скребковое устройство 6, которое приводится в движение двумя моторами 7 и 8, обеспечивающими вращение 6 и перемещение его по высоте 1. Ж стекает в сборник 9 и оттуда насосом 10 вновь направляется в 1, а лед, перемещаясь по 4, попадает в бункер 11. По мере обезвоживания Ж часть ее отводится по трубе 12 в сборник 13, а свежая Ж подается из бака 14 по трубе 15 в 9.

А. Р. **77046 П.** Аппарат для пропорциональной подачи жидкостей. Фриман, Герни (Liquid proportioning apparatus. Freeman Howard G., Gurney Gordon T.) [Rockwood Sprinkler Co.]. Канад. пат. 513331, 31.05.55

Устройство для пропорционального смешения двух жидкостей состоит из двух жестких сосудов, диафрагм, установленных на линиях, соединяющих эти сосуды со смесительным трубопроводом (размеры диафрагм пропорциональны желаемому отношению кол-в смешиваемых жидкостей) и аккумулятора, расположенного внутри одного из сосудов, представляющего собой эластичную камеру, внешняя часть которой находится под давлением жидкости, заполняющей сосуд, а внутренняя часть связана со вторым сосудом и заполнена жидкостью из этого сосуда. Аккумулятор способствует выравниванию уровней жидкости в обоих сосудах.

В. Р. **77047 П.** Аппарат для диализа жидкостей. Гуарино (Apparatus for dialyzing fluids. Guarino John Ralph) [Dialyzer Co. of America, Inc.]. Пат. США 2715097, 9.08.55

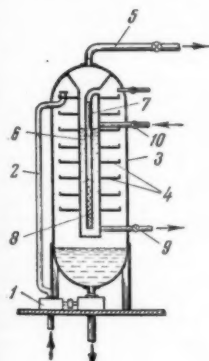
Подвергаемая диализу жидкость подается в верхнюю часть цилиндрич. аппарата по трубе, которая на конце снабжена приспособлением для диспергирования диализуемой жидкости, орошающей находящийся внутри аппарата и выполненный из полупроницаемого материала змеевик. Жидкость, подвергшаяся диализу, отводится из нижней части аппарата. В. К.

**77048 П.** Устройства для теплового и светового излучения (Heat and light radiating devices) [Heraeus Quarzschmelze Ges.]. Англ. пат. 695507, 12.08.53

Устройство, излучающее видимые, УФ- или ИК-лучи, состоит из источника излучения, представляющего собой карбидный или металлич. стержень (сопротивление) или проволоочную спираль, навитую на кварцевый стержень. Источник излучения заключен в кварцевую трубку и присоединен к источнику электрич. тока. Трубка делится диаметральной плоскостью на две части: прозрачную, обращенную к объекту облучения, и непрозрачную, обращенную в сторону параболич. отражательной поверхности Al-рефлектора. Непрозрачная часть трубки может быть выполнена с параболич. профилем: в нагретом состоянии она является дополнительным источником теплового излучения с длиной волны 4 м. Непрозрачный кварц получают добавкой к расплаву окислов металлов (Fe, Cr или Mg) в кол-ве до 1%. Трубка заполнена инертным газом. Описанное устройство применяется в медицине, для сушки окрашенных поверхностей, пищевых продуктов, при полимеризации синтетич. смол. Ю. П.

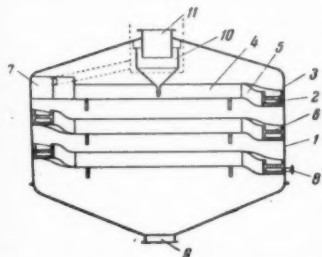
**77049 П.** Удаление газов из жидкостей. Питерсен (Degasification of liquids. Petersen Lowell W.) [Swift and Co.]. Канад. пат. 514016, 21.06.55

Обрабатываемая жидкость (Ж) при помощи насоса 1 по трубе 2 подается в верхнюю часть аппарата 3, снабженного рядом горизонтальных полок 4 для увеличения поверхности Ж. Обработанная Ж собирается в нижней части 3, откуда выводится. Выделившиеся из Ж газы просасываются с помощью вакуум-насоса, присоединенного к трубопроводу 5, через слой жидкого поглотителя 6 (трубка 7 имеет в нижней своей части ряд отверстий для выхода газа). Насыщ. поглотитель выводится по трубке 9, а свежий подается по трубке 10. Ю. П.



**77050 П.** Аппарат для удаления газов из жидкостей. Маэда (急速脱瓦斯装置. 前田良之佑). Япон. пат. 2359, 11.04.55

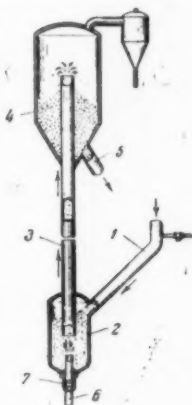
К внутренней поверхности стенок аппарата 1 прикреплено устройство, состоящее из канала 2 и желоба 3. Это устройство состоит из чередующихся горизонтальных прямых 4 и изогнутых 5 участков. На прямых участках перегородка 6 между 2 и 3 состоит из пористой металлич. пластины, а на изогнутых — из непористой.



Жидкость, содержащая газ, поступает в аппарат через камеру 7 и по 3 перемещается в нижнюю часть аппарата. Сжатый воздух поступает в аппарат по патрубку 8 и по 2 перемещается в верхнюю часть аппарата. На участках 4 воздух проходит сквозь поры перегородки и протекающий над ней слой жидкости, увлекая с собой растворенные в ней газы. На участках 5 происходит отделение жидкости от увлеченного воздуха. Жидкость после удаления из нее газа уходит из аппарата по патрубку 9. Воздух, содержащий увлеченные из жидкости газы, уходит из аппарата через сепаратор 10 по патрубку 11. М. Г.

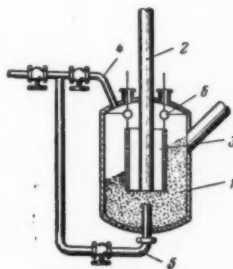
**77051 П.** Способ осуществления циркуляции свободно текущих зернистых твердых веществ. Айви, Делаплейн (Verfahren zur Kreislaufführung frei fließender, körniger, fester Stoffe. Ivey Edwin Harry, jun., Delaplaine John Watson) [Houdry Process Corp.]. Пат. ФРГ 918323, 21.03.55

Поток зернистого твердого в-ва (ЗТВ) после прохождения реактора и регенерационной печи поступает самотеком по трубопроводу 1 в циркуляционную камеру 2, откуда переносится потоком газа по вертикальной трубе 3 в сепарационную камеру 4. Из этой камеры ЗТВ поступает самотеком по трубе 5 в реактор. Подача газа в 2 осуществляется по трубе 6. Регулирование кол-ва захватываемого этим газом ЗТВ осуществляется путем изменения расстояния от верхнего обреза 6 до нижней части трубы 3, что обеспечивается наличием муфты 7; толщина слоя ЗТВ над 6 должна быть постоянной, от 7 до 15 см, что требует соответствующего диаметра 1. Рекомендуется выбирать размер ЗТВ  $\geq 1,2$  мм, а его нагнетание газом внутри 2 производить со скоростью  $\geq 6$  м/сек и по 3 со скоростью от 9 до 15 м/сек. В. К.



**77052 П.** Способ и аппарат для проведения химических реакций при соприкосновении циркулирующих зернистых веществ с газами или жидкостями. Уэйрик, Делаплейн (Verfahren und Vorrichtung zur Durchführung chemischer Reaktionen durch In-Berührung-Bringen körniger, im Kreislauf geführter Stoffe mit Gasen oder Flüssigkeiten. Weinrich William Whitney, Delaplaine John Watson) [Houdry Process Corp.]. Пат. ФРГ, 924747, 10.03.55

Патентуется приспособление для регулирования кол-ва захватываемых газом зернистых твердых в-в (ЗТВ), напр. катализаторов, при их циркуляции в аппарате для проведения хим. р-ций (см. пред. реф.). Кол-во ЗТВ, захватываемых газом из циркуляционной камеры 1 в вертикальную трубу 2, регулируется глубиной погружения насадка 3 в слой ЗТВ, что производится спец. механизмом 6, поднимающим и опускающим 3. Газ поступает в верхнюю часть 1 по трубе 4. С целью облегчения циркуляции ЗТВ предусматривается вариант

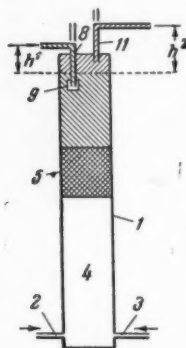


легчения циркуляции ЗТВ предусматривается вариант

поступления части газа,  $\leq 35\%$  общего кол-ва, через трубу 5, проходящую через дно камеры 1. Расстояние между верхней частью 5 и нижней частью 3 должно быть не менее размера внутреннего диаметра последнего. Степень обмена ЗТВ зависит также от диаметра 2, от величины ЗТВ и давления газа. Приводятся таблицы примеров этой зависимости.

**В. К. 77053 П. Метод и аппаратура для непрерывного удаления взаимно нерастворимых жидких фаз из отстойной зоны.** (Method and apparatus for continuous withdrawal of mutually insoluble liquid phases from a settling zone) [Standard Oil Development Co.]. Англ. пат. 704022, 17.02.54

Аппарат представляет собой колонну 1, в нижнюю часть которой непрерывно подается поток масла (через штуцер 2) и поток обрабатываемой водн. фазы (через штуцер 3), смешивающиеся между собой в контактной зоне 4 посредством струйного или механич. перемешивания. В насадочной секции 5 капли масла соединяются между собой и отделяются от водн. фазы в отстойной зоне над 5. Выводная трубка 8 для водн. фазы опущена ниже уровня раздела водн. и масляной фаз, а ее конец снабжен колпачком 9 для предотвращения попадания капель масла. Соответственно выводная трубка 11 для масла имеет свой нижний входной конец выше уровня раздела фаз. Верхние точки трубок 8 и 11 соединяются с атмосферой и имеют разную высоту над уровнем раздела фаз: для воды  $h^1$  и для масла  $h^2$ . Отношение  $h^1/h^2$  обратно пропорционально уд. весам жидкостей. Патент предусматривает модификацию аппарата с противотоком масла и водн. фазы. Метод и аппаратура могут быть применены к трем и более жидкостям.



дел фаз: для воды  $h^1$  и для масла  $h^2$ . Отношение  $h^1/h^2$  обратно пропорционально уд. весам жидкостей. Патент предусматривает модификацию аппарата с противотоком масла и водн. фазы. Метод и аппаратура могут быть применены к трем и более жидкостям.

См. также: Процессы: тепловые 74451, 76644, 77084, 77085; массопередачи 74436, 74568, 74573, 75759, 75760, 75983, 75991, 76446, 76489, 76529, 76671, 76845, 76948.

## КОНТРОЛЬНО-ИЗМЕРИТЕЛЬНЫЕ ПРИБОРЫ. АВТОМАТИЧЕСКОЕ РЕГУЛИРОВАНИЕ

**77054. Использование контрольно-измерительных приборов в промышленных процессах.** Ориэл (The use of control equipment in the process industries. Oriэл John A.), Trans. Instn Chem. Engrs, 1955, 33, № 3, 155—156 (англ.)

Отмечается необходимость тесного содружества технологов-аппаратчиков с инженерами-химиками при проектировании, конструировании и эксплуатации заводского оборудования. Знание взаимосвязи между приборами и процессами, подлежащими контролю, является большей частью эмпирич. Многие сделано по изучению постоянных режимов, но мало известно о характеристиках непрерывных процессов.

**Г. Л. 77055. Применение электронных систем регулирования.** Стюкас (Application of electronic control systems. Stukas Charles J.), ISA Journal, 1956, 3, № 3, 86—88 (англ.)

Освещен вопрос развития электронных систем регулирования производственных процессов. Отмечается, что за последнее время появился новый вид инженерной квалификации — инженеры по системам регулирования, обязанностью которых является оснащение процесса необходимыми приборами регулирования, анализ и изу-

чение процесса и систем регулирования. На ряде примеров показано, когда целесообразно выбирать пневматич., электро-пневматич. или электрогидравлич. системы регулирования. Доказывается необходимость выбора пневматич. системы для регулирования уровня жидкости в открытом резервуаре, электропневматич. системы для регулирования уровня жидкости в аппарате под давлением, электрогидравлич. системы для регулирования давления в аэродинамич. трубах. Обращается внимание на правильность размещения чувствительных элементов регуляторов и их обслуживание, на требования к выполнению импульсных и соединительных линий, на снабжение исполнительных механизмов сжатым воздухом. Особо подчеркивается необходимость исследования динамич. характеристик процессов и регулирующего оборудования как предварительного условия выбора систем регулирования, а также значение экономич. фактора при этом выборе.

**А. Л. 77056. Автоматическое регулирование.** Части 2, 3.— (Automatic controls. Part 2, 3.—), Canad. Chem. Process., 1953, 37, № 13, 36, 38, 40; 1954, 38, № 1, 34, 36, 38, 40 (англ.)

Серия популярных лекций по автоматич. регулированию. Описываются различные методы регулирования: двухпозиционное, пропорциональное, изодомное и изодомное с предвведением. Приводятся примеры применения этих методов, а также влияния запаздывания отдельных элементов контура регулирования на качество процесса регулирования. Часть I см. РЖХим, 1955, 2388.

**77057. Практическое применение метода переходных функций для анализа систем автоматического регулирования процессов.** Ласп (A practical application of transient response techniques to process control systems analysis. Laspe Charles G.), ISA Journal, 1956, 3, № 4, 134—138 (англ.)

Наилучшим методом для анализа динамики процессов регулирования, позволяющим с помощью сравнительно простых математич. операций получать все необходимые данные, является метод снятия частотных характеристик (Воде). Однако для снятия этих характеристик требуется довольно сложная и дорогая аппаратура; операция эта трудоемка. На примере исследования процесса автоматич. регулирования т-ры в печи крекинга показывается, как с помощью простейших средств (стандартными деталями автоматич. регуляторов) получить переходную функцию разомкнутого контура регулирования, а затем методом разбиения или другим графо-аналитич. методом построить частотные характеристики этого процесса. Для контроля приводится сравнение экспериментально снятой переходной функции замкнутого контура регулирования с переходной функцией, полученной расчетным путем по описанному выше методу из переходной функции разомкнутого контура. Совпадение кривых подтверждает правильность метода. Время, необходимое для снятия переходной функции, в 5 раз больше максим. постоянной временн. контура.

**И. И. 77058. Измерение толщины материалов при помощи радиоактивных изотопов.** Верховский Б. И., Нейман М. Б., Вестн. АН СССР, 1956, № 6, 89—91

Описывается ряд приборов для измерения толщины металлов или металлопокрытий при помощи различных радиоактивных изотопов. Измерение основано на явлениях поглощения или рассеяния излучения слоем металла. Приборы работают как по методу прямого измерения, так и по компенсационному. В зависимости от толщины металла применяется  $\beta$ -излучение изотопов таллия-204, церия-144 или  $\gamma$ -излучение иридия-192. Максим. ошибка измерения не превосходит 2% от определяемой величины. Сообщается об установке для автоматич. регулирования скорости подачи хлопка в хлопко-

трепальные машины, созданной Ин-том хим. физики АН СССР и Глуховским текстильным комбинатом. Излучение радиоактивного изотопа стронция-90, проникающее через слой хлопка, измеряется дифференциальной ионизационной камерой. При помощи спец. запоминающего устройства, в соответствии с толщиной слоя, измеренный установкой на некотором расстоянии от питающего барабана, регулируется скорость его вращения. Установка работает по компенсационному методу. М. Л.

**77059. Новые приборы для измерения толщины металлических покрытий.**—(New thickness gages for metallic coatings.—), Metal Finishing, 1954, 52, № 10, 52—55 (англ.)

Разработаны 3 электрокондуктометрич. прибора для измерения толщины гальванич. покрытий. Первый прибор работает по методу измерения напряжения, индуктированного в измерительной катушке токами Фуко исследуемого слоя. Применение ВЧ-тока позволяет повысить точность измерения, так как вследствие явления скин-эффекта уменьшается влияние электропроводности основного металла. При частоте 2 МГц можно измерять покрытия толщиной до 0,03 мм, а при 100 кГц до 0,12 мм. В последнем случае точность измерения малых толщин ниже. Измерение проводится наложением измерительной катушки на исследуемый предмет. Нуль прибора устанавливается при наложении этой катушки на контрольную пластинку из непокрытого металла. Прибор снабжен калибровочными кривыми для разных металлов основания и покрытия. Во втором приборе измеряется сдвиг фаз между напряжением ВЧ-генератора и напряжением, индуктированным в измерительном трансформаторе (щупе) при приближении к исследуемой поверхности (прикосновение необязательно). Прибор калиброван в единицах толщины слоя Ag на нержавеющей стали толщиной 1 мм. Нуль прибора устанавливается при значительном удалении щупа от металла. Отсчет производится при расстоянии между щупом и предметом  $\leq 3$  мм. В этих условиях показания прибора не зависят от расстояния. Третий прибор работает на постоянном токе. Измеряется падение напряжения на определенном участке поверхности исследуемого металла при пропускании через образец тока определенной силы. Щуп прибора имеет 4 иглоки, расположенные в ряд. Внешние — латунные — служат для подвода тока к образцу, а внутренние — стальные — являются потенциометрич. клеммами и укреплены на пружинках для обеспечения надежного контакта. В качестве вторичного прибора используется стандартный автоматич. компенсатор. Описывается использование этого прибора для контроля толщины покрытия волновода, состоящего из нержавеющей стали толщиной 1 мм, на которой нанесены слой Ni толщиной 25 мк и сверху слой Ag толщиной 50 мк. И. И.

**77060. Манометр для высоких давлений. Пик** (O-ring «sandwich» makes a manometer for high pressures. Peak Roy D.), Chem. Engng, 1954, 61, № 12, 212, 214 (англ.)

Описана конструкция смотровой колонки высокого давления с уплотнением с помощью резинового кольца — манжета. Колонка может быть применена для замера уровня жидкости или в качестве однотрубного дифманометра для статич. давлений до 420 кг/см<sup>2</sup>. Она была испытана при давл. 700 кг/см<sup>2</sup>. Так как смотровое окно выполнено из пластмассы, то верхний предел рабочей т-ры весьма ограничен. При оклеивании из стекла и манжеты из силиконовой резины эту колонку можно применять для т-р до 270°. Уплотнение манжетом выдерживает давление до 3500 кг/см<sup>2</sup>. И. И.

**77061. Простой электрический манометр. Уэйнс-эрт, Ивли** (A simple electromanometer. Ainsworth M., Eveleigh J. W.), J. Scient. Instrum., 1954, 31, № 12, 471—472 (англ.)

Описана конструкция мембранного манометра с электронным датчиком, состоящим из триода R. C. A. 5734 с подвижным анодом. Триод включен в мостовую схему, на выходе которой получается напряжение 6 в при перемещении мембраны манометра на 5 м. Прибор имеет шкалу 0—3 мм рт. ст. и собственную частоту 110 гц. Электрич. дрейф прибора за 20 мин. незначителен. И. И.

**77062. Применение радиоактивных изотопов для измерения скоростей газовых потоков и для автоматического контроля расхода газа по методу «меченых молекул».** Шумиловский Н. Н., Мельтцер Л. В., Докл. АН СССР, 1956, 106, № 4, 661—664

Для измерения скорости газовых потоков и автоматич. контроля расхода газа применен метод «меченых молекул». Источник  $\alpha$ - или  $\beta$ -излучения располагается в спец. контейнере снаружи трубопровода и не имеет непосредственного контакта с измеряемой средой. Излучаемый в направлении трубопровода поток частиц предварительно модулируется таким образом, что он периодически «пронизывает» трубопровод только на короткие промежутки времени. Вследствие этого внутри трубопровода периодически создаются ионизированные участки среды, которые переносятся затем вместе с потоком. Расположенный ниже по потоку приемник фиксирует момент прохождения ионизированного пакета, а спец. устройство отсчитывает время между моментами создания пакета и прохождения его мимо приемника. Указывается, что этот метод может применяться лишь там, где определяемое время прохождения пакета монов значительно меньше времени жизни возбужденных молекул, которое составляет секунды или доли секунды. Приводятся блок-схема установок, конструкция и исследование ее работы. М. Л.

**77063. Измерение расхода. Хьюз** (Metering of interplant flows, Hughes Robert E.), ISA Journal, 1956, 3, № 5, 168—169 (англ.)

На примере измерения расхода жидких углеводородов показывается, как влияют т-ра и давление в трубопроводе на точность измерения. Значительные погрешности (до  $\pm 10\%$ ) возникают при повышении т-ры и понижении давления за счет возникающего парообразования. При нормальных условиях погрешность не превышает  $\pm 2,5\%$ . И. И.

**77064. Измерение расхода жидкости с помощью обращенного дифференциального манометра. Урбан** (Messung des Flüssigkeitsdurchflusses durch ein umgekehrtes Differenzmanometer. Urban J.), Feingeräte-technik, 1954, 3, № 11, 496—497 (нем.)

См. РЖХим, 1956, 60550.

**77065. Измерение расхода газа нефтяных скважин. Кейбл, Эскью** (Lessons learned from measurement of full well steam gas. Cable L. G., Eskew Joe E., Jr), Gas (USA), 1956, 32, № 3, 154, 160, 162, 164 (англ.)

Основные проблемы, возникающие при измерении расхода газа полных нефтяных скважин, следующие: 1) образование «гидрата» в измерительном приборе; 2) накопление жидкости в дифманометре; 3) пульсация расхода; 4) трудности в определении правильного уд. веса влажного газа. Высокая влажность газа и высокое давление вызывают выпадение влаги в виде «гидрата» (иней), забивающего импульсные линии и прибор. Для устранения этого явления рекомендуется подогревать импульсные линии и прибор. Устранение накопления жидкости в приборе достигается ликвидацией утечек и систематич. коррекцией нуля. Уменьшение погрешности от пульсации потока достигается уменьшением расточки диафрагмы и соответственным увеличением перепада давления. Уд. вес газа рекомендуется определять путем фракционного анализа газа и расчета его мол. веса, так как при других методах возможна кон-

денсация жидкости, что вызывает значительные погрешности.

**И. И. 77066.** О проекте инструкции для проверки дифманометров — расходомеров. Кремлевский П. П. В сб.: Теплоэнерг. приборы и регуляторы, М.—Л., Машгиз, 1954, 259—270

Критические замечания к проекту «Инструкции для проверки дифманометров — расходомеров, работающих в комплекте с диафрагмами и соплами». Инструкция выпущена для всеобщего рассмотрения в 1952 г. Комитетом по делам мер и измерительных приборов.

**М. Л. 77067.** Объемный и весовой методы проверки счетчиков сжиженного нефтяного газа. Вемаи (Volumetric vs. gravimetric L. P. G. testing. Wehmann Emmett F.), Scale J., 1955, 41, № 5, 4—5 (англ.)

Сравниваются объемный и весовой методы проверки калибровки счетчиков сжиженного нефтяного газа. Разброс результатов проверок за период с ноября 1953 г. по июль 1954 г. достигает у весового метода 2,2%, а у объемного — 1,2%. Худшие результаты весового метода объясняются ошибками в определении веса единицы объема сжиженного газа, что особенно сильно сказывается в жаркое время года. См. РЖХим, 1956, 31504.

**И. И. 77068.** О быстродействии электрических термометров и пирометров. Оршанский Д. Л. В сб.: Теплоэнерг. приборы и регуляторы, М.—Л., Машгиз, 1954, 44—70

Приводится обоснование выбора критериев для раздельной оценки инерции термоприемников и электроизмерительных приборов, позволяющей определить значение «суммарной» инерции комплексного электрич. термометра или пирометра. Составлена сводная таблица миним. нормированных значений эквивалентного времени успокоения различных электроизмерительных приборов, серийно выпускаемых основной приборостроительной промышленностью и используемых в технич. электрич. термометрах и пирометрах. Рассматривается методика сопоставления времен инерции различных термоприемников. Приводятся достигнутые в настоящее время миним. значения термич. инерции термоприемников промышленного типа и оценивается их инерция в реальных условиях.

**М. Л. 77069.** Измерение температуры и влажности. Холман, Латта (How to measure temperature and moisture in stored grain. Holman Leo E., Latta Randall), Pest Control, 1956, 24, № 5, 32, 34, 36 (англ.)

Рассмотрен контроль т-ры и влажности зерна в бункерах элеваторов. Для измерения влажности обычно применяют приборы, основанные на измерении электропроводности зерна или его диэлектрич. проницаемости. Отбор пробы для исследования производят вручную. Т-ру зерна измеряют преимущественно термометрами кабельного типа, заложенными в слой зерна. В качестве вторичного прибора применяют потенциометры с переключателями.

**И. И. 77070.** Измерение температуры движущейся жидкости. Экабер (Mesure de la température d'un fluide en mouvement. Escabert R.), Bull. techn. Suisse romande, 1955, 81, № 21—22, 406—411 (франц.)

При измерении т-ры движущейся жидкости источниками погрешностей могут служить нагревание пограничного к термометру слоя, теплообмен между термометром, погруженным в жидкость, и стенками трубопровода, изменение скорости и направления потока и другие факторы. Уменьшения ошибки, связанной с теплообменом со стенками, достигают применением серии экранов или термостатированием стенок. Влияние скорости потока на т-ру движущейся жидкости характеризуется так называемым коэфф. нагревания  $r = (T_m - T_s) / \Delta T_a$ , где  $T_m$  — измеряемая т-ра,  $T_s$  — статич. т-ра жидкости (т-ра, которую показывал бы термометр, если бы он перемещался вместе с жидкостью), а  $\Delta T_a$  — динамич.

т-ра, равная разности  $T_a - T_s$ , где  $T_a$  — т-ра остановки, которую приняла бы жидкость, если бы она мгновенно пришла в состояние покоя без обмена теплотой или энергией с окружающей средой. Величина  $r$  зависит от типа и размера термометра, его ориентации относительно потока, чисел Маха и Рейнольдса и степени турбулизации потока. Определение  $r$  сложно и выполнимо лишь для однородного потока для термометра, имеющего форму плоской пластины, и при угле атаки, равном нулю. Значение  $r$  определено также теоретически для случая несжимаемой жидкости и ламинарного режима потока. Во всех других случаях  $r$  определяется только экспериментально. В настоящее время созданы термометры, нечувствительные к изменению направления потока в пределах  $10^\circ$  и практически не имеющие теплообмена со стенками трубопровода. Описывается методика определения коэфф. нагревания и приводятся расчетные и эксперим. кривые.

**А. Н. 77071.** Прибор для измерения температуры твердых частиц. Горбис З. Я., Теплоэнергетика, 1954, № 11, 48—50

Прибор состоит из чувствительного погружного элемента удобообтекаемой формы с горячим спаем термопары, заключенной в защитную трубку, и державки с уплотняющей пробкой и указателем положения корпуса. Термопару подключают к указывающему или записывающему прибору. Основные погрешности в показаниях прибора вызваны нестационарным теплообменом, а также тем, что корпус погружного элемента нарушает характер движения частиц и воздуха. Для устранения ошибок первого рода измерение т-ры частиц следует проводить в период стабильных показаний прибора, так как при этом влияние нестационарного теплообмена на точность измерений практически исключается. Ошибки второго рода особенно существенны при малых количествах частиц и в меньшей степени сказываются при их слоевом движении. Эту погрешность можно уменьшить, выбрав погружной элемент малых размеров и удобообтекаемой формы. Ошибку можно учесть спец. тарировкой прибора. Оценивается величина погрешности, вызванной охлаждением или нагревом погружного элемента внешним потоком воздуха. Эта погрешность уменьшается с уменьшением времени измерения, разности т-р потока воздуха и частиц, коэфф. теплопроводности и температуропроводности насыпи частиц и стенок корпуса и с увеличением погружного элемента. При времени замера 10 сек. ошибка не превышает 1% для песка и 0,2% для пшеницы. Отмечается возможность автоматизации действия рассмотренного прибора.

**М. Л. 77072.** Регулирование температуры. Ян (Die Temperaturüberwachung nach der Schwarz-Weiß-Methode. Jahn Siegfried), Elektro-Technik, 1954, 36, № 32/33, 8—9 (нем.)

Конструкция, принцип действия и технич. характеристики контактных ртутных термометров, биметаллич. термометров и защитных выключателей верхних пределов т-р, применяемых в системах дистанционного контроля.

**М. Л. 77073.** Приборы для определения влажности. — (Praktische Geräte für Feuchtigkeitsbestimmung.), Feingegerätektechnik, 1956, 5, № 7, 331—332 (нем.)

Приводится описание двух влагомеров, один из которых предназначен для определения влажности любых пород дерева, а второй для определения влажности воздуха и газов. Прибор для определения влажности дерева работает по методу измерения уд. электропроводности испытываемого материала и имеет несколько шкал в зависимости от породы дерева. Его вес 1,6 кг. Прибор рассчитан на сетевое или батарейное питание. В зависимости от целей измерения применяются электроды зажимного, штепсельного или погружного типа. Автоматич. влагомер для воздуха и других газов одновременно

определяет точку росы, абс. и относительную влажность, парц. давление паров воды и давление насыщения. Потребляемая мощность 4 вт. М. Л.

**77074. Коаксиальный цилиндрический вискозиметр для неньютоновских жидкостей.** Меррилла (A coaxial-cylinder viscometer for non-Newtonian fluids. Merrill Edward W.), ISA Journal, 1956, 3, № 4, 124—128 (англ.)

Описана конструкция ротационного вискозиметра с двумя коаксиальными цилиндрами. Подвижной цилиндр приводится во вращение через гидравлич. муфту, позволяющую плавно изменять число оборотов ротора. Для быстрой остановки и запуска ротора установлена электромагнитная муфта. Зазор между ротором и статором составляет 0,15 мм. Для сохранения центровки статор закреплен в «воздушном подшипнике», для чего в статор подается сжатый воздух. Такая система обеспечивает малое трение при достаточной жесткости центровки. Усилие, стремящееся повернуть статор, измеряется датчиком с наклеенными проводочными тензотрами сопротивления. На регистраторе записывается величина, пропорциональная силе сдвига в функции времени или скорости вращения, для чего в приборе предусмотрены таходинамо постоянного тока и генератор сигналов времени (пилообразные сигналы, получаемые от реохорда, вращаемого синхронным мотором). Через спец. каналы ротора и статора пропускается вода из термостата, чем поддерживается постоянство т-ры прибора. Исследуемая жидкость нагнетается в зазор между цилиндрами поршневым шприцем (вручную). Прибором можно измерять вязкость в пределах от 0,25 до 1000 пуаз в пересчете на ньютоновские жидкости. При измерениях вязкости пульс размер частиц не должен превышать 15 м. И. И.

**77075. Регистрирующий газоанализатор на  $\text{CH}_4$  для подземного применения в угольных шахтах.** Рютте, Веда, Мас (Recording  $\text{CH}_4$  meter for underground use in coal mines. Rütte W. A. le. Weeda W., Maas W.), Appl. Scient. Res., 1956, A6, № 1, 67—81 (англ.)

Для непрерывной регистрации содержания  $\text{CH}_4$  в атмосферном воздухе угольных шахт разработан термокондуктометрич. газоанализатор, питаемый от шахтной сети сжатого воздуха. Маленький генератор переменного тока приводится во вращение турбинкой. Так как у этого генератора изменение напряжения связано с изменением частоты, схема стабилизации состоит из включенной последовательно с нагрузкой лампы накаливания и включенного параллельно конденсатора. Выпрямление производится сухим выпрямителем. Питание прибора от сети сжатого воздуха освобождает от необходимости прокладки электрич. кабеля и делает источник питания взрывобезопасным, так как при отсутствии сжатого воздуха автоматически исчезает напряжение генератора. В нормальных условиях в корпусах прибора, продуваемых воздухом, поддерживается избыточное давление. Шкала прибора 0—2%  $\text{CH}_4$ . Точность 0,1%  $\text{CH}_4$ . Изменение давления сжатого воздуха на входе в турбинку от 2,5 до 3,5 атм вызывает изменение напряжения питания на 1%. Применение обычного редуктора делает погрешность от изменения давления весьма малой. Просасывание воздуха для анализа производится воздушным эжектором. Стабилизация расхода воздуха через ячейки прибора достигается масляным маностатом, одновременно играющим роль гидрозатвора. Анализируемый воздух очищается ватным фильтром и пропускается через хим. поглотители для удаления влаги и  $\text{CO}_2$ . Вторичным прибором является регистрирующий милливольтметр со шкалой 1 мв. Проверка нуля прибора производится путем пропускания через обе ячейки прибора воздуха из линии сжатого воздуха. И. И.

**77076. Автоматическое регулирование pH воды.** Эберт (Winston-Salem, adopts automatic pH con-

trol. Ebert R. E.), Amer. City, 1956, 71, № 5, 101—104 (англ.)

Описано автоматич. регулирование pH воды на водопроводной станции. При изменении pH регулятор воздействует на длительность периодов работы мотора вибрационного весового дозатора «Омега», подающего известь в воду после фильтров. Такой же дозатор подает коагулянты в сырую воду на входе в очистительную станцию. Контрольный регистратор pH очищ. воды, поступающей в сеть, показывает, что отклонения от заданного pH (7) ничтожны, несмотря на изменения расхода воды в течение суток в 2,75 раза. Приведена технологич. схема процесса. И. И.

**77077. Прибор для дозирования пара в газ при высоких давлениях.** Брунс Б. П., Брауде Г. Е., Тр. Гос. и.-и. и проект. ин-та азот. пром-сти, 1952 (1953), № 1, 252—258

Разработанный авторами прибор для дозирования пара в газ применен для изучения каталитич. р-ций при давл. 100—800 атм. Принципиально этот прибор можно использовать при любом высоком давлении. Он состоит из цилиндра, выполненного из стали ЭЯИТ, закрывающегося винчивающейся в него головкой, которая уплотняется свинцовым или медным кольцом. Последнее прижимается стальным кольцом при помощи болтов. В цилиндр примерно на  $\frac{3}{4}$ — $\frac{1}{2}$  его высоты наливают дозируемую жидкость. Газ входит через одно отверстие и выходит через другое, к которому присоединена трубка с воронкой, расположенной выше максим. уровня жидкости в сосуде. Внутри цилиндра помещен насос, подающий жидкость в воронку трубки, из которой она непрерывно увлекается газом, поступающим непосредственно в реакционную колонку. Колонка должна иметь внутри подогреватель, обеспечивающий испарение жидкости и смешение газа с паром. Если конструкция не допускает этого, то можно установить перед колонкой спец. подогреватель небольшой емкости. Поршневой насос приводится в действие сердечником из мягкой стали, перемещающимся при включении соленоида. Полезная емкость прибора в собранном виде ~300 мл. М. Л.

**77078. Регулирующие клапаны. Часть I. Характеристики. Часть II. Указания по практическому выбору.** Бернет (Regelventile. Teil I. Kennlinien. Teil II. Hinweise für die praktische Auswahl. Bernet E.), Regelungstechnik, 1956, 4, № 5, 108—112; № 6, 132—138 (нем.)

I. Регулирующие клапаны (K) характеризуются зависимостью степени открытия проходного сечения K от хода штока или расходом через K в зависимости от хода штока. Для линейных K первая зависимость выражается ур-нем прямой линии. Однако за счет влияния сопротивлений в трубопроводе зависимость расхода через K от хода его штока в большей или меньшей степени отклоняется от линейной, что может в некоторых случаях затруднить процесс регулирования. Показывается, по какому закону следует профилировать плунжер K, чтобы его характеристика по расходу была линейной. Приведено также ур-ние равнопроцентного K, имеющего логарифмич. характеристику по сечению.

II. Идеальная характеристика K по расходу практически требуется только в случаях наличия значительного запаздывания в объекте регулирования, малых допустимых отклонений регулируемого параметра и больших изменений нагрузки. При диапазоне изменений нагрузки  $\leq 1:2$  форма характеристики K не имеет существенного значения. При падении давления на полностью открытом K  $\leq 0,6$  всего наличного перепада давления можно пренебречь искажениями характеристики, вносимыми сопротивлениями в трубопроводе. При выборе характеристик K следует исходить из требования к постоянству начального угла наклона кривой разгона объекта при изменениях нагрузки. На примерах показывается

влияние места приложения возмущения на требования к характеристике К. Приводятся упрощенные ф-лы для расчета диаметра К.

**77079.** Схема управления соленоидным вентилем. Симонов Н., Холодильн. техника, 1956, № 2, 61—62

Описание схемы автоматич. регулирования уровня аммиака в циркуляционных ресиверах аммиачных маломощных насосных систем. Схема состоит из соленоидного вентиля, управляемого двумя дистанционными указателями уровня типа ДУ-2 или ДУ-3, определяющими верхнее и нижнее положение уровня аммиака в аппарате, магнитного пускателя и системы аварийно-предупредительной сигнализации.

**77080.** Контрольные приборы на современном сахарном заводе. Меццалира (La strumentazione in uno zuccherificio moderno. Mezzalira Girolamo), Misure e regolaz., 1955, 3, № 6, 237—240 (итал.)

На современном сахарном 3-де автоматизирован ряд операций. Регулируется работа свеклорезки с помощью непрерывного взвешивания на автоматич. весах подаваемой транспортером свеклы, автоматически дозируется известковое молоко или  $\text{CO}_2$  при очистке диффузионного сока. Введена оптич. и акустич. сигнализация, непрерывно регистрируются измеряемые параметры. При операциях предефекации, дефекации, первой и второй сатурации производится измерение pH сока. Сурьмяный измерительный электрод pH-метра выполнен в виде кольца, вращаемого электродвигателем; электрод сравнения — каломелевый. Кольцевой электрод легко сменить и служит примерно два сезона. pH-метр в соке на выходе из предефекации регулирует подачу сока из дефекации. На основной дефекации регулируется соотношение потоков сока и известкового молока. Регулирование процесса дефекации можно вести путем изменения уровня сока в котле дефекации. На обоих этапах сатурации дефекованного сока измеряется и регулируется pH сока. Регулирующий вентиль устанавливается на линии подачи сока или  $\text{CO}_2$ . На первой сатурации обычно регулируется соотношение расходов сок —  $\text{CO}_2$ , а добавка  $\text{CO}_2$  производится в зависимости от величины pH. Для улучшения условий работы регулирующей аппаратуры желательна стабилизация насыщающего газа и конц-ии  $\text{CO}_2$  в нем. Уваривание сиропа в вакуум-аппаратах контролируется по точке кристаллизации, определяемой измерением электропроводности. Описана применяемая для этой цели аппаратура. А. Н.

**77081.** Автоматическое тушение пожара в разрыхлительных отделах хлопчатобумажных прядильных фабрик. Норман (System puts out opener room fires automatically. Norman H. C.), Text. Inds, 1955, 119, № 8, 92—93 (англ.)

На прядильной ф-ке West Boylston при появлении огня фотоэлемент, чувствительный к красному цвету, при помощи усилителя и реле возбуждает соленоид, открывающий клапан огнетушителя с  $\text{CO}_2$ , и заставляет содержимое контейнера с сухим порошком (13,6 кг) высыпаться в разрыхлитель. Автоматически прекращается подача хлопка в трепальный отдел, хлопок выбрасывается на пол, где он заливается водой из спринклерной системы. При этом автоматически останавливаются все питатели-смесители, но смесительная решетка продолжает работать до тех пор, пока весь хлопок не окажется на полу под спринклерной системой. Предусмотрена также аварийная кнопка, при нажатии на которую осуществляются все указанные выше операции, если пожар будет обнаружен в каком-нибудь другом месте цеха. Описан монтаж установки около разрыхлителя. Я. М.

**77082.** Автоматическое регулирование температурного режима в красильных ваннах. — (Régulation automatique des bains de teinture.—), Rev. textilis, 1955, 11, № 9, 64, 65, 66, 67 (франц.)

Регулируются т-ра, длительность цикла крашения и скорость изменения т-ры. Подчеркиваются преимущества использования для этой цели пневматич. регуляторов и исполнительных механизмов. Описывается несколько типов автоматич. терморегуляторов (в том числе программных), обеспечивающих автоматич. управление всем процессом крашения. Приводятся принципиальные схемы двух автоматич. регуляторов.

**77083.** О современном состоянии изготовления электрических регулирующих и управляющих приборов для холодильной промышленности. Метценauer (Über den internationalen Stand im Bau von elektrischen Regel- und Steuergeräten für die Kälteindustrie. Metzenauer D.), Technik, 1956, 11, № 5, 387—389 (нем.)

Анализируются качество изготовления и конструкций вентилей, датчиков, выключателей, приборов прямого и косвенного действия и регуляторов т-ры, применяемых в промышленных и индивидуальных установках охлаждения и кондиционирования.

**77084.** Типовые схемы автоматизации холодильных установок с астатическим шаговым регулированием. Щербаков В., Холодильн. техника, 1955, № 4, 8—16

При числе агрегатов от двух и более автоматизация регулирования холодильных установок может быть осуществлена по схемам астатич. шагового регулирования (АШР), так как применение схем пропорционального шагового регулирования требует значительной величины общего колебания параметра. Под шагом подразумевается включение или отключение одного холодильного агрегата или части цилиндров компрессора или переключение скорости его вращения. Приведены и описаны принципиальная схема многоагрегатной холодильной установки с АШР, схема управления компрессором, схема астатич. управления компрессорными агрегатами и общий вид щита управления. Показаны достоинства АШР.

**77085.** Автоматизация аммиачных холодильных установок торгового типа. Якобсон В., Шавра В., Холодильн. техника, 1956, № 2, 11—17

Схема автоматизации аммиачных холодильных установок с рассольной системой охлаждения, имеющих производительность 10 000 ккал/час, позволяет круглосуточно поддерживать заданную т-ру в холодильных камерах с точностью до  $\pm 1^\circ$ . При этом улучшаются условия хранения продуктов, в несколько раз уменьшается кол-во обслуживающего персонала и сокращаются эксплуатационные расходы. Приводится описание конструкции и принципа действия разработанного для данной схемы поплавкового регулятора высокого давления ПР-1, обеспечивающего отделение стороны высокого давления от стороны низкого давления при любой тепловой нагрузке и исключающего попадание пара из компрессора через конденсатор в испаритель.

**77086 П.** Регулятор уровня. Амидон (Level controller Amidon Elgan C.). Канад. пат. 516025, 30.08.55

Описан регулятор уровня для жидкостей, находящихся в резервуарах под давлением. Регулятор состоит из поплавка и спец. двухмембранного устройства, управляющего подачей жидкости в резервуар.

**77087 П.** Газоанализатор на метан. (Methanometers) [National Coal Board]. Англ. пат. 727461, 6.04.55

В газоанализаторе термочувствительный тип для определения  $\text{CH}_4$  в смеси воздуха с  $\text{CO}_2$  активная и сравнительная нити прибора закрыты защитными экранами — чехлами диам. 5 мм. При нагреве нитей до  $400^\circ$  газоанализатор не чувствителен к изменению конц-ии  $\text{CO}_2$ .

**77088 П.** Дозирование жидкости. Эдуардс (Dosing of a liquid, such as water, with a reagent. Edwards)

W. E.) [Sutcliffe Speakman & Co., Ltd.]. Англ. пат. 728217, 13.04.55

Устройство для дозирования жидкого реагента, напр. хлорирующего в-ва, в воду, работающее по принципу автофисона, при каждом срабатывании которого подаются определенные порции воды и реагента. И. И.

77089 П. Регулирование смешения жидкостей. (Control of the mixing of liquids.) [Permutit Co., Ltd.]. Англ. пат. 722655, 26.01.55

Для регулирования кислотности р-ра при смешении двух жидкостей отбираются две пробы и в одну из них добавляется определенное кол-во щелочи. По изменению цвета индикатора определяется кислотность р-ра. Изменение окраски воспринимается двумя фотоэлементами и посредством реле воздействует на процесс смешения. И. И.

77090 П. Компенсированные мосты для газоанализаторов. Черри, Фоли (Compensated gas-analysis bridges. Cherry Robert H., Foley Gerard M.) [Leeds and Northrup Co.]. Пат. США 2734376, 14.02.56

В термохимических и термомангнитных газоанализаторах применяются мостовые схемы. Ввиду того, что оба рабочих плеча моста практически невозможно изготовить абсолютно идентичными, на показаниях приборов сильно сказываются влияния изменений питающего напряжения и состава балластных газов. Для устранения этого явления предлагается вводить в мост компенсационные сопротивления, включаемые последовательно или параллельно с одним из рабочих плеч моста. И. И.

См. также: 76149.

## ТЕХНИКА БЕЗОПАСНОСТИ. САНИТАРНАЯ ТЕХНИКА

77091. Безопасность и гигиена труда на цементных заводах. Арана-Айспура (Seguridad e higiene en las fábricas de cemento. Arana Aizpuru A.) [Rev. industr. y fabr., 1955, 10, № 108, 486—493 (исп.)]

Указаны меры безопасности применительно к добыче и обработке материалов цементной промышленности: 1) предосторожности при работах в каменоломнях (эксплуатация экскаваторов, проведение взрывных работ и транспортировка материалов); 2) предосторожности при дроблении, размоле и обжиге материалов. Н. С.

77092. Основы техники безопасности и гигиены труда в литейных. Хольторп (Zasady bezpieczeñstwa i higieny pracy w odlewnictwie. Holtorp Janusz), Przegl. odlewn., 1954, 4, № 2, 46—48 (польск.)

77093. Ртуть и ее опасность. Эбер (Le mercure et ses risques. Ebert), PACT, 1953, 7, № 6, 437—438 (франц.)

Описаны ядовитые свойства Hg и ее соединений и меры предосторожности при работе с ними. И. З.

77094. Производственные и экспериментальные исследования по гигиенической характеристике соединений кобальта. Каплун З. С., Гигиена и санитария, 1955, № 5, 26—31

При воздействии пыли Co на рабочих в условиях произ-ва у них были обнаружены нарушения функции органов пищеварения, дыхания, кроветворения и др. Одним из ранних симптомов хронич. отравления являлось нарушение обоняния. При эксперим. изучении токсич. действия CoCl<sub>2</sub> и металла. Со при острых затравках соответственно в дозах 4 мг/кг и 1,7 мг/кг (при хронич. затравках эти дозы уменьшались в 10 раз и более) на собаках с павловским изолированным желудочком установлено угнетение секреторной и изменение двигательной функции желудка. Однократное введение CoCl<sub>2</sub> (в тех же дозах) вызывало спонтанное слюноотделение, увеличение кол-ва слюны, выделявшейся на раздражитель, и др. Хронич. введение CoCl<sub>2</sub> собакам вызывало усиление эритропоза, сменяющееся через 6—7 недель угнетением. Рекомендуются обычные профилактич. мероприятия и медицинские осмотры. Г. Д.

77095. Врачебные меры предотвращения профессиональных свинцовых отравлений. Буккуп (Ärztliche Maßnahmen zur Verhütung beruflicher Bleischädigungen. Buckup Heinrich), Zbl. Arbeitsmed. und Arbeitsschutz, 1955, 5, № 1, 1—9 (нем.)

Изложена организационная и методич. сторона предварительных и периодич. осмотров рабочих свинцовых предприятий. Для выявления отравленных рекомендуется ускоренный метод определения Pb в моче (по де-Лангену) и подсчет кол-ва базофилов в периферич. кро-

ви. Для предотвращения интоксикации Pb в пищу следует вводить повышенные кол-ва SH-содержащих аминокислот: метионина, цистина, витаминов C, B<sub>12</sub>, версенатов (двойные соли этилендиаминотетраформата) и цитрат Na. Указывается на недостаточность применения одного молока для предупреждения свинцовых отравлений. Библи. 30 назв. Г. Д.

77096. О медицинском предупреждении сатурнизма. Ремон (À propos de la prévention médicale du saturnisme. Raymond V.), Arch. malad. profess., 1955, 16, № 6, 576—578 (франц.)

Информация об изменениях, принятых во французском законодательстве 24 июня 1955 г. по охране здоровья рабочих свинцовой пром-сти. Е. Г.

77097. Анатомо-клинические материалы по силикозу. Гали, Рош (Documents anatomo-cliniques sur la silicose. Galy P., Roche L.), Semaine hôpitaux Paris, 1956, 32, № 15, 827—828 (франц.)

77098. Гемоцитохимический анализ у лиц, подверженных действию паров и пылей окиси цинка. Граната (Analyse hémoctochimique de sujets exposés à l'inhalation de vapeurs et de poussières de zinc oxyd. Granata A.), Arch. malad. profess., 1955, 16, № 6, 537—542 (франц.)

На основании обследования 7 рабочих, работавших в атмосфере, загрязненной аэрозолем и пылью ZnO (все обследованные пользовались респираторами), было установлено, что в клетках периферич. крови этих лиц наступают изменения содержания полисахаридов, пероксидаз и др. Эти изменения появляются не ранее, чем через год после начала работы. У рабочего со стажем 10 лет была отмечена значительная анемия. В отдельных случаях в клетках периферич. крови наблюдалось уменьшение содержания кислых фосфатаз. С. Я.

77099. Изменения в легких у рабочих, занятых на производстве алюминия. Геэр (Bei der Aluminiumherstellung auftretende Lungenveränderungen. Geier F.), Fortschr. Geb. Röntgenstrahlen, 1955, 82, № 5, 598—604 (нем.; рез. англ., франц., исп.)

В результате медицинского обследования обнаружен алюминоз у 3,5% рабочих бокситовых рудников, у 4,9% рабочих ф-ки глинозема (конц-ия пыли 4900—17818 частиц в 1 мл воздуха), у 6,3% рабочих з-дов по выплавке Al (до 7800 частиц глинозема и криолита в 1 мл воздуха). Всего обследовано > 1000 рабочих со стажем 2—9 лет. Больные жаловались на кашель, ночные поты, одышку. Рентгенологически обнаруживались полосовидные тени, очаговые тени, которые иногда частично сливались. Тяжелых заболеваний не обнару-

жено. Болезнь не прогрессировала, работоспособность не нарушалась. И. С.

**77100. Меры безопасности при работе с синильной кислотой.** Сернуда (Medios técnicos de aumentar la seguridad del trabajo en las aplicaciones sanitarias del ácido cianhídrico. Cernuda Ramón Jimeno), Дупа, 1954, 29, № 10, 480—485 (исп.)

При дезинсекции с помощью HCN необходима большая осторожность. Готовя р-р NaCN, нужно одевать перчатки и противогаз. Следует избегать конденсации HCN (т. кип. 26,5°), для чего нужно работать с горячим р-ром, хранить и транспортировать его следует в железных эмалированных сосудах. При прорыве газа из аппарата следует поджечь его струю, сгорающую голубым пламенем. Проветривание помещений после окулирования вести вдвоем и начинать открывать окна с подветренной стороны. Тот, кто входит в помещение первым, должен иметь с собой колокольчик и подавать сигналы о своих передвижениях помощнику, достаточно сильному, чтобы в случае отравления быстро вынести пострадавшего. Хорошим показателем следов HCN в воздухе является табачный дым, который в присутствии HCN становится очень горьким на вкус. Для уничтожения остатков HCN в воздухе рекомендуется распыление ацетона, связывающего HCN. З. Б.

**77101. Опасности в производстве двуокиси хлора.** Нортгрейвс (The hazards of chlorine dioxide production. Northgraves W. W.), Canad. Pulp and Paper Ind., 1956, 9, № 2, 36, 65 (англ.)

Приводится краткая характеристика токсич. свойств и пожарной опасности материалов ( $\text{NaCl}$ ,  $\text{CH}_3\text{OH}$ ,  $\text{SO}_2$  и  $\text{H}_2\text{SO}_4$ ), применяющихся в произ-ве  $\text{ClO}_2$ . Рекомендуются обычные профилактич. мероприятия. Г. Д.

**77102. Хлороформ как метаболит трихлорэтилена.**

Соучек, Влахова (Chloroform jako metabolit trichlorethylenu. Souček B., Vlachová D.), Pracovní lékař., 1955, 7, № 3, 143—146 (чеш.; рез. рус., англ.)

В воздухе, выдыхаемом лицами, подвергавшимися действию паров  $\text{CHCl}_3 = \text{CCl}_2$ , обнаружен  $\text{CHCl}_3$ , возникающий в организме в результате обмена в-в. Разработан колориметрич. метод определения  $\text{CHCl}_3$  и сопутствующего ему  $\text{CHCl} = \text{CCl}_2$ , основанный на измерении экстинкции окраски после проведения р-ции Фудживара (при длине волн 420 и 540 мμ). Приведены возможные схемы образования  $\text{CHCl}_3$  в организме (через  $\text{CH}_2\text{ClCOOH}$ ,  $\text{CCl}_3-\text{CHO}$  и  $\text{CCl}_3\text{COOH}$ ). З. Б.

**77103. Безопасность и гигиена труда. Ацетон и антрацен.** Гарсиа-Перес (Seguridad e higiene del trabajo. La acetona y el antraceno. García Pérez J.), Ion, 1956, 16, № 175, 137—139 (исп.)

Приведены характеристики токсичности  $\text{CH}_3\text{COCH}_3$  и  $\text{C}_{14}\text{H}_{10}$ . Рекомендованы способы улавливания паров ацетона. Предложено избегать применения  $\text{C}_{14}\text{H}_{10}$  в составе смазочных материалов. В предприятиях, производящих или потребляющих  $\text{C}_{14}\text{H}_{10}$ , рабочих следует снабжать защитными кремами для рук, предохранительными перчатками и масками. Н. С.

**77104. Техника безопасности при смешивании удобрений с инсектицидами.** Генри (Safety in the mixing of fertilizers with insecticides. Henry Robert P.), Commenc. Fertilizer, 1955, 91, № 6, 40, 42 (англ.)

Отмечено, что 88,7% удобрений производится в смеси с пестицидами (П), 75% из которых являются токсичными в-вами. Характерны хронич. отравления ежедневно действующими малыми конц-иями (кумулятивное действие П). При применении смесей удобрений с П (главным образом при ручных работах) наряду с общими гигиенич. мероприятиями рекомендуются: прозенная защитная одежда, перчатки из натуральной резины, очки, респираторы и др. Г. Д.

**77105. Фильтрация канцерогенных веществ, содержащихся в выхлопных газах автотранспорта.** Альб-

рехт (Filterung cancerogener Stoffe der Abgase der Kraftfahrzeuge. Albricht J.), Schwebstofftech. Arbeitstag., 1955, Mainz, 1955, 78—80 (нем.)

Обнаружено влияние отходящих газов автотранспорта на возникновение заболеваний раком. Имеющиеся данные показывают, что обеднение воздуха кислородом и присутствие в нем соединений Pb способствует росту заболеваний раком. Для очистки воздуха от соединений Pb следует устанавливать спец. фильтры, удовлетворяющие следующим условиям: малое сопротивление прохождению газа, степень очистки  $\geq 0,7$ , небольшие габариты, удобства в обслуживании, длительность эксплуатации и пр. Я. Д.

**77106. Защитные мероприятия при применении радионуклидов в промышленности.** Шюрман (Schutzmaßnahmen bei Verwendung von Radioisotopen in der Industrie. Schürmann K.), Ind.-Anz., 1955, 77, № 67, 949 (нем.)

**77107. Исследования радиоактивных примесей при промышленном получении криптона из воздуха.** Хорват, Дежи, Салаи (Vizsgálatok a kryptonnak levegőből üzemi kinyerése alkalmával feldúsuló radioaktiv szennyeződésére vonatkozólag. Horváth Márton, Dézsi Zoltán, Szalay Sándor), Magyar fiz. folyóirat, 1955, 3, № 3, 279—289 (венг.)

Установка для получения Kr работает по методу Линде. С помощью Г.-М.-счетчика установлено, что при произ-ве Kr содержание природного Rn возрастает пропорционально возрастанию кол-ва Kr. Сырая Kr-смесь всегда состоит из Kr, Xe и Rn; в дальнейшем они не разделяются. 1 кг свежеполученного технич. Kr содержит 0,04—0,08 мюри Rn. П. Д.

**77108. Техника и оборудование в радиохимическом производстве.** Мурадян (Techniques and equipment in radiochemical processing. Mooradian A. J.), Chem. in Canada, 1955, 7, № 8, 31—34 (англ.)

Изложены требования, предъявляемые к планировке и оборудованию предприятий, производящих ядерное горючее. Н. С.

**77109. Результаты обследования загрязнения воздуха.** Андерсон (Committee on air pollution report. Anderson David M.), Arch. Industr. Health, 1955, 11, № 6, 513—520 (англ.)

Сообщаются результаты обследований загрязнения воздуха в Англии, Шотландии и Уэльсе. По существующим правилам дым должен выходить почти бесцветным; выпуск «темного дыма» допускается в пределах 6 мин. в течение часа, при определенных производственных процессах. Желательно, чтобы высота дымовых труб была в 1,5—2 раза больше высоты самого высокого из ближайших зданий и составляла 36,6 м. Законом должен быть запрещен выпуск «темного дыма», должно быть обусловлено обязательное применение установок для улавливания пыли, а также замена битуминозного угля бездымным или коксом и др. Н. С.

**77110. Исследование запыленности и загрязнения воздуха химическими веществами.** (Badanie stanu zapylenia i zanieczyszczeń chemicznych powietrza.—), Ochrona pracy, 1955, 9, № 7, 223—224 (польск.)

Краткое изложение доклада на проходившей в марте 1955 г. конференции по исследованию запыленности и загрязнения воздуха в рабочих помещениях хим. в-вами. Разделы доклада: хим. методы анализа, внедрение результатов исследований в практику, разработка автоматич. сигнализаторов. И. С.

**77111. Аппаратура для очистки воздуха в промышленных городах и рекуперация содержащихся в нем наиболее ценных продуктов.** Хатлапа (Frische und staubfreie Luft in unseren Arbeitsstätten und deren Umgebung sowie Rückgewinnung wertvollen Staubes. Hatlapa), Bergbau-Rundschau, 1956, 8, № 2, 83—85 (нем.)

Описаны применяемые в настоящее время в различных отраслях промышленности электрофильтры, фильтры, работающие под давлением, лабор. фильтры и другие пыле- и воздухоочистительные установки. М. Ф.

**77112.** О вредности промышленных и других загрязнений воздуха для человека. Топиц (Zur Schädigung des Menschen durch Industrie- und andere Abgase. Topitz Alois), Wetter und Leben, 1955, 7, № 1—2, 12—16 (нем.)

**77113.** Проблемы предупреждения вредного действия дымовых газов. Бойе (Probleme der Vermeidung von Rauchschäden aus Feuerungen. Boie W.), Energietechnik, 1955, 5, № 11, 498—506 (нем.)

Рассматриваются меры предупреждения уноса с дымовыми газами (ДГ)  $SO_2$  и твердых частиц пыли.  $SO_2$  может быть удалена из ДГ промывкой последних, частичным переводом ее в  $SO_3$  в процессе горения в топке. Уменьшению содержания  $SO_2$  в ДГ способствует также добавление известки к твердому топливу (для связывания серы). В случае применения газообразного топлива (коксового или генераторного газа), в котором сера содержится в виде  $H_2S$ , последний удаляется из газа перед его сжиганием. Рассматриваются различные типы пылеуловителей (циклоны, скрубберы, электрофильтры, уловители с применением ультразвука и пр.). Рекомендованы спец. топки, устройство которых способствует осаждению значительной части золы в топочном пространстве. Описаны дымовые трубы, способствующие лучшему рассеянию ДГ в атмосфере. Я. Д.

**77114.** Электрофильтр для получения проб атмосферной пыли. Литвинов В. Ф., Литвинова Н. Н., Гигиена и санитария, 1955, № 9, 16—18

В электрофильтр (Гигиена и санитария, 1951, № 10) внесены изменения, позволяющие уменьшить вес модели и применять ее в полевых условиях. Так, высокое напряжение снимается не с трансформатора, а с ламповой схемы, дающей выпрямленное напряжение 6—8 кВ при силе тока 1—2 мА. В полевых условиях питание осуществляется от аккумуляторной батареи. Общее потребление энергии 100 Вт. Вес лабор. модели ~ 10 кг (вместо 30 кг старой модели), полевой ~ 15 кг. Сравнение результатов отбора проб полевой моделью электрофильтра, счетчиком Оуэнса № 1 и аллонжами с ватным фильтром при концентрации пыли в воздухе до  $10 \text{ мг/м}^3$  показало, что электрофильтр дает большую полноту улавливания. Для получения проб при концентрации пыли  $> 30\text{—}50 \text{ мг/м}^3$  прибор не пригоден. С. Я.

**77115.** Свойства промышленных вредных веществ и их обезвреживание фильтрующими приборами. Попек (Vlastnosti průmyslových škodlivin a jejich zneškodňování filtračními přístroji. Poppek L.), Bezpečn. a hyg. práce, 1955, № 1, 20—23 (чеш.)

**77116.** Респираторы, предохраняющие от пыли. Карпе (Le problème des masques filtrants contre les poussières. Carré M.), Ingers et techniciens, 1955, № 76, 53, 55—57, 59 (франц.)

Приведены нормы для испытания респираторов, принятые в США, Англии, Германии, Бельгии и Франции.

**77117.** Проектирование, монтаж, наладка и эксплуатация механических и электрических золоуловителей и пылеуловителей. Ужов В. Н. В сб.: Газоочистительные устройства и их внедрение на электрических станциях и промышленных предприятиях, М.—Л., Госэнергоиздат, 1953, 10—36

Дана оценка проблемы оздоровления атмосферного воздуха Москвы и рассмотрены устройства для очистки дымовых газов от летучей золы на электростанциях и в промышленных котельных. Приведены технич., эксплуатационные и экономич. характеристики золоулавливающих систем крупных электростанций: батарейных циклонов с элементами диам. 250 и 150 мм, горизонтального двухпольного электрофильтра ДГП и вер-

тикального 4-секционного электрофильтра ДВП, а также комбинированных золоуловителей. Сообщаются результаты промышленных испытаний золоуловителей разных типов: степень улавливания золы равна в среднем 83,4—85,7% для батарейных циклонов и 98% для комбинированных. Перечислены причины, препятствующие нормальному внедрению на электростанциях золоуловителей и освещены вопросы их монтажа и эксплуатации. Рассмотрены характеристики золового выброса и применяемая газоочистительная аппаратура для малых котельных, а также очистка хвостовых газов сернокислого произ-ва в электрофильтрах ПМ-10 и М-102. Ю. С.

**77118.** Вычисление и измерение концентрации газов и паров. Кох (Schätzen und Messen von Gas- und Dampfkonzentrationen. Koch H.), Zbl. Arbeitsmed. und Arbeitsschutz, 1955, 5, № 5, 154—156 (нем.)

Описаны методы измерения концентрации вредных паров и газов на предприятиях, где их выделение происходит с большой поверхностью, напр. при полировке мебели. На основании полученных результатов устанавливаются скорость обмена воздуха, необходимую для предотвращения токсич. концентрации. Приводятся примерные расчеты на основании двух методов измерения: в основу 1-го положено изменение окраски катализатора, над которым пропускается воздух, содержащий пары и газы, в основу 2-го — изменение т-ры катализатора. Н. С.

**77119.** Опасность, представляемая электроном и другими сплавами магния. Кодеш (O nebezpečí elektronu a jiných slitin hořčíku. Kodeš L.), Bezpečn. a hyg. práce, 1955, № 1, 6—7 (чеш.)

Mg и его сплавы, в виде стружек или опилок, представляют значительную пожарную опасность, особенно во влажном состоянии, так как разлагают воду с образованием  $H_2$ , что сопровождается выделением тепла. При обработке сплавов Mg не должна применяться водно-масляная эмульсия, режущие инструменты должны быть хорошо заточены (с целью уменьшения трения). Для тушения пожаров, возникших вследствие воспламенения Mg-отходов, применяется только сухой, чистый песок, запасаемый в цехах в кол-ве  $1 \text{ м}^3$  на 1 т отходов. Хранить стружки и опилки Mg-сплавов следует, однако, в открытых ящиках с тем, чтобы  $H_2$ , могущий выделиться из случайно попавшей туда влаги, свободно улетучивался бы, не образуя взрывчатой смеси с воздухом. З. Б.

**77120.** Качественная оценка огнегасительного действия различных веществ на горящий диборан. Джордж (Qualitative effect of extinguishing agents on burning diborane. George P.), Industr. and Engng. Chem., 1954, 46, № 8, 1709—1710 (англ.)

Исследовалось огнегасительное действие  $CO_2$ ,  $CCl_4$ ,  $NaHCO_3$ ,  $N_2$ , песка, воды и водяного пара на горящий  $B_2H_6$ . Показано, что струя  $CO_2$ , движущаяся с большой скоростью, действует достаточно эффективно.  $CCl_4$  действует слабее. Сухой песок и  $NaHCO_3$  обладают хорошим огнегасительным действием. Наиболее эффективным средством является распыленная вода. М. Ф.

**77121.** Проблемы безопасности при проведении опасных реакций. Бродки, Ньюберг, Стюарт (Safety problems in study of hazardous reactions. Brodkey R. S., Newberg R. G., Stewart Joseph), Industr. and Engng. Chem., 1956, 48, № 2, 223—226 (англ.)

Рассмотрены вопросы безопасности при работе реакторов для проведения различных процессов, связанных с применением горючих, взрывоопасных и ядовитых в-в. Описана спец. реакционная аппаратура и предохранительная арматура (клапаны различных систем). М. Ф.

**77122.** Приспособление, предохраняющее от разрушений, вызываемых взрывом в промышленных сушиль-

ных печах.—(Explosion reliefs for industrial drying ovens.—), Mach. Lloyd. Overseas Ed., 1956, 28, № 8, 79—82 (англ.); 78, 80 (исп.)

Приведен метод расчета конструкции предохранительных панелей, предотвращающих разрушения, причиняемые взрывом газо- или паро-воздушных смесей в сушильных печах. М. Ф.

77123. Техника безопасности при пользовании стальными баллонами со сжатыми газами (Bezpečné používání ocelových lahví na stlačené plyny. JJP.), Bezpečn. a hyg. práce, 1955, № 1, 18—19 (чеш.)

Дан свод правил безопасной эксплуатации и хранения баллонов, заполненных сжатыми газами (воздух,  $O_2$ ,  $N_2$ ,  $H_2$ ). З. Б.

77124. Периодический контроль сосудов, работающих под давлением. Лонг (Turnaround pressure vessel inspection. Long C. W.), Petrol. Refiner, 1955, 34, № 3, 151—153 (англ.)

Указывается необходимость периодич. контроля сосудов, работающих под давлением. Описаны способы определения коррозии стенок сосудов. И. Л.

77125. Применение в промышленности установок кондиционирования воздуха. Майер (Klimaanlagen in der Industrie. Mayer W.), Heiz.-Lüft.-Haustechn., 1955, 6, № 2, 41—46 (нем.)

Приведены требования, предъявляемые к установкам кондиционирования воздуха на различных предприятиях, методы расчета этих установок и основные схемы их конструкций как с электр., так и с пневматич. регулированием параметров. М. Ф.

77126. Физические принципы при анализе и проектировании вытяжных вентиляционных систем. Хатч (Some physical principles in analysis and design of dust exhaust systems. Hatch Theodore), PACT, 1954, 8, № 6, 460—463 (англ., рез. франц.)

77127. Меры предосторожности при пользовании магнитными мешалками. Пассер (A precaution in the use of magnetic stirrers. Passer Moses), J. Chem. Educ., 1955, 32, № 6, 332 (англ.)

Отмечается случай выброса растительного масла при перемешивании его при  $170^\circ$  магнитной мешалкой, заключенной в твердую термореактивную пластмассу. Установлено, что оболочка мешалки разлетелась на мелкие осколки, что и вызвало выброс масла. Рекомендуются при работе с инертными жидкостями применять негерметизированные мешалки, а в случае необходимости иметь защитное покрытие или герметизировать такими материалами, как тефлон и др. С. Ш.

77128. Измерение эмиссионной способности авиационных материалов в интервале температур  $38—425^\circ$ .

Снайдер, Гир, Данкл (Total normal emissivity measurements on aircraft materials between 100 and 800 F. Snyder N. W., Gier J. T., Dunkle R. V.), Trans. ASME, 1955, 77, № 7, 1011—1019 (англ.)

Приводятся результаты применения измерительной техники, разработанной и использованной для определения средней эффективной эмиссии лучистой теплоты различными поверхностями в пределах от  $38$  до  $425^\circ$ . Испытывались поверхности из Al, нержавеющей стали, Mg и различных покрытий из красок и лаков на образцах  $15 \times 15$  см, снабженных электр. нагревом. Описаны схема, аппаратура и методика измерений, приведены расчетные ф-лы определения средней эффективной эмиссионной способности (ЭС). Даны графики изменений ЭС как функций  $t$ -ры для различных материалов и поверхностей. Ю. С.

77129 К. Общие проблемы техники безопасности и гигиены труда в химической промышленности. Литвиняк (BHP w przemyśle chemicznym. Zagadnienia ogólne. Litwiniak Feliks. Warszawa, PWT, 1955, 232 s., il., 17.80 zł.) (польск.)

77130 П. Способ предупреждения пожаров и взрывов горючих жидкостей при хранении их в резервуарах. Секонди, Секонди (Procédé pour prévenir le danger d'incendie et d'explosion de liquides combustibles contenus dans des réservoirs, et réservoirs aménagés en application de ce procédé. Secondi Angélo, Secondi Amilcare). Франц. пат. 1069857, 13.07.54 [Chimie et industrie, 1954, 72, № 5, 943 (франц.)]

Резервуары, предназначенные для хранения горючих жидких в-в, заполняют пористым материалом, не реагирующим с этими в-вами, но способным удерживать их при поглощении. Пористость материала обуславливается наличием в нем капиллярной сетки, общая емкость которой немного меньше объема занимаемого самим материалом. Горючее в-во распределяется по изолированным микроячейкам, которые являются препятствием для его воспламенения. М. Ф.

77131 П. Дозирование огнетушительных пенных растворов (Proportioning fire extinguishing foam solutions) [National Foam System Inc.]. Австрал. пат. 164714, 8.09.55

Патентуется аппарат для получения огнегасительного пенообразующего р-ра, имеющий приспособление для равномерного ввода и регулирования р-ра в струе воды. Н. П.

77132 П. Усовершенствования, относящиеся к покрытиям излучающих тел. Хайд (Perfectionnements relatifs au revêtement des corps transmettant des radiations. Hyde James F.), [Corning Glass Works]. Франц. пат. 1096942, 28.06.55 [Verres et réfract., 1955, 9, № 6, 323—324 (франц.)]

Предлагается на внутреннюю поверхность стенок колбы осветительной стеклянной лампы с вольфрамовой нитью наносить покрытие, устраняющее блеск, но не уменьшающее степень освещения. Это достигается нанесением на стенки водн. суспензии  $SiO_2$ . После высушивания делается повторное нанесение водн. тиксотропной суспензии, содержащей аморфную смесь  $SiO_2$  и продукта р-ции водн.  $NH_3$  с металлами Mg, Ca, Sr и Ba, взятых совместно или в отдельности. Эта смесь содержит 0,005—0,7 моля окисла металла на 1 моль  $SiO_2$  и 0,85—1,5 моля  $SiO_2$  на 1 л  $H_2O$ . Содержание водн.  $NH_3$  соответствует pH 7,3—12 и вязкости 7,5—12 сст при  $25^\circ$  непосредственно после перемешивания. С. Я.

77133 П. Клей для склеивания прозрачных пластинок из пластмасс, обеспечивающие защиту от ультрафиолетовых лучей. Мак-Лейн (Colles assurant la protection contre les rayons ultra-violet, utilisable pour contre-coller des feuilles plastiques transparentes. McLane Robert T.), [Mox]. Франц. пат. 1078872, 24.11.54 [Chimie et industrie. 1956, 75, № 1, 111 (франц.)]

В составы клеев для склеивания пластмассовых пластинок вводятся в-ва, поглощающие УФ-лучи и не снижающие прозрачности, напр. дифенилгуанидин, кородин и др. С. Я.

См. также: Отравления и борьба с ними 75313, 75319, 75347, 75348, 75453, 75472. Борьба с запыленностью 76985, 76986, 76991. Пожары и взрывы 77075

# АВТОРСКИЙ УКАЗАТЕЛЬ

## А

Абдурашидов Т. Р. 76572  
Абрамов В. С. 74985  
Абрамова З. А. 75269  
Аветисян А. А. 74546  
Авилов А. А. 76885 К  
Августиник А. И. 75677  
Агеев М. Е. 76486  
Азаров К. П. 75713  
Айзенберг А. А. 75782  
Акиа 76691  
Акияма 76691  
Акопджанян А. С. 76934  
Акопян А. Е. 75199 Д  
Аладжалова Н. А. 76690  
Алаева Т. И. 74301  
Алиханов А. И. 74083  
Алхазов Т. Г. 74574  
Ангер 75719  
Андерсон Э. К. 74320  
Андо 75562  
Андреев Н. С. 74309  
Андреева Е. П. 74522  
Андрейчева Л. А. 74712  
Андреевский А. И. 74430, 74431  
Антонова О. Ц. 76241  
Аппен А. А. 75661  
Апуктина Н. П. 75168  
Араи 74893  
Араи 76333  
Араки 75191  
Арбатский А. В. 76091  
Арбузов А. Е. 73979  
Ардашев Б. И. 74953  
Арзоян Г. А. 74879  
Ариольд Д. Р. 74320  
Ароян А. А. 74879  
Архипович Н. А. 76586  
Асакава 76827  
Асида 76357  
Асламов В. 76548  
Атыва 75372  
Афанасьева Н. В. 76742  
Ахвердиев Б. А. 75929

## Б

Баба 75061  
Баба 75872  
Бабич Г. А. 75315  
Бабкин М. П. 75203

Бабко А. К. 74660, 74661  
Бабун В. Н. 76869  
Багдасаров К. Н. 75359  
Багдыкьянц Г. О. 75665, 75679  
Багоцкая И. А. 74533  
Байбаева С. Т. 75972 Д  
Баканова З. М. 74987  
Баландин А. А. 74445  
Балвинкель Е. 74641  
Бао Цзин-шэн 75172  
Барабаш Т. И. 75090 Д  
Барановски Б. 74218  
Баратов Р. Б. 74695  
Бардин В. В. 75616  
Барнет Д. Р. 75449  
Барсукова З. С. 74651  
Басов Н. Г. 75412, 75490  
Батарунас И. В. 74101  
Баширова Р. С. 76710  
Безбородов М. А. 75672  
Безсонова Э. М. 75606  
Безуглый В. Д. 75398  
Бекиров Л. М. 76667  
Беклешова Г. Е. 75276  
Беленский М. С. 74574  
Белобородова Л. Г. 76149  
Белов Н. В. 74187, 75662  
Белова Е. Н. 74198  
Беляев И. Н. 75735  
Бергер Г. С. 75882  
Бергман А. Г. 74375, 75663  
Бергстедт А. 75452, 75453  
Бердникова Н. Г. 74447  
Березин И. В. 75006  
Бичев Р. 76540  
Блажис К. С. 76886 Д  
Блешинский С. В. 75134  
Блох Г. А. 75104, 76281  
Блюмберг И. Б. 76237, 76238  
Болотин А. Б. 74107  
Бондаренко С. И. 75731  
Бондаренко С. С. 76509  
Борисенко А. И. 74217  
Борисов И. 74684  
Брауде Г. Е. 77077  
Бресткин А. П. 74035  
Брун Б. П. 77077  
Брюс Ф. Р. 74313  
Брюханова Л. С. 75197 Д

Булавин И. А. 75729  
Булгаков Н. 76672 К  
Бухман А. С. 77025  
Бъчваров Н. 76768  
Бык С. Ш. 75377  
Бычкова Е. М. 75182  
Бычкова Н. А. 74375

## В

Вада 76876  
Вакано 76358  
Валеев А. Ш. 75605  
Ванаг Э. 74890  
Ван Бао-жэнь 75172  
Вань-Цзя-чжао 76130  
Ван Ю-хуай 75172  
Вартанова Н. С. 74258  
Вартанян Л. С. 75006  
Васенко Е. Н. 74146, 74491  
Васильев А. Г. 74506  
Васильева В. Н. 74454, 74732  
Ватанабэ 74422  
Ватанабэ 76599  
Веденев В. И. 74453 Д  
Вейц И. В. 74133  
Векслер В. И. 74090  
Великовская Н. А. 75476  
Величко А. Е. 74064 Д  
Верещагин Л. Ф. 74301  
Верт Ж. Л. 75774  
Верховский Б. И. 77058  
Виноградова Л. И. 74677 Д  
Витовский Б. В. 74263  
Владимиров Л. П. 74345, 74346  
Владимирский В. В. 74083  
Воеводский В. В. 74392  
Воздвиженский Г. С. 75605  
Войнов Д. Г. 76794  
Войткевич С. А. 76266  
Волохина А. В. 75171  
Волштейн Л. М. 74625, 74633  
Вольфович С. И. 74018  
Воробьева М. Т. 76484, 76486  
Воронков М. Г. 74980

Воронов И. Т. 73962  
Вранский В. К. 74738  
Вышинский 75718  
Вячеславов П. М. 75616

## Г

Гаврилов В. И. 75476  
Гаврилов Л. К. 74553 Д  
Галанина Р. С. 74835  
Гальперн Г. Д. 75959  
Гао Го-цзин 76278  
Гарлинская Е. И. 75048  
Гаспарян О. Е. 74857  
Гастев Ю. А. 75673  
Генис М. Я. 75276  
Герман Ф. Ф. 75816  
Геров С. И. 76612  
Герц Р. К. 75449  
Гершкович И. А. 74534  
Гершой Ю. Г. 74714  
Гинзбург И. И. 74731  
Глазова Т. В. 75558  
Глебашев Г. Я. 74159  
Гогоберидзе Д. Б. 75433  
Годяев Ю. Л. 75351  
Голант Ш. Н. 76428, 76445  
Голдблит С. А. 76843 К  
Головкин Н. А. 76694  
Голубкова Е. А. 76281  
Голушко Н. А. 75772  
Гоми 76284  
Горб Т. Ф. 74034  
Горбачук Г. А. 75605  
Горбис З. Р. 77071  
Горбунов Н. И. 74718  
Горбунов Н. С. 76934  
Горбунова К. М. 74516  
Гордадзе Г. С. 74131  
Гороховский Ю. Н. 74479, 76240  
Горский Ф. К. 74360  
Горяев М. И. 76256—76259  
Горьянов К. 75814  
Гоу Шунь-шэн 76130  
Гофф Л. А. 76137  
Грагеров И. П. 75350  
Граматикив М. 76316  
Грандберг И. И. 74942  
Грапов А. Ф. 74987  
Гренберг Е. И. 75276  
Греченлиев Х. 75777

Григорьев Н. В. 76874  
Грицан Д. Н. 74521  
Грюнер В. С. 76741, 76742  
Губин Ф. А. 74742  
Гу И-дун 73969  
Гурвич З. Г. 76182  
Гурвич Л. В. 74133  
Гуревич Я. М. 74604

## Д

Давидов Р. 76799  
Давыдов А. Т. 74587  
Дасоян М. А. 76909  
Дворкин К. А. 74529  
Дезидерьева И. П. 75606  
Деменкова П. Я. 74726  
Демидов В. А. 75838  
Демидов Л. Г. 75912 Д  
Демченко В. Д. 75688  
Дерюгин И. А. 74517  
Дерягин Б. В. 74609  
Десяткова И. 75907  
Джалнашвили В. Г. 74733  
Джафаров А. Ф. 76762  
Джикаева Г. А. 75782  
Дистлер Г. И. 75424, 75426  
Добкина Б. М. 75301  
Докукина А. Ф. 75158  
Дорин В. А. 74202  
Дохилян А. А. 74886  
Дубовенко Л. И. 74660  
Дубовицкий А. М. 75558  
Дурдин Я. В. 74529, 74530  
Духин С. С. 74609  
Дьячкин И. И. 76834  
Дядченко М. Г. 74722

## Е

Егоров Ю. П. 74447  
Ежовская-Тжебятковская Б. 74666  
Елович С. Ю. 74436  
Емельянов Д. С. 75910 К  
Ермилов П. И. 75483  
Ерофеев Б. В. 74410—74412

## Ж

Жаровский Ф. Г. 75318  
Жданов Г. С. 74180

Жернакова В. Н. 76485  
Жерновская Е. М. 75009  
Живописцев В. П. 75269,  
75270  
Жижневский В. 76548  
Жук Н. П. 76905  
Жура К. Д. 76586  
Журавлев Н. Н. 74180

### З

Забавин В. И. 75873  
Зайцев В. М. 74256  
Зайцева В. П. 75325  
Зак А. М. 74625  
Залукаев Л. 74890  
Запотылько Ф. Т. 76260  
Зараковская А. И. 76484  
Засосов В. А. 74891  
Захаров И. А. 75729  
Захаров М. П. 76871  
Захаров Н. 76288  
Звягинцев О. Е. 74651  
Зеленова Т. К. 75320  
Зильберман Е. Н. 74963  
Зимин С. Н. 76872  
Зиновьева В. К. 74374  
Златанов В. 75777  
Золотухин В. В. 74258  
Зубенко А. 76672 К  
Зурабян К. М. 76870

### И

Иван 75038  
Иванов К. А. 76420  
Иванов М. Г. 75750  
Иванов С. Н. 74701  
Иванова Е. Ф. 74487  
Ивата 74959  
Ивацука 75801  
Ивченко Е. Г. 75937  
Игнатова Л. А. 76257  
Ижевская Г. М. 75803  
Измайлов Н. А. 74487,  
74506  
Инда 76575  
Индзима 75382  
Инуума 76275  
Икава 76366  
Икусима 74385  
Икэда 74883  
Икэда 75311  
Икэмия 76736  
Икэути 76829  
Ильинская А. А. 75371  
Иман 76196  
Иман М. 76854  
Имандзуми 71959  
Имамура 74457  
Имото 74441  
Имото 74759  
Имото 74764  
Имото 75092, 75093  
Имото 75163  
Индо 76282  
Инокүти 74281  
Ип Цзун-тай 76979  
Ионяма А. 75836 П  
Иофа З. А. 74522  
Ипатов В. Г. 75772  
Исибаси 75202, 75204,  
75205, 75218, 75220,  
75239, 75291

Исибаси 75278  
Исибаси 75969 К  
Исигуро 74385  
Исида 75202, 75204  
75291  
Исобо 74575  
Исобо 75369  
Исомуцу 75658  
Исэда 75043  
Исэмура 74567  
Иткина Е. С. 74713  
Ито 74960  
Ито 75523

### Й

Йокота 74959  
Йокоути 75388  
Йосида 74943  
Йосида 76324  
Йосихара 75311

### К

Кабачник М. И. 74986  
Кавамура 75399  
Кавамура 76876  
Каваока 76286  
Кавасаки 76614  
Кавахара 74919  
Кавецки В. И. 74101  
Кадинвара М. 75837 П  
Кадо 76593  
Казанская Н. Ф. 75006  
Какабадзе В. М. 73973  
Какиути 75163  
Калантарова М. В.  
76849 Д  
Каменцев И. Е. 74270  
Каменцев М. В. 75774  
Камзатани 74894  
Канэко 75126  
Канэнива 74650  
Каплина Е. Г. 75892  
Каплун З. С. 77094  
Каприлова Г. А. 74395  
Каранович Г. Г. 75320  
Карасев Р. А. 75354  
Каргин В. А. 75143  
Каржев В. И. 75936  
Каршин А. П. 74917  
Карпуша Е. Е. 75276  
Карякин Л. И. 75771  
Касперович А. И. 75377  
Катаока 75061  
Кафаров В. В. 77018  
Кац М. Л. 75928  
Кашуричев А. П. 75871  
Кварцхава И. Ф. 74244  
Керкандейл 75759  
Кибота 76284  
Ким Нэ Су 74615  
Кимура 74261  
Кимура 74578  
Кимура 75311  
Кимура 75906  
Киреев В. А. 74070  
Кириллов И. П. 75838  
Кириллов Н. И. 76235  
Кирихин Г. Г. 76872  
Киселев А. В. 74568  
Киси М. 75637 П  
Кислинский А. Н. 75959

Киш Л. 74551 Д  
Кишиневский М. Х. 77027  
Клевке В. А. 75556  
Климовский Д. Н.  
76670 К  
Клокман В. Р. 74374  
Кобаяси 76366  
Кобеко П. П. 75675  
Кобяк Г. Г. 75208  
Ковбуз М. А. 74600  
Кога 74385  
Коган В. Б. 74344  
Коданашвили В. А.  
76420  
Козачек Н. Н. 74517  
Козленко Ю. М. 74953  
Козловский В. Х. 74246,  
74247  
Кондзуми 74457  
Кондзуми 74502  
Коикэ 74916  
Колосова Г. И. 76883  
Комаров В. А. 74444  
Комшилов Н. Ф. 76517 К  
Кондо 75061, 75063—  
75065, 75067  
Кондратьев В. Н. 74387  
Коненко А. Д. 74739  
Конкин А. А. 75181,  
75182  
Коно 75369  
Конторович Л. М. 75254,  
75371  
Коренман И. М. 74324  
Коржинский Д. С. 74715  
Корицкий В. Г. 75365  
Короткевич А. В. 76667  
Косака 75807  
Косакэ 74960  
Косевич В. М. 74277  
Коссовская А. Г. 74721  
Кост А. Н. 74912  
Косуга 74960  
Косуга 75399  
Котиди Е. П. 76650  
Котляр С. Я. 75114  
Котон М. М. 75158  
Кочкин В. В. 75476  
Крацов В. И. 74550 Д  
Краснов К. А. 76864  
Красухин М. Н. 76879  
Крауш Л. Я. 76241  
Кремлевский П. П.  
77066  
Кривунь П. И. 76647  
Круглыхина Г. К. 76258  
Крунчак Т. Б. 74367  
Крупаткин И. Л. 74386  
Крюкова К. Н. 75158  
Ксенжек О. С. 74514  
Кубо 75503  
Кузнецов В. В. 74515  
Кузнецов Л. Ф. 74301  
Кузьминский А. С. 75185  
Кумаган Р. 75642 П  
Кумэ 74441  
Курашев М. В. 74877  
Курдюмова К. Н. 74971  
Кури 76308  
Курочкин Н. И. 74986  
Кутателадзе К. С. 75688  
Кучер Р. В. 74600

### Л

Лавровская Г. К. 74392  
Ландау Л. 74091  
Лавириов-Скобло С. Я.  
76878  
Ласточкин Я. Л. 77020  
Лебедев В. П. 74439  
Лев И. Е. 75227  
Левин Д. И. 74309  
Левин Н. В. 75433  
Левинский О. Д. 74700  
Лемке П. П. 75531  
Леонова Л. И. 75937  
Лепилин В. Н. 74573  
Либерман С. 76548  
Лившиц Д. М. 75242  
Липатов Ю. С. 75143  
Литвиненко Э. Е. 75656  
Литвинов В. Ф. 77114  
Литвинова Н. Н. 77114  
Логвиненко И. А. 75481  
Лопаткин А. А. 74439  
Лосев В. В. 74523  
Лошкарев М. А. 74541  
Лысков М. И. 76515  
Лышевский А. С. 75958  
Лэпп Р. Э. 74093  
Любимов П. В. 76742  
Любушкина 76811  
Людичев А. Н. 75244  
Лю Си-ту 73969  
Лягалова А. М. 75168  
Лян Сю-тянь 74793  
Ляпунова Г. М. 76590

### М

Майер А. А. 75728  
Макарова Н. В. 76873  
Мак-Клейн Л. 74641  
Макозов М. И. 77019  
Маковский Ф. А. 75441  
Малин К. М. 77025  
Малинский Ю. М. 75153  
Мальцев А. Ф. 75104  
Мамедли М. Г. 75968 К  
Мамедов Х. С. 74187  
Маменко А. У. 75206  
Мандельбаум Я. А.  
74987  
Манкаш Е. К. 75144  
Манчев С. Х. 76612  
Маньковская Н. К.  
75330  
Мараховский М. 76288  
Марголис Л. Я. 74436,  
74440  
Марголис Ф. Г. 75558  
Маргулис М. Г. 76867  
Мардалейшвили Р. Е.  
74392  
Маркевич С. В. 74426,  
75656  
Маркин Б. И. 75669  
Марков Б. Ф. 74552 Д  
Марков И. Г. 76515  
Марков П. К. 74738  
Мартемьянова Н. И.  
74987  
Марутаке 75732  
Марченко Г. 75754

Маслов И. Г. 76871  
Мастрюкова Т. А. 74986  
Масун 75234  
Матида Д. 76898 П  
Матида Т. 75836 П  
Матиг В. 75810  
Ма Хау 76130  
Мацумото 76707  
Мацумото И. 75637 П  
Мацумура 75038  
Мацусима 75787  
Мацуура 74884  
Мачинец П. Г. 76811  
Маэда 77050 П  
Маяма С. 76854  
Медведева Л. А. 74549 Д  
Медников Ф. А. 76485  
Мекеницкая Л. И. 74558  
Меланхолин Н. М. 74279  
Мельников А. М. 76939  
Мельников Н. Н. 74987  
Мельтцер Л. В. 77062  
Мен В. 76133  
Меньшиков М. И. 75248  
Метелькова Е. И. 74891  
Метляева Н. Г. 76873  
Мещеряков А. М. 75324  
Мзареулишвили М. В.  
74734  
Мидзунэ 76321  
Мидзунома 74937  
Мики 76364  
Миклухин Г. П. 76281  
Минеева О. К. 75158  
Минин А. А. 75277  
Мининович М. А. 75556  
Мирзоян А. А. 74311 Д  
Митов М. 75777  
Михайлов А. Н. 76879  
Михайлов Б. М. 74971,  
74972  
Михайлов М. А. 74446  
Михайлова Г. С. 74033  
Михалевич К. Н. 74657  
Мищенко М. Т. 74430,  
74431  
Миядзакки 74470  
Мияма 75160  
Миясита 75399  
Мията 74840  
Миджоян А. Л. 74857,  
74886  
Миджоян О. Л. 74857  
Мокрушин С. Г. 74607  
Молчанов В. С. 75660  
Молчанова О. С. 75659  
Мори 74578  
Мори 75094  
Мори 75604  
Моримото 74294  
Морозов Е. И. 74217  
Морошкина Т. М. 74444  
Моснашвили Г. И. 76662  
Мостовских З. П. 76811  
Моцарев Г. В. 74974  
Мочалова Л. А. 77027  
Мураками Т. 75644 П  
Мураки 75290  
Мурата 74893  
Муртазаев А. М. 74520  
Мусав И. А. 75959  
Мустафин И. С. 75219

Н

Наган 75487  
Наган 75562  
Наган С. 75795  
Нагасака 74797  
Нагаура 74502  
Нагацу 76155  
Нагорный Г. К. 75892  
Найто 76777  
Накадзава 74385  
Накадзава 74884  
Накакуки 76333  
Накамори 74415  
Накаяма М. 76898 П  
Налимов В. В. 75201  
Намбу 74702  
Намиас М. 74094  
Нарушкевич Л. Р. 75366  
Натансон Э. М. 74517  
Наумов В. А. 74546  
Наумов Н. Н. 75944  
Недзвецкий С. В. 74036  
Нейман М. Б. 77058  
Неймарк И. Е. 74570  
Некрасов А. С. 74835  
Ненароков М. 75575  
Ники 74512  
Никитин А. А. 74681  
Никитин С. Я. 74083  
Никитина Т. С. 75198 Д  
Никифорова В. М. 76911  
Николаева С. А. 74530  
Никוליца Л. Н. 75704  
Нисидра 76593  
Нита 74796  
Новацкая Т. А. 76237, 76238  
Новосильцев Н. С. 75735  
Ногами 74369  
Номура 74894  
Номура 76777

О

Обольянинова Н. А. 76237  
Овсянников Н. В. 75747  
Огава 75474  
Огава К. 75646 П  
Огата 74791  
Огата 74850  
Огданец Н. Д. 75398  
Огура 76345  
Ода 74943  
Ода 76286  
Одо 75070  
Одэра 75063  
Ожерельева Е. И. 74479  
Он 76345  
Онива 75093  
Онива 74636  
Окава 74916  
Окавара 74764  
Окамура 76876  
Окано 74791  
Оки 75038  
Оки 85047  
Окубо 75474  
Окуда 75474  
Окума 75375, 75395  
Окума 75396

Окэда 74960  
Онникенко А. Я. 76877  
Оно 74127  
Онода 75388  
Орел А. И. 76583  
Оршанский Д. Л. 77068  
Осима 76324  
Осинов К. А. 74216  
Осипова В. П. 76266  
Осипова В. Ф. 75231  
Остапенко В. Е. 75785  
Остапенко Г. А. 75433  
Островский Ю. М. 75378  
Остроушко Ю. И. 75481  
Осуга 75191  
Осьминская А. Т. 74535  
Охаси 75559  
Оцу 75092  
Очаповский В. В. 75274

П

Павлов И. С. 76583  
Павлов С. А. 75152, 76870  
Павлюченко М. М. 74427  
Палатник Л. С. 75244  
Пальевел В. Т. 74710, 74712  
Панченко Г. М. 74435  
Парвова Е. В. 75425  
Парибок В. А. 75158  
Паушкин Я. М. 74877  
Пашенко М. 75907  
Пеева А. Т. 74738  
Пекарская Г. 76288  
Пелетминский В. Н. 76577  
Пеньков С. Н. 74303  
Передерий И. А. 75779  
Персянов М. А. 75778  
Петрова Е. А. 76144  
Петрова Е. И. 75301  
Петровский В. 76548  
Пинскер З. Г. 74198  
Писаржевский Н. Н. 74633  
Платонова М. Н. 75397  
Плотников П. М. 76716  
Подобедов М. С. 76144  
Поздняков П. Г. 74271  
Полукаров М. Н. 74518  
Поляк С. С. 74396  
Поляков А. Ю. 75354  
Пономарев И. Ф. 75670  
Попов С. Н. 75919  
Попова О. С. 74516  
Порай-Кошнц Е. А. 74309, 75676  
Порядкова К. 76799  
Потаскуев К. Г. 74607  
Проктор Б. Е. 76843 К  
Прокунина А. 76438  
Прохоров А. М. 75412  
Прияшников В. П. 75666  
Пугачев М. Г. 76256, 76258  
Пчелин В. А. 76874, 76875, 76883  
Пчелинцев Д. А. 74711  
Пшинварская Г. 74666  
Пятикоп П. Д. 75771

Р

Равич Г. Б. 74368  
Радаи 75723  
Разуваев Г. А. 74963  
Рапапорт Л. И. 74961  
Рапопорт Ф. М. 75254, 75371, 75376  
Регель В. Р. 74279  
Рейнгаз Б. Я. 76266  
Рейшахрит Л. С. 74535  
Репс А. Г. 75671  
Речменский И. Н. 75775  
Решеткина Н. А. 76911  
Ржехин В. П. 76551  
Ривина Р. И. 76428, 76445  
Ритман Г. А. 75863  
Робин В. А. 77001  
Рогинский С. З. 74440  
Роговин З. А. 75181  
Рогожин Ю. В. 75689  
Рожкова В. В. 76116  
Ройтер И. М. 76710  
Романов П. Г. 74573  
Романов П. Р. 75773  
Роминский И. Р. 76604 Д  
Рудакова А. Н. 74911  
Рыбников А. Н. 76482  
Рыбчинский Р. Е. 75248  
Рыков А. Х. 76137  
Рымашевский Ю. А. 75181  
Рябчиков Д. И. 75231  
Савич А. В. 74071  
Савранская А. П. 75315  
Савушкина В. И. 75009  
Саф Ф. И. 76121  
Саф 75234  
Сайто Т. 75634 П  
Сакурада 76303  
Самозванцев М. П. 77013  
Самойлов О. Я. 74293  
Самсонов М. М. 76717  
Сандер А. А. 77002  
Саноан В. Г. 76981  
Сапегин Ф. А. 76360  
Сато 75369  
Сатоми 75063  
Сатоми 75066  
Свенцицкий Е. И. 74987  
Светозарский С. В. 74963  
Семенов Н. Н. 74395  
Семенов К. А. 76646  
Семилетов С. А. 74198  
Сергеев Г. Б. 74395  
Сергеев Л. В. 75667  
Сергеева В. Ф. 74357  
Серкебаева Г. Е. 76257, 79259  
Сигэмацу 75239  
Сидоров Н. К. 75928  
Силина Н. П. 76581  
Силинцкая Н. М. 76483  
Симада 76348  
Симидзу 76826, 76829  
Симонов Н. 77079  
Симос 74358  
Сирамацу 76291  
Сиротов И. И. 76878

С

Сканави Г. И. 75668  
Скоблинов Р. Ф. 74587  
Скопинцев Б. А. 74742  
Славин Э. Я. 75954  
Славин Г. П. 74608  
Слиякова И. Б. 74570  
Слонимский Г. Л. 75143  
Слуцкая М. М. 74633  
Смоленский Г. А. 74245  
Смольский Б. М. 77029  
Сморodinский Я. М. 74091  
Снесарев К. А. 76484, 76486  
Соболева М. И. 76740  
Солнцева Р. Р. 76866  
Соловьев И. А. 76880  
Соркин А. М. 73980  
Спаский С. С. 74446  
Спенс Р. 75450  
Сперанская Е. Ф. 75209  
Сребров Б. 76561  
Стабников В. Н. 76670 К  
Стаменов С. 75777  
Старцев В. И. 74277  
Стендер В. В. 74514  
Степаненко М. Г. 75699  
Степухович А. Д. 74394  
Стожаров А. И. 75664  
Стойко Я. 75230  
Стрельникова Ж. В. 74439  
Стрижевский И. И. 75325  
Стяжкина А. Г. 76839  
Суббота М. И. 74730  
Суворова В. П. 76867  
Сугахара Д. 75647 П  
Судариков Б. Н. 74651  
Судзуки 74470  
Судзуки 75369  
Судзуки 76320  
Суй Чжэнь-энь 75473  
Сулейманов А. С. 74378  
Сурина О. К. 75200 Д  
Сурова А. В. 76117  
Сэкигута 74369  
Сявцилло С. В. 75009  
Тавгер Б. А. 74256  
Тадзима 75604  
Такаги 74637  
Такамасава Т. 75646 П  
Такано 76691  
Таката 74862  
Такахаси 74470  
Такахаси 74969  
Такахаси 76615  
Такеока 75658  
Такидзава 74575  
Такимото 75527  
Такино 75379  
Такиура 75379  
Такэда 74331  
Такэда 75064, 75065, 75067  
Такэдаки 74760  
Такэмото 75164, 75167  
Такэути 74702  
Такэути 75388  
Таман 75487

Т

Танаба 76329  
Тананайко Ю. М. 76895  
Танигаки 75093  
Танигутти 75503  
Тарасов А. И. 74446  
Тарасов К. И. 75421  
Тасима 74893  
Татэмита 76320  
Тезиков А. 75504  
Теньковцев В. В. 75359  
Терентьев А. П. 74849, 75009  
Тиличенко М. Н. 75103  
Тимофеева Н. П. 74444  
Титанян С. Г. 74879  
Тихара 76826  
Тихомиров М. В. 75377  
Тихомирова Н. Н. 75185  
Тищенко Д. В. 76882  
Тодоров Т. 76692  
Тои 74281  
Токарев А. В. 74446  
Токива 75743  
Толок П. П. 74520  
Толстикова В. П. 75212  
Томпсон В. М. 75449  
Тонких Т. С. 76834  
Тончев Т. А. 76612  
Топчиев А. В. 74877, 75959  
Тошев В. 76316  
Трейгер И. Н. 75315  
Третьяков В. Г. 76834  
Третьякова В. С. 74435  
Троицкий Б. П. 74644, 74645  
Трубицын Н. Д. 76867  
Тудоровская Н. А. 74312 П  
Турчин Э. 76454  
Турьян Я. И. 74534  
Тухлов Б. Д. 74648  
Тэрэнси 74960  
Тэйт В. П. 75416  
Тюдэ 75095  
Тюрина А. М. 74066 Д  
Уваров И. П. 76882  
Угрюмов П. Г. 74057 К  
Удовенко С. А. 75330  
Умов В. Н. 77117  
Улицкий Л. И. 75891  
Усанович М. И. 74357  
Усатенко Ю. И. 75276  
Усенко И. С. 74694  
Утнго 75732  
Уэно 75000  
Файман В. Г. 74546  
Фарбер С. Г. 75813  
Федоренко Т. П. 74917  
Федотов В. П. 75316  
Федотов Н. С. 74972  
Федотьев Н. П. 75616  
Федулов И. Ф. 74063 К  
Фельдшерев Е. М. 76235  
Феофилов П. П. 74230  
Фертман Г. И. 76671 К  
Фжедаки 75163  
Фналков Я. А. 74613

Ф

У

Филатов С. С. 76650  
Филдс П. Р. 75451  
Филипович В. Н. 74171, 74172  
Филков Я. А. 74961  
Филинская Е. Д. 75319, 75347  
Фирдман П. Д. 76847 Д  
Фишер И. З. 74359  
Фраткин А. 75574  
Фролов-Багреев А. М. 76675 К  
Фудзинана 75220  
Фудзита 74919  
Фукая 76305  
Фукуи 74721  
Фукуси 76255  
Фуруя 76196

# Х

Хайд Э. К. 74314  
Хайрулина К. К. 74357  
Хайруллин В. К. 74985  
Халеский А. М. 74911  
Ханмамедов К. М. 76490  
Харада 75806  
Харада 76609  
Харченко В. А. 75812  
Харью А. П. 74065 Д  
Хасимото 76365  
Хаскин И. Г. 74766  
Хасегава 76983  
Хаттори 75527  
Хатунцева А. Я. 74722  
Хачванкян М. А. 74743

Хаяси 74937  
Хеглунд Е. 76488  
Хейес Ф. Н. 74320  
Хейн Е. А. 75416  
Хигаси 75278  
Хирао 74937  
Хисамутдинов М. Г. 74716  
Хованский Г. С. 76978  
Ходаков А. Л. 75735  
Ходаков Ю. В. 74638  
Ходзуми 76609  
Холопов В. П. 75892  
Хондэ 76319  
Хорошая Е. С. 76885 К  
Хосино 74840  
Хренников Н. С. 76871  
Христов А. 76537  
Хромова Н. С. 75152  
Хуан Чжэнь-хуа 74047  
Худобин Ю. И. 74980  
Хюнгис Д. 74641

# Ц

Цаппи И. И. 74545  
Цветков В. Н. 75114  
Цвелелева И. А. 74374  
Цетлин Б. Л. 75476  
Цудан 75094  
Цудзимура 76732  
Цуцуи 74919

# Ч

Чагунава В. Т. 75505  
Чайкин А. М. 74394

Чарская Б. А. 75009  
Чачанидзе Г. Д. 73973  
Чекан Л. И. 76650  
Чекулаев Н. М. 77015  
Черкасова А. А. 76650  
Черникин В. И. 75924  
Черников А. И. 74541  
Чжао Чжи-юн 76130  
Чжоу Юнь-ли 75052  
Чжу Жэнь-хун 75052  
Чирко А. И. 74410—74412  
Чичибабин А. Е. 74744  
Чматов К. В. 74592  
Човнык Н. Г. 74548  
Чуб Г. Ф. 75315  
Чудновская М. А. 76551  
Чуйко В. Т. 75206  
Чуханов З. Ф. 75871  
Чухров Ф. В. 74720

# Ш

Шабанов И. М. 76256—76259  
Шаволина Н. В. 75936  
Шавра В. 77085  
Шалварев К. 75261  
Шаповалова А. И. 76888 Д  
Шаталов А. А. 74232  
Шафрановский К. И. 73980  
Шахтахтинская Г. Г. 76940  
Шварцзайд М. С. 75803

Шведов В. И. 74849  
Швецова-Шилова К. Д. 74987  
Шеберстов В. И. 76239  
Шека И. А. 74612  
Шелудяков Н. А. 75699  
Шелюбский В. И. 75674  
Шеришев В. М. 76116  
Шефтель Н. И. 75530  
Шмелев Б. А. 74546  
Шмелева Т. А. 76875  
Шнеерсон А. Л. 75556  
Шполянский М. А. 75355  
Шрайбер М. С. 75361  
Штейнберг Ю. Г. 75704  
Штерн В. Я. 74396  
Штофф В. А. 73950  
Штуковская Л. А. 75265  
Шугуров В. К. 74107  
Шуйкин Н. И. 74447  
Шукис В. И. 76887 Д  
Шумиловский Н. Н. 77062  
Шун Д. С. 74521  
Шутов В. Д. 74721

# Щ

Щербаков В. 77084  
Щербина В. В. 74709

# Э

Эндрюс Г. Л. 74093  
Эрдман А. А. 76834

# Ю

Юки 75872  
Юрьев Ю. К. 76091  
Юсупова С. 74707  
Юсис А. П. 74101

# Я

Яворский И. В. 75431  
Ягсита 75043  
Ягю 74385  
Якобсон В. 77085  
Яковлева В. С. 74644, 74645  
Якубенко З. К. 76144  
Якубович А. Я. 74974  
Якубович М. А. 75818  
Якубсон С. И. 74505  
Ямагути 75165  
Ямагути 75970  
Ямамото 75218  
Ямзин И. И. 74255  
Янагава 74831  
Янгквист К. Х. 75451  
Яровенко В. Л. 76676 Д  
Ясинскене Э. И. 74656  
Ясуда 76362  
Ясуи 75096  
Яцмирский К. Б. 74648, 74656  
Яшин В. Д. 75772  
Яшунский В. Г. 74849  
Яшунская А. Г. 75182

# А

Aardt J. H. P. 74871  
Abdel Aziz Hussein 76786  
Abdel Kader Fateen 74906  
Abdine H. 75224  
Abrahams S. C. 74182  
Acharya M. V. R. 74354  
Adam N. K. 73998  
Adamek S. 75408  
Adams D. F. 75336  
Adams H. J. 76928  
Adams J. A. S. 74691  
Adams M. D. 74631  
Adams P. T. 74467  
Adams R. N. 75238  
Adams W. N. 74283  
Addison C. C. 74348  
Adelstein S. J. 74114  
Adhya R. N. 74921  
Adlerova E. 75047  
Aebi H. 74407  
Aelony D. 76565 П  
Agasche V. V. 74432  
Agarmal J. S. 74829  
Agulhon R. 75583  
Ahmed Fahmy Mabrouk 76786  
Ainsworth M. 77061  
Akamatu H. 74242  
Akers W. W. 76999  
Albrecht J. 77105

Alcorn G. 76497  
Alexander A. 76611  
Alexander B. H. 75386  
Alfthan H. 76494  
Algra E. A. H. 75691  
Ali Ali Arafat 75459  
Allen C. F. H. 74749  
Allen K. A. 75482  
Allen P. 74860  
Allinger K. 75174  
Allinger N. L. 74758  
Alpern B. 75877 \*  
Amberg H. R. 75860  
Amerongen C. 74207  
Amick C. A. 76168 П  
Amidon E. C. 77086 П  
Amiel J. 73960  
Amos A. J. 76699  
Amphoux M. 75583  
Amstutz E. D. 74967  
Anastasiu S. 76559  
Anderau W. 76097 П  
Andersen L. 76480  
Anderson B. C. 74923  
Anderson D. M. 77109  
Anderson J. A. 76713  
Anderson N. S. 75188  
Anderson O. E. 76389 П  
Anderson R. C. 74317  
Ando K. 76555  
André P. 76782  
Andres P. 76585  
Andrews A. I. 75715

Andrieux J. L. 75631  
Angeli M. 74692  
Angelo R. J. 75192 Д  
Annaratone S. 75957  
Anselin F. 74617  
Anslow W. K. 76219 П  
Aoyama S. 75526  
Apostolache S. 74866  
Appel E. C. 76764  
Appert J. 75930  
Araki C. 75029  
Arana Alzpurua P. 77091  
Aratanl T. 75032  
Arcand G. M. 75321  
Archer S. 76205 П  
Arens H. 76474 П  
Argersinger W. J. 74584  
Arlich G. 74370  
Aries R. S. 76327  
Armento W. 76096 П  
Armstrong A. C. 75403  
Armstrong M. C. 75821 П  
Arnika H. J. 74219  
Arnold L. K. 76538  
Arnold O. M. 75520 П  
Aroeste H. 74108, 75424  
Arrhenius O. 76925  
Arsenijević M. 76143  
Arundale E. 76011 П  
Asaff A. G. 76461 П  
Asinger F. 74861, 76002 П  
Atchison J. E. 76507

Atkin D. 74727  
Atkins C. D. 76778  
Atteridge P. T. 77024  
Aubry J. 74239  
Audinot M. 75004  
Audrieth L. F. 74988  
Audubert R. 74500  
Ault R. G. 76622  
Austin E. 75593  
Auterhoff H. 75055  
Avanzi M. 74450  
Avrahami M. 74674  
Axlley J. H. 75287  
Axt M. 75296  
Ayer D. E. 74826  
Aylward F. 74837  
Ayres J. C. 76735  
Ayscough P. B. 74393

# В

Babb E. M. 76795  
Babbitt H. E. 75849  
Backensto E. B. 76922, 76923  
Backer H. J. 73991, 75050  
Badian L. 75733  
Baackmann W. 76960  
Baganz H. 74910  
Bagchi P. 75035, 75036  
Bagley G. D. 75643 П  
Bähr 74020  
Baier H. 76159 П

Bailey D. L. 74977  
Bak B. 74163  
Bakácsné Polgar E. 75329  
Baker J. 76421  
Baker M. R. 74114  
Baldeschwieler E. L. 75410  
Balenovic K. 74846  
Balinkin I. 75756  
Ball C. J. P. 73965  
Ban J. 75062  
Bando K. 74659  
Bandyopadhyay D. 75260  
Banerjee P. R. 76199 П  
Banerjee B. 74192, 74647  
Bang Moltke A. 76636  
Banks C. V. 75309  
Bansbach J. 76727  
Baranowski B. 74330  
Barber J. H. 76201 П  
Bardhan J. C. 74921  
Bardolle J. 76907  
Baret C. 75004  
Bargelini G. 74803 К  
Barker H. E. R. 76187  
Barker R. S. 74123  
Barker W. V. 75645 П  
Barkin S. 75195  
Barlow L. P. 76174 П  
Barna J. 75655  
Barnes G. H. 74976  
Barnes W. H. 74704

# Авторский указатель

- Barr H. N. 75737  
Barr W. L. 75423  
Barret A. 76767  
Barrett J. 74402  
Barritt D. T. 75886  
Barry A. J. 76047 II  
Barth H. 76297 II  
Barth-Wehrenalp G. 74627  
Bartkowicz S. 76147  
Bartleson J. D. 75988 II  
Barzen M. 75511 II  
Baskin Y. 74719  
Bass R. 74259  
Bassompierre A. 74157  
Basterfield S. 73975  
Bastien G. 74699  
Basu S. 74231  
Bateman L. 74870  
Batten J. J. 74397  
Bauer E. 73966  
Bauer K. 76220 II  
Bauer R. 75569 II  
Bauer W. G. 75796  
Baum R. R. 76765  
Bauman R. P. 74143  
Baumann E. 75905  
Baumann E. R. 75849  
Baumann E. W. 74584  
Baumann F. 75522 II  
Baumann K. 76651  
Bawn C. E. H. 73988  
Baxendale J. H. 74402  
Bayer O. 76169 II, 74266  
Bayless P. 74786  
Baylor E. W. 75933  
Bazen J. 75299  
Bearer L. C. 75976 II  
Beaton J. L. 75044  
Beatty R. L. 75313  
Beckholtz W. 76175 II  
Becher H. J. 74670, 74973  
Becholey 76788  
Beck F. M. 76912  
Beck P. W. 74458  
Becker H. J. 74839  
Becker R. 75840 II  
Bednářová V. 74265, 74266  
Beduneau H. 75516  
Beevers C. A. 74188  
Behnen G. 75511 II  
Behrends A. R. 76290  
Behrends F. L. 76290  
Belcher R. 75331  
Belchotz A. 75987 II  
Belke W. E. 75630  
Bell R. P. 76942  
Bellanger J. 75943  
Bellugue J. 74282  
Béné G. 74117  
Beneš J. 74265, 74266  
Beneš J. 76234  
Benešova V. 75042  
Bengough W. I. 76619  
Bengtson K. B. 75525  
Benington F. 74901  
Benk E. 76655, 76720  
Benko S. 76503  
Bennett G. W. 74043  
Bennett I. C. 75791  
Benninghoff H. 75627  
Benscheldt N. H. 77045 II  
Benson S. W. 74304  
Benton W. C. 74108  
Beral E. 75676  
Berberich L. J. 76389 II, 76412 II  
Berger S. 76749  
Bergman D. J. 75940  
Bergmann E. D. 74914  
Bergner K. G. 76820  
Berka A. 75216  
Berkenblit M. 74620  
Berman M. 76739  
Berndt F. 74708  
Berner E. 74868  
Bernert T. 74326  
Bernet E. 77078  
Bernstein E. M. 74078  
Bernstein F. 74585  
Berringer J. C. 76953  
Berson J. A. 74872, 74873  
Bersworth F. C. 76562 II  
Berthois L. 74735, 75362  
Berthoud R. 76119  
Bertorelle E. 75304  
Bertrand G. 73982  
Bertrand P. 75344  
Bestian W. 76204 II  
Bestul A. B. 75155  
Beutelspacher H. 74598  
Bevington J. C. 75177  
Beyer 74020  
Beyer H. 74801 K  
Beyersdorfer P. 75358  
Beynon J. H. 74365  
Bhalerao V. R. 76805  
Bhatia A. B. 74335  
Bhatia B. S. 76770  
Bhatia D. S. 76730, 76830  
Bhattacharya S. C. 75308  
Bichara M. 74456 II  
Bickoff E. M. 75053  
Biefeld L. P. 75821 II  
Biel J. H. 74945  
Bigelow W. C. 74564  
Bigler N. 76109  
Biglino G. 75387  
Bigos J. 76931  
Bingel W. 74124  
Biot M. A. 74327, 74328  
Birch A. J. 76450  
Bird G. W. 75760  
Birkhoff R. D. 75411  
Birney J. W. 76600  
Bishop L. R. 76611  
Bisl A. 74080  
Bitner J. 76779  
Bixler G. H. 75528  
Bjerrum J. 74663  
Björling C. O. 76178  
Blackburn S. 76129  
Blackman L. C. F. 75288  
Blackmore P. O. 76416  
Blackmore W. R. 74182  
Blair R. P. 74856  
Blake J. T. 76276  
Blanc P. 75344  
Blangley L. 74918  
Blanquet P. 74605  
Blański H. 76262  
Blatt F. J. 74205  
Bleaney B. 74248  
Blevins G. S. 74243  
Bliss A. D. 73987  
Blondiau L. 75798  
Blue R. D. 75536 II  
Bluestein B. A. 76045 II  
Blumann A. 76264  
Boatright L. G. 76033 II  
Bobalek E. G. 76429  
Bock J. A. 75935  
Boddington R. J. 76858 II  
Boehringer A. 76211 II  
Boehringer E. 76211 II  
Bogajewska B. 76254  
Bögemann M. 76299 II  
Bolge G. S. 74248  
Bohlmann F. 74834, 75072, 75073  
Bole W. 77113  
Bokhoven C. 75515  
Boll K. 76514  
Bollman C. C. 76764  
Boltze K. H. 74847  
Bomby Leopis J. 75856  
Bonesi A. 75975  
Bonner T. W. 74087  
Bontemps R. 75402  
Boon E. F. 77031  
Boonstra B. B. S. 76283  
Booth A. H. 74274  
Boggs M. M. 76774  
Bor G. 74655  
Bordolla y Alcalá J. M. R. 76766  
Bordwell F. G. 74874  
Borello E. 75003  
Bose S. K. 74509  
Boskin M. J. 74770  
Bosman-Crespin D. 74679  
Böttcher B. 76039 II  
Bouška V. 74705  
Bouveng H. 75023, 75025  
Bowden F. P. 74554  
Bowes P. S. 77128  
Bowie S. H. U. 74727  
Boyd F. R. 74377  
Bozorth R. M. 74253  
Bradford E. A. M. 76755  
Bradley D. E. 75436  
Bradley H. B. 75312  
Bradley J. M. 75989 II  
Bradley L. C. III 74118  
Brafford D. A. 76294 II  
Braham W. E. 76350  
Braine R. 74892  
Branciaroli J. P. 75340  
Brand E. 75214  
Brand J. C. D. 74409  
Brandes C. H. 76828  
Brasen W. R. 74786, 74887  
Braun E. A. 74476  
Braun T. 75215  
Braun W. 74472  
Braun W. Q. 76549  
Braunsdorf K. 76654  
Brecht W. 76500, 76501  
Breda E. J. 74538  
Bredereck H. 74962  
Bredereck H. 76018 II  
Breil F. 76788  
Breitenbach J. W. 75174  
Breitenstein 75896  
Breiter M. 74532  
Breitling G. 74280  
Brenet J. 74628  
Brenig W. 74204  
Brescia F. 74366  
Bresler S. E. 75186  
Bretschneider H. 74013  
Bretschneider H. 76043 II  
Breyer H. 75653  
Březina M. 74544  
Brichard E. 75698, 75824 II  
Brierley P. 76301 II  
Brihta I. 75563  
Brindley G. W. 74170  
Briney 75546 II  
Brissey R. M. 75246  
Britt C. E. 76330  
Broadbent L. 75581  
Brockmann H. 76221 II  
Brockway L. O. 74564  
Broda E. 74326  
Brodkey R. S. 77121  
Brody F. 76101 II  
Broek W. H. 75615  
Brofeldt M. 76640  
Brooke M. 77007  
Brooks S. 74289 II  
Broser W. 74462  
Brown B. R. 75078  
Brown D. 74306  
Brown D. J. 74746  
Brown E. G. 75389  
Brown G. B. 75578  
Brown J. B. 74685  
Brown R. O. 76853 II  
Brown W. O. 74355  
Browne F. 76442  
Brownell L. E. 76982  
Brückner J. 75491  
Brummet B. D. 75298  
Brun E. 74079  
Brunner O. 73985  
Brushwell W. 76433  
Brychta M. 75501  
Brzakovic P. 75794  
Buchanan J. G. 75089  
Buchdahl H. A. 74097  
Buchdahl R. 75137  
Büchi G. 74826, 75041  
Buchner S. 75776  
Buck C. E. 74977  
Buckaloo G. W. 74323  
Buckel R. 76960  
Buckley H. E. 74274  
Buckup H. 77095  
Budzynski S. 76865  
Bueche A. M. 75151  
Bueche F. 74299  
Bujanov A. F. 74055 K  
Bukhari M. S. 75521  
Bullock K. 76185  
Bünser J. 75286  
Bunsen H. 74642  
Buntin G. A. 75592 II  
Buntun C. A. 74774, 74789  
Burhop E. H. S. 74072  
Burka E. 76980  
Burkhart B. A. 76623, 76634  
Burnett B. B. 75138  
Burns D. M. 74167  
Burow F. 75235  
Burt P. 75581  
Burton J. D. 74741  
Burwasser H. 74424, 74459  
Bury G. 75857  
Bury S. 76817  
Buser W. 74407  
Bush J. C. 75829 II  
Butler J. R. 75507 II  
Butterworth B. 75751  
Buu-Hoi N. P. 74909  
Bye T. S. 74977  
C  
Cabannes F. 74115  
Cable L. G. 77065  
Cairns R. C. 77016  
Calderbank A. 75078  
Calistru E. 76524  
Calvert R. 75462  
Calvez J. 74717  
Calvin M. 74461  
Campbell D. S. 74237  
Campbell J. A. 74186  
Canal F. 75368  
Canonica L. 74804 K  
Capdecemme L. 74723  
Cape A. T. 76965 II  
Capron N. 74908  
Capron P. C. 74081  
Careri G. 74307  
Carini L. 75706  
Carlius C. 76915  
Carlin A. F. 76735  
Carlson A. E. 75621  
Carlsson O. 75748  
Carmen Sanchez-Calvo M. 74687  
Carminatti H. 74082  
Carosella M. C. 75643 II  
Carpenter D. K. 75135  
Carré M. 77116  
Carvallo 76788  
Case L. C. 75927  
Casella J. 74833  
Casler J. R. 77043 II  
Cassy F. 75305  
Castiglioni A. 65391  
Castile B. J. 74292  
Cates D. M. 75147  
Cathala M. E. J. 75519 II  
Cats M. 76648  
Cavalca L. 74191  
Cavina G. 76180  
Celntrey N. 75788  
Čeleda J. 73952  
Cellan-Jones G. 75893  
Celmer W. D. 76223 II  
Ceri R. 75097  
Cernia E. 75401  
Cernuda R. J. 77100  
Cerutti G. 76802  
Červenka R. 75266  
Cesarotti V. 76173 II  
Chabrier P. 74964  
Chackraburthy D. M. 74192  
Chadenson M. 74929  
Chakrabarty M. M. 76536

- Chakraverti I. B. 76594  
Chalin C. 74524  
Chalmers C. H. 76804  
Chalvet O. 74125  
Chambard P. 73995  
Champagnat M. 75926  
Champagne M. 75128  
Champetier G. 73983  
Chang I. C. L. 76764  
Chang S. S. 76544  
Chapman R. A. 74087  
Charles V. 74092  
Charlesby A. 75177  
Charlesworth E. H. 74924  
Charlett S. M. 76793  
Charrin V. 76424  
Charvát V. 75874  
Chassain Y. 74668  
Chateau H. 74622  
Chatelet M. 74630  
Chatterjee B. 74510  
Chechot V. L. 75994  
Chédin J. 75183  
Cheka J. S. 75411  
Chemla M. 74219  
Chen W. T. 74377  
Cherry R. H. 77090  
Chessick J. J. 74571  
Chester A. E. 75648  
75834  
Chester G. V. 74333  
Cheutin A. 75007, 75008  
Cheymol J. 74964  
Chiba S. 74372  
Chin D. M. 74469  
Chinai S. N. 75121  
Chlward F. P. 74040  
Chiranjeebi A. 75297  
Chitale A. G. 74576  
Choe S. 75164  
Chomse H. 74228  
Chopin J. 74927  
Choudhury P. K. 75131  
Christensen B. E. 74859  
Christensen H. M. 76218  
Christian J. E. 76189  
Christiansen J. A. 74406  
Clampa G. 75123  
Cliffert A. 75117  
Gifka J. 75225  
Cligolea G. 75271  
Čížek E. P. 76339  
Clapp L. B. 74776  
Clar K. 75999  
Clark H. A. 76391  
Clark L. C. 74901  
Clark L. J. 75287  
Clark Lewis J. W. 74753  
Clarke A. B. 75916  
Clarke R. G. 76897  
Claver G. C. 75137  
Clément G. 75034  
Clemo G. R. 74922  
Clerc F. P. 75899  
Cleveland F. F. 74152  
Cochran W. 74169  
Codell M. 75352  
Coe B. 76361  
Coekelbergs R. 74325  
Coggeshall N. D. 74145  
Coghi L. 74191  
Cohen H. 76141  
Cohen S. G. 74077  
Cohn D. V. 74323  
Coins R. R. 75976  
Colaitis D. 74649  
Cole R. H. 74300  
Coleman B. D. 74421  
Coleman E. H. 76317  
Coleman J. G. 75340  
Collins F. C. 74361  
Collinson E. 74795  
Collongues R. 76906  
Colomb P. 76945  
Colombo M. 75003  
Combey E. A. 75513  
Comyns A. E. 74774  
Condon F. E. 74038, 74049  
Conforto G. 75633  
Connally R. E. 75478  
Consbruch U. 76838  
Conway J. G. 74112  
Cook W. J. 75645  
Cooke A. H. 74248  
Cooke T. F. 76463  
Cooper D. H. D'O. 76301  
Cooper F. C. 74965  
Coover H. W. 76027  
Cope A. C. 74923  
Copeland C. S. 74304  
Copeland J. M. 76761  
Coppinet M. 74717  
Corban A. A. 76613  
Corbière M. 76122  
Cordet A. 76935  
Cordier P. 74869  
Corey E. J. 75076  
Cornelius J. A. 75462  
Cornes J. S. 75561  
Cortelyou E. 74032  
Cortelyou W. P. 74032  
Corwin A. H. 74780  
Cory F. H. M. 76611  
Costa C. 76190  
Cottin M. 74465  
Coulter W. G. 75710  
Courtney R. P. 76356  
Cover R. 76855  
Covington A. K. 74507  
Cowee M. 76336  
Crabbé P. 74867  
Craig D. P. 74164  
Cram D. J. 74758  
Cravener E. 75827  
Crawford J. W. C. 76374  
Crick F. H. C. 74197  
Croatto U. 74350  
Cronin L. J. 75739  
Crossett J. W. 76904  
Cüer P. 74473  
Cullen M. W. A. 74058  
Culpepper C. W. 76775  
Culver R. V. 74349  
Cumming W. M. 73986  
Cummings R. W. 74925  
Cunningham B. B. 74112  
Curchod J. 74646  
Curnock D. 76582  
Curran S. C. 75447  
Čůta F. 75226  
Cutler W. J. 75951  
Cutting C. L. 75461  
Cutlitta F. 75894, 75895  
Cyrilax B. 76415  
Czernotzky A. 75553  
  
D  
Dal Cin C. 76673  
Dale A. J. 75760, 75761  
Dallies G. 74605  
Dalrymple J. R. 76856  
Daniels J. 75544  
Daniels M. 74468  
Daniels T. C. 74958  
Dannenber E. M. 76283  
Danner H. R. 74199  
Dannhauser W. 74300  
Danulat F. 75509  
Danz W. 75510  
Dapkevičius A. 75430  
Darby K. 75608  
D'Athène J. 76269  
Daudel P. 75007, 75008  
Daumas M. 74052  
Dautreppe D. 74158  
Davidson A. W. 74525—74527  
Davies M. 74490  
Davies R. V. 75289  
Davis C. W. 75552  
Davis J. A. 74501  
Davis J. G. 76642  
Davis J. W. 76512  
Dawson J. M. 74292  
Dazzi J. 76396  
Dean L. E. 77000  
De Angelis R. 75961  
De Bell J. M. 76353  
Debicka K. 76261  
Debot F. 74495, 74496  
Deckert W. 75348  
De Clerck J. 74031  
Dederko B. 73961  
Dedic G. 76639  
Dedonder R. 76610  
DeFord D. D. 74041  
DeGruy I. V. 76150  
Delaplatne J. W. 77051  
77052  
Del Bufalo L. 74806  
Delcroix J. L. 74209  
Delépine M. 73999  
Delzenne G. 75178  
Demagistri A. 75194  
Demaree K. 76775  
Demichowicz J. 74330  
Dempster A. N. 76465  
Dempster C. J. 76713  
Denney D. B. 74912  
Derbyshire A. N. 74572  
Deribéré M. 76427  
D'Ersu P. 76759  
DeSorbo W. 74337  
Dessy R. E. 74783  
Determann H. 76913  
Deutsch S. 74683  
Dew J. E. 75507  
Dewey B. T. 74257  
Dewey D. H. 76760  
Dézsi Z. 77107  
Dialer K. 75116  
Diamond J. J. 75268  
Dickinson J. E. 74050  
Diedering P. 76624  
Diehl H. 75267  
Dierchs A. 77028  
Dierk E. A. 74566  
Dietl B. 76749  
Dietrich R. 76828  
Dietrich W. 76459  
Dietzel A. 75757  
Dirschel W. 74865  
Diveley W. R. 75589  
75590  
Dixit K. R. 74432  
Djerassi C. 75053  
Doak G. O. 74983, 74984  
Dobbert E. 74383  
Dobias B. 74606  
Dobreau M. 75560  
Dobry A. 75132  
Dodson R. W. 74401  
Doehler H. 75828  
Dolby R. M. 76803  
Dole M. 74685  
Dolique R. 74497  
Dollinger A. 76852  
Domenicali B. 75603  
Donnet J. B. 74596  
Donohue D. A. 77006  
Doorn C. Z. 74225  
Dorain P. 74120  
Dörner H. 76719  
Doser A. 76169  
Dostal F. 76617  
Dostál V. 76989  
Douglas B. E. 74039  
Douglass C. D. 75011  
Doulsin D. R. 75533  
Downing C. 76024  
Drechsler M. 74103  
Dresselhaus G. 74238  
Drew R. D. 76922, 76923  
Dreues G. W. J. 74252  
Dreyfus B. 74158  
Drickamer H. G. 75125  
Drinuș I. 76539  
Droz A. 77040  
Drucker A. 75189  
Druckrey H. 76838  
Drucker A. 74945  
Dubois Prevost R. E. L. 76859  
Duch E. 75107  
Ducher S. 74848  
Duckworth H. 75247  
Duculot C. 74149, 74150  
Dudley C. F. 76891  
Duffey R. J. 74248  
Duhamel J. 74493  
Dulou R. 75034  
Dunker C. F. 76821  
Dunlop A. K. 75533  
Dunoyer J. M. 74603  
Dupont G. 75034  
Dupre E. F. 75403  
Durant W. S. 74355  
Duranté M. 74622  
Dušinský G. 76179  
Dutton H. J. 76552  
Duval C. 74619  
Duvall G. E. 74334  
Duveen D. I. 73958  
Dvořák J. 75470  
Dworkin A. S. 74306  
Dwornik E. 74690  
Dye J. L. 74351  
Dyer E. 75394  
Dyr J. 76669  
Dyrssen D. 75223  
Dyrssen M. 75223  
  
E  
Eackhout R. G. 76665  
Eastes J. W. 76463  
Eberhagen A. 74104  
Ebersson L. 74979  
Ebert 77093  
Ebert R. E. 77076  
Ecabert R. 77070  
Echterhoff H. 75908  
Eckardt D. 74139  
Eckelmann A. 76400  
Eckoldt H. 74861  
Economos G. 75741  
Edelmann K. 75112  
Edgcombe L. J. 75870  
Edgell W. 75002  
Edwards J. O. 74399, 75334  
Eggert J. 74475  
Ehlers F. A. 75552  
76404  
Ehrenreich W. J. 75253  
Ehrenstein E. 76191  
Ehrhart G. 76204  
Elchborn J. L. 74611  
Eichenberger W. 75091  
Eichhorn H. 76605  
Eichstaedt A. 75554  
Eickhof C. 76560  
Eidinoff M. L. 75001  
Eiffert R. L. 75018  
Eigen M. 74484  
Eilmann H. 76818  
Eirich F. R. 75195  
Elias H. G. 75116  
Ellefsen Ø. 76523  
Elleman A. J. 76963  
Ellenbogen E. 75214  
Ellingboe J. L. 75267  
Ellott J. H. 75130  
Ellis R. G. 75552  
Ellis W. P. 75339  
Ellison A. H. 74560  
Ellsworth A. C. 75585  
Elsken R. H. 75252  
Elving P. J. 74542  
Emara S. H. 74275  
Emery A. H. 75125  
Engelke B. 74566  
England J. L. 74377  
Enslin P. R. 75079  
Ensslin H. 76030  
Eppstein S. H. 76217  
Ercoll R. 74450  
Erdős E. 74452  
Erichsen L. 74383  
Erickson J. G. 74838  
Erickson P. W. 76392  
Erkama J. 75584  
Erlenmeyer H. 75233  
Eschenmoser A. 75041  
Esey H. M. 77011  
Eskew J. E. 77065  
Esser F. 76323

Etherington L. D.  
77041 II  
Etienne A. 74913  
Etienne A. 75839 II  
Eusepi A. 75572 II  
Evans B. S. 76687  
Evans F. J. 74977  
Evans U. R. 74429  
Eveleigh J. W. 77061  
Ewing J. 76139  
Ewles J. 74227  
Extermann R. 74117  
Eyring H. 74123, 75119

F

Fabrizi G. 74957  
Fairbank W. M. 74243  
Fairbanks R. H. 75419  
Falkenhagen H. 74008  
Fallard R. 74935  
Farbar L. 76641  
Faschalek J. 75549 II  
Fathi Sultan Ahmed  
Sultan 75459  
Faugeras P. 74617  
Faust R. A. 75332  
Fearnley L. G. 76952  
Fejes P. 75962  
Felix K. 73984  
Fenech G. 74897  
Fenton P. 76846 K  
Ferguson J. 73964  
Ferrari A. 74191  
Ferrato C. 75387  
Ferrero P. 76007 II  
Ferrero P. 75867  
Ferry J. D. 75148  
Fetterly L. C. 75982 II  
Feuersenger M. 76447  
Fibel L. R. 74028  
Fiekers B. A. 74046  
Fields M. D. 76821  
Fierens P. J. C. 74767,  
74778  
Fieser L. F. 75045  
Filipescu M. 74725  
Fillip C. A. 76181  
Finch C. K. 74166 II  
Fink K. 75013  
Fink R. M. 75013  
Finnegan E. J. 76795  
Fisch A. 74074  
Fischer E. 74932  
Fischer H. 75579  
Fischer R. B. 75251  
Fischer. W. 76429, 76944  
Fischer W. A. 74184  
Fischer-Bobstein C. H.  
76528  
Fischmeister H. F. 74222  
Fischmeister V. 75489  
Fish W. A. 75405  
Fishbein L. 74768, 74769  
Fisher C. H. 76020 II  
Fishlock D. J. 75602  
Fiskaa O. M. 75811  
Flaig W. 76481  
Flamme L. R. 76007 II  
Flanzy M. 76782  
Flaschka H. 75224  
Flengas S. N. 74547  
Flom D. G. 75154

Flood H. 76958  
Elory P. J. 75096  
Flowers L. C. 77011  
Fodor J. 74414  
Foex M. 75767  
Foley G. M. 77090 II  
Folman M. 74558  
Folt V. L. 76280  
Fontana M. G. 76912  
Forsblad I. 75485  
Fort C. A. 76679 II  
Foster D. 75751  
Foster M. D. 74688  
Foster R. 74751  
Foulon A. 76425, 76945  
Fourez M. 76007 II  
Fournier M. 76368 K  
Fourt L. 76112  
Fox H. H. 76051 II  
Fox M. R. 76129  
Fraenz I. 74082  
Franc J. 75384  
Franck H. G. 75889,  
75945  
Frank H. P. 75131, 75195  
Frank-Kamenetškii D. A.  
74451  
Franklin N. L. 77022  
Franzen W. 75448  
Fraser R. D. B. 75141  
Frazer B. C. 74199  
Freed S. 74138  
Freedman L. 74983,  
74984  
Freeman H. G. 77046 II  
Freeman J. P. 74915  
Frettag C. 75263  
French C. M. 74162  
Fresenius W. 74006  
Freudenberg K. 74755,  
74932  
Frey H. 76635  
Friedman H. L. 74945  
Friedman R. 76412 II  
Friedmann H. 74384  
Friedrich K. 74889  
Frilette V. J. 74590  
Frimak W. 74212  
Frisch H. L. 75105  
Friße E. R. 76115  
Frish F. 76095 II  
Fritz R. J. 77041 II  
Fritzson P. 75012  
Fuchs O. 74825  
Fuchs O. 75110  
Fuchs P. E. 74860  
Fujimori S. 76684 II  
Fulinaga T. 75236  
Fuller G. W. 75118  
Funke A. 76094 II  
Fuoss R. M. 74421,  
75120, 75129

G

Gabler R. 76521  
Gaca W. 75789  
Gaegauf H. 75460  
Gager R. 76229 II  
Gaimster K. 76201 II  
Gálná G. 76752  
Gald K. N. 76192  
Gál T. 73952

Galy P. 77097  
Galzy P. 76661  
Gami D. C. 76982  
Garbatski V. 74558  
Garber M. 74251, 74252  
Garcia Garcia M. 76608  
García Pérez J. 77103  
Garcillan A. 76780  
Gardent J. 74952  
Gardner H. J. 74397  
Gárdos G. 75962  
Garvin D. 74388  
Gaskin A. J. 75791  
Gäumann T. 74485  
Guthier P. 75901  
Gautschl F. 75058  
Géher F. 77099  
Gelseler G. 74861  
Geller S. 74183, 74193  
Gelmroth W. 75781  
Gemant A. 74589  
Gemmill A. V. 76657  
Geneux E. 74117  
Genner W. J. 76969 II  
Gensler W. J. 74832,  
74833  
Gent A. N. 75142  
George P. D. 77120  
Gerces A. 74788  
Gerhard H. 74272  
Gerlach L. 75736  
Germagnoli E. 74080  
Gerritsen H. J. 74251,  
74252  
Ghatge N. D. 74922  
Gher R. 74988  
Ghose T. K. 75883  
Ghosh B. N. 74597  
Gibb C. F. 76280  
Gibson D. L. 76792  
Giesinger A. 74924  
Gilbert G. F. 76436  
Gilbert H. N. 75535 II  
Gilchrist A. E. 76379 II  
Gilde D. 74179  
Gilkey J. W. 76047 II  
Gill B. S. 75708  
Gillis R. G. 74044  
Gilly L. J. 74081  
Gilman H. 74975  
Gilvarry J. J. 74096  
Giovannini E. 75257  
Girtanner V. 76292  
Gisler H. J. 75498  
Giuleano R. 74855  
Glasner A. 75284  
Glemser O. 76460  
Glenat R. 74449  
Gnant J. 76518 II  
Goalwin D. S. 75922  
Goerner H. 76195  
Goethel H. 75999 II  
Goldea D. 77026  
Goldberg G. M. 74976,  
74977  
Goldberg P. 75120  
Goldblith S. A. 76686  
Golden J. 75293  
Goldman E. 75830 II  
Goldsmid H. J. 74223  
Goldsmith J. R. 74703  
Goldstein B. 74912

Goldstein M. 74295  
Goldstein P. 76125  
Gombás R. 74098  
Gomez Herrera C. 76766  
Gompper R. 76028 II  
Goodenough J. B. 74254  
Gooding C. M. 76554  
Goodman I. 75179  
Goodman P. 75155  
Goodman R. R. 74235  
Goodspeed N. C. 74671  
Goodwin W. J. 76311  
Gopal R. 74362  
Gopichand T. 74356  
Gorbach G. 76639  
Gordon A. F. 76046 II  
Gordon R. R. 74283  
Gordon W. L. 75432  
Gordy W. 74243  
Gorlinkle W. I. 76750  
Gorodetzky S. 74086  
Götzberger A. 74273  
Goubeau J. 74973  
Goulcher R. W. 77022  
Gould I. A. 76807  
Goupil R. 74680  
Gow A. S. 74419  
Gowan J. E. 74930  
Gowenlock B. G. 74752  
Gozalvez F. 76780  
Grabos W. 75701  
Graf D. L. 74703  
Graf G. C. 76795  
Graham J. 74175  
Graham J. 74774  
Graham P. J. 76059 II  
Grakauskas V. A. 74968  
Granata A. 77098  
Grandchamp-Chaudun A.  
74413  
Grandy J. 76185  
Gray A. N. 75639 II  
Gray D. 75612  
Grayson R. A. 76328,  
76340  
Greenbaum F. R. 76832  
Green J. H. S. 73976  
Green L. C. 74116  
Green M. E. 76731  
Green T. H. 75973 II  
Greene C. H. 75678  
Greenwood H. H. 74128  
Greer F. 74903  
Gregor H. P. 74585  
Grégor V. 76669 K  
Gregory D. H. 75884  
Gresham W. F. 76010 II,  
76381 II  
Greth A. 76415  
Greune H. 76017 II  
Grey F. J. 75850  
Gribbins M. F. 76398 II  
Griegee R. 74933  
Grießbach R. 74591  
Griffel F. 74973  
Griffin A. E. 75847  
Griffiths G. M. 74085  
Griffiths V. S. 75462  
Grillot E. 74234  
Grillot M. 74234  
Grimes D. M. 74262  
Grinsfelder H. 76361

Gripenberg S. 75210  
Grison E. 74617  
Grob C. 76055 II  
Gronowitz S. 74934  
Gross E. B. 74706  
Groß P. 74384  
Grosskorf K. 76044 II  
Groszýnska J. 74054 K  
Grote H. W. 75979 II  
Grotelüschen K. 76712  
Grotheer M. 76914  
Grovenstein E. 74782  
Grubner O. 75470  
Gruen D. M. 74112  
Grund A. 74628  
Grundy W. E. 76193  
Grüner M. 75789  
Gruver R. M. 75682  
Grzegorzewski W. 75809  
Gualandi C. 75294  
Guarino J. R. 77047 II  
Guében G. 74076  
Guérin H. 75902  
Guggenheim E. A. 74488  
Guillet J. E. 75162  
Gullikson C. W. 74153  
Gunn R. 74610  
Gunning H. E. 74458  
Günthard H. H. 74485  
Günzel C. 76197  
Gupta S. L. 74586  
Gupta S. R. 75081  
Gurney G. T. 77046 II  
Guruswamy S. 75880  
Gustafsson C. 76480  
Gut M. 75028  
Gutgesell O. 76723  
Gutmann A. 76569 II  
Guyomard F. 75950  
Gyani B. P. 75300  
Gyulai Z. 74229  
Gzymek J. 75784

H

Haack E. 76021 II  
Haar K. T. 75299  
Habeshaw J. 76012 II  
Haeflner E. 74315  
Haensel V. 75979 II  
Hagerman D. B. 75332  
Hagge W. 74010  
Hahn H. 75235  
Hahn J. W. V. 74559  
Hahn O. 73971  
Haigh J. T. 76853 II  
Hajós Z. 74414  
Haken H. 74203  
Hall G. R. 74322  
Hall N. 75600, 75620,  
75623, 75626  
Hall R. D. 76629  
Halleux A. 74778  
Halmi G. 76314  
Halonen E. A. 74772  
Halpap P. 75492  
Halsall T. G. 75044  
Haltmeyer A. 75542 II  
Hamamura Y. 75393  
Hamann K. 76415  
Hamann O. 76824  
Hamdorf C. J. 74349  
Hamermesh C. 74814 II

- Hamilton M. J. 74585  
Hamlin K. E. 76085 II  
Hamm G. G. H. 75570 II  
Hammar C. G. B. 76896 II  
Hammer A. J. 75657  
Hamprecht G. 76042 II  
Hancock W. 45762  
Hand D. B. 76781  
Hannerz K. 74466  
Hanson H. L. 76734  
Harbron J. D. 76950  
Harder M. J. 76728  
Hardy E. 76029 II  
Hardy W. B. 76104 II  
Harlow G. A. 75211  
Harlow M. V. 74087  
Harper W. J. 76807  
Harrel C. G. 76853 II  
Harris A. S. 75010  
Harris G. 76619  
Harris G. 76629  
Harris M. M. 74756;  
Harris P. H. 75793  
Harris R. H. 76708  
Harris W. F. 74667  
Harrison D. 74162  
Harrison G. B. 76246 II  
Harrison J. 74371  
Harrup L. D. 76379 II  
Hartman L. 76546  
Hartong B. D. 76625  
Hartwein C. E. 75690  
Hasler M. F. 75429  
Hass H. B. 76574  
Hasselder W. 75570 II  
Haszeldine R. N. 74762,  
74993  
Hatak J. 75755  
Hatch T. 77126  
Hatem S. 74601  
Hatlapa 77111  
Hatt H. H. 74841  
Hatta H. 74937  
Haubeln A. H. 75591 II  
Hauptschein M. 74999  
Hauser C. R. 74786,  
74887  
Hauser O. 74240  
Haven A. C. 74982  
Haviř J. 76172  
Havis L. 76775  
Hawthorne M. F. 74771  
Hayakawa S. 74073  
Hayes B. A. J. 76933  
Hazard R. 74964  
Healey F. H. 74571  
Hearon W. M. 74939  
Hebermehl R. 76418  
Hecht F. 75292  
Hecker A. C. 76403 II  
Heerdt R. 76021 II  
Hedegus T. 73954  
Heide F. 74736  
Heiden K. 75859  
Heidingsfelder M. 76446  
Heikens D. 75136  
Heikens D. 75173  
Heine H. W. 74856  
Heinrich B. J. 75374  
Heinrich D. O. 76991  
Heinrichs P. 76776  
Heins A. 74876  
Heintze K. 76773  
Helbig P. 77042 II  
Helbig W. A. 75628  
Hellwege K. H. 75149  
Helm J. 75501  
Henderson R. B. 75013  
Hendrickson R. C. 76379 II  
Henglein A. 75176  
Hengst M. 76715  
Henn R. W. 76236  
Henry R. P. 77104  
Henry W. G. 74249  
Hensel J. 76083 II  
Henshaw D. G. 74297  
Hentola Y. 76502  
Henrich W. 76382 II  
Hepner G. 74111  
Herber R. H. 74416,  
74583  
Herbert W. 75509 II  
Herberts K. 76415  
Herbststein F. H. 74194  
Hercock R. J. 46246 II  
Hercules Powder Co.  
76970  
Herman R. 74110  
Herman P. 74680  
Hermann H. 74566  
Hermanowicz W. 75346  
Hermans P. H. 75136  
Herold W. 75184  
Herout V. 75042  
Herre F. 74280  
Hertog W. 74896  
Hertwig W. R. 75935  
Hervier B. 74622  
Herz W. 74951  
Herzberg G. 74106  
Herzka A. 76455  
Hessler W. 75953  
Heubel J. 74623  
Heusner A. 75060  
Heyndryckx P. 75303  
Heyns K. 74876  
Hibbert H. W. 76435  
Hickey F. C. 75405  
Hickson W. 76611  
Higgins T. H. S. 74347  
Higgins W. T. 76354  
Highet H. C. 77021  
Hilburg W. 76809  
Hildreth A. C. 75578  
Hilfer H. 76271  
Hill W. L. 75326  
Hilsenrath J. 74296  
Hiltmann R. 76220 II  
Hinder M. 75039, 75040  
Hintzmann K. 76169 II  
Hirao I. 74937  
Hirase S. 75029  
Hirota N. 76252  
Hirota S. 75437  
Hirschel M. I. 74944  
Hirseborn F. S. 75585 II  
Hiršjervi P. 74151  
Hlynka I. 76713  
Hobbs M. E. 75408  
Hobson R. B. 75948  
Hodge N. 74348  
Hodgkin D. C. 74196  
Hodkinson W. 75888  
Hoerger E. 74746  
Hoernl J. A. 74174  
Hoffberg R. V. 75933  
Hoffman K. 76990  
Hoffman W. M. 75326  
Hoffmann A. 74184  
Hoffmann H. 75942  
Hoffmann W. 74228  
Hofreiter B. T. 75386  
Hogaboom G. B. 75623,  
76959  
Hogan J. T. 75494  
Högl O. 76833  
Höhn R. 75019 II  
Holinka M. 75638  
Holland R. S. 74156  
Holleck L. 74139  
Hollingsworth C. A.  
74783  
Hollingsworth C. A.  
75551 II  
Hollweg R. M. 75298  
Holman L. E. 77069  
Holmboe C. F. 73967  
Holmes H. A. 75649 II  
Holowchak J. 75410  
Holroyd R. 74026  
Holtorp J. 77092  
Holtzberg F. 74620  
Homeyer P. G. 76735  
Honold E. 76108 II  
Hoogland J. G. 75615  
Hooker D. T. 75309  
Hopkins R. P. 76361  
Hoppe A. 75996 II  
Höppler F. 76597  
Hopton G. U. 74024  
Horne S. E. 76280  
Horner R. G. 76246 II  
Hornyak F. M. 74757,  
74811 II  
Horst W. P. 76520 II  
Horswill C. E. 75087  
Horton G. K. 74335  
Horton W. S. 74654  
Horváth M. 77107  
Horwitz J. P. 74968  
Hosemann R. 75101  
Hosking K. F. G. 74689  
Hošpes B. 76844  
Hoste J. 75273  
Hotta H. 74555  
Hougen J. O. 75529  
Houghton G. 75486  
House H. O. 74881  
Houtermans F. G. 74683  
Howacki W. 74189  
Howe L. S. 75994 II  
Howell D. D. 76423  
Howell O. R. 73990  
Howorth R. M. 76112  
Howson L. R. 75846  
Hoxton L. G. 75456  
Hsu C. T. 74632  
Hubbard J. R. 76462 II  
Hubbell H. H. 75411  
Huber H. 76721  
Huber K. 76198 II  
Huber M. L. 76028 II  
Hubmann O. 75509 II  
Huck R. M. 76334, 76378  
Hückel E. 74483  
Hudis J. 74401  
Hudson E. J. 76622  
Hudson J. C. 76928  
Huff R. M. 75925  
Hugel M. F. 75007  
Huggart R. L. 76778  
Hughes H. 76363  
Hughes R. E. 75170,  
77063  
Hughes R. H. 74145  
Hughes T. G. 75923  
Hügl T. 74189  
Huisgen R. 74904  
Hulet E. K. 74084  
Hull R. O. 75624  
Huls R. 74991  
Hulubei H. 74005  
Humblet J. 74678  
Humenik M. 75746  
Hummel F. A. 75744  
Humphreys D. D. 76053 II  
Humphries A. R. 74365  
Hunt F. E. 76731  
Hunter B. A. 76293 II  
Hunter L. P. 76448  
Hunter M. J. 76891 II  
Hunter R. M. 75536 II  
Huntress E. H. 74939  
Hurka W. 76643  
Hurst D. G. 74297  
Hurwitz J. K. 75241  
Husemann E. 74053 K  
Hussein Aref 76786  
Huston J. L. 74416  
Hutchison C. A. 74120  
Hüter L. 75538, 76004 II  
Huttenlocher H. 74189  
Huvers P. C. 75317  
Huyskens P. 75458  
Hyde J. F. 77132 II  
**I**  
Ibl U. 74513  
Ibrahim Sayed Shafie  
75459  
Iffland D. C. 74836  
Ikeda T. 75059  
Iler R. K. 76788 II  
Ilshner B. 74338  
Imelik B. 74569  
Imoto M. 75164, 75166,  
75167  
Indest H. 76079 II  
Ingham J. D. 74775,  
74858  
Ingilis D. R. 74075  
Ingols R. S. 75854  
Inhoffen H. H. 75069  
Inokuchi H. 74242  
Intonti R. 75240  
Ionescu I. 76539  
Ionescu O. 75169  
Ionescu S. 75390  
Iqbal Ahmad 76171  
Irvine J. W. 74583  
Irvine L. 76602  
Irvine R. L. 77038 II  
Iselin B. M. 75054  
Isemura T. 74555  
Ishii A. 75795  
Ishimori T. 74658  
Isler O. 76014 II  
Israel Y. 74724  
Issa I. M. 75333  
Issa R. M. 75335  
Ito M. 74954  
Iutlandov I. A. 74318  
Ivancic R. E. 76975 II  
Ivanovsky L. 76268  
Ivey E. H. 77051 II  
Iya K. K. 76790  
Iyengar M. K. K. 76790  
Iyer S. S. 76183  
Izquierdo Tamayo A.  
76766  
**J**  
Jackson D. S. 74137  
Jacobi H. R. 76342  
Jacobs G. 74208  
Jacobs M. B. 76265  
Jacobs S. L. 75190  
Jacobson C. R. 74967  
Jacques J. 73977, 73978  
Jadhav G. V. 74888  
Jadot J. 74892  
Jahn S. 77072  
Jambrešić I. 74846  
Jame G. 76496  
James A. T. 74580,  
74581  
James D. M. 76449  
James E. M. 76541  
Jamison R. M. 75520 II  
Jander G. 74486  
Janicki J. 76817  
Janicki M. A. 76812  
Janke W. 77003  
Jansen L. 74292  
Janz G. J. 74341  
Jaski C. J. 75615  
Jason A. C. 75461  
Jaton 76788  
Jayashankar S. R. 76790  
Jean M. 75323  
Jeanloz R. W. 75028  
Jęczalik A. 75341  
Jefferson C. F. 74262  
Jefferson R. N. 75577  
Jeffries S. F. 76233  
Jeger O. 75056—75058  
Jellinek G. 74177  
Jemeljanov D. S. 75909  
Jenckel E. 75175  
Jenkins F. A. 75423  
Jensen E. V. 74830  
Jensovský L. 75463 II  
Jessup R. S. 75455  
Jeżowska-Trzebiatows-  
ka R. 74666  
Jigarjian H. 75221  
Jilek A. 76172  
Jilek J. O. 75046  
Jochmann F. 75683  
Johannsen A. 75510 II  
Johansson E. 75223  
Johansson F. C. E.  
77035 II  
Johary N. S. 74863, 74864  
Johnson A. M. 76506  
Johnson A. N. 76074 II  
Johnson A. W. 75078  
Johnson H. T. 76659  
Johnson J. A. 75761  
Johnson P. 75127  
Johnson R. 76367

# Авторский указатель

- Johnson R. A. 74042, 74363  
 Johnstone N. B. B. 74498  
 Johnstone R. A. W. 74785  
 Jolais A. 75327  
 Jolivet E. 75327  
 Jones A. L. 77037 П  
 Jones J. R. 76335  
 Jones K. K. 76273  
 Jones L. H. 74147, 74621  
 Jones P. R. 75763  
 Jones R. 74001  
 Jones R. E. 76965 П  
 Jones R. H. 75791  
 Jones W. D. 75914 П  
 Jones W. R. 76131  
 Jonge A. P. 74896  
 Jönsson A. 75068  
 Jørgensen C. 75083  
 Jörg 76495  
 Jösewicz D. M. 75727  
 Joshi C. G. 74928  
 Josien F. A. 74673  
 Judson S. 74737  
 Juhl W. G. 76538  
 Junek H. 74926  
 Jungk H. 74819 Д  
 Jungmann G. 75543 П  
 Jurgeleit W. 76066 П  
 Jurkowska H. 75566  
 Justus N. L. 74652
- K**  
 Kaczmarek F. 76261  
 Kadić K. 75364  
 Kaess F. 75569 П  
 Kagan M. E. 75632 П  
 Kagawa I. 75129  
 Kahr K. 76036 П  
 Kaifu Y. 74142  
 Kaiser D. W. 76032 П, 76087 П  
 Kaiser R. 75149  
 Kaiser W. J. 76382 П  
 Kallies K. H. 76153  
 Kalling M. S. 77035 П  
 Kallo D. 75962  
 Kalnais J. 74173  
 Kalnajs J. 74182  
 Kaltofen R. 76035 П  
 Kalvoda R. 75328  
 Kämen K. 75226  
 Kameyama N. 74480  
 Kammermaier H. 74532  
 Kamper M. J. 74196  
 Kanehann J. A. 75281  
 Kannebly G. 74808 Д  
 Kao G. N. 74852  
 Kappes W. R. 75833 П  
 Karimullah 76171  
 Karl A. 75508 П  
 Karlik B. 74326  
 Kasha M. 74141  
 Kashima J. 75272  
 Kasha G. S. 74155  
 Kato M. 75393  
 Kato S. 74464  
 Katz D. L. 75946  
 Katz S. 76499  
 Kaufman F. 74780  
 Kaulgud M. R. 76118  
 Kauman W. G. 76489
- Kautsky H. 74635  
 Kaufmann H. P. 76534, 76553  
 Kaufmann W. 76426  
 Kawai T. 75098  
 Keane J. J. 75139  
 Kearton C. F. 74025  
 Kehler H. 75471  
 Kehren M. 76148  
 Keith P. C. 75977 П, 75987 П  
 Keller A. 75140  
 Keller A. 76949  
 Keller H. 76819  
 Keller H. 76932  
 Keller R. 76949  
 Kellermann R. 75595  
 Kelley C. E. 75921  
 Kelley E. G. 76765  
 Kellner H. L. 75596  
 Kellom D. 74817 Д  
 Kelly F. M. 74119  
 Kelly R. J. 74902  
 Kelton S. C. 76322  
 Kemp J. W. 75429  
 Kendrick M. C. 76994  
 Kennaway T. 75886  
 Kennedy A. J. 74260  
 Kennedy J. 75289  
 Kerk G. J. M. 74981  
 Kern R. 74269  
 Kern W. 74053 K, 75184  
 Ketelaar J. A. A. 73968  
 Keyes F. 75843 П  
 Khare M. P. 74900  
 Khark D. P. 74624  
 Kiefer C. 75721  
 Kiehl J. P. 76280  
 Killion L. E. 74095  
 Kimball L. B. 76781  
 Kimizuka H. 74556  
 Kimura K. 75164  
 Kindermann R. 75966  
 Kindervater F. 74642  
 King C. V. 74588  
 King G. 74845  
 Kingery W. D. 75652, 75724  
 Kip A. F. 74238  
 Kirby P. L. 74310  
 Kirchmeyer F. 76193  
 Kirkandale G. A. 75759  
 Kirmaer G. 76505  
 Kirsch A. 76207 П  
 Kirsch W. 76944  
 Kirschbaum E. 77014  
 Kitahara A. 74599  
 Kitchin D. W. 76276  
 Kittel C. 74238  
 Kittel H. 76417  
 Kiuru V. 76806  
 Kivalo P. 74537  
 Klaassens K. H. 74998  
 Klages A. 76072 П  
 Klaiber R. 76644  
 Klassens H. A. 76899 П  
 Klaushofer H. 76649  
 Kleber W. 74278  
 Klein E. 75403  
 Klein H. C. 75595  
 Kleinberg J. 74527, 74528  
 Kleinert J. 76753
- Kleinert T. N. 75113  
 Klickstein H. S. 73958  
 Kloppe W. J. 76616  
 Klumb H. 75472  
 Knessl O. 74492  
 Kneule F. 75963  
 Kniebes D. V. 74458  
 Knobloch E. 75046  
 Knoll J. E. 75001  
 Knorr C. A. 74532  
 Knospe R. H. 74821 Д  
 Knott E. B. 76244 П  
 Knotz F. F. 75587 П  
 Knowless W. S. 76056 П  
 Knudson G. E. 75275  
 Ko R. 74618  
 Kobayashi K. 74267  
 Koberstein E. 75439  
 Koch A. 75471  
 Koch H. 77118  
 Koch H. J. 74904  
 Koch J. 76747  
 Koch K. 76017 П  
 Koch O. G. 76639  
 Koczka K. 74807 K  
 Kodeš L. 77119  
 Koefoed J. 74405  
 Koelsch C. F. 74925  
 Koenig F. 76022 П  
 Koenig F. J. 74631  
 Koenig J. H. 75720  
 Koerner W. E. 74747  
 Kofod H. 75083  
 Kohn M. 73981  
 Koizumi M. 74142  
 Kolbach P. 76621, 76630  
 Kolbeson R. A. 75409  
 Kolchin E. K. 74116  
 Kollonitsch J. 74825  
 Kolos W. 74129  
 Komatsu M. 76555  
 Komoda T. 74200  
 Kopjew A. A. 76145  
 Koppe R. K. 75336  
 Korbová M. 75266  
 Koref A. 75196 Д  
 Korkisch J. 75292  
 Kornblum N. 74836  
 Kornblum R. A. 74768, 74769  
 Kosolapoff G. M. 74380  
 Kosta L. 75273  
 Koštič J. V. 74920  
 Koszynska J. 76508  
 Kotake H. 74931  
 Kothary N. C. 74262  
 Kottász J. 76666  
 Kottler L. 76816  
 Kovár J. 76996  
 Kowol E. W. 75428  
 Koyama R. 75109  
 Kraficzky K. 74486  
 Krafitt G. 74483  
 Kraft H. P. 75055  
 Krahirus 75601  
 Kramer B. 76134  
 Kratky O. 74168  
 Kratky O. 75099, 75100  
 Kraus K. A. 74494  
 Krause A. 76310  
 Kraushaar J. J. 74079  
 Krauss W. 76065 П
- Kreidl N. J. 75681  
 Kreisel K. 76154  
 Krekeler H. 75636 П  
 Kretschmar G. 77039 П  
 Kretzschmar H. 75545 П  
 Krevelen D. W. 75869, 75875  
 Kriege O. H. 75306  
 Kriegsmann H. 75413  
 Krigbaum W. R. 75135  
 Krijgsman A. 77031  
 Krinov E. 74682  
 Kristensen J. 74869  
 Kritchevsky D. 75001  
 Kröger H. 76019 П  
 Krohe W. 76248  
 Kroll N. M. 74100  
 Kroos W. 76916  
 Kruh R. 74302  
 Krzikalla H. 76080 П, 76207 П  
 Kselik G. 76359  
 Kubal J. 76234  
 Kubec Z. 75338  
 Küchler L. 75107  
 Kuczyński W. 75805  
 Kuhn I. 74997  
 Kuhn N. 76110  
 Kuhn R. 76040 П  
 Kühnhauss G. 76069 П  
 Kuhr E. 76295 П  
 Kuivila H. G. 74418  
 Kukolew G. W. 75727  
 Kulakow R. 75695  
 Kulčar J. 75931  
 Kulkarui A. B. 74928  
 Kummerow F. A. 76544, 76805  
 Kunsman C. H. 76763  
 Kunz F. L. G. 76682 П  
 Kuphal K. 75149  
 Küppers-Sonnenberg G.A. 76653  
 Kure F. 75703  
 Kuster W. 76100 П  
 Kutscher U. 76658  
 Kuttelvaßer Z. 76669 K  
 Kyburz E. 75057
- L**  
 Laamanen A. 75584  
 Labino D. 75825 П  
 Lacey W. N. 74353  
 Lacombe R. 74497  
 Lacourt A. 75303  
 Lad R. A. 74211  
 Laferriere A. L. 75334  
 Lambe C. M. 75780  
 Lambertson J. A. 74841  
 Lamouria L. H. 75932  
 Lancelot 76788  
 Landerl H. P. 76135  
 Landesman H. 75446  
 Landqvist N. 74408  
 Landsberg G. 75249  
 Lane G. A. 74685  
 Lang W. R. 76089  
 Langenbeck W. 74800 K  
 Langer A. 75467  
 Länger R. 76733  
 Langford K. E. 75613  
 Langhammer G. 75124
- Langlois G. E. 75984 П  
 Langseth A. 74154  
 Lanneluc H. 75555  
 La Piana F. G. 76157 П  
 Lardera M. R. 75401  
 Laskowski K. 76801  
 Laspe C. G. 77057  
 Latta R. 77069  
 Lattig R. M. 75528  
 Lauda H. 74326  
 Lauer F. J. 75380  
 Laughlin B. D. 74527  
 Laulan J. 74493  
 Lauren S. 76444  
 Lautard J. 75335  
 Lautsch W. 74462  
 Laverdisse E. 75831 П  
 Lawrence B. S. 76986  
 Lawrence F. I. L. 75998 П  
 Leach S. 75071  
 Leb A. 76229 П  
 Le Berre A. 74913  
 Le Blanc H. 74455 Д  
 Leboeuf M. B. 75478  
 Ledingham G. A. 75496  
 Ledrut J. H. T. 76226 П  
 Lee E. H. 75150  
 Lee H. 76318  
 Lee L. L. 74075  
 Lees B. 76918  
 Lefort M. 74465  
 Legrip R. G. 75768  
 Lehmann A. 76422  
 Lehmann F. 76464 П  
 Leidenfrost W. 75457  
 Leigh H. M. 76217 П  
 Leisegang E. C. 74347  
 Leistner W. E. 76403 П  
 LeMaire G. W. 75941  
 Lemieux E. J. 77024  
 Lemmerzahl J. 76698  
 Lemmon R. M. 74469  
 Lenk S. 75707, 75709  
 Lennartz H. 75734  
 Lento L. L. 76034 П  
 Lepp H. 74181  
 Le Rol D. 76797  
 Leroy M. 75296  
 Lesslie T. E. 74939  
 Levesque P. 75736  
 Levi L. 74276  
 Levine R. 74946  
 Levitt L. S. 74765  
 Levy B. 74588  
 Lewicki W. 74060 K  
 Lewin M. 74674  
 Lewin S. Z. 75419  
 Lewis D. G. 76927  
 Lewis F. A. 76725  
 Lewis H. L. 75844  
 Lewis H. W. 74078  
 Lewis J. 74653  
 Lewis M. N. 74116  
 Lewis T. A. 74789  
 Lewon J. 76573  
 Landler 75344  
 Lidl H. 76229 П  
 Liebhaufsky H. A. 75246  
 Liebrecht I. 76211 П  
 Liebrecht J. 76211 П  
 Liebscher F. 75730  
 Liepack H. 74103

- Lietz J. 74373  
 Lightfoot W. J. 76372  
 Lilyquist M. R. 74995, 74996  
 Lindberg B. 75021, 75023—75027, 75085  
 Lindemann M. 76627  
 Lindhe S. 74315  
 Lindley H. 75071  
 Lindner A. F. 75539 П  
 Lindqvist B. 74579  
 Lineweaver H. 76734  
 Linde H. 76080 П  
 Lin Lan-Ying 74291 Д  
 Lintner K. 74326  
 Lipovšćak R. 75931  
 Lippincott E. P. 74340  
 Lipscomb A. G. 76746  
 Liquori A. M. 75122  
 Lister M. W. 74672  
 Little D. M. 75975 П  
 Litwiniak F. 77129 К  
 Llewellyn D. R. 74789  
 Llewellyn P. M. 74120  
 Llopis J. 74519  
 Lober F. 76299 П  
 Locke D. 75017  
 Lodding A. 74316  
 Loeb A. L. 74254  
 Loescke H. W. 76845 К  
 Löffler K. 76400 П  
 Löhe K. 76166 П  
 Lohr A. D. 75590 П  
 Loison R. 75887  
 Lonappan M. A. 74220  
 Long C. W. 77124  
 Lools H. J. 76564 П  
 Lorenz W. 75586 П  
 Lorenzen G. 75949  
 Louis M. 75930  
 Louw D. F. 75050  
 Lovelace A. M. 74994, 74995  
 Löwenberg P. 74745  
 Löwenfeld R. 76166 П  
 Lowenheim F. A. 75618  
 Lowenstein J. 76285  
 Luca G. 76598  
 Lucas E. R. 76603  
 Lüdecke 74012  
 Luft N. W. 75524  
 Luijten J. G. A. 74981  
 Lukeš R. 74938, 74947  
 Lukens H. C. 76763  
 Lukman J. C. 76423  
 Lund G. V. 76522  
 Lundén A. 74316  
 Lüthi C. 74407  
 Luttinger J. M. 74235  
 LuValle J. E. 74481  
 Lwowski W. 74755  
 Lyness W. I. 75404
- M**
- Maas W. 77075  
 Mačak R. 76302  
 Mc Aleer H. J. 75598  
 McAlpin A. W. 76659  
 McBride D. 76988  
 McBride W. R. 74379  
 McCabe C. L. 74352  
 MacCallum W. A. 76825  
 McCandless R. F. J. 75001  
 McCasland G. E. 75087, 75088  
 McCausland J. W. 75974 П  
 McConnell H. M. 74161  
 McCormack K. E. 74443  
 McCoy W. H. 74489  
 McCurdy W. U. 75978 П  
 McDermott E. E. 76700  
 McDevit W. F. 75138  
 MacDiarmid A. G. 74634  
 Macdonald J. R. 74504  
 MacDonald S. F. 75078  
 McDonnell B. 75541 П  
 McDowell C. A. 74134  
 McEwen W. E. 74528  
 McFadden W. E. 75593  
 McGinnis R. A. 76588  
 MacGillola 74930  
 McGowan J. K. 75791  
 MacGregor R. R. 76369 К  
 76386 П  
 Machin J. S. 75715  
 McHugh J. N. 75756  
 MacIntyre W. H. 75866 П  
 McIntyre G. H. 75716  
 Mack E. 73992  
 Mack G. P. 76050 П  
 McKane R. H. 75917  
 Mackay J. S. 76033 П  
 McKay R. J. 76964 П  
 MacKenzie R. P. 76763  
 McKie D. 73957  
 Mackle H. 73959  
 McLane R. T. 77133 П  
 McLaren E. H. 74285 Д  
 McLaughlin R. D. 74112  
 McLean A. D. 74161  
 MacLennan G. 74188  
 McLeod A. M. 76631  
 McMahan J. R. 76688  
 McMahon G. J. 74930  
 McMichael C. E. 76556  
 Macmillan W. G. 76594  
 McNell D. 75010  
 MacNevin W. M. 75306  
 McNulty J. S. 74940  
 McPherson J. 75021  
 MacRae D. 74503  
 MacRahn F. 75568 П  
 McTigue F. H. 76970 П  
 MacWilliam I. C. 76629  
 Maczelka L. 76685  
 Maddock A. G. 74616, 75293  
 Maack W. J. 74691  
 Maezawa M. 76090  
 Magat M. 75156  
 Magdoff B. S. 74197  
 Magnusson K. 76456  
 Magoon E. F. 74754  
 Magun S. 74472  
 Magyar M. 74434  
 Mahadevan A. P. 74832, 74833  
 Mahapatra G. 75297  
 Mahapatra G. N. 75580  
 Maher J. L. 75991 П  
 Mains G. H. 76346  
 Mairs K. H. 76929  
 Maki T. 76090  
 Malat M. 75225  
 Malinowski R. 75800  
 Malmstrom H. E. 76516  
 Mandelkern L. 75146  
 Mangini A. 74781  
 Manley J. 75007  
 Mann C. K. 75262  
 Mann H. B. 76529  
 Mannella G. G. 75529  
 Mannhardt H. J. 75073  
 Manning P. P. 74122  
 Mannino G. 74678  
 Manyik R. M. 74786  
 Maraghini M. 75117  
 Marchisotto R. 76189  
 Marcus R. A. 74499  
 Marek M. 74492  
 Marguler P. 74596  
 Mariani A. 76180  
 Mariani E. 75117  
 Marill L. 75817  
 Marion F. 74239  
 Marion J. B. 74087  
 Marion M. V. 75468  
 Marion S. 75631  
 Markiewicz W. 76147  
 Marko M. 74799 К  
 Marot J. 75353  
 Marriott R. R. 76513  
 Marsaudou A. 75183  
 Marschalko B. 76555  
 Marshall H. B. 76506  
 Marteau G. 76661  
 Martell A. E. 75221  
 Martin H. 74878  
 Martin R. J. 74145  
 Martinenghi G. B. 76558  
 Martin Vargas V. 76697  
 Marusch H. 75358  
 Marusic M. 76143  
 Marvel C. S. 75188  
 Marx M. 76504  
 Mary M. 75799  
 Mason D. F. J. 76201 П  
 Mason S. F. 74746  
 Mässing W. 75582  
 Mast R. C. 74639, 74989  
 Mastin T. G. 76073 П  
 Mataga U. 74142  
 Mathers F. C. 75617  
 Mathieu M. V. 74569  
 Mathy E. V. 75997 П  
 Matijević E. 74595  
 Matossi F. 74226  
 Matsumura K. 74954  
 Matsunaga Y. 74242  
 Matsuura T. 75032  
 Maupied A. 75752  
 Maurer W. 76591  
 Maurice 76738  
 Maurin A. J. 75858  
 May G. 76969 П  
 Mayer H. W. 76177  
 Mayer W. 77125  
 Mayland B. J. 75513  
 Mayne K. I. 74686  
 Mayo P. 76263  
 Mazee W. M. 76564 П  
 Mazumdar B. K. 75876  
 Mazurek E. 75764  
 Mazzanti G. 75157  
 Mebes K. 76453  
 Mecco J. M. 76165 П  
 Mees C. E. K. 74478  
 Mehl 74016  
 Melenhofer J. 76114  
 Meler J. A. 76078 П  
 Meler K. 76030 П  
 Meilgaard M. 76636  
 Meinhardt G. 75953  
 Meissner W. 77008  
 Meister A. G. 74152  
 Meites L. 74538, 75302  
 Mejer F. 74051 К  
 Mele A. 75122  
 Melhuish W. H. 74463  
 Meller A. 75180  
 Melnick D. 76554  
 Mende H. 77023  
 Mendlik F. 76620  
 Menger A. 76722  
 Menon T. C. K. 74102  
 Mentzer C. 74927, 75077  
 Menzel E. 74177  
 Menzel-Kopp C. 74177  
 Mercier M. 74927  
 Merinis J. 74319  
 Merker R. L. 76000 П  
 Merland R. 75255  
 Merrill E. W. 77074  
 Merrill S. H. 74773  
 Metcalfe L. S. 76943  
 Metz F. I. 74211  
 Metznerauer D. 77083  
 Meuron G. 76840  
 Meyer F. C. 74747  
 Meyer-Hartwig E. 75738  
 Meyerhof W. E. 74079  
 Meyers C. O. 75991 П  
 Meyers E. A. 74287 Д  
 Mezzalana G. 77080  
 Michalik E. R. 74295  
 Michalski J. 74948  
 Michler R. W. 75635 П  
 Micka J. 76701  
 Mickus R. R. 76704  
 Middel V. 75819 П  
 Middlebrooks B. M. 76693  
 Mjehr W. 75766  
 Mienes K. 76415  
 Miettinen J. K. 74792  
 Mijović M. V. 75057  
 Mikeska L. A. 76011 П  
 Mikke K. 75742  
 Miles D. 74975  
 Miller C. D. 76846 К  
 Miller D. G. 75478  
 Miller F. J. 74306  
 Miller F. J. Z. 75541 П  
 Miller P. S. 73955  
 Miller R. A. 76982  
 Miller R. L. 75137  
 Millikan A. F. 76977 П  
 Mills J. M. 75445  
 Mills R. L. 74100  
 Millson H. E. 76151  
 Milner P. C. 74116  
 Milone N. A. 76796  
 Miron S. 75385  
 Misra R. 75300  
 Misra V. S. 74900  
 Mital H. C. 76192  
 Mitch F. A. 74978  
 Mitchell L. C. 75381  
 Mitchell T. J. 76602  
 Mitra C. R. 76536  
 Miyamoto S. 74602  
 Mizushima Y. 75437  
 Mocuot 76788  
 Moenke H. 74736  
 Moessmer V. 75113  
 Moffett E. W. 76325, 76336  
 Moha! B. 74655  
 Mohler J. B. 75623  
 Moldenhauer O. 76025 П  
 Möller K. E. 75016 Д  
 Molnár L. 75237  
 Molnárová K. 75237  
 Molt E. L. 75256  
 Momigny J. 74135  
 Mondin C. 75792  
 Monheim J. 76569 П  
 Monroy J. 76250 П  
 Montavon M. 76014 П  
 Montel G. 74669  
 Monti M. 75897  
 Mooradian A. J. 77108  
 Moore A. 74175  
 Moore C. G. 75187  
 Moore M. 75054  
 Moore M. B. 74750  
 Moore P. B. 75934  
 Moore W. A. 75349, 75409  
 Moos G. H. 77032 П  
 Morait G. 75271  
 Moran T. 76700  
 Morawetz H. 75189  
 Moreau J. 76907  
 Moreau R. C. 74907  
 Moretti G. 74450  
 Morey G. W. 74377  
 Morgan J. 76244 П  
 Morgan E. A. 76652  
 Morgan L. O. 74652  
 Morgan P. W. 76907, 76519 П  
 Morgantini M. 75469  
 Mori A. 75401  
 Morin R. D. 74901  
 Morinaga Y. 74602  
 Morishita F. S. 75577  
 Morita H. 75407  
 Morren H. 76086 П  
 Morris P. 74582  
 Morris C. E. 76728  
 Morris D. F. C. 74206  
 Morrison G. H. 75259  
 Morrison J. A. 75159  
 Morrison J. L. 74559  
 Morrison T. J. 74498  
 Morton B. B. 76919  
 Morton T. H. 76529  
 Moses D. V. 75917 П  
 Mossel D. A. 76535  
 Mostetzky H. 75757  
 Moučka V. 75232  
 Mounier J. 74605  
 Moutach M. 75902  
 Moyer J. C. 76781  
 Mrozewski Stefan 76757  
 Muhlad M. 76985  
 Mulder M. M. 74118  
 Mullen W. T. 76407 П  
 Müller A. 76745

J. 76602  
5536  
4602  
75437  
8  
4736  
5113  
7. 76325,  
55  
5623  
76025 II  
75016 II  
237  
75237  
5256  
4135  
5792  
76569 II  
50 II  
76014 II  
4669  
897  
J. 77104  
175  
75187  
4054  
74750  
5934  
75349,  
77032 II  
5271  
5700  
75189  
6907  
74907  
4450  
74377  
76244 II  
76652  
74652  
W. 76307,  
A. 75469  
01  
74901  
74602  
S. 75577  
086 II  
74582  
76728  
C. 74206  
H. 75250  
A. 75150  
L. 74559  
J. 74450  
76919  
76529  
75917 II  
A. 76535  
75757  
75232  
74605  
75902  
76781  
tefan 76757  
76985  
M. 74110  
T. 76407 II  
76745

Müller C. 75194  
Müller E. W. 75440  
Müller G. 74933  
Müller R. 74513  
Müller R. 76245 II  
Müller R. H. 75477  
Müller T. 74086  
Munch R. H. 74747  
Mund W. 75458  
Mundy R. J. 76465 II  
Muntean E. 76229 II  
Murch R. M. 74978  
Murin A. N. 74318  
Murray G. E. 75640 II  
Murray H. C. 76216 II  
Murray M. J. 75979 II  
Murray R. C. 74737  
Mushtag 75521  
Musalik M. 75802  
Mutaguchi M. 75272  
Myers T. C. 74830

N

Nagel K. 74970  
Nagy D. E. 76890 II  
Nahshol D. 74476  
Nalsmith W. E. F. 75127  
Nakai R. 75005  
Nakajima T. 74130  
Nakanishi S. 74830,  
74831  
Nakatani H. 74539  
Nanavati D. D. 74829  
Narcus H. 75629  
Näsänen R. 74664  
Nash J. P. 76516  
Nasipuri D. 74921  
Nast R. 74643  
Natarajan C. P. 76830  
Nath B. 74829  
Nathan C. C. 76948  
Nation J. H. 76941  
Natta G. 75157  
Naumann H. 75686  
Naumann R. A. 74388  
Naves Y. R. 75030  
Naylor H. 76113  
Naylor M. A. 76381 II  
Neale E. 74343  
Nedorost M. 75464  
Neef R. 75903  
Nefedov V. D. 74318  
Neipert M. P. 75536 II  
Nejman M. B. 75497  
Nekarvis W. F. 76982  
Nelms A. T. 74099  
Nelson C. C. 77043 II  
Nelson F. 74494  
Nelson H. 76003 II  
Nelson K. L. R. 74779  
Nelson P. F. 74044  
Nelson R. D. 74340  
Némec L. 75470  
Nersasian A. 74822 II  
Neuhaus A. 74264  
Neumann H. 76894  
Neville O. K. 75011  
Newberg R. G. 77121  
Newman M. S. 74773  
Newman S. 75135  
Newton E. B. 76280  
Newton L. W. 76016 II

Nguyen Thien-Chi  
75832 II  
Nicaud C. 74630  
Nichols P. L. 74775, 74858  
Nickerson M. H. 76353  
Nicolescu I. V. 75169  
Nielsen J. R. 74153  
Nienburg H. 76013 II  
Nies B. W. 75780  
Nietsch B. 75363  
Nieuwenhuis K. J. 76951  
Nievaart M. C. J. 75615  
Niewiadomski J. 75784  
Niewiarowicz A. 76817  
Nightingale D. V. 74880  
Nikiel S. 76580  
Nikitine S. 74233  
Nilsson B. 75576  
Nishloka A. 75109  
Nishita K. D. 76734  
Nissen R. 76718  
Nissen W. 74113  
Nitzsche S. 76387 II  
Njegovan V. 74003,  
74004

Noake H. 75437  
Noaker L. J. 75946  
Nobel D. 74225  
Noble C. M. 75211  
Nobles W. L. 74936  
Nodop G. 74373  
Noeggerath W. 74339  
Noll C. A. 75314  
Nomarski G. 75877  
Nonaka J. 76555  
Nord H. 74400  
Norman H. C. 77081  
Norris F. H. 75139  
Norris K. P. 75422  
Norris T. H. 74416  
Norris R. G. W. 75162  
North H. C. 75985 II  
Northgraves W. W. 77101  
Norton J. T. 75745  
Nowitz G. 75352  
Nothing F. W. 76917  
Novak L. 75046  
Nowak A. 76592  
Nowakowski B. 76584,  
76589  
Noyes H. A. 76850 II  
Nucic A. 74029  
Nudelman S. 74226  
Nutton A. J. 75331  
Nyberg D. D. 74859

O

O'Brien M. C. M. 74248  
Obuhov P. F. 75852  
Ocelnik J. 75770  
O'Cleirigh S. 74930  
O'Connel H. E. 75494  
O'Connor R. T. 75403  
Oehme F. 75466  
Oesper R. E. 74015  
74639, 74989  
O'Farrell B. R. 74930  
Ofer S. 74077  
Ohle H. 76065 II  
Ohme W. 75898  
Ohta U. 74763  
Oh-Yama Y. 74477

Okazaki A. 74178  
Olah G. 74997  
Oleksynowa K. 75565  
Olive B. M. 75326  
Olive M. J. 76956  
Olmer L. Z. 74051 K  
Olsen L. H. 75418  
Onishi H. 75280  
Onstott E. I. 75339  
Oosting M. 75282  
Opfermann A. C. J.  
76084 II  
Opp K. 76042 II  
Oppenheim I. 74099  
Oprea I. 76524  
Oprescu G. 76511  
Orgel L. E. 74140  
Oriol J. A. 77054  
O'Rourke J. D. 74363  
Orr K. J. 76846 K  
Orzechowski A. 74443  
Osborne E. F. 74376  
Osborne J. E. 74762  
Osborne J. S. 75408  
Osgan M. 75170  
Ostertag H. 74668  
Ostriß B. 76545  
Ostwald U. 76862 II  
Ota T. 75166  
Otsu T. 75164, 75166  
Otsuka A. 75795  
Ott E. 75130  
Otter F. A. 74241  
Otto K. 74865  
Ourisson G. 75037  
Overton K. H. 76199 II  
Owen L. U. 74863, 74864

P

Pace J. 76700  
Pacheco H. 74929, 75077  
Packter A. 74448  
Padera K. 74705  
Padovani C. 75868  
Padurow N. N. 75650  
Pagenstedt B. 76702  
Paglia E. 75304  
Pal P. N. 76594  
Paleologo T. 76313  
Palik F. 76744  
Palmer F. S. 76437  
Panchátikova P. 76754  
Pannell J. H. 74508  
Paoletti A. 74307  
Paoloni C. 75572 II  
Papoff P. 74382  
Pappis J. 75724  
Parducci M. 76355  
Paretzkin B. 74195  
Parikh N. M. 75746  
Parizek R. 75232  
Park H. F. 76041 II  
Park O. E. 74438  
Parker E. 76050 II  
Parker E. A. 75610  
Parker E. E. 76325  
Parker R. E. 75238  
Paronetto L. 76673 K  
Parry E. 75331  
Parsons M. A. 74469  
Parsy G. 76124  
Partridge M. W. 74965  
Parts L. 75002

Partzsch H. 76632  
Pascal A. 75007  
Pashley D. W. 76961  
Passer M. 77127  
Passerini R. 74781  
Patakoot V. R. 74888  
Patat F. 75115  
Pateau L. 75335  
Patel C. C. 74624  
Patheiger M. 74970  
Patnaik D. 75297  
Patron A. 76772  
Pattenden W. C. 76001 II  
Patterson J. M. 74748  
Pattinson J. R. 77045 II  
Pauk F. 74061 K  
Pauk W. F. 75622  
Paukner E. 76637  
Paul H. 74875  
Pauling H. 75518 II  
Pauls E. 76683 II  
Pavanelli V. 75243  
Pavlath A. 74997  
Pavlov-Grişin S. I. 76664  
Pawelczyk E. 76254  
Paxton C. E. 76974 II  
Peacocke A. R. 75102  
Peak R. D. 77060  
Pearson D. E. 74882,  
74903  
Pease R. N. 74424  
Péaud-Lenoel C. 76610  
Pederson C. S. 76761  
Peery L. C. 75917 II  
Pelsach J. 74366  
Pelßker H. 74910  
Pelikán J. 74705  
Pelschenke P. F. 76711  
Peltier J. 74125  
Penfold A. R. 76251  
Peng Chin-Tzu 74958  
Penneman R. A. 74621  
Penner S. S. 75415, 75424  
Penoyer C. E. 76429  
Pepinsky R. 74199  
Perlman M. L. 74105  
Perny G. 74233  
Pesson M. 74966  
Pestell P. 74234  
Peterlin A. 75111  
Peters G. A. 76032 II  
Peters R. H. 74572  
Petersen L. W. 77049 II  
Peterson D. H. 76216 II  
Petragnani N. 74992  
Petty W. L. 74858  
Petzold M. 76004 II  
Pfäb W. 74643  
Pfannmüller W. 75510 II  
Pfleiffer H. G. 75246  
Pfister F. 76277  
Pflug I. J. 76760  
Philbin E. M. 74930  
Phillips A. W. 76633  
Phillips J. A. 74213  
Phillips M. A. 74842  
Piccotto E. 74683  
Pichat L. 75004  
Picon M. 74442  
Piedad de la Cierva 75687  
Pien 76788  
Pierotti G. J. 75533 II

Pierret 76152  
Pierson R. H. 75418  
Pietrow G. W. 75727  
Pletsch R. 75283  
Piffault C. 74493  
Piffault G. 74605  
Pijanowski E. 76674 K  
Pilling H. S. 76413 II  
Pilpel N. 74557  
Pilz I. 74168  
Pines H. 75031  
Pingale S. V. 76695  
Pino P. 75157  
Pinte C. 76152  
Piret P. 75458  
Pitt G. J. 74283  
Place S. W. 76346  
Plaksine 75881  
Plank R. 77010  
Plankenhorn E. 76207 II  
Plauth E. 76013 II  
Plechner S. L. 76466 II  
Plechner W. W. 76466 II  
Plein E. M. 74257  
Pliml J. 74938, 74947  
Plus-e M. H. R. J.  
75550  
Podrazký V. 76754  
Pohl F. 76005 II  
Pohorilla M. J. 75998 II  
Polonowski M. 74966  
Polsky J. W. 75314  
Pominski J. 75494  
Pop M. 74398  
Pope H. W. 74882  
Popek L. 77115  
Pople J. A. 74126  
Popović A. 76120  
Popovici S. 74398  
Popow A. 74844  
Popp F. D. 74528  
Porile N. T. 75154  
Porod G. 75100  
Porretta A. 76785  
Port M. 74086  
Poulain F. 76009 II  
Powell J. H. 76352  
Powers D. H. 74420  
74776, 76170  
Powles J. G. 75103  
Pozzo R. 76306  
Praeger K. 76194  
Prah W. H. 73972  
Prater N. H. 75925  
Pratt O. S. 76276  
Pražák V. 75638  
Prebendowski S. 74062 K,  
74802 K  
Prelog V. 75056—75058  
Preston S. T. 75952  
Prettre M. 74569  
Price C. C. 75170  
Price J. W. 75619  
Prichard W. W. 76031 II  
Priest D. K. 76912  
Prijs B. 75233  
Prine W. H. 75614, 75625  
Pritchard H. O. 74391  
Proctor B. E. 76686  
Promisel N. E. 75594,  
75611  
Prošek M. 74059 K

- Prost M. 74898  
 Proštenik M. 74853  
 Protiva M. 75046  
 Prue J. E. 74507  
 Pruppacher H. R. 74364  
 Przybylowicz E. P. 75342  
 Przyłocki H. 75865  
 Przywarska H. 74666  
 Pugh W. 74616  
 Pullin V. E. 75427  
 Pulou R. 74723  
 Pulst S. 76500, 76501  
 Pungor E. 75228  
 Puri B. 75080, 75082  
 Pyba O. 75225  
 Pyke J. B. 74391  
 Pyrikl C. 76836
- Q**  
 Quackenbush F. W. 75404  
 Quadbeck G. 76040  
 Quayle J. R. 74774, 75078  
 Quinchon F. 75878  
 Quinn F. A. 75146  
 Quintin J. 76142
- R**  
 Raab H. 76094  
 Rac M. 76545  
 Radai H. 75723  
 Radicella R. 74082  
 Radu A. 75390  
 Rae R. W. 76012  
 Ragni A. 74382  
 Rajjola E. 74526  
 Rainear J. M. 76937  
 Rains H. G. 76452  
 Rajzman P. 74967  
 Raman C. V. 74224  
 Ramanjaneyulu J. V. S. 75345  
 Rambaud R. 74848  
 Ramirez F. 75051  
 Ramsay A. O. 76273  
 Randall D. I. 76102  
 Randle R. R. 74148  
 Rank D. H. 74305  
 Rankoff G. 74844, 76547  
 Ransford J. R. 76781  
 Rao C. V. 74354  
 Rao M. N. 74356  
 Rao V. N. K. K. 74356  
 Rapps N. F. 74027  
 Rapson W. S. 75862  
 Rasch K. 76815  
 Rasmussen H. B. 76082  
 Raspe G. 75069  
 Rastogi R. P. 74329  
 Rath H. 76459  
 Rausch M. D. 74528  
 Ram C. J. G. 74347  
 Raw F. 75685  
 Ray L. 74190  
 Ray P. 74647, 75260  
 Rayet P. 74898  
 Raymond V. 77096  
 Raynor G. V. 74175  
 Rdzok E. J. 76193  
 Rebelein H. 76638, 76677  
 Reddy T. B. 74538  
 Ree T. 75119  
 Reed R. I. 74787  
 Reerink W. 75890  
 Reeves J. M. 75088  
 Reeves R. R. 75529  
 Refn S. 74663  
 Reifberg C. E. 76020  
 Rehl W. 74860  
 Rehor D. T. 76379  
 Reich H. E. 74946  
 Reichert R. 75264  
 Reichstein T. 76831  
 Reilley C. N. 75295  
 Reilly C. A. 74161  
 Reinhardt H. 76069  
 Reinhart M. A. 76280  
 Reinsch O. 76681  
 Reis T. 75788  
 Reisman A. 74620  
 Reiss R. 74233  
 Reitzer C. 74596  
 Rembaum A. 74761  
 Remington W. R. 76135  
 Renault P. 75758  
 Renfrew E. E. 76102  
 Renneberg K. H. 76221  
 Renson M. 74991  
 Resuggan J. C. L. 76696  
 Reynolds J. C. 75513  
 Reynolds T. G. 75913  
 Reynolds W. L. 74403  
 Řezáč Z. 75338  
 Řezáč Z. 75364  
 Rheinboldt H. 74992  
 Rhodes E. C. 75826  
 Riblett E. W. 75987  
 Riccoboni L. 74350  
 Rice H. H. 75737  
 Richmann R. 75819  
 Richter A. 74591  
 Richter F. 74798  
 Richter H. 74280  
 Richter J. 74030  
 Richter J. 75484  
 Richter K. H. 77009  
 Richter T. 74635  
 Rick A. W. 76451  
 Ridge M. J. 74397  
 Riedl W. 75074, 75075, 76068  
 Riester O. 76242  
 Riegler F. 76243  
 Riggan D. M. 75927  
 Riley J. P. 74741  
 Rindtorff E. 75544  
 Riogh S. P. 74930  
 Ripan R. 74019  
 Risse K. H. 75074, 75075  
 Rius A. 74519  
 Roberson W. H. 76512  
 Roberts D. E. 75146  
 Roberts G. N. 74156  
 Roberts J. A. 75791  
 Robinet Y. M. 74076  
 Robinson C. F. 75454  
 Robinson C. H. 75053  
 Robinson C. V. 74321  
 Robinson J. M. 75541  
 Robinson W. B. 76781  
 Rochas P. 76152  
 Roche L. 77097  
 Rodriguez F. 76434  
 Rodriguez J. 74082  
 Roe J. H. 75934  
 Roeder G. 75417  
 Roedig A. 74839  
 Roemer J. J. 76087  
 Rogers J. L. 74249  
 Rogers L. B. 75342  
 Rogers M. E. 75845  
 Roges A. O. 76037  
 Rokita W. 76617  
 Rolke H. 75726  
 Rollins J. H. 76285  
 Romain P. 75255  
 Ronchi V. 75769  
 Rondstedt C. S. 74905  
 Roper G. H. 77016  
 Rosano H. L. 75108  
 Roscoe J. S. 74629  
 Rose A. S. 75692  
 Rose E. 75879  
 Rošek J. 74492  
 Rosenthaler L. 75370  
 Rosenzweig A. 74706  
 Rosin J. 76062  
 Ross E. 76771  
 Ross J. W. 74593  
 Ross M. 74690  
 Rossberg M. 74433  
 Rosser C. M. 76457  
 Rosser W. A. 74389  
 Rössig L. 76315  
 Rossin E. H. 76170  
 Rossouw A. J. 74347  
 Rötger H. 75414  
 Rotsch A. 76714  
 Rouse A. H. 76778  
 Rowden E. 75753  
 Rowe G. W. 74554  
 Roy H. N. 75708  
 Roy R. 74376, 74626  
 Royer G. L. 76168  
 Roynet H. 74892  
 Rückwardt G. 76724  
 Rudd D. P. 74685  
 Rudloff E., von 74827, 74828  
 Rüegg R. 76014  
 Ruemele T. 76267  
 Rüetschi P. 74511  
 Ruff W. 76312  
 Ruffy J. 76833  
 Rummel R. 75915  
 Runge F. 76069  
 Runtl C. 76186  
 Rüping H. 75509  
 Ruschmann W. 75544  
 Russell G. I. 76957  
 Russum L. W. 75935  
 Rust J. B. 76052  
 Rutherford M. B. 76112  
 Rütte W. A. 77075  
 Rybář D. 75392  
 Rybín R. 76798  
 Ryer J. 75031
- S**  
 Saal R. N. J. 75955  
 Saar W. S. 75041  
 Sabbioni F. 75161  
 Sabetay S. 76270  
 Sabler P. W. 74941  
 Sadron C. 75128  
 Safrata S. 74265, 74266  
 Sag G. 76184  
 Sagalin P. L. 74109  
 Sage B. H. 74353  
 Sagel H. 76473  
 Saggiomo A. 74999  
 Sahasrabudne M. R. 76730  
 Saini G. 75213  
 Sakkena V. N. 76183  
 Salač V. 76989  
 Salmang 75651  
 Salmon P. 76924  
 Salvemini S. 76663  
 Sampson O. A. 76999  
 Samuels R. J. 75121  
 Sánchez-Robles A. 74519  
 Sancier K. M. 74138  
 Sandell E. B. 75280  
 Sandeman I. 75140  
 Sandermann W. 76214  
 Sanderson R. T. 74037, 74671  
 Săndulescu T. 75169  
 Sängner R. 74364  
 Sanquirico B. 76190  
 Saprygin G. 76800  
 Sarett B. L. 76851  
 Sarma K. R. K. 74356  
 Sasaki T. 74602  
 Sasin G. S. 74908  
 Sasin R. 74908  
 Sastry A. S. 76835  
 Saunders J. H. 76337  
 Saunders R. 77012  
 Sawal I. 75700  
 Saxby D. J. 75849  
 Saxena M. S. 74955  
 Sayed Mohamed Abdel Rahman Omran 74906  
 Sayre E. V. 74138  
 Schaaps E. 76224  
 Schaefer W. E. 76294  
 Schaeffer G. W. 74629, 74631  
 Schaller A. 76649  
 Schardjn H. 75693  
 Scharroba W. 76148  
 Schatz V. B. 74776  
 Schauenstein E. 76229  
 Scheermesser W. 76409  
 Scheld E. 76893  
 Scheld H. 76893  
 Schelhorn M. 76842  
 Schellenberg L. 75448  
 Schenck A. M. 76659  
 Scher A. 75337  
 Scherhag B. 75184  
 Schetty G. 76100  
 Scheuring L. 76496  
 Scheven O. 75694  
 Schiefer E. 75517  
 Schiff H. I. 74137  
 Schissler D. O. 74136  
 Schlack P. 76383  
 Schlager L. H. 75020  
 Schlecht H. 75636  
 Schlegel W. 75705  
 Schleicher M. E. 76947  
 Schmähl D. 76838  
 Schmid D. W. 75295  
 Schmidhofer T. 76816  
 Schmidlapp K. 75567  
 Schmidt C. M. J. 74194  
 Schmidt M. 75534  
 Schmidt P. E. 76343  
 Schmidt T. 75573  
 Schmidtown L. 76787  
 Schmitt I. 74935  
 Schmitt R. 74473  
 Schmitz P. M. 74843  
 Schmitz-Dumont O. 74665  
 Schneider M. 76341  
 Schneider P. 76299  
 Schoblik A. 75702  
 Schofield P. 74126  
 Scholder R. 74642  
 Scholes G. 74468  
 Scholz J. A. 75756  
 Schönberg A. 74906  
 Schönefeld H. 76138  
 Schönewald G. 74813  
 Schönfeld T. 74326  
 Schout C. J. 74998  
 Schopper E. 74472  
 Schou S. A. 75259  
 Schram I. H. 75834  
 Schreiber K. C. 74045  
 Schreiner W. C. 77024  
 Schröder H. 74640  
 Schröder H. 75911  
 Schroeder E. D. 64290  
 Schubert M. 76108  
 Schuckmann G. 76061  
 Schulek E. 75228  
 Schulman J. H. 74231  
 Schulte H. 74665  
 Schultz O. E. 76195  
 Schulz K. 74566  
 Schulz G. V. 74053  
 Schumann K. 76035  
 Schürmann K. 77106  
 Schusterius C. 75650  
 Schuyer J. 74284  
 Schwabe K. 76493  
 Schwahl F. J. 76467  
 Schwarz J. 74889  
 Schwarz W. 76903  
 Schweetger H. 74809  
 Schweishelmer W. 76272  
 Scoular R. H. M. 76602  
 Scovill W. E. 75993  
 Searles A. L. 74902  
 Secker J. S. 76374  
 Sebláček B. 76798  
 Seeger N. V. 76073  
 Šeha Z. 74342  
 Seidel C. F. 75039, 75040  
 Seidel P. 74228  
 Seiler A. 76669  
 Sekora A. 74168  
 Seltveit A. 76958  
 Sembach H. 75099  
 Semeluk G. P. 64559  
 Sen A. B. 74955  
 SenGupta R. 74482  
 Senn O. 76098  
 Sennwald K. 76005  
 Seno H. 75049  
 Seroussi A. 74724  
 Seshadri T. R. 75080  
 Setton R. 74964

- Sevestre J. 76431  
Seyhan M. 74662  
Seymour D. E. 76199 II  
Shackelford J. M. 74880  
Shafer M. W. 74626  
Shah G. D. 74885  
Shah L. G. 74885  
Shambelan C. 75170  
Shapiro I. 75446  
Shaw C. H. 75432  
Shaw T. M. 75252  
Shearer J. N. 74305  
Shearer N. H. 76027 II  
Sheibley F. E. 74940  
Shenai V. A. 76123  
Shepp A. 74390  
Sherman J. 75245  
Sherwood P. W. 75939  
Shigeta J. 74268  
Shimizu H. 75393  
Shimura K. 76476 II  
Shiner V. J. 74770  
Shipley F. W. 74870  
Shipman J. J. 76280  
Shotton E. 76188  
Shrader M. O. 76078 II  
Shukla B. K. 75345  
Siddappa G. S. 76770  
Siddiqi A. 75521  
Siefert F. 76532 II,  
76533 II  
Siegfried H. 76626  
Sienko M. J. 74561  
Sifferlen R. 76906  
Siggia S. 75383  
Signer R. 76525  
Sikorowska C. 75346  
Silver I. 76392 II  
Simak V. 75046  
Simcock J. H. 75442  
Simionescu C. 76524  
Simmons B. A. 76606 II  
Simnad M. T. 74428  
Simon A. 75413  
Simons H. P. 75763  
Simons J. H. 74419  
Simpson D. 75884  
Simpson J. I. 76764  
Sims R. P. A. 76430  
Singer R. 75194  
Singh B. 75217, 75229  
Singh S. 75217, 75229  
Singleton W. A. 76556  
Slon R. 75493  
Slrkar S. C. 74155  
Sisley J. P. 73994  
Sjöborg T. 74315  
Sjöström G. 76808  
Skidmore D. W. 75479  
Skirvan V. 75392  
Slabaugh W. H. 76914  
Slater L. E. 76751  
Slaviček E. 76996  
Slocombe R. 76029 II  
Sloman H. A. 75356  
Sluis K. J. H. 73970,  
75532  
Smakula A. 74173  
Smets G. 75178  
Smiley R. A. 74768  
Smith A. W. 75411  
Smith B. A. 76679 II  
Smith F. H. 76542  
Smith J. C. 73996  
Smith M. L. 74770  
Smith R. C. 75564  
Smith R. K. 75998 II  
Smith W. C. 74988  
Smith W. H. 74531  
Smoke E. J. 75720  
Smoot C. R. 74820 II  
Smyth C. P. 74156  
Snell F. D. 76976 II  
Soczyński S. 76571  
Sogani N. C. 75308  
Sokoloff V. P. 74724  
Sommer L. H. 74976—  
74978  
Sonntag F. 75175  
Sorm F. 75042  
Soscia B. L. 75845  
Sotornik V. 74061 K  
Souček B. 77102  
Souček M. 75480  
Soules J. A. 75432  
Southgate B. A. 75861  
Sowerby D. B. 74653  
Spanzaro F. 76823  
Spedding F. H. 74351  
Speler J. L. 76394 II,  
76048 II  
Spencer L. F. 75597  
Sperandio G. J. 76189  
Spialter L. 76052 II  
Spindler W. 76409 II  
Spohn E. 75804  
Spotle C. H. 76789  
Sprengeler E. P. 74945  
Spring S. 76938  
Springer F. 74006  
Sproule L. W. 76001 II  
Spruance F. P. 76967 II,  
76968 II  
Speziale A. 74747  
Srinivasan S. R. 75880  
Srivastava G. P. 76183  
Srivastava R. C. 74329  
Stafiej S. 75051  
Stahl C. R. 75383  
Stahl W. H. 76976 II  
Stairs R. A. 74561  
Stamm A. J. 76479  
Stamm H. 76474 II  
Stančev N. Z. 74852  
Standarts G. 76997,  
77030  
Stanton G. W. 76404 II,  
76405 II  
Stanton R. J. 75855  
Stapleford C. C. 76922,  
76923  
Staritzky E. 74185, 74621  
Stark W. F. 75568 II  
Starr L. 75015 II  
Stas N. 76142  
Staudinger H. 76831  
Stavely F. W. 76279  
Stavrolakis J. A. 75737  
Steacie E. W. R. 74393  
Stead J. C. 74227  
Steel R. A. 75935  
Steger E. 75413  
Stein M. L. 74855  
Stein R. S. 75139  
Steinberg M. 75284  
Steiner E. H. 76743  
Steinkraus K. H. 76761  
Stephan H. 76722  
Stephen W. I. 75331  
Sterling C. 76758  
Stern K. H. 74302  
Stevens J. M. 74207,  
75680  
Stevens H. M. 75285  
Stevens K. W. H. 74248  
Stevens T. S. 74785  
Stevenson D. P. 74136  
Stevenson J. R. 76347  
Stewart A. C. 74629  
Stewart D. E. 74353  
Stewart J. 77121  
Stillier F. P. 75607  
Stillman R. 76550  
Stine V. F. 75599  
Stingley D. V. 76729  
Stirling J. F. 75697  
Stock D. I. 75462  
Stoica R. 76539  
Stoicheff B. P. 74154  
Stokes C. S. 74999  
Stokes W. M. 75405  
Stoll M. 75039, 75040  
Stone F. W. 74812 II  
Stone L. S. 74976  
Stoops F. D. 75981 II  
Stopa M. 73974  
Storgards T. 74579  
Stranks D. R. 74417  
Stranski I. N. 74009  
Strathdee R. B. 73951  
Strating J. 75050  
Strause S. F. 75394  
Streicher P. 76112  
Strobel H. R. 75641 II  
Strohbach G. 76132  
Struyk C. 75621  
Stuckey R. E. 74582  
Studniarski K. 74948  
Stukas C. J. 77055  
Stumpf M. L. 76432  
Sturrock R. F. 75444  
Subrahmanya R. S. 74540  
Subrahmanyam S. V.  
74221  
Subrahmanyam V. 76730  
Suchet J. 75832 II  
Sugasawa S. 75062  
Sugathan K. K. 74102  
Sugawara K. 74728  
Sugil M. 75005  
Suhrmann R. 74566  
Suk V. 75225  
Sulc M. 74920  
Sullivan J. W. 76708  
Sundback R. A. 77024  
Sundt E. 75056, 75057  
Sunko D. E. 74854  
Superweld Corp. 76965  
Suquet M. 74935  
Suschtchinsky M. 75249  
Suter J. F. 76338  
Sutherland J. B. 74119  
Sutton J. N. 76657  
Svee H. J. 74048  
Svendsen J. H. 75749  
Swallow A. J. 74795  
Swaminathan M. 76695  
Swartling P. 76791  
Sweet T. R. 74667  
Swidler R. 74872  
Swift C. E. 76821  
Swift E. H. 75321  
Swinzow H. 76759  
Swortfiguer M. J. 76709  
Syed Mustaffur Rahim  
76881  
Syer C. R. 76443  
Sylvén B. 74577  
Sylvester J. C. 76193  
Symons M. C. R. 75159  
Syska Z. 75711, 75712  
Szalay S. 77107  
Szaynok A. 74214  
Szekeres L. 75329  
Szilvay G. 77004  
Szulc J. 76587  
Szwarc M. 74761  
Szwajcerowa A. 74054 K  
Szymanski H. 74212
- T**  
Tabuchi K. 75700  
Tagare D. M. 76955  
Takahashi K. 75700  
Talakudra P. B. 75035,  
75036  
Tamamushi R. 74536  
Tanaka Y. 74956  
Tanner H. 76668  
Tanttila W. H. 74288 II  
Tappel A. L. 76841  
Tarkow H. 76479  
Tarrant P. 74994, 74995,  
74996  
Tartier A. 76106 II  
Tashiro M. 75700  
Tasker T. 74058 K  
Tate B. F. 76902 II  
Tatu H. 76368  
Taylor H. A. 74459  
Taylor J. B. 75947  
Taylor W. I. 75059  
Tehsmer E. 76719  
Temin S. C. 74851  
Temperley H. N. V.  
74298  
Teodorescu A. 74725  
Teodorescu N. 75271  
Terao N. 74210  
Terlizzi P. M. 75956  
Tertian L. 74210  
Tesser K. 75471  
Teuber W. 75033  
Težak B. 74595  
Thalhofer K. 76960  
Theile K. 76491  
Theilig G. 76018 II  
Theis W. 64201  
Theophilou S. P. 74782  
Thews E. 75609  
Thiard A. 75292  
Thiess K. 76017 II  
Thom 75498  
Thomas C. H. 76317  
Thomas D. K. 74490  
Thomas E. B. 76167 II  
Thomassen L. 74262  
Thompson C. R. 75053  
Thompson J. F. 75468  
Thompson L. M. 77000  
Thompson R. 74348  
Thomsen J. S. 74332  
Thorburn R. 74471  
Thoreau J. 74699  
Thorsten T. C. 76868  
Throdahl M. C. 76337  
Thuillier G. 75008  
Thurmon F. M. 76230 II  
Thurmond C. D. 74183  
Tice L. F. 76191  
Tideman W. D. 76796  
Tiemann G. W. 75851  
Tien N. B. 74909  
Tilak B. D. 74852  
Tilden E. F. 74253  
Tillet J. P. A. 74308  
Tinker J. F. 74749  
Tio Liong Hien 75256  
Tischer J. 75808  
Titterton E. W. 74089  
Tobler F. R. 76848 II  
Tochikubo I. 74728  
Tocker S. 74951  
Todd A. R. 75078  
Todorow I. 75684  
Tolansky S. 74275  
Tollenaar F. D. 76535  
Tomašek J. 76669 K  
Tommasini A. 74897  
Tomoe M. 76684 II  
Tomono H. 75005  
Tongue T. O. 75568 II  
Toni G. 76190  
Topitz A. 77112  
Toren P. E. 75374  
Touloukian Y. S. 74296  
Tramm H. 75999 II  
Trauffer W. E. 75783,  
75786  
Traustel S. 75764, 75904  
Trautmann G. 76025 II  
Trebeje E. 75465  
Treibs W. 74874  
Trent C. H. 75960  
Triebwasser S. 74620  
Trifunović D. 76143  
Trillat J. J. 74210  
Trkal V. 74543  
Trobisch U. 76493  
Trombe F. 75767  
Trotman J. 74752  
Trotman-Dickenson  
A. F. 74391  
Trousil Z. 74236  
Truhaut R. 74017  
Tschobanov D. 76547  
Tsuzuku T. 74200  
Tubbs H. E. 74355  
Tuck J. H. 75645 II  
Tuomikoski P. 74144  
Tuppach H. J. 75014 II  
Turgeon J. C. 74488  
Turner J. L. 76466 II  
Tust P. 74056 K  
Tuszko W. 74021  
Tutt R. 76462 II  
Tuzson P. 75406  
Tyrer D. 76064 II  
Tysza H. 76578

Авторы указатель

- U**  
 Ubisch H. 74316  
 Uchida H. 74659  
 Ueda I. 74178  
 Uhlir A. 75488  
 Ulmer H. 74962  
 Ulrich H. M. 76526  
 Unger J. 75719  
 Unoki J. 76213 II  
 Upadhyaya M. P. 74740  
 Urbain M. 74898  
 Urban J. 77064  
 Urllic N. 76120  
 Uyee S. 75059
- V**  
 Vacek K. 76234  
 Vaganay J. 74824  
 Valentin 74020  
 Vallaud A. 76924  
 Vallée B. L. 74114  
 Vallée J. 73994  
 Valls J. 74923 II  
 Van Allan J. A. 74749  
 Van Artsdalen E. R. 74306  
 Van Atta R. E. 74542  
 Vanden Berg R. V. 75833 II  
 Van der Kelen G. P. 74990  
 Van Selver W. J. 74286 II  
 Van Tiggelen A. 74425  
 Van Veldin P. F. 75136  
 Van Wouterghem J. 74425  
 Varka J. 75714  
 Varlamoff N. 74698  
 Varsanyi G. 74997  
 Vastagh G. 75406  
 Vauck W. 76140, 76153  
 Velon P. 76274  
 Venkataraman K. 74852  
 Venturolo G. 75294  
 Venus G. 76156 II  
 Verdier E. T. 75207  
 Verkade P. E. 74777  
 Vermeulen M. 76226  
 Vernon C. A. 74789  
 Ver Nooy C. D. 74818 II  
 Vetter R. 76706  
 Vlehe H. G. 74834, 75072  
 Vielhaber L. 75717  
 Vilars J. 76498  
 Villas A. 75790  
 Vilkas M. 75034  
 Ville A. 75077  
 Vincenz B. 74117  
 Vindernocks A. W. 76899 II  
 Vignee R. A. 76034 II  
 Viswanath G. 74141  
 Vivian H. E. 75791  
 Vivo J. L. 74160  
 Vlachova D. 77102  
 Vletter R. 76607 II  
 Vogel E. 75569 II
- V**  
 Vogl O. 74905  
 Vogt A. 76569 II  
 Vogt E. 76726  
 Voigt W. 75443  
 Vokálek J. 74059 K  
 Volborth A. 74693  
 Vold M. J. 74594  
 Voldan M. 75400  
 Volger J. 74207  
 Volke J. 74544  
 Volkmoth A. 76554  
 Volková V. 74544  
 Volman D. H. 74460  
 Voltz S. E. 74565  
 Vorreiter L. 76478  
 Vorster F. 75571 II  
 Voss G. E. W. 74810 II  
 Vrátný F. 75251  
 Vřešťál J. 76172  
 Vroom A. H. 76477  
 Vuccino S. 74088  
 Vulterin J. 75279, 75322  
 Vurm V. 74061 K
- W**  
 Wachtmeister C. A. 75084, 75086  
 Wada G. 76908  
 Waddell J. C. 76656  
 Waeser B. 76309  
 Wagner G. H. 76049 II  
 Wahl O. 76245 II  
 Wahlberg H. O. 76514  
 Walborsky H. M. 74757  
 Walczak Z. 76812  
 Waldie W. A. 76468 II  
 Waldmann H. 74962  
 Waldmann H. J. 76013 II  
 Walenczak Z. 74696  
 Walker E. L. 76703  
 Walker G. E. 74215  
 Walker W. W. 75349  
 Wallace W. E. 74489  
 Wallbaum H. J. 76921  
 Walsh J. R. 74164  
 Walter A. J. 74322  
 Walter E. D. 75053  
 Walz E. 76813  
 Wanlek L. 74474  
 Ward A. C. 76774  
 Wark K. 74423 II  
 Warren J. B. 74085  
 Warrick E. L. 76295 II, 76385 II, 76386 II, 76390  
 Wartenberg L. 76814  
 Washburn W. H. 74750  
 Wasilewski Z. 76684 K  
 Wassum G. C. 76795  
 Waterman H. I. 75499  
 Watkins J. M. 75145  
 Watson G. H. 74283  
 Watson W. F. 75187  
 Watt G. W. 74379  
 Webb F. J. 74336  
 Weber F. 76128
- W**  
 Weber K. 74003  
 Weber K. 76446  
 Webster H. A. 76954  
 Weeda W. 77075  
 Wegener E. 75512 II  
 Wegener H. 74562  
 Wegener O. 75945  
 Wehber P. 75222  
 Wehmann E. F. 77067  
 Wehmeyer G. 77042 II  
 Wehrli W. 76095 II  
 Wehrung A. 76127  
 Weidinger A. 75136  
 Weidner G. 76197  
 Weil P. 75938  
 Weimer D. E. 75619  
 Weinberg E. L. 76402 II  
 Weinert W. 76441  
 Weingaertner E. 75883  
 Weingand R. 76862 II  
 Weinmann H. 74729  
 Weinrich W. W. 77052 II  
 Weinstock J. 74784  
 Weir F. M. 75343  
 Wels F. 76197  
 Weisgerber C. A. 76512  
 Weiss F. 75964  
 Weiss J. 74468  
 Weiss P. 75547 II  
 Weiss R. A. 75456  
 Weitzel D. H. 74438  
 Welch F. J. 74815 II  
 Welker P. L. 76858 II  
 Weller S. W. 74565  
 Wellmann E. 76920  
 Wels 74020  
 Wender S. H. 75011  
 Weniger S. 74110  
 Wenner W. 76051 II  
 Wepster B. M. 74777  
 Wertz J. E. 74160  
 West P. W. 74538  
 Westbrook S. S. S. 76941  
 Westphal H. 76005 II  
 Wettstein W. 76107 II  
 Wevert S. 74824  
 Wexler T. 76559  
 Weyde E. 76247 II  
 Wheelodon K. A. 76942  
 Wheeler F. G. 76729  
 Wheeler G. K. 76471 II  
 Wheeler T. S. 74930  
 Whelan P. F. 74563, 75884  
 Wheland G. W. 74165  
 Whiffen D. H. 74148  
 White C. M. 76975 II  
 White E. H. 74790  
 White E. N. 75010  
 White H. J. 75147  
 Whitmore F. C. 74977  
 Whitney R. B. 74461  
 Wibaut J. P. 74944  
 Wiberg E. 75534 II  
 Wick M. 76387 II  
 Wickberg B. 75025
- W**  
 Wicke E. 74433  
 Wicke E. 74484  
 Wiegand J. 76992, 76993  
 Wien R. 76201 II  
 Wieringen J. S. 74250  
 Wieser E. 75853  
 Wiesle R. 76837  
 Wijkerslooth P. 74697  
 Wild G. L. E. 76452  
 Wildschut A. J. 76326  
 Wilhelm M. 74816 II  
 Wilkinson R. P. 74563  
 Wilks J. 74336  
 Willart S. 76808  
 Willhalm B. 75039, 75040  
 Williams A. J. 74253  
 Williams G. M. 76083 II  
 Williams J. M. 76929  
 Williams L. T. D. 74343  
 Williams M. L. 75148  
 Williams R. M. 74418  
 Williams V. Z. 75420  
 Williams W. 76595  
 Williamson W. O. 75725  
 Willis J. L. 76251  
 Willson E. A. 76280  
 Willson E. A. 76280  
 Wilson L. E. 65307  
 Wilson R. F. 75307  
 Winand L. 74076  
 Wincor W. 75113  
 Windholz M. 74788  
 Wingard R. E. 74355  
 Wingfield H. C. 75310  
 Winkelmann A. 75435  
 Winkler R. E. 74794  
 Winnacker K. 73966  
 Winstead M. B. 74856  
 Wintersteiner O. 75054  
 Wise H. 74389  
 Wise L. E. 76492  
 Wishinski E. 75718  
 Witt R. K. 76339  
 Wittcoff H. 76565 II  
 Wittka F. 76557  
 Witzmann 74020  
 Wodehouse R. A. 75833 II  
 Wolf A. P. 74317  
 Wolf H. 75510 II  
 Wolf V. 74895  
 Wolff I. A. 75386  
 Wolford E. R. 76783  
 Wolfrom M. L. 73992  
 Wolfsberg M. 74105  
 Wolodkewich U. 76689  
 Wolters H. 75543 II  
 Wong E. 74120  
 Woo D. 75763  
 Wood E. A. 74176  
 Wood J. L. 75461  
 Wood P. D. S. 74837  
 Woodroffe D. 76884 K  
 Woodruff S. 76858  
 Woodward R. B. 75056, 75058
- W**  
 Woollett A. H. 74153  
 Wooster W. A. 74174  
 Work J. 75528  
 Wormald A. 73989  
 Wotiz J. H. 74783  
 Wrenshall C. L. 76688  
 Wucherev J. 75840 II  
 Wurster C. 73953  
 Wu Ta-You 74132  
 Wyczałkowska W. 76784  
 Wyld E. A. 75211  
 Wyler O. 76833
- X**  
 Xuong N. D. 74909
- Y**  
 Yamaguchi S. 74437, 75438  
 Yamanaka T. 74536  
 Yanko J. A. 75475  
 Yardney M. N. 75632 II  
 Yasue M. 74899  
 Yee Tin Boo 75715  
 Yoe J. H. 75262, 75310  
 Yoshida S. 74073  
 Yoshida S. 76213 II  
 Young C. R. 75920  
 Young G. J. 74571  
 Yurasko F. H. 75985 II  
 Yvon J. 74209  
 Yvon P. L. 76860 II
- Z**  
 Zagrodzki S. 76579  
 Zahn H. 76114, 76115  
 Zajaczkowski E. 76822  
 Žak B. 75133  
 Zaorska H. 76579  
 Zapan M. 75676  
 Zappa L. 74080  
 Zarzycki J. 75434  
 Zaukelles D. A. 74685  
 Zaundrecher K. 76297 II  
 Zawadzki A. 75696  
 Zechmeister L. 74754  
 Zeiss W. 74642  
 Zelenka S. 76669 K  
 Zeller P. 76014 II  
 Zellner H. 76210 II  
 Zerbe C. 76300 II  
 Zerweck W. 76108 II  
 Ziegler E. 74926  
 Ziegler K. 74970  
 Zietlow J. P. 74152  
 Zifferero M. 74957  
 Zimmer E. 74080  
 Ziolkowski Z. 76618  
 Zisman W. A. 74560  
 Zmerli A. 74234  
 Zonk D. G. 75507 II  
 Zünd E. 74475  
 Zwietering P. 75515  
 Zwolinski B. J. 74334  
 Zyka J. 75216, 75279, 75322  
 Zymalkowski F. 74940

Արդյան Գ. Լ. 74879

Հարյան Լ. Ա. 74879

Տիտանյան Ս. Լ. 74879

Կաթաբաժնի Զ. Գ. 73793

Սոսիալիզմ Զ. 76662

Դաճանյան Զ. Լ. 73973

74153  
74174

76688  
0 П

76784

437,

1536  
632 П

5715  
75310

3 П  
20  
71

85 П  
860 П

76115  
76822

74685  
5297 П  
696

4754  
59 К  
1  
0 П  
08 П

74152  
7  
0  
6618  
74569

07 П

5515  
74334  
75279.

74949

三山創 75160  
上野景平 75000  
下瀬育郎 74358  
九竹正一 75732  
中井利三郎 75005  
中山正夫 76898  
中久喜厚 76333  
中條利一郎 75095  
中森一誠 75415  
中澤大 74385  
中澤浩一 74884  
久米泰三 74441  
久保田威夫 76284  
久保輝一郎 75503  
重松恒信 75239  
九里善一郎 76308  
井川政己 76366  
井口洋夫 74281  
井木英二 74764  
井本立也 74441  
井本稔 74759, 75092,  
75093, 75163, 75165  
五味正富 76284  
仁木榮次 74512  
仁田勇 74796  
今井統雄 76854, 76196  
今村昌 74457  
今泉清次 74959  
内野小次郎 75732  
内藤信隆 76777  
伏崎芳男 75163  
伊勢田駿 75043  
伊藤幸夫 75523  
伊藤卓爾 75537  
伊藤晴之 74960  
伴繁雄 75546  
佐用博照 75234  
佐藤惠子 75369  
稻村壽三 74567  
八田弘 74937  
加戸安之 76593  
勾順生 76130  
千原到 76826  
眞山節子 76854  
南部松夫 74702  
印藤英次郎 76282  
原田千三 75806  
原田哲夫 76609  
森木義雄 76364  
及川浩 74636  
友野元 75005  
長瀬谷 76196  
古美直文 74385

吉田善一 74943  
吉田毅 76324  
吉原賢二 75311  
和田悟朗 76908  
和田敬三 76876  
周韻麗 75052  
垣内弘 75163  
大井光四郎 76345  
大川勝昭 74916  
大久保大藏 75474  
大戸敬二 75070  
大木英二 75038  
大木道則君 75047  
大河原信 74764  
大岩正芳 75093  
大津隆行 75092  
大島敬治 76324  
大塚淳 75795  
大野公男 74127  
大須賀清 75191  
大熊誠一 75375, 75395,  
75396  
大橋輝一 75559  
太田暢人 74763  
奥田欽之助 75474  
安井博 75906  
安田貞次 76362  
安江政一 74899  
安江重美 75546  
安藤一夫 76555  
安藤淳平 75562  
宮下修一 75399  
宮田次郎 74840  
宮崎正藏 74470  
實淳生 75172  
寺石豊 74960  
小川和彦 75474  
小川喜代一 75646  
小方芳郎 74791, 74850  
小田良平 74943  
小田英夫 76286  
小池榮二 74916  
小坂瑠吾 74960  
小林賢二 75807  
小林正二 76366  
小松勝 76555  
小泉正夫 74457, 74502  
小倉公達 76345  
小野田潔 75388  
小菅卓夫 74960, 75399  
山口文之助 75970  
山口政明 75165  
山本勇麿 75218

岩井一成 75038  
岩田一夫 74959  
岩塚良三 75801  
岸松平 75637  
岡村浩 76876  
岡野正彌 74791  
川村亮 76876  
川崎恒 76614  
常葉隆道 75743  
平尾一郎 74937  
新井秀男 74893  
星合和夫 74840  
木村作治郎 75906  
木村尚 74261  
木村健二 75311  
木村睦男 74578  
本莊好雄 76319  
朱任宏 75052  
杉井通泰 75005  
村上透 75644  
村木勇夫 75290  
村田二郎 74893  
林正樹 74937  
松井重雄 75643  
松本功 75637  
松本博 76707  
松村久吉 75038  
松浦信 74884  
松島清重 75787  
東慎之介 75278  
柳下一愛 75043  
柳生正見 74385  
柳熙圖 73969  
柳井雅一郎 75234  
櫻田一郎 76303  
桶田秀雄 74960  
梶原政次 75837  
梁曉天 74793  
森五彦 74578  
森本哲造 74294  
森昇 75094  
森健實 75604  
橋本宇一 76365  
横内成人 75388  
横手正夫 74959  
武内次夫 75388  
股宗泰 76979  
水池敦 76321  
水沼清 74937  
永井彰一郎 75562, 75795  
永井雄三郎 75487  
永坂晃 74797  
池内常郎 76829  
池田長生 75311

池田健郎 74883  
池宮仰 76736  
河村富美子 75399  
河岡豊 76286  
河原清 74919  
河野哲郎 75369  
波波夫 C. H. 75919  
淺川末三 76827  
清水亘 76826, 76829  
深谷三男 76305  
渡邊長 76599  
渡邊貞良 74422  
瀧本羊三 75527  
瀧浦潔 75379  
瀧野吉雄 75379  
熊谷隆太郎 75642  
片岡英也 75061  
幸田口元堂 75272  
王有槐 75172  
王孫仁 75172  
玉井康勝 75487  
生島正生 74385  
田邊昌紀 76329  
田島榮 75604  
田島榮美 74893  
町田充作 76898  
町田和夫 75836  
白松豊太郎 76291  
石井淳美 75795  
石田孝信 75291, 75204  
石田孝信 75202  
石黒武雄 74385  
石橋弘毅 75969  
石橋雅義 75202, 75204,  
75205, 75218, 75220,  
75239, 75278, 75291  
磯部育子 75369  
磯松慎造 75658  
福士俊一 76255  
福井謙一 74121  
秋山典之 76691  
秋田勉 76691  
穂積忠彦 76609  
立道秀磨 76320  
竹内常彦 74702  
竹田愛郎 74331  
竹岡清 75658  
竹崎嘉真 74760  
筒井清 74919  
米山昭 75836  
結城伸治 75872  
織田健一 75536  
服部弘 75527  
芦田包義 76357

若野精二 76358  
荒井漢吉 76333  
荒木綱男 75191  
前田良之佑 77050  
菅原善治 75647  
萬嘉照 76130  
藤永太一郎 75220, 75236  
藤田昭夫 74919  
西田淳三良 76593  
谷口雅男 75503  
谷垣順一 75093  
趙志永 76130  
辻村泰作 76732  
辻和一郎 75094  
近藤平三郎 75061  
遠井量村 74281  
野上壽 74369  
野中順三九 76555  
野村男次 76777  
野村幸雄 74894  
金子良夫 74959  
金庭延曼 74650  
鈴木桃郎 74470  
鈴木瑞枝 75369  
鈴木重成 76320  
長谷川猛虎 76983  
長浦茂男 74502  
長津勝治 76155  
關口慶二 74269  
阿知波繁一 75372  
隋振思 75473  
顧翼東 73969  
飯田康雄 76575  
飯沼義雄 76275  
飯島友夫 75382  
飯島俊一郎 74675  
馬場有政 75872  
馬場義雄 75061  
馬塚 76130  
高木貞惠 74637  
高田善之 74862  
高田善宏 74862  
高見澤太助 75646  
高國經 76278  
高野晃一 76691  
高橋サヲ 74470  
高橋茂 76615  
高林昇 74969  
嶋田吉英 76348  
鹿島次郎 75272  
齋藤長男 75634  
龜谷哲治 74894  
김네수 74615

УКАЗАТЕЛЬ ДЕРЖАТЕЛЕЙ ПАТЕНТОВ

Abbott Lab. 76085  
Advance Solvents & Chemical  
Corp. 76050  
AGFA Akt. Ges. für Photo-  
fabrikation 76242, 76243,  
76245, 76247  
Alr Liquide 75839  
Akt. Ges. der Gerresheimerl  
Glasschiffenwerke 75823

Allied Lab., Inc. 76233  
Aluminium C. of America 75833  
American Chemical Paint Co.  
76475, 76967, 76968  
American Cyanamid Co. 76032,  
76033, 76034, 76060, 76075,  
76077, 76087, 76101, 76104,  
76165, 76168, 76463, 76467,  
76890, 76892

American Electro Metal Corp.  
76962  
American Viscose Corp. 76457  
Anglo Iranian Oil Co. Ltd  
76012  
Armstrong Cork Co. 76410  
A/S Grindstedvarket 76082  
Atlantic Refining Co. 75994  
Atlas Powder Co. 76458

Babische Anilin and Soda  
Fabrik Akt. Ges. 75510,  
75636, 76008, 76019, 76040,  
76042, 76080, 76106, 76161,  
76162, 76207, 76370, 76399,  
76532, 76533  
B. B. Chemical Co. of Aust.,  
Pty. Ltd 76460, 76971  
Bekk & Kaulen. Chemische

- Fabrik G. m. b. H. 76248  
Benckiser G. m. b. H. 75539, 76681  
Bernhard Beumer Maschinenfabrik 75567  
Boehringer Sohn C. H. 76211  
Braithwaite & Son Engineers, Ltd 76566  
Brebereck H. 76018  
British Cellophane Ltd 76373  
British Petroleum Co., Ltd 75983  
Burroughs Wellcome and Co. (Aust) 76209 II  
Byk-Gulden Lomberg, Chemische Fabrik G. m. b. H. 76229  
Cables & Plastics, Ltd 76413  
California Research Corp. 75984  
Callaghan Hession Corp. 76461  
Canadian Celanese Ltd 76167  
Canadium Titaniam Pigments Ltd 76466  
Cassella Farbwerke Mainkur Akt. Ges. 76108, 76164, 76206  
Chas. Pfizer & Co., Inc. 76222, 76223  
Chemische Fabrik von Heyden 76021  
Chemische Fabrik Kalk G. m. b. H. 75571  
Chemische Verwertungs. Oberhausen m. b. H. 76013  
Chemische Werke Hüls G. m. b. H. 76459  
Chemische Werke Rombach G. m. b. H. 75511  
Chemstrand Corp. 76530  
Ciba Akt. Ges. 76026, 76030, 76093, 76097, 76099, 76107, 76163, 76215, 76472  
Cie Francaise Thomson-Houston 76076  
Cilag Akt. Ges. 76208  
Columbia Southern Chemical Corp. 75585  
Commercial Solvents Corp. 76074, 77044  
Commonwealth Engineering Co. 77045  
Consolidated Mining and Smelting Co. of Canada 75541  
Corning Glass Works 76386, 77132  
Courtaulds Ltd 76023  
Davidson Chemical Corp. 75548  
De Directie van de Staatsmijnen in Limburg 75550, 75570, 76058  
Dehydag Deutsche Hydrierwerke G. m. b. H. 76298, 76382  
Deutsche Gold- und Silber-Schneideanstalt vormals Roessler 75538, 75992, 76004, 76022, 76159  
Deutsche Shell Akt. Ges. 76300  
Dextran Ltd 76232  
Dialyzer Co. of America, Inc. 77047  
Distillers Co. Ltd 76015  
Diversey Corp. 76567  
Donau-Pharmazie G. m. b. H. 76210  
Dow Chemical Co. 75536, 75552, 76404, 76405, 76562  
Dow Corning Corp. 76046—76048, 76295, 76385, 76390, 76391, 76394, 76891  
Drager O. H. 76044 II  
Drew & Co. Inc. 76395, 76857  
Drug Houses of Aust. Ltd 76212  
Dunlop Rubber Co. Ltd 76301  
Du Pont E. I. de Nemours & Co. 75917, 76028, 76031, 76037, 76059, 75535, 76381, 76398, 76519, 76788  
Dynamit-Aktien-Ges. vormals Alfred Nobel & Co. 76296, 76401  
Eastman Kodak Co. 76027  
Edeleanu Gesellschaft m. b. 75996  
Edison Swan Electric Co., Ltd 76973  
Elektrochemisches Kombinat Bitterfeld 76400  
Ellis-Foster Co. 76052  
Esso Research and Engineering Co. 75978, 75990, 76011, 76974, 77041, 77043  
Ethy Corp. 76053  
Farbenfabrik Wolfen 76017  
Farbwerke Bayer Akt. Ges. 76383  
Farbwerke Hoechst Akt. Ges. vormals Meister Lucius & Brüning 76166, 76204, 76376, 76384, 76569  
Fellows Medical Manufacturing Co., Inc. 76225  
Foster D. Snell, Inc. 76976  
Fuji kogyo kabushiki Kaisha 75638  
Funikoshi Kozai Kogyo Kabushiki Kaisha 75637  
Gelgy J. R. Akt. Ges. 76100, 76202  
General American Transportation Corp. 76966  
General Aniline & Film Corp. 76078, 76096, 76102  
General Electric Co. 76045, 76414, 76900  
General Mills, Inc. 76565  
Genesee Research Corp. 76975  
Gervais C. Soc. Anon. 76859  
Givaudan Corp. 77039  
Glacieres de la Sambre Soc. Anon. 75831  
Glacier Metal Co. Ltd 75995, 76972  
Glass Fibers Co. 75825  
Glaxo Lab. Ltd 76219  
Glidden Co. 76379, 76858  
Glimite Corp. 76174  
Godfrey L. Cabot, Inc. 75989  
Goldschmidt Akt. Ges. 76474  
Goodyear Tire & Rubber Co. 76073  
Grace W. R. and Co. 75568  
Gulf Oil Corp. 77038  
Hans-Heinrich-Hütte G. m. b. H. 75534  
Heinrich Koppers G. m. b. H. 75508, 75544  
Heraeus Quarzschmelze Ges. 77048  
Hercules Powder Co. 75589, 75590—75592  
Herts Pharmaceuticals Ltd 76199  
Hipp Werk 76871  
Hoffmann-La Roche & Co. Akt. Ges. 76014, 76051, 76081  
Houdry Process Corp. 77051, 77052  
Hydrocarbon Research, Inc. 75977  
I. G. W. Berckholtz 76175  
Imhausen & Co. G. m. b. H. 76070  
Imperial Chemical Industries Ltd 76103, 76176, 76200, 76374, 76377, 76408, 76680, 76963  
International Cellucotton Products Co. 76158  
International Nickel Co. of Canada, Ltd 75826, 76964  
International Salt Co. Inc. 75554  
Inventa Akt. Ges. für Forschung und Patentverwertung 76036  
Kellogg M. W. Co. 75987  
Kendall Refining Co. 75998  
Knapsack-Griesheim Akt. Ges. 76005  
Knoll Akt. Ges. Chemische Fabriken 76068  
Kogyo Gijutsuincho 75634  
Kohlenwertstoff, Akt. Ges. 75914  
Koppers Ges. 75841  
Leeds and Northrup Co. 77090  
Lindes Elsmaschinen Akt. Ges. 75840  
Little A. D. Inc. 75843  
Metal & Thermit Corp. 76402  
Metall Ges. Akt. Ges. 75509, 75512, 76043, 76300  
Minister of Mines and Technical Surveys of Canada 75506  
Minnesota Mining and Manufacturing Co. 75820  
Mitsubishi Denki Kabushiki Kaisha 75537  
Mond Nickel Co. Ltd 75645  
Monsanto Chemical Co. 75588, 76003, 76006, 76024, 76029, 76054, 76056, 76170, 76396  
Montclair Research Corp. 76052  
Montrose Chemical Co. 76062  
Much Akt. Ges. Chem. pharm. Fabrik 76072  
National Coal Board 77087  
National Foam System Inc. 77131  
National Research Development Corp. 75842  
National Tank Co. 75991 II  
New Wrinkle Inc. 76468  
Nihon Denki Kagaku Kabushiki Kaisha 76898  
Nisshin Denki Kabushiki Kaisha 75535  
N. V. Amsterdamsche Chiehnfabriek 76228  
N. V. de Bataafsche Petroleum Maatschappij 75986, 76371, 76375  
N. V. Lijmpf 76607  
N. V. Philips Gloeilampfabrieken 75367, 76899  
Olin Mathieson Chemical Corp. 75520, 76520  
Organon J. V. 76055, 76203  
Orifin denki kabushiki Kaisha 75642  
Owens Corning Fiberglas Corp. 75821  
Particom Soc. Anon. 75918  
Patent-Treuhand-Ges. für elektrische Glühlampen m. b. H. 76901  
Permutit Co., Ltd 77088  
Peter Copper Corp. 76462  
Petro-Chem. Process Co. Inc. 77033  
Phillips Petroleum Co. 75975, 75976, 75981, 75997  
Phrix-Werke Akt. Ges. 76025  
Pillsbury Mills, Inc. 76858  
Pintsch Bamag Akt. Ges. 75633  
Pittsburgh Coke & Chemical Co. 76083  
Pittsburgh Plate Glass Co. 75827  
Polverifici Giovanni Stacchini Soc. Anon. 76173  
Poor and Co. 75648, 75834  
Pure Oil Co. 76977  
Research Corp. 76057  
Rockwood Sprinkler Co. 77046  
Rohm & Haas Co. 76230, 76231  
Ruhrchemie Akt. Ges. 75990, 76563  
Rumianca S. p. A. 75572  
Salsbury's Lab., Dr. 76227  
Sandoz, Akt. Ges. 76095, 76098, 76105  
Sankyo Co. 76213  
Sankyo Kabushiki Kaisha 76854  
Secondi (Angelo) & Secondi (Amilcare) 77130  
Servel, Inc. 77034  
Shell Development Co. 75538, 75973, 75982, 76564  
Siemens and Halske Akt. Ges. 75819  
Smith-Douglass Co., Inc. 75551  
Soc. An. des Manufactures de Glaces et Produits Chimiques de Saint Gobain 75822

Inc.

velop-

991 II

bushi-

shiki-

Chini-

roleum

76371,

lampj-

899

nical

76203

Kaisha

as Corp.

75918

for

en m. b.

77080

76462

Co. Inc.

75975,

97

76025

76853

Get.

Chemical

lass Co.

Stacchini

75834

7

Co. 77046

30, 76231

s. 75999,

75572

or. 76227

95, 76098,

Kaisha

Second

Co. 75533,

5564

lske Akt.

Inc. 75551

anufactures

oduits Chi-

nt Gobain



# Указатель держателей патентов

Soc. Carbochimique Soc. Anon. 76007	Stora Kopparbergs Bergslags Aktiebolag 77035	Union des Verreries Méca- niques Belges Soc. Anon. 75824	Akt. Ges. 75537
Soc. d'Electro-Chimie, d'Ele- ctro-Métallurgie et des Aciéries Electriques d'Ugine 76088	Söddeutsche Kalkstickstoff Werke Akt. Ges. 75569	United Kingdom Atomic Ener- gy Authority 75540	Vereinigte Glanzstoff-Fabri- ken Akt. Ges. 76066, 76079, 76531
Soc. des Etablissements Barbet 76078	Sutcliffe Speakman & Co., Ltd 77088	United Products Co. 76855	V. G. (London) Ltd 76969, Vibradamp Copr. 75829
Soc. May & Baker Ltd 76201	Svenska Skifferolje AB 76895, 76896	United States Rubber Co. 76372	Wacker-Chemie G. m. b. H. 76387
Soc. Rapidae 76889 II	Swift and Co. 77049	Universal Oil Products Co. 75974, 75979	Warren Co., S. D. 76249
Stamcarbon N. V. 76063	Timbrol Ltd 76071	Upjohn Co. 76216, 76217	Western Electric Co. Inc. 75639, 75641
Standard Oil Co. 75916, 75980, 75985, 75989, 75993, 76001, 77036, 77037, 77053	Titan Co. Inc. 76465	USA, the Secretary of Agricul- ture 76020, 76679	Westinghouse Electric Corp. 75830, 76389, 76412
Standard Telephones and Cab- les Pty Ltd 75835, 76393	Tokuyama Soda Kabushiki Kaisha 75536	USA, the Secretary of the Navy 76392	Wingfoot Corp. 76411
Stanolind Oil and Gas Co. 75507	Turner Brothers Asbestos Co. Ltd 75649	U. S. Rubber Co. 76293, 76294, 76380, 76406	Wintershall Akt. Ges. 75567
Stein, Hall & Co., Inc. 76157	Unilever Ltd 76568	Vanderbilt Co. Inc. 76471	Wolff & Co. 76863
Sterling Drug Inc. 76205	Union Carbide Canada Ltd 76049	Vereinigte Aluminium Werke Akt. Ges. 75547	Yardney International Corp. 75632
Sticting Institute voor Grate Techiek T. N. O. 76250	Union Carbide and Carbon Corp. 75546, 75643, 76016	Vereinigte Badische Staats-Sa- linden Dürrehelm-Rappenaу	Zahn and Co. G. m. b. H. 75543
	Union Chimique Belge Soc. Anon. 76086		Zaidan Kofin Noguchi Ken- kyusho 75644

Технический редактор Л. М. Хелеская

Подписано к печати 13/II 1957 г. Тираж 4876 Формат бумаги 84x109<sup>1</sup>/<sub>16</sub> Зак. 1046  
Печ. л. 47,56 Бум. л. 14<sup>1</sup>/<sub>2</sub> Уч.-изд. л. 87,1

2-я тип. Издательства АН СССР. Москва, Шубинский пер., д. 10

Цена 22 р. 50 к.

Printed in the USSR

XUM

